

АКАДЕМИЯ НАУК СССР  
ИНСТИТУТ НАУЧНОЙ ИНФОРМАЦИИ

# РЕФЕРАТИВНЫЙ ЖУРНАЛ

ХИМИЯ

РЕФЕРАТЫ

24678—28063

\*

№ 9

1956

ИЗДАТЕЛЬСТВО АКАДЕМИИ НАУК СССР  
МОСКВА



ГЛАВНАЯ РЕДАКЦИОННАЯ КОЛЛЕГИЯ  
РЕФЕРАТИВНОГО ЖУРНАЛА

*Н. В. Алексеев, В. В. Алатов, Г. Д. Афанасьев, В. И. Дикишин, В. Ю. Ломоносов,  
С. М. Никольский, К. Ф. Огородников, Д. Ю. Павлов (председатель редколлегии),  
В. В. Покиншевский, Л. И. Седов, В. В. Серпинский, Э. В. Шнольский*

СОДЕРЖАНИЕ

|   |     |  |     |
|---|-----|--|-----|
| ОБЩИЕ ВОПРОСЫ .....   | 1   | Минеральные соли. Оксины. Кислоты. Основания .....                               | 298 |
| Методология. История. Научные учреждения и конференция. Преподавание. Вопросы библиографии и научной документации ..... | 1   | Удобрения .....  | 301 |
| ФИЗИЧЕСКАЯ ХИМИЯ .....  | 3   | Пестициды .....  | 302 |
| Общие вопросы .....   | 3   | Электрохимические производств. Электроосаждение. Химические источники тока ..... | 307 |
| Атомное ядро .....  | 3   | Силикаты. Стекло. Керамика. Вяжущие материалы .....                              | 314 |
| Атом .....  | 9   | Получение и разделение газов .....   | 334 |
| Молекула. Химическая связь .....  | 12  | Подготовка воды. Сточные воды .....  | 335 |
| Кристаллы .....   | 31  | Переработка твердых горючих ископаемых .....                                     | 339 |
| Жидкости и аморфные тела. Газы .....  | 49  | Переработка природных газов и нефти. Моторное топливо. Смазки .....              | 344 |
| Общие вопросы химии изотопов .....  | 57  | Промышленный органический синтез .....   | 351 |
| Термодинамика. Термохимия. Равновесия. Физико-химический анализ. Фазовые переходы .....                                 | 58  | Промышленный синтез красителей .....   | 369 |
| Кинетика. Горение. Взоры. Топохимия. Катализ .....  | 69  | Крашение и химическая обработка текстильных материалов .....                     | 373 |
| Фотохимия. Радиационная химия. Теория фотографического процесса .....   | 82  | Взрывчатые вещества. Пиротехнические составы .....                               | —   |
| Растворы. Теория кислот и оснований .....   | 86  | Лекарственные вещества. Витамины. Антибиотики .....                              | 381 |
| Электрохимия .....  | 87  | Фотографические материалы .....  | 391 |
| Поверхностные явления. Адсорбция. Хроматография. Ионный обмен .....   | 93  | Душистые вещества. Эфирные масла. Парфюмерия и косметика .....                   | 396 |
| Химия коллоидов. Дисперсные системы .....   | 99  | Каучук натуральный и синтетический. Резина .....                                 | 397 |
| НЕОРГАНИЧЕСКАЯ ХИМИЯ. КОМПЛЕКСНЫЕ СОЕДИНЕНИЯ .....  | 105 | Синтетические полимеры. Пластмассы .....   | 404 |
| КОСМОХИМИЯ. ГЕОХИМИЯ. ГИДРОХИМИЯ .....  | 115 | Лакс. Краски. Эмали. Олифы. Синтетика .....                                      | 419 |
| ОРГАНИЧЕСКАЯ ХИМИЯ .....  | 125 | Лесохимические продукты. Целлюлоза и ее производные. Бумага .....                | 427 |
| Теоретические и общие вопросы органической химии .....  | 125 | Искусственное и синтетическое волокно .....                                      | 435 |
| Синтетическая органическая химия .....  | 133 | Жиры и масла. Воски. Мыла. Моющие средства. Фотореагенты .....                   | 442 |
| Природные вещества и их синтетические аналоги .....   | 211 | Углеводы и их переработка .....  | 448 |
| ХИМИЯ ВЫСОКОМОЛЕКУЛЯРНЫХ ВЕЩЕСТВ .....  | 244 | Вредная промышленность .....   | 452 |
| АНАЛИТИЧЕСКАЯ ХИМИЯ .....   | 253 | Пищевая промышленность .....   | 458 |
| Общие вопросы .....   | 253 | Кожа. Мех. Желатина. Дубители. Технические белки .....                           | 469 |
| Анализ неорганических веществ .....   | 260 | Прочие производства .....  | 473 |
| Анализ органических веществ .....   | 272 | КОРРОЗИЯ. ЗАЩИТА ОТ КОРРОЗИИ .....   | 474 |
| ОБОРУДОВАНИЕ ЛАБОРАТОРИЙ. ПРИБОРЫ, ИХ ТЕОРИЯ, КОНСТРУКЦИЯ, ПРИМЕНЕНИЕ .....   | 283 | ПРОЦЕССЫ И ОБОРУДОВАНИЕ ХИМИЧЕСКИХ ПРОИЗВОДСТВ .....                             | 488 |
| ХИМИЧЕСКАЯ ТЕХНОЛОГИЯ. ХИМИЧЕСКИЕ ПРОДУКТЫ И ИХ ПРИМЕНЕНИЕ .....  | 297 | Процессы и аппараты химической технологии .....                                  | 488 |
| Общие вопросы .....   | 297 | Контрольно-измерительные приборы. Автоматическое регулирование .....             | 506 |
| Серная кислота, сера и ее соединения .....  | 297 | ТЕХНИКА БЕЗОПАСНОСТИ. САНИТАРНАЯ ТЕХНИКА .....                                   | 510 |
| Азотная промышленность .....  | 297 | АВТОРСКИЙ УКАЗАТЕЛЬ .....  | 512 |
| Содовая промышленность .....  | 298 | УКАЗАТЕЛЬ ДЕРЖАТЕЛЕЙ ПАТЕНТОВ .....  | 527 |

. 296  
. 301  
. 302  
те-  
. 307  
ны 314  
. 334  
. 335  
. 339  
он-  
. 344  
. 351  
. 369  
те-  
. 373  
—  
. 381  
. 391  
ни  
. 395  
. 397  
. 404  
. 419  
он-  
. 427  
. 435  
то-  
. 442  
. 448  
. 452  
. 456  
ини 460  
. 473  
. 474  
IX  
. 488  
. 488  
ес-  
. 506  
КА 510  
. 512  
. 527

#### ПОПРАВКА

В РЖХим, 1956, № 7, в реферате 19143 замечены опечатки. Просьба на соответствующее место наклеить прилагаемый исправленный текст.

Установлено, что под действием NaOH в р-ре (этанол-диоксан) *транс-I* и *транс-II* легко отщепляют к-ту с образованием соответственно бензоата или ацетата 1,5-дихлорантрола-9 (VI и VII), а *транс-III* отщепляет молекулу воды с образованием VI, *транс-IV* отщепляет HCl с образованием 1,8,10-трихлорантрацена. При той же обработке *цис-I* превращается главным образом в *цис-V*, причем одновременно образуется небольшое кол-во (3,3% при 22° и 7% при 62°) 1,5-дихлорантрола (VIII) или 1,5-дихлорантрона (IX) (идентифицированы превращением в 1,5-дихлорантрахинон (X)). *цис-II* практически не изменяется в условиях р-ции. Кинетич. исследования показали, что  $k$  в л/сек моль при 22,44° для *транс-I* 0,175, *цис-I* 0,000143, *транс-II* 0,0717, *транс-III* 0,356, *транс-IV* 0,550, *транс-V* 0,0108 и *цис-V* 0,0002. Таким образом, в исследованных системах *транс*-производные вступают в р-цию 1,4-сопряженного отщепления со значительно большей скоростью, причем отщепляются лишь *цис*-расположенные заместители. При температурных воздействиях наблюдается та же правильность. Так, при нагревании до т-ры плавления *транс-I* и *транс-II* образуются соответственно VI и VII, а *цис-I* и *цис-II* при этом не изменяются. Авторы обсуждают причины преимущественного *цис*-отщепления и указывают на возможность электронного и пространственного влияния атомов Cl в 1 и 3 кольцах антрацена на этот процесс. Для синтеза *цис*- и *транс-II* 10 ммоль 1,5-дихлор-9,10-дибром-9,10-дигидроантрацена, т. пл. 176—180° (разл.), полученного бромированием 1,5-дихлорантрацена в CCl<sub>4</sub>, кипятят 25 мин. с р-ром 7 г безводн. CH<sub>3</sub>COONa в 35 мл лед. CH<sub>3</sub>COOH. Охлажд. смесь выливают на лед и отфильтровывают осадок, выход 60%. Фракционной кристаллизацией из диоксана (40%) и ацетона

# РЕФЕРАТИВНЫЙ ЖУРНАЛ ХИМИЯ

ГЛАВНЫЙ РЕДАКТОР В. В. Серпинский. УЧЕНЫЙ СЕКРЕТАРЬ И. А. Зайцев.

РУКОВОДИТЕЛИ СЕКТОРОВ И ГРУПП: Х. С. Багдасарьян, Д. А. Бочвар, Л. М. Броуде, А. И. Бусев, М. Е. Дяткина, В. В. Кафаров, В. Л. Кретоич, Д. Н. Курсанов, Б. А. Сасс-Тисовский, В. А. Соколов, Е. С. Топчиев, Н. А. Фукс

Рефераты 24678—28063

№ 9

10 мая 1956 г.

## ОБЩИЕ ВОПРОСЫ

МЕТОДОЛОГИЯ. ИСТОРИЯ. НАУЧНЫЕ УЧРЕЖДЕНИЯ И КОНФЕРЕНЦИИ.  
ПРЕПОДАВАНИЕ. ВОПРОСЫ БИБЛИОГРАФИИ И НАУЧНОЙ ДОКУМЕНТАЦИИ

24678. Химическая наука и промышленность в свете решений XX съезд КПСС.—, Успехи химии, 1956, 25, № 3, 257—262

24679. Важнейшие юбилейные и памятные даты из истории химии в 1956 г. Фигуровский Н. А., Химия в школе, 1956, № 1, 17—23

24680. Памятные дни химии [в 1955 г.]. Кноблаух (Gedenktage der Chemie. Knoblauch Hans G.), Lab.-Praxis, 1955, 7, № 12, 137—139 (нем.)

24681. Хронологическая таблица по истории керамики. Ешке (Keramische Geschichtszahlen. Jaeschke A.), Ber. Dtsch. keram. Ges., 1955, 32, № 2, 52—54; № 3, 75—79; № 4, 100—104; № 5, 157—160; № 6, 181—184; № 7, 214—218; № 8, 238—240; № 9, 272—274; № 11, 335—340 (нем.)

Хронология событий, относящихся к произ-ву керамики, с древних времен по 1930 г. Д. Т.

24682. Развитие производства кокса в России. Кустов Б. И., Кокс и химия, 1955, № 2, 21—26

Краткий историч. обзор (до 1917 г.). Вибл. 19 назв.

24683. Баденская анлиновая и содовая фабрика. Исследователи, изобретатели и технологические процессы мирового значения. Вольф (Die BASF. Forscher, Erfinder und Verfahren von weltweiter Bedeutung. Wolf G.), VDI Nachr., 1954, 8, № 11, 4 (нем.)

24684. О ранее неизвестных предвидениях Д. И. Менделеева. Кедров Б. М., Вестн. АН КазССР, 1953, № 12, 14—23; An. Rom.-Sov. Ser. chim., 1954, 7, № 3, 12—23 (рум.)

На основе вновь опубликованных материалов (см. РЖХим, 1953, 2690) приводятся данные, относящиеся к предвидению Менделеевым: 1) существования 18 неизвестных элементов, 2) изменчивости элементов. Д. Т.

24685. Алексей Иванович Ходнев. Фигуровский Н. А., Соловьев Ю. П., Тр. Ин-та истории естествозн. и техники АН СССР, 1954, 2, 19—45.

Очерк жизни, научной, педагогич. и общественной деятельности видного русского химика XIX в. А. И. Ходнева, профессора Харьковского ун-та и активного деятеля Вольного экономич. об-ва. Приведен портрет и список основных трудов. Д. Т.

24686. Киевский период научной и общественной деятельности Л. В. Писаржевского (1908—1911).

Гловацкий М. Т., Укр. хим. ж., 1955, 21, № 6, 810—815

Краткий обзор научных работ; сведения о педагогич. и общественной деятельности. Использованы архивные материалы. Д. Т.

24687. Федор Александрович Торопов (1884—1953). Звягинцев О. Е., Валяшко М. Г., Ж. прикл. химии, 1955, 28, № 12, 1345—1346

Краткий очерк жизни, научной и инженерной деятельности Ф. А. Торопова, крупного специалиста в области красящих в-в и радиевой пром-сти. Д. Т.

24688. Джеймс Самнер. Дунс (Prof. James B. Sumner. Dounce Alexander L.), Nature, 1955, 176, № 4488, 859 (англ.)

Некролог крупного биохимика-энзимолога Дж. Самнера, профессора Корнелльского ун-та (США). Д. Т.

24689. Вольфганг Паули. Либен (Wolfgang Pauli. Lieben A.), Österr. Chem.-Ztg., 1955, 56, № 23—24, 336—337 (нем.)

Некролог В. Паули (1869—1955), известного австрийского ученого в области коллоидной химии. Д. Т.

24690. Франц Майер. Янш (Franz X. Mayer. Jansch H.), Österr. Chem.-Ztg., 1955, 56, № 23—24, 333—336 (нем.)

Некролог профессора Венского ун-та Ф. Майера (1904—1955), специалиста в области судебной химии, токсикологич. и спектрального анализа. Перечень научных трудов, 47 назв. Д. Т.

24691. Профессор Юзеф Турский.— (Prof. Dr. Józef Turski.—), Przegl. skórzan., 1955, 10, № 12, Biul. lab. kolorystyczn., 4 (польск.)

Некролог проф. Варшавского политехнич. ин-та Ю. Турского, химика-кolorиста, специалиста в области крашения и отделки кож. Д. Т.

24692. Александр Павлович Виноградов.—, Завод. лаборатория, 1955, 21, № 12, 1516—1517

К 60-летию со дня рождения крупного геохимика и химика-аналитика акад. А. П. Виноградова. Д. Т.

24693. Петр Петрович Будников. Бережной А. С., Войнаральский Х. П., Укр. хим. ж., 1955, 21, № 6, 822—824

См. также РЖХим, 1956, 15164, 15165, 18380. Д. Т.

24694. Петр Петрович Будников.—, Цемент, 1955, № 6, 31

24695. Г. Ф. Марк. Мюллер (H. F. Mark. Müller F. H.), Kolloid-Z., 1955, 144, № 1—3, 1—2 (нем.)



К 60-летию со дня рождения. См. также РЖХим, 1956, 21568.

24696. Химия в новом учебном плане.—Химия в школе, 1956, № 1, 3—8

Рассматриваются общеметодич. вопросы в связи с введением с 1954/55 учебного года новых учебных планов и программ в средней школе.

24697. Элементы политехнического обучения в преподавании химии в школах рабочей молодежи. Янов Г. И., Химия в школе, 1956, № 1, 28—32.

Из педагогич. опыта автора.

24698. К методике изучения теории электролиза водных растворов. Турышев И. К., Химия в школе, 1956, № 1, 24—28

Приведена проверенная автором на практике методика изложения в X классе средней школы процесса электролиза на основе применения ряда активностей.

24699. Методика и техника составления школьной коллекции элементов и их соединений. Маменко (Методика і техніка колекціонування в школі елементів і їх сполук. Маменко А. У.), Наук. зап. Черкаськ. держ. пед. ін-ту, 1954, № 6, 7—11 (укр.)

24700. Опыт выращивания кристаллов из растворов. Варфоломеева Е. К., Золотова З. Г., Егорова О. Н., Антонова Н. К., Химия в школе, 1956, № 1, 58—62

Приведены практич. указания по выращиванию крупных кристаллов солей и оформлению школьной коллекции кристаллов.

24701. Автогазомер. Кротков В. В., Химия в школе, 1956, № 1, 54—55

Описаны устройство и работа самодельного прибора, дающего возможность замерять собираемый и расходный газ. Рекомендован для школьных занятий.

24702. Окислы азота и методы их изучения. Кучеренко (Окисли азоту і методи їх вивчення. Кучеренко Н. І.), Наук. зап. Київськ. держ. пед. ін-ту, 1954, 15, № 2, 17—23 (укр.)

Описаны школьные опыты получения окислов азота.

24703. Методика получения чистой серы. Крупаткин И. Л., Наук. зап. Черкаськ. держ. пед. ін-ту, 1954, № 6, 13—16 (укр.)

Описана методика (перекристаллизация из скипидара и промывка спиртом) для школьных занятий.

24704. Прибор для демонстрации ускорения химической реакции. Чендров А. Д., Химия в школе, 1956, № 1, 45—47

Описаны три опыта для демонстрации влияния на скорость р-ции избытка одного из реагентов (взаимодействие  $\text{NH}_3$  с  $\text{H}_2\text{SO}_4$ ;  $\text{HCl}$ -газа и  $\text{HCl}$ -к-ты со щелочью; окислов азота и  $\text{HNO}_3$  со щелочью).

24705. Действующие модели химических установок. Кучеренко Н. И., Химия в школе, 1956, № 1, 48—50

Описание установок для получения  $\text{H}_2\text{SO}_4$  (по контактному способу) и  $\text{HNO}_3$ .

24706. Лабораторные опыты в связи с изучением углеводородов. Полосин В. С., Химия в школе, 1956, № 1, 51—52

Описаны получение этилена из спирта над необожженной глиной и крекинг нефтепродуктов.

24707. Каталитическое окисление спиртов. Бром Ф., Химия в школе, 1956, № 1, 52—54

Подробно описаны три варианта проведения демонстрационного опыта окисления спиртов в альдегиды.

24708. Два опыта по углеводам. Шамшурин А. А., Химия в школе, 1956, № 1, 56—58

Описаны синтез сахаристого в-ва по Бутлерову (см. также РЖХим, 1956, 15179), и эффективный способ получения сахарозы из свеклы (см. также РЖХим, 1953, 7805).

24709. Школьные опыты по химической переработке жиров и углеводов. Грабецкий А. А., Цветков Л. А., Химия в школе, 1954, № 4, 47—55

Описаны опыты по гидрогенизации растительного масла, осаживанию крахмала, гидролизу клетчатки и получению искусственного волокна.

24710. К методике составления библиографических указателей научной литературы по химии (Из опыта работы). Каменогородская О. П., Тр. Б-ки АН СССР и Фундам. 6-ки обществ. наук АН СССР, 1955, 2, 97—121

24711. Первый русский химический журнал. Коэлов Н. С., Уч. зап. Молотовск. гос. пед. ин-та, 1954, № 13, 155—192

История возникновения «Химического журнала Н. Н. Соколова и А. Н. Энгельгардта», издававшегося в 1859—1860 гг., и подробный обзор опубликованного материала. Приведены сведения о выходивших в России до середины XIX в. периодич. изданиях, содержащих публикации по химии. Библи. 39 назв.

24712 К. Словарь современной химии. Паназольи (Dizionario della chimica moderna. Pansaoli Emilio. Firenze C. Cua, 1955, X, 429 p., 6000 L.) (итал.)

24713 К. О развитии чешской химии. Петру, Гаек (O vývoji české chemie. Petrů František. Hájek Bohumil. Praha, Orbis, 1954, 152, [10] str., 15 Kčs) (чеш.)

24714 К. Краткая история французской фармации. Першерон, Ле-Пу (Petite histoire de la pharmacie française. Percheron Maurice, Le Roux Madeleine. Avignon, E. Aubanel, 1955, 224 p., ill., 2500 fr.) (франц.)

24715 К. Неорганическая химия в опытах. Пособие для учителей общеобразовательной школы. Фабини (Anorganická chémia v pokusoch. Príručka pre učiteľov všeobecne vzdelávacích škôl. Fabini Ján. Bratislava, SPN, 1953, 1954, 230, [7] str., il., 24 Kčs) (словац.)

24716 К. Катализ и его освещение в курсе химии средней школы. Лекция для учителей. Эпштейн Д. А. М., Изд-во Акад. пед. наук РСФСР, 1955, 24 стр., 30 коп.

24717 К. Основы химии. Соучек, Эффенбергер (Základy chemie. Souček Jaroslav, Effenberger Miloš. Praha, SNTL, 1955, 268 str., il., 21 Kčs) (чеш.)

24718 К. Общая химия. Секереш (Altalnos kémia. Szekeres László. Budapest, Mezőgazd. Kiadó, 1955, 520 l., 72 Ft) (венг.)

24719 К. Основы промышленной химии. Ч. I. Общая, неорганическая и органическая химия, минералогия и петрография. Андрилик, Петру (Základy priemyselnej chémie 1. diel. Chémia všeobecná, anorganická, organická, mineralógia a petrografia. Andriľik Karel, Petrů František. Bratislava, Štátne nakl. techn. lit., 1954, 425, [1] str., il., 28.90 Kčs.) (словац.)

24720 К. Лабораторный практикум по химии. Пособие для высших химико-технологических учебных заведений. Андрилик. (Cvičenia v chemickom laboratóriu. Pomocná kniha pre vyš. priem. školy chemické. Andriľik Karel. Bratislava, SPN, 1953, 548, [19] str., il. 24.30 Kčs) (словац.)

24721 К. Химия. Для II класса. Лиферман (Chimie. Classe de 2. Lifermann Samuel dit Jean. Paris, Lib. Istra, 1954, 251 p., ill., 450 fr.) (франц.)

24722 К. Химия для 9-го года общеобразовательной школы. Соторник, Вурм, Паук (Chémia

- pre 9. roč. všeob.-vzdeláv. škôl. Sotorník Vladimír, Vurm Vladimír, Pauk František. Prekl. Bratislava, SPN, 1954, 202, [42] str., 6.70 Kčs (словац.)
- 24723 К. Химия для 10-го года общеобразовательной школы. Бухар, Шорм (Chémia pre 10. roč. všeob.-vzdeláv. škôl. Buchar Eugen, Šorm František. Prekl. Bratislava, SPN, 1954, 155, [30] str., il., 6 Kčs) (словац.)
- 24724 К. Химия для 11-го года общеобразовательной школы. Петру, Гайек (Chémia pre jedenásty roč. všeob.-vzdeláv. škôl. Petrú František, Hájek Bohumil. Prekl. Bratislava, SPN, 1954, 149, [25] str., il., 5.90 Kčs) (словац.)
- 24725 К. Химия. Учебник для 1-го года медицинской школы. Бартушек, Питль (Chemie. Učební texty pro 1. roč. zdravot. škol Bartůšek Bedřich. Pittl Otakar. Praha, SPN, 1954, 197, [2] str., il., 7.90 Kčs) (чеш.)
- 24726 К. Лабораторные работы по химии для 1-го и 2-го года сельскохозяйственной технической школы. Бродил (Laboratorné chemické cvičenia pre 1. a 2. roč. pôdohosp. techn. škôl. Brodil J. Z čes.

- Bratislava, SNP, 1954, 349, [4] str., il., 22.90 Kčs) (словац.)
- 24727 К. Технология для 3-го года обучения сельскохозяйственных школ. Марушка, Плетка, Помезный, Шипек, Томишек (Technológia pre 3. roč. hosp. škôl. Maruška Jozef, Pletka Jozef, Pomezný Jozef, Šipek Ladislav, Tomíšek Miroslav. Bratislava, SPN, 1954, 300, [4] str., 16.60 Kčs) (словац.)

См. также: Общие вопр. 24728, 25471. Вопр. метрологии 24731. Вопр. классиф., номенкл., обознач. 25455, 25456, 25475, 25476. Стандартизация 26875, 27084, 27160. Орг-ция лабор. 26054. История 26334, 26335, 26443, 26511, 26805, 27488, 27493. Персоналии 26079, 26334. Институты 25470, 27339, 27713, 27873. Ассоциации 26443. Конференции 25898, 26005, 26135, 26534, 26535, 26538, 26588, 27066, 27067, 27755; 8388Бх, 8796Бх. Уч. прибор 26146. Уч. лит-ра: по хим. дисц. 24922, 25418, 25539, 25929, 25931, 25932; 8464Бх, 9308Бх, 9310Бх; по технол. дисц. 26153, 26276, 27963—27965. Документация 25924

## ФИЗИЧЕСКАЯ ХИМИЯ

### ОБЩИЕ ВОПРОСЫ

24728. Эксперименты со многими факторами. Браунли К. А. (Experiments with many factors. Brownlee K. A.), Chem. Engng Progr., 1953, 49, № 11, 617—621 (англ.)
- При эксперим. исследовании зависимости некоторой величины от нескольких переменных возможно взаимодействие факторов, т. е. отдельные воздействия двух факторов не аддитивны. В этом случае производится усреднение всех данных. Для облегчения можно при усреднении пользоваться лишь частью данных (Finney D. J., Ann. Engng., 1945, 12, 291). Метод иллюстрируется примером функции 4 переменных для случаев, когда переменные принимают 2 или 3 значения. С. III.
24729. Определение молекулярного веса физическими методами. II. Бользингер (Molekulargewichtsbestimmungen mit physikalischen Methoden. II. Bolsinger Otto), Chem. Labor. und Betrieb, 1955, 6, № 7, 399—405 (нем.)
- Обзор. Предыдущее сообщение см. РЖХим, 1956, 12025.
24730. Основы квантовой механики. Часть 2. Сюй Гуан-сянь (量子力学基础(下). 徐光憲), 化学通报, Хуасюэ тунбао, 1955, № 5, 272—280 (кит.). Популярная статья. Часть 1 см. РЖХим, 1956, 12022.
24731. Новости метрологии. Штулла-Гёц (Métrologische Neuigkeiten. Stulla-Götz Josef), Z. Österr. Ingr. und Archit.-Vereines, 1955, 100, № 19-20, 209—214 (нем.)
- Начало см. РЖХим, 1956, 12026.
24732. Реологические функции распределения. II. Принципиальные стороны проблемы релаксационных спектров. Гросс (Prinzipielles zum Problem der Relaxationsspektren. Rheologische Verteilungsfunktionen. II. Gross B.), Kolloid-Z., 1953, 134, № 2/3, (1954), 65—76 (нем.)
- Критич. обзор теории релаксационных спектров. Дискуссия по докладу. Предыдущее сообщение см. РЖХим, 1955, 42285.

- 24733 К. Введение в реологию. Вандор (Bevezetés a rheológiába. Vándor József, Budapest, 1954, 282 l., 51[Ft]. (венг.)

### АТОМНОЕ ЯДРО

24734. Спины нечетно-нечетного ядра в модели, основанной на (j, j)-взаимодействии. I, II. Хитчкок (Spins of oddodd nuclei in the j-j coupling, model: I, II. Hitchcock A.), Philos. Mag., 1954, 45, № 3 63, 379—393 (англ.)
- Сообщение I. В работе делается попытка обосновать эмпирич. правила для спинов нечетно-нечетного ядра (Nordheim L. W., Rev. Mod. Phys., 1951, 23, 322). Рассматриваются ядра с  $A < 60$  двух классов I и II. В класс I входят ядра, имеющие один нуклон или дырку в протонной и нейтронной оболочках; протоны и нейтроны в одной оболочке. Для II лишний нуклон находится в  $g_{7/2}$ -оболочке; один нуклон или одна дырка находится в другой нуклонной оболочке. Для I правила выполняются в случае сил бесконечного радиуса, описываемых потенциалами Майорана, Вигнера, Гайзенберга и Братлетта с преобладанием майорановских и вигнеровских сил. Для случая II доказательство проводится для ядерного потенциала в общем виде. Для сил конечного радиуса доказательство в общем виде для случая I не существует.
- Сообщение II. Спины нечетно-нечетных ядер вычислялись при помощи модели, основанной на (j, j)-взаимодействии. Рассмотрение проведено для легких и средних ядер. Результаты хорошо согласуются с экспериментом. Из рассмотрения видно, что не существует простых систематич. правил для спинов, кроме рассмотренных в сообщении I.
- Г. С.
24735. Изучение промежуточной связи. II. Радиационные переходы в легких ядрах. Лейн, Радикати (Studies in intermediate coupling — II: Radiative transitions in light nuclei. Lane A. M., Radicati L. A.), Proc. Phys. Soc., 1954, A67, № 2, 167—180 (англ.).

Используя модель одиночных частиц, авторы рассчитали величину матричных элементов переходов низшей мультипольности ( $E1$ ,  $M1$  и  $E2$ ) в легких ядрах (от  $Li$  до  $O$ ) в предположении  $LS$ - либо  $jj$ -связи. Ни одно из этих предположений не дает согласия рассчитанных значений матричных элементов с оцененными из эксперим. данных; последние имеют промежуточные значения. Этот факт, по мнению авторов, указывает на то, что в ядре осуществляется не чистая  $LS$ - или  $jj$ -связь между нуклонами, а промежуточная. Детальное рассмотрение  $E1$  и  $M1$  переходов в ядре  $N^{13}$  также подтверждает это предположение. Предыдущее сообщение см. РЖФиз, 1954, 7111. В. С.

**24736. Кулоновские энергии легких ядер. Пизл** (Coulomb energies of light nuclei. Peaslee D. C.), Phys. Rev., 1954, 95, № 3, 717—723 (англ.)

Выводится приближенное выражение для электростатич. энергии ядра  $E_c$ . Волновая функция протонов в ядре записывается в антисимметризованном виде. С помощью этой волновой функции вычисляется среднее значение оператора кулоновской энергии протонов. Для  $E_c$  получается ф-ла, отличающаяся от классич. наличием обменного члена. Показано, что разность кулоновских энергий двух ядер с  $Z$  и  $Z' = Z - 1$  при условии, что  $p(x)Z$  в обоих ядрах одно и то же, равна:  $\Delta E_c = a(Z' + 1/2)A^{-1/3} + b$ . Эксперим. данные, полученные в основном из анализа верхних границ  $\beta$ -спектров ядер с  $A = 4n + 1, 4n + 2, 4n + 3$ , хорошо согласуются с такой зависимостью  $\Delta E_c$  от  $Z'$  и  $A$  и

приводят для  $1 < ZA^{-1/3} \leq 6$  к следующим величинам (с точностью 15% кэв):  $a = 1,46$  Мэв,  $b = -1,11$  Мэв,  $\sigma = 0,15$  Мэв. (Менее точные данные для ядер с  $A = 4n$  согласуются с этими результатами). В согласии с последними исследованиями по  $\mu$ -мезоатомам для прямоуг. распределения  $\rho(x)$  автор получает отсюда электр. радиус ядра  $R = 1,18 \cdot A^{1/3} \cdot 10^{-13}$  см. Используя полученные данные по разностям кулоновских энергий изобарных ядер, автор строит график для зависимости от  $A$  разности энергий между первыми уровнями с изотопич. спинами  $T = 1$  и  $T = 0 (\Delta_{10})$  для ядер с четными массовыми числами. На основании изучения графиков автор приходит к выводу, что в легких ядрах тип связи больше напоминает  $LS$ -связь, чем  $jj$ -связь. А. Б.

**24737. Силы между двумя нуклонами и ядерное насыщение. I. Центральные силы. Брюкнер, Левинсон, Махмуд** (Two-body forces and nuclear saturation. I. Central forces. Brueckner K. A., Levinson C. A., Mahmoud H. M.), Phys. Rev., 1954, 95, № 1, 217—228 (англ.)

Рассматривается вопрос о ядерном насыщении для случая немонотонных (быстро меняющихся) потенциалов между двумя нуклонами, получающихся в псевдоскалярной мезонной теории (РЖФиз, 1955, 10887). Применение к рассматриваемому типу потенциалов обычных вариационных методов, использующих волновые функции независимых частиц, оказывается невозможным. Использование более общих функций с корреляцией между частицами также затруднительно, так как для высоких плотностей становятся существенными нелинейные корреляции, включающие более чем две частицы. Развивается новый приближенный метод, позволяющий сравнительно непосредственно оценивать значение энергий нуклонов, движущихся в ядерной среде (этот метод устанавливает связь проблемы насыщения с характеристиками потенциалов рассеяния при малых энергиях). Для этого проводится разложение движения нуклонов в ядерной среде на когерентную (или одночастичную) и некогерентную (или коррелированную) части. Оказывается, что в пре-

деле большого числа частиц достаточно рассматривать только когерентную часть; некогерентная часть может быть учтена как возмущение — авторы ею пренебрегают. Вычисленная полная энергия ядра достигает минимума при радиусе  $R = 1,15 \cdot 10^{-13} A^{1/3}$  см; при этом на один нуклон приходится в среднем  $E \sim 12$  Мэв. Метод также применяется к потенциалам типа Левни (Lévy M. M., Phys. Rev., 1952, 88, 725), где, как показано, насыщение может быть обусловлено трехнуклонными силами (нелинейные члены, псевдоскалярного потенциала) с константой связи  $g^2/4\pi \sim 3$ , и, наконец, к определению взаимодействия медленных нейтронов с ядрами. В. А.

**24738. Оптическая модель ядра с диффузной границей для рассеяния нуклонов на ядре. Вудс, Саксон** (Diffuse surface optical model for nucleon-nuclei scattering. Woods Roger D., Saxon David S.), Phys. Rev., 1954, 95, № 2, 577—578 (англ.)

Рассматривается рассеяние протонов с  $E$  20 Мэв на тяжелых и средних ядрах. Предполагается, что взаимодействие нуклона с ядром описывается бесспиновым сферически-симметричным комплексным потенциалом  $V(r) = (V + iW) [1 - e^{-(r-r_0)/a}]^{-1}$ . Здесь  $r_0$  определяет размер ядра,  $a$  — размытость границы. Предполагалось, что электр. заряд равномерно распределен внутри сферы радиуса  $r_1$  (не равного в общем случае  $r_0$ ). Расчет показывает, что учет размытости границы ядра приводит к существенному изменению сечения ядра при больших углах рассеяния. При  $V$  38 Мэв,  $W$  9 Мэв,  $r_0 = 8,24 \cdot 10^{-13}$  см,  $a = 0,49 \cdot 10^{-13}$  см полученное дифференциальное сечение рассеяния оказывается близким к эксперим. значениям сечения рассеяния протонов на Pt. Сечение оказывается не чувствительным к величине  $r_1$ . Приведены графики вычисленного сечения рассеяния протонов с 18 Мэв на Ni при  $V$  40 Мэв,  $W$  10 Мэв,  $r_0 = 5,3 \cdot 10^{-13}$  см,  $a = 0,35 \cdot 10^{-13}$  см. Отмечается, что согласие с опытом здесь хуже, чем в случае Pt. Г. П.

**24739. Спектроскопическое изотопическое смещение и деформации ядра. Бодмер** (Spectroscopic isotope shift and nuclear deformations. Bodmer A. R.), Proc. Phys. Soc., 1954, A67, № 7, 622—631 (англ.)

Большое изотопич. смещение, наблюдаемое у некоторых ядер, в частности у  $Sm^{150} - Sm^{152}$  и  $Eu^{151} - Eu^{153}$ , объясняется сильным изменением формы ядра. Изотопич. смещение рассматривается как следствие двух эффектов — изменения объема ядра и изменения формы  $\delta(\Delta E) = \delta(\Delta E)_v + \delta(\Delta E)_e$ , где  $\Delta E$  — сдвиг уровня одного ядра,  $\delta(\Delta E)$  — разность для двух изотопов. Вычисления производятся по обычной теории возмущений. Используя значения  $r_0 = 1,4 \cdot 10^{-13} A^{1/3}$  и  $\delta r/r_0 = \pm 2/3 A$  и введя для связи с эксперим. значениями проекционные множители  $\gamma_1$  и  $\gamma_2$ , выражающиеся через спин ядра  $\gamma = (I + 1/2)(2I + 3)/(I(2I - 1))$ , автор получает для отношения обоих эффектов ф-лу:  $D_e = \delta(\Delta E)_e / \delta(\Delta E)_v = 25/72 [( \gamma_2^2 Q_2^2 - \gamma_1^2 Q_1^2 ) / Z_0^2 r_0^4] / \delta r_0 = 1,35 \cdot 10^3 Z^{-2} A^{-1/3} (\gamma_2^2 Q_2^2 - \gamma_1^2 Q_1^2)$ , где  $Q_1$  и  $Q_2$  — квадратные моменты (спектроскопич.) изотопов. Сравнение с опытом показывает, что в случае указанных изотопов  $Sm$  и  $Eu$  практически все изотопич. смещение связано с деформацией ядра. Автор обращает внимание, что и в случае других ядер величина деформационного изотопич. смещения  $\delta(\Delta E)_e$  может быть большой и компенсировать смещение  $\delta(\Delta E)_v$ . Отмечается, что этот же эффект объясняет, повидимому, нерегулярность изотопич. смещения между четно-четными и четно-нечетными ядрами, так как деформация у этих ядер различна. Я. С.



**24740. Краткие речи на заседании, посвященном открытию конференции по роли электронной оболочки в радиоактивных явлениях. Жюлио-Кюри, де-Бройль** (Allocution à la séance d'ouverture du colloque sur le rôle du cortège électronique dans les phénomènes radioactifs. Joliot-Curie Irène, de Broglie Louis), J. phys. et radium, 1955, 16, № 7, 499—502 (франц.)

Вступительные замечания при открытии конференции и краткий обзор работ Центра теоретич. химии (Франция) за последние годы (де-Бройль). И. Л.

**24741. Ядерные матричные элементы в теории  $\beta$ -распада. Розе, Осборн** (Nuclear matrix elements in beta decay. Rose M. E., Osborn R. K.), Phys. Rev., 1954, 93, № 6, 1326—1336 (англ.)

Вычислены матричные элементы  $\beta$ -распада для одной двухнуковой конфигурации в случае  $jj$ -связи. Пока не вводится определенных предположений о ядерных силах, матричные элементы выражаются через радиальные интегралы, относительно которых нельзя сделать никаких колич. утверждений. Указано, что в ряде случаев радиальные интегралы двух интерферирующих типов взаимодействия идентичны, так что спектр получается без дополнительных предположений. Сравнение с опытной кривой позволяет установить правильность модели связи. В большинстве случаев радиальные интегралы зависят от свойств ядерных сил. Автор использует метод тензорных операторов в представлении, в котором фигурируют только четные операторы. Для удобства все тензоры записаны в сферич. форме. Приведенные матричные элементы всех входящих в теорию операторов выражаются через радиальные интегралы и коэфф., зависящие от угловых квантовых чисел. Показано, что матричные элементы для двухнуковой конфигурации представляют собой линейную комбинацию приведенных матричных элементов одной частицы. Отмечается, что аналогичное утверждение верно и для большего числа нуклонов. Ю. Ч.

**24742.  $\gamma$ -лучи от  $C^{12}$ , бомбардируемого нейтронами 14 Мэв. Баттат, Грейвс** (Gamma rays from 14-Mev neutron bombardment of  $C^{12}$ . Battat M. E., Graves E. R.), Phys. Rev., 1955, 97, № 5, 1266—1267 (англ.)

Спектр  $\gamma$ -лучей, возникающих при облучении  $C^{12}$  нейтронами с  $E$  14 Мэв, исследовался при помощи люминесцентного спектрометра пар с тремя кристаллами NaJ (Tl). При 1,5 Мэв  $< E_\gamma < 5,5$  Мэв в спектре  $\gamma$ -квантов обнаружена единственная линия с  $E$  4,4 Мэв. Сечение образования  $\gamma$ -квантов с  $E$  4,4 Мэв найдено равным  $245 \pm 3,5$  мбарн. Р. Ф.

**24743. Энергетические уровни  $Ne^{21}$ . Гирке** (Energieniveaus von  $Ne^{21}$ . Gierke Gerhard v.), Z. Naturforsch., 1954, 9a, № 2, 164—166 (нем.)

Спектр  $\alpha$ -частиц из  $\beta$ -ции  $Ne^{20}$  ( $n, \alpha$ )  $O^{17}$  изучен при помощи ионизационной камеры, наполненной Ne. Влияние стенок устранено окружением измерительной аппаратуры двумя другими камерами, включенными на антисовпадения (РЖФиз, 1955, 6287). Обнаружено большое кол-во (свыше 25) уровней промежуточного ядра  $Ne^{21}$  в области энергий возбуждения ядра от 8 до 13,5 Мэв. Автор отмечает, что при достигнутой им разрешающей способности не замечено увеличения плотности уровней ядра  $Ne^{21}$  с возрастанием энергии возбуждения. К. Г.

**24744. Рассеяние протонов 96 Мэв на легких ядрах. Страук, Тайтус** (Scattering of 96-Mev protons from light nuclei. Strauch K., Titus W. F.), Phys. Rev., 1954, 95, № 3, 854—855 (англ.)

Изучалось рассеяние протонов 96 Мэв на легких ядрах. Измерения производились на внешнем протон-

ном пучке. Рассеянные протоны регистрировались телескопом из семи сцинтилляционных счетчиков. Энергетич. спектр рассеянных протонов определялся путем измерения их пробегов в фильтрах, расположенных между счетчиками телескопа. Авторы приводят энергетич. спектр протонов, рассеянных на угол  $40^\circ$  на ядрах С и S. В энергетич. спектре протонов, рассеянных на ядрах С, наблюдаются отчетливо выраженный максимум, обусловленный упругим рассеянием протонов, и максимумы, обусловленные неупругим рассеянием с возбуждением ядер С на уровнях с  $E$  4,43 и 9,61 Мэв. Кроме того, при  $E$  61 Мэв имеется максимум, отвечающий энергии возбуждения ядер С, равной  $20,0 \pm 1$  Мэв, который может соответствовать нескольким уровням ядра  $C^{12}$ . В энергетич. спектре протонов, рассеянных на ядрах S, кроме максимума, обусловленного упругим рассеянием, имеется также широкий максимум, отвечающий возбуждению нескольких (или всех) низших уровней ядер  $S^{32}$ . Я. М.

**24745. О распаде  $Zn^{62}$  и  $Co^{62}$ . Нюсбаум, Ванстра, Лисхаут, Нейг, Орнштейн** (On the decay of  $Zn^{62}$  and  $Co^{62}$ . Nussbaum R. H., Wapstra A. H., Lieshout R. van, Nijh G. J., Ornstein L. Th. M.), Physica, 1954, 20, № 8, 571—572 (англ.)

Приводятся предварительные результаты исследований, предпринятых с целью проверки схем распада  $Zn^{62}$ ,  $Co^{62}$  и  $Co^{62}$ . На основании полученных результатов авторы пришли к следующим выводам. 1. Разность масс  $Co^{62}$  —  $Ni^{62}$  равна  $3,93 \pm 0,01$  Мэв. С учетом порога  $\beta$ -ции  $Co^{62}$  ( $\gamma, n$ )  $Cu^{62}$ , равного  $10,61 \pm 0,05$  Мэв для разности масс-дефектов  $Co^{62}$  и  $Ni^{62}$ , получается значение  $(1,815 \pm 0,054) \cdot 10^{-3}$  ат. ед. массы в противоречии с масс-спектрометрич. данными  $(2,45 \pm 0,09) \cdot 10^{-3}$  ат. ед. массы. Этот результат не согласуется с представлением об особой стабильности 34 нейтронов. 2. Величина относительной интенсивности  $\gamma$ -излучения 1,17 Мэв позволяет заключить, что оно соответствует переходу с первого возбужденного уровня в  $Ni^{62}$ . 3. Из разрешенного характера позитронных распадов  $Zn^{62}$  и  $Co^{62}$  и мультипольности  $\gamma$ -перехода 41 кэв следует, что спины основного и первого возбужденного состояний в  $Co^{62}$  могут иметь значения 0 или 1 при положительной четности. П. Ш.

**24746. Изучение захвата орбитальных электронов ядрами. Применение к  $Kr^{79}$ . Радваньи** (Contribution à l'étude de la capture d'électrons orbitaux par les noyaux. Application à  $^{79}Kr$ . Radvanyi Pierre), Ann. Phys., 1955, 10, juill.-août, 584—642 (франц.)

Подробный обзор исследований при помощи камеры Вильсона  $K$ - и  $L$ -захвата в  $Kr^{79}$ . Библи. 154 назв. А. М.

**24747. О схеме распада  $Rh^{106}$ . Леви, Панини** (A propos de la désintégration de  $^{106}Rh$ . Lévi Christiane, Papineau Lily), C. r. Acad. sci., 1954, 238, № 13, 1407—1409 (франц.)

По давним, опубликованным ранее,  $Rh^{106}$  распадается двумя путями: 1)  $\beta$ -переход с  $E_{\text{макс}}$  571 кэв в основное состояние  $Pd^{106}$  (95%), 2)  $\beta$ -переход с  $E_{\text{макс}}$  250 кэв на возбужденный уровень  $Pd^{106}$  (5%) и с последующим испусканием  $\gamma$ -кванта с  $E \sim 300$  кэв. Ввиду разногласий относительно существования  $\gamma$ -линий 300 кэв авторы предприняли проверку схемы распада  $Rh^{106}$ . Излучение  $Rh^{106}$  исследовалось с помощью сцинтилляционного  $\gamma$ -спектрометра NaJ (Tl). Найдены совпадения между  $\gamma$ -квантами  $320 \pm 20$  кэв и  $\beta$ -частицами с  $E_{\text{макс}}$   $210 \pm 15$  кэв. Переход на возбужденный уровень  $Pd^{106}$  происходит в 4% случаев; переход в основное состояние — в 96% случаев. Оба  $\beta$ -перехода имеют  $Ig(f)$   $\sim 5,5$  и являются разрешенными. Уровень с 320 кэв имеет ту же четность, что и основное состояние.



Верхний предел величины коэфф. конверсии на  $K$ -оболочке составляет  $\sim 0,05$ . Поэтому  $\gamma$ -переход не может быть переходом типа  $E3$  или  $M3$ . Переход  $M2$  исключается вследствие сохранения четности. Возможными являются переходы  $E2$  и  $M1$  либо их смесь. Б. Г.

24748. Экспериментальное исследование двойного  $\beta$ -распада  $Cd^{116}$ . Детеф, Мош (Etude expérimentale de la radioactivité  $\beta$  double du cadmium 116. Detoeuf Jean-François, Moos Raymond, C. r. Acad. sci., 1955, 241, № 4, 393—395 (франц.))

Препарат  $Cd^{116}$  (80 мг) помещался между кристаллами двух сцинтилляционных счетчиков, включенных на совпадения. Установка окружалась свинцом толщиной 100 мм (для защиты от фона) и системой Г.—М.-счетчиков, включенных на антисовпадения с фотоумножителями. Проводился отбор регистрируемых импульсов по сумме энергий. В интервале  $2\text{ Мэв} \leq E \leq 3,5\text{ Мэв}$  число отсчетов установки составляло  $\sim 1$  имп/час (в случае двойного  $\beta$ -перехода  $Cd^{116} \rightarrow Sn^{116}$  сумма кинетич. энергий электронов равна  $2,77\text{ Мэв}$ ). Примерно такая же скорость счета была при помещении вместо  $Cd^{116}$  образца  $Cd^{114}$ , считаемого стабильным. Отсюда авторы заключают, что  $T_{1/2}$  двойного  $\beta$ -распада  $Cd^{116} \geq 0,6 \cdot 10^{17}$  лет. Б. Г.

24749. Угловая корреляция конверсионных электронов  $Cd^{116}$ . Гимми, Гер, Шеррер (Die Winkelkorrelation der Konversionselektronen von  $Cd^{116}$ . Gimmi Fritz, Heer Ernst, Scherger Paul, Z. Phys., 1954, 138, № 3/4, 394—403 (нем.)) Измерена угловая корреляция конверсионных электронов. Измерения с препаратами, возмущающими угловую корреляцию, показали, что факторы ослабления для  $\gamma\gamma$ - и  $\gamma e$ -корреляций одинаковы. Результаты работы подтверждают теорию корреляции конверсионных электронов и схему распада  $ln^{111}$ . П. Ш.

24750.  $\gamma$ -Излучение  $Eu^{154}$ . Джеленов Б. С., Жуковский Н. Н., Недовесов В. Г., Изв. АН СССР, сер. физ., 1955, 19, № 3, 296—299. При помощи  $\gamma$ -спектрометра с улучшенной фокусировкой, использующего электроны отдачи (элотрона), исследовано  $\gamma$ -излучение смеси изотопов  $Eu^{152}$  и  $Eu^{154}$ , имеющих  $T_{1/2}$  13 и 16 лет соответственно. Энергии наблюдаемых авторами  $\gamma$ -лучей  $Eu^{152}$  и  $Eu^{154}$  оказались равными 341, 427, 593, 717, 779, 871, 958, 1106, 1281 и 1409 кэв, в хорошем согласии с результатами ряда других работ. Наиболее достоверные значения относительных интенсивностей этих  $\gamma$ -линий, измеренные, помимо, впервые, оказались равными 0,86; 0,14; 0,10; 0,21; 0,60; 0,34; 0,93; 1,19; 0,43 и 1,00 соответственно. П. Ш.

24751. Исследование излучения  $Tb^{160}$  методом совпадений. Степаненко И. П., Шавтвалов Л. Я., Изв. АН СССР, сер. физ., 1955, 19, № 3, 318—323.

Исследовалось излучение  $Tb^{160}$  при помощи  $\beta$ -спектрометра и люминесцентного  $\gamma$ -спектрометра с кристаллом NaJ (Tl), включенных на совпадения. В результате измерения  $\beta\gamma$ -совпадений было установлено, что жесткие  $\gamma$ -лучи  $Tb^{160}$  ( $E_\gamma$  960 и 870 кэв) коррелируют примерно поровну с обеими компонентами  $\beta$ -спектра ( $E_{\beta}$  520 и 860 кэв).  $\gamma$ -Лучи с энергией 300 кэв в большей степени коррелируют с мягким  $\beta$ -спектром ( $E_{\beta}$  550 кэв), чем с жестким. В результате измерения совпадений между конверсионными электронами и  $\gamma$ -лучами было установлено, что существуют корреляции  $\gamma$ -лучей 85 кэв с жесткими  $\gamma$ -лучами (870 и 960 кэв). Ш. Л.

24752. О спине основного состояния гафния-177. Хартман, Видлинг (A note on the ground

state spin of  $^{177}\text{hafnium}$ . Hartmann B., Wiedling T.), Philos. Mag., 1955, 46, № 381, 1139—1141 (англ.)

Проведено новое исследование угловой  $\gamma$ - $\gamma$  корреляции  $Hf^{177}$ . Измерения проделаны на двух сильных  $\gamma$ -линиях известной схемы распада, включающей  $Hf^{177}$ . Измерения проводились на различных хим. соединениях:  $Lu_2O_3$  и  $Lu(NO_3)_3$  в порошкообразном состоянии,  $Lu(NO_3)_3$  в водн. р-ре и  $Lu(NO_3)_3$  в водн. р-ре, смешанном с глицерином. Наблюдалась сильная анизотропия для  $Lu(NO_3)_3$  в водн. р-ре, менее резко выраженная анизотропия наблюдалась в порошкообразном  $Lu(NO_3)_3$  и  $Lu(NO_3)_3$  в водн. р-ре, смешанном с глицерином. Авторы отмечают, что на полученном эксперим. материале невозможно сделать определенного заключения о величине спина основного состояния ядра  $Hf^{177}$ . Н. Я.

24753. Измерения угловой корреляции [ $\gamma$ -излучения]  $Ta^{181}$ . Гер, Рюэч, Гимми, Кюндиг (Richtungskorrelationsmessungen an  $Ta^{181}$ . Heer E., Rüetschi R., Gimmi F., Kündig W.), Helv. phys. acta, 1955, 28, № 4, 336—337 (нем.)

Измерялась угловая корреляция каскадного  $\gamma$ -излучения  $Ta^{181}$  с  $E$  132—480 кэв. Для жидкого источника ( $HfF_6$ , растворенный в HF) найдены следующие значения коэфф. корреляции:  $A'_2 = -0,276 \pm 0,005$ ;  $A'_4 = -0,070 \pm 0,007$ . Показано, что  $A_2 = -0,281 \pm 0,010$  и  $A_4 = -0,0710 \pm 0,0004$ . Если предположить, что квантовые характеристики переходов  $1/2(E2) 1/2(E2, M1) 1/2$ , то для смеси дипольного и квадрупольного излучений перехода 480 кэв получается значение  $\delta^2 = 43,5$ . Это противоречит данным о составе этого излучения, полученным на основании измерения коэфф. внутренней конверсии. Полагая  $I = 5/2$  и используя приведенное значение  $G_2$  для магнитного момента ядра, возбужденного до 480 кэв, получено значение  $\mu = 3,1 \mu_{\text{яд.}}$ . М. Ш.

24754. Ионизация  $L$ -оболочки протонами с энергией 1,5—4,25 Мэв. Бернштейн, Льюис ( $L$ -shell ionization by protons of 1,5- to 4,25-Mev energy. Bernstein E. M., Lewis H. W.), Phys. Rev., 1954, 95, № 1, 83—86 (англ.)

С помощью сцинтилляционных счетчиков с кристаллами NaJ (Tl) изучалось характеристич. рентгеновское излучение, соответствующее возбуждению  $L$ -оболочки Ta, Au, Pb и U при торможении протонов с  $E$  1,5—4,25 Мэв. Получены абс. значения сечений образования характеристич.  $L$ -излучения. Абс. значения сечений ионизации  $L$ -оболочек получаются после введения поправок на оже-переходы. Сечения образования характеристич. излучения лежат в пределах 24—198 барн для Ta, 11,6—126 барн для Au, 9,1—115 барн для Pb и 3,4—56 барн для U; сечения ионизации равны соответственно 84—705 барн для Ta, 32—345 барн для Au, 23—288 барн для Pb и 7,6—123 барн для U. В. Х.

24755. Испускания оже-электронов с  $L$ -оболочки при распаде  $Au^{199}$ . Хейнс, Эйкор (Une étude des électrons Auger du niveau  $L$ -émis dans la désintégration de  $^{199}\text{Au}$ . Haynes S. K., Achör W. T.), J. phys. et radium, 1955, 16, № 7, 635—637 (франц., рез. англ.)

24756. О длиннопробежных частицах, испускаемых Po, Th и U. Адер (Sur les particules de grand parcours émises par le polonium, le thorium et l'uranium. Ader Marie), C. r. Acad. sci., 1954, 238 № 11, 1215—1216 (франц.)

Радиоактивный препарат помещался перед фотопластинкой Илфорд-C2. Между источником и пластинкой располагался фильтр, задерживающий все  $\alpha$ -частицы нормального  $\alpha$ -спектра источника. Найдено, что Po,

Th и U испускают  $\alpha$ -частицы с пробегом до 180  $\mu$  эмульсии.

**24757. Ионизирующие частицы, испускаемые активным осадком As, зарегистрированные в фотографической эмульсии.** Адер (Particules ionisantes issues du dépôt actif de l'actinium et enregistrées par des émulsions photographiques. Ader Marie, m-lle), C. r. Acad. sci., 1955, 240, № 22 2138—2140 (франц.) В ядерной фотоэмульсии Илфорд-C2, помещаемой в воздухе на различных расстояниях от активного осадка As, регистрировались  $\alpha$ -частицы и определялся их пробег в воздухе.

**24758. Исследование некоторых случаев угловой корреляции.** Гринберг А. П., Лемберг, И. Х., Изв. АН СССР, сер. физ., 1955, 19, № 3, 300—307 При помощи  $\beta$ -спектрометра и люминесцентного  $\gamma$ -спектрометра, включенных на совпадения, измерены угловая корреляция (УК) типа  $\beta-\gamma$  для пар. спектра ( $\beta_2$ ) с  $E_{\text{гр}} 23 \text{ Мэв}$  в переходе  $\text{Sh}^{124} \rightarrow \text{Te}^{124}$  и УК типа  $\gamma-\gamma$  для  $\gamma$ -излучения  $\gamma_1$  и  $\gamma_2$   $\text{ThD}$  с  $E 0,58$  и  $2,62 \text{ Мэв}$ . Измерения проделаны для углов  $90^\circ$ ,  $120^\circ$ ,  $150^\circ$  и  $180^\circ$ . Вид функции УК отвергает предположение о том, что спектр  $\beta_2$  относится к переходу  $\alpha$ -типа первого запрещения. Теоретич. кривая для угловой корреляции типа  $\beta-\gamma$  хотя и близка к опытной, но находится вне пределов ошибок опыта. Результаты измерения УК типа  $\gamma-\gamma$  дают основания предположить, что спины уровней  $\text{ThD}$  имеют значения 4, 2, 0, а переходы между ними — типа  $E2$ . При радиоактивном распаде  $\text{ThC} \rightarrow \text{ThC}'$  возможно каскадное испускание  $\gamma$ -квантов. Наличие такого каскада, а также трехступенчатого каскада  $\gamma_6 - \gamma_1 - \gamma_2$  при распаде  $\text{ThC}''$  ( $E_{\gamma_6} 0,51 \text{ Мэв}$ ) может сильно повлиять на интерпретацию функции УК, наблюдаемой на опыте. Исследовался также каскадный переход  $\gamma$ -квантов в  $\text{Nb}^{95}$ , получающемся при  $\beta$ -распаде  $\text{Zr}^{95} \rightarrow \text{Nb}^{95}$ . Показано, что интенсивность каскадной ветви (если она существует) не превышает 1% от интенсивности непосредственного  $\gamma$ -перехода.

**24759.  $\beta$ -Распад  $\text{Pa}^{233}$ .** Онг Пинг Хок, Крамер (The beta-decay of  $^{233}\text{Pa}$ . Ong Ping Hock, Kramer P.), Physica, 1955, 21, № 8, 676—684 (англ.)

С помощью  $\beta$ -спектрометра (светосила 0,95%, разрешающая способность 0,6%) исследовался электронный спектр  $\text{Pa}^{233}$ . По конверсионным линиям обнаружено 14  $\gamma$ -переходов. Получены данные в пользу наличия К-конверсионных электронов с  $E 360 \text{ кэв}$ , соответствующих  $\gamma$ -переходу с уровня 475,6  $\text{кэв}$ . Обнаружено три парц.  $\beta$ -спектра с верхними границами  $568 \pm 5$ ,  $257 \pm 5$  и  $145 \pm 10 \text{ кэв}$  и интенсивностями 5, 58 и 37% соответственно. Измерялись также  $\gamma$ ,  $e^-$  и  $\beta$ ,  $e^-$ -совпадения. Полученные результаты находятся в согласии со схемой распада, предложенной ранее (РЖФиз, 1955, 373).

**24760. Угловое распределение осколков деления  $\text{U}^{238}$ ,  $\text{U}^{235}$ ,  $\text{Th}^{232}$  и  $\text{Th}^{230}$  под действием протонов 22 Мэв.** Коэн, Феррелл-Брайан, Кум, Халлингс (Angular distribution of fission fragments from 22-Mev proton-induced fission of  $\text{U}^{238}$ ,  $\text{U}^{235}$ ,  $\text{Th}^{232}$ , and  $\text{Th}^{230}$ . Cohen B. L., Ferrerell-Bryan B. L., Coombe D. J., Hullings M. K.), Phys. Rev., 1955, 98, № 3, 685—687 (англ.)

Радиохимич. методом изучено угловое распределение осколков, возникающих при делении  $\text{U}^{238}$ ,  $\text{U}^{235}$ ,  $\text{Th}^{232}$  и  $\text{Th}^{230}$  под действием протонов 22 Мэв. Угловое распределение осколков  $N(\theta)$  могут быть представлены в виде  $a + b \cos^2 \theta$ , где  $b/a$  заключено в пределах 0,08—0,28. Из эксперим. данных следует, что в выражении, описывающем наблюдаемое угловое распределение, отсутствует член, содержащий  $\cos \theta$  (коэфф.

при нем.  $< 0,01$ ). Угловая анизотропия осколков деления изотопов U меньше, чем для изотопов Th. Среди изотопов урана  $\text{U}^{233}$  показывает наименьшую угловую анизотропию осколков деления. Делается попытка интерпретации полученных результатов. А. М.

**24761. Международные значения эффективных сечений делящихся изотопов для тепловых нейтронов.** Перрен (Valeurs internationales des sections efficaces des isotopes fissiles pour les neutrons thermiques. Perrin Francis), C. r. Acad. sci., 1955, 241, № 10, 669 (франц.)

По соглашению представителей США, Франции, Великобритании и СССР на Международной конференции по мирному использованию атомной энергии приняты следующие значения сечений поглощения ( $\sigma_a$ ) и деления ( $\sigma_f$ ) соответственно для  $\text{U}^{233}$ ,  $\text{U}^{235}$  и  $\text{Pu}^{239}$  (в барн):  $\sigma_a 593 \pm 8$ ;  $698 \pm 10$ ;  $1032 \pm 15$ ;  $\sigma_f 524 \pm 8$ ;  $590 \pm 15$ ;  $729 \pm 15$ .

**24762. Калориметрическое определение средней кинетической энергии осколков деления  $\text{U}^{235}$ .** Личман, Шейфер (A calorimetric determination of the averaged kinetic energy of the fragments from  $\text{U}^{235}$  fission. Leachman R. B., Schafer W. D.), Canad. J. Phys., 1955, 33, № 7, 357—363 (англ.)

С помощью дифференциального калориметра определялась средняя теплота деления  $\text{U}^{235}$  под действием тепловых нейтронов. Число делений, соответствующих данному выделению теплоты, определялось с помощью импульсной камеры деления. Для среднего значения кинетич. энергии продуктов деления с учетом поправки на поглощение  $\beta$ -частиц в стенках калориметра, оказавшейся равной  $3,0 \pm 1 \text{ Мэв}$  на деление, получено значение, равное  $167,1 \pm 1,6 \text{ Мэв}$ , что находится в хорошем согласии с другими определениями этой величины. Описывается конструкция дифференциального калориметра. Полученные данные сравниваются с результатами других работ (Henderson, Phys. Rev., 1940, 58, 774; РЖФиз, 1955, 8760).

**24763. Международные значения для тепловых сечений делящихся изотопов.** Ж. эксперим. и теор. физики, 1955, 29, № 4, 535

На основании данных, представленных на Международной конференции по мирному использованию атомной энергии, значения сечений поглощения тепловых нейтронов, принятые в качестве международных средних значений, равны:  $593 \pm 8$ ;  $698 \pm 10$ ;  $1032 \pm 15 \text{ барн}$ , а сечения деления:  $524 \pm 8$ ;  $590 \pm 15$ ;  $729 \pm 15 \text{ барн}$  для изотопов  $\text{U}^{233}$ ,  $\text{U}^{235}$  и  $\text{Pu}^{239}$  соответственно.

**24764. Номограмма для образующихся и распадающих изотопов.** Стен, Клапси (Nomogram for radioisotope buildup and decay. Stehn J. R., Clapsy E. F.), Nucleonics, 1955, 13, № 4, 27 (англ.) Дана номограмма для быстрого определения накопившегося или распавшегося радиоизотопа. Я. Ф.

**24765. Кривая активации хлора в реакции  $\text{Cl}^{35}(\gamma, n)$   $\text{Cl}^{34}$  вблизи порога, снятая с помощью 22 Мэв бетатрона.** Базиль, Шуль, Себаун (Courbe d'activation du chlore par la réaction  $^{35}\text{Cl}(\gamma, n) ^{34}\text{Cl}$  au voisinage du seuil, à l'aide d'un béta-tron de 22 Mev. Basile Robert, Schuhl Claude, Sebaun Wilfrid), C. r. Acad. sci., 1955, 241, № 4, 387—389 (франц.)

\* На кривой активации р-ции  $\text{Cl}^{35}(\gamma, n) \text{Cl}^{34}$  обнаружены изломы при  $13,13 \pm 0,07$ ,  $13,51 \pm 0,07$ ,  $13,72 \pm 0,07$ ,  $13,89 \pm 0,07$  и  $14,10 \pm 0,07 \text{ Мэв}$ . Авторы определяли энергию порога  $12,79 \pm 0,07 \text{ Мэв}$  и по ней вычислили массу  $\text{Cl}^{34}$ , оказавшуюся равной  $33,984 781 \pm 0,000133 \text{ ат. ед. массы}$ , и  $E_{\text{максим}} \beta^+$ -спектра  $4,57 \pm 0,16 \text{ Мэв}$ , которая хорошо согласуется со значением  $4,50 \pm 0,03 \text{ Мэв}$ , полученными другими авторами.

**24766. Изучение изобарного триплета  $Mg^{28}$  —  $Al^{28}$  —  $Si^{28}$ .** Шелайн, Джонсон, Белл, Дейвис, Мак-Гауан (Study of the isobaric triplet  $Mg^{28} - Al^{28} - Si^{28}$ . Sheline Raymond K., Johnson Noah R., Bell P. R., Davis R. C., McGowan F. K.), Phys. Rev., 1954, 94, № 6, 1642—1651 (англ.)

Ядра  $Mg^{28}$  получались в результате облучения в бетатроне или циклотроне по следующим р-циям:  $Si^{30}(\gamma, 2p)Mg^{28}$  и  $Mg^{26}(\alpha, 2p)Mg^{28}$ .  $Mg^{28}$   $\beta$ -активен  $T_{1/2} = 21,3 \pm 0,2$  часа,  $E_{\max} = 0,418 \pm 0,01$  Мэв,  $lg ft = 4,30$ , и переходит в  $Al^{28}$ , который находится обычно в равновесии с  $Mg^{28}$ . Показано, что дочерний продукт  $Al^{28}$  имеет  $T_{1/2} = 2,3$  мин., что подтверждает отождествление исходного препарата с  $Mg^{28}$ . В  $\gamma$ -спектре равновесной смеси  $Mg^{28} - Al^{28}$  наблюдаются  $\gamma$ -лучи следующих энергий в Мэв (в скобках интенсивность):  $1,769 \pm 0,01$  (0,98);  $1,346 \pm 0,01$  (0,70);  $0,949 \pm 0,01$  (0,29);  $0,400 \pm 0,01$  (0,31);  $0,0319 \pm 0,001$  (0,96).  $\gamma$ -Лучи с  $E = 1,769$  Мэв получаются в результате распада  $Al^{28}$ . Измерение методом совпадений показало, что каждый из  $\gamma$ -квантов  $1,346$ ,  $0,949$  и  $0,400$  Мэв совпадает во времени с  $\gamma$ -квантом  $0,0319$  Мэв, а  $\gamma$ -кванты с  $0,949$  и  $0,400$  Мэв совпадают во времени. Измерение запаздывающих совпадений между  $\gamma$ -квантами  $1,346$  и  $0,0319$  Мэв показало, что  $T_{1/2}$  относительно испускания  $\gamma$ -кванта  $0,0319$  Мэв меньше  $2 \cdot 10^{-9}$  сек., что совместно с эксперим. значением  $\alpha_k = 0,032 \pm 0,066$  указывает на переход типа  $M1$  при излучении  $\gamma$ -кванта  $0,0319$  Мэв, как это и предсказывается теорией в том случае, если  $Al^{28}$  имеет основное дуплетное состояние типа  $j-j$ . Предлагается схема переходов. Показано, что основные дублетные состояния  $Al^{28}$  и  $P^{32}$  являются истинными  $j-j$ -дублетами, тогда как возбужденное дублетное состояние  $Al^{28}$  таковым не является. Р. Ф.

**24767. Угловое распределение фотонейтронов из Be.** Неводничанский, Веловейская (Angular distribution of photo-neutrons from beryllium. Niewodniczański H., Wielowiejska M.), Bull. Acad. polon. sci., 1954, 2, № 1, 25—29 (англ.)

Определено угловое распределение фотонейтронов р-ции  $Be^9(\gamma, n)Be^8$ . Зарегистрированы две группы протонов отдачи — с максим. пробегами 12 и 22  $\mu$ , соответствующие фотонейтронам с энергиями 0,88 и 1,35 Мэв. Авторами получены значения  $a/b = 1,56 \pm 0,11$  для  $E_\gamma = 2,62$  Мэв и  $1,26 \pm 0,16$  для  $E_\gamma = 3,20$  Мэв, где  $a$  и  $b$  являются коэффициентами углового распределения  $a + b \sin^2 \theta$ , что согласуется с теоретически кривыми, полученными в работе (Guth E., Mullin C. J., Phys. Rev., 1949, 76, 234, 682) в предположении, что порог фотоэффекта в Be равен 1,68 Мэв. Полученный результат подтверждает также предположение, что в процессе испускания фотонейтронов имеется заметная вероятность распада возбужденного  $^2D$ -уровня ядра на подуровни  $D_{3/2}$  и  $D_{5/2}$ . И. Б.

**24768. Радиоактивные атомы отдачи из реакции  $C^{12}(\gamma, n)C^{11}$ .** Роуленд, Либби (Hot atom recoils from  $C^{12}(\gamma, n)C^{11}$ . Rowland Frank S., Libby W. F.), J. Chem. Phys., 1953, 21, № 9, 1493—1494 (англ.)

При облучении простых углеродсодержащих систем тормозным излучением бетатрона Чикагского университета получались радиоактивные атомы  $C^{11}$ , образующиеся в р-ции  $C^{12}(\gamma, n)C^{11}$ . Эти атомы распределялись между оксидами CO и  $CO_2$  следующим образом: в образцах, облучавшихся в жидкой фазе, на долю CO приходилось 95—100% радиоактивности; в образцах, облучавшихся в твердой фазе, активность распределялась между обоими оксидами примерно одинаково.

Предложен механизм, объясняющий полученные результаты. И. В.

**24769. Прецизионное измерение резонансов некоторых реакций ( $p, \gamma$ ).** Бумиллер, Штауб (Präzisionsmessung einiger  $p, \gamma$ -Resonanzen. Bumiller F., Staub H. H.), Helv. phys. acta, 1955, 28, № 4, 355—356 (нем.)

**24770. Ядерные реакции на меди под действием различных частиц высоких энергий.** Колман, Тьюс (Nuclear reactions of copper with various high-energy particles. Coleman G. H., Tewes H. A.), Phys. Rev., 1955, 99, № 1, 288—289 (англ.)

Проведено радиохим. изучение р-ций «скалывания» меди нейтронами 90 Мэв, протонами 90 и 190 Мэв и дейтронами 190 Мэв. Получены абс. значения эффективных сечений процессов взаимодействия этих частиц с медью. Изотопы меди во всех случаях имеют максим. выход. Наблюдается одинаковое возбуждение ядер мишени протонами свыше 190 Мэв. Отмечено, что тип налетающей частицы не влияет на ход р-ции. В. М.

**24771. Применение реакции  $T^3(d, n)He^4$  для сравнения некоторых методов абсолютного измерения потока быстрых нейтронов.** Интенсивность Ra-источника. Ларссон (The use of the  $T^3(d, n)He^4$  reaction for a comparison of some methods for the absolute measurement of a fast neutron flux. The yield of a Ra- $\alpha$ -Be source. Larsson Karl-Erik), Arkiv. fys., 1955, 9, № 4, 293—333 (англ.)

Сравниваются следующие методы абсолютного измерения потока быстрых нейтронов: метод ядер отдачи, метод регистрации заряженных частиц, образующихся в ядерной р-ции совместно с нейтроном, и метод предварительного замедления быстрых нейтронов с последующим измерением плотности тепловых нейтронов. В методе ядер отдачи измерялся интегральный ток ионизационной камеры, обусловленный протонами отдачи. Камера имела стенки из политена ( $CH_2$ ) и заполнялась этиленом ( $C_2H_4$ ). Для регистрации  $\alpha$ -частиц, образующихся совместно с нейтронами, применялся торцовый пропорциональный счетчик, наполненный смесью Ar (95%) и  $CO_2$  (5%), обладающий малой эффективностью к нейтронам. Отношение нейтронных потоков, определенных с помощью ионизационной камеры и методом регистрации заряженных частиц, оказалось равным  $1,03 \pm 0,04$ . В методе предварительного замедления нейтроны, испускаемые в р-циях  $T^3(d, n)He^4$  и  $Be^9(\alpha, n)B$ , замедлялись в воде и определялись интеграл от плотности замедленных нейтронов по объему замедлителя. Измерения плотности нейтронов проводились с помощью длинного борного счетчика. Одновременно с измерениями методом предварительного замедления проводились измерения интенсивности  $\alpha$ -частиц р-ции  $T^3(d, n)He^4$ . Сравнение результатов измерений двумя методами дает возможность независимого определения интенсивности Ra-источника нейтронов. Таким способом получено значение выхода нейтронов Ra-Be-источника с активностью 250 мюри, равное  $Q = (2,65 \pm 0,06) \cdot 10^6$  нейтрон/сек. Обсуждаются результаты сравнения методов и проблема стандартизации источников. Л. Д.

**24772. Ослабление  $\gamma$ -лучей. I. Прозрачность слоев свинца, железа и рассеивающей среды. II. Прозрачность различных материалов при разных геометрических условиях.** Пиблс (Attenuation of gamma rays. I. Transmission values for finite slabs of lead, iron, and the Compton scatterer. II. Transmission values for various materials and geometries. Peebles Glenn H.), J. Appl. Phys., 1953, 24, № 10, 1272—1287; № 12, 1437—1447 (англ.)

Сообщение I. Приведены результаты приближенных расчетов: 1) значения «фактора возрастания» для числа



## АТОМ

и энергии потока фотонов, проходящих через слои Pb и Fe толщиной от 1 до 20 средних длин пробега и начальной  $E$  фотонов от 1 до 20; 2) то же для толщин воздуха от 1 до 6 длин пробега и  $E$  фотонов от 0,2 до 20  $mc^2$ ; 3) углового распределения первичных и рассеянных фотонов, выходящих из слоя Pb толщиной 1, 8 и 20 пробегов для начальной  $E$  10  $mc^2$  и падения фотонов внутри конуса с углом раствора  $37^\circ$ ; 4) распределения по частоте числа и энергии потока фотонов, прошедших через слои Pb, Fe и воздуха при начальной  $E$  10 и 20  $mc^2$  и угле раствора конуса  $37^\circ$ . Расчет основан на вычислениях вероятности прохождения фотонов через слои без рассеяния, одно-, двух-, трехкратного рассеяния и т. д. или (для контроля) на рассмотрении толстого слоя как совокупности тонких слоев (толщиной в один пробег). Приводится оценка погрешности расчетов.

**Сообщение 11.** Приводятся: 1) зависимость «фактора возрастания» от  $Z$  поглотителя для числа и энергии потока фотонов, проходящих через слои толщиной от 1 до 20 длин пробега, и от начальной энергии фотонов 1; 2,5; 5; 10 и 20  $mc^2$ ; 2) графики для точечных, линейных и плоских источников, помещенных в бесконечную однородную среду, для случаев Pb и Fe. К. А.

**24773 К.** Измерение сечения поглощения и сечения радиационного захвата урана<sup>233</sup> для котельного спектра нейтронов. Кукавадзе Г. М., Гольдин Л. Л., Аникин М. П., Эршлер Б. В. (Докл., представл. СССР на Междунар. конференцию по мирному использованию атомной энергии). М., 1955, 14 стр., илл., беспл.

**24774 К.** Измерения сечений деления и полных сечений некоторых изотопов тяжелых элементов на монохроматических нейтронах, выполненные на механическом селекторе. Адамчук Ю. В., Герасимов В. Ф., Ефимов Б. В., Зенкевич В. С., Мостовой В. И., Певзнер М. И., Цитович А. П., Чернышов А. А. (Докл., представл. СССР на Междунар. конференцию по мирному использованию атом. энергии). М., 1955, 22 стр., илл., беспл.

**24775 К.** Теория полупрозрачного ядра с размытым краем. Немировский П. Э. (Докл., представл. СССР на Междунар. конференцию по мирному использованию атомной энергии). М., 1955, 19 стр., илл., беспл.

**24776 К.** Исследование запаздывающих нейтронов урана<sup>233</sup> после облучения тепловыми нейтронами. Гирифельд С. В. (Докл., представл. СССР на Междунар. конференцию по мирному использованию атомной энергии). М., 1955, 17 стр., илл., беспл.

**24777 К.** Исследование бета-распада нейтрона. Спивак П. Е., Сосновский А. Н., Прокофьев А. Ю., Соколов В. С. (Докл., представл. СССР на Междунар. конференцию по мирному использованию атомной энергии). М., 1955, 22 стр., илл., беспл.

**24778 К.** Изучение диффузии нейтронов в бериллии, графите и воде импульсным методом. Антонов А. В., Исаков А. Н., Муриш П. Д., Неупокоев Б. А., Франк И. М., Шапиро Ф. Л., Штрахн Н. В. (Докл., представл. СССР на Междунар. конференцию по мирному использованию атомной энергии). М., 1955, 28 стр., илл., беспл.

**24779 К.** К вопросу о методах разделения нептуния и плутония. Швецов Н. К., Воробьев А. М. (Докл., представл. СССР на Междунар. конференцию по мирному использованию атом. энергии). М., 1955, стр., беспл.

**См также:** Радиоактивные изотопы 25055—25060, 25141—25143

**24780.** К вопросу об обобщении статистической теории атома. Рапопорт Л. П., Ж. эксперим. и теор. физики, 1955, 29, № 3, 376—377

Нерелятивистские ур-ния Гельмана (Hellmann H., Acta phys.-chim. URSS., 1936, 4, 225), дающие статистич. теорию атома для случая группировки электронов по орбитальным числам, обобщаются путем учета релятивистских и спин-орбитальных поправок. Для энергии электрона в состоянии  $n$  в шаровом слое толщиной  $s$  получается:  $E_n = E_0 \{1 + \lambda_k^2 [\pi^2 n^2 / s^2 + l(l+1)/r^2 - (e/2E_0)(k/r)(dV/dr)]\}^{1/2} - eV$ , где  $E_0 = m_0 c^2$ ,  $\lambda_k = \hbar / m_0 c$ ,  $k = l+1$  для  $j = l+1/2$  и  $k = -l$  для  $j = l-1/2$ , последний член в скобках представляет спин-орбитальную энергию. Это выражение используется для вычисления полной энергии атома. Для потенциала  $V$  получается ур-ние Томаса—Ферми, отличающееся от найденного Гельманом ур-ния дополнительным членом, учитывающим спин-орбитальное взаимодействие; релятивистские поправки на кинетич. энергию пренебрегаются. В. У.

**24781.** Об одном приближенном представлении функции Томаса—Ферми. Тиц (Über eine Approximation der Fermischen Verteilungsfunktion. Tietz T.), Ann. Physik, 1955, 15, № 3—4, 186—188 (нем.)

Предложено простое аналитич. приближенное решение ур-ния Томаса—Ферми  $y'' = y^{1/2} x^{-1/2}$  (1). Применяя предложение Бринкмана (РЖХим, 1954, 37321) о приближенном постоянстве величины  $y^{1/2} x^{1/2}$  в интервале  $(0, \infty)$ , ур-ние (1) приводится к виду  $y'' = (6/a^2) y^2$  (2), где  $a^2/6 = y^{1/2} x^{1/2}$ . Решением ур-ния (2), удовлетворяющим граничным условиям  $y(0) = 1$  и  $y(\infty) = 0$ , является функция  $y_{T1} = a^2/(x+a)^2$ . Постоянная  $a$  определяется из условия нормировки радиального распределения импульса (Coulson C. A., March N. N., Proc. Phys. Soc., 1950, A63, 367). Функция  $y_{T1}$  сравнивается с другими приближенными решениями ур-ния Томаса—Ферми, предложенными ранее (Baker E., Phys. Rev., 1930, 36, 630; Sommerfeld A., Rend. Acad. Lincei, 1932, 6, 15, 788; РЖХим, 1954, 37 324). Функция  $y_{T1}$  является весьма хорошим решением ур-ния (1) при не слишком больших значениях  $x$ . Большим преимуществом приближенного решения  $y_{T1}$  перед другими известными приближенными решениями ур-ния (1) является его простой вид. Т. Р.

**24782.** Простой метод вычисления лембовских сдвигов в спектре водорода. Торсен (Eine einfache Berechnung des Lamb-shifts im Wasserstoffspektrum. Thorsen V.), Naturwissenschaften, 1954, 41, № 3, 58 (нем.)

Лембовский сдвиг в спектре водорода исследован при помощи гидродинамич. модели, используя теорию водяных волн. Полученные результаты находятся в удовлетворительном согласии с эксперим. значениями лембовского сдвига. Г. С.

**24783.** Расчет радиусов атомов элементов по Д. И. Менделееву. Заев Н. Е., Ж. общ. химии, 1955, 25, № 10, 1844—1859

В развитие предложенного Д. И. Менделеевым метода произведен расчет радиусов атомов по ф-ле  $r = (3V/4\pi N)^{1/3} K$ , где  $K$  — коэфф. заполнения; результаты сравниваются с эксперим. данными, полученными методами спектроскопии, электронографии и рентгенографии. Удовлетворительный результат (расхождение не более 0,01 Å) получен для 60 элементов; менее удовлетворительный (0,01 Å  $< \Delta < 0,1$  Å) — для 14 элементов;  $\Delta > 0,1$  Å для 10 элементов. Для 14 элементов радиусы атомов не рассчитаны из-за отсутствия исходных дан-



ных. Указывается что у Ba, V, Au, Ir, Y, Pr, Cs не точно определены радиус атома или плотность элемента; подтверждено, что плотность Ne равна 1,46, а Kr — 3,19. Рассчитаны неизвестные экспериментально плотности Gd (7,9792) и Tc (11,367) и радиус атома Sm (1,7445 Å). Показано, что длины связей (половины межатоминого расстояния) в одинарной и кратной связи пропорциональны корню куб. из теоретич. коэфф. упаковки шаров одинакового диаметра; на основании этого указывается, что Cl в тройной связи будет иметь радиус 0,77523 Å, а F не дает тройной связи; предполагается также существование  $H_{64}$  при неизвестных пока условиях. В. У.

**24784.** Классическое вычисление дифференциального поперечного сечения рассеяния на кулоновском потенциале с экспоненциальной экранировкой. Эверхарт, Стоун, Карбон (Classical calculation of differential cross section for scattering from a coulomb potential with exponential screening. Everhart Edgar, Stone Gerald, Carbone R. J.), Phys. Rev., 1955, 99, № 4, 1287—1290 (англ.)

Классическим методом вычисляется дифференциальное сечение  $\sigma(\theta)$  рассеяния на потенциале  $V = (Z_1 Z_2 e^2 / r) \exp(-r/a)$ . Такой потенциал приближенно представляет взаимодействие двух атомов с зарядами ядер  $Z_1$  и  $Z_2$  и с эффективными размерами  $a = a_0 / (Z_1^{1/2} + Z_2^{1/2})^{1/2}$ . Приведена таблица величин  $\sigma(\theta) / b^2$ ,  $r_0/b$ ,  $p/b$ , где  $r_0$  — расстояние максим. сближения с центром,  $p$  — прицельное расстояние, параметр  $b = Z_1 Z_2 e^2 / \lambda v$ ,  $m v^2$ . Результаты даны для  $\theta$  от  $0,01\pi$  до  $\pi$  при  $b/a$  от 0 до 10. Случай  $b/a = 0$  соответствует чисто резерфордскому рассеянию. Отмечаются пределы применимости метода:  $\lambda \ll a$ ,  $\lambda \ll b$ ,  $\theta > 0$  —  $\lambda / 2\pi a$ . Эти условия выполняются для столкновения атомов при энергиях от сотен эв до сотен кэв. Л. В.

**24785.** Расчет вариационным методом эффективного сечения электронного возбуждения ( $1s \rightarrow 2s$ ) для атома водорода. Массе, Моисеевич (Calculation of the  $1s \rightarrow 2s$  electron excitation cross section of hydrogen by a variational method. Massey H. B. W., Moiseiwitsch B. L.), Proc. Phys. Soc., 1953, 66A, № 4, 406—408 (англ.)

Вариационный метод Хюлтена (Hulthén L., K. Fysio-gr. Salsk. Lund. Förh., 1944, 14, № 21), распространенный одним из авторов (Moiseiwitsch, Phys. Rev., 1951, 82, 753) на неупругие атомные столкновения, применен для исследования возбуждения основного состояния водорода электронами. Гамильтонова системы берется

в виде:  $[H = -(\nabla_1^2 + \nabla_2^2) - (2/r_1 + 2/r_2) + 2/r_{12}]$ , где  $r_1$  и  $r_2$  — расстояния электронов от ядра, а  $r_{12}$  — расстояние между электронами. Рассматривается лишь переход  $1s \rightarrow 2s$ , для которого результаты могут быть сравнены с другими приближенными методами. Волновая функция с учетом обмена построена в виде:

$\psi(r_1 r_2) = r_2^{-1} [f_0^{\pm}(r_2) \psi_0(r_1) + f_1^{\pm}(r_2) \psi_1(r_1)] \pm r_1^{-1} \times$   
 $\times [f_0^{\pm}(r_1) \psi_0(r_2) + f_1^{\pm}(r_1) \psi_1(r_2)]$ , где  $\psi_0$  и  $\psi_1$  — волновые функции состояний  $1s$  и  $2s$ ;  $f_0^{\pm}$  и  $f_1^{\pm}$  — функции, исчезающие при  $r = 0$  и имеющие асимптоты (при  $r \rightarrow \infty$ ):  $f_0^{\pm} \sim \sin kr + a^{\pm} \cos kr$ ,  $f_1^{\pm} \sim d^{\pm} \exp(ik_1 r)$ ;  $k^2$  и  $k_1^2$  — энергии налетающего и неупруго рассеянного электронов; знаки относятся к синглетному и триплетному спиновым состояниям электронов. Пробные функции  $\psi_i$  зависят от вариационных параметров  $a$ ,  $d$  и  $c_i$  ( $i = 1, 2, \dots, n$ ), которые определяются из условий:  $L_1 = 0$ ,  $\partial L_1 / \partial c_i = 0$ ,  $\partial L_1 / \partial a + 2i(k_1/k)d^* (\partial L_1 / \partial a) = 0$ , где

$$L_1 = \int \int \psi_i^* (\hat{H} - E) \psi_i d\tau_1 d\tau_2 \quad (\text{последнее условие учи-}$$

тывает сохранение заряда). Для простоты детальные расчеты проведены для функций:  $f_0 = \sin kr + [a + b \exp(-r)] [1 - \exp(-r)] \cos kr$ ;  $f_1 = (1 - e^{-r}) \exp(ik_1 r)$ . Эти функции отличаются простотой, однако они не дают возможности учесть интерференцию упруго- и неупруго-рассеянных волн, важную при малых энергиях (близких к пороговой). Сравнение с результатами расчета по Бору — Оппенгеймеру показывает, что найденное сечение рассеяния завышено при малых энергиях. Это обусловлено отчасти неучтенной интерференцией упругого и неупругого рассеяний, отчасти неточностью результатов Бора — Оппенгеймера, связанной с предположением слабого взаимодействия рассматриваемых уровней. А. 3.

**24786.** Поперечное сечение потери электрона для проходящих через газ атомов гелия. Краснер (Electron loss cross sections for helium atoms passing through gases. Krasner Sol), Phys. Rev., 1955, 99, № 2, 520—526 (англ.)

Измерялось суммарное сечение потери одного или двух электронов атомом He при прохождении через газы:  $H_2$ , Ne и воздух. Пучок атомов He не получался путем перезарядки ионного пучка  $He^+$  в спец. камере и очищался от ионов в магнитном поле. Далее пучок поступал в рабочую камеру. Ионы, образующиеся при потере электрона, также выводились из пучка магнитным полем, после чего интенсивность пучка измерялась по вторичной электронной эмиссии. Интенсивность определялась при максим. откатке рабочей камеры и при заполнении ее исследуемым газом до такого давления, при котором интенсивность пучка уменьшалась вдвое. Измерение проведено при энергиях пучка атомов He от 100 до 450 кэв. Во всех случаях сечение возрастает с ростом энергии: для  $H_2$  от 5,8 до  $12,5 \cdot 10^{-17} \text{ см}^2$ , для He от 11,6 до  $16,8 \cdot 10^{-17} \text{ см}^2$  и для воздуха от 30,2 до  $43,9 \cdot 10^{-17} \text{ см}^2$ . Отмечается, что аналогичные кривые для водорода в  $H_2$  и в воздухе показывают обратный ход. Л. В.

**24787.** Замечания к опыту Релея с активным азотом. Стюарт, Эмеле (Note on an experiment by Rayleigh on active nitrogen. Stewart D. T., Emelius K. G.), Trans. Faraday Soc., 1955, 51, № 4, 491—492 (англ.)

Обсуждаются некоторые трудности интерпретации результатов опытов Релея (Strutt, Proc. Roy. Soc., 1916, A92, 438) с активным азотом. Авторы получили ИК-спектр тлеющего свечения в азоте при давлении порядка 1 мм рт. ст., соответствующий переходам между уровнями с потенциалами возбуждения 10 и 13 э. Во всех случаях ИК-линии NI возбуждались в отрицательном свечении. В катодном темном пространстве они были едва заметны, быстро ослабевали при переходе от отрицательного свечения к фарадеевскому темному пространству и исчезали в положительном столбе. В катодном свечении ИК-линии более интенсивны, чем в отрицательном свечении. Образование атомов N в отрицательном свечении может происходить путем диссоциации обычного типа или по ф-ле  $N_2(X^2\Sigma) + e$  (быстрый)  $\rightarrow N^+ + N + 2e$ , где атом и ион находятся в основном или в нижних метастабильных состояниях. В последнем случае вместо иона может образоваться также атом N в высоком возбужденном состоянии. В катодных частях трубки явление обусловлено наличием атомов N, в то время как в положительном столбе вследствие незначительного кол-ва атомов N активность возникает по другой причине. О. Ю.

**24788.** Об относительных интенсивностях линий Ca II в звездных системах. Никитин А. А., Докл. АН СССР, 1954, 99, № 5, 689—690

Обсуждается вопрос о составлении ур-ния стационарности для Ca II. Автор рассматривает при этом только уровни  $4^2S$ ,  $3^2D$  (остальные вместе с непрерывным состоянием приняты за один общий уровень) и исходит из предположения, что населенность уровней  $4^2S$  и  $3^2D$  определяется а) ионизацией под действием радиации звезды с coeff. диллюции  $W$ , б) рекомбинациями с последующими каскадными переходами на один из нижних уровней, в) неупругими столкновениями с электронами, переводящими атом из состояния  $4^2S$  в  $3^2D$ , и наоборот, г) квадрупольными переходами типа  $3^2D - 4^2S$ . Указаны способы учета перечисленных факторов. Особо подчеркивается необходимость учета возможного самопоглощения в толстых слоях, что осуществляется автором путем введения в ур-ние стационарности множителя  $\kappa$ , определяющего долю тех атомов Ca II, которые, образуясь путем рекомбинаций на верхние уровни (исключая  $3^2D$ ), каскадными переходами достигают основного уровня  $4^2S$ . В. А.

24789. Релятивистские поправки к магнитному моменту атомов с  $n$ -электронами. Перл (Relativistic contributions to the magnetic moment of  $n$ -electron atoms. Perl William), Phys. Rev., 1953, 91, № 4, 852—858 (англ.)

Рассмотрены поправки к магнитному моменту атомов, обусловленные членами порядка  $\alpha^2 \mu_0 H$  в ур-нии Шредингера — Паули, полученном из ур-ния Дирака приближением, аналогичным для двух электронов. Волновая функция ур-ния Дирака для атома с  $n$  электронами представляется столбцом с компонентами:  $U_0$  соответствует значениям 2 или 2' спиновых переменных для всех  $n$  электронов,  $U_k$  соответствует значениям 1 или 1' для  $k$ -спиновой переменной и 2 или 2' — для остальных  $n-1$  переменных,  $U_{kl}$ :  $k$  и  $l$  — спиновые переменные имеют значения 1 или 1', остальные  $n-2$  значения 2 или 2' и т. д. Таким образом, отношение последующей компоненты к предыдущей имеет порядок  $P + eA \sim \alpha (1 + \mu_0 H / R_{\text{В}})$ . В полученных ур-ниях пренебрегаются компоненты 1 и 1' по сравнению с компонентами 2 и 2'. Поправки порядка  $\alpha^2 \mu_0 H$  аналогично поправкам  $\alpha^2 R_{\text{В}}$  разбиваются на 3 группы: 1) релятивистское возрастание масс ( $R$ ), 2) спин-орбитальный член ( $S$ ) и 3) поправка, обусловленная брейтовским взаимодействием:  $B_{kl} = e^2 / 2r_{kl} \times [\alpha_k \alpha_l + r_{kl}^{-2} (\alpha_k r_{kl}) (\alpha_l r_{kl})] (k-l)$  пар электронов. Возрастание магнитного момента с ростом  $Z$ , как требует опыт, дает спин-орбитальное взаимодействие, энергетич. поправка которого положительна и имеет вид:  $\Delta E_s = (\mu_0 / 2) \langle \psi | \sum_{k=1}^n \sigma_k \nabla_k V \times A_k | \psi \rangle$ . Расчеты проведены в первом приближении теории возмущения: усреднение произведено по волновой функции  $\psi_0$ , найденной при решении ур-ния без  $A_k$ . Это соответствует пренебрежению членами порядка  $\alpha^2 \mu_0 H$  для легких ядер и  $\alpha^3 \mu_0 H$  для тяжелых. Для  $g$ -фактора щел. металлов получено следующее выражение положительной поправки:  $(\Delta g / 2)_+ = (5,33 / 12) (1 - C) (Z - 1) (3 / n^2 - 1 / n^3) \cdot 10^{-6}$ , где  $C \sim 0,13 - 0,15$  представляет собой некоторое усреднение по радиусу, соответствующее экранировке заряда ядра электронным остовом. Величины  $(\Delta g / 2) - (\Delta g / 2)_{\text{Na}}$  имеют значения, близкие к эксперим. (Kush P., Taub H., Phys. Rev., 1949, 75, 1477), величина же  $(\Delta g / 2)_K - (\Delta g / 2)_H$  получалась завышенной по сравнению с экспериментальной (Franken P., Koenig S., Phys. Rev., 1952, 88, 190) почти в 4 раза. Увеличение магнитного момента щел. металлов с ростом  $Z$ , обнаруженное на опыте, частично обусловлено взаимодействием основного состояния с состояниями высоких конфигураций (Phillips M.,

Phys. Rev., 1952, 88, 202). Обсуждаются поправки к возбужденным уровням  $^2P$ .

А. З.  
24790. Об одном новом методе измерения времени релаксации и о спине  $\text{Cr}^{53}$ . Хальбах (Über eine neue Methode zur Messung von Relaxationszeiten und über den Spin von  $\text{Cr}^{53}$ . Halbach K.), Helv. phys. acta, 1954, 27, № 3, 259—282 (нем.; рез. англ.)

Методом рядов в работе найдены решения ур-ний Блоха (УБ) в первом приближении для случая  $H = H_0 + H_M \cos \omega_M t$  и с учетом малости  $H_M$ . Эти решения обсуждаются в остальной части работы. Дисперсионный сигнал в центре резонансной кривой (РК) равен  $U_{L1}(0) = [(1+i\omega)/(1+\omega^2)] [(h/(1+h^2/a))]$ . Отсюда, обозначив через  $Q$  отношение амплитуд в центре РК при установке фазы демодулятора в  $90^\circ$  и  $0^\circ$ , следует, что при однородном  $H_0$  имеется простой метод для определения  $T_2$  (времени поперечной релаксации) (1)  $Q = \omega$ , где  $\omega = \omega_M \cdot T_2$ . Из решений УБ в третьем приближении в центре РК, и исходя из 6% поправки к  $Q$  из (1), устанавливается критерий малости  $H_M$ . Для малых и больших амплитуд  $H_1$  поперечного магнитного ВЧ-поля имеем соответственно:  $H_M \leq V(1/\gamma T_2)^2 + 4(\omega_M/\gamma)/3,5$ ;  $H_M \leq H_1/2$ . Отсюда видно, что насыщение амплитуды сигнала не влияет на результат. Анализируя решения УБ для случая спец. формы неоднородности  $H_0$ -поля, получаем, что при больших  $H_1$  в центре РК  $Q = \omega$  и не зависит от формы неоднородности. Приводится удобный графич. способ определения  $T_2$ . Последний применен для нахождения  $T_2$  протонов и дал результаты, согласные с существующими. Если  $1/\omega_M$  значительно отличается от  $T_2$ , то применение метода осложняется трудностью получения стабильной  $\omega_M$ , которая бы удовлетворяла основному требованию  $1/\omega_M \sim T_2$ . Тем не менее, метод дает возможность измерять  $T_2$  вплоть до 0,1 сек. Фундаментальные ур-ния для определения сина ядер также преобразуются с учетом эффекта модуляции (ЭМ). При этом указано, что неучет ЭМ может привести к возрастанию ошибки в определении сина, если сравниваемые ядра имеют различные времена релаксации. Полученные ф-лы применены для расчета сина  $\text{Cr}^{53}$  и дают  $I = 3/2$ . Для измерений с помощью нового метода применяется несколько измененная установка Блоховского типа, краткое описание которой приведено в конце статьи. М. Б.

24791. Спектроскопическое исследование разделенных изотопов криптона. Расмуссен, Миддельбо (Spectroscopic investigations of separated krypton isotopes. Rasmussen Ebbe, Middelboe Victor), Kgl. danske videnskab. selskab. Mat.-fys. medd., 1955, 30, № 13,3—22 (англ.)

Исследовались изотопич. смещение между четными изотопами криптона ( $\text{Kr}^{82}$ ,  $\text{Kr}^{84}$  и  $\text{Kr}^{86}$ ) и сверхтонкая структура  $\text{Kr}^{83}$  в видимой и ИК-областях спектра. Для исследования применялись разделенные изотопы. Источник света — разрядная трубка с внутренними алюминиевыми электродами. Большое внимание уделялось удалению загрязнений из разрядной трубки (нагревание, промывка гелием). Изотопы (весом от 50 до 100  $\gamma$ ) в трубку вводились следующим образом. В электромагнитный сепаратор, в котором производилось разделение изотопов, помещался один из электродов в качестве коллектора газовых ионов изотопа. Затем этот электрод коллектор вводился в разрядную трубку. Криптон выделялся при нагревании электрода индукционными токами. В трубку также вводился гелий до давл. 7 мм рт. ст. Доплеровское уширение линий

уменьшалось охлаждением источника света жидким воздухом. Для измерения изотопич. смещения изотопы  $Kr^{82}$ ,  $Kr^{84}$  и  $Kr^{86}$  снимались поочередно на одну фотопластинку, при этом разность между диаметрами интерференционных колец непосредственно давала величину изотопич. смещения. Исследованы переходы  $1s-2p$  и  $1s-3p$  (в обозначениях Пашена). Величины и знаки изотопич. смещений во всех случаях соответствуют в основном нормальному массовому эффекту, однако для наиболее глубокого термина  $1s_2$  имеет место и специфич. массовый эффект ( $\sim +2 \cdot 10^{-3} \text{ см}^{-1}$ ). Изучение сверхтонкой структуры шести линий  $Kr^{83}$  подтверждает величину спина ядра этого изотопа  $I = 9/2$ . Для четырех термов  $1s_2 (J=1)$ ,  $1s_2 (J=2)$ ,  $2p_3 (J=1)$  и  $2p_4 (J=1)$  графич. методом вычислены постоянные магнитного (a) и квадрупольного (b) взаимодействий. По терму  $1s_2$  ( $b = (-13 \pm 1) \cdot 10^{-3} \text{ см}^{-1}$ ) рассчитана величина квадрупольного момента ядра  $Kr^{83}: Q = + (0,22 \pm 0,02) \cdot 10^{-24} \text{ см}^2$  при  $\langle 3 \cos^2 \theta - 1 \rangle = +2/5$  и  $\langle (a_0/r)^3 \rangle = 18,9$ . Н. Я.

**24792. Сверхтонкая структура празеодима.** Бейкер, Блини (Hyperfine structure of praseodymium. Baker J. M., Bleaney B.), Proc. Phys. Soc., 1955, A68, № 10, 936—937 (англ.)

Исследовался парамагнитный резонанс этилсульфата празеодима, разбавленного изоморфной солью иттрия. Приняв для величины  $\langle r^{-3} \rangle$  значение  $37 \pm 2 \text{ А}^{-3}$ , оценена величина ядерного магнитного момента  $Pr^{141}$ ,  $\mu = 3,92 \pm 0,2$  ядерных магнетона. Эта величина находится в хорошем согласии с результатами оптич. измерений магнитного момента:  $3,9 \pm 0,3$  и  $4,0 \pm 0,1$ . Н. Я.

См. также: 24739

## МОЛЕКУЛА. ХИМИЧЕСКАЯ СВЯЗЬ

**24793. Квантомеханическое исследование молекулы фтора.** Дингер (A quantum mechanical study of the fluorine molecule. Dinger Hans), Arkiv fys., 1954, 8, № 6, 527—550 (англ.)

Рассчитана энергия связи ( $D_0$ ) в основном состоянии молекулы  $F_2$ . Расчеты произведены в двух случаях: 1) с учетом только двух валентных электронов (РЖХим, 1954, 39146) и 2) с учетом всех десяти  $2p$ -электронов при помощи метода АСМО—ЛКАО.  $1s$ - и  $2s$ -электроны считаются совпадающими с ядрами. Рассчитаны энергии электронных конфигураций  $\sigma_g^2 \pi_u^4 \pi_g^4$  и  $\sigma_g^2 \sigma_u^2 \pi_u^4 \pi_g^2$ . Варьировались межъядерное расстояние ( $R$ ) и показатель экспоненты в атомных  $2p$ -функциях типа Слейтера ( $v$ ). Путем варьирования  $v$  при фиксированном  $R$ , равном эксперим. значению  $R = 2,68$  ат. ед., находился минимум энергии электронов относительно  $v$ . При фиксированном найденном значении  $v$  и варьировании  $R$  находились минимум энергии  $E_{\text{мин}}$  и равновесное межъядерное расстояние  $R_0$ . Для сравнения, по методу Ван-Флека вычислялась энергия рассматриваемых  $2p$ -электронов в изолированных атомах, при использовании атомных орбит того же вида и варьировании  $v$ . Результаты расчетов, выполненных с учетом десяти  $2p$ -электронов, приведены в таблице для  $\sigma_g^2 \pi_u^4 \pi_g^4 (A)$  и  $\sigma_g^2 \sigma_u^2 \pi_u^4 \pi_g^2 (B)$  (в ат. ед.).

|   | $v$ ат. | $E$ ат. | $v$   | $E_{\text{мин}}$ | $D_0$  | $R_0$ |
|---|---------|---------|-------|------------------|--------|-------|
| A | 1,802   | -8,1140 | 1,638 | -13,824          | -2,386 | 2,59  |
| B | 1,802   | -8,1140 | 1,565 | -16,060          | -0,168 | 1,91  |

Эксперимент для  $D_0$  0,05—0,08, для  $R_0$  2,68. Эффективные заряды ядра  $2v$  и  $2v_{\text{ат}}$  значительно меньше значения  $2v = 5,2$ , определенного по правилу Слейтера. Для обеих рассмотренных здесь электронных конфигураций получены отрицательные значения энергии связи. Путем вычисления параметров энергии установлены следующие последовательность молекулярных орбит в молекуле  $F_2$  (при равновесном межъядерном расстоянии) в порядке убывания энергии: в конфигурации  $\sigma_g^2 \pi_u^4 \pi_g^4: \pi_q > \pi_u > \sigma_g$ , а в конфигурации  $\sigma_g^2 \sigma_u^2 \pi_u^4 \pi_g^2: \pi_u > \pi_g > \sigma_u > \sigma_g$ . Т. Р.

**24794. Сетчатая модель свободного электрона для сопряженных систем.** II. Численные расчеты. Шерр (Free-electron network model for conjugated systems. II. Numerical calculations. Scherr Charles W.), J. Chem. Phys., 1953, 21, № 9, 1582—1596; исправление опечаток, J. Chem. Phys., 1954, 22, № 1, 151 (англ.)

Развитая в сообщении I (РЖХим, 1956, 21666) теория свободного электрона для сопряженных систем в матричной форме применена к расчету свойств большого числа альтернатных углеводородов. Приведена таблица ряда нижних энергетич. уровней 19 молекул, отнесенных к представляющим соответствующим группам симметрии; рассчитаны квадраты амплитуд и фазы соответствующих волновых функций. Рассчитаны частоты четырех переходов между двумя верхними занятыми и двумя нижними свободными уровнями. Результаты сравнены с результатами теории ЛКАО и с соответствующими спектральными данными. Ошибки расчета у обоих методов, в среднем, одинаковы, несмотря на то, что в теории свободного электрона нет ни одного варьруемого параметра;  $R$  принято равным 1,39 А в ароматич. системах и 1,34 А — в полиенах. Рассчитаны порядки связи по ф-ле  $b_{rs} = 2 \sum_{j=1}^{N/2} \Phi_j^2(r-s)$ , где  $\Phi_j(r-s)$  — значение  $j$ -й МО в середине связи  $r-s$ . Результаты совпадают с результатами расчета по методу ЛКАО. Рассчитаны индексы свободной валентности и определены наиболее реакционноспособные атомы в молекулах. Последний расчет хорошо согласуется с лм. данными для всех молекул, кроме фенантрена, для которого и теория ЛКАО не дает удовлетворительных результатов. Рассчитанные дипольные моменты фульвена и азулена, так же как и результаты теории ЛКАО, с опытом не согласуются. Длины связей рассчитаны по ф-ле  $l(r-s) = 1,665 - 0,1398(1+b(r,s))$ , результаты лежат в пределе ошибок опыта, как и результаты теории ЛКАО. В качестве иллюстрации приведен расчет молекулы нафтацена. Э. Б.

**24795. Сетчатая модель свободного электрона для сопряженных систем.** III. Демонстрационная модель, показывающая порядок связи и «свободную» валентность в сопряженных углеводородах. Платт (Free-electron network model for conjugated systems. III. A demonstration model showing bond order and «free valences» in conjugated hydrocarbons. Platt John R.), J. Chem. Phys., 1953, 21, № 9, 1597—1600 (англ.)

Изготовлена модель сопряженных молекул из проволоки толщиной 0,08 мм, свободно пропущенной через крючки в деревянных шипах, воткнутых в доску, изображающих атомы. Если шип находится в точке разветвления (узел) (электронная плотность  $a$  равна  $2/3$ ), то крючок устанавливается на высоте  $66^{2/3}$  мм, на остальных шипах — на высоте 100 мм ( $a = 1$ ). Для выполнения условий однозначности и непрерывности в узлах и на концах молекулы (РЖХим, 1956, 21666) 3 проволоки закрепляются в узлах под углами  $120^\circ$ .



в одной плоскости. У концов молекулы проволоочки спускаются к доске, на расстоянии, равном длине одной связи за последним атомом. Измерение высоты проволоки над доской дает картину распределения электронной плотности по связям молекулы. Использовались проволоочки различной длины, от 7 до 21 см; разброс в определении  $\alpha$  по связям не превышает 0,04 ат. ед. Подтверждены результаты, полученные в предыдущей работе (см. реф. 24794). Длины связей, определенные из значений  $\alpha$ , найденных при помощи модели, совпадают с найденными рентгенографически в пределах ошибок опыта. Автор считает возможным применить указанные модели для определения  $\alpha$ , длин связей и реакционной способности атомов в сложных молекулах, плохо поддающихся теоретич. расчету. Э. Б.

**24796. Сетчатая модель свободного электрона для сопряженных систем. IV. Шерр (Free-electron network model for conjugated systems. IV. Scherr Charles W.), J. Chem. Phys., 1953, 21, № 8, 1413—1414; исправление опечаток, J. Chem. Phys., 1954, 22, № 1, 151 (англ.)**

Получено ур-ние, описывающее эмпирич. кривую зависимости равновесной длины связи  $x_\lambda$  от электронной плотности в связи.  $b_\lambda/x_\lambda$  вычисляется из ур-ния  $(\partial F/\partial x_\lambda) = 0$ , где  $F = \sum_\lambda (1/2) k_s (x_\lambda - s)^2 + \sum_\lambda E_{\pi\lambda}$  полная энергия всех связей в молекуле,  $k_s$  — силовая постоянная  $\sigma$ -связи  $4,50 \cdot 10^5$  дин/см,  $s$  — длина связи C—C в этане 1,54 Å,  $E_{\pi\lambda}$  считается пропорциональной электронной плотности в связи  $\lambda$ , коэфф. пропорциональности равен энергии связи CC в этилене при длине ее, равной  $x_\lambda$ ,  $E_{\pi\lambda} = b_\lambda E_H (a\pi/x_\lambda)^2 (1/a - 1/s)$ ,  $E_H = -13,597$  эв,  $a = 0,529151$  Å. Отсюда из условия  $\partial F/\partial x_\lambda = 0$  получается  $x_\lambda = 1,54 - 0,1385 b_\lambda$ , что хорошо согласуется с эмпирич. кривой (см. реф. 24794). Вычислены энергии сопряжения циклич. углеводородов по ф-ле  $-E = \sum_{i=1}^{n/2} 90,90 k_i^2 - 49,84 n$ ; для полиенов  $-E = \sum_{i=0}^{n/2} 97,84 k_i^2 - 53,63 n$ ,  $n$  — число  $\pi$ -электронов,  $k_i$  — параметр волновой функции, вычисленный в цитированной работе. Результаты приведены в таблице и сравнены с эксперим. Простая ф-ла  $E = 7,2N$ , где  $N$  — число связей сопряженной системы, дает гораздо лучшее совпадение с опытом. Энергии сопряжения 4 несуществующих молекул: циклобутадиена, фульвена, пенталина и дифульвена — оказались гораздо меньше энергии сопряжения реальных углеводородов. Э. Б.

**24797. Сетчатая модель свободного электрона для сопряженных систем. V. Энергии и распределения электронов в модели свободного электрона и в методе линейных комбинаций атомных орбит. Руденберг (Free-electron network model for conjugated systems. V. Energies and electron distributions in the FE MO model and in the LCAO MO model. Ruedenberg Klaus), J. Chem. Phys., 1954, 22, № 11, 1878—1894; исправление опечаток, J. Chem. Phys., 1955, 23, № 2, 401 (англ.)**

Доказывается полная аналогия двух методов расчета сопряженных молекул — упрощенного метода молекулярных орбит (Coulson, Longuet-Higgins, Proc. Roy. Soc., 1947, A191, 39) (метод 1, теория ЛКАО) и метода потенциального ящика с бесконечными стенками и постоянным потенциалом вдоль контура молекулы (РЖХим, 1956, 21666; метод 2). Собственные функции системы по методу 1 имеют вид  $\Phi_n = \sum_{P=1}^N \sim c_{Pn} \chi_P$ , где  $\chi_P$  — атомные орбиты  $(2\pi r)^P$ . Собственные значения энергии системы и коэффициенты разложения  $c'_{Pn}$

ищутся из векового ур-ния  $(H' - S'\epsilon_n) c'_n = 0$  (1), где матричные элементы  $H'_{PQ} = \int \chi_P H \chi_Q dV$ , а  $S_{PQ} = \int \chi_P \chi_Q dV$ . Если считать все атомы углеродной цепи равноценными и принимать во внимание взаимодействие только ближайших соседей, то  $H'_{PQ}$  и  $S_{PQ}$  отличны от нуля только при  $Q = P \pm 1$ ;  $H_{P, P \pm 1} = \beta$ ;  $S_{P, P \pm 1} = S$ ;  $S_{PP} = \alpha$ . Тогда  $S = I + SM$ , а  $H' = \alpha I + \beta M$ , где  $I$  — единичная матрица, а  $M$  характеризует молекулу: все  $M_{PQ}$  есть нули, кроме  $M_{P, P \pm 1} = 1$ . Вместо ур-ния (1) обычно решается эквивалентное ему:  $(M - m_n I) c_n = 0$ , где  $m_n$  — собственные значения, а  $c_n$  — собственные векторы матрицы  $M$ . Если считать, что в точках разветвления углеродной цепи плотность  $\pi$ -электронов меньше, а длина примыкающих связей больше, и положить  $S_{P, P \pm 1} = T_P P_{P \pm 1} S$ ;  $H'_{P, P \pm 1} = T_P T_{P \pm 1} \beta$ , где  $T_P = V^{2/3}$  для точки разветвления,  $T_P = 1$  для обычной точки, то вместо ур-ния (1) получится ур-ние, полностью совпадающее с соответствующим ур-нием метода 2 ( $F$ -вариант метода 1). Наоборот, если в методе 2 считать каждую точку точкой разветвления, то вековое ур-ние для собственных значений совпадает с соответствующим ур-нием метода 1. Вместо матрицы  $F$ , характеризующей обычно молекулу в методе 2, получится матрица  $M$  ( $M$ -вариант метода 2). Сравниваются последовательности энергетич. уровней в  $F$ - и  $M$ -вариантах каждого метода:  $\epsilon(m) = \alpha + (\beta - \alpha S) m(1 + Sm)^{-1}$  для метода 1 и  $E(m) = E_D [\arccos^2(1/2m) - 1/4\pi] + E^0$  для метода 2 (для  $F$  выражения сходные);  $E_D = E_H - (a/D)^2$ , где  $E_H$  — ионизационный потенциал водорода,  $a$  — борковский радиус,  $D$  — длина связи C—C. Гиперболы  $\epsilon(m)$  хорошо аппроксимируют  $E(m)$  для не очень больших  $m$  в определенном интервале значений  $S$ ,  $\alpha$  и  $\beta - \alpha S$ . Полуэмпирич. оценки  $S$ ,  $\alpha$  и  $\beta$  лежат в этом же интервале. Порядок следования уровней одинаков в  $F$ -варианте обоих методов, так же как и в  $M$ -варианте. Но последовательность уровней в  $F$ - и  $M$ -вариантах несколько различна;  $\beta - \alpha S$  получается близким к  $1/2$  энергии связи  $\pi$ -электронов в этилене и к  $E_D$ , равной 1,9 эв. Несмотря на разный вид  $\psi$ -функций, распределение  $\pi$ -электронов по связям, вычисленное методами 1 и 2, совпадает. Проведен расчет распределения  $\pi$ -электронов по связям и по атомам четырьмя способами; приведены рисунки, иллюстрирующие каждый способ расчета. В результате установлено, что для основной части плотности  $\pi$ -электронов у атома  $P = a(P)$  получается в  $F$ -варианте обоих методов выражение  $T_P^{-2} D \sum_n g_n \Phi_n^2(P)$ , где  $g_n$  — числа заполнения уровней ( $g_n = 0, 1, 2$ ), а  $\Phi_n(P)$  — значение молекулярной орбиты в точке  $P$ . В  $M$ -варианте  $\sum_n g_n c_{Pn}^2$ , где  $c_{Pn}$  связаны с  $c'_{Pn}$  ур-нием:  $c_{Pn} = S^{1/2} c'_{Pn}$ . Кроме этого, получаются малые поправочные члены, всюду различные, но одинаковые по порядку величины и имеющие одинаковые знаки. То же самое относится к плотности  $\pi$ -электронов на связи. Главная часть ее в  $M$ -варианте есть  $D \sum_n g_n (1 + x_n)^{-1} \times \times 1/2 [\Phi_n(P) + \Phi_n(Q)]$ , где  $P$  и  $Q$  — атомы на концах связи, а  $x_n = V(2mE/h^2)D$ . В  $M$ -варианте  $b = \sum_n g_n \times \times (1 + \cos x_n)^{-1/2} (T_P^2 c_{Pn}^2 + T_Q^2 c_{Qn}^2) + 2/3 c_{Pn} c_{Qn}$ . Э. Б.

**24798. «Сглаженный потенциал» и теория химической связи. Арнольд (Smoothed potential theory**



of chemical binding. Arnold James R.), J. Chem. Phys., 1954, 22, № 4, 757—758 (англ.)

На основании предыдущих работ (РЖХим, 1956, 21666, 24794, 24795) предложен метод расчета энергий связей, не учитывающий деталей строения атомов и молекул. Метод принимает, что: 1) собственные функции валентных электронов в атоме идентичны функциям свободных электронов в простом потенциальном ящике, размеры которого определяются радиусом несвязанного атома; 2) собственные функции валентных электронов в молекуле отличаются от атомных функций лишь вдоль направления связи, а именно, увеличением ширины потенциального ящика; 3) в многоатомных молекулах связывающие электроны локализованы между парами атомов. Для расчетов использованы модели потенциального ящика в форме прямоугольного цилиндра радиуса  $l$  и гармонического осциллятора. Для цилиндра  $E_{\text{связи}} = 219 (1/l_A^2 + 1/l_B^2 - 2/l_{AB}^2) + 23,06 (x_A - x_B)^2$  ккал/моль (1), где  $l_A$  и  $l_B$  относятся к атомам, а  $l_{AB} = (l_A + l_B + r_{AB})/2$  ( $r_{AB}$  — длина связи). Для гармонического осциллятора  $E_{\text{связи}} = 88,6 (1/a_A^2 + 1/a_B^2 - 2/a_{AB}^2) + 23,06 (x_A - x_B)^2$  ккал/моль (2), где  $a_{AB} = (a_A + a_B + r_{AB})/2$ . Подбор величин  $l$  и  $a$ , как параметров, показал, что они равны соответственно 1,185  $\text{\AA}$  и 0,822  $\text{\AA}$ , где  $x$  — радиус несвязанного атома. Получены следующие результаты расчетов энергий различных связей (в ккал; первая цифра соответствует расчету по ур-нию (1), вторая — по ур-нию (2); в скобках указаны эксперим. значения):

H—H 81,0, 90,5 (104); H—C 83,1, 85,8 (91); H—Si 85,9, 82,1 (81); H—P 84,0, 81,2 (76); H—S 86,6, 84,2 (81); H—Cl 102,4, 101,4 (103); H—As 85,3, 81,1 (59); H—Se 87,3, 85,1 (66); H—Br 96,3, 93,2 (88); H—Te 87,9, 81,0 (57); H—J 90,7, 84,7 (71); C—C 60,2, 62,3 (65); C—Si 64,7, 64,8 (66); C—Cl 63,9, 64,7 (70); C—Br 58,2, 58,0 (58); C—J 54,3, 52,8 (43); Si—Si 42,9, 42,9 (50); Si—S 56,1, 55,5 (60); Si—Cl 82,2, 82,6 (90); Si—Br 67,9, 68,4 (73); Si—J 53,3, 53,0 (53); P—P 47,5, 47,4 (51); P—Cl 71,9, 72,3 (79); P—Br 60,8, 60,8 (64); P—J 49,6, 48,9 (49); S—S 50,6, 49,3 (49); S—Cl 57,8, 57,3 (61); S—As 53,3, 52,2 (50); S—Br 50,8, 50,0 (51); Cl—Cl 51,7, 51,8 (58); Cl—Ge 82,3, 82,2 (80); Cl—As 73,1, 72,9 (73); Cl—Se 55,8, 55,7 (58); Cl—Br 49,5, 49,5 (52); Cl—Sn 80,3, 79,6 (77); Cl—Sb 73,7, 72,6 (74); Cl—J 52,0, 51,2 (50); Ge—Ge 41,2, 40,9 (42); Ge—J 52,3, 52,1 (55); As—As 44,0, 43,5 (38); As—Br 60,9, 60,8 (58); As—J 48,4, 47,7 (42); Br—Br 45,1, 45,1 (46); Br—Sn 65,4, 65,1 (65); Br—Sb 59,9, 59,5 (62); Br—J 44,4, 43,8 (42); Sn—Sn 35,0, 34,6 (36); Sb—Sb 37,7, 36,8 (35); Sb—J 46,0, 45,4 (44); J—J 38,3, 37,7 (34).

24799. Учет 3  $\pi$ -электронов; уровни энергии молекулы этилена. Джейкобс (The effect of 3 $\pi$  electrons: energy levels of ethylene. Jacobs J.), Proc. Phys. Soc., 1955, A68, № 2, 72—78 (англ.)

Отмечая, что 1) 2 $\pi$ -орбиты не образуют полной системы функций, 2) интеграл неортогональности соседних 3 $\pi$ -орбит в этилене равен 0,17 и не является малым по сравнению с интегралом неортогональности соседних 2 $\pi$ -орбит, равным 0,28, 3) разность энергий орбит 3 $\pi$  и 2 $\pi$  в свободном атоме C имеет тот же порядок величины (8  $\text{эВ}$ ), что и разности энергий некоторых молекулярных термов, автор указывает на необходимость использовать при построении волновых функций органич. молекул, содержащих двойные связи, наряду с атомными 2 $\pi$ -орбитами также и атомные 3 $\pi$ -орбиты. Утверждение Дулинга (РЖХим, 1955, 1688) о незначительности вклада 3 $\pi$ -орбит в волновую функцию молекулы автор считает слишком

общим, так как Дулинг рассматривал только одноэлектронные волновые функции. С целью исследования величины вклада 3 $\pi$   $\pi$ -орбит в энергию и в волновую функцию молекулы этилена рассматривается (по методу Гешперт-Майера и Скляра) движение двух  $\pi$ -электронов этилена в поле, созданном ядрами атомов C и всеми остальными электронами. Присутствие атомов H пренебрегается. В качестве атомных орбит 2 $\pi$   $\psi$  и атомных орбит 3 $\pi$   $\chi$  взяты функции Слейтера с эффективными зарядами  $Z = 3,18$  и  $Z = 1,45$ . Из атомных орбит составлены следующие МО, расположенные в порядке возрастания энергии:  $\Phi_1 = N_1 (\psi_a + \psi_b)$ ;  $\Phi_2 = N_2 (\psi_a - \psi_b)$ ;  $\Phi_3 = N_3 (\chi_a + \chi_b)$ ;  $\Phi_4 = N_4 (\chi_a - \chi_b)$ . Из этих МО составлены волновые функции основной и первых четырех возбужденных конфигураций, а также первых триплетных конфигураций. Вычисление энергий конфигураций и матричных элементов взаимодействия конфигураций сводится к вычислению интегралов по атомным орбитам. Последние найдены с помощью ранее приведенной ф-лы (Barnett M. P., Philos. Trans. Roy. Soc., 1951, A243, 221). Интегралами  $\psi \cdot \chi \chi$ ,  $\chi \cdot \chi \chi$ ,  $\chi \cdot \chi \psi$  и  $\psi \cdot \psi \chi$ , где, напр.,  $\chi \cdot \chi \chi \equiv \int \psi_a(1) \chi_b(1) \psi_a(2) \times \chi_b(2) d\tau_1 d\tau_2 / r_{12}$ , пренебрегают. В качестве разности энергий атомных орбит 3 $\pi$  и 2 $\pi$  используется значение  $W_{3\pi} - W_{2\pi} = 8 \text{ эВ}$ . Найдены следующие значения энергий первых конфигураций (в  $\text{эВ}$ ): конфигурация типа  ${}^1A_g - 11,8$ ;  $-5,7$ ;  $0,7$ ; типа  ${}^1B_u - 1,6$ ;  $11,3$ ; типа  ${}^3A_g - 4$ ; типа  ${}^3B_u - 10$ ;  $12,4$ . К синглетным конфигурациям с одинаковой симметрией применена процедура взаимодействия конфигураций. В результате найдены следующие синглетные термы:  ${}^1A_g - 13,6$ ;  $-3,1$ ;  $2,2$ ;  ${}^1B_u - 4,9$ ;  $13,5$ . За начало отсчета энергии взято значение  $E = 2W_{2\pi}$ . Вклад 3  $\pi$ -электронов в энергию основного состояния составляет  $-0,5 \text{ эВ}$ , а в энергию состояния  ${}^1B_u - 3,3 \text{ эВ}$ , вызывая, таким образом, значительную стабилизацию этих состояний. Разность энергий указанных состояний составляет 8,7  $\text{эВ}$  и значительно ближе к эксперим. значению (7,6  $\text{эВ}$ ), чем теоретич. значение (11,5  $\text{эВ}$ ), вычисленное без учета 3 $\pi$ -электронов (Parr R. G., Crawford B. L., J. Chem. Phys., 1948, 16, 526). Вычислены также весовые коэф., показывающие величину вклада 3 $\pi$ -функций в волновые функции наиболее низких состояний молекулы. Автор приходит к выводу, что учет 3 $\pi$ -орбит дает значительный вклад в энергию (в особенности возбужденных состояний) молекулы; таким образом, в уточненной теории МО нельзя пренебрегать атомными орбитами, имеющими более высокие значения энергии, в частности 3 $\pi$ -орбитами атомов C. Т. Р.

24800. Одновременное вычисление поляризуемости и энергии электронного перехода молекул. Частные случаи этилена и бензола. Барьоль, Ренье (Calcul simultané de la polarisabilité et de l'énergie de transition électronique des molécules Cas particulier de l'éthylène et du benzène. Barriol J., Régnier J.), J. phys. et radium, 1955, 16, № 8—9, 641—644 (франц.)

Вариационным методом, изложенным в предыдущей работе авторов (РЖХим, 1955, 8990), вычислены инкременты рефракции (ИР) этилена (I) и бензола (II). В отличие от предыдущего расчета ИР для I, включавшего наложение гомеоплярной и ионных конфигураций, здесь применен обычный метод МО, что дает возможность сравнить ИР I и II, вычисленные в одинаковом приближении. Основное состояние  $\pi$ -электронов I описывается волновой функцией  $\psi_0 = \{a(1) + b(1)\} [a(2) + b(2)] / 2(1 + S)$ ;  $S \int ab d\tau$ . Расчет дает ИР этилена  $P = (4/3) \pi N a = 5,05$  (опыт  $P = 2,95$ ) Для

$\pi$ -электронов II строится антисимметризованная волновая функция  $\theta = 1/\sqrt{6!} a\Phi_A(1)\alpha(1)\Phi_A(2)\beta(2)\dots\Phi_C(5)\alpha(5)\Phi_C(6)\beta(6)$ , где оператор  $a$  — антисимметризатор;  $\Phi_A = A(a+b+c+d+e+f)$ ,  $\Phi_B = B(a+2b+c-d-2e-f)$ ,  $\Phi_C = C(a-c-d+f)$  — молекулярные орбиты;  $\alpha$  и  $\beta$  — спиновые функции. Вычисленный ИР II  $P = 16,5$ . Отношение теоретич. ИР для II и I 3,25 хорошо согласуется с опытным, равным 3. Завышенные значения вычисленных инкрементов рефракции, по мнению автора, обусловлены отсутствием надлежащего учета корреляции электронов. Указано, что на результаты расчета сильно влияет значение эффективного заряда ( $Z$ ) и длины связи ( $R$ ). В работе принимается  $Z = 3,43$ ;  $R = 1,39$  А. При этом интеграл перекрывания  $S = 0,232$ . Приравнивая два приближенных выражения для продольной поляризуемости  $\pi$ -электронов этилена, авторы получают ф-лу, которая позволяет оценить энергию спектрального перехода между связывающей орбитой  $(a+b)/2\sqrt{1+S}$  и несвязывающей  $(a-b)/2\sqrt{1-S}$ ;  $E_2 - E_0 = (h^2/2\pi^2 m R^2) [R^2/(R^2 + 4C_y^2)]^2 [(1+S)/(1-S)]$  (1), где  $C_y^2 = \int y^2 a^2 d\tau$ . Согласно ф-ле (1) должно иметь место поглощение при  $\lambda = 1650$  А. Этот результат лучше согласуется с опытными данными, чем оценка, произведенная с помощью «металлич.» модели. М. А.

**24801.** Молекулы с тетраэдрической и октаэдрической симметрией. II. Расчеты энергий и молекулярные постоянные метана, силана и германа. III. Теоретическая основа «сглаживающего приближения». Баллингер, Марч (Molecules with tetrahedral and octahedral symmetry. II. Energy calculations and molecular constants for methane, silane and germane. III. Theoretical basis of the «smoothing approximation». Ballinger R. A., March N. H., Proc. Cambridge Philos. Soc., 1955, 51, № 3, 504—518 (англ.).

**Сообщение II.** Более подробное изложение предыдущей работы (РЖХим, 1955, 30989). Принято, что электроны в молекулах  $\text{CH}_4$ ,  $\text{SiH}_4$ ,  $\text{GeH}_4$  движутся в центральном поле, возникающем в результате усреднения поля ядер атомов водорода по всем их ориентациям относительно центрального ядра. Электронная плотность  $n_1$  определяется ур-нием Томаса — Ферми  $d^2\Phi/dx^2 = \Phi^{3/2}/x^{1/2}$ . Обменная энергия  $A = -c \int n^{1/2} d\tau$ ,  $c_e = (3e^2/4) (3/\pi)^{1/2}$ . Интеграл является суммой интегралов  $\int_0^X \Phi_1^2 dx$  и  $\int_X^\infty \Phi_2^2 dx$ , где  $\Phi_1, \Phi_2$  — функции внутри и вне сферы и  $X$  — радиус сферы. Влияние обменного эффекта учитывается введением масштабного множителя  $\lambda$ :  $n_\lambda(r) = \lambda^3 n_1(\lambda r)$ , тогда как в интеграл  $A$  подставляется функция  $n_1$ . Полная энергия молекулы  $E_\lambda(R) = \lambda^3 T_1(\lambda R) + \lambda U_1(\lambda R) + \lambda A_1(\lambda R)$ , где  $T_1, U_1, A_1$  — кинетич., потенциальная и обменная энергия, вычисленные без введения масштабного множителя. Значение  $\lambda = \Lambda$  при заданном  $R$  определяется из условия  $dE_\lambda/d\lambda = 0$ . Зависимость  $\Lambda(R)$  представлена графически для  $\text{SiH}_4$ . Сравнение кривых электронной плотности без учета и с учетом обмена указывает на заметное отличие лишь вблизи максимума, а также при  $r > 6$  ат. ед. Для молекулы  $\text{SiH}_4$  приводятся кривые зависимости  $T_\Lambda, U_\Lambda, A_\Lambda$  и  $E_\Lambda$  от  $R$  в области 0,6—3,6 ат. ед. Так как  $dA/dR > 0$ , то учет обмена приводит к уменьшению длины связи. При введении поправки на недостаточность приближения Томаса — Ферми вблизи ядра, полная энергия молекулы  $\text{SiH}_4$  равна —284,5 ат. ед. Энергия свободных атомов Si и H равна —285,3 ат. ед. Таким образом в данном приближенном расчете энергия связи отсутствует. Расхо-

ждение вычисленных и наблюдаемых величин в случае  $\text{GeH}_4$  объясняется влиянием  $d$ -электронов.

**Сообщение III.** В молекулах с тетраэдрич. и октаэдрич. симметрией поле ядер усредняется по угловым координатам и предполагается, что электроны движутся в результирующем центральном поле. В точной ф-ле для энергии системы потенциальная энергия взаимодействия электронов и ядер разлагается в ряд по сферич. функциям. Первый член этого разложения от углов не зависит, и при его подстановке в точное ур-ние для  $E$  получается ур-ние, совпадающее с таковым для случая сглаживающего приближения центрального поля. Последнее дает наилучшее сферич. распределение электронной плотности в смысле вариационного метода. Упомянутое приближение является оправданным в применении к  $\text{CH}_4$ ,  $\text{SiH}_4$ ,  $\text{GeH}_4$ , но нуждается в уточнении путем учета роли внутренних электронов Cl в случае  $\text{CCl}_4$ . Сообщение I см. March, Proc. Cambridge Philos. Soc., 1952, 48, 665. М. Р.

**24802.** О строении этилена. Стюарт (On the structure of ethylene. Stuart Alexander Verrijn, J. Chem. Phys., 1955, 23, № 9, 1726 (англ.).

Касаясь недавно опубликованного расчета молекулы этилена методом полулокализованных орбит (РЖХим, 1956, 15272) автор замечает, что выбор параметра  $\lambda$  из получающегося в ходе решения набора значений произволен. В цитированной работе выбраны значения  $\lambda = \pm 1$ , полученные из условия  $\partial p/\partial \lambda = 0$ , хотя существуют другие два значения, получаемые из условия  $\partial E/\partial \lambda = 0$ . Вводимый в гамильтониан член  $\zeta_a \psi_a/\rho_{ab}$ , представляющий собой отталкивание двух углеродных остовов, освобожденных от валентных электронов, лишь частично компенсируется притяжением облаков невалентных электронов, и его фактически приходится учитывать дважды: для  $\sigma$ -связей и для  $\pi$ -связей. Замена интегралов  $\int \varphi_a (T - \zeta_a/r_a) \varphi_a d\tau$  потенциалом ионизации атома не вызвана необходимостью, поскольку значения этих интегралов имеются в таблицах. Наконец, вряд ли логично раздельное рассмотрение  $\sigma$ - и  $\pi$ -связей, поскольку взаимодействие между ними зависит от функций состояний этих электронов, которые собственно и являются искомыми величинами. Отмечено также, что результаты расчета сильно зависят от величины слейтеровского экспоненциального параметра  $Z$ , которому в литературе приписываются разные значения (Craig D. P., Proc. Roy. Soc., 1950, A200, 272). В. А.

**24803.** Делокализация и приближенные методы. Мюллер (Delocalization and approximation methods. Mueller C. R., J. Chem. Phys., 1955, 23, № 9, 1726—1727 (англ.).

Возражая Стюарту (см. пред. реф.), автор указывает, что выбор  $\lambda = \pm 1$  в расчете этилена (РЖХим, 1956, 15272) связан с наличием действительного минимума энергии и поэтому вполне оправдан. Касаясь замены интеграла  $\int \varphi_a (T - \zeta_a/r_a) \zeta_a d\tau$  атомным потенциалом ионизации, автор, вопреки Стюарту, считает ее целесообразной, так как использование значений этих интегралов, вычисленных при помощи функций Слейтера, вносит в расчет большую ошибку. В. А.

**24804.** Теоретическое исследование бифенилена по методу молекулярных орбит. Фернандес-Алонсо, Перадехорди (Estudio teorico del bifenileno por el metodo de los orbitales moleculares. Fernandez Alonso J. I., Peralde Jordi F., An. Real. soc. española fis. y quim., 1954, B50, № 3, 253—258 (исп.; рез. англ.).

При помощи метода молекулярных орбит в приближении ЛКАО с учетом взаимодействия удаленных ато-

мов рассчитаны плотности зарядов  $q$ , индексы свободных валентностей  $F$  и порядок связи  $p$  для молекулы бифенилена (дибензодиклобутадиена I). Получены следующие значения:  $q$  1 1,031, 2 1,015, 9 0,946;  $F$  1 0,427, 2 0,420, 9 0,232;  $p$  1—2 0,621, 2—3 0,691, 1—9 0,684, 9—10 0,244, 9—12 0,572. Обсуждаются возможности нуклеофильного и электрофильного замещения.



Вычислены длины волн и поляризации для первых пяти электронных переходов. Первые два перехода наблюдались, их длины волн 3900 и 3600 Å. Расчет дает 3990 и 3340 Å. М. В.

**24805. Дополнительные исследования структуры фульвена и гептафульвена. Объединение метода Паризера и Парра с методом молекулярного самосогласованного поля.** Жюльг, Пюльман (Recherches complémentaires sur la structure du fulvène et de l'heptafulvène incorporation du procédé de Pariser et Parr dans la méthode du champ moléculaire self-consistent. Julg André, Pullman Bernard), J. chim. phys. et phys.-chim. biol., 1955, 52, № 6, 481—485 (франц.)

Приближенное вычисление дипольного момента и энергий спектральных переходов в молекулах фульвена (I) и гептафульвена (II) проводится с помощью полуэмпирич. метода антисимметризованных МО (РЖХИМ, 1955, 83) в комбинации с методом ЛКАО с самосогласованным полем. При оценке матричных элементов  $I_{pq}$ , входящих в у-ния самосогласованного поля, для двойной связи  $C=C$  использовано значение из цитированной работы  $I_{pq} = -2,92$  эв. Значение  $I_{pq}$  для ординарной связи  $C-C$   $I_{pq} = -2,6$  эв найдено экстраполяцией из условия совпадения теоретич. вычисленных дипольного момента и энергии перехода  $N \rightarrow V_1$  в молекуле I с эксперим. значениями. При оценке диагональных матричных элементов  $I_{pq} = W_{2p} - [\Sigma_{k \neq p} (K, pp) + (KK, pp)]$  всеми интегралами проникивания  $(K, pp)$  пренебрегают, что равносильно, по мнению авторов, включению взаимодействия  $\pi$ -электрона атома C с ядрами H в потенциал молекулярного скелета. Вычисленные энергии переходов в молекуле II равны  $E_{N \rightarrow V} = 3,40$  эв,  $E_{N \rightarrow T} = 2,75$  эв. Заряды  $\pi$ -электронов у атомов II равны 1,067 у группы  $CH_2$ , 0,999 у связанного с ней атома C, 0,973; 0,999 и 0,995 соответственно у  $\alpha$ ,  $\beta$  и  $\gamma$  атомов C. В отличие от результатов обычного расчета по методу ЛКАО найденный авторами дипольный момент ( $\mu = 0,6 D$ ) направлен в сторону экстрацикл. атома C. В приложении сообщается о вычислении энергии перехода на первый синглетный уровень в ионе  $(C_7H_7)^+$ . Принимается плоская форма 7-членного цикла, межатомные расстояния  $C-C$  считаются равными 1,41 Å и интеграл  $\beta = -2,3$  эв. Полученное значение энергии перехода (4,5 эв) находится в хорошем согласии с экспериментом: самая длинноволновая полоса поглощения  $(C_7H_7)^+$  расположена при 2750 Å. М. А.

**24806. Флуореновые аналоги трифенилметановых красителей; расчет спектров поглощения по методу молекулярных орбит.** Браун, Дьюар (Fluorene analogues of triphenylmethane dyes; calculation of their light absorption by the molecular-orbital method. Brown D. A., Dewar M. J. S.), J. Chem. Soc., 1954, June, 2134—2136 (англ.)

Спектры поглощения флуореновых аналогов (I' и II') трифенилметановых красителей кристаллич. фиолетового (I) и малахитового зеленого (II) сильно смещены в длинноволновую область по сравнению со спектрами I и II (РЖХИМ, 1956, 19241). С целью выяснения, обусловлен ли этот bathochromic сдвиг приближением конфигурации молекул к копланарной форме или про-

сто появлением новой связи  $C-C$ , увеличивающей сопряжение, предпринят расчет спектров поглощения I, II, I' и II' обычным методом молекулярных орбит в модификации Дьюара (Dewar M. J. S., Proc. Cambridge Philos. Soc., 1949, 45, 639). При расчете полагали, что все исследуемые соединения копланарны. Перекрытие атомных функций не учитывалось. Были приняты следующие значения кулоновского интеграла ( $\alpha$ ) относительно  $\alpha$  для углерода и резонансных интегралов ( $\beta$ ):  $\alpha_N$  (в NR<sub>3</sub>) =  $\beta_{CC}$ ;  $\beta_{CN} = \beta_{CC} = 73,2$  ккал. Результаты расчета положений максимумов полос поглощения (в Å) приведены ниже (в скобках указаны эксперим. величины): I 5660, 3300, 2600 (5910, 5450, 3050, 2500); I', 8380, 6060 (8500, 6500); II 6220, 5900, 3470 (6200, 4200); II' 8070, 5590 (8500, 5070). Удовлетворительное совпадение между теоретич. и эксперим. значениями показывает, что вся разница между трифенилметановыми и флуореновыми красителями обусловлена наличием лишней связи  $C-C$  в последних. Однако расчет методом теории возмущений, при котором образование новой связи рассматривалось, как возмущение, дал величины bathochromic сдвига значительно меньше наблюдаемого. Это свидетельствует о том, что основной эффект вызывает не непосредственно образование новой связи, а сопровождающее его изменение в распределении электронного облака системы. Л. Б.

**24807. Поглощение света органическими красителями. Новые результаты, полученные с помощью метода свободного электрона.** Кун [Lichtabsorption organischer Farbstoffe (Neuere Ergebnisse der Elektronengasmethode.). Kuhn H.], Chimia, 1955, 9, № 10, 237—249 (нем.)

Изложение современного состояния теории свободного электрона и ее применений к расчету электронных уровней молекул. М. Д.

**24808. О спектрах поглощения комплексных соединений трехвалентного хрома.** Хартман, Крузе (Über die Absorptionsspektren der Komplexverbindungen des dreiwertigen Chroms. Hartmann Hermann, Kruse Hans-Heinrich), Z. phys. Chem. (Frankfurt), 1955, 5, № 1—2, 9—19 (нем.)

В рамках ранее предложенной электростатич. модели (Hartmann H., Ilse F. E., Z. phys. Chem., 1951, 197, 239) выполнен квантовомеханич. расчет спектров поглощения комплексных ионов 3-валентного хрома типа  $[CrX_6]$ ,  $[CrX_5Y]$ , *trans*- $[CrX_4Y_2]$  и *cis*- $[CrX_4Y_2]$ . Для  $[Cr(NH_3)_6]^{3+}$  результаты расчета положения обеих полос поглощения после дополнительного учета взаимодействия термов  $T_{1g} (^4F)$  и  $T_{1g} (^4P)$  хорошо согласуются с эксперим. данными. Для  $[CrX_5Y]$  расчет предсказывает заметное расщепление длинноволновой полосы поглощения на две компоненты, причем величина расщепления зависит от радиуса Y. Для коротковолновой полосы расщепление невелико, полоса в целом испытывает смещение в сторону длинных волн. При переходе от комплексов  $[CrX_5Y]$  к комплексам типа *trans*- $[CrX_4Y_2]$  общая картина спектра мало меняется, за исключением того, что смещение полос поглощения по сравнению с  $[CrX_5Y]$  удваивается. Результаты конкретных расчетов, произведенных для сравнения с экспериментальными данными по комплексам типа  $[Cr(NH_3)_x Ac_{6-x}]$ , где Ac — кислый ацетат (Linhard M., Weigel M., Z. anorgan. und allgem. Chemie, 1951, 264, 321; 266, 49; 267, 121), в целом хорошо согласуются с последними. Отмечается отсутствие длинноволновой полосы в спектрах поглощения  $[Cr(NH_3)_5 Ac]^{3+}$  и  $[Cr(NH_3)_4 Ac_2]^{3+}$ . Предполагается, что она может быть расположена в неисследованной области более длинных волн. В. А.



24809. К теории оптических переходов слабо связанного электрона. Берсукер И. Б., Уч. зап. Кишиневск. ун-та, 1955, 17, 119—126

В адиабатическом приближении рассматриваются вынужденные переходы оптич. электрона, входящего в состав многоэлектронной системы и слабо связанного с остовом системы. Автор считает, что влияние электрич. поля  $E$  электромагнитной волны света на оптич. электрон состоит из двух частей: из непосредственного взаимодействия электрич. поля с оптич. электроном и из косвенного взаимодействия (через индуцирование в остоле рассматриваемой системы диполей, которые взаимодействуют с оптич. электроном). Косвенное взаимодействие, названное автором поляризационным эффектом, учитывается, повидимому, впервые. Считая поляризацию остова безинерционной, обусловленную им дополнительное возмущение, действующее на оптич. электрон, автор дает ф-лой  $W_n = eE \sum_i [1 - \frac{\alpha_{op}^{(i)}}{r} (r - R_i) / (r - R_i)^3]$ ,

где  $e$  — заряд электрона,  $R_i$ ,  $\alpha_{op}^{(i)}$  — радиус-вектор и тензор поляризуемости  $i$ -го элемента остова,  $l$  — орт в направлении поля  $E$ ,  $r$  — радиус-вектор оптич. электрона,  $r$ ,  $\sigma = x, y, z$ . Симметрия дополнительного возмущения  $W_n$ , вообще говоря, отлична от симметрии основного возмущения  $eE$ . Поэтому поляризационный эффект может вызвать новые переходы. Автор для ряда систем исследовал случаи, когда прямое произведение представлений, по которым преобразовываются волновые функции начального и конечного состояний, и дополнительное возмущение содержат в себе единичное представление группы симметрии рассматриваемой системы и приводят к разрешению переходов, запрещенных для основного возмущения  $eE$ . 1. Атом. Критерий применимости адиабатич. приближения хорошо выполняется для атомов щел. металлов и для изоэлектронных положительных ионов. Дополнительное возмущение  $W_n$  не вызывает здесь новых переходов, но вносит существенный вклад в вероятности важнейших разрешенных переходов  $1s \leftrightarrow 2p$  и  $1s \leftrightarrow 3p$ , как это показывает расчет вероятностей переходов  $1s \leftrightarrow 2p$ ,  $1s \leftrightarrow 3p$ ,  $2s \leftrightarrow 3p$ ,  $2p \leftrightarrow 3d$  и  $2p \leftrightarrow 3s$  в атомах Li, Na, K, Rb и Cs, произведенный автором с помощью водородных волновых функций с постоянным эффективным зарядом ядра. 2. Молекула. Для молекул, обладающих точечными группами симметрии  $C_{3v}$ ,  $C_{6h}$ ,  $D_3$ ,  $D_{2d}$ ,  $O_h$  поляризационный эффект вызывает новые электронные переходы. В случае группы симметрии  $D_{2h}$  новые переходы не возникают. Приведена соответствующая таблица. 3. Примесные центры в кристалле. В макроскопич. модели ( $F$ -центр + континуум) ионного кристалла дополнительное возмущение оптич. электрона  $F$ -центра отсутствует. Однако в микроскопич. модели ( $F$ -центр вместе с ближайшими ионами + оставшийся кристалл) поляризационный эффект вызывает новые переходы. В случае диссоциированного  $F$ -центра в кристалле типа NaCl, обладающего симметрией  $D_{2h}$ , новые переходы не возникают.

Т. Р. 24810. О возможном существовании приведенной функции потенциальной энергии для двухатомных молекул. Фрост. Музулин (The possible existence of a reduced potential energy function for diatomic molecules. Frost Arthur A., Musulin Boris, J. Amer. Chem. Soc., 1954, 76, № 8, 2045—2048 (англ.))

Доказана возможность существования приведенной функции потенциальной энергии для двухатомных молекул, где  $V$  и  $R$  заменены соответственно на  $V/D_e = V'$  и  $(R - R_{ij}) / (R_e - R_{ij}) = R'$ ,  $R$  — истинное межъядерное расстояние,  $R_e$  — равновесное расстояние.

Величина  $R_{ij}$  постоянна для данной молекулы и является мерой собственных радиусов атомов  $i$  и  $j$ . Определенные  $R_{ij}$ , возможно как из соотношения

$$(d^2V'/dR'^2)_{R'=1} = K \text{ (откуда } R_{ij} = R_e - (KD_e/k_e)^{1/2}),$$

так и из соответствующих выражений для третьей и четвертой производной  $V'$  по  $R'$ , приравняемых к определяемым из спектров константам ангармоничности. Соответствующие расчеты выполнены для 23 двухатомных молекул, константы которых установлены наиболее надежно. Результаты расчетов удовлетворительно согласуются с эксперим. данными. Вычисленные  $R_i$  находятся в прямой связи с константами  $d_{ij}$  в ф-ле Беджера (Badger R. M., J. Chem. Phys., 1934, 2, 128; 1935, 3, 710). Исходя из наличия приведенной функции потенциальной энергии общей для всех двухатомных молекул, можно предсказывать приблизительное значение неизвестных молекулярных параметров. Так, расчеты  $R_{ij}$  для  $N_2$  и NO лучше согласуются с постоянной Беджера  $d_{ij}$ , если принять низшие значения  $D_e$ .

В. А.

24811. Связь во внутрикомплексных соединениях лантанидов. Джонс (Bonding in the lanthanon chelates. Jones Mark M., Science, 1955, 121, № 3141, 371—372 (англ.))

Критерий для определения различия между ионной и ковалентной связью, предложенный ранее (Davies C. W., J. Chem. Soc., 1951, 1256), был использован для установления природы связи во внутрикомплексных соединениях лантанидов. На основании сопоставления зависимостей констант неустойчивости внутрикомплексных соединений от  $Z^2/r$  для щел. и щел.-зем. ионов и ионов лантанидов, автор пришел к выводу, что связь в соединениях лантанидов имеет ионный характер, что, видимо, объясняется малым радиусом и большим зарядом ионов лантанидов.

Е. Т.

24812. Термодинамическое и спектроскопическое исследование газообразной окиси магния. Бруэр, Портер (A thermodynamic and spectroscopic study of gaseous magnesium oxide. Brewer Leo, Porter Richard F., J. Chem. Phys., 1954, 22, № 11, 1867—1877 (англ.))

Проведено термодинамич. и спектроскопич. исследование механизма испарения окиси магния. Предварительно было показано, что реакция  $MgO(тв.) \rightarrow Mg(газ) + \frac{1}{2}O_2(газ) + (1-2x)O(газ)$  не является определяющей и что  $MgO$  испаряется, в основном, в виде молекул (мономерных или полимерных). Для выяснения вопроса о типе молекул  $MgO$  в газообразной фазе и их электронном состоянии авторы спектроскопич. методом изучали равновесие  $MgO(тв.) \rightleftharpoons MgO(газ)$  при различных  $t$ -рах. Оказалось, что теплота сублимации  $MgO(тв.)$  в виде мономера в состоянии  $^1\Sigma$  равна  $185 \pm 15$  ккал/моль, откуда при  $2000^\circ K$  конц-ия  $P_{\Sigma} \leq 10^{-10}$  атм, что не согласуется с найденной величиной давления пара  $P_{Mg} \approx 4,5 \cdot 10^{-6}$  при  $2040^\circ K$ , т. е. испарение  $MgO$  в виде молекул в состоянии  $^1\Sigma$  не является определяющим в процессе сублимации. Из спектров поглощения и испускания, полученных в печи Кинга, найдено, что основное состояние в УФ-системе полос  $MgO$  ниже состояния  $^1\Sigma$  на  $55 \pm 15$  ккал. Из соотношения интегральных площадей этих полос при различных летучествах  $MgO$  следует, что эти полосы относятся к переходу из состояний  $^3\Pi$ ,  $^3\Sigma$  в возбужденные состояния  $^3\Pi^*$  и  $^3\Sigma^*$ . Этот вывод подтверждается совпадением значения рассчитанной энергии диссоциации  $4,7$  эв с литературными данными (Huldt L., Lagerqvist A., Arkiv fys., 1950, 2, 333). Авторы заключают, что  $MgO$  испаряется



в виде молекул в состоянии  $^3\Pi$  или  $^3\Sigma$ . Определена т-ра сублимации  $MgO$   $3040 \pm 60^\circ K$ . В. А.

**24813.** Об энергиях диссоциации молекул  $SrO$  и  $MgO$ . Портер, Чупка, Инграм (On the dissociation energies of  $SrO$  and  $MgO$  molecules. Porter Richard F., Chupka William A., Inghram Mark G.), J. Chem. Phys., 1955, 23, № 7, 1347—1348 (англ.)

Определены масс-спектроскопически парц. давления газообразных компонентов, находящихся в равновесии с твердыми  $SrO$  и  $MgO$ , заключенными в эффузионную ячейку из  $Al_2O_3$ . Над  $SrO$  (тв.) обнаружены газообразные компоненты в следующем равновесном отношении (при  $2100^\circ K$  и энергии ионизации  $50 \text{ эв}$ ):  $I(Sr^+): I(O_2^+): I(SrO^+) = 300:36:1$ ; почти все кол-во  $Sr^+$ , судя по потенциалу появления, образовалось вследствие ионизации паров  $Sr$  (газ). Над  $MgO$  при т-ре  $1950^\circ K$  и  $15 \text{ эв}$   $Mg^+ : MgO^+ > 1000$ ; кривая потенциала появления  $Mg^+$  показывает, что испаряется преимущественно  $Mg$  (газ). По масс-спектроскопич. данным рассчитаны теплоты сублимации  $\Delta H_{298}^\circ$   $SrO$  и  $MgO$   $155,1$  и  $>149,4 \text{ ккал/моль}$  соответственно; колебательная и вращательная составляющие свободной энергии  $SrO$  (газ) и  $MgO$  (газ) вычислены из спектроскопич. констант низшего  $^1\Sigma$  состояния. Из теплот сублимации  $SrO$  и  $MgO$ , теплот сублимации  $Sr$  и  $Mg$  (Brewer L., University of California radiation laboratory report UCRL-2854, 1955, Febr.), теплот образования твердых оксидов (РЖХим, 1953, 6140) и энергии диссоциации  $O_2$  (РЖХим, 1954, 49350) рассчитаны энергии диссоциации  $SrO$  (газ) и  $MgO$  (газ):  $\Delta H_0^\circ = 83,6 \pm 5 \text{ ккал/моль}$  или  $D_0(SrO) = 3,6 \pm 0,2 \text{ эв}$  и  $\Delta H_0^\circ < 90 \text{ ккал/моль}$  или  $D_0(MgO) < 3,9 \text{ эв}$ . Завышенные значения  $D_0$ , вычисленные ранее из данных по давлению паров  $SrO$  и  $MgO$  (см. пред. реф.), объясняются неправильными предположениями о составе газовой фазы: при расчете ошибочно принималось, что  $SrO$  (тв.) и  $Mg$  (тв.) испаряются преимущественно в виде  $SrO$  (газ) и  $MgO$  (газ). В. К.

**24814.** Теплота образования триметиламина. Лонг, Сакман (The heat of formation of antimony trimethyl. Long L. H., Sackman J. F.), Trans. Faraday Soc., 1955, 51, № 8, 1062—1064 (англ.)

Измерена теплота сгорания  $Sb(CH_3)_3$  с помощью описанной ранее методики исследования самопроизвольно воспламеняющихся металлич. алкилов (РЖХим, 1956, 21922). Основным продуктом горения наряду с  $CO_2$  и  $H_2O$  была четырехокись сурьмы. После введения поправок на неполноту сгорания ( $Sb_2O_3$ , металлич.  $Sb$  и углерод, кол-во которых определялось спец. методом анализа) теплота сгорания жидкого  $Sb(CH_3)_3$  при постоянном давлении по ур-нию  $Sb(CH_3)_3$  (жидк.)  $+ 6\frac{1}{2} O_2 \rightarrow \frac{1}{2} Sb_2O_3 + 3CO_2 + 4\frac{1}{2} H_2O$  (жидк.) найдена равной  $698,0 \pm 3,1 \text{ ккал/моль}$ . Для введения поправки на теплоту гидратации  $Sb_2O_3$  в бомбе потребовалось спец. эксперим. определение этой величины в калориметре для растворения, причем она найдена равной  $2,9 \text{ ккал/г}$   $Sb_2O_3$ . С учетом теплот образования  $CO_2$ ,  $H_2O$  и  $Sb_2O_3$  теплота образования  $Sb(CH_3)_3$  при  $25^\circ$  по ур-нию  $Sb + 3C$  (графит)  $+ 4\frac{1}{2} H_2 \rightarrow Sb(CH_3)_3$  (жидк.) найдена равной  $-1,4 \text{ ккал/моль}$ . Из этой величины, теплоты испарения  $Sb(CH_3)_3$  и металлич.  $Sb$  и теплоты образования свободного радикала  $CH_3$  — найдена средняя энергия связи  $Sb-CH_3$   $49,7 \text{ ккал при } 25^\circ$ . Т. Р.

**24815.** Энергии связи аммиака в хлоридах амминовых кальция и бария. Уэндландт (The binding energy of ammonia in the calcium and barium chloride amines. Wendlandt Wesley W.), Science, 1955, 121, № 3135, 141—142 (англ.)

С помощью предложенного ранее метода (Katzin L. I., Ferraro J. R., J. Amer. Chem. Soc., 1952, 74, 6040)

рассчитаны энергии связи аммиака с металлич. катионом для амминов  $Ca$  и  $Ba(NH_3)_2Cl_2$ . Энергии решеток солей вычислялись по ф-ле:  $U = 279,0 (\rho/M)^{1/3} A_d \times \times 1 - 0,345/R$ , где  $A_d$  — константа Маделунга,  $\rho$  — плотность,  $R$  — расстояние между ионами, равное  $10^8/(3,6,023 \cdot 10^{23} \rho/M)^{1/3}$ . Энергия отрыва молекулы  $NH_3$  от газообразного аммина равна  $E = (U_a - U_b)//(b-a) + \Delta H$ , где  $\Delta H$  — теплота образования аммина, вычисленная по ур-нию Нернста,  $U_a$  и  $U_b$  — энергии решеток амминов с разным числом групп  $NH_3$ . Найдены значения  $E$  (ккал) для амминов:  $Ca(NH_3)_2Cl_2$   $86,7$ ;  $Ca(NH_3)_3Cl_2$   $45,4$ ;  $Ca(NH_3)_4Cl_2$   $53,1$ ;  $Ca(NH_3)_5Cl_2$   $59,6$ ;  $Ba(NH_3)_2Cl_2$   $99,1$ . Г. Э.

**24816.** Протонное сродство фосфина в солях фосфония. Уэндландт (Proton affinity of phosphine in the phosphonium halides. Wendlandt Wesley W.), Science, 1955, 122, № 3174, 831 (англ.)

Из цикла Габера — Борна рассчитано сродство фосфина к протону ( $P_{PH_3}$ ) при  $0^\circ K$   $P_{PH_3} = U + Q_{PH_3,X} - Q_{PH_3} + D_H + I_H + D_X - E_X - \frac{1}{2} RT$ , где  $U$  — энергия решетки  $PH_4X$  ( $X = Cl, Br$  и  $I$ ),  $Q_{PH_3,X}$  — теплота образования  $PH_4X$ ,  $Q_{PH_3}$  — теплота образования  $PH_3$ ,  $D_H$  — энергия диссоциации  $H_2$ ,  $D_X$  — энергия диссоциации  $X_2$ ,  $E_X$  — сродство галогена к электрону. При расчете принято, что кристаллы  $PH_4Cl$  и  $PH_4Br$  изоморфны  $PH_4I$ . Полученные значения  $P_{PH_3}$  равны соответственно для  $PH_4I$   $200 \pm 10$ ,  $PH_4Br$   $209 \pm 21$  и  $PH_4Cl$   $217 \pm 22 \text{ ккал}$ . Для  $NH_3$  при принятых в этой работе значениях  $E_X$  получается  $P_{NH_3} = 210 - 226 \text{ ккал}$ , т. е. столько же, как для  $PH_3$ . М. П.

**24817.** Симметрия второго возбужденного синглетного состояния бензола. Данин, Инголд (Symmetry of the second excited singlet state of benzene. Dunn T. M., Ingold C. K.), Nature, 1955, 176, № 4471, 65—68 (англ.)

Согласно теоретич. расчетам второе возбужденное состояние молекулы бензола может иметь симметрию  $B_{1u}$  (Goerpert-Mayer, Sklar, J. Chem. Phys., 1938, 6, 645),  $E_{2g}$  (Craig, Proc. Roy. Soc., 1950, A200, 474) или  $A_{2u}$  (Carr, Stücklen, J. Chem. Phys., 1939, 7, 631; Hammond, Price, Teegen, Walsh, Disc. Faraday Soc., 1950, 9, 53). Авторами проведен детальный анализ структуры спектра для каждого из этих возможных возбужденных состояний. Симметрия  $A_{2u}$  для второго возбужденного состояния отвергается, так как она предполагает поляризацию поглощения перпендикулярно плоскости кольца. Запрещенный переход на уровень  $B_{1u}$  может проявиться в спектре в сочетании с колебанием симметрии  $E_{2g}$  и должен содержать болымамановскую серию зависящих от т-ры полос, сдвинутую на  $1100 \text{ см}^{-1}$  в длинноволновую сторону от главной серии и имеющую интенсивность в 15 раз меньшую при комнатной т-ре, чем главная серия полос поглощения. Для запрещенного перехода на уровень  $E_{2g}$  должна наблюдаться аналогичная болымамановская серия полос, но сдвинутая приблизительно на  $1900 \text{ см}^{-1}$  и слабее главной серии более чем в 100 раз. Подобная серия слабых полос должна затеряться в коротковолновой части предыдущего электронного перехода ( $A_{1g} \rightarrow B_{2u}$ ). Отсутствие заметной температурозависимой серии в спектре паров бензола в области  $2000 \text{ Å}$  позволяет сделать выбор симметрии  $E_{2g}$  для второго возбужденного состояния молекулы бензола. Этот результат находится в согласии с расчетом по методу локализованных пар (см. вторую ссылку). В. Б.

**24818. Температурная зависимость ультрафиолетового спектра поглощения нафталина в растворе. Пассерини, Росс** (Temperature dependence of the ultraviolet absorption spectrum of naphthalene in solution. Passerini Riccardo, Ross Ian G.), J. Chem. Phys., 1954, 22, № 6, 1012—1016 (англ.)

Получен УФ-спектр поглощения нафталина в области 3300—2400 Å в интервале  $t$ -р от  $+60$  до  $-185^\circ$  в абс. спирте или в смеси  $C_2H_5OH - CH_3OH$  (4:1). Авторы полагают, что синглетный переход в области 2900—3200 Å является  $A_g \rightarrow B_{2u}$ -переходом; они относят полосы 31 230 и 32 180  $cm^{-1}$  к переходам  $0 \leftarrow 1$  и  $1 \leftarrow 0$ , а полосу 31 755  $cm^{-1}$  к переходу  $0 \leftarrow 0$ , так что активная колебательная частота основного состояния равна 512  $cm^{-1}$ , а возбужденного состояния 432  $cm^{-1}$ . С ростом  $t$ -ры интенсивность полосы 31 230  $cm^{-1}$  растет. Из температурной зависимости интенсивности полосы авторы подсчитали энергию колебательного уровня  $v_1$  (РЖХим, 1954, 19492) по ф-ле  $lg(f/f') = lg(f'_0/f'_0) - v_1/2,303 kT$  (1),  $f' = f_0 \exp(-v_1/kT)$  (2),  $f'$  и  $f$  — силы осцилляторов, подсчитанные с помощью измеренных интенсивностей поглощения полос  $B'$  и  $B$ :  $f'_0$  и  $f_0$  — истинные силы осцилляторов переходов  $0 \leftarrow 1$  и  $1 \leftarrow 0$ . Из ур-ния (2) следует, что  $lg f'$  должен линейно зависеть от  $1/T$ , что и наблюдается в действительности. Сила осциллятора полосы  $B'$  найдена по ур-нию:  $f = 4,31 \cdot 10^{-8} \times 2_{0,9}^{v_{max}} \text{ e.d.v.}$ . Авторы нашли  $f'_0/f_0 = 1,1 \pm 0,2$ ;  $v_1 = 544 \pm 60 \text{ cm}^{-1}$ . Величина  $v_1$  близка к величине 525  $cm^{-1}$ , равной расстоянию между полосами  $B'$  и  $A$ . Приведены данные по поглощению в области 2400—2900 Å, отнесенному к переходу  $B_{2u} \leftarrow A_g$ . Положение полос колебательной структуры описывается ф-лой  $34\,680 + 550p + 920q + 1430r$ , где  $(p, q) = (0, 0), (0, 1)$  или  $(1, 0)$ ;  $r = 0, \dots, 4$ . В. Я.

**24819. Колебательный анализ спектра испускания коронена на основании предположения о запрещенном переходе. Сидман** (Vibrational analysis of the emission spectrum of coronene as a forbidden transition. Sidman Jerome W.), J. Chem. Phys., 1955, 23, № 7, 1365—1366 (англ.)

Спектр испускания замороженного  $p$ -ра коронена в гептане при  $-180^\circ$  состоит из большого числа очень узких полос (РЖХим, 1955, 15746). Первая полоса этого спектра 4261 Å очень слаба и ее интенсивность зависит от выбора  $p$ -рителя. Аналог этой полосы наблюдается в спектре поглощения  $p$ -ра коронена в бензоле при комнатной  $t$ -ре при 4200 Å. Согласно автору, из анализа колебательной структуры спектра в замороженном  $p$ -ре следует, что началом серий полос является дублет 4315—4328 Å, а не первая полоса 4261 Å. Поэтому полоса 4261 Å интерпретируется им как  $0 \rightarrow 0$  терм электронного перехода, который запрещен по симметрии. Ввиду того, что симметрия молекулы коронена,  $D_{6h}$ , такая же, как и молекулы бензола — в его спектре должны быть повторены все особенности спектра бензола (Sponer H., Teller E., Revs. Mod. Phys., 1941, 13, 75). В этом случае интервал между полосами 4261 и 4315—4328 Å соответствует непониманию колебанию симметрии  $E_g^+$  с которым разрешен переход. Дублетный характер полосы 4315—4328 Å обусловлен снятием вырождения колебания  $E_g^+$  ввиду нарушения симметрии под влиянием  $p$ -рителя, из-за которого появляется и полоса 4261 Å. В спектре можно выделить колебания 320 и 1400  $cm^{-1}$  симметрии  $E_g^+$ , полностью метрич. колебания 640, 1190, 1320  $cm^{-1}$ . В. Б.

**24820. Спектры поглощения изомерных бутенов в далекой ультрафиолетовой области. Гари, Пик-**

**кетт** (The far ultraviolet absorption spectra of the isomeric butenes. Gary Julia T., Pickett Lucy W.), J. Chem. Phys., 1954, 22, № 4, 599—602 (англ.)

Получены спектры поглощения в области 45 000—64 000  $cm^{-1}$  бутена-1 (I), *цис*-бутена-2 (II), *транс*-бутена-2 (III) и 2-метилпропена (IV) в парах. Спектры представляют наложение двух типов полос с разной структурой — широкой и интенсивной полосы, отвечающей электронному переходу  $N \rightarrow V$  (с максимумом для I при 57 100, II при 57 000, III при 56 270, IV при 53 100  $cm^{-1}$ ) и перекрывающихся с ней систем узких полос как с коротковолновой, так и длинноволновой стороны, отнесенных к электронному переходу  $N \rightarrow R$  (ридбергову переходы). Положение первой полосы Ридберга (в I 53 390, во II 48 400, в III 49 470, в IV 49 750  $cm^{-1}$ ) зависит от числа замещающих алкильных групп. При сопоставлении положения максимума широкой полосы с направлением дипольного момента молекул высказывается предположение, что при параллельности вектора дипольного момента и направления двойной связи требуется меньшая энергия для возбуждения электронного перехода, при перпендикулярном расположении — энергия возбуждения возрастает. На основе полученных значений  $\epsilon$  (для всех соединений  $\epsilon$  превосходит 10 000) приблизительно вычислена сила осциллятора 0,39 для I; 0,59 для II; 0,32 для III, 0,39 для IV. Для всех соединений четко проявляющийся интервал между колебательными максимумами составляет 1500  $cm^{-1}$ , что отвечает валентным колебаниям двойной связи в возбужденном электронном состоянии. Во II, III и IV колебательная структура позволяет обнаружить и другие колебательные частоты, которые для II и III находятся в согласии с полученными из спектров комбинационными и ИК-спектров, хотя и являются заметно пониженными (235, 700, 965, 1250, 1505, 1815, 2175, 2800  $cm^{-1}$  для II и 170, 465, 695, 750, 850, 970, 1265, 1580, 1900, 2760  $cm^{-1}$  для III). На основании рассмотрения симметрии молекул сделана попытка отнесения систем электронных полос и колебательной структуры. Ю. Ш.

**24821. Спектры поглощения некоторых изомеров гексенов в далекой ультрафиолетовой области. Гари, Пиккетт** (The far ultraviolet absorption spectra of selected isomeric hexenes. Gary Julia T., Pickett Lucy W.), J. Chem. Phys., 1954, 22, № 7, 1266—1267 (англ.)

Исследованы спектры поглощения гексена-1, *цис*-гексена-3, 2,3-диметилбутена-1 и 2,3-диметилбутена-2 в далекой УФ-области. Максимумы полос поглощения найдены соответственно при 56 110, 55 900, 53 200 и 53 500  $cm^{-1}$ . Подтверждается зависимость положения максимума поглощения от направления результирующего момента молекулы (см. пред. реф.). При дипольном моменте, равном нулю или направленном по связи  $C = C$ , максимум поглощения расположен при  $\sim 53\,200 - 53\,500 \text{ cm}^{-1}$ . Для молекул с моментом, направленным перпендикулярно связи  $C = C$ , максимум смещается в сторону больших частот. В. А.

**24822. О поглощении производных дифенила в ультрафиолетовой и видимой области. Грамматикаки** (Remarques sur l'absorption des dérivés du diphenyle dans l'ultraviolet moyen et le visible. Grammaticakis Panos), C. r. Acad. sci., 1955, 241, № 1, 59—61 (франц.)

Измерены спектры поглощения в 95%-ном спирте орто-, мета- и парапроизводных дифенила общей ф-лы  $C_6H_5 \cdot C_6H_4 \cdot R$  с  $R = C_6H_5, NO_2, NH_2, NHCOCH_3$  и  $NHCOCH_2CH_3$ . Приведены кривые поглощения. Сравнение с кривыми поглощения дифенила и стильбена показывает, что замещение атома водорода в дифениле вызывает такие же эффекты, как и замещение в бензоле.

Влияние замещения на спектр возрастает в порядке  $o < m < p$  (аномальный орто-эффект) подобно тому, как это имеет место в производных бензола. Замещение в производных дифенила винильной группы на *p*-фениленовую вызывает смещение длинноволновой полосы поглощения в видимой области. Автор полагает, что влияние замещающих групп на спектр возрастает в следующем порядке:  $\text{CH}_3 < \text{C}_6\text{H}_5 < \text{CH} = \text{CH}_2 < \alpha\text{-C}_6\text{H}_5\text{O}$  (фурил); Н. С.

**24823.** Ультрафиолетовый спектр поглощения *p*-аминосалициловой кислоты. Реккер (Le spectre d'absorption ultraviolet de l'acide *p*-amino-salicylique. Rekker R. F.), J. phys. et radium, 1954, 15, № 7—8—9, 620—622 (франц.)

Исследовались УФ-спектры поглощения салициловой, *p*-аминосалициловой (I), *p*-аминотисалициловой и *p*-аминобензойной к-т в воде и спирте при pH 1,3—11,5 в области 2000—3200 Å. Сильные изменения в спектрах в зависимости от pH объясняются диссоциацией фенольного гидроксидов. При pH = 3,2 спектры в воде совпадают со спектрами в спирте. Полоса поглощения B 298 мμ, не зависящая от pH, отнесена к бензольному ядру, полоса C 230 мμ обусловлена сопряжением фенольной и карбоксильной групп, а появление в I полосы 265 мμ объясняется взаимодействием групп NH<sub>2</sub> и —COOH. Е. П.

**24824.** Спектроскопические исследования нитрозо-соединений. Тарт (Recherches spectroscopiques sur les composés nitrosés. Tarte P.), Bull. Soc. chim. belges, 1954, 63, № 11—12, 525—541 (франц.)

Получены спектры поглощения в видимой области УФ-и в ИК-областях 1600 и 1100 см<sup>-1</sup> ряда нитрозосоединений в жидком и газообразном состояниях и в р-рах. У недимеризующихся хлорнитрозосоединений CCl<sub>3</sub>NO, CH<sub>3</sub>CCl<sub>2</sub>NO, (CH<sub>3</sub>)<sub>2</sub>(Cl)CNO, (CH<sub>3</sub>)<sub>2</sub>(C<sub>2</sub>H<sub>5</sub>)(Cl)CNO, (C<sub>2</sub>H<sub>5</sub>)<sub>2</sub>(Cl)CNO, (CH<sub>3</sub>)<sub>2</sub>(Cl)(NO)CC(CH<sub>3</sub>)<sub>2</sub>, CH<sub>3</sub>(CH<sub>2</sub>)<sub>2</sub>CH<sub>2</sub>Cl(CI)NO, CH<sub>3</sub>(CH<sub>2</sub>)<sub>3</sub>CH<sub>2</sub>Cl(CI)NO в жидком состоянии и

в р-рах в области 1600 см<sup>-1</sup> наблюдались две полосы поглощения  $\nu_{\text{N=O}}$ , отнесенные к двум поворотным изомерам, а в газовой фазе — только одна полоса. В области 1100 см<sup>-1</sup> наблюдается полоса  $\nu_{\text{CN}}$ . В видимой области наблюдается максимум при ~ 6500 Å и ряд перегибов. Интервалы между отдельными перегибами составляют ~ 1400 см<sup>-1</sup>, что позволяет отнести эту полосу к группе N=O ( $\nu_{\text{N=O}}$  в возбужденном состоянии принимается равной 1400 см<sup>-1</sup>). В УФ-спектре наблюдаются максимумы у 3000 и 2050 Å. В ИК-спектрах димеров нитрозосоединений: нитрозобензола, 2-метил-2-нитропропана, нитрозометана, 2-хлорметил-2-нитропропана и 2-хлор-3-метил-3-нитробутана наблюдаются полосы с пониженной частотой  $\nu_{\text{N=O}}$  в области 1100—1300 см<sup>-1</sup>. Понижение частоты колебаний групп N=O объясняется образованием димеров через группы N=O. При изменении агрегатного состояния колебл. и их частоты изменяются в зависимости от степени димеризации молекул и р-рителя. В диалкилнитрозаминах наблюдались большие изменения в спектре при изменении агрегатного состояния, связанные с наличием свободных или ассоциированных групп. В газовой фазе наблюдаются полосы мономеров в области 1500—1600 см<sup>-1</sup>. В видимой области  $\lambda_{\text{макс}}$  у мономеров этих соединений расположены при ~ 7000 Å, у C<sub>6</sub>H<sub>5</sub>NO при 7650 Å; димеры не поглощают в этой области; у них наблюдается полоса ~ 4000 Å в УФ-области. В диметилнитрозамине (I) колебаниям  $\nu_{\text{N=O}}$  в газе соответствует полоса 1490 см<sup>-1</sup>, а в жидкости мономерам 1448 и димерам 1317 см<sup>-1</sup>, в диэтилнитрозамине (II) соответственно 1489, 1441 и 1316, в ди-*n*-пропил-

нитрозамине (III) 1487, 1436 и 1310 см<sup>-1</sup>, в диизопропилнитрозамине (IV) — 1485, 1430 и 1338 см<sup>-1</sup>; в ди-*n*-бутилнитрозамине (V) 1486, 1437 и 1320 см<sup>-1</sup>. Частота колебаний  $\nu_{\text{N-N}}$  при переходе от газа к жидкости повышается: в I от 1018 к 1052 см<sup>-1</sup>; II от 1052 к 1075; III от 1051 к 1073; V от 1053 к 1083. Полоса колебаний  $\delta_{\text{N-N=O}}$  в жидкости находится: I 682; II 654; III 653; IV 649 и V 655 см<sup>-1</sup>. Е. П.

**24825.** Электронные спектры некоторых ароматических соединений ртути. Леандр и Тундо (Electronic spectra of some aromatic mercury compounds. Leandri G., Tundo A.), J. Chem. Soc., 1954, Oct., 3377—3380 (англ.)

В целях выяснения характера влияния заместителя HgCl на сопряженные системы  $\pi$ -электронов исследованы УФ-спектры поглощения спитовых р-ров следующих производных ртути: *n*-XC<sub>6</sub>H<sub>4</sub>HgCl, (*n*-XC<sub>6</sub>H<sub>4</sub>)<sub>2</sub>Hg (с X = H, CH<sub>3</sub>, Cl, NO<sub>2</sub>, NH<sub>2</sub>), C<sub>6</sub>H<sub>5</sub>—Hg-*n*-C<sub>6</sub>H<sub>4</sub>NO<sub>2</sub>, димезитилртути, хлорида 2-тиенилртути, ди-2-тиенилртути и хлорида 2-фурилртути. Установлено, что введение HgCl в бензольное кольцо сказывается главным образом на положении и интенсивности полосы второго запрещенного синглетного перехода; последняя значительно усилена и смещена в длинноволновую область. При наличии в пара-положении заместителей сильно взаимодействующих с бензольным кольцом (NO<sub>2</sub> и NH<sub>2</sub>) введение HgCl в кольцо проявляется также и на полосе первого синглетного перехода. В этом случае имеет место взаимодействие заместителей через кольцо. Избирательное влияние группы HgCl на полосу второго синглетного перехода объясняется тем, что соответствующий момент перехода направлен по оси молекулы, вдоль которой осуществляется взаимодействие HgCl с кольцом, в то время как момент перехода первой полосы перпендикулярен к оси молекулы. В случае тиенильных и фурильных производных, bathochromный сдвиг у последних больше, что объясняется большей степенью сопряжения 2*p*-электронов O по сравнению с 3*p*-электронами S. В. А.

**24826.** Спектры производных *o*-карбоксихазобензола. Росс, Уорик (The spectra of *o*-carboxyazobenzene derivatives. Ross W. C. J., Warwick G. P.), Chemistry and Industry, 1955, № 26, 745—747 (англ.)

С помощью спектров поглощения исследована возможность образования водородных связей в *N,N*-дизамещенных 2-карбокси-4-аминоазобензола *o*-(COOH)-C<sub>6</sub>H<sub>4</sub>N=NC<sub>6</sub>H<sub>4</sub>NR<sub>1</sub>R<sub>2</sub> (I). Обнаружено, что дихлорэтильное замещенное I не имеет полосы OH в р-ре, тогда как 3-карбоксизомер имеет ИК-полосу 3600 см<sup>-1</sup>, как и метиловый красный (РЖХим, 1955, 36710). Авторы предполагают, что в I образуется внутримолекулярная водородная связь (BC) между  $\alpha$ -атомом N азогруппы и гидроксильным атомом O карбоксильной группы. В УФ-спектре *N,N*-дихлорэтил-I в цел. р-ре наблюдается, как обычно у хлорэтил-4-аминоазобенолов, полоса азогруппы ~ 400 мμ, а в кислом р-ре — хиноидная полоса ~ 500 мμ; в нейтр. р-ре имеются полосы 470 и 410 мμ. Доля молекул с водородной связью в спирт. р-ре возрастает в порядке замещения R<sub>1</sub>=R<sub>2</sub>=CH<sub>3</sub>, CH<sub>2</sub>Cl < R<sub>1</sub>=C<sub>2</sub>H<sub>5</sub>, R<sub>2</sub>=CH<sub>2</sub>, CH<sub>2</sub>Cl < R<sub>1</sub>=R<sub>2</sub>=CH<sub>3</sub>, т. е. в порядке возрастания основности  $\alpha$ -атома азота, что подтверждает высказанное предположение об образовании BC. Е. П.

**24827.** Изучение динитрофенилпротамин в помощи спектров поглощения. Хасимото (Studies on DNP-protamines by means of the absorption spectra. Hashimoto Chieko), Bull. Chem. Soc. Japan, 1955, 28, № 6, 385—389 (англ.)

Сняты УФ-спектры поглощения 2,4-динитрофенола, 2,4-динитроанилина (I) и динитрофенил(ДНФ)произ-



водных глицина (II), аланина, валина, изолейцина, аргинина (III), серина, пролина (IV), глицилглицина (V), диптиглицина (VI), клулеина (VII) и сальмина (VIII). Приведены кривые поглощения, положения максимумов и  $\epsilon$ . В спектре I обнаружены максимумы поглощения в области 347 и 262 м $\mu$ . Для всех ДНФ-производных моноаминокислот максимумы поглощения расположены  $\approx$  у 360 и 265 м $\mu$ . В спектре III максимумы поглощения обнаружены у 357 и 275 м $\mu$ ; в спектре IV — лишь 1 пик у 387 м $\mu$ , причем  $\epsilon$  ( $1,85 \cdot 10^4$ ) этого максимума выше, чем у ДНФ-моноаминокислот ( $1,63 - 1,77 \cdot 10^4$ ). Спектры V и VI подобны спектру II, но сдвинуты слегка в коротковолновую область и  $\epsilon$  несколько ниже ( $1,52 \cdot 10^4$ ). Делается вывод, что спектр ДНФ-производного аминокислоты определяется тем, какая аминогруппа (первичная, вторичная или третичная) связана с ДНФ-группой. Максимум поглощения более длинноволновой полосы поглощения батохромно сдвигался в ряду *первич- < вторич- < третич-амины*, а том же порядке возрастает  $\epsilon$ . В спектре VII обнаружены 2 максимума поглощения у 357 и 262 м $\mu$ , у VIII — только один у 375 м $\mu$ . Это, по мнению автора, указывает на то, что концевым N-аминокислотным остатком VII является моноаминокислота, а у VIII — пролин. Эти выводы согласуются с данными, полученными другими методами (Ando и др., Bull. Chem. Soc. Japan, 1952, 25, 132; РЖХимБх, 1955, 11513). Исходя из значений  $\epsilon$  для максимумов поглощения в спектрах VII и VIII и спектра соответствующих ДНФ-аминокислот, занимающих положение концевых N-аминокислотных остатков, автор рассчитал мол. веса обоих протаминов, которые равнялись 6000—7000, что согласуется с ранее найденными значениями (РЖХимБх, 1955, 11513). О. Г.

**24828.** К вопросу о связи между строением и цветом органических соединений. Сообщение 3. Ультрафиолетовые спектры простейших органических соединений. Хархаров А. А., Тр. Ленингр. текстильн. ин-та, 1955, № 6, 91—98

Сопоставлены данные по положению главного максимума поглощения органич. соединений. Сообщение 2 см. РЖХим, 1955, 11099. Р. С.

**24829.** Спектры поглощения сопряженных свободных радикалов и активных сопряженных молекул. Танака, Иноуэ, Акабанэ (共軌遊離基乃至活性的な共軌分子の吸収スペクトル. (第1報). 田中郁三, 猪俣秀一, 赤松信久), Япон. хим. журн., 1954, 75, № 6, 608—613 (япон.).

Исследованы УФ-спектры поглощения продуктов термич. разложения бензола, толуола, *n*- и *o*-ксилолов, этилбензола, изопропилбензола и хлористого бензола. Пары в-в нагревались в кварцевой трубке до 1000°, после чего продукты р-ции переводились в оптич. кювету, обогреваемую до 700°, для прекращения образования продуктов полимеризации на стенках. По окончании р-ции спектр ее продуктов вновь фотографировался. Это делалось для того, чтобы путем сравнения выделить в спектрах полосы неустойчивых свободных радикалов. В условиях опыта из толуола получаются антрацен, стирол и бензол; из *o*- и *n*-ксилолов — антрацен, *o*- и *n*-метилстиролы, стирол, толуол и бензол; из этилбензола и изопропилбензола — стирол; из хлористого бензола — антрацен и стирол. В числе неустойчивых продуктов обнаружен *n*-хинодиметан, которому приписаны полосы 2740—2770 Å, наблюдающиеся в спектрах поглощения продуктов термич. разложения *n*-ксилола, что доказывается путем добавления к смеси пода, в результате чего образуется  $\alpha$ ,  $\alpha'$ -*n*-кислидиинил. Такая же полоса поглощения наблюдается в спектре поглощения *n*-хинона. Аналог другой полосы, характерной для *n*-хинона (при 4450 Å), не

обнаружен. Авторы полагают, что указанная полоса *n*-хинона связана с возбуждением неподеленных электронов кислорода и должна поэтому отсутствовать в спектре поглощения бирадикала *n*-хинодиметана. Высказано предположение, что образование стирола (и метилстиролов) происходит при взаимодействии радикала бензила (или метилбензилов) с радикалом  $\text{CH}_3 \cdot \text{C}_6\text{H}_5\text{CH}_2 + \cdot \text{CH}_3 \rightarrow \text{C}_6\text{H}_5\text{CH}=\text{CH}_2 + \text{H}_2$  В. А.

**24830.** Спектры поглощения внутрикомплексных соединений никеля и меди. Басу, Чаттерджи (Absorption spectra of copper and nickel chelates. Basu Sadhan, Chatterjee Kumar Krishna), Naturwissenschaften, 1955, 42, № 14, 413 (англ.)

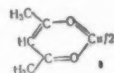
Исследованы спектры поглощения внутрикомплексных соединений никеля и меди с ацетилацетоном (I), ацетоуксусным эфиром (II) и салицилальдегидом (III). Полученные данные подтверждают приписываемые им ф-лы строения (Martell, Calvin, Chemistry of Metal Chelates Compounds, N. Y., 1952). В спектре I полоса енольной формы 1265 м $\mu$  смещена до 295 м $\mu$ , что согласуется с наличием сопряжения, как в структуре типа I (между  $\pi$ -связью CuO и связями C=C и C=O), в то время как в спектре II полоса I 265 м $\mu$  смещена в сторону коротких волн (245 м $\mu$ ), что объясняется уменьшением сопряжения двойных связей енольной формы II при комплексобразовании. В спектре III имеется новая полоса 380 м $\mu$ , отсутствующая у органич. адденда и появляющаяся за счет смещения электронной пары кислорода к меди. Аналогичная картина наблюдается в спектрах поглощения комплексов никеля. Наблюдения авторов не подтверждают ранее отмеченной связи между положением длинноволновой полосы поглощения и прочностью комплексного соединения (РЖХим, 1956, 12122). В. А.

**24831.** О спектрах поглощения, обусловленных *п*-ами меди. Климовская Л. К., Турквич В. В., Доповіді та повідомлення Львівськ. ун-та, 1955, вип. 5, ч. 2, 77—78 (укр.)

Исследованы спектры поглощения солей Cu и медьсодержащих минералов в интервале 200—1200 м $\mu$ . Кривые поглощения  $\text{Cu}^{2+}$  имеют два максимума, один в видимой области и другой — в ИК-области, но у отдельных минералов, в зависимости от кристаллич. структуры и параметров решетки, наблюдаются сдвиги кривых поглощения. Сдвиг симбатен размерам элементарной ячейки. Н. Т.

**24832.** Люминесценция кристаллов при низких температурах. VII. Переход *T*→*S* в бензоле. Пестей, Пестей (Luminescence de cristaux aux basses températures. VII. Transition *T*→*S* du benzène. Pesteil Paul, Pesteil Louise), C. r. Acad. sci., 1955, 240, № 20, 1987—1989 (франц.)

Исследован спектр фосфоресценции кристаллич.  $\text{C}_6\text{H}_6$  при 20° К. Спектр состоит из ряда узких полос, наиболее коротковолновая из которых имеет частоту 28 968 см $^{-1}$ . Следующие полосы отстоят на 225, 450, 469, ... см $^{-1}$ . Поскольку эти частоты не могут быть интерпретированы как колебания молекулы бензола или кристаллич. решетки, авторы высказывают предположение, что частота чисто электронного перехода смещена на 1606 см $^{-1}$  в коротковолновую сторону от первой наблюдаемой полосы и имеет значение 30 574 см $^{-1}$ . При этом предположении все наблюдаемые в спектре частоты удается интерпретировать как комбинации ограниченного числа колебательных частот. Отсутствие полос на участке 1600 см $^{-1}$ , аналогичное наблюдаемому ранее в спектрах ароматич. кетонов (РЖХим, 1955, 33826), объясняется смещением потенциальной





кривой возбужденного состояния при низких т-рах. Сообщение VI см. РЖХим, 1955, 42377. П. Ф.

**24833.** Люминесценция кристаллов при низких температурах. VIII. Переход  $T \rightarrow S$  в гексахлорбензоле при 90° К. Змерли, Пестей (Luminescence de cristaux aux basses températures. VIII. Transition  $T \rightarrow S$  de l'hexachlorobenzène à 90° K. Zmerli Adnan, Pesteil Paul, C. r. Acad. sci., 1955, 240, № 23, 2217—2219 (франц.))

Исследован спектр фосфоресценции кристаллич.  $C_6Cl_6$  при т-ре 90° К. Спектр состоит из двух частей: коротковолновой ( $A$ , 410—440 мμ) и длинноволновой ( $B$ , 440—485 мμ), отличающейся от спектра, наблюдаемого при 20° К (РЖХим, 1955, 42377) лишь смещением в коротковолновую сторону на  $\sim 210$  см $^{-1}$  и большей шириной полос. Наиболее коротковолновая полоса системы  $A$  имеет частоту 24 350 см $^{-1}$  (частота чисто электронного перехода) и смещена от первой полосы системы  $B$  (22 785 см $^{-1}$ ) на 1565 см $^{-1}$ . Проведенный ранее анализ колебательной структуры спектров фосфоресценции ароматич. кетонов (РЖХим, 1955, 28276, 33826) и бензола (см. пред. реф.) показывает, что в этих случаях чисто электронный переход также смещен в коротковолновую сторону от первой наблюдаемой полосы на  $\sim 1600$  см $^{-1}$ . Смещение спектра при изменении т-ры интерпретируется как результат смещения потенциальной кривой возбужденного состояния. П. Ф.

**24834.** Люминесценция кристаллов при низких температурах. IX. Переходы  $T \rightarrow S$  в бензоле. Пестей, Змерли, Пестей (Luminescence de cristaux aux basses températures. IX. Transitions  $T \rightarrow S$  du benzène. Pesteil Paul, Zmerli Adnan, Pesteil Louise, C. r. Acad. sci., 1955, 241, № 1, 29—31 (франц.))

В развитие предыдущей работы (РЖХим, 1956, 24832) исследован спектр фосфоресценции кристаллич. бензола при 20° К в интервале 2700—3200 Å, где расположена вторая система полос, сходная по колебательной структуре с изученной ранее более длинноволновой системой. Первая полоса этой системы имеет частоту 37 118 см $^{-1}$ . Частота чисто электронного перехода так же, как и в длинноволновой системе полос, предполагается смещенной в коротковолновую сторону на 1606 см $^{-1}$  и равной 38 724 см $^{-1}$ . В спектре наблюдается несколько полос, отсутствующих в спектре, изученном ранее; из них две интенсивные полосы смещены в длинноволновую сторону от первой полосы на 525 и 619 см $^{-1}$ . Предлагается интерпретация наблюдаемых полос и симметрии соответствующих колебаний. На основании анализа колебательной структуры предполагается, что две наблюдаемые системы полос фосфоресценции соответствуют переходам с двух триплетных уровней, обладающих симметрией  $^3B_{2u}$  и  $^3E_u$ . Последний уровень расположен близко к синглетному уровню  $^1B_{2u}$ . Расстояние между триплетными уровнями составляет  $\sim 8200$  см $^{-1}$ , что соответствует полосе поглощения, наблюдаемой в близкой ИК-области. П. Ф.

**24835.** Спектры флуоресценции ароматических кристаллов при низких температурах. Пестей, Барбарон (Spectres de fluorescence de cristaux aromatiques aux basses températures. Pesteil Paul, Barbaron Marc, J. phys. et radium, 1954, 15, № 2, 92—98 (франц.))

Сводка работ авторов (РЖХим, 1955, 11100, 11101).

М. В.

**24836.** Об основных колебаниях сероводорода. Гаммо (Sur les vibrations fondamentales de l'hydrogène sulfuré. G a m m o I t a r u, C. r. Acad. sci., 1955, 241, № 14, 871—872 (франц.))

В предыдущей работе автора (J. Chem. Phys., 1950,

18, 1412) были определены нормальная частота  $\omega_1$  и постоянные ангармоничности  $x_{11}$ ,  $x_{12}$ ,  $x_{13}$  молекулы  $H_2S$ . С помощью ф-лы  $x_{ik}^{(i)} = (\omega_i^{(i)} \omega_k^{(i)} / \omega_i \omega_k) x_{ik}$  (верхний индекс относится к  $D_2S$ ) и правила произведений величины  $x_{11}^{(i)}$ ,  $x_{12}^{(i)}$ ,  $x_{13}^{(i)}$  определяются в функции одной неизвестной нормальной частоты  $\omega_1^{(i)}$ . Последняя определяется из ф-лы для основной частоты  $\nu_1^{(i)} = \omega_1^{(i)} + 2x_{11}^{(i)} + (1/2)x_{12}^{(i)} + (1/2)x_{13}^{(i)}$ . Частота  $\nu_1^{(i)}$  хорошо известна из опыта. Далее из правила произведений определены  $\omega_2^{(i)}$  и  $\omega_3^{(i)}$ , а затем  $\nu_2^{(i)}$  и  $\nu_3^{(i)}$ . При найденных значениях нормальных частот определены силовые постоянные квадратичной потенциальной функции. Результаты расчета следующие (при  $\angle HSH = 92^\circ 20'$ ):  $H_2S$   $\omega_1(A_1)$  2714,  $\omega_2(A_1)$  1215,  $\omega_3(B_1)$  2732;  $\nu_1$  2611,  $\nu_2$  1183,  $\nu_3$  2625. Соответствующие частоты  $D_2S$ : 1946; 872; 1960; 1891,6; 859; 1908 см $^{-1}$ . Силовые постоянные ( $10^5$  дн/см),  $SH$  4,269;  $SH$ ,  $SH$ —0,042;  $k(HSH)/r$  0,427;  $k(SH, HSH)/r$  0,150. М. К.

**24837.** Силовые постоянные замещенных германов. Часть I.  $GeH_3Cl$  и  $GeD_3Cl$ . Кришнамачари (Force constants for substituted germanes. Part I.  $GeH_3Cl$  and  $GeD_3Cl$ . Krishnamachari S. L. N. G., Indian J. Phys., 1955, 29, № 3, 147—150 (англ.))

По эксперим. значениям частот колебаний  $GeH_3Cl$   $A_1$  2121,1; 847,7; 422,6;  $E$  2129,4; 874,6; 604,1 см $^{-1}$  определены силовые постоянные ( $10^5$  дн/см):  $GeCl$  2,545;  $GeH$  2,648;  $GeH$ ,  $GeH$  0,0063;  $HGeH$ —( $HGeH$ ,  $HGeH$ ) 0,1793;  $HGeCl$ —( $HGeCl$ ,  $HGeCl$ ) 0,2308; ( $HGeH$ ,  $HGeH$ ) + ( $HGeCl$ ,  $HGeCl$ ) 0,0341; ( $HGeH$ ,  $HGeCl$ ) 0,0250; ( $GeCl$ ,  $HGeH$ )—( $GeCl$ ,  $HGeCl$ )—0,0200. Эта система силовых постоянных использована для расчета частот колебаний  $GeD_3Cl$  (наблюдаемые частоты в скобках):  $A_1$  1505 (1520), 613 (614), 419 (421);  $E$  1520 (1530), 623 (630), 439 (434). М. К.

**24838.** Типы колебаний хлороформа, метилхлорида и метилхлорида (нормальные типы деформационных колебаний водорода). Накагава (クロホルム, メチルクロリド, メチレンクロリドの分子振動型について. (水素原子変角振動の振動型について). 中川一朗), 日本化学雑誌, Нихон кигаку дзасси, J. Chem. Soc. Japan. Pure Chem. Sec., 1954, 75, № 5, 535—540 (япон.))

Произведен расчет частот и формы колебаний молекул  $CH_3Cl$ ,  $CH_2Cl_2$  и  $CHCl_3$ . Помимо силовых постоянных, являющихся одинаковыми для всех трех молекул, была введена силовая постоянная  $k$ , учитывающая отталкивание атомов водорода и хлора:  $k = 0,05$ ; 0,10; 0,20  $\cdot 10^{-11}$  дн/см. Расчет формы приводит к следующей характеристике колебаний:  $CHCl_3$  3030 см $^{-1}$  вал. СН; 672 см $^{-1}$  не может рассматриваться как чисто валентное колебание  $C—Cl$  и имеет значительную примесь деформационного колебания; 363 см $^{-1}$  симм. ( $A_1$ ) деф. кол. атомов Cl; 1217, 261 см $^{-1}$  вырожденные ( $E$ ) деф. кол. углов  $ClCCl$ ; 760 с большей точностью, нежели 672 см $^{-1}$ , может рассматриваться как валентное колебание  $Cl$ ;  $CH_2Cl_2$ : колебания 1429, 1155, 1266, 899 см $^{-1}$  являются чистыми деформационными колебаниями углов  $HCH$ ,  $HCC$ , слабо взаимодействующими с колебаниями других координат; 283 — частота колебаний угла  $ClCCl$ , 704 и 736 см $^{-1}$  валентно-деформационные колебания  $C—Cl$  и  $ClCCl$ ;  $CH_3Cl$ : колебания отличаются высокой характеристичностью формы, 2966, 3042 см $^{-1}$  вал. кол. СН; 1355, 1455, 1015 см $^{-1}$  деф. кол.  $CH_3$ ; 732 см $^{-1}$  колебание  $CCl$ . Исследование формы колебаний приводит к выводу, что колебания молекулы, содержащих водород, можно подразделить на две группы: 1) валентные и деформационные колебания с участием атома водорода и 2) колебания скелета молекулы, состоящего из

других, более тяжелых атомов. Если взаимодействие между колебаниями обеих групп невелико, то для расчета колебаний сложных молекул возможно применение приближенного расчетного метода, в котором обе группы колебаний рассматриваются раздельно. М. К. 24839. Инфракрасный спектр  $\text{SCl}_2$ . Барроу (The infrared spectrum of sulfur dichloride. Barrow G. Gordon M.), J. Phys. Chem., 1955, 59, № 9, 987—988 (англ.)

Исследован ИК-спектр  $\text{SCl}_2$  в жидкой и газовой фазах. Получены следующие частоты (в  $\text{см}^{-1}$ , в скобках — отнесение): для жидкой фазы 208 ( $\nu_2$ ), 514 ( $\nu_1$ ), 535 ( $\nu_3$ ), 719 ( $\nu_1 + \nu_2$ ), 761 ( $\nu_1 + \nu_3$ ), 1027 ( $2\nu_1$ ), 1237 ( $2\nu_1$ ), 1416 ( $2\nu_1 + 2\nu_2$ ); сильная полоса поглощения в газовой фазе при 525  $\text{см}^{-1}$  отнесена к основной частоте валентного колебания. Принимая основные частоты валентного колебания в газовой фазе равными 525, 504 и 200  $\text{см}^{-1}$ , угол  $\text{SCl}_2$  в  $103^\circ$  и потенциальную функцию вида  $2V = k[(\Delta r_1)^2 + (\Delta r_2)^2] + k_x(r_0 \Delta x)^2 + k_y[\Delta r_1 + \Delta r_2] r_0 \Delta x$ , автор вычислил силовые постоянные ( $10^5 \text{ дн/см}$ ):  $k = 2,46$ ,  $k_x = 0,30$  и  $k_y = 0,16$ . М. П.

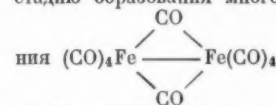
24840. Спектры и строение карбониллов кобальта. Фридел, Уэндер, Шафлер, Стернберг (Spectra and structures of cobalt carbonyls. Friedel R. A., Wender I., Shuffler S. L., Sternberg Heinz W.), J. Amer. Chem. Soc., 1955, 77, № 15, 3951—3958 (англ.)

При помощи УФ- и ИК-спектров поглощения в области 2—24  $\mu$ , а также протонного магнитного резонанса исследовалось строение  $\text{HCo}(\text{CO})_4$  (I),  $\text{DCo}(\text{CO})_4$  (II),  $[\text{Co}(\text{CO})_4]^-$  (III),  $\text{Co}_2(\text{CO})_8$  (IV) и  $\text{Co}_4(\text{CO})_{12}$  (V). В ИК-спектре I наличие одной полосы вал. кол. CO у 2049  $\text{см}^{-1}$  и перегиба при 2066  $\text{см}^{-1}$  свидетельствуют о структуре, промежуточной между тетраэдрич. (подобной  $\text{Ni}(\text{CO})_4$ ) со слабой связью Co...Ni пирамидальной  $\text{C}_{3v}$  со связью CoH по оси пирамиды. Бипирамидальные структуры с симметрией  $\text{C}_{2v}$  (две связи CoCO и CoH в экваториальной плоскости и две связи CoCO по оси) или  $\text{C}_{3v}$  (3 связи CoCO в экваториальной плоскости, связи CoCO и CoH по оси) отвергаются, так как при них число частот валентных колебаний должно быть гораздо больше. Полоса OH в спектре отсутствует из-за слабой связи атома H с двумя атомами O. Описанное строение подтверждается также данными протонного магнитного резонанса. Полосы I 548 и 704  $\text{см}^{-1}$  приписаны деф. кол. Co—C—O и вал. кол. Co—C. В II отмечено появление новой полосы у 599  $\text{см}^{-1}$ . В УФ-спектре в области 2600—4000 Å полосу поглощения нет. В ИК-спектре III наблюдалась одна карбонильная полоса у 1883  $\text{см}^{-1}$  и сильная полоса деф. кол. Co—C—O у 555  $\text{см}^{-1}$ , так что III имеет тетраэдрич. структуру. Понижение частоты карбонильной связи до 1883  $\text{см}^{-1}$  в III объясняется тем, что из 4 связей Co—C 3,5 являются двойными и 0,5 — одинарной и порядок связей равен Co—C 1,87, C—O 2,13. В ИК-спектре IV наблюдается тройная полоса у 2053  $\text{см}^{-1}$  и одинарная у 1876  $\text{см}^{-1}$  и найден химический сдвиг  $\delta = -1,55 \pm 0,20$  (по сравнению с  $\text{H}_2\text{O}$ ). Такое сильно отрицательное значение указывает на то, что плотность электронов у N больше, чем в обычных связях OH или SH. Авторы заключают, что имеется слабая связь Co...N такого же характера, как в гидридах металлов. При прочной связи CoH должно было бы иметь место расщепление резонанса на  $2I_{\text{Co}} + 1 = 8$  компонент, но такого расщепления не наблюдается. Эти полосы приписаны внешним и мостиковым карбонильным группам IV. В этой молекуле две треугольные бипира-

миды соединены в транс-конфигурацию (см. рис.) с двумя мостиковыми группами CO. Повышенное значение частоты мостиковой группы CO в IV авторы связывают с напряжением кольца. В УФ-спектре IV наблюдаются две полосы поглощения у 2800 и 3500 Å. Полоса 2800 Å также указывает на наличие мостиковой связи в IV. В V частота 1873  $\text{см}^{-1}$  приписана мостиковой связи, а 2030 и 2058  $\text{см}^{-1}$  — внешним карбонильным группам. Кол-во карбонильных концевых групп в два раза превышает кол-во мостиковых групп. Е. П.

24841. Диссоциация пентакарбонила железа в некоторых аминах. Стернберг, Фридел, Шафлер, Уэндер (The dissociation of iron pentacarbonyl in certain amines. Sternberg Heinz W., Friedel Robert A., Shuffler S. Leonard, Wender Irving), J. Amer. Chem. Soc., 1955, 77, № 10, 2675—2677 (англ.)

В связи с исследованиями механизма катализа карбонилами исследовано взаимодействие  $\text{Fe}(\text{CO})_5$  (I) с аминами. Подтверждено предположение о диссоциации  $2\text{Fe}(\text{CO})_5 \rightleftharpoons \text{Fe}(\text{CO})_6^{2+} + \text{Fe}(\text{CO})_4^{2-}$  с сольватацией новых молекулами амина. При растворении I в пиридине исчезают характерные для I полосы  $\text{C}\equiv\text{O}$  в ИК-спектре при 2022 и 2000  $\text{см}^{-1}$  и появляются новые полосы при 1898 и 2016  $\text{см}^{-1}$ , которые по аналогии с карбонилами Co и Cr приписываются  $\text{Fe}(\text{CO})_4^{2-}$  и  $\text{Fe}(\text{CO})_6^{2+}$ . Проведенные измерения электропроводности р-ров I в аминах разного строения показывают, что ионизация I зависит от двух факторов: наличия неподеленной электронной пары атома N для нейтрализации заряда и образования связей (полярный эффект) и наличия у атома N объемистых заместителей, которые могут препятствовать этой паре вступить в р-цию (стерический эффект). Наличие сольватации подтверждается тем, что при обработке I моно- и диметиламином его вес увеличивается на 4—5 молей амина на 1 моль I. Взаимодействие р-рителя с I заключается, по мнению авторов, в переносе положительного заряда от Fe к N. Предполагается, что механизм диссоциации I включает стадию образования многоядерных комплексов строе-



А. Р.

24842. Инфракрасные спектры некоторых соединений, содержащих пентацианоферратную или ферриатную группу. Херингтон, Кинастон (The infrared spectra of some compounds containing the pentacyanoferrate group. Herington E. F. G., Kynaston W.), J. Chem. Soc., 1955, Oct., 3555—3556 (англ.)

Исследованы ИК-спектры следующих соединений (в скобках найденные частоты группы CN,  $\text{см}^{-1}$ ):  $\text{Na}_3[\text{Fe}(\text{CN})_5\text{NH}_3] \cdot 6\text{H}_2\text{O}$  (2036);  $\text{Na}_2[\text{Fe}(\text{CN})_5\text{NH}_3] \cdot \text{H}_2\text{O}$  (2043);  $\text{Na}_3[\text{Fe}(\text{CN})_5\text{H}_2\text{O}] \cdot \text{H}_2\text{O}$  (2126);  $\text{Na}_3[\text{Fe}(\text{CN})_5 \cdot \text{H}_2\text{O}]$  (2120);  $\text{Na}_2[\text{Fe}(\text{CN})_5\text{NO}] \cdot 2\text{H}_2\text{O}$  (I) (2152). Отмечено, что соединения  $\text{Fe}^{\text{II}}$  дают в спектрах полосы с полушириной  $\sim 70 \text{ см}^{-1}$ , соединения  $\text{Fe}^{\text{III}}$  — с полушириной  $\sim 35 \text{ см}^{-1}$ ; кроме того, интенсивность полос в первом случае в 2 раза больше, т. е. положение, форма и интенсивность полос группы CN в области 2000  $\text{см}^{-1}$  определяются формальным зарядом атома Fe и не зависят от формального заряда всего аниона. На основании данных, полученных для I, частота поглощения которого сдвинута в коротковолновую сторону по сравнению с частотой группы CN в других исследованных соединениях, авторы предполагают, что I существует в форме, промежуточной между  $[(\text{CN})_5\text{Fe} - \text{N} \equiv \text{O}]^2-$  и  $[(\text{CN})_5\text{Fe} = \text{N} = \text{O}]^2-$ . Это приводит к появлению полосы поглощения группы N—O, промежуточной между

частотами двойной и тройной связей. Кроме частот группы CN при 2043 и 2120  $\text{см}^{-1}$ , отмечены также полосы 3400 и 1617  $\text{см}^{-1}$ , отнесенные к колебаниям группы OH, а в спектрах соединений, содержащих  $\text{NH}_2$ , кроме полос OH, имеются сильные полосы поглощения при 3360, 3290 и 1614–1630  $\text{см}^{-1}$ , отнесенные к колебаниям группы NH. М. П.

**24843. Инфракрасный спектр и структура низкотемпературных кристаллических фаз HCl, HBr и HI.** Хорниг, Осберг (Infrared spectrum and the structure of the low-temperature phases of crystalline HCl, HBr, and HI. Hornig D. F., Osberg W. E.), J. Chem. Phys., 1955, 23, № 4, 662–670 (англ.).

Получены ИК-спектры поглощения низкотемпературных кристаллических фаз HCl, HBr и HI в области 300–4000  $\text{см}^{-1}$  при  $t$ -рах до  $-210^\circ$  (ниже точки фазового перехода 98,4° K у HCl, 89° K у HBr и 70° K у HI). При  $-205^\circ$  C в спектре HCl наблюдались частоты основных колебаний у 2704 и 2746  $\text{см}^{-1}$ , в спектре HBr у 2404 и 2438  $\text{см}^{-1}$  и в спектре HI у 2120  $\text{см}^{-1}$ . В области низких частот полосы поглощения расположены (в  $\text{см}^{-1}$ ): HCl 315, 496 и 650; HBr 400 и 575. Некоторые полосы у 2000–3000  $\text{см}^{-1}$  рассматриваются как составные тона основных колебаний и деформационных колебаний кристаллической решетки. Авторы делают вывод, что при  $-205^\circ$  C HCl и HBr образуют антипараллельные зигзагообразные цепи, в которых молекулы связаны между собой водородными связями, а углы между соседними молекулами составляют  $\sim 90^\circ$ , что соответствует данным для HF (РЖХим, 1955, 5207). Предпринята попытка расчета силовых постоянных. Приведены критические поглощения. Е. П.

**24844. Инфракрасные спектры N-ацетил- $\alpha$ -аминокислот и азлактонов.** Михель, Шлеппингхофф (Infrarotspektren von N-Acetyl- $\alpha$ -amino-säuren und Azlactonen. Michael Fritz, Schleppinghoff Bernhard), Chem. Ber., 1955, 88, № 6, 763–766 (нем.).

Изучаются характеристики ИК-полосы в спектрах N-ацетил- $\alpha$ -аминокислот (I) (N-ацетил-глицина, N-ацетил-DL-аланина, N-ацетил-DL-валина, N-ацетил-L-лейцина, N-ацетил-DL-фенилаланина, O,N-диацетил-L-тирозина, N-ацетил-L-тирозина, N-ацетил-DL-триптофана, N-ацетил-L-глутаминовой к-ты, N-ацетил-L-метионина, N-хлорацетил-DL-серина, N-ацетиллизилглицина) и азлактонов (II), оксазалонов 2-фенил-4-бензаль-, 2-метил-4-бензаль-, 2-фенил-4-о-оксисбензаль-, 2-метил-4-о-оксисбензаль-, 2-фенил-4-п-оксисбензаль-, 2-фенил-4-н-оксисбензаль-, 2-метил-4-н-оксисбензаль-, 2-фенил-4-м- и о-нитробензаль-, 2-фенил-4-метил-, 2-фенил-4-фурфураль-, 2-фенил-4-пиннамаль-, 2-фенил-4-бензил-. В I имеется частота 3350  $\text{см}^{-1}$ , отсутствующая у свободных аминокислот и относящаяся к группе N—H. У триптофана эта полоса смещена на 60  $\text{см}^{-1}$  в сторону коротких волн, что объясняется его циклической структурой, у N-ацетилглутаминовой к-ты обнаружены две частоты 3260 и 3100  $\text{см}^{-1}$ . В I также имеется частота 2500  $\text{см}^{-1}$ . Карбонильная полоса C=O в I расположена в области 1700–1720  $\text{см}^{-1}$ , а частота C=O N-ацетильной группы между 1595–1625  $\text{см}^{-1}$ . Это понижение объясняется влиянием группы NH. В спектре O,N-диацетилтирозина имеется полоса 1780  $\text{см}^{-1}$ , относящаяся к колебанию C=O O-ацетильной группы. Кроме отмеченных полос, в I найдены частоты 1225 и 1275  $\text{см}^{-1}$  (деф. кол. N-ацетильной группы) и в области 620–750, 710–910  $\text{см}^{-1}$ , которые не наблюдаются у ди- и трипептидов. У не-насыщ. II  $\text{R}'\text{CH}=\text{CCOOC}(\text{R}'')=\text{N}$  между 1600–1850  $\text{см}^{-1}$

наблюдаются 4 частоты, положение которых меняется в зависимости от ароматич. заместителя  $\text{R}'$ . Наиболее

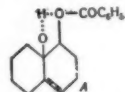
интенсивная полоса  $\sim 1800 \text{ см}^{-1}$  отнесется к группе C=O лактона. Менее интенсивны полосы 1650 и 1750  $\text{см}^{-1}$ . Если  $\text{R}'$  имеет в орто-положении оксигруппу, все три частоты понижаются на 80  $\text{см}^{-1}$ , что объясняется образованием водородных связей. Для насыщ. II характерны две интенсивные полосы 1815 и 1825  $\text{см}^{-1}$  при отсутствии полосы 1750  $\text{см}^{-1}$  и наблюдаются также полосы 1650 и 1605  $\text{см}^{-1}$ . Ю. Е.

**24845. Структура промежуточных веществ при образовании угля из органических соединений.** Инфракрасные и ультрафиолетовые спектры. Хаджи (La structure des intermédiaires dans la formation du carbone partir des composés organiques. Leurs spectres infrarouges et ultraviolets. Hadži Dušan), J. phys. et radium, 1954, 15, № 3, 194–196 (франц.).

С помощью ИК- и УФ-спектров исследована пиролизация углеводородов в отсутствие кислорода. ИК-спектры асфальтенов, получаемых из разных органических соединений, сходны. В области 3  $\mu$  обнаружены полосы 3,3; 3,43; 3,5  $\mu$  (вал. кол. CN). В области 6  $\mu$  наблюдались многочисленные полосы двойных связей и деф. кол. C—H. В области 11–15  $\mu$  наблюдаются полосы 13,2; 12,2; 11,2  $\mu$  [ $\gamma(\text{C—H})$ ]. Автор полагает, что эти пики обусловлены наложением ряда полос, принадлежащих различным полициклическим системам. В молекулах асфальтенов имеется несколько полициклических систем, соединенных простыми связями (как, напр., в динифиле). Поглощение при 13,2  $\mu$  характерно для ортозамещенного бензольного кольца, либо для монозамещенного кольца или для полициклической системы, в которой одно кольцо имеет две внешние двойные связи; поглощение при 12,2  $\mu$  характерно для системы типа фенатрена. В спектрах асфальтенов, полученных из нафталина, относительная интенсивность трех полос такая же, как в асфальтенах, полученных при пиролизе поливинилхлорида. У асфальтенов, полученных из антрацена и бензола, наблюдается другое распределение интенсивностей. Полоса 12,2  $\mu$  в случае производных антрацена слабая, полоса 13,2  $\mu$  особенно интенсивна в случае дифенила и его гомологов. В УФ-области наблюдается отличие в спектрах асфальтенов, полученных из поливинилхлорида и нафталина. Наличие интенсивного поглощения при 260  $\text{м}\mu$  указывает на то, что асфальтены содержат ароматич. системы колец, не конденсированных друг с другом. Н. Р.

**24846. Исследование инфракрасных спектров аконитина, дельфинина и их алкалоидов.** Патх (A study of infra-red spectra of aconitine, delphinine and their alkalines. Nath Bholia), J. Indian Chem. Soc., 1955, 32, № 2, 75–78 (англ.).

Исследуются ИК-спектры аконитина (I), дельфинина (II), аконина (III) и дельфонина (IV). Во всех соединениях наблюдается полоса группы OH, участвующей в водородной связи 3,03  $\mu$ ; в I и II соответственно полосы 5,95 и 5,89  $\mu$  (C=O или неоспаренная C=C), и III IV соответственно полосы 6,02 и 6,04 (неоспаренная C=C); во всех соединениях — полоса алифатич. эфирной группы 9,10–9,17  $\mu$ . Кроме этого у I имеются отсутствующие у других в-в полосы 9,62; 8,77 и 7,69  $\mu$ . По полученным ранее данным (Jacobs, Sato, J. Biol. Chem., 1949, 180, 133, 479), имеющаяся в II группа OH присоединена к третичному углеродному атому рядом с кислородом, связанным со вторичным углеродным атомом. Это облегчает образование внутримолекулярной водородной связи по типу А (см. рис.), которое и подтверждается для II наличием полосы 3,03  $\mu$  при отсутствии деформационных полос свободных групп OH (9,10 и 7,69  $\mu$ ). У II в водородной связи участвует одна группа OH. Две другие свободные группы OH, имеющиеся в I, обуславливают появление полос 9,62





и 7,69  $\mu$ . III и IV получены из I и II с  $\text{LiAlH}_4$ . В их спектрах, несмотря на отщепление бензойной группы, сохраняется указанная выше частота водородной связи. Это указывает, что кислород (у вторичного атома C) является донором электронов, а группа OH у третичного атома C — акцептором электронов как до, так и после гидролиза. Отмечается большое сходство спектров I и II, что указывает на близкое строение этих соединений и соответствует их хим. поведению и ботанич. происхождению.

Ю. Е.  
24847. Инфракрасные спектры углеводов. Часть IV. Характеристика производных фуранозы. Баркер, Стивенс (Infra-red spectra of carbohydrate derivatives. Part IV. Characterisation of furanose derivatives. Barker S. A., Stephens R.), J. Chem. Soc., 1954, Dec., 4550—4555 (англ.)

В продолжение предыдущих работ (Сообщение II, III, РЖХим, 1955, 28780, 34320), посвященных использованию области 700—1000  $\text{см}^{-1}$  в ИК-спектрах для идентификации строения различных сахаров, получены ИК-спектры тетрагидрофурана, тетрагидрофуранолового спирта, этил- $\alpha$ -D-глюкофуранозид, этил- $\beta$ -D-глюкофуранозид, 3,6-ангидросорбитол, 1,4-ангидро-D-маннитола; 2,3,5,6-тетра-O-ацетил- и метил- $\alpha$ -D-маннофуранозидов, метил-D-фруктофуранозид, инулина, O- $\alpha$ -D-глюкопиранозил-(1 $\rightarrow$ 2)-O- $\beta$ -фруктофуранозид-(1 $\rightarrow$ 2)- $\beta$ -D-фруктофуранозид, левана, O- $\alpha$ -D-глюкопиранозил-(1 $\rightarrow$ 2)-O- $\beta$ -D-фруктофуранозид-(6 $\rightarrow$ 2)- $\beta$ -D-фруктофуранозид, метил-D-рибофуранозид, 2,5-ди-O-метил- и 1,4-3,6-ди-ангидро-D-маннитолов, 1,4-3,6-ди-ангидросорбитолов, 2-деокси- и 3,6-ангидро-D-глюкофуранозов, D-глюкуронофурано-6 $\rightarrow$ 3-лактона, метил-3,6-ангидроманнофуранозид, 3,6-ангидро-2-деокси-, 3,6-ангидро-2-деокси- и метил- $\alpha$ -D-глюкопиранозидов, 3,6-ангидро-, 3,6-ангидро-2-O-метил-, 3,6-ангидро-2,4-ди-O-метил- и метил- $\alpha$ -D-маннопиранозидов, 3,6-ангидро-, 3,6-ангидро-2,4-ди-O-метил- и метил- $\beta$ -D-маннопиранозидов, 3,6-ангидро-, 3,6-ангидро-2-деокси- и метил- $\alpha$ -D-галактопиранозидов, 3,6-ангидро-2,4-ди-O-метил- и метил- $\beta$ -D-галактопиранозидов. Из сопоставления спектров найдено, что все соединения, содержащие цикл фуранозы или гидрофурановый цикл имеют полосы типа A 924  $\pm$  13, типа D 799  $\pm$  17 и иногда типов B 879  $\pm$  7 и C 858  $\pm$  7  $\text{см}^{-1}$ . При наличии двух конденсированных фурановых колец полосы A и D расщепляются на две частоты со средним значением в той же области, а полосы типа C смещаются до 848  $\pm$  13  $\text{см}^{-1}$ . В соединениях с конденсированными гидрофурановыми и пиранозными кольцами отмечены характерные частоты B 870  $\pm$  7; C 838  $\pm$  16 и D 798  $\pm$  21  $\text{см}^{-1}$ . Авторы относят полосы типа A к нульсационным симметричным колебаниям фуранового кольца (аналог частоты 886  $\text{см}^{-1}$  в циклопентане), типа D — к деф. кол C—H в группе (X)(H)C(C—)(O—), типа B и C — к скелетным валентным колебаниям заместителей. Возможно, что в бициклич. сахарах полосы B относятся к деф. кол. групп  $\text{CH}_2$  в гидрофурановом кольце.

Ю. Е.  
24848. Спектры комбинационного рассеяния o- и m-дихлорбензола в различных состояниях и при различных температурах. Бисвас (Raman spectra of ortho and meta dichlorobenzene in different states and at different temperatures. Biswas D. C.), Indian J. Phys., 1955, 29, № 4, 179—188 (англ.)

Получены спектры комб. расс. o- и m-дихлорбензолов (I и II) в жидком и кристаллич. состояниях при  $t$ -рах до  $-180^\circ$ . Обнаружен ряд линий, не отмеченных в работах других авторов. При охлаждении от  $-60^\circ$  линии I 150, 204, 243 и 3067  $\text{см}^{-1}$  смещались к 154, 200, 251 и 3070  $\text{см}^{-1}$ , а 468 и 487  $\text{см}^{-1}$  ( $\varepsilon^+$ ) сливались в одну. Автор относит первую из них к колебанию кольца в димере, а вторую — в мономере. При на-

гревании до  $110^\circ$  линия 468  $\text{см}^{-1}$  ослаблялась, что объясняется уменьшением числа димеров. В II линии 215  $\text{см}^{-1}$  смещается при охлаждении к 227  $\text{см}^{-1}$ , а линия вал. кол. CH 3068  $\text{см}^{-1}$  при  $-180^\circ$  расщепляется на две 3062 и 3080  $\text{см}^{-1}$ , а некоторые линии исчезают, что объясняется наличием димеров и мономеров в жидком состоянии, и только мономеров — в твердом. В низкочастотной области при  $-180^\circ$  наблюдается появление 3 линий в I при 68, 81 и 92  $\text{см}^{-1}$ , вместо одной линии (25  $\text{см}^{-1}$ ) при  $-60^\circ$ . В II при  $-180^\circ$  наблюдалось 4 линии 35, 50, 61 и 89  $\text{см}^{-1}$ , вместо 2 линий 56 и 81  $\text{см}^{-1}$ . Авторы считают, что эти изменения связаны только с межмолекулярным взаимодействием (образованием ассоциатов при низких  $t$ -рах, нарушающих симметрию ассоциированных групп).

Е. П.  
24849. Спектр комбинационного рассеяния иона тетрабромгаллата (III) ( $\text{GaBr}_4^-$ ). Вудорд, Норд (Raman spectrum of the tetrabromogallate (III) ( $\text{GaBr}_4^-$ ) ion. Woodward L. A., Nord A. A.), J. Chem. Soc., 1955, Aug., 2655—2656 (англ.)

Спектр комб. расс. иона  $\text{GaBr}_4^-$  получен в водн. р-ре  $\text{GaBr}_3$  (4,5 н.) и  $\text{HBr}$  (6 н.). Наблюдалось три резких линии, отнесенных в предположении симметрии иона  $T_d$ :  $\nu_2(E)$  71  $\text{см}^{-1}$  (с, дп.);  $\nu_4(F_2)$  102  $\text{см}^{-1}$  (с, дп.);  $\nu_1(A_1)$  210  $\text{см}^{-1}$  (оч. с., пол.) и одна слабая диффузная деполаризованная  $\nu_3(F_2)$  у 278  $\text{см}^{-1}$ . Для ионов  $\text{MBr}_4^-$  наблюдается уменьшение частот колебаний  $\nu_1$ ,  $\nu_2$ ,  $\nu_3$  и  $\nu_4$  в ряду  $\text{Ga} > \text{In} > \text{Tl}$  (РЖХим, 1955, 18154; 1956, 12136). Для изоэлектронных рядов также наблюдается уменьшение частот в 1,09—1,18 раза для  $\text{GaBr}_4^-$  по сравнению с  $\text{GeBr}_4$  и в 1,11—1,17 раза для  $\text{InBr}_4^-$  по сравнению с  $\text{SnBr}_4$ . Значения валентной силовой постоянной вал. кол. M—Br составляют ( $10^{-5}$  дн/см):  $\text{GaBr}_4^-$  2,08;  $\text{InBr}_4^-$  1,83 и  $\text{TlBr}_4^-$  1,70.

Е. П.  
24850. Перфторгептан как спектроскопический растворитель. Эванс (Perfluoroheptane as a spectroscopic solvent. Evans Dennis F.), J. Chem. Phys., 1955, 23, № 8, 1429—1430 (англ.)

Исследовано влияние n-гептана (I) и m-перфторгептана (II) как р-рителей на положение УФ-полос поглощения бензола, изопрена и нафталина. Найденные следующие смещения полос поглощения относительно спектра газа: бензол, полоса в области 2600 Å (первая линия  $\Delta\nu$  в II, в скобках — в I): 45 (280), 55 (290), 35 (280), 20 (275); изопрен (полоса 46 360  $\text{см}^{-1}$  в газе) 470 (1560); нафталин (полоса 47 510  $\text{см}^{-1}$  в газе) 1110 (2220). Найденные  $\Delta\nu$  и  $\Delta\nu$  полос поглощения меньше вычисленных из теоретич. соотношений (Bayliss N. S., J. Chem. Phys., 1950, 18, 292). Измеренная сила осциллятора полосы 2400 Å стирола в II и I оказалась равной соответственно 0,316 и 0,327 (в газе 0,293). Наблюдаемые  $\Delta\nu$  меньше предсказываемых теорией (Chako N. Q., J. Chem. Phys., 1934, 2, 644).

В. А.  
24851. Изучение строения молекул с помощью инфракрасной спектроскопии и спектроскопии комбинационного рассеяния. Шепард (Изучение молекулярной структуре помощью инфракрасной и Рамановской спектроскопии. Шепард Норман), Гласвик Хем. друштва, 1955, 20, № 4, 221—231 (серб.; рез. англ.)

Доклад о теоретич. основах и методах ИК-спектроскопии и спектроскопии комбинационного рассеяния.

М. Д.  
24852. Микроволновый спектр циклопропила. Френд, Шнейдер, Дейли (Microwave spectrum of cyclopropyl chloride. Friend James P., Schneider Robert F., Dailey B. P.), J. Chem. Phys., 1955, 23, № 8, 1557 (англ.)



В диапазоне 21—30  $\text{кМгц}$  исследовались вращательные переходы  $J = 2 \rightarrow 3$ ;  $3 \rightarrow 4$  в  $\text{C}_3\text{H}_5\text{Cl}^{35}$  (I) и  $\text{C}_3\text{H}_5\text{Cl}^{37}$  (II), обладающих компонентами дипольного момента вдоль оси A. Получено для I  $B = 3905,4$ ,  $C = 3622,4$   $\text{Мгц}$ ; для II  $B = 3810,0$ ,  $C = 3540,5$   $\text{Мгц}$ , что согласуется с точностью до 3—4  $\text{Мгц}$  с вычисленными вращательными постоянными при  $\text{C} - \text{H}$  1,09;  $\text{C} - \text{S}$  1,47;  $\text{C} - \text{Cl}$  1,755 Å;  $\angle \text{HCN}$  109°;  $\angle \text{HCCl}$  109°. Связь  $\text{C} - \text{C}$  оказывается короче ординарной, повидимому, вследствие того, что связывающие орбиты не направлены вдоль оси  $\text{C} - \text{C}$ . Из оверхтонной структуры получено для I  $eQq_{zz} = -55,76$   $\text{Мгц}$ ;  $\eta = 0,1242$ , что дает для значения  $eQq$  вдоль  $\text{C} - \text{Cl}$  связи —68,70  $\text{Мгц}$  и указывает на небольшое повышение ионного характера связи сравнительно с  $\text{C}_3\text{H}_5\text{Cl}$  (РЖХим, 1955, 36688) ( $eQq = -69,1$   $\text{Мгц}$ ).

Т. Б.

**24853.** Поглощение микроволн и ультравысокочастотных радиоволн в феноле, циклогексанол и 1-бром-2-хлорэтате. Гхош (Absorption of microwaves and U.H.F. radiowaves in phenol, cyclohexanol and 1-bromo 2-chloroethane. Ghosh Dilip Kumar), Indian J. Phys., 1955, 29, № 4, 161—166 (англ.)

Исследовалось при различных  $\tau$ -рах поглощение микроволнового излучения с длиной волны 3,18 см в жидких  $\text{C}_6\text{H}_5\text{OH}$  (I),  $\text{C}_6\text{H}_{11}\text{OH}$  (II) и  $\text{CH}_2\text{ClCH}_2\text{Br}$  (III), а также поглощение радиоволн в диапазоне 250—800  $\text{Мгц}$  в I и II. Поглощение микроволн с ростом  $\tau$ -ры достигает максимума при  $t_{\text{макс}}^0$  80, 95 и 10° для I, II и III соответственно, после чего вновь падает. Вязкость жидкостей  $\eta$  при  $t_{\text{макс}}^0$  диэлектрические постоянные  $\epsilon_0 = \sqrt{\mu}$  и  $\epsilon_1$ , а также вычисленные на основе теории Дебая времена релаксации  $\tau$  и радиусы ротаторов  $a$  равны: для I  $\eta \times 100 = 1,59$ ;  $\epsilon_0 = 2,37$ ;  $\epsilon_1 = 6,8$ ;  $\tau \cdot 10^{11} = 1,4$ ;  $a \cdot 10^8 = 1,49$  см; для II 2,2; 2,13; 7,8; 1,34; 1,36; для III 0,993; 2,19; 7,34; 1,37; 1,61 соответственно. Поглощение в I и II обусловлено вращением группы OH (в случае I ось вращения совпадает с диаметром бензольного кольца), о чем свидетельствует малое значение  $a$  сравнительно с радиусом молекул, а также тот факт, что при  $t_{\text{макс}}^0$  значения  $\eta$  в I и II близки по величине. В III поглощение, видимо, связано с внутренним вращением относительно оси  $\text{C} - \text{C}$ . В области радиоволн поглощение в I и II растет с частотой, повидимому, достигая максимума при 850—900  $\text{Мгц}$ . Температурный максимум поглощения в I и II лежит при 40°; при этом для I:  $\eta \times 100 = 4,8$ ;  $\epsilon_1 = 15$ ;  $\tau \cdot 10^{11} = 28,64$ ,  $a \cdot 10^8 = 2,72$  см; для II 20; 13; 12,02; 1,27 соответственно. Значение  $a$  для I порядка радиуса всей молекулы, так что поглощение в рассматриваемом диапазоне обусловлено вращением всей молекулы; в II поглощение связано с вращением группы OH. Максимумы поглощения, соответствующего вращению всей молекулы в случае II и группы OH в случае I, лежат, вероятно, при частотах ниже 250 и выше 900  $\text{Мгц}$  соответственно.

Т. Б.

**24854.** Зеемановское расщепление ядерного квадрупольного резонанса в парадибромбензоле. Кодзима, Цукада, Хинага (Zeeman splitting of nuclear quadrupole resonance in paradibromobenzene. Kojima Shoji, Tsukada Kineo, Hinaga Yasushi), J. Phys. Soc. Japan, 1955, 10, № 7, 498—502 (англ.)

В слоистой решетке  $\text{p-Br}_2\text{C}_6\text{H}_4$  имеются два типа молекул, отличающихся знаком угла между их осями  $b$  решетки. Из теории Зееман-эффекта для квадрупольного резонанса (Bersohn R., J. Chem. Phys., 1952, 20, 1505; РЖХим, 1955, 42417) следует, что при этом зеемановский мультиплет квадрупольного резонанса

$\text{Br}^{79}$  состоит из 8 линий. Когда магнитное поле образует одинаковые углы с осями  $\text{C} - \text{Br}$  молекул обоих типов, наблюдаются 4 линии, зная частоты которых, можно определить параметр асимметрии  $\eta$ . Найдено  $\eta = 0,12 \pm 0,01$ ;  $eQq = 535,19$   $\text{Мгц}$  при 14°. Большая величина  $\eta$  объясняется сильными межмолекулярными взаимодействиями, что подтверждается тем, что расстояния от атома Br до атомов соседних молекул в кристалле примерно равны суммам соответствующих вандер-ваальсовых радиусов. Авторы вычисляют степень двоевственности связи  $\text{C} - \text{Br}$   $\rho$  из ур-ния  $\eta = (\frac{3}{2}) \rho (1 + c) / U_z$ , где  $c = 0,25$  — поправка на экранирование,  $U_z = [eQq]_{\text{набл}} / [eQq]_{\text{нов}}$ ;  $[eQq]_{\text{набл}}$  — измеренная величина, а  $[eQq]_{\text{нов}}$  = 769,62  $\text{Мгц}$  соответствует чистой ковалентной связи. Отсюда получается  $\rho = 4,5\%$ . Это на 50% больше двоевственности  $\text{C} - \text{Cl}$  в  $\text{n-Cl}_2\text{C}_6\text{H}_4$ . Изменение  $eQq$  на 30% по сравнению с ковалентной связью обусловлено, вероятно, частично ионным характером и  $sp$ -гибридизацией связи.

Л. Ш.

**24855.** Исследование строения молекул аллил- и трет-бутилгалогенидов методом дифракции электронов. Боуэн, Гилкрист, Саттон (The molecular structures of the allyl and the tert-butyl halides from electron diffraction studies. Bowen H. J. M., Gilchrist A., Sutton L. E.), Trans. Faraday Soc., 1955, 51, № 10, 1341—1354 (англ.)

Методом дифракции электронов исследовано строение молекул  $\text{C}_3\text{H}_5\text{Cl}$  (I),  $\text{C}_3\text{H}_5\text{Br}$  (II),  $\text{C}_3\text{H}_7\text{I}$  (III),  $\text{C}_4\text{H}_9\text{Cl}$  (IV),  $\text{C}_4\text{H}_9\text{Br}$  (V) и  $\text{C}_4\text{H}_9\text{I}$  (VI). На кривой радиального распределения (KRP) для I обнаружены пики 1,40, 1,815, 2,685, 3,695 Å, отнесенные соответственно к связям  $\text{C} = \text{C}$  и  $\text{C} - \text{C}$ ,  $\text{C} - \text{Cl}$ ,  $\text{C}_2 \dots \text{Cl}$ ,  $\text{C}_3 \dots \text{Cl}$ , при расчете принято  $\text{C} - \text{H}$  1,09,  $\text{C}_2 = \text{C}_3$  1,35,  $\text{C}_1 - \text{C}_2$  1,52 — 1,50 Å,  $\angle \text{HCN}$  109,5°,  $\angle \text{HCN}$  120° и  $\angle \text{C}_1\text{C}_2\text{C}_3$  120°; варьировались только параметры  $\text{C}_1 - \text{Cl}$ ,  $\text{C}_2 \dots \text{Cl}$  и  $\text{C}_3 \dots \text{Cl}$ ; сравнение с теоретич. кривыми интенсивности показало, что длина связи  $\text{C}_3 \dots \text{Cl}$  близка к значению 3,7 Å, что отвергает плоскую *транс*-( $\text{C}_3 - \text{Cl}$  4,0 Å) или *цис*-конфигурацию ( $\text{C}_3 - \text{Cl}$  3,0 Å) молекулы I; окончательно принято  $\text{C}_1 - \text{Cl}$   $1,825 \pm 0,025$ ,  $\text{C}_2 \dots \text{Cl}$   $2,70 \pm 0,02$ ,  $\text{C}_3 \dots \text{Cl}$   $3,74 \pm 0,02$  Å,  $\text{C}_1 - \text{C}_2$   $1,47 \pm 0,04$  Å (при  $\angle \text{C}_1\text{C}_2\text{C}_3$  109°28'). На KRP для II обнаружены пики 1,45, 2,00, 2,55, 2,87 и 3,96 Å, отнесенные соответственно к связям  $\text{C} = \text{C}$  и  $\text{C} - \text{C}$ ,  $\text{C}_1 - \text{Br}$ ,  $\text{C}_2 \dots \text{Br}$ ,  $\text{C}_3 \dots \text{Br}$ ,  $\text{C}_4 \dots \text{Br}$ ,  $\text{Br} \dots \text{H}$  и  $\text{C}_3 \dots \text{Br}$ ; при расчете кривых интенсивности были приняты такие же параметры аллильной группы, как и выше; варьировались параметры  $\text{C}_1 - \text{Br}$  1,94—2,04,  $\text{C}_2 \dots \text{Br}$  2,84—2,95,  $\text{C}_3 \dots \text{Br}$  3,85—3,96 Å; окончательно принято  $\text{C}_1 - \text{Br}$  2,00 ± 0,02,  $\text{C}_2 \dots \text{Br}$  2,88 ± 0,02,  $\text{C}_3 \dots \text{Br}$  3,88 ± 0,015,  $\text{C}_1 - \text{C}_2$   $1,51 \pm 0,03$  Å (при  $\angle \text{BrC}_1\text{C}_2$  109°28'). На KRP для III обнаружены пики 1,51, 2,21, 3,07 и 4,06 Å, отнесенные соответственно к связям  $\text{C} - \text{C}$ ,  $\text{C}_1 - \text{I}$ ,  $\text{C}_2 \dots \text{I}$  и  $\text{C}_3 \dots \text{I}$ ; варьировались параметры  $\text{C}_1 - \text{I}$  2,15—2,27,  $\text{C}_2 \dots \text{I}$  3,06—3,09 и  $\text{C}_3 \dots \text{I}$  4,06—4,14 Å; окончательно принято  $\text{C}_1 - \text{I}$   $2,18 \pm 0,03$ ,  $\text{C}_2 \dots \text{I}$   $3,06 \pm 0,01$ ,  $\text{C}_3 \dots \text{I}$   $4,08 \pm 0,01$  и  $\text{C}_1 - \text{C}_2$   $1,57 \pm 0,05$  Å (при  $\angle \text{C}_1\text{C}_2\text{I}$  109°28'). На KRP для IV обнаружены пики 1,08, 1,59 и 2,72, отнесенные соответственно к  $\text{C} - \text{H}$ ,  $\text{C} - \text{C}$ ,  $\text{C} - \text{Cl}$ ; при расчете кривых интенсивностей принято, что  $\text{C} - \text{H}$  1,09 Å и  $\angle \text{CCN}$  109°28'; варьировались параметры  $\text{C} - \text{Cl}$  1,50—1,58,  $\text{C} - \text{Cl}$  1,74—1,82 Å,  $\angle \text{CCC}$  107°30' — 111°6' окончательно принято  $\text{C} - \text{Cl}$   $1,55 \pm 0,03$ ,  $\text{C} - \text{Cl}$   $1,765 \pm 0,03$  Å,  $\angle \text{CCC}$  109°2' + 1°5', что соответствует  $\text{C} \dots \text{Cl}$  2,715 Å. На KRP для V обнаружены пики 1,06, 1,55, 1,94, 2,85 и 3,87 Å, отнесенные соответственно к связям  $\text{C} - \text{H}$ ,  $\text{C} - \text{C}$ ,  $\text{C} - \text{Br}$ ,  $\text{C} \dots \text{Br}$  и  $\text{Br} \dots \text{H}$ ; варьировались параметры  $\text{C} - \text{Br}$  1,50—1,58,  $\text{C} - \text{Br}$  1,91—1,97 Å и  $\angle \text{CCC}$  107°45'—111°1'; окончательно принято  $\text{C} - \text{Br}$   $1,53 \pm 0,03$ ,  $\text{C} - \text{Br}$   $1,94 \pm$

$\pm 0,04$  А.  $\angle CCC 108^{\circ}9' \pm 2^{\circ}$ , что соответствует С...Вг 2,85 А. На КРР для VI обнаружены пики 1,04, 1,55, 2,14, 3,06 и 4,06 А, отнесенные соответственно к связям С—Н, С—С, С—J, С...J и J...H; варьировались параметры С—1,50—1,58, С—J 2,12—2,20 А и  $\angle CCC 107^{\circ}36' - 111^{\circ}44'$ ; окончательно принято С—С 1,54  $\pm$   $\pm 0,03$ , С—J 2,15  $\pm$  0,03 А и  $\angle CCC 109^{\circ}2' \pm 1,5^{\circ}$ , что дает для С...J 3,04 А. Отмечено совпадение расстояний С—Hal и С—С в *trans*-C<sub>2</sub>H<sub>5</sub>Hal с данными для других алкилгалогенидов. В C<sub>2</sub>H<sub>5</sub>Hal расстояния С—Hal длиннее, а расстояния С—С короче, чем обычно. Авторы приходят к выводу, что молекулы I—III не плоские. Угол между плоскостями Вг—С<sub>1</sub>—С<sub>2</sub> и С<sub>1</sub>С<sub>2</sub>С<sub>3</sub>, вычисленный из расстояния С<sub>3</sub>...Hal, составляет в I 50  $\pm 7^{\circ}$ , в II 63  $\pm 6,5^{\circ}$ , в III 62,5  $\pm 10^{\circ}$ .

М. П.

**24856. Атомная микрометрия. Перейра-Форжаш** (Micrometria atômica. Pereira Forjaz), Anais azevedos, 1954, 6, № 5, 267—279 (порт.; рез. англ.)

Обзорная статья, посвященная рассмотрению рентгенографич. и электронографич. определений межатомных расстояний.

М. В.

**24857. Существование двух групп ОН в молекуле H<sub>2</sub>SO<sub>4</sub>** подтверждается данными по рассеянию тепловых нейтронов. Яники (The existence of two OH-groups in H<sub>2</sub>SO<sub>4</sub> molecules verified by the scattering of thermal neutrons. Janik J. A.), Acta phys. polon., 1953, 11, № 3-4, 330—331 (англ.)

Автор показывает, что теория Сакса и Теллера (Sachs R. G., Teller E., Phys. Rev., 1941, 60, 18) для рассеяния медленных нейтронов связанными протонами молекул газа может быть применена для случая жидкостей. Показано, что поперечное сечение для медленных нейтронов выражается как  $\sigma = \mu_{\infty} (\mu_1 \mu_2 \mu_3 \mu_4)^{1/2}$ , где  $\mu_i = 1/(1 + n_i)$ . Рассчитанные по этой формуле выражения для H<sub>2</sub> и H<sub>2</sub>SO<sub>4</sub> совпадают с опытными. Для H<sub>2</sub>SO<sub>4</sub> для группы ОН  $n_1 = n_2 = 0$ ,  $n_3 = 1$ , так что  $\sigma = 51,2 \cdot 10^{-24}$  на 1 протон. Для всей молекулы  $\sigma_{H_2SO_4} = (2 \cdot 51,2 + 1,5 + 4 \cdot 3,8) \cdot 10^{-24} \text{ см}^2 = 119,1 \cdot 10^{-24} \text{ см}^2$  при  $\sigma_s = 1,5$  и  $\sigma_o = 3,8 \cdot 10^{-24} \text{ см}^2$ , так что коэфф. поглощения  $\mu = \sigma \rho / M = 1,29 \text{ см}^{-1}$  ( $\rho$  — плотность,  $M$  — масса молекулы). Совпадение этого значения с опытными (1,26  $\pm$  0,03)  $\text{см}^{-1}$  подтверждает структуру молекулы H<sub>2</sub>SO<sub>4</sub> с двумя группами ОН.

М. П.

**24858. Поляризуемость связи С—Н. Ле-Февр, Ле-Февр** (The polarizability of the C—H bond. Le Fèvre C. G., Le Fèvre R. J. W.), Chemistry and Industry, 1955, № 36, 1121—1122 (англ.)

Обсуждается вопрос о величине продольной  $b_L$  и поперечной  $b_T$  компонент эллипсоида поляризуемости связи С—Н. Анализируя литературные данные по CHCl<sub>3</sub> и CH<sub>3</sub>Cl и отмечая значительную неопределенность в оценке величины  $b_T$  (С—Cl) (от  $-0,13 \cdot 10^{-23}$  до  $+0,183 \cdot 10^{-23}$ ), автор приходит к выводу, что надежных способов оценить  $b_T$  (С—Н) (а отсюда и  $b_L$  (С—Н)) в настоящее время нет. Авторы предлагают оценку  $b_L$  (С—Н) =  $b_T$  (С—Н) =  $b_V$  (С—Н) =  $(1/3)(0,1906) \cdot 10^{-23}$ .

В. А.

**24859. Дипольные моменты и строение диалогенциклогексанов.** Квестро, Мейер, Хавинга (Dipole moments and structures of dihalogenocyclohexanes. Kwestro W., Meijer F. A., Havinga E.), Recueil trav. chim., 1954, 73, № 9-10, 717—736 (англ.)

Из концентрационной зависимости диэлектрич. проницаемости и плотности найдены дипольные моменты (в D) при 30° в бензоле диалогенциклогексанов (т. кип. при 14 мм): 1,1-дихлор- (т. кип. 59°) 2,46, 1,1-дибром-

(т. кип. 87°) 2,43, 1,1-хлорбром- (т. кип. 71°) 2,47, 1,2-*цис*-дихлор- (т. кип. 81°) 3,13, 1,2-*цис*-дибром- (т. кип. 115°, т. пл. 10°) 3,15, 1,2-*цис*-хлорбром- (т. кип. 97°) 3,08, 1,2-*транс*-дихлор- (т. кип. 70°, т. пл.  $-6^{\circ}$ ) (I) 2,63, 1,2-*транс*-дибром- (т. кип. 101°, т. пл.  $-5^{\circ}$ ) (II), 2,16, 1,2-*транс*-хлорбром- (т. кип. 86°) (III) 2,48, 1,4-*цис*-дихлор- (т. кип. 82°, т. пл. 18°) 2,89, 1,4-*цис*-дибром- (т. кип. 115°, т. пл. 40°) 2,93, 1,4-*цис*-динод- (т. пл. 68°) 2,48, 1,4-*транс*-дихлор- (т. пл. 101°) 0, 1,4-*транс*-дибром- (т. пл. 112°) и 1,4-*транс*-динод- (т. пл. 143°). Измерения в CCl<sub>4</sub> при 30° дали те же результаты, что и в бензоле, за исключением трех *транс*-1,2-соединений, для которых в CCl<sub>4</sub> найдены значительно меньшие  $\mu$  (в D): I 2,27, II 1,76, III 2,04. Расчет дипольных моментов показывает, что исследованные соединения являются изомерами креслообразной конфигурации, находящимися в равновесии. Две возможные формы конфигурации кресла имеют идентичные дипольные моменты для всех диалогенциклогексана, за исключением *транс*-1,2-соединений, где у конфигураций 1A2A  $\mu \sim 0$ , тогда как у конфигураций 1A2B  $\mu \sim 3,13$  D, вследствие чего равновесие между двумя изомерами смещается при изменении р-рителя. Для вычисления доли отдельных изомеров авторы пользуются соотношением  $\mu^2 = x_{\text{AB}}^2 \mu_{\text{AB}}^2 + x_{\text{AA}}^2 \mu_{\text{AA}}^2$ , где  $\mu$  — измеренный дипольный момент,  $x_{\text{AB}}$  и  $x_{\text{AA}}$  — мол. доли форм 1A2B и 1A2A,  $\mu_{\text{AB}} = 3,13$  D,  $\mu_{\text{AA}} = 0$ . Найдено  $x_{\text{AB}}$  для I в CCl<sub>4</sub> 0,53; в бензоле 0,71; для II, соответственно 0,32 и 0,48; для III 0,44 и 0,65. Соотношение 1A2B и 1A4A в 1,4-*транс*-производных нельзя определить из дипольных измерений, вследствие того, что измеренные значения  $\mu$  равны нулю. Сопоставляя различные методы, используемые при вычислении дипольных моментов из опытных данных по  $\epsilon$ ,  $d$  и  $n$ .

А. 3.

**24860. Диэлектрические свойства шести первичных нормальных спиртов при длине волны в 1,25 см и при температуре от  $-60$  до  $+60^{\circ}$ .** Бро (Le comportement diélectrique à la longueur d'onde de 1,25 cm de six alcools primaires normaux entre  $-60$  et  $+60^{\circ}$  C. Brot Claude), C. r. Acad. sci., 1955, 240, № 20, 1989—1991 (франц.)

При  $\lambda = 1,25$  см измерена комплексная диэлектрич. проницаемость (ДП) спиртов: *n*-гексилового, *n*-гептилового, *n*-октилового, *n*-нонилового, *n*-децилового и *n*-додецилового спиртов в интервале т-ре от  $-60$  до  $+60^{\circ}$ . Кривые зависимости ДП от т-ры имеют такой же вид, как и при больших длинах волн. В твердом состоянии  $\epsilon'$  меняется от 2,25 до 2,40,  $\epsilon'' = 0$ . Несколько ниже т. пл.  $\epsilon'$  начинает расти и появляются небольшие потери, при т. пл. потери больше и  $\epsilon'$  быстро растет. Большое значение потерь может быть объяснено существованием третьей области дисперсии или особым распределением времени релаксации.

М. Л.

**24861. Диэлектрические свойства шести первичных нормальных спиртов между  $-60$  и  $+60^{\circ}$  на длине волны 9 см.** Бро (Le comportement diélectrique à la longueur d'onde de 9 cm de six alcools primaires normaux entre  $-60$  et  $+60^{\circ}$  C. Brot Claude), C. r. Acad. sci., 1954, 239, № 2, 160—162 (франц.)

Измерены действительная ( $\epsilon'$ ) и мнимая части ( $\epsilon''$ ) комплексной диэлектрич. проницаемости *n*-гексилового, *n*-гептилового, *n*-октилового, *n*-нонилового, *n*-децилового и *n*-додецилового спиртов на длине волны 9 см от  $-60$  до  $+60^{\circ}$ . При данной т-ре  $\epsilon'$  и  $\epsilon''$  растут с уменьшением числа атомов С; в твердом состоянии потери вообще нет; при нескольких градусах ниже т-ры плавления потери очень малы; при т-ре плавления значение диэлектрич. проницаемости претерпевает разрыв

$\epsilon'$  изменяется от 2,30—2,40 в твердом состоянии до 2,50,  $\epsilon''$  меняется, достигая 0,15—0,25; для первых двух спиртов особенно заметно сказывается влияние первой (метровой) области дисперсии при высоких  $\tau$ -рах, что выражается в сильной вогнутости кривых  $\epsilon''$ .

Р. Ф. 24862. Магнетохимические исследования. I. Общие основы и экспериментальная установка по методу Гуи. Кьорболи, Яфорта (Ricerche magnetochimiche. Nota I. Generalità è messa a punto di una apparecchiatura sperimentale secondo il metodo di Gouy. Chiorboli Paolo, Jaforte Antonio), Ann. chimica, 1954, 44, № 11, 909—923 (итал.)

Излагается теория и методика известного метода Гуи для измерения диамагнитных восприимчивостей. Проведены измерения для воды, бензола, ацетона и  $\text{CCl}_4$ . Принятая для воды  $\chi \cdot 10^6 = -0,720$ , авторы нашли для бензола  $\chi \cdot 10^6 = -0,704$ , для ацетона  $-0,581$ , для  $\text{CCl}_4$   $-0,429$ .

М. В. 24863. О магнитных свойствах ионов амидосульфатов металлов первой переходной группы с конфигурацией ионов от  $3d^5$  до  $3d^{10}$ . Перакис, Карантассис (Sur le comportement magnétique des ions du premier groupe de transition, de  $3d^5$  à  $3d^{10}$ , à l'état d'amidosulfonate. Perakis Nicolas, Karantassis Triphon), C. r. Acad. sci., 1955, 240, № 13, 1407—1409 (франц.)

Приведены результаты криомагнитного исследования амидосульфатов  $[\text{NH}_2\text{SO}_3]_2\text{M}^{2+}$ . Результаты приведены в таблице, где  $\Delta T$  — интервал  $T$ -ры,  $p$  — найденный момент в амидосульфатах,  $p_s$  — теоретич. значение спин-момента. Диамагнитная восприимчивость  $\chi(\text{NH}_2\text{SO}_3)_2^{2-}$  найдена из исследования  $\text{KNH}_2\text{SO}_3$  и равна

| $\text{M}^{2+}$  | $\Delta T$ (°K) | $C_A = \chi_A(T - \Theta)$   | $\Theta$ | $p$  | $p_s$ |
|------------------|-----------------|------------------------------|----------|------|-------|
| $\text{Mn}^{2+}$ | 289—85          | $4,088 \pm 0,022$            | 0        | 5,75 | 5,92  |
| $\text{Fe}^{2+}$ | 291—84          | $2,729 \pm 0,025$            | —4       | 4,60 | 4,90  |
| $\text{Co}^{2+}$ | 290—84          | $2,505 \pm 0,023$            | —16      | 4,49 | 3,87  |
| $\text{Ni}^{2+}$ | 289—84          | $0,965 \pm 0,005$            | 0        | 2,79 | 2,83  |
| $\text{Cu}^{2+}$ | 288—85          | $0,4477 \pm 0,0016$          | +1       | 1,89 | 1,73  |
|                  | 290—89          | $0,451 \pm 0,002$            | 0        | 1,90 |       |
| $\text{Zn}^{2+}$ | 286             | $\chi_A = -41 \cdot 10^{-6}$ | —        | 0,00 | 0,00  |

—78,4·10<sup>-6</sup>. Для  $\text{M}^{2+}$  в амидосульфатах  $p$  меньше, чем в других солях. Орбитальный магнетизм проявляется только у ионов  $\text{Co}^{2+}$  и  $\text{Cu}^{2+}$ . Рассчитанное значение  $g = p/[s(s+1)]^{1/2}$  для  $\text{Cu}^{2+}$ , равное 2,19, мало отличается от выведенного из магнитного резонанса для  $\text{Cu}_2(\text{Co}(\text{CN})_5)_4$  (РЖХим, 1955, 13423). У иона  $\text{Co}^{2+}$  отмечено заметное отклонение от закона Кюри.

М. Л. 24864. Магнито-оптические эффекты и парамагнитный резонанс. Онеховский (Magneto-optical effects and paramagnetic resonance. O ne h o w s k i W.), Revs Mod. Phys., 1953, 25, № 1, 264—268 (англ.)

Предлагается общая квантово-механическая теория магнито-оптических явлений в парамагнитных средах при наличии электромагнитных полей двух существенно различных по величине частот (при наличии или в отсутствие поляризуемого постоянного магнитного поля). Используется метод матрицы плотности для определения среднего комплексного тензора поляризуемости отдельных атомных систем, вещественная и мнимая части эрмитовой составляющей которого соответственно определяют фарадеевское вращение и двойное лучепреломление, а антиэрмитовская составляю-

щая определяет поглощение. Обращается внимание на тот факт, что возможно появление новых эффектов, когда одно из излучений (микроволновое) будет находиться в резонансе с отдельными атомными системами. В заключение общая теория применяется к конкретному случаю фарадеевского вращаения.

Р. Ф. 24865. Влияние парамагнитного резонанса на эффект Фарадея. Обсуждение примера. Пакетт (Influence de la résonance paramagnétique sur l'effet Faraday; discussion d'un exemple. Paquette Guy), J. phys. et radium, 1954, 15, № 4, 255—258 (франц.)

Теория, развитая ранее (см. пред. реф.), применена к конкретному случаю соли  $\text{NiSiF}_6 \cdot 6\text{H}_2\text{O}$ . Найдена зависимость отношения  $\Delta\Omega/\Omega$  ( $\Omega$  — фарадеево вращение,  $\Delta\Omega$  — изменение, вносимое в него парамагнитным резонансом) от напряженности постоянного поля  $H_c$ . Для ВЧ-поля с  $\lambda = 3$  см кривая этой зависимости имеет два пика ( $\Delta\Omega/\Omega = 0,2$  и  $\Delta\Omega/\Omega = 0,07$ ), соответствующие двум резонансным переходам. Максим. значение  $\Delta\Omega$  при  $T = 1,9^\circ\text{K}$  составляет 0,7. Условием успешного наблюдения эффекта в данной соли является выполнение неравенства  $a/H \leq 1,2 \cdot 10^7 \text{ гс}^{-1} \text{ сек}^{-1}$ , где  $H$  — амплитуда ВЧ-поля,  $a$  — величина, обратная времени спин-решеточной релаксации.

Л. Ш. 24866. Решение волнового уравнения внутреннего вращения двух полностью асимметричных молекул. Беркхард, Эрвин (Solution of the wave equation for internal rotation of two completely asymmetric molecules. Burkhard Donald C., Irvin John C.), J. Chem. Phys., 1955, 23, № 8, 1405—1414 (англ.)

Получено волновое ур-ние для молекулы, состоящей из двух жестких асимметричных волчков и обладающей заторможенным внутренним вращением. Центры тяжести обеих групп не лежат на оси внутреннего вращения и смещаются относительно друг друга при внутреннем вращении, давая дополнительный вклад в кинетич. энергию. Кинетич. энергия, выраженная через эйлеровы углы  $\Phi, \psi, \phi_1, \phi_2$  и их производные, содержит наряду с моментами инерции группы относительно осей, помещенных в центрах тяжести групп, также и произведения инерции. Полученное волновое ур-ие состоит из большого числа членов и должно быть разрешено при следующих граничных условиях: функция должна оставаться конечной в полюсах  $\Phi = 0, \pi$  и быть периодичной с периодом  $2\pi$  по  $\psi, \phi_1$  и  $\phi_2$ . Часть членов волнового ур-ния совпадает с волновым ур-нием для молекулы, содержащей два симметричных волчка (Koebler J. S., Dennison D. M., Phys. Rev., 1940, 57, 1006) при замене момента инерции  $A$  комбинацией моментов и произведений инерции группы относительно их центров тяжести и моментов инерции центров тяжести относительно оси внутреннего вращения. Решение этой части ур-ния имеет вид  $u = (1/2\pi) \exp(iK\Phi) \exp(iM\psi) \exp(-iC_1 K_x/C) p^{K_{\tau n}}(x) \theta_{JKM}$ , где  $\exp(iK\Phi) \exp(iM\psi) \theta_{JKM}$  — волновая функции жесткого симметричного волчка, с волновыми числами  $J, K, M$ , а  $M(x) = \exp(-iC_1 K_x/C) p^{K_{\tau n}}(x)$  — описывает внутреннее вращение в молекуле. Здесь  $x$  — угол относительного закручивания групп,  $C_1$  и  $C$  — моменты инерции одной из групп и всей молекулы относительно оси внутреннего вращения,  $l$  и  $\tau$  квантовые числа, классифицирующие состояния внутреннего вращения. С помощью волновых функций  $\theta$  автор получает следующие отличные от нуля матричные элементы всего гамильтониана, используя для их вычисления ранее полученные результаты (РЖХим, 1955, 8997)  $H_{JK\tau n}^{JK\tau n}, H_{J,K+1,\tau',n'}, H_{J,K+2,\tau'',n'}$ .

Т. Б. 24867. Влияние гидролиза на магнитный момент иона  $\text{Ni}^{2+}$ . Вепршек-Шикка (Einfluss der



Hydrolyse auf das magnetische Moment zweiwertiger Nickelionen. Vepřek-Šiška J.) Сб. чехосл. хим. работ, 1955, 20, № 5, 1018—1025 (нем.; рез. русс.). См. РЖХим, 1955, 48313.

24868. Внутримолекулярные крутильные колебания. Л у ф т (Intramolekulare Torsionsschwingungen. Luft Norbert W.), Z. Elektrochem., 1955, 59, № 1, 46—55 (нем.)

Проведено общее теоретич. рассмотрение крутильных колебаний, возникающих при значительном торможении внутреннего вращения. Подробно анализируются свойства симметрии. Если одна из двух вращающихся групп имеет плоскость симметрии  $\sigma_v$ , проходящую через ось вращения, и  $\sigma_v$  характеризуется минимумом потенциала  $V(\Phi)$ , то  $V(\Phi) = \sum_{n=1}^{\infty} c_n (1 - \cos n\Phi)$  (1) Коэфф.  $c_n$  быстро сходятся.  $V$  можно рассматривать как сумму энергий попарных взаимодействий атомов, т. е.  $c_n = (1/2) \sum_{i,k} c_{ik}^n \cos n\Phi_{ik}^0$ , где  $\Phi_{ik}^0$  — начальный азимут электронных облаков  $i, k$  относительно минимума потенциала при  $\Phi = 0$ . Приводится классификация вращающихся групп по их свойствам симметрии и характеру атомов, а также таблица коэфф.  $c_2, c_3, c_4, c_6$  для различных случаев. Автор указывает, что дву- и трехкратные барьеры внутреннего вращения могут быть представлены суммой величин, относящихся к взаимодействующим атомам и группам. Это иллюстрируется примером замещенных этана  $C_2H_mF_nCl_{6-m-n}$ , представленным тройной диаграммой значений  $V$ . Приводятся значения потенциальных барьеров и частот крутильных колебаний для  $\sim 100$ -в, а также значения разностей энергий поворотных изомеров для 16 в-в. Двукратные барьеры у ординарных связей (группы  $C_6H_5, NO_2$ ) мало изучены, в этих случаях обычно стабилизируется плоскостное расположение связей, потенциальный барьер  $V = 2(c_2^{\pi} - c_2)$ , где  $2c_2^{\pi}$  — энергия сопряжения центральной связи. Указывается, что сходные по структуре группы (ОН и NH<sub>2</sub> и т. д.) дают сходные барьеры. Обсуждаются барьеры вращения вокруг двойных связей, приводящего к переходу молекулы в тришлетное бирадикальное состояние. Ур-ние (1) равнозначно разложению по отрицательным степеням расстояния между группами  $R_{ik}V = (1/2) \sum_{i,k} a_{ik}^s R_{ik}^{-s}$  (2). Однако, по мнению автора, ур-ние (2) дает лишь грубое приближение. Элементарные квантовомеханич. расчеты тормозящего потенциала также не дали удовлетворительного результата. В более строгих расчетах обнаруживается влияние неподделенных электронных пар, отталкивающих друг друга, но обуславливающих притяжение типа межмолекулярного взаимодействия (напр., водородная связь). Для расчета необходимо знание высших моментов, неизвестных в настоящее время. Автор считает наиболее обещающими полуэмпирич. методы расчета. Приводится краткое изложение теории энергетич. уровней, крутильных колебаний (решение ур-ния Матвея). Обсуждаются модификации ур-ния (1) при малых отклонениях от  $n$ -кратной симметрии. Для этана с большой точностью соблюдается ур-ние  $V(\Phi) = c_3(1 - \cos 3\Phi)$ , для метилзамещенных барьер  $V$  не только значительно выше, но и его форма отклоняется от косинусоидальной. Подробно рассматриваются барьеры малой симметрии, приводящей к существованию поворотных изомеров, и предлагается метод оценки коэфф.  $c_n$  разложения в ряд Фурье (1). Указывается на роль удаленных групп, особенно значительную при высоких т-рах для длинных цепных молекул, вследствие образования клубков. М. В.

24869. Потенциальные барьеры относительно двойных связей. Л у ф т (Potential barriers about double

bonds. Luft N. W.), J. Phys. Chem., 1955, 59, № 6, 572—574 (англ.)

На основании предыдущих работ автора (РЖХим, 1953, 4284; 1955, 25625; см. реф. 24868) проведены оценка и сопоставление величин потенциальных барьеров и частот крутильных колебаний  $\delta_i$  вокруг двойной связи производных этилена. Обсудив вопрос об отделимости крутильных колебаний от остальных неплоских колебаний и представляя барьер  $V(\Phi)$  относительно двойной связи приближенным выражением  $V = c_1(1 - \cos \Phi) + c_2(1 - \cos 2\Phi)$ , автор для молекул типа  $i_2 = kl$  и  $ik = ik$  (напр.,  $H_2C = CFCl$  и  $C\equiv C = CHCl$ ) получает простые соотношения. Обсуждение этих результатов приводит к ф-ле  $V_0(ik = ik) \approx (1/2) V_0(i_2 = ik) + (1/2) V_0(k_2 + ki)$ , а также равенству силовых постоянных  $k_{\Phi}$  для *цис*- и *транс*-изомеров. Для всех дейтероэтиленов получается  $V_0 \approx 39,5$  ккал/моль, откуда автор получает нерассмотренные значения частот  $\delta_i$  (см<sup>-1</sup>):  $H_2C = CH_2$  1027,  $D_2C = CD_2$  726,  $H_2C = CHD$  943,  $H_2C = CD_2$  889,  $HDC = CDH$  843. Оценка величины барьера позволяет отбросить завышенные значения частот  $\delta_i$  для  $H_2C = CCl_2$ ,  $Cl_2C = CClH$ ,  $F_2C = CHCl$ ,  $H_2C = CH(CN)$  и  $H_2C = C(CH_3)_2$ , приводимых в литературе. Для  $Cl_2C = CHCl$  и  $F_2C = CHCl$  барьер  $V_0$  оценен в 15—20 ккал/моль. Обсуждены также значения  $\delta_i$  для  $F_2C = CF_2$ ,  $F_2C = CFCl$  и  $C\equiv C = CHCl$ , причем для последнего  $\delta_i$  (*цис*)  $\approx \delta_i$  (*транс*)  $\approx 140$  см<sup>-1</sup>, что соответствует  $V_0 \approx 28$  ккал/моль в согласии со значением 30 ккал/моль, найденным по скорости изомеризации. Автор указывает, что аналогичное рассмотрение может быть проведено для крутильных колебаний вокруг двойных связей CN и NN.

И. Г.

24870. Структура и внутреннее вращение в парах  $C_2F_6$  и  $Si_2Cl_6$ . С у и к, Кар л (Structure and internal motion of  $C_2F_6$  and  $Si_2Cl_6$  vapors. S w i c k D. A., Karle I. L.), J. Chem. Phys., 1955, 23, № 8, 1499—1504 (англ.)

С целью изучения внутреннего вращения в молекулах  $C_2F_6$  (I) и  $Si_2Cl_6$  (II) проведено электронографич. исследование паров этих в-в описанным ранее методом (J. Chem. Phys., 1949, 17, 1052; 1950, 18, 957, 963). Эксперим. кривые рассеяния сравнивались с теор. кривыми, вычисленными при различных предположениях о межатомных расстояниях и значениях валентных углов. Из сравнения эксперим. и теоретич. кривых получены следующие значения для связей (в А) и валентных углов: для I  $C - F = 1,32 \pm 0,01$ ;  $C - C = 1,56 \pm 0,03$ ;  $\angle CCF = 109,5^\circ \pm 1,5^\circ$ ; для II  $Si - Cl = 2,01 \pm 0,01$ ;  $Si - Si = 2,24 \pm 0,06$ ;  $\angle SiSiCl = 109,5^\circ \pm 1,0^\circ$ . В обоих случаях кривые хорошо согласуются с предположением о заторможенном внутреннем вращении в молекулах с равновесием в *транс*-положении. Высоты потенциальных барьеров  $V_0$  тормозящих внутреннее вращение, определялись из пиков на кривых радиального распределения, соответствующих расстояниям между принадлежащими различным вращающимся группам атомами F в I и атомами Cl в II, находящимися в повернутом положении друг относительно друга. Как показывает теория рассеяния электронов молекулами с внутренним вращением (Karle J., Naurtman H., J. Chem. Phys., 1950, 18, 875; РЖХим, 1955, 18176), из этих пиков можно получить соотношение между  $V_0$  и средней квадратичной амплитудой  $(\bar{r}^2)^{1/2}$  всех колебаний молекулы, за исключением крутильных колебаний. Получены кривые, связывающие  $V_0$  с  $(\bar{r}^2)^{1/2}$  для I и II. Предполагая, что  $(\bar{r}^2)^{1/2}$  в повернутом положении того же порядка, что и в *транс*-положении, авторы получают, что в молекулах I и II  $V_0$  соответственно порядка 4 и 1 ккал/моль. О. П.



**24871.** Инфракрасное поглощение в газообразном аммиаке в зависимости от давления. Кияма, Миномура, Одзава (Infrared absorption in gaseous ammonia at pressure. Kiyama Ryo, Minomura Shigeru, Ozawa Kunio), Rev. Phys. Chem. Japan, 1954, 24, № 2, 56—60 (англ.)

Изучалось изменение интенсивности поглощения в ИК-спектре газообразного  $\text{NH}_3$  при давл. 1,0—5,0 кг/см<sup>2</sup> при 19° (1300—6500 см<sup>-1</sup>) и при давл. 27,2—102,0 мм рт. ст. с добавкой  $\text{H}_2$  или  $\text{O}_2$  к полному давл. 1,10 и 20 кг/см<sup>2</sup> (1350—2000 см<sup>-1</sup>). Наблюдалось увеличение интенсивности всех полос при повышении давления чистого  $\text{NH}_3$ . В смеси с  $\text{O}_2$  или  $\text{H}_2$  интенсивность полосы поглощения 1627,5 см<sup>-1</sup> сильно возрастает с давлением. Эти изменения объясняются увеличением дипольного момента  $\text{NH}_3$  под действием межмолекулярных сил при соударениях молекул.

**24872.** Влияние давления на индуцированное инфракрасное поглощение в газообразном ацетилене. Миномура (Induced infrared absorption in gaseous acetylene at pressure. Minomura Shigeru), Rev. Phys. Chem. Japan, 1954, 24, № 2, 49—55 (англ.)

Исследовалось изменение спектра газообразного ацетилена при давл. до 24 кг/см<sup>2</sup> в области 1100—5800 см<sup>-1</sup> при 23—25°. При повышении давления появляется запрещенная полоса  $\nu_2$  у 1974 см<sup>-1</sup>. Интегральная интенсивность этой полосы линейно зависит от плотности. Увеличение интенсивности полос 1328,1, 2701,5 и 3287—3500 см<sup>-1</sup> значительно меньше, чем для полосы 1974 см<sup>-1</sup>. Появление запрещенной полосы  $\nu_2$  объясняется влиянием межмолекулярных сил, индуцирующих дипольный момент, в результате соударения молекул и происходящего при этом искажения распределения электронных зарядов молекул. При добавлении к  $\text{C}_2\text{H}_2$  давл. 1—126 мм рт. ст.)  $\text{O}_2$  (полное давл. до 30 кг/см<sup>2</sup>) наблюдается увеличение интегральной интенсивности полосы  $\text{C}_2\text{H}_2$   $\nu_2 + \nu_3$  1328,1 см<sup>-1</sup> с увеличением давления, которое объясняется уширением вращательных линий этой полосы.

**24873.** Одновременные переходы в жидкостях. Новый тип молекулярного спектра. Кетелар, Хогге (Simultaneous transitions in liquids. A new kind of molecular spectrum. Ketelaar J. A. A., Hooge F. N.), J. Chem. Phys., 1955, 23, № 8, 1549—1550 (англ.)

При съемке ИК-спектров жидких  $\text{S}_2\text{Cl}_2$ ,  $\text{PCl}_3$ ,  $\text{PBr}_3$ ,  $\text{SOCl}_2$ ,  $\text{PSCl}_3$  и  $\text{CCl}_3\text{SCl}$  в смеси с  $\text{CS}_2$  благодаря одновременным колебательным переходам наблюдалось появление спектров нового типа, смещенных по отношению к спектрам отдельных в-в. В кювете длиной 10 мм в смеси равных объемов  $\text{CS}_2$  и другой жидкости наблюдалось смещение полосы  $\nu_3$   $\text{CS}_2$  на 1515 см<sup>-1</sup> по сравнению со спектром, полученным в двух последовательно установленных кюветах длиной по 5 мм с чистыми в-вами. Область исследования ограничена оптич. прозрачностью изучаемых в-в и расположена для  $\text{CS}_2$  в области 1500—2100 см<sup>-1</sup>, т. е. возможно наблюдение новых полос поглощения с частотами 160—500 см<sup>-1</sup>. Для смесей с  $\text{CS}_2$  были найдены следующие частоты (в см<sup>-1</sup>):  $\text{S}_2\text{Cl}_2$  202, ~250, 447;  $\text{PCl}_3$  181, 258, 505;  $\text{PBr}_3$  158, 376;  $\text{SOCl}_2$  201, 293, 348, 435, 488;  $\text{PSCl}_3$  168, 249, 430;  $\text{CCl}_3\text{SCl}$  217, 292, 337, 450. Эти переходы объясняются наличием электростатич. взаимодействия. Интенсивность одновременных переходов определяется наличием в выражении для дипольного момента пары молекул  $A$  и  $B$  членов  $(d\alpha/dq)_A \cdot (d\mu/dq)_B$  и  $(d\mu/dq)_A \cdot (d\mu/dq)_B$ , где  $q$  — нормальные координаты всех возможных колебаний молекул  $A$  и  $B$ ,  $\alpha$  — поляризуемость, а  $\mu$  — дипольные моменты дипольных молекул.

Е. П.

**24874.** Количественное изучение ассоциации хлороформа- $d$  в различных растворителях с помощью инфракрасной спектроскопии. Лорд, Нолли, Стидхем (Quantitative study of the bonding of chloroform- $d$  in various solvents by infrared spectrometry. Lord R. C., Nolin B., Stidham H. D.), J. Amer. Chem. Soc., 1955, 77, № 5, 1365—1368 (англ.)

Количественно изучалась ассоциация  $\text{CDCl}_3$  (I) с кислородсодержащими р-рителями за счет водородных связей путем измерения интегральной интенсивности полос валентного колебания C—D в неассоциированном и ассоциированном I (в эфире соответственно 2253 и 2243 см<sup>-1</sup>) в зависимости от конц-ии I и р-рителя. Для  $(\text{C}_2\text{H}_5)_2\text{O}$  найдено, что зависимость  $A_m/c^0$  от молярной конц-ии  $1/x_D$ , где  $A_m$  — величина, пропорциональная интегральной интенсивности суммарной полосы,  $c^0$  — конц-ия эфира + I в равновесной смеси, выражается плавной кривой с максимумом у  $x_D = 0,5$  моля и минимумами у  $x_D = 0$  и  $x_D = 1$ . Функция имеет вид:

$$A_m/c^0 = \gamma_D x_D + (1/2) (\gamma_C - \gamma_D) \{z - [z^2 - 4x_D(1-x_D)]^{1/2}\},$$

где  $\gamma_D$  и  $\gamma_C$  — соответственно коэфф. поглощения полос 2253 и 2243 см<sup>-1</sup>, т. е. I и комплекса;  $z = 1 + [V_E - x_D(V_E - V_D)]/K$ ;  $V_E, V_D$  — молярные объемы эфира и I;  $K$  — константа ассоциации. Дифференцирование этой функции по  $x_D$  при условии  $K \gg V_E$  и  $V_D$  позволяет найти  $\gamma_D$  в точках  $x_D = 0$  и  $x_D = 1$ . Зная  $\gamma_D(0,20)$ , авторы рассчитали  $K = 0,80 \pm 0,15$  моль<sup>-1</sup>, что соответствует 60% молекул, ассоциированных в комплексе с эфиром. Показано, что отношение  $\gamma_C : \gamma_D$  одинаково для данной смеси (11,5) и для смеси с ди- $n$ -бутиловым эфиром, в ацетоне оно равно 12,5. Установлено, что ассоциация сопровождается уширением полосы C—D и небольшим ее смещением, в частности для р-ра в пиридине смещение равно 36 см<sup>-1</sup> и уширение 4,1 при  $\gamma_C/\gamma_D = 20,5$ . Измерения выполнены также для р-ров I в этилоле,  $n$ -диоксане, уксусном ангидриде, этилацетате и пиридине. I получен из смеси карбонатов кальция (15 г) и натрия (16 г) с  $\text{D}_2\text{O}$  (28 г) и  $\text{CCl}_3\text{COCl}$  при 110° (48 г, по каплям); смесь нагревалась до 160° (выход 76%).

**24875.** Влияние температуры на молекулярные силы притяжения между конденсированными телами. Лифшиц Е. М., Докл. АН СССР, 1955, 100, № 5, 879—881.

Найдена ф-ла молекулярных сил притяжения между конденсированными телами, учитывающая т-ру  $T$ . В выражение для сил притяжения, полученное в предыдущей работе (ФЖХим, 1955, 18112),  $T$  не входит и считается равной нулю. Такое приближение возможно в случае малых расстояний  $l \ll \lambda$ , где  $\lambda$  — основные длины волн. В случае больших расстояний  $T$  не играет роли при условии  $kT \ll \hbar c/l$ . Условия  $l \ll \hbar c/kT$  и  $l \gg \lambda$  совместны при малых  $T$ . В случае комнатной т-ры может оказаться, что рассматривать взаимодействие на расстояниях  $l \gg \lambda$ , полагаая  $T = 0$ , нельзя. Ф-ла молекулярных сил, учитывающая  $T$ , получена флюктуационным методом так же, как и ранее (см. ссылку выше). В выражение средних квадратов флюктуаций входит в качестве множителя функция Планка  $(1/2) \text{ctgh}(\hbar\omega/2kT)$ . Общая ф-ла  $F$  имеет вид:

$$F = (kT/\pi c^3) \sum_{n=1}^{\infty} \int_1^{\infty} p^2 \varepsilon_n^3 \{[(s_n + p)/(s_n - p)]^2 \times \\ \times \exp(2p\varepsilon_n/c) - 1\}^{-1} + [(s_n + \varepsilon_n p)/(s_n - \varepsilon_n p)^2 \exp(2p\varepsilon_n/c) - 1]^{-1} \} dp, \quad s_n = \sqrt{\varepsilon_n - 1 + p^2}, \quad \varepsilon_n = \varepsilon(i\varepsilon_n) \quad (\text{штрих у}$$

суммы означает, что член  $n=0$  берется с весом  $1/2$ ), где  $\omega_n$  — мнимые полюса функции Плацка. При  $T \rightarrow 0$  выражение для  $F$  совпадает с полученным в предыдущей работе. Для случая двух металлов в предположении, что  $l$  мало по сравнению с  $\hbar c/kT$ , но больше  $(c/e)(m/N)^{1/2}$ , ф-ла для  $F$  переходит в  $F = (\pi^2/240) \times (\hbar c/l^2) [1 - (c^2/e^2)(kT/\hbar c)^4] (1)$ , где  $N$  — плотность числа свободных электронов. Ф-ла (1) применима в узкой области и для комнатных т-р. В другом предельном случае, когда  $l$  велико,  $F$  с достаточной степенью точности равно:  $F(kT/8\pi l^2) [(\epsilon_0 - 1)/(\epsilon_0 + 1)]^2$ , где  $\epsilon_0$  — диэлектрич. постоянная. Следующие члены общей ф-лы для  $F$  убывают в данном случае экспоненциально. Отсюда следует, что при расстояниях, больших или малых по сравнению с  $\lambda F$ , убывает как  $1/l^3$ , причем коэфф. пропорц. зависит от  $T$  и  $\epsilon_0$ . Г. С.

24876. Клатратные соединения. Шленк (Einschlussverbindungen. Schlenk W., Jr), Svensk kem. tidskr., 1955, 67, № 10, 435—462 (нем.)

Обзор. Библ. 24 назв. М. Д.

24877. Внутримолекулярные водородные связи O—H—O в комплексах Co(III) с диметилглиоксимом. Фудзита, Накахара, Цутида (Intramolecular O—H—O hydrogen bonds in bis(dimethylglyoximate)-cobalt(III)-complexes. Fujita Junnosuke, Nakahara Akitsugu, Tsuchida Ryutaro), J. Chem. Phys., 1955, 23, № 8, 1541—1542 (англ.)

Измерено положение полосы O—H в ИК-спектрах поглощения в комплексах Co(III) с диметилглиоксимом. Получены следующие результаты (в см<sup>-1</sup>): DH — ион диметилглиоксима  $H_3C(CO)N(CO)N(CH_3)CH_2$ ;  $H[Co(DH)_2Cl_2]$  1725;  $H[Co(DH)_2Br_2]$  1685;  $Na[Co(DH)_2(NO_2)_2]$  1740;  $[Co(OH_2)(DH)_2NO_2]$  1700. При замене водорода на дейтерий указанные полосы пропадают, что подтверждает правильность их отнесения. Такое же низкое значение частоты O—H было ранее получено для комплексов Ni(II), имеющих плоскую конфигурацию (Rundle R. E., Parasol M., J. Chem. Phys., 1952, 20, 1487; Godycki L. E., Rundle R. E., Voter, Banks, J. Chem. Phys., 1951, 19, 205; РЖ хим., 1954, 15975), по аналогии с чем исследованным комплексам также приписана плоская конфигурация. В. А.

24878 К. Введение в инфракрасную спектроскопию. Брюгел (Einführung in die Ultrarotspektroskopie. Brügell Werner, Darmstadt. Dr. D. Steinkorff, 1954, XII, 366 S., ill., 49—DM (нем.)

См. также: Структура молекул: неорганич. 25393; органич. 25498, 25851; по рентген. данным 24893, 24901. Энергия связей 24787. Спектры 24941, 25165, 25399, 25400, 25496, 25500, 25509, 25522, 25558, 25565, 25568, 25585, 25601, 25608, 25619, 25660, 25678, 25683, 25687—25690, 25705, 25721, 25751, 25758, 25761—25764, 25766, 25768, 25774, 25776—25778, 25780, 25785, 25788, 25789, 25791, 25792, 25797, 25798, 25802, 25813—25817, 25833, —25835, 25838, 25841, 25845, 25849, 25853—25855; 8847Бх. Дипольные моменты и диэлектрич. св-ва, 25025, 25026, 25029, 25158, 25505, 25872, 25888, 25890. Магнитные св-ва 24981, 25513, 25514. Межмол. взаимодействие и водородная связь 25009, 25389, 25520, 27361. Приборы для исслед. строения молекул 26067—26086, 26086—26090, 26102—26106. Внутр. вращение 25070. Др. вопр. 25017, 25030—25033.

## КРИСТАЛЛЫ

24879. Структурная проблема твердых фаз. Нотный (Strukturprobleme bei den Hartstoffphasen. Nowotny H.), Radex Rundschau, 1953, № 2, 41—50 (нем.)

Обзор структур в-в с высокой твердостью. Библ. 32 назв. Н. С.

24880. Обзор структуры и некоторых магнитных свойств ферритов. Блэкман (A review of the structure and some magnetic properties of ferrites. Blackman L. C. F.), J. Electronics, 1955, 1, № 1, 64—77 (англ.)

Обзор Библ. 21 назв.

24881. Влияние катионов на оптические свойства пироксенов. Хори (Effects of constituent cations on the optical properties of clinopyroxenes. Hori Fukutaro), Scient. Papers Coll. Gen. Educ., Univ. Tokyo, 1954, 4, № 1, 71—83 (англ.)

Исследовано влияние различных катионов на показатели преломления ( $n$ ) клинопироксенов. В качестве первого приближения предположено, что влияние различных катионов на величину  $n$  может быть выражено линейным ур-нием типа  $n = C_n + \sum_i a_i N_i$ , где  $C_n$  — константа,  $a_i$  — мера влияния  $i$ -го катиона и  $N_i$  — число катионов  $i$ -го сорта в определенном объеме. Аналогично принято, что угол оптич. осей есть также аддитивная функция влияния отдельных ионов:  $2V = C_{2V} + \sum_i a_{i2V} N_i$ . Используя оптич. данные и результаты хим. анализов нескольких десятков пироксенов, автор методом наименьших квадратов определил величины  $a_i$  для различных катионов. Различие значений  $n_{\text{изм}}$  и  $n_{\text{выч}}$  колеблется от 0,005 до 0,111, причем  $n_{\text{выч}} > n_{\text{изм}}$ . Исследовалось также влияние замещения одних катионов другими: при замене  $Si^{4+}$  на  $Al^{3+}$  в тетраэдрич. позиции значения  $n$  уменьшаются, причем влияние ионов  $Al^{3+}$ ,  $Ti^{4+}$  и  $Fe^{3+}$ , повидимому, приблизительно одинаково. При замене ионов  $Mg^{2+}$ ,  $Ca^{2+}$  и  $Fe^{2+}$  на ионы  $Al^{3+}$ ,  $Ti^{4+}$ ,  $Cr^{3+}$  и  $Fe^{3+}$  в октаэдрич. пустотах  $n$  заметно увеличиваются. Замена  $Fe^{2+}$  на  $Ca^{2+}$  и затем на  $Mg^{2+}$  ведет к уменьшению  $n$ . Влияние замещения ионов на углы оптич. осей: замена  $Si^{4+}$  на  $Al^{3+}$  в тетраэдрич. координации сопровождается увеличением угла  $2V$ ; влияние  $Mg^{2+}$  и  $Fe^{2+}$  в октаэдрич. позициях подобно,  $Ca^{2+}$  — противоположно. При замене 1%  $Ti^{4+}$  на  $Mg^{2+}$ ,  $Ca^{2+}$  или  $Fe^{2+}$  величина угла падает не менее чем на  $3^\circ$ ; присутствие ионов  $Na^+$  и  $K^+$  увеличивает угол  $2V$  при замене ими ионов  $Ca^{2+}$ ,  $Mg^{2+}$  или  $Fe^{2+}$ . С. Б.

24882. Пространственные решетки. Томкеев (Space lattices. Tomkeieff S. I.), Mineral. Mag., 1955, 30, № 229, 625—632 (англ.)

Рассматриваются возможные типы пространственных решеток (решетки Браве) и их симметрия. Всего рассмотрено 20 решеток: 1 одномерная, 5 двумерных и 14 трехмерных. Симметрия и тип решетки характеризуются симметрич. числом и числом степеней свободы. Для трехмерных решеток симметрич. числом служит число плоскостей  $hkl$  (общая простая форма) голоэдрич. класса соответствующей системы. Число степеней свободы определяется числом независимых переменных параметров, которые необходимы для характеристики решетки. Построена общая диаграмма, дающая представление о всех возможных 20 решетках в их генетич. связи. М. У.

24883. Формулы преобразования индексов в двойниковых кристаллах. Андрос, Джонсон (Formulae for the transformation of indices in twinned crystals. Andrews K. W., Johnson W.), Brit. J. Appl. Phys., 1955, 6, № 3, 92—96 (англ.)

Из рассмотрения рентгеновской дифракционной картины двойниковых кристаллов выведены ф-лы, которые выражают индексы плоскости ( $h_2 k_2 l_2$ ) для одного из сдвоенных монокристаллов через индексы ( $h_1 k_1 l_1$ ) — для другого, а также ф-лу для преобразования оси зоны. Выведены соотношения (в матричной форме), применимые к любой кристаллич. системе и

позволяющие индексировать рентгенограммы двойников с осью двойникового (UVW) или плоскостью двойникового (HKL). Даны частные ф-лы для куб. кристаллов. Приведены примеры применения матриц и ф-лы двойникового на плоскостях {111} в куб. кристаллах, а также для гексагонального Ti и ромбоэдрического  $\alpha$ -U. Г. Г.

**24884. О некоторых геометрических характеристиках атомных решеток различных структурных типов кубической системы (типы: NaTi, NaCl, ZnS и другие).** Максимов А., Ж. техн. физики, 1955, 25, № 10, 1735—1740

Системы индексов дифракционных максимумов на рентгенограммах структур куб. системы закономерны, и к ним могут быть применены методы теории целых чисел. Найдено, что суммы квадратов индексов ( $\Sigma h^2$ ) для куб. гранецентрированных структур выражаются ур-ниями:  $P_k = \Sigma h^2 = 8k + 3$ ;  $Q_k = \Sigma h^2 = 8k$  и  $R_k = \Sigma h^2 = 8k + 14$  ( $k = 0, 1, 2, 3, \dots$ ). Показано, что из ряда последовательных отражений типа  $P_1 Q_1 P_2 Q_2 P_3 Q_3 \dots P_k Q_k$  (или соответственно рядов PR и QR) можно выделить произвольную часть с граничными P и Q, причем для симметричных членов ее справедливы выражения:  $(\Sigma h^2)_i + (\Sigma h^2)_{s-i} = \text{const} = K$  и  $\sin^2 \theta_i + \sin^2 \theta_{s-i} = \text{const} = C$ . С помощью этих выражений можно уточнить значения  $\sin \theta$  и параметр решетки  $a = (\lambda/2) \sqrt{K/C}$ . Дан пример расчета рентгенограмм для структур типа NaTi, имеющих лишь последовательность отражений  $P_k$  и  $Q_k$ . У. А.

**24885. О точности определения координат легких атомов в кристаллах комплексных соединений платины хлорамминовых рядов.** Порай-Кошиц М. А. Изв. Сектора платины ИОНХ АН СССР, 1954, № 28, 183—201

На примере соединений  $[(\text{NH}_3)_2\text{Cl}_2\text{Pt}], [(\text{NH}_3)_3\text{Cl}_2\text{Pt}]\text{Cl}_2, [(\text{NH}_3)_4\text{Cl}_2\text{Pt}]$  показано, что теоретич. ф-лы для средней ошибки в определении координат атомов, предложенные ранее (Китайгородский А. И., Рентгеноструктурный анализ, М., 1950, 512) мало пригодны к соединениям, в состав которых входят атомы с резко различными атомными номерами. Для косвенной оценки надежности получаемых результатов (и выявления ложных максимумов) автор рекомендует графическое построение параллельных друг другу максимумов F-и  $F^2$ -рядов. Указывается, что уточнение координат легких атомов в присутствии тяжелого лучеиспускающего эксперим. материала отмечено, что приближительная точность определения атомов Cl в присутствии атома Pt (отношение ат. номеров 1:4): а) при исследовании на излучении  $\text{Cu} < 0,1 \text{ кХ}$ , б) при исследовании на излучении  $\text{Mo} < 0,04—0,05 \text{ кХ}$ , в) при расчете трехмерного распределения функций (Mo-излучение)  $< 0,02—0,025 \text{ кХ}$ . Точность определения координат групп  $\text{NH}_3$  в присутствии Pt (отношение ат. номеров 1:8): а) при исследовании на излучении Cu максимумы, отвечающие группам  $\text{NH}_3$ , могут вовсе не выявиться, смещение максимумов может достигать  $0,3—0,4 \text{ кХ}$ , б) при исследовании на излучении Mo ошибка достигает  $0,1—0,2 \text{ кХ}$ , в) расчет трехмерного распределения при благоприятных условиях дает ошибку  $< 0,03—0,04 \text{ кХ}$ , при наложении ложных максимумов на основную она может достигать  $0,1 \text{ кХ}$ . На основании проведенного анализа сделан вывод, что хлорамминовые соединения Pt являются неподходящими объектами для обнаружения связи между структурой и закономерностью трансляции (малая точность определения расстояния Pt— $\text{NH}_3$ ). А. А.

**24886. Влияние некоторых типов дефектов структуры на геометрию кристалл-дифракционных максимумов.** Воровский Н. В., В сб.: Кристаллография, 1955, вып. 4, 162—182

Анализируется влияние некоторых предельных случаев нарушения периодичности структуры на форму дифракционных максимумов. Рассмотрены случаи одномерной и двумерной (упорядоченность в одном или двух направлениях) дифракций, а также дифракции от аморфных в-в и от слоистых минералов типа графита. М. У.

**24887. Определение абсолютной конфигурации оптически активных соединений с помощью рентгеновских лучей.** Кондауми, Накацу (X線による光学活性化合物のabsolute configurationの決定 小泉正夫, 中津和三), 科学, Kagu, 1955, 10, № 6, 6—8 (япон.) Обзор. Библи. 10 назв. Э. Г.

**24888. Четкие и интенсивные пучки рентгеновских лучей и применение их в рентгеновской кристаллографии.** Роз, Барро (Faisceaux X intenses et bien définis en radiocristallographie. Rose A.-J., Barraud J.), Bull. Soc. franc. minéral et cristallogr., 1954, 77, № 4—6, 734—740 (франц.)

Рассматриваются принципы фокусировки рентгеновских лучей. Сформулированы главные условия отражения (в частности для случая точечного отражения при точечном источнике и неподвижном кристалле). В приведенной таблице методов фокусировки указаны различные приемы фокусировки монокристаллами и поликристаллами. Для монокристаллов рассмотрены случаи поли- и монохроматических излучений. При монохроматич. излучении выделены методы движущегося (поворачивающегося) кристалла и методы изогнутого кристалла. Рассмотрены также методы фокусировки рентгеновских лучей по линии и в одной точке. В качестве примера фокусировки поликристаллами описывается болиновская фокусировка и фокусировка различными цилиндрич. поверхностями, покрытыми кристаллич. порошком. М. У.

**24889. Изменения тонкой структуры молодого кобальта.** Кохановская (Změny jemné struktury mladém kobaltu. Kochanovská Adéla), Českosl. časop. fys., 1955, 5, № 2, 181—191 (чеш.), Чехосл. физ. ж., 1955, 5, № 2, 201—213 (русск., рез. англ.)

Дебаграммы куб. модификации Co, подвергнутой размолю в течение различного времени (0,5—96 час.), свидетельствуют об изменениях во время размола тонкой структуры вследствие пластич. деформации. Интенсивность линии (200), характерной для куб. модификации, при размоле быстро ослабляется, через 8 час. перестает быть заметной, но снова появляется после 48-часового размалывания; по мере увеличения продолжительности размалывания ее интенсивность возрастает. Интенсивность линий (111), (022), (113) и (222), общих для куб. и гексагональной модификации, уменьшается значительно медленнее. Эти линии не исчезают вследствие размола, а лишь постепенно расширяются. Одновременно с исчезновением линий (200) появляются линии (102), (103) и (201) гексагональной модификации, для которых характерна максим. резкость после 8-часового помола. При дальнейшем размалывании они становятся диффузными. Автор предполагает, что процессы, вызываемые размалыванием, проходят по следующей схеме: первая стадия состоит в превращении метастабильной куб. модификации в стабильную гексагональную под влиянием пластич. деформации, что сопровождается возникновением в решетке ошибок в наложении слоев; вторая стадия, начинающаяся при более длительном помоле, состоит либо в образовании и концентрировании в решетке гексагональной формы «слоевых



ошибок роста», либо в обратном переходе гексагональной модификации в кубическую (вследствие местного разогрева). Этот переход является необратимым вследствие наличия избытка кислорода в решетке. Оба указанных предположения позволяют объяснить появление линии (200) после длительного размалывания. Кривые термич. анализа, проведенного как в восстановительной, так и в особенности в окислительной среде, свидетельствуют о значительных качествах различиях в свойствах размолотого и не подвергнувшегося размалыванию Со.

**24890. Новейшие исследования графита.** Арнольд (Neuere Untersuchungen an Graphit. Arnold Richard), Z. angew. Phys., 1955, 7, № 9, 453—460 (нем.).

Обзор исследований структуры, свойств и областей применения графита. Библ. 58 назв. Л. Р.

**24891. Влияние высоких давлений на молекулярную структуру каменных углей.** Разумова Л. Л., Касаточкин В. И., Волярович М. П., Докл. АН СССР, 1955, 103, № 6, 1033—1034

С целью выяснения влияния высоких давлений на органич. массу каменных углей проведено рентгенографич. исследование образцов витрифицированной части углей марок Г, К, ПС, окисленного угля марки К, антрацита и гуминовых к-т из выветрелого угля после 10-минутного воздействия направленной нагрузки в 20 000 кг/см<sup>2</sup>. Рентгенограммы получены на излучении  $\text{Cu-K}\alpha$  на плоскую пластинку при направлении первичного пучка, перпендикулярном направлению действовавшего усилия. На рентгенограммах образцов из углей К и ПС обнаружена текстура, соответствующая возникновению структурной анизотропии в образцах (плоскости углеродных сеток преимущественно перпендикулярны действовавшему давлению). На рентгенограммах порошков этих образцов, снятых в цилиндрич. камерах диам. 86 мм на излучении  $\text{Cu-K}\alpha$ , заметно расширение полосы 002 и возрастание интенсивности фона независимого рассеяния по сравнению с рентгенограммами тех же образцов до воздействия давления. Это наблюдение, указывающее на ухудшение межсеточной упорядоченности в образцах под действием примененных давлений, служит свидетельством молекулярного механизма явления возникновения структурной анизотропии в образцах из-за поворотов отдельных углеродных сеток. Способность к воспроизведению структурной анизотропии у углей под действием давления совпадает с их способностью переходить в жидкотекучее состояние под действием т-ры. Высказано предположение, что под давлением витрифицированная масса каменных углей также переходит в пластич. состояние с деструкцией в боковых цепях пространственного полимера угля, в результате чего могут осуществляться повороты сеток, приводящие к возникновению структурной анизотропии образца. Отсутствие или малая степень анизотропии после воздействия таких же давлений на образцы из углей марки Г, окисленного К, антрацита и гуминовых к-т выветрелого угля объяснено относительной жесткостью их структуры. Л. Р.

**24892. Стандартные порошковые рентгенограммы для  $\text{Nb}_2\text{O}_5$  и  $\text{Ta}_2\text{O}_5$ .** Фревел, Ринн (Powder diffraction standards for niobium pentoxide and tantalum pentoxide. Frevel L. K., Rinn H. W.), Analyt. Chem., 1955, 27, № 8, 1329—1330 (англ.). Приведены данные для 2 модификаций  $\text{Nb}_2\text{O}_5$  (I) и  $\text{Ta}_2\text{O}_5$  (II). Моноклинные модификации по структуре близки к колуииту (Sturdivant J. H., Z. Kristallogr., 1930, 75, 88). Параметры кристаллич. решетки: I  $a$  7,31,  $b$  15,72,  $c$  10,75 Å,  $\beta$  120°42',  $n = 12$ ; II  $a$  7,32,  $b$  15,55,  $c$  10,79 Å,  $\beta$  120°36',  $n = 12$ . Ромбич. модификации имеют псевдогексагональную ячейку с параметрами: I  $a$  3,607,  $c$  3,925 Å,  $n = 0,5$ ; II  $a$  3,60  $\pm$  0,02,  $c$  3,88  $\pm$  0,01 Å.

При нагревании псевдогексагональной модификации I в течение 16 час. при 700° она превращается в моноклинную модификацию.

**24893. Структура диселеноцианата селена.** Акснес, Фосс (The structure of selenium diselenocyanate. Aksnes Ola, Foss Olav), Acta chem. scand., 1954, 8, № 4, 702—703 (англ.).

Предварительное сообщение. С помощью проекций Паттерсона и Фурье определена структура  $\text{Se}(\text{SeCN})_2$ . Параметры решетки:  $a$  10,07,  $b$  13,35,  $c$  4,48 kX,  $n = 4$ , ф. гр.  $Pnma$ . Установлен изоморфизм  $\text{Se}(\text{SeCN})_2$  с  $\text{Se}(\text{SCN})_2$  (РЖХим, 1954, 26966). Расстояние  $\text{Se} - \text{Se}$  2,33 Å,  $\angle \text{SeSeSe}$  101°.

**24894. О полиморфизме. II. Структура и полиморфизм эвкритита (низкотемпературного  $\text{LiAlSiO}_4$ ).** Винклер (Betrachtungen zur Polymorphie. II. Struktur und Polymorphie des Eukryptits (Tief-LiAlSiO<sub>4</sub>). Winkler Helmut G. F.), Heidelber. Beitr. Mineral. und Petrogr., 1954, 4, № 1/2, 233—242 (нем.).

Рентгенографическим исследованием низкотемпературной модификации  $\text{LiAlSiO}_4$  (эвкритит) установлено, что она изоструктурна не низкотемпературной модификации кварца (как это можно было предположить на основе изоструктурности высокотемпературных модификаций  $\text{LiAlSiO}_4$  и кварца), а минералам группы фенакита ( $\text{Be}_2\text{SiO}_4$ ) и виллемита ( $\text{Zn}_2\text{SiO}_4$ ). Сопоставляются структуры эвкритита и высокотемпературной модификации  $\text{LiAlSiO}_4$  (Acta crystallogr., 1948, 1, 27). Высказано предположение о механизме полиморфного превращения, которое имеет место в данном случае. Предварительное сообщение см. РЖХим, 1953, 2779. Часть I см. РЖХим, 1955, 13470. В. Ф. К.

**24895. О полиморфизме. III. К кристаллоструктурному объяснению термического полиморфизма.** Винклер (Betrachtungen zur Polymorphie. III. Zur kristallstrukturellen Deutung der thermischen Polymorphie. Winkler Helmut G. F.), Z. anorgan. und allgem. Chem., 1954, 276, № 3-4, 169—192 (нем.).

Предложена классификация типов полиморфных превращений, базирующаяся на оценке термодинамич. величин: т-ры превращения, изменения внутренней энергии и энтропии при превращении. Обсуждаются преимущества этого принципа классификации перед структурно-геометрическим принципом Бургера (Buerger M. J., в кн. Smoluchowski, Mayer, Weyl «Phase Transformations in Solids», New York, 1951, 183). В. С.

**24896. Рентгенографический анализ гидратов сульфатоалюминатов кальция.** Фратини, Скиппа, Турризани (Analisi röntgenografica dei solfoalluminati idrati di calcio. Frattini Nicola, Schippa Giovanni, Turriziani Renato), Ricerca scient., 1955, 25, № 1, 57—61 (итал.; рез. франц., англ., нем.).

Синтезированы и рентгенографически исследованы  $3\text{CaO} \cdot \text{Al}_2\text{O}_3 \cdot 3\text{CaSO}_4 \cdot 32\text{H}_2\text{O}$  (I) и  $3\text{CaO} \cdot \text{Al}_2\text{O}_3 \cdot \text{CaSO}_4 \cdot 12\text{H}_2\text{O}$  (II). Для II определены параметры решетки и обнаружена структурная аналогия с другими алюминатами; для I доказана идентичность с природным минералом этрингитом. Параметры решетки: I  $a$  11,30  $\pm$  0,05,  $c$  21,40  $\pm$  0,05 Å, ф. гр.  $C6/mmc$ ; II  $a$  8,85  $\pm$  0,05,  $c$  9,01  $\pm$  0,03 Å,  $r_{\text{выч}}$  1,92,  $n = 2$ . Л. Ш.

**24897. Вэракет, кальциевый аналог анальцима, новый цеолитный минерал.** Стейнер (Wairakite, the calcium analogue of analcime, a new zeolite mineral. Steiner A.), Mineral. Mag., 1955, 30, № 230, 691—698 (англ.).

В провинции Вэракей (Новая Зеландия) найден новый минерал, Са-аналог цеолитного минерала анальцима, названный вэракетом (I). Встречен I в туфовых песчаниках и брекчиях Плиоцен-Плейстоценового возраста, подвергшихся воздействию гидротермальных

флюидов. Т-ра образования минерала 200—250°, давл. 55—265 ат. Условия кристаллизации — щелочные. Генезис 1: 1) гидротермальное замещение и раскристаллизация андезита, 2) кристаллизация из гидротермальных р-ров, заполняющих поры и каверны; pH р-ров неизвестен, содержание Са в них велико. I образует друзы и массивные агрегаты, бесцветен или белый, блеск стеклянный, черта белая, хрупкий, уд. вес 2,26, твердость 5,5—6. Показатели преломления:  $n_p = 1,498$ ,  $n_g = 1,502$ ,  $n_g - n_p = 0,004$ ,  $2V$  колеблется от 70 до 105°. Характерны пластинки полисинтетич. двойников вытянутой формы, индивиды сдвойничены под углом 90°. Кривая дегидратации типична для цеолитов. С HCl минерал образует гель. Хим. анализ чистого материала (в %):  $\text{SiO}_2$  55,9;  $\text{Al}_2\text{O}_3$  23,0; CaO 11,7; SrO 0,05;  $\text{Na}_2\text{O}$  1,06;  $\text{K}_2\text{O}$  0,16;  $\text{Cs}_2\text{O}$  0,017; Rb<sub>2</sub>O 0,0003;  $\text{H}_2\text{O}^+$  8,35;  $\text{H}_2\text{O}^-$  0,15. Замещение Na на Са не изменяет соотношения Al:Si. Ф-ла, вычисленная из хим. анализа:  $\text{CaO} \cdot \text{Al}_2\text{O}_3 \cdot 4\text{SiO}_2 \cdot 2\text{H}_2\text{O}$ . Обзор хим. анализов 30 анальцимов на K, Na и Са показывает что: 1) изоморфизм между анальцимом и I ограничен; 2) большинство образцов ближе по составу к анальциму; 3) замещения Na на Са и K ограничены; областью содержания Na 50—100%. Г. С.

**24898. Рентгенографическое исследование вэракита и некубического анальцима. Кумс** (X-ray observations on wairakite and non-cubic analcime. Coombs D. S.), Mineral Mag., 1955, 30, № 230, 699—708 (англ.)

Материалом для исследования послужили образцы, описанные Стейнером (см. пред. реф.): октаэдрич. кристалл 15 мм в поперечнике и несколько небольших осколков. Плоскости кристаллов тусклые, однако на гониометре установлена их близость к куб. граням {111} и {211}. Минерал двусосный, тонко сдвойникованный. В скрещенных николях наблюдаются отдельные пластинки, расположенные под прямым углом друг к другу. Вэракит кристаллизуется в куб. сингонии, но при охлаждении переходит в моноклинную, при этом характер двойничкования усложняется. По Вейссенбергограмме на основе объемноцентрированной анальцимовой ячейки вычислены параметры:  $a$  13,69,  $b$  13,68,  $c$  13,56 Å,  $\beta$  90,5°,  $n = 8$ ; ф. гр.  $I2/a$  или  $Ia$  (рефлексы, соответствующие ф. гр.  $Ia3d$ , слабые или оч. слабые). Положения Si и Al сравнимы с положением этих ионов в структуре анальцима; Са занимает два типа положений, подобно Na в анальциме. Для вэракита, двухпреломляющих природного и синтетич. анальцимов получены порошковые диаграммы в камерах диам. 19 см (приведены значения межплоскостных расстояний), которые обнаруживают раздвоение многих линий, что показывает на понижение симметрии от куб. Раздвоение на порошковых диаграммах вэракита линий, соответствующих линиям 100 и 800 анальцима, автор рассматривает как результат наличия двух ячеек с  $a$  13,68 и 13,56 Å (у анальцима 13,7), являющегося следствием замещения атомами Са только половины атомов Na. Анальцимы дают на порошковых диаграммах широкие или расплывчатые линии (за исключением отражений  $h00$ ), что позволяет предположить переход куб. анальцима в тригональный с  $a$  11,91 Å,  $\alpha$  109°42,5'. На основе оптич. аномалии анальцима делается предположение, что минерал является только псевдокуб. вследствие упорядочения в расположении атомов Si и Al. Изотропные модификации анальцима не существуют. Наблюдаются лишь различные стадии трансформации от куб. симметрии, обусловленные процессом упорядочения-разупорядочения в отношении атомов Si и Al. Автор различает следующие модификации анальцима: 1) строго куб., изотропная, ф. гр.  $Ia3d$  (синтетич. образцы); 2) двухпреломляющая и двусосная с отклонением размеров ячейки от куб.; 3) тригональные

или близкая к ней с ромбоэдрич. углом  $\sim 90,5^\circ$ . Возможна и более низкая симметрия анальцима. Это позволяет использовать анальцим как геотермометр. Г. С.

**24899. Минералогия и кристаллическая структура шамозита. Юэлл** (Mineralogy and crystal structure of chamosite. Youell R. F.), Nature, 1955, 176, № 4481, 560—561 (англ.)

При изучении характера отражений дебаеграмм шамозита обнаружено, что интенсивность рефлексов (20) варьирует для различных образцов от сильных и четких до слабых и диффузных. Автор связывает это явление с разупорядочением в упаковке слоев в направлении оси  $a$  (сдвиг на  $a/3$ ). Смещение каждого слоя приводит к изменению симметрии шамозита от гексагональной к моноклинной. Сопоставляя характер рефлексов с составом минерала и его парагенезисом, автор приходит к выводу, что разупорядоченные шамозиты содержат малое кол-во Fe и большое Al. Окисление шамозита также равносильно его разупорядочению: и в том и в другом случае ион большего радиуса замещается ионом меньшего радиуса ( $R_{\text{Fe}^{2+}} = 0,83$ ,  $R_{\text{Fe}^{3+}} = 0,67$ ,  $R_{\text{Al}^{3+}} = 0,57$ ). Поэтому разупорядочение шамозита эквивалентно его замещению каолинитом, упорядочение — сидеритом. Переход от упорядоченного шамозита к разупорядоченному аналогичен переходу от упорядоченной огнеупорной глины к разупорядоченному метагалаузиту. Г. С.

**24900. Стивенсит, минерал монтмориллонитового типа с наличием смешанных слоев. Бриндл** (Stevensite, a montmorillonite-type mineral showing mixed-layer characteristics. Brindley G. W.), Amer. Mineralogist, 1955, 40, № 3—4, 239—247 (англ.)

Найденный недавно в Нью-Джерси минерал, обнаруживающий аномально низкую способность к катионному обмену, исследовался рентгенографически, электронографически и на набухание в органич. жидкостях. Показано, что минерал принадлежит к монтмориллонитовой группе минералов. На рентгенограммах обнаружен рефлекс с  $d \sim 24$  Å. Моноклинные отражения не наблюдаются. По отражениям  $hk0$  найден параметр  $b = 9,12$  Å. При нагревании до 400° базисное расстояние уменьшается до 9,6 Å. При набухании стивенсита в различных органич. жидкостях эти расстояния увеличиваются до 30 Å. Предполагается, что минерал состоит из последовательно смешанных слоев с базисным расстоянием 9,5—10 и 14—15 Å, причем только последние подвержены (подобно слоям в монтмориллоните) изменению при набухании или нагревании. В электронном микроскопе обнаруживаются только очень тонкие пластинки с неправильными очертаниями, как и у других монтмориллонитов. Н. Ш.

**24901. Кристаллическая структура алифатической двусосной кислоты  $\text{C}_4\text{H}_6\text{O}_6 \cdot 2\text{H}_2\text{O}$ . Гупта** (The crystal structure of the aliphatic dibasic acid  $\text{C}_4\text{H}_6\text{O}_6 \cdot 2\text{H}_2\text{O}$ . Gupta M. P.), Canad. J. Chem., 1955, 33, № 9, 1450—1451 (англ.)

Ранее на основании определения параметров решетки, числа молекул и ф. гр. (РЖХим, 1955, 9091) было показано, что в кристаллич. состоянии молекула  $\text{C}_4\text{H}_6\text{O}_6 \cdot 2\text{H}_2\text{O}$  имеет транс-конфигурацию и является производной фумаровой к-ты, а не малеиновой. Построение двумерных проекций Паттерсона и Фурие подтвердило этот вывод. В структуре молекулы связаны друг с другом с помощью молекул  $\text{H}_2\text{O}$  в цепи вдоль [102]; группы COOH соседних молекул не образуют водородных связей. Э. Г.

**24902. 4-аминосалициловая кислота. Крц. Мак-Крон** (4-aminosalicylic acid. Krc John, Jr,

McCrone W. C.), *Analyt. Chem.*, 1955, 27, № 9, 1503—1504 (англ.)

Кристаллы 4-аминосалициловой к-ты получены из водн. р-ра ацетона (1:1). Кристаллы моноклинной сингонии. Пластины вытянуты параллельно оси *b*; простые формы: {201}, {100}, {001} и {110}. Параметры решетки:  $a$  24,62,  $b$  3,795,  $c$  7,239,  $\beta$  108,6°,  $\rho$  1,545,  $n = 4$ . Показатели преломления (5893 Å; 25°):  $n_p$  1,536,  $n_m$  1,695,  $n_g$  1,99,  $2H = 100^\circ$ ,  $2V = 87^\circ$ . Дисперсия сильная,  $r > v$ ; плоскость оптич. осей (010); угол  $n_g : a$  26°. Мол. рефракция (5893 Å; 25°) 38,8; т. пл. 220°. Приводятся 40 значений  $d$ . У. А.

24903. Размеры элементарной ячейки  $\gamma$ -лауриновой и  $\gamma$ -миристиновой кислот. Ломер (Unit-cell dimensions of  $\gamma$ -lauric and  $\gamma$ -myristic acids. Lomer T. R.), *Nature*, 1955, 176, № 4483, 653—654 (англ.)

Кристаллы  $\gamma$ -форм лауриновой (I) и миристиновой (II) к-т получены из соответствующих  $\alpha$ -форм (хранившихся более 2 лет в лаборатории при комнатной т-ре). Параметры решетки определены по порошковым диаграммам: I  $a$  22,1,  $b$  5,24,  $c$  32,0 Å,  $\beta$  99°58',  $\rho$  1,09,  $n = 12$ ; II  $a$  22,2,  $b$  5,14,  $c$  37,2 Å,  $\beta$  100°50',  $\rho_{\text{рент}}$  1,09,  $n = 12$ ; возможные ф. гр. для I и II:  $Pn$ ,  $P2_1/n$  или  $P2_1/n$ . II легко превращалась в  $\alpha$ -форму при нагреве до т-ры, близкой к точке плавления. У. А.

24904. Кристаллизация и элементарная ячейка абетиновой кислоты. Такамацу (On the crystallisation and unit cell of abietic acid. Takamatsu Toshiaki), *J. Scient. Res. Inst.*, 1953, 47, Dec., 128—132 (англ.)

Изучены некоторые физ. свойства кристаллов абетиновой к-ты. Т-ра плавления: 159—161°. Отмечен значительный пьезоэффект параллельно оси  $b$ , свидетельствующий об отсутствии плоскости симметрии. Параметры решетки определены по рентгенограммам колебания и порошка ( $\lambda$  Cu-K $\alpha$ ):  $a$  14,1,  $b$  12,0,  $c$  11,6 кÅ,  $\beta$  112°30',  $\rho$  1,09,  $n = 4$ , ф. гр.  $P2_1$ . А. А.

24905. Размеры элементарной ячейки для гидрата мальтозы и некоторых ацильных производных сахаров. Френч (Unit-cell data for maltose hydrate and some acyl saccharide derivatives. French Dexter), *Acta crystallogr.*, 1954, 7, № 1, 136—137 (англ.)

Приведены значения параметров решетки для 23 сахаров и их ацильных производных. А. А.

24906. Структура производного криптолеурина. Фридриксон, Матисон (Structure of a derivative of cryptoleurine. Fridrichson J., Mathieson A. McL.), *Nature*, 1954, 173, № 4407, 732—733 (англ.)

Алкалоид криптолеурин и его производные отличаются высокой токсичностью. Хим. и спектрофотометрич. методы не позволили определить его мол. структуру. С помощью рентгеноструктурного анализа определена мол. структура подметилата *dl*-изокриптолеурина, полученного кипячением подметилата криптолеурина с 20%-ным р-ром КОН и перекристаллизацией из H<sub>2</sub>O. С помощью рентгенограмм вращения и вейссенбергограмм определены параметры решетки:  $a$  9,95,  $b$  24,2,  $c$  9,95 Å,  $\beta$  112°,  $\rho_{\text{выч}}$  1,548,  $\rho_{\text{эксп}}$  1,54,  $n = 4$  C<sub>25</sub>H<sub>30</sub>O<sub>3</sub>NJ, ф. гр.  $P2_1/n$ . Положения атомов определены с помощью двумерных и обобщенных проекций Паттерсона. Рациональное название соединения: 2, 3, 6-триметоксифенантро-[9,10-*b*]-хинолизидин. А. А.

24907. Ацетат гидрокортизона. Шелл (Hydrocortisone acetate. Shell John W.), *Analyt. Chem.*, 1955, 27, № 10, 1665—1666 (англ.)

Кристаллы ацетата гидрокортизона получены из водн. р-ра ацетона; в органич. р-рителях за исключением

диметилформамида в-во растворяется слабо. Кристаллы моноклинной сингонии; простые формы: {100}, {001}, {110}, {011}, {031}. Параметры решетки:  $a$  8,85,  $b$  13,64,  $c$  8,84,  $\beta$  102,3°,  $n = 2$ ,  $\rho$  1,289. Показатели преломления:  $n_p = 1,543$ ,  $n_m = 1,589$ ,  $n_g = 1,627$ ;  $2V = 83,5^\circ$ . Ориентация оптич. осей:  $y || b$ , угол  $z : a$  16°. Мол. рефракция  $R = 105,3$ , т. пл. 224°. Кристаллы нестабильного сольвата, полученные при кристаллизации из диметилформамида, имеют ромбич. сингонию с простыми формами: {110}, {010}. Параметры решетки:  $a$  15,2,  $b$  24,74,  $c$  7,71. Показатель преломления (5893 Å; 25°)  $n_p = 1,558$ ; ориентировка оптич. осей:  $X = c$ ;  $Y = a$ . У. А.

24908. Кристаллическая структура и физические свойства CdSe. Аоки, Танака (CdSeの結晶構造と物理的性質. 青木昌治, 田中昭二), *應用物理*, Общ. буцури, *J. Appl. Phys. Japan*, 1955, 24, № 3, 113—117 (япон.; рез. англ.)

Электроннографически исследованы образцы CdSe, приготовленные различными методами. Наблюдается переход куб. модификации CdSe в гексагональную при нагревании в вакууме или в атмосфере H<sub>2</sub>. Изучалась зависимость электропроводности, термо-э. д. с. от т-ры и оптического поглощения и фотопроводимости CdSe от длины волны для обеих кристаллич. форм. На основании особенностей изменения этих свойств в гексагональной модификации предположено, что в ее кристаллах содержится сверхстехиометрич. избыток Cd. В. Г.

24909. Кристаллы комплексных соединений металлов платиновой группы (статья 12). Ляшенко М. Н., *Тр. ин-та кристаллогр. АН СССР*, 1954, № 9, 335—348

Проведено кристаллооптич. и гониометрич. исследование следующих соединений Pt(2+): K<sub>2</sub>PtX<sub>4</sub>, K[Pt(NH<sub>3</sub>)X<sub>3</sub>]·H<sub>2</sub>O, [Pt(NH<sub>3</sub>)<sub>2</sub>X<sub>2</sub>]·*цис* и *транс*, [Pt(NH<sub>3</sub>)<sub>2</sub>X]X и [Pt(NH<sub>3</sub>)<sub>4</sub>]X<sub>2</sub>·*n*H<sub>2</sub>O, где X = Cl, Br и NO<sub>2</sub>. Приведены соответствующие константы. А. А.

24910. Изучение тонких металлических слоев посредством эллипсометрии отраженного света. Море-Байи (Étude des couches métalliques minces par ellipsométrie de la lumière réfléchie. Moret-Bailly J.), *J. phys. et radium*, 1955, 16, № 7, 69S (франц.)

Наблюдалось изменение состояния поляризации света при отражении от тонких Al-пленок, полученных сублимацией на стекло, в зависимости от их толщины. Измерения велись при длине волны 0,546 м и угле падения 45°. Для толстых слоев показатель преломления равен 0,75, а коэфф. поглощения 4,88. Слой толщиной <50 Å полностью окислены и имеют малую оптич. плотность. Разность фаз основных компонент отраженного поляризованного света меняет знак при толщине 63 Å. Отношение амплитуд и оптич. плотность очень мало изменяются в интервале толщин 105—200 Å. М. Н.

24911. К оценке толщины слоя Бейльби. Ямагучи (Zur Abschätzung der Dicke der Beilby-Schicht. Yamaguchi Shigetō), *Z. Phys.*, 1955, 140, № 6, 577—580 (нем.)

Для оценки толщины  $\delta$  слоя Бейльби, образовавшегося на поверхности хромистой и никелевой сталей при механич. обработке, использован метод получения оксидных отпечатков (Mahla E. M., Nielsen N. A., *J. Appl. Phys.*, 1948, 19, 378), просматриваемых в электронном микроскопе. Отпечатки получали окислением поверхности в расплаве KNO<sub>3</sub> + NaNO<sub>3</sub> и отделением окисленного слоя в спирт. р-ре брома. На отпечатке с образца, шлифованного на наждачной бумаге, не видна структура металла, следовательно, в этом случае  $\delta > 150$  Å (т. е. толщины отпечатка). На отпечатке с образца, обработанного ювелирной пилой, видна



структура металла. В этом случае  $h < 150$  Å. Для определения толщины слоя, в котором произошло превращение аустенита в феррит в хромоникелевой стали при механич. полировке, образцу придавали клиновидную форму и с тонкого края снимали электронограмму при напряжении 170 кВ. Из соотношения интенсивностей линий, принадлежащих обоим фазам и толщины края, вычисленной с помощью теории многократного рассеяния электронов (Ellis S. G., Phys. Rev., 1952, 87, 970), найдено, что толщина превращенного слоя равна 250 Å.

И. Т. 24912. Влияние облучения в реакторе на превращение белого олова в серое. Флиман, Диенеш (Effect of reactor irradiation on the white-to-grey tin transformation. Fleeman Jerome, Dienes G. J.). J. Appl. Phys., 1955, 26, № 6, 652—654 (англ.)

С помощью dilatометрич. измерений обнаружено, что скорость превращения  $\beta \rightarrow \alpha$ -Sn под влиянием предварительного облучения нейтронами сильно увеличивается по сравнению с практически равной нулю скоростью превращения в чистых необлученных образцах  $\beta$ -Sn. Облучение в реакторе производилось при т-ре жидкого азота, dilatометрич. измерения скорости превращения — при т-рах от  $-60$  до  $-20^\circ$ . При каждой т-ре скорость превращения хорошо воспроизводима. Она максимальна при  $-30^\circ$ . Добавление кристалликов  $\alpha$ -Sn, как известно, ускоряет превращение  $\beta \rightarrow \alpha$ . Повидимому, дефекты, образующиеся в решетке  $\beta$ -Sn при облучении, играют ту же роль, что и кристаллики  $\alpha$ -Sn: они служат центрами или зародышами кристаллизации стабильной  $\alpha$ -фазы. Природа этих дефектов не установлена.

Ш. К. 24913. Распределение примеси в кристаллах, выращенных из перемешиваемых расплавов с примесями. Хьюм (On the distribution of impurity in crystals grown from impure unstirred melts. Hulme K. F.). Proc. Phys. Soc., 1955, B68, № 7, 393—399 (англ.)

Известно, что при выращивании кристалла из неподвижного или слабо перемешиваемого расплава, содержащего примеси, образуется пограничный слой с переменной конц-ией примеси. Дано точное решение задачи о скорости достижения равновесного состояния в этом слое для всех значений коэфф. сегрегации (отношение конц-ии примеси в кристалле к ее конц-ии в расплаве на поверхности раздела). Вычислено распределение примеси в растущем кристалле для различных коэфф. сегрегации.

А. Х. 24914. Кристаллооптические свойства органических соединений. IV. 2-Фенил-1,2,3,2 Н-триазол-4-карбинол и продукты его окисления. Касел (Optical crystallographic properties of organic compounds. IV. 2-Phenyl-1,2,3,2H-triazol-4-ylcarbinol and its oxidation products. Castle Raymond N.). Mikrochim. acta, 1953, № 3, 196—199 (англ.)

Кристаллооптически исследован 2-Фенил-1,2,3,2Н-триазол-4-карбинол, его альдегид и карбоксикислота. Оптич. константы этих соединений измерены на кристаллах, погруженных в имерсионную жидкость. Найдено, что все они принадлежат к ромбич. сингонии. Различие в оптич. константах достаточно велико, так что им можно пользоваться для идентификации этих соединений. Кристаллы карбинола и кислоты характеризуются очень большой дисперсией угла оптич. осей. Кристаллы альдегида отличаются очень высоким положительным двуупреждением ( $n_g - n_p = 0,356$ ). Эта особенность в сочетании с плоской формой кристаллов позволяет считать, что молекулы кристалла ориентированы параллельно оси  $n_g$  индикатрисы. Исследованы процессы и т-ра плавления чистых кристаллов и их смесей. Результаты работы не позволяют обнаружить внутреннюю связь между константами исследованных

соединений. Часть III см. РЖХим, 1955, 21250. Н. В. 24915. Роль коллоидных частиц в происхождении винтовых дислокаций. Серс (The origin of screw dislocations—role of colloidal particles. Sears G. W.). Acta metallurgica, 1955, 3, № 3, 299—300 (англ.)

Возникновение дислокаций на поверхности больших граней пластинок  $\text{CdI}_2$  объяснено тем, что с поверхностью грани сталкиваются субмикроскопич. колл. частицы, и в дальнейшем рост пластинок происходит около этих частиц.

С. Я. 24916. Графический метод исключения потерь проводимости при измерениях  $\epsilon'$  и  $\epsilon''$  на километровых волнах; применения. Меннел (Elimination graphique de terme de conductivité dans les mesures de  $\epsilon'$  et  $\epsilon''$  en ondes kilométriques; applications. Meinel J.). Onde électr., 1955, 35, № 338, 468—471 (франц.)

При определении энергии активации  $E$  релаксационных процессов методом измерения дебаевских диэлектрич. потерь  $\epsilon''_D$  (РЖХим, 1956, 3244) необходимо из общих потерь вычесть потери проводимости  $\epsilon''_c$ . Исходя из того, что  $\epsilon''_c = 18 \cdot 10^{11} \sigma / \nu$ , где  $\sigma$  — уд. проводимость в  $\text{ом}^{-1} \text{см}^{-1}$ , а  $\nu$  — частота, автор предлагает метод определения  $\epsilon''_c$ , основанный на построении графика  $\lg \epsilon''_c = f(\lg \nu)$ , который должен представлять прямую с наклоном 1. Этим методом были исключены  $\epsilon''_c$  и

определены  $\epsilon''_D$  для Se, В,  $\text{Cu}_2\text{O}$  и  $\text{NaCl} - \text{Na}_2\text{SO}_4$ . Результаты и методика определения  $E$  для Se и В описаны ранее (РЖХим, 1955, 48376). Для  $\text{Cu}_2\text{O}$   $E = 0,20 - 0,25$  эв; величина  $E$  не зависит от влажности. В системе  $\text{NaCl} - \text{Na}_2\text{SO}_4$  примесь иона  $\text{SO}_4^{2-}$  выбрана для уменьшения  $\epsilon''_c$ . Смесь  $\text{NaCl}$  с  $\text{Na}_2\text{SO}_4$  плавилась при  $1000^\circ$  и быстро охлаждалась. На кривых  $\epsilon''_D = f(\lg \nu)$  при т-рах 438, 468 и  $498^\circ \text{K}$  имеются интенсивные максимумы,  $E = 1,05$  эв.

А. Х. 24917. О влиянии примесей на поверхностное натяжение и рекристаллизацию олова. Семенченко В. К., Кристьян Э., Иверонова В. И., Докл. АН СССР, 1955, 102, № 5, 973—975

На основании теоретич. представлений (Семенченко В. К., Ж. физ. химии, 1932, 1, 285; Тр. конференции по модифицированию чугуна при АН СССР, изд. АН СССР, 1942) ожидалось, что поверхностноактивные примеси должны повышать т-ру рекристаллизации, тормозить полиморфное превращение  $\text{Sn}\alpha \rightleftharpoons \text{Sn}\beta$  и уменьшать величину зерна при кристаллизации из расплава; инактивные примеси должны оказывать противоположное влияние в первых двух случаях и не влиять на величину зерна. Исследовано влияние на рекристаллизацию Sn поверхностноактивных примесей Na (1,06 ат. %), Bi (0,58 ат. %) и Te (0,03 ат. %) и инактивных примесей Al (0,83 ат. %), Mn (1,05 ат. %) и Zn (1,68 ат. %). Образцы Sn и Sn с примесями деформировали на 20% сжатием при  $0^\circ$  и подвергали рекристаллизационному отжигу при 30, 40, 50 и  $60^\circ$  в течение 30 мин. Установлено, что чистое Sn рекристаллизуется при  $30^\circ$ . Al и Mn понижают т-ру рекристаллизации, повидимому, до т-ры несколько ниже комнатной. Na, Bi, Te и Zn повышают т-ру рекристаллизации на  $20 - 30^\circ$ . Влияние на переход  $\text{Sn}\alpha \rightleftharpoons \text{Sn}\beta$  и величину зерна (по литературным данным) во всех случаях совпадает с ожидаемым, за исключением Te, который способствует переходу  $\text{Sn}\alpha \rightleftharpoons \text{Sn}\beta$ .

Ч. М. 24918. Научение энергетических уровней в твердых телах методом измерения дебаевских диэлектрических потерь. Ромер, Фрейман, Фрейман

(Études des niveaux d'énergie dans les solides par la méthode d'absorption dipolaire Debye. Rohmer M. R., Freymann M., m-me, Freymann M. R.), Onde élect., 1955, 35, № 338, 465—467 (франц.)

Обзор. Рассмотрен разработанный авторами метод определения глубины примесных уровней путем измерения релаксационных потерь на радиочастотах. Библ. 5 назв.

24919. Влияние примесей меди и алюминия на температурную зависимость коэффициента самодиффузии в монокристаллах цинка вдоль различных кристаллографических направлений. Наскидашвили И. А., (საბუნების და ადამიანის მხარეების გავლენა თუთიის მონოკრისტალში თვითდრეზიის კოეფიციენტის ტემპერატურულ დამოკიდებულებებზე დასავა კრისტალოგრაფიული მიმართულებით. ნასკიდაშვილი ი. ა.), სპ. სსრ მეცნ. აკად. მოაზრ. Сообщ.

АН ГрузССР, 1955, 16, № 7, 509—516

Исследовано влияние примесей Cu и Al (0—0,5 ат. %) на степень анизотропии и температурную зависимость коэф. самодиффузии  $D$  в монокристаллах Zn. Чистота исходных материалов: Zn 99,99%, Al 99,97%, Cu — электролитич. Образцы гомогенизировались при 360° и закалялись в смеси лед — вода. Однородность концы примесей контролировалась спектроскопически. Радиоактивным индикатором служил изотоп  $Zn^{65}$ . Диффузионный отжиг проводился при 550—630° в атмосфере Ar.  $D$  определяли описанным ранее методом (Грузия П. Л.). Докл. АН СССР, 1952, 86, 289). Ошибка в определении  $D$  равна 16—17%. Температурная зависимость  $D$  описывается ур-ниями:  $D_{\perp} = 14 \cdot 10^4 \exp(-26000/RT)$ ;  $D_{\parallel} = 1100 \exp(-1900/RT) \text{ см}^2/\text{сутки}$ , где  $D_{\perp}$ ,  $D_{\parallel}$  — коэф. самодиффузии соответственно перпендикулярно оси  $c$  и вдоль нее. Анизотропия  $D$  чистого Zn, резко выраженная при низких  $t$ -рах, становится менее значительной по мере приближения к  $t$ -ре плавления.  $D$  монотонно увеличивается с увеличением кол-ва Cu как вдоль оси  $c$ , так и перпендикулярно к ней. Cu уменьшает степень анизотропии  $D$ . Введение в твердый  $p$ -р Zn—Cu примесей Al уменьшает  $D$  вдоль обоих кристаллографич. направлений, но не влияет на степень анизотропии  $D$ . Влияние Cu и Al на  $D$  обусловлено изменением предэкспоненциального фактора при постоянстве энергии активации. Сравнение полученных результатов с известными рентгеноструктурными данными показывает, что в случае, когда объем элементарной ячейки Zn уменьшается (примесь Cu),  $D$  возрастает и наоборот (примесь Al).

24920. Численное решение уравнений диффузионного типа с коэффициентом диффузии, зависящим от концентрации. Филип (Numerical solution of equations of the diffusion type with diffusivity concentration-dependent. Philip J. R.), Trans. Faraday Soc., 1955, 51, № 7, 885—892 (англ.)

Дан новый численный метод решения ур-ния  $\partial\theta/\partial t = \partial/\partial x (D\partial\theta/\partial x)$  для полуограниченного пространства при условиях:  $\theta = \theta_0$ ,  $t = 0$ ,  $x > 0$ ,  $\theta = \theta_0$ ,  $x = 0$ ,  $t \geq 0$ ; здесь  $D$  — однозначная функция  $\theta$ . Если принять  $\theta$  за независимое переменное, то отыскание

$\Phi = x t^{-1/2}$  сводится к решению ур-ния  $\int_{\theta_0}^{\theta} \Phi d\theta = -$

$-2D(d\theta/d\Phi)$  при условии  $\theta = \theta_0$ ,  $\Phi = 0$ . Ур-ние решается методом конечных разностей. При этом  $\Phi_{r+1} - \Phi_r = 2\bar{D}_{r+1/2} I_{r+1/2}$  и  $I_{r+1/2} - I_{r-1/2} = -\Phi_r$ .

Здесь  $\bar{D}_{r+1/2} = \int_{\theta_{r+1}}^{\theta_r} D d\theta / \int_{\theta_{r+1}}^{\theta_r} d\theta$ ,  $I_{r+1/2} = (\int_{\theta_0}^{\theta_r} \Phi d\theta) / \theta_0$

—  $\Phi_r/2$  и  $\theta_0$  — величина шага. Если известна величина  $I_{1/2}$ , то нахождение  $\Phi_1, \Phi_2 \dots \Phi_{n-1}$  происходит без труда. Дан быстро сходящийся итеративный процесс отыскания  $I_{1/2}$ , основанный на анализе решения при  $\theta \rightarrow \theta_0$ . Дано обобщение решения Неймана (для  $D$ -двухступенчатой функции  $\theta$ ) на случай  $D$ -л — ступенчатой функции  $\theta$ . Задача приводится к решению системы  $(3n-1)$  линейных алгебраич. ур-ний. Д. Т. 24921.

К вопросу о механизме реакционной диффузии при взаимодействии твердой меди с некоторыми газообразными элементами. Архаров В. И., Мардешев Сабир, Докл. АН СССР, 1955, 103, № 2, 273—276

Рентгенографически исследовались слои соединений, образующихся на поверхности твердой Cu при ее взаимодействии с некоторыми элементами в газовой фазе (Cl, Br, J, S, Se, Te, P, Si, Zn) при повышенных  $t$ -рах. Структурные характеристики слоев указывают на диффузию металла сквозь слои продуктов  $r$ -ции на внешнюю поверхность и диффузию элементов из газовой фазы сквозь эти слои внутрь к металлу, сердцевине образца. С этой точки зрения рассмотрен механизм диффузии в исследованных системах. Обсуждена возможная связь механизма диффузии с величиной атомных или ионных радиусов компонентов и с характером сил связи в кристаллич. решетках соответствующих соединений. В системе Cu—Zn наблюдается эффект, обратный эффекту Киркендалла: Zn диффундирует в Cu с большей скоростью, чем Cu в Zn, вызывает в диффузионной зоне наклеп, который при условиях опыта сопровождался рекристаллизацией.

В. А. 24922. Диффузия в твердых металлах и их окисление. (Вопросы химической кинетики). Берченалл (Diffusion and oxidation of solid metals. Chemical rate processes. Birchenall C. E.), Industr. and Engng Chem., 1955, 47, № 3, part 2, 604—613 (англ.)

Обзор теоретич. и эксперим. работ по вопросам: диффузия и самодиффузия в металлах, сплавах замещения и внедрения; эффект Киркендалла; диффузия по границам зерен и по поверхности; диффузия в Ge и Si; свойства окислов; скорость и механизм окисления металлов и сплавов. Библ. 135 назв.

А. Х. 24923. Диффузия и растворимость азота в бетакрионии. Маллетт, Баруди, Нелсон, Папп (The diffusion and solubility of nitrogen in beta zirconium. Mallett M. W., Baroudy E. M., Nelson H. R., Papp C. A.), J. Electrochem. Soc., 1953, 100, № 3, 105—106 (англ.)

Измерена скорость диффузии азота в  $\beta$ -цирконии в интервале  $t$ -р 900—1600° и давл. 1 атм. Состав образца: Zr 97,8—98,2%, Hf 1,8—2,2%, следы кислорода, азота, водорода, Fe и Si (всего <0,01%). Диффузия описывается ур-нием  $D = 3 \cdot 10^{-7} \exp(-33600/RT) \cdot \text{см}^2/\text{сек}^{-1}$ . Вероятная ошибка в определении энергии активации равна 1600 кал/моль. Из диффузионных данных определены растворимости азота в  $\beta$ -Zr в интервале 900—1600°. Результаты представлены графически. Растворимость линейно возрастает с  $t$ -рой, достигая 0,6 вес. % при 1600°.

А. Х. 24924. Интерметаллическая диффузия в латунях. Аккари (Sur la diffusion intermétallique dans les laïtons. Accary André), C. r. Acad. sci., 1953, 236, № 26, 2502—2504 (франц.)

Пластинку латуни, содержащую 37,4% Zn, запаивали между двумя пластинками из электролитич. Cu в вакууме при 700°, подвергали диффузионному отжигу при  $710 \pm 5^\circ$  в течение 785 час., рентгенографически определяли параметры решетки на различных расстояниях от пластинок латуни и по закону Вегарда вычисляли конц-ию с Zn в Cu на этих расстояниях. Зави-

симось коэфф. диффузии  $D$  от  $c$  определяли по 2-му закону Фика и уравнению Матано (Matano, Japan. J. Phys., 1933, 8, 109). График  $\lg D = f(c)$  представляет собой две прямые, пересекающиеся при  $c = c_m$ , где  $c_m$  — концентрация Zn в плоскости Матано. Значение  $D$  описывается уравнениями:  $D = D_m \cdot 10^{\alpha(c-c_m)}$  для  $c < c_m$  и  $D = D_m \cdot 10^{\alpha'(c-c_m)}$  для  $c > c_m$ , где  $c_m = 23,5\%$  Zn,  $D_m = 4,8 \cdot 10^{-10} \text{ см}^2 \text{ сек}^{-1}$ ,  $\alpha = 0,058$  и  $\alpha' = 0,034$ . Существование двух прямых указывает на наличие двух различных механизмов диффузии. Микрофотография зоны с низкой концентрацией Zn обнаруживает полиэдрич. пустоты, образовавшиеся в результате сегрегации вакансий. На этом основании сделан вывод, что в этой зоне имеет место диффузия вакансий. А. Х.

**24925. Диффузия натрия в кристаллах вольфрамонариевой бронзы. Смит, Даниэлсон** (Diffusion of sodium in sodium tungsten bronze. Smith J. F., Danielson G. C.), Phys. Rev., 1953, 89, № 4, 911 (англ.)  
См. РЖХим, 1955, 5228.

**24926. Фотостимулированная диффузия в твердых телах. Зейц** (Photon-stimulated diffusion in solids. Seitz Frederick), Science, 1953, 117, № 3044, 471 (англ.)

Предложено объяснение оптич. обесцвечивания  $\alpha$ -нолосы поглощения в окрашенных щелочногалогенидных кристаллах при т-ре жидкого азота, т. е. когда нормальная термодиффузия галогенных вакансий ничтожно мала. Автор предполагает, что в результате поглощения фотонов  $\alpha$ -центрами колебания решетки вблизи галогенных вакансий достигают значительной амплитуды и поэтому ускоряют диффузию вакансий, которые мигрируют к местам своего исчезновения или агрегации. Описанный механизм может, в принципе, осуществляться и при т-ре абс. нуля и объясняет возможность фотостимулированной диффузии при низкой т-ре. А. Х.

**24927. Теплопроводность алмаза при низких температурах. Берман, Саймон, Займан** (The thermal conductivity of diamond at low temperatures. Berman R., Simon F. E., Ziman J. M.), Proc. Roy. Soc., 1953, 220, ser. A, № 1141, 171—183 (англ.)

Измерена теплопроводность  $\kappa$  алмаза в интервале 2—300° К. При  $T > 100^\circ \text{ К}$  приблизительно  $\kappa \propto 1/T$ , что согласуется с теорией Пайерлса. Отсюда следует, что при  $T > 100^\circ \text{ К}$   $\kappa$  определяется процессами переброса фононов. При самых низких исследованных т-рах  $\kappa$  заметно зависит от размеров образца, откуда следует, что при этих т-рах  $\kappa$  определяется рассеянием фононов на границах образца. В промежуточном интервале 50—100° К  $\kappa$  проходит через максимум. Измеренная  $\kappa_{\text{макс}}$  намного меньше значения, вычисленного на основе высокотемпературных ( $> 100^\circ \text{ К}$ ) и низкотемпературных данных. Сделан вывод, что уменьшение  $\kappa$  обусловлено дефектами в кристаллич. решетке образца. Ф. П.

**24928. Теплопроводность никеля выше и ниже точки Кюри. Игон, Жаффе** (La conductivité thermique du nickel de part et d'autre du point de Curie. Hugon Lionel, Jaffray Jean), Ann. Phys., 1955, 10, mai-juin, 377—385 (франц.)  
Измерен коэфф. температуропроводности  $\alpha$  никеля в интервале 0—650°. С увеличением т-ры  $\alpha$  убывает вплоть до точки Кюри ( $\theta_K = 360^\circ$ ), при  $\theta_K$  увеличивается скачком и далее монотонно растет с т-рой. Коэфф. теплопроводности  $\lambda = \alpha \rho c$ , где  $c$  — уд. теплоемкость,  $\rho$  — плотность, как функция т-ры обладает минимумом при  $\theta_K$ , но изменяется при этом непрерывно. «Постоянная» Видемана-Франца, равная  $L =$

$= \lambda \sigma T$  (где  $\sigma$  — электропроводность), вплоть до  $\theta_K$  довольно быстро растет с т-рой, оставаясь все время меньше  $(\pi^2/3)(k'e)^2$  — значения  $L$ , даваемого теорией свободных электронов. Выше  $\theta_K$   $L$  растет с т-рой значительно медленнее, а значения ее очень близки к теоретическому. Ш. К.

**24929. Определение упругих постоянных твердых тел методами дифракции ультразвука. Верма** (Determination of elastic constants of solids by ultrasonic diffraction methods. Verma G. S.), Nature, 1955, 176, № 4470, 27—28 (англ.)

Экспериментально определялся угол полного внутреннего отражения ультразвуковой волны в тонкой пластинке из исследуемого материала, погруженной в жидкость. При изменении угла между пластинкой и направлением ультразвукового луча первоначально наблюдается резкий минимум проходимости ультразвука при достижении предельного угла полного внутреннего отражения продольных волн, а затем прекращение проходимости при достижении предельного угла полного внутреннего отражения сдвиговых волн в пластинке. Пропитимость определялась по наблюдению дифракционной картины в жидкости за пластинкой. Вычислены скорости продольных  $V_L$  и сдвиговых  $V_S$  волн в пластинках из различных металлов и стекла.  $V_L$  (в м/сек): Al 6686, Ag 3181, Cu 5958, стали 6301, Ni 4480, стекло 5697, Zn 6686, латунь 4480.  $V_S$  (в м/сек): Al 3626, Ag 1671, Cu 2703, сталь 3221, Ni 2394, стекло 3221, Zn 2441, латунь 2540. Для исследованных материалов приводятся рассчитанные значения модулей Юнга, модулей объемной упругости и постоянной Пуассона. Б. К.

**24930. Люминесценция сульфида цинка. Хогенстраатен** (Fluorescentie van Zinksulfide. Hogenstraaten W.), Nederl. tijdschr. natuurkunde, 1955, 21, № 6, 150—159 (голл.; рез. англ.)

Анализ литературных данных по механизму свечения фосфоров типа ZnS. Рассмотрена хим. и физ. структуры фосфоров. Локальные электронные уровни в запрещенной зоне, определяющие люминесцентные свойства, рассматриваются как возмущенные уровни кристалла. Показано, что бимолекулярный механизм электронных процессов ответствен за нелинейные характеристики люминесценции, затухание и другие явления. А. Х.

**24931. Фосфор из окиси сурьмы с красным свечением. Котера, Сёкине** (Antimony oxide phosphor with red emission. Kotera Yoshihide, Sekine Tadao), J. Electrochem. Soc., 1955, 102, № 7, 390—393 (англ.)

Фосфор  $\text{Sb}_2\text{O}_3$ -Mn получают прокаливанием смеси из 25 г  $\text{Sb}_2\text{O}_3$ , 0,50 г  $\text{H}_3\text{BO}_3$  и 0,024 г безводн.  $\text{MnSO}_4$  при 1100° в течение 6 час. на воздухе. Исследована возможность частичной замены  $\text{Sb}_2\text{O}_3$  оксидами  $\text{As}_2\text{O}_3$ ,  $\text{SnO}_2$  и  $\text{P}_2\text{O}_5$ ; замены  $\text{H}_3\text{BO}_3$  соединениями  $\text{LiCl}$ ,  $\text{MgCl}_2$ ,  $\text{CaCl}_2$ ,  $\text{MgF}_2$ ,  $\text{CaF}_2$ ,  $\text{KBr}$ ,  $\text{NaNO}_3$ ,  $\text{Na}_2\text{HPO}_4$ ,  $\text{K}_2\text{HPO}_4$ ,  $\text{Na}_2\text{B}_4\text{O}_7 \cdot 10\text{H}_2\text{O}$ ,  $\text{Al}_2\text{O}_3$ ,  $\text{SiO}_2$ ,  $\text{TiO}_2$ ,  $\text{V}_2\text{O}_5$ ,  $\text{As}_2\text{O}_5$  и замены Mn активаторами Cu, Ag, Sn, Pb, Ce, Co, Ni, Cr, Th, Bi, Fe, Mo, Ti, W, V, а также введение вместе с Mn активаторов Ce, Sn, Pb. Из всех исследованных вариантов хороший фосфор получают только при активации  $\text{Sb}_2\text{O}_3$  титаном; этот фосфор при возбуждении  $\lambda 2537 \text{ Å}$  имеет желтое свечение. Фосфор  $\text{Sb}_2\text{O}_3$ -Mn хорошо возбуждается УФ-лучами с  $\lambda 2537 \text{ Å}$ , слабее —  $\lambda 3650 \text{ Å}$  и еще слабее катодными лучами. Спектр свечения расположен в красной части с максимумом при 6400 Å, не имеет тонкой структуры и имеет вид кривой Гаусса. Снята дебаеграмма фосфора, но его структура не выяснена. Предполагается, что фосфор представляет смесь куб.  $\text{Sb}_2\text{O}_3$  с ромбич.  $\text{Sb}_2\text{O}_3$ . При введении Mn решетка расширяется, а при введении  $\text{H}_3\text{BO}_3$  — сужается.



При изменении концентрации Mn в фосфоре наблюдаются два максимума яркости свечения, что объясняется внедрением Mn сначала в части кристалла, богатые  $Sb_2O_3$ , а затем в части кристалла, богатые  $Sb_2O_4$ . Б. Г. 24932. Сенсибилизированная люминесценция цинк-сульфидных фосфоров, активированных медью и марганцем. Сионоя (Sensitized luminescence of zinc sulfide phosphors activated with copper and manganese. Shiono Shigeo), J. Chem. Phys., 1955, 23, № 6, 1173—1174 (англ.)

Исследованы спектры излучения и возбуждения фосфоров ZnS-(Cu, Mn), содержащих  $3 \cdot 10^{-5}$  и  $0.3 \cdot 10^{-3}$  г Mn/g ZnS и прокаленных 1 час на воздухе при  $1200^\circ$  в присутствии NaCl (0,02 г/g ZnS). В образцах, содержащих менее  $2 \cdot 10^{-4}$  Mn, излучение Mn почти незаметно; при концентрации  $4-8 \cdot 10^{-4}$  Mn наблюдаются полосы излучения как Mn, так и Cu; при концентрации  $Mn > 1.5 \cdot 10^{-3}$  фосфоры излучают почти только в полосе Mn. Максимумы излучения полос Cu и Mn находятся при 5200 и 5800 Å соответственно. Спектры возбуждения всех образцов характеризуются максимумом при 3400 Å, который отвечает поглощению в кристалле. Образцы с активатором Cu имеют добавочную полосу возбуждения при 3800 Å; образцы ZnS-Mn обнаруживают только полосу возбуждения при 3400 Å. В образцах ZnS-(Cu + Mn) имеются обе полосы, как и в образцах ZnS-Cu. Таким образом Cu является сенсибилизатором для свечения Mn. Фотопроводимость фосфоров, с достаточно большой концентрацией Mn и имеющих свечение в полосе Mn, значительно ниже, чем у образцов с малыми концентрациями Mn, у которых свечение в полосе Mn почти не наблюдается. Б. Г. 24933. Характеристики люминесценции твердых тел.

Класене (Karakteristieke fluorescentie in vaste stoffen. Klasens H. A.), Nederl. tijdschr. natuurkunde, 1955, 21, № 5, 131—141 (голл.; рез. англ.)

В результате анализа литературных данных сделан вывод, что активаторами кристаллофосфоров могут служить только те ионы, для которых разность между энергиями основного и низжайшего возбужденного состояний свободного иона меньше 9 эв. Переходы между основным и возбужденным состояниями дают широкие полосы вследствие взаимодействия иона активатора с окружающими ионами. Свойства этих полос в спектрах поглощения и излучения изучены на основе модели Мотта и Зейца, рассматривающей ион активатора и его окружение как гармонию, осциллятор. Ч. М. 24934. Участие кислорода в образовании цинк-сульфидных люминофоров. Риль Н., Ортман Г., Ж. общ. химии, 1955, 25, № 6, 1057—1065

Исследована роль кислорода в процессе синтеза ZnS фосфоров и его участие в образовании центров свечения. Получены следующие результаты. 1. Благоприятное влияние хлорирования ZnS в процессе прокалики шихты по р-ции  $ZnS + 2NaCl + 2O_2 \rightarrow ZnCl_2 + Na_2SO_4$  обусловлено не действием  $ZnCl_2$  как такового, а, по-видимому, самим процессом хлорирования, который является минерализующим фактором, обуславливающим образование кристаллич. и светящегося ZnS или ZnS-Cu. 2. Кислород входит в ZnS-фосфоры как составная часть, доступная аналитич. определению. Анализы 12 образцов технич. и лабор. ZnS- и ZnS-Cu-фосфоров показывают, что решающую роль для баланса анализа и для люминесцентных свойств играет ZnO, образующаяся при прокаливании ZnS, при гидролизе исходного осажденного ZnS, при сушке и разложении кислородсодержащих примесей (напр.  $ZnSO_4$ ) и т. п. Выказано предположение, что при  $t_{\text{прок}} > 1050^\circ$  ZnO образует с ZnS твердые р-ры замещения. 3. Центры голубого свечения в безактиваторном ZnS-фосфоре образуются только в присутствии  $O_2$ . Cu-центры в ZnS-

Cu-фосфоре образуются и в отсутствие  $O_2$ . Такой фосфор может быть получен либо синтезом из исходных в-в в отсутствие  $O_2$ , либо добавлением Cu к несветящемуся готовому препарату ZnS, либо диффузией Cu при  $450^\circ$  в такой же препарат ZnS. Ч. М. 24935. Химизм образования центров свечения в цинк-сульфидных люминофорах. Риль Н., Ортман Г., Ж. общ. химии, 1955, 25, № 7, 1289—1303

На основании опытов по воздействию  $H_2$  и HCl(газ) на ZnS-фосфоры и результатов опытов по определению роли  $O_2$  при образовании таких фосфоров (см. пред. реф.) предложены кристаллохим. модели центров свечения: а) центр голубого свечения в безактиваторном ZnS-фосфоре представляет собой  $S^{2-}$ -вакансию, рядом с которой расположен избыточный узловой атом Zn и по соседству  $O^{2-}$ , замещающий один из соседних ионов  $S^{2-}$ ; б)  $S^{2-}$ -вакансия рядом с узловым атомом Zn в отсутствие  $O^{2-}$  не дает голубого свечения; если избыточный атом Zn замещен атомом Cu, то получается Cu-центр зеленого свечения; если в центре присутствует еще один атом Cu (напр. в соседнем междузлии), то образуется Cu-центр синего свечения; в) присутствие  $O^{2-}$  не является необходимым условием для образования Cu-центров (а также Ag-центров), но влияет на их свойства. Особая эффективность хлорирующих в-в (HCl или хлоридных плавленей) обусловлена их десульфуризирующим действием. Хорошие ZnS-Cu-фосфоры получаются и в случае замены таких в-в другими десульфуризирующими в-вами, напр.  $H_2$ . Центры свечения образуются лишь в случае, если десульфуризация происходит одновременно с процессом роста кристаллов. Ч. М. 24936. Поверхностные уровни в сульфиде кадмия.

Либсон (Surface states of cadmium sulfide. Libson S. H.), J. Electrochem. Soc., 1954, 101, № 7, 359—362 (англ.)

Исследовано влияние паров  $H_2O$ , HCl и  $I_2$  на люминесценцию и фотопроводимость кристаллов CdS. При возбуждении УФ-светом яркость люминесценции CdS в результате выпуска паров уменьшается до постоянного значения за время  $< 1$  сек. В случае  $I_2$  она уменьшается в 1000 раз. После удаления паров восстанавливается исходная яркость. Фотоэлектрич. чувствительность CdS уменьшается по всему спектру и особенно в синей области спектра в присутствии различных паров, особенно  $I_2$ , когда фотопроводимость при облучении кристалла светом с  $\lambda 5200$  Å уменьшается в 100—1000 раз. Выпрямление тока кристаллом CdS улучшается в присутствии водяных паров. При облучении места контакта кристалла с металлом ИК-светом одновременно с зеленым светом, генерируемый ток и напряжение больше, чем при облучении одним зеленым или ИК-светом. Улучшение выпрямления в присутствии паров  $H_2O$  объяснено увеличением концентрации поверхностных уровней электронов, образующих потенциальный барьер в месте контакта. Уменьшение люминесценции и фотопроводимости приписано увеличению числа рекомбинаций на поверхности. Влияние ИК-света объяснено появлением свободных дырок в кристалле в месте контакта. Образование поверхностных уровней приписано адсорбции электроотрицательных и дипольных молекул на поверхности кристалла. Б. Г. 24937. Влияние кислорода на люминесценцию сульфида кадмия. Либсон, Уэст (Effect of oxygen on luminescence of cadmium sulfide. Libson S. H., West E. J.), J. Chem. Phys., 1955, 23, № 5, 977—978 (англ.)

Исследована зависимость интенсивности люминесценции  $I$  и фотопроводимости  $\sigma_f$  монокристаллов CdS, выращенных по модифицированному методу Фрерихса

(РЖФиз, 1954, 2659), от давления  $O_2$   $p$  при комнатной т-ре. Возбуждение производилось  $\lambda \sim 3650$  Å в области основной полосы поглощения, чтобы свет из-за высокого коэфф. поглощения поглощался в поверхностном слое. Увеличение или уменьшение  $I$  сопровождается соответственно увеличением или уменьшением  $\sigma_F$ . Зависимость  $I$  от  $p$  в состоянии равновесия в интервале  $2 \cdot 10^{-6} - 10^2$  мм рт. ст. описывается ф-лой  $I = p^{-1/k}$ , где  $k$  — постоянная для данного кристалла. Уменьшение  $I$  с ростом  $p$  приписано образованию поверхностного барьера вследствие хемосорбции атомов или молекул  $O_2$  (см. пред. реф.) и увеличению рекомбинационных процессов в поверхностном слое. Во-первых, барьер ускоряет диффузию дырок к поверхности, где они могут рекомбинировать с электронами, локализованными на поверхностных уровнях, созданных адсорбированным газом. Кроме того, понижение уровня Ферми на поверхности вызывает перераспределение заполненных уровней в запрещенной зоне и тем самым непосредственно влияет на безизлучательные и излучательные переходы.

Ч. М.

**24938. Спектр катодолюминесценции и энергетические уровни MgO. Саксена, Пант** (Cathodo-Luminescence spectrum and energy levels in MgO. Saxena B. D., Pant L. M.), J. Chem. Phys., 1955, 23, № 5, 989—990 (англ.)

На основании литературных данных предложена схема уровней в кристалле MgO, окрашенном избытком Mg, объясняющая изменения в спектральном составе излучения при возбуждении катодными лучами (РЖХим, 1956, 230). Расстояние между верхним краем заполненной зоны и нижним краем зоны проводимости равно 5,9 эв. В запрещенной зоне имеются узкие зоны, отвечающие центрам избыточного Mg. Расстояния от верхнего края заполненной зоны до этих промежуточных зон равны соответственно 2,2; 3,6 и 4,9 эв. Ширина этих зон равна 0,85; 1,3 и 1,1 эв. Последний уровень может перекрывать расстояние до полосы проводимости и сливаться с ней. Различные переходы между основными полосами и узкими полосами в запрещенной зоне объясняют наблюдаемые различные спектральные полосы поглощения и излучения в кристалле MgO и их поведение в процессе катодного возбуждения. Б. Г.

**24939. К вопросу о природе цветности драгоценного опала. Личман** (Thoughts on cause of color in precious opal. Leechman G. Frank), Gems and Gemology, 1953—1954, 7, № 12, 361—364 (англ.)

На основе тщательного просмотра более 2000 образцов драгоценного опала выяснена неправильность распространенного мнения, что опал вполне аморфен и что наблюдаемая в нем игра ярких и спектральных чистых цветов создается интерференцией в заросших микротрещинах. В опале есть видимые в микроскоп структурно оформленные участки, образованные почти параллельными волокнами. Структура напоминает крокидолит — асбест или кварц — «кошачий глаз». Волокна образуют слои, упакованные в виде колоды карт (типа фильм-пак). Расстояние между слоями, по мнению автора, порядка длины световой волны, что и создает возможность появления почти монохроматич. пучков отраженного света. Структурно оформленные волокнистые участки образуются при медленной кристаллизации во время застывания кремнекислых р-ров соответствующей конц-ии. Перечислены геолит. условия, при которых возможна такая кристаллизация.

Н. В.

**24940. Исследования  $Z_2$ -полосы. Кьяротти, Фуми, Джулотто** (Experiments on the  $Z_2$  band. Chiarotti G., Fumi F. G., Giulotto L.), Nuovo cimento, 1955, 1, Suppl., № 2, 112—113 (англ.)

Исследованы свойства  $Z_2$ -полосы в аддитивно окрашенных кристаллах KCl, содержащих примесь  $Sr^{2+}$ . Получены следующие результаты: 1)  $Z_2$ -полоса образуется одновременно с  $F$ -полосой при медленном охлаждении кристалла от т-ры окрашивания; 2)  $Z_2$ -полоса образуется непосредственно из  $F$ -полосы при нагревании кристалла в темноте до  $110^\circ$ ; 3) квантовый выход превращения  $F \rightarrow Z_1 \rightarrow Z_2$  при  $110^\circ$  под действием света из  $F$ -полосы сильно зависит от скорости охлаждения кристалла после окрашивания, повышаясь с ее уменьшением; 4) опыты в поляризованном вдоль оси  $\bar{L}$  кристалла свете не обнаруживают дихроизма  $Z_2$ -центра. Результаты 1) и 2) согласуются с моделью  $Z_2$ -центра, предложенной Зейцем. Результат 3) указывает на термич. диссоциацию  $Z_1$ -центра при  $110^\circ$ . Результат 4) показывает, что ориентация  $Z_2$ -центра отличается от предложенной Зейцем. По мнению авторов, 2-валентная примесь, катионная и анионная вакансии (компоненты  $Z_2$ -центра) занимают следующие положения в решетке:  $(000)$  ( $a/2, a/2, 0$ ) и  $(a/2, a/2, a/2)$ , где  $a$  — параметр решетки.

А. Х.

**24941. О структуре инфракрасных полос поглощения.**

Пуле (Sur la structure des bandes d'absorption infrarouge. Poulet Henri), C. r. Acad. sci., 1955, 240, № 25, 2395—2397 (франц.)

По данным, полученным из теплового рассеяния рентгеновских лучей, рассчитаны частоты вторичных максимумов поглощения в ИК-спектрах NaCl и KCl. Для NaCl вычислены частоты (в  $cm^{-1}$ ): 314, 255, 266 и 207; наблюдаемы: 298, 245 и 198; для KCl вычислены 247, 209, 212, 174; наблюдаемы: 244, 235, 213 и 167. Е. П.

**24942. Термическое обесцвечивание центров окраски.**

Гальперин, Брейнер (Thermal bleaching of color centers. Halperin A., Braner A.), Phys. Rev., 1955, 98, № 4, 1135—1136 (англ.)

Подтверждено высказанное ранее (РЖХим, 1955, 13500) предположение, что максимумы поглощения, наблюдавшиеся другими авторами при нагревании сильно охлажденных окрашенных и затем обесцвеченных кристаллов KCl (РЖХим, 1955, 7081), обусловлены конденсацией паров на поверхности кристалла. Эти максимумы полностью устранились, если поместить в кристалт вблизи кристалла ловушку с жидким воздухом. В отсутствие ловушки максимумы наблюдаются при нагревании также и неокрашенного кристалла KCl от 90 до  $500^\circ$  К. На новой аппаратуре получена кривая термич. обесцвечивания  $F$ -центров в кристалле KCl, окрашенном рентгенизацией при  $90^\circ$  К. Ловушка поддерживалась при  $90^\circ$  К во время рентгенизации и последующего нагревания, во время которого непрерывно измерялось поглощение при  $5500$  Å. Скорость нагревания  $\sim 25$  град/мин в интервале  $120$ — $600^\circ$  К. На кривой зависимости поглощения от т-ры кристалла имеется ряд «ступенек», положение которых воспроизводимо и которые показывают, что  $F$ -центры диссоциируют в основном в нескольких определенных температурных интервалах с различными энергиями активации. После частичного обесцвечивания кристалла светом из  $F$ -полосы перед нагреванием получена такая же кривая. Пики на кривой термовывесивания того же кристалла совпадают с горбами на кривой термич. обесцвечивания. Если свечение регистрируется приемником, чувствительным к УФ- и синим лучам, то основные пики расположены при  $220$  и  $315^\circ$  К. Если приемник чувствителен к красным лучам ( $\lambda_{\text{макс}} \sim 9000$  Å), то интенсивный пик расположен при  $450^\circ$  К, а слабый — при  $220$  и  $350^\circ$  К.

Ч. М.

**24943. Фотоэлектронная эмиссия из щелочногалогидных пленок, содержащих  $F$ -центры. Дыкман и И. М. Ж. техн. физики, 1955, 25, № 6, 1026—1037**

Произведено теоретич. вычисление тока фотоэмис-

сии из щелочногалогидной пленки, содержащей  $F$ -центры. На основании теории Пекара (Пекар С. И., Исследования по электронной теории кристаллов, М.—Л., ГТТИ, 1951) вычисляется вероятность ионизации  $F$ -центров квантами света и кол-во электронов, переведенных в полосу проводимости. Дальнейшее движение электронов определяется их взаимодействием с продольными оптич. колебаниями решетки и описывается кинетич. ур-нием, полученным в другой работе (Ж. техн. физики, 1948, 18, 1426). Вычисления приводят к правильной частотной зависимости квантового выхода фотоэлектронов для  $KJ$  и  $PbJ$  в области частот, где теория применима, и к согласующимся с опытом абс. значениям квантового выхода.

Ч. М. 24944. Сложная структура края основного поглощения кристалла сернистого кадмия. Гросс Е. Ф., Якобсон М. А., Докл. АН СССР, 1955, 102, № 3, 485—488

Продолжены и расширены исследования спектра поглощения кристаллов  $CdS$  (Гросс Е. Ф., Каррыев Н. А., Докл. АН СССР, 1952, 84, № 3, 471). При  $77,3^\circ K$  в спектре выращенной из газовой фазы монокристаллической пластинки ( $3 \times 1 \times 0,1$  мм)  $CdS$ , ориентированной перпендикулярно к направлению проходящего света, линия 4869 А у края поглощения не наблюдается (или очень слаба). При повороте кристалла эта линия усиливается, расширяется и сливается с краем поглощения, на который накладывается полоса 4866—4860 А. В опытах с поляризованным светом при электрич. векторе, параллельном оси  $c$  (лежащей в плоскости кристалла), наблюдается резкая линия 4869 А и граница сплошного поглощения около 4866 А. При повороте поляризующей призмы с длинноволновой стороны от линии 4869 А выступает сплошной спектр в виде ступеньки с новой длинноволновой границей при 4890 А, далее этот спектр усиливается, маскирует линию 4869 А и около его длинноволновой границы появляется узкая размытая полоса 4890—4885 А. При дальнейшем повороте призмы, когда электрич. вектор становится перпендикулярным оси  $c$ , сплошной спектр закрывает и линию 4869 А и полосу 4890—4885 А и видна только граница сплошного поглощения при 4890 А. В опытах с неполяризованным светом при охлаждении кристалла до  $t$ -ры жидкого  $He$  ( $4,2^\circ K$ ) линия 4869 А смещается в сторону коротких волн и расщепляется на дублет 4854,2 и 4853,5 А. При  $4,2^\circ K$  наблюдаются следующие очень узкие линии и полосы (в скобках указаны компоненты тонкой структуры полос): 4889,5; 4870,8; 4869,2; 4868,2; 4867,1; 4866,2; 4865,6; 4864,9; 4863,5; 4861,8; 4858,0; 4854,2; 4853,5; (4836, 4820), (4817, 4815), (4809, 4800), (4793, 4791). Сложную структуру края основного поглощения  $CdS$ , указывающую на большое число дискретных электронных уровней в запрещенной зоне, автор приписывает возбуждению экситонов.

А. Х. 24945. Последствие всестороннего сжатия на  $F$ -полосы в щелочногалогидных кристаллах. Миномура (The after-effect of hydrostatic pressure on the  $F$ -bands in alkali halides. Minomura Shigeru), Rev. Phys. Chem. Japan, 1954, 24, № 1, 28—40 (англ.)

Пластинки  $LiF$ ,  $NaCl$ ,  $KCl$ ,  $KBr$  и  $KJ$  откачивались от крупных синтетич. монокристаллов и облучались препаратом  $5\text{ мг } RaBr_2$  на расстоянии 20 мм в течение соответственно 49, 61, 62, 69 и 84 суток при комнатной  $t$ -ре ( $6$ — $23^\circ$ ). Окрашенные кристаллы сжимались в масле при  $10$ — $22^\circ$  и давл.  $2500$ — $7500$  ат в течение 1 часа и при  $7500$  ат в течение 24 час. Спектры промерялись при  $10$ — $22^\circ$  через 24 часа после окрашивания (при 1-часовом сжатии) или через 48 и 72 часа (при 24-часовом сжатии) (в случае  $LiF$  через 2 и 26 час.). В результате сжатия острые  $F$ -максимумы усиливаются,

расширяются в сторону коротких волн и уплощаются; длина площадки увеличивается с давлением и временем сжатия. Положения максимумов до сжатия для  $LiF$ ,  $NaCl$ ,  $KCl$ ,  $KBr$  и  $KJ$ : 249, 465, 560, 626 и 720 м $\mu$ . Положения начала и конца площадок после 1-часового сжатия при  $7500$  ат: 246,5—250,4; 459—466; 552—556; 616—625; 708—720 м $\mu$ . Через 22 суток после сжатия восстанавливаются исходная (до сжатия) форма и положение максимума. Окрашенные кристаллы самопроизвольно обесцвечиваются в темноте при комнатной  $t$ -ре со скоростью, возрастающей в ряду  $LiF < NaCl < KCl < KBr < KJ$ . Сжатие замедляет обесцвечивание и поэтому увеличивает интенсивность  $F$ -полосы в том же порядке. Коротковолновое смещение максимумов приписано смещению катионов в сторону электрона  $F$ -центра под действием давления. Величины  $lg(v/v_0)$ , где  $v$  и  $v_0$ —волновые числа  $F$ -максимумов после и до сжатия, возрастают в ряду  $LiF < NaCl < KCl < KBr < KJ$ , т. е. соответственно возрастанию межионного расстояния. Расширение максимума приписано одновременному существованию  $F$  центров с различными смещениями ионов (вследствие релаксации). Уменьшение скорости самопроизвольного обесцвечивания объяснено уменьшением радиуса потенциальной ямы галогидных вакансий и поэтому увеличением энергии диссоциации  $F$ -центра. Сжатие (24 часа при  $7500$  ат) перед окрашиванием вызывает увеличение концентрации  $F$ -центров. Она возрастает в  $1,03$ ,  $1,17$ ,  $1,39$ ,  $3,36$  и  $1,34$  раза соответственно для  $LiF$ ,  $NaCl$ ,  $KCl$ ,  $KBr$  и  $KJ$ . Если окрашивание производится через 10 суток после сжатия, то наблюдается слабое коротковолновое расширение максимумов, которое отсутствует, если этот интервал равен 45 суткам. Эти эффекты объясняются на основе существующих представлений об образовании вакансий при деформациях. Вычислены некоторые механич. характеристики исследованных кристаллов.

А. Х. 24946. Поглощение антимолида индия в инфракрасной области. Кайзер, Фань (Infrared absorption of indium antimonide. Kaiser W., Fan H. Y.), Phys. Rev., 1955, 98, № 4, 966—968 (англ.)

Поглощение образцов  $InSb$  с различными концентрациями носителей заряда измерено в области  $3$ — $35$  м $\mu$  при  $t$ -рах  $\sim 5$ — $500^\circ K$ . Получено теоретически и подтверждено экспериментально уравнение, связывающее положение границы поглощения с концентрацией носителей (до  $5 \cdot 10^{18}$  см $^{-3}$ ) в вырожденных образцах  $p$ -типа. При повышенных  $t$ -рах в области собственной проводимости поглощение образцов  $n$ - и  $p$ -типов одинаково. При низких  $t$ -рах ( $5$ — $300^\circ K$ ) поглощение образцов  $n$ -типа возрастает с длиной волны, а образцов  $p$ -типа остается постоянным в широком интервале длин волн ( $\sim 400$ — $1000$  см $^{-1}$ ). Коэфф. поглощения  $K$  различных образцов  $n$ - и  $p$ -типов возрастает медленнее, чем концентрации носителей. Напр., для образцов  $n$ -типа при  $300^\circ K$  увеличение конц-ии носителей от  $10^{17}$  до  $4,6 \cdot 10^{18}$  см $^{-3}$  вызывает всего 6-кратное возрастание  $K$ , а для образцов  $p$ -типа в интервале  $3,5 \cdot 10^{16}$ — $4 \cdot 10^{18}$  см $^{-3}$   $K$  возрастает в 2,5 раза. Для образцов  $n$ - и  $p$ -типов  $K$  возрастает с уменьшением  $t$ -ры, тогда как конц-ия и подвижность носителей в интервале  $77$ — $300^\circ K$  почти не изменяются. Выказано предположение, что оптич. поглощение обусловлено не ионизацией электронов или дырок в локализованных состояниях, а их возбуждением.

А. Х. 24947. Влияние адсорбции паров воды на собственный и сенсibilизированный красителями фотоэффект нитристых солей серебра и таллия. Акимов Н. А., Пуцейко Е. К., Докл. АН СССР, 1955, 102, № 3, 481—484

В условиях вакуума исследовались собственный и сенсibilизированный фотоэффекты в  $AgBr$ ,  $AgJ$ ,  $TlBr$



и ТП в области т-р от  $+50$  до  $-80^\circ$  на тонких слоях этих в-в, полученных: 1) сублимацией в вакууме на стеклянные или кварцевые пластинки, 2) втеканием солей между кварцевыми пластинками, 3) галогенированием тонких слоев Ag в парах или водн. р-рах галлоида. Фототок  $i_{\phi}$  измеряли методом фотопроводимости при постоянной освещенности  $E$ . Зависимость  $i_{\phi}$  от  $E$  следует закону  $i_{\phi} = kE^{\alpha}$ , где  $\alpha = 1-0.5$ . Величина и форма спектральных кривых фотоэффекта различны для слоев, полученных различными способами, а для слоев, полученных испарением в вакууме, сильно зависят от режима испарения. Впуск паров  $J_2$  упругостью  $10^{-2}$  мм рт. ст. в вакуумных условиях при  $20^\circ$  повышает  $i_{\phi}$  малочувствительных слоев AgI и TlI в несколько раз за  $10-20$  мин., а при длительном пребывании слоев в парах  $J_2$  — в тысячи раз. Это явление носит обратимый характер. Одновременно появляется новый широкий максимум фотоэффекта у  $450-500$  м $\mu$ , и длинноволновая граница фотоэффекта смещается в красную или близкую ИК-область спектра. Новый максимум совпадает с максимумом спектра поглощения адсорбированных молекул  $J_2$  на AgI или TlI (Курбатов Л. Н., Ж. физ. химии, 1940, 14, 1049, 1111). На этом основании сделан вывод, что молекулы  $J_2$  сенсibilизируют фотоэффект TlI и AgI. Общее повышение собственной фотоэлектрич. чувствительности приписано образованию дополнительных поверхностных акцепторных уровней под влиянием  $J_2$ , накоплению электронов на этих уровнях и увеличению в связи с этим поверхностной проводимости. Сенсibilизированная красителями (метиленовым голубым и др.). фотопроводимость AgI и TlI обратно увеличивается в 2—3 раза в присутствии паров  $J_2$  (0,02 мм рт. ст.). Сделан вывод, что энергия, поглощаемая молекулой красителя, расходуется на перевод электрона в зону проводимости не из глубоких локальных уровней кристалла, а из поверхностных электронных уровней, создаваемых адсорбированным  $J_2$ . Сенсibilизированный фотоэффект не наблюдается у слоев AgBr и TlBr, полученных различными способами при окрашивании теми же красителями. А. Х.

24948. Влияние корпускулярного излучения на свойства твердых тел. Линтнер, Шмид (Bedeutung von Korpuskularbestrahlung für die Eigenschaften von Festkörpern. Lintner Karl, Schmid Erich), Ergebn. exakt. Naturwiss., Berlin, 1955, 28, 302—406 (нем.)  
Обзор. Библ. 239 назв. А. Х.

24949. К теории хорошо проводящих полупроводников. I. Равновесие электронного газа в полупроводниках. II. Электропроводность. Термо-э. д. с. Эффект Холла. Коренблит Л. Л., Шрайфельд Т. Я., Ж. техн. физики, 1955, 25, № 6, 1019—1025; № 7, 1182—1189

Сообщение I. Исследованы условия равновесия носителей тока в вырожденных электронных, дырочных и смешанных примесных полупроводниках. Получены ф-лы, связывающие хим. потенциал с физ. характеристиками полупроводника (энергетич. зазорами, эффективными массами носителей и т. п.) и т-рой. Найдены критерии для оценки температурной области вырождения.

Сообщение II. Получены ф-лы для температурной зависимости проводимости, термо-э. д. с. и постоянной Холла в вырожденных примесных полупроводниках (атомных и ионных). А. Х.

24950. Измерение термо-э. д. с. записи меди в области устойчивости последней. Шиллинг (Thermokraftmessungen an Kupferoxydul im Existenzgebiet. Schilling H.), Ann. Physik, 1955, 16, № 1—2, 84—92 (нем.)

Измерена термо-э. д. с.  $E_T$   $\text{Cu}_2\text{O}$  в области устойчивости при т-рах  $500-1025^\circ$  и давлениях  $\text{O}_2$   $P_{\text{O}_2} = 4 \cdot 10^{-3}-100$  мм рт. ст. Во всей исследованной области  $\text{Cu}_2\text{O}$  обладает дырочной проводимостью. Электронная проводимость наблюдается только в случаях, когда в  $\text{Cu}_2\text{O}$  имеются следы неокисленной Cu. При постоянной т-ре  $E_T$  не изменяется в области  $100-10^{-3}$  мм рт. ст., возрастает в области  $10^{-3}-10^{-4}$  мм рт. ст. и уменьшается при  $P_{\text{O}_2} < 10^{-4}$  мм рт. ст. Это уменьшение особенно велико при низких т-рах и приписано увеличению концентрации электронов проводимости. При постоянном  $P_{\text{O}_2}$   $E_T$  возрастает с уменьшением т-ры, что объясняется уменьшением избытка  $\text{O}_2$  в  $\text{Cu}_2\text{O}$ . Кривые  $E_T = f(1/T)_{P=\text{const}}$  имеют максимум при низких т-рах вблизи границы устойчивости  $\text{Cu}_2\text{O}-\text{CuO}$ . Уменьшение  $E_T$  после максимума при дальнейшем падении т-ры обусловлено, по видимому, образованием  $\text{CuO}$  на поверхности  $\text{Cu}_2\text{O}$ . Максимумы всех кривых (для разных  $P_{\text{O}_2}$ ) лежат на одной прямой, которая является границей устойчивости  $\text{Cu}_2\text{O}$  и не совпадает с ее положением, определенным из ур-ния Нернста (Nernst W., Nachr. d. Kgl. Ges. d. Wiss. zu Göttingen, Math.-Phys. Klasse, 1906), но качественно согласуется с результатами измерений проводимости (Böttger O., Ann. Physik, 1952, 10, 232). А. Х.

24951. Работы выхода граней монокристалла вольфрама, измеренные с помощью электронного проектора. Мюллер (Work function of tungsten single crystal planes measured by the field emission microscope. Müller Erwin W.), J. Appl. Phys., 1955, 26, № 6, 732—737 (англ.)

Работа выхода  $\phi$  со слабо эмиттирующих граней (011) и (112) монокристалла W определена методом измерения зависимости электростатич. эмиссии электронов от тонкого острого приложенного потенциала. Использовались электронные проекторы с отверстием  $1.5-2.5$  мм в центре экрана, за которым помещался электронный коллектор, окруженный экранирующим цилиндром. Перемещением катода или анода достигалось совмещение изображения изучаемой грани с отверстием в экране. Ток коллектора до  $10^{-15}$  а измерялся электрометрич. схемой. Прибор обезгаживался с геттером до достижения устойчивого давления адсорбирующихся газов  $< 10^{-12}$  мм рт. ст. Плотность тока на грани (011) на 4—5 порядков меньше, чем на сильно эмиттирующих гранях. Расчет  $\phi$  производился с помощью ур-ния Фаулера — Нордгейма по наклону прямых в координатах  $\lg I/F^2, 1/F$ .  $\phi$  (в эв) для граней с различными индексами равны: (116) 4,30; (013) 4,31; (012) 4,34; (122) 4,35; (111) 4,39; (233) 4,46; (123) 4,52.  $\phi$  для граней (011) и (112) уменьшаются при повышении т-ры предварительной прокалки от 1200 до 2200° соответственно от 5,99 до 5,70 и от 4,88 до 4,65 эв вследствие увеличения нарушений в поверхностном слое с т-рой. В качестве истинных приняты значения, полученные после отжига при миним. т-ре. Правильность принятого значения для грани (011) подтверждается тем, что при испарении с W-проволоки Al, обладающего потенциалом ионизации 5,96 эв, он частично ионизируется. И. Т.

24952. Свойства кристаллов KCl, содержащих центры металлического таллия. I. Фотоэлектрический эффект. Роleder (Własności kryształów KCl, zawierających centra talu metalicznego. I. Efekt fotoelektryczny. Rohleder Józef), Roczn. chem., 1955, 29, № 2-3, 613—622 (польск.; рез. англ., русс.)  
См. РЖХим, 1956, 3258

24953. Фотоэлектрические свойства тонких слоев сернистого серебра. Демидов К. К., Позн-

гун Е. А., Сб. физ.-матем. фак. и Н.-и. ин-та физики Одесск. ун-та, 1954, 5, 77—82

Сульфид Ag, полученный описанным ранее методом (Тр. Одесск. ун-та, 1933, 16, 105), осадили на слюдяную подкладку в виде слоев толщиной  $5 \cdot 10^{-4}$ — $5 \cdot 10^{-3}$  см. Исследованы свежеосажденные, высушенные и обезгаженные в вакууме слои (I) и слои, хранившиеся около года в обычных атмосферных условиях (II). Слои II обладают несколько меньшим пропусканием и величиной фототока  $i$ . Сравнительная устойчивость фотоэлектрич. свойств тонких слоев  $Ag_2S$  при хранении приписана тому, что в процессе хим. осаждения на слюду образуется вполне сформировавшаяся кристаллич. структура слоя. Величина  $i$  пропорциональна напряжению в области устойчивости фотоэффекта ( $< 60$ — $80$  в/см). При высоких освещенностях обнаруживается насыщение. Кривая спектрального распределения фотоэффекта в области  $0,6$ — $1,5$  м для слоев I имеет максимум при  $\sim 1,1$  м, а для слоев II — при  $\sim 0,95$  м. Для слоев I во всей области  $0,6$ — $1,5$  м наблюдается электронная фотопроводимость, для слоев II — смешанная проводимость, приписанная действию  $O_2$  воздуха.

24954. Свойства и структура тройных полупроводниковых систем. I. Электрические свойства и структура некоторых материалов в системе  $Tl-Sb-Se$ . Коломнец Б. Т., Горюнова Н. А., Ж. техн. физики, 1955, 25, № 6, 984—994

Исследованы электрич. свойства и структура 11 материалов в системе  $Tl_2Se-Sb_2Se_3$  (I—II), представляющей псевдобинарный разрез в системе  $Tl-Sb-Se$ . Все материалы получали сплавлением из элементов при  $400$ — $500^\circ$  и гомогенизацией при  $850^\circ$ . Путем измерения знака термо-э. д. с. и постоянной Холла установлено, что все материалы, включая I и II, имеют дырочную проводимость. В системе I—II проводимость  $\sigma$  при  $20^\circ$  изменяется от  $10$  ом $^{-1}$  см $^{-1}$  для I до  $10^{-5}$  ом $^{-1}$  см $^{-1}$  для II. На кривой зависимости  $\sigma$  от состава имеется сингулярная точка с минимумом проводимости, соответствующая составу  $Tl_2Se-Sb_2Se_3$  ( $\sigma = 10^{-4}$  ом $^{-1}$  см $^{-1}$ ). Температурная зависимость  $\sigma$  для I имеет ход, типичный для металла, а для II — типичный для полупроводника с энергией активации носителей тока  $1,23$  эв. Все материалы обладают фотопроводимостью  $\sigma_{ph}$ , знак носителей фототока соответствует дырочной проводимости. Максимум кривой спектрального распределения  $\sigma_{ph}$  лежит около  $800$  мк для  $Sb_2Se_3$  и  $Tl_2Se$  и около  $1,4$  м для  $Tl_2Se-Sb_2Se_3$ . Максимумы для других материалов непрерывно смещаются от  $0,8$  к  $1,4$  м с увеличением конц-ии I. По внешнему виду все материалы, кроме  $Tl_2Se-Sb_2Se_3$ , являются мелкокристаллическими темного цвета.  $Tl_2Se-Sb_2Se_3$  отличается хорошо выраженной формой кристаллов в виде пластинок, легко разделяющихся по плоскостям спайности. Т-ра плавления этого в-ва  $456 \pm 10^\circ$ , уд. вес  $6,9$  г/см $^3$ . Микроскопич. исследование травленных шлифов показывает, что  $Tl_2Se-Sb_2Se_3$  дает картину, типичную для однофазных систем. Рентгеноструктурными и электронографическими исследованиями установлены следующие структуры и параметры решетки  $a$ ,  $b$  и  $c$  соответственно: I, тетрагональная, 8,52; 8,52; 12,68; II, ромбич., 11,5; 11,6; 3,98;  $Tl_2Se-Sb_2Se_3$ , ромбич., 4,15; 4,50; 12,0. Сделан вывод, что в системе I—II имеется хим. соединение  $TlSb_2Se_4$ . Исследованы материалы системы  $Tl_2Se-As_2(Se, Te)_3$ . Все они имеют аморфную структуру и обладают специфич. полупроводниковыми свойствами.

Ч. М. 24955. Эффект Нернста в атомных полупроводниках при учете рассеяния электронов и дырок на ионах примеси. Образцов Ю. Н., Ж. техн. физики, 1955, 25, № 6, 995—1002

Вычислен изотермический коэфф. Нернста для атомных полупроводников при наличии носителей обоих знаков с учетом их рассеяния на ионах примеси. Обсуждается температурная зависимость эффекта. Сравнение теории с результатами измерений произведено в другой работе (см след. реф.).

Ч. М. 24956. Экспериментальное исследование поперечного эффекта Нернста-Этинггаузена на теллуре. Мочан П. В., Ж. техн. физики, 1955, 25, № 6, 1003—1012

Измерены коэфф. Нернста  $Q$  и Холла  $R$  на Те, содержащем  $\sim 2 \cdot 10^{17}$  см $^{-3}$  примесных атомов Си. На кривой зависимости  $Q$  от  $t$ -ры имеется максимум при  $350^\circ$  К. Теоретич. кривая, полученная при учете носителей обоих знаков, имеет максимум при  $330^\circ$  К. Эффект Нернста оказался гораздо более чувствительным к примеси носителей другого знака, чем эффективная подвижность по Холлу. Эксперим. данные измерений температурной зависимости  $R\sigma$  совпадают с теоретич. кривыми (см. пред. реф.), учитывающими рассеяние на ионах примеси.

Ч. М. 24957. Физика тонких металлических и полупроводниковых слоев. Структура и электрические свойства металлов и полупроводников в тонких слоях. Конозенко (Fizica straturilor subtiri de metale si semiconductori. Structura si proprietățile electrice ale metalelor și semiconductorilor în straturi subtiri. Konozenko I. D.), An Rom.-sov. Ser. mat.-fiz., 1955, 9, № 1, 56—83 (рум.)

См. РЖХим, 1954, 37390.

24958. Микрорадиография вторичными электронами от различных простых веществ в зависимости от атомного номера последних. Каральник С. М., Находкин Н. Г., Мелешко Л. И. (Микрорадиография вторичными электронами різних простих речовин у залежності від атомного номера останніх. Каральник С. М., Находкин Н. Г., Мелешко Л. И.), Доповіді АН УРСР, 1955, № 3, 255—257 (укр.; рез. русс.)

Методом радиоавтографии исследована интенсивность фотоэлектронной эмиссии, вызванной облучением жесткими рентгеновскими лучами (200 кэв) следующих в-в: Cr, Mn, Fe, Co, Ni, Cu, Zn, Ga, Ge, Se, Mo, Pd, Ag, Cd, Sn, Sb, Ta, W, Pt, Au, Hg, Pb, Bi, Si. Установлено, что интенсивность эмиссии линейно возрастает с увеличением атомного номера в-ва, но при переходе к элементам, у которых заканчивается заполнение внешней электронной оболочки, происходит скачкообразное уменьшение эмиссии. Эффект объяснен преобладанием вторичных электронов в эмиттируемом пучке.

А. Х. 24959. Электронная эмиссия и другие явления на свежеобработанной поверхности металла. Грунберг (Electron emission and other phenomena on freshly disturbed metal surfaces. Grunberg L.), Research, 1955, 8, № 6, 210—214 (англ.)

Обзор опубликованных и подлежащих опубликованию работ по исследованию эмиссии электронов свежеобработанными металлич. поверхностями и их фотография. действию. Эти свойства поверхности используются в лаборатории автора для определения глубины проникновения поверхностной деформации.

Библ. 13 назв. А. Х. 24960. Электросопротивление сплавов медь-золото при низких температурах. Пассалья, Лав (Electrical resistance of copper-gold alloys at low temperatures. Passaglia Elio, Love William F.), Phys. Rev., 1955, 98, № 4, 1006—1010 (англ.)

Исследовано влияние упорядочения на электросопротивление  $R$  сплавов Cu-Au различного состава (25—75 ат. % Au). Упорядоченное состояние достигалось длительным отжигом, а разупорядоченное — закалкой

от 550° С. В отличие от предыдущих работ измерения  $R$  проводились при т-рах вплоть до 2° К, в результате чего удалось отличить изменения  $R$ , обусловленные чисто структурными изменениями в решетке, от тех, которые вызваны изменением спектра колебаний решетки. Для каждого образца вычислено отношение  $R_0 : R_t$  (остаточного сопротивления к сопротивлению при 0° С). Только в сплавах с 25 и 50 ат. % Au  $R_0 : R_t$  в отожженном состоянии меньше, чем в закаленном. В сплавах с другим составом  $R_0 : R_t$  в обоих состояниях приблизительно одинаковы. Кроме того, дебаевские характеристич. т-ры сплавов, вычисленные по температурной зависимости  $R$ , сильно зависят от т-ры, но не зависят от степени отжига. Сделан вывод, что изменения  $R$  сплавов Cu-Au в результате отжига или закалки обусловлены только структурными изменениями в решетке и не связаны с изменением спектра ее колебаний. Ш. К.

**24961. К вопросу об электропроводности записи меди.** Андриевский А. И., Волощенко В. И., Науч. зап. Львовск. с.-х. ин-та, 1954, 4, 272—279

Си-пластинку толщиной 0,25 мм окисляли насквозь путем нагревания на воздухе при 1020° в течение 1 часа и затем выдерживали в условиях окисления еще 18 час. Уд. проводимость  $\sigma$  слоя  $\text{Cu}_2\text{O}$  уменьшалась от  $\sim 9 \cdot 10^{-4}$  до  $1 \cdot 10^{-4}$  ом<sup>-1</sup> см<sup>-1</sup> в первые 5 час. выдерживания и далее продолжала медленно уменьшаться. На кривой  $\sigma$  — время имеется небольшой максимум  $\sigma$ , соответствующий  $\sim 6$  час. Уменьшение  $\sigma$  приписано росту зерен и уменьшению общей поверхности их раздела, по которой происходит диффузия носителя тока — сверхстехиометрич. кислорода (Июффе А. Ф., Изв. АН СССР, сер. физ., 1951, 15, 4). Существование максимума приписано переходу примесей из центрального слоя пластинки, где они накопились в результате ее двустороннего окисления, в объем зерен.  $\sigma$  в направлении, параллельном поверхности пластинки, в  $\sim 3$  раза больше, чем в перпендикулярном направлении, что объясняется расположением зерен в слое  $\text{Cu}_2\text{O}$ . Ч. М.

**24962. Электропроводность порошкообразных сегнетоэлектриков под давлением.** Окамото (Electric conductivity of powdered ferroelectric substances under pressures. Okamoto Fumio), Rev. Phys. Chem. Japan, 1954, 24, № 1, 9—12 (англ.)

Измерена проводимость  $\sigma$  в постоянном токе порошков сегнетовой соли (I),  $\text{KH}_2\text{PO}_4$  (II),  $\text{NH}_4\text{H}_2\text{PO}_4$  (III) и  $\text{BaTiO}_3$  (IV) при давл. 1400—20000 кг/см<sup>2</sup> и комнатной т-ре.  $\sigma$  I сначала возрастает с давлением, достигает максимума при 3000 кг/см<sup>2</sup>, а затем снова уменьшается.  $\sigma$  II и III уменьшается,  $\sigma$  IV возрастает с давлением во всем исследованном интервале давлений. Результаты для различных образцов I, II и III при давл. < 5000 кг/см<sup>2</sup>, а для IV при всех давлениях воспроизводимы. Прессованные диски I, II и III становятся непрозрачными при 7000 кг/см<sup>2</sup> и почти прозрачными при 15000 кг/см<sup>2</sup>. IV даже при 20000 кг/см<sup>2</sup> непрозрачен и имеет вид спекшегося порошка. Результаты объясняются, исходя из поверхностного характера проводимости твердых диэлектриков при низких т-рах. С увеличением давления улучшаются контакты между зернами и уменьшается проводящая поверхность. Эти два противоположных влияния обуславливают появление максимума  $\sigma$ , который в случае II и III должен лежать при давл. < 1400 кг/см<sup>2</sup>, а в случае IV — при давл. > 20000 кг/см<sup>2</sup>. При давл. > 5000 кг/см<sup>2</sup> различия между проводящими поверхностями различных образцов, обусловленные колебаниями размеров зерен, исчезают и измерения  $\sigma$  становятся воспроизводимыми (для I, II и III). В случае IV поры, трещины и границы зерен трудно уменьшить даже при 20000 кг/см<sup>2</sup>.

Данные по прозрачности согласуются с этим объяснением. Ч. М.

**24963. Влияние адсорбированного водорода на сопротивление прозрачных слоев никеля в неупорядоченном состоянии.** Зурман, Шульц (Über die Widerstandsänderung durchsichtiger Nickelschichten im ungeordneten Zustand bei der Adsorption von Wasserstoff. Suhrmann R., Schulz K.), Naturwissenschaften, 1955, 42, № 11, 340 (нем.)

Прозрачные неупорядоченные слои Ni получали сублимацией Ni на стеклянную или кварцевую пластинки при 90°К. Плотность покрытия  $163 \cdot 10^{15}$  атомов Ni на 1 см<sup>2</sup>. Все опыты проводились при 90°К. Начальное сопротивление слоя равно 63,8 ом. Через 60—80 мин. вследствие частичного упорядочения  $R$  падает до постоянной величины  $\sim 63,2$  ом. Впуск  $\text{H}_2$  с начальным давл.  $2,9 \cdot 10^{-4}$  мм вызывает скачкообразный рост  $R$  на 0,27%, а  $p$  уменьшается до  $< 10^{-6}$  мм рт. ст. Плотность покрытия поверхности  $\theta$  (число молекул  $\text{H}_2$  на 1 атом Ni) равна 0,31. После откачки  $\text{H}_2$   $\theta$  падает до постоянной величины 0,23, а  $R$  уменьшается до значения, превышающего исходное (на  $\sim 0,13\%$ ). Новый выпуск  $\text{H}_2$  с  $p = 1,4 \cdot 10^{-2}$  мм рт. ст. вызывает скачкообразное увеличение  $R$  на 2,12%, а  $p$  падает до  $6 \cdot 10^{-3}$  мм рт. ст.;  $\theta = 4,8$ . Откачка уменьшает  $\theta$  до 3,2 и  $R$  на несколько десятых процента. Противоположное по сравнению с упорядоченными Ni-слоями (РЖХим, 1955, 54769) поведение неупорядоченных слоев авторы объясняют тем, что, согласно предварительным опытам, такие слои содержат значительно больше центров с пониженной работой выхода. Адсорбированный  $\text{H}_2$  связывает электроны проводимости и  $R$  возрастает. Ч. М.

**24964. Собственная проводимость сульфидов хрома.**

Гражданкина Н. П., Факидов И. Г., Докл. АН СССР, 1955, 102, № 5, 957—960

С целью выяснения строения энергетич. спектра электронов «полуметаллич.» сульфидов хрома (РЖХим, 1954, 35599) исследована температурная зависимость их проводимости  $\sigma$  в области высоких т-р. В атмосфере воздуха или Ag последовательные нагревы до 300—500° и охлаждение  $\text{CrS}$  или  $\text{CrS}_{1,08}$  приводят к необратимому изменению  $\sigma$ , что вызвано термич. диссоциацией  $\text{CrS}$  и не позволяет определить истинную ширину запрещенной зоны  $\Delta E$  данного в-ва. Воспроизводимые и обратимые кривые  $\sigma = f(1/T)$  получены на образцах, помещенных в запаянные эвакуированные ампулы с миним. свободным объемом над образцом. В этих условиях при т-рах выше 150—350° наклоны кривых  $\sigma = f(1/T)$  для различных образцов одного и того же состава почти совпадают, что указывает на собственную проводимость сульфидов. Из наклона кривых вычислено, что для образцов, содержащих 50, 52, 53 и 53,5 ат. % S,  $\Delta E$  равна соответственно 0,89; 0,37; 0,17 и 0,06 эв. В соединении  $\text{CrS}_{1,17}$  (54 ат. % S) наблюдается полное перекрытие зон. Это в-во обладает ферромагнетизмом. Т-ра, при которой начинает обнаруживаться собственная проводимость, зависит от состава. Результаты подтверждают показанное рентгенографическим путем (Haraldsen П., Z anorgan. und allgem. Chem., 1937, 234, 372) существование непрерывного ряда твердых p-ров Cr-S. Ч. М.

**24965. Темновая проводимость CdS.** Мацуда (Dark conductivity of cadmium sulphide Matsuda Naoto), J. Sci. Hiroshima Univ., 1954, A18, № 1, 77—81 (англ.)

Поликристаллич. пленки CdS выращивали по измененному методу Фрерихса (Frerichs R., Phys. Rev., 1947, 72, 594). Измерение электропроводности  $\sigma$  производилось при помощи зондов в интервале т-р 20—350°. Исследованы низкоомные образцы с малой энергией активации  $E$  и высокоомные с большой  $E$ . Фото-



проводимостью обладали лишь высокоомные кристаллы. Зависимость  $\lg \sigma - (1/T)$  представляет собой две прямых, образующих ломаную линию. Соответственно этому кристаллы имеют две энергии активации: в низкотемпературной области  $E = 0,26 - 0,09$  эв и в высокотемпературной  $E = 0,90 - 0,37$  эв (данные для разных образцов). Низкоомный образец после прогрева в течение 40 час. при  $300^\circ$  в  $\text{H}_2\text{S}$  (1 атм) превращается в высокоомный и фотопроводящий. Такие изменения не наблюдаются при прогреве на воздухе. Эти опыты показывают, что низкоомный CdS содержит избыток Cd.

В. Л.

**24966. Направленный диэлектрический пробой в монокристаллах. Суйта** (Directional dielectric breakdown in single crystals. Suito Tokuo), J. Phys. Soc. Japan, 1953, 8, № 1, 126—128 (англ.)

Измерено пробивное напряжение  $E$  (в кэ) монокристаллов NaCl и KCl в кристаллографич. направлениях [100] и [110] в постоянных и импульсных полях. Влияние направления отчетливее обнаруживается в постоянных полях. Результаты при  $12^\circ$ : NaCl  $E_{100} = 41$ ,  $E_{110} = 38$ ; KCl  $E_{100} = 48$ ,  $E_{110} = 51$ ; при  $140^\circ$ : NaCl  $E_{100} = 20$ ,  $E_{110} = 20$ ; KCl  $E_{100} = 26$ ,  $E_{110} = 26$ . Зависимость  $E$  от направления приписана различиям в образовании объемного ионного заряда и первич. электронов.

А. Х.

**24967. Динамическое поведение доменных стенок в титанате бария. Литл** (Dynamic behavior of domain walls in barium titanate. Little Elizabeth A.), Phys. Rev., 1955, 98, № 4, 978—984 (англ.)

Оптическими методами исследованы зарождение, рост и взаимодействие  $90^\circ$  и  $180^\circ$  доменов в монокристаллах  $\text{BaTiO}_3$ . Оба типа доменов зарождаются в виде длинных тонких клиньев с начальной скоростью  $\sim 10^4$  см/сек в полях  $\sim 5$  кэ/см. Измерена скорость зарождения  $90^\circ$  доменов в монокристалле в зависимости от амплитуды и длительности приложенных прямоугольных импульсов напряжения. После зарождения домена дальнейший его рост описывается движением доменной стенки. На смещение  $90^\circ$  стенки оказывает сильное влияние деформация и степень зажатия кристалла. Движение стенки прекращается для частот порядка МГц, где начинаются пьезоэлектрич. резонансы кристалла. Боковой рост  $180^\circ$  клиньев зависит от возможности нейтр-ции электрич. зарядов у стенок, что согласуется с представлениями (Hippel A. von, Z. Phys., 1952, 133, 158) о влиянии электропроводности кристаллов  $\text{BaTiO}_3$  на динамику образования доменов. Взаимодействие  $180^\circ$  и  $90^\circ$  доменов приводит к конфигурации  $90^\circ$  стенки со сходящимся (или расходящимся) направлениями спонтанной поляризации в соседних доменах.

А. Ф.

**24968. Полупроводниковые свойства закиси меди. VII. Холл-эффект при температурах ниже комнатной.**

**Нике** (Über die Halbleitereigenschaften des Kupferoxyduls. VII. Der Halleffekt unterhalb der Zimmertemperatur. Nieke Helmut), Ann. Physik, 1953, 12, № 4—6, 297—308 (нем.)

В интервале т-р от +50 до  $-150^\circ$  измерены электропроводность  $\kappa$  и постоянная Холла  $R$   $\text{Cu}_2\text{O}$ . Образцы подвергали отжигу при  $960^\circ$  в атмосфере  $\text{O}_2$  при давл.  $p_{\text{O}_2} 1 \cdot 10^{-3} - 30$  мм рт. ст. с последующим быстрым охлаждением. Методика окисления меди, отжига и охлаждения образцов описана ранее (Blankenburg G. и др., Ann. Physik, 1952, 10, № 6, 217). Измеренная при  $0^\circ$  зависимость  $\kappa$  от  $p_{\text{O}_2}$  имеет минимум при  $p_{\text{O}_2} 2$  мм рт. ст., монотонно возрастает при меньших давлениях, что противоречит результатам цитированной работы. При том же  $p_{\text{O}_2}$  кривая  $R(p_{\text{O}_2})$  имеет максимум, причем во всем исследованном интервале давлений  $R$  остается  $> 0$ . Кривые  $\lg \kappa (1/T)$  и  $\lg R(1/T)$ , приведенные

для значений  $p_{\text{O}_2} 1 \cdot 10^{-3}$ , 2 и 30 мм рт. ст., имеют вид ломаных линий. Положения изломов на обеих кривых совпадают между собой и соответствуют т-рам, установленным ранее (ч. VI, РЖХим. 1955, 1769). Для тех же значений  $p_{\text{O}_2}$  кривые  $\lg R \kappa (1/T)$  ( $R \kappa$  — величина, пропорциональная подвижности носителей зарядов) при  $p_{\text{O}_2} 2$  мм рт. ст. характеризуются быстрым возрастанием  $R \kappa$  в интервале между  $-60$  и  $-100^\circ$ . При помощи зависимости  $\kappa \sim \kappa_0 \exp(-c/kT)$  для двух отрезков кривой  $\lg \kappa (1/T)$  построены две кривые  $c(p)$ , имеющие максимум. Такие же кривые с максимумом получены из кривых  $\lg R (1/T)$  с помощью зависимости  $R \sim \exp(c/kT)$ . Максимумы обеих пар кривых лежат в интервале давл.  $1 \cdot 10^{-1} - 1$  мм рт. ст., что не совпадает с положением экстремумов кривых  $\lg \kappa (1/T)$  и  $\lg R (1/T)$ . Этим нарушается правило Мейера о линейной связи с  $\lg \kappa$  при заданной  $T$ .

Е. С.

**24969. Полупроводниковые свойства закиси меди.**

**VIII. Изменение электропроводности с толщиной пробы при  $0^\circ$  С. Фрицше** (Über die Halbleitereigenschaften des Kupferoxyduls. VIII. Die elektrische Leitfähigkeit bei  $0^\circ$  C als Funktion des Ortes innerhalb der Probe. Fritzsche C.), Ann. Physik, 1954, 14, № 3—5, 135—140 (нем.)

Измерена электропроводность ( $\sigma$ ) пластинок  $\text{Cu}_2\text{O}$  ( $15 \times 12 \times 2$  мм) при  $0^\circ$  на различных расстояниях от их больших поверхностей. Образцы  $\text{Cu}_2\text{O}$  получали окислением электролитич. Cu, отжигали в  $\text{O}_2$  ( $10^{-1} - 20$  мм рт. ст.) при  $960^\circ$  и охлаждали с различной скоростью. В быстро охлажденных образцах  $\sigma$  экспоненциально возрастает от поверхности вглубь пластины в слое толщиной  $\sim 0,4$  мм и далее остается постоянной. Величина  $\sigma$  в центральных частях пластины в  $\sim 10$  раз больше, чем на поверхности. Это различие возрастает с давлением  $\text{O}_2$  при отжиге. После сошлифования поверхностных слоев с пониженной  $\sigma$  их можно восстановить повторным отжигом и быстрым охлаждением. Пластины с однородной  $\sigma$  получены путем отжига с последующим медленным охлаждением до т-ры, соответствующей границе устойчивости  $\text{Cu}_2\text{O} - \text{CuO}$  при данном давлении  $\text{O}_2$ , и затем быстрым охлаждением до комнатной т-ры. Пониженная поверхностная  $\sigma$  приписана более быстрому охлаждению поверхности, приводящему к уменьшению поверхностной концентрации вакантных узлов ионов Cu<sup>+</sup>.

А. Х.

**24970. Полупроводниковые свойства закиси меди.**

**IX. Измерения эффекта Холла при низких температурах. Шмидт** (Über die Halbleitereigenschaften des Kupferoxyduls. IX. Halleffektmessungen bei tiefen Temperaturen. Schmidt P.), Ann. Physik, 1954, 14, № 6—8, 265—289 (нем.)

На образцах  $\text{Cu}_2\text{O}$ , отожженных и охлажденных спец. образом, измерены электропроводность ( $\sigma$ ) и постоянная Холла ( $R$ ) при т-рах от комнатной до  $-170^\circ$ . Кривые зависимости  $\sigma$  от парц. давления  $\text{O}_2$  при отжиге обнаруживают ясно выраженный минимум, а кривые  $R$  — максимум при давл.  $1 - 2$  мм рт. ст. При увеличении скорости охлаждения  $\sigma$  уменьшается, а  $R$  увеличивается, причем точка экстремума сдвигается в область больших давлений. Кривые  $\lg \sigma = f(1/T)$  и  $\lg R = f(1/T)$  для образцов, отожженных при различном давлении  $\text{O}_2$ , либо прямолинейны, либо состоят из нескольких прямолинейных участков. Исключение составляют кривые  $\lg R = f(1/T)$  при давлениях, близких точкам экстремума, которые при  $-80^\circ$  заметно изогнуты; кривые  $\sigma$  в этой точке деформированы лишь незначительно. Аномалии в этой области особенно резко выражены на кривых  $\lg \sigma R = f(1/T)$ , обнаруживающих отчетливый минимум. Для давлений, далеко отстоящих от экстремальных значений,  $\sigma R \propto T^{-1/2}$  (для быстро охлажденных

образцов) или  $\sigma R \propto T^{-1/2}$  (для медленно охлажденных). Зависимость энергии активации (определенной из кривых  $\lg \sigma = f(1/T)$ ) от давления  $O_2$  при отжиге обнаруживает максимум при 1–2 мм рт. ст. Аномальный ход кривых  $\sigma R$  объяснен тем, что в определенном интервале  $t$ -р в проводимости, наряду с дырками, значительную роль играют электроны. Адсорбция водяного пара на поверхности уменьшает  $\sigma$  и увеличивает  $R$ , а высушивание ее с помощью  $P_2O_5$  дает обратный эффект. Эти явления обусловлены изменениями свойств поверхностного ( $\sim 0,01$  мм) слоя  $Cu_2O$ . Э. Р.

**24971.** Полупроводниковые свойства закиси меди. Х. Исследование электропроводности при нарушении термодинамического равновесия между 600 и 1000° в пределах и вне области устойчивости  $Cu_2O$ . XI. Поведение закиси меди в области устойчивости окиси меди. Бланкенбург (Über die Halbleitereigenschaften des Kupferoxyduls. X. Beobachtungen der elektrischen Leitfähigkeit bei Störung des thermodynamischen Gleichgewichtes zwischen 600° C und 1000° C innerhalb und ausserhalb des Stabilitätsgebietes von  $Cu_2O$ . XI. Das Verhalten des Kupferoxyduls im Stabilitätsgebiet des Kupferoxyds. Blankenburg G.), Ann. Physik, 1954, 14, № 6-8, 290—318 (нем.)

**Сообщение X.** При изменении  $t$ -ры в интервале 600—1000° при постоянном давлении  $O_2$   $P_{O_2} > 10^{-2}$  мм. рт. ст. наблюдается нормальный гистерезис, т. е. отставание проводимости  $\sigma$   $Cu_2O$  относительно ее равновесного в данных условиях значения: кривая  $\sigma = f(T)$ , полученная при понижающейся  $t$ -ре, лежит выше кривой, полученной при возрастающей  $t$ -ре. При  $P_{O_2} < 10^{-3}$  мм. рт. ст. наблюдается аномальный гистерезис:  $\sigma$  как бы «обгоняет» ее равновесное значение, соответствующее данным моментальным внешним условиям и кривая  $\sigma = f(T)$ , полученная при возрастающей  $t$ -ре, лежит выше кривой, полученной при понижающейся  $t$ -ре. Установлено, что свойства образцов  $Cu_2O$ , отожженных в области устойчивости  $CuO$ , зависят от пути достижения данных условий отжига.

**Сообщение XI.** Теоретически рассмотрены изменения фазового и стехиометрич. состава образца  $Cu_2O$  при изотермическом и изобарическом переходе из области устойчивости  $Cu_2O$  в область устойчивости  $CuO$ . Показано, что эти изменения зависят от пути перехода. Предсказываемые теорией изменения электропроводности  $Cu_2O$  при этих переходах хорошо согласуются с результатами сообщения X. А. Х.

**24972.** Влияние пространственного заряда на дырочный ток в германие. Дейси (Space-charge limited hole current in germanium. Dacey G. C.), Phys. Rev., 1953, 90, № 5, 759—763 (англ.) См. РЖФиз, 1954, 2731.

**24973.** Эффекты сильного поля в германие. Конуэлл (High-field effects in germanium. Conwell Esther M.), Phys. Rev., 1954, 94, № 4, 1068 (англ.) См. РЖФиз, 1956, 10684.

**24974.** Уравнение Клаузиуса — Мосотти для некоторых типов анизотропных кристаллов. Нейгебауэр (Clausius-Mosotti equation for certain types of anisotropic crystals. Neugebauer H. E. J.), Canad. J. Phys., 1954, 32, № 1, 1—8 (англ.)

Выводы обобщенное уравнение Клаузиуса — Мосотти на основе предположения о зависимости поляризации частиц от направления поля, вследствие чего, за исключением лишь весьма спец. случаев, кристаллы оказываются анизотропными, т. е. диэлектрич. проницаемость зависит от направления поля. Кроме того, предполагается, что все частицы одинаковы, что главные оси тензоров поляризуемости ориентированы параллельно

друг другу и что частицы упакованы не слишком тесно. Уравнения могут быть применены к искусств. диэлектрику, применяемому в качестве материала для линз для микроволновой спектроскопии. И. Э.

**24975.** Интерпретация измерений проводимости, эффекта Холла и инфракрасного поглощения в антимолиде индия. Остин, Мак-Клаймонт (The interpretation of Hall effect, conductivity and infra-red measurements in indium antimonide. Austin I. G., McClymont D. R.), Physica, 1954, 20, № 11, 1077—1083 (англ.)

Исследованы проводимость  $\sigma$ , постоянная Холла  $R$  и ИК-поглощение в поли- и монокристаллич. образцах  $InSb$  в области  $t$ -р от  $-140$  до  $+200^\circ$ . Исходные компоненты и слитки  $InSb$  подвергались зонной очистке. Граница ИК-поглощения с ростом  $t$ -ры смещается в сторону более коротких волн с температурным коэфф.  $-2,6 \cdot 10^{-4}$   $^\circ K^{-1}$ . Собственной проводимости не наблюдалось. Уменьшение сопротивления и  $R$  при высоких  $t$ -рах авторы объясняют наличием равных концентров электронов и большой величиной отношения подвижностей электронов и дырок. Определено положение уровня Ферми в  $n$ - $InSb$  в зависимости от  $t$ -ры. Н. Т.

**24976.** Изучение сегнетоэлектрического перехода в первичном фосфате калия с помощью дифракции нейтронов. Бейкон, Пиз (A neutron-diffraction study of the ferroelectric transition of potassium dihydrogen phosphate. Bacon G. E., Paease R. S.), Proc. Roy. Soc., 1955, A230, № 1182, 359—381 (англ.)

Методом измерения дифракции нейтронов при 77, 132 и  $293^\circ K$  установлено, что ионы  $H^+$  в сегнетоэлектрич. фазе  $KH_2PO_4$  в соответствии с теорией Слетера (Slater J. C., J. Chem. Phys., 1941, 9, 16) находятся в упорядоченном состоянии. Наложение постоянного поля вдоль оси  $z$  превращает образец в однодомный монокристалл. Перемена знака поля приводит к смещению ионов  $H^+$  вдоль связи  $O-H-O$  из одних мест упорядоченного состояния в другие. Тепловое движение ионов  $H^+$  в пределах потенциальных ям, образованных остовом  $KPO_4$ , практически не зависит от  $t$ -ры и, видимо, обусловлено нулевой энергией. Определены параметры всех атомов и длины связей при всех  $t$ -рах. И. П.

**24977.** Электропроводность ферромагнитных металлов при низких температурах. Туров Е. А., Изв. АН СССР, сер. физ., 1955, 19, № 4, 474—480

Ферромагнитные металлы обладают специфич. добавочным электросопротивлением  $\rho$ , обусловленным процессами соударения электронов проводимости с ферромагнотонами. При низких  $t$ -рах  $T$   $\rho$  имеет вид  $\rho = C_1 T + C_2 T^2$ , где  $C_1$  и  $C_2$  — константы, не зависящие от  $t$ -ры. Первая часть обусловлена теми столкновениями электронов проводимости с ферромагнотонами, которые связаны с магнитным спин-орбитальным взаимодействием  $s$ - и  $d$ -электронов ферромагнетика и при которых магнитное квантовое число системы  $m$  изменяется на  $\pm 1$ . Вторая часть обусловлена столкновениями с  $\Delta m = 0$ , связанными с  $s$ - $d$  электростатич. взаимодействием. При достаточно низких  $t$ -рах (возможно, в области гелиевых  $t$ -р)  $\rho$  может превзойти по величине обычное решеточное сопротивление, пропорциональное  $T^2$ . Имеется возможность выделения ферромагнитной части сопротивления путем возбуждения спин-системы не термическим, а магнитным способом (напр. при ферромагнитном резонансе). И. К.

**24978.** Исследование фотомангнетического эффекта в закиси меди при низких температурах. Комар А. П., Рейнов Н. М., Шалыт С. С., Изв. АН СССР, сер. физ., 1955, 19, № 4, 444—446 Теория фотомангнетической э. д. с. V Кляковна — Носкова приводит (Френкель Я. И., Sow. Phys.,

тесно,  
электри-  
для ми-  
И. Э.  
ности,  
анти-  
монт  
у and  
A u s-  
physica,

ла R  
раздах  
компо-  
истке.  
в сто-  
коэфф.  
не на-  
высо-  
онц-ий  
движ-  
жение  
Н. Т.  
ода в  
ракции  
diffrac-  
assium  
Р е а -  
1182.

ри 77,  
козек-  
летера  
одятся  
янного  
енный  
с сме-  
х мест  
жение  
янных  
и, по-  
преде-  
и всех  
И. И.  
метал-  
А.,  
480  
бавоч-  
процес-  
магню-  
C<sub>2</sub>T<sub>2</sub>,  
Первая  
ов про-  
агнит-  
электро-  
итовое  
часть  
ными  
аочно  
х т-р)  
точное  
возмо-  
зления  
еским,  
итном  
Ш. К.  
еского  
турах.  
С. С.,  
4—446  
лков-  
Phys.,

1934, 5, 597) к следующей зависимости  $V$  от поля  $H$ :  $V = aH / [1 + (\mu H / c)^2]$ , где  $a$  — константа,  $\mu$  — подвижность носителей тока. При  $\mu H / c \approx 0$  зависимость  $V$  от  $H$  линейна. Цель работы — исследовать зависимость  $V$  от  $H$  в  $\text{Cu}_2\text{O}$  в условиях, когда  $\mu H / c$  порядка 1, и на основе полученных результатов оценить  $\mu$ .  $V$  измерена в полях до 25 000 э при  $t$ -рах 77 и 4,2° К. Найдено:  $\mu_{77^\circ\text{K}} \approx 1,2 \cdot 10^8$  ед. CGS,  $\mu_{4,2^\circ\text{K}} \approx 3,6 \cdot 10^8$  ед. CGS.

Ш. К.

24979. Магнитные элементарные области. Эльшнер, Андре (Magnetische Elementarbezirke. Elschner B., Andrä W.), Fortschr. Phys., 1955, 3, № 4-5, 163—217 (нем.)  
Обзор. Библ. 78 назв.

А. Н.

24980. Магнитная восприимчивость  $\alpha$ -марганца при низких температурах. Арротт, Коле, Голдман (Magnetic susceptibility of  $\alpha$  manganese at low temperatures. Arrott A., Coles B. R., Goldman J. E.), Phys. Rev., 1955, 98, № 6, 1864—1865 (англ.)

Измерена магнитная восприимчивость ( $\chi$ )  $\alpha$ -Mn в интервале от 1,8° К до комнатной  $t$ -ры. Исследовались 2 образца: литой, содержащий 0,4 ат. % Н, 0,11 ат. % О и 0,09 ат. % N, и изготовленный электролитически, содержащий не более 0,02 ат. % Н. В согласии с литературными данными обнаружено, что у обоих образцов при комнатной  $t$ -ре  $\chi \sim 10^{-5}$ , а при 120—170° К проходит через максимум. у литого образца увеличивается с уменьшением  $t$ -ры  $< 100^\circ$  К. При гелиевых  $t$ -рах этот образец становится ферромагнитным. Остаточная намагниченность его составляет  $\sim 0,07$  при гелиевых  $t$ -рах и быстро убывает с повышением  $t$ -ры. Намагниченность же электролитич. образца при гелиевых  $t$ -рах лишь незначительно (на  $\sim 10\%$ ) больше намагниченности при комнатной  $t$ -ре. Литой образец был подвергнут отжигу при 500°, в результате которого большая часть примесей была, повидимому, удалена. После отжига его  $\chi$  при 4,2° К была всего лишь на 2% выше  $\chi$  при 300° К, а остаточная намагниченность составляла 0,003. Авторы приходят к выводу, что низкотемпературный ферромагнетизм  $\alpha$ -Mn, а также наблюдаемое в другой работе (РЖХим, 1956, 12265) увеличение  $\chi$  Mn при низких  $t$ -рах обусловлены присутствием в образцах примесей и не присущи чистому Mn.

Ш. К.

24981. Магнитные восприимчивости кристаллического и жидкого галлия. Маршан (Susceptibilités magnétiques du cristal de gallium et du gallium liquide. Marchand André.), C. r. Acad. sci., 1955, 241, № 5, 468—470 (франц.)

Измерена температурная зависимость главных уд. магнитных восприимчивостей монокристаллов ромбич. Ga. В интервале  $t$ -р 80—290° К  $\chi_a$ ,  $\chi_b$  и  $\chi_c$  изменяются монотонно. При 80 и 290° К соответственно  $\chi_a = -(0,240 \pm \pm 0,008) \cdot 10^{-6}$  и  $-(0,150 \pm \pm 0,005) \cdot 10^{-6}$ ;  $\chi_b = -(0,467 \pm \pm 0,007) \cdot 10^{-6}$  и  $-(0,506 \pm \pm 0,008) \cdot 10^{-6}$ ;  $\chi_c = -(0,343 \pm \pm 0,007) \cdot 10^{-6}$  и  $-(0,278 \pm \pm 0,006) \cdot 10^{-6}$ . Приведены результаты измерений  $\chi_b - \chi_a$ ,  $\chi_c - \chi_a$ , а также восприимчивости порошкообразного Ga. Жидкий Ga обнаруживает слабый парамагнетизм. При 40°С его восприимчивость составляет  $(+0,036 \pm \pm 0,006) \cdot 10^{-6}$ .

Ш. К.

24982. Об антиферромагнетизме в металлах. Трегголд (On antiferromagnetism in metals. Treggold R. H.), Proc. Phys. Soc., 1954, A67, № 11, 1018—1020 (англ.)

Произведена попытка выяснения условий возникновения антиферромагнетизма в металлах с помощью простой модели линейной цепочки водородоподобных атомов, атомные волновые функции которых аппроксимируются выражениями вида  $\exp(-1/2 \beta^2 r^2)$ . С помощью этих волновых функций строятся волновые

функции электрона. Входящий в эти функции параметр  $\lambda$  определяется из условия минимума энергии системы, соответствующего основному состоянию. Решение этой вариационной задачи дает для основного состояния  $\lambda^2 = 0,9030$  и для части энергии, зависящей только от  $\lambda$ ,  $E' = -0,6005$  ат. ед. на атом. Это состояние является антиферромагнитным с эффективным значением магнитного момента атома, равным 0,9030  $\mu_B$ .

Полученные результаты подтверждают предположение, что у в-ва, имеющего узкую частично заполненную энергетич. зону и не являющегося ферромагнитным, при достаточно низких  $t$ -рах появляются антиферромагнитные свойства. Это, в свою очередь, подтверждает высказанную ранее точку зрения (РЖХим, 1954, 47786; 1955, 15865) на основное состояние Cr и Mn как на антиферромагнитное. Поскольку узкая частично заполненная зона имеется у редкоземельных металлов, то возможно, что они при низких  $t$ -рах окажутся антиферромагнитными. Этому предположению соответствует наличие слабо выраженной аномалии теплосмкости при низких  $t$ -рах у Ce, Pr и Nd (Parkinson D. H., Simon F. E., Spedding F. H., Proc. Roy. Soc., 1951, A207, 137).

Е. М.

24983. Анизотропия магнитных свойств монокристаллов цинка при низких температурах. Веркин Б. И., Дмитренко И. М., Изв. АН СССР, сер. физ., 1955, 19, № 4, 409—428

Исследована зависимость эффекта де-Хааза — ван-Альфея в монокристалле Zn от угла  $\Phi$  между направлением магнитного поля и гексагональной осью кристалла при двух ориентациях последнего. Измерены разности главных восприимчивостей  $(\Delta\chi)_1 = \chi_3 - \chi_1$  и  $(\Delta\chi)_2 = \chi_3 - \chi_2$  в полях 1500—20 000 э при  $t$ -рах  $\leq 4,2^\circ$  К. Функциональная зависимость обеих  $\Delta\chi$  от  $1/H$  при  $4,2^\circ$  К складывается из трех компонент вида:  $B_1^2 H^{-3/2} \sin(\omega_i H - \delta_i) \exp(-B_i^2/H)$ , где  $i = 1, 2, 3$ . Основная компонента имеет низкую частоту, две другие — высокочастотные с близкими  $\omega_i$ . Периоды и амплитуды осцилляций всех трех компонент зависят от  $\Phi$ . Период основной компоненты резко убывает при увеличении  $\Phi$  от нуля до 90°. Ее амплитуда в постоянном поле растет с  $\Phi$  (при малых  $\Phi$ ), проходит через максимум, а затем, при  $\Phi \rightarrow 90^\circ$ , резко убывает. Период одной высокочастотной компоненты очень медленно уменьшается, а период другой гораздо быстрее увеличивается с  $\Phi$ . Различный характер угловой зависимости периодов трех компонент свидетельствует в пользу представления о существовании в Zn различных групп электронов, каждая из которых частично обуславливает исследуемый эффект.

Ш. К.

24984. Намагниченность насыщения и кристаллохимия ферромагнитных окислов. Гортнер Е. В., Успехи физ. наук, 1955, 57, № 2, 279—346; № 3, 435—483

См. РЖХим, 1955, 25716, 54534; 1956, 263.

24985. Теория низкотемпературных свойств ферромагнитных кристаллов. Ван-Кранендонк (Theory of the low-temperature properties of ferromagnetic crystals. Van Kranendonk J.), Physica, 1955, 21, № 1, 81—82 (англ.)

В качестве модели ферромагнетика при низких  $t$ -рах рассмотрена решетка из  $N$  спинов  $1/2$ , взаимодействующих друг с другом (обменное взаимодействие) и с внешним полем  $B$ . Собственные значения как суммарного спина  $S_z$ , так и обменной энергии системы ( $E_n$ ) определяются числом спиновых отклонений (CO)  $n$ , равным 0, 1, ...,  $N$ . Если обозначить:  $A = \exp(-N\mu_B / kT)$ ,  $z = \exp(-g\mu_B B / kT)$  и  $Z_n = \sum \exp(-E_n / kT)$  (суммирование производится по всем состояниям с  $n$  CO), то статистич. сумма рассматриваемой системы принимает такой же вид, какой



имеет статистич. сумма реального газа, а именно:  $Z = A \Sigma_n z^n Z_n$ . Последнее обстоятельство позволяет применить к неидеальному бозе-газу СО методы, разработанные в теории реальных газов и жидкостей. Для применения метода разложения по степеням плотности свободная энергия разложена в ряд по степеням  $\rho = \bar{n}/N$  — среднего относительного числа СО:  $G = NkT(\rho \ln \rho + \sum_k a_k \rho^k)$ . Вириальные коэфф.  $a_k$  могут быть выражены через  $Z_n$ . Для вычисления зависимости  $\rho(B, T)$  энергия взаимодействия двух СО принята равной  $+\infty$ , если оба СО находятся в одном узле, равной удвоенному обменному интегралу с обратным знаком, если СО находятся на соседних узлах решетки, и равной нулю во всех остальных случаях. В первом приближении СО образуют идеальный газ, а  $\rho(0, T)$  при низких  $T$ -рах зависит от  $T$  по закону  $T^{3/2}$ . Второе приближение учитывает двойные столкновения СО. Показано, что даже при  $\rho \ll 1$  (низкие  $T$ -ры) соответствующая поправка к температурной зависимости  $\rho$  значительна. Ш. К.

24986. Ядерный магнитный резонанс в металлических Li и Na. Джонс, Шифф (Nuclear magnetic resonance in metallic lithium and sodium. Jones H., Schiff B.), Proc. Phys. Soc., 1954, A67, № 3, 217—220 (англ.)

Проведен квантомеханич. расчет смещения частот ядерного магнитного резонанса в металлич. Li и Na относительно резонансных частот тех же ядер в хим. соединениях (Knight W. D., Phys. Rev., 1949, 76, 1259; Townes C. H. и др., Phys. Rev., 1950, 77, 852). Показано, что это смещение зависит от природы электронного состояния на поверхности Ферми. Результаты вычислений согласуются с опытом и подтверждают, что электронные состояния на поверхности Ферми для Na  $s$ -подобны, а для Li  $p$ -подобны. К. В.

24987. Спектр магнитного ядерного резонанса  $B^{11}$  в керните. Уотерман, Волков (Nuclear magnetic resonance spectrum of  $B^{11}$  in kernite. Waterman H. N., Volkoff G. M.), Canad. J. Physics, 1955, 33, № 5, 156—175 (англ.)

Исследовался магнитный резонанс (МР) ядер  $B^{11}$  в монокристалле кернита ( $Na_2B_4O_7 \cdot 4H_2O$ ) (I) при вращении монокристалла в поле  $H = 7060$  гс. При  $H \perp$  или  $\parallel$  оси  $b$  кристалла наблюдалось 11 линий, а во всех других ориентациях 21 линия. Авторы объясняют это тем, что в I имеются 4 положения атомов  $B^{11}$  с разными константами квадрупольного взаимодействия (ККВ). Слабое КВ, накладываясь на зеемановское расщепление уровней  $B^{11}$  (спин  $3/2$ ), дает для каждого ядра 3 линии с различными частотами. Если  $H$  направлено произвольно (случай 1), то общее число линий будет равно 24, если же  $H \parallel$  или  $\perp$  оси  $b$  (случай 2), то линий будет 12. Так как КВ слабы, то 2 (случай 2) или 4 (случай 1) центральных линий сливаются в одну, и число линий становится равным 11 или 21, что и наблюдается на опыте. В соответствии с развитой ранее теорией (РЖХим, 1955, 39629) найдены значения абс. величин ККВ в  $Mg$  и параметров асимметрии для четырех неэквивалентных положений  $B^{11}$ . Результаты, вытекающие из исследования МР ядер  $B^{11}$  согласуются с рентгенографич. данными о положении атомов  $B$  в I. Предварительные исследования МР ядер  $Na^{23}$  в I показывают, что имеется не более двух неэквивалентных положений атомов Na и ни одно из них не находится на кристаллич. оси. Это противоречит рентгенографич. данным (Portoles L., Estud. geol. Inst. Mallada, 1947, 5, 3; 1948, 7, 21; Minder W., Z. Krist., 1935, A92, 301).

Л. Ш.

24988. Эффект де-Хааса — ван-Альфена. III. Опыты в полях с напряженностью до 32 000 э. Диллон, Шёнберг (The de Haas—van Alphen effect. III. Experiments at fields up to 32 kG. Dhillon J. S., Shoenberg D.), Philos. Trans. Roy. Soc. London, 1955, A248, № 937, 1—21 (англ.)

Периодическая зависимость магнитной анизотропии от напряженности магнитного поля наблюдалась на образцах Bi и Zn в полях 1500—32 000 э при  $T$ -рах 4,19 и  $\sim 1,5^\circ$  К. Исследовались фаза колебаний, содержание гармоник и вид зависимости амплитуды от напряженности поля. Для Bi опытные данные хорошо согласуются с теоретич. ф-лой, за исключением знаков основной частоты и четных гармоник. Для Zn зависимость амплитуды от напряженности поля при больших значениях последней сильно отличается от теоретич.; гармоники выражены значительно слабее, чем у Bi; фазы основной частоты и первой гармоники отличны от теоретич. Слабая зависимость от напряженности поля наблюдалась у Bi даже при  $85^\circ$  К. У Zn в самых сильных полях наблюдались колебания со значительным меньшим периодом. Качественно наблюдались колебания с очень малым периодом у Pb; у Au, Cu и Ag колебания не были обнаружены. Часть II см. Philos. Trans. Roy. Soc. London, 1952, A245, 1. Л. С.

24989. Исправление к статье «Магнитное и дилатометрическое исследование образования  $CeMg_2$ ». Гомман, Коэн (Errata. Gomme-Mahn Francoise, m-me, Cohen Micheline, m-lle) C. r. Acad. sci., 1954, 238, № 21, 2132 (франц.)

К РЖХим, 1956, 262.

24990. Исследование анизотропии микротвердости кристаллов NaCl и KCl по методу царапания. Боярская Ю. С., Уч. зап. Кишиневск. ун-та, 1955, 17, 159—169

Исследование микротвердости по методу царапания на приборе ПМТ-3 четырехгранной алмазной пирамидой при нагрузках в 2—10 г и интервале скоростей 0,0002—0,2 см/сек показало, что на гранях NaCl и KCl образуются «пластичные царапины» (разрушение материала с предварительной пластик. деформацией). На грани (100) получается четырехлепестковая розетка микротвердости с максимумами микротвердости вдоль [110] и минимумами вдоль [100], то же — на грани (110) с минимумами, расположенными вдоль [100] и [110], и максимумами микротвердости, лежащими в интервале направлений царапания от  $30^\circ$  с [110] до  $45^\circ$  с [110]. Для грани (111) получаются трехлепестковые розетки микротвердости и обнаруживается явление полярной анизотропии: при направлении царапания от центра кристалла к его краю максимумы трехлепестковой розетки направлены к углам треугольной грани (111), т. е. к общей точке пересечения направления [112] и направления скольжения; при направлении царапания от края кристалла к его центру максимумы трехлепестковой розетки, наоборот, направлены к середине сторон треугольной грани (111). При испытании стальным конусом при нагрузке 2 г и скорости 0,08 см/сек на гранях куба NaCl образуются «хрупкие царапины», т. е. имеет место другой механизм царапания, и на грани (100), получается четырехлепестковая розетка микротвердости с максимумами вдоль [100] и минимумами вдоль [110]. М. Л.

24991. О некоторых особенностях роста кристаллов этилендиаминтарtrate (ЭДТ). Клир, Шаки (On some properties of ethylene diamine tartrate (EDT) crystal growth. Klier Emanuel, Shaki Mansour), Чехосл. физ. ж., 1955, 5, № 3, 404—417 (англ.; рез. русс.)

См. РЖХим, 1955, 42522.

24992 К. Кристаллография. (Учебник для геол.-развед. вузов и ун-тов). Изд. 3-е, испр. и доп. Попов Г. М., Шафрановский И. И. М., Госгеолтехиздат, 1955, 296 стр., илл., 8 р. 45 к.

24993 К. Дифракция нейтронов. Бейкон (Neutron diffraction. Bacon George Edward. Oxford, Clarendon Press., 1955, IX, 299 pp., ill., 35 sh.) (англ.)

24994 К. Кристаллографические данные. Классификация веществ по пространственным группам и их идентификация по размерам элементарных ячеек. Донне, Новацкий (Crystal data. Classification of substances by space groups and their identification from cell dimensions. Donnay J. D. H., Nowacki Werner. Mem. Geol. Soc. America, 1954, № 60, 719 pp.) (англ.)

24995 К. Кристаллическая структура канкринита. Нитоллон (Structure cristalline de la cancrinite. Nithollon Pierre. Paris, Serv. docum. inform. techn. aéronaut., 1955, 49 p., ill., 425 fr.) (франц.)

24996 К. Исследование кристаллической текстуры, полученной при прогрессивной прокатке монокристаллов алюминия. Маненц [Etude des textures cristallines obtenues par laminage progressif de monocristaux d'aluminium. Manenc Jack. (Publ. scient. et techn. Ministère air. № 293). Paris, Serv. docum. et inform. techn. aéronaut., 1954, iv, 119 p., ill., 1400 fr.] (франц.)

24997 К. Динамическая теория кристаллических решеток. Борн, Хуан Гунь (Dynamical theory of crystal lattices. Born Max, Huang Kun. Oxford, 1954, 429 pp., 50 sh.) (англ.)

24998 Д. Кристаллическая структура ксенолита. Мамедов Х. С. Автореф. дисс. канд. геол.-минералог. н., Ин-т кристаллогр. АН СССР, М., 1955

24999 Д. Рентгеноструктурное исследование твердых растворов сегнетоэлектриков со структурой типа перовскита. Веневцев Ю. Н. Автореф. дисс. канд. физ.-матем. н., Моск. инж.-физ. ин-т, М., 1955

25000 Д. Рентгенографическое определение термических коэффициентов расширения карбонила железа ( $\alpha$ -,  $\beta$ - и  $\gamma$ -фазы). Хазенауэр (Röntgenographische Bestimmung des thermischen Ausdehnungskoeffizienten von Karbonylisen ( $\alpha$ -,  $\beta$ -und  $\gamma$ -Phase). Häsenaue Walter. Diss. phil. Wien, 1955, Maschinenschr.), Oesterr. Bibliogr., 1955, № 11, 9 (нем.)

25001 Д. Плотность упаковки монов в кристаллах (Некоторые соотношения между плотностью и кристаллической структурой вещества). Старилов К. З. Автореф. дисс. канд. физ.-матем. н., Казахск. ун-т, Алма-Ата, 1955

25002 Д. Изучение процессов кристаллизации расплавов и стекол пироксенового состава. Котлова А. Г. Автореф. дисс. канд. геол.-минералог. н., Ин-т геол. наук АН СССР, М., 1955

25003 Д. К теории диффузионных процессов в твердых телах. Максимов Б. И. Автореф. дисс. канд. физ.-матем. н., Киевск. ун-т, М., 1955

25004 Д. Исследование электрических свойств некоторых соединений элементов III, V групп. Халилов А. Ю. Автореф. дисс. канд. физ.-матем. н., Ленингр. физ.-техн. ин-т АН СССР, Л., 1955

25005 Д. Исследование люминесценции антрацена и его производных в полистироле. Ануфриева Е. В. Автореф. дисс. канд. физ.-матем. н., Ин-т высокомолекул. соединений АН СССР, Л., 1955

25006 Д. Исследование спектра экситонного поглощения света в кристалле закиси меди. Захарченко Б. П. Автореф. дисс. канд. физ.-матем. н., Ленингр. физ.-техн. ин-т АН СССР, Л., 1955

См. также: Кристаллич. структуры, рентгеногр., электроногр., нейтроногр. исслед. 24856, 25085, 25109, 25114, 25392, 25393, 25856, 25876; 2452Мет, 2454Мет, 2455Мет, 2458Мет, 2462Мет, 2463Мет, 2466Мет, 2468Мет,

— 2470Мет, 2484Мет, 2519Мет, 2523Мет, 3435Мет, 3437Мет, 3440Мет, 3441Мет, 3445Мет, 3448Мет, 3449Мет, 3452Мет — 3455Мет, 3457Мет, 3458Мет, 3461Мет, 3464Мет, 3465Мет, 3578Мет. Магнитный резонанс 24854, 24865. Фаз. превращения, полиморфизм, 2441Мет, 2442Мет, 2443Мет, 3434Мет, 3439Мет, 3519Мет, 3520Мет, Термодинамика кристаллов 25066, 25389. Спектры и др. оптич. св-ва кристаллов 24809, 24831, — 24835, 24840, 24843, 24848. Рост кристаллов 24700; 2439Мет, 2440Мет. Природа хим. связи в кристаллах 24783, 24876. Приборы и оборудование 26065, 26093, — 26095, 26097, — 26100. Др. вопр. 25387, 25388, 25446, 36308; 2465Мет.

## ЖИДКОСТИ И АМОРФНЫЕ ТЕЛА. ГАЗЫ

25007. О теории жидкостей. Винтер (Considération sur la théorie des liquides. Winter Jacques), Ann. Inst. Henri Poincaré, 1954, 14, № 1, 1—33 (франц.)

Критически паллагается содержание работы (Waerden, van der, Z. Physik, 1948, 118, 473), в которой жидкость описывается как разупорядоченная решеткообразная структура. На этой основе рассматриваются проблемы вязкости, устойчивости ламинарного течения и «биологич. поля».

В. Ц. 25008. Смеси жестких сферических молекул. Олдер (Mixtures of rigid spherical molecules. Alder Berni J.), J. Chem. Phys., 1955, 23, № 2, 263—271 (англ.)

Для описания посредством радиальной функции распределения двойных смесей использована модель жестких сферич. молекул; отношение размеров молекул обоих типов выбрано 3 : 1, чтобы подчеркнуть различие компонент. Получено ур-ие состояния  $pv/NkT = 1 + (2\pi N/3v)[x_a^3 a_{aa}^3 g_{aa}(1) + 2x_a x_b a_{ab}^3 g_{ab}(a_{ab}/a_{aa}) + x_b^3 a_{bb}^3 g_{bb}(a_{bb}/a_{aa})]$ , где  $x_a, x_b$  — мол. доли компонент,  $a_{aa}, a_{bb}$  — диаметры молекул,  $a_{ab} = (a_{aa} + a_{bb})/2$ , а  $g_{aa}(x), g_{ab}(x), g_{bb}(x)$  — потенциалы взаимодействия, для которых, в приближении суперпозиции, получена система интегральных ур-ний. Эта система решена численно методом итераций; даются таблицы для трех плотностей (когда сферы занимают  $2/100, 2/60, 2/30$  всего объема) и нескольких соотношений содержания компонент ( $x_a : x_b = 1, 3, 27$ ). Эти результаты использованы для вычисления значений  $pv/RT - 1$ , а также энтропии и свободной энергии.

В. У. 25009. Межмолекулярные потенциалы аргона, криптона и ксенона. Уолли, Шнейдер (Intermolecular potentials of argon, krypton, and xenon. Whalley E., Schneider W. G.), J. Chem. Phys., 1955, 23, № 9, 1644—1650 (англ.)

Дан обзор методов определения параметров  $\epsilon, r_0$  и  $r_m$  для потенциалов вида  $u = \epsilon f(r)$  при  $f = 4[(r_0/2)^{12} - (r_0/r)^6]$ ,  $f = 2[(r_m/r)^9 - 3(r_m/r)^6] + f = (1-6/x)^{-1} \{ (6/x) \times \exp(1-r/r_m) - (r_m/r)^6 \}$ . Предложено применять метод наименьших квадратов для определения указанных параметров; с использованием эксперим. данных табулированы их значения.

В. Ц. 25010. Влияние ориентационных сил на вторые вириальные коэффициенты. Касл, Досон, Джансен (Effect of orientational forces on second virial coefficients. Castle Barbara J., Dawson John M., Jansen Laurens), J. Chem. Phys., 1955, 23, № 9, 1733 (англ.)

Для второго вириального коэф. в лучшем приближении, чем в других работах (РЖХим, 1955, 51429, 51430), получено выражение  $B(T) + (2\pi N_0^2/3) \{ F(y) -$

—  $(720 \theta^4 / 320 \varepsilon^2 \gamma_0^{10}) H_{10}(y) + 0,09 (6^2 x^2 / \varepsilon_0^5) H_{11}(y) -$   
 $-(0,05 x^2 + 0,095 x^4) H_{12}(y)$ , где  $x$  — фактор анизотропии,  
 $y = 2 (\varepsilon / kT)^{1/2}$ ,  $F(y) = -(y^{1/2} / 4) \sum_{p=0}^{\infty} \Gamma[(2p-1)/4] y^p / p!$ ,  
 $H_n(y) = y^{(27-n)/6} \sum_{p=0}^{\infty} \Gamma[(6p+n-3)/12] y^p / p!$ , а  $\varepsilon$  и  
 $r_0$  — константы потенциала (12; 6) Леннарда-Джонса. Для  
лучшего согласия теории с опытом предложено в выра-  
жении для  $H_n(y)$  заменять функцию  $\Gamma$  на «неполную»  
 $\Gamma$ -функцию (Pearson K., Tables of the incomplete  $\Gamma$ -function  
Cambridge, 1951) по ф-ле  $\Gamma y^2(x) = \int_0^y e^{-t} t^{x-1} dt$ . В. И.

**25011. О следствиях из уравнения состояния, в осо-  
бенности из уравнений нулевой, первой и второй  
степени. Пинтер (O slejedovima jednačaba stanja,  
specijalno o jednadžbama nultog, prvog i drugog  
stepena. Pinter Tomislav), Farmac. glasnik,**  
**1954, 10, № 3, 100—106 (хорв.; рез. нем.)**

На основе предыдущих работ (Pinter T., Acta phys.  
polon., 1935, 4, 23; Z. Elektrochem., 1937, 43, 669)  
предложено следующее правило: ур-ние состояния  $n$ -го  
ранга имеет  $n+1$  константу. Поэтому ур-ние для  
идеального газа  $pV = RT$  — нулевого ранга, а ур-ние  
 $p(v-b) = RT$  — первого, оно может считаться ур-нием  
полуидеального газа (полуидеальные газы — такие газы,  
между молекулами которых нет сил притяжения). Ур-ние  
первого ранга является известным ур-нием Закура  
(Zackura (Sackur O., Z. phys. Chem., 1909, 70, 447;  
Z. Elektrochem., 1912, 18, 641), которое он рассматривал  
как ур-ние для осмотич. давления. Между «растворен-  
ными» молекулами, повидимому, нет сил притяжения.  
Аналогично в случае смеси газов, когда, согласно  
наблюдениям (Townend D. T. A., Bhatt L. A., Proc.  
Roy., Soc., 1931, A134, 502), CO, «растворенная» в водо-  
роде, ведет себя более «идеально», чем такое же кол-во  
CO в таком же пустом объеме. Если подставить в ур-ние  
второго ранга  $p(v-b) = RT - a/v$  значения  $b = v_k/2$ ,  
 $a = P_k v_k^2$ ,  $RT/P_k v_k = 3/2$ , то получается приведенное  
ур-ние:  $\pi = 3\theta / (2\phi - 1) - 2 / \phi (2\phi - 1)$ . Отмечается,  
что почти все теоретич. обоснования ур-ния состояния  
третьего ранга Ван-дер-Ваальса вытекают из ур-ния  
второго ранга. С. Ш.

**25012. Вторая вязкость в жидкостях. Номото  
(流體の第二粘性・能本乙彦), 日本物理學會誌.** Нихон  
буцри гаккайси, Proc. Phys. Soc. Japan, 1955, 10,  
№ 6, 213—214 (япон.)

**Обзор. В. Л.**  
**25013. О зависимости вязкости жидкостей от новой  
приведенной температуры. Поснехов Д. А.,**  
**Ж. прикл. химии, 1953, 26, № 6, 644—648.**

Показано, что в некоторых случаях зависимость  
отношения  $\eta$  к  $\eta_{пл}$ , где  $\eta$  — вязкость при данной т-ре,  
 $\eta_{пл}$  — вязкость при т-ре плавления, от новой приве-  
денной т-ры  $\theta = (T - T_{пл}) / (T_{кр} - T_{пл})$  ( $T$  — перемен-  
ная т-ра,  $T_{пл}$  и  $T_{кр}$  — соответственно т-ры плавления  
и критическая, выраженные в °K) может выражаться  
общей кривой для гомологич. соединений. О. Г.

**25014. Полезное соотношение между некоторыми  
физическими свойствами жидкости. Фрейзер  
(A useful correlation of some physical properties of  
liquids. Fraser M. H., Research, 1955, 8, № 11,  
S57—S58 (англ.))**

Предложено следующее соотношение между вязко-  
стью  $\eta$  (в пуазах), давлением пара  $p$  (в мм рт. ст.) и  
поверхностным натяжением  $\gamma$  (в дин/см):  $\eta^2 p^\alpha / \gamma = \beta$ .  
Здесь  $\alpha$  и  $\beta$  — постоянные. Приведены значения  $\alpha$   
и  $\beta \cdot 10^7$  соответственно для  $n$ -гексана 0,31613; 25,411,  
 $n$ -октана 0,33860; 29,750, бензола 0,47554; 108,10, толуола  
0,3677; 37,778, этилового спирта 0,58844; 583,41, эти-  
лбензола 0,77040; 88,585 и ртути 0,073497; 3,0709.

Расчеты, представленные графиками и таблицей, ука-  
зывают на удовлетворит. выполнимость приведенно-  
го соотношения в широких интервалах давлений. В. Ц.  
**25015. О связи строения жидкостей с их электриче-  
скими свойствами. Регель А. Р. В сб.: Строе-  
ние и физические свойства вещества в жидком со-  
стоянии. Киев, Изд-во ун-та, 1954, 117—131**

На основе анализа эксперим. данных, имеющихся  
в литературе, и результатов собственных исследова-  
ний автор показывает, что электр. свойства жидких  
металлов мало отличаются от твердых металлов, т. е.  
преобладание металлич. типа связи при плавлении не  
нарушается, а у таких полуметаллов как висмут, сурь-  
ма и галлий даже усиливается. Это согласуется с не-  
значительными изменениями структуры ближнего по-  
рядка при плавлении, наблюдаемыми рентгенографи-  
чески. Для качеств. анализа влияния плавления на  
электр. свойства автор считает необходимым учиты-  
вать не только исходную структуру в твердом состо-  
янии, но и структуру расплава. Сопоставление темпера-  
турной зависимости электропроводности ( $\sigma$ ) и плотно-  
сти ( $\rho$ ), а также других данных о структуре показывает  
наличие несомненной корреляции между ними. В-ва  
с одинаковой структурой в твердом состоянии при  
плавлении могут изменять свои электр. свойства и  
плотность (которая в определенной мере отражает  
структурные изменения) самым различным образом.  
Эти изменения имеют закономерный характер, свя-  
занный с периодическим законом Д. И. Менделеева.  
Плавление Si, Ge, GaSb и InSb ведет к резкому возрас-  
танию  $\sigma$  и  $\rho$ , что, очевидно, связано с перестройкой  
ближнего порядка от структуры алмаза к более плот-  
ным упаковкам, характерным для металла. Плавление  
HgSe приводит к резкому уменьшению  $\sigma$  и  $\rho$ , что может  
быть объяснено образованием молекулярной жидко-  
сти. Связь  $\sigma$  со структурой для в-в с «линейными гомео-  
полярными связями» рассмотрена на примере Se, Te  
и системы Se—Te, образующей непрерывный ряд  
твердых р-ров. Показано, что для глубокого понима-  
ния электр. свойств в-ва как в твердом, так и в жид-  
ком состоянии необходим детальный анализ статисти-  
ческого характера ближнего порядка. С другой стороны,  
изучение электр. свойств в-ва в твердом и жидком  
состоянии может помочь в анализе структуры жидко-  
сти. Г. Р.

**25016. К вопросу о применении интегрального а-  
нализа при определении структуры жидкостей. Ла-  
шко А. С. В сб.: Строеение и физические свойства  
вещества в жидком состоянии. Киев, Изд-во ун-та,  
1954, 39—44**

Для определения функции распределения методом  
интегрального анализа требуется знание кривой интен-  
сивности в широком интервале значений  $s = 4\pi/\lambda \sin \theta$   
(где  $\lambda$  — длина волны;  $2\theta$  — угол рассеяния), охваты-  
вающим все интерференционные эффекты. В эксперим.  
условиях, при использовании не очень коротких волн,  
кривая интенсивности определяется в ограниченном  
интервале изменения  $s$ , что должно сказываться на  
результатах анализа, внося ошибку в кривую атомного  
распределения. С целью анализа возможных ошибок  
построены кривые атомного распределения для трех  
типов куб. упаковок: простой, гранецентрированной  
и объемноцентрированной. Функция плотности опреде-  
лялась как сумма ряда гауссовых функций, соответствую-  
щих различным шаровым слоям атомов, окружающих  
центральный атом. По кривым распределения вычислены  
кривые интенсивности. Затем кривые интенсивности  
рассчитывались на различные участки и для каждого из  
них определялась функция атомного распределения.  
В результате недостатка первого максимума интен-  
сивности для всех трех упаковок наблюдается уменьшение  
координационного числа без заметного изменения



радиуса координационной сферы. Вывод не обобщает все возможные случаи. Недочет интенсивности при больших углах рассеяния приводит к размытию распределения, в результате чего первый максимум делается более широким, хотя площадь под ним изменяется мало. Несмотря на то, что пренебрежение первым максимумом, а также отбрасывание участков кривой интенсивности для больших углов не приводит к существенным изменениям в расположении координационных сфер на кривых распределения, влияние этих операций на площадь под первым максимумом на кривой распределения таково, что может привести к неправильному заключению о типе упаковки. Н. Р. 25017. Подтверждение существования двойной молекулы гелия. Кихара, Канеко (Confirmation of the existence of a helium double-molecule. Kihara Taro, Kaneko Shobu), J. Phys. Soc. Japan, 1955, 10, № 4, 314—315 (англ.)

Подтверждаются результаты одного из авторов (Р.К.Хим, 1955, 54566) путем анализа второго вирального коэфф. при низких т-рах  $T \leq 2T_B$ , где  $T_B = 26,0^\circ \text{K}$  (т-ра Бойля), с использованием межмолекулярного потенциала вида:  $U(r) = \infty$  ( $r < \sigma$ ),  $U(r) = -\epsilon < 0$  ( $\sigma < r < g\sigma$ ),  $U(r) = 0$  ( $g\sigma < r$ ), где  $1,5 \leq g \leq 2,0$ , а  $r$  — расстояние между центрами одноатомных молекул. Вводя параметр  $s = \{[2(g-1)/\pi\hbar]\sigma\}^2 m\epsilon$ , авторы получают  $B = (4\pi\hbar^2/mkT)^{3/2} f(\tau)$ , где  $\tau \equiv \pi s kT / [4(g-1)^2 \epsilon]$ . Значения функции  $f(\tau)$  приведены в таблице и по этим данным построены кривые зависимости  $(mkT/4\pi\hbar^2)^{3/2} B$  от  $T/T_B$  для различных  $s$  и  $g$ , согласующиеся с опытом. Авторы делают вывод, что для системы  $\text{He}^4 - \text{He}^4$  параметр  $s$  находится в пределах  $1 < s < 1/3$ , что соответствует области  $3/4 < s < 1$  для системы  $\text{He}^3 - \text{He}^3$ , рассмотренной в цитируемой работе. О. Ю.

25018. О теории жидкого  $\text{He}^3$ . Голдштейн (On the theory of liquid  $\text{He}^3$ . Goldstein Louis), Phys. Rev., 1954, 96, № 6, 1455—1460 (англ.)

Если рассматривать жидкий  $\text{He}^3$  как идеальную жидкость при т-ре абс. нуля, то характеристич. т-ра обмена, равная  $0,45^\circ \text{K}$ , близка к вычисленному значению т-ры для обмена антипараллельных спинов ( $1^\circ \text{K}$ ) (Goldstein L., Goldstein M., Phys. Rev., 1949, 76, 464 (A); J. Chem. Phys., 1950, 18, 538). Эти расчеты не объясняют совпадения опытных значений ядерной парамагнитной восприимчивости с вычисленными на основе модели идеального газа Ферми. Определяется энтропия спиновой неупорядоченности и связанная с ней теплоемкость жидкого  $\text{He}^3$  на основе модели жидкости, часть частиц которой имеет отличный от нуля спин. Статистически показано, что отношение парамагнитной восприимчивости этой жидкости к восприимчивости, которую дает закон Кюри-Ланжевена, равно отношению числа частиц с отличным от нуля спином к общему числу частиц. Вычисляются обычным путем энтропия спиновой неупорядоченности и теплоемкость, выражающиеся через упомянутое выше отношение. Дан график энтропии и теплоемкости как функции т-ры. Сравнение с опытом показывает, что при т-рах  $1,0 < T \leq 1,5^\circ \text{K}$  значительная часть полной энтропии жидкого  $\text{He}^3$ , а ниже  $1^\circ \text{K}$  подавляющая ее часть — спинового происхождения. При  $0,4^\circ \text{K}$  40% всей теплоемкости, а при  $T \leq 0,4 - 0,3^\circ \text{K}$  большая ее часть также спинового происхождения. Максимум спиновой теплоемкости при достаточно низких т-рах можно установить косвенно по значениям общей теплоемкости жидкого  $\text{He}^3$ . С. III.

25019. О роли обменных сил в проблеме  $\text{He II}$ . Франкетти (Tentative on the rôle of exchange forces in the problem of  $\text{He II}$ . Franchetti S.), Nuovo cimento, 1955, 1, Suppl., № 2, 159—160 (англ.)

При построении одночастичных собственных функ-

ций принимается, что избыток кинетич. энергии зависит от импульсов квадратично, так что они непригодны для описания фононов (характерных для очень низких т-р), но могут представлять ротоны (преобладающие при  $T > 1^\circ \text{K}$ ). Введен лишь один произвольный параметр, который может быть выбран так, чтобы дать правильную величину нулевой энергии и в то же время эффективную массу порядка (несколько больше)  $m_{\text{He}}$ . Исследование обменных интегралов показывает, что существенное отличие от случая свободных частиц заключается в появлении структурного фактора, определяющего «локальными» собственными функциями, описывающими движение атома в среднем поле его соседей. Эти интегралы содержат подлежащий нахождению параметр  $r_0$  — нижний предел интегрирования по взаимным расстояниям взаимодействующих атомов. Для его нахождения сравнено кол-во поглощенной теплоты с числом испарившихся «частиц» в интервале т-р от  $0^\circ \text{K}$  до  $\lambda$ -точки. Использованы эксперим. данные о плотности  $\rho_n$  нормальной жидкости и о теплоемкости. Чтобы получить из них энергию  $\xi$ , поглощаемую при испарении частицы, требуется предположение о природе «частиц». Выдвинуты две гипотезы: 1) частицы суть фононы; 2) они суть атомные массы. Выражение  $\xi$  как функции т-ры показывает, что разумные результаты получаются ниже  $0,3^\circ \text{K}$  из предположения 1 и выше  $0,8^\circ \text{K}$  из предположения 2. В промежуточной области ни одно из них в отдельности не годится. Поскольку обменные силы должны дать рост энергии возбуждения,  $r_0$  надо выбрать так, чтобы получить практически нулевое значение обменного интеграла в пределе нулевого импульса (т. е. для  $T \rightarrow 0$ ); получается  $r_0 \sim 2\text{А}$ . Обменная энергия вычислена как функция т-ры; кривая хорошо согласуется с той, которая следует из температурного хода плотности. В. У.

25020. Обоснование двухжидкостной теории с точки зрения молекулярной теории. Оно (二流體理論の分子論的基礎づけ. 小野周), 日本物理學會誌, Нихон бунри гаккайси, Proc. Phys. Soc. Japan, 1955, 10, № 6, 208—209 (япон.)

Обзор.

25021. Номограмма газового переноса. Като (ガス輸送のノモグラフ. 河東準), 化学工学, Kagaku kogyo, Chem. Engng (Tohoku), 1954, 18, № 1, 38 (япон.)

25022. Влияние давления на вязкость газов. Варгафтик Н. Б., Тр. Моск. авиац. ин-та, 1955, вып. 51, 53—66

Для описания зависимости вязкости  $\eta$  жидких газов предложено ур-ние  $\eta = \eta_t + B\rho^m$ , где  $\eta_t$  — вязкость при 1 ага,  $\rho$  — плотность,  $B$  и  $m$  — постоянные для данного в-ва. Приведены следующие значения этих постоянных (в той же последовательности):  $\text{N}_2$  0,0068; 1,63,  $\text{CO}_2$  0,00525; 1,70,  $\text{CH}_4$  0,0447; 1,50 (при этом плотность в  $\text{г/см}^3$ , вязкость — в пуазах), водяной пар  $1,26 \cdot 10^{-8}$ ; 1,48 (плотность в  $\text{кг/сек}^2/\text{м}^2$ , вязкость в  $\text{кг/сек/м}^2$ ). В. Ц.

25023. Свободная конвекция между двумя вертикальными плоскостями при наличии температурного градиента с постоянным наклоном. Прейгер (Free convection between two vertical plates in the presence of an inclined temperature gradient. Prager Stephen.), J. Chem. Phys., 1955, 23, № 9, 1742 (англ.)

Получено ур-ние, описывающее конвекцию жидкости с постоянным коэфф. теплового расширения, постоянными теплоемкостью и теплопроводностью между двумя вертикальными параллельными плоскостями для случая, когда градиент т-ры составляет постоянный угол с этими плоскостями. В. Ц.

25024. Скорость звука в газах и флуктуация плотности и энергии. Лепендин Л. Ф. В сб.:

Применение ультраакустики и исследование вещества. Вып. 2, М., Изд. МОПИ, 1955, 75—79

На основе термодинамич. соотношений получена ф-ла зависимости скорости звука от флюктуаций плотности и энергии. Указано на возможность рассматривать скорость звука как величину, характеризующую развитие флюктуации, поскольку ее минимум соответствует максимуму флюктуации.

**В. П. 25025. Диэлектрическая постоянная неидеального неполярного газа.** Баккингем, Поппл (The dielectric constant of an imperfect non-polar gas. Buckingham A. D., Pople J. A.), Trans. Faraday Soc., 1955, 51, № 8, 1029—1035 (англ.)

Полный момент диэлектрич. поляризации  $\gamma P = (\epsilon_s - 1) V_m / (\epsilon_s + 2)$ , где  $\epsilon_s$  — статич. диэлектрич. поляризация,  $V_m$  — молярный объем, разложен по обратным степеням  $V_m$ :  $\gamma P = a + b/V_m + c/V_m^2 + \dots$ , где  $a, b, \dots$  — диэлектрич. виральные коэфф. Найдены следующие их значения:  $a = (4\pi N/3) (\alpha + \mu_0^2/3kT)$  и  $b = (4\pi N^2/3\Omega) \int \{ [1/2 (\partial (\mu_1 + \mu_2) / \partial E_0) e - \alpha] + [1/2 (\mu_1 + \mu_2)^2 - \mu_0^2] / 3kT \} \exp \{-u_{12}/kT\} d\tau_2$ . Здесь  $\Omega$  — интеграл по угловым координатам,  $E_0$  — напряженность электр. поля,  $e$  — единичный вектор в направлении поля,  $\alpha$  — средняя поляризуемость молекулы,  $u_{12}$  — межмолекулярный потенциал парного взаимодействия,  $\mu_0$  — перманентный дипольный момент,  $\mu_i$  — наведенный магнитный момент  $i$ -й молекулы. В случае неполярных газов рассмотрены следующие эффекты: 1) изменение поляризуемости молекулы из-за наличия соседей (Michels, de Boer, Bijl, Physica, 1937, 4, 981; de Groot, ten Seldam, Physica, 1946, 12, 669); 2) наличие суммарного момента, наведенного полями индуцированных моментов соседних молекул (Kirkwood, J. Chem. Phys., 1936, 4, 592); 3) возникновение у молекул без перманентных дипольных моментов, наведенных квадрупольными моментами других молекул. Парное взаимодействие учтено в форме Леннард-Джонса:  $u_{12} = 4\epsilon \{ (r_0/r)^{12} - (r_0/r)^6 \}$ . Получена ф-ла:  $b = (8\pi^2 N^2 \alpha^2/9) \{ \alpha r_0^{-3} y^{-1} H_6(y) + (\theta^2/8\epsilon) r_0^{-5} y^{-2} H_8(y) \}$ ,

где  $H_n(y) = y^{(2n-7)/6} \sum_{p=0}^{\infty} \Gamma[(6P+n-3)/12] y^P / P!$ ,  $y = 2(\epsilon/kT)^{1/6}$  и  $\theta$  — квадрупольный момент. Сопоставление теории с опытом без учета 3-го эффекта для Ar (Clay, van der Maessen, Physica, 1949, 15, 467; Michels, ten Seldam, Overdijk, Physica, 1951, 17, 781) и  $C_2H_4$  (Yvon, C. r. Acad. sci., 1936, 202, 35) дает значительное расхождение в первом случае и не очень большое — во втором. Сравнение с опытом для  $CO_2$  (Beattie и др., J. Chem. Phys., 1951, 19, 1222) показывает, что для него основную роль играет 3-й эффект. 1-й и 2-й эффекты могут быть в эксперименте отделены от 3-го путем наблюдения на различных частотах.

**В. П. 25026. Статистическая механика неидеальных полярных газов. Часть 1. Вторые виральные коэффициенты. Часть 2. Диэлектрическая поляризация.** Баккингем, Поппл (The statistical mechanics of imperfect polar gases. Part 1. Second virial coefficient. Part 2. Dielectric polarization. Buckingham A. D., Pople J. A.), Trans. Faraday Soc., 1955, 51, № 9, 1173—1183 (англ.)

Часть 1. Рассматриваются межмолекулярные силы в неидеальном газе, состоящем из поляризующихся молекул, обладающих постоянным дипольным моментом. Качественно обсуждается роль сил, не связанных с наличием постоянного дипольного момента квадрупольных сил и сил, зависящих от формы молекул. На основе потенциальной энергии вида  $u = u^{(0)} + \mu_0^2 r^{-3} [X + \alpha r^{-3} Y + \alpha^2 r^{-6} Z]$ , где  $u^{(0)} = 4\epsilon \{ (r_0/r)^{12} - (r_0/r)^6 \}$  — потенциал Леннард — Джонса,  $\mu_0$  — дипольный момент,

$\alpha$  — поляризуемость,  $X, Y$  и  $Z$  — функции только углов взаимной ориентации диполей (Stockmayer, J. Chem. Phys., 1941, 9, 398). Получено следующее выражение для второго вирального коэфф.  $B(T) = (2/3) \pi N r_0^3 \times \{ F(y, \tau) - q[(y^2 \tau^2/1920) H_{12}(y) + (y^6 \tau^2/134400) H_{16}(y) + \dots] - q^2 [(11r^2/320) H_{12}(y) + \dots] - \dots \}$ . Здесь  $r = \mu_0^2/\epsilon r_0^3$ ,  $q = \alpha/r_0^3$ ,  $H_k(y) = y^{(2k-7)/6} \sum_{p=0}^{\infty} \Gamma[(6P+k-3)/12] y^P / P!$  и  $F(y, \tau) = y^{-2} \{ H_{12}(y) - (1/2) H_6(y) - \sum_{n=1}^{\infty} [n! \times 2^{-n-1} / (2n+1)!] y^{4n-4} \tau^{2n} H_{6n}(y) \sum_{l=0}^n (2l)! / (l!)^2 \}$ . Приводятся таблицы функции  $H_k(y)$  для  $K$  от 6 до 17 и  $y$  от 0,6 до 3,2. При учете квадрупольного взаимодействия  $B(T) = (2\pi N r_0^3/3) \{ F(y, \tau) - \gamma [(r_0^6/64) H_6(y) - (y^2 \tau^2/320) \times H_{12}(y) + \dots] - \gamma^2 [(7/320) H_{10}(y) - (3y^2 \tau^2/1120) H_{12}(y) + \dots] - \gamma^3 [(9/7840) H_{12}(y) + \dots] - \dots \}$ , где  $\gamma = \theta^2/\epsilon r_0^5$ ,  $\theta$  — квадрупольный момент. По наблюдаемым величинам оценены параметры  $\epsilon/k$  и  $r_0$  для  $CH_3OH$ ,  $H_2O$ ,  $CH_3Cl$ ,  $CH_3F$ .

Часть II. Полная поляризация  $\gamma P$  разложена в ряд по обратным степеням молярного объема  $V_m$   $\gamma P = [(\epsilon_s - 1)/(\epsilon_s + 2)] V_m = a + b/V_m + c/V_m^2 + \dots$ , где  $\epsilon_s$  — статич. диэлектрич. постоянная и  $a, b$  и  $c$  — диэлектрич. виральные коэфф. Величины  $a$  и  $b$  в общем виде были определены ранее (Kirkwood, J. Chem. Phys., 1936, 4, 592; см. реф. 25010); непосредственная постановка потенциала, учитывающего лишь взаимодействие точечных диполей [первые два слагаемых в выражении для  $u$  даст для  $b$  значения, в несколько раз отличающиеся от наблюдаемых (Keyes, Oncley, Chem. Rev., 1936, 19, 195; David и др., J. Chem. Phys., 1952, 20, 969 с пересчетом авторов)]. После обсуждения различных возможностей дополнительного учета эффектов, связанных с поляризуемостью молекул, авторы приходят к выводу, что у  $CH_3F$  правильное значение  $b$  может быть получено лишь при учете несферичности молекул.

**В. П. 25027. Диэлектрическая поляризация полярных жидкостей.** Мандель (La polarisation diélectrique des liquides polaires. Mandel M.), Bull. Soc. chim. France, 1955, № 7-8, 1018—1025 (франц.)

Изложение и критика различных теорий полярных жидкостей (Fröhlich H. Theory of dielectrics. Clarendon Press, Oxford, 1949; Kirkwood J. G., J. Chem. Phys., 1939, 7, 911; Onsager L., J. Amer. Chem. Soc., 1936, 58, 1486; Böttcher C. Theory of electric polarisation. Elsevier, 1952).

**В. П. 25028. Диэлектрическая поляризация в полярных веществах. Замечания к статье Гарриса и Олдера.** Фрöhlich (Dielectric polarization in polar substances. Remark on a paper by F. E. Harris and B. J. Alder. Fröhlich H.), J. Chem. Phys., 1954, 22, № 11, 1804—1806 (англ.)

Автор приходит к выводу, что ур-ние, описывающее поляризацию полярных изотропных в-в, выведенное Гаррисом и Олдером (РЖХим, 1954, 35564), неточно, и поэтому следствия из него требуют пересмотра. А. Г. 25029. О теории молекулярной поляризации в газах.

II. Влияние молекулярных взаимодействий на функцию Клаузиуса — Мосотти для систем сферических неполярных молекул. Мазур, Джансен (On the theory of molecular polarization in gases. II. Effect of molecular interactions on the Clausius — Mosotti function for systems of spherical nonpolar molecules. Mazur P., Jansen L.), Physica, 1955, 21, № 3, 208—218 (англ.)

Статистическая теория Ивона — Кирквуда, объясняющая отклонения от постоянного значения функции Клаузиуса — Мосотти статистич. флюктуациями инду-

цированных дипольных моментов, дает лишь качеств. согласие с опытом. Отклонения при высоких плотностях можно объяснить взаимодействиями первого порядка между молекулами (силы отталкивания). Лучшее, чем в сообщении 1 (РЖХим, 1956, 21872), согласие с эксперим. данными можно получить при учете двух эффектов: 1) изменения поляризуемости с расстоянием между молекулами, 2) статистич. флуктуаций в индуцированных дипольных моментах и в поляризуемостях молекул. Квантовомеханич. расчетом показано, что оба эффекта учитываются выражением  $(\epsilon - 1)/(\epsilon + 2)V = 4/3 \cdot \pi N \alpha_0 [1 + R'(n, T)]$ , где  $R'(n, T)$  содержит полную функциональную зависимость выражения Клаузиуса — Мосотти от плотности и т.-ры. Относительное изменение средней поляризуемости является функцией т.-ры и плотности:

$$\Delta\alpha/\alpha_0 = (\bar{\alpha} - \alpha_0)/\alpha_0 = a(T)_n + b(T)_n^2.$$

Расчет, сделанный для атомов Не при низких т.-рах, указывает на линейную зависимость изменения средней поляризуемости атомов Не от плотности в пределах до 200 а.е. Из полученных данных следует, что поправка к функции Клаузиуса — Мосотти, обусловленная зависимостью  $\Delta\alpha/\alpha_0$  от плотности, того же порядка величины, что и эффект флуктуации индуцированных дипольных моментов. Эффект увеличивается с увеличением плотности и несколько снижается с ростом т.-ры. Для атомов аргона результаты расчета не совпадают с опытом, однако они значительно ближе к нему, чем вычисленные на основе теории Ивона — Кирквуда. Авторы отмечают, что применимость их метода, а также статистич. теория, ограничивается областью низких плотностей. При более высоких значениях плотности возникают математич. затруднения и приходится оперировать с медленно сходящимися рядами. Кроме того, в возмущенную волновую функцию необходимо при этом включать не только диполи, но и более высокие индуцированные мультиполи.

**25030.** Вязкость и строение нормальных парафинов и их растворов в жидком состоянии. Голлик А. З., Равикович С. Д., Укр. хим. ж., 1955, 21, № 1, 39—47

Приводятся результаты исследования коэфф. вязкости ( $\eta$ ) в связи с молекулярной структурой чистых парафинов (гексан, гептан, октан), а также их двойных и тройных р.-ров. Коэфф.  $\eta$  измерялся капиллярным вискозиметром, разовидности которого (для низких т.-р и для интервала т.-р от комнатной до т.-ры кипения) описаны подробно. Измерена также крит. т.-ра ( $T_{кр}$ ) исследованных жидкостей. На основании литературных данных делается вывод, что *n*-парафины в жидком состоянии образуют группу в-в, характеризующуюся сходным видом функции атомного размещения и одинаковым типом межмолекулярной связи. Для чистых парафинов кривые  $\eta = f(t)$  располагаются тем выше, чем выше  $T_{кр}$  парафина. Для двойных р.-ров парафинов кривые  $\eta = f(t)$  располагаются между соответственными кривыми компонентов и тем выше, чем выше  $T_{кр}$  р.-ра. Крит. т.-ры р.-ров октана в гексане и гексана в гептане растут линейно по мере увеличения конц-ии компонента с более высокой  $T_{кр}$ . Если  $T_{кр}$  р.-ра и чистой жидкости одинаковы, то кривые для таких жидкостей совмещаются. Эти жидкости названы «изовязкостными». Приведен состав изовязкостных р.-ров. Таким образом, для групп сходных по структуре жидкостей  $T_{кр}$  однозначно определяет кривую  $\eta = f(t)$ . Показано, что температурная зависимость для р.-ров парафинов подчиняется в исследованном интервале т.-р экспоненциальному закону. Энергия активации вязкого течения двойных р.-ров парафинов является квадратич-

ной функцией конц-ии; предэкспоненциальный множитель от конц-ии не зависит. Для тройных р.-ров гексан-гептан-октан кривые  $\eta = f(t)$  также располагаются в порядке возрастания  $T_{кр}$  р.-ра. Приведен состав тройных изовязкостных р.-ров.

**25031.** Вязкость и молекулярная структура жидких металлов. Голик А. З. В сб.: Строение и физические свойства веществ в жидком состоянии. Киев, изд-во ун-та, 1954, 83—85

Для исследования связи вязкости ( $\eta$ ) жидкости со структурой выбраны в-ва, обладающие сходным строением в жидком состоянии — Hg, Cd, Zn. По известному отношению крит. т.-ры к т.-ре кипения для р-тги определяются крит. т.-ры Cd и Zn, которые соответственно равны 2529 и 2910 °К. Опыт показывает, что кривые  $\eta = f(t)$  для этих металлов лежат тем выше, чем больше крит. т.-ра данного в-ва; аналогичная картина наблюдается в случае жидких Li, Na, K, Pb и Cs. Исследована вязкость жидких сплавов Cd в Hg и Zn в Hg. Кривые  $\eta = f(t)$  лежат между кривыми компонентов и тем выше, чем больше т.-ра кипения, а следовательно и крит. т.-ра. Кривые  $\eta = f(t)$  совпали для следующих р.-ров: 20% Cd в Hg и 8% Zn в Hg; 11% Cd в Hg и 4,3% Zn в Hg; 8,3% Cd в Hg и 3% Zn в Hg. Температурная зависимость  $\eta$  подчиняется показательному закону. Энергия активации вязкого течения является линейной функцией конц-ии. Приведенные факты свидетельствуют о связи вязкости с молекулярной структурой в-ва в жидком состоянии, а также о целесообразности для исследования групп жидкостей по признаку одинаковой упаковки молекул и одинаковому типу межмолекулярной связи.

**25032.** Вязкость и молекулярное строение нормальных спиртов и их растворов. Голик А. З., Равикович С. Д., Орищенко А. В., Укр. хим. ж., 1955, 21, № 2, 167—175

Приведены результаты исследования плотности, коэфф. вязкости ( $\eta$ ) и крит. т.-р ( $T_{кр}$ ) *n*-спиртов (метанол, этанол, пропанол, бутанол) и их р.-ров в связи с молекулярным строением. Для измерения плотности жидкостей в широком интервале т.-р и конц-ий использовался метод, основанный на фиксации положения безразличного равновесия стеклянного поплавка в испытуемой жидкости.  $\eta$  измерялся капиллярным вискозиметром, а  $T_{кр}$  — по моменту исчезновения и появления мениска жидкости в запаянной ампуле. Кривая температурной зависимости плотности и  $\eta$  чистых спиртов лежит тем выше, чем выше их  $T_{кр}$ . Рассчитана энергия активации и предэкспоненциальный множитель (A). Показано, что энергия активации растет, а A убывает с ростом  $T_{кр}$  спирта. Исследована  $T_{кр}$  и  $\eta$  р.-ров одного одноатомного спирта в другом, а также р.-ры глицерина и гликоля в этаноле. Кривые  $\eta = f(t)$  для р.-ров лежат между кривыми компонентов и тем выше, чем больше  $T_{кр}$  р.-ра. В случае когда  $T_{кр}$  р.-ров или р.-ра и чистого спирта одинаковы, кривые  $\eta = f(t)$  для таких жидкостей совпадают, так что для сходных по своей молекулярной структуре жидкостей крит. т.-ра однозначно определяет кривую  $\eta = f(t)$ . Энергия активации вязкого течения растет, а A убывает с ростом конц-ии компонента с более высокой  $T_{кр}$ . Для тройных р.-ров *n*-спиртов получены такие же закономерности, как и для двойных. Показывается, что крит. т.-ра связана с глубиной потенциальной ямы, а следовательно, с энергией связи между молекулами. Чем глубже яма, тем больше крит. т.-ра спирта, тем круче стенки ямы, тем меньше коэфф. теплового расширения и сжимаемости, тем больше  $\eta$ .

**25033.** Вязкость и молекулярное строение чистых жидкостей и жидких растворов. Голик А. З.



В сб.: *Строение и физические свойства вещества в жидком состоянии*. Киев, изд-во ун-та, 1954, 69—74

Анализируется связь вязкости с молекулярной структурой жидкостей; уточняется понятие молекулярной структуры жидкостей и предлагаются принципы их классификации. Для полной характеристики молекулярной структуры в-ва в жидком состоянии необходимо знание не только размещения частиц (радиус координационной сферы и координационное число), но и межмолекулярного взаимодействия. Автор считает, что интенсивность межмолекулярного взаимодействия можно характеризовать крит. т-рой в-ва. Объяснение температурной зависимости таких физ. свойств, как вязкость ( $\eta$ ), сжимаемость ( $\beta$ ), скрытая теплота испарения ( $L$ ) и др. следует искать в изменении молекулярной структуры жидкости, так как состав и строение молекул при изменении т-ры существенно не изменяются. Если подобрать в-ва с одинаковой упаковкой молекул и одинаковым типом связи, то характер температурной зависимости данного свойства у таких в-в будет иметь сходный вид. На основе эксперим. работ автора с сотрудниками (РЖХим, 1956, 25030—25032) предложена классификация жидкостей по признаку сходства их молекулярной структуры; в одну группу должны быть отнесены в-ва, обладающие сходной функцией атомного размещения и одинаковым типом межмолекулярной связи. Г. Р.

**25034. Валентная теория вязкости и текучести в критической области температур для тугоплавких стеклообразующих веществ.** Мюллер Р. Л., Ж. прикл. химии, 1955, 28, № 10, 1077—1087

Допуская, что текучесть силикатных расплавов определяется скоростью трансформации (переключения) валентных связей, активируемых термически, и что лабильные ионные связи должны обуславливать значительно меньшую энергию активации смещения ионов друг относительно друга, автор выводит ур-ние зависимости текучести для валентносвязанной системы атомов от т-ры и свободной энергии активации. Вязкость стекла находится в прямой зависимости от плотности упаковки валентных связей, т. е. от числа валентных связей на  $1 \text{ см}^2$ , и обуславливается, таким образом, в основном содержанием в стекле неиницированного стеклообразующего окисла (кремний, бор и др.). По эксперим. данным о вязкостях для силикатов определено значение свободной энергии активации, энтропии активации и теплоты активации в зависимости от т-ры. Показано, что лишь заметно выше т-ры плавления активирование текучести протекает без приращения энтропии. Автор различает следующие физ. состояния стеклообразующих в-в, связывая их с состоянием валентных связей. 1. Низкотемпературное стабильное, характеризующееся полным отсутствием процессов вследствие жесткости валентных связей. 2. Лабильное — при валентных колебаниях и переключениях валентных связей, сопровождающихся перегруппировками атомов. 3. Жидкое состояние с беспорядочно всесторонними колебаниями и перегруппировками атомов, лимитируемыми безэнтروпийной трансформацией связей. С. Д.

**25035. Модельное изучение жидкого состояния.** Радченко Н. В., Шестаковский Ф. К.

В сб.: *Строение и физические свойства вещества в жидком состоянии*. Киев, Изд-во ун-та, 1954

С целью выяснения вопроса о влиянии сил взаимодействия на размещение частиц и на дифракцию на модели (деревянные кружки, плавающие на поверхности жидкости в плоском стеклянном сосуде и фотографируемые на просвет) исследовано влияние центральных сил взаимодействия между частицами на размещение частиц. Показано, что на модельном опыте можно наблюдать постепенное изменение дифракцион-

ной картины от той, которая получается при рассеянии рентгеновских лучей газами, до той, которая получается при рассеянии их кристаллом. Влияние на дифракционную картину упорядоченности, вызванной дипольными и центральными силами, различно. Если дипольные силы размывают второй и третий максимумы, то центральные силы, наоборот, его усиливают. При выяснении на модельных опытах влияния на размещение частиц сил взаимодействия между частицами двух компонентов, образующих смесь, установлено следующее. Если между частицами действуют силы такого рода, что между одноименными силами притяжения слабее, чем между разноименными, то получается равномерное распределение одних частиц среди других. Если между частицами действуют силы притяжения, но между одноименными они больше, чем между разноименными, получается размещение частиц, соответствующих размещению компонентов в твердом эталон. В слове. На основании рентгенографии, исследований этот результат можно сопоставить с размещением частиц в жидких сплавах. Обзорное введение. Библ. 21 назв. Н. Р.

**25036. Рентгенографическое изучение переохлажденного дифенилового эфира.** Радченко Н. В., Шестаковский Ф. К. В сб.: *Строение и физические свойства вещества в жидком состоянии*. Киев, Изд-во ун-та, 1954, 63—68

Рентгенографически исследовалось строение дифенилового эфира выше точки плавления и в переохлажденном состоянии (на  $15^\circ$  выше точки кристаллизации и на  $10^\circ$  ниже ее). Авторы приходят к выводу, что переохлаждение дифенилового эфира не вызывает более резких изменений в угловой зависимости рассеяния рентгеновских лучей по сравнению с теми, которые наблюдаются при приближении к точке кристаллизации других в-в (жидкого висмута и при переохлаждении галлия). Наблюдаемые изменения значительно меньше для дифенилового эфира, чем для простых жидкостей (ртути). Поэтому нет основания считать, что структура дифенилового эфира при переохлаждении испытывает существенные изменения. Сказанное подтверждается также тем, что такие свойства, как поверхностное натяжение, уд. теплоемкость и давление пара, связанные со структурой жидкости, в случае дифенилового эфира при переходе через точку кристаллизации без кристаллизации скачкообразно не изменяются. Н. Р.

**25037. Вязкость и структура расплавленных силикатов.** Бокрис, Лоу (Viscosity and the structure of molten silicates. Bockris J. O'M., Lowe D. C.), Proc. Roy. Soc. 1954, A226, № 1167, 423—435 (англ.)

Пользуясь описанным ранее (РЖХим, 1955, 43375) вискозиметром, авторами измерили вязкости 14 расплавов системы  $\text{CaO} - \text{SiO}_2$  (30—58 мол. %  $\text{CaO}$ ) при т-рах  $1450 - 1800^\circ$ . Изотермы вязкости являются гладкими функциями состава и не обнаруживают перегибов или минимумов, в отличие от результатов измерений других исследователей, выполнявших опыты в графитовых тиглях, разрезаемых расплавами. Вязкость системы изменяется в пределах 0,54—21,2 пуаз. Энергия активации вязкого течения быстро уменьшается при давлении к кремнезему 0—12 мол. % окислов металлов, а в дальнейшем изменяется мало. В системе  $\text{CaO} - \text{SiO}_2$  в исследованной области составов энергия активации уменьшается от 45 до 35 ккал/моль. Отсюда делается вывод, что примерно при содержании  $\sim 12\%$  окисла металла наступает существенное изменение структуры расплавов. В системах, в которых содержание превышает 12 мол. %, движущимися частицами являются дискретные силикатные анионы. В основных расплавах

такими анионами могут быть, напр.,  $\text{SiO}_4^{4-}$ ,  $\text{Si}_2\text{O}_7^{6-}$ ,  $\text{Si}_3\text{O}_{10}^{8-}$ ,  $\text{Si}_6\text{O}_{18}^{12-}$ ,  $\text{Si}_{10}\text{O}_{31}^{22-}$  и др. Размер анионов увеличивается по мере увеличения конц-ии. Ставится под сомнение теория строения силикатных расплавов Энделли и Хелдбрюгге, согласно которой в расплаве, содержащем 50–67%  $\text{SiO}_2$ , образуются неопределенные цепи и неопределенные двумерные анионы, а при конц-ии  $\text{SiO}_2$ , превышающей 67% — трехмерные связи. При образовании такой структуры наблюдалось бы значит. увеличение энергии активации, уже начиная с 50% окисла металла, что не подтверждается опытом. С. Д. 25038. Рентгенографическое исследование расплавленных солей  $\text{KNO}_3$  и  $\text{NaNO}_3$ . Данилов В. И., Красницкий С. Я., Докл. АН СССР, 1955, 101, № 4, 661–664.

Исследована структура расплавленных солей  $\text{KNO}_3$  и  $\text{NaNO}_3$  методом интегрального анализа кривых интенсивности. Рентгенограммы с жидких солей получены в серебряном и молибденовом излучениях, монохроматизированных отражением от кристалла каменной соли. Кривые радиального распределения электронной плотности для жидких солей жидкостными при малых расстояниях (до 2 Å). На обеих кривых в этом интервале наблюдается по одному изолированному максимуму, которые отвечают примерно расстоянию 1,3 Å. Площади под максимумами также близки. При значениях, больших 2 Å, ход кривых различен. Из анализа кривых радиального распределения жидких солей следует, что в расплавленных солях  $\text{KNO}_3$  и  $\text{NaNO}_3$  структурными единицами являются металлич. ионы и радикалы  $\text{NO}_2$ . Структура радикала в жидкой соли сохраняется такой же, как в кристаллах, при этом радикал можно рассматривать состоящим из перманентно связанных между собой атомов азота и кислорода. В исследованных жидких солях наблюдается упорядоченность в расположении структурных единиц. Преимущественными расстояниями между ионами оказываются те же, что и в твердом состоянии. Н. Р. 25039. Влияние ультразвука на дегазацию жидкостей на частотах 40 и 500 кГц. Капустин А. В. сб.: Применение ультразвука к исследованию веществ. Вып. 2, М., Изд. МОПИ, 1955, 165–167.

Наблюдался процесс дегазации конц. р-ра сахара, трансформаторного масла, глицерина и вакуумного масла под воздействием ультразвука на частотах 40 и 500 кГц. Крупные пузырьки воздуха сразу выносились на поверхность жидкости, а мелкие собирались в комплексы, а затем поднимались. В. Ц. 25040. Исследования поглощения ультразвука в жидкостях оптическим методом с применением фотоэлемента. Стремоусов В. И. В сб.: Применение ультразвука к исслед. веществ. Вып. 2, М., Изд. МОПИ, 1955, 91–96.

Оптическим методом с применением фотоэлемента, включенного в цепь усилителя переменного тока (точность метода 4–5%), изучена на частотах 6,8 и 12 Мгц температурная зависимость коэфф. поглощения ультразвука в гомологич. ряду предельных одноатомных спиртов: метилового, этилового, *n*-пропилового, *n*-бутилового, *n*-гексилового, *n*-октилового (вторичного), *n*-нонилового, *изо*-пропилового, *изо*-бутилового и *изо*-амиллового. Все исследованные жидкости имеют один характер температурной зависимости поглощения: резкий спад с ростом *t*-ры при низких и постепенный при более высоких *t*-рах. Сопоставление результатов с теорией указывает на зависимость коэфф. объемной вязкости от *t*-ры, находящуюся в качеств. согласии с представлениями о перераспределении «ближнего порядка», т. е. к приблизительно экспоненциальной зависимости объемной вязкости от *t*-ры (Френкель Я. И., Образцов Ю., Ж. эксперим. и теор. физики,

1936, 561). В ряду нормальных первичных спиртов поглощение во всем исследованном интервале *t*-р (от –70 до +90°) растет при переходе от нижнего члена ряда к высшему и при переходе от нормального спирта к соответствующему изопириту. В. Ц. 25041. Исследование поглощения ультразвука в одноатомных спиртах оптическим методом с применением фотоэлемента с усилителем переменного тока. Ноздрев, Стремоусов (Untersuchung der Ultraschallabsorption in einatomigen Alkoholen auf optischem Wege unter Verwendung einer Photozelle mit Wechselstromverstärker. Nodred W. F., Streמושов, Feingerätetechnik, 1955, 4, № 9, 419–420 (нем.). См. РЖХим, 1955, 193.

25042. Исследование скорости ультразвука в критической области одноатомных спиртов. Поваляева А. С. В сб.: Применение ультразвука к исслед. веществ. Вып. 2, М., Изд. МОПИ, 1955, 61–74.

Исследована скорость ультразвука в крит. области одноатомных спиртов. Экспериментально подтверждена возможность определения с достаточной точностью скорости ультразвука вблизи крит. состояния. Скорость ультразвука для всех спиртов в жидкой фазе и насыщ. парах резко падает с ростом *t*-ры, достигая резко выраженного минимума в крит. точке и возрастающая в перегретых парах. Кривые адиабатич. сжимаемости для жидкой фазы спиртов и их насыщ. и перегретых паров сходятся в крит. точке. Наличие большого числа эксперим. точек позволяет заключить, что разрыва ни в значении скорости ультразвука, ни в значении адиабатич. сжимаемости в крит. точке нет. Показано выполнение правила прямолинейного диаметра в крит. точке. Результаты вычисления теплоемкостей качественно совпадают с зависимостями теплоемкости от *t*-ры, которые следуют из теории фазовых переходов второго рода, развиваемой В. К. Семенченко (Докл. АН СССР, 1952, 87, № 3; Ж. физ. химии, 1952, вып. 9), и с эксперим. значениями, полученными в крит. области расслаивания системы жидкость — жидкость. В. Ц. 25043. Подкритическое течение пленки гелия II. Чандрасекхар, Мендельсон (Sub-critical flow in the helium II film. Chandrasekhar B. S., Mendelsohn K.), Proc. Phys. Soc., 1955, A68, № 10, 857–873 (англ.).

Исследовался перенос гелиевой пленки при скоростях, меньших критической, тремя различными методами. 1. Первой серией опытов было установлено течение пленки при нулевой разности уровней в хорошем согласии с предшествующими экспериментами. 2. Исследовался вопрос об образовании из пленки объемной жидкости. Прибор был сконструирован так, что течение пленки могло быть сделано подкритическим или надкритическим. В частях прибора, где скорость течения пленки превышала критическую, гелий собирался в виде капель. 3. Изучался термомеханизм переноса пленки при адиабатич. условиях. Были сняты кривые зависимости скорости течения пленки *R* от подводимой мощности  $dQ/dt$  для различных *t*-р. На каждой из этих кривых имеются два характерных участка: линейная зависимость *R* от  $dQ/dt$  вначале, которая соответствует движению, свободному от трения, и затем, начиная с определенного значения  $dQ/dt$ , полная независимость *R* от  $dQ/dt$ , что указывает на отсутствие термомеханизма течения пленки выше определенного критич. значения *R*. Построенная из этих значений  $R_c$  кривая  $f(R_c, T)$  хорошо согласуется с подобной кривой, снятой при изотермич. течения пленки. Была определена величина «теплоты переноса». Приведена кривая зависимости теплоты переноса  $Q_T$  от *T*, которая находится в удов-

летворительном согласии с результатами других авторов.

**25044.** Толщина насыщенного гелиевой пленки ниже и выше  $\lambda$ -точки. Хам, Джексон (The thickness of the saturated helium film above and below the  $\lambda$ -point. Ham A. C., Jackson L. C., Philos. Mag., 1954, 45, № 369, 1084—1087 (англ.))

Оптическим методом (Burge E. J., Jackson L. C., Proc. Roy. Soc., 1951, A205, 270) изучены свойства статич. гелиевой пленки на высоте 0,4—1,6 см от поверхности жидкости при  $t$ -рах выше и ниже  $\lambda$ -точки. Прибор состоит из откачанной трубки, в которой вертикально укреплено зеркало. В трубку конденсируется очищенный гелий, образующий пленку на поверхности зеркала. Прибор градуируется по экспериментально определяемым коэфф. отражения в предположении, что коэфф. отражения поверхности жидкости и пленки одинаковы. Зависимость толщины профиля пленки  $d$  от высоты  $H$  выражается  $2,05^\circ K$  ф-лой  $d = K/H^{1/2}$ , где  $K = 3,15 \cdot 10^6$  см;  $z = 2,3$ . Толщина пленки He II незначительно отличается от толщины пленки He I, однако ниже  $\lambda$ -точки сверхтекучесть приводит к быстрому движению пленки по стенке от поверхности жидкости вверх. Так как разрушенная облучением пленка He II восстанавливается моментально после удаления источника света, тогда как для восстановления пленки He I необходимо 1—2 мин., то толщина пленки He I гораздо слабее зависит от высоты, но в противоположность пленке He II она очень чувствительна к свету. Не установлено, конденсируется ли пленка из паров или поднимается с поверхности жидкости. Выяснено влияние нанесенного на зеркало слоя твердого воздуха на толщину пленки выше и ниже  $\lambda$ -точки. Результаты измерений подтверждают выводы из представления пленки как находящегося в равновесии с ненасыщ. парами адсорбированного слоя, в котором существенную роль играют ван-дер-ваальсовы силы притяжения.

**25045.** О поведении гелия II вблизи теплоизлучающих поверхностей. Андроникашвили Э. Л., Мирская Г. Г., Ж. эксперим. и теор. физики, 1955, 29, № 4, 490—494

Изучено поведение He II вблизи теплоизлучающих твердых поверхностей. Показано, что в этих условиях в тонком слое He II возникает заметное теплосоппротивление. Найдена зависимость перепада  $t$ -ры от нагрузки. Для случая нагревателя, свободно омываемого He II, эта зависимость линейна только при малых нагрузках. Тепловое сопротивление вблизи теплоизлучающей поверхности заметно уменьшается при повышенных давлениях, с приближением к  $\lambda$ -точке перепад  $t$ -ры уменьшается сперва как  $T^{-3}$ , а потом, начиная с  $1,6^\circ K$ , как  $T^{-4}$ . При  $t$ -ре  $2,10^\circ K$ , наблюдался минимум теплосоппротивления. Установлено, что вблизи теплоизлучающей поверхности в He II возможно существование перегревов, достигающих  $1^\circ$ . При больших нагрузках, даже при  $t$ -рах гелиевой ванны, лежащих значительно ниже  $\lambda$ -точки, возможно возникновение таких перегревов, которые приводят к образованию вокруг нагревателя тонкого слоя He I. Между тем уже в незначительном удалении от поверхности нагревателя обнаружить хоть какой-либо градиент  $t$ -ры в He II не удалось.

**25046.** Плотность тяжелой воды между 95 и  $160^\circ$ . Гросман-Дёрт (Die Dichte von schwerem Wasser zwischen  $95^\circ C$  und  $160^\circ C$ . Grossmann-Döerth U., Z. Naturforsch., 1955, 10a, № 9-10, 799—800 (нем.))

Пикнометром с точностью до  $3 \cdot 10^{-8} \%$  измерена плотность  $D_2O$  в интервале  $95-160^\circ$  через  $5^\circ$ .

**25047.** Кривые плавления  $He^3$ ,  $He^4$ ,  $H_2$ ,  $D_2$ ,  $Ne$ ,  $N_2$  и  $O_2$  до  $3500$   $\kappa g/cm^2$ . Милс, Грилли (Melting

curves of  $He^3$ ,  $He^4$ ,  $H_2$ ,  $D_2$ ,  $Ne$ ,  $N_2$ , and  $O_2$  up to  $3500$   $kg/cm^2$ . Mills R. L., Ojrilly E. R.), Phys. Rev., 1955, 99, № 2, 480—486 (англ.))

Сняты кривые плавления указанных в-в ниже  $120^\circ K$  до давл.  $3500$   $\kappa g/cm^2$ . Показана выполнимость ур-ния Симона  $p = a + bT^c$ . Значения постоянных  $a$ ,  $b$  и  $c$  соответственно (в скобках указаны интервалы давлений, в которых выполняется ур-ние Симона с приведенными постоянными):  $He^3$  25,16; 20,08201; 1,517083 (76—3500),  $He^4$ —17,80; 17,31457; 1,555414 (37—3500),  $H_2$ —270,52; 2,534870; 1,764739 (0—1920),  $D_2$ —418, 29; 1,812821; 1,855812 (0—1530),  $Ne$ —1057,99; 6,289415; 1,599916 (0—3500),  $N_2$ —1638,30; 0,976780; 1,791000 (0—3600),  $O_2$ —2786,83; 2,635754; 1,742594 (0—3600). Отмечены некоторые особенности в поведении  $O_2$ . В. П.

**25048.** Параметры столкновений углеводородов  $C_6$ — $C_9$  в газовой фазе: влияние водорода. Каммингс, Мак-Лафлин, Уббеллоде (Collision parameters of  $C_6$ — $C_9$  hydrocarbons in the vapour phase: The hydrogen effect. Cummings G. A. McD., McLaughlin E., Ubbelohde A. R.), J. Chem. Soc., 1955, Apr., 1141—1144 (англ.))

Измерены коэфф. диффузии  $D_{12}$  водорода и азота в парах гекса-1,5-диена (I), 2,3-диметилбута-1,3-диена (II), 2,3-диметилбут-2-ена (III),  $n$ -гептана (IV) и  $n$ -нонана (V). Измерения производились при норм. давлении и  $t$ -рах  $288,1^\circ K$  для I—III,  $303,0^\circ K$  для IV и  $339,8^\circ K$  для V. Методика опытов описана ранее (РЖХим, 1955, 15900). Результаты (в  $cm^2/sec$ , первая цифра относится к  $N_2$ , вторая к  $H_2$ ): I 0,298; 0,0772; II 0,312; 0,0748; III 0,296; 0,0705; IV 0,286; 0,0743; V 0,284; 0,0737. Из этих данных, а также данных по  $D_{12}$  для  $n$ -гексана, 2,3-диметилгексана, циклогексана,  $n$ -октана и 2,2,4-триметилпентана, полученных в цитир. работе, вычислены значения сечений столкновений ( $\sigma_{12}$ ) молекул углеводородов с молекулами  $H_2$  и  $N_2$  для всех перечисленных в-в при помощи теории, основанной на модели упругих сфер, и теории, основанной на потенциалах Ленард-Джонса. Воспользовавшись литературными значениями для сечений столкновений ( $\sigma_{11}$ ) молекул  $H_2$  и  $N_2$ , авторы подсчитали при помощи эмпирич. ф-лы  $\sigma_{12} = (\sigma_{11} + \sigma_{22})/2$  сечения столкновений ( $\sigma_{22}$ ) молекул углеводородов.  $\sigma_{22}$  уменьшаются с ростом гибкости молекул. Значения  $\sigma_{22}$ , вычисленные при помощи потенциала Ленард-Джонса из столкновений  $H_2$  во всех случаях больше, чем значения  $\sigma_{22}$ , вычисленные из столкновений с  $N_2$ , причем эта разность больше для гибких, чем для жестких молекул. Указанные расхождения авторы объясняют тем, что скорость перехода энергий с внешних на внутренние степени свободы заметно больше при столкновениях с  $H_2$ , чем при столкновениях с  $N_2$ , что должно приводить к уменьшению  $D_{12}$  и эффективному увеличению сечения.

**25049.** Изотермы сжимаемости кислорода при температурах 0, 25 и  $50^\circ$  и давлениях до  $135$  атм.

Михелс, Схамп, Де-Графф (Compressibility isotherms of oxygen at  $0^\circ$ ,  $25^\circ$  and  $50^\circ C$  and at pressures up to 135 atmospheres. Michels A., Schamp H. W., De Graaff W.), Physica, 1954, 20, № 12, 1209—1214 (англ.))

Измерения сжимаемости кислорода проводились на стандартной установке (Michels A. и др., Physica, 1934, 1, 587; Michels A., Michels C., Proc. Roy. Soc., London, 1935, A153, 201) в стеклянном пьезометре над ртутью, но для передачи давления использовалось не масло, а азот, который сжимался столбом ртути. Диапазон  $t$ -р и давлений ограничен окислением поверхности ртути в пьезометре. Результаты измерений представлены в виде ф-лы  $pV = A + Bd + Cd^2$ , где  $d$ —плотность ( $pV$  и  $d$  в ед. Амага). Значения коэфф.  $A$ ,  $B \cdot 10^9$  и  $C \cdot 10^6$  соответственно при  $0^\circ$ —1,000972; 0,978530; 2,45622; при  $25^\circ$  1,092586; 0,792472; 2,53462; при  $50^\circ$  1,184200;



00 kg/  
Phy.

20° К

р-ния

б и с

давле-

н-де-

517083

(3500),

8, 29;

89415;

791000

(3600).

В.Ц.

ородов

а м-

(Col-

гарош

G. A.

h de

(англ.)

зота в

д-на

м-но-

давле-

н IV и

РЖХим,

ра от-

0,312;

0,284;

12 для

октана

работе,

олекул

пере-

на мо-

тенди-

рными

олекул

ф-лы

олекул

бности

ци по-

во все-

х для

расхож-

д-на за-

столи-

щению

О. П.

и тем-

атм.

pressi-

S and

Is A.,

physica,

и с на

1934,

London,

отутью,

масло,

напазо-

ти рту-

тавлен-

отность

В. 10<sup>2</sup> и

2,45622;

184200;

0,614497; 2,70606. Эти ф-лы дают значения  $pV$  с отклонением от эксперим. не больше 0,01%. Проведено сравнение с результатами других исследователей. А. Л. 25050. Сжимаемость и отклонения от закона Бойля для газообразной углекислоты при 0° и давлениях 0—1 атм. П. Батуэкас, Гутьеррес-Лоса (Compresibilidad y desviación a la ley de Boyle, a 0° C y entre 1 y 0 atm., del gas CO<sub>2</sub>. II. B. Batuecas T., Gutiérrez Losa C.), An. Real soc. española fis y quim., 1954, B50, № 11, 845—850 (исп.; резюме франц.)

Приводятся результаты измерений, произведенных с целью уточнить отклонения от закона Бойля для газообразной CO<sub>2</sub>. Проведено 8 серий измерений давления  $p$  (от 1 до 1/4 атм.) для четырех объемов  $v$  при комнатной т-ре. CO<sub>2</sub> получался термич. разложением NaHCO<sub>3</sub> (для 5 серий измерений) и ZnCO<sub>3</sub> (для 3 серий) и подвергался тщательной очистке. При приведении давления к 0° использовано значение коэфф. расширения 0,00372. Величина  $pV$  оказывается линейной функцией давления:  $pV = C(1 - A_0^1 p)$ . Среднее значение  $A_0^1$ , подсчитанное по способу наименьших квадратов, равно  $0,00683 \pm 0,00004$ . С учетом результата предыдущих измерений (предыдущее сообщение, РЖХим, 1954, 23196)  $A_0^1 = 0,0066 \pm 0,00004$ , наиболее вероятным следует считать  $A_0^1 = 0,0067 \pm 0,00005$ . Приводятся также результаты данных ранних измерений: 0,00676 (1907 г.) и 0,00701 (1923 г.). В. У.

25051. Вязкость фреонов под давлением. Макиита (The viscosity of freons under pressure. Makita Tadashi), Rev. Phys. Chem. Japan, 1954, 24, № 2, 74—80 (англ.)  
На вискозиметре с падающим шариком, описанном в предыдущей работе (Kiyama R., Makita T., Rev. Phys. Chem. Japan, 1951, 21, 63), измерена вязкость трех сжатых газов типа «фреон» (CCl<sub>2</sub>F<sub>2</sub>, CHClF<sub>2</sub>, CHCl<sub>2</sub>F) в интервале 25—200° при давлениях от атмосферного до 19 кг/см<sup>2</sup>. Результаты представлены в виде графиков и таблиц, из которых видно, что термокоэфф. вязкости  $(\partial\eta/\partial T)_p$  убывает с повышением давления, будучи положительным для низких давлений. Знак термокоэфф. вязкости меняется вблизи точки конденсации газа. Кинематич. вязкость быстро понижается с повышением давления в области низких давлений и более медленно в области высоких. Сравнение опытов со значениями, рассчитанными на основе теории Чапмена и Коулинга дает расхождение порядка 15%. Результаты при атмосферном давлении хорошо согласуются с ф-лой, предложенной ранее (Reinganum M., Ann. Physik, 1903, 10, 334), а также (в пределах 5%) с другой ф-лой (Othmer D. F., Josefowitz, 1946, 38, 111). Рассмотрение литературных данных показало, что кинематич. вязкость, отнесенная к своему значению при нормальном давлении в широком интервале т-р и давлений, не зависит от т-ры и является универсальной функцией давления для простых газов (типа Ar, H<sub>2</sub>, N<sub>2</sub>, O<sub>2</sub> и т. д.). Для органич. в-в, в том числе и для исследуемых фреонов, отклонения от этой закономерности существенны, но может быть указана область т-р и давлений, при которых отклонения не превышают 10%. Н. В.

25052 Д. Исследование термических свойств и метод составления уравнения состояния реальных газов. Казавчинский Я. З. Автореф. дисс. докт. техн. н., Моск. энерг. ин-т, Одесса, 1955.  
25053 Д. Самодиффузия CO<sub>2</sub> при высоких давлениях. К вопросу об аддитивности межмолекулярных сил. Фогель (Selbstdiffusion des CO<sub>2</sub> bei hohem Druck. Zur Frage der Additivität der zwischenmolekularen

Kräfte. Vogel Wolrad. Diss. Phil. F., Marburg, 1953), Dtsch. Nationalbibliogr., 1955, B, № 11, 811 (нем.)

См. также: Термодинамика 25064, 25065, 25069, 25070, 25080. Межмол. взаимодействие 24858—24867, 24871—24877. Др. вопр. 24732, 24733, 24783—24786

## ОБЩИЕ ВОПРОСЫ ХИМИИ ИЗОТОПОВ

25054. Метод концентрирования смесей He<sup>3</sup>-He<sup>4</sup>.

Аткинс, Лавджой (A method of concentrating He<sup>3</sup>—He<sup>4</sup> mixtures. Atkins K. K., Lovejoy D. R.), Canad. J. Phys., 1954, 32, № 11, 702—707 (англ.)

Продолжены работы по обогащению гелия He<sup>3</sup> методом фильтрования через микрошель в условиях сверхтекучести He<sup>4</sup> (РЖХим, 1955, 51426). 100—200 см<sup>3</sup> полученного в качестве побочного продукта в ядерном реакторе гелия, обогащенного He<sup>3</sup> до 4—2 ат.%, вводились в ранее описанную установку с микрошелями. Для обеспечения непрерывности фильтрования необходимо было обеспечить быстрое удаление отфильтрованной жидкости из внешнего пространства микрошелей; это достигалось перегонкой гелия в сосуд, помещенный в криостат с т-рой 1,1° К. Фильтрование проводилось в течение 1 часа при т-ре 1,3° К. За ходом обогащения следили по давлению пара над непрофильтрованной жидкостью. К концу фильтрования жидкий не прошедший через микрошели гелий содержал 24 ат.% He<sup>3</sup>, а пар над ним 95 ат.% He<sup>3</sup>. Часовая производительность установки 2 см<sup>3</sup> гелия с 95 ат.% He<sup>3</sup>. Выход He<sup>3</sup> 50%. Б. К.

25055. Метод измерения активности радиоакриптона.

Рейнольдс (Techniques for counting radiokrypton. Reynolds M. B.), Nucleonics, 1955, 13, № 5, 54, 56 (англ.)

Описан метод определения активности (A) Kr<sup>85</sup>, применимый также к другим радиоактивным газам. Для относительных измерений A применяется тонкостенный (30 мг/см<sup>2</sup>) цилиндр. счетчик с концентрич. стеклянной рубашкой, в которую вводится анализируемый газ. Суммарная эффективность счета 5—20%. Миним. конц-ия радиоакриптона, доступная измерению, составляет ~ 10<sup>-10</sup> см<sup>3</sup> на 1 см<sup>3</sup> проб. Для подавления адсорбции на стенках при малых конц-иях Kr<sup>85</sup> и для снижения слишком высокой уд. А образцов применяется разбавление проб стабильным криптоном. Для определения абс. А проба газа, разбавленная Ar с гасящей добавкой (пары органич. в-в), вводится внутрь счетчика, описанного ранее типа (Mann W. B., Parkinson G. B., Rev. Scient. Instrum., 1949, 20, 41). Надежные данные по абс. А получаются, если уд. А не превышает нескольких сотен распадов на 1 сек см<sup>3</sup>. В. Л.

25056. Определение изотопного состава путем инфракрасного анализа газов. Клейвер (The determination of isotope ratios by infrared gas analysis. Kluver J. C.), Recueil trav. chim., 1955, 74, № 5, 322—325 (англ.)

См. РЖХим, 1954, 21368; 1955, 28436. А. Г.

25057. Радиогрифическое и радиометрическое исследование поверхности легких сплавов. Браун (Zur radiographischen und radiometrischen Oberflächen-Analyse von Leichtmetall-Legierungen. Braun Wolfgang), Z. angew. Phys., 1955, 7, № 9, 427—433 (нем.)

Рассматривается методика авторадиграфирования сплавов Al-Cu с целью выявления структуры и колич. определения Cu. Описаны способы активирования образцов и получения радиоавтографов. Обсуждаются

пути повышения разрешающей способности при автордиографировании легких элементов.

**25058. Чувствительность к  $\beta$ -излучению съемной эмульсии для автордиографии. Кормак** (The beta-ray sensitivity of autoradiographic stripping film. Cormack D. V.), Brit. J. Radiol., 1955, 28, № 332, 450—452 (англ.)

Измерена чувствительность (Ч) съемной эмульсии Кодак NT2a (плотность: 10—20 зерен на  $100 \mu^2$ ) к  $\beta$ -излучению  $P^{32}$ ,  $J^{131}$  и  $Fe^{59}$  (Ч измерялась числом проявленных зерен, приходящихся на каждую  $\beta$ -частицу). Образцы изготавливались путем пропитки желатинового слоя (толщина 12  $\mu$ ), нанесенного на предметное стекло, пром., содержащим соответствующий изотоп. Пропитанные пленки покрывались тонким слоем желатины для уменьшения потери активности при последующей обработке. Равномерность распределения активности контролировалась методом контактной автордиографии. Число  $\beta$ -частиц, испускаемых образцом, определялось торцевым счетчиком. Радиоавтографы получались нанесением на образцы съемной эмульсии (Doniach L., Pele S. R., Brit. J. Radiol., 1950, 23, 184). Образцы экспонировались в течение 2—8 суток при 2—4°.

Ч фотоэмульсии к  $\beta$ -излучению  $P^{32}$ ,  $J^{131}$  и  $Fe^{59}$  равна соответственно  $0,78 \pm 0,10$ ;  $1,8 \pm 0,2$  и  $1,6 \pm 0,3$ . А. Г. **25059. О применении радиоактивных изотопов в научных исследованиях и промышленности. Вильгельми** (O pewnych zastosowaniach izotopów promieniotwórczych w badaniach naukowych i przemyśle. Wilhelm i Zdzisław), Postępy fiz., 1955, 6, № 5, 538—555 (польск.).

Обзор. Библ. 27 назв. В. III.

**25060. Некоторые аспекты применения радиоактивных изотопов. Часть. I. Мюксар** (Qualche aspetti dell'utilizzazione degli elementi radioattivi. Parte prima. Muxart Roland), Chimica, 1955, 31, № 9, 332—339 (итал.).

См. РЖХим, 1955, 48439.

**25061. Химические исследования. Тейлор** (Chemical research. Taylor E. H.), U. S. Atomic Energy Comm. Repts, 1954, AECU-2900, 114—119 (англ.)

Рассматривается вопрос о целесообразности постройки университетского атомного реактора для хим. исследований. Для большинства радиационно-химических работ достаточно иметь источник с  $Co^{60}$ , дающий достаточную мощность дозы. Недостатком излучения реактора является его неоднородность ( $\gamma$ -лучи, дающие малую плотность ионизации, и нейтроны, выбивающие из водородсодержащих материалов протоны, обладающие высокой плотностью ионизации), а также возникновение радиоактивности в контейнерах и в самих облучаемых образцах. Отмечается, что очень высокую и равномерную плотность ионизации можно получить в р-рах, содержащих  $B^{10}$  и  $Li^6$ , облучая их медленными нейтронами реактора (образование тяжелых заряженных частиц). При исследованиях в области ядерной химии и для получения меченых атомов близко расположенный реактор необходим только в тех случаях, когда периоды полураспада изотопов меньше двух дней. Для химии горячих атомов мощный поток нейтронов от реактора является наилучшим источником, однако можно работать и с другими источниками, а также с радионуклидами, имеющими радиоактивные дочерние продукты. Нейтронный активационный анализ может выполняться по заказу в других лабораториях. Автор приходит к выводу о нецелесообразности постройки университетского реактора для хим. исследований. Приведены таблицы: 1) мощность дозы в рентген/мин. и в кал/г  $H_2O$  мин., создаваемые различными источниками излучения; 2) пробег в воде и плотность ионизации для  $\alpha$ -частиц, протонов, электронов и  $\gamma$ -лучей с различными энергиями; 3) перечень эле-

ментов, не обладающих долгоживущими изотопами, получаемыми по р-ции ( $n$ ,  $\gamma$ ), и 4) перечень элементов, определяемых методом активационного анализа с указанием чувствительности. В. J.

**25062. Применение нейтронов для дистанционного определения уровня жидкостей. Барнарт, Сан** (Using neutrons for remote liquid-level gaging. Barnartt S., Sun K. H.), Nucleonics, 1955, 13, № 5, 47—49 (англ.)

Для определения уровня жидкостей, содержащих водород или другие легкие элементы, в резервуарах, использовались источники (И) быстрых нейтронов ( $PO + Be$ ,  $8 \cdot 10^8$  нейтронов/сек) в Ni-трубке (длина 2,5 см, диам. 0,6 см) и детектор (Д) медленных нейтронов (счетчик, содержащий  $B^{10}F_3$ , или сцинтилляционный счетчик). Исследовались условия такого расположения И и Д нейтронов, при котором на кривой зависимости скорости счета от положения Д наблюдался резкий излом в точке, соответствующей уровню жидкости в резервуаре. Наилучшие результаты получались в следующих случаях: 1) И движется под Д на расстоянии  $\geq 6$  см; 2) И движется над Д на расстоянии  $\leq 2$  см; 3) И неподвижен, расположен на 15 см ниже уровня жидкости внутри или вне резервуара. Точность метода 1,5—2,0 мм. Основное преимущество метода — возможность применения более легкой радиоактивной защиты, чем при использовании  $\gamma$ -лучей. Безопасное расстояние для примененного И 56 см. Б. К.

**25063 К. О методах изотопного анализа тяжелой воды. Владимирский К. В., Кац М. Я., Стасевич Б. М.** (Докл., представл. СССР на Междунар. конференцию по мирному использованию атомной энергии). М., 1955, 16 стр., илл., беспл.

См. также: Получение 24768. Радиоактивн. св-ва 24745, 24747, 24748, 24750, 24751, 24756, 24757, 24759, 24760, 24766. Введение в молекулу 25752, 25753. Изотопные эффекты 24739, 24791, 24852, 25143, 25535. Изотопный обмен 25141, 25142, 25150, 25162, 25182, 25183, 25196. Измерение активности 25511, 26060. Применения: в исслед. кинетики и механизма р-ций 25139, 25161, 25322, 25327, 25410, 25517, 25897, 25912, 27075; 2868Met; физич. процессах 24919, 24922, 25053, 25089, 25250, 25251, 25913, 25914, 25916; 1944Met, 2476Met, 2493Met, 2846Met, 3473Met, 3474Met, 3479Met, 3488—3491Met; в пром-сти 26212, 26226, 26450, 26532, 26533; 1861Met, 1952Met, 1980Met, 2495Met, 2670Met, 2731—2733Met, 2754Met, 2763—2765Met, 2758Met, 2799Met, 2851Met, 3482Met, 3484Met, 3499Met, 3512Met, 3767Met, 3768Met, 3769Met, 9336Met; в биохимии 8402Bx, 8403Bx, 8415Bx, 8473Bx, 8515Bx, 8562Bx, 8590Bx, 8624Bx, 8626Bx, 8627Bx, 8652Bx, 8676Bx, 8685Bx, 8690Bx, 8798Bx, 8799Bx, 8826Bx, 8844Bx, 8849Bx, 8873Bx, 8895Bx, 8908—8910Bx, 8914Bx, 8916Bx, 8917Bx, 8933Bx, 8955Bx, 8956Bx, 8961Bx, 8963Bx, 8965Bx, 8969Bx, 8991Bx, 8994Bx, 9000Bx, 9008Bx, 9023Bx, 9281—9283Bx, 9293Bx; в аналитич. химии 25365, 25372, 25969, 26000. Изотопы в геохимии 25424, 25426—25440, 25464, 25477, 25478, 25495. Др. вопр. 24740, 24764, 24779, 25046, 25105, 25106, 25224, 25362.

#### ТЕРМОДИНАМИКА. ТЕРМОХИМИЯ. РАВНОВЕСИЯ. ФИЗИКО-ХИМИЧЕСКИЙ АНАЛИЗ. ФАЗОВЫЕ ПЕРЕХОДЫ

**25064. Неравновесная термодинамика с конечной скоростью реакции и жидкий гелий II. Сригастава, Растиги, Верма** (Non-equilibrium thermodynamics with finite reaction velocity and liquid helium II. Srivastava B. N., Rastogi R. P., Verma A. S.), Physica, 1954, 20, № 12, 1271—1277 (англ.)

Развивается теория неравновесных процессов Онзагера для случая жидкости, состоящей из двух изоме-

ров; при этом скорость перехода одного изомера в другой при нагревании считается конечной величиной. Обобщены результаты, полученные ранее (De Groot S. R. и др. *Physica*, 1950, 16, 691—708) с учетом зависимости скорости перехода одного изомера в другой от т-ры. Выведены общие ф-лы для разбираемого типа р-ции. Полученные результаты применяются к жидкому He II. При этом сверхтекучая и нормальная части He II рассматриваются как разные фазы. Рассмотрен вопрос о скорости перехода сверхтекучей части (фазы) He II в нормальную его часть (фазу) при нагрев. В. Ж. 25065. Измерения термодиффузии в смесях  $H_2$  — He с помощью ультразвука. Иттербек, Нихаул (Measurements of thermal diffusion in  $H_2$  — He mixtures by using ultrasonics. Itterbeek A. van, Nihoul J.), *Acustica*, 1955, 5, № 2, 142—145 (англ.; рез. франц., нем.)

На основании измерения скоростей ультразвука с помощью ультразвукового интерферометра определено изменение конц-ии  $\Delta\gamma = k_T \ln(T_1/T_2)$  ( $T_1$  и  $T_2$  — соответственно т-ры холодной и теплой части сосуда,  $k_T = \alpha\gamma_1\gamma_2$ ,  $\gamma_1$  и  $\gamma_2$  — конц-ии компонентов смеси и  $\alpha$  — коэфф.), вызванное термодиффузией в смесях  $H_2$  — He.  $\Delta\gamma$  — линейная функция  $\ln(T_1/T_2)$  при  $\alpha = 0,149$ . Результаты хорошо согласуются с теоретич. ф-лой (Clark Jones R., Furry W. H., *Rev. mod. phys.*, 1946, 18, 151). Б. К.

25066. Уравнение состояния и термическая зависимость упругих коэффициентов кристаллического аргона. Хенкел (Equation of state and the thermal dependence of the elastic coefficients of crystalline argon. Henkel John H.), *J. Chem. Phys.*, 1955, 23, № 4, 681—687 (англ.)

Предполагается, что 1) каждый атом решетки движется в потенциальном поле других атомов, считающихся неподвижными, 2) граничные (поверхностные) эффекты пренебрежимы, 3) силы между атомами центральны, 4) потенциал взаимодействия имеет вид  $A/r^{10} - B/r^6$ , где  $A$  и  $B$  — константы. На основе ур-ния Шредингера и метода возмущений развита теория ангармонич. колебаний, применяемая к сравнительно высоким т-рам. Получена функция состояния для каждого атома, откуда выведены ур-ние состояния и выражения для упругих коэфф. и теплоемкости (уточненный закон Эйнштейна). Используя значения теплоты возгонки  $U_0 = 1,412 \cdot 10^{-13}$  эрг на 1 атом = 2032 кал/моль при  $T = 0^\circ K$  и  $p = 0$  и постоянной решетки кристаллич. аргона  $a_0 = 5,399 \cdot 10^{-8}$  см, автор получает  $A = 2,194 \cdot 10^{-88}$  эрг·см<sup>10</sup>,  $B = 1,538 \cdot 10^{-58}$  эрг·см<sup>6</sup>, что близко к значениям, полученным из вириальных коэфф. (Buckingham R. A., *Proc. Roy. Soc.*, 1938, A168, 264). Найденные значения  $A$  и  $B$  использованы для табулирования ур-ния состояния (значения  $p$  при разных  $T$  и  $a$ ), теплоемкостей  $c_v$  и  $c_p$  и упругих коэфф. (при разных — от 10 до 60° K — т-рах и  $p = \text{const}$ ; при вычислении последних учитывалось тепловое расширение). Результаты сравнены с опытными данными; отклонение составляет ~ 3% при низких (15—30° K) и ~ 1% при более высоких (до 60° K) т-рах. Из вычисленных значений упругих коэфф. не видно, чтобы какой-нибудь из них исчезал вблизи 84° K, что согласно Борну (Born M., *J. Chem. Phys.*, 1939, 7, 591) необходимо для точки плавления. Равенство Коши  $C_{44} = C_{12}$  не выполняется ( $C_{44} \approx 2C_{12}$ ), что указывает на весьма значит. вклад теплового движения в величины упругих коэфф. В. У.

25067. О соотношении между энтропией и теплоемкостью в соответственных состояниях. Степков И. И., *Тр. Харьковск. политехн. ин-та*, 1954, 4, 31—44

Дан историч. обзор развития учения о соответственных состояниях (СС) и его применения к некоторым

свойствам жидких и твердых тел. С помощью анализа размерностей показано, что в СС отношение энтропии к теплоемкости для всех тел есть величина, зависящая от приведенных т-ры и давления. Исходя из соотношений, полученных ранее (Byk A., *Ann. Physik*, 1921, 66, 157; 1922, 69, 161) при рассмотрении теоремы о механич. подобии, и учения о СС с точки зрения квантовой механики, автор устанавливает, что классич. трактовка учения о СС применима тем лучше, чем больше мол. вес и молярный объем соединения и чем выше его крит. т-ра. В. Г.

25068. Парциальные и кажущиеся молярные объемы как расчетные величины. Виттенбергер (Partielles und scheinbares Molvolumen als Rechengrößen. Wittenberger Walter), *Chemiker-Ztg*, 1953, 77, № 23, 786—788 (нем.)

Указывается, что парц. молярные объемы компонентов смеси являются легко определяемыми величинами. Приведены примеры простых расчетов. О. Г.

25069. Новая диаграмма состояния двуокиси углерода вплоть до 12 000 ат. Крамер (Neue Zustandsdiagramme von Kohlendioxyd bis zu 12 000 at. Cramer F.), *Chem.-Ingr-Techn.*, 1955, 27, № 8/9, 484—497 (нем.; рез. англ., франц.)

Сопоставлены результаты исследований ряда авторов по фазовым равновесиям и термодинамич. свойствам  $CO_2$ . На основании этих данных построены диаграммы  $S$ — $t$  (для областей от —100 до 200° до 12 000 ат и от 200 до 1000° до 220 ат) и  $p$ — $H$  (от —50 до 150° и до 3000 ат). В. У.

25070. Свободная энергия и энтропия диссоциации хлорида метиламмония от 276 до 313° K. Барьер, препятствующий внутреннему вращению. Астон, Гиттлер (The free energy and entropy of dissociation of methylammonium chloride from 276 to 313° K. The barrier hindering internal rotation. Aston J. G., Gittler F. L.), *J. Amer. Chem. Soc.*, 1955, 77, № 12, 3175—3177 (англ.)

Для определения энтропии метиламина (I) применен описанный ранее метод (РЖХим, 1955, 45454). Измерена э. д. с. цепи  $H_2$  (газ),  $CH_3NH_2$  (газ),  $CH_3NH_2Cl$  (тв.),  $AgCl$  (тв.),  $Ag$  (тв.) в абс. этиловом спирте.  $H_2$  (газ), полученный электролизом (менее 0,02 мол. % примесей) и пропущенный через конц. р-р  $H_2SO_4$  (II), активированный глиноземом и р-р I, насыщенный  $CH_3NH_2Cl$  (III), поступал в ячейку через пористый стеклянный диск. Элемент термостатировался с точностью до 0,005°; э. д. с. измерялась с точностью до  $2 \cdot 10^{-4}$  в. Выходящий из ячейки  $H_2$  пропускался через поглотитель с 0,2 н. р-ром II и через 2 поглотителя с тонкоизмельченным глиноземом. Между поглотителями и целью помещался дифференциальный манометр, который вместе с ртутным барометром измерял давление  $H_2$  на электроде с точностью до 0,1 мм рт. ст. После взвешивания всех поглотителей II оттитровывался щелочью и определялось кол-во I с точностью 0,1%. Объем пропущенного  $H_2$  измерялся с точностью до 0,5%. Таким образом устанавливались парц. давления  $H_2$  ( $p_{H_2}$ ) и I ( $p_{CH_3NH_2}$ ). Значения э. д. с. цепи от 0 до 40° C вместе со значениями  $p_{H_2}$  использованы для расчета  $p_{HCl}$  по ф-ле  $E^0 - E = RTZ^{-1} \ln(p_{HCl}/p_{H_2})$ , причем  $E^0$  — величина стандартного потенциала электрода  $H_2$  (газ),  $HCl$  (газ),  $AgCl$  (тв.),  $Ag$  (тв.) определена авторами ранее (РЖХим, 1956, 25254). Из эксперим. значений  $p_{HCl}$  и  $p_{CH_3NH_2}$  рассчитаны в интервале 0—40° C константа равновесия и стандартная свободная энергия  $Z$  р-ции:  $CH_3NH_2Cl$  (тв.) =  $CH_3NH_2$  (газ) +  $HCl$  (газ) (1).  $\Delta Z = -4,3880252 \cdot 10^{-4} - 7,1602640 \cdot 10^{-4} T + 3,3678870 \cdot 10^{-6} T^2$ . Комбинацией значения  $\Delta Z^0$  при 298,16° K ( $22\ 831 \pm 12$  кал) с известной величиной  $\Delta H^0$  (Aston J. G., Zierner C.,



J. Amer. Chem. Soc., 1946, 68, 1405), для р-ции (1) получено  $\Delta S^0 = 69,71 \pm 0,18$  энтр. ед. Для  $I S^0 = 58,22 \pm 0,18$  энтр. ед. сравнивается авторами со значениями, полученными из спектроскопич. (Aston J. G. Doty Paul M., J. Chem. Phys., 1940, 8, 743) и калориметрич. данных (Aston J. G., и др., J. Amer. Chem. Soc., 1937, 59, 1744). Высота барьера, препятствующего внутреннему вращению, равна  $1900 \pm 400$  кал/моль, что согласуется со спектроскопич. значением (1520 кал/моль), но несовместимо с величиной, полученной из калориметрич. измерений. Подтверждена упорядоченность III ( $S^0 = 0$ ) при 0° K.

25071. Теплоемкости при низких температурах и энтропии при 298,16° K некоторых титанатов алюминия, кальция, лития и цинка. Кинг (Low-temperature heat capacities and entropies at 298. 16° K of some titanates of aluminum, calcium, lithium and zinc. King E. G., J. Amer. Chem. Soc., 1955, 77, № 8, 2150—2152 (англ.).

В интервале 51—298° K в ранее описанном аппарате (Kelley K. K. и др., U. S. Bur. Mines Tech. Paper, 1946, 686) измерены теплоемкости  $Al_2TiO_5$  (I),  $Ca_2Ti_2O_7$  (II),  $Li_2TiO_3$  (III) и «цинк-титановой шпинели»  $Zn_2TiO_4$  (IV). Экстраполяция зависимости  $c_p$  от  $T$  до 0° K произведена по эмпирич. ур-ниям: I  $D(276/T) + 4E(477/T) + 3E(1049/T)$  (1,8%); II  $D(158/T) + 5E(300/T) + 5E(652/T) + 7E(781/T)$  (0,5%); III  $D(299/T) + 3E(495/T) + E(676/T) + E(1023/T)$  (0,9%); IV  $D(190/T) + 2E(284/T) + 2E(584/T) + 2E(754/T)$  (0,6%). Стандартные энтропии  $S_{298}^0$  равны (энтр. ед.): I  $26,2 \pm 0,2$ ; II  $56,1 \pm 0,4$ ; III  $21,9 \pm 0,4$ ; IV  $32,8 \pm 0,2$ . Указано, что для IV в связи с наличием нулевой энтропии величина  $S_{298}^0$  должна быть увеличена; ее значение лежит в пределах 33,6—35,6 энтр. ед.

25072. Аномалия в низкотемпературной атомной теплоемкости серебра. Кесом, Перлман (Anomaly in the low-temperature atomic heat of silver. Keeson P. H., Pearlman N.), Phys. Rev., 1955, 98, № 2, 548 (англ.).

Пересчет ранее опубликованных данных по теплоемкости  $c_{Ag}$  (Keeson P. H., Pearlman N., Phys. Rev., 1952, 88, 140) со шкалы 1948 на шкалу 1955 (РЖХИМ, 1955, 1810; 1956, 12322) приводит к устранению аномалии в  $c_{Ag}$ . Теплоемкость ниже 4° K описывается ур-нием  $c = 0,66 T^{1/2} + 0,170 T^{3/2}$  мдж/моль и отвечает  $\theta_D = 225^\circ$  K. М. К.

25073. Теплоемкость свинца от 0 до 900° и теплота плавления. Дуглас, Девер (Heat content of lead from 0 to 900°, and the heat of fusion. Douglas Thomas B., Dever James L.), J. Amer. Chem. Soc., 1954, 76, № 19, 4824—4826 (англ.). Описанным ранее методом (Ginnings D. C., Douglas T. B., Ball A. F., J. Res. Natl. Bur. Standards, 1950, 45, 23) определена энтальпия свинца (99,9%) для 10 т-р от 0 до 900°. (в абс. дж/г)  $H_0(\text{тв.}) - H_0(\text{жидк.}) = 0,12694t + 2,349 \cdot 10^{-5}t^2$  (0—327,4°);  $H_0(\text{жидк.}) - H_0(\text{тв.}) = 17,76 + 0,152721t - 7,466 \cdot 10^{-6}t^2$  (327,4—895°), дифференцирование которых дает ур-ния теплоемкости (в абс. дж/г град):  $C_p(\text{тв.}) = 0,12649 + 4,70 \cdot 10^{-6}t$ ;  $C_p(\text{жидк.}) = 0,15272 - 1,493 \cdot 10^{-5}t$ . В указанном интервале т-р рассчитаны теплоемкость, энтропия, энтальпия, свободная энергия свинца для 28 т-р. Теплота плавления составляет 23,03 абс. дж/г при т. пл. 327,4° (Kelley K. K., U. S. Bur. Mines Bulletin, 476, U. S. Govt. Printing Office, Washington, D. C. 1949, 92). Полученные данные сопоставлены с результатами других авторов. Отмечено, что выше точки плавления теплоемкость свинца понижается на 0,01% на градус.

25074. Исследование структурных изменений в железо-никель-алюминиевых сплавах методом истин-

ной теплоемкости. Трошкина В. А., Хомков К. Г., Ж. общ. химии, 1954, 24, № 5, 780—790

Кратко описана методика определения истинной теплоемкости сплавов системы железо — никель — алюминий до 700° с точностью 1—1,5%, подобная опубликованной ранее (Moser H., Phys. Z., 1936, 37, 737). Изучены сплавы (в ат%) 1) 54,8 Fe + 23,3 Ni + 21,9 Al; 2) 55,7 Fe + 21,0 Ni + 23,3 Al; 3) 35,0 Fe + 25,4 Ni + 39,6 Al на литых, закаленных и отожженных образцах. Для оценки магнитного состояния образцов баллистич. методом измерялась коэрцитивная сила. Найдено три экзотермич. превращения в области т-р 300—450, 450—550, 580—650° для всех трех образцов. Установлено, что превращения 580—650° связано с процессами магнитного твердения образцов. Показано, что образец 3 не отвечает однофазному состоянию  $\beta'$ , отмеченному на диаграмме состояния системы Fe — Ni — Al (Bradley A. I., Taylor A., Proc. Roy. Soc., 1938, A166, 353), а также, как образцы 1 и 2, относится к двухфазному состоянию  $\beta + \beta'$ . Таким образом, граница области  $\beta + \beta'$  нуждается в дальнейшем уточнении. Принципиальных отличий в энергетич. состояниях высококоэрцитивных образцов, полученных при различной термич. обработке, не обнаружено.

25075. Диаграмма энтальпия — концентрация для системы  $FeSO_4 - H_2O$ . Кобб, Кауч, (Enthalpy-concentration diagram for system ferrous sulfate-water. Kobe Kenneth A., Couch Earl J.), Industr. and Engng Chem., 1954, 46, № 2, 377—381 (англ.).

Измерена теплоемкость  $c_p$  водн. р-ра  $FeSO_4$  различных конц-ий в интервале т-р от  $-1,3$  до  $+100,7^\circ$ . Описан калориметр; точность полученных значений  $c_p \sim 2\%$ . Используя литературные данные для энтальпий воды и гидратов  $FeSO_4$ , а также определенные величины  $c_p$  р-ров, авторы построили диаграмму состав — энтальпия исследованной системы.

25076. Математическое обоснование применения закона Гесса. Петё, Шан (Mathematische Diskussion der Anwendung des Hess'schen Satzes. Pethe A., Schay G.), Acta chim. Acad. sci. hung., 1954, 4, № 1, 21—35 (нем.; реф. русс., англ.).

Рассмотрен вопрос о критерии однозначной разрешимости любой системы термодим. ур-ний. Вычисление неизвестного теплового эффекта по закону Гесса представляет собой частный случай подобной задачи. На основе общих свойств линейных ур-ний сформулированы необходимые и достаточные условия для однозначной разрешимости системы термодим. ур-ний в отношении неизвестного теплового эффекта: ранг матрицы, составленной из стехиометрических коэфф. при хим. соединениях в отдельных ур-ниях системы (взятых для исходных и конечных в-в с разными знаками), должен быть равен рангу матрицы, составленной при условии, что коэфф. ур-ния р-ции с неизвестным тепловым эффектом не принимаются во внимание. В случае однозначной разрешимости всегда можно пользоваться обычным способом решения, при котором суммирование отдельных ур-ний системы, умноженных на соответствующие коэфф., дает в результате ур-ние р-ции с вычисляемым тепловым эффектом. На основании сформулированного критерия однозначной разрешимости системы термодим. ур-ний указан простой способ вычисления упомянутых коэфф. путем решения соответствующих детерминантов, удобный для случаев сложных систем ур-ний. Приведены примеры применения предложенных правил.

25077. Тепловые эффекты реакций солевого обмена с участием трех одновалентных и одного двухвалентного ионов. Воскресенская Н. К., Изв.

Сектора физ.-хим. анализа ИОНХ АН СССР, 1955, 26, 99—110

На основе выражения для энергий решетки типичных ионных солей выведено ур-ние для теплового эффекта  $r$ -ции  $2AX + BY_2 = 2AY + BX_2$ :  $-\Delta H = 512 \{ (y-x) [xy + (3a^2 - 2b^2) + (3a - 2b)(y+x)] / (a+x) \times (b+x)(a+y)(b+y) \}$ , где строчные буквы означают радиусы ионов, обозначенных в ур-нии  $r$ -ции соответствующими прописными буквами. Анализ ур-ния показал: при  $y > x$  и  $a < b$  экзотермич.  $r$ -ция направлена в сторону соединения ионов с наиболее близкими радиусами и обобщенными моментами; при  $y > x$ ,  $a < b$  и  $3a^2 \geq 2b^2$  — в сторону соединения ионов с наиболее различающимися радиусами, но с наиболее близкими обобщенными моментами; так же направляются  $r$ -ции при  $y > x$ ,  $a < b$  и  $3a^2 < 2b^2$ , но  $3a \geq 2b$ , если анионы достаточно велики (практически  $r$ -ции со всеми известными анионами); если  $y > x$  и  $3a < 2b$ , то направление  $r$ -ции зависит от значений радиусов анионов и разности значений радиусов катионов. Аналогичные условия выведены для  $r$ -ции  $2AX + B_2Y = 2AY + B_2X$ . Выводы подтверждены расчетами тепловых эффектов  $r$ -ции между галогенидами щел. и щел.-зем. металлов и  $r$ -ции с участием сульфатов и хроматов; несколько исключений найдено для  $r$ -ции с участием солей лития.  $R$ -ции с участием нитратов и карбонатов, как правило, не подчиняются вышеприведенным положениям. Н. В. 25078. Теплота сгорания церия. Хьюбер, Холли (The heat of combustion of cerium. Huber Elmer J., Holley Charles E., Jr., J. Amer. Chem. Soc., 1953, 75, № 22, 5645—5647 (англ.))

В калориметре, описанном ранее (Holley C. E., Jr., Huber E. J., Jr., J. Amer. Chem. Soc., 1951, 73, 5577), определена теплота сгорания  $Ce$  (99,57%) до  $CeO_2$  при 25° и давлении кислорода 25 атм. Теплота сгорания чистого металла  $7749 \pm 10$  дж/г; теплота образования  $CeO_2$  при 25°  $\Delta H_{25} = 1088,6 \pm 1,4$  кдж/моль. Полученные величины превышают литературные данные на 7—12% (Muthmann W., Weiss L., Ann., 1904, 331, 1; Hirsch H., Trans. Electrochem. Soc., 1911, 20, 57; Moose J. Parr S., J. Amer. Chem. Soc., 1924, 46, 2656), что, по мнению авторов, обусловлено загрязнением образцов церия, примененных в указанных исследованиях. И. С. 25079. Термодинамические свойства щелочных металлов. Эванс, Джейкобсон, Мансон, Уагман (Thermodynamic properties of the alkali metals. Evans William H., Jacobson Rosemary, Munson Thomas R. A., Wagman Donald D., J. Res. Nat. Bur. Standards, 1955, 55, № 2, 83—96 (англ.))

На основании анализа литературных данных по термодинамич. свойствам Li, Na, K, Rb и Cs табулированы для них избранные значения  $(Z^0 - H_0^0)/T$ ,  $(H^0 - H_0^0)/T$ ,  $S^0$ ,  $H^0 - H_0^0$ ,  $C_p^0$ , стандартных теплот образования, изобарных потенциалов образования и логарифмов констант равновесия образования от 0°K до высоких т-р. Охвачены свойства твердых, жидких и газообразных одно- и двухатомных Li, Na и K и газообразных одно- и двухатомных Rb и Cs. Библ. 98 назв. М. К. 25080. Теплоты смешения жидкостей. Каннинг, Чизман (Heats of mixing of liquids. Canning Joyce, Cheesman G. H., J. Chem. Soc., 1955, Apr., 1230—1233 (англ.))

Ранее описанным методом (Cheesman, Whitaker, Proc. Roy. Soc., 1952, A212, 406) определены при т-ре 24,33° теплоты смешения следующих жидкостей: бензол—толуол (I), бензол—бромбензол (II), хлорбензол—бромбензол (III), бензол—хлорбензол (IV), толуол—бромбензол (V) и толуол—хлорбензол (IV).

При смешивании жидкостей, сильно различающихся по плотности, скорость вращения мешалки была удвоена, что потребовало введения поправки, составляющей для смесей II, III и V соответственно 15,10 и 2% от измеряемого теплового эффекта. Изменения энтальпии при образовании бинарных смесей различного мольного состава представлены графически и в таблицах. Значения «обменной энергии»  $U$  составляют соответственно, в дж/моль: I 268, II 114; III 82; IV — 28; V — 316 и VI — 428. Отклонения эксперим. значений  $\Delta H$  от рассчитанных по ф-ле  $\Delta H = x(1-x) \cdot U$  не превышают 10 дж/моль при предполагаемой точности ф-лы  $\pm 5$  дж/моль. В. К. 25081. Теплоты разбавления водных растворов янтарной кислоты при больших разбавлениях. Бауман (Verdünnungswärmen wägriger Bernsteinsäure-Lösungen in großer Verdünnung. Baumann Robert, Z. Elektrochem., 1954, 58, № 9, 801—804 (нем.))

Измерения теплот разбавления неэлектролитов в водн. и неводн. р-рах (РЖХим, 1955, 42561) показали, что при больших разбавлениях имеется прямая пропорциональность между теплотой разбавления и конц-ей. С целью установления зависимости между теми же величинами у слабых электролитов в дифференциальном калориметре определялись теплоты разбавления янтарной к-ты в интервале конц-ий 0,4—0,0003 M при 25 и 12,5°. На основании данных о зависимости от т-ры констант диссоциации янтарной к-ты и о зависимости степени диссоциации от т-ры и конц-ии р-ра рассчитана для 25 и 12,5° и представлена графически зависимость от конц-ий части теплоты разбавления 0,4 M р-ра янтарной к-ты, обусловленная только увеличением диссоциации при разбавлении. В области 0,1—0,0004 M теплота разбавления целиком обусловлена эффектом диссоциации. В области конц-ий выше 0,1 моля эксперим. теплота разбавления превышает тепловой эффект, отвечающий росту степени диссоциации. Разность эксперим. теплоты разбавления и теплоты диссоциации отвечает теплоте разбавления недиссоциированного электролита и изменяется линейно с конц-ей. Автор указывает, что ранее учитывалось влияние диссоциации на теплоту разбавления р-ов сильных электролитов (РЖХим, 1955, 11342) и полиэлектролитов (РЖХим, 1955, 31406). Т. Р. 25082. Изучение теплоты нейтрализации при высоких концентрациях кислот и оснований. П. Едкий натр—бромистоводородная кислота. Бирман, Унбер (Heat of neutralization studies at high acid-base concentration. II. Sodium hydroxide-hydrobromic acid. Biermann Wendell J., Weber Neill, J. Amer. Chem. Soc., 1954, 76, № 17, 4289—4291 (англ.))

С помощью усовершенствования прибора, описанного ранее (Сообщение I, Bender P., Biermann W. J., J. Amer. Chem. Soc., 1952, 74, 322), определены теплоты нейтр-ции р-ров NaOH (мольность р-ров от 3 до 16) и HBr при 25°; точность определений 0,1%. Рассчитаны относительные энтальпии р-ров HBr в указанной области конц-ий. И. С. 25083. Теплоты взаимодействия дихлоридов самария и иттербия с соляной кислотой. Микрокалориметр. Маклан, Стаблфилд, Эйринг (The heats of reaction of the dichlorides of samarium and ytterbium with hydrochloric acid. A microcalorimeter. Machlan G. R., Stubblefield C. T., Eyring L., J. Amer. Chem. Soc., 1955, 77, № 11, 2975—2978 (англ.))

Для определения теплоты образования  $SmCl_2$  (I) и  $YbCl_2$  (II) была использована р-ция  $M^{2+} + H^+ \rightarrow M^{3+} + \frac{1}{2} H_2$ . Ввиду того, что подобная р-ция для  $EuCl_2$  осложняется окислением водорода в присутствии

кислорода в воду и этот процесс невоспроизводим, исследование ограничилось определением теплоты р-ции I и II с 6 M HCl, насыщ. водородом. Для определения теплоты р-ции сконструирован микрокалориметр. Р-ция проводилась в Ta-сосуде с толщиной стенок 0,025—0,038 см, снабженном Pt-мешалкой. Схема измерения т-ры позволяла обнаруживать изменения  $10^{-5}$  град. Калориметр был прокалиброван по растворению Mg в 1 M HCl, насыщ.  $H_2$ . Теплоемкость калориметра  $\sim 10$  кал. Дихлориды получены восстановлением синтезированных  $SmCl_3$  и  $YbCl_3$  в токе чистого  $H_2$  при  $650^\circ$ . Анализ на Cl показал, что выход I составил 69,4%, а  $YbCl_3$  восстановился до II полностью. Для р-ции I и II с 6 M HCl получены:  $\Delta H = -42,2 \pm 0,2$  и  $\Delta H = 41,2 \pm 0,2$  ккал/моль, соответственно. Вычислены теплоты образования I —  $195,6 \pm 1$  и II —  $184,5 \pm 1,7$  ккал/моль. Л. Р.

**25084. Теплота образования тетрафторметана.** Джеесун, Мак-Коски, Нелсон (The heat of formation of tetrafluoromethane. Jessug Ralph S., McCoskey Robert E., Nelson Raymond A.), J. Amer. Chem. Soc., 1955, 77, № 1, 244—245 (англ.)

Теплота р-ции  $CH_4(\text{газ}) + 4F_2(\text{газ}) \rightarrow CF_4(\text{газ}) + 4HF(\text{газ})$  (1) измерялась калориметрически сжиганием при постоянном давлении известных кол-в метана во фторе. Р-ция проводилась в сосуде из меди. Для достижения полноты горения (при неполном горении отлагается уголь) перед сжиганием в струю  $CH_4$  вводился гелий. Произведен анализ исходных и конечных продуктов. При расчете теплоты р-ции (1) введены поправки на наличие загрязнений во фторе и учтена полимеризация HF. Среднее значение  $\Delta H^\circ = -459$  ккал/моль. Полученное из этих данных среднее значение теплоты образования  $CF_4 = -220,4 \pm 2,6$  ккал/моль сопоставлено с литературными данными. Т. Р.

**25085. О реакции между сульфидом железа и сернистым газом.** Розенквист, Хюйне (On the reaction between iron sulphide and sulphur dioxide. Rosenqvist T., Hyyne P. H.), Tidskr. kjemi bergves. og metallurgi, 1953, 12, № 9, 196—200 (англ.)

Исследовано равновесие р-ции  $3FeS + 2SO_2 = Fe_3O_4 + \frac{5}{2}S_2$ . Для различных т-р рассчитан и экспериментально определен состав смеси  $S_2$  и  $SO_2$ , находящейся в равновесии со смесью  $FeS + Fe_3O_4$ . Сернистый газ пропускался через расплавленную S при 200—250° со скоростью 100 см<sup>3</sup>/мин и далее, вместе с увлеченными парами серы, проходил через слой смеси  $FeS + Fe_3O_4$ , находящейся при 700, 800 и 900°. Прошедший через шихту газ анализировался на содержание в нем свободной серы. Предварительно строилась кривая, выражающая зависимость между т-рой жидкой серы и содержанием свободной серы в газовом потоке, прошедшем через установку в отсутствие  $FeS + Fe_3O_4$ . Повышение содержания свободной серы в газе, прошедшем через шихту по сравнению с содержанием ее в отсутствие  $FeS + Fe_3O_4$  говорило об окислении сульфида, понижение — о восстановлении магнетита. Точка пересечения кривых, полученных в отсутствие и в присутствии  $FeS + Fe_3O_4$ , давала состав газовой фазы, находящейся при данной т-ре в равновесии с твердой фазой. Полученные значения содержания свободной серы и константы равновесия (значения  $[S_2]^{1/2}/[SO_2]^2$  при 700, 800 и 900° соответственно равны  $2,7 \cdot 10^{-5}$ ;  $7,4 \cdot 10^{-5}$  и  $21,8 \cdot 10^{-5}$ ) удовлетворительно совпадают с рассчитанными (содержание свободной серы на 20—30% выше, чем это найдено в ранее опубликованной работе (РЖХим, 1955, 37088). Рентгенография, исследование продуктов р-ции показало наличие в конечных продуктах макроскопич. кол-в  $FeS$  и  $Fe_3O_4$ . Для  $FeS$

(опыт при  $800^\circ$ ) параметры решетки:  $a$  3,43,  $c$  5,70 Å, что соответствует пирротину (39,3 вес.% S). (Исходный  $FeS$  содержал 37 вес.% S;  $a$  3,44 с 5,83 Å). Для  $Fe_3O_4$ , найден параметр решетки  $a$  8,36 Å, что указывает на отсутствие заметного растворения  $FeS$  в  $Fe_3O_4$ . Определена т-ра эвтектики системы  $FeS - Fe_3O_4$  ( $1010 \pm 10^\circ$ ). О. А.

**25086. Термодинамические свойства  $Cu_2S$  и его смесей с сульфидом натрия.** Ричардсон, Антилл (Thermodynamic properties of cuprous sulphide and its mixtures with sodium sulphide. Richardson F. D., Antill J. E.), Trans. Faraday Soc., 1955, 51, № 1, 22—33 (англ.)

Циркуляционным методом в интервале т-р 527—1152°С измерялись с точностью  $\pm 4\%$  равновесия ( $K_p = P_{H_2S}/P_{H_2}$ ) в системах  $Cu + Cu_2S + H_2S + H_2$  и  $H_2 + H_2S + Cu + (Cu_2S + Na_2S)$ . Исследовалось равновесие смеси  $H_2S + H_2$  с  $Cu_2S$  и смесью  $Cu_2S + Na_2S$  в области 527—1152°С. Рассчитаны активности  $Cu_2S$  как в твердом, так и в жидком р-ре, содержащем до 37 мол.%  $Na_2S$ . Для изобарного потенциала  $\Delta G^\circ$  р-ции  $Cu_2S(\gamma) + H_2 \rightarrow 2Cu + H_2S$  получено ур-ние:  $\Delta G^\circ(800—1313^\circ K) \text{ кал} = 9840 + 4,45 T$ , а для р-ции  $2Cu(\text{тв.}) + \frac{1}{2}S_2(\text{газ}) \rightarrow Cu_2S(\gamma)$   $\Delta G^\circ(800—1313^\circ K) \text{ кал} = -31420 + 7,35 T$ , причем  $\Delta G^\circ_{1000^\circ K} = 14290 \pm 30$  кал. Из зависимости  $\lg K_p$  от  $1/T$  для смесей разных составов произведен расчет парциальных теплот  $\Delta \bar{H}$  и энтропий растворения  $Cu_2S$  в смесях. Экстраполяцией  $\Delta \bar{H}$  к нулевому содержанию  $Na_2S$  получена теплота плавления  $Cu_2S$ , равная  $2300 \pm 200$  кал/моль, что отвечает энтропии плавления  $1,64 \pm 0,14$  энтр. ед. Рассчитаны активности  $Cu_2S$  в расплаве смеси сульфидов при 820°С и в твердом р-ре сульфидов при 628°С в зависимости от состава. Экстраполяцией кривой зависимости активности от состава при 820° до точки, отвечающей составу  $Na_2S-Cu_2S$ , получено значение изобарного потенциала образования расплава этого состава при 820°С из чистых расплавленных сульфидов, равное  $-3,6 \pm 0,6$  ккал на  $\frac{1}{2}(Cu_2S-Na_2S)$ . Данные по теплотам и энтропиям для расплавов указывают, что расплавленные смеси обладают большей степенью упорядоченности, чем смесь атомов меди и натрия, распределенных в решетке серы случайным образом. Приведена фазовая диаграмма системы  $Cu_2S-Na_2S$  выше 500°С в области, богатой  $Cu_2S$ . Т. Р.

**25087. Исследование взаимодействия минерала молибденита с трехокисью молибдена.** Зеликман А. Н., Докл. АН СССР, 1955, 100, № 6, 1083—1085

Для исследования равновесия  $MoS_2 + 6MoO_3 = 7MoO_2 + 2SO_2$  в интервале 500—700° измерялось равновесное давление  $pSO_2$ . При 500° р-ция идет с заметной скоростью. При дальнейшем повышении т-ры  $p$  достигает 380—420 мм рт. ст. при 600° и 540—570 мм рт. ст. при 700°. Образование  $MoO_2$  подтверждено рентгенографич. анализом. Для объяснения максимума, обнаруженного на кривых зависимости  $p$  от времени при 700°, проведены исследования, показавшие, что понижение давления связано с происходящей при этой т-ре вторичной р-цией:  $2MoO_3 + SO_2 = 2MoO_2 + \frac{1}{2}S_2$ . Сделан вывод о возможности образования  $MoO_2$  при обжиге молибденитовых концентратов в случае спекания материала, что приводит к понижению степени извлечения Mo из огарков, так как  $MoO_2$  нерастворима в аммиачной воде и р-рах соды. Ю. З.

**25088. Уравнение Маргулеса IV порядка для четырехкомпонентных систем.** Марек (Quaternary four-suffix Margules equation. Marek J.), Сб. чехосл. хим. работ, 1954, 19, № 1, 1—3 (англ.; рез. русс.)

См. РЖХим, 1955, 45458.



70.70 А,  
Алеход-  
). Для  
указыва-  
 $\text{Fe}_3\text{O}_4$ .  
 $\text{Fe}_3\text{O}_4$ .  
О. О. А.  
о сме-  
тила и  
and  
d son  
, 1955;  
1152°C  
 $(\text{P}_{\text{H}_2})$   
 $\text{Cu}_2\text{S} +$   
 $\text{S} + \text{H}_2$   
152°C  
в жид-  
изобар-  
4,45 Т,  
 $\text{Cu}_2\text{S}$  (γ)  
причем  
10<sup>3</sup> / Т  
парц.  
мешах.  
получе-  
/моль,  
ур. ед.  
628°C  
ой за-  
точки,  
е изо-  
остава  
равное  
тепло-  
о распр-  
а распро-  
500°C  
Т. Р.  
а мо-  
—1085  
 $\text{Fe}_3\text{O}_4 =$   
3 = рав-  
метной  
дости-  
ур. ст.  
тено-  
образу-  
700°  
ежение  
е вто-  
Сделан  
бужие  
яма в-  
мече-  
ионач-  
Ю. З.  
четы-  
ternary

25089. Метод изотопного обмена для измерения давления насыщенного пара. Несмеянов А. Н., Лозгачев В. И., Лебедев Н. Ф., Докл. АН СССР, 1955, 102, № 2, 307—310

Изложен принцип определения скорости испарения в-ва в вакууме по изотопному обмену между двумя образцами в-ва, один из которых содержит радиоактивный изотоп (начальная уд. активность  $\alpha_1$ ). Наведенная уд. активность второго образца  $\alpha_2 = f(\alpha_1, n, D, D', H, t)$ , где  $n$  — скорость испарения,  $D, D'$  — коэфф. диффузии в газовой и твердой фазе,  $H$  — коэфф. конденсации (принято  $H=1$ ),  $t$  — время. Приведены методы расчета функции  $f$  при разных условиях. В простейшем случае (расположение образцов параллельно на бесконечно малом расстоянии)  $\alpha_2 = (\alpha_1/2) \cdot [1 - \exp(-2nt/N)]$ . Указано, что способ применим к исследованию испарения чистых металлов и сплавов в твердом и жидком состоянии.

25090. Замечание о летучести окиси лития. Аркел, Спитсберген, Хейдинг (Note on the volatility of lithium oxide. Arkel A. E. van, Spitsbergen U., Heyding R. D.). Canad. J. Chem., 1955, 33, № 2, 446—447 (англ.)

Исследована летучесть  $\text{Li}_2\text{O}$  в вакууме при  $t$ -ре  $1000\text{--}1040^\circ$  по потере веса образца при нагревании. Потеря веса за 1—16 час. составляла 3,3—5,8%, по-видимому, из-за наличия примесей. Найдено, что пары воды сильно увеличивают летучесть (за 0,5 часа при  $1020^\circ$  и  $p_{\text{H}_2\text{O}} = 10^{-2}$  мм рт. ст. потеря веса составила 18,1%). Авторы предполагают, что происходит образование  $\text{LiOH}$ , устойчивой при высокой  $t$ -ре. См. также РЖХим, 1954, 24995; 1955, 31314. В. ф.

25091. Исследование термического разложения карбоната натрия эффузионным методом. Моцфельдт (The thermal decomposition of sodium carbonate by the effusion method. Motzfeldt Ketil), J. Phys. Chem., 1955, 59, № 2, 139—147 (англ.)

Методом Кнудсена исследовалось термич. разложение  $\text{Na}_2\text{CO}_3$ . Описан способ нагрева камеры и измерения т-ры. Из рассмотрения стационарного состояния в эффузионной камере выведено уравне., учитывающее влияние величины и формы эффузионного отверстия и камеры и позволяющее вычислять поправки к эксперим. данным:  $p_{\text{равн}} = [1 + f(1/\alpha + 1/W_A - 2)] \cdot p_{\text{опыт}}$ ;  $f = W_B/A$  ( $\alpha$  — коэфф. accommodation,  $A$  и  $B$  — площади внутреннего сечения камеры и отверстия,  $W_A$  и  $W_B$  — коэфф. Клаузинга для камеры и отверстия). По данным автора, разложение становится заметным выше т-ры плавления карбоната.  $\text{Na}_2\text{O}$ , образовавшийся при разложении, растворяется в расплаве (система не является моновариантной); при равновесии расплав содержит ~1% окиси. Из расплава  $\text{Na}_2\text{O}$  испаряется с разложением на  $\text{Na}(\text{газ})$  и  $\text{O}_2(\text{газ})$ . Подробно описаны равновесия и на основании термодинамич. расчетов даны выражения:  $\lg p_{\text{CO}_2}(\text{атм}) = 6,0 - 13300/T \pm 1,2$ ;  $\lg N_{\text{Na}_2\text{O}} = 0,41 - 3310/T$ ;  $\lg K_1 = 6,4 - 16600/T \pm 1,2$ ;  $\lg K_2 = 14,7 - 29900/T \pm 0,5$  ( $N$  — молярная доля  $\text{Na}_2\text{O}$  в расплаве,  $K_1$  и  $K_2$  — константы равновесия р-ции разложения  $\text{Na}_2\text{CO}_3$  и  $\text{Na}_2\text{O}$ ). Эксперим. данные показывают, что вследствие низкого коэфф. accommodation  $\text{CO}_2$  не только давление нагр., но и состав расплава зависит от размеров эффузионного отверстия. Экстраполяцией результатов опыта получено: при  $1250^\circ\text{K}$   $p_{\text{CO}_2} = 3,3 \cdot 10^{-5}$  атм;  $N_{\text{Na}_2\text{O}} = 0,019$ ;  $\lg K_1 = -6,2$ ;  $\lg K_2 = -9,3$ . Л. Б.

25092. К химии элементов ниобия и тантала. Давление насыщения твердого  $\text{NbCl}_4$ . XIII. Шеффер, Байер (Beiträge zur Chemie der Elemente Niob und Tantal. XIII. Sättigungsdrucke über festem Niob (IV)-chlorid. Schäfer Harald, Bayer

Lisel), Z. anorgan. und allgem. Chem., 1954, 277, № 3—4, 140—145 (нем.)

Измерено давление насыщения твердого  $\text{NbCl}_4$ . Кристаллы  $\text{NbCl}_4$  получались в сосуде известного объема из металлич. Nb и  $\text{NbCl}_5$ . Равновесие замораживалось, газы конденсировались на стенке сосуда и этот осадок анализировался. Данные анализа и известный объем сосуда позволили рассчитать давление насыщения  $\text{NbCl}_4$ , считая, что в газовой фазе существуют одиночные молекулы. Давление  $\text{NbCl}_5$ , достаточное для того, чтобы практически подавить диссоциацию  $2\text{NbCl}_4 = \text{NbCl}_3 + \text{NbCl}_5$  рассчитывалось из ранее опубликованных данных (Schäfer H. и др., Z. anorgan. und allgem. Chem., 1951, 265, 258; 1952, 268, 268). Для давления насыщения в интервале 304,2—373,9 дано уравнение  $\lg p(\text{мм}) = 12,30 - 6,87 \cdot 10^{-3}/T$ . Теплота сублимации равна 31,4 ккал. Сообщение XII см. РЖХим, 1956, 12380.

Ю. М.

25093. Давление пара трехфтористого амерция и трехфтористого плутония, теплоты и свободные энергии сублимации. Карнилья, Каннингем (Vapor pressures of americium trifluoride and plutonium trifluoride, heats and free energies of sublimation. Carniglia Stephen C., Cunningham B. B.), J. Amer. Chem. Soc., 1955, 77, № 6, 1451-1453 (англ.).

Давления пара  $\text{AmF}_3$  (I) и  $\text{PuF}_3$  (II) измерены методом Кнудсена в пределах 1214—1444° К (для I) и 1126—1469° К (для II). Для одновременного измерения давления пара I и II использовалась двойная камера с эффузионными отверстиями, направленными в противоположные стороны. Давление пара определялось по  $\alpha$ -счету испарившегося в-ва, собиравшегося на коллекторе. Молекулярный пучок вырезался коллиматором. Расчет производился по ф-ле:  $p$  (в мм рт. ст.) =  $[7,501 \sqrt{2\pi R \cdot 10^{-4}} / 60] [g / a (1 + d^2 / r^2)] [V \bar{M} / n\lambda] \times [c \sqrt{T} / \epsilon]$ , где  $R$  — газовая постоянная,  $g$  — коэфф. счета,  $a$  — площадь эффузионного отверстия,  $d$  — расстояние от эффузионного отверстия до коллиматора,  $r$  — радиус коллиматора,  $M$  — мол. вес пара,  $n$  — число радиоактивных атомов на молекулу,  $\lambda$  — константа распада,  $c$  —  $\alpha$ -счет,  $T$  — абс. т-ра,  $t$  — время экспозиции. Параметры этой ф-лы сгруппированы в термины, выражающие: общие физ. константы; постоянные прибора; константы эффузирующего пара; измерения данного опыта. Ошибка измерения  $\pm 6\%$ . Измерялись давления пара двух образцов каждого в-ва. В ф-ле:  $\Delta F_{\text{возг}} = \Delta H_0 - 2,3 \Delta c_p T \lg T + IT$ , где  $\Delta c_p = -14$  кал/моль град. для I  $\Delta H_0 = 112\,650 \pm 146$  (112 690  $\pm$  105) кал/моль,  $I = -155,55$  (—155,45) кал/моль град; для II  $\Delta H_0 = 111\,340 \pm 79$  (113 180  $\pm$  157) кал/моль,  $I = -155,61$  (—157,13) кал/моль град (в скобках даны результаты для другого образца). Авторы не делают выбора между этими данными. Давление пара II приблизительно вдвое выше, чем давление пара I. В. Ф.

25094. Давление пара металлического америция. Карнилья, Каннингем (The vapor pressure of americium metal. Carniglia Stephen C., Cunningham B. B.), J. Amer. Chem. Soc., 1955, **77**, № 6, 1502 (англ.).

Давление пара жидкого металлич. Ам измерено по ранее описанной методике (см. пред. реф.) в пределах 1103—1453° К. Ошибка измерения  $\pm 7\%$ .  $\lg p$  (мм. рт. ст.) =  $7,563 - 13162/T$ . С учетом  $\Delta C_p$  испарения  $\lg p = 11,092 - 13700/T - \lg T$ . Рассчитаны значения ( $\Delta H_{1273} = 60,2$  ккал/моль, т. кип. 2880° К,  $\Delta H_{2880} = 57$  ккал/моль,  $\Delta C_{2880} = 20$  ккал/моль град, которые не могут претендовать на высокую точность. В. Ф.

25095. Давление пара монофторуксусной кислоты.  
Джаспер, Миллер (The vapor pressure of

monofluoroacetic acid. Jasper Joseph J., Miller George B.), J. Phys. Chem., 1955, 59, № 5, 441—442 (англ.)

Измерения давления пара монофторуксусной к-ты проводились с помощью изотензископа (Smith A., Menzies A. W. C., J. Amer. Chem. Soc., 1910, 32, 1412), с некоторыми усовершенствованиями. Дано подробное описание прибора и методики работы на нем. Опытные значения давления пара монофторуксусной к-ты в интервале 20—170° растут соответственно от 4,00 до 903,4 мм рт. ст. С. Б.

25096. Температуры кипения растворов гидроксидов натрия. Венкатараман, Кулур (Boiling point of sodium hydroxide solutions. Venkataraman S., Kuloor N. R.), J. Scient. and Industr. Res., 1955, (BC), 14, № 1, B37—B38 (англ.)

В связи с тем, что указываемые в литературе т-ры затвердевания р-ров NaOH в области высоких конц-ий NaOH (89—99%) лежат ниже соответствующих т-р кипения, авторы высказывают предположительные т-ры кипения р-ров NaOH, считая, что зависимость та же, что и в случае р-ров KOH. Приведена таблица т-р кипения р-ров NaOH в зависимости от конц-ии. В. Ф.

25097. Измерения равновесий пар — жидкость с помощью усовершенствованного циркуляционного прибора. Рёк, Зиг (Messungen von Verdampfungs-gleichgewichten mit einer modernisierten Umlaufapparat. Röck H., Sieg L.), Z. phys. Chem. (Frankfurt), 1955, 3, № 5/6, 355—364 (нем.)

Описан прибор (емкость куба ~ 250 см<sup>3</sup>) для определения фазового равновесия пар — жидкость динамич. методом, совмещающий циркуляцию дистиллата с применением трубки Коттреля и позволяющий производить изотермич. измерения равновесий в двойных смесях (в том числе в смесях с большой разницей  $P_{насыщ}$  компонентов). Конструкция прибора устраняет возможность соприкосновения пара или жидкости с краями или шлифами. Измерены фазовые равновесия смесей: 1) циклогексан-анилин ( $t$  40°,  $x_2 = 0,00104—0,2715$ ); 2) *n*-гептан-анилин ( $t$  51,5°,  $x_2 = 0,00300—0,1232$ ); 3) метилциклогексан-анилин ( $t$  51,5°,  $x_2 = 0,00240—0,2509$ ); 4) вода-анилин ( $t$  40°,  $x_2 = 0,000129—0,00141$ ). Рассчитаны коэффициенты активности компонентов и коэффициенты разделения:  $\alpha = x_2^1(1-x_2)/(1-x_2^1)x_2$  ( $x_2^1$  и  $x_2$  — мольные доли анилина в газовой и жидкой фазах соответственно). Правильность полученных данных для смесей 1 и 4 проверена определением коэффициента распределения анилина в системе циклогексан — вода. С. В.

25098. Скрытая теплота перехода в сверхпроводящем свинце. Долечек (Latent heat of transition of superconducting lead. Dolecek R. L.), Phys. Rev., 1954, 94, № 3, 540—543 (англ.)

Измерена скрытая теплота перехода ( $Q$ ) в сверхпроводящее состояние для свинца в интервале 2,5—7,0° К. Понижение т-ры образца при переходе из сверхпроводящего в нормальное состояние, в результате наложения магнитного поля  $H > H_k$ , компенсировалось нагреванием за счет возникающих в проводнике вихревых токов.  $Q$  определялась как энергия таких токов, необходимая для того, чтобы т-ра образца при переходе осталась неизменной. Точность определения  $Q$  составляла 5%. Результаты измерений, представленные в виде таблицы и графика зависимости  $Q$  от т-ры, имеют обычный вид кривой с максимумом, достигающим значения 0,0196 кал/моль град при  $T/T_k \approx 0,75$ . Эксперим. кривая сопоставлена с рассчитанной термодинамич. в предположении, что температурная зависимость крит. поля имеет вид:  $H_k = H_0[1 - (1-F)t^2 + Ft^4]$ , где  $H_0$  — крит. поле при 0° К,  $t$  — приведенная т-ра  $T/T_k$ ,

$F$  — материальная константа. Установленные в работе значения  $H_0$  и  $F$  составляют 823 и 0,09 соответственно. Сопоставление показывает хорошее совпадение, указывая тем самым, что предположения о параболич. или куб. зависимости  $H_k(T)$  неправильны. Полученные данные использованы для вычисления электронной теплоемкости в нормальном и сверхпроводящем состояниях, которые равны соответственно:  $c_n = 8,0 \cdot 10^{-4} \text{ T кал/моль град}$  и  $c_s = 0,329 \cdot 10^{-4} \text{ T}^3(1 + 0,012 \text{ T}^2 + 2,1 \cdot 10^{-5} \text{ T}^4) \text{ кал/моль град}$ . Результаты измерений и вычислений находятся в хорошем согласии с данными других авторов, пользовавшихся иной методикой (Daunt J. G., Mendelssohnk., Proc. Roy. Soc. 1937, A160, 127; Dolecek R. L., Phys. Rev., 1953, 91, 490). В. Х.

25099. Дилатометрические измерения двойных жидк. систем в критической области. Кричевский И. Р., Хазанова Н. Е., Линищ Л. Р., Ж. физ. химии, 1955, 29, № 3 547—557

Описана разработанная авторами методика дилатометрич. измерений, примененная для исследования систем фенол — вода (I) и триэтилам — вода (II). Особенностью ее является перемещение р-ра в резервуаре дилатометра, в котором находились весь р-р (соединительная трубка и капилляр заполнены ртутью), при помощи магнитной мешалки. Точность регулировки т-ры в термостате  $\pm 0,001—0,002^\circ$ . Уд. объем измерялся с точностью  $\pm 1 \cdot 10^{-5} \text{ см}^3/\text{г}$  при постоянном давлении на внутренние стенки дилатометра. При измерениях вводилась экспериментально определяемая поправка на изменение объема дилатометра из-за расширения стекла при нагревании и из-за изменения столба ртути в капилляре. Для I измерены уд. объемы в гомог. и гетерог. областях при различных т-рах и скачки производной  $(\partial v / \partial T)_{p, x_2}$  при переходе из гомог. состояния в гетерог. ( $x_2$  — весовая доля растворенного в-ва). Для II измерены уд. объемы в гомог. и гетерог. областях при различных т-рах, определена пограничная кривая и крит. параметры ( $t_{кр} = 17,80 \pm 0,01^\circ$ ;  $x_2 = 0,261 \pm 0,002$ ;  $v_{кр} = 1,0656 \pm 10^{-4} \text{ см}^3/\text{г}$ ), вычислена производная  $(\partial v / \partial T)_{p, x_2}$  на пограничной кривой для гомог. и гетерог. областей и скачки этой производной при переходе системы из гомог. состояния в гетерог. Показано, что пограничные кривые вблизи крит. точки для I и II являются параболами второй степени. О. А.

25100. Образование тонких окисных пленок на железе. Кол, Коэн (The formation of thin films of iron oxide. Caulle E. J., Cohen M.), Canad. J. Chem., 1955, 33, № 2, 298—304 (англ.)

Теоретически рассматривается процесс окисления железа при комнатной т-ре. Принимается, что свободная энергия тонкой окисной пленки на железе на единицу веса (или объема) является функцией толщины пленки и что первичная устойчивая пленка состоит из окисла с повышенной свободной энергией. В качестве возможного метода для определения изменения свободной энергии, связанного с образованием окисной пленки на поверхности металла, предлагается прямое измерение э. д. с., возникающей в контакте двух металлов, один из которых является окисляемым металлом. Д. И.

25101. Осаждение хлористого серебра из водных растворов. Часть 2. Кинетика роста зерен кристаллов. Дейвис, Джонс (The precipitation of silver chloride from aqueous solutions. Part 2. Kinetics of growth of seed crystals. Davies C. W., Jones A. L.), Trans. Faraday Soc., 1955, 51, № 6, 812—817 (англ.)

Изучена кинетика роста AgCl (II) из пересыщ. р-ров, в которых не происходит самопроизвольного зарождения новых центров кристаллизации. Конц-ия меня-

лась в интервале  $2,2-2,8 \cdot 10^{-10}$ . Скорость кристаллизации измерялась в таких  $p$ -рах кондуктометрически при  $25^\circ$  при различных соотношениях  $[Ag^+]/[Cl^-]$ . Установлено, что период индукции отсутствует, скорость роста пропорциональна полной кристаллич. поверхности и описывается у-нием второго порядка. Найдено, что растворимость  $I$  в воде при  $25^\circ$  равна  $1,334 \cdot 10^{-5}$  моль/г, а произведение растворимости равно  $1,765 \cdot 10^{-10}$ . Показано, что ни диффузия  $p$ -рителя к поверхности кристалла, ни осаждение ионов на поверхность, ни обратимый процесс осаждение  $\rightleftharpoons$  растворение не ограничивают процесс роста, так как это противоречило бы наблюдаемым кинетич. закономерностям. Авторы постулируют наличие адсорбционного монослоя из гидратированных ионов на поверхности, где протекает  $p$ -ция, и предполагают, что кристаллизация осуществляется при одновременной дегидратации  $Ag^+$  и  $Cl^-$ . Кинетич. у-ния, вытекающие из такого механизма, в пределах ошибок измерения совпадают с эксперим. данными (Часть 1 см. Davies C. W., Jones A. L., Faraday Soc. Discussions, 1949, 5, 103). М. К. 25102. Осаждение хлористого серебра из водных растворов. Часть 3. Температурные коэффициенты роста и растворения. Часть 4. Влияние посторонних ионов. Дейвис, Нанколлас (The precipitation of silver chloride from aqueous solutions. Part 3. Temperature coefficients of growth and solution. Part 4. The influence of foreign ions. Davies C. W., Nancollas G. H.), Trans. Faraday Soc., 1955, 51, № 6, 818—829 (англ.)

Часть 3. Кондуктометрич. методом изучены скорость роста кристаллов  $AgCl$  ( $I$ ) в пересыщ.  $p$ -рах и скорость их растворения в воде при  $15, 25$  и  $35^\circ$ . Найдено, что скорость кристаллизации в  $p$ -рах с эквивалентной конц-ей ионов  $Ag^+$  и  $Cl^-$  ( $1$ ), а также при  $[Ag^+]/[Cl^-] = 4$  и  $0,25$  следует бимолекулярному закону, причем константа скорости не зависит от  $t$ -ры, т. е. энергии активации ( $E$ ) равна нулю. В случае ( $2$ ) константа скорости значительно меньше, чем в ( $1$ ). Измерена температурная зависимость скорости растворения.  $E$ , вычисленная в интервале  $t$ -р  $15-35^\circ$ , при различных начальных скоростях растворения дает значение  $15,4$  ккал. Показано, что ни процесс кристаллизации, ни процесс растворения не лимитируются диффузией. Авторы полагают, что на поверхности растущего кристалла образуется адсорбционный монослой из гидратированных ионов. С этой точки зрения, несмотря на то, что  $E = 0$ , скорость кристаллизации меньше, чем число ионов, достигающих поверхности в единицу времени, так как имеется лишь ограниченное число участков, где  $Ag^+$  и  $Cl^-$  могут одновременно дегидратироваться с образованием растущей поверхности. При растворении подобного рода ограничение не имеет места, но переход ионной пары из решетчатого кристалла в адсорбционный монослой связан с  $E = 15,4$  ккал. Уменьшение константы скорости в случае ( $2$ ) авторы объясняют тем, что поверхность получает заряд иона, находящегося в избытке, а это уменьшает эффективное число участков, где ионы могут осаждаться.

Часть 4. Изучено влияние посторонних заряженных ионов (нафталин-2-сульфоната, додецилсульфата, бензоата, цетилтриметиламмония) на скорость роста и растворения зерен  $I$  из  $p$ -ров с различными ионными соотношениями. Методика измерений приведена в предыдущих частях работы. Найдено, что в присутствии ионов указанных в-в константа скорости кристаллизации падает с увеличением конц-ии примесей до половины своего первоначального значения. В  $p$ -рах с ионным соотношением  $[Ag^+]/[Cl^-] < 1$  влияние положительно заряженных ионов на скорость кристаллизации больше, чем в случае  $[Ag^+]/[Cl^-] > 1$ , где сильнее влияние отрицательно заряженных ионов. Установ-

лено, что на процесс растворения присутствие посторонних ионов не влияет. Ион эозина  $K$  в отличие от перечисленных ионов прекращает кристаллизацию  $I$  и значительно задерживает его растворение. Авторы полагают, что тормозящее действие примесей обусловливается их адсорбцией на активных центрах поверхности кристаллов  $I$ . Ион эозина, несущий два отрицательных заряда, адсорбируясь, занимает сразу два активных центра, чем и объясняется более сильное влияние иона эозина на скорость роста и растворения. М. К.

25103. Расслаивание в жидких двойных системах с термодинамической точки зрения. Рехаге (Thermodynamische Betrachtungen über die Entmischung in flüssigen Zweistoffsystemen. Rehage G ü n t h e r), Z. Naturforsch., 1955, 10a, № 4, 300—317 (нем.)

Изложена феноменологическая (термодинамическая) теория расслаивания в двойных системах и рассмотрено ее приложение к  $p$ -рам неэлектролитов. И. Л.

25104. О подсчетах выхода реакции на основании физико-химического анализа по криоскопическим данным в растворах. Измайлов Н. А., Ж. физ. химии, 1953, 27, № 6, 807—821; An. Rom.-Sov. Ser. chim., 1954, 8, № 4, 32—47 (рум.)

Рассмотрено соотношение между выходом  $p$ -ции и разницей между а) постоянной исходной суммарной формальной концентрацией, б) обычной суммой, полученной путем суммирования произведений исходного числа молекул на молярную долю, в) суммарным числом молей до  $p$ -ции, но после смешения, с учетом изменения ассоциации компонентов при смешении и экспериментально наблюдаемой методом криоскопии суммарной молярности в равновесной квазибинарной системе при постоянной конц-ии инертного  $p$ -рителя. Показано, что отклонение от аддитивности, подсчитанное как разность между суммарным числом молей до  $p$ -ции, но после смешения, и равновесным числом молей, ближе всего характеризует выход  $p$ -ции. При постоянстве коэфф. ассоциации компонентов  $A$  и  $B$  в пределах изменения конц-ии при  $p$ -ции величина  $\Delta \Sigma n = \Sigma n_p - \Sigma n_{\text{эксп}}$  прямо пропорциональна выходу с постоянным коэфф. пропорциональности. Показан характер искажений зависимости  $\Delta \Sigma n$  от состава по сравнению с графиком выход — состав при переменной ассоциации реагирующих компонентов. Разработан метод подсчета выходов  $p$ -ции при физ.-хим. анализе на основании термодинамич. свойств  $p$ -ров, в частности при исследованиях криоскопич. методом. Разработан графоаналитич. метод подсчета констант нестойкости при взаимодействии ассоциированных компонентов. Показана возможность образования соединений переменного состава и разработан метод их выявления. Выяснены особенности применения закона действующих масс к таким соединениям. О. Г.

25105. Относительная растворимость водорода в дейтерия в жидкостях при низких температурах. Ляхович (The relative solubility of hydrogen and deuterium in liquids at low temperatures. Lachowicz S. K.), Research., 1955, 8, № 6, S27—S28 (англ.)

При низких ( $< 100^\circ K$ )  $t$ -рах, где начинают сказываться квантовые эффекты, следует ожидать углубления различий в поведении  $H_2$  и  $D_2$ . Используя у-ние растворимости Гильдебранда, автор делает качественный вывод, что при понижении  $t$ -ры растворимость  $D_2$  в жидкостях должна расти относительно быстрее, чем  $H_2$ , особенно при сравнительно высоких давлениях; однако разница должна быть все же мала. В. У.

25106. Система плутоний — водород. I. Дигрид и дидейтерид плутония. Малфорд, Стерди (The



plutonium-hydrogen system. I. Plutonium dihydride and dideuteride. Mulford Robert N. R., Sturdy Gladys E., J. Amer. Chem. Soc., 1955, 77, № 13, 3449—3452 (англ.)

Исследована зависимость давления от состава в системах  $\text{Pu} - \text{H}_2$  и  $\text{Pu} - \text{D}_2$  для составов в пределах  $\text{Pu} - \text{PuH}_2$  и  $\text{Pu} - \text{PuD}_2$ . В качестве источника чистого водорода применялись гидрид и дейтерид урана. Составлены изотермы давление—состав, табулированы значения давления разложения и предложены следующие эмпирич. выражения зависимости давления разложения от т-ры: для  $\text{PuH}_2$   $\lg p = 10,01 \pm 0,32 - (8165 \pm 263)/T$ , (400—800°) для  $\text{PuD}_2$   $\lg p = 9,71 \pm 0,19 - (7761 \pm 151)/T$ , 600—800° ( $p$  в мм рт. ст.,  $T$  в °K). Теплоты образования  $\text{PuH}_2$  и  $\text{PuD}_2$  по р-циям  $\text{Pu} + \text{H}_2$  (газ)  $\rightarrow \text{PuH}_2$  (тв.) и  $\text{Pu} + \text{D}_2$  (газ)  $\rightarrow \text{PuD}_2$  (тв.) соответственно равны  $-37,4 \pm 1,2$  и  $-35,5 \pm 0,7$  ккал. Указанные в этих ур-ниях  $\text{Pu}$ ,  $\text{PuH}_2$  и  $\text{PuD}_2$  были в действительности насыщ. р-рами  $\text{H}_2$  (или  $\text{D}_2$ ) в плутонии и плутония в  $\text{PuH}_2$  (или  $\text{PuD}_2$ ). При растворении  $\text{H}_2$  в  $\text{PuH}_2$  до конц-ии  $\text{H}_2$ , соответствующей составу  $\text{PuH}_{1,3}$ , куб. решетка превращается в гексагональную. О. К.

25107. Исследование системы железо—кобальт—никель—алюминий по разрезу 50 ат.% железа. Иванов О. С., Новикова О. А., Рябова Г. Г., Изв. Сектора физ.-хим. анализа ИОНХ АН СССР, 1953, 22, 129—139

Экспериментально исследовались 2 разреза с соотношением  $\text{Ni} : \text{Co} = 3 : 1$  и  $1 : 3$ . Политермич. диаграммы этих лучей вместе с аналогичными диаграммами луча с  $\text{Ni} : \text{Co} = 1 : 1$  и разрезов для 50 ат.% Fe тройных систем  $\text{Fe} - \text{Ni} - \text{Al}$  и  $\text{Fe} - \text{Co} - \text{Al}$  позволили построить политермич. диаграмму разреза 50 ат.% Fe в области составов коэрцитивных сплавов. В. С.

25108. Равновесие твердая — жидкая фаза в конденсированной системе бром — гексафторид урана. Фишер, Вогел (Solid-liquid phase equilibria in the condensed system bromine-uranium hexafluoride. Fischer Jack, Vogel Richard C.), J. Amer. Chem. Soc., 1954, 76, № 19, 4862—4863 (англ.)

Методом кривых нагревания и охлаждения исследована система  $\text{Br}_2 - \text{U}_6\text{F}_{12}$ . Аппаратура и методика приготовления образцов описаны ранее (РЖХим, 1956, 12381). Система простого эвтектич. типа с большим положительным отклонением от идеальности при конц-иях выше 15 мол.%  $\text{Br}_2$ . Твердые фазы — чистые компоненты. Эвтектика лежит между 99 и 100 мол.%  $\text{Br}_2$  и при  $-7,4 \pm 0,1^\circ$ . С. Р.

25109. Превращения гидратов окислов кобальта при нагревании. Овчинникова Т. М., Иоффе Э. Ш., Ротинян А. Л., Докл. АН СССР, 1955, 100, № 3, 469—471

Термографические исследования гидратов окиси и закиси кобальта. Исходный препарат  $\text{Co}(\text{OH})_2$ , высушенный при  $110^\circ$ , рентгеноаморфен; при нагревании до  $200^\circ$  обнаруживается кристаллич. строение, соответствующее  $\text{Co}_3\text{O}_4 \cdot (\text{Co}_2\text{O}_3 \cdot \text{H}_2\text{O})$ . Обнаружены эндотермич. эффекты: при  $120 - 190^\circ$  (образование  $\text{Co}_3\text{O}_4$ ), при  $240 - 300^\circ$  ( $\text{Co}_3\text{O}_4 \rightarrow \text{Co}_2\text{O}_3$ ) и при  $770 - 920^\circ$  ( $\text{Co}_2\text{O}_3 \rightarrow \text{CoO}$ ). Потери в весе подтверждают эти выводы. Превращение при  $960 - 1010^\circ$  не сопровождается заметной потерей веса и, повидимому, соответствует обратному превращению  $\text{CoO}$ , так как образцы, нагретые до  $920$  и  $1100^\circ$ , дают одну и ту же фазу  $\text{CoO}$ . Превращение  $\text{Co}_2\text{O}_3 \rightarrow \text{CoO}$  также обратимо, но протекает значительно медленнее. Рентгенограмма образца  $\text{Co}(\text{OH})_2$ , подвергнутого длительному высушиванию при  $110^\circ$  на воздухе, указывает на образование  $\text{Co}_3\text{O}_4$ , что подтверждается результатами анализа. На термограмме  $\text{Co}(\text{OH})_2$  имеется также четыре эндотермич. эффекта, однако с несколькими иными, чем у  $\text{Co}(\text{OH})_2$ ,

границами:  $140 - 230$ ,  $270 - 310$ ,  $750 - 850$  и  $910 - 960^\circ$ . По видимому,  $\text{Co}(\text{OH})_2$  и  $\text{Co}(\text{OH})_2$  уже при незначительном нагревании превращаются в  $\text{Co}_3\text{O}_4$ , поэтому дальнейшие превращения идентичны; однако различие границ превращений делает это утверждение лишь предположительным. Н. П.

25110. Ограниченная взаимная растворимость газов при высоких давлениях в системе аргон—аммиак. Циклис Д. С., Васильев Ю. Н., Ж. физ. химии, 1955, 29, № 8, 1530—1531

Исследована система аммиак — аргон при т-рах 70, 80, 90, 100, 115, 130 и  $140^\circ$  и давл. до  $9000 \text{ кг/см}^2$ . Обнаружено явление ограниченной взаимной растворимости газов. Изученная система, как и другие системы с аммиаком, принадлежит к типу «б» шестого случая фазовых равновесий (см. Ван-дер-Ваальс И. Д., Констант Ф., Курс термостатики, М., ОНТИ, 1936). Центральной точкой двойной системы этого типа является двойная гомоген. точка, в которой происходит слияние крит. точек равновесий газ — газ и жидкость — газ. При повышении т-ры уменьшаются области равновесий, и давление в крит. точке для равновесия газ — газ возрастает, жидкость — газ — падает. Ниже т-ры двойной гомог. точки ( $79^\circ$ ) петли равновесий размыкаются, образуя две ветви кривых. В системе замечено баротропное явление. Е. 3.

25111. К изучению системы  $\text{CaO} + \text{SiO}_2$ . I. II. Брчич (Beitrag zur Kenntnis des Systems  $\text{CaO} + \text{SiO}_2$ . I. II. Brčić Branko S.), Monatsh. Chem., 1954, 85, № 2, 318—326 (нем.)

Сообщение I. Исследованы р-ции в твердом состоянии в системе  $\text{CaO} + \text{SiO}_2$ . Для получения  $\text{CaO}$  применялась  $\text{Ca}(\text{OH})_2$ , активность которой повышалась путем добавления  $\text{Ca}(\text{NO}_3)_2$ . Наибольший выход силиката кальция получен при прокаливании смеси состава  $\text{SiO}_2 + 2\text{Ca}(\text{OH})_2 + 0,2\text{Ca}(\text{NO}_3)_2$  при т-ре  $575^\circ$  (т-ра превращения кварца) в течение 0,5—1 часа. При этом  $>80\%$   $\text{CaO}$  реагирует с  $\text{SiO}_2$ , давая смесь дигидрокси- и трикальцийсиликата в отношении  $\sim 1 : 2$ . Кол-во не прореагировавшей  $\text{CaO}$  колеблется в пределах 4—5%, а  $\text{SiO}_2$  — от 5 до 5,5%. Рентгенографич. анализ показал наличие  $\alpha$ -дикальцийсиликата. Показано влияние длины реакционных трубок и предварительного пресования на ход синтеза. При работе со смесями  $\text{CaO}$  и  $\text{Ca}(\text{OH})_2$  выход не превышает 3—4%; добавление  $\text{LiNO}_3$ ,  $\text{Fe}(\text{NO}_3)_3$ ,  $\text{KNO}_3$ ,  $\text{NaCN}$  менее эффективно, чем  $\text{Ca}(\text{NO}_3)_2$ , гипса и  $\text{CaCl}_2$ .

Сообщение II. Исследовано влияние атмосферы печи на ход изученной ранее р-ции в твердом состоянии между  $\text{SiO}_2$  и  $\text{Ca}(\text{OH})_2$  с добавкой  $\text{Ca}(\text{NO}_3)_2$ . Показано, что водяной пар и двуокись азота, не соединяясь с  $\text{CaO}$  при  $575^\circ$ , имеют большое сродство к свежеобразующейся поверхности последней, что способствует р-ции. При пропускании над смесью сухого воздуха скорость образования силиката кальция замедляется. II. В.

25112. Структура расплавленной смеси криолит — окись алюминия. Ферланд, Сторегравен Урнес (Contributo alla conoscenza della struttura della miscela fusa criolite-ossido d'alluminio. Ferland T., Storegraven H., Urnes S.), Alluminio, 1953, 22, № 6, 631—634 (итал.)

На основании криоскопич. измерений и изучения равновесия карбонат —  $\text{CO}_2$  показано, что при растворении  $\text{Al}_2\text{O}_3$  в расплавленной смеси  $\text{NaF} + \text{Na}_2\text{AlF}_6$  образуются комплексы, содержащие два иона кислорода. При низком содержании криолита (I) комплексы содержат только один ион  $\text{Al}$ ; при более высоком, вероятно, два аниона  $\text{I}$ . Определить число ионов  $\text{F}^-$  в комплексе не удалось.  $\text{SiO}_2$  и  $\text{TiO}_2$  дают идеальную депрессию т-ры плавления  $\text{I}$ , причем образуются комплексы с двумя ионами кислорода.

Chem., Abstrs, 1954, 48, № 11, 6305. С. Гор

25113. Классификация ванн для электролитического получения алюминия на основании термических и микроскопических анализов. Вайна (Classificazione dei bagni per l'elettrolisi di  $Al_2O_3$  secondo i diagrammi di stato e l'analisi micrografica. Vajna A.), Alluminio, 1953, 22, № 6, 635—643 (итал.).

Термографически и микроскопически исследованы системы  $Na_2AlF_6(I) - Al_2O_3(II)$ ,  $I-II - AlF_3(III)$ ,  $I-II - NaF(IV)$  и  $I-II - CaF_2(V)$ . Ванны, содержащие Са, оказались наиболее легкоплавкими; ванны, содержащие  $>10\%$  III, более легкоплавки, чем ванны с IV. Дана следующая классификация ванн: 1) нейтральные; образованы 2 фазами:  $\alpha$ -твердый р-р II в I  $\beta$ -II; 2) кислые; образованы 3 фазами:  $\alpha$ ,  $\beta$  и криолит; 3) щелочные; образованы  $\alpha$ ,  $\beta$  и IV и 4) кальциевые; образованы фазами  $\alpha$ ,  $\beta$  и V.

Chem. Abstr., 1954, 48, № 10, 5686.

C. Gorla

25114. Рентгенографическое исследование системы  $Na_2SO_4 - NaOH$ . Хлапова А. Н., Еленевская В. М., Изв. Сектора физ.-хим. анализа ИОНХ АН СССР, 1954, 25, 185—187

Проведено рентгенографич. исследование следующих образцов: сплав 1: (в мол. %) 71,2  $Na_2SO_4(I) + 28,8 NaOH(II)$ ; сплав 2: 60,0 I + 40,0 II; сплав 3: 42,1 I + 57,9 II; сплав 4: 33,3 I + 66,7 II. Сплав I представляет собой механич. смесь I и соединения  $3Na_2SO_4 \cdot 2NaOH(III)$ ; сплав 2 — III; сплав 3 — механич. смесь соединений III и  $Na_2SO_4 \cdot 2NaOH(IV)$ ; сплав 4 — IV. Подтверждены ранее сделанные выводы (РЖХим, 1956, 15584) об образовании в системе соединений III и IV, не дающих твердых р-ров заметных конц-ий.

K. K.

25115. Удельные веса и молекулярные объемы двойных систем из нитратов калия — кадмия и серебра — кадмия. Поповская Н. П., Прогресс П. П., Ж. физ. химии, 1955, 29, № 2, 225—230.

Методом гидростатич. взвешивания измерены уд. веса расплавов двойных систем  $KNO_3 - Cd(NO_3)_2(I)$  и  $AgNO_3 - Cd(NO_3)_2(II)$  и рассчитаны мол. объемы. В обеих системах имеются соединения 2:1 (РЖХим, 1954, 28558, 35641; 1955, 5285). В системе I на изотермах уд. веса, построенных для т-р от 180 до 300° с интервалом 20°, и изотермах мол. объема — для т-р 200, 240 и 280° не обнаружено особых точек. Значения свойств плавно уменьшаются от  $Cd(NO_3)_2$  к  $KNO_3$ . В системе II изотермы уд. веса для т-р от 160 до 290° и мол. объемов для т-р 170 и 270° также не имеют особых точек. Числовые значения уд. весов расплавов плавно уменьшаются от  $AgNO_3$  к  $Cd(NO_3)_2$ . Авторы объясняют отсутствие особых точек на изотермах полной диссоциацией образующихся соединений при плавлении.

H. B.

25116. Обменное разложение и отсутствие растворителя. Сообщение I. Четверная взаимная система из хлоридов, сульфатов и вольфраматов лития и калия. Бергман А. Г., Кислова А. И., Посыпайко В. И., Ж. общ. химии, 1954, 24, № 8, 1304—1314

Исследованы визуально-политермическим методом восемь внутренних сечений призмы состава четверной взаимной системы  $Li, K|Cl, SO_4, WO_4$ . На основании полученных диаграмм ликвидуса этих сечений прослежены границы восьми объемов кристаллизации солей, из которых два отвечают соединениям  $Li_2SO_4 \cdot K_2SO_4(I)$  и  $Li_2WO_4 \cdot K_2WO_4(II)$ , образующимся из исходных солей системы. Приводится состав невариантных точек изученных сечений. Соединения I и II являются устойчивыми. Объем кристаллизации двойных сульфатов внутри призмы состава более значителен, чем объем кристаллизации двойных ванадатов.

E. B.

25117. Механизм «растворения» кварца в чистой воде при повышенных температурах и давлениях. Фредериксон, Коке (Mechanism of «solution» of quartz in pure water at elevated temperatures and pressures. Frederickson A. F., Cox Joseph F.), Amer. Mineralogist, 1954, 39, № 11—12, 886—900 (англ.).

Для определения растворимости кварца использовались стальные бомбы емк. 195 см<sup>3</sup>, которые нагревались в электрич. печи сопротивления. Бомба находилась в вертикальном положении и оставалась в покое во время эксперимента. Растворимость определялась в верхней и нижней частях бомбы при давл. 300 атм в интервале 200—370°. После установления равновесия при 200° и 300 атм производился отбор пробы, после чего т-ра повышалась до достижения вновь давл. 300 атм. Оказалось, что «растворимость», полученная на основании проб из нижней части бомбы, больше, чем «растворимость» в верхней части бомбы. Среднее значение «растворимости» хорошо совпадает с опубликованными ранее данными (Kennedy G. C., Econ. Geol., 1950, 45, 629—653). Значительное расхождение в значениях растворимости авторы объясняют возможностью удаления из кварцевого блока крупных кусков мозаики, существование которой в кварце показано ими ранее (РЖХим, 1955, 54546). Это исключает возможность определения «абсолютных» значений растворимости кварца в воде. Таким образом, данные Кеннеди и др. подвергнуты большому сомнению.

J. B.

25118. О гидрате хлористого калия. Фалков Я. А., Черногоренко В. Б., Докл. АН СССР, 1955, 102, № 4, 759—762

Термич. анализом исследована система  $KCl - H_2O$ . Эвтектич. точке соответствуют  $-10,76 \pm 0,01^\circ$  и 24,8 г KCl на 100 г  $H_2O$ . На кривых нагревания замерших р-ров обнаружен эндотермич. эффект при  $-9,80^\circ$ , не описанный в литературе и принадлежащий эвтектич. точке системы  $KCl - H_2O$  — лед. Выделен в твердом состоянии и проанализирован моногидрат  $KCl \cdot H_2O$ . Кристаллы моногидрата обладают перламутровым блеском, плавятся при  $-5,30^\circ$ , а в присутствии р-ра — инконгруэнтно при  $-8,20^\circ$ .

J. P.

25119. Растворимость селената селитра в водных растворах селенатов щелочных металлов. Селиванова Н. М., Богуславский Р. Я., Ж. физ. химии, 1955, 29, № 1, 128—134

Изучена растворимость в системах  $PbSeO_4 - M_2SeO_4 - H_2O$  ( $M - Li, Na, K$ ) в интервале конц-ий  $M_2SeO_4$  от  $10^{-4}$  до  $10^{-1}$  М при 25°. Кратко описана методика приготовления селенатов. При увеличении конц-ий  $M_2SeO_4$  ( $M - Li, Na, K$ ) растворимость  $PbSeO_4$  уменьшается, стремясь к некоторому пределу. Произведение активности ( $La$ ) при вычислении коэфф. активности ( $\gamma$ ) по ф-ле первого приближения Дебая — Гюккеля остается постоянным лишь до  $c_{M_2SeO_4} = 10^{-3}$  М. Расчет  $\gamma$  по ф-ле Дебая — Гюккеля в се втором приближении показал, что хотя  $La$  и являются величинами одного порядка во всем интервале конц-ий  $M_2SeO_4$ , они заметно отклоняются от теоретич. значения. Данные хим. анализа и рентгенографич. исследования показали, что в условиях эксперимента не образуются твердых р-ров и двойных солей; однако проведенные дополнительные опыты с большей конц-ией  $K_2SeO_4$  привели к получению твердой фазы, на рентгенограмме которой обнаружены слабые интерференционные линии, не принадлежащие  $PbSeO_4$  и  $K_2SeO_4$ .

Ю. З.

25120. Равновесия двойного разложения в смешанных растворителях и свободные энтальпии ионов. Давьон (Equilibres de double décomposition dans les solvants mixtes et enthalpies libres des ions. Davion Maurice), C. r. Acad. sci., 1955, 240, № 7, 751—754 (франц.).

Изучено равновесие в системе  $K^+$ ,  $Ca^{2+} || Cl^-$ ,  $SO_4^{2-}$  в водн. аммиаке в области  $0,1 < x < 0,45$  ( $x$  — мольная доля  $NH_3$ ). Найдено, что содержание  $SO_4^{2-}$  в насыщ. р-ре быстро уменьшается с увеличением  $x$  и содержания хлорида. Ионы  $SO_4^{2-}$  входят в состав следующих твердых фаз:  $CaSO_4 \cdot 2H_2O$  (I);  $K_2Ca(SO_4)_2 \cdot H_2O$  (II) и  $K_2SO_4$  (III). I и III не могут совместно существовать в равновесии в присутствии р-рителя в изученном интервале  $x$  и т-ры. Равновесию  $K_2Ca(SO_4)_2 \cdot H_2O + 2KCl = 2K_2SO_4 + CaCl_2 + H_2O$  соответствует  $k = [Ca^{2+}] / [K^+]^2$ . При  $t = 20^\circ$  и  $x = 0,32$  найдена  $k = 0,30$  в интервале конц-ий хлорида  $0,40-3,70$  М. Измерения при  $x = 0,20$  и  $x = 0,35$  тоже дали постоянное значение  $k$ . Найдены ур-ния  $\Delta G^0 = -14,2x + 4,45$  ккал/моль при  $0^\circ$  и  $\Delta G^0 = -13,9x + 5,05$  ккал/моль при  $20^\circ$ , где  $\Delta G^0 = -RT \ln k$ . Линейное изменение  $\Delta G^0$  с изменением  $x$  автор объясняет тем, что парц. мольные свободные энтальпии ионов также являются линейной функцией  $x$ . В. В.

**25121. Растворимость гидрата окиси тория в растворах гидрата окиси натрия и хлорной кислоты при  $25^\circ$ . Гейер, Лейдер** (The solubility of thorium hydroxide in solutions of sodium hydroxide and perchloric acid at  $25^\circ$ . Gayer K. H., Leider H.), J. Amer. Chem. Soc., 1954, 76, № 23, 5938—5940 (англ.)

Изучена растворимость гидрата окиси тория в р-рах NaOH и  $HClO_4$  при  $25^\circ$  методом, подобным описанному ранее (Garret A. B., Heinks R. E., J. Amer. Chem. Soc., 1941, 63, 562). Авторы считают, что возможные равновесия в водн. щел. и кислой среде следующие:  $ThO(OH)_2(тв.) = ThO^{2+} + 2OH^-$  (1),  $ThO(OH)_2(тв.) \rightleftharpoons ThO(OH)^+ + OH^-$  (2),  $ThO(OH)_2(тв.) \rightleftharpoons HThO_3^- + H_2O$  (3),  $ThO(OH)_2(тв.) \rightleftharpoons ThO_3 + 2H_2O$  (4),  $ThO(OH)_2(тв.) \rightleftharpoons ThO(OH)^+ + H_2O$  (5),  $ThO(OH)_2(тв.) \rightleftharpoons ThO^{2+} + 2H_2O$  (6),  $ThO(OH)_2(тв.) \rightleftharpoons HThO_3^- + H^+$  (7),  $ThO(OH)_2(тв.) \rightleftharpoons ThO_3^{2-} + 2H^+$  (8). Константы равновесия р-ций (3), (4), (5) и (6), равные соответственно  $1,6 \cdot 10^{-6}$ ,  $1,6 \cdot 10^{-6}$ ,  $3,2 \cdot 10^{-6}$  и  $5,5 \cdot 10^{-6}$ , рассчитаны из активностей. Для коэфф. активности приняты следующие отношения:  $\gamma_{HThO_3^-} / \gamma_{OH^-} = 1$ ;  $\gamma_{ThO_3} / \gamma_{OH^-} = \gamma_{NaThO_3}^3 / \gamma_{NaOH}^4 = \gamma_{NaOH}^6 / \gamma_{NaOH}^4 = \gamma_{NaOH}^2$  (значения  $\gamma_{NaOH}$  получены интерполяцией из опубликованных ранее данных (Robinson R. A., Stokes R. H., Trans Faraday Soc., 1948, 45, 612) и  $\gamma_{ThO_3} = \gamma_{H^+}$ ,  $\gamma_{ThO(OH)^+} / \gamma_{H^+} = 1$  ( $\gamma_{H^+}$  вычислено из ур-ния Дебая — Гюккеля). Константы равновесия р-ций (7), (8), (1) и (2) рассчитаны по полученным значениям  $K_3$ ,  $K_4$ ,  $K_5$  и  $K_6$ . Значения свободных энергий (в кал/моль):  $\Delta F_3^0 = 7900$ ,  $\Delta F_4^0 = 7900$ ,  $\Delta F_5^0 = -2100$ ,  $\Delta F_6^0 = -6500$ ,  $\Delta F_7^0 = 27\,000$ ,  $\Delta F_8^0 = 46\,000$ ,  $\Delta F_9^0 = 17\,000$  и  $\Delta F_{10}^0 = 32\,000$ . Гидрат окиси тория реагирует большей частью как основание, причем главной является р-ция (6). С. Р.

**25122. Растворимость в системе  $CaCO_3 - MgCO_3 - H_2O$  при различных температурах и давлениях  $CO_2$ . Янатьева О. К.**, Ж. общ. химии, 1955, 25, № 2, 234—237

Исследованы изотермы  $0$ ,  $25$ ,  $55$  и  $70^\circ$  растворимости доломита в воде в присутствии  $CaCO_3$  и  $MgCO_3$  и при парц. давлениях  $p_{CO_2} \sim 1$  атм и  $0,0012$  атм. При  $0$ ,  $25$  и  $55^\circ$ ,  $pH < 7$  и  $p_{CO_2} \sim 1$  атм наблюдалась контрэнтинная растворимость доломита; при  $pH > 7$  и при  $70^\circ$ , а также при  $p_{CO_2} \sim 0,0012$  атм при  $25^\circ$  доломит растворяется с разложением. Высказано предположение, что

при  $p_{CO_2} \sim 0,0012$  атм следует ожидать полного разложения доломита под действием воды. Е. Б.

**25123. Электропроводность и вязкость в системе  $H_3BO_3 - K_2SO_4 - H_2O$ . Перова А. П.**, Ж. прикл. химии, 1955, 28, № 6, 639—641

При  $25$  и  $50^\circ$  измерены уд. электропроводность  $\kappa$  и вязкость р-ров  $K_2SO_4$  в интервале конц-ий  $2-10$  вес.% в присутствии различных кол-в  $H_3BO_3$  ( $1-10$  вес.%). Прибавление  $H_3BO_3$  к водн. р-рам  $K_2SO_4$  понижает  $\kappa$  за счет увеличения вязкости р-ра; значения  $\kappa$ , исправленные на вязкость, медленно возрастают. Ю. З.

**25124. О взаимосвязи между рефрактометрическими и волнометрическими показателями. Сахаров В. П.**, Сб. науч. тр. Иван. с.-х. ин-та, 1954, 12, 79—89

Установленная Пульфрихом (Pulfrich C., Z. phys. Chem., 1889, 4, 561) зависимость между объемным сжатием и контракцией преломляющей способности для смесей неэлектролитов подтверждена автором для электролитов. Автор предлагает применять рефрактометрию в качестве контрольного метода при волнометрич. исследованиях. С. Р.

**25125. Термографические кривые разложения октамино- $\mu$ -амино- $\mu$ -нитродикобальти-сульфата и дихлоридиэтилендиамино-кобальти-гексахлоростибаната. Гиббонс** (Thermogravimetric curves for the decomposition of octa-ammino- $\mu$ -amino- $\mu$ -nitrodicobaltic sulphate and dichlorobisethylenediaminocobaltic hexachlorostibinate. Gibbons D.), J. Chem. Soc., 1953, May, 1641—1642 (англ.)

Приведены термографич. кривые осадков, указанных в заглавии и полученных при применении новых реактивов для определения сульфата (J. Chem. Soc., 1952, 4216) и сурьмы (J. Chem. Soc., 1952, 4775). В. С.

**25126. Поглощение ультразвука в смесях вода-метилловый спирт. Сетте** (Assorbimento ultrasonoro nelle mescolanze acqua-alcool metilico. Sette Daniele), Ricerca scient., 1955, 25, № 3, 576—587 (итал.; рез. англ., франц., нем.)

Импульсным методом (частоты  $23$ ;  $38$ ;  $53$  Мгц) измерено поглощение ультразвука в интервале т-р от  $15$  до  $-32^\circ$  в смесях вода-метилловый спирт (I) разного состава. При т-рах ниже комнатной в смеси I кривая зависимости коэфф. поглощения звука ( $\alpha/v^2$ ,  $\alpha$  — коэфф. поглощения,  $v$  — частота) от состава проходит при определенном составе смеси через максимум, характерный для других спирто-водных смесей. Это подтверждает предположение, что поглощение звука при распространении ультразвуковой волны в спирто-водных смесях обусловлено нарушением молекулярной ассоциации в р-ре. В водных р-рах метилового спирта молекулярные ассоциации, повидимому, состоят из одной молекулы спирта и трех молекул воды. Экспериментально определены коэфф. сдвиговой вязкости смесей I разного состава при  $-10^\circ$  и вычислено поглощение, обусловленное вязкостью. Наблюдаемое поглощение значительно превосходит вычисленное с учетом вязкости. Обсуждаются различные факторы, влияющие на поглощение звука в смеси. Б. К.

**25127. К вопросу об изучении соединений ароматических аминов с пропионовой кислотой. Анджелиску, Хелски, Деметреску** (Contribuții la cunoașterea combinațiilor aminelor aromatice cu acidul propionic. Angelescu E., Höltsky C., Demetrescu C.), Bul. științ. Acad. R.P. Române. Sec. techn. și chim., 1953, 5, 65—76 (рум.; рез. русс., франц.)

Рассмотрены физ.-хим. свойства (зависящие от свободного межмолекулярного пространства) двойных жидких систем из пропионовой к-ты и метиланилина, этиланилина, диметиланилина, диэтиланилина. Отклонения от аддитивности, наблюдаемые для всех свойств



(мол. объем, уменьшение объема, вязкость, поверхностное натяжение, парадокс, показатель преломления и др.), указывают на образование молекулярных соединений. Молекулярные отношения к-та: амин, отвечающие максимуму отклонений, изменяются в зависимости от характера компонента и свойства и не могут служить основанием для колич. определения ф-л соединений. Однако эти отношения показывают, что на одну молекулу амина приходится несколько молекул к-ты. Сравнение свойств систем с пропионовой, масляной и муравьиной к-тами подтверждает гипотезу, что в случае муравьиной к-ты соединение обладает гетерополярным характером, а в двух других — скорее гомеополлярным. Н. Е.

**25128. Растворимость трехфтористого бора в бензоле и толуоле. Уилер, Китинг** (Solubility of boron trifluoride in benzene and toluene. Wheeler Charles M., Jr, Keating Hugh P.), Phys. Chem., 1954, 58, № 12 1171—1172 (англ.).

Растворимость  $\text{BF}_3$  в бензоле (I) и толуоле (II) определена с помощью описанного ранее прибора (Lannung A., J. Amer. Chem. Soc., 1930, 52, 68) при пяти т-рах в интервале 20—50°. Результаты представлены как в виде коэфф. растворимости Оствальда, так и в виде мольных долей растворенного  $\text{BF}_3$  при его парц. давлении, равном 1 атм. По ранее опубликованному ур-нию (O'Brien S. J., J. Amer. Chem. Soc., 1941, 63, 2709) рассчитаны теплоты растворения  $\Delta H \text{BF}_3$  в I и II, равные соответственно —691 и —792 кал/моль, и изменение энтропии р-ров  $\Delta S = -14,96$  энтр. ед. для обоих р-ров. Описанным ранее методом (Uhlir H. M., J. Phys. Chem., 1937, 41, 1215) рассчитаны энергии взаимодействия  $E \text{BF}_3$ —I и  $\text{BF}_3$ —II и эффективный радиус  $r$  молекул  $\text{BF}_3$  в р-рах. В предположении, что  $E$  и  $r$  одинаковы для обоих р-ров, найдено для 20°:  $r = 2,03$  А,  $E = 1890$  кал/моль. С помощью ур-ния Гильдебранда (Hildebrand «The Solubility of Non-Electrolytes», 3 rd Ed., Reinhold Publ. Corp., New York, 1950, 244) рассчитаны параметры растворимости  $\text{BF}_3$  в I и II при 25°, равные 6,62 и 6,53, соответственно. Н. Е.

**25129. Микроскопическое исследование бинарных систем из карбоновых кислот с длинными нормальными и изомерными цепями. Сидов** (A microscopic investigation of binary systems of long normal and iso-chain carboxylic acids. Sydov Erik von), Acta chem. scand., 1954, 8, № 9, 1513—1518 (англ.).

Описанным ранее методом (Kofler L., Kofler A., Mikromethoden zur Kennzeichnung organischer Stoffe und Stoffgemische, Innsbruck, 1948) изучены бинарные системы из нормальных и изомерных карбоновых к-т с числом атомов углерода 14, 15, 16, 17, 18, 20, 25, 26. В согласии с опубликованной ранее работой (Weitkamp A. W., J. Amer. Chem. Soc., 1945, 67, 447) найдено, что изомерные к-ты с числом атомов углерода 16 и более образуют молекулярные соединения с нормальными к-тами, имеющими на 2, 4, 5, 6 атомов углерода меньше. Отмечено, что при числе атомов углерода в изомерной к-те 15 и менее соединение не образуется; по мнению авторов, это обусловлено сравнительно сильным влиянием карбоксильной группы в коротких цепях. Намечены некоторые закономерности в образовании инконгруэнтно и конгруэнтно плавящихся соединений в указанных системах, а также закономерности в положении эвтектич. точек между промежуточной фазой и одним из компонентов системы. Н. Е.

**25130. Поверхностное натяжение трехкомпонентных систем. Манакин Б. А.**, Тр. Одесск. ун-та, Сб. хим. фак., 1953, 3, 53—60

Методом максим. давления газовых пузырьков изучено поверхностное натяжение ( $\gamma$ ) систем: 1) вода +  $n$ -масляная к-та (I), 2) вода + I +  $\text{NaNO}_3$ , 3) вода + I +  $\text{KNO}_3$ , 4) вода + I +  $\text{CH}_3\text{COONa}$ , 5) вода +

+ I +  $\text{C}_2\text{H}_5\text{COONa}$  при 20 и 30° в зависимости от конц-ий I и соли при различных соотношениях конц-ий к-ты и соли. Для всех тройных систем отмечена буферная точка (Семенченко В. К., Ж. прикл. физ., 1930, 7, 4, 81), в которой  $\gamma$  в некоторых пределах не зависит от конц-ий соли. Прибавление солей к р-ру I выше определенной конц-ии вызывает резкое падение  $\gamma$  последнего; наибольшее действие оказывает  $\text{C}_2\text{H}_5\text{COONa}$ , затем  $\text{NaNO}_3$ ,  $\text{KNO}_3$ ,  $\text{CH}_3\text{COONa}$ . Н. Е.

**25131. Трехкомпонентная система бензальдегид — вода — уксусная кислота. Эймелл, Тите** (The three-component system benzaldehyde — water — acetic acid. Amell Alexander R., Teates Thomas J.), J. Phys. Chem., 1955, 59, № 3, 285 (англ.).

Изучена взаимная растворимость в системе бензальдегид — вода — уксусная к-та при т-рах 15, 25 и 40°.

**25132. Распределение  $\text{HNO}_3$  между водой и тремя органическими растворителями. Кой** (The partition of  $\text{HNO}_3$  between water and three organic solvents. Kooi J.), Recueil trav. chim., 1955, 74, № 2, 137—142 (англ.).

Экспериментально определено распределение  $\text{HNO}_3$  между водой и диэтиловым эфиром (I), метилбутилкетом (II), дибутиловым карбитолом (III) при 25° в области конц-ий  $\text{HNO}_3$  от 1 до 10 н. Диаграммы  $\mu$  ( $\mu$  — кол-во  $\text{HNO}_3$  в слое органич. р-рителя/кол-во  $\text{HNO}_3$  в слое  $\text{H}_2\text{O}$ ;  $\alpha$  — конц-ия  $\text{HNO}_3$  в моль/л в слое органич. р-рителя/конц.  $\text{HNO}_3$  в моль/л в слое  $\text{H}_2\text{O}$ ) и  $\alpha$ , как функции конц-ий  $\text{HNO}_3$ , представляют кривые, плавню возрастающие с увеличением конц-ии в случае  $\text{H}_2\text{O}$  — II; в случае  $\text{H}_2\text{O}$  — I и  $\text{H}_2\text{O}$  — III наклон кривых изменяется при конц-иях 6,68 н. и 6 н.  $\text{HNO}_3$ , соответственно. Н. Е.

**25133 Д. Исследование вязкости жидкостей и их насыщенных паров. Халилов Х. М.** Автореф. дисс. докт. физ.-матем. н., МГУ, М., 1955

**25134 Д. Унос веществ с паром из кипящих водных растворов электролитов, содержащих неорганические коллоиды. Чен Н. Г.** Автореф. дисс. канд. хим. н., Новочеркас. политехн. ин-т, Новочеркасск, 1955

**25135 Д. Измерения давления пара хлоридов Cs, Ru и K и сублимация в вакууме их двойных смесей. Вернер** (Tensionsmessungen von Cäsium-, Rubidium- und Kaliumchlorid und Hochvakuumsublimation ihrer binären Gemische. Werner Walter. Diss. techn. Wiss. ETH, Zürich, 1955), Schweiz. Buch, 1955, B55, № 4, 179 (нем.).

См. также: Фазовые переходы 24843, 24892, 24894, 24895, 24912, 24917, 24644. Термодинамика 24814, 25178, 25300, 25302. Термодинамика: кристаллов 24948, 24971; жидкостей и газов 24812, 27922. Ур-ния состояния 25011, 25050, 25052. Равновесия 25150, 25497, 25526. Физ.-хим. анализ систем: неорганич. 25154, 25244, 25407, 26388, 26465; органич. 25170, 25401, 25409. Приборы и методы 26115—26119, 26121, 26122, 26309. Др. вопр. 24813, 24815, 24816, 24923, 25243, 25250, 25251, 25375, 25389, 25412, 27937, 27939, 27947, 27948

## КИНЕТИКА. ГОРЕНИЕ. ВЗРЫВЫ. ТОПОХИМИЯ. КАТАЛИЗ

**25136. Метод кондуктометрии в химической кинетике. Фиренс, Аллэ, Ханнарт** (La méthode conductométrique en cinétique chimique. Fierens P. J. C., Halleux A., Hannaert H.), Bull. Soc. chim. belges, 1955, 64, № 5—6, 191—202 (франц.)

Для установления точности кондуктометрич. метода для кинетич. исследований изучены р-ции обмена и сольволиза некоторых алифатич. и ароматич. галогенидов в разных р-рителях указанным методом. Преимущество метода следующие: измерения очень просты и их можно производить каждые 5 сек., что дает возможность следить за быстро протекающими р-циями; концы могут быть очень малыми; метод обладает большей точностью по сравнению с объемным, ошибка измерения составляет  $\sim 3\%$ . Дано описание аппаратуры и ячейки для определ. электропроводности. М. И. 25137.

**Применение статистики к кинетике реакций.** Мак-Брайд, Вилларс (An application of statistics to reaction kinetics. McBride W. R., Villars D. S.), *Analyt. Chem.*, 1954, 26, № 5, 901—904 (англ.)

Применение статистич. методов для оценки точности определ. кинетич. констант из опытных данных. Х. Б. 25138.

**Ангармоничность и мономолекулярные реакции.** Тредгольд (Anharmonicity and monomolecular reactions. Tredgold R. H.), *Proc. Phys. Soc.*, 1955, A68, № 10, 920—923 (англ.)

Рассмотрение мономолекулярного распада методом малых колебаний недостаточно, поскольку еще до разрыва связи существенную роль играет анггармоничность молекулярных колебаний, ведущая к интенсивному обмену энергией между различными нормальными колебаниями. Анггармоничность снимает вырождение частот, устраняя различие в трактовке мономераспада симметричных и несимметричных молекул. При высоких давлениях обмен энергии между нормальными колебаниями не изменяет скорости распада, при низких давлениях этот эффект становится существенным. В качестве модели рассмотрено коллинеарное движение трех связанных точек с равными массами. В потенциальной энергии сохранены четвертые степени координат. Точное решение задачи дается в эллиптич. функциях. Е. Н. 25139.

**Полуэмпирическое изучение активного комплекса  $\text{H}_2\text{Cl}$  с помощью р-ций с изотопами водорода.** Бигелейзен, Вульфсберг (Semiempirical study of the  $\text{H}_2\text{Cl}$  transition complex through the use of hydrogen isotope effects. Bigeleisen Jacob, Wolfsberg Max), *J. Chem. Phys.*, 1955, 23, № 8, 1535—1539 (англ.)

Методом малых колебаний рассмотрен линейный и треугольный активированный комплекс  $\text{H}_2\text{Cl}$  и связь его формы со скоростями р-ции:  $\text{H}_2 + \text{Cl} \rightarrow \text{HCl} + \text{H}$ ;  $\text{HT} + \text{Cl} \xrightarrow{k_2} \text{TCl} + \text{H}$ ;  $\text{HT} + \text{Cl} \xrightarrow{k_3} \text{HCl} + \text{T}$ . Частоты деформационных колебаний предполагаются малыми и их вклад в величину  $k_2/k_3$  выражается малой поправкой  $(h_c/kT)^2 (\omega_{\text{H}}^2 - \omega_{\text{T}}^2)/24$ . Отношение колебательных функций состояний комплексов  $\text{H}_2\text{Cl}$ ,  $\text{HTCl}$ ,  $\text{HDCl}$  вычислено только с учетом разницы в кинематич. коэфф. и формы комплекса. Для р-ций, идущих через треугольный активированный комплекс, получено совпадение между вычисленным и экспериментально определенным отношением колебательных функций состояний. Растягивающие частоты для линейного и треугольного комплекса вычислены из известных отношений скоростей р-ций  $\text{H}_2$  и  $\text{HT}$  с  $\text{Cl}$  при  $0^\circ$ . Эти данные вместе с поправкой на туннельный эффект дают возможность вычислить относительную скорость р-ции при любой т-ре. Такое вычисление обнаруживает хорошее согласие с опытными данными для молекул  $\text{H}_2$ ,  $\text{HT}$  и  $\text{HD}$ . Е. Н. 25140.

**Диффузии и химические реакции. I. Метод решения уравнения с заданной граничной концентрацией.** О'Салливан (Diffusion and simultaneous chemical reactions. I. A method for solving the equations of some systems in which a fixed concen-

tration exists at a boundary. O'Sullivan D. G.), *Bull. Math. Biophys.*, 1955, 17, № 2, 141—153 (англ.)

Рассматривается метод решения ур-ния  $dc/dt = D \Delta c - kc + \sum_{n=0}^m m_n t^n$ , описывающего процесс диффузии и р-ции первого порядка с мощностью источников, представленных в виде полинома от времени. Решение ур-ния относительно  $c$  с начальными условиями  $c = c_0$  при  $t = t_0$  и граничным условием, принимающим во внимание непрерывную диффузию через стенку. Решение задачи для сферы с данной начальной конц-ией и учетом соответствующих граничных условий может описывать процесс диффузии  $\text{O}_2$  в красный кровяной шарик и р-цию с гемоглобином. Е. Н. 25141.

**Трактовка реакций изотопного обмена со сложными механизмами.** Маркус (Treatment of isotopic exchange reactions having complex mechanisms. Marcus R. A.), *J. Chem. Phys.*, 1955, 23, № 6, 1107—1112 (англ.)

Предложен метод определения зависимости  $R$  — общей константы (первого порядка) изотопного обмена (Harris G. M., *Trans. Faraday Soc.*, 1951, 47, 716), от констант скоростей элементарных ступеней р-ции. Если обозначить символом  $A^*$  конц-ию атомов  $a$ , не перешедших ко времени  $t$  в молекулы типа  $B$ , то  $R/a = -1/A^* dA^*/dt$ , где  $a$  — конц-ия молекул типа  $A$ . При анализе ранее изученной р-ции  $\text{B}_2\text{H}_6 + \text{D}_2$  автор вывел, исходя из ранее предложенного механизма (РЖХим, 1955, 7174), выражение:  $R = k_2 b^{1/2} (k_1/6k_{-1})^{1/2} / (2k_2 k_3 + b \bar{a})$ .  $(k_1$  и  $k_{-1}$  — константы прямой и обратной р-ции  $\text{B}_2\text{H}_6 \rightleftharpoons 2\text{BH}_3$ ,  $k_2$  и  $k_3$  — константы р-ции  $\text{BH}_3 + \text{HN}^+ \rightarrow \text{BH}_3^+ + \text{N}_2$  и  $\text{BH}_3^+ + \text{B}_2\text{H}_6 \rightarrow \text{B}_2\text{H}_6^+ + \text{BH}_3$ ,  $a$  — конц-ия  $\text{H}_2$  и  $b$  — конц-ия  $\text{B}_2\text{H}_6$ ). Линейная зависимость  $b^{1/2}/R$  от  $b/a$  и пропорциональность между  $R$  и  $a$  при малых  $a$  подтверждаются опытными данными. Графически определено отношение  $k_3/k_2 \approx 0,25$  при  $55^\circ$ . Энергия активации суммарной р-ции обмена равна  $20,4$  ккал/моль при  $a \gg b$ . Высказано предположение, что дейтерирование  $\text{B}_2\text{H}_6$  протекает гомогенно, а тормозящее влияние  $\text{CO}_2$  и  $\text{N}_2$  связано с образованием ими продуктов присоединения с  $\text{BH}_3$ . При анализе р-ции  $\text{B}_2\text{D}_6 + \text{B}_2\text{H}_6$  типом  $A$  предполагается молекулы с меченым атомом водорода среди четырех крайних атомов водорода диборана, а типом  $B$  — молекулы с меченым водородом, связывающим оба атома бора в диборане. За переходом молекул типа  $A$  в молекулы типа  $B$  следили спектрофотометрич. путем. Для скорости исчезновения полосы поглощения при  $974$   $\text{cm}^{-1}$  выведено выражение:  $k = k_3 (k_1/k_{-1})^{1/2} (\text{B}_2\text{H}_6)^{1/2}/2$ . Пропорциональность между  $k$  и  $(\text{B}_2\text{H}_6)^{1/2}$  подтверждена на опыте. Также подтверждено и следующее из выведенных ф-л равенство энергий активации дейтерирования и самодейтерирования  $\text{B}_2\text{H}_6$ . Однако абс. величина  $k_3 (k_1/k_{-1})^{1/2}$ , рассчитанная на основании данных по р-ции самодейтерирования, в несколько сот раз выше той же величины, рассчитанной на основании данных по р-ции дейтерирования. Рассматриваются возможные причины этого расхождения, среди других — изотопные эффекты, не учитываемые описанным методом. Б. К. 25142.

**Кинетика реакций изотопного обмена.** Бантон, Крейг, Халеви (The kinetics of isotopic exchange reactions. Banton C. A., Craig D. P., Halevi E. A.), *Trans. Faraday Soc.*, 1955, 51, № 2, 196—204 (англ.)

Дан вывод ур-ния для скорости обмена меченого атома  $X^*$  между  $\text{AX}_n$  и  $\text{BX}_m$  по ассоциативному механизму. При выводе предполагается, что скорость, с которой атом отрывается от молекулы или присоединяется к ней, не зависит от изотопного состава остаточной молекулы. При малой степени обогащения мо-

декул мечеными атомами полученное ур-ние сводится к кинетич. ур-нию первого порядка. Аналогичным образом рассмотрена кинетика обмена  $X^*$  между  $AX_n$  и  $X$  по диссоциативному механизму. Ур-ние для скорости обмена по диссоциативному механизму отличается от ур-ния для скорости обмена по ассоциативному механизму коэфф., являющимся функцией изотопного обогащения и отношения коэфф. скорости рекомбинации. При низкой степени изотопного обогащения оно также сводится к р-ции первого порядка. Отклонения от кинетики р-ции первого порядка в тех случаях, когда степень обогащения не превышает 10%, составляют величину, соизмеримую с ошибками опыта. С. Ж.

25143. Деутерий изотопный эффект. Уайберг (The deuterium isotope effect. Wiberg K. B.), Chem. Revs., 1955, 55, № 4, 713—743

Обзор. Библ. 241 назв. X. Б.

25144. О химизме пределов по давлению, наблюдающихся при самовоспламенении газовых смесей. Гал (Megjegyzések gázkeverékek öngyulladásai nyomáshatárainak kémizmusához. Gál Dezső), Magyar kém. folyóirat, 1955, 61, № 198—206 (венг.; рез. англ.)

Изложение теории первого, второго и третьего пределов цепного воспламенения газовых смесей. Э. В.

25145. «Цепные реакции» и «порядок реакции» в системах, не подвергающихся действию света. Абель («Kettenreaktionen und «Reaktionsfolgen» in unbelichtetem System. Abel E.), Österr. Chem.-Ztg., 1955, 56, № 21-22, 305—308 (нем.)

25146. Методы получения констант скорости для реакций порядка  $1/2$  и смешанного  $1/2 + 1$  порядка, изученных манометрически. Де-Тар (Methods of obtaining rate constants for reactions of half order and of mixed half plus first order followed manometrically. DeTar De Los F.), J. Amer. Chem. Soc., 1955, 77, № 7, 2013—2015 (англ.)

Рассматриваются методы вычисления констант скорости р-ции, кинетика которых изучается манометрически и описывается ур-нием  $dp/dt = k_1(p_{\infty} - p) + k_{1/2}(p_{\infty} - p)^{1/2}$ , где  $p$  и  $p_{\infty}$  — текущее давление и давление в конце процесса. Г. К.

25147. Исправление к статье: «Замечание о кинетике унитарных процессов». Райс (Erratum., Rice Stuart), J. Chem. Phys., 1954, 22, № 4, 765 (англ.) RPKXim, 1955, 48486.

25148. Исследование кинетики реакции фтора с двуокисью хлора. Аймаино, Сикре, Шумахер (Estudio cinético de la reacción  $F_2 + 2ClO_2 = 2FCIO_2$ . Aymonjo P. J., Sicre J. E., Schumacher H. J.), An. Asoc. quim. argentina, 1955, 43, № 1, 26—54 (исп.; рез. нем.)

Исследована кинетика р-ции  $F_2 + 2ClO_2 = 2FCIO_2$  в интервале т-р от  $-46$  до  $-26^\circ$  и общем давл.  $50-500$  мм рт. ст. (макс. давл.  $F_2$  120 и  $ClO_2$  85 мм рт. ст.), протекающей по схеме  $F_2 + ClO_2 = FCIO_2 + F(1)$ ,  $F + ClO_2 + R = FCIO_2 + R(2)$ ,  $F + F + R = F_2 + R(3)$ ,  $F$  — стенка —  $= 1/2 F_2(4)$  ( $R$  — атом или радикал) в сосудах из стекла пирекс и викор с различным соотношением поверхности  $S$  к объему  $V$ . В сосудах с большим отношением  $S/V$  практические протекают только р-ции (1) и (4). Р-ция (1) гомогенная бимолекулярная газовая р-ция с энергией активации  $8,0 \pm 0,5$  ккал/моль и стерич. фактором  $10^{-4}$ ; зависимость константы скорости  $k_1$  от т-ры выражается ур-нием  $k_1 = 1,3 \cdot 10^{10} \exp(-8000/RT)$  см<sup>3</sup>/моль<sup>1</sup>сек<sup>-1</sup>. В сосудах с малым значением  $S/V$  приобретает значение р-ция (2), соответственно увеличивая скорость суммарной р-ции, особенно при высоких конц-ях  $ClO_2$ . Ее энергия активации равна  $4,1 \pm 1,5$  ккал/моль. Р-ция (3) в исследованных условиях не имеет значения. Р-ция (4) имеет значение при больших величинах  $S/V$ . В. Ц.

25149. Кинетика и механизм разложения уксусного и пропионового альдегидов в газовой фазе. Никлоз (Cinétique et mécanisme de décomposition des aldéhydes acétique et propionique gazeux (suite et fin). Niclause Michel), Rev. Inst. franç. pétrole, 1954, № 7, 327—366, 9, № 8, 419—448 (франц.)

Обзор. Библ. 22 назв. X. Б.

25150. Изотопные эффекты  $C^{14}$ . Часть 1. Обмен в системах: бикарбонат-ион — комплексные карбонато-кобальти-ионы. Часть 2. Обмен между окисью углерода и фосгеном. Странкес (C<sup>14</sup> isotope effects. Part I. The bicarbonate ion — carbonatocobaltic complex exchange systems. Part 2. The carbon monoxide/phosgene exchange. Stranks D. R.), Trans. Faraday Soc., 1955, 51, № 4, 492—504 (англ.)

Часть 1. Изучалась константа равновесия изотопного обмена между  $HC^{14}O_3^-$  и комплексными ионами ко-

бальта:  $Co(NH_3)_4CO_3^+$  (I),  $Co(En)_2CO_3^+$  (II) и  $Co(NH_3)_5 \times CO_3^+$  (III). Константа равновесия  $K$  определялась как

отношение равновесной уд. активности  $C^{14}$  в комплексных карбонатных ионах к общей уд. активности свободных карбонатов. При  $273^\circ K$   $K$  равно для II  $0,9810 \pm 0,0053$ , для III  $1,000 \pm 0,0055$ , для I  $0,8746 \pm 0,0057$ .

Теплоты р-ции (кал/моль) равны соответственно для II —  $36,9 \pm 9,3$ , для III —  $0,1 \pm 3,2$ , для I  $140 \pm 25$ . Значение  $K \approx 1$  для III сохраняется при изменении конц-ии реагирующих в-в и изменении т-ры от  $0^\circ$  до  $25^\circ$ . Автор предполагает следующую схему протекания р-ции обмена. Первая стадия р-ции одинакова для I и II, но отлична для III.  $Co(NH_3)_4CO_3^+ + H_3O^+ \rightleftharpoons$

$Co(NH_3)_4HCO_3 \cdot H_2O^{2+} + Co(En)_2CO_3^+ + H_3O^+ \rightleftharpoons Co(En)_2HCO_3 \cdot H_2O^{2+}$

$Co(NH_3)_5CO_3 + H^+ \rightleftharpoons Co(NH_3)_5HCO_3^{2+}$ . На-

личие изотопного эффекта в системах I и II и отсутствие его в III объясняется автором различием в протекании первичной равновесной гидратации ионов.

Далее р-ция протекает одинаково для I, II и III по двум направлениям: ионному (преимущественно при высокой конц-ии карбонатных ионов), напр. для I:

$Co(NH_3)_4HCO_3 \cdot H_2O^{2+} + HC^{14}O_3^- \rightleftharpoons Co(NH_3)_4HC^{14}O_3 \cdot H_2O^{2+} + HCO_3^-$ , и через стадию гидратации (при низкой

конц-ии карбонатных ионов), напр. для I:  $Co(NH_3)_4 \times HCO_3 \cdot H_2O^{2+} + H_2O \rightleftharpoons Co(NH_3)_4(H_2O)_2^{2+} + HCO_3^-$ ;  $Co(NH_3)_4 \times$

$(H_2O)_2^{2+} + HC^{14}O_3 \rightleftharpoons Co(NH_3)_4HC^{14}O_3 \cdot H_2O^{2+} + H_2O$ . Последняя стадия р-ции одинакова для I и II и отлична для III:  $Co(NH_3)_4HC^{14}O_3 \cdot H_2O^{2+} \rightleftharpoons Co(NH_3)_4C^{14}O_3^+ + H_3O^+$ ;

$Co(NH_3)_5HC^{14}O^{2+} \rightarrow Co(NH_3)_5C^{14}O_3^+ + H^+$ . Так как  $K$  не

зависит от конц-ии реагирующих в-в, изотопный эффект ионной р-ции и р-ции, протекающей через стадию гидратации, одинаковы. Изотопный эффект определяется только изотопным эффектом скорости р-ции (для I):

$Co(NH_3)_4HCO_3 \cdot H_2O^{2+} \rightarrow Co(NH_3)_4CO_3^+ + H_3O^+$ . На основа-

нии полученных равновесных констант обмена выведены приближительные значения силовых констант для координированной карбонатной группы в трех комплексах.

Небольшие различия в значениях силовых констант для трех комплексов ведут к большой разнице в значении изотопного эффекта обмена.

Часть 2. Изучалась р-ция изотопного равновесия  $C^{14}O + COCl_2 \rightleftharpoons CO + C^{14}OCl_2$  в интервале т-р  $10-500^\circ$ . Процесс проводился фотохимически или термически.

Равновесие считалось достигнутым по простейшим не менее 10 периодов полуобмена. Измерение активностей  $C^{14}O$  и  $C^{14}OCl_2$  проводилось двумя независимыми методами: в ионизационной камере и торцевым счетчиком.



Константа изотопного равновесия  $\epsilon$  теоретически вычислялась по соответствующим функциям распределения  $Q$ :

$$\epsilon = (Q_{\text{CO}_2}^{14} / Q_{\text{CO}_2}) / (Q_{\text{CO}}^{14} / Q_{\text{CO}})$$

В интервале  $t$ -р 273,16—773,16° К вычисленные значения  $\epsilon$  монотонно изменяются от 1,1078 до 1,0085. Найденные экспериментально двумя независимыми методами значения  $\epsilon$  хорошо согласуются друг с другом и незначительно отличаются от вычисленных. Теплота  $r$ -ции  $\Delta H$  (кал/моль) определялась из ур-ния  $\lg \epsilon = -2,303 (\Delta H / RT) + \text{const.}$  В интервале 30—60°  $\Delta H = -(99,4 \pm 4,7)$  (измерения в ионизационной камере) и  $-(101,0 \pm 4,2)$  (измерения счетчиком), что хорошо совпадает с теоретически вычисленным значением 98,9 кал/моль.

**25151. О поведении щелочных растворов перманганата. Абель** (Über das Verhalten alkalischer Permanganatlösung. Abel E.), Monatsh. Chem., 1955, 86, № 3, 461—469 (нем.)

На основании рассмотрения многочисленных литературных данных автор приходит к выводу, что механизм поведения щел. р-ров перманганата остается неясным во многих деталях.

**25152. Кинетика реакции разложения перекиси водорода при участии катализаторов. Иванова Л. А., Биохимия, 1955, 20, № 3, 272—285**

Исследована кинетика разложения  $\text{H}_2\text{O}_2$  (5—190 ммоль/л) при разведении препарата катализаторы от 1 : 50 до 1 : 800. Начальная скорость разложения  $\text{H}_2\text{O}_2$  пропорциональна конц-ии фермента и возрастает с увеличением конц-ии  $\text{H}_2\text{O}_2$ , проходя через максимум. Автор считает, что падение скорости  $r$ -ции при больших конц-иях  $\text{H}_2\text{O}_2$  вызвано инактивацией катализатора в процессе взаимодействия ее с  $\text{H}_2\text{O}_2$ . Автор отмечает, что полученные результаты не согласуются с кинетич. ур-ниями Н. И. Кобозева (Ж. физ. хим., 1941, 15, 882) и П. В. Афанасьева (Изв. АН СССР, сер. биол., 1949, 3, 253) и согласуются с ур-нием Михаэлиса — Ментена (в определенном интервале конц-ий  $\text{H}_2\text{O}_2$ ).

**25153. Стабилизация растворов перекиси водорода при помощи геля  $\alpha$ -оловянной кислоты. Краузе, Борковский** (O stabilizacji roztworów nadtlenu wodoru przy pomocy żelu kwasu  $\alpha$ -cynowego. Krause A., Borkowski B.), Przem. chem., 1954, 10, № 8, 392—396 (польск.)

Установлено, что гель  $\alpha$ -оловянной к-ты (I) является хорошим стабилизатором р-ров  $\text{H}_2\text{O}_2$  (II) различной конц-ии в пределах  $t$ -р 15—80°. Достаточным кол-вом катализатора является 5 мг  $\text{SnO}_2$  на 1 л р-ра. Предельное кол-во I, проявляющее еще некоторое стабилизирующее действие, равно 0,5 мг/л. Исследовано влияние рН, при котором осаждался I, на его свойства как стабилизатора. Распад II определялся газометрически и манганометрически. Водн. р-ры II, сохраняемые в стеклянных сосудах, медленно разлагаются вследствие растворения миним. кол-в стекла, вызывающих щел.  $r$ -цию р-ра. Ионы  $\text{OH}^-$  проявляют автокаталитич. влияние на распад II по  $r$ -ции:  $\text{II} \rightleftharpoons \text{H}^+ + \text{HO}_2^-$ ;  $\text{H}^+ + \text{OH}^- \rightleftharpoons \text{H}_2\text{O}$ ;  $2\text{HO}_2^- \rightarrow \text{O}_2 + 2\text{OH}^-$  и т. д. I как кислое амфотерное в-во адсорбирует ионы  $\text{OH}^-$  и тем самым стабилизирует II.

**25154. О системе перекись водорода — под — под-ион (Краткое сообщение). Абель** (Über das System Wasserstoffsuperoxyd, Jod, Jodion. Kurze Mitteilung. Abel E.), Monatsh. Chem., 1955, 86, № 3, 534—536 (нем.)

Автор считает, что грунто-реакции в системе  $\text{H}_2\text{O}_2$ — $\text{J}^-$  складываются из  $r$ -ций радикалов:  $\text{H}_2\text{O}_2 + \text{J}^- \rightarrow \text{J} + \text{OH}^- + \text{OH} \rightarrow \text{J} + 2\text{OH}^-$ ;  $\text{J}_2 \rightleftharpoons \text{J}^+ + \text{J}^-$ ;  $\text{J}^+ + \text{HO}_2^- \rightarrow \text{J} + \text{HO}_2 \rightarrow$

$\rightarrow \text{J}^- + \text{H}^+ + \text{O}_2$ ;  $\text{J}^+ + \text{O}_2^- \rightarrow \text{J} + \text{O}_2^- \rightarrow \text{J}^- + \text{O}_2$  и приводит к ур-нию:  $d(\text{O}_2)/d(\text{J}_2) = [k_1(\text{H}_2\text{O}_2)(\text{J}^-) + (\text{J}_2)] / [k_2(\text{H}^+)(\text{J}^-) - (\text{J}_2)]$ .

**25155. Кислотный катализ при термическом разложении нитрата аммония. Вуд, Уайз** (Acid catalysis in the thermal decomposition of ammonium nitrate. Wood Bernard J., Wise Henry), J. Chem. Phys., 1955, 23, № 4, 693—696 (англ.)

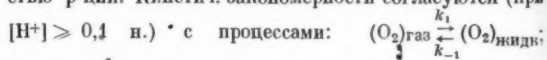
$r$ -ция термич. разложения  $\text{NH}_4\text{NO}_3$  (I) в интервале  $t$ -р 443—553° К протекает в жидкой фазе и является автокаталитической, причем скорость ее пропорциональна произведению массы соли на конц-ию  $\text{HNO}_3$  (промежуточный продукт разложения I). Энергия активации равна 31,4 ккал/моль. Наблюдалось торможение разложения во времени при больших добавках  $\text{HNO}_3$  перед  $r$ -цией. Тормозящее действие добавок  $\text{NH}_3$  (10—100 мм рт. ст.) авторы относят на счет нейтринии аммиаком катализатора ( $\text{HNO}_3$ ). Набивка реакционного сосуда стеклянной ватой также оказывает тормозящее действие, что объясняется гетерог. характером разложения катализатора. Предлагается механизм превращения:  $\text{NH}_4\text{NO}_3 \rightarrow \text{NH}_3 + \text{HNO}_3$ ,  $\text{H}^+ + \text{NH}_4\text{NO}_3 \rightarrow [\text{NH}_2\text{NO}_2] + \text{H}_3\text{O}^+$ ,  $[\text{NH}_2\text{NO}_2] \rightarrow \text{N}_2\text{O} + \text{H}_2\text{O}$ .

**25156. О самопроизвольном разложении гипохлорита кальция в водном растворе. Прокопчик А. Ю., Ж. физ. химии, 1955, 29, № 6, 1020—1026**

Самопроизвольное разложение  $\text{Ca}(\text{ClO})_2$  в щел. р-ре в интервале 40—70° и отсутствие твердой фазы (взвеси  $\text{Ca}(\text{OH})_2$ ) протекает как  $r$ -ция 2-го порядка; при наличии твердой фазы порядок  $r$ -ции понижается до 1,5—1,7. Энергия активации разложения 26,5 ккал/моль.

**25157. Кинетика автоокисления хлористой меди в растворе соляной кислоты. Нор** (Kinetics of the autoxidation of cuprous chloride in hydrochloric acid solution. Nord Hakon), Acta chem. scand., 1955, 9, № 3, 430—437 (англ.)

Кинетика автоокисления (АО)  $\text{Cu}^+$  в водн. р-рах  $\text{HCl}$  +  $\text{NaCl}$  в струе  $\text{O}_2$  +  $\text{N}_2$  изучалась путем определения  $\text{Cu}^{2+}$  титрованием  $\text{Fe}^{3+}$  с последующим перманганометрич. определением  $\text{Fe}^{2+}$  по ходу  $r$ -ции. Скорость АО  $s$  пропорциональна  $[\text{O}_2]$  и  $[\text{Cu}^+]$  и растет с увеличением  $[\text{H}^+]$ , причем  $1/s$  линейно зависит от  $1/[\text{H}^+]$  при  $[\text{H}^+] > 0,1$  н. Стадионарная конц-ия  $\text{O}_2$  в р-ре определяется как скоростью растворения  $\text{O}_2$ , так и скоростью  $r$ -ции. Кинетич. закономерности согласуются (при  $[\text{H}^+] > 0,1$  н.) с процессами:



$\text{O}_2 + \text{Cu}^+ \rightleftharpoons \text{CuO}_2^+$ ;  $\text{CuO}_2^+ + \text{H}^+ \rightarrow \text{Cu}^{2+} + \text{HO}_2$ , за которыми следует ряд быстрых стадий окисления  $\text{Cu}^+$  при участии радикала  $\text{HO}_2$ .  $k_2 = 250$  моль $^{-1}$  сек $^{-1}$  (25°) и энергия активации  $E_2 \approx 12,0$  ккал/моль.

**25158. Диэлектрическое изучение автоокисления этилсорбината. Волц, Ригг** (A dielectric study of the autoxidation of ethylsorbate. Voltz Sterling E., Rigg M. Wesley), J. Phys. Chem., 1954, 58, № 7, 537—541 (англ.)

Изучена кинетика автоокисления этилсорбината (I) при  $t$ -рах от 30 до 90° путем измерения диэлектрич. постоянной  $D$  по ходу  $r$ -ции. Кривая изменения  $D$  со временем сходна с кривыми, полученными путем измерения поглощения  $\text{O}_2$  (литературные данные). Изменение емкости системы линейно зависит от кол-ва поглощенного  $\text{O}_2$ . Установлено, что на начальных стадиях  $r$ -ции автоокисление имеет первый порядок по изменению емкости, причем мономолекулярная константа скорости  $k = 0,0012$  час $^{-1}$  при 45° и энергия активации  $E = 22,5$  ккал. В дальнейшем устанавливается стационарная скорость, причем при 45° она равна 2,13  $\mu\text{л}/\text{час}$ , и соответствующая  $E = 15,7$  ккал.

моль. Конц-ия перекиси в начальной стадии р-ции проходит через максимум. Аналогично проходит окисление I в бензоле и лед. уксусной к-те. Добавка перекиси бензола ускоряет р-цию, а добавка 2,5-ди-*t*-бутил гидрохинона замедляет ее, что доказывает, что р-ция идет с участием свободных радикалов. По отсутствию в жидкой фазе альдегидов и кетонов сделан вывод, что  $O_2$  атакует в I положение 1,4 с образованием устойчивой циклич. перекиси. При высоких т-рах увеличивается кол-во ацетальдегида, что, по мнению авторов, связано с р-цией  $O_2$  в положении 3,4, приводящей к разрыву углеродной цепи в этом положении. Б. З.

25159. Скорость реакции персульфата калия с диэтаноламином. Богданов Э. М., Сб. студ. науч. тр. Ереванск. ун-та, 1955, № 7, 43—47

Изучалась р-ция персульфата калия (I) с диэтанол-амином (II) в водн. р-ре NaOH при pH 14, одинаковых конц-ях I и II, равных 0,02 M, и т-ре 20°. Кол-во непрореагировавшего I определялось йодометрич. методом. II более реакционноспособен по отношению к I, чем дибутиламины (Чалтыкин О. А., Атанасян Е. Н., Науч. тр. Ереванск. ун-та, 1952, 36, 29). Расход I во времени описывается S-образной кривой. Обсуждаются возможные причины самоускорения р-ции. Т. Г.

25160. Кинетика и механизм взаимодействия перекиси бензоила со вторичными аминами. Чалтыкин О. А. В сб.: Вопр. хим. кинетики, катализа и реакционной способности. М., Изд-во АН СССР, 1955, 354—359

Скорость р-ции перекиси бензоила (I) с диэтиловым (II) дипропиловым, диизобутиловым, дибутиловым (III) аминами и пиперидином в разб. р-ре  $(C_2H_5)_2O$  при 20° уменьшается с удлинением цепи углеводородного остатка в амин и резко увеличивается при замыкании цепи радикала в кольцо (пиперидин). Порядок р-ции зависит от конц-ий реагентов и природы р-рителя (в разб. р-рах р-ция подчиняется ур-нию второго порядка). Энергия активации  $E$  р-ции I с II 10,4, с III 15 ккал/моль. Порядок р-ции I с дифениламином (IV) в р-рах  $(CH_3)_2CO$  и  $(C_2H_5)_2O$  равен 1,6 относительно I и  $\sim 0,6$  относительно IV. При р-ции I с IV образование свободного радикала  $(C_6H_5)_2N\cdot$  доказывается цветной р-цией с  $H_2SO_4$ , а также по поглощению NO. Единица р-ции поглощения NO равно 10,2 ккал/моль. Обнаружено самоторможение р-ции I с II в р-рах  $(CH_3)_2CO$  и отсутствие торможения в р-ре  $(C_2H_5)_2O$ . Полученные данные авторы считают доказательством радикально-цепного механизма, первичным актом которого является бимолекулярное взаимодействие I с амином. Суммарный порядок р-ции зависит от относительной активности возникших в результате элементарных актов свободных радикалов. Влияние р-рителя связано, по мнению авторов, с его кислотно-основными свойствами (взаимодействие с образующейся при р-ции бензойной к-той, изменяющей активную конц-ию амина), характером его взаимодействия со свободными радикалами и молекулами реагирующих компонентов. Р. М.

25161. Распад  $\alpha, \alpha'$ -динитрила азозомаасляной кислоты в растворе. Бевингтон (The decomposition of  $\alpha, \alpha'$ -azoisobutyronitrile in solution. B e v i n g t o n J. C.), J. Chem. Soc., 1954, Nov., 3707—3712 (англ.)

Определены выходы динитрила тетраметилантарной к-ты (I) и нитрила изомасляной к-ты (II), образующихся при распаде  $\alpha, \alpha'$ -динитрила азозомаасляной к-ты (III), меченого  $C^{14}$ , в р-рах  $C_6H_6$ ,  $CCl_4$  и  $C_6H_5CH_3$  (конц-ия 15 мг/мл) при 60 и 110°. Выделение I и II производилось с применением метода изотопного разбавления. Природа р-рителя, а также  $O_2$  заметно не влияют на выход I и II. Выход I (при глубине распада III  $\sim 25\%$ ) составляет 30—40% от кол-ва распавшегося III; при глубине

распада  $>50\%$  выход I возрастает до 60—90%. Выход II проходит через максимум при 50% распавшегося III. Авторы делают следующие выводы: радикалы  $(CH_3)_2(CN)\dot{C}$ , образующиеся при распаде III, не отрываю атом H от р-рителя и III. II образуется путем диспропорционирования:  $2(CH_3)_2(CN)\dot{C} \rightarrow (CH_3)_2(CN)CH + (CH_3)_2(CN)C = CH_2$  (IV). Изменение выхода I и II в ходе процесса авторы объясняют р-цией между II и IV, прототипированной радикалами  $(CH_3)_2CN - \dot{C}$ :  $(CH_3)_2CNC\dot{C} + (CH_3)_2(CN)C = CH_2 \rightarrow (CH_3)_2(CN)CC(CN) - (CH_3)_2CH_2$ ,  $(CH_3)_2(CN)CC(CN)(CH_3)CH_2 + \dot{C}H(CH_3)_2CN \rightarrow (CN)(CH_3)_2CC(CN)_2CN + (CH_3)_2(CN)\dot{C}$ . Р. М.

25162. Изотопный обмен серы между сероводородом и 2-меркаптобензотиазолом. Рекашева А. Ф., Блох Г. А., Михайлин Г. П., Ж. общ. химии, 1955, 25, № 8, 1631—1636

Исследован изотопный обмен серы между  $H_2S$  и 2-меркаптобензотиазолом (I). Предложена методика изучения обменных р-ций серы между  $H_2S$  и органич. соединением. Р-ция проводилась при нагревании в запаянных ампулах толуольного р-ра  $H_2S$  и I с последующей отгонкой  $H_2S$  и р-р  $(CH_3COO)_2Zn$  и выделением чистого I. Измерение активности в полученном  $ZnS$  и в I проводилось окислением по Кариусу и осаждением сульфата бензидиновой соли. Обменная р-ция исследована при 135 и 150° и продолжительности нагревания до 20 час. Из ур-ния  $kt = -\ln(1 - x/x_\infty)$  найдены константы скорости обмена серы между  $H_2S$  и I, равные 0,039 и 0,117 час.<sup>-1</sup> при 135 и 150°; энергия активации обмена равна 25,1 ккал/моль. При разбавлении в 2,2 раза  $k$  уменьшается лишь в 1,4 раза, что объяснено двумя медленными ступенями обменной р-ции. Для механизма обмена предложено промежуточное присоединение  $H_2S$  по двойной связи  $C = S$  с образованием конечной группы  $C(SH)_2$ , где оба атома S эквивалентны. Л. В.

25163. Кинетика восстановления азоксибензола (и некоторых производных) хлористым титаном. Стивенс, Хиншелвуд [The kinetics of the reduction of azobenzene (and some derivatives) by titanous chloride. Stephen M. J., Hinshelwood C y r i l], J. Chem. Soc., 1955, May, 1393—1400 (англ.)

В продолжение работ по р-циям нитробензола (I), азобензола (II) и их производных (РЖХим, 1955, 9222; 1956, 3459) исследована кинетика восстановления азоксибензола (III) и некоторых его производных хлористым титаном в подкисленных водно-спиртовых р-рах. Р-ция проводилась в токе  $CO_2$ , насыщ. спиртом. Образующийся бензидин (IV) определялся в виде бензидинсульфата. II определялся спектрофотометрически при 430 и 450  $\mu$ . Р-ция протекает приблизительно по первому порядку относительно каждого реагента с образованием IV (67,5 мол.%) и анилина (V) (32,5 мол.%). Начальная скорость р-ции приблизительно пропорциональна  $1/(H^+)$ . Кривая кол-ва II по ходу р-ции проходит через максимум. Авторы предполагают, что р-ция происходит по схеме  $III \rightarrow V$  (1);  $III \rightarrow II \rightarrow$  гидразобензол  $\rightarrow IV + V$  (2). По схеме (1) превращается  $\sim 20\%$  III, повидимому, с диссоциацией двуядерного соединения, образующегося в первой стадии восстановления, определяющей скорость р-ции. В интервале 10—40° определена энергия активации (ккал/моль) восстановления следующих в-в: III 16,5,  $n, n'$ -азоксанизол 14,8,  $m, m'$ -азоксанизол 13,8,  $n, n'$ -азоксанилин 15,2,  $m, m'$ -азоксанилин 15,3. Авторы отмечают, что влияние заместителей на скорость р-ции восстановления замещенных III значительно меньше, чем при восстановлении незамещенных I. А. Р.

25164. Стадии в окислении органических соединений перманганатом калия. Часть VI. Окисление кетонов

и пировиноградной кислоты. Драммонд, Уотерс (Stages in oxidations of organic compounds by potassium permanganate. Part VI. Oxidations of ketones and of pyruvic acid. Drummond Alan Y., Waters William A.), J. Chem. Soc., 1955, Febr., 497—504 (англ.)

Окисление пирофосфатом  $Mn^{2+}$  изучалось по методике, описанной ранее (РЖХим, 1955, 25813). Скорость окисления циклогексанона (I) пропорциональна конц-ии I и растет с увеличением конц-ии  $Mn^{2+}$  до предельного значения, равного при 25° и pH 1,50  $3,04 \cdot 10^{-4}$  моль  $л^{-1} \cdot час^{-1}$ , совпадающего с величиной скорости енолизации I, которая, таким образом, является лимитирующей стадией процесса.  $Mn^{2+}$  не влияет на р-цию. Добавка акрилонитрила хотя и приводит к образованию полимеров, но не влияет на скорость восстановления  $Mn^{2+}$ . Это указывает, что свободные радикалы, образующиеся при р-ции енольной формы I с  $Mn^{2+}$ , не восстанавливают  $Mn^{2+}$ , а, повидимому, диспропорционируют с образованием I и 2-оксидциклогексанона, дальнейшее окисление которого приводит к глубокому разрушению молекулы I. В присутствии  $O_2$  I дает перекись и 1,2-циклогександион. Окисление ацетона, метилэтилкетона, диэтилкетона, диизопропилкетона и циклопентанона идет медленнее, чем окисление I, причем скорость окисления в несколько раз меньше скорости енолизации. Окисление пировиноградной к-ты (II) изучалось при 10°. Предложена схема процесса:  $[Mn(H_2P_2O_7)_3]^{2-} + II \rightleftharpoons [Mn(H_2P_2O_7)_2(II)]^{2-} + H_2P_2O_7^{2-} + H^+$  (1);  $III \rightarrow [Mn(H_2P_2O_7)_2]^{2-} + CH_3CO + CO_2$  (2);  $CH_3CO + Mn^{2+} \rightarrow CH_3CO^+ + Mn^{2+}$ ;  $CH_3CO^+ + H_2O \rightarrow CH_3COOH + H^+$ . Полученное на основании этой схемы выражение для скорости

$$- \frac{d[Mn^{2+}]}{dt} = 2k_2K_1[II][Mn^{2+}]/\{[H_2P_2O_7^{2-}] + K_1[III]\},$$

где  $K_1$  — константа равновесия р-ции (1), а  $k_2$  — константа скорости р-ции (2), хорошо описывает наблюдаемую на опыте зависимость скорости от  $[H_2P_2O_7^{2-}]$  и  $[II]$ . Образование радикалов подтверждается тем, что окисление II инициирует полимеризацию акрилонитрила. Часть V см. РЖХим, 1956, 21991.

25165. Изучение самоокисления бензойного альдегида при помощи инфракрасных спектров поглощения; проверка обнаружения промежуточного продукта (молоксиды); результаты новых опытов. Бринер, Шатоне, Спер, Пайар (Etude de l'autoxydation de l'aldéhyde benzoïque à l'aide de la spectrographie d'absorption infrarouge; rectification concernant la mise en évidence d'un composé, intermédiaire (moloxyde) résultats de nouveaux essais. Briner Émile, Chastonay Philippe de, Sper Imfried, Paillard Henri), C. r. Acad. sci., 1954, 238, № 23, 2211—2213 (франц.). Появление в ИК-спектрах поглощения линии  $1270 \text{ см}^{-1}$  при самоокислении бензойного альдегида вызвало предположение о существовании промежуточного соединения «молоксид» (РЖХим, 1955, 54663). Новыми исследованиями установлено, что эта линия принадлежит гидроперекиси бензоила.

25166. О некоторых химических реакциях. Томмилла (Über den Verlauf einiger chemischer Reaktionen. Tommila Eero), Sitzungsber. Finnischen Akad. Wiss., 1954, Helsinki, 1955, 99—118 (нем.). Доклад о работах автора.

25167. Гидролиз ацетамида и ацетгидразида в соляной кислоте разной концентрации. Эдуард, Хатчисон, Микок (The hydrolysis of acetamide and acetylhydrazide in hydrochloric acid of various concentrations. Edward J. T., Hutchison H. P., Meacock S. C. R.), J. Chem. Soc., 1955, July, 2520—2521 (англ.)

Константы скорости первого порядка ( $\text{мин}^{-1}$ ) гидролиза ацетамида и ацетгидразида при 61° в 1 н. HCl равны ( $10^2 \text{ к}$ ) 0,49, 1,27; в 3 н. HCl 2,30, 2,69; в 5 н. HCl 1,7, —; в 7 н. HCl —, 6,5. В 3 н. HCl скорость гидролиза ацетамида проходит через максимум. А. Р. 25168.

Изучение кинетики аминолитиза и гидролиза  $\alpha$ -нафтилацетата. Хоккинс, Пискальников (A kinetic study of the aminolysis and hydrolysis of  $\alpha$ -naphthyl acetate. Hawkins Peter J., Piskalnikov Ivan), J. Amer. Chem. Soc., 1955, 77, № 10, 2771—2773 (англ.)

Изучалась кинетика р-ции *n*-бутиламина с  $\alpha$ -нафтилацетатом (I) в водн. р-ре с добавкой и без добавки гидроокиси. Кол-во  $\alpha$ -нафтола по ходу р-ции определялось спектрофотометрически. При одновременном аминолитизе и гидролизе скорость исчезновения I подчиняется ур-нию  $-d(I)/dt = k_1(I)(RNH^+) + k_2(I)(RNH^+) \times (H^+) + k_3(I)(OH^-)$ .

25169. Продукты сольволиза *tert*-бутилхлорида в водных растворах метанола. Спит, Рубсеймен, Олсон (The products of solvolysis of *t*-butyl chloride in aqueous methanol solutions. Spieth Frances, Ruebsamen William C., Olson A. R.), J. Amer. Chem. Soc., 1954, 76, № 24, 6253—6258 (англ.)

Разработаны методы анализа образующихся при сольволизе *tert*-бутилхлорида (I) (РЖХим, 1956, 411) *изо*- $C_4H_8$ , *tert*-бутилметилового эфира (II) и *tert*-бутилового спирта (III). Коэфф. распределения между  $CCl_4$  и 20%-ным водн. р-ром  $CH_3OH$  определен для II 0,0554, для III 6,96. Распределенные в этих р-рителях II и III определяются осаждением ионами  $Hg^{2+}$  и объемным определением ртути в осадке. *Изо*- $C_4H_8$  определяется по поглощению брома. Дан метод расчета скорости сольволиза I, осложненного кислотно-катализированным сольволизом *изо*- $C_4H_8$ . Найдено, что при сольволизе I при мол. доле  $H_2O N_w$  0,486—0,156 при 20—30°  $[II]/([II] + [III]) = 0,745(1 - N_w)/[0,745(1 - N_w) + N_w]$ , где  $[II]$  и  $[III]$  — мол. конц-ии II и III. Проводился также щел. сольволиз I. При 0,05 M NaOH ( $N_w = 0$ ) и 0,15 н. NaOH ( $N_w > 0,25$ ) доля *изо*- $C_4H_8$  в продуктах р-ции совпадает с сольволизом без NaOH. При более высоких конц-иях NaOH кол-во *изо*- $C_4H_8$  растет быстрее, чем это требуется по линейной зависимости от конц-ии NaOH. Доля  $f_0$  *изо*- $C_4H_8$  подчиняется эмпирич. ур-нию  $f_0 = f_0^0(1 + 1,42 N_w^2)$ , где  $f_0^0$  есть  $f_0$  при  $N_w = 0$ ;  $f_0^0 = 0,197$  и 0,183 при 30 и 24,8°.

25170. Механизм установления кислотно-основного равновесия силоксанов. Кантор, Грабб, Остхофф (The mechanism of the acid- and base-catalyzed equilibration of siloxanes. Kantor Simon W., Grubb Willard T., Osthoff Robert C.), J. Amer. Chem. Soc., 1954, 76, № 20, 5190—5197 (англ.)

Исследованы следующие равновесные системы: гексаметилдисилоксан (MM) — октаметилциклотетрасилоксан ( $D_4$ ) (1)  $M-(CH_3)_3SiO_{1/2}$ ,  $D-(CH_3)_2SiO$ , октаметилтрисилоксан (MDM) —  $D_4$  (2), декаметилтетрасилоксан ( $MD_2M$ ) —  $D_4$  (3), MM — гексаметилциклотетрасилоксан ( $D_4$ ) (4); системы (1)—(4) исследованы при 80° в присутствии основного твердого катализатора — гидроокиси тетраметиламмония (0,1%); системы MM —  $D_4$ ,  $MD_2M$  —  $D_4$  исследованы также при ~20° в присутствии  $H_2SO_4$  (4%). Определены изменения во времени следующих параметров: хим. состава, вязкости, среднего молекулярного веса (определенного по криоскопич. методу с циклогексаном как р-рителем), плотности и рефракции. Продукт, выделенный в системе (1) в момент отвечающий максимуму



вязкости, имеет при 25° вязкость 157 сантипуаз, мол. в. 5460 и является полимером типа MD<sub>2</sub>M, где  $x \approx 72$ . Максимум вязкости для системы (4) в присутствии основания показывает на большую реакционную способность MM к основному катализатору, а максимум для этой же системы, но в присутствии к-ты, — на большую активность D<sub>3</sub> к кислотному катализатору. В случае кислотного катализа авторы принимают протонизацию компонентов, напр. (CH<sub>3</sub>)<sub>3</sub>Si — HO<sup>+</sup> — Si(CH<sub>3</sub>)<sub>3</sub> и —O—(CH<sub>3</sub>)<sub>2</sub>Si — HO<sup>+</sup> — Si(CH<sub>3</sub>)<sub>2</sub>—O—. Для объяснения результатов основным катализатором авторы привлекают ранее данную трактовку взаимодействия основания с силоксаном, по которой основание действует на Si-атом с разрывом силоксановой связи: B<sup>+</sup>—Si—O—Si—→—Si—B+O—Si— (РЖХим, 1955, 28712). Из данных по равновесиям получают следующий порядок реакционной способности силоксанов: по отношению к основанию D<sub>3</sub>>D<sub>4</sub>>MD<sub>2</sub>M>MDM>MM; по отношению к к-те D<sub>3</sub>>MM>MDM>MD<sub>2</sub>M>D<sub>4</sub>. Б. З.

**25171. Автокатализ при ароматическом алкилировании. Реакция фенолов с трифенилметилхлоридом.** Харт, Кассис (Autocatalysis in aromatic alkylations. The reaction of phenols with triphenylmethyl chloride. Hart Harold, Cassis Frank A., J. Amer. Chem. Soc., 1954, 76, № 6, 1634—1639 (англ.).

Манометрическим методом получены S-образные кинетич. кривые при алкилировании ядра фенола (I) и о-крезола хлористым трифенилметилом (II) в о-дихлорбензоле. При насыщении фенола перед алкилированием HCl медленный участок на кинетич. кривой исчезает и р-ция протекает по третьему порядку:  $w = k_3 [I] [II] [HCl]$ . Автокаталитич. кривые описываются уравнением:  $w = k_2 [I] [II] + k_3 [I] [II] [HCl]$ . Предложен следующий механизм алкилирования:  $RCI \rightleftharpoons R^+ + Cl^-$ ;  $R^+ + C_6H_5OH \rightarrow n-RC_6H_4OH + H^+$  (медленно). Катализ HCl, по мнению авторов, сводится к облегчению ионизации в результате координации:  $(C_6H_5)_3CCl + HCl \rightleftharpoons (C_6H_5)_3C^+ + Cl^- \dots HCl$ . Установлено, что трифенилметиларилэфиры легко распадаются под действием HCl и, вероятно, не являются промежуточными продуктами при алкилировании.

Г. К.

**25172. Роль реакций с малой энергией активации в механизме сгорания.** Вейнберг (The significance of reactions of low activation energies to the mechanism of combustion. Weinberg F. J., Proc. Roy. Soc., 1955, A230, № 1182, 331—342 (англ.). Исходя из неудовлетворительности тепловой теории воспламенения, пределов воспламенения и распространения пламени, автор предлагает трактовку этих явлений, основанную на предположении, что скорость этих процессов определяется разностью скоростей р-ций разветвления  $\delta$  и обрыва  $\beta$  цепей, идущих с настолько малой энергией активации, что можно пренебрегать ролью термич. диссоциации и диффузионного переноса активных центров. Т. воспл.  $T_i$  с этой точки зрения, определяется, как точка пересечения кривых изменения с т-рой  $\delta = k_d [r] [D]^d \exp(-E_d/RT)$  и  $\beta = k_b [r] [B]^b \times \exp(-E_b/RT)$ , из уравнения  $\ln(k_d/k_b) + \ln[D]^d/[B]^b = (E_d - E_b)/RT$ , где  $k_d$  и  $k_b$  — константы скоростей р-ций разветвления ( $d$ ) и обрыва ( $b$ ),  $[r]$ ,  $[D]^d$  и  $[B]^b$  — конц-ии радикалов и продуктов, дающих разветвление и обрыв,  $E_d$  и  $E_b$  — энергии активации. Описывается новый метод определения теоретич. т. воспл. путем воспламенения газа, нагретого до т-ры  $T_a < T_i$ , источником с энергией  $\epsilon$  и экстраполяцией зависимости  $T_a(\epsilon)$  к  $\epsilon = 0$ . Предполагая, что для воспламенения необходимо достижение малой крит. конц-ии радикалов  $[r]_c$ , автор получает зависимость от т-ры задержки

воспламенения  $P = \ln \{ [r]_c / [r]_0 \} / k_d [D]^d \exp(+E_d/RT)$ . Равенством  $\delta = \beta$ , но отнесенным к т-ре пламени  $T_i$ , определяется условие и для пределов воспламенения. Интегрирование уравнения  $d[r]/dT = v_0(\delta - \beta)/v_0^2(T - T_0)$  в пределах  $T_i - T_f$  дает общее выражение для скорости пламени.

А. С.

**25173. Влияние гидридов элементов VI группы на скорость углеводородных пламен.** Курц (Influence of group VI hydrides on hydrocarbon flame speeds. Kurz Philip F., Industr. and Engng Chem., 1955, 47, № 2, 297—302 (англ.).

Описанным ранее методом (РЖХим, 1955, 5320, 15983) в пламени горелки измерялись нормальные скорости пламени  $V_f$  воздушных смесей пропана и углеводородов с 4 атомами С (бутан, бутены), в чистых смесях и в смесях с добавкой H<sub>2</sub>S и H<sub>2</sub>Se. При конц-иях H<sub>2</sub>S 0,6—1,3%  $V_f$  для изобутановых и изобутиновых смесей снижается (особенно сильно при избытке горючего). Добавки H<sub>2</sub>Se (начальная от 0,08%) уменьшают  $V_f$  в пропано-воздушных смесях; при 0,34% H<sub>2</sub>Se снижение  $V_f$  составляет 6,1 см/сек, а при той же конц-ии N<sub>2</sub> 0,15 см/сек. Ингибирующее действие H<sub>2</sub>Se значительно сильнее, чем H<sub>2</sub>S. Мерой тормозящего действия добавок является степень отклонения от аддитивности закона  $\sum_{a=1}^n c_a / c_a^* = 1$ , где  $c_a$  и  $c_a^*$  — объемные конц-ии в % горючего соответственно в бинарной и многокомпонентной смесях с воздухом, дающие одинаковое значение  $V_f$ . Спектр. влияние H<sub>2</sub>S и H<sub>2</sub>Se на скорость пламени авторы объясняют рекомбинацией атомов H и углеводородных радикалов при р-ции их с S<sub>2</sub> и Se<sub>2</sub>.

А. С.

**25174. Кинетика разложения взрывчатых веществ.** Павлюченко М. М., Ж. физ. химии, 1955, 29, № 6, 996—1000.

Автор предполагает, что при термич. распаде твердых взрывчатых в-в начальные центры р-ции образуются в результате взаимодействия возникающих при р-ции атомов или радикалов с молекулами разлагающегося в-ва. На основании этого предположения выведено кинетич. уравнение  $v = k \exp(\alpha f)$  ( $v$  — скорость,  $k$  и  $\alpha$  — константы, описывающие первую стадию термич. распада взрывчатых в-в). Предположение, что величина параметра  $m$  уравнения  $v = at^m$  обуславливается лишь числом промежуточных стадий образования начального центра р-ции, автор считает неправильным, поскольку в некоторых случаях наблюдалось уменьшение  $m$  после дробления кристаллов разлагающегося в-ва. Высказывается мнение, что величина  $m$  зависит также от скорости возникновения центров р-ции.

В. С.

**25175. Современное состояние исследования полупроводниковых катализаторов.** Такане (半導體觸媒研究の現状. 高石哲男), 科學, Karaku, Chemistry, 1955, 10, № 6, 49—59 (япон.).

Обзор. Библ. 40 назв.

А. Ш.

**25176. Металлы восьмой группы как катализаторы в превращениях углеводородов.** Миначев Х. М., Шуйкин Н. И. (Metalele grupei a opta drept catalizatori in transformările hidrocarburilor. Minachev H. M., Suikin N. I., An. Rom.-Sov. Ser. chim., 1955, 8, № 2, 62—92 (рум.). См. РЖХим, 1955, 23307.

**25177. Магнетохимическое исследование катализаторов.** Хиди, Капуи (Katalizátorok magnetokémiai vizsgálata. Hid Péter, Kapu Ede), Magyar kém. lapja, 1954, 9, № 10, 302—305 (венг.). Обзор. Библ. 15 назв.

А. Ш.

**25178. О термохимическом разложении сульфатов в присутствии меди.** Сообщение 1. Теоретическая часть. Сообщение 2. Экспериментальная часть.

Печковский В. В., Науч. тр. Новочеркас. политехн. ин-та, 1955, 26, 282—291; 292—298

**Сообщение 1.** Проведены термодинамич. расчеты р-ции термич. разложения сульфатов в присутствии металл. Cu, которые показывают, что  $O_2$ , выделяющийся при нагревании сульфатов согласно р-циям:  $MSO_4 \rightleftharpoons MO + SO_3$ ;  $SO_3 \rightleftharpoons SO_2 + \frac{1}{2}O_2$ ;  $SO_2 \rightleftharpoons \frac{1}{2}S_2 + O_2$ ;  $MO \rightleftharpoons M + \frac{1}{2}O_2$ ;  $M + \frac{1}{2}S_2 \rightleftharpoons MS$ , может взаимодействовать с металл. Cu, образуя  $Cu_2O$  и  $CuO$ , так как упругость диссоциации  $O_2$  над сульфатами выше упругости диссоциации  $O_2$  над  $Cu_2O$  и  $CuO$ , тогда как образование сульфидов мало вероятно. Таким образом в противоположность Тамману и Хедваллу (Tamman G., Z. anorgan. und allgem. Chem., 1925, 149, 21; Hedvall I. A., Reaktionsfähigkeit fester Stoffe, 1938) автор считает рассматриваемый процесс протекающим при участии газовой фазы по суммарному ур-нию:  $MSO_4 + 1.5 Cu = 0.5 Cu_2O + 0.5 CuO + MO + SO_2$ .

**Сообщение 2.** Исследованы скорости и продукты взаимодействия обезвоженных при  $350^\circ$   $CuSO_4$  (I),  $ZnSO_4$  (II),  $MnSO_4$  (III) и  $MgSO_4$  (IV) с порошкообразной металл. Cu (V). Навески сульфатов, содержавшие 0,16 г S, смешивались с V в отношении 1:6 и нагревались в трубчатой печи в атмосфере  $N_2$ , свободного от  $O_2$ . Продукты разложения поочередно пропускались через системы, поглощавшие  $SO_2$  или  $SO_3$ . Установлено, что т-ры заметного взаимодействия I, II, III и IV с V соответственно равны 440, 490, 585 и  $655^\circ$ , т. е. находятся ниже т-ры плавления этих солей или их эвтекис с продуктами разложения, а т-ра заметного разложения сульфата ( $T_1$ ) связана с т-рой заметной диссоциации ( $T_2$ ) (при которой упругость продуктов разложения  $\sim 10$  мм рт. ст.) соотношением:  $T_1 = \alpha T_2$ , где  $\alpha$  для исследованных солей равна 0,77—0,80. Добавки к сульфатам прокаленных при  $800^\circ$   $Al_2O_3$  и  $SiO_2$  несколько увеличивают скорость разложения, что говорит против протекания р-ции в твердой фазе. Анализ продуктов р-ции показывает, что S присутствует в газовой фазе в виде  $SO_2$ , сульфаты разлагаются до окислов, а V образует с III и IV  $Cu_2O$ , а с II и III смесь  $Cu_2O$  и  $CuO$ ; образования сульфидов не обнаружено. Скорость разложения сульфатов убывает во времени, что характерно для р-ций, связанных с диффузией газа в твердых телах.

**Н. А. 25179.** Действие хлористого натрия и хлористого калия на термическое разложение карбоната кальция. Таканака, Ядзима (The effects of sodium chloride and potassium chloride on the thermal decomposition of calcium carbonate. Takanaka Junichi, Yajima Seisi), J. Sci. Hiroshima Univ., 1953, A17, № 2, 257—262 (англ.)

Влияние сопутствующих примесей ( $MgCO_3$ ,  $Fe_2O_3$ ,  $SiO_2$ ,  $Al_2O_3$ ) на термич. разложение природного известняка и действие добавок NaCl и KCl на разложение углекислого кальция изучены термогравиметрич. методом. Установлено, что указанные примеси не влияют на т-ру и скорость разложения известняка. Добавки NaCl (3,0—11,6%) и KCl (1,5—11,6%) к чистому  $CaCO_3$  мало влияют на его термич. разложение и только при т-рах выше  $700^\circ$ . Изменения положения и наклона высокотемпературных участков кривых термич. баланса в случае добавок авторы объясняют возможным испарением NaCl и KCl. Рентгенографически показано, что при разложении  $CaCO_3$  происходит изменение кристаллической структуры от гексагональной у  $CaCO_3$  до куб. у CaO и что присутствие NaCl и KCl стимулирует рост кристаллов CaO.

**Б. З. 25180.** О механизме окисления  $Cu_2O$  при высоких температурах. Хауффе, Куфстад (Über den Mechanismus der Oxydation von  $Cu_2O$  bei hohen Temperaturen. Hauffe Karl, Kofstad Peter), Z. Elektrochem., 1955, 59, № 5, 399—404 (нем.)

Изучено окисление  $Cu_2O$  при  $500$ — $1000^\circ$  и давлении  $O_2$  от 5 мм рт. ст. до 1 атм в проточной установке с кварцевыми пружинными весами. Выше  $750^\circ$  толщина слоя  $CuO$   $\xi$  растет со временем по закону  $\Delta \xi \approx k_c t^{1/2}$ , причем  $k_c$  линейно растет с ростом логарифма давления  $O_2$  и почти не зависит от т-ры.  $k_c$  линейно зависит и от логарифма давления  $O_2$ , при котором образцы  $Cu_2O$  выдерживались 1 час при  $1000^\circ$  до начала измерений. Ниже  $750^\circ$  наблюдается значительная зависимость  $k_c$  от т-ры (энергия активации 13 ккал/моль), и в начальный период р-ции окисление протекает по параболич. закону. Продолжительность этого периода увеличивается с 10 мин. при  $700^\circ$  до 2 час. при  $500^\circ$ . Полученные данные свидетельствуют, по мнению авторов, о решающей роли электр. поля граничного слоя в окислении  $Cu_2O$ . Расчетом показано, что из теории граничного слоя применительно к окислению  $Cu_2O$  вытекают обе найденные зависимости  $d\xi/dt \sim 1/2 \lg P_{O_2}$ , где  $P_{O_2}$  — давление  $O_2$  при окислении  $Cu_2O$ , и  $d\xi/dt \sim -1 \lg P_{O_2}$ , где  $P_{O_2}$  — давление  $O_2$  на стадии предварительной обработки  $Cu_2O$ .

**М. С. 25181.** Сравнительное изучение реакционной способности кокса и его внутренней поверхности. Бастик, Бастик, Мутак, Герен (Étude comparative de la réactivité des coques et de leur surface interne. Bastick Marthe, Bastick Jack, Moutach Michel, Guérin Henri), C. r. Acad. sci., 1955, 240, № 26, 2524—2526 (франц.)

Изучена р-ция взаимодействия кокса с водяным паром и  $CO_2$  при  $900$ — $1100^\circ$ . Реакционная способность кокса изменяется симбатно с величиной его поверхности. Р-ция протекает в 2 стадии: в 1-й стадии происходит сильное увеличение поверхности и более слабое возрастание реакционной способности, т. е. падение уд. активности кокса, рассчитанной на  $1 м^2$  поверхности; это изменение при действии  $H_2O$  больше, чем при действии  $CO_2$ ; во 2-й стадии поверхность кокса уменьшается, а уд. активность возрастает. С повышением т-ры реакционная способность кокса уменьшается.

**О. К. 25182.** Изотопный обмен меди между нитратом меди и металлом. Данкан, Окли (Isotopic exchange of copper between cupric nitrate and the metal. Duncan J. F., Oakley B. W.), J. Chem. Soc., 1955, May, 1401—1403 (англ.)

Обмен меди между порошком Cu и водн. р-ром  $Cu^{64}NO_3$  доходит за 10 мин. до предела. Степень обмена увеличивается при замене воздуха кислородом и уменьшается в атмосфере  $N_2$ , а также в сильноокислом р-ре. После предварительной обработки Cu неактивным р-ром  $CuNO_3$  обмен идет лишь при продувании  $O_2$ . После катодной поляризации Cu обмена нет, а после анодной — он идет быстро. Предварительная обработка Cu р-ром  $H_2O_2$  увеличивает степень обмена. Все эти данные указывают, что обмен происходит между  $Cu^{2+}$  и поверхностными окислами Cu. Если металл имеет свежую неокисленную поверхность, то обмен не доходит до равновесия даже за 14 час.

**А. Б. 25183.** Реакция обмена между дейтерием и метиламинами на железном порошке. Гутман (The exchange reaction between deuterium and methylamines on iron powder. Gutmann Joel R.), J. Phys. Chem., 1955, 59, № 5, 478—479 (англ.)

Показано, что р-ции обмена  $NH_3$ , метиламина (I) и диметиламина (II) с  $D_2$  на железном порошке, восстановленном водородом при  $350^\circ$ , идут со следующими скоростями: 2,9; 3,0 и  $2.5 \cdot 10^{-3}$  мин. $^{-1}$  при  $242^\circ$ ; 0,023; 0,022 и 0,021 мин. $^{-1}$  при  $289^\circ$ ; 0,050 (для  $NH_3$ ) и 0,042 мин. $^{-1}$  (для II) при  $331^\circ$ . При  $242$  и  $289^\circ$  обмена  $D_2$  с триметиламином (III) нет. Энергия активации для  $NH_3$  равна 17,5

ккал/моль. Обмен идет лишь в связях N—H; в II и III при 331°, кроме того, наблюдается в ~100 раз более медленное изменение содержания D, вызванное каталитич. разложением этих аминов. Содержание D в водородной и реакционной смеси определялось термокондуктометрич. методом после вымораживания аминов жидким воздухом. Из равенства скоростей обмена  $\text{NH}_3$ , I и II при 3 т-рах следует, что все 3 р-ции имеют сходные лимитирующие скорости стадий, по мнению автора, идущие с участием адсорбированных радикалов  $\text{NH}_2$  (для обмена  $\text{NH}_3$ ),  $\text{NH}(\text{CH}_3)$  (для обмена I) и  $\text{N}(\text{CH}_3)_2$  (для обмена II). А. Б.

25184. Кинетика реакции элементарного фтора с металлической медью. Браун, Крабтри, Данкан (The kinetics of the reaction of elementary fluorine with copper metal. Brown P. E., Crabtree J. M., Duncan J. F.), J. Inorg. and Nuclear Chem., 1955, 1, № 3, 202—212 (англ.)  
Поглощение чистого F порошкообразной электролитич. Cus уд. поверхностью  $390 \pm 20 \text{ см}^2/\text{г}$  изучалось манометрически с помощью мембранного манометра в стеклянной установке при т-рах 22,5—250° и давл. 6—60 мм рт. ст. Чтобы избежать взаимодействия F с частями установки, применялась фторированная канальная закладка, а поверхность стекла предварительно откачивалась до высокого вакуума и насыщалась F. Опыты повторно проводились на одном и том же образце Cu, регенерированном восстановлением в  $\text{H}_2$  при 400°. Скорость р-ции F с Cu не зависит от давления; толщина  $x$  пленки продуктов р-ции, образующейся ко времени  $t$ , равна  $x = x_0 \lg(1 + at) + b$ , где  $x_0$ ,  $a$ ,  $b$  — константы, возрастающие с повышением т-ры опытов. Энергия активации растет пропорционально толщине слоя. На Cu, предварительно покрытой пленкой фтора и прогорелой в вакууме при 100—300°, р-ция протекает быстрее. По мнению авторов, полученные ими эксперим. результаты показывают, что диффузия не является контролирующей стадией изученной р-ции; более удовлетворительная интерпретация опытных данных может быть получена на основе предположения Эванса о «растрескивании» образующейся пленки фторида. И. Т.

25185. Эмиссия отрицательных носителей заряда при взаимодействии молекул галогенов с поверхностью целочных металлов. Гейгер (Die Emission negativer Ladungsträger bei Einwirkung von Halogenmolekülen auf Alkalimetalloberflächen. Geiger W.), Z. Phys., 1955, 140, № 6, 608—625 (нем.)

Изучена эмиссия электронов и отрицательных ионов, возникающая в высоком вакууме при взаимодействии молекулярных пучков  $\text{Cl}_2$ ,  $\text{Br}_2$  и  $\text{J}_2$  ( $4,23 \cdot 10^{12}$ — $5,70 \cdot 10^{14}$  молекул/сек) с поверхностью напыленных пленок Li, Na, K, Rb, Cs толщиной 100—1000 атомных слоев. Выход носителей заряда ( $\text{ВНЗ}$ ) — отношение числа испущенных элементарных зарядов к числу молекул, вступивших в р-цию, — не зависит от скорости натекания газов и уменьшается от Cs к Li и от  $\text{Cl}_2$  к  $\text{J}_2$ . Наибольший  $\text{ВНЗ}$ , равный  $11,1 \cdot 10^{-3}$ , получен при р-ции  $\text{Cl}_2$  с Cs. При комнатной т-ре пленок эмиссионный ток (ЭТ) сравнительно мало изменяется за 50—70 час. для Na, K, Rb, возрастает до постоянного значения для Cs ( $c$   $1,22 \cdot 10^{-8}$  до  $2,61 \cdot 10^{-8}$  а при р-ции с  $\text{Cl}_2$ ) и быстро уменьшается для Li. При снижении т-ры пленок до —78,5° ЭТ резко падает одновременно, что автор объясняет значительным уменьшением скорости диффузии атомов металла к поверхности пленок. ЭТ и  $\text{ВНЗ}$  для пленок, не содержащих галогенидов, не зависят от т-ры пленок. Доля участия ионов в ЭТ растет от  $\text{Cl}_2$  к  $\text{J}_2$  (для K от 6,4 до 11,5%, для Cs от 22 до 42%).  $\text{ВНЗ}$  при р-ции  $\text{O}_2$  с K и Cs по крайней мере на 5 порядков меньше, чем при р-ции  $\text{Cl}_2$  с щел. металлами. Описаны установки, использованные для измерения  $\text{ВНЗ}$

и для определения доли участия ионов и электронов в ЭТ. М. С.

25186. О некоторых теоретических взглядах на гетерогенный катализ. Жермен (Sur quelques aspects théoriques de la catalyse hétérogène. Germain J. E.), Bull. Union physiciens, 1955, 49, № 423, 385—399 (франц.)

Разбирая существующие взгляды на механизм гетерог. катализа, автор применительно к окислительно-восстановительным контактными р-циям (по классификации Рогинского) показывает, что ряд экспериментально полученных зависимостей каталитич. свойств металлов, сплавов и окислов-полупроводников от адсорбированных ядов, от введенных в решетку ионов другой валентности, и от состава сплавов может быть объяснен только при учете электронной структуры катализаторов. По мнению автора, изменения текстуры катализатора могут существенно влиять на его активность только через вызываемые ими изменения его электронной структуры, и только электронная теория катализа может объяснить происхождение каталитич. активности. А. Ш.

25187. Влияние ориентации кристалла на энергию активации каталитического разложения муравьиной кислоты на серебре. Сосновский (Effect of crystal orientation on the activation energy for the catalytic decomposition of formic acid on silver. Sosnovsky H. M.), J. Chem. Phys., 1955, 23, № 8, 1486—1490 (англ.)

На монокристаллах Ag, приготовленных кристаллизацией из расплава Ag (чистота 99,995%) в виде тонких пластинок ( $6 \times 2 \times 0,25 \text{ см}$ ), обладающих различными ориентациями, проводилось разложение паров  $\text{HCOOH}$  в струе при давл. 50—70 мм рт. ст., т-рах 155—200°, при варьировании скорости струи в 50 раз.  $\text{HCOOH}$  разлагалась на  $\text{H}_2$  и  $\text{CO}_2$ ;  $\text{CO}_2$  и избыток  $\text{HCOOH}$  вымораживались, а кол-во образующегося  $\text{H}_2$  служило мерой скорости р-ции  $\text{v}$ . При 460° K  $\text{v}$  равна  $10^{-10}$ — $10^{-11}$  моль/сек на  $1 \text{ см}^2$  геометр. поверхности. Р-ция следует нулевого порядку и подчиняется урнью Аррениуса с вариацией энергий активации  $E$  на разных монокристаллах от 16,0 до 30,4 ккал/моль. Наибольшие значения  $E$  получаются на кристаллах с ориентацией, близкой к (110), наименьшие  $E$  — на кристаллах с ориентацией, близкой к (111). Физ. смысл величин  $E$ , по мнению автора, неясен, так как неизвестен тип микрограней на поверхности монокристаллов. Значения  $E$  и предэкспоненциальных множителей для всех изученных монокристаллов Ag связаны линейной зависимостью, характерной для модифицированных катализаторов. И. Т.

25188. Катализ на монокристаллах. Сравнение активности граней медного кристалла равных индексов. Рогинский С. З., Третьяков И. И., Шехтер А. Б., Докл. АН СССР, 1955, 100, № 3, 487—490

Изучена каталитич. активность граней (100), (111) и (110) монокристалла меди в р-циях окисления водорода (1) и метанола (2), разложения изопропилового спирта (3) и метанола (4) при т-ре 400°. Состояние поверхности граней контролировалось электроннымикроскопически. Каталитич. коррозия в этих условиях была весьма незначительна и не влияла на каталитич. активность. В р-ции (1) активности граней (100) и (110) приблизительно равны и в 2 раза превышают активность грани (111). В р-ции (3) грани разных индексов имеют практически одинаковую активность. В р-циях (2) и (4) наблюдалась избирательность действия различных граней в разных направлениях, напр., образование формальдегида по р-ции (2) катализируется гранью (100) в 2 раза сильнее, чем гранью (110), при образовании  $\text{CO}$  в р-циях (2) и (4) грань (100) менее активна,



чем грань (110); в отношении образования  $\text{CO}_2$  грань (110) в  $\sim 2$  раза более активна, чем грань (100) в р-ции (2) и, наоборот, менее активна в р-ции (4). Самое низкое значение активности имеет грань (111), что, по мнению авторов, связано с наибольшей работой выхода электрона из этой грани. Отмечается, что различия между гранями разных индексов проявляются, в основном, в различиях в селективности процессов. И. Х.

25189. К вопросу об изучении магнитных свойств дисперсных систем. Амьель, Родье, Родье (Remarques sur l'étude magnétique de systèmes dispersés. Amiel M. J., Rodier G., m-me, Rodier M. G.). J. chim. phys., et phys.-chim. biol., 1954, 51, № 11—12, 719—721; дискус. 721—722 (франц.)

Для изучения влияния магнитного разбавления на магнитную восприимчивость  $\chi$  парамагнитных в-в, обладающих каталитич. активностью, исследовалась зависимость  $\chi$  различных форм окиси Al, а также аморфных  $\text{SiO}_2$  и  $\text{TiO}_2$ , пропитанных р-ром  $\text{Mn}(\text{NO}_3)_2$ , от содержания Mn в р-ре. После пропитывания, фильтрования и просушивания образцы прокалывались при  $200^\circ$  после чего на поверхности оставались окислы  $\text{Mn}_2\text{O}_3$  и  $\text{MnO}_2$ . Кривые зависимости  $\chi$  от содержания Mn во всех случаях, кроме  $\text{SiO}_2$ , имеют 1 минимум; в случае  $\text{SiO}_2$  кривая имеет 2 минимума с максимумом между ними. Полученные результаты качественно обсуждены в связи с данными других авторов. Предполагается, что аномалии  $\chi$  вызваны кристаллич. эффектом Штарка. Л. Ш.

25190. О возможной роли донорно-акцепторной связи в гетерогенном катализе. Соколов Н. Д. В сб.: Пробл. кинетики и катализа, 1955, 8, 141—144

Донорно-акцепторная связь (ДАС) может образоваться не только при помощи неподеленной пары электронов, но также и пары  $\sigma$ -электронов какой-либо связи молекулы. Простейшим примером является связь между молекулой  $\text{H}_2$  (донор) и протоном  $\text{H}^+$  (акцептор) в молекулярном ионе  $\text{H}_3^+$ . Образование ДАС можно ожидать также при адсорбции молекулы на гетерополярной решетке или металле, причем активным центром (акцептором) может служить один из ионов поверхности, имеющих эффективный положительный заряд (Соколов Н. Д., Диссертация, Физ.-хим. ин-т им. Карпова, 1940). Если две молекулы АВ и А'В' участвующие в р-ции обмена  $\text{AB} + \text{A'В}' \rightarrow \text{AA}' + \text{BV}'$ , адсорбированы с образованием ДАС на двух соседних активных центрах, то активированный комплекс, имеющий 4-угольное строение, будет также адсорбирован посредством ДАС. Можно показать, что энергия ДАС у активированного комплекса по абс. величине больше, чем у исходных молекул (Ж. физ. химии, 1946, 20, 587). Это означает, что энергия активации у гетерог. р-ции ниже, чем у р-ции в газовой фазе, т. е. ДАС может обуславливать увеличение скорости гетерог. р-ции. Н. С.

25191. Кинетика разложения аммиака на катализаторах разной природы. Русов М. Т., Певнер Ц. В., Ж. физ. химии, 1954, 28, № 10, 1765—1769

Изучалась кинетика разложения аммиака в проточной системе в условиях, исключающих диффузионные искажения, по методике, описанной ранее (РЖХим, 1956, 22035). В качестве катализаторов использованы кварц, железная фольга (кармоз) и электролитическая красная медь в виде ленты. Константы скорости р-ции рассчитывались по ур-нию:  $k_2 = -[2,303 P_{\text{H}_2}^5 / \tau] \lg [P_{\text{H}_2} / P_0]$ , выведенному из общего ур-ния М. И. Темкина и В. М. Пыжева. На кварце р-ция начинает протекать с измеримой скоростью при  $720^\circ$  и доходит до 27% при  $900^\circ$ . Энергия активации равна  $38,2 \text{ ккал/моль}$ . В присутствии меди р-ция изучалась при т-рах  $720-$

$910^\circ$ ; на железе выше  $740^\circ$  процесс переходит во внешне-диффузионную область. В одинаковых условиях р-ции уд. константы скорости ( $k_{\text{уд}}$ ) и предэкспоненциальные факторы  $Z_0$  константы скорости на железе и меди практически одинаковы. На кварце  $k_{\text{уд}}$  примерно в 1000 раз, а  $Z_0$  в 100 000 раз меньше, чем на железе и меди. Энергии активации на меди  $57,6$  и  $62,0 \text{ ккал/моль}$ , на железе  $54,0 \text{ ккал/моль}$ . Полученные результаты подтверждают, как отмечают авторы, развитые ранее (Темкин М. И. и Киперман С. Л., Ж. физ. химии, 1947, 21, 927) представления об общности механизма синтеза и разложения аммиака на катализаторах разного хим. состава, но обладающих электронной проводимостью. М. Б.

25192. Скорости реакции синтеза аммиака. I. Зависимость от давления и отношения водорода к азоту. Утида, Кураиси (Reaction rates in the synthesis of ammonia. I. Dependence upon reaction pressure and hydrogen-nitrogen ratio. Uchida Hiroshi, Kuraishi Michio), Bull. Chem. Soc. Japan, 1955, 28, № 2, 106—112 (англ.)

Для эксперим. проверки практич. применимости предлаженных кинетич. ур-ний изучена кинетика синтеза  $\text{NH}_3$  в проточной системе при т-рах  $350-525^\circ$ , давл.  $50-450 \text{ атм}$ , объемных скоростях ( $v$ )  $5000-500\,000 \text{ час}^{-1}$ , соотношении парц. давлений водорода и азота ( $P_{\text{H}_2} : P_{\text{N}_2}$ )  $1/3-7$ , в присутствии железных катализаторов, промотированных 5%  $\text{Al}_2\text{O}_3$  (K-I) или 4%  $\text{Al}_2\text{O}_3 + 1\% \text{CaO} + 1\% \text{K}_2\text{O}$  (K-II). При  $450^\circ$  выход  $\text{NH}_3$  ( $z$ ) повышается с увеличением общего давления ( $P$ ), в присутствии K-II более резко, чем в присутствии K-I. При снижении т-ры до  $400$  и  $350^\circ$  и увеличении  $v$  до  $100\,000 \text{ час}^{-1}$ ,  $z$  почти перестает зависеть от  $P$ ; границы  $v$ , при которых начинается постоянство  $z$ , различны для K-I и K-II. При малых  $v$  максим.  $z$  отвечает  $P_{\text{N}_2} = 25\%$  в исходной смеси; с увеличением  $v$  максим.  $z$  сдвигается в соответствии с ур-нем М. И. Темкина и В. М. Пыжева (Acta physicochim. U.R.S.S., 1940, 12, 327) в сторону больших  $P_{\text{N}_2}$ , переходя, однако, через соответствующее этому ур-нию критич. значение  $P_{\text{N}_2} = 40\%$ . При очень больших  $v$  и постоянном  $P$  этот сдвиг соответствует ур-нию С. Л. Кипермана и В. Ш. Грановской (Ж. физ. химии, 1951, 25, 557), объясняющему также и наблюдаемую при малых относительных выходах  $\text{NH}_3$  пропорциональность между  $z$  и  $1/v$ . Авторы считают, что, хотя при невысоких значениях  $z$  в присутствии K-II хорошее приближение дает ур-ние М. И. Темкина и В. М. Пыжева, а ур-ние Шиндо (Shindo M., Bull. Faculty Eng. Hokkaido Univ., 1949, 3, 136) несколько лучше согласуется с экспериментом при высоких  $z$  в присутствии K-I, ни то, ни другое ур-ние не дает вполне удовлетворительного соответствия с опытом. Как указывают авторы, зависимость  $z$  от  $P$  лучше передается видоизмененным ими ур-нием М. И. Темкина:

$$U = k [1 / (1 + k_{\text{NH}_3} \cdot a_{\text{NH}_3})^{1/2}] [(a_{\text{N}_2} \cdot a_{\text{H}_2}^3 / a_{\text{NH}_3}) -$$

$-(a_{\text{NH}_3} / K_2 a_{\text{H}_2}^3)]$ , где  $a_{\text{H}_2}$ ,  $a_{\text{N}_2}$ ,  $a_{\text{NH}_3}$  — активности компонентов р-ции,  $U$  — скорость р-ции,  $K$  — константа равновесия,  $k$  — константа скорости,  $k_{\text{NH}_3}$  — постоянная, зависящая от природы катализатора. С. К.

25193. Каталитическое окисление окиси углерода азотом на углеродной поверхности. Смит, Муи (The catalytic oxidation of carbon monoxide by nitrous oxide on carbon surfaces. Smith Nelson, Mooi John), J. Phys. Chem., 1955, 59, № 9, 814—819 (англ.)

Каталитическое окисление  $\text{CO}$  азотом проводилось в циркуляционной установке при  $300-500^\circ$  и скорости циркуляции  $300 \text{ см}^3/\text{мин}$  либо в присутствии

непешне-  
ловных  
пове-  
езде и  
имерво  
железе  
/мол.,  
ы под  
ранее  
и, 1947,  
синтеза  
о хим.  
стью.  
М. Б.  
I. За-  
азоту.  
in the  
reaction  
hid a  
Bull.  
(англ.)  
и пред-  
синтеза  
давл.  
0 час<sup>-1</sup>.  
N<sub>2</sub>, P<sub>2</sub>,  
промо-  
CaO +  
пшется  
утствии  
снже-  
0 час<sup>-1</sup>.  
и кото-  
и К-II.  
сходной  
сответ-  
ва (Acta  
у боль-  
ующее  
и очень  
тствует  
Ж. физ.  
наблю-  
N<sub>2</sub> про-  
то, что,  
и К-II  
икина и  
Bull. Fa-  
сколько  
соких;  
не дает  
опытом.  
не пе-  
емкина:

и), —  
сти ком-  
онстанта  
постоян-  
С. К.  
углерода  
Смит,  
monoxide  
Smith  
Chem.,

а прово-  
00—500°  
существо

частично графитизированной прокаливанием до 3000° канальной сажи с зоольностью 0,02% и поверхностью 80 м<sup>2</sup>/г, либо в присутствии сахарного угля с зоольностью 0,0008% и поверхностью 1020 м<sup>2</sup>/г. При содержании СО, равном или большем содержания N<sub>2</sub>O, р-ция следует нулевому порядку относительно СО. Авторы считают, что р-ция протекает на небольшом числе активных участков, занимающих 0,3—0,4% от общей поверхности. Скорость образования СО<sub>2</sub> определяется скоростью взаимодействия N<sub>2</sub>O с СО, физически адсорбированной на активных участках, а также, скоростью разрушения последних при окислении их закисью азота. Поверхностные кислородные комплексы, образующиеся при окислении углерода закисью азота, отравляют углеродную поверхность и не участвуют в р-ции в качестве промежуточных соединений. Эффект отравления подавляется при избытке СО в смеси. Применением ур-ния Ленгмюра получено выражение для скорости р-ции, хорошо описывающее наблюдаемые эксперим. зависимости. И. Т.

25194. Превращения гетерита в слое, образующемся на кобальтоом катализаторе синтеза Фишера — Тропша. Гхош, Састри, Висванатхан (Transformations in the substrate formed on a cobalt Fischer-Tropsch catalyst. Ghosh J. C., Sastri M. V. C., Viswanathan T. S.), Research, 1955, 8, № 1, 5—6 (англ.)

Ранее было показано (Ghosh J. C. и др., Industr. and Engng Chem., 1952, 44, 2463; РЖХим, 1955, 25822; 34078, что предварительной стадией синтеза Фишера — Тропша является образование на чистой поверхности катализатора (К) в-ва (I), состоящего из углерода, кислорода и водорода и при более низких т-рах содержащего больше СО, а при более высоких — больше водорода. В настоящей работе использовался К, содержащий кобальт, окись тория и кизельгур (100 : 18 : 200), восстановленные при 350°. Мономолекулярное покрытие азотом составляло 5,03 мл/г, а хемосорбция СО при —78° 2,95 мл/г. Для образования на поверхности К слоя I над К пропускалась смесь 1СО + 2Н<sub>2</sub> при 0° и давл. 0,5 атм, причем адсорбировалось 0,55 мл Н<sub>2</sub> и 1,38 мл СО на 1 г К. После резкого охлаждения до —78° и откочки повышение т-ры до 100° не вызывало изменения давления, что свидетельствует об устойчивости адсорбированного на поверхности К I. Изучены р-ции водорода с адсорбированным I при т-рах 0—100° и давл. 420 мм рт. ст. Ни при каких условиях в газовой фазе не было обнаружено появления СО; при повышении т-ры увеличивалась скорость поглощения Н<sub>2</sub> и возрастало кол-во Н<sub>2</sub>, поглощенного на 1 г К. Взаимодействие СО с изучавшимся в-вом было незначительным, и скорость его мало зависела от т-ры. Это, по мнению авторов, показывает, что роль СО в синтезе Фишера — Тропша сводится к образованию на поверхности К в-ва I, которое через стадии гидрирования, дегидрирования и конденсации превращается в углеводород. На слое, образованном при адсорбции чистой СО (без примеси Н<sub>2</sub>) при 0°, адсорбировалось больше водорода, чем на поверхности, обработанной смесью СО и Н<sub>2</sub>. Состав слоя I не зависит от того, одновременно или последовательно адсорбировались СО и Н<sub>2</sub> на К. Л. М.

25195. Роль отложений угля при термическом гетерогенном разложении органических веществ. Ле-Гофф, Летор (Rôle des dépôts de carbone dans la décomposition thermique hétérogène des substances organiques. Le Goff Pierre, Letort Maurice), C. r. Acad. sci., 1954, 239, № 16, 970—972 (франц.)

Изучалось термич. разложение (Р) ацетальдегида (I), ацетилена (II), тетраметилсвинца (III) и (СН<sub>3</sub>)<sub>2</sub>ССООС(СН<sub>3</sub>)<sub>2</sub> (IV) в струе, пропускаемой со скоростью

5 л/сек при 10<sup>-5</sup> мм рт. ст. над нагретой W-проволокой. Наряду с образованием газообразных продуктов р-ции, определяемых масс-спектрометрически, на W наблюдалось отложение твердого С, постепенно отравляющего катализ. поверхность проволоки; доля поверхности W, покрытой С, была тем меньше, чем быстрее С диффундировал внутрь W. Газообразными продуктами р-ции при Р I были Н<sub>2</sub> и СО, при Р II — только Н<sub>2</sub>. Полагая, что Р I идет только на чистой поверхности W, а на слое С практически не идет, авторы по экперим. определенным значениям  $U = [X]/[X]_0$  ( $[X]$  — начальная стационарная конц-ия реагирующего в-ва,  $[X]_0$  — конц-ия этого в-ва при т-ре Т W-проволоки) рассчитали теплоту диффузии С внутрь W  $70 \pm 5$  ккал. Неустойчивые III и IV разлагаются при т-рах W-нити ниже 1500° К (т. е. на W, покрытом слоем С) с образованием только свободных радикалов; СО и Н<sub>2</sub> появляются среди продуктов Р III и IV лишь при более высоких т-рах W. М. Л.

25196. Катализ на испаренных металлических пленках. V. Реакция циклических углеводородов с дейтерием. Андерсон, Кембалл (Catalysis on evaporated metal films. V. Reactions between cyclic hydrocarbons and deuterium. Anderson J. R., Kemball C.), Proc. Roy. Soc., 1954, A226, № 1167, 472—489 (англ.)

Изучен обмен дейтерия с циклопентаном (I), циклогексаном (II), бензолом (III) и циклопропаном (IV) на металлич. катализаторах в виде пленок при т-рах от —100 до +44° по методике, описанной ранее (РЖХим, 1955, 36912). Обмен D<sub>2</sub> с I изучен на Rh при т-рах выше —85° и Pd в интервале т-р 0—37°. Обмен с II исследован при т-рах: на W выше —66°, на Rh — выше —45°, на Pt — выше 0°, на Pd — выше 18,5°, на ориентированном слое Ni (плоскость 110) при —34° и на Rh при 0°. Энергии активации обмена I и II с дейтерием на изученных металлах равны 10—14 ккал/мол. По мнению авторов, полученные результаты указывают на диссоциативную адсорбцию I на шести атомах поверхности (секстет), а первичным продуктом р-ции является C<sub>6</sub>H<sub>6</sub>D<sub>6</sub>. Отмечено, что дейтерий адсорбируется прочно, а II — слабо. III не обменивается с дейтерием на Ni, но гидрируется им на Pd. По мнению авторов, первичные продукты обмена III на Pd указывают на адсорбцию III на поверхности в виде фенильных радикалов. Авторы считают, что по способности к дейтерообмену изученные углеводороды следует расположить в ряд: циклопропан > циклопентан > циклогексан. Часть IV см. РЖХим, 1955, 36913. Л. М.

25197. Каталитическая активность металлов, полученных восстановлением солей в жидком аммиаке. III. Рутений, родий и палладий. Уотт, Бруд, Дженкинс, Паркер (The catalytic activity of metals produced by the reduction of salts in liquid ammonia. III. Ruthenium, rhodium and palladium. Watt George W., Broodo Archie, Jenkins W. A., Parker S. G.), J. Amer. Chem. Soc., 1954, 76, № 23, 5989—5993 (англ.)

Изучалась активность рутениевых, родиевых и палладиевых катализаторов, в зависимости от метода их приготовления, в р-циях гидрогенизации аллилового спирта, гексена-1, нитробензола, нитротолуола и нитро-нафталина. Опыты проводились по методике, описанной ранее (J. Amer. Chem. Soc., 1951, 73, 5791), с катализаторами, приготовленными восстановлением RuJ<sub>3</sub>, Rh(NH<sub>3</sub>)<sub>2</sub>Br/Br<sub>2</sub>, Pd(NH<sub>3</sub>)<sub>2</sub>Cl<sub>2</sub>, Pd(NH<sub>3</sub>)<sub>2</sub>Br<sub>2</sub> в жидком аммиаке металлич. калием, а также восстановлением водородом соответствующих окислов или галогидо-производных. Катализаторы, приготовленные при восстановлении окислов или галогидопроизводных водородом, менее активны, чем полученные восстановлением в жидком аммиаке. Уд. активность (в ммольах поглощенного Н<sub>2</sub>

в мин. на единицу поверхности катализатора) в р-ции гидрирования аллилового спирта изменяется для Ru от 1,18 до 0,03 в зависимости от метода приготовления. При гидрировании олефинов наиболее активен Ru, а при гидрировании ароматич. нитросоединений — Rh. Предыдущие сообщения см. РЖХим, 1955, 13792; 13793. Л. М.

**25198. Жидкофазная гидрогенизация олефинов над платиной по Адамеу. Уотт, Уоллинг** (The liquid phase hydrogenation of olefins over Adams platinum. Watt George W., Walling M. T., Jr, J. Phys. Chem., 1955, 59, № 1, 7—40 (англ.))

Скорость гидрирования аллилового спирта (I) и гексена-1 (II) над Pt по Адамеу в р-ре  $C_2H_5OH$  при 2—30° линейно растет с увеличением давления  $H_2$  в области 200—1500 мм рт. ст. Энергия активации составляет 1—2 ккал/моль. Р-ция идет по нулевому порядку при низких конц-ях и между нулевым и первым порядком при высоких конц-ях I и II. Увеличение интенсивности перемешивания ускоряет гидрогенизацию. При увеличении кол-ва катализатора скорость р-ции проходит через максимум. Уменьшение отношения кол-ва катализатора к кол-ву I или II переводит р-цию из нулевого порядка к промежуточному между нулевым и первым. Выведено предположение, что скорость р-ции определяется диффузией  $H_2$  к поверхности катализатора. Для Pt по Адамеу, как же как и для скелетного Ni-катализатора, Rh и Pd [РЖХим, 1955, 13792; см. пред. реф.] скорость р-ций нулевого порядка  $R_0$  подчиняется ур-нию:  $R_0 = WP/(1 + BW)$ , где  $W$  — вес катализатора,  $P$  — давление  $H_2$ ,  $A$  и  $B$  — постоянные. Кроме того,  $WP/R_0$  линейно зависит от  $W$ . А. Р.

**25199. К вопросу об изучении механизма реакции этерификации этилового спирта на медных катализаторах. IV. Последовательные превращения спирта в ацетальдегид и этилацетат по длине слоя катализатора. Долгов Б. Н., Низовкина Т. В., Стройман И. М., Ж. общ. химии, 1955, 25, № 3, 499—503**

Продолжая предыдущие исследования (часть II и III см. РЖХим, 1955, 36916), авторы изучали р-цию этерификации  $C_2H_5OH$  (I) в этилацетат (II) на медном промотированном катализаторе с целью получения данных о промежуточном образовании ацетальдегида (III). Опыты проводились проточным методом при т-рах 220 и 240° со скоростями подачи I 0,032—0,160 г/мин и при варьировании длины слоя катализатора. Кол-во непрореагировавшего I убывает при увеличении объема катализатора от 5,5 до 11 см<sup>3</sup>, а при переходе от 11 к 22 см<sup>3</sup> катализатора изменяется мало. Кол-во III достигает максимума при 11 см<sup>3</sup> катализатора, а кол-во II монотонно возрастает при изменении объема катализатора от 5,5 до 22 см<sup>3</sup>. С помощью ур-ний кинетики consecutивных р-ций 1-го порядка рассчитано соотношение констант скоростей образования III и превращения III в II и вычислены максим. выходы III, оказавшиеся удовлетворительно согласующимися с эксперим. найденными. По мнению авторов, в начальных слоях катализатора идет преимущественно образование III, а в последующих слоях — превращение III в II. С. К.

**25200. Контактно-каталитическая дегидроциклизация пиперидина. Шуйкин Н. И., Тулунов В. А., Изв. АН СССР, Отд. хим. н., 1955, № 5, 869—879**

Пиперидин (I) в присутствии различных катализаторов (K) при 500—650° и давл. 10—760 мм рт. ст. наряду с частичным крекингом и *цис-транс*-изомеризацией подвергается превращению в циклопентадиен (II). Зависимость выхода II от природы K указывает, по мнению авторов, на каталитич. характер р-ции дегидро-

циклизации I. Выход II не зависит от относительных кол-в *цис*- и *транс*-форм в исходном I и падает с повышением давления; содержание *цис*- и *транс*-форм в катализате близко к рассчитанному равновесному (42—50%). Константы скорости  $k$  для превращения I в II на Pt-алюмосиликатом K (6% Pt) при 550 и 600°, вычисленные по ур-нию  $k = nx/l$ , где  $n$  — скорость подачи I,  $x$  — глубина превращения и  $l$  — длина слоя K, соответственно равны  $8,03 \cdot 10^{-5}$  и  $5,41 \cdot 10^{-4}$  моль/см; энергия активации равна 59 100 кал/моль. Предложено радикальный механизм р-ции циклизации I. М. С.

**25201. Оксосинтез и сходные реакции. Кинетика оксосинтеза. Натта** (Oxosynthese, ihre Kinetik und verwandte Reaktionen. Natta G.), Brennstoff-Chemie, 1955, 36, № 11/12, 176—181 (нем.)

Изложены результаты исследования кинетики оксосинтеза циклогексена (I) в присутствии катализатора  $[Co(CO)_4]_2$ , опубликованные ранее (РЖХим, 1956, 3466). В настоящей работе показано, что  $HCo(CO)_4$  образуется из  $Co(CO)_4$  при комнатной т-ре и  $p_{H_2} > 40$  ат. В этих условиях гидрокарбонилирование можно осуществить в отсутствие  $CO$ , вводя в р-цию I,  $Co(CO)_4$  и  $H_2$  в стехиометрич. соотношениях. Образование сложных эфиров из I,  $CO$  и спиртов протекает с удовлетворительными выходами только для  $CH_3OH$ . При оксосинтезе ацетилена в присутствии  $CH_3OH$  при 100° и парц. давл.  $H_2$  и  $CO$  100 ат на  $Co$ -катализаторе (в отличие от синтеза на карбониле Ni) получена сложная смесь высококипящих продуктов. Определены колич. соотношения между изомерами, образующимися при гидрокарбонилировании несимметричных олефинов. В. П.

**25202. Связь каталитических свойств алюмосиликатов с химическими свойствами поверхности. Топчиева К. В., Уч. зап. Моск. ун-та, 1955, № 174, 75—100**

Исследована кинетика превращений кумола (I) и циклогексена (II) и дегидратации  $C_2H_5OH$  (III) на чистых алюмосиликатных катализаторах (АСК) и образцах АСК с различным содержанием ионов  $Na^+$ , а также изучена адсорбционная характеристика этих АСК. Ионы  $Na^+$  обменно адсорбировались на АСК из водн. р-ров  $NaCl$  и  $CH_3COONa$  с замещением только ионов  $H^+$ , принадлежащих алюмосиликатным комплексам. Константа скорости крекинга I K на АСК, последовательно дезактивированном путем прогрева при т-рах 500, 700, 800, 900 и 1000°, линейно зависит от изменения уд. поверхности. K линейно падает с ростом конц-ии ионов  $Na^+$ , обменно адсорбированных на поверхности АСК. На АСК, содержащем 50%  $Al_2O_3$ , адсорбция 0,38 мг-экв Na на 1 г в 10 раз понижает K при падении уд. поверхности АСК всего на 12% и практическом отсутствии изменения структуры пор. На основании этого автор делает вывод о принципиально различном характере термич. дезактивации и дезактивации в результате обменной адсорбции. Первая связана с уменьшением уд. поверхности, вторая — с отравлением активных центров. Методом селективного отравления алюмосиликатных активных центров подтвержден вывод об общности активных центров для р-ций крекинга и перераспределения водорода в углеводородах. Этим же методом подтверждено существование двух родов активных центров (алюмосиликатных и  $Al_2O_3$ ) для р-ции изомеризации II. Замена в алюмосиликатном комплексе  $H^+$  на  $Na^+$  не влияет на активность АСК в р-ции полимеризации II. Скорость р-ции дегидратации III не зависит от конц-ии  $Na^+$  на АСК, что вместе с данными по влиянию состава АСК, по мнению автора, указывает на протекание этой р-ции только на гидроксильных группах  $Al_2O_3$ . М. С.



**25203. Исследование каталитической активности и структурной характеристики алюмомагнийсиликатных катализаторов.** Зульфугаров З. Г., Топчиева К. В., Изв. АН АзССР, 1955, № 7, 3—26 (рез. азерб.).

Изучена зависимость каталитич. свойств и стабильности синтезированных авторами магнийсиликатных и алюмомагнийсиликатных катализаторов (К) крекинга от конц-ии исходных р-ров, кол-ва активатора и содержания  $Al_2O_3$ . Авторы приходят к выводу, что физ.-хим. свойства образующихся бензинов, в основном, зависят от структурных особенностей К, а каталитич. активность К — от величины их уд. поверхности, определяемой по БЭТ.

**25204. Кислотность и каталитические свойства алюмосиликатов.** Топчиева К. В., Москвская И. Ф., Докл. АН СССР, 1955, 101, № 3, 517—520

На примере крекинга кумола изучена зависимость каталитич. активности алюмосиликатов от их кислотности. Опыты проводились при  $475 \pm 1,5^\circ$  с использованием двух синтетич. образцов катализаторов (К): 30%  $Al_2O_3$ , 70%  $SiO_2$  и 80%  $Al_2O_3$ , 20%  $SiO_2$ . Различное значение кислотности К достигалось отравлением алюмосиликата ионами натрия из водн. р-ров ацетата натрия. Для изученных образцов были сняты изотермы адсорбции паров  $CH_3OH$  и проведен расчет уд. поверхностей К. Установлена линейная зависимость константы скорости от кол-ва поглощенных ионов  $Na^+$  (К 30 : 70, без  $Na$  —  $K = 0,13$ ; 78  $мэкс Na/100 г$  —  $K = 0,058$ ; 132  $мэкс Na/100 г$  —  $K = 0,023$ ) при незначительном уменьшении уд. поверхности К. Показано, что для К 30 : 70 максимумы активности и кислотности совпадают, причем доля активной поверхности составляет ~16%.

**25205. Исследование связи между активностью, структурой и кислотностью магний-силикатных катализаторов.** Данилова Н. А. Тр. Ин-та химии АН АзССР, 1954, 13, 38—48 (Рез. азерб.). Изучалось влияние метода приготовления и термич. обработки магний-силикатных катализаторов крекинга (I) на их структуру, физ.-хим. свойства, кислотность и активность. I готовились совместным осаждением из р-ров  $NaSiO_3$  и  $MgSO_4$  различных конц-ий. При повышении конц-ии р-ров пористость I увеличивается, кислотность и насыпной вес уменьшаются, а хим. состав почти не изменяется ( $SiO_2$  75,4—78,3;  $MgO$  21,7—24,6%). По мнению автора, прямой зависимости между кислотностью и каталитич. активностью I не существует, и различия в активности связаны в основном с различиями в характере пористости. Термич. обработка при  $750^\circ$  вызывает уменьшение пористости, кислотности и каталитич. активности I, тем более слабые, чем выше конц-ия исходных р-ров.

М. Б.

**25206 К. Успехи в катализе и связанных с ним областях.** Том 5. Ред. Франкенбург, Райдл, Комаревский (Advances in catalysis and related subjects. Vol. 5. Ed. Frankenburg W. G., Rideal E. K., Komarewsky V. I. New York, Acad. Press Inc., Publ., 1953, 487 p., 9 doll.) (англ.)

Сборник обзорных статей. Современное развитие аммиачного синтеза, Нилсен (Nielsen A.). Исследование поверхностей с помощью вакуумных микровесов: аппаратура и применения при низких т-рах, Родин (Rhodin T. N.). Исследование поверхностей с помощью вакуумных микровесов: р-ции при высоких т-рах, Гулбрансен (Gulbrandsen E. A.). Гетерог. окисление окиси углерода, Кац (Katz M.). Вклад русских ученых в катализ, Толпин, Джон, Филд (Tolpin J. G., John G. S., Field E.).

Выяснение механизма р-ций методом промежуточных соединений при квази стационарных конц-иях, Кристьянсен (Christiansen J. A.). Нитриды железа в качестве катализаторов синтеза Фишера — Тропша, Андерсон (Anderson R. B.). Гидрогенизация органич. соединений газами синтеза, Орчин (Orchin M.). Употребление реневеских никелевых катализаторов, Либбер, Морриц (Lieber E., Morritz F. L.). Том 4 см. РЖХим, 1953, 8233.

**25207 К. Успехи в катализе и связанных с ним областях.** Том 6. Ред. Франкенбург, Комаревский, Райдл (Advances in catalysis and related subjects. Vol. 6. Frankenburg W. G., Komarewsky V. I., Rideal E. K. New York, N. Y. Acad. Press Inc., Publ., 1954, XIII, 467 p.) (англ.)

Сборник обзорных статей. Катализ и кинетика р-ций на поверхности жидкостей, Дейвис (Davies J. T.). Некоторые общие представления в области хемосорбции и катализа, Такао (Takao Kwan). Катализаторы — благородные металлы, стабилизированные синтетич. полимерами, и изучение механизма их действия, Дануэрт, Норд (Dunworth William P., Nord F. F.). Интерпретация изменений в эксперим. катализе, Вейс, Пратер (Weisz P. B., Prater C. D.). Промышленная изомеризация, Эверинг (Evering B. L.). Кислотный и щелочной катализ, Килпатрик (Kilpatrick Martin). Каталитич. крекинг в промышленности, Шанкланд (Schankland Rodney V.).

А. Ш.

**25208 Д. Исследование каталитической этерификации в паровой фазе.** Томан (Study of vapor phase catalytic esterification. Toman Robert Joseph. Doct. diss., Univ., Minnesota, 1954), Dissert. Abstrs, 1955, 15, № 3, 383—384 (англ.)

**25209 Д. Динамический метод определения поверхностей катализаторов.** Афанасьев В. А. Автореф. дисс. канд. хим. н., Ин-т орган. химии АН СССР, М., 1955

**25210 Д. Исследование физических и каталитических свойств двуокиси марганца.** Цурбригген (Untersuchungen über die physikalischen und katalytischen Eigenschaften von Mangandioxyd. Zurbriegen Alois. Diss. techn. Wiss. ETH, Zürich, 1954), Schweiz. Buch, 1955, B55, № 1, 46 (нем.)

**25211 Д. Исследование микроструктуры и активности кобальтовых катализаторов.** Гартенман (Mikrostruktur- und Aktivitäts-Untersuchungen an Kobalt-Katalysatoren. Diss. Gartenmann Emil. Zürich, Juris-Verl., 1953), Dtsch. Nationalbibliogr., 1954, B, № 19, 1584 (нем.)

**25212 Д. О гидрировании окиси углерода на рутениевых катализаторах.** Марфурт (Über die Kohlenoxyd-Hydrierung an Rutheniumkatalysatoren. Marfurt H.-R. Diss., techn. Wiss. ETH, Zürich, 1955), Schweiz. Buch., 1955, B55, № 2, 94 (нем.)

**25213 Д. Исследование превращений  $\alpha$ -липина под действием фтористого бора и ортофосфорной кислоты.** Кляев Ю. П. Автореф. дисс. канд. хим. н., АН БССР, Минск, 1955

**25214 Д. Исследования каталитической активности некоторых комплексных соединений Ni по отношению к р-циям присоединения водорода и изучение этилового эфира триэтаноламинокремневой кислоты.** Шобер (Untersuchungen über die katalytische Wirksamkeit einiger Ni-Komplexverbindungen bei Wasserstoffanlagerungen und über den Triethanolamin-kieselsäureäthylester. Schöber Siegfried. Diss., Math.-naturwiss., F., Jena, 1953), Dtsch. Nationalbibliogr., 1955, B, № 5, 364 (нем.)

**25215 Д. Каталитическое окисление пропана.** Гриффин (Catalytic oxidation of propane. Griffin

J. Dennis. Abstr. doct. thes. chem., Iowa State Coll., 1953—1954), Iowa State Coll. J. Sci., 1955, 29, № 3, 418 (англ.)

См. также: Реакционная способность и строение 25127, 25497, 25499, 25501, 25512, 25518, 25521, 25529, 25532, 25896. Кинетика и механизмы р-ций 25223, 25232, 25236, 25410, 25515, 25519, 25540, 25580, 25889, 25891, 25893, 25894, 27072. Гетерогенный катализ: неорг. кат. 24841, 25233, 25273, 25368; топочимия 24922, 25085, 25087, 25091, 25109, 25111, 26450; орг. кат. 24707, 25531, 25534, 25542, 25553, 25557, 25558, 25616, 25670, 25696, 25710, 25742, 25754, 25758, 25797, 25801, 26600, 26616, 26622—26624, 26626, 26629, 26640, 26643, 26652, 26660, 26699, 26674, 26868, 26940, 27480; катализаторы 26596, 26003, 27743—27745, 27747, 27933. Др. вопр. 24716

### ФОТОХИМИЯ. РАДИАЦИОННАЯ ХИМИЯ. ТЕОРИЯ ФОТОГРАФИЧЕСКОГО ПРОЦЕССА

25216. Фотохимическое исследование феофорбидов железа. Ашкинази М. С., Герасимова И. П., Дани Б. Я., Докл. АН СССР, 1955, 102, № 4, 767—770

Исследовано действие видимого света на освобожденные от воздуха р-ры аналога хлорофилла — феофорбида железа (I), получившегося из восстановленного железа (II) путем его окисления на воздухе. II получался взаимодействием р-ра феофорбида а в лед. уксусн. к-те с р-ром  $(\text{CH}_3\text{COO})_2\text{Fe}$  в отсутствие воздуха. Облучение ацетоновых р-ров в присутствии восстановителей, а также чистых спирт. р-ров приводит к образованию II, что проявляется в исчезновении полосы поглощения с максимумом у 620—625 мμ и появлении полосы у 645—650 мμ. При впуске воздуха после облучения снова появляется полоса поглощения исходя. продукта I. Аналогичные эффекты наблюдались ранее у феофитина железа (Ашкинази М. С., Дани Б. Я., Докл. АН СССР, 1954, 80, 385). Растворение I в водн. щелочи (0,1 н. КОН), а также добавка щелочи к р-рам в  $\text{CHCl}_3$  и  $(\text{CH}_3)_2\text{CO}$  приводит к появлению максимума поглощения у 675 мμ, приписываемого авторами комплексу I с КОН. При облучении щел. р-ров этот максимум исчезает и появляются максимумы, характерные для II (640 мμ для водн. и 650 мμ для ацетонового р-ров). Максимум поглощения у 675 мμ снова появляется при впуске воздуха. Авторы предполагают, что в основе фотовосстановления лежит внутрикомплексный электронный перенос от иона  $\text{OH}^-$  к  $\text{Fe}(3+)$  — центральному атому I. Неполнота регенерация I при окислении II кислородом воздуха объясняется деструктивным разложением пигмента при его взаимодействии со свободными гидроксильными, образующимися в первичном фотоакте.

25217. Необратимое фотообесцвечивание растворов флуоресцирующих красителей. I. Изучение кинетики первичного процесса. Имамура, Кондзуми (Irreversible photobleaching of the solution of fluorescent dyes. I. Kinetic studies on the primary process. Imamura Masashi, Koizumi Masao), Bull. Chem. Soc. Japan, 1955, 28, № 2, 417—424 (англ.)

Исследовано фотообесцвечивание р-ров эозина, эритрозина и уранина в воде и в смеси вода- $\text{C}_2\text{H}_5\text{OH}$  в зависимости от времени и интенсивности облучения при малых концентрациях красителя ( $5 \cdot 10^{-6}$ — $10^{-4}$  M). Скорость обесцвечивания для каждого в-ва пропорциональна кол-ву поглощенного света. В водн. р-рах эозина и эритрозина скорость р-ции не зависит от кол-

ва растворенного в воде  $\text{O}_2$  в области конц-ий  $\text{O}_2$ , превышающих  $10^{-5}$ — $10^{-4}$  M; при уменьшении конц-ии, начиная с некоторой крит. точки, скорость быстро падает. В случае уранина скорость р-ции постепенно растет и выше крит. точки. Р-р эозина в  $\text{C}_2\text{H}_5\text{OH}$  в открытом сосуде не обесцвечивается даже при длительном освещении; после откачки  $\text{O}_2$  наблюдается быстрое обесцвечивание р-ра. В открытом сосуде скорость р-ции фотообесцвечивания р-ра эозина в смеси вода- $\text{C}_2\text{H}_5\text{OH}$  быстро падает по мере повышения процентного содержания спирта в смеси. Предложено несколько вариантов кинетич. ур-ний, описывающих процесс. На основании полученных результатов обсуждается вопрос о мультиплетности возбужденного состояния, вступающего в р-цию красителя. В. К. 25218. Механизм хемилюминесценции растворов.

II. Окисление 3-аминофталгидразида. Бремер (Le mécanisme de la chimiluminescence en solution. II. Oxydation du 3-aminophthalhydrazide. Bremer Thérèse), Bull. Soc. chim. belges, 1953, 62, № 10—12, 569—610 (франц.)

Критический обзор элементарных р-ций, приводящих к хемилюминесценции (X). Отмечается, что в р-рах голубая, фиолетовая и ультрафиолетовая X осуществляется только в результате взаимодействия двух свободных радикалов. Рассмотрена X люминола (3-аминофталгидразида) (I) под действием окисляющих и восстанавливающих агентов, а также диазосоединений в отсутствие  $\text{H}_2\text{O}_2$ . Для свечения I необходимо присутствие  $\text{O}_2$ , при удалении последнего не наблюдается хемилюминесценции при визуальной чувствительности  $< 10^3$  квантов в 1 сек. Наибольшее значение квантового выхода X при действии на I  $\text{K}_2\text{Fe}(\text{CN})_6$  или  $\text{NaOCl}$  как в присутствии, так и в отсутствие  $\text{H}_2\text{O}_2$ , определенное фотографическим методом, равно  $2,5 \cdot 10^{-3}$  кванта на молекулу I. Высказано предположение, что X I возникает при соединении радикала I семикринойной структуры с радикалом  $\text{HO}_2$ . Часть I см. Bernanose A. и др., Bull. Soc. chim. belges, 1947, 56, 269. А. К.

25219. Реакции переноса зарядов в одноатомных и двухатомных газах. Диллон, Шеридан, Эдуардс, Гхот (Charge transfer reactions in monatomic and diatomic gases. Dillon J. A., Jr., Sheridan W. F., Edwards H. D., Ghosh S. N.), J. Chem. Phys., 1955, 23, № 5, 776—779 (англ.)

Измерены поперечные сечения  $Q$  для р-ций переноса зарядов при соударении ионов с нейтральными атомами (двухатомными молекулами), идущих по типу  $\text{X}^+ + \text{X} \rightarrow \text{X} + \text{X}^+ (\text{X}_2^+ + \text{X}_2 \rightarrow \text{X}_2 + \text{X}_2^+)$ . Измерения проведены для инертных газов, Hg,  $\text{H}_2$ ,  $\text{O}_2$ , NO,  $\text{N}_2$ , CO,  $\text{Cl}_2$  при  $t \sim 20^\circ$  и давлениях порядка  $10^{-4}$  мм рт. ст. в интервале энергий ионов 50—850 эв. Найдено эмпирич. ур-ние  $Q = (6D^2 + 12) \cdot [1 - 0,44 \lg(V/150)]$  (1), где  $D$  — диаметр атома в Å,  $V$  — энергия ионов в эв. Для группы инертных газов  $Q$  связано линейной зависимостью с сечением вязкости  $\pi D^2$ , причем при 50 эв они приблизительно равны, а при 850 эв  $Q \approx \frac{1}{2} \pi D^2$ . Зависимость  $Q$  от энергии ионов согласуется с теорией, рассматривающей процесс как приближенно адиабатический (Massey H. S. W., Burhop E. H. S., Electronic and Ionic Impact Phenomena, Oxford University Press, New-York, 1952). В этом случае максимум  $Q$  наступает при условии  $v = a \cdot \Delta E / h$  ( $a$  — расстояние взаимодействия,  $\Delta E$  — разность потенциалов взаимодействующих частиц,  $h$  — постоянная Планка). Значения  $Q$ , измеренные для Hg расходятся с вычисленными по (1) на  $\sim 25\%$  и менее надежны вследствие больших ошибок при измерениях давления паров Hg. Для двухатомных газов процесс описывается ур-нием

$Q = F(D, V) / [2,5 - \lg(0,32 / \Delta r)]$  (2) ( $\Delta r$  — разность межъядерных расстояний молекулы в нейтральном и ионизованном состоянии). При энергии ионов 150 эв определены следующие значения  $Q$  (см<sup>-1</sup>) (в скобках приведено значение, вычисленное по ур-нию (2)): H<sub>2</sub> 25 (23); O<sub>2</sub> 41 (46); NO 51 (48); N<sub>2</sub> 78 (72); CO 87 (87); Cl<sub>2</sub> 80 (99). Определенный по вязкости диаметр молекул в этом ряду газов увеличивается, а величина  $\Delta r$  падает (исключая Cl<sub>2</sub>) от 0,328 (H<sub>2</sub>) до 0,013А (СО).

25220. Изменения тяжелой воды в реакторе. Джерманьоли, Монджини (Alterazioni subite dall'acqua pesante in un reattore. Germagnoli E., Mongini L.), Energia nucleare, 1955, 2, № 15, 323—332 (итал.).

Обзор. Выбл. 19 назв. И. В.

25221. Сравнение изменения перманганата калия в электронном луче с термическим разложением. Глемсер, Бутенут (Veränderungen von Kaliumpermanganat im Elektronenstrahl im Vergleich zur thermischen Zersetzung. Glemser O., Butenuth G.), Optik, 1953, 10, № 1—3, 42—43 (нем.).

Тонкий слой KMnO<sub>4</sub> облучался потоком электронов (в поле электронного микроскопа) при напряжении 5—6 кВ и плотности тока 0,5—1,0 а/см<sup>2</sup>. Обнаружено появление зеленой окраски в середине пятна (K<sub>2</sub>MnO<sub>4</sub>) и синей по краям (K<sub>2</sub>MnO<sub>3</sub>). Термич. разложение KMnO<sub>4</sub> исследовано путем измерения уд. сопротивления. При 99° происходит отщепления адсорбированной H<sub>2</sub>O, при 229° — необратимое изменение, связанное с превращением KMnO<sub>4</sub> в K<sub>2</sub>MnO<sub>4</sub> и MnO<sub>2</sub>, при 240° новое превращение; электронография. исследование указывает на образование MnO.

И. В.  
25222. Дозиметрия X-лучей посредством радиолиза некоторых органических растворов. I. Растворы дитизона и метилового желтого. Кларк, Бирстедт (X-ray dosimetry by radiolysis of some organic solutions. I. Dithizone and methyl yellow solutions. Clark George L., Bierstedt Paul E., Jr), Radiation Research, 1955, 2, № 3, 199—218 (англ.).

С целью выяснения возможности использования р-ров дифенилкарбазона (I) и метилового желтого (II) в СНCl<sub>3</sub> и CCl<sub>4</sub> для дозиметрии (конц-ии I и II в р-рах 3·10<sup>-4</sup>—5·10<sup>-5</sup> М) исследован их радиолиз под действием рентгеновских лучей (40 кВ) при интегральных дозах 200—9000 рентген. В слое толщиной ~1 см поглощение рентгеновских лучей CCl<sub>4</sub> и СНCl<sub>3</sub> составляет ~95%, а C<sub>2</sub>H<sub>5</sub>ОН ~40% падающей радиации. Изменение конц-ии р-ров при радиолизе определялось с помощью спектрофотометра. Р-р I в CCl<sub>4</sub> в 2 раза более чувствителен к рентгеновскому излучению, чем в СНCl<sub>3</sub>, причем кол-во прореагировавших молекул на поглощенные 100 эв (G) составляет для р-ра в СНCl<sub>3</sub> ~19 (независимо от конц-ии), а для р-ра в CCl<sub>4</sub> ~31—42 (при конц-ии 5·10<sup>-5</sup>—3·10<sup>-4</sup> М). Добавка 60—80% C<sub>2</sub>H<sub>5</sub>ОН к р-рам I уменьшает поглощение рентгеновских лучей р-рами и увеличивает G в 1,5—2 раза. Предварительное облучение р-рителей понижает чувствительность к облучению приготовленных затем из них р-ров в ~2 раза. Скорость р-ции не зависит от интенсивности облучения (при равной интегральной дозе) и несколько возрастает при уменьшении длины волны рентгеновских лучей. Радиолиз I в указанных р-рах протекает, по мнению авторов, путем р-ции I с атомами Cl с образованием дифенил-токсикарбазона. Р-ры II в СНCl<sub>3</sub> более чувствительны к действию излучения, чем в CCl<sub>4</sub>, причем G в СНCl<sub>3</sub> изменяется от ~8 до 21, а в CCl<sub>4</sub> от ~6 до 14 при изменении конц-ии от 5·10<sup>-5</sup> до 4·10<sup>-4</sup> М. HCl, образующаяся при радиолизе СНCl<sub>3</sub>, переводит II в хи-ноидную форму, окрашивая р-р в красный цвет; облу-

чение р-ра II в CCl<sub>4</sub> обесцвечивает его вследствие р-ции атомом Cl с II.

В. К.  
25223. Механизм образования водорода при радиолизе циклогексана. Хенц (The mechanism of hydrogen formation in radiolysis of cyclohexane. Hentz Robert R.), J. Phys. Chem., 1955, 59, № 4, 380—381 (англ.).

Автор предлагает механизм радиолиза смесей циклогексана (I) — бензол-D<sub>6</sub> (II), не предполагающий передачу энергии возбуждения от II к I (РЖХим, 1955, 34100). Возбужденные молекулы I либо передают первоначально поглощенную энергию II, либо распадаются с выделением H<sub>2</sub> или H, причем последний может вновь вступать в р-цию с I и II. Из предложенного механизма р-ции получена зависимость:  $[G'(H_2)/N_C] / [G' \times (HD)/N_B] = aN_B / (1 - N_B) + c$  ( $G'(H_2)$  и  $G'(HD)$  — выходы H<sub>2</sub> и HD из смеси I и II при поглощении 100 эв,  $N_C$  и  $N_B$  — молярные доли I и II соответственно, (a и c — константы), согласующаяся с данными цитированной работы.

В. К.  
25224. Действие β-излучения радиоактивного изотопа фосфора (P<sup>32</sup>) на аминокислоты. Хенон М. А., Ланиская Е. М., Докл. АН СССР, 1955, 102, № 5, 993—996

При воздействии β-лучей P<sup>32</sup> на совместные р-ры Na<sub>2</sub>HP<sup>32</sup>O<sub>4</sub> и 0,04М аминокислоты (I) при pH 2,5—3,6 в течение 3—28 суток, при дозах ~10<sup>6</sup> рентген, наблюдается отщепление NH<sub>3</sub>, более сильное у алифатич. I с более короткой длиной цепи (при дозе 8·10<sup>5</sup> рентген выход NH<sub>3</sub> в р-ре глицина 0,33%, в р-ре лейцина 0,06%, в р-ре ароматич. аминокислоты тирозина 0,05%); дезаминирование гидролизованной желатины выше, чем исходной. Повидимому, свободные NH<sub>2</sub>-группы менее устойчивы к действию β-лучей, чем пептидные связи. Дезаминирование I и желатины заметно снижается при добавлении сахаров (например, в р-ре глицина при дозе 4,1·10<sup>5</sup> рентген добавление глюкозы снижает дезаминирование до 58%, а добавление мальтозы — до 19% от исходной величины), причем защитная способность углеводов зависит от их строения.

А. П.  
25225. Рентгеноструктурное и химическое исследование некоторых облученных нуклеиновых кислот. Литл, Кент (X-ray diffraction and chemical examination of some irradiated nucleic acids. Little K., Kent P. W.), J. Nuclear Energy, 1955, 1, № 4, 280—285 (англ.).

Сухие препараты дезоксирибонуклеиновых к-т различного происхождения, в виде Ва- и Na-солей и свободных к-т, облучались рентгеновскими лучами (дозы до 10<sup>7</sup>), смешанным нейтронным и γ-излучением из ядерного реактора (дозы до 2,5·10<sup>10</sup> нейтронов на 1 см<sup>2</sup>, сопровождаемые 10<sup>8</sup>—10<sup>9</sup> рентген γ-лучей) и пучком электронов на ускорителе ван-де-Граафа. При дозах до 10<sup>7</sup> рентген наблюдается лишь понижение вязкости р-ров без рентгеноструктурных или хим. изменений в сухих препаратах; при дозах до 5·10<sup>17</sup> нейтронов на 1 см<sup>2</sup> и 10<sup>7</sup>—10<sup>8</sup> рентген γ-лучей не наблюдается потери азота или изменения содержания углерода, но электрофоретич. подвижность увеличивается. Это указывает на разрыв фосфорно-эфирных связей между нуклеотидами; процесс усиливается при более высоких дозах (до 3·10<sup>18</sup> нейтронов на 1 см<sup>2</sup>), и, наконец, при наиболее высоких дозах (при действии электронного пучка) наступает заметное изменение решетки и потеря боковых аминогрупп. Авторы считают, что разрыв фосфорно-эфирных связей является основным эффектом действия излучений на нуклеиновые к-ты, а потеря аминогрупп — наиболее важным вторичным эффектом при интенсивном облучении.

А. П.



25226. Об окрашивающих центрах в кристаллах. Волькенштейн Ф. Ф., Успехи науч. фотографии. Т. 3. М., Изд-во АН СССР, 1955, 20—29. Обзор. Библ. 23 назв. А. Х.

25227. Природа фотохимической и фотоэлектрической чувствительности кристаллов галлоидного серебра и фотографического слоя. Мейклар П. В., Успехи науч. фотографии. Т. 3. М., Изд-во АН СССР, 1955, 39—45.

В кристаллах  $\text{AgBr}$  и  $\text{AgCl}$  присутствуют  $F$ -центры, концы которых определяет фотоэлектрич. и фотохим. чувствительность кристаллов. На присутствие  $F$ -центров в эмульсионных кристаллах указывает совпадение максимумов кривых поглощения несенсибилизированных высокочувствительных слоев (измеренных относительно низкочувствительных) с максимумами  $F$ -полосы кристаллов. Кривые спектральной чувствительности высокочувствительных слоев, отнесенные к таким же кривым для низкочувствительных по форме и положению, близко совпадают с кривой фотоэффекта в кристаллах  $\text{AgBr}$ . Максимумы спектральной чувствительности  $\text{AgCl}$ -,  $\text{AgBr}$ - и  $\text{AgBr-AgJ}$ -фотоэмульсий различного состава (Брейдо И. И., Гороховский Ю. Н., Ж. физ. химии, 1944, 18, 152) совпадают с максимумами фотоэффекта в кристаллах того же состава. На основании этих результатов сделан вывод, что светочувствительность эмульсий определяется конц-ей  $F$ -центров. Автор заключает, что в процессе изготовления эмульсии, кроме части  $\text{Ag}$  — акцепторов электронов, образуются  $F$ -центры — доноры электронов. А. Х.

25228. Изменение скрытого изображения в фотографических слоях при вторичном действии света. Класс И. А., Успехи науч. фотографии. Т. 3. М., Изд-во АН СССР, 1955, 94—98.

Исследовано действие красного света ( $\lambda > 575 \text{ мμ}$ ) на скрытое изображение (СИ), созданное видимым светом различных интенсивностей и длин волн, рентгеновскими лучами, радиоактивным излучением и электрич. полем. Во всех случаях (кроме электрич. поля) наблюдается разрушение СИ. Малые плотности почернения разрушаются легче, когда интенсивность 1-й засветки мала, а большие плотности, когда она велика. При малой длительности засветки красным светом наблюдается разрушение, а при большой длительности — усиление СИ, что указывает на образование нового СИ под действием красного света. Степень разрушения СИ зависит от спектрального состава света при 1-й засветке; в случае зеленого света разрушение больше, чем в случае синего или желтого. СИ, созданное радиоактивным излучением, разрушается труднее СИ, созданного рентгеновскими лучами. Результаты объясняются, исходя из предположения о существовании нескольких групп центров светочувствительности (по размерам), каждая из которых способна превращаться в центры СИ под действием определенной длины волны; подобная избирательность наблюдается и при разрушении СИ. При действии видимого света в образовании СИ участвуют несколько групп центров и не все из них разрушаются последующим действием красного света. А. Х.

25229. О несостоятельности теории сернистосеребряных центров светочувствительности Шепарда. Чибисов К. В., Успехи науч. фотографии. Т. 3. М., Изд-во АН СССР, 1955, 46—58.

Введение в желатину 2-го созреваания тизинамина, тиосульфата  $\text{Na}$  и сульфидов  $\text{Na}$  ускоряет образование негаллоидного  $\text{Ag}$  и достижение максим. светочувствительности  $S$ , но не влияет на величину последней. Дитионат  $\text{Na}$  не влияет на кинетику 2-го созреваания, хотя и содержит лабильную  $S$ . Сопряженность ки-

нетики образования негаллоидного  $\text{Ag}$  и изменения  $S_d$  и вуали сохраняется после введения сернистых соединений. Обработка р-ром  $\text{KBr}$ , удаляющим 90—20%  $S$  с поверхности кристаллов  $\text{AgBr}$ , не изменяет ни содержания негаллоидного  $\text{Ag}$ , ни  $S_d$ . Прекращение роста металлич.  $\text{Ag}$  на поверхности кристаллов  $\text{AgBr}$  путем его окисления в различные моменты 2-го созреваания ведет к сохранению постоянного и пониженного значения  $S_d$ . На основании этих результатов сделан вывод, что теория сернистосеребряных центров светочувствительности Шепарда неверна и что центрами светочувствительности являются частицы  $\text{Ag}$ , образующиеся в результате восстановления  $\text{AgBr}$  микромопентами желатины. По мнению автора,  $\text{Ag}_2\text{S}$  вообще не образуется на поверхности  $\text{AgBr}$ . А. Х.

25230. Исследование адсорбции сенсibilизаторов на бромистом серебре. Петрушкина З. Л., Успехи науч. фотографии. Т. 3. М., Изд-во АН СССР, 1955, 152—154.

Исследована адсорбция и десорбция ортохрома-Т и замещенного оксакробоцианина на монодисперсных осадках  $\text{AgBr}$ , полученных перекристаллизацией из насыщ. р-ра  $\text{NH}_4\text{Br}$ . Поверхность  $\text{AgBr}$  определяли методом адсорбции в-в с известным размером молекулы — лауриновой и стеариновой к-т. Найдено, что первые порции красителя адсорбируются необратимо. Мономолекулярный слой сенсibilизатора частично десорбируется, повидимому, с менее активных мест адсорбента. При больших конц-ях красителя кривая необратимой адсорбции слабо возрастает, что приписано образованию комплексов красителя, один из катионов которых прочно связан с поверхностью  $\text{AgBr}$ . Ионы  $\text{Br}^-$  (0,05  $M$ ) сильно увеличивают общую и необратимую адсорбцию, особенно при больших конц-ях красителя, что приписано образованию комплексов. А. Х.

25231. Современное состояние электрохимической теории проявления. Фаерман Г. П., Успехи науч. фотографии. Т. 3. М., Изд-во АН СССР, 1955, 157—167.

Критический обзор. Библ. 25 назв. А. Х.

25232. Исследование кинетики проявления фотографических слоев. Шеберстов В. И., Успехи науч. фотографии. Т. 3. М., Изд-во АН СССР, 1955, 183—194.

Исследована приложимость ур-ния скорости мономолекулярной р-ции  $D = D_{\infty} (1 - \exp(-kt))$  к кинетике проявления фотословес органич. щелочно-сульфитными проявителями. Хорошее совпадение эксперим. и вычисленных по этому ур-нию результатов наблюдается только для маловуалирующих проявителей (метолгидрохиноновый при 15,  $n$ -аминофеноловый при 15—20, глициновый и пирокатехиновый при 20°). Отклонение кинетики проявления от мономолекулярной приписано вуализирующему действию проявителей. Возрастанье вуали со временем проявления точнее изображается ур-нием прямой линии, чем мономолекулярной р-ции. Эта качественно объяснено образованием центров вуали в процессе проявления. Наблюдаемая зависимость скорости проявления от времени объяснена, исходя из случайного распределения активности центров проявления по эмульсионным кристаллам и автокаталитич. характера проявления отдельного кристалла. А. Х.

25233. Механизм каталитического действия центров проявления. Фаерман Г. П., Воейкова Е. Д., Успехи науч. фотографии. Т. 3. М., Изд-во АН СССР, 1955, 174—182.

Исследовано каталитич. действие зольей ряда в-в на р-цию восстановления водн. р-ра  $\text{AgNO}_3$  гидрохиноном,  $n$ -фенилендиаминном и  $n$ -аминофенолом. Р-ция проводилась в присутствии желатины, кол-во веществ

явленного Ag определялось по оптич. плотности  $D$  образующейся Ag-суспензии. Каталитич. способность оценивалась по кривым зависимости  $D$  от времени  $t$ . Сильное каталитич. действие оказывают Ag, Cu и электронные полупроводники, обладающие большой проводимостью: AgS, PbS, CdS, HgS, CuS,  $V_2O_5$  и Se. Слабо выраженные электронные полупроводники — AgBr, AgJ,  $PbJ_2$ ,  $Hg_2J_2$  и  $Hg_2Br_2$  слабо катализируют р-цию. Ионные проводники,  $BaSO_4$  и  $CaCO_3$ , а также автрацен и стекло не обладают каталитич. активностью. Сделан вывод, что полученные результаты подтверждают электрохим. теорию проявления. Линейная зависимость между  $D^{1/2}$  и  $t$ , лежащая в основе адсорбционной теории проявления (James T., Koenigfeld C., Chem. Rev., 1942, 30, 1) наблюдается в редких случаях. Чаще наблюдается линейная зависимость между  $D^{1/2}$  и  $t$ . А. Х.

25234. Микрофотографическое исследование процесса проявления. Лялик В. К. С., Пискунов В. Н., Успехи науч. фотографии. Т. 3. М., Изд-во АН СССР, 1955, 168—173

Разработан электронномикроскопич. метод исследования скорости роста отдельных кристаллов Ag в процессе проявления. Результаты обработаны статистически по кривым распределения. При проявлении эмульсии Микрат-200 со средним диаметром зерна 0,1  $\mu$  в  $n$ -фенилендиаминоглицериновом проявителе через 2 мин. появляются равноосные кристаллы Ag, которые через 4 мин. превращаются в изогнутые ленточные монокристаллы толщиной  $\sim 0,005 \mu$  и шириной  $\sim 0,002 \mu$ . Все эти кристаллы лежат в одной плоскости. Из одного зерна образуется один кристалл. Путем измерения линейных размеров кристаллов определено увеличение их массы в процессе проявления. Подтверждены данные А. И. Рабиновича: вначале кристаллы растут с ускорением, а затем наблюдается замедление роста. Экстраполяцией оценено, что размер частицы скрытого изображения значительно меньше 20 000 атомов Ag. В опытах по исследованию механизма отложения атомов Ag на растущих кристаллах обнаружено, что форма монокристаллов Ag, образующихся из зерен эмульсии Микрат, одинакова при проявлении в проявителях, содержащих и не содержащих р-рител AgBr. Наблюдения в оптич. микроскоп над крупными зернами показывают, что зерна, оставшиеся непроявленными, совершенно не изменяют свою форму в присутствии р-рител AgBr. На проявленном кристалле в непосредственной близости к отлагаемому металлу. Ag форма и размеры углов кристаллов AgBr не изменяются. В местах разрушения кристалла AgBr в процессе проявления (наблюдения велись после растворения восстановленного Ag) образуются очень острые углы, форма которых не зависит от присутствия р-рителя. На основании этих результатов сделан вывод, что при нормальном проявлении в присутствии р-рител AgBr последнее не успевает перейти в р-р и восстановление идет в твердой фазе. А. Х.

25235. Зависимость процесса проявления от температуры. Ш и ш к и н Н. Н., Успехи науч. фотографии. Т. 3. М., Изд-во АН СССР, 1955, 195—203

Приведены результаты работ автора и Г. П. Файермана, показывающие, что скорость проявления пропорциональна разности потенциалов  $\Delta E$  окислительно-восстановительных систем, участвующих в р-ции. Так, для хим. проявления метолом (I) и  $n$ -аминофенолом (II) плотность  $D$  при данном времени проявления  $t$  и величина, обратная  $t$ , необходимому для получения данной  $D$ , пропорциональны  $\Delta E$  и pH. Подобная зависимость наблюдается также при цветном и физ. проявлении. Для проявляющих в-в родственного хим.

строения — I и II — характеристич. кривые, полученные при одинаковых окислительно-восстановительных потенциалах  $E_n$  проявителей (80—197 мв), близки между собой. Эта близость сохраняется при изменении т-ры в интервале 10—25°, если pH подобраны таким образом, чтобы значения  $E_n$  для I и II оставались одинаковыми. Скорости проявления в в-вах различного хим. строения — I и гидрохиноном (III) — различны при равных  $E_n$ , так как скорость р-ции в общем случае не однозначно определяется ее свободной энергией. Графики зависимости  $v$  и  $E_n$  от т-ры (5—30°) для I, II и III показывают, что для II  $v$  и  $E_n$  сильнее изменяются с т-рой, чем для I, а для III так же изменяются с т-рой, как для I.

А. Х.  
25236. Кинетика проявления солями ванадия. Фортмиллер, Джеймс (The kinetics of development by vanadium salts. Fortmiller L. J., James T. H.), J. Soc. Motion Picture and Telev. Engrs, 1954, 62, № 3, 251—252 (англ.)

Исследована кинетика проявления позитивной киноплоскости ионами  $V^{2+}$  в ванадиевом проявителе (РЖХим, 1955, 44465). Плотность  $D$  проявленного Ag непрерывно измерялась в ходе проявления при помощи ИК-лучей, проходящих через пленкигласовую реакционную камеру и регистрируемых фотоумножителем в схеме с самонисцем. Скорость проявления выражается ур-нием  $D = D_{\infty} [1 - \exp(-kt)]$ , где  $k$  — константа скорости,  $t$  — время. Зависимость  $\lg v = f(1/T)$  выражается прямой. Энергия активации проявления  $\sim 6,5$  ккал/моль. В интервале общей конц-ии  $V^{2+} + V^{3+}$  от 0,025 до 0,10  $M$  и содержания  $V^{2+}$  от 21 до 99%, в присутствии 0,38  $M$  HBr и 0,05  $M$   $H_2SO_4$ ,  $v$  пропорциональна конц-ии  $V^{2+}$  и не зависит от конц-ии  $V^{3+}$ , т. е. не зависит от редокс-потенциала системы. В 0,32  $M$   $H_2SO_4$   $v$  слабо возрастает с увеличением конц-ии KBr в интервале 0—0,35  $M$ ; скорость проявления вуали уменьшается с увеличением конц-ии KBr от 0 до 0,06  $M$ , проходит через минимум и снова возрастает. Последнее приписано растворяющему действию KBr на AgBr. Авторы полагают, что скорость р-ции определяется скоростью диффузии ионов  $V^{2+}$  через слой желатин. А. Х.

25237. Воздействие ультразвука на растворы углеродов. Х е н о х М. А., Ж. общ. химии, 1955, 25, № 5, 928—932

См. РЖХим, 1955, 33747.

25238. Химическая реактивность  $CF_4$  и  $C_2F_4$ , вызванная электрическим разрядом. Вейс (Chemical reactivity of  $CF_4$  and  $C_2F_4$  induced by electrical discharge. Weisz Paul B.), J. Phys. Chem., 1955, 59, № 5, 464—466 (англ.)

Изучались хим. р-ции  $CF_4$  и  $C_2F_4$  при электронной активации в условиях тлеющего разряда, созданного в безэлектродном реакционном сосуде при наложении радиочастотных колебаний на внешние электроды.  $CF_4$  пропускаться через тлеющий разряд со скоростью 60  $cm^3/мин$  при давл. 10 мм рт. ст. До 60%  $CF_4$  подвергаются превращению при 100° согласно ур-нию:  $5CF_4 + 5SiO_2 = 3CO_2 + 2CO + O_2 + 5SiF_4$ . Масс-спектрометрич. изучение показало, что р-ции  $CF_4 \rightarrow CF_4^+ + e^-$  не происходит. Результатом электронно-ионизационного процесса может быть р-ция:  $CF_4 = CF_3^+ + F^- + \bar{e}$ , требующая 43,8 эв. При действии холодного электрич. разряда происходит р-ция конденсации  $C_2F_4$ , ведущие к образованию жидких моноолефинов. Отсутствие взаимодействия с  $SiO_2$  указывает на отсутствие в продуктах р-ции F или  $F_2$ . В зависимости от условий опыта образуется различное кол-во  $C_2F_4$ ,  $C_2F_6$ ,  $C_3F_8$ . В. Д.

25239 Д. Сенсбилизация внутреннего фотоэффекта в галогенидах серебра и таллия органическими красителями. Акимов Н. А. Автореф. дисс. канд. физ.-матем. н., Гос. оптич. ин-т, 1955

См. также: Фотохимия 27072. Радиационная химия 22513, 25514, 25527, 25897, 27125. Др. вопр 25896

## РАСТВОРЫ. ТЕОРИЯ КИСЛОТ И ОСНОВАНИЙ

25240. О форме и содержании диффузионных уравнений. Кристьянсен (Über Form und Inhalt der Diffusionsgleichungen. Christiansen J. A., Z. Elektrochem., 1955, 59, № 5, 340—342 (нем.)) Подчеркивается, что при выводе ур-ния диффузии должны быть учтены изменения кинетич. энергии, соответствующие изменениям средней линейной скорости частиц, движущихся в направлении диффузии. Сделав такой учет, автор получает ур-ние, подобное волновому ур-нию Шредингера, в которое вместо  $h/4\pi m$  подставлена величина коэфф. диффузии  $D$ . Подобный результат был получен ранее (Fényes I., Z. Phys., 1952, 132, 81).

25241. Линейная ассоциация в растворе. II. Аналитическое решение. Джайнел, Шерган (Linear association in solution. II. Analytical solution. Ginell Robert, Shurgan Joel, J. Chem. Phys., 1955, 23, № 7, 1356 (англ.))

В развитие предыдущей работы (сообщение I, РЖХим, 1956, 15688), где был обсужден графич. метод, рассматривается новый аналитич. метод определения двух констант, входящих в ур-ние, описывающее случай линейной ассоциации в р-рах. На основании аналитич. метода заново рассчитаны значения обеих констант для той же самой системы фенантрин — этанол, которая рассматривалась в цит. выше работе. Полученные величины очень близки к значениям, найденным графич. методом, но величина ошибки в определении второй константы уменьшалась. Аналитич. путь особенно полезен в том случае, когда эксперим. данные не очень точны.

25242. Об ионизации и аутокомплексобразовании теллурической кислоты. Антикайнен (On the ionisation and autocomplex formation of telluric acid. Antikainen P. J., Suomen kem., 1955, 28, № 7—8, 135—141 (англ.))

Хингидронным электродом измерены рН р-ров орто-теллурической к-ты (I) (конц-ия  $C$  от 0,0095 до 0,9899  $M$ ) при 25° и разных ионных силах  $I$ , изменявшихся путем введения KCl. Значения термодинамич. констант равновесия ( $K$ ) вычислялись экстраполяцией к  $I \rightarrow 0$  с помощью ур-ний теории Дебая — Гюккеля. В р-рах с  $C < 0,01 M$  функционирует как одноосновная к-та (HT), причем  $K_1 = 2,448 \cdot 10^{-8}$ . Снижение рН, наблюдаемое при росте  $C$ , связано с образованием незначительных кол-в полиметателлурической к-ты (HTm), преимущественно димера. Для процесса  $HTm \rightleftharpoons H^+ + Tm^-$ ,  $pK_m = 6,570$  и  $m = 2,378$ . Конц-ия  $Tm^-$  равна  $5 \cdot 10^{-4}$  при  $C = 1 M$ , и  $3 \cdot 10^{-5}$  при  $C = 0,10 M$ . Кажущаяся термодинамич. константа диссоциации  $I$  равна  $2,448 \cdot 10^{-8} + 2,680 \cdot 10^{-7} C^{1,378}$ .

25243. Активности и коэффициенты активности в тройных системах. Мак-Кей (Activities and activity coefficients in ternary systems. McKay H. A. C., Trans. Faraday Soc., 1953, 49, № 3, 237—242 (англ.))

Термодинамику тройных и более сложных систем автор предлагает рассматривать путем решения систем дифференциальных ур-ний вида:  $(\partial \ln a_1 / \partial \ln a_2)_{n_1, n_2} = (\partial \ln a_2 / \partial \ln a_1)_{n_1, n_2}$  (1), а также  $(\partial \ln a_1 / \partial \ln a_2)_{n_1, n_2} =$

$= (\partial \ln a_2 / \partial \ln a_1)_{a_1, n_2}$  (2) ( $a$  — активности компонентов,  $n$  — числа молей), благодаря чему открываются новые возможности для нахождения двух неизвестных  $a_1$  и  $a_2$ , при одной известной  $a_2$ . Вводя молярные отношения  $n_1/n_2$  (или моляльности  $m$ ), в качестве переменных вместо  $n$ , коэфф. активности  $\gamma$  и осмотич. коэфф.  $\phi$ , можно путем интегрирования ур-ний (1) и (2) получить для каждого компонента ряд новых зависимостей между этими величинами, из которых главная  $\ln \gamma_1 = \int_0^m [(\phi - 1)/m_1] dm_1 + (1 + v_2 m_2 / v_1 m_1) \times \times \int_0^m (\partial \phi / \partial m_1)_{m_2} dm_1$  (для р-ров электролитов вместо  $m_1$  вводят  $m_1^{1/2}$ ), позволяющая находить  $\gamma_1$  из данных по упругости пара р-ров двух электролитов (РЖХим, 1953, 6152) и неэлектролитов, в системах со ступенчатым комплексобразованием и, кроме того, в системах с распределением компонентов между жидкими фазами и при гетерогенном ионном обмене.

25244. Коэффициенты активности в системах  $HCl + (Li, Na, K, NH_4)Cl + H_2O$ . Мак-Кей (Activity coefficients in the systems  $HCl + (Li, Na, K, NH_4)Cl + H_2O$ . McKay H. A. C., Trans. Faraday Soc., 1955, 51, № 7, 903—909 (англ.))

На основании анализа литературных данных по э. д. с. и растворимостям рассмотрена применимость правила Харнеда (Харнед Г., Оуэн Б. Физическая химия растворов электролитов. М., 1952, 427—436) к указанным в заголовке системам. Отмечается наличие значительных отклонений изученных систем от правила Харнеда, в меньшей степени у системы  $HCl + LiCl + H_2O$ , в большей — у системы  $HCl + KCl + H_2O$ . Несмотря на то, что  $\gamma^\circ KCl$  и  $\gamma^\circ NH_4Cl$  почти идентичны, в случае р-ров, содержащих  $HCl$ , обе соли различным образом отклоняются от правила Харнеда. Обзор эксперим. данных показывает, что вообще отклонения от правила Харнеда у 1,1 электролитов более значительны, чем предполагалось ранее.

25245. Исследование растворов ацетата меди в присутствии «родовиола» (поливинилового спирта). Дюсс (Étude des solutions d'acétate de cuivre en présence de rhodoviol (alcool polyvinyle). Doucet Y. I., J. phys. et radium, 1955, 16, № 3, 318 (франц.))

Уточнялись результаты предыдущего исследования (РЖХим, 1955, 31305). Показано, что перемешивание уменьшает сопротивление р-ра (которое возрастает при добавлении родовиола, вероятно, вследствие увеличения вязкости), достигая через 18—24 часа предела, значение которого приблизительно равно сопротивлению р-ра чистой соли.

25246. Изучение термоэлектрических методов определения изотопичности. Гойан, Рек (A study of thermoelectric methods for determining isotonicity. Goyan Frank M., Reck Donald, J. Amer. Pharm. Assoc. Scient. Ed., 1955, 44, № 1, 43—47 (англ.))

Предлагается выражать изотопичность данного водн. р-ра через весовую конц-ию водн. р-ра  $NaCl$ , изотопичного с данным. Обсуждены различные термоэлектрич. методы прямого определения изотопичности р-ров, сводящиеся к прецизионным измерениям разности т-р ( $\Delta T$ ), возникающей при экспозиции термически изолированных образцов в камерах с постоянной влажностью.  $\Delta T$  представляет собой величину порядка нескольких  $\mu e$  и вызывается различием в упругости пара образцов (для изотопичных р-ров  $\Delta T = 0$ ). И. З. 25247. Исследование вязкости, плотности и критических температур растворов спиртов и монокарбоновых кислот. Голлик А. З., Орщенико А. В.,



Равикович С. Д., Соломко В. П., Ро-  
щина Г. П., Шиманский Ю. И., Укр. хим.  
ж., 1955, 21, № 3, 318—326

В связи с предложенной авторами приближенной классификацией р-ров, основанной на учете молекулярной структуры компонентов и различий в характере межмолекулярного взаимодействия, изучен ряд физ. свойств молекулярно смешивающихся (МС) р-ров, компоненты которых интенсивно взаимодействуют между собой. Исследованы вязкость ( $\nu$ ), плотность ( $d$ ) и крит. т-ры ( $T_{кр}$ ) р-ров этилового, пропилового и бутилового спиртов в уксусной, масляной и капроновой к-тах. Опыты по измерению  $\nu$  и  $d$  р-ров проводились в условиях, исключающих заметное влияние этерификации на физ. свойства. Во всех случаях  $T_{кр}$  р-ра растет с ростом конц-ии компонента, обладающего более высокой  $T_{кр}$ . В отличие от ранее исследованного типа р-ров с компонентами со сходной молекулярной структурой (Голик А. З. и др., Укр. хим. ж., 1951, 17, 627) в данном случае кривые температурной зависимости чистых жидкостей и р-ров не располагаются в порядке, определяемом концентрационным изменением  $T_{кр}$  р-ров. Изотермы  $\nu$  в большинстве случаев имеют сложный вид, а изотермы уд. объемов выпукл. к оси конц-ий. Эти факты указывают на взаимодействие между компонентами р-ра, которое имеет место еще до начала р-ции этерификации. При этом исключается возможность получения изовязкостных р-ров. Из ф-лы Френкеля для температурной зависимости  $\nu$  рассчитаны значения энергии активации вязкого течения ( $B/R$ ) и предэкспоненциального множителя и построена их концентрационная зависимость, которая для  $B/R$  сходна с таковой для  $\nu$ . В. С.

25248. Измерения скоростей звука при изучении свойств жидкостей и жидких растворов. Коллинс, Навиди, Фридман (Sonic velocity measurements in study of liquid and liquid solution properties. Collins F. C., Navidi M. H., Friedman L. P.), Industr. and Engng Chem., 1955, 47, № 6, 1181—1182 (англ.)

На основании теории жидкого состояния, учитывающей наличие свободного объема в жидкости, получено выражение для скорости звука  $u_s$ , как функции от отношения  $V_0/V$ , где  $V$  — действительный объем жидкости и  $V_0$  — так называемый несжимаемый молярный объем. Измеряя эксперим.  $u_s$ , определяют  $V_0$ , что дает возможность вычислить составляющую вязкости, обусловленную переносом кол-ва движения, а также внутреннее давление как в индивидуальных жидкостях, так и в р-рах. Изучение связи между избыточным внутренним давлением в неидеальных р-рах и теплотами смешения может быть использовано при исследовании внутренних степеней свободы движения молекул в р-рах. Б. К.

25249. Применение осмотического метода к изучению водных растворов ферроаквентационидов. Эмшвиллер, Кон, Легро (Application de l'osmose aux solutions aqueuses des ferroaquopentacyanures. Emschwiller Guy, Cohn Charlotte, m-me, Legros Jacqueline e, m-lle), C. r. Acad. sci., 1954, 239, № 19, 1213—1215 (франц.)

Ранее полученные результаты кинетич. изучения р-ции ферроаквентационидов (I) с нитробензолом были объяснены существованием в водн. р-рах I ионов мономеров и ионов полимеров (РЖХим, 1955, 7177). Для подтверждения этого предположения применен осмотич. метод Дюкло и Кон и последующий колориметрич. анализ. Установлено, что р-ры I состоят из двух типов соединений: диализующегося и недиализ-

зующегося, причем их отношения такие же, как отношения мономеров к полимерам. М. Л.

25250. Диффузионный метод определения термодинамических характеристик твердых растворов. Жуховицкий А. А., Крюков С. И., Яницкая М. Е., Голицын А. Г., Докл. АН СССР, 1955, 102, № 1, 121—124

Описан простой метод определения термодинамич. характеристик р-ров с использованием меченых атомов. Новая методика, названная авторами диффузионной, основана на линейности ур-ния диффузии. Если диффузия компонента от испытываемого образца к приемнику происходит через газовую фазу, то диффузионный поток будет пропорционален конц-ии на граничной поверхности. Измеряя приток в-ва на приемнике, можно получить величину, пропорциональную упругости пара компонента, что позволяет рассчитать все термодинамич. характеристики р-ра. Простой прибор, состоящий из двух кварцевых трубок, вставленных одна в другую, содержит образец (донор), приемник (акцептор) и устройство, обеспечивающее диффузионное сопротивление в газовой фазе. Измерения ведутся в вакууме при давл.  $10^{-4}$  мм рт. ст. Для эксперим. проверки метода проведено измерение теплоты испарения Ag и его термодинамич. активности в сплаве с Au. Полученные данные хорошо совпадают с литературными. Величина квадратичной ошибки составляет 0,25%. В. С.

25251. Самодиффузия и диффузия в бинарных твердых растворах. Жуховицкий А. А., Крюков С. И., Яницкая М. Е. Применение радиоактивных изотопов в металлургии. М., Металлургиздат, 1955, сб. 34, 7—35

В рамках метода переходного состояния для механизма «вакансий» и обменного рассмотрена зависимость коэфф. самодиффузии от конц-ии р-ра и связь его с коэфф. диффузии. Проанализировано соотношение между коэфф. самодиффузии в р-ре и коэфф. самодиффузии в чистом компоненте и в бесконечно разб. р-ре этого компонента в другом, а также связь между диффузионными и термодинамич. характеристиками р-ров. Термодинамич. характеристики не определяют целиком диффузионных, которые зависят также от свойств переходного состояния. Кроме того, диффузионные характеристики определяются локальными свойствами, а термодинамич. являются усредненными. Для систем Ag—Au, Ag—Cu, Ag—Sn измерены концентрационные зависимости коэфф. самодиффузии методом тонкого слоя, а для системы Ag—Au новыми изложенными в работе методами измерены коэфф. активности. Анализ опытных данных подтверждает выводы о наличии двух процессов, которые проявляются на графике  $[\ln D, (1/T)]$  в переломе, подобном вызванному пограничной диффузией. Значительное влияние малых добавок Cu к Ag на его коэфф. диффузии иллюстрирует недостаточность термодинамич. характеристик р-ра. А. Ж.

См. также: Растворимость 25101, 25102, 25119, 25121, 25122, 25131, 25871. Диффузия 25259. Структура р-ров 24860, 24874, 25027, 25030—25033, 25081, 25126, 25127. Кислотно-основные равновесия 25349. Др. вопр. 25039

## ЭЛЕКТРОХИМИЯ

25252. О проводимости жидких диэлектриков. Харт, Симмонс (A note concerning the conductivity of liquid dielectrics. Hart John, Simmons D. A.), Canad. J. Phys., 1955, 33, № 2, 54—57 (англ.)

Измерялось изменение во времени  $i$  тока  $i$  между двумя парами одинаковых Pt-электродов ( $\Omega$ ) (проме-

жуток между Э 0,5 см), погруженными в  $\text{CHCl}_3$  при напряжении между Э 600 в. Одна пара Э сразу же после измерения и вынималась, а затем опять погружалась. i между остававшимися в жидкости Э со временем уменьшался быстрее, чем между периодически вынимавшимися Э. Судя по величине разности между этими двумя кривыми (i, t), эффекты поляризации Э и уменьшения конц-ии ионов в жидкости — величины одного порядка. Одна пара латунных Э после достижения миним. значения i периодически вынималась из ячейки на 1 мин. и затем снова погружалась в жидкость. После каждого извлечения Э ток насыщения повышался, что также подтверждает наличие двух упомянутых эффектов. Установлено, что сопротивление системы не зависит от напряженности вплоть до 1,2 кВ/см. Отмечается, что в предыдущие результаты исследования подвижности ионов требуется внести поправки, так как ранее не учитывались электродные эффекты.

С. Ш. 25253. Нормальные потенциалы. Маркос-де-Лануса, Наварро-Беато (Potenciales normales. Marcos de Lanusa Julio, Navarro Beato José), Ion, 1955, 15, № 170, 493—498, 528 (исп.). Обзор. Библ. 35 назв.

В. Ш. 25254. Электродвижущая сила цепи  $\text{H}_2 | \text{HCl}$  (газ),  $\text{AgCl}$  (тв.) |  $\text{Ag}$  при 25°. Значения э. д. с., рассчитанные для интервала температур от 0 до 40. Астон, Гиттлер (The electromotive force of the cell  $\text{H}_2$ ,  $\text{HCl}$  (g),  $\text{AgCl}$  (s),  $\text{Ag}$  (s) at 25°. Derived values for 0 to 40. Aston J. G., Gittler Frank L.), J. Amer. Chem. Soc., 1955, 77, № 2, 3173—3174 (англ.)

При помощи описанной авторами методики (РЖХим, 1956, 25070) измерена э. д. с. цепи  $\text{H}_2 | \text{HCl}$  (газ),  $\text{AgCl}$  |  $\text{Ag}$  (А) с применением в качестве р-рителя  $\text{CH}_3\text{COOH}$  с добавкой  $\text{H}_2\text{O}$ . Из этих данных и парц. давлений  $\text{H}_2$  и  $\text{HCl}$  рассчитано стандартное значение э. д. с. цепи А:  $E^\circ_{\text{газ}} = -0,1509 \pm 0,0003$  абс. в (при 25°). Измерена также э. д. с. цепи  $\text{H}_2 | \text{HCl}$  (водн.),  $\text{AgCl}$ ,  $\text{Ag}$  (В) при 25° в интервале конц-ий  $\text{HCl}$  от 0,18 до 0,27 н. (0,2221  $\pm$  0,00008 абс. в). Используя значения парц. давлений  $\text{HCl}$  над водн. р-рами  $\text{HCl}$  различной конц-ии, полученные ранее (Randall M., Young L., J. Amer. Chem. Soc., 1929, 50, 989) и найденное значение э. д. с. цепи В, авторы рассчитали  $E^\circ = -0,1506$  абс. в. Приняв среднее значение  $E^\circ = -0,1508 \pm 0,0002$  абс. в и использовав литературные данные для энтропий, авторы вычисляли  $E^\circ$  для интервала т-р 0—40°. Ю. Т.

25255. Об электрохимическом поведении некоторых сульфидов тяжелых металлов. Ноддак, Врабец (Über das elektrochemische Verhalten einiger Schwermetallsulfide. Noddack W., Wraetz K.), Z. Elektrochem., 1955, 59, № 2, 96—102 (нем.).

Определялись потенциалы электродов из  $\text{Ag}_2\text{S}$ ,  $\text{Cu}_2\text{S}$  и  $\text{PbS}$  в р-рах сульфатов или нитратов соответствующих металлов в интервале конц-ий, равных соответственно  $10^{-3}$ — $10^{-7}$ ,  $10^{-3}$ — $5 \cdot 10^{-6}$  и  $10^{-3}$ — $10^{-4}$  М. Показано, что в этих интервалах конц-ий выполняется уравнение Нернста. Измерялась э. д. с. цепи  $\text{MS} | \text{р-р соли M} | \text{M}$  для  $\text{Ag}_2\text{S}$ ,  $\text{Cu}_2\text{S}$ ,  $\text{CuS}$  и  $\text{PbS}$ . На примере электрода из  $\text{Ag}_2\text{S}$  показано, что избыточное содержание S в  $\text{Ag}_2\text{S}$  приводит к сдвигу его потенциала в положительную сторону, тогда как при стехиометрич. содержании S в  $\text{Ag}_2\text{S}$  потенциал последнего равен потенциалу  $\text{Ag}$ . Э. д. с. этой цепи равна: для  $\text{Cu}_2\text{S}$ -электрода 0,1335, для  $\text{CuS}$  0,24 и для  $\text{PbS}$  0,497 в.

Н. П. 25256. Применение различных металлов при исследовании органических соединений методом электродвижущей силы. Сообщение II. Комплексные органические соединения. Куликова Р. М., Тр. Томского ун-та, 1954, 126, 103—114

Измерены э. д. с. пар электродов  $\text{Zn}-\text{Cu}$ ,  $\text{Sb}-\text{Zn}$ ,

$\text{Sb}-\text{Al}$  и  $\text{Al}-\text{Zn}$  в системах фенол (I)—нитробензол (II), I—бензофенон и изовалериановая к-та (III)—II, ранее исследованных с помощью электродов  $\text{Na}-\text{Pt}$ , а также в системах этилпропионат (IV)—I, уксусноизоамиловый эфир—I, анилин—I, ацетоуксусный эфир (V)—III, IV—III, анилин—III, V—I и I—II. Определены показатели преломления и электропроводность (З) для IV—I и I—II, а также показатель преломления для III—II. Результаты, полученные для первых трех систем, в основном совпадают с данными других авторов. В системе IV—I обнаружены два максимума при 60 и 90 мол. % I, в системе изоамиловый эфир—I один максимум при 90 мол. % I, в системе анилин—I один максимум при 80 мол. % I, в системе анилин—III один резко выраженный максимум при эквимолекулярном соотношении компонентов, в системе V—I три максимума при 30, 50 и 70 мол. % I. В остальных системах комплексобразования не установлено. Э. д. с. систем V—I и I—II ввиду большого сопротивления не поддается измерению, а показатели преломления в системах III—II, V—I и I—II аддитивны. Из полученных данных следует, что I является более сильным комплексобразователем, чем II, III и V. Отмечается, что метод э. д. с. более чувствителен, чем метод измерения Э и показателя преломления. Сообщение I см. РЖХим, 1955, 42692.

С. Ж. 25257. Термоэлектрические явления в гальванических элементах. Холтан (Thermoelectric phenomena in galvanic cells. Holtan Hans), Proc. Koninkl. nederl. akad. wetensch., 1954, B57, № 5, 592—595 (англ.)

На основании общих положений термодинамики необратимых процессов получены выражения, связывающие э.д.с. гальванич. цепи, в которой имеется градиент т-ры (по отсутствию градиентов конц-ий), с э.д.с. соответствующей изотермич. цепи и э.д.с. «чистых» термоцепей, не содержащих различных электродов, а именно, э.д.с. ( $\Delta\phi_i$ ) правильно разомкнутой цепи:  $E_A | T$  электролит  $| T + \Delta T$   $E_B$  в случае, если внешнее соединение металлов  $M_A$  и  $M_B$ , служащих тоководами электродов  $E_A$  и  $E_B$ , соответственно, находится при т-ре  $T$ , равна:  $\Delta\phi_i = E_A \Delta\phi_{i,T} + \Delta\phi_{i,T} (1)$ , где  $E_A \Delta\phi_{i,T}$  — э.д.с. термоцепи:  $E_B | T$  электролит  $| T + \Delta T$   $E_B$ , а  $\Delta\phi_{i,T}$  — э.д.с. изотермич. цепи:  $E_A | T$  электролит  $| T$   $E_B$ . Если же внешнее соединение  $M_A / M_B$  находится при т-ре  $T + \Delta T$ , то  $\Delta\phi_i = E_A \Delta\phi_{i,T} + \Delta\phi_{i,T} + \Delta T (2)$ , где  $E_A \Delta\phi_{i,T}$  — э.д.с. термоцепи  $E_A | T$  электролит  $| T + \Delta T$   $E_A$ , а  $\Delta\phi_{i,T} + \Delta T$  — э.д.с. соответствующей изотермич. цепи при т-ре  $T + \Delta T$ . Разница между обоими значениями  $\Delta\phi_i$  равна термо-э.д.с. цепи:  $M_A | T$   $M_B | T + \Delta T$   $M_A$ , а из (1) и (2) эта разница равна  $E_A \Delta\phi_{i,T} + (\partial \Delta\phi_{i,T} / \partial T) \Delta T - E_B \Delta\phi_{i,T}$ . Этот вывод совпадает с полученной ранее (РЖХим, 1955, 7217) ф-лой для температурного коэфф. э.д.с. изотермич. цепи; таким образом, полученные в настоящей статье ф-лы являются обобщением развитой ранее теории. Они допускают простую эксперим. проверку. В приведенной записи эти ф-лы справедливы только при употреблении американской системы знаков э.д.с., тогда как ранее (см. ссылку) употреблялась европейская система знаков. И.З.

25258. О соответствии между термоцепями и изотермическими цепями. Холтан, Крог-Му (On the correspondence between thermocells and isothermal cells. Holtan Hans, Jr, Krogh-Moe Jan), Acta chem. scand., 1955, 9, № 6, 1022—1024 (англ.). В продолжение работ (РЖХим, 1955, 7217, см. пред. реф.) для проверки выведенной одним из авторов зависимости между температурным коэфф. изотермич.

ценей  $(d\phi/dT)_{is}$  и э.д.с. соответствующих термоцепей  $(d\phi/dT)_j$  ( $j=1$  или  $2$ ) сопоставлены оригинальные и литературные данные для цепей  $Ag, AgCl | HCl(aq) | Pt (H_2)$  (1) и  $Ag, AgCl | MCl(aq), Hg_2Cl_2 | Hg$  (2) и соответствующих им термоцепей:  $Pt (H_2) | HCl(aq) | Pt (H_2)$  (3),  $Ag, AgCl | HCl(aq) | T+\Delta T, AgCl, Ag$  (4) и  $Hg, Hg_2Cl_2 | T, MCl(aq) | T+\Delta T, Hg$  (5). Согласно эксперим. данным автора  $d\phi/dT$  при  $25^\circ$  для (3) равен  $+0,60$  мВ/град (американская система знаков), для (5)  $d\phi/dT = +0,30$  мВ/град; для (2)  $(d\phi/dT)_{is} = 0,34$  мВ/град.

Для обеих изотермич. цепей эксперим. данные в пределах ошибок опыта совпадают с вычисленными по основной ф-ле:  $(d\phi/dT)_1 - (d\phi/dT)_2 = (d\phi/dT)_{is} + (\Delta\phi/\Delta T)_m$ , где  $(\Delta\phi/\Delta T)_m$  — термо-э.д.с. для границы двух металлов, служащих материалом электродов. И. 3. 25259. Термодиффузионные потенциалы в неизо-термических электролитических системах. Часть 3. Связь между коэффициентами Сорэ для электролитов и начальными термо-э. д. с. неизо-термических цепей. Террелл, Колледж (Thermal diffusion potentials in non-isothermal electrolytic systems. Part 3.— The relation of Soret coefficients of electrolytes to the initial thermo-electric powers of non-isothermal cells. Tyrrrell H. J. V., Colledge R.), Trans. Faraday Soc., 1954, 50, № 10, 1056—1066 (англ.)

В продолжение работы (часть 2, Tyrrrell H. J. V., Hollis, Trans. Faraday Soc., 1952, 48, 893; см. также РЖХим, 1955, 1852) экспериментально исследовалась связь между температурными коэфф.  $(d\phi/dT)$  начальной э.д.с. (ф) неизо-термич. цепей типа: электрод (Э) |  $H_2$  электролит |  $T+\Delta T$  Э, в которых отсутствует градиент конц.-ии, и коэфф. Сорэ (σ) для данных электролитов.  $d\phi/dT = d\phi^0/dT + (d\phi/dT)_{sol} + (2,303R/zF) \lg m + (2,303R/zF) (0,8V/I)$ , где  $d\phi^0/dT$  — температурный коэфф. обратимого потенциала Э при активности потенциалопределяющего иона, равной 1,  $I$  — ионная сила р-ра,  $m$  — его молярность, а  $(d\phi/dT)_{sol}$  — термодиффузионный потенциал в момент приложения к системе градиента т-ры. В соответствии с термодинамикой необратимых процессов для идеального, изобарного р-ра:  $(d\phi/dT)_{sol} = -\sum i_i Q_i^0/z_i FT$ , где  $i_i$ ,  $z_i$ ,  $Q_i^0$  — числа переноса, заряд и теплота переноса  $i$ -го иона. Из эксперимента непосредственно определяема величина  $P = d\phi^0/dT + (d\phi/dT)_{sol}$ . Для 1,1 электролита (MX)  $P_{MX} = (d\phi^0/dT) + (Q_x^0/F T) - (t_m(Q_m^0 + Q_x^0)/F T)$  (1), а коэфф. Сорэ:  $\sigma_{MX} = -(Q_m^0 + Q_x^0)/2RT^2$  (2). Полагая, что для солей с общим анионом (MX и NX)  $Q_x^0$  постоянна, авторы приходят к ф-ле:  $\sigma_{NX} = -(F \Delta P/2RT t_N) + (t_m/t_N) \sigma_{MX}$ , связывающей σ обеих солей с экспериментально определяемой величиной ΔP. Аналогичные зависимости получены также для 1,2-электролитов; полученные зависимости экспериментально проверялись для ряда цепей с Ag-электродами в р-рах  $AgNO_3$  с  $NH_4NO_3$ ,  $KNO_3$ ,  $HNO_3$  и  $Ba(NO_3)_2$  и с Ag/ $AgCl$ -электродами в р-рах  $HCl$  и  $NH_4Cl$ , а также сравнивались с литературными данными сходных измерений в р-рах  $LiCl$ ,  $NaCl$ ,  $KCl$ ,  $ZnCl_2$  и  $BaCl_2$ . Точного колич. совпадения теории с опытом нельзя было ожидать ввиду отсутствия данных по σ в разб. р-рах. Получено, однако, хорошее качественное соответствие электрохим. измерений с известными знаками σ и порядками их величин. Выведенные из этих измерений ряды солей с общими ионами, расположенные по убыванию σ, в общем, совпадают с рядами,

полученными из данных по непосредственному измерению σ.

И. 3. 25260. Термодиффузионные потенциалы в неизо-термических электролитических системах. Часть 4. Сравнение результатов измерения для изотермических и неизо-термических цепей. Террелл (Thermal diffusion potentials in non-isothermal electrolytic systems. Part 4.— Comparison of measurements on isothermal and non-isothermal cells. Tyrrrell H. J. V., Trans. Faraday Soc., 1955, 51, № 3, 383—389 (англ.)

Сопоставлены различные литературные данные и данные автора по э. д. с. различных изотермич. и не-изотермич. цепей с целью, с одной стороны, проверки их согласованности между собой и, с другой стороны, для дальнейших расчетов коэфф. Сорэ по развитой ранее (см. пред. реф.) теории. Рассмотрены цепи:  $Pt(H_2) | HX$  в вводе  $H_2AgX$ ,  $Ag(X-галогид)$ ;  $Pt(H_2) | HX$  в воде |  $T+\Delta T$   $Pt(H_2)$ ;  $Ag, AgCl | T, HCl$  в воде |  $T+\Delta T$   $AgCl, Ag$  и др. Показано, что расхождение между данными лучших работ в рассматриваемой области не превосходит, как правило, ошибок опыта, что указывает на высокую точность новых измерений с неизо-термич. цепями. Показано далее, что значения коэфф. Сорэ, вычисленные здесь и ранее (см. ссылку), хорошо согласуются с данными непосредственных измерений термодиффузии. Это подтверждает основные выведенные автором соотношения и указывает также на малую зависимость коэфф. Сорэ от конц.-ии в области конц.-ии ров 1—0,01 н., так как непосредственные измерения термодиффузии, в отличие от рассматриваемых здесь опытов, проводились не в разб., а в довольно конц. р-рах.

И. 3. 25261. Об электрическом заряде водородного электрода на ртути. Энъё (水銀水素電極面の荷電量について. 延興三知夫). 觸媒, Catalyst, 1955, №11, 16—25 (япон.; рез. англ.)

Определено кол-во электричества, необходимое для зарядки новой поверхности водородного электрода на  $Hg$  в 0,01 и 0,1 н.  $HCl$ , путем измерения тока, протекающего через каплю  $Hg$  при постоянном потенциале электрода и различных скоростях увеличения поверхности капли. Ток зарядки линейно возрастает с ростом скорости увеличения поверхности. Измерения выполнены при различных переапряжениях ( $\eta$ ) в пределах 0,15—0,55 в. Между величиной заряда поверхности и  $\eta$  наблюдается линейная зависимость (коэфф. наклона  $18,2$  мк/см<sup>2</sup>е). Скачкообразное возрастание заряда с  $\eta$ , отмеченное Хонда, не наблюдалось. С. Ж. 25262. Пятнадцатилетние исследования в области электрохимии металлов. Пьонтелли (Quindici anni di ricerche sull' elettrochimica dei metalli. Picinelli Roberto), Ricerca scient., 1955, 25, № 4, 750—775 (итал.; рез. франц., англ., нем.)

Обзор работ автора и его сотрудников. И. 3. 25263. Полярографическое исследование поляризации твердых и жидких электродов. Делмарский Ю. К., Городынский А. В. (Полярографические исследования поляризации твердых и жидких электродов. Делмарский Ю. К., Городынский А. В.), Доповіді Академії наук УРСР, 1955, № 5, 462—464 (укр., рез. русс.)

Исследовалась поляризация (П) твердых и жидких электродов из одного и того же металла при выделении на них одноименных ионов. По наличию перегибов на поляризационных кривых в той области, которая соответствует выделению ионов исследованных металлов, уславливалось наличие электрохим. П. Поляризационные кривые снимались на полярографе с автоматич. записью. Исследовалось выделение  $Ga$  на твердых и жидких  $Ga$ -электродах из 0,02 н.  $GaCl_3$  на фоне



насыщ. р-ра LiCl в смеси одинаковых объемов эфира и ацетона при 25°. Изучалось также выделение Hg на твердом и жидком Hg-электродах из  $10^{-3}$ — $5 \cdot 10^{-3}$  н.  $Hg_2(NO_3)_2$  в смеси из 3 объемов 0,1 н.  $KNO_3$  и 10 объемов  $CH_3OH$  при —45 и —35°. Установлено, что при разряде одноименных ионов на жидких Ca- и Hg-электродах возникает только концентрационная П, а на тех же тв. электродах — также электрохим. П. А. К.

25264. Электролитическое образование кристаллических центров на платиновых шарообразных монокристаллических электродах. Каишев, Мутафчиев (Elektrolytische Keimbildung auf kugelförmigen Pt-Einkristallelektroden. Kaischew R., Mutaftschiew B.), Z. phys. Chem. (Leipzig), С целью колич. проверки ур-ния Фольмера  $I = 1955$ , 204, № 5—6, 334—347 (нем.); Изв. Българ. АН Отд. физ.-мат. и техн. н. Сер. физ., 1954 (1955), 4, 105—117 (болг.; рез. русс., нем.)

С целью колич. проверки ур-ния Фольмера  $I = K_{ex} (-K'/\eta^2)$  ( $I$  — скорость образования кристаллич. зародышей (КЗ),  $\eta$  — перенапряжение и  $K$  и  $K'$  — постоянные), изучено электролитич. образование КЗ на Pt-катоде-монокристалле при электроосаждении Hg и Ag. Ввиду малого сопротивления электролита напряжение импульса  $E$  приравнивается к  $\eta$ . После наложения определенного импульса катод фотографировался, осадок анодно растворялся и вновь давался катодный импульс и т. д. Для каждого  $E$  делалось 20—30 снимков, из которых определялось число КЗ на различных кристаллич. гранях. Показано, что при электроосаждении Hg из 2,7 н.  $Hg_2(NO_3)_2$  и 0,3 н.  $HNO_3$  при 30° капли Hg выделяются преимущественно на октаэдрич. грани и мало — на куб., особенно при низких  $E$  (66—76 мВ). В случае электроосаждения Ag из 6 н.  $AgNO_3$  и 0,2 н.  $HNO_3$  при 36° КЗ образуются преимущественно на грани октаэдра. При увеличении конц-ии  $HNO_3$  и уменьшения конц-ии  $AgNO_3$  осаждение Ag на различных гранях становится более равномерным. Сопоставление скоростей образования КЗ показывает, что наблюдается линейная зависимость между  $\lg N$  ( $N$  — число КЗ, образующихся в единицу времени на единице поверхности) и  $1/\eta^2$ . При вычислении из наклона кривой ( $\lg N, 1/\eta^2$ ) уд. поверхностной энергии границы раздела Hg — р-р и угла смачивания  $\alpha$  получены гораздо более низкие величины  $\alpha$ , чем наблюдающиеся на опыте. Несовпадение объясняется, по-видимому, преимущественным образованием КЗ на активных участках, где  $\alpha$  меньше. Высказывается мнение, что обнаруженное значительное различие скорости образования КЗ на разных кристаллич. гранях монокристалла Pt связано с различной работой образования КЗ на этих гранях. С. З.

25265. Перенапряжение и спиральные фронты роста при электрокристаллизации серебра. Каишев, Будевский, Малиновский (Überspannung und Spiralfrenten bei der Elektrokristallisation des Silbers. Kaischew R., Budewski E., Malinowski J.), Z. phys. Chem. (Leipzig), 1955, 204, № 5—6, 348—356 (нем.); Изв. Българ. АН Отд. физ.-мат. и техн. н. Сер. физ., 1954 (1955), 4, 91—104 (болг.; рез. русс., нем.)

С целью оценки величины перенапряжения  $\eta$  образования двумерного зародыша фотомикроскопич. методом исследован фронт роста в процессе электроосаждения Ag на монокристалле Ag из р-ра 6 н.  $AgNO_3$  и подкисленного  $HNO_3$  при 45° в интервале кажущихся плотностей тока 50—200 мА/см<sup>2</sup>. Показано, что по грани [100] распространяется спиральный фронт роста. На основании теории кристаллизации для спирального фронта роста выведена ф-ла для  $\eta$  процесса роста кристаллов по фронту:  $\eta = 0,85/d$  мВ, где  $d$  — расстояния между изгибами спирального фронта роста, определ-

енные из фотоснимков. Расчет  $\eta$  для различных  $d$  подтверждает, что  $\eta$  спиралеобразного роста кристаллов очень мало (0,028—0,185 мВ). З. С.

25266. О действии ингибиторов при электродных процессах. Швабе (Über die Inhibitorwirkung bei Elektrodenprozessen. Schwabe K.), Z. Elektrochem., 1955, 59, № 7—8, 663—665 (нем.) См. РЖХим, 1956, 3522

25267. О влиянии кислорода и роли сульфата натрия в процессе цементации кобальта из раствора металлическим цинком. Крейнгауз Б. П., Чижиков Д. М., Изв. АН СССР, Отд. техн. н., 1955, № 9, 167—169

В продолжение работы авторов (Изв. АН СССР, Отд. техн. н., 1950, № 3) методом снятия кривых зависимости потенциала  $\phi$  Co-катода (анодом служил Zn) от времени исследовано влияние конц-ии  $O_2$  (2—40 мг/л),  $CoSO_4$  и добавок  $Na_2SO_4$  (1 г/л) на процесс цементации Co из 1 н.  $ZnSO_4$  при pH 3,5. С ростом конц-ии  $CoSO_4$  и содержания  $O_2$   $\phi$  катода сдвигается в положительную сторону. Показано, что основными катодными процессами при цементации Co на Zn являются восстановление  $O_2$  и  $Co^{2+}$ . Добавки  $Na_2SO_4$  и продувание  $H_2$  в присутствии  $O_2$  приводят к сдвигу  $\phi$  в отрицательную сторону. Влияние добавки  $Na_2SO_4$  сводится к поглощению  $O_2$ , что благоприятствует течению основного процесса выделения  $Co^{2+}$ . В присутствии  $Na_2SO_4$  в цементных осадках Co и Ni обнаруживается сульфидная сера, кол-во которой возрастает при увеличении конц-ии  $Na_2SO_4$ . С. Ж.

25268. Влияние переменного тока на анодные процессы на платиновом электроде. Теоретическое обоснование. Льюис, Колом (Influencia de la corriente alterna en procesos anódicos con electrodos de platino. Discussion teorica. Llopis J., Colom F.), An. Real soc. española fis. y quim., 1955, B51, № 6, 379—394 (исп.; рез. англ.)

С целью теоретич. объяснения явлений, наблюдаемых при наложении переменного тока  $i_a$  на Pt-электрод, анодно поляризуемый постоянным током  $i_c$  (РЖХим, 1955, 51585), математически проанализированы различные эквивалентные электрич. схемы такого электрода. Наложение  $i_a$  приводит к частичной деполаризации и влияет на выход анодного процесса по току. При заданной величине  $i_c$  деполаризующее действие  $i_a$  зависит от частоты ( $\nu$ ) и плотности  $i_a$ . В предположении, что импеданс электрода в самом общем случае может быть передан обычной эквивалентной схемой (параллельное соединение емкости и сопротивление, отвечающих соответственно емкости двойного слоя и поляризационному сопротивлению, причем в ту ветвь цепи, которая содержит сопротивление, включены также сопротивление и емкость, отвечающие концентрационной поляризации) и что измеряемое значение анодного потенциала равно его средней величине за период колебания  $i_a$ , выведены теоретич. ф-лы, позволяющие приблизительно рассчитать наблюдаемые эффекты. Показано, что при увеличении  $\nu$  все большая доля  $i_a$  расходуется на заряде двойного слоя. С точки зрения развитой теории рассмотрен механизм анодного растворения Pt. И. З.

25269. Медь и серебро в растворах тиосульфата. Ш. Бремер (Om koppar och silver i tiosulfatlösningar III. Brehmer T. E.), Finska kemistsamfundets medd., 1954, 63, № 1-2, 48—57 (швед.; рез. англ.)

Проводился электролиз р-ра тиосульфата (II) между Cu-электродами, а также с Fe-анодом. При электролизе  $\sim 0,3$  М р-ров I на аноде растворяется Cu в виде  $Cu^+$ . Если электролит содержит Ag, оно замещается Cu во время электролиза, как на аноде, так и на катоде. Предыдущие сообщения (Finska kemistsamfundets medd., 1948, 57, 67; 1949, 58, 79). В. Л.

25270. О коэффициенте переноса в теории перенапряжения водорода. Дармуа, Дармуа (Sur le facteur de transfert dans la théorie de la surtension d'hydrogène. Darmois Geneviève, Darmois Eugène) С. г. Acad. sci., 1955, 241, № 15, 916—917 (франц.)

Авторы полагают, что замедленной стадией процесса катодного выделения водорода является мономолекулярная р-ция дегидратации адсорбированных на электроде ионов  $H^+ \cdot nH_2O$  (Sutra G., J. de Phys., 1951, 12, 573). Энергия активации (U) «перескока» протона из такого иона к катоду должна зависеть от потенциала (E) электрода по ф-ле  $U = U_0 - EF$ . Так как конечная гидратированных адсорбированных ионов  $H^+$  ( $[H^+]_{\text{адс}}$ ) связана с конц-ией ионов  $H^+$  в р-ре ( $[H^+]$ ) соотношением  $[H^+]_{\text{адс}} = [H^+] \exp[-(W_0 + W(\theta))/RT]$ , где  $W_0$  — энергия активации процесса адсорбции, а  $W(\theta)$  зависит от степени заполнения поверхности, авторы получают основное ур-ние для перенапряжения ( $\eta$ ) при больших  $\eta$ :  $i = K[H^+]_0 \exp[-(U_0 + W_0)/RT] \times \exp[(\eta F - W(\theta))/RT]$  (1). Экстраполируя ур-ние (1) к  $\eta = 0$ , получают, что ток обмена  $i_0$  не должен зависеть от pH р-ра. Отмечается, что введение в ур-ние «коэффициента переноса» ( $\alpha$ ) теории замедленного разряда должно приводить к зависимости  $i_0$  от pH, а именно:  $i_0 \sim [H^+]^{1-\alpha}$ . По мнению авторов, опытные данные свидетельствуют о независимости  $i_0$  от pH, что указывает на неправильность предположения  $\alpha \neq 1$ . Авторы считают, что  $\alpha = 1$ , т. е. что в случае разряда ионов водорода коэфф. переноса фактически отсутствует.

25271. Исследование перенапряжения водорода. Дармуа-Сютра, Дармуа (Recherches sur la surtension d'hydrogène. Darmois Eugène, Sutra Geneviève, Darmois Eugène), Z. Elektrochem., 1955, 59, № 7—8, 659—661 (франц.; рез. нем.); дискус. 661—662 (нем., франц., англ.)

Доклад на 54 общем собрании Бунзеновского физ.-хим. об-ва (см. пред. реф.). Из ур-ния (1) найден коэфф. ур-ния Тафеля  $b = d\eta/d \lg i$ ; с учетом зависимости  $W(\theta)$  от  $\eta$  получено значение  $b = 0,105$  e. В дискуссии участвовали Викке (Wicke E.) и Бокрис (Bockris J. O'M.).

25272. Перенапряжение водорода и кислорода на фосфорсодержащем никеле и щелочных растворах. Мирзакаримов А. М., Цыганов Г. А., Докл. АН УзССР, 1955, № 10, 13—16 (рез. узб.)

Изучено перенапряжение ( $\eta$ ) водорода и кислорода на фосфорсодержащем Ni (I) в 7,9 н. КОН при 30° в интервале плотностей тока ( $i$ )  $10^{-4}$ — $1$  a/cm<sup>2</sup>. I был получен путем хим. восстановления р-ра NiSO<sub>4</sub> гипофосфитом Na и содержал 10,7% P. Перед началом измерений I в течение 1 часа поляризовали при  $i = 1$  a/cm<sup>2</sup>. При измерениях I выдерживали при каждой  $i$  по 3 мин. На кривой ( $\eta$ , lg  $i$ ) для выделения водорода имеются два линейных участка, переход между которыми наблюдается при  $i \cdot 3 \cdot 10^{-4}$ — $10^{-3}$  a/cm<sup>2</sup>. При  $i = 10^{-3}$  a/cm<sup>2</sup>  $\eta \sim 0,9$  e. На кривой спада  $\eta$  (после катодной поляризации I в течение 15 мин. при  $i = 1$  a/cm<sup>2</sup>) наблюдается отчетливая площадка при  $\eta = 1,43$  e (н. в. э.). Высокое  $\eta$  водорода на I в отличие от Ni, содержащего S, авторы объясняют образованием при его катодной поляризации пленки гидридов Ni или P. Для кислорода  $\eta$  на I незначительно. Г. Т.

25273. Влияние каталитических ядов и веществ, увеличивающих перенапряжение водорода на выход нитробензола и павелевой кислоты в процессе электровосстановления. Смяловский М., Ярмолович Г., Бюл. Польской АН, отд. 3, 1955, 3, № 2, 107—110; Bull. Acad. polon. sci. Cl. III, 1955, 3, № 2, 107—110 (англ.)

С целью изучения механизма электролитич. восстановления органич. соединений исследовалось влияние отрицательных, катализаторов (P, S, As, Sb, Se и Te), увеличивающих период существования атомарного водорода в соприкосновении с катодом (РЖХим, 1955, 31330), на электровосстановление нитробензола (I) ванилина (II) и павелевой к-ты (III) в глиоксильную к-ту (IV) на Pb- и Fe-катадах. В р-ры I, содержащие HCl и CH<sub>3</sub>COOH, добавляли As<sub>2</sub>O<sub>3</sub> (0,02 g/a), или белый P (1,2 g/a в виде р-ра в CS<sub>2</sub>), или S в виде Na<sub>2</sub>S, H<sub>2</sub>S и тиомочевины; эти добавки увеличивали выход II. Способность добавок катализировать выход II падала в ряду P, As, S, Sb, Se и Te. Отмечается, что в том же ряду уменьшается способность этих добавок катализировать диффузию водорода в сталь (см. ссылку). Выход IV при восстановлении III (р-р содержал 4% H<sub>2</sub>SO<sub>4</sub>) понижался при добавлении As<sub>2</sub>O<sub>3</sub> (0,02 g/a) и повышался в присутствии Na<sub>2</sub>SO<sub>4</sub> (25 g/a); добавки P, S, Sb, Se и Te не влияли на выход IV. Полученные результаты показывают, по мнению авторов, что в-ва, тормозящие р-цию  $2H = H_2$ , повышают выход продуктов электролиза, если восстановление происходит атомарным водородом и не влияют на выход (или понижают его), если восстановление происходит путем присоединения электрона.

И. Б.

25274. Кинетика электровосстановления ацетона на ртутном катоде. Оганесян А. С., Антропов Л. И., Докл. АН АрмССР, 1955, 21, № 2, 81—85

Исследовано восстановление ацетона (I) ( $1,4 \cdot 10^{-3}$ ;  $1,4 \cdot 10^{-2}$ ;  $1,4 \cdot 10^{-1}$  и  $1,4$  M) на покоящемся Hg-катоде в 2 н. H<sub>2</sub>SO<sub>4</sub>. Обнаружено, что в р-рах с добавками I, начиная с определенного потенциала  $\phi$ , наблюдается деполаризация катода (сдвиг  $\phi$  в положительную сторону), указывающая на процесс электровосстановления I, причем это значение  $\phi$  тем положительнее, чем выше конц-ия добавки ( $-1,07$  e при  $1,4 \cdot 10^{-3}$  M и  $-0,92$  e при  $1,4$  M). Деполаризация прекращается при тем более отрицательных  $\phi$ , чем выше конц-ия I. При слиянии поляризационных кривых в р-ре  $0,2$  M I +  $+0,25$  M (NH<sub>4</sub>)<sub>2</sub>SO<sub>4</sub> при различных pH наблюдается линейная зависимость  $\phi$  от pH (при постоянной  $i$ ) с коэфф. наклона 0,14 e. Опытные данные хорошо описываются (Антропов Л. И., Ж. физ. химии, 1950, 24, 1428) ур-нием:  $\phi = a + b \lg [i/(1 + k\phi)] + \beta$  pH ( $\phi$  — конц-ия I,  $a = 1,46$ ;  $b = 0,14$ ;  $k = 5,6$  и  $\beta = 0,37$ ), выведенным в предположении, что в р-ции восстановления I участвуют адсорбированные на Hg молекулы I и ионы водорода, а связь между поверхностной  $c'$  и объемной с конц-иями I выражается ур-нием Фрейндлиха. Близкое значение  $\beta$  (0,2—0,4) получено из результатов электрокапиллярных измерений в 2 н. H<sub>2</sub>SO<sub>4</sub> с добавками  $2 \cdot 10^{-3}$ ; 0,02; 0,2 и 2 M I ( $c'$  вычислялась по ур-нию Гиббса). На основании анализа ур-ния авторы приходят к выводу, что в элементарном акте восстановления принимают участие один ион водорода и одна молекула I.

Н. П.

25275. Электровосстановление кетонов. Оганесян А. С., Сб. науч. тр. Ереванского политех. ин-та, 1955, № 6, 17—28

С. пред. реф.

25276. Синтез метилантрацилата. Фиошин М. Я., Бабиевский К. К., Изгарышев Н. А., Докл. АН СССР, 1955, 104, № 5, 744—745

Изучалось влияние плотности тока  $i$ , т-ры, конц-ии HCl, служившей католитом, природы катода и добавок на выход метилового эфира о-аминобензойной к-ты (I) (метилантрацилат) по току и по в-ву при электросинтезе из метилового эфира о-нитробензойной к-ты (II). Анолитом служила 5% H<sub>2</sub>SO<sub>4</sub>, анодом — Pb. Катодное и анодное пространства разделялись пористой диафраг-

мой. II находился в катодите в виде эмульсии; катодит интенсивно перемешивался. Установлено, что с Sn-катодом можно получать высокие выходы (95,3—98,5%) I в очень широком интервале  $i$  (2—40  $\text{a/dm}^2$ ),  $\tau$ -ры (40—70°), конц-ий HCl (0,59—3,54 н.) и II (3—15 г на 100 мл). Оптимальные условия для Sn-катада:  $i = 20 \text{ a/dm}^2$ ,  $\tau$ -ра 40°, 2,32 н. HCl, 15 г II на 100 мл катодита. На катадах из Pb, Cu и Cu + Hg не удалось получить хороших выходов I даже при нанесении на поверхность катада металлич. губки. В этих случаях наблюдается сильное осмоление продуктов электролиза. При введении  $\text{SnCl}_2 \cdot 2\text{H}_2\text{O}$  (10 г на 100 мл) удается получить хорошие выходы I (~90%) на катадах из Pb и Cu. Авторы считают, что необходимым условием электро-восстановления II в I при высоких  $i$  является присутствие в катодите «переносчиков» водорода, роль которых выполняют ионы  $\text{Sn}^{2+}$ . С. Ж.

25277. К вопросам о причинах анодного перенапряжения и о связи его с выходами по току. Ремпель С. И., Хомак Л. П., Ж. прикл. химии, 1954, 27, 10, 1125—1128

Обсуждаются причины анодного перенапряжения на угольном электроде в криолито-глиноземных расплавах в связи с неточностями при изложении этих вопросов в монографии Г. А. Абрамова и др. (РЖХим, 1954, 18733). З. С.

25278. Анодное поведение свинца в растворах фосфорной кислоты. Камецкий Ю., Зембура З., Трау Е., Бюл. Польской АН, 1955, отд. 3, 3, № 1, 37—40

В продолжение работы авторов (РЖХим, 1955, 18409, 18411) исследована зависимость анодной плотности тока  $i$  и анодного потенциала  $\phi$  от приложенного напряжения  $v$  при электролизе 2,99, 22,80 и 40,50 н.  $\text{H}_2\text{PO}_4$  с применением Pb-электродов. Высказано предположение о наличии двух стадий анодного процесса: первоначально в р-р переходят ионы  $\text{Pb}^{2+}$ , образуя пленку фосфата, упрочнение которой сопровождается ростом  $\phi$  и пассивацией Pb; в области  $v$  0,85—1,2 в степень пассивации возрастает за счет образования  $\text{PbO}$  и  $\text{PbO}_2$  и это приводит к резкому падению  $i$ . Начиная с  $v \approx 2$  в, соответствующего напряжению разложения  $\text{H}_2\text{PO}_4$ , течение электролиза становится стационарным ( $\phi$  равно 1,75—1,93 в). А. Ш.

25279. Пассивирование свинцовых анодов в растворах фосфорной кислоты. Камецкий Ю., Зембура З., Трау Е., Бюл. Польск. АН, 1955, отд. 3, 3, № 1, 41—45; Bull. Acad. polon. sci., 1955, Cl. 3., 3, № 1, 41—45 (англ.)

Показано, что при поляризации Pb-анода в р-рах  $\text{H}_2\text{PO}_4$  (2,99; 22,80 и 40,50 н.) при постоянной плотности тока  $i$  (0,005—0,05  $\text{a/dm}^2$ ) через определенный промежуток времени (время пассивации  $t_p$ ) анодный потенциал  $\phi$  достигает максимума. Установлено, что при высоких  $i$  наблюдается линейная зависимость между  $1/t_p$  и  $i$ , тогда как кол-во электричества, необходимое для пассивации Pb-анода, не зависит от  $i$ . Предельное значение  $i$ , при котором не наступает пассивация даже при длительном электролизе, равно 0,0043 и 0,0019  $\text{a/dm}^2$  соответственно для 2,99 и 40,50 н.  $\text{H}_2\text{PO}_4$ . Первоначальный подъем  $\phi$  до 2,06—2,25 в авторы связывают с накоплением на поверхности анода соединений  $\text{Pb}^{2+}$ . Образование  $\text{PbO}_2$  при более высоких  $i$  приводит к снижению  $\phi$  до 1,96—2,16 в. В конц. р-рах до пассивирования на кривой ( $\phi$ ,  $t$ ) имеются две задержки при значениях  $\phi$  0,3 и 1,4—1,6 в, соответствующие, по мнению авторов, образованию  $\text{PbO}$  и началу образования  $\text{PbO}_2$ . А. Ш.

25280. Теоретический анализ полярографических волн. I. Восстановление простых ионов металлов. Мацуда, Аябе (Theoretical analysis of pola-

rographic waves. I. Reduction of simple metal ions. Matsuda Hiroaki, Ayabe Yuzo), Bull. Chem. Soc. Japan, 1955, 28, № 6, 422—428 (англ.)

Выведено ур-ние для мгновенного тока диффузии при восстановлении простых ионов металлов с учетом движения р-ра, вызванного ростом капли Hg. Система дифференциальных ур-ний, описывающих распределение конц-ий ионов в р-ре и металла в амальгаме, решена методом преобразования Лапласа. Интегральное ур-ние, полученное подстановкой в ур-ние для тока по теории абс. скоростей р-ции выраженный для конц-ий ионов в р-ре и металла в амальгаме на поверхности капли, решено методом безразмерных параметров. Выведено также общее ур-ние полярографич. волны. Показано, что при  $k_s > 2 \cdot 10^{-1} \text{ см/сек}$  ( $k_s$  — константа скорости при стандартном потенциале электродной р-ции) волны обратимые, при  $k_s < 4 \cdot 10^{-6} \text{ см/сек}$  волны необратимые, а при  $2 \cdot 10^{-1} > k_s > 4 \cdot 10^{-6}$  волны квазиобратимые. Для необратимых волн из наклона прямой ( $E, \lg i/(i_{\text{пр}} - i)$ ) можно вычислить  $\alpha n$ , где  $\alpha$  — коэфф. переноса, а из  $E_{1/2}$  (при помощи полученного ур-ния) — константу скорости восстановления ионов. При  $25^\circ \Delta E_{1/2}/\Delta \lg \tau = 29,6/\alpha n \text{ мв}$  ( $\tau$  — период сканирования). Потенциал точки перегиба волны (максимум производной по кривой) равен  $E_{1/2}$ . Максимум производной кривой  $[di/d(-E)]_{E=E_{1/2}} = 0,26 i_{\text{пр}} (\alpha n F/RT)$ . Приведены графики вычисленных полярографич. волн при разных значениях  $k_s$  и  $\alpha$ . Выведено ур-ние полярографич. волны восстановления органич. в-в. Показано, что в этом случае деление волн на обратимые, квазиобратимые и необратимые зависит от pH р-ра. Отмечается, что решение данной диффузионной задачи было получено ранее при помощи другого метода Коутецким (РЖХим, 1954, 14311; 1955, 3497). С. Ж.

25281. Аномалии при полярографическом восстановлении цинка в 30%-ном растворе хлористого кальция. Предварительное сообщение. Ландри, Клейнман (Anomalías en la reducción polarográfica del zinc en una solución al 30% de cloruro de calcio. Informe preliminar. Landry A. S., Kleinerman Y. Marcos), Boll. Soc. quim. Peru, 1954, 20, № 1, 179—184 (исп.)

На волне восстановления  $\text{Zn}^{2+}$  из 30%-ного р-ра  $\text{CaCl}_2$  после достижения  $i_{\text{пр}}$  наблюдается спад тока. На волну  $\text{Zn}^{2+}$  налагается другая волна, начинающаяся при —1,17 в (насыщ. к. э.). При введении добавок желатин, агар-агара, гуммиарабика и солянокислого гидроксилamina это явление исчезает, причем  $i_{\text{пр}}$  уменьшается. При добавлении фенилгидразина, фуксина и метиленового голубого дополнительная волна не подавляется, но смещается в отрицательную сторону. Авторы считают, что эта волна соответствует каталитич. выделению водорода из воды (Orlemann E. F., Kolthoff I. M., J. Amer. Chem. Soc., 1942, 64, 837). С. Ж.

25282. Полярография производных мочевины и тиомочевины. V. Анодная деполаризация в растворах урацила, его производных и 4-метил-2-тиоурацила. Маноушек, Зуман (Polarografie derivátů močoviny a thiomčoviny. V. Anodická depolarisace v roztocích uracilu, jeho derivátů a 4-methyl-2-thiouracilu. Manoušek Osvald, Zuman Petr), Chem. listy, 1955, 49, № 5, 668—678 (чеш.); Сб. чехосл. хим. работ, 1955, 20, № 6 1340—1352 (нем.; рез. русс.)

Изучено полярографич. поведение урацила (I) и 4-метил-2-тиоурацила (II). Для I в умеренно щел. среде наблюдается анодная волна, высота которой пропорциональна конц-ии до  $1,2 \cdot 10^{-4} \text{ M}$  и не изменяется с дальнейшим ростом конц-ии.  $E_{1/2}$  не зави-



ions.  
Bull.  
(англ.)  
узии  
етом  
стема  
деле-  
таме,  
ьное  
тока  
для  
а по-  
пара-  
фич.  
кон-  
элек-  
м/см  
волю  
слово  
где  
уче-  
нения  
ериод  
симу-  
извод-  
и. При-  
и при  
оляро-  
азано,  
ккази-  
Отме-  
задача  
метода  
С. Ж.  
оста-  
истого  
дрн,  
а pola-  
clouro  
A. S.  
quim.  
о ра-  
тока.  
ощаясь  
ок же-  
ислого  
ем ip  
функси-  
на не  
торону.  
алитич.  
Е. Р.,  
С. Ж.  
ны и  
раство-  
иоура-  
derivá-  
depola-  
methy-  
и та в  
(чеш);  
0—1352  
(I) и  
о щел-  
которой  
е изме-  
е зави-

сит от конц-ии  $I$  и сдвигается в отрицательную сторону с ростом pH;  $dE_{1/2}/d\text{pH}$  равен 66 мВ при pH 7—9,5 и 33 мВ при pH 9,5—12;  $i_{\text{пр}}$  пропорционален  $h$  ( $h$  — высота столба Нг). Для производных  $I$  сопоставлены характер волны, значения  $E_{1/2}$  и площадь, которую занимает молекула на поверхности электрода. В общем производные  $I$  ведут себя аналогично производным барбитуровой к-ты (Koguta J., Zuman P., Chem. listy, 1952, 46, 389; РЖХим, 1953, 4408). Для  $II$  характерны две волны, сумма высот которых пропорциональна конц-ии. Более отрицательная волна не возрастает, если конц-ии  $II$  превышает  $2,2 \cdot 10^{-4}$  М. Из характера зависимости суммы высот волн от  $h$  вытекает, что волны имеют диффузионный характер.  $E_{1/2}$  обеих волн сдвигаются в отрицательную сторону с ростом pH. Обсуждается вероятность участия различных функциональных групп в образовании комплекса с Нг. Указывается на возможность использования полученных результатов для аналитич. определения. Сообщ. IV см. РЖХим, 1956, 6513. L. Matoušek 25283. Разряд между положительным острым и плоскостью в сжатых воздухе и углекислом газе. Буллау (Sur la décharge entre une pointe positive et un plan dans l'air et l'anhydride carbonique comprimés. Boulloud André), Rev. gén. électr., 1955, 64, № 6, 283—300 (франц.)

Показано, что в воздухе или  $\text{CO}_2$  при давлении в несколько десятков атмосфер между положительным острым и плоскостью до появления искры наблюдается светящийся разряд при условии, что радиус кривизны острия достаточно мал и расстояние между электродами достаточно велико. При использовании острия из Мо и W наблюдаются несветящиеся разряды нового типа. Автор предлагает новую теорию исчезновения коронного разряда при высоких давлениях и показывает зависимость наблюдаемых явлений от конфигурации электрич. поля и интенсивности внешних источников ионизации, а также от состояния поверхности электродов. А. Г.

25284. О получении картины вращательно-симметричных потенциальных полей в электролитической ванне нового типа. Ханеман, Эрэт (Über die Aufnahme rotationssymmetrischer Potentialfelder in einem neuartigen elektrolytischen Trog. Hahnemann H. W., Ehret L.), Forsch. Geb. Ingenieurwesens, 1954, B20, № 5, 141—144; № 6, 171—177 (нем.) Подробно описана новая конструкция установки, предназначенной для электролитич. моделирования яловских и вращательно-симметричных потенциальных полей, встречающихся в задачах технич. аэродинамики. Основные части установки: наклонный стол-ванна, на котором создается электролитный «клин», поверхность которого имитирует осевое сечение исследуемого поля, и координатная рама с передвижным измерительным электродом — «зондом», перемещаемым в любую точку изучаемого поля. Ось вращения поля совпадает с границей поверхности электролита и наклонного дна ванны. Границы поля (образующие тела вращения) задаются посредством изолирующих перегородок соответствующей формы; сечения поля, перпендикулярные оси, — посредством плоских поляризуемых электродов. Приведено несколько примеров моделирования в электролитич. ванне, интересных с точки зрения техники, динамич. полей, создающихся при протекании газовой или жидкой струи в соплах и диффузорах различного типа с вращательной — осевой симметрией, в частности — при набегании потока на заслонки и т. п. И. З.

25285 К. Изучение механизма распыления растворов электролитов анодной искрой. Барре (Étude de

mécanisme de la pulvérisation des solutions électrolytiques par l'étincelle anodique. Barret P. Paris, 1953, 94 p., 56 fig. 700 fr.) (франц.)

25286 Д. Температурный эффект на катоде при электроосаждении металлических порошков. Булгакова А. М. Автореф. дисс. канд. хим. н., Киевск. ун-т, Киев, 1955

25287 Д. Механизм электролитического осаждения никель-молибденовых сплавов. Красовский А. М. Автореф. дисс. канд. хим. н., Ин-т физ. химии АН СССР, М., 1955

25288 Д. Электролитическое разложение разбавленных амальгам. Портер (The electrolytic decomposition of dilute amalgams. Porter John Toliver, Doct. Diss., Cornell Univ., 1955), Dissert. Abstrs, 1955, 15, № 2, 199 (англ.)

25289 Д. О растворении цинка в щелочах. Родионова В. И. Автореф. дисс. канд. хим. н., Моск. гос. пед. ин-т, М., 1955

25290 Д. Перенапряжение при электролитическом выделении водорода и кислорода на гальванических сплавах никель-кобальт из растворов щелочи. Лощинина Г. П. Автореф. дисс. канд. хим. н., Ин-т химии АН УзССР, Ташкентск. мед. ин-т, Ташкент, 1955

25291 Д. Изучение кинетики процесса ионизации водорода под давлением. Рутковский М. Л. Автореф. дисс. канд. хим. н., Моск. хим.-технол. ин-т, М., 1955

25292 Д. Механизм анодного выделения кислорода на двуокиси свинца. Киселева И. Г. Автореф. дисс. канд. хим. н., Ин-т физ. химии АН СССР, М., 1955

25293 Д. Электрохимия расплавленных солей. Остерьянг (Electrochemistry in fused salt media. Osteryoung Robert Allen. Doct. diss., Univ. Illinois, 1954), Diss. Abstrs, 1955, 15, № 1, 36 (англ.)

См. также: Электроосаждение металлов 26249, 26250, 26260, 26263, 22266, 26275, 26276, 26278, 26279, 26298. Коррозия 27754, 27759, 27762—27764, 27768, 27772, 27792, 27794, 27821, 27839, 27861, 27866, 27867; 3735Met. Полирография 25921—25923, 25964, 25991, 25994, 26040; 8405Met. Электропроводность 25123, 25136, 25320, 25392, 25397, 25873; 1964Met. Методика электрохим. измерений 26127. Др. вопр. 24698, 25182, 25231, 25323, 25922, 25923, 25970, 26282, 26290, 26292; 1966Met, 2102Met, 2254Met, 2856Met.

## ПОВЕРХНОСТНЫЕ ЯВЛЕНИЯ. АДСОРБЦИЯ. ХРОМАТОГРАФИЯ. ИОННЫЙ ОБМЕН

25294. Поверхностное натяжение эфира и пентана. Джеффрис, Деррик, Масгрейв (Surface tension of ether and pentane. Jeffries T. O., Derrick M., Musgrave B.), J. Chem. Phys., 1955, 23, № 9, 1730 (англ.)

Методом капиллярного поднятия в эвакуированных запаянных с одного конца капиллярах измерено поверхностное натяжение  $\sigma$  диэтилового эфира (I) при 21—151° и  $n$ -пентана (II) при 126—148° в атмосфере их паров, не содержащих посторонних газов.  $\sigma_I = 5,19 \pm 0,16$  дн/см при 126,2° и  $3,28 \pm 0,1$  дн/см при 148,5°;  $\sigma_{II} = 15,86 \pm 0,07$  дн/см при 21,0° и  $3,41 \pm 0,07$  дн/см при 150,9°.

А. Г. 25295. Измерение поверхностного натяжения по кривизне поверхности затвердевшей жидкости; по-

верхностное натяжение жидкого германия. Сангстер, Карман (Liquid surface tension measurements by analysis of solid-state curvatures; The surface tension of liquid germanium. Sangster R. C., Carman J. N., Jr), J. Chem. Phys., 1955, 23, № 6, 1142—1145 (англ.)

Брусок металла, лежащий в графитовой лодочке, медленно пропускается через узкую зону обогрева; при этом последовательные участки бруска плавятся, а затем затвердевают. Принимая, что поперечное сечение затвердевшей части бруска сохраняет форму расплавленной части, авторы теоретически рассчитывают эту форму по обычным уравнениям теории капиллярности, пренебрегая кривизной поверхности в продольном направлении. Из сравнения теоретич. и эксперим. кривых, ограничивающих поперечное сечение бруска, авторы находят для поверхностного натяжения  $\sigma$  Pb и Cd значения на несколько десятков  $\text{дин/см}$  ниже табличных. Для Ge в атмосфере He или  $\text{N}_2$  при  $t$ -ре плавления Ge ( $934,5^\circ$ ) получено значение  $\sigma = 632 \pm 5 \text{ дин/см}$ , тогда как Кек и Ван-Горн (РЖХим, 1954, 26850) нашли  $\sigma = 600 \text{ дин/см}$ . Применение этого метода определения  $\sigma$  расплавленных металлов ограничивается тенденцией последних к образованию кристаллич. граней при затвердевании, а также загрязнением поверхности металлов при плавлении. Н. Ф.

25296. Капиллярные явления в гелии Н. Лейн, Дыба (Capillarity in helium H. Lane C. T., Dyba R. V.), Phys. Rev., 1953, 92, № 3, 829—830 (англ.)

Исследовано капиллярное поднятие смеси  $\text{He}^3$  —  $\text{He}^4$  в зазоре толщиной 36  $\mu$  между двумя вертикальными оптическими плоскими стеклянными пластинками при 1,25 и  $2,15^\circ \text{K}$ . Одна из пластинок расположена несколько ниже другой. Уровни мениска в зазоре и в гелиевой ванне измерялись в функции времени. Разность между этими уровнями вначале возрастает, а затем остается постоянной, пока глубина погружения нижней пластинки в He не сделается (благодаря испарению He) меньше некоторой критич. величины  $h_{\text{кр}}$ , после чего мениск внезапно исчезает, и жидкость уходит из зазора.  $h_{\text{кр}}$  зависит от  $t$ -ры и в данных опытах  $\approx 41 \text{ мм}$  при  $2,15^\circ \text{K}$  и 21 мм при  $1,25^\circ \text{K}$ . Этот эффект наблюдался и в обратном порядке. Когда пластинки опускались в ванну с He, мениск появлялся только после погружения нижней пластинки на глубину  $h_{\text{кр}}$ . И. Х.

25297. Свойства поверхностных слоев высокомолекулярных веществ. Мюллер (Eigenschaften von Oberflächenfilmen makromolekularer Substanzen. Müller F. H.), Z. Elektrochem., 1955, 59, № 4, 312—329 (нем.)

Обзор, в котором после обсуждения свойств поверхностных слоев высокомолекулярных в-в, автор высказывает ряд соображений об особенностях их строения и молекулярной ориентации, отличающих их от поверхностных слоев низкомолекулярных соединений. Библ. 31 назв. И. С.

25298. Химия поверхностных пленок синтетических аналогов протенинов. VI. Взаимодействие мочевины и соли с полипептидами неэлектролитами. Исемура, Хамагути, Кавасато (Surface chemistry of synthetic protein analogues. VI. The interaction of urea and salt with non-electrolytic polypeptides. Isemura Toshizo, Hamaguchi Kozo, Kawasato Hideyo), Bull. Chem. Soc. Japan, 1955, 28, № 3, 185—189 (англ.)

Изучена зависимость поверхностных давления ( $\pi$ ) и вязкости ( $\eta$ ) от площади на молекулу ( $A$ ) монослоев поли- $\alpha$ -аминолауриновой, -капроновой и -каприловой к-т, а также поли- $\gamma$ -бензил-L-глутамата в присутствии мочевины (I) и KCl (II) в подкладке. I в концентрации  $c_I = 10$ —30% вызывает значительное расширение

монослоя; влияние II, в отличие от действия на полипептиды-электролиты (часть V, РЖХим, 1956, 18917), проявляется очень слабо. I вызывает также сильное увеличение  $\eta$ . Результаты, полученные с I, выражаются уравнением Гасталла  $\pi A = \alpha\pi + \beta$ . Прямые ( $\pi A$ ,  $\pi$ ) при разных  $c_I$  пересекают ось  $\pi A$  в одной точке, что указывает на постоянство мол. веса полипептида в монослоях независимо от содержания I в подкладке. Взаимодействие I с полипептидом происходит не стехиометрически; это следует из того факта, что наклон прямых ( $\pi A$ ,  $\pi$ ) при увеличении  $c_I$  становится более крутым. Авторы считают, что I связывается водородной связью с основной цепью полипептида, в результате чего происходит разрыв солевых мостиков и разворачивание его молекул на поверхности. А. Г.

25299. Спектрографическое исследование мономолекулярной пленки красителя. Кёйфер, Шейбе (Die spektrographische Untersuchung eines monomolekularen gespreiteten Farbstoff-Films. Käufer Helmut, Scheibe Günther), Z. Elektrochem., 1955, 59, № 6, 584—587 (нем.)

С помощью легко испаряющегося р-рителя (эфир + метанол) на поверхность воды в ванне весов Ленгмюра наносилась мономолекулярная пленка водорастворимого псевдоизоцианина-N — N-диэтилхлорида (I). Спектр поглощения I при различных значениях поверхностного давления  $\pi$  удалось снять, многократно направляя луч света через пленку с помощью двух плоскостепенных зеркал, из которых одно помещалось в ванне под водой, а второе — снаружи. Показано, что характерного для мономеров I поглощения не наблюдается ни при каких значениях  $\pi$ . При плотной упаковке монослоя ( $\pi > 12 \text{ дин/см}$ ) обнаруживается полоса (при 5900 Å), соответствующая поглощению полимеров I. Это указывает, в согласии с данными других исследований, на то, что в монослое находятся ассоциированные молекулы I. Величина площади на молекулу A при этом соответствует плотной упаковке молекул, расположенных наклонно к поверхности воды [ $A = 70$ —90 Å<sup>2</sup>]. При низких значениях  $\pi$  (газообразное состояние пленки) молекулы располагаются «плашмя», чем и объясняется отсутствие поглощения света. Б. Т.

25300. Адсорбция и теплоты адсорбции воды на саже сферон-6 и графит. Миллард, Касуэлла, Леджер, Милс (The adsorption and heats of adsorption of water on spheron 6 and graphon. Millard B., Caswell E. G., Leger E. E., Mills D. R.), J. Phys. Chem., 1955, 59, № 9, 976—978 (англ.)

При 30° сняты (весовым способом) изотермы адсорбции  $\text{H}_2\text{O}$  на окисленной саже сферон-6 (I) и саже графит (II), предварительно прокаленной 12 час. при 1000° в токе  $\text{H}_2$ , а также теплоты смачивания ( $q$ ) саж водой. I начинает адсорбировать  $\text{H}_2\text{O}$  при самых малых  $P/P_s$ , а на II адсорбция равна нулю вплоть до  $P/P_s$  0,87. Авторы полагают, что при  $P/P_s > 0,87$  вода сорбируется в результате капиллярной конденсации в зазорах между соприкасающимися частицами II. Адсорбция  $\text{H}_2\text{O}$  в виде постепенно разрастающихся островков на поверхности II маловероятна, так как обработанная водородом II не содержит хемосорбированного кислорода. Вычисленная по изотерме и  $q$  изостерич. теплота адсорбции в случае I больше, а в случае II меньше, чем теплота конденсации воды, что объясняется отсутствием водородных связей между соседними молекулами  $\text{H}_2\text{O}$  на поверхности II. З. В.

25301. Сорбция паров воды окисью магния. Разук, Микаиль (The sorption of water vapor on magnesium oxide. Razuk R. A., Mikhail R. S.), J. Phys. Chem., 1955, 59, № 7, 636—640 (англ.)

С помощью электр. сорбционных весов (Gregg S. J., J. Chem. Soc., 1946, 561) сняты при 35° S-образные

изотермы сорбции паров воды образцами  $MgO$ , полученными обезвоживанием природного брусита при 350, 500, 650, 800, 950, 1020 и  $1100^\circ$  (образцы I—VII соответственно). При  $p = p_s$  I—VII сорбируют 0,9535; 1,002; 0,9936; 0,8071; 0,7037; 0,3371 и  $\sim 0$  молей  $H_2O$  на 1 моль  $MgO$ ; таким образом, стехиометрич. поглощение имеет место только на образцах I—III, т-ра дегидратации которых  $T_g \leq 650^\circ$ . Величина гистерезисной петли (II) на изотермах уменьшается с ростом  $T_g$ , причем десорбционная ветвь не доходит по первоначальной сорбционной ветви даже при  $p = 0$ . Однако уже со второго цикла наблюдается воспроизводимая II, обе ветви которой встречаются у оси ординат под резко различными углами. Автор полагает, что такой случай гистерезиса может быть объяснен только на основе обобщенной доменной теории Эверетта (Everett D. H., Whitton W. I., Trans. Faraday Soc., 1952, 48, 749). При откачивании при  $35^\circ$  во всех образцах остается  $\sim 1/3 H_2O$ , поглощенной при  $p_s$ ; этот остаток удаляется лишь при т-ре  $> 100^\circ$ , что хорошо согласуется с кристаллографич. строением  $MgO$  (Garrido J., Ion, 1951, 11, 206, 453), согласно которому в продукте обезвоживания брусита имеются 2 различно ориентированные решетки, способные по-разному связывать  $H_2O$ . Предполагается следующий механизм сорбции: молекулы  $H_2O$  вначале адсорбируются на внешней поверхности кристаллитов  $MgO$ , а затем проникают внутрь решетки, присоединяясь стехиометрически ко всем ионам кислорода (I—III) или только к сохранившейся активной их части (IV—VI).

З. В.

25302. Исследование химии поверхности силикатных минералов. III. Теплоота погружения бентонита в воду. Зеттлмайер, Янг, Чессик (Studies of the surface chemistry of silicate minerals. III. Heats of immersion of bentonite in water. Zettlemayer A. C., Young G. J., Chessick J. J., J. Phys. Chem., 1955, 59, № 9, 962—966 (англ.))

При  $25^\circ$  сняты изотермы сорбции паров  $H_2O$  (гравиметрически),  $N_2$  и  $NH_3$  (волюмометрически) на двух образцах монтмориллонита (М) из вайомингского бентонита, откачивавшегося при  $25^\circ$  48 час. и при  $100^\circ$  24 часа, и теплоты погружения ( $q$ ) их в воду (конструкцию калориметра см. РЖХим, 1955, 1904) сразу после откачки и после поглощения возрастающих кол-в  $H_2O$ . Определением уд. поверхности по изотермам и рентгенографически показано, что до  $p/p_s = 0,3$   $H_2O$  и  $N_2$  адсорбируются только на внешней поверхности частиц М, а  $NH_3$  проникает между слоями М, раздвинутая их. Кривые ( $\Delta$ ,  $p/p_s$ ) и ( $q$ ,  $p/p_s$ ) ( $\Delta$  — размер элементарной ячейки по оси  $c$ ) имеют по 2 ступеньки (при  $p/p_s \approx 0,3$  и  $0,7$  для  $\Delta$ ;  $0,25$  и  $0,6$  для  $q$ ), показывающие интервалы образования первого и второго слоев  $H_2O$  между слоями М. Кривые ( $q$ ,  $p/p_s$ ) для образцов, откаченных при  $25$  и  $100^\circ$ , совпадают только в интервале  $p/p_s$ ,  $0,3 = 1$ . Более высокие  $q$  при  $p/p_s$ ,  $0 = 0,3$  во втором случае отвечают гидратации более активных мест, образующихся в ходе активации М при  $100^\circ$  не только на внешней, но и на внутренней поверхности М. Предполагается, что эти места — участки, на которых происходит ионный обмен. Предыдущие сообщения см. РЖХим, 1955, 34179 и 39846.

З. В.

25303. Обмен энергией между холодными молекулами газа и горячей поверхностью графита. Гомер, Мейер (Energy exchange between cold gas molecules and a hot graphite surface. Gomer Robert, Meyer Lothar, J. Chem. Phys., 1955, 23, № 7, 1370 (англ.))

Путем измерения сопротивления нити исследована скорость передачи тепла молекулам газа ( $He$ ,  $Ne$ ,  $Kr$ ,

$H_2$ ,  $CN_4$ ) при давл. 5—20  $\mu$  рт. ст. от графитовой нити, полученной разложением углеводородов на угольной нити. Кол-во тепла  $Q$ , уносимое молекулами газа в 1 сек., не зависит от т-ры нити  $T_i$  в интервале  $850$ — $1500^\circ$ , но изменяется в зависимости от природы газа и выражается ур-нием  $Q = nC(\bar{T}_e - T_w)$ , где  $n$  — число соударений молекул с поверхностью в 1 сек.,  $\bar{C} = R/2 +$  средняя теплоемкость газа между  $T_e$  и  $T_w$ ,  $T_w$  — т-ра стенки сосуда и  $T_e$  — миним. т-ра, при которой молекулы испаряются с горячей поверхности. Сделан вывод, что обмен энергией происходит путем квазиадсорбции и испарения молекул газа и не зависит от  $T_i$ , пока  $T_i > T_e$ .  $T_e$  может служить мерой потенциала ван-дер-ваальсовых сил между поверхностью и молекулой. Опыты проводились на гладкой графитовой поверхности, так как только в этом случае соударяющаяся с ней молекула газа имеет возможность достигнуть холодной стенки сосуда без дальнейших соударений с графитом.

З. В.

25304. О влиянии адсорбированных молекул на фотоэмиссию. Коц (O vlivu adsorbovaných molekul na fotoemisi. Koc Stanislav, Českosl. časop. fys., 1955, 5, № 5, 545—549 (чеш.))

Изучено явление скачкообразного, безинерционного изменения фотоэлектрич. эмиссии электронов ( $\beta$ ) из металлич. катода ( $Cu$  или  $Ni$ ), покрытого слоем адсорбированного в-ва, при быстром изменении т-ры.  $\beta$  измерялась Г.—М.-счетчиком, наполненным аргонном (40 мм рт. ст.) и парами исследуемого в-ва (10 мм рт. ст.) —  $CH_3OH$  (I),  $C_2H_5OH$ ,  $CHCl_3$ ,  $CCl_4$ ,  $C_6H_6$ , ацетона (II) или циклогексана. Облучение производилось монохроматич. пучком света в интервале длин волн  $\lambda = 2400$ — $3150$  Å. Т-ра изменялась от  $21$  до  $49^\circ$ . Зависимость  $\beta$  от конечной т-ры при постоянной начальной (или наоборот), описывается эмпирич. ф-лой  $I = AT^\beta + const$ , где  $I$  — интенсивность  $\beta$ ,  $\beta$  — функция от  $\lambda$ .  $\beta$  положительна в случае I и II и уменьшается с ростом  $\lambda$ . Для остальных в-в  $\beta$  отрицательна и возрастает с ростом  $\lambda$ .  $\beta$  не зависит от в-ва, на котором происходит адсорбция. Отмечаются затруднения в интерпретации результатов и указывается на вероятность связи  $\beta$  со скачкообразным изменением кол-ва адсорбированных молекул при изменении т-ры.

В. С.

25305. Очистка поверхностей германия и титана ионной бомбардировкой, контролируемая методом дифракции электронов с малой энергией. Фарнеуэрт, Шлир, Джордж, Бергер (Ion bombardment-cleaning of germanium and titanium as determined by low-energy electron diffraction. Farnsworth H. E., Schlier R. E., George T. H., Burger R. M., J. Appl. Phys., 1955, 26, № 2, 252—253 (англ.))

Так как обезгаживание  $Ge$  и  $Ti$  путем продолжительного нагревания в вакууме не дает чистой поверхности, исследован другой способ очистки поверхности. Нагревание кристалла  $Ti$  при  $700$ — $750^\circ$  в вакууме в течение нескольких часов приводит к образованию на поверхности (0001) сложной гексагональной монокристаллич. структуры. Для ее уничтожения поверхность кристалла бомбардировали ионами  $Ag$  в разряде низкого давления. Через несколько минут дифракционная картина для электронов с низкой энергией на такой поверхности оказалась совершенно размытой. После непродолжительного отжига при  $500^\circ$  получена дифракционная картина, характерная для чистого  $Ti$ . Новое образовавшаяся поверхность расположена параллельно плоскости (0001) и имеет одинаковую с ней структуру. Результаты сильно зависят от условий разряда и отжига. Ионная бомбардировка значительно увеличивает кол-во газа, выделяющегося из образца при отжи-



ге. Это показывает, что ионы Ag проникают внутрь решетки. Для получения чистой поверхности ионной бомбардировке должно предшествовать тщательное высокотемпературное обезгаживание. После обезгаживания Ge при 600—700° в течение нескольких часов на поверхности (001) наблюдается слабая дифракционная картина. Продолжительный прогрев вблизи точки плавления не усиливает дифракционной картины и даже приводит к ее исчезновению. Бомбардировка ионами H не дает положительных результатов. Бомбардировка ионами Ag и прогрев при 500° в течение нескольких минут дают резкую дифракционную картину, характерную для чистой поверхности Ge. Чистая поверхность Ti и Ge сохраняется в хороших вакуумных условиях в течение нескольких часов.

**25306.** Изменение величины поверхности и пористости монтмориллонитовых глин в ходе их кислотной активации и дегидратации. Влияние обменных катионов. Эскар (Évolution de la surface et de la porosité des argiles montmorillonites au cours de leur activation acide et de leur déshydratation. Influence de la nature des cations échangeables. Escard J.), J. chim. phys. et phys.-chim. biol., 1954, 51, № 11-12, 638—646, дискус. 646—647 (франц.) По изотермам адсорбции N<sub>2</sub> при —195° и NH<sub>3</sub> при 50° и по ступени обезвоживания при ступенчатом нагревании до 800° исследованы изменения уд. поверхности (S) и распределения радиусов пор (r) в образцах природного, подвергнутого диализу монтмориллонита (М), в образцах М, обработанных серной к-той 5, 10 или 15 млн. (МН 5, МН 10 и МН 15) и в соответствующих натриевых формах М (МNa 5, МNa 10 и МNa 15), полученных обработкой М NaOH при pH 8 и высушенных при 110°. У всех исследованных образцов скорость обезвоживания чрезвычайно мала; при увеличении t-ры прокаливания S (рассчитанная по БЭТ) растет, достигая максимума при ~150°, что автор объясняет удалением адсорбционной влаги из пор. При более высоких t-рах уменьшение S связано с обезвоживанием за счет структурных групп OH, т. е. со спеканием образцов. Максимум S соответствует 5—7% остаточной воды, а при 700—750° S быстро уменьшается до 0,5—1%. Однако абс. величины и направление изменения S у H- и Na-форм М различны: 1) у МН S растет от МН 15 (278 м<sup>2</sup>/г; все значения даны для прогрева при 150°) к МН 5 (335 м<sup>2</sup>/г), а у МNa, наоборот, от МNa 5 (140 м<sup>2</sup>/г) к МNa 15 (215 м<sup>2</sup>/г); 2) во всех случаях S у МН выше, чем у МNa; 3) при 800° S у МNa почти равна нулю, а у МН сохраняется в пределах 70—150 м<sup>2</sup>/г. Объяснения различному изменению S у МН и МNa автор не дает. Распределение r, рассчитанное по изотермам методом Баррота, Джойнера и Монтарналя (РЖХим, 1955, 28628), показало, что природа обменно-способного катиона и длительность кислотной активации не влияют на r преобладающих пор в образцах, равный до спекания ~20 Å. При спекании возникают поры с r > 100 Å, первоначальный r микropор уменьшается с 20—21 до 16—18 Å, и постепенно исчезают самые мелкие поры, более устойчивые у МН, чем у МNa. Для сравнения исследован образец промышленного катализатора крекинга типа Гудри. **3. В. 25307.** Поглощение воды силикатами слоистой структуры. Каио-Руис, Диос-Лопес, Гонсалес (Imbibición de agua por silicatos de estructura laminar. Cano-Ruiz J., Dios Lopez Gonzalez J. de), An. edafol. y fisiol. veget., 1955, 14, № 5, 249—267 (исп.; рез. англ.)

Исследовано поглощение воды монтмориллонитом (М), вермикулитом (П), иллитом, каолинитом и сепиолитом. Отмечены три разные процесса, отвечающие трем линейным участкам билогарфич. графика поглощения воды в функции времени. Наклон прямых для межслойного и осмотич. поглощения H<sub>2</sub>O больше

у набухающих силикатов, чем у ненабухающих. На примерах I и II изучено влияние на гидратацию силикатов различных обменных катионов: Mg<sup>2+</sup>, Ca<sup>2+</sup> и Ba<sup>2+</sup>. Влияние это больше выражено у I, чем у II; в последнем случае предельное набухание (после 144-часового контакта с водой) соответствует образованию двойного слоя молекул воды.

**25308.** Теория ионной адсорбции кератином шерсти. Улуфссон (Theory of ionic absorption on wool keratin. Olofsson Bertil), J. Polymer Sci., 1954, 12, № 67, 301—308 (англ.; рез. франц., нем.)

При низких pH кератин шерсти обладает анионообменными свойствами. Приведены эксперим. значения константы обмена на шерсти анионов Cl<sup>-</sup> и SO<sub>4</sub><sup>2-</sup>, используемые для проверки применимости теоретич. моделей явления. Показано, что теория мембранного равновесия Доннана в данном случае неприменима, так как анионы, сорбируясь шерстью, не распределяются равномерно во внутренней фазе. Лучшее согласие с опытом дает применение теории мономолекулярной локальной адсорбции (Gilbert G. A., Rideal E. K., Proc. Roy. Soc., 1944, A182, 335). Энергия сорбции Cl<sup>-</sup> и SO<sub>4</sub><sup>2-</sup> шерстью сравнима с энергией сорбции воды. Это, однако, не является специфичным для шерсти, а представляет свойство, общее для всех высокополимеров, имеющих локальные центры адсорбции катионов и анионов.

**25309.** О хроматографии больших молекул. Ньивенхейс (Over de chromatografie van grote moleculen. Nieuwenhuis A.), Chem. weekbl., 1955, 51, № 46, 819—823 (голл.)

Обзор. Библ. 32 назв.

**25310.** Газожидкостная хроматография. Метод анализа и идентификации летучих веществ. Джейме, Мартин (Chromatographie gaz-liquide. Une technique pour l'analyse et l'identification des matières volatiles. James A. T., Martin A. J. P.), Chim. analyt., 1955, 37, № 10, 321—326 (франц.) См. РЖХим, 1955, 48631.

**25311.** Разделение веществ методом газовой адсорбции. Хол (The use of gas adsorption technique for the separation of substances. Haul R. A. W.), S. Afric. Industr. Chemist, 1955, 9, № 5, 87—93 (англ.)

Популярный обзор. Библ. 15 назв.

**25312.** Физико-химический механизм хроматографии на бумаге. Морено-Кальво (Interpretación quimico-física de la cromatografía sobre papel. Moreno Calvo J.), Euclides, 1955, 15, № 173, 208—212 (исп.; рез. англ., франц.)

Выведено следующее теоретич. выражение для R<sub>f</sub>

при хроматографич на бумаге:  $R_f = (K/L) \sqrt{RT/t} \times \sqrt{V_p/M}$  (1), где K — константа, зависящая от природы р-рителя и бумаги, L — расстояние, пройденное фронтом р-рителя, t — время, η — вязкость подвижной фазы, ρ — плотность хроматографируемого в-ва и M — мол. вес. Делается попытка простого объяснения механизма хроматографии на бумаге.

**25313.** Модифицированная техника хроматографии. Кришнамурти, Дхарешвар (Modified technique in chromatography. Krishna-murti K., Dharareshwar B. V.), Research, 1955, 8, № 11, S59—S60 (англ.)

В дополнение к предыдущему сообщению (РЖХим, 1956, 3576), указывается, что разделение неорганич. ионов на фильтровальной бумаге, пропитанной гелем агара, содержащим различные реагенты, основано не на различии в адсорбируемости ионов или в распределении их между фазами, а на различии в произведении

растворимости (ПР) образующихся солей. Это иллюстрируется на примере разделения  $\text{CrO}_4^{2-}$ ,  $\text{Cl}^-$  и  $\text{S}^{2-}$  на бумаге, пропитанной агаром с добавкой  $\text{AgNO}_3$ : значения  $R_f$  возрастают в последовательности  $\text{S}^{2-}$ ,  $\text{Cl}^-$ ,  $\text{CrO}_4^{2-}$ , т. е. в порядке возрастания ПР соответствующих солей  $\text{Ag}$ . Относительная ширина зон возрастает с увеличением ПР солей, что показано на примере разделения  $\text{CNS}^-$ ,  $\text{Fe}(\text{CN})_6^{3-}$  и  $\text{F}^-$ . В. А.

25314. Хроматография дисахаридов на термоколонке. Ду Чжэнь-Чжуань, Уорд (Chromatography of disaccharides on a thermocolumn. Tu Chen-Chuan, Ward Kyle, Jr., J. Amer. Chem. Soc., 1955, 77, № 18, 4938—4939 (англ.).

Установлено, что с повышением  $T_r$  увеличивается различие в сорбируемости дисахаридов древесным углем. На этом основан предлагаемый метод разделения дисахаридов промыванием 3%-ным водн. этанолом на колонке со смесью угля с целитом (1:1), обогреваемой до 40—70°. Опыты производились с парными смесями лактоз, целлобозы, мелибозы, гентиобозы и мальтозы. На колонке размером  $2 \times 40$  см удается полностью разделить до 0,2 г смеси. В. А.

25315. Радиальный электрофорез и электрофорез на бумажных дисках. Сообщение I. Принцип метода и аппаратура. Берлингоцци, Рапи (Elettroforesi ed elettroforesi radiale su disco di carta. Nota I. Berlingozzi Sergio, Rapi Gianfranco, Chimica e industria, 1955, 37, № 5, 351—355 (итал.; рез. франц., англ., нем.).

Описан прибор для радиального электрофореза и электрофореза на бумаге (РЖХим, 1954, 18189) и указаны преимущества и недостатки данного метода. Для электрофореза применена закрытая камера с целью устранения испарения р-рителя. Камера для электрофореза видоизменена таким образом, чтобы можно было контролировать испарение р-рителя. Оба метода применены к исследованию белков сыровотки. Преимущества радиального метода: 1) быстрота (продолжительность 4—7 час.); 2) напряжение ниже, чем в других методах (40—70 в); 3) бумажный кусок может быть разрезан на сегменты для анализа и 4) небольшой размер прибора.

Chem. Abstr., 1955, 49, 11469. R. A. Johnson.

25316. Влияние температуры подачи на разделение жидких смесей при газожидкостной хроматографии. Поллард, Хардн (The effect of temperature of injection upon the separation of liquid mixtures by gas-phase chromatography. Pollard F. H., Hardn C. J., Chemistry and Industry, 1955, № 37, 1145—1146 (англ.).

Изучено влияние  $T_r$  жидкой смеси, подаваемой в газожидкостную хроматографию. колонку (К) (РЖХим, 1955, 5770) при помощи микрошприца, на эффективность разделения. Разделялась смесь метанола (I), этанола (II) и изопропанола (III) в токе  $\text{N}_2$  на К размером  $80 \times 0,4$  см с кизельгуром, смоченным динонилфталатом, при  $T_r$  К 40°. Число теоретич. тарелок, вычисленное по выходной кривой I, равно 100 при  $T_r$  подачи 21°, 300 — при 48° и 390 — при 105°. При комнатной  $T_r$  подачи разделение компонентов несовершенно, но становится полным при 105°. Повышение  $T_r$  подачи способствует полноте разделения II и III больше, чем снижение скорости потока, удлинение колонки или снижение ее  $T_r$ . На примере разделения смеси ацетона,  $\text{CH}_2\text{Cl}_2$ ,  $\text{CHCl}_3$  и  $\text{CCl}_4$  показана зависимость высоты пиков от  $T_r$  подачи. Число теоретич. тарелок возрастает с уменьшением объема подаваемой смеси и с увелич. удерживаемого объема. В. А.

25317. Распределительная хроматография синтетических детергентов. Франкс (Partition chromatography of synthetic detergents. Frank F., Nature, 1955, 176, № 4484, 693—694 (англ.).

Смеси алкил-, алкиларил-, втор-алкил-сульфатов Na и четвертичных аммониевых или пиридиневых солей разделены хроматографией (в нисходящем потоке или радиальной) на бумаге, пропитанной алифатич. спиртом с длинной цепью (обычно цетиловым), служащим неподвижной фазой. Подвижный р-ритель — насыщ. цетиловым спиртом смесь воды и этанола. Проявление хроматограмм происходит в течение 10—24 час., после чего они высушиваются, погружаются в 0,5%-ный р-р ацетата Cu и опрыскиваются 0,05%-ным р-ром родамина 6GB. Зоны детергентов окрашиваются при этом в малиновый цвет на розовом фоне (темнопурпуровый цвет на желтом фоне в УФ-свете). Приводится таблица значений  $R_f$  для соединений с числом атомов C в цепи от 12 до 18 при проявлении р-рами, содержащими от 50 до 75% этанола. В. А.

25318. Исследование скорости протекания растворятелей через хроматографические колонки. Часть III. Зависимость между протеканием за единицу времени объемом растворителя и высотой адсорбционной колонки. Гупта, Бхаттачария (Studies on the velocity of flow of solvents through chromatographic columns. Part III. Relation between volume of flow of the solvent per unit time and the height of the adsorbent columns. Gupta D. R., Bhattacharya A. B. K., J. Indian Chem. Soc., 1955, 32, № 2, 123—126 (англ.).

Экспериментально исследована зависимость скорости потока  $v/t$  ( $v$  — объем р-рителя,  $t$  — время) от высоты  $h$  колонки, при постоянном напоре. Опыты ставились на колонках с  $\text{CaCO}_3$ , кремневой  $k$ -той, фуллеровой землей, кизельгуром и  $\text{MgO}$  с водой, метанолом, метилацетатом, ацетоном и бензолом. Найдено, что отношение  $vh/t = k$  достигает постоянной величины при  $h > h_{кр}$ , причем для всех адсорбентов (кроме  $\text{MgO}$ ) и р-рителей  $h \approx 4,5$  см. Для полярных р-рителей  $k$  меньше, чем для аполарных; в случае  $\text{H}_2\text{O}$  и  $\text{CH}_3\text{OH}$   $k$  приблизительно одинаковы для всех адсорбентов.  $\text{C}_6\text{H}_6$  способствует агломерации частиц адсорбентов. Часть II см. РЖХим, 1955, 18465. В. А.

25319. Адсорбция и хроматография слабополярных веществ на ионообменниках в неводной среде. Грубофер, Шлейт (Über die Adsorption und Chromatographie schwach polarer Substanzen an Ionenaustauschern im nichtwässrigen Medium. Grubhofer N., Schleith Lotte, Naturwissenschaften, 1955, 42, № 21, 580 (нем.).

Мочевина слабо адсорбируется сильнокислотными ионитами из водн. р-ров, но адсорбция заметно возрастает при переходе к неводн. р-рителям: на 1 г. воздушно-сухого дауэкса-50 в Н-форме из 1%-ного р-ра сорбируется (в мг): из воды 82, из 95%-ного метанола 161, из 100%-ного метанола 168, из смеси метанол-эфир (1:2) 230. Из последнего р-рителя адсорбируются: фенилмочевина 58, тиомочевина 84, симметрич. диметилмочевина 124, асимметрич. 288. Бензамид, дифенилмочевина и дифенилтиомочевина не адсорбируются. Различие в адсорбируемости использовано для хроматограф. разделения смеси перечисленных в-в при промывании колонки 97%-ным метанолом. Адсорбируемость мочевины слабокислотным (амберлит IRC-50) и сильноосновным (дауэкс-2) ионитами незначит. В. А.

25320. Электрохимические свойства ионообменных смол. Часть 2. Ионная проводимость в поперечно-связанной полиметакриловой кислоте. Деспич, Хиллс (Electrochemical properties of ion-exchange resins. Part 2. — Ionic conductance in cross-linked polymethacrylic acid. Despic A., Hills G. J., Trans. Faraday Soc., 1955, 51, № 9, 1260—1267 (англ.).

В развитие ранее опубликованной работы (часть 1, РЖХим, 1956, 560) изучена эквивалентная электропроводность  $\lambda$  ионов  $K^+$  в массивных цилиндрич. образцах полиметакрилового катионита (ПК). Для устранения поглощения ПК подвижного аниона ( $OH^-$ ) образцы Н-формы ПК нейтрализовались до желаемой степени ( $\alpha$ ) в сильноразб. ( $\leq 0,001$  н.) р-рах КОН в течение 6—8 недель для достижения равномерности распределения ионов. Определены зависимость набухания от  $\alpha$ , уд. электропроводность  $\kappa$  при 25° и значения  $\lambda$  для соответствующих конц-ий  $c_i$  иона  $K^+$  в ПК. Зависимость  $\lambda$  от  $c_i$  необычна: при постоянном объеме  $V_R$  набухшего ПК  $\lambda$  возрастает с ростом  $c_i$  и проходит через максимум. Анализ наблюдаемой зависимости  $\lambda$  от  $\alpha$ ,  $c_i$  и  $V_R$  с использованием теории электроосмотич. явлений (Schmid, Z. Elektrochem., 1952, 56, 181) приводит к разграничению роли факторов, влияющих на  $\lambda$ : 1) образования ионных пар, 2) влияния вязкости среды и 3) степени набухания ПК. В. А.

**25321. Новый метод ионообменной хроматографии.** Хейл (A new technique in ion-exchange chromatography. Hale D. K.), Chemistry and Industry, 1955, № 37, 1147—1148 (англ.)

Предложен следующий способ изготовления тонкого листового материала (бумаги) для хроматографии. анализ: Зео-карб 225 (сильнокислотный полистирольный катионит) в  $NH_4^+$ -форме измельчается с водой на шаровой мельнице и смешивается с суспензией бумажной массы. Смесь отсасывается через ткань, и образовавшиеся листы высушиваются. Аналогично готовится анионитовая бумага из смеси сильноосновного амберлита IRA-400 (с добавкой немоногого поверхностно-активного в-ва дисперсоло А) с бумажной массой. На катионитовой бумаге обычным хроматографированием в восходящем потоке с применением 1—2 н. HCl легко разделяются  $Cu^{2+}$  ( $R_f = 0,3$ ) и  $Cd^{2+}$  ( $R_f = 0,85$ ). Хроматограмма окрашивается обработкой  $NH_3$  и  $H_2S$ . В нисходящем потоке, при промывании 1 М молочной к-той, нейтрализованной  $NH_3$  до pH 3, успешно разделяются  $Pr^{3+}$  и  $Nd^{3+}$ . Четкое разделение хлоридов ( $R_f = 0,75$ ), бромидов ( $R_f = 0,50$ ) и иодидов ( $R_f = 0,13$ ) достигается на анионитовой бумаге в  $NO_3^-$ -форме при промывании 2 н.  $NaNO_3$ ; хроматограмма окрашивается обработкой  $AgNO_3$  и фотографич. проявителем. Анионитовая бумага пригодна и для разделения металлов в р-рах HCl: при промывании 8 н. HCl  $R_f$  для Co и Ni равны соответственно 0,05 и 0,95.  $R_f$  Co сильно зависит от конц-ии HCl, возрастая от 0,03 в 9,3 н. HCl до 1,00 в 2,3 н. HCl. Столь же успешно новые листовые материалы могут применяться и для разделения органич. ионов. В. А.

**25322. Изучение анионного обмена. XVIII. Германий и мышьяк в растворах HCl.** Нелсон, Краус (Anion-exchange studies. XVIII. Germanium and arsenic in HCl solutions. Nelson Frederick, Kraus Kurt A.), J. Amer. Chem. Soc., 1955, 77, № 17, 4508—4509 (англ.)

На анионите, применявшемся в предыдущих работах (Часть XVII, РЖХим, 1956, 15772), изучено поглощение  $Ge(4+)$ ,  $As(3+)$  и  $As(5+)$ , меченных радиоактивными изотопами, из р-ров в HCl различной конц-ии. Определен коэфф. распределения ( $D$ ) элемента между анионитом и р-ром и найдено, что  $Ge(4+)$  и  $As(3+)$  при конц-ях HCl от 0,1 до ~4 М сорбируются слабо и лишь при более высоких конц-ях HCl их сорбция быстро возрастает до  $D = 185$  у  $Ge(4+)$  в 10 М HCl и  $D = 26$  у  $As(3+)$  11 М HCl. Сорбируемость  $As(5+)$  остается незначительной, изменяясь от  $D = 1,8$  в

0,1 М HCl до  $D = 4$  в 10 М HCl. Сорбируемость  $Ge(4+)$  и  $As(3+)$  свидетельствует об образовании анионных комплексов с HCl. Повидимому, имеется причинная связь между комплексобразованием и летучестью этих элементов в р-рах конц. HCl и их экстрагируемостью органич. р-рителями. В случае  $As(5+)$  вероятно сорбируется к-та  $H_2AsO_4$ . Применяя последовательную отмывку р-рами HCl различной конц-ии (от 6,2 до 0,4 М), можно четко разделить смесь  $Eu(3+)$  (не сорбируется анионитом),  $As(5+)$ ,  $Ge(4+)$  и  $Fe(3+)$ . Легко разделяется и смесь  $As(5+)$  (отмывкой 9 М HCl) и  $As(3+)$  (0,1 М HCl). В. А.

**25323. Электрохимическое исследование ионитов. (Часть 12). Получение анионообменных мембран анилинового типа и их электрохимические свойства.** Сайяма, Або, Сакаи (イオン交換体の電氣化學的研究. (第12報). アニリン系アニオン交換樹脂膜の製造と性質. 清山哲郎, 阿保雅宏, 坂井渡), 電氣化學, Донки какаку, J. Electrochem. Soc. Japan, 1955, 23, № 6, 314—318 (япон.; рез. англ.)

Описан способ приготовления гомог. анионитовых мембран (Мб), типа анилиновых смол, с высоконионной проницаемостью и большой обменной емкостью — до 5,59 мэкв/г. Исследованы электрохим. свойства Мб, обладающих слабоосновными свойствами. Потенциал Мб (сохранявшийся в конц. р-ре HCl) между 0,1 и 0,01 н. NaCl имеет небольшую отрицательную величину, но неустойчив вследствие наличия в Мб диффундирующей HCl и частичного гидролиза Cl-формы анионита. Для уточнения роли гидролиза исследовано равновесие обмена пары  $Cl^- - OH^-$  и показано, что кривая зависимости коэфф. избирательности от содержания  $Cl^-$  в Мб подтверждает слабоосновной ее характер. Уд. электропроводность ( $\kappa$ ) Мб зависит от произведения  $[H^+][Cl^-]$  в равновесном р-ре, причем  $lg \kappa$  линейно зависит от содержания  $Cl^-$  в Мб. Часть 11 см. РЖХим, 1956, 12577. В. А.

**25324. Влияние растворителя на ионообменное равновесие. Часть II. Сакаки (Solvent effects on ion exchange equilibria. Part II. Sakaki Tomohiko), Bull. Chem. Soc. Japan, 1955, 28, № 3, 220—222 (англ.)**

В развитие части I (РЖХим, 1956, 12570) рассмотрены термодинамич. схема процесса ионообменной сорбции  $\Delta F = \Delta F_1$  (десольватация катиона) +  $\Delta F_2$  (сорбция) +  $\Delta F_3$  (фиксация анионом смолы) и высказываются предположение, что  $\Delta F_2$  и  $\Delta F_3$  неспецифичны для различных ионов и что, следовательно, относительно ионообменное сродство в основном определяется свободной энергией сольватации катионов  $\Delta F_1$ . Поэтому уравнение (1) части I может быть видоизменено путем введения чисел гидратации катионов  $n_n$  и  $n_m$ , занимаемых из литературы (Stokes R. H., Robinson R. A., J. Amer. Chem. Soc., 1948, 70, 1870) —  $\Delta F = RT \ln K_n^m \approx B + (n_n - n_m/z)(C_n/D_s)$  (2), где  $B = (n_n - n_m/z)(C_n/(D_s)_0)$ ,  $D_s$  и  $(D_s)_0$  — диэлектрич. проницаемости водно-спиртового и водн. р-ров,  $z$  — валентность катиона. Уравнение (2) является приближенным и полуэмпирич., но в области значений  $D_s > 55$  линейная зависимость  $\Delta F$  от  $1/D_s$  хорошо подтверждается опытом не только для катионов с  $z = 1$ , но и для  $z = 2$ . Наклон прямых ( $\Delta F, 1/D$ ) убывает в последовательности:  $K^+ > Na^+ > 1/2 Ba^{2+} > 1/2 Sr^{2+} > 1/2 Ca^{2+} > Li^+ > 1/2 Mg^{2+}$ . Дается оценка величины объема свободного р-рителя в фазе смолы: 0,20—0,25 мл сухой смолы. 3. В.

**25325. Равновесие при обмене анионов с участием ионов гидроксила. Ямабэ (OH-の関與する陰イオン交換平衡に関する研究. 山邊武郎), 工業化學雜誌**



Kogé какаку дзасси, J. Chem. Soc. Japan. Industr. Chem. Soc., 1955, 58, № 3, 186—188 (япон.)

Исследован обмен  $\text{OH}^-$  и  $\text{Cl}^-$  на сильноосновных анионитах, амберлитах IRA-400 и 410 при различных конц-ях ионов и разном соотношении смолы и р-ра. Показано, что избирательная сорбируемость  $\text{OH}^-$  на амберлите IRA-410 выше, чем на IRA-400.

Chem. Abstr., 1955, 49, 13554. Katsuya Inouye. 25326. Ионнообменное равновесие рубидия, цезия и таллия. Боннер (Ion-exchange equilibria involving rubidium, cesium and thallous ions. Bonner O. D.), J. Phys. Chem., 1955, 59, № 8, 719—721 (англ.)

В продолжение ранее опубликованных работ (РЖХим, 1955, 5395, 5396) изучено равновесие обмена  $\text{Rb}^+$ ,  $\text{Cs}^+$  и  $\text{Tl}^+$  на образцах даукса-50 с различным содержанием ДВБ при постоянной ионной силе  $\sim 0,1 M$ . Состав равновесных систем определялся прямым анализом обеих фаз. Приведены графики зависимости коэфф. избирательности  $k$  от молярного % катиона в фазе сорбента ( $N$ ) и таблицы вычисленных по ур-нию  $\lg K = \int_0^N \lg k \cdot dN$  значений истинной термодинамич. константы равновесия  $K$ . При этом вычислении в качестве стандартного состояния р-ра принят гипотетич. 1 M р-р, в котором электролит считается идеальным. Стандартное состояние смоляной фазы — чистые солевые формы при соответствующих величинах набухания. Максим. поглощение воды солевыми формами уменьшается в последовательности:  $\text{Li}^+ > \text{H}^+ > \text{Na}^+ > \text{NH}_4^+ > \text{K}^+ \geq \text{Rb}^+ \geq \text{Cs}^+ > \text{Ag}^+ > \text{Tl}^+$ , а для

каждой солевой формы — с повышением поперечной связанности полимера (% ДВБ). Величины  $K$ , напротив, в той же последовательности возрастают: при обмене  $\text{Na}^+$  и  $\text{Tl}^+$  на  $\text{Li}^+$  на смоле с 8% ДВБ  $K$  равно соответственно 1,26 и 9,66. Для одинаковых солевых форм значения  $K$  возрастают с увеличением % ДВБ: напр., при увеличении % ДВБ от 4 до 16 величина  $K$  для  $\text{Tl}^+$  изменяется от 5,20 до 22,2. Хотя  $k$  для  $\text{Tl}^+$  значительно больше, чем для  $\text{Ag}^+$ , а поглощение воды в первом случае меньше, чем во втором, поведение  $\text{Tl}^+$  и  $\text{Ag}^+$  при сорбции на  $\text{H}^+$ -форме смолы сходно в одном отношении: в отличие от ионов щел. металлов значения  $k$  этих 2 ионов на смоле с малым (до 8%) содержанием ДВБ почти не зависят от  $N$ . Повидимому, коэфф. активности ( $\gamma$ ) их солевых форм в большей степени определяют  $K$ , нежели осмотич. факторы. Положение  $\text{Rb}^+$ ,  $\text{Cs}^+$ ,  $\text{Ag}^+$  и  $\text{Tl}^+$  в указанной последовательности сорбционного средства соответствует последовательности значений  $\gamma$  воды. р-ров их солей. В. А.

25327. Разделение переходных элементов на катионитах и образование хвостов в ходе элюирования. 1) Ni и Co. Кадомцева (Le problème de la séparation des éléments de transition sur un échangeur cationique, et le phénomène de queue, au cours de l'éluion. 1) Cas de Ni-Co. K a d o m t z e f f I r è n e), J. chim. phys. et phys.-chim. biol., 1954, 51, № 4, 197—200 (франц.)

Основная трудность при хроматографии. разделения Ni и Co на катионитах (при элюировании HCl) обусловлена наличием хвоста после прохождения пика зоны. Опыты производились на колонках с дауксом-50, амберлитом JR-100 и ионом-X при радиометрич. контроле, над ходом хроматографирования с помощью изотопов  $\text{Co}^{60}$  и  $\text{Ni}^{63}$ ; дополнительные определения Ni производились фотокolorиметрически, по диметил-глиоксимовой капельной р-ции на фильтровальной бумаге. Кол-во катионов, остающихся в хвосте, в значительной мере зависит от конц-ии  $c_0$  р-ра соли, которым производится первичная зарядка колонки: чем больше  $c_0$ , тем больше остаток сорбируемого катиона при элюировании HCl одинаковой конц-ии. Автор объясняет это сильной зависимостью скорости диффузии внутри

зерен катионита от конц-ии ионов. Лучшим средством повысить разделяемость Ni и Co является снижение  $c_0$  до 0,002 M. Устранение хвостов путем повышения конц-ии элюирующей к-ты ненадежно, так как оно ведет к взаимному загрязнению зон. Метод вытеснения катионом  $\text{Mn}^{2+}$  требует дополнительной очистки от этого компонента, особенно затруднительной при приготовлении радиоактивных препаратов.

В. А. 25328. Получение и применение мембран из ионитов для электролиза. Григоров О. Н. и другие (由離子交換劑製得的電析用半透膜及其應用. 格利戈爾夫 О. Н.), 化學世界, Хуасюэ шицзе, 1955, № 9, 424—425 (кит.)

См. РЖХим, 1954, 41042.

25329 К. Электрофорез на бумаге. Методы и результаты. Вундерлей (Die Papierelektrophorese. Methoden und Ergebnisse. Wunderley Ch., Frankfurt am Main, H. R. Sauerländer, 1954, 127 S., 10 DM) (нем.)

См. также: Адсорбция 27939—27944. Поверхн. натяжение 26019. Исслед. поверхностей 25206, 25207, 25210, 26111. Хроматография 25901, 24918—25920, 25948, 25954, 25969, 26012, 26018, 26030, 26031, 26033, 26041, 26047—26049, 27533; 8410—8415Бх, 8418—8422Бх. Ионный обмен 25353, 25493, 25955, 26518, 26524, 26525, 26547, 27154, 27217, 27521; 8417Бх, 8488Бх. Электрофорез 26020, 26133; 8395—8401Бх.

## ХИМИЯ КОЛЛОИДОВ. ДИСПЕРСНЫЕ СИСТЕМЫ

25330. Седimentация в цилиндрических трубках. Опыты с кюветой центрифуги, разделяющейся на секции путем сдвига. Рей, Диксон (Sedimentation in cylindrical tubes. Experiments with a sheared — boundary centrifuge cell. Ray Roger B., Deason Wallace R.), J. Phys. Chem., 1955, 59, № 9, 956—962

Предложена новая конструкция ротора с разделительной кюветой для preparативного ультрацентрифугирования. Пять дисков с аксиальными отверстиями одинакового радиуса (образующими секции кюветы) расположены до запуска ротора таким образом, что диски №№ 1, 3 и 5 (неподвижные) коаксиальны, а диски №№ 2 и 4, находящиеся между ними, параллельно смещены, благодаря чему все 5 секций разделены. После запуска ультрацентрифуги, под действием центробежного поля, особый механизм сдвигает подвижные диски так, что все диски становятся коаксиальными, и секции соединяются, образуя цилиндрич. трубку. При торможении ротора происходит обратный процесс, секции снова разделяются; после остановки ротора содержимое каждой секции извлекается и исследуется; таким путем определяется распределение конц-ии седиментирующего в-ва в радиальном направлении и вычисляется седиментационный коэфф.  $s$ . При расчете приходится принимать во внимание несколько необычный характер седиментации в цилиндрич. трубке: седиментирующие под небольшим углом к стенкам трубки частицы, оседая на них, образуют плотный поверхностный слой р-ра, скользящий по направлению к дну. Предложен ряд ф-л для учета этого и подобных ему эффектов и приведены результаты опытов с монодисперсным полистирольным латексом. Показано, что коаквекция в ходе седиментации практически не имеет места.

С. Ф.

25331. О пределах текучести, критической упругой деформации и критической скорости деформации релаксирующих коллоидных систем. Трапезников А. А., Докл. АН СССР, 1955, 102, № 6, 1177—1180

Развиваются высказанные автором ранее (Коллоид. ж., 1950, 12, 67) соображения о возможности структурирования у жидкотекучих тел. Предел текучести  $P_k$  определяется как нагрузка  $P$ , ограничивающая область постоянной вязкости. Из анализа поведения максвеллова тела при постоянной скорости деформации  $\dot{\epsilon}$  следует, что  $P_k$ , помимо крит. скорости деформации  $\dot{\epsilon}_k$ , характеризуется крит. упругой деформацией  $\epsilon_k$  согласно ур-нию  $P_k = \dot{\epsilon}_k \eta_1 = \epsilon_k E$ , где  $\eta_1$  и  $E$  — вязкость и модуль упругости. При  $P > P_k$   $\epsilon$  складывается из релаксационного течения первичной структуры и течения частей структуры, перемещающихся вследствие разрыва связей. Преобразовав найденную экспериментально зависимость  $\epsilon = \epsilon_k \exp m(P - P_k)$  ( $m$  — постоянная), автор находит, что действующее в стационарном потоке напряжение  $P = P_k \text{ упр} + P_{\text{пласт}}$ . Доля упругой и вязкой деформации определяется величиной времени релаксации  $\theta$ . При  $\theta \geq 10^5$  сек. практически текучести нет (тело ведет себя, как твердое). Явная текучесть (условно  $\dot{\epsilon} = 10^{-6}$  сек.<sup>-1</sup>) наблюдается при  $\theta \leq 10^3$  сек.

Б. Ш.

**25332.** Исследование полных реологических кривых и формулы для расчета эффективной вязкости структурированных жидкостей с молекулярно-кинетической интерпретацией входящих в них членов. Михайлов Н. В., Лихтгейм А. М., Коллоид. ж., 1955, 17, № 5, 364—378

На основе применения молекулярно-кинетич. представлений процесс течения структурированных жидкостей (СЖ) представлен, как итог двух процессов: разрушения связей под действием сдвигающих сил и тиксотропного восстановления части этих связей под действием теплового движения частиц. Исследованием полной реологич. кривой СЖ показано, что площадь, ограниченная этой кривой и осью градиентов скорости  $\dot{\epsilon}$ , равна полной мощности  $H$ , необходимой для поддержания стационарного потока:  $H = \int_0^{\dot{\epsilon}} P(\dot{\epsilon}) d\dot{\epsilon}$  (1), где  $P$  — напряжение сдвига. Обоснована двучленная ф-ла для расчета эффективной вязкости:  $\eta(\dot{\epsilon}) = \eta(P) = \eta_m + \Delta\eta$  (2), где  $\eta_m$  — вязкость предельно разрушенной структуры,  $\Delta\eta$  — инкремент структурной вязкости или доля вязкости, тиксотропно восстанавливающейся в процессе течения. Дан упрощенный вывод выражения для  $\Delta\eta$  и предложена приближенная ф-ла для определения вязкости СЖ:  $\eta(P) = \eta_m + (\eta_0 - \eta_m) \cdot P/b \cdot \text{sh}(P/b)$  (3), где  $b = 2kT/\delta^3$ ,  $\delta$  — среднее расстояние между соседними частицами. Дана интерпретация значений входящих в ф-лу членов. Установлена колич. связь параметров реологич. кривой с периодом релаксации и модулем упругости. Предложенные ф-лы хорошо описывают эксперим. кривые, полученные для битума III при различных т-рах (РЖХим, 1956, 576). Теоретич. кривые тем лучше соответствуют эксперим., чем выше т-ра. Показано, что ф-ла Филиппова (Philippoff W., Kolloid-Z., 1935, 4, 71) применима только для  $P < P_0$  и является в этом случае первым приближением к ф-ле (3).

А. Т.

**25333.** Новые данные об однозначности электрокинетического потенциала. Прост. Дамокош (Újabb adatok az elektrokinetikus potenciál egyértelműségének kérdéséhez. Proszty János, Damokos), Tamás Magyar kem. folyóirat, 1953, 59, № 6, 165—171 (венг.; рез. англ.)

Исследованы причины несовпадений в значениях электрокинетич. потенциала  $\zeta$  дисперсных систем для частиц различных размеров и при применении различ-

ных методов определения  $\zeta$ . Растворение стекла из стенок аппаратуры исключалось путем покрытия их слоем силикона. Неполаризующиеся электроды, которые могут быть источником загрязнений, заменены на некорродирующие металлические. Действие атмосферной  $\text{CO}_2$  уменьшено путем объединения прибора для электроосмоса с ячейкой для измерения электропроводности. После принятия этих мер значения  $\zeta$  суспензий кварца в дважды перегнанной воде и при различных конц-ях ионов  $\text{Al}^{3+}$ , найденные методами электрофореза и электроосмоса, совпали, что доказывает существование однозначного  $\zeta$ . Подтверждена зависимость  $\zeta$  от размеров частиц.

Е. У.

**25334.** Исследование иллитовых суспензий под давлением. Болт, Миллер (Compression studies of illite suspensions. Bolt G. H., Miller R. D.), Soil Sci. Soc. America Proc., 1955, 19, № 3, 285—288 (англ.)

Показано, что классич. теория двойного электрич. слоя Гуи — Чэпмана позволяет рассчитать «осмотическое» давление глинистых суспензий (С) в функции расстояния между частицами и конц-ни электролита. Описан прибор для измерения давления набухания глинистых С в интервале 0,1—100 атм. Результаты исследования нескольких образцов иллитов на этом приборе согласуются с теоретич. выводами. Из своих опытов авторы делают следующие выводы о механизме флокуляции С. 1. Силы притяжения между частицами глины в флокулированных С, вероятно, представляют собой простые кулоновские силы между положительно и отрицательно заряженными участками на поверхности соседних частиц. 2. Ван-дер-ваальсовы силы не имеют значения при флокуляции изученных С. 3. Энергия флокуляции мала и не может оказать заметного сопротивления при механич. разрыве агрегатов. Н. Ф. **25335.** Факторы, не учитываемые при рассмотрении электроосмоса в пористых телах. Миллер (Neglected aspects of electroosmosis in porous bodies. Miller R. D.), Science, 1955, 122, № 3165, 373—374 (англ.)

Внутри пористой перегородки, разделяющей два электродных пространства, при наложении электрич. поля числа переноса ионов, заряженных соответственно с перегородкой, и движущихся в направлении эндосмотич. течения (ЭТ) воды, больше, чем у ионов с противоположным зарядом. Вследствие этого происходит накопление электролита у поверхности 1 перегородки, через которую вода втекает в последнюю, и обеднение у поверхности 2, через которую вода вытекает. В результате у поверхности 1  $\zeta$  — потенциал снижается, электропроводность возрастает, и, следовательно, градиент внешнего напряжения убывает, а ЭТ замедляется. Противоположная картина наблюдается на поверхности 2. Благодаря этому возникает механич. усилия внутри перегородки, неодинаковые на обеих ее сторонах, и давление воды внутри пор выше, чем в электродных пространствах на том же уровне. Это оказывает влияние на ЭТ и должно учитываться при рассмотрении электроосмотич. явлений.

В. А.

**25336.** Свойства асбеста. I. Химия поверхности хризотила и его коллоидно-химические свойства. Пандсак (The properties of asbestos. I. The colloidal and surface chemistry of chrysotile. Pand-sack Fred L.), J. Phys. Chem. 1955, 59, № 9, 892—895 (англ.)

По кривым дифференциального термич. анализа (ДТА), термогравиметрич. кривым, уд. поверхности ( $S$ ), измеренной методом БЭТ, электрокинетич. свойствам, рН и мутности суспензий изучены свойства мелкодисперсного хризотила (I) из квебекского месторождения (Канада). На кривой ДТА имеется широкий эндотермич. пик с максимумом при 670°, соответствующий

удалению связанной воды, и более резкий экзотермический с максимумом при  $800^{\circ}$ , обусловленный образованием форстеритной фазы. Размалывание I в лабораторных условиях разрыхляет волокна I и увеличивает  $S$  от 7—18 до  $50 \text{ м}^2/\text{г}$ . Химически I ведет себя подобно  $\text{Mg}(\text{OH})_2$ ; 0,5%-ная суспензия I в несодержащей  $\text{CO}_2$  воде имеет pH 10,33 (10,37 в случае  $\text{Mg}(\text{OH})_2$ ). Обнаружено необычное вполне воспроизводимое явление значительной разницы pH в осевшей суспензии (pH 9,87) и в находящемся над ней р-ре (pH 9,20). Изозлектрическая точка суспензии I отвечает pH 10,1; в более щел. области частицы I заряжены отрицательно, в более кислой — положительно. Автор объясняет эти наблюдения тем, что поверхность волокон I состоит из слоя  $\text{Mg}(\text{OH})_2$  на подложке из кремнезема, причем поверхностный слой  $\text{Mg}(\text{OH})_2$  может диссоциировать в кислой, нейтр. и щел. областях подобно чистой  $\text{Mg}(\text{OH})_2$ . В дискуссии по докладу автор на основании собственных измерений плотности I утверждает, что волокна I не имеют трубчатого строения, как это считалось до сих пор. З. В.

**25337. Исследование процессов коагуляции. XI. Коагуляция положительного золя бромида серебра сукцинатом, фумаратом и малеатом калия. Герак, Тежак (Methorics of the coagulation processes. XI. Coagulation effect of potassium succinate, potassium fumarate and potassium maleate on positive silver bromide sol. Geraak J., Tezak B.), Arhiv kemiju, 1955, 27, № 2, 49—52 (англ.; рез. хорв.)** По ранее описанной методике (РЖХим, 1955, 9312) проведены две серии опытов по коагуляции двухвалентными органич. анионами положительного золя  $\text{AgBr}$  в момент его образования при смешении р-ров  $\text{AgNO}_3$  и  $\text{KBr}$ . В одной серии опытов коагулирующие конц-ии сукцината ( $c_I$ ) фумарата ( $c_{II}$ ) и малеата ( $c_{III}$ ) определены при постоянной конц-ии  $\text{KBr}$  ( $2 \cdot 10^{-4} \text{ н.}$ ), постоянном pH (6—6,8) и переменной конц-ии  $\text{AgNO}_3$  ( $2 \cdot 10^{-3}$ — $2 \cdot 2 \cdot 10^{-4} \text{ н.}$ ); в другой серии  $c_I$  и  $c_{II}$  определены для системы  $\text{AgNO}_3$ — $\text{KBr}$ — $\text{HNO}_3$  при тех же условиях, но с переменным pH (3,0—6,5). Показано, что  $c_I$ ,  $c_{II}$  и  $c_{III}$  зависят от конц-ии  $\text{AgNO}_3$  и что эта зависимость такая же, как у аниона  $\text{SO}_4^{2-}$  (РЖХим, 1955, 9312). Найденное в опытах различие в значениях  $c_I$ ,  $c_{II}$  и  $c_{III}$  для одной и той же конц-ии стабилизирующего иона ( $\text{Ag}^+$ ) авторы объясняют различием растворимости соответствующих солей  $\text{Ag}$ . Показано также, что с ростом конц-ии ионов  $\text{H}^+$  (при уменьшении pH от 6 до 4)  $c_I$  и  $c_{II}$  резко увеличиваются, что обусловлено смещением ионного равновесия влево, ведущим к уменьшению числа двухвалентных анионов:  $\text{H}_2\text{An} \rightleftharpoons \text{H}^+ + \text{HAN}^- \rightleftharpoons \text{H}^+ + \text{An}^{2-}$ .

Предыдущее сообщение см. РЖХим, 1955, 28667.

**25338. Исследование процессов коагуляции. XII. Влияние состава и свойств растворителя на коагуляцию отрицательных зоей галлоидного серебра. Кра-тохвил, Тежак (Methorics of coagulation processes. XII. The influence of the composition and the properties of solvent on the coagulation of negative silver halide sols. Kratochvil J., Tezak B.), Arhiv kemiju, 1955, 27, № 2, 73—91 (англ.; рез. хорв.)**

Изучена коагуляция солями  $\text{KNO}_3$ ,  $\text{Ba}(\text{NO}_3)_2$  и  $\text{La}(\text{NO}_3)_3$  отрицательных зоей галлоидного серебра:  $\text{AgCl}$  в смесях вода-ацетон,  $\text{AgBr}$  в смесях вода-ацетон и вода-глицерин и  $\text{AgI}$  в смесях вода-этанол, вода-ацетон и вода-глицерин. Методика приготовления и исследования зоей описаны ранее (Tezak B. и др., J. Phys. Chem., 1951, 55, 1557). В большинстве случаев увеличение конц-ии органич. р-рителя, т. е. уменьшение диэлектрич. проницаемости  $D$  среды ведет к уменьшению

коагулирующей конц-ии ( $C_n$ ); в смесях же вода-глицерин,  $D$  которых растет с увеличением конц-ии глицерина, наблюдается обратное явление. С увеличением конц-ии стабилизирующего иона ( $\text{Cl}^-$ ,  $\text{Br}^-$  или  $\text{I}^-$ ) значения  $C_n$  уменьшаются. Исключение составляют опыты по коагуляции  $\text{Ba}(\text{NO}_3)_2$  зоей  $\text{AgI}$  в смесях вода-этанол и вода-ацетон и золя  $\text{AgBr}$  в смеси вода-ацетон, для которых  $C_n$  постоянна при всех конц-иях стабилизирующих ионов. По мнению авторов, для интерпретации этих результатов непригодны ни теория Оствальда, ни теория Дерягина — Фервея — Овербека. Отмечена тесная связь между  $C_n$  и крит. расстоянием для образования ионных пар по Бьерруму. Приведены также соображения о роли других факторов. И. Г.

**25339. Атмосферные влияния на старение неорганического золя. Нейвирт (Atmosphärische Einflüsse auf die Alterung eines anorganischen Sols. Neuwirth R.), Meteorol. Rundschau, 1955, 8, № 7-8, 108—113 (нем.)**

В развитие ранее опубликованной работы (РЖХим, 1955, 39880) посредством измерений мутности, проводившихся ежедневно в течение 2 лет, исследовано влияние метеорологич. условий на коагуляцию золя  $\text{As}_2\text{S}_3$ . Показано, что скорость коагуляции то возрастает, то убывает и что эти колебания вызваны метеорологич. факторами — прохождением холодного фронта и т. д. Надежного объяснения этим явлением дать не удалось, одной из возможных причин авторы считают действие на золи космич. 1-см электромагнитных волн, интенсивность которых на уровне земли существенно зависит от метеорологич. условий.

**25340. Об условиях коагуляции железисто-синеродистого марганца и об удалении ионов марганца из раствора в присутствии ионов  $\text{Mg}^{2+}$  и  $\text{PO}_4^{3-}$ . Васильев Д. В., Изв. Куйбышевск. инж.-мелпор. ин-та, 1955, 11, 223—225**

Установлено, что при действии избытка  $\text{K}_4\text{Fe}(\text{CN})_6$  на растворимые соли марганца образуется легко пептизируемый осадок из крупных колл. частиц и высокоустойчивый золь из мелких частиц. Прибавление 2%-ного р-ра желатины в кислой среде (pH < 4,7) при 60—70° вызывает образование осадка, не проходящего через фильтр, что дает возможность применить  $\text{K}_4\text{Fe}(\text{CN})_6$  для отделения ионов  $\text{Mn}^{2+}$  от ионов  $\text{Mg}^{2+}$  в присутствии ионов  $\text{PO}_4^{3-}$ .

**25341. Реакции в водных растворах, приводящие к образованию межфазных мембран. I. Образование и состав межфазных мембран. Иноуэ, Китано, Ягиву (界面膜生成による水溶液反応の研究. 第1報. 界面膜の生成とその組成. 井上嘉龍, 北野康, 柳生勢次郎), 日本化学雑誌, Нихон какаку дзасси, J. Chem. Soc. Japan. Pure Chem. Sec., 1955, 76, № 1, 19—22 (япон.)**

Если осторожно привести в соприкосновение конц. р-ры  $\text{Na}_2\text{CO}_3$  и  $\text{MgCl}_2$ , то перед выпадением осадка образуется прозрачная межфазная мембрана. Хим. состав мембран близок к соотношению  $\text{Na}_2\text{CO}_3 : \text{MgCl}_2 = 3 : 2$ . В случае  $\text{K}_2\text{CO}_3$  состав мембраны аналогичен. Присутствие в мембране  $\text{MgCO}_3$  делает ее неустойчивой. Chem. Abstr., 1955, 49, 12928. К. Yamasaki.

**25342. Реакции в водных растворах, приводящие к образованию межфазных мембран. II. Зависимость между межфазным потенциалом и составом мембран. Иноуэ, Китано, Кома (界面膜生成による水溶液反応の研究. 第2報. 液間起電力と界面膜. 井上嘉龍, 北野康, 小山三良), 日本化学雑誌, Нихон какаку дзасси, J. Chem. Soc. Japan. Pure Chem. Sec., 1955, 76, № 1, 22—25 (япон.)**

При смешивании конц. водн. р-ров  $\text{Ca}(\text{NO}_3)_2$  и  $\text{K}_2\text{CO}_3$ ,  $\text{MgCl}_2$  и  $\text{K}_2\text{CO}_3$ ,  $\text{MgCl}_2$  и  $\text{Na}_2\text{CO}_3$  вначале проис-



ходит диффузия, а затем образование двойного электрич. слоя. После этого, но еще до выпадения осадка, образуется прозрачная межфазная мембрана. Скорость образования двойного электрич. слоя и осадка может быть определена по величине межфазного потенциала.

Chem. Abstrs, 1955, 49, 12928. K. Yamasaki.  
25343. **Определение распределения размеров частиц в полидисперсных системах путем измерения угловой зависимости рассеянного вперед света при очень малых углах.** Цзинь, Сленевич, Трайбус (Determination of particle size distributions in polydispersed systems by means of measurements of angular variation of intensity of forward-scattered light at very small angles. Chin J. N., Sliepcevich C. M., Tribus M.), J. Phys. Chem., 1955, 59, № 9, 845—848 (англ.)

Описано эксперим. устройство для измерений распределения размеров в полидисперсных системах по светорассеянию, основанное на методе подвижной точечной диафрагмы, предложенном в предыдущем сообщении (РЖХим, 1956, 22159). Установка состоит из монохроматич. источника параллельного светового пучка, кюветы, приемного устройства с линзой, подвижной «точечной» (0,8 мм) диафрагмы и фотоумножителя. Приведен пример измерений на полидисперсной суспензии из стеклянных шарообразных частиц (диам. 2—40 м) в воде. Рассчитанное по интегральной ф-ле распределение размеров частиц отлично согласуется с данными микроскопич. исследования. Совпадение результатов, полученных при двух различных конц-ях суспензии, позволяет заключить, что оптич. метод является даже более точным, нежели микроскопич. Описаны также некоторые детали расчетов и обсуждены возможные источники ошибок при измерениях. С. Ф.

25344. **Определение молекулярного веса пепсина методом рассеяния света.** Кронман, Стерн (A light scattering investigation of the molecular weight of pepsin. Kronman Martin J., Stern Malvin D.), J. Phys. Chem., 1955, 59, № 9, 969—973 (англ.)

Молекулярный вес  $M$  пепсина (I) определялся методом рассеяния света в 0,200  $M$  ацетатном буфере при pH 4,5 и  $t$ -ра 25,6 и 14,8°. Применена обычная техника измерений: определялась мутность  $p$ -ров под углом 90°, и  $M$  рассчитывался по ф-ле Дебая; параллельно производились измерения асимметрии рассеяния. Подробно описаны предварительные опыты по калибровке прибора и измерению инкремента показателя преломления  $\Delta n/\Delta c$ , которым определяется величина оптич. множителя  $H$  в функции Дебая  $Hc/\tau$  (обозначения имеют обычный смысл). Конц-ия I определялась по Кьельдалю; полное содержание «белкового» азота в I принималось при этом равным 14,6%, а избыточный («небелковый») азот исключался осаждением I трихлоруксусной к-той.  $\Delta n/\Delta c$  зависит от pH  $p$ -ра и способа приготовления образца, колеблясь в пределах от 0,1825 до 0,1928  $cm^3/g$ . Исследование, проведенное на трех продажных препаратах I, показало, что в среднем  $M = (34,8 \pm 0,87) \cdot 10^3$ , что согласуется с прежними литературными данными. Авторы полагают, что полученная ими цифра 34 800 является верхним пределом  $M$  пепсина, так как измерения асимметрии рассеяния показывают, что фермент легко агрегирует (вплоть до  $M = 500\,000$ ) при встряхивании  $p$ -ра: это указывает на крайнюю его нестабильность и подверженность поверхностной денатурации с последующим слипанием глобул. Наряду с этим  $p$ -ры могут быть загрязнены низкомолекулярными продуктами автолиза, конц-ия которых, по мнению авторов, весьма мала. Из сказанного следует, что  $p$ -ры I, предназначенные для измерений  $M$  или формы глобул, необходимо сохранять с особыми предосторожностями. С. Ф.

25345. **Влияние спиртов на критическую концентрацию мицеллообразования мыл жирных кислот и их смесей.** Синода (The effect of alcohols on the critical micelle concentrations of fatty acid soaps and the critical micelle concentration of soap mixtures. Shinoda Kōzō), J. Phys. Chem., 1954, 58, № 12, 1136—1141 (англ.)

Действие различных спиртов на критич. конц-ию мицеллообразования ( $C_{кр}$ ) каприлата, каприната, лаурата и мирилата K определялось по изменению цвета пинацианолхлорида. Найдено, что  $C_{кр}$  этих мыл линейно убывает с ростом конц-ии спирта; логарифм же скорости этого убывания — линейная функция числа углеродных атомов в молекулах спиртов и мыл. Эти зависимости объясняются уменьшением как плотности заряда на поверхности мицеллы, так и свободной энергии смещения при проникновении молекул спирта в окружающий мицеллу молекулярный часток. Энергия перехода одной группы  $CH_2$  из водн. фазы в углеводородную при 10° равна 1,1 кТ или 620 кал/моль. Определена  $C_{кр}$  нескольких тройных смесей мыл и выведено теоретич. ур-ние для  $C_{кр}$  многокомпонентных смесей. Эксперим. значения  $C_{кр}$  хорошо согласуются с вычисленными. Г. С.

25346. **Влияние концентрации и валентности солей на критическую концентрацию мицеллообразования додецилсульфатов натрия и кальция.** Синода (The effect of concentration and valency of added salts on the critical micelle concentration of sodium and calcium dodecyl sulfates. Shinoda Kōzō), Bull. Chem. Soc. Japan, 1955, 28, № 5, 340—343 (англ.)

Считая электрич. потенциал  $\psi$  мицеллы функцией координаты  $x$ , нормальной к ее поверхности, и применяя ур-ние Пуассона — Больцмана, автор получает ур-ние:

$$(-4\pi\sigma/D)^2 = (8\pi kT/D) \sum n_i [\exp(-z_i e \psi_0 / kT) - 1] \quad (1)$$

( $\sigma$  — поверхностная плотность заряда,  $\psi_0$  — потенциал на поверхности мицеллы,  $D$  — диэлектрич. проницаемость среды,  $z_i$  — валентность ионов,  $n_i$  — число их в 1 мл  $p$ -ра,  $e$  — элементарный заряд). Если мицеллообразующими ионами являются анионы, т. е.  $\psi_0$  имеет отрицательный знак, то величина  $-z_i e \psi_0$  будет положительной для катионов и отрицательной для анионов. Таким образом, из ур-ния (1) вытекает, что валентность прибавляемых ионов влияет на заряд поверхности только в случае, если их заряд и заряд мицеллообразующих ионов противоположны. Ур-ние (1) применено к расчету  $\psi_0$  в зависимости от величины крит. конц-ии мицеллообразования  $c_{кр}$  солей органич. к-т с длинной цепью R и конц-ии добавок. Расчеты выполнены для соединений типа  $R_3M(2+)$  и  $RM(1+)$  в присутствии солей с одно-, двух- и трехвалентными катионами. Хорошее совпадение рассчитанных значений  $c_{кр}$  с эксперим. данными Lange (Kolloid-Z., 1951, 121, 66) для  $p$ -ров додецилсульфатов Na и Ca, а также их смесей подтверждают возможность колич. расчета зависимости  $c_{кр}$  от конц-ии и валентности прибавленной соли. Б. Т.

25347. **О возможности получения коацерватов полиамидов и об их применении для фракционирования.** Лончковский, Турская (O możliwości otrzymywania koacerwatów poliamidów i zastosowania tych układów do frakcjonowania. Łączkowski Marceł, Turcka Elżbieta), Roczn. chem., 1955, 29, № 2-3, 941—942 (польск. рез. англ.)

Получен коацерват полиамида из  $\epsilon$ -капролактама, растворенного в смеси фенола, этиленгликоля и воды. Во внешней фазе остаются лишь наиболее легкие фракции полиамида, в фазе коацервата находятся все остальные фракции с высшими мол. весами. Обе фазы различаются между собой только содержанием полимера, а соотношения других компонентов в них одинаковы. Применяя полученный коацерват для фракционирования полиамида, авторы приготовили 30 фракций, значительно различающихся между собой по молекулярному весу.

**Д. Т. 25348. Явления предсепарации и микрокоацервации. Осава (Preseparation phenomena and microcoacervation. Oosawa Fumio), J. Phys. Chem., 1955, 59, № 7, 577—580 (англ.)**

По аналогии с явлениями предконденсации газов и предплавления твердых тел теоретически рассматривается вопрос о предсепарации и микрокоацервации в р-рах высокополимеров и блокколлоидов. На нескольких примерах показано, что в р-рах высокополимеров явно выраженная предсепарация — довольно обычное явление. Вероятно, это одна из причин, почему микрокоацервация легко может быть обнаружена в этих р-рах. Изменение распределения размеров капелек и общего объема второй фазы исследованы по методу Я. И. Френкеля (Кинетическая теория жидкостей. М., 1947, гл. 7).

**Г. С. 25349. Полиамфолиты. Качальский, Миллер (Polyampholytes. Katchalsky A., Miller Israel R.), J. Polymer Sci., 1954, 13, № 68, 57—68 (англ.)**

Изучены амфотерные полиэлектролиты (ПЭ) с различным относительным содержанием кислотных и основных функциональных групп, приготовленные путем сополимеризации различных относительных кол-в метакриловой к-ты и 2-винилпиридина (степень полимеризации 200—700). Показано, что для амфотерных ПЭ характерны следующие особенности: существование скачка рН на кривых титрования в изопотенциальной точке (ИТ) — степень ионизации ПЭ остается почти постоянной при значительном изменении рН; резкое падение уд. вязкости в ИТ. Построена удовлетворительно согласующаяся с опытом колич. теория, позволяющая объяснить эти особенности. Теория учитывает изменение формы молекул ПЭ и энергии электростатич. взаимодействия заряженных групп ПЭ при изменении степени ионизации кислотных и основных функциональных групп ПЭ и ионной силы р-ра. Теория позволяет определить величину характеристич. константы диссоциации мономерных звеньев и ИТ ПЭ.

**Е. С. 25350. Коагуляция и пептизация растворов полиэлектролитов ионами детергентов. И. Саито (Koagulation und Peptisation von Polyelektrolytlösungen durch Detergent-Ionen. I. Saito Shuji), Kolloid-Z., 1955, 143, № 2, 66—73 (нем.)**

Измерены вязкость, мутность и поверхностное натяжение водн. р-ров полиакриловой к-ты (I), в присутствии катионных детергентов (Д): октил-, децил-, додецил-, тетрадецил- и цетиламинхлорида и додецил-, цетила- и октадецилтриметиламмонийхлорида. При постепенном прибавлении Д происходит коагуляция I, а затем I пептизируется. Коагуляция I связана с адсорбцией ионов Д за счет электростатич. и ван-дер-ваальсовых сил. В результате этой адсорбции заряд молекул I нейтрализуется и они гидрофобизируются. При пептизации I избыток алкилтриметиламмонийхлоридов образуются комплексы, имеющие нитеобразное строение, и получают прозрачные вязкие р-ры. Пептизация избытком алкиламинхлоридов ведет к мутным, маловязким суспензиям, в которых комплексы имеют форму клубков. В гомологии. рядах Д для всех членов, кроме самых высших, соблюдается линейная зависимость

между логарифмом коагулирующей и пептизирующей конц-ии и числом углеродных атомов в алкильном радикале. Кол-во ионов Д, адсорбируемое на I при коагуляции и пептизации, уменьшается с ростом алкильного радикала. Коагулированные частицы комплекса I + Д, образовавшиеся при разных конц-иях и разной степени нейтр-ции I, адсорбируют при пептизации одинаковое кол-во ионов Д.

**И. С. 25351. Диссоциация слабых полимерных кислот и оснований. Качальский, Шавит, Эйзенберг (Dissociation of weak polymeric acids and bases. Katchalsky A., Shavit N., Eisenberg H.), J. Polymer Sci., 1954, 13, № 68, 69—84 (англ.)**

Изучено потенциометрич. поведение нескольких полимерных к-т и оснований, обычно хорошо описываемое ф-лой  $pH = pK_0 - \lg [(1-\alpha)/\alpha] + (0.434/kT) \times (\delta F_e/\delta v)_x$  (Arnold A., Overbeek J. Th. G., Recueil trav. Chim., 1950, 61), где  $pK_0$  — характеристич. константа диссоциации мономерного звена,  $\alpha$  — степень ионизации,  $F_e$  электростатич. свободная энергия полииона,  $v$  — число ионизованных групп в нем,  $x$  — обратный дебаевский радиус ионной атмосферы. В работе показано, что  $1/\epsilon (\delta F_e/\delta v) = \psi_0$ , где  $\epsilon$  — заряд электрона,  $\psi_0$  — поверхностный потенциал полииона, который может быть определен независимо из электрофоретич. измерений, а также рассчитан теоретически. Проверка, произведенная на примере полиметакриловой к-ты, показала, что значения  $\psi_0$ , полученные тремя способами — теоретически, из потенциометрич. и из электрофоретич. измерений — совпадают с точностью до 3%, подтверждая, таким образом, правильность теории и возможность совместного применения потенциометрии и электрофореза для определения  $pK_0$ . Этим методом было найдено, что для полиаспарагиновой к-ты  $pK_0 = 3.53$ , для полилизина 10.44, для пектиновых к-т 3.40.

**Е. С. 25352. Гели полиэлектролитов в растворах солей. Качальский, Михаэли (Polyelectrolyte gels in salt solutions. Katchalsky A., Michaeli I.), J. Polymer Sci., 1955, 15, № 79, 69—86 (англ.; рез. франц., нем.)**

Изучена зависимость равновесного набухания полиметакриловой к-ты и распределения соли между полимером и р-рителем в водн. р-рах LiCl, NaCl и KCl от конц-ии соли и степени ионизации полимера. Показано, что во всем изученном интервале конц-ий (0.008—0.5 M) поведение системы не зависит от вида катиона; донановское распределение без учета коэфф. активности непригодно для описания свойств сильно набухшего и сильно заряженного геля даже в качестве грубого приближения. В работе развита теория, удовлетворительно описывающая указанные равновесные свойства системы при любой степени ионизации полимера, вплоть до конц-ии соли 0.5 M. В основу теории положено предположение, что свойства системы определяются тремя факторами: сжимаемостью полимерной сетки, идеальным осмотич. распределением макромолекул и свободных ионов в р-ре и электростатич. взаимодействием между заряженными макромолекулами и свободными ионами. Принято также, что ван-дер-ваальсовым взаимодействием, а также электростатич. отталкиванием различных полимерных цепей можно пренебречь благодаря высокой степени набухания полимера.

**Е. С. 25353. Механохимия и ионный обмен. Качальский, Цвик (Mechanochemistry and ion exchange. Katchalsky A., Zwick M.), J. Polymer Sci., 1955, 16, № 82, 221—234 (англ.; рез. франц., нем.)**

Изучено набухание поперечно связанных гелей полиметакриловой к-ты, полностью или частично нейтр -

лизированной гидроокисью Na и Ba. При высокой степени нейтрции  $\alpha > 0,8$  и при большом содержании бария (80—90%) существует область сжатия, отвечающая быстрому переходу из набухшего в ненабухшее состояние с изменением объема более чем в 20 раз. Несколько измененным методом Куна и Харгитая (Kuhn W., Hargitay B., Z. Electrochem., 1951, 55, 490) получен новый тип сжимающихся поликислотных волокон. Исследованы кривые зависимости удлинения от силы для этих волокон при различных степенях нейтрции и при разных ионных силах. Рассмотрена возможность использования пространственных изменений макромолекул, вызываемых ионным обменом, в механическом двигателе. Описан необратимый рабочий цикл такого двигателя, где энергия смещения одно- и двухвалентных ионов на полиэлектролитном волокне частично переходит в механич. работу.

Л. Д. 25354. Фракционирование растворов нескольких компонентов путем вспенивания. Дюбризе, Таке (Fractionnement par moussage des solutions complexes. Dubrisay René, Taquet Alain), Ann. falsific. et fraudes, 1953, 46, № 539—540, 426—432 (франц.)

Обзор. Библ. 22 назв. А. Л. 25355. Пропускание света устойчивыми пенами. Росс, Кутиллас (The transmission of light by stable foams. Ross Sydney, Cutillas M. J.), J. Phys. Chem., 1955, 59, № 9, 863—866 (англ.)

Исследовано пропускание света стабильными пенами в процессе их старения. Как известно, свежеприготовленная пена состоит из сферич. пузырьков, разделенных сравнительно толстыми пленками жидкости (пена 1-го типа). С течением времени пленки обедняются жидкостью, и пена постепенно изменяет структуру, превращаясь в систему многогранных пузырьков, разделенных тонкими плоскими пленками (пена 2-го типа). Попутно, за счет диффузии газа из маленьких пузырьков (где давление выше) в большие, происходит уменьшение уд. поверхности  $S$  пены. Пены приготовлены из препаратов «наккондо NRSF», содержащих 1—5% поливинилового спирта, к которым в некоторых опытах добавлялись небольшие кол-ва трибутилфосфата и метилизобутилкарбинола в качестве противопенных агентов. Метод приготовления пен и измерения пропускания света описан ранее (РЖХМ, 1955, 13738). Показано, что квадрат интенсивности  $I$  света, пропущенного пеной 1-го типа, линейно возрастает с временем. В пене 2-го типа вследствие упомянутого обмена газом между пузырьками  $I$  медленно возрастает, причем теперь линейной функцией  $t$  является уже  $\lg(I_0/I - 1)$ , где  $I_0$  — интенсивность падающего света. Поскольку  $(I_0/I - 1)$  пропорционально  $S$ , этот результат подтверждает литературные данные о логарифмич. характере уменьшения  $S$  с временем. Наличие двух типов зависимости  $I$  от  $t$  позволяет дифференцировать процессы обеднения пены жидкостью (при котором размеры пузырьков не изменяются) и диффузии газа, приводящей к уменьшению  $S$ . Добавка противопенных агентов ускоряет первый из этих процессов, не отражаясь на втором.

С. Ф. 25356. Проникание низкополимерных соединений через мембраны. Сакурада, Накадзима, Такида (低重合多量体の膜透過. 櫻田一郎, 中島章夫, 難田博), 高分子化学. Kobunsi Kagaku, J. Chem. High. Polymers, 1953, 10, № 104, 522—529 (япон.)

Установлено, что коллоидные мембраны (Мб), пригодные для осмотич. измерений в р-рах высокополимеров, вполне проницаемы для молекул полистирола со степенью полимеризации  $< 166$ . Эффективные радиусы пор Мб, вычисленные по размеру проникающих

молекул и из степени набухания Мб, согласуются между собой.

Chem. Abstrs, 1955, 49, 10012. Т. Katsurai.

25357. Диффузия в порошках. Генселен (Diffusion en solides pulverulents. Gaensslen H.), An. Real. Soc. española fis. y quim., 1955, B51, № 3, 243—246 (исп.)

Из второго закона Фика получено ур-ие диффузии газов вдоль цилиндрич. трубки длиной  $l$ :  $\Delta m(t) \Delta m_\infty = 1 - (2\sqrt{\pi}) \Sigma (-1)^n [\lambda^{2n+1}/(2n+1)(2n+2)n!] = \varphi$ , где  $\Delta m(t)$  и  $\Delta m_\infty$  — приращение веса поглотителя

газа соответственно в момент  $t$  и  $\infty$ ,  $\lambda = l/2\sqrt{Dt}$ ,  $D$  — коэфф. диффузии. Для быстрых расчетов построен график  $[\lg(1-\varphi), \lg \lambda]$ , прямолинейный при малых  $\lambda$ . Chem. Abstrs, 1955, 49, 11359. R. Nelson Smith.

25358. Обмен жидкостью между порами в бумаге. Толленар (Exchange of liquid between paper pores. Tollenaar D.), Appl. Scient. Res., 1953, A3, № 37, 451 (англ.)

По мнению автора, явления, происходящие при капиллярном подъеме жидкостей в фильтровальной бумаге, нельзя количественно истолковать на основе модели бумаги, состоящей из одинаковых капилляров (К). В частности, в этой модели должен отсутствовать обмен жидкостью между К различной ширины, а в действительности такой обмен происходит. Тот факт, что содержание жидкости  $\varphi$  в  $1 \text{ см}^2$  вертикальной бумажной полоски быстро падает с высотой  $h$ , объясняется тем, что жидкость быстро поднимается по широким К и одновременно отсасывается из них капиллярными силами в более узкие боковые К. Принимая для К бумага гауссово распределение радиусов, автор вывел теоретич. зависимость между  $\varphi$  и  $h$ , удовлетворительно согласующуюся с эксперим. данными.

Н. Ф. 25359. Обмен жидкостью между порами в бумаге. Вейдема, Толленар (Exchange of liquid between paper pores. Wiejema J.), Appl. Scient. Res., 1954, A4, № 3, 225—228; Tollenaar D., там же, № 5-6, 457—458 (англ.)

Дискуссия (см. пред. реф.). Н. Ф.

25360. Физические основы процессов пропитывания в пористых системах. Швите, Жагар (Die physikalischen Grundlagen der Tränkungsverfahren an porösen Systemen. Schwiete H. E., Zagar L.), Naturwissenschaften, 1955, 42, № 19, 533—534 (нем.)

Исходя из законов капиллярности и вязкого течения жидкости, авторы вывели ур-ие, описывающее процесс пропитывания пористого тела жидкостью  $V_t = A[(1/2) \epsilon^2 r]^{1/2} [\sigma \cos \varphi / \eta]^{1/2} t^{1/2}$  (1), где  $V_t$  — объем жидкости, впитавшийся за время  $t$ ,  $A$  — площадь поперечного сечения тела, перпендикулярного к направлению пропитки,  $\epsilon$  — пористость тела,  $r$  — средний размер пор,  $\sigma$  — поверхностное натяжение,  $\eta$  — вязкость жидкости,  $\varphi$  — краевой угол. Опыты по впитыванию ряда смесей воды с глицерином и воды с бутанолом в шпательный кирпич и по впитыванию шлама в магнетит подтверждают ур-ие (1).

И. С. 25361. Седиментационная устойчивость суспензий. Милличев (Милчевъ суспензия. Милчевъ Бранимир Т.), Гласник хем. друштва, 1955, 20, № 4, 251—256 (серб.; реф. нем.)

Предложена теория седиментации суспензий, удовлетворительно согласующаяся с результатами опытов автора.

Н. Ф. 25362. Радиоактивные аэрозоли и газы в атомной промышленности. Лабери (Les aérosols et gaz radioactifs dans l'industrie atomique. Labeyrie J.), Onde élect., 1955, 35, № 343, 929—937 (франц.)



Описаны методы и приборы для определения конц-ий радиоактивных аэрозолей и газов, выделяющихся при добычании и переработке радиоактив. материалов. Н. Ф.

**25363 Д.** О связи между различными свойствами пористых систем. Мейяк (Über Eigenschaftsbeziehungen poröser Systeme. Mejaс Michael. Diss. Techn. Hochsch., Graz., 1955, Maschinenschr.), Oesterr. Bibliogr., 1955, № 11, 9 (нем.)

**25364 Д.** Исследования в области физико-химии агар-агара. Шубцова И. Г. Автореф. дис. канд. хим. н., Саратовск. ун-т, Саратов, 1955

См. также: Структурно-механич. св-ва 25867—25870, 25887, 26131, 26132. Оптич. св-ва 25864, 25865, 26128. Аэрозоли 26136—26139

## НЕОРГАНИЧЕСКАЯ ХИМИЯ. КОМПЛЕКСНЫЕ СОЕДИНЕНИЯ

**25365.** Выделение спектрально чистого церия из природных смесей методом экстракции. Клинаев В. М., Сеиявин М. М. В сб.: Применение меченых атомов в аналитической химии, М., Изд-во АН СССР, 1955, 113—126

Изучены условия извлечения Се из природных смесей редкоземельных элементов (РЗЭ), содержащих элементы цериевой и иттриевой подгруппы. Коэфф. распределения элементов и степени извлечения Се определяли радиометрически с помощью радиоактивных изотопов. Показано, что из солянокислых р-ров РЗЭ диэтиловым эфиром практически не извлекаются, что позволяет легко отделить их от Fe. Четырехвалентный Се избирательно и наиболее полно извлекается диэтиловым эфиром из конц. р-ров  $\text{HNO}_3$  или из р-ров меньшей кислотности, насыщенных нитратами Li, Al, Mg, Ca и Cd. Коэфф. распределения Се мало зависит от конц-ии Се в водн. фазе. Высказано предположение, что Се переходит в органич. фазу в виде  $\text{H}_2[\text{Ce}(\text{NO}_3)_6]$ , что согласуется с эксперим. данными. Рекомендовано применять описанную методику для препаративного выделения спектрально чистого Се из природных смесей РЗЭ. М. С.

**25366.** Основные направления исследований в химии германия. Гастингер (Forschungsrichtungen in der Chemie des Germaniums. Gasteringer Ekkhard, Fortschr. chem. Forsch., 1955, 3, № 3, 603—656 (нем.)

Обзор. Хим. и физ. свойства Ge, геохимия Ge, получение и очистка, неорганич. и органич. соединения Ge, электрохимия и аналитич. химия Ge. Библ. 310 назв. А. Н.

**25367.** Хлорирование траванкорского монацита. Часть II. Отделение тория от редких земель с помощью уротропина. Сарма, Гупта (Chlorination of travancore monazite: Part II — Separation of thorium from rare earths with urotropine. Sarma B., Gupta J.), J. Scient. and Industr. Res., 1955, (V—C)14, № 2, B82—B84 (англ.)

Метод отделения Th от значительно больших кол-в редкоземельных элементов (РЗЭ) основан на фракционированном осаждении  $\text{Th}(\text{OH})_4$  из р-ра с рН 4, забуференного смесью равных объемов 0,1 М уротропина с 0,1 н.  $\text{HCl}$ . В этих условиях РЗЭ (и  $\text{Ce}^{3+}$ ) почти колич. остаются в р-ре, а захватываемый гидроокисью тория уран легко удаляют действием на осадок горячим р-ром  $(\text{NH}_4)_2\text{CO}_3$  или перекисью водорода Th из кислых р-ров с помощью  $\text{H}_2\text{C}_2\text{O}_4$ . Для получения чистой  $\text{Th}(\text{OH})_4$  из полностью хлорированного монацита (Часть I, РЖХим, 1956, 12613) последний обрабатывают на холоду 0,1 н.  $\text{HCl}$ . К алиquotным пробам, содержащим 0,0346—3,46 г  $\text{Th}(\text{OH})_4$ , добавляют несколько капель 3%-ной  $\text{H}_2\text{O}_2$ , выпаривают досуха, растворяют остатки в воде и снова выпаривают. Полученные остатки растворяют в 50—400 мл буферной смеси с рН 4, нагревают р-ры на водяной бане 1—2 часа, выделившийся

осадок отфильтровывают, тщательно промывают буферной смесью, растворяют в  $\text{HCl}$  и выпаривают р-р досуха на водяной бане. Остаток снова растворяют в уротропинсодержащей буферной смеси и повторяют гидролитич. осаждение  $\text{Th}(\text{OH})_4$ . Полученный осадок свободен от примесей РЗЭ, но содержит некоторое кол-во U, который удаляют одним из двух вышеописанных способов. Присутствие Ca и Mg в исходной анализируемой пробе не затрудняет получения чистых препаратов  $\text{Th}(\text{OH})_4$ . С помощью описанного метода произведено колич. отделение 0,1672 мг  $\text{ThO}_2$  от 2,788 г  $(\text{Pr}, \text{Nd})_2\text{O}_3$ . Кроме того, метод применен для выделения Th из синтетич. смесей с преобладающим количеством РЗЭ. Н. П.

**25368.** О структуре и свойствах полуметаллов. VIII. Каталитическое получение черного фосфора. Кребе, Вейц, Ворме (Über die Struktur und Eigenschaften der Halbmetalle. VIII. Die katalytische Darstellung des schwarzen Phosphors. Krebs H., Weitz H., Worms K. H.), Z. anorgan. und allgem. Chem., 1955, 280, № 1—3, 119—133 (нем.)

В результате длительного нагревания в присутствии металлч. Hg как катализатора, белый фосфор (I) при обычном давлении переходит в черный фосфор (II). В отличие от ртути Cd, Tl, Sn, Pb, Bi, сплав Вуда, сплав Розе и щел. металлы не оказывают каталитич. влияния на превращение I в II. Оптимальная область перехода I в II лежит в узком интервале т-р 360—380°. При 350° процесс идет с малой скоростью и не количественно, а при 405 и 420° образуется только красный фосфор (III). В отсутствие Hg образуется только III. Для получения II к 50 г I в ампуле, наполненной покрытой медью проволокой, добавляют 50 г Hg и 0,5 г II, предварительно измельченного в атмосфере  $\text{N}_2$ . Ампулу заплавляют, слабо нагревают до плавления I и содержащее перемешивают. Затем ампулу нагревают до 220° и в течение 2 дней доводят т-ру до 370°. После 8 дней нагревания с колич. выходом образуется II, на поверхности которого иногда конденсируется небольшое кол-во I, а иногда, кроме I, и следы красного в-ва, повидимому смешанных полимеризатов Р. Препараты II всегда содержат примеси Hg. Частичная очистка II от Hg осуществляется нагреванием порошкообразной пробы с кусочком Pb или Au в вакуумированной стеклянной ампуле до ~450°. Однако и очищ. препараты содержат не менее 0,4—0,5 ат. % Hg. Измельченный в высоком вакууме II за 2 дня хранения в атмосфере сухого  $\text{O}_2$  при давл. ~500 мм рт. ст. поглощает ~0,04 ат. %  $\text{O}_2$ . Во влажном воздухе II поглощает  $\text{O}_2$  и воду, покрываясь слоем вязкой жидкости. В  $\text{HNO}_3$  (уд. в. 1,4) II воспламеняется со взрывом. При 150° начинается окисление II конц.  $\text{H}_2\text{SO}_4$ ; р-ция сопровождается выделением  $\text{SO}_2$ . 3%- и 6%-ная  $\text{H}_2\text{O}_2$  при нагревании несколько быстрее реагирует с II, чем с III. Пары  $\text{Br}_2$  и р-р брома в бензоле более энергично действуют на продажный III, чем на II. Плотность II

составляет 2,7—3,0. Полученный описанным способом II имеет почти такую же электропроводность, как и полученный ранее нагреванием I при давл. 12 000 атм. (Bvidgman P. W., Phys. Rev., 1914, 3, 187; J. Amer. Chem. Soc., 1914, 36, 1344; 1916, 38, 609); рентгенограммы обоих прецаратов идентичны. Нагревание II при 560° в течение 8 час. ведет к его превращению в III. Основываясь на кристаллич. структуре II (Hultgren R. и др., J. Chem. Phys., 1935, 3, 351), авторы рассматривают II, в соответствии с предложенной ранее (РЖХим, 1954, 32007) теорией, как систему делокализованных связей и объясняют трудность термич. получения II в отсутствие катализатора тем, что высокая энергия активации затрудняет образование этой системы связей в решетке II. Металлич. Hg устраняет или уменьшает этот энергетич. барьер. Преимущество Hg как катализатора р-ции образования II состоит, по мнению авторов, в том, что она не образует устойчивых фосфидов и не покрывается плотными окисными (или иными) пленками. Часть VII, см. РЖХим, 1956, 21894. Н. П.

**25369. О новом, активном комплексе серы (предварительное сообщение). К и р х х о ф** (Über einen neuen, aktiven Schwefel-Komplex. (Vorläufige Mitteilung) Kirchhof F.), Chemiker-Ztg, 1955, 79, № 13, 434—435 (нем.)

Сера, независимо от ее модификации, растворяется в нагретом формамиде (I), образуя синий р-р. При медленном охлаждении р-ра, полученного кратковременным нагреванием S и I до 140°, выкристалливается S, и при 115° р-р обесцвечивается. При нагревании S и I интенсивность окраски резко возрастает при т-ре ~158°; одновременно на поверхности S выделяются пузырьки газообразных продуктов р-ции S с I; при этом р-р светлеет и становится сине-зеленым. В нагретом до 160° р-ре доказано наличие изороданидионов и отсутствие полисульфидов. Кратковременное нагревание с I до 120—160° может быть использовано как цветная р-ция для открытия свободной S в фактисе, продуктах горячей вулканизации и т. п. Автор приписывает окраску р-ра или образованию комплексов S<sub>x</sub>, аналогичных вызывающим окраску ультрамарина, или образованию комплексов "тиоозона" (S<sub>3</sub>) с I. Сера, нагреваемая с I до 160°, может быть переохлаждена до 60°.

И. Р.

**25370. Фтор и его соединения. Кнуцияц И. Л., Фокин А. В.**, Природа, 1955, № 8, 3—19

**25371. Фтор. Эмелеус (Fluorine. Emeléus H. J.)**, J. Roy. Inst. Chem., 1955, 79, Aug., 424—426 (англ.)

**25372. Получение чистого, сухого йода. Вашингтон, Налдретт** (Preparation of pure, dry iodine. Washington R. A., Naldrett S. N.), J. Amer. Chem. Soc., 1955, 77, № 16, 4232 (англ.)  
Для получения чистого, сухого йода к 0,5 M р-ру NaI, освобожденному от ионов SO<sub>3</sub><sup>2-</sup> осаждением в виде BaSO<sub>3</sub> и удалением осадка центрифугированием, добавляя 10%-ный избыток р-ра PdCl<sub>2</sub>·2H<sub>2</sub>O (10 г/л, 1 н. HCl), смесь нагревают на водяной бане 15 мин., отстаивают 1 час, центрифугируют и промывают осадок не содержащей Cl<sup>-</sup> водой, 95%-ным спиртом и сухим эфиром. Центрифужную трубку с осадком высушивают при 110° и припаивают к вакуумной системе. PdI<sub>2</sub> нагревают при 10<sup>-6</sup> мм рт. ст. до 250°, а затем повышают т-ру до 350°, и выделяющийся под собирают в трубке, охлаждаемой жидким воздухом. С несколько большей скоростью под можно выделить нагреванием PdI<sub>2</sub> до 350° в токе H<sub>2</sub>. Полученные описанным методом образцы йода (~10 мг) содержали ~10<sup>-6</sup> г воды. Содержание воды определялось путем добавления к исходному р-ру T<sub>2</sub>O и измерения активности полученного продукта.

Н. П.

**25373. Еще раз к работе о чистом железе. Шпачек** (Nochmals zur Arbeit über reines Eisen. Špaček Ladislav), Чехосл. физ. ж., 1955, 5, № 3, 431—433 (нем.)

См. РЖХим, 1956, 6585.

**25374. Ответ на заметку Л. Шпачека. Беднарж, Брож, Смироуе, Трочил** (Antwort auf den Diskussionsbeitrag von L. Špaček. Bednář Jan, Brož Jaromír, Šmíroue Karel, Trousil Zdeněk), Чехосл. физ. ж., 1955, 5, № 3, 433—434 (нем.)

См. РЖХим, 1956, 6586.

**25375. Тетранодид циркония: его значение и новый метод синтеза. Рамамуртхи** (Zirconium tetraiodide: its significance and a new mode of synthesis. Ramamurthy S.), J. Scient. and Industr. Res., 1955, (B—C) 14, № 8, B414—B415 (англ.)

Из известных термодинамич. данных вычислено, что р-ция  $3ZrO_2 + 4AlI_3 = 2Al_2O_3 + 3ZrI_4$  осуществима, так как  $\Delta F^\circ = -66,9$  ккал при 500°K. Однако процесс затрудняется образованием твердых р-ров низших окислов Zr:  $aZrO_2 + 2Al = Zr_{(a-1)}O_{(2a-3)} + Al_2O_3 + Zr$ , в результате которого из а молей ZrO<sub>2</sub> подприварно доступен только 1 моль. Значения а экспериментально найдены (в статье не приведены) для т-ры кипения AlI<sub>3</sub> (422° C). Вместо AlI<sub>3</sub> можно применить KJ·AlI<sub>3</sub>.

И. Р.

**25376. О соединениях, содержащих азот и серу. I. О превращении амидосульфоновой кислоты при плавлении и о новом методе получения сульфамида.**

**Кубик, Ванек** (O sloučeninách dusíkosírovyých. I. O přeměně kyseliny amidosulfonové tavením a nový způsob přípravy sulfamidu. Kubík Jan, Waněk Walter), Chem. listy, 1955, 49, № 8, 1193—1197 (чеш.)

Исследовано термич. превращение амидосульфоновой к-ты (I) при 210—220°. Установлено, что при плавлении I образуется смесь, гидролизом которой можно выделить сульфамид. На основании аналитич. данных авторы заключают, что при плавлении I образуются циклич. пентасульфимид (NHSO<sub>2</sub>)<sub>5</sub> (II) или пентасульфимидосульфоновая к-та HO(SO<sub>2</sub>NH)<sub>5</sub>SO<sub>2</sub>OH (III). Р-ция, протекающая при плавлении I, выражается ур-нием:  $10\text{HSO}_3\text{NH}_2 \rightarrow (\text{NHSO}_2)_5 + 5\text{NH}_4\text{HSO}_4$ . Гидролиз II протекает по схеме:  $(\text{NHSO}_2)_5 + 2\text{H}_2\text{O} \rightarrow (\text{NH}_2\text{SO}_2)_2\text{NH} + \text{HO}(\text{SO}_2\text{NH})_2\text{SO}_2\text{OH}$ , а гидролиз III — предположительно по схеме:  $\text{HO}(\text{SO}_2\text{NH})_2\text{SO}_2\text{OH} + 2\text{H}_2\text{O} \rightarrow 2(\text{HSO}_3)_2\text{NH} + (\text{NH}_2\text{SO}_2)_2\text{NH}$ . При кипячении водн. р-ра расплава I протекает дальнейший гидролиз:  $2(\text{HSO}_3)_2\text{NH} + 2\text{H}_2\text{O} \rightarrow 2\text{HSO}_3\text{NH}_2 + 2\text{H}_2\text{SO}_4$  и  $(\text{NH}_2\text{SO}_2)_2\text{NH} + \text{H}_2\text{O} \rightarrow \text{HSO}_3\text{NH}_2 + (\text{NH}_2)_2\text{SO}_4$ . Авторы считают, что описанный метод получения HSO<sub>3</sub>NH<sub>2</sub> может быть применен в промышленном масштабе.

Vlastimil Růžicka.

**25377. Получение и некоторые физические свойства четырехфтористой серы. Браун, Робинсон** (Preparation and some physical properties of sulphur tetrafluoride. Brown P., Robinson P. L.), J. Chem. Soc., 1955, Sept., 3147—3151 (англ.)

SF<sub>4</sub>, существование которой неоднократно оспаривалось, получена с выходом 40% действием медленного тока разб. азотом F<sub>2</sub> (N<sub>2</sub> : F<sub>2</sub> = 3) на охлаждаемый снаружи до -75° тонкий слой серы, предварительно нанесенный сублимацией на внутреннюю поверхность стеклянных колб. SF<sub>4</sub> отделена от других фторидов (S<sub>2</sub>F<sub>10</sub>, SF<sub>6</sub>, SOF<sub>2</sub>) фракционированием. Определены: плотность при 170—200° K (2,5471—0,00314 T), поверхностное натяжение при 190—230° K (61,36—0,1783 T дин/см), т. пл. (-121±0,5°), давление насыщ. пара при 160—224° K (lg P<sub>мм</sub> = 8,8126—1381/T). Вычислены: т-ра кипения (-40,4°), ΔH испарения (6,32 ккал/моль) и крит. т-ра (~70—74° C).

И. Р.

25378. Получение и некоторые свойства хлората двухвалентного марганца. Браун, Вудс (Preparation and some properties of manganese (II) chlorate. Brown F. E., Woods J. D.), Proc. Iowa Acad. Sci., 1953 (1954), 60, 285—289 (англ.)

Для получения  $Mn(ClO_3)_2$  смесь эквивалентных кол-в  $MnSO_4$  и  $Ba(ClO_3)_2$  обрабатывалась водой; образовавшийся  $BaSO_4$  удалялся центрифугированием (без последующего промывания водой во избежание разбавления р-ра), а вода из р-ра удалялась упариванием в вакууме при последовательном охлаждении льдом с солью, ацетоном с сухим льдом и жидким азотом. Удаление воды проводилось 7 суток. Остаток при  $-10^\circ$  принял вид густой очень вязкой жидкости, а при  $-80^\circ$  представлял собой твердую массу яркорозового цвета. Анализ полученного продукта производился путем термич. разложения. На основании аналитич. данных (плохо воспроизводившихся в двух проведенных опытах) и по аналогии с другими соединениями  $Mn(2+)$ , авторы приписывают твердому продукту флу- $Mn(ClO_3)_2 \cdot 6H_2O$  (I). Т-ра плавления I от  $-18$  до  $-15^\circ$ . Очень медленное разложение заметно при  $-13^\circ$ ; при  $-5^\circ$  разложение еще медленнее, а при  $+6^\circ$  скорость разложения значительна. Нагревание I до  $20^\circ$  вызывает взрыв, сопровождающийся резким звуком. Авторы считают, что термич. разложение I протекает по схеме:  $Mn(ClO_3)_2 \cdot 6H_2O \rightarrow MnO_2 + 2ClO_2 + 6H_2O$ . И. 3.

25379. Гидрооксофторобериллаты. Часть I. Часть II. Гидрооксофторобериллаты Ca, Ba, Sr, Pb, Ce, La и Hg. Митра (Hydroxyfluoberyllates. Part I. Part II. Hydroxyfluoberyllates of Ca, Ba, Sr, Pb, Ce, La and Hg. Mitra G. R. I. a. p. a. t.), J. Indian Chem. Soc., 1955, 32, № 4, 241—248 (англ.)

Часть I. Соединения  $M_2BeF_3OH$ , где  $M = Li$  (I), Na (II), K (III), Rb (IV),  $NH_4$  (V), получают одним из следующих методов. 1. Нагреванием на водяной бане смеси  $M_2CO_3$  или р-ра  $MOH$  и небольшого избытка свежееосажденного  $Be(OH)_2$  с 20%-ной  $HF$  до почти полного растворения  $Be(OH)_2$ . II и III выпадают в осадок в процессе получения; для выделения остальных  $M_2BeF_3OH$  необходимо упаривание в вакууме; V кристаллизуется в атмосфере  $NH_3$ . 2. Нагреванием в  $Pt$ -чашке смеси эквимольных кол-в  $Be(OH)_2$ ,  $MF$  и  $MHF_2$  с несколькими каплями  $HF$ . 3. Взаимодействием р-ра  $MNO_3$  с умеренно разб. р-ром  $MBeF_3OH$ . I—V сначала промывают водой и 60%-ным спиртом и сушат в вакууме. I—IV более растворимы, чем соответствующие фторобериллаты. Большинство  $M_2BeF_3OH$  распадается на воздухе. I легко гидролизует в р-ре с выделением смеси  $LiF$  и  $LiOH$ . I—IV выдерживают нагревание до высоких т-р; V, устойчивый в обычных условиях, разлагается с образованием  $NH_4BeF_3$  уже при небольшом повышении т-ры. При нагревании водн. р-ра V выделяется  $NH_3$ . Кривая термометрич. титрования р-ра  $K_2BeF_4$  р-ром  $NaOH$  имеет два излома, из которых первый соответствует образованию III, а второй — полному осаждению  $Be(OH)_2$ . Рентгенографически установлен изоморфизм I—V с соответствующими фторобериллатами и сульфатами. Сопоставляя устойчивость ионов  $BeF_3OH^-$  и  $BeF_4^{2-}$ , автор приходит к выводу, что первый более устойчив, так как поляризуемость O больше, чем поляризуемость F.

Часть II. Получены  $M'BeF_3OH$ , где  $M' = Ca$  (VI), Sr (VII), Ba (VIII), Pb (IX), а также  $Ce_2(BeF_3OH)_3 \cdot 8H_2O$  (X),  $La_2(BeF_3OH)_3 \cdot 9H_2O$  (XI),  $HgBeF_3OH \cdot H_2O$  (XII). Фторобериллаты La, Ce и Hg выделены не были; автор считает, что это подтверждает высказанную им в части I точку зрения о большей устойчивости иона  $BeF_3OH^{2-}$  по сравнению с  $BeF_4^{2-}$ . При взаимодействии конц. водн. р-ра  $(NH_4)_2BeF_3OH$  и р-ров соответствующих хлоридов (в случаях VI и VIII) или нитратов (VII, IX и XII) при охлаждении

смесью соли со льдом выпадают белые тонкие кристаллич. осадки соответствующих гидрооксофторобериллатов. Получение VI и XII ведется в присутствии нескольких капель амиллового спирта, подавляющего вторичную диссоциацию. VI отфильтровывается и высушивается в вакуум-эксикаторе. VII выделяется в виде липкой массы, которая при интенсивном перемешивании образует белый кристаллич. порошок. Осадок отфильтровывается, промывается  $H_2O$  и высушивается при  $80^\circ$ . Отфильтрованные осадки VIII, IX и XII после промывания водой и спиртом сушатся в эксикаторе. Для получения X и XI насыщ. р-ром  $Ce(NO_3)_3$  (или  $La(NO_3)_3$ ) смешивают с насыщ. р-ром  $(NH_4)_2BeF_3OH$ . Выделяющаяся легкая муть отфильтровывается. Из р-ра при упаривании на водяной бане выделяются блестящие белые кристаллы X (или XI). Кристаллы отфильтровываются, промываются водой и 60%-ным спиртом и высушиваются на воздухе. VIII очень мало растворим в воде, но все же больше, чем  $BaBeF_4$  и  $BaSO_4$ . Рентгенографически установлен изоморфизм VIII и  $BaSO_4$ . Н. К.

25380. Химия борсульфола  $[BHS]_3$  и его производных. Виберг, Штурм (Die Chemie des Borsulfols  $[BHS]_3$  und seiner Derivate. Wiberg Egon, Sturm Winfried), Angew. Chemie, 1955, 67, № 17—18, 483—493 (нем.; рез. англ., франц.). Обзор. Библ. 15 назв. (См. РЖХим, 1954, 42825; 1955, 3600; 3601; 39936).

25381. О растворах хлорамина в жидком аммиаке. Яндер (Über Lösungen von Chloramin in flüssigem Ammoniak. Jander Jochen), Z. anorgan. und allgem. Chem., 1955, 280, № 5-6, 264—275 (нем.). При быстром пропускании разб. азотом хлора ( $N_2 : Cl_2 = 8-10$ ) через энергично перемешиваемый жидкий  $NH_3$  при  $-78^\circ$  образуется  $NH_2Cl$  с выходом до 50—60% от соответствующего ур-ния  $Cl_2 + 2NH_3 \rightarrow ClNH_2 + NH_4Cl$ . В образовавшемся р-ре  $NH_2Cl$  разлагается в течение 12—15 час. при  $-75$  до  $-80^\circ$  не более чем на 10—20%; при повышении т-ры разложение резко ускоряется, но образования  $N_2H_4$  не происходит. Р-р  $NH_2Cl$  в жидком  $NH_3$  в отсутствие  $NH_4^+$  обладает приблизительно такой же устойчивостью, но при разложении  $NH_2Cl$  выход  $N_2H_4$  увеличивается. В присутствии  $KNH_2$  в р-ре происходит мгновенная р-ция  $NH_2Cl + KNH_2 \rightarrow KCl + N_2H_4$ , но выход  $N_2H_4$  все же не достигает 100%. По мнению автора,  $NH_2Cl$  в р-ре  $NH_3$  является к-той и диссоциирует по ур-нию  $NH_2Cl + NH_3 \rightarrow NH_4^+ + NHCl^-$ ; неустойчивый  $NHCl^-$  распадается по ур-нию  $NHCl^- \rightarrow Cl^- + NH$ , а  $NH$  вступает в ряд вторичных р-ций. Сопоставлены р-ции  $Cl_2 + H_2O$  и  $NH_3$  и обсуждена роль большой основности последнего. И. Р.

25382. К химии соединений хлора с азотом и хлора с кислородом. Яндер (Zum Verständnis der Chemie der Chlor-Stickstoff- und Chlor-Sauerstoff-Verbindungen. Jander Jochen), Z. anorgan. und allgem. Chem., 1955, 280, № 5-6, 276—283 (нем.).

Исходя из электроотрицательности N, O и Cl и значения их при образовании отрицательных ионов и присоединении водорода, автор, следуя методу Паулинга, оценивает положение центра тяжести зарядов в различных соединениях хлора с N или с O, определяющее, по его мнению, способность Cl к образованию положительных или отрицательных ионов. Выводы применены для объяснения ряда р-ций  $Cl_2O$ ,  $ClON$ ,  $ClO^-$ ,  $NCl_3$ ,  $NHCl_2$  и  $NH_2Cl$  и ионов  $NCl_2^-$ ,  $NCl_3^-$  и  $NHCl^-$ . И. Р.

25383. Синтез и свойства ниобиевых бронз. Крилов Е. И., Шарин А. А., Ж. общ. химии, 1955, 25, № 9, 1680—1685

Нагреванием смесей рассчитанных кол-в  $NbO_2$  с карбонатами щел. или окислами щел.-зем. металлов в вакууме при  $950-1350^\circ$  синтезированы соединения,



составы которых приближенно выражаются ф-лами  $\text{Li}_2\text{NbO}_3$  (I),  $\text{Na}_4\text{Nb}_2\text{O}_9$  (II),  $\text{K}_2\text{Nb}_2\text{O}_7$  (III),  $\text{CaNbO}_3$  (IV),  $\text{SrNbO}_3$  (V) и  $\text{BaNbO}_3$  (VI). Плотности I—VI при 20° равны соответственно 4,30; 4,85; 3,56; 4,47; 5,11 и 5,20. IV и V кристаллизуются в решетке типа перовскита; структура I—III и VI не установлена. Магнитные моменты  $\text{NbO}_2$  и I—VI (в  $\mu_B$ ) при 17 и —195° (в скобках) равны соответственно 0,26(0,15), 0,20(0,14), 0,46(0,27), 0,54(0,25), 0,40(0,19), 0,37(0,20), 0,34(0,14), что авторы объясняют сильной связью орбитальных и спиновых моментов. Уд. сопротивление IV при 18° и давл.  $3,45\text{--}5,17 \text{ м/см}^2$  равно  $0,35 \cdot 10^{-3} \text{ ом см.}$  Синтезированные в-ва, сходные с вольфрамовыми бронзами по блеску, электронной проводимости, составу и хим. инертности, названы ниобиевыми бронзами.

**25384. О родане и его соединениях. Зель, И. Р. Лер** (Zur Kenntnis des Rhodans und seiner Verbindungen. Seel Fritz, Müller Erich), Chem. Ber., 1955, 88, № 11, 1747—1755 (нем.)

Чистый диридан (I) получен действием 6,4 г  $\text{Br}_2$  на взвесь 15 г осажденного в темноте и тщательно высушенного  $\text{AgCNS}$  в 100 мл жидкого  $\text{SO}_2$ ; из фильтрата при —50° отогнана  $\text{SO}_2$ . Выход бесцветного I 4—5 г; при нагревании I превращается в оранжево-красный полиридан. Введением теор. кол-ва  $\text{KCNS}$  в р-р I в  $\text{SO}_2$  и испарением  $\text{SO}_2$  выделен чистый  $[\text{K}(\text{CNS})_2]$  — яржелтое в-во, сходное по окислительным свойствам с I, но отличающееся от него нерастворимостью в эфире. Действием 1 моля брома на взвесь 1 моля  $\text{AgCNS}$  в  $\text{SO}_2$  при —50° получено темнокрасное вязкое масло  $\text{BrCNS}$ , кристаллизующееся при —80°, летучее в высоком вакууме при —50° и превращающееся при комнатной т-ре в полиридан и бром. Р-р I в  $\text{SO}_2$  медленно поглощает  $\text{BF}_3$ , выделяя бесцветный кристаллич. осадок  $(\text{SCN} \cdot \text{BF}_3)_2$ , разлагающийся с выделением полиридана уже при —40°. Действием  $\text{BCl}_3$  на р-р I в  $\text{SO}_2$  при —75° выделена смесь полиридана и  $(\text{SCN} \cdot \text{BCl}_3)_2$ . Комплексы  $(\text{SCN} \cdot \text{BF}_3)_2$  и  $(\text{SCN} \cdot \text{BCl}_3)_2$  образуются и при разложении продуктов присоединения  $\text{BF}_3$  или  $\text{BCl}_3$  к нитроилдиридану:  $2\text{ON} \cdot \text{SCN} \cdot \text{BX}_3 \rightarrow 2\text{NO} + (\text{SCN} \cdot \text{BX}_3)_2$ , но разлагаются при низких т-рах. Хотя  $[\text{K}(\text{CNS} \cdot \text{BF}_3)]$  весьма устойчив, I не упрочняется комплексобразованием, возможно вследствие того, что  $\text{BF}_3$  и  $\text{BCl}_3$  катализируют полимеризацию I. При попытках получения солей роданокислородных к-т из KCN и  $\text{SO}_2$  установлено, что при действии  $\text{SO}_2$  на р-р KCN в HCN при 0° осаждается  $\text{K}_2\text{S}_2\text{O}_8$ . При длительном хранении смеси KCN и жидкого  $\text{SO}_2$  в запаянной трубке при комнатной т-ре образуется смесь сульфата, дисульфата, тритионата, роданида и парациана. При —25° из KCN и  $\text{SO}_2$  образуется бесцветный  $[\text{K}(\text{NCSO}_2)]$  (II). При комнатной т-ре II превращается в указанную выше смесь; сильно охлажденный р-р щелочи в метаноле разлагает II на цианид и сульфит. При р-ции KCN с растворенным в  $\text{SO}_2$  или газообразным  $\text{SO}_3$  вместо  $[\text{K}(\text{NCSO}_2)]$  образуются сульфат и парациан. При гидролизе I в щел. р-ре образуется сложная смесь цианида, роданида, сульфата, сульфида, тиосульфата, политионатов, карбоната и  $\text{NH}_3$ ; авторы полагают, что промежуточно образуется быстро гидролизующийся  $\text{NCSO}^-$ , ведущий себя как производное  $\text{S}(\text{OH})_2$ , а не подобно гипогалогенидам.

**И. Р. 25385. Галогениды полония. Часть I. Хлориды полония.** Багналл, Д'Ай, Фриман (The polonium halides. Part I. Polonium chlorides. Bag-nall K. W., D'Eye R. W. M., Freeman J. H.), J. Chem. Soc., 1955, July, 2320—2326 (англ.) Описано получение миллиграммовых кол-в хлоридов полония.  $\text{PoCl}_4$  (I) получен растворением осажденного электролитически на Au-фольге металлич. Po в HCl, медленным выпариванием досуха, нагреванием

металла в токе сухого  $\text{Cl}_2$  и в токе сухого HCl-газа или парах  $\text{SOCl}_2$  или с  $\text{PCl}_5$ . I представляет собой яржелтое твердое в-во, сильно гигроскопичное и гидролизующееся во влажном воздухе с образованием белого в-ва неопределенного состава. Т-ра плавления I в атмосфере  $\text{Cl}_2$  в запаянной трубке ~300°. I растворяется в HCl и в  $\text{SOCl}_2$ , в воде слегка гидролизует, умеренно растворим в  $\text{C}_2\text{H}_5\text{OH}$ , ацетоне и других кетонах. В 0,1 н.  $\text{HNO}_3$  I образует белый нерастворимый осадок, с р-ром  $\text{CsCl}$  в  $\text{C}_2\text{H}_5\text{OH}$  дает зелено-желтый осадок  $\text{Cs}_3\text{PoCl}_6$ , при добавлении р-ров NaOH или  $\text{NH}_4\text{OH}$  к солянокислому р-ру I образуется бледнокоричневый осадок, при кипячении переходящий в кристаллич. I быстро восстанавливается в р-ре HCl до  $\text{Po}^{2+}$  действием  $\text{N}_2\text{H}_4$  и в  $\text{SO}_2$  на холоду и  $\text{As}_2\text{O}_3$  при нагревании.  $\text{NH}_4\text{OH}$  и  $\text{H}_2\text{C}_2\text{O}_4$  подобного действия не оказывают. При нагревании на воздухе или в токе  $\text{O}_2$  при 300° I превращается в  $\text{PoO}_2$ .  $\text{PoCl}_2$  (II) получается при осторожном термич. разложении I при 200° в вакууме, при взаимодействии  $\text{SO}_2$  со слегка влажным I на холоду, при нагревании I в струе CO или  $\text{H}_2\text{S}$  при 150°. II — темнокрасное в-во, возгоняется с некоторым разложением при ~200°. Растворяется в разб. HCl, образуя розовый р-р, в котором  $\text{Po}^{2+}$  быстро окисляется до  $\text{Po}^{4+}$ ; при действии на этот р-р  $\text{H}_2\text{O}_2$  или хлорной воды окисление происходит мгновенно. При добавлении к розовому р-ру р-ра KOH образуется темнокоричневый осадок, с 0,1 н.  $\text{HNO}_3$  сначала образуется темнокрасный р-р, затем белый хлопьевидный осадок. II имеет ромбич. элементарную ячейку,  $a$   $3,66 \pm 0,01$ ,  $b$   $4,34 \pm 0,01$ ,  $c$   $4,49 \pm 0,01$ ,  $\rho_{\text{теор}} = 6,50$ . Желтый  $(\text{NH}_4)_2\text{PoCl}_6$ , полученный нагреванием I с  $\text{NH}_3$  при 100°, имеет куб. решетку,  $a$   $10,33 \pm 0,01$  Å,  $\rho_{\text{теор}} = 2,76$ . Коричнево-черному в-ву, полученному при нагревании I или II в токе  $\text{NH}_3$  при 200°, приписана ф-ла  $\text{PoCl}_2 \cdot 2\text{NH}_3$ .

**Р. П. 25386. Соединения рения (4+). Синтез и свойства.** Ралфе, Мейер (Rhenium (IV) compounds: Synthesis and properties. Rulfs Charles L., Meyer Robert J.), J. Amer. Chem. Soc., 1955, 77, № 17, 4505—4507 (англ.)

Для получения  $\text{K}_2\text{ReCl}_6$  (I) 3 г  $\text{KReO}_4$  и 0,77 г KCl растворили в 100 мл HCl, добавляли 20 мл 50%-ной  $\text{H}_3\text{PO}_2$  и нагревали почти до кипения до образования светлогозеленого р-ра, периодически прибавляя HCl; горячий р-р фильтровали, выпаривали до объема 20 мл и охлаждали во льду; осадок отсасывали, дважды промывали спиртом и эфиром и сушили при 110°. Аналогично получали  $\text{K}_2\text{ReBr}_6$  (II), но для указанного кол-ва исходных в-в брали 5 мл  $\text{H}_3\text{PO}_2$ , так как избыток ее приводил к выделению черного осадка. После одной перекристаллизации соли содержали 99,5% I или, соответственно, II. При попытках аналогичного получения фторокомплекса образовывался черный осадок. При получении  $\text{K}_2\text{ReJ}_6$  (III) восстановителем служила HJ. Измерены спектры поглощения I, II и III в области 281,5—755 мμ. При 25° растворимость I в 0,001—0,1 н. HCl, II в 3,0 н. HBr и  $\text{Ag}_2\text{ReCl}_6$  в 0,01 н.  $\text{H}_2\text{SO}_4$  равна 83,3; 107 и 0,188 г/л. Гидролиз  $\text{ReCl}_6^{2-}$  протекает медленно. Кривые потенциометрич. и кондуктометрич. титрования  $\text{ReCl}_6^{2-}$  щелочью указывают на промежуточное образование  $[\text{Re}(\text{OH})_3(\text{H}_2\text{O})_3]^+$ , разлагаемого избытком щелочи до  $\text{ReO}_2$ .

**И. Р. 25387. Твердые гидраты газов. III. Смешанные гидраты. Штакельберг, Мейнхольд** (Feste Gashydrate. III Mischhydrate. Stackelberg M. v., Meinhold W.), Z. Elektrochem., 1954, 58, № 1, 40—45 (нем.)

Благодаря наличию в остове гидратов газов, построенном из молекул воды, структурных пустот разных размеров появляются различные возможности для образования твердых р-ров. Встряхиванием соответствующую

шей жидкости с ледяной водой в присутствии воздуха или другого газа получены смешанные «гидраты жидкостей» с внедрением в них (в пустоты малых размеров) небольших газовых молекул. Так, в случае  $\text{CHCl}_3$  гидрат имеет ф-лу:  $8\text{CHCl}_3 \cdot 0,35(\text{O}_2, \text{N}_2) \cdot 136\text{H}_2\text{O}$ . Кол-во внедренного газа возрастает с давлением. Жидкости, не образующие гидратов, способны в некоторых случаях образовывать их в присутствии «вспомогательного газа», так,  $\text{CCl}_4$  не образует гидрата, но при давлении воздуха  $>2$  атм дает гидрат. Внедрение небольших газовых молекул в свободные пустоты малых размеров, имеющиеся в структуре гидратов больших молекул, может значительно стабилизировать эти гидраты. Стабилизирующее действие «вспомогательных газов» больше зависит от их природы, чем от давления. Инконгруэнтная точка плавления «смешанных гидратов» повышается; при этом появляется возможность перегреть кристаллы, поверхностно стабилизированные небольшими молекулами, на  $10$ – $15^\circ$  выше точки плавления, соответствующей составу внутри гидрата. Часть II, РЖХим, 1955, 18199. И. Л.

**25388. Твердые гидраты газов. IV. Двойные гидраты. Штакельберг, Фрюбусе (Feste Gashydrate. IV. Doppelhydrate. Stackelberg M. v., Fröhbusse H.), Z. Elektrochem., 1954, 58, № 2, 99–104 (нем.).**

Отличие «двойных гидратов» (ДГ), образуемых рядом в-в и  $\text{H}_2\text{S}$  (или  $\text{H}_2\text{Se}$ ) и имеющих общую ф-лу  $\text{M} \cdot 2\text{H}_2\text{S} \cdot 17\text{H}_2\text{O}$  (РЖХим, 1955, 18199), от смешанных гидратов состоит в том, что ДГ представляют собой моновариантные системы (при данной т-ре давление пара постоянно в процессе откачивания  $\text{H}_2\text{S}$  до полного разложения ДГ), тогда как давление пара смешанных гидратов зависит от содержания газообразного компонента. На этом основании авторы считают, что ДГ являются хим. соединениями. Для образования ДГ с  $\text{H}_2\text{S}$  или  $\text{H}_2\text{Se}$  в-во М должно иметь т. кип.  $<110^\circ$  и диаметр молекул  $5,3$ – $7,0$  А. Получены ДГ с  $\text{M} = \text{CCl}_4$ ,  $\text{CHCl}_3$ ,  $\text{CH}_2\text{Cl}_2$ ,  $\text{C}_2\text{H}_6$ ,  $\text{C}_6\text{H}_6$ ,  $(\text{CH}_3)_2\text{S}$  и др. В-ва, смешивающиеся с водой (спирты, альдегиды, амины), не образуют ДГ. Для точного установления состава проведен анализ и колич. синтез ДГ  $\text{CCl}_4 \cdot \text{H}_2\text{S}$ . Найденны отношения  $\text{H}_2\text{S} : \text{CCl}_4 = 2,20$  и  $\text{H}_2\text{O} : \text{H}_2\text{S} = 8,7$ . Плотность ДГ  $\text{CCl}_4$  и  $\text{CHCl}_3$  с  $\text{H}_2\text{S}$  равны соответственно  $1,272 \pm 0,01$  и  $1,216 \pm 0,01$ . Сравнением пикнометрич. плотности с рентгеновской показано, что в кристаллах ДГ молекулы  $\text{CCl}_4$  (или  $\text{CHCl}_3$ ) лишь на 90% заполняют пустоты решетки. Давление пара ДГ  $\text{CCl}_4$ ,  $\text{CHCl}_3$  и  $\text{CH}_2\text{Cl}_2$  с  $\text{H}_2\text{S}$ , а также простого гидрата  $\text{H}_2\text{S} \cdot 5\frac{1}{2}\text{H}_2\text{O}$  (РЖХим, 1955, 18199) измерено в интервале  $0$ – $17^\circ$ . Кривые зависимости  $\lg p$  от  $1/T$  подчинялись ур-нию Клаузиуса — Клапейрона. На основании правила фаз показано, что выше некоторой т-ры  $T'$  одновременно существуют 3 фазы: ДГ,  $\text{H}_2\text{O}$ , М и газовая фаза, а ниже  $T'$  фаза М исчезает. Для ДГ  $\text{CCl}_4$   $T' = 7^\circ$ . Определены т-ра и давление, соответствующие крит. точке разложения ДГ, т. е. точке, в которой кривая давления пара ДГ пересекает кривую давления пара жидкой  $\text{H}_2\text{S}$ , насыщ.  $\text{H}_2\text{O}$  и М. Для ДГ  $\text{CCl}_4$  найдено  $33 \pm 1^\circ$  и  $13 \pm 2$  атм. В. Р.

**25389. Твердые гидраты газов. V. Энергии связей. Штакельберг (Feste Gashydrate. V. Die Bindungsenergien. Stackelberg M. v.), Z. Elektrochem., 1954, 58, № 2, 104–109 (нем.).**

Вычислены термодинамич. величины, характеризующие устойчивость простых и двойных гидратов газов. Автор полагает, что в простых гидратах молекулы М внедрены в пустоты остова из молекул воды и связаны с последними только ван-дер-ваальсовыми силами. Энтропия образования гидрата принимается равной энтропии перехода 1 моля газа в твердое состояние.

Отсюда получена ф-ла  $\lg p_{\text{атм}} = 4,8 - 0,32 \sqrt{T_e}$  (при  $0^\circ$ ) (1), где  $p$  — парц. давление М над гидратом,  $T_e$  — т-ра кипения М. Сравнение измеренных и вычисленных по формуле (1) значений  $p$  показало, что отношение их близко к 1 для ряда гидратов ( $\text{CH}_4$ ,  $\text{SO}_2$ ,  $\text{C}_2\text{H}_5\text{Cl}$ ,  $\text{Kt}$ ,  $\text{PH}_3$  и др.), размеры молекул М которых близко соответствуют размерам пустот. Устойчивость гидрата определяется отношением  $p$  к давлению пара чистого М ( $p_1$ ).  $\lg p$  линейно зависит от  $\sqrt{T_e}$ , а  $\lg p_1$  — от  $T_e$ , поэтому с ростом  $T_e$   $p_1$  падает быстрее, чем  $p$ . При  $+60^\circ$   $p = p_1$ ; выше этой т-ры  $p_1 < p$  и образуется не гидрат, а жидкая фаза М. Опыт подтверждает, что в-ва с т. кип.  $>60^\circ$  ( $\text{J}_2$ ,  $\text{CCl}_4$ ,  $\text{C}_2\text{H}_4\text{Cl}_2$ ,  $\text{CH}_3 \cdot \text{CCl}_3$  и др.) не образуют гидратов, хотя размеры их молекул подходят для гидратообразования. Показано, что  $\Delta H$  и  $\Delta S$  образования гидрата по ур-нию М (газ) +  $n \text{H}_2\text{O}$  (жидк.) = М ·  $n \text{H}_2\text{O}$  составляются из  $\Delta H$  и  $\Delta S$  плавления и испарения М и плавления  $\text{H}_2\text{O}$ . Следовательно,  $\Delta H$  и  $\Delta S$  р-ции М (тв.) +  $n \text{H}_2\text{O}$  (тв.) = М ·  $n \text{H}_2\text{O}$  практически равны нулю, что указывает на отсутствие хим. сил связи между молекулами простых гидратов.  $\Delta H$  и  $\Delta S$  образования ДГ вычислены из наклона кривых зависимости давления пара от т-ры. Для р-ции образования ДГ из твердых компонентов М (тв.) +  $2\text{H}_2\text{S}$  (тв.) +  $17 \text{H}_2\text{O}$  (тв.) = М ·  $2\text{H}_2\text{S} \cdot 17\text{H}_2\text{O}$  значения  $\Delta H$  и  $\Delta S$  отличны от нуля и равны соответственно (в ккал/моль и энтр. ед.):  $\text{CCl}_4 - 32 \pm 4$ ,  $-93 \pm 20$ ;  $\text{CHCl}_3 - 27 \pm 5$ ,  $-73 \pm 25$ ;  $\text{CH}_2\text{Cl}_2 - 19 \pm 7$ ,  $-45 \pm 30$ . Уменьшение  $\Delta S$  при образовании ДГ из твердых компонентов автор объясняет прекращением вращения молекул М, закреплением направлений водородных связей в води. остове и уменьшением колебательной энтропии решетки. По тем же соображениям, что и для простых гидратов, ДГ могут быть образованы в-вами с т. кип. не выше  $110^\circ$ . В. Р.

**25390. Неорганические макромолекулы и высокополимерные соединения. Мишель (Macromolécules et hauts polymères minéraux. Michel A.), Bull. Union physiciens, 1955, 49, № 422, 321–334 (франц.).**

Рассмотрен ряд примеров образования цепей различными элементами (S, Si, Ge, N, P, As, Sb, B). Н. П. **25391. Комплексы металлов с дифенилвиолуровой кислотой. Сингх (Metallic complexes formed by diphenyl-violuric acid. Singh R. P.), Current Sci., 1955, 24, № 6, 208 (англ.).**

Дифенилвиолуровая к-та (HR) образует окрашенные внутрикислотные соединения с ионами металлов. Добавлением конц. водн. р-ров солей металлов к насыщ. р-ру аммонийной соли HR получены следующие комплексы:  $\text{CuR}$  (изумрудно-зеленый, т. разл.  $240^\circ$ , максимум поглощения в ацетоновом р-ре  $652 \text{ мμ}$ ),  $\text{CuR}_2$  (коричневый,  $175^\circ$ ,  $473$ ),  $\text{AgR}$  (бледнофиолетовый,  $160^\circ$ ,  $560$ ),  $\text{AuR}_2$  (оранжево-коричневый,  $153^\circ$ ,  $485$ ),  $\text{CaR}_2$  (бледнорозовый,  $159^\circ$ ,  $520$ ),  $\text{BaR}_2$  (розовый,  $>290^\circ$ ,  $540$ ),  $\text{HgR}$  (бледнорозовый,  $180^\circ$ ,  $515$ ),  $\text{AlR}_2$  (красный,  $115^\circ$ ,  $550$ ),  $\text{CeR}_2$  (желтовато-коричневый,  $>290^\circ$ ,  $450$ ),  $\text{TiR}_2$  (серый,  $95^\circ$ ,  $420$ ),  $\text{ZrR}_2$  (светложелтый,  $>290^\circ$ ,  $450$ ),  $\text{ThR}_2$  (коричневатый,  $>290^\circ$ ,  $475$ ),  $\text{SnR}_2$  (розовый,  $140^\circ$ ,  $520$ ),  $\text{PbR}_2$  ( $190^\circ$ ,  $515$ ),  $\text{CrR}_2$  (зеленовато-синий,  $153^\circ$ ,  $645$ ),  $\text{UO}_2\text{R}_2$  (желтый,  $220^\circ$ ,  $420$ ),  $\text{FeR}_2$  (синий,  $220^\circ$ ,  $630$ ),  $\text{FeR}_3$  (синеважно-зеленый,  $172^\circ$ ,  $655$ ),  $\text{CoR}_2$  (коричневый,  $202^\circ$ ,  $485$ ),  $\text{NiR}_2$  (коричневый,  $>290^\circ$ ,  $498$ ),  $\text{PtR}_4$  (розовато-коричневый,  $214^\circ$ ,  $510$ ),  $\text{BiR}_3$  ( $>290^\circ$ ,  $525$ ),  $\text{Cu}_3\text{R}_4$  (оливково-зеленый, —,  $650$ , получен из кипящего р-ра с использованием избытка  $\text{CuSO}_4$ ). Е. Т.

**25392. О галогенидах ртути. VI. О гидролизе хлорида двухвалентной ртути. VII. Меркурохлористоводородные кислоты. Дамм, Вейсе (Über die**

Hydrolyse des Quecksilber (II)-chlorids. Zur Kenntnis der Chloro-quecksilber (II)-Säuren. (Über Quecksilberhalogenide VI, VII). Damm Klaus, Weiss Armin, Z. Naturforsch., 1955, 10b, № 9, 534—537 (нем.)

**Часть VI.** Измерены электропроводность и pH водн. р-ров  $\text{HgCl}_2$ ,  $\text{H}_2\text{Hg}_2\text{Cl}_6$ ,  $\text{H}_2\text{HgCl}_4$ ,  $\text{Na}_2\text{Hg}_2\text{Cl}_6$  и  $\text{Na}_2\text{Hg}_2\text{Cl}_6\text{OH}$ . Показано, что гидролиз  $\text{HgCl}_2$  идет по уравнению:  $\text{HgCl}_2 + \text{H}_2\text{O} = \text{HgOH}^+ + \text{H}^+ + 2\text{Cl}^-$ . Равновесие р-ции  $\text{HgOH}^+ + \text{Cl}^- = \text{HgCl}^+ + \text{OH}^-$  сильно смещено влево. В р-ре  $\text{HgCl}_2$  присутствуют недиссоциированные молекулы, ионы  $\text{HgOH}^+$ ,  $\text{HgCl}^+$ ,  $\text{Cl}^-$ ,  $\text{HgCl}_2$ ,  $\text{HgCl}_3^-$  и  $\text{H}^+$ , а также незначительное кол-во  $\text{Hg}_2\text{Cl}_6^{2-}$ . Рассчитаны константы равновесия:  $[\text{HgOH}^+][\text{H}^+] \times [\text{Cl}^-]^2 [\text{HgCl}_2]^{-1} = 4,0 \cdot 10^{-13}$ ;  $[\text{HgCl}_2][\text{Cl}^-] [\text{HgCl}_3^-]^{-1} = 0,27$ ;  $[\text{HgCl}_2][\text{Cl}^-]^2 [\text{HgCl}_4^{2-}]^{-1} = 9,3 \cdot 10^{-3}$ ;  $[\text{Hg}^{2+}] \times [\text{Cl}^-]^2 [\text{HgCl}_2]^{-1} = 4,0 \cdot 10^{-14}$ ;  $[\text{Hg}^{2+}][\text{Cl}^-] [\text{HgCl}^+]^{-1} = 1,6 \cdot 10^{-7}$ ;  $[\text{HgCl}^+][\text{OH}^-] [\text{HgOH}^+]^{-1} [\text{Cl}^-]^{-1} = 6,0 \cdot 10^{-10}$ . Существование ионов  $\text{HgOH}^+$  доказано также осаждением  $\text{Hg}_2(\text{OH})_2$  на катоде при электролизе и образовании  $\text{HgOH} [\text{Cr}(\text{SCN})_4(\text{NH}_3)_2]$  при pH 3,0—4,5.

**Часть VII.** Рентгенографически определено строение  $\text{H}_2\text{HgCl}_4 \cdot 3\text{H}_2\text{O}$ , (I) образующейся при насыщении р-ра  $\text{HgCl}_2$  током  $\text{HCl}$ , а также  $\text{H}_2\text{Hg}_2\text{Cl}_6$  и  $\text{HHg}_2\text{Cl}_6$ , получающихся при отнятии  $\text{HCl}$  от  $\text{H}_2\text{HgCl}_4$ . I образует моноклинные кристаллы,  $a$  24,7,  $b$  4,16,  $c$  51,2 Å,  $\beta = 101^\circ$ ; по аналогии с  $\text{K}_2\text{HgCl}_4 \cdot \text{H}_2\text{O}$  (MacGillavry C. H. и др., Z. Kristallogr., 1938, A100, 212) для I предполагается ф-ла  $(\text{H}_2\text{O})_2 \cdot \text{HgCl}_4 \cdot \text{H}_2\text{O}$ .  $\text{H}_2\text{Hg}_2\text{Cl}_6 \cdot x\text{H}_2\text{O}$  имеет  $b$  4,16, а  $\text{HHg}_2\text{Cl}_6$   $b$  4,23 Å. Авторы считают, что все хлормеркуроаты построены по общему принципу. Атом Hg и 6 атомов Cl, из которых 2 расположены на расстоянии 2,3—2,5 Å и 4 — на расстоянии 2,8—3,0 Å, образуют несколько искаженный октаэдр. Из этих октаэдров составлены характерные для хлормеркуроатов одинарные и двойные цепи, полосы, слои или пространственные образования.  $\text{H}_2\text{HgCl}_6$  в разбавленных растворах является сильной кислотой. При прибавлении щелочи  $c \sim 2M$  р-ру pH сначала падает из-за р-ции  $\text{H}_2\text{Hg}_2\text{Cl}_6 + \text{OH}^- = \text{H}_2\text{Hg}_2\text{Cl}_6\text{OH} + \text{Cl}^-$ . При нагревании  $\text{HgCl}_2$  с  $\text{C}_2\text{H}_5\text{Cl}$  под давлением образуются кристаллы  $\text{HgCl}_2 \cdot x\text{C}_2\text{H}_5\text{Cl}$ , разлагающиеся при нормальном давлении. Часть V см. РЖХим, 1955, 39929.

**25393. О галогенидах ртути. VIII. Гидроксохлоромеркуроат натрия  $\text{Na}_2\text{Hg}_2\text{Cl}_6\text{OH}$ .** Вейсс, Дамм (Zur Kenntnis des Natriumhydroxochloromercurats (II)  $\text{Na}_2\text{Hg}_2\text{Cl}_6\text{OH}$  (Über Quecksilberhalogenide VIII). Weiss Armin, Damm Klaus), Z. Naturforsch., 1955, 10b, № 9, 537 (нем.)

Для получения гидроксохлоромеркуроата натрия (I) к р-ру 27,7 г  $\text{HgCl}_2$  и 5,8 г  $\text{NaCl}$  в 8,5—10 мл воды медленно прибавляют 4,5 мл 30%-ного р-ра  $\text{NaOH}$ . Р-цию ведут при  $t$ -ре  $< 15^\circ$ , чтобы избежать образования оксихлоридов. I, перекристал. из конц. р-ра  $\text{Na}_2\text{Hg}_2\text{Cl}_6$ , образует бесцветные гибкие волокнистые кристаллы длиной до нескольких см, водой разлагается с образованием  $\text{HgCl}_2 \cdot 2\text{H}_2\text{O}$ . Плотность I равна 3,47. Кристаллы I принадлежат к ромбич. системе с  $a$  11,1,  $b$  3,76,  $c$  18,15 Å. Возможны ф. гр.  $D_{2h}^{5h} - P_{\text{тма}}$  либо  $C_{4v}^{2v} - P_{\text{тас}}$ . Данные хим. анализа I соответствуют составу  $\text{Na}_4\text{Hg}_4\text{Cl}_{10}\text{O}$  или  $\text{Na}_4\text{Hg}_4\text{Cl}_{10}\text{OH}_2\text{O}$ . Авторы приписывают I ф-лу  $\text{Na}_2\text{Hg}_2\text{Cl}_6\text{OH}$ , считая, что в элементарной ячейке содержится 2 молекулы I. Меньшая величина параметра  $b$  для I сравнительно с описанными в части VII (см. пред. реф.) хлормеркуроатами связана с уменьшением расстояния Hg—Hg при замене иона  $\text{Cl}^-$  на ион  $\text{OH}^-$ .

**25394. Исследования редкоземельных элементов. LXV. Нафтазариновые комплексы некоторых ионов**

редкоземельных элементов. Мёллер, Текоцкий (Observations on the rare earths. LXV. Naphthazarin complexes of certain rare earth metal ions. Moeller Therald, Tecotzky Melvin), J. Amer. Chem. Soc., 1955, 77, № 9, 2649—2650 (англ.)

Редкоземельные элементы (РЗЭ), в частности La, Pr, Nd, Sm, Gd, Er и Y, образуют окрашенные комплексы с нафтазарином (5,8-диокси-1,4-нафтохиноном) (I). Цвет I при взаимодействии с РЗЭ меняется из красного в красновато-синий. Комплексы получались смешиванием р-ров хлоридов РЗЭ с р-ром I в этаноле. Изменение окраски отмечается при конц-ии 0,31 мг-иона РЗЭ в 1 л. Методом, описанным ранее (Vosburgh W. C. и др., J. Amer. Chem. Soc., 1941, 63, 437), установлено, что в окрашенных комплексных соединениях молярное соотношение I : РЗЭ = 2 : 1. Эти комплексные соединения РЗЭ менее устойчивы, чем соответствующие соединения Th, имеют катионный характер и проявляют свойства полимерных агрегатов. I может служить групповым реактивом на РЗЭ. Предыдущее сообщение см. РЖХим, 1955, 25990.

**25395. Реакция затвердевания смеси окиси цинка с эвгенолом.** Копленд, Брауэр, Суини, Форциати (Setting reaction of zinc oxide and eugenol. Copeland Henry J., Jr., Brauer Gerhard M., Sweeney W. T., Forziati A. F.), J. Res. Nat. Bur. Standards, 1955, 55, № 3, 133—138 (англ.)

Установлено, что затвердевание смеси  $\text{ZnO}$  с эвгенолом (применяющейся в зубоорудительной практике) вызвано образованием микрокристаллов эвгенолата цинка  $\text{Zn}(\text{C}_{10}\text{H}_{11}\text{O}_2)_2$  (I). На основании данных ИК-спектра I сделан вывод, что I является внутрикомплексным соединением, в котором атом Zn связан с двумя атомами O эвгенола, находящимися в o-положении. Этот вывод подтвержден незатвердеванием смесей  $\text{ZnO}$  с m- и p-замещенными фенолами. Мономерность I доказана криоскопически в ацетамиде. I нерастворим в обычных органич. р-рителях, растворим в горячем бутиролактоне, ацетамиде, пиридине, р-ре  $\text{NH}_3$ , очень мало растворим в горячем хлороформе. I образует моноклинные кристаллы,  $d = 1,6$ , т. пл. (разл.)  $245^\circ$ , показатель преломления  $n_D^{25} = 1,69$ . Р-ция образования I экзотермична.

**25396. Металлоорганические внутрикомплексные соединения.** Сообщение II.  $\gamma$ -Этилмеркаптопропилидиалюминий. Бер, Мюллер (Metallorganische Innerkomplexe; II. Mitteil.:  $\gamma$ -Äthylmercaptopropyl-diäthyl-aluminium. Bähr Gerhard, Müller Gerhard Ernst), Chem. Ber., 1955, 88, № 11, 1765—1770 (нем.)

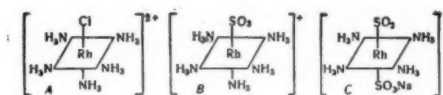
Лучший выход  $(\text{C}_2\text{H}_5)_2\text{Al}-\text{CH}_2-\text{CH}_2-\text{CH}_2-\text{S}-\text{C}_2\text{H}_5$  (I) дает следующий метод. 25 г Mg-опилок вносят в колбу с 300 мл сухого  $(\text{CH}_3)_2\text{S}$  и активируют подом; медленно, по каплям, вводят 85 г  $\gamma$ -этилмеркаптопропилидиалюминия (II) и оставляют на ночь. Все дальнейшие операции проводят в атмосфере  $\text{N}_2$ . К образовавшемуся гриньяровскому соединению прибавляют по каплям при энергичном встряхивании 63 г  $(\text{C}_2\text{H}_5)_2\text{AlI}$  (III) и оставляют на ночь. Затем вводят 200 мл изоктана; при этом образуются два слоя: р-р I в изоктане и вязкий нижний слой, содержащий соли Mg и  $(\text{CH}_3)_2\text{S}$ ; после отгонки  $(\text{CH}_3)_2\text{S}$  нижний слой твердеет. Верхний слой сливают, присоединяют к нему р-ры, полученные 2-кратным экстрагированием остатка порциями по 100 мл изоктана и отгоняют изоктан из р-ра. Оставшаяся маслянистая жидкость дважды фракционируется в вакууме. В остатке, по видимому, содержится продукты координационной полимеризации I. Выход



I 64%. В случае применения вместо  $(\text{CH}_3)_2\text{S}$  эфира I не может быть полностью освобожден от эфира. Другой метод получения I: при смешении 30 г III в атмосфере  $\text{N}_2$  с 40 г II происходит экзотермич. р-ция образования  $(\text{C}_2\text{H}_5)_2\text{Al}(\text{J})-\text{S}(\text{C}_2\text{H}_5)\text{CH}_2-\text{CH}_2-\text{CH}_2\text{Cl}$ ; прибавление этого р-ра по каплям к находящемуся под слоем эфира избытку Mg-стружек приводит к образованию I; дальнейшие операции ведутся, как описано выше. I — бесцветная жидкость, т. кип.  $92^\circ/6$  мм рт. ст., не замерзающая при  $-80^\circ$  и чрезвычайно чувствительная к действию воздуха. I смешивается с изоктаном во всех отношениях. Мономерность I доказана криоскопически в  $\text{C}_6\text{H}_6$ . Р-р I в мезитиле количественно разлагается водой по ур-нию  $\text{I} + 3\text{H}_2\text{O} \rightarrow \text{Al}(\text{OH})_3 + 2\text{C}_2\text{H}_6 + \text{C}_2\text{H}_5\text{SC}_2\text{H}_5$ . В отличие от  $(\text{CH}_3)_2\text{Al}$ , образующего с  $(\text{CH}_3)_2\text{S}$  бесцветное жидкое соединение  $(\text{CH}_3)_2\text{Al}-\text{S}(\text{CH}_3)_2$ , I не реагирует с  $(\text{CH}_3)_2\text{S}$ . Сообщение I см. РЖХим, 1955, 42795. И. Р.

25397. Новые сульфитоаммиачные соединения родия. Статья П. Лебединский В. В., Шендереккая Е. В., Изв. сектора платины ИОНХ. АН СССР, 1955, № 30, 99—105

Исследовалась р-ция  $[\text{Rh}(\text{NH}_3)_4\text{Cl}]\text{Cl}_2$  (I) с  $\text{Na}_2\text{SO}_3$ . К I в I прибавляли 15 мл свежеприготовленного насыщ. р-ра  $\text{Na}_2\text{SO}_3$  и 30 мл воды и смесь нагревали до кипения. I постепенно растворялся, и р-р обесцвечивался. По мере упаривания р-ра добавлялась горячая вода. По окончании р-ции р-р упаривался до половины и оставлялся при комнатной т-ре для кристаллизации. Через сутки выпадали бесцветные игольчатые кристаллы  $\text{NaRh}(\text{NH}_3)_4(\text{SO}_3)_2 \cdot 2\text{H}_2\text{O}$  (II). Комплекс II устойчив по отношению к HCl и не реагирует с 25%-ным р-ром  $\text{NH}_3$ . Водн. р-р II при стоянии гидролизуются, а в р-ре появляются ионы  $\text{SO}_3^{2-}$ , образующиеся, по мнению авторов, вследствие выхода  $\text{SO}_3^{2-}$  из внутренней сферы и последующего окисления. Малая величина мол. электропроводности ( $\mu = 76,650 \text{ ом}^{-1} \text{ см}^2$  при  $\nu = 1000 \text{ л/моль}$ ) указывает на то, что II должен быть отнесен к «полутормым» электролитам, а также что внешнесферный ион  $\text{Na}^+$  «втягивается» во внутреннюю сферу комплекса. Эти данные вынуждают допустить существование в водн. р-ре обратной системы:  $[\text{Na}[\text{Rh}(\text{NH}_3)_4(\text{SO}_3)_2] \rightleftharpoons [\text{Rh}(\text{NH}_3)_4\text{SO}_3(\text{SO}_3\text{Na})]$ . Авторы считают, что при взаимодействии I и  $\text{Na}_2\text{SO}_3$  группа  $\text{SO}_3$  входит во внутреннюю сферу и становится на место Cl; при этом комплекс A превращается в комплекс B.



Группа  $\text{SO}_3$  настолько сильно лабильзует стоящую в транс-положении молекулу  $\text{NH}_3$ , что она делается способной к замещению на вторую группу  $\text{SO}_3$ . Внешнесферный ион  $\text{Na}^+$  втягивается во внутреннюю сферу, в результате чего и образуется комплекс C. Взаимодействие I с  $(\text{NH}_4)_2\text{SO}_3$  протекает по той же схеме с той только разницей, что ион  $\text{NH}_4^+$  не входит во внутреннюю сферу, что подтверждается данными измерений мол. электропроводности: при  $\nu = 1000 \text{ л/моль}$   $\mu = 109,0 \text{ ом}^{-1} \text{ см}^2$ . Образуется комплексное соединение  $\text{NH}_4[\text{Rh}(\text{NH}_3)_4(\text{SO}_3)_2] \cdot 3,5\text{H}_2\text{O}$ . При р-ции I с  $\text{K}_2\text{S}_2\text{O}_8$  образуется  $\text{K}[\text{Rh}(\text{NH}_3)_4(\text{SO}_3)_2] \cdot 1,5 \text{H}_2\text{O}$ , мол. электропроводность которого при  $\nu = 1000 \text{ л/моль}$  составляет  $\mu = 108,8 \text{ ом}^{-1} \text{ см}^2$ . Оба комплекса представляют собой кристаллич. в-ва, по свойствам близкие к II. Предыдущее сообщение см. Изв. сектора платины ИОНХ АН СССР, 1948, № 21, 164. Е. Т.

25398. Алкильные соединения переходных металлов.

Сообщение III. Гексаалкильные комплексы  $\text{Cr}(3+)$ . Наст, Зиртль (Alkinyloverbindungen von Übergangsmetallen. III. Mitteil.: Hexaalkinylkomplexe von Chrom (III). Nast Reinhard, Sirtl Erhard), Chem. Ber., 1955, 88, № 11, 1723—1726 (нем.)

При медленном прибавлении р-ра  $2,34 \text{ г } \text{K}_2\text{C}_2\text{N}_2$  к 200 мл безводн.  $\text{NH}_3$  к энергично перемешиваемому р-ру  $2,06 \text{ г } [\text{Cr}(\text{NH}_3)_6] (\text{NO}_3)_3$  в 50 мл того же р-рителя при  $-35^\circ$  образуется темнооранжевый колл. р-р, выделяющий после длительного охлаждения до  $-75^\circ$  кирпично-красный осадок  $\text{K}_3[\text{Cr}(\text{C}_2\text{H}_5)_6]$  (I). После фильтрования, промывки 7—8 раз порциями по 100 мл жидкого  $\text{NH}_3$  и сушки в высоком вакууме при комнатной т-ре в течение 8 час. выход I 40—60%. Незначительная примесь  $\text{NH}_3$  в I с трудом удаляется в высоком вакууме при  $100^\circ$ . Комплекс I детонирует при ударе или трении острыми предметами; при нагревании до  $150^\circ$  коричневет, а при  $175^\circ$  или при соприкосновении с пламенем взрывает, выделяя сажу. Во влажном воздухе, а также при действии воды, безводн. ацетона или спирта I разлагается, выделяя только часть содержащегося в нем  $\text{C}_2\text{H}_2$ ; остальной  $\text{C}_2\text{H}_2$  превращается в органич. в-ва, обладающие характерным запахом и образующие устойчивые к к-там комплексы  $\text{Cr}(3+)$ . 25%-ный р-р KCN превращает I в  $\text{K}_3\text{Cr}(\text{CN})_6$ , но вытесняет только 80%  $\text{C}_2\text{H}_2$ . Молярная магнитная восприимчивость I при 90 и  $288^\circ\text{K}$  соответствует  $\mu_{\text{эф}} = 3,86 \pm 0,19 \mu\text{B}$ , т. е. наличию трех неспаренных электронов. Аналогичная р-ция  $\text{Cr}(\text{NH}_3)_6(\text{NO}_3)_3$  с  $\text{K}[\text{C} \equiv \text{C} - \text{CH}_3]$  приводит к образованию желтого р-ра, вероятно содержащего  $\text{K}_3[\text{Cr}(\text{C}_2\text{CH}_3)_6]$ ; при недостатке  $\text{KC}_2\text{CH}_3$  выделяется синевато-красный желатинозный осадок  $\text{Cr}(\text{C}_2\text{CH}_3)_3 \cdot x\text{NH}_3$ , образующий при повышении т-ры более высокомолекулярное соединение, отщепляя при этом  $\text{NH}_3$  и  $\text{C}_2\text{H}_2$ . Сообщение II см. РЖХим, 1956, 9581. И. Р.

25399. Координационные соединения металлов с аминами. III. Комплексы марганца с 2,2'-дипиридилом и 1,10-фенантролином. Миллер, Брандт (Metal-amine coordination compounds. III. Manganese complexes with 2,2'-bipyridine and 1,10-phenanthroline. Miller Ronald R., Brandt Warren W.), J. Amer. Chem. Soc., 1955, 77, № 5, 1384—1385 (англ.)

Спектрофотометрически при 370 и 395 мμ и при pH 6,2—6,4 исследовано образование комплексов  $\text{Mn}^{2+}$  с 2,2'-дипиридилом (Dipy) и 1,10-фенантролином (Phen). В водн. и водно-спирт. р-рах методом непрерывных изменений установлено образование комплексов  $\text{Mn}(\text{Phen})_3^{2+}$  и  $\text{Mn}(\text{Dipy})_3^{2+}$  с константами нестойкости соответственно  $4,4 \cdot 10^{-8}$  и  $5,0 \cdot 10^{-7}$ . В ряду устойчивости комплексы  $\text{Mn}^{2+}$  следуют за комплексами Cd. Из р-ров, содержащих ионы  $\text{Mn}(\text{Phen})_3^{2+}$ , в результате высаливания выделяется осадок состава  $\text{Mn}(\text{Phen})_2\text{Cl}_2$ . Часть II, РЖХим, 1955, 37068. Н. П.

25400. Координационные соединения металлов с аминами. IV. Комплексы одновалентной меди. Пфлаум, Брандт (Metal-amine coordination compounds. IV. Copper (I) complexes. Pflaum Ronald T., Brandt Warren W.), J. Amer. Chem. Soc., 1955, 77, № 7, 2019—2022 (англ.)

Спектрофотометрическим методом исследованы состав и свойства комплексов  $\text{Cu}^+$  с 2,2'-дипиридилом (I), 2,2',2''-трипиридилом (II), 1,10-фенантролином (III) и дихинолилом (IV). В водн. р-рах. Комплексообразование имеет место при pH 5—9, причем наилучшие результаты дает применение хлоридрата гидроксидов в качестве восстановителя для  $\text{Cu}^{2+}$ . В при-

существовании  $O_2$  цвет комплексов  $Cu^+$  с I, II и III меняется от оранжевого или пурпурного до зеленого, но снова восстанавливается при стоянии или после вытеснения  $O_2$  током  $N_2$ . Цвет комплексов с III зависит от концентрации  $Cu^+$ , что авторы связывают с ассоциацией молекул внутрикомплексного соединения в более конц. р-рах или с сольватацией. При добавлении к р-ру комплекса  $Cu^+$  с I равного объема метилкарбиталя положение максимума поглощения (МП) не меняется (435 мμ), в присутствии добавок тетрагидрофурана (V) МП смещается до 438 мμ. МП комплекса  $Cu^+$  с II в водн. р-ре и в присутствии V лежит при 435 мμ, во всех остальных смесях — при 430 мμ. Добавки указанных р-рителей к водн. р-рам комплекса  $Cu^+$  с III смещают МП с 408 до 433—438 мμ. Комплекс с IV в водн. р-рах образует осадок; в присутствии смешивающихся с водой органич. р-рителей МП лежит при 545—550 мμ. МП р-ров комплексов  $Cu^+$  с I—IV в не смешивающихся с водой р-рителях (хлороформ, нитробензол и т. д.) находятся почти в том же положении, что и для р-ров в водно-органич. смесях. Методом непрерывных изменений установлено, что в 20%-ном водно-спиртовом р-ре и в изометрическом спирте  $Cu^+$  образует с I и III комплексы состава 2 : 1. При этом отношение  $Cu$  : III в оранжевой и пурпурной модификациях одинаково. С II  $Cu^+$  образует комплекс состава 1 : 1. Этот комплекс характеризуется аномально низким значением молярного коэфф. экстинкции (3250 по сравнению с 4500, 7000 и 5500 для комплексов с I, III и IV). IV является специфичным реактивом на  $Cu^+$ , и потому МП комплекса  $Cu^+$  с IV значительно смещен в длинноволновую сторону, по сравнению с соединениями  $Cu^+$  с другими аминками.

**25401.** Координационные соединения металлов с аминами. V. Система рутения — 2,2'-дипиридил. Миллер, Брандт, Пьюк (Metal-amine coordination compounds. V. The ruthenium — 2,2'-bipyridine system. Miller, Ronald R., Brandt Warren W., Puke S. Marina), J. Amer. Chem. Soc., 1955, 77, № 12, 3178—3180 (англ.)

Спектрофотометрически исследованы р-ции р-ров чистых  $RuCl_3$  (I) и  $RuCl_4$  (II), а также техника хлорида рутения (III), содержащего ~40% I и ~60% II, с 2,2'-дипиридилом (Dipy). Единственным продуктом р-ции I и II с избытком Dipy является ион  $[Ru(Dipy)_2]^{2+}$ . При кипячении смеси III и Dipy с разб.  $H_2SO_4$  при pH 2 р-ции протекают по схеме:  $I, II \rightleftharpoons [Ru(Dipy)]^{2+}$  (IV)  $\rightleftharpoons [Ru(Dipy)_2(H_2O)_2]^{2+}$  (V)  $\rightleftharpoons [Ru(Dipy)_2]^{2+}$   $\rightleftharpoons [Ru(Dipy)_2]^{2+}$  (VI). Превращение синее-зеленое IV в зеленый V протекает быстро; образование VI требует длительного нагревания. Присутствие восстановителей резко ускоряет образование VI. Состав ионов установлен применением метода непрерывных изменений; во всех комплексах, в которых содержание других координированных групп ( $H_2O$ ,  $OH^-$ ,  $Cl^-$  или  $HSO_4^-$ ) достоверно не установлено, указано только содержание Dipy. Приведены спектры поглощения IV, V и VI. Ион  $ClO_4^-$  осаждает V в виде  $[Ru(Dipy)_2(H_2O)_2](ClO_4)_2 \cdot H_2O$ . V окисляется ионом  $Ce^{4+}$  до пурпурного в-ва и восстанавливается  $NaHSO_3$  или  $H_2SnCl_4$  до розового в-ва; возможность превращения этих в-в в V показывает, что они являются комплексами  $Ru(4+)$  и  $Ru(2+)$ , содержащими по 2 молекулы Dipy. При кипячении III и 1 M HCl образуются хлорокомплексы  $Ru(4+)$  и  $Ru(3+)$ , дальнейшее кипячение которых с эквивалентным кол-вом Dipy при pH 2 приводит к образованию красного  $[Ru(Dipy)_2Cl_2]^+$  (VII), при избытке Dipy быстро превращающегося в VI. Быстрое образование VII наблюдается при нагревании V с разб. HCl. Р-ции Dipy с соединениями Ru и с соединениями Fe резко различны.

И. Р.

**25402.** Комплексы рения с диметилглиоксимом. Лазарев А. И., Ж. общ. химии, 1955, 25, № 12, 2198—2204

Изучено образование комплекса Re с диметилглиоксимом (Dm) в солянокислой среде в присутствии  $SnCl_4$ . Измерено светопоглощение в системе  $KReO_4$  — Dm —  $SnCl_4$  при разных отношениях компонентов. Максимум поглощения наблюдается при отношении  $[Re] : [Dm] = 1 : 1$ . Поглощение не зависит от порядка приливания р-ров Dm и  $SnCl_4$ , из чего автор делает вывод, что Re в комплексе 4-валентен, так как, по мнению автора, если бы Re был 5-валентен, то поглощение было бы большим при приливания сперва р-ра Dm, а затем р-ра  $SnCl_4$ . Комплекс не поглощается анионом  $TM$  и задерживается катионом — сульфогруппой K в H-форме. Автор считает, что состав комплекса соответствует ф-лам  $[ReODm]Cl_2$  или  $[Re(OH)_2Dm]Cl_2$  и образование его протекает по р-ции:  $2ReO_4^- + 3Sn^{2+} + 2Dm + 12H^+ \rightleftharpoons 2[ReODm]^{2+} + 3Sn^{4+} + 6H_2O$ . Константа нестойкости  $K = [Dm][ReO^{2+}]/[ReODm^{2+}] = 2,39 \cdot 10^{-4}$ .

И. С.

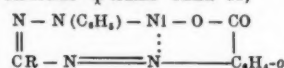
**25403.** Фторобериллаты и их сходство с сульфатами. Часть XI. Комплексные соединения фторобериллатов с этилен- и пропилендиаминами. Гхош, Рай (Fluoberyllates and their analogy with sulphates. Part XI. Complex compounds of fluoberyllates with ethylene- and propylene-diamines. Ghosh Kanti Amiya, Ray Nirmalendunath), J. Indian Chem. Soc., 1955, 32, № 4, 209—210 (англ.)

Взаимодействие насыщ. р-ров  $CuBeF_4$  или  $NiBeF_4$  с Et или его р-ром при охлаждении смесью соли со льдом приводит к образованию  $[CuEt_2]BeF_4 \cdot 4H_2O$ ,  $[CuEt_3]BeF_4$ ,  $[CuEt_3]BeF_4 \cdot 3H_2O$  и  $[NiEt_3]BeF_4$ . Аналогичным методом получены комплексы с пропилендиамин (Pn):  $[CuPn_2]BeF_4 \cdot 3H_2O$  и  $[NiPn_2]BeF_4$ . Авторы отмечают сходство между полученными соединениями и соответствующими комплексами, образующимися  $NiSO_4$  и  $CuSO_4$ . Комплекс  $[NiEt_3]BeF_4 \cdot 2KJ$ , аналогичный  $[Ni(NH_3)_6]SO_4 \cdot 2KJ$ , получить не удалось.

Часть X, см. РЖХим, 1955, 45695.

**25404.** О координационно-ненасыщенных никелевых комплексах формазинового ряда. Сейхан (Über koordinativ ungesättigte Nickelkomplexe der Formazylreihe. Seyhan Muva ffa k), Monatsh. Chem., 1955, 86, № 3, 545—548 (нем.)

Получены координационно-ненасыщенные комплексы Ni с рядом гетероцикл. формазанов,  $o$ -COOH —  $C_6H_4$  — N = N — C(R) = N — NH —  $C_6H_5$ . Строение комплексов описано ф-лами типа A,



где R — 2-пиридил (I), 1-хинолил (II), 4-хинолил (III) и 5,6-бензо-2-хинолил (IV). Формазаны получены сочетанием диазотированной антралиновой к-ты с фенилгидразонами соответствующих альдегидов и представляют собой темнокрасные кристаллы с т. пл. (разл.): 202, 214, 240—241 и 204—205°. Для получения комплексов Ni смешивались равные весовые кол-ва формазанов (спирт. т-ры) и сульфата или ацетата Ni (конц. водн. р-ры); смесь кипятилась несколько минут на водяной бане и выпавшие кристаллы отсасывались и промывались водой. I, II и IV представляют собой черно-зеленые, а III — темнозеленые кристаллы. IV плавится (разл.) при 218—219°; другие комплексы — при 350°.

**25405.** 5,8-диоксихинолины и его комплексы с никелем. Дил, Ломан (5,8-dihydroxyquinoline and its nickel derivatives. Diehl Harvey, Lohman Fred H.), Proc. Iowa Acad. Sci., 1954, 61, 255—259 (англ.)

5,8-диоксихинолин (I) образует с Ni два комплекса: с отношением I: Ni = 1, осаждающийся при pH < 6, и с отношением I: Ni = 2, осаждающийся при pH > 6. Растворимость обоих комплексов не допускает применения их для весового определения Ni. Определены константы кислотной диссоциации I; найдены  $pK_1 = 4,5$  и  $pK_2 = 9,3$ . Нормальный восстановительный потенциал I (по водородной шкале) равен + 0,666 в. И. 3.

25406. Комплексные соединения никеля и меди с *n*-толилбигуанидом. Гхош, Чаттерджи (Complex compounds of nickel and copper with *p*-tolylbiguanide. Ghosh S. P., Chatterjee A. K.), J. Indian Chem. Soc., 1955, 32, № 4, 222—224 (англ.)

*n*-Толлилбигуанид (R) образует ряд различающихся по цвету форм 4-ковалентных комплексов с Ni (2+), которые рассматриваются автором как *цис*- и *транс*-изомеры плоских комплексов с гибридными  $dsp^2$ -связями. При добавлении по каплям *p*-ра NaOH к *p*-ру  $NiSO_4$  и R-HCl, взятых в молярном отношении 1:2, выпадает светлорозовый осадок, постепенно превращающийся в светлооранжевую  $\alpha$ -форму  $[NiR_2](OH)_2$  (I). При добавлении к тому же *p*-ру *p*-ра  $NH_3$  (без избытка) получен светлорозовый  $\beta$ -I. Из горячего *p*-ра разб. *p*-р  $NH_3$  осаждается светложелтый  $\gamma$ -I, превращающийся в присутствии нескольких капель разб.  $CH_3COOH$  в наиболее устойчивую  $\alpha$ -форму. Нагреванием взвесей I с *p*-рами соответствующих солей  $NH_4^+$  до прекращения выделения  $NH_3$  получены различающиеся по цвету осадки  $\alpha$ - и  $\gamma$ -форм  $[NiR_2]Cl_2 \cdot 3H_2O$ ,  $[NiR_2]Br_2 \cdot H_2O$ ,  $[NiR_2]SO_4 \cdot 3H_2O$  и  $\alpha$ -форм  $[NiR_2]J_2$  и  $[NiR_2](NO_3)_2$ . Из  $\alpha$ - и  $\beta$ -I образуются  $\alpha$ -формы солей, из  $\gamma$ -I —  $\gamma$ -формы солей. Аналогичные комплексы Cu (2+) получены только в одной форме. Грязно-фиолетовый  $[CuR_2](OH)_2$  получен осаждением водн. *p*-ра R-HCl *p*-ром аммиаката  $CuSO_4$ ; для очистки растворен в разб. HCl, осажден разб. *p*-ром NaOH, промыт холодной водой и спиртом и высушен над NaOH. Способами, аналогичными описанным для комплексов Ni, получены синева-розовый  $[CuR_2]Cl_2 \cdot 5H_2O$ , розовый  $[CuR_2]Br_2$ , тусклорозовый  $[CuR_2]J_2$ , фиолетовый  $[CuR_2]SO_4$  и розовый  $[CuR_2](NO_3)_2$ . И. Р.

25407. Физико-химическое исследование образования аммиаков никеля в растворе. Часть III. Аммиакаты хлорида никеля. Шоу (Physico chemical studies in the formation of nickel ammines in solution. Part III. Nickel ammine chlorides. Shaw C. S. Shudhir), Z. phys. Chem. (Leipzig), 1955, 205, № 1/2, 6—15 (англ.)

С применением описанных ранее (Часть II, РЖХим, 1956, 19009) методов изучена зависимость свойств водн. системы  $NiCl_2 - NH_4Cl - NH_3$  от отношения  $NH_3: Ni = z$ . Установлено существование ионов ди-(I), тетра-(II) и гекса-аммиаков (III) никеля. Значения  $z$ , при которых происходит превращение одних аммиаков в другие, зависит от присутствия солей  $NH_4^+$ . Приведены таблицы значений констант нестойкости I, II и III (порядок их величин соответственно равен  $10^{-7}$ — $10^{-8}$ ,  $10^{-13}$  и  $10^{-16}$ — $10^{-18}$ ). Теплоты, выделяющиеся в ходе термометрич. титрования при образовании I, II и III, равны 5084, 7884 и 10682 кал/моль. И. Р.

25408. Анионы как адденды, образующие или не образующие мостик при реакциях соединений Co (3+) с  $Cr^{2+}$ . Таубе (Anions as bridging and non-bridging ligands in reactions of Co (III) compounds with  $Cr^{2+}$ . Taube Henry), J. Amer. Chem. Soc., 1955, 77, № 17, 4481—4484 (англ.)

Качественно изучена скорость *p*-ций  $Cr^{2+}$  с инерт-

ными к процессам замещения комплексами  $[(NH_3)_5CoX]$ , сопровождающихся переходом X от Co к Cr. Реультиаты интерпретированы на основании высказанного ранее (РЖХим, 1954, 44431; 1955, 31248, 54654) предположения об образовании активированных комплексов, в которых X образует мостик между Co и Cr, и о переходе электрона от Co к Cr через X. Приблизительно одинаковая скорость *p*-ций при X=ацетате, бутирате, кротонате или сукцинате объяснена присоединением  $Cr^{2+}$  к карбоксильной группе. Увеличение скорости *p*-ций более чем в 100 раз при X=оксалате или малеинате объяснено возможностью присоединения  $Cr^{2+}$  к обеим карбоксильным группам. При X =  $N_3^-$ ,  $CNS^-$  или  $NO_3^-$  скорость *p*-ций чрезвычайно велика;  $NO_3^-$  остается в *p*-ре, возможно из-за лабильности  $CrNO_3^{2+}$ .  $Cr^{2+}$  реагирует с  $[CoEn_3]^{3+}$  значительно медленнее, чем с  $[CoEn_2 \cdot o\text{-Phen}]^{3+}$ , а с последним значительно медленнее, чем с содержащими полярные группы комплексами, в которых X=кротонат- или малеинат-ион. Скорость переноса электрона зависит и от природы аддендов, не участвующих в образовании мостика. Если  $[Co(NH_3)_5H_2O]^{3+}$  реагирует с  $Cr^{2+}$  в присутствии пирофосфата (I), то последний присоединяется к Cr; в меньшей степени происходит присоединение сульфат-иона. При *p*-ции  $[Co(NH_3)_5Cl]^{2+}$  с  $Cr^{2+}$  в присутствии I к хрому присоединяется как Cl, так и I. Рассмотрен ряд других примеров влияния не образующих мостиков аддендов на скорость *p*-ций. И. Р.

25409. Изучение взаимодействия тетраэтоксисилана с хлорным, бромным и иодным оловом. Вольфов Ю. Н., Ж. физ. химии, 1955, 29, № 9, 1646—1649

Криоскопическим методом изучены системы, образующиеся  $(C_2H_5O)_4Si$  с  $SnCl_4$ ,  $SnBr_4$  и  $SnI_4$ . Установлено образование легко гидролизующегося соединения  $(C_2H_5O)_4Si \cdot SnCl_4$  с т. пл. 76°, разлагающегося при нагревании до 75—78° на  $C_2H_5Cl$  и  $SiO_2 \cdot SnO_2$ . В изученных условиях  $SnBr_4$  и  $SnI_4$  прочных соединений с  $(C_2H_5O)_4Si$  не образуют. М. В.

25410. Кинетика реакций обмена карбонат-ионом и рацемизации карбонато-бис-(этилендиамин)-кобальт-иона. Холден, Гарриес (The kinetics of the carbonate exchange and racemization reactions of carbonate-bis-(ethylenediamine)-cobalt (III) ion. Holden John S., Harris Gordon M.), J. Amer. Chem. Soc., 1955, 77, № 7, 1934—1938 (англ.)

С применением  $C^{14}$  и с использованием описанной ранее методики (Harris G. M., Stranks D. R., Trans Faraday Soc., 1952, 48, 137) исследован обмен комплексно связанной  $Co_3^{2-}$ -группы в *рац*- $(COEn_2CO_3)Cl$  (*рац*-I) и в *d*-I с ионом  $CO_3^{2-}$  в водн. *p*-ре при 25—30°. Скорости обмена *рац*-I и *d*-I одинаковы. Обмен не связан с изотопным эффектом, что указывает на полное протекание *p*-ций внедрения молекулы воды во внутреннюю сферу комплекса. Авторы отмечают, что строение  $CO_3^{2-}$ -группы, занимающей одно координационное место во внутренней сфере комплексов, идентично строению свободной  $CO_3^{2-}$ -группы и, следовательно, высвешение  $CO_3^{2-}$ -группы с одного из двух занимаемых ею координационных мест, наступающее при растворении I в  $H_2O$ , сопровождается исчезновением изотопного эффекта при карбонатном обмене. Обмен I протекает на 20% медленнее, чем ранее изученный обмен тетраамминового аналога I (см. ссылку), но авторы считают, что механизм обоих *p*-ций сходен. Кинетика обмена описывается выведенным из указанного механизма выражением:  $0,693/t_{1/2} = k_1(a+b) + k_2Kh(a+b)/b$ , где  $t_{1/2}$  — период половинного обмена,



$a$  — конц-ия  $I$ ,  $b$  — конц-ия свободного  $CO_3^{2-}$ ,  $h$  — конц-ия  $H^+$ ,  $k_1$  — константа скорости р-ции  $CoEn_2CO_3H_2O^+ + HClO_3^- \rightarrow CoEn_2HClO_3H_2O^+ + CO_3^{2-}$ ,  $k_2$  — константа скорости р-ции  $CoEn_2(H_2O)_2^{3+} + HClO_3^- \rightarrow CoEn_2HClO_3H_2O^+ + H_2O$  и  $K$  — константа равновесия р-ции  $CoEn_2CO_3H_2O^+ + H_2O \rightleftharpoons CoEn_2HCO_3H_2O^+ + H_2O$ . Опытные данные согласуются со следующими величинами:  $k_1 = 1,5 \cdot 10^{-2}$  л/моль·мин.,  $k_2 K = 7,5 \cdot 10^3$  л/моль·мин. Присутствие 0,05  $M$  боратного буфера снижает скорость обмена на 20%. Исследована кинетика рацемизации  $d = I$  при 34,6 и 56,1°. При комнатной т-ре рацемизация протекает значительно медленнее обмена. Рацемизация ускоряется при низких pH в присутствии нейтр. солей. Скорость рацемизации растет линейно с увеличением  $a$  и  $h$ . Обратная величина периода половинной рацемизации следует зависимости:  $0,4 = 7,9 \cdot 10^{-3}/b + 1,5 \cdot 10^{-3}$ . Рацемизация является, по мнению авторов, внутримолекулярным процессом, не связанным с обменом ионами  $CO_3^{2-}$ . С опытными данными согласуется механизм, основанный на следующих предположениях: а) все виды комплексных ионов, присутствующих в равновесии в р-ре, рацемизируются независимо, б) преобладающим среди этих ионов является  $CoEn_2CO_3H_2O^+$  и в) значительно быстрее других ионов рацемизируется  $CoEn_2(H_2O)_2^{3+}$ . Б. К.

**25411.** Диэтиленetriаминпентауксусная кислота — новое комплексобразующее вещество. Вänninen (Diethylenetriaminepentaacetic acid, a new complex-forming substance. Wänninen Erkki), Suomen kem., 1955, B28, № 9, 146—152 (англ.)

Изучены свойства комплексобразующего реагента — диэтиленetriаминпентауксусной к-ты (I). Растворимость I в воде при 25° равна 4 г/л и резко возрастает при нагревании. Из результатов проведенного при 25° и ионной силе 0,1 потенциометрич. титрования I и ее смесей с солями Ca, Sr и Ba р-ром щелочи выведено, что значения рK для последовательных 5 ступеней диссоциации I соответственно равны 1,86; 2,79; 4,29; 8,61 и 10,48, а величины  $\lg K$  ( $K$  — константа устойчивости) комплексов I с ионами  $Ca^{2+}$ ,  $Sr^{2+}$  и  $Ba^{2+}$  равны соответственно 9,98; 9,48 и 8,62. Комплексы I с  $Sr^{2+}$  и  $Ba^{2+}$  прочнее, а с  $Ca^{2+}$  — менее прочны, чем комплексы этилендиаминтетрауксусной к-ты с теми же ионами. Приведен график зависимости относительного содержания разных ионов, образуемых I, от pH. И. Р.

**25412.** Исследование координационных соединений. XIV. Определение величин энтропии и энтальпии некоторых двухзарядных ионов металлов и  $Ce^{3+}$  с ацетилацетонат-ионом. Айзатт, Фернелиус, Блок (Studies on coordination compounds. XIV. The determination of enthalpy and entropy values for several bivalent metal ions and cerium (III) with the acetylacetonate ion. Izatt Reed M., Fernelius Conard W., Block B. P.), J. Phys. Chem., 1955, 59, № 3, 235—237 (англ.)

Из результатов потенциометрич. титрования р-ром щелочи смесей ацетилацетона (HCh) с р-рами нитрата  $Be^{2+}$  и перхлоратов ряда металлов найдены значения рK для HCh и ступенчатые термодинамич. константы образования  $K_f$  комплексов ионов металлов с HCh при 10, 20 и 40°. Применен описанный ранее метод расчета (РЖХим, 1956, 3655). Приведены таблицы  $\Delta H$  (средние для интервала 10—40°) и  $\Delta F$ ,  $\Delta S$  и  $\lg K_f$  для каждой из т-р. Для образования  $MCh^{(n-1)+}$  величины —  $\Delta H$  (в ккал/моль) и почти не зависящие от т-ры величины  $\Delta S$  (в энтр. ед., приведены для 30°)

для  $M = Cu^{2+}$ ,  $Be^{2+}$ ,  $Ni^{2+}$ ,  $Co^{2+}$ ,  $Zn^{2+}$ ,  $Mn^{2+}$ ,  $Cd^{2+}$ ,  $Mg^{2+}$  и  $Ce^{3+}$  соответственно равны 4,7 и 22; 2,0 и 29; 6,7 и 12; 1,2 и 21; 1,9 и 17; 2,5 и 11; 1,4 и 13; 1,8 и 11; 0 и 24. Для второй ступени (образование  $MCh_2^{(n-2)+}$ ) для тех же ионов, кроме  $Zn^{2+}$  и  $Cd^{2+}$ , величины —  $\Delta H$  и  $\Delta S$  равны: 6,6 и 9; 6,9 и 8,0; 6,3 и —0,4; 5,0 и 2,4; 4,7 и —1,5; 4,3 и 2,5; 0,2 и 18; для комплекса  $UO_2^{2+}$  —  $\Delta H$  и  $\Delta S$  равны 4,0 и 16. Для третьей ступени присоединения Ch к  $Ni^{2+}$  (образование  $NiCh_3^-$ ) —  $\Delta H$  и  $\Delta S$  равны 6,7 и —12. Растворимость комплексов  $Ce^{3+}$  растет с понижением т-ры. Сравнение термодинамич. характеристик образования комплексов с Ch, комплексов  $Cu^{2+}$ ,  $Ni^{2+}$ ,  $Zn^{2+}$  и  $Cd^{2+}$  с полиаминными и комплексов  $Cu^{2+}$  и  $Ni^{2+}$  с содержащими S и O аминами показывает, что обычно для комплексов с  $Ch^-$  —  $\Delta H$  меньше, а  $\Delta S$  больше, чем в других случаях. Для комплексов  $Cu^{2+}$  с десятью разными аддендами величины —  $\Delta H$  максимальны для аддендов, содержащих 2 атома (11—15 ккал/моль), меньше для аддендов, содержащих S, O и N (5—7,4 ккал/моль) и еще меньше для  $Ch^-$  (4,7 ккал/моль). Часть XIII см. РЖХим, 1956, 3656.

И. Р.

**25413.** Исследование несовершенных комплексов. Часть III. Аммиакат меди (2+). Калориметрическое исследование методом непрерывных изменений по Жобу и по Сидханта. Сидханта, Гуха (The study of imperfect complexes. Part III. The cupramine complex. A calorimetric study by Job's method of continuous variation and by Siddhanta's modified method of continuous variation. Siddhanta Kumar Sushil, Guha Prasad Mrityunjaya), J. Indian Chem. Soc., 1955, 32, № 6, 355—365 (англ.)

Рассмотрены погрешности при применении обычного метода термометрич. титрования для определения состава образующихся комплексов, особенно в случае образования «несовершенных» комплексов типа  $A_mB_n$ . Описана простая установка для изучения состава комплексов по методу Жоба (Compt. rend., 1925, 180, 928; Ann. chim., 1928, 9, 113) и по модификации этого метода, предложенной Сидханта (части I, II, J. Indian Chem. Soc., 1948, 25, 580, 584), с использованием в качестве индикатора теплового эффекта р-ции. В системе  $H_2O - CuSO_4 - NH_4OH - (NH_4)_2SO_4$  обнаружено образование только  $[Cu(NH_3)_4]^{2+}$ ; описанный ранее (Vosburgh, Cooper, J. Amer. Chem. Soc., 1941, 63, 437) комплекс  $[Cu(NH_3)_2]^{2+}$ , по мнению авторов, образуется только в очень малых кол-вах, и его образование поэтому не отражается на кривых, полученных по общим методам. Константа нестойкости  $[Cu(NH_3)_4]^{2+}$  при 28—30° равна  $3,5 \cdot 10^{-9}$  (метод Жоба) или  $2,4 \cdot 10^{-9}$  (метод Сидханта). И. Р.

**25414.** К вопросу о прохождении реакции восстановления двуокиси титана углеродом через стадии низших окислов. Самсонов Г. В., Ж. прикл. химии, 1955, 28, № 9, 1018—1021

В результате термодинамич. анализа тензиметрич. кривых р-ций восстановления  $TiO_2$  углеродом (Мерсон Г. А., Изв. Сектора физ.-хим. анализа АН СССР, 1943, 16, 202, 213) установлено, что эта р-ция протекает с промежуточным образованием  $Ti_2O_3$  и  $TiO$ . Сняты тензиметрич. кривые вакуумнотермич. получения  $TiB_2$  по р-ции:  $2TiO_2 + B_2C + 3C = 3TiB_2 + 4CO$ . Показано, что и эта р-ция протекает с промежуточным образованием  $Ti_2O_3$  и  $TiO$ . Приближенно определена величина теплосодержания  $TiB_2$ ; найдено  $\sim 70$  ккал/моль. Т. Д.

**25415 К.** Отделение гафния от циркония и получение чистой двуокиси циркония. Сажи и Н. П., Мос.

Пепеляева Е. А. (Докл., представл. СССР на Междунар. конференцию по мирному использованию атом. энергии). М., 1955, 11 стр., илл., 6 п.

25416 К. Спектрофотометрические исследования поведения ионов америция в растворах. Яковлев Г. Н., Косяков В. Н. (Докл., представл. СССР на Междунар. конференцию по мирному использованию атом. энергии). М., 1955, 16 стр., илл., беспл.

25417 К. Неорганическая химия. Том 3. Галогены. Брастед (Comprehensive inorganic chemistry. Vol. 3: The halogens. Brasted R. C. X, 250 p., ill., 1954, 35 sh.) (англ.)

25418 К. Курс неорганической химии. Том 1. Над. 8-е. Реми (Lehrbuch der anorganischen Chemie. Bd. 1, 8. unveränd. Aufl. Remy Heinrich. Leipzig, Akad. Verl. Ges., 1955, XXII, 842 S., ill. 23.—DM) (нем.)

25419 Д. Бораты щелочных и щелочноземельных металлов и их состояние в водном растворе. Шварц

Е. М. Автореф. дисс. канд. хим. н., Латв. ун-т, Рига, 1955

25420 Д. Комплексы тяжелых металлов с этилендиаминтетрауксусной и пиролотриуксусной кислотами. Фрейтаг (Schwermetallkomplexe der Äthylendiamintetraessigsäure und der Nitrilo-triessigsäure. Freitag Elsi. Diss. phil., Zürich, 1954), Schweiz. Buch., 1955, B55, № 1, 42 (нем.)

25421 Д. О строении основных ионов металлов. Фашерр (Sur la constitution des ions basiques métalliques. These. Faucherre Jacques, Chartres, Durand), Bibliogr. France, 1955, 144, № 7, 150 (франц.)

См. также: Элементы и простые в-ва 24779, 24912, 25954, 26001. Строение и св-ва молекул и кристаллов 24843, 24849, 24870, 24880, 24892, 24893, 24896, 24908, 25109, 25111. Кинетика и механизмы неорганич. реакций 25148, 25150, 25180, 25184. Комплексные соед. 24808, 24811, 24830, 24840—24842, 24876, 24877, 24885, 24909, 25142, 25740, 25907. Металлич. системы 25112. Др. вопр. 24851

## КОСМОХИМИЯ. ГЕОХИМИЯ. ГИДРОХИМИЯ

25422. Водородное поглощение и соотношение масса—светимость. Франк-Каменецкий Д. А., Астроном. ж., 1954, 31, вып. 4, 327—333

Получено соотношение масса—светимость с учетом поглощения и рассеяния. Рассмотрен предельный случай чисто водородной звезды. Данные для средней части главной последовательности (классы *A, F, G, K*) соответствуют этому предельному случаю. В звездах классов *B* и *O* возможно более высокое содержание гелия. В других звездах (белые карлики и некоторые аномальные звезды) велико содержание тяжелых элементов. Автор считает, что поглощение света в звездах «главной последовательности» определяется только водородом, а для остальных звезд водородом и гелием. Внутренние части звезд богаче водородом, а гелий и тяжелые элементы концентрируются во внешних слоях. В. А.

25423. О причинах ионизации молекул в кометах. Добровольский О. В., Астроном. ж., 1954, 31, вып. 4, 324—326

В хвостах комет 1-го типа имеются молекулы  $N_2^+$  и  $CO^+$ . В спектре хвоста кометы Бестера (1947 k) обнаружены полосы  $CO_2^+$ . До сих пор не было удовлетворительного объяснения причины ионизации. Автор предполагает, что происходит процесс перезарядки по схеме:  $H^+ + M = H + M^+$ , где  $H^+$ —проток, летящий от Солнца,  $M$  и  $M^+$ —нейтральная и ионизированная молекула. Процесс эффективен, так как потенциалы ионизации  $N_2$  (15,5 эв) и  $CO$  (13,9 эв) близки к потенциалу ионизации  $H$  (13,5 эв). При плотностях протонов  $10^9$  на  $1 \text{ см}^3$  (в плазме, идущей от Солнца),  $N_2$  и  $CO$  оказываются ионизированными уже в голове кометы. Теоретически сечение перезарядки особенно велико для  $O_2$ . Однако полосы  $O_2^+$  в спектрах хвостов комет пока не найдены. В. А.

25424. Экспериментальные и теоретические данные о ядерных реакциях в звездах. Фаулер (Experimental and theoretical results on nuclear reactions in stars. Fowler W. A.), Mém. Soc. roy. Sci. Liège, 1954, 14, № 1, 88—111; discuss., 129—130 (англ.) Обсуждаются данные по температурной зависимости скорости ядерных р-ций углеродно-азотного

цикла и о соотношениях между распространенностью изотопов  $H, C, N$ . Библ. 49 назв. А. М.

25425. Строение и химический состав звезд главной последовательности. Северный А. Б. Астроном. ж., 1954, 31, вып. 4, 362—371

Теоретически найдено содержание  $H$  и  $He$ , а также мол. вес, при которых возможна термоядерная р-ция углеродного цикла для звезд главной последовательности. Для типичных звезд главной последовательности спектральных классов *B, G\_2* (солнце) и *M\_2* содержание  $H$  в % соответственно равно 76,2; 38,4; 30; тоже для  $He$  10,4; 59,0; 70. Средний мол. в.: 0,590; 0,818; 0,88. В. А.

25426. Изотопный состав водорода и углерода в хондритах, содержащих углерод. Боато (The isotopic composition of hydrogen and carbon in the carbonaceous chondrites. Boato Giovanni), Geochim. et cosmochim. acta, 1954, 6, № 5-6, 209—220 (англ.)

Произведено определение  $H$  и  $C$ , а также установлен изотопный состав этих элементов в углеродсодержащих хондритах. Установлено два типа этих метеоритов: 1) содержащий ~10%  $H_2O$  и 2%  $C$  и 2) около 1%  $H_2O$  и 0,3—0,8%  $C$ . Изотопный состав  $H$  и  $C$  значительно отличается от такового в наземных источниках. Содержание дейтерия в 4 каменных метеоритах значительно выходит за пределы значений для земных образцов; этот факт и ряд эксперим. наблюдений показали, что выделенный водород был полностью метеоритным и никакого существенного разделения изотопов  $H$  в планетарной системе не наблюдается. Следовательно, распространенность земного дейтерия идентична его первичной космич. распространенности. При масс-спектрографич. исследовании углерода установлены 3 группы хондритов, соответствующие прогрессивно-высокому значению для всего углерода и содержанию  $C^{13}$ . Эти результаты обсуждаются в свете теории образования планетарной системы и происхождения метеоритов. Л. К.

25427. Калий-аргоновый метод определения геологического возраста. Шиллибер, Расселл (The potassium-argon method of geological age determination. Schillibeer H. A., Russell R. D.),

Canad. J. Phys., 1954, 32, № 11, 681—693 (англ.)

Калий-аргоновый метод определения геологич. возраста получил в настоящее время всеобщее признание. Достоверность полученных этим методом результатов базируется 1) на точном знании радиоактивных констант; 2) сохранности образца в геологич. период; 3) колич. выделения и определения Ag и K. Произведенное в связи с этим эксперим. исследование на 11 образцах показало, что величина эмиссии  $\beta$  на 1 г K равна  $29,4 \pm 2,7$   $\beta$  распадов в сек.; вычисленная отсюда константа распада  $\lambda_\beta = 0,503 \cdot 10^{-9}$  лет<sup>-1</sup> (точность 9%). Скорость  $j$  распада, полученная как средняя из 15 предыдущих определений и выраженная как отношение разветвления  $\lambda_j/\lambda_\beta$ , равна  $0,090 \pm 0,038$ . Эти величины использовались во всех дальнейших расчетах. Установлено, исходя из теоретич. соображений и сопоставления опытных данных, что возможность потери Ag в течение геологич. периода после образования образца за счет диффузии в окружающие породы или при разрушении образца весьма мала и не может исказить результаты. Описана методика выделения и очистки Ag. Определение возраста этим методом для 4 пертитов и 2 лепидолитов показало надежность метода, так как полученные величины возраста хорошо согласуются с возрастом, найденным для этих минералов другим методом. Л. К.

25428. Определение возраста  $K^{40}-Ar^{40}$  методом. Уассерберг, Хейден ( $A^{40}-K^{40}$  dating. Wasserburg G. J., Hayden R. J.), Geochim. et cosmochim. acta, 1955, 7, № 1-2, 51—60 (англ.)

Наиболее надежными методами определения геологич. возраста в настоящее время считается U-Pb метод. Надежность K-Ar-метода лимитируется точностью радиоактивных констант. Произведено определение отношения  $K^{40}/Ar^{40}$  и найден Pb-U возраст различных сосуществующих калиевых полевых шпатов и уранинитов. Найдено, что если принять отношение  $\lambda_\beta/\lambda_\alpha = 0,085 \pm 0,05$  и константу распада  $\lambda = 0,55 \cdot 10^{-9}$  лет, то возраст по K-Ar-методу хорошо согласуется с таковым, найденным по Pb-U методу для образцов в интервале от 260 до 1860 млн. лет. Не было обнаружено каких-либо доказательств потери аргона при диффузии из калиевых полевых шпатов. Л. К.

25429. Возраст некоторых пегматитов из Фенноскандии и о. Льюис (Гейбридские острова), найденный калий-аргоновым методом. Холмс, Шиллибир, Вильсон (Potassium-argon ages of some lewisian and fennoscandian pegmatites. Arthur Holmes, Shillibeer H. A., Wilson J. T.), Nature, 1955, 176, № 4478, 390—392 (англ.)

Определен геологич. возраст калий-аргоновым методом 10 образцов докембрийских пегматитов. Образцы включают все переходы от богатых калием гранитов до чистых полевых шпатов. Ag определялся (методом см. Can. J. Phys., 1950, 32, 681) на масс-спектрометре. По наличию  $Ar^{36}$  вводилась поправка на присутствие атмосферного Ar, кол-во которого не превышало 8%. Содержание K в образцах определялось весовым методом и частично с помощью пламенного фотометра. Вычисленный возраст пегматитов составляет  $1090 \pm 70$  млн. лет и для одного образца финляндского пегматита 1800 млн. лет. Величина вероятной ошибки 10%. И. З.

25430. Масс-спектрометрический метод измерения количества радиогенного аргона в геологических образованиях для определения их абсолютного возраста. Амирханов Х. И., Гурвич И. Г., Шанин Л. Л., Сардаров С. С., Ж. техн. физики, 1955, 25, № 3, 558—561

Разработан ускоренный метод выделения Ag из ми-

нералов путем высокочастотного нагрева до т-ры несколько выше т-ры плавления минералов. Высокочастотный нагрев позволяет доводить т-ру образца до 1800°. Реактор и последовательность операций подробно описываются. Для масс-спектрометрич. определения кол-ва Ag использован метод изотопного разбавления, основанный на добавлении к анализируемому газу известного небольшого кол-ва эталона (Ar с известным изотопным составом). Продолжительность определения не превышает 3 час. Найденный абсолютный возраст образца мусковита равен  $1,6 \cdot 10^9$  лет. Л. К.

25431. Измерение возраста пегматитовой слюды из района цита Родезии. Шрейнер, Джеймисон, Шонленд (Age measurements on a pegmatite mica from the Rhodesian shield. Schreiner G. D. L., Jamieson R. T., Schonland B. F. J.), Nature, 1955, 175, № 4454, 464 (англ.)

При определении возраста пегматитовой слюды Rb-87  $\rightarrow$  Sr-87 методом могут быть допущены ошибки, связанные с неправильным отбором образца. Так, лепидолит из южной Родезии состоит из 3 типов слюд с различной окраской и кристаллографич. показателями. Содержание Rb<sup>87</sup> и Sr<sup>87</sup>, найденное для каждого типа, значительно колеблется. Если не учесть это обстоятельство при отборе пробы, возраст может оказаться ошибочным. Очевидно, необходимо определять возраст каждого типа слюды в отдельности. Л. К.

25432. Новые определения возраста по свинцовому методу. Калп, Бейт, Джилетти (New age determinations by the lead method. Kulp J. Laurence, Bate George L., Giletti Bruno J.), Ann. N. Y. Acad. Sci., 1954, 60, № 3, 509—520 (англ.)

Произведено определение возраста 70 образцов урановых минералов, отобранных из различных районов. Возраст определялся по изотопному отношению Pb 207/206, а также 206/238, 207/235, 208/232, 206/210; установлено, что для руд старше 1 млрд. лет наиболее надежные данные по возрасту дают 207/206 метод. Для промежуточных возрастов наилучшие результаты получаются из данных изотопного отношения 206/210 и 207/235. Для очень юных минералов самым вероятным является возраст по отношению 206/238. При определении возраста свинцовым методом определение утечки радона из радиоактивного минерала является крайне желательным. Полученные данные позволили более надежно оценить возраст некоторых геологич. провинций: самый вероятный возраст первой главной области метаморфизма в Spruce Pine district является  $345 \pm 10$  млн. лет. Возраст отложений Central City district, очевидно, равен  $59 \pm 2$  млн. лет. Л. К.

25433. О достоверности определения абсолютного возраста урановых минералов по отношению изотопов свинца. Тугаринов А. И., Докл. АН СССР, 1954, 99, № 6, 1061—1063

Определение возраста урановых минералов по отношению изотопов свинца  $Pb^{207}/Pb^{206}$  может быть ошибочным, если не учесть добавку древнего уранового свинца, привнесенного в юную смоляную руду при растворении и перетолжении первичных урановых месторождений. Дана система ур-ний, позволяющая сделать расчет абсолютного возраста загрязненной древним свинцом урановой смоляной руды, если известен изотопный состав свинца самого древнего уранинита, при разложении которого возникла данная руда. Л. К.

25434. Определение возраста урановых минералов по  $Pb^{210}$ -методу. Калп, Брокер, Эккелман (Age determination of uranium minerals by the  $Pb^{210}$ -method. Kulp J. Laurence,



Broecker Wallace, S., Eskelman Walter R.), *Nucleonics*, 1953, 11, № 8, 19—21 (англ.).

Кол-во  $Pb^{210}$  может быть найдено любым из трех методов: 1) измерением мягкого  $\beta$ -излучения  $Pb^{210}$  (RaD) в счетчике для измерения газообразных образцов, 2) измерением равновесного с RaD висмута-излучателя с жесткой энергией, равной 1,17 Мэв в счетчике для измерения жидкости, 3) измерением  $\alpha$ -активности  $Po^{210}$ , который накапливается, если измерение производится через несколько месяцев после выделения изотопов Pb. Третий метод является наиболее надежным и использован при определении возраста образца в данной работе. Для получения точных измерений сцинтилляционный  $\alpha$ -счетчик был прокалиброван с помощью  $PbCl_2$  с известным содержанием  $Pb^{210}$  или  $Po^{210}$ . Приготовление эталона RaD может быть произведено двумя способами. 1. Точно известному кол-ву Rn дают распасться. Получившийся активный налет растворяют, RaD экстрагируют, а затем осаждают  $PbCl_2$ , который используется как эталон. 2. Измеряется  $\alpha$ -активность  $Po^{210}$  в  $PbCl_2$ , выделенном из минералов, возраст которых точно определен. Данным методом анализированы 10 образцов минералов. Полученные результаты хорошо совпадают с данными возраста, полученными классич. методами в пределах от 60 до 1400 млн. лет. Совпадение результатов по 206/208 и 206/210 методам показывает, что выщелачивание Rn не может быть больше нескольких процентов для минералов этого типа. Л. К.

25435. Метод «радиоуглерода» для определения возраста четвертичных органических остатков. Моецкицкий (Metoda «radiowęglą» w badaniach wieku czwartorzędowych szczątków organicznych. Moscicki Włodzimierz), *Przegl. geol.*, 1954, № 1-2, 67—69 (польск.).

Обсуждается способ определения возраста органич. остатков на основании измерения конц-ии  $C^{14}$ . Описан способ измерения при помощи Г.-М.-счетчика, разработанный автором (*Wiad. Muzeum Ziemi*, 1952, 6, № 2). Указываются возможности применения такого метода для оценки возраста. А. Хуланьский

25436. Колебания в распространении изотопов неона и аргона, выделенных из радиоактивных минералов. Уатерилл (Variations in the isotopic abundances of neon and argon extracted from radioactive minerals. Wetherill George W.), *Phys. Rev.*, 1954, 96, № 3, 679—683 (англ.).

Масс-спектрометрический анализ неона и аргона, выделенных из радиоактивных минералов, показал резкие колебания в изотопном составе инертных газов. Был установлен большой избыток  $Ne^{21}$ ,  $Ne^{22}$  и  $Ar^{38}$  в урановых и ториевых минералах. В случае эжсентита отношение  $Ne^{21}/Ne^{20}$  в 370 раз, а  $Ne^{22}/Ne^{20}$  в 50 раз выше нормального, отношение  $Ar^{38}/Ar^{36}$ , найденное в смоляной руде, аномально низкое. Это колебание в изотопном составе инертных газов Ne и Ar может быть вызвано природным ядерным процессом. Наиболее вероятными р-циями являются  $O^{18}/\alpha$ ,  $n/Ne^{21}$  и  $C^{18}(\alpha, p) Ar^{38}$ . Возможно также, что часть атмосферного  $Ne^{21}$  образовалась тем же путем. Л. К.

25437. О геологии изотопов. Ранкама (Isotopien geologiasta. Rankama Kaleruo), *Suomen kem.*, 1953, 26, 7—8, 257—271 (фин.).

Приведены методы анализа изотопного состава элементов: радиоактивных по их излучению и стабильных масс-спектроскопически. Определение атомного веса В из разных минералов показало, что природные в-ва различаются по изотопному составу. Влияние процессов, протекающих в земной коре, на разделение изотопов пока еще изучено плохо. Замерзание, таяние, испарение, диффузия и хим. р-ции меняют изотопный

состав элементов. При решении геохим., геохронологич. и петрографич. проблем рекомендуется изучать содержание радиоактивных в-в в горных породах, минералах и природных водах. В. И.

25438. Радиогенный осмий из ренийсодержащего молибденита. Хинтенбергер, Герр, Фосхаре (Radiogenic osmium from Rhenium-containing molybdenite. Hintenberger H., Herr W., Voshage H.), *Phys. Rev.*, 1954, 95, № 6, 1690—1691 (англ.).

Масс-спектрометрический анализ Os, выделенного из молибденита, содержащего 0,32% Re, показал, что по крайней мере 99,5% Os, обычно присутствующего в минералах, радиогенного происхождения. Л. К.

25439. Радиохимические измерения естественной скорости деления урана. Курода, Эдуарде (Radiochemical measurements of the natural fission rate of uranium. Kuroda P. K., Edwards R. R.), *J. Chem. Phys.*, 1954, 22, № 11, 1940 (англ.).

Выделенный из 2,5 кг урановой смоляной руды Sr в кол-ве 40 мг тщательно очищен от радиоактивных загрязнений и измерен на Г.—М.-счетчике. Предполагая, что за счет деления производится 5%  $Sr^{90}$ , данные показывают, что найденные  $(1,3 \pm 0,1) \cdot 10^{-14}$  кюри,  $Sr^{90}/U^{238}$  соответствуют скорости деления  $(5,9 \pm 0,6) \cdot 10^{15}$  лет. Значение  $(6,1 \pm 1,5) \cdot 10^{15}$  лет получено из отношения  $Sr^{90}/U^{238}$ , предполагая, что за счет деления получается 4,5%  $Sr^{90}$ . Л. К.

25440. Распространенность природных изотопов лития. Хатчисон (Natural abundance of the lithium isotopes. Hutchison Dwight A.), *Phys. Rev.*, 1954, 96, № 4, 1018—1021 (англ.).

Определение распространенности изотопов Li, произведенное масс-спектрометрич. и оптич. методами, не может считаться надежным, так как оба метода могут внести ряд существенных ошибок. Предлагается независимый метод определения  $Li^7/Li^6$ , исходя из рентгеновских данных и плотности для кристаллов LiF, кальцита, алмаза, NaCl и KCl и значения точных величин их мол. весов. Используя соответствующие расчетные ф-лы, автор нашел, что отношение  $Li^7/Li^6 = 11,53 \pm 0,29$ . Этот результат расходится с масс-спектрометрич. и оптич. определениями. Л. К.

25441. О кларке бериллия в гранитных пегматитах. Бейс А. А., Федорчук С. Н., Докл. АН СССР, 1955, 104, № 1, 108—111

В 188 образцах пегматитов (П) и пегматитовых минералов флуоресцентным (мориновым) методом определялись малые кол-ва Be. Из полученных данных выведены весовые кларки Be для различных типов П: П, не содержащие редкометалльных минералов (не альбитизированные), 0,0002—0,001; блоковые П, содержащие редкоземельные минералы (не содержащие берилла), 0,001—0,0025; П, содержащие 0,01—0,1% берилла, 0,0015—0,0057; П, содержащие 0,2—2,5% берилла, 0,01—0,025; среднее для П 0,002. Накопление Be происходит в поздние стадии пегматитового процесса, причем для П «чистой линии» наиболее характерны бериллиевые минералы, а для П «линии скрещения» — рассеянный Be. Последнее объясняется: 1) развитием явлений контаминации, когда в процесс вступают чуждые для пегматитов катионы (Ti, Cr, Mg и др.), строящие с Si свои решетки, вместо Be и 2) высокая конц-ия F, содействующая миграции Be и эндокриптному вхождению в решетки силикатов. Кларк Be в П (0,05%), предложенный А. Е. Ферсманом, по мнению авторов, весьма завышен и характерен только для некоторых пегматитовых районов. Г. В.

25442. Минералы титана (Les minerais du titane. V. C.), *Ind. chim.*, 1953, 40, № 435, 386 (франц.).

Перечисляются минералы с высоким содержанием Ti: ильменит (до 55%  $TiO_2$ ), рутил, брукит, анатаз (до

98% Ti), магнетиты, содержащие до 35% и более  $\text{TiO}_2$ , и другие титанистые минералы. В. В.

25443. Рассеянные элементы и параэлементы. Уклонский А. С. Докл. АН УССР, 1953, № 4, 13—17 (рез. узб.)

Дана сводка всех параэлементов. Сравнивая параэлементы и геохим. группы элементов по Вернадскому (Вернадский В. И. Очерки геохимии. Горгеонефтеиздат, 1934), автор отмечает, что за несколькими исключениями они соответствуют друг другу. В. В.

25444. Химическое изучение пертита, альменита, алланита и пироксмангита в пермитах из окрестностей города Ивайзуми (префектура Иватэ).

Омори, Хасагава (岩手縣岩泉町附近のベグマタイト産パーサイト, チタン鐵礦, 褐鐵石及びパイロックスマンジヤイトの化學成分. 大森啓一, 長谷川修三), 岩石礦物床學會誌, 岩手縣 岩泉町 岩手縣 岩泉町 岩手縣 岩泉町, J. Japan. Assoc. Mineral., Petrol. and Econ. Geologist, 1955, 39, № 3, 91—102 (япон.; рез. англ.)

Химический состав пертита (в %):  $\text{SiO}_2$  64,77,  $\text{Al}_2\text{O}_3$  19,03,  $\text{Fe}_2\text{O}_3$  0,13,  $\text{MnO}$  следы,  $\text{CaO}$  0,15,  $\text{Na}_2\text{O}$  1,74,  $\text{K}_2\text{O}$  13,75,  $\text{H}_2\text{O}$ , 0,20,  $\text{H}_2\text{O}^-$  0,16, сумма 99,93;  $\text{TiO}_2$  и  $\text{MgO}$  отсутствуют. Хим. состав манганолъменита:  $\text{TiO}_2$  46,23,  $\text{FeO}$  26,95,  $\text{MnO}$  13,80,  $\text{MgO}$  0,10,  $\text{Fe}_2\text{O}_3$  11,33,  $\text{SiO}_2$  0,32,  $\text{H}_2\text{O}^+$  0,18,  $\text{H}_2\text{O}^-$  0,46, сумма 99,67;  $\text{CaO}$  отсутствует. Пересчет на чистый минерал (без гематита): кричтонитовая молекула ( $\text{FeTiO}_3$ ) 65,4 мол. %, пиррофанитовая молекула ( $\text{MnTiO}_3$ ) 34,6 мол. %. Хим. состав алланита (ортита):  $\text{SiO}_2$  29,69,  $\text{TiO}_2$  1,16,  $\text{ThO}_2$  1,80,  $\text{Ce}_2\text{O}_3$  7,79,  $(\text{La})_2\text{O}_3$  14,28,  $(\text{Y})_2\text{O}_3$  0,71,  $\text{Al}_2\text{O}_3$  14,18,  $\text{Fe}_2\text{O}_3$  6,75,  $\text{FeO}$  3,34,  $\text{MnO}$  5,78,  $\text{MgO}$  следы,  $\text{CaO}$  7,14,  $\text{SnO}_2$  0,09,  $\text{H}_2\text{O}^+$  1,89,  $\text{H}_2\text{O}^-$  0,21, сумма 99,81;  $\text{CO}_2$  и  $\text{P}_2\text{O}_5$  отсутствуют. Структурная ф-ла:  $(\text{Ca}, \text{Mn}, \text{Th}, \text{Ce}, \text{Y})_{2,13}(\text{Al}, \text{Fe}, \text{Ti}, \text{Mg})_{3,00}\text{Si}_{3,00}\text{O}_{12,75}(\text{OH})_{1,26}$ . Хим. состав пироксмангита:  $\text{SiO}_2$  47,33,  $\text{TiO}_2$  следы,  $\text{Al}_2\text{O}_3$  0,21,  $\text{Fe}_2\text{O}_3$  3,69,  $\text{FeO}$  12,50,  $\text{MnO}$  29,22,  $\text{MgO}$  3,92,  $\text{CaO}$  2,21,  $\text{H}_2\text{O}^+$  0,54,  $\text{H}_2\text{O}^-$  0,23, сумма 99,85. Молекулярный состав:  $\text{MnSiO}_3$  52,9,  $\text{FeSiO}_3$  28,3,  $\text{MgSiO}_3$  13,8,  $\text{CaSiO}_3$  5,0%. Структурная ф-ла:  $\text{MnSiO}_3(\text{Fe}, \text{Mg})_{0,3}\text{Ca}_{0,1}\text{SiO}_3$ . Эмпирич. ф-ла:  $\text{MnSiO}_3 \cdot (\text{Fe}, \text{Mg})\text{SiO}_3$ . Хим. анализ продукта изменения пироксмангита, соответствующего схематиту ( $3\text{MnO} \cdot 2\text{Fe}_2\text{O}_3 \cdot 6\text{H}_2\text{O}$ ):  $\text{MnO}$  40,40,  $\text{O}$  8,14,  $\text{Fe}_2\text{O}_3$  23,17,  $\text{SiO}_2$  5,14,  $\text{Al}_2\text{O}_3$  0,13,  $\text{MgO}$  0,32,  $\text{CaO}$  следы,  $\text{BaO}$  0,09,  $\text{H}_2\text{O}^+$  11,23,  $\text{H}_2\text{O}^-$  11,47, сумма 100,09. Молекулярный состав:  $\text{MnO}_2$  25,8,  $(\text{Mn}, \text{Fe})\text{SiO}_3$  4,4,  $\text{Fe}_2\text{O}_3$  6,7,  $\text{H}_2\text{O}^+$  63,1. Г. В.

25445. Гроссуляры и андрадиты из архейского комплекса Адана. Сердюченко Д. П., Докл. АН СССР, 1955, 104, № 5, 775—778

В некоторых районах Южной Якутии встречаются зоны андрадитовых скарнов, образованных при воздействии древних аляскитовых гранитов на архейские кальцифилы и мраморы. В скарнах, кроме андрадита, встречаются: эпидот, магнетит, пироксены и амфиболы, актинолит, флюорит, пирит, хлорит и пр. Хим. состав андрадитов по 5 анализам (в %):  $\text{SiO}_2$  35,08—37,02,  $\text{TiO}_2$  до 0,39,  $\text{Al}_2\text{O}_3$  2,28—6,19,  $\text{Fe}_2\text{O}_3$  21,75—29,08,  $\text{Cr}_2\text{O}_3$  до 0,24,  $\text{FeO}$  до 3,45,  $\text{MnO}$  0,20—0,43,  $\text{MgO}$  0,12—0,74,  $\text{CaO}$  28,16—31,90,  $\text{Na}_2\text{O}$  0,02—0,32,  $\text{K}_2\text{O}$  0,06—0,13,  $\text{P}_2\text{O}_5$  0,02—0,11,  $\text{S}$  до 0,08,  $\text{Cl}$  до 0,08,  $\text{CO}_2$  до 0,12,  $\text{H}_2\text{O}^+$  0,10—0,34,  $\text{H}_2\text{O}^-$  0,04—0,22;  $\text{V}_2\text{O}_5$ ,  $\text{BaO}$  и  $\text{NiO}$  не обнаружены. Молекулярный состав андрадитов: пироп до 2,94, алмадин до 8,11, спессартин 0,52—1,02, гроссуляры 10,83—20,14, андрадит 70,06—87,18, ферриксингит до 7,80%. Различная окраска андрадитов (от светлой до красно- и черно-бурой) зависит от вхождения в решетку хромофора  $\text{FeO}$ . Хим. состав гроссуляра и гроссулярового скарна:  $\text{SiO}_2$  39,44,  $\text{TiO}_2$  0,30,  $\text{Al}_2\text{O}_3$  20,31,  $\text{Fe}_2\text{O}_3$  5,67,  $\text{Cr}_2\text{O}_3$  следы,  $\text{V}_2\text{O}_5$  следы,  $\text{FeO}$  1,00,  $\text{MnO}$  0,60,  $\text{NiO}$  не обна-

ружен,  $\text{MgO}$  1,30,  $\text{CaO}$  31,30,  $\text{Na}_2\text{O}$  0,17,  $\text{K}_2\text{O}$  не обнаружен, потеря при прокаливании 0,40, сумма 100,49%. Молекулярный состав: пироп 5,04, алмадин 2,29, спессартин 1,37, гроссуляры 82,53, андрадит 4,12, ферриксингит 4,65%. Г. В.

25446. Скоутит из Крестмор, Калифорния. Мердок (Scawtite from Crestmore, California. Murdoch Joseph), Amer. Mineralogist, 1955, 40, № 5-6, 505—509 (англ.)

Приведены данные кристаллографич. изучения скоутита, найденного в виде бесцветных таблитчатых кристаллов в жилах среди диоксид-воластанитовых скарновых пород. Скоутит ассоциирует с кальцитом, бульфонтейнитом и афвиллитом, в жилах является одним из поздних минералов. Г. В.

25447. Открытие полигалита (минерала калия) в пермских солях Канзаса. Суайфорд, Раннелс (Identification on polyhalite (a potash mineral) in Kansas permian salt. Swineford Ada, Runnels Russell), Trans. Kansas Acad. Sci. 1953, 56, № 3, 364—370 (англ.)

Произведено хим. и спектроскопич. исследование соляных отложений Хатчинсон по кернам буровых скважин. Калий обнаружен в ассоциации с галитом и глауберитом. Порода содержит в %: 54,7 галита, 20,4 полигалита, 17,1 глауберита, 3,1 ангидрита и 4,7 нерастворимого в-ва. М. Я.

25448. Некоторые данные о синтетических глиноземных и других пироксенах. Сегнит (Some data on synthetic aluminous and other pyroxenes. Segnit E. R.), Mineral. Mag., 1953, 30, № 223, 218—226 (англ.)

Сообщаются результаты обработки эксперим. данных по получению твердых р-ров  $\text{Al}_2\text{O}_3$ ,  $\text{Fe}_2\text{O}_3$  и  $\text{TiO}_2$  в системе  $\text{CaSiO}_3$ — $\text{MgSiO}_3$ . Наибольшая конц-ия  $\text{Al}_2\text{O}_3$  (13%) достигается в диопсиде и наименьшая (5—2,5%) в клинозистатите. Максим. растворимость  $\text{Fe}_2\text{O}_3$  (10%) и  $\text{TiO}_2$  (6%) также достигается в диопсиде. Присутствие  $\text{Al}_2\text{O}_3$  мало влияет на изменение оптич. свойств пироксенов; для  $\text{TiO}_2$  это изменение более заметно (увеличиваются показатели преломления и уменьшается величина дупреломления). Подобным же образом меняются свойства пироксенов, содержащих  $\text{Fe}_2\text{O}_3$ , при этом минерал окрашивается в бледнозеленый цвет. Р. А.

25449. Некоторые замечания о точности химических анализов минералов. Ней (A further note on the presentation of chemical analyses of minerals. Hey Max H.), Mineral. Mag., 1954, 30, № 227, 481—497 (англ.)

Обсуждены величины ошибок, имеющих место при хим. анализе. При этом учитываются как ошибки разделения, так и ошибки определения элементов, влияние ошибок, сделанных при определении одного элемента на точность определения другого. Анализ ошибок проведен на примере хим. анализа нигерита и корнерупина. Даны ф-лы, позволяющие оценить эти ошибки как в определении отдельных элементов или любой группы элементов, так и общую ошибку анализа. Л. К.

25450. К вопросу об изменении спектров некоторых органических красителей при фиксации их катионов на поверхности глинистых минералов. Халифазаде Ч. М., Изв. АН АзССР, 1955, № 7, 79—86 (рез. азерб.)

Сообщается о результатах применения метода Н. Е. Веденеевой в условиях Азербайджана. Изучались р-ции голубого метилена и других красителей с некоторыми каолинитами и гиллярами. Установлено, что не катионный обмен, а возникновение ионных или неионных связей при фиксации катионов органич. молекул на поверхности субмикроскопич. граней играет

главную роль в изменении спектра красителей. Таким образом, окраска не определяется щелочностью среды, а зависит от природы катиона. Оказалось, что ионы  $K^+$ ,  $NH_4^+$ ,  $H^+$  являются эффективными, а  $Na^+$ ,  $Ca^{2+}$ ,  $Mg^{2+}$  неэффективными. Ю. Т.

25451. Геохимия швейцарских лав. Амштутц (Geochemistry of swiss lavas. Amstutz G. C.), Geochim. and cosmochim. acta, 1953, 3, № 4, 157—168 (англ.)

В двух образцах кварцевых порфиров (I) и 5 образцах спилитов (II) определены хим. путем:  $SiO_2$ ,  $Al_2O_3$ ,  $Fe_2O_3$ ,  $FeO$ ,  $MnO$ ,  $MgO$ ,  $CaO$ ,  $Na_2O$ ,  $K_2O$ ,  $TiO_2$ ,  $P_2O_5$ ,  $H_2O^+$ ,  $H_2O^-$  и  $CO_2$ ; спектральным путем:  $Li_2O$ ,  $Na_2O$ ,  $K_2O$ ,  $Rb_2O$ ,  $Cs_2O$ ,  $Sc_2O_3$ ,  $V_2O_5$ ,  $V_2O_3$ ,  $Cr_2O_3$ ,  $CsO$ ,  $NiO$ ,  $CuO$ ,  $Ga_2O_3$ ,  $SrO$ ,  $ZrO_2$ ,  $BaO$  и  $PbO$ . Главным отличительным признаком этих типов пород является отношение щелочей:  $K > Na$  у I и  $K \approx Na$  у II. Кол-во  $Li_2O$  составляет 26 и 45 у I и 40—100  $g/m$  у II. В отличие от него  $Rb_2O$  более тяготеет к  $K_2O$ , и его конц-ия повышается от II (10—250) к I (365—490  $g/m$ ). Отношение  $K_2O : Rb_2O$  в среднем равно 100.  $Cs_2O$  (5  $g/m$ ) обнаружен только в одном образце I, наиболее богатом Rb (490  $g/m$   $Rb_2O$ ). Наряду с щелочами бросается в глаза резкое несоответствие в содержании  $SrO$ : 50  $g/m$  в I и 100—500  $g/m$  в II. Отмечается некоторый параллелизм в содержании Al и Ga. Отклонение от обычного порядка конц-ий  $Ga_2O_3$  (16,5—27,6  $g/m$ ) имеет место только в одном из образцов II, содержащем 11,67%  $Fe_2O_3$  и относительно бедным  $SiO_2$  (60,56%),  $Al_2O_3$  (14,82%) и  $Ga_2O_3$  (8,8  $g/m$ ). Кол-во  $Sc_2O_3$ , обнаруживающего некоторую связь с  $MgO$ , изменяется от 21,8—23 в I до 52—75  $g/m$  в II. Также изменяется и кол-во  $Cr_2O_3$  (от 27,3—35,5 до 55,5—225). V, Co и Ni, отсутствующие в I, дают в II следующие цифры конц-ий:  $V_2O_5$  129—506,  $Cs_2O_3$  до 31,  $CoO$  29,1,  $NiO$  18,7—112  $g/m$ . Кол-ва  $BaO$ ,  $ZrO_2$ ,  $PbO$  и  $CuO$  в I и II колеблются соответственно: 30—1000, 83,5—297, 6,5—15 и 4,25—20,3  $g/m$  без видимых закономерностей. Г. В.

25452. Петрохимические особенности пород Таннуольского интрузивного комплекса. Пинус Г. В., Докл. АН СССР, 1955, 104, № 2, 306—309

В составе Таннуольского интрузивного комплекса, расположенного в Центральной и Восточной Туве, присутствуют: граниты, гранодиориты, кварцевые диориты, габбро, оливковые габбро, оливковые нориты и пироксениты. Породы первой фазы интрузии (гранодиориты) отличаются повышенным содержанием полевошпатовой извести, породы второй фазы (граниты) пересыщены глиноземом и содержат щелочи в умеренном кол-ве. В целом породы Таннуольского комплекса относятся к известково-щелочному типу, характерному для мобильных геосинклинальных зон. Увеличение щелочности происходит за счет K и сопровождается параллельным обогащением  $SiO_2$ . Н. У.

25453. Официальное открытие уранового рудника Радий-Хилл (Radium Hill uranium project officially opened), Chem. Engng and Mining Rev., 1954, 47, № 3, 92—95 (англ.)

Сообщается об официальном открытии 10-го сентября уранового рудника Радий-Хилл в Южной Австралии. Рудное тело представляет собой рудную жилу, падающую под углом от 30° до 70° и до 17 футов шириной. Средняя мощность ~4 футов. Руда включает типичные крупнозернистые агрегаты тяжелых черных минералов: давидит, ильменит, рутил, магнетит, гематит, пирит и т. д. Уран присутствует в минерале давидите, содержащем до 9%  $U_3O_8$ . Минерал содержит также 50%  $TiO_2$ , ~30%  $Fe_2O_3$ , ~8% редких земель и незначительное кол-во Cr и V. Л. К.

25454. К вопросу о роли коллоидных растворов в образовании высокотемпературных руд. Жилинский Г. Б., Казах. ССР, гылым акад. хабарлары, Изв. АН КазССР, сер. геол., 1955, № 19, 66—75 (рез. казах.)

Подчеркивается факт присутствия колломорфных структур и других признаков колл. происхождения руд в высокотемпературных месторождениях глубокой зоны, связанной с каледонским и варисским вулканизмом. Описывается и иллюстрируется случай образования зонального кристалла касситерита вокруг колломорфного ядра. Зарождение зерна началось в колл. среде с отложения характерных концентрически-зональных колломорфных образований. Эти образования касситерита затем в течение рудного процесса были раздроблены и дальнейшее выпадение касситерита из р-ра происходило путем кристаллизации вокруг частиц деревянистого касситерита. Одновременно с кристаллизацией  $SnO_2$  происходила и раскристаллизация деревянистого касситерита. Наблюдаемая в краевых частях некоторых кристаллов касситерита концентрически-волнистая структура объясняется как реликт колломорфной структуры. В качестве признака кристаллизации касситерита из колл. р-ров приводится также округлая форма зерен касситерита и их концентрически-поясовое строение. А. Г.

25455. Опыт классификации серебро-свинцово-цинковых рудных месторождений. Захаров Е. Е., Тр. Моск. геол. развед. ин-та, 1955, 28, 70—91

Предлагаемая классификация делит все Ag-Pb-Zn-месторождения на 4 генетич. типа: 1) послемагматические, включающей группы, генетически связанные с неглубокими кислыми интрузивами и эффузивами мезо-кайнозойского возраста и с интрузиями гранодиоритов преимущественно палеозойского возраста; 2) выветривания; 3) осадочный и 4) метаморфический. Исходя из парагенетич. особенностей и характера вмещающих пород, все типы делятся на 14 рудных формаций. В статье дана краткая характеристика каждой формации. Г. Н.

25456. Вопрос классификации рудных залежей на геотектонической базе. Якушеский (Zagadnienie klasyfikacji złóż kruszcowych na podstawie geotektonicznej. Jaskólski Stanisław), Przegl. geol., 1954, 1, № 4, 121—125 (польск.)

Описываются принципы современной системы классификации рудных залежей и теория Шнейдергона (Schneiderhöhn H. Genetische Lagerstaetengliederung auf geotektonischer Grundlage. Neues Jahrb. Mineralogie. Monatsh., 1952, № 2, 3). Sommer S. A.

25457. О температурных условиях образования оного свинцово-цинкового месторождения. Лесняк В. Ф., Наук. зап. Львівськ. ун-ту, 1954, 31, № 7, 132—143

В кварцево-карбонатной рудной жиле, приуроченной к зоне дробления в древних гранитоидах и кераитофирах Северного Кавказа, произведено термометрич. изучение включений минералообразующей среды в кварце, цинковой обманке и кальците. На основании полученных данных история формирования месторождения принимает следующий вид: I стадия (т-ра 240—180°): почти мономинеральный кварц с небольшой вкрапленностью пирита. Подвижки. II стадия (205—165°): кварц, кальцит, сфалерит, галенит, пирит, пирротин, арсенопирит и др. Подвижки. III стадия (165—155°): те же минералы. Снижение т-ры до 120—125°. Подвижки. IV, сравнительно короткая стадия: кальцит, кварц, сульфиды Zn, Pb, Fe, Cu и др.; постепенное обогащение р-ров бикарбонатом Са; т-ра быстро падает от 175—180° до 140—150°. Небольшие подвижки. Дальнейшее понижение т-ры. V стадия (120—110° и ниже): розовый кальцит, немного кварца



и сульфидов, самородный As. Наибольшее выделение сульфидов происходило при смене кремнистых р-ров бикарбонатным (170—110°). Цинковая обманка выделялась на всем протяжении гидротермального процесса, за исключением I стадии, при этом темнокоричневые ее разновидности для более высоких т-р, чем светлокоричневые и желтые. Процесс всего минералообразования из эндогенных р-ров происходил на месторождении при т-ре от 240 до 70—60°. Максим. поправка на давление при вскрытии пород лейаса 1,5 км не превышает 30°. Автор относит месторождение к низкотемпературному типу, расходясь в этом с мнением предыдущих исследователей. Г. В. 25458.

**Генетические особенности месторождения Муржик в Центральном Казахстане. Смирняков Н. В., Казах. ССР, гылым акад. хабарлары, Изв. АН КазССР, сер. геол., 1955, № 19, 88—100 (рез. казах.)**

Рудоносная свита фамена характеризуется пестрым составом прибрежных мелководных фаций. К горизонту, сложенному пачкой известняков и глинисто-мергелистых пород, приурочены пластообразные залежи марганцевых руд. По минералогич. и хим. составу руд устанавливается зональность, обусловленная процессами окисления и физ.-хим. условиями рудоотложения. Зона окисления с подзонами: 1) древнего (мезозойского) и 2) наложенного (вплоть до современного) молодого окисления, распространяется на глубину 120—140 м; из рудных минералов наиболее распространен пирролизит, в небольшом кол-ве встречаются псиломелан, вернадит и, редко, браунит. Ниже расположена зона первичного оруднения, где преобладающим минералом является манганит. В низах зоны (180—200 м) в рудах появляется манганокальцит, а еще ниже следует ожидать развитие карбонатных руд. Руды зоны окисления обогащены Mn, Fe, SiO<sub>2</sub> и обеднены CaO, по сравнению с рудами первичного оруднения. Первосточником Mn были эффузивные толщи докембрия, силура и девона; Mn в растворенном виде сносился в заливы фаменского моря и выпадал при коагуляции колл. р-ров в придельтовых водах. Ф. В.

**25459. Зона выщелачивания под сланцевой толщей Чаттануга в Теннесси и Кентукки. Милтон, Конант, Суонсон (Sub-Chattanooga residuum in Tennessee and Kentucky. Milton Charles, Conant Louis C., Swanson Vernon E.), Bull. Geol. Soc. America, 1955, 66, № 7, 805—810 (англ.)**

В контакте сланцевой толщи Чаттануга и подстилающих известняков, местами доломитизированных, прослеживается глинистая зона, образованная в результате сернокислого выщелачивания известняка. H<sub>2</sub>SO<sub>4</sub> выделялась при окислении пирита, вкрапленного в сланцах. По мере удаления от контакта интенсивность воздействия сернокислых р-ров на известняк понижается. В сланцах по контакту присутствуют различные сульфаты (копиапит, кокимбит, галотрихит, гипс и др.). Впервые в США здесь встречен базальминит (водный сульфат Al). И. К.

**25460. Некоторые причины неполной выщелачиваемости гиббситовых бокситов. Бенеславский С. И., Докл. АН СССР, 1954, 95, № 5, 1077—1080**

Основываясь на данных минералогии и петрографии, автор приходит к выводу, что причиной неполной выщелачиваемости гиббситовых бокситов при т-ре 105° является присутствие в них различных кол-в моногидрата глинозема (в основном, бемита), а также окиси алюминия в аморфном виде и в форме корунда. Отмечается, что наличие в бокситах моногидратов глинозема не обязательно является следствием метаморфизма. Вполне возможно прямое образование бе-

мита и, вероятно, диаспора за счет старения алюмогеля в условиях нормальных т-ры и давления. Образование корунда, повидимому, также связано с этим процессом. Приводятся данные по рентгеноструктурному, хим. и термич. анализу гиббситовых бокситов из Украины, Среднего Урала, Сибири и Северного Казахстана. Ю. Т.

**25461. О процессах окисления фосфатов железа в гранитных пегматитах. Гинзбург А. И., Труды Минерал. музея АН СССР, 1954, вып. 6, 49—70**

Появление тех или иных фосфатов в зоне окисления зависит от ряда обстоятельств: 1) состава первичных фосфатов, при окислении которых возникают гипергенные фосфаты различного состава; 2) наличия в пегматитах значительного кол-ва сульфидов, способствующих образованию в пегматитах зоны окисления; 3) состава сульфидов, встречающихся в ассоциациях с фосфатами Fe и Mn; 4) наличия в пегматитах в ассоциации с сульфидами большого кол-ва фторсодержащих минералов, при окислении которых возникает плавиковая к-та, вызывающая появление вторичных фторидов; 5) состава поверхностных вод; 6) интенсивности проявления процессов окисления, зависящей главным образом от климатич. условий. Окисление Fe в фосфатах сопровождается выносом некоторых катионов (щелочей) или привнесом добавочных анионов. Предлагается методика пересчета хим. анализов фосфатов. Для некоторых минералов сложного состава, прежние громоздкие ф-лы которых вызывают сомнение, предлагаются следующие ф-лы: ландезит (Mn, Mg, Ca)<sub>5</sub>Fe<sub>2</sub><sup>3+</sup>[PO<sub>4</sub>]<sub>4</sub>(OH)<sub>4</sub>·5H<sub>2</sub>O, берманит (Mn, Mg, Ca)<sub>7</sub>(Mn, Fe<sup>3+</sup>)<sub>7</sub>[PO<sub>4</sub>]<sub>8</sub>(OH)<sub>7</sub>·16H<sub>2</sub>O, оксичильдренит (Mn, Ca, Mg)<sup>2+</sup>(Fe, Mn)<sup>3+</sup><sub>3</sub>Al<sub>4</sub>[PO<sub>4</sub>]<sub>4</sub>(OH)<sub>11</sub>·H<sub>2</sub>O. Л. В.

**25462. Об условиях образования фосфоритовых оболочек в песчаниках Ленинградской области. Курман И. М., Тр. Гос. н.-и. ин-та горно-хим. сырья, 1955, вып. 2, 69—87**

Нижнесилурийские оболочковые песчаники состоят из кварцевого песка и фосфатизованных раковин брахиопод (облоид) с подчиненными кол-вами карбонатов, полевых шпатов, окислов Fe, турмалина и др. Фосфатный материал биогенного происхождения, о чем свидетельствует постоянный хим. состав раковин из различных частей оболочковой толщи по данным 4 анализов: P<sub>2</sub>O<sub>5</sub> 35,60—36,60; CaO 49,49—55,33; MgO 0,72—1,15; F 2,61—2,83, нерастворимый остаток 0,80—1,00%. Спектральный анализ чистых фосфатных раковин показал: Fe, P, Ca оч. сильные линии; Si, Al, Mg сильные; Mn, Na, Ba, Sr — средние; Cr, Pb слабые; Cu, Zn, Mo, Be, Sn оч. слабые. Фосфатный материал раковин, по рентгеноструктурным данным, представлен фтор-анатитом, наряду с которым присутствует еще один неопределенный фосфат. Процессы диагенеза выразились в перекристаллизации и незначительной миграции фосфатного в-ва, а также пиритизации и ожелезнении. Автор делает вывод о формировании оболочковой толщи в обширном, несколько вытянутом, неглубоком морском бассейне. Д. К.

**25463. О минералогии фосфоритовых месторождений Приднестровья. Фурман Е. П., Вопр. минералогии осадочных образований, 1954, кн. 1, 58—116**

Наряду с освещением литературного материала, автор приводит новые данные по микроскопич., хим., люминесцентно-битуминологич., рентгеновскому и термич. изучению коренных и перетолоченных фосфоритов из двух фосфоритовых районов Приднестровья: в Станиславской области (сеноманские отложения) и в юго-восточной части Подолья (отложения кембрия-силура). Сеноманские фосфориты содержат в фосфатной массе кварц, глауконит, полевошпат, кальцит,

окислы Fe, пирит, гипс, мусковит, биотит, гранат и диорит; кембро-силурийские фосфориты — кальцит, кварц, каолин, окислы Fe и галенит. По составу изученные коренные фосфориты представлены фторапатитом ( $P_2O_5$  27,78—39,58%,  $CaO$  44,37—52,50%, F 2,28—3,35%,  $H_2O$  0,60—1,65%; 0,45—5,80%  $CO_2$  отнесены за счет механич. примеси кальцита). В период пребывания фосфоритовых конкреций в сеноманском море происходило замещение фтора группой (ОН) и превращение фторапатита в гидроксилapatит. Автор приводит данные анализа кристалликов фосфата из внутренних полостей переотложенных конкреций («подолит» В. Н. Чирвинского).  $P_2O_5$  41,40,  $Al_2O_3$  0,40,  $Fe_2O_3$  1,40,  $CaO$  54,55, F 0,36, Cl 0,30,  $H_2O$  1,60,  $CO_2$  не обнаружен, нерастворимый остаток 0,5, сумма с поправкой на Cl и F 99,72%. Кристаллохимич. ф-ла минерала:  $(Ca_{4,91}Fe_{0,08}Al_{0,04})_{5,03}(OH_{0,88}F_{0,06}Cl_{0,04})_{1,01}[P_{2,94}O_{12}]$ . Таким образом, «подолит» является в действительности обыкновенным гидроксилapatитом. Г. В.

25464. О составе и происхождении газов угольных месторождений. Кравцов А. И., Соколов В. А., Эллисон М. М., Тр. Моск. геол.-развед.-н-та, 1955, 28, 7—14

Приводятся данные по содержанию газов в углях и вмещающих породах и обсуждаются возможные способы их происхождения. По составу газов в угольных месторождениях выделяются зоны (сверху вниз): азотно-углекислая, азотная, метано-азотная и метановая, между которыми нельзя провести резких границ. Главным газообразным компонентом, образующимся в процессе метаморфизма углей, является  $CH_4$ . Ближе к поверхности, в зоне газового выветривания угольных пластов,  $CH_4$  замещается  $N_2$  и  $CO_2$ . Происхождение тяжелых газообразных углеводородов, обнаруженных в ряде случаев в угольных газах, объясняется разложением нефтематеринских в-в, содержащихся в начальном в-ве угля. В некоторых случаях присутствие тяжелых углеводородов может быть связано с воздействием на породы высоких т-р, расплавленных магматич. пород. Происхождение  $N_2$ , встречающегося в угольных газах; пока не вполне ясно. На этот счет высказываются следующие предположения: 1) биохим. образование  $N_2$  бактериями, 2) образование  $N_2$  при метаморфизме углей и 3) образование  $N_2$  при действии радиоактивных излучений на в-ва, в частности на воду. Наличие He в угольных газах косвенно свидетельствует о радиоактивных процессах. Ю. Т.

25465. Коллоидно-дисперсные минералы и температуры образования антрацитов Донецкого бассейна. Седлецкий И. Д., Джумайло В. И. (Коллоидно-дисперсные минералы и температуры утворения антрациту в Донецькому басейну. Седлецький І. Д., Джумайло В. І.) Геологічний ж., 1954, 14, № 1, 58—70 (укр.; рез. русс.)

Впервые экспериментально изучены коллоидно-дисперсные минералы, залегающие совместно с каменным углем, весьма чувствительные к колебаниям т-ры и давления. Образцы песчано-глинистых пород были взяты из разреза среднего карбона (свиты  $C_5^2$ ,  $C_6^2$  и  $C_7^1$ ) месторождений Донбасса. Применяв рентгено-скопич., термич., электронномикроскопич., оптико-микроскопич. методы, в указанных породах были определены: иллит, каолинит, монтмориллонит и дисперсный кварц. Экспериментально установлено, что при нагреве каолинита выше  $500^\circ$ , дисперсного кварца  $575^\circ$ , монтмориллонита  $775^\circ$  — они изменяются вследствие разрушения их кристаллич. решеток. Если каолинит может сохранять лишь при т-ре  $<500^\circ$ , то и залегающий совместно с ним антрацит образовался также при т-ре  $<500^\circ$ , а не  $600$ — $1000^\circ$ , как это отмечалось ранее многими исследователями. М. К.

25466. Месторождения отбеливающих глин в районе плато Садерс-Дифайнс в графстве Навахо, штат Аризона. Кирш, Келлер (Bleaching clay deposits, Sanders-Defiance plateau district, Navajo country, Arizona. Kiersch Geo A., Keller 0.60 W. D.), Econ. Geol., 1955, 50, № 5, 469—494 (англ.)

Описание месторождений Са-монтмориллонитовых глин, образовавшихся при выветривании вулканич. пепла. Особое внимание уделено структурным и хим. превращениям в ходе процесса выветривания. Хим. изменения заключались в выносе Si, K, Na и накоплении Mg и Ca; кол-во  $H_2O$  увеличилось почти вдвое. Н. У.

25467. О происхождении пирита в Сулье (департамент Гар, Франция). Бернар (Sur l'origine du mineral de pyrite du Soulier (Gard.) Bernard A n d r é), C. r. Acad. sci., 1955, 241, № 2, 228—231 (франц.)

Небольшое месторождение пиритных руд (пирит, сульфиды Zn, Pb и др.) находится на юго-восточной границе триасового осадочного бассейна. Условия седиментации, соответствующие глубоководной зоне в триасовой лагуне, подтверждают гипотезу об осадочном диagenетич. происхождении пирита. В. К.

25468. Минералогические и механические анализы зон выветривания вулканических иллинойских глин в штате Индиана. Грейвенор (Mineralogical and size analysis of weathering zones on illinoian till in Indiana. Gravenor Conrad P.), Amer. J. Sci., 1954, 252, № 3, 159—171 (англ.)

На основании изучения проб из 3 разрезов выделено 5 зон, характеризующих различные стадии выветривания: 1) поверхностная — почва и лёсс, 2) сильно-выветренная, содержащая стойкие гальки, 3) выщелоченная, 4) окисленная и 5) неизменный ледниковый нанос. Наиболее устойчивы при выветривании: диорит, силлиманит, турмалин, ставролит, кианит, биотит, рутил; сравнительно устойчивы — амфиболы, пироксены, сфен, эпидот; неустойчив — апатит. Среди минералов фракции глин преобладает иллит; каолинит, монтмориллонит и кварц присутствуют в меньшем кол-ве. Р. А.

25469. Геологическое приложение определения растворимых в лимонной кислоте металлов в аллювии. Хокс, Блум (Geologic application of a test for citrate-soluble metals in alluvium. Hawkes Herbert E., Bloom Harold), Science, 1955, 122, № 3158, 77—78 (англ.)

Рекомендуется в качестве поискового метода определения в речных наносах содержания растворимых в лимонной к-те металлов (Zn, Pb, Cu). При проведении подобных исследований в Канаде авторы обнаружили повышенное содержание экстрагируемых металлов в речных наносах на расстоянии  $\sim 6$  км (в одном случае до 82 км) вниз по течению от месторождений тяжелых металлов. В. К.

25470. Научно-исследовательский центр по геохимии и минералогии. Каробби (Centro di studio per la geochimica e la mineralogia. Attività svolta negli anni 1951—52 e, 1952—53. Carobbi Guido), Ricerca scient., 1954, 24, № 7, 1423—1428 (итал.; рез. франц., англ., нем.)

Информация о деятельности Геохим. центра при Национальном совете науки (Италия) за период 1951—1952 и 1952—1953 гг. Г. В.

25471. Статистические методы в применении к геохимии. Шоу, Банкьер (Statistical methods applied to geochemistry. Shaw D. M., Bankier J. D.), Geochim. et cosmochim. acta, 1954, 5, № 3, 111—123 (англ.)

Рассмотрены статистич. методы в применении к трем важнейшим операциям: отбору проб, анализу образцов и сравнению результатов. Наиболее эффективно применение статистич. «метода наименьших квадратов» при спектральном анализе, позволяющем иметь ряд параллельных определений. Описаны также методы сравнения данных различных анализов и приведено несколько примеров, иллюстрирующих эти методы.

Ю. Т.

**25472. Роль геохимии в поисках рудных месторождений. Уоррен, Делава (Geochemistry in minifinding. Warren Harry V., Delavault R. E.), West. Miner and Oil Rev., 1955, 28, № 3, 35—39 (англ.)**

Популярная статья. Рассмотрены условия образования ореолов рассеяния некоторых элементов в воде, почве и растениях с использованием их для открытия рудных тел. Описан способ повышения чувствительности дитизионового метода определения металлов в воде.

Д. К.

**25473. Состав взвеси Берингова моря по данным спектрального анализа. Лизунов Н. В., Лисицын А. П., Докл. АН СССР, 1955, 104, № 4, 593—596**

Институтом океанологии АН СССР собраны в 1950—1953 гг. пробы взвеси морской воды на мембранных ультрафильтрах № 3 с размером пор  $\sim 0,7 \mu$ . Среднее кол-во взвеси на поверхности Берингова моря в  $г/м^3$  на сухое в-во: в районах, охваченных «цветением» фитопланктона, 7—8, а в районах без «цветения» 2—3. Фильтры с отфильтрованной взвесью обрабатывались в платиновых тиглях  $H_2SO_4$  и прокаливались в муфельной печи при  $400^\circ$ . Анализ полученной золи проводился с помощью спектрографа ИСП-22. Возбуждение спектра осуществлялось дугой постоянного тока (10а, 220в). Интенсивность линий определялась на глаз по 10-балльной шкале на следующие элементы: Li, Be, Mg, Al, Si, P, Ca, Se, Ti, V, Cr, Mn, Fe, Co, Ni, Cu, Zn, Ga, As, Sr, Zr, Nb, Mo, Ag, Cd, In, Sn, Sb, Te, Ba, Ta, W, Au, Tl, Pb, Bi. Приведены данные, характеризующие изменения концентрации этих элементов в зависимости от места и времени взятия проб. Обнаружено, что некоторые элементы (Fe, Mn, P, Ca, Mg, Al, V, Ti, Cu, Zn, Cr, Ni) встречаются в повышенных кол-вах в выносах рек, другие (Pb, Ag, Sn, Ba, Sr) тяготеют к определенным участкам побережья, третьи (Si, Ca, Ti, Fe, P, Mn) тесно связаны с развитием планктонных организмов.

Ю. Б.

**25474. Роль морской зыби в рассеивании тонких материалов и их седиментации. Дрейфус (Le rôle de la houle dans la dispersion des matériaux fins et ses conséquences concernant la sédimentation. Dreyfuss Maurice), C. r. Acad. sci., 1955, 241, № 4, 430—431 (франц.)**

В море, благодаря наличию морской зыби и волн, наблюдается турбулентная зона вблизи поверхности воды. Тонкие материалы, приносимые в обилии реками, попадают в турбулентную поверхностную зону и поддерживаются в суспензии достаточно долго, что обеспечивает (перемещением массы воды) распределение их на больших пространствах.

В. К.

**25475. Геологические условия формирования минерализованных подземных вод и их номенклатура. Толстой М. П., Гидрохим. материалы, 1955, 24, 93—95**

В нефтяных месторождениях встречаются пласты, в которых сохранились древние воды морского происхождения. Они характеризуются высокой минерализацией — до 250 г/л, отсутствием сульфатов, большим содержанием Cl, Br, J, иногда нефтяных к-т. Отношение Cl/Br близкое к морским водам, т. е. 200—500. По условиям залегания эти воды автором подразде-

ляются на: 1) седиментационные — синхронные возрасту вмещающих пород, 2) погребенные — моложе возраста вмещающих пород, 3) унаследованные — древнее водовмещающих пород. Формирование минерализованных подземных вод морского происхождения имеет несколько этапов: 1) седиментационно-диагенетический, 2) эрозионный, 3) этап нарушения человеком природного режима залежи.

М. К.

**25476. Гидрохимическая система природных вод. Овчинников А. М., Вopr. курортол., физиотерапии и лечеб. физ. культуры, 1955, № 1, 31—39**

Предложенная графич. схема систематизации анализов подземных вод, основанная прежде всего на учете их газового состава, состоит из трех наложенных друг на друга квадратов, построенных сходно с квадратом Толстухина: по горизонтали нанесено (в экв %) изменение содержания  $Na(+K)$  и  $Ca(+Mg)$ , по вертикали — Cl и  $SO_4 + HCO_3$ . Верхний квадрат заключает воды с газами окислительной обстановки (газы из воздуха), средний — воды с газами восстановительной обстановки (газы биохим. происхождения), нижний — воды с газами метаморфич. происхождения (газирующие преимущественно углекислотой в областях молодого вулканизма и очагов магматич. интрузий). Диагональ в каждом квадрате разграничивает воды с отношением  $rNa : rCl > 1$  и  $rNa : rCl < 1$  (выше диагонали — воды с повышенным содержанием гидрокарбоната и сульфата натрия, ниже диагонали — воды с наличием хлоридов кальция и магния). Дополнительные диагонали позволяют выделить по хим. составу 8 классов вод для каждой обстановки. Для правильной характеристики хим. состава подземных вод рекомендуется следующий порядок написания ее ф-лы: содержание повышенного кол-ва специфич. элемента, придающего индивидуальное отличие данной воде (Fe, F и др.); содержание растворенных и свободно выделяющихся газов, причем специфич. газы (Rn, He,  $H_2S$ ) пишутся первыми; общая минерализация (в г на 1 л или на 1 кг), анионный состав сверху, катионный внизу псевдодробь (показываются все 6 ионов в экв. % от 100% катионов и анионов в отдельности); т-ра; pH; дебит (в случае необходимости); некоторые характерные коэфф. ( $rNa : rCl$  и др.).

В. К.

**25477. Распространенность кислорода  $O^{18}$  в пресной воде. Дансгор (Oxygen-18 abundance in fresh water. Dansgaard Willi), Nature, 1954, 174, № 4422, 234—235 (англ.)**

Произведен масс-спектрометрич. анализ распространенности  $O^{18}$  в 10 образцах пресной воды, отобранной из мест с различными климатич. условиями. Установлено, что распространенность  $O^{18}$  уменьшается при переходе к более холодным областям. Измерения 106 образцов из Копенгагена, отобранных в течение апреля 1953 г. по апрель 1954 г., показали заметное сезонное колебание в распространенности  $O^{18}$ . Отклонения от стандарта составляли  $+10,3 \cdot 10^{-4}$  ат. % в июле и  $-5,8 \cdot 10^{-4}$  ат. % в феврале. Дана ф-ла, описывающая зависимость изменения концентрации  $O^{18}$  от т-ры конденсации пара.

Л. К.

**25478. Определение короткоживущих продуктов распада радона в природных водах. Курода, Йокояма (Determination of the short-lived decay products of radon in natural waters. Kuroda P. K., Yokoyama Y. J.), Analyt. Chem., 1954, 26, № 9, 1509—1511 (англ.)**

Произведенное определение короткоживущих продуктов распада Rn дождевых вод показало, что радиоактивность вод обусловлена продуктами распада Rn, а не самим радием. Выпаривали определенную долю исследуемых вод (при конц. выше  $10^{-9}$  кюри/л), либо в соосаждении активности с PbS (с добавлением неактивного носителя) (при конц. ниже  $10^{-9}$  кюри/л).



Полученные осадки измерялись на электроскопе типа Лаурентсена на Г.-М.-счетчике, а также на фонтантоскопе. Для дождевых вод, собранных в Файетвилле, установлен большой избыток продуктов распада. Период полураспада радиоактивности дождевой воды здесь равен 30 мин. В водах горячих источников Маццуми (Япония) наблюдается недостаток короткоживущих продуктов распада. Исследование вод горячих источников Национального парка показало, что имеется незначительный избыток продуктов распада над содержанием Rn.

Л. К.  
25479. Гидрохимическая характеристика прудов засушливых районов Ростовской области. Весе-ловский Н. В., Головков М. П., Тарасов М. Н., Гидрохим. материалы, 1954, 22, 23—44

Исследовались пробы воды, отобранные летом 1950 г. из 186 прудов засушливых районов Ростовской области. По ионному составу воды к сульфатному классу относятся 58,6% прудов с минерализацией (М) в мг/л: 447—20100 (в среднем 4080); к хлоридно-сульфатному классу 14,0% прудов с М 1200—21 300 (в среднем 5020) мг/л; к хлоридному классу 14,5% прудов с М 1200—21 300 (в среднем 6800) мг/л; к гидрокарбонатному классу 10,8% прудов с М (для 18 из 20 прудов) 184—595 (в среднем 348) мг/л (остальные два пруда имеют М 1180 и 2050 мг/л). Наиболее распространен второй тип воды — группы натрия (по классификации Алекина). Вода 77,8% прудов имеет общую жесткость >9 мг-экв; вода 75,9% прудов имеет окисляемость 6—15 мг O<sub>2</sub> на 1 л. Пруды с водой гидрокарбонатного класса рассеяны по всей территории. Величина отношения Cl<sup>-</sup>: SO<sub>4</sub><sup>2-</sup> возрастает при переходе прудов от повышенных участков рельефа к пониженным — в результате метаморфизации солевого состава воды. Для ряда прудов, изученных в 1951—1952 гг., прослежены сезонные изменения содержания главных ионов, минерализации (суммы ионов), биогенных элементов (N и P), pH, растворенных O<sub>2</sub> и CO<sub>2</sub>. В. К.

25480. Зависимость между концентрацией водородных ионов в речных водах и уровнем воды в реках. Иванова (Зависимость между концентрацией на водородите ионы на речные воды и оттока на реките. Иванова Н.), Гидрология и метеорология, 1953, № 5, 17—22 (болг.)

В 1952—53 гг. проведен хим. анализ содержания ионов в речных водах и определены pH в пробах, взятых из разных пунктов трех рек: Искр, Марица, Струма. Показано, что pH зависит не только от кол-ва растворенных электролитов, но и от уровня воды в реке, который изменяется сезонно. На кривых изменения pH речной воды в течение года обнаруживаются два минимума, приходящихся на периоды весеннего и осеннего обильного притока воды в реках, а зимнему и летнему периоду маловодья соответствуют два максимума.

Т. К.  
25481. Химический анализ минеральной воды в Бани-ди-Эгардо. Кадробби (Analisi chimica dell'acqua minerale dei Bagni di Egardo. Cadròbbi Bigno), Boll. Lab. chim. provinc., 1955, 6, № 1, 1—2 (итал.)

Дебит источника имеет сезонный характер (действует от июня до сентября). Новейшие анализы показали некоторые расхождения с более ранними (1929 г.) — уменьшение кол-ва сухого остатка и содержания иона Cl<sup>-</sup>, увеличение радиоактивности; предполагается, что это происходит от сезонной деятельности источника и возможной инфильтрации поверхностных вод. Кроме ионов K<sup>+</sup>, Na<sup>+</sup>, Mg<sup>2+</sup>, Ca<sup>2+</sup>, в воде содержатся ионы F<sup>-</sup> (0,384 мг/л) и миним. следы NH<sub>4</sub><sup>+</sup>,

NO<sub>2</sub><sup>-</sup>, NO<sub>3</sub><sup>-</sup> и PO<sub>4</sub><sup>3-</sup>. Т-ра воды 12,8°; pH 7,2; радиоактивность 4,7 (в единицах Махе). Классификация: среднeminеральный, радиоактивный, щелочной, слегка сернистый.

Н. Х.  
25482. Минеральный источник «Дандерс» в Форми — Авольтри (Карния, Италия). Сандри (L'acqua minerale «Danders» di Forni Avoltri (Carnia). Sanderi Giovanni), Boll. Lab. chim. provinc., 1954, 5, № 4, 108—110 (итал.)

Т-ра воды 8,6°; pH 7,3; радиоактивность 0,36 (единицы Махе). Плотный остаток при 180° 1,7028 г/л; растворенные газы (мл/л при 0° и 760 мм): CO<sub>2</sub> 14; N<sub>2</sub> 18,2. Ионы (г/л): K<sup>+</sup>, Na<sup>+</sup>, Fe<sup>2+</sup>, Al<sup>3+</sup> в тысячных долях, Ca<sup>2+</sup> 0,486; Mg<sup>2+</sup> 0,0611, SO<sub>4</sub><sup>2-</sup> 1,115; HCO<sub>3</sub><sup>-</sup> 0,2851; Cl<sup>-</sup> 0,0592 NH<sub>3</sub>, NO<sub>3</sub>, NO<sub>2</sub>, H<sub>2</sub>S, O<sub>2</sub> отсутствуют. Вода имеет терапевт. значение. Классификация: сульфато-щелочноземельная.

Н. Х.  
25483. Олигоминеральная вода источника «Ранко» в Цуккар-ди-Вальдуджа. Дурьо (L'acqua oligominerale della fonte «Ronco» in Zuccaro di Valduggia. Durio Emilio), Boll. Lab. chim. provinc., 1955, 6, № 1, 8—10 (итал.)

Дебит 20 л/мин. Прокаленный остаток при 800° 0,01707 г/л. Т-ра 11°, pH = 6,1. Содержание Na<sup>+</sup>, Ca<sup>2+</sup>, Mg<sup>2+</sup>, HCO<sub>3</sub><sup>-</sup>, Cl<sup>-</sup>, SiO<sub>2</sub> определяется тысячными долями г/л и менее. Классифицируется как олигоминеральная.

Н. Х.  
25484. Химический анализ железистой минеральной воды близ Бани-ди-Эгардо. Де Франческо (Analisi chimica dell'acqua minerale ferruginosa presso i Bagni di Egardo. De Francesco Franco), Boll. Lab. chim. provinc., 1955, 6, № 1, 3 (итал.)

Источник не каптирован; по течению воды отлагаются выцветы типа охры. Т-ра 13,5°; pH 7,2; радиоактивность 8,8 (в единицах Махе). Вода содержит ионы K<sup>+</sup>, Na<sup>+</sup>, Mg<sup>2+</sup>, Ca<sup>2+</sup>, Fe<sup>2+</sup> (0,000525 г/л), Cl<sup>-</sup>, F<sup>-</sup>, SO<sub>4</sub><sup>2-</sup>, HCO<sub>3</sub><sup>-</sup>. Классификация: среднeminеральная, радиоактивная, двууглекислая, щелочная, слегка железистая.

Н. Х.  
25485. Минеральные воды курорта Карловы Вары в Чехословакии. Овчинников А. М., Вопр. курорт., физиотерапии и лечеб. физкультуры, 1955, № 3, 66—71

Минеральные источники курорта Карловы Вары являются трещинными водами крупного гранитного массива. Предполагают, что воды поднимаются с глубины 2 км в зоне сбросов, приуроченной к контакту гранитов двух разновидностей (плотных и рыхлых). Наиболее близкие аналоги этих источников в СССР Джермук и Исти-Су. По хим. составу источники одноипны и относятся к горячим, углекислым, сульфатно-гидрокарбонатным натриевым водам, один из них отличается повышенной радиоактивностью. В главном источнике (Шпруделе) содержится в мг/л: Li 3,3; NH<sub>4</sub> 0,1; K 104,2; Na 1,718; Mg 46,5; Ca 102,5; Sr, 0,3; Fe 0,1; Cl 617; Br 1,4; F 2,4; SO<sub>4</sub> 1662, HPO<sub>4</sub> 0,2, HAsO<sub>4</sub> 0,1; HCO<sub>3</sub> 2100, HBO<sub>3</sub> 3,9; H<sub>2</sub>SiO<sub>3</sub> 88,4, сухой остаток 5390, pH 7,65. Т-ра 73°. Дебит и хим. состав источников курорта остаются постоянными с небольшими колебаниями, по наблюдениям с 1869 г.

М. Я.  
25486. Химический анализ воды источника Сакра-мора (Римини). Гацци, Пьерини (Analisi chimica e misure chimico-fisiche sull'acqua della sorgente «Sacramora» (Rimini). Gazzzi Vittorio, Pierini Renato), Boll. Lab. chim. provinc., 1954, 5, № 1, 21—22 (итал.)

Спектральным анализом в источнике обнаружены следы Li, Ba, Sr, Fe, Cu. Сухой остаток воды (180°) — 0,378 г/л, pH 7,55. Растворенные газы (см<sup>3</sup>/л при 0°

и 760 мм):  $\text{CO}_2$  31,4,  $\text{O}_2$  3,8, N 16,4. Радиоактивность в единицах Махе 1,5. Т-ра воды  $12^\circ$ . По классификации Маротта и Сика вода источника относится к группе средминеральных, двууглекисло-сульфато-натриево-кальциево-магниевых. Издавна используется как лечебная. Н. Х.

25487. Сравнительное химическое исследование двух групп теплых минеральных источников в Трапанезе. Серно (Studio chimico comparativo tra due gruppi di sorgenti termominerali nel Trapanese. Serio Calogero), Riv. minerar. siciliana, 1954, 5, № 30, 251—257 (итал.)

Исследованы 2 группы минеральных источников западной Сицилии, расположенных друг от друга на расстоянии 24 км. Разница между источниками заключается в т-ре (31 и  $46^\circ$ ), кол-ве сухого остатка: 1) 0,6892; 0,7934, 2) 2,1554, 1,9642 и хлоридов 1) 0,0372; 0,0525, 2) 0,469; 0,4074; содержание  $\text{H}_2\text{S}$  невелико, но в 2 оно больше. По т-ре источники разделяются на теплые средминерализованные и горячие минеральные; по составу — на серно-двууглекисло-щелочноземельные и серно-хлоридно-двууглекисло-щелочноземельные. Обе группы имеют терапевтич. значение. Н. Х.

25488. Новый анализ серной воды Сан-Джорджо-д'Ангарано (Бассано-дель-Граппа). Карретта, Бакчини (Nuova analisi dell'acqua solfurea di S. Giorgio d'Angarano (Bassano del Grappa). Carretta Umberto, Bacchini Giannantonio), Ann. chimica, 1955, 45, № 4-5, 413—418 (итал.)

Источник находится на правом берегу р. Бренты близ Венеции. Средний дебит 140,2 л/час; т-ра воды ( $11,2-15,7^\circ$ ) изменяется от т-ры воздуха; плотность  $D_4^{20} = 1,0002$ ; pH 6,94; радиоактивность 1,38 мкюри. Хим. анализ (г/л):  $\text{Ca}^{2+}$  0,116,  $\text{Fe}^{2+}$  0,0001; содержание  $\text{Na}^+$ ,  $\text{K}^+$ ,  $\text{Li}^+$ ,  $\text{Mg}^{2+}$ ,  $\text{Al}^{3+}$  составляет промежуточные кол-ва;  $\text{HCO}_3^-$  0,4122,  $\text{Cl}^-$  0,1301,  $\text{Br}^-$  0,0014,  $\text{J}^-$  0,0002,  $\text{SO}_4^{2-}$  0,0363,  $\text{HS}^-$  0,0031,  $\text{H}_2\text{S}$  0,0035. Следы Sr, Ba, Mn, Cu и F. Сравнение результатов анализа с 2 предыдущими (в 1853 и 1930 гг.) показывает, что характеристика воды не изменилась за 100 лет. Н. Х.

25489. О влиянии pH на устойчивость некоторых фосфатов в водных растворах. Яговдик В. В. Изв. Днепропетр. горн. ин-та, 1955, 23, 49—54

Исследована растворимость паравиванита (I) и анапнота (II) в зависимости от первоначального pH среды. Растворимость I достигает максимума как в кислой (pH 2—1), так и в щелочной (pH 12) среде с мин. растворимостью при pH 7. Кривая растворимости II близка к кривой I, с большей, однако, растворимостью II по сравнению с I при одинаковых значениях pH (особенно в кислой среде) и с минимумом перехода II в р-р в слабощел. среде (pH 8). В. К.

25490. Физико-химический анализ воды артезианского колодца в Мадонна-дель-Боско (Новара). Дурно, Армандола (Analisi chimica e chimico-fisica dell'acqua del pozzo dell'Ente Nazionale Risi in località Madonna del Bosco (Novara). Durio Emilio, Armandola Paolo), Boll. Lab. chim. provinc., 1955, 6, № 1, 14—18 (итал.)

Глубина колодца 270 м; дебит 75 л/мин; pH = 8,3; вода имеет вкус и запах  $\text{H}_2\text{S}$ , быстро исчезающие при встраивании. Кроме обычных солей, содержит растворенные соли гуминовых к-т, образующие 20% сухого остатка. Общее содержание органич. азота 0,35 мг/л. Средняя степень диссоциации ( $\alpha_{25}^{25} = 0,97$ ) показывает, что электропроводность воды при т-ре не ниже  $25^\circ$  соответствует полной ионизации растворенных электролитов. Из газов в растворенном состоянии содержатся N, инертные газы и  $\text{O}_2$ ; свободная  $\text{CO}_2$

отсутствует. Из ионов  $\text{Na}^+$ ,  $\text{K}^+$ ,  $\text{Mg}^{2+}$ ,  $\text{Ca}^{2+}$  преобладают последние (0,0120 г/л);  $\text{C}_{10}\text{H}_{20}\text{O}_6$  0,0200 г/л. Бактериол. анализ показал пригодность воды для питья. Вода характеризуется как олигоминеральная, серная, щелочная, богатая солями гуминовых к-т. Н. Х.

25491. Анализ минерально-лечебной воды источника Санта-де-Лорца (Мурсия). Каса-рес (Análisis de las aguas minero-medicinales de Fuen-Santa de Lorca (Murcia). Casares R.), An. bromatol., 1955, 7, № 2, 57—65 (исп.; рез. англ.)

Т-ра воды  $23,3^\circ$ . Вкус горько-соленый; pH 6,86; радиоактивность 0,1186 мкюри. В воде преобладают  $\text{NaCl}$  и  $\text{Na}_2\text{SO}_4$  (6,11103 и 3,38651 соответственно). Ca, Sr, Fe, Li, Mg, Mn, K, Na присутствуют в виде бикарбонатов. Сухой остаток 11,55950 г/л. Колич. анализ производился путем определения ионов общими методами и вычислением их возможных группировок. Вода классифицируется как сильно минерализованная, лечебная, серная, хлорированная, углекислая, натриево-магниевая. Н. Х.

25492. Определение мышьяка в воде пятиисто-филтрационными методами. Еременко В. Я. В сб.: Современные методы химического анализа природной воды. М., Изд-во АН СССР, 1955, 103—106

Метод основан на получении пятен окрашенного продукта взаимодействия  $\text{AsH}_3$  с  $\text{HgBr}_2$  на кружках рисовальной бумаги (КРБ), предварительно пропитанных и хранимых до употребления в 5%-ном спир. р-ре  $\text{HgBr}_2$ . Определение проводят в спец. приборе, представляющем собой 200-мл плоскодонную колбу с вставленной в нее на шлифе стеклянной трубкой, имеющей в нижней части кольцевую перетяжку, на которую помещают стеклянные шарики и спираль из фильтровальной бумаги, смоченные р-ром  $\text{Pb}(\text{CH}_3\text{COO})_2 \cdot 3\text{H}_2\text{O}$ , подкисленным  $\text{CH}_3\text{COOH}$ . К этой трубке на шлифе присоединена другая стеклянная трубка, на верхнем конце которой укреплено гнездо, имеющее в верхней части центральное углубление, куда и закладывается воздушно-сухой КРБ. Перед определением As 5—6 таких приборов присоединяют к вакуумной линии и погружают в ванну с водой для охлаждения содержимого колб. В одну из колб наливают 100 мл исследуемого р-ра или природной воды, а в остальные по 100 мл стандартных р-ров. Во все колбы добавляют по 50 мл конц.  $\text{HCl}$  (очищенной от As пергонкой с  $\text{KClO}_4$ ), по 1 мл разб. в 10 раз р-ра  $\text{SnCl}_2$  и по 7 г очищенного Zn и быстро соединяют колбы с трубкой. Включают вакуумный насос для создания устойчивого тока  $\text{H}_2$ ; выделение  $\text{AsH}_3$  заканчивается в 30 мин. Приборы разбирают, КРБ вынимают из гнезд, обрабатывают 10%-ным р-ром  $\text{KJ}$ , промывают бидистилл., сушат между листами фильтровальной бумаги и сразу же производят визуальное или с помощью колориметра, или фотометра сравнение пятен, полученных от исследуемого и стандартного р-ров. При содержании As в пробе 0,01—0,7 мкг абс. ошибка определения составляет 0,01 мкг. При конц-ии As  $> 0,7$  мкг/л р-р разбавляют, а при конц-ии  $< 0,2$  мкг/л — упаривают, окислив предварительно As(3+) до As(5+) гипохлоритом. При определении As в природных водах объем пробы для анализа должен быть не  $\leq 1$  л. А. Г.

25493. Определение концентраций ионов брома и йода, основанное на ионообменном процессе. Хухия В. Л. В сб.: Современные методы химического анализа природной воды. М., Изд-во АН СССР, 1955, 87—98

Метод основан на последовательном связывании ионов  $\text{J}^-$  и  $\text{Br}^-$  в колонках, заполненных диатомитом (I) с нанесенными на него  $\text{AgBr}$  и  $\text{AgCl}$ . Для нанесения на I (Кисатибское месторождение, ГрузССР)  $\text{AgBr}$  ( $\text{AgCl}$ ) I извлекают до зерен размером 3—6 мм, обрабатывают при нагревании  $\text{HNO}_3$  (1 : 5), тщательно про-

мывают горячей водой, сушат и прокалывают 2 часа при  $\sim 1000^\circ$  и перед употреблением кипятят 3 мин. в 8%-ном р-ре  $\text{AgNO}_3$ ; к смеси при энергичном перемешивании приливают р-р  $\text{NaBr}$  ( $\text{NaCl}$ ) в кол-ве, несколько превышающем стехиометрическое. Р-р кипятят еще 2 мин., жидкость сливают и полученный обменитель несколько раз декантируют водой до полного исчезновения муты. Готовый продукт хранят влажным в банке, покрытой черным лаком. Исследуемый на содержание  $\text{I}^-$  и  $\text{Br}^-$  р-р или природную воду пропускают последовательно со скоростью 2—3 мл/мин через 2 защищенные от света колонки, заполненные  $\text{I}$ , содержащим  $\text{AgBr}$  и  $\text{AgCl}$  соответственно, и предварительно промытые дистилл. водой до полного исчезновения муты в фильтрате. По окончании пропускания р-ра  $\text{I}$  количественно переносят с помощью 5—6 мл воды в 25-мл конич. колбы. В 1-й колбе иодиды, находящиеся на обменителе в виде  $\text{AgI}$ , окисляют бромной водой в кислой среде до  $\text{IO}_3^-$ . Избыток  $\text{Br}_2$  разрушают  $\text{Na}_2\text{CO}_3$  и после фильтрации производят иодометрич. определение  $\text{IO}_3^-$ . Во второй колбе бромиды, находящиеся на обменителе в виде  $\text{AgBr}$ , окисляют гипохлоритом до  $\text{BrO}_3^-$ . Избыток  $\text{Cl}_2$  разрушают и после фильтрации производят иодометрич. определение  $\text{BrO}_3^-$ . П. К.

25494. Производственный метод определения фтора в воде и содержание фтора в водах Западной Германии. Гад, Фюрстену (Eine Betriebsmethode zur Bestimmung des Fluors im Wasser und Ermittlung des Fluorspiegels im westdeutschen Raum. Gad G., Fürstenu Edeldgard, Gesundheits.-Ingr, 1954, 75, № 21—22, 352—356 (нем.).

## ОРГАНИЧЕСКАЯ ХИМИЯ

### ТЕОРЕТИЧЕСКИЕ И ОБЩИЕ ВОПРОСЫ ОРГАНИЧЕСКОЙ ХИМИИ

25496. Исследование в области таутомерных соединений. XIX. О таутомерии динитрозолил-м-нитрофенилметана. Порай-Кошиц А. Е., Порай-Кошиц Б. А., Липина Н. Г., Ж. общ. химии, 1955, 25, № 8, 1604—1609

Даны новые доказательства правильности высказанного ранее предположения (Порай-Кошиц А. Е., Маликова О. И., Штейнберг-Липина Н. Т., Сб. памяти А. Е. Порай-Кошица, 1949, 84) об енольной структуре белого (I) и кетонной структуре желтого (II) динитрозолил-м-нитрофенилметанов, полученных при конденсации 1-фенил-3-метилпиразолона-5 (III) с  $\text{m-NO}_2\text{C}_6\text{H}_4\text{CHO}$  (IV). При р-ции с  $\text{C}_6\text{H}_5\text{COCl}$  и I и II дают 4,4'-ди-(1-фенил-3-метил-5-бензоилоксипиразолил)-3'-нитрофенилметан (V), т. пл.  $171^\circ$  (из сп.). При метилировании I и II получают 4,4'-ди-(1-фенил-3,4-диметилпиразолил)-3'-нитрофенилметан (VI), т. пл.  $178^\circ$  (из  $\text{CH}_3\text{OH}$ ). Структура VI подтверждена встречным синтезом этого в-ва из 3,4-диметил-1-фенилпиразолона-5 и IV. В ИК-спектре порошка I имеется характерная для енолов полоса поглощения  $3550 \text{ см}^{-1}$ , в спектре II — полоса  $1720 \text{ см}^{-1}$ , характерная для карбонильных соединений. Приведены УФ-спектры I и II в спирте и в  $\text{CH}_3\text{COOH}$  и ИК-спектры порошков I и II. Сообщение XVIII см. РЖХим, 1956, 3904. Ф. Б.

25497. Таутомерия монофенилгидразонов, ортохинонов и фенилазоксипроизводных в ряду антрацена. Этьенн, Бурдон (Tautomerie entre monophénylhydrazones d'orthoquinones et phényl azohydroxydes en série anthracénique. Étienne

Разработан простой колориметрич. метод определения F в воде с применением р-ров хлорокси Zr в смеси  $\text{HCl}$  и  $\text{H}_2\text{SO}_4$  и ализаринсульфокислого Na в воде, которые смешиваются перед определением. Метод позволяет определять F в пределах 0,02—1,7 мг/л. Серия стандартов готовится из р-ров  $\text{CoCl}_2 \cdot 6\text{H}_2\text{O}$  и  $\text{K}_2\text{CrO}_4$  с фосфатным буфером (рН 2,5). При большом кол-ве посторонних в-в или при окрашенности воды необходимо производить отгонку F в виде кремнефтористоводородной к-ты с водяным паром. Определения F в водопроводной воде городов Зап. Германии показали его низкое содержание (кол-ва F  $> 0,2 \text{ мг/л}$  встречаются очень редко). В. К.

25495 Д. Исследование соотношения изотопов тория, радия и урана в окаменелых костях. Мамбетов Д. М. Автореф. дисс. канд. физ.-матем. н., Казахск. ун-т, Алма-Ата, 1955

См. также: Физ. св-ва минералов 24939, 26327, 26330, 26388. Структура и состав минералов, пород 24788, 24881, 24890, 24891, 24894, 24895, 24898, 24899, 24995, 24998, 25302, 25306, 25307, 25336, 26308. Анализы минералов, руд, почв и пород, природных вод 25415, 25416, 26567, 25902, 25934—25936, 25943, 25945, 25954, 25955, 25968, 25978—25980, 25983, 25987, 25988, 25991—25993, 25999, 26000, 26001. Новые минералы 24897, 24900. Распределение элементов в природн. объектах 26509, 26513, 26592. Гидрохимия 26514. Др. вопр. 24684, 24692, 24779, 24992, 25122, 26321, 27767.

André, Bourdon Jean), Bull. Soc. chim. France, 1955, № 3, 396—399 (франц.)

Спектроскопически установлено наличие в р-рах таутомерного равновесия монофенилгидразонов 9,10-дифенилантрахинона-1,2 (а также его 3-окси, 3-метокси и 6-оксипроизводных) с соответствующими фенилазокси-9,10-дифенилантраценами. Характер р-рителя мало влияет на положение равновесия. Приведены кривые УФ-спектров в  $\text{CHCl}_3$  для 1-фенилгидразонов: 9,10-дифенилантрахинона-1,2 (I), 3-окси-I, 3-метокси-I и 6-окси-I, которые указывают на преобладание в равновесии фенилгидразонной формы. Напротив, УФ-спектры 1-окси-2-фенилазо-9,10-дифенилантрацена (II), 3-окси-II, 3-метокси-II показывают преобладание фенилазоформы. Спектр 3-окси-2-фенилазо-9,10-дифенилантрацена и его аналогия со спектром 3-ацетокси-2-фенилазо-9,10-дифенилантрацена (в среде  $\text{CH}_3\text{COOH}$ ) указывает на наличие только фенилазоформы. Г. Б.

25498. Различия в строении циклогептатриена и бициклогептадиена, обнаруженные методом ядерного магнитного резонанса. Корн, Берк, Реммер (Distinction between cycloheptatriene and dicycloheptadiene structures by nuclear magnetic resonance. Corey E. J., Burke H. J., Remmers W. A.), J. Amer. Chem. Soc., 1955, 77, № 18, 4941—4942 (англ.)

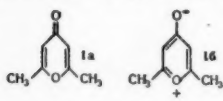
Для выяснения отличий в устойчивости моно- и бициклич. таутомеров в системе циклогептатриена (I)  $\rightleftharpoons$  бицикло-[4,1,0]-гептадиен (II) (РЖХим, 1955, 37224) применен метод ядерного магнитного резонанса (ЯМР). Спектр ЯМР енолацетата эйкарвона (III) показывает, что это в-во имеет систему I, а не II. На кривых поглощения наблюдаются разделенные максимумы поглощения, обусловленные протонами этиленовой



связи, протонами группы  $-C(=X)CH_3$  и протонами *гем*-диметильных групп. Не наблюдалось поглощения, относимого к протонам у третичных атомов С мостика в карадиене. Отношение интегральных интенсивностей поглощения протонов *гем*-диметильной и этиленовой групп равно 1,55, что соответствует теоретич. значению для I 1,50; для II это отношение должно быть равно 3,0. Авторы считают, что существовавшие до сих пор взгляды на хим. строение енольных эфиров эйкарвона являются неправильными, так как считалось, что образование при озонлизе ( $-70^\circ$ ) енольных эфиров *цис*-кароновой к-ты с выходом 50% уже указывает на наличие соединения со структурой II. В спектре ЯМР  $\Delta^2$ -4-метилкарен-5-она наблюдается поглощение 2 протонов у третичных атомов С мостика, отделенное от поглощения протонов группы  $CH_3$ . Спектры ЯМР циклогептатриена, 1,1,4-триметилциклогептатриена и 1,1,3,4-тетраметилциклогептатриена показывают, что эти соединения имеют монокликл. структуру (отсутствие поглощения протонов у мостиковых атомов С, совпадение отношения интенсивностей поглощения протонов алифатич. и этиленовых групп с предсказанным). III получен ацетилированием натрийкаронона, т. кип.  $64-66^\circ/1\text{ мм}$ ,  $n_D^{20}$  1,4942;  $\Delta^2$ -4-метилкарен-5-он получен метилированием натрийкаронона, т. кип.  $70^\circ/5\text{ мм}$ ,  $n_D^{20}$  1,4809. Для исследованных соединений приведены также данные УФ- и ИК-спектров. М. П.

**25499. Мезомерия  $\gamma$ -пиронов. Вибавут** (Mesomerie bij  $\gamma$ -pyronen. W i b a u t J. P.), Verslag. Koninkl. nederl. akad. wetensch. Afd. natuurkunde, 1955, 64, № 4, 40—42 (голл.)

При озонлизе 1 моля 2,6-диметил- $\gamma$ -пирона (I) образуется  $\sim 0,03$  моля  $CH_3COCHO$  (II), 0,2 моля  $CH_3COOH$  (III) и 0,16 моля  $CH_3COCHO$  (IV). Образова-



ние II отвечает, по мнению автора, реагированию I в форме (Ia); образование III и IV — реагированию I в форме (Ib). Аналогичные результаты получены при озонлизе  $\gamma$ -пирона. 3-метил- $\gamma$ -пирон, 2,3,6-триметил- $\gamma$ -пирон и тетраметил- $\gamma$ -пирон реагируют с образованием продуктов соответствующих полярной структуре типа Ib. Л. П.

**25500. Строение циклического продукта конденсации адипонитрила. Хаммер, Хайне** (Structure of the cyclic condensation product of adiponitrile. Hammer C. F., Hines R. A.), J. Amer. Chem. Soc., 1955, 77, № 13, 3649—3650 (англ.)

На основании ИК- и УФ-спектров продукта циклизации адипонитрила, катализируемой основаниями, высказано предположение, что этот продукт является не 2-цианоциклопентилиденимином (I), а его таутомером — 1-амино-2-цианоциклопентеном-1 (II). В ИК-спектре II наблюдаются частоты (в  $\text{см}^{-1}$ ; в скобках отнесение): I 2189 (пониженная полоса сопряженной группы  $C \equiv N$ ); 3512, 3240, 1645 ( $NH_2$ ); 1605 ( $C=C$  в цикле); а в спектре продукта гидролиза I — (2-цианоциклопентанона, частоты 2250 (несопряженная группа  $C \equiv N$ ), 1755 ( $C=O$ ), частота  $C=C$  не наблюдается. Интенсивная полоса при  $263\text{ м}\mu$  ( $\approx 13\ 000$ ) в УФ-спектре I также характерна для сопряженного нитрила, находящегося под влиянием аминогруппы. Е. П.

**25501. Реакционная способность и стереохимия в ряду циклогексана. Муссерон** (Réactivité et stéréochimie en série cyclohexanique. Mousseron M. A.), Chimia, 1953, 7, № 5, 108—111 (франц.) Краткое изложение доклада на Женевском хим. о-ве 6 марта 1953 года. М. В.

**25502. Некоторые вопросы стереохимии хлорамфеникола. Бретон-Манхарреес** (Algunas consideraciones estereoquímicas del cloranfenicol. Breton Manjarrez Rubén), Gac. méd. México, 1953, 83, № 3, 213—223 (исп.)

Краткое изложение вопросов оптич. изомерии органич. соединений. Рассмотрены свойства хлорамфеникола и связь его стереохимии с биологич. активностью. М. В.

**25503. Об установлении пространственной взаимосвязи между различными группами природных веществ. Фредга** (Om fastställande av steriska samband mellan olika grupper av naturprodukter. Fredga Arne), Svensk kem. fidskr., 1955, 67, № 8, 343—360 (швед.)

Обзор работ по стереохимии углеводов, аминокислот, полипептидов и белков, терпенов и стероидов. Вибл. 29 назв. Л. П.

**25504. Переименование *цис*- и *транс*-изомеров 1,3-диметилциклопентана. Россини, Ли Куи** (Relabeling of *cis* and *trans* isomers of 1,3-dimethylcyclopentane. Rossini Frederick D., Li Kun), Science, 1955, 122, № 3168, 513 (англ.)

На основании результатов последних хим. и физ. хим. исследований оказалось необходимым переименовать *цис*- и *транс*-изомеры 1,3-диметилциклопентана (I) (как это было сделано ранее для 1,3-диметилциклогексана). В связи с этим в американских справочных изданиях обозначение *цис* получил I с т. кип.  $90,77^\circ/760\text{ мм}$ ,  $n_D^{25}$  1,4063,  $d_4^{25}$  0,7402 (ранее обозначался *транс*). Обозначение *транс* присвоено I с т. кип.  $91,72^\circ/760\text{ мм}$ ,  $n_D^{25}$  1,4081,  $d_4^{25}$  0,7444 (ранее обозначался *цис*). Национальное бюро стандартов США присоединилось к этому обозначению. Авторы рекомендуют при упоминании изомерных I для точной идентификации приводить и их константы. В. П.

**25505. Фенилфумаронитрил и фенилмалеонитрил. Отнесение конфигурации. Шнейдер** (Phenylfumaritrile and phenylmaleonitrile: assignment of configurations. Schneider William C.), J. Amer. Chem. Soc., 1955, 77, № 10, 2796—2797 (англ.)

Из концентрационной зависимости диэлектрич. проницаемости и плотности найдены дипольные моменты ( $\mu$ ) в р-ре  $C_6H_6$  двух стереоизомерных  $\alpha$ ,  $\beta$ -дицианстиролов (I и II) [I, т. пл.  $86-87^\circ$ , II, т. пл.  $42-43^\circ$  (ср. РЖХим, 1956, 19218)], с целью уточнения их конфигурации. Найдены значения  $\mu$  для I 7,98 D и для II 2,71 D, откуда следует, что I имеет *цис*-, а II *транс*-строение. Повышенное значение  $\mu$  в случае II объясняется смещением электронной плотности из орто- и пара-положений кольца к атому N группы CN у  $\beta$ -атома винильной группы. Г. П.

**25506. Зависимость между пространственной конфигурацией и рострегулирующей активностью 3-хлор-2-нафтокси- $\alpha$ -пропионовой кислоты. Мателль** (Correlation between steric configuration and growth-regulating activity of  $\alpha$ -(3-chloro-2-naphthoxy)-propionic acid. Matell Magnus), Acta chem. scand., 1955, 9, № 6, 1007—1008 (англ.)

Для установления пространственной конфигурации (+)- $\alpha$ -(3-хлор-2-нафтокси)-пропионовой к-ты (I) изучена диаграмма плавкости смеси I и D-(+)- $\alpha$ -(1-хлор-2-нафтокси)-пропионовой к-ты. Методом квазирацематов установлено, что I имеет также D-конфигурацию. Ю. Б.

**25507. Плотность и коэффициенты теплового расширения некоторых органических соединений фтора. Ратледж, Смит** (Densities and thermal expansion coefficients of several organofluoro compounds. Rutledge Gene P., Smith William

Т., Jr), J. Amer. Chem. Soc., 1953, 75, № 22, 5762—5763 (англ.)

Измерены плотности при 30—160° и вычислены температурные коэффициенты расширения (ТКР) ряда фторорганич. соединений:  $\text{CHF}_2\text{COOC}_2\text{H}_5$ ,  $\text{CF}_3\text{COOC}_2\text{H}_5$ ,  $\text{C}_6\text{H}_5\text{CF}_3$ ,  $\text{CF}_3\text{CCl} = \text{CCl}_2$ ,  $\text{CHF}_2\text{CH} = \text{CCl}_2$ ,  $n\text{-FC}_6\text{H}_4\text{CH}_3$ ,  $n\text{-FC}_6\text{H}_4\text{Br}$ ,  $\text{C}_6\text{H}_5\text{OCH}_2\text{F}$ ,  $\alpha$ -фторнафталина. Показано, что фторорганич. соединения имеют больший ТКР, чем соответствующие нефторированные соединения, причем с увеличением степени фторирования органич. соединения увеличивается ТКР.

С. К. 25508. Соотношение между мета- и пара-индуктивным влиянием в производных бензола (предварительное сообщение). Рода, Веркаде, Вепстер (The meta-para ratio of the inductive effect in benzene derivatives. (Preliminary communication). Rooda R. W., Verkade P. E., Wepster B. M.), Recueil trav. chim., 1954, 73, № 9-10, 849—852 (англ.)

С целью определения различия в величине индуктивного эффекта заместителя, находящегося в мета- и пара-положениях были определены константы шел. гидролиза метиловых эфиров бензойной к-ты (I) и  $m$ - и  $p$ -(N-окиси-диметиламино)-бензойной к-ты (II и III). Определения производились при 24,9° в 0,05 M р-рах в 56%-ном ацетоне. Найдены  $k \cdot 10^3$  в  $\text{мол}^{-1} \text{сек}^{-1}$ : для I 8,6, для II 335, для III 203. Сопоставление с измерениями, проведенными при 0°, показывает, что разница в реакционной способности полностью определяется энергией активации. Таким образом отношение мета- и пара-индуктивного эффекта в данном случае 1,6 : 1. Авторы обобщают это и другие наблюдения и формулируют правило, согласно которому отрицательный индуктивный эффект заместителя в мета- и пара-положениях сравнительно мало отличаются один от другого; имеется лишь тенденция к преобладанию этого эффекта в мета-положении. Обсуждаются некоторые применения этого правила для теории замещения в бензольном ядре.

Л. Э. 25509. Спектры поглощения некоторых  $n$ -ациламинобензолдiazониевых соединений. Андерсон, Маннинг (The absorption spectra of some  $p$ -acylamino benzenediazonium compounds. Anderson Leigh C., Manning B.), J. Amer. Chem. Soc., 1955, 77, № 11, 3018—3019 (англ.)

Повышенная стабильность  $n$ -ациламиноарилдiazониевых солей по сравнению с простыми diaзосоединениями объясняется, по мнению авторов, различными электронными структурами этих в-в. Получены спектры поглощения в видимой и УФ-областях производных анилина (I) и бензолдiazонийхлорида (II): 4-амино-, 4-N-ацетиламино-, 4-(N-метил-N-ацетиламино)-, 4-N-бензоиламино-, 4-ацетиламино-2,6-дихлор-, 4-( $o$ -хлорбензоиламино)-, 4-( $n$ -хлорбензоиламино)-, 4-бензоиламино-2-хлор-, 4-N-ацетиламинобензолдiazонийхлорида и соединений diaзонийхлоридов с  $\text{SbCl}_5$  и  $\text{ZnCl}_2$  в спирте, воде и разб. HCl. Поглощение, типичное для бензольных производных I, заметно изменяется при введении ацильных групп и атомов Cl, превращение в соли вызывает гипсохромный сдвиг. Превращение солей аминов в diaзониевые соли вызывает сильный bathochромный сдвиг. Спектры diaзониевых солей сходны друг с другом, независимо от заместителей ( $\lambda_{\text{max}}$  в области 2800—3000  $\text{мкм}^{-1}$ ,  $\lg \epsilon$  4,2—4,6, отнесенный к  $n$ -аминобензолдiazониевой части молекулы). Отличие от спектров бензольных соединений приводит авторов к выводу, что структура производных II небензольная. Из сходства спектров солей  $n$ -ациламинобензолдiazония и спектров  $n$ -аминоарилдiazония, структура которых была установлена ранее (РЖХим, 1955, 11098), делается вывод, что хиноидная конфигурация и в этом случае является основной структурой изученных diaзосоединений. О. Г.

25510. Сопряжение в системе дифенила. Крейтер, Боннер, Истман (Conjugation in the biphenyl system. Kreiter Victor P., Bonner William A., Eastman Richard H.), J. Amer. Chem. Soc., 1954, 76, № 22, 5770—5774 (англ.)

С целью выяснения вопроса о сопряжении в системе дифенила спектrophотометрич. методом измерены константы диссоциации 3- и 4-оксидифенилов (I и II), 3'- и 4'-нитро-4-оксидифенилов (III и IV), 2-оксифлорена (V), 2-окси-7-нитрофлорена (VI) и спектры поглощения этих в-в в виде кислотных и сопряженных основных форм. Получены следующие значения  $pK_a$ : I 9,50, II 9,40, III 9,14, IV 8,95, V 9,51, VI 8,94. Для сравнения определена также  $pK_a$  для 3,5-диметилфенола (9,98). Сравнение  $pK_a$  II и IV показывает, что введение нитрогруппы в положение 4' увеличивает кислотные свойства только в 3 раза, тогда как переход от фенола к 4-нитрофенолу сопровождается усилением кислотных свойств в 650 раз. Также незначительно, по сравнению с бензольным рядом, различие  $pK_a$  при нитрогруппе в положениях 3 и 4 ( $\Delta pK_a = 0,19$ ). Наблюдаемый факт не объясняется некопланарностью исследованных производных дифенила, так как он имеет место и для пары V и VI, где бензольные кольца расположены в плоскости. По мнению авторов, из эксперим. данных следует, что хиноидные структуры для исследованных соединений энергетически не выгодны и не осуществляются, и весь эффект введения нитрогруппы в кольцо проявляется в индуктивном влиянии.

В. А. 25511. О реакции водородного обмена насыщенных карбоновых кислот с дейтеросерной кислотой. Сеткина В. Н., Быкова Е. В., Курсанов Д. Н., Докл. АН СССР, 1955, 104, № 6, 869—871

Изучена р-ция водородного обмена (РВО) с безводн.  $\text{D}_2\text{SO}_4$  насыщ. карбоновых к-т с различным числом  $\alpha$ -атомов водорода:  $\text{CH}_3\text{COOH}$  (I), монометилуксусной (II), диметилуксусной (III), триметилуксусной (IV),  $\alpha$ -этилмасляной (V), изовалериановой, изокaproновой, изокантоновой к-т. Установлено, что в РВО участвуют лишь  $\alpha$ -атомы водорода. Напр., I II, III и IV обмениваются на D 3,2,1 и 0 атомов H соответственно. При бромировании подвергнутых дейтеробмену масляной к-ты и V получены  $\alpha, \alpha$ -диброммасляная и  $\alpha$ -бром- $\alpha$ -этилмасляная к-ты, не содержащие D, что служит прямым доказательством обменоспособности исключительно  $\alpha$ -атомов водорода в молекулах к-т. Сделано заключение, что карбонильный углерод  $\text{RC}^+(\text{OH})_2$  сообщает обменоспособность лишь атомам H, находящимся при углероде, соседнем с карбонильным центром. РВО изучалась в условиях описанных ранее (РЖХим, 1954, 21548); содержание дейтерия определялось в солях карбоновых к-т.

Е. Б. 25512. Относительная реакционная способность замещенных антраценов в реакции присоединения 2-циан-2-пропильных радикалов. Фаренхорст, Койман (Relative reactivities of substituted anthracenes towards the addition of 2-cyano-2-propyl radicals. Farenhorst E., Kooyman E. C.), Nature, 1955, 175, № 4457, 598—599 (англ.)

В развитие предыдущих работ (Nature, 1952, 169, 153) по исследованию скорости присоединения свободных радикалов к незамещ. полициклич. ароматич. соединениям изучена относительная скорость присоединения к замещ. антраценам 2-циан-2-пропильных радикалов (I), получающихся при разложении *азо-бис*-изобутиронитрила (II). Замещ. антрацены присоединяют I в *мезо*-положение с образованием замещ.

9,10-дигидроантраценов (вероятно, *транс*-изомеров). При использовании большого избытка II конц-ия I главным образом определяется скоростью распада II и скоростью димеризации I. В этом случае для установившегося состояния приведено приближенное уравнение  $\ln A_0/A_t = k_b [k_a^{1/2} \cdot k_d^{1/2} \int_0^t (B)^{1/2} dt]$ , где  $A_0$  и  $A_t$  —

конц-ия антраценов в начале р-ции и через время  $t$  соответственно,  $B$  — конц-ия II. При одинаковых кол-вах II отношения  $\ln(A_0/A_t)$  для различных антраценов за один и тот же промежуток времени дают относительные величины констант скорости присоединения (ОК). Опыты проводились в р-е метилциклогексана (0,5–1 мг антрацена и 10–30 мг II в 25 мл р-рителя в атмосфере  $N_2$ ) при 55 и 70°. Определение конц-ий антраценов проводилось УФ-спектрофотометрически (точность 2%). Период полураспада II при 55° составляет ~47 час., при 70° ~5 час. Получены следующие средние значения ОК для замещ. антраценов (указаны заместители, значения ОК; первая цифра — общая ОК при 55°, вторая цифра — ОК для положения 10 при 55°; третья цифра — общая ОК при 70°, четвертая цифра — ОК для положения 10 при 70°): незамещ. 2,1, 2, 1; 2-метил. 2,1, —, —; 9,10-диметил. 0,24, 0,12, 0,42, 0,21; 9-метил. 2,12, 2,06, 2,16, 2,06; 9-этил. 1,54, 1,48, —, —; 9-Cl. 1,70, 1,64, 1,72, 1,62; 9-Br. 1,39, 1,33, 1,38, 1,28; 9- $OCN_3$ . 2,15, 2,09, 2,16, 2,06; 9-CN. 4,30, 4,24, 4,04, 3,94. Значения ОК для положения 10 вычислены в предположении, что присоединение I в положение, имеющее заместитель, происходит очень медленно. Влияние заместителей на скорость присоединения I в общем незначительно, что согласуется с ранее высказанным заключением (Coulson, J. chim. phys., 1948, 45, 243). Реакционная способность зависит в основном от эффекта сопряжения заместителей, полярные влияния, повидимому, не имеют значения. В случае больших заместителей в положении 9 проявляются пространственные затруднения, влияющие на реакционную способность (Br по сравнению с Cl,  $CH_3O$  по сравнению с  $CH_3$ ).

Л. З.

25513. Обнаружение парамагнитного резонанса в некоторых облученных органических веществах. Комбриссон, Иберсфельд (Détection de la résonance paramagnétique dans certaines substances organiques irradiées. Combrisson Jean, Uebersfeld Jean). C. r. Acad. sci., 1954, 238, № 13, 1397–1398 (франц.).

Исследовался парамагнитный резонанс на частоте 9000 Мгц в органич. в-вах, облученных  $\gamma$ -лучами. Парамагнитный резонанс был обнаружен в следующих в-вах: а) аминокислотах: гликоле, аргинине, лейцине, аланине, серине, пролине, треонине; положительный результат был получен также для гиппуровой и аскорбиновой к-т и трипсина; б) сахарах: глюкозе, лактозе, галактозе, мальтозе, маннозе, сахарозе, левулозе, рафинозе, инулине, инозине, а также целлюлозе; во всех этих в-вах не наблюдалось уменьшения эффекта спустя 8 дней после облучения; в) пластич. материалах: полиэтилене, нейлоне, полистироле, рилзине, плексигласе; в двух первых в-вах эффект заметно уменьшался уже спустя 4 часа после облучения. Не был обнаружен парамагнитный резонанс в тирозине, глутаттоне, цистине и гомоцистине. Резонансные линии в аминокислотах и плексигласе состояли из центрального пика и двух боковых на расстоянии 25 а от центрального. Ширина линий в сахарах составляла 40 а.  $g$ -Фактор для всех в-в близок к  $g$ -фактору свободного электрона. Возникновение парамагнитного резонанса авторы объясняют тем, что под действием  $\gamma$ -лучей образуются свободные радикалы. Расщепление линий

в аминокислотах может быть обусловлено взаимодействием свободных электронов с ядрами азота (спин 1).

Л. Ш.

25514. О структуре линий парамагнитного резонанса в некоторых облученных органических веществах. Иберсфельд (Sur la multiplicité des raies de résonance paramagnétique dans certaines substances organiques irradiées. Uebersfeld Jean). C. r. Acad. sci., 1954, 239, № 3, 240–241 (франц.). Наблюдавшаяся ранее (см. пред. реф.) сверхтонкая структура (СТС) электронного парамагнитного резонанса в некоторых аминокислотах и высокополимерах, подвергнутых облучению  $\gamma$ -лучами, может быть объяснена возникновением свободных радикалов типа  $\cdot CH_2CR'R''$  или  $\cdot CH_2COR$ , которые затем остаются «замороженными» в в-ве. Взаимодействие электрона со спинами ближайших протонов (спин ядра C равен нулю) дает наблюдаемую СТС (три пика; интенсивность среднего вдвое больше интенсивностей боковых). Константа взаимодействия электрона с протоном равна  $0,002 \text{ см}^{-1}$ . У облученной антралиновой к-ты резонанс не наблюдается, а облученный гликокол, меченый  $N^{15}$  (33%), дает такую же кривую, как обычный облученный гликокол. Эти данные отвергают предположение об образовании радикалов с неспаренным электроном у азота.

Л. Ш.

25515. О соединениях фтористого бора со свободными радикалами и хлоридами углеводородов. Паушкин Я. М., Осипова Л. В., Докл. АН СССР, 1955, 103, № 3, 439–442

Для выяснения механизма катализа с участием карбониевых ионов и свободных радикалов изучено взаимодействие  $BF_3$  с  $(C_6H_5)_3CC(C_6H_5)_2$  (I) и  $(C_6H_5)_3CCl$  (II). Из насыщ.  $BF_3$  бензольного р-ра II при отгонке  $C_6H_6$  в вакууме выделены красно-коричневые кристаллы  $(C_6H_5)_3CCl \cdot BF_3$ , т. пл. 70–80°, т. разл. > 150°, диссоциируют в фенольном р-ре и, вероятно, имеют строение  $(C_6H_5)_3C^+ \cdot (BF_3Cl)^-$ . Аналогично из I в  $BF_3$  получены кристаллы с т. пл. 60–65°; значительно диссоциируют в феноле и представляют, по мнению авторов, соединение  $(C_6H_5)_3C^+ \cdot BF_3$ .

Г. В.

25516. Ароматическое «кине-замещение». Джонсон (Aromatic cine substitutions. Johnson A. W.), Sci. Progr., 1955, 43, № 171, 475–480 (англ.). Обзор таких р-ций нуклеофильного замещения в ароматич. соединениях, при которых заместитель вступает в иное положение в ядре, чем то, в котором находилась замещаемая группа (так называемых р-ций «кине-замещения») (ср. Bunnett, Zahler, Chem. Rev., 1951, 49, 273).

М. В.

25517. О механизме образования дифенила из фторбензола и фениллития. Дженин, Роберте (Über den Mechanismus der Bildung von Diphenyl aus Fluorbenzol und Phenyllithium. Jenny Erwin F., Roberts John D.), Helv. chim. acta, 1955, 38, № 5, 1248–1254 (нем.; рец. англ.). Фторбензол-1- $C^{14}$  (I) реагирует с  $C_6H_5Li$  с образованием дифенила-1- $C^{14}$  (IIa) и дифенил-2- $C^{14}$  (IIб) в соотношении 1:1. Таким образом подтверждается предположение о промежуточном образовании симметричного «бензина» (III), что было постулировано для р-ции  $C_6H_5Cl$  и  $KNH_2$  (РЖХим, 1954, 44572). Электронная модель III показывает, что напряжение в кольце не слишком велико и может сравниваться с напряжением в циклопропане. Распределение  $C^{14}$  между IIa и IIб определено следующим образом. Мононитрование продукта р-ции с последующим восстановлением на Pt приводит к 2- и 4-аминодифенилам (IV и V) с атомами  $C^{14}$  в положениях 1,1',2 и 2'. Окисление смеси IV и V должно дать смесь равных кол-в бензойных к-т: с  $C^{14}$  в положении 1 (VIa); в карбоксиле (VIб), в положении 2 (VIв) и не содержащей  $C^{14}$  (VIг) и, следовательно,



привести к 25% потери радиоактивного  $C^{14}$ . Найденная радиоактивность равна  $73,6 \pm 0,9\%$  исходной, что подтверждает сделанное предположение об образовании III. При деградации VIa—VIg  $HN_3$  по Шмидту и бромированию образовавшихся анилинов получен 2,4,6-триброманилин, содержащий половину исходной активности, что тоже соответствует высказанному предположению. I получен из  $C_6H_5NH_2 \cdot HCl \cdot I-C^{14}$  диазотированием и обработкой р-ром  $NBF_4$ , т. кип.  $81-82^\circ$ .

Г. П.

25518. Влияние групп, находящихся в неблокирующих положениях на скорость рацемизации оптически активных дифенилов. Крофорд, Смит (The effect of groups in non-blocking positions on the rate of racemization of optically active diphenyls. Crawford Malcolm, Smyth I. F. B.), Chemistry and Industry, 1954, № 12, 346—347 (англ.)

Авторы считают, что в кислой среде скорость рацемизации оптически активных дифенилов, содержащих заместители в неблокирующих положениях, а также дихинолилов и диизохинолилов обусловлена восприимчивостью этих соединений к электрофильной атаке протона на атомы углерода, соединенные межъядерной связью. Рацемизация протекает, по мнению авторов, через промежуточное состояние типа (I), в котором вращение ядер значительно облегчено выходом их из одной плоскости вследствие тетраэдрич. конфигурации у одного из атомов углерода, связанного межъядерной связью.



Электронодонорные заместители в неблокирующих положениях, особенно в пара-положении, повышают

устойчивость промежуточного состояния типа I, увеличивая тем самым скорость рацемизации, и, наоборот, наличие электроноакцепторных заместителей в неблокирующих положениях или азота в ядре повышает оптич. устойчивость и уменьшает скорость рацемизации. Предлагаемый механизм рацемизации объясняет неудачу попыток расщепления на оптич. антиподы нафтадина ( $NH_2$  в положениях 4 и 4') (Bell F., Morgan W. H. D., J. Chem. Soc., 1950, 1963) в противоположность легкому расщеплению 1,1'-динафтидкарбоновой-5,5 к-ты, а также различную оптич. устойчивость производных 2-метокси-2'-нитродифенилкарбоновой-6 к-ты (и как показано авторами) более медленную рацемизацию 4,4'- и 5,5'-дихинолилов по сравнению с 4,4'- и 5,5'-диизохинолилами. Л. Х.

25519. Скорость аминолитиза. Суэй, Дитмер (Rates of aminolysis. Swain C. Gardner, Dittmer Donald C.), J. Amer. Chem. Soc., 1955, 77, № 14, 3924—3926 (англ.)

Измерены константы скорости аминолитиза ( $k$ )  $CH_3Br$ ,  $n-C_4H_9Br$  (I),  $iso-C_4H_9Br$ ,  $C_6H_5CH_2Cl$  (II),  $(C_6H_5)_2CHCl$  (III) и  $(C_6H_5)_3CSCN$  (IV) с различными аминами:  $n$ -бутиламино (V), триэтиламино, пиридином, анилином (VI),  $m$ -хлоранилином (VII). Для р-ции с VI отношение  $k$  составляет:  $CH_3Br$  19,0; I 2,3; II 0,89; III  $0,8 \cdot 10^{-3}$ ; IV  $10^{-5}$ . На примере р-ции VII с III показано, что скорость р-ции пропорциональна более чем первому порядку от конц-ии  $m$ -хлоранилина. Прибавление малых кол-в V значительно увеличивает скорость р-ции, несмотря на более низкую диэлектрич. постоянную V (5,3) по сравнению с VII (13,3), что связывается с действием V как нуклеофильного реагента, в то время как VII ведет себя как электрофильный реагент. Э. К.

25520. Межмолекулярное взаимодействие трет-аминогруппы с циано- или карбонильной группами. Вильсон (Intramolecular interaction between tert-amino and cyano or carbonyl groups. Wilson W.), Chemistry and Industry, 1955, № 8, 200—201 (англ.)

Рассматриваются результаты предыдущей работы (J. Chem. Soc., 1952, 3524), в которой показано, что некоторые  $\gamma$ -трет-бензиламиноцианиды (напр.,  $(C_6H_5)_2C(CN)CH_2CH_2N(CH_3)CH_2C_6H_5$ ) с горячей конц.  $HCl$  легко превращаются в 2-иминопирролидины с отщеплением бензильного радикала в виде хлористого бензила. Замыкание кольца с дебензилированием конкурирует с нормальным гидролизом цианидной группы:  $\alpha, \alpha$ -дифенилцианиды подвергаются почти исключительно дебензилированию; с другой стороны,  $\alpha, \alpha$ -незамещ. цианиды гидролизуются без заметного дебензилирования.



Повидимому, внутримолекулярное взаимодействие между третичной аминогруппой и  $C \equiv N$ -группами типа (A) является начальной ступенью в образовании амидинной связи  $=N-C(=N-)$  — в присутствии протонных к-т или к-т Льюиса. Приводятся далее доказательства (на основании литературных данных) наличия в ряде случаев указанного взаимодействия, а также взаимодействия между кетогруппой и третичной аминогруппой типа (B). Е. Р.

25521. О термической диссоциации органических соединений. VII. Мочевинная связь (1,3-добензилмочевина и 1-изопропил-3,3-диэтилмочевина в спиртах). Мукайяма (On the thermal dissociation of organic compounds. VII. The urea linkage (1,3-dibenzylurea and 1-isopropyl-3,3-diethylurea in alcohols. Mukaiyama Teruaki), Bull. Chem. Soc. Japan, 1955, 28, № 4, 253—257 (англ.)

Изучена кинетика р-ции  $RHNCONHR$  (A)  $\xrightleftharpoons[k_2]{k_1} RNC(O)B + H_2NR(B)$ ;  $RNCO + HOR'(Г) \xrightleftharpoons[k_4]{k_3} RHNCOOR'$  (Д), где

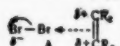
A — 1,3-добензилмочевина (I) и 1-изопропил-3,3-диэтилмочевина (II); компонент Г — бензиловый спирт (III), этиленгликоль (IV), глицерин (V), анисовый спирт (VI), триэтиленгликоль (VII), диэтиленгликоль (VIII), 1,2-пропандиол (IX) и 1,4-бутандиол (X). Скорости р-ции  $v$ , определяемые титрованием B, равны  $dA/dt = -dB/dt = k_1A - k_2(k_1A + k_4D)/(k_2B + k_3Г)$  B, что при  $Г \gg A$  превращается в  $k_1A$ . Так как при р-ции 1 моля I в 100 молях III, V или VIII процент диссоциации A в одинаковые промежутки времени находится в соотношении 1:2,5:1,5, а значения  $k_1$  приблизительно равны, автор предполагает, что  $v$  зависит от конц-ии OH в Г и что р-ция проходит через промежуточный комплекс  $A + Г$ , так что  $v = k_1K[A][Г]$ , где K — константа равновесия образования комплекса. Г располагаются в ряды по  $v$  в соответствии с предполагаемым ростом их основности ( $IV > V > VI > III$ ) и обратно их размерам ( $IV > IX > VIII$ ;  $VII > X$ ). Диссоциация A в Д происходит значительно медленнее ранее изученной диссоциации A в жирных к-тах, откуда сделано заключение, что  $v$  зависит также от протонодонорных свойств р-рителя. Так как II является более основным, чем I, а  $v_{II} > v_I$ , то  $v$  предполагается зависящей и от протонакцепторных свойств A. На основании этих данных автор считает, что промежуточный комплекс состоит из одного атома A и двух атомов Г, причем один атом Г реагирует как основание, принимая протон, а другой атом Г как к-та, отдавая протон:  $A + 2HOR' \rightleftharpoons R'O^- \cdots H \cdots NH(R)C(=O) \cdots N(R) \cdots HOR'^+ \rightleftharpoons R'O^+ + H_2 + RNCO + R'O^-$ . Отсюда следует, что р-ция должна протекать очень быстро в р-рителях, являющихся одновременно основаниями и сильными к-тами, как, напр., аминифенилуксусная к-та. Сообщение VI см. РЖХим, 1956, 19114. Г. П.

25522. Щелочной гидролиз бромметилата скополамина и других эфиров четвертичных аминоспиртов. Моффетт, Гарретт (Alkaline hydrolysis of scopolamine methyl bromide and other esters of quaternary amino alcohols. Moffett Robert Bruce, Garrett Edward R., J. Amer. Chem. Soc., 1955, 77, № 5, 1245—1248 (англ.).

При изучении гидролиза сложных эфиров четвертичных (ЭЧ) и третичных (ЭТ) аминоспиртов в щел. (0,025 н.) 48%-ном водно-спирт. р-ре при  $25 \pm 2^\circ$  получены следующие значения бимолекулярных констант скорости гидролиза ( $M^{-1} \cdot \text{мин.}^{-1}$ ): бромметилата  $\beta$ -диэтиламиноэтилового эфира ксантикарбоновой-9 к-ты  $>100$ ; бромметилата скополамина (I) 28; бромметилата атропина 14; бромметилата 2-(2,5-диметил-1-пирролидил)-этилфенил- $\Delta^2$ -циклогексенацетата 3,1; ацетилхолинхлорида 2,1; бромгидрата скополамина 0,27; бромметилата 2-(2,2-диметил-1-пирролидил)-этилциклопентил- $n$ -пропилацетата 0,1; атропина 0,08; хлоргидрата 2-(2,5-диметил-1-пирролидил)-этилфенил- $\Delta^2$ -циклогексенацетата (II) 0,005; хлоргидрата 2-(2,2-диметил-1-пирролидил)-этилциклопентил- $n$ -пропилацетата  $<0,001$ . Начальная концентрация эфира во всех случаях составила 0,025 M (в случае II 0,0143 M), о скорости р-ции судили по изменению pH р-ра, определяемого из показаний стеклянного электрода против насыщ. к. э. Повышенная по сравнению с ЭТ способность ЭЧ к щел. гидролизу, а также практич. отсутствие гидролиза I в нейтр. и кислых (0,1 н.) р-рах объясняется облегчением взаимодействия OH-иона с молекулой ЭЧ, обзаванным положительному заряду азота в ЭЧ. Атака  $H_3O^+$ -ионов затруднена по той же причине. Отдельными опытами показано, что при гидролизе I образуется бромметилат скопина (III) (выход 90%), а не ожидаемый по аналогии с гидролизом скополамина продукт перегруппировки бромметилата скопина (IV). Идентичными свойствами обладает III, синтезированный из скопина, полученного осторожным гидролизом скополамина (Willstätter, Berner, Ber., 1923, 56, 1079) и метилбромидом. Для сравнения свойства III и IV р-ции из скопина с  $CN_2H_4$  в среде  $C_2H_5$  при  $5^\circ$  получен IV, т. пл.  $297-298^\circ$  (разл. из метанола или абс. сп.). Смешанная проба IV с продуктом гидролиза I не дает депрессии т-ры плавления, этот факт, а также практич. совпадение т-р плавления III и IV объясняется превращением III  $\rightarrow$  IV при нагревании.

Получены ИК-спектры III и IV. И. М. 25523. Сопряженные реакции присоединения галоидов к олефинам. И. Титов А. И., Макляев Ф. Л., Ж. общ. химии, 1954, 24, № 9, 1624—1630

Введено понятие сопряженных р-ций присоединения галоидов по кратным связям как процессов, при которых во взаимодействие галоидов с олефинами вовлекается третий компонент, сам по себе не реагирующий в этих условиях с кратной связью. Приведен ряд примеров сопряженных р-ций. На литературном материале иллюстрирована нуклеофильная активность олефинов и электрофильная активность галоидов. Высказано предположение о кислотно-основном характере начального взаимодействия галоидов с олефинами. Углеродные атомы олефина в образующемся комплексе (А) обладают высокой электрофильной активностью и пространственной доступностью в *транс*-положении к галоиду, благодаря чему комплекс может служить сильным  $\beta$ -алкилирующим средством. С изложенной точки зрения предложено объяснение синтеза хлорка из  $Cl_2$ ,  $C_2H_4$  и окиси этилена, алкилирующей способности смеси галоидов и олефина, присоединение Hg-солей к олефинам, *транс*-присоединение  $HgCl_2$  к  $C_2H_2$  в жидкой и *цис*-присоединение в газовой фазе и других р-ций. В. Э.



25524. Сопряженные реакции присоединения галоидов к олефинам. II. Получение  $\beta$ -галоидэтиловых эфиров бензол- и  $n$ -толуолсульфокислот,  $\beta$ -хлорэтилсульфата, хлорсульфоната, фосфата и смешанных 1,2-дигалоидэтанов. Титов А. И., Макляев Ф. Л., Ж. общ. химии, 1954, 24, № 9, 1631—1635

Изучены р-ции образования  $\beta$ -галоидэтиловых эфиров некоторых к-т одновременным действием галоида и этилена на эти к-ты и их соли (см. сообщение I, пред. реф.). В первой стадии образуется промежуточный комплекс, который реагирует далее с водой, к-той или анионом с образованием  $\beta$ -галоидэтиловых эфиров, галоидгидринов (при р-ции с  $OH^-$ ) и 1,2-дигалоидэтанов (при р-ции с анионом галоида). По активности во второй стадии р-ции  $H_2O < ArSO_3H < HCl < HBr$ . Лучшие выходы  $\beta$ -галоидэтиловых (до 80%) ароматич. сульфокислот получаются при действии  $C_2H_4$  и  $Cl_2$  на их безводн. расплавы. Были получены следующие соединения:  $\beta$ -бромэтилбензолсульфонат (из 50%-ного водн. р-ра К-бензолсульфоната  $C_2H_4$  и  $Br_2$ ), выход эфира 11%, дибромэтана (I) 39%,  $\beta$ -бромэтил- $n$ -толуолсульфонат (из 60%-ного водн. р-ра  $n$ -толуолсульфокислоты,  $C_2H_4$  и  $Br_2$ ), выход эфира 21,5%, I 46%;  $\beta$ -хлорэтилбензолсульфонат (из безводн. бензолсульфокислоты,  $C_2H_4$  и  $Cl_2$ ), выход эфира 77%, дихлорэтана (II) 23%, из 60%-ного водн. р-ра к-ты, выход эфира 30%, II 20%, этиленхлоргидрина 40%. Аналогично получены  $\beta$ -хлорэтилсульфат (из конп.  $H_2SO_4$ ),  $\beta$ -хлорэтилхлорсульфат (из  $ClSO_3H$ ),  $\beta$ -хлорэтилфосфат (из  $H_3PO_4$ ). Из 25%-ного р-ра  $NaCl$ ,  $Br_2$  и  $C_2H_4$  получен хлорбромэтан (III), выход 70—80%; из соляной к-ты,  $Br_2$  и  $C_2H_4$  III получен с выходом 65%. Попытки синтеза фторбромэтана не удалась. В. С. З.

25525. Таутомерные превращения и их механизм. Саломая (Tautomeerisista muutoksista ja niiden mekanismeista. Salomaa Pentti), Suomen kem., 1954, 27, № 5—6, 144—153 (фин.).

Обзор. Рассматриваются механизмы прототропных и аниотропных перегруппировок. Библ. 26 назв. М. В.

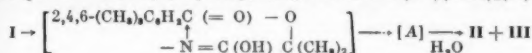
25526. Кинетика альдо-енольных превращений. Бокадия, Дешананде (Kinetics of aldo-enol change. Bokadia M. M., Deshpande S. S.), J. Indian. Chem. Soc., 1954, 31, № 8, 583—587 (англ.).

Измерена скорость превращения енольной формы оксиметилбензилэтилкетона (I), оксиметилэтилэтилкетона (II), ацетоуксусного эфира (III) и оксиметилэтилэнтонтона (IV) в зависимости от природы р-рителя и т-ры. При регенерировании К-производных I, II, III и IV в спирт. р-ре равновесие устанавливается при нормальной т-ре для I за 40 дней, для II за 46; при  $60^\circ$  для I за 12 дней, для II за 19 дней; для III и IV с эквивалентным кол-вом HCl (к-ты) при  $-15^\circ$  соответственно за 90 мин. и за 30 дней. Без р-рителя при  $74^\circ$  равновесие устанавливается для I и II за 4 часа. На примере II и IV установлено, что регенерация HCl, Na- и К-производных 2-формилкетонных N- повышает процентное содержание енола. В момент регенерации содержание енола увеличивается до 97%, а при равновесии в спирт. р-ре при нормальной т-ре вновь снижается до 70%. С. К.

25527. Гидролитическая перегруппировка  $\alpha$ -циано-пропилового эфира 2,4,6-триметилбензойной кислоты. Фриман, Лукас (The hydrolytic rearrangement of  $\alpha$ -cyanoisopropyl mesitoate. Freeman Jeremiah P., Lucas George B.), J. Amer. Chem. Soc., 1955, 77, № 8, 2334 (англ.).

При действии спирт. щелочи на  $\alpha$ -цианоизопропиловый эфир 2,4,6-триметилбензойной к-ты (I) образуются амид 2,4,6-триметилбензойной к-ты (II) (выход 71%)

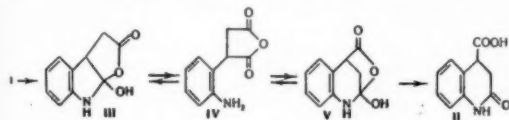
и  $\alpha$ -оксизомасляная к-та (III) (выход 81%). Авторы рассматривают эту р-цию как внутримолекулярную перегруппировку, протекающую по указанной схеме с образованием 2,4,6-(CH<sub>3</sub>)<sub>3</sub>C<sub>6</sub>H<sub>2</sub>CONHCOC(O<sup>-</sup>)(CH<sub>3</sub>)<sub>2</sub>(A)



Нормальная р-ция гидролиза сложного эфира по карбонильной группе не происходит вследствие пространственных затруднений со стороны ароматич. радикала. Между тем для внутримолекулярной р-ции пространственные затруднения имеют гораздо меньшее значение.  $\alpha$ -Цианизопропиловый эфир бензойной к-ты (IV) образует при щел. гидролизе бензойную к-ту (V) (выход 96%). Это подтверждает, что перегруппировка при гидролизе сложных эфиров характерна только для случаев, где имеются соответствующие пространственные затруднения. IV получен из V, (CH<sub>3</sub>)<sub>2</sub>CO(OH)CN и (CF<sub>3</sub>CO)<sub>2</sub>O, выход 52%, т. пл. 37—38° (после перегонки при 0,01 мм.).

Р. О. 25528. Внутримолекулярные реакции в оксидольном ряду. Ункерт, Рид (Intramolecular reactions in the oxindole series. Wenkert E., Reid Th. L., *Experientia*, 1954, 10, № 10, 417—418 (англ.; рец. нем.))

Обсуждается механизм внутримолекулярных превращений оксидолов в хинолоны. 3-карбоксиметил-оксидол (I) гидролизуетс в  $\alpha$ -аминофенилантронной к-ты, которая легко лактамуется в более устой-



чивый 6-членный лактам — 4-карбоксо-1,2,3,4-тетрагидрохинолон-2 (II). Легкость перестройки устойчивого к гидролизу оксидольного цикла обуславливается, по мнению авторов, присутствием на конце цепи в  $\gamma$ -кетокислоте I карбоксилата, способного (в зависимости от катализатора) превращаться в псевдокислоту (III) и ангидрид (IV) гидролиз которого и последующая лактамизация приводят к II. В случае наличия пространственных затруднений, ограничивающих вращение карбоксилата, замыкание 6-членного кольца затрудняется, следовательно, уменьшается устойчивость оксидольного цикла (замещ. карбоксиметиленоксидолы). Продукты конденсации изатина с фенилуксусной или малоновой к-той и некоторые N-замещ. изатины имеют структуру хинолонов, образовавшихся через карбоксиметиленовые соединения, реагировавшие, по всей вероятности, в соответствующей псевдокислотной форме (V). Описанные превращения возможны только при *цис*-положении COOH и амидной групп.

А. Б. 25529. О механизме реакции изомеризации циклановых углеводородов под действием хлористого алюминия. Мехтнев С. Д., Докл. АН СССР, 1955, № 3, 433—434

На основании исследования (РЖХим, 1954, 21555; 1956, 9693, 1955, 40079) р-ция изомеризации алкилциклогексанов (АЦ) (метил-, диметил-, этил-, изопропил- и *трет*-бутилциклогексанов) под влиянием AlCl<sub>3</sub> (85°, 5 час.) сделан вывод, что изомерирующее действие AlCl<sub>3</sub> сводится к внутримолекулярной перегруппировке с расширением и сужением цикла до образования термодинамически наиболее устойчивой системы: смеси пяти- и шестичленных цикланов с различным кол-вом алкильных заместителей. Р-ция сопровождается изомеризацией самого цикла. Из предполагаемого автором

механизма изомеризации следует, что расширение циклогексанового кольца происходит за счет атома С боковой цепи, непосредственно связанного с циклом; при изомеризации полиалкилзамещ. цикланов расширение кольца происходит, в первую очередь, за счет большей алкильной группы; наличие третичного атома С, связанного непосредственно с циклом, оказывает тормозящее действие на изомеризацию; сужение цикла происходит за счет ослабления и разрыва связи между атомами С кольца, находящейся через один атом С от атома, несущего заместитель. Показано, что изомеризация протекает в направлении образования углеводородов с более устойчивой формой кольца и с возможно максим. числом СН<sub>3</sub>-групп в виде боковых цепей. Вследствие доказанной невозможности превращения АЦ с короткой боковой цепью в АЦ с длинной боковой цепью, автор считает, что эта р-ция — новый случай необратимого катализа.

В. Т. 25530. Механизм образования гуанидина из мочевины и сульфата аммония. Буавен, Лавен (Mechanism for the formation of guanidine from urea and ammonium sulphamate. Boivin Jean L., Lovesy A. L., *Canad. J. Chem.*, 1955, 33, № 7, 1222—1225 (англ.))

Предложен следующий механизм р-ции образования гуанидина (I) из NH<sub>2</sub>CONH<sub>2</sub> (II) и NH<sub>2</sub>SO<sub>3</sub>NH<sub>4</sub> (III): II  $\rightleftharpoons$  NH<sub>4</sub>OCN  $\rightleftharpoons$  NH<sub>3</sub> + HOCN; HOCN + III  $\rightarrow$  NH<sub>4</sub>SO<sub>3</sub>NHCONH<sub>2</sub> (IV)  $\rightarrow$  NH<sub>2</sub>C  $\equiv$  N + NH<sub>4</sub>HSO<sub>4</sub>; NH<sub>2</sub>C  $\equiv$  N + (NH<sub>4</sub>)<sub>2</sub>SO<sub>4</sub>  $\rightarrow$  I + NH<sub>4</sub>HSO<sub>4</sub>. Для получения IV к 250 мл (CH<sub>3</sub>CO)<sub>2</sub>O и 48 г 95%-ной H<sub>2</sub>SO<sub>4</sub> прибавлено 60 г тонкоизмельченной II (—20°, перемешивание). При 15—18° образовавшееся масло отделяют, растворяют в 500 мл абс. спирта, охлаждают до —30° и насыщают NH<sub>3</sub>; выход IV 47 г, т. пл. 167,5—168° (разл.). IV получен также из II и III при 135—140°/15 мм.; после кипячения с 85%-ным спиртом выход 57%. Нагревание IV при 225—230° (0,5 часа) дает 42% I и 22% меланина (V). IV с жидким NH<sub>3</sub> при 295°, 105 ат, 75 мин. дает 63% I, при 300°, 14 ат, 17 час. — 77% V и 10% I.

В. Р. 25531. О катализаторах и механизме реакции Лейкарта. Кост А. Н., Грандберг Н. И., Ж. общ. химии, 1955, 25, № 7, 1432—1437

На примере взаимодействия циклогексанона (I) с HCONH<sub>2</sub> (II) исследовалось влияние условий и катализаторов на скорость и направление р-ции Лейкарта. Предложена схема ионного механизма р-ции, предполагающая первичное присоединение II к I с образованием N-формиламиноциклогексанона-2, восстанавливающегося затем в ионном формиате до N-формилилциклогексанина (III). При избытке HCOOH (IV) или HCOONH<sub>4</sub> (V) преимущественно образуется III. С добавками пиридина, NH<sub>3</sub>, CH<sub>3</sub>COONa или мочевины р-ция ускоряется и приводит преимущественно к дициклогексиламину (VI). Добавки Ni усиливают распад IV, ускоряют р-цию, увеличивают кол-во VI. Гидролиз III конц. щелочью не удается вследствие образования Na-енолята III, т. пл. 200° (разл.). При кислотном гидролизе надо удалять образующуюся IV. Низкий выход дициклогексанина (VII) у ряда авторов объясняется плохим гидролизом III и трудностью экстрагирования VII из водн. р-ров. Приведены таблицы влияния условий на выходы III, VI и VII и даны удобные методики их получения. К 6,0 молям II, 2,5 моля IV и 1 г скелетного Ni при 120° за 1,5 часа вносили 150 г I и нагревали 1,5 часа (120—130°). К горячей смеси добавляли 300 мл 50%-ного NaOH, декантировали, осадок VII нагревали 1—2 мин. с 100 мл воды и экстрагировали эфиром III, выход 98%, т. кип. 153—154°/19 мм., 268—274°/751 мм., т. пл. 27°,  $n_D^{17}$  1,4892,  $d_4^{17}$  1,0123. К 100 г смеси II+V



(6—7 : 1), 100 г 85%-ной IV и 0,5 г скелетного Ni за 1,5 часа при кипячении добавили 48 г I, через 2,5 часа (115°) выпарили досуха с 500 мл конц. HCl, остаток кипятили с 50%-ной KOH и до удаления  $\text{NH}_3$  и отгоняли VII в HCl (к-ту), выход хлоргидрата VII 85,2%. Нагреванием 3 часа 0,5 моля мочевины, 0,3 моля I, 0,6 моля 85%-ной IV и 0,5 г скелетного Ni получено 9,5% III и 84,8% VI, т. кип. 137—139°/19 мм; 248—250°/751 мм; хлоргидрат, т. пл. 335° (из сп.). При соотношении I, мочевины и IV 1 : 1,6 : 10 выход III 86%. Р-ция в  $(\text{CH}_3\text{CO})_2\text{O}$  дает 75,9% III, но не ацетилациклогексиламин.

А. К. 25532. Окисление ароматических углеводородов кислородом, окисление 1,3-дифенилпропана и 1,4-дифенилбутана. Эвентова М. С., Чистякова М. В., Вестн. Моск. ун-та, 1954, № 5, 91—99

Изучено окисление 1,3-дифенилпропана (I) и 1,4-дифенилбутана (II) в приборе МГУ (Борисов П. П., Зальцман Б. Л., Уч. зап. МГУ, 1951, вып. 151, 85) при 175° в течение 3 час. при скорости циркуляции  $\text{O}_2$  6 л/час. Исследование продуктов окисления I (найлены  $\text{CO}$ ,  $\text{CO}_2$ ,  $\text{H}_2\text{O}$ ,  $\text{CH}_3\text{O}$ ,  $\text{HCOOH}$ ,  $\text{C}_6\text{H}_5\text{COOH}$ ,  $\text{C}_6\text{H}_5\text{CHO}$ ,  $\text{C}_6\text{H}_5\text{OH}$  и смолы) и II (найлены  $\text{CO}$ ,  $\text{CO}_2$ ,  $\text{H}_2\text{O}$ ,  $(\text{COOH})_2$ ,  $\text{C}_6\text{H}_5\text{COOH}$ ,  $\text{C}_6\text{H}_5\text{CHO}$  и смолы) показывает, что окисление, вероятно, протекает через образование  $\alpha,\alpha'$ -дигидроперекисей с расходом их по обе стороны  $\alpha$ - и  $\alpha'$ -углеродных атомов. По возрастанию склонности к окислению исследованные углеводороды (см. Уч. зап. МГУ, 1951, вып. 151, 293) можно расположить в следующий ряд: дифенил (не окисляется), дифенилметан (окисляется на 11,8%), I (17%), 1,2-дифенилметан (21,5%), II (26,1%). Углеводороды с четным числом метиленовых групп более устойчивы к окислению, чем их соседние гомологи с четным числом углеродных атомов в парафиновой цепочке. В ряду с четным числом метиленовых групп (соответственно и с нечетным) склонность к окислению (а также к смолообразованию) возрастает с увеличением числа углеродных атомов в парафиновой цепочке.

И. С. 25533. Действие иодной кислоты на кварцит. Промежуточное образование малонового диальдегида. Флёрн, Куртуа, Хаммам, Ле-Дизе (Action de l'acide périodique sur le quercitol. Formation intermédiaire de dialdéhyde malonique. Fleury Paul, Courtois Jean, Hammam William C., Le Dizet Léa, m-me), Bull. Soc. chim. France, 1955, № 10, 1307—1312 (франц.)

Показано, что окисление кварцита (I) избытком  $\text{HIO}_4$  (II) (равные объемы водн. р-ров 0,01 M p-ра I и 0,1 M p-ра II при 28,8°, 15 час.) по схеме:  $\text{C}_6\text{H}_{12}\text{O}_5 + 4\text{H}_2\text{O} \rightarrow 5\text{HCOOH} + \text{CO}_2 + \text{H}_2\text{O}$ , имеет две фазы. Первая длится 2—8 мин., в это время потребляется 2—3 моля II (из 8 молей), а содержание к-ты в p-ре достигает до 2 экв, т. е. превышает кислотность, обусловленную  $\text{HCOOH}$ . Длительность второй фазы около недели, а общая кислотность p-ра возрастает параллельно потреблению II. Эти наблюдения указывают на существование промежуточного продукта p-ции с кислотными свойствами — малонового диальдегида (III):  $\text{C}_6\text{H}_{12}\text{O}_5 + 2\text{HCOOH} \rightarrow \text{CH}(\text{OH})_2\text{CH}_2\text{CH}(\text{OH})_2 + \text{CH}(\text{OH})_2\text{CH}(\text{OH})\text{CH}(\text{OH})_2 \rightarrow \text{CHOCCH}_2\text{CHO} + \text{CHOCCH}(\text{OH})\text{CHO}$  (IV). III медленно окисляется:  $\text{III} + 4\text{O} = \text{HCOOH} + \text{CO}_2$ ; IV окисляется очень быстро:  $\text{IV} + 2\text{O} + \text{H}_2\text{O} = 3\text{HCOOH}$ . Образование III подтверждается еще тем, что реакционный p-р в начале взаимодействия дает положительную p-цию на III с флороглюцином и HCl, восстанавливает в щел. среде  $\text{HgI}_2$  и восстанавливает J с образованием иодоформа, а при действии димедона выделяет кристаллич. производное III, пл. 216°. Л. К. 25534. О скоростях гидрирования ароматических углеводородов. VIII. Гидрирование конденсированных

ароматических углеводородов в присутствии двухсернистого вольфрама. Лозовой А. В., Семянни С. А., Ж. общ. химии, 1954, 24, № 10, 1803—1809

Измерены относительные скорости гидрирования (ОСГ) конденсированных ароматич. углеводородов — нафталина (I), антрацена (II), хризена (III) и их гидропроизводных в присутствии катализатора  $\text{WS}_2$  (от 1,5 до 40% от веса углеводорода) при 400° и постоянном давлении 150 ат. ОСГ по сравнению с  $\text{C}_6\text{H}_6$  (ОСГ которого принята за 100) составляют: I [до тетралина (IV)] 2300; IV (до декалина) 250 [до дигидроантрацена (V)], 6187; V [до тетрагидроантрацена (VI)] 1295; VI [до октагидроантрацена (VII)] 449 и VII (до перигидроантрацена) 291; III [до тетрагидрохризена (VIII)] 80; VIII [до октагидрохризена (IX)] 76; IX (до додекагидрохризена) 96. Гидрирование III протекает в различных направлениях с образованием различных продуктов p-ции. Сопоставление ОСГ показывает, что в случае конденсированных ароматич. углеводородов с увеличением числа ароматич. циклов ОСГ резко падает (при одинаковом характере конденсированных ароматич. ядер). Это объясняется увеличением трудности десорбции продуктов гидрирования с поверхности катализатора. В случае конденсированных углеводородов с 1 бензольным кольцом (типа IV, VII) увеличение мол. веса (за счет накопления боковых цепей и числа насыщ. циклов) повышает ОСГ. Авторы обсуждают это явление с точки зрения длительности комсорбции молекул углеводородов на катализаторе. Отмечается, что при гидрогенизации топливного сырья, содержащего конденсированные ароматич. углеводороды, в присутствии  $\text{WS}_2$  должно наблюдаться падение скорости гидрирования по мере углубления процесса и с повышением мол. веса (т-ры кипения) гидрируемых фракций. Сообщение VII см. РЖХим, 1955, И. Б. 25535. Влияние хлористого натрия, растворенного в обычной воде и в тяжелой воде, на скорость мутаротации некоторых сахаров. Николай, Вейсбах (L'action du chlorure de sodium en solution dans l'eau ordinaire et l'eau lourde sur la vitesse de mutarotation de certains «oses». Nicolle Jacques, Weisbuch Feiga, m-me), C. r. Acad. sci., 1955, 240, № 12, 1340—1341 (франц.)

Присутствие 4M NaCl в  $\text{H}_2\text{O}$  снижает скорость мутаротации сахаров ( $\alpha$ -D-глюкозы,  $\alpha$ -D-галактозы,  $\alpha$ -D-ксилозы,  $\beta$ -L-арабинозы,  $\alpha$ -лактозы,  $\beta$ -мальтозы) в 2,0—2,8 раза по сравнению с чистой водой. 4M NaCl в  $\text{D}_2\text{O}$  снижает скорость мутаротации в 5,6—10,8 раз. (ср. предыдущее сообщение РЖХимБх, 1955, 13229) С. К. 25536. Сортировка молекул по величине и форме.

Трутер (Sorting molecules by size and shape. Truter E. V.), Research, 1953, 6, № 8, 320—326 (англ.)

Обзор свойств, строения и применения комплексов мочевины с органич. в-вами. Библи. 8 назв. М. В.

25537. Теория окислительных реакций и ее развитие. Никайдо (オキソ反応の理論とその発展経緯に就いて. 二階堂行徳), 有機合成化学協会誌, Юки госсэй какаку кейкайси, J. Soc. Organ. Synth. Chem., Japan, 1955, 13, № 8, 341—351 (япон.)

Обзор. М. В.

25538. Реакции активированной метиленовой группы. Юкава (活性メチレンの反応. 湯川泰秀), 科学, Караку, Chemistry (Kyoto), 1955, 10, № 4, 24—29 (япон.)

Обзор. Библи. 22 назв. М. В.

25539 К. Учебник органической химии. Холлеман. Изд. 31-е, 32-е, просмотр. и испр. Ред. Рихтер (Lehrbuch der organischen Chemie. Holler man A. F. 31 u 32. durchges. u verb. Aufl. Bearb.

Richter Freidrich. Berlin, de Gruyter, 1954, XII + 564 S., ill., 28 DM (нем.)

25540 Д. Стереохимия продуктов присоединения бромистого водорода к олефинам. Невитт (Stereochimistry of hydrogen bromide addition to olefins. Nevitt Thomas D. Abstr. doct. thes. Chem., Iowa State Coll., 1953—1954), Iowa State Coll. J. Sci., 1955, 29, № 3, 471—472 (англ.)

Исследовано присоединение HBr к 1,2-диметилцикло-гексену (I) и отщепление HBr от полученных соединений. Показано также, что при пиролизе *цис*- и *транс*-1,2-диметилциклогексанацетата (II) и 1-метилцикло-гексанацетата образуются преимущественно непредельные соединения с двойной связью вне цикла; *транс*-II дает 2,3-диметилциклогексен (III) и 2-метилгетилциклогексен (IV); *цис*-II дает кроме этого еще I. Определены скорости и р-ции 1-го порядка отщепления HBr от *цис*- и *транс*-1,2-диметилциклогексанибромидов (V) в 98%-ном этаноле, абс. CH<sub>3</sub>OH и 55,4 мол. %-ном водн. ацетоне при 25°. Преобладающий продукт отщепления — I. Скорости р-ции для *цис*- и *транс*-изомера, а также для 1-метилциклогексанибромидов (в последнем р-тителе при 25°) почти одинаковы. В 98%-ном этаноле проходит р-ция 2-го порядка; *транс*-V реагирует в 100 раз быстрее, чем *цис*-V. *транс*-Изомер дает I, *цис*-изомер — преимущественно IV. В CH<sub>3</sub>OH р-ции отщепления 1-го и 2-го порядка идут с близкими скоростями и невозможно определить скорость р-ции 2-го порядка. Исследовано действие на *транс*-V пиридина, 2-пиридина, 2,6-лутидина, LiAlH<sub>4</sub>. Основной продукт р-ции (при 25°) — I. Исследована р-ция HBr с *цис*- и *транс*-1,2-диметилциклогексанолами (VI) в различных условиях и предложен механизм р-ции. Р-ция *цис*-VI с HBr в пентане при —78° предложена как препаративный метод получения *цис*-V. HBr с I в CH<sub>3</sub>COOH при 25° дает смесь равновесных кол-в *цис*- и *транс*-V; в пентане при 0° и при —78° умеренные конц-ии HBr дают чистый *транс*-V; при высоких конц-иях HBr (при —78° в пентане) образуется некоторое кол-во *цис*-изомера. Циклич. механизм рассматривается как возможное объяснение для *цис*-присоединения. Я. Г.

25541 Д. Пиролиз ацетона. Теоретическое и практическое исследование работы кетеновой лампы. Жибо (Pyrolyse de l'acétone. Étude théorique et pratique d'une lampe à cétène. G. Baud A. la in. Thèse de doctorat, Faculté des sciences, 1954), Ann. Univ. Paris, 1955, 25, № 1, 95—96 (франц.)

Для системы компонентов, образующейся при пиролизе ацетона (I) (CH<sub>2</sub>=CO (II), CH<sub>4</sub>, CO, C<sub>2</sub>H<sub>6</sub>) и одновременно протекающей при пиролизе II (дающей, кроме CO и CH<sub>4</sub>, также C<sub>2</sub>H<sub>4</sub>), разработан метод определения двух из пяти компонентов по трем аналитически определенным. Пиролиз идет с участием свободных радикалов C<sub>2</sub>H<sub>5</sub>·, CH<sub>3</sub>CO· и CH<sub>3</sub>COCH<sub>2</sub>· (из I) и CH<sub>2</sub>· (из II). Выход II возрастает с увеличением длины нити накала лампы и пропорционален конц-ии I в пределах до 95%. При часовой производительности не выше 0,8 моля II в час, выход II в процентах от теоретич. не зависит от производительности. Б. М.

См. также: Обзоры за 1952—1954 гг. 38510—38512. Строение органич. соед. 24804, 24805, 24846, 24855, 24859, 24901, 25573, 25673, 25683, 25765, 25766, 25768, 25769, 25771, 25777, 25781, 25797, 25806, 25816, 25826, 25828, 25829, 25831—25834, 25836, 25838, 25843—25845, 25848, 26600. Реакционная способность 25805. Механизм и кинетика р-ций 24845, 25147, 25160—25171, 25196, 25208, 25213, 25274—25276, 25543, 25552, 25554, 25556, 25558, 25563, 25580, 25594, 25773, 25824, 25891

## СИНТЕТИЧЕСКАЯ ОРГАНИЧЕСКАЯ ХИМИЯ

25542. Применение скелетного Ni-катализатора для восстановления органических соединений. Вэн Цзунь-яо (利用镍络接触还原有机化合物. 翁尊尧), 化学世界, Хуасюэ шицзе, 1955, № 8, 359—363 (кит.)

Обзор.

Г. К.

25543. О реакциях замещения непредельных соединений. Домбровский (Про реакції заміщення у ненасичених сполук. Домбровский А. В.), Наук. зап. Чернівецьк. ун-ту, 1955, 11, № 2, 38—46 (укр.; реф. русс.)

На основании анализа литературного материала показано, что кроме р-ций присоединения в олефинах наблюдаются и р-ции винильного и аллильного замещения, причем последние в некоторых случаях могут протекать как основной процесс. Автор предлагает теоретич. обоснование р-ций аллильного и винильного замещений, наблюдаемых для всех классов ненасыщ. соединений. Для олефинов с разветвленной цепью не характерно винильное замещение Н-атомов, и продукты винильного замещения образуются в результате других процессов. Для разветвленных олефинов, напротив, характерно винильное замещение Н-атома. Разобрано ориентирующее влияние функциональных заместителей и установлено большое сходство р-ций замещения непредельных и ароматич. соединений. Л. К.

25544. Изучение озонлиза. III. Расщепление алкеновых озонидов с помощью алюмогидрида лития. Гринвуд (Studies in ozonolysis. III. Cleavage of alkene ozonides with lithium aluminum hydride. Greenwood Fred L., J. Organ. Chem., 1955, 20, № 6, 803—807 (англ.))

Исследовалась р-ция восстановительного расщепления алкеновых озонидов с LiAlH<sub>4</sub>. Показано, что эта р-ция протекает в эквимолекулярных кол-вах с расщеплением по месту прежней С=С-связи исходного алкена и с выделением 1 моля Н<sub>2</sub> на 1 моль озонида: RCHO<sub>2</sub>CHR + LiAlH<sub>4</sub> → LiAlO (OCH<sub>2</sub>R)<sub>2</sub> + H<sub>2</sub>. После гидролиза получают с высокими выходами соответствующие спирты. Исходный 3-октенонозонид получают пропусканием 10,6 часа озонированного О<sub>2</sub> (452 мг О<sub>2</sub> в час) в р-р 11,22 г октена-3 в 150 мл *n*-пентана при т-ре от —42 до —38°. После продувания N<sub>2</sub> к р-ру озонида при —10° добавляют р-р 149 ммоль LiAlH<sub>4</sub> в 150 мл эфира. Смесь после 15 мин. кипячения оставляют стоять на 12 час., гидролизуют при —7° (20 мл конц. H<sub>2</sub>SO<sub>4</sub> в 125 мл воды), водн. вытяжку 72 часа извлекают эфиром и объединенную пентан-эфирную вытяжку фракционируют, получают *n*-C<sub>3</sub>H<sub>7</sub>OH, выход 87,4%, и *n*-C<sub>8</sub>H<sub>17</sub>OH, выход 87%. Аналогично, пропуская 9,86 часа озонированный О<sub>2</sub> (487 мг О<sub>2</sub> в час) в р-р 9,82 г гептена-2 в 150 мл очищ. *n*-пентана и обрабатывая озонид эфир. р-ром LiAlH<sub>4</sub> (125 мл эфира и 146 ммоль LiAlH<sub>4</sub>), получают *n*-C<sub>8</sub>H<sub>17</sub>OH, выход 88,6%, и C<sub>2</sub>H<sub>5</sub>OH, выход 21%; из октена-1 в *n*-пентане получают *n*-C<sub>7</sub>H<sub>15</sub>OH, выход 93%. А. Д.

25545. Синтез альдегидов при комнатной температуре реакцией между олефинами, дикобальтооктакарбонилем и водородом. Пино, Эрколи, Кальдерацо (Sintesi di aldeidi a temperatura ambiente per reazione fra olefine dicobalto-ottacarbonile e idrogeno. Pino P., Ercoli R., Calderazzo F.), Chimica e industria, 1955, 37, № 10, 782—786 (итал.; реф. англ., нем., франц.)

Надлежащим подбором соотношений олефина [этилен (I), пропилен (II), изобутилен (III), циклогексен (IV)], (Co(CO)<sub>8</sub>)<sub>2</sub> и H<sub>2</sub> (давл. 200—300 ат) удается осуществить при 21—31° в *n*-гептане или толуоле «сте-

хиометрия.» синтез альдегидов по схеме:  $2\text{RCH}=\text{CHR}' + (\text{Co}(\text{CO})_4)_2 + 2\text{H}_2 \rightarrow 2\text{RCH}(\text{CHO})\text{CH}_2\text{R}' + \frac{1}{2}(\text{Co}(\text{CO})_2)_4$ . Скорость р-ции снижается в порядке I, II, III, IV и сильно зависит от давления  $\text{H}_2$ . Введение даже малых кол-в  $\text{CO}$  сильно снижает скорость р-ции, аналогично тому, как это имеет место при каталитич. синтезе альдегидов. В отсутствие олефина р-ция приводит к образованию  $\text{HCo}(\text{CO})_4$  по схеме:  $(\text{Co}(\text{CO})_4)_2 + \text{H}_2 \rightleftharpoons 2\text{HCo}(\text{CO})_4$ . Л. Я.

**25546.** Алкоголяты как конденсирующие агенты реакции ацетона с хлороформом. А х м а д (Alkoxides as condensing agents for acetone and chloroform. A h m a d M o f i z - u d - d i n), Pakistan J. Scient. Res., 1955, 7, № 2, 79 (англ.)

В качестве конденсирующих агентов в р-ции ацетона (I) с  $\text{CHCl}_3$  (II) до трихлорметилдиметилкарбинола (III) применены метилат и этилат  $\text{Na}$ . К 0,5 моля I и 3,5 моля II прибавляют при  $-10^\circ$  р-р  $\text{CH}_3\text{ONa}$  (из 11,5 г  $\text{Na}$  и 125 мл абс.  $\text{CH}_3\text{OH}$ ), перемешивают 3 часа при  $-10^\circ$  и выливают в смесь льда и рассчитанного кол-ва  $\text{H}_2\text{SO}_4$ . III извлекают  $\text{CHCl}_3$ , выход 65,4%, т. пл. 95–96° (высушен в вакууме); с  $\text{C}_2\text{H}_5\text{ONa}$  при  $-10^\circ$  получено 56,4% III, с  $\text{KOH}$  ( $-10^\circ$ ) 51,3% III. Л. К.

**25547.** Новый синтез симметричных и несимметричных сопряженных полиацетиленовых соединений. Ходкевич, Кадо (Nouvelle synthèse de composés polyacétyléniques conjugués symétriques et dissymétriques. Chodkiewicz Wladyslaw, Cadot Paul), C. r. Acad. sci., 1955, 241, № 16, 1055–1057 (франц.)

Сопряженные полиацетиленовые соединения (I) различного строения получены по р-ции:  $\text{RC}\equiv\text{CBr} + \text{Cu}(\text{C}\equiv\text{C})_n\text{R}' \rightarrow \text{RC}\equiv\text{C}-(\text{C}\equiv\text{C})_n\text{R}'$ . Cu-производное осаждают в водно-спирт., слегка аммиачной среде и медленно прибавляют к нему ацетиленовый бромид при  $-15-0^\circ$ . Получены I (даны  $\text{R}, \text{R}'$ ,  $n$ , выход в % и т. пл. в  $^\circ\text{C}$ ):  $(\text{CH}_3)_2\text{C}(\text{OH})$ ,  $(\text{CH}_3)_2\text{C}(\text{OH})$ , 1, 95, 132;  $(\text{C}_6\text{H}_5)_2\text{C}(\text{OH})$ ,  $(\text{C}_6\text{H}_5)_2\text{C}(\text{OH})$ , 1, 65, 146;  $\text{C}_6\text{H}_5\text{C}_6\text{H}_4\text{C}(\text{OH})$ ,  $\text{C}_6\text{H}_5-\text{C}_6\text{H}_4\text{C}(\text{OH})$ , 1, 74, 267;  $\text{C}_6\text{H}_5-\text{C}_6\text{H}_4\text{C}(\text{OH})$ ,  $(\text{CH}_3)_2\text{C}(\text{OH})$ , 1, 58, 153;  $\text{C}_6\text{H}_5$ ,  $(\text{CH}_3)_2\text{C}(\text{OH})$ , 1, 73, 56;  $\text{C}_6\text{H}_5$ ,  $(\text{C}_6\text{H}_5)_2\text{C}(\text{OH})$ , 1, 60, 86;  $\text{HOOC}$ ,  $(\text{CH}_3)_2\text{C}(\text{OH})$ , 1, 56, 117;  $\text{HOOC}$ ,  $(\text{C}_6\text{H}_5)_2\text{C}(\text{OH})$ , 1, 50, 102° (разл.);  $(\text{CH}_3)_2\text{C}(\text{OH})$ ,  $(\text{CH}_3)_2\text{C}(\text{OH})$ , 2, 66, 154;  $(\text{C}_6\text{H}_5)_2\text{C}(\text{OH})$ ,  $(\text{C}_6\text{H}_5)_2\text{C}(\text{OH})$ , 2, 51, 158. Аналогичный синтез симметричных ацетиленовых соединений может быть проведен действием  $\text{Cu}_2\text{Cl}_2$  на Br-производное соответствующего ацетиленового соединения; так получены диметилдоктадиндиол и дифенилдиацетилен, выходы ~90%. Л. К.

**25548.** Синтез изомерных рядов *d,l*-3,3-диалкил-3-оксипропионовых кислот. Байкут (Synthese isomerer Reihen von *d,l*-3,3-Dialkyl-3-oxy-propionsäuren. Baykut Fikret), Istanbul Univ. fen. fak. mec., 1954, C19, № 1, 50–52 (нем.; рез. турец.)

Реакцией Реформатского из диалкилкетонов,  $\text{Zn}$  и  $\text{BrCH}_2\text{COOCH}_2\text{H}_2$  (I) синтезировано 10 новых *d,l*-3,3-диалкил-3-оксипропионовых к-т (II). К 0,7 г гранулированного  $\text{Zn}$  + кристаллик  $\text{I}_2$  добавляют р-р 0,01 моля диалкилкетона, 0,01 моля I в 5 мл  $\text{C}_6\text{H}_6$  и 5 мл толуола, нагревают до начала р-ции, кипятят 2 часа, разлагают 10 мл 10%-ной  $\text{HCl}$ , экстрагируют эфиром. Для очистки II растворяют в 10%-ном  $\text{KOH}$ , р-р промывают эфиром и подкисляют 10%-ной  $\text{H}_2\text{SO}_4$ . Получены следующие II (приведены *n*-алкилы и т. пл. в  $^\circ\text{C}$  из петр. эф. или метилацетата):  $\text{C}_2\text{H}_5$ ,  $\text{C}_{11}\text{H}_{23}$ , 37,5–39;  $\text{C}_3\text{H}_7$ ,  $\text{C}_{11}\text{H}_{23}$ , 47,5;  $\text{C}_4\text{H}_9$ ,  $\text{C}_{10}\text{H}_{21}$ , 50–51,5;  $\text{C}_4\text{H}_9$ ,  $\text{C}_{11}\text{H}_{23}$ , 40–41,5;  $\text{C}_2\text{H}_5$ ,  $\text{C}_{14}\text{H}_{29}$ , 67,8–69;  $\text{C}_3\text{H}_7$ ,  $\text{C}_{13}\text{H}_{27}$ , 57,6–59;  $\text{C}_4\text{H}_9$ ,  $\text{C}_{12}\text{H}_{25}$ , 58,3–59,5;  $\text{C}_3\text{H}_7$ ,  $\text{C}_{11}\text{H}_{23}$ , 29–31 и 32,5–34,7;  $\text{C}_6\text{H}_{13}$ ,  $\text{C}_{10}\text{H}_{21}$ , 46,8–48,6 и 47,5–49,3;  $\text{C}_7\text{H}_{15}$ ,  $\text{C}_9\text{H}_{19}$ ,

32,7–34,6 и 35,5–38,2. Три последние к-ты обладают двумя т-рами плавления: низшая у свежеперекристаллизованного в-ва, высшая у в-ва, хранившегося в течение трех месяцев. М. Л.

**25549.** О некоторых реакциях галогидзамещенных ацетиленовых карбинолов. Жюлья, Сюрзур (Sur quelques réactions des carbinols acétyléniques halogénés. Julia Marc, Surzur Jean-Marie), C. r. Acad. sci., 1954, 238, № 10, 1130–1132 (франц.)

Действием на 1-(хлорэтинил)-циклогексанол-1 (I) избытком реактива Дениже получен 1-(хлорацетил)-циклогексанол-1 (II), выход 30%, т. пл. 65°. Попытки аналогичной гидратации бромзамещ. аналога I не удались. При гидролизе II получен 1-(оксацетил)-циклогексанол-1, т. пл. 89°. При обработке галогидзамещ. ацетиленовых карбинолов спирт. щелочью с целью осуществить гидратацию по тройной связи в обратном порядке наступает распад. После предварительной защиты OH-группы действием дигидропирана (продолжительность р-ции 2–3 дня), кипячением с 40%-ным р-ром  $\text{KOH}$  в  $\text{CH}_3\text{OH}$  (24 часа) с последующим гидролизом продукта р-ции в кислой среде удается получить к-ты этиленового ряда, выход 40–50%. Из I таким образом получена циклогексенуксусная-1 к-та, из диметилхлорэтинилкарбинола — 2,2-диметил-акриловая к-та, из метилэтилхлорэтинилкарбинола — смесь 3-метилпентен-2-овой и 3-метилпентен-3-овой к-т, которые при гидрировании превращаются в 3-метилвалериановую к-ту. М. Б.

**25550.** Реакция винилацетата с алифатическими соединениями, содержащими гидроксильную группу. Новый синтез простых виниловых эфиров. Эйдельман (The reactions of vinyl acetate with aliphatic hydroxy compounds. A new synthesis of vinyl esters. Adelman Robert L.), J. Amer. Chem. Soc., 1953, 75, № 11, 2678–2682 (англ.)

Описана новая р-ция винилацетата (I) с гидроксильными соединениями. Р-ция протекает при низких т-рах ( $-60^\circ$ ,  $-10^\circ$ ), в присутствии  $\text{Hg}^{2+}$ -солей сильных к-т за 0,25–3,5 часа с образованием простых виниловых эфиров и  $\text{CH}_3\text{COOH}$ . Во всех изученных случаях не наблюдалось винильной перегруппировки. Р-ция необратима, и при взаимодействии избытка винилбутилового эфира с  $\text{CH}_3\text{COOH}$  в присутствии  $\text{HgSO}_4$  при  $-22^\circ$  не удалось выделить I. С увеличением т-ры и длительности р-ции выход виниловых эфиров уменьшается и увеличивается выход других продуктов р-ции — ацеталей и ацетоксинацеталей; последние образуются медленнее, чем ацетали. Предложен следующий механизм р-ции:  $\text{CH}_2=\text{CHOCOCH}_3 + \text{HgSO}_4 \rightarrow [\text{CH}=\text{CHHg}]^{2+} \text{SO}_4^{2-} (\text{A}) + \text{CH}_3\text{COCH}_2\text{A} + \text{RON} \rightarrow \rightarrow \text{ROCH}=\text{CH}_2 + \text{HgSO}_4$ ;  $\text{ROCH}=\text{CH}_2 + \text{RON} \rightarrow \rightarrow (\text{RO})_2\text{CHCH}_2$ ; ацетоксинацетали образуются далее из ацеталей и  $\text{CH}_3\text{COOH}$ . Легче всего образуются виниловые эфиры из I и первичных спиртов, труднее всего — из третичных. Наличие атома Cl в молекуле реагирующего спирта, повидимому, способствует ускорению р-ции, CN-группы, наоборот, ее замедляют. 1 моль метилгликолята (II), т. кип. 71°/41 мм, и 6 молей I в присутствии 0,005 г Cu-соли абетиновой к-ты (III — соль), 1,8 г  $(\text{CH}_3\text{COO})_2\text{Hg}$  и 0,2 г  $\text{H}_2\text{SO}_4$  перемешивают 2,5 часа при  $-22^\circ$ , получают виниловый эфир метилгликолята, выход 40%, т. кип. 91–91,5°/93 мм,  $n_D^{20}$  1,4236,  $d_4^{20}$  1,05. Получены виниловые эфиры [т-ра р-ции в  $^\circ\text{C}$ , время в часах, выход в %, т. кип. в  $^\circ\text{C}/\text{мм}$ ,  $n_D$  (т-ра  $^\circ\text{C}$ )] этанола — 22, 1,75, 8, 35–37/750, 1,3768 (20); тетрагидрофурилового спирта — 20, 2,5, 25, 80–81/45, 1,4480 (20); моновиниловый эфир пентадиола-1,5, — 25, 3, 25, 92–95/9 и 118–119/35, 1,4461 (21); бис-виниловый эфир пентадиола-1,5, — 25, 6, >30, 100–101/35, 1,4425 (20). 1 моль II, 6 молей I,



0,005 г III, 1,8 г  $(\text{CH}_3\text{COO})_2\text{Hg}$ , 0,7 г  $\text{H}_2\text{SO}_4$  перемешивают 20 мин., получают ацеталь метилглицолята, выход 71%, т. кип. 110—113°/3 мм,  $n_D^{25}$  1,4297. При перемешивании этой же смеси в течение 85 час. при +25° получают ацетоксиацеталь метилглицолята, выход 59%, т. кип. 88,5—89,5°/9 мм,  $n_D^{25}$  1,4158. В. С. 25551.

**Реакция диалкилацеталей  $\alpha$ -кетоктоальдегидов с N-бромсукцинимидом. Новый синтез  $\alpha$ -кетоктоэфиров.** Райт (Reaction of dialkylacetals of  $\alpha$ -ketoaldehydes with N-bromosuccinimide. A new synthesis for  $\alpha$ -ketoesters. Wright John B., J. Amer. Chem. Soc., 1955, 77, № 18, 4883—4884 (англ.)).  $\alpha$ -Кетоктоэфиры (I) получены с хорошими выходами при действии N-бромсукцинимидов (II) на диалкилацетали  $\alpha$ -кетоктоальдегидов (III):  $\text{RCOCH}(\text{OR})_2 \text{ III} \rightarrow [\text{RCOC}(\text{Br})(\text{OR})_2] \rightarrow \text{RCOOCOR}' \text{ I}$ ; а R =  $\text{CH}_3$ , R' =  $\text{C}_2\text{H}_5$ , б R =  $\text{CH}_3$ , R' =  $\text{C}_4\text{H}_9$ ; в R =  $(\text{CH}_2)_3\text{C}$ , R' =  $\text{C}_2\text{H}_5$ ; г R =  $\text{C}_6\text{H}_5$ , R' =  $\text{C}_2\text{H}_5$ . Смесь эквимольных кол-в II и III в 288 мл сухого  $\text{CCl}_4$  осторожно нагревают, поддерживая слабое кипение, кипятят 3 часа, оставляют на 12 час., отфильтровывают сукцинимид, промывают сухим  $\text{CCl}_4$ , перегоняют, выход Ia 78%, т. кип. 48—52°/14 мм. Для удаления следов HBr Ia растворяют в эфире, промывают 1%-ным  $\text{NaHCO}_3$  водкой. Из 79,5 г IIIб получен Ib, выход 72%, т. кип. 74—77°/15 мм,  $n_D^{25}$  1,4132. IIIв получают по р-ции Гриньяра взаимодействием  $(\text{CH}_3)_2\text{CMgCl}$  (из 2,5 моля Mg) и 1 моля диэтоксипентилперидина (IV) с выходом 82%, т. кип. 80,5—82°/15 мм,  $n_D^{25}$  1,4128. Эквивалентное кол-во IIIв и II дают Iv, выход 78%, т. кип. 65—66°/15 мм,  $n_D^{25}$  1,4096. IIIг получают по р-ции Гриньяра из  $\text{C}_6\text{H}_5\text{MgBr}$  и IV с выходом 56%, т. кип. 147,5—150°/2,2 мм,  $n_D^{25}$  1,4992. 38,13 г IIIг, 49,8 г II и 136 мл сухого  $\text{CCl}_4$  нагревают с обратным холодильником 18 час., сукцинимид отфильтровывают, фильтрат перегоняют в вакууме, выход Ig 73%, т. кип. 97°/2 мм,  $n_D^{25}$  1,5145 (очищают аналогично Ia); ИК-спектр Ig идентичен спектру синтетич. образца. Л. К. 25552.

**Аминоалкилирование кетонов  $\alpha$ -цианалкиламины.** Ларрамона (Aminoalcoylation des cétones par des  $\alpha$ -cyanoalcoylamines. Lagrasson Henriette, m-Ile, C. r. Acad. sci., 1955, 241, № 3, 319—321 (франц.))

Для проверки механизма аминоалкилирования кетонов исследована возможность проведения этой р-ции посредством  $\alpha$ -цианалкиламинов. В условиях р-ции последние представляют равновесную систему, состоящую из псевдосоли  $\text{R}_2\text{NCH}(\text{CN})$  — (А) и полностью ионизированного имина типа четвертичного аммониевого основания  $[\text{R}_2\text{N}^+ = \text{CH} - ](\text{CN})^-$  (Б) (или весьма поляризованного соединения типа  $(\text{R}_2\text{N} \cdots \text{CH} - )^{\delta+} \cdots \text{CN} \cdots \text{Me}^{\delta+}$  (В), где Me есть тяжелый металл (Ag или Hg). В данной системе в отсутствие  $\text{Ag}^+$  или  $\text{Hg}^+$  равновесие сильно смещено в сторону А, в противоположность реакции аминоалкилированию  $\alpha$ -галогидоалкиламины, где равновесие практически полностью смещено в сторону формы типа Б. В обычных условиях р-ция между кетонами и  $\alpha$ -цианалкиламины не идет; это показывает, что механизм  $\text{S}_\text{N}2$ , требующий участия А, не имеет места. В присутствии  $\text{Ag}^+$  или  $\text{Hg}^+$ , вызывающих ионизацию связей С — Х (Х — галогид) и С — CN (что способствует образованию Б и В) р-ция идет, следовательно механизм ее относится к мономолекулярному типу, включающему предварительную ионизацию реагента. Опыты аминоалкилирования пропифенона (I) или дезоксibenzoина (II) посредством диэтиламиноацетонитрила (III) или его хлоргидрата, проведенные

в безводн. или водн. спирте (кипение 36 час.), не дают результата. I, II и  $\text{Ag}_2\text{CO}_3$  (по 1 молю) нагревают 36 час. в 99%-ном спирте, получают диэтил-амино-3-фенил-1-метилпропанон-2 (IV), выход 20%; хлоргидрат, т. пл. 134°. В присутствии  $\text{Hg}_2\text{CO}_3$  выход IV 60%. II и III в присутствии  $\text{Hg}_2\text{CO}_3$  дают фенилакрилофенон, выход 10%, превращающийся в условиях р-ции в димер, т. пл. 110°. В присутствии следов  $\text{Ag}_2\text{CO}_3$  р-ция не идет. Соли Hg дают лучшие результаты, чем соли Ag. Б. М. 25553.

**Об алифатических нитросоединениях. X. О восстановлении алифатических нитросоединений алюмогидридом лития.** Дорнов, Гельрих (Über die Reduktion aliphatischer Nitroverbindungen mit Lithium-aluminium-hydrid. Über aliphatische Nitroverbindungen. X. Dornow Alfred, Gellrich Manfred, Liebigs Ann. Chem., 1955, 594, № 3, 177—184 (нем.))

Восстановление  $\text{LiAlH}_4$  (I)  $\alpha$ -(2-фурил)- $\beta$ -нитроэтилена (II),  $\text{C}_6\text{H}_5\text{CH}=\text{C}(\text{NO}_2)\text{COOC}_2\text{H}_5$  (III),  $\text{C}_6\text{H}_5\text{CH}_2\text{CH}(\text{NO}_2)\text{OH}$  (IV),  $\text{C}_6\text{H}_5\text{CH}(\text{OCH}_3)\text{CH}(\text{NO}_2)\text{CH}_2\text{OH}$  (V),  $\text{C}_6\text{H}_5\text{CH}=\text{CHCH}(\text{OH})\text{CH}_2\text{NO}_2$  (VI), изонитрозобензальацетона (VII), (1-нитроциклогексил)-фенилкарбинола (VIII),  $\text{C}_6\text{H}_5\text{CH}(\text{OCH}_3)\text{CH}_2\text{NO}_2$  (IX), 1,2-дифенил-2-нитроэтанола (X),  $\text{CH}_3\text{CH}(\text{NO}_2)\text{CH}(\text{OH})\text{C}_6\text{H}_5$  (XI), 2-нитротетраэнола-3 (XII),  $n\text{-ClC}_6\text{H}_4\text{CH}(\text{NHC}_6\text{H}_5)\text{CH}(\text{NO}_2)\text{COOC}_2\text{H}_5$  (XIII) приводит к соответствующим аминам с восстановлением двойной связи. В случае VIII и X (и частично IV) происходит расщепление на циклогексанины (XIV) и  $\text{C}_6\text{H}_5\text{CH}_2\text{OH}$  (XV), бензиламины и XV. Соответственно получены:  $\alpha$ -(2-фурил)- $\beta$ -аминоэтан (добавлением 0,045—0,003 моля II в 50—100 мл абс. эфира к 1 M р-ру I; 100% избытка I), выход 85%, т. кип. 154°; оксалат, т. пл. 170—171°; бензамид, т. пл. 80°; хлоргидрат, т. пл. 207—210° (из сп.-эф.); из III —  $\text{C}_6\text{H}_5\text{CH}_2\text{CH}(\text{NH}_2)\text{CH}_2\text{OH}$  (аналогично), выход 72%; оксалат, т. пл. 160—163°;  $\text{C}_6\text{H}_5\text{CH}_2\text{CH}(\text{NH}_2)\text{OH}$  (добавлением 100% избытка I к IV), выход 61%; оксалат, т. пл. 235—236° (из сп.); бензамид, т. пл. 147—148° и XV, выход 26%; смесь диастереомеров  $\text{C}_6\text{H}_5\text{CH}(\text{OCH}_3)\text{CH}(\text{NH}_2)\text{CH}_2\text{OH}$  (XVI) (V к 100% избытка I), выход 81%; т. пл. хлоргидрата 170° (из ацетона);  $\text{C}_6\text{H}_5\text{CH}_2\text{CH}(\text{NH}_2)\text{CH}_2\text{NH}_2$  (XVII) (аналогично), выход 52%, т. кип. 157°/11 мм, оксалат, т. пл. 223° (XVII получен также из VII с выходом 31%); (1-аминоциклогексил)-фенилкарбинол (100% избытка I к VIII), выход 5%, т. пл. 136—137° (из лигр.); хлоргидрат, т. пл. 176—178° (из  $\text{C}_6\text{H}_5\text{OH}-(\text{C}_6\text{H}_5)_2\text{O}$ ); XIV, выход 80%, и XV, выход 71%;  $\text{C}_6\text{H}_5\text{CH}(\text{OCH}_3)\text{CH}_2\text{NH}_2$  (IX к 30% избытка I), выход 100%; т. пл. оксалата 151—152° (из сп.); хлоргидрата 157—158°; смесь нор-эфедрина и нор-изо-эфедрина (100% избытка I к XI) с выходом 25%; из XII получен 2-аминогексанол-3, выход 45%; т. пл. оксалата 105—106° (из ацетона-эф.); 1-нитробензамида 148—149° (из бzl.). Восстановлением XIII 80% избытка I и добавкой эфир. HCl получен хлористый этил-(*n*-хлорбензил)-аммоний, выход 90%, т. пл. 235—236° (из сп.). Восстановлением X Zn-пылью и  $\text{H}_2\text{SO}_4$  (45°) получены: 1,2-дифенил-2-бензиламиноэтанол (XVIII), т. пл. 147—149° (из лигр.) и изо-XVIII с т. пл. 128—129°, с общим выходом 42%. XVIII получен также восстановлением I бензиламинодезоксibenzoина (XIX), выход 60%. Р-р 8,5 г бензоина и 4,3 г бензиламина в 75 мл  $\text{C}_6\text{H}_6$  с добавкой эфир. HCl кипятят 30 мин., отделяя пары воды и выделяют XIX. К смеси 21 г  $\text{C}_6\text{H}_5\text{CHO}$  и 21 г  $\text{NaHSO}_3$  в 100 мл воды прибавляют по каплям (2 часа, 70—80°) теплый р-р 26 г нитроциклогексана в 80 г 10%-ного р-ра NaOH и экстрагируют эфиром VIII, выход 23%, т. пл. 77—78° (из петр. эф.). Ацетилированием 5,5 г VIII в 25 мл  $(\text{CH}_3\text{CO})_2\text{O}$  при 0° (следы  $\text{H}_2\text{SO}_4$ ) получают ацетокси-(1-нитроциклогексил)-фенилметан, выход 100%, т. пл.

93–94° (из петр. эф.). К р-ру 7,7 г  $C_6H_5CHO$  и 7,7 г  $NaHSO_3$  в воде прибавляют по каплям 10 г фенилнитрометана (XX) в 58 г 5%-ного  $NaOH$  и экстрагируют X; диастереомер не найден, выход 22%, т. пл. 97–98° (из бал.-петр. эф.). Аналогично из XX и фурфурола получают β-фенил-α-(2-фурил)-β-нитроэтанол, выход 14%, т. пл. 95–97° (из бал.-петр. эф.). Восстановление 1,2-ε-изо-1,2-дифенил-2-бензальминоэтанол в 50 мл тетрагидрофурана 0,15 г I в 20 мл эфира приводит к изо-XVIII с выходом 92%, т. пл. 130–131° (из лигр.). Сообщение IX см. РЖХим, 1955, 26110. Л. К. 25554.

Об алифатических нитросоединениях. XI. О некоторых превращениях ω-нитроацетофенона. Дорнов, Зассенберг (Über einige Umsetzungen des ω-Nitroacetophenons. Über aliphatische Nitroverbindungen. XI. Dornow Alfred von, Sassenberg Werner), Liebigs Ann. Chem., 1955, 594, № 3, 185–191 (нем.).

Исследована р-ция ω-нитроацетофенона (I) с о-фенилендиамин (II) в присутствии  $Na_2S_2O_4$  (III), ведущая к образованию 2-фенилхинокалина (IV). Механизм р-ции состоит в восстановлении  $NO_2$ -группы в I в оксимную и в последующей конденсации образовавшегося изонитроацетона с II с отщеплением  $NH_2OH$  и получением IV. Аналогично реагируют другие ароматич. орто-диамины, 0,01–0,02 моля I и диамина растворяют в 50–80 мл 50%-ного спирта, добавляют при нагревании 7–10 г II, отгоняют часть спирта и разб.  $NaOH$  при охлаждении осаждают хиноксалин; выход IV 48%, т. пл. 78° (из разб. сп.); подметилат, т. пл. 221° (разл. из сп.). IV получен также из ω-бром-ω-нитроацетофенона, II и III. Из I и 3,4-диаминотолуола получены: 6-метил-2-фенилхинокалин, выход 76%, т. пл. 135° (из водн. сп.); подметилат, т. пл. 222°, и из маточного р-ра — 7-метил-2-фенилхинокалин, т. пл. 79°. 1,2-диаминонафталин образует с I 2-фенил-5,6-бензхинокалин и 3-фенил-5,6-бензхинокалин, выход смеси 80%, т. пл. 120–130°. Из 9,10-диаминофенантрена,  $C_6H_5COONa$  и I получен 2-фенил-5,6,7,8-дигбензхинокалин, выход 58%, т. пл. 196° (из сп.). ω, η-Динитроацетофенон с II дает 2-(η-нитрофенил)-хинокалин, выход 25%, т. пл. 184–185° (из сп.). Нагреванием 4 часа р-ра жирного диамина и I в спирте или диоксане получены: бензгидразид (из  $H_2NHNH_2 \cdot H_2O$  и I), выход 65%, т. пл. 112°; N,N'-дигбензоэтиленидиамин (из этилендиамина и I), выход 40%, т. пл. 246°; N,N'-дигбензоилгексаметилендиамин (из I и гексаметилендиамина), выход 26%, т. пл. 155°. При р-ции I с  $CH_3COCl$ ,  $C_2H_5COCl$ ,  $C_3H_7COCl$ ,  $CH_3COBr$ ,  $(CH_3CO)_2O$  (V) в присутствии  $AlCl_3$  неожиданно образуется хлоризонитроацетофенон (VI). 0,01 моля I суспендируют в абс. эфире, добавляют 0,02 моля  $AlCl_3$ , после отделения масла прибавляют по каплям 0,01 моля галоид-ангидрида к-ты, нагревают 1 час (в случае V 5–8 час.), выливают на лед и экстрагируют VI, выход 90–95%, т. пл. 131–132° (из бал.-петр. эф.). Аналогично из I,  $CH_3COBr$  и  $AlBr_3$  получен бромизонитроацетофенон (VII), выход 85–90%, т. пл. 138–139° (из бал.-петр. эф.). Строение VII доказано образованием с  $C_6H_5NH_2$  (VIII) анилиноизонитроацетофенона, полученного также из VI и VIII. Из VI и о-толуидина (1:2) в абс. эфире получен о-толуидиноизонитроацетофенон, выход 93%, т. пл. 129° (из бал.-петр. эф.). Восстановление VI при помощи  $LiAlH_4$  ведет к аминокметилфенилкарбинолу, выход оксалата 51%, т. пл. 236°. Обсуждается механизм образования VI и VII. Л. К. 25555.

Об алифатических нитросоединениях. XII. О некоторых дальнейших превращениях ω-нитроацетофенона. Дорнов, Мюллер, Люпферт (Über einige weitere Umsetzungen des ω-Nitroacetophenons. Über aliphatische Nitroverbindungen XII. Dornow Alfred von, Müller Arno,

Lüpfert Siegfried), Liebigs Ann. Chem., 1955, 594, № 3, 191–198 (нем.).

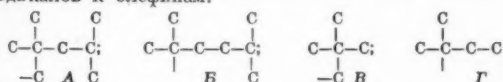
ω-Нитроацетофенон (I) присоединяет фуралиметиламин (II) в  $(CH_3CO)_2O$  (III) в присутствии пиридина

(IV) с образованием  $C_6H_5COCH(NO_2)CH(NHCH_3)C=$

$CHCH=CHO$  (V). В отсутствие IV наблюдается осмоление смеси. Аналогично из  $C_6H_5CH=NCH_3$  (VI) и I получен α-нитрохалкон  $C_6H_5CH=C(NO_2)COC_6H_5$  (VII), добавка  $(C_6H_5)_2NH$  (VIII) вызывает осмоление. VII не присоединяет  $NO_2CH_2COOR$ ,  $CNCH_2COOR$ ,  $CH_2(COOR)_2$ . Триметиламмониевая соль I гладко присоединяет фенилизонитрат (IX) с образованием  $C_6H_5COCH(NO_2)CONHC_6H_5$  (X), легко распадающегося в спирте—HCl на  $C_6H_5COOC_2H_5$  и  $HON=CCICONHC_6H_5$  (XI). Восстановление X амальгамой Al ведет к  $C_6H_5CH(OH)CH(NH_2)CONHC_6H_5$  (XII) в т-ре и эритро-формах. I содержит очень реакционноспособную  $CH_2$ -группу: из I и HCHO в присутствии  $(CH_3)_3N$  получают  $[C_6H_5COCH(NO_2)]_2CH_2$  (XIII); по р-ции Мавниха из I, HCHO и пиперидина (XIV), морфолина (XV), VIII или  $(CH_3)_2NH$  получены  $C_6H_5COCH(NO_2)CH_2R$  (XVIa–r) [a  $R=NC_6H_{10}$ , б  $R=N(CH_3CH_2)_2O$ , в  $R=N(C_2H_5)_2$ , г  $R=N(CH_3)_2$ ], расщепляющиеся конц. HCl на  $C_6H_5COOH$  и  $HOOCCH_2R$ . Выход XVIa значительно повышается при замене смеси HCHO и XIV на метилен-бис-пиперидин, а также прибавлением 0,01 экв 1 н. HCl и в особенности 1 экв  $CH_3COOH$ . К суспензии 1,6 г I в 10 мл абс. эфира добавляют р-р 1,1 г II и 1,1 г III в 10 мл эфира, 3 капли IV и отфильтровывают V, выход 58%, т. пл. 130° (разл. из сп.). К суспензии 8,25 г I в 50 мл эфира добавляют р-р 6 г VI и 5,6 г III в 50 мл эфира, встряхивают, нагревают 3 часа, выделяют VII, выход 48%, т. пл. 92° (из  $CH_3OH$ ). К суспензии 20 г I в 150 мл эфира, прибавляют по каплям при 0° 75 мл 10%-ного р-ра  $(CH_3)_3N$  в  $C_6H_6$ , через 10 мин. добавляют р-р 16,2 г IX в 30 мл эфира, перемешивают 2 часа и отфильтровывают триметиламмониевую соль X, к которой добавляют 200 мл воды и 15 мл конц. HCl в 50 мл воды, перемешивают 1 час и отфильтровывают X, выход 83%, т. пл. 165° (разл., из  $CH_3OH$ ). Суспензию 4 г X в 30 мл эфира насыщают на холоду HCl (газом), через 2 дня (0°) выливают в 200 мл воды и экстрагируют XI, выход 68%, т. пл. 185° (разл., из хлф.). К 4,5 г X в 100 мл эфира добавляют 30 г амальгамы Al и немного воды, перемешивают 2,5 часа, экстрагируют эфиром, остаток после отгонки эфира растворяют в этилацетате, обрабатывают разб. HCl, выделяют XII, выход 22%. Из р-ра XII в  $C_6H_6$  выделяют изомер с т. пл. 141–142° (из бал.); к упаренному на 50% р-ру прибавляют эфир, выделяется изомер с т. пл. 154°. К р-ру 6,6 г I в 100 мл этилацетата добавляют 10%-ный р-р  $(CH_3)_3N$  в  $C_6H_6$  и 25 мл р-ра HCHO в эфире, перемешивают 30 мин. промывают разб. HCl и водой, после отгонки р-р-теля выделяют XIII, выход 36%, т. пл. 151° (из  $CH_3OH$ ). Смесь 2,6 г XIV, 3,2 г 30%-ного HCHO и 80 мл  $CH_3OH$  и 1,8 г лед.  $CH_3COOH$ , прибавляют по каплям к р-ру 5 г I в  $CH_3OH$  и отфильтровывают XVIa, выход 80%, т. пл. 130° (разл.). Аналогично из 2,6 г XV, 3,2 г формалина, 1,8 г лед.  $CH_3COOH$ , 5 г I и 80 мл  $CH_3OH$  получают XVIb, выход 73%, т. пл. 122° (разл.); из 4,5 г 30%-ного р-ра  $(CH_3)_2NH$ , 3,2 г формалина, 1,8 г лед.  $CH_3COOH$  и 5 г I получен XVIg, выход 85%, т. пл. 120° (разл.). К 0,8 г VIII добавляют 20 мл эфир. р-ра HCHO и 1,65 г I в 60 мл эфира и отфильтровывают XVIh, выход 68%, т. пл. 95° (разл.). Р-р 5 г XVIa кипятят в избытке конц. HCl, отделяют  $C_6H_5COOH$  (2 г), из остатка после отгонки эфира выделен хлоридат пиперидиноуксусной к-ты. Аналогично из XVIg получен  $HCl \cdot (CH_3)_2NCH_2COOH$ . Л. К.

25556. **Высокотемпературное окисление 2,2,4-триметилпентана и 2,2-диметилбутана.** Раств., Колламер (The high temperature oxidations of 2,2,4-trimethylpentane and 2,2-dimethylbutane. Rust Frederick F., Collamer David O.), J. Amer. Chem. Soc., 1954, 76, № 4, 1055—1058 (англ.).

Показано, что р-ция окисления 2,2,4-триметилпентана (I) и 2,2-диметилбутана (II) протекает по свободнорадикальному механизму. Основные изменения состоят в распадах I и II до олефинов. При пропускании смеси I (6,75 моля, скорость 50 мл/мин) и  $O_2$  (3,39 моля, скорость 0,5 мл/мин) через никелевую трубку (2,5/60 см) при 450—475° образовались (в молях): вода (III) 3,26; CO (IV) 1,50; изобутилен (V) 1,49; метан (VI) 0,58; пропилен (VII) 0,41; ацетон (VIII) 0,18; формальдегид (IX) 0,14;  $CO_2$  (X) 0,12; ацетальдегид (XI) 0,12; этилен (XII) 0,11; окись изобутилена (XIII) 0,10; водород (XIV) 0,10; метилакролеин (XV) 0,9; изомасляный альдегид (XVI) 0,08; 2,2,4,4-тетраметилтетрагидрофуран (XVII) 0,05; окись 1-трет-бутил-2-метилтриметилена (XVIII) 0,047; изобутан (XIX) 0,047; пропан (XX) 0,034; 2-метилбутен-1 (XXI) 0,035; 2-метилбутен-2 (XXII) 0,021; 2,4,4-триметилпентен-1 (XXIII) 0,023; изобутиленгликоль (XXIV) 0,018; 2,5-диметилгексен (XXV) 0,007; 2,4,4-триметилпентен-2 (XXVI) < 0,003 и бутен-1 (XXVII), этан (XXVIII),  $\alpha$ -дикетон (XXIX), тетраметилметан (XXX), триметилацетальдегид (XXXI), 2,4-диметилпентен (XXXII), 4,4-диметилпентен (XXXIII) в кол-вах < 0,01 моля. Из смеси II (7,5 моля, скорость 63 мл/мин) и  $O_2$  (5,2 моля, скорость 0,5 мл/мин) при 420—450° образовались (в молях): III 4—5; IV 2,48; V 0,39; VI 0,915; VII 0,019; VIII 0,44; IX 0,12; X 0,25; XII 0,7; XIV 0,17; XV < 0,1; XXI 0,108; XXII 0,22; XXVIII 0,094; 3,3-диметилбутен-1 (XXXIV) 0,126; окись 1,2,2-триметилтриметилена (XXXV) 0,072; бутены, тиглиновый альдегид (XXXVI), метилизопропилкетон (XXXVII) в кол-вах < 0,1 моля, а также спирт и этиленгликоль. VIII, XI, XV, XVI, XXXI, и XXXVI идентифицировались в виде 2,4-динитрофенилгидразонов; IV, V, VI, VII, X, XII, XIV, XIX, XX, XXI, XXII, XXVII, XXVIII, XXX — по масс-спектрам; XIII, XXIII, XXVI и продукты гидрирования XXV, XXXII, XXXIII — по ИК-спектрам (для XVII, XVIII, XXXV и гидрированного XXV даны кривые ИК-спектров); IX определялся колориметрически с 1,8-диоксинафталин-3,6-дисульфокислотой; XXIX выделен в виде гликозида никеля. XVIII синтезирован дегидратацией  $H_2SO_4$  гликоля  $(CH_3)_2C(CH_2OH)CHONHCH(CH_3)_2$ . Механизм р-ции окисления состоит в том, что при 450° в присутствии  $O_2$  атакуются первичные Н-атомы метильных групп I (механизм инициирующего действия  $O_2$  не выяснен) и образуются неустойчивые свободные радикалы. Последние, претерпевая  $\beta$ -расщепление, дают олефины (V, VII, XXIII, XXV, XXXII, XXXIII) и осколки радикалов  $(CH_3)_2\dot{C}$ ,  $\dot{C}(CH_3)_2$ ,  $\dot{C}(CH_3)CH_2$  и др.). Осколки радикалов атакуют атомы Н других молекул и образуют VI, XIV, XIX, XXX, или в случае радикала типа изобутилен, теряя метильную группу, дают новые кол-ва V и VII. Высказано предположение, что образование углеродного скелета амиленов и XXV осуществляется путем скелетной изомеризации типа (A)  $\rightarrow$  (B) или (B)  $\rightarrow$  (Г), а не путем присоединения меньших радикалов к олефинам.



Параллельно с основной р-цией расщепления первоначальных радикалов протекает и р-ция соединения радикалов  $C_2$  с  $O_2$  и образования промежуточных

гидроперексидов. Как конечные продукты этой р-ции изолированы XVII и XVIII, представляющие практич. интерес, но та же р-ция может привести и к образованию олефинов  $C_7$ , которые претерпевают дальнейшее расщепление и не могут быть изолированы. XV, XVI и XXXI образовались через стадию гидроперексидов. Механизм окисления II аналогичен. X. Г.

25557. **Превращения бутадиена-1,3 на алюмосиликатном катализаторе.** Сергеев С. Р., Жданова Н. В., Докл. АН СССР, 1955, 104, № 5, 737—740. Изучено превращение бутадиена-1,3 (I) над алюмосиликатным катализатором (II) при 250° (100 мл II, скорость 17 л/час). При продолжительности опыта 4 часа выход жидкого катализата 33%, в 6-часовом опыте 27,7%, соответственно отложения II составляли 29,8 и 22,7%. При экстракции отложений на II бензолом получена твердая масса с мол. в. 707, С 89,94%, Н 9,10%. Жидкий катализат разогнался на колонке в 35 теоретич. тарелок; ~40% жидких углеводородов соответствует продуктам димеризации II, ~15% (т. кип. 97—120°) отвечает смеси предельных и непредельных алифатич. углеводородов. Соединения циклопентана отсутствуют. Фракции от 133 до 142° состоят на 90% из этилбензола (40%) и трех изомеров ксилола (50%). Около 1/3 катализата (т. кип. 151—300°) представляет собой, по видимому, продукты циклич. полимеризации I. Отдельные узкие фракции катализата охарактеризованы по  $n_D^{20}$ ,  $d_4^{20}$ , мол. весу, ионным числам, продуктам окисления и спектральным анализом. Л. П.

25558. **Свойства метиленовой группы с 1,4-диенах.** I. Каталитическая полимеризация пентадиена-1,4. Граммит, Чадд (Properties of the methylene group in 1,4-dienes. I. Catalytic polymerisation of 1,4-pentadiene. Grummitt Oliver, Chudd C. C.), J. Amer. Oil Chemists' Soc., 1955, 32, № 8, 454—459 (англ.).

В связи с проблемой полимеризации высыхающих масел, имеющих двойные связи, изучена полимеризация пентадиена-1,4 (I) в присутствии катализаторов — антрахиона (II), антрахион- $\beta$ -карбиновой к-ты (III),  $\beta$ -хлорантрахиона (IV),  $SO_2$  (V) и NaOH (VI) при 200—250°. Продуктами р-ции являются димеры (VII) и полимеры (VIII); обнаружены пентадиен-1,3 (IX) не удается. Активность катализаторов, определяемая по выходу VIII, уменьшается в ряду VI > V > IV > III > II. Изучено взаимодействие I с IX при 250° в присутствии II, V и VI; показано, что II и V слабо катализируют образование VIII, а VI катализирует образование VII и VIII. Рассмотрен механизм изомеризации I  $\rightarrow$  IX и высказано предположение, что катализ хинонами идет по радикальному механизму, а в случае V или VI — механизм полярный. Для получения I пропускают 5,48 моля сухого HCl (газа) в р-р 4,54 моля паральдегида в 4,34 моля этанола при —5°, отделяют верхний слой — этил- $\alpha$ -хлорэтиловый эфир (X), пропускают в него  $N_2$  и высушивают  $CaCl_2$ , выход 87—92%. К 3,92 моля X прибавляют 3,92 моля  $Brg_2$  (при охлаждении), затем пропускают  $N_2$ , получают этил- $\alpha$ ,  $\beta$ -дибромэтиловый эфир (XI), выход 66—73%, т. кип. 70—75°/27 мм,  $n_D^{20}$  1,5097—1,5102. X и XI — лакриматоры; X быстро гидролизуются на воздухе и осмоляются > 0°. Р-цией 2,5 моля XI с аллиламагнибромидом (10% избытка) в эфире получен  $\alpha$ -аллил- $\beta$ -бромэтиловый эфир (XII), выход 77—82%, т. кип. 72—75°/21 мм,  $n_D^{20}$  1,4606. 1,97 моля XII в 550 мл *n*-бутанола нагревают 5—6 час. с 8,4 г атома Zn-пыли и 2 г безводн.  $ZnCl_2$  (катализатор), отгоняя I, выход 72—76%, т. кип. 25,5—26°,  $n_D^{20}$  1,3887. IX получен дегидратацией пентен-3-ола-2



над  $\text{Al}_2\text{O}_3$  при  $460^\circ$ , выход 62%, т. кип.  $41,5-42,3^\circ$ ,  $n_D^{20}$  1,4309. Полимеризацию I (65 г в опыте) проводили в стальной бомбе с магнитной мешалкой. Продукты р-ции разделяли перегонкой. В фракции  $\text{C}_8$  практически отсутствовал IX, судя по УФ-спектру, а также по колориметрич. пробе с хлористым *n*-нитрофенилдиазонием. Тем не менее, наличие димера, т. кип.  $168-182^\circ$ ,  $n_D^{20}$  1,4672-1,4733, повидимому, указывает на то, что по крайней мере часть I изомеризуется в IX и затем наступает димеризация. Ниже приведены результаты опытов по полимеризации (перечисляются катализатор (в кол-ве 0,8%), т-ра в  $^\circ\text{C}$ , давление (начальное — конечное) в атм, время в часах, выход димера в %, выход полимера в %): —, 250, 62-57,7, 36, 1,5, 6,9; II, 195, 32,8 (нач.), 36, —, —; II, 225, 52,9-51,1, 36, 0,5, 4,9; II, 250, 65,7 (нач.), 12, 0,9, 16,5; II, 250, 65,7-54,7, 36, 2,8, 16,8; III, 250, 65,7-51,1, 36, 2,9, 22,3; IV, 250, 65,7-51,1, 36, 3,5, 21,1; V, 250, 65,7-40,1, 36, 6,2, 34,9; VI, 250, 65,7-29,2, 36, 18,3, 38,3. Смесь 10 г I и 10 г IX нагревали 36 час. при  $250^\circ$  (начальное давл. 25,5 атм); ниже перечисляются катализатор (в кол-ве 2,5%), выход димера в %, выход полимера в %: —, 23,5, 27,5; II, 21, 35,5; V, 19, 40,5; VI, 52, 37,5. IX в продуктах р-ции не обнаружен. Из полученных данных сделан вывод, что II и V в значительной степени катализируют изомеризацию — полимеризацию I, но в малой степени — взаимодействии I с IX.

А. Ф. 25559. Синтез гептадиена-2,4. Ратс, Шрайнер (Synthesis of 2,4-heptadiene. Rathsfred W., Shriner R. L.), Proc. Iowa Acad. Sci., 1953 (1954), 60, 304-307 (англ.)

При попытке синтезировать индивидуальный изомер гептадиена-2,4 (II) пиролизом 3,4-диацетоксигептана (II) получена смесь *цис-транс*-форм I, при разгонке которой выделен ряд фракций, дающих при гидрировании  $n\text{-C}_7\text{H}_{16}$ . Р-р 4 молей этилформиата в 500 мл эфира добавляли к 8,1 молю  $n\text{-C}_3\text{H}_7\text{MgBr}$  в 2,5 л абс. эфира, смесь обрабатывали обычным способом, получили гептанол-4, выход 74%, т. кип.  $57,0-57,5/10$  мм. Дегидратацией гептанола-4 ( $\text{Al}_2\text{O}_3$ ,  $300-310^\circ$ ) получили гептен-3, выход 84%, т. кип.  $94-95^\circ$ . К смеси 2,9 моля гептена-3 и 885 мл  $\text{HCOOH}$  при перемешивании ( $20^\circ$ , 5 час.) добавляли 3 моля 30%-ной  $\text{H}_2\text{O}_2$ , затем промывали насыщ. р-ром  $\text{FeSO}_4$ , органич. слой кипятили 1 час с 3 н. спирт. КОН,  $\text{C}_2\text{H}_5\text{ON}$  отмывали водой, получали смесь двух *dl*-изомеров гептадиола-3,4, выход 53,9%, т. кип.  $83-84,5/1$  мм,  $n_D^{26}$  1,4420, т. пл.  $75-85^\circ$ . Смесь 0,34 моля гептадиола-3,4, 2,05 моля  $(\text{CH}_3\text{CO})_2\text{O}$  и 1 мл пиридина нагревали при  $\sim 100^\circ$  12 час., выливали в воду, продукт отделяли, промывали насыщ. р-ром  $\text{Na}_2\text{CO}_3$  и разгоняли на колонке, выход II 4,9%, т. кип.  $91-98/1-1,5$  мм,  $n_D^{26}$  1,4239,  $d_4^{20}$  0,983. Пиролиз II проводили при  $585^\circ$  в токе  $\text{N}_2$ .

Л. П. 25560. Синтез разветвленных диацетиленовых углеводородов. Получение 2,2,5,5,8,8-гексаметиленнадина-3,6. Захарова А. И., Мурашов Г. М., Ж. общ. химии, 1955, 25, № 8, 1453-1458. 2,2,5,5,8,8-гексаметиленнадин-3,6 (I) синтезирован по стадиям: из *мет*-бутилацетилен (II) и ацетона получен 2,2,5-триметилгексин-3-ол-5 (III), который ранее описанным способом (Захарова А. И., Ж. общ. химии, 1947, 17, 686) превращен в 2,2,5-триметил-5-хлоргексин-3 (IV). Конденсацией IV с  $\text{MgBr-мет-бутилацетиленом}$  (V) в присутствии  $\text{HgCl}_2$  и  $\text{Cu}_2\text{Cl}_2$  получены I и  $\text{C}_9\text{H}_{14}$  (VI). Строение I доказано получением при его окислении  $\text{C}(\text{CH}_3)_3\text{COOH}$  и  $\text{C}(\text{CH}_3)_2(\text{COOH})_2$ . При гидрировании I над  $\text{PdCl}_2/\text{CaCO}_3$  присоединяется 4 моля  $\text{H}_2$ . Исследование спектров комб. расс. света показало наличие  $\text{C}\equiv\text{C}$  связи в I,  $\text{C}=\text{C}$  и  $\text{C}\equiv\text{C}$  связей в VI,

на основании чего VI приписано строение 2,5,5-триметилгексен-1-ина-3. Конденсация магнийбромалкинов-1 с третичными ацетиленовыми хлоридами типа  $\text{R}_2\text{CClC}\equiv\text{CCR}_2$  предлагается в качестве метода синтеза разветвленных диацетиленовых углеводородов. К 150 г КОН в 200 мл абс. эфира при перемешивании добавляют (4 часа,  $0^\circ$ ) смесь 0,5 моля II и 0,5 моля ацетона в 50 мл эфира, перемешивают 12 час. и разлагают водой, получают III. Из 62 г III обработкой  $\text{HCl}$  (газ) получен IV. К  $\text{C}_2\text{H}_5\text{MgBr}$  (из 12 г Mg, 65 г  $\text{C}_2\text{H}_5\text{Br}$  и 200 мл абс. эф.) при перемешивании и охлаждении добавляют (4 часа) 41 г II в 50 мл эфира, оставляют 8 час. на холоду и нагревают ( $30-38^\circ$ ) до окончания выделения  $\text{C}_2\text{H}_6$ . К полученному V добавляют при охлаждении и перемешивании 1 г  $\text{Cu}_2\text{Cl}_2$ , 1 г  $\text{HgCl}_2$  и 40 г IV, перемешивают 3 дня, разлагают разб.  $\text{HCl}$ , при перегонке получают I и VI. I не окисляется при кипячении (3 дня) с 1%-ным р-ром  $\text{KMnO}_4$ . Приведены в-во, выход в %, т. кип. в  $^\circ\text{C}$ , т. пл. в  $^\circ\text{C}$ ,  $n_D$ ,  $n_D$ ,  $n_D^{20}$  (в скобках указана т-ра); I, 80 (считая на IV), 82/15 мм, 74/5 мм, 46, 1,41735 (50), 1,41469 (50), 1,42356 (50), 1,43293 (50),  $d_4^{20}$  0,7482; II, 88,6, 52/10 мм, 62/17 мм, 34, 1,42448 (35), 1,42190 (35), 1,43057 (35), 1,43991 (35); IV, 85,5, 72/70 мм, —, 1,43598 (20), 1,43322 (20), 1,44285 (20), 1,45194 (20); VI, 20, 58/100 мм, —, 1,43851 (20), 1,43460 (20), 1,44704 (20), 1,45697 (20),  $d_4^{20}$  0,7825,  $d_4^{20}$  0,7682.

Н. В. 25561. Термическое хлорирование нефтяного октана и *n*-нона. Галанна Р. С., Некрасов А. С., Укр. хим. ж., 1955, 21, № 3, 331-334. Исследовано термич. хлорирование выделенных из нефти *n*-октана (I) и *n*-нона (II) в условиях, описанных ранее (РЖХим, 1953, 3006; 1955, 45787). Максимумы (98,5%) получены для монохлороктана (III) при  $240-260^\circ$ , для монохлорнона (IV) при  $250^\circ$ . Приход III и IV повышается с увеличением избытка I и II. Оптимальные условия: отношение I и II к  $\text{Cl}_2$  10 : 1, объемные скорости для I и II соответственно 14 и 18 л/л объема в час; процесс идет легче с II, чем с I. При протекании р-ции в паровой фазе на  $\text{Cl}_2$  замещаются легче атомы H при первичных, а в жидкой фазе — при вторичных атомах C. Получены (перечисляются хлорид, выход в %, т. кип. в  $^\circ\text{C}$ ,  $n_D^{20}$ ,  $d_4^{20}$ ): *перв.-III*, 60, 182-185, 1,4320, 0,8720; *втор.-III*, 40, 172-175, 1,4400, 0,8880; *перв.-IV*, 54, 202-205, 1,4440, 0,8980; *втор.-IV*, 46, 193-200, 1,4350, 0,8640.

А. Т. 25562. Новый метод получения 4-хлор-1-бромбутана. Сервинь, Сарваши, Нёви (Nouveau procédé de préparation du bromo-1 chloro-4 butane. Servigne Marcel, Szarvasi Etienne, Neuvy Liliane, m-lle), C. r. Acad. sci., 1955, 241, № 15, 963-964 (франц.)

Разработан метод получения 4-хлор-1-бромбутана (I) бромированием неочищ. продукта р-ции тетрагидрофурана (II) с  $\text{HCl}$  (газом). Через 6,95 моля кипящего II в присутствии следов  $\text{ZnCl}_2$  пропускают 20 л/час  $\text{HCl}$ , пока т-ра жидкости не поднимется до  $106^\circ$ , выход 8-хлорбутанола (III) 96%. Выход III из II и  $\text{HCl}$  (к-ты)  $\sim 34\%$ . К 16 молям сырого III и 168 г красного P прибавляют по каплям 1728 г брома при  $0-20^\circ$ , затем нагревают при  $100^\circ$  и перегоняют с водяным паром. I отделяют, водн. слой экстрагируют 1800 мл  $\text{C}_6\text{H}_6$ ; вытяжку соединяют с I, отгоняют  $\text{C}_6\text{H}_6$  и остаток перегоняют в вакууме в присутствии 16 г диэтилоамины; выход I 69-72,2%, т. кип.  $59-62/10$  мм,  $n_D^{25}$  1,4892,  $d_4^{24}$  1,5348.

Л. К. 25563. Алильные хлориды. XXII. 1,3-дихлорбутены-2. Хатч, Перри (Allylic chlorides. XXII.

The 1,3-dichloro-2-butenes. Hatch Lewis F., Perry Robert H., Jr, J. Amer. Chem. Soc., 1955, 77, № 5, 1136—1138 (англ.)

Предложен способ получения двух изомеров  $\alpha$ - и  $\beta$ -1,3-дихлорбутена-2 (Ia, б) из ацетоуксусного эфира

(II) по схеме:  $\text{CH}_3\text{COCH}_2\text{COOC}_2\text{H}_5 \xrightarrow{\text{PCl}_5} \text{CH}_3\text{CCl} = \text{CHCOOC}_2\text{H}_5 \xrightarrow{\text{LiAlH}_4} \text{CH}_3\text{CCl} = \text{CHCH}_2\text{OH} \xrightarrow{\text{PCl}_5} \text{CH}_3\text{CCl} = \text{CHCH}_2\text{Cl}$ ; доказано их строение, определена реакционная способность Cl. К 500 г II в 500 мл  $\text{C}_6\text{H}_6$  2,5 часа прибавляют 700 г  $\text{PCl}_5$  (охлаждение льдом), после обработки смеси 500 мл воды выделяют этиловый эфир  $\beta$ -хлоризокроновой к-ты (III), выход 23%, т. кип. 48°/10 мм,  $n_D^{17.9}$  1,4548,  $d_4^{20}$  1,0885. После удаления III 200 г остатка гидролизуют (кипение 8 час. с 1 л 50%-ной HCl) и получают  $\beta$ -хлоркроновую к-ту (IV), выход 40%, т. пл. 94—95°; после этерификации (HCl в спирте) выделяют этиловый эфир  $\beta$ -хлоркроновой к-ты (V), выход 80%, т. кип. 179—180°/745 мм,  $n_D^{20}$  1,4587,  $d_4^{20}$  1,1060. При восстановлении 0,187 моля V 4,2 г  $\text{LiAlH}_4$  в абс. эфире получают  $\alpha$ -3-хлорбутен-2-ол-1 (VIa), выход 85%, т. кип. 62,5°/10 мм,  $n_D^{25}$  1,4653,  $d_4^{25}$  1,0940. При восстановлении 0,57 моля III 13 г  $\text{LiAlH}_4$  получают  $\beta$ -3-хлорбутен-2-ол-1 (VIb), выход 90%, т. кип. 67,5°/10 мм, 77—78°/20 мм,  $n_D^{25}$  1,4712,  $d_4^{25}$  1,1122. Дегидрохлорирование VI осуществляют нагреванием с 30%-ным р-ром NaOH при 112° (указаны время нагревания в час., выход VIa и VIb в %): 2, 54, 18; 4, 59, 25; 6, 61, 25. Из 0,47 моля VIa и 0,11 моля пиридина (прибавление 0,2 моля  $\text{PCl}_5$  при 5° 1,5 часа, перемешивание при ~20° 2 часа) получают Ia, выход 75%, т. кип. 35°/20 мм, 127,6°/749 мм,  $n_D^{25}$  1,4695,  $d_4^{25}$  1,1530; 3,5-динитробензоат, т. пл. 75°. Строение Ia доказано превращением его в транс-2-хлорбутен-2 (при р-ции с  $\text{LiAlH}_4$  в абс. эфире, прибавление 3 часа и кипение 3 часа), выход 98%, т. кип. 61°/744 мм,  $n_D^{20}$  1,4190,  $d_4^{20}$  0,9139. Аналогичным путем из VIb был получен Ib, выход 89%, т. кип. 40°/20 мм, 133°/747 мм,  $n_D^{20}$  1,4791,  $n_D^{25}$  1,4470,  $d_4^{25}$  1,1620; 3,5-динитробензоат, т. пл. 60—61°. Строение Ib доказано превращением его в цис-2-хлорбутен-2, выход 72%. Исследован ИК-спектр Ia, б, III, V и VIa, б. Приведены кинетич. данные (ср. J. Amer. Chem. Soc., 1949, 71, 1041) для р-ции Ib с KJ в ацетоне при 20° и с  $\text{C}_2\text{H}_5\text{ONa}$  в  $\text{C}_2\text{H}_5\text{OH}$  при 50°, которые подтверждают прежнее наблюдение, что относительная реакционная способность соединений этого типа повышается, когда 1 или 2 атома H при  $\text{C}_{(1)}$  в аллилхлориде замещаются электроотталкивающими или притягивающими группами. Сообщение XXI см. РЖХим, 1956, 9741.

25564. О синтезе хлоропрена из ацетилена. Николлинский, Стриад (Příspěvek k synthese chloroprenu z acetylenu. Nikolin'ski Petko D., Strnad F.), Chem. průmysl, 1955, 5, № 10, 430—431 (чеш.).

Болгарскими химиками разрешен ряд проблем при-зав хлоропрена (I). Винилалетил (II) адсорбируют из смеси его с высшими полимерами ацетилена (III) активированным углем (IV) из миндальной скорлупы, обработанной  $\text{ZnCl}_2$ . IV адсорбирует из паров 32—34% и 40% II от веса IV при избыточном давлении 12 и 500 мм соответственно; из обычной смеси, получаемой при полимеризации  $\text{C}_2\text{H}_2$  (12% II, 3—4% III, 1% воды и 0,3%  $\text{CH}_3\text{CHO}$ ) IV адсорбирует при 12 и 500 мм 18—20% и 24—26% II. Десорбция II прово-

дится пропусканием насыщ. или перегретого водяного пара с последующей просушкой IV в вакууме при 160—180°, потери II 1%. Регенерация после 30—50 циклов — продувка водяным паром при 800—900°. В полимеризацию вводят смесь  $\text{C}_2\text{H}_2$ - $\text{C}_6\text{H}_6$  (пар), выход II 60% за проход, отношение II : III = 90 : 10. III используют для сополимеризации с полувывсыхающими маслами при получении пленок. I и II стабилизируют добавкой  $\text{NO}_2$ , действие которого элиминируется отмывкой водой. Н. К.

25565. Получение и свойства 1,4-динодбутина, как пример 1,4-присоединения к бутатриену. Вилле, Дирр, Кербер (Darstellung und Eigenschaften des 1,4-Dijodbutins, ein Beispiel für die 1,4-Addition des Butatriens. Wille Franz, Dirr Karl, Kerber Horst), Liebigs Ann. Chem., 1955, 591, № 3, 177—191 (нем.).

Исследована реакционная способность бутатриена (I) в р-циях 1,4-присоединения. I вместе с некоторым кол-вом бутадина-1,3 (II) получен из 1,4-дихлорбутина (III) в присутствии Zn в абс. спирте при нагревании до 70°. При применении в качестве р-рителя диэтилового эфира гликоля выход I повышается. I легко полимеризуется и устойчив только при низких т-рах или в спирт. р-ре. I легко присоединяет  $\text{Cl}_2$  и  $\text{Br}_2$ , образуя соответственно 1,2,3,4-тетрахлорбутан, т. пл. 74—75° (из водн. сп.), и 1,2,3,4-тетрабромбутан (IV), т. пл. 117—118° (из сп.). При применении в качестве р-рителя  $\text{CCl}_4$  из I и  $\text{Br}_2$  при охлаждении образуется 1,2,3,4-тетрабромбутен-2, т. пл. 68—69,5°. Спирт. р-р I дает с иодом 1,4-динодбутин (V), т. пл. 54—56°, легко полимеризующийся при стоянии на воздухе в течение нескольких часов. ИК-спектр V в  $\text{CHCl}_3$  показывает слабые линии между 4,42 и 4,76  $\mu$  ( $\text{C} \equiv \text{C}$ ). Из V в абс. эфире при —80° и этиламина получен 1,4-диэтиламинобутин, выход 28,8%, т. кип. 98°/10 мм; диникрат, т. пл. 210—211°. При действии на V диэтиламина в абс. эфире образуется 1,4-бис-диэтиламинобутин-2 (VI), выход 64%, т. кип. 110°/10 мм; диникрат, т. пл. 180—181° (из водн. сп.). Из V в абс.  $\text{C}_6\text{H}_6$  при —40° и пиперидина получен 1,4-дипиперидинобутин-2, т. кип. 127°/0,4 мм; диникрат, т. пл. 205—206° (разл.; из водн. сп.). Пирролидин при р-ции с V в эфире дает 1,4-дипирролидинобутин-2, выход 48%, т. кип. 96—97°/0,02 мм. Диаминны, полученные из V, идентичны с диаминными, полученными из III, и показывают линию  $\text{C} \equiv \text{C}$  при 4,5  $\mu$ . Из *n*-толилизмеркаптана и V в абс.  $\text{C}_6\text{H}_6$  образуется 1,4-диноддиэтилмеркаптобутан, т. пл. 132,5° (из сп.), а из V и малеинового ангидрида (VII) в абс.  $\text{C}_6\text{H}_6$  — 3,4-динод-1,2,5,6-тетрагидрофталевый ангидрид (VIII), т. пл. 181—182° (из баль-петр. эф.), который в присутствии воды дает 3,4-динод-1,2,5,6-тетрагидрофталевую к-ту, т. пл. 221—222° (разл.; из изопропилового спирта-воды). III с  $\text{NaI} + \text{CH}_3\text{OH}$  при нагревании дает V. При действии на V *n*-бензохинона образуется 6,7-динод-5,8,9,10-тетрагидрофтохинон-1,4 (IX), выход 12%, т. пл. 186° (разл.; из сп.- $\text{CH}_3\text{COOH}$ ); 2,4-динитрофенилгидразон, т. пл. 257° (разл.; из нитробензола-сп.). III и 1,4-дибромбутин не взаимодействуют с VII и бензохиноном. При нагревании III с KJ в  $\text{CH}_3\text{OH}$  или V с KJ в ацетоне получается 2,3-динодбутадиев-1,3 (X), т. кип. 48°/0,05 мм, полимеризующийся при перегове. X реагирует с VII, образуя VIII, с *n*-бензохиноном — IX, с диэтиламино — VI. При присоединении хлора к III получается 1,2,3,4-тетрахлорбутен-2 (XI), т. кип. 85—87°/10 мм, т. пл. 34°. При проведении этой р-ции в среде  $\text{CCl}_4$  наряду с XI образуется 1,2,2,3,3,4-гексахлорбутан, т. пл. 106,5°. При нагревании с  $\text{J}_2$  при 80° в течение 15 час. III дает 1,4-дихлор-2,3-динодбутен-2 (XII), т. пл. 121—123° (из  $\text{CH}_3\text{COOC}_2\text{H}_5$ ). При действии

HBr на бутиндиол при 60–70° получен 1,4-трибромбутен-2, выход 92%, т. кип. 80°/0,1 мм. При взаимодействии V с Br<sub>2</sub> в CCl<sub>4</sub> образуется 1,4-дибром-2,3-дибромбутен-2 (XIII), т. пл. 108° (из сл.). X в среде CCl<sub>4</sub> присоединяет Br<sub>2</sub>, образуя 1,4-дибром-2,3-дибромбутен-2, т. пл. 104–115°. 1,4-дихлор-2,3-дибромбутен-2 и XIII, при взаимодействии с NaI в ацетоне дают 2,3-дибромбутандиен-1,3, т. кип. 42°/10 мм; 1,4-дибром-2,3-дибромбутен-2 и XII в тех же условиях дают X. Из 1,4-дибромбутена-2 с NaI в ацетоне получен II, который идентифицирован в виде IV. И. С. 25566.

**Гидроксипирование ненасыщенных соединений. 1. Синтез и гидроксипирование октадекадиен-7,9-ола-1.** Фудзисэ, Сасаки (不飽和化合物の水酸化. 第1報. 7,9-オクタデカジエン-1-オールの合成とその水酸化. 藤瀬新一郎, 佐々木眞一), 日本化学雑誌, Нихон какаку дзасси, J. Chem. Soc. Japan, 1953, 74, № 7, 579–580 (япон.).

28 г октадецен-9-ола-1 и 19 г N-бромсукцинимиды в 100 мл CCl<sub>4</sub> кипятили 4 часа в атмосфере N<sub>2</sub> и обрабатывали продукт р-ции C<sub>6</sub>H<sub>5</sub>N(CH<sub>3</sub>)<sub>2</sub>; выход октадекадиен-7,9-ола-1 (I) 9,5 г, т. кип. 140–141°/0,02 мм; аддукт с малеиновым ангидридом, т. пл. 83,5–84°. К 8,9 г I в 50 мл CH<sub>3</sub>COOH прибавляли 11 г 30%-ной H<sub>2</sub>O<sub>2</sub>, смесь нагревали 2 часа при 75°, прибавляли 10 г H<sub>2</sub>O<sub>2</sub> и нагревали еще 4 часа при 100°, отгоняли в вакууме р-ритель, добавляли эфир, охлаждали до –10°, выход октадеканпентаола-1,7,8,9,10 (II) 0,8 г, т. пл. 122–123° (из ацетона). К смеси 30%-ной H<sub>2</sub>O<sub>2</sub> и CH<sub>3</sub>COOH добавляли I, отгоняли воду при 20–30°/15–20 мм, нагревали смесь 3 часа при 100° и перекристаллизацией полутвердого в-ва из ацетона получили 7,8-эпоксиоктадецен-9-ол-1 (III), т. пл. 114,5–115,5°. При гидролизе III 0,5 н. спирт. р-ром KOH получили II, который с (CH<sub>3</sub>COO)<sub>4</sub>Pb дал 7-оксипентааналь. Chem. Abstrs, 1954, 48, № 19, 11294d. K. Nakanishi 25567.

**α,α'-Диацетиленовые конъюгированные асимметричные гликоли.** Ходкевич, Кадью, Вильмар (Glycols α,α'-diacetyleniques conjugués dissymétriques. Chodkiewicz Wladyslaw, Cadiot Paul, Willemart Antoine), C. r. Acad. sci., 1955, 241, № 2, 212–214 (франц.).

Синтезированы α,α'-диацетиленовые сопряженные асимметричные гликоли (I) конденсацией α-диацетиленового спирта (II) и кетонов (III) в присутствии KOH в тетрагидрофуране (метод А) или KNH<sub>2</sub> в жидком NH<sub>3</sub> (метод Б): R<sup>1</sup>R<sup>2</sup>C(OH)C≡CC≡CH I + R<sup>3</sup>COR<sup>4</sup> III → R<sup>1</sup>R<sup>2</sup>C(OH)C≡CC≡C—C(OH)R<sup>3</sup>R<sup>4</sup> I; р-ция обратима, наряду с асимметричными гликолами образуются и симметричные: R<sup>1</sup>R<sup>2</sup>C(OH)C≡CC≡C—C≡C(OH)R<sup>3</sup>R<sup>4</sup> II + R<sup>3</sup>R<sup>4</sup>C(OH)C≡CC≡C—C≡C(OH)R<sup>3</sup>R<sup>4</sup> напр., I R<sup>1</sup> = R<sup>2</sup> = R<sup>3</sup> = R<sup>4</sup> = CH<sub>3</sub> и I R<sup>1</sup> = R<sup>2</sup> = R<sup>3</sup>, R<sup>4</sup> = дифенилен. Синтезированы I: C<sub>30</sub>H<sub>20</sub>O<sub>2</sub> из II [R<sup>1</sup> = R<sup>2</sup> = C<sub>6</sub>H<sub>5</sub> (IV)] и флуоренона (V) (Б, –60°, 1 час), выход 90%, т. пл. 152°; C<sub>31</sub>H<sub>24</sub>O<sub>2</sub> из IV и C<sub>6</sub>H<sub>5</sub>COC<sub>10</sub>H<sub>7</sub>-(β) (Б, –50°, 2 часа), выход 78%, масло; C<sub>28</sub>H<sub>20</sub>O<sub>2</sub>S из IV и C<sub>6</sub>H<sub>5</sub>COC<sub>6</sub>H<sub>5</sub>S-(α) (А, –40°, 2 часа), выход 70%, т. пл. 150°; C<sub>32</sub>H<sub>26</sub>O<sub>4</sub> из II R<sup>1</sup> = R<sup>2</sup> = n-CH<sub>3</sub>OC<sub>6</sub>H<sub>4</sub> и (C<sub>6</sub>H<sub>5</sub>)<sub>2</sub>CO (Б, –80°, 1 час), выход 50%, т. пл. 168°; C<sub>20</sub>H<sub>16</sub>O<sub>2</sub> из II [R<sup>1</sup> = R<sup>2</sup> = CH<sub>3</sub> (VI)] и V (Б, –80°, 30 мин.), выход 85%, т. пл. 153°; C<sub>11</sub>H<sub>22</sub>O<sub>2</sub> из VI и CH<sub>3</sub>COC<sub>6</sub>H<sub>5</sub> (Б, –80°, 15 мин.) выход 78%, т. пл. 86°; C<sub>14</sub>H<sub>22</sub>O<sub>2</sub> из VI и (C<sub>6</sub>H<sub>5</sub>)<sub>2</sub>CO (Б, –80°, 20 мин.), выход 72%, т. пл. 75°; C<sub>16</sub>H<sub>22</sub>O<sub>2</sub> из II (R<sup>1</sup> = H, R<sup>2</sup> = CH<sub>3</sub>) и V (А, 0°, 3 мин.), выход 84%, т. пл. 150°; C<sub>14</sub>H<sub>18</sub>O<sub>2</sub> из II (R<sup>1</sup> = R<sup>2</sup> = H) и V (А, 20°, 1 мин.), выход 39%, т. пл. 140°. Г. М. 25568.

**α,β-Ненасыщенные альдегиды и родственные соединения. Часть VII. Термическое расщепление 1,1,3-триалкоксипропанов.** Холл, Стерн (Unsaturated aldehydes and related compounds. Part VII. Thermal fission of 1,1,3-trialkoxypropanes.

Hall R. H., Stern E. S.), J. Chem. Soc., 1955, Aug., 2657–2666 (англ.).

1,1,3-триалкоксипропаны общей ф-лы R'OCH<sub>2</sub>CH(R'')CH(OR''')<sub>2</sub> — 1,1,3-триметокси-(I), 1,1,3-триэтоккси-(II), 1,1,3-три-*n*-пропокси-(III), 1,1,3-три-*iso*-пропокси-(IV), 1,1,3-три-*n*-бутокси-(V), 1,1,3-триэтоккси-2-метил-(VI), 1,1-дибутоккси-3-этокси-(VII) и 1,1-диэтоккси-3-бутоксипропан (VIII) при нагревании в присутствии катализатора (диизопропилсульфат, 350°) теряют молекулу спирта и превращаются в смесь непредельных ацеталей CH<sub>2</sub>=CR'CH(OR'')<sub>2</sub> и *cis*- и *trans*-1,3-диалкоксипропанов R'OCH<sub>2</sub>CH(R'')=CHOR'''. Относительное содержание ацетали к 1,3-диалкоксипропану в продуктах р-ции зависит от природы алкоксигрупп. Более жесткие условия р-ции благоприятствуют образованию ацетали вследствие изомеризации диалкоксипропана при пиролизе. Полученные ацетали и 1,3-диалкоксипропаны присоединяют спирты в присутствии кислотных катализаторов с образованием исходных 1,1,3-триалкоксипропанов. 1,1,3-триацетоксипропан (IX), подобно 1,1,3-триалкоксипропанам, расщепляется при пиролизе с образованием алилдидиацетата (X) (42%) и 1,3-диацетоксипропана (XI) (14%). Гидрированием соответствующих 1,3-диалкоксипропанов, а также XI, получают 1,3-диметокси-(XII), 1,3-диэтоккси-(XIII), 1,3-ди-*n*-пропокси-(XIV), 1,3-ди-*iso*-пропокси-(XV), 1,3-дибутоккси-(XVI), 1-бутокси-3-этокси-(XVII) и 1,3-диэтокси-2-метилпропан (XVIII), а также 1,3-диацетоксипропан (XIX). Изучено влияние времени контакта, т-ры, конц-ии катализатора и соотношения катализатор: хинолин (нейтрализующий агент) на пиролиз II. Для получения VII 124 г β-этоксипропанового альдегида, 500 мл *n*-бутанола, 1 мл конц. H<sub>2</sub>SO<sub>4</sub> и 5 г CaCl<sub>2</sub> выдерживают 10 дней при ~20° и затем, перемешивая, 2 дня с 10 г CaO, добавляют еще 15 г CaCl<sub>2</sub> и перегонкой выделяют VII, выход 70%, т. кип. 122°/11 мм, 96°/0,5 мм, *n*<sub>D</sub><sup>20</sup> 1,4207. Р-цией 92 г β-бутоксипропанового альдегида с этанолом (450 мл) в присутствии 1 г HCl (газа) и 5 г CaCl<sub>2</sub> (72 часа) получен VIII, выход 70%, т. кип. 100°/10 мм, *n*<sub>D</sub><sup>20</sup> 1,4141. Синтез I—VI описан ранее (РЖХим, 1955, 45788). Для получения IX добавляли 4 моля акролеина к р-ру 0,5 г H<sub>2</sub>SO<sub>4</sub> в 500 г (CH<sub>3</sub>CO)<sub>2</sub>O при т-ре ниже 40°, смесь выдерживают 4 часа при 40°, прибавляют 1820 г CH<sub>3</sub>COOH, оставляют на 12 час. при 50°, перегонкой выделяют X, выход 47%, т. кип. 71°/10,5 мм, *n*<sub>D</sub><sup>20</sup> 1,4204, XI, выход 9%, т. кип. 56°/0,3 мм, *n*<sub>D</sub><sup>20</sup> 1,4422, и IX, выход 9,5%, т. кип. 90°/0,3 мм, *n*<sub>D</sub><sup>20</sup> 1,4270. Пиролиз 1,1,3-триалкоксипропанов проводят в пирексовой трубке в атмосфере N<sub>2</sub>. В типичном опыте 1,86 моля II смешивают с хинолином (3 мол. %) и диизопропилсульфатом (0,1 мол. %) и вводят со скоростью 45 мл/час в трубку, нагретую до 350° (время контакта 56 сек.). Продукты р-ции выделяют перегонкой. Ниже перечисляются исходный 1,1,3-триалкоксипропан, продукты пиролиза — ацеталь (выход в %, т. кип. в °C/мм, *n*<sub>D</sub><sup>20</sup>), 1,3-диалкоксипропан (выход в %, т. кип. в °C/мм, *n*<sub>D</sub><sup>20</sup>): I, диметилацеталь акролеина (XX), 38, 87,5–88/750, 1,3962, 1,3-диметоксипропан, 56, 64/98, 1,4202; II, диэтилацеталь акролеина (XXI), 44, 55/67, 1,4012, 1,3-диэтоксипропан (XXII), 42, 55/18, 1,4238; III, ди-*n*-пропилацеталь акролеина, 43, 52–53/12,5, 1,4120, 1,3-дипропоксипропан, 45, 73/12, 1,4287; IV, диизопропилацеталь акролеина, 33, 38,5/12, 1,4053, 1,3-диизопропоксипропан, 56, 62,5/12, 1,4225; V, дибутилацеталь акролеина (XXIII), 40, 83/9, 1,4204, 1,3-дибутоксипропан, 41, 5, 110/16, 1,4348; VI, диэтилацеталь метакролеина, 48,5, 32/12, 1,4083, 1,3-диэтокси-2-метилпропан, 34,



54/14, 1,4259; VII, XXIII, 45, —, —, 1-буктокси-3-этоксипропен, 38, 80—80,5/10, 1,4286; VIII, XXI, 7, —, —, 1-этоксипропен-3-буктоксипропен, 71, 72,5—74/10, 1,4296. В ИК-спектрах 1,3-диалкоксипропенов, представляющих собой смесь *цис*- и *транс*-изомеров, имеются пики при 746 (*цис*-изомер), 938 (*транс*-изомер) в 1660—1665  $\text{см}^{-1}$ . Гидрированием соответствующих 1,3-диалкоксипропенов, а также XI над скелетным Ni при обычной т-ре и давлении, в спирт. среде или в этилацетате, получены следующие в-ва (приведены в-ва, т. кип. в  $^{\circ}\text{C}/750 \text{ мм}$ ,  $n_D^{20}$ ): XII, 105—105,5/756  $\text{мм}$ , 1,3898; XIII, 140—141, 1,3980; XIV, 165, 1,4080; XV, 159—160, 1,4015; XVI, 213, 97°/11  $\text{мм}$ , 1,4170; XVII, 182, 1,4100; XVIII, 145, 1,4012; XIX 207/748  $\text{мм}$ , 1,4200. XXII (13 г) при взаимодействии с 10 г этанола, содержащего 1 г HCl (газа), дает II с выходом 91%. Показано, что XXII в условиях пиролиза частично изомеризуется (37%) в XXI. 1,1,3-триэтоксипропан, в отличие от 1,1,3-триалкоксипропанов, разлагается при 350°. Пиролиз II в присутствии  $(\text{CH}_3)_2\text{SO}_4$ ,  $\text{H}_2\text{SO}_4$ ,  $(\text{NH}_4)_2\text{SO}_4$  и фуллеровой земли как катализаторов также дает XXI и XXII. При пиролизе I над  $\text{Al}_2\text{O}_3$  образуется немного XX и лишь 1,5% 1,3-диметоксипропена. Сообщение VI см. РЖХим, 1956, 9785. А. Ф.

25569. Одновременный синтез двух изомерных хлоркетонов  $\text{RCHClCOCH}_3$  и  $\text{RCH}_2\text{COCH}_2\text{Cl}$ . Прево, Гаони (Sur la préparation simultanée des deux chlorocétones isomères  $\text{R}-\text{CHCl}-\text{CO}-\text{CH}_3$  et  $\text{R}-\text{CH}_2-\text{CO}-\text{CH}_2\text{Cl}$ . Prévost Charles, Gaoni Yehiel), C. r. Acad. sci., 1955, 240, № 23, 2243—2245 (франц.).

Найдено, что при превращениях  $\text{RMgX} + \text{CH}_2 = \text{CHCHO} \rightarrow \text{RCHONCH}=\text{CH}_2 \xrightarrow{\text{PCl}_2} \text{RCHClCH}=\text{CH}_2$  ( $+\text{RCH}=\text{CHCH}_2\text{Cl}$ )  $\xrightarrow{\text{Cl}_2}$   $\text{RCHClCHClCH}_2\text{Cl}$   $\xrightarrow{\text{K}_2\text{CO}_3}$   $\text{RCHClCCl}=\text{CH}_2$  (I) +  $\text{RCH}=\text{CClCH}_2\text{Cl}$  (II) I и II

образуются в почти равных кол-вах и могут быть разделены перегонкой на колонке эффективностью 30 теоретич. тарелок. Гидролиз I и II (растворение на холоду в избытке конц.  $\text{H}_2\text{SO}_4$ , разбавление водой, частичная нейтр-ция, перегонка с паром) приводит к получению изомерных хлоркетонов  $\text{RCHClCOCH}_3$  (III) и  $\text{RCH}_2\text{COCH}_2\text{Cl}$  (IV). Описаны следующие III (перечислены R, т. кип. в  $^{\circ}\text{C}/\text{мм}$ ,  $n$  (т-ра),  $d$  (т-ра):  $\text{H}$ , 119/760, 1,434 (19,5), 1,148 (19,5);  $\text{CH}_3$ , 34/33, 1,4255 (12), 1,063 (12);  $\text{C}_2\text{H}_5$ , 34/16, 1,1429 (?) (18), 1,022 (18); IV,  $\text{CH}_3$ , 39/13, 1,439 (17,5), 1,1006 (17,5);  $\text{C}_2\text{H}_5$ , 50/15, 1,455 (14), 1,086 (14). А. Т.

25570. Получение 4-метоксипропен-2-аля, нового диенофила, и заметки, о родственных соединениях. Итикадзакки, Яо, Фудзита, Хасэба (The preparation of 4-methoxy-2-butenal, a new dienophile, and notes on related compounds. Ichikazaki Iwao, Yao Ching-Chun, Fujita Yutaka, Hasebe Yoshihiko), Bull. Chem. Soc. Japan, 1955, 28, № 1, 80—83 (англ.).

$\text{CH}_3\text{OCH}_2\text{CH}=\text{CHCHO}$  (I) был получен по схеме:  $\text{HOCH}_2\text{CH}=\text{CHCHO} \rightarrow \text{CH}_3\text{OCH}_2\text{CH}=\text{CHCHO} \rightarrow \text{CH}_3\text{O}-\text{CH}_2\text{CH}=\text{CHCHO} \rightarrow \text{I}$ . При нагревании I с  $\text{CH}_2 = \text{C}(\text{CH}_3)_2\text{C}(\text{CH}_3)=\text{CH}_2$  (II) в запаянной трубке при 140° образуется 4,5-диметил-2-метоксиметилциклогексен-4-карбоксальдегид-1 (III). К охлажд. р-ру 3,2 г  $(\text{C}_2\text{H}_5)_2\text{NH}$  в 25 мл сухого эфира постепенно добавляли 5 г  $\text{BrCH}_2\text{CH}=\text{CHCH}(\text{OCOC}_2\text{H}_5)_2$ , получено  $(\text{C}_2\text{H}_5)_2\text{NCH}_2\text{CH}=\text{CHCH}(\text{OCOC}_2\text{H}_5)_2$ , выход 1,9 г, т. кип. 108—109°/3  $\text{мм}$ ; подметилат, т. пл. 125°. После удаления большей части эфира из реакционной смеси, образовавшейся из 2,5 г Mg и 10,9 г  $\text{C}_2\text{H}_5\text{Br}$  в 80 мл эфира, прибавили 100 мл сухого  $\text{C}_6\text{H}_6$ , затем по каплям р-р 11,1 г  $(\text{C}_2\text{H}_5)_2\text{NCH}_2\text{CH}=\text{CH}$  в 10 мл  $\text{C}_6\text{H}_6$  и через 30 мин. 14,8 г  $\text{CH}(\text{OC}_2\text{H}_5)_2$  (IV), нагревали 3 часа при 65° и

получили  $(\text{C}_2\text{H}_5)_2\text{NCH}_2\text{CH}=\text{CHCH}(\text{OC}_2\text{H}_5)_2$  (V), выход 10,5 г, т. кип. 90°/3,5  $\text{мм}$ ,  $n_D^{16,5}$  1,4492. 18 г IV и  $(\text{CH}_3)_2\text{NCH}_2\text{CH}=\text{CHCH}(\text{OC}_2\text{H}_5)_2$  (из 2,6 г Mg и 9 г  $(\text{CH}_3)_2\text{NCH}_2\text{CH}=\text{CH}$ ) дали  $(\text{CH}_3)_2\text{NCH}_2\text{CH}=\text{CHCH}(\text{OC}_2\text{H}_5)_2$  (VI), выход 10,5 г, т. кип. 84—86°/6  $\text{мм}$ ,  $n_D^{16,5}$  1,4419; подметилат, т. пл. 139—140°. 15,6 г V в 25 мл спирта гидрировали в присутствии 0,5 г 3%-ного Pd/BaSO<sub>4</sub> в  $(\text{C}_2\text{H}_5)_2\text{NCH}_2\text{CH}=\text{CHCH}(\text{OC}_2\text{H}_5)_2$ , т. кип. 80—81°/4  $\text{мм}$ ,  $n_D^{15}$  1,4402; подметилат, т. пл. 130°. При аналогичном гидрировании VI получен  $(\text{CH}_3)_2\text{NCH}_2\text{CH}=\text{CHCH}(\text{OC}_2\text{H}_5)_2$  (VII), т. кип. 62—62,5°/3  $\text{мм}$ ,  $n_D^{18}$  1,4353; подметилат, т. пл. 115°. К 0,1 г VII прибавили 3 капли конц. HCl, затем 3 мл реагента Брэди, через 12 час. отделили 2,4-динитрофенилгидразонэтилсульфат 4-диметиламинобутен-2-аля, т. пл. 185—186° (из сп.). К эфирному р-ру  $\text{C}_2\text{H}_5\text{MgBr}$  (из 15 г Mg и 200 мл эф.) после испарения 150 мл эфира прибавили 200 мл  $\text{C}_6\text{H}_6$ , а затем по каплям р-р 12,5 г  $\text{HOCH}_2\text{CH}=\text{CH}$  в 120 мл  $\text{C}_6\text{H}_6$  и нагревали (1 час) на водяной бане, небольшими порциями добавили р-р 49,5 г IV в 50 мл  $\text{C}_6\text{H}_6$ , нагревали (2 часа), получили  $\text{HOCH}_2\text{CH}=\text{CHCH}(\text{OC}_2\text{H}_5)_2$  (VIII), выход 23,4 г, т. кип. 118—119°/3  $\text{мм}$ , 18 г VIII, 25 г винной к-ты и небольшое кол-во гидрохинона в 18 мл воды перемешивали в атмосфере  $\text{N}_2$ , нейтрализовали и экстрагировали эфиром. При обработке части экстракта реагентом Брэди образовался 2,4-динитрофенилгидразон, т. пл. 119° (из сп.). 40 г  $\text{HOCH}_2\text{CH}=\text{CHCH}_2\text{OH}$  ввели в р-р 24 г NaOH в 100 мл воды и при нагревании (не выше 70°) по каплям прибавили 31 г  $(\text{CH}_3\text{O})_2\text{SO}_2$  нагревание продолжали 2 часа при 80°; получили 4,1 г,  $\text{CH}_3\text{OCH}_2\text{CH}=\text{CHCH}_2\text{OCH}_3$ , т. кип. 54—55°/15  $\text{мм}$ , и 18,8 г  $\text{CH}_3\text{OCH}_2\text{CH}=\text{CHCH}_2\text{OH}$  (IX), т. кип. 96—97°/15  $\text{мм}$ , 81—82°/5  $\text{мм}$ ,  $n_D^{20}$  1,4593,  $d_4^{20}$  1,0462. 28,9 г IX в 30 мл  $\text{CH}_3\text{COOC}_2\text{H}_5$  гидрировали с 2,5 г 3%-ного Pd/CaCO<sub>3</sub> в  $\text{CH}_3\text{OCH}_2\text{CH}=\text{CHCH}_2\text{OH}$  (X), т. кип. 87—88°/20  $\text{мм}$ ,  $n_D^{20}$  1,4485,  $d_4^{20}$  0,9910. 16,9 г X и 98,9 г  $\text{MnO}_2$  в 290 мл  $\text{CCl}_4$  перемешивали 30 мин., после фильтрования и испарения р-рителя под уменьшенным давлением при ~20° остаток разгоняли с небольшим кол-вом гидрохинона, получили 2,1 г I, т. кип. 72—75°/26  $\text{мм}$ ; 2,4-динитрофенилгидразон, т. пл. 139—140°. 9,9 г  $(\text{iso-C}_3\text{H}_7\text{O})_2\text{Al}$  и 15 г X постепенно нагревали при 12  $\text{мм}$  до 70—100°, образующийся  $\text{iso-C}_3\text{H}_7\text{OH}$  отгоняли, через 50 мин. по каплям добавили 23,9 г  $\text{C}_6\text{H}_5\text{CH}=\text{CHCHO}$  и т-ру в масляной бане поддерживали при 130—150°, получили 7,1 г I. При нагревании (8 час, 140°) в запаянной трубке 0,77 г II, 0,61 г I и 1 мл петр. эфира образовалось 0,66 г III, т. кип. 82—84°/2,5  $\text{мм}$ ; три-семикарбазон, т. пл. 152°.

25571. Синтез замещенных янтарных кислот. Сен, Багчи (The synthesis of substituted succinic acids. Sen Kalyanmay, Bagchi P.), J. Organ. Chem., 1955, 20, № 7, 845—846 (англ.).

Замещенные янтарные к-ты получены гидролизом продукта присоединения HCN к алкилидендианоацетатам без выделения его в чистом виде. Смесь 0,1 моля  $\text{CH}_3\text{CHNO}$ , 0,1 моля пиридина, 0,1 моля цианкусу-ного эфира (I) и 6,4 мл лед.  $\text{CH}_3\text{COOH}$  нагревают 1,5 часа при 100°, к горячему р-ру приливают 10 мл  $\text{C}_6\text{H}_5\text{OH}$  и 0,15 моля KCN (за один прием), нагревают 1 час, разлагают 100 мл HCl (1 : 3) и экстрагируют эфиром, из вытяжки отгоняют эфир, остаток нагревают 8 час. с 50—60 мл конц. HCl, упаривают досуха и экстрагируют эфиром, выход метилиянтарной к-ты 32%, т. пл. 114°. Аналогично получены *n*-пропильянтарная к-та, выход 56%, т. пл. 98—99° (из петр. эф.), и фенилянтарная к-та, выход 91%, т. пл. 167° (из воды). Смесь 0,1 моля *n*- $\text{CH}_2\text{OC}_6\text{H}_4\text{CHNO}$ , 0,1 моля I, 2 г ацетамида и 30 мл лед.  $\text{CH}_3\text{COOH}$  кипятят 2 часа,

медленно отгоняя 25 мл  $\text{CH}_3\text{COOH}$ , остаток обрабатывают 32 мл спирта (в случае вератрового альдегида прибавляют 290 мл диоксана) и при 100° прибавляют в один прием 0,15 моля  $\text{KCN}$ , кипятят 1 час, добавляя  $\text{HCl}$  (1:3), извлекают  $\text{C}_6\text{H}_6$ , после удаления  $\text{C}_6\text{H}_6$  остаток гидролизуют 50–60 мл конц.  $\text{HCl}$  8 час., выход  $\beta$ -метоксифенилantarной к-ты 88%, т. пл. 203° (из воды). Аналогично получены 3,4-диметоксифенилantarная к-та, выход 50%, т. пл. 126° (из воды);  $\beta$ -метоксифенилantarная к-та, выход 32%, т. пл. 177° (из воды). Л. К.

**25572. Тиглиновая и ангеликовая кислоты. Бакле, Мок, Локейтелл** (Tiglic and angelic acids. Buckles Robert E., Mock Gene V., Locatell Louis, Jr), Chem. Revs., 1955, 55, № 4, 659–677 (англ.)  
Обзор. Библ. 201 назв. Г. К.

**25573. К исследованию стереохимических явлений. II. Синтез диэфиров  $\alpha$ -бром- $\alpha$ -метилантарной кислоты и доказательство *cis-trans*-изомеризации диэфиров цитраконовой кислоты. Гастамбид, Гастамбид-Одье** (Contribution à l'étude des phénomènes stéréochimiques. II. — Préparation de diesters de l'acide ( $\alpha$ -bromo ( $\alpha$ -méthyl succinique et mise en évidence chez les diesters citraconiques d'une isomérisation *cis-trans*. Gastambide Bernard, Gastambide-Odier Mireille), Bull. Soc. chim. France, 1954, № 9, 1177–1186 (франц.)

Исследованы методы получения диэфиров  $\alpha$ -хлор-(I) и  $\alpha$ -бром- $\alpha$ -метилантарной (II) к-ты. Присоединением  $\text{HBr}$  к диметиловому (III), диэтиловому (IV) и ди- $n$ -пропиловому (V) эфирам цитраконовой к-ты получены соответствующие эфиры II (VI, VII и VIII). Показано, что  $\text{HCl}$  не присоединяется к IV (в гексане, 0, 50 и 100°) и диэфиры I получить не удалось. Установлено, что при 15–20° и выше III и IV в присутствии  $\text{HBr}$  (газа) изомеризуются в соответствующие диэфиры мезаконной к-ты (IX и X). Изомеризация ускоряется с повышением т-ры; III изомеризуется легче, чем IV. Для определения процентного состава образующихся смесей (III, IX и VI или IV, X и VII) предложены диаграммы: процентный состав (объемный) —  $d_{25}^{25}$  и процентный состав —  $n_D^{25}$ . Выведена эмпирич. ф-ла для определения процентного содержания эфиров II в смеси:  $V = 100 d_1 : [(T d_2 / A) + d_1 - d_2]$ , где:  $d_1$  — плотность IV и X,  $d_2$  — плотность VII, T — процентное содержание  $\text{Br}$  в VII, A — процентное содержание  $\text{Br}$  в исследуемой смеси и V — процентное содержание VII в смеси. Показано, что X присоединяет  $\text{HBr}$  труднее, чем IV. Авторам не удалось присоединить  $\text{HBr}$  или  $\text{HCl}$  к цитраконовому ангидриду (XI), который получают изомеризацией итаконового ангидрида, полученного из лимонной к-ты. 0,75 моля XI, 10,5 моля абс. спирта и 27 г  $\text{H}_2\text{SO}_4$  (66° Be) кипятят 19 час., прибавляют 1,5 моля соды и 6 л воды и экстрагируют петр. эфиром IV (последовательно приводятся: выход в %, т. кип. в °C,  $n_D^{25}$  и  $d_{25}^{25}$ ): 81, 109–110/10 мм., 1,4422, 1,040. Тем же способом из 0,5 моля XI, 7 молей  $\text{CH}_3\text{OH}$  и 14 г  $\text{H}_2\text{SO}_4$  получают (кипение 44 часа, экстракция  $\text{C}_6\text{H}_6$ ) III, 86, 95–95,5/10 мм., 1,4457, 1,109; V, 83, 125,5–126,5/8 мм., 1,4439, 1,004. При 15–20° X не присоединяет  $\text{HBr}$ . При 100° из 0,25 моля X и 1,5 моля  $\text{HBr}$  (газ) за 3,5 часа получают в-во, 49,8 г, 73–82/0,4 мм., 1,4512, 1,260, вероятно представляющего смесь X ( $n_D^{25}$  1,4465,  $d_{25}^{25}$  1,040) и VII ( $n_D^{25}$  1,4528,  $d_{25}^{25}$  1,308). Из 0,25 моля IV и 3 молей  $\text{HBr}$  в 80 мл  $n$ -гексана при 33° за 3 часа получают смесь IV и VII, 37,3 г, 68–78/0,35 мм., 1,4453, 1,109. При 0° за 3,25 часа образуется чистый VII, выход ~100%, т. кип. 77–

81°/0,35–0,4 мм. При 15–20° за несколько час. образуется смесь X и VII, —, 65–76/0,25 мм., 1,4480, 1,107; содержание VII в смеси 26,09%. При 60° за несколько часов образуется смесь, содержащая VII, 69,46%, 65–78/0,25 мм., 1,4508, 1,227. Из 0,06 моля III и 0,75 моля  $\text{HBr}$  — (газа) (в циклогексане или без р-р-теля) при —20° за 195 мин. получают: а) смесь III и VI, —, 90–93/9 мм., 1,4483, 1,158; б) смесь III и VI, —, 94–103/10 мм., 1,4508, 1,216. При 0° за 200 мин. получают смесь IX и VI, —, 86–87/10 мм., 1,4532, —, При 0° за 40 мин. получают: а) VI с примесью IX, —, 100–105,5/10 мм., 1,4608, 1,427; б) VI, —, 105,5–108/10 мм., 1,4614, 1,442. При 70° за 200 мин. получают: а) смесь IX и VI, —, 87–90/7 мм., 1,4539, 1,182; б) смесь IX и VI, —, 89–101/7 мм., 1,4552, 1,250; в) VI с примесью IX, —, 101–108/7 мм., 1,4602, 1,418. Из 0,06 моля V и 0,75 моля  $\text{HBr}$  (газ) в циклогексане при 0° за 240 мин. получают VIII, ~100, 95–98/0,15 мм., 1,4525, 1,238. 0,15 моля X в 30 мл спирта гидролизуют 0,15 моля  $\text{KOH}$  в 100 мл спирта (15–20°, 45 мин.), выход кислого этилового эфира мезаконной к-ты (XII), 53%, т. пл. 69–69,5° (из петр. эф.). 0,05 моля VII гидролизуют 0,1 моля  $\text{KOH}$  в 43 мл спирта (1 час.), выход XII 37%. Сообщение I см. РЖХим, 1956, 9521. Н. В.

**25574. Эфирные реакции жировых веществ. Формо** (Ester reactions of fatty materials. Formo Marvin W.), J. Amer. Oil Chemists' Soc., 1954, 31, № 11, 548–559 (англ.)

Обзор р-ций этерификации к-т, алкоголиза, ацидолиза в перэтерификации сложных эфиров. Библ. 144 назв. Т. М.

**25575. Реакция маленового эфира с винилацетатом. Цурута** (A reaction of malonic ester with vinyl acetate. Tsuruta Teiji), Bull. Chem. Soc. Japan, 1955, 28, № 3, 231 (англ.)

K 4 г Na и 80 г маленового эфира в 200 мл абс. спирта добавляют 44 г винилацетата при 20°, перемешивают 1 час, подкисляют 15 мл лед.  $\text{CH}_3\text{COOH}$  и выделяют 48 г масла, т. кип. 165–171°/9 мм., которое гидролизуют  $\text{Ba}(\text{OH})_2$  и получают этилендиенмаленовую к-ту, т. пл. 155° (разл.), декарбоксилированием которой при 160° получают  $\beta$ -метилглутаровую к-ту, т. пл. 85°. А. Д.

**25576. Синтез  $\alpha,\beta$ -ненасыщенных глицеридов. Фрей, Полгар** (Synthesis of  $\alpha,\beta$ -unsaturated glycerides. Fraay G. I., Polgar N.), J. Chem. Soc., 1955, June, 1802–1803 (англ.)

В связи с изучением строения воска туберкулезных бактерий из 2-метилоктадецен-2-овой к-ты (I) получены ее 1,2-(II) и 1,3-диглицерид (III). Действием  $(\text{COCl})_2$  I превращена в хлорангидрид I (IV). Из 5,2 г IV, 1,5 г  $\alpha$ -бензилового эфира глицирина (V) и 1,3 г пиридина в 30 мл  $\text{CCl}_4$  (12 час., ~20° и 12 час., 40°) получено 4,7 г диацильного производного V, которое при гидролизе в  $n$ -гексане над Pd-чернью в присутствии лед.  $\text{CH}_3\text{COOH}$  (12 час., ~20°, давление) превращено в II, выход 3,5 г, т. пл. 42° (из сп.), УФ-спектр  $\lambda_{\text{макс}}$  2180 Å ( $\lg \epsilon$  4,37). Из 12 г 2-метилоктадекановой к-ты (VI) по Гельм — Фольгарду — Зелинскому получено 13 г бромангидрида  $\alpha$ -бром-VI (т. кип. 225–235°/6 мм.), который действием пиридина и V в  $\text{CCl}_4$  с последующим гидролизом и дегидробромированием (кипение с пиридином 16 час.) превращен в II (1 г). При щел. гидролизе II выделена I. Из 2,1 г O-изопропилиденглицерина, 5 г IV и 1,3 г пиридина в 30 мл  $\text{C}_6\text{H}_6$  (метод см. Gupta, Malkin, J. Chem. Soc., 1952, 2405) получено 4,7 г III; после хроматографии на силикагеле (p-p в  $\text{C}_6\text{H}_6$ , элюирование эф.- $\text{C}_6\text{H}_6$ ) т. пл. 47–49° (из сп.), УФ-спектр  $\lambda_{\text{макс}}$  2160 Å ( $\lg \epsilon$  4,44). Г. М.

**25577. Реакции хлорангидридов жирных кислот. I. Синтез ангидридов жирных кислот. Сонтаг,**

**Троубридж, Креме** (Reactions of fatty acid chlorides. I. Preparation of fatty acid anhydrides. Sonntag N. O. V., Trowbridge J. R., Krems I. J.), J. Amer. Oil Chemists' Soc., 1954, 31, № 4, 151—157 (англ.)

Действием  $(\text{CH}_3\text{CO})_2\text{O}$  (I) на хлорангидриды жирных к-т (ХА) получены ангидриды к-т (АК): каприновой (II), лауриновой (III), пальмитиновой (IV), пальмитиновой (V), стеариновой (VI) и олеиновой (VII) с выходами >90%. Соответствующие ХА были получены действием  $\text{PCl}_5$  на к-ты; ХА олеиновой к-ты (VIII) рекомендуется получать действием хлористого оксалила (IX) на очень чистую олеиновую к-ту (X). В таблицах обобщены данные по физ. и физ.-хим. свойствам ХА и АК, ИК-спектрам АК (приведены кривые) и сравнительные данные по результатам получения АК с применением различных методов. Для получения АК нагревают ХА со 100—300%-ным избытком I и пары фракционируют на колонке Вигре, пока не отгонится теоретич. кол-во  $\text{CH}_3\text{COCl}$  (XI), избыток I отгоняют в вакууме и остаток кристаллизуют. 0,0328 моля ХА пальмитиновой к-ты и 0,0655 моля I кипятят при 130—150° в течение 30—60 мин. отгоняют 98,5% XI, при 60° в парах создают разрежение 100 мм Hg и, наконец, нагревают 15 мин. при 160°/10 мм (отогналось 93,2% избытка I), получен V, выход 91,6%, т. пл. 63,8—64°,  $n_D^{20}$  1,4360,  $d_4^{20}$  0,8482. Аналогично получены (приведены р-во, выход в %, т. пл. в °C,  $n_D^{20}$ ,  $d_4^{20}$ ): II, 93,4, 23,2 (испр.),  $n_D^{25}$  1,4400,  $d_4^{25}$  0,8865; III, 94,8, 41,2—41,5, 1,4299, 0,8559; IV, 95,0, 53,2—54, 1,4334, 0,8511; VI, 92,0, 70,0—70,4, 1,4384, 0,8445; VII, 93,5 (если исходный ХА получают с помощью IX; если ХА получают с  $\text{SOCl}_2$  или  $\text{PCl}_5$ , то выходы соответственно 91 или 90%), т. пл. 22,1° (испр.),  $n_D^{25}$  1,4630,  $d_4^{25}$  0,8849. 0,0303 моля VIII и 0,0606 моля I нагревают в токе  $\text{N}_2$ , после отгонки XI удаляют его следы и избыток I нагреванием при 140°/5 мм 15 мин. Перекристаллизацию из гексана проводили при —35°. Из ХА лауриновой к-ты (XII — к-та) + XII +  $\text{C}_5\text{H}_5\text{N}$  в  $\text{C}_6\text{H}_6$  получен III, выход 39,8%; из XII,  $\text{C}_5\text{H}_5\text{N}$  и воды выход III 20,8%.

Г. К.

**25578. Ацетилирование монокарбоновых кислот кетеном.** Данбар, Гарвен (Acetylation of monocarboxylic acids with ketene. Dunbar R. E., Garven Floyd C.), J. Amer. Chem. Soc., 1955, 77, № 15, 4161—4162 (англ.)

При обработке монокарбоновых к-т или их эфирных р-ров газообразным кетеном при ~20° (Dunbar, Bolstad, J. Organ. Chem., 1944, 9, 219; Anal. Chem., 1946, 18, 337) получен ряд смешанных ангидридов  $\text{RCOOCOCH}_3$  (I), очищ. перегонкой в вакууме или перекристаллизацией из лигроина. Получены следующие I (указаны R, т. кип. в °C/мм, т. пл. в °C,  $n_D^{20}$ ,  $d_4^{20}$ ):  $\text{C}_2\text{H}_5$ , 31—32/5, —, 1,3963, 1,013;  $n\text{-C}_3\text{H}_7$ , 41—43/5, —, 1,405, 1,00;  $iso\text{-C}_3\text{H}_7$ , 35,7—37/5, —, 1,400, 0,994,  $n\text{-C}_4\text{H}_9$ , 55—57/6, —, 1,4100, 0,988;  $iso\text{-C}_4\text{H}_9$ , 48—60/6, —, 1,4053, 0,982,  $n\text{-C}_5\text{H}_{11}$ , 56—72/10, —, 1,401, 0,955;  $\text{C}_6\text{H}_{13}$ , —, —, 1,4955; 1,501;  $\text{CH}_3(\text{CH}_2)_{16}$ , —, 54, —, 1,427 (70°), 0,885 (70°), 1,501;  $\text{CH}_3(\text{CH}_2)_{16}$ , —, 1,388, 1,120;  $\text{CH}_3(\text{CH}_2)_6$ , —, —, 1,414, 0,943;  $\text{CH}_3(\text{CH}_2)_6$ , —, —, 1,421, 0,940;  $\text{CH}_3(\text{CH}_2)_7$ , —, —, 0,422, 0,935;  $\text{CH}_3(\text{CH}_2)_8$ , —, —, 1,428, 0,932;  $\text{CH}_3(\text{CH}_2)_{10}$ , —, —, 1,433, 0,914,  $\text{CH}_3(\text{CH}_2)_{12}$ , —, 46—47, 1,432 (35°), 0,899 (35°);  $\text{CH}_3(\text{CH}_2)_{14}$ , —, 49—51, 1,432 (60°), 0,869 (60°);  $\text{CH}_3\text{CH}=\text{CH}$ , —, —, 1,438, 1,003;  $\text{CH}_2=\text{CH}(\text{CH}_2)_8$ , —, —, 1,436, 0,933 (27°);  $\text{C}_6\text{H}_5\text{CH}_2$ , —, —, 1,496 (25°), 1,090 (25°);  $(\text{C}_6\text{H}_5)_2\text{CH}$ , —, —, 1,524, 1,10; циклогексилметил-, —, 1,444 (26°), 1,019; 2-циклогексилэтил, —, —, 1,449 (22°), 1,01 (22°); 3-циклогексилпропил, —, —, 1,450 (22°), 0,994 (22°); 5-циклогексиламил, —, —, 1,454, 0,976;

$\text{C}_6\text{H}_5\text{CH}=\text{CH}$ , —, 120—125, —, —;  $\alpha$ -нафтил, —, —, 1,568, 1,151;  $o$ -толил, —, —, 1,513, 1,125;  $m$ -толил, —, —, 1,504, 1,102;  $p$ -толил, —, —, 1,516, 1,118; 2,3-дихлорфеноксиметил, —, —, 1,513, 1,308. Некоторые I при очистке диспропорционируются в смесь двух симметричных ангидридов.

В. В.

**25579. Синтез метиленаминов.** Сауер, Бруни (Preparation of methylenebisamides. Sauer Charles W., Brun Robert J.), J. Amer. Chem. Soc., 1955, 77, № 9, 2559—2560 (англ.)

Исходя из соответствующих амидов и гексаметилен-тетрамина (I), получены: метилениформамид (II), т. пл. 142—143° (из сп.); метиленаацетамид (III), т. пл. 198—200° (из  $iso\text{-C}_3\text{H}_7\text{OH}$ ); метиленидмалоамид (IV), выход 82,5%, т. пл. 252° (из 90%-ной  $\text{CH}_3\text{COOH}$ ), и метиленидбензамид (V), т. пл. 216—220° (из  $iso\text{-C}_3\text{H}_7\text{OH}$ ). Высокого выхода метиленаминов достигали многократным употреблением маточного р-ра из предыдущего опыта в качестве р-рителя для последующего опыта (до 15 раз). Так, нагревая 12 молей формамида и 0,5 моля I при 140° 5 час. получали II с выходом 53%; при 6-кратном употреблении маточного р-ра выход достиг 83%. В синтезе III и V р-ритель кинолин, в синтезе IV —  $\text{HCON}(\text{CH}_3)_2$ .

Г. Ч.

**25580. Реакции хлористого цинка. I. Присоединение к олефинам.** Коуэн (The reactions of cyanogen chloride. I. Addition to olefins. Cowen F. M.), J. Organ. Chem., 1955, 20, № 3, 287—294 (англ.)

Исследовалась р-ция присоединения  $\text{SiCN}$  (I) к пропену (II), бутену-1 (III), *цис-транс*-бутену-2 (IV), циклогексену (V), октену-1 (VI) и додецену-1 (VII) под действием  $\text{AlCl}_3$  или  $\text{BF}_3$  в  $\text{CH}_3\text{NO}_2$  или  $\text{C}_6\text{H}_5\text{NO}_2$ , приводящая к смеси 3-хлорнитрилов (VIII) и 2-алкенилтрифлов (IX). Обсужден механизм р-ции, высказано предположение об образовании начального активного комплекса (из  $\text{C}_6\text{H}_5\text{NO}_2$  или  $\text{CH}_3\text{NO}_2$  с  $\text{AlCl}_3$  или  $\text{BF}_3$ ), вступающего в р-цию с I. 1,35 моля  $\text{AlCl}_3$  растворяют в 110 мл  $\text{CH}_3\text{NO}_2$  (или в 400 мл  $\text{C}_6\text{H}_5\text{NO}_2$ ) или сублимируют в 150—250 мл  $\text{CS}_2$  (или 150 мл  $\text{C}_6\text{H}_5\text{Cl}$ ) и добавляют 1,35 моля  $\text{CH}_3\text{NO}_2$ . Затем при —10° вводят 1 моль I и при перемешивании за 1,5 часа при 0° 1 моль олефина (газообразные в-ва берут с избытком 50—100%); через 12 час. (~20°) выливают на лед, подкисляют и экстрагируют эфиром. Так из I и II в  $\text{CS}_2 + \text{CH}_3\text{NO}_2$  получены (перечисляются продукт р-ции, выход в %, т. кип. в °C/мм,  $d_4^{25}$ ,  $n_D^{25}$ ): 3-хлорбутаннитрил, 6, 59—61/11,5, 1,028, 1,4315 (24°), и бутен-2-нитрил, 1, 111—116, —, 1,415; из III (в  $\text{CH}_3\text{NO}_2$ ) — 3-хлорпентаннитрил (VIIIa), 18, 59—59,5/5—6, 1,018, 1,4371 (24°), и пентен-2-нитрил (IXa), 7, 125—143, 0,827, 1,4212; из IV (в  $\text{CS}_2 + \text{CH}_3\text{NO}_2$ ) — 3-хлор-2-метилбутаннитрил (VIIIb), 43, 55/5—6, 1,001, 1,4338, и 2-метилбутеннитрил (IXb), 5, 122—130, 0,820, 1,4224; из V (в  $\text{C}_6\text{H}_5\text{Cl} + \text{CH}_3\text{NO}_2$ ) — *эритро*-2-хлор-1-цианоциклогексан (*эритро*-VIIIb), ~15, 90—92/3, 1,078, 1,4935 (обе константы при 26°), *трео*-VIIIb, ~15, 79/2—3, 1,076 (26°), 1,4382, и 1-цианциклогексен (IXa), 21, 54/3, 0,954, 1,4818; из VI (в  $\text{CS}_2 + \text{CH}_3\text{NO}_2$ ) — 3-хлорнонаннитрил, 9, 88—89/1,5, 0,944, 1,4464, *цис*-2-ноненнитрил (*цис*-IXg), 15 (выход *цис* + *транс*), 58/2, 0,856, 1,4371, и *транс*-IXg, —, 68—70/2, 0,867, 1,4401; из VII (в  $\text{CS}_2 + \text{CH}_3\text{NO}_2$ ) — 3-хлортридеканнитрил, 8, 114—116/1, 0,838, 1,4493, *цис*-тридекан-2-нитрил (*цис*-IXd), 9 (выход *цис* + *транс*), 86—88/1, 0,831, 1,4444, и *транс*-IXd, —, 98—99/1, 0,828, 1,4464. Из III и I в  $\text{C}_6\text{H}_5\text{NO}_2$  выход VIIIb 37% и IXb 20%. Если к  $\text{CH}_3\text{NO}_2$ ,  $\text{AlCl}_3$  и I в автоклаве вводят II (т-ра < 33°), то получается VIIIa (15%) и IXa (6%), но ввиду возможности взрывоопасной полимеризации IXa метод не рекомендуется. При замене  $\text{AlCl}_3$  на  $\text{BF}_3$  (в  $\text{CH}_3\text{NO}_2$ ) из IV получены VIIIb, выход 2%, и IXb,



выход 7%; применение  $C_2H_5NO_2 + BF_3$  + эфир дает выходы  $< 1\%$ . Строение VIIa доказывалось превращением в IXa (кипячение с хинолином 2 часа и 12 час.  $\sim 20^\circ$ ) с последующим восстановлением в  $(CH_3CO)_2O$  над  $PtO_2$ , гидролизом ацетилового производного и идентификацией в виде *p*-нитробензойного производного (ПНБ) амламина. Также из VIIb получен IXb, который превращается в 1-амино-2-метилбутан, ПНБ, т. пл.  $76-77^\circ$  (из водн. сп.) *Трео*- и *эритро*-VIIв с хинолином дают циклогексенитрил (положение двойной связи не установлено), из которого гидрированием получен аминотетрагидропексан, ПНБ, т. пл.  $106-107^\circ$ , идентичный с полученным из IXв. Все т-ры плавления исправлены.

Т. Н. 25581. Соли четвертичных аммониевых оснований с органическими анионами; триметилалкиламмониевые соединения с длинной цепью. Готье, Рено, Леруа (Ammoniums quaternaires à anions organiques: série des triméthylalcoylammoniums à longue chaîne. Gautier Jean Albert, Renault Jean, Leroi Eugène), Bull. Soc. chim. France, 1955, № 5, 634-636 (франц.).

Синтезировано 105 солей строения  $RN^+(CH_3)_3X^-$ , где R — алкильный радикал с длинной цепью: лаурил (I), миристил (II) или цетил (III), а X — различные органич. анионы. Конденсацией бромистых I, II и III с  $N(CH_3)_3$  получены бромиды соответствующих триметилалкильных оснований, которые с  $Ag_2CO_3$  давали карбонаты четвертичных оснований, а последние действием органич. к-т превращены в соответствующие органич. соли. В запаянной трубке нагревают (48 час.) при  $105^\circ$  0,11 моля  $N(CH_3)_3$ , 30 мл спирта и 0,1 моля алкилбромид; твердый остаток после удаления спирта и избытка амина промывают эфиром и перекристаллизовывают; получают бромистый триметиллауриламмоний, выход 89%, т. пл.  $293^\circ$  (из ацетона, разл.), бромистый триметилмиристиламмоний, выход 80%, т. пл.  $293^\circ$  (из смеси сп. + ацетон, разл.), бромистый триметилцетиламмоний, выход 95%, т. пл.  $293^\circ$  (из сп., разл.), 0,1 моля бромистого триметилалкиламмония в 300 мл воды и 0,06 моля свежеприготовленного влажного  $Ag_2CO_3$  перемешивают 3-4 часа и добавляют 300 мл спирта, выход карбоната  $\sim 85\%$ . 0,011 моля к-ты (соль которой синтезируют) медленно нагревают с р-ром карбоната, соответствующим по кол-ву 10 мл 1 н. р-ра; соль перекристаллизовывают из смеси ацетон-эф. или бэл.-петр. эф. Все синтезированные соли (кроме хлорбензоатов и формиатов) могут быть количественно оттитрованы в среде безводн.  $CH_3COOH$  р-ром  $HClO_4$  в  $CH_3COOH$  в присутствии метилвиолета. Чистота соли может быть также определена азотометрически. Далее приводятся т-ры плавления полученных солей при разных X и R: формиат, I, 136-138; II, 168, III, 178-180; ацетат, I, 182, II, 192, III, 182-184; пропионат, I, 188, II, 187-188, III, 183-184; *n*-бутират, I, 159-161, II, 178, III, 182; *n*-валерат I, 167, II, 168-169, III, 166; капроат, I, 170, II, 186, III, 145-147; каприлат, I, 170, II, 162, III, 171; лаурат, I, 157-158, II, 161-162, III, 161; стеарат, I, 148-149, II, 145-147, III, 142-143; кротонат, I, 195, II, 184-185, III, 198;  $\Delta^{10}$ -ундецилат, I, 157-158, II, 154-156, III, 149-151; олеат, I, 146-147, II, 139-140, III, 142-143; бензоат, I, 199, II, 203, III, 198-199; фенилацетат, I, 92, II, 87-89, III, 90-92; фенил-3-пропионат, I, 147-148, II, 149-150, III, 150-151; (*dl*)-манделат, I, 66-67, II, 84, III, 68-70; феноксипацетат, I, 92-93, II, 94, III, 95-97;  $\alpha$ -нафтилацетат, I, 100, II, 116-117, III, 104-105; циннамат, I, 188, II, 184-185; III, 192; 4-хлорбензоат, I, 190, II, 179, III, 182; 3,4-дихлорфеноксипацетат, I, 88-89, II, 72-74, III, —; 2,4,5-трихлорфенолат, I, 70, II, 60-62, III, 47-48; 2-оксibenзоат,

I, 168-170, II, 172-174, III, 174-176; 3-оксibenзоат, I, 125-126, II, 149, III, 157-158; 4-оксibenзоат, I, 136-137, II, 149, III, 158-159; 2-аминобензоат, I, 183-184, II, 188, III, 184-185; 3-аминобензоат, I, 113-114, II, 110-112, III, 124-126; 4-аминобензоат, I, 176, II, 174-175, III, 184-186; 4-аминосалицилат, I, 95-96, II, 107-108, III, 92-94; пикрат, I, 115, II, 118, III, 128; пиколинат, I, 173-174, II, 170-172, III, 177; никотинат, I, 164, II, 168-169, III, 169-171; *изо*-никотинат, I, 92-93, II, 102, III, 100-101;  $\beta$ -индолилпропионат-3, I, 84, II, 81-82, III, 75-76. Б. М. 25582. Некоторые производные 2-бромаллиламина.

Ламбертон (Some derivatives of 2-bromoallylamine. Lambert J. A.), Austral. J. Chem., 1955, 8, № 2, 289-290 (англ.).

Синтезируют 2-бромаллиламин (I) из *N*-(2-бромаллил)-фталимида (II), полученного из 1,2,3-трибромпропана (III) (в условиях р-ции Габриэля), и его производные — *N*-(2-бромаллил)-бензамид (IV) и *N*-(2-бромаллил)-*n*-толуолсульфамид (V). Смесь 8,4 г III, 13,2 г фталимида, 6,2 г безводн.  $K_2CO_3$  в 30 мл диметилформамида нагревают в присутствии следов KI 2 часа при  $140-145^\circ$ , выливают в воду и получают II, выход 6,5 г, т. пл.  $125-126^\circ$  (из водн. сп.). II синтезируют также нагреванием хлоргидрата I, полученного по известному методу (Pall C., Hermann, Ber. dtsch. chem. Ges., 1889, 22, 3079) с фталевым ангидридом (VI) и  $CH_3COONa$  (VII) в  $CH_3COOH$ ; т. пл.  $126-127^\circ$ . Аналогично нагревание бромгидрата 2,3-дибромпропиламина с VI и VII в р-ре  $CH_3COOH$  дает *N*-(2,3-дибромпропил)-фталимид, т. пл.  $112-114^\circ$  (из сп.). Нагревание II с гидразином в  $CH_3OH$  дает I, выделенный в виде хлоргидрата. Из последнего по Шоттену-Бауманну приготовлен IV, т. пл.  $97-98^\circ$  (из петр. эф.), и V, т. пл.  $69-70^\circ$  (из петр. эф.). Озонирование фталимидных соединений в лед.  $CH_3COOH$  дает фталилглицины, т. пл.  $189-190^\circ$ , в  $CH_3O$ . В. В. 25583. О применении реакции Делепина для синтеза

первичных галоидаминов и первичных диаминов. Маршак-Флэри (Sur l'emploi de la réaction de Délepine pour la synthèse des amines primaires halogénées et des diamines primaires. Marszak-Fleury André), C. r. Acad. sci., 1955, 241, № 13, 808-810 (франц.).

1,4-дихлорбутен-2 и 1,4-дибромбутан при  $60^\circ$  в р-ре  $CHCl_3$  присоединяют 1 молекулу гексаметилентетрамина (I), образуя мол. соединения, которые при нагревании со смесью  $HCl$  (к-ты) и спирта превращаются соответственно в хлоргидрат 1-хлор-4-аминобутена-2 (II), т. пл.  $123^\circ$ , и бромгидрат 1-бром-4-аминобутана; пикрат, т. пл.  $126^\circ$ . II через 1-хлор-4-ацетаминобутен-2 переведен действием  $N(CH_3)_3$  в хлорид 1-триметиламин-4-ацетаминобутена-2, т. пл.  $158^\circ$ . При стоянии (несколько дней, 20°) метанольного р-ра 2 молей I и 1 моля 1,4-дихлорбутена-2 (III) получено мол. соединение 2 молей I и 1 моля III, которое, разлагаясь на холоду в смеси  $HCl$  (к-ты) и  $CH_3OH$ , образует дихлоргидрат 1,4-диаминобутена-2, выход 35%; диникрат, т. разл.  $250^\circ$ ; свободный диамин, выделенный  $NaOH$ , т. пл.  $50^\circ$ , т. кип.  $96/16$  мм. Предыдущее сообщение см. РЖХим, 1956, 19174. И. К. 25584. Получение высших аминоспиртов по реакции

Манниха. Матт, Гантер (Higher amino alcohols via the Mannich reaction. Matt Joseph, Gunther Ellen P.), J. Amer. Chem. Soc., 1955, 77, № 13, 3655-3656 (англ.).

Восстановление  $LiAlH_4$  и  $NaBH_4$  аминокетонов  $RCH(COR')CH_2N(CH_3)_2$  (I), полученных по р-ции Манниха из кетонов  $RCH_2COR'$  (II), дает аминоспирты  $RCH(OH)R'CH_2N(CH_3)_2$  (III), из которых обработкой  $HCl$ ,  $CH_3Cl$  и  $C_2H_5CH_2Cl$  получены соответствующие

шие четвертичные соли  $[RCH(CHONH^+)CH_2N(CH_3)_2R^+]Cl^-$  (IV). Смесь 0,95 моля метилпентадецилкетона, 2,0 моля 35%-ного  $CH_3OH$  и 2,0 моля  $(CH_3)_2NH \cdot HCl$  в 1 л спирта, содержащем 40 мл конц.  $HCl$ , кипятят в течение 5 дней, отгоняют р-ритель в вакууме, остаток подщелачивают и извлекают эфиром; неочищен. Грассируют в 250 мл  $CH_3OH$  и восстанавливают при  $\sim 20^\circ$ , прибавляя по каплям р-р 0,425 моля  $NaBH_4$  в 100 мл  $CH_3OH$  и 50 мл 5%-ного р-ра  $NaOH$ , кипятят 1 час, разбавляют 500 мл воды, гидролизуют 200 мл конц.  $HCl$ , добавляют спирт и извлекают целлоделавкой (V). Из водно-спирт. р-ра удаляют спирт, подщелачивают и повторно извлекают V. Перегонка дает III ( $R = C_{14}H_{29}$ ;  $R' = CH_3$ ), т. кип.  $165-170/4$  мм, выход 45% (неочищ.). Для получения IV нагревают III несколько дней с эквивалентным кол-вом  $C_6H_5CH_2Cl$  в смеси эфира и  $CH_3OH$ ; или нагревают несколько часов при  $125^\circ$  с избытком  $CH_2Cl$  в  $CH_3OH$ ; или р-р III в V насыщают  $HCl$ ; полученные соли или их спирт. р-ры очищают промывкой V. Получены следующие III (указаны  $R, R'$ , выход в % при восстановлении  $LiAlH_4$ , выход в % при восстановлении  $NaBH_4$ , т. кип. в  $^\circ C/мм$ ,  $n_D^{25}$ , выходы хлоргидрата, хлорметилата, хлорбензилата в %):  $C_6H_{11}$ ,  $CH_3$ , —, 45, 112/2, —, 93, 35, 86 (т. пл.  $135-138^\circ$ );  $C_8H_{17}$ ,  $CH_3$ , 36, 45, 120/0,7, 1,4457, 77, 55, 54;  $C_{10}H_{21}$ ,  $CH_3$ , —, 51, 147/0,9, 1,4510, 71, 78, 63,  $C_{12}H_{25}$ ,  $CH_3$ , 45, 41, 165/0,4, 1,4532, 67, 47, 81;  $C_6H_{13}$ ,  $C_6H_{15}$ , —, 68 (неочищ.), 130/0,3, 1,4502, 69, —, 90;  $C_8H_{17}$ ,  $C_8H_{19}$ , 34, —, 160/2, 1,4642, 91, —, 86 (т. пл.  $117-120^\circ$ );  $C_{10}H_{21}$ ,  $C_{11}H_{23}$ , —, 46 (неочищ.),  $190-195/0,2$ , 1,4564, —, —, 58. III, полученный из II ( $R = CH_3$ ,  $R' = C_{11}H_{23}$ ), подвергнут гидрированию над скелетным Ni при  $200^\circ$  и 433 ат и полученный продукт, содержащий до 5% кетона, довосстановлен Na в спирте. Перегонкой выделен тетрадеканол-3 т. кип.  $100^\circ/0,2$  мм,  $n_D^{25}$  1,4446, идентифицированный спектроскопически.

При исчерпывающем гидрировании I из тридеканона-2 (VI) получен не 3-тетрадеканол, а 3-метилтридеканол-2. Это доказывает, что аминотетрагидролиз VI протекает по  $CH_2$ -группе длинной цепи, связанной с карбонильной группой.

В. В. 25585. Спазмолитические средства с мускулотропным действием. Производные 1,3-бис-(диалкиламино)-пропана. Моррен, Денайе, Троллен, Штруббе, Линз, Дони, Коллар (Antispasmodiques à action musculotrope dérivés du 1,3-bis(dialcylamino)-propane. Morren H., Denayer R., Trolein S., Strubbe H., Linz R., Dony G., Collard R.), Ind. chim. belge, 1955, 20, № 7, 733-745 (франц.; рез. флам., англ.) Синтезировано и испытано на спазмолитич. активность (СА) три группы производных 1,3-бис-(диалкиламино)-пропана:  $RCOOSCH(CH_2X)_2$  (I),  $ROCH(CH_2X)_2$  (II),  $RCH(CH_2X)_2$  (III). Работа основывалась на том, что эфиры 1,3-бис-(диалкиламино)-пропанола-2 обладают большей СА, чем эфиры аминоспиртов с одной третичной  $NH_2$ -группой. СА сложных эфиров I не превышает активности папаверина (АП), для простых эфиров II СА  $>$  АП в 10-45 раз, но при интравенозном введении они более токсичны, чем папаверин. В-ва типа III имеют СА в 10-25 раз больше АП при такой же токсичности. Наибольшая СА у соединений с  $X = N(C_2H_5)_2$ , при  $X = N(CH_3)_2$  или  $X = N$ -пиперидил СА снижается. Клинич. проверка показала большую активность в-в типа III при гепатич. и нефротич. коликах. Подробное изучение 1-фенил-1-циклогексил-2,2-бис-(диэтиламинометил)-этана (IV) показало, что при его синтезе образуется два хлоргидрата с т. пл.  $205^\circ$  (IVa) и  $70^\circ$  (IVб). Эти в-ва имеют одинаковый состав и фармакодинамич. активность, но различные ИК-спектры. Сравнение с ИК-спектрами 1,3-бис-(диэтиламино)-

пропанола-2 (V) и 2,3-бис-(диэтиламино)-пропанола-1 (VI) позволяет предположить для IVa и IVб соответственно строение 1-фенил-1-циклогексил-2,2-бис-(диэтиламинометил)-этана и 1-фенил-1-циклогексил-3,4-бис-(диэтиламино)-бутана (Ср. Bockmuelhl, Ehrhart, Liebigs Ann. Chem, 1948, 561, 85; Charpentier, Ducrot, c. r. Acad. sci., 1951, 232, 415). При взаимодействии фенилциклогексикацетонитрила (VII) с V или VI получают одновременно в-ва типа IVa и IVб. I получают действием хлорангидридов к-т на 1,3-бис-(диалкиламино)-пропанола-2. 11 г хлорангидрида 1-фенилциклопентанкарбоновой к-ты и 25 г пиридина нагревают с 10 г V до  $115^\circ$  1 час, обрабатывают 150 мл воды и извлекают  $C_6H_6$ , выход 1,3-бис-(диэтиламино)-изопропилового эфира 1-фенилциклопентанкарбоновой к-ты 15 г (VIII). В-ва типа II получают действием соответствующих алкоколятов Na на 2-хлор-1,3-бис-(диалкиламино)-пропан. Суспензию 0,1 моля  $NaNH_2$  в 100 мл ксилола и 0,1 моля циклогексил-*n*-хлорфенилкарбинола кипятят 2 часа, добавляют 0,1 моля 2-хлор-1,3-бис-(диэтиламино)-пропана (IX) в 50 мл ксилола и кипятят 3 часа, затем охлаждают и добавляют 100 мл воды, получают 1,3-бис-(диэтиламино)-изопропил-(циклогексил-*n*-хлорфенил)-метилового эфира, выход 30 г. В-ва типа III получают тремя способами. Способ А: конденсация  $\alpha$ -замещ. бензиланидов с IX и последующее децианирование  $NaNH_2$ . К суспензии  $NaNH_2$  в 800 мл толуола добавляют при перемешивании ( $30^\circ$ ) 1,6 моля VII, кипятят до прекращения выделения  $NH_3$ , охлаждают до  $20^\circ$ , добавляют 1,5 моля IX в 300 мл толуола, перемешивают 1 час, промывают водой. Толуольный слой извлекают разб.  $HCl$ , вытяжку подщелачивают содой, выделившийся 2-фенил-2-циклогексил-3,3-бис-(диэтиламинометил)-пропионитрил (X) извлекают  $C_6H_6$ . К суспензии 5 молей  $NaNH_2$  в 1500 мл ксилола добавляют неочищ. X и кипятят при перемешивании 24 часа. По охлаждению добавляют в тке  $N_2$  воду, ксилольный слой перегоняют, выход IV 446 г. Способ Б: конденсация бензиланида с IX, затем вторая конденсация с соответствующим галогенидом алкилом и децианирование  $NaNH_2$ . На-производное бензиланида (см. способ А) (XI) конденсируют с IX, выход 2-фенил-3,3-бис-(диэтиламинометил)-пропионитрила (XII) 54%. На-производное XII получают по способу (А) и обрабатывают эквимолекулярным кол-вом  $C_6H_5CH_2Cl$ , выход 2-фенил-2-бензил-3,3-бис-(диэтиламинометил)-пропионитрила (XIII) 45%. Децианирование последнего приводит к 1-фенил-1-бензил-3,3-бис-(диэтиламинометил)-этану (XIV) с выходом 50%. Способ В: конденсация На-производных в-в типа фенотиазина, флуорена, ксантена и т. д. с IX. 0,1 моля  $NaNH_2$  в 100 мл ксилола и 0,1 моля фенотиазина слабо кипятят 1 час, охлаждают, добавляют 0,1 моля IX и кипятят еще 6 час., обрабатывают как в способе (А), выход 2-тиодифениламино-1,3-бис-(диэтиламино)-пропана (XV) 73%. Для синтеза I, II и III получены промежуточные продукты: фенилфурфурилацетонитрил (XVI) (действием хлористого фурфурила на XI), т. кип.  $167-170/13$  мм. Фенилфурфурилуксусная к-та (XVII) (омылением XVI спирт. КОН,  $190^\circ$ , 5 час.), т. пл.  $101^\circ$ , метиловый эфир (с  $CH_3N_2$ ), выход 80%, т. кип.  $117-118^\circ/0,5$  мм; хлорангидрид (с  $SOCl_2$ ), выход 50%, т. кип.  $115-116^\circ/2,5$  мм. Восстановлением  $LiAlH_4$  к-т или их производных получены спирты (перечисляются производное к-ты, название спирта, выход в %, т. кип. в  $^\circ C/мм$ ): к-та, 2-фенил-2-циклогексизатанол, 56,  $166-167/11$ ; хлорангидрид, 1-фенил-1-метилциклопентан, 93,  $132-135/3$ ; к-та, 2-фенил-2-фурфурилатанол, 94,  $111/0,3$ ; этиловый эфир, 1-метил-4-фенил-4-метилпиперидин, 55,  $150/0,1$ ; к-та, 1-фенил-1-метилциклогексан, 88,  $118-120/0,1$  (дифуробензоат, т. пл.  $114-115^\circ$ ), 1,1-бис-(диэтиламинометил)-этанол (XVIII)

получают нагреванием 1,1-бис-(хлорметил)-этанола с избытком диэтиламина в течение 10 час., т. кип. 108—110°/11 мм. IX получают действием 1 моля  $\text{SOCl}_2$  в 75 мл  $\text{CHCl}_3$  на 1 моль V в 400 мл  $\text{CHCl}_3$  при  $-5^\circ$ , перемешивают 3 часа, упаривают в вакууме (не выше  $60^\circ$ ), выход IX 88—90%, т. кип.  $110^\circ/12$  мм. 129 г 1,3-дихлорпропанола-2 и 270 г  $\text{HN}(\text{CH}_3)_2$  в 150 мл  $\text{C}_6\text{H}_6$  нагревают до  $110^\circ$ , начинается экзотермич. р-ция (не допускать поднятия т-ры выше  $170^\circ$ ), затем греют еще 2 часа при  $110-120^\circ$  и 1 час при  $140-150^\circ$ , охлаждают, осадок отфильтровывают, перегонка дает 1,3-бис-(диметиламино)-пропанол-2 (XIX), выход 70%, т. кип.  $180-182^\circ$ . 2-хлор-1,3-бис-(диметиламино)-пропан получен из XIX аналогично IX, выход 70%, т. кип.  $70^\circ/15$  мм. 2-хлор-1,3-бис-(1-пиперидил)-пропан получен действием  $\text{SOCl}_2$  на соответствующий спирт, выход 50%, т. кип.  $114^\circ/0,5$  мм.; 1,3-бис-(4-морфолинил)-пропанол-2 получен нагреванием в автоклаве при  $150-155^\circ$  (2 часа) смеси 0,5 моля 1,3-дихлорпропанола-2 и 2,5 моля морфолина, выход 90%, т. кип.  $145-150^\circ/0,2$  мм. Получены следующие замещ. ацетонитрилы  $\text{RR}'\text{C}(\text{CN})\text{CHN}$  (перечисляются R, R', т. кип. в  $^\circ\text{C}/\text{мм}$ ):  $\text{C}_6\text{H}_5$ , изопропил, 121/11;  $\text{C}_6\text{H}_5$ , n- $\text{C}_6\text{H}_{13}$ , 110/0,1;  $\text{C}_6\text{H}_5$ , 2-этилгексил, 132—134/0,5; n-толил, циклогексил, 140—142/0,5; n-циклогексилфенил, Н, 129—132/0,05; n-циклогексилфенил, изоамил, —; n-циклогексилфенил (?), циклогексил, 195—200/0,2; n-метоксифенил, циклогексил, 150/0,05. Описанными выше способами (А) и (Б) получены следующие замещ. аминитрилы  $\text{RR}'\text{C}(\text{CN})\text{CH}[\text{CH}_2\text{N}(\text{C}_2\text{H}_5)_2]$  (перечисляются R, R', т. кип. в  $^\circ\text{C}/\text{мм}$ ):  $\text{C}_6\text{H}_5$ , Н, 142/1;  $\text{C}_6\text{H}_5$ , изопропил, 137/0,05;  $\text{C}_6\text{H}_5$ , изобутыл, 143/0,1;  $\text{C}_6\text{H}_5$ , n- $\text{C}_6\text{H}_{13}$ , 165/0,1;  $\text{C}_6\text{H}_5$ , 2-этилгексил, 180/0,6;  $\text{C}_6\text{H}_5$ , циклопентил, 160/0,1;  $\text{C}_6\text{H}_5$ , циклогексил, 162—165/0,2;  $\text{C}_6\text{H}_5$ , циклогексен-2-ил, 175—180/0,1;  $\text{C}_6\text{H}_5$ ,  $\text{C}_6\text{H}_5$ , 178—180/0,2;  $\text{C}_6\text{H}_5$ ,  $\text{C}_6\text{H}_5\text{CH}_2$ , 176—178/0,2;  $\text{C}_6\text{H}_5$ , фурфурил, 160/0,001;  $\text{C}_6\text{H}_5$ , 1,3-бис-(диэтиламино)-пропил-2, 185/0,1; n-толил, циклогексил, 190—193/0,5; n-циклогексилфенил, изоамил, 215—219°/0,25, n-циклогексилфенил, циклогексил, —; n- $\text{ClC}_6\text{H}_4$ ,  $\text{C}_6\text{H}_5$ , 199/0,7; n- $\text{CH}_3\text{OC}_6\text{H}_4$ , циклогексил, 185/0,005. Получены следующие аминитрилы типа  $\text{RR}'\text{C}(\text{CN})\text{CH}(\text{CH}_2\text{X})_2$  (перечисляются R, R', X, т. кип. в  $^\circ\text{C}/\text{мм}$ ):  $\text{C}_6\text{H}_5$ , циклогексил,  $(\text{CH}_3)_2\text{N}$ , 155—160/0,2;  $\text{C}_6\text{H}_5$ , циклогексил, N-пиперидил, 210/0,15;  $\text{C}_6\text{H}_5$ , циклогексил, N-морфолил, 221—225°/0,01;  $\text{C}_6\text{H}_5$ ,  $\text{C}_6\text{H}_5$ ,  $(\text{CH}_3)_2\text{N}$ , 168—171/0,2. Получены следующие I типа  $\text{RCOOCH}[\text{CH}_2\text{N}(\text{C}_2\text{H}_5)_2]_2$  (перечисляются R, т. кип. в  $^\circ\text{C}/\text{мм}$ , СА : АП):  $(\text{C}_6\text{H}_5)_2\text{CH}$ , 165/1, < 1;  $\text{C}_6\text{H}_5\text{CHC}_6\text{H}_{11}$ , 170/1, 1;  $\text{C}_6\text{H}_5\text{CCCH}_2\text{CH}_2\text{CH}_2\text{CH}_2$ , 145/0,02; 2;  $\text{C}_6\text{H}_5\text{—CCCH}_2\text{CH}_2\text{OCH}_2\text{CH}_2$ , 185/2,1;  $\text{C}_6\text{H}_5\text{CHCH}_2\text{C}=\text{CHCH}=\text{CH—O}$ , 128—130/0,005, 2,3; получены II типа  $\text{ROCH}[\text{CH}_2\text{N}(\text{C}_2\text{H}_5)_2]_2$  (перечисляются R, т. кип. в  $^\circ\text{C}/\text{мм}$ , СА:АП): n-аминобензил, 170—180/0,05, 2,5;  $(\text{C}_6\text{H}_5)_2\text{CH}$ , 155/0,05, 7;  $\text{C}_6\text{H}_5\text{CHC}_6\text{H}_{11}$ , 155/0,1, 16;  $\text{C}_6\text{H}_5\text{CH—n—C}_6\text{H}_{13}$ , 158/0,3, 8;  $(\text{C}_6\text{H}_5)_2\text{CCCH}_3$ , 160/0,16, 5;  $(\text{C}_6\text{H}_5)_2\text{CHCH}_2$ , 170/0,01, 4;  $\text{C}_6\text{H}_5\text{C}(\text{CH}_2\text{—})\text{CH}_2\text{CH}_2\text{CH}_2\text{CH}_2$ , 160/0,05, 15;  $\text{C}_6\text{H}_5\text{C}(\text{CH}_2\text{—})\text{CH}_2\text{CH}_2\text{CH}_2\text{CH}_2\text{CH}_2$ , 155—160/0,005, 11;  $\text{C}_6\text{H}_5\text{CH}(\text{CH}_2\text{—})\text{CH}_2\text{C}=\text{CHCH}=\text{CH—O}$ , 160/0,005, 13;  $\text{C}_6\text{H}_5\text{C}(\text{CH}_2\text{—})\text{CH}_2\text{CH}_2\text{N}(\text{CH}_3)\text{CH}_2\text{CH}_2$ , 170/0,1, 5; n-Cl  $\text{C}_6\text{H}_4\text{CHC}_6\text{H}_5$ , 168/0,1, 10; n-Cl  $\text{C}_6\text{H}_4\text{CHC}_6\text{H}_{11}$ , 160/0,02, 7,5;  $\text{C}_6\text{H}_{11}\text{CH—n—C}_6\text{H}_{13}$ , 178—179/0,05, 2,5; n- $\text{CH}_3\text{OC}_6\text{H}_4\text{CH—C}=\text{CHCH}=\text{CHCH}=\text{N}$ , 180/0,1, 1;  $(\text{C}_2\text{H}_5)_2\text{NCH}_2\text{CHCH}_2\text{N}(\text{C}_2\text{H}_5)_2$ , 137—138/0,1, 1;  $\text{C}_6\text{H}_{11}\text{—CHC}=\text{CHCH}=\text{CHCH}=\text{CHS}$ , 155/0,1, 10. Получены II типа

$(\text{C}_6\text{H}_5)(\text{C}_6\text{H}_{11})\text{CHOC}(\text{Y})(\text{CH}_2\text{X})_2$  (перечисляются X, Y, т. кип. в  $^\circ\text{C}/\text{мм}$ , СА : АП):  $(\text{CH}_3)_2\text{N}$ , Н, 140—145/0,1, 2,5; N-пиперидил, Н, 177/0,01, 5,5;  $(\text{C}_2\text{H}_5)_2\text{N}$ ,  $\text{CH}_3$ , 155—165/0,2, 10. Получены следующие III типа  $\text{RCH}[\text{CH}_2\text{N}(\text{C}_2\text{H}_5)_2]_2$  (перечисляются R, способ получения, т. кип. в  $^\circ\text{C}/\text{мм}$ , СА : ПА):  $\text{C}_6\text{H}_5\text{CHCH}(\text{CH}_3)_2$ , А, 110/0,05, 2,5;  $\text{C}_6\text{H}_5\text{CHCH}_2\text{CH}(\text{CH}_3)_2$ , А, 115/0,05, 11;  $\text{C}_6\text{H}_5\text{CH—n—C}_6\text{H}_{13}$ , А, 143/0,05, 10;  $\text{C}_6\text{H}_5\text{CHCH}_2(\text{C}_2\text{H}_5)_2$ , n- $\text{C}_6\text{H}_{11}$ , А, 155/0,3, 5,4;  $(\text{C}_6\text{H}_5)_2\text{CH}$ , А, 145—150/0,2, 9,25;  $\text{C}_6\text{H}_5\text{—CHC}_6\text{H}_{11}$ , А, 147—149/0,001, 25;  $\text{C}_6\text{H}_5\text{CH—CHCH}_2\text{CH}_2\text{CH}_2\text{CH}_2$ , А, 138/0,1, 4;  $\text{C}_6\text{H}_5\text{CH—циклогексен—1-ил}$ , 160—170/0,1, 6;  $\text{C}_6\text{H}_5\text{CH}_2\text{CHC}_6\text{H}_5$ , Б, 160—162/0,6, 4;  $(\text{C}_6\text{H}_5)_2\text{C}(\text{OH})$ , —, 165—170/0,01 (230/12), 1;  $\text{C}_6\text{H}_5\text{CHCH}_2\text{C}=\text{CHCH}=\text{CHO}$ , А, разл., —,  $\text{C}_6\text{H}_5\text{CHCH}[\text{CH}_2\text{N}(\text{C}_2\text{H}_5)_2]_2$ , А, 165/0,1, 7,5; n- $\text{CH}_3\text{C}_6\text{H}_4\text{—CHC}_6\text{H}_{11}$ , А, 180—185/0,6, 4; n- $\text{ClC}_6\text{H}_4\text{CHC}_6\text{H}_5$ , А, 160—168/0,6, 7,5; n- $\text{CH}_3\text{OC}_6\text{H}_4\text{CHC}_6\text{H}_5$ , А, 163/0,05, 9,1; n- $\text{C}_6\text{H}_{11}\text{C}_6\text{H}_4\text{CHCH}_2\text{CH}_2\text{CH}(\text{CH}_3)_2$ , А, 164—168/0,01, 4; n- $\text{C}_6\text{H}_{11}\text{C}_6\text{H}_4\text{CHCH}_2\text{CH}_2$ , А, 243/0,2, 1; 9-флуоренил, В, 169/0,05, 7,1; 9-декагидрофлуоренил (получен восстановлением предыдущего в-ва на скелетном Ni в см. при 125 ат и  $220-230^\circ$ ), 153/0,05, 5; 9-[9,2,2'-бис-диэтиламино]-изопропил-флуоренил, В, 195/0,05, 4,5; 9-(2-хлорфлуоренил), В, 175—178/0,3, 4; 9-(9,10-дигидроантренил), В, 195/0,3, 3,3; 9-ксантил, В, 164—166/0,3, 4,5; N-фенотиазинил, В, 194/0,05, 11,25; N-3-хлорфенотиазинил, В, 195/0,2, 3,4; N-[N'-(n-хлорбензидрил)-пиперазинил], В, 218/0,1, 3. Получены III типа  $\text{RCH}(\text{CH}_2\text{X})_2$  (перечисляются X, R, способ получения, т. кип. в  $^\circ\text{C}/\text{мм}$ , СА : АП): N- $(\text{CH}_3)_2$ ,  $(\text{C}_6\text{H}_5)_2\text{CH}$ , А, 141—145/0,1, 2; N- $(\text{CH}_3)_2$ ,  $\text{C}_6\text{H}_5\text{CHC}_6\text{H}_{11}$ , А, 141—145/0,2, 3; N-пиперидил,  $\text{C}_6\text{H}_5\text{CHC}_6\text{H}_{11}$ , А, 186/0,1, 10; N-морфолил,  $\text{C}_6\text{H}_5\text{CHC}_6\text{H}_{11}$ , А, 202—205/0,1, 4; N- $(\text{CH}_3)_2$ , N-фенотиазинил, В, 190/0,1, 1,3; N- $(\text{CH}_3)_2$ , N-(3-хлорфенотиазинил), А, 178/0,1, 4,5.

Э. Б.

25586. Синтез и превращения виниловых эфиров этаноламинов. Сообщение 5. Виниловые эфиры ди- и триэтаноламинов. Шостаковский М. Ф., Чекулаева И. А., Изв. АН СССР, Отд. хим. н., 1954, № 6, 1111—1118

Винилированием ди- и триэтаноламинов (II) в условиях р-ции Фаворского-Шостаковского (Ж. общ. химии, 1943, 13, 1) получены соответствующие полные (III, IV) и неполные (V, VI, VII) виниловые эфиры (ВЭ). I +  $\text{HC} \equiv \text{CH} \rightarrow \text{HN}(\text{CH}_2\text{CH}_2\text{OCH}=\text{CH}_2)_2\text{II} + \text{HOCH}_2\text{CH}_2\text{NCH}_2\text{CH}_2\text{OCH}=\text{CH}_2\text{V}$ ; II +  $\text{HC} \equiv \text{CH} \rightarrow \text{NCH}_2\text{CH}_2\text{OCH}=\text{CH}_2\text{V}$ ; IV +  $\text{HOCH}_2\text{CH}_2\text{NCH}_2\text{CH}_2\text{OCH}=\text{CH}_2\text{V}$ ; VI +  $\text{CH}_2=\text{CHOCNCH}_2\text{CH}_2\text{NCH}_2\text{CH}_2\text{OCH}=\text{CH}_2\text{V}$ . Изучены некоторые хим. превращения полученных ВЭ. Найдено, что ВЭ диэтанол-аминов, в противоположность ВЭ многоатомных спиртов, не циклизуются в условиях р-ции Фаворского-Шостаковского; не образуют ацеталей со спиртами под действ. конц.  $\text{HCl}$ ; не полимеризуются под действ. конц.  $\text{HCl}$  и  $\text{FeCl}_3$ , а только под действием свободнорадикальных инициаторов. Полученные полимеры обладают трехмерной структурой. Описана полимеризация ВЭ I и II ( $60-65^\circ$ , 100 час.) под влиянием 2,2-азобиснитрила изомасляной к-ты. В автоклав емк. 2,5 л загружают 65,7 г I, 7,3 г алкоголя К и 150 мл  $\text{C}_2\text{H}_6$ , наполняют  $\text{C}_2\text{H}_2$  до 14—16 ат и нагревают при  $140-150^\circ$  4—6 час. ( $\text{C}_2\text{H}_2$  подают до поглощения теоретич. кол-ва), перегонкой смеси выделены III, выход 64,2%, т. кип.  $80,5-81,5/8$  мм.,  $68-69/3,5$  мм.,  $n_D^{20}$  1,4576,  $d_4^{20}$  0,9491, и V, выход 13,2%, т. кип.  $95/4$  мм.,  $n_D^{20}$  1,4687,  $d_4^{20}$  1,007. Винилирование I в присутствии КОН (10% от веса I) дало меньшие выходы соответствующих ВЭ. Аналогично из 100 г II, 10 г



КОН и 150 мл  $C_6H_6$  (150—160°, 1,8 моля  $C_2H_2$  на 1 моль II) получены V, VI и VII (приведены выход в %, т. кип. в °C/мм.,  $n_D^{20}$  и  $d_4^{20}$ ): V, 2,6, 122/5, 1,4678, 0,9696; VI, 66,7, 125—126/4,5, 1,4725, 1,0022; VII, 3,4, 141—142/3,5, 1,4805, 1,0596. Выход V 65% при введении в р-цию 3 молей  $C_2H_2$  на 1 моль II. Показана зависимость выхода ВЭ I и II от условий р-ции. Строение полученных ВЭ доказано гидролизом их 2%-ной  $H_2SO_4$  до  $CH_3CHO$  и исходных этаноламинов и гидрированием с выходом 65—70% над скелетным Ni (10—12 час.) в соответствующие этиловые эфиры этаноламинов (приведены в-во, т. кип. в °C/мм.,  $n_D^{20}$ ,  $d_4^{20}$ ): диэтиловый эфир I, 84—86/14, 1,4227, 0,8855; моноэтиловый эфир I, 90—90,5/4,5, 1,4471, 0,9676; триэтиловый эфир II, 104/3,5, 1,4388, 0,9203; диэтиловый эфир II, 109—110/4,5, 1,4418, 0,9510; моноэтиловый эфир II, 136—137/4,5, 1,4635, 1,0259. Сообщение 4 см. РЖХим, 1955, 7580. Н. К. 25587.

**Синтез и превращения виниловых эфиров этаноламинов.** Сообщение 6. Виниловый эфир  $\beta$ -(фениламино)этанола. Шостаковский М. Ф., Чекулаева И. А., Изв. АН СССР, Отд. хим. н., 1955, № 1, 146—153.

Исследована р-ция винилирования  $\beta$ -(фениламино)-этилового спирта (I) ацетиленом. Винилированием I в присутствии его калиевого алкоголята (II) получают виниловый эфир I (III), выход 83—85%. Применение КОН вместо II уменьшает выход III до 47—50%. I винилируется труднее незамещ. спиртов жирного ряда (Фаворский А. Е., Шостаковский М. Ф., Авт. свид. 59308 (1941); Ж. общ. химии, 1943, 13, 1), но все же замена в  $\beta$ -аминоэтиловом спирте атома Н в группе  $NH_2$  на  $C_6H_5$ -радикал повышает реакционную способность аминоспирта при р-ции винилирования. Строение III было доказано гидролизом 2%-ной  $H_2SO_4$ , в результате чего образуется  $CH_3CHO$ , и гидрированием в автоклаве над скелетным Ni при 120°, приводящим к образованию  $\beta$ -(фениламино) этилэтилового эфира, т. кип. 107—108°/4 мм.,  $n_D^{20}$  1,5360,  $d_4^{20}$  1,002. III в отличие от виниловых эфиров других аминоспиртов в присутствии следов конц. HCl превращается в циклич. ацеталь 2-метил-3-фенилоксазолидин (IV), т. пл. 58,5—59,0° (из  $CH_3OH$ ):



Наряду с IV при этом образуются также I и в-во состава  $C_{12}H_{14}ON$ , т. пл. 96—98°, образующиеся, очевидно, в результате распада ацетали. Найдено, что III не присоединяет спирты, и синтез ацеталей на основе III осуществить не удалось. Строение IV было доказано гидролизом 2%-ной  $H_2SO_4$  и идентичностью свойств IV со свойствами 2-метил-3-фенилоксазолидина, полученного взаимодействием ацетальдегида и I. Аминоацетали  $CH_3CH(OR)OCH_2CH_2NHC_6H_5$  (V) так же, как и III, обладают большой склонностью к циклизации. Из-за неустойчивости V в условиях р-ции удалось выделить лишь продукты их превращения: IV и соответствующие спирт и диалкил-(арил)-ацеталь. III полимеризуется под влиянием азонитрила изомасляной к-ты (60—65°, 100 час.).  $FeCl_3$  и конц. HCl не вызывают полимеризации III. II получают нагреванием I с металлами. К до 60—70°. 75,5 г I, содержащего 8,3 г II, и 150 мл  $C_6H_6$  загружают в стальной автоклав емкостью 2,5 л и под давлением 14—16 ат вводят ацетилен. Автоклав нагревают до 140—150° и выдерживают при этой т-ре 4—6 час., выход III 83,0%, т. кип. 116—116,5°/6 мм., 108—109°/3,5 мм.,  $n_D^{20}$  1,5523,  $d_4^{20}$  1,0295. С. В. 25588.

**Исследование продукта взаимодействия 1,4-ди-(диметиламино)-2-хлорбутена-2 с серной кисло-**

**той.** Бабаян В. О., Докл. АН АрмССР, 1955, 21, № 2, 77—79 (рез. арм.)

Установлено, что при серноокислотном гидролизе 1,4-ди-(диметиламино)-2-хлорбутена-2 (I) с хорошим выходом образуется п-толуиловая к-та (II), которая идентифицирована в виде продукта ее окисления — терефталевой к-ты (III) и ее диметилового эфира (IV) (ср. РЖХим, 1955, 37198). 15 г I и 50 мл  $H_2SO_4$  ( $d$  1,83) нагревают 2 дня до 100°. При вылипании в холодную воду получено 7,8 г II, т. пл. 178—179° (из водн. спирта). 1 г II кипятят 4 часа с 4,95 г NaOH и 3,3 г  $KMnO_4$  в 82,5 мл воды; прибавляют 0,5 г  $KMnO_4$  и снова кипятят 5 час., получено 1,2 г III; сублимируется, т. пл. > 300°. 0,9 г III в 30 мл  $CH_3OH$  кипятят с 3 г конц.  $H_2SO_4$  5 час. После упаривания остаток закристаллизовался, получено 0,8 г IV, т. пл. 140—141°. Э. К. 25589.

**Химия алифатических тиокарбамидов. Часть III. N,N'-диметилтиокарбамид.** Сингх (Chemistry of aliphatic thiocarbamides. Part III. N,N'-dimethylthiocarbamide. Singh Ranbir, J. Indian Chem. Soc., 1954, 31, № 5, 355—358 (англ.).

N,N'-диметилтиокарбамид (I) в виде сиропообразной массы получен из  $(CH_3)_2NCSSCSN(CH_3)_2$  (II) путем гидролиза и пиролиза. Изучено отношение I к различным реагентам; свойства I сравнивались со свойствами ранее изученных алифатич. тиокарбамидов (см. часть II, РЖХим, 1955, 48848). Установлено, что 1 н. и 5 н.  $H_2SO_4$  не действует на I; 1 н. и 5 н. NaOH после кипячения с I (1 час.) дают соответственно 0% и 39,3% амина и 5% и 54%  $H_2S$ . В отличие от других моно- и диазмет. тиокарбамидов I подвергается заметному десульфированию при действии щел.  $(CH_3COO)_2Pb$ ,  $CdSO_4$ ,  $HgO$ ,  $KZnO_2$  и др. (напр., кипячение 1 час с р-ром  $KZnO_2$  десульфuriрует I на 9,5%). I образует с водн. р-ром  $AgNO_3$  3 комплекса (1·2  $AgNO_3$ , 1· $AgNO_3$ , 2·1· $AgNO_3$ ), более растворимых, чем N,N'-диметил- и N-метилтиокарбамиды. I с  $HNO_2$  (в разб.  $CH_3COOH$ ) образует нестабильное нитропропизводное  $CH_3NHCSN(NO)CH_3$ , т. пл. 45—50° (разл.). При окислении  $Br_2$  в неводн. среде образуется клейкая белая масса, выделяющая  $I_2$  из водн. KJ и разлагающаяся с выделением серы при нагревании со щелочью; образует пикрат; в-во сходно по свойствам с «формамидиндисульфидом». Подобно другим тиокарбамидам I определяется иодометрически и р-ром  $Hg(NO_3)_2$ . В присутствии  $ZnCl_2$  с  $(CH_3CO)_2O$  I образует  $CH_3N(COCH_3)CSNHCNCH_3$ , т. пл. 89°. 1,06 г II кипятят 1 час с 50 мл к-ты или щелочи (1 н. или 5 н.), в гидролизате определяют I после удаления горчичного масла и  $CS_2$  (экстракция эфиром),  $H_2S$  ( $H_2SO_4$  и пропускание  $CO_2$ ) и неразложившегося I и серы (филтрование). Гидролиз 1 н. NaOH, 5 н. NaOH, 1 н.  $H_2SO_4$  и 5 н.  $H_2SO_4$  соответственно дал выход: 6,7, 15, 19 и 13,5% (от теории). Пиролиз проводят нагреванием 10 г II (15 мин., 110°), после очистки получают I, выход 20—30%. М. К. 25590.

**Получение карбоната гуанидина.** Дессен (Préparation du carbonate de guanidine. Dessaigne Gérard, Bull. Soc. chim. France, 1955, № 10, 1193—1194 (франц.).

Карбонат гуанидина (I — основание) получают следующим путем: кипятят 1 час р-р 1 моля нитрата I и 1,01 моля NaOH в 500 мл абс. спирта, фильтруют при 10°, фильтрат при 5° насыщают 25 л  $CO_2$ , отделяют  $NaHCO_3$ . Р-р кипятят 30 мин., охлаждают до 10° и карбонат I промывают 100 мл спирта, выход 95%, чистота 96%, конверсия 85,5%. В 95%-ном спирте выход карбоната I 95%, чистота 98%, конверсия 72%. Н. К. 25591.

**Синтез сернистых веществ на основе простых виниловых эфиров и ацетилена.** Сообщение 12. О наиболее эффективных катализаторах в реакции

присоединения сероводорода к простым виниловым эфирам против правила Марковникова. Шостаковский С. Ф., Прилежаева Е. Н., Шапиро Э. С., Изв. АН СССР, Отд. хим. н., 1955, № 4, 734—741

Изучались условия присоединения  $H_2S$  к винилфениловому (I) и винил-*n*-трет-бутилфениловому (II) эфирам в присутствии  $O_2$ ,  $HCl$  в диоксане, аскаридола и 2,2-азобиснитрила изомасляной к-ты (III). В отличие от винилалкиловых эфиров (РЖХим, 1955, 5547), где присоединение  $H_2S$  приводит к смеси  $\beta, \beta'$ - и  $\alpha, \beta'$ -диалкоксидиэтилсульфидов, винилариловые эфиры в равных условиях присоединяют  $H_2S$ , образуя исключительно  $\beta$ -арилоксиэтилмеркаптаны (IV) и  $\beta, \beta'$ -диарилоксиэтилсульфиды (V). Р-ции присоединения к винилариловым эфирам, независимо от механизма, протекают медленнее по сравнению с винилалкиловыми эфирами. Наиболее эффективным катализатором для данного случая является III. Применение III в кол-ве 0,2% при 60° приводит к значительному сокращению времени р-ции, более полному использованию I и II и высокому выходу IV и V (90—96%). Получены  $\beta$ -феноксидиэтилмеркаптан, т. кип. 96—100°/4—4,5 мм, 106—108,5°/7,5 мм,  $n_D^{20}$  1,5610,  $d_4^{20}$  1,1027, с  $HgCl_2$  образует  $C_6H_5OCH_2CH_2SH \cdot HgCl$ ;  $\beta, \beta'$ -дифеноксидиэтилсульфид, т. кип. 181—183°/1,5—1,8 мм, т. пл. 54—55° (из сп.);  $\beta$ -*n*-трет-бутилфеноксидиэтилмеркаптан, т. кип. 134—134,5°/4,5 мм,  $n_D^{20}$  1,4536,  $d_4^{20}$  1,0206, ртутхлорид, т. пл. 207° (разл., из сп.);  $\beta, \beta'$ -ди-*n*-ди-трет-бутилфеноксидиэтилсульфид, т. пл. 43,5° (из сп.). Исследовано влияние различных катализаторов на р-цию присоединения  $H_2S$  к винилбутиловому (VI) и к винилдихлоексисловому (VII) эфирам; в случае VI в присутствии следов  $O_2$  или р-ра  $HCl$  в диоксане образуется  $\alpha, \beta'$ -дibuтоксидиэтилсульфид (VIII) (от 20 до 32% сульфидной фракции). Применение аскаридола снижает содержание VIII до 1,5%. В присутствии III образуются исключительно  $\beta$ -бутоксидиэтилмеркаптан и  $\beta, \beta'$ -дibuтоксидиэтилсульфид с общим выходом до 98%. В случае VII содержание  $\alpha, \beta'$ -дихлоексидиэтилсульфида (IX) в сульфидной фракции достигает 100% в присутствии следов  $O_2$  или р-ра  $HCl$  в диоксане. Аскаридол и III снижают содержание IX до 13—20% и 2—6%, соответственно. Сообщение 11 см. РЖХим, 1956, 3779.

25592. Димеркапрол. Хорват (Dimercaprolum. Horváth Dezső), Gyógyszerész, 1955, 10, № 7, 131—133 (венг.)

Краткие сведения о получении и применении 2,3-димеркаптопропанола (димеркапрол, дикаптол). В. С. 25593. Тиа- и дитиаалкан-бис-четвертичные аммониевые соли как агенты, блокирующие нервно-мышечную и ганглионарную передачу. Андрус, Берджел, Моррисон (Thia- and dithiaalkanebis(quaternary ammonium) salts as neuromuscular- and ganglion-blocking agents. Andrews K. J. M., Bergel F., Morrison A. L.), J. Chem. Soc., 1953, Oct., 2998—3002 (англ.)

По аналогии с бис-четвертичными аммониевыми соединениями (типа декаметония) синтезированы соединения, в которых одна или две метиленовые группы цепи заменены атомами серы. Тиасоединения получены р-цией меркаптана натрия, растворенного в спирте, с 2-хлорэтилдиметиламином в атмосфере  $N_2$  (J. Amer. Chem. Soc., 1943, 65, 438) с переводом получающихся третичных соединений в четвертичные посредством  $CH_3J$ . Для получения дитиасоединений использован ранее описанный метод (J. Amer. Chem. Soc., 1938, 60, 1765) с окислением получаемых меркаптов иодом. При испытаниях на животных, а также на людях, соединения с более чем семью атомами

между четвертичными атомами азота показали наибольшую нервно-мышечную блокирующую активность. Низшие гомологи обнаруживают угнетающее действие на кровяное давление кошки и блокируют передачу верхних, затылочных симпатич. ганглиев. 4-оксибутилдиметиламин (I) получен по методу Ависона (J. Appl. Chem., 1951, 1, 469) или по Сморгонскому и Гольфарбу (Ж. общ. химии, 1940, 10, 1113). 6-оксигексидиметиламин (II) получен аналогично 1-6'-оксигексилпиперидину по методу Ависона (см. ссылку выше). Моноэтиловый эфир адипиновой к-ты переводили действием  $SOCl_2$  (III) в хлорангидрид, из которого действием диметиламина был получен соответствующий диметиламид, т. кип. 102—106°/0,25 мм,  $n_D^{20}$  1,4573. Восстановлением последнего  $LiAlH_4$  в эфире получен II, т. кип. 114—116°/12 мм,  $n_D^{20}$  1,4482. Р-цией I с  $CH_3I$  в  $C_6H_6$  получен хлоридрат 4-хлорбутилдиметиламина, т. пл. 118—119° (гигроскопич.). Аналогично из II и III в  $CHCl_3$  получен хлоридрат 6-хлоргексидиметиламина (IV), т. пл. 110—112° (гигроскопич.). 3-хлорпропидиметиламин, а также 3-хлорпропидиэтиламин (V) получены конденсацией диалкиламина с 1-бром-3-хлорпропаном в эфире (Marxer, Helv. chim. acta, 1941, 24, 209). Из 4-хлор-1-бромбутана и триметиламина получен 4-хлорбутилтриметиламонийбромид (VI), т. пл. 134—136°. 1-меркаптоэтилдиметиламин получен из хлорсоединения по методу Клинтона (J. Amer. Chem. Soc., 1948, 70, 950). Высшие гомологи получены тем же методом: 3-меркаптопропидиметиламин, т. кип. 40—41°/12 мм,  $n_D^{20}$  1,4666; 4-меркаптобутилдиметиламин (VII), т. кип. 84°/35 мм,  $n_D^{20}$  1,4677. 3-меркаптопропидиэтиламин получен также по известному методу (Gilman и др., J. Amer. Chem. Soc., 1945, 67, 1845). R 1 г Na, растворенному в 25 мл спирта, добавляли 4,4 г 2-меркаптоэтилдиметиламина (VIII). После добавления 2-хлорэтилдиметиламина (полученного из 6,4 г хлоридрата) смесь кипятили 10 мин, и после стояния ~12 час. при ~20° и перегонки в вакууме получен 1,5-бис-диэтиламино-3-тиагептан (IX), т. кип. 58—60°/0,15 мм,  $n_D^{20}$  1,4757. 3 г IX в 15 мл  $C_6H_6$  при 0° обрабатывались 5,3 г  $CH_3J$  в 15 мл  $C_6H_6$ ; 3-тиагептан-1,5-бис-(триметиламониййодид) получен с выходом 73%, т. пл. 298—300° (разл. из  $CH_3OH$ ). Аналогично получен 1,6-бис-диэтиламино-3-тиагексан (X) — из 0,9 г Na в 30 мл сухого спирта и 4,2 г VIII в 5 мл спирта с последующим добавлением 5 г свободного 3-хлорпропидиметиламина в 15 мл сухого спирта, выход 74%, т. кип. 57°/0,2 мм,  $n_D^{21}$  1,4742. Из 2,8 г X в 15 мл сухого эфира и 4,6 г  $CH_3J$  получен 3-тиагексан-1,6-бис-(триметиламониййодид), выход 86%, т. пл. 236,5—237,5°. 4-тиагептан-1,7-бис-(триэтил-аммониййодид) (XI) получен двумя методами; а) действием  $Na_2S$  на 3-хлорпропидиэтил-аммониййодид в водн. спирте, выход 25%, т. пл. 257—258° (из сп.), б) 0,36 г Na в 10 мл спирта обрабатывали 2,2 г диэтил-3-меркаптопропиламина в 3 мл спирта, а затем 2,4 г V, после кипячения 1 час и обычной обработки получен 1,7-бис-диэтиламино-4-тиагептан (XII), т. кип. 80—81°/0,03 мм,  $n_D^{20}$  1,4730; из 1,6 г XII и 1,25 г  $C_2H_5J$  в 5 мл спирта получен XI, выход 1,7 г, т. пл. 256—257° (разл., из  $C_6H_5OH$ ). 5-тианован-1,9-бис-(три-метиламониййодид) получен из 3 г  $Na_2S$  и 5,8 г VI в 100 мл 50%-ного водн. спирта нагреванием в течение 3 час., выход 25%, т. пл. 232—233°; 1,11-бис-ди-метиламино-5-тиаундекан (XIII) получен аналогично XII из 0,5 г Na в 15 мл сухого спирта и 2,7 г VII в 3 мл спирта с последующим добавлением 2,75 г IV в 10 мл спирта; выход XIII 64%, т. кип. 100—105°/0,2 мм, 2,5 г XIII в 10 мл  $C_6H_6$  и 3,1 г  $CH_3J$  в 5 мл  $C_6H_6$ ,

— 149 —



$n\text{-C}_6\text{H}_{11}$ , 92—95, 138—139/20, 1,4760, 123;  $n\text{-C}_8\text{H}_{13}$ , 92—94, 145—147/20, 1,4735, 135. Т. Г. 25598. Исследования в алициклическом ряду.

Часть II. Синтез и реакции 2-фенилциклопентен-2-она. Аммиэл, Лёфлер, Гинсбург (Studies in the alicyclic series. Part II. Synthesis and reactions of 2-phenylcyclopent-2-enone. Amiel Yaasov, Löffler Alfred, Ginsburg David), J. Amer. Chem. Soc., 1954, 76, №14, 3625—3628 (англ.)

Осуществлен синтез 2-фенилциклопентен-2-она (I) из 1-фенилциклопентена (II) через нестойкий нитрохлорид II (III), который в р-ре пиридина отщепляет HCl и дает оксим II (IV). Кислотное омыление IV приводит к I. Конденсацией I с дибензильным эфиром малоновой к-ты (V) по методу Михаэля с последующим катализом гидрированием и декарбосилированием получается *транс*-3-кето-2-фенилциклопентануксусная к-та (VI), а также 2-фенилциклопентанон (VII). Восстановлением V получили *транс*-2-фенилциклопентануксусную к-ту (VIII), которую превратили в *транс*-2-фенилциклопентанпропионовую к-ту (IX). *транс*-Конфигурация VI и VIII доказана превращением их в *транс*-3,6-дигидро-4,5-бензгидридан (X) и *транс*-6-кето-4,5-бензгидридан (XI) соответственно. Циклизация хлорангидрида IX дает *транс*-1,2,3,6,7,8,9,10-октагидро-6-кето-4,5-бензазулен (XII). К  $\text{C}_6\text{H}_5\text{MgBr}$  (из 90 г Mg) в 2000 мл сухого эфира прибавляли по каплям 300 г циклопентанона в 300 мл сухого эфира в течение 2,5 часов. Смесь омыляли насыщ. р-ром  $\text{NH}_4\text{Cl}$  (600 г). Остаток после отгонки р-рителя, избытка  $\text{C}_6\text{H}_5\text{MgBr}$  и циклопентанона обрабатывали безводн. щавелевой к-той (60 г) в 1,5 л кипящего толуола. Перегонкой выделяли II, выход 415—430 г, т. кип. 133—135°/25 мм. К смеси 117 г II, 200 мл лед.  $\text{CH}_3\text{COOH}$  и 178,5 мл *n*-амилнитрита при перемешивании прибавляли 139 мл конц. HCl (1,5—2 часа, т-ра от -10 до -20°), размешивали еще 2 часа при -30° и отфильтровывали влажный III смешавали с 160 мл пиридина и нагревали при 100°. Массу разбавляли водой и получали IV, т. пл. 158—159° (из сп.), кислый гидролиз которого (см. РЖХим, 1954, 18001) давал I, выход 30%, т. пл. 72° (из сп.). Конденсацией 59 г I, 139 г V с *трет*- $\text{C}_4\text{H}_9\text{OK}$  получили 53 г жидкого продукта, нагреванием которого (180—190°, 30 мин.) получили VI, выход 44 г, т. кип. 200—210° (0,6 мм, т. пл. 109—110° (из эфира)). Из VI и  $\text{CH}_2\text{N}_2$  получили его метиловый эфир; его 2,4-динитрофенилгидразон, т. пл. 137—138° (из  $\text{CH}_3\text{OH}$ -сп.). VII, выделенный наряду с VI из реакционной смеси, имел т. кип. 115—117°/1 мм. Бромирование VII (7,36 г  $\text{Br}_2$  в  $\text{CCl}_4$  и отщепление HBr 2,6-лугидном дает I с выходом 4,27 г. Восстанавливали 10 г VI по описанному ранее методу (см. Huang-Minlon, J. Amer. Chem. Soc., 1946, 68, 2487), получали VII, выход 8,5 г. Р-р 9,5 г VIII в 50 мл абс.  $\text{C}_6\text{H}_6$  обрабатывали 6,7 мл  $\text{SOCl}_2$ , выдерживали 2 часа и р-ритель удаляли в вакууме. Остаток растворяли в сухом  $\text{C}_6\text{H}_6$  (50 мл) и добавляли эфир. р-р  $\text{CH}_2\text{N}_2$  (0°). Через ~12 час. (20°) отгоняли  $\text{C}_6\text{H}_6$  и приливали 100 мл абс. спирта. Затем добавляли 10 г  $\text{Ag}_2\text{O}$ , кипятили 3—4 часа, вносили 15 г KOH и кипятили еще 4 часа. После подкисления HCl (к-той) выделяли IX, выход 6,7 г, т. пл. 77—78° (из petr. эф.). Р-р 1,92 г IX в 10 мл  $\text{C}_6\text{H}_6$  обрабатывали 3 мл  $\text{SOCl}_2$ . После удаления  $\text{C}_6\text{H}_6$  остаток растворяли в 25 мл  $\text{CS}_2$ , прибавляли 1,35 г  $\text{AlCl}_3$ , кипятили смесь 3 часа, прибавляли разб. HCl, экстрагировали эфиром и перегоняли, получили XII, выход 75%, т. пл. 66—67° (из petr. эф.); семикарбазон XII, т. пл. 202—203°. X и XI получали соответственно из 10 г VI или VIII и 100 г HF; выход X 3,5 г, т. пл. 133—134° (из  $\text{CH}_3\text{OH}$ ); диоксим, т. пл. 208° (разл., из  $\text{CH}_3\text{OH}$ ); выход XI 8,5 г, т. пл. 87,5—88,5° (из  $\text{CH}_3\text{OH}$ ); оксим, т. пл.

181° (из  $\text{CH}_3\text{OH}$ ); 2,4-динитрофенилгидразон, т. пл. 242—244° (из сп.). Часть I см. РЖХим, 1955, 26129.

Б. А. 25599. Исследования в алициклическом ряду. III. Конденсация Михаэля 1-ацетилциклоалкенов с циклоалканами. Розенфельдер, Гинсбург (Studies in the alicyclic series. Part III. Michael condensation of 1-acetylcycloalkenes with cycloalkanes. Rosenfelder W. J., Ginsburg David), J. Chem. Soc., 1954, August, 2955—2958 (англ.)

Конденсацией 1-ацетилциклоалкенов  $\text{CH}_2\text{CH}_2(\text{CH}_2)_n$  с циклоалканами  $\text{CH}_2\text{CH}_2(\text{CH}_2)_m$   $\text{CH}=\text{CCOCH}_3$  (I) с циклоалканами

$\text{CH}_2\text{CO}$  (II) в присутствии  $(\text{CH}_3)_3\text{COK}$  (III) синтезированы соединения общей ф-лы (IV), которые предполагаются использовать для синтеза новых небензеноидных систем ароматич. характера. При этом побочно образуются продукты ди- и полимеризации I и II. I ( $n=1$ ) получен известным путем (Rapson, Robinson, J. Chem. Soc., 1935, 1287), очищен через семикарбазон, т. кип. 80—82°/33 мм. I ( $n=2$ ) синтезирован по описанной методике (Christ, Fuson, J. Amer. Chem. Soc., 1937, 59, 893), очищен как I ( $n=1$ ), т. кип. 195—200°. I ( $n=3$ ) приготовлен как описано (Taub, Szmuszkowicz, J. Amer. Chem. Soc., 1952, 74, 2117), но при -20°, и при дегидрохлорировании промежуточно образующегося 1-ацетил-2-хлорциклопентена действием  $\text{Na}_2\text{CO}_3$  выход I ( $n=3$ ) 70%, т. кип. 207—215°. I ( $n=1, 2$  и 3) охарактеризованы ИК-спектрами. 5,5 г I ( $n=1$ ) и III (из 2,1 г K) кипятили 1 час в 25 мл сухого  $\text{C}_6\text{H}_6$ , к охлажд. смеси приливают 4 мл  $\text{CH}_3\text{COOH}$ , бензольный р-р промывают водой, перегонка дает смесь продуктов самоконденсации I (1,7 г в-ва с т. кип. 135—160°/1 мм, 1,1 г с т. кип. 160—220°/1 мм и 2,3 г остатка). Аналогично из 4,2 г II ( $m=1$ ) и III (2 г K) получают 1,6 г циклогентилденциклопентанона, т. кип. 99—101°/2 мм,  $n_D^{20}$  1,5262; 2,4-динитрофенилгидразон (ДНФГ), т. пл. 222,5—223,5° (из  $\text{CH}_3\text{COOC}_2\text{H}_5$ -сп.); оксим (OK), т. пл. 120—121° (из сп.), и 2,2,5-дициклопентилденциклопентанона (V), 165—170°/2 мм, т. пл. 82,5—83,5° (из сп.). Аналогично из II ( $m=3$ ) после кипячения в течение 4,5 час. получают 2,6 г циклогентилденциклопентанона, т. кип. 130—135°/0,9 мм,  $n_D^{19}$  1,5212, ИК-спектр



дает наличие системы  $\text{C}=\text{C}-\text{C}=\text{O}$ , ДНФГ 144—145° (из  $\text{CH}_3\text{COOC}_2\text{H}_5-\text{CH}_3\text{OH}$ ). К суспензии III (из 0,0525 г атома K) в 20 мл сухого  $\text{C}_6\text{H}_6$  добавляют р-р 0,05 моля II ( $m=3$ ), затем сразу приливают р-р 0,05 моля I ( $n=2$ ) в 5 мл  $\text{C}_6\text{H}_6$ , смесь кипятят 2 часа, охлаждают, приливают 4 мл  $\text{CH}_3\text{COOH}$ , затем 20 мл воды и 50 мл эфира; эфирно-бензольный р-р промывают водой, сушат над  $\text{Na}_2\text{SO}_4$ , перегонка дает 2,5 г II ( $m=3$ ), т. кип. 60—85°/30 мм, и IV ( $n=2, m=3$ ), выход 55,5%, т. кип. 150—151°/0,9 мм,  $n_D^{20}$  1,5342; семикарбазон (СК), т. пл. 189—190° (из  $\text{CH}_3\text{OH}$ -хлф.), ДНФГ, т. пл. 196—197° (из  $\text{CH}_3\text{COOC}_2\text{H}_5-\text{CH}_3\text{OH}$ ); СК, т. пл. 198,5—199,5° (из эф.). Аналогично синтезируют: IV ( $n=3, m=2$ ), выход 54,5%, т. кип. 149—152°/0,8 мм, OK, т. пл. 164—165° (из  $\text{CH}_3\text{COOC}_2\text{H}_5$ ); СК, т. пл. 110—111° (из  $\text{CH}_3\text{OH}$ -хлф), высушенный при 100°/2 мм в течение 2 час., т. пл. 194—195°, ДНФГ, т. пл. 200—200,5° (из  $\text{CH}_3\text{COOC}_2\text{H}_5-\text{CH}_3\text{OH}$ ). IV ( $n=3, m=3$ ), 57%, т. кип. 166—167°/0,4 мм,  $n_D^{20}$  1,5346; OK, т. пл. 157,5—158,5° (из  $\text{CH}_3\text{COOC}_2\text{H}_5$ ); СК, т. пл. 182—183° (из  $\text{CH}_3\text{OH}$ -хлф.); ДНФГ, т. пл.

190—191° (из  $\text{CH}_3\text{COOC}_2\text{H}_5\text{—CH}_2\text{OH}$ ). К суспензии III (из 0,0525 г атома К) в 30 мл  $\text{C}_6\text{H}_6$  приливают р-р 0,05 моля II ( $m=3$ ) в 10 мл  $\text{C}_6\text{H}_6$  и р-р 5,5 г I ( $n=1$ ) в 10 мл  $\text{C}_6\text{H}_6$  при 5°, через 20 мин. смесь кипятят (20 мин.) и добавляют 4 мл  $\text{CH}_3\text{COOH}$ , выход IV ( $n=1$ ,  $m=3$ ) 41%, т. кип. 146—150°/1,2 мм; ОК, т. пл. 187,5—188,5°; ДНФГ, т. пл. 147—148° (из  $\text{CH}_3\text{COOC}_2\text{H}_5\text{—CH}_2\text{OH}$ ). К 0,0525 моля  $\text{CH}_3\text{ONa}$  в 30 мл  $\text{C}_6\text{H}_6$  добавляют при 5° р-р 4,2 г I ( $n=3$ ) и 6,9 г II ( $m=1$ ) в 10 мл  $\text{C}_6\text{H}_6$ , обработка смеси через 35 мин., как описано выше, дает IV ( $n=3$ ,  $m=1$ ), выход 2,1 г (с примесью V), [т. кип. 150—170°/1 мм,  $n_D^{20}$  1,5357; ДНФГ, т. пл. 157—159° (из  $\text{CH}_3\text{COOC}_2\text{H}_5\text{—CH}_2\text{OH}$ ). Полученные IV охарактеризованы ИК-спектрами (доказывают наличие системы  $\text{C}=\text{C}=\text{O}$ ), IV и их кристаллич. производные (ОК, ДНФГ и СК) — УФ-спектрами.

#### 25600. Восстановление гексахлорциклопентадиена.

1,2,3,4,5-пентахлорциклопентадиен. Мак-Бин, Смит (The reduction of hexachlorocyclopentadiene. 1,2,3,4,5-pentachlorocyclopentadiene. МсВее Е. Т., Смит Д. К.), J. Amer. Chem. Soc., 1955, 77, № 2, 389—391 (англ.).

Показано, что постепенное каталитич. гидрирование гексахлорциклопентадиена (I) над  $\text{PtO}_2$  в спирте приводит к 1,2,3,4,5-пентахлорциклопентадиену (II), затем образуется 1,2,3,4-тетрахлорциклопентадиен (III), дальнейшее гидрирование которого дает циклопентан (IV). II получали также при восстановлении I  $\text{SnCl}_2$  в ацетоне или  $\text{LiAlH}_4$  в эфире при  $-50^\circ$ , а также восстановлением октахлорциклопентадиена (V)  $\text{LiAlH}_4$  или при каталитич. гидрировании V. Идентифицировали II превращением в III, получением кристаллич. димера (VI), аддуктов с малеиновым ангидридом (VII) и циклопентадиеном (VIII). Хлорирование VIII в присутствии  $\text{AlCl}_3$  приводит к октахлорметанидену (IX). Р-ром  $\text{NaOH}$  в  $\text{CH}_3\text{OH}$  II разлагается; с конц.  $\text{H}_2\text{SO}_4$  при 120° II дает VI. Гидрируют I над  $\text{PtO}_2$  в абс. спирте и получают VI, выход 71%, т. пл. 217—218° (из петр. эф.). Подобным путем I, II, V превращают в III, выход 49, 38 и 49% соответственно, т. пл. 60—62°. В тех же условиях из III получают IV, выход 69%, т. кип. 45—50°,  $n_D^{20}$  1,4045. Пиролиз VI в атмосфере  $\text{N}_2$  при 340—350° приводит к II, выход 89%, т. кип. 84—87°/4 мм. 0,276 моля  $\text{LiAlH}_4$  в абс. эфире прибавляют к 0,2 молям I в 300 мл абс. эфира при  $-50^\circ$ , смесь выливают на лед и подкисляют  $\text{HCl}$  получают II, выход 66,7%, т. кип. 84—86°/4 мм,  $n_D^{20}$  1,5610, и VI, выход 10,3 г. Аналогично из 0,1 моля V получают 5,3 г II, т. кип. 110—115°/6 мм, и 12,3 г VI; общий выход 74%. 1 моль  $\text{SnCl}_2 \cdot 2\text{H}_2\text{O}$  в 350 мл ацетона прибавляют к р-ру 1 моля I в 100 мл ацетона, смесь выливают в воду и выделяют VI, выход 70%. Обычным путем из II и малеинового ангидрида получают VII, выход 69%, т. пл. 183—184,5° (из воды). 0,15 моля циклопентадиена прибавляют к кипящему р-ру 0,15 моля II в 200 мл петр. эфира, и удалив р-ритель, выделяют VIII, выход 57,5%, т. пл. 100—101° (из петр. эф.). Через р-р 0,0207 моля VIII в 35 мл  $\text{CCl}_4$  в присутствии 0,2 г  $\text{AlCl}_3$  пропускают  $\text{Cl}_2$  ( $\sim 20^\circ$ , 160 мин.), смесь фильтруют и получают IX, т. пл. 150—151° (из петр. эф.).

Т. Г. 25601. Синтез перхлорфульвалена. Мак-Бин, Робертс, Айдил (Synthesis of perchlorofulvalene. МсВее Е. Т., Робертс С. В., Идол J. D., J. r), J. Amer. Chem. Soc., 1955, 77, № 18, 4942—4943 (англ.).

Перхлорфульвален (I) синтезирован по схеме: из гексахлорциклопентадиена отработкой  $\text{Cu}_2\text{Cl}_2$  получен бис-(пентахлорпентадиенил) (II), т. пл. 121°,

который при нагревании до 250° теряет молекулу  $\text{Cl}_2$ , образуя I, выход 85%, т. пл. 347°. Гидрирование I в спирте над хромитом Си и восстановление II над Pt приводит к бидиклопентилу, чем доказываются их структура. Отсутствие яркой окраски у I авторы объясняют нарушением копланарности молекулы за счет пространственной близости атомов Cl в положении 4—5 и 1—8. При энергичном воздействии  $\text{Cl}_2$  I и II превращаются в перхлоро-3а,4,7,7а-тетрагидро-4,7-метаноинден, т. пл. 220—221°. I и II не вступают в диеновый синтез. Приведен УФ-спектр I.

Л. В. 25602. Синтез болеутоляющих препаратов. II. Производные аминокислотоксана. (1). Такахаси, Хори (除痛剤の合成. 第2報. アミノチクロヘキサン誘導体について. その高橋 1. 西蔵, 堀幹夫), 藥學雜誌, Якугаку даэсси, J. Pharm. Soc. Japan, 1955, 74, № 1, 52—55 (япон.; рез. англ.).

Реакцией 2-диметиламинометилциклогексанона с реактивами Гриньяра, приготовленными из  $\text{CH}_3\text{I}$ ,  $\text{C}_2\text{H}_5\text{Br}$ ,  $\text{C}_4\text{H}_9\text{Br}$ ,  $\text{C}_6\text{H}_5\text{CH}_2\text{Cl}$  и  $\text{C}_6\text{H}_5\text{Br}$ , получали соответствующие аминоспирты общей ф-лы 2-R-2-(OR') $\text{C}_6\text{H}_5\text{—CH}_2\text{N}(\text{CH}_3)_2$  (A), где  $\text{R}' = \text{H}$  (I—V). Перечислены R, выход в г, т. кип. в °C/мм: I,  $\text{CH}_3$ , 6, 95/10; II,  $\text{C}_2\text{H}_5$ , 11,—; III,  $\text{C}_4\text{H}_9$ , 10, 113/5; IV,  $\text{C}_6\text{H}_5\text{CH}_2$ , 14, 138/0,25; V,  $\text{C}_6\text{H}_5$ , 10, 133/0,25. Р-цией A (I—V) с хлорангидридами различных ароматич. к-т получали соответствующие эфиры общей ф-лы A (VI—XXVII). Перечислены R, R', выход в г, т. пл. в °C: VI,  $\text{CH}_3$ ,  $\text{C}_6\text{H}_5$ , 1,4, 201; VII,  $\text{CH}_3$ ,  $\text{C}_6\text{H}_5\text{CH}_2$ , 1,5, 173,5—174; VIII,  $\text{CH}_3$ ,  $(\text{C}_6\text{H}_5)_2\text{CH}$ , 1,2, 187,5—188; IX,  $\text{CH}_3$ ,  $\text{C}_6\text{H}_5\text{CH}=\text{CH}$ , 1, 180; X,  $\text{CH}_3$ ,  $n\text{—NO}_2\text{C}_6\text{H}_4$ , 1,8, 229 (разл.); XI,  $\text{C}_2\text{H}_5$ ,  $\text{C}_6\text{H}_5$ , 1,2, 187,5; XII,  $\text{C}_2\text{H}_5$ ,  $\text{C}_6\text{H}_5\text{CH}_2$ , 2,5, 173; XIII,  $\text{C}_2\text{H}_5$ ,  $(\text{C}_6\text{H}_5)_2\text{CH}$ , 0,9, 189; XIV,  $\text{C}_2\text{H}_5$ ,  $\text{C}_6\text{H}_5\text{CH}=\text{CH}$ , 1,3, 178; XV,  $\text{C}_2\text{H}_5$ ,  $n\text{—NO}_2\text{C}_6\text{H}_4$ , 3,5, 211 (разл.); XVI,  $n\text{—C}_4\text{H}_9$ ,  $\text{C}_6\text{H}_5$ , 2,8, 145; XVII,  $n\text{—C}_4\text{H}_9$ ,  $\text{C}_6\text{H}_5\text{CH}_2$ , 1,3, 196; XVIII,  $n\text{—C}_4\text{H}_9$ ,  $(\text{C}_6\text{H}_5)_2\text{CH}$ , 1,3, 187; XIX,  $n\text{—C}_4\text{H}_9$ ,  $\text{C}_6\text{H}_5\text{CH}=\text{CH}$ , 1,5, 195; XX,  $n\text{—C}_4\text{H}_9$ ,  $n\text{—NO}_2\text{C}_6\text{H}_4$ , 1,8, 179; XXI,  $\text{C}_6\text{H}_5\text{CH}_2$ ,  $\text{C}_6\text{H}_5$ , 2,8, 189; XXII,  $\text{C}_6\text{H}_5\text{CH}_2$ ,  $\text{C}_6\text{H}_5\text{CH}_2$ , 0,7, 186,5; XXIII,  $\text{C}_6\text{H}_5\text{CH}_2$ ,  $(\text{C}_6\text{H}_5)_2\text{CH}$ , 1, 215,5; XXIV,  $\text{C}_6\text{H}_5\text{CH}_2$ ,  $\text{C}_6\text{H}_5\text{CH}=\text{CH}$ , 1,2, 196; XXV,  $\text{C}_6\text{H}_5$ ,  $(\text{C}_6\text{H}_5)_2\text{CH}$ , 1,8, 196,5; XXVI,  $\text{C}_6\text{H}_5$ ,  $\text{C}_6\text{H}_5\text{CH}=\text{CH}$ , 1,5, 211,5; XXVII,  $\text{C}_6\text{H}_5$ ,  $n\text{—NO}_2\text{C}_6\text{H}_4$ , 2,7, 205,5 (разл.). Восстановлением X и XV получили A (XXVIII), R =  $\text{CH}_3$ , R' =  $n\text{—NH}_2\text{C}_6\text{H}_4$ , выход 0,8 г, т. пл. 144° и A (XXIX), R =  $\text{C}_2\text{H}_5$  и R' =  $n\text{—NH}_2\text{C}_6\text{H}_4$ , выход 3,1 г, т. пл. 110°. Найдено, что некоторые из полученных эфиров обладают болеутоляющим действием. Сообщение 1, см. РЖХим, 1955, 7446.

Д. К. 25603. Синтез болеутоляющих препаратов. III. Производные аминокислотоксана. (2). Такахаси, Хори (除痛剤の合成. 第3報. アミノチクロヘキサン誘導体についてその2. 高橋西蔵, 堀幹夫), 藥學雜誌, Якугаку даэсси, J. Pharm. Soc. Japan, 1954, 74, № 4, 354—358 (япон.; рез. англ.).

Аналогично предыдущей работе синтезирован ряд производных 2-диметиламинометилциклогексанона общей ф-лы A, где R' = H (I—IV) (см. сообщение II, пред. реф.). Перечислены R, выход в г, т. кип. в °C/мм: I,  $\text{CH}_2=\text{CHCH}_2$ , 10, 97/5; II,  $\text{CH}_3\text{CH}_2\text{CH}_2$ , 10, 92/2; III,  $(\text{CH}_3)_2\text{CH}$ , 11, 88/3; IV, циклогексил, 10, 125/3. Конденсацией A (I—IV) с хлорангидридами различных ароматич. к-т получили эфиры общей ф-лы A (V—XXIII). Перечислены R, R', выход в г, т. пл. в °C: (с V по VII R =  $\text{CH}_2=\text{CHCH}_2$ ) V,  $\text{C}_6\text{H}_5$ , 0,8, 140; VI,  $(\text{C}_6\text{H}_5)_2\text{CH}$ , 1,8, 165; VII,  $\text{C}_6\text{H}_5\text{CH}_2$ ,  $\text{C}_6\text{H}_5$ , 1,5, 176; VIII,  $n\text{—NO}_2\text{C}_6\text{H}_4$ , 1,2, 190; (с IX по XIII R =  $\text{CH}_3\text{CH}_2\text{CH}_2$ ) IX,  $\text{C}_6\text{H}_5$ , 2,5, 150; X,  $\text{C}_6\text{H}_5\text{CH}_2$ , 1,5, 176; XI,  $(\text{C}_6\text{H}_5)_2\text{CH}$ , 0,7, 171; XII,  $\text{C}_6\text{H}_5\text{CH}=\text{CH}$ , 1,2, 182,5; XIII,  $n\text{—NO}_2\text{C}_6\text{H}_4$ , 1,7, 188,5; (с XIV по XVIII R =  $\text{iso-C}_3\text{H}_7$ ) XIV,  $\text{C}_6\text{H}_5$ , 3,6, 187,5; XV,  $\text{C}_6\text{H}_5\text{CH}_2$ , 1,5, 166; XVI,  $(\text{C}_6\text{H}_5)_2\text{CH}$ , 0,5, 145; XVII,  $\text{C}_6\text{H}_5\text{CH}=\text{CH}$ , 1,6, 170; XVIII,  $n\text{—NO}_2\text{C}_6\text{H}_4$ , 2,5, 212,5; (с XIX по XXIII R = циклогексил) XIX,

$C_6H_5$ , 1,5, 187; XX,  $C_6H_5CH_2$ , 0,8, 145; XXI,  $(C_6H_5)_2CH$ , 1,4, 179; XXII,  $C_6H_5CH=CH$ , 1,8, 199; XXIII *n*- $NO_2C_6H_4$ , 1,7, 185. Катализатор. восстановлением XIII, XVIII и XXIII над Pd/C получили их *n*- $NH_2C_6H_4$ -производные, для которых соответственно перечислены выход в г, т. пл. в °C: 0,5, 129; 1, 107; 0,5, 126,5. Из полученных эфиров болеутоляющим средством обладают XIV и A, где  $R=C_2H_5$ , а  $R'=C_6H_5$ . Действием  $SiCH_2COCl$  или  $CH_3CHBrCOBr$  на A, где  $R=C_2H_5$  или циклогексил, получили четыре соединения общей ф-лы 2-R-2-OOCCH(X)(R')- $C_6H_5-CH_2N(CH_3)_2 \cdot HX$ -1, для которых приведены R', R', X, выход в г, т. пл. в °C:  $C_2H_5$ , H, Cl, 2,7, 184;  $C_2H_5$ ,  $CH_3$ , Br, 7,5, 179; циклогексил, H, Cl, 2, 174; циклогексил,  $CH_3$ , Br, 2, —. Конденсация III с  $NH(CH_3)_2$  или  $NH(C_2H_5)_2$  привела к соединениям общей ф-лы 2-R-2-OOCCH(R'') $N(R'')_2-C_6H_5-CH_2N(CH_3)_2$ -1. Перечислены R, R'', выход в г, т. кип. в °C/мм:  $C_2H_5$ , H,  $CH_3$ , 1,2, 115/0,23;  $C_2H_5$ ,  $CH_3$ ,  $CH_3$ , 1, 127/0,35;  $C_2H_5$ , H,  $C_2H_5$ , 1, 138/0,35; циклогексил, H,  $CH_3$ , 1,2, 147/0,21; циклогексил,  $CH_3$ ,  $CH_3$ , 1, 117/0,25. Д. К.

25604. Синтез болеутоляющих препаратов. IV. Производные аминокциклоксана. (3). Такахаши, Хори (除痛剤の合成. 第4報. アミノチクロヘキサン誘導体について. その 3. 高橋西蔵, 畑幹夫), 薬学雑誌, Якугаку дзасси, J. Pharmac. Soc. Japan, 1955, 74, № 11, 1141—1144 (япон.; рез. англ.)

Реакцией алкилмагнилийбромидов с 2-диэтиламино-, 2-пиперидил- и 2-морфолинилметилциклоксаном получили соответствующие аминоспирты общей ф-лы 2-R'-2-R''O- $C_6H_5-CH_2R$ -1 (A), где  $R'=H$ . (I—IV). Перечислены R, R'', выход в г, т. кип. в °C/мм: I,  $N(C_2H_5)_2$ ,  $C_2H_5$ , 10, 99—100/4; II,  $N(C_2H_5)_2$ , *изо*- $C_3H_7$ , 5, 113/4; III, N-пиперидил, *изо*- $C_3H_7$ , 5, 118/3; IV, N-морфолинил,  $C_2H_5$ , 5,2, 137/6. Взаимодействием I—IV с хлорангидридами различных ароматич. к-т получили ряд эфиров общей ф-лы A(V—X), для которых перечислены R, R'', выход в г, т. пл. в °C: V,  $N(C_2H_5)_2$ ,  $C_2H_5$ ,  $C_6H_5CO$ , 1,5, 124; VI,  $N(C_2H_5)_2$ ,  $C_2H_5$ , *n*- $NO_2C_6H_4CO$ , 1,6, 158; VII,  $N(C_2H_5)_2$ ,  $C_2H_5$ ,  $C_6H_5CH=CHCO$ , 0,6, 159,5; VIII,  $N(C_2H_5)_2$ , *изо*- $C_3H_7$ ,  $C_6H_5CO$ , 0,4, 184; IX, N-пиперидил, *изо*- $C_3H_7$ ,  $C_6H_5CO$ , 0,5, 173; X, N-морфолинил,  $C_2H_5$ ,  $C_6H_5CO$ , 1,8, 191. Р-цией  $CH_3COCl$  или *изо*- $C_4H_9COCl$ , или  $SiCOOC_2H_5$  с I—IV получили соответствующие эфиры общей ф-лы A(XI—XV), где  $R=CH_3$ . Перечислены R', R'', выход в г, т. пл. в °C: XI,  $C_2H_5$ ,  $CH_3COO$ , 1,1, 188; XII,  $C_2H_5$ , *изо*- $C_4H_9COO$ , 0,5, 171; XIII,  $C_2H_5$ ,  $C_2H_5OOCO$ , 1,5, 118; XIV,  $C_4H_9$ ,  $C_2H_5OOCO$ , 1,56, 93; XV,  $C_6H_5CH_2$ ,  $C_2H_5OOCO$ , 1,3, 172 (разл.). Восстановлением VI получили его производное, где  $R''=n-NH_2C_6H_4CO$ , выход 0,3 г, т. пл. 115°. Р-цией между 1-алкил-1-*n*-аминобензоилокси-2-диметил- (или диэтил)-аминометил-циклоксаном и  $SiCOOC_2H_5$  получили соответственные уретаны. Взаимодействием между 1-этил-2-диметиламинометилциклоксаном-1 и хлорангидридом β-бромпропионовой к-ты был получен эфир общей ф-лы A(XVI), где  $R=CH_3$ ,  $R'=C_2H_5$  и  $R''=BrCH_2CH_2CO$ , выход 1,2 г, т. пл. 143°. Конденсацией последнего с  $(CH_3)_2NH$  получили производное XVI, где  $R''=(CH_3)_2NCH_2CH_2CO$ , выход 1 г, т. кип. 78°/0,25 мм. Д. К.

25605. Синтез болеутоляющих препаратов. V. Производные аминокциклопентана. Такахаши, Хори, Като (除痛剤の合成. 第5報. アミノチクロペンタン誘導体について. 高橋西蔵, 畑幹夫, 加藤旭), 薬学雑誌, Якугаку дзасси, J. Pharmac. Soc. Japan, 1955, 75, № 6, 714—715 (япон.; рез. англ.)

Реакцией магнийдалькоидов (или арилов) с 2-диметиламинометилциклопентаном синтезировали ряд аминоспиртов общей ф-лы 2-R-2-R'O- $C_5H_7-CH_2N(CH_3)_2$ -1(A),

где  $R'=H$  (I—IX). Перечислены R, выход в г, т. кип. в °C/мм: I,  $CH_3$ , 1,3, 65/6; II,  $C_2H_5$ , 1,9, 77/5; III,  $C_3H_7$ , 5, 88/6; IV, *изо*- $C_3H_7$ , 1,3, 67/6,5; V,  $C_2H_5$ , 1,81,5/8; VI,  $C_4H_9$ , 3,2, 107,5/6; VII,  $C_6H_5$ , 3,3, 131/0,4; VIII,  $C_6H_5CH_2$ , 6,3, 137/0,7; IX, циклогексил, 4,3, 121/0,1. Действием на II, III и VII—IX хлорангидридов бензойной, *n*-нитробензойной и коричной к-т получили соответствующие эфиры общей ф-лы A(X—XVII), для которых ниже перечислены R, R', выход в г, т. пл. в °C: X,  $C_2H_5$ ,  $C_6H_5CO$ , 2,6, 142; XI,  $C_3H_7$ ,  $C_6H_5CO$ , 0,4, 155; XII,  $C_6H_5$ ,  $C_6H_5CO$ , 1,3, 183; XIII,  $C_6H_5CH_2$ ,  $C_6H_5CO$ , 0,6, 145,5; XIV, циклогексил,  $C_6H_5CO$ , 0,8, 183; XV,  $C_2H_5$ , *n*- $NO_2C_6H_4CO$ , 3,3, 183; XVI,  $C_3H_7$ , *n*- $NO_2C_6H_4CO$ , 3,7, 189,5; XVII,  $C_3H_7$ ,  $C_6H_5CH=CHCO$ , 1,4, 156. Восстановлением XV получили аминосоединение ф-лы A, где  $R=C_2H_5$ ,  $R'=NH_2C_6H_4CO$ , выход 0,8 г, т. пл. 86°, конденсация которого с  $SiCOOC_2H_5$  дала производное общей ф-лы A, где  $R=C_2H_5$ ,  $R'=n-C_6H_4NHCOOC_2H_5$ , выход 0,4 г, т. пл. 125,5°. Д. К.

25606. Синтез Δ<sup>9,10</sup>-α-окталона. Чжао Хуа-мин (Δ<sup>9,10</sup>-α-八氢萘酮的合成. 趙華明), 化学学报, Хуасяо сюэбао, Acta chim. sinica, 1955, 21, № 2, 99—102 (кит.; рез. англ.)

Конденсацией циклогексена и янтарного ангидрида в присутствии  $AlCl_3$  получили γ-(Δ<sup>1</sup>-циклогексенил)-γ-кетомасляную к-ту (I). Применение таких катализаторов как  $SnCl_4$  и  $FeCl_3$  не дало удовлетворительных результатов. При восстановлении I в γ-(Δ<sup>1</sup>-циклогексенил)-масляную к-ту (II) применяли как сам метод Вольфа—Кижнера, так и его модификацию Хуан Миялона (J. Amer. Chem. Soc., 1946, 68, 2487). Взаимодействием II и  $SOCl_2$  получили хлорангидрид II, циклизацией которого по методу Дарзана получили Δ<sup>9,10</sup>-α-окталон. Д. К.

25607. Циклооктатетраен и его производные. I. Синтез циклооктена и циклооктанона. Акиёс, Мацуда, Цунаваки (シクロオクタテトラエンならびにその誘導体に関する研究. 第1報. シクロオクテンおよびシクロオクタノンの合成. 秋吉三郎, 松田島, 網隆重光), 工業化学雑誌, Koré kagaku дзасси, J. Chem. Soc. Japan, Industr. Chem. Sec., 1954, 57, № 6, 467—469 (япон.)

Циклооктатетраен (т. кип. 77—78°/100 мм) гидрировали  $H_2$  в спирте при энергичном перемешивании свыше 5 час. в присутствии скелетного Ni-катализатора, получили циклооктен (I), выход 85—90%, т. кип. 76—81°/100 мм. Изучили получение циклоктенилциклооктана из I и выявили оптимальные условия этой р-ции: 15—20%  $H_2SO_4$  в  $CH_3COOH$ , 50°, 2 часа. Циклооктанон получили из I через циклооктанол по методу Пенне (Liebig's Ann. Chem., 1948, 560, 1). Chem. Abstrs, 1955, 49, № 20, 14656 в Katsuya Inouye.

25608. Синтез 1-этил- и 5-этилазуленов. Сомасекар-Рао, Мутхана (Synthesis of 1-ethyl- and 5-ethylazulenes. Rao A. Somasekar, Muthana M. S.), J. Indian Inst. Sci., 1955, 37, № 2, A79—A83 (англ.)

Синтезированы 1-этил- (I) и 5-этилазулен (II), исходя из 1-этил- (III) и 5-этилилдана (IV). Последний получили восстановлением 5-ацетилилдана по Клемменсену, выход IV 35 г, т. кип. 114—116°/24 мм,  $n_D^{26}$  1,5262,  $d_4^{26}$  0,933. Конденсацией III и IV с  $C_2H_5OOCCHN_2$  получили их эфиры: (V), выход 16,6 г, т. кип. 150—155°/4 мм и (VI), выход 22,1 г, т. кип. 145—150°/2 мм. Гидролизом V и VI получили соответствующие к-ты (VII), выход 8,2 г, т. кип. 170—175°/3 мм, и (VIII), выход 13,4 г, т. кип. 167—170°/3 мм. Декарбоксилирование и дегидрирование VII и VIII в присутствии 10%-ного Pd/C привело к I и II (выходы 220 и 300 мг соответственно), которые были охарактеризованы УФ-спектрами и как



комплексы с тринитробензолом (т. пл. 112—113,5° для I и 97—97,5° для II); пикрат I, т. пл. 92—94°. С. К. 25609. Азулены и родственные вещества. Часть VI. Δ<sup>8</sup>-Октагидро-1-оксоазулен и Δ<sup>8</sup>-октагидро-1-оксо-3-карбометоксиназулен. Дев (Azulenes and related substances. Part VI. Δ<sup>8</sup>-Octahydro-1-oxoazulene and Δ<sup>8</sup>-octahydro-1-oxo-3-carbomethoxyazulene. Dev S u k h), J. Indian Chem. Soc., 1955, 32, № 5, 255—264 (англ.)

При конденсации суберона (I) с диметилловым эфиром янтарной к-ты (II) или диэтиловым эфиром янтарной к-ты (III) получили соответственно монометилловый (IV) или моноэтиловый эфиры 1-циклогептенил-янтарной к-ты (V). Гидролиз V приводит к двум изомерным к-там: 1-циклогептенил-янтарной (VI) и циклогептилен-янтарной (VII); VI и VII легко образуют одну и ту же циклогексамителенпараоксую к-ту (VIII). Гидрирование VI (но не VII) дает циклогептил-янтарную к-ту (IX), а озонлизом VII (но не VI) получен I. Найдено, что для циклизации в производные азулена лучшим средством является полифосфорная к-та (X). Так, из IV получен Δ<sup>8</sup>-октагидро-1-оксо-3-карбометоксиназулен (XI), а при более жестких условиях в результате омыления и декарбоксилирования — Δ<sup>8</sup>-октагидро-1-оксоазулен (XII). Смесь 0,2 моля I и 0,4 моля II прибавили к р-ру *трет*-C<sub>4</sub>H<sub>9</sub>ONa, оставили на 15 час. (28°), кипятили 2 часа, охлаждали, подкисляли до pH 2, р-ритель отгоняли в вакууме и остаток нейтрализовали NH<sub>4</sub>OH, получили не кристаллизующийся IV, выход 49,3 г. Аналогично получили также не кристаллизующийся V, выход 50 г. Если реакционную массу сразу после смешения кипятить 45 мин., то образуется кристаллич. V, выход 24 г, т. пл. 70—71° (из петр. эф.). При гидролизе из 40 г жидкого V получены VI, выход 14 г, т. пл. 118—119° (из воды), и VII, выход 8 г, т. пл. 185—187° (разл.; из разб. CH<sub>3</sub>COOH). Из кристаллич. V образуется только VI, 0,01 моля смеси VI и VII, 10 мл CH<sub>3</sub>COOH и 50 мл конц. HCl кипятят 4 часа; по охлаждению выделили VIII, выход 1,2 г, т. пл. 187—189° (разл.; из разб. CH<sub>3</sub>COOH). Гидрированием 400 мг VI (20°, 20 мг PtO<sub>2</sub>, 25 мл CH<sub>3</sub>COOH) получили IX, выход 300 мг, т. пл. 120—122° (из воды). Из 140 г P<sub>2</sub>O<sub>5</sub> и 60 мл 85%-ной H<sub>3</sub>PO<sub>4</sub> получили X, к которой прибавили IV, смесь нагревали (1 час, 100°), охлаждали и прибавили ~200 г льда, ~500 мл воды и 150 г (NH<sub>4</sub>)<sub>2</sub>SO<sub>4</sub>, получили XI, выход 61,3%, т. кип. 136—137°/0,6 мм, 126°/0,15 мм,  $n_D^{22}$  1,5150,  $n_D^{30}$  1,5110; семикарбазон, т. пл. 231—232° (разл.; из пиридина-сп.); 2,4; динитрофенилгидразон, т. пл. 188—189° (из сп.). Если же к реакционной смеси после разбавления водой прибавить 100 мл CH<sub>3</sub>COOH и нагревать ее 4 часа при 100°, то образуется XII, выход 56,6%, т. кип. 131°/12 мм, 104°/2,5 мм,  $n_D^{20}$  1,5200; 2,4-динитрофенилгидразон, т. пл. 229—230°. При конденсации II с циклогексановым синтезирован монометилловый эфир циклогексенил-янтарной к-ты (XIII), выход 83,3%, т. кип. 153—155°/0,8 мм,  $n_D^{24}$  1,4930. Аналогично описанному, из неочищ. XIII при действии X получены метилловый эфир 4,5,6,7-тетрагидро-3-оксоинданкарбоновой-1 к-ты, выход 57,4%, т. кип. 119—122°/0,25 мм,  $n_D^{21}$  1,5060, и 4,5,6,7-тетрагидродиапидан-1, выход 47—55%, т. кип. 141°/30 мм,  $n_D^{24}$  1,5225. Также выделена, повидимому, циклогексенил-янтарная к-та, т. пл. 190—191° (разл.; из разб. CH<sub>3</sub>COOH), которая превращена в циклогексамителенпараоксую к-ту, выход 80%, т. пл. 186—187,5° (из разб. CH<sub>3</sub>COOH). Часть V см. РЖХим, 1955, 13913.

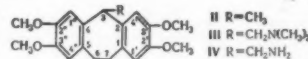
А. Б. 25610. Производные семичленных циклов. I. Синтез 1,2-бензо-5-метилпропона. Сато, Миямото

(七員環化合物の合成研究. 第 1 報. 1,2-ベンゾ-5-メチルトロプロンの合成. 佐藤菊正, 宮本統), 日本化学雑誌, Нихон кагаку дзасси, J. Chem. Soc. Japan. Pure Chem. Sec., 1954, 75, № 2, 225—227 (япон.)

Реакцией Фриделя-Крафта между C<sub>6</sub>H<sub>6</sub> и ангидридом β-метилглутаровой к-ты получили C<sub>6</sub>H<sub>5</sub>COCH(CH<sub>3</sub>)CH<sub>2</sub>COOH (I), выход 90%, т. пл. 78,5—79,5°; оксим, т. пл. 134°. Восстановили I с помощью Zn — Hg в конц. HCl, получили C<sub>6</sub>H<sub>5</sub>CH<sub>2</sub>CH(CH<sub>3</sub>)CH<sub>2</sub>COOH (II), выход 80%, т. кип. 180—182°/17 мм. Взаимодействием II и SOCl<sub>2</sub> получили хлорангидрид II (III), выход 90%, т. кип. 138—140°/12 мм; анидид, т. пл. 111—112°. В течение 1 часа при 0—3° добавляли р-р 50 г III в 100 г CS<sub>2</sub> к 40 г AlCl<sub>3</sub> в 300 г CS<sub>2</sub>, через 1 час смесь выливали на лед, отгоняли CS<sub>2</sub> и после обычной обработки получили 1,2-бензо-5-метилциклогептен-1-он-3 (IV), выход 72%, т. кип. 152°/19 мм; фенилгидразон, т. пл. 102—103°; оксим, т. пл. 125°. К кипящему р-ру 15 г IV в 30 мл спирта добавляли в течение 4 час. 10,5 г SeO<sub>2</sub> в 80 мл спирта, продолжали нагревание еще 2 часа, смесь охлаждали, фильтровали, отгоняли р-ритель, добавляли 80 мл эфира, отфильтровывали непрореагировавшую SeO<sub>2</sub>, эфир отгоняли и остаток разгоняли в вакууме, получили 1,2-бензо-5-метилциклогептен-1-дион-3,4 (V), выход 80%, т. кип. 175—178°/17 мм; монофенилгидразон, т. пл. 117°. Бромировали 3 г V в C<sub>6</sub>H<sub>6</sub> при ~20°, получили 4 г желтого масла (VI), нагревая которое 10—15 мин. при 130° получили 1,2-бензо-5-метилпропон (VII), т. пл. 129—130° (из сп.). Р-р VI в CH<sub>3</sub>COOH кипятили 30 мин., получили VII. Chem. Abstrs, 1955, 49, № 15, 10260. Nakanishi Koji.

25611. Синтез 2',3',2'',3''-тетраметокси-1,2,4,5-добензциклогептадиенов-1,4 и близких к ним соединений. Баттерсби, Бинкс (The synthesis of 2',3',2'',3''-tetramethoxy-1,2,4,5-dibenzo-cyclohepta-1,4-dienes and related compounds. Battersby Alan R., Binks R.), J. Chem. Soc. 1955, Aug., 2896—2900 (англ.)

С целью изучения продуктов расщепления павина конденсацией 3, 4, 3', 4'-тетраметоксидибензила (I) с альдегидами или ацетальми синтезированы производные 2',3',2'',3''-тетраметокси-1,2, 4,5-добензциклогептадиена-1,4 (II—IV). 2',3',2'',3''-тетраметокси-1,2,4,5-добензциклогептадиен-1,4-дион-3 (V) получен циклизацией 2-карбоксии-4,5,3', 4'-тетраметоксидибензила (VI), а также из III, через его подметилат (VII) и продукт гофманского расщепления VII—2',3',2'', 3''-тетраметокси-3-



II R=CH<sub>3</sub>  
III R=CH<sub>2</sub>NHCH<sub>2</sub>  
IV R=CH<sub>2</sub>NH<sub>2</sub>

метил-1,2,4,5-добензциклогептадиен-1,4 (VIII). Восстановлением 3,4,3',4'-тетраметоксидезоксибензоина получен I, выход 62%, т. пл. 108—110°. К смеси 5 г I, 150 мл C<sub>6</sub>H<sub>6</sub> и 4,4 г AlCl<sub>3</sub> за 1 час прибавлен р-р 2,6 мл CH<sub>3</sub>COCl в 70 мл C<sub>6</sub>H<sub>6</sub>, смесь перемешивали (1 час), кипятили (2 часа), выливали на лед и разлагали HCl (к-той), получили 2,2'-диацетил-4,5,4',5'-тетраметоксидибензил, выход 28%, т. пл. 173—175° (из сп.); из маточного р-ра после перегонки при 160—180° (т-ра бани)/0,01 мм и хроматографирования на Al<sub>2</sub>O<sub>3</sub> выделен 2-ацетил-4,5,3',4'-тетраметоксидибензил (IX), выход 13%, т. пл. 96—98° (из водн. сп.). 3,5 мл р-ра NaOCl, нагретого до 55°, приливали к р-ру 0,157 г IX в 10 мл диоксана, добавляли 10 мл воды, нагревали (1,5 часа, 60—70°) и после обычной обработки получили VI, выход 76%, т. пл. 161—164° (из сп.). К 0,108 г VI в 12 мл нитробензола прибавляли 1,2 г-экв PCl<sub>5</sub>, через 1 час добавили 2 г-экв AlCl<sub>3</sub> и через 2 дня 5 мл 2 н. HCl; выделили V, выход 47%, т. пл. 128,5—129° и 142—143° (из сп.). Пропустили (CH<sub>3</sub>)<sub>2</sub>NH; в р-р 31 г 2,2-диметоксидилхлорида в 400 мл

$\text{CH}_3\text{OH}$  смесь нагревали (12 час.,  $140^\circ$ ), получили 2,2-диметоксиптил-N,N-диметиламин (X), выход 17%, т. кип.  $80-81^\circ/112$  мм.; нодметилат, т. пл.  $126-127^\circ$  (из ацетона). Р-р 0,192 г паральдегида в 3 мл лед.  $\text{CH}_3\text{COOH}$  добавляли за 30 мин. к р-ру 1,3 г I в 25 мл лед.  $\text{CH}_3\text{COOH}$  и 15 мл конц.  $\text{H}_2\text{SO}_4$ , через 2 часа смесь выливали на лед, получили II, выход 60%, т. пл.  $126-128^\circ$  (из сп.), возгоняется при  $100-135^\circ$  (т-ра бани)/0,05 мм. Р-р 0,5 г IV и 0,25 г X в 10 мл лед.  $\text{CH}_3\text{COOH}$  смешивали с 3 мл конц.  $\text{H}_2\text{SO}_4$  и через 15 час. смесь выливали на лед, получили III, выход 62%, т. пл.  $136-138^\circ$  (из водн.  $\text{CH}_3\text{OH}$ ). Аналогично, из I и 2,2-диметоксиптиламина синтезировали IV, т. пл.  $129-130^\circ$  (из водн. сп.). Из III получен VII, выход 95%, т. пл.  $280-282^\circ$  (из  $\text{CH}_3\text{OH}$ ). Р-р 0,46 г VII в 170 мл 50%-ного  $\text{CH}_3\text{OH}$  встряхивали 45 мин. с влажной  $\text{Ag}_2\text{O}$ ,  $\text{CH}_3\text{OH}$  удаляли в вакууме, к остатку прибавляли 90 г KOH и кипятили 2,5 часа; получили VIII, выход 91%, т. пл.  $184-187^\circ$  (из сп.). Гидрированием в спирте с  $\text{PtO}_2$  VIII превратили в II. Окислением VIII  $\text{KMnO}_4$  в ацетоне получили V. Отмечено, что  $\text{NaBiO}_3$  при  $20^\circ$  окисляет о-диметоксипроизводные; так, из о-диметоксипроизводного после окисления, гидрирования и гидролиза получена адипиновая к-та.

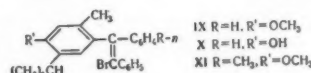
А. Б. 25612. Реакция формамида. 2. Изучение реакции формамида со спиртами, кетоксимами и ароматическими нитрозосоединениями. Сэкия, Оиси (義酸アミドの反応. 第2報. アルコール, ケトオキシム及びニトロ芳香族化合物との反応に就いて. 關屋實, 大石喜美子), 藥學雜誌, Якугаку дзасси, J. Pharm. Soc. Japan, 1953, 73 № 9, 1017-1020 (япон.; рез. англ.)

Формамид (I) реагирует при  $170-180^\circ$  (6-15 час.) со спиртами, образуя в зависимости от строения последних различные продукты: с  $\beta$ -фенилэтиловым спиртом —  $\beta$ -фенилэтилформинат, с бензиловым спиртом — бензилформинат и бензиламин, с  $\alpha$ -фенилэтиловым спиртом —  $\alpha$ -фенилэтилформинат, ди- $\alpha$ -фениловый эфир, т. кип.  $152-153^\circ/14$  мм., и DL- $\alpha$ -фенилэтиламин (II), с бензилпропаном — дибензилпропильный эфир, т. пл.  $107-110^\circ$  (из сп.) и N-формилбензгидриламин (III). При действии I на альдоксими образуются нитрилы. На оксими ацетофенона (IV), бензофенона (V), ацетона (VI) и циклогексанона (VII) I действует как восстановитель, в результате образуются соответствующие формилины или свободные амины. При восстановлении посредством нитрозобензола (VIII), н-нитрозобензола (IX), н-нитрозодиметиланилина (X) образуются азоксибензолсоединения и соответствующие формилины (в случаях IX и X); с нитрозосоединениями, легко переходящими в хиноидную форму (н-нитрозофенол, 1-нитрозоафтол-2, 1-нитрозоафтол-4) I реагирует очень бурно с образованием черного аморфного в-ва неизвестного строения. 15 г IV и 20 г I нагревают 2 часа при  $150-160^\circ$ , разгоняют, фракцию с т. кип.  $134-138/3$  мм. обрабатывают HCl (к-той) (нагревание), промывают  $\text{C}_6\text{H}_6$ , подщелачивают, экстрагируют  $\text{C}_6\text{H}_6$  4 II, т. кип.  $182-187^\circ$ ; пикрат, т. пл.  $189^\circ$ . Аналогично из 15 г V (170-180°, 6 час.) получают III, т. пл.  $131-132^\circ$  (из воды), III разлагают HCl (к-той) (нагревание), выделяют 9 г хлоргидрата (XG) бензгидриламина, т. пл.  $265^\circ$ . Из VI и I ( $180^\circ$ , 8 час.) получают изопропиламин (выделен после обработки  $n\text{-CH}_3\text{C}_6\text{H}_4\text{SO}_2\text{Cl}$  в виде  $n\text{-CH}_3\text{C}_6\text{H}_4\text{SO}_2\text{NH}(\text{C}_2\text{H}_5)$ ), т. пл.  $49-50^\circ$ . Из 15 г VII получают 2 г циклогексиланамина, т. кип.  $132-134^\circ$ ; XG, т. пл.  $204-205^\circ$ . Нитрозосоединения восстанавливают аналогично IV. Из 5,3 г VIII и 6,7 г I ( $130^\circ$ , 30 мин.; р-ция начинается при  $90^\circ$ ) после разложения водой и экстракции  $\text{C}_6\text{H}_6$  получают 3,6 г азоксибензола (XI), т. кип.  $167-170^\circ/6$  мм., т. пл.  $34-35^\circ$ . При нагревании с  $\text{H}_2\text{SO}_4$  XI превращается в 4-оксизаобензол, т. пл.  $68^\circ$ . Аналогично из 5 г X

и 7 г I ( $140-150^\circ$ , 5 мин.) получают 1,1 г 4,4'-бисдиметиламиноазоксибензола (XII). При  $150-160^\circ$  (3,5 часа) и затем  $180^\circ$  (10 час.) из X и I образуются N,N-диметилфенилдиамин (XIII) и аморфная черная масса. При кипячении 2 часа 5 г X и 6 г I в 25 мл бутанола получено 0,9 г XII, т. пл.  $237-241^\circ$  (из сп.), и 0,7 г XIII, т. кип.  $125-128^\circ/5$  мм., т. пл.  $41^\circ$ ; N-формильное производное (XIII и I, нагревание), т. пл.  $107-108^\circ$ . Из 3 г IX и 3,6 г I ( $130-140^\circ$ , 30 мин.;  $180^\circ$ , 1 час) получено немного N-формилфенетидина, т. пл.  $67,5^\circ$ , разложение его 20%-ной HCl дало 0,2 г XI, т. пл.  $220^\circ$ , и 2,2 г 4,4'-диэтоксизаоксибензола, т. пл.  $138^\circ$  (из сп.). Р. Г.

25613. Новые производные трифенилэтилена. Бю ХоЙ, Руайе, Сьёнг (Nouveaux dérivés du triphényléthylène. Буу-ХоИ Н. П., Бюер Хуонг Н. Д.), Bull. Soc. chim. France, 1955, № 10, 1204-1207 (франц.)

С целью изучения эстрогенной активности некоторых производных триарилэтилена синтезировали соединения общей ф-лы  $n\text{-RC}_6\text{H}_4(\text{C}_6\text{H}_5)\text{C}=\text{C}(\text{R}')\text{C}_6\text{H}_4\text{R}''$ , где  $\text{R}'' = \text{H}$  (I);  $\text{R}'' = \text{Br}$  (II), для I и II  $\text{R} = (\text{CH}_3)_2\text{C}$ ,  $\text{R}' = \text{Cl}$ ;  $\text{R}' = \text{R}'' = \text{H}$  (III),  $\text{R}' = \text{Cl}$ ,  $\text{R}'' = \text{H}$  (IV),  $\text{R}' = \text{H}$ ,  $\text{R}'' = \text{Br}$  (V),  $\text{R}' = \text{Cl}$ ,  $\text{R}'' = \text{Br}$  (VI); для III-VI  $\text{R} = (\text{CH}_3)_2\text{N}$ ;  $\alpha$ -n-хлорфенил- $\alpha$ , $\beta$ -ди-(n-метилфенил)-этилен (VII) и его  $\alpha$ -бромпроизводное (VIII); а также (IX-XI). Прибавлением к



$n\text{-ClC}_6\text{H}_4\text{CH}_2\text{MgCl}$  (из 3 г Mg и 10 г n-хлорбензилхлорида) 15 г n-мет-бутилбензофенона и последующим разложением комплекса разб.  $\text{H}_2\text{SO}_4$  получают соответствующий спирт, который дегидратируют кипячением с безвод.  $\text{HCOOH}$  в I, выход 13 г, т. кип.  $242^\circ/13$  мм., т. пл.  $104^\circ$  (из  $\text{CH}_3\text{COOH}$ ). 3,47 г I в  $\text{CH}_3\text{COOH}$  бромнируют на холоду 1,6 г  $\text{Br}_2$  в 10 мл  $\text{CH}_3\text{COOH}$ , получают II, выход 3 г, т. пл.  $143^\circ$  (из  $\text{CH}_3\text{COOH}$ ). К 30 г мет-бутилбензола и 35 г n-( $\text{CH}_3$ )<sub>2</sub> $\text{C}_6\text{H}_4\text{SOCl}$  в 150 мл  $\text{CS}_2$  медленно добавляют при перемешивании и охлаждении льдом 40 г  $\text{AlCl}_3$ . Через 24 часа выливают на лед и получают 4,4'-ди-н-мет-бутилбензофенона, выход 30 г, т. кип.  $246-247^\circ/13$  мм., т. пл.  $113^\circ$  (из  $\text{CH}_3\text{OH}$ ), 13 г которого прибавляют к  $n\text{-ClC}_6\text{H}_4\text{CH}_2\text{MgCl}$  (из 3 г Mg и 11 г n-хлорбензилхлорида), после обычной обработки смеси и дегидратации полученного карбинола с  $\text{HCOOH}$  получают VII, выход 12 г, т. кип.  $294-295^\circ/12$  мм., т. пл.  $133^\circ$  (из  $\text{CH}_3\text{COOH}$ ). Из 2,5 г VIII и 1 г  $\text{Br}_2$  получают VIII, т. пл.  $171^\circ$ . При прибавлении к 85 г метилового эфира тимолола (XII) и 80 г  $\text{C}_6\text{H}_5\text{COCl}$  в 650 мл  $\text{CS}_2$  104 г  $\text{AlCl}_3$  при  $0^\circ$  получают 105 г 3-изопропил-4-метокси-6-метилбензофенона (XIII) (идентифицирован деметилированием с  $\text{C}_6\text{H}_5\text{N}\cdot\text{HCl}$  в 4-бензоилтимол, т. пл.  $153^\circ$ ). Из 13 г XIII и 11 г бензилмагнийхлорида получают  $\alpha,\beta$ -дифенил- $\beta$ -(3-изопропил-4-метокси-6-метилфенил)-этилен, т. кип.  $246-247^\circ/15$  мм.,  $n_D^{22} 1,6279$ , 3 г которого обрабатывают 1,4 г  $\text{Br}_2$  в  $\text{CS}_2$  и получают IX, выход 1,5 г, т. пл.  $124^\circ$  (из  $\text{CH}_3\text{COOH}$ ). 1 г IX кипятят с 10 г  $\text{C}_6\text{H}_5\text{N}\cdot\text{HCl}$  15 мин., по охлаждению выливают в воду и получают X, т. пл.  $128^\circ$ . На 9,5 г XII и 10 г  $n\text{-CH}_3\text{C}_6\text{H}_4\text{SOCl}$  в 100 мл  $\text{CS}_2$  действуют 9 г  $\text{AlCl}_3$  при  $0^\circ$ , выдерживают 24 часа при  $15^\circ$  и получают 14 г 6,4'-диметил-3-изопропил-4-метоксибензофенона (XIV), т. кип.  $228-230^\circ/14$  мм.,  $n_D^{22,5} 1,5792$ . XIV при деметилировании дает 6,4'-диметил-3-изопропил-4-оксизаобензон, т. пл.  $176^\circ$  (из толуола). Из XIV получают как обычно  $\alpha$ -фенил- $\beta$ -n-толил- $\beta$ -(3-изопропил-4-метокси-6-метилфенил)-этилен, вязкое масло, а затем XI, т. пл.  $123^\circ$

(из  $\text{CH}_3\text{COOH}$ ). III получают из соответствующего спирта путем дегидратации кипячением 1 час с  $\text{HCl}$  (к-той), т. пл.  $78^\circ$  (из лигр.). IV имеет т. пл.  $113^\circ$  (из лигр. или  $\text{CH}_3\text{OH}$ ), VI, т. пл.  $156^\circ$  (из  $\text{CH}_3\text{OH}$ ). Гормональная активность перечисленных выше соединений, определенная биологически по методу Аллена—Дойси на кастрированных мышах при подкожной инъекции р-ров в оливковом масле такова (дозы в мг): II, III, VIII 10; IV, 10—20; V, VI, 0,1—0,01. XI вызывает эструс продолжительностью более 30 дней.

М. Ч.

25614. Взаимодействие фенилацетилена с низшими предельными одноосновными кислотами. Болшухин А. И., Житорчук В. Л., Ж. общ. химии, 1955, 25, № 8, 1459—1462

При взаимодействии фенилацетилена (I) с уксусной (II), пропионовой (III) или масляной к-тами (IV) в присутствии  $\text{Hg}$ -соли соответствующей к-ты и  $\text{BF}_3 \cdot \text{O}(\text{C}_2\text{H}_5)_2$ , кроме неисследованных высокомолекулярных в-в (основные продукты р-ций), получены соответственно 1-фенил-1-ацетоксизетен (V), 1-фенил-1-пропионилксизетен (VI) и 1-фенил-1-бутироксизетен (VII). Во всех случаях от 16 до 30% I превращается в ацетофенон (VIII). Положение ацилоксигруппы в V—VII доказано гидролизом этих в-в в р-ре уксуснокислого семакарбазид (IX) с образованием семакарбазона VIII. Легкость гидролиза падает от V к VII. К р-ру 2 г  $\text{HgO}$  в 35 г лед.  $\text{CH}_3\text{COOH}$  и 3,5 г  $(\text{CH}_3\text{CO})_2\text{O}$  добавляя 1,3 мл  $\text{BF}_3 \cdot \text{O}(\text{C}_2\text{H}_5)_2$  (т. кип.  $124$ — $126,5^\circ$ ) и при охлаждении (1,3 часа) 51 г I. Перемешивают при  $\sim 20^\circ$  1,5 часа и эфиром извлекают V, VIII, выход (по семакарбазону) 10—11 г, и высокомолекулярную фракцию. Аналогично из 1,7 г  $\text{HgO}$ , 37 г III, 1 мл  $\text{BF}_3 \cdot \text{O}(\text{C}_2\text{H}_5)_2$  и 51 г I получают VI и VIII, выход 12—13 г. Из 1,7 г  $\text{HgO}$ , 44,0 г IV, 1 мл  $\text{BF}_3 \cdot \text{O}(\text{C}_2\text{H}_5)_2$  и 51 г I получают VII и VIII, выход 18 г. Последовательно указаны выход в % V, VI и VII, т. кип. в  $^\circ\text{C}/\text{мм}$ ,  $n_D^{20}$ ,  $d_4^{20}$ : V, 35,7, 89,5—90/3, 1,5329, 1,0894, 1,0724, 1,0706; VI 13,6, 121—121,5/8, 1,5250, 1,0660, 1,0500, 1,0482; VII, 14,8, 131,5—132/9, 1,5180, 1,0434, 1,0275, 1,0258. К р-ру 3,2 г IX (из хлоридрата и 3,2 г  $\text{CH}_3\text{COOK}$ ) в 7—8 мл воды добавляя 15—17 мл спирта и фильтруют. Фильтрат смешивают с 1,00—1,05 г V и нагревают 2—3 часа до 50—90°. Выход семакарбазона VIII колич. Аналогично из VI и VII получают семакарбазон VIII, выход количественный. Н. В.

25615. О методе получения полиметилированных гомологов крезолов. Быу Хой, Лежён, Си (Sur une méthode de préparation des homologues polyméthylés des crésols. Buu-Hoi N. P., Lejeune Guy, Sy Michel), С. г. Acad. sci., 1955, 240, № 23, 2241—2243 (франц.)

Синтезирован ряд полиметилированных гомологов крезолов, исходя из метиловых эфиров крезолов, ксенолов и их высших гомологов, формилированием эфиров диметилформамидом (I) в присутствии  $\text{POCl}_3$ , восстановлением полученных альдегидов гидразингидратом (II) с КОН и деметилированием образовавшихся фенольных эфиров хлоргидратом пиридина (III). Кипятили 6 час. 1 моль метилового эфира о-крезола с 1,2 моля I и 1,2 моля  $\text{POCl}_3$ , продукт р-ции обрабатывали водн. р-ром  $\text{CH}_3\text{COONa}$  и бензолом; выделен 4-метокси-3-метилбензальдегид (IV), выход 70%, т. кип.  $250$ — $251^\circ$ ; семакарбазон, т. пл.  $208^\circ$ . Нагреванием IV с II и КОН в диэтиленгликоле получен метиловый эфир 2,4-диметилфенола (V), выход  $>90\%$ , т. кип.  $250$ — $252^\circ$ . V получают также с выходом 68% восстановлением 2-метокси-5-метилбензальдегида (продукта формилирования метилового эфира п-крезола). Кипячением 3 часа V с III (1 : 3) получен 2,4-диметилфенол. Аналогично формилированием мети-

ловых эфиров м-крезола, 2,5-диметилфенола, 1,3,5-ксиленола, 3,4,5-триметилфенола, 2,4,5-триметилфенола и 2,3,4,5-тетраметилфенола получены соответственно: 4-метокси-2-метилбензальдегид (выход 72%, т. кип.  $150^\circ/24$  мм), 4-метокси-2,5-диметилбензальдегид (80%,  $172$ — $172^\circ/35$  мм), 4-метокси-2,6-диметилбензальдегид (70%,  $156$ — $158^\circ/16$  мм, т. пл.  $18$ — $19^\circ$ , семакарбазон, т. пл.  $216^\circ$ ), 6-метокси-2,3,4-триметилбензальдегид [70%,  $179$ — $180^\circ/25$  мм, т. пл.  $65^\circ$  (из лигр.); семакарбазон, т. пл.  $201^\circ$  (из сп.)], 6-метокси-2, 3, 5-триметилбензальдегид [66%, т. кип.  $168$ — $170^\circ/20$  мм, т. пл.  $74^\circ$  (из лигр.)], и 6-метокси-2,3,4,5-тетраметилбензальдегид, [68%,  $188$ — $190^\circ/28$  мм, т. пл.  $81^\circ$  (из лигр.)]. Все альдегиды восстановлены аналогично вышеописанному методу в соответствующие метиловые эфиры: 3,4-диметилфенола (выход 90%), 2,4,5-триметилфенола (90%, т. кип.  $211$ — $212^\circ$ ,  $n_D^{20}$  1,5234), 3,4,5-триметилфенола (т. пл.  $109^\circ$ ), 2,3,4,5-тетраметилфенола, [137— $138^\circ/30$  мм, т. пл.  $40$ — $41^\circ$  (из петр. эф.)]. Деметилированием эфиров получены соответствующие фенолы: 2,4,5-триметилфенол, выход 90%, т. пл.  $70^\circ$ , изодуренол, т. пл.  $81^\circ$ , 3,4,5-триметилфенол, т. пл.  $109^\circ$ , 2,3,4,5-тетраметилфенол, т. пл.  $82^\circ$ , пентаметилфенол, т. пл.  $123^\circ$ .

Л. П.

25616. К вопросу о борьбе с гельминтами в РНР. Сообщение I. Синтез гексилрезорцина. Ионеску, Грошковский, Серпер (Contribuții la combaterea helmintiazelor în R. P. R. Nota I. Sinteza hexil-resorcinei. Ionescu C. H., Groszkowski S., Serper A.), Studii și cercetări chim., 1955, 3, № 1—2, 13—18 (рум.; рез. франц., русс.)

Приведен критич. обзор методов получения гексилрезорцина (I) — активного противоглистного средства. Разработан способ получения I лабораторным путем, конденсацией резорцина (II) с капроновой к-той (III) в присутствии  $\text{ZnCl}_2$  и восстановлением капроилрезорцина (IV) по методу Клемменсена. III получена конденсацией  $\text{C}_6\text{H}_5\text{Br}$  с Na-солью диэтилмалонового эфира, омылением бутилмалонового эфира с последующим декарбоксилированием бутилмалоновой к-ты, выход 72,7%. IV получают взаимодействием 0,03 моля II, 0,03 моля III и 0,033 моля  $\text{ZnCl}_2$  ( $130$ — $140^\circ$ , 1 час), выход 54,7%, т. кип.  $205$ — $208^\circ/9$  мм,  $184$ — $185^\circ/3$  мм, т. пл.  $55$ — $56^\circ$ ; оксим, т. пл.  $189$ — $191^\circ$ . Неочищ. IV восстанавливают  $\text{Zn}/\text{Hg}$  и конц.  $\text{HCl}$  в спирт. р-ре, экстрагируют толуолом, выделяют I, выход 88,1%, т. кип.  $198$ — $205^\circ/15$ — $17$  мм,  $167$ — $171^\circ/3$ — $4$  мм, т. пл.  $65$ — $67^\circ$ . Выход, считая на малоновый эфир, 37%. И. С.

25617. Бензил-2-хлорэтиловые эфиры. Кулька, Ван-Стрейк (Benzyl 2-chloroethyl ethers. Kulka Marshall, Van Stryk F. G.), Canad. J. Chem., 1955, 33, № 6, 1130—1136 (англ.)

В дополнение к ранее описанному методу синтеза бензил-2-хлорэтиловых эфиров  $\text{RCH}_2\text{OCH}_2\text{CH}_2\text{Cl}$  (Ia—e) (Genzer и др., J. Amer. Chem. Soc., 1951, 73, 3159) взаимодействием замещ. бензилхлоридов  $\text{RCH}_2\text{Cl}$  (II) с  $\text{NaOCH}_2\text{CH}_2\text{OH}$  и последующим превращением образовавшихся бензил-2-оксипропиловых эфиров  $\text{RCH}_2\text{OCH}_2\text{CH}_2\text{OH}$  (III) в I (метод А), предложено получение I непосредственным воздействием II на  $\text{HOCH}_2\text{CH}_2\text{Cl}$  (IV) при повышенной т-ре (метод Б); ограничение метода Б обусловлено легкой полимеризуемостью II, активированных наличием алкил- и алкоксизаместителей. Метод А проиллюстрирован на синтезе 2,5-дихлор-п-ксилилен-бис-2-оксипропилового эфира (IIIa) с последующим превращением его в 2,5-дихлор-п-ксилилен-бис-2-хлорэтиловый эфир (Ia), метод Б — на синтезе п- и о-ксилилен-бис-2-хлорэтилового эфиров (Ib, Iv); прочие синтезированы п, п'-и о, п'-ди-



хлорбензгидрил-2-хлорэтиловые эфиры (Iг, Iд); из соответствующих I получены также  $RCH_2OCH_2CH_2CNO$  (V). Ряд III выделен в качестве промежуточных продуктов при синтезе I по методу А. 46 г II,  $R = 3,4-(CH_3O)_2C_6H_3$ , в 120 мл  $CH_3COOH$  нитруют 30 мин. при 8–10° 37 г  $HNO_3$  (d 1,42), получают 50% II,  $R = 2-(NO_2)-3,4-(CH_3O)_2C_6H_3$ , т. пл. 87–88° (из  $CH_3OH$ ), с  $NH_2CSNH_2$  выделен хлористый S-2-нитро-4,5-диметоксибензлизотиуроний, выход 90%, т. пл. 215–216° (разл.). 16 г триоксиметилен и 25 г  $ZnCl_2$  в 350 мл  $CH_3COOH$  насыщают сухим HCl, добавляют 100 г о-нитро-п-бутоксibenзола и нагревают (75–80°, 72 часа), получают II,  $R = 3-NO_2-4-n-C_4H_9OC_6H_3$ , выход 64%, т. кип. 140°/0,3 мм, 200°/12 мм,  $n_D^{20}$  1,5450. Аналогично получают: II,  $R = 3-NO_2-4-BrCH_2CH_2OC_6H_3$ , выход 54%, т. кип. 150–170°/0,3 мм, т. пл. 78–79° (из  $CH_3OH$ ); II,  $R = 3-NO_2-4-n-C_{12}H_{25}OC_6H_3$ , выход 56%, т. пл. 55–56° (из  $CH_3OH$  и этилацетата); II,  $R = 3-Cl-4-ClCH_2CH_2OC_6H_3$  (нагревание 20 час., кол-во  $ZnCl_2$  уменьшено на 30%), выход 65%, т. кип. 165–175°/12 мм, т. пл. 34–35° (из  $CH_3OH$ ). В смесь 50 г β-хлортолуенола, 100 мл  $(CH_2)_2Cl_2$ , 10 г параформа и 10 г  $ZnCl_2$  при 40° 3 часа пропускают сухой HCl, на следующий день получают II,  $R = n-ClCH_2CH_2C_6H_4$ , выход 32 г, т. кип. 140°/12 мм,  $n_D^{20}$  1,5550. К 475 г 20%-ного олеума добавляют за 1,5 часа при 5–10° 137 г о-нитротолуола и 100 г  $CH_3OCH_2Cl$  (VI), через 2 часа при той же т-ре получают II,  $R = 3-NO_2-4-CH_3C_6H_3$ , выход 39 г, т. кип. 140–150°/12 мм, т. пл. 44–45° (из  $CH_3OH$ ). К 500 г 20%-ного олеума при 0–5° добавляют за 1 час 74 г п-дихлорбензола в 150 г VI, смесь выдерживают 2 часа при 0–5°, оставляют на 12 час. при 8–10°, выделяют 14 г II,  $R = 2,5-Cl_2C_6H_3$ , т. кип. 122–124°/15 мм,  $n_D^{20}$  1,5750, и 13 г 2,5-дихлор-п-ксилилендихлорида (VII), т. кип. 165–180°/15 мм, т. пл. 98–99° (из сп.); хлористый S, S'-2,5-дихлор-п-ксилилен-бис-изотиуроний, т. пл. 289–292° (разл., из воды). К р-ру 2,5 г Na в 50 мл  $(HOCH_2)_2$  и 25 мл ксилола добавляют 12 г VII в 25 мл ксилола, кипятят 2 часа, р-рител удаляют в вакууме, остаток обрабатывают водой и получают 12 г IIIа, т. пл. 120–121° (из  $CH_3OH$ ). К 10 г IIIа в 10 мл  $C_6H_5N(SO_3)_2$  и 25 мл  $CHCl_3$  добавляют при 20–30° 6 мл  $SOCl_2$  в 10 мл  $CHCl_3$ , кипятят 0,5 часа и вытравляют в разб. HCl и  $CHCl_3$ , извлекают Ia, выход 80%, т. пл. 70–71° (из  $CH_3OH$  и петр. эф.). 20 г п-ксилилендихлорида в 100 мл IV кипятят 24 часа и выделяют Ib, выход 85%, т. кип. 203–203°/12 мм,  $n_D^{20}$  1,5260; аналогично получают Iv, выход 68%, т. кип. 190–195°/14 мм. Получены следующие I (перечисляются R, метод, выход в %, т. кип. в °C/мм,  $n_D^{20}$ ):  $C_6H_5$ , А, 77(Б, 60), 115/13, 1,5200; о- $ClC_6H_4$ , А, 49, 132–136/12, 1,5344; п- $ClC_6H_4$ , А, 40, 138–142/12, 1,5348; 2,4- $Cl_2C_6H_3$ , Б, 40, 158–161/12, 1,5483; 2,5- $Cl_2C_6H_3$ , Б, 47, 155–160/12, 1,5362; 3,4- $Cl_2C_6H_3$ , А, 61(Б, 45), 155–160/12, 1,5498;  $Cl_2C_6$ , А, 81, т. пл. 71–72, —; п- $ClCH_2CH_2C_6H_4$ , Б, 40, 170–175/12, —; п- $NO_2C_6H_4$ , Б, 23, 190–195/12, —; 3- $NO_2-4-CH_3OC_6H_3$  (Ie), Б, 80, 175–177/1, 1,5535; 3- $NO_2-4-n-C_4H_9OC_6H_3$ , Б, 78, 160–163/0,2, 1,5315; 3- $NO_2-4-n-C_{12}H_{25}OC_6H_3$ , Б, 82, 235–240/0,2, 1,5088; 3- $Cl-6-ClCH_2CH_2OC_6H_3$ , А, 85 (Б, 24), 205–207/12, 1,5452; 3- $NO_2-4-CH_3C_6H_3$ , Б, 44, 189–194/12, 1,5452; 3- $Br-4-CH_3OC_6H_3$ , А, 84, 186–188/12, 1,5622; α-нафтилметил-2-хлорэтиловый эфир, А, 85, 188/12, 1,5990. К горячему р-ру 10 г п,п'-дихлорбензгидрола в 40 мл IV добавляют 2 мл конц.  $H_2SO_4$  в 10 мл воды, — нагревают при 80° 6 час., выливают в воду и  $C_6H_6$  извлекают Iг, выход 15 г, т. кип. 167–170°/0,2 мм,  $n_D^{20}$  1,5830; аналогично получают Iд, выход 90%,

т. кип. 155–160°/0,2 мм,  $n_D^{20}$  1,5835. 13 г Ie и 6 г  $KCNO$  в 150 мл спирта кипятят 40 час., фильтруют, спирт отгоняют, остаток растворяют в  $C_6H_6$ , промывают водой и выделяют 8 г V,  $R = 3-NO_2-4-CH_3OC_6H_3$ , т. кип. 165–170°/1 мм; аналогично получают V,  $R = n-ClC_6H_4$ , выход 65%, т. кип. 187–192°/12 мм,  $n_D^{20}$  1,5358. Получены следующие III (перечисляются R, выход в %, т. кип. в °C/мм,  $n_D^{20}$ ):  $C_6H_5$ , 81, 95/0,25, 1,5209; о- $ClC_6H_4$ , 84, 84/0,03, 1,5348; п- $ClC_6H_4$ , 52, 151–154/12, 1,5330; 3,4- $Cl_2C_6H_3$ , 51, 176–179/12, 1,5502;  $Cl_2C_6$  (нагревание 18 час.), 20, т. пл. 83–84°, —; 3- $Cl-6-ClCH_2CH_2OC_6H_3$ , 64, 148–150/0,1, 1,5500; 3- $Br-4-CH_3OC_6H_3$ , 83, 201/12, 1,5655, α-нафтилметил-2-оксипропиловый эфир, 82, 198/12, 1,6045. С. Г.

25618. Восстановление кетонов до пинаконов на катоде из медной сетки, покрытой другими металлами. Джуди, Салливан (Pinacol reduction of ketones at plated copper gauze cathodes. Juday Richard E., Sullivan William J.), J. Organ. Chem., 1955, 20, № 5, 617–622 (англ.). Изучено электролитич. восстановление кетонов до пинаконов (II) с применением в качестве катода (K) Cu-сетки, покрытой другими металлами. При восстановлении п-оксипропилофенона (I) и п-метоксипропилофенона (II) лучшие результаты получены с K, покрытым Hg или Pb. Разделение полученных при восстановлении I α- и β-изомеров пинакона (III) основано на их различной растворимости в 20%-ном NaCl. Число отверстий сетки K не влияет на выход II, но влияет на к. п. д., который уменьшается с увеличением числа отверстий. В кислой среде плотность тока колеблется от 0,003 до 0,03 и в щел. от 0,0009 до 0,24 а/см<sup>2</sup>. При низкой i наблюдалось уменьшение выхода II, а при высокой i незначительное уменьшение к. п. д. В кислой среде изменение т-ры от 15 до 40° не отражается на выходе II и величине к. п. д. При 40–50° выход падает до 50%. В щел. среде изменение т-ры от 15 до 35° не отражается на процессе. Конц-ия электролита и pH среды существенны для к. п. д., выхода и соотношения изомеров II. Кислая среда состоит из  $CH_3OH$ , воды и различных кол-в к-ты.  $H_2PO_4$  не эффективна в любых конц-иях. С  $H_2SO_4$  к. п. д. понижается при конц-ии к-ты ниже 3 г на 100 мл католита. Увеличение конц-ии выше 7 г на 100 мл ведет к уменьшению выхода II, но не отражается на к. п. д. В щел. среде конц-ия не отражается на к. п. д., но выход II снижается от 60–70% при конц-ии NaOH 8–10%, до 50% при конц-ии 5% и до 10% при конц-ии 2,5%. Увеличение конц-ии выше 10% не дает преимуществ. Применение буферных католитов ( $CH_3COONa$ ,  $CH_3COOH$ , вода и  $CH_3OH$ ) понижает выход II и к. п. д. даже при применении K, покрытого Hg. Соотношения изомеров, полученных при применении K, покрытого Pb и Hg, одинаковы. pH среды влияет на соотношение изомеров: в кислой и щел. средах получено 60–70% α-изомера, в буферной — 45%. К 5–15 г I (т. пл. 148–150°) в 160–180 мл  $CH_3OH$  прибавляют 4–6 мл конц.  $H_2SO_4$  в 60 мл воды и при охлаждении и периодическом размешивании пропускают электрич. ток (ЭТ), р-р нейтрализуют 28%-ным  $NH_4OH$ , фильтруют и удаляют  $CH_3OH$  в вакууме, остаток обрабатывают 10–20 мл теплой лед.  $CH_3COONa$ , вымораживают 12 час. и получают смесь изомеров, выход 35–40%. С K, покрытым Cd или Bi, выход ~ 25%, Tl — 20%, Sb и As — 0%. 10–15 г I растворяют в 180 мл воды, содержащей 16–20 г NaOH, и при размешивании и охлаждении пропускают ЭТ; р-р подкисляют  $CH_3COONa$ , нагревают до затвердения вязкого осадка и выделяют смесь изомеров. При Hg-катоде и Cu-сетке, покрытой Hg или Pb, выход смеси изомеров ~

70%. Смесь суспендируют в 14-кратном кол-ве воды, добавляют 10%-ный избыток р-ра NaOH, нагревают до растворения и высаливают NaCl. Из осадка, растворением в воде и подкислением  $\text{CH}_3\text{COOH}$ , выделяют  $\alpha$ -изомер, а из фильтрата  $\beta$ -изомер. Из I получен  $\alpha$ -изомер п-окси-III, т. пл. 220,5—222°; диацетат, т. пл. 205—208,5°;  $\beta$ -изомер п-окси-III, т. пл. 212—212,5°; диацетат, т. пл. 78—82°. Аналогичным восстановлением II получают смесь изомеров п-метокси-III, промывкой ( $\text{H}_2\text{O}-\text{C}_2\text{H}_5\text{O}$ )<sub>2</sub> (IV) выделяют  $\alpha$ -изомер, т. пл. 192—194° (из ацетона-IV). E. B.

25619. Восстановление некоторых метилфенилкетон-ов, соответствующих карбинолов и 2-метил-2-фенилдиоксаланов-1,3 натрием или калием и спиртами в жидком аммиаке. Пиндер, Смит (The reduction of some methyl phenyl ketones, the corresponding carbinols, and 2-methyl-2-phenyl-1:3-dioxolans with sodium or potassium and alcohols in liquid ammonia. Pinder A. R., Smith H. H. J., J. Chem. Soc., 1954, Jan., 113—120 (англ.))

Показана невозможность получения 2-ацетилциклоксен-2-она восстановлением 2-метоксиацетофенона (I) K или Na в жидком  $\text{NH}_3$  (II) или трет- $\text{C}_4\text{H}_9\text{OH}$  (III) или  $\text{CH}_3\text{OH}$  с последующим гидролизом  $\text{CH}_3\text{O}$ -группы (Birch, Quart. Reviews, 1950, 4, 93). Восстановление I приводит к 6-этилциклоксен-2-ону (IV) и 2-этиланизолу (V). При восстановлении ацетофенона (VI) посредством K и III в II образуются этилбензол (VII) или 1-этилциклоксен-1,4 (VIII) в зависимости от кол-ва восстановителя. Восстановлению подвергается, по-видимому, свободный кетон, а не его енолят, так как последний устойчив в условиях восстановления. Восстановление I или VI происходит в том случае, если его проводят непосредственно после смешения кетон-ов с  $\text{C}_4\text{H}_9\text{OK}$ . Если восстановление VI проводят через 3 часа после прибавления VI к  $\text{C}_4\text{H}_9\text{OK}$  в II, то VI остается неизменным. Полученные результаты объясняются сравнительно меньшей скоростью енолизации по сравнению с гидрогенолизом енольной формы. Попытка восстановления соответствующих  $\alpha$ -арилэтанолов  $\text{RC}_6\text{H}_4\text{CH}(\text{OH})\text{CH}_3$  (IX, R = H или 2- $\text{OCH}_3$ ) также не дала положительных результатов, так как произошло восстановление группы OH. Это объясняется тем, что в равновесии с алколюлатом IX находится свободный IX, который и гидрируется. Попытка защитить группу CO переводом в циклич. ацетали  $\text{RC}_6\text{H}_4\text{C}(\text{CH}_3)\text{OCH}_2\text{CH}_2\text{O}$  (X) не дала желаемых результатов, ввиду полного гидрогенолиза ацеталей. Такой же результат получен при восстановлении 2-метил-2-фенилоксиацетона-1,3 (XI). K 8 г VI в 400 мл II и 50 мл эфира прибавляют  $(\text{CH}_3)_3\text{COK}$  в 100 мл III (из 2,6 г K), 1 час прибавляют 16 г K, прибавляют 200 мл эфира, 100 мл воды, из органич. слоя выделяют (отгонка р-рителя в токе  $\text{N}_2$ ) VII, выход 5,5 г, т. кип. 136—137°,  $n_D^{20}$  1,487, и 1,0 г VI. K 10 г VI в 500 мл II добавляют  $(\text{CH}_3)_3\text{COK}$  (из 3,17 г K) в 175 мл III, через 3 часа добавляют 20 г K, выделяют 5,5 г VI, в остатке сиропообразная масса. В сходных условиях (восстановление начинают через 4 часа) 7,5 г I дает после гидролиза и перегонки 1,5 г смеси IV и V, из перегоняющегося остатка выделено в-во, т. пл. 189—190°, 7,5 г I в 400 мл II, 50 мл эфира и 75 мл  $\text{CH}_3\text{OH}$  восстанавливают 15 г Na, после гидролиза кипячением с 100 мл 10%-ной  $\text{H}_2\text{SO}_4$  в атмосфере  $\text{N}_2$  получают IV, выход 3,5 г, т. кип. 85—86°/14—15 мм,  $n_D^{18}$  1,479, дает два 2,4-динитрофенилгидразона (ДНФГ), которые на основании УФ-спектров считают геометрич. изомерами: т. пл. 226° (из этилацетата); т. пл. 137—138° (из сп.); семикарбазон IV, т. пл. 175—176°

(из водн.  $\text{CH}_3\text{OH}$ ). 7,5 г I в смеси 600 мл II и р-ра  $(\text{CH}_3)_3\text{COK}$  (из 2,0 г K) в 60 мл III восстанавливают 40 мл III и 20 г K, после гидролиза выделяют фракцию с т. кип. 84—90°/17,5 мм, выход 1,8 г, которая содержит V и IV. K 500 мл II добавляют р-р  $(\text{CH}_3)_3\text{COK}$  (из 3,17 г K) в 75 мл III и 9,9 г IX (R = H) и затем восстанавливают 25,5 г K, выход VIII 7,3 г, т. кип. 139—141°/755 мм,  $n_D^{18}$  1,770, ИК-спектр указывает на примесь VII; тетрабромид VIII (действием  $\text{Br}_2$  в воде), т. пл. 146° (из  $\text{CH}_3\text{OH}$ ). Сходным образом из IX (R = 2- $\text{OCH}_3$ ) получают главным образом V и немного IV. K 7,3 г X (R = H) в 60 мл  $\text{CH}_3\text{OH}$ , 70 мл эфира и 400 мл II добавляют 7 г Na, получают VII; при оставлении реакционной массы на сутки образуются следы VIII. Сходным образом из 7 г XI получают VII с примесью VIII. Аналогично из 4,9 г X (R = 2- $\text{OCH}_3$ ) получают 2,7 г V; из X (R = 3- $\text{OCH}_3$ )—3-этил-2,5-дигидроанизол (XII), т. кип. 74—77°/14 мм,  $n_D^{20}$  1,490, УФ- и ИК-спектры указывают на примеси 3-этиланизола и сопряженного диена; гидролиз XII дает 3-этилциклоксен-2-он, т. кип. 88—92°/14 мм,  $n_D^{17}$  1,485; ДНФГ, т. пл. 163—164° (из сп.); из 6,7 г X (R = 4- $\text{OCH}_3$ ) и 1,67 г Na—1,6 г 4-этиланизола, из 9,4 г X (R = 4- $\text{OCH}_3$ ) и 8,0 г Na—после гидролиза 4,5 г 4-этилциклоксен-2-она, т. кип. 88—93°/14,5 мм, ИК-спектры указывают на присутствие соединений, содержащих группировки  $\text{C}=\text{O}$ ,  $\text{C}=\text{C}-\text{C}=\text{O}$ ,  $\text{C}=\text{C}-\text{C}=\text{C}$ ,  $\text{C}=\text{C}-\text{C}=\text{C}-\text{C}=\text{O}$ ,  $\text{C}=\text{C}-\text{C}=\text{O}$ ,  $\text{C}=\text{O}$ . В известным методом (Auwers, Liebigs Ann. Chem., 1915, 408, 246), выход 75%, т. кип. 116°/11 мм,  $n_D^{16}$  1,380; ДНФГ, т. пл. 185°. 5 г I восстанавливают нагреванием 45 мин. с 2,6 г  $\text{NaBH}_4$  в  $\text{CH}_3\text{OH}$  и получают IX (R = 2- $\text{OCH}_3$ ), выход 4,6 г, т. кип. 124°/13 мм,  $n_D^{20}$  1,539. От смеси 5—10 г VI, 1,07 моля этиленгликоля (XIII) и 10—20 мг п- $\text{CH}_3\text{C}_6\text{H}_4\text{SO}_3\text{Na}$  полностью отгоняют воду с 40 мл  $\text{C}_6\text{H}_6$  (48 час.), разбавляют эфиром, промывают  $\text{NaHCO}_3$ , выход X (R = H) 95%, т. пл. 60—61° (из петр. эф.). Аналогично получают следующие X (приведены R, кол-во молей XIII, время в час., выход в %, т. кип. в °C/мм или т. пл. в °C): 2- $\text{OCH}_3$ , 1,06, 16, 90, 124—125/11; 3- $\text{OCH}_3$ , 3,85, 24, 70, 47—48 (из петр. эф.); 4- $\text{OCH}_3$ , 5,0, 48, 70, 35—36 (из петр. эф.). 8 г VI, 10,4 г 2-меркаптоэтанола, 10 г  $\text{ZnCl}_2$  и 10 г  $\text{Na}_2\text{SO}_4$  в 200 мл диоксана встряхивают 24 часа, выливают в 200 мл воды, извлекают эфиром XI, выход 7,1 г, т. кип. 132—133°/16 мм,  $n_D^{17}$  1,610. A. X.

25620. Отщепление  $\text{RCOO}^-$ -иона от сложных эфиров димезитилкарбинола. Фьюсон, Джексон, Фуллер, Брейжер (Carboxylate ion displacement in dimesitylmethyl esters. Fuson Reynolds C., Jackson Harold L., Fuller Joseph A., Brasure Donald E., J. Amer. Chem. Soc., 1954, 76, № 2, 499—500 (англ.))

Сложные эфиры димезитилкарбинола  $[(\text{CH}_3)_2\text{C}_6\text{H}_4]_2\text{CHOCOR}'$ , где R =  $\text{CH}_3$  (Ia),  $\text{C}_6\text{H}_5$  (Ib), мезитил (Ic), а также димезитилхлорметан (II) реагируют с  $\text{R}''\text{MgX}$  в эфире (1 час кипячения) с образованием  $[(\text{CH}_3)_2\text{C}_6\text{H}_4]_2\text{CHR}''$  (III) или  $[(\text{CH}_3)_2\text{C}_6\text{H}_4]_2\text{CH}_2$  (IV) или смеси III и IV, которые выделяют после разложения льдом и HCl (к-той), промывания эфирного р-ра 10%-ным NaOH и перекристаллизации из спирта (перечисляются R', выход в % III из Ia, Ib, Ic и II, т. пл. III в °C, выход в % IV для всех случаев):  $\text{CH}_3$ , 35, 56, 77, 55, 93—95, 0; бензил, 51, 22, 48, 68, 116—117, 0; аллил, 35, —, —, 41, 101—102, 0;  $\text{C}_2\text{H}_5$ , 20, 9, 16, 32, 85—86, до 14;  $n\text{-C}_3\text{H}_7$ , 49, —, —, 35, 110—112, 2;  $n\text{-C}_4\text{H}_9$ , 51, —, —, 68, 85—87, до 31; изобутил, 15, —, —, 8, 92—93, 2—6; циклогексил, 31, —, —, 46, 148—149, 1—4; изопропил, 0, 0, 0, 0, —, 21—42;  $\text{тор-C}_6\text{H}_9$ ;

0, —, —, 0, —, 41—46;  $\text{mpm}-\text{C}_6\text{H}_9$ , 0, —, —, 0, —, 13—71. III ( $\text{R}'' = \text{CH}_3$ ) получен также гидрированием  $\alpha$ ,  $\alpha$ -диметилэтиллина, III ( $\text{R}'' = \text{m}-\text{C}_6\text{H}_5$ ) — из II и  $\text{m}-\text{C}_6\text{H}_5\text{Li}$ , III ( $\text{R}'' = \text{m}-\text{C}_6\text{H}_7$ ) — из II и  $\text{CH}_2 = \text{CHCH}_2\text{MgBr}$  с последующим гидрированием над скелетным Ni (3 часа,  $\sim 20^\circ$ , 3 атм) и, кроме того, из II и  $\text{m}-\text{C}_6\text{H}_7\text{MgBr}$ . Ia получен кипячением 3 часа 16,5 г диметилтиларбинола с 100 мл лед.  $\text{CH}_3\text{COOH}$  и 250 мл  $\text{C}_6\text{H}_6$ , выход почти колич., т. пл. 95,5—97° (из сп.), а также из II и  $\text{CH}_3\text{COOAg}$ . Ib получен из II и  $\text{C}_6\text{H}_5\text{COOAg}$  в  $\text{C}_6\text{H}_6$ , выход 64%, т. пл. 151—152° (из  $\text{CH}_3\text{OH}$ ). Аналогично синтезирован Iv, выход 69%, т. пл. 144—145° (из  $\text{CH}_3\text{OH}$ ). Г. К.

25621. Действие амальгамы натрия на бензальмолочную (стирилгликолевую) кислоту. Хабиб-Лабиб, Кордье (Action de l'amalgame de sodium sur l'acide benzallactique (acide styrylglycolique). Habib Labib Georges, Cordier Paul), C. r. Acad. sci., 1955, 241, № 16, 1051—1053 (франц.)

Бензальпропионовая к-та (I) получена восстановлением Na/Hg бензальмолочной к-ты (II), т. пл. 137° (из сп.), причем часть II превращается в изомерную к-ту (III), т. пл. 113—114° (из бzl.), строение которой подтверждено образованием  $\text{C}_6\text{H}_5\text{CHO}$  при окислении  $\text{KMnO}_4$  в щел. среде. Восстановление проводят в атмосфере  $\text{CO}_2$  в разб. водн. р-ре  $\text{NaHCO}_3$  6-7-кратным избытком 3%-ной амальгамы Na, добавляемой постепенно в течение 2 дней; из подкисленного р-ра получают I, выход 55—60%, т. пл. 87° (из воды). Маточный р-р усредняют  $(\text{NH}_4)_2\text{SO}_4$  и извлекают эфиром III, выход 35%. При действии очень большого избытка Na/Hg в течение 4 дней II превращается в I; при гидрировании III в водн. р-ре  $\text{NaHCO}_3$  над скелетным Ni образуется бензилмолочная к-та, т. пл. 105°.

25622. Реакции броммагневой соли N, N-диметил-амида  $\beta$ ,  $\beta$ -дифенилпропионовой кислоты. Гилберт (Reactions of the bromomagnesium salt of N, N-dimethyl- $\beta$ ,  $\beta$ -diphenylpropionamide. Gilbert Gerald), J. Amer. Chem. Soc., 1955, 77, № 16, 4413—4415 (англ.)

С целью получения еноло-эфира, аналогичного описанному ранее (см. Maxim N., Ioanid N., Bull. soc. chim. Romania, 1928, 10, 116), конденсацией 0,023 моля  $\text{C}_6\text{H}_5\text{MgBr}$  с насыщ. эфир. р-ром 0,0133 моля N, N-диметиламида коричной к-ты (I) синтезирована броммагневая соль (II) N, N-диметиламида  $\beta$ ,  $\beta$ -дифенилпропионовой к-ты (III), превращенная р-цией с эфир. р-ром 0,02 моля  $\text{C}_6\text{H}_5\text{COCl}$  при 0° в нерастворимый в эфире N, N-диметиламид  $\alpha$ -бензоил- $\beta$ ,  $\beta$ -дифенилпропионовой к-ты (IV), т. пл. 211,6—212,2° (из сп.), и растворимый в эфире N, N-диметиламид  $\alpha$ ,  $\gamma$ -дибензгидриллацетонуксусной к-ты (V), т. пл. 194,8—195,4°; в другом опыте, с большим избытком  $\text{C}_6\text{H}_5\text{COCl}$ , выход IV 61%; V не был получен. Строение II подтверждено гидролизом 8%-ной HCl до III с 95%-ным выходом, т. пл. 114—114,2° (из петр. эф.); строение IV доказано гидролизом 4 часа кипящим водно-спирт. NaOH до III,  $\text{C}_6\text{H}_5\text{COOH}$  и  $\beta$ ,  $\beta$ -дифенилпропионовой к-ты (VI), т. пл. 155—156° (из петр. эф.); строение V доказано гидролизом спирт. КОН до III и VI и встречным синтезом из этилового эфира  $\alpha$ -бензгидриллацетонуксусной к-ты (VII), для чего в смесь 0,0029 моля VII с 0,03 моля  $\text{NH}-(\text{CH}_3)_2\text{HCl}$  пропускают (30 мин., 190—205°) сильную струю  $\text{NH}(\text{CH}_3)_2$ , выход V 39%.

25623. Перегруппировка кислого 2,4-ксилилового эфира маленовой кислоты. Коккер, Хейс, Вильямсон (Rearrangement of 2,4-xylyl hydrogen maleate. Cocker Wesley, Hayes Donald H., Williamson W. R. N.), J. Chem. Soc., 1955, March, 824—827 (англ.)

Перегруппировка кислого 2,4-ксилилового эфира маленовой к-ты (I) при нагревании с  $\text{AlCl}_3$  приводит к 4-оксис-5,7-диметил-3-оксиданкарбонной-1 к-те (II), которая также получается из  $\beta$ -(2-оксис-3,5-диметилбензоил)-акриловой к-ты (III). I с  $\text{AlCl}_3$  в кипящем тетрагидротане (IV) перегруппировывается в 6,8-диметил-4-оксохорманкарбонную-2 к-ту (V), строение которой подтверждается идентичностью спектра с II и получением метилового эфира V (VI) взаимодействием метилового эфира III (VII) с  $(\text{C}_6\text{H}_7)_3\text{N}$  (VIII) в присутствии малонового эфира (IX). В отсутствие IX получают, повидимому, димер VII (X). Не удалось синтезировать 2,4-диметилфеноксиантарную к-ту (для превращения ее в V) ни восстановлением 2,4-диметилфеноксифумаровой к-ты (XI), ни окислением  $\alpha$ -2,4-диметилфенокси- $\gamma$ -бутиролактона (XII), которое приводит к 2-(COOH)-4- $\text{CH}_3$ - $\text{C}_6\text{H}_4\text{OCH}$  (COOH) $\text{CH}_2\text{CH}_2\text{OH}$  (XIII). К 5 г 2,4-диметилфенола (XIV), 2,17 г  $\text{Na}_2\text{CO}_3$  в 40 мл воды прибавляют 4,02 г маленового ангидрида (XV), р-р подкисляют, извлекают  $\text{C}_6\text{H}_6$ , из которого I экстрагируют р-ром NaOH, выход 3,2 г, т. пл. 81,5—83° (из петр. эф.). 22 г бромантарного ангидрида нагревают с 12 г XIV (145°, 4 часа), охлаждают до 0°, экстрагируют  $\text{Na}_2\text{CO}_3$  кислый 2,4-ксилиловый эфир фумаровой к-ты (XVI), выход 1,5 г, т. пл. 97—98° (из бzl.). XVI с  $\text{AlCl}_3$  дает фумаровую к-ту. 2 г I и 6 г  $\text{AlCl}_3$  нагревают (40 мин. при 140—150°), выливают на лед с HCl (к-той), выход II 0,2 г, т. пл. 170—171° (из бzl.); семикарбазон, т. пл. 294° (разл., из водн.  $\text{CH}_3\text{COOH}$ ); метиловый эфир, т. пл. 63—64° (из водн.  $\text{CH}_3\text{OH}$ ); карбанилат,  $\text{C}_{12}\text{H}_{12}\text{O}_4\text{N}_2$ , т. пл. 252—254° (разл.). Восстановление II по Клемменсену дает 4-оксис-5,7-диметилдиданкарбонную-1 к-ту, т. пл. 180—181° (из бzl.). 3 г I в 40 мл кипятят 30 мин. с 22,8 г  $\text{AlCl}_3$ , добавляют 40 мл IV, кипятят 40 мин., выливают на лед и HCl (к-ту), экстрагируют эфиром; с паром отгоняют XIV, с масла в перегонной колбе сливают водн. р-р, из которого охлаждением выделяют 1,5 г V, т. пл. 170° (из разб. сп.); масло извлекают р-ром  $\text{Na}_2\text{CO}_3$ , подкислением осаждают 1,1 г II; III получена по описанному методу (РЖХим, 1956, 6760) взаимодействием XIV с XV в присутствии  $\text{AlCl}_3$ , полученный комплекс разлагают, р-ритель удаляют с паром, выход  $\sim 43\%$ , т. пл. 134—136°, красные иглы, повидимому, транс-форма; VII, т. пл. 97—98°. При встряхивании продукта разложения комплекса несколько минут получают цис-форму III, выход 73%, т. пл. 149—153° (из разб.  $\text{CH}_3\text{OH}$ ), желтые иглы. Прибавление HBr в  $\text{CH}_3\text{COOH}$  к обеим формам III приводит к  $\alpha$ -бром- $\beta$ -(2-оксис-3,5-диметилбензоил)-пропионовой к-те (XVII), т. пл. 147—148° (разл., из бzl.). 2,3 г VII, 8 г IX и 0,4 мл VIII в 50 мл абс. спирта оставляют стоять при 0°, при охлаждении до  $-10^\circ$  выпадает 1,2 г VI, т. пл. 98—100° (из сп.). При взаимодействии 1,1 г VII в 12 мл спирта с 0,2 мл VIII получают 0,4 г X, т. пл. 143—144° (из сп.). Диэтиловый эфир XI (XVIII) получен по описанному методу (см. ссылку выше), т. кип. 180°/8 мм; XI, т. пл. 216° (из разб.  $\text{CH}_3\text{OH}$ ); амид XI, т. пл. 226° (из сп.). При восстановлении XVIII с Pt (из  $\text{PtO}_2$ ) получают жидкость, т. кип. 220°/43 мм, гидролиз которой приводит к 2,4-диметилциклогексеноксиантарной к-те, т. пл. 156—157°. XII получен по известному методу (РЖХим, 1956, 9757) из  $\alpha$ -бром- $\gamma$ -бутиролактона и Na-соли XIV, выход 64%, т. кип. 224—226°/6 мм, т. пл. 62—63° (из петр. эф.). 6,1 г XII нагревают 0,5 часа с 1,88 г КОН в 50 мл воды, охлаждают до 5°, добавляют 1,06 г  $\text{Na}_2\text{CO}_3$ , прибавляют 9,48 г  $\text{KMnO}_4$  в 180 мл воды (20 мин.,  $< 10^\circ$ ), перемешивают 3 часа, оставляют на 2 дня, получают 1,05 г XIII, т. пл. 135—136° (из бzl.-сп.); соответствующий бутиролактон (XIX), т. пл. 170° (из водн. сп.). Приведены УФ-спектры I—III, VI, VII, X, XIII, XVI, XVII и XIX. Б. Б.



**25624. Окисление дифенилдианометилнатрия эфирами азотной кислоты. Эммонс, Фриман** (The oxidation of sodium diphenylcyanomethide with nitrate esters. Emmons William D., Freeman Jeremiah P.), J. Amer. Chem. Soc., 1955, 77, № 16, 4416—4418 (англ.).

При р-ции Na-производного (I) дифенилацетонитрила (II) с азотнокислым эфиром диангидрида ацетона (III) неожиданно получен динитрил тетрафенилдиантарной к-ты (IV), образующийся также при р-ции I с дифенилнитроацетонитрилом (V). Окисление I в IV осуществляется также  $C_2H_5ONO_2$ . Образование при р-ции III с Na-производным (VIa) три-(*n*-нитрофенил)-метана (VIb), окрашенным в синий цвет, три-(*n*-нитрофенил)-метила (VII), окрашенного в яркоселеный цвет, позволяет предполагать свободнорадикальный механизм этих р-ций. К р-ру II (из 0,1 моля I и 0,11 моля NaN в токе  $N_2$ ) в 150 мл тетрагидрофурана (VIII) приливают р-р 0,15 моля III в 75 мл VIII, размешивают 4 часа при 20°, выливают в воду и получают IV, выход 61%, т. пл. 205—207° (из  $CH_3COOH$ ); аналогично из 0,01 моля I (из 0,11 моля NaN и 0,01 моля II) в 20 мл VIII и 0,01 моля V в 10 мл VIII (размешивание 1 час) или из I (0,1 моля II, 0,11 моля NaN) и 0,15 моля  $C_2H_5ONO_2$  получают IV, выход 95 и 80% соответственно. К р-ру VIa (из 0,01 моля VIb и 0,01 моля Na в 25 мл абс. спирта в токе  $N_2$ ) добавляют 0,01 моля III и размешивают при 20°, причем р-р окрашивается в зеленый цвет, и выделяется VII. Д. В.

**25625. Синтез замещенных дифениловых эфиров.**

Горбачева Н. Н., Цветков Е. Н., Варнакова Л. П., Лосев К. М., Преображенский Н. А., Ж. общ. химии, 1955, 25, № 12, 2290—2294. В поисках путей синтеза бис-бензилтетрагидроксилиновых алкалоидов синтезированы различные замещ. дифениловые эфиры (I, а—е) конденсацией метилового эфира 3-оксисбензильного спирта (II) с соответствующими производными 4-бромфенилуксусной к-ты (IIIа—е). Получены также 2'-нитро-4'-формил-4-метоксидифениловый эфир (IV) и 3-метоксиметил-2'-нитро-4'-карбометоксидифениловый эфир (V). 60 мл  $(CH_3)_2SO_4$  и 60 мл 10 н. NaOH прибавляют одновременно при перемешивании (1 час, 40°) к 50 г 3-нитробензильного спирта, смесь перемешивают (1,5—2 часа, 40°) и экстрагируют  $C_6H_6$  метиловый эфир 3-нитробензильного спирта (VI), выход 80%, т. кип. 128—130°/15 мм, и побочный продукт — 4,4'-динитродибензильный эфир, т. пл. 100—102° (из сп.).



а  $R=NO_2$ ,  $R'=R''=H$ ; б  $R=R''=NO_2$ ,  $R'=H$ ; в  $R=NO_2$ ,  $R'=C_2H_5$ ,

$R''=H$ ; г  $R=R''=NO_2$ ,  $R'=C_2H_5$ ; д  $R=R''=H$ ,  $R'=CH_3$ ;

е  $R=R''=H$ ,  $R'=C_2H_5$ .

К смеси 41,75 г VI, 180 мл  $CH_3OH$  и 250 мл конц. HCl прибавляют постепенно при 25—30° ~ 125 г Zn-пыли, фильтрат нейтрализуют NaOH и экстрагируют эфиром метилового эфира 3-аминобензильного спирта (VII), выход 80%, т. кип. 115—118°/1—2 мм,  $n_D^{20}$  1,5635,  $d_4^{20}$  1,067. VII получен также гидрированием VI над скелетным Ni (65 ат., 20—25°), выход 86,5%. 15 г VII в 100 мл 30%-ной  $H_2SO_4$  диазотируют 35 мл 20%-ного р-ра  $NaNO_2$  при  $-5+3^\circ$ , избыток  $HNO_2$  разлагают мочевиной; р-р соли диазотия прибавляют при перемешивании к 200 мл 30%-ной  $H_2SO_4$  (~100°), получают II, выход 60%, т. кип. 119—120°/4 мм,  $n_D^{20}$  1,5400,  $d_4^{20}$  1,108. Р-р 13 г IIIa в 130 мл  $HNO_3$  (d 1,503) нагревают 1 час, охлаждают и выливают на лед, выпадает IIIb,

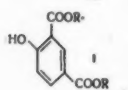
выход 65%, т. пл. 162—163° (из сп.). Этерификацией IIIa и IIIb получены соответственно IIIв, выход 75%, т. кип. 156—159°/1—2 мм, т. пл. 33—35°, и IIIг, выход ~ 100%, т. пл. 75—76° (из сп.). К 0,28 г KOH в 1,8 мл воды прибавляют 1,15 г 3-нитро-4-бромбензальдегида и 0,62 г монометилового эфира гидроксилона, смесь нагревают (3 часа, 118—120°), экстрагируют  $CHCl_3$ , экстракт промывают 3%-ным NaOH, получают IV, выход 53%, т. пл. 62—63° (из абс. сп.); семикарбазон, т. пл. 201—202° (из  $CH_3OH$ ). 0,23 г Na растворяют в смеси 1,38 г II и 15 мл абс.  $C_6H_6$ , прибавляют 3,33 г III г, нагревают 6 час., получают Iг, выход 90%, т. пл. 97—98° (из сп.). Аналогично из II и метилового эфира 3-нитро-4-бромбензойной к-ты (12 час., промывка 3%-ным NaOH, хроматографирование на  $Al_2O_3$ ) получают V, выход 77,3%. 21 г II прибавляют к 8,5 г KOH в 25 мл абс.  $CH_3OH$ , последний отгоняют, фенолят тщательно сумат (прибавление и последующая отгонка абс.  $C_6H_6$ ; выдержка в вакууме, 150°, 2 часа), прибавляют 1 г порошка Cu и 69 г Iд, смесь нагревают в токе  $N_2$  (140—145°, 3,5 часа), разбавляют 2%-ным NaOH и экстрагируют эфиром, получают Iд, выход 35%, т. кип. 180—182°/1—2 мм,  $n_D^{20}$  1,4471,  $d_4^{20}$  1,5539. Аналогично из II и IIIе получены Iе, т. кип. 184—186°/1—2 мм,  $n_D^{20}$  1,5465,  $d_4^{20}$  1,1307, и из II и IIIв—Iв, выход 92% (очистка хроматографированием на  $Al_2O_3$ ). Е. Ц.

**25626. Биологически активные производные β-резорциловой кислоты. Бью Хой, Сыёнг, Лави** (Dérivés de l'acide β-résorcylique à intérêt biologique. Bui-Hoï Ng. Ph., Xuong N. D., Lavit D. M.-lle), Recueil trav. chim., 1955, 74, № 6, 729—736 (франц.). Описан синтез и свойства производных β-резорциловой к-ты (2,4-диоксибензойной к-ты) (I—к-та), представляющих фармакологич. интерес: гидразидов, гидразонов, 1-ацил-4-арилтиосемикарбазидов и соли с хинином. 4-метоксипроизводное I (Ia) получено метилированием 100 г I с помощью 104 г  $CH_3J$  в присутствии  $CH_3ONa$  (из 52 г Na и 450 мл  $CH_3OH$ ), выход 75 г, т. пл. 157—158° (сублимация > 140°); аналогично из 50 г I, 39 г  $C_2H_5Br$  (26 г Na) получено 4-этоксипроизводное I (Ib), выход 42 г, т. пл. 150—152°, и из 50 г I, 54 г  $iso-C_5H_{11}Br$  и  $C_2H_5ONa$  (из 26 г Na) получено 4-изоамилоксипроизводное I (Iв), выход 25 г, т. пл. 153° (из бzl.). Метиловый эфир Ia получен при кипячении 4 часа р-ра 20 г Ia в 25 мл  $CH_3OH$  и 5 мл конц.  $H_2SO_4$  с последующим разбавлением водой, экстракцией  $C_6H_6$  и перегонкой, выход 16 г, т. кип. 148—150°/15 мм; аналогично получены этиловый эфир Ia, т. кип. 148—155°/16 мм,  $n_D^{20}$  1,5460, этиловый эфир Iб, т. кип. 158—165°/15 мм, этиловый эфир Iв, т. кип. 180—190°/14 мм и метиловый эфир I, т. пл. 118° (из бzl.); 2-окси-4-изоамилоксибензоилгидразин получен нагреванием 12 час. р-ра 5 г этилового эфира Iв и 1,2 г гидразингидрата (95%) в 10 мл спирта, выход колич., т. пл. 148° (из сп.); аналогично получен 2,4-диоксисбензоилгидразин из метилового эфира I, выход 85%, т. пл. 252° (из сп.+ бzl., т. разл. > 248°); 1-(2'-окси-4'-изоамилоксибензоил)-4-(4'-фторфенил)-тиосемикарбазид получен реакцией *n*-фторфенилтиоизоцианата с 4-изоамилоксисалицилоилгидразином в спирте при 70°, т. пл. 189° (из сп.). К охлажд. льдом р-ру 15 г метилового эфира I в 250 мл  $CH_3COOH$  добавляют по каплям р-р 14,3 г  $Br_2$  в  $CH_3COOH$ , после 30 мин. стояния смесь выливают в воду, выделяют метиловый эфир 2,4-диокси-5-бромбензойной к-ты, выход 18 г, т. пл. 140° (из бzl.). Омылением полученного эфира выделяют соответствующую к-ту, т. пл. 212° (из разб. сп.). К охлажд. льдом смеси 24,5 г этилового эфира 4-этоксисалициловой к-ты, 20 г  $CH_3COONa$  и 200 мл  $CH_3COOH$  добавляют по каплям р-р 19 г  $Br_2$  в 50 мл  $CH_3COOH$ , после 15 мин.

стояния смесь выливают в воду и экстрагируют  $C_6H_6$  8 г этилового эфира 2-окси-4-токси-5-бромбензойной к-ты, т. пл. 87° (из петр. эфира), к-та, т. пл. 201°. 2,4-диоксibenзойнокислый хинин (II) ( $C_{20}H_{24}O_2N_2 + C_7H_6O_4 + 2H_2O$ ) получен двумя способами: а) растворяют 3,8 г хинина (в виде тригидрата) в миним. кол-ве спирта и добавляют р-р 1,6 г I, выход II 98%, т. пл. 222° (разл., из разб. сп.); б) смешивают водн. р-р 19,5 г сульфата хинина с р-ром 4 г I в 100 мл воды, содержащей 2,5 г  $NaHCO_3$ ; выделен II, ф-ла которого подтверждена термобалансом (приведены кривые термодиза). Получены следующие 2-OH-4-OR-5-XC<sub>6</sub>H<sub>2</sub>CONHNH<sub>2</sub> (приведены R, X, т. пл. в °C и т. пл. гидразона салицилового альдегида в °C): CH<sub>3</sub>, H, 171 (выход 90%), 247; C<sub>2</sub>H<sub>5</sub>, H, 192 (выход 79%), 244; H, Br, 247, ~335 (разл. >310°); C<sub>2</sub>H<sub>5</sub>, Br, 170, 271; *изо*-C<sub>3</sub>H<sub>7</sub>, H, 148, 254; H, H, —, 288, т. пл. 297° (гидразон *n*-HOC<sub>6</sub>H<sub>4</sub>CHO). Получены следующие 2-OH-4-OR-5-XC<sub>6</sub>H<sub>2</sub>CONHNHSC(=S)NHC<sub>6</sub>H<sub>4</sub>X'-n (перечисляются X, R, X', т. пл. в °C): H, *изо*-C<sub>3</sub>H<sub>7</sub>, OC<sub>2</sub>H<sub>5</sub>, 183; H, CH<sub>3</sub>, F, 203; H, CH<sub>3</sub>, OCH<sub>3</sub>, 209; H, CH<sub>3</sub>, OC<sub>2</sub>H<sub>5</sub>, 204; H, C<sub>2</sub>H<sub>5</sub>, F, 196; H, C<sub>2</sub>H<sub>5</sub>, Cl, 206; H, C<sub>2</sub>H<sub>5</sub>, OC<sub>2</sub>H<sub>5</sub>, 199; H, H, F, 222; H, H, OCH<sub>3</sub>, 236; Br, H, F, 208; Br, H, OCH<sub>3</sub>, 231; Br, C<sub>2</sub>H<sub>5</sub>, H, 228, и 2-OH-4-OC<sub>2</sub>H<sub>5</sub>C<sub>6</sub>H<sub>2</sub>CONHNH C(S)NHC<sub>10</sub>H<sub>7</sub>-α, т. пл. 213° (из бзл.). A. K.

25627. 4-оксизофталевая кислота — терапевтически активный побочный продукт реакции Кольбе—Шмита. Хант, Джонс, Линден (4-Hydroxyisophthalic acid, a therapeutically active by-product of the Kolbe-Schmitt reaction. Hunt S. E., Jones J. Idris, Lindsey A. S.), Chemistry and Industry, 1955, № 15, 417—418 (англ.)

4-оксизофталевую к-ту (I, R = R' = H), обладающую аналгетич. и антипиретич. активностью (см. РйХимБх 1955, 17854) выделяют (извлечение  $CHCl_3$  или  $CCl_4$ ) с выходом 83% из остатка после возгонки салициловой к-ты (II), полученной при карбоксилировании фенолята натрия, затем переводят в I (R = R' = CH<sub>3</sub>), т. пл. 97,5° (после сублимации), и гидролизуют до I (R = R' = H), т. пл. 314—315°, либо очищают через бариевую соль. Получены следующие эфиры I (приведены R, R', т. пл. в °C и т. кип. в °C/мм): CH<sub>3</sub>, H, 196—197, —; C<sub>2</sub>H<sub>5</sub>, H, 195—196, —; C<sub>2</sub>H<sub>5</sub>, C<sub>2</sub>H<sub>5</sub>, 54—55, —; *n*-C<sub>3</sub>H<sub>7</sub>, H, 171, —; *n*-C<sub>3</sub>H<sub>7</sub>, *n*-C<sub>3</sub>H<sub>7</sub>, 23,5, 142,5/0,15 мм; *n*-C<sub>4</sub>H<sub>9</sub>, *n*-C<sub>4</sub>H<sub>9</sub>, от —3° до —1°, 159/0,14; *n*-C<sub>5</sub>H<sub>11</sub>, *n*-C<sub>5</sub>H<sub>11</sub>, —, 188—192/0,1; H, C<sub>6</sub>H<sub>5</sub>, 235°, —. При ацетилировании I действием (CH<sub>3</sub>CO)<sub>2</sub>O получают 4-ацетоксипроизводные I (приведены R, R', т. пл. в °C): CH<sub>3</sub>, CH<sub>3</sub>, 95; C<sub>2</sub>H<sub>5</sub>, C<sub>2</sub>H<sub>5</sub>, —5, т. кип. 205°/0,9 мм; H, H, 190 (разл.). Аммонолиз I (R, R'-алкил) приводит к полуэфирам-полуамидам (NH<sub>2</sub> в положении 1) и к моноамиду к-ты (NH<sub>2</sub> в положении 1), т. пл. 275° (разл.). При действии Br<sub>2</sub> в воде на I (R = R' = H) образуется трибромфенол. С Br<sub>2</sub> в воде или с Cl<sub>2</sub> в лед. CH<sub>3</sub>COOH I (R = R' = CH<sub>3</sub>) дает 5-бром-, т. пл. 146—147°, или 5-хлор-, т. пл. 139—140°, производное I (R = R' = CH<sub>3</sub>) (III, IV). Гидролиз III и IV приводит к 5-бром- и 5-хлор-4-оксизофталевым к-там, т. пл. 298° (разл.) и 292—293° (разл.), соответственно; при взаимодействии III с водн. КОН и порошок Cu и последующем подкислении образуется 4,5-дигидроизофталевая к-та (IV), т. пл. 296°; диметиловый эфир (V), т. пл. 140—141°; монометиловый (вероятно, 1-карбометокс) эфир V, т. пл. 218—219°. Нитрование I (R = R' = H) нитрующей смесью приводит к пикриновой к-те. При действии HNO<sub>3</sub> в избытке H<sub>2</sub>SO<sub>4</sub> на I (R = R' = CH<sub>3</sub>) образуется диметиловый эфир 4-окси-5-нитроизофталевой к-ты (VI), т. пл. 105,5°, к-та, т. пл. 237—238°. Восстановлением VI с водн. Na<sub>2</sub>S<sub>2</sub>O<sub>4</sub> получают диметиловый эфир 4-окси-5-аминоизофталевой к-ты (VII), т. пл.



170°, к-та, т. пл. 297°. При диазотировании VII и последующем частичном гидролизе образуется 4,5-диазооксид-3-карбометоксibenзойная к-та, т. пл. 154° (разл.). При метилировании I (R = R' = H) (CH<sub>3</sub>)<sub>2</sub>SO<sub>4</sub> получают 4-метоксизофталевую к-ту (VIII), т. пл. 275,5°, диметиловый эфир VIII (IX), т. пл. 95°. Нитрование IX в лед. CH<sub>3</sub>COOH приводит к диметиловому эфиру 4-метокси-5-нитроизофталевой к-ты (X), т. пл. 95°; к-та, т. пл. 225—226°. Восстановление X на Pt дает диметиловый эфир 4-метокси-5-аминоизофталевой к-ты (XI), т. пл. 63—64°, к-та, т. пл. 237° (разл.). Диазотирование XI и последующее нагревание образовавшейся соли диазония с CuSO<sub>4</sub> дает диметиловый эфир 5-хлор-4-метоксизофталевой к-ты, т. пл. 77—78°. При взаимодействии дихлорангидридов I (R = R' = H) и VIII с NH<sub>3</sub> получают диамиды I (R = R' = H), т. пл. 255° (разл.), и VIII, т. пл. 240—241°. Гидрогенолиз IX со сплавом Ni-Al в водн. NaOH приводит с хорошим выходом к изофталевой к-те. A. X.

25628. Исследования в области аммонолиза некоторых ароматических альдегидов. Метайе, Дат Сьюнг (Étude sur l'amminolyse de quelques aldéhydes aromatiques. Méta y e r Maurice, Dat X u o n g N g.), Bull. Soc. chim. France, 1954, № 5, 615—621 (франц.)

Изучено действие NH<sub>3</sub> и H<sub>2</sub> под давлением над скелетным Ni на альдегиды. Из ароматич. альдегидов получены амины с большей или меньшей примесью спиртов; алкил-, алкоксигруппы и хлор в орто- или пара-положениях благоприятствуют образованию первичных аминов. Из незамещ. ароматич. полициклич. альдегидов в большинстве случаев получены соответствующие спирты и не обнаружено даже следов первичных аминов, из 2-метоксинафталяльдегида получен 2-метоксид-1-амино-метилнафталин с выходом 61%. По методике, описанной в предыдущей работе (Mastagli P. и др., Bull. Soc. chim. France, 1950, 1045), получены (указаны исходный продукт, т-ра в °C/давление H<sub>2</sub> в атм, длительность р-ции в час., продукты р-ции, выход в %, т. кип. в °C/мм, и т. пл. в °C): из 2-метоксibenзальдегида, 35/80, 1,5, 2-метоксibenзиламин, 64, 116—117/21, — (апетильное производное (АП), т. пл. 96°); из 2-хлорбензальдегида, 60/30, 2, 2-хлорбензиловый спирт, 9, 100—105/28, 72, и 2-хлорбензиламин, 36, 100—105/15, — (АП, т. пл. 75°); из 2-хлорбензальдегида, 80/140, 1, 2-хлорбензиловый спирт, 28, —, 72, и 2-хлорбензиламин, 12, 108—110/18, — (АП, т. пл. 79°); из 4-метоксibenзальдегида, 60/100, 1, 4-метоксibenзиловый спирт, 12, 150/13, 28, бис-(*n*-метоксифенил)-диметиловый эфир, 25, 215/13, 39, и 4-метоксibenзиламин, 16, 135—136/13, — (АП, т. пл. 97—98°); из 4-изопропилбензальдегида, 60/90, 1, 4-изопропилбензиловый спирт, 35, 130/15, 28, и 4-изопропилбензиламин, 40, 120/15, — (АП, т. пл. 65°); из 4-диметиламинобензальдегида, 60/50, 2, 4-диметиламинобензиламин, 87, 158—159/21, — (хлоридрат (ХГ), т. пл. 222°; пикрат, т. пл. 206°); из 2,4-дихлорбензальдегида, 60/30, 2, бис-(2,4-дихлорфенил)-диметиламин, 37, —, 80, из 2,4-дихлорбензальдегида, 80/140, 1, 2,4-дихлорбензиловый спирт, 30, 150/25, 56—57, и 2,4-дихлорбензиламин, 8, 135/15, — (ХГ, т. пл. 275°); из 4-бутоксibenзальдегида, 60/130, 1,5, 4-бутоксibenзиламин, 70, —, — (ХГ, т. пл. 285° (из сп.+эф.); АП, т. пл. 94,5° (из сп.)), бис-(*n*-бутоксифенил)-диметиламин, 3,5, —, — (ХГ, т. пл. 262°), и 4-бутоксibenзиловый сп., 2, —, — (фенилуретан (ФУ), т. пл. 64°); из 3,4-дихлорбензальдегида, 60/30, 1,5, 3,4-дихлорбензиламин, 64, 139—140°/17, — (ХГ, т. пл. 244°; АП, т. пл. 97°); из 3,4-метилendioксibenзальдегида, 60/100, 1, 3,4-метилendioксibenзиламин, 66, 135—140/15, — (ХГ, т. пл. 265°; АП, т. пл. 105°); из 4-хлорбензальдегида, 60/80, 1,5, 4-хлорбензиловый спирт, 24, 135—137/22, 71, и 4-хлорбензиламин, 20, 115—115/15, — (АП, т. пл.

106°), из 3-метоксибензальдегида, 60/80, 1,5, 3-метоксибензиламин, 45, 128/15, — (пикрат, т. пл. 185° (из сл.)), и 3-метоксибензиловый спирт, 5, 148/25, — (ФУ, т. пл. 105°); из 1-нафталида, 60—70/80, 3,1-оксиметилнафталин, 67, 160—163/12, —; из 2-метокси-1-нафталида, 60/130, 2, 2-метокси-1-аминотилнафталин, 61, 186—187/11, 69, и 2-метокси-1-оксиметилнафталин, 8, —, 100; из 9-антраляльдегида, 70—80/120, 2, 9-оксиметилантрацен, 28, —, 163, и 9-оксиметил-9,10-дигидроантрацен, 40, —, 131,5; из 3-пиренальдегида, 60/80, 1,5, 3-оксиметилпирен, 70, — 124. П. К. 25629.

**Перегруппировка N-хлорацетанилида.** А. Я. Д. Гарвуд, Хиккинботтом (The rearrangement of N-chloroacetanilide. Ayad K. N., Garwood R. F., Hickinbottom W. J.), *Chemistry and Industry*, 1955, № 36, 1122 (англ.)

Перегруппировка N-хлорацетанилида (I) в 2- и 4-хлорацетанилиды происходит при добавлении малых кол-в  $(C_6H_5COO)_2$  к р-ру I в кипящем  $CCl_4$  в отсутствие света. Подтверждено, что перегруппировка протекает при облучении в отсутствие добавок промоторов (Hodges, *J. Chem. Soc.*, 1933, 240). Эта перегруппировка является результатом межмолекулярного гомолитич. хлорирования, так как катализируемая перекисями перегруппировка I в  $CCl_4$ , содержащем 2-ацетамидонафталин, ведет к образованию 2-ацетамидо-1-хлорнафталина, 4-хлорацетанилида и ацетанилида. Замена I 2,4,6-трихлор-N-ацетанилидом (II) позволяет изучить хлорирующее действие II при отсутствии самохлорирования. При взаимодействии II с мезитиленом и ацетанфеном в  $CH_3COOH$  происходит хлорирование ядра, а в  $CCl_4$  в присутствии  $(C_6H_5COO)_2$  хлорируется боковая цепь, что указывает на то, что галоген в I вступает в р-цию как атом Cl или как положительный ион. В. Р. 25630.

**Спазмолитики. I. Основные амиды бензиловой кислоты.** Кранко, Терк, Прайбл (Antispasmodics. I. Basic amides of benzoic acid. Krapcho John, Turk Chester F., Prybyl Edward J.), *J. Amer. Chem. Soc.*, 1955, 77, № 13, 3632—3634 (англ.)

В поисках средств, обладающих спазмолитич. действием, получен ряд N-замещ. амидов бензиловой к-ты типа  $(C_6H_5)_2C(OH)CONR(CH_2)_nNR'_2$  (I), а взаимодействием I в ацетоновом р-ре с HCl, галоидоалкилами или диалкилсульфатами — их четвертичные соли (II). I получены действием  $\alpha$ -хлордифенилацетилхлорида (III) на соответствующие диаминны (IV), с последующим гидролизом промежуточных  $\alpha$ -хлорамидов. Установлено, что наибольшей активностью обладают II, где  $R=CH_3$  и  $n=2$ ; при  $R=H$  активность уменьшается в 5 раз, при  $R=C_2H_5$ ,  $C_3H_7$ , *изо*- $C_3H_7$ ,  $C_4H_9$ ,  $C_6H_5CH_2$ , а также при  $n=3$  активность уменьшается. Изменения  $R'$  на активности соединений сказываются незначительно. Почти все IV получены по известным методам (Damiens, *Ann. chim.*, 1951, 6, 835, Kernack, Wight, *J. Chem. Soc.*, 1935, 1421), в частности обработкой хлоргидратов 2-диизопропиламиноэтилхлорида и 2-(1-пирролидил)-этилхлорида избытком  $CH_3NH_2$  получены соответственно N'-диизопропил-N'-метилэтилендиамин, выход 71%, т. кип. 84—85°/25 мм., и 2-(1-пирролидил)-этилметиламин, выход 59%, т. кип. 9—95°/50 мм. К р-ру 3,0 моля алиламина в 450 мл. спирта порциями добавляют 1,0 моль хлоргидрата (XG) 2-диэтиламиноэтилхлорида (V), обрабатывают 120 г  $K_2CO_3$ , перемешивают 1 час при  $\sim 20^\circ$ , кипятят 2 часа, охлаждают, разбавляют р-ром 200 г NaOH в 800 мл воды и извлекают эфиром; N-аллил-NN'-диэтилэтилендиамин, выход 56%, т. кип. 85—87°/25 мм.; пикрат, т. пл. 129—130° (из абс. сл.), и N'-аллил-N,N,N',N'-тетраэтилдиэтилентриамин, выход 20%, т. кип. 125—127°/7 мм., К 4,0 моля 98—100%-ной

НСООН постепенно добавляют 1,5 моля 3-диметиламинопропиламина (VI), кипятят 16 час., избыток НСООH отгоняют в вакууме, остаток охлаждают, обрабатывают р-ром 60 г NaOH в 120 мл воды, извлекают эфиром, содержащим немного  $CHCl_3$ , и получают N,N'-диметил-N'-формил-1,3-пропандиамин (VII), выход 27%, т. кип. 118—119°/6 мм.; VII получен также при обработке р-ра VI в  $CHCl_3$  хлоралем (Blick, Chi-Jung Lu, *J. Amer. Chem. Soc.*, 1952, 74, 3933), выход 79%. Р-р 0,38 моля VII восстанавливают 0,66 моля  $LiAlH_4$  в эфире, прибавляют 40 мл воды, 8 г NaOH в 120 мл воды, перемешивают 2 часа, из фильтрата выделяют N,N,N'-триметил-1,3-пропандиамин, выход 65%, т. кип. 140—142°. К р-ру 1,7 моля III (King, Holmes, *J. Chem. Soc.*, 1947, 164) в смеси с 1,2 л гексана и 800 мл  $C_6H_6$  при 20—30° за 30 мин. добавляют 1,66 моля N,N'-диэтил-N'-метилэтилендиамин в 200 мл  $C_6H_6$ , перемешивают 1 час при  $\sim 20^\circ$ , кипятят 1 час, охлаждают, обрабатывают 700 мл воды, органич. слой извлекают 150 мл конц. HCl в 800 мл воды, водн. р-р нагревают 30 мин. при 70—80°, охлаждают и обрабатывают р-ром 240 г NaOH в 400 мл воды, извлекают 1,6 л эфира I,  $R=CH_3$ ,  $R'=N(C_2H_5)_2$ ,  $n=2$  (Ia), выход 91%. Р-р 1,9 моля Ia в 2 л  $CH_3CN$  охлаждают, обрабатывают 5,9 моля  $CH_3Cl$  (газом), оставляют на 4 дня при  $\sim 20^\circ$  и получают хлорметилат Ia (IIa), выход 89%. IIa получен также нагреванием 7 час. в автоклаве смеси Ia и  $CH_3Cl$  в  $CH_3OH$ . Аналогичным образом получены следующие II (указывается R, n,  $NR'_2$ , т. пл. в °C активность по атропину, активность которого принята за 100): H, 2,  $N(C_2H_5)_2$ , XG, 176—179° (из *изо*- $C_3H_7OH$ ), 3,2; бромметилат (БМ), 188—189° (из сл.), 4,5;  $CH_3$ , 2,  $N(C_2H_5)_2$ , основание, т. пл. 96—97° (из гексана), XG 252—253° (разл.; из воды), 3; БМ, 200—201° (разл.; из абс. сл.) 45; бромэтилат, 134—136° (разл.; из абс. сл.) 53; Ia, XG, 157—158° (из абс. сл.), 17; IIa, 191—192° (разл.; из *изо*- $C_3H_7OH$ ), 50; БМ, 186—187° (из *изо*- $C_3H_7OH$ ) 59; метосульфат, 85—86° (разл.; из *изо*- $C_3H_7OH$ ), 30; подметилат, 207° (разл.; из  $CH_3OH$ ), 30; бром-*n*-нитробензилат, 195—196° (разл.; из абс. сл.) 3;  $CH_3$ , 2,  $N[CH(CH_3)_2]_2$ , XG, 230—231° (разл.; из абс. сл.) 21; БМ, 164—165° (разл.; из абс. бутилового сл.), 13;  $CH_3$ , 2, N-пирролидил, XG, 229—230° (разл.; из абс. сл.) 4,7; БМ, 165—166° (из  $CH_3CN$ ), 71;  $CH_3$ , 2, N-пиридил, XG, 212—214° (из абс. сл.), 2,4; БМ, 202—204° (из абс. сл.), 0,8;  $CH_3$ , 3,  $N(C_2H_5)_2$ , XG, 202—203° (разл.; из абс. сл.), 1, БМ, 238—239° (из абс. сл.) 1,1; бромэтилат, 210—212° (из абс. сл.) 6;  $CH_3$ , 3,  $N(C_2H_5)_2$ , XG, 144—146° (из *изо*- $C_3H_7OH$ ), 6; БМ, 192—193° (из абс. сл.), 3,3;  $C_2H_5$ , 2,  $N(C_2H_5)_2$ , XG, 158—159° (из *изо*- $C_3H_7OH$ ) 10; БМ, 186—187° (из *изо*- $C_3H_7OH$ ), 9,6; *n*- $C_3H_7$ , 2,  $N(C_2H_5)_2$ , XG, 187—188° (из *изо*- $C_3H_7OH$ ), 0,2; БМ, 193—194° (из *изо*- $C_3H_7OH$ ), 0,2; *изо*- $C_3H_7$ , 2,  $N(C_2H_5)_2$ , XG, 174—176° (из абс. сл.), 0,4; БМ, 192—193° (из *изо*- $C_3H_7OH$ ), 3;  $CH_3CH=CH_2$ , 2,  $N(C_2H_5)_2$ , XG, 198—200° (из абс. сл.), 9,5; БМ, 168—170° (из *изо*- $C_3H_7OH$ ), 7,4;  $CH_3C_6H_4$ , 2,  $N(C_2H_5)_2$ , XG, 214—215° (из абс. сл.), 0,2; БМ, 190—192° (из *изо*- $C_3H_7OH$ ), 0,1;  $C_6H_5$ , 2,  $N(C_2H_5)_2$ , XG, 230—231° (разл.; из абс. сл.), 0,1; БМ, 218—220° (разл.; из абс. сл.), 0,1. В. В. 25631.

**Синтез и реакции  $\alpha$ -диалкиламинобензилбутиловых эфиров.** Взаимодействие с реактивами Гриньяра с образованием третичных аминов. Стюарт, Хаусер (Synthesis and reactions of  $\alpha$ -dialkylaminobenzyl butyl ethers. Interactions with Grignard reagents to form tertiary amines. Stewart Theodore A., Hauser Charles R.), *J. Amer. Chem. Soc.*, 1955, 77, № 5, 1098—1103 (англ.)

Исследованы р-ции получения эфиров типа  $R'C_6H_4CH(NR'_2)OC_4H_9$  (I) из ароматич. альдегидов (II), алифатич. вторичных аминов (III) и бутанола-1 (IV) тремя мето-



дами: А) 0,2 моля II смешивали с 0,22—0,24 моля III, 0,2 моля  $K_2CO_3$  и 1 молем IV, перемешивали 24 часа при 80—100°, охлаждали, фильтровали и разгоняли; Б) с применением 25%-ного водн.  $K_2CO_3$  при мол. соотношении II:III:IV, равном 0,2:0,24—0,26:1; смесь оставляли на 24 часа; В) с применением  $HgCl_2$ , как катализатора, соотношение II:III:IV равно 0,2:0,22:1,0 при 0,0074 моля  $HgCl_2$  и 100 г  $CaSO_4$ , как водоотнимающего средства; смесь перемешивали 24—48 час. при ~20°, добавляли несколько мг фенолфталеина и р-ра  $CH_3ONa$  в  $CH_3OH$  до щел. р-ции, после отделения твердой фазы выделяли эфир разгонкой. Синтезированы эфиры типа I (перечисляются R',  $NR_2$ , метод, выход в %, т. кип. в °C/мм,  $n_D^{20}$ ): Н,  $N(CH_3)_2$ , А, 56, 109—110/1, 1,4869; Н,  $N(CH_3)_2$ , Б, 50, 108—109/1,—; Н,  $N(C_2H_5)_2$ , А, 38, 122—123/1, 1,4829; Н,  $N(C_2H_5)_2$ , Б, 47, 118—124/1,—; Н, пиперидил, А, 67, 153—154/1, 1,5069; Н, пиперидил, Б, 80, 148—149/1,—; Н, морфолил, А, 44, 154—155/0,5, 1,5108; Cl,  $N(CH_3)_2$ , Б, 25, 123—125/1, 1,5015; Cl, пиперидил, А, 55, 169—172, 1,5320;  $OCN$ , пиперидил, А, 61, 174—177/1, 1,5228. Предложена схема получения I:  $R'C_6H_4CHO + C_6H_5NH_2 \rightarrow R'C_6H_4CH(OH)(NR_2) \rightarrow I$ .

Образование I может проходить через стадию 1,1-диаминов, так как при кипячении  $C_6H_5CH(NC_2H_5)_2$  (V) с IV был получен  $C_6H_5CH(NC_2H_5)_2$  (VI), который не получается из дибутилацетата и соответствующего амина. Обратное превращение I в диамин и спирт протекает значительно легче. 0,2 моля  $C_6H_5CHO$  нагревали с 0,247 моля пиперидина и 150 мл  $C_6H_6$  до полного удаления воды в виде азеотропа; избыток реагентов удаляли и получали V, выход 37,2 г, т. пл. 80,5—81° (из петр. эф.). Смесь из 0,05 моля V, 0,05 моля  $C_6H_5CHO$ , 0,3 моля IV и 0,05 моля  $K_2CO_3$  нагревали 24 часа и оставляли на 24 часа при ~20°. После разгонки получили 14 г VI, т. кип. 140—155°/1,5 мм. I энергично реагирует с  $R'MgX$  (VII), образуя третичные амины  $C_6H_5CH(NR_2)R'$  (VIII) и  $C_6H_5OMgX$ . К VII (из 4,8 г Mg и R'X в 200 мл эфира) прибавляли 0,1 моля I (R' = H) в эфире, через 12—24 часа после разложения HCl (к-той) или  $NH_4Cl$  выделяли VIII. Получены VIII (перечисляются  $NR_2$ , R', выход в %, т. кип. в °C/мм (или т. пл. в °C),  $n_D^{20}$ ):  $N(CH_3)_2$ ,  $CH_3$ , 56, 80—81/10, 1,5000;  $N(CH_3)_2$ ,  $(CH_3)_2CH$ , 61, 80,5/1, 1,4996;  $N(CH_3)_2$ ,  $C_6H_5$ , 88—92, 71,—;  $N(CH_3)_2$ ,  $C_6H_5CH_2$ , 80—96, 142/1, 1,5568;  $(C_6H_5)_2CH$ , 50, 126,5—127,5,—;  $N(C_2H_5)_2$ ,  $C_6H_5CH_2$ , 92, 148/1, 1,5460; пиперидил,  $C_6H_5$ , 99, 74,5—75,—; пиперидил,  $C_6H_5CH_2$ , 88, 186—187/1, 1,5662; морфолил,  $CH_3$ , 92,—,—; морфолил,  $C_6H_5$ , 65, 75—75,5,—; I легко гидролизуются 10%-ной HCl с образованием альдегида. При восстановлении I (R =  $CH_3$ , R' = H), *трет.*- $C_6H_5MgCl$  в эфире получили бензидиметиламин (IX), выход 80%, т. кип. 76—78°/20 мм,  $n_D^{20}$  1,4986; пикрат, т. пл. 96—97° (из сп.). Гидрированием 8 час. 0,1 моля I (R =  $CH_3$ , R' = H) в 300 мл абс. спирта с Pt (из  $PtO_2$ ) получили 10,2 г IX.

В. Э. 25632. О взаимодействии некоторых аминоспиртов (β-оксикаликилиминов) с органическими кислотами.

Петров К. Д., Тальковский Г. Б., Ж. прикл. химии, 1955, 28, № 11, 1205—1210

Продолжено исследование взаимодействия β-оксикаликилиминов с органич. к-тами. Описанным ранее способом (см. Петров К. Д., Тальковский Г. Б., Ж. прикл. химии, 1952, 25, 1225) синтезированы диацетат (I) (разделенный на стереоизомеры а и б) и дибутират (II) бис-β-оксипропиламиниллина (III), а также фталат (IV) и себацат (V) диэтилэтанолamina (VI). Ацилированием этанолamina (VII), моноэтанолamina (VIII) и β-оксипропиламиниллина (IX) получены β-бутироксипропиламиниллин (X), β-бутироксипропиламиниллин (XI), β-ацетоксипропиламиниллин (XII), β-бутироксипропиламиниллин (XIII) и β-ацетоксипропиламиниллин (XIV).

К 1,4 кг анилина постепенно приливают при 100—120° 1,9 кг окиси пропилена, нагревают 12 час. при 100—140° и перегонкой выделяют III, выход 84%, т. кип. 189—191°/8 мм,  $n_D^{20}$  1,5522,  $d_4^{20}$  1,0835. 1,5 моля III, 3,3 моля масляной к-ты (XV) и 100 мл толуола нагревают 10 час. при 100—160°, отгоняя воду и возвращая толуол, отгоняют при pH 5 р-ритель и XV, приливают 150 мл толуола, нейтрализуют 2 н. NaOH, перегоняют и получают II, выход 89%, т. кип. 197—198°/5 мм,  $n_D^{20}$  1,5017,  $d_4^{20}$  1,035. Аналогично из 2 молей III, 4,8 моля  $CH_3COOH$  и 150 мл толуола получают I, выход 64%, т. кип. 163—166°/3—4 мм,  $n_D^{20}$  1,5150,  $d_4^{20}$  1,080, который при стоянии частично закристаллизовывается; кристаллы отделяют и получают Ia, выход 50%, т. пл. 74,5—75° (из гексана), и Ib,  $n_D^{20}$  1,5117,  $d_4^{20}$  1,0723. Смесь 0,2 моля фталевого ангидрида, 0,45 моля III и 100 мл ксилола кипятят 16 час., смесь обрабатывают  $Na_2CO_3$ , отгоняют р-ритель и III и получают IV, выход 53%, т. кип. 175—180°/1 мм,  $n_D^{20}$  1,5003,  $d_4^{20}$  1,0377. Аналогично из 1 моля себацатной к-ты, 2,4 моля III и 100 мл ксилола (нагревание 8 час.) получают V, выход 98,5%, т. кип. 132—135°/10<sup>-4</sup> мм,  $n_D^{20}$  1,4565,  $d_4^{20}$  0,9250; из 1 моля VII, 2,5 моля XV и 150 мл ксилола получают X, выход 77,5%, т. кип. 154—156°/5,5 мм,  $n_D^{20}$  1,4596,  $d_4^{20}$  1,0014; из 1 моля VIII, 2,2 моля XV и 110 мл ксилола получают XI, выход 76%, т. кип. 176—179°/3 мм,  $n_D^{20}$  1,5022,  $d_4^{20}$  1,045; 2 моля VIII, 4,6 моля  $CH_3COOH$  и 150 мл ксилола нагревают обычным образом, периодически добавляя 275 мл  $CH_3COOH$ , и получают XII, выход 77,6%, т. кип. 149—150°/3 мм,  $n_D^{20}$  1,5158,  $d_4^{20}$  1,1230. Из 0,5 моля IX и 1,15 моля XV получают (см. выше) XIII, выход 66,5%, т. кип. 170—176°/4 мм,  $n_D^{20}$  1,4982,  $d_4^{20}$  1,0265; или к 1 молю IX постепенно при 100—160° добавляют 3 моля ангидрида XV и получают VIII, выход 82%. К 1 молю IX постепенно приливают при 100—140° 3 моля  $(CH_3CO)_2O$  и как обычно получают XIV, выход 90%, т. кип. 139—140°/3 мм, т. пл. 62° (из гексана). Д. В. 25633. Исследование соединений, содержащих фенокси-группу рядом с функциональной группой. I. Общий метод получения β-феноксикаликилиминов. Копи (Étude des composés comportant un phénoxy au voisinage des groupements fonctionnels. I. Méthode générale de préparation des β-phénoxyamines. Корр. Marianne), Bull. Soc. chim. France, 1954, № 5, 628—637 (франц.).

Описан метод получения β-феноксикаликилиминов (I) восстановлением  $LiAlH_4$  оксимов из α-феноксикетонных (II). Синтезированы р-цией соответствующих α-хлоркетонных (III) с фенолятом Na с последующим нагреванием с  $NH_2OH \cdot HCl$  в присутствии  $CH_3COONa$  или пиридина. Этим путем получены 2-амино-1-феноксипропан (Ia), 2-аминофеноксипропан (Ib), 1-амино-1-фенил-2-феноксипропан (Ic), 1-амино-1,2-дифенил-2-феноксипропан (Id), 2-амино-1-феноксипропан (Ie), превращенные в N-диметилпроизводные. Исследован способ получения I по Лейкарту нагреванием при 140—200° 1 моля II с 2 молями вторичного амина в присутствии 2,5 моля  $HCOOH$  до прекращения выделения  $CO_2$ ; только при взаимодействии α-феноксикаликилимина (Ia) с  $NH(CH_3)_2$ , или  $NH(C_2H_5)_2$  и α-феноксикаликилимина (Ib) с  $NH(C_2H_5)_2$  или пиперидином

(Х), опи-  
на-  
д  
при  
2 час.  
84%,  
моли  
лузо  
оду в  
и XV,  
NaOH,  
197—  
молей  
ают I,  
1,5150,  
галли-  
выход  
1,5117,  
дриа,  
смесь  
III в  
1 мм,  
ацино-  
вание  
132—  
и VII,  
выход  
1,0014,  
ла по-  
3 мм,  
моли  
бычим  
COOH,  
2 мм,  
моли XV  
и. 170—  
лю IX  
гидриа  
толю IX  
H<sub>2</sub>CO<sub>3</sub>0  
т. кип.  
Д. В.  
дих фе-  
пной. I.  
Копи  
au voi-  
ode 66  
Корр  
4, № 3,  
восста-  
нов (II),  
-хлоре-  
нагрева-  
или пи-  
оксипро-  
1-амино-  
фенил-2-  
хлорпропан.  
Иссле-  
дования  
го амин  
сравнения  
фенокси-  
фенокси-  
пиридино

получены соответственно (указаны в-во, выход в %, т. кип. в °C/мм т. пл. в °C хлоридрата, подметилата, перхлората,  $n_D^{20-21}$ ): 2-диметиламино-3-феноксипропан (IV), 21, 88—89/1,3 (101/4), > 250, > 250, 105, 1,5080; 2-диэтиламино-1-феноксипропан (V), 15, 97—100/1,3, —, —, 109, 1,4981; 2-диэтиламинофеноксипироксигексан, 18, 130—132/1,3, —, —, 115, 1,5119; и 1-пиперидино-2-феноксипироксигексан, 30, 151/1,3, —, —, 139, 1,5391. Исследована также возможность получения I восстановлением II в эфирном р-ре LiAlH<sub>4</sub> в соответствующие спирты, замещением в последних нагреванием с SOCl<sub>2</sub> в толуольном р-ре в присутствии пиридина OH-группы на Cl и р-цией галогидопроизводных с аминами; при этом получены 1-фенокси-2-оксипропан (вероятно, *цис*-форма), выход 95%, т. пл. 80—82°, и 1-фенил-1-оксипропан, выход 70%, т. кип. 145—147°/0,7 мм; при нагревании их с SOCl<sub>2</sub> отщепляется феноксигруппа; только 1-фенокси-2-оксипропан, выход 80%, т. кип. 95°/3 мм, превращен в 1-феноксипропан, выход 80%, т. кип. 74°/2 мм, и далее в V, выход 27%, и VI, выход 20%. К р-ру 0,3 моля Na в 100 мл спирта добавлял 1,5 моля фенола, отгоняют спирт, остаток растворяют в 0,5 л диоксана, добавляют 0,25 моля III, кипятят 3—6 час. и получают RCOCH(R')OC<sub>6</sub>H<sub>5</sub> (указаны R, R', выход в %, т. кип. в °C/мм и (или) т. пл. в °C): C<sub>6</sub>H<sub>5</sub>, H, 60, 90/4; C<sub>6</sub>H<sub>5</sub>, C<sub>6</sub>H<sub>5</sub>, 70, 155/5, 78—79; C<sub>6</sub>H<sub>5</sub>, C<sub>6</sub>H<sub>5</sub>, 65, 85—86; C<sub>6</sub>H<sub>5</sub>, C<sub>6</sub>H<sub>5</sub>, 35, 151—153/6; C<sub>6</sub>H<sub>5</sub>, C<sub>2</sub>H<sub>5</sub>, 76, 161—163/7, 64; C<sub>6</sub>H<sub>5</sub>, C<sub>6</sub>H<sub>5</sub>CH<sub>2</sub>, 30, 155—158/4, которые превращают в RC(=NOH)CH(R')OC<sub>6</sub>H<sub>5</sub> (указаны R, R', выход в % и т. пл. в °C) C<sub>6</sub>H<sub>5</sub>, H, 56, —, т. кип. 129—130°/1 мм; C<sub>6</sub>H<sub>5</sub>, C<sub>6</sub>H<sub>5</sub>, 75, 136—137; C<sub>6</sub>H<sub>5</sub>, C<sub>6</sub>H<sub>5</sub> (син-), 55, 119—120; (анти-), 27, 90; C<sub>6</sub>H<sub>5</sub>, C<sub>6</sub>H<sub>5</sub> (син-), 43, 108; (анти-), 17, 58—60; C<sub>6</sub>H<sub>5</sub>, C<sub>2</sub>H<sub>5</sub>, 65, 101—102. Аналогично получены α-феноксипироксигексанон, выход 60%, т. кип. 159—160°/11 мм, т. пл. 64°, и его оксим, выход 75%, т. пл. 89—90°. К эфирному р-ру 0,415 моля II приливают по каплям 100 мл эфирного р-ра LiAlH<sub>4</sub> (0,9C<sub>5</sub> моля в 1 л), кипятят 30 мин., охлаждают, приливают несколько мл воды, затем 100 мл 20%-ного р-ра сергетовой соли и 20 мл 10%-ного р-ра NaOH, размешивают 30 мин., вводят эфирный р-р в 10%-ную HCl, кислый р-р подщелачивают и извлекают эфиром I (последовательно приведены выход в %, т. кип. оснований в °C/мм, т. пл. хлоридратов в °C): а, 75, 100—101/3, 126; б, 55, 121/5, 216; в, 76, 166—168/8, 222 г, 88, — [т. пл. 107° (из петр. эф.-циклогексана)], 217; д, 48, 154—156/6, 216. Смесь 0,0044 моля I, 0,0134 моля HCOOH и 0,011 моля 33%-ного р-ра формальдегида нагревают в запаянной трубке и получают N-диметилпропановые I (указаны выход в % и т. кип. оснований в °C/мм): а, 70, 101/4; б, 57, 157/7; г, 61, 188—190/6, т. пл. 65°; д, 65, 161—162/9; т. пл. хлоридратов и подметилатов этих производных > 250°. Д. В.

25634. Идентификация некоторых симпатомиметических аминов. Фишер, Плейн (Identification of some sympathomimetic amines. Fischer William H. A., Plein Elmer M.), J. Amer. Pharmac. Assoc. Scient. Ed., 1955, 44, № 5, 313—316 (англ.).

С целью идентификации некоторых симпатомиметических аминов получен ряд производных амфетамин (2-фенилизопропиламина) (I), декстроамфетамин (II), эфедрина (III), рацефедрина (IV), метоксифенамина (V), 1-метилгексилана (VI), фенилпропаноламина (VII), фенилпропилметиламина (VIII) и оксиамфетамин (IX). Приводятся исходный амин, т. пл. в °C фенилтиомочевины, бензамиды, бензолсульфамиды, 3,5-динитробензоата, 2,4-динитробензоата: I, 128—130 (из сп.), 130—131 (из водн. сп.), 70—73 (из сп.), —, 183—185 (из абс. сп.); II, 104—105 (из водн. сп.), 159—160 (из водн. сп.), 59—60 (из водн. сп.), 190—193 (из абс. сп.), —

III, 97—98 (из сп.), —, 94—96 (из водн. сп.), 194—196 (из абс. сп.), 189—191 (из абс. сп.); IV —, —, 104—105 (из водн. сп.), 209—212 (из абс. сп.), 166—167 (из абс. сп.); V, 90—91 (из водн. сп.), —, 90—93 (из сп.), 147—148 (из абс. сп.), 114—116 (из абс. сп.); VI, 66—67 (из водн. сп.), 61—63 (из водн. сп.), —, 133—136 (из водн. диоксана), 128—129 (из абс. сп.); VII, 170—172 (из сп.); 141—143 (из сп.), 124—125 (из водн. сп.), 97—99 (из абс. сп.), 86—88 (из абс. сп.); VIII, 100—101 (из водн. сп.), —, 187—192 (из абс. сп.); IX, —, 139—141 (из сп.), —, 190—192 (из абс. сп.). 2,4-Динитробензойная к-та получена окислением 2,4-динитротолуола Na<sub>2</sub>C<sub>2</sub>O<sub>7</sub> в воде в присутствии H<sub>2</sub>SO<sub>4</sub>, выход 50%, т. пл. 183°; п-бромфенилэтиловый эфир, т. пл. 158°. Г. С. 25635. Четвертичные аммониевые соли. Часть IV.

Гидролиз нитрильной группы до разложения четвертичной аммониевой группы. Получение и разложение некоторых четвертичных аммониевых солей. Тадрос, Сакла (Quaternary ammonium salts. Part IV. Hydrolysis of the nitrile group before decomposition of the quaternary ammonium group. Preparation and decomposition of some quaternary ammonium salts. Tadros Wadie, Sakla Alf Badie), J. Chem. Soc., 1954, March, 1116—1119 (англ.).

Описан синтез подметилатов (ИМ) ряда аминов (C<sub>6</sub>H<sub>5</sub>)<sub>2</sub>NC<sub>6</sub>H<sub>4</sub>R (I). При кипячении с C<sub>2</sub>H<sub>5</sub>ONa в спирте ИМ I отщепляют CH<sub>3</sub>J, причем частично идет замена аминогруппы на C<sub>2</sub>H<sub>5</sub>O. В этих условиях I (R = CN) (Ia) омыляется до амида (Ib), в ИМ Ia дает п-этоксисбензамид (II), 16 и п-(C<sub>6</sub>H<sub>5</sub>)<sub>2</sub>NC<sub>6</sub>H<sub>4</sub>COOH (Iv). Из I и 25 % CH<sub>3</sub>J (2 дня, ~ 20° или 6 час. ~ 100°) получены следующие ИМ I (с колич. выходом), а из них метилпикраты (МП) (приведены R, т. пл. в °C ИМ, т. пл. в °C МП): п-CN, 181, 152; п-CONH<sub>2</sub>, 203, 237; п-COOH, 160—161, —; м-COOH, 204 (хлорметилат, из ИМ, т. пл. 207°); п-CH<sub>2</sub>CH<sub>2</sub>COOH, 206—208, 208—210; п-CH=CHCOOH, 210, 228—230; п-CH=CHCOOCH<sub>3</sub> (III), 186, 187—189; п-COC<sub>6</sub>H<sub>4</sub>N(C<sub>6</sub>H<sub>5</sub>)<sub>2</sub> (IV), 182, 197—198. Для Ив р-ция идет только при кипячении 6 час. в 25 мл CH<sub>3</sub>OH, при более длительном кипячении образуются ИМ метилового эфира Iv. Из о-(C<sub>6</sub>H<sub>5</sub>)<sub>2</sub>NC<sub>6</sub>H<sub>4</sub>COOH (Iv) с CH<sub>3</sub>J (кипчение 3 часа или 2 дня при 20°) получен не ИМ, а метиловый эфир Iv (Iv) в виде гидрата, т. пл. 163°. ИМ Id, т. пл. 153°, и ИМ м-(C<sub>6</sub>H<sub>5</sub>)<sub>2</sub>NC<sub>6</sub>H<sub>4</sub>COOCH<sub>3</sub>, т. пл. 220—221°, описанные ранее (Willstätter, Kahn, Ber., 1904, 37, 401), превращены в МП, т. пл. соответственно 128—130 и 166°. Все ИМ перекристаллизованы из спирта или спирта-эфира. При кипячении 3 часа 4,1 и IV с р-ром CH<sub>3</sub>ONa в CH<sub>3</sub>OH или C<sub>2</sub>H<sub>5</sub>ONa в C<sub>2</sub>H<sub>5</sub>OH (0,35 и Na в 25 мл сп.) получено 20—25% 4-диметиламино-4'-метокси-(т. пл. 132°) или этоксибензофенона (т. пл. 103°), 60—65% кетона Михлера и немного 4-диметиламино-4'-оксисбензофенона, т. пл. 199—200°. Аналогично ИМ Iv с C<sub>2</sub>H<sub>5</sub>ONa в C<sub>2</sub>H<sub>5</sub>OH дает II, выход 35—40%, т. пл. 202°, 16, выход 40—45%, т. пл. 206°, и Iv, т. пл. 234°. В этих условиях Ia превращается в Iv; из ИМ Ia (кипчение 15 мин. с последующей отгонкой р-рителя) выделены 16, Iv и II. С CH<sub>3</sub>ONa в CH<sub>3</sub>OH при 25—30° III омыляется до к-ты (выделен МП). Часть III см. РЖХим 1953, 6420. А. К.

25636. Молекулярная структура азосоединений и эстрогенная активность. Номура (アゾ化合物の構造と受容作用. 野村祐太郎), 日本化学雑誌, Нихон катэку дзасси, J. Chem. Soc. Japan. Pure Chem. Sec., 1955, 76, № 6, 702—703 (япон.).

С целью выяснения влияния заместителей в положениях 2, 2' у 2, 4, 2', 4'-тетраоксизобензола на эстрогенную активность (активен в дозах 20 γ) получены 2-метил-4, 2', 4'-триоксизобензол (I), 2,4,4'-триоксизобензол (II), 2, 2', 4'-метил-4,4'-диоксизобензол (III) и 2-метил-4,4'-диоксизобензол (IV). I и III обнаружили эстрогенную активность в дозах 50 γ, в то время как

II и IV неактивны даже в дозах 300 γ, таким образом наличие заместителей в положениях 2,2' необходимо для проявления эстрогенной активности. Р-р 2,2-2-амино-*m*-крезола в 10 мл конц. HCl и 25 мл воды диализируют 10%-ным NaNO<sub>2</sub>, добавляют медленно при 0° к р-ру 10 г NaOH в 50 мл воды и 2 г резорцина, отделяют осадок, очищают хроматографией на Al<sub>2</sub>O<sub>3</sub> (р-ритель этилацетат), получают 1 г I, т. пл. 204° (из бал.). Аналогично получены (в-во, т. пл. в °C): II, 205—212; III, 206; IV, 164—165.

25537. Реакция Манниха с  $\omega$ -фенилгидразонами и  $\omega$ -оксимами  $\alpha$ -кетоальдегидов. Рид, Кейль (Manich-Reaktionen mit  $\omega$ -Phenyl-hydrasonen und  $\omega$ -Oximen von  $\alpha$ -Keto-aldehyden. Ried Walter, Keil Günter, Angew. Chemie, 1955, 67, № 21, 652—653 (нем.).

Фенилгидразоны или оксимы, содержащие в  $\alpha$ -положении группу C=O, реагируют с CH<sub>2</sub>O и вторичными аминами по р-ции Манниха. Получены следующие в-ва, указана т. пл. в °C: диметиламинометилбензоилкетоксим, 123—124,5; пиперидинометилбензоилкетоксим, 136,5—138; морфолинометилбензоилкетоксим, 116—117; диметиламинометилбензоилкетоксифенилгидразон, 75—76; пиперидинометилбензоилкетоксифенилгидразон, 93—94; морфолинометилбензоилкетоксифенилгидразон, 123—124; диметиламинометилацетилкетоксифенилгидразон, 43—44; пиперидинометилацетилкетоксифенилгидразон, 105—106; морфолинометилацетилкетоксифенилгидразон, 115,5—117.

25538. Гидразин. Часть X. Соли некоторых альдазинов и кетазинов. Сон, Маркс, Пью (Hydrazine. Part X. Salts of some aldzines and ketazines. Sohn E. G. (Mrs.), Marks R. H., Pugh W.), J. Chem. Soc., 1955, June, 1753—1755 (англ.).

Изучено образование простых и комплексных солей (КС) ряда альдазинов и кетазинов. Ароматич. альдазины и кетазины образуют галогенгидраты, сульфаты и КС. С алифатич. кетазинами простые соли не получены; диметилкетазин (I) образует КС (РЖХим, 1955, 18801), а его гомологи — соли соответствующих гидразонов. Алифатич. альдазины не образуют солей. Азины легко образуют соли. Легко гидролизующиеся галогенгидраты, сульфаты, хлорокомплексы и платинаты, самовосстанавливающиеся в присутствии воды и щелочей до Рт и N<sub>2</sub>, получали в безвод. среде. Для синтезов хлоргидратов (XI) и Cl-содержащих КС 1) HCl пропускали через р-р азина (или азина и галогенида металла) в C<sub>6</sub>H<sub>5</sub>NO<sub>2</sub>, эфире или ксилоле, или 2) смешивали р-ры в C<sub>6</sub>H<sub>5</sub>NO<sub>2</sub>, ХГ азина и хлорида металла. Добавлением смеси 98% H<sub>2</sub>SO<sub>4</sub> и 2% эфира к экв. кол-ву азина в эфире или ксилоле получали сульфаты. Для получения комплексных платинатов добавляли р-р H<sub>2</sub>PtCl<sub>6</sub> в эфире или H<sub>2</sub>PtBr<sub>6</sub> в *n*-бутаноле-1 к р-ру азина и небольшого кол-ва соответствующего альдегида или кетона в эфире. При получении более устойчивых бромгидрата, бром- и иодо-КС пользовались конц. водн. р-рами к-т: смешивали р-ры азина и бромиды или иодида в соответствующих р-рителях и добавляли избыток 48%-ной HBr или 57%-ной HI. Кипячением эквимолярных кол-в ароматич. альдегида и гидразингидрата (95%) в ацетоне с избытком HBr-или HI-к-т синтезировали смешанные азины. Последние получали также растворением гидразона в ацетоне. Платинаты окрашены в красный цвет, Cl-содержащие соли слегка окрашены, Br-соли — желтые или оранжевые, J-соли — красные. Синтезированы с выходом 40—90% следующие (R = NN = R')·HX (перечислены исходный азин или R и R', X и т. пл. в °C): бензальдазин (II), SbCl<sub>4</sub> 156—157; салицилальдазин (III), SbCl<sub>4</sub> 175—182; анисальдазин (IV), SbCl<sub>4</sub> 198—200; II, SbBr<sub>4</sub> 179—180; III, SbBr<sub>4</sub> 192—193; IV, SbBr<sub>4</sub> 216—218; II, SbJ<sub>4</sub> 173—190; III, SbJ<sub>4</sub> 211—212; IV, SbJ<sub>4</sub> 214—215; II,

BiCl<sub>4</sub>, 200—206; III, BiCl<sub>4</sub>, 213—220; IV, BiCl<sub>4</sub>, 236—237; II, BiBr<sub>4</sub>, 229—234; III, BiBr<sub>4</sub>, ~ 227 (соль содержит III); IV, BiBr<sub>4</sub>, 244—245; II, BiJ<sub>4</sub>, 228—230; III, BiJ<sub>4</sub>, 246—253; IV, BiJ<sub>4</sub>, 235—238; II, HSO<sub>4</sub>, 160—161; III, Br, 211—213; III, HSO<sub>4</sub>, 178—179; IV, HSO<sub>4</sub>, 202—203; ацетофеназин (V), Cl, 132—134; V, HSO<sub>4</sub>, 125—126; бензофеназин, Cl, 166—168; *o*-C<sub>6</sub>H<sub>4</sub>(OH)CH<sub>3</sub>, (CH<sub>3</sub>)<sub>2</sub>C, Br, 177—178; C<sub>6</sub>H<sub>5</sub>CH, (CH<sub>3</sub>)<sub>2</sub>C, Br, 135—136; C<sub>6</sub>H<sub>5</sub>CH, (CH<sub>3</sub>)<sub>2</sub>C, J, 107—108 (моногидрат); *o*-NO<sub>2</sub>-C<sub>6</sub>H<sub>4</sub>CH, (CH<sub>3</sub>)<sub>2</sub>C, Br, 156—158. Последнюю соль превратили с водн. K<sub>2</sub>CO<sub>3</sub> в азин, т. пл. 67°. Синтезированы галогеностаннаты и галогеноплатинаты азинов и гидразонов (R = NN = R')<sub>2</sub>H<sub>2</sub>X (перечислены исходный азин или R и R', X, т. пл. в °C): II, SnCl<sub>4</sub>, 217—225; III, SnCl<sub>4</sub>, 212—220; *o*-нитробензальдазин, SnCl<sub>4</sub>, 183—190; II, SnBr<sub>4</sub>, 218—225; IV, SnBr<sub>4</sub>, 240—242; II, PtBr<sub>4</sub>, 188—189; V, PtBr<sub>4</sub>, 190—191; C<sub>6</sub>H<sub>5</sub>CH, C<sub>6</sub>H<sub>5</sub>(CH<sub>3</sub>)<sub>2</sub>C, PtBr<sub>4</sub>, 214—216; I, PtBr<sub>4</sub>, 82—84; I, PtCl<sub>4</sub>, 157—158 (разл.); (C<sub>6</sub>H<sub>5</sub>)<sub>2</sub>C, H<sub>2</sub>, PtBr<sub>4</sub> (разл.); (C<sub>6</sub>H<sub>5</sub>)<sub>2</sub>C, H<sub>2</sub>, PtCl<sub>4</sub>, 187—188. Часть IX см. РЖХим, 1956, 3900. Е. 3.

25639. Гидразин. Часть XI. Хлоростаннаты N-метилальдазины и кетазина, полученные из метилгидразина. Ламчен, Стивен (Hydrazine. Part XI. N-methyl-aldzinium and ketazinium chlorostannates derived from methylhydrazine. Lamchen M., Stephen A. M.), J. Chem. Soc., 1955, June, 2044—2045 (англ.).

Подобно ацетону (РЖХим, 1956, 3900) метилэтилкетон (I) и ряд альдегидов образуют с метилгидразином в CH<sub>3</sub>OH, содержащем водн. HCl и небольшой избыток SnCl<sub>4</sub>, гексахлоростаннаты (HXC) N-метилкетазина и -альдазина, кристаллизующиеся при охлаждении за несколько минут (кроме HXC на основе I, выпадающего после охлаждения в течение недели при -10°), [R = NN<sup>+</sup>(CH<sub>3</sub>)=R]SnCl<sub>6</sub><sup>2-</sup> (перечислены R, т. пл. в °C): C(CH<sub>3</sub>)<sub>2</sub>C<sub>6</sub>H<sub>5</sub>, 138—139; C<sub>6</sub>H<sub>5</sub>CH, 205—206; C<sub>6</sub>H<sub>5</sub>CH=CHCN, 197 (разл.); *n*-C<sub>6</sub>H<sub>4</sub>(OCH<sub>3</sub>)CH, 215—216; 2,4-C<sub>6</sub>H<sub>3</sub>(OH)<sub>2</sub>CH, ~ 230°; 3,4-C<sub>6</sub>H<sub>3</sub>(OCH<sub>3</sub>)<sub>2</sub>(OH)CH, ~ 180°; 3,4-C<sub>6</sub>H<sub>3</sub>(OCH<sub>3</sub>)<sub>2</sub>CH, 225° (разл.). С диэтилкетон, метил-*n*-пропилкетон, ацетофеноном, ацетальдегидом, пропионом и кротоном альдегидом аналогичные продукты не получены. Добавлением 4 мл салицилового альдегида в CH<sub>3</sub>OH к 0,3 г метилгидразина в CH<sub>3</sub>OH, содержащем 0,2 мл SnCl<sub>4</sub> и небольшой избыток водн. HCl, получили хлорметилат салицилальдазина, т. пл. 204°. Тот же продукт получен и без SnCl<sub>4</sub>. К 3,7 г C<sub>6</sub>H<sub>5</sub>NHNH<sub>2</sub>·HCl в 30 мл метил-*изо*-пропилкетона добавили 2 мл SnCl<sub>4</sub> и 1 мл конц. HCl. После кипячения (7 час.) получили 7 г HXC аммония и бис-2, 3,3-триметилиндоления, т. пл. 229° (из разб. HCl); обработкой щелочью получили свободное основание, т. пл. пирата 161°. Аналогичным методом синтезировали HXC бис-(3,3-диметил-2-изопропиллиндоления), т. пл. 174° (из разб. HCl). I, метил-*n*-пропилкетон и ди-*n*-пропилкетон с фенилгидразином в тех же условиях образовали индолы.

25640. Новые средства против туберкулеза. Аппел, Абуауад, Тампьер, Крайтон, Саес, Гарсия (Nuevos remedios contra la tuberculosis. Appel H. H., Abuaud E., Tampier H., Crichton J., Sáez R., García F.), Bol. soc. chilena quim., 1954, 6, № 1, 8—12 (исп.). Разработаны улучшенные способы получения некоторых препаратов против туберкулеза: тиосемикарбоната *n*-ацетамидобензальдегида, гидразида изоникотиновой к-ты и 4,4'-диэтоксидифенилтиомочевины. Э. Г. 25641. Шиффовы основания и родственные соединения. II. Реакция тиолов с N-бензилденанилином и N-бензиденантраниловой кислотой. Стейси, Дей, Морат (Schiff bases and related substances. II. Reactions of thiols with N-benzylideneaniline



and N-benzylideneanthranilic acid. Stacy Gardner W., Day Richard I., Morath Richard J.), J. Amer. Chem. Soc., 1955, 77, № 14, 3869—3873 (англ.).

Продолжено исследование р-ций тиофенолов (I) с тиофеновыми основаниями (II). Показано, что заместители не оказывают никакого влияния на образование аддуктов  $RC_6H_4NHCH(C_6H_5)SAg$  (III) при присоединении I к м-(IIa) или п-(IIб)-бензилденаминобензойным к-там, или к м-(IIв) или п-(IIг)-бензилденаминоацетофенонам, что результаты р-ций зависят только от условий их проведения. Так при р-ции бензилденамина (IIд) с 1 или 2 молями п-тиокрезола (Ia) получен с хорошим выходом п- $CH_3C_6H_4SCH(C_6H_5)NHC_6H_5$  (IIIa); при р-ции же IIд с большим избытком Ia образования IIIa не наблюдается, но в результате восстановления IIд образуются N-бензиламин (IV) и бис-п-толилсульфид (V). IIIa при нагревании с большим избытком Ia также восстанавливается и разлагается на IV и V, с теми же выходами, как и при р-ции IIд и Ia, и гидролизует холодной 10%-ной щелочью на исходные IIд и Ia, чем объясняются описанные ранее неудачи при его получении; по этой причине при получении III, когда вместо отгонки  $C_6H_6$  реакционная смесь была промыта 10%-ным р-ром NaOH, получены исходные 2-тиоафтол и IIд. IIa и ее ортоизомер (IIе) при полном отсутствии влаги подвергают аналогичному восстановлению при нагревании с избытком Ia или тиофенола в N-бензил-м- и N-бензил-о-аминобензойные к-ты (первая выделена в виде N-ацетильного производного, т. пл. 132,5—133° (из толуола)); в присутствии же влаги IIa и IIе расщепляются при нагревании (24 часа) с избытком Ia на м- и о-аминобензойные к-ты и п-крезилмеркаптал бензальдегида (VI), выход 51%, т. пл. 78—79° (из сп.), строение которого показано встречным синтезом из  $C_6H_5CHO$  и Ia и окислением  $KMnO_4$  в α, α-бис-(п-толилсульфонил)-толуол (VII). Суспензию 0,25 моля м- $NH_2C_6H_4COOH$  в 250 мл  $C_6H_6$  кипятят 4 часа с 0,25 моля  $C_6H_5CHO$ , удаляя воду, и отделяют IIa, выход 85%, т. пл. 131—132° (из бzl.). Аналогично получают IIб, выход 96%, т. пл. 195—196° (из сп.); IIв, выход 63%, т. пл. 47,5—48° (из изопропилового сп. (VIII)). Смесь 0,1 моля п- $NH_2C_6H_4COCH_3$  и 0,1 моля  $C_6H_5CHO$  в 50 мл спирта кипятят 30 мин. и отделяют IIг, выход 60%, т. пл. 99,5—100,5° (из VIII). Р-р 0,01 моля II и 0,01 или 0,02 моля I в 50—70 мл  $C_6H_6$  кипятят 12—18 час. (или размешивают 1 час при 20°), охлаждают, или отгоняют в вакууме р-ритель и получают III (последовательно приведены R, Ag, выход в %, т. пл. в °C): H, п- $CH_3C_6H_4$ , 99, 72,5—73 (из VIII); H, 2- $C_6H_5$ , 85, 66,1—68,1 (из этилацетата (IX)); п- $COOH$ , п- $CH_3C_6H_4$ , 97, 161—176 (разл.; из VIII); п- $COOH$ , 2- $C_6H_5$ , 90, 146—182 (разл.; из бzl.); м- $COOH$ , п- $CH_3C_6H_4$ , 82, 86—88 (из бzl.-петр. эф.); м- $COOH$ ,  $C_6H_5CH_2$ , 99, 102,5—104,5 (из IX-петр. эф.); п- $CH_3CO$ ,  $HOOCCH_2$ , 69, 125,6—126,5 (из VIII); п- $CH_3CO$ ,  $C_6H_5$ , 81, 102,5—104 (из VIII); п- $CH_3CO$ ,  $C_6H_5CH_2$ , 71, 96,6—98,5 (из VIII); м- $CH_3CO$ ,  $C_6H_5CH_2$ , 69, 88,5—89,5 (из VIII); м- $CH_3CO$ , п- $CH_3C_6H_4$ , 89, 72,7—73,9 (из IX); H,  $C_6H_5$ , 73, 55,5—56,5 (из IX); H,  $C_6H_5CH_2$ , 80, 61,8—62,8 (из VIII). Р-р 0,05 моля IIд и 0,2 моля Ia в 100 мл п-ксилола кипятят 24 часа в атмосфере  $Ne_2$ , извлекают Ia 10%-ным р-ром NaOH, органич. слой после кипячения (1 час) в токе  $Ne_2$  с 50 мл 10%-ной HCl извлекают 10%-ной HCl, кислые р-ры подщелачивают NaOH до pH 10, обрабатывают безводсульфохлоридом и отделяют  $C_6H_5CH_2N(C_6H_5)SO_2C_6H_5$  (X), выход 34%, т. пл. 119—120° (из сп.); фильтрат подкисляют и получают N-бензолсульфониланилин (XI), выход 4,49 г, т. пл. 111—112°; от органич. слоя отгоняют р-ритель и получают V,

выход 3,98 г, т. пл. 45—46° (из сп.). Р-р 0,05 моля IIIa и 0,15 моля Ia в 100 мл п-ксилола кипятят 24 часа и получают, как описано выше, Ia, выход 46 г, X, выход 29%, XI, выход 4,58 г, и V, выход 5,9 г. К р-ру 0,001 моля VI в 25 мл  $CH_3COOH$  постепенно приливают 10 мл 8%-ного р-ра  $KMnO_4$ , смесь охлаждают до 0°, удаляют избыток  $KMnO_4$  3%-ной  $H_2O_2$  и получают VII, выход 74%, т. пл. 181—182° (из  $CH_3COOH$ ). Сообщение I см. J. Amer. Chem. Soc., 1952, 74, 3885.

25642. Исследование в области производных п-алкоксибензойных кислот. Сообщение XI. α-Метил-γ-диалкиламинопропилоые тиоэферы п-алкоксибензойных кислот и их четвертичные соли. Миджол А. Л., Африкан В. Г., Оганесян А. Н., Докл. АН АрмССР, 1955, 21, № 3, 121—128 (рез. арм.).

Синтезирован ряд в-в строения  $p-ROC_6H_4C(O)SCH(CH_3)CH_2CH_2N(CH_3)_2$  (I),  $p-ROC_6H_4C(O)SCH(CH_3)CH_2CH_2N(C_2H_5)_2$  (II) и их подметилаты и подэтилты для изучения их фармакологич. свойств в зависимости от строения. Получены следующие I (перечисляются R, выход в %, т. кип. в °C/мм,  $n_D^{20}$ ,  $d_4^{20}$ , т. пл. в °C хлоридрата, выход в % и т. пл. в °C подметилата, выход в % и т. пл. в °C подэтилтата):  $CH_3$ , 42, 188—189/2, 1,5540, 1,0849, 158, 96,2, 197—198, 84,5, 144—145;  $C_2H_5$ , 68,4, 200/4, 1,5340, 1,0243, 121, 95,8, 169—170, 90,1, 146—147;  $C_3H_7$ , 40, 212/5, 1,5420, 1,0512, 144, 92,4, 170—171, 83,2, 126—127;  $(CH_3)_2CH$ , 60, 187—190/3, 1,5395, 1,0452, 103, 88,6, 156—157, 76,4, 114—115;  $C_4H_9$ , 48, 225/4, 1,5380, 1,0400, 140, 82,5, 164—165, 78,3, 135—136; изобутил, 50, 205/3, 1,5470, 1,0707, 120, 84,3, 168—169, 74,4, 154—155;  $n-C_6H_{11}$ , 50, 233/4, 1,5330, 1,0297, 138—139, 89,2, 159—160, 77,4, 122—123;  $(CH_3)_2CH(CH_2)_2$ , 50,5, 215—220/4, 1,5330, 1,0270, 143, 82,6, 160—161, 70,8, 118—119. Получены следующие II (те же показатели):  $CH_3$ , 45, 210/4, 1,5335, 1,0448, 93, 92,8, 128—129, —, —;  $C_2H_5$ , 50, 212/4, 1,5390, 1,0425, 129, 78,2, 131—132, 79,6, 144—145;  $C_3H_7$ , 54,5, 192—195/1, 1,5313, 1,0316, 106, 86,3, 139—140, —, —;  $(CH_3)_2CH$ , 50, 225/5, 1,5319, 1,0278, 115—116, 82,4, 122—123, 72,5, 99—100;  $C_4H_9$ , 56, 235/3, 1,5286, 1,0177, 120, 83,1, 130—131, 74, 141—142; изобутил, 43,3, 240/5, 1,5290, 1,0138, 118, 81,6, 140—141, 70,4, 120—121;  $n-C_6H_{11}$ , 60,4, 245/4, 1,5280, 1,0142, 109, 80,5, 139—140, —, —;  $(CH_3)_2CH(CH_2)_2$ , 45, 220/2, 1,5245, 1,0064, 90, 75,8, 132—133, —, —. Сообщение X см. РЖХим, 1956, 9773. И. К.

25643. Удаление ди-(п-нитрофенил)-сульфида — побочного продукта при получении сульфанидамина. Цзинь Юнь-хуа, Юй Моу-ши (磺胺製法過程中「硫化」階段雜質的分離). 金華華, 俞慧時, 藥學專報, Носюэ сюэбао, Acta pharmac. sinica, 1955, 3, № 1, 57—63 (кит.; рез. англ.).

Ди-(п-нитрофенил)-дисульфид (I), образующийся при р-ции между  $p-ClC_6H_4NO_2$  и  $Na_2S_2$  и являющийся полупродуктом произ-ва сульфанидамина, загрязнен значительной примесью моносульфида (II). Рекомендуются способ разделения смеси, основанный на превращении I в растворимый в воде п- $NO_2C_6H_4SNa$  (III). Нагревают 30 мин. 5 ч. смеси I и II с 2 ч. NaOH в 50%-ном спирте, отделяют III, при подкислении выделяется п- $NO_2C_6H_4SH$ , который окисляют в I, выход 99%. Изучено влияние конц-ии спирта и кол-ва NaOH на процесс очистки I.

25644. Сульфониновые соединения, родственные ариди-(2-галогеналкил)-аминам. Роберте, Росс (Sulphonium compounds related to aryl-di-2-halogenoalkylamines. Roberts J. J., Ross W. C. J.). J. Chem. Soc., 1955, April, 1388—1389 (англ.).

Действием тиомочевны (I) на ди-(2-галоген)-арил-этиламин получили соответствующие тиурониновые соли,

обработкой которых  $\text{CH}_3\text{J}$  синтезировали ряд сульфониоидов, испытанных в качестве ингибиторов развития опухолей. 25 г  $\text{N,N}$ -ди-(2-хлорэтил)- $n$ -анизидина и 15 г  $\text{I}$  кипятили в 250 мл  $\text{C}_2\text{H}_5\text{OH}$  7 час., концентрированием р-ра и прибавлением эфира выделили  $\beta$ -метоксифенилимино-*bis*-(2-этилтиуронийхлорид) (II), выход 30 г, т. пл.  $204^\circ$  (из эф.- $\text{CH}_3\text{OH}$ ). Обработкой 2 н.  $\text{NaOH}$  выделили основание, т. пл.  $84^\circ$  (из этилацетата). К р-ру 30 г II и в 400 мл 2 н.  $\text{NaOH}$  добавили 10 мл  $\text{CH}_3\text{J}$ , через 3 часа получили 20 г  $\text{N,N}$ -ди-(2-метилтиоэтил)- $n$ -анизидина (III); пикрат, т. пл.  $112-114^\circ$  (из сл.). 20 г III, 10 мл  $\text{CH}_3\text{J}$  в 150 мл  $\text{C}_2\text{H}_5\text{OH}$  оставляли стоять 20 час., после разбавления эфиром отделили масло, которое закристаллизовалось при растирании с ацетоном, получили  $n\text{-CH}_3\text{OC}_6\text{H}_4\text{N}[(\text{CH}_2\text{CH}_2\text{S}^+(\text{CH}_3)_2)_2]_2\text{J}_2$ , т. пл.  $172-173^\circ$  (из сл.). Аналогично из  $\text{N,N}$ -ди-(2-бромэтил)- $n$ -хлоранилина получили соответствующий тиуронийбромид, т. пл.  $194^\circ$  (из сл. +  $\text{CHCl}_3$ ); основание, т. пл.  $96^\circ$  (из водн. ацетона); пикрат, т. пл.  $114-116^\circ$  (из сл.), который действием  $\text{CH}_3\text{J}$  превращали в  $n$ -хлорфенилимино-*bis*-(2-этил-S,S-диметилсульфонийиодид), т. пл.  $128,5-131^\circ$  (из эф.- $\text{CH}_3\text{OH}$ ); пикрат, т. пл.  $159-160^\circ$  (из воды). Аналогично  $\text{N,N}$ -ди-(2-хлорпропил)- $\beta$ -нафтиламина через пикрат (т. пл.  $112^\circ$  из сл.) переводили в  $\beta$ -нафтиламино-*bis*-2-(1-метилэтил)-S,S-диметилсульфонийиодид (IV), т. пл.  $50-60^\circ$  (разл.). 400 мг IV кипятили 50 час. в 100 мл 50%-ного водн. ацетона, р-р концентрировали, извлекали эфиром  $\text{N,N}$ -ди-(2-окиспропил)- $\beta$ -нафтиламин; пикрат, т. пл.  $164-168^\circ$  (из бэл.). Если IV нагревают при  $\sim 100^\circ$ , то образуется  $\text{N,N}$ -ди-(2-метилтиопропил)- $\beta$ -нафтиламин; пикрат, т. пл.  $119^\circ$ . Триметилеб-*bis*-(диметилсульфонийиодид) получили из 9 г 1,3 бис-метилтиопропана и 9 мл  $\text{CH}_3\text{J}$  в 10 мл  $\text{CH}_3\text{OH}$  (24 часа при  $\sim 20^\circ$ ), температура плавления  $155^\circ$  (разл., из  $\text{CH}_3\text{OH}$ ).

25645. Исследования ароматических сульфидов и дисульфидов. Сообщение XV. Конкурирующие реакции между ариллами и 2,4-динитрохлорбензолом. Леандри, Тундо (Ricerche sui solfuri e disolfuri aromatici. Nota XV. Reazioni competitive di aril-tioli col 2,4-dinitro-cloro-benzolo. Leandri Giuseppe, Tundo Antonio), Ann. chimica, 1955, 45, № 9-10, 832-841 (итал.)

В продолжение предыдущих работ (РЖХим, 1955, 18714) изучена р-ция между смесью двух различно замещ. тиофенолов и 2,4-динитрохлорбензолом (I). При р-ции  $n\text{-ClC}_6\text{H}_4\text{SH}$ ,  $n\text{-NO}_2\text{C}_6\text{H}_4\text{SH}$ ,  $m\text{-NO}_2\text{C}_6\text{H}_4\text{SH}$ , пиридил-2, хинолил-2 или бензтиазолил-2-тиолов и  $\text{C}_6\text{H}_5\text{SH}$  (II) с I образуется исключительно 2,4-динитродифенилсульфид. При р-ции  $n\text{-CH}_3\text{C}_6\text{H}_4\text{SH}$ ,  $n\text{-CH}_3\text{OC}_6\text{H}_4\text{SH}$ ,  $n\text{-NH}_2\text{C}_6\text{H}_4\text{SH}$ , мезитил-, бензил-, бифенилил- и  $\alpha$ -нафтилтиолов с II образуются соответственно 2,4-динитро-4'-метилдифенилсульфид, 2,4-динитро-4'-метоксидифенилсульфид (III), 2,4-динитро-4'-аминодифенилсульфид (IV), 2,4-динитро-2, 4, 6-триметилдифенилсульфид, 2,4-динитрофенилбензилсульфид, 2,4-динитрофенилбифенилсульфид (V) и 2,4-динитрофенил- $\alpha$ -нафтилсульфид. В случае р-ции  $m\text{-NO}_2\text{C}_6\text{H}_4\text{SH}$ , бифенилил-, пиридил-2, хинолил-2, или бензтиазолил-2-тиолов и  $n\text{-NO}_2\text{C}_6\text{H}_4\text{SH}$  получены соответственно 2, 4, 3'-тринитродифенилсульфид, 2,4-динитрофенил- $\alpha$ -пиридилсульфид (VI), 2,4-динитрофенил- $\alpha$ -хинолилсульфид (VII) и 2,4, 4'-тринитродифенилсульфид. Из бензтиазолил-2-тиола и 2,4-динитрофенилтиола образуется 2,4-динитрофенил- $\alpha$ -бензтиазолилсульфид. Результаты исследования обсуждены с точки зрения влияния индуктивного и мезомерного эффекта. Р-цию проводят добавлением к смеси ариллами (по 0,01 моля) в 50 мл безводн. спирта + 2%-ный р-р  $\text{C}_2\text{H}_5\text{ONa}$  0,01 моля I в 50 мл безводн. спирта при  $50^\circ$  и кипячением в течение

2 мин. Таким образом из  $n\text{-CH}_3\text{OC}_6\text{H}_4\text{SH}$ ,  $n\text{-NH}_2\text{C}_6\text{H}_4\text{SH}$ , пиридил-2- и хинолил-2-тиолов и I получили III, т. пл.  $115^\circ$  (из сл.-диоксана); IV, т. пл.  $168^\circ$  (из сл.-диоксана); VI, т. пл.  $116^\circ$  (из сл.), и VII, т. пл.  $160-161^\circ$  (из сл.). Сообщение XIV см. РЖХим, 1955, 55083.

25646. Об ориентирующем действии сульфоксидной группы при нитровании ароматических производных. Леандри, Паллотти (Sull'orientamento alla nitrato del gruppo solfoossido nei derivati aromatici. Leandri G., Pallotti M.), Boll. Scient. Fac. chim. industr. Bologna, 1955, 13, № 2, 48-52 (итал.)

Дифенилсульфоксид (I) нитруется посредством  $\text{HNO}_3$  в  $(\text{CH}_3\text{CO})_2\text{O}$  (II) при  $10-35^\circ$  с образованием  $m, m'$ -динитродифенилсульфона (III). При действии на I этилнитрата в конц.  $\text{H}_2\text{SO}_4$  или  $\text{NaNO}_3$  в  $\text{H}_2\text{SO}_4$  получен  $m, m'$ -динитродифенилсульфоксид (IV). При нитровании I при помощи  $\text{HNO}_3$  ( $-5^\circ-0^\circ$ ) получается  $n, n'$ -динитродифенилсульфоксид (V). Различное ориентирующее действие сульфоксидной группы объяснено возможностью при присоединении протона образования  $>\text{S}^+\text{OH}$ -группы. 2,02 г I добавляют 10 мин. при  $10^\circ$  к смеси 20 мл  $\text{HNO}_3$  и 20 мл II, нагревают 1 час. до  $35^\circ$  и выливают в воду, получают III, т. пл.  $201-202^\circ$  (из сл. + диоксана). 4 г I быстро вносят при  $-5^\circ$  в 40 мл  $\text{HNO}_3$ , 2 часа выдерживают при  $0^\circ$  и выливают в воду, получают I, 7 г V, т. пл.  $178^\circ$  (из абс. сл.), остаток после отделения V окисляют  $\text{H}_2\text{O}_2$  в  $\text{CH}_3\text{COOH}$ , выделяют 2 г  $n, n'$ -динитродифенилсульфона. К 1 молю I в 20 мл конц.  $\text{H}_2\text{SO}_4$  добавляют при  $10^\circ$  2 моля этилнитрата, после 2 час. при  $25^\circ$  выливают в воду со льдом, получают IV, т. пл.  $163^\circ$  (из сл.), окислением маточного р-ра надуксусной к-той выделяют III. При нитровании I посредством  $\text{NaNO}_3$  в  $\text{H}_2\text{SO}_4$  образуются IV и III. 4,45 г диазотированного  $m$ -нитроанилина медленно добавляют при  $70^\circ$  к р-ру 1 моля  $m$ -нитротифенола в 60 мл р-ра  $\text{NaOH}$ , выделяют  $m, m'$ -динитродифенилсульфид, который при окислении посредством  $\text{H}_2\text{O}_2$  в  $\text{CH}_3\text{COOH}$  (6 суток при  $40^\circ$  и 6 час. при  $100^\circ$ ) дает IV.

25647. Новые методы получения солей Бунте. Лехер, Харди (Some new methods for preparing Bunte salts. Lecher Hans Z., Hardy Elizabeth M.), J. Organ. Chem., 1955, 20, № 4, 475-487 (англ.)

Разработан способ получения солей Бунте (CB). Рекомендовано применение  $\text{Ti}_2\text{S}_2\text{O}_9$  при синтезе S-2-аминоэтилтиосерной к-ты (I). Щел. соли S-2-нитрофенилтиосерной к-ты (II—к-та) получены р-цией 2- $\text{NO}_2\text{-C}_6\text{H}_4\text{SCl}$  (III) и сульфитов. Получены соли S-3-нитрофенилтиосерной к-ты (IV—к-та) из 3- $\text{NO}_2\text{-C}_6\text{H}_4\text{SCl}$  (V) и аминов и продукта гидролиза солей IV—3-нитротифенола (VI), являющихся средством против конидиоза кур. CB получены также р-цией  $\text{ArSNR}_2\text{C}_2\text{H}_5\text{O}_2$ . Бисульфиты щел. металлов реагируют со многими тиофенолами с образованием дисульфидов и CB по схеме:  $4 \text{ ArSH} + 2 \text{ KHSO}_3 \rightarrow 2 \text{ ArS} - \text{ArS} + \text{K}_2\text{S}_2\text{O}_8 + 3 \text{ H}_2\text{O}$ ;  $4 \text{ ArS} - \text{ArS} + 4 \text{ KHSO}_3 \rightarrow 4 \text{ ArSH} + 4 \text{ ArSSO}_3\text{K}$ . Исследованы р-ции щел. и кислотного гидролиза CB, ведущие соответственно к образованию солей сульфеновых к-т или тиофенолов; способ рекомендован для получения VI. Характер окраски и устойчивость сульфеновых к-т объясняются исходя из теории резонанса. Из 0,01 моля  $\text{Na}_2\text{S}_2\text{O}_3 \cdot 5 \text{ H}_2\text{O}$  в 50 мл воды и 0,2 моля  $\text{HCOOTI}$  в 60 мл воды получен с почти колич. выходом  $\text{Ti}_2\text{S}_2\text{O}_9$ . 0,02 моля  $\text{Cl}(\text{CH}_2)_2\text{NH}_2 \cdot \text{HCl}$  и 0,02 моля  $\text{Ti}_2\text{S}_2\text{O}_9$  прибавляют к 20 мл воды, встряхивают 20 час., отделив  $\text{TiCl}_3$  упаривают в вакууме при  $\sim 50^\circ$ , выход неочищ. I 2,6 г, т. пл.  $195-196^\circ$  (разл., пересаживают эфиром из  $\text{CH}_3\text{OH}$ ). К растертой смеси 0,1 моля  $\text{Na}_2\text{SO}_3 \cdot 7 \text{ H}_2\text{O}$  и 0,1 моля III прибавляют 300 мл воды и упаривают

ривают р-р в вакууме при  $< 60^\circ$ , экстрагируют абс. спиртом и эфиром осаждают Na-соль II, выход 75%. Упариванием в вакууме р-ра 1,3 г Na-соли II в 30 мл разб. HCl получают 2-нитрофенол, выход 80%. Суспензию 0,01 моля  $C_6H_5SNHC_6H_5$  в 100 мл конц. водн. р-ра  $SO_2$  постепенно нагревают до кипения, после фильтрования и упаривания в вакууме получают 2 г  $C_6H_5SSO_3H \cdot C_6H_5NH_2$ , т. пл.  $179-181^\circ$  (разл., переосажден эфиром из сл.). Аналогично из 0,015 моля  $2-NO_2C_6H_4SN(CH_3)_2$  при  $45-50^\circ$  получают 3,8 г неочищ. соли II и  $(CH_3)_2NH$ , т. пл.  $105-107^\circ$ . При добавлении к р-ру последней в  $CH_3OH$  р-ра КОН в  $CH_3OH$  или KCl к водн. р-ру осаждается K-соль II. Аналогично из 2 г циклогексиламида 2,4-динитробензолсульфеновой к-ты (VII — к-та) в 50 мл спирта получают 1,6 г соли S-2,4-динитрофенилтиосерной к-ты (VIII — к-та) с циклогексиланием, т. разл.  $\sim 189^\circ$ . K-соль VIII осаждают прибавлением р-ра КОН в  $CH_3OH$ . Р-цию с 2 г пиперидином VII, т. пл.  $143-145^\circ$  (из сл.), полученным из сульфилхлорида V и пиперидина, проводят так же, как с циклогексиламидом. Выход соли VIII с пиперидином 2,5 г, т. пл.  $125-130^\circ$  (разл.). В суспензию 1 г амида 1-антрахинонсульфеновой к-ты в смеси 100 мл спирта и 10 мл воды пропускают  $SO_2$ . Образовавшийся р-р постепенно нагревают до кипения и осаждают эфиром 1,1 г  $NH_4$ -соли 1-антрахинонсульфеновой к-ты (IX — к-та), т. пл. выше  $300^\circ$ . K-соль IX осаждают как и K-соль VIII. Для получения V ( $m-NO_2C_6H_4S_2$ ) (X) хлорируют в V, а последний в замещ. амид, из которого действием  $SO_2$  получают соли V. В суспензию 50 г X в 180 мл  $CCl_4$  пропускают 1 час сухой  $SO_2$ , прибавляют 2 капли конц.  $H_2SO_4$  и хлорируют еще 0,5 часа; после фильтрования и упаривания в вакууме получают V, некристаллизующееся масло. Р-р V (из 25 г X) в 50 мл  $CCl_4$  прибавляют при охлаждении к р-ру 0,4 моля  $(C_2H_5)_2NH$  в 100 мл  $CCl_4$ , упариванием фильтрата в вакууме получают 41 г неочищ. диэтиламида сульфеновой к-ты. Из 6 г последнего получают аналогично  $NH_4$ -соли IX при  $50-60^\circ$ , 4,3 г соли V с  $(C_2H_5)_2NH$ , т. пл.  $89-90^\circ$  (переосажден эфиром из сл.), т. пл.  $197-198^\circ$  (разл.). Аналогично соли с  $(C_2H_5)_2NH$  получают с плохим выходом соль V с дициклогексиланием, т. пл.  $145-147^\circ$ . Для идентификации V р-цией его с  $C_6H_5N(CH_3)_2$  в  $CCl_4$  получен  $m-NO_2C_6H_4SC_6H_4N(CH_3)_2$ , выход 73,3%, т. пл.  $115-116^\circ$  (из лед.  $CH_3COOH$ ). Морфолид бензтиазолсульфеновой-2 к-ты при р-ции с  $SO_2$  образует 2-меркаптобензтиазол, 0,015 моля X в 19 мл  $CH_3OH$  и 5 мл воды и смесь р-ров 0,06 моля  $SO_2$  в 6,3 мл  $CH_3OH$  и 0,06 моля КОН в 50 мл  $CH_3OH$  кипятят 1,5 часа и прибавляют еще 0,015 моля КОН в  $CH_3OH$ , при  $0^\circ$  выпадает K-соль V, выход 80,5%. Смесь 5,7 г метабисульфита натрия (XI), 5 мл воды, 0,015 моля X и 75 мл  $CH_3OH$  обрабатывают как в предыдущем случае, получают Na-соль IV, выход 95%. 2 г K-соли V и 25 мл конц. HCl после перемешивания разбавляют водой и экстрагируют  $C_6H_6$  чистый VI. При действии XI на VI образуется X. Na-соль S-2-бензоиламинофенилтиосерной к-ты получают аналогично Na-соли IV, выход 89,5%. ( $o-NO_2C_6H_4S_2$  с  $NaHSO_4$  дает СБ с очень плохим выходом, в случае р-ции ( $o-CH_3OC_6H_4S_2$  с XI выделить СБ не удается. При взаимодействии бис-(бензтиазол-2)-дисульфида с XI в описанных условиях образуется 2-меркаптобензтиазол, выход 86%. Суспензию 40 г ( $o-NH_2C_6H_4S_2$ ) (XII) в 400 мл насыщ. водн. р-ра  $SO_2$  медленно нагревают до кипения, по охлаждении р-ра осаждают внутренняя соль S-2-аминофенилтиосерной к-ты (XIII), выход 88,8%, т. пл.  $189-190^\circ$  (разл.). Первая фаза этой р-ции (расщепление S — S-связи с образованием соответствующих тиофенола и СБ) обратима: нагревание до кипения суспензии 0,04 моля 2-аминотиофенола и 0,04 моля XIII в 150 мл воды ведет к XII, выход неочищ.

66%. К р-ру  $SO_2$  в 125 мл воды в токе  $SO_2$  прибавляют за 1,5 часа 10 г 2-аминотиофенола, пропускают  $SO_2$  еще 1 час, смесь нагревают до кипения. По охлаждении из фильтрата выпадает XIII, выход 74,4%. В суспензию 0,03 моля  $(C_6H_5S)_2$  (XIV) в р-ре 0,09 моля КОН в 65 мл  $CH_3OH$  и 2 мл воды пропускают воздух и  $SO_2$ , смесь кипятят 1 час, из остатка после выпаривания фильтрата и экстрагирования эфиром извлекают кипящим метанолом  $C_6H_5SSO_3K$ , выход 11%; эфирный экстракт содержит 81,5% взятого XIV. 2 г метабисульфита калия в 75 мл  $CH_3OH$  и 5 мл воды размешивают 45 мин. в токе  $N_2$ , прибавляют 0,09 моля тиофенола, кипятят смесь 5 час. в токе  $N_2$  и получают XIV, выход 5 г. При эквимольных (по 0,09 моля) соотношениях тиофенола к  $KHSO_5$  образуется XIV, выход 65,2% и  $C_6H_5SSO_3K$ , выход 5,4%. Суспензию 0,03 моля 2-тио-нафтола и 5,7 г XI в 75 мл  $CH_3OH$  и 5 мл воды кипятят 2 часа, разбавляют 50 мл  $CH_3OH$ ; получают бис-(2-нафтил)-дисульфид, выход 87,5%.

C. M.

25648. Некоторые серусодержащие ароматические амидоксимы. Леандри, Майоли (Su alcune amidossime solforate aromatiche. Leandri G., Maioli L.), Boll. scient. Fac. chim. industr. Bologna, 1955, 13, № 2, 57-58 (итал.).

С целью получения бактерицидных препаратов против *Mycobacterium tuberculosis* были синтезированы ароматич. амидоксимы (I) общей ф-лы  $n-RC_6H_4-S-R$  —  $C_6H_4C(=NOH)NH_2$ , где  $R = S$  или  $SO_2$ . Синтез производился по описанному способу (Tiemann, Kruger, Ber., 1884, 17, 1685) действием  $NH_4OH$  в водно-спирт. среде на нитрилы, которые получались по р-ции Зандмейера или посcheme: к-та  $\rightarrow$  хлорангидрид  $\rightarrow$  амид  $\rightarrow$  нитрил. Синтезированы I (приведены R, R', т. пл. в  $^\circ C$ ): S, H, 125 (из сл.); S, Cl, 159 (из сл.); S,  $NO_2$ , 164 (из бзл.); S, C(=NOH)NH<sub>2</sub>, 200 (из водн. диоксана);  $SO_2$ , H, 171 (из сл.);  $SO_2$ , Cl, 200 (из сл.);  $SO_2$ ,  $NO_2$ , 199 (из водн. диоксана);  $SO_2$ , C(=NOH)NH<sub>2</sub>, 214 (из водн. диоксана). Синтезированы также промежуточные соединения общей ф-лы  $n-RC_6H_4-S-C_6H_4R'-n$  (приведены R, R', т. пл. в  $^\circ C$ ): H, CN, т. кип.  $169-170/2$  мм; Cl, COOH, 206-207 (из водн. сл.); Cl, COCl, 56-58 (из петр. эф.); Cl, CONH<sub>2</sub>, 187-188 (из водн. диоксана); Cl, CN, 88 (из сл.);  $NO_2$ , COOH, 235-236 (из сл.);  $NO_2$ , COCl, 125-126 (из лигр.);  $NO_2$ , CONH<sub>2</sub>, 182-183 (из водн. сл.);  $NO_2$ , CN, 148-149 (из сл.) и сульфоны общей ф-лы  $n-RC_6H_4-SO_2-C_6H_4R'-n$  (показатели те же): Cl, COCl, 124-125 (из лигр.); Cl, CONH<sub>2</sub>, 235 (из сл.); Cl, CN, 169 (из сл.);  $NO_2$ , COCl, 152-153 (из бзл.);  $NO_2$ , CONH<sub>2</sub>, 229-230 (из сл.).

H. C.

25649. Распад хлорангидридов *n*-толуолсульфонил- $\alpha$ -аминокислот в щелочной среде. Бичам (The alkaline degradation of toluene *p*-sulphonyl- $\alpha$ -amino acid chlorides. Beecham A. F.), Chemistry and Industry, 1955, № 35, 1120-1121 (англ.).

Изучен распад  $n-CH_3C_6H_4SO_2NHCRR'COCl$  (I) в щел. среде. При добавлении твердого тозил-L-лейцилхлорида (II) т. пл.  $84-85^\circ$  (разл.) к холодному р-ру диглицилглицина, содержащему 2 экв NaOH, происходит растворение II с выделением CO и  $(CH_3)_2CHCHN_2$ . При подкислении р-ра выделяется толуол-*n*-сульфамид (III). Аналогичные результаты получены при добавлении I к водн. р-ру NaOH или Ba(OH)<sub>2</sub>. Тозилглицилхлорид, т. пл.  $81-84^\circ$ , в р-ре NaOH образует тозилглицин и небольшое кол-во CO. Хлорангидриды тозилрованных аминокислот (DL-аланина, т. пл.  $93-94^\circ$  (разл.), DL- $\alpha$ -амино-*n*-масляной к-ты, т. пл.  $56-57^\circ$ , DL-валина, т. пл.  $73-75^\circ$  (разл.) и DL-норлейцина, т. пл.  $70-72^\circ$ ) реагируют аналогично II с образованием III, CO и соответствующего альдегида; хлорангидрид тозил-DL- $\alpha$ -аминоизомасляной к-ты, т. пл.

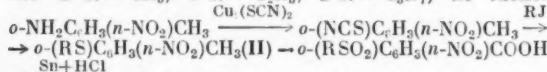


87—88° (разл.), дает III, CO и ацетон; из хлорангидрида же тозил-1-пропила регенерируется тозил-1-пропила. Превращение I, чувствительных к NaOH, проводят в водн. р-ре Na<sub>2</sub>CO<sub>3</sub> (NaHCO<sub>3</sub> не эффективен). Обработка I спирт. щелочью ускоряет выделение CO. С водн. р-рами NH<sub>3</sub> I реагируют нормально, образуя амиды с хорошими выходами. Предложен вероятный механизм превращения I в III. Азиды тозил-α-амино-кислот распадаются подобно I.

Е. Р.

**25650.** Синтез 4-амино-2'-алкилсульфонилбензойных кислот и их туберкулоstaticкая активность. Шин Цзя-чжун, Янь Синь-хэ (4-氨基-2'-烷基磺基苯甲酸)的合成及其對於結核桿菌的抑制性能。施嘉鉅，嚴榮和), 化學專報, Хуасюэ сюэбао, Acta chim. sinica, 1955, 21, № 2, 115—121 (кит.; рез. англ.)

Получены *o*-(RSO<sub>2</sub>)C<sub>6</sub>H<sub>4</sub>(*n*-NH<sub>2</sub>)COOH (I) (здесь и далее *a* R = CH<sub>3</sub>, *b* R = C<sub>2</sub>H<sub>5</sub>, *v* R = C<sub>3</sub>H<sub>7</sub>) по схеме:



(III) → I. Синтезированные I *in vitro* значительно менее активны, чем ПАБК. Ниже перечисляются новые в-ва, выход в % и т. пл. в °C: Ia, 87,8, 198—199; Ib, 78,4, 182—184; Iv, 58,1, 153—154; Iв, 77,8, 80—81; Iв, 76,1, 41—42; Iв, 80,6, 43—44; Iв, 44,8, 214—216; Iв, 23,2, 190—191.

Я. К.

**25651.** Реакции некоторых ароматических ацетиленовых спиртов. Хеннион, Флек (Reactions of some aromatic acetylenic carbinols. Hennion G. F., Fleck B. Raymond), J. Amer. Chem. Soc., 1955, 77, № 12, 3253—3258 (англ.)

С целью изучения перегруппировки, известной для некоторых производных стероидов (см. РЖХим, 1955, 9583), исследована гидратация 9-этинилфлуоренола-9 (I), этинилдифенил- и метилэтинилфенилкарбинола (II, III). В водн. CH<sub>3</sub>OH с HgSO<sub>4</sub> и H<sub>2</sub>SO<sub>4</sub> I дает 9-ацетилфлуоренол-9 (IV) (строение доказано окислением и бекмановской перегруппировкой оксимом) и небольшое кол-во 9-метокси-9-ацетилфлуорена (V); непосредственно IV не удалось перевести в V, на основании чего авторы полагают, что этерификация предшествует гидратации. Последнее подтверждается также тем, что I в подкисленном CH<sub>3</sub>OH образует метиловый эфир, который при гидратации переходит в V. В тех же условиях 9-этоксид-9-этинилфлуорен (VI) получается с очень малым выходом, тогда как ацетат I легко переходит в VI. Ацетат I получен действием на I смесью лед. CH<sub>3</sub>COOH, (CH<sub>3</sub>CO)<sub>2</sub>O и эфира BF<sub>3</sub> или смесью (CH<sub>3</sub>CO)<sub>2</sub>O и H<sub>2</sub>SO<sub>4</sub>. В присутствии оснований I дает флуоренол-9 (VII). При кипячении с подкисленным спиртом I претерпевает перегруппировку Мейера — Шюстера с образованием флуоренилацетальдегида (VIII) и небольшого кол-ва VI. В результате аналогичной перегруппировки I с конц. HCl в эфир. р-ре получен 9-хлорвинилденфлуорен (IX). II и III не гидратируются в условиях гидратации I, в случае III получено лишь небольшое кол-во его метилового эфира. Увеличение кислотности среды или продолжительности р-ции способствовало перегруппировке II с образованием β,β-дифенилакролеина (X); при кипячении II с подкисленным спиртом выход X 78%. Гидратация II осуществлена в CH<sub>3</sub>COOH в присутствии Hg(OCOCH<sub>3</sub>)<sub>2</sub>, полученный ацетат дифенилацетилкарбинола (XI) гидролизован в дифенилацетилкарбинол (XII), который переходит обратно в XI при обработке лед. CH<sub>3</sub>COOH, (CH<sub>3</sub>CO)<sub>2</sub>O и BF<sub>3</sub> или (CH<sub>3</sub>CO)<sub>2</sub>O в присутствии конц. H<sub>2</sub>SO<sub>4</sub>. III и его метиловый эфир гидратируются в водном, подкисленном CH<sub>3</sub>OH в присутствии HgO с образованием метилацетилдифенилкарбинола (XIII) и 2-метокси-2-фенилбутано-3 (XIV) соответственно. Строение

XIV доказано перегруппировкой оксима по Бекману. XIII претерпевает перегруппировку при кипячении в диоксане в присутствии *n*-ты, в результате которой с плохим выходом был выделен β-метилкоричный альдегид (XV). Гидратация III в лед. CH<sub>3</sub>COOH в присутствии HgO и BF<sub>3</sub> дает ацетат XIII. I, т. пл. 107—108°, выход 87,4%, и II, т. пл. 48,5—49,5°, выход 81%, получены действием NaC≡CH в жидком NH<sub>3</sub> на флуоренон (XVI) и бензофенон соответственно. 10,3 г I в 50 мл CH<sub>3</sub>OH добавляют 2 часа при 55° к смеси 1 г конц. H<sub>2</sub>SO<sub>4</sub>, 2 мл воды, 50 мл CH<sub>3</sub>OH и 1 г HgSO<sub>4</sub> (в конце первого часа добавляют еще 0,5 г HgSO<sub>4</sub>), добавляют еще 0,5 г HgSO<sub>4</sub> и 5 мл воды и нагревают еще 2 часа, фильтруют, разбавляют 400 мл насыщ. р-ра NaCl, получают IV, выход 84%, т. пл. 105,5—106,5° (из петр. эф. и CCl<sub>4</sub>); оксим, т. пл. 210—211°; семикарбазон, т. пл. 213—215° (разл.). Действием на IV (CH<sub>3</sub>CO)<sub>2</sub>O в присутствии 1 капли конц. H<sub>2</sub>SO<sub>4</sub> получают ацетат IV (XVII), т. пл. 96—97° (из водн. сп.). 1,5 г IV окисляют 5 г Na<sub>2</sub>Cr<sub>2</sub>O<sub>7</sub> в 6 мл H<sub>2</sub>SO<sub>4</sub> и 14 мл воды, получают 0,65 г XVI, т. пл. 82—83° (из водн. сп.). XVI получен также при перегруппировке 1 г оксима IV под действием 5 мл SOCl<sub>2</sub> в 25 мл абс. эфира, выход 0,65 г. К 0,5 г IV в 5 мл CH<sub>3</sub>OH добавляют 0,25 г КОН в 5 мл CH<sub>3</sub>OH, оставляют на 2 часа, нагревают при ~100° 15 мин. и разбавляют 10 мл горячей воды, получают 0,33 г VII, т. пл. 150—152° (из водн. сп.); ацетат (при действии (CH<sub>3</sub>CO)<sub>2</sub>O в пиридине), т. пл. 69—70°. К р-ру 1,7 г IV в 10 мл лед. CH<sub>3</sub>COOH и 0,5 мл (CH<sub>3</sub>CO)<sub>2</sub>O добавляют 10 мл лед. CH<sub>3</sub>COOH, содержащих 3 капли эфира BF<sub>3</sub>, оставляют на 24 часа, разбавляют 100 мл ледяной воды, получают 1,6 г XVII, который при нагревании в водн. CH<sub>3</sub>OH в присутствии H<sub>2</sub>SO<sub>4</sub> дает IV. К 2 г I в 15 мл CH<sub>3</sub>OH добавляют 10 мл CH<sub>3</sub>OH, содержащих 2 капли конц. H<sub>2</sub>SO<sub>4</sub>, оставляют на 15 час., выливают в р-р 2 г K<sub>2</sub>CO<sub>3</sub> в 50 мл воды и получают 0,9 г 9-метокси-9-этинилфлуорена (XVIII), т. пл. 125—126° (возгонка). 0,2 г HgSO<sub>4</sub> добавляют к р-ру 0,5 г XVIII в 15 мл CH<sub>3</sub>OH, оставляют на 19 час., нагревают 10 мин. при ~100°, разбавляют ~10 мл горячей воды, фильтруют, разбавляют еще 10 мл воды, получают 0,45 г V, т. пл. 131—132° (из водн. сп., затем петр. эф.). К 0,35 г КОН в 3 мл CH<sub>3</sub>OH добавляют 0,25 г V в 4 мл CH<sub>3</sub>OH, кипятят 2 часа, разбавляют водой и получают 0,15 г метилового эфира VII, т. пл. 42—43° (из водн. сп.). I ацетируют 10 мл (CH<sub>3</sub>CO)<sub>2</sub>O в присутствии пиридина и получают 2,02 г ацетата I (XIX), т. пл. 130—131° (из CCl<sub>4</sub> и петр. эф.). Смесь 0,5 г XIX, 20 мл абс. спирта, содержащую следы конц. H<sub>2</sub>SO<sub>4</sub>, оставляют на 20 час. выливают в р-р 1 г K<sub>2</sub>CO<sub>3</sub> в 75 мл воды и получают 0,29 г VI, т. пл. 122—123° (из петр. эф.). Смесь 3 г конц. H<sub>2</sub>SO<sub>4</sub>, 5 мл воды, 75 мл спирта и 2,06 г I умеренно нагревают 20 мин., приливают 25 мл спирта, нагревают еще 20 час., добавляют 100 мл 5%-ного р-ра K<sub>2</sub>CO<sub>3</sub> и получают 1,25 г VIII, т. пл. 116,5—117,5° (из сп., затем из петр. эф.). Из маточного спирт. р-ра получают после обработки насыщ. р-ром NaHSO<sub>3</sub> 0,1 г VI. Для доказательства строения VIII переводят в флуоренилацетальдегид *n*-ту, т. пл. 226—228° (Deleraine, Bonnet, C. r. Acad. sci. 1909, 149, 39). К 25,8 г I в 100 мл абс. эфира добавляют 0,5 г пиридина и по каплям 18 г SOCl<sub>2</sub> в 25 мл абс. эфира (т-ра смеси 28—30°), перемешивают 1 час и получают 10,5 г IX, т. пл. 223—225° (разл., из метилцеллольва); дан ИК-спектр (полосы при 5,15 и 5,25 μ — алленовая система) и УФ-спектр. IX получают также обработкой 16 час. 5 г I 15 мл конц. HCl в 30 мл эфира, выход 83%. Для доказательства строения 1,5 г IX окисляют 5 г Na<sub>2</sub>Cr<sub>2</sub>O<sub>7</sub> в 20 мл лед. CH<sub>3</sub>COOH. 10 г II в 25 мл спирта прибавляют 30 мин. в кипящую смесь 50 мл спирта, 15 мл воды и 5 г конц.

$\text{H}_2\text{SO}_4$ , кипятят 15 мин., выливают в 250 мл ледяной воды и охлаждают, получают 7,8 г X, т. пл. 44,5—45,5°; семикарбазон, т. пл. 214—214,5°. Строение X подтверждают окислением  $\text{Ag}_2\text{O}$  в  $\beta,\beta$ -дифенилакриловую к-ту, т. пл. 159—160°. К 4,16 г II в 25 мл лед.  $\text{CH}_3\text{COOH}$  и 1 мл  $(\text{CH}_3\text{CO})_2\text{O}$  добавляют 7 г  $\text{Hg}(\text{OCO-CH}_3)_2$ , оставляют на 16 час., насыщают  $\text{H}_2\text{S}$ , оставляют на 3 часа, фильтруют через ворит А, промывают 10 мл горячей лед.  $\text{CH}_3\text{COOH}$ , фильтрат выливают в 100 мл воды, оставляют на 2 часа и извлекают 150 мл смеси эфира с петр. эфиром (1:6) и 50 мл эфира. Вытяжки упаривают до 100 мл, хроматографируют на  $\text{Al}_2\text{O}_3$ , вымывают смесью эфира и петр. эфира (1:4), получают XI, выход 58%, т. пл. 52,5—53° (петр. эф. +  $\text{CCl}_4$ ), 1,3 г XI в 15 мл 5%-ного КОН в  $\text{CH}_3\text{OH}$  оставляют на 2 часа, фильтруют, разбавляют водой, получают XII, выход 91%, т. пл. 66—67° (лигр. +  $\text{CCl}_4$ ); оксим, т. пл. 158,5—160°. К 21,9 г III в 40 мл  $\text{CH}_3\text{OH}$  прибавляют смесь 10 мл  $\text{CH}_3\text{OH}$ , 1 г конц.  $\text{H}_2\text{SO}_4$  и 5 мл воды, нагревают 1,5 часа, выливают в 100 мл насыщ. р-ра NaCl, извлекают эфиром, вытяжки промывают 100 мл насыщ. р-ра NaCl, содержащего 5 г  $\text{Na}_2\text{CO}_3$  и затем водой, получают метиловый эфир III (XX), выход 85%, т. кип. 62—63°/3 мм,  $n_D^{25}$  1,5059,  $d_4^{25}$  0,9173. К 1 г конц.  $\text{H}_2\text{SO}_4$  в 25 мл  $\text{CH}_3\text{OH}$  присыпают 1 г красной  $\text{HgO}$ , нагревают до 55° и приливают 45 мин. 24 г XX в 25 мл  $\text{CH}_3\text{OH}$ , добавляют еще 2 порции по 0,5 г  $\text{HgO}$  в середине и в конце добавления р-ра, нагревают 2 часа при 55°, добавляют 10 мл воды, фильтруют в 100 мл насыщ. р-ра NaCl и 200 мл эфира извлекают XIV, выход 81%, т. кип. 89—90°/3 мм,  $n_D^{25}$  1,5041,  $d_4^{25}$  1,0305; оксим, т. пл. 66,5—67,5° (из водн. сп.); семикарбазон, т. пл. 164—165° (из водн. сп.). Из 20 г III в смеси 1 г конц.  $\text{H}_2\text{SO}_4$ , 7 мл воды, 100 мл  $\text{CH}_3\text{OH}$  с 1 г красной  $\text{HgO}$  аналогично получают XIII, выход 81%, т. кип. 99—100°/3 мм,  $n_D^{25}$  1,5215,  $d_4^{25}$  1,0764; оксим, т. пл. 105,5—106,5° (из водн. сп.); семикарбазон, т. пл. 183—184°. 1 г XIII ацетируют  $(\text{CH}_3\text{CO})_2\text{O}$  в присутствии конц.  $\text{H}_2\text{SO}_4$  и затем нагреванием с  $\text{NH}_4\text{NHCO-NH}_2 \cdot \text{HCl}$  в присутствии  $\text{CH}_3\text{COONa}$  в водн. спирте превращают в семикарбазон ацетата XIII, т. пл. 182,5—183° (быстрое нагревание). 0,2 г красной  $\text{HgO}$  добавляют к р-ру 1 г III, 0,5 мл  $(\text{CH}_3\text{CO})_2\text{O}$  и 3 капли эфира  $\text{BF}_3$  в 10 мл лед.  $\text{CH}_3\text{COOH}$ ; через 24 часа выливают в 50 мл воды, извлекают 50 мл эфира, после обработки, аналогичной предыдущей, получают 0,35 г семикарбазона ацетата XIII. 5 г III, 60 мл диоксана, 20 мл воды и 10 г конц.  $\text{H}_2\text{SO}_4$  кипятят 45 мин., выливают в 50 мл воды и извлекают 100 мл эфира, вытяжки промывают водой и 40%-ным  $\text{NaHSO}_3$  ( $2 \times 50$  мл). К бисульфитному р-ру добавляют 40%-ный КОН до щел. р-ни, извлекают 100 мл эфира и получают 0,85 г масла, которое в 8 мл спирта переводят в семикарбазон XV по предыдущему, выход 0,7 г, т. пл. 205—207° (из водн. сп.). Предыдущее сообщение см. РЖХим, 1955, 18645. М. Р. 25652.

**Хлорирование 2-ацетамидофлуорена.** Белл, Гибсон (The chlorination of 2-acetamidofluorene. Bell F., Gibson J. A.), J. Chem. Soc., 1955, Oct., 3560—3562 (англ.)

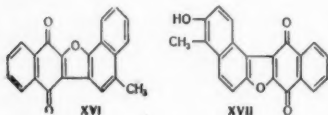
При хлорировании 2-ацетамидофлуорена (I) образуется 2-ацетамидо-3-хлорфлуорен (II), строение которого подтверждено окислением в 2-ацетамидо-3-хлорфлуоренон (III) с дальнейшим гидролизом и дезаминированием в 3-хлорфлуоренон (IV), синтезированный также и другими путями исходя из 2-амино-4-хлорбензофенона (V) или 2-амино-5-хлордифенила (VI). Для сравнения получен 1-хлорфлуоренон (VII). В р-р 5 г I в 150 мл  $\text{CHCl}_3$  пропускают  $\text{Cl}_2$ , разб.  $\text{CO}_2$ , при упаривании фильтрата выделяется неочищ. II,

выход 2,5 г, т. пл. 204°. II кипятят с  $\text{C}_2\text{H}_5\text{OH} \cdot \text{HCl}$  и получают 2-амино-3-хлорфлуорен (VIII), т. пл. 131° (из водн. сп.), при обработке VIII  $\text{C}_2\text{H}_5\text{OH} \cdot \text{H}_2\text{SO}_4 \cdot \text{NaNO}_2$  образуется 3-хлорфлуорен, выделен перегонкой с паром, т. пл. 95° (из  $\text{CH}_3\text{OH}$ ). 1 г II в 10 мл  $\text{CH}_3\text{COOH}$  и р-р 5 г  $\text{Na}_2\text{Cr}_2\text{O}_7$  в миним. кол-ве воды нагревают 2 часа, из фильтрата выделено 0,5 г III, т. пл. 260° (из  $\text{CH}_3\text{COOH}$ ). Смесь 1 г III, 25 мл спирта и 5 мл  $\text{HCl}$  (к-ты) кипятят 2,5 часа, из осадка действием р-ра  $\text{NH}_4\text{OH}$  выделено 0,2 г неочищ. 2-аминодихлорфлуоренона (за счет загрязнений в II), т. пл. 238—239°, из фильтрата получено 0,3 г 2-амино-3-хлорфлуоренона, т. пл. 189° (из сп.) и после дезаминирования последнего — IV, т. пл. 159° (из  $\text{CH}_3\text{COOH}$ ). Смесь 13,6 г  $[\text{n}-\text{CH}_3\text{C}_6\text{H}_4\text{SO}_2\text{NH}]$ ,  $\text{C}_6\text{H}_4\text{COOH} \cdot \text{a}$ , 140 мл  $\text{C}_6\text{H}_5\text{Cl}$  и 11 г  $\text{PCl}_5$  перемешивают 30 мин. при 50°, добавляют при 25° 27 г  $\text{AlCl}_3$  и нагревают 6 час. при 110°, выливают на лед, отгоняют с паром  $\text{C}_6\text{H}_5\text{Cl}$  и после нагревания 3 часа с 100 мл  $\text{H}_2\text{SO}_4$  выделяют V, т. пл. 102° (из водн. сп.). Р-р сульфата диазния из V нагревают 20 мин. и отделяют осадок IV. В р-р 13 г 2-ацетамидодифенила в 100 мл  $\text{CHCl}_3$  пропускают  $\text{Cl}_2$ , фильтрат упаривают и выделяют 11,7 г 2-ацетамидо-5-хлордифенила, т. пл. 120—121° (из водн. сп.), и после омыления (130 мл спирта + 15 мл конц.  $\text{HCl}$ , нагревание 3 часа), — VI, выход 7,2 г, т. пл. 51° (из  $\text{CH}_3\text{OH}$ ). К диазораствору из 7 г VI, прибавляют водн. р-р 13 г  $\text{CuSO}_4$ , 13 г  $\text{KCN}$  и 10 г  $\text{Na}_2\text{CO}_3$ , из осадка экстрагируют спиртом 3,8 г 2-циан-5-хлордифенила, т. пл. 100° (из сп.), последний (3,5 г) омылен (нагревание 7 час., 40 мл 10%-ного р-ра NaOH в этиленгликоле) в 5-хлордифенилкарбоную-2 к-ту, выход 2 г, т. пл. 152° (из водн. сп.), которая при действии  $\text{H}_2\text{SO}_4$  циклизуется в IV. Действием  $\text{SOCl}_2$  на флуоренонкарбоную-1 к-ту получен ее хлорангидрид, к р-ру которого в  $\text{C}_6\text{H}_6$  прибавляют 5 г  $\text{NaN}_3$ , смесь нагревают 8 час., прибавляют 25 мл 3 н. NaOH и нагревают еще 2 часа, получен 1-аминофлуоренон, выход 1,1 г, т. пл. 109°, который диазотируют, прибавляют  $\text{Cu}_2\text{Cl}_2$  и нагревают, выделено 0,7 г VII, т. пл. 140° (из сп.). Я. К. 25653.

**Синтез метильных гомологов нафтолов и диоксинафталинов.** Бью Хой, Лави (A synthesis of methyl homologues of naphthols and dihydrooxynaphthalenes. Bui-Hoi Ng. Ph., Lavit Denise), J. Chem. Soc., 1955, Aug., 2776—2779 (англ.)

Для изучения физиологич. активности производных нафталина разработан метод метилирования нафтолов и диоксинафталинов путем формилирования соответствующего метилового эфира, восстановления полученного альдегида по Кижнеру и деметилирования. К смеси 90 г 1-метоксинафталина (I) и 47 г диметилформамида (II) (или метилформанилида) добавляют порциями 105 г  $\text{POCl}_3$ , нагревают при  $\sim 100^\circ$  3 часа, обрабатывают конц. р-ром  $\text{CH}_3\text{COONa}$ , экстрагируют  $\text{C}_6\text{H}_6$  и получают 4-метоксинафталинальдегид-1 (III), выход 86 г, т. кип. 205—206°/16 мм; тиосемикарбазон (ТСК), т. пл. 258° (из  $\text{n-C}_3\text{H}_7\text{OH}$ ); 4-оксо- $\Delta^2$ -тиазолинил-2-гидразон (ОТГ), т. пл. 278° (из  $\text{CH}_3\text{COOH}$ ); изоникотиноилгидразон, т. пл. 246° (из толуола). Нагревают 83 г III, 40 г 95%-ного  $\text{N}_2\text{H}_4 \cdot \text{H}_2\text{O}$  и 500 мл диэтиленгликоля (IV) при 100° 5 мин., по охлаждению добавляют 30 г КОН, кипятят до прекращения выделения  $\text{N}_2$  (45 мин.), разбавляют водой, экстрагируют  $\text{C}_6\text{H}_6$  и получают 1-метокси-4-метилнафталин (V), выход 69,5 г, т. кип. 154—155°/15 мм. Кипятят 34 г V и 105 г  $\text{C}_6\text{H}_5\text{N} \cdot \text{HCl}$  30 мин., экстрагируют  $\text{CHCl}_3$  и получают 4-метилнафтол-1 (VI), выход 20 г, т. кип. 165—167°/13 мм, т. пл. 85° (из лигр.); пикрат, т. пл. 179° (из сп.). Аналогично, из 2-метоксинафталинальдегида-1 получают 2-метокси-1-метилнафталин, выход 80%, т. пл. 41°, а из него 1-метилнафтол-2, выход

90%, т. пл. 110—111°; из 69 г V, 38 г II и 70 г  $\text{POCl}_3$  — 1-метокси-4-метилнафталинальдегид (VII), выход 18 г, т. кип. 185—186°/12 мм, т. пл. 90° (из сп.); ТСК, т. пл. 266° (из  $\text{CH}_3\text{COOH}$ ); ОТГ, т. пл. 299—300° (из  $\text{CH}_3\text{COOH}$ ); из 10 г VII, 5 г  $\text{N}_2\text{H}_4 \cdot \text{H}_2\text{O}$ , 150 мл IV и 5 г КОН — 1-метокси-2,4-диметилнафталин, выход 6 г, т. кип. 150—151°/12 мм,  $n_D^{25}$  1,6055, и 2,4-диметилнафтол, выход 92%, т. пл. 82—83° (из лигр.); пикрат, т. пл. 144° (из сп.).



Нагревают 9 час. при  $\sim 100^\circ$  53 г 2,7-диметоксинафталина, 27,5 г II, 49 г  $\text{POCl}_3$  и 50 мл безводн. толуола и затем еще 30 мин. с конц. р-ром  $\text{CH}_3\text{COONa}$ , экстрагируют  $\text{C}_6\text{H}_6$  и получают 2,7-диметоксинафталинальдегид-1 (VIII), выход 50 г, т. кип. 230—231°/20 мм, т. пл. 98° (из сп.); ТСК, т. пл. 183° (из  $\text{CH}_3\text{COOH}$ ); ОТГ, т. пл. 266° (из  $\text{CH}_3\text{COOH}$ ). Аналогично V из 37 г VIII, 16 г  $\text{N}_2\text{H}_4 \cdot \text{H}_2\text{O}$ , 300 мл IV и 16 г КОН получают 2,3-диметокси-1-метилнафталин (IX), выход 31 г, т. кип. 178—179°/12 мм, т. пл. 58° (из сп.); пикрат, т. пл. 106° (из сп.), и 2,7-диокси-1-метилнафталин, т. пл. 150° (из толуола); пикрат, т. пл. 169° (из  $\text{CH}_3\text{OH}$ ). Из 27,5 г IX, 12,5 г II, 23,5 г  $\text{POCl}_3$  в 25 мл толуола получают 2,7-диметокси-8-метилнафталинальдегид-1, выход 26%, т. кип. 232—233°/14 мм, т. пл. 96° (из сп.); из 20 г последнего, 10 г  $\text{N}_2\text{H}_4 \cdot \text{H}_2\text{O}$ , 10 г КОН в IV — 2,7-диметокси-1,8-диметилнафталин (X), выход 14 г, т. кип. 199—200°/16 мм, т. пл. 101° (из сп.); пикрат, т. пл. 118° (из сп.); из 5 г X и 30 г  $\text{C}_6\text{H}_5\text{N} \cdot \text{HCl}$  — 2,7-диокси-1,8-диметилнафталин, т. пл. 151—152° (из толуола); из 34,5 г 2,6-диметоксинафталина, 17,5 г II, 32 г  $\text{POCl}_3$  в 25 мл толуола — 2,6-диметоксинафталинальдегид-1 (XI), выход 32 г, т. кип. 223—225°/15 мм, т. пл. 90° (из сп.); ТСК, т. пл. 215° (из сп.); ОТГ, т. пл. 274° (из  $\text{CH}_3\text{COOH}$ ); из 27 г XI, 12 г  $\text{N}_2\text{H}_4 \cdot \text{H}_2\text{O}$ , 12 г КОН в IV — 2,6-диметокси-1-метилнафталин (XII), выход 22,1 г, т. кип. 185°/15 мм, т. пл. 109° (из сп.); пикрат, т. пл. 123° (из бзл.); из 3 г XII и 20 г  $\text{C}_6\text{H}_5\text{N} \cdot \text{HCl}$  — 2,6-диокси-1-метилнафталин (XIII), выход 2,1 г, т. пл. 206° (из толуола); из 16 г XII, 7,5 г II, 14 г  $\text{POCl}_3$  в 10 мл толуола — 2,6-диметокси-5-метилнафталинальдегид-1 (XIV), выход 13,8 г, т. кип. 236—237°/15 мм, т. пл. 165° (из сп.); ТСК, т. пл. 240—241° (из  $\text{CH}_3\text{COOH}$ ); из 9,5 г XIV, 4 г  $\text{N}_2\text{H}_4 \cdot \text{H}_2\text{O}$ , 200 мл IV и 4 г КОН — 2,6-диметокси-1,5-диметилнафталин, выход 7,5 г, т. кип. 199—200°/17 мм, т. пл. 183° (из сп.); пикрат, т. пл. 133° (из бзл.), и затем 2,6-диокси-1,5-диметилнафталин, т. пл. 298° (из  $\text{CH}_3\text{COOH}$ ). Кипятят 10 мин. р-р 1 г VI и 1,4 г 2,3-дихлорнафтохинона (XV) в 15 мл безводн.  $\text{C}_6\text{H}_5\text{N}$ , по охлаждению разбавляют спиртом и получают (XVI), т. пл. 275° (из  $\text{C}_6\text{H}_5\text{NO}_2$ ). Аналогично из 1 г XIII, 12 мл  $\text{C}_6\text{H}_5\text{N}$  и XV получают (XVII), т. пл. 233—234° (разл.; из  $\text{C}_6\text{H}_5\text{NO}_2$ ). ТСК III замедляет развитие саркомы у мышей (ежедневная доза 250 мг/кг), и при конц.  $1 : 10^4$  in vitro активен против *Mycobacterium tuberculosis*. Р. Ж.

25654. 1-Фенилнафталины. Баддар, Фахим, Флейфель (1-phenylnaphthalenes. Baddar F. G., Fahim H. A., Fleifel A. M.), J. Chem. Soc., 1955, Sept., 3302—3303 (англ.).

Вопреки имеющимся данным (Mitter, De, J. Indian Chem. Soc., 1939, 16, 199) при конденсации метилантарного ангидрида (I) с анизолом (II) в  $\text{C}_6\text{H}_5\text{NO}_2$ , содержащем  $\text{AlCl}_3$ , образуется смесь  $\beta$ -*n*-метоксибензоил- $\alpha$ -метилпропионовой к-ты (III) и  $\beta$ -*n*-метоксибензоил-масляной к-ты (IV) (13 : 1). При замене  $\text{C}_6\text{H}_5\text{NO}_2$  тетра-

хлорэтаном отношение III : IV = 3 : 1. При р-ции 7-метокси-2-метилтетралона-1 (V) с  $\text{o-CH}_3\text{OC}_6\text{H}_4\text{MgJ}$  (VI) образуется 3,4-дигидро-7-метокси-1-*o*-метоксифенил-2-метилнафталин (VII), дегидрированный в 7-метокси-1-*o*-метоксифенил-2-метилнафталин (VIII). Аналогично из 2,7-диметилтетралона и  $\text{C}_6\text{H}_5\text{MgJ}$ ,  $n\text{-CH}_3\text{C}_6\text{H}_4\text{MgJ}$  или  $m\text{-CH}_3\text{C}_6\text{H}_4\text{MgJ}$  получены третичные спирты и после дегидратации 3,4-дигидро-2,7-диметилпроизводные 1-фенил-(IX), 1-*n*-толил (X) и 1-*m*-толил (XI)-нафталина и после их дегидрирования 2,7-диметилпроизводные 1-фенил-(XII), 1-*n*-толил-(XIII) и 1-*m*-толил-(XIV)-нафталина. 2-метокси-1-*o*-метоксифенилнафталин (XV) получен декарбоксилированием 1-5-карбокси-2-метоксифенил-2-метоксинафталина (XVI). Из 11,4 г I, 10 г II и 26,7 г  $\text{AlCl}_3$  в 70 мл  $\text{C}_6\text{H}_5\text{NO}_2$  получено 15 г смеси III и IV, т. пл. III 145—146° (из лед.  $\text{CH}_3\text{COOH}$ ); из маточного р-ра после упаривания в вакууме получен семикарбазон IV, т. пл. 179—180° (из сп.). К эфир. р-ру VI (из 14,1 г  $\text{o-CH}_3\text{OC}_6\text{H}_4\text{J}$ ) прибавляют постепенно р-р 3,8 г V, смесь нагревают 20 час., выход VII 56%, т. кип. 186—190°/6 мм, т. пл. 57—58° (из сп.); VIII, выход 40%, т. кип. 225—235°/10 мм, т. пл. 68—69° (из водн.  $\text{CH}_3\text{OH}$ ). Аналогично получены следующие в-ва (перечисляются в-во, выход в %, т. кип. в °C/мм,  $n_D^{20}$ ): IX, 53, 182—184/7,  $> 1,7$ ; X, 66, 190—192/7,  $> 1,7$ ; XI, 40, 166—170/7, 1,5951; XII, —, 230—235/10, 1,657; XIII, —, 215—220/10,  $> 1,7$ ; XIV, 40, 220—230/7,  $> 1,7$ . Конденсацией *m*-J-*n*- $\text{CH}_3\text{OC}_6\text{H}_4\text{COOCH}_3$  с 1-нод-2-метоксинафталином в присутствии Cu-бронзы (5,5 часа, 230—235°) получена растворимая в  $\text{C}_6\text{H}_6$  XVI, т. пл. 243—244° (из  $\text{CH}_3\text{OH}$ ); метиловый эфир, т. пл. 179—180° (из  $\text{CH}_3\text{OH}$ ); кроме того, при этом получается растворимая в  $\text{C}_6\text{H}_6$  к-та, которая при метилировании превращается в диметилловый эфир 2,2'-диметоксидифенилдикарбоновой-5,5 к-ты, т. пл. 169—170°. Нагревают 0,5 г XVI в 5 мл хинолина с 0,4 г Cu-бронзы (2 часа, 210°), получено 0,25 г XV, т. кип. 220—230°/6 мм, т. пл. 97—98° (из  $\text{CH}_3\text{OH}$ ). Я. К.

25655. Соединения с потенциальной активностью против облучения летальными дозами. IV. Кетоны — производные  $\alpha$ - и  $\beta$ -нафтолов. Исправление литературных данных. Бью Хо Й, Лави (Compounds with potential activity against lethal radiations. IV. Ketones derived from  $\alpha$ - and  $\beta$ -naphthol. A revision of the literature. Bui-Hoi Ng. Ph., Lavit Denise), J. Organ. Chem., 1955, 20, № 7, 823—828 (англ.).

В развитие исследований в области соединений, обладающих потенциальной активностью против лучевой болезни, синтезированы 4-ацилнафтолы-1 (Ia—ж), где ацил—лауроил (а), пальмитоил (б), стеариол (в), фенилацетил (г), *n*-капроил (д), *n*-деканоил (е), гексагидробензоил (ж), деметилированием соответствующих 4-ацил-1-метоксинафталинов (Ia—ж), синтезированных по Фриделю—Крафтсу из 1-метоксинафталина (III) и соответствующих ацилхлоридов. Аналогично получены 2-бром-4-фенилацетилнафтол-1 (IV) и 1-стеариолнафтол-2 (V). Показано, что соединения, описанные ранее как Ia, б, в и все их производные. Ig, IV, V, этиловый эфир 1-стеариол-2-нафтоксиуксусной к-ты и 2-карбокси-3-*n*-гептадецил- $\beta$ -нафтокумарон (Desai, Waravdekar, Proc. Indian Acad. Sci., 1946, 23A, 341; 1946, 24A, 338; Bhumgara и др., Proc. Indian Acad. Sci., 1947, 25A, 359) не являются таковыми; при попытках повторения описанных синтезов получены исходные в-ва. Клайзеновской перегруппировкой 4-ацетил-1-аллилксинафталина (VI) получен 4-ацетил-2-аллилнафтол-1 (VII). 4-Ацетилнафтол-1 (VIII) не реагирует с изатнином, в то время как 2-ацетилнафтол-1 (IX) в тех же условиях дает 2-(1-окси-2-нафтил)-цинхонияновую к-ту (X). К охлажд. р-ру 28 г III и 38,5 г



р-ции J (VI) фенил-оксинало- $\text{H}_2\text{C}$ -спир-про- (XI) метил-м-то-ренил-л- (5-XVI). 2 по-з лед. в ва- $^{\circ}$  (из обав-час, —58 $^{\circ}$  мм, чены %, т. 66, II, —, XIV,  $\text{C}_6\text{H}_5\text{N}$  ствни-онная-овый при 2,2'—169—0,4 г. кип. Н. К. остью и —тера-ounds IV. on of vit 323—

$\text{C}_{11}\text{H}_{23}\text{COCl}$  в 100 мл  $\text{C}_6\text{H}_5\text{NO}_2$  постепенно добавляют 26 г  $\text{AlCl}_3$ , оставляют на 12 час. при 20 $^{\circ}$ , выливают на лед, отгоняют с паром р-ритель и III, получают Па, выход 85%, т. кип. 286—288 $^{\circ}$ /13 мм, т. пл. 53 $^{\circ}$  (из петр. эф.). Смесь 5 г Па и 50 г  $\text{C}_6\text{H}_5\text{N} \cdot \text{HCl}$  кипятят 2 часа, разбавляют водой и получают Ia, выход 1 г, т. пл. 88 $^{\circ}$  (из лигр.). Аналогично из 14 г III, 24 г  $\text{C}_{11}\text{H}_{23}\text{COCl}$  и 13 г  $\text{AlCl}_3$  получают Пб, выход 27 г, т. кип. 315—317 $^{\circ}$ /13 мм, т. пл. 68 $^{\circ}$  (из петр. эф.); 16, т. пл. 89 $^{\circ}$  (из лигр.); из 5 г III, 9 г  $\text{C}_{11}\text{H}_{23}\text{COCl}$  и 5 г  $\text{AlCl}_3$  — Пв, выход 9 г, т. кип. 327—330 $^{\circ}$ /14 мм, т. пл. 72—73 $^{\circ}$  (из петр. эф.); 1в, выход 15%, т. пл. 90—91 $^{\circ}$  (из циклогексана (XI)); деметилированием Пг получают Иг, т. пл. 186 $^{\circ}$ . Смесь 2 г Пг и 1,5 г фенилгидразина нагревают при 150—160 $^{\circ}$ , образующийся фенилгидразон кипятят с р-ром  $\text{HCl}$  в  $\text{CH}_3\text{COOH}$  и получают 2-(4-метокси-1-нафтил)-3-фенилдиол, выход 2 г, т. пл. 231 $^{\circ}$  (из сп.). Из 12 г III, 10 г  $\text{C}_6\text{H}_{11}\text{COCl}$  и 11 г  $\text{AlCl}_3$  получают Пд, выход 14 г, т. кип. 237 $^{\circ}$ /14 мм, т. пл. 38 $^{\circ}$  (из петр. эф.),  $n_D^{20}$  1,5983; семикарбазон, т. пл. 197 $^{\circ}$  (из сп.); Ид, выход 50%, т. пл. 141 $^{\circ}$  (из бzl.); из 11 г III, 13 г  $\text{C}_6\text{H}_{11}\text{COCl}$  и 10,2 г  $\text{AlCl}_3$  — Пе, выход 17 г, т. кип. 265 $^{\circ}$ /13 мм, т. пл. 41 $^{\circ}$  (из петр. эф.); Ие, выход 30%, т. пл. 89 $^{\circ}$  (из XI); из 11 г III, 10 г  $\text{C}_6\text{H}_{11}\text{COCl}$  и 10 г  $\text{AlCl}_3$  — Пж, выход 12 г, т. кип. 255 $^{\circ}$ /13 мм, т. пл. 95 $^{\circ}$  (из сп.); Иж, выход 50%, т. пл. 184 $^{\circ}$  (из  $\text{CH}_3\text{COOH}$ ); из 11 г III, 17 г  $\text{C}_{11}\text{H}_{23}\text{COCl}$  и 10 г  $\text{AlCl}_3$  — 4-миристиноил-1-метоксинафталин, выход 21 г, т. кип. 300—302 $^{\circ}$ /15 мм, т. пл. 66 $^{\circ}$  (из лигр.). К р-ру 1,7 г Иг в 100 мл  $\text{CH}_3\text{COOH}$  и 40 мл воды постепенно добавляют р-р 1 г Вг в  $\text{CH}_3\text{COOH}$  и получают IV, выход 1,5 г, т. пл. 103 $^{\circ}$  (из водн.  $\text{CH}_3\text{COOH}$ ); аналогично из Ид получают 2-бром-4-капроилнафтол-1, т. пл. 65 $^{\circ}$  (из лигр.). Из 9 г VIII, 7 г бромистого аллила и 2,5 г  $\text{NaOH}$  в спирте получают VI, выход 90%, т. пл. 68 $^{\circ}$  (из лигр.). 2,7 г VI в 10 мл  $\text{C}_6\text{H}_5\text{N}(\text{CH}_3)_2$  кипятят 12 час., выливают в разб.  $\text{HCl}$  и получают VII, выход 1,5 г, т. пл. 180 $^{\circ}$  (из бzl.). Р-р 2 г IX, 1,7 г изатина и 2,4 г  $\text{KOH}$  в 15 мл спирта кипятят 3 дня, подкисляют водн.  $\text{CH}_3\text{COOH}$  и получают X, выход 0,5 г, т. пл. 302 $^{\circ}$  (из бzl.). В смесь 25 г  $\beta$ -нафтола и 25 г стеариновой к-ты пропускают 3 часа при 80—85 $^{\circ}$  Вг, разбавляют водой и извлекают бензолом V, выход 30 г, т. кип. 310—312 $^{\circ}$ /13 мм, т. пл. 64—65 $^{\circ}$  (из петр. эф.), метиловый эфир, т. пл. 60—61 $^{\circ}$  (из сп.). Сообщение III см. РЖХИМ, 1956, 6758. Д. В.

25656. О некоторых производных 1,4-нафтохинона. Часть I. Малиновский (O pewnych pochodnych 1,4-naftochinonu. Malinowski Stanislaw, Roczn. chem., 1955, 29, № 1, 47—54 (польск.; рез. англ.).

С целью изучения в-в, активных к туберкулезной палочке (ТП), действием диазотированных аминов на 2-метокси-1,4-нафтохинон (I) получены (перечисляются т. пл. в  $^{\circ}\text{C}$  и активность к ТП in vitro в мг %): 2-метокси-3-( $n$ -хлорфенил)-1,4-нафтохинон (II), 187, 3,9—7,8; 2-метокси-3-( $n$ -нитрофенил)-1,4-нафтохинон (III), 204—206, 15—31; 2-метокси-3-( $n$ -карбоксифенил)-1,4-нафтохинон (IV), 274—276, 15; 2-метокси-3-( $m$ -окси- $n$ -карбоксифенил)-1,4-нафтохинон (V), 188—190 $^{\circ}$ ; активность I 1,9—3,9. Из диазотированных анилина, анн-зидина и бензида аналогичных соединений получить не удалось. Омылением 5%-ым р-ром  $\text{NaOH}$  из II—V получены соответствующие 2-оксипроизводные. Р-р 0,1 моля хлористого  $n$ -нитрофенилдиазония вливают в р-р 0,1 моля I в ацетоне (60 $^{\circ}$ ) и к смеси добавляют 3 г  $\text{CuCl}_2$ . Спустя 24 часа отсасывают III, выход 12,6 г. Я. Д.

25657. Получение 4- и 5- $n$ -алкокси-1-нафтоиных и 6- и 7- $n$ -алкокси-2-нафтоиных кислот. Грей, Джонс (The preparation of 4- and 5- $n$ -alkoxy-1-

naphthoic and 6- and 7- $n$ -alkoxy-2-naphthoic acids. Gray G. W., Jones Brynmor, J. Chem. Soc., 1954, Febr., 678—683 (англ.).

Для изучения влияния формы молекулы на мезоморфизм синтезирован ряд алкоксинафтоиных к-т. 4- $n$ -алкокси-1-нафтоиные к-ты (I) получены алкилированием 1-нафтола (II), превращением полученных 1- $n$ -алкоксинафталинов (III) через 1- $n$ -алкокси-4-бромнафталины (IV) и карбоксилацией соответствующих магнийорганич. соединений или через 4- $n$ -алкокси-1-нафтонитрилы (V). 5- $n$ -алкокси-1-нафтоиные к-ты (VI) синтезированы из 5-аминонафталинсульфокислоты-1 (VII) через 5-амино-1-нафтонитрил (VIII), 5-окси-1-нафтонитрил (IX) и 5-окси-1-нафтоиновую к-ту (X). 6-алкокси-2-нафтоиные к-ты (XI) получены по схеме: 2-нафтол (XII)  $\rightarrow$  1,6-дибромнафтол-2 (XIII)  $\rightarrow$  6-бромнафтол-2 (XIV)  $\rightarrow$  2-бром-6-метоксинафталин  $\rightarrow$  (XV)  $\rightarrow$  6-метокси-2-нафтоиная к-та (XVI)  $\rightarrow$  6-окси-2-нафтоиная к-та (XVII)  $\rightarrow$  XI либо: XV  $\rightarrow$  2-ацетил-6-метоксинафталин (XVIII)  $\rightarrow$  XVI  $\rightarrow$  XVII  $\rightarrow$  XI. 7- $n$ -алкокси-2-нафтоиные к-ты (XIX) получают по схеме: 7-аминонафталинсульфокислота-2 (XX)  $\rightarrow$  7-амино-2-нафтонитрил (XXI)  $\rightarrow$  7-окси-2-нафтонитрил (XXII)  $\rightarrow$  7-окси-2-нафтоиная к-та (XXIII)  $\rightarrow$  XIX. Кипячением II 8 час. бромистым или подкистым алкилом со спирт.  $\text{C}_2\text{H}_5\text{ONa}$  получены с выходом 65—75% следующие III (даны алкил, т. кип. в  $^{\circ}\text{C}/\text{мм}$  и т. пл. в  $^{\circ}\text{C}$ ): метил, 134/13, —; этил, 152/17, 5; пропил, 143/3, —; бутил, 160/4, 19,5; амил, 173/6, 29,5; гексил, 166/4, —3; гептил, 171/5, —; октил, 189/5, —; нонил, 185/4, —; децил, 212/4, —; додецил, 227/3, —; гексадецил, 258/1, 31; октадецил, 236/0,01, 50,5. Бромированием III  $\text{BrI}$  в  $\text{SnCl}_4$  при 10—20 $^{\circ}$  получены с выходом 65—75% следующие IV (приведены алкил, т. кип. в  $^{\circ}\text{C}/\text{мм}$  и т. пл. в  $^{\circ}\text{C}$ ): метил, 159/4, —; этил, 158/3, 48,5; пропил, 188/8, 31; бутил, 199/5, 25; амил, 181/3, 47,5; гексил, 206/5, 45. Из 0,1 моля IV получают магнийорганич. соединение (IV в эфире кипятят 10 час. с 2,45 г  $\text{Mg}$ ); р-р выливают в эфир с твердой  $\text{CO}_2$ , получают I с выходом 80—85%. При р-ции III с  $\text{BrCN}$  в  $\text{CS}_2$  в присутствии  $\text{AlCl}_3$  получают с выходом 80% следующие V (приведены алкил, т. пл. в  $^{\circ}\text{C}$  (из абс. сп.): этил, 88; амил, 60; гексил, 62; гептил, 54; октил, 61; нонил, 53; децил, 64; додецил, 67; гексадецил, 69; октадецил, 71. 0,1 моля V кипятят 15—25 час. с 250 мл  $\text{CH}_3\text{OH}$ , насыщ. при 50 $^{\circ}$   $\text{KOH}$ , подкисляют и осадок I очищают через  $\text{Na}$ -соль, получают I, выход 95—97% [приведены алкил, т. пл. в  $^{\circ}\text{C}$  (из лед.  $\text{CH}_3\text{COOH}$ ): метил, 248; этил, 220; пропил, 203; бутил, 213,5; амил, 207; гексил, 212; гептил, 189; октил, 183,5; нонил, 161; децил, 174,5; додецил, 147,5; гексадецил, 136; октадецил, 137,5. Смесь 70 г VII и 140 г  $\text{KCN}$  подвергают сухой перегонке при 500—600 $^{\circ}$ ; дистиллат растворяют в 1,3 л кипящей 0,3 н.  $\text{HCl}$ , охлаждают, фильтруют, нейтрализуют конц.  $\text{NH}_3$  и получают VIII, выход 23,5%, т. кип. 187—193 $^{\circ}$ /2—3 мм, т. пл. 140 $^{\circ}$  (из сп.). 0,03 моля VIII в 60 мл лед.  $\text{CH}_3\text{COOH}$  и 60 мл 40%-ной  $\text{H}_2\text{SO}_4$  диазотируют при 0—5 $^{\circ}$  р-ром 0,06 моля  $\text{NaNO}_2$ , р-р прибавляют в течение 30 мин. к 180 мл кипящей 40%-ной  $\text{H}_2\text{SO}_4$ , кипятят еще 1 час, получают IX, выход 66—67%, т. пл. 209,5 $^{\circ}$  (из водн.  $\text{CH}_3\text{COOH}$ ). 8,4 г IX кипятят 4—5 час. с р-ром 50 г  $\text{KOH}$  в 100 мл воды и получают X, выход 90%, т. пл. 238 $^{\circ}$  (разл.); апетильное производное, т. пл. 204—205 $^{\circ}$  (из бzl.). X обрабатывают в цел. р-ре при 40—60 $^{\circ}$   $(\text{CH}_3)_2\text{SO}_4$ , получают 5-метокси-1-нафтоиновую к-ту, т. пл. 232,5 $^{\circ}$  (из сп., затем сублимация). X кипятят с бромистым или подкистым алкилом в водно-спирт.  $\text{KOH}$  и получают VI с выходом 80—90%; аналогично из XVII получают XI, выход 85—90%; приведены алкил, т. пл. в  $^{\circ}\text{C}$  (из лед.  $\text{CH}_3\text{COOH}$ , затем сп. и вогонка в вакууме — кроме трех последних) VI, т. пл. в  $^{\circ}\text{C}$  (из лед.  $\text{CH}_3\text{COOH}$ ,

затем ксилола) XI: метил, —, 206; этил, 201, 213; пропил, 189, 208; бутил, 172, 198; амил, 143, 179, 5; гексил, 154, 147; гептил, 135, 5, 163; октил, 142, 5, 161, 5; нонил, 143, 147, 5; децил, 137, 139; додецил, 125, 119; гексадецил, 117, 5, 107; октадецил, 122, 114; изоамил, —, 194; 3,5,5-триметилгексил, —, 170. 1 моль XII в 400 мл лед.  $\text{CH}_3\text{COOH}$  бромруют при  $\sim 20^\circ$ , полученный XIII без выделения восстанавливают Sn до XIV, выход 96—100%, т. пл. 123—127°. XIV метилируют  $(\text{CH}_3)_2\text{SO}_4$ , получают XV, выход 60—70%, т. кип. 189—199°/20 мм, т. пл. 106—107° (из абс. сп.). XV магнийорганич. синтезом превращают в XVI, выход 50—55%, т. пл. 206° (из ксилола). Из XV с  $\text{CH}_3\text{COCl}$  в присутствии  $\text{AlCl}_3$  в  $\text{C}_6\text{H}_5\text{NO}_2$  получают XVIII, выход 50%, т. пл. 104—105° (из  $\text{CH}_3\text{OH}$ ). Р-р  $\text{NaOBr}$  (из 50 мл  $\text{Br}_2$ , 140 г  $\text{NaOH}$  и 600 мл воды) прибавляют (30 мин., 35—55°) к 50 г XVIII в 350 мл диоксана, получают XVI, выход 70—75%, т. пл. 205—206° (из ксилола). 8,4 г XVI нагревают 2,5 часа с 35 мл  $\text{CH}_3\text{COOH}$ , 35 мл 48%-ной  $\text{HBr}$  и 20 мл лед.  $\text{CH}_3\text{COOH}$ , насыщ.  $\text{HBr}$ , получают XVII, выход 69—75%, т. пл. 250° (из воды); ацетильное производное, т. пл. 228° (разл., из этилацетата), бензойное, т. пл. 257° (из этилацетата), бензолсульфонильное, т. пл. 228,5° (из  $\text{CH}_3\text{COOH}$ ). Смесь 35 г XX и 70 г  $\text{KCN}$  подвергают сухой перегонке, обрабатывают как VIII и получают XXI, выход 7,1%, т. пл. 197° (из бzl.). Из XXI, аналогично IX получают XXII, выход 76%, т. пл. 186,5° (из 35%-ной  $\text{CH}_3\text{COOH}$ ). 2,5 г XXII нагревают 4—5 час. с 50 мл 2 н.  $\text{KOH}$  и получают XXIII, выход 90%, т. пл. 269—270° (из воды). XIX получают аналогично VI с выходом 90%: 7-н-октилосон-2-нафтойная к-та, т. пл. 142,5° (из лед.  $\text{CH}_3\text{COOH}$ , затем сл., ксилола и возгонка); 7-н-гексадецилосон-2-нафтойная к-та, т. пл. 138° (возгонка). R. X. 25658. Отщепление N-заместителей у производных 1-аминоантрахинона. Брэдли, Мейзи (Elimination of N-substituents from derivatives of 1-amino-anthraquinone. Bradley William, Maisiey Roy F.), J. Chem. Soc., 1954, Jan., 247—252 (англ.)

Изучено отношение N-метил-(I), N-этил-(II), N-н-бутил-(III), N-трет-бутил-(IV), N-бензил-(V), N-(4'-нитробензил)-(VI) и N-диметил-(VII) производных 1-аминоантрахинона (VIII) к действию окислителей,  $\text{H}_2\text{SO}_4$  и  $\text{Al}_2\text{O}_3$ . Почти у всех производных VIII наблюдалось отщепление N-заместителей с образованием альдегидов. В конц.  $\text{H}_2\text{SO}_4$  IV (20°, 3 часа) разлагается с образованием VIII, выход 98%; другие производные VIII при этом не реагируют. При кипячении с  $\text{Al}_2\text{O}_3$  в о-дихлорбензоле дегалкируются (в %): II 0,3, III 0,9, IV 70 и V 30, I не реагирует. V при кипячении с  $\text{C}_6\text{H}_5\text{NO}_2$  (IX) или со смесью IX,  $\text{Si}$ -ацетата и  $\text{K}_2\text{CO}_3$  быстро разлагается с образованием VIII и  $\text{C}_6\text{H}_5\text{CHO}$  (X); VI менее быстро расщепляется на VIII и  $\text{N}$ -нитробензальдегид, IV не реагирует. V устойчив при кипячении в  $\text{CH}_3\text{COOH}$  или  $\text{C}_6\text{H}_5\text{Cl}$ , но при нагревании до 240° в нафталене разлагается с образованием X (выход 4%), в дифениле (15%), в IX до 205° (38%) и без р-рителя в вакууме при 220° (13,5%). Рассмотрен механизм р-ции отщепления N-заместителей. При р-ции 1-хлорантрахинона (XI) с диметиламино или пиперидином получают соответствующие 1-диалкиламино-антрахиноны; при р-ции XI с дибензиламино (XII), ди-н-бутиламино или диэтиламино получают 1-моноалкиламиноантрахиноны. При нагревании 54 г XI и 100 г бензиламина (2 часа, 180°) получают V. Нагревают 2 г XI, 1 г  $\text{CH}_3\text{COOK}$  и 10 мл XII 2 часа при 190°, выпадает V, т. пл. 188—189° (из  $\text{CH}_3\text{COOH}$ ); в качестве побочных продуктов р-ции выделены X и трибензиламин (XIII). Прибавлением к р-ру 1 г II в 12,5 мл  $\text{CH}_3\text{COOH}$  при 50°, 0,33 г  $\text{NaNO}_2$  осаждают N-нитрозо-1-этиламиноантрахинон (XIV), т. пл. 170—171° (из

$\text{C}_6\text{H}_5\text{Cl}$ ); р-р XIV в  $\text{C}_2\text{H}_5\text{OH}$  или  $\text{C}_6\text{H}_6$  под действием света или в  $\text{C}_2\text{H}_5\text{OH}$  при кипячении в присутствии перекиси бензола разлагаются с образованием II. N-нитрозо-1-метиламиноантрахинон в  $\text{C}_2\text{H}_5\text{OH}$  или  $\text{C}_6\text{H}_6$  под действием света образует I. Нагревают смесь 9 г  $\text{HNO}_3$  и  $\text{C}_6\text{H}_5\text{CH}_2\text{Br}$  с 5 г K-производного 1-(толуол- $\text{p}$ -сульфамидо)-антрахинона при 170° до образования вязкой жидкости и еще 5 мин., выливают в  $\text{C}_2\text{H}_5\text{OH}$ , получают 4 г 1-[N-( $\text{p}$ -нитробензил)-толуол-4'-сульфамидо]-антрахинона (XV), т. пл. 212—213° (из сл. + ацетона). 2,8 г последнего растворяют в 20 мл конц.  $\text{H}_2\text{SO}_4$  при 20°, выливают через 15 мин. в воду и нейтрализуют  $\text{Na}_2\text{CO}_3$ , получают 2,1 г VI, т. пл. 261—262° (из  $\text{C}_6\text{H}_5\text{Cl}$ ). VI также получен кипячением (4 часа) 6,5 г VIII и 5 г  $\text{HNO}_3$  с  $\text{Na}_2\text{CO}_3$  (XVI) в 250 мл трихлорбензола. Нагреванием смеси 3,5 г XVI и 2 г K-производного 2-(толуол-4'-сульфамидо)-антрахинона (30 мин., 190°) получено 1,3 г 2-[N-(4'-нитробензил)-толуол-4'-сульфамидо]-антрахинона (XVII), т. пл. 181—183°. Р-р 0,5 г XVII в 20 мл конц.  $\text{H}_2\text{SO}_4$  нагревают 30 мин. при 100° и выливают в воду, получают 2-(4'-нитробензиламино)-антрахинон, т. пл. 255—256° (из о-дихлорбензола). 3 г VIII и 5 г  $\text{SiCl}_4$  в 20 мл о-дихлорбензола кипятят 6 час., смесь растворяют в  $\text{C}_6\text{H}_6$  и хроматографируют на  $\text{Al}_2\text{O}_3$ , получают 2 г 1-(3'-хлорбензиламино)-антрахинона, т. пл. 209—211° (из  $\text{C}_6\text{H}_5\text{Cl}$ ). Из 4 г XI и 16 мл трет-бутиламина (5 час., 200°) после обработки водн.  $\text{NH}_3$  и водой получают 3 г IV, т. пл. 132—133° (из  $\text{CH}_3\text{COOH}$ ). Аналогично из 4 г XI и 15 мл  $\text{p}$ -бутиламина (3 часа, 180°) получают 2 г III, т. пл. 81—82° (из  $\text{CH}_3\text{COOH}$ ); из 4 г XI и 10 мл ди-н-бутиламина (4 часа, 190°) — 1 г III; из 4 г XI и 12 мл диэтиламина (4 часа, 160°) — 4 г II, т. пл. 122—123°; из 5 г XI и 14 мл пиперидина (10 час., 100°) — 4 г 1-пиперидиноантрахинона, т. пл. 118—119° (из сл.). Из 26 г  $\text{N-CH}_3\text{C}_6\text{H}_4\text{SO}_2\text{Cl}$  и 14 мл трет-бутиламина в 70 мл пиридина получают 15,5 г N-трет-бутил- $\text{p}$ -толуолсульфама, т. пл. 112—113° (из водн. сл.). Л. Е. 25659. Некоторые превращения 1-амино-5, 6, 7, 8-тетрагидронафталин-2-карбоновой кислоты. Сергиевская С. И., Попова Е. Г., Ж. общ. химии, 1955, 25, № 12, 2240—2242

В отличие от нормально реагирующей 4-амино-5, 6, 7, 8-тетрагидронафталинкарбоновой-2 к-ты 1-аминоизомер (I) взаимодействует с избытком  $(\text{CH}_3\text{CO})_2\text{O}$  с образованием вместо 1-ацетида-5, 6, 7, 8-тетрагидронафталинкарбоновой-2 к-ты (II) 2-метил-5,6-[1', 2', 5' (6', 7', 8'-тетрагидроафтафо)]-оксозона-3,1,4 (III), что подтверждено близостью его УФ-спектра со спектром «апетитантравила». При действии р-ра  $\text{NaOH}$  на III образуется количественно II, которая получена также действием  $\text{CH}_3\text{COCl}$  на I. Нагревают 15 г I, 30 мл  $(\text{CH}_3\text{CO})_2\text{O}$  20 мин. при 80°, при упаривании фильтрата выделяется III, выход 94%, т. пл. 122—124° (из абс. сл.). Р-р 12 г III в 5%-ном р-ре  $\text{NaOH}$  через 2 дня подкисляют и выделяют II, т. пл. 183—184° (разл., из  $\text{SiCl}_4$  и  $\text{C}_6\text{H}_5\text{Cl}$ ). Смесь 1 г I, 3 мл  $\text{C}_6\text{H}_5\text{N}$  и 0,41 г  $\text{CH}_3\text{COCl}$  выливают в разб.  $\text{HCl}$  и отделяют II. При нагревании I с лед.  $\text{CH}_3\text{COOH}$  отщепляется  $\text{CO}_2$  и образуется 1-ацетида-5, 6, 7, 8-тетрагидронафталина. Я. К. 25660. Синтезы в области канцерогенных углеводородов. XII. О канцерогенной активности 4',9,10-триметил-1,2-бензантрацена. Синтез 2',9,10-триметил-1,2-бензантрацена. Лефе, Мартен (Synthèses dans le domaine des hydrocarbures cancérogènes XII. Remarques concernant l'activité cancérogène du 4',9,10-triméthyl-1,2-benzanthracène — Synthèse du 2',9, 10-triméthyl-1,2-benzanthracène. Defay Nicole, Martin R. H.), Bull. Soc. chim. belges, 1955, 64, № 5-6, 210—220 (франц.; рез. англ.)

Обсуждается вопрос о зависимости канцерогенного действия производных 1,2-бензантрацена (I) от их строения. Отмечается, что активность 4', 9, 10-триметил-I (см. сообщение XI, Bull. Soc. chim belges, 1952, 61, 635) противоречит гипотезам Баджера и Гринвуда (кн. «Advances in cancer research» N. Y., Academic Press Inc, 1954, II, 73—127). С целью дальнейшего изучения связи между строением и канцерогенной активностью синтезирован 2', 9, 10-триметил-1,2-I (II). Окислением 2'-метил-I по методу Кука (J. Chem. Soc., 1932, 456) получен 2'-метил-1,2-бензантрахион (III), выход 90%, т. пл. 185—186°. При попытке получения III по методу Физера (J. Amer. Chem. Soc., 1932, 54, 3742) — циклизацией 2'-метил-1'-нафтоил-2-бензойной к-ты при помощи расплавленных NaCl и AlCl<sub>3</sub> не удалось разделить образующуюся смесь III с 3'-метил-1,2-бензантрахионом. По р-ции Бахмана к CH<sub>3</sub>MgJ (из 5 мл CH<sub>3</sub>J, 2 г Mg и 40 мл сухого эфира) прибавляют 60 мл сухого C<sub>6</sub>H<sub>6</sub> и 1 г III в стеклянном фильтре в парах, нагревают, после обычной обработки получают небольшое кол-во невошедшего в р-цию III и, вместо ожидаемого II, получают 2', 9, 10-триметил-9,10-дигидро-9,10-диоксид-1,2-бензантрацен, т. пл. 216,5—217,5° (из CH<sub>3</sub>OH), который при кипячении с CH<sub>3</sub>OH в присутствии нескольких капель конц. H<sub>2</sub>SO<sub>4</sub> превращается в 2', 9, 10-триметил-9,10-дигидро-9,10-диоксид-1,2-бензантрацен, т. пл. 167—168°. Получение II осуществлено по р-ции Сандина — Физера (J. Amer. Chem. Soc., 1943, 65, 2018): к CH<sub>3</sub>MgJ (из 0,5 г Mg, 3 мл CH<sub>3</sub>J и 20 мл сухого эфира) прибавляют 0,5 г III, прозрачный р-р оставляют на ~ 12 час., вносят по каплям этот р-р в смесь 20 мл CH<sub>3</sub>OH, 7,5 мл HJ и 5 мл HBr (0°), выделившийся желтый осадок быстро отделяют, растворяют в 60 мл холодного диоксана, выливают в смесь 50 мл диоксана, 15 мл HCl и 10 г SnCl<sub>2</sub>. Смесь нагревают, выливают в 500 мл воды, извлекают C<sub>6</sub>H<sub>6</sub> и упаривают, выделяется желтый осадок, повидимому бис-(2', 9-диметил-1,2-бензантраценил-10)-1,2-этан (IV), выход 4%, т. пл. 252—254°. При упаривании маточного р-ра выделяется II, выход 30%, т. пл. 107—107,5° (хроматографированием р-ра в петр. эф. на Al<sub>2</sub>O<sub>3</sub>; из сп.); комплекс II с 2,4,7-тринитрофлуореноном, т. пл. 197,5—198°. Изучение УФ-спектров поглощения II и IV и сравнение их с УФ-спектром 2'-метил-I показывает нормальные bathochромные сдвиги, вызванные введением CH<sub>3</sub>-группы в ароматич. цикл. Т. Г. 25661.

**Синтезы в области канцерогенных углеводородов. XIII. 3,4-диметил- и 2, 3, 4-триметилпирены.** Мартен, Сандере (Synthèses dans le domaine des hydrocarbures cancérigènes. XIII. 3,4-diméthyl- et 2, 3, 4-triméthylpyrènes. Martin R. H., Sunders J.), Bull. Soc. chim. belges, 1955, 64, № 5-6, 221—234 (франц.; рез. англ.)

В развитие работ по изучению связи между хим. строением и канцерогенной активностью синтезированы 3,4-диметил-(I) и 2, 3, 4-триметилпирен (II). К охлажд. р-ру 156 г AlCl<sub>3</sub> в 600 мл C<sub>6</sub>H<sub>5</sub>NO<sub>2</sub> прибавляют 93 г 2,3-диметилнафталина и 60 г янтарного ангидрида, перемешивают 24 часа при ~ 20°, затем выливают в смесь 1 кг льда и 60 мл конц. HCl, выделяют β-(6,7-диметил-2-нафтоил)-пропионовую к-ту (III), выход 102 г, т. пл. 178—179° (из CH<sub>3</sub>OH). 15 г III в 30 мл C<sub>6</sub>H<sub>5</sub>CH<sub>3</sub> восстанавливают амальгамой Zn в смеси HCl (к-ты) и CH<sub>3</sub>COOH (по 100 мл), кипятят 24 часа, из органич. слоя выделяют γ-(6,7-диметил-2-нафтил)-масляную к-ту (IV), выход 12 г, т. пл. 138—140° (из CH<sub>3</sub>OH). К смеси 5 мл воды и 15 мл H<sub>2</sub>SO<sub>4</sub> прибавляют постепенно 5 г IV, нагревают 30 мин. при размешивании на водяной бане, охлаждают и выливают в 150 мл воды; извлекают эфиром 4-оксо-6,7-диметил-1, 2, 3, 4-тетрагидрофенантрен (V), выход 3,8 г, т. кип. 225—230°/2 мм, т. пл. 112,5—113,5° (из диоксана). Изучена

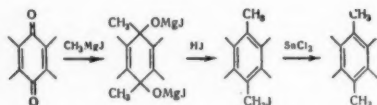
возможность перехода от V к I по 3 вариантам: (A) По Богачеву (J. Amer. Chem. Soc., 1944, 66, 1613). Из 12,5 г Zn-фольги, 4,5 г V в 125 мл смеси C<sub>6</sub>H<sub>6</sub> и эфира (1 : 1), 3 мл CH<sub>3</sub>BrCOOH и 0,1 г J<sub>2</sub> не удалось получить по р-ции Реформатского в чистом виде метиловый эфир (4-оксо-6,7-диметил-1, 2, 3, 4-тетрагидрофенантрин-4)-уксусной к-ты; после нагревания продукта р-ции с 3 г P<sub>2</sub>O<sub>5</sub> и омыления получена α-β или β-γ-ненасыщ. к-та (VI), выход 1,6 г, т. пл. 211—212° (из CH<sub>3</sub>OH, затем хлф.). Богачев получил к-ту с т. пл. 186°, видимо, другой изомер. Катализ. восстановление 0,35 г VI в 25 мл ацетона в присутствии 0,05 г Pd/C (6 час., поглощается 65 мл H<sub>2</sub>) приводит негладко к (6,7-диметил-1, 2, 3, 4-тетрагидрофенантрин-4)-уксусной к-те (VII), т. пл. 166—166,5° (из CH<sub>3</sub>OH). (B) Применение описанного метода см. РЖХим, 1954, 10498. К 75 мл жидкого NH<sub>3</sub> и 0,1 г Fe (NO<sub>3</sub>)<sub>3</sub> прибавляют 0,5 г Li, перемешивают 5 мин., затем вносят 2,5 г CH<sub>3</sub>COOC(CH<sub>3</sub>)<sub>3</sub>, упаривают, добавляют 100 мл эфира и нагревают до прекращения выделения NH<sub>3</sub>, по охлаждению вводят по каплям р-р 4,5 г V в смеси 100 мл эфира и 50 мл сухого C<sub>6</sub>H<sub>6</sub>, получают некристаллизующееся в-во, которое растворяют в 25 мл C<sub>6</sub>H<sub>6</sub>, прибавляют 25 мл безв. HCOOH, нагревают 30 мин., разбавляют водой, бензольный слой упаривают, полученный продукт гидролизуют в 500 мл диоксана и 125 мл HCl, кипятят 2 часа, фильтруют; выход VI 0,35 г. (B) по методу Бахмана и Эдгертон (J. Amer. Chem. Soc., 1940, 62, 2970) восстановлением V получен 4-оксо-6,7-диметил-1, 2, 3, 4-тетрагидрофенантрен (VIII), действие на него HCl ведет к 4-хлор-6,7-диметил-1, 2, 3, 4-тетрагидрофенантрину (IX), превращенному в (6,7-диметил-1, 2, 3, 4-тетрагидрофенантрин-4)-малоновую к-ту (X); декарбоксилированием X получена VII и ее циклизацией 2-оксо-3,4-диметил-1, 2, 8, 9, 10, 11-гексагидропирен (XI), восстановленный в 2-оксо-3,4-диметил-1, 2, 8, 9, 10, 11-гексагидропирен (XII), из которого получают I. К 5 г V прибавляют изопропилат Al (из 5 г Al), смесь кипятят 3 часа, выдерживают при ~ 20° 24 часа и отгоняют 6 час. образующийся ацетон, полученную вязкую массу выливают в 200 мл 10%-ной H<sub>2</sub>SO<sub>4</sub>, извлекают C<sub>6</sub>H<sub>6</sub>, добавляют 10 мл петр. эфира, получен вместо ожидаемого VIII продукт его дегидратации — 1,2-дигидро-6,7-диметилфенантрен (XIII), т. пл. 83—85° (из петр. эф.). Из тех же исходных в-в, но с заготовленным заранее изопропилатом Al, хранящимся в холодильнике, получен VII, выход 80%, т. пл. 126,5—127,5° (из ацетона). При применении 10—25 г V с сохранением остальных условий р-ции выделен продукт с т. пл. 70—70,5°, повидимому, другая кристаллич. форма VIII. Через р-р 3 г VIII в 100 мл C<sub>6</sub>H<sub>6</sub> при 0° пропускают сухой HCl; образующуюся воду связывают 3 г CaCl<sub>2</sub>, через 4 часа фильтруют, упаривают досуха, получают IX, выход 2,2 г, т. пл. 109,5—110° (из петр. эф. и затем из воды); при кристаллизации выделены также кристаллы с т. пл. 82—83°, идентифицированные как XIII. При нагревании IX в органич. р-рителях выше 60° отщепляется HCl. К р-ру C<sub>2</sub>H<sub>5</sub>ONa (из 0,7 г Na в 15 мл абс. спирта) прибавляют по каплям 7,5 мл малонового эфира, отгоняют спирт и кипятят 10 мин., прибавляют 3 г IX в 40 мл горячего C<sub>6</sub>H<sub>6</sub>, кипятят еще 10 час., прибавляют 50 мл 45%-ного водн. р-ра КОН, отгоняют C<sub>6</sub>H<sub>6</sub>, прибавляют воду, из водн. р-ра извлекают C<sub>6</sub>H<sub>6</sub> X, т. пл. 178—180° (с выделением CO<sub>2</sub>). Нагревание X при 200° (30 мин. на металлич. бане) приводит к декарбоксилированию с образованием VII, циклизацию VII осуществляют при помощи 10 мл безводн. HF (на 1 г VII); выход XI 80%, т. пл. 159—160°. К 5 г LiAlH<sub>4</sub> в 200 мл сухого эфира добавляют по каплям 2 г XI в 500 мл эфира, нагревают 2 часа, получают XII, выход 0,8 г, т. пл. 115—118° (из CH<sub>3</sub>OH). Для получения I нагре-



вают XII (300—320°, 45 мин.) в присутствии 0,1 г Pd/C; выход I 0,2 г, т. пл. 103—104° (из  $\text{CH}_3\text{OH}$ , возгонка при 220°/0,001 мм.); пикрат, т. пл. 200—200,5°. Синтез II осуществлен действием реактива Гриньяра (из 0,69 г Mg, 1,5 мл  $\text{CH}_3\text{I}$  и 16 мл сухого эфира) на 2 г V в 4 мл  $\text{C}_6\text{H}_6$  при 0°, размешивают 2 часа, прибавляют еще 12 мл  $\text{C}_6\text{H}_6$ , и оставляют смесь в холодильнике на 24 часа, после обычной обработки и нагревания (45 мин., 320°) в присутствии 0,1 г Pd/C получают некристаллизирующееся масло, т. кип. 190—200°/0,001 мм, из которого не удается получить пикрат. При хроматографировании масла, растворенного в смеси равных кол-в  $\text{C}_6\text{H}_6$  и петр. эфира на  $\text{Al}_2\text{O}_3$ , образуется широкая флуоресцирующая в УФ-свете зона, вымыванием которой получен II, выход 0,8 г, т. пл. 124—125° (возгонка при 180°/0,001 мм, из петр. эф.); пикрат, т. пл. 190—192°. УФ-спектр I смещен в сторону более длинных волн. Батохромный сдвиг от 10 до 40 Å в области между 2370 и 2810 Å.

Т. Г. 25662. Превращение антрахинонов и родственных diketонов в углеводороды. Получение 6,11-диметилнафтацена и 4,9-диметилнафтиндазола. Ж. а-до, Руссель (Transformation des anthraquinones et dicétones apparentées en hydrocarbures. Préparation du diméthyl-6-11 naphhtacène et du diméthyl-4-9 naphhtindazole. J. adot J., Roussel J.), Bull. Soc. roy. sci. Liège, 1954, 23, № 11, 363—376 (франц.).

Изучены границы приложимости процесса превращения антрахинонов в углеводороды по описанному методу (Fieser, Sandin, J. Amer. Chem. Soc., 1940, 62, 1048), протекающему по приведенной типовой схеме. Исходными diketонами служили антрахинон (I),



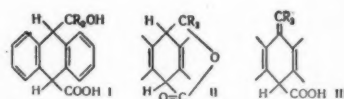
1, 2, 3, 4-тетраметилантрахинон (II), 2,3-тетральантрахинон (III), 1,2-тетральантрахинон (IV), нафтиндазолин-4,9 (V), 2,3-диметил-1,4-дигидроантрахинон (VI), нафтохинон-1,4 (VII), 2-метилнафтохинон-1,4 (VIII) и 2, 3, 8-триметилхромон (IX). При использовании  $\text{C}_2\text{H}_5\text{MgI}$  вместо  $\text{CH}_3\text{MgI}$  при р-ции с I выход подпроектированного снижается до 38%; с  $\text{C}_3\text{H}_7\text{MgBr}$ ,  $(\text{CH}_3)_2\text{CHCH}_2\text{MgBr}$  и  $(\text{CH}_3)_3\text{CMgCl}$  р-ция не идет.  $\text{CH}_3\text{MgI}$  гладко реагирует с хинонами, окислительно-восстановительный потенциал (ОВП) которых близок к ОВП I (0,182 е). Р-ция с нафтаценхиноном, обладающим низким ОВП, протекает в другом направлении. При действии  $\text{CH}_3\text{MgI}$  на хиноны с повышенным ОВП, напр., на VI (ОВП 0,351 е), VII (ОВП 0,491 е) или 1, 2, 3, 4-тетраметил-1,4-дигидроантрахинон (X) (ОВП 0,343 е) происходит главным образом восстановление до гидрохинона, наряду с образованием продуктов присоединения в 1,2- и 1,4-положения. Не удалось осуществить подметилирование VIII и IX. ОВП определены измерением потенциалов полувосстановления хинонов (титрование р-ром  $\text{TiCl}_3$ ). Хиноны с низким ОВП предварительно восстанавливают  $\text{H}_2$  в присутствии Pt (из  $\text{PtO}_2$ ) до гидрохинона и измеряют потенциал полуокисления последнего титрованием р-ром бензохинона. 6 г III (ОВП 0,136 е) прибавляют к р-ру  $\text{CH}_3\text{MgI}$  (из 54 г  $\text{CH}_3\text{I}$  и 6 г Mg в 80 мл эфира и 80 мл  $\text{C}_6\text{H}_6$ ) и через ~ 20 час. разлагают продукт р-ции при 0° смесью 40 мл  $\text{H}_2\text{O}$  (d 1,7), 40 мл 48-ной  $\text{HBr}$  и 200 мл  $\text{CH}_3\text{OH}$  и добавлением 200 мл лед.  $\text{CH}_3\text{COOH}$  осаждают 9-метил-10-подметил-2,3-тетральантрацен (XI),

выход 84%, т. разл. 90°; разлагается на свету. К 4 г XI в 120 мл диоксана и 12 мл конц.  $\text{HCl}$  прибавляют р-р 40 г  $\text{SnCl}_2$  в 120 мл конц.  $\text{HCl}$  и 100 мл диоксана; смесь кипятят 5 мин. и спустя 30 мин. р-р выливают в 2 л воды; выпавший 9,10-диметил-2,3-тетральантрацен (XII) превращают в пикрат, т. пл. 178—179°, и разложением пикрата выделяют XII, т. пл. 145° (из сп.). XII дегидрируют нагреванием с Se (30 час., 290—320°) и перегонкой при 150—170°/0,1 мм получают 6,11-диметилнафтацен (XIII), т. пл. 292° (из бал.); строение XIII подтверждено его УФ-спектром; при действии света (15 мин.) на р-р XIII в  $\text{CS}_2$  образуется фотоокисл XIII, т. разл. 180°. Из IV (ОВП 0,109 е) и  $\text{CH}_3\text{MgI}$  в описанных выше условиях получают 9-метил-10-подметил-1,2-тетральантрацен (XIV), выход 71%. При восстановлении XIV  $\text{SnCl}_2$  в диоксане образуется смола, из которой не удается выделить 9,10-диметил-1,2-тетральантрацен. Действием  $\text{CH}_3\text{MgI}$  на V и последующей обработкой  $\text{H}_2$  получают подпроектированное с выходом 47,5%, которое при восстановлении дает 4,9-диметилнафтиндазол (XV), выход 67,5%, т. пл. ~210° (разл.); пикрат, т. пл. 184—185° (из сп.). X и II получены из VII, введенного в р-цию диенового синтеза. 18,5 г VII прибавляют к р-ру 23 г 1, 2, 3, 4-тетраметилбутадиена-1,3 в 50 мл  $n\text{-C}_4\text{H}_9\text{OH}$  и смесь кипятят 15 час.; выход X 62%, т. пл. 145—146° (из сп.); образующееся при р-ции тетрагидропроизводное, очевидно, неустойчиво и легко отщепляет атомы H, находящиеся в положениях 11, 12. К р-ру 0,75 г Na в 30 мл  $n\text{-тор-}C_4\text{H}_9\text{OH}$  прибавляют 2 г X, кипятят 2 часа и выделяют II, выход 50%, т. пл. 232—233° (из лед.  $\text{CH}_3\text{COOH}$ ). ОВП 2,3-диметилантрахинона равен 0,137 е. Приведены УФ-спектры XIII и XV.

25663. Трансаннулярные лактоны и мезо-этиленовые дигидроантраценкарбоновые кислоты. Ригоди, Фартуа (Lactones transannulaires et acides dihydroanthracenecarboxyliques mésoéthyléniques. Rigaudy Jean, Farthouat Jean-Marie), C. r. Acad. sci., 1954, 238, № 25, 2431—2433 (франц.).

При дегидратации *цис-мезо-дигидроантраценкарбинол*кислот (I) (РЖХим, 1954, 10519) нагреванием в вакууме образуются трансаннулярные лактоны (II). Получены II ( $R = \text{CH}_3$ ) при 200°, выход колич., т. пл. 163°, и II ( $R = \text{C}_6\text{H}_5$ ) при 270°, выход 70%, т. пл. 305°. При щел. гидролизе II образуется 9, 10-дигидроантраценкарбоновая-9 к-та и  $\text{R}_2\text{CO}$ . Дегидратация I действием 5%-ного р-ра  $\text{H}_2\text{SO}_4$  в  $\text{CH}_3\text{COOH}$  (~20°) ведет к к-там (III), выход ~90%, из которых при р-ции с  $\text{CH}_3\text{OH}$ — $\text{HCl}$  образуются их метиловые эфиры (МЭ). Последние можно также получить дегидратацией эфиров I в  $\text{H}_2\text{SO}_4$ . Получены следующие III, указана т. пл. в °C:  $R = \text{CH}_3$ , 209, МЭ, 92;  $R = \text{C}_6\text{H}_5$ , 323—324, МЭ, 218—219. При нагревании II с 2 н.  $\text{HCl}$  образуются III, при  $R = \text{CH}_3$  выход 90%, при  $R = \text{C}_6\text{H}_5$  выход 70%.

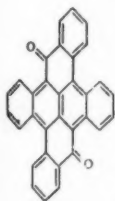
Я. К. 25664. Синтез и расщепление 9-фенантрилфенилового эфира. Хуан (The synthesis and cleavage of 9-phenanthryl phenyl ether. Huang R. L.), J. Chem. Soc., 1955, Sept., 3295—3296 (англ.). Нагреванием (250°, 2 часа) 35 г 9-бромфенантрена и 31 г фенола в присутствии 10 г КОН получен 9-фенилфенантриловый эфир (I), выход 17 г, т. пл. 80—81° (из бзл.-сп.), подвергнутый расщеплению в различных условиях. При нагревании (7 час., 200°) I с  $\text{CH}_3\text{MgI}$



получены фенол (4%) и I (51%); при 2-часовом действии 2,5 г Na на р-р 2 г I в смеси 20 мл эфира с 200 мл жидкого NH<sub>3</sub> получены фенол (0,6 г) и 9,10-дигидрофенантрин, выход 1,3 г, т. кип. 92—97°/0,5 мм,  $n_D^{20}$  1,6397. Нагревание смеси 8,1 г I,  $n$ -C<sub>4</sub>H<sub>9</sub>MgBr (из 21 г  $n$ -C<sub>4</sub>H<sub>9</sub>Br и 3,6 г Mg) и 11 г COCl<sub>2</sub> получены фенол (0,21 г), 9-фенантрол, выход 0,14 г, т. пл. 155—156° (из бэл.-цикло-гексана) и I (4,1 г).

Д. В. 25665. Синтезы в нафтаценовом ряду. Лурин (Synthèses dans la série des naphthacènes. Lougry Maurice), Ann. chimie, 1955, 10, sept. — oct., 807—823 (франц.)

Описан синтез диэтилового эфира (I) 9,11-дифенилнафтацендикарбоновой-10,12 к-ты (II), декарбоксилированного в 9,11-дифенилнафтацен (III). При действии конц. H<sub>2</sub>SO<sub>4</sub> I циклизуется в 1,2,4,5,6,7,9,10-тетрабензохинон-3,8 (иксон) (IV), окрашенный в яркое-зеленый цвет и обладающий свойствами нестойкого к солнечному свету кубового красителя для шерсти, льна, шелка и искусств. волокон; циклизация III H<sub>2</sub>SO<sub>4</sub> получен мезодифенилнафтацен (V). I синтезирован конденсацией Na-производного фенилацетилена с этиловым эфиром бензоилмуравьиной к-ты (VI) в диморфный

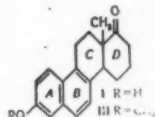


этиловый эфир (VII) фенилфенилэтинилгликолевой к-ты (VIII), превращенной р-цией с PCl<sub>5</sub> в хлорид (IX), циклизированный нагреванием с хинолином в I. Восстановлением IV Na<sub>2</sub>S<sub>2</sub>O<sub>4</sub> получен соответствующий гидрохинон (IVa) и из него диэтильное производное (IVb). К 18 г фенилацетилена в небольшом кол-ве эфира постепенно добавляют 4 г Na, приливают при охлаждении 32 г VI, затем 12 мл эфира и избыток воды и получают VII, выход 30%, т. кип. 185—190°, т. пл. 55—56° и 80—81°. Щел. гидролизом VII получают VIII, т. пл. 129—130° (разл., из бэл.). К р-ру 2 г VII в 25 мл C<sub>6</sub>H<sub>6</sub> добавляют 2 г PCl<sub>5</sub>, смесь кипятят, перегоняют и получают IX, который тотчас же смешивают с 4—5% хинолина, нагревают 1 час при 135—140° в вакууме, затем 30 мин. при 150—160° и получают I, выход 20%, т. пл. 270—271° (разл., из бэл.). Р-р 0,4 г I в 200 мл C<sub>6</sub>H<sub>6</sub> оставляют на несколько дней на дневном свету и получают фотоокисль, выход 0,2 г, т. пл. 255—256° (из бэл.), разлагающуюся при 180—190°/0,01 мм с выделением 17% O<sub>2</sub> и 31% CO<sub>2</sub>. Смесь 0,1 г I, 2 г K и 5 мл C<sub>2</sub>H<sub>5</sub>OH нагревают 5 час. при 150—160°, извлекают эфиром I и выделяют II, т. пл. 350—351° (разл., из эф.). При нагревании той же смеси в течение 5 час. получают III, т. пл. 301—302° (из бэл.); фотоокисль, т. пл. 235—236°, 0,2 г I растворяют при 65° в 20 мл конц. H<sub>2</sub>SO<sub>4</sub>, р-р выливают на лед и извлекают хлороформом IV, выход 90%, т. пл. 393—394°. Смесь 0,02 г IV, 0,05 г Na<sub>2</sub>S<sub>2</sub>O<sub>4</sub>, 0,2 г 70%-ного спирта и 0,5 мл 4%-ного р-ра КОН нагревают при 100° 10—15 мин., охлаждают, добавляют 2 мл CH<sub>3</sub>COOH, отделяют IVa, который ацетилируют (CH<sub>3</sub>CO)<sub>2</sub>O, содержащим H<sub>2</sub>SO<sub>4</sub>, и получают IVb, т. пл. 256—257° (разл., из бэл.). 0,01 г III и 5 мл конц. H<sub>2</sub>SO<sub>4</sub> размешивают 10—15 мин., охлаждают, добавляют 0,01 г FeCl<sub>3</sub>, и получают V, т. пл. 441—442°.

Д. В. 25666. Исследование конденсированных циклических систем. I. Реакция 7-метокси-1-кето-2-метил-1,2,3,4-тетрагидрофенантрена с метиловым эфиром  $\gamma$ -бромкотоновой кислоты; синтез DL-гомоэквилинина и превращение его метилового эфира в DL-эквилинин. Чжан Цзинь (環環化合物的研究 I. 甲氧基-1-氧代-2-甲基-1,2,3,4-四氢萘和  $\gamma$ -溴代巴豆酸甲酯的反应, dl-同去氢雌马酮的合成及由其甲醚的降逆而製成 dl-去氢雌马酮. 張錦), 化學學報, Хуасюэ сюэбао,

Acta chim. sinica, 1955, 21, № 2, 190—196 (кит.; рез. англ.)

Описан синтез DL-гомоэквилинина (I). Конденсацией 7-метокси-1-кето-2-метил-1,2,3,4-тетрагидрофенантрена с BrCH<sub>2</sub>CH = CHCOOCH<sub>3</sub> по р-ции Реформатского получен метиловый эфир  $\gamma$ -(1-окси-7-метокси-2-метил-1,2,3,4-тетрагидрофенантренил)-котоновой к-ты, из которого после гидрирования в абс. спирте с 5%-ным Pd/C, омыления 2 н. КОН и подкисления получена  $\gamma$ -(1-окси-7-метокси-2-метил-1,2,3,4-тетрагидрофенантренил)-масляная-1 к-та (II), выход 83%, т. пл. 148—150°. При P<sub>2</sub>O<sub>5</sub> II циклизуется в метиловый эфир дегидрогомоэквилинина, т. кип. 200—220°/0,05 мм, т. пл. 187—188°, который при гидрировании в C<sub>6</sub>H<sub>6</sub> с 5%-ным Pd/C превращается в метиловый эфир DL-гомоэквилинина (III), т. пл. 212—213°; при деметилировании III 48%-ной HBr образуется I, т. пл. 233—234°, идентичен с I, полученным по описанному методу (Bachmann, Holmes, J. Amer. Chem. Soc., 1941, 63, 2592). При действии KOH на III раскрывается цикл D и образуется  $\beta$ -(7-метокси-2-метил-2-карбокси-1,2,3,4-тетрагидрофенантренил)-пропионовая к-та, превращающаяся при р-ции с CH<sub>3</sub>N<sub>2</sub> в диметиловый эфир, который при действии р-ра CH<sub>3</sub>ONa циклизуется с отщеплением CH<sub>3</sub>OH в 16-карбометокси-DL-эквилинин, т. пл. 179—181°, который после декарбоксилирования и деметилирования превращается в DL-эквилинин (IV), т. пл. 275—277°, идентичен с IV, полученным ранее (Bachmann и др., J. Amer. Chem. Soc., 1940, 62, 824).



Я. К. 25667. Исследование конденсированных циклических систем. II. А. Расщепление  $\gamma$ -(6-метокси-2-карбокси-1,2,3,4-тетрагидро-1-нафтил)-масляной кислоты на D- и L-изомеры. Б. Получение метиловых эфиров D- и L-1-окси-2-метил-2-карбометокси-7-метокси-1,2,3,4,9,10,11,12-октагидрофенантренилуксусной кислоты. Чжан Цзинь (環環化合物的研究 II.  $\gamma$ -(6-甲氧基-2-羧基-1,2,3,4-四氢萘-1-丁酸)的拆開,乙. d及 1-1-氧基-2-甲基-2-甲氧基羧基-7-甲氧基-1,2,3,4,9,10,11,12-八氢萘-1-乙酸甲酯的合成. 張錦), 化學學報, Хуасюэ сюэбао, Acta chim. sinica, 1955, 21, № 3, 303—314 (кит.; рез. англ.)

Гидрированием  $\gamma$ -(6-метокси-2-карбокси-3,4-дигидро-1-нафтил)-масляной к-ты в присутствии 5%-ного Pd/C по описанному методу (Bachmann W. E. и др., J. Amer. Chem. Soc., 1942, 64, 974) получена одна из диастерео-изомерных форм  $\gamma$ -(6-метокси-2-карбокси-1,2,3,4-тетрагидро-1-нафтил)-масляной к-ты (I), выход 90%. I расщеплена на оптич. антиподы при помощи бруцина в абс. CH<sub>3</sub>OH. Бруциновая соль l-I (2 моля бруцина: 1 моль I, т. пл. 161—167°,  $[\alpha]_D^{25} = -74,0^\circ$ ) менее растворима и выделяется в кристаллич. форме; после ее растворения в CHCl<sub>3</sub>, встряхивания с 2 н. NaOH (4 раза) и подкисления шел. р-ра получена чистая l-I, т. пл. 171—172° (из бэл.-сп.),  $[\alpha]_D^{25} = +123^\circ$ . Упариванием маточного р-ра после отделения бруциновой соли l-I получен смолистый остаток, из которого после обычной обработки выделена d-I, т. пл. 171—172° (из бэл.-сп.),  $[\alpha]_D^{25} = +121^\circ$ . Действием CH<sub>3</sub>N<sub>2</sub> на l-I получен диметиловый эфир I, который после циклизации по Дикману и метилирования CH<sub>3</sub>J превращен в жидкую смесь диастереоизомеров 1-кето-2-метил-2-карбометокси-7-метокси-1,2,3,4,9,10,11,12-октагидрофенантрена (II) (D-форма). Менее растворимый изомер, т. пл. 114—116°,  $[\alpha]_D^{25} = +89^\circ$  (в абс. сп.), выделен кристаллизацией из ацетона+петр. эфира. Аналогично из d-I

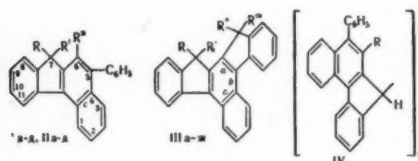
получена жидкая смесь диастереоизомерных I-II и из нее выделен менее растворимый изомер, т. пл. 114—116° (из ацетона + петр. эф.),  $[\alpha]_D^{25} - 90,4^\circ$ . Из D-II и  $\text{BrCH}_2\text{COOCH}_3$  по р-ции Реформатского получен диметилловый эфир 1-окси-2-метил-2-карбометокси-7-метокси-1,2,3,4,9,10,11,12-октагидрофенантрин-1-уксусной к-ты (III), (D-форма), т. пл. 86—88°,  $[\alpha]_D^{25} + 113,6^\circ$  (в абс. сп.). Аналогично из L-II получен L-III, т. пл. 86—88°,  $[\alpha]_D^{25} - 113^\circ$  (в абс. сп.). Я. К.

25668. Исследование конденсированных циклических систем. III. Взаимодействие 1-кето-2-метил-7-метокси-1,2,3,4,9,10,11,12-октагидрофенантрена с метиловым эфиром  $\gamma$ -бромкетоновой кислоты по реакции Реформатского. Чжан Цзинь (環氧化合物的研究 III. 1-氧代-2-甲基-7-甲氧基-1,2,3,4,9,10,11,12-八氢化菲與  $\gamma$ -溴代巴豆酸甲酯的 Reformatsky 反应. 張錦, 化學學報, Хуасюэ сюэбао, Acta chim. sinica, 1955, 21, № 3, 315—319 (кит.; рез. англ.))

Щелочным гидролизом 1-кето-2-метил-2-карбометокси-7-метокси-1,2,3,4,9,10,11,12-октагидрофенантрена получен 1-кето-2-метил-7-метокси-1,2,3,4,9,10,11,12-октагидрофенантрин (I), выход 95%, т. пл. 116—117°. Конденсацией I с  $\text{BrCH}_2\text{COCH}_3 = \text{CHCOOCH}_3$  по р-ции Реформатского получен метиловый эфир  $\gamma$ -(1-окси-2-метил-7-метокси-1,2,3,4,9,10,11,12-октагидрофенантрин-1)-кротоновой к-ты, из которого гидролизом над 5%-ным  $\text{Pd/C}$  с последующим гидролизом разб. р-ром КОН в  $\text{CH}_3\text{OH}$  получена Na-соль и после подкисления  $\gamma$ -(1-окси-2-метил-7-метокси-1,2,3,4,9,10,11,12-октагидрофенантрин-1)-масляная к-та, выход 93%, т. пл. 168—169° (из бзл.). Я. К.

25669. Бензфлуорены и бензинденофлуорены. Этьен, Ле-Берр (Sur quelques benzofluorènes et benzo-indénofluorènes. Etienne André, Le Berre André, C. r. Acad. sci., 1954, 239, № 2, 176—178 (франц.))

Описаны аутоокисление, окисление, восстановление и другие р-ции производных бенз-[c]-флуорена (Ia—d), 6-метилбенз-[c]-флуорена (IIa—d) и бенз-[c]-индено-[2,1-a]-флуорена (IIIa—ж). Ia и IIa пре-



I R' = H, II R' = CH<sub>3</sub> (a R = OH, R' = H; б R + R' = O; в R = R' = H; г R = Br, R' = H; д R = COCH<sub>3</sub>, R' = H);  
III (a R + R' = R'' + R''' = O; б R = R'' = OH, R' = R''' = H;  
в R + R' = O, R'' = R''' = H; г R + R' = O, R'' = Br, R''' = H;  
д R = OH, R' = R'' = R''' = H; е R = R'' = Br, R' = R''' = H;  
ж R = R' = R'' = R''' = H)

вращаются при аутоокислении в щел. среде ( $\text{CH}_3\text{OK}$ ) (Weiss R. и др., Monatsh. Chem., 1932, 61, 162; Etienne и др., Bull. Soc. chim., 1952, 19, 750) или при нагревании на воздухе до  $\sim 300^\circ$  в соответствующие флуорены Iб и IIб. При нагревании Ia и IIa в вакууме ( $< 1$  мм) происходит дисмутация этих спиртов и образуются равномолекулярные кол-ва соответствующих флуоренов, Iб или IIб и флуоренов, Iв (т. пл. 128° (из сп.)) или IIв (т. пл. 185—186° (из этилацетата)). Iв и IIв вместе с небольшими кол-вами 5,5'-дифенил-бис-(7-Н-бенз-[c]-флуоренила-7,7') (IV), т. пл. 330—331° (из ксилола) или его 6,6'-диметилпроизвод-

ного, т. пл. 365—366° (из ксилола), могут быть получены также восстановлением соответственно Iг или IIг  $\text{Zn}$  и  $\text{CH}_3\text{COOH}$ . Из Iг и КОН в  $\text{CH}_3\text{OH}$  в присутствии диоксана получен 5,5'-дифенил-бис-(7-Н-бенз-[c]-флуоренила-7,7'), т. пл. 280° (из бзл.) и незначительное кол-во Iб. Кипячением Iг и IIг в  $\text{CH}_3\text{COOH}$  в присутствии  $\text{CH}_3\text{COOK}$  получен Id, т. пл. 127—129°, или Id, т. пл. 178—179° (из сп.). Восстановлением IIIa действием  $\text{KBH}_4$  в  $\text{CH}_3\text{OH}$  и  $\text{CHCl}_3$  получен IIIб, т. пл. 310—313°; в щел. среде IIIб легко аутоокисляется обратно до IIIa. Нагреванием IIIб при т-ре плавления или в кипящем  $\text{C}_{10}\text{H}_8$  в вакууме получен IIIв, т. пл. 255° (из ксилола), обработкой IIIв N-бромсукцинимидом в  $\text{CCl}_4$  получен IIIг, т. пл. 252—253° (из ксилола); IIIв и IIIг при окислении  $\text{SeO}_2$  в  $\text{CH}_3\text{COOH}$  дают IIIa. Восстановлением IIIв  $\text{KBH}_4$  в спирте и  $\text{CHCl}_3$  (кипение) получен IIIд, т. пл. 263—264° (из диоксана). Обработкой IIIб  $\text{HBr}$  в  $\text{CH}_3\text{COOH}$  получают IIIе, т. пл. 315—318° (из диоксана); восстановлением IIIе получен IIIж, т. пл. 218—219° (из ксилола). П. К.

25670. Раскрытие фуранидинового кольца хлорангидридами кислот. Луткова В. П., Куценко Н. П., Иткина М. П., Ж. общ. химии, 1955, 25, № 11, 2102—2104

При выяснении механизма и условий р-ции раскрытия фуранидинового кольца установлено, что фуранидин (I) под действием  $\text{POCl}_3$  и  $\text{SOCl}_2$  в присутствии небольшого кол-ва  $\text{ZnCl}_2$  дает 4,4'-дихлордибутиловый эфир (II) с примесью 1,4-дихлорбутана (III). При увеличении кол-ва  $\text{ZnCl}_2$  до 10% от веса I в основном получен III с примесью II. Установлено, что II является промежуточным продуктом при получении III из I. К смеси 72 г I и 1 г безвод.  $\text{ZnCl}_2$  при 60° постепенно добавляют 119 г  $\text{SOCl}_2$ , нагревают при 120° до прекращения выделения  $\text{SO}_2$ , выливают в насыщ. р-р  $\text{NaCl}$ , отделяют органич. слой и получают III, выход 17%, т. кип. 48—50°/13 мм,  $n_D^{20}$  1,4520,  $d_4^{20}$  1,1280, и II, выход 64,3%, т. кип. 126—128°/13 мм,  $n_D^{20}$  1,4568,  $d_4^{20}$  1,0810. Аналогично из 1 моля I и  $\text{ZnCl}_2$  (до 10% от веса I) получают III, выход 71,0%, и II, выход 14,2%. К смеси 102 г  $\text{POCl}_3$  и 12 г безвод.  $\text{ZnCl}_2$  при 60—70° добавляют 72 г I, нагревают до 100—107°, по охлаждению  $\text{HCl}$  (газа) отделяют III, выход 60%, и II, выход 7%. Аналогично из 1 моля I и  $\text{POCl}_3$  в присутствии 0,5 г  $\text{ZnCl}_2$  получают III, выход 55%, и II, выход 12%, а из 75 г II получают III, выход 57,5%. Р. Ж.

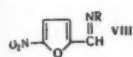
25671. Синтез некоторых производных 5-нитрофурфура и их антибактериальная активность in vitro. Фенек, Томмазини, Ла-Роза (Sintesi di alcuni derivati del 5-nitrofurfurolo e loro attivita' antibatterica in vitro. Fenech G., Tommasini A., La Rosa C.), Farmaco Ed. scient., 1955, 10, № 7, 398—412 (итал.; рез. англ.)

Для продолжения изучения антибактериальной активности производных фурфура (см. РЖХим, 1955, 13982) синтезирован ряд продуктов конденсации 5-нитрофурфура (I) с ароматич. аминами. В зависимости от природы ароматич. амина конденсация с I приводит к различным соединениям. При р-ции I с анилином (II), *п*-толуидином (III), *о*-толуидином (IV), бензидином (V), *о*-толидином (VI) и гидразидом изоникотиновой к-ты (VII) образуются Шиффовы основания типа (VIII). При р-ции I с ароматич. аминами, содержащими отрицательные заместители: *о*-аминобензойной к-той (IX), метиловым эфиром IX (X), этиловым эфиром *п*-аминобензойной к-ты (XI), *п*-аминосалициловой к-той (XII), *п*-аминобензосульфокислотой (XIII), уретаном (XIV), *п*-аминоацетофеноном (XV), *п*-аминоазобензолом (XVI), *о*-нитроанилином (XVII) и *о*-хлор-



анилином (XVIII) образуются соединения типа  $RNHC(NO_2)CH=CHCOCH_2NR$  (XIXa) или  $RNHCOSCH=CHCH(NO_2)NR$  (XIXб). VIII характеризуются  $\lambda_{\max}$

380—370 мμ; у VIII, полученных из V и VI, а также у XIX этот максимум отсутствует. VIII обнаружили заметную антибактериальную активность in vitro по отношению к *E. typhi*, *E. coli*, *S. aureus*, *Str. equi*. Из в-в типа XIX аналогичной активностью обладают только XIX ( $R=о$ -карбометокси-фенил) и XIX ( $R=n$ - $CH_2COC_6H_5$ ).



Все XIX активны по отношению к *Str. equi*. К охлажд. льдом р-ру 0,46 г II в 500 мл воды добавляють прокипяченный в течение нескольких минут р-р 1,21 г 5-нитрофурфурилидендианетата (XX) в 8 мл смеси  $CH_3OH + вода + конц. H_2SO_4$  (2:1:1 по объему) и присыпают 10 г  $CH_3COONa$ , получают 0,62 г VIII ( $R=C_6H_5$ ), т. пл. 127—128° (из бал.). Аналогично из 0,53 г II и 1,21 г XX получают 0,85 г VIII ( $R=n$ - $CH_2C_6H_5$ ), т. пл. 130—130,5° (из сл.); из 1,07 г IV в 800 мл воды и 2,42 г XX — 1,5 г VIII ( $R=о$ - $CH_2C_6H_5$ ), т. пл. 66—67° (из циклогексана). К 2,42 г XX в 8 мл  $CH_3OH$  и 4 мл воды добавляют 0,92 г V в 8 мл  $CH_3OH$  и 2,2 г  $CH_3COONa$  в 2 мл воды, нагревают 30 мин. на водяной бане, получают 1,62 г VIII ( $R=C_6H_4C_6H_4N=CHC=CHCH=C(NO_2)O$ ), в виде не-

плавящегося порошка. К теплomu р-ру 1,06 г VI в 50 мл  $CH_3OH$  и 400 мл воды добавляют 20 г  $CH_3COONa$  и по каплям р-р 2,42 г XX в водно-метанольной  $H_2SO_4$  (см. выше); через несколько часов (охлаждение льдом) выделяют 1,8 г VIII ( $R=C_6H_3(CH_3)C_6H_3(CH_3)N=CHC=CHCH=C(NO_2)O$ ), т. пл. 105—110° (разл.);

из гликоля + вода, 3,5:1). Сернокислый р-р 3,63 г XX и 2,07 г VII в 15 мл воды умеренно нагревают и охлаждают льдом, получают VIII ( $R=NHCOOC_5H_7N$ ). Аналогично VIII ( $R=C_6H_5$ ) из 0,68 г IX в 250 мл воды и 1,21 г XX получают 0,3 г XIX ( $R=о$ - $HOOC_6H_4$ ), микрокристаллич. кирпично-красный порошок (из сл. + вода, 1:1) не плавится. 0,64 г X по каплям прибавляют к полученному обычным образом теплomu р-ру 1,21 г XX, выход XIX ( $R=о$ - $CH_2OOC_6H_4$ ) 1,15 г, т. пл. 89—92° (разл.; из  $C_6H_{11}OH$ ); аналогично из 1,21 г XX и 0,82 г XI в 8 мл  $CH_3OH$  получают 0,70 г XIX ( $R=n$ - $C_2H_5OOC_6H_4$ ), т. пл. 209—210° (разл.; из сл.). К 3,62 г XX и 1,33 г XIV при охлаждении охлаждающей смесью прибавляют по каплям 2 мл конц. HCl, через 15 мин. приливают 2 мл спирта, осторожно нагревают, через несколько минут выделяют 3,5 г XIX ( $R=COOC_2H_5$ ), т. пл. 147—148° (из сл.). Из р-ра 1,21 г XX и 0,7 г XII в 10 мл  $CH_3OH$  (нагревание на водяной бане 1 час) получают 1,15 г XIX ( $R=3-OH-4-HOOC_6H_3$ ), неплавящийся порошок. Из сернокислого р-ра 1,21 г XX и 0,95 г XIII в 15 мл воды (нагревание несколько минут, охлаждение несколько часов) получают 0,75 г XIX ( $R=nHO_3SC_6H_4$ ), кристаллы (из воды), не плавятся. Из 0,68 г XV в 10 мл воды и сернокислого р-ра XX (охлаждение льдом) получают 1,5 г XIX ( $R=nCH_2COC_6H_4$ ), т. пл. 137—138° (разл.; из монометилгликоля + вода, 1:1). В обычных условиях 1,21 г XX и 0,63 г XVI в 5 мл  $CH_3OH$  дают 0,75 г XIX ( $R=C_6H_4N=NC_6H_5-n$ ), т. разл. 250° (из сл.); аналогично 1,21 г XX и 0,69 г XVII (нагревание на водяной бане 30 мин.) образует XIX ( $R=C_6H_4NO_2-o$ ), т. пл. 140—146° (из  $C_6H_{11}OH$ ). 0,63 г XVIII добавляют по каплям к сернокислому р-ру 1,21 г XX, нагревают несколько минут, охлаждают (~0°) несколько дней,

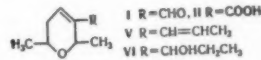
получают 0,6 г XIX ( $R=C_6H_4Cl-o$ ), т. пл. 132° (разл.; из  $C_6H_{11}OH$ ). Л. Я. 25672.

Производные 4-нитросалицилового альдегида. Сообщение 2. Хлоргидрат 6-аминокумарона и некоторые органические соединения, образующие комплексы с ионами тяжелых металлов. Гансер, Румпф (Dérivés de l'aldéhyde nitro-4-salicylique. 2-e communication. Le chlorhydrate de l'amine-6-coumarone et quelques composés organiques fournissant des complexes chélatés avec des ions de métaux lourds. Gansser Ch., Rumpf P.), Helv. chim. acta, 1954, 37, № 2, 437—443 (франц.).

Описано получение хлоргидрата 6-аминокумарона (I) восстановлением 6-нитрокумарона при небольшом давлении  $H_2$  и нагревании над скелетным Ni с последующим пропусканием в р-р HCl (газа); I, т. пл. 204—205° (разл.; из сл.-эф.). Нагреванием эквимольных кол-в соответствующих альдегидов с изоникотиноилгидразином в спирт. или водно-спирт. р-рах синтезированы изоникотиноилгидразоны *n*-нитросалицилового (II), т. пл. 292° (разл.; из сл.) и *n*-ацетиламино-о-хлорбензойного (III), т. пл. 281° (разл.), альдегидов. II восстановлен над скелетным Ni в изоникотиноилгидразон *n*-аминосалицилового альдегида (IV), выход 100%, т. пл. 251—252° (разл.; моногидрат). Показано, что при получении 2-оксифенилтиомочевины нагревание исходных *о*-аминофенола и KCNS в водн. р-ре дает лучшие результаты, чем нагревание голым огнем. Исследована антитуберкулезная активность II, III, IV и некоторых в-в, способных образовывать комплексные соли с ионами тяжелых металлов. Сообщение 1 см. РЖХим, 1955, 28924. Д. В. 25673.

О димере кротонового альдегида и его производных. Деленин, Амьяр, Бадоне, Компаньон, Оро, Жак, Вильмар (Sur le dimère de l'aldéhyde crotonique et ses dérivés. Delépine Marcel, Amiard Gaston, Badoche Marius, Compagnon Patrice, Horeau Alain, Jacques Jean, Willemart Antoine), Ann. chimie, 1955, 10, jan.-fevr., 5—34 (франц.).

Установлено строение димера кротонового альдегида (I), полученного действием  $H_2SO_4$  на паральдегид; исследованы некоторые р-ции и производные I. Строение углеродного скелета I доказано гидрированием 2,6-эпоксигентен-3-карбионовой-3 к-ты (II) (полученной окислением I и разделенной в виде солей эфедрина на опич. изомеры) над скелетным Ni или над Pt (из  $PtO_2$ ); в первом случае часть II изомеризуется в неизменяющуюся в этих условиях гентен-2 к-ту (III), а часть гидрируется в 2,6-эпоксигентанкарбионовую-3 к-ту (IV), строение которой подтверждено образованием при действии HBr



6-бромгептена-2, превращенного р-цией с  $CH_3COOAg$  в гентен-5-ол-2; во втором случае получены два изомера IV и некоторые продукты их превращений; в этих условиях III также гидрируется в IV. Положение двойных связей доказано диеновым синтезом 1,3,7-триметил-5,6,7,10-тетрагидроизохромандикарбионовой к-ты из маленового ангидрида и 3-пропенил-2,6-эпоксигентена-2 (V), полученного дегидратацией вторичного спирта (VI). I образует с ароматич. аминами Шиффовы основания, которые, присоединяя по двойной связи вторую молекулу амина, превращаются в амино-имины, гидролизуемые к-тами в аминальдегиды, циклизующиеся в дигидрохинолины. Синтезированы амиды *цис*- и *транс*-II, превращенные в амины и далее в спирты, а также насыщ. спирт, соответствующий I. Показано, что одновременно с I образуется незначительное кол-во тримера кротонового альдегида, окисленного в со-

ответствующую к-ту, изомеризованную в присутствии скелетного Ni; получены хлорангидриды обеих к-т и исследованы продукты их гидрирования. Д. В.

**25674.** Синтезы в ряду пирана. Сообщение I. Превращение  $\alpha$ -оксиметил- $\delta$ -лактонов в эфиры 2-метокситетрагидропиранкарбоновой-3 кислоты. Корте, Махлейдт (Synthesen in der Pyranreihe; 1. Mitteilung: Die Umlagerung von  $\alpha$ -oxymethylen- $\delta$ -lactonen zu 2-methoxy-tetrahydropyran-carbonsäure-(3)-estern. Korte Friedhelm, Machleidt Hans), Chem. Ber., 1955, 88, № 1, 136—143 (нем.)

Найдено, что  $\alpha$ -оксиметил- $\beta$ -метил- $\delta$ -капролактон (I) в 3%-ном р-ре HCl в  $\text{CH}_3\text{OH}$  превращается в 2-метокси-3-карбометокси-4,6-диметилтетрагидропиран (II). При нагревании II в присутствии каталитич. кол-ва  $\text{H}_2\text{SO}_4$  образуется с отщеплением  $\text{CH}_3\text{OH}$  3-карбометокси-4,6-диметил-5,6-дигидро-4-Н-пиран (III). Омыление II р-ром NaOH дает 2-метокси-4,6-диметилтетрагидропиранкарбоновую-3 к-ту. I получен конденсацией  $\beta$ -метил- $\delta$ -капролактона с  $\text{HCOOCH}_3$  в присутствии Na, выход 64%, т. пл. 68—68,5°. В тех же условиях  $\beta$ -метил- $\Delta\beta$ , $\gamma$ - $\delta$ -гексеноллактон (IV) не конденсируется с  $\text{HCOOCH}_3$ , а превращается в  $\beta$ -метилсорбиновую к-ту (V), каталитич. гидрированием которой получена  $\beta$ -метилкапроновая к-та (VI). Превращение IV в V идет через стадию образования  $\beta$ -метил- $\Delta\alpha$ , $\beta$ - $\delta$ -гексеноллактона (VII). Подобно IV  $\beta$ , $\delta$ -диметил- $\Delta\beta$ , $\gamma$ - $\delta$ -гексеноллактон (VIII) дает  $\beta$ , $\delta$ -диметилсорбиновую к-ту (IX). V в присутствии  $\text{H}_2\text{SO}_4$  легко циклизуется в VII. Аналогично циклизуется IX.  $\alpha$ -оксиметил- $\gamma$ -бутиролактон (X) превращается в 5%-ном р-ре HCl в абс.  $\text{CH}_3\text{OH}$  в 2-метокси-3-карбометокситетрагидрофуран (XI), который при нагревании с 3 каплями  $\text{H}_2\text{SO}_4$  образует 3-карбометокси-4,5-дигидрофуран (XII). X получают конденсацией бутиролактона (XIII) с  $\text{HCOOCH}_3$  в присутствии Na, выход 19,5%, т. кип. 68°/0,03 мм, т. пл. 72,5—73,5° (из абс. диоксиана + петр. эфир). При применении р-ра  $(\text{NH}_4)_2\text{SO}_4$  (для повышения выхода X высаливанием) образуется  $\omega$ , $\omega'$ -имино-бис-[ $\alpha$ -метил- $\gamma$ -бутиролактон] (XIV), т. пл. 225—227°, который превращается в XI в 35%-ном р-ре HCl в абс.  $\text{CH}_3\text{OH}$ . В р-р 40 г I в 350 мл абс.  $\text{CH}_3\text{OH}$  пропускают сухой HCl до достижения конц-ии HCl 3%. Через 12 час. (~20°) добавляют р-р 80 г  $\text{K}_2\text{CO}_3$  в 1 л воды, экстрагируют эфиром, и фракционированием получают II в виде масла, выход 58%, т. кип. 56—57,5°/2 мм. Аналогично нагреванием X в 5%-ном р-ре HCl в абс.  $\text{CH}_3\text{OH}$  в течение 10 час. получают XI, выход 57,3%, т. кип. 84—85°/12 мм, 10 г II нагревают с несколькими каплями  $\text{H}_2\text{SO}_4$  при 135—145° в токе азота 1,5 часа; при этом отгоняется 1,8 мл  $\text{CH}_3\text{OH}$ . После нейтр-ции смеси  $\text{K}_2\text{CO}_3$  и перегонки в вакууме получают III, выход 82%, т. кип. 91—92°/12 мм. Аналогично из XI получают XII, выход 60,3%, т. кип. 75—76°/11 мм, при стоянии кристаллизуется. К суспензии 0,2 г-атом. Na в 200 мл абс. эфира прибавляют 0,2 мл  $\text{CH}_3\text{OH}$  и затем по каплям р-р 0,2 моля IV и 0,2 моля  $\text{HCOOCH}_3$  в 50 мл абс. эфира. Через 12 час. смесь разлагают водой, отгоняют эфир, фильтруют и подкисляют 30 мл конц. HCl; выход V 59,6%, т. пл. 106—107° (из воды), УФ-спектр  $\lambda$  265,2 м $\mu$ ,  $\lg \epsilon$  4,2. Из V гидрированием на Pd/C (17°, 6 час.) получают VI, выход 73,4%, т. кип. 108°/12 мм. К суспензии 0,1 г-атом. Na в 125 мл эфира добавляют 0,1 моля  $\text{C}_6\text{H}_5\text{OH}$  и через 12 час. 0,1 моля VIII в 300 мл абс. эфира, выпавшую Na-соль растворяют в  $\text{H}_2\text{O}$  и подкислением выделяют IX, выход 85,8%, т. пл. 67,5°. Аналогично VII дает VI, выход 83,2%, 3 г V растворяют в 15 мл конц.  $\text{H}_2\text{SO}_4$  и через 12 час. р-р добавляют по каплям к 350 мл воды, экстрагируют эфиром, отгоняют эфир и перегонкой остатка получают в-во,

выход 200 мг, т. кип. 125°/13 мм, по т-ре кипения и ИК-спектру идентичное VII. В. С.

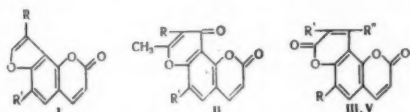
**25675.** Ряд пирана. Часть II. 4,5,6-триарилипираны-2. Солиман, Эль-Холи (Pyrone series. Part II. 4,5,6-triaryl-2-pyrone. Soliman Gabra, El-Kholy Ibrahim El-Sayed), J. Chem. Soc., 1955, Aug., 2911—2915 (англ.)

Конденсация дезоксибензона (I) с этиловым эфиром фенилпропиоловой к-ты (II) в присутствии  $\text{C}_2\text{H}_5\text{ONa}$  приводит к этиловому эфиру (*транс*-III) *транс*- $\beta$ -дезилкоричной к-ты (*транс*-IIIa) и 4,5,6-трифенилпирану-2 (IV), образование которого объясняется циклизацией промежуточно образующегося *цис*-III. При щел. расщеплении IV получена смесь *цис*-IIIa и 5-оксо-3,4,5-трифенилпентен-3-овой к-ты (V). Найдено, что из *транс*-III в присутствии следов HCl (к-ты) (в р-ре  $\text{CH}_3\text{OH}$ ) образуется метиловый эфир V (Va). При действии на Va  $\text{C}_2\text{H}_5\text{ONa}$  или спирт. р-ра KOH образуется лишь IV (а не смесь *транс*-III и IV, как можно было бы ожидать). Строение V доказано озонлизом до бензила (VI) и метилового эфира бензилуксусной к-ты, идентифицированного гидролизом до ацетофенона (VIa), (2,4-динитрофенилгидразон, т. пл. 248°) (тогда как озонлиз *цис*-III приводит к VI, шавелевой и бензойной к-там; образование дибензоилфенилметана констатировать не удалось). Авторы считают, что наличие в молекуле III группировки  $\text{OCCNC}=\text{CCO}$  хорошо объясняет подвижность двойной связи, легкость образования IV как из *цис*-III, так и из Va и присутствие V среди продуктов щел. гидролиза IV. Взаимодействие II с 4-метокси-(Ia) и 4,4'-диметоксидезоксибензоном (Ib) протекает аналогично описанному для I и приводит соответственно к смеси 6-метоксифенил-4,5-дифенилпирана-2 (IVa) с этиловым эфиром (*транс*-VII) *транс*- $\beta$ -4-метоксидезилкоричной к-ты (*транс*-VIIa) и 5,6-ди-*n*-метоксифенил-4-фенилпирана-2 (IVb) с этиловым эфиром (*транс*-VIII) *транс*- $\beta$ -4,4'-диметоксидезилкоричной к-ты (*транс*-VIIIa). Из *транс*-VII аналогично Va получен метиловый эфир (IX) 5-оксо-3,4-дифенил-5-*n*-метоксифенилпентен-3-овой к-ты (IXa). При щел. расщеплении IVa получена смесь *цис*-VIIa и IXa, а циклизация *цис*-VII и IX аналогично *цис*-III и Va вновь приводит к IVa. При конденсации II с мезо-С-метилдезоксibenзоном (X) получен этиловый эфир  $\beta$ -(1-бензоил-1-фенилэтил)-коричной к-ты (XI). Мезо-С-фенилдезоксibenзонин с II не реагирует. Пиролиз *цис*-IIIa и V приводит к *транс*-1-оксо-1,2,3-трифенилбутену-2 (*транс*-XII). Строение *транс*-XII установлено на основании следующих данных: *транс*-XII не реагирует с реактивами на CO-группу и его озонлиз приводит к VI и VIa, тогда как *цис*-XII (имеющий более низкую т-ру плавления) при окислении дает VIa и  $\text{C}_6\text{H}_5\text{COOH}$ , а изомерный им кетов  $\text{C}_6\text{H}_5\text{CH}[\text{C}(\text{C}_6\text{H}_5)=\text{CH}_2]\text{COC}_6\text{H}_5$  образует при озонлизе  $\text{CH}_2\text{O}$  и дает оксим. Пиролиз *цис*-VIIa аналогично *цис*-IIIa приводит к *транс*-1-*n*-метоксифенил-1-оксо-2,3-дифенилбутену-2 (XIII). 1 моль I и 1 моль II прибавляют при ~0° к суспензии 1 моля  $\text{C}_2\text{H}_5\text{ONa}$  в эфире, оставляют на 2 дня при ~0°, выливают в воду и получают IV, выход 4,5 г, т. пл. 246°; побочно образуются *транс*-III, т. пл. 127° (разл.; из бэл.-петр. эф.),  $[\alpha]_D^{20} + 10,9^\circ$  (с 2,21; бэл.),  $\text{C}_6\text{H}_5\text{COOH}$  и *цис*-IIIa, т. пл. 190° (разл.; из бэл.); при проведении конденсации I и II при ~20° получены IV и *транс*-III с выходами соответственно 2,5 г и 4,6 г. 3 г IV кипятят в течение 6 час. с 40 мл 10%-ного р-ра KOH в  $\text{CH}_3\text{OH}$ , отгоняют  $\text{CH}_3\text{OH}$ , разбавляют водой, извлекают эфиром и получают: из водн. слоя  $\text{C}_6\text{H}_5\text{COOH}$  и  $\beta$ -бензилкоричную к-ту, т. пл. 169° (из бэл.-петр. эф.), метиловый эфир, т. пл. 56° (из петр. эф.), а из эфирного слоя — *цис*-XII, т. пл. 90°. При окислении 0,4 г *цис*-XII (15 мл лед.  $\text{CH}_3\text{COOH}$ ,

0,4 г  $\text{CrO}_3$  в 5 мл лед.  $\text{CH}_3\text{COOH}$  + несколько капель воды, 1 час;  $\sim 16^\circ\text{C}$ ,  $\sim 20^\circ\text{C}$ ) получена  $\text{C}_6\text{H}_5\text{COOH}$  (0,2 г) и **VIa**, 2,4-динитрофенилгидразон, т. пл. 248°. 4 г **IV** нагревают в 60 мл 5%-ного р-ра  $\text{KOH}$  в  $\text{CH}_3\text{OH}$  до растворения, разбавляют водой, извлекают эфиром, подкисляют воды, слой, извлекают эфиром, экстракт выпаривают, остаток кипятят с циклогексаном, фильтруют, осадок подвергают фракционной кристаллизации из  $\text{C}_6\text{H}_6$  и получают из первой фракции с т. пл.  $180^\circ$  (фильтрат — р-р **A**) **цис-IIIa**, метиловый эфир (**цис-IIIb**) (из **цис-IIIa** и  $\text{CH}_3\text{N}_2$ ), т. пл.  $130^\circ$  (из  $\text{CH}_3\text{OH}$  или бэл.-петр. эф.),  $[\alpha]_D^{20} + 14,8^\circ$  (с 2,03; бэл.); **цис-III** (1 г  $\text{Ag}$ -соли **цис-IIIa**, 5 г  $\text{C}_2\text{H}_5\text{J}$ , кипячение 2 часа), т. пл.  $93^\circ$  (из петр. эф.). **цис-III** и **цис-IIIb** не изменяются при нагревании со спиртом, содержащим следы  $\text{HCl}$ , и дают **IV** при обработке 1 моле  $\text{C}_6\text{H}_5\text{ONa}$  в эфире, или в спирте — несколькими каплями 5%-ного спирт. р-ра  $\text{KOH}$ . Из р-ра **A** получают **V**, т. пл.  $149^\circ$  (разл.), **Va** (из **V** и  $\text{CH}_3\text{N}_2$ ), т. пл.  $107^\circ$  (из  $\text{CH}_3\text{OH}$ ); **Va** получен также при кипячении (30 мин.) 1 г **транс-III** в 30 мл  $\text{CH}_3\text{OH}$ , содержащем 3 капли конц.  $\text{HCl}$ , причем образуется также 0,1 г **IV**. 0,5 г **цис-IIIa** нагревают при т-ре немного выше ее т-ры плавления до прекращения выделения  $\text{CO}_2$ , остаток растворяют в кипящем петр. эфире и получают **транс-XII**, т. пл.  $105^\circ$ . Аналогично **IV** из 5 г **II** и 6,5 г **Ia** или 7,4 г **Ib** получены соответственно: **Ia**, выход 3,3 г, т. пл.  $200^\circ$  (из бэл.), и **транс-VIIa**, выход 4,4 г, т. пл.  $151^\circ$  (разл.; из бэл.-петр. эф.) (побочо образуются *n*-анисовая к-та и **цис-VIIa**), и **Ib**, выход 3,1 г, т. пл.  $153^\circ$  (из  $\text{CH}_3\text{OH}$ ), и **транс-VIII**, выход 6,8 г, т. пл.  $150^\circ$  (разл.). Расщепление **Ia** под действием р-ра  $\text{KOH}$  в  $\text{CH}_3\text{OH}$  протекает аналогично **IV** и приводит к **цис-VIIa**, т. пл.  $196^\circ$  (из бэл.), метиловый эфир **цис-VIIa**, т. пл.  $140^\circ$  (из  $\text{CH}_3\text{OH}$ ), и неочищ. **IXa**, т. пл.  $163^\circ$  (разл.). Аналогично **Va** из 0,5 г **транс-VII** получен **IX**, т. пл.  $113^\circ$  (из  $\text{CH}_3\text{OH}$ ), одновременно образуется также **Ia**, выход 0,15 г; **IX** получен также при метилировании неочищ. **IXa**. При декарбоксилировании **цис-VIIa** аналогично **цис-IIIa** получен **XIII**, т. пл.  $100^\circ$  (из петр. эф.). Аналогично **IV** из 6 г **X**, 5 г **II** и 1,95 г  $\text{C}_6\text{H}_5\text{ONa}$  получен **XI**, выход 1,2 г, т. пл.  $113^\circ$  (из  $\text{CH}_3\text{OH}$ ). Часть **I** см. РЖХим, 1955, 21219. В. З.

**25676. Фуранокумарины и кумарино- $\alpha$  и  $\gamma$ -пироны.** Шах, Шах (Furanocoumarins and coumarino- $\alpha$ - and  $\gamma$ -pyrones. Shah D. N., Shah N. M.), J. Organ. Chem., 1954, 19, № 12, 1938—1943 (англ.)

Синтезирован ряд производных фуранокумаринов (**Ia** — **g**) без заместителей в пириновом кольце. Ацетилированием *o*-оксиаилкумаринов  $(\text{CH}_3\text{CO})_2\text{O}$  в присутствии  $\text{CH}_3\text{COONa}$  получены хромоно- $\alpha$  (**IIa** — **g**)



**Ia**  $\text{R}=\text{CH}_3$ ,  $\text{R}'=\text{H}$ ; **g**  $\text{R}=\text{C}_6\text{H}_5$ ,  $\text{R}'=\text{H}$ ;

**b**  $\text{R}=\text{CH}_3$ ,  $\text{R}'=\text{C}_6\text{H}_5$ ; **g**  $\text{R}=\text{CH}_3$ ,  $\text{R}'=\text{Cl}$ ; **IIa**  $\text{R}=\text{COCH}_3$ ,  $\text{R}'=\text{H}$ ;

**g**  $\text{R}=\text{COCH}_3$ ,  $\text{R}'=\text{C}_6\text{H}_5$ ; в  $\text{R}=\text{H}$ ,  $\text{R}'=\text{Cl}$ ; **g**  $\text{R}=\text{H}$ ,  $\text{R}'=\text{Br}$ ;

**IIIa**  $\text{R}=\text{H}$ ; **g**  $\text{R}=\text{C}_6\text{H}_5$ ; в  $\text{R}=\text{Cl}$ ; **IIIa** — **g**  $\text{R}=\text{H}$ ,  $\text{R}'=\text{C}_6\text{H}_5$ ; **V**  $\text{R}=\text{H}$ ,  $\text{R}'=\text{C}_6\text{H}_5$ ,  $\text{R}''=\text{CH}_3$ .

или кумарино- $\alpha$  (**IIIa** — **g**) пироны; при ацетилировании 7-окси-8-ацетилкумарина (**IV**) в присутствии  $\text{C}_6\text{H}_5\text{CH}_2\text{COONa}$  получен 3'-фенил-4'-метилюкумарино-5', 6' (7,8)- $\alpha$ -пирон (**V**); **II**, **III** и **V** не дают окраски с  $\text{FeCl}_3$ , **II** реагирует со щелочью, образуя исходный кетокумарин, **II** г с  $\text{C}_6\text{H}_5\text{CHO}$  дает стирильное производное (**VI**).

Смесь 1 г **IV**, 1 г  $\text{BrCH}_2\text{COOC}_2\text{H}_5$  и 1 г  $\text{K}_2\text{CO}_3$  в 100 мл ацетона кипятят 20 час. и получают этиловый эфир (8-ацетилкумаринил-7)-оксиуксусной к-ты (**VII**), выход 0,6 г, т. пл.  $117^\circ$  (из  $\text{C}_6\text{H}_6$ ). 1 г **VII** в 10 мл 8%-ной щелочи нагревают 1 час, подкисляют и получают (8-ацетилкумаринил-7)-оксиуксусную к-ту (**VIII**), выход 0,7 г, т. пл.  $208^\circ$  (из  $\text{C}_6\text{H}_6$ ). Нагревают 0,5 г **VIII**, 2 г  $\text{CH}_3\text{COONa}$ , 10 г  $(\text{CH}_3\text{CO})_2\text{O}$  при  $160$ — $170^\circ$  1 час, выливают в воду и получают **Ia**, выход 0,3 г, т. пл.  $148^\circ$  (из  $\text{C}_6\text{H}_6$ ). Аналогично через этиловый эфир (8-бензоилкумаринил-7)-оксиуксусной к-ты (т. пл.  $174^\circ$ ) и (8-бензоилкумаринил-7)-оксиуксусную к-ту (т. пл.  $160^\circ$ ) получают **Ib**, т. пл.  $121^\circ$ ; из (8-ацетил-8-ацетилкумаринил-7)-оксиуксусной к-ты (т. пл.  $155^\circ$ ) получают **I** в, т. пл.  $111^\circ$ ; из этилового эфира (6-хлор-8-ацетилкумаринил-7)-оксиуксусной к-ты (т. пл.  $147^\circ$ ) через (6-хлор-8-ацетилкумаринил-7)-оксиуксусную к-ту (т. пл.  $195^\circ$ ) получают **I** г, т. пл.  $219^\circ$ . Смесь 1,5 г **IV**, 7 мл  $(\text{CH}_3\text{CO})_2\text{O}$  и 3,5 г  $\text{CH}_3\text{COONa}$  кипятят 12 час. при  $160$ — $170^\circ$ , выливают в воду и получают **IIa**, выход 0,8 г, т. пл.  $227^\circ$  (из  $\text{C}_6\text{H}_6$ ); 1 г **IIa** растворяют в 10 мл, 15%-ного спирт. р-ра  $\text{KOH}$ , кипятят 3 часа, подкисляют и получают **IV**, т. пл.  $108^\circ$  (из  $\text{C}_6\text{H}_6$ ). Аналогично **IIa** получают: **IIb**, т. пл.  $246^\circ$ ; **IIв**, т. пл.  $296^\circ$ , и **II г**, т. пл.  $305^\circ$ ; **VI**, т. пл.  $132^\circ$  (из  $\text{C}_6\text{H}_6$ ). Нагревают (160— $170^\circ$ , 12 час.) 1 г 7-окси-8-бензоилкумарина, 10 мл  $(\text{CH}_3\text{CO})_2\text{O}$ , 5 г  $\text{CH}_3\text{COONa}$  и получают **IIIa**, т. пл.  $238^\circ$  (из  $\text{C}_6\text{H}_6$ ); аналогично получены **IIIb**, т. пл.  $180^\circ$ , и **IIIв**, т. пл.  $250^\circ$ . Нагревают 3 г **IV** с 10 мл  $(\text{CH}_3\text{CO})_2\text{O}$  и 3 г  $\text{C}_6\text{H}_5\text{CH}_2\text{COONa}$  (12 час.,  $160$ — $170^\circ$ ) и получают **V**, т. пл.  $> 305^\circ$  (из  $\text{CH}_2\text{COOH}$ ). З. М.

**25677. Новое изомерное превращение в флавонах.**

Мукерджи, Сешадри (A new isomeric change in the flavonoids. Mukerjee S. K., Seshadri T. R.), Chemistry and Industry, 1955, № 11, 271—275 (англ.)

Обзор работ по изомеризации флавонов, флаванолов, флаванов, солей флавилия, фуранохромонов. Библ. 52 назв. С. В.

**25678. Исследования производных флавоноидов. VI.**

Новое применение термической конденсации для синтеза. Пийон (Recherches sur les dérivés flavoniques. VI. Nouvelles applications de synthèse par condensation thermique. Pilon Daniel), Bull. Soc. chim. France, 1955, № 1, 39—44 (франц.)

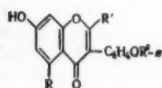
В продолжение прошлых работ (РЖХим, 1954, 46302; сообщение V, РЖХим, 1954, 46304) применен метод термич. конденсации полифенолов с эфирами кетокислот (С. г. Acad. sci., 1952, 234, 444) для синтеза новых производных бензпирона, 0,048 моля пирокатехина и 0,04 моля  $\text{C}_6\text{H}_5\text{CH}_2\text{COOC}_2\text{H}_5$  (**I**) нагревают 1,5 часа при  $250^\circ$ , извлечением 5%-ным  $\text{NaOH}$  с последующим подкислением щел. р-ра выделяют 8-оксифлаво-**II**), выход 1,6%, т. пл.  $252,5$ — $253^\circ$  (из  $\text{C}_6\text{H}_6$ ); ацетильное производное (**III**), т. пл.  $152^\circ$  (из  $\text{C}_6\text{H}_6$ ). **II** по свойствам сходен с 2-фенил-8-оксифлавоном (**III**), что объясняется их структурной аналогией. Кривые поглощения **II** и **III** в УФ-спектре (сп.,  $95^\circ$ ) обнаруживают их полное сходство в области 230—300 м $\mu$ , а также влияние  $\text{OH}$  в **II** на положение максимума на кривой. Конденсацией эквимолярных кол-в 1,5-диоксиафталина и **I** (0,5 часа,  $240^\circ$ ) получен *o*-оксибенз-[7,8]-флаво-**IV**), выход 19%, т. пл.  $324$ — $326^\circ$  (возможен); **II** (12 мин.,  $240$ — $280^\circ$ ) монометилового эфира флороглюцина (**V**), т. пл.  $72$ — $75^\circ$  (из бэл.) с **I** получен 5-метокси-7-оксифлаво-**VI**), выход 9,25%, т. пл.  $298$ — $300^\circ$  (из  $\text{C}_6\text{H}_6$ ) (отделен растворением в 5%-ном  $\text{NaOH}$ ), и его изомер—7-метокси-5-оксифлаво-**VI**), выход 31,5%, т. пл.  $164$ — $165^\circ$  (нерастворим в водн.  $\text{NaOH}$ ). При гидрировании **VI** над  $\text{Pd/C}$  получен 2-метокси-4,6-диоксидигидрохалкон (**VII**), выход 60%, т. пл.  $189$ — $190^\circ$  (из  $\text{CH}_3\text{OH}$ ).



Из V и эфира вератроилуксусной к-ты (10 мин., 250—280°) получен 3', 4', 5-триметокси-7-оксифлавоны (VIII), выход плохой, т. пл. 280—282° (из сп.), растворим в 5%-ном NaOH; АЦ, т. пл. 174—176°, и изомерный 3', 4', 7-триметокси-7-оксифлавоны (IX), выход 13,7%, т. пл. 166—168° (из сп., подкисл. HCl). Нагреванием (45 мин., 270—320°) этилового эфира 2,3,4-триметоксибензоилуксусной к-ты (X) с резорцином (XI) получен 2', 3', 4'-триметокси-7-оксифлавоны (XII), выход 4,3%, т. пл. 195—200° (из сп.); АЦ, т. пл. 144—145° (из сп.). Конденсацией 0,02 моля этилового эфира α-нафтилуксусной к-ты (XIII) с 0,024 моля XI (30 мин. при 100—275°; 20 мин., 275—290°) получен 5-окси-2-(α-нафтил)-хромон (XIV) выход 1,74%, т. пл. 186—187° (из сп.), нерастворим в 5%-ном NaOH, и 7-окси-2-(α-нафтил)-хромон (XV) очищен возгонкой, выход 26,1%, т. пл. 260° (из сп.); АЦ, т. пл. 111—113° (из сп.). Для XV, полученного ранее иным путем (Virkar, Shah, J. Univ. Bombay, 1943, 11, Pt 3, 140), приведена другая т-ра плавления; это дало повод предположить, что в результате конденсации XIII с XI образовалось не производное хромона, а 7-окси-4-(α-нафтил)-кумарин (XVI); однако XVI синтезирован по методу Пехмана действием 75%-ной H<sub>2</sub>SO<sub>4</sub> при 0° на смесь XIII и XI имеет т. пл. 294—295°; АЦ, т. пл. 122—123°. Различие свойств XV, полученных разными методами, может быть объяснено различным пространственным строением: большей или меньшей степенью планарности молекулы. При нагревании до 240° 0,024 моля V с 0,024 моля XIII образуется 5,7-диокси-2-(α-нафтил)-хромон (XVII), выход 10%, т. пл. 288—290° (из сп.). X синтезирован сложно-эфирной конденсацией 2,3,4-триметоксиацетофенона с CO(OC<sub>2</sub>H<sub>5</sub>)<sub>2</sub>; X выделяют извлечением разб. NaOH, подкислением шел. р-ра и экстрагированием эфиром; кристаллизуется после отгонки эфира через 2 месяца при 0°. Аналогично из 42,5 г метил-α-нафтилкетона получают XIII, выход 18,9 г, т. кип. 220—225°/20 мм. Приведены кривые УФ-спектров II, III, АЦ II, IV, АЦ IV, а также УФ-спектры VI — IX, XII, XIV — XVIII, АЦ VIII, XII, XV и XVI.

**25679. Синтез эстрогенных производных изофлавоны.** Нодер, Чжан, Берроуз (Synthesis of estrogenic isoflavone derivatives. Yoder Lester, Cheng Edmund. Burroughs Wise), Proc. Iowa Acad. Sci., 1954, 61, 271—276 (англ.).

Описан полный синтез природных производных изофлавоны (I): дайдаэина (Ia), формонетина (Ib), генистеина (Ic) и биоканина A (Id), обладающих



I R''=H, а R=R'=H;

б R=H, R'=CH<sub>3</sub>; в R=OH, R'=H;

г R=OH, R'=CH<sub>3</sub>; IX R''=COOH

эстрогенными свойствами. I синтезированы взаимодействием *n*-ОН-(II) или *n*-CH<sub>3</sub>OC<sub>6</sub>H<sub>4</sub>CHO (IIa) с роданином (III) по видоизмененному методу Грэнхера (Julian, Sturgis, J. Amer. Chem. Soc., 1935, 57, 1126), конденсацией полученного *n*-ОН-(IV) или *n*-CH<sub>3</sub>OC<sub>6</sub>H<sub>4</sub>CH<sub>2</sub>CN (IVa) (т. кип. 150—160°/12 мм) с резорцином (V) или флороглюцином (Va) по Гешу, взаимодействием образовавшегося 4', 2,4,6-тетраокси-(VI), 2,4,6-триокси-4'-метокси-(VIIa), 4',4,6-триокси-(VII) и 4,6-диокси-4'-метоксидезоксибензоина (VIIa) с ClCOCOOC<sub>2</sub>H<sub>5</sub> (VIII) по методу, описанному ранее (Baker и др., Nature, 1952, 169, 706), и декарбоксилированием полученных при этом 2-карбоксипроизводных I (IX а—г). Р-р 9,4 г безводн. Va и 10 г IV в 75 мл абс. эфира насыщают при 0° HCl (газом), оставляют на 12 час. (~0°), вновь насыщают HCl (газом), оставляют на 24 часа (~0°), декантируют эфир, остаток промывают эфиром и гидролизуют

(400 мл 2%-ной HCl, ~100°) до VI, выход 65%, т. пл. 277° (из 50%-ного CH<sub>3</sub>OH). Аналогично VI из IVa и Va получают VIa (т. пл. 191°), из IV и V — VII, (т. пл. 188°) и из IVa и V — VIIa, (т. пл. 154°). К р-ру 0,01 моля VI в 14 мл сухого пиридина прибавляют по каплям при 40—50° 0,04 моля VIII, нагревают в течение 20 мин.—до 65°, охлаждают, обрабатывают эфиром, затем выливают в ледяную воду, содержащую избыток HCl (к-ты) и извлекают эфиром. Полученный шавелевый эфир омыляют р-ром NaOH при pH 12 в течение 3 час., подкисляют HCl (к-та) до pH 2 и получают IXb, выход 80%, т. пл. 320° (разл.; из 50%-ного CH<sub>3</sub>OH). Аналогично IXb из 0,01 моля VII и 0,03 моля VIII получают IXa (т. пл. 293° (разл.)), из 0,01 моля VIa и 0,03 моля VIII получают IXг, т. пл. 275° (разл.; из CH<sub>3</sub>OH) и из 0,01 моля VIIa и 0,02 моля VIII получают IXб, т. пл. 263—264° (разл., из CH<sub>3</sub>OH). 2,5 г IXb нагревают при т-ре на 5° выше т-ры плавления (325°) до прекращения выделения CO<sub>2</sub> (<5 мин.), плав растворяют в минимально необходимом кол-ве кипящего спирта, хроматографируют на норите, упаривают, разбавляют остаток равным объемом воды и получают I в, выход 2 г, т. пл. 295°. Аналогично IXb декарбоксилируют IXa (300°, 5 мин.), (0,5 г плав. растворяют в 200 мл сп.), IXг и IXб и получают соответственно Ia, т. пл. 330° (из сп.), Ig, т. пл. 215° (из водн. сп.), и Ib, т. пл. 255° (из сп.).

**25680. Синтезы в ряду бензипрона: неполные метиловые эфиры изофлавонов.** Дхар, Сешадри (Synthetic experiments in the benzopyrone series: partial methyl ethers of isoflavones. Dhar M. L., Seshadri T. R.), J. Scient. and Industr. Res., 1955, (B—C) 14, № 8, B423 (англ.).

Получен 5,7-диметилэтиловый эфир (I) 5,6,7-триокси-флавоны (II), для чего II метилирован (CH<sub>3</sub>)<sub>2</sub>SO<sub>4</sub> в ацетоне в присутствии NaHCO<sub>3</sub> в 7-метоксипроизводное, ацетилованное в положении 6 и вновь метилированное в 5,7-диметокси-6-ацетоксиизофлавоны, деацетилованный в I. Аналогичным метилированием 5,6,7,4'-тетраоксиизофлавоны получен 7-метилэтиловый эфир, ацетилованный в 6,4'-диацетильное производное, метилированное и деацетилованное в 5,7-диметокси-6,4'-диокси-изофлавоны.

**25681. Изомеризация изофлавонов: синтез 5,7-диметокси-6-оксифлавоны.** Дхар, Сешадри (Isomerisation in isoflavones: a synthesis of 5,7-dimethoxy-6-hydroxy isoflavone. Dhar M. L., Seshadri T. R.), J. Scient. and Industr. Res., 1955, (B—C) 14, № 8, B422—B423 (англ.).

Исследованы условия изомеризации спирт. р-ром КОН 7,8-диметокси-5-оксифлавоны в 6,7-диметокси-5-оксифлавоны и применены для изомеризации 7-метоксис-5,8-диокси- и 7-метоксис-8-бензилокси-5-оксифлавонов в 7-метоксис-5,6-диокси- и 7-метоксис-6-бензилокси-5-оксифлавоны. Последний метилирован в 5,7-диметоксипроизводное, превращенное осторожным дебензилированием в 5,7-диметокси-6-оксифлавоны, строение которого подтверждено встречным синтезом. См. РЖХим, 1955, 473, 42988.

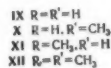
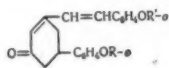
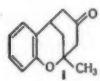
**25682. Получение и конфигурация D-(—)-4,5-диметил-1,3-диоксолана.** Шлихта, Инман, Лукас (The preparation and configuration of D-(—)-4,5-dimethyl-1,3-dioxolane. Shlichta Paul, Inman John K., Lucas Howard J.), J. Amer. Chem. Soc., 1955, 77, 3784—3785 (англ.).

Синтезом D-(—)-4,5-диметил-1,3-диоксолана (I) из D-(—)-2,3-бутандиола (II) и CH<sub>2</sub>I<sub>2</sub>, CH<sub>2</sub>Cl<sub>2</sub> или CH<sub>3</sub>COOCH<sub>2</sub>Cl (III) в шел. средах доказана конфигурация I, который идентичен продукту р-ции гликоля с CH<sub>2</sub>O в кислотных средах. Предложен ионный механизм этих

р-ций. К р-ру 0,2 моля NaOH в 1 моле II ( $\alpha_D^{25} - 12,25^\circ$ ) приливают 0,2 моля  $\text{CH}_2\text{I}_2$ , смесь нагревают 1,5 часа при  $60-80^\circ$ , добавляют 3 капли воды, кипятят 2 часа, разгоняют при 25 мм, охлаждая приемник твердый  $\text{CO}_2$  и получают I, выход 15%. При замене NaOH на Na образования I не наблюдается. К р-ру 0,2 моля Na в 1 моле II приливают 0,1 моля  $\text{CH}_2\text{Cl}_2$ , кипятят 1 час, разгоняют и получают I, выход  $49-70\%$ , т. кип.  $95,5-96^\circ/74$  мм,  $\alpha_D^{25} - 23,40^\circ$ . Р-р 0,1 моля Na в 1,1 моля II и 0,15 моля III кипятят 2 часа, оставляют на 12 час. в открытом сосуде и получают I, выход 44%; I не образуется при применении 0,1 моля III; с 0,05 моля III получена оптически неактивная жидкость, т. кип.  $40^\circ$ . Д. В.

25683. Продукт конденсации салицилальацетона и ацетоуксусного эфира — трициклический кетон  $\text{C}_{13}\text{H}_{14}\text{O}_2$ . Кун, Вейзер (Das Kondensationsprodukt  $\text{C}_{13}\text{H}_{14}\text{O}_2$  aus Salicylal-aceton und Acetessigester, ein tricyclisches Keton. Kuhn Richard, Weiser Dieter), Chem. Ber., 1955, 88, № 11, 1601—1612 (нем.).

Показано, что в-во (I), полученное ранее конденсацией салицилальацетона (II) и ацетоуксусного эфира и описанное (см. Forster T. A., Heilbron I. M., J. Chem. Soc., 1924, 125, 2064) как 2-метил-4-ацетонилхромон, по кол-ву  $\text{H}_2$ , поглощаемого при гидрировании над PdO (4 моля), по кол-ву образующейся при окислении  $\text{CH}_3\text{COOH}$  (0,87 моля) и по отсутствию р-ции с  $\text{O}_3$ , имеет другое строение. I, т. пл.  $135-136^\circ$  (из  $\text{CH}_3\text{OH}$ ); фенилгидразон, т. пл.  $198^\circ$  (из абс. сп.), *n*-нитрофенилгидразон, т. пл.  $205^\circ$  (из  $\text{CH}_3\text{COOH}$ ), 2,4-динитрофенилгидразон (ДНФГ) т. пл.  $211-212^\circ$  (из  $\text{CH}_3\text{COOH}$ ); оксим, т. пл.  $174^\circ$  (из  $\text{CH}_3\text{OH}$ ), восстанавливается по Клемменсену в 5-метил-4-окса-2,3-бензобикколо-(3,3,1)-нонен-2 (III); при действии  $\text{Ag}_2\text{O}$  и  $\text{CH}_3\text{J}$  в диметилформамиде (IV) или  $(\text{CH}_3)_2\text{SO}_4$  и кипящего конц. спирт. р-ра NaOH



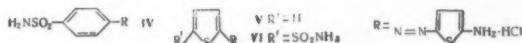
превращается в 1-метил-3-(*o*-метоксифенил)-циклогексен-6-он-5 (V), из которого вновь образуется I при действии хлоридрата пиридина. Эти превращения свидетельствуют о том, что I имеет строение 5-метил-4-окса-2,3-бензобикколо-(3,3,1)-нонен-2-она-7. I конденсируется с метоксиметилловым (VI) или метиловым (VII) эфирами салицилового альдегида (VIII), причем после гидролиза продукта конденсации получают 1-(*o*-оксифенил)-3-(*o*-оксистирил)-(IX) или 1-(*o*-оксифенил)-3-(*o*-метоксистирил)-(X)-циклогексен-3-оны-5. Аналогично из V и VI или VII образуются изомометилловый (XI) или диметиловый (XII) эфиры IX. IX получается также при самоконденсации II, а также из смеси VIII с ацетоном в присутствии конц. NaOH. При метилировании IX или X  $(\text{CH}_3)_2\text{SO}_4$  образуется XII; при метилировании IX  $\text{CH}_3\text{N}_2$  — только X, что объясняется возможностью образования в молекуле IX водородного мостика между OH- и CO-группами. Смесь 20 г I, 30 г амальгамированной Zn-стружки, 50 мл 70%-ного спирта и 50 мл конц. HCl кипятят 6 час., приливая каждый час по 10 мл конц. HCl, и извлекают эфиром III, выход 27,5%, т. кип.  $129-132^\circ/15$  мм,  $n_D^{22} 1,5470$ ,

$d_4^{21,5} 1,039$ . Р-р 1,4 г I в 50 мл IV встряхивают 14 час. с 15 мл  $\text{CH}_3\text{J}$  и 15 г  $\text{Ag}_2\text{O}$ , р-р разбавляют  $\text{CHCl}_3$  до прекращения выделения осадка, приливают 200 мл воды, добавляют KCN до растворения осадка и из органич. слоя получают V, выход 47%, т. пл.  $49-50^\circ$  (из петр. эф.); ДНФГ, т. пл.  $171^\circ$  (из сп.). К р-ру 2 г

I и 2 г VI в 30 мл спирта добавляют 15 мл воды и 5 мл 10%-ного р-ра NaOH, смесь оставляют на 3 дня при  $20^\circ$ , подкисляют 2 н. HCl, продукт растворяют в смеси 25 мл 50%-ной  $\text{CH}_3\text{COOH}$  и 2 мл 15%-ной  $\text{H}_2\text{SO}_4$ , выливают в 150 мл воды и получают IX, выход 52%, т. пл.  $239^\circ$  (из  $\text{CH}_3\text{OH}$ ); ДНФГ, т. пл.  $224^\circ$ . Смесь 3,25 г I, 2,2 г VII, 20 мл воды и 5 мл 10%-ного р-ра NaOH оставляют на 3 дня при  $20^\circ$ , разбавляют водой, подкисляют 2 н. HCl и отделивают X, выход 61%, т. пл.  $209-210^\circ$  (из сп.); ДНФГ, т. пл.  $245^\circ$  (из  $\text{CH}_3\text{COOH}$ ). Смесь 2,5 г V и 10 г  $\text{C}_6\text{H}_5\text{N}\cdot\text{HCl}$  нагревают 6 час. при  $180^\circ$ , выливают в воду, продукт перегоняют, возгоняют при  $120-130^\circ/0,001$  мм и получают I, выход 20%. 1 г V, 1 г VI, 15 мл спирта, 8 мл воды и 3 мл 10%-ного р-ра NaOH оставляют на 3 дня при  $20^\circ$ , продукт растворяют в  $\text{C}_6\text{H}_6$  и осаждают петр. эфиром XI, выход 44%, т. пл.  $201^\circ$ ; ДНФГ, т. пл.  $247^\circ$  (из абс. сп.). Аналогично из 0,5 г V, 0,4 г VII, 8 мл спирта, 2 мл воды и 2 мл 10%-ного р-ра NaOH получают XII, выход 90%, т. пл.  $126-127^\circ$  (из сп.); ДНФГ, т. пл.  $239^\circ$  (из  $\text{CH}_3\text{COOH}$ ). Приведены кривые ИК-спектров I и III и УФ-спектров I, II, V, VII. Д. В.

25684. Сульфирование и амидирование сульфопроизводных в ряду тиофена. Путохин Н. П., Яковлев В. П., Сб. науч. тр. Куйбышевск. индустр. ин-та, 1955, вып. 5, 254—260

Для изучения бактерицидного действия азосоединений тиениламина диазотированием белого стрептоцида (I), тиениламина (II) или сульфамида тиениламина (III) и сочетанием диазосоединений с II получают: хлоридрат сульфамида бензолазотиениламина (IV), хлоридрат тиенилазотиениламина (V) и хлоридрат сульфамида тиенилазотиениламина (VI). Диазотируют 2 г I в 6%-ной HCl при  $0^\circ$  р-ром 0,8 г  $\text{NaNO}_2$  в 3 мл воды и к диазораствору приливают 6,2 г двойной соли



тиениламина с  $\text{SnCl}_4(\text{C}_4\text{H}_9\text{SNH}_2\cdot\text{HCl})_2\cdot\text{SnCl}_4$  (VII) в 20 мл воды и 6,2 г конц. HCl и оставляют на 2 часа. Получают IV, выход  $80-85\%$ , т. пл.  $199-201^\circ$  (разл.; из воды). К р-ру 10,5 г VII в 30 мл воды приливают 8,6 г  $(\text{CH}_3\text{CO})_2\text{O}$  и 8,3 мл эфира, обрабатывают 26 мл, 50%-ного NaOH при охлаждении. Получают ацетотиофенид (VIII), выход 63%, т. пл.  $161,5^\circ$  (из воды). К 8,3 г  $\text{ClSO}_2\text{OH}$  постепенно добавляют при  $3-6^\circ$ , 2,1 г VIII, нагревают 1,5—2 часа при  $60-70^\circ$  и разлагают льдом при  $5^\circ$ . Полученный р-р выливают в 100 мл р-ра  $\text{NH}_3$  и 30 г льда, перемешивают 1,5—2 часа и упаривают при  $50-60^\circ$ . Получают сульфамид ацетотиофенида (IX), выход 60% (из  $\text{CH}_3\text{OH}$  и эф.). Нагревают 30 мин. 1,4 г IX с 14 мл 18,4%-ной  $\text{H}_2\text{SO}_4$  до  $125^\circ$  с отгонкой  $\text{CH}_3\text{COOH}$ . Остаток нейтрализуют р-ром  $\text{NH}_3$  и упаривают досуха при  $100^\circ$ , получают III, выход 1 г, т. пл.  $> 216^\circ$  (разл.; из  $\text{CH}_3\text{OH}$ , эф.). Диазотируют 0,4 г III в 5 мл воды и 0,5 мл 10%-ной HCl р-ром 0,16 г  $\text{NaNO}_2$  в 3 мл воды при  $0^\circ$ , приливают к р-ру 1,5 г VII в 10 мл воды и 1 мл 10%-ной HCl при  $3-4^\circ$ , оставляют на 2 часа, получают VI, выход 55%. Р-р 5 г VII в 25 мл воды и 5 мл 30%-ной HCl диазотируют при  $0^\circ$  1,35 г  $\text{NaNO}_2$  в 8 мл воды, приливают к 5 г VII в 15 мл воды и 2 мл 30%-ной HCl, оставляют на 2 часа. Получают V, выход 50%. Р-р 0,85 г V в 15 мл воды смешивают с 5,5 г  $(\text{CH}_3\text{CO})_2\text{O}$ , 14 мл эфира, разлагают на холоду 1 мл 40%-ного NaOH, экстрагируют эфиром, эфир отгоняют и остаток добавляют к 1,5 г  $\text{ClSO}_2\text{OH}$  при  $3^\circ$ , нагревают 30 мин. при  $50-60^\circ$ , разлагают льдом, выливают в 50 мл р-ра  $\text{NH}_3$  со льдом, перемешивают при  $\sim 20^\circ$  1,5—2 часа, выпаривают досуха, омыляют 15 мл 20%-ной  $\text{H}_2\text{SO}_4$  при  $95^\circ$ , нейтрализуют водн.  $\text{NH}_3$ , упаривают досуха и несколько

раз извлекают  $\text{CH}_3\text{OH}$ . Получают основание VI, выход 50%. Н. III.

**25685.** Дигидротиафенкарбоновая-2 и -3 кислоты. Фредга (Dihydro-thionaphthene-2 and -3-carboxylic acids. Fredga A. G. A. Acta chem. scand., 1955, 9, № 4, 719—720 (англ.).)

Дигидронафтенкарбоновая-2 (I) и дигидротиафенкарбоновая-3 к-ты (II) получены гидрированием соответствующих тиафенкарбоновых к-т амальгамой Na. II обладает аукиновой активностью, I — антиаукиновой активностью. I легко расщепляется на энантиоморфные формы бруцином (III) и динхином в ас. сп. Алкалоидные соли II не удалось разделить, так как они плохо кристаллизуются. 25 г NaOH растворяют в 400 мл воды, добавляют 18 г тиафенкарбоновой-2 к-ты, затем в течение 20 мин. — амальгаму Na (из 6,5 г Na и 260 г Hg). Образующаяся натриевая соль I переходит в течение 45 мин. в р-р, который оставляют на ~16 час., отделяют Hg, нейтрализуют, осаждают рацемат I (Ia)  $\text{H}_2\text{SO}_4$ , т. пл. 112—113° (из разб.  $\text{HCOOH}$  и бзл.). Ia обрабатывают III, кристаллизуют из 50%-ного  $\text{CH}_3\text{OH}$ , выделяют правовращающую I, т. пл. 94,5—95° (из лигр.),  $[\alpha]_D^{25} + 365,4^\circ$  (абс. сп.). Левовращающую I выделяют из маточного р-ра в виде пинхониновой соли, т. пл. 94,5—95° (из лигр.),  $[\alpha]_D^{25} - 365,8^\circ$  (абс. сп.). 22 г тиафенкарбоновой-3 к-ты растворяют в 500 мл 2 н. р-ра NaOH, добавляют в течение 1 часа амальгаму Na (из 6,5 г Na и 200 г Hg), перемешивают 6 час., оставляют на ~16 час. и выделяют II, т. пл. 99,5—100,5° (из циклогексана). Т. Д.

**25686.** Синтез 4-арилдитиол-1,2-тионов-3 при взаимодействии кумолов с серой. Филдс (Synthesis of 4-aryl-1,2-dithiole-3-thiones by reaction of cumenes with sulfur. Fields Ellis K., J. Amer. Chem. Soc., 1955, 77, № 16, 4255—4256 (англ.).)

Взаимодействие кумола (I) и его гомологов с S в присутствии оснований приводит к 4-арилдитиол-1,2-тионам-3 (II), причем побочно образуются соответствующие кумолдисульфиды (III), строение которых подтверждается образованием при восстановлении действием  $\text{LiAlH}_4$  кумолмеркаптанов (IV). Р-ция образования II из I и S является, по видимому, ионной (так как она катализируется основаниями и не катализируется УФ-светом) и проходит последовательно через промежуточные стадии образования  $\alpha$ -метилстиролов и IV, р-ция взаимодействия которых с S может быть гомолитической. Найдено, что сила применяемого основания [испытаны: ди-*o*-толилгуанидин (V), KOH,  $n\text{-C}_5\text{H}_{11}\text{NH}_2$  и  $(n\text{-C}_5\text{H}_{11})_2\text{NH}$ ] не влияет на ход процесса. Это, по мнению автора, говорит о том, что роль оснований заключается в образовании активного промежуточного соединения с S, природа которого не определялась. Найдено, что отношение скоростей р-ции I, *n*-цимола, этил-(Ia) и *трет*-бутилкумола (Iб) с S равно 1 : 4,8 : 1,8 : 0,5. Установлено, что *n*-пропил-, *трет*-бутил- и 1-метил-3-*трет*-бутил-4-изопропилбензол в описанных условиях с S не реагируют. Это говорит о том, что лишь структура I способна образовывать II при взаимодействии ароматич. углеводородов с S. Смесь 8,25 моля Iб, 12,5 г атома S и 8,2 г V кипятят до полного исчезновения S (21 час), оставляют на 2 часа при 5° и получают 4-*n*-толилдитиол-1,2-тион-3 (IIa), выход 77% (в расчете на S), т. пл. 122,5—123° (из бзл.), подметилат (кипение 2 часа на  $\text{CH}_3\text{J}$  в  $\text{CH}_3\text{COOC}_2\text{H}_5$ ), т. пл. 178,5—179°; побочно образуется 1 моль *n*-цимолдисульфид. Аналогично IIa получены (в скобках указаны т-ра р-ции в °C, продолжительность в час., выход в %, т. пл. в °C (из бзл. или бзл.+гексан), т. пл. подметилата в °C): 4-фенил-(IIб) [156, 174, 78, 122, 194 (разл.)]; 4-*n*-этилфенил-(199, 4, 5, 40, 108, 163—164);

4-*n*-*трет*-бутилфенил (193, 24, 61, 145—146, 161—161,5); 4-*n*-*трет*-амилфенилдитиол-1,2-тион-3 [190, 15, 5, 36, 112, 155—156 (разл.)]. При восстановлении 30 г III ( $\text{LiAlH}_4$  в 150 мл тетрагидрофурана) получен кумолмеркаптан, выход 15 г, т. кип. 63—64°/2,3 мм,  $n_D^{20}$  1,5500. Ia (т. кип. 73°/10 мм,  $n_D^{20}$  1,4935). Iб (т. кип. 74—76°/2,5 мм,  $n_D^{20}$  1,4930) и *n*-*трет*-амилкумол (т. кип. 81,5—83°/2,3 мм,  $n_D^{20}$  1,4934,  $d_4^{20}$  0,684) получены с выходами соответственно 27, 67 и 41% по методам, описанным ранее (Klages, Keil, Ber., 1903, 36, 1632; Barbier, Helv. chim. acta, 1936, 19, 1345, 1349). В. 3.

**25687.** Полиметиновые красители. II. О малоцианинах. Штрелль, Браунбрук, Рейтмайер

(Polymethin-Farbstoffe. II. Über Malocyanine. Strell Martin, Braunbrück Wambola B., Reithmayr Lutz, Liebigs Ann. Chem., 1954, 587, № 3, 195—206 (нем.).)

Синтезированы красители — производные малоциановой к-ты, названные малоцианинами. Триметинмалоцианины получены конденсацией  $\text{C}_2\text{H}_5\text{OCH}=\text{C}(\text{CN})_2$  (I) и  $\text{C}_2\text{H}_5\text{OCH}=\text{C}(\text{CN})\text{COOC}_2\text{H}_5$  (II) с подметилатами:  $\alpha$ -пиколина (III),  $\gamma$ -пиколина (IV), хинальдина (V), 2-метилбензоксазола (VI), 2-метилбензтиазола (VII), 2-метил- $\beta$ -нафтотиазола (VIII), 2-метилбензселеназола (IX), а также с 1,3,3-триметил-2-метилениндиолом (X), 1,3,3,5-тетраметил-2-метилениндиолом (XI) и 1,3,3-триметил-5-метокси-2-метилениндиолом (XII). Пентаметин- и гептаметинмалоцианины синтезированы конденсацией трех компонентов: I с *N*-метиланилинопропеналем (XIII) или соответственно с *N*-метиланилинопентадиеном (XIV) и затем с одной из перечисленных четвертичных солей. Выходы малоцианинов 60—80%. Эквимольные кол-ва I и III растворяют в небольшом объеме  $\text{CH}_3\text{OH}$  и затем на холоду по каплям добавляют несколько мл 20%-ного р-ра KOH в  $\text{CH}_3\text{OH}$ . Через некоторое время водой осаждают 1-(*N*-метилпиридино-2)-3,3-дициантриметин (XV), т. пл. 222° (из 50%-ного  $\text{CH}_3\text{OH}$ ). Аналогично из I синтезированы другие красители (указан второй компонент; т. пл. в °C и  $\lambda_{\text{макс}}$  в мμ): IV, 266 (из  $\text{C}_5\text{H}_5\text{N}$ ), —; V, 293 (из  $\text{C}_5\text{H}_5\text{N}$ ), —; подметилат лепидина (XVI), 206 (из  $\text{CH}_3\text{COOH}$ ), 540; VI, 246 (из лед.  $\text{CH}_3\text{COOH}$ ); —; VII, 268 (из лед.  $\text{CH}_3\text{COOH}$ ), —; VIII, 265 (из лед.  $\text{CH}_3\text{COOH}$ - $\text{C}_5\text{H}_5\text{N}$ ), —; IX, 286 (из лед.  $\text{CH}_3\text{COOH}$ ), —. Аналогичным образом синтезированы красители из II (приведены те же значения, что и выше): III, 146 (из 50%-ного  $\text{CH}_3\text{OH}$ ), —; IV, 190 (из  $\text{C}_5\text{H}_5\text{N}$  + вода), —; V, 218 (из  $\text{C}_5\text{H}_5\text{N}$ ), —; XVI, 179, 540; VI, 196 (из 90%-ного  $\text{CH}_3\text{OH}$ ), —; VII, 218 (из лед.  $\text{CH}_3\text{COOH}$ ), —. Эквимольные кол-ва V и XIII в  $\text{C}_5\text{H}_5\text{N}$  нагревают 1 час, осаждают прибавлением  $\text{NaClO}_4$  образовавшийся «тетраметинанилид» и очищают его экстракцией  $\text{CH}_3\text{OH}$ . Эквимольные кол-ва «тетраметинанилида» и I растворяют в 20-кратном кол-ве спирта, добавляют 0,01 моля пиперидина и нагревают при 100° 15 мин., получают 1-(*N*-метилхинолино-2)-5,5-дицианпентаметин, после экстракции  $\text{CHCl}_3$ , т. пл. 273°,  $\lambda_{\text{макс}}$  588 мμ. Сходным образом из XIII синтезированы другие пентаметиновые красители (приведены те же значения, что и выше): X, 239 (разл.), 520; XI, 205 (разл.), 530; XII, 200 (разл.), 540; подметилат лепидина (XVII), 236 (разл.), 638; VII, 254, 545; VIII, 257, 550; IX, 269, 550. Гептаметинмалоцианины получают по этой же прописи, применяя для конденсации XIV. Таким образом из XIV и V синтезирован 1-(*N*-метилхинолино-2)-7,7-дициангептаметин, т. пл. 246° (разл.),  $\lambda_{\text{макс}}$  689 мμ. Аналогично из XIV получены гептаметинанилины (приведены те же значения, что и выше): VII, 204, 650; VIII, 230, 653; IX,



208, 656; X, 211 (разл.), 626; XII, 181 (разл.), 635; XII, 185 (разл.), 646; XVII, 218 (разл.), —. Полученный 1-(N-метилпиридино-2)-9,9-дициановоаметин из-за его неустойчивости не выделен в чистом состоянии. Сообщение I см. РЖХим, 1955, 16327. С. С.

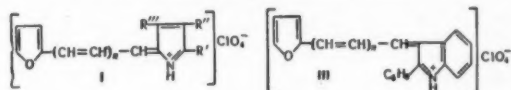
25688. Полиметиновые красители. III. О виниленовых гомологах альдегидов ряда пиррола. Штрелль, Крейсе (Polymethinfarbstoffe. III. Über vinylenhomologe Aldehyde der Pyrrolreihe. Strell Martin, Kreis Fritz, Chem. Ber., 1954, 87, № 7, 1011—1018 (нем.).

Конденсацией алкилпирролов, незамещенных в  $\alpha$ -или  $\beta$ -положении, с N-метиланилинопропеналем (I), N-метиланилинопентадиеналем (II) и N-метиланилино-летриеналем получили красители, производные N-метиланилина, которые при действии MgO превращаются в виниленовые гомологи пирролальдегида. Из последних конденсацией с  $\alpha$ - и  $\beta$ -незамещ. пирролами синтезированы симметричные и несимметричные дипиррилтри- и пентаметиновые красители. Получены также красители типа цианов. Р-р 1,5 г I и 1,2 г 2,4-диметилпиррола (III) в 50 мл  $\text{CH}_3\text{OH}$  охлаждают до  $-10^\circ$  и при размешивании добавляют 2 мл 60%-ной  $\text{HClO}_4$  (IV), выдерживают на холоду 2 часа и отфильтровывают 1-(3,5-диметилпиррил-2)-3-(N-метиланилино)-триметинперхлорат (V), выход 2,75 г, т. пл.  $217^\circ$  (из сл.). Аналогично из 2 г II и III получено соответствующее пентаметиновое производное (VI), выход 3 г, т. пл.  $194^\circ$  (из  $\text{CHCl}_3$ ),  $\lambda_{\text{макс}}$  553 м $\mu$ . Тем же способом получены: из 2 г II и 1,2 г 2,4-диметил-3-этилпиррола 1-(3,5-диметил-4-этилпиррил-2)-5-(N-метиланилино)-пентаметинперхлорат (VII), выход 3,4 г, т. пл.  $187^\circ$  (из бзл.- $\text{CHCl}_3$ ),  $\lambda_{\text{макс}}$  560 м $\mu$ ; из 1 г III и 2 г 2-метил-2,3-дигидроиндол-4-ил-N-пропеналя — 1-(3,5-диметилпиррил-2)-3-(2-метил-2,3-дигидроиндол-4-ил)-триметинперхлорат, выход 3,8 г, т. пл.  $249^\circ$  (из сл.). Р-р 3,4 г V в 100 мл, кипящего  $\text{CH}_3\text{OH}$  обрабатывают суспензией 1,2 г MgO в 50 мл горячей воды. После отгонки метиланилина с паром получают (3,5-диметилпиррил-2)-пропеналь (VIII), выход 0,8 г, т. пл.  $135^\circ$  (из сл.); динитрофенилгидразон, т. пл.  $268^\circ$  (из  $\text{CH}_3\text{OH}$ -ацетона), 3,6 г IV растворяют в 100 мл горячей  $\text{CH}_3\text{OH}$ , добавляют 1 г MgO в 25 мл воды, кипятят до исчезновения фиолетовой окраски, отфильтровывают и в фильтрату добавляют воду; выход (3,5-диметилпиррил-2)-пентадиеналя (IX) 1 г, т. пл.  $178^\circ$  (из 50%-ного сл.); динитрофенилгидразон, т. пл.  $237^\circ$  (из сл.-ацетона). Аналогично из 4 г VII синтезирован (3,5-диметил-4-этилпиррил-2)-пентадиеналь, выход 0,8 г, т. пл.  $133^\circ$  (из 50%-ного сл.). К р-ру 0,3 г VIII и 0,35 г 2,4-диметил-3-карботоксипиррола (X) в 25 мл спирта при  $15-20^\circ$  добавляют 0,5 мл IV. Через 3 часа отфильтровывают (3,5,3',5'-тетраметил-4'-карботоксидипиррил-2,2')-триметинперхлорат, выход 0,3 г, т. пл.  $235^\circ$  (из бзл.-ацетона),  $\lambda_{\text{макс}}$  556 м $\mu$ . Аналогично из 0,35 г IX и 0,34 г X получают соответствующее пентаметиновое производное, выход 0,5 г, т. пл.  $208^\circ$  (из бзл.-ацетона),  $\lambda_{\text{макс}}$  653 м $\mu$ . Тем же путем синтезированы: из 0,3 г VIII и 0,22 г 2,3,5-триметилпиррола (XI) — (3,5,2',4',5'-пентаметилдипиррил-2,3')-триметинперхлорат, выход 0,6 г, т. пл.  $270^\circ$  (из бзл.-ацетона),  $\lambda_{\text{макс}}$  537 м $\mu$ ; из 0,35 г IX и 0,22 г XI соответствующее пентаметиновое производное, выход 0,65 г, т. пл.  $242^\circ$  (из бзл.-ацетона),  $\lambda_{\text{макс}}$  637 м $\mu$ . Кипятят 15 мин. Р-р 0,3 г VIII, 0,32 г N-этилроданина и 6 капель пиперидина в 10 мл спирта, получают 1-(3,5-диметилпиррил-2)-3-(N-этилроданил-4)-триметин, выход 0,2 г, т. пл.  $209^\circ$  (из бзл.),  $\lambda_{\text{макс}}$  495 м $\mu$ ; аналогично из 0,35 г IX получают соответствующий пентаметиновый краситель, выход 0,3 г, т. пл.  $205^\circ$  (из бзл.),  $\lambda_{\text{макс}}$

527 м $\mu$ . Р-р 0,82 г метосульфата 2-метилбензотиазола, 0,45 г VIII в 15 мл пиридина нагревают 20 мин. при  $100^\circ$ , добавляют 15 мл воды и KJ; получают 1-(3,5-диметилпиррил-2) -4-(N-метилбензотиазол-2)-тетраметиниодид, выход 0,6 г, т. пл.  $231^\circ$  (из бзл.- $\text{CH}_3\text{OH}$ ),  $\lambda_{\text{макс}}$  580 м $\mu$ . Таким же путем из IX синтезирован гексаметиниодид, т. пл.  $203^\circ$  (из бзл.- $\text{CH}_3\text{OH}$ ). К р-ру 0,3 г VIII и 0,2 г диануклеусного эфира в 10 мл  $\text{CH}_3\text{OH}$  при  $15-20^\circ$  добавляют 3 капли пиперидина; выпадает 1-(3,5-диметилпиррил-2)-4-диан-4-карботоксипентаметин, т. пл.  $247^\circ$  (из  $\text{CH}_3\text{OH}$ ). Из IX синтезирован соответствующий гексаметин, выход  $\sim 70\%$ , т. пл.  $222^\circ$  (из бзл.),  $\lambda_{\text{макс}}$  507 м $\mu$ . К р-ру 0,3 г VIII и 0,13 г  $\text{CH}_2(\text{CN})_2$  в 30 мл  $\text{C}_6\text{H}_6$  при  $15-20^\circ$  добавляют 3 капли пиперидина, выпадает 1-(3,5-диметилпиррил-2)-4,4-дицианотетраметин, выход 0,4 г, т. пл.  $201^\circ$  (из бзл.). Из IX получают соответствующий гексаметин, выход  $\sim 60\%$ , т. пл.  $184^\circ$  (из бзл.),  $\lambda_{\text{макс}}$  515 м $\mu$ . С. С.

25689. Полиметиновые красители. Сообщение IV. О фурилпиррил- и фурилдиолитиновых красителях. Штрелль, Каложа, Брем-Рупп (Polymethinfarbstoffe, IV. Mitteil. Über Furyl-pyrrol- und Furylindolyl-methinfarbstoffe. Strell Martin, Kalojanoff Anton, Brem-Rupp Luzie, Chem. Ber., 1954, 87, № 7, 1019—1024 (нем.).

Конденсацией  $\alpha$ -фурилпропеналя с замещ. пиррола синтезированы красители (I), с  $\alpha$ -фенилиндолом (II) — красители (III). Удлинение полиметиновой цепи в I



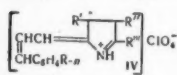
( $R'$ ,  $R'' = \text{CH}_3$ ,  $R''' = \text{C}_2\text{H}_5$ ) на одну —  $\text{CH} = \text{CH}$ -группу приводит к смещению  $\lambda_{\text{макс}}$  в длинноволновую область на 35 м $\mu$ . Отрицательные заместители в  $\beta$ -положении пиррольного ядра красителей I ( $n = 1$ ) вызывают батохромное смещение  $\lambda_{\text{макс}}$ . С ароматич. аминами монометиновые и триметиновые красители дают глубокоокрашенные продукты, вероятно, производные оксиглутарового альдегида.  $\lambda_{\text{макс}}$  определены в спирте. Р-р 1,2 г 2,4-диметил-3-этилпиррола (IV) в 5 мл лед.  $\text{CH}_3\text{COOH}$  смешивают при охлаждении с 2 г  $\text{HClO}_4$  (d 1,48) и 1,2 г  $\alpha$ -фурилпропеналя (V), охлаждают 10—12 час., I ( $n = 1$ ,  $R'$ ,  $R'' = \text{CH}_3$ ,  $R''' = \text{C}_2\text{H}_5$ ) промывают эфиром, т. пл.  $204^\circ$  (из хлф.),  $\lambda_{\text{макс}}$  465 м $\mu$ ; с  $\text{C}_6\text{H}_5\text{NH}_2\text{HCl}$  (VI) и  $\text{C}_6\text{H}_5\text{NH}_2$  (VII) в спирте дает зеленое окрашивание ( $\lambda_{\text{макс}}$  710 м $\mu$ ), переходящее вскоре в коричневое. Аналогично получают: из 1,3 г IV, 1,5 г  $\alpha$ -фурилпентадиеналя (VIII) и 2 г  $\text{HClO}_4$  — I ( $n = 2$ ,  $R'$ ,  $R'' = \text{CH}_3$ ,  $R''' = \text{C}_2\text{H}_5$ ), т. спекания  $248^\circ$  (из  $\text{CH}_3\text{OH}$ ),  $\lambda_{\text{макс}}$  500 м $\mu$ ; с IV и VII окрашивания не дает. Из 0,6 г IV, 0,9 г  $\alpha$ -фурилпентадиеналя и 1 г  $\text{HClO}_4$  — I ( $n = 3$ ,  $R'$ ,  $R'' = \text{CH}_3$ ,  $R''' = \text{C}_2\text{H}_5$ ), т. пл.  $180^\circ$  (из  $\text{CH}_3\text{OH}$ ),  $\lambda_{\text{макс}}$  530 м $\mu$ ; с VI и VII окрашивания не дает. Из 0,5 г  $\alpha$ -фурилпентадиеналя, 0,3 г IV и 0,5 г  $\text{HClO}_4$  — I ( $n = 4$ ,  $R' = R'' = \text{CH}_3$ ,  $R''' = \text{C}_2\text{H}_5$ ), спекается при  $200^\circ$ ,  $\lambda_{\text{макс}}$  565 м $\mu$ ; с VI и VII окрашивания не дает. Из 0,6 г  $\alpha$ -фурилдекапентадиеналя, 0,3 г IV и 0,4 г  $\text{HClO}_4$  — I ( $n = 5$ ,  $R' = R'' = \text{CH}_3$ ,  $R''' = \text{C}_2\text{H}_5$ ), не плавится до  $300^\circ$  (из хлф.),  $\lambda_{\text{макс}}$  600 м $\mu$ ; с VI и VII окрашивания не дает. Из 2 г II, 1 г фулфура и 2 г  $\text{HClO}_4$  получают III ( $n = 0$ ), т. разл.  $230^\circ$  (из хлф.),  $\lambda_{\text{макс}}$  447 м $\mu$ . Из 1,6 г II, 1 г V и 2 г  $\text{HClO}_4$  — III ( $n = 1$ ), т. разл.  $187^\circ$  (из хлф.),  $\lambda_{\text{макс}}$  517 м $\mu$ . Из 1,3 г II, 1 г VIII и 2 г  $\text{HClO}_4$  — III ( $n = 2$ ), т. пл. выше

335° (из хлф.),  $\lambda_{\text{макс}}$  570 мμ. Из 0,4 г 2,4-диметил-3-карбэтоксипиррола, 0,3 г V и 0,5 г HClO<sub>4</sub> — I ( $n = 1$ ,  $R' = R'' = \text{CH}_3$ ,  $R'' = \text{COOC}_2\text{H}_5$ ), т. разл. 240° (из хлф.),  $\lambda_{\text{макс}}$  500 мμ, с VI и VII дает синий спирт. p-р, с  $\lambda_{\text{макс}}$  540 мμ, переходящий в грязножелтый. Из 2,4-диметил-3-цианпиррола и V получают I ( $n = 1$ ,  $R' = R'' = \text{CH}_3$ ,  $R'' = \text{CN}$ ),  $\lambda_{\text{макс}}$  500 мμ. Из 2,4-диметил-3-ацетилпиррола и V получают I ( $n = 1$ ,  $R' = R'' = \text{CH}_3$ ,  $R'' = \text{COCH}_3$ ),  $\lambda_{\text{макс}}$  510 мμ. Из 2,4-диметил-3-бензоилпиррола и V получают I ( $n = 1$ ,  $R' = R'' = \text{CH}_3$ ,  $R'' = \text{COC}_6\text{H}_5$ ),  $\lambda_{\text{макс}}$  510 мμ, с VI и VII дает синее окрашивание,  $\lambda_{\text{макс}}$  600 мμ. Из 2,4-диметилпирролпропионовой-3 к-ты и V получают I ( $n = 1$ ,  $R' = R'' = \text{CH}_3$ ,  $R'' = \text{COOC}_2\text{H}_5$ ),  $\lambda_{\text{макс}}$  490 мμ. Из 2-метил-4-фенил-3-бензоилпиррола и V получают I ( $n = 1$ ,  $R' = R'' = \text{CH}_3$ ,  $R'' = \text{COC}_6\text{H}_5$ ),  $\lambda_{\text{макс}}$  510 мμ. Из V и 4-окси-2-метил-3-карбэтоксипиррола получают I ( $n = 1$ ,  $R' = R'' = \text{CH}_3$ ,  $R'' = \text{COC}_2\text{H}_5$ ),  $\lambda_{\text{макс}}$  480 мμ. Из V и 2,4-диметил-5-карбэтоксипиррола получают 1-(фурил-2)-3-(2,4-диметил-5-карбэтоксипиррил-3)-триметилперхлорат,  $\lambda_{\text{макс}}$  470 мμ. 2,3,4-трифенилпиррол с V не реагирует. Ф. Б. 25690. Полиметиновые красители. Сообщение V.

Расширение реакции Эрлиха. Штрелль, Калолянов (Polymethinfarbstoffe. V. Mitteil. Eine Erweiterung der Ehrlich'schen Reaktion. Strell Martin, Kaloianoff Anton), Chem. Ber., 1954, 87, № 7, 1025—1032 (нем.).

Реакция Эрлиха распространена на  $n\text{-(CH}_3)_2\text{NC}_6\text{H}_4\text{CHO}$  (I),  $\text{C}_6\text{H}_5\text{CH=CHCHO}$  (II) и  $\text{C}_6\text{H}_5(\text{CH=CH})_2\text{CHO}$  (III).

При конденсации I с производными пиррола, незамещ. в α-положении, получены синие красители (IV), с производными пиррола, незамещ. в β-положении (p-ция идет на холоду), — аналогичные красители с полиметиновой цепочкой в β-положении. Эта p-ция может быть применена для открытия производных пиррола,



незамещ. в β-положении. Отрицательные заместители в IV [ $R = \text{N}(\text{CH}_3)_2$ ] вызывают bathochrome смещение  $\lambda_{\text{макс}}$  по сравнению с алкиламиш. красителями, при  $R = \text{OH}$  наблюдается гипсохромное смещение. Красители с полиметиновой цепью в β-положении пиррольного ядра окрашены выше, чем аналогичные α-соединения. При обработке красителей щелочью получают желтые основания, которые с 1 молем к-ты дают исходные продукты, с избытком к-ты — двухкислотные бесцветные соли. При конденсации II с производными пиррола в лед.  $\text{CH}_3\text{COOH}$  (V) получают оранжевые красители IV ( $R = \text{H}$ ), в спирте — синие или зеленые соединения неизвестного строения.  $\lambda_{\text{макс}}$  определены в спирте. К p-ру 0,4 г 2,4-диметил-3-этилпиррола (VI) и 0,6 г I в спирте прибавляют по каплям при размешивании 1,5 г HClO<sub>4</sub> ( $d$  1,48), p-р тотчас становится темносиним и выпадает IV [ $R = \text{N}(\text{CH}_3)_2$ ,  $R' = R'' = \text{CH}_3$ ,  $R'' = \text{C}_2\text{H}_5$ ], его промывают спиртом, т. разл. 201° (из хлф.),  $\lambda_{\text{макс}}$  620 мμ. Аналогично получают следующие IV с  $R = \text{N}(\text{CH}_3)_2$  (перечисляются значения  $R'$ ,  $R''$ ,  $R'''$ , т. пл. в °C, p-ритель для кристаллизации,  $\lambda_{\text{макс}}$  в мμ):  $R' = R'' = \text{CH}_3$ ,  $R'' = \text{COC}_2\text{H}_5$ , 205 (разл.), сп., 644;  $R' = R'' = \text{CH}_3$ ,  $R'' = \text{COOC}_2\text{H}_5$ , 198, сп., 638;  $R' = R'' = \text{CH}_3$ ,  $R'' = \text{COC}_6\text{H}_5$ , 210, сп., 647;  $R' = R'' = \text{CH}_3$ ,  $R'' = \text{NO}_2$ , >300,  $\text{CH}_3\text{OH}$ , 653;  $R' = R'' = \text{CH}_3$ ,  $R'' = \text{CH}_2\text{CH}_2\text{COOH}$ , 216 (разл.), сп., 623;  $R' = R'' = \text{CH}_3$ ,  $R'' = \text{CN}$ , 235, хлф., 640;  $R' = \text{OH}$ ,  $R'' = \text{COOC}_2\text{H}_5$ ,  $R''' = \text{CH}_3$ , 245, сп., 616;  $R' = \text{C}_6\text{H}_5$ ,  $R'' = \text{COC}_6\text{H}_5$ ,  $R''' = \text{CH}_3$ , —, —, 674;  $R' = (\text{CH}_2)_2\text{COOH}$ ,  $R'' = \text{CH}_3$ ,  $R''' = \text{COOC}_2\text{H}_5$ , —, —, 651. Получены также 1-( $n$ -диметиламинофенил)-3-(2,4,5-триметилпиррил-3)-триметил-

перхлорат, т. пл. 218° (из  $\text{CH}_3\text{OH}$ ),  $\lambda_{\text{макс}}$  613 мμ; 1-( $n$ -диметиламинофенил)-3-(2,4-диметил-5-карбэтоксипиррил-3)-триметилперхлорат,  $\lambda_{\text{макс}}$  624 мμ; 1-( $n$ -диметиламинофенил)-3-(2-метил-4-пропил-5-карбэтоксипиррил-3)-триметилперхлорат,  $\lambda_{\text{макс}}$  627 мμ; 1-( $n$ -диметиламинофенил)-3-(2-метилиндолил-3)-триметилперхлорат, т. пл. 209° (из  $\text{CH}_3\text{OH}$ ),  $\lambda_{\text{макс}}$  625 мμ; 1-( $n$ -диметиламинофенил)-3-(2-фенилиндол-3)-триметилперхлорат, т. разл. 148° (из  $\text{CH}_3\text{OH}$ ),  $\lambda_{\text{макс}}$  647 мμ. К p-ру 1,2 г VI и 2 г HClO<sub>4</sub> в V постепенно при размешивании и охлаждении льдом добавляют p-р 1,3 г III в V, смесь оставляют на 12 час. на льду, IV ( $R = \text{H}$ ,  $R' = R'' = \text{CH}_3$ ,  $R'' = \text{C}_2\text{H}_5$ ) промывают эфиром, т. пл. 212° (из хлф.),  $\lambda_{\text{макс}}$  420 мμ. Аналогично получают следующие IV с  $R = \text{H}$  (порядок обозначений см. выше):  $R' = R'' = \text{CH}_3$ ,  $R'' = \text{COOC}_2\text{H}_5$ , 226, хлф., 450;  $R' = R'' = \text{CH}_3$ ,  $R'' = \text{COC}_2\text{H}_5$ , 188, хлф., 460;  $R' = R'' = \text{CH}_3$ ,  $R'' = \text{COC}_6\text{H}_5$ , 216, хлф., 445;  $R' = R'' = \text{CH}_3$ ,  $R'' = \text{CN}$ , 199 (разл.), V, 450;  $R' = R'' = \text{CH}_3$ ,  $R'' = \text{COOC}_2\text{H}_5$ , 200 (разл.). Из III, VI и HClO<sub>4</sub> получают 1-фенил-5-(3,5-диметил-4-этилпиррил-2)-пентаметилперхлорат, оравящие ниты, т. пл. 185° (из бzl.). Ф. Б. 25691.

Исследования в ряду индолов. X. Окислительное расщепление N-метилиндолов. Клер-Бори, Пашеко, Менцер (Recherches dans la série des indoles. X. Coupure oxydante des N-méthyl indoles. Clerc-Bory Georges et Monique, Pacheco Henri, Mentzer Charles), Bull. Soc. chim. France, 1955, № 10, 1229—1232 (франц.).

При озонировании N-метил-2-фенил-(I), N-метил-2-фенил-7-метокси-(II) и N-метил-2- $n$ -метоксифенил-7-метоксиндола (III) расщепляется двойная связь в положении 2—3 и образуются соответственно N-метил-N-бензоил-(IV), N-метил-N-бензоил-3-метокси-(V) и N-метил-N-метоксibenzoил-3-метоксинантралиновая (VI) к-ты. Подобным образом I расщепляется также при действии H<sub>2</sub>O<sub>2</sub> в  $\text{CH}_3\text{COOH}$  в присутствии  $(\text{NH}_4)_2\text{MoO}_4$ . Кислотный гидролиз IV, V и VI приводит к N-метилатраниловой (VII) и соответственно дамасцениновой к-те (VIII), 3-метиловый эфир которой выделен из плодов *Nigella damascena*. Для сравнения VIII получен также действием H<sub>2</sub>O<sub>2</sub> на N-метил-7-метоксинизатин в щел. среде. Смесь 3 г I, 130 мл  $\text{CH}_3\text{COOH}$ , 15 мл H<sub>2</sub>O<sub>2</sub>, 1,8 мл 1%-ного p-ра  $(\text{NH}_4)_2\text{MoO}_4$  оставляют на 18 час. (15—20°), выливают в 10 мл воды, фильтрат извлекают эфиром, удаляют эфир, остаток растворяют в 0,1 л. NaOH, p-р промывают эфиром, подкисляют до pH 3, получают IV. Последний кипятят 30 мин. с конц. HCl, фильтрат разбавляют равным объемом воды, доводят pH до 2 прибавлением NaHCO<sub>3</sub>, получают VII, т. пл. 179° (из сп.). К 500 мл жидкого NH<sub>3</sub> добавляют поочередно 0,1 моля Na и 0,1 моля 2-фенил-7-метоксиндола, затем 12,6 г  $(\text{CH}_3)_2\text{SO}_4$ , удаляют NH<sub>3</sub>, остаток растворяют в смеси 300 мл эфира, 100 мл  $\text{CH}_3\text{OH}$  и 100 мл воды, разгонкой эфирного слоя выделяют II, выход 80%, т. кип. 190—196°/15 мм, т. пл. 89° (из сп.). 5 г II озонируют в 150 мл этилацетата при —10°, удаляют p-ритель, остаток растворяют в 250 мл эфира, обрабатывают бикарбонатом, фракцию, нерастворимую в p-ре бикарбоната, окисляют в щел. среде действием H<sub>2</sub>O<sub>2</sub>. Подкислением объединенных щел. p-ров выделяют V, выход 63%, т. пл. 195° (из водн. сп.). 0,185 моля α-бром- $n$ -метоксинацетофенона и 2 моля  $\alpha$ -анилина нагревают 10 мин. при 180°, выливают в 10%-ную HCl, получают 2- $n$ -метоксифенил-7-метоксинидол, выход 37%, из которого аналогично III получают III, выход 75%, т. пл. 151° (из сп.). При озонировании III образуется VI, выход 58%, т. пл. 187°. 1,3 г V и 0,5 г VI кипятят 30 мин. с 70 мл HCl- $\text{CH}_3\text{COOH}$  (2 : 1),

выливают в воду, р-р промывают эфиром, доводят рН до 5, аммиаком и эфиром извлекают VIII, выход 61—66%; тригидрат, т. пл. 75° (из водн. сп.), безводн., т. пл. 144°; хлоридат, т. пл. 199°,  $R_f$  0,8 (бутанол-CH<sub>3</sub>COOH-вода), 0,51 (бутанол-вода, 1:1 + немного NH<sub>4</sub>OH). Сообщения IX см. РЖХИм, 1955, 40145. Л. Я.

**25692. Реакция индолиматинийиодида с ε-олактонами γ-кетокислот. Катрицкий, Робинсон** (The reaction of indolymatinium iodide with enol-lactones of γ-keto-acids. Katritzky A. R., Robinson Robert, J. Chem. Soc., 1955, July, 2481—2485 (англ.))

Индолиматинийиодид с 4,5-дигидро-5-оксо-2-фенилфураном (I), α-ангеликолактоном (II) и дилактоном γ-оксимелиновой к-ты (III) образуют 1-ацилированные индолы: 1-β-бензилпропионилиндол (IV), 1-левулолиндол (V) и 1-(6-карбокси-4-оксогексаноил)-индол (VI) соответственно. Строение их доказано щел. гидролизом, характерным для 1-ацилированных индолов и отсутствием связи N—H в ИК-спектре. При изменении р-рителя, времени р-ции, т-ры из I в чистом виде выделен только IV. Попытка закидывать синтезированные 1-оксоацилинолы оказалась успешной лишь на примере V, который при циклизации дал 3-метил-1,2-(2',7')-бензиленипирид-6-он (VII). Из 3,51 г индола, 0,87 г Mg, 4,8 г CH<sub>3</sub>I и 4,5 г I в эфире получен IV, выход 37%, т. пл. 147—149° (из сп.); 2,4-динитрофенилгидразон, т. пл. 231—232° (из CH<sub>3</sub>COOH); семикарбазон, т. пл. 178—180° (из сп.). При нагревании 0,2 г IV с 6 мл 5%-ного р-ра NaOH и 1,5 мл спирта (60°, 4 часа) выделен индол в виде пикрата, т. пл. 181—185° (разл., из бэл.) и бензоилпропионовая к-та в виде семикарбазона. Из 19,6 г II, индолиматинийиодида (из 23,4 г индола) был выделен семикарбазон V, выход 41%, т. пл. 216° (из сп.), при его разложении получен (пировиноградной к-той в CH<sub>3</sub>COOH, кипение 15 мин.) V, выход 79%, т. пл. 78—79° (из водн. сп.); 2,4-динитрофенилгидразон, т. пл. 214—215° (из толуола); оксим, т. пл. 138° (из водн. сп.). Щел. гидролиз V 2 н. NaOH приводит к индолу и деулиновой к-те. Из 30,8 г III и индолиматинийиодида (из 23,2 г индола) в анизоле выделен семикарбазон VI, выход 26%, т. пл. 189—190° (из пентанола), при разложении его получен VI, выход 77%, т. пл. 126—126,5° (из водн. сп.); метиловый эфир VI (CH<sub>3</sub>N<sub>2</sub>), т. пл. 73—73,5° (из CH<sub>3</sub>OH); 2,4-динитрофенилгидразон эфира, т. пл. 144—146° (из сп.). Щел. гидролиз VI приводит к индолу и γ-оксимелиновой к-те. При добавлении смеси 15 мл конц. H<sub>2</sub>SO<sub>4</sub> и 15 г V к 25 мл CH<sub>3</sub>COOH и 32 мл 60%-ной HClO<sub>4</sub> получен перхлорат V, выход 36%, т. пл. 275° (взрывает, из CH<sub>3</sub>COOH). При встряхивании 12 г его с 60 г CHCl<sub>3</sub>, 30 мл воды и 40 мл NH<sub>3</sub> (d 0,88) в течение 5 мин. получен VII, т. пл. 154—155,5° (из CH<sub>3</sub>COOH), образует аналогично некоторым производным стрихнина с теплым спирт. р-ром KOH коричнево-желтый р-р с зеленой флуоресценцией. Н. С.

**25693. Синтезы 4- и 6-броминдолов, 4- и 6-аминоиндолов, а также некоторые превращения этих соединений. Плининггер** (Die Synthese des 4- und 6-Brom-indols und 4- und 6-Amino-indols sowie einige Umsetzungen dieser Verbindungen. Plieninger Hans), Chem. Ber., 1955, 88, № 3, 370—376 (нем.)  
Для изучения возможного пути синтеза лизергиновой к-ты исследованы некоторые превращения 4- и 6-броминдолакарбоновых-2 к-т (I и II), полученных соответственно из 2-бром-(IIIa) и 4-бром-6-нитротолуолов (IIIб). К р-ру, C<sub>2</sub>H<sub>5</sub>ONa (из 51 г Na) в 670 мл абс. C<sub>2</sub>H<sub>5</sub>OH при 20—30° приливают 324 г диэтилсуклата и затем 489 г смеси IIIa и IIIб, полученной при бромировании o-O<sub>2</sub>NC<sub>6</sub>H<sub>4</sub>CH<sub>3</sub>; через сутки при 20° добавляют 400 мл воды, отгоняют спирт, добавляют воду до

прежнего объема и прозрачный р-р сливают с выделившегося масла; через сутки из р-ра выкристаллизовывается Na-соль 4-бром-6-нитрофенилпировиноградной к-ты (IV — к-та), выход 140 г, т. пл. 196° (из воды); водн. р-р Na-соли IV подкисляют HCl (к-той), получают IV, т. пл. 138—140°. Маточный р-р от Na-соли IV подкисляют, выделившуюся 2-бром-6-нитрофенилпировиноградную к-ту (V) извлекают C<sub>6</sub>H<sub>6</sub> и вытяжку частично упаривают; выход V 100 г, т. пл. 117° (из бэл.) (Ср. разделение 2-хлор-(VI) и 4-хлор-(VII) 6-нитрофенилпировиноградных к-т (РЖХИм, 1955, 31740). Восстановление IV и V действием Fe(OH)<sub>2</sub> по описанному ранее методу (Uhle F. C., J. Amer. Chem. Soc., 1949, 71, 761) приводит соответственно к I, т. пл. 263°, и II, т. пл. 220—224°. 5 г I смешивают с 11 г CuBr, добавляют 25 г чистого синтетич. хинолина и нагревают на масляной бане до прекращения выделения CO<sub>2</sub> (420 мл), плав растирают, встряхивают с NH<sub>4</sub>OH и эфиром до растворения (2 часа), фильтруют, водн. слой извлекают эфиром, вытяжки промывают разб. HCl, эфир удаляют, 4-броминдол (VIII) перегоняют с паром и извлекают эфиром, выход 2,44 г (масло). Аналогично получают 6-броминдол, т. пл. 94°. Сходным образом при применении CuCl из I в результате одновременного обмена галоида получают маслянистый 4-хлориндол и из II — 6-хлориндол, т. пл. 78—80°. 4 г I нагревают 3 часа с 100 мл конц. NH<sub>4</sub>OH при 220°, 4-аминоиндол (IX) многократно извлекают эфиром, эфир. р-р промывают водн. CH<sub>3</sub>COOH, уксуснокислую вытяжку подщелачивают, IX извлекают эфиром, выход 1,34 г, т. пл. 108° (из эф.-птр. эф.). Аналогично получают 6-аминоиндол, т. пл. 68—70°, 6-ацетидамининдол, т. пл. 169°. На основании этих результатов автор делает вывод о легкости нуклеофильного замещения в положениях 4 и 6 индола. 15 г I кипятят в 75 мл 15%-ного спирта. HCl, выпавший при охлаждении этиловый эфир I (X) промывают р-ром Na<sub>2</sub>CO<sub>3</sub>, т. пл. 161° (из сп.). Аналогично синтезируют этиловый эфир II (XI), т. пл. 186—187°. 5,1 г X вносят в смесь 5,1 г пиперидина, 10 мл 60%-ной водн. CH<sub>3</sub>COOH и 4,5 мл 30%-ного формалина, добавляют 5 мл спирта, нагревают ~ 1 час на водяной бане, разбавляют 200 мл воды, извлекают эфиром, водн. р-р фильтруют, фильтрат подщелачивают Na<sub>2</sub>CO<sub>3</sub>, выпадает 3-(N-пиперидинметил)-4-бром-2-карботоксининдол (XII), выход 5 г, т. пл. 148° (из сп.); 3-(пиперидинметил)-6-бром-2-карботоксининдол (XIII) получают аналогично, т. пл. 122—124°. 2 г VIII прибавляют при охлаждении к смеси 1,5 мл пиперидина, 5 мл 60%-ной CH<sub>3</sub>COOH и 1,5 мл 30%-ного формалина, по окончании разогревания разбавляют водой и 3-(пиперидинметил)-4-броминдол (XIV) выделяют подобно XII, выход 3 г, т. пл. 190° (из сп.). 5 г XIV в 10 мл спирта образуют 1,65 г (CH<sub>3</sub>)<sub>2</sub>SO<sub>4</sub>, полученный р-р приливают к смеси 2,2 г 2-карботоксиниклогексана (XV) и р-ра C<sub>2</sub>H<sub>5</sub>ONa (из 0,2 г Na) и 10 мл спирта, нагревают 5 мин. на водяной бане, разбавляют водой, извлекают эфиром, эфир. р-р промывают разб. CH<sub>3</sub>COOH и испаряют; выход 1-(4-бромскатил)-1-карботоксиниклогексана-2 (XVI) 2,5 г, т. пл. 160—165°. Сходным образом из 5,8 г XII получают 1-(2-карботокси-4-бромскатил)-1-карботоксиниклогексана-2 (XVII), выход 3,2 г, т. пл. 201°, и из XIII — 1-(2-карботокси-6-бромскатил)-2-карботоксиниклогексана-2, т. пл. 194—196°. 3 г XIV в 10 мл C<sub>6</sub>H<sub>5</sub>CH<sub>2</sub>OH нагревают при 40° с 1,5 г (CH<sub>3</sub>)<sub>2</sub>SO<sub>4</sub> и смесь добавляют к 2,4 г бензильного эфира циклогексанонкарбоновой-2 к-ты; полученный р-р приливают к р-ру C<sub>6</sub>H<sub>5</sub>CH<sub>2</sub>OK (из 0,4 г K) в 15 мл C<sub>6</sub>H<sub>5</sub>CH<sub>2</sub>OH, дальнейшие операции, те же, что при синтезе XVI; бензильный эфир 1-(4-бромскатил)-циклогексанонкарбоновой-1 к-ты (XVIII) закристалливается при растирании с толуолом, выход 1,7 г, т. пл. 116—117° (из сп.). Попытки циклизации (ср. Зелинский Н. Д.,

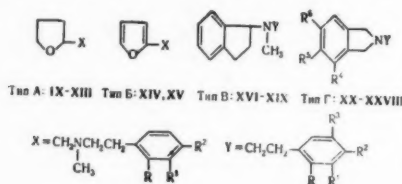


Мозер А., Бер., 1902, 35, 2684) XVI действием Mg в тетрагидрофуране при кипячении 5 час. XVII и XVIII действием Na в ксилоле или жидком NH<sub>3</sub> и XVIII действием Li в тетрагидрофуране или в дифениловом эфире не дали результатов. К 2 г Mg-порошка, активированному J<sub>2</sub> и 2 г CH<sub>3</sub>I в 5 мл абс. эфира добавляют 2 г N-бензил-4-бромидола, нагревают до кипения, по окончании р-ции снова добавляют CH<sub>3</sub>I и нагревают еще 2 часа, смесь обрабатывают твердой CO<sub>2</sub>, Mg-соль N-бензилдиоксифеновой-4 к-ты (XIX — к-та) разлагают разб. H<sub>2</sub>SO<sub>4</sub>, извлекают эфиром, эфир. р-р XIX промывают р-ром Na<sub>2</sub>CO<sub>3</sub>; подкислением последнего выделяют XIX, т. пл. 178—180° (из сп.-воды).

А. Х. 25694. О производных алкилениминов. Сообщение 10.

Синтез соединений, обладающих противобриляторным действием. Шпильман, Гофман (Über Alkylenimin-Derivate. 10. Mitteilung. Synthese antifibrillatorisch wirksamer Substanzen. Spillmann M., Hoffman K.), Helv. chim. acta, 1954, 37, № 6, 1699—1706 (нем.).

Для фармакологич. испытания синтезирован ряд производных β-фенилэтиламина типов А, Б, В, Г.



В-ва типов А и Б получены: конденсацией замещ. в ядре β-фенилэтиламина (ФЭА) с фурфурилом (I) с последующим гидрированием и метилированием; конденсацией ФЭА с тетрагидрофурфурилбромидом (II) или тетрагидрофурфурилхлоридом (III) с последующим метилированием; конденсацией N-метилтетрагидрофурфуриламина (III) с β-фенилэтилхлоридом (IV). В-ва типа В синтезированы восстановительным алкилированием ФЭА α-идаоном (V) с последующим метилированием. В-ва типа Г получены из ангидридов гемининовой к-ты и ее мета-изомера (соответственно VI и VII) и ФЭА. Наибольший интерес по действию на фибрилляцию сердца представляет N-[β-(3',4'-метилendioксифенил)-этил]-N-тетрагидрофурфурилметиламина (VIII). Синтез в-ва типа А и Б. а) 0,05 моля ФЭА и 0,05 моля I кипятят в 100 мл спирта и затем гидрируют над 5 г Ni-катализатора Рупе при 40—50°, поглощается 1 экв. H<sub>2</sub>. Продукт р-ции метилируют действием CH<sub>3</sub>O и HCOOH, выход 40—50%. б) синтез проводят как указано в (а), но гидрируют при 40—50 ат.; при этом поглощается 3 экв. H<sub>2</sub> (гидрируется фурановое ядро и C = N-связь), выход продукта р-ции 60%. в) 0,2 моля I и 0,2 моля гомониперониламина в 200 мл изопропанола гидрируют над 1 г 5%-ного Pd/C при 90° и 50 ат, поглощается 0,6 экв H<sub>2</sub>; выход VIII 70—80%. г) 0,1 моля ФЭА и 0,05 моля IIа нагревают 2 часа при 150—160°, отгоняют и метилируют вторичный амин как указано в (а), выход 40—60%. д) 0,2 моля ФЭА, 0,21 моля II и 0,3 моля K<sub>2</sub>CO<sub>3</sub> перемешивают 1—2 часа при 120°; метилирование проводят как указано в (а), выход 50—70%. е) Синтез проводят как указано в (д), но исходными в-вами служат III и IV, выход 65%. Получены в-ва I [указан тип в-ва, значения R, R<sup>1</sup>, R<sup>2</sup> (или R и R<sup>1</sup> + R<sup>2</sup>), т. кип. в °C/мм., хлоридат, т. пл. в °C]: А, Н, Н, Н, 103—108/0,04, 126—128; А, OCH<sub>3</sub>, OCH<sub>3</sub>, Н, 131—133/0,15,—; А, Н, OCH<sub>3</sub>, OCH<sub>3</sub>, 141—144/0,02, 140—142; А, OCH<sub>3</sub>, OCH<sub>3</sub>, OCH<sub>3</sub>, 140—142/0,15, 113—114; А, Н,— OCH<sub>2</sub>O—, 130—131/0,15, 138—139; Б, OCH<sub>3</sub>,

OCH<sub>3</sub>, Н, 129—130/0,08,—; Б, Н,— OCH<sub>2</sub>O—, 130—131/0,08,—. Синтез в-ва типа В. Растворяют 0,05 моля ФЭА и 0,05 моля V в 50 мл спирта и гидрируют над Pt (из 0,5 г PtO<sub>2</sub>); при 40—50° поглощается 1,12 л H<sub>2</sub>, выход продукта гидрирования 60—90%; после метилирования выход продукта р-ции 70—90%. Получены в-ва типа В (перечисляются значения R, R<sup>1</sup>, R<sup>2</sup> (или R и R<sup>1</sup> + R<sup>2</sup>), R<sup>3</sup>, т. кип. в °C/мм., хлоридат, т. пл. в °C): Н, OCH<sub>3</sub>, OCH<sub>3</sub>, Н,—, 150—151; OCH<sub>3</sub>, OCH<sub>3</sub>, Н, Н, 165—170/0,1,—; Н, OCH<sub>3</sub>, OCH<sub>3</sub>, OCH<sub>3</sub>, 185—190/0,1, 188—189; Н,— OCH<sub>2</sub>O—, Н,—, 178—179. α-(N-метил-N-тетрагидрофурфурил)-аминоидат, т. кип. 128—130°/0,15 мм.; оксалат, т. пл. 173—174°. Синтез в-ва типа Г. Кипятят 1 час 0,2 моля VI или VII и 0,1 моля ФЭА в 150 мл этилацетата, продукт р-ции нагревают 1 час при 200°/12 мм, получают с выходом 70—80% имид, который восстанавливают LiAlH<sub>4</sub>, выход до 60—80%. Получены в-ва типа Г (перечисляются значения R, R<sup>1</sup>, R<sup>2</sup> (или R и R<sup>1</sup> + R<sup>2</sup>), R<sup>3</sup>, R<sup>4</sup>, R<sup>5</sup>, R<sup>6</sup>, (т. кип. в °C/мм., соль, т. пл. в °C): Н,— OCH<sub>2</sub>O—, Н, Н, Н, Н,—, хлоридат, 194—195; OCH<sub>3</sub>, OCH<sub>3</sub>, Н, Н, Н, Н,—, 172—175/0,1, хлоридат, 133—134; Н,— OCH<sub>2</sub>O—, Н, OCH<sub>3</sub>, OCH<sub>3</sub>, Н,—, хлоридат, 154—155; Н, OCH<sub>3</sub>, OCH<sub>3</sub>, Н, OCH<sub>3</sub>, OCH<sub>3</sub>, Н, 203—205/0,15, хлоридат, 164—165; OCH<sub>3</sub>, OCH<sub>3</sub>, Н, Н, OCH<sub>3</sub>, OCH<sub>3</sub>, Н, 185—190/0,15, оксалат, 147—148; Н, OCH<sub>3</sub>, OCH<sub>3</sub>, OCH<sub>3</sub>, OCH<sub>3</sub>, Н, 212—215/0,15, хлоридат, 196—197; Н, OCH<sub>3</sub>, OCH<sub>3</sub>, OCH<sub>3</sub>, OCH<sub>3</sub>, OCH<sub>3</sub>, Н,—, бромметилат, 188—189; Н,— OCH<sub>2</sub>O—, Н, Н, OCH<sub>3</sub>, OCH<sub>3</sub>,—, хлоридат, 228—229; Н, OCH<sub>3</sub>, OCH<sub>3</sub>, OCH<sub>3</sub>, Н, OCH<sub>3</sub>, OCH<sub>3</sub>,—, хлоридат, 228—229. Кипятят 18,5 г фталимида калия и 11,5 г IIа с 80 мл диметилформамида (3 часа), получают N-тетрагидрофурфурилфталмид (IX), выход 69%, т. пл. 80—81° (из этилацетата). IX восстанавливают LiAlH<sub>4</sub> в N-тетрагидрофурфурилизопропаноле, т. кип. 107—110°/0,12 мм., выход 43%, хлоридат, т. пл. 153—154° (из сп.-эф.). Предыдущее сообщение см. РЖХимБх, 1955, 5650.

К. Д. 25695. О производных алкилениминов. Сообщение 11.

Производные пиперидина, обладающие возбуждающим действием на центральную нервную систему. I. Зурм, Гофман (Über Alkylenimin-Derivate. 11. Mitteilung. Piperidin-Derivate mit zentralerregender Wirkung. I. Surry F., Hoffman K.), Helv. chim. acta, 1945, 37, № 7, 2133—2145 (нем.).

Для получения в-ва, обладающих возбуждающим действием на центральную нервную систему, синтезирован ряд 2-замещенных пиперидинов (Ia—p) по схеме: пиперидилацетонитрилы (IIa—p) омылением и декарбоксилированием превращены в ω-замещенные 2-метилпиперидины (IIIa—p), гидрирование которых приводит к I; алкилированием I получены соответствующие N-алкилзамещенные (IVa—v, e, ж, p).

I, III R<sup>1</sup>=H;

II R<sup>1</sup>=CN;

IV R<sup>1</sup>=алкил;



а R=R<sup>1</sup>=C<sub>2</sub>H<sub>5</sub>; б R=C<sub>2</sub>H<sub>5</sub>, R<sup>1</sup>=n-C<sub>4</sub>H<sub>9</sub>; в R=R<sup>1</sup>=n-C<sub>4</sub>H<sub>9</sub>; г R=R<sup>1</sup>=n-C<sub>4</sub>H<sub>9</sub>, R<sup>2</sup>=3,4-исопропил; д R=C<sub>2</sub>H<sub>5</sub>, R<sup>1</sup>=3,4-исопропил; е R=R<sup>1</sup>=n-CH<sub>2</sub>OC<sub>2</sub>H<sub>5</sub>; ж R=C<sub>2</sub>H<sub>5</sub>, R<sup>1</sup>=CH<sub>3</sub>; з R=C<sub>2</sub>H<sub>5</sub>, R<sup>1</sup>=C<sub>2</sub>H<sub>5</sub>; и R=C<sub>2</sub>H<sub>5</sub>, R<sup>1</sup>=n-C<sub>4</sub>H<sub>9</sub>; к R=C<sub>2</sub>H<sub>5</sub>, R<sup>1</sup>=изо-C<sub>4</sub>H<sub>9</sub>; л R=n-C<sub>4</sub>H<sub>9</sub>, R<sup>1</sup>=изо-C<sub>4</sub>H<sub>9</sub>; м R=C<sub>2</sub>H<sub>5</sub>, R<sup>1</sup>=изо-C<sub>4</sub>H<sub>9</sub>; н R=C<sub>2</sub>H<sub>5</sub>, R<sup>1</sup>=изо-C<sub>4</sub>H<sub>9</sub>; о R=C<sub>2</sub>H<sub>5</sub>, R<sup>1</sup>=пиперидил; п R=C<sub>2</sub>H<sub>5</sub>, R<sup>1</sup>=1-(1-пиперидил)-пропил; р R=C<sub>2</sub>H<sub>5</sub>, R<sup>1</sup>=C<sub>2</sub>H<sub>5</sub>CH<sub>2</sub>. Гидрирование четвертичных солей, полученных из III, также приводит к IV. Синтез II осуществлен двумя путями: а) конденсацией 2-бромпиперидина (V) с диаззамещенными ацетонитрилами CNCH(R)<sup>1</sup>R<sup>2</sup> (VI) в присутствии NaNH<sub>2</sub>; б) конденсацией VI (R = C<sub>2</sub>H<sub>5</sub>, R<sup>1</sup> = 2-пиперидил) (VIa) с алкил-(VII), циклоалкил-(VIIa)

и арилалкилгалогенидом (VIIб) в присутствии  $\text{NaNH}_2$ . По получен гидрированием IIa над Ni. Дальнейшее гидрирование IIo приводит к смеси IIo, II (R = R' = циклогексил) и продуктов расщепления. Конденсацией V с флуореном (VIII) в присутствии  $\text{NaNH}_2$  и последующим гидрированием образовавшегося 9-( $\alpha$ -пиридил)-флуорена (IX) получен 9-( $\alpha$ -пиперидил)-флуорен (X). При конденсации V с VIII побочно образуется 9,9-ди-( $\alpha$ -пиридил)-флуорен (XI), гидрирование которого приводит к 9,9-ди-( $\alpha$ -пиперидил)-флуорену (XII). I (R ≠ R') образуют 2 диастереомера-рацемата, обладающих различным фармакологич. действием, разделение которых проведено при помощи фракционной кристаллизации смеси их хлоргидратов или пикратов. Найдено, что Ia оказывает физиологич. действие при применении в очень малых дозах (0,001 г/кг). К суспензии 1,1 моля  $\text{NaNH}_2$  в 300 мл абс. диоксана (XIII) прибавляют р-р 1 моля VI (R = R' = арил) в 300 мл XIII (или абс. толуола), смесь нагревают 4 часа (110–120°), прибавляют по каплям при 90–100° смесь V со 100 мл XIII, нагревают 4–5 час. при 110–120°, охлаждают, выливают в 4 л ледяной воды, фильтруют или экстрагируют  $\text{CHCl}_3$  и полученный II перекристаллизуют (из спирта или  $\text{CH}_3\text{OH}$ ) или перегоняют. Аналогично конденсируют VIIa с VII, VIIa, VIIб (прибавление которых ведут при 20°) и получают II (последовательно указаны т. кип. в °C/мм, т. пл. в °C): а, —, 123–125; б, —, 82–83; д, —, 101–102; е, —, 120–121; ж, 186–190/12, —; з, —, 170–173/0,02, н, 139–146/0,02, —; к, 138–140/0,02, —; л, —89–90; м, 135–140/0,01, —; н, 153–155/0,02, —; о, —, 134–135; п, 198–204/0,05, —; р, —, 108–109 (в и г превращены в III без выделения в чистом виде). Омыление II и последующее декарбосилирование проведено двумя путями: а) р-р 1 моля II (R = R' = арил) в 500 мл 70%-ной  $\text{H}_2\text{SO}_4$  нагревают 5–6 час. (150°), охлаждают, выливают на 2 кг льда, подщелачивают конц. р-ром NaOH, извлекают эфиром, выделяют III; б) р-р 1 моля II в 1 л  $\text{CH}_3\text{OH}$  нагревают с р-ром 224 г КОН в 340 мл воды (215–225°, 5–6 час.), охлаждают, выпаривают, извлекают эфиром и выделяют III (последовательно указаны т. кип. в °C/мм, т. пл. в °C): а, 157–159/0,02, 60–61; б, 182–185/0,01, 82–83; в, 194–195/0,01, —; г, 182–183/0,01, —; д, 194–195/0,03, 81–82; е, 198–201/0,02, —; ж, 142–143/12, —; з, 104–106/0,01, —; н, 158–162/12, —; к, 153–155/12, —; л, 179–180/14, —; м, 157–162/12, —; п, 172–174/12, —; о, 148–151/0,01, 73–74; п, 177–178/0,04, —; р, 170–171/0,03, —. Р-р 0,01 моля III в 100 мл лед.  $\text{CH}_3\text{COOH}$  (или 225 мл абс. спирта) гидрируют над Pt (из 0,5 г  $\text{PtO}_2$ ) при 40° (или над скелетным Ni или Pd/C при 95–100°, 100 атм), фильтруют, отгоняют р-ритель в вакууме, остаток растворяют в воде, подщелачивают (конц. NaOH), извлекают эфиром и получают I. Синтезированы I (последовательно указаны т. кип. в °C/мм и т. пл. в °C основания I, т. пл. хлоргидрата, пикрата и оксалата в °C, т. пл. хлоргидрата и пикрата 2-го диастереомера в °C): а, 150–151/0,01, 65–67, 286–287, 199–200, —, —, —; б, 168–170/0,01, —, 283–285, —, —, —, —; в, 192–194/0,01, 105–106, 270–271, —, —, —, —; г, —, 105–106, 295–296, —, —, —, —; д, 186–187/0,01, —, 284–286, —, —, —, —; е, 235–238/0,1, 88–89, —, —, 120 (разл.), —, —; ж, 132–135/12, —, 201–202, —, —, 164–166, —; з, 130–140/12, —, 180,5–182, 177–178, —, —, 167–168; н, 153–154/12, —, 202–203, —, —, —; к, 149–150/12, —, 266–267, —, —, 234–235, —, л, 166–168/12, —, 252–254, —, —, —; м, 158–160/12, —, 238–239, —, —, 223–224, —; н, 172–174/14, —, 179–180, —, —, 199–200, —; о, 150–151/0,01, —, 289–290, —, —, 266–267, —; п, 167–170/0,05, —, —, —, —; р, 158–159/0,02, —, 220–221, —, 207–208, 193,5–195, —. Кроме того, получен хлоргид-

рат I (R = R' = 4- $\text{HOC}_6\text{H}_4$ ), т. пл. 291–292°. К р-ру 0,1 моля I (R = R' = арил) в 0,3 моля 100%-ной  $\text{HCOOH}$  прибавляют 0,3 моля 40%-ного р-ра  $\text{CH}_2\text{O}$ , нагревают 4 часа (100–120°), подщелачивают, извлекают эфиром и после обычной обработки получают соответствующие IV (R' =  $\text{CH}_3$ ), 0,1 моля III (R = R' = арил) обрабатывают 0,11 моля  $(\text{CH}_3)_2\text{SO}_4$  в 100 мл этилацетата, образовавшуюся четвертичную соль III гидрируют в 150 мл  $\text{CH}_3\text{OH}$  над Pt (из 0,5–1 г  $\text{PtO}_2$ ) и из полученной четвертичной соли IV после обычной обработки получают IV (R' =  $\text{CH}_3$ ). Кипячением р-ра 0,1 моля I в 100 мл  $\text{C}_6\text{H}_6$  с 0,05 моля соответствующего VII (1–10 час.) также получают IV. 0,1 моля IV (R' =  $\text{CH}_3$ ) нагревают 30 мин. (90–100°) с 0,2 моля метилгалогенида в 60 мл этилацетата и после многочасового стояния получают соответствующие четвертичные соли. Синтезированы IV (перечисляются R', т. кип. в °C/мм, т. пл. в °C основания, т. пл. хлоргидрата, пикрата, хлор-, бром- и подметилата в °C): а,  $\text{CH}_3$ , 152–154/0,03, 62–64, —, 181–182, 220–222, 211–213, —; а,  $\text{CH}_2\text{CH}=\text{CH}_2$ , 170–172/0,03, —, —, 193–194, —, —, —; а,  $\text{C}_6\text{H}_5\text{CH}_2$ , —, 126–127, 261–263, —, —, —; б,  $\text{CH}_3$ , 165–167/0,02, —, —, 195–196, —, —, —; в,  $\text{CH}_3$ , 196–197/0,01, —, 261–262, —, —, —, 154–155; е,  $\text{CH}_3$ , 230–233/0,1, 88–89, —, —, —, 55–57 (разл.), —; ж,  $\text{CH}_3$ , 139–140/12, —, —, 150–151, —, 166–168, —; р,  $\text{CH}_3$ , 154–155/0,03, —, —, 185–186, —, —, —. Р-р 83 г VIII в 250 мл абс. толуола нагревают (60–90°, 1 час и 90–130°, 1 час) с 23 г  $\text{NaNH}_2$ , при 70–85° прибавляют по каплям р-р 88 г V в 50 мл толуола, смесь нагревают 3 часа при 120–130°, охлаждают, прибавляют по каплям 50 мл  $\text{CH}_3\text{OH}$ , затем — 100 мл воды, разбавляют толуольный р-р эфиром, извлекают 70%-ной  $\text{H}_2\text{SO}_4$  экстракт подщелачивают (конц. NaOH), извлекают эфиром и получают IX, выход 28 г, т. кип. 187–200°/0,01 мм; пикрат, т. пл. 182–184° (из сп.); побочно образуется XI, выход 15 г, т. пл. 213–214°. Гидрированием 27 г IX (100 мл лед.  $\text{CH}_3\text{COOH}$ , 1 г  $\text{PtO}_2$ , 40–45°) получают X, т. кип. 175–177°/0,01 мм, т. пл. 104–105° (из петр. эф.); хлоргидрат, т. пл. 217–218° (из  $\text{CH}_3\text{OH}$ -эф.). 13 г XI гидрируют аналогично IX (100 мл лед.  $\text{CH}_3\text{COOH}$ , 0,5 г  $\text{PtO}_2$ ), извлекают  $\text{CHCl}_3$  и получают XII, т. пл. 150–151° (из эф.); хлоргидрат, т. пл. 180–191° (из  $\text{CH}_3\text{OH}$ -эф.). Из 128 г VI (R = R' =  $\text{C}_6\text{H}_5$ ) (в 250 мл XIII) и 83 г 4-хлорпиперидина в присутствии 28 г  $\text{NaNH}_2$  аналогично II получают 4-(дифенил- $\omega$ -цианметил)-пиперидин, выход 126 г, омыление и декарбосилированием которого (80%-ная  $\text{H}_2\text{SO}_4$ , 150–160°) получают 4-дифенилметилпиперидин (XIV), выход 85 г, т. пл. 121–122° (из  $\text{CH}_3\text{OH}$ -эф.). К р-ру 32 г XIV в 800 мл  $\text{N-C}_4\text{H}_9\text{OH}$  постепенно прибавляют 61 г Na, кипятят до полного растворения Na, подкисляют 300 мл конц. HCl, отгоняют р-ритель в вакууме, подщелачивают (конц. NaOH), извлекают эфиром и получают 4-дифенилметилтетрагидропиперидин, выход 20,7 г, т. кип. 155–170°/0,02 мм, гидрирование которого (100 мл лед.  $\text{CH}_3\text{COOH}$ , 0,5 г  $\text{PtO}_2$ ) приводит к 4-дифенилметилпиперидину (XV); хлоргидрат, т. пл. 259–260°; N-метилпроизводное (получено аналогично IV (R' =  $\text{CH}_3$ ); хлоргидрат, т. пл. 287–288°. XV получают также гидрированием спирт. р-ра XIV над Ni-катализатором (100°, 100 атм), 6,1 г 3-дифенилметилпиперидина гидрируют в 60 мл лед.  $\text{CH}_3\text{COOH}$  (0,1 г Pt, 40–45°), выпаривают р-р в вакууме, прибавляют к остатку 100 мл воды, извлекают эфиром, водн. р-р подщелачивают и получают 3-дифенилметилпиперидин, выход 4,2 г, т. пл. 74–76° (из  $\text{iso-C}_3\text{H}_7_2\text{O}$ ).

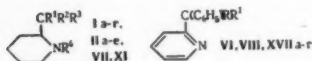
В. 3.

25696. О производных алкениминов. Сообщение 12. Производные пиперидина, обладающие возбуждающим действием на центральную нервную систему. И. Гер, Зурн, Гофман (Über Alkylenimin-

Derivate. 12 Mitteilung. Piperidin-Derivate mit zentralerregender Wirkung. II. Heer J., Sury E., Hoffmann K., Helv. chim. acta, 1955, 38, № 1, 134—140 (нем.; рез. англ.)

С целью изучения зависимости между строением и возбуждающим действием на центральную нервную систему синтезирован ряд 2-замещ. пиперидина (Ia—g, Па—e). Ia получен конденсацией 2-бензоилпиперидина (III) или 2-бензоилпиперидина (IV) с  $\text{BrMgC} \equiv \text{CHCN} = \text{CHS}$  (V) и последующим восстановлением образую-

щихся при этом 2-(фенилтиенил-2'-оксиметил)-пиперидина (VI) или соответственно 2-(фенилтиенил-2'-оксиметил)-пиперидина (VII) действием Na в  $\text{C}_4\text{H}_9\text{OH}$ . Восстановление VI действием HJ приводит к 2-(фенилтиенил-2'-метил)-пиперидину (VIII), из которого при действии Na в  $\text{C}_4\text{H}_9\text{OH}$  также получен Ia. Синтезировать Ia из 2-бромтиофена (Va) и фенил-(2-пиридил)-ацетонитрила (IX), а также каталитич. гидрированием VI и VIII не удалось. Ib получен конденсацией этилового эф. пипекотиновой к-ты (X) с V и последующим восстановлением образующегося 2-ди-(тиенил-2)-оксиметилпиперидина (XI) аналогично VI—VIII, а Iв и Iг — взаимодействием 2-бромпиперидина (XII) с IX, последующим омылением и декарбоксилированием образовавшегося при этом фенилди-(2-пиридил)-ацетонитрила (XIII) до фенилди-(2-пиридил)-метана (XIV) и ступенчатым гидрированием последнего над Pt. Па — г синтезированы при взаимодействии 2-дибензилметилпиперидина (XV) с алкилалогенидами (XVI) и последующим гидрированием образовавшихся при этом алкилпроизводных (XVIIa — г) над  $\text{PtO}_2$ . Метилированием Па, б получены Пе, д. Физиологически наиболее активны Ia и Ib, причем Ia не уступает по силе действия I ( $\text{R}^2 = \text{R}^3 = \text{C}_6\text{H}_5$ ); активность VII и XI значительно ниже, Ib обладает очень слабым действием, а Iг не активен. К р-ру V (из 10 г Mg и 80 г Va в 500 мл эфира) прибавляют 1 час при  $-5^\circ$  36,6 г III, нагревают до  $24^\circ$ , оставляют на 3 часа и выливают на смесь льда с HCl (к-той), экстрагируют эфиром, водн. слой подщелачивают, выделившиеся основание растворяют в эфире и получают VI, выход 44,2 г, т. пл.  $82-83^\circ$  (из  $\text{iso-C}_3\text{H}_7\text{O}$ ). Р-р 10 г VI в 60 мл лед.  $\text{CH}_3\text{COOH}$  кипятят 2—3 мин. с 20 мл HJ (d 1,75) и 5 мл конц. HCl, охлаждают, выпл-



I  $\text{R}^1 = \text{R}^4 = \text{H}$ ; а  $\text{R}^2 = \text{C}_6\text{H}_5$ ,  $\text{R}^3 = \text{C} \equiv \text{CHCH} = \text{CHS}$ ;

б  $\text{R}^2 = \text{R}^3 = \text{C} \equiv \text{CHCH} = \text{CHS}$ ; в  $\text{R}^2 = \text{C}_6\text{H}_5$ ,  $\text{R}^3 = 2$ -пиридил;

г  $\text{R}^2 = \text{C}_6\text{H}_5$ ,  $\text{R}^3 = 2$ -пиперидил; II  $\text{R}^2 = \text{R}^3 = \text{C}_6\text{H}_5$ ;

а  $\text{R}^1 = \text{CH}_3$ ,  $\text{R}^4 = \text{H}$ ; б  $\text{R}^1 = \text{C}_2\text{H}_5$ ,  $\text{R}^4 = \text{H}$ ; в  $\text{R}^1 = \text{C}_3\text{H}_7$ ;

$\text{R}^4 = \text{H}$ ; г  $\text{R}^1 = \text{C}_6\text{H}_5$ ,  $\text{R}^4 = \text{H}$ ; д  $\text{R}^1 = \text{R}^4 = \text{CH}_3$ ;

е  $\text{R}^1 = \text{C}_2\text{H}_5$ ,  $\text{R}^4 = \text{CH}_3$ ; VI  $\text{R} = \text{OH}$ ,  $\text{R}^1 = \text{C} \equiv \text{CHCH} = \text{CHS}$ ;

VII  $\text{R}^1 = \text{OH}$ ,  $\text{R}^2 = \text{C}_6\text{H}_5$ ,  $\text{R}^3 = \text{C} \equiv \text{CHCH} = \text{CHS}$ ,  $\text{R}^4 = \text{H}$ ;

VIII  $\text{R} = \text{H}$ ,  $\text{R}^1 = \text{C} \equiv \text{CHCH} = \text{CHS}$ ; XI  $\text{R}^1 = \text{OH}$ ,

$\text{R}^2 = \text{R}^3 = \text{C} \equiv \text{CHCH} = \text{CHS}$ ,  $\text{R}^4 = \text{H}$ ; XVII  $\text{R}^1 = \text{C}_6\text{H}_5$ ;

а  $\text{R} = \text{CH}_3$ ; б  $\text{R} = \text{C}_2\text{H}_5$ ; в  $\text{R} = \text{C}_3\text{H}_7$ ; г  $\text{R} = \text{C}_6\text{H}_5$ ,

вают в р-р 20 г  $\text{NaHSO}_3$  в 1 л воды, разбавляют р-ром  $\text{NH}_4\text{OH}$ , выделившиеся основание растворяют в эфире и из эфир. р-ра выделяют хлоридат VIII, выход 6,5 г, т. пл.  $165^\circ$ . К р-ру 7 г VIII в 200 мл  $\text{C}_4\text{H}_9\text{OH}$  постепенно

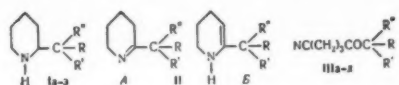
прибавляют при  $110^\circ$  7 г Na, по окончании р-ции выпаривают р-р в вакууме, к остатку прибавляют воду, обрабатывают эфиром, извлекают разб.  $\text{CH}_3\text{COOH}$ , подщелачивают р-ром  $\text{NH}_4\text{OH}$  и получают неочищ. Ia, выход 5,6 г (2-й диастереомер-рацемат не выделен); хлоридат, т. пл.  $260-266^\circ$ . 13 г VI восстанавливают аналогично VIII (30 г Na, 500 мл  $\text{C}_4\text{H}_9\text{OH}$ ), выход неочищ. Ia 11,2 г. К р-ру 32 г неочищ. 2-(фенилосиметил)-пиперидина (получен гидрированием III в р-ре лед.  $\text{CH}_3\text{COOH}$  над Pt) в 160 мл лед.  $\text{CH}_3\text{COOH}$  осторожно прибавляют 13,2 г  $\text{CrO}_3$  в 15 мл воды и 75 мл лед.  $\text{CH}_3\text{COOH}$ , оставляют на  $\sim 16$  час., выпаривают в вакууме, к остатку прибавляют р-р  $\text{NH}_4\text{OH}$ , выделившееся масло растворяют в эфире и получают IV, выход 31,4 г (неочищ.), т. пл.  $90-92^\circ$  (из эф.). Из р-ра V (из 35 г Va и 5 г Mg в 250 мл эф.) и р-ра 18,9 г IV в 90 мл  $\text{C}_6\text{H}_6$  и 90 мл эфира аналогично III получают VII, выход 23,4 г (неочищ.), т. пл.  $131-132^\circ$  (из  $\text{iso-C}_3\text{H}_7\text{O}$ ). 10,1 г VII восстанавливают аналогично VIII (20 г Na,  $400^\circ$  мл  $\text{C}_4\text{H}_9\text{OH}$ ) и получают Ia, выход (неочищ.) 8,37 г. Из р-ра V (из 75 г Va и 12 г Mg в 300 мл эфира) и р-ра 23,3 г X в 100 мл эфира аналогично III (приливание X 30 мин.) получают XI, выход (неочищ.) 22,4 г, т. пл.  $123-125^\circ$  (из ацетона- $\text{CH}_3\text{OH}$ ). 15 г XI восстанавливают аналогично VIII (30 г Na и 500 мл  $\text{C}_4\text{H}_9\text{OH}$ ) и получают Ib, выход 6,77 г, т. кип.  $185-195^\circ/0,15$  мм; хлоридат, т. пл.  $244-246^\circ$  (из  $\text{CH}_3\text{OH}$ -этилацетата). Из 97 г IX и 240 г XII аналогично описанному в сообщении 11 (59 г  $\text{NaNH}_2$ , 350 мл толуола) получают XIII, выход 50 г, т. кип.  $180-189^\circ/0,03$  мм, который гидролизуют и декарбоксилируют (56 г KOH в 250 мл  $\text{CH}_3\text{OH}$  и 84 мл воды,  $215-225^\circ$ , 10 час.) в XIV, т. кип.  $170-176^\circ/0,01$  мм, т. пл.  $83-84^\circ$ ; дипикрат, т. пл.  $169-170^\circ$  (из ацетона- $\text{CH}_3\text{OH}$ ). Р-р 6,5 г монохлоридрата XIV в 50 мл  $\text{CH}_3\text{OH}$  гидрируют над Pt (из 0,2 г  $\text{PtO}_2$ ) до поглощения 3 молей  $\text{H}_2$  на 1 моль XIV и получают (после выпаривания фильтрата досуха) Iв, т. пл.  $170-171^\circ$  (из  $\text{CH}_3\text{OH}$ -эф.), гигроскопичен. Р-р 28,95 г XIV в 120 мл лед.  $\text{CH}_3\text{COOH}$  гидрируют над Pt (из 1 г  $\text{PtO}_2$ ) до поглощения 6 молей  $\text{H}_2$  на 1 моль XIV и получают Iг, т. кип.  $144-146^\circ/0,005$  мм, т. пл.  $60-61^\circ$  (из петр. эф.); дихлоридат, т. пл.  $305-306^\circ$  (из  $\text{CH}_3\text{OH}$ -эф.). К р-ру 0,1 моля XV в 120 мл диоксана прибавляют 8 г  $\text{NaNH}_2$ , нагревают 1 час при  $70^\circ$ , прибавляют 0,1 моля соответствующего XVI, выпаривают в воду, выделившееся масло растворяют в эфире и получают следующие XVII: а, т. кип.  $142-144^\circ/0,1$  мм, т. пл.  $50-51^\circ$ ; б, т. кип.  $140-142^\circ/0,1$  мм; в, т. кип.  $128-130^\circ/0,02$  мм; г, переработан без очистки. Р-р 10 г XVII в 100 мл лед.  $\text{CH}_3\text{COOH}$  гидрируют в присутствии Pt (из 0,4 г  $\text{PtO}_2$ ) при  $40^\circ$  до поглощения 6 молей  $\text{H}_2$  на 1 моль XVII и после обычной обработки получают  $\sim 10,4$  г неочищ. II (а — г), обработкой которых спирт. р-ром HCl получают хлоридаты следующих II (приводятся т. пл. в  $^\circ\text{C}$ ): а, 278—280; б, 245—247; в, 243—245; г, 233—235.  $\sim 11,3$  г Па, б кипятят 4 часа в р-ре 6,5 г 99%-ной  $\text{HCOOH}$  и 6,5 г 37%-ного  $\text{CH}_2\text{O}$ , отгоняют р-ритель в вакууме и перекристаллизовывают неочищ. Пд. е в их хлоридаты, т. пл.  $256-258^\circ$  и  $222-225^\circ$  соответственно. Все т-ры плавления исправлены. В. 3.

25697. О производных алкилениминов. Сообщение XIII. Производные пиперидина, обладающие возбуждающим действием на центральную нервную систему. III. Зурри, Гофман (Über Alkylenimin-Derivate. 13. Mitteilung. Piperidin-Derivate mit zentralerregender Wirkung. III. Sury E., Hoffmann K., Helv. chim. acta, 1955, 38, № 3, 728—737 (нем.))

С целью доказательства строения  $\omega$ -замещ. 2-пипекотинов (Ia — e), полученных ранее (см. сообщение II, реф. 25695) синтезирован ряд их ненасыщ. аналогов (Па — e), обладающих меньшим возбуждающим действием на центральную нервную систему, чем I.



IIa, б, д получены ступенчатым гидрированием соответствующих  $\gamma$ -нитрилкетонов (IIIa б, д) над Ni-катализатором. Дальнейшее гидрирование IIa, б, д над Pt (из  $PtO_2$ ) протекает очень медленно и приводит к Ia, б, д.



- а  $R=R'=C_6H_5$ ,  $R''=H$ ; б  $R=C_6H_5$ ,  $R'=n-C_4H_9$ ,  $R''=H$ ;  
в  $R=R'=C_6H_5$ ,  $R''=CH_3$ ; г  $R=C_6H_5$ ,  $R'=n-C_4H_9$ ,  $R''=CH_3$ ;  
д  $R=C_6H_5$ ,  $R'=C_6H_5$ ,  $R''=H$ ; е  $R=C_6H_5$ ,  $R'=CH_3$ ,  $R''=H$ ;  
ж  $R=R'=C_6H_5$ ,  $R''=OH$ ; з  $R=C_6H_5$ ,  $R'=CH_3$ ,  $R''=OH$

Ia — д могут быть получены также исчерпывающим гидрированием IIIa — д над Ni. Дегидратация (Iж) и (Ia) приводит соответственно к IIa и IIe, при гидрировании которых над Pt (из  $PtO_2$ ) получены, соответственно, Ia и Ie. Восстановление I ж, з, дифенил-(IV) и фенилметилосиметилпиперидина (IVa) при действии Na в  $C_4H_9OH$  или  $C_5H_{11}OH$  сопровождается отщеплением OH-группы и также приводит к Ia и Ie соответственно. Ia получен непосредственно из дифенил-2-пиперидинацетамида (IIa). На основании сравнения УФ-спектров Ia, IIa,  $C_6H_5CH_2C(CH_3)=NC_4H_9(V)$ , 1,1-дифенил-2-(пиперидил-1')-этилена (т. кип. 154—156°/0,01 мм, т. пл. 52—53°) и 1-метил-2-дифенилметилпиперидина (VI) (приведены кривые) авторы приходят к выводу, что II является в основном смесью изомеров (II А, и II Б) лишь с небольшой примесью изомера с семиклещ. связью. Это хорошо подтверждается образованием 1,1-дифенил-6-диметиламиногексано-2 (VII) при действии на IIa  $CH_2O$  и  $HCOOH$ . Р-р  $C_5H_7(CN)C(COOH)_2$  (VIII) (получен омылением р-ра 1 моля дитиолового эфира VIII в 250 мл  $CH_3OH$  нагреванием 15 мин. с р-ром 2,2 моля NaOH в 200 мл воды) и 100 мл абс. эфира обрабатывают 3 моля ди-гидроксирана в присутствии 2 капель конц.  $H_2SO_4$  (36 час., 25—30°), прибавляют 100 г безвод.  $K_2CO_3$ , через 3 часа декантируют, отгоняют р-ритель в вакууме (т-ра  $\leq 30^\circ$ ) и получают ди-(тетрагидропираниловый)-эфир VIII (VIIIa). Р-р р-ра 0,5 моля VIIa в 300 мл абс.  $C_6H_6$  прибавляют 0,5 моля NaH (т-ра  $\leq 30^\circ$ ) и через 4—5 час. прибавляют по каплям 25—30° р-р 0,5 моля соответствующего диамин. ацетилхлорида в 100 мл абс.  $C_6H_6$ . Через 4 часа (30°) прибавляют 100 мл конц.  $CH_3COOH$ , кипятят 1 час, промывают 2 н. р-ром NaOH и из  $C_6H_6$ -р-ра выделяют III (последовательно указаны III, т. кип. в  $^\circ C/мм$  и т. пл. 2,4-динитрофенилгидразона в  $^\circ C$  (из хлф.- $CH_3OH$ )): а, 185—194/0,01, 146—148; б, 206—208/0,25, 159—160; в, 198—205/0,02, —; г, 203—205/0,01, —; д, 151—157/0,03, 99—100. Р-р 0,1 моля IIIa (б или д) в 250 мл абс. спирта гидрируют над 5 г Ni (100°, 100 ат) до поглощения 2 молей  $H_2$  и получают II (последовательно указаны т. кип. в  $^\circ C/мм$ , т. пл. пикрата в  $^\circ C$  (из ацетона- $CH_3OH$ )): а, 168—170/0,1, 173—174; б, 171—173/0,04, 171—172; д, 144—145/13, 177—178. При исчерпывающем гидрировании IIIa — д в описанных выше условиях получают соответствующие I (последовательно указаны т. кип. в  $^\circ C/мм$ , т. пл. в  $^\circ C$ , т. пл. хлоридрата и пикрата в  $^\circ C$ ): а, 150—151/0,01, 65—67, 286—287 (из  $iso-C_3H_7OH$ ), 199—200 (из ацетона- $CH_3OH$ ); б, 168—170/0,01, —, 283—285, —; в, 160—163/0,01, —, —, 189—190; г, 175—178/0,01, —, —, 188—189; д, 140—141/13, —, 180,5—182, 177—178. Ia, б, д получают также при гидрировании р-ра IIa, б, д в 80 мл абс. спирта над Pt (из 0,3 г  $PtO_2$ ) ( $\sim 20^\circ$ ), 0,1 моля Iж нагревают в р-ре 100 г 75%-ной  $H_2SO_4$  (160°, 5 час.), выливают на лед, подщелачивают конц. NaOH, экстрагируют эфиром и из экстракта выделяют смесь изомеров IIa, т. кип. 161—162°/0,02 мм; пикрат 196—197°; при нагревании 1 час

с 60%-ной  $H_2SO_4$  получают IIa с т. кип. 155—157°/0,04 мм; пикрат, т. пл. 173—174°; при нагревании с 0,2 г  $KHSO_4$  (или J<sub>2</sub>) и 0,1 г гидрохинона (15 мин., 300—310°) получают IIa, т. кип. 156—158°/0,01 мм; пикрат, т. пл. 183,5—184°; при нагревании в присутствии 0,2 г,  $n-C_4H_9SO_3H$  получают IIa с т. кип. 153—155°/0,01 мм; пикрат, т. пл. 149—151°; аналогично из Iз получают IIe, т. кип. 135—137°/14 мм; пикрат, т. пл. 117—119°; 0,04 моля IIa или IIe гидрируют в спирт. р-ре (или р-ре  $CH_3COOH$ ) над Pt (из  $PtO_2$ ) аналогично IIa, б, д и получают соответственно Ia и Ie; хлоридрат Ie, т. пл. 201—202° (из  $iso-C_3H_7OH$ ). К кипящему р-ру 0,1 моля Iж (Ia, VI или VIa) в 400 мл  $C_4H_9OH$  или  $C_5H_{11}OH$  постепенно прибавляют 30 г Na, выливают в воду, извлекают эфиром, экстракт обрабатывают 2 н. р-ром HCl, солинокислый р-р подщелачивают, извлекают эфиром и получают соответственно Ia и Ie. 20 г Iи нагревают в 150 г 80%-ной  $H_2SO_4$  (5 час., 150—160°), выливают на лед, подщелачивают (NaOH), извлекают эфиром и получают Ia. 10 г IIa нагревают (3 часа, 100—120°) с 15 г 98%-ной  $HCOOH$  и 11 г 37%-ного водн. р-ра  $CH_2O$ , разбавляют водой, извлекают эфиром, водн. слой подщелачивают (NaOH), извлекают эфиром и из экстракта получают VII, т. кип. 172—173°/0,03 мм. Р-р 13,4 г фенилацетона и 7,3 г  $n-C_4H_9NH_2$  в 20 мл  $C_6H_6$  кипятят в течение 15 мин. при 110°, разбавляют эфиром и получают V, т. кип. 128—129°/13 мм. Дегидрируют 12 г 1-метил-2-пиперидилбензгидрола (100 г 60%-ной  $H_2SO_4$ , 1 час, 160°) и получают VI, т. кип. 157—158°/0,02 мм, т. пл. 59—61° (из  $CH_3OH$ ). В. З.

#### 25698. Синтез 2-формилхиноклидина. Рубцов М. В., Яхонтов Л. Н., Ж. общ. химии, 1955, 25, № 11, 2143—2145

Описан синтез 2-формилхиноклидина (I) восстановлением N-метиланилида хиноклидинкарбонной-2 к-ты (II) посредством  $LiAlH_4$ . II получают и хиноклидинкарбонной-2 к-ты (III) через хлорангидрид (IV). Установлено, что окисление хиноклидин-2-карбинола действием  $SeO_2$  или  $(CH_3COO)_4Pb$ , а также разложение бензолсульфогидразида III не приводит к I. 4,44 г хлоридрата III нагревают (60—65°, 14 час.) с 45 мл  $SOCl_2$  и упаривают досуха. Хлоридрат IV обрабатывают (—2°, 2 часа) 8,1 г N-метиланилина в 20 мл эфира, выход II 85%, т. кип. 161—162°/0,6 мм, т. пл. 95—96°. К 2,7 г II в 27 мл эфира прибавляют (—5°, 15 мин.) 0,21 г  $LiAlH_4$ , перемешивают 8 час. (—5°), добавляют 0,4 мл воды и обрабатывают отделенный эфирный р-р 2,5 мл 40%-ного р-ра  $NaHSO_4$ . Бисульфитное производное I после промывки спиртом разлагают кипячением с 15 мл насыщ. р-ра  $Na_2CO_3$ , выделяют I, т. кип. 80—82°/0,4 мм,  $n_D^{20}$  1,5296; хлоридрат, т. пл. 228° (разл.), пикрат, т. пл. 218—219° (разл.); фенилгидразон, выход 31%, т. пл. 147—148°; семикарбазон, т. пл. 244° (разл.). Л. Я.

#### 25699. Изучение новых путей синтеза хиноклидин-2-карбонной кислоты. Рубцов М. В., Михлиа Е. Е., Ж. общ. химии, 1955, 25, № 12, 2303—2310

Установлено, что 4-( $\beta$ -окси- $\gamma$ ,  $\gamma$ -трихлорпропил)-пиперидин (I) можно превратить с невысоким выходом в хиноклидинкарбонную-2 к-ту (II) через  $\beta$ -(пиперидил-4)-молочную к-ту (III), этиловый эфир III (IV), этиловый эфир  $\beta$ -(пиперидил-4)- $\alpha$ -хлорпропионовой к-ты (V) и этиловый эфир хиноклидинкарбонной-2 к-ты (VI). III и IV легко полимеризуются при стоянии; IV деполимеризуется при длительном нагревании со спирт. р-ром HCl. В I, III, IV,  $\beta$ -(N-бензоилилпиперидил-4)-молочной к-те (VII) и ее этиловом эфире (VIII) NO-группа очень трудно замещается на галоген. I превращен в 4-( $\beta$ -бром- $\gamma$ ,  $\gamma$ -трихлорпропил)-пиперидин (IX), циклизацией которого получен 2-трихлорметил

хинуклидин (X). При омылении 1-бензоил-4-(β-окси-γ, γ, γ-трихлорпропил)-пиперидина (XI) действием КОН в спирте получена К-соль VII, которая через Ag-соль VII действием  $C_2H_5J$  превращена в VIII. При омылении VIII к-тами с последующей этерификацией получен IV. 10 г 4-(β-окси-γ, γ, γ-трихлорпропил)-пиперидина (XII) в 40 мл спирта, 10 мл воды и 16 мл лед.  $CH_3COOH$  обработали 9 г Zn-пыли (60°, 20 мин., затем кипячение 3 часа), получили 0,67 г 4-(β-окси-γ, γ-дихлорпропил)-пиперидина, т. пл. 134—136° (из 25%-ного сп.). Гидрированием 12 г XII над Pt (из  $PtO_2$ ) (в 1%-ном HCl в спирте, 16 час.) получен хлоргидрат I, выход 94,8%, т. пл. 194—196° (разл.); I, т. пл. 159—160° (разл., из спирта); бромгидрат I, т. пл. 188—189° (разл.); N-метильное производное, т. пл. 172,5—173,5° (из сп.), N-бензильное производное, т. пл. 130—131° 2 г I, 15 мл  $POCl_3$  и 1,5 г  $PCl_5$  кипятили 2 часа, после подщелачивания извлекли эфиром фосфорный эфир I. 0,5 г I нагревали в трубке с 15 мл 68%-ной HBr (120°, 3 часа), выход бромгидрата IX 40,6%, т. пл. 166—166,5° (разл., из сп.). 1 г бромгидрата IX, 12 мл воды, 15 мл 15%-ного р-ра  $Na_2CO_3$  и 20 мл  $CHCl_3$  встряхивали 3 часа и выделили X в виде хлоргидрата, т. пл. 230° (разл.; из сп.-эф.). 5 г I омыляли 91 г КОН в 95 мл спирта (40—45°, 4 часа), нейтрализовали избыток КОН действием  $CO_2$  и выделили III в виде хлоргидрата, выход 61,8%, т. разл. 202—204°. Этерификацией 2,7 г хлоргидрата III (4%-ный р-р HCl в спирте, кипячение 3 часа) получили полимер IV, т. пл. 230° (разл.). Деполимеризацию провели нагреванием (30 час.) с 30 мл 10%-ного р-ра HCl в спирте; выход IV 27%, т. кип. 147—148°/12 мм,  $n_D^{20}$  1,4628. IV при стоянии снова превращается в полимер. 0,92 г IV бензоилировали 0,97 г  $C_6H_5COCl$  в 9 мл пиридина (2 часа); выход VIII 85,7%, т. кип. 175—177°/0,34 мм,  $n_D^{19}$  1,518. 4,4 г IV перевели в хлоргидрат, обработали 20 мл  $SOCl_2$  в 20 мл  $CHCl_3$  (6 час., 62—63°), упарили, выделили основание, кипятили его 2 часа с 8 мл пиридина и получили 1,85 г VI, т. кип. 137—147°/12 мм. При кипячении VI с 18 мл 17%-ной HCl (5 час.) выделили 0,2 г хлоргидрата II, т. пл. 286° (разл.). Бензоилирование 6 г I действием 5,1 г  $C_6H_5COCl$  в 60 мл пиридина (2 часа, 18—20°) привело к XI, выход 93,8%, т. пл. 177—179° (из сп.). 6,25 г XI обработали 8 г КОН в 200 мл спирта (18—20°, 48 час.), избыток КОН осадил  $CO_2$ , К-соль VII растворили в 10 мл воды и обработали 3,03 г  $AgNO_3$  в 14 мл воды; выход Ag-соли VII 93,5%. 9 г этой соли кипятили 6 час. с 5,1 г  $C_2H_5J$  и 70 мл эфира; выход VIII 87,5%. При омылении 3 г VIII действием 30 мл 17%-ной HCl (кипячение 4 часа) с последующей этерификацией 25 мл 5%-ного р-ра HCl в спирте получили IV, выход 63,7%; омылением 3,45 г VIII 25 мл 20%-ного р-ра HCl в спирте (кипяч. 30 час.) получен IV с выходом 77,3%. Л. Я. 25700.

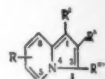
**Синтез β-(хинуклидил-2)-пропионовой кислоты.** Рубцов М. В., Яхонтов Л. Н., Никитская Е. С., Ж. общ. химии, 1955, 25, № 12, 2311—2313

Описан синтез β-(хинуклидил-2)-пропионовой к-ты (I) двумя путями: с выходом 60% из 2-формилхинуклидина (II) через хинуклидил-2-метилмалоновый эфир (III) и β-(хинуклидил-2)-акриловую к-ту (IV), и с выходом 20% из 2-бромметилхинуклидина (V) через хинуклидил-2-метилмалоновый эфир (VI). 0,7 г свежеперегнанного II конденсировали с 0,8 г малонового эфира (VII) в 3 мл безводн. пиридина, содержащего 5 капель пиперидина (4 дня, 15°), р-р упарили, отделили нерастворимый в эфире полимер II, выход III 66%, т. кип. 142—143°/8 мм,  $n_D^{20}$  1,4821. 0,3 г III кипятили 6 час. с 3 мл конц. HCl, выход хлоргидрата IV 90%, т. пл. 197—

198°. Гидрированием Na-соли IV (из 0,05 г хлоргидрата IV) над скелетным Ni (30 мин., 17—20°, 40—50° мм вод. ст.) получили Na-соль I; хлоргидрат I, т. пл. 215—216° (разл.). К  $C_4H_9ONa$  (из 0,24 г Na) прибавили 1,68 г VII и 1 г бромгидрата V, кипятили 20 час., получили 0,3 г VI, т. кип. 140—150°/35 мм. Кипячение 0,3 г VI с 3 мл конц. HCl (8 час.) привело к хлоргидрату I, выход 20%, т. пл. 215—217° (разл.; из сп.-эф.). 0,25 г хлоргидрата I обработали (1 час, 60—65°) 2,5 мл  $SOCl_2$ , упарили, остаток кипятили 2 часа с 2,5 мл спирта, после отгонки спирта добавляли 50%-ный р-р  $K_2CO_3$  и экстрагировали эфиром. После обработки эфирного р-ра  $CH_3J$  выделен иодметилат этилового эфира I, т. пл. 87—89° (из сп.-эф.), выход 37,5% (на хлоргидрат I). Л. Я. 25701.

**Химия пирроколинов. VIII. Алкилпроизводные.** Холланд, Нейлер (The chemistry of the pyrricolines. Part VIII. Alkyl derivatives. Holland D. O., Naylor J. H. C.), J. Chem. Soc., 1955, June, 1657—1662 (англ.)

Взаимодействием 2-алкилпиридинов с α-галондкетонами и последующим замыканием образующихся солей пиридиния получен ряд алкилазещ. пирроколинов (I). Изучены р-ции I с  $CH_3J$  и  $C_2H_5J$  и найдено, что 2-метилпирроколин (II) с  $CH_3J$  при 120° дает иодметилат 1,2,3-триметилпирроколина (III). Последний плочуен также действием  $CH_3J$  на 1,2,3-триметилпирроколин (IV) при ~20°. На основании сравнения кривых УФ-спектра поглощения III, иодистого 1-этил-1,2,3-триметил-(V) и 1-этил-2,3,3-триметилпирроколинина (VI) (получены взаимодействием 1-этил-2,3-диметилпирроколина (VII) с  $CH_3J$ , сопровождающимся перемещением двойной связи к образующемуся четвертичному атому N) и иодистого 3-этил-1,2,3-триметилпирроколинина (VIII), авторы полагают, что III представляет собой смесь или молекулярное соединение иодистых 1,1,2,3- и 1,2,3,3-тетраметилпирроколинина. Смесь изомеров V и VI получена действием  $C_2H_5J$  на IV; из этой смеси в чистом виде выделен лишь V. VIII в чистом состоянии получен при р-ции 3-этил-2-метилпирроколина (IX) с  $CH_3J$ . Найдено также, что при обработке I  $CH_3J$  или  $C_2H_5J$  (~20°) в некоторых случаях образуются иодгидраты I. Приведены кривые УФ-спектров спирт. р-ров II, иодгидрата II и иодгидрата II в 0,08 н. спирт. HCl. Иодгидраты I, не содержащих заместителей в положениях 1 или 3, дают с  $n-(CH_3)_2NC_6H_4CHO$  (X) синие или фиолетовые красители, повидимому, замещ. иодистый 3-(или 1)-*n*-диметиламинобензилдиенилпирроколиний. 120 мл α-пиколона (XI) и 167 г бромацетона (XII) в 200 мл ацетона кипятили 1 час, получают бромистый 1-ацетонил-2-метилпиридиний (XIII), выход 84%, т. пл. 196° (из сп.). Р-р 23 г XIII и 20 г  $NaHCO_3$  в 500 мл воды кипятили и образующийся II отгоняют с паром, выход 95%, т. пл. 59° (после возгонки в вакууме). Кипячением (90 мин.) 6,5 мл 2-этилпиридина (XIV) и 7,7 г XII в 12 мл ацетона получают бромистый 1-ацетонил-2-этилпиридиний (XV), выход 80%; хлороплатинат, т. пл. 210° (разл.). Циклизацию XV проводят аналогично XIII, получают 1,2-диметилпирроколин (XVI), выход 92%, т. пл. 63°; хлороплатинат, т. пл. от 214° (не резко). 2,3-диметилпирроколин получен аналогично из XI и 1-бромэтилметилкетона, выход 61%, т. пл. 37°; хлороплатинат из промежуточно образующегося бромистого 2-метил-1-(1-метил-2-оксопропил)-пиридина, т. пл. 201° (разл.). Р-р 27,3 мл 2,4-лутидина и 33,3 г XII в 50 мл ацетона кипятили 15 мин. и оставляют на 12 час. Р-ритель отгоняют в вакууме, остаток растворяют в воде и извлекают эфиром, получают водн. р-р бромистого 1-ацетонил-2,4-диметилпиридиния (XVII), хлороплатинат, т. пл.



219—220° (разл.). Водн. р-р XVII обрабатывают 600 мл р-ра 60 г  $\text{NaHCO}_3$ , получают 2,7-диметилпирроколины (XVIII), выход 70%, т. пл. 78—79° (после возгонки в вакууме), неустойчив; хлороплатинат, т. разл. 200°. 2,5-диметилпирроколины (XIX) получают кипячением (30 мин.) 44 мл 2,6-лутидина и 52,5 г XII в 60 мл ацетона, выход 2,72 г, т. кип. 116—117°/14 мм. IV, т. кип. 135—137°/13 мм (получение см. РЖХим, 1955, 34492) [промежуточно образующийся бромистый 2-этил-1-(1-метил-2-оксопропил)-пиридиний, т. пл. 182—184° (из сп.-эф.)]; хлороплатинат, т. пл. 179° (разл.). Смесь 8,9 мл XI, 20,5 г 1-бром-2-фенилэтилметилкетона нагревают 8 час. на водяной бане, разбавляют водой, добавляют  $\text{NaHCO}_3$  до pH 7 и извлекают  $\text{CHCl}_3$ . Из небольшой части водн. р-ра добавлением  $\text{H}_2\text{PtCl}_6$  получают хлороплатинат 1-(1-бензил-2-оксопропил)-2-метилпиридиния, т. разл. 170°. Остальную часть р-ра кипятят 4 часа с 16 г  $\text{NaHCO}_3$  и извлекают  $\text{CHCl}_3$ . Из экстракта получают 5,06 г 3-бензил-2-метилпирроколины, т. пл. 93—94° (после возгонки при 0,05 мм и т-ре бани 80—120°); хлороплатинат, т. пл. 178—179° (разл.). Смесь 3,1 г II, 6 мл  $\text{CH}_3\text{J}$  и 10 мл  $\text{CH}_3\text{OH}$  нагревают 7 час. при 120°, упаривают в вакууме, обрабатывают остаток ацетоном и получают 4,83 г III, т. пл. 180—181° (из сп.). Смесь 3,7 г IV и 15 мл  $\text{CH}_3\text{J}$  оставляют на неделю и разбавляют эфиром, эфирный р-р декантируют, осадок промывают эфиром и ацетоном, выход III 2,73 г. 3,8 г IV и 10 мл  $\text{C}_2\text{H}_5\text{J}$  в 10 мл спирта нагревают 8 час. при 120°. Из сильно охлажд. р-ра выпадают кристаллы (добавочное кол-во в-ва получают упариванием р-ра в вакууме и обработкой остатка ацетоном). Выход смеси V и VI 2,4 г, т. пл. 179—180° (из ацетона-эф.); дробной кристаллизацией из спирта и затем из изопропанола получают 0,26 г V, т. пл. 199—200°. Смесь 3 г VII, 3 г  $\text{CH}_3\text{J}$  и 8 мл  $\text{CH}_3\text{OH}$  нагревают 7 час. при 110—120°, упаривают в вакууме, осаждают ацетоном, получают 24% V. Ацетоновый р-р разбавляют 35 мл абс. эфира, получают 48% VI, т. пл. 179° (из ацетона-эф.). 5 г IX, 5 мл  $\text{CH}_3\text{J}$  в 12 мл  $\text{CH}_3\text{OH}$  нагревают 7 час. при 120°, упаривают в вакууме и получают 2,95 г VIII, т. пл. 167—168° (из ацетона-эф.). Смесь 2,7 г XIX в 15 мл эфира и 4 мл  $\text{CH}_3\text{J}$  оставляют на неделю, выделяется масло, из которого при обработке ацетоном получено 0,65 г подтидрата XIX, т. пл. 189° (разл.). Аналогично  $\text{CH}_3\text{J}$  с XVIII дает подтидрат XVIII, т. пл. 171—172° (из сп.); XVI с  $\text{CH}_3\text{J}$  дает подтидрат XVI, т. пл. 177—179° (из сп.-эф.). Р-р 2,62 г II и 2,98 г X в 60 мл спирта обрабатывают 2,8 мл 55%-ной  $\text{HJ}$ , через 15 мин. отфильтровывают синий осадок, промывают спиртом, сушат при 100°/4 мм, получают подтистый 3-(или 1)-*n*-диметиламинобензилден-2-метилпирроколиний, выход 8,4 г, не имеет отчетливой т-ры плавления, растворяется только в  $\text{CH}_3\text{NO}_2$ , но не кристаллизуется из него. XIV получен восстановлением 2-ацетилпиридина по Кижнеру, восстановление по Клемменсену приводит к 1,2-пиридилэтанолу (XX), т. кип. 207°/747 мм; пикрат, т. пл. 85—86° (из этилацетата); кипячением (90 мин.) 3,4 г XX с 4,1 г фталевого ангидрида в 15 мл ацетона получено 4,42 г кислотного фталата, т. пл. 134—136° (из ацетона); 1 г XX при нагревании с 0,96 г  $\text{C}_6\text{H}_5\text{NCO}$  в сухом толуоле (30 час.) дает маслообразное производное, которое было переведено в пикрат (2,84 г), т. пл. 164—166° (из сп.). Сообщение VII см. РЖХим, 1956, 831.

**25702. Фурано-(3,2-с)-пиридины.** Херц, Токкер (Furano (3,2-c) pyridines. Herz Werner, Tocker Stanley), J. Amer. Chem. Soc., 1955, 77, № 13, 3554—3556 (англ.)

С целью изучения физиологич. свойств синтезированы фурановые аналоги производных изохинолина. Циклизация амидов, полученных из 2-(2-фурил)-этиламина (I) в толуоле, в присутствии  $\text{POCl}_3$  (290 мл 0,012 M

р-ра на 0,005 моля амида) приводит к образованию 3,4-дигидрофурано-(3,2-с)-пиридинов (IIa—v), которые могут быть превращены в производные фурано-(3,2-с)-пиридинов (IIIa—v) или в производные тетрагидрофурано-(3,2-с)-пиридинов (IV a—r)

II, IIIa R=C<sub>6</sub>H<sub>5</sub>; 6 R=CH<sub>3</sub>;

v R=CH<sub>2</sub>C<sub>6</sub>H<sub>4</sub>(OCH<sub>3</sub>)<sub>4</sub>;

IVa R'=C<sub>6</sub>H<sub>5</sub>, R''=H;

6 R'=CH<sub>3</sub>, R''=H; n R'=C<sub>6</sub>H<sub>5</sub>,

R''=CH<sub>3</sub>; r R'=CH<sub>3</sub>, R''=CH<sub>3</sub>,



Значительно больший выход получен при циклизации N-бензоил-2-(2-фурил)-этиламина (V), чем при циклизации N-ацетил-(VI) и N-гомовератроил-(VII)-2-(2-фурил)-этиламина. Из-за неустойчивости IIa при циклизации VII образовался сразу IIIa. При восстановлении подметилатов IIa и IIb получены IVa и IVg. Замыкание 2-фурилфурелденаминоацетата (VIII), N-метилена (IX) и N-формил-(X)-2-(2-фурил)-этиламина с целью получения незамещ. фуранопиридинов осуществить не удалось. Не циклизуется также и N-бензоил-1-фурил-2-аминоэтанол (XI). Р-р 0,005 моля амида в 300 мл толуола кипятят, отгоняют 25 мл азеотропной смеси, приливают р-р 3 мл  $\text{POCl}_3$  в 75 мл сухого толуола и кипятят 2—3 часа; толуол декантируют, остаток обрабатывают водой, водн. слой экстрагируют эфиром и получают II. Таким образом из 2 г V получают IIa, выход 65,5%, т. кип. 119°/1,4 мм, т. пл. 61° (из баз.-петр. эф.), а из 1 г VI получают IIb, выход 25%, т. кип. 92°/4 мм,  $n_D^{20}$  1,5412; пикрат, т. пл. 173—173,5°. Р-р 50 г β-2-нитровинилфурана в 500 мл эфира приливают к р-ру 40 г  $\text{LiAlH}_4$  в 1,5 г эфира и получают I, выход 64%, т. кип. 155°/752 мм. Из 10 г I в 100 мл воды с 12,6 г  $\text{C}_6\text{H}_5\text{COCl}$  (XII) и 50 мл 20%-ной  $\text{NaOH}$  получают V, выход 83%, т. пл. 77° (из баз.-лигр.); из 10 г I в 150 мл 20%-ного  $\text{NaOH}$  с 30 мл  $(\text{CH}_3\text{CO})_2\text{O}$  получают VI, выход 83%, т. кип. 136°/3 мм, а из 4 г I с 30 г этилформата кипячением получают X, выход 56%, т. кип. 138—140°/4 мм,  $n_D^{20}$  1,3588. 10 мл формалина и 5 г I кипятят 1 час, экстрагируют  $\text{C}_6\text{H}_6$  и получают IX, выход 36%, т. кип. 138°/4 мм,  $n_D^{20}$  1,3443. В-во, полученное взаимодействием 2,5 г I с гомовератроилхлоридом (из 4 г гомовератровой к-ты) в 100 мл воды и 40 мл 20%-ного  $\text{NaOH}$ , извлекают  $\text{C}_6\text{H}_6$ ; экстракт упаривают до 25 мл, разбавляют лигроином и через ~24 часа получают VII, выход 52%, т. пл. 84° (из баз.). Р-р 1,2 г IIa в 25 мл сухого эфира восстанавливают 1 г  $\text{LiAlH}_4$  и получают IVa, выход 1,2 г, т. пл. 85—86° (из баз.-петр. эфира). Кипятят (1 час) 25 мл сухого ксилола, 0,5 г  $\text{Pd/C}$  и 1 г IIa, фильтруют, упаривают до 10 мл, добавляют лигрон и получают IIIa, выход 0,7 г, т. пл. 91—92°. Растворяют 0,6 г подметилата IIa в 15 мл спирта, восстанавливают 1,0 г  $\text{NaBH}_4$  и получают IVb, выход 79,5%, т. пл. 84—85° (из лигр.). По аналогии с IVa из 0,8 г IIb получают IVb, выход 91%, т. кип. 107°/1 мм,  $n_D^{20}$  1,5058; р-р 0,53 г IIb в 25 мл толуола кипятят с 1 г 5%-ного  $\text{Pd/C}$  и получают IIb, выход 0,23 г; пикрат, т. пл. 214—215°. Подметилат, полученный из 1,1 г IIb в 25 мл  $\text{CH}_3\text{OH}$ , восстанавливают 2 г  $\text{NaBH}_4$  и получают IV г, выход 33%, т. кип. 82°/32 мм. Циклизацию 2 г VII проводят по аналогии с получением IIa, продукт сублимируют (155—160°/1 мм), растворяют в 25 мл толуола, дегидрируют по аналогии с получением IIIa, дистиллируют при 200°/0,5 мм и получают IIIb, выход 9 мг, т. пл. 142°; пикрат, т. пл. 138,5°. Обрабатывают 5,0 г 1-фурил-2-нитроэтанол 2,0 г активированного угля в 100 мл  $\text{CH}_3\text{OH}$ , фильтруют, насыщают  $\text{NH}_3$  и перегоняют над Pt (из 0,3 г  $\text{PtO}_2$ ) (4 ат  $\text{H}_2$ ), получают 1-фурил-2-аминоэтанол (XIII), выход 84%, т. кип.



108°/10 мм, т. пл. 87° (из  $\text{CH}_3\text{CN}$ ); из 5 г XIII и 6 г XII по Шоттену — Бауману получают XI, выход 90%, т. пл. 124—124,5° (из  $\text{CH}_3\text{CN}$ ). Нагревают 8 г фурфурола, 10 г диэтилацетата аминоацетальдегида в 25 мл  $\text{C}_6\text{H}_6$ , отгоняют воду в виде азеотропной смеси, удаляют р-ритель и получают VIII, выход 92%, т. кип. 114°/2 мм,  $n_D^{20}$  1,4890.

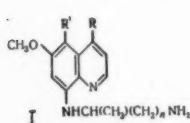
**25703. О 6-нитро-фенилхинолинкарбоновой-4 кислоты. Ди-Фонцо, Сарачини** (Sull'acido 6-nitro-2-fenil-chinolin-4-carbonico. Di Fonzo M., Saracini C., Farmaco Ed. scient., 1955, 10, № 8, 528—531 (итал.))

Осуществлена конденсация бензаль-*n*-нитроанилина (I) с пировиноградной к-той (II) в смеси лед.  $\text{CH}_3\text{COOH} + \text{H}_2\text{SO}_4$  и получен чистый 6-нитрохинофен (III) с выходом втрое большим, чем описано ранее (McCloskey C. M., J. Amer. Chem. Soc., 1952, 74, 5922). Конденсация I с II в условиях Бодфорса (Bodforss S., Liebigs Ann. Chem., 1927, 455, 41) или в кипящем спирте привела к  $\alpha$ -фенил-*N*-*n*-нитрофенил- $\alpha'$ , $\beta'$ -дикетопирролидину (IV). 0,1 моля *n*-нитроанилина, 0,1 моля бензальдегида, 10 мл  $\text{C}_6\text{H}_6$  и 1 мл пиридина кипятят 3 часа, получают 18,5 г I. 0,05 моля I и 0,05 моля II в 400 мл спирта оставляют на 24 часа, добавляют 1 мл лед.  $\text{CH}_3\text{COOH}$ , нагревают несколько минут, через неделю получают IV. Аналогично при кипячении эквимольных кол-в I и II в спирте в течение 3 час. образуется IV. Смешивают 0,125 моля I, 12,5 мл лед.  $\text{CH}_3\text{COOH}$ , 0,125 моля II и 11 мл конц.  $\text{H}_2\text{SO}_4$ , через несколько часов добавляют 150 мл  $\text{CHCl}_3$  и 200 мл воды.  $\text{NH}_3$  до щел. р-ции. Хлороформный слой смешивают с 50 мл  $\text{CHCl}_3$  и взбалтывают с 300 мл воды, содержащей следы  $\text{NH}_3$ , а затем с 500 мл воды, содержащей  $\text{NH}_3$  и  $\text{NH}_4\text{Cl}$ . Осадок отфильтровывают, водн. р-р подкисляют и получают 27,6 г неочищ. III, который дает этиловый эфир с выходом 21%. III,  $\lambda_{\text{макс}}$  237, 268—270 и 333 мμ, имеет т. пл. 234° (испр.). После хранения в течение нескольких месяцев т-ра плавления повышается до 350°; после возгонки или кристаллизации т-ра плавления вновь понижается до первоначальной.

**25704. Синтез примакина и некоторых его аналогов.**

Элдерфилд, Мертел, Митч, Уэммел, Уэрбл (Synthesis of primaquine and certain of its analogs. Elderfield Robert C., Mertel Holly E., Mitch Richard T., Wempen Iris M., Werble Eleanor, J. Amer. Chem. Soc., 1955, 77, № 18, 4816—4819 (англ.))

Описан синтез замещ. в ядре производных 8-аминохинолина (I): противомаларийного препарата примакина



- Ia  $\text{R}=\text{R}'=\text{H}$ ,  $n=3$   
 Ib  $\text{R}=\text{CH}_3$ ,  $\text{R}'=\text{H}$ ,  $n=3$   
 Ic  $\text{R}=\text{R}'=\text{H}$ ,  $n=2$   
 Id  $\text{R}=\text{R}'=\text{H}$ ,  $n=1$   
 Ie  $\text{R}=\text{CH}_3$ ,  $\text{R}'=\text{H}$ ,  $n=1$   
 If  $\text{R}=\text{H}$ ,  $\text{R}'=\text{OCH}_3$ ,  $n=3$

(Ia) и некоторых его аналогов (Ib—Ie). Взаимодействием дибромалкана  $\text{CH}_3\text{CHBr}(\text{CH}_2)_n\text{CH}_2\text{Br}$  (II) с фталимидом K (III) получают бромзамещ. фталимидоалкан  $\text{CH}_3\text{CHBr}(\text{CH}_2)_n\text{CH}_2\text{X}$  (IV), где X—остаток фталимида. Конденсация IV с 8-аминохинолинами приводит к *N*-фталид-I (V), которые отщеплением фталильного остатка действием  $\text{NH}_2\text{NH}_2$  (VI) превращают в I. Смесь 2 молей II ( $n=2$ ), 1,5 моля III и 1,5 л ацетона кипятят 24 часа, отделив KBr, отгоняют в вакууме р-ритель и избыток дибромид, получают IV ( $n=2$ ) (IVa), выход 67%, т. кип. 165—167°/0,25 мм. Применение ацетона в качестве р-рителя здесь существенно важно; в спирте происходит отщепление HBr, сопровождаемое полимеризацией. Аналогично получен IV ( $n=1$ ), выход 93%,

т. пл. 61,5—62,5° (из абс. сп.). IV ( $n=0$ ) (IVb) синтезирован взаимодействием фталевого ангидрида с аллиламином в лед.  $\text{CH}_3\text{COOH}$  (Vanags G., Acta Univ., Latviensis Kim. Fakultat, 1939 [4], 8, 405); полученный *N*-аллилфталимид (выход 90%) присоединением HBr превращен в IVb (Johnson, Jones, J. Amer. Chem. Soc., 1911, 45, 343). Р-р 2 молей 6-метокси-8-аминохинолина (VII) и 1 моля IVa в 1 л спирта кипятят 72 часа, прибавляют эфир, отделив бромидат VII, фильтрат обрабатывают р-ром  $\text{K}_2\text{CO}_3$  и водой, отгоняют эфир, прибавляют к остатку спирт, кипятят с углем и получают V ( $\text{R}=\text{R}'=\text{H}$ ,  $n=3$ ) (Va), выход 40—50%, т. пл. 89—90° (из сп.). При применении фосфатного буфера (рН 8) и соотношении IVa: VII = 1:1 моль (79 час. при 75—80°) выход Va 49%. Для р-ции можно брать непрерывно IVa, выделенный непосредственно после удаления р-рителя и дибромидом; в этом случае продукт конденсации IVa с VII обрабатывают воды. HBr и извлекают горячим  $\text{C}_6\text{H}_6$  бромидат Va. Аналогично Va получают также: V ( $\text{R}=\text{CH}_3$ ,  $\text{R}'=\text{H}$ ,  $n=3$ ), т. пл. 110,5—112° (из сп.), V ( $\text{R}=\text{R}'=\text{H}$ ,  $n=2$ ), выход 50%, т. пл. 108° (из абс. сп.), и V ( $\text{R}=\text{H}$ ,  $\text{R}'=\text{CH}_3$ ,  $n=3$ ); последний не выделен, а непосредственно подвергнут расщеплению. V ( $\text{R}=\text{R}'=\text{H}$ ,  $n=1$ ) (Vb) синтезирован прямым слиянием IVb (0,5 моля) с VII (0,6 моля) в атмосфере  $\text{N}_2$  в течение 72 час. при т-ре реакционной массы 115—125°; по окончании р-ции добавляют 200 мл  $\text{C}_6\text{H}_6$ , кипятят 30 мин., декантируют  $\text{C}_6\text{H}_6$ , остаток еще раз извлекают 200 мл  $\text{C}_6\text{H}_6$ ; нерастворенным остается бромидат VII; из бензольной вытяжки получают Vb, выход 25—32%, после очистки через фосфат т. пл. 108—109,5° (из абс. сп.) и 135° (из петр. эф. с т. кип. 90—100°) (диморфизм). Таким же способом получен V ( $\text{R}=\text{CH}_3$ ,  $\text{R}'=\text{H}$ ,  $n=1$ ) (Vc); продолжительность р-ции 48 час., выход 15—27%, т. пл. 168—169° (из этилацетата). Описанный выше Va расщепляют кипячением его спирт. р-ра с вычисленным кол-вом VI в течение 2 час.; Ia извлекают эфиром и осаждают в виде дифосфата добавлением к эфиру. р-ру основания спирт. р-ра вычисленного кол-ва 85%-ной  $\text{H}_3\text{PO}_4$ ; соль выпадает в виде масла, которое кристаллизуется при добавлении спирта, выход 80%, т. пл. 197—198° (из 90%-ного сп.); диоксалат, т. пл. 182,5—185° (из 80%-ного сп.). Аналогично получены дифосфаты других I (указаны выход в %, т. пл. в °C): Ib, 54, 203—205 (из 60%-ного сп.); Ic, 80, 183,5—184,5 (из 80%-ного сп.); Id, 94, 184—185 (из 80%-ного сп.); Ie, 33, 140—142 (из сп. с 1%  $\text{H}_3\text{PO}_4$ ). Расщепление Vb, в виду его крайне плохой растворимости в спирте, производят следующим образом: смесь 104 г Vb, 21 г 100%-ного VI, 250 мл  $\text{C}_6\text{H}_6$  и 750 мл абс. спирта кипятят 31 час., отгоняют за 3,5 часа 500 мл р-рителя, удаляют остальную его часть в вакууме, остаток растворяют в эфире, промывают щелочью и обрабатывают обычным образом  $\text{H}_3\text{PO}_4$ , выход дифосфата Id 93%, т. пл. 177,5—178,5° (из 85%-ного сп.). Описаны оптимальные условия получения 5,6-диметокси-8-аминохинолина (VIII), необходимого для синтеза Ie. К смеси 407 г 6-метокси-8-нитрохинолина (IX), 152 г  $\text{CaCO}_3$ , 8 г Fe-опилок, 2 л  $\text{CHCl}_3$  и 400 мл воды прибавляют 400 мл  $\text{Br}_2$ , кипятят 6 час. и оставляют при ~20° на 15 час., получают 5-бром-6-метокси-8-нитрохинолин (X), выход 62%, т. пл. 204—205° (из бзл.); в бензольном маточном р-ре остается значительное кол-во трудноразделимой смеси IX и X, которая может быть снова использована для р-ции бромирования. К р-ру  $\text{CH}_3\text{ONa}$  (из 46 г Na и 3 л безвод.  $\text{CH}_3\text{OH}$ ) прибавляют 700 мл пиридина и 568 г X, кипятят 96 час., выливают в 30 л воды; получают 5,6-диметокси-8-нитрохинолин (XI), выход 62%, т. пл. 128—129° (из  $\text{CH}_3\text{OH}$ ). Из маточного р-ра выделяют еще 86 г менее чистого в-ва. Изучены также условия получения XI из 4,5-динитро-

вератрола (XII): сплавляют при размешивании смесь 2 кг  $\text{CH}_3\text{COONH}_4$  и 684 г неочищ. XII (130—135°, 24 часа) в атмосфере сухого  $\text{NH}_3$  при избыточном давл. 12,7 мм, горячий плаз выливают в 10 л смеси воды и льда, осадок по высушивании обрабатывают 5 л 8 н.  $\text{HCl}$ , отфильтровывают не вошедший в р-цию XII, кислый фильтрат смешивают с равным объемом льда и нейтрализуют 30%-ным р-ром  $\text{NaOH}$ , получают 4-амино-5-нитровератрол (XIII), выход 35%, т. пл. 167—169° (из сп.). Из акролеина и XIII по видоизмененному методу Скраупа (Yale H. L., Bernstein J., J. Amer. Chem. Soc., 1948, 70, 254) синтезируют XI, выход 36—40%. Для восстановления XI к охлажд. до 0° смеси 640 г  $\text{SnCl}_2 \cdot 2\text{H}_2\text{O}$  и 700 мл конц.  $\text{HCl}$  ( $d$  1,19) прибавляют 20 г гранулированного  $\text{Sn}$  и затем охлажд. до 10° р-р 165,5 г XI в 700 мл конц.  $\text{HCl}$  ( $d$  1,19) с такой скоростью, чтобы т-ра не поднималась  $>10^\circ$ , размешивают еще 1 час при 10° и 3 часа при  $>20^\circ$ , прибавляют к суспензии 2,5 л теплой воды, затем — при размешивании и при т-ре  $\leq 20^\circ$  — 3 л 1 н. р-ра  $\text{NaOH}$ , получают VIII, выход 78%, т. пл. 147,5—148° (из гептана). А. Т. 25705.

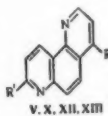
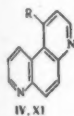
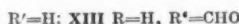
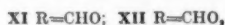
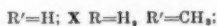
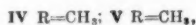
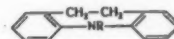
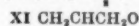
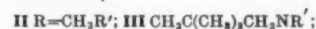
Некоторые метилфенантролины и соответствующие альдегиды Эйферт, Гамильтон (Some methylphenanthrolines and corresponding aldehydes. Eifert Robert L., Hamilton Cliff S., J. Amer. Chem. Soc., 1955, 77, № 7, 1818—1819 (англ.).

Метод, описанный ранее (Campbell K. N., Schaffner I. J., J. Amer. Chem. Soc., 1945, 67, 86) для получения 4-метилхинолинов, использован при синтезе метилфенантролинов, которые по р-ции Скраупа образуются с низкими выходами. По этому способу, исходя из метилвинилкетона (I), 6-аминохинолина (II) или 5-аминохинолина (III), в присутствии  $\text{FeCl}_3$  приготовлены 1-метил-4,7-фенантролин (IV) и 4-метил-1,7-фенантролин (V). Синтезировать 4-метил-1,10-фенантролин (VI) таким путем удалось лишь с малым выходом, так как он образовывал прочный комплекс с  $\text{FeCl}_3$ . VI пригоден для модифицированного метода Скраупа (Yale H. L., Bernstein J., J. Amer. Chem. Soc., 1948, 70, 254) из 8-аминохинолина (VII) и I в присутствии  $\text{As}_2\text{O}_5$ . Из 5-аминохинальдина (VIII) и глицерина (IX) по р-ции Скраупа получен 8-метил-1,7-фенантролин (X) в качестве единственного продукта р-ции (ср. Gerdesen, Ber., 1889, 22, 244). Окислением  $\text{SeO}_2$  из IV, V и X синтезированы соответствующие альдегиды. При аналогичном окислении VI происходило осаждение  $\text{Se}$ , но альдегид изолировать не удалось. К смеси 0,728 моля  $\text{FeCl}_3 \cdot 6\text{H}_2\text{O}$ , 0,347 моля хлоргидрата II, 5 г безводн.  $\text{ZnCl}_2$  и 450 мл спирта, нагретой до 60°, по каплям прибавляют 0,382 моля 85%-ного I с такой скоростью, чтобы т-ра держалась при 60—65°; кипятят 2 часа, оставляют на 12 час.,

4,7-фенантролин-1-альдегид (XI); выход 31,5%, т. пл. 151,75 — 152,25° (из бал.), ИК-спектр:  $\lambda_{\text{макс}}$  1680  $\text{cm}^{-1}$ ; тиосемикарбазон (очищают кипячением с 50%-ным спиртом), т. пл. 230° (разл.). Аналогично, из I и III получают V, выход 45%, т. кип. 178—181°/3 мм, т. пл. 104 — 104,5° (из бал.-петр. эф.). Окисляют V действием  $\text{SeO}_2$  и получают 1,7-фенантролин-4-альдегид (XII); выход 23,4%, т. пл. 190—191°, ИК-спектр:  $\lambda_{\text{макс}}$  1690  $\text{cm}^{-1}$ ; тиосемикарбазон (очищают кипячением с 50%-ным спиртом), т. пл. 252° (разл.). К смеси 0,41 моля VIII, 1,65 моля сухого IX и 0,308 моля  $\text{As}_2\text{O}_5$  при перемешивании прибавляют 68 мл конц.  $\text{H}_2\text{SO}_4$  с такой скоростью, чтобы т-ра не превышала 130°, нагревают 1 час. при 130°, медленно повышают т-ру до 150°, кипятят 6 час., охлаждают, выливают в 1 л воды и подщелачивают 30%-ным р-ром  $\text{NaOH}$ . Выделившееся масло экстрагируют кипящим  $\text{C}_6\text{H}_6$ , р-ритель отгоняют и получают X, выход 25%, т. кип. 172—173°/4 мм, т. пл. 68—68,5° (из петр. эф.). Окисляют X, как описано выше, и получают 1,7-фенантролин-8-альдегид (XIII), выход 22,9%, т. пл. 188—189° (из бал.); тиосемикарбазон (очищают кипячением с 50%-ным спиртом), т. пл. 240° (разл.). Смесь 0,0278 моля VII, 0,055 моля  $\text{As}_2\text{O}_5$  и 40 мл 85%-ной  $\text{H}_3\text{PO}_4$  нагревают при перемешивании до 100° и по каплям прибавляют к ней 0,0416 моля 85%-ного I с такой скоростью, чтобы т-ра держалась при 99—101°, нагревают смесь 35 мин. при 100°, охлаждают, подщелачивают конц.  $\text{NH}_4\text{OH}$ , экстрагируют кипящим  $\text{C}_6\text{H}_6$ , р-ритель отгоняют и получают VI; выход 26%, т. пл. 144—145° (из бал.). В. А. 25706.

О производных иминодибензила. Шиндлер Хёфлигер (Über Derivate des Iminodibenzyls. Schindler W., Häfliger F., Helv. chim. acta, 1954, 37, № 2, 472—483 (нем.).

С целью синтеза фармакологич. препаратов из иминодибензила—10,11-дигидро-5-дибензо-[b, f]-азепина (I) получен ряд его N-замещ. (II—V). I рассматривается как структурный аналог фенотиазина ( $-\text{CH}_2\text{CH}_2-$  вместо S)



отгоняют р-ритель, остаток растворяют в воде и подщелачивают 30%-ным р-ром  $\text{NaOH}$ . Осадок отфильтровывают, экстрагируют (3 × 1 л) кипящим  $\text{C}_6\text{H}_6$ , р-ритель отгоняют и получают IV; выход 54,2%, т. кип. 194°/1,7 мм, т. пл. 105—106° (из бал.-петр. эф.). К кипящему р-ру 0,0412 моля IV в 120 мл ксилола за 30 мин. прибавляют 0,0475 моля свежеприготовленной  $\text{SeO}_2$ , кипятят 20 мин., охлаждают, фильтруют и фильтрат перемешивают 3,5 часа с 60 мл насыщ. р-ра  $\text{NaHSO}_4$ . Осадок бисульфитного производного отфильтровывают, растворяют в теплой воде, разлагают содой и получают

36 г  $(\text{CH}_3)_2\text{CHCHO}$ , 17,5 г параформа в 15 мл абс. спирта (кипение 3 часа) получен 2,2-диметил-3-пирролидипропионовый альдегид (т. кип.  $81-82^\circ/11$  мм, выход 70%), гидрирование которого над скелетным Ni ( $70-80^\circ$ , 100 ат, 2 часа) приводит к 2,2-диметил-3-пирролидипропанолу (т. кип.  $103-104^\circ/11$  мм, выход 77%). Последний действием HCl-газа в  $\text{CCl}_4$  (конго) и затем  $\text{SOCl}_2$  (кипение 2 часа) переведен в хлоридат 2,2-диметил-3-пирролидипропилхлорида (VII), т. пл.  $211-212^\circ$  (из абс. сп.). Из 10 г I, 4,2 г  $\text{NaNH}_2$  и 23 г VII в 180 мл абс.  $\text{C}_6\text{H}_6$  (кипение 12 час.) получен IIIа ( $\text{NR}'_2 = \text{N}$ -пирролидил), т. кип.  $190-191^\circ/0,1$  мм, хлоридат, т. пл.  $188^\circ$  (из VI). Так же получены другие IIIа (приведены:  $\text{NR}'_2$ , т. кип. в  $^\circ\text{C}/\text{мм}$ , т. пл. хлоридата в  $^\circ\text{C}$ ):  $\text{N}(\text{CH}_3)_2$ ,  $152-154/0,2$ ,  $201-202$  (из сп.-эф.);  $\text{N}(\text{C}_2\text{H}_5)_2$ ,  $167/0,2$ ,  $177-178$  (из сп.-эф.); N-пиперидил,  $185-187/0,2$ ,  $218-220$  (из VI); N-морфолил,  $200-205/0,4$ ,  $222-224$  (разл., из VI). Из 4,8 г I и 2,6 г хлоридата 2-хлорметилмидазолина ( $135-140^\circ$  разл., из сп.). Смешивают 80 г  $\text{ClCH}_2\text{C}(\text{=NH}\cdot\text{HCl})\text{OC}_2\text{H}_5$  с 50 г 1,2-диаминоциклогексана (швейц. пат. 270826) в 400 мл абс. спирта при т-ре от  $-5$  до  $-7^\circ$ , 1 час, добавляют по каплям р-р 18 г HCl (газа) в абс. спирте и через 12 час. ( $\sim 20^\circ$ ) после отделения  $\text{NH}_4\text{Cl}$ , упаривания в вакууме и экстрагирования эфиром получают хлоридат-2-хлорметил-4,5-тетраметиленимидазолина (IX), выход 50%, т. пл.  $266^\circ$  (разл., из абс. сп.). Из 9,6 г I и 5,2 г IX ( $140-145^\circ$ , 2 часа в токе  $\text{N}_2$ ) после добавления при  $100^\circ$  50 мл воды и экстрагирования осадка эфиром получен N-4', 5'-тетраметиленимидазолин (2'-метил)-I (X), т. пл.  $268-270^\circ$  (разл., из сп.). Смешивают 80 г  $\text{ClCH}_2\text{C}(\text{=NH}\cdot\text{HCl})\text{OC}_2\text{H}_5$  с 50 г 1,2-диаминоциклогексана (швейц. пат. 270826) в 400 мл абс. спирта при т-ре от  $-5$  до  $-7^\circ$ , 1 час, добавляют по каплям р-р 18 г HCl (газа) в абс. спирте и через 12 час. ( $\sim 20^\circ$ ) после отделения  $\text{NH}_4\text{Cl}$ , упаривания в вакууме и экстрагирования эфиром получают хлоридат-2-хлорметил-4,5-тетраметиленимидазолина (IX), выход 50%, т. пл.  $266^\circ$  (разл., из абс. сп.). Из 9,6 г I и 5,2 г IX ( $140-145^\circ$ , 2 часа в токе  $\text{N}_2$ ) после добавления при  $100^\circ$  50 мл воды и экстрагирования осадка эфиром получен N-4', 5'-тетраметиленимидазолин (2'-метил)-I (X) в виде хлоридата, т. разл.  $298-300^\circ$  (из сп.); основание, т. пл.  $192-193^\circ$  (из сп.). При кипячении (6 час.) 20 г I с 10 г эпихлоргидрина и 4,2 г  $\text{NaNH}_2$  в 120 мл абс.  $\text{C}_6\text{H}_6$  образуется 15 г N-(2', 3'-эпоксипропил)-I (XI), т. кип.  $165^\circ/0,2$  мм, т. пл.  $73-74^\circ$  (из бзн.). Нагреванием 10 г XI с 100 мл 20%-ного р-ра  $\text{CH}_3\text{NH}_2$  в спирте (16 час., в автоклаве,  $120^\circ$ ) получен хлоридат IVа ( $\text{NR}'_2 = \text{NHC}_2\text{H}_5$ ), выход 8,5 г, т. пл.  $190-191^\circ$  (из сп.). Кипячение 24 часа 4,2 г XI с 10 мл  $(\text{C}_2\text{H}_5)_3\text{NH}$  приводит к хлоридату IVб ( $\text{NR}'_2 = \text{N}(\text{C}_2\text{H}_5)_2$ ), выход 4 г, т. пл.  $188-189^\circ$  (из сп.). Аналогично получены другие IV (приведены:  $\text{NR}'_2$ , т. пл. хлоридата):  $\text{N}(\text{CH}_3)_2$ ,  $212-213$  (сп.-эф.); N-пиперидил,  $260$  (сп.); N-морфолил,  $251-252$  (сп.); N-пирролидил,  $248-250$  (разл., из сп.);  $\text{N}(\text{CH}_3)_2\text{CH}_2\text{N}(\text{CH}_3)_2$ , основание, т. кип.  $184-185^\circ/0,01$  мм;  $\text{N}(\text{C}_2\text{H}_5)_2\text{CH}_2\text{N}(\text{C}_2\text{H}_5)_2$ , основание, т. кип.  $171-172^\circ/0,002$  мм. К 9,8 г I в 50 мл абс.  $\text{C}_6\text{H}_6$  прибавляют по каплям 12 г  $\text{CH}_2=\text{CHBrCOBr}$  и кипятят 10 час. Получено 16 г N-( $\alpha$ -бромпропионил)-I, т. пл.  $118-119^\circ$  (из абс. эф.), который с  $(\text{C}_2\text{H}_5)_2\text{NH}$  в  $\text{C}_6\text{H}_6$  (кипение 16 час.) превращен в Va ( $\text{R}' = \text{CH}(\text{CH}_3)\text{N}(\text{C}_2\text{H}_5)_2$ ), т. пл.  $90^\circ$ . Также из 20 г I и 18 г  $\text{BrCH}_2\text{CH}_2\text{COCl}$  (кипение 4 часа) после разложения р-ром  $\text{NaHCO}_3$  получают N-( $\beta$ -бромпропионил)-I, т. пл.  $110^\circ$  (из абс. эф.), который с бензольным р-ром  $(\text{CH}_3)_2\text{NH}$  (16 час.,  $\sim 20^\circ$  и 2 часа, кипение с последующим экстрагированием HCl (к-той), подщелачиванием  $\text{K}_2\text{CO}_3$  и экстрагированием эфиром) дает V ( $\text{R}' = \text{CH}_2\text{CH}_2 - \text{N}(\text{CH}_3)_2$ ) (Vб), т. кип.  $195-197^\circ/0,2$  мм, хлоридат т. пл.  $168-169^\circ$  (из VI). Аналогично Va и Vб синтезированы другие V [приведены: т. пл. основания и хлоридата в  $^\circ\text{C}$ ]:  $\text{CH}_2\text{N}(\text{C}_2\text{H}_5)_2$ ,  $71-72$ ,  $236-237^\circ$  (из сп.);  $\text{CH}_2\text{N}(\text{C}_2\text{H}_5)_2$ , —,  $228$  (из сп.);  $\text{CH}(\text{CH}_3) - \text{N}(\text{CH}_3)_2$ ,  $110$ , —;  $\text{CH}(\text{CH}_3) - (\text{N}$ -пиперидил) (Vв),  $112-113$ , —;  $\text{CH}(\text{CH}_3) - (\text{N}$ -морфолил),  $146$ , —;  $\text{CH}_2\text{NHC}_2\text{H}_5$ ,  $87$ ,  $214-215$  (из сп.);  $\text{CH}_2\text{CH}_2\text{N}(\text{C}_2\text{H}_5)_2$ , т. кип.  $192-194^\circ/1,0$  мм, —;  $\text{N}(\text{CH}_3)_2\text{CH}_2\text{N}(\text{CH}_3)_2$ , —,  $236-236,5$  (из сп.);  $\text{CH}_2\text{N}(\text{C}_2\text{H}_5)_2\text{CH}_2\text{N}(\text{C}_2\text{H}_5)_2$ , т. кип.  $205-207^\circ/0,2$  мм, —; V обладают мест-

ноанестезирующим действием, особенно Va и Vв; III — слабые анагеттики. II, III, IV, VIII и X обладают антигистаминным и спазмолитич. действием. По активности II почти равен атропину (на морских свинках), в 18 раз слабее атропина (при отравлении кроликов ацетилхолином), но в 2 раза активнее папаверина (при отравлении  $\text{BaCl}_2$ ).  $\text{DL50} = 32,5$  мг/кг. А. К.

**25707. Реакции Фриделя — Крафта и Манниха с 3,5-диоксо-1,2-дифенилпиразолидином.** Логеман, Лаурин, Цамбони (Die Friedel — Craftsche und die Mannich-Reaktion mit 3,5-Dioxo-1,2-diphenyl-pyrazolidin. Logemann Willy, Laura Franco, Zamboni Valentino), Chem. Ber., 1955, 88, № 9, 1353-1360 (нем.)

Для биологич. испытаний синтезированы в-ва, сходные с бутазилидином — 4-бутил-3,5-диоксо-1,2-дифенилпиразолидином (I), применяемым в терапии как антиревматич. и жаропонижающее средство. Получены 4-замещ. 3,5-диоксо-1,2-дифенилпиразолидины с заместителями в положении 4:  $\text{CH}_3(\text{CH}_2)_2\text{CO}$  (II);  $(\text{CH}_3)_2\text{CHCO}$  (III);  $\text{CH}_3\text{COOCH}_2\text{CO}$  (IV);  $\text{CH}_3\text{SCH}_2\text{CO}$  (V);  $(\text{CH}_3)_2\text{NCH}_2$  (VI);  $\text{CH}_3\text{NHC}_2\text{H}_5$  (VII);  $\text{CH}_3(\text{CH}_2)_2\text{CH}_2\text{N}(\text{CH}_3)_2$  (VIII);  $\text{C}_6\text{H}_{10}\text{NCH}_2$  (IX);  $\text{NH}_2\text{CH}_2\text{CH}_2$  (X) и  $\text{HOOCCH}(\text{NH}_2) - \text{CH}_2$  (XI). В-ва II, III и V получены из 3,5-диоксо-1,2-дифенилпиразолидина (XII) по р-ции Фриделя — Крафта. На основании сравнения ИК-спектров XII, I и II сделан вывод, что II — внутримолекулярное соединение типа  $\beta$ -дикетона. В-ва VI, VII, IX получены из XII по Манниху. X и XI синтезированы из VI аналогично превращению граммина (J. Amer. Chem. Soc., 1948, 70, 3770). XI в дозе 200  $\gamma$ /мл не обладал антимикробной активностью. К р-ру 60 г XII в 400 мл  $\text{CHCl}_3$  прибавили 25,3 г  $\text{CH}_3(\text{CH}_2)_2\text{COCl}$ , затем порциями 50 г  $\text{AlCl}_3$ , кипятили 12 час., разложили, извлекли эфиром, осадили лигроином II, выход  $65-70\%$ , т. пл.  $77-78^\circ$ ; Na-соль II, т. пл.  $123-124^\circ$  (из воды). Аналогично II из XII,  $(\text{CH}_3)_2\text{CHCOCl}$  и  $\text{AlCl}_3$  (5 час. кипячения) получили III, т. пл.  $85^\circ$  (из циклогексана). Na-соль III, т. пл.  $116-117^\circ$ . Аналогично II из 26 г XII и 15 г  $\text{CH}_3\text{COCH}_2\text{COCl}$  в 150 мл  $\text{CHCl}_3$  с 22 г  $\text{AlCl}_3$  (4 часа,  $90^\circ$ ) получили IV, т. пл.  $173^\circ$ , выход  $70\%$  (из этилацетата), а из 20 г XII, 8,85 г  $\text{ClCH}_2\text{COCl}$  в 150 мл  $\text{CS}_2$  с 16 г  $\text{AlCl}_3$  (12 час.,  $85^\circ$ ) получили 3,5-диоксо-1,2-дифенил-4-( $\omega$ -хлорацетил)-пиразолидин (XIII), выход  $50\%$ , т. пл.  $149-150^\circ$  (из сп.). 73,5 г XIII в 400 мл  $\text{CHCl}_3$  обработали 19,5 г  $\text{CH}_3\text{SH}$  в 150 мл абс. спирта, кипятили 1 час. Получили 21 г Na-соли V, т. пл.  $293^\circ$  (из  $\text{CH}_3\text{OH}$ -эф.). Из маточного р-ра, упаренного досуха, выделили 28 г V, т. пл.  $154^\circ$  (из сп.). Аналогично из 5 г XIII, в 75 мл  $\text{CHCl}_3$ , 0,35 г Na и 2 мл н- $\text{C}_4\text{H}_9\text{SH}$  в 50 мл абс. спирта синтезирован 3,5-диоксо-1,2-дифенил-4-бутилпиразолидин, выход  $94\%$ , т. пл.  $149^\circ$  (из изопропанола). Восстановление 20 г II 4 г  $\text{LiAlH}_4$  в абс. эфире привело к I, т. пл.  $105^\circ$  (из сп.). 10 г XII с 3,5 мл 35%-ного р-ра  $\text{CH}_3\text{NH}_2$  и 3,12 мл 38%-ного р-ра  $\text{CH}_2\text{O}$  в 300 мл спирта кипятили 3 часа. Выделился осадок VII, выход  $86\%$ , т. пл.  $214^\circ$ . Аналогично из 5 г XII, 3 мл 32%-ного р-ра  $(\text{CH}_3)_2\text{NH}$  и 1,8 мл 38%-ного р-ра  $\text{HCHO}$  в 150 мл спирта получили VI, выход  $90\%$ , т. пл.  $208^\circ$  (из сп.), а из 20 г XII, 6,3 мл 38%-ного р-ра  $\text{CH}_2\text{O}$  и 6,75 г пиперидина в 500 мл спирта синтезировали IX, выход  $81\%$ , т. пл.  $112-113^\circ$  (из 50%-ного сп.). 7,75 г II нагревали ( $175-185^\circ$ ) с 15 г  $\text{HCONH}_2$ , обработали двойным объемом воды, осадок кипятили 30 мин. с 50 мл конц. HCl, получили VIII, выход  $84\%$ , т. пл.  $195-196^\circ$  (из  $\text{CH}_3\text{OH}$ ). Обработка 10 г VII действием 5,25 г натрийформальдегидсульфоксидата (в водн. спирте при кипячении 3 часа) привела к 3,5-диоксо-1,2-дифенилпиразолидинметансульфинату Na, т. пл.  $250^\circ$  (из 75%-ного сп.). 50 г VI и 4,5 г HCN кипячением в 1,6 л 70%-ного спирта (3 часа) превратили в 3,5-диоксо-1,2-дифенилпиразолидил-4-ацетонитрил



(XIV), выход 85%, т. пл. 140° (из сп.). Восстановление 12,8 г XIV 3,4 г  $\text{LiAlH}_4$  в смеси эфира и тетрагидрофурана привело к X, т. пл. 195° (из сп. и этилацетата). 100 г VI и 65 г ацетаминомалонового эфира нагревали при 100° с 2,25 л 70%-ного спирта. Получили  $\alpha$ -ацетиламино- $\alpha'$ -[(3,5-диоксо-1,2-дифенилпиразолидидил-(4)-метил)-малоновый эфир (XV), выход 90%, т. пл. 133° (из сп.-воды). Кипячение 26 г XV с 70 мл  $\text{HCl}$  и 80 мл спирта (2 часа) привело к хлоргидрату XI, выход 50%, т. пл. 290° (из сп. с  $\text{HCl}$ -к-той). Нагреванием на кипящей водяной бане (2 часа) 10,9 г бензиламина с р-ром формальдегид-гидросульфита (из 8,1 мл 37%-ного р-ра  $\text{CH}_3\text{O}$  и 10,4 г гидросульфита Na) получили Na-метаносульфат бензиламина, т. разл. 179–180°. Бутиламином аналогичной р-ции не дает. Л. Я.

25708. О взаимодействии органических оснований с солями металлов. III. Взаимодействие антипирина с роданистыми солями кобальта и аммония. Буркат С. Е., Ж. общ. химии, 1955, 25, № 3, 610–611. Продолжено исследование р-ции органич. оснований с комплексными роданидами (KP) различных металлов (см. сообщение II, РЖХим, 1954, 18124). Антипирин (I) и пирамидон (II) образуют с KP Co, Zn и других металлов трудно растворимые в воде соли (I-аморфные) как в нейтр., так и в кислой средах:  $4\text{C}_{11}\text{H}_{12}\text{ON}_2 + 2\text{HCl} + 4\text{NH}_4\text{CNS} + \text{Co}(\text{NO}_3)_2 \cdot 6\text{H}_2\text{O} = (\text{C}_{11}\text{H}_{12}\text{ON}_2)_2\text{H}_2[\text{Co}(\text{CNS})_4] \cdot 2\text{C}_{11}\text{H}_{12}\text{ON}_2 + 2\text{NH}_4\text{Cl} + 2\text{NH}_4\text{NO}_3 + 6\text{H}_2\text{O}$ . I в отличие от II в разб. к-тах образует с  $\text{NH}_4\text{CNS}$  кристаллич. осадок  $\text{C}_{11}\text{H}_{12}\text{ON}_2 + \text{NH}_4\text{CNS} + \text{HCl} \rightarrow \text{C}_{11}\text{H}_{12}\text{ON}_2 \cdot \text{HCNS} + \text{NH}_4\text{Cl}$ . 3,75 г I растворяют в 50 мл 0,5 н.  $\text{HCl}$ . К р-ру приливают р-р KP Co (из 1,45 г  $\text{Co}(\text{NO}_3)_2 \cdot 6\text{H}_2\text{O}$ , 5 г  $\text{NH}_4\text{CNS}$  в 20 мл воды), получают аморфный голубой осадок, переходящий в синего цвета смолу, выход 75%. К р-ру 3,75 г I в 40 мл 1 н.  $\text{HCl}$  добавляют 10 мл 50%-ного р-ра  $\text{NH}_4\text{CNS}$ , образуется роданистоводородный I, выход 90%, порошок (из воды). М. Р.

25709. Влияние монохлорида серы на антипирин и 8-оксихинолин. Айран, Вагле (Action of sulphur monochloride on antipyrine and 8-hydroxy quinoline. Airan J. W., Waggle D. S.), J. Univ. Bombay, 1954, 23, № 3, 29–30 (англ.).

Монохлорид серы (I) является осеребряющим агентом. При действии I на антипирин (II) и 8-оксихинолин (III) получают соответствующие тиопроизводные, которые при нитровании теряют S и дают нитросоединения, идентичные полученным из исходных препаратов. 10 г II растворяют в 25 мл лед.  $\text{CH}_3\text{COOH}$ , прибавляют 3,5 мл I и оставляют на ~12 час. Фильтрат выливают на лед. Выход бис-(1-фенил-2,3-диметил-5-пиразолонил-4-дисульфида (IV) 10 г, т. пл. 253°. К I в IV в 20 мл лед.  $\text{CH}_3\text{COOH}$  прибавляют 2 мл конц.  $\text{HNO}_3$  до появления бурых паров. Смесь нагревают и выливают на лед. Выделяется желтое в-во (т. пл. 276°), не содержащее S. 4,4'-диоксидихинолинсульфид (V) получают растворением I в III в 25 мл эфира, содержащего 0,25 мл I. Тотчас выпадает в-во, которое отмывают в аппарате Сокслета горячим  $\text{CHCl}_3$ , выход V 0,75 мг, т. пл. 208°. Продукт нитрования — 5,7-динитро-8-оксихинолин, т. пл. 276°. С. Б.

25710. Производные индазола. Синтезы различных amino- и оксиндазолов и производных сульфоновых кислот. Дейвис (Indazole derivatives: The synthesis of various amino- and hydroxy-indazoles and deived sulphonic acids. Davies Robert R.), J. Chem. Soc., 1955, July, 2412–2423 (англ.).

Из соответствующих нитро-о-толуидинов (Синтезы органич. препаратов. М., Изд-во ин. лит., 1952, сб. 3, 357) путем их диазотирования и последующей циклизации получены: 4-нитроиндазол, выход 79%, т. пл. 202°, 5-нитроиндазол (I), 72%, т. пл. 180°, 6-нитроиндазол (II), 88,5%, т. пл. 209°, 7-нитроиндазол (III),

71%, т. пл. 180°, 5-метил-6-нитроиндазол (IV), 53%, т. пл. 173°, 4-хлор-6-нитроиндазол (V), 81%, т. пл. 190° (из воды), 5-хлор-6-нитроиндазол (VI), 34%, т. пл. 172° (из воды), 6-метокси-5-нитроиндазол (VII), 35%, т. пл. 191°, 6-хлор-5-нитроиндазол (VIII), 63,3%, т. пл. 213°, 6-метил-4-нитроиндазол, 73,5%, т. пл. 204°, и 3-метил-6-нитроиндазол, 73,5%, т. пл. 182°, которые кристаллизуются из 10%-ной  $\text{CH}_3\text{COOH}$  или спирта. При диазотировании 3-нитро-2, 6-ксилидина получена смесь изомеров с выходом 76%, представляющая собой 7-метил-6-нитроиндазол, выход 64%, т. пл. 222°, нерастворимый в спирте, и 7-метил-4-нитроиндазол, 36%, т. пл. 179°, растворимый в спирте. Строение изомеров доказано р-цией сочетания и производными с 2,3-оксифтоиламидом. Метилированием II  $(\text{CH}_3)_2\text{SO}_4$  получены 1-метил-6-нитроиндазол (IX), т. пл. 122°, и 2-метил-6-нитроиндазол (X), т. пл. 158°. III с  $(\text{CH}_3)_2\text{SO}_4$  образует с выходом 82% смесь 7-нитро-1-метилиндазола (53%), т. пл. 98°, и 7-нитро-2-метилиндазола (47%), т. пл. 143°. Строение изомеров доказано превращением их в амины и оксиндазолы, а также УФ-спектром последних (приведены кривые). Бензоилированием II в разб. щел. р-ре при 50° получен менее растворимый 1-бензоил-6-нитроиндазол, выход 42%, т. пл. 161° (из  $\text{CH}_3\text{OH}$ ) и 2-бензоил-6-нитроиндазол (20%), т. пл. 165° (из  $\text{CH}_3\text{OH}$ ). Из IV получены 1-бензоил-5-метил-6-нитроиндазол, выход 37,5%, т. пл. 163° (из  $\text{H-C}_4\text{H}_9\text{OH}$ ) и 2-бензоил-5-метил-6-нитроиндазол, 36%, т. пл. 162° (из  $\text{H-C}_4\text{H}_9\text{OH}$ ). Бензоилированием I получены 1-бензоил-5-нитроиндазол, выход 50,5%, т. пл. 190° (из  $\text{CH}_3\text{OH}$ ), и 2-бензоил-5-нитроиндазол. VIII при аналогичной р-ции приводит к 1-бензоил-6-хлор-5-нитроиндазолу, выход 24%, т. пл. 203° (из  $\text{H-C}_4\text{H}_9\text{OH}$ ), и 2-бензоил-6-хлор-5-нитроиндазолу, 46,5%, т. пл. 192° (из  $\text{H-C}_4\text{H}_9\text{OH}$ ). Бензоилированием VII получены 1-бензоил-6-метокси-5-нитроиндазол, выход 20%, т. пл. 192° (из  $\text{CH}_3\text{OH}$ ), и 2-бензоил-6-метокси-5-нитроиндазол, 40%, т. пл. 186° (из  $\text{CH}_3\text{OH}$ ). Хлорированием II (в суспензии 0,1 моля II в 100 мл воды при 95° пропускают 3 часа хлор) получен 3-хлор-6-нитроиндазол (XI), выход 98%, т. пл. 154° (из сп.). Строение его доказано неидентичностью с V и VI, а также получением диазосоединений и превращением 3-оксис-6-нитроиндазола (XII) в XI. 113 г нитроантраниловой к-ты в 1,7 л воды и 60 мл 32%-ного р-ра NaOH диазотируют 120 мл 40%-ного  $\text{NaNO}_2$ . Полученный р-р прибавляют (5, 20 мин.) к 214 мл 36%-ной  $\text{HCl}$ , а затем при 0–5° приливают к смеси 32%-ного р-ра NaOH (260 мл) и 427 мл 40%-ного р-ра  $\text{NaHSO}_4$ , перемешивают 1 час, после чего прибавляют 820 мл 36%-ной  $\text{HCl}$  (60°, 15 мин.). Высаливанием выделен с выходом 60% хлоргидрат гидразина, из которого и  $\text{C}_6\text{H}_5\text{NO}_2$  получен XII, т. пл. 243° (из воды). При действии избытка кипящего  $\text{POCl}_3$  на XII получен XI, т. пл. 154°. 2-н-метоксифенил-6-нитроиндазол, т. пл. 150° (из сп.) получен по р-ции (Chardonneus, Buch. Helv. chim. acta, 1943, 65, 874) с небольшим изменением, а именно: 2-метилазобензол был окислен  $\text{H}_2\text{O}_2$  с выходом 75% в присутствии  $\text{FeSO}_4$ . Все нитропроизводные индазолов превращены в соответствующие аминоксоединения одним из следующих методов: восстановлением Fe в водн. р-ре (метод А), восстановлением Fe в спирте (Б), гидрогенизацией над скелетным Ni(B), Zn в спирте (Г) или водн. р-ром  $\text{Na}_2\text{S}$  (Д). Таким путем получены следующие индазолы (перечисляются заместители, метод, выход в %, т. пл. в °C и т. пл. 3-оксис-2-нафтоилпроизводного в °C): 4-амино, В, 92,5 150, 296; 5-амино (XIII), В, 82, 183, 245; 6-амино XIV), А, 86, 209, 274; 7-амино, В, 86, 162, 218; 6-амино-5-метил, Б, 715, 165, 258; 5-хлор-6-амино, В, 88, 194, 248, 4-хлор-6-амино-, В, 88, 198, 294; 6-хлор-5-амино, А, 88, 178, 252; 5-амино-6-метоксис, Б, 90, 165, 263; 6-амино-7-метил, В, 84, 182, 299; 4-амино-7-метил,

В, 87, 5, 124, 279; 4-амино-6-метил, В, 79, 126, 279; 6-амино-3-метил, В, 91, 205, 284; 6-амино-2-метил, В, 81, 165, 212; 6-амино-1-метил, В, 75, 130, 180; 7-амино-1-метил, В, 72, 135, —; 7-амино-2-метил, В, 90, 73, —; 1-бензоил-6-амино, В, 80, 194, 257; 2-бензоил-6-амино, В, 70, 179, 266; 2-бензоил-6-амино-5-метил, В, 74, 185, 249; 1-бензоил-5-амино, Г, 90, 178, 249; 2-бензоил-5-амино, Г, 60, 170, 276; 3-хлор-6-амино, В, 76, 184, 269; 2-*п*-метоксифенил-6-амино, Д, 32, 174, 211; 3-окси-6-амино, В, 80, 5, 285, —. Нафтоилпроизводные выделены в р-цию сочетания с диазотированным *о*-хлоранилином. Путем гидролиза с  $H_2SO_4$  амининдазолы были превращены в соответствующие оксиндазолы. 66,5 г XIV, 50 г 96%-ного  $H_2SO_4$  и 500 мл воды нагревают в эмалированном автоклаве до 170° в течение часа и затем при 170—175° 40 час. при давлении 14—16 ат. Р-р фильтруют, нейтрализуют, охлаждают до 30°, получают 6-оксиндазол (XV), выход 95,5%, т. пл. 217° (полугидрат из воды). Таким же путем синтезированы следующие замещ. индазолы (указаны заместители, выход в %, т. пл. в °C): 4-окси, 75, 163; 7-окси-1-метил, 79, 163 (из воды); 7-окси-2-метил, 71, 179 (из воды); 4-окси-6-метил, 64,2, 176; 4-окси-7-метил, 68, 179; 6-окси-3-метил, 57,5, 221; 6-окси-7-метил (XVI), 62, 164. 5-оксиндазол (XVII), выход 93%, т. пл. 186° (из воды) был получен при нагревании 66,5 г XIII с 50 г 100%-ной  $H_2SO_4$  и 500 мл воды при 175—180° в автоклаве при 10,5 ат. Подобным образом получен 7-оксиндазол, выход 64%, т. пл. 174° (из воды). Все оксиндазолы, за исключением XVI, дают нитрозопроизводные и интенсивно окрашенные р-ры с  $FeCl_3$ . Упариванием щел. р-ра XV в вакууме, карбонизацией (210—212°, 12 час., 21 ат,  $CO_2$ ) и подкислением получены 6-оксиндазолкарбоновая-5 к-та, т. пл. 202° (разл.; из  $n-C_4H_9OH$ ), и 5-оксиндазолкарбоновая-6 к-та (15 час., 29 ат), т. пл. 205° (из  $n-C_4H_9OH$ ). Нитрованием II получают 5,6-динитроиндазол (XVIII). К 250 г р-ра II в 2,5 л 96%-ной  $H_2SO_4$  прибавляют (8—10°, 1 час) смесь 500 мл 96%-ной  $H_2SO_4$  и 500 мл 96%-ной  $HNO_3$ . После перемешивания 3 час. р-р выливают в лед, выход XVIII 91%, т. пл. 225° (из 10%-ной  $CH_3COOH$ ). Восстановлением XVIII  $SnCl_2$  в конц.  $HCl$  синтезирован 5,6-диаминоиндазол, выход 85%, т. пл. 286° (из воды), при нагревании последнего с 20%-ной  $H_2SO_4$  в автоклаве при (145—150°, 5 час.) получен сульфат 5,6-диоксииндазола; основание, т. пл. 234° (из воды). Нитрованием IX получен 1-метил-5,6-динитроиндазол, т. пл. 171° (из 10%-ной  $CH_3COOH$ ), восстановлением последнего получен 1-метил-5,6-диаминоиндазол, т. пл. 263° (из воды). При нитровании X выделен 2-метил-5,6-динитроиндазол, т. пл. 213°, а восстановлением его 2-метил-5,6-диаминоиндазол, т. пл. 226°; фенантрахинон-производное, т. пл. 291°. Из I было получено динитропроизводное с т. пл. 222,5°, при каталитич. восстановлении которого (скелетный Ni) получено в-во, не дающее продуктов конденсации подобно *о*-диамину. При попытке гидролизовать его в дигидроксииндазол происходит р-ция дезаминирования и выделение XVII. Автор предполагает, что продуктом нитрования I является 5,7-динитроиндазол. Проведена р-ция сульфирования II и восстановления полученного в-ва. 49 г II прибавляют при 50° к 200 г 20%-ного олеума, смесь нагревают 30 мин. до 120°, перемешивают 5 час. и выливают в лед, затем обрабатывают  $CaO$  при 95° и затем 16 г  $Na_2CO_3$  и фильтрат упаривают. Р-р продукта в воде обрабатывают  $Fe$ -опилками,  $FeSO_4$  при 90—95° и выделяют 6-аминоиндазол-5-сульфокислоту (XIX), при гидролизе которой образуется 6-оксиндазол-5-сульфокислота (XX). Аналогично проведено сульфирование I с последующим восстановлением и гидролизом продукта сульфирования, получена 5-оксиндазол-7-сульфокислота (XXI). Нагревание сульфата XIV с 100%-ной  $H_2SO_4$

в *о*-дихлорбензоле при 160° в вакууме дает также XIX, гидролизом которой с 10%-ной  $H_2SO_4$  при 180° получают XV. Десульфирование можно избежать, если проводить гидролиз водой при 155—160° в стеклянном автоклаве, в этом случае получается, вероятно, XX. Аналогично из XIII получена 5-аминоиндазол-6-сульфоновая к-та, а гидролизом ее — XVII. Сульфирование XIV 20%-ным олеумом приводит к 6-аминоиндазол-4-сульфокислоте, нагреванием которой с 18%-ной  $H_2SO_4$  в автоклаве (175—180°) получена 6-гидроксииндазол-4-сульфокислота; 8-*п*-хлорбензилтиурониевая соль (ТС), т. пл. 212—213°. Аналогичные результаты получены с XIII. Сульфированием XIII получена 5-аминоиндазол-7-сульфокислота, а гидролизом ее — XXI, ТС, т. пл. 205°. Автор доказывает строение продуктов, полученных сульфированием и последующим гидролизом из XIII и XIV тем, что к-ты, полученные как после сульфирования, так и после гидролиза вступают в р-цию сочетания и дают растворимые азокрасители, что было бы невозможно в случае получения 6-оксиндазол-7-сульфокислоты (XXII) и 5-оксиндазол-4-сульфокислоты (XXIII). При 100° со 100%-ной  $H_2SO_4$  XV дает сульфокислоту, которая не вступает в р-цию сочетания и рассматривается автором как XXII. Аналогично из XVII получена XXIII. Взаимодействием XV с  $NH_3$  в присутствии  $NaHSO_4$  в автоклаве (150—160°, 6 час.) получена 6-аминоиндазол-7-сульфокислота, выход 45%. Аналогично из XXIII получена 5-аминоиндазол-4-сульфокислота, выход 40,5%. Нитрозирование XV с последующей р-цией сульфирования приводит к 7-амино-6-оксиндазол-4-сульфокислоте. Из XVII подобной р-цией получена 4-амино-5-оксиндазол-7-сульфокислота, выход 47%. Нитрозирование 4-метил-5-нитрометаниловой к-ты с последующим восстановлением приводит к 4-аминоиндазол-6-сульфокислоте, выход 73,5%, последняя при нагревании в автоклаве с 4%-ной  $H_2SO_4$  (180°, 10 час.) образует 4-оксиндазол-6-сульфокислоту. Н. С.

**25711. Реакция  $\alpha$ -ацилтарных эфиров с гидразинам. Мак-Миллан, Кинг** (The reaction of  $\alpha$ -acylsuccinic esters with hydrazine. McMillan, Freeman H., King John A.), J. Amer. Chem. Soc., 1955, 77, № 12, 3376—3378 (англ.)

Исследовалась природа продуктов, образующихся при проведенных ранее другими авторами р-циях гидразина с  $\alpha$ -ацилтарными эфирами: диэтилформилсукцинатом (Ia), диэтилацетилсукцинатом (Ib), триэтилсалицилсукцинатом (Iв). В каждом случае были изолированы два изомерных соединения: более высоко плавящееся, менее растворимое — пипразолон, и более низкоплавкое, более растворимое — дигидропиридазон. Р-р 0,1 моля  $NH_2NH_2 \cdot H_2O$  в 100 мл воды прибавляют в р-р 0,1 моля Ia в 100 мл спирта, нагревают до 45° и охлаждают, получают 4-карбэтоксиметилпипразолон-5 (IIa), выход 47%, т. пл. 167—168,5°. Фильтрат упаривают в вакууме, из остатка  $CaH_2$  экстрагируют 4-карбэтоксигидропиридазон-6 (IIIa), выход 9%, т. кип. 125—130°/0,4 мм. Таким же образом из 0,3 моля  $NH_2NH_2 \cdot H_2O$  в 100 мл воды с 0,35 моля Ib в 200 мл спирта получают 3-метил-4-карбэтоксиметилпипразолон-5 (IIb), выход 52,5%, т. пл. 166—167° (из сп.). Из фильтрат упариванием получают 3-метил-4-карбэтоксигидропиридазон-6 (IIIb), выход 4 г, т. пл. 91,5—92,5° (из бzl.-гептана). При взаимодействии 0,2 моля  $NH_2NH_2 \cdot H_2O$  в 100 мл спирта с 0,2 моля Iв в 100 мл спирта получают 3-карбэтоксигидропиридазон-4-карбэтоксигидропиридазон-6 (IIIв), выход 11%, т. пл. 156—159° (из этилацетата). Из маточного р-ра выделяют 3,4-дикарбэтоксигидропиридазон-6 (IIIв), выход 10%, т. кип. 175—180°/0,4 мм, т. пл. 98—100,5° (из этилацетата). IIIa—IIIв при нагревании с  $Bz_2$  в лед.  $CH_3COOH$  подвергают дегидрированию в соответствии с известной р-цией дигидро-

пиридазона и получают соответственно: 4-карбэтоксипиридазон-6 (IVa), выход 65%, т. пл. 126,5—127,5° (из воды), 3-метил-4-карбэтоксипиридазон-6 (IVб), т. пл. 114,5—116°, и 3,4-дикарбэтоксипиридазон-6 (IVв), т. пл. 85,5—87,5°. Эти эфиры: IVa, IVб и IVв подвергались гидролизу с 20%-ной HCl (кипячение 1 час) в соответствующие пиридазонавые к-ты: 4-карбэтоксипиридазон-6 (Va), выход ~50%, т. пл. 303° (разл.; из воды), 3-метил-4-карбэтоксипиридазон-6 (Vб), т. пл. 247° (разл.), и 3,4-дикарбэтоксипиридазон-6, т. пл. 291° (разл.). При декарбэксилации к-т нагреванием с порошком Si получают из Va и Vб пиридазон-6, а из Vб — 3-метилпиридазон-6. В противоречие ранее опубликованным данным (De, Dutt, J. Indian Chem. Soc., 1930, 7, 473) при р-ции Ib с семикарбазидом получается только семикарбазон Ib, выход 59%, т. пл. 115—116° (из воды). Приведены данные УФ-спектров Ia — в, IIб, в, IV а — в, Va, б.

25712. О 5-оксиметил-5-алкилбарбитуровых кислотах и некоторых продуктах их замещения. Бёме, Тельц (Über 5-Oxymethyl-5-alkyl-barbitursäuren und einige ihrer Umsetzungsprodukte. Böhme Horst, Teltz Heinz-Peter), Arch. Pharm. Magaz., 1955, 208, 60, № 8-9, 349—352 (нем.).

Синтезированы 5-оксиметил-5-этил- (I) и 5-оксиметил-5-метилбарбитуровая к-ты (II) по аналогии с получением 5-оксиметил-5-изопропилбарбитуровой к-ты (III) из 5-изопропилбарбитуровой к-ты (IV) и CH<sub>2</sub>O в присутствии конц. HCl (швейц. пат. 163698). Повышенная растворимость в воде, а также увеличение растворимости за счет избытка CH<sub>2</sub>O затрудняет выделение I и II. Оптимальные условия их синтеза — 2 моля CH<sub>2</sub>O, 60—70°. Действием SOCl<sub>2</sub> в диоксане I—III превращают в 5-хлорметил-5-алкилбарбитуровые к-ты, небезинтересные в фармакологич. отношении (хорошо растворимы в органич. р-рителях и, возможно, в липоидах). Из I и II получены ацетильные и бензоильные производные. Растворяют при 60° 15,6 г 5-этилбарбитуровой к-ты в 250 мл воды + 25 г 30%-ного CH<sub>2</sub>O с 5 каплями конц. HCl, фильтруют и охлаждают во льду (2 часа); выход I 80%, т. разл. 150—170° (из воды при 70—80°, сублим. в вакууме при 110°, при ~20° не получают удовлетворительного анализа). Аналогично получают II из 14,2 г 5-метилбарбитуровой к-ты и 20 мл 30%-ного CH<sub>2</sub>O в 250 мл воды с выходом 70%, т. разл. 165—180° (из воды), а также III (из 34,0 г IV с 19,0 г 35%-ного CH<sub>2</sub>O в 100 мл кипящей воды с несколькими каплями конц. HCl), выход 87%, т. пл. 195—199° (из воды). Слабо кипятят 45 мин. 3,7 г I с 20 мл CH<sub>3</sub>COCl до растворения I, отсасывают при 4° под вакуумом избыток CH<sub>3</sub>COCl. Выход 5-ацетильного производного I 83%, т. пл. 126—127° (из воды). Так же получают 5-ацетильное производное II из 3,8 г II с 35 мл CH<sub>3</sub>COCl в 15 мл диоксана (нагревание 4 часа) с выходом 95%, т. пл. 171° (из воды). Из 3,7 г I в 20 мл пиридина и 2,9 г C<sub>6</sub>H<sub>5</sub>COCl (2 часа, 50°), упаривают под вакуумом (до 80°) и выделяют 5-бензоильное производное I, выход 54%, т. пл. 137—138° (из 30%-ного сп.). 5-бензоильное производное II получают аналогично с выходом 58%, т. пл. 166—167° (из 30%-ного сп.). К 5,0 г SOCl<sub>2</sub> в 60 мл диоксана (т-ра 5°) прибавляют по каплям р-р 3,7 г I в 1,6 г пиридина + 50 мл диоксана при т-ре <10°, размешивают 1 час и оставляют на ~12 час. Фильтруют, отгоняют р-ритель, остаток нагревают при 115° под вакуумом для разложения хлорсульфата I (до полного высушивания) и растирают с водой. Выход 5-хлорметил-5-этилбарбитуровой к-ты 73%, т. пл. 256—257° (из воды). Аналогично переводят с тем же кол-вом реагентов в 5-CH<sub>3</sub>Cl-соединения 3,4 г II с выходом 73%, т. пл. 240—245° (разл., из воды), и 4,0 г III с выходом 57%, т. разл. 215—220° (из воды). I и II устойчивы до 140°, выше 150° разлагаются с отщепле-

нием CH<sub>2</sub>O; почти количественно отщепляют CH<sub>2</sub>O при нагревании с к-тами. Эквивалентные точки I—III лежат при pH 9—10,5, для титрования их рекомендуют тимолфталени.

25713. Синтез 3-замещенных 2,8-диметилхиноазолонов-4. Мевата, Пател, Шах (Synthesis of 2,8-dimethyl-3-substituted-quinazol-4-ones. Mevada G. S., Patel S. R., Shah N. M.), J. Indian Chem. Soc., 1955, 32, N 3, 199—200 (англ.).

В поисках физиологически активных в-в синтезированы некоторые 2,8-диметил-3-арилхиноазолоны-4 (I) взаимодействием 3-метил-N-ацетилантрацилиновой к-ты (II) с ароматич. аминами в присутствии PCl<sub>5</sub>. Р-р 0,5 мл PCl<sub>5</sub> в 5 мл сухого толуола (III) прибавляют по каплям (5 мин.) к смеси 1 моля амина и 1 моля II в 30 мл III. Суспензию перемешивают 2 часа при 130—135°. Пасту отделяют, охлаждают и обрабатывают 100 мл 10%-ного Na<sub>2</sub>CO<sub>3</sub>, смесь перегоняют с паром. Остаток после удаления III кристаллизуют из 80%-ного спирта, выход I 70—80%, и затем из петр. эфира. Получены следующие I (приведены арил, т-ра пл. в °C): C<sub>6</sub>H<sub>5</sub>, 148 (хлоргидрат, т. пл. 212°); 4-CH<sub>3</sub>OC<sub>6</sub>H<sub>4</sub>, 135 (хлоргидрат, т. пл. 22°); 2-CH<sub>3</sub>OC<sub>6</sub>H<sub>4</sub>, 140; 4-CH<sub>3</sub>OC<sub>6</sub>H<sub>4</sub>, 140; 2-ClC<sub>6</sub>H<sub>4</sub>, 150; 4-ClC<sub>6</sub>H<sub>4</sub>, 151; 2-NO<sub>2</sub>C<sub>6</sub>H<sub>4</sub>, 195; 4-NO<sub>2</sub>C<sub>6</sub>H<sub>4</sub>, 197.

25714. Синтезы 1,4,6-триазаинденов (5-пирроло [3,2-d] пиримидинов). Танака, Сугава, Накамури, Сано, Андо (Syntheses of 1,4,6-triazaindenes (5-pyrrolo [3,2-d] pyrimidines). Tanaka Kuniyoshi, Sugawa Toshio, Nakamori, Ritsuo, Sanno Yasushi, Ando Yasuo), 藥學雜誌, Якугаку даасси, J. Pharm. Soc. Japan, 1955, 75, № 6, 770—771 (англ.).

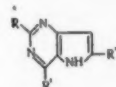
Ввиду интересных хим. и биологич. свойств гетероциклич. соединений с конденсированными ядрами пиррола и пиримидина синтезировано несколько 1,4,6-триазаинденов (5-пирроло [3,2-d] пиримидинов). Нагреванием 2,6-диметил-4-окси-5-ацетамидопиримидина (Ia) с C<sub>6</sub>H<sub>5</sub>ONa при ~300° (N<sub>2</sub>) получают 2,5-диметил-7-окси-1,4,6-триазаинден (IIa), т. пл. 336—337° (разл.), а из 4-окси-5-ацетамидо-6-метилпиримидина (Iб) — 2-метил-7-окси-1,4,6-триазаинден (IIб), т. пл. 360°.

IIa R=R'=CH<sub>3</sub>, R'=OH

IIб R=H, R'=OH, R''=CH<sub>3</sub>

IIIa R=R'=C<sub>6</sub>H<sub>5</sub>, R''=COOC<sub>2</sub>H<sub>5</sub>

IIIб R=C<sub>6</sub>H<sub>5</sub>, R'=NH<sub>2</sub>, R''=COOC<sub>2</sub>H<sub>5</sub>



Получать этим методом II (R' = CH<sub>3</sub>) с R и R' = CH<sub>3</sub>, OH, H, OH, CH<sub>3</sub>S, OH, NH<sub>2</sub>, CH<sub>3</sub>, OH, OH и NH<sub>2</sub>. OH не удалось. Полученные конденсацией 2,4-диэтоксис- и 2-этоксис-4-амино-5-нитро-6-метилпиримидинов с (COOC<sub>2</sub>H<sub>5</sub>)<sub>2</sub> 6-этоксалильные производные циклизуются при восстановлении в соответственно 2-карбэтоксис-5,7-диэтоксис-1,4, 6-триазаинден (IIIa), т. пл. 142°, и 2-карбэтоксис-5-этоксис-7-амино-1,4,6-триазаинден (IIIб), т. пл. 232°. См. также РЖХим, 1955, 55/38.

25715. Получение 3-окси-4-птеридинона. Райт, Смит (The preparation of 3-hydroxy-4-pteridinone. Wright W. B., Jr., Smith J. M., Jr.), J. Amer. Chem. Soc., 1955, 77, № 14, 3927—3928 (англ.).

Для антибактериальных испытаний 3-окси-4-птеридинон (I) получен при р-ции 3-аминопирразингидроксамовой к-ты (II) с HCl(OC<sub>2</sub>H<sub>5</sub>)<sub>2</sub> в (CH<sub>3</sub>CO)<sub>2</sub>O. 15,3 г метилового эфира 3-аминопирразинкарбоновой к-ты, 10,4 г NH<sub>2</sub>OH·HCl и 250 мл 1 н. NaOH нагревали (2 часа, 35—50°), охладили до 30° и обрабатывали 20 мл 5 н. HCl. Выход II 92%, т. разл. 196° (из воды). II и III кипятят 2 часа со 100 мл HCl(OC<sub>2</sub>H<sub>5</sub>)<sub>2</sub> и 100 мл



$(\text{CH}_3\text{CO})_2\text{O}$ , р-р упарили в вакууме, остаток III нагревали 3 мин. (70–75°) с 120 мл 1 н. NaOH, охладили (0°) и подкислили до pH 2,5. Выход I 67%, т. разл. 290° (из воды). Из III перекристаллизацией из спирта выделен ацетат I, т. пл. 172–173° (из абс. сп.). pH взвеси I в воде равен 3. Определен УФ-спектр I. Л. Я. 25716.

**Изоксазолы. Часть VI. Гидрирование 5-аминоизоксазолов. Новый синтез пиримидинов.** Шоу, Суговдз (iso-Oxazolones. Part VI. The hydrogenation of 5-aminoisoxazoles. A new synthesis of pyrimidines. Shaw G., Sugowdz G.), J. Chem. Soc., 1954, Febr., 665–668 (англ.)

5-амино-3-фенилизоксазол (I) при каталитич. гидрировании присоединяет 1 молекулу  $\text{H}_2$ , превращаясь в амид  $\beta$ -аминокоричной к-ты (II), повидимому, через промежуточную стадию 5-амино-3-фенилизоксазолина. Конденсация II с фенилгидразином (III) и гидразином (IV) приводит к 1,3-дифенилпиразолону-5 (V) или 3-фенилпиразолону-5 (VI). При гидрировании 5-ацетил-5-амино-3-фенилизоксазолов также присоединяется 1 моль  $\text{H}_2$  и образуется смесь соответствующего ацил амида  $\beta$ -аминокоричной к-ты и 2,4-дизамец. 6-оксипириимидина. При нагревании этой смеси с водой или при обработке ее слабой щелочью ациламид нацело превращается в оксипириимидин. 2a I [т. пл. 112°, получен из бензоилацетонитрила и  $\text{NH}_4\text{OH}$  по методу, описанному ранее (Obreigia, Liebigs Ann. Chem., 1891, 266, 329), но в более конц. р-рах, выход 80–90%] в 30 мл спирта гидрируют над скелетным Ni 3 часа; выход II 4,8 г, т. пл. 164° (из сп.). Гидролиз II 1 н. HCl дает бензоилацетамид, т. пл. 112–113° (из воды). 0,5 г II, 10 мл спирта из 0,34 г III кипятят 2 часа; р-ритель отгоняют в вакууме; получают V, выход 0,5 г, т. пл. 136–137° (из сп.). Из II и IV получают VI, т. пл. 236° (из сп.). 1 г II обрабатывают 4 мл  $(\text{CH}_3\text{CO})_2\text{O}$  (100°, 15 мин.), добавляют воду; выход амида  $\beta$ -ацетиламинокоричной к-ты (VII) 0,8 г, т. пл. 238–240°. VII расплавляют, получают 6-окси-2-метил-4-фенилпириимидин (VIII), т. пл. 242–243° (из сп.). При нагревании р-ра 0,1 г VII в 10 мл 1 н. NaOH (90–100°, 10–15 мин.), выход VIII 0,06 г. 1 г II всасывают с 1,5 г  $\text{C}_6\text{H}_5\text{COCl}$  в 10 мл 2 н. NaOH, получают амид  $\beta$ -бензоиламинокоричной к-ты (IX), выход 1,1 г, т. пл. 216–218° (из сп.). Из щел. фильтрата подкислением выделяют 6-окси-2,4-дифенилпириимидин (X), выход 0,1 г, т. пл. 289–290° (из сп.). X также образуется из IX при нагревании или действии р-ра NaOH. К р-ру 2 г I в 5 мл 98%-ной  $\text{HCOOH}$  при 60° добавляют 4 мл  $(\text{CH}_3\text{CO})_2\text{O}$ , нагревают при 60° 2 часа и осаждают 20 мл воды полу- гидрат 5-формамино-3-фенилизоксазола (XI), выход 1,9 г, т. пл. 115–117° (разл.; из воды). Аналогично были получены 5-ацетиламино-3-фенилизоксазол (XII) и 5-бензоиламино-3-фенилизоксазол (XIII). XII (1 г) в 30 мл спирта гидрируют над Ni 6 час., отгоняют р-ритель и быстрой кристаллизацией из спирта выделяют N- $\beta$ -аминоцинамоилацетамид (XIV) 0,3 г; (т. пл. 136° (с разл.), из фильтрата осаждается VIII (0,2 г), в р-ре, повидимому, остается соль XIV и VIII (т. пл. 238°), которую кипячением с водой превращают в VIII. Р-р 0,5 г XIV нагревают несколько минут с 6 мл 1 н. HCl и выделяют N-(бензоилацетил)-ацетамид (XVI) [0,3 г, т. пл. 104–105° (из водн. сп.)], 0,2 г XVI гидролизуют 2 мл 2 н. NaOH (18–20°, 1 час), подкисляют, получают 0,1 г бензоилацетамида. XIV превращается в VIII при нагревании до т-ры плавления, кипячении с водой, нагревании с водн. спиртом (при 35°) и гидролизе 1 н. NaOH (при 18–20°). При гидрировании XIII (аналогично XII) получают N- $\beta$ -аминоцинамоилбензамид, т. пл. 179° (с разл.), который гидролизуются в смесь N-(бензоилацетил)-бензамида, т. пл. 168–169° (из сп.) и X. При гидрировании XI образуется N- $\beta$ -аминоцинамоилформамид, т. пл. 155–156° (из сп.), который гидролизуют и получают смесь N-(бензоилацетил)-форма-

мида, т. пл. 114° (из воды), в-ва  $\text{C}_9\text{H}_7\text{O}_2\text{N}$  с т. пл. 144–145° (с разл.; из сп.), и 2-окси-4-фенилпириимидина (т. пл. 268°). Этиловый эфир  $\alpha$ -циано- $\beta$ -кетомасляной к-ты (3,1 г),  $\text{NH}_4\text{OH} \cdot \text{HCl}$  (1,4 г) и пиридин (2 мл) нагревают в 50 мл спирта (100°, 1 час), упаривают и осаждают водой этиловый эфир 5-амино-3-метилизоксазол-4-карбоновой к-ты (XVII) (2,1 г), т. пл. 133–134° (из воды). 1 г XVII растворяют в 5 мл 1 н. NaOH, через 30 мин. подкисляют; выход 5-амино-3-метилизоксазол-4-карбоновой к-ты (XVIII) 0,6 г, т. пл. 161–162° (разл.; из сп.). XVIII (0,5 г) декарбоксилируют нагреванием с 1 н. NaOH (5 мл) (100°, 10 мин.), выход 5-амино-3-метилизоксазола 0,25 г, т. пл. 85° (из воды). Часть V см. РЖХим, 1955, 9532.

**Псевдотиогидантоны и тиогидантоны.** Владимирская Е. В., Ж. общ. химии, 1955, 25, № 12, 2255–2257

Изучена конденсация тиомочевины (I) с  $\text{ClCH}_2\text{COOH}$  (II) с целью выяснения механизма р-ции. Показано, что конденсация I с II проходит в водн. р-рах с образованием псевдотиогидантоина  $\text{SCH}_2\text{CONHC}=\text{NH}$  (III),

а не 2-тиогидантоина  $\text{SCH}_2\text{CONHC}=\text{S}$  (IV), что до-

казано превращением продукта р-ции в тиазолидиндион (V). Аналогичная конденсация I с II в лед.  $\text{CH}_3\text{COOH}$  также дает III. Из III и  $\text{C}_6\text{H}_5\text{CHO}$  (VI) при последующем гидролизе продукта р-ции получен 5-бензилидентиазолидиндион (VII). Непосредственное превращение IV в V невозможно. Нагревают водн. р-р I и II при 80–90° до исчезновения р-ции с желтой кровавой солью, нейтрализуют содой, отделяют осадок и к фильтрату добавляют конц. HCl (1:1), смесь упаривают и получают V, т. пл. 125° (из воды). Кипятят II с I (1:1) в лед.  $\text{CH}_3\text{COOH}$  в течение 15 мин., добавляют 1 г-экв VI, кипятят 1 час, охлаждают, нейтрализуют  $\text{NH}_4\text{OH}$ , осадок отделяют и кипятят с 10-кратным кол-вом конц. HCl в течение 10 час., фильтруют и получают VII, т. пл. 240° (из изоамилацетата).

**Экспериментальное изучение нитрила о-нитрофенилтиогликолевой кислоты и продуктов его восстановления.** Траверсо, Бертольо-Риоло (Contributo sperimentale alla conoscenza dell' o. nitro-fenil-tio-glicolnitrile e dei suoi prodotti di riduzione. Traverso Giorgio, Bertoglio Riolo, Carla), Ann. chimica, 1955, 45, № 6–7–8, 668–674 (итал.)

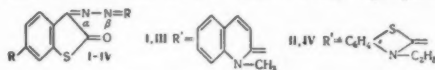
Действием хлорацетонитрила (I) на о-нитрофенолят Na в щел. среде получен нитрил о-нитрофенилтиогликолевой к-ты (II). Строение II подтверждено гидролизом (кипчение с 50%-ной  $\text{H}_2\text{SO}_4$ , 1–2 часа) до о-нитрофенил-тиогликолевой к-ты. Восстановление II действием  $\text{SnCl}_2$  в кислой среде сопровождается гидролизом и приводит к образованию бензокетогидро-1,4-тиазина (III). При восстановлении II действием амальгамы Al получается 2-метилбензотиазол (IV) и 2-метилбензотиазолин (V). Образование IV объяснено самопроизвольным окислением V в ходе р-ции, что подтверждается тем, что при обработке реакционной смеси  $\text{I}_2$  образуется исключительно IV. 2,6 г NaOH в 5–6 мл воды насыщают  $\text{H}_2\text{S}$ , добавляют 2,6 г NaOH, нагревают до 70–80° и осторожно присыпают в суспензию 10 г о-динитродифенилдисульфида (VI) в 30–35 мл спирта, через 12 час. (~20°) прибавляют в 2 приема 2,5 г I, оставляют на 2 часа при ~20° и на 2 часа на льду, получают 6–7 г II, т. пл. 117° (из сп.). 2 г II в 40 мл спирта + 8 г  $\text{SnCl}_2$  в 15 мл конц. HCl кипятят 10–12 час., разбавляют водой, подщелачивают 30%-ным NaOH, извлекают эфиром, получают 1–1,4 г III, т. пл. 179–180° (из водн. сп.). Смесь 10 г II, 1 г спирта, 30 г амальгамы Al и 80 мл воды оставляют на 48 час., фильтрат упаривают в вакууме, извлекают эфи-

ром, перегоняют при 90—100°/1—2 мм, из порции дистиллата выделяют **V** через пикрат, т. пл. 153—154° (из сп.), а из второй порции — **V** в виде производного фенилтиомочевины, т. пл. 149° (из  $\text{CH}_3\text{OH}$ ). При конденсации продукта восстановления **II** амальгамой **Al** с *n*-нитробензальдегидом в присутствии  $\text{CH}_3\text{COONa}$  (абс. сп., 8—10 дней) образуется 2-*n*-нитростирбензотиазол, т. пл. 226° (из сп.). Аналогично **II** из 10 г **VI** и 7 г монохлорацетона получают 7 г *o*-нитрофенилтиоацетона, а из 10 г **VI** и 13 г  $\omega$ -бромацетона — 9 г *o*-нитрофенил- $\omega$ -тиоацетона, т. пл. 141° (из сп.).

Л. Я.

**25719. Мероцианины — производные тиооксидола.** Часть IV. Изомерия диазадиметинмероцианинов. Глоэрт, Манн (Mercocyanines derived from thio-oxindole. Part IV. The isomerism of the diazadimethinmerocyanines. Glaert R. H., Mann Frederick G., J. Chem. Soc., 1955, Aug., 2537—2542 (англ.).

В отличие от диметиновых аналогов [3-(2,3-дигидро-2-окситионафтен)] [2-(1,2-дигидро-1-метилхинолин)]-диазадиметинмероцианин (**I**;  $\text{R} = \text{H}$ , т. пл. 225—226°) и [3-(2,3-дигидро-2-окситионафтен)] [2-(3-этилбензотиазол)]-диазадиметинмероцианин (**II**;  $\text{R} = \text{H}$ , т. пл. 175—176°), а также их 6-этилзамещ. (**III** и **IV**;  $\text{R} = \text{OC}_2\text{H}_5$ , т. пл. 222—223° и 197—198°) превращаются



при кипячении в  $\text{CH}_3\text{COOH}$  (1,5—3 часа) в более устойчивые высокоплавкие изомеры (ср. часть II, J. Chem. Soc. 1952, 5012). **II** изомеризуется в отличие от **I** также при обработке конц.  $\text{HBr}$  в ацетоне, при нагревании (200°, 10—15 мин.) и в р-ре  $\text{C}_6\text{H}_6$  (12 час.) или спирта (3—4 суток) при ~20° (предварительное короткое кипячение). Из **I** образуется изомер (**V**) с т. пл. 236—237° (из  $\text{CH}_3\text{COOH}$ ), из **II**-изомер (**VI**) с т. пл. 259—260° (из сп.), **III** дает изомер (**VII**) с т. пл. 233—234° (из  $\text{CH}_3\text{COOH}$ ), и **IV**-изомер (**VIII**), т. пл. 207—208° (из  $\text{CH}_3\text{COOH}$ ). Кипячение в спирте (24 часа) не изменяет **I**. Основания не изомеризуют **VII** (кипячение, 1 час в сп. с  $(\text{C}_2\text{H}_5)_3\text{N}$ ). **I** и **V** с кипящей  $\text{HBr}$  (к-та) дают один и тот же бромидат (**БГ**) с т. пл. 211—212° (разл.; из сп.), из **II** и **VI** также образуется один **БГ**, диссоциирующий в **VI** при попытке определить его т-ру плавления и разлагаемый спиртом до **II**. Все **БГ** гидролизуются водн. спиртом в низкоплавкие изомеры. **БГ III** (с  $3\text{H}_2\text{O}$ ), т. пл. 209—210° (из сп.); гидролизует спирт. пиридином. УФ-спектры и спектры видимой части изомеров почти идентичны.  $\lambda_{\text{макс}}$  в м.к. (в сп.) (ε в скобках): **I**, 470—472 (35 800), **V**, 472 (37 500), **II**, 454—455 (26 400), **VI**, 454—458 (25 300), для диметиновых аналогов **I** и **III** — 553 и 531 м.к. соответственно. В ИК-спектрах кристаллич. **I**—**VIII** имеется линия СО-группы (5,87—5,99 м; у диметиновых аналогов 6,10—6,15 м); для **I**—**IV** отмечена также линия 9,98—10,08 м неизвестного происхождения, доказывающая наличие изомерии для изучаемых в-в, а не диморфизма. Причиной изомерии авторы считают существование для каждого диазадиметинмероцианина 4 геометр. форм, в которых оба β-N находятся в *цис*-положении к СО-группе, а  $\text{NC}_2\text{H}_5$ -группа либо в *цис*-к β-N (**IIa**), либо в *транс*-положении (**IIb**) и, наконец, форм (**IIв**) и (**IIг**), в которых β-N находится в *транс*-положении к СО-группе. Взаимный переход форм осуществляется через солеобразование (образование катионов), хотя наличие к-т необязательно в случае **II** → **VI**. Низкоплавким изомерам (**I**—**IV**) приписывают *цис*-строение типа **IIa**, б, высокоплавким (**V**—**VIII**) — *транс*-строение типа **IIв**, г. Отсутствие

изомерии для диметиновых аналогов, возможно, связано с наличием для них только одной из каждой пары, наиболее стабильной пространственной формы ( $>\text{C} = \text{CHCH} = \text{C}<$ , цепь должна иметь *транс*-форму). 2 формы тиооксидола с т. пл. 33—33,5° и 44—45°, открытые ранее (Marschall Ch., Ber., 1912, 45, 1481; J. prakt. Chem., 1913, 88, 227), повидимому, обусловлены диморфизмом, а не изомерией, поскольку в ИК-спектрах обеих форм имеется линия СО-группы (5,80 и 5,78 м соответственно). О двух формах 6-этилтиооксидола описано ранее (см. J. Chem. Soc., 1952, 2127). Метод получения исходных в-в см. часть II. **III** и **IV** синтезированы с выходами 32 и 50%. Часть III см. РЖХим, 1956, 6844. А. Т.

**25720. О получении 2,5- и 2,7-диметилбензотиазолов.**

Банерджи (A note on the preparation of 2,5- and 2,7-dimethylbenzothiazoles. Banerji J. C., J. Indian Chem. Soc., 1955, 32, № 2, 135—136 (англ.).

Показано, что тиоацето-*m*-толуидин (**I**) при окислении  $\text{K}_2\text{Fe}(\text{CN})_6$  дает, главным образом, 2,5-диметилбензотиазол (**II**), идентичный полученному ранее из 2-амино-4-метилтиофенола п ( $\text{CH}_3\text{C}_6\text{H}_4\text{S}$ ) (**III**). 2,7-диметилбензотиазол (**IV**) получен с хорошим выходом восстановлением 3-нитро-2-цианитолуола (**V**)  $\text{Zn}$ -пылью. К 7 г **I** в 100 мл 20%-ного р-ра  $\text{NaOH}$  прибавляют 10 мл 20%-ного р-ра  $\text{K}_2\text{Fe}(\text{CN})_6$ , оставляют на 24 часа и экстрагируют эфиром **II**, выход 32%, т. кип. 142—146°/10 мм; податилат, т. пл. 195—196°. 6 г **V** в 50 мл  $\text{CH}_3\text{COOH}$  и 25 мл **III** нагревают до кипения, прибавляют 30 г  $\text{Zn}$ -пыли, фильтрат подщелачивают и перегоняют с водяным паром **IV**, выход 1,3 г; пикрат, т. пл. 138° (из сп.). М. Л.

**25721. Нуклеофильное замещение в тропонидных соединениях. II. Меркаптотропоны и меркаптотропоны. Нодзоэ, Сато, Мацуи (Nucleophilic substitution of tropenoid compounds. II. Mercaptotropones and mercaptotropolones. Nozoe Tetsuo, Sato Masatsune, Matsui Kazuo 東北大学理科学部 Tohoku дайгаку рика хококу, Sci. Repts. Tohoku Univ., 1953, ser. 1, 37, № 2, 211—239 (англ.).**

Изучены меркаптотропоны (**I**) и меркаптотропоны (**II**), синтезированные взаимодействием галоидопроизводных тропона и трополона с сернистыми соединениями. Действием  $\text{CH}_3\text{SNa}$  (**III**) на 2-хлортропон (**IV**) или метиловый эфир трополона (**V**) получен 2-метилмеркаптотропон (**Ia**). **Ia** не реагирует с жидким  $\text{NH}_3$  или  $\text{N}_2\text{H}_4$ , при нагревании с  $\text{CH}_3\text{ONa}$  в  $\text{CH}_3\text{OH}$  превращается в 2-метилмеркаптобензойную к-ту (**VI**) и бромруется в  $\text{CH}_3\text{COOH}$  в в-во неустановленного строения (**VII**), т. пл. 203—207°. При р-ции  $\text{Na}$ -соли *n*-тиокрезола (**VIII**) с **IV** или 2-бромтропоном (**IX**) синтезирован 2-*n*-толилмеркаптотропон (**Ib**). Аналогично из 2,7-дихлортропона (**X**) или 2-хлор-7-бромтропона (**XI**) и **VIII** получен 2,7-ди-*n*-толилмеркаптотропон (**Iв**). При р-ции **XI** с 1 молем **VIII** получены **Iв** и, с небольшим выходом, 7-хлор-2-*n*-толилмеркаптотропон (**Ir**); с 2 молями **VIII** или **III** образуются **Iв** или 2,7-ди-(метилмеркапто)-тропон (**Id**). Аналогично из 2,4,7-трибромтропона (**XII**) с 2 молями **III** или **VIII** получают 4-бром-2,7-диметил- (**Ie**) и 4-бром-2,7-ди-*n*-толил- (**Iж**) меркаптотропоны; **Iж** при каталитич. дегалоидировании превращается в **Iв**; с избытком **VIII** получается 2,4,7-три-*n*-толилмеркаптотропон (**Iз**); р-ция **XII** с избытком **III** не приводит к образованию идентифицируемых продуктов. При нагревании **IV** или **IX** с  $\text{H}_2\text{S}$ , или **V** с  $\text{NaHS}$  получен с хорошим выходом 2-меркаптотропон (**Iи**). **Iи** не образует пикрата, пикроната, оксима и 2,4-динитрофенилгидразона; при р-ции с  $\text{CH}_2\text{N}_2$ ,  $\text{CH}_3\text{J}$  или  $(\text{CH}_3)_2\text{SO}$  превращается в **Ia**; не ацетируется  $(\text{CH}_3\text{CO})_2\text{O}$  или  $\text{CH}_3\text{COCl}$ , частично превращаясь при действии этих реагентов в 2,2'-дитропонилдисульфид (**XIII**), из чего можно сделать

предположение, что для **II** возможна также таутомерная форма 2-окситропона. 2-ацетилмеркаптотропон (**II**) получен р-цией **IV** с тиаацетатом **Na** (**XIV**); аналогично р-цией **IV** с тиабензоатом **K** (**XV**) получено бензильное производное (**II**), синтезированное также и прямым бензоилированием **II**  $C_6H_5COCl$  в пиридине. При действии  $J_2$  **II** легко дегидрируется в **XIII**, который получается также при р-ции **IV** и  $Na_2S_2$  или при действии  $HNO_3$ ,  $HNO_2$  или  $Br_2$  на **Na**- или **Cu**-соли **II**, и, в свою очередь, при действии  $Na_2S$  или  $NaOH$  легко превращается в **II**. При попытке сочетания **K**-соли **II** с  $n\text{-}CH_3C_6H_4N_2Cl$  (**XVI**) получено легко осмоляющееся в-во; при аналогичной р-ции с  $n\text{-}NO_2C_6H_4N_2Cl$  получено в-во, т. пл.  $149^\circ$  (разл.), превращающееся при



очистке в **XIII**. При р-ции **II** с  $CH_2ClCOOH$ , **IV** или  $C_6H_5HgCl$  получаются соответственно 2-тропонилмеркаптоуксусная к-та (**Im**), 2,2'-дитропонилсульфид (**XVII**) и 2-этилмеркуримеркаптотропон (**Im**); строение **Im** и **XVII** подтверждается их образованием при взаимодействии **IV** с  $CH_2ClCOOH$  или  $Na_2S$  соответственно. Окислением **XV**  $H_2O_2$  в  $CH_3COOH$  получается 2,2'-дитропонилсульфон (**XVIII**). Р-цией **IV** с **Na**-солью 2-меркапто-4-метилтиазола (**XIX**) или с  $n\text{-}NO_2C_6H_4SNa$  синтезированы 2-(2'-тропонилмеркапто)-4-метилтиазол (**XX**) и 2'-*n*-нитрофенилмеркаптотропон (**Io**); при нагревании же **IV** с тиомочевинной в спирте полученные в-ва предполагаемого строения (**XXI**), т. пл.  $>260^\circ$ , и (**XXII**), т. пл.  $165^\circ$ , пикрат, т. пл.  $240^\circ$  (разл.). Р-цией **Na**-соли 3-бромтрополона (**XXIII**) или метиловых эфиров 7-бром- (**XXIV**) или 3-бром- (**XXV**)-трополона с  $C_6H_5SNa$  синтезированы 3-фенилмеркаптотропон (**IIa**). Р-цией **XXIII** с **III** или **VIII** получены 3-метил- (**IIb**) и 3-*n*-толил- (**IIv**)-меркаптотропоны. Метильный эфир **IIa** нагреванием с  $CH_3ONa$  превращен в 2-фенилмеркаптобензойную к-ту (**XXVI**). Действием 2 молей **III** на **XXIV** получают **Id**; в аналогичных условиях **XXV** превращается в **VI**. С 1 молем **III** из **XXIII** образуется в-во, гидролизованное в **IIb**. **Na**-соль 3,7-дибромтрополона (**XXVII**) не реагирует при нагревании с 2 молями **VIII** в спирте, но при  $150\text{--}170^\circ$  образуется 3,7-ди-*n*-толилмеркаптотропон (**IIg**), который колич. метилируется  $CH_3N_2$  в эфир (**Id**), т. пл.  $167,5\text{--}168,5^\circ$ , синтезированный также нагреванием в спирте метилового эфира 3,7-дибромтрополона с 2 молями **VIII**; строение **Id** и **IIg** подтверждено превращением **Id** при нагревании со спирт. р-ром  $NaOH$  в 2,6-ди-*n*-толилмеркаптобензойную к-ту, т. пл.  $193\text{--}194^\circ$  (из эф.). Кипячением **Na**-соли 3,5,7-трибромтрополона (**XXVIII**) с 4 молями **VIII** в спирте получены 5-бром-3,7-ди-*n*-толилмеркапто- (**IIe**), 7-бром-3,5-ди-*n*-толилмеркапто- (**IIж**) и 5,7-дибром-3-*n*-толилмеркапто- (**IIз**) трополоны. Строение этих в-в следует из образования **IIe** при бромировании **IIg** и **IIз** при бромировании **IIv**. Сочетанием **IIv** с **XVI** синтезирован 5-*n*-толилазо-5-*n*-толилмеркаптотропон (**IIи**). При действии 4 молей **NaHS** на **XI** или **X** в спирте получено в-во неустановленного строения, т. пл.  $240^\circ$ , и 2-меркапто-7-хлортропон (**IIп**), т. пл.  $92\text{--}93^\circ$  (из петр. эф.). Аналогичной р-цией из **XII** и 5 молей **NaHS** получено в-во, т. пл.  $>260^\circ$ . При р-ции **XXIII** с 2 молями **NaHS** в запаянной трубке и последующем подкислении продукта р-цией получен 3,3'-дитропонилдисульфид (**XXIX**), образующийся также из **XXIII** и  $Na_2S_2$ ; если же неподкисленный продукт р-ции **XXIII** с **NaHS** метилировать  $CH_3J$ , то образуется **IIб**. Аналогично при р-ции метилового эфира 7-бромтрополона (**XXX**) с 2 молями **NaHS** в спирте образуется **Na**-соль метилового эфира 7-меркаптотрополона (**XXXI**), которая при

подкислении превращается в 7,7'-диметокси-2,2'-дитропонилдисульфид, полученный также р-цией **XXX** с  $Na_2S_2$ ; метилированием **XXXI**  $CH_3J$  и последующим гидролизом продукта р-ции получен **IIб**. Таким образом, 2,7-димеркаптотропон, 3-меркаптотропон и метильный эфир 7-меркаптотрополона могут существовать только в виде их **Na**-солей и в свободном состоянии превращаются в дисульфиды. Смесь спирт. р-ров 0,07 г **VI** и 1,1 моля **III** нагревают несколько минут, отгоняют спирт, добавляют воду, извлекают  $C_6H_6$ , возгоняют в вакууме и получают **Ia**, выход 0,04 г, т. пл.  $42,5\text{--}44^\circ$  (из циклогексана), хлоргидрат, т. пл.  $144,8\text{--}150^\circ$ . 2,4-динитрофенилгидразон, т. пл.  $234^\circ$  (из сп.-бzl.). Смесь 0,28 г **V** и **III** (из 1,1 моля  $CH_3SH$ ) в 7 мл спирта кипятят 30 мин., отгоняют спирт в вакууме, остаток растворяют в воде и извлекают  $C_6H_6$ , выход 0,2 г. Аналогично из 0,07 г **IV** и **VIII** (из 0,08 г  $n\text{-}CH_3C_6H_4SH$  (**XXXII**)) получают **Ib**, выход 0,11 г, т. пл.  $143\text{--}144^\circ$  (из бал.-петр. эф.); 2,4-динитрофенилгидразон, т. пл.  $227^\circ$  (из сп.-бzl.); **Ib** получают также из 0,03 г **IX** и **VIII** (из 0,025 г **XXXII**), выход 0,03 г. К спирт. р-ру 0,06 г **X** добавляют по каплям спирт. р-р 2,2 моля **III** и извлекают  $CHCl_3$ , **Id**, выход 0,04 г, т. пл.  $130^\circ$  (из сп.); 2,4-динитрофенилгидразон, т. пл.  $147^\circ$  (из сп.). К кипящей суспензии 1,4 г **XI** в 10 мл спирта приливают по каплям спирт. р-р 2,2 моля **III**, кипятят 3 часа и получают **Ie**, выход 0,07 г, т. пл.  $135^\circ$  (из сп.). 0,5 г **Ie** в 20 мл  $CH_3OH$  гидрируют над 5%-ным  $Pd/C$  в присутствии  $CH_3COONa$  и получают **Id**, выход 0,1 г. Спирт. р-ры 0,06 г **X** и **VIII** (из 0,1 г **XXXII**) нагревают при  $100^\circ$ , отгоняют спирт и получают **Iv**, выход 0,06 г, т. пл.  $259\text{--}260^\circ$  (из бал.); или из 0,05 г **XI** и **VIII** (из 0,06 г **XXXII**) получают **Iv**, выход 0,03 г. К кипящему р-ру 0,7 г **II** в смеси 10 мл  $C_6H_6$  и 5 мл спирта приливают спирт. р-р **VIII** (из 0,55 г **XXXII**), смесь кипятят 3 часа и получают **Iж**, выход 0,05 г. Аналогично из 0,7 г **II** в 7 мл  $C_6H_6$  и 5 мл спирта и **VIII** (из 1 г **XXXII**, кипячение 5 час.) получают **Iз**, выход 0,5 г, т. пл.  $184\text{--}185^\circ$  (из бал.). Из 0,12 г **XI** и 1 моля **VIII** получают **Iv**, выход 0,04 г, и **Iг**, выход 0,01 г, т. пл.  $165\text{--}165,5^\circ$  (из бал.). Спирт. р-ры 0,07 г **IV** или 0,04 г **IX** и 2 моля  $NaSH$ , или 0,28 г **V**, 2,5 моля  $NaSH$  и 7 мл спирта нагревают, отгоняют спирт, остаток растворяют в воде, подкисляют 6 н.  $H_2SO_4$  и извлекают  $CHCl_3$ , **Im**, выход 0,04—0,02 г, т. пл.  $55^\circ$  (из петр. эф.), **Fe**-комплексная соль, т. пл.  $>260^\circ$ , **Su**-комплексная соль, т. пл.  $>260^\circ$ ; хлоргидрат, т. пл.  $53\text{--}58^\circ$ ; перхлорат, т. пл.  $132\text{--}134^\circ$ . Из р-ра 0,12 г **IV** в 5 мл спирта и **XIV** (из 0,08 г  $CH_3COSH$ ) получают **Iк**, выход 0,07 г; т. пл.  $170^\circ$  (из хлф.-бал.). Из 0,14 г **IV** и 0,18 г **XV** получают **Il**, выход 0,07 г, т. пл.  $105,5\text{--}106^\circ$  (из сп.). К охлажд. р-ру 0,25 г **II** и 0,4 г  $CH_3COONa$  в 5 мл  $CH_3COOH$  приливают р-р 1 моля  $Br_2$  в  $CCl_4$  и через 30 мин. отделяют **XIII**, т. пл.  $201\text{--}204^\circ$  (из пиридина); к водн. р-ру **Na**-соли **II** (из 0,14 г **II** и 1 н. р-ра  $NaHCO_3$ ) приливают по каплям  $Br_2$  и получают **XII**, выход 0,1 г; к р-ру **Su**-комплексной соли **II** (из 0,07 г **II**) в 10 мл  $CHCl_3$  приливают 1 моль  $Br_2$  в  $CCl_4$ , фильтруют, отгоняют р-ритель и получают **XIII**, выход 0,05 г, к охлажд. р-ру 0,07 г **II** в 5 мл  $CH_3OH$  постепенно приливают р-р 0,5 г  $J_2$  в  $CH_3OH$  и отделяют **XIII**, выход 0,05 г; к р-ру 0,1 г **II** в 3 мл  $CH_3COOH$  постепенно приливают при  $0^\circ$  3 моля конц.  $HNO_3$ , размешивают 10 мин. и получают **XIII**, выход 0,08 г; к р-ру 0,07 г **II** в 4 мл  $CH_3COOH$  приливают водн. р-р 0,15 г  $NaNO_2$  и получают **XIII**, выход 0,05 г; к кипящему спирт. р-ру 0,28 г **IV** постепенно приливают 15 мл 90%-ного спирта. р-ра  $Na_2S_2$  (из 0,25 г  $Na_2S \cdot 9H_2O$  и 0,035 г **S**), размешивают 30 мин., отгоняют спирт и получают **XIII**, выход 0,26 г. 0,2 г **XIII**, 0,2 г  $Na_2S \cdot 9H_2O$  и 5 мл 2 н.  $NaOH$  нагревают 10 мин. при  $100^\circ$ , р-р подкисляют 6 н.  $H_2SO_4$  и извлекают  $CHCl_3$ , **Im**, выход 0,17 г. Смесь 0,15 г **II**, 1 мл 5 н.  $NaOH$  и 5 мл спирта кипятят 1 час, отгоняют



2'-ди-  
XXX  
ощим  
азом,  
этило-  
вать  
оянии  
07г VI  
ояют  
5—44°  
—150°.  
(бэл.).  
спирта  
статок  
Ана-  
(XXXII)  
бэл.-  
227°  
VIII  
0,06 г  
извле-  
2,4-  
пией  
апплям  
ют Ie,  
H<sub>2</sub>SO<sub>4</sub>  
COONa  
0,06 г  
отгоняют  
—260°  
II) по-  
г XII  
рт. p-p  
лучают  
C<sub>6</sub>H<sub>6</sub>  
5 час.)  
бэл.).  
0,04 г.  
Спирт.  
0,28 г.  
отгоняют  
г 6 н.  
т. пл.  
>260°.  
т. пл.  
0,12 г.  
лучают  
0,14 г.  
105,5—  
COONa  
CCl<sub>4</sub> и  
з пири-  
н. p-p  
рт. XIII,  
0,07 г.  
Филь-  
0,05 г.  
но при-  
выход  
но при-  
аюют 10  
07 г и  
NaNO<sub>2</sub>  
рт. p-p  
спирт.  
замеши-  
н, выход  
NaOH  
H<sub>2</sub>SO<sub>4</sub>  
15 г Ia,  
отгоняют

спирт, остаток подкисляют 6 н. H<sub>2</sub>SO<sub>4</sub> и извлекают CHCl<sub>3</sub> и эфиром, возгоняют в вакууме, продукт смешивают с 2 н. p-ром CuSO<sub>4</sub> в присутствии CH<sub>3</sub>COONa и получают Cu-комплексную соль трополона, выход 0,02 г. Смесь 0,2 г Ia и CH<sub>3</sub>ONa (из 0,04 г Na и 6 мг CH<sub>3</sub>OH) кипятят 25 час., отгоняют спирт, приливают воду, подкисляют 6 н. H<sub>2</sub>SO<sub>4</sub> и извлекают эфиром VI, выход 0,03 г, т. пл. 164—167° (из водн. сп.). Аналогично из смеси 0,05 г Id, 1 мл 5 н. NaOH и 3 мл спирта получают VI, выход 0,025 г; в маточный p-р от кристаллизации VI пропускают HCl, продукт растворяют в воде и извлекают CHCl<sub>3</sub> IIб, т. пл. 111°. К кипящему p-ру 0,28 г IV в 3 мл спирта приливают по каплям 7 мл 90%-ного спирта. p-ра Na<sub>2</sub>S·9H<sub>2</sub>O, через 1 час, отгоняют спирт и извлекают CHCl<sub>3</sub> XVII, выход 0,15 г, т. пл. 170—171° (из диоксана); смесь 0,14 г IV и Na-соли II (из 0,14 г II) в 10 мл спирта кипятят 30 мин., отгоняют спирт и получают XVII, выход 0,24 г. К p-ру 0,15 г XVII в 5 мл CH<sub>3</sub>COOH и 5 мл (CH<sub>3</sub>CO)<sub>2</sub>O приливают по каплям 0,5 мл 30%-ной H<sub>2</sub>O<sub>2</sub>, оставляют в закрытом сосуде при 20° на 4 дня и получают XVIII, выход 0,07 г, т. пл. 220° (разл.; из пиридина). К кипящему p-ру 0,14 г IV в 3 мл спирта постепенно приливают p-р Na-соли из 0,11 г HSCN<sub>2</sub>COOH в 10 мл 50%-ного спирта, через 30 мин. отгоняют спирт, остаток растворяют в воде, извлекают C<sub>6</sub>H<sub>6</sub>, подкисляют 6 н. H<sub>2</sub>SO<sub>4</sub> и получают IIм, выход 0,1 г, т. пл. 192—193° (из сп.); к водн. p-ру Na-соли II (из 0,14 г II) приливают водн. p-р CH<sub>3</sub>COONa, нагревают 10 мин. при 100°, фильтруют, фильтрат подкисляют 6 н. H<sub>2</sub>SO<sub>4</sub> и получают IIм, выход 0,12 г. Суспензия Na-соли II (из 0,07 г II) и 0,13 г C<sub>6</sub>H<sub>5</sub>HgCl в 10 мл спирта оставляют на 5 дней при 20°, отгоняют спирт, остаток растворяют в спирте и получают IIн, выход 0,02 г, т. пл. 106° (из сп.). К спирт. p-ру 0,14 г IV приливают спирт. p-р n-NO<sub>2</sub>C<sub>6</sub>H<sub>4</sub>SNa (из 0,18 г n-NO<sub>2</sub>C<sub>6</sub>H<sub>4</sub>SH), кипятят, отгоняют спирт, добавляют воду и отделяют Iю, выход 0,1 г, т. пл. 198—199° (из бэл.). Аналогично из 0,14 г IV в 5 мл спирта и XIX (из 0,14 г тиазола, извлекаемые CHCl<sub>3</sub>) получают XX, выход 0,15 г, т. пл. 124° (из сп.). К спирт. p-ру 0,14 г V приливают спирт. p-р 2-молей CH<sub>3</sub>SNa, кипятят 1 час, отгоняют спирт, остаток кипятят 1 час со смесью 4 мл спирта и 2 мл 5 н. NaOH, подкисляют, возгоняют в вакууме и получают в-во неустойчивого строения, т. пл. 145—150° (из бэл.). Смесь 0,4 г V и VIII (из 0,72 г XXXII) в 5 мл спирта кипятят 1 час и получают Na-соль трополона, выход 0,072 г. Смесь 0,44 г XXXIII, 2 молей CH<sub>3</sub>SNa и 20 мл спирта нагревают 10 час. при 160—180°, отгоняют спирт, остаток подкисляют 6 н. H<sub>2</sub>SO<sub>4</sub> и извлекают CHCl<sub>3</sub> IIб, выход 0,25 г, т. пл. 110—111°; хлоргидрат, т. пл. 145—148°, пикрат, т. пл. 101—102°. Смесь 0,2 г XXIV, 1 моля CH<sub>3</sub>SNa и 4 мл спирта кипятят 30 мин., отгоняют спирт, остаток кипятят с 1 мл 5 н. NaOH и 4 мл спирта, подкисляют и извлекают C<sub>6</sub>H<sub>6</sub> IIб, выход 0,07 г. Смесь 0,44 г XXXIII, C<sub>6</sub>H<sub>5</sub>SNa (из 0,44 г C<sub>6</sub>H<sub>5</sub>SH) и 20 мл CH<sub>3</sub>OH нагревают 10 час. при 140°, или нагревают смесь XXIV или XXV и C<sub>6</sub>H<sub>5</sub>SNa в CH<sub>3</sub>OH, отгоняют спирт, остаток подкисляют и извлекают C<sub>6</sub>H<sub>6</sub> IIа, выход 0,25 г, т. пл. 140° (из сп.). Смесь 0,2 г метилового эфира IIа и CH<sub>3</sub>ONa (из 0,03 г Na и 6 мг CH<sub>3</sub>OH) кипятят 10 час., отгоняют CH<sub>3</sub>OH, остаток извлекают C<sub>6</sub>H<sub>6</sub>, растворяют в воде, подкисляют и извлекают эфиром XXVI, выход 0,15 г, т. пл. 167° (из водн. сп.). Из смеси 0,22 г XXXIII, C<sub>6</sub>H<sub>5</sub>SNa (из 0,28 г C<sub>6</sub>H<sub>5</sub>SH) и 15 мл спирта (нагревание 10 час. при 130—150°) получают IIв, выход 0,15 г, т. пл. 176° (из сп.). Смесь 0,09 г XXVII, VIII (из 0,11 г XXXII) и 15 мл спирта нагревают 9 час. при 150—170° и получают IIг, выход 0,06 г, т. пл. 158—159° (из бэл. и сп.). P-р 0,1 г XXXVIII и VIII (из 0,14 г XXXII) в 15 мл спирта кипятят 1 час, продукт подкисляют и получают IIе, выход 0,05 г, т. пл. 216° (из сп.-бэл.). Спирт. p-р 0,5 г

XXVIII и 4 моля VIII кипятят 1 час, отгоняют спирт, остаток подкисляют 2 н. HNO<sub>3</sub> и извлекают C<sub>6</sub>H<sub>6</sub> IIж, выход 0,02 г, т. пл. 165° (из бэл.-сп.). P-р 0,1 г XXVIII, 4 моля VIII и 15 мл спирта кипятят 2 часа и получают IIз, выход 0,2 г, т. пл. 154—155°. К p-ру 0,05 г IIа и 0,02 г CH<sub>3</sub>COONa в 7 мл CH<sub>3</sub>COOH приливают по каплям 0,06 г Br<sub>2</sub>, смесь размешивают 5 час. при 50—60°, выливают в воду и извлекают CHCl<sub>3</sub> IIе, выход 0,015 г. К p-ру 0,12 г IIв в 5 мл CHCl<sub>3</sub> приливают при 20° 0,2 г Br<sub>2</sub> в 1 мл CCl<sub>4</sub>, оставляют на 16 час., отгоняют p-ритель и получают IIз, выход 0,15 г. К водн. p-ру Na-соли IIв постепенно приливают p-р XV, размешивают 1 час, продукт разлагают 6 н. H<sub>2</sub>SO<sub>4</sub> и извлекают C<sub>6</sub>H<sub>6</sub> IIи, выход 0,16 г, т. пл. 205—206° (из сп.-бэл.). Смесь 0,33 г XXXI и 2 молей NaHS в 20 мл спирта нагревают 8 час. при 150°, отгоняют спирт, остаток растворяют в воде, подкисляют и извлекают CHCl<sub>3</sub> XXXII, выход 0,2 г, т. пл. 236° (из сп.); или остаток растворяют в CH<sub>3</sub>OH, кипятят 20 мин. с CH<sub>3</sub>J, отгоняют CH<sub>3</sub>OH, остаток подкисляют, извлекают C<sub>6</sub>H<sub>6</sub>, в p-р пропускают HCl, продукт растворяют в воде и извлекают эфиром IIб. Смесь 0,33 г XXXI и 20 мл 90%-ного спирта. p-ра Na<sub>2</sub>S<sub>2</sub> (из 0,18 г Na<sub>2</sub>S·9H<sub>2</sub>O и 0,025 г S) нагревают 8 час. при 140°, отгоняют спирт, остаток подкисляют и извлекают CHCl<sub>3</sub> XXIX, выход 0,04 г, т. пл. 220—221° (из пиридина). К спирт. p-ру 0,43 г XXX приливают 90%-ный p-р Na<sub>2</sub>S<sub>2</sub> (из 0,24 г Na<sub>2</sub>S·9H<sub>2</sub>O и 0,032 г S), смесь кипятят 10 мин. и получают XXXI. Приведены кривые УФ-спектров Ia, IIн и IIп и трополона (в циклогексане), Iб, Id, IIа, IIб, VII, XIII, XVII, XXII и 3-метокситрополона (в CH<sub>3</sub>OH), V (в ац.) и кривые ИК-спектров IIг; Ia и IIн в CCl<sub>4</sub>; Ia и IIн в CS<sub>2</sub>. Д. В.

25722. О получении производных арилбензо-(е)-1,3-тиазинов. О новой перегруппировке меркаптоамидов ароматических кислот. Винклер, Кабо (Über die Darstellung von Arylbenzo-(e)-1:3 Thiazinderivaten. Über eine neue Umlagerungsreaktion aromatischer Säureamidsulfide. Vinkler E., Szabó J.), Acta chim. Acad. sci. hung., 1955, 6, № 34, 323—334 (нем.).

Авторы предполагали получить производные 4-арилбензо-(е)-1,3-тиазина (I) при циклизации продуктов конденсации N-метиллолбензамида (IIа) и N-метиллоамидов вератровой (IIб), анисовой (IIв), и пиперониловой (IIг) к-т с 3,4-диэтокситиофенолом (IIIа) и 3,4-диметокситиофенолом (IIIб). Оказалось, что при указанной p-ции образуются изомерные I производные 2-арилбензо-(е)-1,3-тиазина, из которых получены и охарактеризованы: 2-фенил-6,7-диэтоксibenzo-(е)-1,3-тиазин (IVа), 2-фенил-6,7-диметоксibenzo-(е)-1,3-тиазин (IVб), 2-(3',4'-диметоксифенил)-6,7-диэтоксibenzo-(е)-1,3-тиазин (IVв), 2-(4'-метоксифенил)-6,7-диметоксibenzo-(е)-1,3-тиазин (IVг), 2-(3',4'-диметоксифенил)-6,7-диметоксibenzo-(е)-1,3-тиазин (IVд) и 2-пиперонил-6,7-диметоксibenzo-(е)-1,3-тиазин (IVе). При обработке смеси IIIа и IIа POCl<sub>3</sub> или спирт. HCl на холоду образуется N-(3,4-диэтоксифенил)меркаптоамид-бензамид (Va), при кипячении с POCl<sub>3</sub> циклизующийся в IVа. Полученные аналогичным образом из IIIб и метилоламида соответствующей к-ты N-(3,4-диметоксифенил)-меркаптоамиды бензойной (Vб), анисовой (Vв), вератровой (Vг), и пиперониловой (Vд) к-т при нагревании с POCl<sub>3</sub> циклизуются в соответствующие IV. При конденсации S-(бензоил)-3,4-диметокситиофенола (VIа) и S-бензоил-3,4-диэтокситиофенола (VIб) с IIа, IIб и IIг соответственно получены 2-(бензоиламинометил)-S-(бензоил)-4,5-диметокситиофенол (VIIа), 2-(бензоиламинометил)-S-(бензоил)-4,5-диэтокситиофенол (VIIб), 2-(вератроиламинометил)-S-(бензоил)-4,5-диметокситиофенол (VII в), 2-(вератроиламинометил)-S-(бензоил)-4,5-диэтокситиофенол (VIIг) и 2-(пиперониламинометил)-S-(бензоил)-4,5-диметоксифенол (VIIд). При кипячении с POCl<sub>3</sub>

VIIa циклизуется в IVb. Перечисленные VII кипячением с водноспиртовой щелочью дебензоилируются с образованием соответственно 2-(бензоиламинометил)-4,5-диметокситиофенола (VIIa), 2-бензоиламинометил)-4,5-диэтокситиофенола (VIIb), 2-(вератроиламинометил)-4,5-диметокситиофенола (VIIc), 2-(вератроиламинометил)-4,5-диэтокситиофенола (VIId) и 2-(пиперониламинометил)-4,5-диметокситиофенола (VIIe), которые в свою очередь, циклизируются в соответствующие IV. Авторы предполагают возможной перегруппировку V→VIII, хотя провести подобное превращение не удалось. Получение Va, Vb, Vc и Vd конденсацией замещ. тиофенолов с N-метилоламидами к-т и циклизация с образованием IVa, IVg, IVd и IVe описаны ранее (швед. пат. 208530). Попытки циклизации синтезированных авторами аналогично вышеописанному N-(3,4-диэтоксифенилмеркаптометил)-фенилацетамида (IX), амида N-(3,4-диметоксифенилмеркаптометил)-гомовератровой к-ты (X) и N-(3,4-диметоксифенилмеркаптометил)-ацетамида (XI) в соответствующие IV не дали положительных результатов. Полученные бензтиазино-вые основания обладают спазмолитич. действием. Ис-



ходные Pa и Pb готовили по описанному ранее для Pa методу (Einhorn A. и сотр., Liebigs Ann. Chem., 1905, 343, 223); Pb получали восстановлением хлорангидрида 3,4-диэтоксифенилсульфокислоты (XII). К р-ру 0,3 моля о-диэтоксифенола в 150 мл  $\text{CHCl}_3$ , охлажд. до  $-8^\circ$  приливают по каплям 40 мл хлорсульфоновой к-ты (т-ра смеси не выше  $0^\circ$ ), за 30 мин. ~ доводят т-ру смеси до  $20^\circ$ , выливают на лед, экстрагируют  $\text{CHCl}_3$  и получают XII, выход 37 г; амид, т. пл.  $155,5-157^\circ$  (из сп.). Р-р 0,1 моля неочищ. XII в 100 мл эфира восстанавливают при охлаждении 30 г Zn-пыли, приливают по каплям 100 мл  $\text{HCl}$ , экстрагируют  $\text{C}_6\text{H}_6$  и выделяют Pb, выход 67,8%, т. кип.  $112-115^\circ/4$  мм; при окислении пергидролем в спирт. р-ре образует дисульфид, т. пл.  $72-73^\circ$  (из сп.). 0,05 моля амида вератровой к-ты растворяют при нагревании в смеси 10 мл воды, 0,3 г  $\text{K}_2\text{CO}_3$  и 3,5 г 40%-ного формалина, через 5 час. при  $\sim 20^\circ$  выкристаллизовывается Pb, выход 10 г, т. пл.  $129-133^\circ$  (из сп.). Аналогично получают Pg, амид гоомератровой к-ты (XIII), выход 50%, т. пл.  $106-108^\circ$  (из 30%-ного сп.). Смесь 0,01 моля Pa и 0,01 моля Pb растворяют при охлаждении в 10 мл  $\text{POCl}_3$ , через 10 мин. при  $\sim 20^\circ$  нагревают 30 мин., разлагают льдом и нейтрализуют содой, экстрагируют  $\text{CH}_3\text{COOC}_2\text{H}_5$ , р-ритель удаляют, а из остатка и спирт. р-ра пикриновой к-ты получают пикрат IVa, выход 0,78 г, т. пл.  $161-162^\circ$  (из сп.). Смесь 0,01 моля Pa и 0,01 моля Pb растворяют при охлаждении в 15 мл  $\text{POCl}_3$  и обрабатывают далее аналогично описанному для IVa; пикрат IVa разлагают нагреванием с р-ром соды и выделяют IVb, выход 29,5%, т. пл.  $129-130^\circ$  (из сп.). 0,02 моля Pa и 0,02 моля Pb растворяют при охлаждении в смеси 10 мл  $\text{C}_6\text{H}_6$  и 5 мл  $\text{POCl}_3$ , через 10 мин. выливают на лед и получают Va, выход 66,7%, т. пл.  $114-115^\circ$  (из сп.). К р-ру 0,05 моля Pb и 0,05 моля Pa в 20 мл спирта приливают 20 мл 16,5%-ной спирт.  $\text{HCl}$  через 4-5 час. при  $\sim 20^\circ$  выливают на лед и выделяют Vb, выход 93,2%, в виде двух кристаллич. форм, т. пл.  $86-87^\circ$  (из  $\text{CH}_3\text{OH}$ ) и  $116-117^\circ$  (из  $\text{CH}_3\text{OH}$ ). Аналогично из 0,05 моля Pa и 0,05 моля Pb получают Va, выход 83,7%; из 0,03 моля Pb и 0,03 моля Pb получают Vb, 78%, т. пл.  $124-126^\circ$  (из сп.); из 0,01 моля Pb и 0,01 моля Pb — 88,1% Vg, т. пл.  $125,5-126,5^\circ$  (из сп.); из 0,02 моля Pb и 0,02 моля Pg — 50% Vd, т. пл.  $116-117^\circ$  (из сп.); из 0,01 моля Pa и 0,01 моля N-(метилоламида)-фенилуксусной к-ты — IX, 74,8%, т. пл.  $128-129^\circ$  (из сп.); из 0,05 моля Pb и 0,05 моля XIII — 92% X, т. пл.  $118-119^\circ$  (из сп.); из 0,05 моля

Pb и 0,05 моля N-метилоламидауксусной к-ты — XI, 35,9%, т. пл.  $98-99^\circ$  (из сп.). При нагревании смеси 0,01 моля Vb и 5 мл  $\text{POCl}_3$  образуется IVb, выход 36,5%, т. пл.  $99-100^\circ$  (из сп.); пикрат, т. пл.  $178-179^\circ$  (из сп.). Аналогично получают: из 0,01 моля Va и 5 мл  $\text{POCl}_3$  — IVa, 28,4%, т. пл.  $96-97^\circ$  (из сп.); пикрат, т. пл.  $161-162^\circ$  (из сп.); из 0,01 моля Vb и 5 мл  $\text{POCl}_3$  — IVg, 33,5%, т. пл.  $92-93^\circ$  (из сп.); из 0,03 моля Vg и 25 мл  $\text{POCl}_3$  — IVd, 18,5%, т. пл.  $122-123^\circ$  (из сп.); пикрат, т. пл.  $198-200^\circ$  (разл. из сп.), из 0,01 моля Vd и 5 мл  $\text{POCl}_3$  — IVe, 35%, т. пл.  $173-173,5^\circ$  (из сп.). К р-ру 0,05 моля Pb и 10 г пиридина при охлаждении льдом добавляют 0,05 моля  $\text{C}_6\text{H}_5\text{COCl}$ , через 30 мин. выливают на смесь льда и 20%-ной  $\text{H}_2\text{SO}_4$  и получают VIa, выход 15 г, т. пл.  $85-86^\circ$  (из сп.). Аналогично из Pa образуется VIb, т. пл.  $79-80^\circ$  (из водн. сп.). К р-ру 0,1 моля Va в 45 мл  $\text{POCl}_3$ , на холоду, добавляют 0,1 моль Pa, через 1 час при  $20^\circ$  выливают на лед и выделяют VIIa, выход 63,8%, т. пл.  $165-166^\circ$  (из сп.). Аналогично из 0,02 моля Vb и 2,99 г Pa получают VIIb, выход 48,26%, т. пл.  $161-162^\circ$  (из сп.); из 0,02 моля Va и 0,02 моля Pb получают VIIc, т. пл.  $179,5-180,5^\circ$  (из сп.); из 0,03 моля Vb и 0,03 моля Pb — 55,8% VIg, т. пл.  $180,5-181^\circ$  (из сп.); из 0,02 моля Va и 0,02 Pg — 61% VIId, т. пл.  $146-147^\circ$  (из сп.). 0,05 моля VIIa растворяют при нагревании в смеси 6 г  $\text{NaOH}$ , 10 мл воды и 60 мл спирта; при вылинии на смесь льда и 20%-ной  $\text{H}_2\text{SO}_4$  выделяется VIIa, выход 91,75%, т. пл.  $118-120^\circ$  (из сп.). Аналогично получают: VIIb, из 0,01 моля VIIb, выход 89,2%, т. пл.  $155-162^\circ$  (из сп.); VIIc, из 0,01 моля VIIc, 60,7%,  $136-138^\circ$  (из сп.); VIId, из 0,0025 моля VIId, 81,7%,  $131-132^\circ$  (из сп.); VIId, из 0,01 моля VIId, 84,21%,  $165-168^\circ$  (из сп.). Р-р 0,01 моля VIIa в 6 мл  $\text{POCl}_3$  кипятят до прекращения выделения  $\text{HCl}$  (30 мин.), выливают на лед, подщелачивают содой и отфильтровывают IVb, выход 77,7%. Аналогично получают: из 0,01 моля VIIb и 6 мл  $\text{POCl}_3$  — IVa, выход 71,7%; из 0,01 моля VIIc и 5 мл  $\text{POCl}_3$  — IVd, 49%; из 0,005 моля VIId и 3 мл  $\text{POCl}_3$  — IVg, 79,5%; из 0,005 моля VIId и 3 мл  $\text{POCl}_3$  — IVe, 84,8%; из 0,05 моля VIIa и 5 мл  $\text{POCl}_3$ , после обработки продукта р-ции 10 мл горячего спирт. р-ра пикриновой к-ты, пикрат IVb, выход 0,75 г.

М. Б. 25723. Получение эфира из свободной кислоты и бора-та спирта или фенола. Хирао, Яги (Алкоголь及びフェノールの硫酸エステルと遊離酸よりエステルの製造について. 第1報. 平尾子之吉, 八木正三, 工業化学雑誌, Koré Kagaku dzasshi, J. Chem. Soc. Japan. Industr. Chem. Sec., 1953, 56, № 5, 371-372 (япон.). Спирт ( $\text{C}_2\text{H}_5\text{OH}$ ,  $n\text{-C}_4\text{H}_9\text{OH}$ ,  $iso\text{-C}_4\text{H}_9\text{OH}$ , ментол, терпинеол, линалоол) или фенол (фенол, крезол, тимол) (10 г) при обработке 2-3 г  $\text{H}_3\text{BO}_3$  при т-ре кипения в колбе с обратным холодильником в присутствии  $\text{C}_6\text{H}_6$  или толуола образует соответствующий борат, к которому затем добавляют в избытке лед.  $\text{CH}_3\text{COOH}$  (95%) и кипятят 3-4 часа, выливают в воду, промывают щелочью, сушат и перегоняют, выход алкилбортата 52-90%. Максимум выход для третичных спиртов 30%.

Chem. Abstrs, 1954, 48, № 18, 10536d. Katsuya Jnoue 25724. Боропропические соединения. Сообщение 3. Получение изобутиловых эфиров *n*-пропилфенилборной и *n*-бутилфенилборной кислот. Михайлов Б. М., Аронович П. М., Изв. АН СССР, Отд. хим. н., 1955, № 5, 946-947.

Предложен метод получения эфиров алкиларилборных к-т на примере изобутиловых эфиров *n*-пропилфенилборной (I) и *n*-бутилфенилборной (II) к-т действием Li-органич. соединений на эфиры фенилборной к-ты. К  $n\text{-C}_3\text{H}_7\text{Li}$  (из 32 г  $n\text{-C}_3\text{H}_7\text{Br}$ , 3,5 г Li и 200 мл эфира) прибавлено при перемешивании (30 мин.,  $-50-70^\circ$ )





nyl)-silane with lithium dimethylamide. Gilman Henry, Melvin H. W., Goodman Jack J., J. Amer. Chem. Soc., 1954, 76, № 12, 3219—3220 (англ.)

При р-ции триметил-(*n*-бромфенил)-силана (I) с  $(\text{CH}_3)_2\text{NLi}$  (II) в эфир. или эфирно-бензольном р-ре, наряду с образованием нормального триметил-(*n*-диметиламинофенил)-силана (III), наблюдается перегруппировка диметиламиногруппы в мета-положение с образованием триметил-(*m*-диметиламинофенил)-силана (IV). Так из 10 г I с II (полученным из 0,057 моля *n*-бутиллития и диметиламина) в эфир. р-ре, после 48 час. кипячения получено 82,4% III с т. кип. 73—76°/1 мм,  $n_D^{20}$  1,5211,  $d_4^{20}$  0,9103; пикрат, т. пл. 154—156° (из сп.). Из 16 г I с II (полученным из 0,082 моля *n*-бутиллития и диметиламина) после отгонки большей части эфира, замены его 65 мл чистого  $\text{C}_6\text{H}_6$  и кипячения (108 час.) получено 90,2% III,  $n_D^{20}$  1,5280,  $d_4^{20}$  0,9194; пикрат, т. пл. 153—155° (из сп.). Из 45,8 г I с тем же кол-вом II при кипячении эфир. р-ра (48 час.) получено 24,9% IV с т. кип. 60—61°/0,4 мм,  $n_D^{25}$  1,5324,  $d_4^{20}$  0,9500. М. Ф.

25729. Образование тетраарилсиланов в реакциях металлических производных триарилсилана. II. Реакции с участием триарилсиланов. Брук, Гилман (The formation of tetraarylsilanes from the reactions of triarylsilylmetallic compounds. II. Reactions with triarylsilanes. Brook A. G., Gilman Henry), J. Amer. Chem. Soc., 1954, 76, № 9, 2333—2338 (англ.)

Изучены продукты р-ции  $\text{Ar}_3\text{SiM}$  (I), где M — металл,  $((\text{C}_6\text{H}_5)_3\text{SiK}$  (Ia),  $(\text{C}_6\text{H}_5)_3\text{SiNa}$  (Ib),  $(\text{C}_6\text{H}_5)_3\text{SiLi}$  (Iв),  $(n\text{-CH}_3\text{C}_6\text{H}_4)_3\text{SiK}$  (Ir),  $(o\text{-CH}_3\text{C}_6\text{H}_4)_3\text{SiK}$  (Id) с триарилсиланами (II)  $((\text{C}_6\text{H}_5)_3\text{SiH}$  (IIa),  $(n\text{-CH}_3\text{C}_6\text{H}_4)_3\text{SiH}$  (IIб),  $(o\text{-CH}_3\text{C}_6\text{H}_4)_3\text{SiH}$  (IIв)). Из продуктов взаимодействия эквимольных кол-в Ia с IIa выделены  $(\text{C}_6\text{H}_5)_4\text{Si}$  (III), выход 55% (здесь и далее в процентах к общему кол-ву Si в исходных в-вах) и  $(\text{C}_6\text{H}_5)_3\text{SiOSi}(\text{C}_6\text{H}_5)_3$  (IV), выход 12%; при гидролизе реакционной смеси выделяется  $\text{H}_2$ , полученные после гидролиза минер. продукты (видимо смесь  $\text{SiO}_2$  с  $\text{H}_4\text{SiO}_4$ ) содержат 31,5% общего кол-ва Si. При р-ции как Ia с IIб, так и Ir с IIa получены приблизительно одинаковые кол-ва смеси III и  $(n\text{-CH}_3\text{C}_6\text{H}_4)_3\text{SiC}_6\text{H}_5$  (V). Следовательно, при р-ции происходит частично процесс металлизации, напр., Ia + IIб  $\rightarrow$  III + Ir, и миграция арильных групп, напр., по схеме: Ia + IIa  $\rightarrow$  III +  $\text{Ar}_3\text{SiHK}$ ; IIa +  $\text{Ar}_3\text{SiHK}$   $\rightarrow$  III +  $\text{ArSiH}_2\text{K}$ ; IIa +  $\text{ArSiH}_2\text{K}$   $\rightarrow$  III +  $\text{SiH}_3\text{K}$   $\xrightarrow{\text{H}_2\text{O}}$   $[\text{SiH}_4]$   $\xrightarrow{\text{H}_2\text{O}}$   $\text{H}_4\text{SiO}_4$  +  $\text{H}_2$ . В случае р-ции Id и IIa выход III равен лишь 11%, при р-ции Ia с IIв III не образуется и 77% IIв остается без изменения, что объясняется пространственными затруднениями (ср. Gilman, Smart, J. Organ. Chem., 1951, 16, 424). I (M = K или Na) реагируют приблизительно одинаково, при р-ции же Ib с IIa образуется (наряду с небольшим кол-вом III  $[(\text{C}_6\text{H}_5)_3\text{Si}]_2$  (VI) и 63% IIa остается без изменения. K LiAlH<sub>4</sub> в 150 мл эфира постепенно прибавляют 16,8 г  $(n\text{-CH}_3\text{C}_6\text{H}_4)_3\text{SiCl}$ , смесь перемешивают 24 часа, выход IIб 77%, т. пл. 81—83° (из петр. эф.). Р-ция I с II проводилась 4 дня при ~20° при конц-и 0,125 M I и II обычно в эфире, смесь Ia (из 0,01 моля VI и K или Na) и 0,02 моля IIa перемешивают 5 дней, прибавляют 100 мл «влажного» эфира, по прекращении выделения газа осадок отделяют и из него экстрагируют  $\text{C}_6\text{H}_6$  (3 × 100 мл) III, т. пл. 229—231°; из маточного р-ра после отгонки р-рителя и подкисления выделяют 1,05 г продукта, по ИК-спектру не содержит  $\text{C}_6\text{H}_5\text{Si}$ -группы, из остатка после отгонки р-рителя от первоначального эфирного р-ра экстрагируют петр. эфиром IV, т. пл.

223—225°. В аналогичном опыте (4 дня) после карбоксилирования получены (здесь и далее указаны выходы в %): III, 46,  $(\text{C}_6\text{H}_5)_3\text{SiOH}$  (VII), 8, IIa, 12. В смеси эфира- $\text{C}_6\text{H}_6$  получены III, 50 и VII, 18, при р-ции в  $\text{CH}_3\cdot\text{OCH}_2\text{CH}_2\text{OCH}_3$  (VIII) выход III 36%. Из продуктов р-ции Ia и IIб после карбоксилирования извлекают петр. эфиром неочищ.  $(n\text{-CH}_3\text{C}_6\text{H}_4)_3\text{SiC}_6\text{H}_5$  16, т. пл. 173—182°; III, 14; неочищ.  $(n\text{-CH}_3\text{C}_6\text{H}_4)_3\text{Si}$  (IX) 1,3, т. пл. 205—210°; обработкой упаренного маточного р-ра  $\text{C}_5\text{H}_{10}\text{NH}$  и щелочью для превращения IIa в VII (Gilman, Dunn, J. Amer. Chem. Soc., 1951, 73, 3464) получен VII, 5, т. пл. 148—150°. Из продуктов р-ции Ia и IIв выделены VII, 13,5; IV, 8;  $(\text{C}_6\text{H}_5)_3\text{SiCOOH}$ , 11, т. пл. 177—178°. Из продуктов взаимодействия Ir и IIa после карбоксилирования и отгонки эфира извлекают петр. эфиром V, 14,5, т. пл. 174—183°, и из остатка после промывания р-ром щелочи выделяют III, 12. При аналогичной р-ции Id с IIa получены III, 11; IIв, 8; VII, 8. При р-ции Ib с IIa после гидролиза извлекают  $\text{C}_6\text{H}_6$  III, 40, и из водн. слоя выделяют VII, 20. K Ib (из VI и избытка Li в VIII) и IIa после карбоксилирования и гидролиза из осадка выделен VI, 14, из водн. слоя VIII выделен непрореагировавший IIa (63% исходного). Ia не реагирует с IX, выделен 81% исходного IX и VII, 37. Предыдущее сообщение см. РЖХим, 1954, 12743. Я. К.

25730. Образование тетраарилсиланов в реакциях металлических производных триарилсилана. III. Реакция с участием триарилметанов. Брук, Гилман (The formation of tetraarylsilanes from the reactions of triarylsilylmetallic compounds. III. Reactions with triarylmethanes. Brook A. G., Gilman Henry), J. Amer. Chem. Soc., 1954, 76, № 9, 2338—2342 (англ.)

При р-ции  $(\text{C}_6\text{H}_5)_3\text{SiK}$  (Ia) с  $(\text{C}_6\text{H}_5)_3\text{CH}$  (IIa) при мол. отношении 1 : 1 (40 мин., 35°) образуется  $(\text{C}_6\text{H}_5)_4\text{SiH}$  (III) и  $(\text{C}_6\text{H}_5)_3\text{CK}$ , так как после действия  $\text{CO}_2$  на смесь выделены  $(\text{C}_6\text{H}_5)_3\text{CCOOH}$  (IV), выход 54% и III, выход 39%; получено также 26% исходного IIa, а также  $(\text{C}_6\text{H}_5)_3\text{SiOH}$  (V), выход 37%, образовавшийся по схеме: Ia  $\rightarrow$   $(\text{C}_6\text{H}_5)_3\text{SiCOOH}$   $\rightarrow$  V. После перемешивания смеси Ia и IIa 4,5 дня при ~20° получены IV, выход 95%; III, выход 64%. При этом образуется также  $(\text{C}_6\text{H}_5)_4\text{Si}$  (VI) в результате р-ции между Ia и III, выход 3%; при отношении Ia : IIa, равном 2,5, выход VI 26%, так как облегчается р-ция образовавшегося III с избытком Ia (см. сообщение II пред. реф.). Такое толкование подтверждается отсутствием р-ции между  $(\text{C}_6\text{H}_5)_3\text{CNa}$  (VII) и III (0,94 : 1,3 дня, 25°), после карбоксилирования смеси выделены IV, выход 98% и 79% исходного III; при нагревании смеси (7 дней, 74°) образуется VI, выход 16%; главными продуктами р-ции являются  $[(\text{C}_6\text{H}_5)_3\text{Si}]_2$  (VIII), выход 61%; IIa, выход 44%; IV, выход 33%. Образование VIII и VI объясняется обратимостью при повышенной т-ре процесса VII + III  $\rightleftharpoons$   $[(\text{C}_6\text{H}_5)_3\text{SiNa}]$  (Ib) + дальнейшей р-цией по схеме: Ib + IIa  $\rightarrow$  VIII + NaH + VI. Образование VIII наблюдается лишь в случае р-ции Ib с IIa и не происходит при нагревании III с  $(\text{C}_6\text{H}_5)_3\text{CLi}$  (IX) или  $(\text{C}_6\text{H}_5)_3\text{CMgCl}$  (X). Подобно IIa реагирует Ia и  $(n\text{-CH}_3\text{C}_6\text{H}_4)_3\text{CH}$  (IIб). При замене Ia  $(\text{C}_6\text{H}_5)_3\text{SiLi}$  или Ib не наблюдается при 25—75° образования VI, что соответствует отсутствию заметной р-ции между Ia и III в аналогичных условиях (см. часть II). K Ia (из 10 г VIII) прибавляют за 25 мин. р-р 9,4 г IIa в 100 мл эфира. Через 40 мин. к части темнокрасной суспензии прибавляют сухую  $\text{CO}_2$ , фильтруют, осадок обрабатывают водой, из водн. слоя экстрагируют эфиром V, т. пл. 149—151° (из петр. эф.); при подкислении водн. слоя выделяется IV, т. пл. 265—268°. Из эфирного фильтрата после отгонки в вакууме р-рителя и прибавления горячей смеси  $\text{C}_6\text{H}_6$ -петр. эфира при охлаждении выделяется IIa,

т. пл. 87—90° и по прибавлении петр. эфира загрязненный V, из фильтра упариванием в вакууме, добавлением небольшого кол-ва петр. эфира и охлаждением выделяют III, т. пл. 42—45° (из петр. эф.). Остальную исходную реакционную смесь перемешивают еще ~12 час. при ~20° и затем нагревают 4 дня, прибавляют CO<sub>2</sub> и обрабатывают обычным образом; из остатка после прибавления воды выделен VIII, выход 7%, т. пл. 360—363° и IV, из эфирной вытяжки — III, т. кип. 154—156/1,3 мм и из остатка — VI. Из Ia и II (1:1; 4 дня, 74°, в CH<sub>3</sub>OCH<sub>2</sub>CH<sub>2</sub>OCH<sub>3</sub> (XI) — C<sub>6</sub>H<sub>6</sub>) получены (здесь и далее указаны выходы в %): VI 7; IV 23; V 41; II, 26. Из Ia и II получены (приводятся выходы в % в двух вариантах: а) 2:1, в эфире, 4 дня, 25° и б) 1:1, в эфире и затем в C<sub>6</sub>H<sub>6</sub> 4 дня, 75°): VI 43 и 32, (n-CH<sub>3</sub>C<sub>6</sub>H<sub>4</sub>)<sub>2</sub>CCOON 10 и 3; II, 37 и 57; кроме того, в варианте (б) получены V, 11 и (C<sub>6</sub>H<sub>5</sub>)<sub>3</sub>SiOSi(C<sub>6</sub>H<sub>5</sub>)<sub>3</sub>, 6. Из Ib и IIa (1:1, в XI, 5 дней, 25°) получены IV 4; V 36; III 16; 77% исходного IIa. Из Ib и IIa (1:4:1, в XI-C<sub>6</sub>H<sub>6</sub>, 3 дня, 75°) получены III — 70 и 70% исходного IIa. 0,0658 моля Ib и 0,07 моля III в эфире перемешивают 3 дня при ~20° и после замены эфира бензолом 7 дней при 74°, прибавляют CO<sub>2</sub>; осадок, промытый разб. р-ром щелочи, является VIII, при подкислении шел. р-ра выделяется IV; к бензольному фильтрату прибавляют эфир, к выпавшему осадку добавляют диоксан, отделяют VIII, общий выход 61%, при упаривании р-ра в диоксане и подкислении выделяется IV, общий выход 33%. Бензольно-эфирный фильтрат упаривают досуха и остаток промывают 50 мл нагретого петр. эфира, кристаллизацией из C<sub>6</sub>H<sub>6</sub>-петр. эфира выделен VI, выход 16%; из р-ра в петр. эфире получен Ca, выход 44%. К 0,02 моля IIa прибавляют 0,04 моля C<sub>4</sub>H<sub>9</sub>Li с 180 мл эфира, смесь нагревают 44 часа, добавляют 100 мл C<sub>6</sub>H<sub>6</sub> 0,02 моля III, еще 100 мл C<sub>6</sub>H<sub>6</sub>, перемешивают 24 часа при ~20°, отгоняют эфир и нагревают 3 дня при 75°, прибавляют CO<sub>2</sub>, из продуктов р-ции выделены IIa, выход 36%; V, выход 6% и 85% исходного III.

Я. К.

**25731. Исследования в области синтеза и превращений кислородсодержащих кремнеорганических соединений. Сообщение 2. О взаимодействии диэтил- и дифенилсилиландиолов с виниловыми эфирами. Шо-стакоский М. Ф., Кочкин Д. А., Рог В. М., Изв. АН СССР, Отд. хим. н., 1955, № 5, 953—955**

При взаимодействии диэтилсилиландиола (I) с винилбутиловым эфиром (II) получен дибутылдиэтилсилиландиолацеталь (III). Строение III подтверждено гидролизом. При р-ции дифенилсилиландиола с II не удалось выделить соответствующего диацетала. Смесь 12 г I, 50 г II и одной капли конц. HCl нагревают (60°, 1,5—2 часа). Спустя 12 час. нейтрализуют и после фракционирования получают III, выход 37%, т. кип. 127—129/5 мм,  $n_D^{20}$  1,4270,  $d_4^{20}$  0,9010. Сообщение I см. РЖХим, 1954, 23443.

Р. Х.

**25732. Исследование эфиров кремневой кислоты. II. О гидролизе этилсиликата. Гидролиз димера и тримера. Такатани (珪酸エチルの研究. 第2報. エチルエステルの加水分解生成物について. (その2). 二量体及び三量体の加水分解生成物. 高谷通), 日本化学雑誌, Нихон какаку дзасси, J. Chem. Soc. Japan. Pure Chem. Sec., 1953, 74, № 11, 890—892 (япон.)**

Смесь 170 г [(C<sub>2</sub>H<sub>5</sub>O)<sub>2</sub>Si]<sub>2</sub>O (I), т. кип. 97—98°/3 мм,  $d_{20}^{20}$  1,002,  $n_D^{20}$  1,3910, и 30 г 86,4%-ного спирта, содержащего 0,18% HCl, оставлена на 12 час. и затем фракционирована, получено 11 г I, 20 г фракции (II), т. кип. 110°/3 мм,  $n_D^{20}$  1,008, и остаток. При перегонке II в вакууме получен циклич. тетрамер [(C<sub>2</sub>H<sub>5</sub>O)<sub>2</sub>SiO]<sub>4</sub>,

т. кип. 138—140°/1,5 мм, т. пл. 12,5°,  $d_{20}^{20}$  1,90946,  $n_D^{20}$  1,4001. Молекулярная перегонка остатка в ранее описанном приборе (Bregier Irving A. Chem. Abstrs, 1949, 43, 1225e; Anal. Chem., 1948, 20, 980—982) дала несколько фракций, содержащих 47,51—50,91% SiO<sub>2</sub>; предполагается, что они содержат полициклич. силоксаны. [(C<sub>2</sub>H<sub>5</sub>O)<sub>2</sub>Si]<sub>2</sub>Si[(C<sub>2</sub>H<sub>5</sub>O)<sub>2</sub>Si]<sub>2</sub>, т. кип. 145—150°/4 мм,  $n_D^{20}$  1,3950, при подобной обработке и перегонке дал фракцию, кипящую при 140—170°/1 мм,  $n_D^{20}$  1,400—1,404.

Chem. Abstrs, 1955, 49, № 6, 3784g. O. Simamura 25733. Исследование эфиров кремневой кислоты. III. О гидролизе этилсиликата. Такатани (珪酸エチルの研究. 第3報. エチルエステルの加水分解生成物について. (その3) 四量体以上の生成物について. 高谷通), 日本化学雑誌, Нихон какаку дзасси, J. Chem. Soc. Japan. Pure Chem. Sec., 1953, 74, № 11, 892—894 (япон.)

Смешивают Si[(C<sub>2</sub>H<sub>5</sub>O)<sub>2</sub>Si]<sub>4</sub> (2080 г), 450 г спирта, 90 г воды и 5 г конц. HCl. Через 12 час. удаляют спирт, [(C<sub>2</sub>H<sub>5</sub>O)<sub>2</sub>Si]<sub>2</sub>O и [(C<sub>2</sub>H<sub>5</sub>O)<sub>2</sub>Si]<sub>2</sub>Si[(C<sub>2</sub>H<sub>5</sub>O)<sub>2</sub>Si]<sub>2</sub>; продукты из двух опытов соединены. Получено 750 г остатка, который при перегонке дал следующие фракции (указаны т. кип.,  $n_D^{20}$ , выход; % SiO<sub>2</sub>): 155—170°/0,5 мм, 1,399, 210 г, —, [(C<sub>2</sub>H<sub>5</sub>O)<sub>2</sub>SiO]<sub>4</sub> + [(C<sub>2</sub>H<sub>5</sub>O)<sub>2</sub>Si]<sub>2</sub>Si[(C<sub>2</sub>H<sub>5</sub>O)<sub>2</sub>Si]<sub>2</sub>; 170—190°/0,5 мм, 1,400, 120 г, 44,54; [(C<sub>2</sub>H<sub>5</sub>O)<sub>2</sub>SiO]<sub>4</sub>; 200—215°/2 мм, 1,402, 52 г, 45,70; 215—235°/2 мм; 1,404; 50 г, 47,91; остаток —, 51,66%. Предполагается на основе анализа на SiO<sub>2</sub>, что высококипящая фракция содержит полициклич. силоксаны. Гидролиз в условиях описанных ранее (Malatesta L., Gazz. chim. ital., 1948, 78, 747—53, Chem. Abstrs, 1949, 43, 5737) дает почти те же результаты, что приведены выше (в отличие от описанных Малатеста). Гидролиз 1 моля (C<sub>2</sub>H<sub>5</sub>O)<sub>4</sub>Si действием 1 моля воды приводит к подобным же результатам, тогда как гидролиз 1,5 или 2 молями воды дает вязкую жидкость, которая превращается в студень при нагревании.

Chem. Abstrs, 1955, 49, № 6, 3784. O. Simamura.

**25734. Исследование эфиров кремневой кислоты. IV. Вязкость этилсиликата и его полимеров. Такатани (珪酸エチルの研究. 第4報. エチルシリケート及びその多量体の粘度について. 高谷通), 日本化学雑誌, Нихон какаку дзасси, J. Chem. Soc. Japan. Pure Chem. Sec., 1953, 74, № 12, 947—948 (япон.)**

Вязкость и давление пара (C<sub>2</sub>H<sub>5</sub>O)<sub>4</sub>Si, [(C<sub>2</sub>H<sub>5</sub>O)<sub>2</sub>Si]<sub>2</sub>O, [(C<sub>2</sub>H<sub>5</sub>O)<sub>2</sub>Si]<sub>2</sub>Si[(C<sub>2</sub>H<sub>5</sub>O)<sub>2</sub>Si]<sub>2</sub> и [(C<sub>2</sub>H<sub>5</sub>O)<sub>2</sub>Si]<sub>4</sub> измерены при т-ре между 20 и 50° и вычислены энергия активации течения и теплота парообразования, равные 2320, 9360; 2580, 10600; 2800, 12200 и 3680, 12800 кал/моль соответственно.

Chem. Abstrs, 1955, 49, № 6, 3785a O. Simamura 25735. Исследование эфиров кремневой кислоты. V. Некоторые физические свойства силикатов алифатических спиртов. Такатани (珪酸エチルの研究. 第5報. 脂肪族アルコールエステル類の二, 三の物理的性質について. 高谷通), 日本化学雑誌, Нихон какаку дзасси, J. Chem. Soc. Japan. Pure Chem. Sec., 1953, 74, № 12, 948—950 (япон.)

Метил-(I) и октилсиликаты (II) были получены из SiCl<sub>4</sub> и соответствующих спиртов. Изопропил-(III), бутыл-(IV) и изоамилсиликат (V) были приготовлены алколизом I соответствующим спиртом. 450 г изо-C<sub>3</sub>H<sub>7</sub>OH, 303 г I и 0,1 мл SiCl<sub>4</sub> кипят 3 часа и фракционируют, получено 120 г III, т. кип. 80—90°/5 мм, который был очищен 5-кратной перегонкой в вакууме. Для I, III, IV, V и II  $n_D^{20}$  равны 1,3688; 1,4002; 1,4128; 1,4178; 1,4382,  $d_{20}^{20}$  1,032; 0,9056; 0,8993; 0,8848; 0,8815;  $d_{30}^{20}$  1,020; 0,8964; 0,8908; 0,8767; 0,8743;  $d_{40}^{20}$  1,008; 0,8873; 0,8815; 0,8683; 0,8676;  $d_{50}^{20}$  0,9957; 0,8789; 0,8731; 0,8603;

0,8595; вязкость в *спузах* при 20° 0,6404; 1,490; 2,055; 3,309; 10,02; при 30° 0,5644; 1,259; 1,717; 2,661; 7,344; при 40° 0,4957; 1,087; 1,456; 2,197; 5,608; при 50° 0,4522; 0,9478; 1,264; 1,870; 4,447; энергия активации течения в *кал/моль* 2270; 2840; 2900; 3590; 5110; теплота парообразования в *кал/моль* 8850; 11700; 13400; 14800, —, соответственно.

Chem. Abstr., 1955, 49, № 6, 3785a. O. Simamura  
25736. Расщепление некоторых эфиров галоидосиланами. Кумада, Хаттори (ハロゲンシランによるエーテルの開裂 熊田誠, 服部弘), 工業化学雑誌, Kōgō Kagaku dōzasshi, J. Chem. Soc. Japan. Industr. Chem. Sec., 1953, 56, № 4, 269—271 (япон.).

Эфир, тетрагидрофуран, тетрагидропиран и анизол обрабатывают при 180—190° в закрытом сосуде галоидосилоном [(CH<sub>3</sub>)<sub>2</sub>SiBrSiH, SiBr<sub>4</sub>, C<sub>2</sub>H<sub>5</sub>SiCl<sub>3</sub> или (CH<sub>3</sub>)<sub>3</sub>SiBr] в присутствии HBr-или HCl-соли пиридина и получают с хорошим выходом соответствующие органич. галогениды: C<sub>2</sub>H<sub>5</sub>Br, (CH<sub>2</sub>)<sub>4</sub>Br<sub>2</sub>, (CH<sub>2</sub>)<sub>5</sub>Br<sub>2</sub>, (CH<sub>2</sub>)<sub>4</sub>Cl<sub>2</sub> или CH<sub>3</sub>Br. Обсуждается механизм р-ции.

Chem. Abstr., 1954, 48, № 18, 10543. Katsuya Jhouye.  
25737. Метилкремневые эфиры. Эфиры в «ряду превращений» кремнийорганических соединений. Андерсон, Фишер (Methylsilicon esters. Esters in an organosilicon «conversion series». Anderson Herbert H., Fischer Harry), J. Organ. Chem., 1954, 19, № 8, 1296—1299 (англ.).

В «ряд превращений» кремнийорганич. соединений включена эфирная группа: (CH<sub>3</sub>)<sub>3</sub>SiI → [(CH<sub>3</sub>)<sub>3</sub>Si]<sub>2</sub>S → (CH<sub>3</sub>)<sub>3</sub>SiBr → (CH<sub>3</sub>)<sub>3</sub>SiCN → (CH<sub>3</sub>)<sub>3</sub>SiCl → (CH<sub>3</sub>)<sub>3</sub>SiCNS → (CH<sub>3</sub>)<sub>3</sub>SiNCO → [(CH<sub>3</sub>)<sub>3</sub>Si]<sub>2</sub>O → (CH<sub>3</sub>)<sub>3</sub>SiOCCH<sub>3</sub> → (CH<sub>3</sub>)<sub>3</sub>SiF в связи с чем, окиси пришлось поменять местами с фторидами. При действии AgOCOC<sub>2</sub>H<sub>5</sub> (I), AgOCOC<sub>2</sub>H<sub>5</sub> (II), AgOCOCF<sub>3</sub> (III) все соединения в «ряду превращений», за исключением (CH<sub>3</sub>)<sub>3</sub>SiF, образуют при кипячении от 3 мин. до 2 час. и в большинстве случаев без р-рителя соответствующие метилкремневые эфиры. Р-циями (CH<sub>3</sub>)<sub>3</sub>SiCl (IV), (CH<sub>3</sub>)<sub>2</sub>SiCl<sub>2</sub> (V) или CH<sub>3</sub>SiCl<sub>3</sub> (VI) с I, II или III получены бесцветные метилкремневые эфиры. Из 5,4 г IV и 14,5 г III (нагревание 50 мин.) — 7 г (CH<sub>3</sub>)<sub>3</sub>SiOCOCF<sub>3</sub> с т. кип. 90,2°/760 мм, n<sub>D</sub><sup>20</sup> 1,338, d<sub>4</sub><sup>20</sup> 1,077; из 23 г II и 30 г IV (нагревание 40 мин.) — 12 г (CH<sub>3</sub>)<sub>3</sub>SiOCOC<sub>2</sub>H<sub>5</sub> с т. кип. 124,8°/760 мм, n<sub>D</sub><sup>20</sup> 1,396, d<sub>4</sub><sup>20</sup> 0,877; из 8 г V и 30 г III (нагревание 1 час) получен (CH<sub>3</sub>)<sub>3</sub>Si(OCCCF<sub>3</sub>)<sub>2</sub> (VII) с коллич. выходом т. кип. 128,2°/760 мм, n<sub>D</sub><sup>20</sup> 1,331, d<sub>4</sub><sup>20</sup> 1,361; из 3,4 г VI и 21 г III (нагревание 2 часа) — 9 г CH<sub>3</sub>Si(OCOCF<sub>3</sub>)<sub>3</sub> с т. кип. 140°/760 мм, n<sub>D</sub><sup>20</sup> 1,319, d<sub>4</sub><sup>20</sup> 1,540; из 14 г V и 41 г II (нагревание 1,5 часа) — 18 г (CH<sub>3</sub>)<sub>2</sub>Si(OCOC<sub>2</sub>H<sub>5</sub>)<sub>2</sub> (VIII) с т. кип. 191,4°/760 мм и 80—82°/9 мм, n<sub>D</sub><sup>20</sup> 1,415, d<sub>4</sub><sup>20</sup> 1,011; из 3,1 г V и 12 г Ag(OCOC<sub>4</sub>H<sub>9</sub>)<sub>2</sub> (нагревание 1 час) — 6 г (CH<sub>3</sub>)<sub>2</sub>Si(OCOC<sub>4</sub>H<sub>9</sub>)<sub>2</sub> с т. кип. 233°/760 мм и 80—82°/1 мм, n<sub>D</sub><sup>20</sup> 1,415, d<sub>4</sub><sup>20</sup> 1,148; из 3 г VI и 12,3 г II в 18 мл CCl<sub>4</sub> (нагревание 30 мин.) — 4,3 г CH<sub>3</sub>Si(OCOC<sub>2</sub>H<sub>5</sub>)<sub>2</sub> с т. кип. 239,5°/760 мм и 90—92°/1 мм, n<sub>D</sub><sup>20</sup> 1,421, d<sub>4</sub><sup>20</sup> 1,094. Следующие метилкремневые эфиры получены р-цией перэтерификации VII и VIII. Из 5,7 г VII и 3 г CH<sub>3</sub>SiCOOH (нагревание 20 мин.) — 3,49 г (CH<sub>3</sub>)<sub>2</sub>Si(OCOC<sub>2</sub>H<sub>5</sub>)<sub>2</sub> с т. кип. 245°/760 мм, 98—99°/3 мм, n<sub>D</sub><sup>20</sup> 1,305, d<sub>4</sub><sup>20</sup> 1,453; из 3,3 г VII и 3,5 г Cl<sub>3</sub>CCOOH (нагревание 75 мин.) — 3,85 г (CH<sub>3</sub>)<sub>2</sub>Si(OCOC<sub>2</sub>H<sub>5</sub>)<sub>2</sub> с т. кип. 257°/760 мм и 102—104°/1 мм, n<sub>D</sub><sup>20</sup> 1,472, d<sub>4</sub><sup>20</sup> 1,495; из 6,65 г VIII и 6,5 г CHCl<sub>2</sub>COOH (нагревание 40 мин./70 мм) — 7,55 г (CH<sub>3</sub>)<sub>2</sub>Si(OCOC<sub>2</sub>H<sub>5</sub>)<sub>2</sub> с т. кип. 248°/760 мм и 94—96°/1 мм, n<sub>D</sub><sup>20</sup> 1,460, d<sub>4</sub><sup>20</sup> 1,376; из 4,45 г VIII и 4,15 г C<sub>6</sub>H<sub>5</sub>COOH (нагрева-

ние 1 час./70 мм) — 3 г (CH<sub>3</sub>)<sub>2</sub>Si(OCOC<sub>2</sub>H<sub>5</sub>)<sub>2</sub> с т. кип. 343°/760 мм и 150—152°/1 мм, n<sub>D</sub><sup>20</sup> 1,539, d<sub>4</sub><sup>20</sup> 1,148. Изучено равновесие системы: 2III + VIII ⇌ 2II + VII, имеющее место при соотношении VII : VIII = 40 мол. %: 60 мол. % (CH<sub>3</sub>)<sub>3</sub>SiOCOC<sub>2</sub>H<sub>5</sub> не реагирует с AgI, Ag<sub>2</sub>S, AgBr, AgCl, незначительно реагируя с AgCN; (CH<sub>3</sub>)<sub>2</sub>SiOCOCF<sub>3</sub> не изменяется при нагревании 50 мин. с AgCNS, VII не изменяется при нагревании 1 час с AgNCO, (C<sub>2</sub>H<sub>5</sub>)<sub>3</sub>SiF 90 мин. с I и III, однако нагревание 3 часа (C<sub>2</sub>H<sub>5</sub>)<sub>3</sub>SiOCOCF<sub>3</sub> с AgF дало 30% (C<sub>2</sub>H<sub>5</sub>)<sub>3</sub>SiF. VIII после нагревания 2 часа с Ag<sub>2</sub>O дает смесь, в основном, не изменившегося VIII и, вероятно, [(CH<sub>3</sub>)<sub>2</sub>SiO]<sub>n</sub> с пропеновой к-той или ее ангидридом. VII с Ag<sub>2</sub>O после 40 мин. нагревания дает главным образом III и небольшое кол-во неизменившегося VII в смеси с [(CH<sub>3</sub>)<sub>2</sub>SiO]<sub>n</sub>. (C<sub>2</sub>H<sub>5</sub>)<sub>2</sub>SiH<sub>2</sub> при нагревании 1 час с I, энергично выделяя H<sub>2</sub>, образует (C<sub>2</sub>H<sub>5</sub>)<sub>2</sub>SiOCOC<sub>2</sub>H<sub>5</sub> и полимеры (C<sub>6</sub>H<sub>5</sub>)<sub>2</sub>SiO. М. Ф.

25738. Реакция гексахлордисиана с диэтиламинон. Бредервелд, Тор, Ватерман (Reaction of hexachlorodisilane with diethylamine. Brederveld H., Thoor T. J. W. van, Waterman H. I.), Research, 1954, 7, № 5, Suppl. S29—S30 (англ.).

При попытке замещения атомов Cl в гексахлордисиане на диэтиламиногруппы происходит разрыв связей Si — Si и образование смеси: ди-(диэтиламино)-дихлордисиана 34%, ди-(диэтиламино)-хлордисиана 45% и три-(диэтиламино)-хлордисиана 21% по р-ции, протекающей по S<sub>N</sub><sup>2</sup> механизму: Cl<sub>2</sub>SiSiCl<sub>2</sub> + 7HN(C<sub>2</sub>H<sub>5</sub>)<sub>2</sub> → Cl<sub>2</sub>Si(NC<sub>4</sub>H<sub>10</sub>)<sub>2</sub> + ClSiH(NC<sub>4</sub>H<sub>10</sub>)<sub>2</sub> + 3HN(C<sub>2</sub>H<sub>5</sub>)<sub>2</sub>·HCl. Наличие пространственных затруднений в указанной р-ции показано также в р-ции (NC<sub>4</sub>H<sub>10</sub>)<sub>3</sub>SiBr (I) с Na при нагревании до 150°: I + Na → (NC<sub>4</sub>H<sub>10</sub>)<sub>3</sub>Si·(II) + NaBr. Из-за пространственных затруднений здесь не имеет места димеризация радикалов II, а происходит отрыв H от р-рителя с образованием три-(диэтиламино)-дисиана: II + RH → R + (NC<sub>4</sub>H<sub>10</sub>)<sub>3</sub>SiH. М. Ф.

25739. Алкиламино- и алкоксисилокены. Каутский, Зибель (Alkylamino- und alkoxy-siloxene. Kautsky Hans, Siebel Hans Peter), Z. anorgan. und allgem. Chem., 1953, 273, № 3—5, 113—123 (нем.).

Описано получение дибромсилоксена (I) прибавлением 5—6 г Br<sub>2</sub> в 100 мл CS<sub>2</sub> к 2—3 г силоксена, суспендированного в 25 мл CS<sub>2</sub>, при перемешивании и охлаждении. Описаны р-ции I с CH<sub>3</sub>OH, C<sub>2</sub>H<sub>5</sub>OH, C<sub>4</sub>H<sub>9</sub>OH и C<sub>2</sub>H<sub>5</sub>NH<sub>2</sub>, дающие соответственно диметоксисилоксен (II), диэтоксисилоксен (III), дибутоксисилоксен (IV) и димоноэтиламинсилоксен (V). Р-ции осуществлялись прибавлением спирта или амина в пиридине к I в атмосфере N<sub>2</sub>. Компоненты р-ции охлаждались до 0° и содержали не более 0,01—0,03% воды. Р-ции проходили с разогреванием реакционной смеси и изменением светлой желто-зеленой окраски I до яркой желтой в III и оранжевой во II и V. Получающиеся димоноэтиламинсилоксен и диалкоксисилокены чрезвычайно чувствительны к воде, переводящей их в кремневую к-ту. На воздухе они энергично окисляются, иногда с самовоспламенением. Р-ция V с CH<sub>3</sub>COOH (влажность не более 0,05%) в пентане течет с изменением окраски реакционной смеси и образованием легко гидролизующегося диацетатсилоксена. Фотохим. р-ции IV и V проходят с отщеплением соответств. углеводородов — этана и бутана за счет алкоксигрупп. Приводятся предположения о механизме фотореакций. М. Ф.

25740. Реактивы и органометаллические комплексы германия. Бевиллар (Réactifs et complexes organo-métalliques du germanium. Bévillard



Piegre, C. r. Acad. sci., 1954, 239, № 1, 59—61 (франц.)

При взаимодействии с диоксизаобензолем  $\text{Ge}^{4+}$  дает осадок фенолгерманиевой к-ты. Очищ. кристаллизацией из водноспирт. р-ров 3,4-диоксизаобензолгерманиевая к-та (I) представляет собой кристаллич. порошок с зеленым оттенком. I растворяют в спирте, действуют на р-р пиридино, отгоняют большую часть спирта и получают при охлаждении зеленые кристаллы состава  $\text{Ge}(3,4\text{-O}_2\text{C}_6\text{H}_3\text{N} = \text{NC}_6\text{H}_5)_3\text{H}_2 \cdot 2\text{C}_6\text{H}_5\text{N} \cdot \text{H}_2\text{O}$ . При действии NaOH на смесь р-ров 3,4-диоксизаобензолсульфоната Na и  $\text{GeO}_2$  выделена соль  $\text{Ge}(\text{O}_2\text{C}_6\text{H}_3\text{N} = \text{NC}_6\text{H}_4\text{SO}_3\text{Na})_3\text{Na}_2$ . При взаимодействии сильно окисленного спирта р-ра диокси-3,4-фенилазотерфенила, описание синтеза которого приводится, выпадает сине-фиолетовый осадок, растворяющийся в нитробензоле с образованием красного р-ра. Эта р-ция позволяет открыть  $\text{Ge}^{4+}$  при кон-ли 1—2 мг/мл. Предыдущее сообщение см. РЖХим, 1955, 26251. Н. П.

25741. Галоидоацетаты и галоидопропионаты триэтилгермания. Андерсон (Triethylgermanium haloacetates and halopropionates. Anderson Herbert H.), J. Organ. Chem., 1955, 20, № 7, 900—904 (англ.)

Реакция  $\text{R}_3\text{GeBr}$  (I) с Ag-солями карбоновых к-т,  $\text{R}_3\text{GeOCH}_2\text{CH}_3$  (II) с галоидзамещ.  $\text{CH}_3\text{COOH}$  и обмен по ур-нию  $\text{R}_3\text{GeOCOR}' + \text{HOCOR}'' \rightleftharpoons \text{R}_3\text{GeOCOR}'' + \text{HOCOR}'$  получены 14 эфиров триэтилгермания типа  $\text{R}_3\text{GeOCOR}'$  ( $\text{R} = \text{C}_2\text{H}_5$ ), из которых 12 содержат галоид или цианогруппу. Установлено, что способность гидролизываться у галоидного атома в полученных соединениях уменьшается по ряду  $\text{J} > \text{Br} > \text{Cl}$ ; фтор в этих соединениях не гидролизует. Галоид в  $\text{R}_3\text{GeOCH}_2\text{CH}_2\text{X}$  гидролизует легче, чем в  $\text{R}_3\text{GeOCH}_2\text{CH}_2\text{X}$ . 2,83 г I и 3,5 г  $\text{AgOCH}_2\text{CH}_2\text{Cl}$  в 8 мл  $\text{CCl}_4$  нагреты 1 час; выход  $\text{R}_3\text{GeOCH}_2\text{CH}_2\text{Cl}$  3,13 г, т. кип. 235°/760 мм, 73—75°/1 мм. В аналогичных условиях выход  $\text{R}_3\text{GeOCH}_2\text{CH}_2\text{Cl}$  2,9 г, т. кип. 236°/760 мм, 74—75°/1 мм, 2,83 г I и 3,35 г  $\text{C}_4\text{H}_9\text{COOAg}$  дают в тех же условиях 2,76 г  $\text{R}_3\text{GeOCH}_2\text{CH}_2\text{C}_4\text{H}_9$ , т. кип. 230°/760 мм, 62—63°/1 мм. 2,55 г II и 1,53 г  $\text{BrCH}_2\text{CH}_2\text{COOH}$  нагреты 10 мин; при 90°/150 мм отогнано 0,63 г  $\text{CH}_3\text{COOH}$ , при 85—86°/1 мм — 1,86 г  $\text{R}_3\text{GeOCH}_2\text{CH}_2\text{Br}$ . В аналогичных условиях выход  $\text{R}_3\text{GeOCH}_2\text{CH}_2\text{Br}$  1,6 г, т. кип. 74—75°/1 мм. В тех же условиях 2,55 г II и 2 г  $\text{JCH}_2\text{CH}_2\text{COOH}$  дают 3,4 г  $\text{R}_3\text{GeOCH}_2\text{CH}_2\text{J}$ , 2,55 г II и 0,84 г  $\text{CNCH}_2\text{COOH}$  дают 2,2 г  $\text{R}_3\text{GeOCH}_2\text{CH}_2\text{CN}$ , т. кип. 98—99°/1 мм, 2,3 г  $(\text{R}_3\text{Ge})_2\text{O}$  и 1,5 г сухой  $\text{ClCH}_2\text{COOH}$  нагреты 10 мин, при 100°, смесь охлаждена до 20°. После центрифугирования вода удалена, выход  $\text{R}_3\text{GeOCH}_2\text{CH}_2\text{Cl}$  3,4 г, т. кип. 234°/760 мм, 113—114°/6 мм. Аналогично получены с соответствующими к-тами  $\text{R}_3\text{GeOCH}_2\text{CH}_2\text{Cl}$ , т. кип. 248°/760 мм, 105—106°/1 мм, и  $\text{R}_3\text{GeOCH}_2\text{CH}_2\text{Cl}$ , т. кип. 125—126°/3 мм;  $\text{R}_3\text{GeOCH}_2\text{CH}_2\text{Br}$ , т. кип. 244°/760 мм, 74—75°/1 мм;  $\text{R}_3\text{GeOCH}_2\text{CH}_2\text{J}$ , т. кип. 254°/760 мм, 85—86°/1 мм;  $\text{R}_3\text{GeOCH}_2\text{CH}_2\text{CN}$ , т. кип. 205°/760 мм, 119—120°/50 мм;  $\text{R}_3\text{GeOCH}_2\text{CH}_2\text{N}_3$ , т. кип. 221°/760 мм, 133—134°/47 мм. И. Б.

25742. Исследование по получению льонзита. I. О синтезе в присутствии катализатора полухлористой меди. Аояма (リサイトの製造に関する研究. 第1報. 鹽化第一銅觸媒による合成について. 青山幸造), 有機合成化学協会誌, Юки госсэй кагаку кёкайси, J. Soc. Organ. Synth. Chem., Japan., 1953, 11, № 9, 347—352 (япон.)

K 100 г  $\text{Cu}_2\text{Cl}_2$ , растворенной в 600 мл 25—30%-ной  $\text{HCl}$ , добавляют 10 г  $\text{AsCl}_3$ . Через смесь при перемешивании пропускают 20 л  $\text{C}_2\text{H}_2$  при 30—40° со скоростью 30—40 мл/мин. Образовавшееся масло отделяют и после перегонки получают  $\text{ClCH}=\text{CHAsCl}_2$  с выходом 85%. Процесс был успешно проведен на опытной установке.

Chem. Abstrs, 1954, 48, № 2, 566i; J. G. Yoshioka

25743. Исследование по получению льонзита. II. О вторичном арсине. Аояма (リサイトの製造に関する研究. 第2報. 第二アルシンに就いて. 青山幸造), 有機合成化学協会誌, Юки госсэй кагаку кёкайси, J. Soc. Organ. Synth. Chem., Japan., 1953, 11, № 10, 391—393 (япон.)

$(\text{ClCH}=\text{CH})_2\text{AsCl}$  (I), являющийся побочным продуктом при получении  $\text{ClCH}=\text{CHAsCl}_2$  (II), частично превращается в II при нагревании (2 часа, 150°) с 1,5-кратным, по отношению к вычисленному, количеством  $\text{AsCl}_3$  и 2% рапсового масла как катализатора, в соответствии с ур-нием  $(\text{ClCH}=\text{CH})_2\text{AsCl} + \text{AsCl}_3 \rightleftharpoons 2\text{ClCH}=\text{CHAsCl}_2$ . Продукт р-ции является смесью I и II в отношении 30 : 70 (по весу).

Chem. Abstrs, 1954, 48, № 3, 1605b. J. G. Yoshioka 25744. Получение тетралинфосфиновой кислоты и полистиролфосфиновой кислоты. Акаси, Ханабуса, Ода (テトラリンホスホン酸及びポリスチロ-ルホスホン酸の合成. 明石博吉, 英哲, 小田良平), 工業化学雑誌, Когё кагаку дзасси, J. Chem. Soc. Japan. Industr. Chem. Sec., 1953, 56, № 12, 970—971 (япон.)

0,4 моля тетралина при перемешивании добавляют к смеси 1,2 моля  $\text{PCl}_3$  и 0,2 моля безводн.  $\text{AlCl}_3$ , нагревают 20 час. После удаления  $\text{PCl}_3$  добавляют 0,2 моля  $\text{POCl}_3$  для образования комплекса  $\text{AlCl}_3-\text{POCl}_3$ , который выпадает при добавлении петр. эфира. Желтое маслянистое в-во (41 г), полученное после отгонки р-рителя и отделения осадка, обрабатывают при охлаждении 150 мл  $\text{CCl}_4$  и затем 28 г  $\text{Br}_2$ . После добавления 30 г безводн.  $\text{CH}_3\text{OH}$  и удаления  $\text{CCl}_4$  и  $\text{CH}_3\text{OH}$  при перегонке в вакууме выделяют 20 г тетралина и 10 г метилового эфира тетралинфосфиновой к-ты. Добавление воды вместо  $\text{CH}_3\text{OH}$  дает тетралинфосфиновую к-ту. Эфир может быть использован как пластификатор. Полистиролфосфиновую к-ту (10,7 г) получают подобным же образом из 0,6 моля  $\text{PCl}_3$ , 0,1 моля  $\text{AlCl}_3$  и 8%-ного р-ра 10 г полистирола в  $\text{CCl}_4$ . Эта смола может быть использована как катионообменник.

Chem. Abstrs, 1955, 49, № 11, 7535. Katsuya Inouye. 25745. О некоторых производных  $\alpha$ -оксиналикофосфиновых кислот. Алимов П. И., Федорова О. Н., Изв. АН СССР, Отд. хим. н., 1955, № 5, 844—851

При взаимодействии хлорангидридов диэтил-(I), дипропил-, диизобутилфосфористых к-т с этиловыми эфирами  $\alpha$ -оксизопропил-(II),  $\alpha$ -оксипропил-,  $\alpha$ -оксизобутилфосфиновых к-т получены (R) (R')  $\text{C}[\text{OP}(\text{OR}'')_2]_2$  [PO ( $\text{OC}_2\text{H}_5$ ) $_2$ ], где  $\text{R} = \text{R}' = \text{CH}_3$ ,  $\text{R}'' = \text{C}_2\text{H}_5$  (III);  $\text{R} = \text{H}$ ,  $\text{R}' = \text{CH}_3$ ,  $\text{R}'' = \text{C}_2\text{H}_5$  (IV);  $\text{R} = \text{H}$ ,  $\text{R}' = \text{CH}_3$ ,  $\text{R}'' = \text{C}_3\text{H}_7$  (V);  $\text{R} = \text{CH}_3$ ,  $\text{R}' = \text{C}_2\text{H}_5$ ,  $\text{R}'' = \text{C}_3\text{H}_7$  (VI);  $\text{R} = \text{H}$ ,  $\text{R}' = \text{CH}_3$ ,  $\text{R}'' = \text{изо-C}_4\text{H}_9$  (VII);  $\text{R} = \text{изо-C}_4\text{H}_9$  (VIII). Действием серы на диалкил-(алкилдиэтилфосфон)фосфиты получены (R) (R')  $\text{C}[\text{OP}(\text{S})(\text{OR}'')_2]_2$  [PO ( $\text{OC}_2\text{H}_5$ ) $_2$ ], где  $\text{R} = \text{R}' = \text{CH}_3$ ,  $\text{R}'' = \text{C}_2\text{H}_5$  (IX);  $\text{R} = \text{H}$ ,  $\text{R}' = \text{CH}_3$ ,  $\text{R}'' = \text{C}_2\text{H}_5$  (X);  $\text{R} = \text{H}$ ,  $\text{R}' = \text{CH}_3$ ,  $\text{R}'' = \text{C}_3\text{H}_7$  (XI);  $\text{R} = \text{CH}_3$ ,  $\text{R}' = \text{C}_2\text{H}_5$ ,  $\text{R}'' = \text{C}_3\text{H}_7$  (XII);  $\text{R} = \text{H}$ ,  $\text{R}' = \text{CH}_3$ ,  $\text{R}'' = \text{изо-C}_4\text{H}_9$  (XIII). III и IV при действии  $\text{C}_2\text{H}_5\text{J}$ ,  $\text{C}_3\text{H}_7\text{Br}$  и  $\text{BrCH}_2\text{COOC}_2\text{H}_5$  претерпевают Арбузовскую перегруппировку. К р-ру 18,8 г II и 9,7 г триэтиламина в бензине при перемешивании прибавляют 15 г I, нагревают 1 час (50—60°), фильтруют и после разгонки получают III, выход 63,1%, т. кип. 106—107°/0,5 мм,  $n_D^{20}$  1,4379,  $d_4^{20}$  1,0752. Аналогично синтезируют (приводятся выход и % т. кип. в °C/мм,  $n_D^{20}$ ,  $d_4^{20}$ ): IV, 78,12, 109—110°/1, 1,4376, 1,0925; V, 50,49, 129—130°/1, 1,4395, 1,0610; VI, 46,65, 136,5—138°/1,5, 1,4435, 1,057; VII, 52,25, 128—128,5°/1, 1,4372, 1,0345; VIII, 48,12, 126—127°/1, 1,4390, 1,0277. 10 г IV, 1,06 г S и 10 мл  $\text{C}_6\text{H}_6$  после кипячения и раз-

гонки дают X, выход 62,72%, т. кип. 145—146°/1 мм,  $n_D^{20}$  1,4561,  $d_4^{20}$  1,1526. Таким же образом получают (приводятся выход в %, т. кип. в °С/мм,  $n_D^{20}$ ,  $d_4^{20}$ ): IX, 56,7, 145—146/1,5, 1,4576, 1,1419; XI, 75,66, 156—157/1, 1,4550, 1,1166; XII, 36,7, 161—162/1, 1,4598, 1,1017; XIII, 63,26, 151—152,5/1, 1,4525, 1,0845. К 6 г IV при 120° прибавляют 3,1 г  $\text{BrCH}_2\text{COOC}_2\text{H}_5$ , нагревают 1 час (140—145°) и получают  $(\text{C}_2\text{H}_5\text{O})_2\text{P}(\text{O})\text{CH}(\text{CH}_3)[\text{OP}(\text{O})(\text{OC}_2\text{H}_5)(\text{CH}_2\text{COOC}_2\text{H}_5)]$ , выход 54,5%, т. кип. 170—171,5°/1 мм,  $n_D^{20}$  1,4425,  $d_4^{20}$  1,1761. Аналогично получают  $(\text{C}_2\text{H}_5\text{O})_2\text{P}(\text{O})\text{C}(\text{CH}_3)_2[\text{OP}(\text{O})(\text{OC}_2\text{H}_5)(\text{CH}_2\text{COOC}_2\text{H}_5)]$ , выход 47,56%, т. кип. 169—170,5°/1 мм,  $n_D^{20}$  1,4450,  $d_4^{20}$  1,1570. 7,9 г IV и 1 мл  $\text{C}_2\text{H}_5\text{J}$  нагревают 4 часа (134—140°) и получают  $(\text{C}_2\text{H}_5\text{O})_2\text{P}(\text{O})\text{CH}(\text{CH}_3)[\text{OP}(\text{O})(\text{OC}_2\text{H}_5)(\text{C}_2\text{H}_5)]$ , выход 81%, т. кип. 141,5—143°/1 мм,  $n_D^{20}$  1,4370,  $d_4^{20}$  1,1295. Так же синтезированы:  $(\text{C}_2\text{H}_5\text{O})_2\text{P}(\text{O})\text{C}(\text{CH}_3)_2[\text{OP}(\text{O})(\text{OC}_2\text{H}_5)(\text{C}_2\text{H}_5)]$ , выход 69,59%, т. кип. 140—141,5°/1 мм,  $n_D^{20}$  1,4392,  $d_4^{20}$  1,1165;  $(\text{C}_2\text{H}_5\text{O})_2\text{P}(\text{O})\text{CH}(\text{CH}_3)[\text{OP}(\text{O})(\text{OC}_2\text{H}_5)(\text{C}_2\text{H}_5)]$ , выход 37,5% т. кип. 140—142°/0,5 мм,  $n_D^{20}$  1,4388,  $d_4^{20}$  1,0879. Р. Х.

25746. О полимеризации аллиловых эфиров алкиларилфосфиновых кислот. Камай Гильм, Кухтин В. А., Ж. общ. химии, 1955, 25, № 10, 1932—1935

Действием фенилдихлорфосфина (I)  $\text{CH}_2=\text{CHCH}_2\text{OH}$  (II) получены соответственно  $\text{C}_6\text{H}_5\text{P}(\text{OC}_2\text{H}_5)_2$  (III),  $\text{C}_6\text{H}_5\text{P}(\text{OC}_2\text{H}_5)(\text{OC}_2\text{H}_5)$  (IV) и  $n\text{-ClC}_6\text{H}_4\text{P}(\text{OC}_2\text{H}_5)_2$  (V),  $n\text{-ClC}_6\text{H}_4\text{P}(\text{OC}_2\text{H}_5)(\text{OC}_2\text{H}_5)$  (VI). III реагирует с  $\text{CH}_2=\text{CHCH}_2\text{Br}$  (VII),  $\text{CH}_3\text{J}$ ,  $\text{C}_2\text{H}_5\text{J}$  с образованием IV,  $\text{C}_6\text{H}_5(\text{CH}_3)\text{P}(\text{O})\text{OC}_2\text{H}_5$  (VIII),  $\text{C}_6\text{H}_5(\text{C}_2\text{H}_5)\text{P}(\text{O})\text{OC}_2\text{H}_5$  (IX). V реагирует с VII и  $\text{CH}_3\text{J}$  с образованием VI и  $n\text{-ClC}_6\text{H}_4(\text{CH}_3)\text{P}(\text{O})\text{OC}_2\text{H}_5$  (X). При полимеризации III и V (нагревание 60—100 час. при 70° с добавкой 1% перекиси бензоила) получены растворимые прозрачные липкие смолы со степенью полимеризации 2—3. К смеси 40 г II, 54 г пиридина и 300 мл абс. эфира при охлаждении и перемешивании прибавляют 60 г I, фильтруют и фракционируют, получают III, выход 42,6%, т. кип. 116—117°/3 мм,  $n_D^{20}$  1,5240,  $d_4^{20}$  1,0443,  $d_0^{20}$  1,0620, и IV, выход 13,3%, т. кип. 131—132°/2 мм,  $n_D^{20}$  1,5280,  $d_0^{20}$  1,0971. Аналогично синтезированы V, выход 56,5%, т. кип. 126—127°/2 мм,  $n_D^{20}$  1,5376,  $d_0^{20}$  1,1490,  $d_4^{20}$  1,1685, и VI, выход 6 г, т. кип. 148°/2 мм,  $n_D^{20}$  1,5338,  $d_0^{20}$  1,1203,  $d_4^{20}$  1,2060. 29 г III и 10 г VII нагревают до 80° и спустя 20 мин. нагревают 2 часа при 100—110°, получают после разгонки IV, выход 20 г. Таким же образом получены: VIII, т. кип. 112—113°/1 мм,  $n_D^{20}$  1,5208,  $d_0^{20}$  1,1110; IX, т. кип. 124—125°/3 мм,  $n_D^{20}$  1,5155,  $d_0^{20}$  1,0854; X, т. кип. 129—130°/2 мм,  $n_D^{20}$  1,5308,  $d_0^{20}$  1,1960. Р. Х.

25747. Исследования в области непредельных фосфиновых кислот. Сообщение 10. Дитиоэфиры  $\beta$ -алкокси (фенокси) винилфосфиновой и  $\beta$ -алкокси (фенокси) винилтиофосфиновой кислот. Анисимов К. Н., Колобова Н. Е., Несмеянов А. Н., Изв. АН СССР, Отд. хим. н., 1955, № 5, 823—826. Дитиоэфиры  $\beta$ -алкоксивинилфосфиновой  $\text{ROCH}=\text{CHP}(\text{O})(\text{SC}_2\text{H}_5)_2$ , где  $\text{R}=\text{C}_2\text{H}_5$  (I),  $\text{C}_4\text{H}_9$  (II), *изо*- $\text{C}_4\text{H}_9$  (III),  $\text{C}_6\text{H}_5$  (IV) и  $\beta$ -алкоксивинилтиофосфиновой к-ты  $\text{R'OCH}=\text{CHP}(\text{S})(\text{SC}_2\text{H}_5)_2$ , где  $\text{R}'=\text{C}_2\text{H}_5$  (V), *изо*- $\text{C}_3\text{H}_7$  (VI), *изо*- $\text{C}_4\text{H}_9$  (VII),  $\text{C}_6\text{H}_5$  (VIII) синтезированы при взаимодействии хлорангидридов  $\text{ROCH}=\text{CHP}(\text{O})\text{Cl}_2$

и  $\text{R'OCH}=\text{CHP}(\text{S})\text{Cl}_2$  с  $\text{C}_2\text{H}_5\text{SNa}$ . Дитиофениловый эфир  $\beta$ -изобутоксивинилфосфиновой к-ты (IX) получен при р-ции *изо*- $\text{C}_4\text{H}_9\text{OCH}=\text{CHP}(\text{O})\text{Cl}_2$  (X) с тиофенолом в среде пиридина. 11,85 г X прибавляют при перемешивании и охлаждении к  $\text{C}_2\text{H}_5\text{SNa}$  (из 2,3 г Na и 9 г  $\text{C}_2\text{H}_5\text{SH}$  в абс. эф.), отделяют эфирный слой, эфир отгоняют и после фракционирования получают III, выход 63%, т. кип. 145°/2 мм,  $n_D^{20}$  1,5370,  $d_4^{20}$  1,0961. Аналогично получают (приводятся выход %, т. кип. в °С/мм,  $n_D^{20}$ ,  $d_4^{20}$ ): I, 55,8, 135/2, 1,5475, 1,1366; II, 52, 154/2, 1,5544, 1,1410; IV, 9 г, 162/1, 1,5860, 1,1535; V, 65,9, 134/1, 1,5858, 1,1734; VI, 59,2, 136/2, 1,5672, 1,1198; VII, 60, 145/1, 1,5662, 1,1060; VIII, 47, 155/1, 1,6336, 1,1342. К смеси 150 мл  $\text{C}_6\text{H}_6$ , 7,2 г пиридина и 10 г тиофенола при перемешивании прибавляют р-р 10 г X в 10 мл  $\text{C}_6\text{H}_6$ . Спустя 12 час. фильтруют, фильтрат обрабатывают 3%-ным р-ром соды, сушат и получают после отгонки  $\text{C}_6\text{H}_6$  IX, выход 60%, т. пл. 72—73° (из петр. эф.). Сообщение IX см. РЖХим, 1956, 16124. Р. Х.

25748. Исследования в области непредельных фосфиновых кислот. Сообщение 11. Полные эфиры  $\beta$ -алкоксивинилфосфиновых кислот. Анисимов К. Н., Колобова Н. Е., Несмеянов А. Н., Изв. АН СССР, Отд. хим. н., 1955, № 5, 827—833

При взаимодействии хлорангидридов  $\beta$ -метокси- (I),  $\beta$ -этоксип-,  $\beta$ -бутоксип- и винилфосфиновых к-т со спиртами  $\text{R'OH}$ , где  $\text{R}'=\text{CH}_3$  (II),  $\text{C}_2\text{H}_5$ ,  $\text{C}_3\text{H}_7$ , *изо*- $\text{C}_3\text{H}_7$ ,  $\text{C}_4\text{H}_9$ , *изо*- $\text{C}_4\text{H}_9$ ,  $\text{CH}_2=\text{CHCH}_2$ ,  $\text{C}_6\text{H}_{13}$ ,  $\text{C}_7\text{H}_{15}$  и монометилловым и моноэтиловым эфирами этиленгликоля получены полные эфиры  $\beta$ -алкоксивинилфосфиновых к-т  $\text{ROCH}_2\text{CH}_2\text{OCH}=\text{CHP}(\text{O})(\text{OR}')_2$ . К смеси 100 мл сухого  $\text{C}_6\text{H}_6$ , 8,5 г абс. II и 8 г пиридина при охлаждении и перемешивании постепенно прибавляют 10,85 г I. Спустя 12 час. фильтруют, нейтрализуют фильтрат 3%-ным р-ром соды, сушат и после фракционирования получают  $\text{CH}_3\text{OCH}_2\text{CH}_2\text{OCH}=\text{CHP}(\text{O})(\text{OC}_2\text{H}_5)_2$ , выход 79%, т. кип. 124°/1 мм,  $n_D^{20}$  1,4590,  $d_4^{20}$  1,1747. Аналогично получены (приводятся значения R и R', выход в %, т. кип. в °С/мм,  $n_D^{20}$ ,  $d_4^{20}$ ):  $\text{CH}_3$ ,  $\text{C}_2\text{H}_5$ , 76, 134/1, 1,4525, 1,1067;  $\text{CH}_3$ ,  $\text{C}_3\text{H}_7$ , 88, 143/1, 1,4510, 1,0585;  $\text{CH}_3$ , *изо*- $\text{C}_3\text{H}_7$ , 77, 134/2, 1,4469, 1,0529;  $\text{CH}_3$ ,  $\text{C}_4\text{H}_9$ , 75, 153/1, 1,4518, 1,0354;  $\text{CH}_3$ , *изо*- $\text{C}_4\text{H}_9$ , 77, 148/1, 1,4500, 1,0341;  $\text{CH}_3$ ,  $\text{CH}_2\text{CH}=\text{CH}_2$ , 80, 160/2, 1,4789, 1,1082;  $\text{CH}_3$ ,  $\text{C}_6\text{H}_{13}$ , 80, 180/1, 1,4540, 1,0004;  $\text{CH}_3$ ,  $\text{C}_7\text{H}_{15}$ , 62, 190/1, 1,4562, 0,9845;  $\text{CH}_3$ ,  $\text{CH}_2\text{CH}_2\text{OCH}_2\text{CH}_2$ , 70, 171/1, 1,4620, 1,1467;  $\text{CH}_3$ ,  $\text{C}_2\text{H}_5\text{OCH}_2\text{CH}_2$ , 76, 175/1, 1,4570, 1,1088;  $\text{C}_2\text{H}_5$ ,  $\text{CH}_3$ , 76, 126/2, 1,4528, 1,1429;  $\text{C}_2\text{H}_5$ ,  $\text{C}_2\text{H}_5$ , 78, 133,5/2, 1,4512, 1,0812;  $\text{C}_2\text{H}_5$ ,  $\text{C}_3\text{H}_7$ , 80, 140/2, 1,4510, 1,0470;  $\text{C}_2\text{H}_5$ , *изо*- $\text{C}_3\text{H}_7$ , 72, 125/2, 1,4452, 1,0341;  $\text{C}_2\text{H}_5$ , *изо*- $\text{C}_4\text{H}_9$ , 82, 143/2, 1,4492, 1,0159;  $\text{C}_2\text{H}_5$ ,  $\text{CH}_2=\text{CHCH}_2$ , 77, 138,5/2, 1,4702, 1,0854;  $\text{C}_2\text{H}_5$ ,  $\text{C}_7\text{H}_{15}$ , 88, 200/1, 1,4546, 0,9745;  $\text{C}_2\text{H}_5$ ,  $\text{CH}_2\text{OCH}_2\text{CH}_2$ , 84, 163/1, 1,4602, 1,1279;  $\text{C}_2\text{H}_5$ ,  $\text{C}_2\text{HOCH}_2\text{CH}_2$ , 86, 180/1, 1,4546, 1,0917;  $\text{C}_4\text{H}_9$ ,  $\text{CH}_3$ , 77, 132/1, 1,4565, 1,1100;  $\text{C}_4\text{H}_9$ ,  $\text{C}_2\text{H}_5$ , 79, 155/2, 1,4519, 1,0815;  $\text{C}_4\text{H}_9$ ,  $\text{C}_3\text{H}_7$ , 83, 163/2, 1,4529, 1,0199;  $\text{C}_4\text{H}_9$ ,  $\text{C}_4\text{H}_9$ , 88, 180/2, 1,4532, 1,0008;  $\text{C}_4\text{H}_9$ , *изо*- $\text{C}_4\text{H}_9$ , 83, 172/2, 1,4512, 1,0002;  $\text{C}_4\text{H}_9$ ,  $\text{CH}_2=\text{CHCH}_2$ , 71, 152/1, 1,4860, 1,0530;  $\text{C}_4\text{H}_9$ ,  $\text{C}_6\text{H}_{13}$ , 85, 202/2, 1,4550, 0,9794;  $\text{C}_4\text{H}_9$ ,  $\text{C}_7\text{H}_{15}$ , 89, 207/1, 1,4553, 0,9644;  $\text{C}_4\text{H}_9$ ,  $\text{C}_2\text{H}_5\text{OCH}_2\text{CH}_2$ , 87, 193/2, 1,4561, 1,0643. Р. Х.

25749. Химия сультонов. II. Алкилирование металлоорганических и родственных соединений с помощью сультонов. Трус, Хоргер (The chemistry of sultones. II. Alkylations of organometallic and related compounds by sultones. Truce William E., Hoerger Fred D.), J. Amer. Chem. Soc., 1955, 77, № 9, 2496—2500 (англ.)

Для установления структуры замещ. алкансульфонатов, получаемых взаимодействием сультонов с нуклеофильными реагентами, изучалась реакция алкилирования 4-оксибутансультоном (I)  $C_2H_5ONa$  (II),  $C_6H_5SO_2Na$  (III),  $C_6H_5C \equiv CNa$  (IV),  $C_4H_9Li$  (V), натриевых производных малонового (VI) и ацетоксусного эфиров (VII), дибензоилметана (VIII). Алкилирование  $C_6H_5MgBr$  (IX) привело к смеси  $[Br(CH_2)_4SO_3]_2Mg$  (X) и  $[C_6H_5(CH_2)_4SO_3]_2Mg$  (XI); алкилированием 2-о-оксифенилтансультоном (XII) IX получили 2-( $\beta$ -фенилсульфонилэтил)-фенол (XIII). Полученные сульфаты идентифицировали в виде солей *n*-хлор-S-бензилтиурониевая. К р-ру II (из 2,3 г Na и 75 мл сп.) прибавили 13,6 г I, нагрели 46 час., добавили 150 мл эфира. Выход  $C_2H_5O(CH_2)_4SO_3Na$  (XIV) 91%, *n*-хлор-S-бензилтиурониевая соль, т. пл. 113–114,5°. Взаимодействием II с  $Br(CH_2)_4Cl$  выделили 50%  $C_2H_5O(CH_2)_4Cl$  (XV), т. кип. 39–41°/мм,  $n_D^{20}$  1,4258. [Смесь 20 г XV, 38 г  $Na_2SO_3$ , 130 мл воды кипятили 20 час., упарили, остаток извлекли 300 мл абс. спирта; выход XIV 47%. Р-р 20 г дигидрата III, 140 мл диметилформамида, 13,6 г I нагрели 24 часа. После удаления диметилформамида осадок промыли эфиром, растворили в воде, выделили 53%  $C_6H_5SO_2(CH_2)_4SO_3Na$  (XVI), S-бензилтиурониевая соль, т. пл. 149–150° (из сп.). 30 г III, 76 г  $Cl(CH_2)_4Cl$ , 200 мл 95%-ного спирта кипятили 20 час. Маслянистый остаток (после фильтрования и удаления спирта) выдели в воду. Эфиром извлекли 41%  $C_6H_5SO_2(CH_2)_4Cl$  (XVII), т. кип. 189–192°/3 мм, т. пл. 55,5–57° (бзл. петр. эф.). Смесь 8 г XVII, 13,4 г  $K_2SO_3$ , 20 мл воды, 60 мл этиленгликоля кипятили 65 час., упарили; выделили 10,5 г  $C_6H_5SO_2(CH_2)_4SO_3K$  (XVIII); S-бензилтиурониевая соль, т. пл. 149–150°. К суспензии IV (из 2,3 г Na, 20,4 г фенилацетилена, 150 мл эфира) прибавили по каплям 13,6 г I, 200 мл толуола, эфир отогнали, остаток кипятили 18 час., получили 60%  $C_6H_5C \equiv C(CH_2)_4SO_3Na$  (XIX); *n*-хлор-S-бензилтиурониевая соль, т. пл. 151–153°. Р-р 1,65 г XIX в 80 мл 50%-ного спирта восстановили в присутствии скелетного Ni (20°). Выделили 84% *n*-хлор-S-бензилтиурониевой соли 6-фенил-1-гексансульфоната, т. пл. 152–153,5°. После 21 часа нагревания смеси 18,5 г 6-фенил-1-бромгексана, 29,1 г  $Na_2SO_3$ , 190 мл воды получили 86%  $C_6H_5(CH_2)_6SO_3Na$  (XX); S-бензилтиурониевая соль, т. пл. 114–115,5° (из сп.). К эфир. р-ру  $MgBr_2$  (из 1,24 г Mg, 8 г  $Br_2$ , 60 мл эфира) прибавили по каплям 13,6 г I. После кипячения 2 часа выделили 79% X; *n*-хлор-S-бензилтиурониевая соль, т. пл. 129–130° (из сп.). Водн. р-р 4,56 г X обработали  $Na_2CO_3$ , отфильтровали, упарили, добавили конц. HCl, NaCl удалили, остаток фракционировали. Выделили 46% I т. кип. 126–128°/4 мм, аддукт с пиридином, т. пл. 234–235°. К р-ру IX (из 1,22 г Mg, 7,9 г  $C_6H_5Br$ , 100 мл эфира) прибавили по каплям 13,6 г I. Смесь нагревали 2 часа, добавили (через сутки) 150 мл воды с 5 мл HCl. Из эфирного слоя выделили 0,5 г дифенила, из водн. 90% смеси X и XI. Обработкой (аналогично предыдущему) 9,12 г смеси получили 2,7 г I, т. кип. 129–134°/5 мм. С удвоенным кол-вом I и IX получили 32% XI, идентифицированного в виде  $C_6H_5(CH_2)_4SO_2NH_2$  (XXI) и *n*-хлор-S-бензилтиурониевой соли, т. пл. 138–139°. Р-цией IX (из 2,44 г Mg, 15,7 г  $C_6H_5Br$ ) с 13,6 г I получили 40 г смеси сульфатов и  $MgBr_2$ . Из 22 г смеси выделили 27%  $C_6H_5(CH_2)_4SO_3Na$ , идентифицированного в виде XXI и *n*-хлор-S-бензилтиуронийпроизводных; из 18 г смеси выделили 1,42 г I. К р-ру IX (из 0,85 г Mg, 7,85 г  $C_6H_5Br$ , 45 мл эфира) добавили р-р 1,84 г XII и 45 мл  $C_6H_6$ . После кипячения 4,5 часа смесь гидролизвали, отделили маслянистый слой. Эфиром выделили (из бензольного р-ра) 1,3 г XIII, т. пл. 115,5–117°. К р-ру V (из 1,72 г Li; 13,7 г *n*- $C_4H_9Br$ ) прибавили по каплям

9,52 г I, после перемешивания 6 час. отделили сульфат. Эфиром выделили 68%  $CH_3(CH_2)_4SO_3Li$  (XXII); *n*-хлор-S-бензилтиурониевая соль, т. пл. 117–118,5°; из 1-бромоктана и  $Na_2SO_3$  получили 90%  $CH_3(CH_2)_7SO_3Na$ ; *n*-хлор-S-бензилтиурониевая соль, т. пл. 117–118,5° (из сп.). К р-ру VI (из 2,3 г Na, 60 мл сп. и 24 г малонового эфира) добавили 13,6 г I. После кипячения 18 час. прибавили 100 мл  $C_6H_6$ , получено 95% 5,5-дикарбэтоксид-1-пентансульфоната натрия (XXIII); *n*-хлор-S-бензилтиурониевая соль, т. пл. 93,5–94,5° (из сп.). К р-ру VI (из 4,6 г Na, 120 мл спирта и 48 г малонового эфира) прибавили 86 г  $Br(CH_2)_4Br$ . Кипятили (до нейтр.-р-ции) и вылили в воду. Эфиром извлекли 28% 4-бромбутилмалонового эфира (XXIV), т. кип. 92–94°/2 мм. Смесь 15 г XXIV, 24,1 г  $Na_2SO_3$ , 150 мл воды кипятили 70 час., извлекли эфиром 6,2 г XXIV. Водн. слой упарили, из остатка извлекли 43% XXIII. Аналогичным способом из малонового эфира и 4-оксид-1-пентансультона получили 93% 4-метил-5,5-дикарбэтоксид-1-пентансульфоната натрия (XXV); *n*-хлор-S-бензилтиурониевая соль, т. пл. 98–100° (из сп.). Р-р VII (из 2,3 г Na, 60 мл сп., 13 г ацетоксусного эфира) и 13,6 г I кипятили 20 час., охладили, добавили эфир, отфильтровали, высушили. Выделили 82% карбэтоксид-6-оксепентансульфоната натрия (XXVI). Р-р 11,5 г XXVI в 50 мл 25%-ной  $H_2SO_4$  кипятили 8 час., нейтрализовали, упарили, экстрагировали спиртом. Выделили 7,1 г 6-оксид-1-пентансульфоната натрия (XXVII); *n*-хлор-S-бензилтиурониевая соль, т. пл. 93–95° (из сп.). К р-ру VII (из 5,75 г Na, 190 мл сп. и 58,5 г ацетоксусного эфира) прибавили 80 г  $Br(CH_2)_4Cl$ . Кипятили 1,5 часа, отогнали спирт, остаток растворили в воде. Эфиром извлекли 22%  $\alpha$ -(4-хлорбутил)-ацетоксусного эфира, (XXVIII), т. кип. 117–119°/2 мм,  $n_D^{25}$  1,4523. Смесь 9 г XXVIII, 67 мл 10%-ной  $H_2SO_4$  кипятили 5,5 часа. Эфиром извлекли 3,6 г XXVIII и 48% 7-хлор-2-гептанона (XXIX), т. кип. 92–102°,  $n_D^{30}$  1,4420; семикарбазон т. пл. 112–114,5°. Из смеси 1 г XXIX, 2,5 г  $Na_2SO_3$ , 15 мл воды после кипячения 24 часа выделили 0,8 г XXVII. К р-ру 15,7 г VIII в 200 мл спирта добавили II (из 1,54 г Na и 50 мл сп.), 9,11 г I, кипятили 20 час., добавили 200 мл эфира. Получили 54%, 5,5-добензоил-1-пентансульфоната натрия (XXX). Кипятили 3 часа р-р 6,38 г XXX, 1,34 г NaOH, 50 мл воды. Эфиром извлекли (после подкисления)  $C_6H_5COOH$ , из водн. р-ра выделили 50% 5-бензоил-1-пентансульфоната натрия (XXXI); *n*-хлор-S-бензилтиурониевая соль, т. пл. 150–151,5°. Расщеплением NaOH 6,8 г XXX с последующим восстановлением выделили 1,5 г XX. Сообщение I см. РЖХим, 1956, 12857. А. Д. 25750. Синтезы фторсодержащих алкилсиланов.

Пире, Мак-Би, Клайн (The synthesis of fluorine-containing organosilanes. Pierce O. R., McBee E. T., Cline R. E.), J. Amer. Chem. Soc., 1953, 75, № 22, 5618–5620 (англ.)

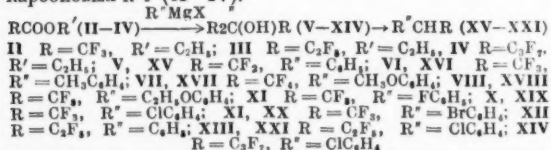
Медленным прибавлением  $RMgBr$  (где  $R = CF_3$ — $CF_2CH_2CH_2$ —) к эфирному р-ру  $SiCl_4$  или  $Si(OC_2H_5)_4$  в атмосфере  $N_2$  при т-ре кипения реакционной смеси были получены фторсодержащие кремнийорганич. соединения, содержащие перфторгруппу, отделенную от атома Si этиленовой группой: 47% хлорсилана  $R_2SiCl$  (I) с т. кип. 133–134°/15 мм и т. пл. 34–35°; 10% силана  $R_4Si$  с т. кип. 71–72°/25 мм; 20% триэтоксисилана  $RSi(OC_2H_5)_3$  с т. кип. 92,5–93°/25 мм; 25% диэтоксисилана  $R_2Si(OC_2H_5)_2$  (II) с т. кип. 117,5–118°/25 мм.  $RBr$  с выходом до 85% был получен из  $CF_3CF_2CF_2CH_2OH$ — $CH_3$  дегидратацией последнего с  $P_2O_5$  и присоединением  $HBr$  против правила Марковникова к  $CF_3CF_2CF_2CH=CH_2$  (III) при 120–140° в присутствии катализатора



из 75% активированного угля и 25%  $\text{CaSO}_4$ . Гидролизом 46,8 г I получено 19,3 г силанола —  $\text{R}_2\text{SiOH}$  (IV) с т. кип.  $151-153^\circ$ ,  $n_D^{20}$  1,3378. Гидролизом 13,4 г II получено 6,7 г силандиола  $\text{R}_2\text{Si}(\text{OH})_2$  с т. пл.  $64,5-65^\circ$  (из  $\text{CHCl}_3$ ). Нагреванием 8,7 г IV с  $\text{CH}_3\text{OH}$  и  $\text{HCl}$  и фракционированием при 22 мм был получен исходный продукт и твердый остаток, которые нагревали 64 часа с 20 мл лед.  $\text{CH}_3\text{COOH}$  и 5 мл  $\text{HCl}$ . В результате получено 2,9 г дисилоксана  $\text{R}_2\text{SiOSiR}_2$  с т. пл.  $66,5-67^\circ$  (из лигр.,  $\text{CHCl}_3$ ). Получены также: с выходом 48%  $\text{CF}_3\text{CF}_2\text{CHBrCH}_2\text{Br}$  присоединением  $\text{Br}_2$  III при  $200^\circ$  с тем же катализатором, т. кип.  $140-141^\circ$ ,  $n_D^{20}$  1,3874 и эфир  $\text{ROCOCH}_3$  с т. кип.  $137-137,5^\circ$ ,  $n_D^{20}$  1,3276. Выход 35% при кипячении  $\text{RBr}$  с  $\text{CH}_3\text{COONa}$  в р-ре  $\text{CH}_3\text{COOH}$  в течение 86 час. М. Ф.

**25751. Синтез и биологические свойства диарилтрифторметилкарбинолов.** Калущинер, Рейтер, Бергман (Synthesis and biological properties of diaryl-(trifluoromethyl)-carbinols. Kaluszynski A., Reuter G., Bergmann Ernst D., J. Amer. Chem. Soc., 1955, 77, № 15, 4164-4168 (англ.))

Диарилперфторалкилкарбинолы (I) были получены в эфир. р-ре р-цией различных  $\text{ArMgX}$  и эфиров перфторкарбиновых к-т (II-IV).



Исследованы некоторые хим. и биол. свойства I. Так из II были получены: (V) выход 70%, т. кип.  $117-119^\circ/3$  мм, т. пл.  $74,5-75^\circ$  (из петр. эф.); ацетиловое производное, выход 60%, т. кип.  $141^\circ/3$  мм, т. пл.  $96^\circ$  (из сп.-петр. эф.), пропионат, выход 77%, т. кип.  $136-138^\circ/3$  мм,  $n_D^{15}$  1,5104; (VI), выход 61% (синтез проводился в толуоле), т. кип.  $130-135^\circ/2$  мм, т. пл.  $61-62^\circ$  (из лигр.) ацетиловое производное, т. кип.  $150-152^\circ/1,5$  мм, т. пл.  $59-60^\circ$  (из петр. эф.); (VII), выход 45%, т. пл.  $75,5-76,5^\circ$  (из сп.); (VIII), выход 47%, т. пл.  $46-48^\circ$ ,  $n_D^{15}$  1,5360 (переохлажден.); (IX), выход 24%, т. кип.  $111-114^\circ/3$  мм,  $n_D^{15}$  1,5104; (X), выход 53% (синтез проводился в толуоле), т. кип.  $150-160^\circ/2,5$  мм,  $n_D^{30}$  1,5510,  $d_4^{30}$  1,4360; ацетиловое производное, выход 74%, т. пл.  $69,5-70^\circ$  (из  $\text{CH}_3\text{COOH}$ -сп.); (XI), выход 46%, т. кип.  $186-190^\circ/5$  мм,  $n_D^{30}$  1,5750,  $d_4^{30}$  1,7600; ацетиловое производное, выход 74%, т. кип.  $185-200^\circ/5,5$  мм, т. пл.  $74,5-75^\circ$  (из  $\text{CH}_3\text{COOH}$ -сп.). Из III были получены (XII), выход 46%, т. кип.  $114^\circ/4,2$  мм, т. пл.  $83^\circ$  (из петр. эф.) и (XIII), выход 54%, т. кип.  $165-175^\circ/4$  мм,  $n_D^{25}$  1,5270,  $d_4^{20}$  1,4700, УФ-спектр 227,5 (4,30), 260,0 (3,37), а из IV получен (XIV), выход 55%, т. кип.  $165-175^\circ/5-6$  мм,  $n_D^{22}$  1,5072,  $d_4^{22}$  1,51. Из-за близких т-р кипения I и соответствующих диариллов в ряде случаев выделение чистых препаратов осуществлялось на хроматографии. колонок. Отсутствие водородной связи для большинства соединений типа I (водородная связь обнаружена только для конц. р-ров VII, VIII и X) авторы трактуют как доказательство того, что атом водорода гидроксильной группы находится внутри угла, образованного фенильными радикалами. Приведены данные исследования ИК- и УФ-спектров I. Авторы также отмечают необычную стабильность OH-группы I. Так

восстановление I до соответствующих производных метана может быть осуществлено лишь в результате многочасовой обработки I смесью красного P и J. Таким образом, из V-VIII, X, XI и XIII были получены соответственно (XV-XVIII, XIX, XX и XXI) (приведены выход в %, т. кип.  $^\circ\text{C}/\text{мм}$ , т. пл. в  $^\circ\text{C}$ ): XV, 50,  $115/8$ ,  $19-20$  (из лигр.),  $n_D^{20}$  1,5230; XVI,  $143-148/5$ ,  $37,5-38$  (из петр. эф.); XVII,  $165-175/2$ ,  $48-48,5$  (из разб. сп.); XVIII, —,  $195-200/6$ , —,  $n_D^{18}$  1,5272; XIX,  $82$ ,  $166/10$ ,  $44,5-45,5$  (из лигр.  $\text{CH}_3\text{OH}$ ); XX,  $75$ ,  $175-185/10$ ,  $53-54$  (из  $\text{CH}_3\text{OH}$ -лигр.) и XXI  $53$ , —, —,  $n_D^{20}$  1,5057,  $d_4^{20}$  1,29. Получение ацильных производных осуществлялось путем многочасового нагревания I с соответствующим ангидридом в присутствии конц.  $\text{H}_2\text{SO}_4$ . При исследовании свойств V было проведено нитрование его конц.  $\text{HNO}_3$  в  $\text{CHCl}_3$ , в результате чего получено *n*-нитропроизводное, [т. пл.  $116^\circ$  (из  $\text{CH}_3\text{COOH}$ ), ИК-спектр  $810\text{ см}^{-1}$ , УФ-спектр  $2610\text{ Å}$  (4,24)], выделение которого проводилось путем предварительного перевода неочищ. продукта в ацетиловое производное, т. пл.  $148-150^\circ$  (из сп.) с последующим омылением последнего КОН. Обладая наибольшей инсектицидной активностью X получался и иным путем: при пропускании  $\text{CF}_3\text{COCl}$  в смесь  $\text{C}_6\text{H}_5\text{MgI}$  и  $\text{AlCl}_3$  в  $\text{CS}_2$ , с последующим разложением продуктов р-ции  $\text{HCl}$  был получен  $\text{C}_6\text{H}_5\text{COCF}_3$  (выход 19%, т. кип.  $180-183^\circ$ , т. пл.  $26$ , 2,4-динитрофенилгидразон, т. пл.  $111^\circ$  (из сп.), который с  $\text{C}_6\text{H}_5\text{MgBr}$  превращался в X, выход 15%, а с помощью  $\text{Al}(\text{OCH}(\text{CH}_3)_2)_3$  восстанавливался до  $\text{C}_6\text{H}_5\text{CH}(\text{OH})\text{CF}_3$ , выход 76%, т. кип.  $117-118^\circ/25$  мм,  $n_D^{19}$  1,4827,  $d_4^{19}$  1,410. Синтезированные I уступают по инсектицидной активности ДДТ и гексахлорану, но оказываются хорошими синергетиками последних. Особенно высокой активностью обладает X. Р. С.

**25752. Синтез меченного тритием подистого метила и акрифлавина.** Смит, Уилзбак, Браун (The synthesis of tritium-labeled methyl iodide and acriflavine. Smith N. H., Wilzbach K. E., Brown W. G., J. Amer. Chem. Soc., 1955, 77, № 4, 1033-1035 (англ.))

С использованием водородно-третиевой смеси синтезирован меченный Т подистый метил (I) и акрифлавин-хлористый 10-(метил-*t*)-3,6-диаминоакридин (II) по схеме  $\text{LiBN}_4 \rightarrow \text{LiBN}_4-t(\text{III}) \rightarrow \text{LiB}(\text{OCH}_2-t)_4$  (IV)  $\rightarrow$  II  $\rightarrow$  подметилат-*t* 3,6-диаминиаминоакридина (V)  $\rightarrow$  II. 0,113 г  $\text{LiBN}_4$  и 18,28 мл  $\text{H}_2$ , содержащего 644 мкюри  $\text{T}_2$ , выдерживают 96 час. при  $200^\circ$ , получают III, содержащий 89% Т, находившегося в газе. III растворяют в 10 мл тетрагидрофурана, р-р замораживают и прибавляют 0,629 г метилформата. Постепенно нагревают, после 30 мин. при  $0^\circ$  и 1 час при  $20^\circ$  и удаляют р-ритель в вакууме. Остаток обрабатывают 25 мл  $\text{H}_2$  2 часа при  $90^\circ$  в токе He (30 мл/мин.). Унесенный I улавливают при охлаждении жидким  $\text{N}_2$ . Нагревая I в вакууме до  $-63^\circ$  освобождаются от летучих примесей. Выход I на  $\text{LiBN}_4$  78%, 15,43 ммольа 3,6-диаминиаминоакридина (VI) и 19,53 ммольа I нагревают в запаянном сосуде 48 час. при  $110^\circ$ , удаляют в вакууме летучие в-ва, получают V, выход 98,4%. Избыток II используют вторично. 8,323 г V растворяют в 450 мл горячей  $\text{HCl}$  (1 : 10) в токе  $\text{N}_2$  и осаждают хлоридат II прибавлением 550 мл конц.  $\text{HCl}$  при охлажд., выход 89% (на VI), 61,4% (на  $\text{LiBN}_4$ ); пикрат, т. пл.  $245-246^\circ$ . А. Г.

**25753. Спектрофотометрическое определение барбитуратов и распределение веронала в организме.** Сообщение II. Синез веронала-(2- $\text{C}^{14}$ ). Гольдшмидт, Вер (Die spektrophotometrische Bestimmung von Barbituraten und die Verteilung von Veronol-

nal im Organismus. II. Mitteilung. Synthese von Veronal-[2-<sup>14</sup>C]. Goldschmidt Stefan, Wehr Rudolf, Hoppe-Seyler's Z. physiol. Chem., 1955, 301, № 1—2, 107—108 (нем.)

Веронал-(2-<sup>14</sup>C) (I) синтезирован из дибутилового эфира диэтилмалоновой к-ты (II) и мочевины-(<sup>14</sup>C) (III). В р-р 15 ммоль Na при ~100° в 7 мл *n*-бутанола вносят 5 ммоль III (40% с уд. активностью 0,7 мкюри/ммоль и 60% неактивной) и затем 10 ммоль II, нагревают 7 час. при 100°, охлаждают, осадок отделяют, вносят в 3 мл воды, водн. р-р прибавляют к 1,4 мл конц. HCl и 6 мл воды; после охлаждения отделяют I, выход 75%. После дополнительного упаривания маточных р-ров и экстракции CHCl<sub>3</sub> общий выход I 78,5%, уд. активность 0,28 мкюри/ммоль. При удвоении кол-в исходных в-в общий выход повышается до 87—89%, Сообщение I см. РЖХим, 1954, 18177. Н. Р.

25754 Д. Действие серы в присутствии AlCl<sub>3</sub> на бензол и ряд его производных. Лалежари (L'action du soufre en présence du chlorure d'aluminium sur le benzène et plusieurs de ses dérivés. Lalezari I r a d j. Thèse Doct. d'Université soutenue devant la Faculté de Pharmacie, Paris, 1953), Ann. Univ. Paris, 1954, 24, № 2, 310—311 (франц.)

Изучено действие S на бензол (I), бромбензол (II), нодбензол (III), бензонитрил (IV), фенилтиоцианат (V) в присутствии AlCl<sub>3</sub>. Взаимодействие S и I при ~20° приводит к смеси дифенилсульфида (VI), тиантрена (VII) и тиофенола (VIII); при 12—13° преимущественно образуется VI. Выделяющийся при р-ции H<sub>2</sub>S способ реагировать с I с образованием VIII. Р-ция S и II протекает с образованием смеси I, VI, VII, VIII, *n*-дибромбензола (IX), HCl и HBr. Предложен механизм р-ции, предполагающий образование S-производных только с участием свободного I. При р-ции S и III существенную роль играет вторичное действие образующейся HJ; но в присутствии Br<sub>2</sub> преобладает обычная р-ция, усложненная образованием II, IX, *n*-дибромбензола. IV и V не реагируют с S при 200°. *o*-Бромтиофенол (X) легко отщепляет HBr, образуя VII, но в присутствии AlCl<sub>3</sub> VII не образуется. При действии конц. H<sub>2</sub>SO<sub>4</sub> на ацетилтиофенолы количественно образуются соответствующие дисульфиды. X получен по схеме: ди-(2-нитрофенил)-дисульфид → ди-(2-аминофенил)-дисульфид → ди-(2-бромфенил)-дисульфид (XI) → X. Синтезированы следующие в-ва (указаны т. пл. в °C или т. кип. в °C/мм): XI, 96, ди-(2-бромфенил)-дисульфид, 337, *m*-бромтиофенол, 127/15, ди-(3-бромфенил)-дисульфид, 95; *o*-бромтиофенолят Ph, 238; 2-бромфенилметилсульфон, 105; 3-бром-4-метилмеркаптоатопан, 258; 3-бром-4-метилмеркаптохинолен, 128; пикрат, 235, 2-бромфенилтиофенол, 145/15; *o*-бромфенилтиогликолевая к-та, 116; Na-соль, 220; Ag-соль, 236; 7-бромтионидоксид, 125; семикарбазон, 250; 7,7-дибромтионидог, возгоняется при ~400°; (*o*-бромфенилтиогликолил)-*o*-хлорфенол, 74; (*o*-бромфенилтиогликолил)-*o*-бромфенол, 77; (*o*-бромфенилтиогликолил)- $\alpha$ -нафтол, 78; (*o*-бромфенилтиогликолил)-*o*-бромтиофенол, 97. А. Г.

См. также: Промышленный органический синтез и рефераты: Общие методы 25524, 25823. Соединения алифатич. 25530, 25533, 25540, 25541, 25892, 26640, 26928; 8415Бх; алицикл. 25498, 25500, 25529, 25531, 26230; ароматич. 25497, 25517, 25527, 25532, 25534, 25910, 26014, 26024, 26036, 26222, 26229, 26230, 26232, 26237—26239, 26597, 26624, 26807, 26809, 26810, 26813—26820, 26822, 26823, 26827—26929, 26927—26938, 26955, 26994, 27010, 27217; гетероцикл. 25496, 25499, 25528, 25905—25907, 26808, 26811, 26812, 26821, 26824—26826, 26929, 26939—26943, 26946—26954, 26956, 26989; элементарнич. 25515, 26230, 26944, 26945

## ПРИРОДНЫЕ ВЕЩЕСТВА И ИХ СИНТЕТИЧЕСКИЕ АНАЛОГИ

25755. Изучение щелочного расщепления сахаров. Сообщение VIII. Изучение пировиноградной кислоты. Вальдман, Прей, Елинек (Zur Kenntnis der Brenztraubensäure. VIII. Mitteilung: Zur Kenntnis des alkalischen Zuckerabbaues. Waldmann E., Prey V., Jelinek T.), Monatsh. Chem., 1954, 85, № 4, 872—881 (нем.)

Изучено обратное превращение пировиноградной к-ты (I) в щел. среде в различные к-ты: кетовалеролактокарбовонную (II), паранировиноградную (III), метилдигидротримезиноую (IV), увитиноую (V) и пировиноую (VI). Методом Вольфа (Liebigs Ann. Chem., 1899, 305, 125; 1901, 317, 1) получены III, т. пл. 97° (перезак.). R<sub>f</sub> 0,11; IV, т. пл. 250°, R<sub>f</sub> 0,37; V, т. пл. 290°, R<sub>f</sub> 0,44, и VI, т. пл. 117° (из бэл.), R<sub>f</sub> 0,42. Так как III не могла быть выделена в чистом виде (всегда содержится примесь I, R<sub>f</sub> 0,20 и неизвестного в-ва, R<sub>f</sub> 0,06), получен ее метиловый эфир (VII) кипячением (70—80 час.) ее Pb-соли в CH<sub>3</sub>OH, содержащем 9% HCl (газ); при перегонке в вакууме получены две фракции: 140—183°, 183—202°/11 мм, из обеих выделен VII, т. пл. 90° (из CH<sub>3</sub>OH). Для VII предложено строение 2-метокси-6-метил-2,4,6-трикарбометокси-5,6-дигидропирана, Свободная III очевидно имеет строение 2,4-диокси-6-метил-2,4,6-трикарбометокситетрагидропирана. Из остатка после вакуумной перегонки I получен II, т. пл. 118° (из безвод. HCOOH), R<sub>f</sub> 0,32. Для определения I в равновесных смесях разработан метод, заключающийся в получении 2,4-динитрофенилгидразона I и последующем потенциометрич. титровании его в 0,1 н. Na<sub>2</sub>CO<sub>3</sub> 1/30 н. HCl; параллельно проводится холостое титрование содового р-ра с метилоранжем. Метод применим для определения I в кол-вах не более 0,015 г в смеси с другими в-вами, содержащими кетогруппу. С помощью указанного метода изучено превращение II и III в р-рах NaOH и Na<sub>2</sub>CO<sub>3</sub> в зависимости от времени. Для хроматографии на бумаге применяли смесь циклогексанол-пиридин-вода, 5:3:3, проявление м-фенилендиаминном. Сообщение VII см. РЖХим, 1954, 30523. А. Ю.

25756. Изучение щелочного расщепления сахаров. IX. Прей, Вальдман, Бергальк, Зоммер (Zur Kenntnis des alkalischen Zuckerabbaues (IX., kurze Mitteilung). Prey V., Waldmann E., Bergalk H., Sommer F.), Monatsh. Chem., 1954, 85, № 5, 1186—1190 (нем.)

Глицериновый альдегид (I) и диоксинацетон (II) в щел. р-рах превращаются в гексозы (III), имеющие R<sub>f</sub> глюкозы и фруктозы, а также в молочную (IV), пировиноградную к-ты, CH<sub>3</sub>COOH и HCOOH. В зависимости от конц-ии щелочи преобладают либо процессы образования III, либо процессы образования к-т. В пиридиновых и водно-пиридиновых р-рах наблюдаются только процессы эпитеризации, в 0,01 н. Na<sub>2</sub>CO<sub>3</sub> наряду с эпитеризацией протекает также конденсация I с образованием III. В 0,01 н. NaOH I дает наряду с III небольшие кол-ва IV. В тех же условиях II дает лишь III. Увеличение конц-ии щелочи приводит к увеличению кол-в образующейся IV. Высказано предположение, что процесс образования III из триоз является обратимым и равновесным. Приведены кривые изменения кол-в реагирующих в-в в зависимости от времени (в пределах 48 час.). А. Г. Ю.

25757. Стевиозид. I. Строение углеводной части молекулы. Вуд, Аллерстон, Дил, Флетчер (Stevioside. I. The Structure of the glucose moieties. Wood Harry B., Jr., Allerton R., Diehl Harry W., Fletcher He-

witt G., Jr), J. Organ. chem., 1955, 20, № 7, 875—883 (англ.)

Листья и стебли парагвайского кустарника *Stevia Rebaudiana* Bertonii (Compositae) содержат 7% передупиряющего глюкозида — стевозида  $C_{38}H_{50}O_{18}$  (I), по интенсивности сладкого вкуса превосходящего сахарозу в 300 раз. В I аглюкон стевиол  $C_{20}H_{30}O_3$  (II) связан с 3 остатками глюкопиранозы. При действии на I щелочи 1 остаток глюкозы отщепляется в виде лево-глюкозана (III) и образуется стевиолбозид (IV), имеющий свободную, но экранированную  $COOH$ -группу. Принимается, что в молекуле I один остаток глюкозы через  $C_{(1)}$  этерифицирует  $COOH$ -группу II, а к третьему O-атому II присоединен остаток глюкобиозы, содержащий связь  $C_{(1)}-O-C_{(2)}$ . Растительный материал, после добавления  $CaCO_3$ , извлекают водой ( $\sim 20^\circ$ ), отжатый р-р смешивают с катионитом, фильтруют, проводят через катионит и анионит, упаривают в вакууме (обесцвечивать углем не следует), осаждают I метанолом, после высушивания ( $100^\circ$ , вакуум), т. пл.  $196-198^\circ$  (из диоксана- $CH_3OH$ ),  $[\alpha]_D^{20} -39,3^\circ$  (с 5,7; вода);  $-29,6^\circ$  (с 3,56; сп.). Из 4,4 г I и 110 мл 10%-ного КОН ( $100^\circ$ , 1 час) после осаждения лед.  $CH_3COOH$  (18 мл) и высушивания ( $100^\circ/0,03$  мм, 2 часа) получен гидрат IV,  $C_{32}H_{50}O_{13} \cdot H_2O$ , выход 95%, т. пл.  $188-192^\circ$  (из  $CH_3OH$ ),  $[\alpha]_D^{20} -37,4^\circ$  (с 1,4; диоксан); из маточного р-ра выделен III в виде триацетата, выход 41%. На окисление I расходуется 5 молей  $NaIO_4$  (с образованием 2 молей  $HCOOH$ ), а на окисление IV — 3 моля  $Pb(CH_3COO)_4$ . Метилированием IV в ацетоне ( $NaOH + (CH_3)_2SO_4$ ) получен сироп,  $[\alpha]_D^{20} -30^\circ$  (с 2,6; хлф.), после гидролиза которого (5%-ная  $H_2SO_4$  в водн. спирте, кипячение, 12 час.) выделены метиловый эфир изостевиола, 2,3,4,6-тетра-O-метил-D-глюкоза (в виде 1-O-*n*-фенилазобензоилпиранозидного) и 3,4,6-три-O-метил-D-глюкоза (V). Синтез V: метил-4,6-O-бензильден-2-O-*n*-тозил- $\alpha$ -D-глюкопиранозид (Robertson, Griffith, J. Chem. Soc., 1935, 1193) кипятят 55 мин. с 2%-ным р-ром  $HCl$  (газа) в  $CH_3OH$ , обрабатывают  $Ag_2CO_3$  и углем, упаривают, осаждают спиртом метил-2-O-*n*-тозил- $\alpha$ -D-глюкопиранозид (VI), выход 84%, т. пл.  $139-140^\circ$  (из *n*- $C_3H_7OH$ ),  $[\alpha]_D^{20} +82,2^\circ$  (с 2,0; хлф.). 3 г VI метилируют 6 раз ( $CH_3J + Ag_2O$ ), детозилируют Na-амальгамой, метилглюкозид V гидролизуют (Sundberg и др., J. Amer. Chem. Soc., 1945, 67, 1080) удаляют к-ту анионитом, выход V 0,4 г. Приведены данные ИК-спектров I и IV. Все т-ры плавления исправлены. В. Н.

25758. Стевиозид. II. Строение аглюкона. Мозеттиг, Нес (Stevioside. II. The structure of the aglucon. Mosettig Erich, Nes William R.), J. Organ. Chem., 1955, 20, № 7, 884—899 (англ.)  
Стевиозид при гидролизе ферментами кишечника улитки (*Helix pomatia* или *H. lactea*) дает аглюкон стевиол (I), содержащий группы  $C-OH$ ,  $CCOON$  и  $C=CH_2$  (ср. Bridel, Lavielle, J. pharm. chim., 1931, [8] 14, 99, 154, 321, 369). К-ты переводят I в изостевиол (II), содержащий  $CO$  в 5-членном цикле и  $COOH$ . Предложены новые названия: для I — оксидегидростевиновая к-та, для II — кетонистевиновая к-та. Восстановлением II получена оксинистевиновая к-та (III), а разложением гидронона II — изостевиновая к-та  $C_{19}H_{31}COON$  (IV). Хлорангидрид IV превращен в альдегид изостеваль (V), диэтилтиоацеталь которого при дисульфировании образует углеводород изостеван  $C_{20}H_{34}$  (VI), ближе не изученный. Гидрированием I, а также гидролизом дигидростевиолбозида (VII) получена оксинистевиновая к-та (VIII). При дегидрировании II с 10%-ным  $Pd/C$  ( $370^\circ$ ) образуется пиман-

трен (IX), что указывает на наличие в I и II скелета 2,11-дипентанопергидрофенантрена, т. е. на родство I и II с дитерпеноидными алкалоидами. Обсуждены различия УФ- и ИК-спектров IX и 1-этил-2-метилфенантрена (X). УФ- и ИК-спектры I близки к спектрам филокладена (XI). II, т. пл.  $231-233^\circ$  (из эфира + пентан, 3:2),  $[\alpha]_D^{20} -79,3^\circ$  (в 95%-ном сп.); семикарбазон, т. пл.  $288-290^\circ$  (разл.; из сп.). Метиловый эфир II (с  $CH_3N_2$ ), т. пл.  $202-203^\circ$  (из  $CH_3OH$ ), не омыляется 10%-ным р-ром КОН в  $CH_3OH$  (кипячение, 12 час.); семикарбазон, нерезкая т. пл.  $220-255^\circ$  (разл.; из сп.). Из II и  $(CH_3CO)_2O$  (кипячение 3 часа) образуется смешанный ангидрид кетонистевиновой и уксусной к-т (XII), т. пл.  $123-126^\circ$  (из бэл. + петр. эф.). III получена из II действием  $LiAlH_4$  или гидролизом с  $PtO_2$  (атмосферное давление,  $\sim 20^\circ$ ), выход  $50-70^\circ$ , т. пл.  $191-193^\circ$  (из водн.  $CH_3OH$ ), прочно удерживает р-ритель,  $[\alpha]_D^{20} -64^\circ$  (в сп.). Метиловый эфир III, т. пл.  $163-166^\circ$  (из водн.  $CH_3OH$ ). Восстановлением II избытком  $LiAlH_4$  получен диоксинистеван  $C_{20}H_{34}O_2$  (XIII), т. пл.  $155^\circ$  (нерезко, из водн.  $CH_3OH$ ). Из смеси 4 г II, 50 мл триэтилглицероля, 10 мл 95%-ного гидразина и 5 г КОН отгоняют  $\sim 5$  мл, остаток кипятят ( $150^\circ$ , 22 часа), нагревают до  $200^\circ$  (2 часа), выливают в воду, при подкислении выпадает IV, выход 1,8 г, т. пл.  $191-192^\circ$  (из водн.  $CH_3OH$ )  $[\alpha]_D^{20} -46^\circ$  (в сп.). Метиловый эфир IV, т. пл.  $143-144^\circ$  (из водн.  $CH_3OH$ ),  $[\alpha]_D^{20} -50^\circ$  (в сп.), с избытком  $LiAlH_4$  образует оксинистеван (XIV), т. пл.  $130-131^\circ$  (из водн.  $CH_3OH$ ),  $[\alpha]_D^{20} +2^\circ$  (из сп.). Тозилят XIV  $\rightarrow$  в двух формах: т. пл. а,  $106-107^\circ$ , б,  $118-119^\circ$  (оба — из петр. эф.), при плавлении а переходит в б. Хлорангидрид IV (с  $SOCl_2$ ), т. пл.  $125-126^\circ$  (из петр. эф.); при гидрировании 1,21 г его с  $Pd/BaSO_4$  в кипящем ксилоле образуется V, после очистки хроматографированием на  $Al_2O_3$  из петр. эфира и вымывания  $C_6H_6$ , выход 520 мг, т. пл.  $69-70^\circ$ , через сутки превращается в масло, ИК-спектр которого обнаруживает появление свободных  $OH$ - и  $COOH$ -групп. Семикарбазон V, т. пл.  $224-226^\circ$  (при быстром нагревании до  $200^\circ$ ). Действием  $HCl$  (газа) на р-р 446 мг V в  $C_2H_5SH$  (30 мин.,  $0^\circ$ ) получен диэтилтиоацеталь V, выход 410 мг, т. пл.  $65-66^\circ$  (из водн. ацетона). При кипячении тиоацетали со смоченным спиртом скелетным N в диоксане, среди других в-в образуется VI, т. пл.  $39-40^\circ$  (из водн. сп.),  $[\alpha]_D^{20} +4^\circ$  (в хлф.). Гидрированием стевиолбозида (XV) в спирте с  $Pd/C$  (атмосферное давление,  $\sim 20^\circ$ ) получен VII,  $C_{32}H_{52}O_{13}$ , т. пл.  $186-188^\circ$  (из  $CH_3OH$ ),  $[\alpha]_D^{20} -37^\circ$  (в сп.). I, выход при ферментативном гидролизе стевиозида или XV—50—70%, т. пл.  $212-213^\circ$  (из  $CH_3OH$ ),  $[\alpha]_D^{20} -93,6^\circ$  (в сп.); метиловый эфир I, т. пл.  $111-112^\circ$  (из водн.  $CH_3OH$ , после высушивания в вакууме,  $100^\circ$ , 8 час.). Гидрированием I с  $Pd/C$  в спирте (атмосферное давление,  $\sim 20^\circ$ ) получена VIII  $C_{20}H_{32}O_3 \cdot \frac{1}{4} H_2O$ , т. пл.  $206-208^\circ$  (из водн.  $CH_3OH$ ),  $[\alpha]_D^{20} -70^\circ$  (в сп.); та же VIII, полученная ферментативным или кислотным гидролизом VII, имела различные т-ры плавления от  $197-200^\circ$  до  $212-213^\circ$  и,  $[\alpha]_D^{20}$  от  $-51^\circ$  (в сп.) до  $-69^\circ$  (в хлф.). При определенной т-ре плавления обнаружен полиморфизм для I, II, метилового эфира II, III, IV, XIII, XIV и тозилата XIV. Приведены кривые УФ-спектров I и XI, кривые ИК-спектров метиловых эфиров I и II, IX и X, данные УФ-спектров II, метилового эфира II, IX, X, XII и ИК-спектров II, III и V. Все  $[\alpha]_D$  определены при  $c \sim 1\%$ . В. Н.



**25759. Окисление  $\Delta^3$ -карена.** Блом, Видмарк (Oxidation of  $\Delta^3$ -carene. Blohm Sven - Gösta, Widmark Gunnar), Acta chem. scand., 1955, 9, № 6, 920—924 (англ.).

Изучено изменение свойств  $\Delta^3$ -карена в процессе окисления кислородом при  $20 \pm 2^\circ$  в присутствии паров воды. Наиболее чувствительным методом для определения начала окисления является сорбционный анализ. В начальной фазе процесса (до поглощения 5—6 мол. %  $O_2$ ) в конце сорбциогаммы появляется резкий максимум, скорость поглощения  $O_2$  постепенно возрастает, увеличение  $n_D^{20}$  и кол-ва  $J_2$ , выделяющегося при взаимодействии в-ва с  $KJ$ , пропорционально кол-ву поглощенного  $O_2$ ; вязкость увеличивается незначительно. Во второй фазе сорбциогамма сильно изменяется (после поглощения 20 мол. %  $O_2$   $n_D^{20}$  возрастает уже в первой фракции), скорость поглощения  $O_2$  постоянна, кол-во кислорода реагирующего с  $KJ$  меньше кол-ва поглощенного  $O_2$ , вязкость быстро растет, появляется опалесценция. После поглощения 75 мол. %  $O_2$  окисление замедляется, но продолжается до поглощения 100 мол. %  $O_2$ . Исходный  $\Delta^3$ -карен (выделен из скипидара *Pinus ponderosa*) перед опытами перегонялся с паром в присутствии  $NaOH$  и высушивался. Все операции проводились в атмосфере  $N_2$ . Микросорбциогаммы получены по методу, описанному ранее (РЖХим, 1954, 32206). В. Ч.

**25760. Сесквитерпены из перца *Piper cubeba*, Linn.**

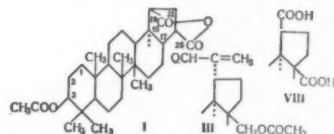
Часть 1. Раздан, Бхаттачария (Sesquiterpenes from *Piper cubeba* Linn. Part I. Razdan R. K., Bhattacharya S. C.), Perfum. and Essent. Oil Rec., 1954, 45, № 6, 181—183 (англ.).

Из 50 кг плодов перца *P. cubeba* Linn перегонкой с водяным паром получено масло, выход 5,8%,  $n_D^{25}$  1,4885,  $d_4^{25}$  0,8990,  $[\alpha]_D$  —10,7°, кислотное число 0,3, эфирное число 15,2, ацетильное число 45,2. После отгонки монотерпенов в вакууме остаток сесквитерпенов подвергали фракционированию. Выделены следующие фракции: а) смесь копана и нового сесквитерпена, выход 210 г, т. кип. 114—114,5°/10 мм,  $n_D^{25}$  1,4859,  $d_4^{25}$  0,8894,  $[\alpha]_D$  —25,78°; б) трициклич. сесквитерпен кадаленового типа, выход 195 г, т. кип. 126—128°/9 мм,  $n_D^{25}$  1,4900,  $d_4^{25}$  0,9105,  $[\alpha]_D$  —23,8°, число неопределенности (ЧН) 1,04; в) один из *l*-кадинолов, выход 90 г, т. кип. 128—130°/6 мм,  $n_D^{25}$  1,4985,  $d_4^{25}$  0,9358, ЧН 1,1; г) новый спирт ряда кадалена, выход 145 г, т. кип. 136—137°/4,5 мм,  $n_D^{25}$  1,5000,  $d_4^{25}$  0,9541, ЧН 1,1; д) смесь кадаленового и азауленового спиртов, выход 30 г, т. кип. 140—144°/4,5 мм,  $n_D^{25}$  1,5115,  $d_4^{25}$  0,9811. Из фракции (а) и (б) выделен дигидрохлорид кадинена, выход ~37%, т. пл. 117—118°. При дегидрировании фракции (а-д) серой (190—210°/5 час.) получен кадален т. кип. 130—135°/5 мм; пикрат, т. пл. 115—116°, стифнат, 138—139°. С. К.

**25761. Химия тритерпенов и родственных соединений. Часть XX. Стереохимия кольца E в бетулине и родственных ему соединениях.** Гайдер, Холсала, Джонс (The chemistry of the triterpenes and related compounds. Part XX. The stereochemistry of ring E of betulin and related compounds. Guider Joyce, Miss, Halsall T. G., Jones E. R. H.), J. Chem. Soc., 1953, Oct., 3024—3028 (англ.).

Показано, что при образовании ангидрида  $\beta$ -ацетокси-19 $\beta$ -карбокситриснорлуановой-28 к-ты (I) имеет место инверсия карбоксильной группы при  $C_{(19)}$  в

результате чего  $COOH$ -группы при  $C_{(17)}$  и  $C_{(19)}$  становятся в *цис*-положение относительно друг друга. При окислении диацетата бетулина (II)  $SeO_2$  образуется  $\beta$ ,28-диацетокси- $\Delta^{20(29)}$ -лупеналь-30 (III), при озонировании которого получается  $\beta$ ,28-диацетокситриснорлуанкарбоновая-19 $\alpha$ -к-та (IV). Последняя легко дает метиловый эфир IV (IVa), при гидролизе которого образуется метиловый эфир  $\beta$ -ацетокси-28-окситриснорлуанкарбоновой-19 $\alpha$ -к-ты (V). При восстановлении IVa и V с помощью  $LiAlH_4$  получается  $\beta$ ,28-диокси-19 $\alpha$ -оксиметилтриснорлуан (VI). При частичном гидролизе IV образуется  $\beta$ -ацетокси-19- $\alpha$ -карбокситриснорлуан (VII). При окислении VII дает  $\beta$ -ацетокси-19 $\alpha$ -карбокситриснорлуановую-28 к-ту (VIII), которая легко гидролизуется в 19 $\alpha$ -карбокситриснорлуановую-28 к-ту (IX). При этерификации IX образуется диметиловый эфир (X). Последний при восстановлении дает VI. Ангидризация VIII в I проходит лишь при нагревании VIII в  $(CH_3CO)_2O$  в присутствии  $n$ - $CH_3C_6H_4SO_3Na$ . Наличие инверсии доказано тем, что при гидролизе I образуется 19 $\beta$ -карбокситриснорлуановая-28 к-та (XI), диметиловый эфир которой не идентичен X. Равным образом при восстановлении диметилового эфира XI  $LiAlH_4$  образуется  $\beta$ ,28-диокси-19 $\beta$ -оксиметилтриснорлуан (XII), отличающийся по своим константам от VI. Кипятят (2 часа) 10 г II, 3 г  $SeO_2$  в 400 мл смеси  $C_6H_6$  и  $CH_3COOH$  (1:3). Хроматографированием на  $Al_2O_3$  получают 4,5 г III, т. пл. 239—241°,  $[\alpha]_D +9^\circ$  (с 1,8),  $\lambda_{max}$  2250 Å (с 7000). Р-р 4 г III в 250 мл лед.  $CH_3COOH$  озонируют в течение 4 час., получают 3,25 г неочищ. IV, которую с помощью  $CH_3N_2$  переводят в эфир, после хроматографирования получают 400 мг VIa, т. пл. 161—164°,  $[\alpha]_D -15,5^\circ$  (с 0,96), кроме того, выделяют еще 200 мг V. Частичное омыление VIa (1,05 моля КОН в  $CH_3ON$ , 20°, 46 час.) дает V, т. пл. 270—275°,  $[\alpha]_D -14^\circ$  (с 1,12).

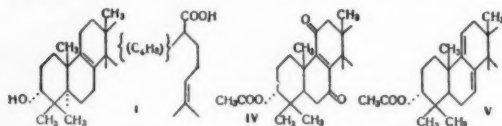


Р-р 140 мг IVa в 20 мл эфира кипятят 3 часа с 14 мл 0,5 M эфир. р-ра  $LiAlH_4$ , получают 100 мг VI, т. пл. 258—261°,  $[\alpha]_D -23^\circ$  (с 0,86; в пиридине); триацетат, т. пл. 162—164°,  $[\alpha]_D -21^\circ$  (с 1,17). Р-р 2,5 г IV в 100 мл эфира встряхивают 1 час с 100 мл 10%-ного р-ра  $NaOH$ , получают 2 г VII, т. пл. 360—303°,  $[\alpha]_D -23^\circ$  (с 0,72). При действии  $CH_3N_2$  на VII образуется V. Р-р 1,5 г VII в 20 мл  $CH_3COOH$  нагревают (90°, 15 мин.) с 2 мл 8 н. р-ра  $CrO_3$ , получают VIII. Смесь 500 мг VIII и 25 мл 10%-ного метанольного р-ра КОН кипятят 2 часа, получают IX, которую без очистки этерифицируют  $CH_3N_2$  и после хроматографирования выделяют 200 мг X, т. пл. 210—212°,  $[\alpha]_D -26^\circ$  (с 1,08). Смесь 2,2 г VIII, 130 мл  $(CH_3CO)_2O$  и 20 мг  $n$ - $CH_3C_6H_4SO_3Na$  кипятят 8 час., получают 1 г I, т. пл. 345—350° (в запаянной трубке),  $[\alpha]_D +36^\circ$  (с 1,19). Показано, что при кипячении (6 час.) смеси 1,2 г VIII с  $(CH_3CO)_2O$  возвращается назад 1,1 г VIII. Смесь 550 мг I, 25 мл диоксана и 10%-ного метанольного р-ра КОН кипятят 2 часа и получают 275 мг кислой фракции и 50 мг нейтральной. При апитилировании последней образуется I, из кислой фракции получена XI, т. пл.  $>350^\circ$ ,  $[\alpha]_D +63^\circ$  (с 0,93); диметиловый эфир, т. пл. 208—210°,  $[\alpha]_D +69^\circ$  (с 0,97). При кипячении (3 часа) 275 мг диметилового эфира XI в 10 мл абс. эфира с 200 мг  $LiAlH_4$  получают 220 мг XII,

т. пл. 265—270°,  $[\alpha]_D +39^\circ$  (с 0,64; в пиридине). К р-ру 90 мг I в 30 мл ди-н-бутилового эфира прибавляют 15 мл 0,5 M р-ра  $\text{LiAlH}_4$  в эфире, эфир отгоняют и остаток кипятят 3 часа, получают 50 мг XII. Кипятят (3 часа) эфир. р-р X с  $\text{LiAlH}_4$  и получают VI. Часть XIX см. РЖХим, 1956, 16187.

С. А. 25762. Химия тритерпенов и родственных соединений. Часть XXI. Некоторые аспекты химии элемовых кислот. Холсэлл, Микинс, Суэйн (The chemistry of the triterpenes and related compounds. Part XXI. Some aspects of the chemistry of the elemi acids. Halsall T. G., Meakins G. D., Swayne R. E. H., J. Chem. Soc., 1953, Dec., 4139—4148 (англ.))

Изучено строение оксиэлемадиеновой ( $\alpha$ -элемолевой) (I) и кетозэлемадиеновой ( $\beta$ -элемоновой) (II), к-т выделенных из смолы растений *Manila elemi*. Окисление метилового эфира ацетоксизэлемоновой к-ты (III)  $\text{CrO}_3$  привело к метиловому эфиру ацетоксидикетозэлемоновой к-ты (IV). Окислением III  $\text{SeO}_2$  получен метиловый эфир ацетоксидегидроэлемоновой к-ты (V), а при



восстановлении II Na в спирте — эпоксиэлемадиеновой к-ты (VI), отличающаяся от I конфигурацией при  $\text{C}_{(3)}$ . Сравнение молекулярных вращений I, VI и их ацетатов указывает на  $\alpha$ -ориентацию гидроксильной группы I. Строение боковой цепи I принято на основании данных, полученных при циклизации боковой цепи ацетата I (VII) с помощью  $\text{P}_2\text{O}_5$ . При окислении I  $\text{CrO}_3$  образовалась  $\alpha$ -элемоновая к-та (VIII), которая, повидимому, представляет собой смесь II и дегидрокетозэлемадиеновой к-ты. Эфирный р-р 4 кг смолы *Manila elemi* экстрагируют р-ром NaOH (4 часа), щел. экстракт нейтрализуют и экстрагируют эфиром; эфирный р-р обрабатывают реактивом Т Жирара и выделяют I, т. пл. 212—222° (из сп.),  $[\alpha]_D -21,5^\circ$  (с 1,4), УФ-спектр 2390, 2470 А,  $\epsilon$  290, 200, метиловый эфир I, т. пл. 148—149,5°,  $[\alpha]_D -14,1^\circ$  (с 1,16), УФ-спектр 2390 А,  $\epsilon$  390, и II, т. пл. 204—218°; возгоняется при 240°/10<sup>-5</sup> мм.,  $[\alpha]_D +33,4^\circ$  (с 1,3), УФ-спектр 2390, 2470 А,  $\epsilon$  760, 510. Окислением 2 г III (т. пл. 140—142,5°,  $[\alpha]_D -41,8^\circ$ , УФ-спектр 2100, 2150, 2200, 2230 А,  $\epsilon$  5100, 3300, 1800, 1030)  $\text{CrO}_3$  в  $\text{CH}_3\text{COOH}$  (90°, 1,5 часа, 20°, 12 час.) получают 332 мг метилового эфира ацетоксидикетозэлемоновой к-ты, т. пл. 189—191,5° (из  $\text{CH}_3\text{OH}$ -этилацетата), УФ-спектр 2545, 3160 А,  $\epsilon$  10000, 137 и 217 мг IV, т. пл. 145,5—147° (из  $\text{CH}_3\text{OH}$ ),  $[\alpha]_D -33^\circ$  (с 0,7), УФ-спектр 2720 А,  $\epsilon$  8700, ИК-спектр 1742, 1677, 1245  $\text{см}^{-1}$ . При восстановлении Zn в  $\text{CH}_3\text{COOH}$  (90°, 10 мин.) 200 мг IV дают 113 мг метилового эфира ацетоксидикетозэлемоновой к-ты, т. возг. 140°/10<sup>-5</sup> мм., размягчается при 70°,  $[\alpha]_D -138^\circ$  (с 0,43), ИК-спектр 1743, 1713  $\text{см}^{-1}$ . Дегидрирование 0,3 г III с  $\text{SeO}_2$  в  $\text{CH}_3\text{COOH}$  (118°, 20 час.) приводит к V, выход 53 мг, т. пл. 134—136° (из  $\text{CH}_3\text{OH}$ -сп.),  $[\alpha]_D -115^\circ$  (с 0,3), УФ-спектр 2320, 2390, 2450—2480 А,  $\epsilon$  13800, 15050, 9700, который (2,6 г) после омыления метанольным КОН (75°, 5 час.) и хроматографирования дает метиловый эфир дегидрокетозэлемоновой к-ты (IX), т. пл. 144—145° (из  $\text{CH}_3\text{OH}$ ),  $[\alpha]_D -98,5^\circ$  (с 1,8), УФ-спектр 2330, 2395, 2470 А,  $\epsilon$  13300, 14650, 9450. 0,54 г IX в  $\text{C}_6\text{H}_6$  окисляют  $\text{CrO}_3$  (20°, 2 часа) с хроматогра-

фированием продукта р-ции на  $\text{Al}_2\text{O}_3$  выделяют 0,27 г метилового эфира дегидрокетозэлемоновой к-ты, т. пл. 142—146,5° (из сп.),  $[\alpha]_D -152,5^\circ$  (с 0,9), УФ-спектр 2320, 2390, 2450—2480 А,  $\epsilon$  16350, 18100, 1150; ИК-спектр 1736, 1714  $\text{см}^{-1}$ . Кроме V при обработке III  $\text{SeO}_2$  образуются другие продукты, которые были выделены путем хроматографирования на  $\text{Al}_2\text{O}_3$ . Так из 18,6 г III получено 8,8 г V, 3 г некристаллич. фракция и продукт с т. пл. 205—207° (из петр. эф., этилацетата и  $\text{CH}_3\text{OH}$ ),  $[\alpha]_D -4,5^\circ$  (с 0,3), УФ-спектр 2585 А,  $\epsilon$  7300; ИК-спектр 1761, 1725, 1645, 1618  $\text{см}^{-1}$ . 0,56 г метилового эфира II при восстановлении  $\text{NaBH}_4$  в диоксане (20°, 1 час) (с последующим хроматографированием) дают 0,51 г метилового эфира VI (X), т. пл. 100—102° (из  $\text{CH}_3\text{COOH}$ ),  $[\alpha]_D -5,5^\circ$  (с 1,7), ацетат X,

т. пл. 123—126° (из  $\text{CH}_3\text{OH}$ ). Гидрированием с  $\text{PtO}_2$  в  $\text{CH}_3\text{COOH}$  (20°, 30 мин.) 0,39 г X превращают в 0,39 г метилового эфира эпоксиэлемадиеновой к-ты (XI), аморфное в-во, т. размягч. 90° (из  $\text{CH}_3\text{COOH}$ ),  $[\alpha]_D +2^\circ$  (с 1,26), т. возг. 170°/10<sup>-5</sup> мм., ацетат XI (XII), т. пл. 140—141° (из  $\text{CH}_3\text{COOH}$ - $\text{CH}_3\text{OH}$ ),  $[\alpha]_D +13,5^\circ$  (с 0,46). XI и XII синтезированы также во. становлением ( $\text{NaBH}_4$ , водн. диоксан, 20°, 1 час) метилового эфира кетозэлемоновой к-ты, полученного омылением III и последующим окислением. Обработка 0,34 г XI при помощи  $\text{PCl}_5$  в петр. эфире (20°, 1 час) привела после хроматографирования к маслянистому продукту (выход 72%) с  $[\alpha]_D +18,7^\circ$  (с 1,28),  $+20,5^\circ$  (с 0,73), образовавшему при озонолизе ацетон. При кипячении с  $\text{P}_2\text{O}_5$  в  $\text{C}_6\text{H}_6$  (25 мин.) 5 г VII дают 1,3 г ацетата ангидрокетозэлемадиенола-I (XIII), т. пл. 185—189° (из  $\text{CHCl}_3$ -сп.),  $[\alpha]_D -58,2^\circ$  (с 1,6), УФ-спектр 2540, 3420—3450 А,  $\epsilon$  13750, 86, ИК-спектр 1732, 1711  $\text{см}^{-1}$ , и ацетат ангидрокетозэлемадиенола-II (XIV), т. пл. 188—192°,  $[\alpha]_D -15,3^\circ$  (с 0,45), УФ-спектр 2540 А,  $\epsilon$  13800, ИК-спектр 1732, 1711  $\text{см}^{-1}$ . Гидрированием 0,55 г XIV с  $\text{PtO}_2$  в этилацетате- $\text{CH}_3\text{COOH}$  (20°, 2 часа) и хроматографированием продукта получают ацетат ангидрокетозэлемадиенола-II (XV), т. пл. 166—174° (из  $\text{CH}_3\text{OH}$ -сп.), ИК-спектр 1738  $\text{см}^{-1}$  (в парафиновом масле). Гидролиз 300 мг XV в  $\text{C}_6\text{H}_6$  метанольным р-ром КОН (80°, 3 часа) приводит к ангидрокетозэлемополу (XVI), т. пл. 192—197° (из  $\text{CH}_3\text{COOC}_2\text{H}_5$ ),  $[\alpha]_D +88,5^\circ$  (с 0,5), ИК-спектр 1738  $\text{см}^{-1}$ . Аналогично XIII при гидрировании дает ацетат ангидрокетозэлемадиенола-I, т. пл. 134—138° (из  $\text{CH}_3\text{OH}$ ),  $[\alpha]_D -53,5^\circ$  (с 1,1), омыление 125 мг которого (6 час.) привело к XVI (102 мг). При омылении 0,47 г XIV (метанольный р-р КОН, 80°, 2 часа) получают ангидрокетозэлемадиенол, т. пл. 237—244° (из  $\text{CHCl}_3$ -этилацетата),  $[\alpha]_D -34^\circ$  (с 0,4), ИК-спектр 1691  $\text{см}^{-1}$  в парафиновом масле. При озонолизе XIV в этилацетате (20°, 1 час) и обработке продукта р-ции скелетным Ni (20°, 4 дня) выделен ацетон. Метиловый эфир VII (т. пл. 117—118°,  $[\alpha]_D -50^\circ$ ) не изменяется при обработке 6%-ным р-ром  $\text{SHOH}$  в  $\text{C}_6\text{H}_6$  (20°, 4 дня). 5 г I при окислении посредством  $\text{CrO}_3$  в  $\text{CH}_3\text{COOH}$  (60°) дают VIII, выход 3,1 г, т. возг. 250°/10<sup>-5</sup> мм., т. пл. 254—256°,  $[\alpha]_D -73^\circ$  (с 0,33), УФ-спектр 2295, 2375, 2460—2470 А,  $\epsilon$  3080, 3000, 1930, и 1,6 г продукта с т. пл. 205—217°,  $[\alpha]_D +10,4^\circ$ , состоящего главным образом из II. Окисление 5 г I  $\text{CrO}_3$  в водн.  $\text{CH}_3\text{COOH}$  (100°, 10 мин.) приводит к II, выход 0,87 г, т. пл. 205—215° (из сп.- $\text{CH}_3\text{COOH}$ ),  $[\alpha]_D +35,9^\circ$  (с 2,3), УФ-спектр 2360—2390, 2440—2490 А,  $\epsilon$  680, 580, и VIII, т. пл. 235—252°,  $[\alpha]_D -33,5^\circ$  (с 1,08), УФ-спектр 2315, 2385, 2470 А,  $\epsilon$  2270, 2410, 1880. Последний после обработки  $\text{CH}_3\text{N}_2$  и хроматографирования дает 50 мг

метилового эфира дикетопалемадиеновой к-ты, т. пл. 199—203° (из  $\text{CH}_3\text{OH}$ ),  $[\alpha]_D -34,5^\circ$  (с 0,35), УФ-спектр 2520 А (ε 9350), ИК спектр 1733, 1713, 1666  $\text{см}^{-1}$ .  $[\alpha]_D$  определены в  $\text{CHCl}_3$ , УФ-спектры сняты в спирте, а ИК-спектры в  $\text{CCl}_4$ , исключения оговорены. А. К. 25763.

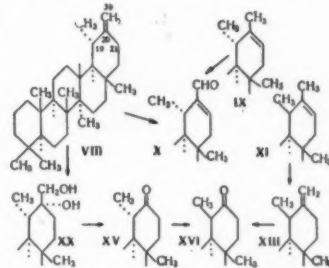
**Химия тритерпенов и родственных соединений. Часть XXII. Превращение лупеола в ψ-таракастерин (гетеролупеол). Холсэлл, Джонс, Стэйни** (The chemistry of the triterpenes and related compounds. Part XXII. The conversion of lupeol into ψ-taraxasterol (heterolupeol). Halsall T. G., Jones E. R. H., Swayne R. E. H.), J. Chem. Soc., 1954, June, 1902—1905 (англ.).

Изомеризация лупеола (I) при действии  $\text{HCOOH}$  приводит к двум форматам, которые оказались идентичными формату δ-амиренола (II) и формату ψ-таракастерина (III). Разделение II и III производилось путем их омыления и превращения в ацетаты. 24 г I кипятят 2 часа с  $\text{HCOOH}$  (98—100%) и осадок (17,6 г), выпавший после разбавления водой, омыляют 5%-ным спирт. р-ром KOH при 80°. При этом получают комплекс δ-амиренола (IV) и ψ-таракастерина (V), т. пл. 182—183,5° (из сп.),  $[\alpha]_D +3^\circ$  (с 1,0), УФ-спектр: 2100, 2150, 2200, 2230 А, ε 5900, 3500, 1960, 1430, не разделяющийся при хроматографировании. Ацетилирование 1 г этого комплекса  $((\text{CH}_3\text{CO})_2\text{O}$ , пиридин, 20°, 16 час.) приводит после хроматографирования на  $\text{Al}_2\text{O}_3$  к ацетату IV, выход 404 мг, т. пл. 206—207° (из сп.),  $[\alpha]_D -24,5^\circ$  (с 0,6), УФ-спектр 2100, 2150, 2200, 2230 А, ε 9500, 6000, 3550, 2600, и к ацетату V, выход 77 мг, т. пл. 225—231° (из сп.),  $[\alpha]_D +52^\circ$  (с 0,89), УФ-спектр 2100, 2150, 2200, 2230 А, ε 3000, 1300, 340, 50. При гидролизе под влиянием  $\text{LiAlH}_4$  ацетат IV дает IV, т. пл. 210—212°,  $[\alpha]_D -46,5^\circ$  (с 0,64), а ацетат V образует V, т. пл. 202—215° (из сп.,  $\text{CH}_3\text{NO}_2$ ),  $[\alpha]_D +46^\circ$  (с 0,94). При окислении 0,47 г комплекса IV и V посредством  $\text{CrO}_3$  в водно-ацетоновом р-ре  $\text{CH}_3\text{COOH}$  (20°, 2 часа) и хроматографировании получают 44 мг δ-амиренона, т. пл. 198—201° (из сп.),  $[\alpha]_D -3,2^\circ$  (с 0,5), и 138 мг ψ-таракастерона, т. пл. 166—168° (из сп.,  $\text{CH}_3\text{NO}_2$  и  $\text{CH}_3\text{OH}$ ),  $[\alpha]_D +81^\circ$  (с 0,2). Окислением 0,79 г комплекса IV и V действием  $\text{OsO}_4$  в эфире (20°, 7 дней), обработкой маннитом и KOH и хроматографированием продукта на  $\text{Al}_2\text{O}_3$  получают 60 мг 3-ацетата ψ-таракастантриола, т. пл. 278° (из  $\text{CH}_3\text{NO}_2$ ),  $[\alpha]_D +41,5^\circ$ . Все  $[\alpha]_D$  определены в  $\text{CHCl}_3$ .

А. К. 25764. **Химия тритерпенов и родственных соединений. Часть XXIII. Структура таракастерина, ψ-таракастерина (гетеролупеола) и лупеола-1. Эйме, Битон, Бауэрс, Холсэлл, Джонс** (The chemistry of the triterpenes and related compounds. Part XXIII. The structure of taraxasterol, ψ-taraxasterol (heterolupeol), and lupeol-1. Ames T. R., Beton J. L., Bowers A., Halsall J. G., Jones E. R. H.), J. Chem. Soc., 1954, June, 1905—1919 (англ.).

Изомеризация лупеола (I) в жестких условиях приводит к δ-амиренону (II), тогда как в более мягких условиях образуется лупеон-1 (III), который в свою очередь может превращаться в II. С другой стороны лупеол (IV) изомеризуется в ψ-таракастерин (V) (см. часть XXII, пред. реф.) к которому приводит также изомеризация таракастерина (VI). Наконец, VI в более жестких условиях, так же как и V, дает лупеон-1 (VII). Известные соотношения дают возможность установить структуры этих соединений. Окисление таракастерина (VIII) и ψ-таракастерина (IX)  $\text{SeO}_2$  приводит к α,β-ненасыщ. альдегиду — гетеролупеоли

(X), тогда как лупеон-1 (XI) в этих условиях образует лупеон-1 (XII), отличающийся конфигурацией при  $\text{C}_{19}$ . Восстановлением X по методу Кижнера получается VIII, восстановлением XII — изолупеон-1 (XIII), гидрирующий в лупеон-1 (XIV) и изомеризующийся в XI. Эти превращения позволяют приписать VIII и XIII  $\Delta^{20(30)}$ -двойную связь, а XI, X и XII —  $\Delta^{20}$ -двойную связь. Окисление VIII и XIII приводит к двум разным норкетонам (XV) и (XVI) соответственно. Однако XV при хроматографировании изомеризуется в XVI. Спектральные данные и результаты окисления указывают на  $\Delta^{20}$ -двойную связь в IX. Таким образом IX



и XI различаются конфигурацией при  $\text{C}_{19}$ . На основании конформационного анализа и литературных аналогий можно утверждать, что IX обладает экваториальным расположением  $\text{CH}_3$ -группы при  $\text{C}_{19}$ , что подтверждается сравнением  $[\alpha]_D$  IX и XI и их производных. Таким образом установлены структуры  $\Delta^{20(30)}$ -таракастерина для VIII, 19α (H)- $\Delta^{20}$ -таракастерина для XI, 19α (H)- $\Delta^{20(30)}$ -таракастерина для XIII, 19α (H)-таракастерина для XIV и т. д. Предложен механизм изомеризации, включающий образование в первой стадии из I карбониевого иона, стабилизирующегося затем с образованием тех или иных соединений в зависимости от условий р-ции. Были осуществлены некоторые превращения полученных соединений. Так III и VII при окислении дают окислы, которые затем были превращены в диолы, спирты, триолы и т. п. Все проведенные превращения подтверждают выведенные структуры. Экстракция 2,25 кг цветов ромашки (*Matricaria chamamilla*) первого сбора эфиром (20°, 3 дня), омыление KOH (80°, 4 часа) и хроматографирование на  $\text{Al}_2\text{O}_3$  позволили получить 3,7 г ацетата VI (VIa), т. пл. 246—248° (из  $\text{CHCl}_3\text{-CH}_3\text{OH}$ ),  $[\alpha]_D +100^\circ$  (с 0,97), омыленный в VI ( $\Delta^{20(30)}$ -таракастанол-3β), т. пл. 217—220° (из  $\text{CHCl}_3\text{-CH}_3\text{OH}$ ),  $[\alpha]_D +92,5^\circ$  (с 1,4). Бензоат VI (VIb), т. пл. 241—243° (из этилацетата-сп.).  $[\alpha]_D +106^\circ$  (с 0,35). Обработка 500 мг VIa р-ром 1,25 мл  $\text{H}_2\text{SO}_4$  в 25 мл  $\text{CH}_3\text{COOH}$  и 5 мл  $\text{C}_6\text{H}_6$  (18°, 3 дня) позволила получить ацетат VII (VIIa), т. пл. 241,5—243° (из  $\text{CHCl}_3\text{-CH}_3\text{OH}$ ),  $[\alpha]_D +97^\circ$  (с 0,64), гидролизированный в VII (19α (H)- $\Delta^{20}$ -таракастанол-3β), т. пл. 252—253°,  $[\alpha]_D +96,5^\circ$  (с 0,54), бензоат VII (VIIb), т. пл. 273—275°,  $[\alpha]_D +108^\circ$  (с 0,082). Когда же 1,9 г VIa обрабатывали р-ром 20 мл  $\text{H}_2\text{SO}_4$  в 200 мл спирта и 100 мл  $\text{C}_6\text{H}_6$  (80°, 5 час.) и продукт хроматографировали на  $\text{Al}_2\text{O}_3$ , был получен V, т. пл. 219—221°,  $[\alpha]_D +45^\circ$  (с 1,22), ацетат V (Va), т. пл. 238—240° (из  $\text{CHCl}_3\text{-CH}_3\text{OH}$ ),  $[\alpha]_D +56^\circ$  (с 1,24), бензоат V (Vb), т. пл. 273—275° (из этилацетата-сп.),  $[\alpha]_D +75^\circ$  (с 1,2). Изомеризация 1 г Va с помощью  $\text{H}_2\text{SO}_4$  в  $\text{C}_6\text{H}_6$  и  $\text{CH}_3\text{COOH}$  (20°, 60 час.) превратила его в VIIa, выход 680 мг, т. пл. 244—246° (из  $\text{CHCl}_3\text{-CH}_3\text{OH}$ ),  $[\alpha]_D +99^\circ$  (с 1,34). Аналогично 120 мг Vb, обработанные  $\text{H}_2\text{SO}_4$  в  $\text{C}_6\text{H}_6$  и  $\text{CH}_3\text{COOH}$  (110°, 15°, 45 час.), дали 80 мг VIIb, т. пл. 265—271° (из  $\text{CHCl}_3\text{-CH}_3\text{OH}$ ),  $[\alpha]_D +110^\circ$  (с 1,2). Путем окисления 1 г V  $\text{CrO}_3$  и  $\text{H}_2\text{SO}_4$  в ацетоне и диок-



сане был получен  $\psi$ -таракастенон (XVII), т. пл. 174—175° (из  $\text{CHCl}_3\text{-CH}_3\text{OH}$ ),  $[\alpha]_D + 81,5^\circ$  (с 4,4), который (7,5 г) был восстановлен по Кижнеру с  $\text{C}_2\text{H}_5\text{ONa}$  (200—240°, 5 час., 100 ат.) в IX, выход 5 г, т. пл. 182—184° (из  $\text{CHCl}_3\text{-CH}_3\text{OH}$ ),  $[\alpha]_D + 50^\circ$  (с 1,37). При действии  $\text{H}_2\text{SO}_4$  в  $\text{C}_6\text{H}_6$  и  $\text{CH}_3\text{COOH}$  на 1,2 г IX (50 час., 20°) он изомеризовался в XI, выход 660 мг, т. пл. 223—225° (из этилацетата),  $[\alpha]_D + 102^\circ$  (с 1,39). Окисление VI  $\text{K}_2\text{Cr}_2\text{O}_7$  в  $\text{H}_2\text{SO}_4$  и  $\text{C}_6\text{H}_6$  и восстановление 1,32 г полученного таракастенона (XVIII), т. пл. 182—183,5°,  $[\alpha]_D + 127^\circ$  (с 0,59) по методу Кижнера с  $\text{C}_2\text{H}_5\text{ONa}$  (200—240°, 6 час.) с последующим хроматографированием привело к VIII, выход 935 мг, т. пл. 209—211° (из этилацетата),  $[\alpha]_D + 99^\circ$  (с 0,3). Взаимодействуя с  $\text{SeO}_2$  в водн.  $\text{CH}_3\text{COOH}$ -диоксане (120°, 2 часа) 750 мг IX дали после хроматографирования 535 мг X, т. пл. 226—228° (из  $\text{CHCl}_3\text{-CH}_3\text{OH}$ ),  $[\alpha]_D + 89^\circ$  (с 6,88),  $\lambda_{\text{макс}}$  (в  $\text{C}_6\text{H}_{12}$ ) 2300, 3200—3250 Å ( $\epsilon$  13900; 63,5),  $\lambda_{\text{макс}}$  (в сп.) 2340 Å ( $\epsilon$  12500). Подобным же образом 560 мг XI с  $\text{SeO}_2$  (1 час) дали, после хроматографирования 220 мг XII, т. пл. 277—278° (из  $\text{CH}_3\text{OH-CHCl}_3$ ), 279—281° (из этилацетата),  $[\alpha]_D + 95^\circ$  (с 1,09),  $[\alpha]_D + 90^\circ$  (с 0,51),  $\lambda_{\text{макс}}$  (в  $\text{C}_6\text{H}_{12}$ ) 2285, 3175—3250 Å ( $\epsilon$  12300, 38). Путем восстановления 1 г XII по методу Кижнера с  $\text{NH}_2\text{NH}_2\cdot\text{H}_2\text{O}$  в  $(\text{CH}_3\text{ONCH}_2)_2\text{O}$  (1 час) и КОН (6 час.) и хроматографирования была получена смесь XIII и XIV. ИК-спектр 886, 1647, 3075  $\text{см}^{-1}$  в вазелиновом масле. Гидрирование 100 мг смеси в этилацетате над  $\text{PtO}_2$  (48 час.) позволило получить 70 мг XIV, т. пл. 231—233° (из этилацетата),  $[\alpha]_D + 22^\circ$  (с 0,35). При кипячении 103 мг смеси XIII и XIV в  $\text{C}_6\text{H}_6$  со спирт.  $\text{H}_2\text{SO}_4$  (5 час.) получено 90 мг XI, т. пл. 223—225° (из этилацетата),  $[\alpha]_D + 104^\circ$  (с 0,75). Смесь XIII и XIV (617 мг) при гидроксигировании  $\text{OsO}_4$  в пиридине- $\text{CHCl}_3$  (20°, 7 дней), разложению КОН и хроматографировании дала 500 мг 19 $\alpha$ -(Н)-таракастандиола-20 $\alpha$ , 30 (XIX), т. пл. 261—264° (из этилацетата),  $[\alpha]_D + 16^\circ$  (с 1,01). Дальнейшее окисление 319 мг XIX с помощью  $\text{NaJO}_4$  в водн. спирте (20°, 48 час.) привело к 250 мг XVI, т. пл. 251—253° (из этилацетата),  $[\alpha]_D + 14^\circ$  (с 1,09), ИК-спектр 1710  $\text{см}^{-1}$  в  $\text{CS}_2$  и  $\text{CCl}_4$ , оксим XVI, т. пл. 250—252° (из этилацетата). Кипячение XVI (35 мг) с  $\text{CH}_3\text{MgBr}$  в эфире (30 мин., затем 16 час. при 20°) и разложение  $\text{H}_2\text{SO}_4$  дало после хроматографирования XI, выход 34 мг. Окисление 2,2 г VIII с  $\text{OsO}_4$  в пиридине- $\text{CHCl}_3$  (20°, 7 дней) с последующим разложением КОН и маннитом и хроматографированием привело к VIII (650 мг) и таракастандиолу-20 $\alpha$ , 30 (XX), выход 900 мг, т. пл. 235—237° (из этилацетата),  $[\alpha]_D + 13^\circ$  (с 0,89). Дальнейшим окислением  $\text{NaJO}_4$  в водн. спирте (20°, 16 час.) 360 мг XX были превращены в 290 мг XV, т. пл. 210—213° (из этилацетата),  $[\alpha]_D + 65^\circ$  (с 1,27), ИК-спектр 1703  $\text{см}^{-1}$  (в  $\text{CCl}_4$ ), 1707  $\text{см}^{-1}$  (в  $\text{CS}_2$ ), оксим, т. пл. 217—219° (из этилацетата). 400 мг XV при хроматографировании на  $\text{Al}_2\text{O}_3$  (pH 7,5—8,0) изомеризовались в 390 мг XVI, т. пл. 252—254° (из этилацетата),  $[\alpha]_D + 15^\circ$  (с 1,19). Полученный из IX таракастандиол-20 $\alpha$ , 21 $\alpha$  (XXI, гетеродупандиол, 150 мг, т. пл. 254—258°,  $[\alpha]_D + 30^\circ$ ), ацетилировался  $(\text{CH}_3\text{CO})_2\text{O}$  и пиридином (100°, 2 часа) и путем хроматографирования был выделен ацетат XXI, т. пл. 204—206° (из  $\text{CH}_3\text{OH}$ ),  $[\alpha]_D + 63^\circ$  (с 0,54), который может быть омылен в XXI с помощью  $\text{LiAlH}_4$ . 150 мг XXI окислялись 8 н. р-ром  $\text{CrO}_3$  в ацетоне с последующим хроматографированием в 90 мг таракастанол-20 $\alpha$ -она-21, т. пл. 221—224° (из  $\text{CH}_3\text{OH-CHCl}_3$ ),  $[\alpha]_D + 6^\circ$

(с 0,57), ИК-спектр 1698, 3510  $\text{см}^{-1}$  в  $\text{CCl}_4$ . Окисление 8 г VIIa с  $\text{C}_6\text{H}_5\text{COOH}$  в  $\text{CHCl}_3$  (6°, 65 час.) дало после хроматографирования 0,82 г VIIa и 4,16 г 20 $\alpha$ , 21 $\alpha$ -окиси 3-ацетата 19 $\alpha$  (Н)-таракастанола-3 $\beta$  (XXII), т. пл. 279—281° (из  $\text{CHCl}_3\text{-CH}_3\text{OH}$ ),  $[\alpha]_D^{20} + 57^\circ$  (с 1,18). Аналогично, из 4 г III было получено 2,05 г 20 $\alpha$ , 21 $\alpha$ -окиси 19 $\alpha$  (Н)-таракастанола-3 $\beta$  (XXIII), т. пл. 242—248° (из  $\text{CHCl}_3\text{-CH}_3\text{OH}$ ),  $[\alpha]_D + 86^\circ$  (с 2,1). Обработкой  $\text{LiAlH}_4$  в эфире, содержащем  $\text{CH}_3\text{ONa}$  (20°, 30 мин.) с последующим хроматографированием XXIII (2,05 г) был превращен в 19 $\alpha$  (Н)-таракастандиол-3 $\beta$ , 20 $\alpha$  (XXIV), выход 960 мг, т. пл. 302,5—304° (из диоксана- $\text{CH}_3\text{OH}$ ),  $[\alpha]_D + 49^\circ$  (с 2,2), 3-ацетат XXIV, т. пл. 279—280° (из  $\text{CHCl}_3\text{-CH}_3\text{OH}$ ),  $[\alpha]_D + 55,5^\circ$  (с 1,37). В отсутствие  $\text{CH}_3\text{ONa}$  XXIII давал кроме XXIV также продукт с т. пл. 267—268° (из  $\text{CHCl}_3\text{-CH}_3\text{OH}$ ),  $[\alpha]_D + 20^\circ$  (с 0,75). XXII при восстановлении  $\text{LiAlH}_4$  также дал XXIV. При кипячении 5,5 г XXII со спирт. р-ром  $\text{H}_2\text{SO}_4$  (24 часа) и последующем хроматографировании выделен  $\Delta^{20(30)}$ , 21-19  $\alpha$ -(Н)-таракастандиол-3 $\beta$  (XXV, дегидролупенол-1), выход 2,82 г, т. пл. 246,5—248° (из  $\text{CHCl}_3\text{-CH}_3\text{OH}$ ),  $[\alpha]_D + 249^\circ$  (с 1,65),  $\lambda_{\text{макс}}$  (в  $\text{C}_6\text{H}_{14}$ ) 2300—2360 Å ( $\epsilon$  13400), ацетат, т. пл. 247—249° (из  $\text{CHCl}_3\text{-CH}_3\text{OH}$ ),  $[\alpha]_D + 230^\circ$  (с 1,42), ИК-спектр 884  $\text{см}^{-1}$  (в вазелиновом масле) и фракция (2,50 г), давшая после ацетилирования 3-ацетат 19 $\alpha$ -(Н)-таракастантриола-3 $\beta$ , 20 $\alpha$ , 21 $\beta$ , т. пл. 306—306,5 (из  $\text{CHCl}_3\text{-CH}_3\text{OH}$ ),  $[\alpha]_D + 47^\circ$  (с 0,95). Окислением 1 г VII с помощью  $\text{OsO}_4$  в пиридине и  $\text{CHCl}_3$  (20°, 14 дней) по обычному методу было получено, после хроматографирования, 1 г 19 $\alpha$ -(Н)-таракастантриола-3 $\beta$ , 20 $\alpha$ , 21 $\alpha$ , т. пл. 280—282° (из этилацетата),  $[\alpha]_D - 6^\circ$  (с 1,0 в  $\text{C}_6\text{H}_5\text{N}$ ), 3,21-диацетат, т. пл. 281—282° (из  $\text{CH}_3\text{OH}$ ),  $[\alpha]_D + 2^\circ$  (с 0,9). Гидрирование 650 мг III в  $\text{CH}_3\text{COOH}$  с  $\text{PtO}_2$  (20°, 18 час.) привело к 560 мг 19 $\alpha$ -(Н)-таракастанола-3 $\beta$  (XXVI, лупанол-1), т. пл. 260—260,5° (из  $\text{CHCl}_3\text{-CH}_3\text{OH}$ ),  $[\alpha]_D + 12^\circ$  (с 0,92), ацетат, т. пл. 252,5—253° (из  $\text{CHCl}_3\text{-CH}_3\text{OH}$ ),  $[\alpha]_D + 21^\circ$  (с 1,68), бензоат, т. пл. 238—240° (из  $\text{CHCl}_3\text{-CH}_3\text{OH}$ ),  $[\alpha]_D + 41^\circ$  (с 0,89). Частичное гидрирование 80 мг XXV в  $\text{CH}_3\text{COOH}$  на  $\text{Pd/C}$  (20°, 4 часа) позволило получить, после хроматографирования, 49 мг VII, т. пл. 252—254°,  $[\alpha]_D + 86^\circ$  (с 1,02). При полном же гидрировании на  $\text{PtO}_2$  в  $\text{CHCl}_3$  и  $\text{CH}_3\text{COOH}$  (20°, 18 час.) 150 мг XXV дали 126 мг XXVI, т. пл. 261,5—262°,  $[\alpha]_D + 13^\circ$  (с 1,79). При обработке 1,34 г XXI  $(\text{CH}_3\text{COO})_2\text{Pb}$  в  $\text{CHCl}_3$  и  $\text{CH}_3\text{COOH}$  (45°, 15 час.; 20°, 14 час.) и хроматографировании выделено 960 мг продукта (XXVII) с т. пл. 264—298° (разл.; из этилацетата- $\text{CH}_3\text{OH}$ ),  $[\alpha]_D + 50^\circ$  (с 1,19),  $\lambda_{\text{макс}}$  (в хлф.) 2560—2580, 3200—3400 Å ( $\epsilon$  13100, 150); 2,4-динитрофенилгидразон, т. пл. 274,5—278° (разл.; из  $\text{CHCl}_3\text{-CH}_3\text{OH}$ ). При дальнейшем окислении  $\text{CrO}_3$  в  $\text{CH}_3\text{COOH}$  и  $\text{CHCl}_3$  (20°, 15 час.) 300 мг XXVII дали нейтр. (178 мг) и кислотную (103 мг) фракции. Из первой путем хроматографирования было выделено 89 мг XXVIII и 84 мг в-ва с т. пл. 267,5—268° (из  $\text{CHCl}_3\text{-CH}_3\text{OH}$ ),  $[\alpha]_D + 30^\circ$  (с 0,49)  $\lambda_{\text{макс}}$  (в сп.) 2100, 2150, 2000, 2250 Å ( $\epsilon$  640, 430, 325, 275). Кислая фракция после обработки  $\text{CH}_3\text{N}_2$  и хроматографирования дала 80 мг метилового эфира с т. пл. 237,5—238,5° (из  $\text{CHCl}_3\text{-CH}_3\text{OH}$ ),  $\lambda_{\text{макс}}$  ( $\text{C}_6\text{H}_{14}$ ) 2270—2290 Å ( $\epsilon$  8800). Полученные восстановлением 18 $\alpha$ -(Н)-олеанандиона-3,19 (J. Chem. Soc. 1952, 2872) 380 мг 18 $\alpha$ -олеананола-19 (XXVIII) дали, при восстановлении Na в  $\text{C}_2\text{H}_5\text{OH}$  (4 часа) и хроматографировании, 250 мг 18 $\alpha$ -олеананола-19 $\beta$  (XXIX), т. пл. 229—

230° (из  $\text{CH}_3\text{OH}-\text{CHCl}_3$ ),  $[\alpha]_D + 31,50^\circ$  ( $c$  0,9), обработка 55 мг которого  $\text{PCl}_5$  в пиридине (100°, 1 час) привела после хроматографирования к 40 мг  $\Delta^{18}$ -олеана (германина), т. пл. 174—174,5° (из  $\text{CHCl}_3-\text{CH}_3\text{OH}$ ). При восстановлении 162 мг XXVIII  $\text{LiAlH}_4$  в эфире (20°, 2 часа) также было получено 120 мг XXIX, т. пл. 231—232° (из  $\text{CHCl}_3-\text{CH}_3\text{OH}$ ),  $[\alpha]_D + 29,5^\circ$  ( $c$  1,22). Восстановление 0,65 г 18 $\alpha$ -олеанол-19 $\alpha$ -она-3 по методу Кижнера (5 час.) позволило получить 505 мг 18 $\alpha$ -олеанол-19 $\alpha$ , т. пл. 223,5—225° (хроматографирование из  $\text{CHCl}_3$ -сп.),  $[\alpha]_D - 3^\circ$  ( $c$  1,6), который (130 мг) дал, при кипячении с  $\text{PCl}_5$  в пиридине (2 часа), 80 мг  $\alpha$ -лупена, т. пл. 163—165° (из  $\text{CHCl}_3-\text{CH}_3\text{OH}$ ),  $[\alpha]_D + 29^\circ$  ( $c$  0,45). Все  $[\alpha]_D$ , кроме отмеченных, определены в  $\text{CHCl}_3$ . Т-ры плавления исправлены. А. К.

**25765. Стереохимия  $\alpha$ -амиринов. Корн, Уршпунг** (The stereochemistry of the  $\alpha$ -amirins. Corey E. J., Ursprung J. J.), Chemistry and Industry, 1954, № 45, 1387—1388 (англ.)

Предложена структура  $\alpha$ -амирина (I). На основании литературных данных авторы пришли к выводу, что I и  $\beta$ -амирин обладают *транс-анти-транс*-сочленением колец A, B и C. Конфигурация у  $\text{C}_{(14)}$  и  $\text{C}_{(17)}$  выведена на основании сравнения способности урсоловой (II) и олеаноловой (III) к-т к лактонизации, константы лактонизации соответственно 0,11 и 0,33 (в  $\text{CHCl}_3$ ), что соответствует  $\Delta F$  0,6 ккал/моль. *цис*-Сочленение колец кольца D и E в I доказано на том основании, что метиловый эфир ацетатов III и 18-изоолеаноловой к-ты (IV, к-та) быстро реагируют с  $\text{Br}_2$  с образованием 12-бром- $\gamma$ -лактонов, т. пл. 224 и 292° соответственно (идентифицированы ИК-спектрами), в то время как метиловый эфир ацетата II не вступает в эту р-цию даже через 24 часа. Последний вывод подтверждается также литературными данными и сравнением оптич. вращения: лактон II  $[\alpha]_D + 4^\circ$ ; лактон III  $[\alpha]_D + 19^\circ$ ; лактон IV  $[\alpha]_D + 23^\circ$ . Обе  $\text{CH}_3$ -группы в I у  $\text{C}_{(19)}$  и  $\text{C}_{(20)}$  находятся в экваториальном положении, что объясняет устойчивость D/E-*цис*-сочленения к перегруппировкам. Г. С.

**25766. Структура фриделина. Изучение реакций расщепления. Корн, Уршпунг** (The structure of friedelin. Degradative studies. Corey E. J., Ursprung J. J.), J. Amer. Chem. Soc., 1955, 77, № 13, 3667—3668 (англ.)

Установлено, что фриделин имеет строение (I). Ранее показано (Drake N. S., Haskins W. T., J. Amer.

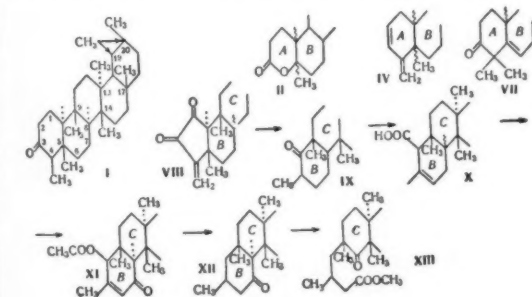
образом. Трехступенчатом окислении I получен шестичленный  $\text{C}_{22}$ -лактон (II), т. пл. 228—235°,  $[\alpha]_D^{25} + 9,6^\circ$ . ИК-спектр 1740  $\text{cm}^{-1}$ . Бромирование  $\Delta^2$ -фриделина (III) с последующим дегидробромированием приводит к диену (IV), т. пл. 240—244°,  $[\alpha]_D^{25} + 48,4^\circ$ ,  $\lambda_{\text{макс}}$  241 мк ( $lg \epsilon$  4,30). ИК-спектр 883  $\text{cm}^{-1}$ . При бромировании I образуется 2-бромфриделин (V), т. пл. 210° (разл.),  $[\alpha]_D^{25} - 140^\circ$ , УФ-спектр  $\lambda_{\text{макс}}$  311 мк, ИК-спектр 1710  $\text{cm}^{-1}$ . При дегидробромировании V образуется III. При бромировании енолбензоата I получается 4-бромфриделин (VI), т. пл. 196—197° (разл.),  $[\alpha]_D^{25} + 90,5^\circ$ ,  $\lambda_{\text{макс}}$  310 мк, ИК-спектр 1715  $\text{cm}^{-1}$ . Последний легко дегидробромруется при действии  $\text{CH}_3\text{COOAg}$ , давая ненасыщ. несопряженный кетон (VII), т. пл. 247—248°.  $[\alpha]_D^{25} - 48,6^\circ$ ,  $\lambda_{\text{макс}}$  290 мк, ИК-спектр 1710  $\text{cm}^{-1}$ , не изомеризующийся в сопряженный кетон. При восстановлении VII по Кижнеру образуется олефин, т. пл. 221—222°, отличающийся от III и от  $\Delta^2$ -фриделина, следовательно при дегидробромировании VI имеет место миграция  $\text{CH}_3$ -группы при  $\text{C}_{(5)}$ . На основании данных по изменению величин молекулярного вращения показано, что в V и VI H при  $\text{C}_{(10)}$  и Bg имеют  $\alpha$ -, а  $\text{CH}_3$ -группа при  $\text{C}_{(5)}$  —  $\beta$ -ориентацию. Последовательное окисление норфриделидиона (VIII)  $\text{H}_2\text{O}_2$  и озоном дает насыщ. тетрациклич. кетон (IX). Наличие  $\text{CH}_3$ -группы при  $\text{C}_{(5)}$  подтверждается обработкой IX избытком DBr, причем обменивается один H. При окислении VIII щел.  $\text{H}_2\text{O}_2$  образуется  $\beta, \gamma$ -ненасыщ. к-та (X). Окисление метилового эфира X  $\text{Na}_2\text{Cr}_2\text{O}_7$  дает ненасыщ. кетозфир (XI), т. пл. 150—151°,  $[\alpha]_D^{25} - 42,7^\circ$ ,  $\lambda_{\text{макс}}$  247 мк ( $lg \epsilon$  3,97), ИК-спектр 1742  $\text{cm}^{-1}$ . При омылении XI получается ненасыщ. кетон, т. пл. 191—192°,  $[\alpha]_D^{25} - 19,5^\circ$ , УФ-спектр 248 мк ( $lg \epsilon$  3,94), ИК-спектр 1664  $\text{cm}^{-1}$ , при гидрировании которого образуется насыщ. кетон (XII), т. пл. 195—197°,  $[\alpha]_D^{25} + 42,5^\circ$ , ИК-спектр 1707  $\text{cm}^{-1}$ . Присутствие H при  $\text{C}_{(8)}$  доказано на основании обмена XII с DBr (обмениваются 3H) и путем трехступенчатого превращения X в кетокислоту (XIII), метиловый эфир, т. пл. 132—133°,  $[\alpha]_D^{25} + 21,1^\circ$ , ИК-спектр 1736, 1713, 1696  $\text{cm}^{-1}$ . На основании рентгенограмм и хим. данных авторы считают, что в I кольца B и C, C и D находятся в *транс*-положении. Предполагается, что  $\text{CH}_3$ -группы расположены у атомов  $\text{C}_{(13)}$ ,  $\text{C}_{(14)}$ ,  $\text{C}_{(17)}$  и  $\text{C}_{(19)}$  или  $\text{C}_{(20)}$ . С. А.

**25767. Бутиропермол и «бассеол». Досон, Холсала, Джонс, Микинс, Филлипс** (Butyrospermol and «basseol». Dawson M. C., Halsall T. G., Jones E. R. H., Meakins G. D., Phillips P. C.), Chemistry and Industry, 1955, № 29, 918—919 (англ.)

Найдено, что бассеол, выделенный из орехов растения бассия, представляет собой смесь, состоящую из ацетата бутиропермола (I) и 15—20%  $\beta$ -амирина. I содержит две двойные связи. При каталитич. гидрировании I в  $\text{CH}_3\text{COOH}$  одна из них насыщается, другая мигрирует, в результате чего образуется ацетат дигидрофифола. С. А.

**25768. Строение хандианола. Гонсалес, Бретон, Бретон** (The constitution of handianol. González A. G., Bretón J. L., Bretón C.), Chemistry and Industry, 1955, № 15, 416—417 (англ.)

На основании хим. превращений тритерпенового спирта хандианола (I), т. пл. 97—112° (сольват),  $[\alpha]_D$

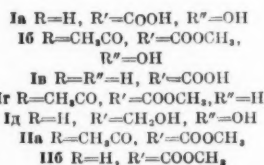
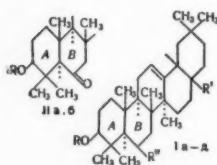


Chem. Soc., 1936, 58, 1684), что при дегидрировании I образуется 1,8-диметилпицен. Наличие  $\text{CO}$ -группы при  $\text{C}_{(3)}$  и  $\text{CH}_3$ -группы при  $\text{C}_{(4)}$  доказано следующим

+ 47° (с 1,8), выделенного ранее из латекса некоторых видов *Euphorbiae* высказано мнение, что I идентичен с описанным (Barton D. H. R., J. Chem. Soc., 1951, 1444) циклоартенолом; ацетат I (II), т. пл. 118,5°,  $[\alpha]_D^{25} + 54^\circ$  (с 3,03); бензоат I, т. пл. 129°,  $[\alpha]_D^{25} + 54^\circ$  (с 0,83, хлф). I превращен в кетон, т. пл. 105—107°; 2,4-динитрофенилгидразон, т. пл. 225—227°. При гидрировании II получают дигидропроизводное с т. пл. 130°,  $[\alpha]_D^{25} + 55^\circ$  (с 5,62), которое при обработке смесью HCl (к-та)-CH<sub>3</sub>COOH дает смесь изомеров, т. пл. 135—137°,  $[\alpha]_D^{25} + 54^\circ$  (с 4,82). Окисление этой смеси CrO<sub>3</sub> в CH<sub>3</sub>COOH при 80° приводит к ацетату Δ<sup>9</sup>-ланостенола, т. пл. 170—171°, а обработка надбензойной к-той при 18° — к окису (III) с т. пл. 182—183°. Действие 2 н. р-ра H<sub>2</sub>SO<sub>4</sub> III дегидратируют до ацетата Δ<sup>7,9</sup>-ланостаденола, т. пл. 160—162°,  $[\alpha]_D^{25} + 88^\circ$  (с 0,1), λ<sub>макс</sub> 244, 252 мμ (ε 286, 267). Окислением II с CrO<sub>3</sub> получают ацетат хандианоловой к-ты (IV), гидролиз которого приводит к свободной к-те, т. пл. 223—224°. Последнюю окисляют до кетокислоты, т. пл. 170—178°; 2,4-динитрофенилгидразон, т. пл. 214—215°. При изомеризации в кислой среде IV переходит в ацетат изохандианоловой к-ты, т. пл. 225—226°.  $[\alpha]_D^{25}$  определены в CHCl<sub>3</sub>.

Г. С. 25769. О стереохимии сумарезинолевой кислоты и ее превращении в олеаноловую кислоту. Дьерасси, Томас, Егер (Über die Stereochemie der Sumaresinolsäure und deren Überführung in Oleanolsäure. Djerassi C., Thomas G. H., Jeger O.), Helv. chim. acta, 1955, 38, № 5, 1304—1307 (нем.; рез. англ.)

С целью выяснения конфигурации атомов C<sub>(3)</sub>, C<sub>(6)</sub> и C<sub>(5)</sub> в сумарезиноловой к-те (Ia), ацетат ее метилового эфира (Ib) окислен в ацетат метилового эфира кетокислоты (IIa), который гидролизован в метиловый эфир окикетокислоты (IIб) и затем восстановлен по измененному методу Кижнера — Вольфа в олеаноловую к-ту (Iв), идентифицированную в виде ацетата метилового эфира (Iг); кроме Iв из реакционной массы изолирована также исходная IIa. Ранее описанная перегруппировка в кольцо А (Ruzicka, Norymberski, Jeger, Helv. chim. acta, 1945, 28, 380) на основании стереоэлектронных представлений возможна лишь при 3β-окси-5α-конфигурации или при 3α-окси-5β-конфигурации. Последняя отпадает, так как предполагает инверсию у C<sub>(3)</sub> и C<sub>(5)</sub> перед восстановлением I а в Iв, что невероятно, так как из реакционной массы изолирована неизменная IIб. Авторы выводят, что гидроксил у C<sub>(6)</sub> имеет аксиальное положение (6 β), так как ацетируется лишь при очень жестких условиях.



Следующим доказательством этого является восстановление IIa в триол (Iд), который образуется в тех же условиях из Ib, поскольку опытом установлено, что пространственно сильно затрудненные кетоны при восстановлении дают спирты с аксиальным положением гидроксильной группы. Следовательно, для Ia доказано строение как 6β-окисолеаноловой к-ты. 1,0 г Ib в 30 мл пиридина окислены 1,0 г CrO<sub>3</sub> (18 час., ~20°), получено 780 мг IIa, т. пл. 290—293°, после хроматографии и

кристаллизации из CH<sub>3</sub>OH. Гидролиз IIa метилового спирта. КОН дает IIб, т. пл. 197—199° (из CH<sub>3</sub>OH). К Na-алкоголяту, полученному из 1,0 г Na и 50 мл диэтиленгликоля, добавлен IIб и по каплям безводная гидразин (получен из 50 мл 80%-ного гидразина нагреванием с 50 г NaOH), затем гидразин отогнан до повышения т-ры кипения до 210°. После обычной переработки продукт р-ции метилирован CH<sub>3</sub>N<sub>2</sub> и ацетилован (CH<sub>3</sub>CO)<sub>2</sub>O в пиридине. Ацетаты метиловых эфиров хроматографированы на 9 г Al<sub>2</sub>O<sub>3</sub>, получено 98 мг Iг, выход 33%, т. пл. 221—223°,  $[\alpha]_D^{25} + 70^\circ$  (с 1,045). Проба смешения и ИК-спектр показали идентичность с заводским ацетатом метилового эфира Iв. Хроматографированием выделено также 43 мг IIa, т. пл. 289—292°,  $[\alpha]_D^{25} + 49^\circ$  (с 0,59). 150 мг Ib восстановлены LiAlH<sub>4</sub> в эфире (20 час.), получено 115 мг Iд, т. пл. 266—271°,  $[\alpha]_D^{25} + 54,3^\circ$  (с 108). Восстановление 125 мг IIa в тех же условиях дало 90 мг Iд, т. пл. 265—269°,  $[\alpha]_D^{25} + 55,2^\circ$  (с 1,31).

Г. П. 25770. Тритерпеновые сапонины. Сокольская А. М., Маннон Л. Н., Вестн. АН КазССР, 1955, № 4, 74—80

Обзор. Библ. 48 назв. Г. М. 25771. Некоторые аспекты стереохимии C-20-стероидов. Клайн (Some aspects of the stereochemistry of C-20. Klyne W.), Ciba Foundat. Colloq. Endocrinol., 1953, 7, 127—141 (англ.)

Обзорный доклад дискуссии о стереохимии стероидов. Библ. 50 назв. М. Г.

25772. Синтетические аналоги кортикоидных гормонов. I. Производные гомогентизиновой к-ты и α, 2,5-триоксиацетофенона из 2,5-диацетокси-α-диазоацетофенона. Клэцел, Дейтон, Абадир (Synthetic analogs of cortical hormones. I. Homogenetic acid and α, 2,5-trihydroxyacetophenone derivatives from 2,5-diacetoxy-α-diazoacetophenone. Klotzel Milton C., Dayton Rhodes P., Abadir B. Y.), J. Organ. Chem., 1955, 20, № 1, 38—49 (англ.)

Синтезированы простейшие аналоги кортикоидных гормонов с целью изучения их физиологии. активизируют. 2,5-диацетоксибензойную к-ту (I) переводят в хлорангидрид I (II), который действием CH<sub>3</sub>N<sub>2</sub> превращают в 2,5-диацетокси-α-диазоацетофенон (III). Перегруппировкой Вольфа в CH<sub>3</sub>OH и C<sub>2</sub>H<sub>5</sub>OH из III получают соответственно метиловый (IV) или этиловый (V) эфиры 2,5-диацетоксифенилуксусной к-ты. Гидролиз IV или V с HCl (газ) в соответствующем спирте приводит к метиловому (VI) или этиловому (VII) эфирам гомогентизиновой к-ты (VIII). При проведении гидролиза IV в воде. HCl сразу получают VIII. Р-цией III с HBr (газ) или HCl (газ) в эфире синтезируют 2,5-диацетокси-α-бромацетофенон (IX) или соответствующий Cl-аналог (X). При проведении этой р-ции в CH<sub>3</sub>COOH с последующим гидролизом (HBr или HCl в CH<sub>3</sub>OH) приготавливают α-бром-2,5-диоксиацетофенон (XI) или его Cl-аналог (XII), образующие при ацетилировании посредством (CH<sub>3</sub>CO)<sub>2</sub>O в присутствии H<sub>2</sub>SO<sub>4</sub> соответствующие 5-моноацетаты (XIII) или (XIV). При действии CH<sub>3</sub>COOAg IX дает α, 2,5-триацетоксиацетофенон (XV), в то время как XIII в тех же условиях циклизуется с образованием 5-ацетоксикумарона (XVI), полученного также обработкой III CH<sub>3</sub>COOH и (CH<sub>3</sub>CO)<sub>2</sub>O в присутствии H<sub>2</sub>SO<sub>4</sub>. При проведении последней р-ции без H<sub>2</sub>SO<sub>4</sub> образуется XV. При обработке XIV CH<sub>3</sub>COONa в C<sub>2</sub>H<sub>5</sub>OH также выделяют XVI. Аналогично XI или XII дают 5-оксикумаран (XVII). Р-ция X с CH<sub>3</sub>COONa в CH<sub>3</sub>COOH-(CH<sub>3</sub>CO)<sub>2</sub>O приводит к смеси IВ, α, 5-диацетокси-2-оксиацетофенона (XVIII) и 6-ацетокси-3-хлор-2-метилхромона (XIX). При обра-



олово-  
50 мл  
зводи.  
нагре-  
повы-  
работ-  
граван  
фиров  
98 мл  
(0,45).  
ность  
омато-  
289—  
вляеца  
т. пл.  
125 мл  
—269°  
Г. П.  
ская  
изССР,  
Г. М.  
стеро-  
nistry  
Endo-  
ондов.  
М. Г.  
гормо-  
и а,  
диазо-  
а д и р  
togen  
deriva-  
loet-  
s P.  
№ 1,  
ридных  
тивно-  
в хло-  
рающих  
пергруп-  
пучают  
эферы  
V или  
т к ме-  
генти-  
иза IV  
апеток-  
ций Cl-  
COOH  
(CH<sub>3</sub>OH)  
I) или  
овании  
ответ-  
дейст-  
офено-  
лизует  
полу-  
(CH<sub>3</sub>CO)<sub>2</sub>O  
р-ции  
XIV  
огично  
ция X  
с смеси  
(III) и  
обра-

ботке III 15%-ным р-ром H<sub>2</sub>SO<sub>4</sub> выделяют α, 2,5-триоксиацетофенон (XX), полученный также гидролизом XV. Ацетилирование XX в мягких условиях приводит к α, 5-диацетату XX (XXI). При действии BrCH<sub>2</sub>COBr на 1,4-диметоксибензол (XXII) в присутствии AlBr<sub>3</sub> получают главным образом 5-метоксипроизводное XI (XXIII) наряду с монобромомом X (XXIV) и следами XI. Деметилирование XXIII или XXIV приводит к XI. Аналогичная р-ция XXII с ClCH<sub>2</sub>COCl приводит к известному 2,5-диметилловому эфиру XII (XXV), который при деметилировании с AlBr<sub>3</sub> дает XII. Окислением XI, XII или 2,5-диоксиацетофенона (XXVI) с Ag<sub>2</sub>O приготавливают соответственно 2-бромометил-1,4-бензохинон (XXVII), его Cl-аналог (XXVIII) или 2-ацетил-1,4-бензохинон (XXIX). При восстановлении XXVIII водн. р-ром SO<sub>2</sub> образуется XII, соответственно XXIX с Na<sub>2</sub>S<sub>2</sub>O<sub>4</sub> дает XXVI. В-ва XV, XX и XXI не обладают заметной кортикоидной активностью в дозах до 500 мг/кг при испытании на адреналектомизированных мышцах. Ацетилированием гентизиновой к-ты (CH<sub>3</sub>CO)<sub>2</sub>O в присутствии H<sub>2</sub>SO<sub>4</sub> получают I, т. пл. 119—121° (из бзл.-лигр.). Обработка I SOCl<sub>2</sub> в смеси эфир-C<sub>6</sub>H<sub>6</sub> приводит к II, т. пл. 93—94,5° (из бзл.-гептана). При действии CH<sub>3</sub>N<sub>2</sub> в смеси эфир-C<sub>6</sub>H<sub>6</sub> II дает III, выход 89%, т. пл. 90—91° (из эф.). К суспензии Ag<sub>2</sub>O (из 0,75 мл 10%-ного р-ра AgNO<sub>3</sub>) в 10 мл абс. CH<sub>3</sub>OH при 60—65° прибавляют 1 г III и выделяют IV, выход 82%, т. пл. 65,5—66,3° (из водн. CH<sub>3</sub>OH). Аналогично приготавливают в C<sub>2</sub>H<sub>5</sub>OH V, выход 84%, т. пл. 42,5—44° (из водн. сп.). IV гидролизуют (65 час., 20°) в среде CH<sub>3</sub>OH, содержащего HCl (газ) и получают VI, выход 94%, т. пл. 119,5—120,5° (из воды). Аналогично V дает VII, выход 50%, т. пл. 117—117,5° (из воды). IV кипятят (12 час.) с 30 мл конц. HCl и 30 мл воды и получают VIII, выход 48%, т. пл. 142—144° (из этилацетата-гексана). 2,5 г III обрабатывают (20°, 10 мин.) 15 мл CH<sub>3</sub>COOH, содержащий HBr (газ.). Продукт растворяют в 15 мл абс. CH<sub>3</sub>OH, насыщ. HBr (газ). Через 18 час. выделяют XI, выход 59%, т. пл. 117,5—119° (из бзл.). Аналогично, но с HCl (газ) приготавливают XII, выход 53%, т. пл. 132—133° (из бзл.). Р-ция XI с CH<sub>3</sub>COBr приводит к XIII, выход 61,5%, т. пл. 143,5—144° (из эф. или бзл.). Аналогично XII с CH<sub>3</sub>COCl дает XIV, выход 72,5%, т. пл. 151—152° (из эф.). Смесь 0,4 г XIII, 0,245 г CH<sub>3</sub>COOAg кипятят (1 час) в 10 мл сухого толуола или CH<sub>3</sub>COOH, фильтруют, упаривают досуха и выделяют XVI, выход 54%, т. пл. 95—96° (из эф.-петр. эф.). Смесь 0,89 г XIV и 1,57 г NaOCOCH<sub>3</sub>·3H<sub>2</sub>O кипятят (15 мин.) в 20 мл C<sub>2</sub>H<sub>5</sub>OH, выделяют XVI, выход 0,37 г. Аналогично XI переходит в XVII, т. пл. 152—153° (из изопропилового эф.). XII также дает XVII, выход 72%. XVII в р-ре C<sub>6</sub>H<sub>6</sub> обрабатывают CH<sub>3</sub>N<sub>2</sub> (20°, 70 час) и получают 5-метоксикумарон, выход 50%, т. пл. 92,5—93,5° (из CH<sub>3</sub>OH). Ацетилированием XVII приготавливают 3,5-диацетоксикумарон, выход 90%, т. пл. 85,5—86,5° (из абс. CH<sub>3</sub>OH). Через р-р I в 50 мл эфира пропускают HCl (газ), выделяют X, выход 98%, т. пл. 67—68° (из абс. сп.). Ацетилирование XII (CH<sub>3</sub>CO)<sub>2</sub>O в присутствии H<sub>2</sub>SO<sub>4</sub> приводит к X, выход 97%. Р-р I в XII в 4 мл (CH<sub>3</sub>CO)<sub>2</sub>O, содержащего 1 каплю конц. H<sub>2</sub>SO<sub>4</sub>, нагревают 2 часа при 100°, прибавляют 0,6 г плавленного CH<sub>3</sub>COONa, снова нагревают 2 часа и оставляют на 22 часа при 20°. Из кристаллич. фракции выделяют 0,1 г XVIII, т. пл. 97,5—99° (из бзл.-петр. эф.). Их маслообразной фракции получают 0,166 г XIX, т. пл. 163—163,5° (из абс. сп.). Из спирт. маточного р-ра от XIX волей осаждают 104 мг XIV. При действии HBr в эфире III дает IX, т. пл. 72—73° (из абс. сп.), полученный также взаимодействием XI с (CH<sub>3</sub>CO)<sub>2</sub>O в присутствии H<sub>2</sub>SO<sub>4</sub> (выход колич.). Смесь 0,5 г IX, 0,27 г Ag OCOCH<sub>3</sub> и 25 мл лед. CH<sub>3</sub>COOH кипятят 1 час

и выделяют XV, выход 69%, т. пл. 77,5—78° (из CH<sub>3</sub>OH). 0,4 г III обрабатывают (56°, 15 час.) 5 мл лед. CH<sub>3</sub>COOH, получают XV, выход 55%. 0,8 г III прибавляют (0°) к 8 мл CH<sub>3</sub>COOH, содержащей (CH<sub>3</sub>CO)<sub>2</sub>O и конц. H<sub>2</sub>SO<sub>4</sub>, выделяют XVI, выход 37%. Смесь 0,2 г XV, 2,6 мл воды, 0,4 мл конц. HCl и 0,1 мл конц. HJ кипятят 5 мин. и охлаждают до 5°, выделяется XX, выход 91%, т. пл. 157—158° (из эф.). Смесь 0,25 г III, 1 мл C<sub>2</sub>H<sub>5</sub>OH и 10 мл 15%-ного р-ра H<sub>2</sub>SO<sub>4</sub> кипятят 35 мин., экстрагируют эфиром и выделяют XX, выход 62%; озон, т. пл. 191—192° (из водн. сп.). Ацетилированием XX с CH<sub>3</sub>COCl в безводн. C<sub>6</sub>H<sub>6</sub> синтезируют XXI, выход 94%, т. пл. 97,5—99° (из эф.). Обработка 73 мг XXI 2 мл CH<sub>3</sub>COCl (кипчение 19 час., 154 часа при 20°) приводит к XV, выход 89%. Р-цией Фриделя—Крафуса из 27,6 г XXII, 28 мг BrCH<sub>2</sub>COBr и 53,4 г безводн. AlBr<sub>3</sub> (73 часа, 20°) получают смесь, которую подвергают кристаллизации из C<sub>2</sub>H<sub>5</sub>OH. Выделяют 9,05 г XXIV, т. пл. 106—107° (из сп.); ацетат, т. пл. 79—81° (из этилацетата-петр. эф. или абс. сп.). Из маточного р-ра при упаривании выпадает 13 г XXIII, т. пл. 65—66° (из эф.-петр. эф.). Остаток упаривают и обрабатывают CCl<sub>4</sub>, экстракт упаривают, C<sub>6</sub>H<sub>6</sub> извлекают 0,8 г XVI. Нерастворимый в C<sub>6</sub>H<sub>6</sub> остаток (1,55 г) имеет т. пл. 165—166° (из CH<sub>3</sub>COOH). Гидролиз XXIV в CH<sub>3</sub>OH, содержащем HBr, приводит к XI, выход 87%. Деметилированием XXIII безводн. AlBr<sub>3</sub> в CS<sub>2</sub> (20°, 432 часа) получают XI, выход 87%. При обработке по методу Ауверса и Поля (Liebigs Ann. Chem., 1914, 405, 243) XXIII дает известный 5-метоксикумарон, выход 69%. Деметилированием XXV (AlBr<sub>3</sub>, в CS<sub>2</sub>, 20°, 160 час.) синтезируют XII, выход 72%. При проведении этой р-ции в кипящем CS<sub>2</sub> (6 час.) выделяют немного XI. Деметилирование диметоксиацетофенона (AlBr<sub>3</sub>, CS<sub>2</sub>, кипчение 90 мин. (за счет теплоты р-ции), 20°, 7 дней) приводит к XXVI, выход 96%, т. пл. 204—202° (из сп.). Смесь 1 г XXVI, 1,5 г безводн. MgSO<sub>4</sub>, 10 мл C<sub>6</sub>H<sub>6</sub> и Ag<sub>2</sub>O (из 5,5 г AgNO<sub>3</sub>) встряхивают 30 мин., смесь фильтруют, фильтрат упаривают и выделяют XXIX, выход 91%, т. пл. 65,5—66,5° (сублимация 40—75° при 1 мм). Аналогично XII дает XXVIII, выход 61%, т. пл. 61—62° (сублимация); XI переходит в XXVII, выход 17%, т. пл. 60—61° (сублимация). Г. С.

25773. Пространственная направленность гидрирования Δ<sup>4</sup>- и Δ<sup>5</sup>-стероидов. Хадлер (The steric course of hydrogenation of Δ<sup>4</sup> and Δ<sup>5</sup> steroids. Hader H. I., Experientia, 1955, 11, № 5, 175—177 (англ.)) Известно, что при каталитич. гидрировании Δ<sup>4</sup>-стероидов (I) в нейтр. среде образуются главным образом A/B-цис-соединения, в то время как Δ<sup>5</sup>-стероиды (II) дают в основном A/B-транс-изомеры. Автор объясняет этот факт, рассматривая возможность образования тех или иных комплексов I (или II) с водородом и катализатором. Присоединение водорода к замещ. циклогексанам пространственно затруднено в случае аксиальных заместителей в мета-положении и не затрудняется, если мета-заместители занимают экваториальное положение. В случае I присоединение водорода из α-области приводит к комплексу, в котором аксиальное положение занимают мета-Н-атомы при C<sub>(1)</sub>, C<sub>(3)</sub>, C<sub>(7)</sub> и C<sub>(9)</sub>, а присоединение водорода из β-области к комплексу, в котором аксиальное положение занимают только мета-Н-атомы, при C<sub>(1)</sub> и C<sub>(3)</sub>. Поэтому во втором случае пространственные затруднения меньше и гидрирование приводит к A/B-цис-соединениям. При гидрировании II присоединение водорода из α-области приводит к комплексу, в котором из всех возможных мета-заместителей аксиальное положение занимают водороды при C<sub>(1)</sub>, C<sub>(3)</sub>, C<sub>(7)</sub> и C<sub>(9)</sub>. В случае присоединения водорода из β-области аксиальными мета-заместителями являются водороды

при  $C_{(1)}$ ,  $C_{(3)}$  и  $C_{(6)}$  и ангулярная  $CH_3$ -группа при  $C_{(10)}$ . Таким образом пространственные затруднения меньше в первом случае, а гидрирование приводит к *A/B-транс*-стероидам. Приведенные рассуждения не применимы к гидрированию в кислой или щел. среде, протекающему по другому механизму. Однако и в этих условиях гидрирование II приводит преимущественно к *A/B-транс*-стероидам, поскольку у II в отличие от I сказывается пространственное влияние  $C_{(10)}$ -ангулярной группы.

Л. Б.

**25774. О роданировании стероидов. I. Роданирование холестерина. Фредериксен, Лисберг** (Über die Rhodanierung von Steroiden. I. Die Rhodanierung von Cholesterin. Frederiksen Erling, Liisberg S.v.), Chem. Ber., 1955, 88, № 5, 684—685 (нем.).

Найдено, что холестерин (I) и его бензоат реагируют с роданом при облучении УФ-светом, образуя соответствующие 7-тиоцианохолестерин (II) и его бензоат. Смесь 250 мл р-ра родана в эфире (из 50 г  $PbSCN$ ), р-ра 25 г I в 250 мл эфира и 2,5 мл лед.  $CH_3COOH$  облучают УФ-светом 1 час при 10—15°, выпадает II, выход 20 г, т. пл. 139—140° (из этилацетата),  $[\alpha]_D^{20} = 350^\circ$  (хлф.). Аналогично из 50 г бензоата I получают бензоат II, выход 40 г, т. пл. 164—165° (из хлф.-петр. эф.),  $[\alpha]_D^{20} = 224^\circ$  (хлф.). Р-р 1 г II в 10 мл  $C_6H_{11}OH$  кипятят (0,5 часа) с р-ром 2 г  $Na_2CO_3$  в 50 мл воды, получают 7 $\beta$ -оксистерин, выход 0,8 г, т. пл. 184—185° (из сп.).  $[\alpha]_D^{20} = 84,6^\circ$  (хлф.). К кипящей смеси 70 мл диэтиланилина и 20 г BaO прибавляют сразу 10 г бензоата II, через 2 мин. смесь выливают в разб. HCl (к-та), эфиром извлекают бензоат 7-дегидрохолестерина; выход 3 г, т. пл. 139—140°,  $\lambda_{max}$  (сп.) 229, 271, 281, 292 мк. 0,8 г II кипятят (2 часа) с 1 г NaI в 25 мл ацетона. После обработки выделяют  $\Delta^{2,4,6}$ -холестатриен, выход 0,62 г, т. пл. 76—77° (из ацетона- $CH_3OH$ ),  $\lambda_{max}$  (сп.) 305 мк.,  $[\alpha]_D^{20} = 20^\circ$  (хлф.). 1 г II кипятят 2 часа с р-ром 1 г конц.  $H_2SO_4$  в 30 мл эфира, получают бихолестатриен, выход 0,3 г, т. пл. 255—256° (из хлф.-ацетона),  $[\alpha]_D^{20} = 284^\circ$  (хлф.),  $\lambda_{max}$  (в сп.) 253, 262, 338, 353, 271 мк. Восстановлением 0,55 г II  $LiAlH_4$  в эфире синтезируют 7-меркаптохолестерин (III), выход 0,36 г, т. пл. 143—144° (из ацетона),  $[\alpha]_D^{20} = 182^\circ$  (хлф.). К р-ру 4,2 г III в 75 мл спирта прибавляют спирт. р-р 1,3 г  $I_2$ . Выпадает ди-(холестерил-7)-дисульфид, выход 3,4 г, т. пл. 230—231° (из амилацетата),  $[\alpha]_D^{20} = 351^\circ$  (хлф.).

Г. С.

**22775.  $CN^-$ -ион как буферизирующий катализатор перэтерификации в неводной среде. Питерсен** (Cyanide ion as a catalyst for transesterification. Non-aqueous buffering. Petersen Quentin R.), J. Amer. Chem. Soc., 1955, 77, № 7, 1743—1745 (англ.). Перэтерификация некоторых сложных эфиров гладко идет в присутствии р-ра KCN в  $CH_3OH$ . Метод позволяет получить в чистом виде 7-кетохолестерин (I) из его ацетата (Ia), обычное омыление которого осложнено отщеплением  $CH_3COOH$  (Barnett J., J. Chem. Soc., 1946, 528). Автор объясняет каталитич. действие KCN наличием постоянной конц-ии  $RO^-$ -иона по ур-нию:  $RON + CN^- = RO^- + HCN$ . 0,43 г ацетата холестерина (II — спирт) или Ia с 0,30 г KCN кипятят несколько часов в 50 мл безвод.  $CH_3OH$  или со стехиометрич. кол-вом воды; образующийся II (или I) высаживают водой и извлекают эфиром, выход 94—100%. При ~20° тот же процесс идет 3 суток. Аналогично из 1,34 г *стер*-бутилового или 1,47 г циклогексидового эфира 3,5-динитробензойной к-ты (III—к-та) и 0,35 г KCN

в 70 мл абс.  $CH_3OH$  получают метиловый эфир III с выходом 39 и 50% соответственно. Продукт хроматографируют в  $C_6H_6$  на флоризиле. 0,83 г циклогексидового эфира *n*-подбензойной к-ты (IV — к-та), т. пл. 42—43° (из водн.  $CH_3OH$ ; испр.) (из 2 г  $C_6H_{11}OH$  и 6 г хлорангидрида IV в  $C_6H_5N$ , при 0°, хроматография на флоризиле в технич. гексане) кипятят с 0,08 г KCN в 25 мл безвод.  $CH_3OH$ , получают метиловый эфир IV (IVa), выход 70%, выход IV 8%. Кипячением 5,8 г II и 4 г хлорангидрида IV в  $C_6H_5N$  получают *n*-подбензоат II (V), выход 73%, т. пл. 183—184° (из бзл.- $CH_3OH$ ; испр.),  $[\alpha]_D^{25} + 2,4^\circ$  (с 2,17). Смеси р-ра V в абс.  $C_6H_6$  и KCN в абс.  $CH_3OH$  кипятят 18 час.; после хроматографирования на  $Al_2O_3$  получают II, выход кол-ч. и IVa, выход 85%. Смесь 1 г V и 0,5 г KCN в 200 мл циклогексанола кипятят 6 час., остаток хроматографируют в  $C_6H_6$  на флоризиле,  $C_6H_6$  вымывают циклогексидовый эфир IV, выход 54%, и ацетоном — II, выход 80%. Попытки получить этим методом  $\Delta^4$ -холестенон-7 $\beta$ -он-3 из его бензоата привели лишь к  $\Delta^4,6$ -холестадиенону-3.

Г. К.

**25776. Фенилглиоксилаты стероидных спиртов.**

Рейх (Phenylglyoxylates of steroid alcohols. Reich Hans, J. Amer. Chem. Soc., 1955, 77, № 9, 2562—2563 (англ.).)

*d*-Камфор-10-сульфонаты стероидных спиртов не пригодны для спектроскопич. исследований, так как их не удается перевести с хорошими выходами в соответствующие динитрофенилгидразоны. Показано, что фенилглиоксилаты стероидных спиртов легко дают динитрофенилгидразоны, из которых при обработке  $KHSO_5$  в водн.  $CH_3OH$  количественно могут быть возвращены исходные спирты. Динитрофенилгидразон этилового эфира *d*-камфор-10-сульфокислоты, т. пл. 156—158° (из хлф.-сп.),  $\lambda_{max}$  (хлф.) 362 мк. Обработкой (20°, 12 час.) холестерина (I) *d*-камфорсульфохлоридом-10 в пиридине получают соответствующий *d*-камфор-10-сульфонат I, т. пл. 162—164,5° (из эф.- $CH_3OH$ ); динитрофенилгидразон, т. пл. 97—102° (из хлф.-сп.). Динитрофенилгидразон фенилглиоксилата холестеранола-3 $\beta$  после очистки хроматографированием на  $Al_2O_3$  (вымывают смесью гексан- $C_6H_6$ , 2:3 или 1:4) имеет т. пл. 244—246,5° (из хлф.-сп.),  $\lambda_{max}$  (хлф.) 387 мк. I этерифицируют хлорангидридом фенилглиоксидовой к-ты и продукт р-ция хроматографируют на  $Al_2O_3$ . Смесью гексан-бензол (7:3) вымывают фенилглиоксилат I, т. пл. 120—122° (из эф.- $CH_3OH$ ); динитрофенилгидразон, т. пл. 233—235° (из хлф.-сп.),  $\lambda_{max}$  (хлф.) 387 мк. Фенилглиоксилат дегидроэпиандростерона имеет т. пл. 186—187° (из хлф.- $CH_3OH$ ); бисдинитрофенилгидразон, т. пл. 264—266° (разл.; из хлф.-сп.).  $\lambda_{max}$  (хлф.) 372 мк.

Г. С.

**25777. Водородная связь в 7-кетохолестерине и новая изоморфная форма ацетата 7-кетохолестерина. Розенкранц, Гат** (Hydrogen bonding in 7-ketocholesterol and a new isomorph of 7-ketocholesteryl acetate. Rosenkrantz Harris, Gut Marcel), Science, 1954, 120, № 3129, 1035—1036 (англ.). УФ-спектр ацетата 7-кетохолестерина (I) не показывает поглощения в нейтр. (изоктан) и кислой  $[(CH_3CO)_2O$  и  $CH_3COCl$ ] средах, в то время как в щел. (0,07 н. р-р гидроокиси тетраметиламмония в 90%-ном спирте) среде наблюдается максимум поглощения при 285 мк, величина которого соответствует приблизительно 20% промежуточного в-ва (возможно  $\Delta^{5,7}$ -диена). Эти данные и невозможность получения енолацетата I обычным хим. способом указывают на отсутствие в значительной степени таутомерии в I. С другой стороны, в ряде предыдущих работ (J. Biol. Chem., 1946, 163, 375; 1947, 171, 523; 1952, 195, 503, 509; Jones R. N. и

др. J. Amer. Chem. Soc., 1952, 74, 2820) было показано наличие двух абсорбционных полос в области 3640 и 3280  $\text{см}^{-1}$ , что может быть объяснено образованием межмолекулярной водородной связи в 7-кетохолестерине. Наличием этой водородной связи объясняется трудность синтеза енолацетата I.

С. А. 25778. Получение этиленттиокеталей. Фишер (Preparation of ethylenethioketals. Fieser Louis F.), J. Amer. Chem. Soc., 1954, 76, № 7, 1945—1947 (англ.).

При конденсации кетонов с  $\text{HSCH}_2\text{CH}_2\text{SH}$  (I) или  $\text{HSC}_2\text{H}_4\text{SCH}_2\text{OH}$  (II) в присутствии  $\text{BF}_3 \cdot (\text{C}_2\text{H}_5)_2\text{O}$  (III) образуются производные ттиокеталей или гемиттиокеталей. Эта р-ция идет и с кетонами ряда стероидов (хорошо растворяются в I). Возможность установить строение diketона превращением его в моноэтиленттиокеталь с последующим обессериванием показана на холестерин-3,6 (IV) и  $\Delta^4$ -холестендионе-3,6 (V). Бензил (VI) даже с избытком I образует только моноэтиленттиокеталь. Проведено сравнение молекулярного вращения для соответствующих кетонов, циклич. кеталей, гемиттиокеталей и диттиокеталей. 0,18 г IV и 0,2 мл I обработаны 0,2 мл III в течение 5 мин. 8 мл  $\text{CH}_3\text{OH}$ , выделен бисэтиленттиокеталь IV (VII), выход 94%, т. пл. 219—220° (из гексана),  $[\alpha]_D^{25} + 30,4^\circ$  (с 1,09; хлф.),  $\lambda$  (хлф.) 5,87  $\mu$ .

VII получен аналогично из  $\Delta^4$ -холестен-6 $\beta$ -она-3 и  $\Delta^4$ -холестен-6 $\alpha$ -она-3. Кипячением VII в абс. спирте (~12 час.) со скелетным Ni получают холестерин. Из 1 г ацетата  $\Delta^4$ -холестен-6 $\beta$ -она-3, 1 мл I и 1 мл III получают 0,97 г (неочищ.) изомерного VII бисэтиленттиокетала (очищен хроматографией на  $\text{Al}_2\text{O}_3$ , т. пл. 130—132° (из этилацетата +  $\text{CH}_3\text{OH}$ )). 2 г IV в 80 мл  $\text{CH}_3\text{COOH}$  обрабатывают (25°, 5 час.) 45 мл  $\text{CH}_3\text{COOH}$ , содержащей 0,6 г I и 8 мл III. Фильтрат после отделения 0,85 г VII извлекают эфиром, извлеченный продукт хроматографируют, выделяют 0,67 г 3-моноэтиленттиокетала IV (VIII), т. пл. 131—132° (из  $\text{CH}_3\text{OH}$ ),  $[\alpha]_D^{25} + 24,4^\circ$  (с 2,09; хлф.),  $\lambda$  (хлф.) 5,87  $\mu$ . Обессеривание 0,62 г VIII со скелетным Ni в диоксане (7 час.) получают 0,38 г (неочищ.) холестерин-6 (IX), т. пл. 101—102° (из ацетона- $\text{CH}_3\text{OH}$ ),  $[\alpha]_D^{25} + 2,2^\circ$  (с 1,95; хлф.),  $\lambda$  (хлф.) 5,87  $\mu$ ; оксим, т. пл. 189—193°  $\lambda$  (хлф.) 5,79  $\mu$ . Р-р 1 г V в 20 мл  $\text{CH}_3\text{COOH}$  обрабатывают при 25°, 0,5 мл I и 1 мл III, получают 0,8 г бисэтиленттиокетала V (X), т. пл. 202—203° (из  $\text{CH}_3\text{COOH}$ ),  $[\alpha]_D^{25} + 86,1^\circ$  (с 1,21; хлф.). При обессеривании X получен продукт с т. пл. 66—67°,  $[\alpha]_D^{25} + 15^\circ$  (с 1,79; хлф.), вероятно, смесь  $\Delta^4$ - и  $\Delta^5$ -холестенов. Из 1 г V в 40 мл  $\text{CH}_3\text{COOH}$ , 22 мл р-ра I (1,33 г I растворяют в 100 мл  $\text{CH}_3\text{COOH}$ ) и 4 мл III получают 0,3 г 3-моноэтиленттиокетала V (XI), т. пл. 158,5—159,5° (из гексана),  $[\alpha]_D^{25} + 81,2^\circ$  (с 2,03; хлф.),  $\lambda$  (сп.) 244  $\mu$  (1710),  $\lambda$  (хлф.) 5,93, 6,19  $\mu$ . При обессеривании с активным скелетным Ni XI превращается в IX; с Ni предварительным дезактивированным кипячением с ацетоном XI дает  $\Delta^4$ -холестен-6, т. пл. 108—109° (из сп.),  $[\alpha]_D^{25} + 31,6^\circ$  (с 1,43; хлф.),  $\lambda$  (хлф.) 6, 6, 20  $\mu$ ,  $\lambda$  (сп.) 242  $\mu$  (3846). Из 0,6 г холестерона (XII), 1 мл I в 15 мл горячей  $\text{CH}_3\text{COOH}$  и 1 мл III получают этиленттиокеталь XII, выход 92%, т. пл. 146,5—147,5° (из диоксана + сп.),  $[\alpha]_D^{25} + 32,0^\circ$  (с 2,09; хлф.). Из 0,13 г XII в 6 мл  $\text{CH}_3\text{COOH}$ , 0,2 мл II и 0,5 мл III при 25° получено 0,104 г этилентгемиттиокетала XII, т. пл. 133—134°,  $[\alpha]_D^{25} + 24,8^\circ$  (с 0,681; хлф.). К суспензии 0,368 г  $\Delta^5$ -холестенона-3 (XIII) в 10 мл  $\text{CH}_3\text{COOH}$  прибавлено 0,4 мл II и 1 мл III, получено 0,076 г этилентгемиттиокетала XIII, т. пл. 136—137° (из сп.)  $[\alpha]_D^{25} - 19,6^\circ$  (с 0,84; хлф.). Из 0,3 г ацетата дегидроэпандростерона (XIV) в  $\text{CH}_3\text{COOH}$ , 0,3 мл I и 0,3 мл III

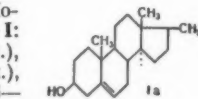
получено 0,343 г этиленттиокетала XIV, т. пл. 191—192° (из сп.),  $[\alpha]_D^{25} - 86,4^\circ$  (с 2,14; хлф.). Аналогично из 0,3 г XIV с II выделено 0,31 г (неочищ.) соответствующего этилентгемиттиокетала XIV, т. пл. 183—184° (из сп.),  $[\alpha]_D^{25} - 99,5^\circ$  (с 2,08; хлф.). Р-р 1,5 г дегидроэпандростерона (XV), 1,5 г этиленгликоля в 80 мл  $\text{C}_6\text{H}_6$  кипятят с вододелителем до обезвоживания, прибавляют 0,1 г  $n\text{-C}_4\text{H}_9\text{SO}_3\text{H}$  и вновь кипятят ~12 час., получают этиленттиокеталь XV (XVI), выход 59%, т. пл. 161—165° (из водн.  $\text{CH}_3\text{OH}$  с каплей пиридина); ацетат, т. пл. 140—142° (из водн.  $\text{CH}_3\text{OH}$ ),  $[\alpha]_D^{25} - 83,5^\circ$  (с 2,06; хлф.). При окислении ацетата XVI с помощью  $\text{H}_2\text{CrO}_4$  (55—60°, 5 час.) образуется 17-этиленттиокеталь 3- $\beta$ -ацетокси- $\Delta^5$ -андростенона-7, т. пл. 175—177° (из водн.  $\text{CH}_3\text{OH}$ ),  $\lambda$  ( $\text{CCl}_4$ ) 5,95  $\mu$ . Из 1 г  $\Delta^4$ -холестенона-3 (XVII) в 5 мл  $\text{CH}_3\text{COOH}$ , 5 мл I и 0,5 мл III получен этиленттиокеталь XVII, выход 96%, т. пл. 117,5—118,5° (из ацетона- $\text{CH}_3\text{OH}$ ),  $[\alpha]_D^{25} + 111,8^\circ$  (с 2,03; хлф.). Из 1 г VI в 4 мл  $\text{CH}_3\text{COOH}$ , 1 мл II и 1 мл III получен 1 г моноэтиленттиокетала, т. пл. 95—96° (из сп.),  $\lambda$  (хлф.) 5,97, 6,25, 6,31  $\mu$ . Е. К.

25779. Выделение гликозида  $\gamma$ -ситостерина из табака. Кханолкар, Пансе, Дивекар ( $\gamma$ -Sitosterol glycoside in tobacco. Khanolkar V. R., Panse T. B., Divekar V. D.), Science, 1955, 122, № 3168, 515—516 (англ.).

Из табака *Nicotiana tabacum* (Vadakkan) выделен гликозид  $\gamma$ -ситостерина (I), выход 0,01—0,02%, т. пл. 215—235° (из сп.); тетраацетат I, т. пл. 149° (из водн. сп.). При гидролизе I получают d-глюкозу и  $\gamma$ -ситостерин, т. пл. 148° (из водн. сп.),  $[\alpha]_D^{29} - 43,8^\circ$  (109 мг в 5 мл хлф.); ацетат, т. пл. 140°. Г. С.

25780. Выделение из *Rauwolfia serpentina* стерина (серпостерина), применяемых при психических заболеваниях. Гхош, Басу (A sterol (serposterol) for use in mental cases for *Rauwolfia serpentina*. Ghosh B. P., Basu R. K.), Naturwissenschaften, 1955, 42, № 5, 130 (англ.).

При хроматографировании на  $\text{Al}_2\text{O}_3$  экстракта из корей *Rauwolfia serpentina* выделен новый стерин, названный серпостерином (I), т. пл. 152—154° (из сп.),  $[\alpha]_D^{25} - 47^\circ$  (с 5; хлф.), для которого на основании анализа, ИК-спектра и хим. свойств предлагается структура (Ia). Получены следующие производные I: ацетат, т. пл. 136—138° (из сп.), бензоат, т. пл. 142—144° (из сп.), фталатпроизводное, т. пл. 156—158° (из сп.). Приведены кривые ИК-спектров I и холестерина.



25781. Стерины кожи. III. Строение стерина и реакция Либермана — Бурхарда. Идлер, Бауманн (Skin Sterols. III. Sterol structure and the Liebermann — Burchard reaction. Idler D. R., Baumann C. A.), J. Biol. Chem., 1953, 203, № 1, 389—396 (англ.).

Установлено, что при обработке стерина модифицированным реагентом Либермана — Бурхарда (I) (Moore, Baumann, J. Biol. Chem., 1952, 195, 615) интенсивность окрашивания и скорость ее возникновения уменьшаются в следующем порядке:  $\Delta^7$ -холестен-3 (II),  $\Delta^8(9)$ ,  $\Delta^{14(15)}$ ,  $\Delta^8(14)$ -холестенолы-3,  $\Delta^5$ -холестен-3 (холестерин) (III) и  $\Delta^4$ -холестен-3. Стерины, замещ. в положении 7, как-то: 7 $\beta$ -бромхолестерин, 7 $\beta$ -хлорхолестерин и холестерин-3 $\beta$ ,7 $\alpha$  вступают в р-цию очень быстро, образуя окраску почти такую



же интенсивную, как 7-дегидрохолестерин (IV), вероятно, благодаря тому, что они легко образуют 7(8)-двойную связь. Действительно, соединения, которые нельзя легко превратить в 7(8)-ненасыщ. стеринны, дают слабое окрашивание, как холестерандиол-3 $\beta$ , 7 $\beta$ , либо практически неактивны, как 7-кетохолестерин. Эргостерин,  $\alpha$ -спинастерин и  $\beta$ -ситостерин оказались несколько менее хромогенными, чем соответствующее им IV, III и II. Некоторые из стеринов можно различить по интенсивности образующейся окраски при взаимодействии с I и способности гидрироваться.

Ю. Л.

**25782. Соль холина с дегидрохололевой кислотой. Джовамбаттиста (Dehidrocolato de colina. Giovambattista Nicolas), Rev. Asoc. bioquím. Argentina, 1954, 19, № 94, 180—181 (исп.).**

Описаны 2 метода приготовления соли холина с дегидрохололевой к-той (I). К 0,56 г КОН в 0,5 мл  $H_2O$  прибавляют 1,40 г хлорида холина (II) в 8 мл  $CH_3OH$ , через 30 мин. в фильтрат вносят 4,02 г дегидрохололевой к-ты (III), фильтруют, прибавляют 36 мл эфира, через 2 дня выпавший осадок I промывают эфиром и сушат в вакууме, выход 84%, т. пл. 196—198° (из  $CH_3OH$  и эф.). I получают с выходом 86% смешением 1,4 г II в 5 мл  $CH_3OH$  и 5,2 мл 1,923 н. спирт. р-ра  $C_2H_5ONa$ , последующим прибавлением к фильтрату 4,02 г III и высаживанием I при помощи 15 мл эфира. С. 3.

**25783. Производные стероидов с открытым кольцом D. Хильман-Элис (Steroid-Derivate mit offenem D-Ring. Hillmann-Elies Annie), Z. Naturforsch., 1955, 10 b, № 6, 360—361 (нем.).**

С целью изучения биологич. активности получены гидроароматич. производные стероидов с открытым кольцом D. При восстановлении эфира  $\Delta^5$ -3 $\beta$ -оксигио-билиановой к-ты  $LiAlH_4$  получен  $\Delta^5$ -16,17-секо-андростенриол-3 $\beta$ , 16,17 (I), т. пл. 193°; трибензоат, т. пл. 126°. При окислении I по Оппенгауэру образуется  $\Delta^4$ -16,17-секо-андростендиол-16, 17-он-3 (II), т. пл. 121°; семикарбазон, т. пл. 174°. При восстановлении «пергидролизиноловой к-ты» (Heer, Miescher, Helv. chim. acta, 1947, 30, 777)  $LiAlH_4$  получен  $\Delta^5$ -16, 17-секо-андростендиол-3  $\beta$ , 17 (III), т. пл. 166°; диацетат, т. пл. 105°. При окислении по Оппенгауэру III дает  $\Delta^4$ -16, 17-секо-андростендиол-17-он-3 (IV), т. пл. 159°; семикарбазон, т. пл. 216°. Найдено, что I и III не обладают активностью, влияющей на рост семенных пузырьков. IV не обладает активностью подобной тестостерону (проба на рост гребня у цыплят). I обладает слабым эстрогенным действием, соответствующим эстрогенной активности  $\Delta^6$ -андростенриола-3 $\beta$ , 16 $\beta$ , 17 $\beta$ . При испытании на рост семенных пузырьков у крыс I, III и IV оказались не активными. IV не вызывает рост гребня у цыплят в дозах, в 100 раз превышающих наименьшую активную дозу тестостерона. С. А.

**25784. О некоторых возможных промежуточных продуктах биосинтеза стероидных гормонов. Жулиа (Sur quelques intermédiaires éventuels dans la biosynthèse des hormones stéroïdes. Julia Sylvestre), Ann. chimie, 1953, 8, mai — juin, 440—449 (франц.).**

Вводная часть реферируемой статьи является обзором работ, посвященных вопросам биосинтеза стероидных гормонов. В связи с высказанными в литературе соображениями о процессе указанного биосинтеза и его возможных промежуточных продуктах, осуществлен синтез 3-кето-5-оксистероидов, обладающих транс-расположением циклов A/B. Производные 5,17 $\beta$ -диоксандростана-3 получены следующим путем: обрабатываясь при обработке  $\Delta^5$ -3 $\beta$ -ацетоксандростана-17 (I) моноадреталевой к-той 5,6 $\alpha$ -окись 3 $\beta$ -аце-

токсандростана-17 (II) восстанавливают  $LiAlH_4$  в 3 $\beta$ , 5,17 $\beta$ -триоксандростан (III). При гидрировании в  $CH_3COOH$  в присутствии  $PtO_2$  II дает 3-ацетокс-5-оксандростан-17 (IV), омыляющийся в 3 $\beta$ ,5-диоксандростан-17 (V). Последний получен и при частичном окислении III при помощи  $CrO_3$ . При более энергичном окислении III образуется 5-оксандростандион-3,17 (VI). Превращение III, аналогичное описанному получению 5-окс-17 $\beta$ -бензоксандростана-3 (VII) из I (Urushibara и др., Bull. Chem. Soc. Japan, 1949, 22; Chem. Abstrs, 1950, 44, 1121, 5549), приводит к образованию 5-окс-17 $\beta$ -ацетоксандростана-3 (VIII). При обработке VII и VIII водно-метанольным р-ром  $K_2CO_3$  получен тестостерон (IX). Дегидратация VIII, как показывают измерения УФ-спектров, практически заканчивается при pH 12,05 $\pm$ 0,02, а дегидратация VII, судя по полярографич. измерениям при pH 8,6—11,1. При хроматографировании на  $Al_2O_3$  VII и VIII не претерпевают дегидратации. VI и VIII обладают слабой физиологич. активностью: VI в 8 раз слабее  $\Delta^4$ -андростендиона-3,17, а VIII в 25 раз слабее ацетата тестостерона.  $\Delta^5$ -17 $\beta$ -Ацетоксандростен-3 (X) может быть легко изомеризован в соответствующий  $\alpha,\beta$ -ненасыщ. кетон, но обладает слабой андрогенной активностью. Относительно слабое вращение VII, VIII и 17 $\alpha$ -метил-5,17-диоксандростана-3 (XI) и 17 $\alpha$ -метил-17-ацетокс-5-оксандростана-3 (XII) согласуется с наблюдавшимися ранее большими величинами правого вращения у стероидных гормонов, обладающих значительной физиологич. активностью. Для синтеза XI и его производных, полученные при действии  $CH_3MgI$  на I  $\Delta^5$ -17 $\alpha$ -метил-3 $\beta$ ,17-диоксандростен (XIII), 3-моноацетат XIII (XIV) и 3,17-диацетат XIII (XV) окисляют моноадреталевой к-той соответственно в 5,6 $\alpha$ -окись: 17-метиландростандиола-3,17 (XIIIa), его 3-моноацетата (XIVa) и 3,17-диацетата (XVa). Из маточных р-ров XVa выделена и изомерная 5,6 $\beta$ -окись (XVb), а из маточных р-ров XIVa, содержащих изомерную 5,6 $\beta$ -окись (XIVb) при гидролизе  $H_2SO_4$  в ацетоне или при фильтровании через  $Al_2O_3$ , выделен 17 $\alpha$ -метил-3 $\beta$ -ацетокс-5,6 $\beta$ ,17 $\beta$ -триоксандростан (XVI). При гидрировании XIIIa, XIVa и XVa в  $CH_3COOH$ , в присутствии  $PtO_2$ , образуются соответственно 17 $\alpha$ -метил-3 $\beta$ , 5,17 $\beta$ -триоксандростан (XVII), 3-моноацетат XVII (XVIII) и 3,17-диацетат XVII (XIX). При обработке  $KHCO_3$  в  $CH_3OH$  XIX превращается в 17 $\alpha$ -метил-17 $\beta$ -ацетокс-3 $\beta$ , 5-диоксандростан (XX), а XI и XII легко дегидратируются водно-метанольным р-ром  $K_2CO_3$  в 17 $\alpha$ -метилтестостерон (XXI) и 17-моноацетат XXI (XXII) соответственно. XI и XII обладают очень слабой андрогенной активностью (XII активен в дозе 1000  $\gamma$ ). XV получают кипячением XIII с  $(CH_3CO)_2O$ ; при этом, кроме XV, образуются  $\Delta^5$ -17-метил-3 $\beta$ -ацетоксандростен (XXIII), повидимому,  $\Delta^5$ ,16-17-метил-3 $\beta$ -ацетоксандростен (XXIV) и в-во  $C_{22}H_{32}O_2$  (XXV), неустойчивого строения; XXIII и XXIV получают и при действии  $POCl_3$  на XIV. Омыление продукта каталитич. гидрирования XXIII и XXIV дает 17 $\beta$ -метиландростанол-3 (XXVI). Приготовленный гидрированием 5,6 $\alpha$ -окись прегнанол-3 $\beta$ -она-20 (XXVII) (Ehrenstein, Stevens, J. Organ. Chem., 1941, 6, 908) прегнантриол-3 $\beta$ , 5 $\alpha$ , 20 $\beta$  (XXVIII), а также 3-моноацетат XXVIII (XXVIIIa), полученный аналогичным образом из 5,6 $\alpha$ -окиси 3 $\beta$ -ацетоксипрегнана-20 (XXIX), при ацетилировании дают 3 $\beta$ , 20 $\beta$ -диацетат XXVIII, (XXVIIIb). При омылении XXVIIIb нагреванием с водно-метанольным  $KHCO_3$  образуется 20 $\beta$ -ацетат XXVIII (XXVIIIc).  $\beta$ -Конфигурация OH-группы у  $C_{20}$  присписана на основании измерений разности молекулярного вращения. Образующийся при окислении XXVIIIa 3 $\beta$ -ацетоксипрегнанол-5 $\alpha$ -он-20 (XXX) омыляется в прегнандиол-3 $\beta$ ,

5 $\alpha$ -он-20 (XXXI), который окисляется в 5 $\alpha$ -оксипрегнандион-3,20 (XXXII), полученный и прямым окислением XXVIII. При дегидратации XXXII в качестве первичного продукта образуется  $\Delta^5$ -прегнендион-3,20 (XXXIII), который при нагревании в метанольном р-ре в присутствии  $H_2SO_4$  дает прогестерон (XXXIV). XXXII обладает гестогенной активностью более чем в 10 раз слабее, чем XXXIV, что согласуется с приведенными выше данными для синтезированных в настоящей работе андрогенов и позволяет сделать вывод о том, что  $\beta$ -оксикетоны с *транс*-расположением циклов A/B вообще обладают очень слабой физиологич. активностью и могут рассматриваться, как предшественники гормонов с  $\alpha,\beta$ -непредельной кетонной группировкой в цикле A. Образующуюся при окислении  $\Delta^5$ -21-ацетоксипрегненол-3 $\beta$ -она-20 (XXXV), 5,6 $\alpha$ -оксис 21-ацетоксипрегненол-3 $\beta$ -она-20 (XXXVI) гидрируют в  $CH_3COOH$  в присутствии  $PtO_2$  и получают смесь триолов (XXXVII). При окислении XXXVII дает 5 $\alpha$ -окси-21-ацетоксипрегнандион-3,20 (XXXVIII). Р-р 725 мг II в 40 мл тетрагидрофурана приливают понемногу к суспензии 750 мг  $LiAlH_4$  в 50 мл эфира, кипятят 1 час, на следующий день обрабатывают и получают III, выход 550 мг, т. пл. 194—195° (из ацетона),  $[\alpha]_D^{19} + 4^\circ$  (с 1,445; двоксан). При гидрировании II (Ruzicka, Muhr, Helv. chim. acta, 1944, 27, 503) образуется 3-ацетат III, (XXXIX), т. пл. 190,5—192,5°, при ацетилировании которого, как и при обработке III ( $CH_3CO_2O$ ) в пиридине при 20° получают 3,17-диацетат III (XXXIXa), т. пл. 180—181° (из ацетона-гексана),  $[\alpha]_D^{18} - 10^\circ$  (с 0,64;  $CHCl_3$ ). Бензольный р-р 600 мг XXXIX упаривают в вакууме досуха, остаток растворяют в 15 мл пиридина, добавляют при —10° 2 г  $C_6H_5COCl$  и после обычной обработки получают 3 $\beta$ -ацетоксис-17 $\beta$ -бензоат-андростанол-5 (XI), выход 475 мг, т. пл. 233—235° (из ацетона-гексана),  $[\alpha]_D^{23} + 40,8^\circ$  (с 0,67;  $CHCl_3$ ). Смесь р-ра 325 мг XXXIXa в 30 мл  $CH_3OH$  и р-ра 150 мг  $NaHCO_3$  в 5 мл воды кипятят 1 час и получают 17-моноацетат III (XXXIXb), выход 125 мг, т. пл. 222—224° (из  $CH_3OH$ ),  $[\alpha]_D^{24} - 1,3^\circ$  (с 0,689;  $CHCl_3$ ). При кипячении (2 часа) смеси 200 мг XI, 30 мл  $CH_3OH$ , 150 мг  $NaHCO_3$  в 5 мл воды образуется 17-бензоат III (XLa), выход 135 мг, т. пл. 247—249° (из ацетона-гексана),  $[\alpha]_D^{19} + 47,7^\circ$  (с 0,66;  $CHCl_3$ ). К р-ру 150 мг III в 25 мл  $C_6H_6$  при 20° добавляют смесь 15 мл р-ра  $CrO_3$  в  $CH_3COOH$  (8,8 мг активного O) и 5 мл воды (4 порции по 5 мл, через 3 часа) и после обработки получают V, выход 50 мг, т. пл. 265—268° (из ацетона),  $[\alpha]_D^{19} + 113^\circ$  (с 1,193; пиридин). При омылении IV при помощи нагревания с 5%-ным р-ром KOH в  $CH_3OH$  получают V, т. пл. 275—277°. Суспензия 160 мг III в 30 мл  $C_6H_6$  обрабатывают р-ром  $CrO_3$  в 5 мл воды и 18 мл  $CH_3COOH$  (35,1 мг активного O), перемешивают 24 часа и выделяют VI, выход 80 мг, т. пл. 212—213° (из ацетона-гексана),  $[\alpha]_D^{21} + 114^\circ$  (с 0,705;  $CHCl_3$ ). Р-р 140 мг XXXIXb в 20 мл  $C_6H_6$  перемешивают 50 час. с 5 мл воды и 16,5 мл р-ра  $CrO_3$  в  $CH_3COOH$  (17,5 мг активного O) и получают VIII, выход 90 мг, т. пл. 223—225° (из ацетона-гексана),  $[\alpha]_D^{21} + 29,1^\circ$  (с 1,102;  $CHCl_3$ ). При аналогичном окислении 100 мг XLa в 25 мл  $C_6H_6$  образуется VII, выход 80 мг, т. пл. 223—224° (из  $CH_3OH$ ),  $[\alpha]_D^{20} + 79^\circ$  (с 0,988;  $CHCl_3$ ). Смесь р-ра 40 мг VIII в 20 мл  $CH_3OH$  и р-ра 50 мг  $K_2CO_3$  в 2 мл воды выдерживают 5 час. при ~20° и получают IX, выход 20 мг, т. пл. 151—152° (из ацетона-гексана),  $[\alpha]_D^{21} + 117^\circ$  (с 0,747;  $CHCl_3$ ). Аналогичный результат получен при обработке VIII в течение 12 час. 4,2%-ным р-ром KOH

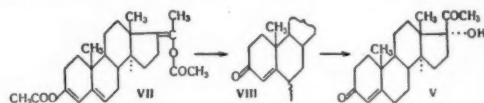
в  $CH_3OH$ . Р-р 100 мг VII в 50 мл  $CH_3OH$  обрабатывают (20°, 48 час., в атмосфере  $N_2$ ) р-ром 150 мг KOH в 2 мл воды и 10 мл  $CH_3OH$  и после обычной обработки выделяют бензоат IX, выход 40 мг, т. пл. 190—192° (из водн.  $CH_3OH$ ),  $[\alpha]_D^{19} + 170^\circ$  (с 0,660;  $CHCl_3$ ). Р-р 50 мг VIII в 7 мл  $CH_3OH$  нагревают 1 час со смесью 60 мг реактива Т Жирара и 0,3 мл  $CH_3COOH$ , охлаждают до 0°, обрабатывают р-ром 250 мг  $Na_2CO_3$  в 30 мл воды и экстрагируют эфиром. Водн. р-р выдерживают 40 час. с 2 мл 2 н.  $H_2SO_4$  и экстрагируют эфиром и выделяют из него 15 мг исходного VIII, при хроматографировании маточных р-ров получают 29 мг ацетата IX, т. пл. 138—140° (из водн.  $CH_3OH$ ) и 4 мг VIII. Р-р 608 мг XIII в смеси 25 мл  $CHCl_3$  и 50 мл эфира обрабатывают при —10° эфирным р-ром моноацеталевой к-ты (6 мл, 42,6 мг активного O), выдерживают смесь 12 час. при —10°. 24 часа при 0° и 2 часа при 20° и получают XIIIa, выход 250 мг, т. пл. 245—247° (из этилацетата),  $[\alpha]_D^{19} - 64^\circ$  (с 1,351; пиридин). При омылении 160 мг XIVa р-ром 180 мг  $K_2CO_3$  в 15 мл  $CH_3OH$  и 3 мл воды (16 час., 20°) образуется XIIIa, выход 105 мг. Окисление 940 мг XIV в 40 мл эфира (аналогично описанному для XIII) приводит к XIVa, выход 450 мг, т. пл. 167—168° (из ацетона-гексана),  $[\alpha]_D^{20} - 86^\circ$  (с 1,704;  $CHCl_3$ ). Ацетилирование 90 мг XIIIa при 20° смесью 3 мл пиридина и 3 мл  $(CH_3CO_2O)$  дает XIVa выход 45 мг. Р-р 900 мг XV в 40 мл эфира обрабатывают аналогично XIII, получают XVa, выход 450 мг, т. пл. 153—154° (из гексана),  $[\alpha]_D^{20} - 70^\circ$  (с 0,855;  $CHCl_3$ ). При фракционной кристаллизации 400 мг маточных р-ров от XVa из гексана и затем из  $CH_3OH$ , выделяют XVb, т. пл. 159—160° (из  $CH_3OH$ ),  $[\alpha]_D^{20} - 27^\circ$  (с 1,125;  $CHCl_3$ ). При обработке маточных р-ров от XIVa в 25 мл ацетона, 10 мл воды и 6 мл 10%-ной  $H_2SO_4$  (40 час., 20°) образуется XVI, выход 110 мг, т. пл. 227—229° (из ацетона-гексана),  $[\alpha]_D^{19} - 55^\circ$  (с 1,069;  $CHCl_3$ ). При гидрировании 106 мг XIIIa в 15 мл  $CH_3COOH$  с 25 мг  $PtO_2$  получают XVII, выход 80 мг, т. пл. 236—237°,  $[\alpha]_D^{19} + 11^\circ$  (с 1,205; пиридин). Смесь 465 мг XVIII в 30 мл  $CH_3OH$  и 160 мг  $KHCO_3$  в 3 мл воды кипятят 1 час и выделяют XVII, выход 310 мг. При гидрировании 365 мг XIVa (25 мл  $CH_3COOH$ , 100 мг  $PtO_2$ ) образуется XVIII, выход 240 мг, т. пл. 178—180° (из ацетона-гексана),  $[\alpha]_D^{19} - 25^\circ$  (с 0,913;  $CHCl_3$ ). При аналогичном гидрировании 300 мг XVa выделяют XIX, выход 200 мг, т. пл. 179—180° (из ацетона-гексана),  $[\alpha]_D^{19} - 16^\circ$  (с 0,925;  $CHCl_3$ ). Р-р 190 мг XIX в 25 мл  $CH_3OH$  кипятят 1 час с р-ром 110 мг  $KHCO_3$  в 2 мл воды и получают XX, выход 120 мг, т. пл. 211—212° (из ацетона-гексана),  $[\alpha]_D^{19} - 7^\circ$  (с 1,494;  $CHCl_3$ ). Р-р 215 мг XVII в 20 мл  $CH_3COOH$  обрабатывают (16 час., 20°) 1,2 мл р-ра  $CrO_3$  в  $CH_3COOH$  (13,44 мг активного O) и выделяют XI, выход 120 мг, т. пл. 203—205° (из ацетона-гексана),  $[\alpha]_D^{20} + 5^\circ$  (с 0,579;  $CHCl_3$ ). Аналогичное окисление 230 мг XX дает XII, выход 190 мг, т. пл. 229—231° (из ацетона),  $[\alpha]_D^{19} + 21^\circ$  (с 0,761;  $CHCl_3$ ). Смесь 60 мг XI, 20 мл  $CH_3OH$  и 4 мл 4%-ного р-ра KOH в  $CH_3OH$  выдерживают 12 час. при ~20°, выделенный после обычной обработки продукт растворяют в  $C_6H_6$ , фильтруют через  $Al_2O_3$  и выделяют XXI, выход 30 мг, т. пл. 162—163° (из гексана),  $[\alpha]_D^{20} + 23^\circ$  (с 0,532;  $CHCl_3$ ). Смесь 72 мг XII, 70 мг  $K_2CO_3$ , 20 мл  $CH_3OH$  и 3 мл воды выдерживают 2 часа при 20° и получают XXII, выход 36 мг, т. пл. 172—174°,  $[\alpha]_D^{20} + 89^\circ$ .

(с 0,88;  $\text{CHCl}_3$ ). Р-р 550 мг XIV в 5 мл пиридина обрабатывают  $\text{POCl}_3$  (0,7 мл,  $-10^\circ$ ), выдерживают 12 час. при  $20^\circ$  и выделяют XXIV, выход 130 мг, т. пл.  $134-135^\circ$  (из  $\text{CH}_3\text{OH}$ ) (после возгонки при  $100^\circ$  в высоком вакууме).  $[\alpha]_D^{22} - 66^\circ$  (с 1,576;  $\text{CHCl}_3$ ). Смесь 3,5 г XIII, 30 мл  $(\text{CH}_3\text{CO})_2\text{O}$  и 5 мл пиридина кипятят 30 мин. и после хроматографирования на  $\text{Al}_2\text{O}_3$  выделяют: XXV, выход 300 мг, т. пл.  $55-56^\circ$  (из водн.  $\text{CH}_3\text{OH}$ ),  $[\alpha]_D^{22} - 185^\circ$  (с 1,791;  $\text{CHCl}_3$ ), XXIII, выход 190 мг, т. пл.  $93-94^\circ$  (из водн.  $\text{CH}_3\text{OH}$ ), XXIV, выход 420 мг, и XV, выход 985 мг. Из маточных р-ров XXIV выделяют XXIII, выход 80 мг, т. пл.  $95-96^\circ$  (из  $\text{CH}_3\text{OH}$ ),  $[\alpha]_D^{22} - 80^\circ$  (с 1,461;  $\text{CHCl}_3$ ). При гидрировании 200 мг XXIII (15 мл  $\text{CH}_3\text{COOH}$ , 30 мг  $\text{PtO}_2$ ), образуется 3-мо-ноацетат XXVI (XLI), выход 150 мг, т. пл.  $94-95^\circ$  (из водн.  $\text{CH}_3\text{OH}$ , после фильтрования через  $\text{Al}_2\text{O}_3$  и возгонки в высоком вакууме при  $70^\circ$ ),  $[\alpha]_D^{21} - 6,5^\circ$  (с 0,923;  $\text{CHCl}_3$ ). При гидрировании XXIV образуется также XLI. Смесь 90 мг XLI, 90 мг  $\text{NaHCO}_3$ , 15 мл  $\text{CH}_3\text{OH}$  и 3 мл воды кипятят 1 час и получают XXVI, т. пл.  $138-139^\circ$  (из водн.  $\text{CH}_3\text{OH}$ , после возгонки в высоком вакууме при  $90^\circ$ ),  $[\alpha]_D^{21} + 6^\circ$  (с 0,714;  $\text{CHCl}_3$ ). Гидрирование 800 мг XXVII (30 мл  $\text{CH}_3\text{COOH}$ , 200 мг  $\text{PtO}_2$ ) дает XXVIII, выход 160 мг, т. пл.  $228-230^\circ$  (из ацетона-гексана),  $[\alpha]_D^{20} + 38,5^\circ$  (с 1,741; пиридин). Ацетилирование 100 мг XXVIII (5 мл пиридина, 4 мл  $(\text{CH}_3\text{CO})_2\text{O}$ ,  $\sim 20^\circ$ ) дает XXVIIIb, выход 75 мг, т. пл.  $207-209^\circ$  (из ацетона-гексана),  $[\alpha]_D^{19} + 18^\circ$  (с 1,061;  $\text{CHCl}_3$ ). XXVIIIb образуется и при ацетилировании XXVIIIa. Р-р 205 мг XXVIIIb в 25 мл  $\text{CH}_3\text{OH}$  кипятят 1 час с р-ром 60 мг  $\text{KHCO}_3$  в 3 мл воды и получают XXVIIIb, выход 100 мг, т. пл.  $242-244^\circ$  (из  $\text{CH}_3\text{OH}$ -ацетона),  $[\alpha]_D^{20} + 39^\circ$  (с 0,823;  $\text{CHCl}_3$ ). Гидрирование XXIX (400 мг в 20 мл  $\text{CH}_3\text{COOH}$ , 100 мг  $\text{PtO}_2$ ) дает XXVIIIa, выход 125 мг, т. пл.  $228-229^\circ$  (из ацетона, после фильтрования через  $\text{Al}_2\text{O}_3$ ),  $[\alpha]_D^{19} - 15^\circ$  (с 1,265;  $\text{CHCl}_3$ ). При окислении р-ра 260 мг XXVIIIa в 15 мл  $\text{CH}_3\text{COOH}$ , р-ром  $\text{CrO}_3$  в  $\text{CH}_3\text{COOH}$  (1,3 мл, 14,56 мг активного O) образуется XXX, выход 145 мг, т. пл.  $201-203^\circ$  (из ацетона-гексана),  $[\alpha]_D^{20} + 72,5^\circ$  (с 1,232;  $\text{CHCl}_3$ ). Смесь 115 мг XXX, 120 мг  $\text{KHCO}_3$ , 30 мл  $\text{CH}_3\text{OH}$  и 3 мл воды кипятят 1 час и получают XXXI, выход 75 мг, т. пл.  $230-233^\circ$  (из  $\text{CH}_3\text{OH}$ -этилацетата),  $[\alpha]_D^{20} + 104^\circ$  (с 1,089; пиридин). Окисление 125 мг XXXI в 15 мл  $\text{CH}_3\text{COOH}$  (12 час.,  $20^\circ$ ) р-ром  $\text{CrO}_3$  в  $\text{CH}_3\text{COOH}$  (0,7 мл, 8,02 мг активного O) дает XXXII, выход 95 мг, т. пл.  $258-260^\circ$  (из  $\text{CHCl}_3$ - $\text{CH}_3\text{OH}$ ). При аналогичном окислении 500 мг XXVIII в 15 мл  $\text{CH}_3\text{COOH}$  (24 часа,  $20^\circ$ ) при помощи 6 мг р-ра  $\text{CrO}_3$  в  $\text{CH}_3\text{COOH}$  (4,2 мг активного O) получают XXXII, выход 255 мг. При хроматографировании на  $\text{Al}_2\text{O}_3$  100 мг XXXII, перегнанных 3 раза в вакууме водоструйного насоса, выделяют 78 мг в-ва с т. пл.  $145-155^\circ$ . Р-р этого в-ва в 10 мл  $\text{CH}_3\text{OH}$  нагревают 5 мин. на бане  $100^\circ$  в присутствии нескольких капель 2 н.  $\text{H}_2\text{SO}_4$  и получают XXXIV, выход 40 мг, т. пл.  $127^\circ$  (из эф.-петр. эф.),  $[\alpha]_D^{25} + 198^\circ$  (с 0,934;  $\text{CHCl}_3$ ). Р-р 1,75 г XXXV в 25 мл  $\text{CHCl}_3$  обрабатывают эфирным р-ром моноацетатной к-ты ( $-10^\circ$ , 13 мл, 0,0068 активного O в 1 мл), выдерживают 20 час. при  $-10^\circ$ , 36 час. при  $0^\circ$  и 5 час. при  $\sim 20^\circ$  и выделяют XXXVI, выход 1,045 г, т. пл.  $202-204^\circ$  (из ацетона-этилацетата),  $[\alpha]_D^{20} + 32,5^\circ$  (с 0,922;  $\text{CHCl}_3$ ). Гидрирование 1 г XXXVI в 25 мл  $\text{CH}_3\text{COOH}$  в присутствии 0,1 г  $\text{PtO}_2$  приводит к получению 400 мг XXXVII, при окислении которого

в р-ре 15 мл  $\text{CH}_2\text{Cl}_2$  и 15 мл  $\text{CH}_3\text{COOH}$  при помощи р-ра  $\text{CrO}_3$  в  $\text{CH}_3\text{COOH}$  (25% избытка, 12 час.,  $\sim 20^\circ$ ) получают XXXVIII, выход 20 мг, т. пл.  $204-206^\circ$  (из ацетона-гексана, после хроматографирования),  $[\alpha]_D^{27} + 113^\circ$  (с 0,992;  $\text{CHCl}_3$ ).

М. Б. 25785.  $\alpha$ -Иодкетоны. Часть 4. Взаимодействие N-иодсукцинимид с енолацетатами  $\Delta^1$ -3-кетостероидов. Дьерасси, Гроссман, Томас ( $\alpha$ -Iodoketones. Part 4. The reaction of N-iodosuccinimide with enol acetates of  $\Delta^1$ -3-ketosteroids. Dje-rassi Carl, Grossman J., Thomas G. H.), J. Amer. Chem. Soc., 1955, 77, № 14, 3826-3829 (англ.).

Исследовалась р-ция N-иодсукцинимид (NJS) с енолацетатами  $\Delta^1$ -3-кетостероидов. При взаимодействии NJS с енолацетатом  $\Delta^1$ -диосгенона (I) образуется  $\Delta^4$ -6-иод-22а,25а-спиростенон-3 (II), строение которого подтверждается УФ-спектром и некоторыми превращениями II. При действии на II р-ра  $\text{NaHSO}_3$ , KJ или  $\text{CrCl}_2$  иод легко заменяется на водород и образуется  $\Delta^1$ -диосгенон (III). Динитрофенилгидразин (ДНФГ) и семикарбазид (IV) с II дают соответствующие производные  $\Delta^4$ -6-стероида. Не удалось осуществить замену J на ацетоксигруппу. Большая реакционная способность енолацетатов ненасыщ. кетонов по сравнению с енолацетатами насыщ. кетонов (см. часть 3, РЖХим, 1955, 52027) использована для получения 17 $\alpha$ -оксипрогестерона (V). Прогестерон (VI) превращают в диенолацетат (VII), который при обработке NJS дает промежу-



точный 6-иод- $\Delta^1$ -кетон-3 (VIII). Последний восстанавливают в 20-моноенолацетат VI (IX), окисление которого  $\text{C}_8\text{H}_5\text{O}_3\text{N}$  приводит к V. Смесь 5 г III, 15 мл  $(\text{CH}_3\text{CO})_2\text{O}$  и 15 мл  $\text{CH}_3\text{COCl}$  кипятят 1,5 часа, получают I, выход 3,5 г, т. пл.  $173-174^\circ$  (из  $\text{CH}_3\text{OH}$ -бэл.),  $[\alpha]_D - 164^\circ$ ,  $\lambda_{\text{макс}}$  (в сп.) 235 мк ( $\lg \epsilon$  4,20),  $\lambda_{\text{макс}}$  (в  $\text{CS}_2$ ) 5,70, 8,25 мк. К р-ру 2 г I в 20 мл диоксана добавляют 2 г NJS, слегка нагревают до растворения и оставляют на 24 часа при  $20^\circ$ , добавляют р-р KJ, затем 10%-ный р-р  $\text{Na}_2\text{S}_2\text{O}_3$  и лед. Осадок кристаллизуют из  $\text{CH}_3\text{OH}$ -ацетона, получают 1,51 г II, т. пл.  $126-128^\circ$ ,  $[\alpha]_D - 94^\circ$ ,  $\lambda_{\text{макс}}$  (в сп.) 248 мк ( $\lg \epsilon$  4,08),  $\lambda_{\text{макс}}$  (в хлф.) 6,00 мк. Р-р 0,3 г II в 30 мл  $\text{CHCl}_3$  встряхивают 30 мин. с 50 мл 10%-ного р-ра  $\text{NaHSO}_3$ , получают III, выход почти колич. Кипятят 12 час. 0,3 г II, 0,5 г  $\text{NaJ}$  в 10 мл ацетона, после хроматографирования продуктов р-ции получают 0,07 г X. Нагревают 0,5 г II, 0,48 г алоргидрата IV и 0,48 г  $\text{CH}_3\text{COONa}$  в 125 мл  $\text{CH}_3\text{COOH}$  при  $70^\circ$  2 часа, добавляют 7 мл  $\text{CH}_3\text{COCOON}$  и 14 мл воды; через 2 часа продукт р-ции экстрагируют этилацетатом и хроматографируют, получают 0,15 г  $\Delta^4$ -6-22а,25а-спиростаденона-3 (X). Нагревают 0,2 г II в 5 мл  $\text{CH}_3\text{COOH}$  с 0,1 г ДНФГ 3-4 мин. при  $100^\circ$ , получают 0,15 г динитрофенилгидразона X, т. пл.  $263-264^\circ$ . Аналогично 2-иодхолестанов дают динитрофенилгидразон  $\Delta^1$ -холестенона-3. Кипятят 10 г VI, 50 мл  $\text{CH}_2 = \text{C}(\text{OCOCCH}_3)\text{CH}_3$  и 0,05 мл  $\text{H}_2\text{SO}_4$ ; неочищ. продукт р-ции растворяют в 60 мл  $(\text{CH}_3\text{CO})_2\text{O}$ , добавляют 0,5 г  $\text{n-C}_7\text{H}_{15}\text{SO}_3\text{H}$  и отгоняют 30 мл р-рителя, получают 6,3 г VII, т. пл.  $138-140^\circ$  (из  $\text{CH}_3\text{OH}$ ),  $[\alpha]_D - 151^\circ$ ,  $\lambda_{\text{макс}}$  (в сп.) 235 мк ( $\lg \epsilon$  4,23),  $\lambda_{\text{макс}}$  (в  $\text{CS}_2$ ) 5,70, 8,2 мк, 0,63 г VII обрабатывают 0,44 г NJS, как указано выше, неочищ. VIII растворяют в  $\text{CH}_2\text{Cl}_2$  и встряхивают 2 часа с 50 мл 10%-ного



NaHSO<sub>3</sub>; после хроматографирования на Al<sub>2</sub>O<sub>3</sub> получают 0,21 г IX, т. пл. 170—171° (из CH<sub>3</sub>OH),  $[\alpha]_D^{20} + 100^\circ$ ,  $\lambda_{\text{макс}}$  (в сп.) 240 мμ (lg ε 4,18),  $\lambda_{\text{макс}}$  (в CS<sub>2</sub>) 5,72, 5,98, 8,2 мμ. К 150 мг IX в 5 мл CHCl<sub>3</sub> добавляют 30 мл 0,1 н. C<sub>6</sub>H<sub>5</sub>CO<sub>2</sub>H в CHCl<sub>3</sub> при 0°, оставляют на 3 часа при 20°, промывают р-ром NaOH, водой, органич. слой выпаривают, остаток нагревают с 2 мл 4%-ного KOH в CH<sub>3</sub>OH, получают 55 мг V, т. пл. 218—220°,  $[\alpha]_D^{20} + 100^\circ$ . Э. М.

25786. Синтез стероидов, окисленных в положении 11, из стероидных сапогенинов. Дьерасси, Розенкранц (Synthesis of 11-oxygenated steroids from steroidal sapogenins. Djerassi Carl, Rosenkranz G.), Ciba Foundat. Colloq. Endocrinol., 1953, 7, 79—95 (англ.)

Обзорный доклад и дискуссия о работах авторов по синтезу кортизона и родственных ему кортикостероидов из диосгенина. Библ. 41 назв. Л. Б.

25787. Получение кортизона и диацетата 11-эпи-17-оксикортикостерона из сарментогенина. Лардон, Рейхштейн (Cortisone and 11-epi-17-hydroxycorticosterone diacetate from sarmetogenin. Lardon A., Reichstein T.), Ciba Foundat. Colloq. Endocrinol., 1953, 7, 65—78 (англ.)

Обзорный доклад и дискуссия о работе авторов по синтезу кортикостероидов из сарментогенина (I). Приведены сведения о нахождении I в природе, о методах его выделения и синтетич. превращениях. Приведена карта Юго-Западной Африки с указанием мест произрастания. Вибл. 13 назв. Л. Б.

25788. Кортикостероиды. Сообщение III. Микробиологическое окисление 16α,17α-эпоксипрогестерона в 11α-окси-16α,17α-эпоксипрогестерон. Последующее превращение в 17α-окси-11-кетопрогестерон (21-дезоксикортизон). Эрколи, Руджери, Делла-Морте (Corticosteroidi. Nota III. Ossidazione microbiologica del 16α,17α-ossidoprogestosterone ad 11α-ossi-16α,17α-ossidoprogestosterone. Successiva conversione in 17α-ossi-11-chetoprogesterone (21-desossicortisone). Ercoli Alberto, Ruggieri Pietro de, Della Morte Dina), Gazz. chim. ital., 1955, 85, № 5-6, 628—638 (итал.)

В продолжение предыдущей работы (см. сообщение II, РЖХим, 1955, 2631) 16α,17α-эпоксипрогестерон (I) окислен микробиологически с использованием *Rhizopus nigricans* до 16α,17α-эпоксипрегнен-4-ол-11α-диона-3,20 (II), строение которого подтверждено ацетилированием до известного 11α-ацетокси-16α,17α-эпоксипрегнен-4-диона-3,20 (III) (РЖХим, 1955, 21309), УФ-спектром и окислением комплексом хромовой ангидрида + пиридин (РЖХим, 1953, 6522). До 16α,17α-эпоксипрегнен-4-триона-3,11,20 (IV). Наличие неизмененного эпиксимиотика в III и IV подтверждено обработкой III конц. HJ с образованием 16β-под-11α-ацетоксипрегнен-4-ол-17-диона-3,20 (V) и обработкой IV конц. HBr или HJ с образованием соответственно 16β-бромпрегнен-4-ол-17α-триона-3,11,20 (VI) и 16β-иодпрегнен-4-ол-17α-триона-3,11,20 (VII). В соответствии с прошлыми данными (см. сообщение I) V и VII при обработке скелетным Ni образуют соответственно 11α-ацетоксипрегнен-4-ол-17α-дион-3,20 (VIII) и прегнен-4-ол-17α-трион-3,11,20 (IX). Отщепление HJ от V посредством CH<sub>3</sub>COOK приводит вновь к III, при отщеплении HJ (или HBr) от VII и VI образуется исходный IV. С целью идентификации VIII и IX повторено окисление 17 α-эпоксипрогестерона при помощи *R. nigricans* (РЖХим, 1954, 18120) до 11α,17α-диоксипрогестерона, при ацетилировании которого получен VIII, а при окислении посредством CrO<sub>3</sub> в CH<sub>3</sub>COOH выделен IX. К культуре *R. nigricans*, выращенной на среде из 4 г р-ра состава 5% глюкозы, 3%/о «конц. кукурузной

пастойки», 2%/о (NH<sub>4</sub>)<sub>2</sub>SO<sub>4</sub>, 0,5%/о MgSO<sub>4</sub>·7 H<sub>2</sub>O, 5%/о K<sub>2</sub>HPO<sub>4</sub>, 0,01%/о FeSO<sub>4</sub>·7 H<sub>2</sub>O, при 30—32° в токе воздуха добавляют р-р 2 г I в 50 мл ацетона + 2 г «Tween 80», перемешивают в токе воздуха 24 часа, быстро нагревают до 80—90° и фильтруют, извлекают посредством CH<sub>2</sub>Cl<sub>2</sub> фильтрат и высушенный при 100° осадок, упаривают экстракт и получают 1,60 г II (еще 40 мг выделяют хроматографией маточного р-ра на Al<sub>2</sub>O<sub>3</sub>), т. пл. 235—237°,  $[\alpha]_D^{20} + 146^\circ$  (с 1,03; хлф.),  $\lambda_{\text{макс}}$

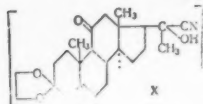
242 мμ (lg ε 4,15); 180 мг II, 2 мл пиридина и 1 мл (CH<sub>3</sub>CO)<sub>2</sub>O оставляют при ~20° в течение 12 час., выделяют 150 мг III. т. пл. 215—216° (из CH<sub>3</sub>OH),  $[\alpha]_D^{20} + 113^\circ$  (с 1; хлф.),  $\lambda_{\text{макс}}$  240 мμ (lg ε 4,18). 160 мг V в 8 мл ацетона и 350 мг CH<sub>3</sub>COOK кипятят 4 часа, выделяют 130 мг III. К суспензии 7 г CrO<sub>3</sub> в 70 мл пиридина добавляют 7 г II в 70 мл пиридина, на следующий день разбавляют водой, охлаждают льдом, осадок отделяют и посредством CH<sub>2</sub>Cl<sub>2</sub> экстрагируют IV, выход 78,7%, т. пл. 177—178°,  $[\alpha]_D^{20} + 241,5^\circ$  (с 1,32; хлф.),  $\lambda_{\text{макс}}$

238 мμ (lg ε 4,18). 50 мг VI (или VII), 125 мг CH<sub>3</sub>COOK и 8 мл ацетона кипятят 4 часа, разбавляют водой, получают 35 мг IV. К 1 г III в 10 мл диоксана в отсутствие света добавляют по каплям 8 мл HJ (d 1,7), через 1 час разбавляют прокипяченной водой, добавляют 1,1 г V, т. пл. 199—200°. 500 мг V, 20 мл спирта и 2,5 г скелетного Ni перемешивают 30 мин. при 0—3°, разбавляют водой, при помощи CH<sub>2</sub>Cl<sub>2</sub> извлекают 225 мг VIII, т. пл. 211—212°,  $[\alpha]_D^{20} + 66^\circ$  (с 0,74; хлф.). К 250 мг IV в 1 мл CH<sub>3</sub>COOH добавляют 0,25 мл 32%-ного р-ра HBr в CH<sub>3</sub>COOH, через 30 мин. (15—18°) разбавляют водой, получают 290 мг VI, т. пл. 215—216° (разл.; из хлф.-эф.). Аналогично V из 400 мг IV получают 500 мг VII, т. пл. 203—204° (разл.). 200 мг VII аналогично VIII дают 130 мг IX, т. пл. 230—231° (из CH<sub>3</sub>OH),  $[\alpha]_D^{20} + 185^\circ$  (с 0,85; хлф.). Л. Я.

25789. Кортикостероиды. Сообщение IV. Превращение прогестерона в ацетат 11-дегидрокортикостерона. Дополнение к синтезу кортизона. Эрколи, Руджери (Corticosteroidi. — Nota IV. Conversione del progesterone in acetato di 11-deidro corticosterone. Un contributo alla sintesi del cortisone. Ercoli Alberto, Ruggieri Pietro de), Gazz. chim. ital., 1955, 85, № 5-6, 639—645 (итал.)

В продолжение прошлых работ (сообщение III, пред. реф.) проведено превращение 11-кетопрогестерона (I) в ацетат 11-дегидрокортикостерона (II). С этой целью I переведен действием циангидрида ацетона (III) в 20-дианпрегнен-4-ол-20-дион-3,11 (IV); последний при кипячении с этиленгликолем (V) в присутствии n-CH<sub>3</sub>C<sub>6</sub>H<sub>4</sub>SO<sub>3</sub>H (VI) в CHCl<sub>3</sub> с последующей обработкой продукта р-ции пиридином (VII) дал 3-этилендиоксипрегнен-5-дион-11,20 (VIII). При ведении р-ции между IV и V в C<sub>6</sub>H<sub>6</sub> наряду с VIII образовались заметные кол-ва 3,20-бис-этилендиоксипрегнен-5-она-11 (IX) за счет спонтанной диссоциации циангидрина (X). Конденсация VIII с диэтиловым эфиром щавелевой к-ты (XI) в присутствии CH<sub>3</sub>ONa привела к Na-соли енольной формы этилового эфира 3-этилендиоксипрегнен-5-диона-11,20 (XII). Иодированием XII с последующим кислотным расщеплением получен 3-этилендиоксипрегнен-5-дион-11,20 (XIII), при ацетилизации которого и последующем кислотном гидролизе образовавшегося 3-этилендиоксипрегнен-5-диона-11,20 (XIV) получен II. К суспензии комплекса CrO<sub>3</sub> и VII (из 10 г CrO<sub>3</sub> и 100 мл VII, см. РЖХим, 1953, 6522) добавляют 10 г прегнен-4-ол-11α-диона-3,20 в 100 мл VII, на другой день разбавляют водой, осадок извлекают кипящим CH<sub>2</sub>Cl<sub>2</sub>, из экстракта выделяют I, выход 8,7 г, т. пл. 174—175°,  $[\alpha]_D^{20} + 225^\circ$

(с 1,09; ацетон),  $\lambda_{\text{макс}}$  238 м $\mu$  ( $\lg \epsilon$  4,19). 8 г I нагревают на водяной бане с 16 мл III до растворения, получают IV, выход 92%, т. пл. 157° (разл.). От смеси 400 мл безводн.  $\text{CHCl}_3$ , 8 г IV, 400 мг VI и 8 мл V отгоняют 100 мл р-рителя и кипятят 5 час. с ловушкой для воды (осушитель  $\text{P}_2\text{O}_5$  и «кларцел DJS»), добавляют 20 мл VII, выпаривают в вакууме почти досуха, добавляют 30 мл VII и нагревают на



водяной бане 30 мин., разбавляют кипящей водой, получают VIII, выход 93%, т. пл. 170—171° (из  $\text{CH}_3\text{OH}$  + следы VIII),  $[\alpha]_D^{20} + 55^\circ$  (с 1,2; хлф.). При ведении р-ции между IV и V в  $\text{C}_6\text{H}_6$  (кипение 16 час.) хроматографич. путем выделяют помимо VIII также IX, т. пл. 175°,  $[\alpha]_D^{20} + 46^\circ$  (с 1,02; хлф.). К  $\text{CH}_3\text{ONa}$  (475 мг Na,  $\text{CH}_3\text{OH}$ , р-р выпарен досуха в вакууме) в 100 мл безводн. эфира добавляют 6 г VIII и понемногу 3,25 мл XI в 25 мл эфира, на другой день отделяют XII, выход 90%, т. пл. >300°. К 2,5 г XII в 40 мл безводн.  $\text{CH}_3\text{OH}$  при -15° добавляют понемногу 1,3 г пода в 30 мл  $\text{CH}_3\text{OH}$ , через 30 мин. (-15°) добавляют р-р 130 мг Na в 7 мл  $\text{CH}_3\text{OH}$ , перемешивают при той же т-ре 30 мин., разбавляют водой, на другой день (0°) получают XIII, выход 81%, т. пл. 138° (из  $\text{CH}_3\text{OH}$ ),  $[\alpha]_D^{20} + 69^\circ$ . Смесь 1 г XIII, 80 мл ацетона, 8 г  $\text{NaHCO}_3$  и 5,4 мл  $\text{CH}_3\text{COOH}$  нагревают 8 час. при ~100°, упаривают в вакууме, разбавляют водой, получают XIV, выход 81%, т. пл. 190—191° (из эф.),  $[\alpha]_D^{20} + 50^\circ$  (с 0,98; хлф.). 250 мг XIV нагревают с 5 мл 75%-ной  $\text{CH}_3\text{COOH}$  30 мин. при 100°, разбавляют водой, выделяют II, выход 91,5%, т. пл. 176—177°,  $[\alpha]_D^{20} + 207^\circ$  (с 1,03; ацетон).

Л. Я. 25790. Частичный синтез ацетата  $\Delta^9(11)$ -ангидрокортикостерона. Казанова, Рафф, Шоппи (Partial synthesis of  $\Delta^9(11)$ -anhydrocorticosterone acetate. Casanova R., Ruff A., Shoppee C. W.), Ciba Foundat. Colloq. Endocrinol., 1953, 7, 59—64 (англ.)

Доклад и дискуссия о работе авторов по синтезу ацетата  $\Delta^9(11)$ -ангидрокортикостерона (I), продукта дегидратации ацетата кортикостерона. С целью установления конфигурации I получен из этнодезоксисолевого к-ты и  $\Delta^9(11)$ -3 $\alpha$ -оксистереновой к-ты. Библ. 4 назв. Л. Б.

25791. Микробиологические превращения стероидов.

I.  $\Delta^{1,4}$ -Диен-3-кетостероиды. Нобил, Чарни, Пераман, Херцог, Пейн, Талли, Евник, Хершберг (Microbiological transformation of steroids. I.  $\Delta^{1,4}$ -Diene-3-ketosteroids. Nobile A., Charney W., Perlman P. L., Herzog N. L., Payne C. C., Tully M. E., Jevnik M. A., Hershberg E. B.), J. Amer. Chem. Soc., 1955, 77, № 15, 4184 (англ.)

Показано, что при действии (28°, 3—24 часа) 24-часовой культуры *Corynebacterium simplex* (A. T. C. C. 6946), выращенной на питательном р-ре 0,1% экстракта дрожжей «дифко» в присутствии буфера при pH 7, кортизон и гидрокортизон превращаются с хорошим выходом соответственно в  $\Delta^{1,4}$ -прегнадиендиол-17 $\alpha$ , 21-триол-3,11,20 и  $\Delta^{1,4}$ -прегнадиентриол-11 $\beta$ , 17 $\alpha$ , 21-диол-3,20. Аналогично получены:  $\Delta^{1,4}$ -прегнадиендиол-17 $\alpha$ , 21-диол-3,20, т. пл. 246—249° (разл.),  $[\alpha]_D^{25} + 76^\circ$ ,  $\lambda_{\text{макс}}$  244 м $\mu$  ( $\epsilon$  15900),  $\lambda_{\text{макс}}$  3,05, 5,8, 6,0, 6,16, 6,22 м $\mu$ ;  $\Delta^{1,4}$ -прегнадиендиол-14 $\beta$ , 21-диол-3,20,

т. пл. 227,5—230,5° (разл.),  $[\alpha]_D^{25} + 173^\circ$  (в  $\text{CH}_3\text{OH}$ ),  $\lambda_{\text{макс}}$  243 м $\mu$  ( $\epsilon$  14300),  $\lambda_{\text{макс}}$  2,88, 2,97, 5,88, 6,07, 6,2, 6,25 м $\mu$ ; ацетат  $\Delta^{1,4}$ -прегнадиендиол-21-диол-3,20, т. пл. 202—204°,  $[\alpha]_D^{25} + 143^\circ$ , + 152° (в сл.),  $\lambda_{\text{макс}}$  ( $\text{CH}_3\text{OH}$ ) 243 м $\mu$  ( $\epsilon$  15800),  $\lambda_{\text{макс}}$  2,93, 5,72, 5,8, 6,01, 6,16, 6,23, 8,06 м $\mu$ . 9 $\alpha$ -фтор- $\Delta^{1,4}$ -прегнадиендион-3,20-триол-11 $\beta$ , 17 $\alpha$ , 21, т. пл. 265—269° (разл.),  $[\alpha]_D^{25} + 111^\circ$  (в сл.),  $\lambda_{\text{макс}}$  239 м $\mu$  ( $\epsilon$  14800) обладает сильным минералокортикоидным действием. УФ-спектры сняты в  $\text{CH}_3\text{OH}$ ; ИК-спектры — в парафиновом масле;  $[\alpha]_D$  определены в  $\text{CHCl}_3$ .

Г. С. 25792. 9 $\alpha$ -фторпроизводные кортизона и гидрокортизона. Фрид, Сабо (9 $\alpha$ -Fluoro derivatives of cortisone and hydrocortisone. Fried Josef, Sabo Emily F.), J. Amer. Chem. Soc., 1954, 76, № 5, 1455—1456 (англ.)

Действием безводн. HF на ацетат 9 $\beta$ , 11 $\beta$ -оксидо- $\Delta^1$ -прегненол-21-диол-3,20 (I) в  $\text{CHCl}_3$  (4,5 часа, 0°) получен ацетат 9 $\alpha$ -фторгидрокортизона (II), выход >50%, т. пл. 233—234° (иногда 205—208°, 226—228°, полиморфизм?),  $[\alpha]_D^{23} + 123^\circ$  (с 0,64; хлф.),  $\lambda_{\text{макс}}$  238 м $\mu$  ( $\epsilon$  16800),  $\lambda_{\text{макс}}$  2,94, 3,03, 5,75, 5,82, 6,07, 6,11 м $\mu$ . Биологич. активность II по задержанию гликогена в печени крыс в 10,7±2,3 раза выше активности ацетата кортизона (III). Деацетилированием II действием  $\text{CH}_3\text{ONa}$  получен 9 $\alpha$ -фторгидрокортизон, т. пл. 260—262° (разл.),  $[\alpha]_D^{23} + 139^\circ$  (с 0,55; сл.),  $\lambda_{\text{макс}}$  239 м $\mu$  ( $\epsilon$  17600),  $\lambda_{\text{макс}}$  3,01, 5,84, 6,07, 6,20 м $\mu$ . Окисление I хромовой к-той дало ацетат 9 $\alpha$ -фторкортизона (IV), т. пл. 254—255°,  $[\alpha]_D^{23} + 155^\circ$  (с 0,45; хлф.),  $\lambda_{\text{макс}}$  234 м $\mu$  ( $\epsilon$  17000),  $\lambda_{\text{макс}}$  2,86, 5,72, 5,78, 5,83, 6,05 м $\mu$ . Биологич. активность IV в 9,0±2,7 раза выше активности III. Деацетилированием IV получен 9 $\alpha$ -фторкортизон, т. пл. 261—262°,  $[\alpha]_D^{23} + 144^\circ$  (с 0,41; хлф.),  $\lambda_{\text{макс}}$  234 м $\mu$  ( $\epsilon$  16000),  $\lambda_{\text{макс}}$  2,88, 5,87, 6,08 м $\mu$ . Р-ция I с HF дает также 10% изомера I (V), т. пл. 259—262°,  $[\alpha]_D^{23} + 272^\circ$  (с 0,53; сл.),  $\lambda_{\text{макс}}$  239 м $\mu$  ( $\epsilon$  20200),  $\lambda_{\text{макс}}$  2,93, 3,03, 5,75, 5,82, 6,12, 6,16 м $\mu$ . Эпоксидная группа превращена в молекуле V в двойную связь и гидроксил. При действии на V нафталевой к-ты расходуется 1 моль ее с образованием эпоксиды, т. пл. 213—214° (разл.),  $[\alpha]_D^{23} + 237^\circ$  (с 0,59; хлф.),  $\lambda_{\text{макс}}$  237 м $\mu$  ( $\epsilon$  16100),  $\lambda_{\text{макс}}$  2,92, 3,06, 5,73, 5,80, 6,16 м $\mu$ . V дает пропionate, т. пл. 261—264°,  $[\alpha]_D^{23} + 260^\circ$  (с 0,40; хлф.), + 243° (с 0,52 в сл.),  $\lambda_{\text{макс}}$  238 м $\mu$  ( $\epsilon$  18300),  $\lambda_{\text{макс}}$  3,05, 5,72, 5,80, 6,07, 6,11 м $\mu$  и метансульфонат, т. пл. 151—152° (разл.),  $[\alpha]_D^{23} + 260^\circ$  (с 0,54; хлф.), + 238° (с 0,35 в сл.),  $\lambda_{\text{макс}}$  237 м $\mu$  ( $\epsilon$  17800),  $\lambda_{\text{макс}}$  3,06, 5,72, 5,81, 6,11 м $\mu$ . Возможно, что V образуется в результате перегруппировки типа Вагнера — Мервейна, захватывающей  $\text{C}_{20}$ . УФ-спектры даны в спирте, ИК-спектры в парафиновом масле. См. РЖХим, 1954, 18117. В. П.

25793. Новый биологически активный стероид — ацетат 1-дегидро-9 $\alpha$ -фторгидрокортизона. Хершман, Миллер, Бейлер, Саретт, Тишлер (A new biologically potent steroid: 1-dehydro-9 $\alpha$ -fluorohydrocortisone acetate. Hirschmann R. F., Miller R., Beyer R. E., Sarrett L. H., Tishler M.), J. Amer. Chem. Soc., 1955, 77, № 11, 3166—3167 (англ.)

С целью изучения зависимости стресса от биологич. активности описано получение 9 $\alpha$ -фторамещ.

стероидов, относящихся к группе ацетата кортизона (I), и показано, что ацетат 1-дегидро-9 $\alpha$ -фторгидрокортизона (II) обладает активностью (проба на отложение гликогена в печени), в 25 раз превышающей активность I. Гидрирование ацетата 9 $\alpha$ -фторгидрокортизона в  $\text{CH}_3\text{OH}$  в присутствии 5%-ного Pd/C дает ацетат аллодигидро-9 $\alpha$ -фторгидрокортизона (III), т. пл. 233—235,5°,  $[\alpha]_D^{20} + 65,4^\circ$  (хлф.), не обладает глюкокортикоидной активностью. При обработке III 1 молем  $\text{Br}_2$  с последующим дегидробромированием полученного бромкетона через секикарбазон получен ацетат  $\Delta^1$ -аллодигидро-9 $\alpha$ -фторгидрокортизона (IV), т. пл. 237°,  $[\alpha]_D^{20} + 34,9^\circ$  (ацетон), обладает 60% активности I (проба на отложение гликогена в печени). При обработке III 2 молями  $\text{Br}_2$  с последующим дегидробромированием с помощью коллидина получен II, т. пл. 237°,  $[\alpha]_D^{20} + 100,9^\circ$  (ацетон), и изомерный ему  $\Delta^{4,6}$ -диенон, т. пл. 208°,  $[\alpha]_D^{20} + 106^\circ$  (ацетон). Приведены данные УФ- и ИК-спектров. С. А.

25794. О некоторых свойствах эфиров *n*-толуолсульфонилсоединений 17 $\beta$ -оксистероидов. III. Взаимодействие  $\Delta^5$ -17-тозилата андростендиола-3 $\beta$ ,17 $\beta$  и его 3-ацетата с магниорганическими соединениями и с галогенными солями магния. Мадаева О. С., Ж. общ. химии, 1955, 25, № 7, 1427—1431

Замена 17-*n*-толуолсульфогруппы (ТС) на иод легко происходит при р-ции 17-тозилата  $\Delta^5$ -андростендиола-3 $\beta$ ,17 $\beta$  (I) с  $\text{CH}_3\text{MgI}$  или 3-ацетата 17-тозилата  $\Delta^5$ -андростендиола-3 $\beta$ ,17 $\beta$  (II) с  $\text{MgI}_2$ ; при этом образуются  $\Delta^5$ -17-иодандростенон-3 $\beta$  (III) или III-ацетат соответственно. Предполагается, что в первом случае р-ция происходит так же с  $\text{MgI}_2$ , входящим в состав равновесной системы реактива Гриньяра. Аликцикл. ТС-эфиры легко реагируют с  $\text{MgI}_2$ , так, ТС-эфир борнеола (IV) быстро обменивает ТС-группу на иод, однако продукт р-ции выделить не удалось ввиду неустойчивости последнего. Аналогично ТС-группа у тозилата холестерина (V) легко заменяется хлором при нагревании с  $\text{LiCl}$ . Взаимодействие I и  $\text{C}_2\text{H}_5\text{MgCl}$  протекает менее гладко; из продуктов р-ции после ацетилирования выделен 3-ацетат ретроандростандиенола (VI). К  $\text{CH}_3\text{MgI}$  (из 0,15 г Mg) в 20 мл эфира прибавляют 0,96 г I в 30 мл эфира при 0°, после кипячения в течение 3 час. и обычной обработки получают 0,6 г III, т. пл. 135—135,5° (из  $\text{CH}_3\text{OH}$ ). К р-ру  $\text{MgI}_2$  (из 0,35 г  $\text{I}_2$  и 0,033 г Mg) в 20 мл эфира прибавляют 0,15 г II в 20 мл эфира, кипятят 2 часа; получают 0,14 г 3-ацетата III, т. пл. 151—152° (из сп.). 0,7 г I в 30 мл эфира прибавляют к  $\text{C}_2\text{H}_5\text{MgCl}$  (из 0,12 г Mg) в 10 мл эфира, отгоняют 20 мл эфира, добавляют 25 мл  $\text{C}_6\text{H}_6$ , нагревают 4 часа при 55—60° и обрабатывают, как обычно; смолистый продукт ацетируют  $(\text{CH}_3\text{CO})_2\text{O}$  в пиридине при 20° и хроматографируют на  $\text{Al}_2\text{O}_3$ . Из фракции бензин и бензин- $\text{C}_6\text{H}_6$  (1:1) получают VI, т. пл. 95—95,5°. Нагревают 0,1 г V и 0,1 г  $\text{LiCl}$  в 10 мл ацетона 9 час. при 92—94°, получают 3 $\beta$ -хлорхолестерин. Предыдущее сообщение см. РЖХим, 1955, 16450. Э. М.

25795. О некоторых свойствах эфиров *n*-толуолсульфонилсоединений и 17 $\beta$ -оксистероидов. IV. Четвертичные пиридиниевые соли дигитогенина  $\Delta^5$ -андростендиола-3 $\beta$ ,17 $\beta$ . Мадаева О. С., Бабанова Н. П., Ж. общ. химии, 1955, 25, № 10, 1950—1953

Дан способ получения 17-*n*-толуолсульфоната  $\Delta^5$ -андростендиола-3 $\beta$ ,17 $\beta$  (I) и некоторых четвертичных пиридиниевых солей. В раствор 5 г  $\Delta^5$ -андростендиола-3 $\beta$ ,17 $\beta$  (II) в 15 мл сухого пиридина при 17—20° вносят 6,7 г *n*-толуолсульфохлорида. Реакционную смесь оставляют на 4 дня при 20°, затем выливают в воду, экстрагируют  $\text{C}_6\text{H}_6$ , промывают 2%-ной  $\text{HCl}$ ,

получают ди-*n*-толуолсульфонат II (III), выход 7,3 г, т. пл. 138—139,5° (из бз. и ацетона, 2:1),  $[\alpha]_D^{20} - 59^\circ$  (хлф.). Смесь 7,3 г II, 730 мл чистого ацетона, 420 мл воды и 0,3 г  $\text{MgCO}_3$  кипятят 4 часа, получают I, выход 3,44 г, т. пл. 128—129,5° (из сп.). Из фильтрата выделено 0,8 г в-ва с т. пл. 125—127°. Р-р 0,5 г II, 2 мл пиридина и 0,98 г *n*-толуолсульфохлорида нагревают 30 мин. при 70°, на следующий день смесь выливают в воду, получают 3-монопиридиниевую соль III (IV), т. пл. 139—140° (в запаянном капилляре, из ацетона),  $[\alpha]_D^{20} - 29,83^\circ$  (хлф.). К р-ру 0,15 г IV в 20 мл ацетона прибавляют при 20° 0,15 г  $\text{NaI}$ , через 2 часа отфильтровывают осадок, ацетон удаляют в вакууме, остаток промывают водой,  $\text{C}_6\text{H}_6$  и несколькими каплями холодного ацетона, получают монопиридиниевую соль 17-*n*-толуолсульфоната 3-иод- $\Delta^5$ -андростендиола-17 $\beta$ , т. пл. 183—183,5° (из ацетона, высаживание эф.). И. З.

25796. Стероидные сапогенины. XII. Исследование растений на содержание стероидных сапогенинов и других веществ. Уолл, Эдди, Уилламан, Коррелл, Шуберт, Джентри (Steroidal sapogenins. XII. Survey of plants for steroidal sapogenins and other constituents. Wall Monroe E., Eddy C. Roland, Willaman J. J., Correll D. S., Schubert B. G., Gentry H. S.), J. Amer. Pharmac. Assoc. Scient. Ed., 1954, 43, № 8, 503—505 (англ.)

Краткое сообщение о результатах исследования 1000 образцов растений, принадлежащих 392 родам и 129 семействам, на содержание стероидных сапогенинов, флавонолов, алкалоидов, таннинов и ненасыщ. стероидов. Стероидные сапогенины обнаружены в ~50% исследованных растений. Приведена таблица результатов исследования части исследованных образцов. Сообщение XI см. РЖХим, 1955, 55215. Э. М.

25797. Конфигуративная связь дигитогенина и прогестерона. Дьерасси, Хай, Фрид, Сабо (Correlation of digitogenin with progesterone. Djerassi Carl, High L. B., Fried Josef, Sabo Emily F.), J. Amer. Chem. Soc., 1955, 77, № 13, 3673—3674 (англ.)

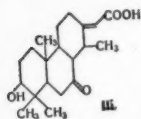
Дигитогенин (I) посредством ряда превращений связан через 15  $\beta$ -оксипрогестерон (II) с прогестероном, чем доказана конфигурация I при  $\text{C}_{(14)}$  и  $\text{C}_{(15)}$ .  $\Delta^5$ -2 $\alpha$ ,22 $\alpha$ -спиростенон-15 $\beta$ , полученный из 2,3-димезилата I и  $\text{NaI}$ , окислен  $\text{C}_6\text{H}_5\text{COOH}$  в 2 $\alpha$ ,3 $\alpha$ -оксидо-5 $\alpha$ ,22 $\alpha$ -спиростанол-15 $\beta$  (III), т. пл. 188—190°,  $[\alpha]_D^{23} - 56^\circ$ . Восстановление III  $\text{LiAlH}_4$  привело к 5 $\alpha$ ,22 $\alpha$ -спиростандиолу-3 $\alpha$ ,15 $\beta$  (IV), т. пл. 238—240°,  $[\alpha]_D - 74^\circ$ . Расщеплением боковой цепи IV (РЖХим, 1955, 21312) получен диацетат  $\Delta^{16}$ -аллопрегневдиол-3 $\alpha$ ,15 $\beta$ -опа-20 (V), т. пл. 142—143°,  $[\alpha]_D - 152^\circ$ ,  $\lambda_{\text{макс}}$  (в сп.) 231 м $\mu$ ,  $\lg \epsilon$  4,00. Гидрирование V на Pd/C в этилацетате и омыление продукта р-ции метанольным KOH (100°, 2 часа) привели к аллопрегнандиол-3 $\alpha$ ,15 $\beta$ -опа-20 (VI), т. пл. 239—241°,  $[\alpha]_D + 59^\circ$ ,  $+ 84^\circ$  (пиридин). Окислением  $\text{CrO}_3$  (15 мин.) VI превращен в аллопрегнантрион-3,15,20 (VII), т. пл. 222—223°,  $[\alpha]_D + 137^\circ$ . С другой стороны II при гидрировании на Pd/ $\text{BaSO}_4$  в этилацетате дал аллопрегнандиол-15 $\beta$ -диоп-3,20 (VIII), т. пл. 256—258°,  $[\alpha]_D^{20} + 93^\circ$ , образовавший VII при окислении с  $\text{CrO}_3$ . VII получен также при гидрировании 15-кетопрогестерона (IX) (т. пл. 155—157°,  $[\alpha]_D^{23} + 200^\circ$ ) на Pd. Обработка VII 0,02 н. метанольным р-ром KOH (18 час.) привела к 14 $\beta$ ,17 $\alpha$ -изомеру VII, т. пл. 186—189°,  $[\alpha]_D^{23} + 60^\circ$ . Эта р-ция аналогична изомеризации IX в 14 $\beta$ ,17 $\alpha$ -изомер



IX, т. пл. 213–214°,  $[\alpha]_D^{23} + 113^\circ$ .  $[\alpha]_D$  измерены в  $\text{CHCl}_3$ , исключения оговорены. А. К.

25798. Алкалоиды эритрофлеума. Кассановая кислота. Хамбер, Тейлор (The erythrophleum alkaloids. Cassia acid. Humber L. G., Taylor W. I.), J. Chem. Soc., 1955, March, 1044–1046 (англ.).

Продолжено исследование алкалоида кассина (I) (Engel и др., Helv. chim. Acta, 1949, 37, 1713). Авторы синтезировали углеводород  $\text{C}_{20}\text{H}_{32}$  (II), полученный ранее при расщеплении I, и показали, что II является 2-изобутил-1,8-диметилфенантеном. Полученные данные и результаты спектральных исследований (Ruzicka и др., Helv. chim. Acta, 1945, 28, 1038) дали возможность предложить ф-лу строения кассановой к-ты (III) — про-



дукта гидролиза I. К 2,3 г 1,8-диметилфенантена в кипящем  $\text{C}_6\text{H}_{11}\text{OH}$  прибавляли 2 г Na; продукт р-ции хроматографировали на  $\text{Al}_2\text{O}_3$ , вымывали петр. эфиром (т. кип. 60–80°) 9,10-дигидро-1,8-диметилфенантеном (IV), т. пл. 144–146° (из сп.),  $\lambda_{\text{макс}}$  270 мμ (lg ε 4,07). Р-р 140 мг изобутирилхлорида, 310 мг  $\text{AlCl}_3$  в 5 мл  $\text{C}_6\text{H}_5\text{NO}_2$  добавляли при 0° к р-ру 240 мг IV в 5 мл  $\text{C}_6\text{H}_5\text{NO}_2$ , выдерживали 4 часа при 0° и 3 часа при 20°; продукт р-ции хроматографировали на  $\text{Al}_2\text{O}_3$ , вымывали петр. эфиром, получен 2-изобутил-9,10-дигидро-1,8-диметилфенантен (V), т. пл. 93–94° (из петр. эф.),  $\lambda_{\text{макс}}$  290 мμ (lg ε 4,20). Р-р 145 мг V в разб. спирт. HCl кипятили 76 час. с 1,5 г амальгамы Zn, периодически добавляя по 5 мл HCl (к-ты); выделенные эфиром 140 мг сырого триакилдигидрофенантена нагревали 15 мин. при 350° с 200 мг Se; продукт р-ции хроматографировали на  $\text{Al}_2\text{O}_3$ ; при вымывании петр. эфиром получено 120 мг II, т. пл. 131° (из  $\text{CH}_3\text{OH}$ ),  $\lambda_{\text{макс}}$  254, 262, 284, 294, 306, 322 и 388 мμ (lg ε 4,58, 4,83, 4,04, 4,00, 4,07, 2,57 и 2,48); тринитробензоат, т. пл. 131–132° (из сп.).

О. Т.

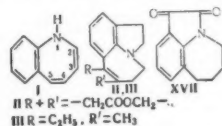
5799. Алкалоиды *Lupinus varius* L. I. Выделение алкалоидов. Кроу, Риггс (The alkaloids of *Lupinus varius* L. I. Isolation of the alkaloids. Crow W. D., Riggs N. V.), Austral. J. Chem., 1955, 8, № 1, 136–139 (англ.).

Из семян *L. varius* выделено: 0,13% (+)-эпидупинина (I); 0,94% N-оксида (+)-эпидупинина (II); 0,20% алкалоида LV-1,  $\text{C}_{15}\text{H}_{21}\text{NO}_2$  (III); следы алкалоида LV-2 (IV). Семена экстрагировали  $\text{CH}_3\text{OH}$  в стеклянном аппарате Сокслета; водн. р-р суммы алкалоидов обезжиривали бензином при 60°, подкисляли разб. HCl. Р-р обрабатывали  $\text{CH}_2\text{Cl}_2$  и, подщелочив до pH 12, извлекали алкалоиды  $\text{CHCl}_3$  (выход 0,42%) и разделяли хроматографич. методом на  $\text{Al}_2\text{O}_3$ . Основания вымывали  $\text{CHCl}_3$  + 1–5%  $\text{CH}_3\text{OH}$ : фракции 1–3 содержали III; 4–6 I — II; 7–16 I, в верхней части колонны — IV (смолистый остаток, 2,8 г). III, т. пл. 108–109° (из ацетона-петр. эф.),  $[\alpha]_D^{23} - 314^\circ$  (с 0,6;  $\text{CH}_3\text{OH}$ ), с  $\text{FeCl}_3$  красное окрашивание; перхлорат, т. пл. 160–162° (разл.; из сп.); подметилат, т. пл. 246–248° (разл.; из сп.). 2,8 г остатка, содержащего IV, подвергали распределительной хроматографии на 250 г целлюлозы, обработанной  $\text{N-C}_4\text{H}_9\text{OH}$ , насыщ. 5%-ной  $\text{CH}_3\text{COOH}$ . Промывание велось тем же р-рителем. IV — аморфное в-во, хлоридрат  $\text{C}_{15}\text{H}_{24}\text{O}_2\text{N}_2 \cdot \text{HCl}$ , т. пл. 238–240°. Щел. маточный р-р после выделения алкалоидов содержал II, который был выделен экстракцией  $\text{N-C}_4\text{H}_9\text{OH}$ ; II,  $\text{C}_{10}\text{H}_{19}\text{O}_2\text{N}$ , т. пл. 212–215° (разл.; из ацетона- $\text{CH}_3\text{OH}$ ). А. В.

25800. Синтезы производных 1-бензазепина как модельных соединений, близких к *ано-β*-эритроидину. Астилл, Бокекхейд (The synthesis of 1-benz-

azepine derivatives as model compounds related to *apo-β*-erythroidine. Astill B. D., Boekeheide V.), J. Amer. Chem. Soc., 1955, 77, № 15, 4079–4084 (англ.).

Синтезированы производные 1-бензазепина (I) с целью нахождения пути синтеза *ано-β*-эритроидина (II) или продукта его расщепления — дезокси-*ано-β*-эритроидинола (III). Синтезирован 1,4-диметил-2,3-дигидро-1-бензазепин (IV) по следующей схеме: метиловый эфир антрилиновой к-ты (V) алкилируют метиловым эфиром γ-броммасляной к-ты (VI), образующий метиловый эфир N-(γ-карбометоксипропил)-антрилиновой к-ты (VII) метилируют  $\text{CH}_3\text{I}$  и метиловый эфир N-метил-N-(γ-карбометоксипропил)-антрилиновой к-ты (VIII), который с *трет*- $\text{KOC}_4\text{H}_9$  циклизуется в 1-метил-2,3,4,5-тетрагидро-5-кето-1-бензазепин (IX). Последний с  $\text{HCOOC}_2\text{H}_5$  и  $\text{CH}_3\text{ONa}$  превращают в 1-метил-4-формил-5-кето-2,3,4,5-тетрагидро-1-бензазепин (X). Обрабатывают X бензойным ангидридом и получают 1-метил-4-бензоилоксиметил-5-кето-2,3,4,5-тетрагидро-1-бензазепин (XI), который гидрируют над  $\text{PtO}_2$  в 1,4-диметил-5-кето-2,3,4,5-тетрагидро-1-бензазепин (XII).

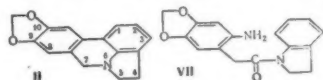


Воздействием  $\text{LiAlH}_4$  на XII получают 1,4-диметил-5-окс-2,3,4,5-тетрагидро-1-бензазепин (XIII), который дегидратируют в IV. IV и II — слабые основания, имеют конъюгированную систему и совпадающие УФ-спектры; это подтверждает недавно принятую структуру II. Для доказательства строения IX в этом в-ве восстановлена CO-группа и получен 1-метил-2,3,4,5-тетрагидро-1-бензазепин (XIV). Последний был синтезирован также из гомодигидрокарбостирила (XV) при восстановлении до 2,3,4,5-тетрагидро-1-бензазепина (XVI) и последующей метилировании до XIV. Изучено превращение XVI в трициклич. соединение (XVII), производное изатина. 100 г V и 50 г VI нагревают 14 час. при 100°, выход VII 66%, т. кип. 185–187°/2 мм,  $n_D^{28}$  1,5468. Смесь 48 г VII и 70 г  $\text{CH}_3\text{I}$  нагревают в 4 запаянных трубках 4 часа при 85°, выход VIII 64%, т. кип. 146–147°/1 мм,  $n_D^{25}$  1,5284. К суспензии 1,2 г K в 100 мл сухого  $\text{C}_6\text{H}_5\text{CH}_3$  при перемешивании в атмосфере  $\text{N}_2$  добавляют 9 г (по каплям) *трет*- $\text{C}_4\text{H}_9\text{OH}$ , кипятят до полного растворения и затем отгоняют избыток спирта; к кипящему и перемешиваемому р-ру прибавляют по каплям за 4 часа 3,5 г VIII, нагревают еще 22 часа, охлаждают, экстрагируют 5 × 15 мл 6 н. HCl, кислый экстракт с 20 мл конд. HCl кипятят 45 мин. в атмосфере  $\text{N}_2$ , выход IX 52%, т. кип. 112°/0,07 мм,  $n_D^{29}$  1,5992. К смеси 7,5 г  $\text{CH}_3\text{ONa}$  в 50 мл  $\text{C}_6\text{H}_6$  и 25 г свежеперегнанного  $\text{HCOOC}_2\text{H}_5$  в 25 мл  $\text{C}_6\text{H}_6$  добавляют при перемешивании по каплям р-р 20 г IX в 200 мл  $\text{C}_6\text{H}_6$ , охлаждая во льду, выдерживают 1 час. при ~20°, кипятят 10 мин., разлагают 100 мл воды, бензольный р-р извлекают р-ром  $\text{Na}_2\text{CO}_3$ , из водн. р-ра при нейтр-ции 6 н. HCl до pH 6 получают X, выход 72%, т. пл. 57–57,5° (из н-гексана). Р-р 300 мг X в 1,5 мл  $\text{C}_6\text{H}_5\text{N}$  смешивают с р-ром 400 мг  $(\text{C}_6\text{H}_5\text{CO})_2\text{O}$  в 10 мл эфира, выдерживают 20 час. при ~20°, выход XI 89%, т. пл. 108–109° (из  $\text{CH}_3\text{OH}$ ). Р-р 230 мг XI в 20 мл  $\text{C}_6\text{H}_5\text{OH}$  гидрируют с Pt из 100 мг  $\text{PtO}_2$  при ~20°, выход XII 95%, т. кип. 90–110°/0,5 мм. 410 мг XII восстанавливают 100 мг  $\text{LiAlH}_4$  в 100 мл эфира 4 часа при перемешивании (~20°), выход XIII 76%, т. кип. 90–120° (т-ра бани)/0,3 мм. Р-р 240 мг XIII в 15 мл 6 н. HCl кипятят 15 мин., выход IV 97%, т. кип. 115–117°/0,3 мм; пикрат, т. пл. 155–156° (из сп.); подметилат, т. пл. 159–161° (из бэл.). Гидриро-

вание X над скелетным Ni или над Pt (из  $\text{PtO}_2$ ) приводит к образованию 1-метил-4-оксиметил-5-кето-2,3,4,5-тетрагидро-1-бензазепина с хорошим выходом. Смесь 10 г  $\gamma$ -бутиролактона и 10 г анилина нагревают 12 час. при 200°, получен N-фенил- $\alpha$ -пирролидон (XVIII), выход 58%, т. пл. 70—71,5° (из гексана). 10,2 г XVIII кипятят 12 час. с 15 г  $\text{Ba}(\text{OH})_2$  в 400 мл воды, осаждают  $\text{BaCO}_3$  барботажом  $\text{CO}_2$ , а избытком 10%-ного р-ра  $\text{AgNO}_3$  осаждают соль  $\gamma$ -анилиномасляной к-ты, из которой выделяют свободную к-ту обработкой  $\text{H}_2\text{S}$  в эфире (200 мл), к фильтрату добавляют 50 мл  $\text{C}_6\text{H}_5\text{N}$ , удаляют эфир, добавляют 150 мл  $\text{C}_6\text{H}_6$  и 20 г  $n$ -толуолсульфохлорида и кипятят 12 час., получают N-тозил- $\gamma$ -анилиномасляную к-ту, выход 47,5%, т. пл. 163,5—164,5° (из бэл.). При попытке циклизации этой к-ты при действии  $\text{PCl}_5$  и  $\text{AlCl}_3$  получены  $n$ -тозилфенилсульфон и XVIII, а полифосфорной к-той — 94% XVIII. Нагреванием 9 г антралиновой к-ты с 6 г  $\gamma$ -бутиролактона при 275° 18 час. получают 6 г XVIII. Смесь 500 мг IX, 4 мл  $\text{NH}_2\text{NH}_2 \cdot \text{H}_2\text{O}$  и 1 г KOH в 20 мл триэтилглицоля нагревают 1,5 часа при 180° (для удаления воды) и 3 часа при 200°, получают XIV, выход 196 мг, т. кип. 110—115° (т-ра бани)/15 мм; пикрат, т. пл. 140,5°. Р-р 2 г XV в 100 мл эфира добавляют к суспензии  $\text{LiAlH}_4$  в 70 мл эфира и кипятят 12 час., получают XVI, выход 95%. При метилировании XVI  $\text{CH}_3\text{I}$  получают XIV. 1 г XIV и 1,2 г  $\text{BrCN}$  осторожно нагревают до прекращения выделения  $\text{CH}_3\text{Br}$  (30 мин.), получают 1-циан-2,3,4,5-тетрагидро-1-бензазепин (XIX), т. кип. 180—200°/12 мм, выход 700 мг. Р-р 540 мг XIX в 24 мл конц. HCl кипятят 3 часа, получают XVI, выход 410 мг. К р-ру 2 г XVI в 200 мл эфира при охлаждении медленно добавляют 1,26 г хлористого трихлорацетила в 20 мл эфира, получен 1-трихлорацетил-2,3,4,5-тетрагидро-1-бензазепин, выход 83%, т. пл. 114—115°; попытка получения оксидного производного при циклизации этого продукта не дала результата. Р-р 5,6 г хлоральгидрата в 50 мл воды добавляют к р-ру 8,5 г  $\text{NH}_4\text{OH} \cdot \text{HCl}$  в 100 мл воды, к смеси добавляют 4,7 г XVI, 3,5 мл конц. HCl и 75 г  $\text{Na}_2\text{SO}_4$ , постепенно нагревают 40 мин. до кипения и кипятят 5 мин., получают 1-изонитрозоацетил-2,3,4,5-тетрагидро-1-бензазепин (XX), выход 4,8 г. К 20 г конц.  $\text{H}_2\text{SO}_4$  при 55° при перемешивании прибавляют 4,5 г XX за 20 мин. и нагревают 20 мин. при 72°, выливают в лед, получают XVII,  $\text{C}_{12}\text{H}_{11}\text{O}_2\text{N}$ , выход 1,8 г, т. пл. 155—155,5° (из  $n$ -гексана). Гидрирование 578 мг 4,5-циклогексано- $\alpha$ -пирона в 100 мл  $\text{C}_6\text{H}_5\text{OH}$  над  $\text{PtO}_2$  получают: 4,5-циклогексано-тетрагидро- $\alpha$ -пирон, выход 365 мг, т. кип. 70—75°/1 мм, и смесь 2-метил-4-карбоксиметилциклогексана-1 и 2-метил-1-карбоксиметилциклогексана, выход 200 мг, т. кип. 75—80°/1 мм. Л. III.

**25801. Дегидратация ликорина. Кук. Лаудон. Мак-Клоскей** (Dehydration of lycorine. Cook J. W., Loudon J. D., McCloskey P.), J. Chem. Soc., 1954, Dec., 4176—4181 (англ.)

Установлено, что при дегидратации ликорина (I) в присутствии  $\text{Al}_2\text{O}_3$  образуются 4,5-дигидро-9,10-метилendioкси-7Н-дibenзо-[f, hi]-пирроколины (II) и



и 9,10-метилendioкси-7Н-дibenзо-[f, hi]-пирроколины (III). Строение II и III подтверждено их синтезом из индолина (I).

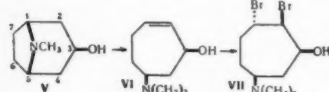
Ацилированием IV 2-нитро-4,5-метилendioксибензоилхлоридом (V) получен 2'-нитро-4',5'-метилendioксибензоилиндолин (VI), который восстанавливали до 2'-аминно-4',5'-метилendioксибензоилиндолина (VII). Последний диазотированием и разложением соли диазония превращен в 4,5-дигидро-9,10-метилendioкси-

7-оксо-7Н-дibenзо-[f, hi]-пирроколины (VIII), который при восстановлении  $\text{LiAlH}_4$  дал соединение, идентичное II. Дегидрогенизацией синтетич. II получено в-во, идентичное III. I, т. пл.  $\sim 270^\circ$  (разл.; из сп.),  $[\alpha]_D^{20} - 72,7^\circ$  (с 0,612; [пиридин-сп., 1:1]),  $[\alpha]_D^{20} - 83,8^\circ$  (с 0,1432; 98%-ный сп.); хлоргидрат, т. пл. 212—214° (разл.; из 1 н. HCl и 90%-ного сп.),  $[\alpha]_D^{24} + 44,9^\circ$  (с 2,94; вода); пикрат, т. пл. 196—197° (разл.). При нагревании тщательно смешанных 0,5 г I и 1,7—2 г  $\text{Al}_2\text{O}_3$  (175—185°, 4·10<sup>-5</sup> мм, 8—24 часа) возникает продукт, который далее растворяют в смеси 20 мл эфира, очищ. от переоксидов, и 0,1 н.  $\text{H}_2\text{SO}_4$ . Из эфирного р-ра получают II, т. пл. 122—123° (испр.; быстрая кристаллизация из сп.); II неустойчив, изменяется на воздухе и в горячих р-рителях; пикрат II, т. пл. 250° (разл.); гидметилат II, т. пл. 216—217° (разл.). 20 мг II в 2 мл  $\text{CH}_3\text{OH}$  нагревают 3 часа с 20 мг Pd-черни, выпадает 10 мг III, т. пл. 160—163° (испр.; из  $\text{CH}_3\text{OH}$ ), при дальнейшем нагревании затвердевает и плавится при 210—218°. III дает р-цию Эрлиха; пикрат, т. пл. 143—145° (разл.). IV получен из 2-о-аминофенилхлорида и  $\text{C}_6\text{H}_5\text{SO}_3\text{Cl}$  в присутствии NaOH (Bennett, Hafez, J. Chem. Soc., 1941, 287). Выход IV повышен за счет гидролиза побочного бензолсульфонилиндолина 70%-ной  $\text{H}_2\text{SO}_4$ . Р-р 7,2 г IV в 25 мл эфира смешивают при охлаждении с 25 мл эфирного р-ра V (получен из 12,6 г соответствующей к-ты) (Bedi, Narang, J. Indian Chem. Soc., 1936, 13, 253) и  $\text{SOCl}_2$ , добавляют 12,5 г  $\text{K}_2\text{CO}_3$ , перемешивают (15 час., 20°) и кипятят 2 часа, получают 10,5 г VI, т. пл. 219—220° (испр.; из сп.). 4,5 г VI в 350 мл этилацетата гидрируют 6 час. над 5 г 1,5%-ного Pd/SrCO<sub>3</sub>, получают VII, т. пл. 143—144° (из  $\text{CH}_3\text{OH}$ ); пикрат, т. пл.  $\sim 218^\circ$  (разл.; из  $\text{CH}_3\text{OH}$ ); хлоргидрат, т. пл.  $\sim 245^\circ$  (разл.; из разб. HCl). 1 г VII в 25 мл 2 н.  $\text{H}_2\text{SO}_4$  обрабатывают р-ром 0,26 г NaNO<sub>2</sub> в 1,6 мл воды при 0°, смесь разбавляют 25 мл воды, нейтрализуют  $\text{Na}_2\text{CO}_3$  и нагревают 1 час при 100°; по охлаждению выпадает осадок, который растворяют с 3 мл  $\text{C}_6\text{H}_6$ , растворимая часть — неидентифицированное в-во, выход 0,4 г, т. пл. 90° (из  $\text{CH}_3\text{OH}$ ), нерастворимая часть — VIII, выход 0,07 г, т. пл. 246—247° (из сп.). VIII получен с лучшим выходом при разложении кислого р-ра соли диазония в присутствии свежесозданной Cu. Разложение без Cu приводит к образованию в-ва, повидимому, 4',5'-метилendioксибензоилиндола, т. пл. 90—92° (из  $\text{CH}_3\text{OH}$ ); соединение не идентично 4',5'-метилendioксибензоилиндолину, т. пл. 120—122° (из сп.), полученному из соответствующего хлорангидрида и индолина, и при восстановлении  $\text{LiAlH}_4$  дает индол. 0,455 г VIII и 0,7 г  $\text{LiAlH}_4$  в 100 мл сухого эфира нагревают 24 часа, получают 0,371 г II, двойная т. пл. 110—115° и 225—230° (из  $\text{CH}_3\text{OH}$ ). Дегидрогенизацией синтетич. II получено III. II нагревают до 140° и затем в течение 30 мин. до 200°. После 2-кратной возгонки в вакууме при 0,1 мм и кристаллизации из  $\text{CH}_3\text{OH}$  получают VIII. Из маточного р-ра выделяют соединения, повидимому, III, т. пл. 140—145°; р-ция Эрлиха положительна. При медленном нагревании III до 200—230° получен 9,10-метилendioкси-7-оксо-7Н-дibenзо-[f, hi]-пирроколин (IX), т. пл. 216—218° (из  $\text{CH}_3\text{OH}$ ); пикрат «диссоциирует» при 115—120°, т. пл. 155—157°. II при гидрировании в  $\text{CH}_3\text{COOH}$  над Pd выделяет 0,9 моля газа и дает неидентифицированное в-во; пикрат (X), т. пл. 267—268°; свободное основание неустойчиво, при попытке его выделения получен VIII. Возгонкой смеси дигидроликорина с  $\text{Al}_2\text{O}_3$  получены в-ва неустановленного строения: пикрат (XI), т. пл.  $\sim 247^\circ$ ; пикрат (XII), т. пл. 262—265°. Смесь XI и XII, т. пл. 249°. Смесь X и XII,

т. пл. 265°. Приведены кривые спектров поглощения в области 200—400 мμ для II, III, VIII, IX. Е. Ц.

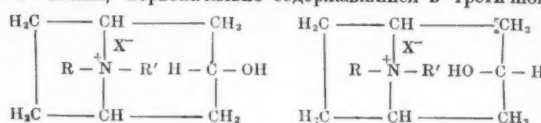
**25802. Бромирование тропинона.** Никсон (The bromination of tropinone, Nickson Alex, J. Amer. Chem. Soc., 1955, 77, № 15, 4094—4097 (англ.).

При действии р-ра Br<sub>2</sub> в CH<sub>3</sub>OH на тропинон (I) в сухом эфире образуется продукт присоединения (II), который нестабилен и расщепляется с образованием 2-бромтропинона (III). *цис*-Положение атома Br по отношению к азотному мостику (β-конфигурация) доказывалось следующим: 1) при сравнении ИК-спектров I и II обнаружено лишь незначительное смещение CO-полосы (1718 и 1722 см<sup>-1</sup>); 2) при сравнении УФ-спектров III (λ<sub>макс</sub> 306 мμ, ε 90) и нормальных 6-членных кетонов (~280—290 мμ) установлено наличие bathохромного сдвига и усиление поглощения в III; 3) при восстановлении бромидрата III водн. NaBH<sub>4</sub> получен бромгидри-2β-бромисеводропин (IV), который гидрированием над Pd, C переведен в псевдотропин (V), в котором, как известно, OH-группа имеет β-конфигурацию. При действии на III спирт. р-ра KOH образуется I; образование кетонов при этой р-ции характерно для *цис*-галондгидринов (Bartlett P. D., J. Amer. Chem. Soc., 1935, 57, 224); 4) из V получено дес-основание (VI), которое с 1 молем Br<sub>2</sub> образует дибромид (VII); последний циклизуется в четвертичную соль (VIII), идентичную бромметилату IV. Конфигурация продуктов р-ции представлена на схеме. Тропин подвержен аналогичной серии превращений (Willstätter, Liebigs Ann. Chem., 1903, 326, 1). К 2,5 г I в 50 мл безвод. эфира постепенно добавляют при перемешивании 3,2 г Br<sub>2</sub> в 10 мл безвод. CH<sub>3</sub>OH, осадок немедленно промывают эфиром, выход II 5,4 г, т. пл. 51°. К суспензии 5 г II в 25 мл лед. CH<sub>3</sub>COOH добавляют 2 мл конц. H<sub>2</sub>SO<sub>4</sub>, через 30 мин. отделяют бромгидрат III, выход 2,65 г, т. пл. 192° (разл. в вакууме; из CH<sub>3</sub>OH-эф.). Лучший выход (92%) получают при самопроизвольном разложении II в виде суспензии в эфире (14 дней). III, т. пл. 75,5—76,5° (из петр. эф.; возгонка при 60—70°), ν(CS<sub>2</sub>) 1722 см<sup>-1</sup>, λ<sub>макс</sub> (сп.) 306 мμ (ε 90). К р-ру 0,9 г бромгидрата III в 20 мл воды добавляют 0,15 г NaBH<sub>4</sub>, выдерживают 16—20 час. при ~20°, получают IV, выход 62%, т. пл. 125—125,5° (из эф.), ν(CS<sub>2</sub>) 3561 см<sup>-1</sup>, 0,065 г IV и 0,018 г KOH в 6 мл безвод. C<sub>2</sub>H<sub>5</sub>OH кипятят 4,5 часа, получают I, выход 75%; VI, т. пл. 41—44° (в запаянной трубке), т. кип. 110—112°/2 мм. К р-ру 0,5 г VI в 2 мл воды и 1,2 г 34%-ной HBr при 0° добавляют 0,54 г Br<sub>2</sub> в 5 г CHCl<sub>3</sub>, через 10—20 мин. обезвечивают бисульфитом, подщелачивают твердым Na<sub>2</sub>CO<sub>3</sub>, экстракцией CHCl<sub>3</sub> получают VIII, выход 0,33 г. Л. Ш.



**25803. О стереоизомерных четвертичных аммониевых производных тропина и псевдотропина с псевдоасимметрическим атомом азота.** Цейле, Шульц (Über stereoisomere quartäre Ammoniumderivate des Tropins und Pseudotropins mit pseudoasymmetrischem Stickstoffatom. Zeile Karl, Schulz Werner, Chem. Ber., 1955, 88, № 7, 1078—1086 (нем.). Действие галондных алкилов на тропин (I) и N-алкилнортропин приводит к образованию в-в с псевдоасимметрич. N-атомом (РЖХим, 1954, 39558), в которых алкил, первоначально имевшийся в I или в других N-алкилнортропинах, занимает осевое положение к пиперидиновому кольцу. То же наблюдается и среди производных псевдотропина (II). Получены в-ва (III—

XVI) — производные I и (XVII, XVIII) — производные II (перечисляются в-во, R, R', X, т. пл. в °C, выход в %; R' — алкил, первоначально содержащийся в третичном



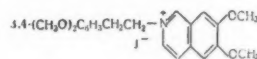
III — XVI, XIX — XXIII

XVII, XVIII

амине): III, C<sub>2</sub>H<sub>5</sub>, CH<sub>3</sub>, Br, 330, 97,8; IV, CH<sub>3</sub>, C<sub>2</sub>H<sub>5</sub>, Br, 336, 91,3; V, C<sub>2</sub>H<sub>5</sub>, CH<sub>3</sub>, J, 333, 88,5; VI, CH<sub>3</sub>, C<sub>2</sub>H<sub>5</sub>, J, 333, 89,6; VII, n-C<sub>3</sub>H<sub>7</sub>, CH<sub>3</sub>, Br, 210—211, 65,3; VIII, CH<sub>3</sub>, n-C<sub>3</sub>H<sub>7</sub>, Br, 206—208, 78,5; IX, n-C<sub>4</sub>H<sub>9</sub>, CH<sub>3</sub>, Br, 222—223, 68,5; X, CH<sub>3</sub>, n-C<sub>4</sub>H<sub>9</sub>, Br, 212—214, 87,7; XI, n-C<sub>3</sub>H<sub>7</sub>, C<sub>2</sub>H<sub>5</sub>, Br, 218, 62,3; XII, C<sub>2</sub>H<sub>5</sub>, n-C<sub>3</sub>H<sub>7</sub>, Br, 224—225, 63,4; XIII, n-C<sub>4</sub>H<sub>9</sub>, n-C<sub>3</sub>H<sub>7</sub>, Br, 178—179, 55,5; XIV, n-C<sub>3</sub>H<sub>7</sub>, n-C<sub>4</sub>H<sub>9</sub>, Br, 214—215, 52,8; XV, n-C<sub>4</sub>H<sub>9</sub>, C<sub>2</sub>H<sub>5</sub>, Br, 166—169, 85,0; XVI, C<sub>2</sub>H<sub>5</sub>, n-C<sub>4</sub>H<sub>9</sub>, Br, 184—188, 82,2; XVII, n-C<sub>4</sub>H<sub>9</sub>, CH<sub>3</sub>, Br, 216—217, 98,0; XVIII, CH<sub>3</sub>, n-C<sub>4</sub>H<sub>9</sub>, Br, 216—218, 79,5. Различие соответствующих пар изомеров доказано спектроскопич. исследованием. Приведены кривые ИК-спектров III, VII—X, XV, XVIII. В-ва (XIX—XXIII), имеющие у азота одинаковые алкильные группы, не были получены в виде разных изомеров (перечисляются в-во, R, R', X, т. пл. в °C, выход в %): XIX, R = R' = CH<sub>3</sub>, Br, 346—347, 96,3; XX, R = R' = CH<sub>3</sub>, J, 354, 95,5; XXI, R = R' = C<sub>2</sub>H<sub>5</sub>, Br, 291, 78,8; XXII, R = R' = n-C<sub>3</sub>H<sub>7</sub>, Br, 190—191, 48,8; XXIII, R = R' = n-C<sub>4</sub>H<sub>9</sub>, 209—210, 57,5. Все изученные соединения были синтезированы одним методом. Напр., 1,55 г N-этилнортропина, т. пл. 78—79°, и 2,8 г n-бутилбромида в 30 мл ацетонитрила кипятят 15 час.; после охлаждения выделяют 2,48 г XV, 1,83 г N-n-бутилнортропина и 2,18 г этилбромида в 30 мл ацетонитрила нагревают 20 час., получают 2,40 г XVI. Ю. М.

**25804. Синтетическое применение 1,2-дигидроизохинолинов.** Баттерсби, Бинкс, Аззела (Synthetic applications of 1:2-dihydroisoquinolines. Battersby Alan R., Binks R., Uzzell P. S., Chemistry and Industry, 1955, № 33, 1039 (англ.).

В связи с работами по построению циклич. системы изохинолина исследовалась область применения р-ций 1,2-дигидроизохинолинов по аналогии с циклизацией протонированной формы N-метил-1,2-дигидроапаверина в N-метилпавин. Было найдено, что р-ция не проходит в модельных опытах, не включающих цикли-



зации. Так, из 1,2-диметил-6,7-диметокси-1,2-дигидроизохинолина и вератрола не образуется 6,7-диметокси-1,2-диметил-3-(3',4'-диметоксибензил)-1,2,3,4-тетрагидроизохинолин, синтезированный другим путем. 2-(3',4'-диметоксибензил)-этилоид, полученный при взаимодействии соответствующего спирта с трифенилфосфит-диодидом, и 6,7-диметоксиизохинолин дают четвертичную соль (I). I восстанавливается LiAlH<sub>4</sub> в кристаллич. 1,2-дигидрооснование, которое циклизуется при действии смеси HCOOH и H<sub>2</sub>PO<sub>4</sub> в норкоралидин, выход 60%, идентичный с описанным ранее (Pictet, Chou, Ber., 1916, 49, 370). О. Т.

**25805. О синтезах в ряду теофиллина.** Сообщение 2. О реакционной способности положения 7 теофиллина. Клоза (Beitrag zur Reaktionsfähigkeit der 7-Stellung des Theophyllins. 2. Mitteilung. Über Synthesen



in der Theophyllinreihe. Kloss Josef), Arch. Pharmazie, 1955, 288/60, № 7, 301—303 (нем.)

С целью получения фармакологически активных в-в синтезированы некоторые 7-замещ. производные теофиллина (I). 3 г I в 60 мл абс. изопропанола (II) и 5 г  $(\text{CH}_3)_2\text{NCH}_2\text{CH}_2\text{Cl}$  кипятят 30 мин., осадок отфильтровывают, промывают 10 мл кипящего II, из фильтрата выделяется 2,5 г хлоргидрата 7-(3-диметиламиноэтил)-теофиллина, т. пл. 260°, основание, т. пл. 94—96°. Аналогично из I и  $(\text{C}_2\text{H}_5)_2\text{NCH}_2\text{CH}_2\text{Cl}$  получают 7-(3-диэтиламиноэтил)-теофиллин; хлоргидрат, т. пл. 239—241°; основание, т. пл. 73—75°. Из I и холинхлорида — 7-(холин)-теофиллин, выход 80%, т. пл. 186—188° (из II). 6 г Na-соли I и 5 г бромацетона в 40 мл абс. спирта кипятят 5 час., спирт удаляют, остаток разбавляют небольшим кол-вом воды и нейтрализуют, получают 7-(ацетонил)-теофиллин, т. пл. 160—162° (из сп. или ацетона); оксим, т. пл. 214—215° (из сп.); фенилгидразон, т. пл. 208—210°. 3 г Na-соли I в 30 мл абс. спирта и 4 г ω-бромацетона кипятят 2 часа, продукт р-ции промывают водой, получают 7-(фенацил)-теофиллин (III), т. пл. 184—186° (из бзл. или сп.). К 4 г хлорангидрида теофиллин-7-уксусной к-ты в 60 мл  $\text{C}_6\text{H}_6$  прибавляют за 10 мин. 8 г  $\text{AlCl}_3$ , нагревают 45—60 мин., выливают на лед с HCl, извлекают  $\text{C}_6\text{H}_6$ , вытяжку концентрируют до 20 мл, получают III; оксим, т. пл. 222—224°; фенилгидразон, т. пл. 210—220°. К смеси 6 мл конц.  $\text{HNO}_3$  и 50 мл  $(\text{CH}_3\text{CO})_2\text{O}$  прибавляют при тр-те от —8 до —4° 3 г 7-(диоксипропил)-теофиллина (Пат. ГДР 191106; канад. пат. 482564), перемешивают 15 мин. и выливают в ледяную воду, выделившийся динитрат 7-(диоксипропил)-теофиллина промывают водой, т. пл. 176—178° (из 40%-ной  $\text{CH}_3\text{COOH}$ ). Сообщение I см. РЖХим, 1956, 9929. Л. П. 25806.

**Исследование аконитовых алкалоидов. V. О строении углеродного скелета зонгорина.** Кузовков А. Д., Ж. общ. химии, 1955, 25, № 10, 2006—2009.

Ранее из зонгорина (I) был получен оксоаконитан (II) и бескислородное в-во аконитан (III) (см. сообщение IV, РЖХим, 1955, 55235). При гофманском распаде подметилата III образуется дес-*N*-метилаконитан (IV). После гофманского распада подметилата IV вместо ожидаемого безазотистого продукта был выделен IV, что указывает на наличие в IV, а также в I четвертичного атома C в β-положении по отношению к N. При дегидрировании I с Se при 320—340° получен ароматич. углеводород (V)  $\text{C}_{18}\text{H}_{18}$ . УФ-спектр V сходен со спектрами трехзамещ. алкилфенантронов. Из II при замещении на водород N-алкильной группы получен нор-оксоаконитан (VI). При нагревании VI с Pd/C при 250—300° дегидрирования не наблюдалось. Повидимому, частью углеродного скелета I является гидрированное ядро фенантрена, во всех трех циклах которого так же, как и в гетероцикле, содержатся четвертичные C-атомы. 0,75 г III в 20 мл  $\text{CH}_3\text{OH}$  кипятили 12 час. с 5 мл  $\text{CH}_3\text{J}$ , добавляя метилалкогольную щелочь до слабощел. р-ции по фенолфталеину через каждые 2 часа. Иодметилат III извлекали  $\text{CHCl}_3$  из сухого остатка после отгонки  $\text{CH}_3\text{OH}$  и  $\text{CH}_3\text{J}$ , выход 0,95 г, т. пл. 244° (из сп.-эф.). 0,9 г подметилата III и 45 мл 30%-ного р-ра KOH в  $\text{CH}_3\text{OH}$  кипятили 2 часа, получено 0,5 г IV,  $\text{C}_{22}\text{H}_{35}\text{N}$ , т. пл. 109—110° (из ацетона); хлоргидрат, т. пл. 266—267° (из сп.-эф.); иодметилат, т. пл. 257—258° (из сп.-эф.). 4,2 г II и 1,8 г BrCN нагревали 1 час в запаянной трубке при 100°, получено 4 г цианамиды, который кипятили 6 час. с 40 мл 30%-ного р-ра KOH в спирте, выделено 2,4 г кристаллич. в-ва  $\text{C}_{23}\text{H}_{28}\text{O}_3\text{N}_2$  (VII), т. пл. 245—246° (из сп.). 2,1 г VII в 150 мл 30%-ного р-ра  $\text{H}_2\text{SO}_4$  нагревали до кипения и затем добавляли по каплям р-р 0,9 г  $\text{NaNO}_2$  в 20 мл воды, получено 1,2 г VI,  $\text{C}_{19}\text{H}_{27}\text{ON}$ , т. кип. 180—190°/1 мм, т. пл.

125—127°, возгорается при 120°/0,1 мм; N-бензоилнор-оксоаконитан  $\text{C}_{28}\text{H}_{31}\text{O}_2\text{N}$ , т. пл. 164—165,5° (из эф.-ацетона). 14 г I, 14 г Se нагревали 8 час. при 320—340° в атмосфере азота. Продукт р-ции хроматографировали на 150 г  $\text{Al}_2\text{O}_3$  из petr. эфира (т. кип. 60—80°). Зона, флуоресцирующая в УФ-свете, была отделена, при вымывании эфиром выделен 1 г масла, из которого получено 0,12 г V, т. пл. 80,5—81,5° (из  $\text{CH}_3\text{OH}$ );  $\lambda_{\text{макс}}$  260, 282, 292, 304, 322, 334, 346 мμ ( $\lg \epsilon$  4,74, 4,13, 4,02, 4,08, 2,51, 2,50, 2,28); пикрат, т. пл. 134—134,5° (из сп.); стифнат, т. пл. 152—153° (из сп.); тринитробензоат, т. пл. 155—156° (из сп.). Т. П. 25807.

**Исследование аконитовых алкалоидов. VI. О превращении метилилкаконитина в дельсемин.** Кузовков А. Д., Ж. общ. химии, 1955, 25, № 12, 2345—2347.

Установлен факт превращения метилилкаконитина (I) в дельсемин (II) (Юнусов, Абубакиров, Ж. общ. химии, 1951, 21, 174, 967) при действии на I  $\text{NH}_3$  в эфир., хлороформном и водно-спирт. р-рах. Предполагается, что II как таковой в растениях не содержится, но образуется в процессе экстракции сырья, смоченного водн. р-ром  $\text{NH}_4\text{OH}$ . К р-ру основания I (полученного из 1 г перхлората) в 50 мл эфира прибавляли 3 мл 12%-ного  $\text{NH}_4\text{OH}$ , через 96 час. получен II, выход 68%. Т. П. 25808.

**Алкалоиды Amaryllidaceae. V. Алкалоиды Nerine falcata Barker et N. laticoma (Ker) Dur. et Schinz.** Уайлдман, Кауфман (Alkaloids of the Amaryllidaceae. V. Alkaloids of Nerine falcata Barker et N. laticoma (Ker) Dur. et Schinz. Wildman W. C., Kaufman Carol J.), J. Amer. Chem. Soc., 1955, 77, № 18, 4807—4808 (англ.).

Из луковиц *N. falcata* и *N. laticoma* выделены: ликорин (0,046 и 0,024%), каранин (0,021 и 0,006%) и новый алкалоид фалькатин (I) (0,216 и 0,042%)  $\text{C}_{17}\text{H}_{19}\text{O}_4\text{N}$ , т. пл. 127—128° (из эф.),  $[\alpha]_D^{25} -197,8^\circ$  (с 1,05; хлф.). I неустойчив к действию света и окислителей, но стабилен в атмосфере  $\text{N}_2$  при 0°, содержит 1  $\text{H}_2\text{O}$ , 1  $\text{OCH}_3\text{O}$ , не содержит N— $\text{CH}_2$ -групп. В ИК-спектре полосы 2,80 мμ (ОН) 9,55 и 10,70 мμ (метилendioксифенил) и 6,2 мμ ( $\text{CH}_3\text{O}$  в ароматич. кольце), УФ-спектр  $\lambda_{\text{макс}}$  287 мμ ( $\lg \epsilon$  3,23) — хромофор метилendioксифенил. Хлоргидрат I, т. пл. 238—240° (из воды); пикрат, т. пл. 182—185° (разл.; из сп.-воды); α-подметилат, т. пл. 250—255° (постепенно разлагается от 220°; из сп.). β-изомер не кристаллизуется. Ацетилфалькатин (из 30 мг I), в 2 мл безводн.  $\text{C}_6\text{H}_5\text{N}$  и 1 мг  $(\text{CH}_3\text{CO})_2\text{O}$ , ~20°; 48 час.),  $\text{C}_{19}\text{H}_{21}\text{O}_5\text{N}$ , выход 34 мг, т. пл. 201—202° (из сп.), ИК-спектр 5,81 мμ (ацетат алифатич. ОН-группы). Дигидрофалькатин (117 мг I в сп.; 100 мг 10%-ного Pd/C),  $\text{C}_{17}\text{H}_{21}\text{O}_4\text{N}$ , выход 60 мг, т. пл. 128,5—129,5° (из эф.), неустойчив как I. Сообщение IV см. РЖХим, 1956, 968. А. Б.

**25809. К изучению экизетина (пальстрина) — алкалоида из хвоща.** Вельбир, Бекман, Керн (Zur Kenntnis des Schachtelhalm-Alkaloids Equisetin (Palustrin). Wöhlbier Werner, Beckmann Siegfried, Kern Hans), Chem. Ber., 1955, 88, № 11, 1706—1710 (нем.).

При перегонке дихлоргидрата экизетина (I) с Zn-пылью образуется пиррол, идентифицированный по цветной р-ции и в виде 1,3,5-тринитробензоата. Это указывает на наличие в экизетине (II) пиррольного или гидрированного пиррольного кольца. Бромциановая р-ция на пиридиновое кольцо дала отрицательный результат. Получением нитрозамина (III) подтверждены данные (РЖХим, 1954, 41259), что из 3 N-атомов в II один — основной и третичный, а второй — основной и вторичный. I с избытком  $\text{NaNO}_2$  и разб. HCl выдерживают на холоду несколько часов, получен III, т. пл.

146—147° (из эф.); хлоридат, т. пл. 210—211° (разл., из  $\text{CH}_3\text{OH}$ -этилацетата). В условиях окисления первичной и вторичной  $\text{OH}$ -групп бихроматом до оксогруппы II остается неизменным, что указывает на наличие третичной  $\text{OH}$ -группы. Окисление I конц.  $\text{HNO}_3$  (1 г в 15 мл, 3 часа на водяной бане) приводит к образованию к-ты  $\text{C}_{10}\text{H}_{15}\text{N}_3\text{O}_5$ —500 мг I кипятят с 20 мл 2 н.  $\text{NaOH}$  4 часа, получено основание А-I (IV)  $\text{C}_{17}\text{H}_{26}\text{N}_3\text{O}_5$ ; дихлоридат т. пл. 225—230° (разл.; из  $\text{CH}_3\text{OH}$ - $\text{iso-C}_4\text{H}_9\text{OH}$ ); пикрат, т. пл. 110—112°. При хроматографировании на бумаге дихлоридата IV из р-рителя диоксан-вода- $\text{HCOOH}$  (95 : 4,5 : 0,5), проявление реактивом Драгендорфа, получено одно пятно,  $R_f$  0,20. При хроматографировании пикрата IV из  $\text{iso-C}_4\text{H}_9\text{OH}$ - $\text{H}_2\text{O}$  (95 : 5) получены два пятна:  $R_f$  0,48 (с.) и 0,62 (сл.). Кипячением 4 г I, нейтрализованных 2 н.  $\text{NaOH}$ , со 100 мл 20%-ного  $\text{NaOH}$ , 4 часа при перемешивании, с последующей отгонкой паром, из отгона выделено летучее основание А-II,  $\text{C}_8\text{H}_{13}\text{N}_3\text{O}$ ; трипикрат, т. пл. 288—290° (разл.; из  $\text{CH}_3\text{OH}$ ),  $R_f$  0,46. Из щел. кубового остатка выделены: основание А-III, хлоридат, т. пл. 228° (разл.; из  $\text{CH}_3\text{OH}$ - $\text{iso-C}_4\text{H}_9\text{OH}$ ),  $R_f$  0,13; основание А-IV, пикрат, т. пл. 209—210° (разл.; из  $\text{CH}_3\text{OH}$ ), в-во А-V и  $\text{CH}_2\text{O}$ . Кипятят II с  $\text{NaOH}$  5—6 час., получено основание А-VI,  $\text{C}_8\text{H}_{11}\text{N}_3\text{O}$ ; пикрат, т. пл. 118° (из  $\text{CH}_3\text{OH}$ ),  $R_f$  0,54. JI. Ш.

25810. Алкалоиды рода *Haplophyllum* A. Juss. П. Юнусов С. Ю., Сидякин Г. П., Ж. общ. химии, 1955, 25, № 10, 2009—2016

Исследованы 11 видов *Haplophyllum* A. Juss. Приведена таблица содержания суммы алкалоидов в исследованных растениях. В период цветения алкалоиды находятся, главным образом, в листьях. Доказано, что хаплофин, выделенный ранее (Ж. общ. химии, 1952, 22, 1055) из *H. pedicellatum* Bge, идентичен  $\gamma$ -фагарину. Из надземных частей растения *H. dubium* Eug. Кор. выделено 3 новых алкалоида: дубинин  $\text{C}_{16}\text{H}_{17}\text{O}_5\text{N}$  (I), дубинин  $\text{C}_{13}\text{H}_{17}\text{O}_4\text{N}$  (II) и дубамин  $\text{C}_{14}\text{H}_{19}\text{O}_2\text{N}$  (III); последний содержит метилendioксигруппу. При нагревании с конц.  $\text{HCl}$  из III получен аминифенол (IV), который, по видимому, идентичен 3,4-диоксинакридину. Отсюда III является 3,4-метилendioксинакридином. 40 кг листьев *H. dubium* смачивали воды. р-ром  $\text{NH}_3$  и экстрагировали дихлорэтаном, выделено 0,21% суммы алкалоидов. Из эфирной фракции получено 20 г I, т. пл. 185—186° (из сл.),  $[\alpha]_D^{20} - 73,4^\circ$  (с 0,864; ацетон). I содержит 1  $\text{OCH}_3$ , 1  $\text{OH}$ , 1  $\text{CH}_2\text{O}_2$ -группы; нитрат, т. пл. 148—150° (из ацетона); хлоридат, т. пл. 170—171° (воды); подметилат, т. пл. 211—212° (из  $\text{CH}_3\text{OH}$ ). 60 г алкалоидов из хлороформной фракции растирали с 100 мл  $\text{CH}_3\text{OH}$ , отделили 3 г I. Из оснований из маточного р-ра получали хлоридаты прибавлением 5%-ного р-ра  $\text{HCl}$ . Основания, выделенные из хлоридатов, экстрагировали кипящим петр. эфиром (5 раз по 100 мл) (экстракт А). Из нерастворившегося остатка (12 г) получен II, т. пл. 132—133° (из ацетона). II содержит 1  $\text{OCH}_3$  и 1  $\text{CH}_2\text{O}_2$ -группы; хлоридат, т. пл. 195—196° (из воды); нитрат, т. пл. 176—177° (из ацетона); пикрат, т. пл. 155—156° (из сл.); подметилат, т. пл. 153—154° (из воды). Из экстракта А выделен III, т. пл. 96—97° (из  $\text{CH}_3\text{OH}$ ); хлоридат, т. пл. 201—202° (из воды); нитрат, т. пл. 157—158° (из  $\text{CH}_3\text{OH}$ ). 0,6 г хлоридата III, 1 г флороглацина, 15 мл конц.  $\text{HCl}$  нагревали в запаянной трубке при 140—150° 4 часа, получено 0,5 г IV, т. пл. 212—214° (из хлф.). К р-ру 0,1 г IV в 25 мл абс. эфира прибавили эфирный р-р  $\text{CH}_2\text{N}_2$ ; диметилловый эфир, т. пл. 188—189° (из сл.), пикрат, 217—218°. Т. П.

25811. Микобактин. Фактор роста *Mycobacterium johnei*. Часть III. Расщепление и изучение строения.

Сноу (Mycobactin. A growth factor for *Mycobacterium johnei*. Part III. Degradation and tentative structure. Snow G. A., J. Chem. Soc., 1954, Dec., 4080—4093 (англ.))

Микобактин (I) — фактор роста *Mycobacterium johnei*, выделенный из *Mycobacterium phlei* (вероятная ф-ла  $\text{C}_{47}\text{H}_{75}\text{O}_{16}\text{N}_5$ ) при слабой щел. обработке (ср. часть II, РЖХимБх, 1956, 2369) дает два продукта: растворимый в воде кристаллич. нейтр. продукт и растворимый в эфире кислый продукт, соответственно названные «кобактин» (II) и «микобактиновая к-та» (III). Природа II и III подтверждается ранее проведенным (см. ссылку выше) кислотным гидролизом I. Предлагаемое строение II:  $\text{C}_2\text{H}_5\text{CH}(\text{OR})\text{CH}(\text{CH}_3) - \text{CONHCH}(\text{CH}_2)_4 - \text{N}(\text{OR}')\text{CO}$ , где  $\text{R} = \text{R}' = \text{H}$ , подтверждается тем,

что гидролиз II дает 2-амино-6-оксиминоксановую к-ту (IV) и оптически активную (—)-3-окси-2-метилпентановую к-ту (V); удалением  $\text{OH}$ -группы с последующим восстановлением получен левовращающий анилин, идентифицированный по ИК-спектру как 2-метилпентаноанилин; окисление V  $\text{H}_2\text{Cr}_2\text{O}_7$  освобождает  $\text{CO}_2$  и дает диэтилкетон, идентифицированный как динитрофенилгидразон, т. пл. 155—156°. Это подтверждает для к-ты ф-лу V. Конфигурация асимметрич.  $\beta$ -углеродного атома не была определена; исследованы производные II: О-метильное, О-ацетильное ( $\text{R} = \text{H}$ ,  $\text{R}' = \text{CH}_3$  или  $\text{CH}_3\text{CO}$ ) и О-ацетил-О-метильное ( $\text{R} = \text{CH}_3\text{CO}$ ,  $\text{R}' = \text{CH}_3$ ). II образован из IV и V с выделением 2 молекул воды. Слабо кислотным гидролизом (0,1 н.  $\text{HCl}$  ~100°, 6 час.) оказалось возможным раскрыть кольцо II без разрыва амидной связи; полученный продукт  $\text{C}_{12}\text{H}_{24}\text{O}_5\text{N}_2$  назван «кобактинином» (т. пл. 174—175,5°); он обладает восстановительными свойствами, не дает р-ции с нингидрином и с  $\text{FeCl}_3$ , показывает слабо кислую р-цию; электрометрич. титрование показывает наличие  $\text{COOH}$ -группы и очень слабой основной (вероятно, оксимино-) группы; эти свойства согласуются с ф-лой  $\text{C}_2\text{H}_5\text{CH}(\text{OH})\text{CH}(\text{CH}_3)\text{CONHCH}(\text{COOH})(\text{CH}_2)_4\text{NHONH}$ . III — смолообразное в-во, не полученное в чистом виде; гидролиз его привел к октадециленовой-2 к-те (VI), м-крезолу (образовавшемуся из 2-окси-6-метилбензойной к-ты (VII)), и идентифицированному бумажной хроматографией сериу (VIII) и IV; эквивалентный вес, определенный прямым и обратным титрованием, варьирует в пределах 650—900; вероятная ф-ла  $\text{C}_{33}\text{H}_{55}\text{O}_7\text{N}_3$  выведена на основании предположения, что расщепление I на II и III является гидролизом с присоединением 1 молекулы воды. Образованием хлоридата доказано наличие основной группы; ацетильное производное, как и сама III, дает желтое окрашивание с диазотированной сульфаниловой к-той и окрашивание с  $\text{FeCl}_3$ ; это, а также исследование их спектров, подтверждает наличие в III свободной фенольной группы и группы, обладающей свойствами гидроксамовой к-ты (IX). На основании исследования продуктов гидролиза, спектров III, ее хлоридата и  $\text{Cu}$ -комплекса автор делает вывод о наличии бензидинового остатка в виде VII и о прямой связи последней с остатком VIII. Кроме того, спектры I и III говорят о возможном наличии в I оксазолинового кольца, где  $\text{C}=\text{N}$ -связь сопряжена с бензольным ядром. На основании изложенного делается предположение о структуре III; три остатка: 4-карбоксил-2-(2-окси-6-метилфенил)-оксазолин, IV и VI должны быть соединены, чтобы удовлетворить следующим условиям: одна из трех  $\text{COOH}$ -групп должна быть свободной, остальные связаны;  $\text{NH}_2$ -группа связана; фенольная группа свободна; оксиминогруппа связана с  $\text{COOH}$  с образованием IX. Если VI находилась в виде ненасыщ. остатка в I, она связана с  $\text{COOH}$ . Оксазолиновый остаток, по видимому, также связан с  $\text{COOH}$ .

Простейшие возможные структуры, отвечающие этим условиям, являются ф-лы:  $o\text{-CH}_3\text{C}_6\text{H}_3(\text{OH}-o)-\text{C}=\text{N}-\text{CH}(\text{CH}_2\text{O})\text{CONHCH}(\text{COOR}')(\text{CH}_2)_4\text{N}(\text{OR})\text{COCH}=\text{CH}-$

$(\text{CH}_2)_4\text{CH}_3$  (IIIa),  $o\text{-CH}_3\text{C}_6\text{H}_3(\text{OH}-o)-\text{C}=\text{NCH}(\text{CH}_2\text{O}-\text{CON}(\text{OR})(\text{CH}_2)_4\text{CH}(\text{COOR}')\text{NHCO}-\text{CH}=\text{CH}(\text{CH}_2)_4\text{CH}_3$  (IIIб) (где  $\text{R}=\text{R}'=\text{H}$ ). Комбинация структур, предложенных для II и III, приводит к Ia = IIIa и к Ib = IIIб ( $\text{R}=\text{R}'=\text{H}$ ), где  $\text{R}'=-\text{CH}-(\text{C}_2\text{H}_5)_3\text{CH}(\text{CH}_3)\text{CONHCHCH}_2\text{CH}_2\text{CH}_2\text{CH}_2\text{N}(\text{OR}')\text{CO}$ , как

к двум возможным структурам I. Р-р 5 г I в 100 мл  $\text{CH}_3\text{OH}$  быстро охладили, прибавили 100 мл 1 н.  $\text{NaOH}$  и поставили на 45 мин. при  $\sim 0^\circ$ ; прибавили при помешивании 100 мл 1 н.  $\text{H}_2\text{SO}_4$ ; выделившийся вязкий осадок разбавили 100 мл воды и растворили в эфире ( $3 \times 250$  мл); эфирный экстракт промыли водой ( $2 \times 5$  мл) и упарили; в остатке 3,77 г сырой III в виде желтой прозрачной смолы (хлоргидрат, т. пл.  $96-98^\circ$ ); водн. слой упарили в вакууме досуха; остаток обработали спиртом ( $3 \times 70$  мл), фильтрат упарили, растворили в 30 мл спирта и вновь упарили; получено 0,80 г чистого II, т. пл.  $152,5-153^\circ$  (здесь и далее испр. из этилметилкетона),  $[\alpha]_D^{20} = -46,1 \pm 0,5^\circ$  (с 4,9;  $\text{CH}_3\text{OH}$ ). 2 г I в 40 мл  $\text{CHCl}_3$  взбалтывали 40 мин. с 20 мл 1 н.  $\text{NaOH}$  при  $\sim 0^\circ$ ; эмульсию разделили центрифугированием при  $0^\circ$ ; водн. слой подкислили 5 мл 5 н.  $\text{HCl}$  и экстрагировали  $\text{C}_6\text{H}_6$ , вытяжку промыли водой, которую отогнали с частью  $\text{C}_6\text{H}_6$ ; р-р разбавили до 100 мл сухим  $\text{C}_6\text{H}_6$  и высушили вымораживанием, получили 1,35 г III в виде белого порошка, принявшего вязкую консистенцию при  $\sim 20^\circ$ . III переведена в Cu-комплекс (см. ниже). Из 0,5 г Cu-комплекса в 20 мл  $\text{CHCl}_3$  при действии Cu осадили  $\text{H}_2\text{S}$ , прибавили 40 мл  $\text{CH}_3\text{OH}$ , отфильтровали от CuS, упарили в вакууме и выделили 0,4 г бесцветного III. 1 г I обработали  $\text{NaOH}$ , как описано выше; фракцию, содержащую III, экстрагировали в мягких условиях, немедленно растворили в 10 мл спирта и упарили медленно к р-ру 0,6 г ацетата Cu в 30 мл спирта; осадок отцентрифугировали, промыли спиртом и эфиром, получили 0,45 г Cu-комплекса  $\text{C}_{35}\text{H}_{51}\text{O}_7\text{N}_3\text{Cu}_2 \cdot 2\text{H}_2\text{O}$ . Из 0,3 г II, 0,8 мл  $(\text{CH}_3)_2\text{SO}_4$ , 1,6 мл 5,5 н.  $\text{NaOH}$  в 4,5 мл  $\text{CH}_3\text{OH}$  при  $55-60^\circ$  получили II ( $\text{R}=\text{H}$ ,  $\text{R}'=\text{CH}_3$ ), выход 0,12 г, т. пл.  $172,5^\circ$  (из этилацетата), который с  $(\text{CH}_3\text{CO})_2\text{O}$  и  $\text{CH}_3\text{COONa}$  ( $100^\circ$ , 2 часа) дает О-ацетил-О-метил-II, т. пл.  $156,5-157^\circ$  (из лигтр.). Из II  $(\text{CH}_3\text{CO})_2\text{O}$  в пиридине ( $\sim 0^\circ$ , 30 мин.) получили О-ацетил-II, т. пл.  $128-128,5^\circ$  (из лигтр.). После кипячения (8 час.) II с 5 н.  $\text{HCl}$  выделили V, т. кип.  $90-100^\circ$  (баня) 0,1 мм,  $[\alpha]_D^{25} = -14,8^\circ$  (с 4,3; в  $\text{CH}_3\text{OH}$ ), *n*-бромфенацетил-эфир, т. пл.  $88,5-90^\circ$  (из петр. эф.),  $[\alpha]_D^{25} = -15^\circ$  (с 2,5;  $\text{CH}_3\text{OH}$ ). (—) 2-метилпентаноанилид (X), т. пл.  $89,5-90,5^\circ$ ,  $[\alpha]_D^{18} = 19^\circ$  (с 2,7;  $\text{CH}_3\text{OH}$ ), для идентификации сравнили с изомерными аналогами, приготовленными из замещ. малоновых к-т. (±) 2-метилпентаноанилид, т. пл.  $94,5-95^\circ$ , ИК-спектр идентичен с X. (±) 3-метилпентаноанилид, т. пл.  $84-85,5^\circ$ , и (±) 2-метилзопентаноанилид, т. пл.  $76-76,5^\circ$ . ИК-спектры двух последних в-в отличаются от спектра X. Приготовленный по методу Астахова и Реформатского (ЖРФХО, 1901, 33, 209) *n*-бромфенацетил-эфир 3-окси-2-метилпентановой к-ты, т. пл.  $62,5-63^\circ$ , отличается по ИК-спектру от эфира V. Гидролиз О-метил-II (кипение 8 час. с 5 н.  $\text{HCl}$ ) получили ди-5-нитробарбитурат 2-амино-6-метоксиминноксановой к-ты, пластинки. При метилировании I  $\text{CH}_3\text{I}$  или  $\text{CH}_3\text{N}_2$  (4 экв) получили частично метилированный I, некристаллич. порошок, т. пл.  $144-144,5^\circ$ . N-2'-оксипентилсалициламид превратили в 2-о-оксифенилуксазо-

лин [т. кип.  $87-89^\circ/22$  мм, т. пл.  $39-40^\circ$  (из петр. эф.)] методом, подобным описанному ранее (Pfister и др., J. Amer. Chem. Soc., 1949, 71, 1101). Р-ция метилового эфира 2-окси-6-метилбензойной к-ты с этанол-амином привела к 2-окси-N-2'-оксипентил-6-метилбензамиду, т. пл.  $139,5-140^\circ$  (из ацетона), который превратили сначала в хлоргидрат 2-(2-окси-6-метилфенил)-оксазолина, т. пл.  $121,5-122^\circ$ , а затем возгонкой в вакууме в основание, т. пл.  $102-102,5^\circ$  (из петр. эф.). 10 г стеарилхлорида в 10 мл  $\text{C}_6\text{H}_6$  встряхивали 1,5 часа с р-ром 9,5 г N-этилгидроксиламинооксалата в 88 мл 1 н.  $\text{NaOH}$ , получили N-этилстеарогидроксамовую к-ту, т. пл.  $73,5-74^\circ$ . Аналогично получена N-этилуксазолин-2-гидроксамовая к-та, т. пл.  $67,5^\circ$  (из ацетона). 0,5 г I в 15 мл теплого бутанола смешали с р-ром 0,5 г гидрата  $\text{AlCl}_3$  в 3 мл спирта, промыли водой и упарили в вакууме, получили микобактин Al, т. пл.  $211-213^\circ$  (из сп., при  $20^\circ$ ).

Д. Л. 25812. Синтез витамина K<sub>1</sub>. Хершман, Миллер, Уэндлер (The synthesis of vitamin K<sub>1</sub>). Herschmann Ralph, Miller Richard, Wendler N. L., J. Amer. Chem. Soc., 1954, 76, № 18, 4592-4594 (англ.)

Целью работы являлось повышение выхода витамина K<sub>1</sub> (I) при получении его по методу Физера (J. Amer. Chem. Soc., 1939, 61, 2559, 3467). Замена исходного 2-метил-1,4-нафтогидрохинона (II) на его 1-ацетат (III) снижает образование побочного 2-метил-2-фитил-2,3-дигидронафтохинона (IV). Установлено, что при обработке фитола (V)  $\text{H}_2\text{C}_2\text{O}_4$  при 75 и  $100^\circ$  образуется фитилоксалат (VI), а фитиадие (VII), являющийся по литературным данным (Karrer и сотр. Helv. chim. acta, 1944, 27, 317) продуктом этой р-ции, образуется в результате расщепления VI при перегонке. В качестве катализаторов при получении I исследованы  $\text{KHSO}_4$ ,  $\text{H}_2\text{C}_2\text{O}_4$ , катионообменная смола дуолит C-60 (VIII) и  $\text{BF}_3 \cdot (\text{OC}_2\text{H}_5)_2$  (IX); последний оказался наилучшим. Смесь 1,481 г V, 12,06 г III, 3,02 г  $\text{KHSO}_4$  и 15 мл диоксана (X) нагревают 80 мин. при  $76^\circ$ , охлаждают и фильтруют. Полученный при упаривании фильтрата остаток обрабатывают петр. эфиром и выделяют обратнo 10,48 г III, т. пл.  $125-127^\circ$ ; маточный р-р экстрагируют разб. р-ром KOH (если маточный р-р подкислили  $\text{CH}_3\text{COOH}$ , то образуется II) и затем смесью 27 мл щелочи Клайзена (XI) (35 г KOH в 25 мл воды разбавленн.  $\text{CH}_3\text{OH}$  до 100 мл) и 3 мл р-ра  $\text{Na}_2\text{S}_2\text{O}_4$ . Щел. р-р встряхивают с 20 мл петр. эфира и затем со смесью 100 мл эфира и 150 мл 3%-ного р-ра  $\text{Na}_2\text{S}_2\text{O}_4$ . Эфирный р-р промывают, сушат, упаривают до небольшого объема в вакууме, полученный эфирный р-р дигидровитамина K<sub>1</sub> встряхивают 40 мин. со смесью  $\text{MgSO}_4$  и  $\text{Ag}_2\text{O}$  и выделяют I, выход 51%,  $\lambda_{\text{макс}}$  соответствует литературным данным (после хроматографирования). Нерастворимая в XI фракция представляет собой главным образом VII и не содержит IV, что подтверждено ИК- и УФ-спектрами, характерными для диена. В аналогичных условиях применение  $\text{H}_2\text{C}_2\text{O}_4$  или VIII дало низкий выход I. Р-р 1,481 г V в 4 мл X прибавляют за 30 мин. при  $50^\circ$  к смеси 10,9 г III, 0,27 г 47%-ного IX и 10 мл X, продолжают перемешивание при  $50^\circ$  еще 25 мин. и после вышеописанной обработки выделяют I, выход 66,5%. Смесь 10 г II, 3,02 г  $\text{KHSO}_4$ , 1,483 г V и 16 мл X нагревают при  $76^\circ$  80 мин. и после обычной обработки получают II, выход 8,42 г, и I, выход 42%, а также смесь IV с VII, выход 0,997 г; приведены данные УФ-спектров полученных продуктов. Смесь 1 г V, 0,675 г  $\text{H}_2\text{C}_2\text{O}_4$  и 10,1 мл X нагревают 40 час. при  $75^\circ$  и выделяют VI; при омылении (2,5 н.  $\text{NaOH}$ ,  $20^\circ$ ) получают V. Аналогичные результаты получены при нагревании смеси V и  $\text{H}_2\text{C}_2\text{O}_4$  в X при  $100^\circ$ , 4 часа. При перегонке 4,62 г VI в вакууме на колонке Витгера выделен VII, выход 1,87 г. Смесь 1,994 г VI, 6,18 г



II, 1,24 г  $H_2C_2O_4$  и 18,6 мл X нагревают 36 час. при 76° и после обработки, аналогичной описанной выше, получают I, выход 0,626 г. М. Б.

**25813.** Изучение противораковых соединений. V. 6,7-диметил-9-[1'-(5'-дезоксид-р-рибтил)]-изоаллоксазин. Шанк, Лавинь, Фолкерс (Studies on carcinolytic compounds. V. 6,7-Dimethyl-9-[1'-(5'-desoxy-p-ribityl)] isoalloxazine. Shunk Clifford H., Lavigne Joe B., Folkers Karl.), J. Amer. Chem. Soc., 1955, 77, № 8, 2210—2212 (англ.)

Синтезирован аналог рибофлавина — 5'-дезоксирибофлавин (6,7-диметил-9-[1'-(5'-дезоксид-р-рибтил)]-изоаллоксазин) (I) конденсацией 5'-дезоксид-р-рибозы (II) с 3,4-ксилидином и последующим восстановлением в N-(5'-дезоксид-р-рибтил)-3,4-диметиламин (III). Р-цией III с диазотированным анилином получают N-(5'-дезоксид-р-рибтил)-2-фенилазо-4,5-диметиламин (IV), который с барбитуровой к-той (V) дает I, последний не заменяет рибофлавин, но является его ингибитором для *Lactobacillus casei*. I малоактивен при рассасывании лимфосаркомы мышей (безрибофлавинная диета). К 20% метил-2,3-изопропилиден-р-рибофуранозид в 250 мл пиридина прибавляют р-р 286 г  $N-C_6H_5SO_2Cl$  в  $CHCl_3$ , охлажд. льдом, оставляют на ~12 час. (~20°), нагревают (1 час, 100°), охлаждают, прибавляют 35 мл воды, через 1 час  $CHCl_3$ -слой промывают холодной 0,1 н.  $H_2SO_4$  водой, разб. NaOH и водой, р-ритель отгоняют в вакууме; сироп растворяют в 500 мл спирта и охлаждают, выход метил-2,3-изопропилиден-5-н-тозил-р-рибофуранозид (VI) 163 г. Метил-2,3-изопропилиден-5-вод-р-рибофуранозид (VII) получают из VI с NaI в ацетоне. 10 г VII в 100 мл  $CH_3OH$  и 14,4 мл 2,5 н. NaOH гидрируют (~20°) с 0,1 г  $PtO_2$ , нейтрализуют  $CO_2$ , отгоняют до т-ры 72°; остаток извлекают  $CHCl_3$ , выход метил-2,3-изопропилиден-5-дезоксид-р-рибофуранозид (VIII) 5 г (масло), т. кип. 66°/9 мм,  $[\alpha]_D^{25} -109^\circ$  (с 2; абс. сп.). 15,9 г IX в 90 мл  $CH_3OH$  и 40 мл 0,4 н.  $H_2SO_4$  кипятят 3 часа, нейтрализуют  $BaCO_3$ , выход метил-5-дезоксид-р-рибофуранозид (IX) 8,2 г, т. кип. 83—88°/0,3 мм,  $[\alpha]_D^{25} -76^\circ$  (с 2; абс. сп.). 5,5 г IX в 50 мл 0,4 н.  $H_2SO_4$  нагревают (90°, 1,5 часа), выход II 94%,  $[\alpha]_D^{25} +11^\circ$  (с 4; вода). При получении II из VII без выделения VIII и IX, выход II 88%; фенилозазин II, т. пл. 175—177°,  $[\alpha]_D^{25} -61^\circ$  (с 2; сп.-пиридин; 3:2). Из 2,8 г 3,4-диметиламина и 2,48 г II в спирте (рН 3—3,5), через 14 час. выделяют IV, выход 81%, т. пл. 174—176°. Смесь 4,98 г IV, 3,05 г V, 43 мл  $C_6H_5OH$  и 8 мл  $CH_3COOH$ , кипятят 2,25 часа, охлаждают льдом, осадок I промывают  $C_6H_5OH$  водой (80°),  $CH_3OH$ , выход 57%, т. пл. 283—285° (разл., из 6 н. HCl, осаждением кипящей водой),  $[\alpha]_D^{25} +60^\circ$  (с I; 6 н. HCl). Приведены данные УФ-спектра I.

К. У. **25814.** Химическое изучение вызывающего зоб фактора прота из рапсовых семян. Рацишевский, Спенсер, Тревой (Chemical studies of a goitrogenic factor in rapeseed oilmeal. Raciszewski Z. M., Spencer E. Y., Trevo

L. W.), Canad. J. Technol., 1955, 33, № 3, 129—133 (англ.)

1-5-винил-2-тиооксазолидон (I) (Astwood и др., J. Biol. Chem., 1949, 181, 121), найденный в семенах рапса и вызывающий у крыс увеличение щитовидной железы и задержку роста, содержится в шроте (после удаления масла) в кол-ве 2,4—4,2 г/кг (спектрофотометрич. определения) после ферментативного гидролиза вытяжкой из листьев рапса. Из 3 кг шрота выделено 0,45 г I. Синтез I. Смесь 1-хлорбутен-3-ола-2 и 2-хлорбутен-3-ола-1 (из бутадиена и  $Ca(OCl)_2$ , выход 37%, т. кип. 60—80°/30 мм) при действии 50%-ного р-ра NaOH превращается в 3,4-оксис бутена-1 (II), выход 74%, т. кип. 64—65°. Аммонолизом II получают смесь 1-аминобутен-3-ола-2 (III) и 2-аминобутен-3-ола-1, разделяемую кристаллизацией соответствующих кислот оксалатов разложением  $Ba(OH)_2$ . Добавление при перегонке 0,5% пирогаллола повышает выход III до 84%. Разделение рацемата III и превращение I изомера III в I происходит по Эттингеру (J. Amer. Chem. Soc., 1950, 72, 4792) с добавлением 0,5% хинона при очистке. Определение I в водн. р-ре — спектрофотометрически после прибавления р-ра  $NaHCO_3$  и реактива Гроте (J. Biol. Chem., 1931, 93, 24) при  $\lambda_{\max} 620 m\mu$ . После нагревания водн. р-ра рацемич. I (100°, 4 часа) остается 90% I, после аналогичного нагревания р-ра в 1 н. HCl — лишь 30% I. Приведены данные УФ- и ИК-спектров I.

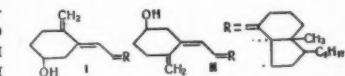
К. У. **25815.** Частичный синтез *транс*-витамина  $D_2$  с помощью реакции Виттига. Нихоффен, Кат, Брюкнер (Partialsynthese einer «trans»-Vitamin D<sub>2</sub> Verbindung mit Hilfe der Reaktion von Wittig. Inhoffen H. H., Kath J. F., Brückner K.), Angew. Chemie, 1955, 67, № 9/10, 276 (нем.). Из синтезированного ранее (см. РЖХим, 1955, 34592) кетона (I) получен тетрагидропиранитовый эфир 5,6-*транс*-витамина  $D_2$  (II). Тетрагидропиранитовый эфир I преводит обработкой  $(C_6H_5)_3P=CH_2$  (см. РЖХим, 1955, 34535), в продукт, из которого хроматографированием выделен II. *транс*-Конфигурация 5,6-двойной связи в II доказана на основании УФ-спектра:  $\lambda_{\max} 272 m\mu$  (с 20000); ИК-спектр 885  $cm^{-1}$ . Сделан вывод, что и в I 5,6-двойная связь обладает *транс*-конфигурацией. Гидролиз II в мягких условиях приводит к перегруппировке лабильной триеновой системы. При этом II переходит в изовитамин  $D_2$  (III),  $\lambda_{\max} 287 m\mu$ . Г. С.

**25816.** Стереохимия кальциферола и прекальциферола. Зондхеймер, Уилер (The stereochemistry of calciferol and precalciferol. Sondheimer Franz, Wheeler Owen H.), Chemistry and Industry, 1955, № 25, 714—716 (англ.)

На основании изучения УФ-спектров и сравнения литературных данных авторы предлагают для кальциферола (витамина  $D_2$ ) и прекальциферола соответственно структуры (I) и (II). УФ-спектры ( $\lambda_{\max}$  в  $m\mu$ ,  $\epsilon$ ): 1,2-

диметилциклогексан, 220 (10050); 2,3-диметилбутадие (в гексане), 225 (10400); I, 265 (18200); II, 265 (9800); изовитамином  $D_2$ , 287 (44100). Г. С.

**25817.** Исследование производных пенициллина III. Новый синтез 2-диэтиламиноэтилового эфира 4-аминоацетилсоевой кислоты (2-оксипропаноина) и ее пенициллиновой соли. Танака, Асами (Studies on the derivatives of penicillin (III). A new synthesis of



2-diethylaminoethyl-4-aminosalicylate (2-hydroxy-procaine) and its penicillin salt. Tanaka Y. U-taka G., Asami Yoshiyuki, J. Scient. Res. Inst., 1954, 48, Dec., 287—294 (англ.)

В связи с данными о применении «паретина» (комбинированного препарата монохлоргидрата 2-диэтиламиноэтилового эфира 4-аминосалициловой к-ты (I—r-та) с пенициллином G) для химиотерапии туберкулеза (Grimme W., Arzneimittel-Forsch., 1951, 1, 326) разработаны новый синтез I и метод получения бензилпенициллиновой соли I (II) из 4-аминосалициловой к-ты (III). Сульфат III превращают этерификацией 2-хлорэтанолом (IV) в среде конц.  $\text{H}_2\text{SO}_4$  в 2-хлорэтиловый эфир III (V), образующий I при обработке диэтиламино-м. K p-ру 422 г Na-соли III в 2 л воды добавляют 2 л 2 н.  $\text{H}_2\text{SO}_4$ , смесь выдерживают 10 час. при 20°, выпаривают сульфат III, выход 93%, т. разл. 230—231°. При t-ре > 50° в водн. p-ре сульфат III декарбонизируется, превращаясь в сульфат 2-аминофенола, т. пл. 152°. K 1200 г IV добавляют 202 г сульфата III (перемешивание, защита от влаги), охлаждают до 15°, добавляют 300 г конц.  $\text{H}_2\text{SO}_4$  (55—60°) и нагревают смесь 3 часа при 97—100°, охлаждают до 20°, отделяют ~440 г избыточного IV, выливают смесь на лед и выделяют сульфат V, т. разл. 176° (из  $\text{CH}_3\text{OH}$ ), при нейтр-ции которого (2 л.  $\text{Na}_2\text{CO}_3$ ) получают V, выход 81%, т. пл. 122° (из бэл.). 172,5 г V и 146 г  $\text{NH}(\text{CH}_3)_2$  нагревают 5 час. при 80° и 9 час. на кипящей водяной бане, добавляют 400 мл 3 н. HCl, фильтруют, фильтрат доводят до pH 10, экстрагируют эфиром при 0°. Из экстракта после подкисления выделяют моносульфат I, выход 68%, т. раз. 197—198°,  $\lambda_{\text{макс}}$  305 мк,  $\epsilon$  1131, обладает обезболивающим действием и флуоресцирует в УФ-свете. Цветные p-ции: с  $\text{FeCl}_3$  красная; с  $\beta$ -нафтолом желтая. При испытании на токсичность на мышах средняя летальная доза сульфата I составляет 39,8 мг/кг (внутривенно); монохлоргидрат I, т. разл. 155° (из  $\text{CH}_3\text{OH} + \text{C}_4\text{H}_9\text{OH}$  или  $\text{iso-C}_3\text{H}_7\text{OH}$ ); мононатр I, т. пл. 64—65° (из этилацетата). P-р 6 г моносульфата I в 30 мл воды добавляют к p-ру 9 г N-этилпиперидинпенициллина в 70 мл воды, pH p-ра доводят с  $\text{Na}_2\text{CO}_3$  до 7,0—7,2, выдерживают его при охлаждении 5 час., получают II, выход 12,3 г, т. разл. 115—115,5° (из ацетона), содержит 1,010 мг/г, флуоресцирует в УФ-свете, дает красную окраску с  $\text{FeCl}_3$ . При получении II из хлоргидрата I выход II составляет 70,1%. При испытании на мышах средняя летальная доза II 95,5 мг/кг. Предыдущее сообщение см. РЖХим, 1955, 51913.

Л. Б.  
25818. Смешанные соли дигидрострептомицина. Бюгерт, Соломоне (Complex salts of dihydrostreptomycin. Bogert V. V., Solomons J. A.), J. Amer. Chem. Soc., 1953, 75, № 10, 2355—2356 (англ.)

Добавлением соответствующих анионов (в виде Натри К-солей) к конц. p-ру обычных солей дигидрострептомицина (I) получено более 30 кристаллич. смешанных солей (CC) I. K p-рам (~650 мг/мл) I-3 HCl, I-3 HBr, I-3 HI, I-1,5  $\text{H}_2\text{SO}_4$ , I-3  $\text{HNO}_3$  добавляли анионы (1 или более эквивалентов)  $\text{Cl}^-$ ,  $\text{Br}^-$ ,  $\text{I}^-$ ,  $\text{ClO}_3^-$ ,  $\text{BrO}_3^-$ ,  $\text{JO}_3^-$ ,  $\text{ClO}_4^-$ ,  $\text{NO}_3^-$ ,  $\text{NO}_2^-$ ,  $\text{SO}_3^{2-}$ ,  $\text{SO}_4^{2-}$ ,  $\text{S}_2\text{O}_3^{2-}$ ,  $\text{S}_2\text{O}_4^{2-}$ ,  $\text{CNS}^-$ ,  $\text{C}_2\text{O}_4^{2-}$ .  $(\text{NH}_4)_2\text{SO}_4$  (II) в конц-ях до  $\approx 10\%$  увеличивает, а свыше 10% уменьшает растворимость (РТ) I-HJ- $\text{H}_2\text{SO}_4$  (III); NaJ до  $\approx 5\%$  значительно уменьшает, а  $\approx 20\%$  постепенно увеличивает РТ. II и NaJ при совместном присутствии значительно сильнее уменьшают РТ III, чем эквивалентное кол-во каждой из этих солей. NaCl увеличивает РТ III с  $\approx 100$  мг/мл до 130, 150 и 170 мг/мл соответственно при конц-ях 5, 10 и 20%. CC I охарактеризованы следующими данными (приве-

дены соответственно активность против *K. pneumoniae* в  $\gamma/\text{мл}$ ,  $[\alpha]_D^{25}$  (с 1, вода), РТ в воде в мг/мл): I-HCl- $\text{H}_2\text{SO}_4$ , 770, —91,3°, > 490; I-HBr- $\text{H}_2\text{SO}_4$  (IV), 795, —88°, —; III, 745 (теоретически 725), —78,5°,  $\approx 100$ ; I- $\text{HNO}_3$ - $\text{H}_2\text{SO}_4$ , 800, —86,1°, > 380; I- $\text{HNO}_2$ - $\text{H}_2\text{SO}_4$ , 775, —86,5°, 260; I-HJ- $\text{H}_2\text{SO}_4$ , 770, —79°, 90; I-HBr- $\text{H}_2\text{S}_2\text{O}_3$ , 765, —79,9°, 300; I- $\text{HNO}_3$ - $\text{H}_2\text{S}_2\text{O}_3$ , 795, —81,5°, 450; I-HJ- $\text{H}_2\text{C}_2\text{O}_4$ , 770, —77,4°, > 390; I-2 $\text{HNO}_3$ -HCNS, 770, —78,4°, > 390. Образование кристаллич. CC I может быть использовано для очистки I. Для получения IV к p-ру 14,6 г сульфата I в 14 мл воды добавляют p-р 4,0 г NaBr в 5 мл воды и смесь оставляют стоять на несколько часов. Кристаллы IV промывают холодной водой (выход 10,1 г) и растворяют в 36 мл воды при 80°, отфильтрованный p-р упаривают под вакуумом до образования кристаллов IV, которые сушат в вакууме при  $\sim 20^\circ$ , затем 48 час. при 78°; выход 6,9 г. Для выделения III из p-ров сырого стрептомицина (V) p-р, содержащий 400 мг/мл хлоргидрата V, гидрируют над скелетным Ni при  $\sim 70$  ат и 75°, к 100 г полученного p-ра добавляют 13 г  $\text{Na}_2\text{SO}_4$ , фильтруют, к фильтрату добавляют 14 г NaJ и смесь размешивают 48 час.; III промывают небольшим кол-вом ледяной воды (выход 25,7 г, активность 655  $\gamma/\text{мл}$ ); из промывных жидкостей выделено еще 6,1 г III, имеющего активность 405  $\gamma/\text{мл}$  (56% чистоты). III очищен растворением в теплой воде и упариванием в вакууме.

В. Д.

25819. Магнамицин. IV. Микаминоза, аминосахар из магнамицина. Хохстейн, Регна (Magnamycin. IV. Mucaminose, an aminosugar from magnamycin. Hochstein F. A., Regna Peter P.), J. Amer. Chem. Soc., 1955, 77, № 12, 3353—3355 (англ.)

Ранее было показано, что микаминоза (I), один из продуктов кислотного гидролиза антибиотиков магнамицина и магнамицина В, представляет собой диметиламинометилпентозу. Методами окисления  $\text{HJO}_4$  и изучения скорости дезаминирования I и полученной при ее окислении диметиламинометилтетрозы  $\text{C}_4\text{H}_{15}\text{NO}_2$  (II) установлено, что I является 3-диметиламино-5-метилпентозой. При окислении I одним экв.  $\text{HJO}_4$  (48 час.,  $\sim 20^\circ$ ) образуется II, т. пл. 178,5—179,5° (разл.; из сп.-эф.),  $[\alpha]_D^{25}$  —33° (5%, вода, через 24 часа), и  $\text{HCOOH}$ . Образование последней, наряду с качеств. p-циями, свидетельствует о наличии в молекуле I концевой группы  $\text{CHONCHO}$  (положения 1 и 2). Дальнейшее окисление II  $\text{HJO}_4$  (кипячение, 1 час) приводит к  $\text{CH}_2\text{CHO}$ , что, наряду с положительной изоформной пробой, указывает на присутствие группы  $\text{CH}_2\text{CHONCH}(\text{OH})$  (положения 4, 5 и 6). Так как при окислении I  $\text{HJO}_4$  не образуется  $\text{HCHO}$ , I не содержит групп  $\text{CH}_2\text{OH}$  и, следовательно, имеет нормальное строение углеродного скелета. I легко дезаминируется NaOH (на 50% при 50°, 30 мин., 3 н. спирт. NaOH), что характерно для  $\beta$ -аминоальдегидов. II дезаминируется в 40 раз медленнее. I окисляется фелинговой жидкостью с нормальной скоростью, II — очень медленно. Это возможно лишь в случае, если I является  $\beta$ -аминоальдегидом. I и II находятся в полуацетальной форме, так как ИК-спектры их не показывают присутствия СО-группы. I получают из хлоргидрата (III) (т. пл. 115—116°,  $[\alpha]_D^{25} + 31^\circ$  (с 1; в воде, через 24 часа)) с низким выходом путем экстракции шел. p-ра III (pH 10,5) этилацетатом при 0°, т. кип. 150°/0,02 мм. Для работы применяют III. Метилмикаминозид получают метилированием III  $\text{CH}_3\text{OH}$  в присутствии HCl, т. пл. 65—75°. Чистый изомер получают перекристаллизацией из лигроина (6 раз) и последующей возгонкой при 100°/0,3 мм, т. пл. 126—126,5°,  $[\alpha]_D^{25}$  —39° (в воде, через

5 час.),  $pK_b$  8,2. Предыдущее сообщение см. РЖХим, 1954, 46387.

С. П. 25820. Об активированных эфирах. I. Активированные эфиры гиппуровой кислоты и их реакции с бензиламином. Швицер, Изелин, Фейер (Über aktivierte Ester. I. Aktivierter Ester der Hippursäure und ihre Umsetzungen mit Benzylamin. Schwyzer R., Iselin B., Feurer M.), *Helv. chim. acta*, 1955, 38, № 1, 69—79 (нем.)

В качестве агентов ацилирования аминов, аминокислот и пептидов предложено использовать следующие активированные эфиры гиппуровой к-ты: дианметиловый эфир (I), карбэтоксиметилловый (II), дикарбэтоксиметилловый (III), метоксиметилловый (IV), ацетонилловый (V), *n*-нитробензилловый (VI),  $\beta$ -диэтиламиноэтиловый (VII), бромметилат  $\beta$ -диэтиламиноэтилового эфира (VIII). Наиболее активен I. Изучено взаимодействие этих эфиров с бензиламином (IX). Введение отрицательного заместителя облегчает аминолиз и увеличивает скорость р-ции. При кипячении 0,02 моля гиппуровой к-ты (X), 0,03 моля триэтиламина (XI) и 0,03 моля  $ClCH_2CN$  в 30 мл этилацетата (3 часа) получено 80% I, т. пл. 99—100° (из ацетона). Аналогично получают и другие эфиры (указаны время кипячения, выход в %, т. пл. в °C): II, 0,5 часа, 82, 70—71 (из сп.); IV, 1 час, 67, 136—138° (0,01 м.м.); V, 5 час, 72, 97—98 (из сп.); VI, 15 час, 82, 134—135 (из сп.), и VIII, 6 час, 6,32 г.—. К р-ру 0,02 моля X и 0,02 моля XI в 5 мл этилацетата при кипячении (1,5 часа) прибавляют 0,02 моля  $BrCH(COOCH_2)_2$  в 5 мл этилацетата. Кипятят еще 1,5 часа, охлаждают до 0° (1 час), промывают фильтрат разб. HCl, бикарбонатом и водой и перегоняют в вакууме; выход III 70%, т. кип. 190—193°/1 м.м. Взаимодействием 0,005 моля I с 0,005 моля IX в 10 мл этилацетата (24°, 30 мин.) получен бензиламид гиппуровой к-ты (XII), выход 82%, т. пл. 157—158° (из сп.) с двойным кол-вом IX, выход XII 96%. Аналогично реагируют с IX активированные эфиры II—VI. Добавлением к р-ру 0,005 моля неочищ. VIII в 10 мл воды (или спирта), 0,01 моля IX при ~20° 18 час. получают XII, выход 41%, т. пл. 156—158° (из воды), 153—157° (из сп.). С. Г.

25821. Об активированных эфирах. II. Синтез активированных эфиров производных аминокислот. Швицер, Фейер, Изелин, Кегг (Über aktivierte Ester. II. Synthese aktivierter Ester von Aminosäure-Derivaten. Schwyzer R., Feurer M., Iselin B., Kägi H.), *Helv. chim. acta*, 1955, 38, № 1, 80—83 (нем.)

Предложены два способа получения дианметиловых эфиров аминокислот взаимодействием с хлорацетонитрилом (I): а) в р-ре этилацетата, б) в избытке I. 0,02 моля карбобензоксиглицина (II), 0,03 моля I и 0,02 моля триэтиламина в 30 мл абс. этилацетата кипятят 3 часа, отгоняют I, прибавляют этилацетат, промывают разб. HCl, бикарбонатом, водой и фильтрат разгоняют. Выход дианметилового эфира (III) 83%, т. пл. 69—70° (из эф.). Приливают 0,3 моля I к смеси 0,1 моля II и 0,15 моля триэтиламина, нагревают до 70° (0,5 часа), удаляют избыток I, растворяют остаток в этилацетате и обрабатывают, как указано в способе (а), выход III 94%. Аналогично получены дианметиловые эфиры следующих аминокислот, в скобках приведены выход в % и т. пл. °C: тозилглицина (81, 94°), фталил- $\beta$ -аланина (87, 97°), *n*-нитрокарбобензоксид-*DL*-лейцина (68, 68), тозил-*DL*-метионина (80, 85), дикарбобензоксид-*L*-тирозина (82, 99),  $[\alpha]_D^{20}$  (ацетон),  $[\alpha]_D^{20}$  (ацетон),  $[\alpha]_D^{20}$  (CHCl<sub>3</sub>), тозил-*L*-глутамина (68, 117), нитробензоил-*L*-глутаминовой к-ты (74, 102), карбобензоксиглицил-*DL*-аланилглицина (95, 145). Кроме того, синтезированы карбэтоксиметилловый эфир дикарбобензоксид-*L*-тирозина (71, 100), карбэтоксид-

метилловый эфир тозил-*DL*-метионина (62, т. кип. 205°/2 м.м.) и *n*-нитробензилловый эфир *n*-нитрокарбобензоксид-*DL*-лейцина (72, 75).

С. Г. 25822. Изучение антиметаболитов. I. Синтез *DL*-неофенилаланина, *DL*-неотирозина и *DL*-нео-3,5-диодотирозина,  $\beta$ , $\beta$ -диметилных аналогов оптически неактивных фенилаланина, тирозина и 3,5-диодотирозина. Йенссон (Studies on antimetabolites. I. Synthesis of *DL*-«neophenylalanine», *DL*-«neotyrosine» and *DL*-«neo-3,5-diiodotyrosine», the  $\beta$ , $\beta$ -dimethyl analogues of optically inactive phenylalanine, tyrosine and 3,5-diiodotyrosine. Jönsson A k e), *Acta chem. scand.*, 1954, 8, № 7, 1203—1210 (англ.)

С целью изучения вопроса об образовании антиметаболитов при введении гем-диметилных групп в различные физиологически активные молекулы (в соседнее с активным центром положение) синтезированы гем-диметилные производные фенилаланина и тирозина как возможных предшественников в синтезе адреналина и тироксина *in vivo*, а также диодотирозина,  $\beta$ , $\beta$ -диметилфенилаланин—неофенилаланин (I) синтезирован по схеме: 4,6-ди-( $\alpha$ ,  $\alpha$ -диметилбензил)-пирогаллол (II)  $\rightarrow$  этиловый эфир  $\alpha$ -кето- $\beta$ -фенилизовалериановой к-ты (III)  $\rightarrow$   $\alpha$ -кето- $\beta$ -фенилизовалериановая к-та (IV)  $\rightarrow$   $\alpha$ -оксимино- $\beta$ -фенилизовалериановая к-та (V)  $\rightarrow$  I. По этой же схеме, исходя из 4,6-ди-( $\alpha$ ,  $\alpha$ -диметил-*n*-метоксибензил)-пирогаллола (VI) синтезирован  $\beta$ ,  $\beta$ -диметилтирозин—неотирозин (VII). Иодированием VII получен 3,5-диод- $\beta$ ,  $\beta$ -диметилтирозин—нео-3,5-диодотирозин (VIII). К охлажд. р-ру 252 г пирогаллола в 600 мл лед.  $CH_3COOH$  и 25 мл конц.  $H_2SO_4$  прибавляют при перемешивании р-р 570 г  $\alpha$ -метилтирозола в 600 мл лед.  $CH_3COOH$  (1 час, т-ра ниже 15°). Затвердевшую при стоянии массу растирают с 1 л воды, выход ~100%, т. пл. 120—121° (из лигр.). II в пиридине с  $(CH_3CO)_2O$  дает триацетат, т. пл. 138—139°. К взвеси III (300 г) в р-ре NaOH (100 г) в 3 л воды прибавляют 150 г  $KMnO_4$  сразу и 500 г порциями (2 часа, т-ра 60—70°). Подкисленный фильтрат экстрагируют 5 раз эфиром и экстракт промывают насыщ. р-ром  $NaHCO_3$ . Из эфир. р-ра получают в-во (21 г) с т. пл. 174—175° (из сп.); 171 г масла, полученного при подкислении р-ра бикарбоната, кипятят несколько часов с абс. спиртом (400 мл) и  $H_2SO_4$  (25 мл). Частично упаренный в вакууме р-р выливают в воду, масло экстрагируют эфиром и промывают р-ром  $NaHCO_3$  (при подкислении р-ра получают 15 г в-ва, т. пл. 185—186° (из сп.)), эфир отгоняют и масло фракционируют; выход III 118 г, т. кип. 140—144°/12 м.м. Из предгона (60—140°/12 м.м.) шел. гидролизом получают  $\alpha$ -фенилизомасляную к-ту (IX) выход 24 г, т. пл. 78°. III и IX получают также окислением р-ра *n*-( $\alpha$ ,  $\alpha$ -диметилбензил)-фенола (212 г) в 2 л воды, содержащей 50 г NaOH,  $KMnO_4$  (800 г); выход III 18 г, IX 15 г, 73 г III омыляют 250 мл 2 н. NaOH (15 мин.), р-р промывают эфиром и подкисляют. IV экстрагируют эфиром, выход 62,3 г, т. пл. 40,5—41° (из петр. эф.). К р-ру IV (57,6 г) в 150 мл 7,5%-ного р-ра NaOH прибавляют конц. водн. р-р 28 г хлоргидрата гидроксилаланина и 40 г  $Na_2CO_3$ . Смесь нагревают 3 часа, добавляют 200 мл воды и подкисляют; выход V 90%, т. пл. 123—123,5° (бэл. + петр. эф.; 1:1) 5 г V в 80 мл абс. спирта восстанавливают 200 г 2%-ной амальгамы Na, сохраняя pH < 7 прибавлением молочной к-ты. Через 4 часа р-р упаривают в вакууме, разбавляют водой до 75 мл и выделяют 3,3 г I, т. разл. ~240° (из воды). I с  $(CH_3CO)_2O$  в 2 н. NaOH дает *N*-ацетил-I, т. пл. 178—179° (из воды). Получен VI: р-р  $CH_3MgBr$  (из 163 г Mg и 610 г  $CH_3Br$ ) в 1 л абс. эфира кипятят 24 часа с 500 г метилового эфира анисовой к-ты (X) в 1,5 л абс. эфира; выход  $\alpha$ , $\alpha$ -диметил-*n*-мет-оксибензильного спирта (XI) 495 г; р-р XI



25825. Синтез L-глутаминил-L-аспарагина, L-глутамина и L-изоглутамина из *p*-толуолсульфонил-L-глутаминовой кислоты. Суон, Виньо (The synthesis of L-glutamyl-L-asparagine, L-glutamine and L-isoglutamine from *p*-toluenesulfonyl-L-glutamic

acid. Swan John M., Vigneaud Vincent du), J. Amer. Chem. Soc., 1954, 76, № 12, 3110—3113 (англ.)

Описан синтез L-глутаминил-L-аспарагина (I) и L-глутаминина (II) из тозил-L-глутаминовой к-ты (III). Последняя с  $\text{PCl}_5$  дает 1-тозилпирироглутаминилхлорид

$\text{CH}_3\text{CH}_2\text{CONTsCHCOCl}$  (IV), который конденсируется с L-аспарагином в 1-тозилпирироглутаминил-L-аспарагин (V). Последний дает с  $\text{NH}_4\text{OH}$  тозил-L-глутаминил-L-аспарагин (VI), который превращается в I под действием Na в жидком  $\text{NH}_3$ . IV с  $\text{NH}_4\text{OH}$  дает тозил-L-глутамин (VII), который превращается в II. IV с сухим  $\text{NH}_3$  превращается в I-тозилпирироглутаминид (VIII), из которого получены изоглутамин (IX) и L-глутамид (X). К суспензии 140 г III в 1 л эфира прибавляют при 0° 280 г  $\text{PCl}_5$ , фильтруют и прибавляют 2—3 л петр. эфира, выход IV 90%, т. пл. 71—74° (разл.). К 60 г моногидрата L-аспарагина в 300 мл воды при 50° прибавляют 27 г  $\text{MgO}$ , охлаждают до 0° и при перемешивании прибавляют 90 г IV, поддерживая pH 8. Через 1,5 часа (~20°) прибавляют 90 мл конц.  $\text{HCl}$  и выделяют V, т. пл. 150—151° (из сп.),  $[\alpha]_D^{21} - 42,7^\circ$  (с 5,5; 0,5 н.  $\text{KHSO}_4$ ). Полученный V (сырой) оставляют на 30—60 мин. в 400 мл конц.  $\text{NH}_4\text{OH}$ , отгоняют  $\text{NH}_4\text{OH}$  и подкисляют; выход VI 83%, т. пл. 197—198,  $[\alpha]_D^{21} - 11,4^\circ$  (с 2,1; 0,5 н.  $\text{KHSO}_4$ ). К 12 г VI в 750 мл жидкого  $\text{NH}_3$  прибавляют порциями 4,2 г Na, охлаждают р-р смесью сухого льда и ацетона, прибавляют 15 мл лед.  $\text{CH}_3\text{COOH}$ , упаривают  $\text{NH}_4\text{OH}$  и оставляют при ~20°. Остаток растворяют в воде, прибавляют  $\text{CH}_3\text{COOH}$  до pH 6 и спирт; выход I 6,8 г, т. пл. 210—211° (разл., из водн. сп.),  $[\alpha]_D^{21} + 17,1^\circ$  (с 1,5; вода), +20,8° (с 2,7; 0,5 н.  $\text{HCl}$ ). В восходящей хроматограмме  $R_f$  0,41 (фенол-вода; 3:1), 0,05 (бутанол: вода:  $\text{CH}_3\text{COOH}$ ; 5:4:1). 33 г IV перемешивают 1 час с 150 мл воды, 150 мл эфира и 12 г  $\text{MgO}$ , затем добавляют 400 мл конц.  $\text{NH}_4\text{OH}$ , перемешивают 30 мин, упаривают в вакууме и подкисляют; выход VII 24 г, т. пл. 160—162°. VII получают также из глутаминина и тозилхлорида, т. пл. 164—165° (из этилацетата),  $[\alpha]_D^{21} + 8,7^\circ$  (с 2,4; 0,5 н.  $\text{KHSO}_4$ ), и из 1-тозилпирироглутаминовой к-ты и  $\text{NH}_4\text{OH}$ . 1,5 г VII восстанавливают Na в жидком  $\text{NH}_3$  до II, выход 0,5 г (из водн. сп.),  $[\alpha]_D^{22} + 6,2^\circ$  (с 4,3; вода),  $R_f$  0,54 (фенол-вода; 3:1), 0,09 (бутанол: вода:  $\text{CH}_3\text{COOH}$ ; 5:4:1). II выделяют также на ионите дауке-50; 14,8 г IV прибавляют к насыщ. р-ру  $\text{NH}_3$  в 150 мл  $\text{CHCl}_3$ , упаривают досуха, промывают водой и выделяют II и VIII, т. пл. 193—195° (из 50%-ного сп.),  $[\alpha]_D^{21} - 24,3^\circ$  (с 2,3; ацетон). VIII восстанавливают Na в жидком  $\text{NH}_3$ ; IX выделяют на ионите дауке-50 с выходом 64%, т. пл. 186°,  $[\alpha]_D^{21} + 20,5^\circ$  (с 6,1; вода),  $R_f$  0,52 (фенол-вода; 3:1), 0,18 (бутанол: вода:  $\text{CH}_3\text{COOH}$ ; 5:4:1). Тозил-L-глутамид (XI) получен из VIII и  $\text{NH}_4\text{OH}$ , т. пл. 210—220° (разл., из сп.),  $[\alpha]_D^{22} + 8,3^\circ$  (с 1,7;  $\text{CH}_3\text{COOH}$ ). XI восстанавливают Na в жидком  $\text{NH}_3$  до X, идентифицирован в виде карбобензоксиглутаминина, т. пл. 195—196,5°.

С. А. 25826. Химическая структура некоторых природных полипептидов и протеинов. Джонсон (The chemical structure of some naturally occurring polypeptides and proteins. Johnson A. W.), Sci. Progr., 1955, 43, № 169, 81—87 (англ.)

Обзор работ по определению строения висулина, окситоцина (I), лизиназопрессина (II) и аргининазопрессина (III) и синтезу I, II и III. Глоб. 30 назв. Г. Р.

25827. Азо-Производные некоторых ароматических поли- $\alpha$ -аминокислот. Села, Качальский (Azo derivatives of some aromatic poly- $\alpha$ -amino acids. Sela Michael, Katchalski Ephraim), J. Amer. Chem. Soc., 1955, 77, № 13, 3662—3663 (англ.)

Поли-3-(*n*-нитрофенилазо)-L-тирозин (I) и поли-3,5-ди-(*n*-бромфенилазо)-L-тирозин (II) получены сочетанием поли-L-тирозина (III) соответственно с хлористым *n*-нитрофенилдиазонием (IV) и *n*-бромфенилдиазонием (V). Поли-*n*-(1-оксинафтил-4-азо)-DL-фенилаланин (VI) получен из  $\alpha$ -нафтола (VII) и диазополн-*n*-аминофенилаланина (VIII). Для I ( $n = 30$ ) при pH 13 найдены  $\lambda_{\text{макс}}$  при 3460 Å (ε 10000) и 5300 Å (ε 6350). Идентичный спектр имеет ангидрид 3,3'-ди-(*n*-нитрофенилазо)-DL-тирозина (IX). VI ( $n = 20$ ) в этаноламин имеет  $\lambda_{\text{макс}}$  5180 Å (ε 10000). Сополимер L-тирозина и L-лизина (X) (мол. отношение 1:10) после сочетания с IV по растворимости, влиянию на свертываемость крови и антибактериальной активности был сходен с полилизином; сополимер *n*-аминофенилаланина и L-аспарагиновой к-ты (XI) (1:9) после диазотирования и сочетания с  $\alpha$ -нафтолом по растворимости и биологич. активности был сходен с полиаспарагиновой к-той. Полученные азопроизводные поли- $\alpha$ -аминокислот могут служить моделями для изучения хим. и биологич. свойств азопептидов, а также их иммунологич. испытаний. 1 моль ангидрида DL-тирозина сочетают в 1 л. NaOH или 1 н.  $\text{Na}_2\text{CO}_3$  при 0—5° с 2 молями IV. IX осаждают разб.  $\text{HCl}$ , выход 91%, т. пл. 243—245° (из *трет*- $\text{C}_4\text{H}_9\text{OH}$ ); IX коричневого цвета. Р-р его в спирт. или водн. NaOH красно-фиолетовый. Изучены хроматография IX на  $\text{Al}_2\text{O}_3$  и на бумаге и электрофорез IX на бумаге. Аналогично получают I из эквивалентных кол-в III и IV, пересаждают  $\text{CH}_3\text{COOH}$  из р-ра в  $\text{NH}_4\text{OH}$ , выход I 93% хроматограмма на бумаге и электрофорез идентичны IX. I в р-ре спирт. или водн. NaOH дает красно-фиолетовое окрашивание, в спирте оранжево-красное, в бутиламин и этаноламин — голубое. II получают аналогично IX из 1 моля III и 2 молей IV, пересаждают разб.  $\text{H}_2\text{SO}_4$  из разб. р-ра в спирт. NaOH; II в р-ре диоксана и  $\text{CHCl}_3$  дает желто-зеленое окрашивание, в спирт. щелочи, анилин пиридине, бутиламин — темнокрасное. VI получают из VIII сочетанием с VII, пересаждают разб.  $\text{HCl}$  из разб. спирт. NaOH. VI в р-ре спирт. щелочи дает темнокрасное окрашивание. Диазотированием VIII и сочетанием с L-тирозином получают полимер тирозиназофенилаланина, осаждают водой из р-ра в горячем диметилформамиде; в р-ре этаноламина дает красное окрашивание, а в диметилформамиде — желтое. Диазотированием VIII и сочетанием с III получают нерастворимое в-во, при суспендировании в щелочи дающее темнокрасное окрашивание. Из ангидридов  $\epsilon$ , N-карбобензоксиглутаминина, N-карбоксиглутаминина и O- $\text{KB}$ -N-карбоксиглутаминина (10:1) получают сополимер (осаждают водой из р-ра диметилформамида), омылением 33%-ной  $\text{HBr}$  в лед.  $\text{CH}_3\text{COOH}$  превращают его в бромгидрат X, выделяют абс. эфиром и пересаждают абс. спиртом и абс. эфиром из конц. водн. р-ра. Из бромгидрата X сочетанием с IV получают сополимер L-лизина и 3-(*n*-нитрофенилазо)-L-тирозина (осаждают пириновой к-той и превращают в хлоридат). Из ангидридов  $\beta$ -бензил-N-карбоксиглутаминина, L-аспарагиновой к-ты и *n*, N- $\text{KB}$  аминокислот, N-карбоксиглутаминина (9:1) получают бромгидрат сополимера, который под действием 33%-ной  $\text{HBr}$  в лед.  $\text{CH}_3\text{COOH}$  превращают в XI и осаждают водой из р-ра диметилформамида. XI диазотируют и сочетают с  $\alpha$ -нафтолом.

С. А. 25828. О структуре олеиновой и рицинолевой кислот (с подробной ссылкой на процедуру Барука). Ганн

**стон** (A note on the structure of oleic acid and ricinoleic acid. (With particular reference to Baruch's procedure). Gunstone F. D.), Chemistry and Industry, 1955, № 10, 250 (англ.)

Основываясь на новых данных, автор подверг критике работу Барука (Ber., 1894, 27, 172), где утверждается, что олеиновая и стеароловая (I) к-ты имеют Δ<sup>9</sup>-связь. 10-кетостеариновая к-та, полученная из I, имеет т. пл. 83°, тогда как продукт Барука плавится при 76°. Повидимому, Барук имел дело со смесью к-т, в следовательно, положение двойной связи нельзя считать строго доказанным. Для рицинолевой к-ты на основе работ других авторов предлагается структура 12-оксип-Δ<sup>10</sup>-октадекаеновой к-ты. Г. С.

**25829. Структура стеркулевой кислоты и других аналогичных жирных кислот. Дейкстра, Дейн** (Structure of stercularic acid and other analogous fatty acids. Dijkstra G., Duin H. J.), Nature, 1955, 176, № 4471, 71—72 (англ.)

Поддерживается установленная для стеркулевой к-ты (I) структура  $\text{CH}_3(\text{CH}_2)_7\text{C}=\text{C}[(\text{CH}_2)_7\text{COOH}]_2$

(Nunn J. R., J. Chem. Soc., 1952, 313). Наличие циклопропенового кольца подтверждается ИК-спектром (поглощение для I 1.009, для дигидро-I 1.021 см<sup>-1</sup>), положительной р-цией Хальфена (красное окрашивание с р-ром S в CS<sub>2</sub>) и легкостью полимеризации I. Аналогичную I ненасыщ. жирную к-ту C<sub>18</sub> из масла семян *Sterculia foetida*, Bombacaceae предложено называть бомбациевой к-той. А. Л.

**25830. Этанолиты растительных масел с применением NaOH в качестве катализатора. Часть IV. Мукхерджи, Чаудхури** (Ethanolysis of vegetable oils using sodium hydroxide as a catalyst. Part IV. Mukherji B. K., Chowdhury Dipti Kalyan), J. Indian Chem. Soc., 1954, 31, № 10, 794—802 (англ.)

Изучался этанолит сухих нейтр. образцов кокосового, льняного, тунгового, сезамового, мюбиа, касторового и горчичного масел (50° с 2 экв C<sub>2</sub>H<sub>5</sub>OH + 0,25% NaOH от веса масла). Состав исходного масла и продуктов р-ции определялся спектрофотометрически, перегонкой, а также по подным и гидроксильным числам. Скорость переэтерификации насыщ. к-т больше, чем ненасыщенных, а среди первых к-ты с меньшим мол. весом реагируют быстрее. Скорость переэтерификации понижается в ряду олеиновая — линолевая — линоленовая к-ты. Элаидиновая к-та вступает в р-цию медленнее линолевой, а эруковая к-та — медленнее линолевой и линоленовой к-т. На скорость р-ции влияют кол-во и природа других жирных к-т, находящихся в масле. Часть III, РЖХим, 1955, 9611. А. Р.

**25831. Исследование суберина. V. Строение флойоновой кислоты из суберина из Quercus suber. Енсен, Ринне** (Studies on suberin. V. The constitution of phloionic acid from the suberin of Quercus suber. Jensen Waldemar, Rinne Pekka), Paperi ja puu, 1953, 35, № 11, 407—408 (англ.)

Выделенная из суберина Quercus suber флойоновая к-та HOOC(CH<sub>2</sub>)<sub>7</sub>(CHOH)<sub>2</sub>(CH<sub>2</sub>)<sub>7</sub>COOH (Zetsche F. и др. Helv. chim. acta, 1931, 14, 846; J. prakt. Chem., 1938, 150, 140) и к-та, выделенная другим методом (Jensen W. W., Finnish Paper and Timber, 1952, 34, 467), идентичны. Подтверждено строение к-ты. Из ее метилового эфира при окислении подной к-той в водн. CH<sub>3</sub>OH образуется только альдегид, охарактеризованный в виде 2,4-динитрофенилгидразона (NO<sub>2</sub>)<sub>2</sub>C<sub>6</sub>H<sub>3</sub>NHN=CH(CH<sub>2</sub>)<sub>7</sub>COOCH<sub>3</sub> (I), т. пл. 68—68,6° (из петр. эф.). Строение I подтверждено встречным сплитом: из смеси двух альдегидов, образовавшихся при окислении метилового эфира 9,10-диоксистеариновой к-ты, получена смесь 2,4-динитрофенилгидразонов,

разделенная хроматографированием эфирного р-ра на Al<sub>2</sub>O<sub>3</sub> с вымыванием эфиром на CH<sub>3</sub>(CH<sub>2</sub>)<sub>7</sub>CH=NNHC<sub>6</sub>H<sub>3</sub>(NO<sub>2</sub>)<sub>2</sub>, т. пл. 106,6—107° (из CH<sub>3</sub>OH), и I. Я. К.

**25832. Исследование суберина. VI. Выделение и установление строения флойоноловой кислоты из суберина Betula verrucosa и Quercus suber. Енсен, Ринне** (Studies on suberin. VI. Isolation and constitution of phloionic acid from the suberins of Betula verrucosa and Quercus suber. Jensen Waldemar, Rinne Pekka), Paperi ja puu, 1954, 36, № 2, 32—34 (англ.)

При обработке суберина из коры Betula verrucosa аналогично описанной для Quercus suber (см. сообщение V, пред. реф.), получен вместо метилового эфира флойоновой к-ты метиловый эфир флойоноловой к-ты (I, к-та II), для которой ранее (Zetsche F., Weber K., J. Prakt. Chem., 1938, 150, 140) предложено строение 9,10,18-триоксистеариновой к-ты. II в гораздо меньшем кол-ве содержится и в Quercus suber. Строение II подтверждено тем, что после окисления I водной к-той образовавшиеся альдегиды были превращены в 2,4-динитрофенилгидразоны, разделенные хроматографированием на Al<sub>2</sub>O<sub>3</sub>; при этом выделены (NO<sub>2</sub>)<sub>2</sub>C<sub>6</sub>H<sub>3</sub>NHN=CH(CH<sub>2</sub>)<sub>7</sub>COOCH<sub>3</sub> (см. сообщение V), т. пл. 67,6—68,2°, и в-во с т. пл. 90,0—92,0°, идентичное с (NO<sub>2</sub>)<sub>2</sub>C<sub>6</sub>H<sub>3</sub>NHN=CH(CH<sub>2</sub>)<sub>7</sub>CH<sub>2</sub>OH (III), полученным встречным синтезом. Восстановлением этилового эфира 9,10-диоксистеариновой к-ты (Na + сп.) получен 9,10-диоксооктадециловый спирт, окисленный водной к-той, с дальнейшим превращением образовавшихся альдегидов в 2,4-динитрофенилгидразоны и выделением после хроматографирования III. Я. К.

**25833. Выделение и определение строения нео-геркулина из Zanthoxylum clava-herculis L. Кромби** (Isolation and structure of neo-herculin from Zanthoxylum clava-herculis L. Crombie L.), Nature, 1954, 174, № 4435, 833 (англ.)

Из коры Zanthoxylum clava-herculis L. выделено (ср. J. Chem. Soc., 1952, 2997) нестойкое в-во (т. пл. 70°), названное нео-геркулином CH<sub>3</sub>CH=CHCN=CHCN=CHCH<sub>2</sub>CH<sub>2</sub>CH=CHCONHCH<sub>2</sub>CH(CH<sub>3</sub>)<sub>2</sub> (I). I очень токсичен по отношению к Tenebrio molitor и является в настоящее время наилучшим кристаллич. инсектицидом. I при микрогидрогенизации присоединяет 3,75 моля H<sub>2</sub>. ИК-спектр I показывает NH, CO и амидную группу. При кислотном гидролизе I дает изобутиламины, что подтверждает наличие непрямой связи только в кислой части I. Строение углеродного скелета подтверждается идентичностью октагидро-I (т. пл. 53—54°) с изобутиламидом лауриновой к-ты. УФ-спектр подтверждает наличие конъюгированного триеноидного хромофора. Наличие четвертой двойной связи в α-положении к амидной группе подтверждается ИК-спектром (1,670 см<sup>-1</sup>). При озонировании I образуется ацетальдегид. ИК-спектр I показывает транс-положение α, β-двойной связи; с малеиновым ангидридом I не дает кристаллич. производных. Все это подтверждает строение I как 2,6,8,10-тетраенамида. М. Г.

**25834. 2-ацилпроизводные циклических 1,3-дионов. Часть II. Структуры ангустона и дегидроангустона. Чжань, Хассалл** (2-acyl derivatives of cyclic 1:3-diones. Part II. The structures of angustone and dehydroangustone. Chan W. W., Hassall C. H.), J. Chem. Soc., 1955, Aug., 2860—2865 (англ.)

Установлено, что ангустон (I), выделенный из эфирного масла Backhousia angustifolia, является 2-ацетил-4,4,6-триметилциклогександионом-1,3. На основании изучения ИК-спектра и данных озонирования (выделен CH<sub>2</sub>O) дегидроангустону (II) приписывается ф-ла (IIa). Строение I подтверждено синтезом: окислением дигидроизофлорона (III) HNO<sub>3</sub> получают смесь α, γ, γ-(IV)



и  $\alpha$ ,  $\alpha$ ,  $\gamma$ -триметилдипириновых к-т (V), которая при нагревании с  $MnCO_3$  превращается в смесь 2, 2, 4- (VI) и 2, 4, 4-триметилдипиринов (VII). Окисление смеси VI и VII  $HNO_3$  приводит к  $\alpha$ ,  $\alpha$ ,  $\gamma$ -триметилглутаровой к-те (VIII), которую переводит в смесь хлорангидридов (IX) и (X) моноэтиловых эфиров VIII и  $\alpha$ ,  $\gamma$ ,  $\gamma$ -изомера VIII. Смесь IX и X конденсируют с Na-ацетоуксусным эфиром (XI) в смесь 3,7-дикарбэтокс-5,5-диметилпентандиона (XII) и 3,7-дикарбэтокс-2,4-диметилпентандиона-2,4 (XIII). Обработкой смеси XII и XIII  $CH_3ONa$  в  $CH_3OH$  получена смесь 1,5-дикарбэтокс-3,3-диметилпентано-2 (XIV) и его 3,5-диметильного изомера (XV). Циклизация смеси XIII и XIV под влиянием  $CH_3ONa$  с последующим гидролизом приводит к 4, 4, 6-триметилциклогександиону-1,3 (XVI), который при ацетилировании дает I. Окислением 250 г III 1320 мл 50%-ной  $HNO_3$  в присутствии 1 г  $NH_4VO_3$  получают 147 г смеси IV и V, которую нагревают (230—240°) с 12,7 г  $MnCO_3$  и перегоняют. Выделяют 42 г смеси VI и VII, которую (40 г) окисляют (90°) 214 мл 50%-ной  $HNO_3$  в присутствии 0,4 г  $NH_4VO_3$  до VIII, выход 20,6 г, т. пл. 97—98° (из петр. эф.); моноанилид, т. пл. 164—165°. Ангидрид VIII (XVII), т. пл. 92—93°. Нагреванием (104°, 5 час) 11,35 г XVII с 4,5 мл абс.  $C_2H_5OH$  приготавливают 12,6 г смеси полуэфиров, т. кип. 130—131°/2 мм,  $n_D^{20}$  1,4358, которую действием  $SOCl_2$  переводят в смесь IX и X, т. кип. 104—106°/4 мм. К р-ру 8,1 г смеси IX и X в  $C_6H_6$  прибавляют при 4° XI (из 4,78 г ацетоуксусного эфира) и оставляют на 14 час. при 20°. Получают 8,75 г смеси XII и XIII с т. кип. 132—135°/1,5 мм,  $\lambda_{max}$  (в сп.) 278 мк (lg  $\epsilon$  3,58). 9,71 г смеси XII и XIII обрабатывают (20°, 12,5 часа) р-ром  $CH_3ONa$  (из 0,713 г Na) и 25 мл абс.  $CH_3OH$ . Синтезируют 4,3 г смеси XIV и XV, т. кип. 100—102°/0,3 мм,  $\lambda_{max}$  (в сп.) 251 мк (lg  $\epsilon$  3,2). Действием (100°, 1,5 часа и 20°, 10 час.)  $CH_3ONa$  (из 0,324 г Na) на 2,92 г смеси XIV и XV приготавливают 31 мг XVI, т. пл. 131—132° (из петр. эф.),  $\lambda_{max}$  (в сп.) 255 мк (lg  $\epsilon$  4,08). 0,517 г XVI нагревают (3 часа, 130—135°) с 2,5 мл  $(CH_3CO)_2O$  в присутствии 0,1 г  $CH_3COONa$ . Продукт р-ции обрабатывают (12 час., 20°) избытком насыщ. р-ра  $Cu(OCOC_2H_5)_2$ . Выделяют  $Cu$ -соль I, т. пл. 203—204° (из водн. сп.). Пиперонилидиновое производное I, т. пл. 166—167°. Приведены ИК-спектры II, 4, 6, 6-триметил- $\Delta^4$ -циклогександиона-1,3, аминдегидроангустона и УФ-спектр 4, 4, 6, 6-тетраметил-2-изовалерилциклогександиона-1,3. Часть 1 см. J. Chem. Soc., 1948, 50. Г. С.



Декарбосилирование III при 215—220° привело к изомерной к-те, т. пл. 144°; ДНФГ метилового эфира, т. пл. 163—164°. Был выделен еще один ДНФГ эфира, т. пл. 196—197°. Для исследования возможности существования изомерного лактона с двумя *II*-связями II окислен 1 молекул  $C_6H_5COOH$  в 5,6-окис (V), т. кип. 108—110°/0,6 мм. При р-ции V с  $C_2H_5ONa$  выделены два продукта: с т. кип. 142—145°/0,1 мм, по анализу соответствует дигидросантонину (строение еще не доказано), и главный продукт, т. кип. 165—170°/0,1 мм (ДНФГ, т. пл. 127°), повидимому, этиловый эфир  $\alpha$ -(3-кето-4,9-диметил-5-окс-1,2,3,5,6,7,8,9-октагидронафтил-6)-пропионовой к-ты (VI). После обработки VI неорганич. к-тами нейтр. фракция дала нерастворимый ДНФГ, после кипячения с р-ром КОН в  $CH_3OH$  и обработки  $CH_2N_2$  выделен ДНФГ с т. пл. 191°. Приведены данные УФ-спектров (в сп.): IV, ее изомера, V, VI и дигидросантонина. Предыдущее сообщение см. РЖХим, 1955, 49077. К. У.

25836. Сантонин. I. Синтез двух оптически неактивных стереоизомеров сантонина. Абе, Харукава, Ишикава, Мики, Суми, Тога (Santonin. I. The synthesis of two optically inactive stereoisomerides of santonin. Abe Yasuo, Harukawa Tadatsugu, Ishikawa Hisashi, Miki Takuichi, Sumi Masao, Toga Tadashi), J. Amer. Chem. Soc., 1953, 75, № 1 2567—2571 (англ.)

Описан синтез двух рацемич. изомеров сантонина (I) различающихся по меньшей мере конфигурацией у  $C_{(11)}$ . Синтез подтверждает строение I, данное Клемо с сотрудниками (J. Chem. Soc., 1930, 1110). 125 г  $\alpha$ -(3-кетодиклогексил)-пропионовой к-ты действием 700 мл 7%-ного р-ра  $HCl$ -газа в  $CH_3OH$  превращены в ее метиловый эфир (II), выход 105 г, т. кип. 119—124°/3 мм; семикарбазон, т. пл. 172° (из  $CH_3OH$ ). Из 92 г II и смеси 11,5 г порошка Na в 300 мл  $C_6H_6$  с 185 г этилформата (0°, ~12 час.) получен метиловый эфир  $\alpha$ -(3-кето-4-оксиметиленициклогексил)-пропионовой к-ты (III), выход 60 г, т. кип. 148—151°/3 мм; ангидрид, т. пл. 141° (из  $CH_3OH$ ). При гидрировании 4,2 г III в 40 мл  $CH_3OH$  с 1 г 10% Pd/C поглощается 1 л  $H_2$  (20°, 1 атм.) и образуется метиловый эфир  $\alpha$ -(3-кето-4-метилдиглогексил)-пропионовой к-ты (IV), выход 3 г, т. кип. 150—155°/16 мм; оксим, т. пл. 126° (из  $CH_3OH$ ). Метиловый эфир  $\alpha$ -(3-кето-4,9-диметил-1,2,3,5,6,7,8,9-октагидронафтил-6)-пропионовой к-ты (V) из смеси подметилата 1-диэтиламинопентано-3 (VI) из 150 г  $CH_3I$  и 160 г амина и 205 г IV в 500 мл  $C_6H_6$  добавлен р-р 24 г Na в 500 мл сухого  $CH_3OH$  (0°). После стояния (~12 час., ~20°), кипячения (1,5 час.), подкисления охлажденным р-ра 60 мл  $CH_3COOH$  и упаривания в вакууме, получено 50 г исходного IV и 105 г V, т. кип. 176—190°/5 мм, 170—185°/3 мм; 2,4-динитрофенилгидразон, т. пл. 185° (из этилацетата). Получение V в 2 стадии (конденсация IV с VI в присутствии  $NH_2$  и последующая циклизация с  $CH_3ONa$ ) проходит с плохим выходом. При омылении 165 г V (кипячение 3 часа с 180 г КОН в 1,5 л  $CH_3OH$ ) получены 2 (из 4 возможных) стереоизомера  $\alpha$ -(3-кето-4,9-диметил-1,2,3,5,6,7,8,9-октагидронафтил-6)-пропионовой к-ты (VIIa, б): а 33 г, т. пл. 181° (из этилацетата), и б 24,6 г, т. пл. 125° (из петр. эф.). При кипячении 2,1 г VII а с бромесукцинимидом в  $CCl_4$  (2 час., при освещении) получен лактон  $\alpha$ -(3-кето-4,9-диметил-5-окс-1,2,3,5,6,7,8,9-октагидронафтил-6)-пропионовой к-ты (VIIa), выход 1 г, т. пл. 87° (из водн.  $CH_3OH$ ). Из 4 г VII б аналогично получено 0,5 г изомерного лактона (VIIб), т. пл. 115° (из  $CH_3OH$ ). Из 1,2 г VIIa, бромированием в эфире (0,8 г  $Br_2$  в 10 мл лед.  $CH_3COOH$ ) получен лактон  $\alpha$ -(3-кето-4,9-диметил-2-бром-5-окс-1,2,3,

25835. К исследованию в области синтеза сантонина. Датта, Чакрабартти, Датта (Synthetic studies on santonin. Dutta P., Chakrabarti J. K., Dutta P. C.), Chemistry and Industry, 1955, № 7, 170—171 (англ.)

Целью работы было построение *транс*-лактонового кольца, конденсированного с молекулой декалина, т. е. системы, содержащей две *Э*-или две *II*-связи (РЖХим, 1955, 48778). Отмечаются результаты, не совпадающие с данными Абе (РЖХим, 1956, 13046). Взаимодействием метилмалонового эфира (I) с кето-4,9-диметил-1,2,3,7,8,9-гексагидронафталином (II) получена дикарбоновая к-та (III), т. пл. 191—192°. Декарбосилирование III (195—200°) привело к  $\alpha$ -(3-кето-4,9-диметил-1,2,3,5,6,7,8,9-октагидронафтил-6)-пропионовой к-те (IV) или ее  $C_{(11)}$ -эпимеру, т. пл. 133—134°; динитрофенилгидразон (ДНФГ) ее метилового эфира, т. пл. 169—170°. Из маточного р-ра выделена к-та с т. пл. 117—118°, которая при дальнейшем нагревании (215—220°, 10 мин.) дала еще немного IV.

5,6,7,8,9-октагидронафтил-6)-пропионовой к-ты «А» (IXa), выход 0,5 г, т. пл. 107° (разл. из  $\text{CH}_3\text{OH}$ ). IXa получен также бромированием I г VIIa (1,2 г  $\text{Br}_2$ ), выход 1 г. Из 3,7 г VIIb получено аналогично 2,3 г изомера (IXb), т. пл. 117° (из  $\text{CH}_3\text{OH}$ ). 4 г IXa и 25 мл  $\gamma$ -коллинадина (KJ) кипятили (15 мин., ток  $\text{N}_2$ ), из эфирного р-ра, после отделения KJ действием  $\text{HBr}$ , получено 1,7 г Ia, т. пл. 145–146° (из  $\text{CH}_3\text{OH}$ ). Из маточных р-ров получено 0,4 г изомера I, т. пл. 189° (из  $\text{CH}_3\text{OH}$ ), которому приписано строение лактона  $\alpha$ -(3-кето-4,9-диметил-5-оксипропионовой к-ты (IXa); в оригинале опечатка: пропуск слова -5-оксипропионовой к-ты). При применении (вместо KJ) диэтиламина выход Ia ниже. При нагревании (20 час., 50–53°) 0,3 г Ia с 10 мл 55%-ной  $\text{H}_2\text{SO}_4$  происходит диенофенольная перегруппировка и образуется рац.- $\alpha$ -дезоксиантонин (XIIa), выход 285 мг, т. пл. 201° (из  $\text{CH}_3\text{OH}$ ), идентичный в-ву из природного I (т. пл. смеси, диффракция рентгеновских лучей). Аналогично из 4 г IXb с KJ получено 0,2 г Ib, т. пл. 139° (из  $\text{CH}_3\text{OH}$ ) и 0,1 г Xb, т. пл. 192° (из  $\text{CH}_3\text{OH}$ ). При действии  $\text{H}_2\text{SO}_4$  на 0,1 г Ib получено 80 мг, т. пл. 231° (из  $\text{CH}_3\text{OH}$ ), (XIIb), идентичного рац.- $\beta$ -дезоксиантонину из природного I. При синтезах Ia и Ib образуются также красные кристаллы. в-ва, ближе не изученные. Приведены данные УФ-спектров (в  $\text{CH}_3\text{OH}$ ) I, VII, VIII, IX, X и XI.

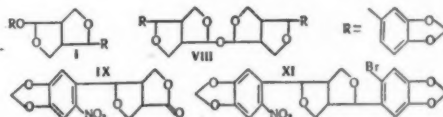
25837. Попытка синтеза дезокситетрагидросантонина, исходя из эвдесмола. Поппли (Desoxytetrahydrosantonin: synthetic attempts based on eudesmol. Poppi S. P.). J. Scient. and Industr. Res., 1955 (B-C), 14, № 6, B308–310 (англ.).

Эвдесмол гидрированием со скелетным Ni (100°, 100 ат., 12 час.) превращен в дигидроэвдесмол (т. пл. 86°), который окислением  $\text{CrO}_3$  (Plattner, Magyar, Helv. chim. acta, 1942, 25, 582) переведен в 4,9-диметил-6-декалон (I), т. кип. 68–78°/0,1 мм; семикарбазон, т. пл. 222°. При действии на I Zn-пыль и этилового эфира  $\alpha$ -бромипропионовой к-ты в  $\text{C}_6\text{H}_6$  образуется этиловый эфир  $\alpha$ -(4,9-диметил-6-оксидекагидронафтил)-пропионовой к-ты (II), т. кип. 94–95°/0,1 мм. Дегидратированием II (кипачение с  $\text{P}_2\text{O}_5$  в  $\text{C}_6\text{H}_6$  или действием безвод.  $\text{HCOONa}$  с последующим гидролизом (KOH в  $\text{CH}_3\text{OH}$ ) получена ненасыщ. одноосновная к-та  $\text{C}_{15}\text{H}_{24}\text{O}_2$  (III), т. кип. 160°/1 мм. При действии на III 70%-ной  $\text{H}_2\text{SO}_4$  образуется лактон  $\text{C}_{15}\text{H}_{24}\text{O}_3$ , т. кип. 135–140°/0,1 мм, не кристаллизуется, повидимому — один из изомеров дезокситетрагидросантонина.

25838. Вещества, входящие в состав природных фенольных смол. Часть XXIII. Строение сезамоллина. Хаслам, Хейуэрт (The constituents of natural phenolic resins. Part XXIII. The constitution of sesamolin. Haslam Edwin, Haworth Robert D.). J. Chem. Soc., 1955, March, 827–833 (англ.).

Подтверждена предложенная ранее (Boeseken, Cohen, Rescuei trav. chim., 1936, 55, 815) структура сезамоллина (I), выделенного из масла семян различных видов *Sesamum*, в т. ч. *S. indicum*. Кислотный гидролиз I приводит к 2,3-ди-(хлорметил)-6,7-метилendioксинафталину (II), образуемому при гидрировании 2,3-диметил-6,7-метилendioксинафталина (III). При обработке  $\text{PCl}_5$  III дает 2,3-диметил-6,7-дихлорметилendioксинафталин (IV), превращаемый гидролизом и последующим метилированием в диметиловый эфир (V) 2,3-диметил-6,7-диоксинафталина (VI), идентичный известному метиловому эфиру пирогавайцина. Бромирование I приводит к бромсезамолу (VII) и к простому эфиру (VIII), образуемому также при действии конц.  $\text{HCl}$  на I. Попытки осуществить дегидратацию, дегидрогенизацию, окисление или каталитич. гидрирование VIII

были безуспешны. VIII не меняется под действием  $\text{H}_2\text{SO}_4$  и  $\text{CH}_3\text{COOH}$ , но при нагревании с  $\text{HCl}$  (к-той) гидролизует, превращаясь в II. При обработке  $\text{HNO}_3$ , VIII дает лактон тетрагидро-2-оксиметил-1-(3,4-метилendioкси-5-нитрофенил)-фуранкарбоновой-3 к-ты (IX), образующий при каталитич. гидрировании 2-(5-амино-3,4-метилendioксибензил)-1-оксиметилбутиролактон (X).



IX не реагирует с конц.  $\text{HNO}_3$ , но при действии дымящей  $\text{HNO}_3$  дает 4,5-динитрометилendioксибензол; IX получен также при обработке бромнитросезамина (XI) конц.  $\text{HNO}_3$ . Щел. гидролиз IX и последующее метилирование приводят к лактону 1-(3,4-диметокси-5-нитрофенил)-тетрагидро-2-оксиметилфуранкарбоновой-3 к-ты (XII), образующегося наряду с 4-бром-5-нитровератролом (XIII) при действии конц.  $\text{HNO}_3$  на диметиловый эфир бромнитропинона (XIV). Авторы предполагают, что конфигурация асимметрич. центров I соответствует конфигурации (+)-пинорезинола. 100 мл сезамового масла хроматографируют на  $\text{Al}_2\text{O}_3$ , жиры вымывают петр. эфиром, после чего экстракцией эфиром (6 час. в аппарате Сокслета) извлекают масло, образующее при гидролизе (5%-ный раствор KOH в см., 1 час) сезамин, выход 0,5 г, и I, выход 0,1–0,15 г, т. пл. 93–94° (из сп.). Р-р 200 мл сезамового масла в 1500 мл ацетона охлаждают (–70°, 12 час.), фильтруют, фильтрат упаривают, остаток омыляют и выделяют I, выход 0,3–0,35 г. Экстракцию (30 мин.) р-р 0,25 г I в 15 мл эфира и 5 мл конц.  $\text{HCl}$ . Эфирный слой отделяют и промывают 2 н.  $\text{NaOH}$ . Из щел. экстракта после подкисления и перегонки при 70° (т-ра бани) / 0,01 мм выделяют сезамол, выход 0,2 г, т. пл. 62–63° (из хлф. петр. эф.); *n*-толуолсульфонат, т. пл. 86–87° (из  $\text{CH}_3\text{OH}$ ). Эфирный экстракт концентрируют, остаток нагревают с 5 мл конц.  $\text{HCl}$  (60–70°, 15 мин.), экстрагируют эфиром, экстракт фильтруют через  $\text{Al}_2\text{O}_3$  и выделяют II, т. пл. 146–147° (из сп.), не дает пикрата. Кипятят 10 мин. II с тиомочевой (0,1 г) в 3 мл спирта, прибавляют пикриновую к-ту и нагревают до растворения, из продукта получают пикрат  $\text{C}_{27}\text{H}_{22}\text{O}_8\text{N}_{10}\text{S}_2$ , т. пл. 236–237°, 0,1 г II в лед.  $\text{CH}_3\text{COOH}$  гидрируют с 15%-ным  $\text{Pd/C}$  в III, выход 0,06 г, т. пл. 186–187° (из сп.),  $\lambda_{\text{макс}}$  2650, 2780, 2885 А (lg  $\epsilon$  3,71, 2,69, 3,52),  $\lambda_{\text{мин}}$  2975 А (lg  $\epsilon$  3,05); пикрат, т. пл. 162–163° (разл.; из сп.). Р-р 0,1 г III и 0,2 г  $\text{PCl}_5$  в  $\text{C}_6\text{H}_6$  кипятят 3 часа. Полученный IV разлагают льдом и образовавшийся VI метилируют (1,5 мл 20%-ного р-ра  $\text{NaOH}$ , 0,6 мл  $(\text{CH}_3)_2\text{SO}_4$ , 2 мл  $\text{CH}_3\text{OH}$ , 2 часа). После фильтрования через  $\text{Al}_2\text{O}_3$  выделяют VI, выход 15 мг, т. пл. 149–150° (из петр. эф.),  $\lambda_{\text{макс}}$  2580, 2685, 2750 А (lg  $\epsilon$  3,67, 3,68, 3,62),  $\lambda_{\text{мин}}$  3000 А (lg  $\epsilon$  3,07); пикрат- т. пл. 132–133° (из сп.). 20%-ный р-р  $\text{Br}_2$  в лед.  $\text{CH}_3\text{COOH}$  (0,5 мл) добавляют при охлаждении к р-ру 0,25 г I в 0,8 мл лед.  $\text{CH}_3\text{COOH}$ , через 10 мин. добавляют  $\text{CHCl}_3$  и эфир и промывают смесь 2 н.  $\text{NaOH}$  и водой. Из органич. слоя выделяют VIII, выход 70 мг, т. пл. 191–192° (из сп.),  $[\alpha]_D + 143^\circ$  (с 1,74; хлф.),  $\lambda_{\text{макс}}$  2865, 2355 А (lg  $\epsilon$  3,90, 3,94),  $\lambda_{\text{мин}}$  2555 А (lg  $\epsilon$  2,99), а из щел. экстракта получают VII, выход 30 мг, т. пл. 82–83° (возгонка при 80° (т-ра бани)/0,01 мм). Р-р 0,1 г I и 3 капли конц.  $\text{HCl}$  в 5 мл лед.  $\text{CH}_3\text{COOH}$  выдерживают 10 мин. при 0°, после разбавления водой и экстракции  $\text{CHCl}_3$ -эфиром выделяют VIII, выход 30 мг, гидролиз которого (40 мг VIII, 1 мл лед.  $\text{CH}_3\text{COOH}$ , 5 мл конц.

HCl, 60—70°, 10 мин.) приводит к II, выход 20 мг. Смесь 40 мг VIII, 0,5 мл лед.  $\text{CH}_3\text{COOH}$  и 1 мл конц.  $\text{HNO}_3$  выдерживают 1,5 часа при 30—40° и выделяют IX, выход 30 мг, т. пл. 154—155° (из сп.),  $[\alpha]_D^{20} - 9,7^\circ$  (с 3,39; хлф.),  $\lambda_{\text{макс}}$ , 2460, 2950 Å ( $\lg \epsilon$  4,07, 3,50),  $\lambda_{\text{мин}}$  2700 Å ( $\lg \epsilon$  3,25), ИК-спектр 1782  $\text{см}^{-1}$ . 1 г метилевого эфира 4-нитропирактеина нагревают с 2 н. NaOH на водяной бане, через 30 мин. смесь экстрагируют эфиром, водн. р-р подкисляют и получают 4-нитропирактеин, выход 0,6 г, т. пл. 175—176° (из воды), дибензоат, т. пл. 157—158° (из сп.). 50 мг IX и 5 мл 2 н. NaOH нагревают 30 мин. при 100°, продукт метилируют ( $\text{CH}_3\text{N}_2$ , 2 часа) и получают XII, выход 20 мг, т. пл. 157—158° (из сп.),  $[\alpha]_D^{20} - 67,7^\circ$  (с 3,4; хлф.),  $\lambda_{\text{макс}}$  2440, 3020 Å ( $\lg \epsilon$  3,98, 3,62),  $\lambda_{\text{мин}}$  2665 ( $\lg \epsilon$  3,08). 40 мг IX в 5 мл  $\text{CH}_3\text{COOH}$  гидрируют с 0,02 г 15%-ного Pd/C до X, окисляется на воздухе, N-ацетильное производное, т. пл. 222—223° (из сп.), n-нитробензилевого производное, т. пл. 219—220° (из  $\text{CH}_3\text{COOH}$ ), ИК-спектр 1770, 2860, 3382  $\text{см}^{-1}$ . 1,5 г дибромсезамина добавляют к 20 мл  $\text{HNO}_3$  (d 1,4), перемешивают 30 час., добавляют воду и отфильтровывают 4-бром-5-нитрометилendioксибензол, т. пл. 89—90° (из сп.). Из филтраты после нейтр-ции и экстракции эфиром выделяют диактон 2,3-бис-(оксиметилатриной) к-ты, т. пл. 159—160° (из сп.). 0,1 г XIV и 2 мл  $\text{HNO}_3$  (d 1,4) нагревают 30 мин., разбавляют водой, экстрагируют  $\text{CHCl}_3$ , экстракт нагревают 30 мин. с 2 н. NaOH (10 мл) и смесь экстрагируют  $\text{CHCl}_3$ . Из  $\text{CHCl}_3$ -экстракта выделяют XIII, т. пл. 123°, а из водно-щел. слоя получают XII, выход 20 мг. К р-ру 2 г сезамина в 15 мл  $\text{CH}_3\text{COOH}$  ( $\text{CH}_3\text{CO}_2\text{O}$  (2:1) добавляют р-р 0,5 мл  $\text{HNO}_3$  (1,4) в том же р-теле (5 мл) (15—20°, 15 мин.). Смесь разбавляют водой и получают нитросезамин, выход 0,8 г, т. пл. 139—140° (из диоксана- $\text{CH}_3\text{OH}$ ),  $[\alpha]_D^{20} - 70^\circ$  (с 2,6; хлф.). 0,5 г нитросезамина дакт при бромировании (8 мл р-ра  $\text{Br}_2$  в  $\text{CHCl}_3$ , 1:10) XI, выход 0,5 г, т. пл. 199—200° (из диоксана- $\text{CH}_3\text{COOH}$ ),  $[\alpha]_D^{20} - 37^\circ$  (с 2,7; хлф.). 0,3 г XI и 5 мл  $\text{HNO}_3$  (d 1,4) выдерживают 30 мин. при 50° и выделяют 5-бром-1,2-метилendioкси-4 нитробензол, выход 20 мг, т. пл. 153—154° (из сп.). УФ-спектры сняты в спирте. Часть XXII см. J. Chem. Soc., 1950, 74. Л. Б.

**25839. Производные нафтохинонов. XI. Пигменты из морского ежа. VI. Куро́да, Ока́дзима** (Derivatives of naphthoquinones. XI. The pigments from the sea-urchin. VI. Kuroda Chika, Okajima Masayue), Proc. Japan. Acad., 1953, 29, № 1, 27—28 (англ.)

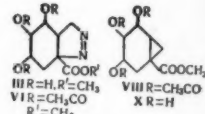
Шикония содержащий 2-( $\alpha$ -оксисалкил)-нафтохиноновую группировку, легко метилируется действием  $\text{CH}_3\text{OH} + \text{HCl}$ ; наличие этой же группировки в спинохроме  $\text{M}_1$  подтверждено образованием в аналогичных условиях метилового производного, т. пл. 185°. Подтверждено предположение об идентичности спинохрома  $\text{M}_2$  (из *Heliscodaris crassispina*) и спинохрома  $\text{B}_1$  (из *Strongylocentrotus pulcherrimus*) получением одинакового ацетата триметилового эфира (5-ацетокси-2,3,7-триметоксинафтохинона-1,4), т. пл. 74—74,5°. При перегонке с Zn-палкой из спинохроме Aka<sub>1</sub>,  $\text{B}_1$  и  $\text{M}_1$  получен нафтарин, в последнем случае с плохим выходом.

Chem. Abstrs, 1954, 48, № 8, 14492d. Gordon G. Evans. **25840. Производные нафтохинонов. XII. Пигменты из морского ежа. VII. Куро́да, Ока́дзима** (Studies on the derivatives of naphthoquinones. XII. The pigments from the sea-urchins. VII. Kuroda Chika, Okajima Masayue), Proc. Japan Acad., 1954, 30, № 10, 982—986 (англ.)

Приведены кривые спектров поглощения спинохромов  $\text{M}_2$ ,  $\text{B}_1$ ,  $\text{B}_2$ , F, Aka,  $\text{M}_1$  (выделенных из игл морского ежа), в том числе после прибавления р-ра  $\text{GeO}_2$ , которая дзет с нафтохинонами, содержащими OH-группы в орто-положении, окрашивание с изменением спектров. Спектры  $\text{M}_2$  и  $\text{B}_1$  (2,3,6,8-тетраоксинафтохинона-1,4) одинаковы, спектры  $\text{M}_1$  (2,5,8,х-тетраоксинафтохинон-1,4-оксикротоновой-3 к-ты) и  $\text{B}_2$  близки между собой, но не совпадают. Спинохромы  $\text{B}_1$ , Aka (2,3,5,7,8-пентаоксис-6-метилнафтохинона-1,4), F,  $\text{M}_1$  и синтетич. спиназалин (2,3, 5,8-тетраоксинафтохинона-1,4) при действии  $\text{GeO}_2$  меняют окраску со смещением кривой поглощения, что указывает на орто-положение OH-групп. При восстановительном ацетилировании (BA) F получено в-во с т. пл. 219—219,5°, содержащее ~55,8% C и 4,5% H. При  $\text{BA M}_2$  получено в-во состава  $\text{C}_{10}\text{H}_8\text{O}_6(\text{CH}_3\text{CO})_2$ , не дающее депрессии т-ры плавления с продуктом BA  $\text{B}_1$ . Очищ. тестахром  $\text{M}_1$ , т. пл. 192,5—193°, обладает составом  $\text{C}_{10}\text{H}_8\text{O}_{11}$ , напоминает спинохром; очищ. тестахром  $\text{M}_2$  отличается от других пигментов, выделенных из морского ежа. Я. К.

**25841. Шикимовая кислота и диазометан. Грe-ве, Бокранц** (Shikimisäure und Diazomethan. Grewe Rudolf, Bokranz Arthur), Chem. Ber., 1955, 88, № 1, 49—56 (нем.)

Показано, что при действии избытка  $\text{CH}_3\text{N}_2$  (I) на шикимовую к-ту (2,3,4,5-тетрагидроалловова к-та) (II) возникает пиразолиновое основание (III). Нагревание III сопровождается дегидратацией и ароматизацией в индазол (IV). Триацетилшикиминсовая к-та (V) дает с I пиразолиновое производное (VI), которое при нагревании отщепляет  $\text{N}_2$  с образованием смеси изомерных эфиров — метилового эфира 6-метил-V (VII) и (VIII) с преобладанием VII. Последние разделяют через кристаллич. производные (IX), т. пл. 104°, и (X) т. пл. 166°, полученные обработкой VII и VIII р-ром следов  $\text{CH}_3\text{ONa}$  в  $\text{CH}_3\text{OH}$ . При гидрировании над Pt (из  $\text{PtO}_2$ ) IX поглощает более 1 моля  $\text{H}_2$ , что происходит за счет восстановления OH-группы в аллильном положении, а X не поглощает  $\text{H}_2$ . В ИК-спектре (приведены кривые) IX обнаружена дитретичная двойная связь, в X — дициклопропановое кольцо. Строение IX как метилового эфира 6-метил-II доказано аналогичными превращениями метилового эфира 4,5-изопропилдидешикимовой к-ты (XI) при действии I через пиразолиновое производное (XIa) в метиловый эфир 6-метил-4,5-изопропилдидешикимовую к-ту (XII), при нагревании которой с  $\text{CH}_3\text{COOH}$  получают IX. Обработкой хлорангидрида V (XIII) действием I получают диазокетон, перегруппировка последнего по Вольфу и омыление приводит к оптически активной 3,4-диоксис-6-метилдиклогексен-(5)-илиденуксусной к-те (XIV). IV получают смешиванием р-ра I с II в диоксане с эфир. р-ром избытка I (~0°, 24 часа). Упаривают эфир в избыток I, получают III, выход 1,3 г,  $[\alpha]_D^{20} - 138^\circ$  (с 3; сп.). III нагревают в вакууме с выделением  $\text{N}_2$ , получают IV, выход 0,22 г, т. пл. 148° (из воды). VI синтезируют аналогично, выход 96,3%,  $[\alpha]_D^{20} + 27^\circ$  (с 3,5; сп.). При нагревании в вакууме отщепляют  $\text{N}_2$ , отбирают фракцию (A), т. кип. 160—165°/0,03 мм, из которой выделяют VII, выход 87%, т. кип. 160°/0,02 мм,  $[\alpha]_D^{20} - 128^\circ$  (с 3; сп.). IX и X получают следующим образом: 1,76 г A растворяют в абс.  $\text{CH}_3\text{OH}$  и добавляют следы  $\text{CH}_3\text{ONa}$ , выдерживают (15 час., ~20°), р-ритель упаривают в вакууме, остаток растворяют в воде и р-р подают на катионообменник (амберлит





IR-120). Р-р упаривают со спиртом досуха, остаток в кипящем  $(\text{CH}_3)_2\text{CHOH}$  при охлаждении выделяет X, выход 70 мг, т. пл. 166°,  $[\alpha]_D^{19} - 3^\circ$  (с 1; сп.). Из маточного р-ра выделяют IX, выход 52%, т. пл. 104° (из бзл.),  $[\alpha]_D^{20} - 150^\circ$  (с 1; сп.). Омылением 0,1 н. NaOH в  $\text{CH}_3\text{OH}$  (~20°, 12 час.) IX превращают в 6-метил-II, выход 67%, т. пл. 165° (из  $\text{CH}_3\text{COOC}_2\text{H}_5$ ),  $[\alpha]_D^{19} - 169^\circ$  (с 1,8; сп.). 4,1 г XI смешивают с избытком эфир. р-ра I, выдерживают на холоду (48 час.), упаривают в вакууме, получают XIa, выход 4,6 г,  $[\alpha]_D^{20} - 1^\circ$  (с 2,3; сп.). XIa нагревают в вакууме, перегоняют, получают XII, выход 66%, т. кип. 135—140°/0,02 мм,  $[\alpha]_D^{20} - 46^\circ$  (с 1,9; сп.). При нагревании с 40%-ной  $\text{CH}_3\text{COOH}$  XII переводят в IX, выход 71%, т. пл. 104°. XI переводят обычным методом в метиловый эфир 3-ацетил-4,5-изопропилденшикимовой к-ты, т. пл. 75°, который превращают описанным способом в метиловый эфир 3-ацетил-6-метил-4,5-изопропилденшикимовой к-ты, выход 91%, т. кип. 130°/0,08 мм,  $[\alpha]_D^{21} - 83^\circ$  (с 1,7; сп.). Р-р 0,61 г V в 2 мл  $\text{CHCl}_3$  нагревают с 2 мл  $\text{SOCl}_2$  (2 часа) и выделяют XIII, выход 80%, т. кип. 150—155°/0,03 мм. XIII при растворении в  $\text{CH}_3\text{OH}$  переходит в метиловый эфир II. Р-р 2,3 г XIII в абс. эфире прибавляют по каплям в охлажд. эфир. р-р I. Смесь выдерживают (12 час., 0°), упаривают, смешивают с 100 мл  $\text{C}_6\text{H}_5\text{CH}_2\text{OH}$  и 80 мл  $\text{C}_6\text{H}_5\text{N}(\text{CH}_3)_2$  и нагревают до 180°. Охлаждают после окончания выделения  $\text{N}_2$ , разбавляют эфиром, упаривают эфир и  $\text{C}_6\text{H}_5\text{CH}_2\text{OH}$  в вакууме, остаток перегоняют, т. кип. 200°/0,03 мм. Бензиловый эфир растворяют в 20 мл  $\text{CH}_3\text{OH}$ , смешивают с 20 мл 20%-ной NaOH и смесь нагревают в токе  $\text{N}_2$  (1 час). Разбавляют водой и экстрагируют эфиром. Водн. слой подкисляют, упаривают, получают XIV, выход 0,24 г, т. пл. 210—212° (разл., из воды),  $[\alpha]_D^{20} - 88^\circ$  (с 0,5; вода),  $\lambda_{\text{макс}}$  260 мμ (сп.),  $\lg \epsilon$  4,27. XIV действием I переводят в метиловый эфир, выход 84%, т. пл. 96° (из этилацетата-птр. эф.),  $\lambda_{\text{макс}}$  267 мμ,  $\lg \epsilon$  4,31 (сп.). Из метилового эфира XIV с  $\text{CH}_3\text{CO}_2\text{O}$  в среде  $\text{C}_6\text{H}_5\text{N}$  (~20°, 12 час.) получают двацетат, т. пл. 63°,  $[\alpha]_D^{20} - 130^\circ$  (с 2; сп.). Аналогично получают дибензольное производное, т. пл. 117° (из сп.).

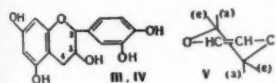
Г. В. 25842. Флавонольные глюкозиды (*Phytolacca dioica* L.). Дёлофё [Los glucosidos flavonolicos (*Phytolacca dioica* L.) Deulofeu Venancio], Bol. Soc. quim. Peru, 1954, 20, № 2, 77—76 (исп.).

Обзор работ по выяснению строения глюкозидов омбуозидов и рутина, выделенных из листьев *Phytolacca dioica* L. Библ. 13 назв.

Э. Г. 25843. Конформация эпимеров катехина и галлокатехина. Робертс (The conformations of the epimers of catechin and gallo catechin. Roberts E. A. H.), Chemistry and Industry, 1955, № 22, 631 (англ.).

Приводятся значения  $R_f$  (в  $\text{C}_6\text{H}_5\text{OH} + \text{CH}_3\text{COOH}$ ) для (—)-эпигаллокатехина (I) 0,47, (+)- или (—)-галлокатехина (II) 0,57, (—)-эпикатехина (III) 0,65, (+)- или (—)-катехина (IV) 0,75, галлового эфира I 0,72, галлового эфира II 0,71, галлового эфира III 0,86, галлового эфира IV 0,86.

На том основании, что I имеет более низкое значение  $R_f$ , чем II, I приписана эпиструктура (аналогия III—IV). Однако различия значения  $R_f$



для галловых эфиров I и II или III и IV не наблюдается. Резкое увеличение  $R_f$  наблюдается при появлении водородной связи между OH-группой у  $\text{C}_{(3)}$  и O-гетероатомом пиранового кольца, имеющего структуру (V). Так как III содержится в чайном листе в большем кол-ве, чем IV, предполагается, что в III (а также в I) OH-группа у  $\text{C}_{(3)}$  находится в термодинамически более устойчивом экваториальном положении. Очень высокое значение  $R$  для II и IV объясняется наличием водородной связи которая может появиться только при аксиальном положении 3-OH-группы в этих соединениях.

Г. С.

25844. Пигменты цветов. I. Дальнейшее изучение структуры стиллопсина. Сейкел, Хейнс, Томпсон (Flower pigments. I. Further studies on the structure of stillopsin. Seikel Margaret K., Haines Anne L., Thompson Harriet D.), J. Amer. Chem. Soc., 1955, 77, № 5, 1196—1200 (англ.).

Строение стиллопсина (I) — глюкозида 3,4,2',4',5'-пентаоксихалкона из *Coreopsis stillmanii* (Seikel, Geissman, J. Amer. Chem. Soc., 1950, 72, 5720; ср. РЖХим, 1954, 19886) подтверждено синтезом 3',4',6,7-тетраацетоксифлаванона (II) и его выделением после гидролиза октаацетата I и повторного ацетилирования. Глюкоза идентифицирована в гидролизате I хроматографированием на бумаге после удаления к-ты анонитом. II получен (в скобках — выход в % и т. пл. в °C) из 2,4,5-триоксаацетофенона (III), (9,5, 200—202) через 3,4,2',4',5'-пентаоксихалкон—стиллопсидин (IV) (16,5, 225), пентаацетат IV (т. пл. 154,5°) и 3',4',6,7-тетраоксифлаванон (V) (54, 216, разл.). Приведены данные УФ-спектров (в абс. сп.). II, III, IV, V и ацетата IV.

С. Б. 25845. Подтверждение строения биоханина-А. Босе (Confirmation of the constitution of biochanin-A. Bose J. L.), J. Scient. and Industr. Res., 1954, 13, № 9, 671—672 (англ.).

Выделенный из разных растений биоханин-А (II) (см. РЖХим, 1954, 30669) идентичен с синтетич. 5,7-диоксид-4'-метоксифлаванолом (РЖХим, 1954, 12700) по УФ-спектрам (приведена кривая) и т-ре плавления диацетатов. Ольмелинг, Гахокидзе, Ж. прикл. химии, 1950, 23, 789) должен иметь иное строение. 5-ацетил-7-метил-I,  $\text{C}_{15}\text{H}_{14}\text{O}_6$ , т. пл. 198° (из сп.); 7-монобензиль-I,  $\text{C}_{20}\text{H}_{18}\text{O}_6$ , т. пл. 168—169° (из сп. + этилацетата); 7-монобензил-I,  $\text{C}_{20}\text{H}_{18}\text{O}_6$ , т. пл. 188—189° (из хлф.).

С. Б. 25846. Химическое исследование *Vitex peduncularis* Wall. Шарма (Chemical examination of *Vitex peduncularis* Wall. Sharma V. N.), J. Scient. and Industr. Res., 1955, (B—C) 14, № 6, B267—270 (англ.).

В коре и листьях *V. peduncularis* содержится (соответственно 0,07 и 0,05%) флавои  $\text{C}_{15}\text{H}_{14}\text{O}_7$  (I), идентичный с витексином (Nakaoki, J. Pharmac. Soc. Japan, 1944, 11A, 57) — аглюконом глюкозида сапонарина из *Saponaria officinalis* и *V. littoralis*. I выделают сырьем (~20°), экстракт обезжиривают (птр. эф.), удаляют примеси (осаждают эф. и птр. эф. из спирт. р-ра), т. пл. 259° (разл., из водн. пиридина). Пентаацетат I, т. пл. 252° (из лед.  $\text{CH}_3\text{COOH}$ ). Действием  $\text{H}_2\text{O}_2$  на I в шел. среде получена л-оксигбензойная к-та (II), сплавлением I со щелочью (180°, 0,5 часа) — II и флороглюнин, нитрованием I (20%-ная  $\text{HNO}_3$ ) — тетранитроглюнин.

В. Н.

25847. Химический состав видов *Erigeron* (Compositae) II. Об *Erigeron annuus* L. (2). Имам, Майма (ヒメジョオン属の成分. 第2報. ヒメジョオンの成分について. その2. 今井統雄, 眞山節子), 薬学雑誌, Якугаку дзасси, J. Pharmac. Soc. Japan, 1953, 73, № 2, 131—134 (япон.).

Из метанольного экстракта цветов *E. annuus* и *E. macranthus* эфиром извлечен кверцетин, а этилацетатом — флавоновый глюкуронид  $C_{21}H_{18}O_{11} \cdot H_2O$  (I), т. пл. 335—342° (разл.; из изопропанола). После гидролиза 1 5%-ной HCl в 50%-ном водн.  $CH_3OH$  (нагревание, 15—20 час.) выделен апигенин (II). Метилированием I ( $CH_3N_2$ ) получен диметилловый эфир I  $C_{23}H_{22}O_{11} \cdot 3H_2O$ , т. пл. 246—247,5° (из  $CH_3OH$ ), при гидролизе отщепляющий 5,4'-диметил-II. Хроматографированием на бумаге в восходящем токе с р-рителями бутанол- $CH_3COOH$ -вода (4:1:2) или коллоидином в гидролизате I идентифицирована глюкуроновая к-та (III). В I остаток III связан с атомом  $C_{(7)}$  молекулы II.

Сообщение 1 см. РЖХимБх, 1956, 487. В. Н.

**25848. Антохлоровые пигменты. IX. Структура ауринового пигмента из *Cosmos sulfureus*, «Orange Flare» и «Yellow Flare». Гейсман, Джерд (Anthochlor pigments. IX. The structure of the aurone pigments of *Cosmos sulfureus*, «Orange Flare» and «Yellow Flare». Geissman T. A., Jurd Leonard, J. Amer. Chem. Soc., 1954, 76, № 17, 4475—4476 (англ.))**

Исследованы пигмент сульфуретин (I) и его гликозид сульфурин, изолированные ранее (Shimokoriyama M., Hattori, J. Amer. Chem. Soc., 1952, 75, 1900) из *Cosmos sulfureus*. На основании изучения спектров поглощения I и его триметилового эфира,  $R_f$  бумажных хроматограмм, окраски I в щел. р-ре, авторы подтверждают, что I является 6, 3', 4'-триметоксиауроном, как это и предполагали предыдущие исследователи. По мнению авторов, интерес представляет тот факт, что темнооранжевые и лимонно-желтые сорта *Cosmos sulfureus* («Orange Flare» и «Yellow Flare») содержат приблизительно равные кол-ва сульфуретина и кореопсина. Цвет оранжевых цветов зависит от присутствия красного пигмента, структура которого в настоящее время еще выясняется. Н. М.

**25849. Антохлоровые пигменты. X. Ауреусин и цернуозид. Гейсман, Харборн (Anthochlor pigments. X. Aureusin and ceruonside. Geissman**

T. A., Harborne J. B.), J. Amer. Chem. Soc., 1955, 77, № 17, 4622—4624 (англ.)

Глюкозид ауреусин (I), выделенный из *Antirrhinum majus* (Seikel, Geissman, J. Amer. Chem. Soc., 1950, 72, 5725) после метилирования  $(CH_3)_2SO_4$  (кипение 20 час.) и отщепления остатка глюкозы (нагревание с 1 н. HCl в водн. сп., 5 час.), образует 6-окси-4,3', 4'-триметоксиаурон (II). Глюкозид цернуозид (III), найденный вместе с I в *Oxalis cernua* (РЖХим, 1954, 19934) при такой же обработке дает 4-окси-6,3', 4'-триметоксиаурон I является 6-глюкозидным, а III — 4-глюкозидным производным ауреусидина — 3', 4', 4, 6-тетраоксиауроно (в оригинале — триоксиауроно). Выводы сделаны по сравнению УФ-спектров глюкозидов, продуктов их метилирования и гидролиза и синтетич. ауронов (A) и по наблюдению сдвигов  $\lambda_{\max}$  под влиянием  $AlCl_3$  (РЖХим, 1955, 16485) и  $C_2H_5ONa$ . Синтез A — из эквимол. кол-в соответствующих кумарона и альдегида (в лед.  $CH_3COOH$  + конц. HCl, 3—5 часа,  $\sim 20^\circ$ , кристаллизация из сп.): II (из 6-окси-4-метоксикумарона и вератрового альдегида), т. пл. 268—270° (разл.); 4'-окси-4,6,3'-триметокси-A (из 4,6-диметоксикумарона (IV) и ванилина), т. пл. 232—233°; 3'-окси-4,6,4'-триметокси-A (из IV и изованилина), т. пл. 190°, 4'-окси-4,6-диметокси-A (из IV и п-оксибензальдегида), т. пл. 274°; 3'-окси-4,6-диметокси-A (из IV и м-оксибензальдегида), т. пл. 214—215°. Приведены и обсуждены данные и кривые УФ-спектров. В. Н.

См. также: Углеводы и родств. соед. 25237. Терпены 26213, 27029—27032, 27036, 27044, 27045. Стероиды 24907, 26964—26967, 26991, 26992; 8570Бх, 8571. Бх. Алкалоиды 24846, 24906, 25522. Витамины 26957—26963. Антибиотики 26970—26984; 8422Бх. Аминокислоты и белки 26969; 8436Бх, 8474Бх, 8480—8482Бх, 8498Бх, 8503Бх, 8505—8508Бх, 8643Бх. Др. природн. в-ва 8616Бх, 8839Бх.

## ХИМИЯ ВЫСОКОМОЛЕКУЛЯРНЫХ ВЕЩЕСТВ

**25850. Химия макромолекул. Штаудингер (Die makromolekulare Chemie. Staudinger H.), Chimia, 1955, 9, № 10, 225—232 (нем.)**

Обзорный доклад. Вибл. 27 назв. Х. Б.

**25851. Спиральная конфигурация цепи полимера. Симаноути, Мидзуэма (On the helical configuration of a polymer chain. Shimanouchi Takehiko, Mizushima San-ichiro), J. Chem. Phys., 1955, 23, № 4, 707—711 (англ.)**

Дано решение для задачи, связывающей координаты атомов цепи полимера с межмолекулярными расстояниями, валентными углами и углами внутреннего вращения атомных групп вокруг ординарных связей. Это позволяет математически предсказать конфигурацию цепи полимера на основании данных, полученных при исследовании низкомолекулярных соединений. Выведенные ур-ния использованы для нахождения стабильных конфигураций цепей *n*-парафинов, белков и целлюлозы. Среди найденных таким образом конфигураций цепей имеются уже известные, полученные ранее другими методами. Они получают как частные решения общей задачи при соответствующем значении определенных параметров. Таким путем для молекулярных цепей белков среди прочих конфигураций найдена вытянутая  $\beta$ -форма и  $\alpha$ -спираль, для *n*-парафинов — вытянутая форма. Для целлюлозы и полиоксис-

метилена найдены конфигурации цепей, согласующиеся с опытыми данными. Н. А.

**25852. Структура молекулы полиэтилена. V. Влияние разветвления цепей и молекулярного веса на физические свойства. Сперати, Франта, Старк-Уэтер (The molecular structure of polyethylene. V. The effect of chain branching and molecular weight on physical properties. Sperati C. A., Franta W. A., Starkweather H. W., Jr), J. Amer. Chem. Soc., 1953, 75, № 24, 6127—6133 (англ.)**

Изучалось влияние короткого цепного разветвления, цепного длинного разветвления и мол. веса полиэтилена на вязкость, предел вынужденной эластичности, плотность, предельное удлинение, напряжение при разрыве, точку плавления, точку пенетрации и сорбцию реактивов. Степень кристалличности образцов определялась по плотности с точностью  $\pm 0,3—0,5\%$ . Мол. вес определялся по вязкости расплава. Максимум вязкости достигала  $10^7$  пуаз, кристалличность менялась от 40 до 80%. При постоянной плотности жесткость не зависит от вязкости расплава. Кристалличность определяет механич. свойства полиэтилена, а также влияет на такие свойства, как точка плавления, точка пенетрации и сорбция реактивов, которые так же, как предел вынужденной эластич-

Сос.,

hinum

1950,

чение

вание

-4,3',

(III),

1954,

3',4'-

III—

-4',4,

(она),

окази-

син-

λ<sub>макс</sub>

ONa

кума-

HCl,

6-ок-

гда),

кси-А

г. пл.

изова-

из IV

метод

-215°

спект-

В. Н.

опены

роиды

Алка-

26963.

ты и

03Вх,

39Вх.

асую-

Н. А.

яние

физи-

и та,

poly-

mole-

С. А.,

Jr),

—6133

етвеле-

а по-

стиче-

нение

рации

и об-

спела-

плот-

глава,

поли-

точка

акти-

астич-

ности и жесткость, не зависят от мол. веса. Короткие цепные разветвления обуславливают кристаллизацию и незначительно влияют на вязко-эластические свойства полимера. Длинные цепные разветвления мало влияют на плотность твердого полимера, но определяют вязко-эластические свойства. Авторы считают, что большая часть различий между образцами объясняется изменением трех независимых факторов, которые характеризуют любой образец полиэтилена, а именно: среднего значения мол. веса, величины короткого цепного разветвления и степени длинного цепного разветвления. Приведены эмпирич. ур-ния, связывающие различные физ. свойства полиэтилена. Сообщение IV см. РЖХим, 1956, 990.

С. З. 25853. Микроструктура диеновых полимеров. II. Полиизопрены и полибутадиены, полученные при высоких давлениях. Ричардсон (The microstructure of diene polymers. II. Polyisoprenes and polybutadienes prepared at high pressures. Richardson W. S.), J. Polymer Sci., 1954, 13, № 70, 321—324 (англ.; рез. франц., нем.)

Методом ИК-спектров показано, что микроструктура полимеров изопрена и бутадиена (состав по группировкам 1, 2, 3, 4, и *цис*- и *транс*-1,4), полученных при полимеризации в массе при давл. 5700—10 000 кг/см<sup>2</sup> при 30° в присутствии перекиси бензоила, мало отличается от микроструктуры полимеров, полученных при нормальном давлении. Сообщение I см. РЖХим, 1955, 28709.

И. П. 25854. Инфракрасный дихроизм нейлона и полиэтилентерефталата. Куинн, Стилл (Infra-red dichroism of nylon and polyethylene terephthalate. Quinn Richard G., Steele Richard), Nature, 1954, 173, № 4417, 1240 (англ.)

Исследован ИК-дихроизм пленок нейлона 66 (I) (полосы 3310, 3075, 2930 и 2860 см<sup>-1</sup>) и полиэтилентерефталата (II) (полосы 1021 и 975 см<sup>-1</sup>), растянутых в 2—6 раз. Все полосы I при низких растяжениях обладают параллельным (||) дихроизмом, а при больших растяжениях перпендикулярным (⊥) дихроизмом. Полоса 3075 см<sup>-1</sup> сильнее меняет свой дихроизм и раньше переходит от || дихроизма к ⊥, чем остальные полосы. Полосы II, наоборот, обладают ⊥ дихроизмом при малых растяжениях и || дихроизмом при больших растяжениях. Нерастянутые пленки II и в меньшей степени I также обладают дихроизмом, хотя рентгенографические данные и двойное лучепреломление не указывают на наличие ориентации цепей. Это показывает, что при помощи ИК-дихроизма можно обнаружить ориентацию цепей, недоступную для рентгенографического или оптического исследования. Авторы объясняют изменение знака дихроизма при растяжении тем, что аморфные области в растянутой пленке ориентированы почти под прямым углом к кристаллическим (РЖХим, 1955, 16094) и что при малых растяжениях ИК-дихроизм определяется главным образом аморфными областями, а при больших — кристаллическими. Указывается также на возможность объяснения части полученных результатов при помощи гипотезы о спиральной структуре цепей синтетич. полимеров (РЖХим, 1956, 13680).

О. П. 25855. Спектрографическое определение констант диссоциации в высокополимерных веществах. Шауэнштейн (Spektrographische Messung der Dissoziationskonstante bei hochpolymeren Stoffen. Schauenstein E.), Mikrohchim. acta, 1955, № 2-3, 481—489 (нем.; рез. англ., франц.)

Диссоциированные и недиссоциированные оксифенильные группы тирозина, входящего в состав многих белков, дают резко отличные максимумы световой абсорбции в УФ-области спектра. Определение коэфф. экстинкции в условиях полного отсутствия диссо-

циации (ε<sub>1</sub>), полной диссоциации (ε<sub>2</sub>) и частичной диссоциации (ε<sub>x</sub>), соответствующих тому или иному значению pH, дает возможность найти степень диссоциации (α) из ур-ния α = (ε<sub>x</sub> - ε<sub>1</sub>)/(ε<sub>2</sub> - ε<sub>1</sub>). Из значения pH, соответствующего α = 0,5, может быть найдена константа диссоциации фенольных групп. При переходе от свободной аминокислоты к белкам константа диссоциации сильно изменяется. Однако пептидное связывание карбоксильных и аминогрупп тирозина само по себе не приводит к значительному изменению pK тирозина. Автором показано, что основная причина наблюдаемого эффекта заключается в связывании фенольных гидроксильных групп белковых молекул водородными мостиками. Если кривые α = f (pH) для белков, по сравнению с аналогичной кривой для свободного L-тирозина, оказываются параллельно смещенными в сторону более высоких значений pH, то это свидетельствует о полном подавлении диссоциации, т. е. о полном связывании фенольных групп водородными мостиками. При частичном же их связывании смещение кривой сопровождается изменением ее формы. Изучение этих кривых дает колич. характеристику степени блокирования, что является показателем образования межмолекулярных связей. Это дает возможность сопоставления с толщиной мицелл и дает новый критерий для суждения о процессах, имеющих место при полимеризации и ориентации молекул фибриллярных белков.

С. Г. 25856. Конфигурация молекул растянутого полиизобутилена. Ликьюри (Molecular configuration of stretched polyisobutylene. Liquori A. M.), Acta crystallogr., 1955, 8, № 6, 345—347 (англ.)

Проведен анализ возможных конфигураций молекулярной цепи растянутого полиизобутилена. Показано, что существуют две стереохимически приемлемые спиральные конфигурации молекулы полиизобутилена, согласующиеся с ранее известными данными: значение периода  $c = 18,63$  А, величин шага спирали 2,33 А и наличии восьми мономерных единиц в одном периоде. Это спирали с 5 или 7 витками, приходящимися на период. Первая возможна при значении валентного угла C—C—C в 114°, вторая при величине этого угла 109°. Выбор между ними был проведен на основании расчета фурье-трансформации по способу, предложенному ранее (Crick F. H. C. и др., Acta crystallogr., 1952, 5, 581), и на основании сравнения расчетных данных с опытными. Хорошее совпадение получено только для спирали с 5 витками в периоде. Эта структура согласуется также с рядом физ. свойств полиизобутилена.

Н. А. 25857. К исследованию вопроса о трехмерной структуре поливинилового спирта. Таневский (Przyczynę do badań nad uściśleniem polialkoholu winylowego. Taniowski M.), Przem. chem., 1955, 11, № 6, 302—304 (польск.; рез. русс., англ.)

Растворимость поливинилового спирта (I) в воде зависит от мол. веса полимера и от кол-ва гидроксильных групп. Понизить ее можно увеличением мол. веса полимера или уменьшением кол-ва гидроксильных групп. Определено влияние добавок дигидроксиновых к-т (щавелевой и малеиновой) к водным р-рам I и влияние т-ры на образование трехмерной структуры и водорастворимость пленок, изготовленных из таких р-ров. Оптимальные условия: отношение кол-ва к-ты к I равно 0,3 (и больше); 1; т-ра образования трехмерной структуры 150—190°. Понижение водорастворимости модифицированных таким путем пленок I автор объясняет образованием мостиков типа сложных и простых эфиров. Полученные модифицированные пленки характеризуются хорошей водостойкостью.



25858. Размеры цепей полистирола: зависимость от молекулярного веса и растворителя. Нотли, Дебай (The extension of polystyrene chains: Dependence on molecular weight and solvent. Nottley N. T., Debye P. J. W.), J. Polymer Sci., 1955, 17, № 83, 99—106 (англ.; рез. франц. нем.)

С целью точного определения зависимости размеров молекул полистирола (I) от мол. веса  $M$  исследовано рассеяние света р-рами фракционированного I в циклогексане при 34, 43 и 57° и в толуоле при 20°. Измерения производились при помощи описанного ранее (Flory P. J. Principles of polymer chemistry. Cornell Univ. Press, Ithaca, 1953, p. 284) прибора в интервале углов 135—45°. Исследованные образцы I получены блочной полимеризацией с перекисью бензоила при  $t$ -рах 40—120° и подвергнуты тщательному 4-кратному фракционированию. Полученные зависимости среднего квадрата расстояния между концами цепи  $L^2$  от  $M$  (при  $M$   $6 \cdot 10^5$ — $5 \cdot 10^6$ ) во всех четырех случаях выражаются эмпирич. ф-лами  $L^2 = (k_1 M^a)^2$  или  $L^2 = k^2 (M - b)$ , использованными также ранее (РЖХим, 1954, 37530). При переходе от циклогексана при 34° к толуолу при 20°, что соответствует постепенному улучшению р-рителя, константы  $k_1$ ,  $a$ ,  $k$  и  $b$  монотонно (за исключением  $k_1$ ) меняются соответственно от 0,687 до 3,196, от 0,500 до 0,610, от 0,687 до 1,069 и от 0 до 243 000. Авторы делают вывод, что ф-ла типа  $L^2 = k^2 (M - b)$  хорошо описывает зависимость  $L^2$  от  $M$  в широком интервале  $M$ , а отклонения от линейной зависимости проявляются при малых  $M$ , выходящих за пределы возможности измерения  $L^2$ .

О. П.

25859. Отчет об измерении молекулярного веса стандартных образцов полистирола. II. Международное объединение по чистой и прикладной химии. Франк, Марк (Report on molecular-weight measurements of standard polystyrene samples. II. International union of pure and applied chemistry. Frank H. P., Mark H. E.), J. Polymer Sci., 1955, 17, № 83, 1—20 (англ.; рез. франц., нем.)

Представлены результаты определений мол. веса стандартной гомог. фракции полистирола (выделенной тщательным фракционированием методом дробного осаждения), проведенных на основании изучения вязкости, осмотич. давления, светорассеяния и скорости седиментации в 13 лабораториях различных стран (предыдущее сообщение см. РЖХим, 1954, 10376). В качестве р-рителей применялись толуол и метилэтилкетон (соответственно хороший и плохой р-рители). Приведены краткие описания методов и условий измерений, принятых в каждой лаборатории, произведено сравнение полученных результатов и подробно обсуждены возможные причины наблюдавшихся расхождений в результатах измерений светорассеяния и осмотич. давления. Сходимость вискозиметрич. и седиментационных данных вполне удовлетворительна.

И. П.

25860. К вопросу о распределении продуктов поликонденсации по молекулярным весам. Гриль (Ein Beitrag zur Molekulargewichtsverteilung bei Polykondensationsprodukten. Griehl Wolfgang). Faserforsch. und Textiltechnik, 1955, 6, № 6, 260—268 (нем.; рез. англ., русс.)

Для характеристики неравномерности распределения по мол. весам продуктов поликонденсации изучалось соотношение средневесовых ( $M_1$ ) и среднечисленных ( $M_2$ ) мол. весов полиэтилентерефталата и перлона J. Значения  $M_2$  находились путем определения аминных и карбоксильных конечных групп. Для нефракционированных образцов полиэтилентерефталата получено ур-ние:  $[\eta] = 1,27 \cdot 10^{-4} M_2^{0,86}$ . Проведенное аналогичными способами изучение фракций привело

к ур-нию:  $[\eta] = 0,90 \cdot 10^{-4} M^{0,87}$ . Это различие двух зависимостей свидетельствует о значительной молекулярной неоднородности изученных продуктов. Для более точной характеристики неоднородности применен метод «титрования по мутности», позволяющий строить кривые распределения без проведения фракционирования. Полученные таким образом для перлона кривые распределения также соответствуют предсказываемому теорией Флори нормальному распределению. Исключения составляют продукты так называемой скоростной полимеризации и полимеризаты, полученные путем неперывной конденсации. Обсуждается вопрос о причинах волнообразной в этом случае формы кривой зависимости степени полимеризации от времени.

С. Г.

25861. Определение молекулярного веса поливинилпирролидона. II. Леви, Франк (Determination of molecular weight of polyvinylpyrrolidone. II. Levy Gabor B., Frank H. P.), J. Polymer Sci., 1955, 17, № 84, 247—254 (англ.; рез. франц., нем.)

Исследована зависимость вязкости водн. р-ров поливинилпирролидона от мол. веса. Особое внимание уделено фракционированию полимера при помощи систем вода — ацетон и метанол — эфир. Получены зависимости:  $[\eta] = 5,65 \cdot 10^{-2} M^{0,55}$  (для нефракционированных образцов) и  $[\eta] = 6,75 \cdot 10^{-2} M^{0,55}$  мл/г (для фракционированных образцов). Для вязкости р-ров поливинилпирролидона в метаноле и  $\text{CHCl}_3$  получены соответственно ур-ния:  $[\eta] = 2,3 \cdot 10^{-2} M^{0,65}$  и  $[\eta] = 1,94 \cdot 10^{-2} M^{0,64}$  мл/г. Предыдущее сообщение см. РЖХим, 1954, 19698.

И. П.

25862. Исследование в ультрацентрифуге молекулярных характеристик сополимера винилхлорида и винилцианида. Прати (Studio ultracentrifugale delle caratteristiche molecolari di un copolimero cloruro-cianuro di vinile. Prati Giovanni), Gazz. chim. ital., 1955, 85, № 5-6, 757—768 (итал.)

Приводятся результаты измерений констант седиментации  $s_0$  и диффузии  $D_0$  девяти фракций образца сополимера винилхлорида и винилцианида, полученных двойным осаждением  $\text{CH}_3\text{OH}$  из ацетонового р-ра.  $s_0$  и  $D_0$  получены обычным путем, они удовлетворяют ур-ниям:  $s_0 = 1,19 \cdot 10^{-2} M^{0,66}$  (ед. Сведберга) и  $D_0 = 1,2 \cdot 10^{-3} M^{-0,4}$  (ед.  $10^7 \text{ см}^2/\text{сек}$ ). По мнению автора, этот результат указывает на то, что макромолекулы исследованного полимера в р-ре обладают конфигурацией непроницаемых для р-рителя клубков. Мол. вес 1-й и 2-й фракций совпадает и равен 110 000; для 9-й фракции  $M = 2660$ . Стандартный метод Шульца применен для построения дифференциальной функции распределения по  $M$ ; она характеризуется сильной положительной асимметрией и максимумом вблизи 33 000; для нефракционированного полимера  $M = 39800$  (по ф-ле Сведберга). Зависимость коэфф. взаимодействия  $k_s$  от  $M$  при  $M > 3 \cdot 10^4$  выражается ф-лой  $k_s = \text{const } M^{1,08}$ ; высказано предположение, что асимметрия макромолекулы растет с  $M$ . Осометрич. мол. вес фракций больше мол. веса, определенного по ф-ле Сведберга, различие возрастает с уменьшением мол. веса. Этот результат автор связывает с возможной утечкой низкомолекулярных фракций через мембрану осмометра.

С. Ф.

25863. Растворы полиметакриловой кислоты. Часть 1. Молекулярные веса и вторые виральные коэффициенты недиссоциированной кислоты. Арнольд, Каплан (Solutions of polymethacrylic acid. Part 1.—Molecular weights and second virial coefficients of the undissociated acid. Arnold R., Kaplan S. R.), Trans. Faraday Soc., 1955, 51, № 6, 857—863 (англ.)

Изучены свойства р-ров полиметакриловой к-ты, ионизация которой подавлялась добавлением сильного электролита. Метакриловая к-та полимеризовалась с применением в качестве инициатора системы  $\text{Fe}^{2+} + \text{H}_2\text{O}_2$ . Среднечисленные мол. веса полученных фракций  $96 \cdot 10^3$ — $660 \cdot 10^3$ . Из кривой распределения по мол. весам найдены средневесовые значения мол. весов  $M_w$ . Сравнение  $M_w$  со значениями, полученными из светорассеяния р-ров полимера в 0,114 н. HCl, показало хорошее совпадение. Измерение характеристик вязкости Na-солей в 2 М р-ре  $\text{NaNO}_3$  и сопоставление ее со значениями мол. весов, найденными из осмотич. определений в р-рах 0,1 и 1 н. HCl, приводит к зависимости:  $[\eta] = 4,49 \cdot 10^{-4} M^{0,65}$ . Из данных по светорассеянию и для ряда фракций из осмотич. определений найдены значения второго вирального коэфф. В:  $0,165$ — $2,40 \cdot 10^3 \text{ см}^3 \text{ моль}^{-1} \text{ г}^{-2}$ . Ю. Л.

25864. Данные по светорассеянию очень сильно разбавленных растворов полистирола. Франк (Light scattering data of extremely dilute polystyrene solutions. Frank H. P., J. Polymer Sci., 1955, 17, № 83, 130—133 (англ.))

С целью проверки гипотезы о том, что наблюдавшийся (РЖХим, 1955, 16096) максимум на кривой зависимости  $\eta_{sp}/c$  от  $c$  ( $\eta_{sp}$  — уд. вязкость,  $c$  — конц-ия) р-ра полистирола (I) в метилэтилкетоне (II) при  $c \approx 10^{-5} \text{ г/см}^3$  объясняется увеличением размеров молекул I ниже критич. конц-ии, исследовано рассеяние света р-рами I в II и толуоле при очень малых  $c$  (вплоть до  $10^{-5} \text{ г/см}^3$ ). Концентрационная зависимость асимметрии рассеянного света не испытывала никаких аномалий во всем исследованном интервале  $c$ , хотя использованные  $c$  (от  $1,1 \cdot 10^{-5}$  в II и от  $5,2 \cdot 10^{-5}$  в толуоле) значительно ниже критических, равных для этих р-рителей соответственно  $70 \cdot 10^{-5}$  и  $30 \cdot 10^{-5}$ . Авторы считают неверным указанное объяснение аномалий в зависимости  $\eta_{sp}/c$  от  $c$ . О. П.

25865. Определение асимметрии рассеяния в окрашенных растворах. Франк, Алман (Determination of dissymmetry of scattering in colored solutions. Frank H. Peter, Ullman Robert, J. Opt. Soc. America, 1955, 45, № 6, 471—476 (англ.))

Рассчитана поправка на поглощение света при измерении углового распределения интенсивности светорассеяния окрашенными р-рами. Поправка связана с тем, что длина пути светового луча в р-ре в среднем больше в прямом (по отношению к падающему лучу), чем в обратном направлении, из-за чего кажущаяся асимметрия светорассеяния меньше истинной. Поправки рассчитаны для углов рассеяния 45 и 135° при различных возможных геометриях расположениях принимающей системы. С учетом рассчитанных поправок значения асимметрии рассеяния в окрашенных р-рах хорошо согласуются со значением асимметрии в неокрашенном р-ре. О. П.

25866. Кристаллизация политерефталата этиленгликоля. Легран, Кост (Crystallisation du polytérphthalate d'éthylène glycol. Legrand Ch., Coste J., C. r. Acad. sci., 1955, 240, № 22, 2160—2162 (франц.))

Исследовано поведение пленок политерефталата этиленгликоля с характеристич. вязкостью 0,60 в зависимости от т-ры. Образцы выдерживались в температурном интервале 80—260°, а затем отпускались при 0°. При 80° образцы с течением времени испытывают заметное сжатие, за которым следует более слабое сжатие. Первая фаза отвечает кристаллизации образца. При т-рах ниже 80° рентгенограммы аморфных образцов не изменяются со временем, если время нагревания не превышает 1000 час. В случае нагрева до 90—200°

происходит превращение, сопровождающееся появлением трех размытых линий (3,40; 3,00 и 5,15А). Измерение полуширины ближней линии с изменением т-ры показывает, что около 220° происходит разупорядочение цепей в полимере. Согласно измерениям уд. объема очевидно, что кристаллизация происходит при 85° (нагревание в течение 150 час.), затем на кривой объема наблюдается плоский минимум, а с 220° резкий подъем. Таким образом вплоть до 220° происходит медленное упорядочение структуры. Этот процесс, очень отчетливо выраженный в случае политефталата этиленгликоля, вообще не характерен для полимеров этого типа. [Т. Х.

25867. Влияние скорости сдвига на кажущуюся вязкость: а) разбавленных растворов полимеров и б) блочных полимеров. Бьюк (Influence of rate of shear on the apparent viscosity of A — Dilute polymer solutions, and B — Bulk polymers. Bueche F., J. Chem. Phys., 1954, 22, № 9, 1570—1576 (англ.))

Для объяснения явления изменения вязкости блочных полимеров в размягченном состоянии и вязкости р-ров полимеров с изменением скорости деформации использованы модель полимерной молекулы и метод расчета, предложенные автором ранее (РЖХим, 1956, 16308). Под действием градиента напряжений сдвига молекула не только вращается с угловой скоростью, равной  $\gamma/2$  ( $\gamma$  — скорость сдвига), но и периодически сжимается и растягивается с частотой  $\gamma/4\pi$ . Расчет потерь энергии на трение молекулы о среду при вращении и периодич. сжатии-растяжении приводит к ур-ниям: для вязкости разб. р-ров  $(\eta - \eta_0)/(\eta_0 - \eta_s) = 1 - 6\pi^{-2} \sum_{n=1}^N [\gamma^2 \tau_1^2 / n^2 (n^4 + \gamma^2 \tau_1^2)] [2 - \gamma^2 \tau_1^2 / n^4 + \gamma^2 \tau_1^2]$ , (1), для вязкости блочных полимеров  $\eta/\eta_0 = 1 - 6\pi^{-2} \sum_{n=1}^N [\gamma^2 \tau_1^2 / n^2 (n^4 + \gamma^2 \tau_1^2)] [2 - \gamma^2 \tau_1^2 / n^4 + \gamma^2 \tau_1^2]$  (2) ( $\eta$  — вязкость р-ра или полимера при данном значении  $\gamma$ ,  $\eta_0$  — то же при  $\gamma = 0$ ,  $\eta_s$  — вязкость р-рителя,  $N$  — число сегментов в молекуле,  $\tau_1 = (12/\pi^2 \nu kT)(\eta_0 - \eta_s)$ ,  $\nu$  — число молекул в  $\text{см}^3$ ). (1) и (2) получены в предположении полной «проницаемости» молекул для среды. Макроскопически это сводится к сохранению параллельности линий сдвига в системе. Последнее, по мнению автора, легче осуществить в блочном пластичном полимере. (2) подтверждается эксперим. данными, полученными на полистироле. Выражение (1) нуждается во введении поправки на неполную проницаемость молекул полимера для р-рителя («застывание» р-рителя в молекулах полимера). После введения поправок ур-ние (1) согласуется с эксперим. данными. М. В.

25868. Влияние скорости сдвига на вязкость разбавленных растворов нитрата целлюлозы. Тимелл (The effect of rate of shear on the viscosity of dilute solutions of cellulose nitrate. Timell T. E., Svensk papperstidn., 1954, 57, № 21, 777—788 (англ.; рез. нем., швед.))

Изучалось влияние скорости сдвига (градиента скорости)  $G$  на величины  $\eta_{уд}/c$  и  $[\eta]$  нитратов целлюлозы (рами, хлопка и льна) в р-ре этилацетата при конц-иях 0,01—0,1%. Во всех случаях  $\eta_{уд}/c$  уменьшается с увеличением  $G$  (являясь гиперболой. функцией  $G$ ), причем влияние последней на  $\eta_{уд}/c$  увеличивается с увеличением мол. веса и конц-ии р-ра.  $\lg \eta_{уд}/c$  (при постоянной  $c$ ) линейно зависит от  $G$ . Наклон прямых при различных  $c$  уменьшается с уменьшением  $c$ . Разницы между фракционированными и нефракционированными образцами не наблюдается. Зависимость между  $\eta_{уд}/c$  и  $c$  при постоянных  $G$  (200—2000 сек.<sup>-1</sup>) является линейной до достижения конц-ии 0,02% и ниже, при которых появляются аномалии.  $\eta$  низкомолекулярных нитратов со степенью полимеризации  $P = 2240$  и меньше

не зависит от  $G$  (при  $G = 500 \text{ сек.}^{-1}$ ), при дальнейшем же увеличении  $P$  влияние  $G$  на  $[\eta]$  возрастает. Отношение  $\lg [\eta] : \lg G$  выражается прямой, наклон которой возрастает с увеличением  $P$ . Это отношение для фракционированных нитратов увеличивается более быстро с увеличением  $P$ , чем для нефракционированных. Для высокофракционированных образцов зависимость константы наклона  $\beta = \Delta \lg [\eta] / \Delta \lg G$  от  $[\eta]$  при  $G = 500 \text{ сек.}^{-1}$  является линейной и выражается уравнением  $\beta = 0,0063 [\eta] - 0,17$ . Автор считает, что наилучшим способом уменьшить эффект скорости сдвига является отнесение величины  $[\eta]$  к обычному, сравнительно низкому значению  $G$  ( $500 \text{ сек.}^{-1}$ ).

Н. М. 25869. Влияние скорости сдвига на отношение вязкость — концентрация для разбавленных растворов нитратов целлюлозы. Тимелль (The influence of rate of shear on the viscosity-concentration relationship for dilute solutions of cellulose nitrate. T i m e l l T. E.), Svensk papperstidn., 1954, 57, № 22, 844—849 (англ.; рез. нем., швед.)

Для фракционированных и нефракционированных нитратов целлюлозы рами в р-ре этилацетата при конц-ях 0,02—0,01% установлено, что при постоянных скоростях сдвига  $G$  ( $200$ — $2000 \text{ сек.}^{-1}$ ) приведенная вязкость  $\eta_{уд}$  изменяется линейно с конц-ей в соответствии с ур-нием Хаггинса. Наклон прямых, характеризующих ур-ние, быстро уменьшается с увеличением  $G$ . В тех же условиях зависимость  $\lg \eta_{уд}/c$  от  $c$ , выражаемая ур-нием Мартина  $\lg \eta_{уд}/c = \lg [\eta] + k [\eta] c$ , имеет кривизну, возрастающую с уменьшением  $G$ . Когда указанные зависимости установлены при постоянном максим. давлении на стенке капилляра (что характерно для обычных вискозиметров — Оствальда и Каннон — Фенске) установлены нелинейные зависимости. Константа наклона  $k'$  в ур-нии Хаггинса уменьшается как с увеличением  $G$  (являясь гиперболич. функцией последней), так и с увеличением характеристик. вязкости. Зависимость  $k'$  от  $[\eta]$  при постоянных скоростях сдвига ( $200$ — $2000 \text{ сек.}^{-1}$ ) характеризуется прямыми с одинаковым углом наклона, причем полученные результаты не зависят от полидисперсности образца. Наилучшим способом определения  $[\eta]$  нитратов целлюлозы является определение  $\eta_{уд}/c$  при постоянных  $G$ , построение линейной зависимости  $\eta_{уд}/c$  от  $c$  и экстраполяция полученной прямой на нулевое значение  $c$ . Если зависимость не линейна, следует включить куб. член в основное ур-ние  $\eta_{уд}/c = [\eta] + k' [\eta]^2 c$ , связывающее  $[\eta]$  и  $c$  (Bawn G. E. H. и др., Trans Faraday Soc., 1950, 46, 862).

Н. М. 25870. Замечания по статье Эрн. Бойер, Стри-тер (Comments on paper by Öhrn. Boyer R. F., Streeter D. J.), J. Polymer Sci., 1955, 17, № 83, 154—156 (англ.)

Предложенное Эрном (РЖХим, 1956, 22600) объяснение аномалий, наблюдавшихся при измерении вязкости очень разб. р-ров полимеров, может быть, повидимому, использовано при интерпретации ряда эксперим. данных. Наиболее убедительные доказательства за или против высказанных объяснений указанных выше аномалий могут быть получены при изучении светорассеяния разб. р-ров полимеров ввиду того, что при измерении светорассеяния адсорбция на стенках ячейки не будет играть заметной роли.

И. П. 25871. Свойства бинарных растворов нитрилов и связь их с растворимостью полиакрилонитрила. Фибс (The properties of nitrile binary systems and their relation to polyacrylonitrile solubility. P h i b s M. K.), J. Phys. Chem., 1955, 59, № 4, 346—353 (англ.)

С целью выяснить факторы, обуславливающие ра-

створяющую способность р-рителей по отношению к полиакрилонитрилу исследованы модельные в-ва. Определена растворимость 1,3,5,7-тетрацианогентана (I) в ряде органич. жидкостей, изучена плотность, вязкость, давление паров и теплота образования р-ров нитрила глутаровой к-ты (II). Растворимость I изучалась известным методом определения т-ры образования гомогенной фазы. Метод определения теплоты образования близок к предложенному ранее (Meares P., Trans. Faraday Soc., 1949, 45, 1066). Плотность смесей определялась U-образным пикнометром при  $28^\circ$  с погрешностью  $\pm 0,0002 \text{ г/см}^3$ . Давление паров над р-рами II определялось дифференциальным ртутным манометром или получалось из измерений поглощения ИК-радиации равновесным паром; в этом случае определялся и состав пара. При изучении растворимости I были определены т-ры образования его 20%-ного (вес.) р-ра в 23 р-рителях. Полученные данные по растворимости были сравнены с «идеальной» системой I—II и для каждой сравниваемой смеси была определена относительная способность к растворению. Измерение указанных выше физ.-хим. свойств р-ров II позволило автору вычислить изменение свободной энергии ( $\Delta F$ ) и объема ( $\Delta V$ ) при смешении компонентов. Анализируя полученный эксперим. материал, представленный в виде графиков и таблиц, автор приходит к общему выводу, что наиболее заметные отклонения от идеальности наблюдаются (для р-ров нитрила глутаровой к-ты) у р-рителей, молекулы которых обладают большими дипольными моментами. Хорошими р-рителями являются те, молекулы которых имеют наибольший дипольный момент и небольшое значение отношения числа углеводородных групп к полярным С. Б.

25872. Применение радиочастотного поля для изучения структуры макромолекул. Брукер (L'emploi des ondes radioélectriques pour l'étude de la structure des macromolécules. B r o u c k e r e L u c i a d e), Onde élect., 1955, 35, № 338, 462—463 (франц.)

Среднеквадратичное расстояние между концами молекулы  $\bar{h}$  может быть оценено путем измерений среднего дипольного момента  $\bar{\mu}$ , который пропорционален  $\bar{h}$ ;  $\bar{\mu}$  можно найти из измерений дисперсии диэлектрич. постоянной и угла потерь в функции частоты. Изучены р-ры поливинилхлорида (мол. в. 120 000) в тетрагидрофуране и в смеси тетрагидрофурана с гептаном, а также р-р полиметилметакрилата (мол. в. 100 000—2 000 000) в толуоле при т-рах от  $-35$  до  $+10^\circ$ ; зона дисперсии лежит в интервале  $0,5$ — $50 \text{ Мгц}$ .  $\bar{\mu}$  поливинилхлорида не зависит от р-рителя.  $\bar{\mu}$  двух фракций полиметакрилата с мол. в. 95 000 и 1 750 000 равны 35 и 190 D, т. е. почти пропорциональны корню квадратному из мол. веса. Автор отмечает, что на основе этих измерений можно получить также сведения о времени релаксации и ее зависимости от т-ры, найти величину свободной энергии, энтропии и энтропии процесса ориентации. Последние 3 величины найдены для двух фракций полиметакрилата.

К. В. 25873. Взаимодействие между синтетическими полимерами и смачивателями. Часть II. Комплексообразование между полимером и детергентом. Саито (Die Wechselwirkung zwischen synthetischen Polymeren und Netzmitteln. Teil II: Komplexbildung zwischen Polymeren und Detergent. S a i t o S h u j i), Kolloid-Z., 1954, 137, № 2/3, 98—103 (нем.)

Автор рассматривает возможные причины повышения  $\eta_{уд}$  р-ров полимеров при прибавлении к ним детергентов (предыдущ. часть м. РЖХим, 1954, 33951; 1955, 42767) и наиболее вероятным считает образование комплекса при адсорбции ионов смачивателя на



полимере. Кривые  $\eta_{уд}/c$  —  $c$ , где  $c$  — конц-ция полимера, для систем поливинилдовый спирт — додецилсульфат Na и поливинилацетат — додецилсульфат Na проходят через максимум. Прибавление KCl уменьшает  $\eta_{уд}/c$  в этих системах из-за уменьшения диссоциации, что доказывает полиэлектролитич. строение комплекса. Решающим для образования комплекса является строение молекул детергента; строение полимера сказывается меньше. Необходимыми условиями комплексообразования автор считает селективную адсорбцию ионов детергента за счет дисперсионных сил и наличие сил притяжения между ионами детергента и диполями в полимерах. Однако поверхность полимера при адсорбции детергента не должна делаться гидрофобной. И. С.

#### 25874. Газопроницаемость облученного полиэтилена.

Соболев, Мейер, Станнет, Шварц (Permeability to gases of irradiated polyethylene. Sobolev I., Meyer J. A., Stannett V., Schwarz M.), J. Polymer Sci., 1955, 17, № 85, 417—421 (англ.)

Исследована проницаемость для  $N_2$ ,  $O_2$  и  $CH_3Br$  не облученных пленок полиэтилена (I), а также пленок, облученных дозами  $10^7$  и  $10^8$  рентген/см<sup>2</sup>; т-ра облучения 0—45°, толщина пленок 0,038 мм. Найдено, что заметное уменьшение газопроницаемости наступает только при дозах  $10^8$  рентген/см<sup>2</sup>. Зависимость константы проницаемости  $P$  от т-ры может быть описана ур-нием  $P = P_0 \exp(-E/RT)$ ; для необлученного I и I, облученного дозой  $10^7$  рентген/см<sup>2</sup>, получены следующие значения для  $P_0$  (первая цифра) и  $E$  (кал/моль):  $N_2$  0,66, 11,8;  $O_2$  0,089, 9,9;  $CO_2$  0,081, 9,0;  $CH_3Br$  ( $P = 100$  мм рт. ст.) 0,021, 7,1; для I, облученного дозой  $10^8$  рентген/см<sup>2</sup>,  $P_0$  и  $E$ , соответственно, равны:  $N_2$  0,23, 11,6;  $O_2$  0,023, 9,5;  $CO_2$  0,023, 8,6;  $CH_3Br$  ( $P = 100$  мм рт. ст.) 0,026, 7,6. Показано, что облучение I не влияет на растворимость в нем  $CH_3Br$ . На основании полученных результатов сделан вывод, что уменьшение газопроницаемости при облучении связано с уменьшением автоионизации диффузионных процессов. А. П.

#### 25875. Зависимость между водопопроницаемостью и молекулярным весом полиизобутилена. Фуруя (Moisture permeability—molecular weight relation of polyisobutylene. Furuya S. S. S. S. S.), J. Polymer Sci., 1955, 17, № 83, 145—147 (англ.)

Предложено эмпирич. ур-ние, характеризующее зависимость между мол. весом ( $M$ ) и водопопроницаемостью ( $P$ ) полиизобутилена:  $P = 1,08 M^{-0,566} \cdot 10^{-10}$  (1), где  $P$  выражается в мол/см сек см рт. ст., а  $M$  рассчитывается из вискозиметрич. данных по ур-нию:  $[\eta] = 3,71 \cdot 10^{-4} P^{0,75}$ , где  $[\eta]$  — характеристич. вязкость р-ров в толуоле при 30°, а  $P_0$  — средневискозиметрич. степень полимеризации (Sakaguchi V., Sakurada J., Chemistry of high polymers, 1948, 5, 243). Для расчетов можно применять мол. вес, рассчитанный по вискозиметрич. ур-нию Флорин ( $M_F$ ), используя соотношение:  $\lg M_F = 1,11 \lg M - 0,070$ . Тогда ур-ние (1) принимает вид:  $P = 0,993 M_F^{-0,510} \cdot 10^{-10}$ . И. Т.

#### 25876. Рассеяние рентгеновских лучей малыми частицами, содержащимися в волокнах. Размер и форма микрокристаллитов. Хейн (Small particle X-ray scattering by fibers, size and shape of microcrystallites. Heun A. N. J.), J. Appl. Phys. 1955, 26, № 5, 519—526 (англ.)

Автор рассматривает рассеяние рентгеновских лучей под малыми углами как рассеяние малыми частицами и считает, что распределение интенсивностей может дать представление о форме, размере, распределении и ориентации микрокристаллитов в волокне. Опытные

данные, полученные для различных высокоориентированных волокон, сравниваются с теоретич. кривыми как независимого, так и не независимого рассеяния, построенными для модели, представляющей собой систему из параллельно расположенных цилиндров, стержней, имеющих одинаковый диаметр и однородную внутреннюю структуру. Для набухших в определенных условиях волокон получено хорошее соответствие между эксперим. и теоретич. кривыми, характерными для независимого рассеяния при отсутствии межчастичной интерференции. Однако в других условиях (сухое волокно и другие условия набухания) межчастичная интерференция принадлежит важнейшей роль в рассеянии этими «плотноупакованными» материалами. Таким образом метод набухания дает возможность отличать независимое рассеяние от не независимого. Изучено влияние на получаемые результаты различных условий набухания и проведения опыта и найдены условия, обеспечивающие независимое рассеяние. На основании опытов, проведенных в этих условиях, по теоретич. ф-лам для независимого рассеяния рассчитаны диаметры микрокристаллитов различных волокон (в А): для джута и льна 28, рами 43, хлопка 55, кордура 43. Расхождение для различных образцов одного и того же волокна не превышает 3%. С. Г.

#### 25877. О некоторых процессах деформирования материалов. Розовский М. И., Изв. АН АрмССР, 1955, 8, № 3, 33—39

Рассматриваются высокоэластич. деформация полимеров, ползучесть и релаксация металлов. При описании деформаций полимеров автор пользуется методом механич. моделей в комбинации со статистич. рассмотрением. При этом принимается, что полимер можно изобразить сложной моделью Кельвина, представляющей собой множество последовательно соединенных простых элементов, энергии активации  $E$  которых описываются функцией распределения  $F(E)$ . Процесс высокоэластич. деформации характеризуется переменным во времени периодом упругого последействия  $\theta = f^{-1}(t)$ ; задача сводится к установлению  $f(t)$  по эксперим. данным. Так, для полиизобутилена при 82°  $f(t) = at^{-\beta}$  с  $\alpha = 0,08$  и  $\beta = 0,42$ . Аналогичный прием может быть использован для описания релаксации напряжения. Полимер представляется набором параллельно соединенных элементов Максвелла. Функция  $\phi(t)$ , характеризующая скорость релаксации, определяется из экстрем. данных. Так, для НК смокедшпит (22°)  $\phi(t) = at^{-a}$  с  $a = 0,07$  и  $b = 0,72$ . Этот же метод может быть применен для описания ползучести и релаксации металлов ниже предела текучести. При этом удается получить ур-ния кривых ползучести и релаксации, содержащие константы, определяемые на опыте. С. Ф.

#### 25878. Зависимость размеров статистического сегмента полиэтилена от температуры. Волунгис, Стейн (Temperature dependency of the statistical segment size of polyethylene. Volungis Richard J., Stein Richard S.), J. Chem. Phys., 1955, 23, № 6, 1179 (англ.)

Исследовано двойное лучепреломление полиэтилена (I) при крипе при т-рах  $T$  120—170°. С целью увеличения времени релаксации I подвергнут сшиванию путем электронного облучения. Длина, ширина и двойное лучепреломление образца, представлявшего собой пленку толщиной 5 мм, измерялись, как функции от  $T$ , как при нагревании, так и при охлаждении. Образец длительное время выдерживался при каждой т-ре для достижения равновесного состояния. Не было обнаружено никаких следов кристалличности, и температурная зависимость напряжения хорошо описывалась кинетич. теорией высокоэластичности. Из данных

по двойному лучепреломлению и напряжению обычным путем определялась разность поляризуемостей  $b_{\parallel} - b_{\perp}$  статистич. сегмента вдоль и поперек цепи. С ростом  $T$  разность  $b_{\parallel} - b_{\perp}$  уменьшалась от 5,3 до  $4,9 \cdot 10^{-21}$  см<sup>3</sup>, что авторы объясняют уменьшением размеров сегмента с ростом  $T$  из-за внутреннего вращения, выводящего молекулы I из плоской транс-конфигурации. Пользуясь выражением для тормозящего потенциала  $V(\varphi) = (V_m/2)[x(1 - \cos \varphi) + (1-x)(1 - \cos 3\varphi)]$  (Taylor W. J., J. Chem. Phys., 1947, 15, 412; 1948, 16, 257) и считая  $x = 0,26$ , авторы получают из эксперим. данных, что потенциальный барьер  $V_m = 6,4 \pm 0,7$  ккал/моль. Это значение согласуется с величиной, полученной из исследований протонного магнитного резонанса (Newman R., J. Chem. Phys., 1950, 18, 1303), но выше, чем величина 4,1 ккал/моль, полученная для низкомолекулярных парафинов из термодинамич. данных (Pitzer K.S., J. Chem. Phys., 1940, 8, 711).

О. П. 25879. Теория упругости резины, основанная на анализе модели воздушного шара. I. Модель воздушного шара для идеальных связей. Тэрамото (風船模型に依るゴム弾性の理論. I. 理想鎖に對する風船模型. 寺本英), 物性論研究, Буссейрон кэнкю, 1954, № 76, 40—45 (япон.).

Изложение работы автора. См. РЖФиз, 1955, 11328.

Т. Х. 25880. К физике трения каучука. Шалламах (Zur Physik der Kautschukreibung. Schallamach A. d. o. l. l., Kolloid. Z., 1955, 141, № 3, 165—173 (нем.).

Обзор. Библ. 13 назв. Ю. Л.

25881. Об истирании резины. Шалламах (On the abrasion of rubber. Schallamach A.), Proc. Phys. Soc., 1954, B67, № 12, 883—891 (англ.).

Предполагая, что истирание резины определяется в основном интенсивностью повреждения поверхности, автор получил теоретич. ф-лу:  $A = \text{const } W n^2 r G^{-1}$  ( $A$  — истирание на единицу поверхности,  $W$  — нормальная нагрузка,  $n^2$  — число частиц абразива на единице поверхности,  $r$  — их радиус кривизны,  $G$  — характеристика эластичности резины). Опыты подтверждают пропорциональную связь  $A$  и  $W$ . Причиной истирания является трение, создающее большие напряжения, вызывающие разрушение поверхности резины. Если размер частиц абразива соизмерим с размерами неоднородностей на поверхности резины, то  $F = \text{const } W^{1/2}$  ( $F$  — сила трения), так как в этом случае по теории Герца площадь контакта  $\sigma$  пропорциональна  $W^{1/2}$ . При истирании на поверхности резины появляются линейные надрывы, перпендикулярные направлению движения. Расстояние между ними  $S = \text{const } (W/rG^{-1})^{1/2}$ .

С. Р. 25882. Явление перехода у высокомолекулярных веществ. Кривая объем — температура поливинилацетата. Яно, Мицун (高分子物質の轉移現象について. 小野藤、三井志郎), 物性論研究, Буссейрон кэнкю, 1954, № 75, 55—64 (япон.).

Дилатометрические измерения поливинилацетата (средняя степень полимеризации 7200) в интервале 15—50° показали, что коэфф. объемного расширения  $\beta$  ниже точки перехода  $T$  уменьшается при увеличении скорости нагрева, а выше  $T$  увеличивается при увеличении этой скорости. Равновесные значения ниже и выше  $T$  соответственно равны  $2,37 \cdot 10^{-4}$  и  $6,95 \cdot 10^{-4}$  на 1°. Если равновесные кривые объем —  $T$ -ра ниже и выше  $T$  экстраполировать прямыми, то они пересекутся при 31,8°. На объем при 15° сильно влияет термич. обработка: после быстрого охлаждения объем больше равновесного. Кривая объем —  $T$ -ра имеет незначительный изгиб около  $T$ , так что кривая имеет

максимум несколько выше  $T$ . Результаты указывают на релаксационную природу перехода.

Chem. Abstrs., 1954, 48, № 22, 13360; H. Shihara. 25883. Модуль Юнга кристаллического нестянутого каучука. Лейтнер (Young's modulus of crystalline, unstretched rubber. Leitchner Michaela), Trans. Faraday Soc., 1955, 51, № 7, 1015—1021 (англ.).

Исследована связь между модулем и степенью кристалличности сырого каучука гевей. Степень кристалличности оценивалась через плотность каучука, определяемую путем гидростатич. взвешивания до и после определения модуля из кривых нагрузка — удлинение. Изучено изменение модуля в процессе кристаллизации при 0° до завершения процесса и изменение модуля, измеренного при 0°, при изменении степени кристалличности за счет ее последовательного снижения путем нагрева образца. Значения модулей для одной и той же степени кристалличности выше в случае измерений их в процессе кристаллизации, а не при последовательном нагреве кристаллич. образца. С уменьшением кристалличности различия в модулях сглаживаются. Максим. изменение плотности каучука на 2,4% вызывало изменение модуля в 100 раз. Ю. Л.

25884. Пластификация поливинилхлорида бутадиенитрильным сополимером. III. Влияние на температуру стеклования и течения поливинилхлорида введения в него различных количеств бутадиенитрильного сополимера. Резникова Р. А., Зайончковский А. Д., Волюцкий С. С., Ж. техн. физики, 1955, 25, № 6, 1045—1052

Исследовано влияние на  $T_g$  стеклования  $T_g$  и текучести  $T_g$  введения в поливинилхлорид (I) различных кол-в высокомолекулярного пластификатора — бутадиенитрильного сополимера (II) с содержанием нитрила акриловой к-ты 36,9%. Для сравнения проведены опыты по пластификации I дибутилфталатом (III). Из полученных зависимостей  $T_g$ ,  $T_g$  от содержания пластификатора авторы делают вывод о том, что в случае III высокоэластич. состояние достигается при сравнительно низких  $T$ -рах и для достижения значительного пластифицирующего эффекта в полимер достаточно ввести сравнительно небольшое кол-во пластификатора. Пластифицирующее действие II на I более эффективно в области высоких  $T$ -р, поскольку II не столь сильно снижает  $T_g$ , чем III. Форма кривых зависимости величины деформации образцов при разных  $T$ -рах от содержания пластификатора принципиально не отличается от формы кривых зависимости деформации от  $T$ -ры при разных кол-вах введенного пластификатора. На большинство кривых имеются перегибы, которые объясняются тем, что смесь обладает высокоэластич. свойствами в соответствующем интервале  $T$ -р или конц-ий пластификатора. Сходство кривых авторы объясняют тем, что все они характеризуют изменение деформации, обусловленное разрывом межмолекулярных связей по полярным группам за счет действия  $T$ -ры или пластификатора. Сообщение II см. РЖХим. 1955, 9343.

Ю. Л. 25885. Измерение ориентации в отдельных нитях полистирола с помощью двойного лучепреломления. Эндрьюс (Measurement of orientation in polystyrene monofilaments by means of double refraction. Andrews R. D.), J. Appl. Phys., 1954, 25, № 10, 1223—1231 (англ.).

Методом двойного лучепреломления (ДЛП) исследована молекулярная ориентация в вытянутых и затем застеклованных нитях полистирола диам. 0,5—1,4 мм. Наблюдается ДЛП отрицательного знака, что соответствует ориентационному механизму растяжения при  $T$ -рах выше точки стеклования, т. е. стремлению бензольных колец ориентироваться в направлении, перпендикулярном к линии вытянутости нити (Mül-

ler F. H., Kolloid-Z. 1941, 95, 138, 306; РЖХим, 1955, 54829). ДЛП исследовалось с помощью поляризационного микроскопа и наблюдаемая в монохроматическом свете ( $\lambda$  5461 Å) интерференционная картина анализировалась в соответствии с развитой в работе теорией. Предложен метод определения ДЛП, не требующий знания абсолютного порядка полос. Выведена ф-ла для неравномерного распределения. ДЛП в связи с тем, что опыт указывает на радиальный характер этого распределения. Обнаруженное при этом быстрое повышение ДЛП у краев нити автор объясняет резким охлаждением периферии, в то время как в центре нити, где охлаждение замедленно, возможна значительная релаксация ДЛП. Ю. Л. 25886. О вязкоэластических свойствах полиметилметакрилата. Иванаги (On the viscoelastic properties of polymethyl methacrylate. Iwayanagi Shigeo), J. Scient. Res. Inst., 1955, 49, March, 4—12 (англ.).

Исследована ползуемость при кручении и релаксация напряжений в полиметилметакрилате в интервале  $t$ -р от  $-40$  до  $+140^\circ$ . Полученные результаты указывают на то, что функция податливости  $I(t)$  (отношение деформации к напряжению) зависит от приложенного напряжения; функция восстановления  $R(t)$  не совпадает с  $I(t)$  даже, если восстановление полное.  $I(t)$  и  $R(t)$  зависят от истории образца. Полученные результаты работы соответствуют данным, полученным ранее (Buchdahl R. и др., J. Polymer Sci., 1951, 6, 403). В предположении, что полимер является терморелогически простым, из зависимости податливости от  $\lg$  времени автор находит температурную функцию, определяющую релаксацию напряжений (McLoughlin J. R., Tobolsky A. V., J. Polymer Sci., 1952, 8, 543) и кажущуюся энергию активации. Временная зависимость релаксационного модуля  $G$ , определяемого из соотношения  $\Phi = (\pi/32) d^4 G$ , где  $\Phi$  — скручивающее усилие и  $d$  — диаметр образца, для различных  $t$ -р имеет линейный характер, причем для  $t$ -р  $> 100^\circ$  кривые имеют заметный наклон, изменяющийся с  $t$ -рой, что указывает на наличие широкого распределения времени релаксации. Кажущаяся энергия активации при этом монотонно изменяется от 200 (в высокотемпературной области) до 30 ккал/моль (в низкотемпературной области), не показывая наличия максимумов. Ю. Л. 25887. Спектр времени релаксации теста и влияние температуры, выдержки и содержания воды. Канингем, Глинка (Relaxation time spectrum of dough and the influence of temperature, rest, and water content. Cunningham J. R., Hlynka I.), J. Appl. Phys., 1954, 25, № 9, 1075—1081 (англ.).

С помощью описанного ранее (РЖХим, 1955, 44908) релаксометра изучена релаксация напряжения в растянутом образце теста. Тесто замешивали из пшеничной муки с различным кол-вом воды и выдерживали перед испытанием при относительной влажности 95%. Испытание в координатах: растягивающее усилие —  $\lg t$  ( $t$  — время), полученные при  $13$ — $35^\circ$ , совпадают, если сдвинуть их по оси  $\lg t$ . По полученной таким образом «образцовой» кривой релаксации авторы построили кривые распределения времени релаксации  $\tau$ . С увеличением времени выдержки («отдыха») теста уменьшается часть спектра релаксации с  $\tau > 10$  сек., а при увеличении содержания воды уменьшается часть спектра с  $\tau < 10$  сек. Кажущаяся энергия активации, рассчитанная по сдвигу кривых с  $t$ -рой, растет с уменьшением  $t$ -ры и с увеличением времени выдержки и равна для образцов с различной влажностью  $11$ — $24$  ккал/моль. Авторы считают, что релаксационное поведение теста может быть описано с помощью набора максвелловских элементов, и рассматривают

влияние скорости растяжения: за время растяжения ( $\sim 1$  сек.) успевает пройти релаксация с малым  $\tau$ . Кажущиеся значения модуля при влажности теста 60% уменьшаются от  $1,07 \cdot 10^4$  до  $0,60 \cdot 10^4$  дин/см<sup>2</sup> с увеличением времени выдержки от 2 до 120 мин. Кажущееся значение вязкости теста при 60% влажности  $2,5 \cdot 10^6$  пуаз. И. С. 25888.

Электрическая и механическая релаксация в высокополимерах. Кайон (Relaxations électriques et mécaniques dans les hauts polymères. Cailion Paul), Onde électr., 1955, 35, № 338, 463—464 (франц.).

Для линейных высокополимеров возможно прямое сравнение диэлектрич. и упругих свойств и объяснение корреляции между ними на основе современной теории упруго-вязких сред. Изучены механич. и электрич. свойства поливинилхлорида. Когда время электрич. запаздывания  $> 1$  сек., оно определялось методом измерения тока разряда конденсатора, одной пластиной которого служил изучаемый диэлектрик. Время механич. запаздывания изучалось наложением на образец растягивающего усилия; удлинение было не более 2%. Опыты позволяют уточнить время электрич. запаздывания. Опыты по механич. деформации показали, что логарифм скорости деформации уменьшается пропорционально логарифму времени; в тех же осях график для тока разряда нелинеен. Таким образом, корреляция между этими явлениями недостаточно ясна. Когда время запаздывания  $< 1$  сек., на образец накладывалось переменное электрич. поле, а затем переменная механич. нагрузка; в каждом случае определялась  $t$ -ра, при которой потери максимальны. Найдено, что угол диэлектрич. потерь и логарифм декремента затухания максимальны при одной и той же  $t$ -ре; эта  $t$ -ра выше для высоких частот. Частота изменялась от 15 до 50 гц. Обсуждены возможные механизмы диэлектрич. и механич. потерь, обуславливающие корреляцию между ними. К. В. 25889.

Реакции метильных радикалов и их приложения к химии полимеров. Шварц (Reactions of methyl radicals and their applications to polymer chemistry. Schwarz M.), J. Polymer Sci., 1955, 16, № 82, 367—382 (англ.; рез. франц., нем.).

Обзор р-ций метильных радикалов, образующихся при распаде перекиси ацетил в различных р-телях. Библ. 15 назв. Х. В. 25890.

Диэлектрическая релаксация в сополимере стирола с акрилонитрилом во время и после полимеризации. Эрлик, Де Лоллис (Dielectric relaxation in a styrene-acrylonitrile copolymer during and after its polymerization. Ehrlich Paul, De Lollis Nicholas J.), J. Res. Nat. Bur. Standards, 1953, 51, № 3, 145—154 (англ.). Измерена диэлектрич. постоянная  $\epsilon'$  и коэфф. потерь  $\epsilon''$  при частотах  $f$  от 100 до 70 000 гц и электропроводность для постоянного тока сополимеров стирола с акрилонитрилом во время хода полимеризации в присутствии добавок различных кол-в дивинилбензола и для полностью полимеризованных образцов при разной  $t$ -ре. Вначале полимеризации  $\epsilon''$  велик, особенно при малых  $f$ , из-за большой электропроводности акрилонитрила ( $2,5 \cdot 10^{-7}$  Мом/см), но вскоре падает. В ходе полимеризации  $\epsilon'$  падает, а  $\epsilon''$  проходит через максимум, вызванный ориентацией диполей CN со временем релаксации  $\tau$ . Вскоре после начала роста  $\epsilon''$  ( $f = 70 000$  гц) наступает точка гелеобразования. При увеличении кол-ва перекиси бензоила в смеси полимеризация ускоряется и максимум  $\epsilon''$  наступает раньше. Величина максимума  $\epsilon''$  пропорциональна конц-ии акрилонитрила. С ростом кол-ва добавленного к смеси дивинилбензола, образующего поперечные мостики между линейными молекулами, максимум  $\epsilon''$  умень-



шается и кривая  $\epsilon'' - \lg f$  расширяется вследствие расширения распределения  $\tau$ . В конце полимеризации  $\epsilon'$  и  $\epsilon''$  меняются мало и не могут служить для определения полноты полимеризации. Изменение  $\epsilon'$  и  $\epsilon''$  нагретого полимера при охлаждении до  $t$ -ры стеклования аналогично изменению этих величин при полимеризации. Сходная зависимость от частоты и содержания дивинилбензола для максимума  $\epsilon''$ , наблюдаемого во время полимеризации смеси, и для максимума  $\epsilon''$ , получающегося при нагревании образца полимера, показывает, что распределение  $\tau$  мало зависит от величины и распределения мол. весов. При  $t$ -ре  $> 100^\circ$  наблюдается повышенная электропроводность полимера (порядка  $10^{-12} - 10^{-14}$  Ом/см), вызываемая частичным пиролизом. По ф-лам теории абс. скоростей  $r$ -ции рассчитана энтальпия ( $\Delta H$ ) и энтропия ( $\Delta S$ ) активации диэлектрической релаксации.  $\Delta H$  равно 63 ккал/мол,  $\Delta S$  равна 122, 115 и 107 энтр. ед. соответственно для образцов с 2,6 и 11% дивинилбензола и 5% акрилонитрила. Расчет распределения  $\tau$ , проведенный по описанному ранее методу (РЯХим, 1954, 17914), показывает удовлетворительное совпадение между функциями распределения, вычисленными по  $\epsilon'$  и по  $\epsilon''$ . И. С. 25891.

**Полимеризация акрилонитрила в гомогенном растворе.** Томас, Глэсон, Пеллон (Acrylonitrile polymerization in homogeneous solution. Thomas W. M., Gleason E. H., Pellon J. J.), J. Polymer Sci., 1955, 17, № 84, 275—290 (англ.)

Исследована кинетика полимеризации нитрила акриловой к-ты (I) в  $r$ -рах диметилформамида (II) и этиленкарбоната (III) при 50 и 60° и определены мол. веса образующихся полимеров; инициаторы — динитрилы азодизомасляной и азодиклогексанкарбонной к-т, мол. веса рассчитывались из вискозиметрии. данных по ур-нию  $[\eta] = 1,75 \cdot 10^{-4} (53 P) 0,66 (\eta \text{ в } 0,1 \text{ л на } 1 \text{ г})$ . Найдено, что скорость полимеризации I в исследованных  $r$ -рителях передается ур-нием  $V = kc^{1/2}M^{3/2}$  ( $c$  и  $M$  — конц-ии инициатора и мономера); полная энергия активации 21 ккал/моль. Исходя из данных о мол. весах полученных полимеров рассчитаны значения  $k_n/k_p$  ( $k_n$  и  $k_p$  — константы скоростей  $r$ -ций передачи и роста цепи): II  $10^{-3}$ , III  $10^{-4}$ . Добавка в систему  $\text{CCl}_4$  не влияет на мол. веса образующихся полимеров;  $\text{SnCl}_4$ , 2-меркаптоэтанол и 2-пропанол уменьшают его (первый незначительно). Полученные результаты рассмотрены в свете обычных представлений о механизме полимеризации в гомог.  $r$ -ре, принимая, что радикалы, образующиеся при передаче цепи через  $r$ -ритель менее реакционноспособны, чем обычные полимерные радикалы. Различие между гетерог. и гомог. полимеризацией I связано, по мнению авторов, с тем, что в первом случае происходит, с одной стороны, застревание радикалов в массе полимера, в результате чего к ним прекращается доступ мономера, а с другой — обогащение системы инициатором. А. П. 25892.

**Полимеризация стирола и винилацетата, катализируемая гидроперекисью *трет*-бутила и ее производными.** Уно, Окамура (t-Butyl hydroperoxide 及びその誘導体によるスチレン及び酢酸ビニルの重合・宇野虹児・岡村誠二), 高分子化学, Кобунсатсу, Chem. High Polymers, 1953, 10, № 104, 535—539 (япон.)

Синтезированы: гидроперекись *трет*-бутила (I), перекись ди-*трет*-бутила (II), *трет*-бутилпербензоат (III), *трет*-бутил-2, 2, 2-трихлорэтилперекись (IV) и 2, 2-ди-*трет*-бутилпероксипропан (V) (чистота определялась по метрически). Каталитич. активность при полимеризации стирола: IV  $>$  I = II  $>$  III  $>$  V; при полимеризации винилацетата: III = IV  $>$  V  $>$  I  $>$  II. Р. М. 25893.

**Полимеризация хлоропрена в присутствии  $\omega$ -полимера хлоропрена.** Праведников А. Н.,

Медведев С. С., Докл. АН СССР, 1955, 103, № 3, 461—464

С помощью весов Мак-Бена исследована кинетика полимеризации хлоропрена в присутствии  $\omega$ -полимера хлоропрена при 5—105°. Показано, что при 5—35° течение  $r$ -ции передается ур-нием  $dW/dt = kW$ , где  $W$  — вес  $\omega$ -полимера. При 18°  $k = 13 \cdot 10^{-6}$  сек.<sup>-1</sup> Энергия активации процессов, характеризующих константой  $k$  (иницирование), равна при 5—25° 4—5 ккал/моль; повышение  $t$ -ры выше 25° приводит к уменьшению скорости полимеризации. При  $t$ -рах  $> 35^\circ$  приведенное выше соотношение не соблюдается. Размягчение  $\omega$ -полимера, как показали термомеханич. испытания, происходит при 17—20°. Отмечается, что  $\omega$ -полимер хлоропрена активными свойствами не обладает. На основании полученных данных высказаны следующие предложения о механизме  $\omega$ -полимеризации хлоропрена. Протекание полимеризации внутри сильно сшитого, практически застеклованного полимера, каким, по видимому, является  $\omega$ -полимер, приводит к деформации полимерных молекул и к возникновению локализованных напряжений в полимере, которые, в конечном итоге, приводят к разрыву отдельных полимерных цепей, препятствующих основной массе полимерных молекул принять наиболее выгодные конфигурации; разрывы полимерных молекул вызывают образование свободных радикалов, способных инициировать полимеризацию. При низких  $t$ -рах обрыв цепи, по видимому, не играет существенной роли, и поэтому скорость полимеризации в этом случае пропорциональна весу  $\omega$ -полимера.  $R$ -ция инициирования при таком механизме полимеризации должна иметь энергию активации того же порядка, что и  $r$ -ция роста цепи. Процесс образования зародыша  $\omega$ -полимера происходит следующим образом: в полимеризационной системе, вследствие флуктуаций концы полимерных молекул и свободных радикалов, возникают области, степень сшитости которых очень велика. Локальное понижение константы скорости  $r$ -ции обрыва способствует усилению сеткообразованию в таких сшитых областях. Это приводит к образованию слабо набухающих, практически застеклованных участков полимеризационной системы, при полимеризации внутри которых происходят рассматриваемые выше закономерности. А. П. 25894.

**Влияние передатчиков цепи на скорость полимеризации при полимеризации жидкого винилхлорида.** Брейтенбах, Шиндлер (Beeinflussung der Polymerisationsgeschwindigkeit durch Kettenübertragung bei der Polymerisation des flüssigen Vinylchlorids. Breitenbach J. W., Schindler A.), Monatsh. Chem., 1955, 86, № 3, 437—443 (нем.)

Исследована кинетика полимеризации винилхлорида (I) в присутствии  $\text{CBr}_4$  и додецилмеркаптана (II) при 30—60°, и определены мол. веса образующихся полимеров; инициаторы — перекись бензоила, динитрил азодизомасляной к-ты и азодиклогексилнитрил; мол. веса рассчитывались из вискозиметрии. данных (20°) по ур-нию  $\lg [\eta] = 0,85 \lg P - 0,42 (\eta \text{ в } \text{мл/г})$ . Показано, что введение в систему  $\text{CBr}_4$  или II увеличивает скорость полимеризации и устраняет автокаталитич. характер  $r$ -ции. При достаточно высоких конц-иях передатчика скорость полимеризации проходит через максимум, медленно уменьшаясь после достижения максим. значения. Указанный эффект не зависит ни от природы инициатора, ни от его конц-ии, ни от  $t$ -ры полимеризации. Увеличение скорости полимеризации I в присутствии передатчиков цепи авторы объясняют взаимодействием этих соединений со стабильными радикалами, образующимися при передаче цепи через мономер, в результате чего вновь образуются реакционно-способные радикалы. А. П.

25895. Сополимеры обыкновенные и сополимеры «привитые». Структура полиамфолитов и взаимодействия кислотных и основных групп. Ван-Пассен, Сметте (Copolymères ordinaires et copolymères greffés. Structure de polyampholytes et interactions acide-base. Van Paesschen G., Smets G.), Bull. Soc. chim. belges, 1955, 64, №3—4, 173—188 (франц.)

Синтезированы два типа сополимеров (СП) акриловой к-ты и 2-винилпиридина: путем полимеризации в р-ре получены обычные СП с правильным чередованием акриловых и пиридиновых мономерных единиц; путем полимеризации в блоке — «привитые» СП, в которых главная однородная цепь полиакриловой к-ты имеет боковые поливинилпиридиновые ответвления (в разных фракциях 37, 55 и 75% винилпиридина). Структурные различия этих двух типов полиэлектролитов сказываются на свойствах их р-ров. Изучено изменение приведенной уд. вязкости в кислой и основной средах при частичной и полной нейтр-ции карбоксильной и пиридиновой групп. Показано, что накопление зарядов одного знака вызывает разветвление цепей. В случае обычных СП силы электростатич. отталкивания влияют на цепь в целом и это влияние сказывается одинаково как в кислой, так и в щел. среде. В случае же привитых СП силы отталкивания влияют либо только на главную цепь (карбоксилаты в щел. среде), либо на боковые цепи (соли пиридиния в кислой среде). Вискозиметрич. поведение СП в кислой и щел. средах зависит от преобладающего значения главной или боковых цепей. Изучение вязкости водн. р-ров смесей СП винилпиролидона с акриловой к-той и винилпиролидона с винилпиридином подтвердило роль взаимодействия идентичных функциональных групп. С. Г.

25896. Реакции  $\alpha, \alpha'$ -дифенил- $\beta$ -пикрилгидразила с длинноцепочечными свободными радикалами, образующимися при озвучивании метилового эфира полиметакриловой кислоты. Хенглейн (Die Reaktion des  $\alpha, \alpha'$ -Diphenyl- $\beta$ -pikryl-hydrazyls mit langkettigen freien Radikalen, die beim Ultraschallabbau von Polymethacrylsäuremethylester gebildet werden. Henglein Arnim), Makromolek. Chem., 1955, 15, № 2/3, 188—210 (нем.)

Озвучивание бензольных р-ров фракционированного полиметилметакрилата (I) с добавками  $\alpha, \alpha'$ -дифенил- $\beta$ -пикрилгидразила (II) проводилось с помощью кварцевого генератора (500 кГц) при 17—20°. Средняя сте-

пень полимеризации исходного I P и озвученного P<sub>о</sub> вычислялась из вискозиметрич. измерений. Расход II определялся спектрофотометрически. В отсутствие O<sub>2</sub> в р-рах I с P < 20, а также в присутствии эфира изомасляной к-ты, имеющего структуру, подобную структуре I, заметного расхода II не наблюдается. При P > 200 скорость расхода II ( $\Delta E$ ) при постоянной конц-ции I возрастает с увеличением P и проходит через максимум при P ~ 2·10<sup>4</sup>. При постоянном P концентрационная зависимость  $\Delta E$  имеет максимум, положение которого определяется вязкостью р-ра. При малых конц-циях I  $\Delta E = k \lg P/P_e$ , где k — постоянная, при средних конц-циях  $\Delta E = k(P - P_e)$ . При очень высоких P (вязкие р-ры) оба закона не применимы. Отношение (V) числа израсходованных молей II к числу разорванных связей в среднем равно 1,72, из них приблизительно половина входит в полимер. Легкая окисляемость продуктов р-ции и их спектры поглощения приводят авторов к выводу, что деструкция в этих условиях имеет механич. природу. При разрыве связи из I образуется 2 радикала различной реакционной способности: C(CH<sub>3</sub>)COOCH<sub>3</sub> (III) и C(CH<sub>3</sub>)(COOCH<sub>3</sub>)CH<sub>2</sub> (IV). III реагирует с I, присоединяясь к фенольному кольцу. При окислении (напр., PbO<sub>2</sub>) это соединение превращается в длинноцепочный свободный радикал, окрашенный в фиолетовый цвет. Более реакционноспособный радикал IV реагирует с р-рителем:  $\dot{P} + C_6H_5 \rightarrow P + \dot{C}_6H_5$ ;  $C_6H_5 + I \rightarrow C_6H_5I$  (P — полимерный радикал). В присутствии O<sub>2</sub> расход II не связан стехиометрически с числом расплеченных связей, V > 2. Авторы принимают, что P + O<sub>2</sub> дает PO —  $\dot{O}$  — пероксид-радикал, вступающий в р-цию с II или с р-рителем. Р. М.

25897. Действие радиоактивного излучения на высокополимеры (в частности полиэтилен). Кайндль (Die Wirkung radioaktiver Strahlung auf Hochpolymere (insbesondere Polyäthylen). Ka indl K.), Österr. Chem.-Ztg., 1955, 56, № 11—12, 164—171 (нем.)

Обзор. Библ. 19 назв.

См. также: Синтезы высокомогл. в-в 25557, 25558, 25564, 25599, 25746, 26926, 27057, 27100, 27118, 27124, 27125, 27127—27129, 27135—27137, 27168, 27170—27176, 27187, 27190—27192, 27201—27216, 27220—27223, 27225—27238, 27245, 27268, 27269, 27314, 27358, 27360, 27362, 27407—27409, 27434

## АНАЛИТИЧЕСКАЯ ХИМИЯ

### ОБЩИЕ ВОПРОСЫ

25898. Отчет о заседании секции аналитической химии и микрохимии Голландского химического общества. Хукке (Verslag van de vergadering van de Sectie voor Analytische- en Microchemie, gehouden op 14 Juli 1955 te Rotterdam. Hoeke F.), Chem. weekbl., 1955, 51, № 45, 799—800 (голл.)

25899. Ультрамикроанализ. Лонго (Ultramicroanalysis. Longo Rafael E.), Inform. quim. analit., 1955, 9, № 4, 115—121 (исп.)

Популярная статья. Б. А.  
25900. Обработка результатов химического анализа и результатов любого определения. Литяну (Prelucrarea rezultatelor analizei chimice și în general a rezultatelor oricărei determinări. Liteanu C.), Rev. chim., 1954, 5, № 12, 591—595 (рум.; рез. русс.)

Указано, что оценка погрешностей в хим. анализе не может быть выполнена обычными статистич. методами, приемлемыми для большого числа наблюдений (n > 30). При хим. анализе выполняется относительно небольшое число определений (2—3), и точность результатов связана с числом определений. Для суждения о точности выполненной работы, а также для сравнения различных методов анализа необходимо приводить сведения о величине среднего арифметич., о числе выполненных определений, а также о разбросе результатов. М. К.

25901. Новая схема качественного неорганического анализа с использованием хроматографии. Группа серебра. Сен, Рай (A new scheme for qualitative inorganic analysis based on chromatography: Silver group metals. Sen Binayendra Nath, Ray Kuladaranjan), J. Scient. and

Industr. Res., 1955, (B—C) 14, № 8, B421 (англ.)

Наносит 1—2 капли испытуемого р-ра, содержащего  $\text{Ag}^+$ ,  $\text{Pb}^{2+}$ ,  $\text{Hg}^+$  и подкисленного  $\text{HNO}_3$  (рН 1—2), на меловой карандаш на расстоянии нескольких мм от поверхности жидкости (вода), карандаш удерживают в вертикальном положении, пока фронт воды не поднимается доверху, затем его выдерживают во влажном состоянии в парах. конц.  $\text{HN}_3\text{OH}$ . В присутствии  $\text{Hg}^+$  посредине карандаша появляется черная полоса; при опрыскивании карандаша 2%-ным р-ром  $\text{K}_2\text{CrO}_4$  в присутствии  $\text{Pb}^{2+}$  в месте нанесения испытуемого р-ра появляется желтая полоса; при выдерживании карандаша над конц.  $\text{HNO}_3$  в присутствии  $\text{Ag}^+$  появляется красная полоса в верхней части карандаша. Разделение происходит быстро (10—15 мин.). Аналогичные результаты получены с карандашами из  $\text{CaSO}_4$ . А. З.

25902. Произведение растворимости гидроокисей некоторых редких элементов. Коренман И. М., Ж. общ. химии, 1955, 25, № 10, 1859—1861

Произведения растворимости гидроокисей некоторых редких элементов, вычисленные на основании данных о рН начала их осаждения, являются величинами одного и того же порядка для каждой гидроокиси и в среднем при 18° имеют следующие значения:  $\text{La}(\text{OH})_3$   $5 \cdot 10^{-21}$ ;  $\text{Ce}(\text{OH})_3$   $5 \cdot 10^{-23}$ ;  $\text{Pr}(\text{OH})_3$   $7 \cdot 10^{-24}$ ;  $\text{Nd}(\text{OH})_3$   $5 \cdot 10^{-24}$ ;  $\text{Sm}(\text{OH})_3$   $5 \cdot 10^{-24}$ ;  $\text{Y}(\text{OH})_3$   $1 \cdot 10^{-24}$ ;  $\text{Th}(\text{OH})_4$   $4 \cdot 10^{-45}$ ;  $\text{Ce}(\text{OH})_4$   $2 \cdot 10^{-48}$ ;  $\text{Zr}(\text{OH})_4$   $8 \cdot 10^{-52}$ .  $\text{La}(\text{OH})_3$ , являющаяся наиболее сильным основанием среди гидроокисей редкоземельных металлов, отличается большим произведением растворимости. Произведения растворимости для  $\text{M}(\text{OH})_3$  значительно меньше, чем для  $\text{M}(\text{OH})_4$ . Ф. Л.

25903. Применение насыщенных растворов. Гальвес-Лагарта (Disoluciones valoradas per se. Gálvez Laguarda Eduardo M.), Inform. quim. analit., 1954, 8, № 5, 153—156 (исп.)

Применение насыщ. р-ров при аналитич. объемных определениях упрощает метод работы и расчет, что особенно важно для технич. лабораторий. Обсуждено применение насыщ. р-ров  $\text{Ca}(\text{OH})_2$ ,  $\text{H}_3\text{BO}_3$ , салициловой к-ты, винной к-ты и др. Рекомендуется составление таблиц для перевода конц-ии насыщ. р-ров в единицы нормальности. Ю. М.

25904. Номограмма для концентраций растворов, измеренных с помощью цепей с несогласующимися константами. Блейк (A correlation chart for solution concentrations measured by circuits whose constants are not in agreement. Blake G. G.), Analyt. chim. acta, 1955, 13, № 4, 393—395 (англ.; рез. нем. франц.)

Построены графики зависимости между конц-ией р-ра и показаниями микроамперметра при использовании радиочастотного метода анализа. Графики относятся к 0,01—1 н. р-рам, исследованным различными методами. Даны 3 графика для измерений с выпрямленными радиочастотами (для различных состояний между электродами на кондуктометрич. ячейке), 2 графика для низкочастотного метода, график для стандартных р-ров и график зависимости сопротивлений небольших кол-в р-ров  $\text{KCl}$ , помещенных в низкочастотную кондуктометрич. ячейку небольшого диаметра, от их конц-ии. Оба последних графика обнаруживают связь между высокочастотными измерениями и стандартным сопротивлением любого р-ра  $\text{KCl}$ . Приводятся электрич. схемы, использованные для получения графиков при измерении с выпрямленными радиочастотами и при измерении низкочастотным методом. Н. П.

25905. Изучение органических реактивов. 2. Три изомера фурилдиоксима. 3. Оксалендиамидоксим, оксалендиуранидиоксим и их сложные никелевые соли. Сиира, Ёсикава, Симура (有機分

析試薬に関する研究. (第2—3報). (第2報). フリルジオキシムの3種の異性体について. (第3報). オキサゼン-ジアミドオキシム並びにオキサゼン-ジウラミドオキシムとそのニッケル錯塩について. 新良安一郎, 吉川光一, 志村博), 日本化学雑誌, Нихон кагаку дзасси, J. Chem. Soc. Japan. Pure Chem. Sec. 1953, 75, № 5, 353—357 (япон.)

Сообщение 2. Синтезированный фурилдиоксим состоит из равных кол-в  $\alpha$  (анти)- и  $\gamma$  (амфи)-изомеров. Только антиформа вступает в р-цию с  $\text{Ni}$ , образуя нерастворимый осадок. Синтезированный фурилдиоксим, являющийся смесью  $\alpha$ - и  $\gamma$ -изомеров, превращается в  $\beta$ -(син)-форму. вновь изолированная  $\gamma$ -форма имеет т. пл. 184—185°. Кривая поглощения этих трех форм одинакова.

Сообщение 3. Оксалендиамидоксим  $[\text{H}_2\text{NC}(\text{NOH})-\text{N}]_2$  и оксалендиуранидиоксим  $[(\text{H}_2\text{NCONHC}(\text{NOH})-\text{N})_2]$  образуют с  $\text{Ni}$  внутренний комплекс типа  $\text{Ni I}_2$  и  $\text{Ni II}_2$  в противоположность ф-ле  $\text{Ni I} (\text{NH}_3)$ , предложенной Фейллем. Сообщение I см. РЖХим, 1956, 4087.

Chem. Abstrs, 1953, 47, № 20, 10398. К. Yamasaki

25906. Изучение органических реактивов. 4. Хинальдиновая кислота и ее феррокомплексы. Сиира, Ёсикава (有機試薬に関する研究. (第4報). キナルジン酸とその第一鉄錯塩について. 新良安一郎, 吉川光一), 日本化学雑誌, Нихон кагаку дзасси, J. Chem. Soc. Japan. Pure Chem. Sec., 1953, 74, № 8, 644—647 (япон.)

Хинальдиновая к-та образует с  $\text{Fe}^{2+}$  красный комплекс с максимумом поглощения при 510  $\mu\text{m}$ . Р-р подчиняется закону Бера.

Chem. Abstrs, 1954, 48, № 5, 2507. К. Yamasaki

25907. Изучение органических реактивов. 5. Комплексы соли двухвалентного железа и пиколиновой и хинальдиновой кислот. Сиира, Ёсикава (有機試薬に関する研究. (第5報). ピコリン酸とキナルジン酸の第一鉄錯塩について. 新良安一郎, 吉川光一), 日本化学雑誌, Нихон кагаку дзасси, J. Chem. Soc. Japan. Pure Chem. Sec., 1954, 75, № 1, 44—46 (япон.)

Пиколиновая к-та (I) образует с  $\text{Fe}^{2+}$  оранжевый комплекс  $\text{Fe I}_3$ , максимум поглощения которого находится при 440  $\mu\text{m}$ . Р-ры подчиняются закону Бера.  $\text{Ni}$ ,  $\text{Cu}$  и  $\text{Zn}$  не мешают, так как их комплексы не поглощают при 440  $\mu\text{m}$ . Комплекс хинальдиновой к-ты и  $\text{Fe}^{2+}$  имеет аналогичный состав и поглощает при 510  $\mu\text{m}$ . Б. Б.

25908. Изучение органических реактивов. 6. Кондуктометрическое титрование 8-оксихинолином. Сиира, Като, Номидзо (有機試薬に関する研究. (第6報). オキシシンによる電導度滴定. 新良安一郎, 加藤武, 野靖靖), 日本化学雑誌, Нихон кагаку дзасси, J. Chem. Soc. Japan. Pure Chem. Sec., 1954, 75, № 1, 46—48 (япон.)

Проведено кондуктометрич. титрование сульфата меди 8-оксихинолином и 8-оксихинолина при помощи  $\text{HCl}$ . Б. Б.

25909. Изучение окислительно-восстановительных реакций при объемном анализе. IV. Окисление хлораминном Т. Подмонохлоридный метод. Сингх, Суд (Volumetric studies in oxidation-reduction reactions. IV. Oxidation with chloramine-T. Iodine monochloride method. Singh B. A., Sood Krishan Chander), Analyt. chim. acta, 1955, 13, № 4, 301—304 (англ.; рез. франц., нем.)

В предложенном ранее (РЖХим, 1955, 21377) методе определения  $\text{KJ}$ ,  $\text{N}_2\text{H}_4$ ,  $\text{As}_2\text{O}_3$ ,  $\text{SnCl}_2$ ,  $\text{Sb}_2\text{O}_3$ ,  $\text{KCNS}$  и  $\text{FeSO}_4$  хлорамин В заменен хлораминном Т. Сообщение III см. РЖХим, 1956, 16331. Б. А.

25910. Применение оснований вариаминка синего в качестве редокс-индикатора и его свойства. Эрден, Залаи, Бодор (Variaminkéltípusú új re-



dox-indikátorok előállítás és vizsgálata. Erdey László, Zalay Endre, Bodor Endre), Vegyipari kut. int. közl., 1954, 4, 16—21 (венг.; рез. русс.; нем.)

Выделены продукты окисления основания вариамин синего, употребляемого в качестве редокс-индикатора (РЖХим, 1954, 48518), и описаны вновь полученные производные. Мерихиноидное производное не обладает парамагнитными свойствами; хинондиимидное производное образует с анилином, фенолом и *л*-аминобензолсульфамидом мерихиноидные производные. Получены также ацетил-, диацетил-, бензаль- и бензилпроизводные основания вариамин синего. Осуществлен синтез 2,4-диамино-4'-метоксибензилламина, 4-амино-1-(4'-метоксифенил)-нафтиламина, 4-амино-3,4'-диметоксифениламина и 4-амино-2',4'-динитрофениламина и исследованы свойства указанных соединений в качестве редокс-индикаторов. Т. Л. 25911. Получение и стандартизация растворов перхлората церия в хлорной кислоте. Смит (Preparation and standardization of perchloroteric acid solutions in perchloric acid. Smith G. Fredrick), *Analyt. Chem.*, 1955, 27, № 7, 1142—1144 (англ.)

Метод получения перхлората  $Ce(4+)$  заключается в восстановлении  $p$ -ра  $(NH_4)_2Ce(NO_3)_6$  при помощи  $H_2O_2$  до  $Ce(NO_3)_3$ , получении  $p$ -ра  $CeCl_3$  в среде  $HCl$ , кипячении  $CeCl_3$  с избытком  $HClO_4$  (образуется  $Ce(ClO_4)_3$ ) и электроокислении  $Ce(3+)$  до  $Ce(4+)$ . Образующиеся в реакционной колбе пары проходят через колбу Кьельдаля с боковым отверстием (емк. 500—800 мл) и поглощаются ~800 мл конц.  $NaOH$  в 1-л колбе для фильтрования. Для электроокисления  $Ce(3+)$  в  $Ce(4+)$  употребляют сетчатый  $Pt$ -анод (50—75 мм), подвешенный в центре реакционного стакана; катодом служит  $Pt$ -проволочка (длина 100 мм, диам. 0,5 мм), помещенная у боковой стенки стакана. 3 сухие батареи по 0,5 в дают возможность окислить  $Ce(3+)$ , полученный из 220 г  $(NH_4)_2Ce(NO_3)_6$ . Навеску последнего растворяют при 60° в 120 мл воды, добавляют небольшими порциями 25 мл разб.  $H_2O_2$  (1:100) до обесцвечивания  $p$ -ра и нагревают до кипения. 500 мл  $HCl$  (уд. в. 1,19) прибавляют порциями по 25 мл к  $p$ -ру, с периодич. кипячением, после чего  $p$ -р упаривают до ~200 мл. К полученному  $p$ -ру добавляют несколько кусочков карборунда и 240 мл 70%-ной  $HClO_4$  и нагревают до выделения паров  $HClO_4$ . Разб. до 500 мл  $p$ -р подвергают электроокислению (20—24 час.) и разбавляют до 600 мл. Для стандартизации ~0,1 н.  $Ce(4+)$  употребляют  $p$ -р  $Na_2C_2O_4$  в  $HClO_4$ ; индикатором служит 0,025  $M$   $p$ -р нитроферрина. Л. А. 25912. Общее рассмотрение экстракции неорганических соединений растворителями. Эрвинг, Россотти, Вильямс (A general treatment of the solvent extraction of inorganic compounds. Irving H., Rossotti F. J. C., Williams R. J. P.), *J. Chem. Soc.*, 1955, June, 1906—1919 (англ.)

Равновесие между простыми и комплексными ионами в системе из двух несмешивающихся жидкостей авторы рассматривают на основе концепции ступенчатого равновесия (Bjerrum, Metal ammine formation in aqueous solution. Copenhagen, Naase, 1941) и трактовки изотерм распределения по Нернсту (Nernst, *Z. phys. Chem.*, 1891, 8, 110). Для идеальных систем выведено соотношение между коэфф. распределения и средним составом компонентов в каждой фазе. Решение полученного ур-ния в частных производных для переменной конц-ии одного и постоянной конц-ии остальных компонентов может быть использовано для определения относительной степени ассоциации ионов металла с ионами водорода или комплексобразователя

в каждой фазе. Описываемые способы применимы для оценки коэфф. распределения и констант устойчивости комплексов в простых идеальных системах и позволяют сделать заключение о возможной природе комплексов, образующихся в более сложных системах. В некоторых случаях комплексы, экстрагируемые органич.  $p$ -рителем, присутствуют в водн. фазе в ничтожной конц-ии по сравнению с общим содержанием металла. На величину коэфф. распределения в неидеальных системах влияют изменения взаимной смешиваемости водн. и органич. фазы при добавлении минерал. к-т или солей. Добавление минер. к-т и их солей влияет на величину коэфф. распределения и констант устойчивости комплексов, на отношение объемов водн. и органич. фазы и изменяет процент экстракции. В случаях реэкстракции кривая зависимости процента экстракции от конц-ии добавки проходит через максимум. Исходя из возможного взаимодействия между органич.  $p$ -рителем, водой и распределяемым в-вом, авторы считают невозможным указать универсальный ряд эффективности экстрагентов. Отмечено существование эмпирич. закономерностей, в отдельных случаях облегчающих выбор экстрагентов. Так, зачастую низшие члены гомологич. рядов экстрагируют неорганич. соединения с большей эффективностью, чем высшие. В отсутствие к-т с увеличением смешиваемости фаз эффективность экстракции возрастает. В ряду комплексов 3-валентных металлов с 8-оксихинолином, в которых центральный атом экранирован от  $p$ -рителя, сольватация водой или органич.  $p$ -рителем настолько мала, что различие экстрагируемости отдельных комплексов можно отнести за счет последовательных равновесий. В таких случаях расположение металлов в ряд по возрастающей экстрагируемости не должно зависеть от природы экстрагирующего  $p$ -рителя. Если же сольватировать водой и органич.  $p$ -рителем меняется от одного комплекса к другому, порядок экстрагируемости зависит от природы комплекса и экстрагента. Поскольку изменение содержания к-ты в водн. фазе влияет на относительную активность обоих  $p$ -рителей, относительная экстрагируемость двух металлов в данной органич. экстрагент может зависеть от кислотности. Н. П. 25913. Экстракция следовых количеств индия из кислых растворов бромидов в изобутилметилкетон. Эрвинг, Россотти (The extraction of indium at tracer concentrations from acid-bromide solutions into isobutyl methyl ketone. Irving H., Rossotti F. J.), *J. Chem. Soc.*, 1955, June, 1927—1937 (англ.)

Изучался состав соединений  $In$ , экстрагируемых изобутилметилкетон (I) из водн.  $p$ -ров  $HBr$  (II), а также влияние различных факторов на величину отношения распределения ( $q$ )  $In$  между I и II. Определив  $q$  как отношение общей конц-ии  $In$  в I к общей конц-ии  $In$  в водн. фазе, авторы исследовали зависимость этой величины от конц-ии II и ионов  $In^{3+}$  (меченого  $In^{114}$ ),  $H^+$  и  $Br^-$ . При распределении  $In$  между 0,4—1 н.  $p$ -рами II в присутствии или в отсутствие  $KNO_3$  величина  $q$  не зависит от общей конц-ии  $In$  до  $\sim 10^{-5}$   $M$ . В этой области конц-ий  $In$  в водн. фазе присутствуют только одноядерные частицы:  $In^{3+}$ ,  $InBr^{2+}$ ,  $InBr_2^+$ ,  $InBr_3$ ,  $InBr_4^-$  и ацидокомплекс  $HInBr_4$  (III). При более высокой конц-ии  $In$   $q$  уменьшается. С понижением конц-ии  $H^+$  в присутствии постоянного избытка  $KBr$  или  $NaBr$  (0,2  $M$ ) в  $7,92 \cdot 10^{-5}$   $M$   $p$ -ре  $In$ ,  $q$  уменьшается до некоторого постоянного значения, достигаемого при сравнительно высоких  $pH$ , когда частная производная  $(\partial \lg q / \partial \lg [H^+]) / [Br^-]$  стремится к нулю. Следовательно, в этих условиях I экстрагирует комплекс, не содержащий  $H^+$ :  $NaInBr_4$ ,  $KInBr_4$  или  $InBr_3$ . При низких значениях  $pH$  величина этой производной стре-

мится к 1. Очевидно, из сильно кислых р-ров I извлекается главным образом III.  $q$  возрастает и с увеличением конц-ии ионов  $\text{Br}^-$  в водн. р-ре  $\text{KBr}$ , причем при  $[\text{H}^+] = 0,0016$ ; 0,20 и 0,26  $\text{г-ион/л}$  производная  $(\partial \lg q / \partial \lg [\text{Br}^-])_{[\text{H}^+]}$  соответственно равна 1,6; 2,3 и 2,4. При  $\text{pH} \sim 3$  I экстрагирует из р-ра  $\text{InBr}_3$  а из более сильноокислого р-ра ( $[\text{H}^+] > 0,1 \text{ M}$ ) III или  $\text{KInBr}_4$ . В р-рах  $\text{NaBr}$  производная  $(\partial \lg q / \partial \lg [\text{Br}^-])_{[\text{H}^+]}$  при  $[\text{H}^+] = 0,2 \text{ M}$  и  $0,0016 \text{ M}$  равна 2,3. На этом основании, а также по результатам изучения зависимости  $q$  от  $[\text{H}^+]$ , сделан вывод, что при низкой кислотности водн. р-ра, I экстрагирует  $\text{NaInBr}_4$ . В присутствии и отсутствии индифферентной соли ( $\text{KNO}_3$ )  $q$  возрастает с увеличением конц-ии  $\text{HBr}$ . Добавление  $\text{KNO}_3$  вызывает уменьшение  $q$  и увеличение производной  $(\partial \lg q / \partial \lg C_{\text{HBr}})$ . На основе величин этой производной и  $(\partial \lg q / \partial \lg [\text{Br}^-])_{[\text{H}^+]}$  подтверждена экстракция III из сильноокислых р-ров I. Пользуясь ранее опубликованными величинами первых трех последовательных констант образования бромидных комплексов  $\text{In}$  (РЖХим, 1955, 37086), предположено, что  $K_4 < 0,2$ , а константа устойчивости  $\beta_4 = 200$ . В водной фазе, даже при высокой конц-ии иона  $\text{Br}^-$ ,  $\text{InBr}_4^-$  присутствует в относительно малых кол-вах и из сильноокислых сред I экстрагирует главным образом III;  $\text{InBr}_3$  почти не переходит в органич. слой, хотя в водн. р-рах в широком интервале конц-ий  $[\text{Br}^-]$  образуется гораздо больше  $\text{InBr}_3$ , чем III. Из р-ров, содержащих  $\text{MNO}_3$  ( $\text{M} = \text{K}, \text{Na}$ ), I экстрагирует наряду с III,  $\text{MinBr}_4$ . Результаты изучения экстракции бромидного комплекса  $\text{In}$  укладываются в ур-ния, ранее выведенные для идеальных систем (см. предыдущий реф.). Н. П.

**25914. Экстракция индия при макроконцентрациях из брометоводородной кислоты в изобутилметилкетон и этиловый эфир. Эрвинг, Россотти** (The extraction of indium at macro-concentrations from hydrobromic acid into isobutyl methyl ketone and diethyl ether. Irving H., Rossotti F. J. C.), J. Chem. Soc., 1955, June, 1938—1946 (англ.)

Изучалось влияние конц-ии  $\text{In}$  (меченного постоянного кол-вом  $\text{In}^{111}$ ) на величину отношения распределения  $q$  (см. предыдущий реф.)  $\text{In}$  между р-рами  $\text{HBr}$  (I) и изобутилметилкетон (II) или этиловым эфиром (III) и природа образующихся бромидных комплексов  $\text{In}$ . Величина  $q$  между 0,20; 0,39 или 0,975 и I и II при  $\sim 10^{-6} \text{ M}$   $\text{In}$  не зависит от конц-ии  $\text{In}$ . В более конц. р-рах  $\text{In}$  величина  $q$  для той же системы при всех указанных кислотностях непрерывно падает с увеличением конц-ии  $\text{In}$ , что объясняется явлениями ассоциации  $\text{In}$  в водн. фазе. На превышение степени ассоциации  $\text{In}$  в водн. фазе относительно II указывает отрицательное значение производной  $(\partial \lg q / \partial \lg C_{\text{In}})_{[\text{HBr}]}$  в области макроконцентраций  $\text{In}$ . Эксперим. значение производной — 0,5 находится в интервале  $0 > (\partial \lg q / \partial \lg [\text{In}])_{[\text{HBr}]} > -1$ , отвечающем сосуществованию одноядерных и двудерных частиц в водн. фазе и экстракция органич. р-рителем только мономерной формы. График зависимости  $\lg$  конц-ии  $\text{In}$  в II от  $\lg$  конц-ии  $\text{In}$  в р-рах I в очень разб. р-рах I имеет наклон, равный единице. В более конц. р-рах  $\text{In}$  величина наклона прямой стремится к 0,5, что указывает на значительную димеризацию  $\text{In}$  в его 0,1 M р-рах. Авторы исключают возможность образования гидроксидсодержащих димеров и показывают, что в водн. фазе основное значение имеет димер  $\text{In}_2\text{Br}_6$ . Аналогичная вышеуказанной зависимость между  $q$  и конц-ией  $\text{In}$  получена для распределения  $\text{In}$  между II и 0,2; 0,375 или 0,563 M р-рами I, ионная сила которых добавлением  $\text{KNO}_3$  доведена до 1 M. Наклон ветвей билгарифмич. графика точно соответствует выше рассмотренному случаю распределе-

ния  $\text{In}$  между II и р-рами I в отсутствие  $\text{KNO}_3$ . Однако при равной кислотности водн. фазы  $q$  меньше в присутствии  $\text{KNO}_3$ , чем в его отсутствие. На основе полученных данных сделано заключение, что в присутствии  $\text{KNO}_3$  преобладающим димером водн. фазы является  $\text{In}_2\text{Br}_7^-$ , который, подобно  $\text{In}_2\text{Br}_6$ , плохо экстрагируется II. Согласно данным анализа, в II при макроконцентрациях  $\text{In}$  переходит в ацидокомплекс  $\text{HInBr}_4$ . Для указанных димеров расчетные значения констант равновесия  $\beta_{2,6}$  и  $\beta_{2,7}$  соответственно равны  $3 \cdot 10^{12} - 10^{13}$  и  $\sim 10^{13}$ . Константы димеризации для р-ций  $2\text{InBr}_3 \rightleftharpoons \text{In}_2\text{Br}_6$  и  $\text{InBr}_3 + \text{InBr}_4^- \rightleftharpoons \text{In}_2\text{Br}_7^-$  соответственно равны  $5 \cdot 10^5 - 4 \cdot 10^6$  и  $\sim 10^7$ . Образование гидроксидсодержащих димеров исключается. При распределении  $\text{In}$  между III и 1,80—3,24 и. р-рами I в отсутствие  $\text{KNO}_3$  величина  $q$  возрастает с увеличением конц-ии металла в водн. фазе. На основании результатов хим. анализа эфирных экстрактов сделан вывод, что III экстрагирует декагидрат ацидокомплекса  $\text{HInBr}_4 \cdot 10\text{H}_2\text{O}$ . Эфирный экстракт проводит электрич. ток и содержит ацидокомплекс  $\text{In}$  в виде  $\text{H}_3\text{O}^+ (\text{H}_2\text{O})_9 \text{InBr}_7^-$ . Методом спектров комб. расщ. в эфирном и метилизобутильном экстракте кислых р-ров брома  $\text{In}$  обнаружены тетраэдрич. ионы  $\text{InBr}_4^-$ . Н. П.

**25915. Экстракция хлорида трехвалентного железа неводными растворителями. Чокли, Вильямс** (The extraction of ferric chloride into non-aqueous solvents. Chalkley D. E., Williams R. J. P.), J. Chem. Soc., 1955, June, 1920—1926 (англ.)

При распределении  $\text{HCl}$  или  $\text{HBr}$  между водн. р-ром и этиловым (I) или изопропиловым (II) эфиром конц-ия к-т в органич. слое возрастает с их конц-ией в водн. фазе. При равных начальных объемах обеих фаз и конц-ии  $\text{HCl}$  в водн. р-ре 4,88 M конц-ия к-ты в I и II после распределения составляет соответственно  $1,6 \cdot 10^{-3}$  и  $2,2 \cdot 10^{-3} \text{ M}$ . При конц-ии  $\text{HCl} < 2,8 \text{ M}$  вся к-та, извлеченная I и II, нацело диссоциирована на ионы. Содержание воды в I и II, насыщ.  $\text{HCl}$ , сначала уменьшается с увеличением конц-ии последних, а затем (начиная с  $\sim 8,6 \text{ M}$   $\text{HCl}$  при экстракции с помощью I) почти не изменяется. При равных конц-иях  $\text{HCl}$  в водн. слое конц-ия воды в I выше чем в 2 раза, больше чем в II. С увеличением общей конц-ии к-ты возрастает содержание эфира в водн. фазе, что влияет на константы диссоциации к-т и величины коэфф. распределения (КР). Изменение объема фаз при смешении I с р-рами  $\text{HCl}$  значительно возрастает под влиянием добавок  $\text{CH}_3\text{OH}$  (III), что также ведет к отклонению системы от идеального поведения. Однако и в присутствии III конц-ия воды в I уменьшается с увеличением конц-ии  $\text{HCl}$  вследствие возрастания кол-ва сольватированной в водн. фазе к-ты. При различных добавках III конц-ия  $\text{HCl}$  в I изменяется в зависимости от начальной конц-ии  $\text{HCl}$  в водн. р-ре по кривой с максимумом. Появление максимума объясняется понижением конц-ии воды и III в эфирном слое. При низких конц-иях  $\text{Fe}$  и кислотности полимеризация не имеет места. Величина КР  $\text{Fe}(3+)$  между водн. р-рами  $\text{HCl}$  и I или II увеличивается с конц-ией  $\text{HCl}$  в водн. фазе. Введение III изменяет эту закономерность, и зависимость КР от конц-ии  $\text{HCl}$  выражается кривой с максимумом. Положение максимума отвечает наибольшей величине конц-ий  $\text{HCl}$  в органич. слое. Это объясняется тем, что распределение зависит не только от последовательных равновесий, но и от изменения активности р-рителя.

**25916. Экстракция галогенидов индия органическими растворителями. Эрвинг, Россотти** (The extraction of the indium halides into organic solvents. Irving H., Rossotti F. J. C.), J. Chem. Soc., 1955, June, 1946—1966 (англ.)

Изучалось распределение хлоридов, бромидов и иодидов  $\text{In}^{3+}$  (меченого  $\text{In}^{144}$ ) между водн. р-рами соответствующих к-т и некоторыми кетонами, альдегидами, спиртами, простыми и сложными эфирами. Менее подробно изучено распределение галогенидов  $\text{In}^{3+}$  ( $\text{InX}_3$ ) между к-тами и углеводородами или их хлорпроизводными. Равновесие распределения  $\text{InX}_3$  между  $\sim 10^{-5}$  М подкисленными водн. р-рами  $\text{InX}_3$  и органич. р-рителями во всех случаях устанавливается за 2—3 мин. встряхивания. Как правило, равновесный объем водн. фазы больше начального. Увеличение объема водн. слоя и распределение к-ты между фазами приводит к уменьшению кислотности водн. р-ра по отношению к ее первоначальному значению. Достижимая равновесная кислотность водн. слоя  $N$ , как правило, проходит через максимум, положение которого зависит от природы к-ты и органич. р-рителя. Кроме к-ты, в органич. слой переходит некоторое кол-во воды, в большинстве случаев сначала уменьшающееся, а затем несколько увеличивающееся с возрастанием конц-ии к-ты. Кислотность водн. слоя оказывает большое влияние на величину отношения распределения  $q$  (см. реф. 25914)  $\text{InX}_3$  между фазами.  $\lg q$  при распределении  $\text{InX}_3$  между р-рами  $\text{HJ}$  или  $\text{HBr}$  и нижеперечисленными органич. р-рителями сначала почти линейно возрастает с  $N \text{HJ}$  ( $\text{HBr}$ ) в водн. слое, затем проходит через довольно острый максимум, после которого начинает уменьшаться. Снижение  $q$  обычно совпадает с большими изменениями объемов фаз в равновесии по сравнению с их начальными величинами. Графики  $\lg q = f(\lg N)$  для случаев экстракции из р-ров  $\text{HCl}$  имеют гораздо более крутой наклон по отношению к оси  $N$  и в большинстве случаев не проходит через максимум. Из солянокислых р-ров даже наиболее эффективно действующие экстрагенты-метилпропиликетон (I) и метилизопропиликетон (II) количественно извлекают  $\text{InCl}_3$  только из конц. по  $\text{HCl}$  водн. р-ров ( $> 5$  н.). 2,2'-дихлордиэтиловый эфир (III) и диизопропиловый эфир (IV) даже в наиболее благоприятных условиях (при начальной конц-ии  $\text{HCl} \sim 9$  н.) экстрагируют  $< 20\%$   $\text{InCl}_3$ . Кривые зависимости процента экстракции  $E$   $\text{InX}_3$  от начальной конц-ии  $\text{HCl}$  или  $\text{HBr}$  зачастую проходят через максимумы, которые для одного и того же экстрагента находятся при меньшей кислотности (1—6 н.). водн. р-ра в случае  $\text{HBr}$ , чем в случае  $\text{HCl}$  (6—9 н.). Из р-ров 0,1—1 н. по  $\text{HJ}$ ,  $\text{InJ}_3$  экстрагируется р-рителем почти количественно, что может иметь применение в анализе. Знак градиента  $\partial E / \partial N$  определяется знаками и относительными величинами  $\partial R / \partial N$  и  $\partial q / \partial N$ , поскольку как  $q$ , так и отношение объемов фаз в равновесии  $R$  зависит от  $N$ . Для случаев экстракции  $\text{InX}_3$  из р-ров в  $\text{HCl}$ ,  $\text{HBr}$  и  $\text{HJ}$  эффективность различных р-рителей уменьшается в ряду: I или II  $>$  изобутидилметилкетон  $>$  фурфурол  $>$  этилацетат  $>$  диэтиловый эфир  $>$  изоамиловый спирт  $>$  изоамилацетат  $>$  III  $>$  IV. Этот ряд может быть полезен при выборе р-рителей для экстракции аналогичных неорганич. соединений. Наиболее эффективные экстрагенты в ряде случаев характеризуются сравнительно высокими величинами дипольного момента, диэлектрич. постоянной, молярной растворимости воды в экстрагенте и прочности Н-связи. Углеводороды и другие малоэффективные р-рители характеризуются низкими значениями указанных величин. Авторы считают, что в органич. слой переходит главным образом гидратированный ацидокомплекс  $\text{HInX}_4 \cdot n\text{H}_2\text{O}$ . Процент образования комплексного иона  $\text{InX}_4^-$  должен убывать в ряду хлориды  $>$  бромиды  $>$  иодиды. Величины  $q$  по данным опыта возрастают в ряду: хлориды  $<$  бромиды  $<$  иодиды. В этой же последовательности возрастают величины отношения растворимостей  $\text{InX}_3$  в раз-

личных органич. р-рителях к растворимости в воде.

**25917. Анализ аналогов. Развитие общей теории распределения и ее применение к определению цианокобаламина и оксокобаламина в их смесях. Хиткот, Дафф** (The analysis of analogues. A development of the general theory of partition and its application to the determination of cyanocobalamin and hydroxocobalamin in mixtures. Heathcote J. G., Duff P. J.), Analyst, 1954, 79, № 945, 727—731 (англ.)

Обсуждена теория распределения и выведена ф-ла для расчета содержания аналогов в смесях в предположении, что распределение каждого из компонентов 2- или 3-компонентной смеси не зависит от присутствия других компонентов. Метод определения кобаламина и оксокобаламина основан на зависимости, существующей между составом смеси аналогов и кажущимися коэфф. их распределения. В р-рах сначала определяют общее содержание  $50\text{—}80 \mu\text{г}/\text{мл}$  кобаламинов при 356 м $\mu$ , затем в делительные воронки вводят 3 аликвотные порции исследуемого р-ра по 20 мл. Р-ры встряхивают 2 мин. с 20 мл сухого бензильного спирта (I) и оставляют на 5 мин. Встряхивание и отстаивание повторяют дважды, чтобы обеспечить равновесие фаз. Затем 15 мл нижней фазы (р-рителя) и 15 мл водн. фазы переносят в центрифужные пробирки и после центрифугирования отбирают по 4 мл р-ра и добавляют по 1 мл  $\text{C}_2\text{H}_5\text{OH}$ . Оптич. плотность обеих фаз определяют при 356 м $\mu$  при  $t$ -ре  $20\text{—}22^\circ$ , употребляя для сравнения р-ры контрольных опытов. При работе с твердыми пробами их растворяют в известном кол-ве воды, предварительно насыщ. I, в качестве р-рителя употребляют I, насыщ. водой. При соотношении объемов фаз 1 : 1, нижний предел конц-ии р-ров  $20 \mu\text{г}/\text{мл}$ . Коэфф. распределения меняется в зависимости от содержания цианокобаламина, причем теоретич. коэфф. отличается от эксперим. максимум на 0,005. М. П.

**25918. Определение анионов методом хроматографии на бумаге. (6). Применение фильтровальной бумаги в аналитической химии. Накано** (クロマトグラフ法による無機陰イオンの分析. 濾紙による分析化学の研究. 第6報. 仲野尚一), 日本化学雑誌, Нихон какаку дзасси, J. Chem. Soc. Japan. Pure Chem. Sec., 1953, 74, № 1, 56—58 (япон.)

Проявители, содержащие  $\text{NH}_3$ , напр. смесь  $\text{NH}_4\text{OH}$ -ацетон- $\text{C}_2\text{H}_5\text{OH}$  (4:13:3), пригодны для разделения анионов. Величины  $R_f$  анионов в порядке возрастания:  $\text{MnO}_4^-$ ,  $\text{CrO}_4^{2-}$ ,  $\text{SO}_4^{2-}$ ,  $\text{S}_2\text{O}_3^{2-}$ ,  $\text{CO}_3^{2-}$ ,  $\text{CN}^-$ ,  $\text{Cl}^-$ ,  $\text{Br}^-$ ,  $\text{I}^-$ ,  $\text{SCN}^-$ . В большинстве случаев анионы фиксируются опрыскиванием р-ром  $\text{AgNO}_3$  или  $\text{Pb}(\text{NO}_3)_2$ . Б. Б.

**25919. Хроматография на бумаге неорганических ионов. XI. Поведение некоторых комплексов трехвалентного кобальта. Ледере** (Paper chromatography of inorganic ions. XI. The behaviour of some cobalt (III) complexes. Lederer M.), Analyst. chim. acta, 1955, 13, № 4, 350—352 (англ.; рез. франц., нем.)

Определены значения  $R_f$  комплексов  $\text{Co}(3+)$  с различными зарядами (гексаминкобальтихлорид, нитратопентаминкобальтихлорид, *транс*-динитротетраминкобальтихлорид, тринитротриаминкобальт, аммоний-тетранитродиаминокобальтиат, натрий-гексанитрокобальтиат) при использовании в качестве проявителя следующих смесей: ацетон- $\text{HCl}$ -вода,  $\text{C}_4\text{H}_9\text{OH}$ -1 н.  $\text{HCl}$ ,  $\text{C}_4\text{H}_9\text{OH}$ - $\text{NH}_4\text{OH}$ ,  $\text{C}_4\text{H}_9\text{OH}$ - $\text{CH}_3\text{COOH}$ , вода. В присутствии органич. р-рителей наименее ионизированный комплекс перемещается наиболее быстро, пока не начнется его разложение; в присутствии воды высокоионизированные комплексы переме-



щаются быстрее, чем однозарядные или нейтральные комплексы. Сообщение X см. РЖХим, 1956, 4103.

А. 3.  
25920. Хроматография на бумаге катионов щелочных и щелочноземельных элементов. Гордон, Хьюэл (Paper chromatography of alkali and alkaline earth cations. Gordon H. T., Hewel C. A.), *Analyt. Chem.*, 1955, 27, № 9, 1471—1474 (англ.)

Смесь  $K^+$ ,  $Na^+$ ,  $Mg^{2+}$  и  $Ca^{2+}$  (по 0,1—10γ) разделена методом одномерной хроматографии на бумаге в течение 2 час. при применении в качестве проявителя смеси 98—99%-ный  $iso-C_3H_7CN$ -пиридин-лед.  $CH_3COOH-H_2O$  (8:8:1:4). Метод пригоден для анализа крови и других биологич. жидкостей ( $\leq 1 \mu\text{л}$ ). Возможно разделение  $Ba^{2+}$ ,  $Si^{2+}$ ,  $Ca^{2+}$ ,  $Mg^{2+}$  и  $Be^{2+}$ . Т. В.

25921. Некоторые случаи применения электрода с принудительным отрывом капель. Арефьева Т. В., Позднякова А. А., Сб. науч. тр. Гос. н.-и. ин-та цвет. мет., 1955, № 10, 338—344

Отношение диффузионных токов ( $i_d$ ) волн, снятых с помощью обычного электрода (ОЭ) и электрода с принудительным отрывом капли (ЭПО) равно  $\sqrt{t_1/t_2}$ , где  $t_1$  — период капания ОЭ, а  $t_2$  — период капания ЭПО.  $i_d$  текущий на ЭПО при  $t_1 = 0,2$ —0,25 сек., пропорционален конц-ии Pb на фоне 3 н. и Ge на фоне 6 н. HCl. Пропорциональность нарушается при конц-ии Ge и Pb  $< 5 \text{ мг/л}$ , вероятно, благодаря влиянию большого остаточного тока при таких низких конц-иях. На основании этого авторы утверждают, что ЭПО не имеет никаких преимуществ перед ОЭ при определении малых кол-в металлов, но имеет большое практич. значение при определении электроотрицательных металлов в присутствии большого кол-ва более электроположительных металлов. Разработан метод определения цветных металлов в рудах и продуктах их переработки (Cu-киски, Cd-губка, сульфид кадмия, Ni-электролиты, металлич. Cd, р-ры купоросного цеха), напр., Zn, Ni и Cd в присутствии большого кол-ва Cu; Zn и Ni в присутствии большого кол-ва Cd; Zn в присутствии большого кол-ва Ni. К 1 г тонкоизмельченного материала или аликвотной части электролита приливают 25 мл разб. HCl (2:1) и кипятят 20—25 мин. При определении Ni пробу разлагают смесью HCl,  $HNO_3$  и  $H_2SO_4$ , нагревая до появления паров  $SO_3$ . Затем прибавляют 10 капель 5%-ного р-ра  $H_2O_2$  и кипятят еще 3—5 мин. Р-р охлаждают, добавляют  $NH_4OH$  до образования  $Fe(OH)_3$  плюс избыток 10 мл. Разбавляют до 100 мл, перемешивают, отбирают в стаканчик ~20 мл р-ра, прибавляют 0,5—0,7 г  $Na_2SO_3$ , 5 капель 1%-ного р-ра столярного клея и полярографируют. Необходимый период капания (10 капель в 2,5—3 сек.) устанавливают регулированием зазора между капилляром и лопаточкой. С. Ж.

25922. Вольтамметрия при постоянном токе. Экспериментальная оценка. Рейлли, Эверетт, Джонс (Voltammetry at constant current. Experimental evaluation. Reilly Charles N., Everett Grover W., Johns Richard N.), *Analyt. Chem.*, 1955, 27, № 4, 483—491 (англ.)

Электролиз р-ров при постоянном токе выполняют в ячейке (РЖХим, 1956, 9473) с Hg-электродом diam.  $< 2 \text{ см}$ . Через сопротивление ячейка соединена с батареями. Изменяя напряжение и сопротивление, получают в цепи ток  $10^{-3}$ — $10^{-7} \text{ а}$ . Потенциал  $E$  рабочего электрода во время электролиза измеряют рН-метром и регистрируют с помощью самописца. Изменяя силу тока  $I$  в цепи, устанавливают переходное время (ПВ) в интервале 4—60 сек. Если в качестве рабочего электрода применяют слой Hg, то наиболее подходящим

индифферентным электролитом (ИЭ) является 0,1 или 0,01  $M$  р-р  $KNO_3$ . В этом случае удается наблюдать восстановление многих ионов, так как выделение  $H_2$  при  $I = 3,5 \cdot 10^{-6} \text{ а}$  происходит при  $E > -1 \text{ в}$  (насыщ. к. э.). В некоторых случаях при электролизе появляется аномальная волна, исчезающая после иеремешивания током  $N_2$  или встряхивания р-ра. Аномальная волна приписывается образованию адсорбционного слоя кислорода или  $HgO$  на поверхности Hg. Если используют рабочий электрод из полированной Pt, то в качестве ИЭ применяют KCl или фосфатный буфер. Кривые  $E-t$  для электрода из полированной Pt в среде 0,001  $M$  по HCl, 0,1  $M$  по KCl выражены четко, причем на свежеччищенной Pt водород выделяется при более положительных потенциалах. Однако ПВ на любых стадиях очистки электрода одно и то же. Следовательно, очистка уменьшает перенапряжение выделения водорода на электроде, но не влияет на его эффективную поверхность. В соответствии с требованиями теории (РЖХим, 1955, 55300) значения корня квадратного из ПВ при электролизе  $Cd^{2+}$  с Hg-катодом ( $I = 5,0 \cdot 10^{-6} \text{ а}$ ;  $1 \cdot 10^{-5} \text{ а}$  или  $2,3 \cdot 10^{-5} \text{ а}$ ) линейно изменяется с конц-ией  $Cd^{2+}$  в интервале  $(1-6,90) \cdot 10^{-4} \text{ моль/л}$ . Угол наклона прямых по отношению к оси конц-ий возрастает с уменьшением  $I$ . Те же закономерности отмечены для анодного окисления  $K_4Fe(CN)_6$  на Pt-электроде. Для восстановления  $Cd^{2+}$ ,  $Pb^{2+}$  и  $Zn^{2+}$  на Hg-электроде соблюдается постоянство среднего значения величины  $I\tau^{1/2}/nC^0D^{1/2}$  ( $\tau$  — ПВ,  $n$  — число электронов, участвующих в электродном процессе,  $C^0$  — конц-ия р-ра в  $\text{моль/л}$ ,  $D$  — коэфф. диффузии) в пределах 4,3%. В согласии с теорией, потенциалы четверть волны, определенные для  $Cd^{2+}$  и  $Pb^{2+}$  по кривым  $E=f(I)$ , практически не зависят от конц-ии компонентов смеси. При восстановлении же на Pt-электроде величины  $E_{1/4}$  смещаются в отрицательную сторону (для  $Pb^{2+}$  это смещение составляет  $-0,15 \text{ в}$ ). Волна восстановления  $Pb^{2+}$  на Pt хорошо воспроизводима. Волна восстановления  $Cd^{2+}$  в верхней части искажается из-за одновременного восстановления  $H^+$ . Система  $Fe^{2+}-Fe^{3+}$  на Pt-электроде не вполне обратима; степень необратимости уменьшается при снижении плотности тока. При использовании хронопотенциометрич. метода (вольтамметрии при постоянном токе) для колич. анализа смесей (напр.  $10^{-4} M$  р-ров  $Pb^{2+}+Cd^{2+}+Zn^{2+}$ ) следует учитывать увеличение ПВ при последовательном восстановлении присутствующих ионов. Это явление можно использовать для повышения чувствительности определения одного иона путем введения добавок более электроположительного иона. Н. П.

25923. Осциллополюграфический метод открытия веществ на фильтровальной бумаге. Пехан, Калаб, Палечек (Oscillopolarographische Detektion der Stoffe auf dem Filtrierpapier. Pechan Z., Kalab D., Paleček E.), *Pharmazie*, 1955, 10, № 9, 526—528 (нем.)

Опыты производили в простом сосуде, в котором полоска фильтровальной бумаги (ватман или Шлейхер—Шюль) была положена таким образом, что оба конца ее были погружены в индифферентный электролит, всасывавшийся до того места, в котором находилось анализируемое в-во. В этом месте электрод соприкасается с бумагой. С помощью стационарного амальгамированного Cu-электрода сняты осциллограммы типа  $dV/dt = f(V)$  для гистидина, триптофана, фенилаланина, цистина, цистина, метионина,  $\gamma$ -амино- $\alpha$ -оксоасляной к-ты и  $Zn^{2+}$  на фоне 1 н. КОН. Преимущество метода заключается в том, что необходимое для анализа кол-во в-ва очень мало: для открытия  $Zn^{2+}$  в полярографич. ячейке требовалось 3,2 мг  $ZnSO_4$ , а для открытия на фильтровальной бумаге лишь

0,032 мг. Кол-ва наносимых на бумагу аминокислот составляли 6—12 γ. Метод применим для колич. интерпретации хроматограмм. О. Б.

**25924. Перфокарточная система индексации данных спектрального анализа. Ван-Сомерен** (Notes on a punched card indexing system for spectrochemical communications. Van Someren Ernest H. S.), Appl. Spectroscopy, 1953, 7, № 2, 89—90 (англ.)

Описана система индексации данных спектрального анализа с использованием стандартных перфокарт, охватывающая данные об источнике публикации, типе излучения, источнике и пределах изменения радиации, дисперсионном устройстве и аппаратуре для регистрации излучения. И. Р.

**25925. К вопросу о природе процессов на электродах при искровом возбуждении спектра. Кудея Е. С., Автомат. сварка, 1954, № 2, 66—70**

Рассматриваются процессы поступления в-ва электродов в разряд при спектральном анализе с искровым возбуждением спектра и предложена теория, объясняющая явления, сопутствующие обыскриванию, как явления диффузионного происхождения. Указаны способы уменьшения влияния явлений, сопутствующих обыскриванию, а именно: нагрев при помощи индукционных нагревателей образцов до т-р, близких к т-рам плавления металла, применение ВЧ-искровых источников, напр. ВЧ-искры (Рабкин Д. М. и др., Автомат. сварка, 1950, 3, 10), а также применение мощных импульсных источников света с локализацией разряда. Г. К.

**25926. Точность в эмиссионной рентгеновской спектрографии. Лебхавский, Пфайффер, Земани** (Precision in X-ray emission spectrography. Liebhafsky H. A., Pfeiffer H. G., Zemany P. D.), Analyt. Chem., 1955, 27, № 8, 1257—1258 (англ.)

При ионизационной регистрации спектра статистика числа  $N$  сосчитанных фотонов приводит к разбросу отдельных значений  $N$  в соответствии с распределением Гаусса. При отсутствии других источников ошибок средняя квадратичная ошибка минимальна и равна  $\sqrt{N}$ . В противном случае средняя квадратичная ошибка  $\sigma$  больше  $\sqrt{N}$ . Разность этих значений может качественно характеризовать наличие и роль других источников погрешностей эксперимента. Влияние фона не учитывается. В. С.

**25927. Спектральный анализ металлов с применением вращающегося электрода. Дотсон** (A rotating electrode for spectrographic analysis of metallic samples. Dotson Clifford L.), Appl. Spectroscopy, 1955, 9, № 1, 33—36 (англ.)

Пробу расплавленного цинка при помощи стальной формы превращают в диск diam. ~ 63 мм, подвергая диск дополнительной механич. обработке. Изготовленный таким способом электрод устанавливают перпендикулярно щели спектрографа и вращают мотором со скоростью 2—3 об/мин. Верхний электрод — из графита. Спектр возбуждается в разряде низковольтной искры при емк. в 10 мкф и самоиндукции 130 мкн при определении Sn и 5 мкф при определении Pb, Al и Fe. Аналитич. пары линий (в Å) и пределы конц-ий (в %): Pb 2833,0 — Zn 3018,4, 0,3—1,5; Sn 3009,1 — Zn 3018,4, 0,2—2,0; Al 3082,2 — Zn 3018,4, 0,07—0,2; Al 3082,2 — Zn 3075,3, 0,0—6,5; Fe 2599,9 — Zn 3018,4, 0,005—1,5. Ошибка анализа при применении вращающегося электрода значительно меньше, чем с неподвижными электродами. Э. Т.

**25928. Определение только одного компонента в смеси. Быстрый спектрофотометрический метод. Аллен, Риман** (Determining only one compound in

mixture. Short spectrophotometric method. Allen Eugene, Riegan William, III), Analyt. Chem., 1953, 25, № 9, 1325—1331 (англ.)

Предложен математич. метод вычисления содержания одного компонента в многокомпонентной смеси, при котором достаточно снятия показаний только при двух или трех длинах волн. Компонент I в смеси компонентов I, II, III... N определяют как частное от деления  $\Phi$  на константу  $f_1$  при условии, что константы  $f_{II}, f_{III} \dots f_N$  могут быть сделаны равными нулю.  $\Phi$  вычисляют из ур-ния  $\Phi = \alpha A_1 - \beta A_2 - \gamma A_3$ , где  $\alpha, \beta$  и  $\gamma$  — положительные константы,  $A_1, A_2, A_3$  — оптич. плотности при трех различных длинах волн. При  $aN_1/aN_2$  ( $a$  — уд. поглощение) =  $K = \beta/\alpha$ , конц-ия искомого компонента  $C_1 = (A_1 - K A_2)/(a_1 - K a_2)$ . В данном случае  $\gamma = 0$  и измерения ведут при двух длинах волн. При  $\gamma \neq 0$  измерения ведут при трех длинах волн и конц-ию искомого компонента  $C_1$  вычисляют по ур-нию:  $C_1 = \{(A_1 - K') [M A_2 + (1 - M) A_3]\} / \{[(a_1 - K') [M a_2 + (1 - M) a_3]]\}$ , где  $K' M = \beta/\alpha$ , а  $K' (1 - M) = \gamma/\alpha$ ;  $M = \beta/(\beta + \gamma)$ . Пользуясь этим ур-нием, находят 3 длины волн, при которых для всех компонентов, за исключением искомого, отношение между уд. поглощением при одной длине волны к среднему значению уд. поглощения при двух других длинах волн является постоянным. Приведены примеры определения иридина в 6-компонентной смеси. Для определения двух дополнительных длин волн пользовались графич. методом. Т. Л.

**25929 К. Основы качественного неорганического анализа для химиков-производственников и лаборантов. Изд. 4-е. Гильде** (Grundriß der qualitativen anorganischen Analyse für Chemiewerker und Laboranten. 4. Aufl. Gilde Werner. Leipzig, Fachbuchverl., 1955, 44 S., 1.85 DM) (нем.)

**25930 К. Быстрый качественный анализ. Шлейхер** (Qualitative Schnellanalyse. Zsgest. nach d. Arbeiten v. G. Charlot u. a. Schleicher A. Berlin, de Gruyter, 1954, VI, 82 S., 7. 80 DM) (нем.)

**25931 К. Качественный полумикроанализ. Уэлчер, Хан** (Semimicro qualitative analysis. Welcher Frank Johnson, Hahn R. B. Van Nostrand, 1955, 497 pp., 8 doll.) (англ.)

**25932 К. Введение в органический качественный анализ. Изд. 6-е. Штаудингер** (Anleitung zur organischen qualitativen Analyse. 6. Aufl. Staudinger Hermann. Berlin, Göttingen, Heidelberg, Springer-Verl., 1955, XII, 168 S., 12.60 DM) (нем.)

**25933 К. Спектрографическое определение следов элементов в окиси кобальта при помощи прикатодного слоя дуги и колориметрических методов. Лунамая** (Determination of trace elements in tungsten oxide by spectrographic cathode layer and colorimetric methods. Lounamaa Niilo, Suomalais. tiedekat. toimituks., 1955, sar. A — II, № 63, 95 p.) (англ.)

См. также: 8395

## АНАЛИЗ НЕОРГАНИЧЕСКИХ ВЕЩЕСТВ

**25934. Определение лития. Резник, Кайсер, Долтон** (Analysis of lithium. Resnick James D., Kiser Robert W., Dalton J. Lester), Proc. Iowa Acad. Sci., 1953 (1954), 60, 315—318 (англ.)

К 2—5 г анализируемого смазочного материала приливают 100 мл HCl (1:1), нагревают при перемешивании 20 мин., охлаждают до 18—20°, фильтруют; к фильтрату добавляют насыщ. р-р КОН до щел. р-ции по метиловому оранжевому, приливают 3—4 мл р-ра КОН, нагревают до кипения и фильтруют, не охлаждая; фильтрат охлаждают до 18—20°, приливают ~20 мл р-ра KJO<sub>4</sub> (для приготовления последнего растворяют 24,0 г КОН в 150 мл воды, охлаждают, добавляют 9,33 г KJO<sub>4</sub>, затем 11,75 г K<sub>2</sub>S<sub>2</sub>O<sub>8</sub>, разбавляют до получения прозрачного р-ра, защищают от CO<sub>2</sub>; р-р пригоден ≥ 1 месяца), нагревают до ~70°, осадок LiJO<sub>4</sub> отфильтровывают и растворяют в 5 мл конц. HCl, добавляют HClO<sub>4</sub> для удаления K (≤ 5 мг), осадок отфильтровывают и дважды промывают HClO<sub>4</sub>; добавляют 1 г твердого (NH<sub>4</sub>)<sub>2</sub>SO<sub>4</sub>, выпаривают досуха, нагревают до исчезновения паров SO<sub>3</sub>, охлаждают и взвешивают в форме Li<sub>2</sub>SO<sub>4</sub>. Погрешность ~0,9—0,5%. Определение требует меньше времени, чем обычные методы. А. З.

25935. Коверный колориметрический метод определения бериллия. Сундерасан, Дас (An indirect colorimetric method for the determination of beryllium. S. Sunderasan M., Das San-kar M.), Analyst, 1955, 80, № 954, 697—699 (англ.) Метод определения Be основан на его осаждении в форме BeNH<sub>4</sub>PO<sub>4</sub>·6H<sub>2</sub>O с последующим спектрофотометрич. определением Р в осадке в виде фосфорномolibденовой к-ты. Испытуемый р-р в центрифужной пробирке разбавляют до ~30 мл, прибавляют 1 мл 10%-ного р-ра (NH<sub>4</sub>)HPO<sub>4</sub>, 2—3 капли 0,05%-ного спирт. р-ра бромрезолового зеленого и слегка подкисляют HCl (1:1); помещают пробирку в водяную баню и прибавляют по каплям 2 н. CH<sub>3</sub>COONH<sub>4</sub> до pH 5. Оставляют пробирку в водяной бане на 30 мин., затем охлаждают, центрифугируют, 15 мин. при 2500 об/мин, декантируют жидкость через фильтр (ватман № 40). Осадок промывают 3 порциями промывной жидкости (2%-ный р-р NH<sub>4</sub>NO<sub>3</sub> доводит до pH 5,3 при помощи CH<sub>3</sub>COONH<sub>4</sub>), растворяют в горячей HNO<sub>3</sub> (1:4), упаривают р-р для удаления избытка HNO<sub>3</sub>, затем к остатку добавляют 15 мл 2 н. H<sub>2</sub>SO<sub>4</sub>, 5 мл 10%-ного р-ра Na<sub>2</sub>MoO<sub>4</sub>·2H<sub>2</sub>O разбавляют до 50 мл и через 15 мин. фотометрируют на кварцевом спектрофотометре Бекмана при 390, 400 и 420 мμ. Мешающее действие Cu, Ni, Zn, Fe, Al, Ca и Mg устраняют прибавлением к исследуемому р-ру 1 мл 10%-ного р-ра комплексона III; в присутствии Ti до установления pH добавляют несколько капель H<sub>2</sub>O<sub>2</sub>. Метод применим к р-рам Be с конц-ей 2—20 γ/мл и служит для определения Be в рудах и сплавах с низким его содержанием. Т. Б.

25936. Фотоколориметрическое определение бериллия с помощью торона. Адамович Л. П., Мирная А. П. В сб.: Современ. методы анализа в металлургии, М., Металлургиздат, 1955, 172—175 3 мл анализируемого р-ра с pH ≈ 12 помещают в стаканчик, приливают 4 мл боратной буферной смеси с pH 12,4 и 3 мл р-ра торона конц-ей 0,0426 г в 100 мл. Р-р перемешивают, наливают в кювету длиной 20 мм и помещают при зеленом световом фильтре в правый луч фотоколориметра (на пути левого луча ничего нет). Измерительный барабан ставят на 100% пропускания и приводят ток в гальванометре к нулю. Затем в другом стаканчике смешивают 7 мл буферной смеси и 3 мл р-ра торона и измеряют пропускание этой холостой смеси также в правом луче. Градуировочную кривую получают, измеряя пропускание р-ров с известной конц-ей Be. Для каждой конц-и делают от 16 до 20 измерений. Разработанный прием применен для колич. определения Be в Al-соли. Если р-р обработать на холоду избытком NaOH и в фильтрате после удаления осадка определять Be, то 200-кратный избыток

Al, Fe<sup>3+</sup> и Mn<sup>2+</sup> не мешает определению. Магний мешает при 200-кратном избытке и не мешает при соизмеримых с Be кол-вах. Zn, Ca и Cu мешают, если присутствуют в соизмеримых с Be кол-вах.

В. С. 25937. К определению алюминия и фтора реактивом стилибазо. Назаренко В. А., Бирюк Е. А. В сб.: Современ. методы анализа в металлургии, М., Металлургиздат, 1955, 188—189

Для определения Al в присутствии F к 1 мл нейтр. анализируемого р-ра, содержащего до 5 γ Al и до 10 γ F, приливают 0,1 мл 0,1 н. HCl, 0,1 мг р-ра BeCl<sub>2</sub> (200 γ Be в 1 мл), 0,15 мл 5%-ного р-ра аскорбиновой к-ты, 2,5 мл ацетатной буферной смеси (pH 5,4) и 0,5 мл 0,01%-ного водн. р-ра стилибазо. Полученный р-р разбавляют водой до 5 мл, перемешивают и через 10 мин. сравнивают со шкалой стандартов, которую готовят таким же образом. Р-ция Al со стилибазо может служить основой метода для колориметрич. определения F. При определении F содержание Al в анализируемом р-ре должно быть известно (определяют описанным выше способом). Затем отбирают 1 мл нейтр. анализируемого р-ра, содержащего ≤ 10 γ F и ≤ 5 γ Al, и добавляют 5 γ Al в форме р-ра. Приливают 0,1 н. HCl и р-р аскорбиновой к-ты, ацетатный буферный р-р и р-р стилибазо, как и при определении Al. Р-р Be добавлять не нужно. Разбавив, если необходимо, до 5 мл (или 6 мл), оставляют на 10 мин. и сравнивают с серией стандартных р-ров, приготовленных аналогично и содержащих 5 γ Al и 1—10 γ F. В. С.

25938. Электрометрическое определение алюминия. Хейя (Aluminium elektrometrikus meghatározása. Héjja András), Vegyipari kut. int. közl., 1953, 1, 8—12 (венг.; рез. русс., нем.)

Описан электрометрич. метод определения Al или Al<sub>2</sub>O<sub>3</sub> в р-рах, содержащих Al, в частности, в р-рах алюминатов. При потенциометрич. титровании употребляют Sb-электроды; замеры вели при помощи микроамперметра, мостиком служил насыщ. р-р KCl. Подкисленный р-р титровали 1 н. NaOH. 1 мл 1 н. NaOH эквивалентен 9,2 мг Al или 17,4 мг Al<sub>2</sub>O<sub>3</sub>. Результаты описанного и весового методов практически совпадают. Погрешность около ± 1%. Т. Л.

25939. Подометрическое определение элементарного красного фосфора. Дешмукх, Венугупалан (Iodimetric determination of elementary red phosphorus. Deshmukh G. S., Venugopal M.), J. Indian Chem. Soc., 1955, 32, № 5, 305—312 (англ.)

К навеске красного Р в сухой колбе прибавляют определенный объем р-ра J<sub>2</sub> в р-ре KJ (12,7 г J<sub>2</sub> растворяют в р-ре 15—20 г KJ и разбавляют до 1 л) и 2—3 г порошкообразного NaHCO<sub>3</sub>. При периодич. перемешивании смесь оставляют на 24—30 час. (р-ция идет по схеме: 2P + 4J<sub>2</sub> + 7H<sub>2</sub>O → H<sub>3</sub>PO<sub>4</sub> + H<sub>3</sub>PO<sub>3</sub> + 8HI). После растворения Р остаток J<sub>2</sub> оттитровывают р-ром Na<sub>2</sub>S<sub>2</sub>O<sub>3</sub> по крахмалу, или 0,1 н. р-ром As<sub>2</sub>O<sub>3</sub> в р-ре NaOH в присутствии боратного или бикарбонатного буфера. При применении в качестве окислителя р-ра J<sub>2</sub> в CCl<sub>4</sub> необходимо добавление NaHCO<sub>3</sub>. Образующийся P<sub>2</sub> гидролизуетеся водой; оставшийся J<sub>2</sub> оттитровывают Na<sub>2</sub>S<sub>2</sub>O<sub>3</sub>. При т-ре 60—65° р-ция идет быстрее. Метод применим для определения 0,005—0,05 г красного Р, он требует значительной затраты времени, но прост и достаточно точен для серийных анализов. В. К.

25940. Применение морина в микроанализе. I. Открытие четырехвалентного титана при помощи морина. Альтасси (Use of morin in microanalysis. I. Detection of titanium (IV) with morin. Altassy Gy.), Acta chim. Acad. sci. hung., 1955, 6, № 3-4, 335—338 (англ.; рез. русс., нем.) См. РЖХим, 1955, 2257.



25941. Взвешивание четыреххлористого титана для количественного химического анализа. Дзиковский, Новак (Weighing titanium (IV) chloride for quantitative chemical analysis. Dzikowski I. J., Novak R. G.), *Analyt. Chem.*, 1955, 27, № 7, 1194 (англ.)

Все операции по переносу  $\text{TiCl}_4$  (I) производят в сосуде, изолированном от атмосферной влаги и заполненном инертным газом, давление которого превосходит атмосферное. 0,5 мл анализируемого I вводят с помощью шприца (III) в флакон для сывотки (Ф) емк. 60 мл, предварительно промытый, высушенный, охлажденный в эксикаторе и взвешенный. Капли пролитого р-ра обтирают ватой, смоченной *n*-гептаном (II), высушивают Ф с I в эксикаторе и через 20 мин. взвешивают. В Ф добавляют с помощью III 8—9 мл II, перемешивают жидкости и добавляют из III 9—10 мл 20%-ного р-ра  $\text{H}_2\text{SO}_4$ . Содержимое Ф взбалтывают, охлаждают в водяной бане 1—2 мин. Ф выдерживают в бане еще ~1 час, до полного растворения I в к-те. Чтобы уравнять давление в Ф с атмосферным, через более тонкую часть пробки вводят иглу III, а затем удаляют пробку и переносит жидкость в конич. колбу, добавляют 50 мл конц.  $\text{HCl}$ , кипятят ее 5—10 мин. до удаления II и приступают к анализу.

Н. П.  
25942. Применение некоторых новых агентов образования внутрикомплексных соединений для колориметрического определения железа. II. *n*-Аминосалициловая кислота (натриевая соль). Мукхерджи (Use of some new chelating agents for the colorimetric determination of iron. II. *p*-Aminosalicylic acid (sodium salt). Mukherjee Ajit Kumar), *Analyt. chim. acta*, 1955, 13, № 3, 273—276 (англ.; рез. нем., франц.)

*n*-Аминосалициловая к-та (Na-соль) образует с  $\text{Fe}^{2+}$  внутрикомплексное соединение интенсивной красно-фиолетовой окраски с максимумами поглощения при 480—500 мμ (рН 1,4—3,05) и 450—470 мμ (рН 3,36—5,05). Окраска подчиняется закону Гера при содержании 0,05—15 γ/мл  $\text{Fe}^{2+}$ , устойчива во времени; измерения следует производить при *t*-ре не ниже 30°. Реактив хорошо растворим в воде; для определения  $\text{Fe}^{3+}$  используют 1%-ный р-р чистой перекристаллизованной  $\text{C}_6\text{H}_5\text{NO}_2 \cdot \text{Na} \cdot 2\text{H}_2\text{O}$  (рН р-ра реактива ~7,08). 50—250-кратный избыток реактива не мешает. Для определения ~7,6 мг Fe в конечном объеме 25 мл прибавляют 5 мл 1%-ного р-ра реактива (рН 3,85—4,05). Мешает  $\text{UO}_2^{2+}$  (~2γ),  $\text{VO}_3^-$ ,  $\text{F}^-$ ,  $\text{PO}_4^{3-}$ ,  $\text{CrO}_4^{2-}$ ,  $\text{MoO}_4^{2-}$ ; мешают при содержании более (γ):  $\text{Al}^{3+}$  500;  $\text{Ca}^{2+}$  400;  $\text{Co}^{2+}$  30;  $\text{Cr}^{3+}$  80;  $\text{Cu}^{2+}$  20;  $\text{Mg}^{2+}$  500;  $\text{Mn}^{2+}$  400;  $\text{Ni}^{2+}$  20;  $\text{Zn}^{2+}$  500;  $\text{NaAsO}_4^{2-}$  150;  $\text{C}_2\text{O}_4^{2-}$  120;  $\text{CH}_3\text{COO}^-$  100;  $\text{NO}_3^-$  300;  $\text{SO}_4^{2-}$  300. Сообщение I см. РЖХим, 1956, 16381. А. З.

52943. Колориметрическое определение кобальта при помощи раствора сахара. Павлинова А. В., Павлинова Г. М., Балухтина З. Я. (Колориметричне визначення кобальту за допомогою цукру. Павлінова А. В., Павлінова Г. М., Балухтіна З. Я.), *Наук. зап. Чернівецьк. ун-ту*, 1955, 11, 125—130 (укр.; рез. русс.)

Метод основан на появлении интенсивного фиолетового окрашивания при взаимодействии Со и сахара в сильнощел. р-ре. Открываемый минимум 0,07 мг/мл Со. Железо можно не отделять, если его кол-во не превышает 25% от кол-ва Со. В этом случае в стандартный р-р добавляют р-р соли Fe до одинакового оттенка. Двукратные кол-ва никеля не мешают открытию Со.

В. С.  
25944. Фотометрическое определение никеля. Версаги (Photometric nickel determination. Ver-

sagi Frank J.), *Foundry*, 1955, 83, № 7, 158, 160, 162, 165 (англ.)

При проверке фотометрич. метода определения Ni в форме диметилглиоксимата в сплавах на Cu-основе, (A. S. T. M., «Methods for Chemical Analysis of Metals», 1950, 292) установлено, что точность метода может быть повышена при соблюдении следующих условий. 1. Кол-во диметилглиоксима ( $3 \pm 0,5$  мл 1%-ного спирт. р-ра) следует тщательно контролировать, пользуясь бюреткой. 2. Т-ра в лаборатории должна быть постоянной и показатель поглощения следует проверять при изменении *t*-ры на  $\geq 2,78^\circ$ . 3. Точность метода увеличивается, а погрешности сводятся к минимуму, если конц-ию Ni регулируют таким образом, чтобы пропускание соответствовало 50—70% (оптич. плотность ~0,15—0,30). 4. Р-р  $\text{Br}_2$  в воде, особенно при определении высоких конц-ий Ni, должен быть насыщен. 5. Кол-ва добавляемых лимонной к-ты и  $\text{NH}_4\text{OH}$  мало влияют на погрешность метода. 6. Калибровочную кривую следует строить по одному, а не по нескольким сплавам.

В. К.  
25945. Определение следов меди в водах. Коваржик, Виниш (Die Bestimmung von Kupferspuren in Wässern. Kovarik Milos, Vinis Vladislav), *Z. analyt. Chem.*, 1955, 147, № 6, 401—403 (нем.)

К 500 мл анализируемой воды добавляют 10 мл 10%-ного р-ра сегнетовой соли, 10 мл 2 н.  $\text{NH}_4\text{Cl}$  и  $\text{NH}_4\text{OH}$  до слабощел. р-ции; экстрагируют Cu 10 мл р-ра диэтилдитиокарбамата Pb (I) в  $\text{CHCl}_3$  (0,1 г  $(\text{CH}_3\text{COO})_2\text{Pb}$  растворяют в воде, добавляют 5 мл 10%-ного р-ра сегнетовой соли, 2 н. КОН до щел. р-ции, 5 мл 1 н. KCN и р-р 0,12 г диэтилдитиокарбамата Na в воде; белый осадок I встряхивают с 250 мл  $\text{CHCl}_3$ , промывают органич. слой водой, фильтруют и разбавляют  $\text{CHCl}_3$  (до 1 л) и фотометрируют экстракт ( $\lambda_{\text{max}}$  430 мμ) при 500 мμ, 1-см кювете. Закон Бера выполняется при 1,22—36,6 γ/мл Cu в экстракте. Кроме Cu, р-р I экстрагирует Ag и Hg, однако присутствие их в водах маловероятно. Окраска р-ра диэтилдитиокарбамата Cu в  $\text{CHCl}_3$  меняется в зависимости от конц-ии Cu от желтой до коричневой и устойчива в течение  $\leq 3$  час. Описанный метод дает удовлетворительные результаты при 0,02 γ/мл Cu в воде.

Б. З.  
25946. Определение примесей в металлическом вольфраме. I. Определение меди. Кроли (Determination of impurities in tungsten metal. I. Determination of copper. Crawley R. H. A.), *Analyt. chim. acta*, 1955, 13, № 4, 373—375 (англ.; рез. нем., франц.)

Растворяют 1 г вольфрама, содержащего 0—0,01 % Cu (при содержании  $> 0,01\%$  Cu берут меньшую навеску), в смеси 2 мл  $\text{HNO}_3$  + 2 мл HF в Pt-чашке; споласкивают крышку водой, приливают 2 мл  $\text{H}_3\text{PO}_4$  и выпаривают до сиропообразной консистенции для удаления  $\text{HNO}_3$  и HF. Охлаждают остаток, приливают 25 мл 4%-ного р-ра лимоннокислого натрия, перемешивают до растворения, охлаждают и добавляют 1 г  $\text{NH}_4\text{OH} \cdot \text{HCl}$  и 20 мл 20%-ного р-ра  $\text{CH}_3\text{COONa}$ . Р-р переносят в делительную воронку, приливают 10 мл 0,1%-ного спирт. р-ра 2,9-диметил-1,10-фенантролина (неокупроин), через 10 мин. приливают 10 мл  $\text{CHCl}_3$  и встряхивают 1 мин.; сливают органич. слой, повторяют экстракцию 5 мл  $\text{CHCl}_3$ , объединенные экстракты разбавляют до 50 мл  $\text{C}_2\text{H}_5\text{OH}$  (р-р должен быть прозрачным) и измеряют оптич. плотность в 4-см кювете с фиолетовым фильтром Илфорд 601. Для построения калибровочной кривой берут 0, 1, 2, ..., 10 мл стандартного р-ра Cu (растворяют 0,1 г электролитич. Cu в 2 мл  $\text{HNO}_3$  и 5 мл воды, выпаривают досуха, растворяют остаток в 1 мл  $\text{HCl}$ , разбавляют до 100 мл; 5 мл полученного р-ра разбавляют до 500 мл), к каждой порции при-

ливают 2 мл HCl, р-р лимоннокислого натрия,  $\text{NH}_4\text{OH}$ . HCl и далее поступают, как указано выше. Описанный метод дает результаты, практически совпадающие с данными полярографич. метода.

**25947. Определение примесей в металлическом вольфраме. II. Определение железа. Кроли, Аспинжал (Determination of impurities in tungsten metal. II. Determination of iron. Crawley R. H. A., Aspinall M. L., Analyt. chim. acta, 1955, 13, № 4, 376—378 (англ.; рез. нем., франц.))**

Растворяют 1 г вольфрама, содержащего 0—0,012% Fe (при большем содержании Fe берут меньшую навеску), в смеси 2 мл HF и 1 мл  $\text{HNO}_3$  в Pt-чашке; после растворения смывают крышку водой, приливают 20 мл 10%-ного р-ра лимонной к-ты (для очистки последней от следов Fe к 500 мл р-ра приливают 5 мл 2%-ного р-ра куниферона, через 15 мин. экстрагируют 3 порциями  $\text{CHCl}_3$  по 20 мл) и выпаривают р-р досуха на водяной бане. Добавляют 10 мл 10%-ного р-ра NaOH (для удаления Fe последний нагревают до кипения, приливают 1 мл 2%-ного р-ра  $\text{MgCl}_2$ , через 10 мин. отфильтровывают осадок, р-р хранят в полиэтиленовом сосуде), р-р нагревают до растворения  $\text{WO}_3$  (р-р должен быть щел.) и приливают 20 мл очищ. 10%-ного р-ра лимонной к-ты (рН р-ра 4—7). Р-р переносят в делительную воронку, приливают 20 мл свежеприготовленного 10%-ного р-ра дитионита натрия (следы Fe удаляют добавлением к 50 мл р-ра 10 мл 0,05%-ного спирта р-ра 4,7-дифенил-1,10-фенантролина и экстракцией 2 порциями  $\text{CHCl}_3$  по 10 мл), через 15 мин. приливают 20 мл 0,05%-ного спирта. р-ра 4,7-дифенил-1,10-фенантролина, экстрагируют комплекс  $\text{Fe}(2+)$  10 мл  $\text{CHCl}_3$ , затем 5 мл  $\text{CHCl}_3$ ; объединенные экстракты разбавляют до 50 мл  $\text{Ca(OH)}_2$  и измеряют оптич. плотность с зелеными фильтрами Илфорд 604 и 1-см кюветой (при 0—0,003% Fe используются 4-см кюветы). Для построения калибровочной кривой к 0, 1, 2, ..., 12 мл р-ра Fe (1 мг/мл) приливают по 6 мл 10%-ного р-ра лимонной к-ты, по 2 мл 10%-ного р-ра NaOH (рН 4—7), переносят р-р в делительную воронку, приливают 20 мл очищ. 10%-ного р-ра дитионита натрия и далее ведут анализ, как указано выше. Результаты описанного и полярографич. методов определения Fe практически совпадают. А. З.

**25948. Количественный хроматографический анализ на бумаге. Применение к определению германия. Берторелле, Фанфани (Metodo cromatografico di analisi quantitativa su carta applicazioni al dosaggio del germanio. Bertorelle Eugenio, Fanfani Giorgio, Chimica e industria, 1955, 37, № 10, 777—779 (итал.; рез. англ., нем., франц.))**

В предложенном ранее методе хроматографич. определения Ge (РЖХим, 1955, 34705) применен метод калибрования полосок (РЖХим, 1956, 16346). Исследуемый р-р подвергают восходящей хроматографии на полосках бумаги ватман № 3, предварительно калиброванных 0,15—1,5 γ Ge, применяя в качестве р-р-ителя смесь ацетон-метилэтилкетон-HCl-вода (85:5:5:5). Хроматограммы опрыскивают 0,05%-ным спирт. р-ром фенилфлуорона, к которому добавлена 6 н. HCl до рН 4—1,5, обрабатывают спирт. р-ром глицерина и подвергают фотометрич. измерению. Метод позволяет определять от 0,15 до 1,5 γ Ge; определение длится ~ 4 час.

**25949. Спектрофотометрическое определение мышьяка в рафинированном золоте при помощи молибдата аммония и сульфата гидразина. Персина (Determinación espectrofotométrica de arsénico en oro refinado. Con molibdato de amonio y sulfato de hidracina. Perzyna J. O., Bol. Soc. quim. Peru, 1955, 21, № 2, 47—51 (исп.))**

Для определения  $> 0,0001$  мг/мл As в золоте 2—25 г последнего растворяют в 10—20 мл царской водки и выпаривают почти досуха. Остаток растворяют в воде, подкисленной несколькими каплями HCl, прибавляют 20 мл 10%-ного р-ра KOH и нагревают до кипения. К р-ру медленно прибавляют твердый  $\text{N}_2\text{H}_4 \cdot \text{H}_2\text{SO}_4$  до полного осаждения Au. Фильтруют и промывают 0,5%-ным р-ром KOH. Фильтрат нейтрализуют конц. HCl и переносят в аппарат для получения  $\text{AsH}_3$ ; в аппарат помещают 2 г металлич. Zn (свободного от As) и приливают из капельной воронки 5 мл конц. HCl, поддерживая т-ру на уровне 70—80°. Выделяющийся  $\text{AsH}_3$  поглощают в центрифужной пробирке, содержащей 1 мл 1,5%-ного р-ра  $\text{HgCl}_2$  + 0,2 мл 6 н.  $\text{H}_2\text{SO}_4$  + 0,15 мл 1%-ного р-ра  $\text{KMnO}_4$ . Через 30—40 мин. р-р переносят в стакан и споласкивают пробирку 7—8 мл реактива (1 г молибдата аммония растворяют в 10 мл воды и прибавляют 90 мл 6 н.  $\text{H}_2\text{SO}_4$ ; 0,15 г  $\text{N}_2\text{H}_4 \cdot \text{H}_2\text{SO}_4$  растворяют в 100 мл воды; смешивают 10 мл первого р-ра, 1 мл второго р-ра и 100 мл воды). Нагревают до кипения и выдерживают в кипящей водяной бане 15 мин. Разбавляют реактивом до 25 мл и спектрофотометрируют в спектрофотометре Бэжмана, модель DU, при 840 или 625 мμ. Содержание As находят по калибровочной кривой. Погрешность ± 5%. Pb и Hg замедляют отгонку  $\text{AsH}_3$ ; Se, Ge, P и Si мешают определению.

Б. А.

**25950. 5,6-бензохиноальдиновая кислота в качестве аналитического реактива. Часть V. Отделение кадмия от различных элементов. Маджумдар, Де (5:6-benzoquinolalidinic acid as an analytical reagent. Part V. Separation of cadmium from different elements. Majumdar Anil Kumar, De Anil Kumar, J. Indian Chem. Soc., 1955, 32, № 2, 85—88 (англ.))**

Для отделения Cd от Ag слабокислый р-р обрабатывают  $\text{Cs}(\text{NH}_2)_2$  (2 г), разбавляют до 200 мл, нагревают до кипения и осаждают Cd 1%-ным р-ром бензохиноальдината натрия (РЖХим, 1954, 34657, 41677). Для отделения Cd от Hg р-р обрабатывают 2 г KJ; при совместном присутствии Hg и Ag добавляют сначала избыток KJ, а затем избыток  $\text{C}(\text{NH}_2)_2$ . Be, Th, Zr, U, редкие земли, Fe, Al, Cr, Ti, Bi, As и Sn удерживаются в р-ре при осаждении Cd из аммиачного р-ра, содержащего 2—4 г тартрата; в присутствии тартрата в слабодокислом р-ре удерживаются Th, U и Zr. Отделение  $\text{VO}_3^-$ ,  $\text{MoO}_4^{2-}$  и  $\text{WO}_4^{2-}$  производят в аммиачном р-ре; щел.-зем. металлы не мешают определению Cd в р-рах, подкисленных  $\text{CH}_3\text{COOH}$  или минер. к-тами. В присутствии больших кол-в Ba и Sr их соосаждение предотвращают разбавлением р-ра при постоянном рН.  $\text{PO}_4^{3-}$  и  $\text{AsO}_4^{3-}$  не мешают в присутствии минер. к-т. Приведены значения рН при отделении Cd от перечисленных элементов. Сообщение IV см. РЖХим, 1955, 26433. А. З.

**25951. Амперометрическое определение кадмия при помощи 2-нитро-1-оксифениларсенной-4 кислоты. Хубицкий, Ценцяла (Amperometryczne oznaczanie kadmu za pomocą kwasu 2-nitro-1-hydroksybenzeno-4-arseniowego. Hubiccki Włodzimierz, Ciencjalat Rudolf, Ann. Univ. M. Curie-Skłodowska, 1953 (1955), A48, 77—81 (польск.; рез. русс., англ.))**

Cd титруют амперометрически р-ром 2-нитро-1-оксифениларсенной-4 к-ты (I). 2 мл 0,1 н. р-ра  $\text{CdSO}_4$  разбавляют 20 мл воды, прибавляют несколько капель лед.  $\text{CH}_3\text{COOH}$  и титруют 0,1 н. I при потенциале вращающегося Pt-микроэлектрода 1,6 в (насыщ. к.э.). Кривая имеет V-образную форму. Средняя погрешность — 0,92%; продолжительность определения 8 мин.

В присутствии 10-кратного кол-ва Zn следует титровать Cd при 70° в р-рах, сильно подкисленных  $\text{CH}_3\text{COOH}$  (рН 3).

**25952. Определение пятивалентной сурьмы после восстановления иодом и красным фосфором. Джонсон, Ньюман** (The determination of quinquevalent antimony after reduction by iodine and red phosphorus, Johnson E. A., Newman E. J., Analyst, 1955, 80, № 953, 631—632 (англ.))

Растворяют 0,4 г антимоната К в смеси 15 мл воды и 15 мл конц. HCl, добавляют к горячему р-ру 2 мл 0,1 н. р-ра  $\text{J}_2$  и 0,2 г красного Р, нагревают несколько минут до обесцвечивания р-ра и фильтруют горячий р-р через асбестовый фильтр. Промывают осадок ~40 мл воды, добавляют к фильтрату и промывной воде 4 г селитровой соли и после ее растворения добавляют 5 н. р-р NaOH (~30 мл) до слабощелочной р-ции. К охлажд. р-ру добавляют 3 г  $\text{NaHCO}_3$  и титруют 0,1 н. р-ром  $\text{J}_2$  в присутствии крахмала. Способ проверен только на антимонате К, но пригоден, вероятно, и для других соединений Sb(5+).

**25953. Ускоренный метод определения бария. Сафиуллин Н. Ш.**, Хим. пром-сть, 1955, № 6, 364—365

Навеску анализируемого в-ва обрабатывают HCl или водой при нагревании следующим образом. 1 г плава сернистого бария обрабатывают 13 мл 1 н. HCl, разбавляя 100 мл воды. Для определения  $\text{BaCl}_2 \cdot 2\text{H}_2\text{O}$  в продукте 1 г пробы растворяют в 100 мл воды, подкисленной 2 мл 1 н. HCl. К навеске 10—15 г шлама добавляют 30 мл 1 н. HCl. При определении водорастворимых солей бария шлам обрабатывают горячей водой и после отделения от грязи прибавляют 2 мл 1 н. HCl. Для определения  $\text{BaCl}_2 \cdot 2\text{H}_2\text{O}$  в р-рах отведенные в бюксе 2,5—3 г пробы смывают в колбу и р-р подкисляют 2 мл 1 н. HCl. Если в анализируемом в-ве имеются сульфиды, то после добавления HCl полученный р-р кипятят 20—30 мин. до исчезновения запаха  $\text{H}_2\text{S}$ . При отсутствии сульфидов р-р нагревают до 90°. При анализе шлама после обработки навески HCl (или водой) и кипячения до удаления  $\text{H}_2\text{S}$  р-р охлаждают, переводят в мерную колбу емк. 250 мл, доводят до метки водой, взбалтывают и фильтруют через складчатый фильтр. Первые порции фильтрата отбрасывают, берут для анализа 50 мл р-ра, переводят в колбу и нейтрализуют 1 н. NaOH, вновь подкисляют 2 мл 1 н. HCl и нагревают до 90°. После растворения навески к нагремому р-ру прибавляют 2 г  $\text{CH}_3\text{COONa} \cdot 3\text{H}_2\text{O}$  и при перемешивании медленно приливают из бюретки 50 мл 0,2 н.  $\text{K}_2\text{CrO}_4$ , охлаждают и переводят в мерную колбу емк. 250 мл, доводят водой до метки, взбалтывают и фильтруют через складчатый фильтр, отбрасывая первые порции фильтрата. К 25 мл фильтрата добавляют 2 г KJ и 5 мл 25%-ного р-ра  $\text{H}_2\text{SO}_4$  и через 2—3 мин. титруют 0,1 н.  $\text{Na}_2\text{S}_2\text{O}_3$  в присутствии крахмала. Метод разработан для текущего контроля.

**25954. Разделение редкоземельных элементов. Ледеге** (Separation of rare-earth elements. Ledeger M.), Nature, 1955, 176, № 4479, 462—463 (англ.)

Редкоземельные элементы (РЗЭ) разделены методом хроматографии на бумаге без применения комплексообразователей. Для подсыхания пригодного подвижного р-рителя (ПР) хроматографировалась смесь La и Dy, новые радиусы которых значительно различаются между собой. После опрыскивания хроматограммы оксианолином, La-пятно при освещении УФ-лучами флуоресцирует зеленым светом, а Dy дает черное флуоресцирующее пятно. Применяв метод нисходящей хроматографии и смесь этанол (I)-30% 2 н. HCl в качестве ПР, авторы за несколько дней хроматографирования достигли полного отделения La от Y, La от Dy и La от Yb. Более эффективным ПР оказалась смесь I с 10%

2 н. HCl. В этом случае при перемещении фронта ПР на 29 см найдены следующие значения  $R_F$ : La 0,11; Y 0,16; Dy 0,196; Yb 0,17. При хроматографировании смеси La + Dy в течение 1 дня пятна еще перекрываются, на 3-й день они только граничат друг с другом, а на 5-й день они отделены пространством, свободным от РЗЭ. За 3—4 дня хроматографирования достигается отделение La от Y и разделение смеси La + Eu + Y. Значения  $R_F$  La, Eu и Y в смесях и чистых р-рах тождественны. Применяв смесь I с 10% 2 н. HCl в качестве ПР, авторы выполнили очистку 1 мкг р-ра от радиоактивных Ce и Eu. Хроматографирование длилось 5 дней.

**25955. Количественное разделение и определение тантала и ниобия с помощью анионообменной хроматографии. Кейбелл, Милнер** (The quantitative separation and determination of tantalum and niobium using anion exchange chromatography. Cabell M. J., Milner I.), Analyst. chim. acta, 1955, 13, № 3, 258—267 (англ.; рец. нем., франц.)

Описан простой, точный и сравнительно быстрый метод разделения и определения макроколичеств Ta и Nb в их смесях на хроматографич. колонке обычного типа, изготовленной из полиэтилена и наполненной смолы деаппит FF (I). Образец, содержащий  $\leq 100$  мг Nb и 50—150 мг Ta, растворяют в 10—15 мл смеси, 3 М по HCl, 0,1 М по HF (II). При анализе пятиокисей их сплавляют с  $\text{KHSO}_4$ , плав переносят в стакан с 200 мл кипящей воды, кипятят 5—10 мин., охлаждают, прибавляют  $\text{NH}_4\text{OH}$  до рН 6—7, р-р кипятят еще несколько минут, охлаждают и осадок отделяют центрифугированием. Прозрачный р-р вносят в колонку I в Cl-форме (высота слоя 12 см), поперечное сечение трубки  $x \geq 1,0$  см<sup>2</sup>. Вымывание производят при помощи II (скорость истечения  $\leq 8$  х мл/мин). Первые 22 х мл отбрасывают, следующие 200 х мл содержат весь Nb. Заменяют приемник и начинают вымывание Ta при помощи смеси 4 М по  $\text{NH}_4\text{Cl}$ , 1 М по  $\text{NH}_4\text{F}$  (скорость истечения 2 х мл/мин). При  $\leq 50$  мг Ta вымывание продолжают 2—2,5 часа, при 100—150 мг Ta — 4 часа. В вытекающих р-рах Nb и Ta осаждают сначала  $\text{NH}_4\text{OH}$ , а затем галловой к-той, осадки прокалывают при 850° и взвешивают в форме  $\text{Nb}_2\text{O}_5$  и  $\text{Ta}_2\text{O}_5$ . Mn и Al не поглощаются I, Zr поглощается в незначительной степени. Fe, Ti, W и Sn мешают определению (в Nb-фракции обнаружено 1—2% Fe, 97—98% Ti и 100% W; Sn переходит в Ta-фракцию). Nb и W разделяют на колонке I 1,27 см<sup>2</sup> × 22 см, используя для вымывания смесь 9 М по HCl, 0,1 М по HF (скорость истечения 8 мл/мин). Описанный метод позволяет получить сравнительно большие кол-ва спектрографически чистых  $\text{Nb}_2\text{O}_5$  и  $\text{Ta}_2\text{O}_5$ .

**25956. Критическое изучение весового метода определения вольфрама при помощи бензидина. Сато** (Estudio critico de la determinacion gravimetrica del wolframio por medio de la bencidina. Sato J.), An. Real Soc. española fis. y quim., 1954, B50, № 12, 977—980 (исп.)

Исследована пригодность классич. метода Кнорре (Welcher F., Organic analytical reagents. New York, 1948, v. 2, p. 312) определения W при помощи бензидина применительно к анализу вольфрамовых минералов и изучено влияние различных примесей на результаты анализа. Установлено, что содержание в минералах  $\leq 60\%$  (из расчета на  $\text{WO}_3$ ) сульфатов щел. металлов и  $\text{K}_2\text{SiO}_3$  на влияет на результаты, если осаждение ведут при нагревании; при осаждении на холоду результаты завышены. При анализе р-ров ортовольфрамов, содержащих  $> 2\%$  NaCl и KCl, результаты занижены; при 20%-ной конц-ии NaCl погрешность 4%. Сделан вывод, что при щел. разложении вольфрамовых



минералов и нейтр-ции экстракта HCl метод Кюппе непригоден для определения W в минералах. Э. Г.

**25957. Колориметрический метод определения вольфрама метилфиолетовым.** Немировская А. Ф., Петрашень В. И., Науч. тр. Новочеркас. политехнич. ин-та, 1955, 26, 237—245

Колориметрирование производят путем визуального сравнения со шкалой из двух пробирок или методом со спец. шкалой эталонов. Анализируемый р-р стали в пробирке нейтрализуют по фенолфталеину HCl, прибавляют воду, учитывая число капель к-ты, израсходованной на нейтр-цию р-ра. В каждую пробирку приливают по 0,5 мл 0,5 н. HCl; через 10 мин. после подкисления прибавляют 1,2 мл 0,01%-ного р-ра метилового фиолетового, взбалтывают и колориметрируют, пользуясь шкалой эталонов. Спец. шкалу готовят из водн. р-ров 0,005% метилового фиолетового и 0,0025% малахитового зеленого таким образом, чтобы конц-ия одного красителя (в 5 мл р-ра) менялась соответственно геометрич. прогрессии со знаменателем 1,2, а объем другого красителя дополнял до постоянного объема 5 мл и прибавляют воду до нужной интенсивности окраски. Шкала устойчива в течение двух недель при 15—20°. С помощью шкалы возможно визуальное массовое определение 1—36γ/мл W в течение 20—25 мин. Установлено, что из сопутствующих элементов определение W в наибольшей степени мешают Mo(6+), P(5+), V(5+) и  $SO_3^{2-}$ ; при 17 γ/мл V (5+) и P(5+) чувствительность определения W понижается до 4 γ/мл; при  $> 3γ/мл$  P,  $> 12 γ/мл$  Mo и  $> 23 γ/мл$  Si определение W дает неверные результаты. При определении W в стали растворение ведут по методу А. А. Дымова (Технический анализ руд и металлов. Металлургиздат, 1949, 305—308). Максим. погрешность определения ~ 9%, средняя погрешность ~ 5,5%. Метод применим в промышленных объектах и в аналитич. химии. А. С.

**25958. Определение содержания золота в цианистых растворах осаждением сернистым натрием и меркаптобензотиазолом.** Карасев К. А., Каковский И. А., Головин А. А. В сб.: Соврем. методы анализа в металлургии. М., Металлургиздат, 1955, 214—216

К цианидному р-ру (500 мл) добавляют 1 г  $Na_2S \cdot 9H_2O$  или Na-соли меркаптобензотиазола, необходимое кол-во Ag в виде  $AgNO_3$  (не меньше 10 мг) и  $H_2SO_4$  до конц-ий 1—2% (тяга). Р-р нагревают до кипения, затем постепенно охлаждают и к холодному р-ру при перемешивании добавляют 0,2—0,3 г водн. р-ра Na-соли меркаптобензотиазола (для улучшения фильтруемости осадка). Осадок отфильтровывают и, не промывая, высушивают на глазурированном шербеге, шербуют с 30 г пробирного Pb, купелируют, разваривают королек, короткую прокалывают и взвешивают. Метод обеспечивает получение более точных и устойчивых результатов по сравнению с методом осаждения Zn-пылью при анализе сильно загрязненных и очень бедных цианистых р-ров (0,04—2,1 мг Au в 500 мл). В. С.

**25959. Фенилоксенкислоты как реагенты в неорганическом анализе.** Часть III. Оксикоричная кислота как специфический реактив на ионы одновалентной ртути. Ваксундзкий, Шуцкий (Fenylo-hydroksy kwasy jako odczynniki w analizie nieorganicznej Cześć III. Kwas hydroksycynamonowy jako specyficzny odczynnik na jony rtęciawe. Waksundzki Andrzej, Szuski Bogdan), Ann. Univ. M. Curie-Skłodowska, 1953 (1955), A48, 17—34 (польск.; рез. рус., англ.) β-Окс-β-фенилпропионовая к-та (I) является специфич. реактивом на ионы  $Hg^+$ . Водный р-р I не

дает осадков с ионами  $Hg^{2+}$ ,  $Pb^{2+}$ ,  $Bi^{3+}$ ,  $Cu^{2+}$ ,  $Cd^{2+}$ ,  $Sb^{3+}$ ,  $Sn^{2+}$ ,  $Ni^{2+}$ ,  $Fe^{2+}$ ,  $Fe^{3+}$ ,  $Mn^{2+}$ ,  $Al^{3+}$ ,  $Zn^{2+}$ ,  $Ba^{2+}$ ,  $Sr^{2+}$ ,  $Ca^{2+}$ ,  $Mg^{2+}$ ,  $Tl^+$ ,  $UO_2^{2+}$ ,  $K^+$ ,  $Na^+$  и  $NH_4^+$ , а с ионами  $Ag^+$  образует только муть. Аммонийная соль I образует осадки только с  $Ag^+$  и  $Hg^+$ . Для колич. осаждения  $Hg^+$  применяют р-р I в 50%-ном спирте (фильтрат не дает осадка с  $Cl^-$ ). Чувствительность определения 14 γ/мл, предельное разбавление 1:7·10<sup>-5</sup>. Для выяснения механизма р-ции проведены весовые и кондуктометрич. определения, а также элементарный анализ осадка. Из данных титрования 0,05 н.  $Hg_2(NO_3)_2$  (II) при помощи 0,05 н. р-ра I в 50%-ном спирте излом находится при соотношении  $Hg:I = 1:0,496$ . Ионы  $Hg^{2+}$  (погрешность метода до 2%), а также  $Pb^{2+}$  не мешают. В осадках, полученных действием избытка I на 20 мл 0,05 н. II, отфильтрованных после 12 час. и высушенных при 105°, найдено соотношение  $Hg:I = 1:0,662$ . Определение азота (1,9% N) указывает на состав  $HgC_6H_5O_2 \cdot HgNO_3$ . Часть II см. РЖХим, 1955, 11810, Н. Т.

**25960. Колориметрический метод определения ртути метилфиолетовым.** Ананьевская М. И., Петрашень В. И., Науч. тр. Новочеркас. политехнич. ин-та, 1955, 26, 246—251

Колориметрирование производят двумя методами: визуальным сравнением со шкалой из двух пробирок и сравнением со спец. шкалой эталонов. 1) В две пробирки вносят 0,15 мл и 3 мл стандартного р-ра  $HgCl_2$  (при употреблении в качестве комплексообразователя KJ) и добавляют по 0,5 мл 0,5 н. HCl. В третьей пробирке кислотность определяемого объема испытуемого р-ра приводят к требуемому уровню (рН ~ 1,4) путем добавления к-ты или щелочи в присутствии метилового фиолетового (I), как индикатора, до зелено-голубой окраски. Объем прибавленной к-ты или щелочи замеряют и прибавляют к новой порции испытуемого р-ра, взятой в том же объеме. Затем во все пробирки прибавляют по 1,3 мл 0,01%-ного р-ра I, по 5 мл 2,5%-ного р-ра KJ и разбавляют до 5 мл; встряхивают и сравнивают окраску р-ров. 2) Спец. шкалу эталонов готовят смешением нейтр. водн. р-ров 0,065% I и 0,00125% малахитового зеленого в определенных соотношениях. Объем I возрастает в геометрич. прогрессии, объем малахитового зеленого дополняет общий объем в каждой пробирке до 5 мл. По стандартному р-ру  $HgCl_2$  определяют, какому кол-ву Hg соответствует окраска каждой пробирки. Шкала устойчива в течение двух недель при 15—20°. При колориметрировании по шкале кислотность испытуемого р-ра приводят к требуемому уровню, добавляя реактивы, как указано выше, и сравнивают окраску испытуемого р-ра с окраской эталонов. Для определения Hg в руде навеску ~ 0,2 г растворяют в  $HNO_3$  и HCl по прописи Назаренко и Полуэктова (Полумикрохимич. анализ, 1950, 115—119). При определении Hg с KJ: конц-ия к-ты 0,05—0,1 н., конц-ия I 0,001%—0,003%; конц-ия KJ 0,25%. Описанным методом определяют 0,03—6 γ/мл Hg. При применении в качестве комплексообразователя KBr оптимальные условия следующие: конц-ия к-ты 0,01—0,1 н., конц-ия I 0,001%—0,003%; конц-ия KBr 0,5%. Описанным методом определение Hg возможно в присутствии  $Fe^{2+}$ ,  $Cd^{2+}$ ,  $Cu^{2+}$ ;  $Fe^{3+}$  восстанавливают до  $Fe^{2+}$ .  $K^+$ ,  $Na^+$ ,  $Ca^{2+}$ ,  $Al^{3+}$ ,  $SiO_3^{2-}$ , P(5+) и As(5+) не мешают. Средняя погрешность 5%, максим. погрешность 6,4%. Метод применим для определения малых кол-в Hg в рудах, сточных водах, воздухе. А. С.

**25961. Объемное определение ртути и применение ее солей в качестве первичных стандартов при ацидиметрии.** Палит, Сомаяджулу (Volumetric determination of mercury and the use of mercury salts

as primary acidimetric standards. Palit Sati R., Somaya Julu G. R.), *Analyt. Chem.*, 1955, 27, № 8, 1331—1333 (англ.)

Hg быстро и точно определяют ацидиметрич. титрованием щелочи, выделяющейся при добавлении к р-ру, содержащему амидные комплексы HgO, избытки KJ или Na<sub>2</sub>S<sub>2</sub>O<sub>3</sub>. В качестве комплексообразователей используют ацетамид (I) (0,5 моля на 1 моль HgO) или мочевины (II) (в 20-кратном избытке). К ~ 20 мл р-ра соли Hg (2+) (ацетат, нитрат, перхлорат), содержащему 1 ммоль Hg, добавляют 4—5 г II или 70 мл I (5 мл 1,4%-ного р-ра), подщелачивают разб. р-ром NaOH и титруют по фенолфталеину (III) 0,1 н. HNO<sub>3</sub> или HClO<sub>4</sub>. Затем добавляют ~ 12 мл нейтр. ~ 0,5 н. р-ра KJ или Na<sub>2</sub>S<sub>2</sub>O<sub>3</sub> и титруют 0,1 н. стандартным р-ром к-ты. При анализе HgSO<sub>4</sub> последний (1—2 ммоль) переводят в р-р при помощи 0,1 н. NaOH (небольшой избыток) и 20 мл 25%-ного р-ра II при нагревании. Максим. погрешность — 0,2%. Определению мешают следующие анионы: фосфат, тиосульфат, роданид, цианид, галогениды. Фосфат осаждают Ba(OH)<sub>2</sub> (вместо NaOH) при первой нейтр-ции. Влияние Cl<sup>-</sup> предотвращается применением спирт. р-ра NaOH, что позволяет анализировать р-р HgCl<sub>2</sub> с максим. погрешностью 0,25%. 0,2 г соли Hg (2+) растворяют в 20 мл 75%-ного C<sub>2</sub>H<sub>5</sub>OH или CH<sub>3</sub>OH. Для подщелачивания употребляют спирт. р-р NaOH. Применение смешанного (3 ч. III и 1 ч. 1-нафтолфталеина) индикатора позволяет анализировать HgCl<sub>2</sub> обычным (без спирта) способом. Так как ионы Hg<sup>2+</sup> в щел. р-ре (в присутствии амидов) одновременно окисляются до Hg<sup>2+</sup> и восстанавливаются до Hg, то описанным методом можно анализировать соли Hg (1+). Для этого выпадающий осадок металлич. Hg растворяют, а остающуюся в р-ре Hg<sup>2+</sup> определяют непосредственно. Благодаря высокой точности метода, устойчивые и отвечающие стехиометрич. составу чистые соли (Hg<sub>2</sub>SO<sub>4</sub>, HgSO<sub>4</sub>, HgCl<sub>2</sub>) могут быть использованы в качестве первичных стандартов для установки титра щелочей (непосредственным титрованием в присутствии I или II) и к-т (в соответствии с описанным методом). Для лабор. целей в качестве щел. р-ра удобен стандартный р-р ацетата Hg, не требующий соблюдения предосторожности при хранении. Титр его устанавливают по к-те или бифталату.

Л. Х.

25962. Определение органических соединений металлов методом экстракции. VII. Экстракция и колориметрическое определение ртути и висмута при помощи антипирина. Судо (抽出法による金属有機化合物の定量法の研究. 第 7 報. アンチピリンを用いての水銀及 砒の定量. 須藤専美子). *日本化学雑誌*, Нихон какаку дзасси, *J. Chem. Soc. Japan. Pure Chem. Sec.*, 1953, 74, № 11, 918—920 (япон.)

Hg и Bi образуют с антипирином в присутствии NH<sub>4</sub>SCN, соответственно, белое и желтое соединения, растворимые в органич. р-рителях, напр. в смеси амил-овый спирт-этилацетат с соотношением 3 : 1 в случае Hg и 1 : 4 в случае Bi. Оптимальные значения pH при экстрагировании 1,8—2,3. Светопоглощения экстрактов измеряют для обоих элементов при 325 мμ. Cu, Co, Sn, Fe, Ni и Pb мешают. Сообщение VI см. РЖХим, 1955, 16519.

И. Л.

25963. Дифеновая кислота как аналитический реагент. Часть II. Отделение тория от циркония, титана и железа и их совместное определение. Банерджи (Diphenic acid as an analytical reagent. Part II: Separation of thorium from zirconium, titanium and iron and their co-determinations. Banerjee Gurupada). *Z. analyt. Chem.*, 1955, 147, № 6, 409—415 (англ.)

Определение Th, Zr, Fe и Ti при совместном присутствии при помощи дифеновой к-ты (I) основано на раз-

личии в значениях pH, требующихся для осаждения Th, Zr и Fe<sup>3+</sup> и маскировании Fe<sup>3+</sup> аскорбиновой к-той (II). Р-р, содержащий Th и Zr, нейтрализуют по конго красному разб. NH<sub>4</sub>OH, доводят pH р-ра до 1,8 при помощи 3,5 М HNO<sub>3</sub> или CH<sub>3</sub>COOH, добавляют 0,1 г CH<sub>3</sub>COONH<sub>4</sub>, разбавляют р-р до 50 мл и осаждают Zr 0,1 М р-ром I; осадок промывают 0,01 М р-ром I, горячей водой и спиртом, сушат при 110° и прокалывают до ZrO<sub>2</sub> (состав осадка ZrO (C<sub>14</sub>H<sub>8</sub>O<sub>4</sub>)·3H<sub>2</sub>O, но вес его при сушке непостоянен). В слегка подкисленный фильтрат добавляют 0,5—1 г II для связывания Fe<sup>3+</sup>, разбавляют до 75 мл, осаждают Th, как описано в части I, и определяют его в виде Th(C<sub>14</sub>H<sub>8</sub>O<sub>4</sub>)<sub>2</sub>. Фильтрат упаривают, осаждают Fe<sup>3+</sup> 1%-ным р-ром NH<sub>4</sub>-соли I (к 2 г I добавляют 50 мл горячей воды и растворяют смесь при 40° 6 н. NH<sub>4</sub>OH; р-р обесцвечивают кипячением с 0,2 г норита, быстро фильтруют через нагретую воронку в горячую колбу и охлаждают; кристаллы NH<sub>4</sub>-соли I отфильтровывают от маточного р-ра, промывают ледяной водой, сушат на воздухе и приготавливают 1%-ный р-р соли). В присутствии больших кол-в Fe осаждение повторяют. Промытый осадок сушат и прокалывают до Fe<sub>2</sub>O<sub>3</sub>. В фильтрате определяют Ti весовым методом, осаждая его NH<sub>4</sub>OH. При совместном присутствии Th, Fe и Ti торий можно отделить 2-кратным осаждением р-ром I из нейтр. по конго красному р-ра. Часть I см. РЖХим, 1956, 22712.

Б. З.

25964. Изучение анализа металлического никеля. I. Определение свинца. II. Определение меди. Эко-сука (金属ニッケル分析法の研究. 第 1 報. 鉛の定量. 第 2 報. 銅の定量法. 横須賀繁). *分析化学*, Бун-сэки какаку, *Japan Analyst.*, 1955, 4, № 2, 99—105 (япон.; рез. англ.)

Исследованы полярографич. и колориметрич. (с дитизоном) методы определения Pb и Cu в металлич. никеле. Прямым полярографич. методом на фоне 1 М CH<sub>3</sub>COONH<sub>4</sub> определяют ≥ 0,005% Pb. Меньшее кол-во Pb определяют после обогащения при помощи H<sub>2</sub>S. Описан быстрый колориметрич. метод определения ≥ 0,0002% Pb с прямой экстракцией 1 г пробы. Продолжительность анализа металла 1 час, р-ра — 20 мин.; погрешность определения при 30—50 γ Pb составляет ± 3,3%. Прямое полярографич. определение ≤ 0,005% Cu продолжается 3 часа; определение ≤ 0,001% Cu с обогащением при помощи H<sub>2</sub>S 6—7 час. Колориметрич. методом с дитизоном ≤ 0,0002% Cu в металле определяют за 100 мин., в р-ре — за 30 мин.

Ф. Л.

25965. Спектральное определение тория. Линд-стром (A spectrographic method for thorium. Lindstrom Frederick J.). *U. S. Atomic Energy Comm. Rpts.*, 1953, AECU—2851, 8 pp. (англ.)

Ввиду низкой чувствительности спектральных линий Th определение малых конц-ий возможно только с предварительным обогащением пробы. Р-р вводят в разряд вращающимся электродом из Ag при 7 об/мин. Аналитич. пара линий: Th 2837,3 — Cr 2835,6 Å. Эталонны готовят из смесей при следующих соотношениях: 5 мл CrCl<sub>3</sub> (0,1 мг/мл) + 0,4; 0,6; 1; 2; 4; 6 и 10 мл ThCl<sub>4</sub> (1 мг/мл) + 25 мл HCl (1 : 10). Смесей разбавляют до 100 мл. Избыток к-ты добавляют для стабилизации возбуждения Cr. Применяется 1,5-м дифракционный спектрограф фирмы ARL. Ширина щели спектрографа 60 μ. Спектры возбуждают конденсированной искрой (индуктивность 1440 μн, емкость 0,014 μф, напряжение 25 000 в). Предварительное обескряивание 10 сек., экспозиция 50 сек. Чувствительность обнаружения Th 4 γ на 1 мл, при уменьшенной апертуре (для снижения фона) 10 γ на 1 мл. Построена калибровочная кривая в координатах lg I<sub>ан</sub>/I<sub>сп</sub> — lg C для интервала конц-ий 4—100 γ/мл, фон не учитывается. Весьма малый наклон графика увеличивается при больших конц-иях. Б. Л.

**25966.** Определение тория при помощи  $\beta$ -оксисамин- $\beta$ -фенилпропионовой кислоты. Банерджи (Determination of thorium with  $\beta$ -hydroxyamino- $\beta$ -phenyl propionic acid. Banerjee Gurupada, Z. analyt. Chem., 1955, 147, № 5, 348—354 (англ.)).  $\beta$ -Оксисамин- $\beta$ -фенилпропионовая к-та (I) и ее Na-соль (II) применимы в качестве осадителя для весового определения Th. При употреблении I полнота осаждения достигается при pH 4,8, при употреблении II — при pH 3,6. К р-ру Th ( $\text{NO}_3$ )<sub>4</sub>, содержащему 0,0006—0,0864 г ThO<sub>2</sub>, нейтрализованному по конго красному, прибавляют горячий 1%-ный р-р реактива и 2 мл 4%-ного р-ра  $\text{CH}_3\text{COONH}_4$ . Через 2 мин. осадок отфильтровывают (из горячего р-ра) через фильтр ватман № 42 и промывают сначала 0,1%-ным р-ром реактива, а затем 4—5 порциями горячей воды. Фильтр вместе с осадком сушат и прокалывают в Pt-тигле до постоянного веса. В присутствии Co, Ni и Mn, а также при соотношении между ThO<sub>2</sub> и окисями La и Ce 1 : 50 и между ThO<sub>2</sub> и U<sub>3</sub>O<sub>8</sub> 1 : 100 требуется пересаживание. Hg<sup>2+</sup>, Fe<sup>3+</sup> и Zr<sup>4+</sup> мешают. Прибавление  $\text{CH}_3\text{COONH}_4$  необходимо только при употреблении I в качестве реактива. В. К.

**25937.** Определение тория при помощи органических реактивов. Часть VI. Применение некоторых иодбензойных кислот. Датта, Банерджи (Estimation of thorium by organic reagents. Part VI. Use of some iodobenzoic acids. Datta Sachindra Kumar, Banerjee Gurupada, J. Indian Chem. Soc., 1955, 32, № 3, 167—172 (англ.)).

Описан весовой метод определения Th при помощи м-под- (I), 2,3,5-триод- (II) и 2-оксид-3,5-диодбензойной (III) к-т и их Na-солей. К р-ру Th ( $\text{NO}_3$ )<sub>4</sub>, нейтрализованному по конго красному, прибавляют горячий 1%-ный р-р реактива и 10 мл 5%-ного р-ра  $\text{CH}_3\text{COONH}_4$ . Через 7 мин. осадок (слаборозовый при употреблении I, слабожелтый при III и красный при II) отфильтровывают через фильтр ватман № 42, промывают 1%-ным р-ром  $\text{NH}_4\text{Cl}$ , подсушивают на воздухе и прокалывают до ThO<sub>2</sub>. Для осаждения можно употреблять 2%-ный спирт. (1:1) р-р II и 1%-ный р-р  $\text{NH}_4$ -соли I. Сама I дает гелеобразный труднофильтруемый осадок. Na-соль I осаждает Th в более широких пределах pH (2,8 и выше), чем Na-соли III или II (соответственно 3,2 и 3,0). При пересаживании возможно выделение Th из моначитного песка, отделение Th от Ce и La. Мешают определению Hg, Fe<sup>3+</sup> и Zr. Сообщение V См. РЖХим, 1955, 55350. В. К.

**25968.** Выделение и определение урана. Цубаки (ウランの分離と定量. 椿勇), 分析化学. Бунсэки какаку, Japan Analyst, 1955, 4, № 2, 77—79 (япон.; рез. англ.).

U(6+) отделяют от U(4+) осаждением последнего при помощи  $(\text{NH}_4)_2\text{CO}_3$ . Для отделения U от Fe употребляют купферон или  $(\text{NH}_4)_2\text{CO}_3$ , но этот способ неприменим при большом содержании Fe и малом содержании U. После восстановления Fe(3+) до Fe(2+) и U(6+) до U(4+) последний можно осадить при помощи  $(\text{NH}_4)_2\text{CO}_3$  и отделить от Fe. В случае осаждения U при помощи  $\text{NH}_4\text{OH}$  осадок образуется лишь в присутствии больших кол-в  $\text{NH}_4\text{Cl}$ . В отсутствие  $\text{NH}_4\text{Cl}$  осадок образуется, если U(6+) предварительно восстановить до U(4+). U(4+) окисляется на воздухе при нагревании, поэтому титрование его р-ром  $\text{KMnO}_4$  ведут при  $< 25^\circ$ . При растворении U<sub>3</sub>O<sub>8</sub> (или 2UO<sub>3</sub>·UO<sub>2</sub>) в р-ре  $\text{NH}_4\text{VO}_3$  в H<sub>2</sub>SO<sub>4</sub> на воздухе V(5+) восстанавливается при помощи U(4+) до V(4+), устойчивого на воздухе и титруемого  $\text{KMnO}_4$ , благодаря чему возможно объемное определение U<sub>3</sub>O<sub>8</sub>. Ф. Л.

**25969.** Количественное определение фтора с помощью радиофосфора. Пример применения радиоактивных

индикаторов в хроматографии на бумаге. Пейшоту-Кабрал, Гётте (Quantitativer Fluornachweis mit Hilfe von Radio-Phosphor. Ein Beispiel für die Verwendung radioaktiver Indikatoren in der Papierchromatographie. Peixoto Cabral J. M., Götte Hans, Z. Naturforsch., 1955, 10b, № 8, 440—442 (нем.)).

Метод основан на вытеснении  $\text{H}_3\text{P}^{32}\text{O}_4$  ионами F<sup>-</sup> в кислом р-ре из осадка фосфата циркония, меченого  $\text{P}^{32}$ . На полоску фильтровальной бумаги наносят 2 мл 3,5%-ного р-ра  $\text{ZrOCl}_2$ , затем 4 мл 4%-ного р-ра  $\text{H}_3\text{P}^{32}\text{O}_4$  (уд. активность  $\sim 2 \cdot 10^6$  имп/мин на 1 мг P). После высушивания хроматографируют восходящим способом, употребляя в качестве проявителя смесь  $\text{H}_2\text{O}$ -изо- $\text{C}_3\text{H}_7\text{OH}$  (30 : 70), к которой добавляют 5 г  $\text{CCl}_3\text{COOH}$ . За 14 час. избыток  $\text{H}_3\text{P}^{32}\text{O}_4$  удаляется от осадка фосфата циркония на 17 см. После высушивания на бумажную полоску наносят 2 мл анализируемого р-ра, высушивают и проявляют тем же р-рителем (в течение 2 час.). F<sup>-</sup> вытесняет эквивалентное кол-во  $\text{H}_3\text{P}^{32}\text{O}_4$ , которая удаляется на половину расстояния до пятна избыточной  $\text{H}_3\text{P}^{32}\text{O}_4$ . Расположение пятна устанавливают с помощью счетчика или автордиографически. Участок пятна вырезают и  $\text{H}_3\text{P}^{32}\text{O}_4$  вымывают в присутствии носителя — неактивной  $\text{H}_3\text{PO}_4$ . Активность полученного р-ра, разб. до 10 мл, измеряют счетчиком для жидкостей и вычисляют кол-во F<sup>-</sup>. Na, K, Mg и Ca в кол-вах, соизмеримых с кол-вом F<sup>-</sup>, не мешают; Fe мешает. Приведены радиоавтограммы для 0,12  $\gamma$  F<sup>-</sup>, кривые распределения активности на хроматограмме для двух опытов и зависимость активности пятна  $\text{H}_3\text{P}^{32}\text{O}_4$  от кол-ва F<sup>-</sup>. В области 0,5—4  $\gamma$  F<sup>-</sup>, где указанная зависимость нелинейна, рекомендуется пользоваться калибровочной кривой. В. Л.

**25970.** Определение микрограммовых количеств фторида и цианида измерением тока внутреннего электролиза. Бейкер, Моррисон (Determination of microgram quantities of fluoride and cyanide by measurement of current from spontaneous electrolysis. Baker Bertsil B., Morrison Joseph D., Analyt. Chem., 1955, 27, № 8, 1036—1037 (англ.)).

Методы основаны на зависимости между мгновенной силой тока и конц-ией реагентов в р-ре. Для определения CN<sup>-</sup> используют катод из Pt-проволоки (длина 254 мм, диам. 0,75 мм) и анод из Ag-проволоки (длина 460 мм, калибр № 18), постоянное положение которых обеспечивается навиванием их на плечи U-образной трубки; электролитом служит 0,1 н. NaOH. Сила тока зависит от размеров электродов (в особенности анода), размера ячейки, сопротивления микроамперметра, скорости перемешивания. Как при построении калибровочной кривой, так и при измерениях отсчитывают силу тока через 1 мин. после добавления CN<sup>-</sup>. Желательно частое повторение калибровки. Метод применим для определения HCN в воздухе, просасываемом через U-образную трубку. Примеси  $\leq 1000 \gamma \text{NO}_3^-$ ,  $\text{NO}_2^-$ , F<sup>-</sup>, Cl<sup>-</sup>,  $\text{SO}_3^{2-}$ ,  $\text{SO}_4^{2-}$ ,  $\text{PO}_4^{3-}$ ,  $\text{NH}_3$  не мешают определению CN<sup>-</sup>. S<sup>2-</sup> и ClO<sup>-</sup> в кол-ве 1000  $\gamma$  существенно искажают результаты; в присутствии 5  $\gamma$  тех же в-в определение возможно. Для определения F<sup>-</sup> используется Al-анод, поверхность которого должна быть значительно меньше поверхности Ag-катода (прямой кусок Al-проволоки, желательно из 99,99%-ного Al, длиной 12, диам. 3,2 мм). Место ввода Al-проволоки в р-р покрывают непроводником (напр., твердой замазкой апизон W). Электролитом служит 0,2 M  $\text{CH}_3\text{COONH}_4$  или лучше 0,017 M бензойная к-та. При калибровке и измерениях силу тока отсчитывают через 2 мин. после добавления F<sup>-</sup>. Перед серией измерений анод очищают и выдерживают 2 мин. в 0,01 M HF. Примеси по 1000  $\gamma$



$\text{NO}_3^-$ ,  $\text{SO}_4^{2-}$  и  $\text{CN}^-$  не мешают;  $\text{PO}_4^{3-}$  и  $\text{S}^{2-}$  оказывают влияние, устраняемое калиброванием ячеек в их присутствии. 1000  $\gamma$   $\text{Cl}^-$  мешает определению. И. Р.

**25971. Электрометрическое титрование иодида при помощи бихромата. Састри, Радхакришна Мурти** (Electrometric titration of iodide with dichromate. Sastri M. N., Radhakrishna Murthy Ch.), Naturwissenschaften, 1955, 42, № 18, 511—512 (англ.)

$\text{I}^-$  титруют электрометрически при помощи  $\text{p-p}$   $\text{K}_2\text{Cr}_2\text{O}_7$  в среде с низкой кислотностью (0,25 н. по  $\text{HCl}$  или  $\text{H}_2\text{SO}_4$ ) в присутствии катализатора оксалата. Произведено титрование 0,01—0,05 н.  $\text{I}^-$  с применением насыщ. к. э. и полированного спирального  $\text{Pt}$ -электрода. Скачок потенциала вблизи конечной точки соответствовал 80—100 мВ на 0,1 мМ 0,05 н.  $\text{K}_2\text{Cr}_2\text{O}_7$ . Установлено, что титрование при указанной кислотности  $\text{p-p}$  возможно лишь в том случае, если конц-ия оксалата (в эквивалентах) равна или больше конц-ии  $\text{I}^-$ . Т. Б.

**25972. Кулометрическое микроопределение роданидов. Сыкут** (Kulometrice mikrooznaczenie rodanków. Sykut Kazimierz), Ann. Univ. M. Curie-Skłodowska, 1954 (1955), A48, 83—94 (польск.; рез. русск., нем.)

Микроколичества роданидов ( $> 0,1$  мг в 40 мл) определяют кулометрически путем окисления бромом, полученным электролитически из  $\text{p-p}$  состава: 40 г  $\text{KBr}$  и 36 г  $\text{HCl}$  на 1 л. При этом протекает р-ция:  $\text{SCN}^- + 6\text{Br} + 4\text{H}_2\text{O} = \text{SO}_4^{2-} + \text{HCN} + 7\text{H}^+ + 4\text{Br}^-$ . Появление избытка  $\text{Br}^-$  устанавливают при помощи поляризованного электрода. Кол-во  $\text{SCN}^-$  вычисляют на основании продолжительности электролиза и силы тока. Средняя погрешность 0,3%.  $\text{Cl}^-$  и  $\text{Br}^-$  не мешают,  $\text{I}^-$  — мешает определению. При наличии  $> 1$  мг  $\text{KCN}$  в 50 мл следует удалять  $\text{HCN}$  током  $\text{CO}_2$ . Н. Т.

**25973. Ускоренный способ определения гидросульфита и щелочи. Ростовцев В. Е., Громова В. В.**, Текстильная пром-сть, 1953, № 1, 36—38

Гидросульфит (II) определяли газометрически путем учета поглощения  $\text{O}_2$  из воздуха в замкнутой термостатированной склянке. Испытуемый  $\text{p-p}$  вместе с небольшим кол-вом пенообразователя вводили в склянку под слой трансформаторного масла. Склянку закрывали пробкой с двумя трубками (первая соединена с одной из двух последовательно соединенных и заполненных водой измерительных бюреток, вторая — через открытый кран с воздухом), помещали в резервуар с водой для стабилизации т-ры, через 10 мин. закрывали кран второй трубки и встряхивали склянку, вынимая из воды, в течение 5—8 мин. За счет поглощения  $\text{O}_2$  в склянке ( $\text{Na}_2\text{S}_2\text{O}_4 + \text{O}_2 + \text{H}_2\text{O} \rightarrow \text{NaHSO}_4 + \text{NaHSO}_3$ ) уровень воды в бюретке, соединенной со склянкой, поднимался. Поднятием второй бюретки уровни выравнивали и вычисляли объем поглощенного  $\text{O}_2$ . Для нейтр-ции кислых продуктов окисления в  $\text{p-p}$  I вводили дополнительное кол-во щелочи. Щелочность  $\text{p-p}$  I определяли титрованием окисленного  $\text{p-p}$  0,1 н.  $\text{CH}_3\text{COOH}$  с индикатором фенолфталеином. Е. П.-Р.

**25974. Определение растворимых орто-, пир- и трифосфатов при их совместном присутствии. Нетертон, Рит, Берихарт** (Determination of soluble ortho-, pyro-, and triphosphate in presence of each other. Nether-ton L. E., Wreath A. R., Bernhart D. N.), Analyt. Chem., 1955, 27, № 5, 860—861 (англ.)

Метод основан на селективном щел. гидролизе трифосфата:  $\text{Na}_3\text{P}_3\text{O}_{10} + 2\text{NaOH} \rightarrow \text{NH}_4\text{P}_2\text{O}_7 + \text{Na}_3\text{PO}_4 + \text{H}_2\text{O}$  в сочетании с модифицированным коло-

риметрич. определением ортофосфата. Навеску 1 г растворяют в воде,  $\text{p-p}$  разбавляют до 250 мл. В одной аликвотной порции определяют содержание ортофосфата, в другой — общее содержание Р (а), проводя гидролиз в кислой среде. К третьей аликвотной порции 25 мл добавляют 25 мл 50%-ного  $\text{p-p}$   $\text{NaOH}$  и 100 мл воды, закрывают сосуд часовым стеклом, кипятят 45 мин., выпаривая  $\text{p-p}$  до 50—80 мл и разбавляют до 100 мл. 10 мл полученного  $\text{p-p}$  охлаждают на ледяной бане и прибавляют 40 мл смеси ацетон-  $\text{p-p}$  молибдата аммония-вода (1,5:1:1,5), охлажд. на ледяной бане ( $\text{p-p}$  молибдата аммония готовят растворением 18,75 г соли в 30 мл воды с добавкой 150 мл конц.  $\text{H}_2\text{SO}_4$ ; после охлаждения  $\text{p-p}$  разбавляют до 500 мл). Через 1 мин. колориметрируют в фотоэлектрич. колориметре Клетта — Саммерсона при 430 мμ, определяя содержание Р в ортофосфате (b). Содержание Р в трифосфате образца вычисляют по ф-ле  $C = (a - b) \cdot 3$ . Содержание Р в пирфосфате вычисляют по ф-ле  $d = a - (c + b)$ . В. Ш.

**25975. Диметиламинофенилдиметилпиразолон как реактив на феррицианид. Перес-Роура** (La dimetilaminofenildimetilpirazolona como reactivo del anión ferricianuro. Perez Rouga Nedy Esmeralda), Rev. Asoc. bioquím. argentina, 1954, 19, № 95, 225—226 (исп.)

Для идентификации  $[\text{Fe}(\text{CN})_6]^{3-}$  в качестве реактива употребляют  $\text{p-p}$  пирамидона (I) в 2 н.  $\text{HCl}$ . К 5 мл испытуемого  $\text{p-p}$  прибавляют 1 мл 5%-ного  $\text{p-p}$  I; смесь нагревают на пламени горелки, охлаждают и взбалтывают с 3—4 мл эфира. В присутствии  $[\text{Fe}(\text{CN})_6]^{3-}$  водн. слой окрашен в отраженном свете в изумрудно-зеленый цвет; эфирный слой флуоресцирует с лиловым оттенком. В УФ-свете эфирный слой имеет флуоресценцию светлозеленого оттенка, а водн. слой — темнозеленую окраску. Чувствительность р-ции (по флуоресценции) 1:5000. При разбавлении 1:10 000 наблюдается слабое окрашивание водн. слоя, но эфирный слой не флуоресцирует.  $[\text{Fe}(\text{CN})_6]^{4-}$  также дает зеленую окраску с I, но другого оттенка. Кроме того, при остывании нагретого  $\text{p-p}$  окраска его переходит из зеленой в синюю, а при взбалтывании с эфиром,  $\text{CHCl}_3$ ,  $\text{CCl}_4$  и т. д. флуоресценция не наблюдается. Э. Г.

**25976. О колориметрическом способе определения свободного цианида. Хейльман** (Über ein Verfahren zur colorimetrischen Bestimmung des freien Cyanids. Heilmann Gerhard), Z. analyt. Chem., 1955, 148, № 1, 29—31 (нем.)

Предложен новый колориметрич. метод определения  $\text{CN}^-$  по увеличению интенсивности окраски  $\text{p-p}$   $\text{K}_2[\text{Ni}(\text{CN})_4]$  в присутствии  $\text{CN}^-$ . Интенсивность окраски  $\text{p-p}$  увеличивается с увеличением содержания  $\text{CN}^-$ . Для двух  $\text{p-p}$ ов, содержащих равные кол-ва  $\text{K}_2[\text{Ni}(\text{CN})_4]$  (1%), но разные кол-ва  $\text{KCN}$  или  $\text{NaCN}$ , при одинаковой т-ре существует следующая зависимость:  $c_1 \cdot s_1 = c_2 \cdot s_2$ , где  $c$  — конц-ия  $\text{CN}^-$ , а  $s$  — толщина слоя. Т. Л.

**25977. Определение фосфорной кислоты в почве с применением буферного раствора ацетата натрия в качестве растворителя. Бенъяминсен** (Fosforsyrebestemmelse i jord med natriumacetat st'dpude som opl'sningsmiddel. Benjamin sen J.), Tidsskr. planteavl., 1955, 58, № 4, 627—650 (дат.; рез. англ.)

Для определения  $\text{P}_2\text{O}_5$  в 50 образцах датской почвы в качестве  $\text{p-p}$ ителя применяли буферный  $\text{p-p}$   $\text{CH}_3\text{COONa}$  трех различных конц-ий: 0,2 н. по  $\text{CH}_3\text{COOH}$  и  $\text{CH}_3\text{COONa}$ , 0,5 н. по  $\text{CH}_3\text{COOH}$  и  $\text{CH}_3\text{COONa}$  и 1 н. по  $\text{CH}_3\text{COOH}$  и  $\text{CH}_3\text{COONa}$  (рН 4,7). При соотношении почва:жидкость 1:10 буферная емкость  $\text{p-p}$ ителя в подавляющем большинстве случаев была достаточной для сохранения постоянного значения рН при экстракции. Ошты,

проведенные при различной продолжительности экстракции, показывают, что кривые «кол-во растворенного в-ва — продолжительность экстракции» характеризуются весьма крутым подъемом на начальном участке; затем они становятся почти параллельными оси времени. Из общего кол-ва  $P_2O_5$ , растворившейся в течение 8 час., свыше 80% было растворено в течение первого часа и свыше 90% — в течение первых 4 час. При увеличении кол-ва почвы и постоянном объеме ацетатного буферного р-ра кол-во растворенной  $P_2O_5$  может быть вычислено по ур-нию  $y = kz - dkz^2 / (e + Kz)$ , где  $y$  — кол-во  $P_2O_5$  в р-ре,  $z$  — кол-во почвы,  $k$ ,  $d$  и  $e$  — константы. Если  $z$  стремится к нулю, то константа  $k$  будет выражать общее кол-во  $P_2O_5$  (на 1 г почвы), растворимой в ацетатном буферном р-ре; однако эксперим. определение  $k$  затруднительно. При изменении конц-ии буферного р-ра вывести закономерность для кол-ва растворимой  $P_2O_5$  не представляется возможным. При соотношении почва:жидкость свыше 1:5 кол-во растворимой  $P_2O_5$  в подавляющем большинстве случаев увеличивалось с конц-ией буферного р-ра, и то время как при соотношении почва:жидкость ниже 1:5 растворимость  $P_2O_5$  изменялась незакономерно. Е. Я.

**25978. Определение марганца в силикатных породах, в железных и марганцевых рудах.** Шимо (Szilárdos k'zetek, vas-és mangánércsek mangántartalmának meghatározása. Simó Béla), Kohasz. lapok, 1955, 10, № 8, 361—365 (венг.; рез. нем.)

Фотометрический метод определения Mn в силикатных породах, Fe- и Mn-рудах исследован для уменьшения затрачиваемого времени и кол-ва реактивов. Установлено, что навеска силикатной породы должна составлять 0,1 г. Для определения Mn в Fe-рудах можно пользоваться отдельной навеской 0,1 г. Фотометрич. методом можно определить Mn, увлеченный осадками  $R_2O_3$ , CaO и MgO. При определении Mn в Mn-рудах можно пользоваться навесками 0,1, 0,03 или 0,01 г. При употреблении метода Фольгарда — Вольфа отклонение результатов составляет  $\leq 0,35\%$ , при навеске 0,01 г отклонение увеличивается. Для окисления Mn до  $MnO_4^-$  пользуются персульфатом;  $Cl^-$  удаляют из р-ра обработкой  $HNO_3$ . Т. Л.

**25979. Новый метод применения комплексона III для определения отношения кальцит — доломит в карбонатных породах.** Уэйстман, Дил (A new method utilizing versene for determination of the calcite — dolomite ratio in carbonate rocks. Weissmann Robert C., Diehl Harvey), Proc. Iowa Acad. Sci., 1953 (1954), 60, 433—437 (англ.)

Внутрикомплексное соединение  $Ca^{2+}$  с комплексом III (I) более устойчиво, чем аналогичное соединение  $Mg^{2+}$ ; комплекс последнего с эриохром черным Т (II) прочнее комплекса  $Ca^{2+}$  с II; при совместном присутствии  $Ca^{2+}$ ,  $Mg^{2+}$ , I, II (pH > 10)  $Ca^{2+}$  вытесняет  $Mg^{2+}$  из комплекса с I; при полном вытеснении  $Mg^{2+}$  последний связывается с II; окраска р-ра изменяется из синей в красную; по времени ее появления устанавливают отношение кальцит : доломит. Около 0,010—0,015 г пробы (100 меш) помещают в белую чашку, смачивают 1 каплей р-ра «аэрозоль» (растворяют 0,1 г «аэрозоль» в 100 мл воды), приливают 3 мл реактива, отмечая конец приливания как нулевое время; перемешивают, отмечают время перехода окраски из синей в пурпурно-розовую; повторяют измерение трижды, вычисляют среднее время и находят отношение кальцит : доломит по предварительно составленной таблице (по известным отношениям кальцит : доломит). Для приготовления реактива смешивают 50 мл р-ра I (4 г I растворяют в 750 мл воды) и 50 мл воды, приливают 12,5 мл буферного р-ра (к 6,75 г  $NH_4Cl$  приливают 57 мл конц.  $NH_4OH$ , разбавляют до 100 мл; pH > 10), добавляют 0,25 мл р-ра эриохром черного Т (1 г реактива в 100 мл

$CH_3OH$ ); реактив готовят не ранее, чем за сутки до использования. Метод применим для полуколичеств. определений. А. 3.

**25980. Новые методы быстрого анализа силикатов, горных пород, руд, шлаков, огнеупорных материалов и т. п.** I. Общая часть. II. Быстрое определение кремневой кислоты. III. Быстрое определение алюминия комплексометрическим методом. Шабо (Eine neue Methode zur Schnellanalyse der Silikate, Gesteine, Erze, Schlacken, feuerfesten Stoffe, usw. I. Allgemeiner Teil. II. Schnellbestimmung der Kieselsäure. III. Schnellbestimmung des Aluminiums mit einer komplexometrischen Methode. Sajo I.), Acta Chim. Acad. sci. hung., 1955, 6, № 3—4, 233—262 (нем.; рез. русс., англ.)

**Сообщение I.** Разработаны быстрые методы анализа силикатов, горных пород, руд и т. п., основанные на переводе определяемых в-в в р-р в Ag-чашке особой формы (диам. 90 мм, глубина 45 мм, толщина стенок 1 мм). Навеску в-ва (0,5—5 г) смачивают в чашке несколькими мл 5%-ного спирт. р-ра KOH, затем прибавляют 6—10-кратное кол-во KOH и медленно расплавляют на горелке Бунзена; после расплавления выдерживают чашку 3—4 мин. в пламени при 400—450°, затем смачивают расплавом стенки чашки и быстро охлаждают ее внешней поверхностью водой, после чего выщелачивают плав водой и ополаскивают чашку 1 н. HCl. После подкисления получают прозрачный р-р. Сплавление продолжается 4—10 мин. Следует применять KOH, а не NaOH, так как в первом случае плавление протекает быстрее; кроме того,  $Na^+$  мешает объемному определению кремневой к-ты. Число в-в, способных переходить в р-р при сплавлении с KOH, можно значительно увеличить, если к KOH прибавлять незначительное кол-во  $Na_2O_2$  и если в некоторых случаях (напр., при высоком содержании Fe) исследуемое в-во предварительно восстанавливать  $H_2$ ,  $NH_3$  или углеродом.

**Сообщение II.** Определение кремневой к-ты основано на том, что она образует в сильнокислой среде с  $K^+$  в присутствии F- труднорастворимый  $K_2SiF_6$ , растворимость которого может быть понижена добавлением большого избытка  $K^+$ . В горячей воде происходит гидролиз:  $K_2SiF_6 + 3H_2O = 2KF + H_2SiO_3 + 4HF$ . Выделившуюся HF оттитровывают р-ром NaOH. Навеску исследуемого в-ва 0,05—2 г (содержание  $SiO_2$  100—10%) сплавляют в Ag-чашке с KOH. Плав выщелачивают водой (объем р-ра ~ 50 мл), подкисляют HCl (уд. в. 1,12), затем добавляют 10 мл HCl (уд. в. 1,19) и 10 мл  $HNO_3$  (уд. в. 1,14). К полученному р-ру в стакан из пластмассы прибавляют при перемешивании ~1 г NaF и порошкообразный KCl до насыщения р-ра (рекомендуется избыток в 2—3 г). Затем р-р перемешивают ~2 мин., отфильтровывают осадок и промывают его насыщ. спирт. р-ром KCl. pH которого соответствует оранжевой окраске метилового красного (60—100 мл, порциями по 8—10 мл); фильтр с осадком переносит в колбу с 400—500 мл горячей прокипяченной, нейтрализованной щелочью по фенолфталеину воды, встряхивают и титруют р-р щелочью до розовой окраски. При анализе руд, горных пород, силикатов применяют 1/15 н. NaOH, при анализе сталей и металлов 1/35 н. NaOH. Если исследуемый р-р содержит Al и Ti, то перед прибавлением NaF добавляют 5 мл 20%-ного р-ра  $CaCl_2$ ; фильтруют через  $\leq 6$ —8 мин. после добавления NaF. Параллельно ведут контрольный опыт. Результаты описанного и весового методов практически совпадают.

**Сообщение III.** Описаны комплексометрич. методы определения Al в присутствии различных индикаторов: эриохромцианина-R, двузамещ. фосфата натрия, ферроферрицианид-бензидина, ферроферрицианид-диметил-

вафтидина. Выбор индикатора определяется наличием посторонних в-в в пробе. Метод прямого объемного определения Al без предварительного отделения Fe, Mn, Ti, Ca, Mg и других элементов основан на том факте, что при добавлении к р-ру комплексоната Al р-ра NaF Al переходит в более прочный криолит, а комплексон III (I) освобождается; другие элементы, в противоположность Al, связаны более прочно с I; Mg и щел.-зем. элементы не мешают, так как титрование проводят в слабощелочной среде. К исследуемому р-ру добавляют определенный избыток I, нагревают р-р до 30–40° и в присутствии фенолфталеина нейтрализуют р-р таким образом, чтобы появившаяся от 1 капли  $\text{NH}_4\text{OH}$  розовая окраска исчезла от 1 капли HCl (уд. в. 1,12). К р-ру добавляют 20 мл ацетатного буферного р-ра, кипятят 3 мин., охлаждают, прибавляют р-р бензидина в  $\text{CH}_3\text{COOH}$ , ферроферрицианидную смесь в качестве индикатора и титруют р-ром  $\text{Zn}(\text{CH}_3\text{COO})_2$ . Затем прибавляют 30 мл насыщ. нейтр. р-ра NaF, кипятят 2–3 мин., вновь прибавляют индикатор и титруют р-ром  $\text{Zn}(\text{CH}_3\text{COO})_2$ . Т. Б.

**25981. Спектрографический анализ растворов шлака, получаемого при плавке стали. Яношикова** (Spektrografický rozbor ocelářských strusek roztokovou metodou. Jánosičková V.), Hutnické listy, 1955, 10, № 1, 33–35 (чеш.)

Шлак (0,1 г), измельченный до 150 меш, сплавляют с 12–16-кратным кол-вом кристаллич. бумы в Ртигле. Сплав растворяют в 30%-ном р-ре лимонной к-ты при ~80° и после прибавления цитрата натрия (для предотвращения выпадения  $\text{SiO}_2$  в осадок) разбавляют до 25 мл. К 5 мл этого р-ра прибавляют 1 мл р-ра  $\text{Ni}(\text{NO}_3)_2 \cdot 6\text{H}_2\text{O}$  (360 г/л). Определение производят на спектрографе Q-24; ширина щели 0,015 мм, искровой промежуток 2 мм. Спектр возбуждается генератором Фейснера FF 10 при емк. 6500 пф и самондущий 1,3 Мг. Капли исследуемого р-ра наносят на плоские угольные электроды Рт-петли. Время экспозиции 3 мин. При определении применены линии Mg 2852,12 — Ni 2821,30; Si 2881,59 — Ni 2943,92; Mn 2933,06 — Ni 2943,92; Fe 3020,64 — Ni 3064,63; Al 3092,71 — Ni 3099,12 и Ca 3179,34 — Ni 3114,13 А. На щель прибора помещается 3-ступенчатый Рт-фильтр с пропускной способностью 10,100 и 50%. Средние квадратичные ошибки анализа равны (в %; в скобках конц-ия в %): для  $\text{SiO}_2$  (7–25)  $\pm 4,0$ ;  $\text{MnO}$  (5–20)  $\pm 2,0$ ;  $\text{CaO}$  (15–60)  $\pm 2,0$ ;  $\text{MgO}$  (5–12)  $\pm 3,2$ ;  $\text{Al}_2\text{O}_3$  (1–10)  $\pm 4,0$ ; окислы Fe (5–25)  $\pm 1,2$ . Продолжительность анализа 3 часа. Н. Т.

**25982. Возбуждение спектра мощной импульсной искрой при анализе оловянистых бронз. А. Лекандрова А. С., Давыдов С. П.** Технол. транс. машиностроение, 1955, № 4, 51–53

Анализ оловянистых бронз на Zn, Pb, Sn, Ni и Fe производят при помощи генератора мощных импульсных разрядов низкого напряжения (приведена схема). Метод разработан на образцах марок Бр. ОЦС 3,5–6–5 и Бр. ОЦСН 3–7–5–1. Пробу отливают в металлч. форме, торцы образца обрабатывают по 4-му классу чистоты, после чего его разрезают на 2 части. Перед анализом торцевую поверхность образца покрывают для изоляции тонким слоем пасты (35% канифоли, 50% озокерита, 7% битума, 8% вазелина) и приклеивают к нему пластмассовую шайбу diam. 15 мм, толщиной 1 мм, с четырьмя равномерно расположенными отверстиями diam. 1,2 мм. При помощи особого пресса со шпильками шайбу плотно прижимают к образцу и прокалывают слой пасты, очищая в четырех точках поверхность образца от изоляции. Спектры фотографируют через 3-ступенчатый ослабитель, на спектрографе ИСП-22 с шириной щели 0,03 мм с применением сферич. конденсора. Заостренный угольный электрод служит положительным полюсом, анализ-

руемый образец отрицательным; расстояние между электродами 1,5 мм. Аналитич. линии: Sn 2840,0 — Cu 2824,4 А; Pb 2833,0 — Cu 2824,4 А; Fe 2755,7 — Cu 2824,4 А; Zn 2502,0 — Cu 2529,4 А; Ni 3050,8 — Cu 3063,4 А. Трехступенчатый ослабитель позволяет производить анализ на 5 элементов по одному спектру. При работе по методу трех эталонов средняя квадратичная погрешность по Pb  $\pm 5,2\%$ , по Sn  $\pm 4,0\%$ , по Zn  $\pm 5,4\%$ . Г. Н.

**25983. Присутствие галлия в некоторых отходах и метод его определения. Шульцек, Шваста, Патровский, Долежал, Ванечек** (Výskyt gallia v některých našich odpadních produktech a způsob jeho získávání. Šulček Zdeněk, Švasta Josef, Patrovský Venceslav, Doležal Jan, Vaněček Miroko), Věst. Ustřed. ústavu geol., 1955, 30, № 5, 219–236 (чеш.; рез. русс., англ.)

Разработан метод определения Ga в пыли, уносимой газами: 0,5–2 г образца сплавляют с 6-кратным избытком  $\text{Na}_2\text{CO}_3$  и несколькими кристалликами  $\text{NaNO}_3$ . Сплав выщелачивают 50 мл горячей воды и после прибавления 10–20 мл конц. HCl и нескольких кристалликов  $\text{Na}_2\text{SO}_3$  выпаривают в фарфоровой чашке досуха для коагуляции  $\text{SiO}_2$  и удаления Ge и As. Сухой остаток растворяют в разб. HCl (1 : 7),  $\text{SiO}_2$  обрабатывают HF (+  $\text{H}_2\text{SO}_4$ ) для удаления в форме  $\text{H}_2\text{SiF}_6$ , а остаток сплавляют с  $\text{KHSO}_4$ , выщелачивают и р-р присоединяют к основному фильтрату, который подкисляют HCl до конц-ии 1–1,5 М и обрабатывают  $\text{H}_2\text{S}$  при 80°. Фильтрат после отделения сульфидов выпаривают до 50 мл, обрабатывают  $\text{Na}_2\text{S}_2\text{O}_3$  для восстановления  $\text{Fe}^{3+}$  и дважды экстрагируют эфиром. Объединенные экстракты выпаривают досуха. Сухой остаток обрабатывают небольшим кол-вом  $\text{HNO}_3$ , которую выпаривают досуха, а остаток растворяют в HCl (1 : 1). Нерастворимый остаток отфильтровывают. В фильтрате осаждают  $\text{Fe}(\text{OH})_3$  избытком 10%-ного р-ра NaOH. Щел. фильтрат подкисляют  $\text{H}_2\text{SO}_4$  (до конц-ии 10–15%) и обрабатывают при охлаждении до 10° 6%-ным водн. р-ром купферона. Осадок купфероната Ga отфильтровывают, прокаливают (сначала при 400°, затем при 1000°) и взвешивают. Затем остаток сплавляют с  $\text{KHSO}_4$ , растворяют в 1%-ной HCl, р-р разбавляют до 50 мл (р-р А) и титруют 0,01 М р-ром комплексона III (в ацетатном буфере при pH 3,8 в присутствии 1–5 мл р-ра  $\text{HBF}_4$  и индикаторов пирокатехинового фioletового или морина). В р-ре А Ge можно также определить полярографически на фоне, 13 М по  $\text{NH}_4\text{OH}$ , 2 М по  $\text{NH}_4\text{Cl}$  в присутствии желатини ( $E_{1/2} = -1,60$  в, насыщ. к. э.). Полярографич. волна Ga на этом фоне носит диффузионный характер; она несимметрична и сдвигается к положительным потенциалам при повышении т-ры. Осциллографически установлена необратимость восстановления Ga в указанных условиях. Полярография. метод рекомендуется для определения малых кол-в Ga. В различных образцах пыли обнаружено 0,01–1% Ga. Б. К.

**25984. Определение малых количеств алюминия в стали. Верц, Нейбергер** (Die Bestimmung kleiner Aluminiumgehalte im Stahl. Wertz Wilhelm, Neuberger Alfred), Arch. Eisenhüttenwesen, 1955, 26, № 4, 205–208 (нем.)

На основании проверки и сравнения ранее описанных методов разработаны 3 метода определения малых кол-в Al в стали. 1-й метод. Р-р 5 г стали в 60 мл HCl (2 : 1) окисляют 0,125 г  $\text{KClO}_3$ , дважды упаривают до появления осадка и доводят горячей водой до 50 мл, к 10 мл полученного р-ра добавляют 15 мл конц. HCl, 0,25 г  $\text{KClO}_3$ , встряхивают с эфиром 30 мин., добавляют 0,125 г  $\text{KClO}_3$  и повторно обрабатывают эфиром 45 мин. Водн. р-р упаривают, доводят до 100 мл, нагревают до 60°, пропускают  $\text{H}_2\text{S}$ , фильтруют, упаривают до 50 мл,



окисляют (1 мл 3%-ной  $H_2O_2$ ) и упаривают до 15—20 мл. Горячий р-р приливают к смеси 10 мл р-ра NaOH (400 г NaOH в 1 л) и 10 мл 3%-ной  $H_2O_2$  (в Pt-чашке), кипятят до прекращения выделения  $O_2$ , фильтруют, добавляют 10 мл конц. HCl, упаривают и доводят до 100 мл. К 5 мл полученного р-ра добавляют 20 мл воды, 5 мл свежеприготовленного р-ра 0,1 г эриохромцианина (I) в 100 мл воды и нейтрализуют 2 н. NaOH (1 капля избытка); добавляют 0,2 н.  $CH_3COOH$  до перехода окраски от желтой к красно-фиолетовой (от 1-й капли), затем 10 мл ацетатной буферной смеси доводят до 100 мл и через 15 мин. фотометрируют (фильтр S 53, толщина слоя 1 см, сравнение с водой) параллельно с контрольной пробой. Для построения калибровочной кривой к нескольким пробам, содержащим 5 г стали, свободной от Al, добавляют после второго упаривания 5—30 мл р-ра  $AlCl_3$  (50 г Al в 1 мл) и обрабатывают, как описано выше. 2-й метод. Р-р 0,2 г стали в 7 мл  $H_2SO_4$  (1 : 9) фильтруют, доводят до 40—50 мл, подвергают электролизу (Hg-катод; в случае легированных сталей 30 мин. при 4 а, легированных хромом сталей — последовательно по 30 мин. при 2, 3 и 4 а) и кипятят с 5 мл сероводородной воды; фильтруют, упаривают до 10 мл, кипятят со смесью 5 мл р-ра NaOH (300 г NaOH в 1 л) и 5 мл 3%-ной  $H_2O_2$ , фильтруют, добавляют 2 мл HCl (1 : 1) и доводят до 100 мл. 25 мл полученного р-ра с добавкой 5 мл р-ра I обрабатывают, как в 1-м методе. 3-й метод. Р-р 1 г стали в 20 мл HCl (1 : 4) окисляют и добавляют по каплям 2 мл конц.  $HNO_3$ , горячий р-р смешивают с 20 мл горячего р-ра NaOH (250 г NaOH в 1 л) в Pt-чашке, кипятят 5 мин. при перемешивании, охлаждают, доводят до 100 мл и фильтруют (хранят в полиэтиленовом сосуде). К 5 мл полученного р-ра добавляют 0,6 мл HCl (уд. в. 1,12), 20 мл воды и 5 мл р-ра I, затем поступают, как в 1-м методе. Погрешность каждого из описанных методов  $\pm 0,02\%$ . Т. А.

**25985. Метод быстрого определения фторидов (применение к электрометаллургии алюминия). Альберт, Брейт** [Methode zur Schnellbestimmung von Fluoriden. (Anwendung bei der Aluminium-Elektrolyse). Albert O., Breit H.J. Neue Technik und Wirtsch., 1955, 9, № 7/8, 197—198 (нем.)]

При получении Al применяются как щелочные (молярное отношение  $z = NaF : AlF_3 > 3$ ), так и кислые ( $z < 3$ ) электролиты. Содержащийся в первых  $NaAlO_2$  вступает при нагревании до 600° в очень быструю р-цию  $Na_3AlF_6 + NaAlO_2 \rightleftharpoons 6NaF + 2Al_2O_3$  (β-форма). В тщательно растертой смеси NaF и  $AlF_3$  при 800° быстро протекает р-ция образования  $Na_3AlF_6$ . Для определения избытка NaF или  $AlF_3$  в электролите 4,250 г размолотой до зерен  $< 0,1$  мм пробы электролита смешивают с 0,750 г NaF и смесь нагревают в Pt-тигле до 800° в течение 20 мин., растирают, количественно переносят в колбу емк. 200 мл, взбалтывают с 100 мл воды, кипятят 1 мин., охлаждают и доводят до метки. Аликвотную часть (10 мл) р-ра титруют 0,05 н.  $Th(NO_3)_3$ ; если найденное кол-во NaF (в г) равно  $m$ , то процент избыточного NaF равен  $(m - 0,750) \cdot 100 / 4,25$ . Если  $m < 0,750$  г, то процент избыточного  $AlF_3$  равен  $(0,750 - m) \cdot 100 / 4,25 \cdot 1,5$ . Для определения содержания  $AlF_3$  в технич. продукте 2 г препарата смешивают с 3,1 г NaF и далее ведут анализ, как указано выше, но титруют 20 мл р-ра; %  $AlF_3 = (3,100 - m) \cdot 100 / 3$ . Аналогично определяют избыток  $AlF_3$  в криолите. И. Р.

**25986. Определение цинка в алюминии и его сплавах. Брейт, Ваха** (Bestimmung von Zink in Aluminium und seinen Legierungen. Breit H., Wacha E.), Neue Technik und Wirtsch., 1955, 9, № 7/8, 195—197 (нем.)

Определение 0,02—0,1% Zn производят методом дистилляции в вакууме при 850° и давл.  $3 \cdot 10^{-3}$  мм рт. ст. Навеску  $\geq 4$  г алюминия в графитовой лодочке помещают в запаянную с одного конца кварцевую трубку, присоединенную к насосу. Кварцевую трубку нагревают в муфельной печи в течение часа, выступающий из печи конец трубки охлаждают сжатым воздухом. Образовавшееся металл. зеркало растворяют 15 мл 20%-ной  $HNO_3$  и р-р разбавляют до 100 мл. Аликвотную порцию р-ра, содержащую  $\sim 1$  мг Zn, вносят в колбу емк. 100 мл, со второй меткой на 80 мл. Добавляют 20%-ную  $HNO_3$  до объема 30 мл, 5 мл 1%-ного р-ра  $NaN_3$  и через  $\sim 1$  мин. 4 мл 0,5%-ного р-ра гуминарифика, разбавляют до 80 мл, добавляют 5 мл 2%-ного р-ра  $K_4[Fe(CN)_6] \cdot 3H_2O$ , встряхивают и разбавляют до 100 мл. Фотометрируют в колориметре Ланге с желтым фильтром. Mg и Na не мешают, Pb мешает при отношении  $Pb : Zn = 10 : 1$ , вызывая увеличение мутности. При наличии Bi фотометрич. определение невыполнимо, и азотнокислый р-р металл. зеркала титруют р-ром комплексона III в присутствии эриохром черного Т при pH 10. Zn предварительно маскируют добавлением KCN. При этом титруются только  $Mg^{2+}$  и  $Pb^{2+}$ . После прибавления  $CH_2O$  маскировка прекращается, и  $Zn^{2+}$  титруется комплексом III. Погрешность метода  $\sim 1\%$ . Для определения 0,0001% Zn в рафинированном алюминии рекомендуется фотометрич. определение, для определения высоких содержаний Zn в Al-сплавах применяют комплексометрич. определение. Н. Г.

**25987. Быстрый анализ кварцита. Удрия** (Analiza rapida a cuarțitel. Udrea N.), Rev. chim., 1955, 6, № 1, 47 (рум.; рез. русс.)

Навеску образца ( $\sim 1$  г) обрабатывают царской водкой при кипячении, р-р фильтруют (фильтрат А), фильтр с осадком прокаливает в Pt-тигле до постоянного веса. Затем содержимое тигля обрабатывают 40%-ной HF и снова прокалывают до постоянного веса. Вес  $SiO_2$  определяют по разности. Остаток в тигле сплавляют с щел. флюсом и выщелачивают фильтратом А; полученный р-р употребляют для определения Fe, Al, Ca, Mg. Расхождение с результатами, полученными методом щел. сплавления,  $\pm 0,1$ —0,2%. М. К.

**25988. О гравитермическом анализе минерального сырья. Сыромятников Ф. В.** В сб.: Исследования по прикл. химии. М.—Л., Изд-во АН СССР, 1955, 283—289

Описана установка для гравитермич. анализа. На примере бокситовых руд показаны возможности прибора. В. С.

**25989. Анализ самородной серы. Фреден** (Analiza de sulf nativ. Freden O.), Rev. chim., 1955, 6, № 3, 165 (рум.; рез. русс.)

Описан полумикрометод определения S в самородной сере. К навеске самородной серы 0,03—0,05 г добавляют р-р 3—4 г  $Na_2SO_3$  в 50 мл воды и кипятят в стакане-микрохолодильником до пресветления р-ра (р-р А). Добавляют 10—15 мл 40%-ного формалина, подкисляют  $CH_3COOH$  по фенолфталеину и титруют 0,1 н.  $J_2$  в присутствии крахмала. 1 мл 0,1 н.  $J_2$  эквивалентен 0,0032 г S. По другому варианту к р-ру А добавляют 0,5 г KJ и 2,5 мл конц. HCl и титруют 0,1 н.  $KMnO_4$  в присутствии крахмала (добавляют к концу р-ции). 1 мл 0,1 н.  $KMnO_4$  эквивалентен 0,0032 г S. Присутствие органич. примесей не мешает определению. По сравнению с обычным макрометодом описанный метод дает экономию во времени. М. К.

**25990. Определение общего содержания серы в осадочных породах методом сжигания. Коллер, Лейнигер** (Determination of total sulfur content of sedimentary rocks by a combustion method.

Coller Maunard E., Leininger Richard K., *Analyt. Chem.*, 1955, 27, № 6, 949—951 (англ.)

Навеску измельченного образца 0,1—0,5 г помещают в прокаленную лодочку (пригодна для одного определения), засыпают 0,5 г измельченного литого Fe и 1,0 г гранулированного Sn (30 меш) и вставляют в трубчатый вкладыш, находящийся в центре трубки для сжигания (длина 76 см, diam. 2,2—3,2 см) с т-рой 1310—1320°, нагревают 1 мин. и сжигают образец 3 мин. в токе  $O_2$ , пропускаемого со скоростью 1 л/мин.  $SO_2$  поглощают 50 мл р-ра крахмала (0,3 г крахмала в виде пасты с водой добавляют к кипящему р-ру 0,3 г КОН в 500—600 мл воды, охлаждают, добавляют 4—5 г KJ и разбавляют до 1 л), к которому добавляют 2 мл разб. HCl (1 : 1) и стандартный р-р  $KJO_3$  (0,415 г  $KJO_3$  растворяют в 500 мл воды, добавляют 2 г KJ, ~0,4 г КОН и разбавляют до 2 л) до бледно-голубой окраски и непрерывно оттитровывают р-ром  $KJO_3$ . Фактор пересчета, устанавливаемый по стандартным в-вам, требует ежедневной проверки. Метод пригоден для определения 0,001—5% S, присутствующей в образцах в форме сульфидов и сульфатов. Н. С.

25991. Полярографические методы определения Fe, Cu, Pb, Cd и Zn в сложных рудах и концентратах Pb, Zn и Cu. Чернятеску, Раля, Бураку, Фурику, Боу, Раду (*Méthodes d'analyse polarographique pour le Fe, Cu, Pb, Cd et Zn des minerais complexes et des concentrés de Pb, de Zn et de Cu. Cernătescu, R., Ralea Radu, Burlacu, G., Furnică Mihai, Bot Olimpia, Radu Maria*), *Rev. chim. (București)*, 1954, 2, 9—25 (франц.)

Навеску руды 0,4—0,5 г обрабатывают смесью конц. HCl + конц.  $HNO_3$  или конц.  $HNO_3$  +  $Br_2$  и выпаривают досуха. В присутствии Fe в конц-ии, мешающей определению других металлов (вариант 1), остаток нагревают с водой +  $HNO_3$ , нейтрализуют  $Na_2CO_3$  до слабощелочной р-ции, прибавляют 20 мл 2 М  $CH_3COONa$  и кипятят. Фильтруют, промывают осадок горячей водой и разбавляют фильтрат до 50 мл (при анализе руд) или до 100 мл (при анализе Zn-концентратов) (р-р А). К 2—5 мл р-ра А прибавляют 1 мл 2 М р-ра салицилата Na (I), 1 мл 0,4%-ного р-ра желатин (II), разбавляют до 10 мл, пропускают 5 мин. ток  $CO_2$  и определяют полярографически Cu, Pb и Cd. Для определения Zn к 2 мл р-ра А прибавляют 1 мл I, 1 мл II, 1 мл 1 М  $Na_2SO_3 \cdot 7H_2O$  и разбавляют до 10 мл. В присутствии Fe в конц-ии, мешающей определению других элементов (вариант 2), остаток, полученный при выпаривании р-ра навески, растворяют, подкисляют  $HNO_3$ , прибавляют 40 мл I, 20 мл насыщ. р-ра  $CH_3COONa$ , несколько капель  $CH_3COOH$  и разбавляют до 100 мл (р-р В). Для определения Cu и Fe к 2 мл р-ра В прибавляют 14 мл 2 М р-ра винной к-ты, 2 мл II, разбавляют до 20 мл, пропускают 5 мин. ток  $CO_2$  и полярографируют от 0 до 0,4 в. Для определения Pb к 2 мл р-ра В добавляют 2 мл II, разбавляют до 20 мл и полярографируют от 0,4 до 1 в. Для определения Zn к 2 мл р-ра В прибавляют 3 мл II, 2 мл 1 М  $Na_2SO_3 \cdot 7H_2O$ , разбавляют до 20 мл и полярографируют от 0,6 или 0,8 до 1,4 в. Если руда состоит из окислов и не содержит сульфидов (напр. Zn-концентраты), то после разложения навески и выпаривания досуха остаток растворяют, как в варианте 2; вместо 20 мл прибавляют 25 мл р-ра  $CH_3COONa$  (р-р С). Для определения Fe к 4 мл р-ра С прибавляют 10 мл 2 М р-ра винной к-ты, 2 мл II, разбавляют до 20 мл, пропускают 5 мин. ток  $CO_2$  и полярографируют от 0 в. Для определения Zn к 2 мл р-ра С прибавляют 1 мл II, разбавляют до 10 мл, пропускают 5 мин. ток  $CO_2$  и полярографируют от 0,8 в. Описан анализ руд, со-

держащих >16% Fe, >4% Pb и Zn и <0,03% Cu и Cd. Ф. Л.

25992. Определение малых количеств мышьяка в рудах без применения гипофосфита. Филиппова Н. А., Гинзбург Л. Б. В сб.: Обогащение и металлургия цветных металлов. М., Металлургиздат, 1953, 169—172

Колориметрический метод определения 0,4—20 γ As основан на его выделении в виде  $AsH_3$  и улавливании последнего диском бумаги, пропитанным р-ром  $HgBr_2$  и расположенным в направлении, перпендикулярном потоку газа. В этих условиях Sb не мешает. Ошибка определения не превышает 20% относительных. 0,1—5,0 мг As выделяют восстановлением до элементарного состояния хлористым оловом в присутствии  $HgCl_2$  или  $Hg_2Cl_2$  как катализаторов и титруют As р-ром  $K_2Cr_2O_7$ . Ошибка определения не превышает ±4% относительных. В. С.

25993. К количественному анализу системы золото — свинец — теллур в рудах. Рипан, Марку (*Contribuție la analiza cantitativă a sistemului aur — plumb — telur în minerăuri. Ripan R., Marcu G. h.*), *Bul. știint. Acad. R. P. Române Sec. techn. și chim.*, 1954, 6, 243—250 (рум.; рез. русс., франц.)

Предложен новый метод отделения и определения Au, Pb и Te в сплавах и сульфидных рудах. Свежеприготовленным, горячим р-ром гексаметафосфата натрия переводит в р-р  $PbSO_4$  (в форме растворимого комплекса  $Na_2[(PO_3)_3Pb_2]$ ) в присутствии ионов  $Au^{3+}$  и  $Te^{4+}$ . В присутствии  $(NaPO_3)_3$  в слабощелочной среде щавелевой к-той осаждают металлич. Au, Pb осаждают в щел. среде в форме  $PbS$  пропусканием  $H_2S$ . Метод применим и при наличии в образце  $SiO_2$ , Cu, Bi и Fe. М. К.

25994. Амперометрическое определение небольших количеств цинка в ваннах для никелирования. Гао Сюэ-ся, Юнь Вань (電流滴定法測定鍍電解液中微量的鋅. 高小霞, 鄒曉), *化學學報*, Луяксюэ-сяоао, *Actachim. sinica*, 1955, 21, № 3, 253—259 (кит.; рез. англ.)

Раствор выпаривают, сухой остаток сплавляют с NaOH, плав выщелачивают водой и после соответствующей обработки титруют Zn амперометрически р-ром  $K_4Fe(CN)_6$  с применением стационарного Pt-микроэлектрода при перемешивании р-ра. Оптимальные условия анализа: потенциал +0,7 в, фон — смесь 0,5 н. NaCl и 0,4 н.  $H_2SO_4$ . При определении ~0,5% Zn относительная погрешность меньше ±2%. Продолжительность определения 40 мин. В. С.

25995. Модификация метода Вилларда — Шнейдевинда для определения сульфатов в хромовых ваннах. Ибарс-Аснарес, Верикат-Рага (*Modificación del método de Willard — Schneidewind de determinación de sulfatos en los baños de cromado. Ibarz Azpáiz J., Vericat Raga J. B.*), *An. Real soc. española fis. y quim.*, 1954, B50, № 12, 989—990 (исп.)

Для определения  $SO_4^{2-}$  в хромовых ваннах предложена модификация метода Вилларда-Шнейдевинда (*Trans. Amer. Electrochem. Soc.*, 1929, 56), основанная на увеличении конц-ии  $CH_3COOH$  при осаждении  $BaSO_4$  до 50%-ной и промывании осадка 2%-ной  $CH_3COOH$ . 5—25 мл анализируемого р-ра разбавляют до 50 мл, прибавляют 5 мл конц. HCl и спирт в кол-ве, необходимом для восстановления  $CrO_3$ . После восстановления кипятят 15 мин., разбавляют р-р 100 мл конц.  $CH_3COOH$  и 100 мл воды, кипятят несколько минут и прибавляют 10 мл горячего 10%-ного р-ра  $BaCl_2$ . Осадок отфильтровывают, промывают горячим 2%-ным р-ром  $CH_3COOH$ , прокалывают и взвешивают. Модифи-

цированный метод дает более точные результаты (погрешность 0,1—0,15%). Э. Г.

25996. Меркурометрическое определение хлоридов в селитровых ваннах, электролитах гальванических ванн и других материалах. Чернуха Г. Н., Чуркина К. М. В сб.: Современ. методы анализа в металлургии. М., Металлургиздат, 1955, 220—222. Селитру (10 г) растворяют в 50 мл воды, прибавляют 5 мл  $\text{HNO}_3$  (1 : 1), добавляют 1 мл 10%-ного р-ра нитропруссиды Na и титруют 0,1 н.  $\text{Hg}(\text{NO}_3)_2$  до появления исчезающей муты. Для определения  $\text{Cl}^-$  в р-рах ванны травления или декапирования 1—2 мл анализируемого р-ра разбавляют водой и титруют так же, как при определении  $\text{Cl}^-$  в селитре. При определении  $\text{Cl}^-$  в ваннах хроматного наполнения титруют 20—50 мл анализируемого р-ра. При определении NaCl в Ni-электролите отделяют катионы Cu, Co и Ni пропусканием через колонку с катионитом СБС в Н-форме. Для этого 5 мл электролита разбавляют водой до 50 мл, пропускают со скоростью 0,5—1,5 мл/мин через колонку и промывают водой (150—200 мл). В фильтрате определяют  $\text{Cl}^-$ , как описано выше. Метод дает такие же результаты, как и argentометрический. В. С.

25997. Быстрый анализ ванн для электролитического получения алюминия. Основные ванны. Арманд (Analyse rapide des bains utilisés dans la fabrication électrolytique de l'aluminium: bains basiques. Arm and Marcel), Congr. internat. aluminium, 1954, 1, juin, 195—197 (франц.; рез. англ.)

Разработанный ранее метод анализа кислых ванн (РЖХим, 1955, 3986) видоизменен для анализа основных ванн; для определения алюминия применена экстракция кипящей водой. Анализируемую пробу (200 мл) обрабатывают 20 мл 0,5 н. NaOH и кипятят в течение 6 мин. при частом помешивании. Р-р фильтруют (фильтр с черной лентой). Осадок промывают 3 порциями горячей воды (фильтрат А), фильтр с осадком выдерживают в Рт-тигле 30 мин. при 800° (вес остатка R). Остаток обрабатывают 20 мл р-ра  $\text{HClO}_4$  (к 20 г  $(\text{NH}_4)_2\text{C}_2\text{O}_4$  прибавляют 0,5 н.  $\text{HClO}_4$  до 1 л), кипятят 20 мин., прибавляют 20 мл 0,5 н. NaOH, фильтруют (фильтр с красной лентой), промывают 3 порциями холодной воды, осадок на фильтре растворяют горячей 0,5 н.  $\text{HClO}_4$ , горячий фильтрат титруют 0,1 н.  $\text{KMnO}_4$  (п мл). Фильтрат А доводят до кипения, добавляют 20 мл р-ра осадителя (смесь 31,25 г 8-оксихинолина, 35 г  $\text{H}_3\text{BO}_3$ , 500 мл 0,5 н. HCl разбавляют до 1 л), доводят до кипения и, не охлаждая, фильтруют через тигель № 4; осадок промывают холодной водой и сушат 15 мин. при 250° (вес оксихинолината Р г). Для определения  $\text{NaAlO}_2$  1 г анализируемой пробы суспендируют в 40 мл нейтр. р-ра NaF (25 г/л). Кипятят 5 мин. при частом помешивании, фильтруют и титруют фильтрат 0,5 н. HCl по фенолфталеину (N мл). Применяют следующие расчетные формулы:  $\text{CaF}_2 = 1,96 \text{ н} - \text{Al}_2\text{O}_3 = 0,45 \text{ R} - 1,96 \text{ н} \%$ .  $\text{NaAlO}_2 = 1,025 \text{ N} - \text{AlF}_3 = 0,0915 \text{ P} - 1,050 \text{ N} \%$ .  $\text{NaF} = 100 - 0,425 \text{ R} - 0,0915 \text{ P} + 0,025 \text{ N} \%$ .  $\text{AlF}_3 / \text{NaF} = (0,0915 \text{ P} - 1,05 \text{ N}) / (100 - 0,425 \text{ R} - 0,0915 \text{ P} + 0,025 \text{ N})$ . Избыток  $\text{AlF}_3$  и NaF по сравнению с рассчитанными кол-вами для криолитных ванн составляет соответственно 0,1525P — 0,317R — 1,03N — 66,66% и  $100 - 0,425 \text{ R} - 0,2287 \text{ P} + 1,6 \text{ N} \%$ . Погрешность определения  $\text{Al}_2\text{O}_3$  и  $\text{CaF}_2 \pm 0,5\%$ ,  $\text{NaAlO}_2 \pm 0,05\%$ ,  $\text{AlF}_3 \pm \pm 0,7\%$ , NaF  $\pm 1\%$ . Продолжительность 10 анализов основных ванн 2,5 часа. Т. Л.

25998. Быстрый метод определения органических и неорганических восстановителей в растворах после выпалачивания вельдоксиды, возгонов и пылей. Солицев Н. И., Милаев С. М. В сб.: Современ. методы анализа в металлургии. М., Металлургиздат, 1955, 207—210. См. РЖХим, 1956, 4204.

25999. Определение тяжелых металлов в воде. Бойл (Heavy metals analysis in water. Boyle R. W.), West. Miner. and Oil Rev., 1955, 28, № 8, 35—37 (англ.)

Для определения тяжелых металлов к 50 мл исследуемой воды добавляют 5 капель ацетатного буфера (I) (9 ч. 2 н.  $\text{CH}_3\text{COONa} + 1$  ч. 2 н.  $\text{CH}_3\text{COOH}$ , тяжелые металлы удалены экстракцией р-ром дитизона; рН р-ра 5—8) и 5 капель 0,0016%-ного р-ра дитизона в  $\text{CCl}_4$  и встряхивают 1 мин. для образования эмульсии. Изменение окраски органич. фазы из зеленой в красную или смешанную указывает на присутствие тяжелых металлов. В этом случае употребляют такую пробу воды, чтобы после разбавления ее до 50 мл водой, свободной от тяжелых металлов, окраска дитизонного слоя соответствовала интервалу окрасок заранее приготовленных стандартных р-ров (2; 2,5; 3  $\gamma$   $\text{Zn}^{2+}$  в 50 мл р-ра) и выражают содержание тяжелых металлов из расчета на Zn, в  $\gamma/\text{мл}$ . Если окраска органич. фазы не изменяется, добавляют исследуемую воду до 100 мл; при изменении окраски постунают, как указано выше; при сохранении зеленой окраски добавляют 3 капли 2 н.  $\text{NH}_4\text{OH}$ , встряхивают 15 сек. Бесцветная органич. фаза указывает на отсутствие тяжелых металлов, розовая окраска — на их присутствие, в зависимости от интенсивности, в кол-ве 0,2; 0,1 или 0,02  $\gamma/\text{мл}$ . Для открытия группы Cu(Cu, Ag, Sb, Hg, Bi, Au, Pd, Pt, Tl) вместо I добавляют 0,5 мл конц. HCl (рН  $\sim 1$ ). Каждый металл дает дитизонат характерной окраски. При определении металлов группы Zn (Zn, Cd, Sn, Bi) добавляют I и 5 мл 1 н.  $\text{Na}_2\text{S}_2\text{O}_3$ . При определении металлов группы Pb (Pb, Sn, Bi, Tl) добавляют 5 капель 1%-ного р-ра  $\text{NH}_4\text{OH} \cdot \text{HCl}$  и 5 мл аммиачного р-ра KCN (100 мл 2%-ного р-ра KCN + 15 мл конц.  $\text{NH}_4\text{OH}$ ; рН 11). Определение возможно в присутствии  $\leq 400 \gamma$  Zn; 5  $\gamma$  Pb дают ярко-розовую, 1  $\gamma$  Pb — светлорозовую окраску. Метод применим в лабор. и полевых условиях. В полевых условиях цвет определяют визуально, не пользуясь стандартами. М. П.

26000 К. Применение радиоактивных изотопов в исследованиях по аналитической химии циркония и гафния. Полуэктов Н. С. (Докл., представл. УССР на Междунар. конференцию по мирному использованию атом. энергии). М., 1955, 19 стр. Б. ц.

26001 К. Методы определения малых количеств урана в рудах. Палей Н. Н. (Докл., представл. СССР на Междунар. конференцию по мирному использованию атом. энергии). М., 1955, 21 стр., илл. Б. ц.

См. также: 8435

## АНАЛИЗ ОРГАНИЧЕСКИХ ВЕЩЕСТВ

26002. Органический капельный анализ. Фейгль (Organic spot test analysis. Feigl Fritz), Analyt. Chem., 1955, 27, № 8, 1315—1318 (англ.)

Описан микроаналитич. метод открытия фенолов (I), ацилированных производных ароматич. аминов (II), арилуретанов (III), моноарилмочевин (IV) и сульфокислот (V). I в органич. соединениях обнаруживают, пользуясь методом определения алкоксильных групп. Для открытия I одну каплю р-ра или частицу осадка в микропробирке обрабатывают 1 каплей свежеприготовленного 5%-ного водн. р-ра кобальтинитрита и 1 каплей лед.  $\text{CH}_3\text{COOH}$ . Параллельно ведут контрольный опыт с 1 каплей воды. Обе пробирки нагревают до появления розовой окраски в р-ре контрольного опыта. Желтокоричневая окраска или появление коричневого осадка указывают на наличие I. Открывают: 0,5  $\gamma$  морфина, резорцина, 1  $\gamma$  1-нафтола, 5  $\gamma$  элаговой к-ты,



хромотроповой к-ты, 1,4-нафтолсульфокислоты и 20 γ сульфосалициловой к-ты. Положительные результаты дают: 2-нафтол, пирогаллол, гидрохинон, пирокатехиндисульфокислота, *m*-оксидифенил, *o*-оксидифенил, адреналин, галловая к-та, тропеолин-0, морфин, тимол, арбутин, 2,4-диоксибензальдегид, *o*-оксиацетофенон, стоварсол (ацетарсон) и эвгенол. Наличие свободных аминогрупп мешает. Для открытия II, III, IV 1 каплю пробы обрабатывают в микропробирке 1 каплей 10%-ного р-ра  $\text{NaNO}_2$  и 1 каплей  $\text{HCl}$  (1:1). Через 30—60 сек. добавляют 1 каплю 10 н.  $\text{NaOH}$  и твердую  $\text{CO}(\text{NH}_2)_2$ . Смесь встряхивают, вносят 1 каплю 0,1%-ного спирт. р-ра 1-нафтола и при нагревании наблюдают красную или оранжевую окраску. Открывают 0,1 γ фенилмочевны, 0,5 γ ацетанилида, ацетилфенетидина, 1 γ *m*-ацетиламинофенола, ацетиларсанитовой к-ты, ацетилсульфотриазола, 3 γ фенилуретана и 5 γ 3-уредонизоникотиновой к-ты. Положительные результаты дают ацетилфталид, стоварсол и монотолдимочевина. Для открытия V пробу помещают в аппарат для улавливания газов в висячих каплях р-ра реактива (Spot Tests, 4 th ed., vol. II, 1954, p. 135, 284, 299); в качестве реактива употребляют р-р 5 г  $\text{NaOCON}$  и 6 г  $\text{NaOH}$  в 100 мл воды. Смесь реактива и исследуемого р-ра выпаривают досуха, остаток нагревают до начала обугливания (30—60 сек.), охлаждают, подкисляют  $\text{H}_2\text{SO}_4$  и добавляют 1 каплю р-ра  $\text{Fe}[\text{Fe}(\text{CN})_6]$ , полученного из 0,08 г  $\text{FeCl}_3 \cdot 6\text{H}_2\text{O}$  и 0,1 г  $\text{K}_3[\text{Fe}(\text{CN})_6]$  в 100 мл воды +  $\text{H}_2\text{SO}_4$ . Синяя окраска висячей капли указывает на присутствие V. Открывают: 0,25 γ таурина (2-аминоэтансульфокислоты), 1 γ диоксиафталидисульфокислоты (1,8, 3,6), нафтиламиндисульфокислоты (2,3,6), сульфаниловой к-ты, 2,5 γ нафтолсульфокислоты (1,4; 1,5; 2,6); нафтолдисульфокислоты (2,6,8), нафтиламинсульфокислоты (1,3; 2,6) и 5 γ диоксиафталинсульфокислоты (2,3,6). Положительные результаты дает Н-к-та, сульфосалициловая к-та, конго красный, тартазин, сульфопиридин, сульфометазин, сульфонал и трионал. Для открытия J пробу в микропробирке обрабатывают 1 каплей 5%-ного р-ра  $\text{KBr}$ , насыщ.  $\text{Br}_2$ . Смесь нагревают, охлаждают, добавляют твердую сульфосалициловую к-ту до обесцвечивания, затем 1 каплю воды и встряхивают. Вводят 1 каплю 5%-ного р-ра  $\text{KJ}$ , содержащего 5% индикатора тенона. Синяя окраска указывает на присутствие J. Открывают: 0,05 γ нидостого метила, 7-ид-5-сульфокислоту 8-оксихинолина, 0,1 γ нидоформа, 0,5 γ эритрозины, дииндотризина и 1 γ 4-идминдальной к-ты, ниданетанилида и *m*-иданилина. Н. М.

**26003. К микроопределению углерода и водорода. Нинель как восстановитель окислов азота.** Кайндц, Шёллер (Beitrag zur Mikro-C-H-Analyse: Nickel als Reduktionsmittel für Stickoxyde. Kainz Gerald, Schöller Ferdinand), Z. analyt. Chem., 1955, 148, № 1, 6—9 (нем.).

Преимущества Ni в качестве восстановителя по сравнению с Cu заключаются: 1) в простоте приготовления, 2) легкости регенерации, 3) незначительной спекаемости. Рекомендуется применять Ni в качестве восстановителя окислов азота при анализе органич. азотсодержащих соединений. Нагревают  $\text{Ni}(\text{NO}_3)_2$  в фарфоровой чашке до выделения окислов азота, оставшуюся  $\text{NiO}$  извлекают, восстанавливают  $\text{NiO}$  до Ni при т-ре 300°, пропускают  $\text{H}_2$  под давлением. Получают губчатый Ni, который дробят, отбирают зерна размером 0,3—0,5 мм, загружают этими зернами трубку слоем 7 см и проводят 15—20 анализов, после чего регенерируют  $\text{NiO}$  по вышеописанному способу. Вследствие высокой т-ры плавления спекаемость полученного губчатого Ni незначительна и анализ можно вести при 300°. Г. К.

**26004. Микроопределение органического азота. Конференция по микроанализу.** Париж, 28 мая 1953 г. Мартен [Microdosage de l'azote organique. (Journée de la microanalyse, Paris 28, mai 1953). Martin F.J., Bull. Soc. chim. France, 1953, № 11—12, C 65—C 70 (франц.)]

Изучены методы микроопределения N для применения их в лаборатории микроанализа. В методе Ван-Слайка для определения N аминогруппы модифицированы измерительная бюретка и пипетка Гемпеля, что дает возможность проводить анализ почти автоматически. На налаженном аппарате анализ 5 мл пробы, содержащей 0,1 мг N аминогруппы, ведут ~20 мин. с погрешностью  $\pm 0,0005$  мг. При определении  $\geq 0,1\%$  монометиламина в 100—200 мг диметилamina точность удовлетворительная. Для восстановления нитрогруппы предложен  $\text{TiCl}_3$ . Р-ция может быть использована как микро- или полумикроаналитич. метод. Процесс ведут в атмосфере  $\text{N}_2$  в спец. установке для объемного титрования. Указывается возможность применения этого метода для микроопределения N в других органич. соединениях. Детально описана систематически работающая лабораторная установка для определения N по Дюма, с применением гильз и спец. пробирки, дающих возможность не демонтировать трубку и не отсоединять азотомер после каждого определения. Л. Р.

**26005. Микроопределение галогенов в органических соединениях. Конференция по микроанализу.** Париж, 28 мая, 1953 г. Леви [Microdosage des halogènes dans les composés organiques. (Journée de la microanalyse, Paris, mai 1953), Lévy Roger], Bull. Soc. chim. France, 1953, № 11—12, C 77—C 91 (франц.)]

Обзор. Библ. 100 назв.

**26006. Количественное определение галогенов в органических соединениях путем сплавления с калием.** Маэдзава (アルカリ溶解法による有機ハロゲン定量. 前澤衛), 有機合成化学協会誌, Юки госэй кагаку кёкайси, J. Soc. Organ. Synth. Chem. Japan, 1955, 13, № 9, 430—433 (япон.)

Обзор. Библ. 5 назв.

**26007. К определению фосфора в органических фосфатах.** Убальдини, Каппици-Майтан (Contributo al dosaggio del fosforo nei fosfati organici. Ubaldini I., Capizzi Maitan F.), Chimica e industria, 1955, 37, № 11, 871—873 (итал.; рез. франц., англ., нем.)

Малолетучие органич. фосфаты окисляют нагреванием с 70%-ной  $\text{HClO}_4$  и концентрированной  $\text{HNO}_3$  при 215—230° или прокалывают со смесью Эшке. В хлорнокислом р-ре ион  $\text{PO}_4^{3-}$  определяют аргентометрически в присутствии гликоколла. При сухом методе окисления ион  $\text{PO}_4^{3-}$  лучше всего осаждают в виде  $\text{MgNH}_4\text{PO}_4$ . В. С.

**26008. Определение следов серы в органических соединениях. Метод с вертикальной печью.** Хью-ди, Мэр (Determination of traces of sulfur in organic compounds. Vertical furnace method. Hudy J. A., Mair R. D.), Analyt. Chem., 1955, 27, № 5, 802—805 (англ.)

Образец с т. кип. 80—200° подают из 50-мл бюретки со скоростью 20—30 капель в 1 мин. в вертикальную кварцевую трубку, нагретую до 800—850°. В течение 4 часа сжигают 20—30 мл образца. Окислы серы поглощают 3%-ным р-ром  $\text{H}_2\text{O}_2$ , который по окончании сжигания выпаривают до 25 мл с Pt-сеткой в качестве катализатора. Определение кол-ва  $\text{SO}_4^{2-}$  ведут кондуктометрич. методом (Polisky, Anal. Chem., 1947, 19, 657). Кварцевую трубку для сжигания с внешним диам. 31 мм с сферич. расширением в верхней части

последовательно заполняют слоем 51 мм из кусочков прокаленного кварца (размером 9,5—12,7 мм), затем слоем 203,2 мм из катализатора  $V_2O_5$ , осажденного на гранулированной  $Al_2O_3$ , и еще одним слоем 51 мм из кусочков прокаленного кварца. Метод проверен на терпеновых углеводородах и других образцах. Твердые образцы, растворяют в высококипящих р-телях. Метод применим для определения 1—100  $\gamma$  S; погрешность 1—2  $\gamma$ . Н. С.

**26009. Микроопределение первичных аминогрупп в алифатических и ароматических соединениях, в аминокислотах и пептидах, а также амидах карбоновых и сульфоновых кислот. Кайнц** (Mikrobestimmung primärer Aminogruppen in aliphatischen und aromatischen Verbindungen, in Aminosäuren und Peptiden, sowie in Carbonsäureamiden und Sulfonsäureamiden. Kainz Gerald, Mikrokchim. acta, 1953, № 4, 349—365 (нем.; реф. франц.; англ.))

Метод определения аминогрупп с помощью  $HNO_3$  усовершенствован и применен для определения всех первичных аминогрупп вне зависимости от типа связи (амиды карбоновых и сульфоновых к-т, ароматич. амины) за счет осуществления р-ции при нагревании. При этом р-ция вместо нескольких часов продолжается 20—40 мин. Разработана простая аппаратура, пользуясь которой процесс дезаминирования можно проследить непосредственно с помощью азотометра. В том случае, когда анализируемое в-во содержит активную метиленовую группу, реагирующую с аминогруппой с образованием изонитрозосоединения, к дезаминирующему р-ру прибавляют иодид. Вторичные р-ции при нагревании не наблюдаются. Л. Р.

**26010. Микрохимические открытия характеристических функциональных групп в стероидах. Боковые цепи. Акселрод** (Microchemical detection of characteristic functional groups in steroids. Side chains. Axelrod Leonard R., Analyt. Chem. 1955, 27, № 8, 1308—1311 (англ.))

Для открытия функциональных групп стероидов (I) при хроматографии на бумаге на полоску бумаги ( $7,62 \times 2,54$  см) ватман № 1 с гладкой стороны наносят микропинеткой р-р, содержащий 15  $\gamma$  I. Р-ритель испаряют в токе  $N_2$ . Диаметр пятна 0,7 см. Полоску бумаги с I погружают в р-р реактива, вынимают, помещают на стеклянную пластинку и сушат, помещая последнюю на нагретую поверхность. В качестве реактивов употребляют: 3%-ный р-р  $HIO_4$  в смеси  $CH_3OH-H_2O$  (1:1), 0,4%-ный р-р  $CrO_3$  в 90%-ной  $CH_3COOH$ , насыщ. р-р  $Pb(C_2H_3O_2)_4$  в смеси лед.  $CH_3COOH-(CH_3CO_2)_2O$  (19:1), 0,2%-ный р-р  $CrO_3$  в  $(CH_3CO_2)_2O$ , 1%-ный р-р изопропилата Al в смеси толуол-циклогексанон (1:1), 1—2%-ная суспензия гидрида Li-Al в абс. эфире, 0,2%-ный р-р хлористого трифенилтетразолия, смешанный (1:1) перед употреблением с 3,5 н. NaOH, смесь (2:1) 1%-ного р-ра м-динитробензола в  $CH_3OH$  и 15%-ного водн. р-ра КОН. Пользуясь указанными реактивами и подсушивая полоску бумаги после погружения в реактивы на стеклянной пластинке, по окраске полоски идентифицируют боковые цепи I 1—9. Для изучения строения боковых цепей I потребовалось  $\leq 60 \gamma$  в-ва. Н. М.

**26011. Перемещение нитрогруппы при определении нитрофенолов и нитроанилинов по методу Коппешаара. Джонсон, Мак-Набб, Уэгнер** (Displacement of the nitro group during determination of nitrophenols and nitroanilines by the Koppeschaar method. Johnson Leroy D., McNabb Wallace M., Wagner E. C., Analyt. Chem., 1955, 27, № 9, 1494—1498 (англ.))

Ввиду того, что при определении 2,4-динитрофенола (I) и пикриновой к-ты (II) в смесях по методу Коппешаара было установлено, что II связывает бром и про-

исходит перемещение  $NO_2$ -группы, разработан метод, основанный на определении суммы I + II, затем I и вычислении содержания II по разности. Для определения общего содержания I и II пробу растворяют приливанием из бюретки небольшого избытка 0,1 н. NaOH (стандартизуя по 99,95%-ной II, индикатор фенолфталеин), приливают из бюретки небольшой избыток 0,1 н. к-ты и оттитровывают 0,1 н. щелочью (по фенолфталеину). К оттитрованному р-ру добавляют 25 мл 0,1 н. р-ра Коппешаара (содержит 50,0 г/л KBr и 2,8 г/л  $KBrO_3$ ), 5 мл конц. HCl, закрывают колбу (или запаивают ампулу), оставляют в темноте на ~30 мин. (20—25°). Кол-во связанного брома определяют обычным путем, добавляя 5 мл 40%-ного р-ра KI и оттитровывая эквивалентное  $Br_2$  кол-во  $J_2$  0,1 н.  $Na_2S_2O_3$  (5 мл 1%-ного р-ра крахмала приливают вблизи конечной точки). При работе с ампулой последнюю раздавливают в 150 мл 10%-ного р-ра KI. Параллельно ведут контрольный опыт. Метод дает удовлетворительные результаты для смесей, содержащих, по крайней мере, 25% динитрофенола. А. З.

**26012. Хроматографирование на бумаге пиридин- и пиперидинкарбоновых кислот. Хьюм** (The paper-chromatography of the pyridine- and piperidine-carboxylic acids. Hulme A. C., J. Exptl. Bot., 1955, 6, № 17, 153—155 (англ.))

Хроматографирование промышленных препаратов пиколиновой, никотиновой и изоникотиновой к-т (пиридинкарбоновых к-т) и синтетич. пиперидиновой, никотининовой и изоникотининовой к-т (пиперидинкарбоновых к-т) проводили, пользуясь тремя р-телями: 1)  $n-C_4H_9OH-CH_3COOH-H_2O$  (4:1:5); 2)  $C_6H_5OH-NH_4OH$  (уд. в. 0,88)- $H_2O$  (60:30:10); 3)  $n-C_4H_9OH$ -пиридин- $H_2O$  (1:1:1). На бумагу ватман № 1, на расстоянии 8 см от линии края, наносили 5 мл р-ра, содержащего 3 мг/мл к-т и хроматографировали нисходящим методом при 20°. Хроматограмму высушивали в печи с быстрой циркуляцией воздуха при 100°; для опрыскивания употребляли: 0,1%-ный р-р нингидрина в смеси  $C_2H_5OH-C_4H_9OH$  (1:1), содержащей 0,02%  $SnCl_2$  (I); 0,2%-ный р-р изатина в  $C_4H_9OH$ , содержащем 4%  $CH_3COOH$  (II); слабощел. 0,5%-ный р-р бромфенолового синего в 50%-ном спирте; последний р-р служил для обнаружения пиридинкарбоновых к-т. После опрыскивания р-рами I и II бумагу просушивали в течение 5 мин. при 110°. Приведена таблица значений  $R_f$ ,  $R_M$  и  $\Delta R_M$  для всех использованных к-т р-телей; пиперидинкарбоновые к-ты после опрыскивания р-ром нингидрина показывали яркокрасную флуоресценцию в УФ-свете; при опрыскивании р-ром изатина эти к-ты показывали при солнечном освещении голубовато-зеленую окраску. Все к-ты дают четкие круглые пятна при употреблении шел. проявителей. Поведение пиридинкарбоновых к-т характеризуется некоторыми аномалиями, объясняемыми ненасыщ. пиридинового кольца. Ю. М.

**26013. Открытие антипирина и  $\alpha$ -нафтиламина. Фейгль, Нету, Силва** (Detection of antipyrine and 1-naphthylamine. Feigl Fritz, Neto Cl. Costa, Silva E., Analyt. Chem., 1955, 27, № 8, 1319—1320 (англ.))

При конденсации хлоридата  $\alpha$ -нафтиламина (I) в р-ре  $CH_3COOH$  с нитроантипирином (II) образуется фиолетовый азокраситель. Избыток  $HNO_3$  разрушают путем добавления  $NaN_3$  к кислому р-ру. Смешивают 1 каплю исследуемого р-ра, 1 каплю лед.  $CH_3COOH$  и 1 каплю 5%-ного р-ра  $NaNO_2$ , встряхивают 5 мин., добавляют щепотку  $NaN_3$ ; после прекращения выделения  $N_2O$  и  $N_2$  добавляют несколько мг кристаллич. I, нагревают 1—2 мин. Появление фиолетовой окраски указывает на присутствие в р-ре анти-

пиррина (III). Открываемый минимум 2,0 γ III; предельное разбавление 1:25000. I также открывают по р-ции образования фиолетовой азокрасителя. Эта р-ция замедляется или прекращается в зависимости от содержания свободной к-ты. Введение  $\text{CH}_3\text{COONa}$  восстанавливает способность I к конденсации с II. Смешивают 1 каплю испытуемого р-ра в  $\text{CH}_3\text{COOH}$  и 1 каплю реактива (1 г III растворяют в 20 мл разб.  $\text{CH}_3\text{COOH}$  (1:1), добавляют 0,6 г  $\text{NaNO}_2$ , через 10 мин. встряхивают, вводят 0,5 г  $\text{NaN}_3$  и разбавляют р-р разб.  $\text{CH}_3\text{COOH}$  (1:1) до 150 мл; р-р годен несколько дней), нагревают 1-2 мин. и наблюдают за появлением фиолетовой окраски. Открываемый минимум 0,5 γ I, предельное разбавление 1:100000. β-Нафтиламин не мешает. Ацетат анилина реагирует с II с образованием фиолетового азокрасителя, хлоргидрат и другие неорганич. соли  $\text{C}_6\text{H}_5\text{NH}_2$  с II не реагируют. Описанный метод открытия III является частным случаем метода открытия ароматич. соединений, образующих С-нитропроизводные. Л. Ч.

**26014. Новые реакции ванилина. Перес-Роура** (Nuevas reacciones de la vainillina. Perez Roua Nedy Esmeralda), Rev. Asoc. bioquím. argentina, 1954, 19, № 95, 227-233 (исп.)

Для идентификации ванилина (I) предложена микроскопич. р-ция, основанная на применении реактива Цинккера. По одному из вариантов к 1 капле 10%-ного р-ра  $\text{CuSO}_4$  прибавляют 1 каплю пиридина и кристаллик или каплю р-ра исследуемого в-ва; по другому варианту 1 каплю р-ра  $\text{CuSO}_4$  смешивают с исследуемым в-вом и смесь подвергают действию паров пиридина. В присутствии I образуются характерные кристаллы янтарного цвета. Другие соединения, имеющие такие же функциональные группы (резорцин, гидрохинон, пирогаллол, флороглюцин, метиловый эфир салициловой к-ты, орсин, гваякол, фенацетин, пиперонал и т. д.) дают отрицательную р-цию. При замене  $\text{Cu}^{2+}$  в реактиве Цинккера другими катионами ( $\text{Ni}^{2+}$ ,  $\text{Co}^{2+}$ ,  $\text{Ag}^+$ ,  $\text{Hg}^+$ ,  $\text{Fe}^{2+}$ ,  $\text{Mn}^{2+}$ ,  $\text{Zn}^{2+}$ ) и пиридина аммиаком получены реактивы, пригодные для микроскопич. идентификации I, а также метилпрокатехового альдегида. Приведены микрофотографии кристаллов и таблица с указанием реактива и цвета получаемых кристаллов. Э. Г.

**26015. Исследования гидрооксисамых кислот. IV. Колориметрическое микроопределение оксисов. Оксисное число. Вонеш, Гуагнини** (Estudios sobre ácidos hidroxámicos IV. Microdeterminación colorimétrica de oximas. Numero de oxima. Vonesch Eugenio E., Guagnini Omar A.), Ab. Asoc. quím. argentina, 1955, 43, № 1, 62-66 (исп., рез. англ.)

Предложен микрометод фотоколориметрич. определения различных оксисов, основанный на превращении образующегося при их гидролизе гидроксилamina в формгидроксамат  $\text{Fe}(3+)$ . 0,1-1 мл исследуемого р-ра помещают в пробирку с 0,2 мл 2%-ного р-ра  $\text{H}_2\text{SO}_4$  и 1 мл воды и нагревают на водяной бане до кипения 15-20 мин. Охлаждают, прибавляют 0,5 мл 40%-ного нейтр. р-ра  $\text{HCHO}$  и 2,5 мл 1%-ного р-ра  $\text{Fe}_2(\text{NH}_4)_2(\text{SO}_4)_4 \cdot 24\text{H}_2\text{O}$ , подкисленного  $\text{H}_2\text{SO}_4$ , переносят в градуированную пробирку и дополняют водой до 10 мл. При появлении муты перед добавлением воды приливают 1 мл  $\text{C}_2\text{H}_5\text{OH}$ . Переносят в колориметрич. пробирку, добавляют 50-100 мг  $(\text{NH}_4)_2\text{S}_2\text{O}_8$ , перемешивают и через 10 мин. фотоколориметрируют в фотоколориметре Эвелин с фильтром 515. Метод применим в пределах 200-4000 γ оксима; погрешность <1 %. Введено понятие «оксисимного числа», под которым подразумевают кол-во гидроксилamina, выделяющегося при гидролизе из навески 1 мг. Сообщение III см. РЖХим, 1955, 37601. Б. А.

**26016. Спектрофотометрическое определение эфиров и ангидридов реакцией образования гидроксисамых кислот. Годду, Ле-Бланк, Райт** (Spectrophotometric determination of esters and anhydrides by hydroxamic acid reaction. Goddu R. F., LeBlanc N. F., Wright C. M.), Analyst. Chem., 1955, 27, № 8, 1251-1255 (англ.)

Метод основан на изучении спектров поглощения р-ров внутрикомплексного соединения  $\text{Fe}^{3+}$  с гидроксисамой к-той, полученной взаимодействием  $\text{NH}_2\text{OH} \cdot \text{HCl}$  с эфирами и ангидридами к-т. К 5 мл 0,01-0,001 М р-ра эфира добавляют 3 мл р-ра, полученного смешением (1:1) 12,5%-ного р-ра  $\text{NH}_2\text{OH} \cdot \text{HCl}$  и 12,5%-ного р-ра  $\text{NaOH}$  в  $\text{CH}_3\text{OH}$ . Смесь кипятят 5 мин. с избытком хлоридом натрия, разбавляют до 50 мл р-ром  $\text{Fe}(\text{ClO}_4)_3$ , содержащим 5,7 ммоль  $\text{Fe}^{3+}$  и 0,16 М  $\text{HClO}_4$  и встряхивают. Через несколько минут измеряют поглощение в спектрофотометре или колориметре. Погрешность определения эфира или ангидрида ±2%. Результаты, полученные при работе со смесями эфиров и ангидридов, менее точны. Максимум поглощения для комплекса  $\text{Fe}^{3+}$  с гидроксисамой к-той, полученной из ароматич. эфиров, лежит при 550-560 мμ. Приведены максимумы поглощения и показатели молярного поглощения 20 различных эфиров. К-ты, большинство амидов и нитрилы не мешают. Н. М.

**26017. Количественное определение 1,2-дихлорэтана. Сообщение I. Тришин Ф. И., Малеева Е. Г., Скорнякова Н. С., Тр. Одесск. технол. ин-та, 1955, вып. 5, 103-111**

Исследовалось колич. определение 1,2-дихлорэтана (I) путем восстановления при действии металлич. Na (II) в этиловом, изобутиловом, изомилловом спиртах и этиленгликоле. Произведено определение I в уксуснокислой среде действием Са и Mg, а также при помощи спирт. р-ра KOH (III) и каталитич. гидрированием на скелетном Ni-катализаторе в присутствии спирт. р-ра III и в условиях действия II на спирты. Опыты показали, что действием р-ра щелочи или алкоголята во всех спиртах при нагревании происходит отщепление хлора (IV) от I; чем выше т-ра кипения спирта, тем больше процент отщепившегося IV, но полного отщепления IV не удалось достигнуть даже при 10-часовом кипячении. При действии II в условиях образования алкоголята отщепление IV от I происходит быстрее, чем при действии р-ра щелочи. Гидрирование I в присутствии скелетного Ni-катализатора происходит быстрее при воздействии водорода, получаемого действием II на спирт, чем при воздействии молекулярного водорода, и является наиболее быстрым методом определения IV в I (95% IV через 20 мин.); увеличение продолжительности опыта улучшает результаты. В. К.

**26018. Новый реактив для опрыскивания при хроматографировании на бумаге барбитуратов. Ельт, Леппянен, Тамминен** (A new spray reagent for paper chromatography of barbiturates. Hjelt E., Leppänen K., Tamminen V.), Analyst, 1955, 80, № 954, 706-707 (англ.)

Барбитураты (I) были разделены методом восходящей хроматографии на бумаге ватман № 1; в качестве проявителя использована смесь  $n\text{-C}_4\text{H}_9\text{OH}-\text{C}_2\text{H}_5\text{OH}-\text{NH}_4\text{OH}$ . Бумагу помещают в атмосферу р-рителя на 6-18 час. Затем хроматограмму высушивают и опрыскивают 1%-ным р-ром  $\text{Co}(\text{NO}_3)_2$  в абс.  $\text{C}_2\text{H}_5\text{OH}$ , снова сушат и выдерживают в парах  $\text{NH}_3$ . При ~50 γ I пятна имеют красно-фиолетовую окраску. При меньшем содержании I хроматограммы опрыскивают р-ром, содержащим 200 мг  $\text{CuSO}_4 \cdot 5\text{H}_2\text{O}$ ; 2 мл пиридина, 20 мг хинина на 100 мл воды, сушат и выдерживают в парах  $\text{HCl}$ , а затем изучают в УФ-свете. При хроматографировании при 22° значения  $R_f$  следующие:



барбитол 0,33; фенобарбитол 0,42; диал 0,49; фанодорм 0,57; эвипал 0,71; амипал 0,80; нембутал 0,80, пентотал 0,83. Т. Б.

**26019. Качественный анализ поверхностноактивных веществ.** Рид, Олстон, Янг (The qualitative analysis of surface-active agents. Reid V. W., Alston T., Young B. W.), Analyst, 1955, 80, № 954, 682—689 (англ.)

Поверхностноактивные в-ва идентифицируют по спектрам поглощения в УФ-области. Сняты спектры поглощения ~100 в-в; последние разделены на несколько типов по обнаруживаемым максимумам (или минимумам) поглощения (приведены спектры поглощения, указаны области максим. поглощения). А. З.

**26020. Электрофорез на бумаге смеси сахарина и дульцина.** Кастильони (Papierelektrophorese von Saccharin-Dulcinmischungen. Castiglioni Angelo), Z. analyt. Chem., 1955, 148, № 2, 98—99 (нем.)

На полоску бумаги  $5 \times 34$  см ватман № 1, предварительно смоченную 10%-ной  $\text{CH}_3\text{COOH}$  и высушенную, наносят небольшое кол-во анализируемого р-ра, содержащего ~20—30 γ каждого компонента. Электрофорез ведут в течение 2 час. при плотности тока 0,4 ма на 1 см ширины полоски. Затем бумагу высушивают. Для обнаружения дульцина бумагу опрыскивают смесью конц.  $\text{HNO}_3$ -ацетон. (1:4) (желтое пятно на линии старта).  $\text{HNO}_3$  нейтрализуют выдерживанием бумаги в парах  $\text{NH}_3$ , затем бумагу опрыскивают для обнаружения сахарина 0,1%-ным р-ром α-нафтиламина в 95%-ном спирте, содержащем 3—4 капли насыщ. водн. р-ра ацетата меди и 2—3 капли лед.  $\text{CH}_3\text{COOH}$  (сиренево-синее пятно на расстоянии ~10 см от линии старта). Т. Б.

**26021. Аргентометрический метод определения α-нафтилномочевины.** Берал (Stabilirea metodei de dozare argentimetrică a α-naftiloureei. Berăla H.), Farmacia, 1955, 3, № 1, 59—60 (рум.; рез. русс., франц.)

Навеску анализируемого в-ва 0,15—0,2 г растворяют в ацетоне, прибавляют 10 мл разб. р-ра  $\text{NH}_4\text{OH}$  и нагревают до кипения. Охлаждают, добавляют 30 мл 0,1 н.  $\text{AgNO}_3$ , фильтруют, подкисляют фильтрат  $\text{HNO}_3$  и оттитровывают избыток  $\text{AgNO}_3$  0,1 н. р-ром  $\text{KSCN}$  в присутствии красцов. 1 мл 0,1 н.  $\text{AgNO}_3$  эквивалентен 0,0101 г α-нафтилномочевины. Т. Л.

**26022. Колориметрическое определение фрамипетина.** Пено, Сана, Андреэтти, Ферде (Dosage colorimétrique de la framycétine. Péna H., Saïas E., Andreotti C. m-me, Ferdet J.), Ann. pharm. franç., 1953, 11, № 6, 431—438 (франц.)

Фрамипетин (I), антибиотик основного характера, извлекаемый из культуры *Streptomyces lavandulae*, не имеет функциональных групп, пригодных для количеств. определения. При изучении продуктов кислотного гидролиза I посредством хроматографии на бумаге выделено два продукта: А — не дающий р-ции на первичные амины, и Б — дающий р-ции на первичные амины и цветные р-ции, характерные для сахаров, и восстанавливающий р-р  $\text{AgNO}_3$ . Б изучен как объект для колориметрич. определения I; обособлены условия, обеспечивающие развитие устойчивой окраски с  $\lambda_{\text{макс}}$  540 мμ. Результаты колориметрич. определения I совпадают с показателями бактериологич. испытаний. В пробирки с притертыми пробками наливают по 1 мл р-ра, содержащего 40—1200 γ основания I; прибавляют по 2 мл 4 н.  $\text{HCl}$ , закрывают пробирки и помещают на 1 час в кипящую водяную баню. Охлаждают в ледяной воде, добавляют по 2 мл 4 н.  $\text{Na}_2\text{CO}_3$ , пробирки встряхивают в течение нескольких

минут для удаления  $\text{CO}_2$  и приливают по 12 мл 2%-ного р-ра ацетилацетона в 4 н. р-ре  $\text{Na}_2\text{CO}_3$ . По окончании выделения газа открытые пробирки погружают в кипящую водяную ванну, через 30 сек. закрывают их пробками и оставляют на час. Затем закрытые пробирки охлаждают в ледяной воде, приливают в каждую по 10 мл абс.  $\text{C}_2\text{H}_5\text{OH}$  (выпадает избыток  $\text{Na}_2\text{CO}_3$ ) и медленно вводят по 3 мл реактива Эрлиха; появляется розовая окраска. Пробирки закрывают, выдерживают 1 час при 37° и измеряют оптич. плотность при 540 мμ, употребляя для сравнения р-р контрольного опыта. Закон Бера выполняется при  $\leq 1500$  γ/мл I. При анализе относительно чистых образцов I при контрольном опыте вместо р-ра антибиотика употребляют 1 мл воды. При анализе других образцов I, содержащих примеси, взаимодействующие с реактивом Эрлиха до гидролиза, при контрольном опыте берут 1 мл исходного р-ра, прибавляют к нему 2 мл 4 н.  $\text{HCl}$ , немедленно вводят 2 мл 4 н.  $\text{Na}_2\text{CO}_3$  и 2 мл 2%-ного раствора ацетилацетона в 4 н. растворе  $\text{Na}_2\text{CO}_3$ ; далее обработку ведут, как описано выше. М. С.

**26023. Цериметрическое определение сахара.** Фориет, Спек (Cerimetric determination of sugars. Forist A. A., Speck J. C., Jr), Analyst. Chem., 1955, 27, № 7, 1166 (англ.)

Предложены два способа колич. полумикроопределения сахара при помощи окисления перхлоратом церия. 1. К 18—36 мг сахара в водн. р-ре ( $\leq 5$  мл) добавляют 20 мл 0,28 н.  $\text{Ce}(\text{ClO}_4)_4$ . После окисления при т-ре 25° в течение 1 часа к смеси добавляют 25 мл 0,18 н. р-ра  $\text{Na}_2\text{C}_2\text{O}_4$  в 1 М  $\text{HClO}_4$ . Избыток  $\text{CeO}_2$  оттитровывают при помощи 0,03 н.  $\text{Ce}(\text{ClO}_4)_4$  с нитроферроном в качестве индикатора (0,025 М р-р). 2. К 15—21 мг сахара в водн. р-ре ( $\leq 5$  мл) добавляют 10 мл 0,28 н.  $\text{Ce}(\text{ClO}_4)_4$ . После окисления в указанных условиях добавляют 2 капли 0,01 М р-ра осмиевой к-ты в 0,1 М  $\text{H}_2\text{SO}_4$  и 15 мл 0,13 н. р-ра арсенита натрия. Избыток арсенита оттитровывают при помощи 0,01 н.  $\text{Ce}(\text{ClO}_4)_4$  в присутствии нитроферрона. Р-р  $\text{Ce}(\text{ClO}_4)_4$  стандартизируют по оксалату или арсениту натрия. Расчеты основаны на предположении, что для окисления 1 моля альдозы расходуется 2л эквивалента церата, где л — число атомов С в молекуле. Для окисления dl-глицерилового альдегида потребовалось 4 часа. Оба описанных метода дают достаточно точные результаты. Б. Ш.

**26024. Применение 1,2-нафтохинона-4-сульфоната для определения этиленимина и первичных аминов.** Розенблатт, Глинка, Эпштейн (Use of 1,2-naphthoquinone-4-sulfonate for the estimation of ethylenimine and primary amines. Rosenblatt David H., Hlinka Peter, Epstein Joseph), Analyst. Chem., 1955, 27, № 8, 1290—1293 (англ.)

Разбавленные р-ры этиленимина или n-бутиламина реагируют с 1,2-нафтохинон-4-сульфонатом при pH 10,3 с образованием красноватого красителя, экстрагируемого  $\text{CHCl}_3$ . Определение указанных аминов в смесях осуществляют измерением оптич. плотности соответственно при 420 и 450 мμ. Этианоламин, который может находиться в р-ре этиленимина как продукт гидролиза, также образует красноватый краситель, но не экстрагируется  $\text{CHCl}_3$  из водн. р-ра. Краситель, образующийся из этианоламина, экстрагируют с изос- $\text{C}_2\text{H}_5\text{OH}$  и определяют измерением оптич. плотности при 420 мμ. Опыты показали, что аммиак образует с сульфонатом нафтохинона краситель, который не экстрагируется  $\text{CHCl}_3$ , в то время как четвертичные аммониевые соединения, трет-амины (включая N-алкилэтиленимины), втор-амины с пространственными затруднениями и амиды карбоновых к-т не реагируют с реактивом. Реактив (К-соль 1,2-нафтохинон-4-суль-

фокислоты) не экстрагируется  $\text{CHCl}_3$ , изо- $\text{C}_6\text{H}_{11}\text{OH}$ ,  $\text{CCl}_4$ , ксилолом, *n*- $\text{C}_6\text{H}_5\text{OH}$ , этилацетатом, трибутилфосфатом,  $\text{C}_6\text{H}_5\text{Cl}$ ,  $\text{C}_6\text{H}_5\text{Br}$  и три-*o*-крезилфосфатом. Определение проводят в спектрофотометре Взмана с 1-см кварцевой кюветой; pH измеряют потенциометром Бекмана. Для определения этилденимина 50 мл р-ра смешивают с 10 мл хинонового реактива (0,138 г К-соли в 100 мл воды) и 1 мл фосфатного буферного р-ра. Через 1 мин. добавляют 10 мл  $\text{CHCl}_3$  и перемешивают 5 мин. После разделения фаз хлороформный р-р переносят в кювету, оптит. плотность измеряют, употребляя в качестве р-ра сравнения  $\text{CHCl}_3$ ; калибровочную кривую строят по р-рам этилденимина различной конц-ии. Определение *n*-бутиламина сходно с вышеописанным, но продолжительность р-ции составляет 20 мин. Для определения этаноламина 50 мл р-ра смешивают с 10 мл реактива и 1 мл фосфатного буферного раствора. Через 20 мин. добавляют 15 мл изо- $\text{C}_6\text{H}_{11}\text{OH}$  и перемешивают 5 мин. После разделения фаз спирт. слой декантируют, центрифугируют и спектрофотометрируют. Метод рекомендован для определения следов амина в воздухе.

**В. Ш. 26025. Определение олефинов при помощи иодных комплексов. Метод спектрофотометрии в ультрафиолетовой области. Лонг, Ньюэлл (Determination of olefins by means of iodine complexes. Ultraviolet absorption method. Long Donald R., Nouzill Richard W.), *Analyt. Chem.*, 1955, 27, № 7, 1110—1114 (англ.)**

Описан способ распознавания типов алкилзамещенных олефинов (I) по УФ-спектрам обратимых комплексов с  $\text{J}_2$ . I (0,05 моль/л) и  $\text{J}_2$  (0,002 моль/л) растворяют в опит. изоктане (II) и регистрируют спектр поглощения в УФ-области в пределах 400—250 мμ, пользуясь кварцевой 1-см кюветой спектрометра Керри. Измерения ведут немедленно после смешивания р-ров для предотвращения каталитич. влияния света на образование диодсоединений. Для того, чтобы опит. плотность р-ра комплекса была в пределах 0,3—1,0, конц-ию I изменяют в пределах 0,03—0,1 моль/л. Для указанного интервала конц-ий опит. плотность р-ра пропорциональна произведению конц-ий I и  $\text{J}_2$ . Для построения калибровочной кривой рекомендуется пользоваться стандартными образцами I с конц-ей ~0,1 моль/л в II. Необходимо вводить поправку на фон за счет не вошедшего в комплекс  $\text{J}_2$ ; для этой цели 5 мл реактива  $\text{J}_2$  (0,1 г  $\text{J}_2$  в 100 мл р-ра в II) добавляют к 5 мл II и измеряют опит. плотность при  $25 \pm 1^\circ$ . Для определения уд. поглощения, характерного для каждого типа I, проводят измерения при длине волны максим. поглощения:  $\text{RCH}=\text{CH}_2$  275 мμ;  $\text{R}_2\text{C}=\text{CH}_2$  290—295 мμ;  $\text{RCH}=\text{CHR}$  295—300 мμ;  $\text{R}_2\text{C}=\text{CHR}$  317 мμ;  $\text{R}_2\text{C}=\text{CR}_2$  337 мμ. Циклопентен и циклогексен ведут себя подобно *цис*-форме соответствующего I типа  $\text{RCH}=\text{CHR}$  с открытой цепью. Величину кажущегося молекулярного поглощения, достаточно постоянную для данного типа I, вычисляют по ф-ле:  $\epsilon' = A_c / (C_1) \cdot [C_0]$ , где  $A_c$  — опит. плотность при  $\lambda_{\text{макс}}$  с поправкой на фон для  $\text{J}_2$ ;  $(C_1)$  — конц-ия  $\text{J}_2$  в конечном р-ре (в г/л);  $[C_0]$  — конц-ия I в конечном р-ре (в моль/л). Для обычного колич. анализа следует определять величину поглощения из расчета на вес:  $a^1 = A_c / (C_1) (C_0)$ , где  $(C_0)$  — конц-ия р-ра I в конечном р-ре (в г/л). Метод сравнительно прост и применим для анализа всех типов I, в частности, три- и тетразамещ. I. Обсуждается образование иодных комплексов, фотохим. влияние света на р-ры подноолефиновых комплексов, влияние молекулярной структуры и применения описанного метода. Для указанных выше типов I и длин волн  $\epsilon'$  соответственно 12, 25 для *цис*. и транс — 19 и 11, 27, 23.

Б. Ш.

**26026. Спектрофотометрическое определение гликоаль-бис (2,4-динитрофенилгидразона), производного гликолевого альдегида. Банкс, Вон, Маршалл (Spectrophotometric determination of glyoxal bis (2,4-dinitrophenylhydrazones), a derivative of glycolaldehyde. Banks Tazewell, Vaughan Clarence, Marshall Lawrence M.), *Analyt. Chem.*, 1955, 27, № 8, 1348—1349 (англ.)**

Ввиду возможного присутствия гликолевого альдегида (I) в качестве промежуточного продукта при энзиматич. окислении углеводов в некоторых животных тканях произведено спектрофотометрич. изучение гликоаль-бис (2,4-динитрофенилгидразона (II), производного I. В качестве р-рителя применяли подщелоченный ацетон. Исследовали I двух сортов — технич. и синтетич. Для получения II из технич. продукта I растворяли в воде (~0,2%-ный р-р) и добавляли избыток 2,4-динитрофенилгидразина (III) в 1 н.  $\text{HCl}$ . Продукт после 4 перекристаллизаций плавился с разложением при 280—295° (аутентичный продукт плавится при 290—300°). II из синтетич. I получали обработкой 100 мг серина 2,5 мл р-ра  $\text{NaClO}$  в течение ~2 мин.; превышение кол-ва  $\text{NaClO}$  уменьшает выход I. Смесь нейтрализовали добавлением по каплям конц.  $\text{HCl}$ , р-ритель выпаривали в эксикаторе над  $\text{NaOH}$  и  $\text{P}_2\text{O}_5$ . Сухой остаток растворяли в воде и обрабатывали III, как описано выше. Оптит. плотность р-ров при 5—45 γ II подчиняется закону Бера, стабильна при 600 мμ в течение 25 мин., стандартная погрешность 0,002. Спектры поглощения р-ра II в смеси 5 мл 1 н.  $\text{NaOH}$  и 95 мл ацетона, полученного из технич. и синтетич. I, практически совпадают. Р-цией с α-нафторезорцином установлено, что продукт, получаемый синтетически, является I, а не гликоальем. Метод применим для определения микроколичеств I. Б. Ш.

**26027. Количественное определение глюкуроновой кислоты и глюкуронозидов при помощи реакции с нафторезорцином. Хейне, Кельх (Über die quantitative Bestimmung von Glucuronsäure und von Glucuronosiden mittels der Naphthoresorcin-Reaktion. Heyns K., Kelch C.), *Z. analyt. Chem.*, 1953, 139, № 5, 339—351 (нем.)**

Кислотное расщепление глюкуронозидов представляет собой мономолекулярную р-цию, скорость которой зависит от pH среды, а также от свойств глюкуронозида и наличия примесей других в-в; напр., одновременное присутствие в моче глюкурона и декстрозы резко снижает результаты определения фенолглюкуронозида, хотя наличие этих в-в в отдельности не влияет на результаты. Гидролиз следует вести осторожно, так как возможно разрушение определяемых продуктов и снижение результатов. Определение глюкуроновой к-ты (I) в биол. жидкостях на основе р-ции с нафторезорцином (II) дает правильные результаты только при выполнении следующих условий. Для приготовления реактива 0,2 г II растворяют при встряхивании в 100 мл воды; через прозрачный р-р в течение 1 часа пропускают  $\text{O}_2$  (3—5 пузырьков в 1 сек.), выдерживают 24 часа в закрытом сосуде при 18—20° и удаляют избыток  $\text{O}_2$  пропусканием тока  $\text{N}_2$  (1 час, 3—5 пузырьков в 1 сек.). Хранят реактив в холодильнике. 5 мл анализируемой жидкости (20—150 γ I), 5 мл конц.  $\text{HCl}$  (уд. в. 1,19), 5 мл реактива перемешивают в закрытой склянке и помещают на 30 мин. на кипящую водяную баню. Затем склянку охлаждают ледяной водой (10 мин.), прибавляют 15 мл охлажденного льдом эфира и закрытый сосуд сильно встряхивают (1 мин.). Водн. слой отделяют, а окрашенный эфирный экстракт фильтруют через складчатый фильтр в цилиндр с притертой пробкой. Отфильтровав ~10 мл р-ра, цилиндр закрывают и помещают в ледяную баню до начала измерения. Контрольный опыт ведут с 5 мл воды. Калибровочную

кривую строят по  $p$ -рам с 20—100  $\gamma$  I. Измерения производят при 565  $m\mu$  (или с фильтром S 57). Закон Бера выполняется при  $<200 \gamma$  I. М. С.

**26028. Спектрофотометрическое определение эфиров в смесях. Бензилбензоат и дибутилфталат. Дейвис, Боуэн** (Spectrophotometric determination of esters in mixtures. Benzyl benzoate and dibutylphthalate. Davis Paul L., Bowen C. V., *Analyt. Chem.*, 1955, 27, № 8, 1233—1235 (англ.))

Разработан новый метод определения бензилбензоата (I) и дибутилфталата (II) в смесях, применяемых для пропитки ткани. Определение каждого из этих компонентов в образце ткани основано на измерении кол-ва щелочи, расходуемой на омыление, и измерении поглощения при 230  $m\mu$ . При анализе 5 смесей известного состава определено в среднем 100,08% I и 99,97% II. При анализе 6 пропитанных образцов ткани определено 101,43% I и 99,66 II. Поглощение измеряли в 1-см кварцевой кювете спектрофотометра Бекмана, титрование осуществляли при помощи потенциометра Фишера. Навеску  $\sim 1$  г не смачиваемой водой смеси разбавляют до 100 мл 95%-ным  $C_2H_5OH$ . 10-мл аликвотную порцию разбавляют спиртом до 100 мл; разбавление повторяют дважды с тем, чтобы конц-ция конечного  $p$ -ра составляла  $\sim 0,01$  г/л. Оптик. плотность измеряют при ширине щели 0,7 мм. К 50-мл аликвотной порции исходного  $p$ -ра добавляют 50 мл спирт. 0,1 н.  $p$ -ра NaOH. Для полноты  $p$ -ции необходимо примерно двойное кол-во щелочи против теории. Омыление ведут при нагревании с обратным холодильником в течение 1 часа. Содержимое колбы переносят в стакан, колбу дважды споласкивают водой и потенциометрически оттитровывают избыток NaOH 0,1 н.  $H_2SO_4$ . Для анализа ткани, обработанной смесью эфиров, вырезают образец размером 0,045  $m^2$  и помещают в гильзу экстрактора Сокслета. В колбу вводят  $\sim 150$  мл 95%-ного  $C_2H_5OH$  и экстрагируют 3 часа. Экстракт охлаждают, колбу дважды споласкивают спиртом и экстракт разбавляют до 200 мл. К 100-мл аликвотной порции добавляют 50 мл спирт. 0,1 н.  $p$ -ра NaOH и нагревают 1 час с обратным холодильником до омыления эфиров. Смесь переносят в стакан и титруют 0,1 н.  $H_2SO_4$ . 10-мл аликвотную порцию исходного экстракта разбавляют 95%-ным спиртом до 100 мл, а затем снова разбавляют таким образом, чтобы оптич. плотность была в пределах 0,300—0,500. Результаты вычисляют по ф-лам:  $g_x = (m_y FA - a_y TM) (m_y a_x - m_x a_y)$  и  $g_y = (a_x TM - m_x FA) (m_y a_x - m_x a_y)$ , где  $x$  — I,  $y$  — II,  $M$  — кол-во 0,1 н. NaOH (в мл), расходуемого на аликвотную порцию,  $T$  — кол-во 0,1 н. NaOH (в мл), необходимое для взаимодействия с 1 г компонента,  $A$  — оптич. плотность разб. аликвотной порции при 230  $m\mu$ ,  $a$  — уд. поглощение,  $g$  — кол-во компонента (в г) в аликвотной порции,  $T$  и  $F$  — факторы разбавления. Метод применим при испытании защитной одежды, для анализа различных двухкомпонентных смесей эфиров или к-т, которые поглощают в УФ-области спектра. Б. Ш.

**26029. Определение аллестрина методом спектрофотометрии в инфракрасной области спектра. Фриман** (Infrared spectrophotometric determination of allethrin. Freeman Stanley K., *Analyt. Chem.*, 1955, 27, № 8, 1268—1274 (англ.))

Метод определения аллестрина (I) при помощи ИК-спектроскопии быстрее, чем хим. методы. Следы ангидрида хризантемовой монокарбоновой к-ты (II) определяют по полосе 5,56  $\mu$ . Цис- и транс-формы II имеют различное уд. поглощение при 5,81  $\mu$ , относительные кол-ва изомеров определяют по их оптич. плотности при 8,70 и 8,85  $\mu$ . Для определения I использовали полосу при 5,81  $\mu$ . При опытах с очищ. I, содержащим известное кол-во добавленных примесей, количествен-

но установлено, что при 5,81  $\mu$  мешает лишь аллетролон в конц-ии, встречающейся в технич. продукте. В образцах технич. I соотношение между цис- и транс-формами составляет 20 : 80; при исследовании  $>50$  образцов технич. I методом ИК-спектроскопии результаты были проверены методом с восстановлением сложных эфиров в спирты действием водорода и при помощи этилендиамина. Описаны методы определения небольших кол-в аллетролона в I, определения I и II. Б. Ш.

**26030. Хроматография окрашенных полупродуктов. III. Идентификация и разделение антрахинонсulfонокислот методом хроматографии на бумаге. Вечержа, Гаспарич, Борецкий** (Chromatografie barvářských mezproduktů. III. Identifikace a dělení anthrachinonsulfonových kyselin chromatografií na papíře. Večeřa Miroslav, Gasparič Jiří, Borecký Jiří, *Chem. listy*, 1955, 49, № 5, 706—708 (чеш.))

Метод хроматографии на бумаге (ватман № 4, № 1 и Шлейхер и Шюль 2043 б) применен для идентификации изомерных антрахинон моно- и дисulfонокислот; для проявления употребляли два  $p$ -рителя: А — органич. слой смеси  $n-C_4H_9OH-NH_4OH-H_2O$  (2 : 1 : 1) и В —  $n-C_4H_9OH$ -пиридин- $H_2O$  (3 : 1 : 1). К-ты наносили на бумагу в форме  $p$ -ров (0,5  $\mu$ л) Na- и K-солей (1—5  $\gamma$ ). Фронт  $p$ -рителя перемещался за 4—5 час. на 25—30 см. При проявлении  $p$ -рителем А хроматограмму сушили 15 мин. при 105°, при проявлении  $p$ -рителем В — до полного удаления пиридина ( $\sim 60$  мин.). Пятна на бумаге наблюдали в УФ-свете и обнаруживали по желто-зеленой флуоресценции (открывают 0,1—1  $\gamma$  к-ты). Только 2,6- и 2,7-антрахинондисulfонокислоты имеют сходные значения  $R_f$ ; остальные изомеры (1,5-, 1,6-, 1,7-, 1,8-антрахинондисulfонокислоты) имеют различные значения  $R_f$ . Значения  $R_f$  дисulfонокислотного много меньше, чем значения  $R_f$  моносulfонокислот.

Метод применим для открытия антрахинонсulfонокислот в технич. продуктах, получаемых при сульфировании антрахинона. Сообщение II см. РЖХим, 1955, 40463. Т.Л. **26031. Открытие веществ, окисляемых периодатом, на хроматограммах на бумаге. Метценберг, Митчелл** (Detection of periodate-oxidizable compounds on paper chromatograms. Metzenberg R. L., Mitchell H. K., *J. Amer. Chem. Soc.*, 1954, 76, № 16, 4187 (англ.))

Описанный ранее метод открытия гликолей и нуклеозидов за счет окисления периодатом (Buchanan J. G., и др., *J. Chem. Soc.*, 1950, 3162) модифицирован для повышения чувствительности и простоты  $p$ -ции. Для хроматографии употребляют бумагу ватман № 1, которую промывают соответствующим  $p$ -рителем до нанесения испытуемого  $p$ -ра. После высушивания проявленную хроматограмму опрыскивают водн.  $p$ -ром  $KJO_4$  (0,01  $M$ ), сушат 8—10 мин. при 18—20° и затем опрыскивают насыщ. 35%-ным  $p$ -ром  $Na_2B_4O_7$ , содержащим 0,8% KJ, 0,9%  $H_2BO_3$  и 3% растворимого крахмала. В тех участках, где окисляемые периодатом  $v$ -а отсутствуют,  $JO_4^-$  реагирует с  $J^-$  с выделением  $J_2$  и появляется синяя окраска. В-ва, окисляемые периодатом, обнаруживаются в виде белых пятен на синем фоне. Оптимальная контрастность наблюдается через 10 мин. после опрыскивания смесью с  $Na_2B_4O_7$ . Пятна неустойчивы и должны быть немедленно сфотографированы при помещении влажной хроматограммы между стеклянными пластинками. Исследована способность большого числа  $v$ -в к восстановлению периодата. Употребление в качестве проявителя фенольных  $p$ -рителей и забуференных  $p$ -рителей не рекомендуется. Г. С.

**26032. Колориметрическое определение следовых количеств спиртов. Рид, Самон** (The colori-



metric determination of trace amounts of alcohols. Reid V. W., Salmon D. G., Analyst, 1955, 80, № 954, 704—705 (англ.).

Для определения  $<0,1\%$  спирта ( $\text{CH}_3\text{OH}$ ,  $\text{C}_2\text{H}_5\text{OH}$  и  $\text{изо-C}_3\text{H}_7\text{OH}$ ) к 10 мл водн. р-ра спирта добавляют 4 мл р-ра  $(\text{NH}_4)_2\text{Ce}(\text{NO}_3)_6$  (Reid V. W., Truelove R. K., Analyst, 1952, 77, 325), перемешивают и через 5 мин. спектрофотометрируют на спектрофотометре унакам SP 600 при 486 мμ, употребляя для сравнения смесь реактива с водой. Воспроизводимость результатов  $\pm 0,2$  мг. Описан метод определения спиртов в р-рах углеводородов, основанный на экстракции их водой.

Т. Б.

26033. Анализ альдегидов и кетонов хроматографией на бумаге. II. Количественная оценка хроматограммы на бумаге альдегидов и кетонов. Шульте, Шторп (Die papierchromatographische Analyse von Aldehyden und Ketonen II: Die quantitative Auswertung der Papierchromatogramme der Aldehyde und Ketone. Schulte K. E., Storp C. B.), Fette-Seifen Anstrichmittel, 1955, 57, № 8, 600—604 (нем.; рез. англ., франц., исп.).

Для колич. определения альдегидов и кетонов путем хроматографии на бумаге предложено фотографировать полученную хроматограмму и фотометрировать изображение пятен на негативе или позитиве, что дает большую точность по сравнению с непосредственным фотометрированием пятен (Grassmann W. и др., Dtsch. med. Wochenschr., 1951, 76, 333; Naturwissenschaften, 1950, 37, 496). Применяют фотопленку DFO4, хроматограмму освещают четырьмя лампами по 40 Вт, экспозиция 12 сек. Метод применен к определению л-нитрофенилгидразонов октилового, миристинового и бензальдегида (р-ритель  $\text{CH}_3\text{OH}$  — лед.  $\text{CH}_3\text{COOH}$ , 9,25 : 0,75, путь 28 см, т-ра 20°), а также цитралля, анисового и коричного альдегидов (условия те же, провители соответственно реагенты Шиффа, Несслера и Горрокка). Сообщение I см. РЖХим, 1955, 52240.

Т. А.

26034. Использование ультрафиолетового спектра поглощения насыщенных паров смеси для определения химического состава раствора. Определение нафталина и тетралина при совместном присутствии. Варшани (Use of ultraviolet absorption spectra of saturated vapour mixtures for the determination of the chemical composition of the solution. Determination of naphthalene and tetralin in the presence of each other. Varsányi Gy.), Acta chim. Acad. sci. hung., 1955, 5, № 3-4, 255—266 (англ.; рез. рус., нем.).

На основании УФ-спектра поглощения насыщ. паров осуществлено совместное определение ароматич. углеводородов — нафталина (I) и тетралина (II) в р-ре. I определяли по полосе 3000—3200 Å жидкой фазы, а II — по полосе 2730 Å насыщ. пара при 45°, длине кюветы 10 см и ширине щели 0,02 мм. При определении I потребовалось введение поправок на сплошной фон, вызванный флуоресценцией. Опыты показали, что сплошной фон можно считать равномерным в пределах 40 Å. Конц-ия р-ра вычислена из данных о составе насыщ. пара по теории правильных смесей с использованием ур-ния Маргулеса для 3-компонентной системы. Для 2-компонентной смеси I и II константы β коэфф. активности определяли непосредственным измерением, а остальные β-константы, относящиеся к третьей компоненте (насыщ. углеводород), — по аналитич. данным для искусств. смесей. Путем сопоставления данных по составу жидкой и паровой фаз оказалось возможным приближенно определить средний мол. вес смеси. Анализ искусств. смесей показал, что погрешность определения I составляет 5%, а II — 10%. Метод может быть применен для определения бензола,

толуола и монометилнафталинов при одновременном присутствии I и II. Ксилолы мешают определению.

А. Г.

26035. Определение ацетилена и ацетальдегида в окиси этилена. Рид, Самон (The determination of acetylene and aldehyde in ethylene oxide. Reid V. W., Salmon D. G., Analyst, 1955, 80, № 953, 602—604 (англ.).

Для определения ацетальдегида в 50 мл воды приливают 25 мл 0,1%-ного р-ра  $\text{NaHSO}_3$ , охлаждают на льду 15 мин., добавляют 5 мл анализируемой окиси этилена (из бюретки, градуированной в весовых единицах). Р-р перемешивают, через 5 мин. приливают 1%-ный р-р крахмала, титруют 0,01 н. р-ром  $\text{I}_2$  до синей окраски р-ра и отмечают объем р-ра  $\text{I}_2$ . Добавляют 1 г  $\text{Na}_2\text{CO}_3$ , перемешивают до его растворения, титруют р-ром  $\text{I}_2$  до не исчезающей синей окраски и отмечают объем. Из последнего вычитают первый объем (разность a); из контрольного опыта находят поправку (z),  $a - z = \text{титр}$ , соответствующий присутствующему альдегиду (1 мл эквивалентен 0,00022 г ацетальдегида). Для определения  $\text{C}_2\text{H}_2$  10 мл свежеприготовленного реактива (смешивают 10 мл 20%-ного р-ра  $\text{CuSO}_4 \cdot 5\text{H}_2\text{O}$ , 60 мл 30%-ного р-ра  $\text{NH}_2\text{OH} \cdot \text{HCl}$ , 30 мл разб.  $\text{NH}_4\text{OH}$  (1 : 1), 50 мл 1%-ного р-ра желатин и 50 мл воды) и 10 мл абс.  $\text{изо-C}_3\text{H}_7\text{OH}$  охлаждают на льду, добавляют определенный объем окиси этилена, помещают на лед и осторожно взбалтывают. Р-р разбавляют до 50 мл, встряхивают и измеряют окраску р-ра точно через 5 мин. после добавления анализируемой пробы с оливково-зеленым фильтром Илфорд OG1 или при 550 мμ. Калибровочную кривую строят, используя серию известных кол-в чистого  $\text{C}_2\text{H}_2$  без окиси этилена (последняя не влияет на определение). Воспроизводимость результатов  $\pm 5\%$ . Чувствительность определения соответствует 0,001%  $\text{C}_2\text{H}_2$ .

А. З.

26036. 2-ацетоацетил-4-метилфенол как реактив на первичные амины. Харборн, Уининг (2-acetoacetyl-4-methylphenol as a reagent for primary amines. Harborne J. B., Weaving A. S.), J. Chem. Soc., 1954, March, 1157—1158 (англ.).

2-ацетоацетил-4-метилфенол (I) образует с первичными алифатич. аминами кристаллич. соединения о-β-алкиламинокротонил-4-метилфенолы (II), интенсивно флуоресцирующие в УФ-свете. I предложен в качестве реактива для опрыскивания при хроматографии на бумаге как более доступный, чем применяемый для той же цели 2-ацетоацетилфенол (III). I не реагирует при  $\sim 20^\circ$  с  $\text{C}_6\text{H}_5\text{NH}_2$  (IV), 2-аминопиридином I (с  $\text{C}_6\text{H}_5$ )<sub>3</sub>NH (V); при нагревании с IV в спирте дает 2-β-анилинокротонил-4-метилфенол. При нагревании с V в спирте I циклизуется в 2,6-диметилфенол. С о-, м- и п-фенилдиаминами I медленно реагирует на холоду, быстрее при нагревании; при опрыскивании хроматограмм этих аминов на бумаге появляются яркожелтые пятна, исчезающие от пятен первичных аминов. III и I получены известными методами (Chatlaway, J. Chem. Soc., 1931, 2495; Rosenmund, Schnurr, Liebigs Ann. Chem., 1928, 460, 56; Wittig, Bangert, Richter, Liebigs Ann. Chem., 1926, 446, 169); выход III 17%, выход I 63%. Получены следующие II (перечислены алкил, выход в %, т. пл. в °C):  $\text{C}_2\text{H}_5$  47, 125;  $\text{n-C}_4\text{H}_9$  54, 86;  $\text{n-C}_6\text{H}_{13}$  63, 81—82;  $\text{C}_6\text{H}_5\text{CH}_2$  66, 123;  $\text{n-C}_8\text{H}_{17}$  41, 67;  $\text{n-C}_{10}\text{H}_{21}$  (VI) 79, 62—63;  $\text{n-C}_{12}\text{H}_{25}$  (VII) 71, 65—66; —  $\text{CH}_2\text{CH}_2$  — 41, 236 (разл.). При смешении спирт. р-ров VI или VII со спирт. р-ром  $\text{Cu}(\text{CH}_3\text{COO})_2$  получают комплексы  $(\text{C}_{21}\text{H}_{31}\text{O}_2\text{NCu})_2$ , т. пл. 225° (разл.) и  $(\text{C}_{23}\text{H}_{35}\text{O}_2\text{NCu})_2$ , т. пл. 209—210° соответственно.

Н. Т.

26037. Открытие метиленовых эфиров о-дифенолов. Фейгль, Хайнбергер (Nachweis von

*o*-Diphenolmethylenäther. Feigl F., Hainberger L.), Mikrochim. acta, 1955, № 4, 806—811 (нем.; рез. англ., франц.)

Метод открытия циклич. метиленовых эфиров *o*-дифенолов основан на том, что эти соединения при нагревании с конц.  $H_2SO_4$  до  $170^\circ$  отщепляют  $CH_2O$ , при взаимодействии которого с хромотроповой к-той (I) в присутствии  $H_2SO_4$  появляется фиолетовая окраска. Исследуемое в-во помещают в гильзу аппарата для поглощения газов (Feigl F., Spot Tests. Vol. 2, 4th ed., New York, Elsevier, 1954, 240 p.), добавляют 1—2 капли конц.  $H_2SO_4$ ; в затвор помещают каплю свежеприготовленного реактива (щепотку I смешивают с 2—3 мл конц.  $H_2SO_4$  и центрифугируют, слегка мутную жидкость применяют в качестве реактива), закрывают прибор и погружают его на  $\sim 0,5$  см в масляную баню с т-рой  $170^\circ$ ; через 1—10 мин. появляется фиолетовая окраска различной интенсивности. Чувствительность р-ции для пиперина, наркотина, гидрастина, берберина, хелидонина, нарцеина, сафрола, изосафрола, гелиотропина, апиола, пиперониловой к-ты 0,1—0,5  $\gamma$  (соответствует 0,0025  $\gamma$   $CH_2O$ ). Метод применим для открытия нерастворимых солей указанных алкалоидов.

Я. Г.

**26038. Определение  $d$ - $\gamma$ -токоферола методом нитро-зирования. Полистер** (Nitrosation method of determining  $d$ - $\gamma$ -tocopherol. Polister Barbara Hinderger, Analyt. Chem., 1954, 26, № 2, 407—408 (англ.))

Определение  $\gamma$ -токоферола (I) методом нитро-зирования в спирт. р-рах с последующим измерением светопоглощения р-ра нитрозо- $\gamma$ -токоферола в петр. эф. ( $\lambda_{\max}$  305 и 415 м $\mu$ ) не дает воспроизводимых результатов вследствие образования при нитрозировании этилнитрита, поглощающего в интервале 315—385 м $\mu$ . В качестве р-рителя для I рекомендуется свежерезанный, свободный от перекисей диметоксиган, смешивающийся с водн. реактивами. Все операции ведут при затемненном искусств. свете. 5 мл р-ра I в диметоксигане (0,1—1,2 мг/мл) помещают в градуированный цилиндр емк. 50 мл, добавляют 0,2 мл лед.  $CH_3COOH$ , перемешивают и приливают 3 мл р-ра  $NaNO_2$  (2 г на 100 мл воды), 5 сек. перемешивают и оставляют на 60 сек. Добавляют 2 мл р-ра KOH (20 г на 100 мл воды), перемешивают прибавляют 10 мл воды, щепотку  $Na_2SO_4$  и 10 мл изоктана. Цилиндр закрывают пробкой, встряхивают 30 сек. и органич. слой употребляют для спектрофотометрирования при 450—350 или 340—280 м $\mu$ . Р-ром сравнения служит смесь реактивов. Погрешность определения  $\pm 5\%$ .

М. П.

**26039. Открытие и определение гидроксиламина при помощи 8-оксихинолина. Продингер, Свобода** (Nachweis und Bestimmung von Hydroxylamin mit 8-Oxy-chinolin. Prodinger Wilhelm, Svoboda Oskar, Mikrochim. acta, 1953, № 4, 426—433 (нем.))

Фотометрич. метод определения гидроксиламина (I) основан на цветной р-ции, предложенной (Berg R., Becker E., Ber. Dtsch. chem. Ges., 1940, 73, 172) для открытия I. При взаимодействии I с 8-оксихинолином (II) образуется 5-амино-8-оксихинолин, который при окислении  $O_2$  в присутствии избытка II превращается в хинолинхинон-(5,8)-[8-оксихинолил-5-имидл]-5), окрашивающий р-р в зеленый цвет. Р-ция протекает при pH 10,0—11,5. Аммониевые соли мешают только при 1000-кратном избытке. При 2—10  $\gamma$ /мл I продолжительность р-ции 4 часа, при 20—100  $\gamma$ /мл I 1 час. В качестве буферного р-ра употребляют смесь глицина с NaOH, свободным от карбоната. Метод применен для определения I, образующегося при омылении оксима циклогексанона.

Л. Р.

**26040. Количественное определение хлоруксусных кислот в смесях. Барсело, Хорхе** (Determinación cuantitativa de mezclas de ácidos cloroacéticos. Barceló José, Jorge M. Pilar, Inform. quim. analit., 1954, 8, № 6, 198—207 (исп.))

Установлено следующее: хим. метод (Dalin, Haimsohn, Analyt. Chem., 1948, 20, 470) позволяет определить  $\geq 2\%$  дихлоруксусной к-ты (I) в монохлоруксусной к-те (II); колориметрич. метод (Mills, Analyt. Chem., 1952, 7, 70) применим для определения  $\leq 5$  мг трихлоруксусной к-ты (III); хроматографический (Smith, Analyt. Chem., 1952, 24, 1117) позволяет определить  $\leq 10\%$  I в II; полярографический (Elving, Tang, Analyt. Chem., 1951, 23, 341) применим для анализа смесей к-т при условии, что конц-ция III (или I) не превышает 20% в присутствии 80% I (или II). Спектрофотометрич. метод, основанный на использовании спектров комб. расс., позволяет анализировать любые смеси хлоруксусных к-т при конц-ии индивидуальных к-т 10—90%.

Г. Э.

**26041. Анилиды кислот. I. Предварительное сообщение о хроматографии анилидов кислот. Йонге** (Acid anilides. I. Preliminary communication on the chromatography of acid anilides. Jonge A. P. de), Recueil trav. chim., 1955, 74, № 6, 760—762 (англ.)

Для разделения низших жирных к-т методом хроматографии на бумаге рекомендуется пользоваться их анилидами (A); это позволяет избежать затруднений, связанных с летучестью к-т. А к-т  $HCOOH-C_{10}H_{20}O_2$  были разделены при применении в качестве подвижной фазы циклогексана; в качестве неподвижной фазы употребляли смежные системы: 1) 80%  $CH_3OH$ , 2) 50%  $C_2H_5OH$  и 3) 20%  $C_3H_7OH$ . А наносили на полосу фильтровальной бумаги ватман № 1 шириной 7,5 см на расстоянии 1,2 см от нижнего края. Полосу подвешивали на  $\sim 18$  час. над смесью из 80% циклогексана и 20% неподвижной фазы. Через 16—20 час. полосу погружали на 0,5 см в подвижную фазу на 1,5—3 часа; в течение этого периода фронт р-рителя перемещался на 15—20 см. При употреблении систем 1,2 и 3 соответственно,  $R_f$  (100) для A к-т (в скобках число атомов C в к-те): —, —, 33 (1); 4, 7, 29 (2); 11, 23, 58 (3), 19, 49, 87 (4); 31, 81, 94 (5); 51, 88, 100 (6); 65, —, —, (7); 81, 98, —, (8); 85, —, —, (9); 95, 100, —, (10). Для определения A участки пятен вырезают, вымывают A и измеряют светопоглощение р-ров.

Б. Т.

**26042. Новый объемный метод определения аскорбиновой кислоты. Смутьковский** (Nowa metoda objętościowa oznaczania kwasu askorbinowego. Smulkowski J.), Farmacja polska, 1955, 11, № 6, 132—134 (польск.)

Описан предложенный Францией метод определения аскорбиновой к-ты в фармацевтич. продуктах. Метод основан на окислении аскорбиновой к-ты при помощи  $H_2SeO_3$ . Р-ция окисления протекает количественно даже на холоду и в водн. р-ре; сопутствующие витамину C витамины B<sub>1</sub>, B<sub>2</sub>, B<sub>6</sub>, PP, P, пантотеновая к-та и соли  $Fe^{2+}$  не окисляются. Избыток  $H_2SeO_3$  определяют подометрически.

Г. М.

**26043. Исследование восстановления  $CrO_3$  в растворах при помощи щавелевой кислоты. III. Количественное окисление щавелевой кислоты хромовой кислотой. Ибаре-Аснарес, Верикад-Рага** (Estudio de la reducción de las disoluciones de  $CrO_3$  por el ácido oxálico. III. Oxidación cuantitativa del ácido por el ácido crómico. Ibarz Aznárez J., Vericad Raga J. B.), An. Real soc. española fis. y quim., 1954, B50, № 7—8, 661—662 (исп.; рез. англ.)

Исследовано влияние кол-ва  $H_2SO_4$  на процесс окисления  $H_2C_2O_4$  (I) при помощи  $CrO_3$  при нагревании

реакционной смеси на водяной бане и при кипении смеси. Уточнены оптимальные условия, обеспечивающие колич. окисление I: конц-ия  $\text{CrO}_3$  50% (752,5 г/л; уд. в. 1,505), конц-ия  $\text{H}_2\text{SO}_4$  644 г/л, окисление ведут при т-ре кипения. К р-ру 0,25 моля  $\text{CrO}_3$  в воде прибавляют при охлаждении и взбалтывании 35 мл конц.  $\text{H}_2\text{SO}_4$  и разбавляют смесь до 100 мл. Смесь нагревают до кипения и прибавляют теоретич. кол-во I (0,375 М, т. е. 47,25 г  $\text{H}_2\text{CrO}_4 \cdot 2\text{H}_2\text{O}$ ). Кол-во непрореагировавшей I определяют по методу, описанному в предыдущем сообщении. Погрешность определения  $\pm 0,01$  г. Результаты анализов сведены в таблицы. Сообщение П см РЖХим, 1955, 43250. Э. Г.

**26044.** Быстрое и точное определение целлюлозы бихроматом с использованием теплоты разбавления. Лонер, Томимацу (Rapid accurate determination of cellulose with the dichromate heat-of-dilution method. Launer Herbert F., Tomimatsu Yoshio), *Analyt. Chem.*, 1953, 25, № 11, 1769—1770 (англ.)

Для определения целлюлозы (I) в различных материалах были применены два метода: 1) бихроматный метод с использованием теплоты разбавления р-ра  $\text{K}_2\text{Cr}_2\text{O}_7$  (РЖХим, 1954, 46883), видоизмененный за счет 3-минутной выдержки перед добавлением к-ты и упрощения в расчетах теоретич. фактора 0,0120 г целлюлозы на 1 мл 1,835 н.  $\text{K}_2\text{Cr}_2\text{O}_7$ , и 2) метод с внешним источником нагрева (Kettering J. H., Conrad C. M., *Industr. and Engng Chem.*, 1942, 14, 432). Установлено, что методом 1 определяют 99,35—100,05% I в высоковязком, низковязком и хирургическом хлопке, вискозном шелке, в крахмале и глюкозе; методом 2 определяют 98,20—98,50% I в указанных материалах, за исключением глюкозы, и 99,20% I в глюкозе. Среднеквадратичные погрешности обоих методов составляют 0,12—0,27% и объясняются неполной сушкой (возможное остаточное содержание влаги 0,41%) и потерей материала при его окислении в  $\text{CO}$ . Б. З.

**26045.** Открытие политрона (полимеризованный рыббий жир). Хугель (Nachweis von Polytran. Hugel E.), *Fette und Seifen*, 1953, 55, № 8, 544—545 (нем.)

В градуированный цилиндр емк. 25—30 мл вносят 2 мл испытуемого масла и дополняют до 20 мл *n*-пропиловым спиртом. Встряхивают до растворения и выдерживают для удаления воздуха. В отсутствие полимеров р-р совершенно прозрачен. При наличии полимеризованного рыбьего жира или полимеризованных растительных масел в цилиндре образуется 2 слоя (объем нижнего слоя при наличии политрона соответствует ~4 мл). Рыбий жир, дезодорированный при  $<230^\circ$ , растворяется в *n*-пропиловом спирте полностью. И. С.

**26046.** Реактив Шиффа. Его приготовление и применение для определения формальдегида в формил-ацетилцеллюлозе. Крамм, Колб (Schiff reagent. Its preparation and its use in the determination of formaldehyde in cellulose acetate formal. Kramm David E., Kolb Charles L.), *Analyt. Chem.*, 1955, 27, № 7, 1076—1079 (англ.)

Реактив Шиффа (РШ), применяемый для определения малых кол-в  $\text{CH}_2\text{O}$  в формил ацетилцеллюлозе (I), получают перемешиванием  $4,5 \pm 0,005$  г хлоргидрата розанилина с 1500 мл воды с добавлением  $9,6 \pm 0,05$  г  $\text{Na}_2\text{S}_2\text{O}_5$ . Через 5—10 мин. к смеси прибавляют 40 мл 6 н.  $\text{H}_2\text{SO}_4$  и оставляют на 18 час. Добавляют 3 г активированного угля, перемешивают в течение 45 сек., затем быстро фильтруют (не более 3 мин.) с отсасыванием. К 10 мл обезбещенного РШ добавляют 20 мл воды, 5 мл 0,5%-ного р-ра крахмала и титруют 0,1 н.  $\text{J}_2$ . Содержание свободного  $\text{SO}_2$  (в ммоль на 100 мл РШ) вычисляют по ф-ле  $x = 5 aN$ , где  $a$  —

кол-во р-ра  $\text{J}_2$  (в мл),  $N$  — нормальность;  $x$  должен составлять 2,8—4,8 ммоль  $\text{SO}_2$  на 100 мл РШ. РШ стандартизируют по р-ру  $\text{CH}_2\text{O}$  (~8 мг на 100 мл), получаемому добавлением 0,5 мл формалина к 2 мл 0,05 н.  $\text{H}_2\text{SO}_4$ . Разбавлением стандартного р-ра 0,05 н. р-ром  $\text{H}_2\text{SO}_4$  готовят 10 р-ров с содержанием  $\text{CH}_2\text{O}$  0,15—4,0 мг на 100 мл. К 10 мл каждого р-ра прибавляют 20 мл РШ и 20 мл кислотной смеси (КС) ( $\text{H}_2\text{O}$  — 10 н.  $\text{HCl}$  — 14 н.  $\text{H}_2\text{SO}_4$ , 50 : 5 : 45). Через 2—2,5 час. фотометрируют при 550 мμ в 2,1 и 0,5-см кюветах соответственно для низкого, среднего и высокого содержания  $\text{CH}_2\text{O}$ . Колориметр (Думетров) устанавливают на 100%-ное пропускание по р-ру контрольного опыта (20 мл РШ + 20 мл КС + 10 мл воды). Для определения  $\text{CH}_2\text{O}$  в I к навеске (1—1,5 г) прибавляют 10 мл 10 н.  $\text{HCl}$ , колбу закрывают пробкой, периодически встряхивают в течение 2 час. и оставляют на ~18 час. Затем смесь нагревают 2 часа при 35—40°, охлаждают, прибавляют 90 мл 14 н.  $\text{H}_2\text{SO}_4$  и перемешивают. К aliquотной порции 10 мл в колбе с 20 мл воды прибавляют из автоматич. пипетки 20 мл РШ, перемешивают и через 2 часа фотометрируют (как описано выше). РШ стабилен 17—23 суток. Для проб I, содержащих 0,8%  $\text{CH}_2\text{O}$ , среднеквадратичная погрешность 0,021%. Л. А.

**26047.** Хроматографическое разделение продуктов самоконденсации цитраля. Будницкая Е. В., Тр. Комис. по аналит. химии АН СССР, 1955, 6, 197—201

Полученный самоконденсацией цитраля (I) продукт с эмпирич. ф-лой  $\text{C}_{20}\text{H}_{36}\text{O}$  (II) и другие образующиеся при этом продукты разделены методом хроматографии. Для получения и выделения II к 5 г I в ампуле (А) добавляли 10,2 г свежеперегнанного пиперидина, откачивали воздух, запаивали А и термостатировали при 37°. Через 4 дня А вскрывали и к смеси добавляли прокаленный  $\text{KHSO}_4$  в кол-ве, равном кол-ву взятого I. А после отсасывания воздуха вновь запаивали. Через 10 дней содержимое А растворяли в 20 мл ацетона и непрореагировавшие продукты и другие летучие в-ва отгоняли с водяным паром (~1 час) в атмосфере  $\text{N}_2$  при разрежении. Реакционную смесь экстрагировали петр. эфиром (т. кип. 30—60°). Органич. экстракт сушили над  $\text{Na}_2\text{SO}_4$  в А, из которой был эвакуирован воздух. Через 24 часа содержимое А пропустили через колонку  $\text{Al}_2\text{O}_3$ . После промывания петр. эфиром выявилось пять окрашенных зон. Столбик адсорбента разделяли на участки. Из участка, окрашенного в оранжево-красный цвет (ширина 20 мм), адсорбированное в-во извлекали смесью петр. эфира с 5% абс. спирта. Р-р отсасывали, а адсорбент промывали 50 мл петр. эфира, встряхивали с 25 мл смеси петр. эфир-спирт и еще раз отсасывали. Р-р перегоняли в вакууме в токе  $\text{N}_2$ , свободного от  $\text{O}_2$ . Дальнейшую очистку II вели путем мол. вакуумной перегонки ( $10^{-4}$  мм рт. ст.). Р-р II в подсолнечном масле с токоферолом витаминноактивен. При ежедневной дозе в 100 γ II выздоровление животных, страдающих ксерофтальмией, наступало через 10—12 дней. Спектр поглощения спирт. р-ра II имеет максимумы при 345—348 мμ и при 285—290 мμ. С реактивом Карр-Прайса II образует голубой р-р ( $\lambda_{\text{макс}}$  640 мμ). После выдержки II на воздухе р-ция с  $\text{SbCl}_5$  не идет. В. К.

**26048.** Новые методы хроматографического анализа и их применение при анализе эфирных масел. Лабат (Nuevas técnicas cromatográficas y su aplicación al análisis de aceites esenciales. Labat Jorge), *An. Direc. nac. quim.*, 1953, 6, № 11, 19—20 (исп.)

При микрохроматографическом методе для разделения компонентов эфирных масел пользуются адсор-



бентами (А), нанесенными на узкие стеклянные пластинки; при макрохроматографич. методе применяют А в виде стержней или А, нанесенные на широкие стеклянные пластинки. 10 г смеси А (напр., для хроматографирования 2,4-динитрофенилгидразонов 4 ч. кремневой к-ты + 1 ч. бентонита) смешивают с 1 г крахмала. Прибавляют 36 мл воды, гомогенизируют смесь и при перемешивании нагревают 140 сек. на водяной бане при 85°, прибавляют 10 мл воды и полученную пасту наносят на поверхность стеклянных пластин (220 × 15 мм), высушивают при 110° и выдерживают в вакууме. Хроматографирование ведут в пробирках (220 × 20 мм) с 2—2,5 мл р-рителя. Окрашенные в-ва обнаруживаются в виде цветных полос на белом фоне; эфиры 3,5-динитробензойной к-ты и семикарбазоны обнаруживаются в виде темных пятен на флуоресцирующем фоне при облучении УФ-светом; фенолы выявляют опрыскиванием продуктом диазотирования *n*-нитроанилина, терпены — конц.  $H_2SO_4$ . Описанный метод применен при анализе в-в, содержащих карбонильные группы, и присутствующих в эфирных маслах кедрового дерева, *Mentha pulegium* и чабреца; фенольных фракций эфирных масел тимьяна и чабреца; при обнаружении примесей в феноле и гваяколе, а также лимонена и  $\alpha$ -терпинеола в различных фракциях эфирного масла чабреца. Э. Г.

**26049. Определение органических кислот в рисовой водке (саке). П. Определение янтарной кислоты при помощи распределительной хроматографии на колонке.** Кавабата, Кавано (清酒中の有機酸の研究 第2報. Column chromatographによる琥珀酸の分離定量, 川端修一, 川野義男, 醸酵工學雜誌, Хакко когаку дзасси, J. Ferment. Technol., 1953, 31, № 11, 434—438 (япон.; рез. англ.).

Янтарную к-ту в рисовой водке определяли модифицированным методом распределительной хроматографии на колонке. В высококачеств. водке содержание молочной к-ты было выше, чем янтарной. Исследовано изменение содержания лимонной, молочной и янтарной к-т в процессе ферментации. Сообщение 1 см. РЖХим, 1955, 21522. В. Б.

**26050. Определение дихлорэтана и хлорпикрина в газированном зерне и зернопродуктах.** Захаренко Г. А., Водатурский Г. А., Тр. Одесск. технол. ин-та, 1955, № 5, 46—57

Дихлорэтан (I) определяют каталитич. разложением при 600° на смеси, содержащей чистую  $Fe_2O_3$  и асбест, приготовленной прокаливанием 2 ч. х. ч. закисного шавелевокислого железа с 1 ч. коротковолокнистого асбеста в фарфоровом тигле. I направляют в печь для разложения при продувании воздуха через зерно в течение 2—2,5 час. Образовавшиеся ионы  $Cl^-$  титруют по методу Фольгарда. I полностью извлекается из газированного зерна, даже находившегося 10 дней в парах I. Точность определения не превышает 5%. Метод применим для определения сотых долей грамма I. Хлорпикрин (II) определяют термич. разложением его паров при протягивании в токе водорода над мелкоизмельченным Ni, полученным восстановлением закиси Ni при 400—450° в течение 1—1,5 часа. При разложении II образуется  $NH_3$ , который поглощают к-той, избыток к-ты оттитровывают р-ром соды. Метод дает возможность определять 0,02 г II в пределах ошибки взвешивания. II не полностью выделяется из зерна при нагревании на водяной бане и проветривании в течение 3—4 час.; чем больше времени зерно подвергалось действию II, тем больше II удерживается зерном (через 112 час. после газации удерживается 29,62% II, через 0,5 часа 8,56%). Повышение т-ры нагревания исследуемых образцов до 120—130° не привело к полному удалению II. В. К.

**26051. Определение пентахлорфенола в пропитанном дереве.** Сакорибут, Моррил (Detection of pentachlorophenol in treated wood. Sakornbut S. S., Morrill H. L., Analyst. Chem., 1955, 27, № 8, 1259—1261 (англ.).

Метод определения пентахлорфенола (I) основан на его окислении  $ClO_2$  в хлорант (тетрахлор-*n*-хинон), который окисляет лейкооснование кристаллич. фиолетового в краситель. Бруски из заболони сосны *Pinus ponderosa* размерами 12,7 × 7,62 × 2,54 см и 12,7 × 2,54 × 2,54 см, пропитанные технич. I, обрабатывают 30 мин.  $ClO_2$ , полученный действием 8 мл лед.  $CH_3COOH$  на 10 г  $NaClO_2$ . Затем образцы выдерживают в токе воздуха 0,5 часа и опрыскивают 1%-ным р-ром лейкооснования кристаллич. фиолетового в смеси ксилот-технич. нонан (1 : 1). Немедленно после опрыскивания образцы помещают в камеру с  $N_2$  и через 5 мин. наблюдают фиолетовую окраску.  $N_2$  можно заменить  $CO_2$  из баллона или полученной испарением сухого льда. Миним. конц-я I, обнаруживаемая описанным методом, составляет 0,022%. Метод применим и к другим породам деревьев, но чувствительность снижается при работе с темными породами. Н. М.

**26052. Идентификация отходов нефтеперерабатывающих предприятий в открытых водоемах.** Розен, Мидлтон (Identification of petroleum refinery wastes in surface waters. Rosen A. A., Middleton F. M., Analyst. Chem., 1955, 27, № 5, 790—794 (англ.).

Воду из открытых водоемов (10—80 тыс. л) прокачивают через фильтры из песка и активированного угля. Уголь обрабатывают  $CHCl_3$  и производят групповое разделение экстракта на нейтр. в-ва, основания, к-ты и фенолы. Нейтр. в-ва разделяют хроматографически (на силикагеле) на алифатич. (I), ароматич. (II) и окислосоединения. ИК-спектры I и II, выделенных из водоемов, расположенных вблизи нефтеперерабатывающих предприятий, сравнивают с предварительно изученными ИК-спектрами I и II, выделенных из отходов этих предприятий. Метод менее чувствителен, чем определение нефтяных примесей в воде на вкус и запах, но имеет преимущество объективности. Р. В.

**26053. Технический анализ.** Фарр (Analysis for Industry. Farr J. G. P.), Industr. Chemist, 1955, 31, № 368, 464—466 (англ.).

Обзор методов определения альдегидов и кетонов. Библ. 101 назв. В. С.

**26054. О работе аналитической лаборатории по исследованию нефтяных продуктов.** Шефермейер, Смит (Operating a petroleum — research analytical laboratory. Schaefermeyer W. C., Smith E. S., Analyst. Chem., 1955, 27, № 7, 1040—1046 (англ.).

Обсуждены организация работы аналитич. группы лаборатории Union Oil Co. в Калифорнии, критерии для оценки производительности лаборатории и координация всех процессов работы. Описано движение образца с момента поступления его в лабораторию и обсуждены преимущества спец. контейнеров и оборудования. В. Ш.

**26055. Новый способ определения органических составляющих в асбестовых продуктах.** Франк (Ein neues Verfahren zur Bestimmung organischer Anteile in Asbestwaren. Frank K.), Gummi und Asbest, 1955, 8, № 5, 244—247, 249 (нем.).

Разработан способ определения в асбестовых продуктах органич. в-в — растительных, животного происхождения и искусств. волокон (из производных целлюлозы), а также тонкоизмельченного каучука — высушиванием и сжиганием в щел. р-ре  $KMnO_4$  в при-

сутствии катализатора  $Ti_2SO_4$  и оттитровыванием избытка реактива после сжигания. Поправку на разложение  $KMnO_4$  вычисляют по результатам опыта с окислением 0,01 г органич. волокна р-ром  $KMnO_4$  в принятых условиях и учитывают при дальнейших анализах. К навеске  $\sim 1$  г высушенного материала приливают 170 мл 15%-ного р-ра  $NaOH$ , в 1 л которого присутствует 6 мл насыщ. на холоду р-ра  $Ti_2SO_4$ . Смесь нагревают до кипения и прибавляют из бюретки (струей) 20 мл р-ра  $KMnO_4$  (33,35 г/л) (устанавливают по 1 н.  $H_2C_2O_4$ ). Через 3 мин. охлаждают  $\frac{1}{2}$  мин. в воде, при охлаждении медленно вводят из бюретки 25 мл разб.  $H_2SO_4$  (1:1), прекращают охлаждение, вводят еще 40 мл  $H_2SO_4$  (1:1), быстро добавляют избыток 1 н.  $H_2C_2O_4$ , нагревают до кипения, перемешивают до растворения  $MnO_2$  и оттитровывают избыток  $H_2C_2O_4$  р-ром  $KMnO_4$ . Погрешность метода  $\pm 0,1\%$ . Отдельное определение продолжается  $\sim 15$  мин.; при серийных определениях  $\sim 10$  мин. Описанный метод приобретает важное значение в связи с появлением на рынках серпентинного асбеста весьма нестойкого состава из Южной Африки, Китая и СССР, с большими потерями при прокаливании ( $>15\%$ ), а также в связи с неприменимостью весового способа их определения. Метод титрования применим также к технич. асбесто-резиновым продуктам. М. Л.

**26056. Новый метод открытия туйона в спиртных напитках (настойка полыни, анисовка, наливки и т. д.).** Кортина, Монтеес [Nuevo metodo para investigar tuyoona et bebidas alcoholicas. (ajeno, anisados, aperitivos, etc.). Cortina Beatriz R., Montes Adolfo Leandro], An. Asoc. quim. argentina, 1954, 42, № 4, 213—222 (исп.; рез. англ.)

Для открытия туйона (I) и содержащих этот кетон эфирных масел в спиртных напитках применен метод восходящей хроматографии на бумаге соответствующих 2,4-динитрофенилгидразонов. К 50 мл напитка прибавляют 50 мл насыщ. р-ра  $NaCl$  (для лучшего разделения эфирных масел), 25 мл петр. эфира (т. кип.  $<60^\circ$ ) и встряхивают. К 25 мл эфирного экстракта приливают 5 мл р-ра 2,4-динитрофенилгидразина и 5 мл спирта (95%), свободного от альдегидов, выпаривают эфир, помещают смесь в холодильник на  $\sim 18$  час.; осадок 2,4-динитрофенилгидразонов отфильтровывают, сушат и растворяют в 2 мл смеси лигроинов (т. кип.  $70-90^\circ$ )-бензол (2:1). Р-р хроматографируют на полосках бумаги ватман № 120 размером  $15 \times 220$  мм. Пинокамфон (эфирное масло несопа) отличаются от I методом нисходящей хроматографии соответствующих 2,4-динитрофенилгидразонов в небольших колонках ( $18 \times 8$  см) со смесью  $SiO_2$ -бентонит (2:1). Прояви-

телем служит смесь лигроинов-бензол (3:1). 2,4-динитрофенилгидразоны I и пинокамфона имеют интенсивную желто-оранжевую окраску, фенона — менее интенсивную желто-оранжевую, карвона — красную, анисового альдегида красно-оранжевую. Метод позволяет открыть 1—5 мг I в 100 мл напитка. Для колич. определения I пользуются хроматограммами сравнения. Э. Г.

**26057. Колориметрический экспресс-метод определения воды в растворителях.** Хороная Е. С., Авиллов А. А., Ковригина Г. И., Королева З. А., Завод. лаборатория, 1955, 21, № 5, 542—543

В сухой мерный цилиндр вливают 50 мл испытуемого р-рителя, вносят 2 г обезвоженной  $CuSO_4$ , взбалтывают и через 2 мин. сравнивают окраску осадка со шкалой эталонов, составленной по спец. приготовленным смесям р-рителей с известным содержанием влаги. Сравнительные испытания описанного метода с методом дистилляции дали удовлетворит. результаты. И. Э.

**26058. Изучение методов испытания чистоты. IX. Проба на допустимую мутьность.** Ильвер, Якерротт, Реймерс (Undersøgelse over renhedsprøver. IX. Graenseprøve for uklæthed. Ilver K., Jækerott A., Reimers F.), Dansk tidsskr. farmaci, 1955, 20, № 7, 153—171 (дат.; рез. англ.)

Чистоту медикаментов устанавливают методом сравнения их опалесценции с опалесценцией эталона стандартной водно-спиртовой суспензии  $BaSO_4$ . Для приготовления эталона 1 мл р-ра  $BaCl_2$  (0,5 мг  $Ba^{2+}$  на 1 мл 85%-ного  $C_2H_5OH$ ) вносят в пробирку и при встряхивании добавляют 1 мл 1 М  $H_2SO_4$ . Через 5 мин. добавляют 10 мл воды. Смесь пригодна для оценки степени помутнения медикаментов в течение 20 мин. после добавления воды. Испытание проводят при дневном свете в прозрачной пробирке из бесцветного стекла на черном фоне. В отсутствие видимой мути стандартный р-р разбавляют 50 мл воды. Сообщение VIII см. РЖХим, 1955, 611. Н. М.

**26059 Д. К определению перекисей в жирах феррироданидным методом.** Вальзер (Beitrag zur Messung der Fettperoxyde mit der Ferrithiozyanatmethode. Walser Rudolf. Diss. techn. Wiss. ETH, Zürich, 1954), Schweiz. Buch., 1955, В 55, № 1, 50 (нем.)

См. также: Элементарный органич. анализ 8407Бх. Хроматография 8410Бх, 8412—8417Бх, 8419Бх, 8420Бх, 8422Бх, 8426Бх, Др. вопр. 26649; 8398Бх, 8399Бх, 8410Бх, 8424Бх, 8432Бх, 8441Бх, 8446Бх, 8456Бх, 8457Бх

## ОБОРУДОВАНИЕ ЛАБОРАТОРИЙ.

### ПРИБОРЫ, ИХ ТЕОРИЯ, КОНСТРУКЦИЯ, ПРИМЕНЕНИЕ

**26060. Анализатор для низкоэнергетических  $\gamma$ -излучателей в смеси радиоактивных ядер.** Ансон, Конналли, Лебёф (Analyzing for low-energy gamma emitters in a radionuclide mixture. Urson U. L., Connally R. E., Leboeuf M. B.), Nucleonics, 1955, 13, № 4, 38—42 (англ.)

Люминесцентный  $\gamma$ -спектрометр использовался для измерения активности  $Pu$  по  $\gamma$ -лучам 100 кэв в присутствии сильно активных продуктов деления. Снижение фона, связанного с высокоэнергетич.  $\gamma$ -излучением осколков деления, достигалось помещением системы образец-кристалл [ $NaI(Tl)$ ] в среду с малым  $z$ , применением тонкого кристалла и электрич. компен-

рующей схемы, вычитающей остаточный фон и позволяющей получать отсчеты, соответствующие только  $Pu$ . Установка позволяет определять активность  $Pu$  на фоне в 2000 раз более сильной активности осколков деления. А. П.

**26061. «Камера Годоскоп» — новый прибор для ядерных исследований.** Конверси, Гоццини (The 'hodoscope chambers': a new instrument for nuclear research. Conversi M., Gozzini A.), Nuovo cimento, 1955, 2, № 1, 189—191 (англ.)

Описан прибор, позволяющий исследовать движение отдельных частиц и электромагнитные взаимодействия. Использовано явление свечения ионизированных газов

под действием сильного электрич. поля. Камера (К) представляет собой конденсатор из 14 Al-плоских пластин размером  $22 \times 44 \times 0,3$  см, попарно соединенных между собой. В промежутках между пластинами помещены тонкостенные стеклянные трубки (длина 22 см, внутренний диам. 0,7 см), наполненные He при давл. 35 см рт. ст. Частицы двигаются перпендикулярно оси трубок. Вне К находятся счетчики, работающие по схеме совпадений, и импульсная высоковольтная схема, подающая на камеру импульс 20 кВ мощностью 250 кет (поле 10 кВ/см) продолжительностью 2 мкс. через несколько десятых мкс. после регистрации прошедшей частицы. Светящиеся треки фотографируются. Установлено, что К работает стабильно в электрич. поле 5—10 кВ/см и что время рекомбинации  $\sim 0,1$  сек. Отмечена невозможность применения других газов, кроме инертных. Указана возможность использования К в магнитном поле для наблюдения редких взаимодействий. Приведены снимки, иллюстрирующие работу К. А. Б.-З.

**26062. Трехступенчатая схема совпадений для быстрых импульсов.** Глетли, Лёпфе, Штольц (Dreifach-Koinzidenzstufe für schnelle Impulse. Glättli H., Loerpe E., Stoll P.), Helv. phys. acta, 1955, 28, № 4, 364—366 (нем.)

Предложена схема для измерения возбужденного состояния  $\text{Be}^8$ , на входе которой применены три умножителя 1P21 с кристаллами стибьена. Импульс на пути от умножителя к триггерной ступени ЕРР-60 нормируется по ширине  $4 \cdot 10^{-8}$  сек. и высоте 1,2 в. Нормированные импульсы поступают в смешивающую ступень, состоящую из 2 симметричных каналов на трех кристаллич. диодах. В один канал поступают только случайные импульсы, вычитаемые после из числа импульсов другого канала. Импульсы, прошедшие каналы, удлиняются RC-цепочкой с диодом до 30 мсек. После усиления сигналы подаются на счетчики полных и случайных импульсов. А. Л.

**26063. Ядерный спектрометр для тяжелых частиц.** Часть II. Рабочие характеристики, качество фокусировки. Милейковский (A nuclear spectrometer for heavy particles. Part II. Performance and focusing properties. Mileikowsky Curt), Arkiv. fys., 1954, 7, № 1-2, 33—46 (англ.)

Продолжение описания большого (радиус средней траектории 40 см) магнитного спектрометра с двойной пространственной фокусировкой (часть I, Arkiv fys., 1951, 4, № 16, 337). Аксально-симметричное поле спектрометра падает, как  $1/\sqrt{r}$ . Источник и детектор вынесены из магнитного поля, чтобы облегчить изучение ядерных р-дий на заряженных частицах. Угол поворота частиц в магните  $191,4^\circ$ . Поле в магните поддерживается с точностью  $\pm 0,01\%$ . На примере  $\alpha$ -спектра ThC продемонстрирована разрешающая сила прибора, равная 0,14% при работе с пропорциональным счетчиком и 0,10% — при фотографии. регистрации частиц. Телесный угол, используемый установкой, достигает  $0,43 \cdot 10^{-2}$  стерадиан. Л. Г.

**26064. Никелевый диффузионный фильтр для водорода.** Гаррисон, Хоббис (Nickel diffusion leak for hydrogen. Harrison E. R., Hobbs L. C. W.), Rev. Scient. Instrum., 1955, 26, № 3, 305—306 (англ.)

Предложена конструкция Ni-диффузионного фильтра для очистки  $\text{H}_2$ , используемого при получении протонных пучков большой интенсивности. Фильтр состоит из Ni-спиральной трубки с внутренним диам.  $\sim 0,76$  мм, толщ. стенок  $\sim 0,1$  мм, длиной 152 см, намотанной на кварцевую трубку. Фильтр помещен в вакуумный стеклянный баллон.  $\text{H}_2$  под атмосферным давлением пропускается через Ni-трубку, которая подогревается

пропусканьем через нее электрич. тока. Скорость диффузии  $\text{H}_2$  дается соотношением  $q = \text{const} \cdot p^{1/2}/d$  для  $r \gg d$ , где  $p$  — давление водорода,  $r$  — средний радиус трубки,  $d$  — толщина трубки. А. Б.-З.

**26065. Диффракция нейтронов при использовании лабораторного реактора.** Шалл (Neutron diffraction with a research reactor. Shull C. G.), U. S. Atomic Energy Comm. Repts, 1954, AECU-2900, 143—153 (англ.)

Кратко описаны два нейтронных спектрометра. Возможности метода иллюстрируются изменением структуры  $\text{KH}_2\text{PO}_4$  в точке Кюри и при низких т-рах, а также установлением электронной конфигурации в атоме U и в  $\text{UD}_3$ . А. Б.-З.

**26066. Градуировочные графики и ширина спектральных линий в дуговом разряде переменного тока.** Нагибина И. М., Изв. АН СССР, сер. физ., 1955, 19, № 1, 25—27

Исследована ширина спектральных линий в зависимости от конц-ии в дуге переменного тока для Mn II 2949, Pb I 2873, Cd I 3261 А. При малых конц-иях линий наблюдалась линейная зависимость между логарифмом относительной интенсивности и логарифмом конц-ии. Ширина спектральных линий в области прямолинейного участка не изменяется. Расширение спектральных линий наблюдалось в области тех значений конц-ии, которые отводят отклонению градуировочного графика от прямой. Для получения истинной ширины линии вычислялась аппаратная функция. Установлено, что для исследуемых линий в области конц-ии, где имеется расширение линий, наблюдается линейная зависимость ширины линии от конц-ии. При больших конц-иях наблюдалось самообращение. Изучалось влияние посторонних атомов на ширины линий Mn II 2949 А в тройных и более сложных р-рах. Полученная линейная зависимость может быть использована для колич. спектрального анализа р-ров и порошков. Е. М.

**26067. Различные практические осуществления скользящих искр для спектроскопии в дальней ультрафиолетовой области.** Роман, Баллофе (Différentes réalisations pratiques d'étincelles flottantes pour la spectrographie dans l'ultraviolet lointain. Romand Jacques, Balloffe Germaine), J. phys. et radium, 1955, 16, № 6, 489—490 (франц.)

Описываются усовершенствованные конструкции держателей электродов для скользящей искры. Чтобы устранить мешающие линии материала держателей электродов, последние изготовлялись из Al. При этом спектр почти исключительно состоит из линий электродов, а линии Al и кислорода весьма малочисленны. При держателях описанной конструкции и Fe-электродах достаточно было для получения спектра Fe в области 2000—1100 А иметь 20 искр (экспозиция 40 сек.) и 40 искр в области 700—1100 А. В. Д.-К.

**26068. Два простых спектринтерференционных метода исследования дисперсии в видимой и ультрафиолетовой области спектра.** Горбань И. С., Шишловский А. А., Ж. техн. физики, 1955, 25, № 7, 1297—1306

Первый метод основан на использовании дифракции Френеля на границе раздела двух прозрачных сред. Главной частью установки является двухкамерная ювета. При заполнении обеих камер разными жидкостями на спектрограмме возникают интерференционные полосы, положение которых зависит от величины разности хода. Метод дает возможность измерять дисперсионные кривые жидкостей при отсутствии известного значения показателя преломления для какой-либо длины волны. Второй метод основан на сочленении интерферометра типа Релея со спектрографом. Между окуляром интерферометра и щелью



спектрографа устанавливается осветительная линза, проектирующая интерференционную картину на щель спектрографа. Метод пригоден для исследования аномальной дисперсии света в  $p$ -рах с точностью до  $1 \cdot 10^{-6}$ .  
Е. М.

**26069. Автоматический спектрофотометр для УФ- и видимой областей спектра.** П. Фосе (Automatische Spektrofotometer im UV- und sichtbaren Spektralbereich. P. Vos J. de), Arch. techn. Messen, 1955, № 233, 137—140 (нем.)

Разобраны принципы полной автоматизации двухлучевого спектрофотометра, у которого первый монохроматич. луч раздваивается вибрирующим зеркалом. Световые потоки после прохождения среды сравнения и пробы регистрируются одним фотоэлементом или фотоумножителем, электрич. сигналы которого после усиления сравниваются и полученные результаты записываются. Этим обеспечивается равная чувствительность по всему спектру и независимость от непостоянства излучения. Щель спектрометра автоматически устанавливается на пропускание постоянной полосы спектра или на пропускание постоянной энергии. Скорость смены монохроматич. волны ограничена инерцией самописца и временем установки щели. Эмпирически установлена связь между скоростью спектральной съемки  $\omega$ , данным разрешением  $\Delta$  и данной точностью  $g$ :  $g\Delta^2V\omega = \text{const}$ . Повышение разрешения фотометра снижает точность, поэтому следует выбирать разумный компромисс. Для примера разобрано устройство автоматич. спектрофотометра Бекмана, модель DK, средняя точность которого 0,3%. Часть I см. РЖХим, 1956, 1246.  
А. Л.

**26070. Светосила спектрометров с призмами, дифракционными решетками или эталонами Фабри — Перо.** Жаккино (The luminosity of spectrometers with prisms, gratings, or Fabry — Perot etalons. J. Jacquino Pierre), J. Opt. Soc. America, 1954, 44, № 10, 761—765 (англ.)

Выведены ф-лы для светового потока как функции эффективной разрешающей способности и размеров диспергирующей системы различных типов спектрометров (С). Проведено сравнение светосилы С при условиях одинаковой разрешающей способности и одинаковых размеров диспергирующей системы (площадь основания призмы, площадь дифракционной решетки и площадь пластин эталона). Сравнение С с призмой и с дифракционной решеткой показывает, что отношение световых потоков на выходе С всегда меньше единицы. Таким образом, призма всегда менее светосильна во всех областях длин волн и для различных материалов, употребляющихся для изготовления призм. Обычно это отношение не превышает 0,13. Сравнение С с дифракционной решеткой с эталоном Фабри — Перо затруднено необходимостью сравнивать приборы с равной площадью диспергирующей системы и применять эталон Фабри — Перо, как правило, с дополнительным монохроматором. В простейшем случае (отдельный эталон Фабри — Перо) светосила эталона в 30—400 раз больше светосилы С с дифракционной решеткой, в зависимости от угловой высоты щели последнего.  
Э. Т.

**26071. Инфракрасный регистрирующий анализатор.** Смит (A recording infrared analyzer. Smith V. N.), Instruments, 1953, 26, № 3, 421—427 (англ.)

Детально описана конструкция двухлучевого регистрирующего ИК-газоанализатора. Прибор состоит из источника света (нихромовая лента при  $t \approx 250^\circ$ ), светоделительного модулирующего диска (частота прерываний 20  $\text{гц}$ ), двух газовых фильтров, двух кювет с двумя селективными приемниками ИК-радиации оптико-акустического типа и усилительно-регистра-

рующей части. Для выделения определенных спектральных участков применен модулирующий диск с секторами, изготовленными из различных селективно пропускающих ИК-радиацию кристаллов. Сигналы от двух конденсаторных микрофонов подаются на вход усилителя переменного тока, затем выпрямляются синхронным детектором и снова усиливаются усилителем постоянного тока, выход которого соединен с регистрирующим электронным потенциометром, записывающим отношение сигналов. Приведены результаты использования прибора при непрерывном анализе состава газовых смесей в лабор. условиях. Точность определения этана или этилена в хлористом этиле составляла  $\pm 0,5\%$ . При анализе изобутана в нормальном бутане ошибка была менее  $\pm 0,4\%$ , а при определении следов СО в потоке газовой смеси различного состава ошибки еще меньше.  
Я. Г.

**26072. Усилительное устройство для инфракрасного спектрофотометра.** Марков М. Н., Ж. техн. физики, 1954, 24, № 10, 1867—1875

Подробно описаны схема и принцип действия электронного усилителя для автоматич. ИК-спектрофотометра с использованием в качестве приемника ИК-радиации В-болометра. Миним. напряжение, которое может быть измерено, составляет  $2 \cdot 10^{-9}$  в, что соответствует потоку радиации  $6 \cdot 10^{-9}$   $\text{вт}$ . Коэфф. усиления  $3,5 \cdot 10^6$ . Применен метод усиления низкочастотного сигнала (9  $\text{гц}$ ) от болометра на несущей высокой частоте (4000  $\text{гц}$ ). Постоянные времени усилительного устройства равны 0,25; 0,5; 1 и 2 сек. Стабильность усиления высокая. Это позволяет использовать усилительное устройство для непосредственного измерения малых потоков ИК-радиации. Усилительное устройство может быть применено как с выходом на сервомотор (мощность 13  $\text{вт}$ ), так и с выходом на самописец типа ЭПП-09.  
А. М.

**26073. Применение светосильного по потоку монохроматора с фотоэлектрической регистрацией в спектроскопии комбинационного рассеяния света.** Бобович Я. С., Гуревич Д. Б., Изв. АН СССР, сер. физ. 1955, 19, № 1, 48—49

Описан метод улучшения пороговой чувствительности и разрешающей способности фотоэлектрич. установки благодаря применению монохроматора, светосильного в отношении светового потока. В описанной установке монохроматор имел действующее отверстие 180 мм и щель 50 мм. Схема автоколлимационная. Применялся двухкомпонентный стеклянный объектив с диам. 180 мм и фокусным расстоянием 1200 мм. Для дисперсии света служила плоская дифракционная решетка 600 штрихов на 1 мм. Приемником энергии служил фотоумножитель. Запись спектра фотографич. Этим путем была зарегистрирована линия ртути  $843 \text{ см}^{-1}$  с ошибкой  $< \pm 4,6\%$ . Ошибка в измерении интенсивных линий составляет 1—3%. Оценка пороговой чувствительности произведена по записи спектра комб. расс. смеси, состоящей из 95%,  $\text{CCl}_4$  и 5% 2,2,3-триметилбутана. Разрешение в спектре  $10\text{—}12 \text{ см}^{-1}$ . Исследовалась возможность применения описанной установки к поляризационным измерениям в спектрах предельных углеводородов. Получена точность  $\pm (4\text{—}8)\%$ .  
Е. М.

**26074. Фотометр для быстрой регистрации спектров поглощения.** Теве, Любберс (Ein schnellregistrierendes Absorptionsspektrophotometer. Thews G., Lübbers D.), Z. angew. Phys., 1955, 7, № 7, 325—331 (нем.)

Описан двухлучевой спектрофотометр с фотоэлектрич. регистрацией для быстрых исследований в видимой УФ- и близкой ИК-области спектра, необходимый для решения физиологич. проблем. Спектрофотометр удовлетворяет всем требованиям, предъявляемым к таким

приборам, и позволял разрешать в видимой области спектра полосы, расположенные друг от друга на 1 мμ со скоростью измерения 20 точек в секунду (т. е. участок в 300 мμ регистрируется на 0,5—1 мин.) с точностью < 1%. Приведены схемы одно- и двухлучевых приборов, усилительной части и полученные кривые поглощения.

**Е. П. 26075.** О возможности выправления кривых почернения. **Морелло** (Über die Möglichkeit der Ausrichtung der Schwärzungskurve. *Morello Bartolomeo*), *Mikrochim. acta*, 1955, № 2—3, 390—409 (нем.; рез. англ., франц.)

Рассмотрена возможность построения прямолинейной спектрографич. диаграммы на основе ур-ния изогнутой части кривой  $D = f(\lg I)$ , где  $D$  — почернение и  $I$  — интенсивность. Установлено отсутствие закономерности изменения фактора контрастности  $\gamma$  и предельного почернения  $D_l$  даже среди фотопластинок одной серии. Приведены графики ошибок, вызываемых возможными колебаниями  $\gamma$  и  $D_l$ . Даны метод построения прямолинейного графика преобразованного почернения  $D_t = F(\lg I)$ , ф-лы для вычисления  $D_l$ ,  $D_t$  и предельной интенсивности  $I_l$  и графики зависимости от  $\gamma$  констант, входящих в ур-ния:  $D_t = [\gamma - K' + \sqrt{K'' - K''(D_l - D_c)}] + D_l$ ,  $D_l = D_r - [\xi - \gamma \times \sqrt{B - C(D_r - D_c)}]$ ;  $\lg I_l = -A + \sqrt{B - C(D_r - D_c)}$ , где  $D_r$  — почернение любой точки прямолинейной части кривой почернения;  $D_c$  — почернение любой точки кривой почернения;  $\xi$ ,  $K'$ ,  $K''$ ,  $K'''$ ,  $A$ ,  $B$ ,  $C$  — константы. Описано простое приспособление для пользования графиком  $D_t = f(\lg I)$ . Приведен пример определения  $B$  в стали, а также Ag и Cu в свинце с помощью данного графика.

**А. Л. 26076.** Исследование фотометрических свойств «спектральных» пластинок типов I, II и III, выпускаемых фабрикой № 2. **Фринберг А. А.**, Изв. АН СССР, сер. физ., 1955, 19, № 1, 131—132. Исследована зависимость коэфф. контрастности от длины волны света, начало области нормальных почернений, микронеоднородность и макронеоднородность эмульсий. Получено 520 характеристик кривых в интервале длин волн 2100—4400 Å, по которым определена величина контрастности. Для пластинок типа I и II в интервале 2500—3300 Å область нормальных почернений начинается с  $S = 0,4$ —0,5, для пластинок типа III с  $S = 0,7$ —0,8. Макронеоднородность сильнее проявляется у пластинок типа I. Микронеоднородность для пластинок типа I приводит к ошибкам в спектрографич. анализе 0,8—1%, для типа II 1,5—2,0%, для типа III 2,0—2,5%.

**Е. М. 26077.** Изменения, способствующие увеличению точности спектрофотометра Бекмана модели DU. **Стеinius** ((Instrumental changes for increasing the precision of the Beckman spectrophotometer, model DU. *Stenius Åke S:son*), *Acta chem. scand.*, 1955, 9, № 4, 702—706 (англ.))

Для повышения точности спектрофотометра Бекмана DU предложен ряд изменений в конструкцию прибора: батареи сеточного смещения помещаются в отдельном кожухе; стабилизируется напряжение водородной лампы; применяется стабильная W-лампа; повышается качество переключателей; применяются спец. силикагелевые осушители со стеклянными окнами для того, чтобы снаружи визуальное контролировать состояние силикагеля; устанавливается увеличительное стекло на шкале микроамперметра.

**Е. П. 26078.** Новейшие достижения в области спектроскопического анализа с прямым отсчетом. **Мензис, Скиннер** (Recent advances in direct rea-

ding spectroscopic analysis. *Menzies A. C., Skinner J.*), *Mikrochim. acta*, 1955, № 2—3, 614—629 (англ.; рез. франц., нем.)

Описаны для прибора для колич. анализа в области длин волн 1940 Å. Первый — трехметровый спектрограф с плоской дифракционной решеткой. Для регистрации определенных линий спектра в приборе установлено 30 фотоумножителей. Спектр развертывается в вертикальной плоскости. Для этой же цели использовался спектрограф с фотоэлектрич. приставкой, состоявшей из 11 фотоумножителей. Приведены примеры различных колич. анализов сплавов металлов. Ba, Ca, P и Zn обнаруживались при конц-ях 0,015—0,5% с точностью 0,0006—0,003%. Анализ Cu, Mg, Si, Fe, Mn, Ni, Al, Be, Sn, Pb и Ti менее точен. Результаты анализа получались в виде цифр на счетчиках (процентов) и одновременно печатались на бумаге. Особое внимание уделено устранению погрешностей, связанных с изменениями в приборе при изменении окружающей т-ры.

**Е. П. 26079.** Из научного завещания Я. М. Эдера. **Свейда** (Aus J. M. Eders wissenschaftlichem Vermächtnis. *Svejda H.*), *Mikrochim. acta*, 1955, № 2—3, 740—743 (нем.)

Кратко описана выставка спектральной аппаратуры Эдера на V Международном коллоквиуме по спектроскопии в Гмунде.

**А. Л. 26080.** Быстрорегирующий фотометр для расшифровки спектральных данных. **Юнкес, Салпегер** (Ein Schnellregistrierphotometer zur Auswertung von Spektralaufnahmen. *Junkes J., Salpeter E. W.*), *Mikrochim. acta*, 1955, № 2—3, 534—541 (нем.; рез. англ., франц.)

Фотометр переделан из электродинамич. осциллографа. Осциллограф имеет 2 самописца для записи в прямоугольных координатах и 6 скоростей подачи бумаги от 1 до 40 см/сек. Для фотометрирования добавлен фотометр линейных спектров, в котором фотэлемент заменен двумя фотоумножителями, позволяющими вести одновременную или раздельную расшифровку двух спектров. Недостатком конструкции является недоработанная подача фотопластинок. Фотометр может быть применен как увеличитель спектров (за 1 мин. увеличивает в 50—100 раз 12-см спектр), для измерения длин волн спектральных линий, для измерения интенсивности спектральных линий, напр. в промежуточных стадиях процессов, для регистрации спектров от призм объектива при астрономич. наблюдениях и для прямого измерения абсорбционных спектров.

**А. Л. 26081.** Применение инфракрасного спектра для газового анализа. **Уилкс** (Consider infrared for gas analysis. *Wilks Paul A., Jr.*, *Petrol. Refiner*, 1955, 34, № 2, 155—158 (англ.))

Описана методика работы и техника расчета данных анализа светящегося углеводородного газа, проведенного с помощью ИК-спектрометра. Точность результатов анализа ~0,2%, точность исследования фракционированной перегонкой ~2%. Анализ газовой смеси из 5 углеводородов длится несколько минут. Прибор может быть приспособлен для непрерывного автоматич. заводского контроля. При содержании в исследуемом газе >10 углеводородов и необходимости определения  $N_2$  и  $H_2$  рациональнее применять масс-спектрометр.

**Н. В. 26082.** Зеркала интерферометра Фабри — Перо из многих слоев диэлектрика. **Пензелин, Штейдель** (Fabry — Perot-Interferometerverspiegelungen aus dielektrischen Vielfachsichten. *Penselin Siegfried, Steudel Andreas*), *Z. Phys.*, 1955, 142, № 1, 21—41 (нем.)

Описаны зеркала Фабри — Перо, приготовленные нанесением диэлектрич. в-в в высоком вакууме. По-

крытия зеркал состоят из чередующихся слоев диэлектриков толщиной в  $\lambda/4$  с различными показателями преломления. В области 3000—4000 Å применяется  $\text{PbCl}_2$  и  $\text{MgF}_2$ , для областей  $\lambda > 4000$  Å —  $\text{ZnS}$  и криолит. Отражательная способность этих слоев достигает 97% при средней абсорбции 0,9% для  $\text{ZnS}$  — криолит и 1,9% для  $\text{PbCl}_2$  —  $\text{MgF}_2$ . Юстировка эталона с покрытиями  $\text{PbCl}_2$  —  $\text{MgF}_2$  производится по первому побочному максимуму. Отмечается большая стойкость диэлектрич. слоев к воздействию атмосферной влаги.

В. Л.

**26083. Поверхностная микроинтерферометрия. Последние достижения и описание нового интерферометра. Перри** (Surface micro-interferometry. Recent developments and description of new interferometer. Perry J. W.), Research, 1955, 8, № 7, 255—261 (англ.)

Краткий обзор последних достижений в области поверхностной микроинтерферометрии и описание новой модели поверхностного микроинтерферометра (МИ) с независимым ходом эталонного луча. МИ имеет спаренные 4-мм объективы (численная апертура 0,65) или замещающие их 16-мм (численная апертура 0,30). Предел фокусировки  $\sim 100$  м.м. Источниками света служат ртутная лампа (монохроматич. излучение 5461 Å) и лампа белого света. Имеется устройство для фотографирования на пластинках  $6 \times 9$  см при 78- и 360-кратном увеличении. МИ предназначен для разнообразных исследований качества обработки, износа, структуры поверхностей, а также для физич. исследований бактерий, биологич. образцов и т. п. Л. Д.

**26084. Метод одновременного вращения двух поляризующих призм. Джеррард** (A method for the simultaneous rotation of two polarizing prisms. Jerrard N. G.), J. Scient. Instrum., 1955, 32, № 2, 77—78 (англ.)

Описано приспособление, позволяющее одновременно вращать две поляризующие призмы (П). Прибор точен, компактен, прост и может быть применен в случаях, когда П не могут быть жестко связаны. Вращение передается с помощью двух шкивов, сидящих на общей оси, к таким же шкивам с держателями П посредством гибкой передачи (нить диам.  $\sim 0,5$  мм). Шкивы представляют собой отрезки винтов большого диаметра. Нить дважды обматывает ведомые шкивы по нарезке и закрепляется в ведущих шкивах. П вращаются на  $\geq 680^\circ$  в зависимости от длины нарезки на шкивах. Натяжение нитей осуществляется спец. пружинным устройством.

Л. Ж.

**26085. Компенсационный шунтирующий стабилизатор для источников света микроденситометров. Коэн** (A shunt-compensated stabilizer for microdensitometer light sources. Cohen E.), J. Scient. Instrum., 1954, 31, № 10, 387 (англ.)

Часть светового потока от лампы денситометра при помощи 90-градусной призмы с полупрозрачной отражающей гранью направляется на вакуумный фотоэлемент типа 90CV, фототок которого подается на усилитель постоянного тока и затем на сетки двойного триода 6SN7. Напряжение на лампу денситометра подается с накального трансформатора, включаемого через небольшой разделительный трансформатор. Между концами вторичной обмотки разделительного трансформатора и средней, заземленной точкой обмотки, включены через сопротивления (10 ком, 6 Вт) оба триода лампы. Флюктуации светового потока вызывают изменения в анодных токах ламп; при этом меняется шунтирующее действие схемы и соответственно меняется накал лампы денситометра.

Э. Т.

**26086. Высокочувствительная установка с частотой 9200 Мгц для электронного парамагнитного резонанса. Пберфельд** (Réalisation d'un appa-

reillage de grande sensibilité pour la résonance paramagnétique électronique à 9200 MHz. Uebersfeld Jean), Onde électr., 1955, 35, № 338, 492—494 (франц.)

Генератор клистронный; образец помещается в резонансную полость с высокой добротностью (5000—6000 для полости, содержащей образец с небольшими диэлектрич. потерями, 3000 для водн. p-ров). Измеряется отраженный от полости сигнал. Приняты меры для увеличения отношения сигнал : шум. Модуляция постоянного магнитного поля производится на частоте 50 гц, амплитуды модуляции 150, 300 или 600 а, что достаточно для наблюдения любой сверхтонкой структуры линий. Установка позволяет обнаружить в образце парамагнитные центры в кол-ве  $10^{16}$ — $5 \cdot 10^{16}$  (2-валентный Mn).  $10^{-8}$  молей твердого дифенилпикрильгидразила ( $5 \cdot 10^{16}$  парамагнитных центров) дают интенсивный резонанс; резонанс обнаружен в облученных сахаре, стеклах и аминокислотах.

К. В.

**26087. Установка для изучения парамагнитного и ферромагнитного резонанса на частоте в 9000 Мгц. Польве** (Appareillage pour l'étude de la résonance paramagnétique et ferromagnétique à 9000 mégacycles/s. Paulevé Jean), Onde électr., 1955, 35, № 338, 494—495 (франц.)

Установка содержит: клистронный генератор, устройство для модуляции амплитуды радиочастотного поля, высокочастотный мост, плечами которого являются прямоугольный резонатор (в последнем помещаются образец, фазовращатель и аттенуатор), и кристаллич. детектор. Фазовращатель позволяет настраивать установку для наблюдения поглощения или дисперсии. Поглощение обнаруживается по изменению добротности резонатора с образцом; чувствительность установки к изменениям добротности  $10^{-4}$ .

К. В.

**26088. Получение весьма однородного магнитного поля для изучения тонкой структуры ядерного магнитного резонанса. Понтье** (Réalisation des champs magnétiques très homogènes pour l'étude des structures fines en résonance paramagnétique nucléaire. Pontier Jacques), Onde électr., 1955, 35, № 338, 481—484 (франц.)

Описана конструкция и дан расчет магнитного поля электромагнита, выполненного в форме двух катушек (К) в положении Гельмгольца. К не содержит ферромагнитного сердечника, что исключает неоднородности поля. Для намотки К использовались полосы из сплава Cu и Ag (0,087% Ag) сечением  $0,2 \times 45$  мм; этот сплав сохраняет свои свойства до  $350^\circ$ . Изоляция между слоями — из стеклянного полотна, пропитанного кремнием. Каркас из сплава Mg и латуни; восприимчивость этого сплава меньше или равна восприимчивости воды. Расстояние между К может изменяться. Путем перемещения К добиваются строгого совпадения магнитных осей К. К в 820 витков имела внутренний и внешний радиусы 20 и 70 см и сопротивление 2,22 ом при  $20^\circ$ . Охлаждение К производилось потоком воздуха. Путем расчета найдены отношения  $H:I$  ( $H$  — напряженность магнитного поля,  $I$  — сила тока) в различных точках поля К. Максим. поле в центре системы равно 39,40 а/а. Однородность поля в пределах образца ( $0,5$  см<sup>2</sup>):  $\Delta H/H \approx 10^{-8}$ , что достаточно для наблюдения тонкой структуры ядерного резонанса. Описывается электронная часть установки: генератор высокой частоты, детектор, усилитель низкой частоты, дифференцирующая ячейка, а также устройство для модуляции магнитного поля. Модулирующая К имела отношение  $H:I = 0,7$  а/а.

К. В.

**26089. К изучению техники ядерного резонанса. Манус, Мерсье, Бене, Дени, Экстерман** (Contributions à l'étude des dispositifs de résonance nucléaire. Manus C., Mercier R.,



Béné G., Denis P., Extermann R.), *Onde électr.*, 1955, 35, № 338, 477—478 (франц.).  
Описаны две установки для наблюдения ядерного резонанса (ЯР). Первая содержит генератор колебаний от 350 кГц до 4 МГц транзисторной связью и с автоматич. стабилизацией амплитуды. Это достигается использованием обратной связи выхода пушпульного каскада с сеткой лампы. Устройство питается от нескольких отдельных источников стабилизированного (до  $10^{-4}$  в) напряжения. Генератор термостатирован с точностью  $\pm 0,03^\circ$ . Магнитное поле переменное; установка позволяет изучать явления релаксации в переменном поле. Вторая установка позволяет изучать ЯР в постоянном магнитном поле благодаря тому, что частота генератора модулируется; это достигается наложением на конденсатор в резонансном контуре генератора, модулирующего напряжения от генератора низкой частоты. Цепь приемника модулируется идентично, что позволяет принимать сигнал без искажений. Преимуществом установки является отсутствие модуляции постоянного поля. К. В.

26090. Новый тип радиочастотного спектрографа, который, в частности, можно использовать в установках для работы на низких температурах и для измерения магнитного поля. Габийяр (Un nouveau type de spectrographe hertzien particulièrement adapté à la réalisation de dispositifs cryogéniques et de mesureurs de champ magnétique. G a b i l l a r d R o b e r t), *Onde électr.*, 1955, 35, № 338, 478—480 (франц.).

Разрешающая сила радиочастотного спектрографа определяется отношением напряжения сигнала к уровню шумов (СШ) на выходе спектрографа. Шумы возникают в самой индуктивной катушке, в которой находится образец, и в других элементах цепи. Автор пользуется для отношения СШ катушки ф-лой:  $\rho = 4\pi^2 f_0 I n S v / (k T \Delta f r)^{1/2}$ , где  $k$  — постоянная Больцмана,  $f_0$  — резонансная частота;  $r$  —  $T$  и полоса пропускания установки  $\Delta f$  выбираются исследователем и в дальнейшем не изменяются. Чтобы получить наибольшее отношение СШ, фактор заполнения  $I$  должен быть возможно большим. Из отношения  $n S : r$  ( $n$  — число витков катушки,  $S$  и  $r$  — ее сечение и сопротивление) следует, что добротность и самондукция  $L$  катушки также должны быть возможно большими. Однако величину  $L$  нельзя брать произвольной. В схеме Блоха для ядерного резонанса индуктивная катушка соединяется с сеткой усилительной лампы; в этом случае должно выполняться условие:  $f_0 = 1/2 \pi \sqrt{L(C_1 + C_2)}$ , где  $C_1, C_2$  — паразитные емкости, включенные параллельно с катушкой. Автор предлагает последовательно с катушкой включать некоторую емкость; это позволяет увеличить  $L$  (следовательно, и  $\rho$ ) в несколько раз. Приведены некоторые практич. схемы соединений, которые позволяют удалять катушку от лампы на большое расстояние. К. В.

26091. Многоканальный прибор для флуоресцентной рентгеновской спектроскопии. Камп, Хаслер, Джонс, Зейц (Multichannel instruments for fluorescent X-ray spectroscopy. Kemp J. W., Hasler M. F., Jones J. L., Zeitz Louis), *Spectrochim. acta*, 1955, 7, № 3, 141—148 (англ.).  
Кратко описан прибор, и промышленный рентгеновский квантометр (ЛРК и ПРК) для флуоресцентного анализа. Используются три типа спектрометров: без отражения, с отражением от плоского и изогнутого кристаллов. Отмечена возможность применения спектрометра с плоским кристаллом (пластинка 200 LiF) для определения толщины металлич. покрытий. Спектрометр с плоским кристаллом используется в области 1—3А, а с изогнутым — в области 1—4А. Дана блок-

схема приемника рентгеновских лучей с Г.—М.-счетчиком, приспособенным для измерения интегральной интенсивности рентгеновских лучей, путем регистрации числа отсчетов за определенный промежуток времени или регистрации времени, за которое должно произойти заранее установленное число отсчетов. ЛРК и ПРК имеют 8 рабочих положений вокруг трубки, причем приемники лучей расположены так, чтобы принимать излучение от двух положений образца, одно из которых служит эталоном. Предусмотрен механизм перемещения приемников. В ПРК W-антикатод рентгеновской трубки расположен на расстоянии 5,6 см от образца. Отверстие в Pb-экране пропускает излучение только на ограниченную часть поверхности образца. Имеется поворотный механизм для тонкой юстировки в процессе работы прибора. Предусмотрена регулировка оси коллиматора для совмещения ее с осью вращения кристалла, что позволяет получать высокое разрешение. Приведена таблица, характеризующая схему питания рентгеновской трубки. ЛРК и ПРК непригодны для исследования малых концевых элементов с атомным номером  $< 20$ . Электронная схема с Г.—М.-счетчиком позволяет измерять отношение интенсивностей с точностью 0,1—0,2%, применение сцинтиллятора обеспечивает точность 0,1—0,5%. А. Б.-З.

26092. Новые пути и новые данные рентгеноспектроскопии. Херглотц (Neue Wege und Ergebnisse der Röntgenspektroskopie. H e r g l o t z H.), *Mikrochim. acta*, 1955, № 2-3, 684—695 (нем.; рез. англ., франц.).

Описана аппаратура для рентгеноспектрального анализа и камера обратной съемки. Рентгеновская трубка типа зеemannовской с просвечиваемым анодом. Материал анода конденсирован на Al-фольге, закрывающей выходную щель. Исследуемый материал помещается вне трубки и возбуждается рентгеновским излучением. В камере обратной съемки для фокусировки исследуемого флуоресцентного спектра на фотопленку применен легко сменяемый поликристалл вместо монокристалла. Такая фокусировка обеспечивает высокую светосилу. При помощи предложенной аппаратуры исследован ряд элементов от Ti (22) до Zn (30), а также указана возможность применения ее для анализа жидкостей. Исследована интенсивность спутников линии Cr-K $\alpha$ , вторичного возбуждения, которая составляет от 1/2 до 1/3 интенсивности первичного возбуждения. Дан график подбора материала поликристалла в зависимости от длины волны первичного излучения. А. Л.

26093. Рентгеновская дифракционная камера для обратной съемки с изменяемыми углами падения. Бернар, Ривьер (Chambre de diffraction X pour examens en retour et sous incidence variable. B e r n a r d R e n é, R i v i è r e R a y m o n d), *J. phys. et radium*, 1954, 15, № 6, 495—496 (франц.).  
Кратко описана камера обратной съемки для получения рентгенограмм сплавов. Камера работает по принципу болиновской фокусировки. Кассета цилиндрическая (диам. 57,3 мм) с возможным поворотом вокруг своей образующей, проходящей через образец. Щель 0,2 мм подвижная, устанавливается соответственно условиям фокусировки. Образец плоский, устанавливается касательно к фокусирующей цилиндрич. поверхности и может вращаться вокруг нормали к исследуемой плоскости. Образец образует с первичным пучком угол 90 или 45°. Регистрируемый интервал углов отражения: 90—67 и 90—55° в первом случае и 90—32° во втором. М. У.

26094. Простая рентгеновская дифракционная вакуумная камера для измерения больших межплоскостных расстояний. Биессе, Айбалл (A simple

X-ray diffraction vacuum camera for measuring long spacings. Bisset D. C., Iball J.), J. Scient. Instrum., 1954, 31, № 2, 55—56 (англ.)

Описана вакуумная камера для регистрации дифракционных линий, углы отражения для которых меньше  $2^\circ$ . Основой камеры является 30-см латунная труба, закрытая со стороны рентгеновской трубки Ni-фольгой, так как камера рассчитана на работу с излучением Cu-K $\alpha$ . Фотопленка располагается внутри вакуумной камеры. Рентгеновский пучок выделяется тремя узкими щелями, параллельными линии фокуса трубки. Расстояние образец — пленка не определялось, так как камера калибровалась. Для калибровки употреблялись отражения, соответствующие межплоскостным расстояниям 50, 4, 103 и 153 Å, в стеаратах бария и октаэдриамина.

М. У. 26095. Точная установка камеры. Фишер (Precession camera settings. Fisher D. Jerome), Acta crystallogr., 1955, 8, № 9, 594 (англ.)

Приведено описание видоизмененного метода (Buerger M. J. The photography of the Reciprocal Lattice ASXRED, 1944, Monograph № 1) для точной установки дуг гониометрич. головки, который заключается в получении четырех снимков на одну и ту же пленку, причем кассета каждый раз поднимается на 2—3 мм. Первый снимок может быть сделан для плоскости большой дуги параллельной лучу или перпендикулярно кассете, второй — с поворотом на  $180^\circ$ , третий и четвертый — с поворотом на 90 и  $270^\circ$ . Если дуги гониометра расположены не точно, то конечные два верхних пятна Лауэ располагаются не на одной прямой. Концы верхнего пятна находятся на расстоянии  $L$  мм от правого или левого пятна. Такая же картина будет и для нижних пятен, давая расстояние  $S$  мм для случая, когда плоскость малой дуги параллельна лучу. Отношения  $60 L/4,26$  и  $60 S/4,26$  дают поправку в минутах для большой и малой дуг (Fischer, Amer. Mineralogist, 1952, 37, 1036).

А. Б.-З. 26096. Рентгеновская камера для изучения жидкостей при повышенных температурах. Заржикский (Chambre de diffraction de rayons X pour étude des liquides aux températures élevées. Zarzycki Jerzy (Georges), C. r. Acad. sci., 1955, 241, № 5, 480—481 (франц.)

Кратко описана рентгеновская камера для изучения жидкостей при  $t$ -рах до  $1600^\circ$ . Тонкая пленка жидкости удерживается капиллярными силами в зазоре между двумя пластинками из сплава Pt-Rh (20% Rh). Расплавление образца производится электрич. нагревателем. Т-ра определяется при помощи в-в с известной  $t$ . пл. Камера фокусирующего типа с монохроматором (изогнутый кварцевый кристалл). Регистрация спектров производится Г.-М.-счетчиком. Камера использовалась для изучения стекла при повышенной  $t$ -ре.

А. Б.-З. 26097. О влиянии рентгеновских усиливающих экранов на резкость изображения. Клетт (Über die Zeichenschärfe von Röntgen-Verstärkerfolien. Klett Constantin), Z. angew. Phys., 1954, 6, № 12, 556—560 (нем.)

Показано, что ухудшение резкости изображения при снимках с усиливающими экранами определяется двумя факторами: рассеянием света флуоресценции в экране и уменьшением разности поперечений соседних участков снимка из-за увеличения жесткости излучения при его фильтрации экраном. Размеры зерен в-ва экрана не оказывают влияния на резкость изображения.

К. А.

26098. Приспособление разборной рентгеновской трубки для получения тонкого фокуса. Вильямсон, Смолман (Modification of an early demountable X-ray tube to give a fine focus. Wil-

liamson G. K., Smallman R. E.), J. Scient. Instrum., 1954, 31, № 2, 68—69 (англ.)

Описаны изменения, введенные в разобрную структурную трубку фирмы Метрополитен Биккерс для получения острого штрих-фокуса размером  $5 \times 0,5$  мм. Вакуумным уплотнением трубки служит резина; изолятор сделан из стекла пирекс. В устройстве точно сохраняется геометрия расположения электронной пушки при осуществлении необходимых перемещений как пушки в целом, так и отдельных частей. Кратко описано и показано на чертеже устройство электронной пушки, все основные элементы которой сделаны из инвара, для максим. уменьшения влияния теплового расширения на условия фокусировки. Отверстие в фокусирующем колпачке  $18 \times 7$  мм. Расстояние до анода 10 мм, глубина погружения нити 6 мм, смещающее напряжение, наложенное на колпачок, 200 в. Катод представляет собой спираль из 10 витков торированной W-проволоки диам. 0,3 мм. Диаметр спирали  $\sim 1,5$  мм.

М. У.

26099. Недорогие рентгеновские детекторы. Лейтс (Inexpensive X-ray detectors. Yates E. Leight on), J. Scient. Instrum., 1954, 31, № 8, 306 (англ.)

В связи с ранее опубликованной работой (РЖХим, 1956, 4276) автор сообщает, что в случаях, когда не нужна высокая чувствительность при оценке интенсивности пучка рентгеновских лучей, им использовались гадолинные счетчики (типа X10N). Катод связывался с минусом сухой батареи (120 в), нить — с сеткой электрометрич. триода. Может быть использована любая электронная лампа с большим сопротивлением входа. Интенсивность рентгеновского пучка определялась с помощью микроамперметра (500  $\mu$ а). Такое устройство дает отсчеты, почти пропорциональные интенсивности, и может быть использовано для установки кристалла монохроматора и исследуемого кристалла на гониометрич. головке.

М. У.

26100. Простое приспособление для получения рентгеновских дифракционных картин от крупнозернистых материалов. Кан, Бейкер (A simple device for obtaining X-ray diffraction patterns from coarse-grained materials. Cahn R. W., Baker T. W.), Repts. Atomic Energy Res. Establ., 1955, M/M 35, 2 p. (англ.)

Дан упрощенный вариант приспособления, предложенного ранее (Graf R., Monteil S., Metaux et Corrosion, 1948, 23, 109), для получения рентгенограмм по методу Дебая — Шеррера от крупнозернистых и монокристаллич. образцов. Приспособление состоит из гониометрич. головки, в которой оставлен только механизм для перемещения в двух взаимно перпендикулярных направлениях. Головка укрепляется на вертикальной оси гониометра. Плоский образец крепится к держателю при помощи клеящих в-в или магнита. Образец вращается в своей плоскости и качается на  $10^\circ$  вокруг оси, лежащей в плоскости образца. Микроскоп позволяет установить образец так, чтобы получить дифракционную картину от заранее выбранного участка образца. Съемка может вестись на плоскую пленку (метод задней съемки) и на полуцилиндрич. пленку ( $R = 57,3$  мм). Приведены схемы приспособления.

А. Б.-З.

26101. Ультрафиолетовая полимеризация мономерных метакрилатов для электронной микроскопии. Уэйнеб (Ultraviolet polymerization of monomeric methacrylates for electron microscopy. Weinreb Stanley), Science, 1955, 121, № 3152, 774—775 (англ.)

Указывается на возможность полимеризации смеси метакрилатов с помощью УФ-лучей без прибавления катализатора с целью упрочнения в массе полимера образцов для электронной микроскопии.

В. Л.

**26102.** Высокочастотная диэлектрическая постоянная газов и паров. Метод измерения и экспериментальная установка. Ташон, Кахан, Васси (Constante diélectrique de gaz et vapeurs en hyperfréquences, méthodes et appareillages expérimentaux. Tachon, Kahan, Vassy), Onde électr., 1955, 35, № 338, 504 (франц.)

Генерируемая клистроном 2K25 частота  $f$  модулируется по линейному закону между  $f_1$  и  $f_2$ . Установка содержит две пустые резонансные полости (РП) с высокой добротностью, настроенные на частоты  $f'$  и  $f''$ , находящиеся в интервале  $f_1 - f_2$ . Клистрон и РП сильно связаны. Когда генерируемая частота клистрона становится равной  $f'$  или  $f''$ , на выходе РП наблюдается сигнал. Сигнал после усиления подается к генератору узких импульсов. Импульс возникает строго в тот момент, когда вторая производная сигнала от РП равна нулю; на экране осциллографа наблюдаются два импульса, расстояние между которыми можно определить в секундах. Если заполнить одну из РП изучаемым газом или паром, то расстояние между импульсами изменится. Изменение пропорционально  $\epsilon - 1$  ( $\epsilon$  — диэлектрич. постоянная). Небольшие видоизменения установки и метода позволяют измерять  $\epsilon$  при различных частотах.

**26103.** Определение статической диэлектрической постоянной и времени релаксации веществ с постоянной времени от 0,001 до 100 сек. путем изучения процессов зарядки конденсатора. Дальбер (Détermination, par l'étude d'un processus de charge, de la constante diélectrique statique et du temps de relaxation, pour des corps de constante de temps de l'ordre de 0,001 s à 100 s environ. Dalbert René), Onde électr., 1955, 35, № 338, 446—447 (франц.)

Описана установка, позволяющая изучать в функции времени ток в конденсаторе с исследуемым диэлектриком при линейно возрастающем напряжении. В основу метода положена эквивалентная схема, предложенная ранее (Cole R. H. и др., Rev. of Sc. Instr., 1951, 22, 678). Отмечается, что зависимость диэлектрич. постоянных  $\epsilon'$  и  $\epsilon''$  от частоты не может быть найдена из изучения только переходных процессов, а также подвергается сомнению допущение, что диэлектрик имеет только одно время релаксации. Линейное напряжение получается путем зарядки конденсатора постоянным током сетки электронной лампы (для длительных процессов) или током через большое сопротивление (для процесса  $< 20$  сек.). Отмечаются трудности, возникающие при получении линейного напряжения с точностью до 1%, а также необходимость очень хорошей изоляции в цепях, параллельных цепи зарядки конденсатора.

**26104.** Метод измерения комплексной диэлектрической постоянной малых образцов на сантиметровых и дециметровых волнах. Люг (Méthode de mesure de la constante diélectrique complexe de petits échantillons en ondes centimétriques et décimétriques. Lueg Heinz), Onde électr., 1955, 35, № 338, 453—455 (франц.)

Для точного (2%) измерения комплексной диэлектрич. постоянной (ДП) малых кол-в жидкостей использованы свойства Т-образного соединения коаксиальных линий, в одном из плеч которого имеется измерительная линия для измерения импеданса. Отмечается, что обычный метод простых или двойных биений трудно применить в широкой области частот. Путем анализа работы Т-образного соединения коаксиальных линий найдены условия, при которых небольшое изменение импеданса в одном плече вызывает гораздо большее изменение в другом (до 300 раз). Если изменение импеданса в первом плече вызвано исследуемой жидко-

стью, которая помещается в конце линии, то таким путем можно найти ее ДП. Калибровка установок ведется по ДП воздуха и эталонных жидкостей. К. В.

**26105.** Измерение проницаемости диэлектриков с большими потерями на сантиметровых волнах. Арну, Лебрён (Sur la mesure, en ondes centimétriques, de la permittivité de diélectriques à fortes pertes. Arnould R., Lebrun A.), Onde électr., 1955, 35, № 338, 448—451 (франц.)

В стандартном измерении  $\epsilon = \epsilon' - i\epsilon''$  методом короткозамкнутой линии исследуются наиболее рациональные условия выбора толщины образца для коаксиальной линии и крит. размера для прямоугольного волновода в случае больших потерь в диэлектрике. Образец помещается в волновод или коаксиальную линию; это вызывает изменение коэфф. стоячей волны  $S$  и смещение узла напряжений электрич. вектора. Можно также определить приведенную проводимость  $g - iB$  на входе измерительной ячейки. Приведена диаграмма, которая позволяет определить проницаемость  $\epsilon$ -ва; диаграмма может содержать элементы, наглядно характеризующие точность измерений. К. В.

**26106.** Использование дискриминатора для измерения диэлектрической проницаемости. Гийен (Emploi des discriminateurs dans les mesures de permittivité. Guillion Robert), Onde électr., 1955, 35, № 338, 442—444 (франц.)

Дискриминатор (Д) дает сигнал, напряжение которого пропорционально разности  $F_d - F_e$ , где  $F_d$  — частота Д,  $F_e$  — частота сигнала на его входе. Частота  $F_e$  стабилизирована кварцем и остается постоянной. В цепь Д включаются конденсатор, содержащий исследуемый диэлектрик, и параллельно с ним эталонный переменный конденсатор. Это вызывает изменение  $F_d$ . Приведена схема генератора и Д. Установка позволяет обнаружить изменение емкости  $50 \text{ пф}$  на  $10^{-6} \text{ нф}$ . Высокая чувствительность требует постоянства  $T$ -ры; изменение  $T$ -ры на  $0,01^\circ$  вызывает такое же смещение  $F_d$ , как и изменение измеряемой емкости на  $10^{-4} \text{ нф}$ . Установка может быть использована для измерений температурной зависимости диэлектрич. постоянной  $\epsilon'$  кристаллов, а также зависимости  $\epsilon'$  от ориентации монокристаллов. Описаны усовершенствования установки, позволяющие автоматически измерять и регистрировать  $\epsilon'$ . К. В.

**26107.** Свойства и применение термисторов. Перонн (Propriétés et applications des thermistances. Perronne Guy), Chaleur et ind., 1955, 36, № 354, 3—13 (франц.)

Обзор. Библ. 20 назв.

**26108.** Новые фотоэмиссионные катоды с большой чувствительностью. Соммер (New photoemissive cathodes of high sensitivity. Sommer A. H.), Rev. Scient. Instrum., 1955, 26, № 7, 725—726 (англ.)

Показано, что фотоэмиссионные катоды состава Sb-K-Na в 10 раз чувствительнее к излучению W при  $2870^\circ \text{K}$ , чем катоды состава Sb-Na; Sb-K (50 и 1—5  $\mu\text{A}/\text{лм}$ ). Катоды состава Sb-K-Na-Cs по своей чувствительности к указанному излучению превосходят все известные до сих пор катоды (180  $\mu\text{A}/\text{лм}$ ). Оптимальное отношение Na : K = 2 : 1 для обоих типов катодов. K-во Cs соответствует монокристаллическому слою. Чувствительность катодов с одним только шел. металлом увеличивается при наличии следов кислорода. Окисление катодов с несколькими шел. металлами приводит к снижению чувствительности. А. Б.-З.

**26109.** Методика определения коэффициентов диффузии газовых и негетерогенных растворов веществ через мембраны. Юнсен, Керк (Procedure for determination of diffusion coefficients of gases and nongaseous solutes for membranes. Johnson



Svend G., Kirk John Esben), *Analyt. Chem.*, 1955, 27, № 5, 838—840 (англ.)

Описан прибор для одновременного определения коэфф. диффузии ( $k$ ) нескольких растворенных в-в через мембраны биологич. или неорганич. происхождения. Прибор состоит из двух камер, сделанных из медицинских шприцев емкостью по 50 мл, с отрезанными диодами, разделенных мембраной с резиновыми прокладками. Легко подвижные поршни шприцев обеспечивают постоянство давления в обеих камерах. Оба шприца в собранном виде прикреплялись к оси мотора (параллельно ей) для размешивания и помещались в термостат. Образцы для анализа отбирались при помощи гиподермич. иглол. через резиновые прокладки. Принципы метода и техника производства анализов описаны ранее (Kirk J. E., Hansen P. E., *J. Biol. Chem.*, 1952, 199, 675). Расчет  $k$  проводился по ур-нию, опубликованному ранее (Pletscher A. и др., *Helv. physiol. et pharmacol. acta*, 1950, 8, 306). В случае, когда образцы для анализа отбирались из обеих камер через некоторый промежуток времени, применялось ур-ние  $k = qL/Adt$ , где  $q$  — абс. величина изменения кол-ва диффундирующего в-ва в любой из камер,  $d$  — средняя разниц. концов за период  $t$ ,  $L$  — толщина мембраны в см и  $A$  — ее поверхность в см<sup>2</sup>. При исследовании диффузии кислорода через живые ткани вводились поправки на дыхание тканей в случае, когда  $k$  определялся по вышеприведенной ф-ле.

Б. К.

**26110.** Ультразвуковой интерферометр для измерений при повышенных температурах. Полоцкий И. Г., Ходов З. Л., Сб. науч. работ Ин-та металлофизики АН УССР, 1955, № 6, 70—76

Описан интерферометр для измерений при повышенной т-ре. Ультразвуковые колебания от кварцевой пластинки передаются в исследуемую жидкость с помощью охлаждаемого водой стеклянного стержня длиной 110 мм, благодаря чему т-ра кварца не повышается. Рефлектор — полированный Ni-диск. Приводятся результаты измерения скоростей ультразвука (частота 989,8 кГц) в глицерине в интервале т-р 20—200°, ртути при 20 и 100° и сплавах Sn-Bi разной конц-ии при 180°. Скорость ультразвука в глицерине линейно убывает с ростом т-ры (температурный градиент скорости 2,5 м/сек град). В сплавах Sn-Bi скорости звука в удовлетворительном согласии с опытом могут рассчитываться как величины аддитивные при выражении состава сплава в атомных процентах.

Б. К.

**26111.** Прибор для изучения поверхностной диффузии радиоизотопов. Симпсон, Хаккерман (Following surface diffusion of radioisotopes. Simpson N. H., Hackerman Norman), *Nucleonics*, 1955, 13, № 5, 67—68 (англ.)

Кратко описан прибор, состоящий из сцинтилляционного счетчика с антраценовым кристаллом и фотоумножителя, позволяющего определять конц-ию радиоактивного изотопа  $Cu^{64}$  в различных точках поверхности образца, а также миграцию  $Cu^{64}$  по поверхности. Антраценовый кристалл (толщина 2 мм, diam. 2 мм) укрепляется на нижнем конце фотоумножителя; для повышения эффективности кристалл и дно фотоумножителя покрываются Al-фольгой толщиной 0,025 мм.

А. Б.-З.

**26112.** Система напуска газа в масс-спектрометр. Палмер (A gas handling system suitable for use with a mass spectrometer. Palmer G. H.), *Repts. Atomic Energy Res. Establ.*, 1955, G/M 50, 3 p., 3 fig) (англ.)

Описана стеклянная система напуска газа в масс-спектрометр с применением ртутных затворов вместо кранов.

В. В.

**26113.** Источники загрязнений в кинетических вакуумных системах, вызванные электронами. Эннос (The sources of electron-induced contamination in kinetic vacuum systems. Ennos A. E.), *Brit. J. Appl. Phys.*, 1954, 5, № 1, 27—31 (англ.)

Исследовалось относительное значение материалов, применяемых в вакуумных системах, с точки зрения образования загрязнений (З), вызванных электронной бомбардировкой. Материалы вводились в спец. аппарат, включавший в себя электронную пушку, фокусирующее устройство и антикатод (АК). Мерой З являлась толщина углеродистого слоя, образующегося на поверхности АК. Наибольшее З вызывает углеводородное масло диффузионного насоса, затем следуют вакуумная смазка, резиновые уплотнения, силиконовое масло и вакуумный воск. Неочищенные металлы, поверхности являются существенным источником З. Очистка латуни к-той и алюминия р-ром  $K_2CO_3$ , а также нагревание при 150° в течение 6 час., значительно уменьшают З. Нагревание бомбардируемой поверхности до 200° или окружение ее ловушкой с т-рой —15° уменьшает З в 10 раз. См. также РЖХим, 1953, 3561.

П. К.

**26114.** Электронный термостат. — (Time-proportional thermostat). *Instruments and Automat.*, 1954, 27, № 11, 1809 (англ.)

Описан электронный термостат, характерными особенностями которого являются небольшая зона покоя, высокая чувствительность, возможность регулировки мощности от мет до кет и применение элементов — датчиков типа термометра сопротивления или термистора, включаемых в цепь моста. Время, в течение которого происходит нагревание, пропорционально отклонению от требуемой т-ры. Продолжительность цикла, определяемую частотой ВЧ-генератора с пилообразным напряжением, можно регулировать в интервале 5—15 сек. Термостат применялся для регулирования т-ры масляной бани  $28 \pm 0,001^\circ$  и небольшой электрич. печи  $(250-450) \pm 0,1^\circ$ .

Б. Ш.

**26115.** Прибор для измерения равновесия гетерогенных и гомогенных систем пар—жидкость. Холло, Эмбер (Homogén és heterogén rendszerek gőz-folyadék egyensúlyának mérésére alkalmas készülék. Holló János, Ember György), *Budapesti műszaki egyetem mezőgazd. kém. technol. tanszékének évk.*, 1952, III—1954, VIII (1954), 68—77 (венг.; рез. русс., англ.)

Описанный прибор является улучшенным вариантом прибора Отмера (Othmer F. D., *Industr. and Engng. Chem.*, 1928, 20, 743). Его действие основано на непрерывной дистилляции и рециркуляции. Частичное фракционирование выделяющихся паров устраняется термостатич. оболочкой. Жидкость нагревается регулируемым электронагревателем, который создает термосифонное перемешивание. Возвратная трубка для конденсата соединена с нагревательной трубкой системы термосифона, что устраняет вскипание и расслаивание конденсата. В случае гетерог. систем в дополнение к термосифонному перемешиванию рекомендуется применять магнитное. Прибор имеет большой объем дистиллятора, необходимый для быстрого достижения состояния равновесия и предотвращения изменения равновесия при отборе проб. Кипячением 0,5%-ного р-ра метилового голубого и насыщ. р-ра хлористого бария установлено, что расслоивание и каплеотделение конденсата не происходит. Определены кривые равновесия для системы хлороформ — бензол и *n*-бутиловый спирт — вода, совпадающие с литературными данными. В гетерог. системах равновесие устанавливается за 30 мин. При исследовании гетерог. системы отбор проб производится в виде капель, а для гомог. систем как в виде капель, так и в большем кол-ве.

Н. М.

**26116. Изотермический калориметр при 27° С. Жигер, Мориссетт, Олмос** (A 27° C. Isothermal calorimeter. Giguère Paul A., Morissette B. G., Olmos A. W.), *Canad. J. Chem.*, 1955, 33, № 4, 657—664 (англ.)

Описано устройство изотермич. калориметра (К) с дифениловым эфиром (I) (т. пл. 26,9°). После загрузки в К I освобождался от растворенных в нем газов трехкратной кристаллизацией и плавлением при пониженном давлении. Сосуд с I окружен вакуумной оболочкой с разрежением  $\sim 10^{-6}$  мм рт. ст. Теплообмен путем лучеиспускания значительно уменьшен экраном из Al-фольги. К помещен в сосуд с водой, погруженный в термостат с т-рой 26,90  $\pm$  0,03°. При слое воды во внутреннем сосуде  $\sim 7,5$  см колебания т-ры К не превышали 0,001°. К калиброван электрич. методом путем сравнения его с ледяным К. Полученная константа равна 19,01  $\pm$  0,02 кал/г ртути. Описанный К позволяет измерять тепловой эффект до 600 кал с точностью 0,2%. В. К.

**26117. Микрокалориметр с бомбой для определения теплот горения образцов весом порядка 50 мг. Мак-Юан, Андерсон** (Miniature bomb calorimeter for the determination of heats of combustion of samples of the order of 50 mg mass. McEwan William S., Anderson Carl M.), *Rev. Scient. Instrum.*, 1955, 26, № 3, 280—284 (англ.)

Описан новый калориметр с бомбой для сжигания очень малых кол-в органич. материалов. Калориметрич. бомба сделана из нержавеющей стали с большим содержанием хрома; толщина стенок 3,5 мм, внутренний объем 14 мл. Полнота сгорания навески достигается спец. устройством держателя образца: образец в виде брикета помещается в чашечку из Pt-жести (толщина 0,1 мм), прикрепленную к бомбе Pt-проволокой диам. 0,7 мм; над чашечкой из такой же Pt-жести и на той же проволоке крепится колпачок, который ограничивает высоту пламени для предотвращения отклонения угля в верхней части бомбы. Калориметр с бомбой помещается внутри адиабатич. ванны (емк. 400 мл). Разность т-р калориметра и ванны контролируется системой из 50 Си-константановых термопар. Определение теплот горения производится адиабатич. методом. Т-ра калориметра измеряется с точностью  $\pm 0,0002^\circ$  системой из 20 Си-константановых термопар, предварительно калиброванных по Pt-термометру сопротивления. В бомбу наливается 0,05 мл воды и вводится кислород до давл. 30 атм. Тепловое значение калориметра, определенное сжиганием бензойной к-ты, равно 312,5 кал; точность определения  $\pm 0,2\%$ . Т. Р.

**26118. Калориметрическая бомба с электрическим калиброванием. Чаллонер, Гандри, Миттем** (An electrically calibrated bomb calorimeter. Challoner A. R., Gundry H. A., Meetham A. R.), *Philos. Trans. Roy. Soc. London*, 1955, A247, № 936, 553—582 (англ.)

Подробно изложена теория калориметрич. бомбы и описан калориметр (К), сконструированный в Национальной физ. лабор. (Англия). Т-ра К измерялась описанным ранее Pt-термометром сопротивления (Gittings F. J., *J. Scient. Instrum.*, 1951, 28, 238) с помощью моста, через который продувался воздух с т-рой 22° и влажностью 42%. На боковой поверхности, основании, крышке К и на футлярах мешалок расположены термопары. Кроме того, на боковой поверхности К навит Си-термометр. Т-ра считывалась во время опыта через каждые 10 сек. К помещался в комнате с т-рой 22  $\pm$  0,1°, вода в оболочке, окружающей К, поддерживалась при 24,000  $\pm$  0,001°. Испарение воды предотвращено герметизацией К масляными затворами. Уплотненный масляными затворами К в течение

48 час. и после двукратного нагрева потерял в весе  $< 2$  мг. Темп. охлаждения К к, рассчитанный по теплопроводности и излучению, составляет 65% измеренного экспериментально. Авторы предполагают, что при расстоянии 1 см между К и оболочкой остальные 35% приходится на конвекцию. При 24° К проходит через минимум. Подсчитано, что при нагревании К на 2° на нагрев деталей, расположенных между К и оболочкой, затрачивается 16,1 дж. Во время электрич. нагрева бомбы подводящие провода и зажимы получают 4,9 дж. Теплота перемешивания с определена экспериментально. В описанном К измерена теплота сгорания бензойной к-ты. Чистота препарата определена по понижению т. зам. (Herington E. F. G., Handley R., *J. Chem. Soc.*, 1950, 199) и равна 99,977  $\pm$  0,012 мол. %. Зажигание производилось Pt-проволочкой, которая плавилась через 0,008 сек.; энергия зажигания 0,5—0,6 дж. Полученная теплота сгорания бензойной к-ты равна 26436  $\pm$  2,2 дж/г при 25° и стандартных условиях. В. К.

**26119. Прибор для измерения теплопроводности металлов в вакууме при высоких температурах. Моссе** (Apparatus for measuring the thermal conductivity of metals in vacuum at high temperatures. Moss Marvin), *Rev. Scient. Instrum.*, 1955, 26, № 3, 276—280 (англ.)

Описан видоизмененный прибор Дузена и Шельтона (Van Dusen M. S., Shelton S. M., *Bur. Standards J. Research*, 1934, 12, 429—440), который позволяет производить абс. измерение теплопроводности посредством калориметрич. измерения теплового потока. Метод определения теплопроводности металлов состоит в измерении в вакууме (0,02  $\mu$  рт. ст.) температурного градиента вдоль оси термически экранированного металлич. стержня, нагреваемого при помощи электрич. нагревателя с одного конца и охлаждаемого с другого, непосредственно примыкающего к водяному калориметру. Температурный градиент вдоль оси измеряется системой хромель-алюмелевых термопар, вставленных в пазы металлич. стержня на определенных расстояниях друг от друга. Измерения проведены на Ni, Zr и сплаве Zr с Sn (3% Sn) в интервале т-р от комнатной до 500—700°. Полученные результаты близки к наиболее точным из опубликованных данных. Т. Р.

**26120. Стеклопленочные вакуумные вентили с уплотнителем в виде О-образного кольца. Прекшот, Денни** (Glass and O-ring vacuum valves. Preckshot George W., Denny Vernon E.), *Analyt. Chem.*, 1954, 26, № 8, 1398 (англ.)

Вентиль состоит из двух стеклянных трубок, вставленных одна в другую. Уплотнением между ними служат три установленных рядом кольца из резины, тефлона и т. д., закрепленных в соответствующем расширении наружной трубки. Внутренняя трубка (ВТ), запаянная с одной стороны, имеет в средней части несколько отверстий. ВТ открытым концом вставляется в наружную трубку, присоединенную одним концом к вакуумной системе. Если отверстия ВТ находятся со стороны вакуума, то вентиль закрыт. При перемещении ВТ наружу отверстия, ВТ пройдя кольца, соединяет вакуумное пространство с атмосферой. Для плавного перемещения ВТ относительно внешней используется муфта с резьбой. По этой же схеме может быть собран более сложный вентиль (напр., проходной), при этом необходимо добавить еще один промежуток с уплотнением и впаять между двумя уплотнениями отводящую трубку. Вентиль пригоден для работы с жидкостями и газами от вакуума до давления 1 атм. Смазки колец не требуется. Э. Т.

**26121. Комбинация манометра с кварцевой нитью и манометра Кнудсена для определения кривых давления пара органических веществ. Кифер,**

**Циглер** (Eine Kombination eines Quarzfadenmit einem Knudsenmanometer zur Bestimmung von Dampfdruckkurven organischer Substanzen. Kieffer Hans, Ziegler Bernhard), Z. angew. Phys., 1955, 7, № 1, 48—50 (нем.)

Кратко описан комбинированный манометр, состоящий из колеблющейся системы (две платинированных кварцевых нити), к которой подвешена платинированная слюдяная пластинка и система электродов, соединенных с электронной схемой, позволяющей регулировать амплитуду колебаний нитей и непрерывно отсчитывать величину остаточного давления. Прибор позволяет измерять давления в области  $10^{-1}$ — $10^{-7}$  мм рт. ст. для водорода и, соответственно, ниже для газов и паров большего мол. веса с точностью ~10%. Радиометрич. часть позволяет одновременно определять мол. вес газа или пара. Приведены полученные с помощью описанного прибора кривые зависимости давления пара от температуры (20—70°) в-в, применяемых в вакуумной технике (аральдит 101, тролитул, пшенин 80).

С. В.

**26122. Новый абсолютный манометр для давления паров в микронной области. Эрнсбергер, Питман** (New absolute manometer for vapor pressures in the micron range. Ernberger F. M., Pitman H. W.), Rev. Scient. Instrum., 1955, 26, № 6, 584—589 (англ.)

Предложена конструкция абс. манометра для измерения давления паров в микронной области (0,5—20  $\mu$ ) с точностью <1%. Принцип действия манометра заключается в выталкивании слюдяного поршня, подвешенного на кварцевой спирали (КС) в цилиндрич. стеклянном сосуде диам. 65 мм. Величина сдвига поршня определяется при помощи катетометра с точностью 0,05 мм. Перед измерением определяется постоянная КС (для описываемого прибора постоянная равна 0,8439 мм/дин). По известной площади поршня, величине его сдвига и постоянной находится давление паров. Для исследования достаточно 100 мг или жидкости или твердого в-ва, помещаемых в сосуд под поршнем. Прибор термостатируется с точностью 0,01°. Установлена зависимость между давлением паров Hg и  $T$ -рой:  $\lg P = 11,0372 - 3204/T$ , где  $P$  — давл. паров Hg в  $\mu$ ,  $T$  — абс. т-ра, а также найдена теплота испарения для Hg, равная  $14660 \pm 40$  кал/моль. Дан анализ возможных ошибок при работе с прибором.

А. Б.-З.

**26123. Автоматический регулятор скорости откачки газа. Шарвин Ю. В.**, Завод. лаборатория, 1955, 21, № 10, 1261—1262

Описан регулятор давления упрощенной конструкции, работающий на принципе автоматич. изменения поперечного сечения газопровода (Алексеевский Н., Шальников А., Ж. эксперим. и теор. физики, 1946, 16, 361). Прибор состоит из двух фланцев (Ф), между которыми зажимается хлорвиниловая пленка толщиной 0,2 мм. К верхнему Ф подведена трубка от вспомогательного резервуара, давление в котором будет определять давление в откачиваемой системе. Откачиваемый газ поступает в полость между пленкой и нижним Ф и выходит через центральное отверстие, соединенное с насосом. Автоматич. изменение зазора между пленкой и поверхностью нижнего Ф регулирует скорость откачки. Регулятор позволяет поддерживать давление газа в системе от 3—5 мм рт. ст. до 1—2 атм с точностью до 0,1 мм рт. ст.

Н. М.

**26124. Хранение и переливание жидкого гелия. Уэкслер** (Storage and transfer of liquid helium. Wexler Aaron), Rev. Scient. Instrum., 1954, 25, № 5, 442—445 (англ.)

Описано устройство для переливания жидкого He под избыточным давл. 0,01—0,02 кг/см<sup>2</sup> газообразного

гелия, подаваемого из баллона с чистым He. Для переливания служит металлич. трубка с вакуумной рубашкой. Одновременно производится измерение уровня жидкости в резервуаре охладителя. Потери жидкого He при переливании составляют ~5%. Аналогичное устройство применяется для переливания жидкого Ne из сосуда для хранения в измерительные установки. Описан также быстродействующий вакуумный и предохранительный вентиль, служащий для быстрого спуска избыточного давления.

А. Л.

**26125. Прибор для получения жидкого азота. Коллинс** (Liquid nitrogen generator. Collins S. C.), Rev. Scient. Instrum., 1955, 26, № 7, 671—676 (англ.)

Подробно описана конструкция и дана принципиальная схема установки для получения жидкого азота с производительностью 45—50 л/час. Потребляемая мощность 50 квт. Установка работает при начальном давлении воздуха 13 атм. Полученный жидкий азот хранится под давлением 2 атм.

А. Б.-З.

**26126. 50-ступенчатый аппарат для дистилляции под очень низким давлением. Мэр, Пиньокко, Россини** (A fifty-stage apparatus for distillation at very low pressures. Mair Beveridge J., Pignocco Arthur J., Rossini Frederick D.), Analyt. Chem., 1955, 27, № 2, 190—194 (англ.)

Описаны конструкция, сборка, работа и испытание 50-ступенчатого аппарата для дистилляции при очень низком давлении (~0,01—0,1 мм рт. ст.). Приведены результаты двух дистилляций; в одном случае опыты вели с технич. смесью нормальных парафиновых углеводородов C<sub>18</sub>—C<sub>22</sub>, в другом — с нефтяным концентратом, содержащим нормальные парафиновые углеводороды C<sub>17</sub>—C<sub>25</sub>. Оба процесса перегонки проводили при давлении паров ~0,03 мм рт. ст. со скоростью 80 мл (жидкость) в 1 час при флегмовом числе 55:1 и общей продолжительности ~1900 час. Для достижения стационарного состояния дистилляцию ведут непрерывно в течение ~6 час. Эффективная емкость куба 2,7 л; динамич. емкость 0,44 л. В течение первых 24 час. производят незначительное регулирование скорости перегонки; фракции отбирают каждые 12 час., ловушки охлаждают жидким азотом каждые 8 час. Опыты показали, что аппарат может работать как 100-ступенчатый.

Б. Ш.

**26127. Применение лампового вольтметра с нулевым сеточным током для измерения pH с помощью стеклянного электрода. Нейтелсон** (Application of zero grid current vacuum tube voltmeter to measurement of pH with the glass electrode. Natelson Samuel), Analyt. Chem., 1955, 27, № 6, 1004—1007 (англ.)

Подробно описана схема и детали портативного прибора для измерения pH с помощью стеклянного электрода. Измеряемая разность потенциалов ( $\phi$ ) подводится последовательно с потенциометром, предназначенным для компенсации  $\phi$  и прокалиброванным непосредственно в единицах pH, к управляющей сетке гептода (1U6), входящего в схему лампового вольтметра. С помощью вспомогательного потенциометра и реостата на другие сетки 1U6 подаются потенциалы, обеспечивающие нулевой сеточный ток на управляющей сетке при ее заземлении. Последнее обеспечивает большую стабильность прибора. Вблизи точки компенсации возможен и прямой отсчет  $\phi$  по гальванометру, включенному в анодную цепь гептода.

И. З.

**26128. Измерения светорассеяния растворов метилэфиров полиметакриловой кислоты I. Конструкция фотометра рассеянного света и его калибровка путем измерений в релеевской области. Кантов,**



Шульц (Streulichtmessungen an Lösungen von Polymethacrylsäuremethylestern. I. Konstruktion eines Streulichtphotometers und dessen Eichung durch Messungen im Rayleighbereich. Cantow H.-J., Schulz G. V.), Z. phys. Chem., 1954, 1, № 5—6, 365—389 (нем.)

Описан прибор для измерения объективным методом интенсивности рассеянного света  $p$ -ради полимеров. Прибор состоит из двух фотоэлектронных умножителей, включенных на компенсацию. Один из них является приемником рассеянного  $p$ -ром света, другой — приемником части первичного пучка, отобранной с помощью отражающей прозрачной пластинки. Этим исключается влияние колебаний интенсивности источника света (Hg-лампа сверхвысокого давления). Чтобы избежать влияния нелинейности фотоумножителя, компенсация осуществляется поворотом одного из двух никелей, установленных перед кюветой с рассеивающим  $p$ -ром. Источником основной ошибки при измерениях абс. интенсивности рассеяния света ( $I$ ) является значительное расхождение имеющихся в литературе данных о величине  $I$  для жидкостей, применяемых в качестве стандартов (беззол, сероуглерод). Поэтому авторы применили иную методику калибрования своей установки. Для  $p$ -ров трех фракций полимера с мол. в. ( $M$ ) 28 000, 56 200 и 148 000 была измерена зависимость  $I$  от угла рассеяния  $\theta$ , от длины световой волны  $\lambda$  и от мол. веса. Измерения показали, что для этих трех фракций полимера рассеяние света является релеевским. Из величин мол. весов, полученных измерением констант диффузии и седиментации и инкрементов показателя преломления  $p$ -ров ( $\Delta n/\Delta c$ ), измеренных на дифференциальном рефрактометре высокой чувствительности, вычисляются постоянные установки. Для измерения  $p$ -ров других фракций полимера переходным эталоном служит мутное стекло,  $I$  которого сравнивается предварительно с  $I$   $p$ -ров трех калибровочных фракций. Погрешность метода  $\leq 5\%$ . В описанном методе калибрования отпадает необходимость во введении поправок на показатель преломления  $p$ -рителя и форму кюветы. Однако приходится работать все время с одним  $p$ -рителем. При переходе к другому  $p$ -рителю необходимо новое калибрование нескольких «релеевских» (низкомолекулярных) образцов полимера. См. также РЖХим, 1956, 16280.

В. Э.

26129. Использование фотоэлектрического прибора Spekker H560 в качестве денситометра. Зентнер (The Spekker photoelectric absorptiometer H560 used as a densitometer. Zentner H.), Austral. J. Sci., 1955, 17, № 4, 131—132 (англ.)

Описано приспособление, позволяющее использовать фотоэлектрич. прибор Spekker H560 в качестве измерителя плотности окраски бумажных хроматограмм и электрофорограмм. Устройство состоит из диафрагмы вертикальной щели и прямоугольной рамы, которая вставляется в пазы, имеющиеся в приборе для ячейкодержателя. В раму, между двумя стеклами, зажата проявленная хроматограмма. Для фиксирования положения рамы на ее верхней горизонтальной планке сделаны прорезы через каждые 5 мм. Диафрагма расположена между рамой и линзами фотоэлемента. Плотность окраски хроматограмм определяется последовательным перемещением рамы на одну прорезь. Для придания прозрачности хроматограмме, последнюю обрабатывают метилсалицилатом или смесью амидола спирта и парафина.

А. П.

26130. Вращающийся измеритель пластичности, примененный к расплавленному полиэтилену. Декстер (Rotational plastometry applied to molten polyethylene. Dexter F. D.), J. Appl. Phys., 1954, 25, № 9, 1124—1129 (англ.)

Кратко описан вращающийся цилиндрч. измеритель пластичности с автоматич. записью зависимости деформации от времени для заданного срезающего усилия. Устройство автоматич. самопишущего прибора исключает неопределенность зависимости приложенного усилия от времени. Установка градуировалась с помощью образца новоласа. Произведены измерения для расплавленного полиэтилена при 130—210°. Получены кривые зависимости деформации от времени, вязкости, эластичной деформации и времени запаздывания от срезающего усилия. В результате рассуждения эксперим. данных автор установил связь между упругой деформацией и изменением вязкости от времени. В зависимости от срезающего усилия вязкость в логарифмическом масштабе имеет две компоненты. Одна из них не зависит от величины срезающего усилия, а другая линейно убывает с ростом последнего. Результирующая (наблюдаемая) вязкость убывает от некоторой постоянной величины в зависимости от роста усилия. Убывание вязкости, по предположению автора, является результатом изменения энтропии.

Ю. П.

26131. Вычисление напряжения сдвига для вискозиметра с падающим шариком. Шурц (Die Berechnung der Schubspannung für das Kugelfall — Viskosimeter. Schurz Josef), Naturwissenschaften, 1955, 42, № 11, 339—340 (нем.)

Дано вычисление максим. напряжения сдвига  $\tau_{\text{макс}}$  и его соотношение со средним напряжением сдвига  $\tau_m$ , определяемых в вискозиметре с падающим шариком.  $\tau_m$  вычисляется по ур-нию:  $\tau_m = \Delta \rho g r^2 / 4,5 (R - r)$  (1), где  $\Delta \rho$  — разность плотностей среды и шарика,  $g$  — ускорение силы тяжести,  $r$  — радиус шарика,  $R$  — радиус трубки. В результате приравнивания двух ур-ний  $K = mg = 4/3 \pi \Delta \rho g r^3$  (сила, которая заставляет шарик двигаться в жидкости) и  $S = \tau \cdot 4\pi r^2$  (сила, противодействующая этому движению) получается выражение:  $\tau_{\text{макс}} = \Delta \rho g r / 3$  (2). Приняв в (1)  $R = 2r$  и деля (1) на (2), получаем:  $\tau_{\text{макс}} = 1,5 \tau_m$ . Авторы считают, что, изменяя размер шарика, можно изменять напряжение сдвига. Этим же методом можно определить структурную вязкость жидкости.

А. С.

26132. Автоматическое измерение времени в капиллярной вискозиметрии. Туомикоски (Zur automatischen Zeitmessung in der Kapillar-Viskosimetrie. Tuomikoski P.), Suomen kem., 1955, 28, № 7—8, B141—B142 (нем.)

Предложена простая электронная схема для измерения малых промежутков времени и капиллярной вискозиметрии. Эталоном времени в схеме служат электрич. ежесекундные сигналы времени, получаемые от постороннего источника.

А. Л.

26133. Теория и испытание фазовой пластинки Вольтера для «свиловой» оптической системы, применяемой в ультрацентрифуге и электрофорезе. Тротман, Берне (Theory and test of commercially available Wolter phaseplate for use in schlieren optical systems employed in ultracentrifugation and electrophoresis. Trautman Rodes, Burns Victor W.), Biochim. et biophys. acta, 1954, 14, № 1, 26—35 (англ.; рез. нем., франц.)

Описано практич. применение выпускаемой промышленности фазовой пластинки (ФП) (Wolter H., Ann. Physik, 1950, 7, 182) для «свиловой» оптич. системы в ультрацентрифуге и в аппарате для электрофореза. ФП особенно полезна в случае применения больших углов увеличения, при острых кривых градиента показателя преломления и при необходимости наблюдать дефекты ячейек. ФП делает более ясной природу аномалий «свиловых» картин вблизи базальной линии.

В. Ш.

**26134. Значение теплового равновесия при измерениях на порошкообразных изоляторах в вакууме.** Бьюб, Шрейдер (Importance of thermal equilibrium in measurements on powdered insulators in vacuo. Bube Richard H., Shrader Ross E.), Rev. Scient. Instrum., 1954, 25, № 9, 921—922 (англ.)

В вакууме при давл.  $\geq 10^{-1}$  мм рт.ст. т-ра порошкообразного в-ва сильно отличается от т-ры поверхности, на которую оно нанесено. При больших давлениях тепловое равновесие достигается в основном благодаря теплопроводности воздуха и конвекции, а не за счет прямого излучения, которое играет решающую роль в высоком вакууме. Указанное явление имеет большое значение, напр. в измерениях при различной т-ре люминесценции порошкообразных фосфоров, интенсивность свечения которых зависит от т-ры. Истинная т-ра фосфора определяется путем измерения интенсивности излучения фосфора в вакууме. При комнатной т-ре не обнаружено никаких различий в свечении образца (сернистый цинк, возбуждение УФ-светом 3650 А) при атмосферном давлении и в высоком вакууме. При охлаждении образца, нанесенного на Си-диск diam.  $\sim 29$  и толщиной  $\sim 1,3$  мм и помещенного в Сусосуд, охлаждаемый жидким азотом, т-ра образца не понижается до т-ры жидкого азота, а достигает только некоторого промежуточного значения.

Э. Т.

**26135. Обзор методов автоматического счета и измерения частиц.** Уолтон (Survey of the automatic counting and sizing of particles. Walton W. H.), Brit. J. Appl. Phys., 1954, Suppl. № 3, S121—S125 (англ.)

Всугушительное слово к докладам на указанную в заголовке тему на конференции по физике дисперсионного анализа, состоявшейся в 1954 г. в Ноттингеме (Англия). Н. Ф.

**26136. Исследование загрязнения воздуха посредством прибора для измерения видимости.** Клейтон, Гивер (Instrumental measurements of visibility in air pollution studies. Clayton George D., Giever Paul M.), Analyt. Chem., 1955, 27, № 5, 708—713 (англ.)

Дано описание трансмиссометра — прибора для измерения видимости на основании светопропускания (С) воздуха. Исследования воздуха, произведенные в Детройте, доказали пригодность прибора для измерения незначительных колебаний С. Найдено, что между видимостью, весом частиц аэрозолей и их загрязняющей способностью нет взаимозависимости. Колебания т-ры и небольшие осадки мало влияют на С. Сильный продолжительный дождь снижает количество аэрозолей, вызывающих изменение окраски.

В. М.

**26137. Газовые камеры и микроаппаратура для выяснения природы взвешенных в воздухе частиц.** Монкман (Gas chamber microapparatus in identification of air-borne pollutants. Monkman J. L.), Analyt. Chem., 1955, 27, № 5, 704—708 (англ.)

Для выяснения природы взвешенных в воздухе частиц предметные стекла (или стеклянная вата и т. п.) с осевшими частицами подвергаются воздействию потока различных газов. Р-ции ведутся в разъемных камерах из боросиликатного стекла, соединенных с помощью шифа. В процессе обработки газообразными реактивами стекло с частицами можно вынимать из камеры, исследовать под микроскопом, производить микрофотографирование. Выходящие из камеры газы анализируются (при помощи сенсibilизированных бумажных дисков, спектрального анализа и др.). Сочетание анализа выходящих газов и наблюдения за внеш-

ним видом частиц позволяет определять их природу. В. Д.

**26138. Измерение выпадающей пыли посредством банок с водой и пластинок, покрытых жиром.** Понд, Пакстон (Water-containing jars and greased plates for dustfall measurements. Pond Richard L., Paxton R. R.), Analyt. Chem., 1955, 27, № 5, 714—716 (англ.)

Сравнение двух методов измерения кол-ва пыли, выпадающей из атмосферы, показало, что метод с покрытыми вазелином стеклянными пластинками в условиях сухой погоды имеет некоторые преимущества над методом измерения в банках с дистилл.  $H_2O$ . Первый метод обладает лучшей воспроизводимостью (предел отклонений результатов 6,8%, против 12,6% для второго метода), удобнее на практике, эффективнее улавливает пыль, дает сравнительно большие пробы, допускает микроскопич. исследование отдельных частиц. В. М.

**26139. Электростатическое заборное устройство для исследования запыленного газа.** Раундс, Матон (Electrostatic sampler for dust-laden gases. Rounds G. L., Maton H. J.), Analyt. Chem., 1955, 27, № 5, 829—830 (англ.)

Газ по касательной поступает в нижнюю часть заборной трубы из нержавеющей стали, имеющей форму перевернутого конуса. Крупные частицы под действием центробежных сил оседают на стенках и падают на дно. Поднимаясь вверх по трубе, частицы пыли подвергаются воздействию электростатич. поля с возрастающей напряженностью, образуемого между центральным отрицательным электродом (проволока из нержавеющей стали diam. 0,68 мм, натянутая по оси трубы) и стенками, и оседают на стенках. Напряжение между проволокой и стенками 15 кВ. В нижнем изоляторе электрода помещена термопара для измерения т-ры газа, которая не должна быть выше  $260^\circ$  (предел стойкости изолятора). Для поддержания т-ры газа выше точки росы ( $38-93^\circ$ ) предусмотрен электрообогреватель. Расход газа  $42,5$  л/мин при малом перепаде давлений. На стенках трубы удерживается до 10 г. пыли. В. Д.

**26140. Определение примесей по температуре плавления посредством прибора Смита.** Карлтон (Determination of impurity with the melting-temperature apparatus of Smit. Carleton Lee T.), Analyt. Chem., 1955, 27, № 5, 845—849 (англ.)

Описан эксперим. метод для колич. оценки примесей в навесках  $< 0,5$  г путем определения кривой т. пл. Метод применим для в-в, в которых при застывании главная составляющая кристаллизуется в чистом виде, а примесь остается в р-ре. Точность определения 10—30% от общего кол-ва примеси, т. е. значительно ниже требований бюро стандартов. В. М.

**26141. Аппарат и метод для определения скорости образования сероуглерода.** Герен, Адам-Жиронн (Sur un appareil et un mode opératoire permettant de déterminer la vitesse de formation du sulfure de carbone. Guérin Henri, Adam-Gironne Jean), C. r. Acad. sci., 1953, 237, № 20, 1241—1243 (франц.)

Описан прибор для определения скорости р-ции образования  $CS_2$  из серы и угля и реакционной способности серы с различными горючими в-вами. В приборе поддерживается постоянная т-ра  $750^\circ$ . Сера переходит в парообразное состояние и смешивается с чистым и сухим азотом, находящимся под постоянным давлением. Газовая смесь проходит через колонку, наполненную расплавленным кремнеземом, и через слой горючего в-ва и контролируется потенциометрически термопарой. Полученный  $CS_2$  конденсируется в ловушках,

охлаждается до  $-180^{\circ}$  и после перегонки взвешивается в ампуле. М. Л.

**26142. Охлаждающие ловушки с жидким азотом.** Мейснер (Liquid nitrogen cold traps. Meissner C. R.), Rev. Scient. Instrum., 1955, 26, № 3, 305 (англ.)

Предложена конструкция ловушки с жидким азотом для работы с высоким вакуумом. По спиральной медной трубке, помещенной в рабочую вакуумную камеру, при помощи сжатого воздуха циркулирует жидкий азот. Получен вакуум  $5 \cdot 10^{-7}$  мм рт. ст.

А. Б.-З.

**26143. Выпаривание суспензий в графитовых и алюминиевых блоках.** Сусано (Graphite- and aluminum-block solution evaporators. Susano C. D.), Analyt. Chem., 1955, 27, № 6, 1038 (англ.)

Чашки или тигли с выпариваемой жидкостью, а также тигли, в которых высушивается или сжигается фильтровальная бумага с осадком, помещаются в отверстие массивного блока из алюминия или, еще лучше, из графита. Выпаривание требует в 2—3 раза меньше времени; полностью устранено выбрасывание жидкости и толчки при кипении. В. М.

**26144. Двухстенный сосуд для перегонки сильно воспламеняющихся жидкостей.** Смит (A double-walled vessel for the distillation of highly inflammable liquids. Smith C. C.), Nature, 1955, 175, № 4469, 1136 (англ.)

Описываемый прибор обеспечивает безопасность при перегонке или кипячении с обратным холодильником сильно воспламеняющихся жидкостей. Перегоняемую жидкость наливают в перегонный сосуд, соединенный шлифом с обратным холодильником. Перегонный сосуд окружен кожухом, соединенным со вторым обратным холодильником. Кожух наполняется невоспламеняющейся жидкостью, т-ра кипения которой несколько выше, чем т-ра кипения перегоняемой жидкости. Жидкость в кожухе не должна соприкасаться с внутренним сосудом, что обеспечивает равномерность кипения. Нагревание осуществляется с помощью слабого внешнего источника тепла. Для определения т-ры паров перегоняемой жидкости служит термометр. Н. П.

**26145. Изготовление кварцевых подвесов.** Капца С. П., Завод. лаборатория, 1955, 21, № 9, 1132

Приведено описание и рисунок приспособления для вытягивания тонких кварцевых нитей диам.  $\geq 1,5$   $\mu$ , длиной до 300 мм, в котором вытягивание (после соответствующего нагревания) производится из палочек диам. 0,3—1 мм с помощью пружины. А. С.

**26146. Быстродействующий прибор для полумикроопределения плотности пара.** Сток, Филл (A rapid-acting semimicro vapor density apparatus. Stock John T., Fill M. A.), J. Chem. Educ., 1954, 31, № 12, 656—658 (англ.)

Описан полумикроприбор (типа прибора Виктора Майера) для определения плотности паров, требующий для измерения  $\sim 30$  мг жидкости (при мол. весе порядка 100). Н. Л.

**26147. Разъемное водонепроницаемое соединение из персепека.** Каффин (A demountable water-tight Perspex-Perspex seal. Caffyn J. E.), J. Scient. Instrum., 1955, 32, № 7, 285 (англ.)

Герметизация достигается нанесением слоя резинового клея на стыковочные плоскости соединения, скрепляемые винтами. Н. М.

**26148. Сухая камера из пластмассы.** Франклин, Вольц (Plastic dry box. Franklin Andrew J., Voltz Sterling E.), Analyt. Chem., 1955, 27, № 5, 865—866 (англ.)

Камера (К) изготавливается из прозрачной, гибкой и непроницаемой для водяных паров листовой пластмассы. Две половины К вырезаются из листа и сшиваются по краям, образуя мешок нужной формы. Сшитые края герметизируются прижатием горячего утюга. Из той же пластмассы изготавливается пара перчаток, пришиваются к К и герметизируются; перчатки позволяют перемещать предметы внутри К. Возможно применение резиновых перчаток, но их труднее герметизировать. Для ввода химикатов в К часть шва не зашивается и после ввода их герметизируется зажимом. Перед работой через К пропускается сухой азот в течение нескольких часов для удаления адсорбированной влаги. При работе с К через нее непрерывно пропускается слабый поток азота. В. Д.

**26149. Безопасное наведение и снятие резиновых пробок с термометров.** Добровский (Gefahrloses Auf- und Abziehen der Gummistopfen von Thermometern. Dobrowsky Alfred), Chemiker-Ztg., 1955, 79, № 13, 436 (нем.)

При снятии пробки между термометром и отверстием пробки вводят трубчатое пробковое сверло несколько большего диаметра, чем диаметр термометра, и термометр вынимают из сверла. При наведении пробки в отверстие вводят сверло, а затем в него вставляют термометр. Затем вынимают сверло. И. Х.

**26150. Дробильная доска и растиратель из нового керамического материала.** Блум, Барнетт (A new ceramic buckboard and muller. Bloom Harold, Barnett P. R.), Analyt. Chem., 1955, 27, № 6, 1037—1038 (англ.)

Дробильная доска и растиратель из нового материала («высокоглинистая керамика») I были испытаны и сравнены с доской и растирателем из стали (II) и с агатовой ступкой (III). Быстрота измельчения с I и II приблизительно одинакова и выше, чем у III. В отношении загрязнения измельчаемых проб I и III почти равноценны, II значительно хуже. I очищается столь же быстро, как II, кроме того, белый цвет I позволяет легко обнаружить возможные следы предыдущего измельчения. В. М.

**26151 П. Аппарат для молекулярной дистилляции.** Утцингер (Vorrichtung zur Molekulardestillation. Utzinger Gustav Ed.), Пат. ГДР 8147, 24.11.54

Конструктивной особенностью аппарата для разделения в-в методом молекулярной дистилляции является разделение перегонной трубки на две трубки с обращенными друг к другу плоскопараллельными поверхностями. Одна из трубок обогревается горячей жидкостью, паром, перегретым паром или воздухом или снабжена электронагревателем; другая трубка охлаждается водой, рассолом или охлажд. газом. Расстояние между плоскопараллельными поверхностями 20—30 мм. В верхней части аппарата имеется шарообразная воронка для загрузки, в нижней части — два сборника; один из них предназначен для конденсата, образующегося на охлаждаемой поверхности, другой — для дистиллата. Аппарату придается такой наклон, чтобы дистиллат стекал по обогреваемой поверхности; скорость подачи материала из воронки регулируется таким образом, чтобы дистиллат распределялся на обогреваемой поверхности в виде тонкой пленки. Аппарат может работать под вакуумом. Б. Ш.

См. также Счетчики излучений 25055. Калориметрия 24762, 25083. Фазовое равновесие 25097. Радиоактивные аэрозоли 25362. Определение дисперсности частиц 25343. Центрифуги 25330. Др. вопр. 25284. Дозиметрия 8463Бх. Электрофорез 8396Бх. Др. вопр. 8430Бх, 8470Бх



## ХИМИЧЕСКАЯ ТЕХНОЛОГИЯ. ХИМИЧЕСКИЕ ПРОДУКТЫ И ИХ ПРИМЕНЕНИЕ

## ОБЩИЕ ВОПРОСЫ

26152. Основные задачи развития химической промышленности. Бибишев В., Плановое хоз-во, 1955, № 6, 55—66

26153 К. Учебник химической технологии. Ост, Рассов (Lehrbuch der chemischen Technologie. 26. neubearb. Aufl. Ost Hermann, Ras-sow Berthold. Leipzig, Barth, 1955, XVI, 1269 S., 32.80 DM) (нем.)  
См. также: РЖХим, 1954, 11330.

## СЕРНАЯ КИСЛОТА, СЕРА И ЕЕ СОЕДИНЕНИЯ

26154. Техника псевдоожиженного слоя полностью окунается на новом серноокислотном заводе. (Fluidized bed technique pays off in new sulfuric acid plant.—), Chem. Engng, 1955, 62, № 8, 288—291 (англ.)

Описан 3-д по произ-ву  $H_2SO_4$  мощностью 450 т в день, получающий  $SO_2$  окислением в псевдоожиженном слое руд с низким содержанием S. В. Ш.

26155 Д. Исследование автоклавного процесса выплавки серы из флотационных концентратов. Шептунов Н. А. Автореф. дисс. канд. техн. н., Научн. ин-т по удобр. и инсектофунгицидам, М., 1955

26156 Д. Денитрация продукционной башенной кислоты восстановителями. Резницкая В. Н. Автореф. дисс. канд. техн. н., Моск. хим.-технол. ин-т, М., 1955

26157 П. Способ и аппаратура для охлаждения и очистки от пыли промышленных и, в частности, обжиговых газов (Procédé et dispositifs de refroidissement et d'épuration de gaz industriels chargés de poussière et notamment de gaz de grillage) [Metallgesellschaft A.-G.]. Франц. пат. 1063127, 29.04.54 [Chem. Zbl., 1955, 126, № 3, 659 (нем.)]

Газ подвергают предварительной сухой (предпочтительно электрич.) очистке от пыли и охлаждают непосредственно жидкостью, далее из влажного газа удаляют  $As$  при помощи двух электрофильтров, между которыми имеется теплообменник для охлаждения газа водой. Г. Р.

26158 П. Способ концентрирования разбавленных растворов высококипящих кислот, напр. серной и фосфорной. Кауфман, Кольбе, Вагнер (Verfahren zum Konzentrieren von verdünnten Lösungen hochsiedender Säuren, wie Schwefelsäure und Phosphorsäure. Kaufmann Waldemar, Kolbe Ernst, Wagner Ernst.) [Farbwerke Hoechst Akt.-Ges. vormals Meister Lucius und Brüning.]. Пат. ФРГ 926307, 14.04.55

Разбавленные высококипящие к-ты (напр., отработанные придильные р-ры в произ-ве искусств. волокна либо р-ры  $H_3PO_4$ , образующиеся при получении ее методом экстракции) концентрируют горячими газами путем непосредственного контакта их с к-той, стекающей в виде пленки по вертикальным поверхностям из угля и графита, стойким к агрессивным средам. Образующаяся накипь не препятствует ходу процесса. Аппарат представляет собой один или несколько расположенных один над другим массивных графитовых или угольных блоков, в которых имеются вертикальные каналы. К-та стекает по стенкам каналов и отводится в нижней части аппарата. Горячие газы поднимаются

снизу и отсасываются совместно с образовавшимися водяными парами в верхней части аппарата. Для уменьшения сопротивления движению газов, вызываемого возрастанием по мере движения снизу вверх объема паров и газов, сечение каналов у верхних элементов испарителя делается больше, чем у нижних. Дана схема аппарата. Р. Ф.

См. также: 28029

## АЗОТНАЯ ПРОМЫШЛЕННОСТЬ

26159. Пуск нового аммиачного завода. (Starting up a new ammonia plant.—), Petrol. Refiner, 1954, 33, № 11, 168—170

Описан 3-д фирмы Phillips Chemical Company производительностью 450 т  $NH_3$  в день. Г. Р.

26160 П. Установки и способ регенерации (получения) растворов газов в особенности растворов  $NH_3$ . Нибергалль (Einrichtung und Verfahren zur Wiedergewinnung und Gewinnung von gelösten Gasen, insbesondere zur Gewinnung von flüssigem Ammoniak. Niebergall Wilhelm) [Borsig A.-G.]. Пат. ФРГ, 893337, 19.10.53 [Chem. Zbl., 1954, 125, № 14, 3089—3090 (нем.)]

Разделение в-в проводится в несколько ступеней (2 или более), причем тепло, поступающее от обратного холодильника в 1 ступени, используется для разгонки жидкости в следующей ступени. Для понижения расхода пара процесс регулируется так, чтобы тепло, поступающее в обратный холодильник, было бы примерно равным теплу, требуемому для отгонки самого легкого в-ва. Концентрирование паров на нижних ступенях при т-рах охлаждения, соответствующих повышенному давлению, производится с помощью абсорбционного устройства. И. Л.

26161 П. Дополнительное приспособление в аппарате для окисления аммиака в окись азота. Лангос (Anordning ved oven for forbrenning av ammoniak til kvelstoffoksyd. Langass) [Norsk Hydro-Elektrisk Kvaestofaktieselskab]. Нов. пат. 83715, 24.05.54  
Для отвода тепла в контактом аппарате между катализатором и местом отвода тепла устанавливают ряд жаростойких экранов из Cr-Ni-сеток. Последние делают из проволоки диам. 0,5—1,5 мм; отверстия сеток 2—5 мм. Сетки могут быть зажаты между фланцами аппарата под слоем катализатора или же натянуты на плоское кольцо или кольцо из угольника и прикреплены к кольцевому фланцу, приваренному внутри аппарата. К. Г.

26162 П. Способ улавливания платины, улетучивающейся при сжигании аммиака. Хольцман (Verfahren zur Wiedergewinnung des bei der Ammoniakverbrennung sich verflüchtigenden Platins. Holzmann Hermann) [Deutsche Gold- und Silberscheideanstalt vormals Roessler]. Пат. ФРГ 878799, 5.06.53 [Chem. Zbl., 1954, 125, № 19, 4234 (нем.)]. Доп. к пат. ФРГ 747120.

Полученные при сжигании  $NH_3$  горячие газы пропускают через газонепроницаемый слой, содержащий Ag в тонкодисперсном виде на большой поверхности, напр. на керамических или металлич. кольцах Рашига, или в виде фольги. Ag может быть защищено от коррозии легирующими добавками Au, Pt, Pd, Ni, Fe, W, Rh, Ir, Os или Ru. Эти добавки могут быть введены также и диффузией. Г. Р.

26163 П. Получение моногалогидаминов. Марш (Preparation of monohaloamines. Marsh Nat

Н.) [American Cyanamid Co.]. Канад. пат. 504250, 13.07.54

Моногалогидаммины получают р-цией (при обычной т-ре и нормальном давлении) галогена, разбавленного инертным газом (или без разбавления), с избытком  $\text{NH}_3$ -газа. При действии смеси паров  $\text{Cl}_2$  и  $\text{N}_2$  (содержание  $\text{Cl}_2$  8 об.%) на  $\text{NH}_3$ -газ получают монохлорамин. Молярное соотношение  $\text{Cl}_2 : \text{NH}_3 = 1 : 25$ . И. Ш.

**26164 П.** Обезвоживание гидразина азеотропной перегонкой (Dehydration of hydrazine by azeotropic distillation) [Battelle Development Corp.]. Англ. пат. 703065, 27.01.54 [J. Appl. Chem., 1954, 4, № 6, 703 (англ.)]

К 100 ч. азеотропной смеси  $\text{N}_2\text{H}_4$  с  $\text{H}_2\text{O}$  (содержание  $\text{N}_2\text{H}_4 \sim 70\%$ ) добавляют (предпочтительно в паровой фазе, в процессе перегонки) 8—600 ч. анилина (или бензола, пиридина, фенола, *n*-гексилamina и др.) и смесь фракционируют в токе  $\text{N}_2$ . Анилин затем отслаивается из отогнанной смеси. Л. Г.

См. также: 26701—26703, 27918, 27925

### СОДОВАЯ ПРОМЫШЛЕННОСТЬ

**26165 П.** Предотвращение образования накипи при выпаривании и концентрировании морской воды или рассола. Сугимото, Яватай (Prevention of scale formation in evaporation and concentration of sea water or brine. Sugimoto Kyuichi, Yawataya Tadashi) [Asahi Glass Co.]. Япон. пат. 1266, 11.03.54 [Chem. Abstrs, 1955, 49, № 2, 1290—1291 (англ.)]

Предложен способ упаривания отбросного р-ра, содержащего (в г/л):  $\text{CaSO}_4$  1,1,  $\text{CaCl}_2$  120 и  $\text{NaCl}$  50, получаемого при произ-ве соды по аммиачному методу. Р-р подвергается перегреву в закрытом сосуде, расположенном на 7 м ниже испарителя, до т-ры (75°), превышающей т. кип. (72° при 560 мм рт. ст.) жидкости в испарителе. При передаче р-ра в испаритель, заполненный гранулированным известняком, давление падает, и  $\text{CaSO}_4$  осаждается на известняке или выделяется в виде суспензии. Р-р рециркулирует в первый сосуд и процесс повторяется до конц-ии  $\text{CaCl}_2$  165 г/л. В. Л.

### МИНЕРАЛЬНЫЕ СОЛИ. ОКСИДЫ. КИСЛОТЫ. ОСНОВАНИЯ

**26166.** Основные задачи химической переработки калийно-магниевых солей Прикарпатья. Филатов Я. А. В сб.: Местные минеральные удобрения УССР. Вып. 1, Киев, Изд-во АН УССР, 1954, 319—327

Описаны особенности хим. и минералогич. состава калийно-магниевых солевых пород Прикарпатья и методы переработки их на калийные удобрения (гидротермич. метод, разработанный в Институте общей и неорганич. химии АН УССР). Показаны преимущества гидротермич. метода: возможность переработки калийно-магниевых пород любого состава, устранение операций коагуляции илов, получение в качестве конечного продукта конц. калийного удобрения — глазерита и некоторых других. Ю. К.

**26167.** Простой способ получения гипохлорита натрия. — (Sodium hypochlorite — the easy way. —), Chem. Engng, 1954, 61, № 3, 128—130 (англ.)

Получение устойчивого  $\text{NaClO}$ , содержащего оптимальный избыток  $\text{NaOH}$  (напр., для 16%-ного р-ра  $\text{NaClO}$  избыток  $\text{NaOH}$  должен составлять 4 г/л), основано на регулировании окислительного потенциала. Разработано три метода: 1) периодич., в котором при достижении желаемого окислительного потенциала р-ра подается импульс от электродов, опущенных

в хлорируемый р-р  $\text{NaOH}$ , на регулятор питания жидким  $\text{Cl}_2$ ; 2) непрерывный метод с открытой цепью, в котором р-р  $\text{NaOH}$  и газообразный  $\text{Cl}_2$  смешивают в струйном инжекторе и пропускают для завершения р-ции через башню с насадкой. Электроды для регулирования потенциала окисления помещают в жидкости, выходящей из башни; 3) непрерывный циклич. метод, при котором р-р  $\text{NaClO}$  циркулирует от сборника через смесительный бак с инжектором и обратно в сборник.  $\text{NaOH}$  добавляют к циркулирующей жидкости сразу после сборника, а газообразный или жидкий  $\text{Cl}_2$  — в инжектор. Поток  $\text{Cl}_2$  регулируют при помощи самопишущего регулятора окислительного потенциала, электроды которого помещены в сборнике. А. С.

**26168.** Восстановление сульфата магния природным метаном. Беркман Я. П., Кушнир С. В., Докл. АН СССР, 1955, 104, № 3, 448—451

Пропускают природный  $\text{CH}_4$  над находящимся в печи  $\text{MgSO}_4$ , где он восстанавливается по р-ции:  $4\text{MgSO}_4 + \text{CH}_4 = 4\text{MgO} + 4\text{SO}_2 + \text{CO}_2 + 2\text{H}_2\text{O}$ . Использовали безводн.  $\text{MgSO}_4$  с размером зерен 0,2—0,6 мм и природный (дашавский) газ, содержащий  $\text{CH}_4$  97,83%. Восстановление начиналось при 710+10°. Продукты восстановления:  $\text{MgO}$ ,  $\text{SO}_2$ ,  $\text{S}_2$ ,  $\text{H}_2\text{S}$ ,  $\text{CS}_2$ ; соотношение их зависит от условий восстановления — в основном от т-ры. Расход  $\text{CH}_4$  зависит от скорости пропускания газа. Сделан вывод, что при помощи природного газа можно полностью восстановить  $\text{MgSO}_4$  до  $\text{MgO}$  при 750—950°, причем в зависимости от т-ры и скорости пропускания газа процесс можно вести с преимущественным получением либо  $\text{SO}_2$ , либо продуктов более глубокого восстановления:  $\text{S}$ ,  $\text{CS}_2$ ,  $\text{H}_2\text{S}$ . Дана схема установок. Библ. 8 назв. Э. К.

**26169.** Безводное разделение. Избирательное хлорирование частично гидролизированных хлоридов. Мей, Гендерсон, Джохансен (Anhydrous separation. Selective chlorination of partially hydrolyzed chlorides. May S. L., Henderson A. W., Johansen H. A.), Industr. and Engng Chem., 1954, 46, № 12, 2495—2499 (англ.)

Дан подробный обзор различных методов разделения соединений Ta и Nb. Описан метод разделения Ta и Nb на основе селективного хлорирования, которое следует за горячей обработкой частично гидролизированных хлоридов Ta и Nb с избытком  $\text{NH}_4\text{Cl}$ . Исследовались безводн. хлориды Ta и Nb, полученные искусств. путем, и хлориды, полученные обработкой естественных руд. Степень гидролиза довольно точно определялась в первом случае примесью гидроокисей Ta и Nb с определенным содержанием влаги из расчета, что гидролиз идет по простому ур-нию:  $2(\text{Ta}, \text{Nb})\text{Cl}_5 + 5\text{H}_2\text{O} \rightarrow (\text{Ta}, \text{Nb})_2\text{O}_5 + 10\text{HCl}$ . Во втором случае степень гидролиза приблизительно определялась временем выдержки исходной смеси во влажном воздухе. Смесь хлоридов Ta, Nb и аммония с определенной степенью гидролиза помещалась в трубчатую печь из боросиликатного стекла и осторожно нагревалась до 500° в токе гелия. В течение часа т-ра удерживалась при 500° и затем велось хлорирование при этой т-ре в течение часа. Показано графически и в таблицах, что с увеличением степени гидролиза исходных хлоридов увеличивается кол-во остатка, уменьшается кол-во сублимата. Чистота сублимата по Nb достигает 99,5% (при 98% гидролизе смеси, содержащей Ta и три раза больше, чем Nb). При низких степенях гидролиза образуется почти чистая окись Ta. Предполагаемый механизм этого процесса: первоначальное нагревание выделяет пентахлориды Ta и Nb, которые не гидролизуются, затем гидролизированные хлориды дают птянокисы Ta и выделяют Nb как летучий оксихлорид Nb. При 500° образуются трихлориды и нитриды Ta и Nb, тетрахлориды Nb или даже элементарные Ta и Nb под дей-

ствием  $\text{NH}_4$ ,  $\text{H}_2$ ,  $\text{N}_2$ . При хлорировании всех низших хлоридов, окисей, нитридов и металлов будут образовываться летучие соединения и выделяться, оставляя досуху чистую пятиокись Та как осадок. Этот метод не дает колич. разделения, однако при этом быстро получают чистые соединения Та и Nb. Библ. 41 назв. См. также РЖХим, 1956, 4350. Л. Ю.

26170 Д. Исследование процесса карбонизации алюминатных растворов в колонне непрерывного действия. Жевноватый А. И. Автореф. дисс. канд. техн. н., Всес. алюм. магн. ин-т, Л., 1955

26171 Д. Исследование влияния галогенов на графит. Шмеккенбехер (Untersuchungen über die Einwirkung von Halogenen auf Graphit. Schmeckenbecher Arnold. Diss., Phil F., Kiel, 1953, Maschinenschr.), Dtsch. Nationalbibliogr., 1955, В, № 7, 498 (нем.)

26172 П. Способ получения устойчивых водных растворов  $\text{H}_2\text{O}_2$  (Solution de peroxyde d'hydrogène aqueux stable et procédé pour sa préparation) [Buffalo Electro-Chemical Co., Inc.]. Франц. пат. 1072412, 13.09.54 [Chimie et industrie, 1955, 73, № 3, 550 (франц.)] К 10<sup>6</sup> ч. р-ра  $\text{H}_2\text{O}_2$  добавляют 5—1000 ч. пиридинкарбоновой к-ты. Стабилизирующее действие усиливается при дополнительном добавлении фосфорной к-ты, дегидратированных фосфатов, растворимого фосфата и т. п. О. С.

26173 П. Производство сульфида натрия. Кудела, Винтербергер (Production of sodium sulfide. Koudela Gerhard, Wintersberger Karl) [Badische Anilin- und Soda-Fabrik A.-G.]. Пат. США 2719076, 27.09.55

$\text{Na}_2\text{S}$  из  $\text{Na}_2\text{SO}_4$  получают восстановлением последнего газообразным восстановителем в псевдооживленном слое. В реакционное пространство, заполненное частицами сульфида, вводят  $\text{Na}_2\text{SO}_4$  со скоростью, обеспечивающей его кон-ию в слое порядка 10% по весу (желательно  $\leq 5\%$ ). Одновременно из печи удаляют соответствующие кол-ва сульфида. Восстановителем служит водород, применяемый в смеси с азотом. Такая схема, обеспечивая невозможность агломерации частиц, позволяет проводить процесс при постоянной и оптимальной т-ре 675—750° (в зависимости от вида катализатора, напр.  $\text{Na}_2\text{C}_2\text{O}_4$ ). Л. Х.

26174 П. Метод получения бикарбоната или карбоната калия. Бирман (Verfahren zur Herstellung von Kaliumbicarbonat oder von Kaliumcarbonat. Birman Antoine) [Soc. d'Etudes Chimiques pour l'Industrie et l'Agriculture]. Пат. ФРГ 925947, 4.04.55

$\text{K}_2\text{CO}_3$  или  $\text{KHCO}_3$  получают из растворов  $\text{KCl}$  (могут применяться технич. р-ры  $\text{KCl}$  с содержанием 5%  $\text{NaCl}$ ) и  $\text{CO}_2$  в присутствии моно- и диглицидинов под давлением. Полученный твердый  $\text{KHCO}_3$  переводится в  $\text{K}_2\text{CO}_3$  обычным способом. Э. К.

26175 П. Получение концентратов калийных руд флотацией. Дьюк (Flotation Concentration of Potash Ores. Duke James B.). [Minerals and Chemicals Corp. of America]. Пат. США 2706559, 19.04.55 (англ.)

Предложен способ одновременного получения из сильвинита концентратов  $\text{KCl}$  тонкодисперсного и с меньшей дисперсностью. Руду дробят, смешивают с насыщ. р-ром водорастворимых составных частей руды, получая жидкую суспензию, затем удаляют из нее глину, после чего флотируют, применяя в качестве реагентов соединения алифатич. амина с длинной цепью и водонерастворимое масло. Концентрат далее подвергают повторной флотации (после смешения его с неорганич. колл. материалом) с получением тон-

кодисперсного  $\text{KCl}$  и необогащенного продукта из крупных частиц.

26176 П. Способ флотационной обработки сырых или смешанных карналлитовых солей. Бахманн (Verfahren zur Schwimmaufbereitung von carnallitischen Roh- oder Mischsalzen. Bachmann Rudolf.) [Verkaufsgemeinschaft Deutscher Kaliwerke G. m. b. H., Abteilung Kaliforschungsstelle]. Пат. ФРГ, 931702, 16.08.55

Флотация карналлита (I) из р-ров, насыщ. I, сильвинитом и каменной солью, основана на применении смеси насыщ. алифатич. аминов (6—16 атомов C в цепи) и ненасыщ. алифатич. аминов (14—25 атомов C в цепи). Сырье или смешанные соли измельчают до получения смеси отдельных частиц I и сильвинита, затем разлагают I при растворении на холоду с образованием частиц  $\text{KCl}$  в конц. р-ре  $\text{MgCl}_2$ . Из полученного р-ра с высоким содержанием  $\text{MgCl}_2$  (300 г/л) отделяют  $\text{KCl}$  и  $\text{NaCl}$  с помощью флотации с добавкой крахмала и (или) производных целлюлозы, а также пенообразователей и (или) масел. Для улучшения фильтруемости и для разложения еще не разложившихся всплывших частиц I к вязким р-рам  $\text{MgCl}_2$  прибавляют воду или р-ры с низкой вязкостью. Д. К.

26177 П. Способ флотационного обогащения калийного сырья, загрязненного илом. Зингвальд (Verfahren zur flotativen Aufbereitung von Kalisalzsalzen, die durch Schlämme verunreinigt sind. Zingewald Arnold.) [Verkaufsgemeinschaft Deutscher Kaliwerke G. m. b. H. Abteilung Kaliforschungsstelle]. Пат. ФРГ 931703, 16.08.55

Перед основным процессом флотации отделяют загрязнения добавлением специфич. флотирующих средств (метилловый эфир целлюлозы, щел. соли карбоновых к-т, крахмал и его производные, особенно гликолят крахмала, или смесь всех указанных реагентов) и небольших кол-в пенособирателей. Основная флотация солей К проводится с предварительно флотированной сырой солью или с промежуточным продуктом, в результате чего получают концентрат этих солей. Пример: сырая соль содержит 178 кг  $\text{K}_2\text{O}$  в 1 т. Предварительная флотация для отделения ила проводится с добавкой 25 г гликолята целлюлозы на 1 т сырья и дает продукт с содержанием 25,1%  $\text{K}_2\text{O}$  (2,7% от общего кол-ва  $\text{K}_2\text{O}$ ), используемый в качестве продажных калийных удобрений. Основная флотация проводится с добавкой 75 г соответствующего амина (напр., октиламина) на 1 т промежуточного продукта и дает концентрат  $\text{KCl}$  с содержанием 55,3%  $\text{K}_2\text{O}$  (92,8% от общего кол-ва  $\text{K}_2\text{O}$ ). В остатке получают продукт с содержанием 1,12%  $\text{K}_2\text{O}$  (4,5% от общего кол-ва  $\text{K}_2\text{O}$ ). Д. К.

26178 П. Способ получения белого карбоната кальция. Кюсперт (Verfahren zur Herstellung von reinweißem Calciumcarbonat. Küspert Karl) [Blendax-Werke R. Schneider und Co.]. Пат. ФРГ 923007, 31.01.55

Из шлоков или суспензии  $\text{Ca}(\text{OH})_2$ , содержащих значительные кол-ва соединений Mn, осаждают  $\text{CaCO}_3$  с помощью  $\text{CO}_2$  в присутствии гидразина или гидроксидов. Обеспечивание наступает благодаря образованию белого  $\text{MnCO}_3$  и частично за счет образования растворимых соединений Mn. Наиболее рационально восстановитель прибавлять под конец карбонизации в нейтр. или углекислый р-р. Л. Х.

26179 П. Метод производства гранулированного хлористого кальция. Беннетт, Карму (Method of producing calcium chloride pellets. Bennett Wallis R., Carmouche Lois N.) [The Dow Chemical Co.]. Пат. США 2646343, 21.07.53 Для получения твердых плотных гранул  $\text{CaCl}_2$  (I) в агломерационном барабане непрерывно смешивают



порошкообразные отходы безводн. и полубезводного I (полученные из последней и предпоследней стадий процесса) с непрерывно распыляемым р-ром I (конц-ия  $\geq 50\%$ ) в присутствии газа, имеющего т-ру 200—500°, осушающего массу. Т-ра массы в процессе 150—190°. Подвергая ее сушке газом при 150—190°, получают продукт, содержащий 3—13%  $H_2O$ . Дальнейшая сушка газом при 250—500° приводит к получению безводн. I. На соответствующих стадиях процесса производится дробление промежуточных продуктов и сепарация с возвратом отходов в производственный цикл. Приведена схема процесса.

**В. Д. 26180 П. Метод получения азотсодержащих фосфорнокислых соединений, образующих водорастворимые комплексные соли щелочно-земельных металлов. Ватцель** (Herstellung von zur Bildung von wasserlöslichen Erdalkalikomplexsalzen besonders befähigten Stickstoff — Phosphorsäure — Verbindungen. Watzel Rudolf) [Chemische Fabrik Joh. A. Benckiser G. m. b. H.]. Пат. ФРГ, 754120, 10.06.55. Диамидофосфорную к-ту выдерживают длительное время при 110—180° (преимущественно при 150°). Охлажденный продукт имеет состав 75,46%  $P_2O_5$  и 25,66% N и представляет собой белую, легко распыляющуюся соль, которая является хорошим комплексобразователем для ионов щел.-зем. и тяжелых металлов и обладает буферными свойствами. **Л. Х.**

**26181 П. Способ разложения хромита цинка или смеси окислов цинка и хрома. Шуберт, Фогель** (Verfahren zum Aufschluß von Zinchromit bzw. Mischungen von Zinkoxyd und Chromoxyd. Schubert Friedrich, Vogel Aloys) [Farbenfabriken Bayer]. Пат. ФРГ 886599, 17.08.53 [Chem. Zbl., 1954, 125, № 7, 1568 (нем.)]

Хромит. Zn или смеси окислов Zn и Cr разлагают с помощью карбонатов или гидроокисей щел. металлов. При этом добавляется ZnO или такие соединения Zn, которые при прокаливании переходят в ZnO. **Н. А.**

**26182 П. Способ получения гидридов, содержащих алюминий. Хертинг** (Verfahren zur Herstellung aluminiumhaltiger Hydride. Hertwig Askan) [Riedel-De Haën A.-G.]. Пат. ФРГ 921986, 7.01.55

Гидриды, содержащие Al, как напр. галондомагниево-алюминиевый гидрид  $NaMg(AlH_4)$ ,  $AlH_3$ , а также  $Mg(AlH_4)_2$ , получают путем гидрирующего расщепления соединений Гриньяра, растворенных или сублимированных в инертном р-ителе, обработкой  $H_2$  с последующим обменным разложением полученного продукта галондной солью Al. Получение того или иного продукта зависит от кол-ва добавляемого  $AlH_3$ . Процесс может быть осуществлен в одну ступень, если к соединению Гриньяра до обработки его  $H_2$  прибавить рассчитанное кол-во  $AlH_3$ . Гидрирующее расщепление целесообразнее всего проводить при нагреве и повышенном давлении.  $NaMg(AlH_4)$  может быть далее разложен путем нагревания на  $Mg(AlH_4)_2$  и  $MgH_2$ . **Р. Ф.**

**26183 П. Приготовление гидрозолей двуокиси кремния. Кимберлин, Гладроу** (Processes for the manufacture of silica hydrosols. Kimberlin Charles N., Jr., Gladrow Elroy M.) [Esso Research and Engineering Co.]. Пат. США 2708186, 10.05.55

Смешивают р-р силиката щел. металла с избытком к-ты (и кислым р-ром, содержащим гидрозоль  $SiO_2$ ) так, чтобы смесь имела  $pH \leq 5,0$ . Смесь пропускают через слой катионита (K), при этом поны щел. металла удаляются и вместо соли щел. металла образуется к-та. Кислый р-р, содержащий  $SiO_2$ , удаляют из слоя K и меньшую часть этого р-ра отбирают в качестве готового продукта. Остальную часть смешивают с некоторым кол-вом к-ты и силиката щел. металла, чтобы

возместить убыль к-ты и  $SiO_2$ . Образовавшийся р-р, имеющий  $pH \leq 5,0$ , вновь пропускают через этот же K. Цикл повторяется до тех пор, пока почти весь слой K не будет отработан. **В. Ш.**

**26184 П. Метод получения монооксида титана. Сиберт, Карлтон** (Verfahren zur Herstellung von Titanmonooxyd. Sibert Merle E., Carl-ton Stuart S.) [Horizons Titanium Corp.]. Пат. ФРГ, 924927, 14.04.55

$TiO$  высокой чистоты получают нагреванием тончайшей смеси (или спрессованных из нее шариков) стехиометрич. кол-в  $TiC$  и  $Ti_2O_3$  при  $t-p \geq 1400^\circ$  (1500—1750°) в вакууме или в инертной среде. Образующаяся  $CO$  удаляется.  $Ti_2O_3$  для данного процесса получают нагреванием при 1000—1200° в вакууме или в инертной среде тончайшей смеси  $TiO_2$ ,  $TiC$ ,  $MgO$ ,  $ZnO$  или  $CaO$ . Образовавшаяся  $CO$  и пары металла удаляются. Получение  $TiO$  может быть осуществлено в одну ступень нагреванием смеси  $TiO_2$ ,  $MgO$ ,  $ZnO$  или  $CaO$  и  $TiC$  сначала до 1000—1200° для получения  $Ti_2O_3$ , а затем до 1400° для получения  $TiO$ . Кол-во  $TiC$  в смеси должно быть достаточным для обеих р-ций. **Е. Б.**

**26185 П. Метод производства галогенида циркония. Кампбелл** (Method of producing zirconium halide. Campbell Ivor E.) [United States Atomic Energy Commission]. Пат. США 2716051, 23.08.55

Для иодирования карбонитрида Zr его выдерживают в атмосфере  $J_2$  при  $t \geq 1000^\circ$  в течение 1—2 часов (операция «пропитки»), после чего в токе  $J_2$  при 1100° производят подиравание. При 1100° 59%  $J_2$  участвуют в образовании  $ZrI_4$ . Без предварительной «пропитки» подиравания не происходит. **Л. Х.**

**26186 П. Способ получения гидроксиламинсульфонатов** (Verfahren zur Herstellung von Hydroxylaminsulfonaten) [De Directie van de Staatsmijnen in Limburg, handelend voor en namens den Staat der Nederlanden]. Швейц. пат. 295041, 16.02.54 [Chemia, 1954, 8, № 4, 104 (франц.)]

Раствор  $NH_4NO_3$  и другого  $NH_4$ -соединения распыляют в токе  $SO_2$ . Поток смеси пропускают на охлаждающую поверхность. **К. Г.**

**26187 П. Способ получения хлора. Фришер** (Verfahren zum Herstellung von Chlor. Frischer Hermann) [Hermann Frischer G. m. b. H.]. Пат. ФРГ 925288, 17.03.55

Хлор получают из хлоридов или  $HCl$  (газ) действием избытка  $HNO_3$  по р-циям:  $HCl + HNO_3 = \frac{1}{2}Cl_2 + \frac{1}{2}NO_2 + H_2O$  или  $NaCl + 2HNO_3 = NaNO_3 + \frac{1}{2}Cl_2 + \frac{1}{2}NO_2 + H_2O$  при нагревании реакционной смеси до кипения. Полученная газо-паровая смесь, состоящая главным образом из  $Cl_2$ , окислов азота,  $HNO_3$  и воды, пропускается снизу вверх через колонну, в которой противотоком стекает конц.  $H_2SO_4$  для связывания воды и разрушения  $NOCl$ , а затем подвергается кипячению для разрушения нитрозилсерной к-ты. После этого горячую газо-паровую смесь, состоящую из окислов азота,  $Cl_2$  и  $HNO_3$ , или пропускают через дефлегматор и холодильник, откуда конц.  $HNO_3$  (к-та) отбирают и снова направляют в процесс; или охлаждают и обрабатывают свежедобавленной 55—65%-ной  $HNO_3$  для денитрации выделившейся нитрозы, при этом окислы азота переводятся в  $HNO_3$ , которую снова направляют в процесс. Перед р-цией  $HNO_3$  подогревают газо-паровую смесь из противоточной колонны. **Д. К.**

**26188 П. Аппарат для получения хлористого водорода и хлора. Кунцер, Раше, Криг, Шарфенбергер** (Vorrichtung zum Umsetzen von Chlor und Wasserstoff zu Chlorwasserstoff. Kunzer Werner, Rasche Wilhelm, Krieg Oskar, Scharfenberger August) [Badische Anilin-und Soda-Fabrik A.-G.]. Пат. ФРГ 923844, 21.02.55

Патентуется аппарат, в котором реакционное пространство совмещено с устройством для охлаждения продуктов р-ции. В качестве реакционного пространства служит цилиндр с двойными стенками, закрытый снизу. С противоположной стороны на него надет другой цилиндр, также с двойными стенками, но закрытый сверху. В днище внутреннего цилиндра находится горелка, через которую вводится хлоро-водородная смесь. Реакционный газ направляется вверх, проходит пространство между цилиндрами и выходит через штуцера. При этом газ охлаждается на полых стенках обоих цилиндров. Охлаждающая вода поступает через штуцер в полую стенку внешнего цилиндра и оттуда через петлеобразную и распределительную трубки поступает в полую стенку внутреннего цилиндра, откуда выходит через штуцер. Для улучшения процесса охлаждения имеются особые приспособления, расположенные в пространстве между цилиндрами, удлиняющие путь прохождения газа. Реактор может иметь несколько цилиндрич. двухстенных холодильников, через которые газ может проходить последовательно или параллельно. Дана схема.

Д. И.  
26189 П. Метод обезвоживания брома. Хенне, Рач (Verfahren zum Entwässern von Brom. Henne Hans, Ratsch Kurt) [Wintershall A.-G.]. Пат. ФРГ 923546, 17.02.55

Полное обезвоживание  $\text{Br}_2$  (до 0,004%) достигается пропусканием жидкого или газообразного влажного брома над (или через) стружками металлич. магния. Процесс обезвоживания проходит мгновенно, если стружки активированы небольшим кол-вом иода. Л. Х.

См. также: 26486

## УДОБРЕНИЯ

26190. Мощность промышленности удобрений быстро возрастает. — (Fertilizer capacity grows rapidly. —), Chem. and Engng News, 1955, 33, № 24, 2478—2479 (англ.)

Приведены особенности развития пром-сти удобрений США. Е. Б.

26191. Природный фосфат — преобладающее сырье. Цини (Rohphosphat ein dominierender Ausgangsstoff. Zumy Erich), Lab.-Praxis, 1955, 7, № 6, 67—68 (нем.)

Обзор. Природные фосфаты, их происхождение и добыча; произ-во и применение  $\text{P}$ ,  $\text{H}_3\text{PO}_4$  и их производных; применение соединений  $\text{P}$  и фосфатов в пром-сти и с. х., роль соединений  $\text{P}$  в жизни растений и животных. Е. Б.

26192. Опыт исследования термофосфатов, приготовленных из украинских фосфоритов. Лазурский А. В., Хорошкова Е. Д. В сб.: Местные минеральные удобрения УССР. Вып. 1, Киев, Изд-во АН УССР, 1954, 182—191

Плавильные фосфаты, полученные в электропечи при 1450—1500° из кролевецкого и подольского фосфоритов с добавками флюсов (сода или молотый шамотный кирпич с железной окалиной) и гранулированные при охлаждении водой, а также прокаленный в муфельной печи (3 часа при 1250°) подольский фосфорит в вегетационных опытах, проведенных с просом на темносером оподзоленном суглинке, не имели преимуществ перед обычной фосфоритной мукой как в отношении влияния на содержание в почве подвижных форм фосфорной к-ты, так и в отношении влияния на урожай (в особенности зерна). Е. Б.

26193. Флотация североафриканской фосфатной руды. Миш (Aspects de la flottation des minerais de phosphate de l'Afrique du Nord. Miche R.),

Rev. ind. minérale, 1954, 35, № 606, 216—227 (франц.)

Разработана флотация фосфатов при помощи жирных к-т или мыл и т. п. (проверено на установке производительностью 12 м/час), и флотация силикатных примесей при помощи алифатич. аминов с длинной цепью. С экономич. точки зрения электростатич. метод разделения породы может выгодно конкурировать с флотацией.

Е. Б.  
26194. Разложение опилок сахарного клена путем обработки безводным аммиаком и заражения грибом *coprinus ephemerus*. Дейви (Decomposition of hard maple sawdust by treatment with anhydrous ammonia and inoculation with *coprinus ephemerus*. Davey Charles B.), Trans. Wisconsin Acad. Sci., Arts and Letters, 1953, 42, 177—181 (англ.)

Для получения удобрения опилки сахарного клена обрабатывали безводн.  $\text{NH}_3$ , затем нейтрализовали  $\text{H}_3\text{PO}_4$  и добавляли соответствующее кол-во солей, напр.  $\text{K}_2\text{SO}_4$ . Далее материал заражали разрушающими древесину грибами. Библ. 11 назв. В. В.

26195. Методика определения сыпучести зернистых и порошкообразных продуктов и рассеиваемости удобрений. Пестов Н. Е., Пауткина Е. И. В сб. Исследования по прикл. химии, М.—Л., Изд-во АН СССР, 1955, 290—297

Прибор для быстрого лабор. определения (за 10—20 мин.) относительной сыпучести зернистых и порошкообразных продуктов и относительной рассеиваемости удобрений состоит из ряда металлич. воронок с различными углами наклона конуса и различными размерами выходных отверстий, закрываемых снизу крышками. Насыпанный в воронки продукт сжимается стержнями с грузом. При измерениях определяют номер воронки, через которую начал высыпаться продукт. Показателями относительной сыпучести или рассеиваемости удобрений является их место в 12-балльной шкале; точность определения 0,25 балла. Для определения требуется  $\leq 1$  г продукта. А. И.

26196 П. Способ понижения кислотности растворов и расплавов нитрата кальция, содержащих фосфат. (Procédé pour diminuer l'acidité de solutions ou de masses fondues de nitrate de calcium contenant du phosphate) [De Directie Van de Staatsmijnen, in Limburg agissant pour et au nom de l'Etat néerlandais, Stamicarbon N. V.]. Франц. пат. 1071404, 31.08.54 [Ind. chim., 1955, 42, № 453, 122 (франц.)]

Непрерывный способ состоит в том, что аммиак вводят в жидкую массу, рН которой поддерживают между 4 и 5. Образующийся осадок удаляют фильтрованием. Э. М.

26197 П. Способ нейтрализации аммиаком растворов, полученных при разложении фосфорита. Бём (Sätt att med ammoniak neutralisera genom uppslutning av råfosfat erhållina lutar. Böhman E. O.) [Stockholms Superfosfat Fabriks AB]. Швед. пат. 149287, 22.03.55

Предложен способ двухступенчатой нейтр-ции р-ров, полученных при разложении фосфорита  $\text{HNO}_3$ , отличающийся тем, что в 1-й ступени к р-ру добавляют 65—90% от всего кол-ва  $\text{NH}_3$  и выдерживают р-р  $\geq 2$  час. после добавления, во 2-й ступени добавляют остаток  $\text{NH}_3$  и выдерживают не  $\leq 1$  часа после нейтр-ции. К. Г.

26198 П. Способ получения фосфорных удобрений (Verfahren zur Herstellung von Phosphatdüngemitteln) [Societe Anonyme Potasse et Engrais Chimiques]. Пат. ФРГ 891275, 28.09.53 [Chem. Zbl., 1954, 125, № 12, 2696 (нем.)]

В массу, полученную после обработки природных фосфатов минер. к-тами (особенно  $\text{HNO}_3$ ), до прибавления нейтрализующих средств вводится такое кол-во

$\text{Fe}^{II}$  ионов, чтобы на 100 молей  $\text{H}_3\text{PO}_4$  пришлось не менее 20 *г-атомов* Fe, кроме того, может быть добавлено столько *г-ионов*  $\text{SO}_4^{2-}$ , чтобы весь  $\text{Ca}(\text{NO}_3)_2$  был превращен в  $\text{CaSO}_4$ . Добавлением  $\text{PO}_4^{3-}$  или  $\text{CO}_2$  содержащийся в смеси  $\text{Ca}(\text{NO}_3)_2$  может быть превращен в  $\text{Ca}_3(\text{PO}_4)_2$  или в  $\text{CaCO}_3$ . Осажденный Са-фосфат растворяется в лимоннокислом аммонии независимо от т-ры сушки и длительности хранения. И. Л.

**26199 П.** Способ получения лимоннорастворимого фосфата из фосфатного сырья и получающиеся при этом продукты (Method of rendering the phosphoric anhydride of rock phosphate soluble in citric acid, and products obtained thereby) [Industrial & Financial Association, Inc.]. Англ. пат. 698756, 21.10.53 [Chem. Abstrs, 1954, 48, № 11, 6638 (англ.)]

Природный фосфат измельчают до тонины, при которой на сите 0,15 мм остается 5% остатка, перемешивают с р-ром NaOH (уд. в. 1,45—1,53) и нагревают при т. кип. (180—200°) с обратным холодильником 1 час. Смесь быстро охлаждают до т-ры в пределах 130—36° и получают продукт, который после фильтрования и промывки (для удаления 95% NaOH) можно применять в качестве удобрения. Р-р NaOH берут со 100%-ным избытком против теоретич. необходимого для замены  $\text{Ca}^{2+}$  на  $\text{Na}^+$ . Удобрение содержит 95% фосфата в лимоннорастворимой форме. При сушке его следует избегать т-р от 130 до 145°.

Е. Б.

**26200 П.** Способ повышения растворимости фосфатных шлаков в лимонной кислоте. Трёмель, Виллемс (Verfahren zur Erhöhung der Zitronensäurelöslichkeit von Phosphatschlacken. Trömel Gerhard, Willems Jakob) [August Thyssen-Hütte A.-G., and Max-Planck-Institut für Eisenforschung, e. V.]. Пат. ФРГ 900817, 4.01.54 [Stahl und Eisen, 1954, 74, № 16, 1028 (нем.)]

Для увеличения растворимости фосфатных шлаков в лимонной к-те предлагается добавлять  $\text{TiO}_2$  в виде руды, содержащей Ti (ильменит) или другой руды, одной или в соединении с песком. При этом не происходит образования вязких шлаков.

Е. З.

**26201 П.** Средство улучшения почвы. Тромсдорф, Абель, Фёлькер (Bodenverbesserungsmittel. Trommsdorff Ernst, Abel Gerhard, Völker Theodor) [Röhm und Haas G. m. b. H.]. Пат. ФРГ 927444, 9.05.55

В качестве средств, улучшающих почву, патентуются смешанные полимеризаты акриловой или соответственно метакриловой к-ты с метиловым эфиром метакриловой к-ты, кальциевые соли которых растворимы настолько, что 10 мл 0,5%-ного водн. р-ра щел. соли такого полимеризата не дают осадка с 5 мл 0,5%-ного р-ра  $\text{CaCl}_2$ .

Н. А.

**26202 П.** Получение компоста для садоводства и сельского хозяйства. Кристенсен (Compost for horticultural or agricultural use and the production thereof. Christensen W. G. A.). Англ. пат. 701234, 23.12.53 [Chem. Zbl., 1954, 125, № 40, 9124 (нем.)]

Компост получают сбраживанием в маленьких кучах торфяного мусора и отжима, оставшегося в фильтре при произ-ве пенициллина (или других остатков произ-ва антибиотиков в промытом или непромытом состоянии). Процесс ведут при 45—60° в течение 6—10 недель в присутствии термофильных бактерий. Соотношение между торфом (75% сухого в-ва) и отжимом (24% сухого в-ва) в смеси от 1:1 до 1:13. Э. К.

**26203 П.** Материал для стабилизации почвы. Уолш, Фаулгер (Soil stabilizing material. Walsh C. L., Foulger F.). Англ. пат. 714001, 18.08.54 [J. Appl. Chem., 1955, 5, № 3, 1343 (англ.)]

Материал представляет собой смесь портландского цемента (94,5%), пентахлорфенола или хлорированной крезоловой к-ты или р-ра обоих в-в (0,5%) и органич. наполнителя (шелуха хлопковых семян и т. п.) (5%). Типичная смесь состоит из 300 вес. ч почвы, 15 ч стабилизатора и 48 ч воды. М. Г.

## ПЕСТИЦИДЫ

**26204.** Применение продуктов промышленности органического синтеза в сельском хозяйстве. Мельников Н. Н., Сообщ. о науч. работах Всес. хим. о-ва им. Менделеева, 1955, № 2, 17—32. См. РЖХим, 1955, 5931.

**26205.** Современные инсектициды и их гигиеническое значение. Келландер (Moderna insektmedel och deras användning inom hygienisk verksamhet. Kjellander Börje, Hyg. revy, 1954, 43, № 6, 336, 339—346 (швед.)

Описаны хлорорганич. инсектициды и способы их применения для защиты человека и жилья от насекомых. К. Г.

**26206.** Упрощенные способы приготовления масляных эмульсий ДДТ. Гегенава Г. В., Сообщ. АН ГрузССР, 1955, 16, № 8, 633—639

Предложен простой способ приготовления концентратов масляной эмульсии ДДТ, содержащих (в %): ДДТ 10—30, трансформаторного, веретенного или вазелинового масла 50—66,6, сульфитно-спиртовой барды (I) 7,5 (в пересчете на сухой остаток) и воды 12,5—22,5. Метод назван «способом дробного эмульгирования». Для получения концентрата рассчитанное кол-во масла разделяют предварительно на две части и в одной части при 90° растворяют ДДТ. К конц. р-ру I (уд. вес 1,280—1,285) постепенно при перемешивании приливают масло, затем р-р ДДТ в масле и воду. Полученный препарат эффективен в борьбе с вредителями плодовых культур, в том числе с калифорнийской щитовкой, и не расслаивается при хранении. Ю. Б.

**26207.** О различной устойчивости ГХЦГ долгоносиков *Callosobruchus chinensis* L., выращенных в различных условиях. Иекигура, Одаки (飼育密度を異にしたアズキゾウムシのBHCに対する抵抗性の相違について. 石倉秀次, 尾崎幸三郎, 防虫科学, Боту караку, Scient. Insect Control, 1953, 18, № 3, 85—89 (япон.; рез. англ.).

Определялась летальная конц-ия  $\gamma$ -изомера ГХЦГ при контактом действии для *C. chinensis*. Для испытаний взяты поколения, выведенные от 50, 100 и 200 пар насекомых на 50 г индийских бобов. Средняя LD для насекомых, воспитанных в большой тесноте, повышается. Насекомые, воспитанные в различных условиях, имеют различные размеры тела, что связано с устойчивостью обоих полов к ГХЦГ. К.И.И. III.

**26208.** Влияние ДДТ на энзиматическое окисление и фосфорилирование. Саклин, Террьер, Реммерт (Effect of DDT on enzymatic oxidation and phosphorylation. Sacklin John A., Terriere L. G., Remmert Le Mar F.), Science, 1955, 122, № 3165, 377—378 (англ.)

Изучено влияние ДДТ на окисление промежуточных продуктов цикла лимонной к-ты (ЛЦ) и окислительное фосфорилирование в случае, когда окисление и фосфорилирование катализируются клеточными включениями. 250 мух *Musca domestica* (смесь полов) анестезировались на холоду и гомогенизировались в течение 2 мин. с 10 мл гомогенизационной среды (ГС) с pH 7,4, содержащей 0,1 моля фосфорнокислого К, 0,25 моля сахарозы и по 4  $\mu$ моля солей пиринов, гравной, лимонной,  $\alpha$ -кетоглutarовой, янтарной и яблоч-



ной кислот для стабилизации клеточных частиц. Полученная кашица с 5 мл промывной жидкости отжималась через ткань в 15-мл центрифужную пробирку. Немедленно после этого хитин и клеточные оболочки отделялись центрифугированием при 460 g в течение 3 мин. и отбрасывались. Фракция, содержащая клеточные включения, отделялась центрифугированием при 12800 g в течение 5 мин. Осадок вновь суспендировался в 5 мл буфера и пересаживался при 12800 g в течение 5 мин. Отмытая таким образом фракция взвешивалась в 8,5 мл гомогенизационной среды и эта взвесь добавлялась в сосудики аппарата Варбурга, где проводилось определение поглощения  $O_2$ . Микроскопич. исследование препарата показало, что в поле присутствовали однородные частицы, окрашивавшиеся янусовым зеленым Б. При применении в качестве субстрата аскорбината (I) в сосудике содержалось также по 1  $\mu$  моля каждого субстрата, включенного в ГС. В конц-ии  $5 \cdot 10^{-6}$  моля (17,7 мг/кг) ДДТ почти полностью подавляет окисление смеси субстратов ЛЦ и окислительное фосфорилирование. Ощутимый эффект получен и при  $5 \cdot 10^{-6}$  моля (1,77 мг/кг). Показано также, что ДДТ прямо или косвенно подавляет окисление всех субстратов, а не какого-либо одного из них. Для того чтобы определить, не зависит ли этот эффект от угнетения цитохромоксидазы (II), было проведено сравнительное изучение влияния ДДТ на окисление промежуточных продуктов ЛЦ и на окисление I в присутствии цитохрома C (III). При добавлении максим. кол-в III и при использовании I в качестве электронодонора угнетение окисления не получено. В отсутствие I угнетение окисления при добавлении ДДТ происходило независимо от наличия или отсутствия III. Таким образом, действие ДДТ не может быть объяснено угнетением II. ДДТ подавляет какие-то другие окислительные процессы ЛЦ, причем при конц-ях много меньших чем те, которые, повидимому, требуются для угнетения II.

Ю. Ф.

26209. Эффективность препаратов НИУИФ в борьбе с гомозом хлопчатника. Ватолкина К., Хлопководство, 1955, № 9, 37—39

Изучено влияние протравливания семян против гомоза гранозаном (I), меркураном (II), 15%-ным и 20%-ным трихлорфенолятом меди и гексахлорфенолом на жизнеспособность и всхожесть семян. Все препараты не оказывают отрицательного действия. Лучшее обеззараживание от гомоза получено при действии ртутных препаратов I, II в кол-ве 10 кг/т (посев сухими опущенными семенами); при посеве увлажненными семенами — 20%-ным трихлорфенолятом меди в кол-ве 7—8 кг/т; для обработки делинтерованных семян II или I—4—5 кг/т (при посеве сухими семенами). М. Г.

26210. Действие системных инсектицидов на бобы какао. Спюн (Invloed van systemische insecticiden op de cacao-boon. Spoon W.), Voeding, 1954, 15, № 2, 67—68, 72—73 (голл.)

В результате применения инсектицида анан (бис-диметилата дитиофосфорной к-ты) на плантациях деревьев какао установлено, что бобы какао (БК) получили привкус, хотя содержание в них инсектицида было ниже американской нормы 0,1 мг/кг. При кормлении БК морских свинок и гамбийской крысы *Cricetomys gambianus* животные БК не принимали ни в сыром, ни в переработанном виде.

К. Г.

26211. Защита дерева от личинок *Triplotchiton scleroxylon*. Бук (La protection du bois contre les lyctus. Boocock D.), Rev. internat. bois, 1954, 21, № 199, 227 (франц.)

Описана защита инсектицидами (пентахлорфенолятом Na) сухой и частично сухой древесины от повреждения личинками *T. scleroxylon*.

Т. Ш.

26212. Измерение реакции проволочников на почвенные инсектициды с помощью радиоактивного кобальта. Фредериксен, Лилли (Measuring wireworm reactions to soil insecticides by tagging with radioactive cobalt. Frederickson C. F., Lilly J. H.), J. Econ. Entomol., 1955, 48, № 4, 438—442 (англ.)

В лабор. условиях изучены горизонтальные и вертикальные передвижения личинок (Л) рода *Melanotus* в почве, обработанной линданом (I), альдрином (II), дильдрином (III) и гептахлором (IV). Кусочки проволоки из  $Co^{60}$  приклеивали на спинную поверхность последнего сегмента Л. Местоположение Л в почве определяли измерением интенсивности радиации. Меньше всего Л передвигались в почве, обработанной I и II, затем—IV. III влиял на передвижения меньше, чем I, II и IV.

Е. Г.

26213. Опыт авиахимборьбы с зеленой дубовой листоверткой в Малаховском лесничестве. Казанский Н. А., Лесное х-во, 1955, № 12, 68—69

26214. Учет эффективности авиахимборьбы с зеленой дубовой листоверткой. Рубцова Н. Н., Лесное х-во, 1955, № 12, 54—56

26215. Дезинсекция газообразным бромистым метилом. Челландер (Gasbehandling med methylbromid i insektbekämpande syfte. Kjellander B.), Hyg. revy, 1955, 44, № 6, 248—254, 257 (швед.)  $CH_3Br$  применяют для дезинсекции растительных пищевых продуктов на складах (муки и зерна, фруктов, картофеля и других овощей), а также помещений мельниц, складов и кладовых и почвы в парниках и оранжереях.

К. Г.

26216. Сравнение метода оценки действия анти-метаболитов, основанного на изучении действия различных доз, и метода, основанного на определении времени, требующегося, чтобы вызвать одинаковое действие одинаковыми дозами веществ. Берчфилд, Уилкоксон (Comparison of dosage-response and timesponse methods for assessing the joint action of antimetabolites. Burchfield H. P., Wilcoxon Frank), Contris Boyce Thompson Inst., 1954, 18, № 1, 79—82 (англ.)

Описание двух методов определения активности бинарных смесей инсектицидов и соотношение этих методов. Предыдущее сообщение см. РЖХим, 1956, 13452.

К. Б.

26217. Хроматография на бумаге некоторых фосфорорганических инсектицидов. IV. Метод выявления пятен ингибиторов холинэстеразы in vitro. Кук (Paper chromatography of some organic phosphate insecticides. IV. Spot test for in vitro cholinesterase inhibitors. Cook J. W.), J. Assoc. Agric. Chemists, 1955, 38, № 1, 150—153 (англ.)

Метод основан на определении местоположения пятен фосфорорганич. инсектицидов-ингибиторов холинэстеразы непосредственно на хроматограмме с помощью р-ции холинэстераза-ацетилхолина. Берут три полоски бумаги ватман № 1 того же размера, что и хроматограмма. Одну полоску смачивают водой, так чтобы ее было достаточно для равномерного и интенсивного увлажнения хроматограммы, которую накладывают сверху. Следующую полоску смачивают погружением в препарат фермента с индикатором, состоящий из 1 ч. плазмы крови человека, 3 ч. воды, 0,1 ч. 0,1 н. NaOH и 0,25 ч. р-ра индикатора (0,15 г бромтимолового синего в 25 мл 0,1 н. NaOH) и помещают эту полоску на хроматограмму. Через 5—10 мин. третью полоску пропитывают р-ром ацетилхолина (0,1 г хлорида ацетилхолина в 25 мл воды) и накладывают сверху. Через несколько минут цвет участков, где активность фермента не подавлена, переходит из голубого в желтый в результате изменения pH, происходящего под

влиянием выделения и процессе р-ции  $\text{CH}_3\text{COOH}$ . Через 30—40 мин. р-ция заканчивается. Места расположения ингибиторов холинэстеразы на хроматограмме выявляются в виде неизменившихся голубых участков на общем желтом фоне. Чувствительность метода для некоторых продуктов очень высока. При нанесении 0,2  $\gamma$  систокса, 2 паратиона, 4  $\gamma$  метилпаратиона, 20  $\gamma$  хлортиона, 4  $\gamma$ -ЭПН, 20  $\gamma$  малатиона, 0,02  $\gamma$  диазинона, 20  $\gamma$  ОМПА, 0,2  $\gamma$  ТЭФ, 0,2  $\gamma$  ОС-2046, 0,2  $\gamma$  сульфатепф, 2  $\gamma$  триэтилтиофосфата и 0,2  $\gamma$  диптерекса на хроматограммах четко выделяются зоны угнетения холинэстеразы, указывающие на присутствие ингибитора. Сообщение III см. РЖХим, 1955, 46443.

Ю. Ф. 26218. Исследования по образованию инсектицидного тумана, пригодного для использования в военном деле. I. Исследования с бестермическим аэрозольным генератором. Моррилл, Халь, Лотце. II. Растворители для инсектицидных аэрозольных составов. Моррилл, Уэсли (Studies on insecticidal fog generation for military use. I. Military research on a nonthermal aerosol fog generator. Morrill A. W., Hahl R. G., Lotze K. A. II. Solvents for insecticidal fog formulations. Morrill A. W., Jr, Wesley Carl, Jr, Mosquito News, 1955, 15, № 2, 85—90 (англ.)

I. Лабораторными опытами установлена возможность построения простой по конструкции полевой туманообразующей машины механич. действия; воздуходувка низкого давления, но высокой производительности и наконечники со сравнительно широкими отверстиями создают большие конструктивные и эксплуатационные преимущества.

II. Путем применения в качестве р-рителей различных смесей углеводородов (керосин, моторное масло, тетрагидротилан и т. п.) можно изменять дисперсность туманов. Приведены данные полевых опытов, в которых капельки тумана, полученного механич. и термич. методами, улавливали на пластинки, покрытые окисью магния.

Е. Г. 26219. Изучение химического способа борьбы с болезнями фруктовых деревьев, находящимися в стадии покоя. Предварительное сообщение. I. Действие опрыскивания препаратами на черную пятнистость японских груш, вызываемую *Alternaria kikuchiana* Tanaka. Ямада, Киси (果樹病害に対する休眠期の薬劑散布に関する研究. (予報I). 梨黑斑病に対する休眠期散布の效果. 1. 山田峻一, 岸潤平), 園藝學會雜誌, Энри гаккай дааси, J. Hort. Assoc. Japan, 1955, 24, № 1, 41—50 (япон.; рез. англ.)

Изучено опрыскивание груш бордосской смесью (I), азотково-серным отваром (II), ртутным фунгицидом «риоген» (III), пентахлорфенолятом Na (IV), смесью II и IV и смесью (V) пентахлорфенола и эмульсии машинного масла. Смесью II и IV эффективно тормозит образование и прорастание спор *A. kikuchiana*, III и V тормозит образование, а I тормозит прорастание спор *A. kikuchiana*. II не эффективен в борьбе с *A. kikuchiana*.

Ю. Б. 26220. Влияние жесткости воды на четвертичные аммониевые гербициды. Клаймек (Effect of hard water on quaternary ammonium germicides. Klimek John W.), Soap and Chem. Specialties, 1955, 31, № 5, 207, 209, 211, 213 (англ.)

Определено влияние жесткости воды (ЖВ) на гермицидную активность бензальконийхлорида (I) для *Escherichia coli* 198. Падение гермицидной активности I не связано с ЖВ, которая влияет на подопытные бактерии, что доказано экспозицией бактерий сначала в жесткой воде, а затем в р-ре I. Бактерии, выращенные при высоких конц-ях катиона, не изменяют чувствительности к I. Культура *E. coli* 198, выращен-

ная на агаре с Bacto peptone, Proteose peptone, Proteose peptone № 2, Neopeptone, Tryptone или Thiotone вместо Peptonum siccum не дает «эффекта жесткой воды» при испытаниях с I. Casitone, Polypeptone и Phytone, так же как Peptonum siccum, вызывают чувствительность бактерий к ЖВ.

К. Ш.-Ш. 26221. Методы борьбы с грибами. II. Морис (Methods for the control of fungi (2). Maurice P.), Chem. Prod., 1955, 18, № 6, 213—215 (англ.)

Описаны три метода консервирования древесины: 1) обработкой креозотом под давлением; 2) действием водорастворимых солей: арсенатами Na или Cu, NaF,  $\text{ZnCl}_2$  или  $\text{HgCl}_2$  и бурой; 3) р-рами в органич. р-рителях хлорнафталина, нафтената Cu или Zn, 2,4-динитрохлорбензола, хлорированных фенилфенолов, три- тетра- или пентахлорфенолов. Для предохранения текстиля от действия только грибов достаточны добавки пентахлорфенолята Na, салициланилида и диоксидилхлордифенилметана. От одновременного действия грибов и влаги рекомендуются 1%-ные добавки нафтената, олеата, пентахлорфенолята, 8-оксидинолята, хромата или дитилдитиокарбамата Cu с добавками водоотталкивающих в-в, или обработка пентахлорфенолятом или олеатом Na с последующей обработкой ацетатом Al или Cu. Защит. клея, красок и бумажной пульпы проводится преимущественно различными фенолами, органич. соединениями Hg или четвертичными аммониевыми основаниями. Для защиты нищи применяются: сернистый газ — для колбасы, сухих фруктов, джема и безалкогольных напитков, бензойная к-та — в соках, безалкогольных напитках и подслащенных минер. водах. Для предохранения цитрусовых от гниения применяется оберточная бумага, пропитанная дифенилом, оксидифенилами, бурой и тиомочевинной. Эффективными фунгицидами для различных продуктов при разной величине pH служат эфиры *n*-оксисбензойной к-ты и ее Na-соли. Сообщение I см. РЖХим, 1956, 13477. С. И.

26222. Новый многообещающий гербицид 3-*n*-хлорфенил-1,1-диметилмочевина. Михале, Дюстен (Le C. M. U. un nouvel herbicide plein de promesse. Michiels A., Dustin A.), Parasitica, 1955, 11, № 2, 29—57 (франц.)

3-*n*-хлорфенил-1,1-диметилмочевина (I) имеет т. пл. 170°, растворимость в воде 0,023% при 25°, плохо растворима в органич. р-рителях. В продажу I поступает в виде 80%-ного смачивающегося порошка. I не раздражает кожу; LD<sub>50</sub> для крыс 2500 мг/кг живого веса (для 2,4-Д 500 мг); не корродирует металлы, не воспламеняется и не взрывается. I является гербицидом сплошного действия, но может применяться и как селективный. Как гербицид действует медленно, но очень энергично, даже в малых дозах. Медленность и продолжительность его действия связана с плохой растворимостью в воде, его физ.-хим. свойствами, благодаря которым он удерживается почвой, устойчивостью его молекулы против биол. и хим. воздействий. I проникает в растения через корни и через листья.

Р. Б. 26223. Опыты применения гербицидов на свекловичных полях. Драховская-Шиманова (Pokusy s použitím herbicidů v cukrovce. Dračovská-Šimánová M.), Listy cukrovarn., 1955, 71, № 9, 206—208 (чеш.)

Опыты с гербицидами типа 2,4-Д, метоксон и др. показали их полную непригодность для борьбы с сорняками на свекловичных полях вследствие высокой токсичности для культуры свеклы. Непригодны также бура, насыщ. р-р NaCl, динитро-*o*-крезол (ДНК). Наилучшие результаты получены при обработке участка ДНК задолго до посева, а также при применении  $\text{Ca}(\text{NO}_3)_2$ , играющего роль не только гербицида, но

и инсектицидами и удобрения. Вопрос о применении различных в-в, приводимых в зарубежной литературе, требует тщательного исследования, так как данные о них разноречивы и ни одно из них не обладает высокой селективностью. Очень важна также экономическая сторона.

З. Б.  
26224. Борьба с древесной и кустарниковой порослью при помощи гербицидов. Эглите (Koku un krūmu atvāci apkarošana ar herbicīdiem. Egļite A.), Padomju Latvijas kolchoznieks, 1954, 6, № 4, 12 (лат.).  
См. РЖХим, 1955, 2427.

26225 К. Справочник по антипаразитным средствам (Европа). Т. 1 (Memorandum antiparasitaire européen. Confédération Internationale des Techniciens Agronomes (Cita), 1 vol. Zürich, Centre International des Antiparasitaires. 205 p. 1953) (франц.)

26226 Д. Исследования с меченым  $R^{32}$  паратионом на *Mesocricetus auratus* Waterh. Егер (Versuche mit radioaktiven  $^{32}P$ -O, O-Diäthyl-O, p-nitrophenylmonothiophosphat (Parathion) am Goldhamster (*Mesocricetus auratus* Waterh.). Jäger Albert. Diss. Naturwiss-math. F., Heidelberg, 1953), Dtsch. Nationalbibliogr., 1955, В, № 5, 359 (нем.)

26227 П. Способ получения родентицидного состава. Литван, Штоль (Process for the production of a rodenticidal composition. Litvan Franz, Stoll Willy) [J. R. Geigy A.-G.]. Пат. США 2648681, 11.08.53

Родентицидную смесь получают сплавлением равномолекулярных кол-в 4-оксикумарина и бензальдегида в отсутствие жидкого разбавителя, нагреванием сплава при  $t$ -ре  $\sim 120^\circ$  в течение нескольких часов и растиранием в порошок твердого продукта  $r$ -ции после охлаждения.

В. У.  
26228 П. Инсектицидные составы, содержащие дисульфид диэтилтиофосфорной кислоты. Барлетт, Рудел, Сайферс (Insecticidal compositions comprising diethyl thiophosphoric acid disulfide. Bartlett Jeffrey H., Rudel Harry W., Cyphers Elmer B.) [Esso Research and Engineering Co.]. Пат. США 2705694, 5.04.55

Дисульфид диэтилтиофосфорной к-ты  $(C_2H_5O)_2P(S)_2S - SP(S)_2(C_2H_5O)_2$  (I) получен превращением диэтилтиофосфорной к-ты (II) в водорастворимую соль, растворением ее и нитрита металла в воде и добавлением минер. к-ты для освобождения  $HNO_2$  и превращения соли II в свободную II; продукт  $r$ -ции осаждается из водн. среды в виде масла, 276 г абс. этанола смешивают с 333 г  $P_2S_5$ ;  $r$ -ция экзотермична:  $t$ -ра достигает  $70^\circ$  (термометр в колбе) через 15 мин. Нагревают в течение 20 мин. при  $80^\circ$ , фильтруют. Полученные 400 г II нейтрализуют 86 г NaOH в 350 мл воды при охлаждении ( $t$ -ра смеси  $\leq 40^\circ$ ). Na-соль II растворяют в воде и постепенно при перемешивании добавляют 156 г  $NaNO_2$ . Затем приливают ( $t$ -ра смеси  $\leq 40^\circ$ ) 230 г конц.  $H_2SO_4$  в 108 мл воды. Образующийся I выделяется в виде масла, которое промывают водой, 5%-ным р-ром NaOH и трижды водой. Продукт сушат в токе азота при  $105^\circ$ . I испытывали против рыжего (*Blatella germanica*) и черного (*Periplaneta americana*) тараканов, клопов (*Omelpeltus sociatus*) и комнатной мухи. I применяется в виде водн. эмульсий, суспензий или дустов, содержащих 5% I. Концентрат для эмульсии содержит 83% I и 17% солей нефтяных сульфонов. Для применения берут 94 ч. воды и 6 ч. концентрата. Наполнителями для дустов служат каолин, фуллерова земля или бентонит. Концентрат для суспензий содержит 25—50% I, 50—75% напол-

нителя и  $\sim 1\%$  смачивателя. Препараты могут смешиваться также с гербицидами, ростовыми в-вами, удобрениями, а также с ДДТ и ГХЦГ.

М. Г.  
26229 П. Инсектицид. Хансен, Хинцманн (Bekämpningsmedel mot skadedjur på växter. Hansen K., Hintzmann K.). Швед. пат. 143201, 1.12.53

Инсектицид состоит из ароматич. эфиров диалкокситиофосфорной к-ты и поверхностноактивных в-в общих ф-л:  $C_6H_2(R^1R^2R^3)O(CH_2CH_2O)_n$  и  $CaH_2(R^1R^2R^3)O(CH_2CH_2O)_mSO_2OX$ , где  $R^1$  — фенил, аралкил или циклогексил;  $R_2$  — тоже или H;  $R_3$  — фенил, аралкил или H, причем ароматич. остатки могут быть замещ.;  $n = 5-25$ ,  $m = 1-20$ ; X — атом или группа, образующая водорастворимую соль. Эти поверхностноактивные соединения значительно повышают дисперсность препарата при его распылении.

К. Г.  
26230 П. О-2,4,5-трихлорфенил-О,О-диалкилтиофосфаты. Дрейк, Мойл (O-2,4,5-trichlorophenyl-O,O-dialkylthiophosphates. Drake Lewis R., Moyle Clarence L.) [Dow Chemical Co.]. Англ. пат. 699064, 28.10.53 [Chem. Zbl., 1954, 125, № 48, 11031—11032 (нем.)]

В качестве инсектицидов и фунгицидов, особенно активных против мексиканского бобового жука и паутиного клеща патентуются О-2,4,5-трихлорфенил-О,О-диалкилтиофосфаты с общей ф-лой  $O-2,4,5-Cl_3C_6H_2-O-P(S)(O-R)_2$  (I) и N-замещ. 0,0-ди-(полугалоидфенил)-амидотиофосфаты с общей ф-лой  $(XC_6H_4)_{n-n}O-P(S)(S)-N(R',R'')$  (II), где  $R = CH_3, C_2H_5$ ; X — Br, Cl;  $n = 3-5$ ;  $R' = H$ , алкил, циклоалкил;  $R'' =$  алкил, циклоалкил. I получают конденсацией соответствующих дихлортиофосфатов с алкоголятами щел. металлов; II — из полигалоидфенолятов щел. металлов и N-замещ. амидов дихлортиофосфорной к-ты  $Cl_2P(S)-N(R',R'')$  в органич. р-рителе при  $30-100^\circ$ . Из О-(2,4,5-трихлорфенил)-дихлортиофосфата,  $d^{25}_D$  1,65,  $n^{25}_D$  1,6054, и метилата Na в метиловом спирте при  $40^\circ$  получают О-2,4,5-трихлорфенил-О,О-диметилтиофосфат, т. пл.  $152-154^\circ$ ,  $d^{25}_D$  1,32,  $n^{35}_D$  1,5388. Из 4-хлорфенола, КОН в метиловом спирте и N-метилдихлортиофосфатамида при  $50^\circ$  получают следующие амидотиофосфаты: О,О-ди-(4-хлорфенил)-N-метил,  $d^{26}_D$  1,26,  $n^{35}_D$  1,5356; О,О-ди-(4-хлорфенил)-N-этил,  $d^{26}_D$  1,15,  $n^{35}_D$  1,5290. О,О-ди-(4-хлорфенил)-N-изопропил,  $d^{26}_D$  1,13,  $n^{35}_D$  1,5250; О,О-ди-(4-хлорфенил)-N,N-диметил,  $d^{24}_D$  1,16,  $n^{35}_D$  1,5533; О,О-ди-(4-хлорфенил)-N,N-диэтил,  $d^{28}_D$  1,16,  $n^{35}_D$  1,5458; О,О-ди-(4-хлорфенил)-N,N-ди-*нор*-бутил; О,О-ди-(4-хлорфенил)-N-додецил; О,О-ди-(4-хлорфенил)-N-н-бутил-N-гексил; О,О-ди-(4-хлорфенил)-N-н-октил; О,О-ди-(2,4,5-трихлорфенил)-N,N-диметил,  $d^{31}_D$  1,35,  $n^{35}_D$  1,5737; О,О-ди-(4-бром-2,6-дихлорфенил)-N-изопропил,  $d^{30}_D$  1,23,  $n^{35}_D$  1,5103; О,О-ди-(2,3,4,6-тетрахлорфенил)-N-этил,  $d^{30}_D$  1,22,  $n^{35}_D$  1,5608; О,О-ди-(пентахлорфенил)-N-этил,  $d^{30}_D$  1,36,  $n^{35}_D$  1,5536; О,О-ди-(2,4,6-трихлорфенил)-N-амил,  $d^{31}_D$  1,07,  $n^{35}_D$  1,4956; О,О-ди-(2,4,5-трихлорфенил)-N-циклогексил, т. пл.  $66-72^\circ$ ; О,О-ди-(пентахлорфенил)-N-октил; О,О-ди-(2,4,6-трибромфенил)-N-(4-фенилциклогексил); О,О-ди-(2,3,4,6-тетрахлорфенил)-N,N-ди-*нор*-бутил; О,О-ди-(2,4,6-трихлорфенил)-N,N-дициклогексил; О,О-ди-(пентахлорфенил)-N-(2,4-диметилциклогексил); О,О-ди-(2,4,6-трихлорфенил)-N-н-додецил; О,О-ди-(2,3,4,6-тетрахлорфенил)-N-(4-метилциклогексил); О,О-ди-(2,4,5-трибромфенил)-N-метил-N-циклогексил. Из 2,4,5-трихлорфенола и  $PCl_3$  получают О-(2,4,5-трихлорфенил)-дихлортиофосфат (III),



т. кип.  $110^{\circ}/1$  мм,  $d_{20}^{20}$  1,6653,  $n_D^{20}$  1,6084. Из III и 4-хлорфенола-0-(2,4,5-трихлорфенил)-0-(4-хлорфенил)-амидотиофосфат,  $d_{22}^{22}$  1,685,  $n_D^{25}$  1,5985 получают 0-(2,4,5-трихлорфенил)-0-(4-бромфенил)-амидотиофосфат,  $d_{22}^{22}$  1,715,  $n_D^{25}$  1,6062.

Ю. Б.  
26231 П. Пестицид, содержащий нитрат аммония. Тейлор, Хатчисон, Холм (Pesticide containing ammonium nitrate. Taylor James, Hutchinson Alexander C., Holm John Macfie). [Imperial Chemical Industries Ltd], Канад. пат. 498283, 8.12.53

Состав для фунгигации содержит испаряющееся при нагревании пестицидное соединение (напр., ДДТ или ГХЦП), нитрат аммония и один из следующих твердых сенсоризаторов термич. разложения нитрата аммония: гипофосфит щел., щел.-зем. металла или аммония, оксалат Fe, Sn, муравьинокисл. закисное, уксуснокисл. (основное) окисное, лимоннокисл. окисное Fe, хлорат K, нитрит K, тиосульфат аммония, безв. тиосульфат Na, перманганат K, двуокись Mn, хлористая Cu, хромит Cu или Ni. Эти в-ва (напр.,  $KMnO_4$  или соединения Cu) берутся в кол-ве, достаточном для поддержания самообразования газа из нитрата аммония.

Г. Я.  
26232 П. Продукты галоидирования 1,1-дифенил-2,2-диметилпропана. Роджерс, Браун (Halogenation products of 1,1-diphenyl-2,2-dimethylpropane. Rogers Edward F., Brown Horace D.) [Merck and Co., Inc.], Пат. США 2641617, 9.06.53

Инсектицидный состав содержит продукт хлорирования (I) или бромирования (II) 1,1-дифенил-2,2-диметилпропана в условиях, способствующих замещению в фенильных ядрах. I имеет т. кип. между 160 и  $187^{\circ}$  1 мм и содержит  $Cl \leq 32,3$  вес.%, а II — т. кип. между 150 и  $187^{\circ}$  1 мм и  $Br \leq 40,8$  вес.%. Я. К.

26233 П. Состав для опрыскивания садов. Стюарт (Horticultural spray composition. Stewart William D.) [The B. F. Goodrich Co.], Канад. пат. 500714, 16.03.54

Состав для опрыскивания садов содержит 1—6 л фракции нефтяного масла (НМ) и 0,2—2 кг полимерного органич. полисульфида, напр., полиметилениполисульфида или полиэтиленполисульфида, содержащего 3—5 S-атомов на молекулу и диспергированного в водн. р-ре лигнинсульфоната, причем величина частиц не превышает 10 м. НМ содержит главным образом насыщ.  $C_{14}$ — $C_{18}$ -углеводороды, обладает вязкостью по Сейболту 85 сек. и имеет  $>90\%$  несulfурируемого остатка.

К. Б.  
26234 П. Способ ускорения выделения минерального масла из эмульсии, нанесенной опрыскиванием на растения. Максуэлл (Sätt att öka avsättningen av mineralolja på växtlighet ur en påsprutad emulsion samt medel för utförande av sättet. Maxwell K. E.) [N. V. de Betaafse Petroleum Maatschappij], Швед. пат. 140840, 16.06.53

Способ состоит в том, что к эмульсии минер. масла в воде добавляют катионоактивный эмульгатор в кол-ве, достаточном для уменьшения величины отрицательных зарядов капелек или для появления на последних слабоположительных зарядов, вследствие чего эмульсия разрушается при соприкосновении с отрицательно заряженной поверхностью листьев растений. Если применять в качестве эмульгатора амид ф-лы  $C_{15-17}N_{31-35}CO-NHCH_2NHCH_2CH_2OH$  (I), то наибольшее кол-во масла ( $\sim 330$  мг/см<sup>2</sup>) выделяется при конц-ии I  $\sim 1,2$  г/л.

К. Г.  
26235 П. Фунгицидные составы, содержащие этилен-бис-дитиокарбамат марганца и метод их приме-

нения. Голдинг, Ричардс (Manganous ethylene bis-dithiocarbamate fungicide composition and method of applying. Golding David R. V., Richards Bert Lorin, Jr) [E. I. du Pont de Nemours and Co.], Пат. США 2710822, 14.06.55

Предложены фунгицидные препараты, состоящие из Mn-соли этилен-бис-дитиокарбамминовой к-ты (I) в кол-ве 95—99,75% и растворимой в воде метилцеллюлозы (II) в кол-ве 0,25—5%. Добавка II уменьшает фитотидные свойства I и увеличивает остаточное действие препаратов. Составы приготавливают или смешением сухих I и II, или внесением I в р-р II, или добавкой II к суспензии I; могут быть также добавлены разбавители и наполнители. Препараты можно применять в виде дустов или суспензий в борьбе с грибковыми заболеваниями растений, для профилактики или лечения. Пример 1-й. При 3-кратном опрыскивании 5-недельных растений томатов 0,6%-ной водн. суспензией препарата, содержащего 95,5% I и 0,5% II, растения не были повреждены, в то время как опрыскивание в аналогичных условиях технич. I значительно повредило растения. Пример 2-й. Растения, опрысканные 0,04%-ной суспензией препарата, содержащего 98% технич. I и 2% II, после нескольких дождей сохранили устойчивость против заражения спорами *Uromyces appendiculatus*.

С. И.  
26236 П. Протравитель. Шарп (Preparat för behandlingen eller betning av säd. Sharp F. L.) [Imperial Chemical Industries, Ltd.], Швед. пат. 140141, 28.04.53

Препарат для протравливания семян состоит из смеси 60% (на сухой вес) телеобразующей глины, тщательно перемешанной с 10—30% водорастворимого органич. диспергатора и 0,3—5,0% в-ва, содержащего органич. соединение Hg и (или) соответствующего кол-ва других в-в для протравливания семян; препарат получают в виде сухого порошка или в виде водн. вязкой суспензии.

К. Г.  
26237 П. Способ получения фунгицида 1,2,3,4-тетрагидрофлуоренона. Бейерман, Вер (Sätt att framställa 1,2,3,4-tetrahydrofluorenon för användning som fungicid. Beyerman H. C., Veer W. L. C.) [N. V. Organon], Швед. пат. 143792, 26.01.54

Способ получения фунгицида 1,2,3,4-тетрагидрофлуоренона (I) состоит в том, что производное 2-фенил-3,4,5,6-тетрагидробензойной к-ты ф-лы  $o-XC(=O)C_6H_4C_6H_5$ , где X — галоген или OR, в котором R — низший алкил, превращают в I действием конденсирующего реагента, вызывающего замыкание кольца.

К. Г.  
26238 П. Бактерицидные вещества и способ их получения (Substances bactéricides et leur procédé de fabrication) [Imperial Chemical Industries Ltd.], Англ. пат. 1056026, 3.03.54 [Teintex, 1954, 19, № 11, 865, 867 (франц.)]

Патентуются в-ва, имеющие ф-лу:  $ANHC(=NH)NHC(=NH)(CH_2)_nNHC(=NH)NHC(=NH)NHA$ , где A — радикал дифенила, содержащий в качестве заместителей алкил-, алкокси-, нитро- группу или галоксы, причем оба A в ф-ле могут быть идентичными или разными; n 3—9. Полиметиновая цепь, кроме того, может быть прервана атомами O или ароматич. ядрами. Эти в-ва, обладающие бактерицидным фунгицидным действием и активностью против моли, могут быть использованы в текстильной пром-сти.

Л. М.  
26239 П. Способ изготовления бактерицидных четвертичных аммониевых соединений. Керн, Шейер (Verfahren zur Herstellung von bakteriziden quaternären Ammoniumverbindungen. Kern Rudolf, Scheuer Hans) [Rhein-Chemie G. m. b. H.], Пат. ФРГ 932371, 29.08.55

Взаимодействие тетрагидронафтилхлорметана (I) с третичными аминами, содержащими углеводородную цепь по крайней мере с 12 атомами С, ведет к образованию четвертичного аммониевого соединения с сильным дезинфекционным действием. Хлористый додецилдиметилтетрагидронафтилметиламмоний (II) готовят нагреванием при  $95^{\circ} 220$  ч. додецилдиметиламина и 180 ч. I в 200 ч. 96%-ного спирта в течение 6 час. в автоклаве. После отгонки спирта получается воскообразное в-во. Р-цию можно проводить и без р-рителя. Полученное инвертное мыло полностью растворяется в воде и образует сильно пенящийся р-р. Для очистки продукт кипятят с петр. эфиром, фильтруют и осадок освобождают от р-рителя. Т-ра каплеобразования 60—62°. II как бактерицид в 3—5 раз более активен, чем хлористый додецилдиметилбензиламмоний. К. Б.

**26240 П. Гербицидные составы. Патрик (Herbicide compositions. Patrick Tracy M., Jr) [Monsanto Chemical Co.]. Пат. США 2713535, 19.07.55**

Гербицидный состав содержит эмульсию типа масло в воде токсичных для растений кол-в гексахлорбутадиена. К. Б.

**26241 П. Гербицидные составы. Уитман (Herbicide compositions. Witman Eugene D.) [Columbia-Southern Chemical Corp.]. Пат. США 2695225, 23.11.54**

Гербицидный состав содержит изопропиловый эфир N-3-хлорфенилкарбаминового к-ты в фитотоксичной конц-ии. К. Б.

**26242 П. Регуляторы роста растений. Стюарт (Plant growth regulants. Stewart William D.) [The B. F. Goodrich Co.]. Канад. пат. 491348, 17.03.53**

Предложен метод изменения ростовых характеристик растений с помощью смачивания по крайней мере части растения водн. составом, содержащим 0,025 вес.% диспергатора или смачивателя и 0,001—5% в-ва ф-лы  $A-S-CH_2CH_2COOH$  (I), где A — N-содержащий гетероциклич. радикал, причем боковая цепь связана с кольцевым C-атомом, который в свою очередь непосредственно связан с кольцевым N-атомом и атомом S или O. Другие атомы цикла являются C-атомами, связанными с H (напр.,  $\beta$ -тиазолилтиопропионовая к-та или, для стимуляции корнеобразования черенков растений, 0,001—1 вес.%  $\beta$ -(4-этил-2-тиазолил)-тиопропионовой к-ты). Могут применяться также производные I, которые гидролизом можно превратить в к-ту. К. Б.

См. также: Родентициды 25095. Инсектициды: синтез 25595, 25751; анализ 26628, 26029, 26050; произ-во 26726; фунигация 27620; действие на растения 8815Бх; токсикология 28048. Бактерициды и фунгициды: анализ 26051, 27619; 8702Бх; св-ва 26730; произ-во 26783, 26784; краски 27316; консервирование древесины 27393; вина 27591, 27592; УФ-лучами 27587; выделение из растений 27631; 8856Бх; дезинфекция кожи 27703. Регуляторы роста: действие 27523; 8859Бх, 8860Бх; торможение прорастания картофеля 27693; превращение 8564Бх, 8565Бх, 8859Бх; новые в-ва 8868Бх

## ЭЛЕКТРОХИМИЧЕСКИЕ ПРОИЗВОДСТВА. ЭЛЕКТРООСАЖДЕНИЕ. ХИМИЧЕСКИЕ ИСТОЧНИКИ ТОКА

**26243. Электрохимическая промышленность Австрии. Байер (Die elektrochemische Industrie in Österreich. Bayer F.), Österr. Chem.-Ztg, 1954, 55, № 19/20, 270—277, diskus. 285—288 (нем.). Обзор. Библ. 9 назв. Т. Ш.**

**26244. Новые открытия в области аккумуляторов. Билек (Nové objevy v oboru galvanických článků primárních. Bilek Jan), Dozrávní techn., 1955, 3, № 6, 159—161 (чеш.).**

Обзор. Типы аккумуляторов. Библ. 8 назв. З. Б.

**26245. О внутренних утечках тока в электролитических установках. Коган В. Б., Овсенян Р. Р., Хим. пром-сть, 1954, № 8, 463—469**

Дается метод расчета внутренних утечек тока при серийном соединении электролизеров по различным схемам. Для случая последовательного включения электролизеров по току и параллельного питания электролитом выведено у-ние, определяющее среднюю силу тока утечки на ячейку:  $(i_{y\text{кр}} = U/R [1 + 2(1 - \text{ch } wN) / wN \text{ sh } wN])$ , где  $U$  — напряжение на ячейке,  $N$  — число ячеек в серии,  $R$  — сопротивление электролита в коллекторе между ячейками,  $r$  — сопротивление электролита в трубке, соединяющей коллектор с ячейкой,  $w = \sqrt{R/r}$ . Для уменьшения утечки рекомендуется применять в этом случае коллекторы из неэлектропроводных материалов и увеличивать их длину или уменьшать диаметр в пределах, допустимых гидравлич. режимом работы серии. При последовательном движении электролита через ячейки средняя сила тока утечки  $(i_{y\text{кр}} = (1 - 1/N) U/r$ . При параллельном включении ячеек по току внутренние утечки по электролиту отсутствуют. О. К.

**26246. Предварительная химическая и электрохимическая обработка. Брешани (Trattamento chimico ed elettrochimico preventivo. Bresciani Lino), Elettificazione, 1953, 4, № 7, Supplemento-Elettrochimica, 1953, 1, № 7, 1—6 (итал.).** Описаны способы обезжиривания и электрополировки деталей из Al перед анодированием. Ю. М.

**26247. Отделка Al. Ванден Берг (Aluminum finishes. Vanden Berg R. V.), Soc. Automob. Engrs, 1953, 61, № 7, 55 (англ.).**

**26248. Определение толщины анодных слоев гравиметрическим методом. Пра́ти (Densità dell'ossido e spessore degli strati anodici determinato gravimetricamente. Prati A.), Alluminio, 1953, 22, № 2, 148—151 (итал.).**

**26249. Успехи гальваностегии в Советском Союзе. Жак (Procesy galvaniczne na tle osiągnięć radzieckich. Żak Tadeusz), Chemik, 1955, 8, № 10, 268—270 (польск.).**

Обзор работ советских ученых по нанесению покрытий из Cu, Cd, Zn, Ni, Cr. М. М.

**26250. Применение гальванических покрытий благородными металлами. Кросс, Слон (Electroplated applications for precious metals. Cross Isidore, Sloane Perry J.), Electr. Manufact., 1955, 55, № 1, 96—99 (англ.).**

Описаны применения электролитич. покрытий благородными металлами для придания проводникам, работающим в слеп. условиях, коррозионно- и износостойкости и равномерной электропроводности, что особенно важно для приборов высокой частоты и работающих при малых силах тока. Приведены свойства и области применения гальванич. покрытий (Ag, Au, Pt, Pd и Rh). Рекомендовано Rh-покрытие в 0,01—0,02 мм в случаях, когда сопротивление износу должно сочетаться с постоянными свойствами поверхности, а также применение Au, Pd, Rh в относительно тонких слоях поверх более толстых покрытий Ag, когда требуется сохранить высокую проводимость слоя Ag. Покрытия Pt применяются при высокой т-ре и в особо агрессивных средах. Я. Л.

**26251. Электроосаждение родия в промышленных условиях. Пиннер (Modern industrial rhodium**

- plating. Pinner R.), Electroplat. and Metal Spraying, 1953, 6, № 8, 276—281 (англ.)
26252. Железистосинеродистый электролит для серебрения. Семерюк В. И., Ж. прикл. химии, 1955, 28, № 11, 1240—1242
- Исследовалось влияние компонентов железистосинеродистого электролита на растворимость Ag-анода и качество покрытий. Частичная замена  $\text{Na}_2\text{CO}_3$  на  $\text{K}_2\text{CO}_3$  облегчает растворение анода. Этому способствует увеличение содержания  $\text{K}_4\text{Fe}(\text{CN})_6$  и т-ры электролита и движение анода на качающейся штанге. Предлагается электролит состава (в г/л):  $\text{AgCl}$  40,  $\text{K}_4\text{Fe}(\text{CN})_6 \cdot 3\text{H}_2\text{O}$  200,  $\text{K}_2\text{CO}_3$  20; т-ра 60—80°;  $D_k = 1-1,5 \text{ а/дм}^2$ ;  $D_a = 1-1,5 \text{ а/дм}^2$  при неподвижном аноде; при подвижном — 1—5  $\text{а/дм}^2$ . Катодный и анодный выходы по току = 100%. Осадки получают равномерные, плотные, мелкокристаллич. толщиной до 30  $\mu$ . Сцепление с основой хорошее. Я. Л.
26253. Меднение изделий из стекла, фарфора, искусственной смолы и т. п. Яначек (Die Herstellung galvanischer Kupferüberzüge auf Glas, Porzellan, Kunstharz und dgl. Janacek F.), Metallwaren-Ind. und Galvanotechn., 1955, 46, № 10, 485—487 (нем.)
- Описаны способы нанесения проводящих слоев из графита и серебра для последующего меднения. Приведена рецептура р-ров для хим. серебрения. С. К.
26254. Образование карбонатов в цианистых ваннах. Лотценуус (Die Karbonatbildung in cyanidischen Bädern. Lotzenius), Metallwaren-Ind. und Galvanotechn., 1955, 46, № 10, 479—480, 488 (нем.)
- Рассматривается влияние карбонатов на работу цианистых ванн, механизм образования в электролитах и методы удаления их из р-ров. З. С.
26255. Скоростное электроосаждение меди, цинка и латуни из цианистых электролитов при периодическом изменении направления тока. Бороздина М. С., Лукашова Л. С., Обмен техн. опытом Всес. проектно-технол. ин-та, 1955, вып. 3, 7—11
- Приводятся составы электролитов и режимы работы для цинкования, меднения, латунирования с риверсией тока. Риверсия тока производится таким образом, что анодная поляризация длится 1 сек., катодная 10 сек. В. Г.
26256. Скоростное цинкование.— Обмен техн. опытом Всес. проектно-технол. ин-та, 1955, вып. 3, 24—26
- Введением в цианистый цинковый электролит добавок коллоида и  $\text{Na}_2\text{SO}_3$  достигается 3-кратное ускорение процесса. Состав электролита (в г/л):  $\text{Zn}(\text{CN})_2$  60,  $\text{NaCN}$  или  $\text{KCN}$  50,  $\text{NaOH}$  60—80, технич. желатина 3,  $\text{Na}_2\text{SO}_3$  3. Т-ра комнатная  $D_k = 3-5 \text{ а/дм}^2$ , выход по току 75—80%, скорость осаждения 0,5—1  $\text{м/мин}$ . Л. Г.
26257. Электроосаждение цинка и кадмия. Миллорд (Zinc and cadmium plating. Millard W. H.), Plating, 1955, 42, № 5, 545—549 (англ.)
- Описан современный технологич. процесс электроосаждения Zn- и Cd-покрытий из цианистых электролитов. З. С.
26258. Подготовка деталей к никелированию. Кузи (La preparazione dei pezzi per la nickelatura. Cusi E.), Nickel, 1954, № 52, 1—5 (итал.)
26259. Хромовая кислота в никелевых ваннах. Действие и регенерация. Бризе (Chromsäure in Nickelbädern. Auswirkung und Regenerierung. Briesse H. W.), Metallwaren-Ind. und Galvanotechn., 1955, 46, № 9, 432—434 (нем.)
- Исследовано влияние  $\text{CrO}_3$  на качество Ni-осадка и выхода по току при электроосаждении Ni из серно-

кислого электролита. Качество осадка исследовалось в ячейке Худла. Показано, что уже небольшие кол-ва  $\text{CrO}_3$  (0,01 г/л) вызывают образование основных солей в области высоких  $D$  и снижение предельной  $D$  с 1,8 до 0,8  $\text{а/дм}^2$  для получения блестящих осадков. При 0,02 г/л  $\text{CrO}_3$  предельная  $D$  снижается до 0,4  $\text{а/дм}^2$ , причем осадки растрескиваются непосредственно в электролите. При дальнейшем увеличении конц-ии  $\text{CrO}_3$  (0,04 г/л) при низкой  $D$  Ni не осаждается, а при высокой — выделяются основные соли Ni. При этом наблюдается обильное газовыделение на катоде и возрастание напряжения на ванне. Добавка 0,01—0,03 г/л  $\text{Na}_2\text{S}_2\text{O}_5$  в Ni-электролит, содержащий 0,04 г/л  $\text{CrO}_3$ , вызывает образование полосатых осадков и обильное газовыделение на аноде. При увеличении содержания  $\text{SO}_2$  до 0,20—0,25 г/л в области  $D$  0,5—1,4  $\text{а/дм}^2$  получают блестящие Ni-осадки, на аноде перестает выделяться  $\text{O}_2$  и  $\phi$  падает. При введении в электролит с добавкой  $\text{CrO}_3$  гидразинсульфата  $(\text{N}_2\text{H}_4)\text{SO}_4$  в кол-ве 0,06 г/л блестящие осадки Ni получаются до 0,5  $\text{а/дм}^2$ , а при большей  $D$  осадки получаются полосатые, загорелые или выделяются основные соли Ni, причем резко увеличивается  $\phi$ . При больших и меньших кол-вах  $(\text{N}_2\text{H}_4)\text{SO}_4$  блестящие осадки Ni не получаются ни при каких  $D$ . Для регенерации электролита, загрязненного  $\text{CrO}_3$ , рекомендуется введение 0,25 г/л  $\text{SO}_2$  в виде  $\text{Na}_2\text{S}_2\text{O}_5$  при pH 5,4 и выдерживание электролита в течение 5 час., после чего можно получать блестящие Ni-осадки при 1  $\text{а/дм}^2$  без перемешивания и при 1,5  $\text{а/дм}^2$  при перемешивании. З. С.

26260. Никелирование переменным током. Беляев П. П., Короленко Н. К., Филимонова Г. В. В кн.: Металлические покрытия в химическом машиностроении. (Всес. н.-и. и конструктор. ин-т хим. машиностр. сб. ст. 15), М., 1954, 150—167

Установлена возможность никелирования переменным 50-периодным током. В анодный полупериод через поры покрытия происходит растравливание стали. Покрытия обладают низкими защитными свойствами. Осаждение Ni на Cu быстро приостанавливается. При наличии стального электрода, контактированного с Cu, никелирование протекает непрерывно. Максим. выход по переменному току не превышает 12,5% по сравнению с никелированием постоянным током. В присутствии экранов выход по переменному току не превышает 0,8%. Скорость осаждения Ni при применении переменного тока в 30 раз меньше, а расход электроэнергии в 100 раз больше, чем в случае постоянного тока. Вследствие низких выходов по току, плохого качества покрытий, необходимости применения стальных экранов при покрытии Cu, отсутствия экономии в расходовании Cu на шины никелирование переменным током, по мнению авторов, не может быть рекомендовано. Е. З.

26261. Электролиты для блестящего никелирования. Сач (Bright nickel plating solutions. Such T. E.), Electroplat. and Metal Finish., 1955, 8, № 9, 308—315 (англ.)

Рассматриваются различные типы электролитов для блестящего и полублестящего никелирования, их преимущества и недостатки, в частности в отношении блеска, сглаживания, пластичности и напряженности осадков Ni. Описаны результаты наблюдения за изменением пластичности и внутренних напряжений Ni-осадков в процессе продолжительной работы производственного электролита блестящего никелирования как метода контроля его. З. С.

26262. Очистка осадков никеля. Ричардс (Notes on the peeling of nickel deposits. Richards Edmund T.), Meta Finishing, 1953, 51, № 5, 60—65 (англ.)



Рассматриваются загрязнения в электролите, являющиеся причинами отслаивания осадков. Предыдущее сообщение см. Р.Х.Хам, 1954, 18277. М. М. 26263. Электроосаждение хрома из растворов сульфата трехвалентного хрома. XIX. Электролизер для нанесения декоративных покрытий. Ёсида; XX. Экспериментальное исследование анодов из сплавов свинца. Ёсида, Хара, Араи; XXI. Влияние кобальта на окисление хрома на аноде; XXII. Определение оптимального материала анода. Ёсида; XXIII. Плотность и поверхностное натяжение стандартной ванны и скорость разложения мочевины. Ёсида, Каварада, Хара; XXIV. Потенциал, растворимость и отражательная способность электролитических осадков. Ёсида; XXV. Экспериментальное исследование растворов, содержащих некоторое количество хлоридов. Ёсида, Каварада, Хара; XXVI. Некоторые соображения о регулировании pH электролита Ёсида; XXVII. Вторичное испытание декоративного электроосаждения в укрупненном масштабе. Ёсида; XXVIII. Рентгенографическое исследование электролитических осадков хрома. Ёсида, Мацумото; XXIX. Исследование кривых катодной поляризации. Ёсида; XXX. Микроскопическое наблюдение и испытание пористости электролитических осадков. Ёсида, Оцука; XXXI. Энергия активации процесса разряда ионов металла. Ёсида (三價の硫酸鹽によるクロム電着の研究, 第19報, 裝飾用めっきの第1回工業化試験, 吉田忠, 第20報, 陽極用合金の探究, 吉田忠, 原熊三郎, 新井照男, 第21報) Cr<sup>3+</sup>の陽極酸化に及ぼすCoの影響, 第22報, 好適陽極材質の決定, 吉田忠, 第23報, 標準電着溶の密度, 表面張力並に尿素分解速度, 吉田忠, 瓦田陽一, 原熊三郎, 第24報, 電着溶の電位, 溶解性及び光度, 吉田忠, 第25報, 鹽素含有溶の検討, 吉田忠, 瓦田陽一, 原熊三郎, 第26報, 電着溶のpH値調節に関する知見, 第27報, 裝飾めっきの第2回大規模試験, 吉田忠, 第28報, X線および電子廻折による電着金屬の觀察, 吉田忠, 松本俊雄, 第29報, 陰極電流密度-電位曲線觀察, 吉田忠, 第30報, 電着面の顯微鏡的觀察ならびにジチオン法による有孔度試験, 吉田忠, 大塚弘昭, 第31報, 金屬イオン放電の活性化熱, 吉田忠 (工業化學雜誌), Koré kaku, J. Chem. Soc. Japan, Industr. Chem. Sec., 1953, 56, № 10, 735-737, № 11, 826-828, № 12, 912-914, 915-917, 57, № 1, 11-13, 13-15, № 2, 94-95, 95-97, 97-98, № 5, 360-362, № 10, 698-701, № 11, 791-794, № 12, 884-887 (япон.)

XIX. Было установлено, что использование магнетитовых анодов при электролизе в промышленных масштабах невыгодно, так как приводит к увеличению напряжения на ванне. Корректирование электролита производится путем добавки CrO<sub>3</sub> в ванну.

XX. С целью подбора наилучшего материала анода при электроосаждении Cr из р-ров Cr<sub>2</sub>(SO<sub>4</sub>)<sub>3</sub> исследованы сплавы Pb с Ag, Sn, Sb и магнетита. Показано, что добавка Ag к Pb даже в небольшом кол-ве (1%) сильно снижает потенциал анода и эффективно замедляет скорость образования PbO<sub>2</sub> при электролизе, а следовательно, и скорость окисления Cr<sup>3+</sup>. Добавка Ag к Pb в большем кол-ве вызывает сильную коррозию анода. Потенциал магнетитового анода не очень низкий, но окисление Cr<sup>3+</sup> почти отсутствует (это связано, по мнению автора, с восстановлением Cr<sup>6+</sup> образующимся на катоде Cr<sup>2+</sup>). По мере электролиза окисление анода возрастает. Аноды из сплавов Pb-Ag-Sn с небольшим содержанием Ag и Sn характеризуются большим окислением, а при увеличении содержания Ag и Sn — сильно корродируют. Добавка Sb к Pb-Ag менее эффективна в отношении снижения окисления Cr<sup>3+</sup>, чем Sn. Sb в кол-ве 2-3% способствует улучшению физ. свойств анода из сплава.

XXI. Исследовано влияние добавки Co в р-р и к анодам из Pb-сплавов на окислительные свойства и коррозионную устойчивость анодов. Показано, что добавка к электролиту небольшого кол-ва Co<sup>2+</sup> несколько уменьшает окисление Cr и улучшает поверхность электроосажденного Cr. При введении в сплав Pb-Ag-Sn небольшого кол-ва Co уменьшается потенциал анода и увеличивается выход по току кислорода. Рекомендуется использование анода из Pb-сплава, содержащего 4% Ag, 8% Sn и 0,5-2,5% Co, который обладает довольно высокой коррозионной стойкостью и сравнительно небольшим окислением.

XXII. Изучена работа анода из Pb-сплава, содержащего 4% Ag, 8% Sn и 2,5% Co, при хромировании из р-ров Cr<sup>3+</sup> в промышленном масштабе. Показано, что окисление Cr<sup>3+</sup> на аноде пропорционально площади его, причем увеличение площади анода возможно до соотношения к площади катода 4:1. Дальнейшее увеличение площади анода препятствует накоплению в р-ре некоторого кол-ва Cr<sup>6+</sup>, хотя при этом уменьшается напряжение на ванне. Применение анода из указанного выше сплава почти не влияет на выход по току Cr. Рекомендуется периодич. (1 раз в неделю) очистка анодов от бурого налета и фильтрация р-ра. Высказывается мнение, что изученный Pb-сплав является наиболее подходящим материалом для применения его в качестве анода при электроосаждении Cr.

XXIII. С целью контроля над р-ром для электроосаждения Cr измерены плотность и поверхностное натяжение стандартного р-ра: Cr<sub>2</sub>(SO<sub>4</sub>)<sub>3</sub> 0,5 M, (NH<sub>4</sub>)<sub>2</sub>SO<sub>4</sub> — насыщ. (3,2-3,3 M/l) и (NH<sub>4</sub>)<sub>2</sub>CO 4M/l, pH 2,3. При 40° плотность р-ра составляет 1,386 и поверхностное натяжение 79,5 дин/см<sup>2</sup>. Для определения расхода мочевины при хромировании из р-ров Cr<sup>3+</sup> исследовано разложение ее в электролите без тока и в процессе электролиза. Показано, что в состоянии покоя при 40 и 50° в течение 240 час. распад мочевины составляет соответственно 6,9 и 11,12%, а при непрерывном электролизе в течение 240 час. при плотности тока 1 а/л 22,9 и 21,5% (приблизительно). Согласно механизму разложения мочевины, больший распад ее во время электролиза объясняется окислением на аноде. Пополнение р-ра мочевиной нетрудно и не вызывает больших экономич. затрат.

XXIV. Исследован потенциал в 1%-ном р-ре NaCl, растворимость в 1 н. р-ре HCl (при 40°) и отражательная способность Cr-осадков, полученных из ванны сульфата 3-валентного хрома (Cr — I). Для сравнения приводятся аналогичные результаты для осадков из р-ра CrO<sub>3</sub> (Cr — II). Показано, что Cr — I имеет положительный потенциал, а Cr — II — отрицательный, причем различие между ними составляет 0,2-0,3 в. При увеличении времени нахождения Cr-осадка в р-ре NaCl потенциал его становится все более положительным. Автор отмечает, что растворимость Cr — I в р-ре HCl выше, чем Cr — II, несмотря на более положительный потенциал. Отражательная способность поверхности Cr — I составляет 30-40%, а Cr — II 60%.

XXV. С целью повышения электропроводности р-ров для электроосаждения Cr на основе Cr<sub>2</sub>(SO<sub>4</sub>)<sub>3</sub> исследована возможность замены части сульфат-ионов на хлориды. Состав и способ приготовления электролита описан в предыдущих докладах. Показано, что при замене 25-58% ионов SO<sub>4</sub> стандартного р-ра на эквивалентное кол-во ионов Cl<sup>-</sup> получаются хорошие Cr-осадки и процесс электроосаждения Cr происходит без помех в случае применения графитовых или магнетитовых анодов. Но на Pb-анодах вследствие их интенсивной коррозии возникает пленка, вызывающая возрастание напряжения на ванне и ухудшение качества катодного осадка. Выделения Cl<sub>2</sub> на аноде не происходит.

XXVI. Изучено состояние комплексных ионов в электролите при изменении pH р-ра  $\text{Cr}_2(\text{SO}_4)_3$ , а также способы регулирования pH при электроосаждении Cr из стандартного р-ра (на основе  $\text{Cr}_2(\text{SO}_4)_3$ ). Вследствие того, что при недостаточном кол-ве свободной к-ты в электролите изменяется состояние комплексных ионов Cr структура  $\text{Cr} - \text{OH} - \text{Cr} - \text{OH}$  изменяется на  $\text{Cr} - \text{O} - \text{Cr} - \text{O}$ , процесс электроосаждения Cr осложняется. Поскольку в процессе электролиза происходит подщелачивание электролита, последний рекомендуется периодически подкислять  $\text{H}_2\text{SO}_4$ ; причем после этого необходимо выдерживать электролит при нагревании достаточное время для установления равновесия комплексных ионов (в противном случае Cr-осадки имеют черные точки или полосы). При малом значении pH электролита добавляется  $(\text{NH}_4)_2\text{CO}_3$ . Применение  $\text{NH}_4\text{OH}$  для этой цели дает неблагоприятные результаты.

XXVII. Проведены испытания процесса декоративного хромирования из р-ров сульфата  $\text{Cr}^{3+}$  в полузаводском масштабе с использованием в качестве анода Pb-сплава. Показано, что напряжение на ванне не превышает 9—12 в и отсутствует тенденция к накоплению в ванне  $\text{Cr}^{6+}$ , независимо от соотношения площадей анода и катода. Пополнение электролита Cr производится добавлением расчетного кол-ва  $\text{CrO}_3$  и слабого р-ра  $\text{H}_2\text{O}_2$  при перемешивании, причем отмечается простота и дешевизна этого способа. Результаты длительного электролиза показали, что выход по току Cr можно довести до 80%.

XXVIII. Рентгенографическим методом исследована структура электролитич. Cr, полученного из стандартного р-ра (на основе  $\text{Cr}(\text{SO}_4)_3$ ), а также обычного электролитич. Cr из р-ра  $\text{CrO}_3$  и чистого Cr марки Кальбаум. Исследование методом дифракции рентгеновских лучей производилось через 2 месяца после получения образцов, а исследование методом просвечивания — непосредственно после электролиза. Показано, что электролитич. Cr из р-ра  $\text{Cr}^{3+}$  имеет объемноцентрированную куб. решетку независимо от режима электролиза и значительно большую ширину дифракционных линий по сравнению с обычным Cr. Параметры решетки для всех исследованных образцов Cr были одинаковы. Не обнаружено существенной разницы между размерами кристаллич. зерен осадка Cr из р-ра  $\text{Cr}^{3+}$  и  $\text{Cr}^{6+}$ .

XXIX. Исследована катодная поляризация Cr в зависимости от  $D$  тока при электроосаждении его из р-ров  $\text{Cr}_2(\text{SO}_4)_3$  и  $(\text{NH}_4)_2\text{SO}_4$ , содержащих мочевины и без нее. Поляризация измерялась компенсационным методом и снимались полярнограммы. Присутствие мочевины в р-ре делает катодный потенциал менее отрицательным в области низких  $D$  тока и более отрицательным для высоких  $D$  тока. Поляризационная кривая для р-ра, содержащего мочевины, дает две точки перегиба, а без мочевины кривая идет без перегибов. При введении в р-р небольшого кол-ва  $\text{CrO}_3$  также наблюдается перегиб на поляризационной кривой. Отмечается, что ввиду низких выходов по току Cr и возможности промежуточного восстановления вопрос о точках перегиба требует дальнейшего изучения.

XXX. Микроскопическим методом изучена поверхность Cr-покрытий, полученных из р-ров на основе  $\text{Cr}_2(\text{SO}_4)_3$  (I) и  $\text{CrO}_3$  (II). Поверхность Cr-осадков гладкая и имеет мелкокристаллич. структуру. Исследована пористость осадков методом определения кол-ва металла подкладки (Cu), переходящего в р-р NaCl (50 г/л при 25°). Показано, что пористость I больше чем II.

XXXI. На основании результатов исследования

процесса электроосаждения Cr из р-ров на основе  $\text{Cr}_2(\text{SO}_4)_3$  (поляризационные измерения и определение выходов по току) рассчитана теплота активации процесса разряда ионов  $\text{Cr}^{3+}$ . Расчет производился по ф-ле Айринга. Найдено, что теплота активации в р-рах  $\text{Cr}_2(\text{SO}_4)_3$  зеленого цвета с различным содержанием мочевины ( $0 \div 4$  м/л) почти не меняется и равна 23—27 ккал, в то время как в р-ре  $\text{CrO}_3$  она составляет 31—53 ккал (Rogers D. G., Butt A. A., J. Electrochem. Soc., 1950, 97, 92). Высказывается мнение, что мочевины не оказывают каталитич. действия на разряд ионов  $\text{Cr}^{3+}$  и что образования в р-ре комплексных ионов, содержащих мочевины, не происходит. Сообщение XVIII см. РЖХим, 1955, 46491. З. С.

26264. Применение технического хромирования для режущих инструментов. Жмхорекский (Zastosowanie chromowania technicznego do narzędzi skrawających. Zmihorski Edward), Mechanik, 1954, 27, № 3, 104—108 (польск.)

Рассмотрены причины увеличения прочности режущих инструментов при хромировании и его применение. С. Я.

26265. «Кристаллит» — защитно-декоративное покрытие металлов. Скобелев А., Промысловая кооперация, 1955, № 9, 32—34

«Кристаллит» — защитно-декоративное покрытие металлов — получен путем оплавления слоя Sn на поверхности изделия и покрытия проявившихся узоров нитролаками. Детали обезжиривают и покрывают слоем Sn в ванне состава (в г/л):  $\text{SnSO}_4$  50,  $\text{Na}_2\text{SO}_4$  50,  $\text{H}_2\text{SO}_4$  50—80, фенол 2—8, клей столярный 2—8 при 15—25°;  $D_k$  2—3 а/дм<sup>2</sup>, аноды Sn марки 01. Толщина слоя Sn на черных металлах 3—5 м. Оплавление производят при 300—400°. Я. Л.

26266. Анодный процесс при латунировании из роданистых комплексных электролитов. Дезидерьева Н. П., Тараш Н. Л., Уч. зап. Казанск. гос. ун-та, 1953, 112, № 4, 171—177

26267. Электроосаждение бронзы. Роз (Bronze plating. Rose K.), Mater. and Methods, 1955, 41, № 1, 100—101 (англ.)

Рассматриваются некоторые свойства покрытий из сплава Cu-Sn (от 50 до 90% Cu), получаемых из нитрофосфатных электролитов и их применение. З. С.

26268. Электроосаждение Sn-сплавов. Катбертсон (Electrodeposition of tin alloys. Cuthbertson J. W.), Industr. Finish. (London), 1954, 7, № 76, 176—183, 191 (англ.)

Описаны ванны для электроосаждения сплавов Sn-Ni и Sn-Zn, их свойства и применение. З. С.

26269. Электроосаждение сплава Pb-Sn-Sb. Патнам, Розер (Lead-tin-antimony plating. Putnam R. T., Roser E. J.), Plating, 1955, 42, № 9, 1133—1136 (англ.)

Покрытие из сплава состава (в %): Sn 11, Sb 7, Pb — остальное придает поверхности большую стойкость против эрозии и истирания, чем покрытия из сплавов Pb-Zn или Pb-Sn. Сплав осаждается из электролита состава (в г/л):  $\text{Pb}(\text{BF}_4)_2$  (как Pb) 100,  $\text{Sn}(\text{BF}_4)_2$  (как Sn) 30,  $\text{Sb}(\text{BF}_4)_2$  (как Sb) 6,  $\text{HBF}_4$  своб. 80,  $\text{H}_2\text{BO}_3$  25, гидрохинон 0,5 пентон 15; т-ра 25°,  $D_k = 4$  а/дм<sup>2</sup>, слабое перемешивание, аноды — сплав состава (в %): Sn 12, Pb — остальное. С увеличением конц-ии пентона в р-ре увеличивается содержание Sn в сплаве и уменьшается кол-во Sb. Увеличение конц-ии Pb в р-ре от 50 до 200 г/л привело к резкому уменьшению содержания Sn в сплаве и незначительному увеличению содержания Sb в сплаве. Увеличение конц-ии Sb в р-ре приводит к увеличению его содержания в сплаве, содержание Sb остается постоянным. Увеличение конц-ии Sb в р-ре приводит к увеличению содержания

Sb в осадке, кол-во Sn остается постоянным. При увеличении  $D_k$  кол-во Sn в сплаве увеличивается, а Sb — уменьшается, при перемешивании и увеличении т-ры — наоборот. Описаны методы контроля и корректировки электролита и технология нанесения покрытия.

Я. Л.

**26270. Анализ в гальваностегической промышленности. Лангфорд** (The analyst's function in the electroplating industry. Langford K. E.), Prod. Finishing, 1953, 6, № 11, 48—55 (англ.)

Рассматриваются основные методы хим. анализа р-ров, а также некоторые способы контроля качества электролитич. покрытий.

З. С.

**26271. Снятие Sn электролитическим путем. Чагас** (Desestanhamento electrolitico ensaios-piloto. Chagas R. Quette Manuel), Técnica, 1953, 28, № 231, 411—421 (порт.)

Описан способ снятия Sn с луженой жести путем анодного растворения в NaOH с последующим электролизом полученного р-ра. Процесс идет при  $D = 50-100 \text{ a/m}^2$ , напряжении 2,5 в, т-ре 55—60°. Ю. М.

**26272. Электролитические покрытия металлами для облегчения пайки мягкими припоями. Нанесение гальванических покрытий на Al и его сплавы. Холс** (Finishes for soft soldering. Electroplating aluminium and its alloys. Halls E. E.), Prod. Finishing, 1953, 6, № 5, 57—61, 112 (англ.)

Предыдущее сообщение см. РЖХим, 1954, 20520.

М. М.

**26273. Современный цех гальванических покрытий. Саймонс** (Modern electroplating plant. Simons W. N.), Metal Ind., 1955, 86, № 17, 333—338 (англ.)

Освещены вопросы, связанные с выбором материалов для изготовления аппаратуры гальванич. цехов, описано оборудование для предварительной обработки изделий, полировки, приведены данные по нагреву ванн. Дано описание автоматич. установок для гальванич. покрытий, в том числе для анодирования и для покрытий в барабанах.

Я. Л.

**26274. Фактор времени в операциях гальваностегии. Дьюган** (Time studies in electroplating operations. Dugan F. B.), Prod. Finishing, 1954, 7, № 11, 64—73 (англ.)

Рассматривается вопрос экономии и учета времени, затрачиваемого на различные операции гальванич. процессов, и описывается оптимальное с точки зрения времени размещение оборудования в гальванич. цехе с различными процессами.

З. С.

**26275. Получение титана путем электролиза фторидов. Стейнберг, Карлтон, Сайберт, Уэйнер** (Preparation of titanium by fluoride electrolysis. Steinberg M. A., Carlton S. S., Sibert M. E., Wainer E.), J. Electrochem. Soc., 1955, 102, № 6, 332—340 (англ.)

Кратко обсуждаются возможные методы получения металлич. Ti. Методом снятия кривых ( $I, V$ ) определено напряжение разложения  $K_2TiF_6$  (I) (1,8—2,0 в при 800°). Описан способ получения I высокой чистоты ( $H_2O < 0,01\%$ ,  $TiO_2 < 0,01\%$ ). Проводился электролиз смеси I с NaCl в графитовой ячейке в атмосфере Ar при плотностях тока от 50 до 750  $\text{a/dm}^2$ . Оптимальная конц-я I равна 15—17%. При повышении конц-и I до 25% выход по току падает с 45% до 22,4%. Миним. напряжение при электролизе — 2,6 в. При повышении напряжения до 10 в начинается осаждаться металлич. Na. Наибольший выход по току (52%) получается при  $D = 415-545 \text{ a/dm}^2$ , а наиболее подходящей формой катода является усеченный конус. Кривые зависимости выхода по току и по в-ву от т-ры имеют максимум при 740—780°. С понижением т-ры эффективность процесса падает вследствие повышения

вязкости расплава. С ростом т-ры часть Ti теряется в виде  $TiCl_4$ . Катодный осадок содержал 40—60% металла, вкрапленного в солевую матрицу. Основными примесями полученного Ti являются: Fe до 0,15%, Zr — 0,01%, Al — 0,03%, Mo — 0,14%, V — 0,2%. Присутствуют также Si, Mg, Mn, Cu, Ni, Pb, Ca, Cr. Предыдущее сообщение см. РЖХим, 1956, 500. Б. Л.

**26276 К. Основы гальваностегии. Т. I. Лайнер В. Н., Кудрявцев Н. Т.** Перев. с русс. (Podstawy galwanostegii. T. I. Lajner V. I., Kudrjavcev N. T. Tlum z rosyjsk. Warszawa, Panstw. Wydawn. Techn., 1955, 463 str., il., 48. 50 zł.) (польск.)

**26277 К. Гальванопластика в промышленности. Казначей Б. Я. М., Росгизместпром, 1955, 175 стр., с илл., 5 р.**

**26278 Д. Научение электрополировки серебра и цинка. Поиков А. Н., Автореф. дис. канд. хим. н., Ин-т физ. химии АН СССР, М., 1955**

**26279 Д. Электролитные процессы на свинцовом аноде и его коррозия при электролизе сернокислых растворов. Разина Н. Ф., Автореф. дис. канд. хим. н., Ин-т хим. н. АН КазССР, Алма-Ата, 1955**

**26280 П. Сепараторные пластины для аккумуляторов. Вильсон, Попнер** (Storage battery separators. Wilson Harland D., Popper Charles). Канад. пат. 482349, 29.04.53

Патентуется метод изготовления синтетич. сепараторов для аккумуляторных батарей, предусматривающий формование целлюлозных волокон в пористые листы средней толщины 0,8 мм и плотности 0,4—0,58  $\text{г/см}^3$ , пропитку листов составом, содержащим 15—65% диспергированного в воде фенол-формальдегида; частичную сушку листов и образование ребер; покрытие верхней поверхности смолитным составом и полимеризацию тепловой обработкой для придания сепараторным пластинам относительной жесткости.

Ю. С.

**26281 П. Электрофоретическое покрытие металлических деталей. Смит** (Electrophoretic coating of metal articles. Smith M. L.) [Mullard Radio Valve Co., Ltd]. Англ. пат. 716583, 6.10.54 [Prod. Finishing, 1954, 7, № 12, 100 (англ.)]

С целью замены ионов Na, вызывающих разрушение покрытия из  $Al_2O_3$ , на ионы H суспензию для покрытия обрабатывают ионообменной смолой (амберлит, цекарб).

Е. С.

**26282 П. Способ получения щелочных металлов. Гилберт** (Verfahren zur Herstellung von Alkalimetallen. Gilbert Harvey Nicholas) [E. I. du Pont de Nemours and Co.]. Пат. ФРГ 891027, 24.09.53 [Chem. Zbl., 1954, 125, № 8, 1820 (нем.)]

Электролизом водн. р-ра соли щел. металла на амальгамном катоде получают сплав щел. металла, который подвергают анодному растворению во второй стадии электролиза в ванне с расплавленным электролитом, при этом на твердом катоде вновь выделяется щел. металл.

В. З.

**26283 П. Электролизер (Astia elektrolyyttistä kennoa varten)** [Krebs & Co. A/S]. Фин. пат. 26760, 17.12.53

Патентуемый электролизер с Hg-катодом отличается тем, что в плоском дне его вдоль краев Hg-электрода размещены канавки с закругленными краями, причем объем Hg, помещающийся в канавках, незначителен по сравнению с общим объемом Hg-катода.

К. Г.

**26284 П. Электролизер с ртутным катодом. Кудо** (Electrolytic vat for mercury method. Kudo Hiroshi) [Noguchi Research Institute, Inc.]. Япон. пат. 4614, 16.09.53 [Chem. Abstrs, 1954, 48, № 18, 10464—19465 (англ.)]



Катод состоит из нескольких горизонтальных вращающихся цилиндров, расположенных в вертикальной плоскости и находящихся в контакте друг с другом. Поверхность цилиндров покрыта слоем Hg. Г. В.

**26285 П. Способ очистки ртути, применяемой в производстве хлора и щелочи по ртутиному методу.** Флек (Verfahren zur Reinigung des bei der Chlorkalkali-Elektrolyse nach dem Amalgam-Verfahren verwendeten Quecksilbers) [Krebs International Engineering Corp.] Швейц. пат. 28422, 16.05.53 [Chem. Abstr., 1954, 48, № 11, 6296 (англ.)]

В электролитич. ваннах с Hg-катодом, Hg очищается путем периодич. или непрерывного продавливания через шлаковые пористые фильтровальные плитки из керамики или металлокерамики с размером пор 0,015—0,04 мм. Содержание Fe в Hg может быть снижено до 0,0005%, а остаток на фильтре содержит 5% или более Fe. Ртуть из остатка регенерируется путем дистилляции или обработки к-той. Г. В.

**26286 П. Электролитическая ванна.** Андреасен (Electrolytic cells. Andreasen S. V.) [Power-Gas Corp., Ltd.] Англ. пат. 694506, 2.09.53 [J. Appl. Chem., 1954, 4, part 1, 33 (англ.)]

Патентуется электролитич. ванна, в которой анодное и катодное пространства сконструированы так, что образуют собой архимедову спираль. Катод собран из гладких полос, покрытых диафрагмой. Конструкция расположена в кожухе соответствующей формы. Сверху и снизу кожух закрыт металлич. пластинами с отверстиями для вывода  $Cl_2$  и вывода NaOH и соли. З. Д.

**26287 П. Электролитическая ванна для электролиза растворов хлоридов.** Силсби (Electrolytic cell for the electrolysis of brine. Silsby Christopher C.) [Diamond Alkali Co.] Пат. США 2666028, 12.01.54

Патентуется ванна для электролитич. получения хлора, состоящая из днища, установленного на нем стального катода (К) и крышки. АК представляет собой стальную раму, внутри которой расположена вторая рама, имеющая в стенках вертикальные пазы, к последним присоединены полные перфорированные элементы, покрытые диафрагмой. Элементы расположены параллельно друг другу и приходятся в промежутках между рядами вертикальных анодов. Внутренность катодных элементов через указанные выше пазы соединяется с пространством между внешней и внутренней рамами К. Внутренняя рама содержит в себе анолит, причем части ее, непокрытые диафрагмой, защищены от действия анолита и от тока изолирующим слоем. Электрич. ток подводится через верхний край внешней рамы К. З. Л.

**26288 П. Аппарат для разложения амальгам щелочных металлов.** Нора (Apparatus for the decomposition of alkali metal amalgam. Norga V. de) Англ. пат. 698204, 7.10.53 [J. Appl. Chem., 1954, part 2, 99 (англ.)]

Патентуется вертикальный аппарат, имеющий две горизонтальные перфорированные пластины из графита, железа или другого электропроводного неамальгирующегося материала, между которыми находятся кусочки графита. Амальгама вместе с водой вводится сверху, распределяется верхней пластиной и проходит через отверстия. Г. В.

**26289 П. Разложение амальгамы щелочных металлов.** Норгс (Decomposition of alkali metal amalgams. Norgs V. de) Австрал. пат. 156662, 10.06.54

Патентуемый вертикальный аппарат для разложения амальгам щел. металлов имеет верхнюю и нижнюю перфорированные плиты из графита, ферросилиция или другого электропроводного неамальгирующегося материала, между которыми расположена насадка из кусочков графита или другого контактного материала. Амальгама вводится в аппарат и распределяется верх-

ней перфорированной плитой. Для увеличения контактной поверхности между верхней и нижней перфорированными плитами располагается большое число дополнительных перфорированных плит (III) из электропроводного неамальгирующегося материала с размещением между III слоев из кусочков графита. При этом III монтируются так плотно к стенкам аппарата, чтобы все реагирующие жидкости проходили через отверстия в III и через графит или другой контактный материал между III. Г. В.

**26290 П. Процесс и аппарат для непрерывного производства водных растворов гидросульфита натрия из амальгамы натрия и газообразного  $SO_2$**  (Process and apparatus for the continuous production of aqueous solutions of sodium hydrosulphite from sodium amalgam and gaseous  $SO_2$ ) [Montecatini, Societe Generale Per l'Industria Mineraria E Chimica]. Инд. пат. 49197, 10.53 [J. Scient. and Industr. Res., 1953, 12, № 12, 574 (англ.)]

Патентуется процесс и аппарат для непрерывного произ-ва водн. р-ров  $Na_2S_2O_4$  из NaHg и  $SO_2$ , причем взаимодействие р-ра с амальгамой и абсорбция  $SO_2$  происходит на раздельных контактных поверхностях при быстром движении. Г. В.

**26291 П. Способ получения растворов надсернистой кислоты аммония.** Вуд, Кленнетт, Халленд (Förfaringssätt vid framställning av ammoniumsulfatlösningar. Wood W. S., Clennett G., Hülland H. L.) [Laporte Chemicals Ltd]. Швед. пат. 140184, 5.05.53

Патентуется электролитич. способ получения кислых р-ров  $(NH_4)_2S_2O_8$  из кислых р-ров  $(NH_4)_2SO_4$ . Кислый р-р  $(NH_4)_2SO_4$  подвергается электролизу с Pt-анодом и катодом, который заключен в пористую керамику, диафрагму (Д), имеющую такие размеры, что расстояние между катодом и внутренней поверхностью Д нигде не превышает 3 мм;  $D = 3-12 \text{ а/дм}^2$  поверхности Д, причем керамика Д изготовляется из пористого материала, обладающего такими свойствами, что просачивание воды через  $1 \text{ дм}^2$  поверхности Д колеблется в пределах 10—40 мл/мин. в том случае, когда Д наполнена жидкостью до рабочего уровня. Н. И.

**26292 П. Электролитический метод извлечения тория из монацитового песка.** Питцер (Electrolytic method of recovering thorium from monazite sand. Pitzer Edgar C.) [United States of America as represented by the United States Atomic Energy Commission]. Пат. США 2713554, 19.07.55

Патентуется процесс отделения Th от др. редкоземельных элементов (ДРЗ) путем электролиза водн. р-ра к-ты ( $H_2SO_4$ ), содержащего в основном ионы Th, ДРЗ и фосфат-ионы. pH р-ра  $\leq 0.5$ . Электроды — Pt, электролизер снабжен диафрагмой. Th осаждается в виде  $Th_3(PO_4)_4$ , ионы ДРЗ остаются в р-ре. Я. Л.

**26293 П. Анодирование алюминия** (Anodising aluminium.) [Hard Aluminium Surfaces Ltd]. Австрал. пат. 162854, 2.06.55

Патентуется процесс анодирования Al или его сплавов в электролите, содержащем  $H_2C_2O_4$  и (или)  $H_2SO_4$ , с целью получения сверхтвердой поверхности. Во время процесса на обрабатываемой поверхности поддерживается постоянная D, путем увеличения напряжения на ванне. Т-ра электролита поддерживается  $< 10^\circ$ , электролит движется относительно обрабатываемой поверхности со скоростью 3 м/мин. Я. Л.

**26294 П. Метод уплотнения анодных пленок на алюминии.** Бальма (Method of sealing anodized aluminum surfaces and article produced thereby. Balmas Frédéric). Пат. США 2698262, 28.12.54

Патентуемый метод уплотнения анодных покрытий на Al заключается в их обработке в разб. р-ре, состоя-

шем в основном из хлорированного дифенила, остается на покрытии после удаления р-рителя, и сушке обработанных таким способом покрытий при повышенной т-ре (до 120°).

**26295 П.** Нанесения гальванических покрытий на Al. Зелли (Electroplating on aluminum. Zelly Walter Gauntt) [Aluminum Co.]. Канад. пат. 490748, 24.02.53

Патентуется процесс предварительной обработки Al-изделий в щел. цинкатной ванне, содержащей один (или более) гидрат окиси металлов группы Fe в кол-ве 0,1—1,5 г/л и, по крайней мере, до 5 г тартрата на 1 г металла группы Fe. Иногда цинкатная ванна содержит 0,5—7,5 г/л  $\text{FeCl}_3$  и ~1—50 г тартрата на 1 г  $\text{FeCl}_3$ .

**26296 П.** Способ и устройство для получения проводящего слоя на непроводниках для последующего электроосаждения. Мюллер-Бралиц (Verfahren und Vorrichtung zum Elektrischleitmachen von nicht leitenden Gegenständen für die nachfolgende galvanische Metallisierung. Müller-Brallitz Erwin). Пат. ФРГ 904615, 22.02.54 [Metallwaren-Ind. und Galvanotechn., 1954, 45, № 5, 249—250 (нем.)]

Патентуемый способ состоит в возможно быстром однократном погружении деталей в жидкость, в которой растерта металлическая или графитовая пыль. Жидкость должна хорошо проникать во все рельефные части деталей и давать тончайшие слои. Металлич. частицы пыли благодаря адгезии остаются на поверхности, образуя проводящий слой. Для предотвращения осаждения металлич. пыли на дно сосуда жидкость во время погружения детали необходимо непрерывно взбалтывать.

**26297 П.** Ванна для блестящего меднения. Остров (Bright copper plating bath. Ostrow Barnett D.). Пат. США 2694677, 16.11.54

Блестящие Cu-покрытия получают из цианистых р-ров с добавкой 0,005 г/л Se в виде селенофенола, где валентность Se равна —2.

**26298 П.** Ванна для электролитического осаждения металлов. Фишер (Bad zur galvanischen Abscheidung von Metallen. Fischer Johannes) [Deutsche Gold- und Silber-Scheideanstalt vormals Roessler]. Пат. ФРГ 924489, 3.03.55

Патентуется ванна для получения блестящих электролитич. осадков Zn, Cd, Sn, Ag, Ni, Cu и ее сплавов, содержащая в качестве блескообразователей добавки растворимых продуктов конденсации мочевины, образующихся при р-ции обмена акролеина или его  $\alpha$ -замещ. соединений. Могут применяться азото- и углеродо-замещенные соединения мочевины с общей ф-лой:  $\text{H}_2\text{NC}(=\text{R})\text{NR}'\text{R}''$ , где R—кислород, сера или амин, R' и (или) R''—водород, алкил, алкенил, арил, аларкил, ацилы насыщ. или ненасыщ. к-т. Наиболее эффективны добавки, полученные при конденсации в присутствии гидроксилсодержащих соединений, в условиях, когда осаждение происходит из щел., особенно из цианистых ванн. Оптимальное кол-во добавки составляет 6—15 г/л для щел. ванн, в кислых ваннах оно меньше и может колебаться в широких пределах. В качестве блескообразователей могут применяться растворимые в воде и устойчивые в щелочах при т-ре до 70° полигликолевые сложные эфиры жирных к-т, содержащих 4—14 атомов C, в кол-ве 5—10 г/л, а также щел. ксантаты в кол-ве 0,05—0,2 г/л электролита. Рекомендуемые D возрастают с увеличением кол-ва добавки и лежат в пределах 1—2 а/дм<sup>2</sup> для кислых и 4—5 а/дм<sup>2</sup>—для щел. электролитов. Слабое перемещение электролита способствует улучшению блеска. Добавки действительны также и в случае периодич. изменения направления тока. Описана рецептура изготовления добавок. Приведены примерные составы медной

и цинковой цианистых ванн, а также медной и никелевой кислых ванн для получения блестящих покрытий.

**26299 П.** Блестящее никелирование. Кутцельнигг, Крамер (Glanznickelbäder. Kutzelnigg Artur, Cramer Friedrich) [Dr. Hesse & Cie]. Пат. ФРГ, 934081, 13.10.55

Патентуется добавка производных поливинила, хорошо растворимых в  $\text{H}_2\text{O}$ , в ванну для электроосаждения Ni в кол-ве от 50 мг/л (поливиниламин и поливинилпирролидон). В качестве солей, увеличивающих электропроводность р-ра, применяются соли Na и Mg. При работе с колокольными или барабанными ваннами других добавок не требуется, при работе с обычными ваннами требуется добавка стабилизаторов—бензосульфамида или бензоосульфамида.

**26300 П.** Процесс изготовления висмутовых сопротивлений. Франенко, Дево, Рейнвальд (Process of making bismuth resistances. Francisco Jaime Jose, Devaud Charles, Reinwald Oskar) [Voltohm Processes Ltd]. Пат. США 2712521, 5.07.55

Способ изготовления тонких Bi-сопротивлений отличается тем, что Bi осаждается электролитически на поверхность металла с меньшим потенциалом растворения, чем у Bi, на толщину  $\leq 2$  мкм. После электролиза Bi-слоя, полимеризованный смолой, и металлич. подкладка подвергаются растворению, при котором Bi отделяется в виде тонкого и равномерного сопротивления на изолирующей основе.

**26301 П.** Хромирование (Chromium plating) [United Chromium Inc.]. Австрал. пат. 162959, 2.06.55

Патентуется состав для приготовления ванн для хромирования с конц-ей  $\text{CrO}_3$  100—500 г/л. Состав содержит 72—97 вес. %  $\text{CrO}_3$  в свободном или связанном состоянии, некоторые кол-ва  $\text{SrSO}_4$  и  $\text{Na}_2\text{SiF}_6$  или  $\text{K}_2\text{SiF}_6$  в кол-вах, больших предела их растворимости в ванне. Состав содержит также растворимое соединение, не являющееся катализатором (соединение Sr, Na или K), в кол-ве, достаточном для уменьшения конц-и соединений, являющихся катализаторами. Последняя становится меньше, чем соответствующая насыщ. р-ру, но не падает до 0.

**26302 П.** Процесс электроосаждения хрома. Йосида (Procédé pour le dépôt électrolytique du chrome. Yoshida T.). Англ. пат. 1056407, 26.02.54 [Chem. Zbl., 1955, 126, № 1, 209 (нем.)]

Процесс электроосаждения Cr отличается составом электролита, содержащего (в г/л):  $\text{Cr}^{3+}$  41—73, мочевины 180—264,  $\text{NH}_4^+$  90—123,  $\text{SO}_4^{2-}$  в кол-ве, эквивалентном стехиометрич. конц-и катионов в р-ре. Ионы  $\text{NH}_4^+$  можно заменить на  $\text{Na}^+$  и  $\text{K}^+$ . Анод—сплав, содержащий (в %): Sn 4—12, Ag 1—10, Co 0,1—2,5 и Pb остальное. Т-ра 25—55°. В электролите образуются комплексные ионы Cr, из которых Cr выделяется на катоде без выделения газа.

**26303 П.** Комбинированный электролизер с колоколами и подвесками. Барр, Кнехт (Combination barrel and rack electroplating apparatus. Barr Solomon E., Knecht Cyrus I.) [Western Electric Co., Inc.]. Пат. США 2697689, 21.12.54

Патентуется ванна для гальванич. покрытий, представляющая собой открытый сверху бак, над которым расположена съемная рама, прикрепленная к баку во избежание ее бокового перемещения. На раме установлены попарно направляющие подшипники, в которых могут продольно перемещаться катодные штанги, расположенные вертикально. Ванна имеет анодную штангу, прикрепленную к раме между катодными штангами и параллельно им, а также анодные штанги, прикрепленные к баку и расположенные по обе стороны и па-

параллельно катодным штангам. Возвратно-поступательное движение катодных штанг осуществляется от мотора, вращающего горизонтально расположенный у одной из стенок бака приводной вал, к которому прикреплены пара кулачков, входящих в зацепление с катодными штангами с помощью пружинящих устройств.

Я. Л.

**26304 П. Способы повторной регенерации электролита для получения магния.** Бауэр, Бантин (Verfahren zur Wiederauffrischung des Elektrolyten bei der elektrolytischen Erzeugung von Magnesium. Bauer Erich, Bantien Hans) [Eigentum des Volkes] Пат. ГДР 4820, 21.11.53

Патентуются 4 варианта способа повторной регенерации электролита при электролитич. получении Mg из  $MgCl_2$ . 1. Электролит, обедненный по  $MgCl_2$  и содержащий соответствующие кол-ва хлоридов и фторидов щел. и (или) щел.-зем. металлов, после застывания и измельчения переводится вместе с  $MgCl_2$  (гидрат  $MgCl_2$ ) в р-р, где нерастворившаяся твердая смесь солей находится в равновесии с р-ром при комнатной т-ре. Далее смесь при постоянном перемешивании и взмучивании нагревается до 80—100° и после этого охлаждается. Нерастворимый остаток отделяется от маточника, осаживается от кристаллизационной воды и поступает на электролиз, а маточник используется для следующей операции. 2.  $MgCl_2$  применяется в виде насыщ. водн. р-ра и к выделенной из р-ра смеси солей добавляется  $CaCl_2$  до сушки и удаления кристаллизационной воды. 3. Обезвоживание солевой смеси, отделенной от маточника, осуществляется в присутствии определенных кол-в твердого  $NH_4Cl$ . 4. Солевая смесь, отделенная от маточника, смешивается с 10—25% твердого  $NH_4Cl$ . Смесь расплавляется и расплав, полученный таким путем, выдерживается при 500—600°. Получающаяся во время обезвоживания смесь паров сжимается и при этом выпаривается  $NH_4Cl$ , причем теплота сжатия применяется преимущественно для выпаривания р-ров  $NH_4Cl$ , которые образуются при сжатии.

К. Г.

**26305 П. Способ и приспособление против разбрызгивания электролита газом, выделяющимся из него при электролизе расплавов.** Хале, Хансли, Лафлин (Verfahren und Vorrichtung zur Verhinderung des Verspritzens des Elektrolyts durch aus diesem entweichendes Gas bei Schmelzflusselektrolysen. Hulse Robert Edwin, Hansley Virgil Leland, Laughlin Herman Gley n). Пат. ФРГ 899711, 14.12.53 [Z. Erzbergbau und Metallhüttenwesen, 1954, 7, № 3, 123 (нем.)] Патентуется способ и устройство, исключающее разбрызгивание электролита при электролизе расплавов.

И. Б.

**26306 П. Усовершенствования самообжигающихся анодов для производства алюминия.** Бушар (Perfectionnements aux électrodes auto-cuisantes, notamment aux anodes des fours d'électrolyse ignée. Boucard J.), Франц. пат. 1036135, 3.09.53 [Aluminium (Düsseldorf), 1955, 31, № 1, 28 (нем.)]

Патентуется анодный кожух, имеющий двойные стенки, пространство между которыми заполняется термоизоляционным материалом, напр. асбестом или кальцинированным глиноземом. Благодаря этому т-ра в масле анода распределяется более равномерно. Аноды должны быть подвешены на спец. винтовых, охлаждаемых изнутри, опорах из Cr-стали, которые не достигают наиболее горячих частей анода и вывинчиваются по мере срабатывания последнего. Подвод тока осуществляется стальными или, лучше, контактными Al-штангами. Отвод анодных газов осуществляется через вертикальные трубы из Al-жести, проходящие через анодную массу и установленные с таким расчетом, чтобы сокра-

тить путь СО из ванны и уменьшить образование  $CO_2$ . Трубы имеют поперечник 15÷30 см и присоединяются к отсасывающему трубопроводу.

О. К.

**26307 П. Способ изготовления электродной пасты** (Processes for manufacturing electrode paste) [Elektrometallurg. A/S]. Инд. пат. 49103, 10.53 [J. Scient. and Industr. Res., 1953, 12, № 12, 574 (англ.)]

Предварительно измельченный углеродистый материал обрабатывают на воздухе жидкостью, газом или пластмассой, смешанной со связующим.

В. Л.

См. также: Электроосаждение мет. 25274—25276. Электрохимия. произ-ва без выделения мет. 25262, 25265, 25293, 26127

## СИЛИКАТЫ. СТЕКЛО. КЕРАМИКА ВЯЖУЩИЕ МАТЕРИАЛЫ

**26308. Физическая химия силикатов.** Работы, опубликованные в 1954 г. Шрамке (Physikalische Chemie der Silikate. Veröffentlichungen des Jahres 1954. Schramke E.), Keram. Z., 1955, 7, № 9, 453—456 (нем.)

Обзор работ: по изучению структур природных силикатов, преимущественно глини монтмориллонитового ряда, K-, Na-полевых шпатов и литиевых минералов; о модификациях кварца, об искусств. выращивании кристаллов кварца; о структурах технич. силикатов.

С. Т.

**26309. Новое в области дифференциального термоанализа.** Леман (Neuere Entwicklungen auf dem Gebiete der Differentialthermoanalyse. Lehmann H.), Ber. Dtsch. keram. Ges., 1955, 32, № 6, 172—175 (нем.)

Описываются пути улучшения аппаратуры для дифференциального термич. анализа (ДТА). Для повышения точности измерения т-ры был использован вместо зеркального гальванометра безинерционный электронный усиливающий измерительный прибор. Подъем т-ры в печи и разница т-р  $\Delta T$  между опытным образцом и инертным в-вом измерялись посредством термозлемента с электронным усилителем с использованием двухлинейной автоматич. записи. Запись осуществлялась измерением термонапряжения посредством компенсации напряжения, причем в качестве компенсирующего напряжения служило напряжение по диагонали на мостике Уистона ( $R_1, R_2, R_3, R_4$ ). Для достижения большей точности в измерении т-ры применены NiCr-Ni-элементы с термонапряжением  $\sim 0,04$  мВ/град. Указывается, что диаметр проволоки термозлемента должен быть миним. 0,2 мм. Для хода кривой ДТА важно строго центрированное расположение спаев внутри образцов. Эти усовершенствования позволили получить хорошую постоянную нулевую линию и отчетливое разделение близлежащих эффектов, что особенно важно для колич. определений по диаграммам ДТА. При одинаковых условиях опытов получена хорошая воспроизводимость результатов.

Г. М.

**26310. Новый прибор для одновременной регистрации напряжений и температуры в системе эмаль — металл.** Лаукнер, Кук, Андрос (A new technique for simultaneous recording of strains and temperature in enamel-metal systems. Lauchner J. H., Cook R. L., Andrews A. I.), Amer. Ceram. Soc. Bull., 1955, 34, № 4, 105—108 (англ.)

Метод измерения напряжений заключается в том, что при нагревании образец отклоняется от первоначального положения и закрывает часть лучей, падающих на чувствительный фотоземлет. Изменение т-ры и отклонение образца автоматически записываются в прямоугольной системе координат.

В. Р.



**26311. Исследование адсорбции водяных паров на силикагеле для двойного остекления. Соломин Н. В., Ярцев В. Г., Тр. Всес. н.-и. ин-та стек-ла, 1955, № 35, 58—62**

Исследование адсорбции водяных паров обезвоженным силикагелем (окрашенным хлористым кобальтом в качестве индикатора влажности) марки КСМ показало, что этот материал является высококачественным и удобным в эксплуатации водопоглотителем для воздушных камер двойного остекления. Скорость перемещения влаги в силикагеле в зависимости от т-ры подчиняется экспонентному закону по аналогии с температурной зависимостью водяного пара, что позволяет предположить перенос влаги в теле в основном через газовую фазу. Для предотвращения попадания пыли силикагеля в воздушную камеру рекомендовано применять матерчатые фильтры в поглощающих устройствах. С. И.

**26312. Некоторые наблюдения по взаимодействию каолина с водой. I. Изучение влияния помола на каолинит при помощи термогравиметрического анализа. Грегг П. Влияние водопоглощения на прочность агрегатов каолинита. Доллимор, Грегг (Some observations on the interaction of kaolin and water. I. A study of the effect of grinding on kaolinite by thermogravimetric analysis. Gregg S. J. II. The effect of water adsorption on the strength of kaolinite compacts. Dollimore D., Gregg S. J.), Trans. Brit. Ceram. Soc., 1955, 54, № 5, 257—271 (англ.)**

Показано, что длительный сухой помол глины в шаровой мельнице приводит к расширению максимума на кривой  $\Delta P/\Delta t = f(t)$ , (где  $P$  — вес образца и  $t$  — т-ра), соответствующего удалению структурной воды. Общие же потери в весе не меняются. Автор связывает это с искажением решетки каолинита. Определение уд. поверхности в зависимости от длительности помола дает максимум при длительности помола (~500 час.). Это объясняется предположением, что одновременно происходят два процесса — разрушение частиц каолинита и агрегация образующихся обломков. Плотность материала уменьшается на 14% и не меняется после 500 час. помола. Растворение в кипящей HCl (к-та) согласуется с этим явлением. Рентгеноструктурный анализ показал, что с увеличением длительности помола линии на рентгенограммах размываются и после 1000 час. не различаются. Все это свидетельствует об искажении, но не о полном разрушении решетки каолинита. Проведено измерение прочности спрессованного каолина при определенной влажности окружающей среды, а также его уд. поверхности, и определены изотермы адсорбции влаги на этом материале. В результате было установлено, что при низких давлениях имеется зависимость между прочностью и кол-вом адсорбированной влаги, при высоких давлениях паров хорошее соответствие наблюдается между прочностью и уменьшением поверхностной энергии. Ни одна из этих зависимостей не выдерживается строго во всем интервале давления паров от 0 до давления насыщ. пара. В. Я.

**26313. К вопросу о механическом анализе. Осаждение малых частиц. Котеккия (A propos de l'analyse mécanique: Sédimentation des petites particules. Coteccchia Vicenzò), Silicates industr. 1953, 18, № 8, 327—331 (франц.)**

Аналитически исследованы ошибки седиментационного анализа полидисперсных систем в случае пипеточного метода, при котором предполагается, что все засасываемые частицы заключены в слое небольшой толщины, находящемся точно на глубине аспирации. Показано, что в то время как жидкость, засасываемая в пипетку, находится внутри сферы, описанной около кончика пипетки, частицы, попадающие в пипетку,

заключены внутри объема, названного «предельным объемом» (ПО). Найдено общее ур-ние «предельной кривой» (ПК), получающейся при пересечении ПО с плоскостью, проходящей через ось пипетки. По отдельным вычисленным точкам построены ПК для монодисперсных систем, состоящих из сферич. кварцевых частиц диам. 10—76  $\mu$  при засасывании 10 см<sup>3</sup> воды. суспензии в течение 10 сек. Показано, что ПК тем больше отклоняются от окружности, чем меньше скорость аспирации и чем больше диаметр частиц. ПО получается удлиненным и приплюснутым по сравнению со сферой. Для уменьшения ошибок опыта рекомендовано прибегать к наибольшей высоте оседания частиц (напр., 1 м) при наименьшем объеме засасываемой жидкости (> 5 см<sup>3</sup>). Часть I см. РЖХим, 1954, 48723. О. Я.

**26314. Новые способы обогащения стекольных песков за рубежом. Хюних (Neue Glassand-Veredelungsmethoden im Ausland. Hünlich Hans-Werner), Sprechsaal Keramik-Glas-Email, 1954, 87, № 1, 6—8 (нем.; резюме англ., франц.)**

Для песков, загрязненных глинистыми примесями, и зерна которых покрыты пленкой, применяется новый оттирочный метод обогащения. Оттирка производится как в скруббере (наклонный цилиндр с вращающимся валом), так и в спец. оттирочной машине, состоящей из ряда камер с вертикально расположенным вращающимся валом; иногда она сочетается с процессом измельчения в шаровой мельнице с кремневыми шарами в густой пульпе (40% воды). Последний способ используется при обогащении песчанников. В США используется также флотация для обогащения песков и флотация в сочетании с оттиркой (последняя предшествует флотации). На Калифорнийском з-де флотация производится в пневматич. машинах, среда при флотации кислая (pH-2,5). При флотации и оттирке содержание Fe<sub>2</sub>O<sub>3</sub> на Калифорнийском з-де было снижено с 0,15% до 0,02%. Изложен флотооттирочный метод обогащения, использованный для стекольных песков в СССР и приведенные данные опытов в США по обогащению стекольных песков различными способами, при этом показано, что содержание окислов железа может быть снижено на 90% при обогащении в некоторых случаях оттиркой и флотацией, в других — кислотой, флотацией и магнитной сепарацией и т. д. Для обезвоживания и сушки песка используются фильтрация, центрифугирование и вращающиеся сушильные барабаны и отмечена необходимость, для лучшего смещения, увлажнения песка. И. Ш.

**26315. Определение кальция в известково-натриевом стекле бесстружковым методом. Колобова К. К., Герасимова В. А., Науч.-техн. информ. бюл. Всес. н.-и. ин-та стекл. волокна, 1954, № 4, 21—24**

Описана методика определения Са в стеклах калориметрич. путем с помощью реактива стильбазо. Преимущества этого метода: Са определяется не косвенным, а прямым путем; устраняется надобность в выделении осадка. Длительность отдельного определения 25—30 мин; точность метода — в пределах 1—2%. С. И.

**26316. Измерение поверхностного натяжения стекол и глазурей. Кнапп, Катона (Üvegek és zomf-nok felületi feszültségének mérése. Knapp Oszkár, Katona Gábor), Építőanyag, 1955, 7, № 6, 231—234 (венг.)**

Кроме известных методов, статья знакомит с «методом висящей капли»: конец стеклянной палочки нагревают до тех пор, пока он не примет форму капли; капля фотографируется, точно измеряется ее максим. диаметр, диаметр стеклянной палочки. С помощью приведенной ф-лы и полученных данных можно рассчитать поверхностное натяжение. П. Д.

**26317. К проблеме закрепления образцов со стеклян-но-гладкой наружной поверхностью при испыта-**

нии их на растяжение. Искен (Zum Einspannproblem zylindrischer Zugproben mit glatter Oberfläche. Isken H.), Sprechsaal Keramik-Glas-Email, 1954, 87, № 19, 479—481 (нем.)

Рассматриваются различные способы закрепления образцов со стекловидной поверхностью в разрывной машине. Указывается, что наиболее надежные результаты получаются при использовании соответствующих конусообразных втулок. Образец закрепляется прочно во втулке с помощью спец. массы, главной составной частью которой является канифоль. Приводятся зависимости нагрузки на растяжение от соотношения канифоли, воска, клея и т. п. При таком методе испытаний на стеклянных штабиках диам. 30 мм разрушающая нагрузка достигала 7—8 т.

Г. М. 26318. Пластическая деформация монокристаллов керамических окислов. Уактман, Максуэлл (Plastic deformation of ceramic-oxide single crystals. Wachtman J. B., Jr., Maxwell L. H.), J. Amer. Ceram. Soc., 1954, 37, № 7, 291—299 (англ.)

Пластическая деформация имеет место у периклаза выше 1100°, у рутила выше 600° и у сапфира выше 900°. Эти т-ры приблизительно равны половине т-р плавления соответствующих окислов. В кварце вследствие его аллотропических превращений никаких деформаций не обнаружено. Изучение линий скольжения и изменения ориентации при деформации показало, что геометрия пластической деформации монокристаллов керамических окислов идентична геометрии металлов. В сапфире имеет место деформация скольжения по плоскости (0001) в направлении (1120). Кривые ползучести оказались трудно воспроизводимыми, но все кривые ползучести для сапфира при растяжении показали одинаковые качества. Особенности. Каждая кривая состоит из 3 стадий: увеличивающейся скорости ползучести, большой, но уменьшающейся скорости ползучести и стадии малой, но почти постоянной скорости ползучести. Измерения электросопротивления сапфира в зависимости от т-ры показали, что пластическая деформация при постоянной т-ре увеличивает электросопротивление.

А. Ч. 26319. Метод определения текучести отощенного шлам-отощителя. Вильямс (A unique method for checking flow of clay-grog slip. Williams Walter E.), Amer. Ceram. Soc. Bull., 1955, 34, № 1, 13—14 (англ.)

Отмечается малая пригодность вискозиметров и степеней для измерения текучести тяжелых шликеров, отощенных шлам-отощителем, вследствие значительного изменения размеров и формы частиц отощителя, и предлагается применять для этой цели ударный измеритель Ирвина, при работе с которым о текучести шликера судят по диаметру растекавшегося при падении определенного кол-ва шликера. Приведены результаты испытания двух шликеров.

М. К. 26320. Физические основания нового метода тепловых измерений. Барский Ю. П., Тр. Всес. н.-и. ин-та строят. керамики, 1953, № 8, 143—166

Для определения кол-ва тепла, поглощаемого и отдаваемого керамич. сырьем и изделиями при обжиге и охлаждении, использован прибор с дифференциальной записью. В этой установке осуществляется контроль над кол-вом поступающего в образец тепла путем измерения градиента т-ры на некоторой эталонной диатермич. оболочке, окружающей исследуемое в-во. Испытуемый образец в тигле помещается в замкнутый металлич. или огнеупорный контейнер, внутренняя стенка которого выложена слоем материала с малой теплопроводностью. Разность между т-рами внешней и внутренней сторон слоя измеряется при помощи дифференциальной термодины. Т-ра образца измеряется

отдельной простой термодарой, спай которой погружается в исследуемое в-во. Контейнер с образцом помещается в печь, т-ра которой регулируется в зависимости от принятого способа проведения нагрева. Обе термодары присоединяются к регулирующему и регистрирующему устройствам.

В. Д. 26321. Керамические сырьевые материалы Раджастана. Сети, Свами (Ceramic raw materials of Rajasthan. Sethi M. L., Swami P. D.), Centr. Glass and Ceram. Res. Inst. Bull., 1955, 2, № 1, 13—27 (англ.)

Приводятся основные характеристики наиболее важных для керамич. произ-ва сырьевых материалов, их хим. составы и запасы, а также указываются другие районы Индии, где эти материалы добываются.

Г. М. 26322. Английский каолин как сырье для изготовления фарфора. Шмидт (China Clay als Rohstoff für die Porzellanherstellung. Schmidt Friedrich), Sprechsaal Keramik-Glas-Email, 1955, 88, № 20, 450—451 (нем.)

Высокая белизна и просвечиваемость фарфора, изготовленного с английским каолином, объясняется меньшим по сравнению с цейтлицким каолином содержанием в нем окрашивающих окислов  $Fe_2O_3$  и  $TiO_2$  и меньшей дисперсностью, благодаря чему при обжиге фарфора кристаллы муллита образуются в меньшем кол-ве, отчего происходит меньшее рассеивание света. Кроме того, английский каолин содержит в своем составе полевой шпат 7—11%, что также способствует просвечиваемости фарфора. Приводятся состав 3 разновидностей английского каолина и области их применения.

С. Т. 26323. Особенная огнеупорная глина в долине Гаронны. Шаррен (Une argile réfractaire toute particulière dans le Lotet-Garonne. Charrin V.), Chaleur et ind., 1955, 36, № 361, 263—264 (франц.)

Приводятся состав и описание глины, особенностью которой является отсутствие пластичных свойств и распад при обжиге на зерна разной величины: 15% 1—3 мм, 20% 3—10 мм и 65% свыше 10 мм. Эта особенность объясняется наличием в глине зерен кварца в 0.2—1 мм в кол-ве 8—10%.

С. Т. 26324. Определение необходимого количества отощителей по величине набухания глины. Беренштейн П. И., Стекло и керамика, 1955, № 8, 20—23

Предложен метод определения кол-ва отощителей по величине набухания глины. На приборе Васильева определяется величина набухания глины, обладающей хорошими сушильными свойствами (стандартная глина). Затем определяют величину набухания исследуемой глины при возрастающей добавке отощителя. Кол-во отощителя, соответствующее той же величине набухания, что и у стандартной глины, принимается за необходимое. По величине набухания можно также определять засоренность глины песком и кол-во отощителей в массе. Метод проверен на одиновской глине (коэфф. чувствительности к сухке  $K_q = 1,26$ ) и гороблагодатской ( $K_q = 3,36$ ). В качестве стандартной использована новобухмутская глина ( $K_q = 0,62$ ).

М. К. 26325. Интенсивная подготовка грубокерамических масс. Зигмунд (Îmbunătățirea preparării maselor argiloase pe cale artificială pentru amestecul ceramic. Siegmund H.), Bul. docum. Mater. de constr., 1954, № 12, 50—57 (рум.)

См. РЖХим, 1955, 19431.

26326. Органическое вещество в глинах. Уорралл, Грин (The organic matter in ball clays. Worrall W. E., Green C. V.), Trans. Brit. Ceram. Soc., 1953, 52, № 10, 528—553 (англ.)

Рассматривается влияние лигнина на физ. свойства глин и каолинов. Гумусовая к-та обладает свойствами защитного коллоида и повышает прочность глины. Лигнин не оказывает существенного влияния на колл. свойства глины. Э. Ф.

**26327. Физические и химические основы возникновения полевых шпат. Вольф** (Feldspat-Entstehung. Physikalische und chemische Grundlagen. Wolf Herbert), *Keram. Z.*, 1954, 6, № 2, 73—74 (нем.)

**26328. Исследование синтетических слюд в Японии. Нода** (Synthetic mica research in Japan. Noda Tokiti), *J. Amer. Ceram. Soc.*, 1955, 38, № 4, 147—152 (англ.)

Синтезированы различные типы слюд. Приводятся результаты определения т-ры кристаллизации и интервала роста фторофлогонита (Ф) из расплава, а также изоморфизма различных типов синтетич. слюд, их хим. составов, размеров кристаллов, показателей преломления, электрич. свойств, теплоты кристаллизации и т-ры кристаллизации. Установлено, что наиболее характерная разница между синтетич. и естественной слюдой заключается в высокой термич. стабильности синтетич. слюды. Ф практически не выделяет газа при 800° в высоком вакууме. Четырехфтористый Si и небольшое кол-во К были обнаружены в газовом потоке, когда Ф нагревался в потоке сухого воздуха в трубке из плавленного кремнезема; фтористый водород был обнаружен, когда Ф нагревался в потоке влажного воздуха. Диэлектрич. проницаемость нагреваемого Ф 6,1 при частоте 1 Мгц. Замещение К во Ф другими щел. или щел.-зем. ионами незначительно влияет на диэлектрич. проницаемость. Угол диэлектрич. потерь для чистого Ф при комнатной т-ре 20—30·10<sup>-4</sup> при 0,5—10 Мгц, в то же время эта характеристика изменяется для этих кристаллов с плотно прилегающим стеклом от 30 до 100·10<sup>-4</sup> в том же интервале частот. Электрич. свойства синтетич. слюды лучше таковых природной слюды. Благодаря своей высокой термич. устойчивости порошок синтетич. слюды может быть связан стеклом, имеющим т-ру размягчения выше таковой у стекла, используемого для связывания природных продуктов слюды в слюдную керамику. На этой основе стекла с низким фактором мощности или высокой прочностью могут быть использованы для связывания слюды. Напр., 3 ч. порошка нормального Ф смешиваются с 2 ч. стекла следующего состава (в %): SiO<sub>2</sub> 45, PbO 45, Na<sub>2</sub>O 6, K<sub>2</sub>O 3, (Al<sub>2</sub>O<sub>3</sub> + Fe<sub>2</sub>O<sub>3</sub> + CaO) 1. Смесь прессуется в стальной форме при т-ре ниже 500°. Прессованные образцы обжигаются до спекания при 700°. Изготовленные образцы были плотными с углом диэлектрич. потерь 10·10<sup>-4</sup> при 10 Мгц. Г. М.

**26329. Графит — сырьевой материал для керамики. Маджумдар** (Graphite — a ceramic raw material. Majumdar K. K.), *Trans. Indian Ceram. Soc.*, 1955, 14, № 1, 16—19 (англ.)

Из трех природных разновидностей графита только чешуйчатый графит нашел применение в произ-ве тиглей и других огнеупорных изделий. Приводятся данные по добыче и использованию графита в Индии. Автор исследовал чешуйчатый графит ряда индийских месторождений и установил его пригодность для изготовления тиглей. Оптимальные размеры частиц графита для тиглей следующие: — 12 меш + 25 меш; — 25 меш + 50 меш; присутствие частиц < 50 меш нежелательно. Усовершенствован метод определения примесей, основанный на принципе их сгорания при низких т-рах, когда графит еще сопротивляется окислению. Графит для тиглей должен легко увлажняться, поэтому его предварительно следует обжигать при 1000° в отсутствии воздуха. Тепловая обработка улучшает поверхность графита. Г. М.

**26330. Нефелиновый сиенит.** — (Nepheline syenite.)

*Canad. Chem. Process.* 1955, 39, № 6, 36—38 (англ.)  
Приводятся данные о добыче, обогащении и свойствах нефелинового сиенита с Голубой горы округа Онтарио. Этот сиенит представляет собою изверженную породу белого цвета, напоминающую по текстуре гранит и состоящую (в %): альбита 50, ортоклаза 25, нефелина 25, к которым добавляют железосодержащие минералы, главным образом магнетит и биотитовая слюда. После грубого дробления нефелиновый сиенит мелется до величины частиц в 2—3 м. Железосодержащие минералы извлекаются мощной магнитной сепарацией до остаточного содержания Fe<sub>2</sub>O<sub>3</sub> в продукте 0,08%. С. Т.

**26331. Стеклообразователи. Винтер** (Les formateurs des verres. Winter Aniuta, m-m-e), *C. r. Acad. sci.*, 1955, 240, № 1, 73—75 (франц.)

Склонность элемента или соединения к образованию стекла определяется строением внешней электронной оболочки атомов, поэтому можно ожидать периодич. изменения способности к стеклообразованию в зависимости от атомного номера. Это подтверждается рассмотрением известных стеклообразных в-в. Все элементы VI группы, за исключением Po, для которого не хватает данных, образуют стекла; их внешние электронные оболочки s<sup>2</sup>p<sup>4</sup>. Большая часть сложных стекол содержит один или несколько элементов VI группы. Элементы V, IV и III групп (электронные оболочки s<sup>2</sup>p<sup>3</sup>, s<sup>2</sup>p<sup>2</sup>, s<sup>2</sup>p) образуют бинарные стекла с VI группой. Существуют сложные стекла, образованные исключительно элементами VI группы. Стекла, не содержащие элементов VI группы, содержат один или несколько элементов VII группы (электронная оболочка s<sup>2</sup>p<sup>5</sup>) в сочетании с элементами V, IV, III и II групп, а также с переходными элементами. Неизвестно ни одного стеклообразного в-ва, образованного элементами I группы. Сделаны следующие выводы. Стеклообразные в-ва разделяются на два вида: 1) состоящие из атомов, имеющих во внешней элементарной оболочке четыре p-электрона, эти в-ва обладают преимущественной склонностью к стеклообразованию; 2) состоящие из атомов с другим числом p-электронов. В этом случае каркас стекла не может содержать атомы с одинаковым числом p-электронов — одни из них должны содержать по крайней мере один электрон. Элементы II и переходной групп входят в каркас в возбужденном состоянии. Для эксперим. проверки этих правил автором был синтезирован ряд стеклообразных соединений, приведенный в таблице. С. Д.

**26332. Новый завод. Новая техника в производстве стекла.** — (New plant, new technique aid glass production.), *Amer. Glass Rev.*, 1955, 74, № 11, 16—17 (англ.)

Дано описание нового з-да фирмы братьев Келли. Завод имеет центральную станцию для приготовления лабораторно контролируемого синтетич. песка, систему вентиляции и контроля пыли, автоматич. отжигательную печь и другие устройства, позволяющие увеличить производительность на 35%. Н. П.

**26333. Новые исследования по осветлению стекла. Кораньи** (Újabb vizsgálatok üvegek tisztulására vonatkozólag. Korányi György), *Építőanyag*, 1954, 6, № 9, 317—321 (венг.)

**26334. Из истории стекольного производства. Штейн** (Die Brüder Siemens und das Glas. Stein Günther), *Glastechn. Ber.*, 1954, 27, № 12, 449—456 (нем.)

Отмечаются производственные и научные работы братьев Сименс в области теплотехники и технологии стекла. Библ. 130 назв. С. И.

**26335. Из истории венгерской стекольной промышленности. Шагхейн** (A magyar üvegyar törté-



netéböl. S á g h e l y i L a j o s), É p i t b a n y a g, 1955, 7, № 7, 270—275 (венг.)

**26336. Метод измерения вязкости стекла вискозиметром.** Тид (Viscometer for measuring glass viscosity by means of flow through an orifice. T i e d e R. L.), J. Amer. Ceram. Soc., 1955, 38, № 5, 183—186 (англ.)

Описывается метод, позволяющий определить вязкость стекла, которое может быть вытянуто через отверстие в единицу времени, в области 100—450 *пуаз* посредством соотношения между т-рой и кол-вом стекла в форме нити. Результаты эксперимента сравниваются с результатами избранного стандартного стекла. Метод позволяет быстро и точно измерять вязкость в указанной температурной области.

**26337. Расчет температурных полей в стекле и форме, возникающих при прессформовании стеклянной пластины.** Белобородова Т. И., Тр. Всес. н.-и. ин-та стекла, 1955, № 35, 124—142

Расчет выполнен с помощью гидростатич. интегратора. В результате расчета найдено, что форма делится на две зоны с различными температурными режимами. В первой из них т-ра периодически меняется со временем (аккумулирующая зона; ее толщина называется глубиной проникновения тепловой волны). Вторая зона является зоной стационарного режима: т-ра каждой ее точки не меняется со временем, а распределение т-р по толщине представляется прямой линией. Показано, что при неизменных ритме работы и физ. свойствах стекла глубина проникновения тепловой волны не зависит от толщины формы и условий ее охлаждения. С увеличением толщины формы при прочих равных условиях т-ра ее формирующей поверхности возрастает, таким образом стационарная зона играет роль тепловой изоляции. Для стекол определенных составов, напр. для свинцового стекла, амплитуда температурных колебаний на рабочей поверхности формы зависит не только от толщины формы, но также от условий ее охлаждения. Получена ф-ла, выражающая зависимость наибольших т-р формирующих поверхностей и т-ры холодной поверхности зерна от интенсивности охлаждения. Приведены результаты расчета температурных полей в стекле при различных режимах формования. Приведен тепловой баланс системы «кern — стекло — поддон» для одного из рассмотренных режимов прессформования. Отдельные части баланса практически не зависят от толщины формы. Ошибка при расчете не превышает 3,7%. Показано, что с помощью метода подобия результаты расчета можно распространить на случаи, когда параметры процесса прессформования отличны от расчетных.

**26338. Определение алюминия в известково-натриевом стекле бесстружковым методом.** Колобова К. К., Герасимова В. А., Науч.-техн. инф. бюл. Всес. н.-и. ин-та стекл. волокна, 1954, № 4, 16—20

Для определения Al в стекле бесстружковым методом проводились опыты с применением реактива стильбазо, быстро реагирующего с Al. Экспериментально были подобраны условия определения: кол-ва р-ра, кислотности и кол-ва буферного р-ра, кол-ва реактива стильбазо. Исследования показали, что наиболее отчетливая окраска получается при введении 4 капель 0,01%-ного р-ра стильбазо; в случае присутствия Al в кол-ве > 1% рекомендуется увеличить кол-во реактива. Указаны оптимальные условия и описана методика определения. Длительность одного определения 25—30 мин, точность определения Al вполне удовлетворяет требованиям произ-ва (разница между весовым и бесстружковым методом 0,02—0,07% для стекол разного состава).

**26339. Окрашенность титановых стекол.** Варгин В. В., Докл. АН СССР, 1955, 103, № 1, 105—106

При введении в состав стекол  $TiO_2$  они приобретают желтую окраску, интенсивность которой увеличивается с содержанием этого компонента. Установлено, что желтая окраска титаносодержащих стекол (ТС) обусловлена наличием в них закиси железа, которая изменяет голубую окраску, сообщаемую силикатным стеклам  $TiO_2$ , на весьма интенсивную желтую. Резкое изменение спектрального поглощения закиси железа в ТС обусловлено, повидимому, большей поляризующей способностью иона Ti, что способствует переходу группы двухвалентного железа  $[FeO_4]$ , окрашивающей в голубой цвет, в группу  $[FeO_4]^-$  окрашивающую в желтый цвет. Для получения в производственных условиях неокрашенных ТС необходимо применять сырьевые материалы, свободные по возможности от соединений железа, и проводить варку в окислительных условиях.

**26340. Методы измерения степени обесцвечивания стекла.** Кумар, Прасад (Methods for measurement of decolourization of glass. K u m a r S., P r a s a d S. N.), J. Scient. and Industr. Res., 1955, (B — C) 14, № 2, B63 — B72 (англ.)

Спектрофотометрически измерялась степень обесцвечивания железосодержащих стекол перекисью марганца или смесью  $As_2O_3$ ,  $NaNO_3$ , Se,  $Co_2O_3$ . Эта смесь дает лучшие результаты, чем  $MnO_2$ . Оптимальное потребное кол-во Se в сочетании с  $As_2O_3$  (0,1%) и  $NaNO_3$  (2%) для обесцвечивания стекла, содержащего 0,11%  $Fe_2O_3$ , составляет 3% от кол-ва  $Fe_2O_3$ . Когда кол-во Se берется меньше, то температурной обработкой можно получить удовлетворительные результаты по обесцвечиванию, при больших же кол-вах Se результаты получаются неудовлетворительными. Описанные методы определения степени обесцвечивания стекла рекомендуются для контроля качества стекла в произ-ве.

**26341. Ирризация.** Бахтияр (Irisování I. B a x t i j a k Stanislav), Sklář a keramik, 1955, 5, № 9, 195—197 (чеш.)

Ирризация стекла достигается действием паров солей металлов (особенно  $SnCl_2$ ) либо обжигом наносимого слоя резинатов металлов, либо восстановлением на поверхности стекла солей металлов (особенно Cu и Ag). Для ирризации более пригодны стекла с низкой хим. стойкостью. Скорость протекания процесса тем выше, чем выше т-ра. При ирризации парами солей металлов применяются три вида процессов: 1) парами солей, 2) тонким туманом, 3) самоирризацией парами, выделяемыми самим изделием.

**26342. Исследование окрашивающих центров стекла.** Ёкота (ガラスの着色中心の研究. 横田良助), 東芝レビュー, Тосhiba рэбю, Toshiba Rev., 1954, 9, № 11, 1086—1096 (япон.; рез. англ.)

Исследовано обесцвечивание чистых щелочно-силикатных и борных стекол под действием рентгеновского облучения. Установлено существование кислородных дефектов структуры, соседних щел. ионам, и дефектов щел. ионов, соседних кислороду, и что 1-е захватывают электрон, а 2-е образуют дырку. Показано, что стекла, приготовленные в окислительной, нейтр. или восстановительной атмосфере, отличаются по относительному числу дефектов и по пропусканию в УФ-области. В стеклах, которые содержат как щел., так и щел.-зем. ионы, число кислородных дефектов структуры соседних щел.-зем. ионам и дефектов щел.-зем. ионов соседних кислороду исчезающе мало по сравнению с соответствующими дефектами в области щел. ион — кислород. Распределение центров захвата в кварце и плавном кварце изучено путем исследования термич.

люминесценции. Также установлено различие в структуре отожженного и закаленного стекла.

**Н. П. 26343. Новые достижения в медно-серебряном окрашивании натриевокальциевых стекол.** Леви (New developments in copper-silver stains for soda-lime glass. Levi O. S., Amer. Ceram. Soc. Bull., 1955, 34, № 4, 119—121 (англ.))

Описано исследование факторов, влияющих на желтую окраску обычных стекол под действием серебряных и медных солей. Комбинация медных, серебряных и цинковых солей с ионом хлора вызывает интенсивную окраску содо-известковых стекол в желтый, зеленый или красный цвет. Указаны относительные кол-ва красящих компонентов для получения того или иного цвета.

**Н. П. 26344. Золочение стекол.** Вогринц (Die Herstellung von Goldspiegeln auf Glas. Wogrinz A., Prakt. Chem., 1954, 5, № 10, 230—231 (нем.))

Приведена рецептура приготвления солей Au, применяемых для золочения зеркал, бус и трубок, и дано краткое описание процесса золочения.

**С. И. 26345. Изучение при помощи электронного микроскопа процесса полировки стекла.** Брюхе, Ноппа (Elektronenmikroskopische Studie zum Polieren von Glas. Bruche Ernst, Porra Helmut), Silikattechnik, 1955, 6, № 9, 378—384 (нем.)

Предметом электронного микроскопа изучались явления пластич. деформации при «оптич.» (окись Zr со смолы) и «технич.» (крокус с войлоком) полировке стекла, а также при полировке металлов. При переходе к очень малым электронномикроскопич. величинам фактически исчезает различие между пластич. свойствами стекла и металлов, так как при этом имеют место давления, измеряемые тысячами атмосфер; так, напр., алмазный карандаш с диаметром острия 0,8 мк, оказывает на стекло давл.  $\sim 5000 \text{ кг/см}^2$ , что соответствует порядку прочности хим. связи в стекле; при этом стекло ведет себя как пластичный материал аналогично металлу. Это подтверждается также электронномикроскопич. снимками стекла и металла на различных стадиях шлифовки и полировки. Разработанная советскими учеными (Гребенников, Качалов) хим. теория полировки стекла согласуется с механич. представлениями Рэя — Бейлби о пластичном поверхностном слое в полируемом стекле; обе точки зрения представляются необходимыми для получения полной картины процесса полировки.

**С. И. 26346. Опасиметрия и другие методы испытания поверхности шлифованного стекла.** Буржо (L'opacimétrie et les méthodes d'examen des surfaces de verre doux. Bourgeois, Silicates industr., 1955, 20, № 2, 66—72, № 3, 106—110 (франц.))

Опасиметрический метод испытания поверхности шлифованного стекла основан на получении точного отпечатка профиля поверхности и последующего фотометрирования этого отпечатка. На шлифованную поверхность стекла, отполированного с противоположной стороны, наносится в нагретом состоянии непрозрачный термопластичный стеклообразный материал (напр. смола), на который накладывается покровное стекло. По изменению степени помутнения слоя смолы, заключенной между покровным стеклом и шлифованной поверхностью, можно судить о профиле последней, если известна зависимость светопоглощения от толщины стекла. Для получения диаграммы помутнения приготвленный таким образом образец освещают и увеличенное в 100 раз изображение отбрасывают на экран, перед которым помещают фотоэлемент с регистрирующим фотометром; впадины и выпуклости на шлифованной поверхности дают различные оттенки серого цвета, соответствующие изменению тол-

щины слоя смолы. Дан краткий обзор применяемых методов испытания шлифованной поверхности стекла (метод Престона, метод Френча и Рэя, метод определения износа на микромашине, метод Ланге). Показано, что каждый из этих методов, взятый в отдельности, не дает точных сведений об изменении поверхности стекла при процессах его шлифовки и полировки. Применение опасиметрич. метода в сочетании с методом Ланге (основанным на измерении кол-ва света, отраженного от поверхности стекла) позволяет следить с практически достаточной степенью точности за процессом шлифовки стекла и установить систематич. производственный контроль этого процесса.

**С. И. 26347. Изображение температурно-временной зависимости явлений последствия у стекол и расчет температурного коэффициента свободного от последствия модуля упругости «остова» стекла.** Рётгер (Darstellung der Temperatur-Zeitabhängigkeit der Nachwirkungserscheinungen bei Gläsern und Berechnung des Temperaturkoeffizienten für den nachwirkungsfreien Elastizitätsmodul des «Glasgerüsts». Rötger Helmut), Silikattechnik, 1955, 6, № 8, 326—331 (нем.)

Для описания температурной зависимости времени релаксации напряжений в стекле вводится новая величина R, «константа релаксации», не имеющая размерности; численное значение этой величины ( $\sim 30$ —40) является характерным для данного сорта стекла. R показывает во сколько раз относительное изменение времени релаксации больше относительного изменения  $t$ -ры  $K^\circ$ . Чем больше R, тем больше подвижность частиц при явлениях последствия. Приведены ф-лы для расчета R и дан пример их применения. В исследованной области  $t$ -р (от  $-180$  до  $+220^\circ$ ) величина R остается практически постоянной, напр. для стекла 17Ш R = 40,5. Показана возможность эксперим. определения температурной зависимости модуля упругости «остова» стекла (не зависящего от времени нагружения).

**С. И. 26348. Исследование поверхностей излома опалового стекла с помощью электронного микроскопа.** Керкхоф, Зелигер, Вестфаль (Elektronenmikroskopische Untersuchungen an Opakglasbruchflächen. Kerkhof Frank, Seeliger Robert, Westphal Walter), Glastechn. Ber., 1955, 28, № 7, 262—264 (нем.)

Исследовались поверхности излома опалового стекла. Ставилась задача: выяснить, протекают ли в стекле при такого рода изломах какие-либо процессы пластич. характера. С поверхностей излома делались коллоидные отпечатки, на которые направлялись затем под острым углом к их поверхности пары окиси W; обработанные таким образом отпечатки исследовались с помощью электронного микроскопа. В исследованном опаловом стекле имеются хаотически распределенные кристаллич. включения, состоящие главным образом, из NaF. Найдено, что диаметры этих включений лежат в пределах 0,1—1 мк, уменьшаясь при приближении к тем поверхностям стеклянного образца, которые наиболее быстро охлаждались в процессе отливки. Установлено, что средняя плотность распределения кристаллич. включений возрастает при приближении к быстро охлажд. поверхностям образца. Приведен график зависимости поверхностной плотности кристаллич. включений на поверхности излома от расстояния излома до быстро охлажд. поверхности образца. Из сделанных с помощью электронного микроскопа фотоснимков видно, что одна сторона излома является (с точностью до неровностей, размеры которых значительно меньше 1 мк, относимых за счет несовершенства коллоидных отпечатков) точным слепком другой ее стороны. Таким образом обнаружено, что рассмотренные процессы

излома не сопровождаются никакими пластич. процессами. Л. Э.

**26349.** Кристаллизационная способность стекол, полученных на основе белорусских глин. Конопелько И. А., Сб. науч. работ Белорус. политех. ин-та, 1955, № 47, 54—58

Изучалась кристаллизационная способность стекол КСС, полученных на основе глин трех месторождений: «Вильковщина» (минский суглинок) — глина «М», «Поздняки» (полоцкая глина) — глина «П» и глина «В» Витебского комбината стройматериалов. Выбор составов производился из области промышленных стекол системы  $\text{CaO} - \text{Al}_2\text{O}_3 - \text{SiO}_2$ . Разработано 11 серий составов стекол. Изменение составов стекол каждой серии идет по пути снижения содержания  $\text{CaO}$  и увеличения  $\text{SiO}_2$  и  $\text{Na}_2\text{O}$ . Шихты составлялись из глины, песка, мела и соды. Варка стекол проводилась в 50-г фарфоровых тиглях в электрич. печи. Максимум т-ра варки 1350° при выдержке в течение 1 часа. КСС изучалась по методу стабильного падения т-р. Максимум т-ра кристаллизации была 1200°. Установлено, что т-ра кристаллизации понижается при замене  $\text{CaO}$  на  $\text{Na}_2\text{O}$  и  $\text{SiO}_2$ , а также  $\text{SiO}_2$  на  $\text{Na}_2\text{O}$ . КСС уменьшается с понижением содержания  $\text{CaO}$  и  $\text{Al}_2\text{O}_3$  для большинства стекол. Наблюдается увеличение КСС с содержанием  $\text{Al}_2\text{O}_3$  выше 14%. Разработаны составы стекол, пригодных для произ-ва стеклоизделий машинной обработки и для литых и прессованных стеклонизделий. В. М.

**26350.** Опыт получения стекол из белорусских легкоплавких глин. Жунина Л. А., Сб. науч. работ Белорус. политех. ин-та, 1955, № 47, 36—46

Исследовалась возможность применения легкоплавких украинских спондилитовых глин для выработки труб, стеклянной тары, минер. ваты, марблита, облицовочных плиток, пеностекла и других изделий. Опыты проводились с глиной месторождения «Пересеки» Каменецкого района Брестской области. Из этой глины с различными добавками были сварены пробные стекла. Составы стекол выбирались на основании тройных диаграмм. Во всех пробах стекол исследовались хим. устойчивость, уд. вес и кристаллизационная способность. Наилучшим стеклом, удовлетворяющим технолог. требованиям варки и выработки, является стекло № 6, содержащее 90% глины и 10%  $\text{Na}_2\text{O}$ , который вводился через  $\text{Na}_2\text{CO}_3$ . Приводится следующий состав стекла № 6 (в %):  $\text{SiO}_2$  49,85,  $\text{Al}_2\text{O}_3$  +  $\text{TiO}_2$  14,20,  $\text{Fe}_2\text{O}_3$  9,19,  $\text{CaO}$  10,42,  $\text{MgO}$  3,82,  $\text{Na}_2\text{O}$  +  $\text{K}_2\text{O}$  12,52. Стекло черного цвета, излом ровный, включений нет. Стекло удовлетворительно отливается в формы и выдувается. Полностью проварено. По хим. устойчивости стекло относится к устойчивым, по уд. весу оно может быть отнесено к категории промышленных стекол. Опасным для кристаллизации стекол является интервал 900—1000°, который не опасен для стекол, вырабатываемых методом прессования и отливки, так как т-ра выработки для большинства промышленных стекол составляет 1150—1200°. В. М.

**26351.** Влияние окиси бора на свойства стекла. — (Influence of boric oxide. —). Glass Ind., 1955, 36, № 1, 35—36, 52 (англ.) См. также РЖХим, 1955, 19394.

**26352.** Кристаллизация натрий-кальций-магний-алюмо-боросиликатных стекол. Охотин М. В., Левина Р. С., Науч.-техн. информ. бюл. Всес. н.-и. ин-та стекла, 1954, № 11—12, 11—14

Приводится исследование скорости кристаллизации 47 составов боросиликатных стекол с целью выяснения влияния  $\text{B}_2\text{O}_3$  на свойства алюмо-магнезиальных стекол. В большинстве разобранных случаев введение  $\text{B}_2\text{O}_3$  вместо  $\text{SiO}_2$  и  $\text{CaO}$  понижает скорость кристаллизации, а вместо  $\text{Al}_2\text{O}_3$  и  $\text{Na}_2\text{O}$  — повышает. Некоторые составы рекомендуются к применению в промышленных условиях. М. С.

**26353.** Производство оптического стекла для кино-фотообъективов. Еккель (Die Optik in der Kinetik. Vom Rohglas zum Qualitätsobjektiv. Jaeschke Georg), Kino-Technik (Berlin), 1955, 9, № 8, 270—273 (нем.; рез. англ., франц., исп.)

Популярная статья о произ-ве оптич. стекла. С. И.

**26354.** Опытные плавки теллуровых стекол. Шпрингер (Glas-Schmelzversuche mit Tellur. Springer L.), Sprechsaal Keramik-Glas-Email, 1955, 88, № 9, 192—193 (нем.)

Опытные плавки в сильно восстановительной атмосфере показали, что теллуровые стекла получают окрашенными только в интенсивный коричнево-серый цвет. Не удалось воспроизвести розалиновой и ярко-коралловой окрасок. Теллур не может применяться для обеспечения стекол, так как он не дает дополнительной окраски к зеленому цвету, получаемому от железа. С. И.

**26355.** Об испытании прочности стеклянных бутылок на внутреннее давление. Ленеарт (Zum Innendruckprüfverfahren von Flaschen. Lehnert Lother H.), Glastechn. Ber., 1955, 28, № 7, 259—262 (нем.)

Изложены результаты испытаний прочности стеклянных бутылок на внутреннее давление. Прочность бутылок испытывалась 2 методами: 1) при нагружении постоянным давлением в течение различных промежутков времени; 2) при возрастающих с различными скоростями давлениях. При применении 2-го метода установлено, что прочность бутылок очень мало зависит от скорости роста давления. Существенная зависимость от этой скорости наблюдается лишь для неправильно отформованных бутылок. Указано, что наиболее надежным и рациональным способом проверки прочности легких бутылок на давление изнутри является испытание постоянным давлением в течение 1 мин. Л. Э.

**26356.** Испытание полых изделий, в особенности бутылок, на температуроустойчивость и сопротивление внутреннему давлению. Ленеарт (Prüfung von Hohlgläsern, insbesondere Flaschen auf Temperaturwechselbeständigkeit und Innendruckfestigkeit. Lehnert L. H.), Arch. techn. Messen, 1955, № 231, 85—86 (нем.)

Описаны стандартные условия испытания на устойчивость к смене т-р и на внутреннее гидростатич. давление бутылок и других полых изделий из стекла. С. И.

**26357.** Спектрохимические исследования римских оконных стекол. Хан-Вейнхеймер (Über spektrochemische Untersuchungen an römischen Fenstergläsern. Hahn-Weinheimer Paula), Glastechn. Ber., 1954, 27, № 12, 459—464 (нем.)

Методом спектрохим. анализа исследовались 44 состава римского оконного стекла I—III вв. н. э. в целях определения их состава, способа произ-ва и характера применявшихся сырьевых материалов, содержание которых установлено (в %):  $\text{P}_2\text{O}_5$  0,11—1,0,  $\text{SnO}_2$  0—0,14,  $\text{Sb}_2\text{O}_3$  0—0,40,  $\text{PbO}$  0—1,0,  $\text{CuO}$  0—0,01. Автор приходит к выводу, что для римских стекол применялись сильно загрязненные сырьевые материалы. С. И.

**26358.** Производство листового стекла. Коваль (Flat glass manufacture. Kowal Leo B.), J. Canad. Ceram. Soc., 1955, 24, 89—93 (англ.)

Описаны основные методы произ-ва листового стекла. Н. П.

**26359.** Влияние окиси алюминия на свойства технических стекол. Лёгота (Vliv kysličníku hlinitého na vlastnosti technických skel. Lhota Miroslav), Sklář a keramik, 1954, 4, № 8, 220—221 (чеш.)



На основании анализа литературных данных сделаны выводы о влиянии окиси алюминия на структуру технич. стекла. Библ. 48 назв. Предыдущее сообщение см. РЖХим, 1955, 29501. Е. С.

26360. Производство стеклянных облицовочных плиток. Хельм (Herstellung von Verblendplatten aus Glas. Helm Georg), Glas-Email-Keramo-Technik, 1954, 5, № 12, 433—437 (нем.; рез. англ., франц.)

При произ-ве стеклянных плиток для облицовки стен или для покрытия полов чрезвычайно важно предусмотреть возможность прочного закрепления их на вяжущем материале. Это может быть достигнуто двумя способами: получением шероховатой поверхности с тыльной стороны плитки в процессе ее отливки или прессования; изготовлением плиток с вырезами или выступами, напр. вроде «ласточина хвоста». Приводится обзор патентов о способах изготовления облицовочных плиток. С. И.

26361. Влияние состава строительных растворов на величину напряжений, возникающих в стеклянных плитках, в процессе их совместной службы. Царичин М. А., Богданова Г. С., Тр. Всес. н.-и. ин-та стекла, 1955, вып. 35, 111—117

Установлено, что в растрескивании стеклянных облицовочных плиток, укрепленных на стенках, большую роль играют усадочные явления строительного р-ра, чем разница коэфф. расширения стекла и вяжущего. Рекомендованы строительные р-ры для крепления плиток  $150 \times 150$ ,  $150 \times 300$  и  $200 \times 300$  мм, напр., портландцемент марки «300» 1 вес. ч., песок 3 вес. ч. Чем больше площадь плитки, тем большие напряжения могут возникнуть при креплении на стене. Толщина слоя вяжущего и способ его нанесения не влияют на величину напряжений в плитках. Н. П.

26362. Простое приспособление для изготовления стеклянных спиралей. Штимель, Биштин, Гёмёри (Jednoduchý přístroj na zhotovenie sklených spirál. Štimel' J., Bištin' A., Gömöry I.), Chem. průmysl, 1955, 5, № 7, 303 (чеш.)

Приспособление состоит из вращаемого мотором металлич. стержня, на который наматывается стеклянная нить, вытягиваемая из стеклянного разогреваемого горелкой стержня. Е. С.

26363. Стеклянные волокна с ориентированной молекулярной цепью. Голдстейн, Дейвис (Glass fibers with oriented chain molecules. Goldstein Martin, Davies T. H.), J. Amer. Ceram. Soc., 1955, 38, № 7, 223—226 (англ.)

Дан краткий обзор работ, подтверждающих и отрицающих наличие молекулярной ориентации в стеклянных волокнах, и изложена теория. Исследовались в поляризационном микроскопе стеклянные нити, вытянутые из следующих в-в:  $\text{NaBO}_3$ ,  $\text{Ca}(\text{BO}_3)_2$  и  $\text{Ca}(\text{SiO}_3)_2$ ; кварц, борный ангидрид; стекло пирекс; «мягкое» стекло; метафосфаты Ca и Na; силикаты Na и K с отношением  $\text{M}_2\text{O} : \text{SiO}_2 < 1$ ; смеси силикатов Na и K с отношением  $(\text{Na}_2\text{O} + \text{K}_2\text{O}) : \text{SiO}_2 > 1$  и асбест. Из всех в-в заметная анизотропия установлена только у метафосфата Na и борного ангидрида; получены рентгенограммы анизотропных и изотропных волокон из этих материалов. Анизотропия волокон из метафосфата Na измерялась по методу Бекке с применением набора иммерсионных жидкостей с интервалами показателей преломления 0,004. Волокна с наибольшим двойным лучепреломлением имели показатели преломления 1,484 вдоль оси и 1,480 в перпендикулярном к ней направлении. При подборе соответствующей жидкости и определенной ориентации волокон, последнее становится почти невидимым. Анизотропия борного ангидрида не могла быть измерена вследствие быстрой кристаллизации на поверхности под действием влаги; судя по интерференционным цветам, можно было заключить, что

двойное лучепреломление борного ангидрида такого же порядка, как и у метафосфата Na. Производилось также рентгеновское исследование ориентированных и неориентированных волокон. Авторы полагают, что проведенные ими опыты подтверждают наличие ориентированных молекулярных цепочек в стекле из метафосфата Na подобно тому, как это наблюдается у органич. волокон. Приведены соображения о причинах, препятствующих получению аналогичных результатов у силикатных стекол. Библ. 13 назв. С. И.

26364. Стеклянное волокно. Белявский, Завадзкий (Włókno szklane. Bielański Zdzisław, Zawadzki Antoni), Przem. włókienniczy, 1954, 8, № 6, 190—198 (польск.)

См. РЖХим, 1954, 20567.

26365. Расселение шихты в бункерных системах. Снейн (Segregation in batch handling and storage systems. Spain Richard W.), Ceramic Ind., 1955, 65, № 1, 67—68, 103—105 (англ.)

При сыпании шихты (Ш) для варки стекла в бункера (Б) и из них в стеклоплавильные печи часто благодаря разнице в уд. весе, величине и форме частиц компонентов Ш происходит расслоение последних, и однородность Ш нарушается, что вредно отражается на варке стекла. Для поддержания однородности смеси рекомендуется: иметь более однородный зерновой состав Ш; регулировать скорость подачи Ш в Б, угол сброса Ш, подачу сечением выходного отверстия Б; устанавливать в Б вертикальные перегородки для более равномерного сыпания Ш в печь. Отмечается, что увлажнение песка до 2—3% помогает его движению в Б, увлажнение  $> 6\%$  ведет к комкованию Ш. С. Т.

26366. Исследование оптимальных условий получения брикетированной шихты в стекольной промышленности. Озерянец Л., Ревуец Ю., Михайловская О., Богуславская Е., Бондар Ю., Ярошенко Г., Сб. работ науч. студ. о-ва Львовск. политех. ин-та, 1955, № 25, 88—91

Установлена возможность получения брикетов из сульфато-содовой шихты, содержащей  $\geq 20\%$  сульфата натрия без применения жидкого стекла, для чего в тщательно перемешанную шихту вводится 4—10% влаги. С увеличением содержания  $\text{Na}_2\text{SO}_4$  в шихте от 10 до 60% механич. прочность брикетов возрастает в 2,5 раза. С увеличением содержания влаги в шихте до 10% при уд. давлении в пределах 100—200 кг/см<sup>2</sup> механич. прочность брикетов возрастает значительно. Дальнейшее повышение давления значительного влияния не оказывает. Оптимальным уд. давлением брикетов из сульфато-содовой шихты, увлажненной до 6—8%, является 200 кг/см<sup>2</sup>. Такие брикеты обладают механич. прочностью, не уступающей прочности брикетов, полученных с применением жидкого стекла, и хорошо сохраняются в обычных условиях. В. З.

26367. Камера для разогревания прессформ. Евсютин С. Н., Стекло и керамика, 1955, № 10, 30

На Чернятинском стекольном з-де внедрена в произ-во камера для разогревания прессформ, представленная тремя чугунными подовыми секциями, уложенными на двух кирпичных столбах размером  $500 \times 1770$  мм. Через секции проходит пламя горячего газа и нагревает их до 400—500°. Прессформы, поставленные на секции, нагреваются до необходимой т-ры за 10—15 мин. Г. М.

26368. Использование тепла, излучаемого неизолированным сводом ванной стекловаренной печи для повышения теплотехнического к. п. д. печной установки. Нэйман (Nutzbarma chung der vom nichtisolierten Gewölbe eines Glasschmelzofens abgegebenen Wärme zur Erhöhung des feuerungstechnischen Wirkungsgrades der Ofenanlage.

Neumann Johann), Sprechsaal Keramik-Glas-Email, 1954, 87, № 15, 369—371 (нем.)

Приводится расчет и конструкция рекуперативного устройства над неизолированным сводом стекловаренной печи, для подогрева воздуха, идущего на сжигание топлива в печном пространстве. В подобных устройствах за счет использования лучеиспускания свода нагревается поступающий в печь воздух до 80°, что дает 6% экономии топлива. М. С.

26369. Изменение принципа работы печей с протоком. Задорожная С. М., Стекло и керамика, 1955, № 8, 27—29

Приводится анализ работы стекловаренных ванн печей с протоком и указывается на отрицательную роль в эксплуатации протока обычной конструкции, при которой стекломасса отбирается снизу. Предлагается новое устройство протока, у которого отбор стекломассы происходит на средине глубины бассейна, и приводятся данные по эксплуатации печи с новым протоком. М. С.

26370. Теплоизоляция стекловаренных печей. Боркевич (Izolacja cieplna pieców azklastekich. Borkiewicz Jerzy), Szkło i ceramika, 1955, 6, № 9, 194—197 (польск.)

Обзор современной практики теплоизоляции стекловаренных печей. Применяются следующие материалы в виде блоков и плиток: высокопористые огнеупорные или полугнеупорные блоки, легкие бетоны и пеностекло, минер. шерсть с замазкой на жидком стекле (плитки и маты), порошок диатомита и трепела, вермикулит, пеношлак, пластмассы и т. д. Приводятся рецепты масс для уплотнения щелей в кладке печи. Е. С.

26371. Производственный контроль на стекольном заводе при помощи аппаратуры и микроскопа для наблюдения шлиров. Ротте (Schlierengerät und Schlierenmikroskop für die glastechnische Betriebskontrolle. Rothe Wilhelm), Silikattechnik, 1955, 6, № 4, 145—150, 164 (нем.)

Описаны различные методы прямого наблюдения шлиров в стекле и дан обзор применяемой для этой цели аппаратуры. Для заводского контроля качества стекла разработана аппаратура, представляющая собою видоизмененный прибор Теплера; наряду с этим контроль осуществляется при помощи шлир-микроскопа. Чувствительность такой аппаратуры вполне достаточна для практич. целей, несмотря на ее простоту. Она может применяться не только для обнаруживания шлиров, но также и для наблюдения других пороков стекла, в результате которых получают небольшие или очень малые отклонения световых лучей. С. И.

26372. Цилиндрическая стекловаренная печь периодического действия. Полик Б. М., Шумилин С. И., Легкая пром-сть, 1955, № 4, 52—58

Описываются конструкция и метод работы цилиндрич. стекловаренной печи системы Шумилина. Печь (с регенераторами или рекуператорами) представляет собою установку, отапливаемую мазутом и состоящую из металлич. цилиндра (диам. 1,2 м, длина 2,25 м, площ. зеркала 3,0 м<sup>2</sup>), который выложен огнеупором и имеет боковые отверстия для засыпки и выработки и осевые каналы для выхода пламени и газов. Цилиндр опирается на ролики, позволяющие его поворачивать. Цилиндрич. печь дала более высокие производственно-технич. показатели в сравнении с горшковыми печами. М. С.

26373. Стекловаренные печи и их работа. Спейн (Glass furnaces and how they operate. Spain Richard W.), Ceramic Ind., 1955, 65, № 2, 71—74 (англ.)

Дано описание конструкции и работы двух типов регенеративных стекловаренных печей, применяемых в настоящее время при произ-ве тарного стекла. Н. И.

26374. Применение силиконов в стекольной промышленности. Махони (Silicones in the glass industry — a progress report. Mahoney T. J.), Glass Ind., 1955, 36, № 6, 316—317 (англ.)

Обзор применения силиконов в стекольной промышленности в виде водн. эмульсий, водорастворимых масел и восков. С. И.

26375. Расчет энергии активации ионной проводимости в кварцевых стеклах классическими методами. Андерсон, Стюарт (Calculation of activation energy of ionic conductivity in silica glasses by classical methods. Anderson O. L., Stuart D. A.), J. Amer. Ceram. Soc., 1954, 37, № 12, 573—580 (англ.)

Предлагается метод для расчета энергии активации ионной проводимости в кварцевых стеклах при низких т-рах. Этот метод развит исходя из классич. представлений, лежащих в основе теории ионных кристаллов и теории упругости. Выведенное ур-ние включает радиус и валентность модифицирующего иона, постоянную решетку стекла, электронный заряд, модуль сдвига и три произвольных параметра. Два из этих параметров имеют отношение к геометрии решетки кварца и точно определяются из диффузии газов в данном стекле. Третий параметр приблизительно равен диэлектрич. постоянной. Теоретич. расчеты сравнены с эксперим. данными по 140 составам стекол. Н. И.

26376. Термическое расширение стеклообразного кварца. Смит (Thermal expansion of vitreous silica. Smyth Harold T.), J. Amer. Ceram. Soc., 1955, 38, № 4, 140—141 (англ.)

Термическое расширение стеклообразного кварца является отрицательным при низких т-рах. Показано, что отрицательное расширение может быть объяснено поперечными колебаниями атомов кислорода. Частота этих колебаний является следствием структуры стеклообразного кварца и уменьшается при охлаждении, вызывает отрицательное расширение. Н. И.

26377. Опыт применения кварцевых брусьев на стекольном заводе «Кавальер». Вольф (Zkušební s křemennými bloky ve Sklárnách Kavalier. Volf Miloš B.), Sklár a keramik, 1955, 5, № 8, 184—186 (чеш.)

Кварцевые брусья применяются для плавки боросиликатных стекол, для устройства выработочной части ванн печей непрерывного действия, они более чем вдвое пригодны для устьев горелок ванн печей; обладают плохой термич. стойкостью. Е. С.

26378. Технология, свойства и области применения пеностекла. Китайгородский И. И., Тр. III конференции по тепловой изоляции, М.—Л., Госэнергоиздат, 1954, 38—48

Приведено изложение доклада на конференции по тепловой изоляции. Описаны физ.-хим. свойства и строение пеностекла. Указаны способы получения пеностекла из легкоплавких глин и с применением горных пород. Дана технология промышленного произ-ва пеностекла и перечислены области его применения. Н. И.

26379. Пеностекло идет на облицовку. (Foamglas puts on a face.), Amer. Glass Rev., 1955, 74, № 11, 10—12 (англ.)

Указано на главное применение пеностекла в качестве теплоизолятора. За последнее время налажено произ-во пеностекла, имеющего белую керамику. поверхность, толщиной ~ 20 мм. Такое пеностекло объединяет в одну операцию тепловую изоляцию и отделку помещения. Производятся офактуренные пеностеколь-

ные плиты размером 450×550 мм и толщиной 50—75 мм. Операция офактуривания и получения пено-стекла производится одновременно путем спекания при т-ре ~930° и последующего отжига в течение 12—14 час. Даны примеры использования пеностекла в строительстве складов, резервуаров горючего, жилищ и т. п. Н. П.

**26380. Глазури восстановительного обжига.** Лен-хёйзер (Reduktionsglasuren. Lehnhäuser W.), Euro-Ceramic, 1955, 5, № 6, 151—153 (нем., рез. англ., франц.)

Глазури подразделяются на люстровые, селадоновые и китайские красные. Люстровые глазури могут получаться двумя различными путями. Напр., к 10 кг прозрачной или окрашенной глазури добавляется 20—30 г AgCl или AgNO<sub>3</sub>. Компоненты тщательно смешиваются в шаровой мельнице. Покрытые глазузрю изделия обжигаются в окислительной атмосфере и при охлаждении до 600—750°, когда глазузрь становится вязкой, ее восстанавливают, вводя в муфель через каждые 5 мин. гудрон, масло или нафталин. Красивые люстровые эффекты дают соли Co, Mn, Cu, Fe, W, Ag. Ввод ZnO в глазури всегда действует благоприятно. Наиболее легко поддаются восстановлению свинцовые глазури с содержанием бора и щелочей. Везборные и не содержащие щелочей свинцовые глазури, применяемые преимущественно для печных кафелей, являются трудно восстанавливаемыми. Люстровые глазури можно получать, используя органич. соединения металлов. Селадоновые глазури различных зеленоватых оттенков являются бесвинцовыми с содержанием 0,3—0,9% Cr<sub>2</sub>O<sub>3</sub> и 0,15—0,4% Fe<sub>2</sub>O<sub>3</sub> с т-рой обжига в пределах 1230—1300°. Добавление небольших кол-в TiO<sub>2</sub> и NiO придает этим глазузрям более светлый и приятный тон. Селадоновую окраску изделий можно получать также погружая утильные изделия в р-ры солей Fe, Ni, Cr, Cu, Sn, Ti с последующим покрытием их обыкновенной глазузрю. Восстановление производится при 900°. Красная окраска китайских глазузей обязана коллоидальной Cu, образующейся при восстановлении зеленых содержащих Cu глазузей. Для образования этой глазури имеет значение следующая р-ция: SnO + Cu<sub>2</sub>O = 2Cu + SnO<sub>2</sub>. Приводится следующий примерный состав красной глазури на т-ру 1230—1250°: 75 вес. ч. глазури для мягкого фарфора с содержанием 0,3 CuO, 1,2 SnO<sub>2</sub>, 22,0 баритовой глазури, 1,5 каолина. Эта глазузрь, начиная с красного каления, обжигается попеременно в окислительной и восстановительной средах по 15 мин. Необходимо быстрое охлаждение с 1000°. Описываются и другие способы получения красных медных глазузей; окунанием обычных глазурированных изделий в суспензию глины с растворимой медной солью с последующим нагревом изделия до 600—700° и затем восстановлением в течение 8—10 мин. углем, гудроном или нафталином. Интересно получение этой окраски и в окислительной среде при вводе в состав глазури 0,25—5% Si или 1—5 г на 100 г глазури SiC. Отмечается, что присутствие Li<sub>2</sub>O в этих глазузрях благоприятствует развитию красной окраски. С. Т.

**26381. Изучение образования соляной глазури.** Фогель (Studien über die Bildung der Salzglasur. Vogel H. Schein), Keram. Z., 1955, 7, № 6, 273—275 (нем.)

Соляная глазузрь (СГ) образуется путем забрасывания в конце обжига в топку крупнозернистой поваренной соли. Пары Na<sub>2</sub>O с глиноземом и кремнеземом черепка образуют стекло СГ. При изучении влияния поваренной соли и паров воды на отдельные компоненты черепка установлено, что из различных модификаций кремнезема лучше всего вступает в р-цию кварц, затем кварцевое стекло и тридимит. С повышением дис-

перности кварца интенсивность р-ции возрастает. Р-ция с глиноземом ускоряется по мере образования HCl и длительности ее воздействия, но она значительно менее интенсивна, чем с кварцем. Метакаолин благодаря развитой поверхности реагирует значительно интенсивнее глинозема. Полевой шпат энергично реагирует до своего плавления (1150—1200°), после чего вследствие сокращения поверхности р-ция замедляется. Для образования глазури имеют значение отношение Al<sub>2</sub>O<sub>3</sub> : SiO<sub>2</sub> и т-ра обжига. Так при 1300° для образования СГ необходимо Al<sub>2</sub>O<sub>3</sub> : SiO<sub>2</sub> = 1 : 3,5, при 1200° 1 : 5,5, а при 1000° образование глазури идет в весьма малой степени. Присутствие в глинах растворимых Са и Mg-солей затрудняет образование глазури. СГ должна лежать на изделиях слоем не превышающим 25 м. В более толстых слоях глазузрь растрескивается. Забрасывание соли в топку производится в 2—5 приемов. Для снижения т-ры образования СГ добавляют в последний заброс соли 5—10% буры. С. Г.

**26382. Развитие прозрачных бесвинцовых борных глазузей на SK05a до 03a.** Цильке (Entwicklung transparenter bleifreier Borglasuren für SK05a bis 03a. Zilke Gottfried), Sprechsaal Keramik-Glas-Email, 1955, 88, № 20, 444—447 (нем.)

Обзор работ Зегера, Кремера, Пукали по получению бесвинцовых глазузей. Отмечается, что лучшими заменителями PbO являются бораты (лучший из них борат Са). Далее дается элементарный разбор свойств основных сырых материалов, применяемых в произ-ве бесвинцовых фаянсовых глазузей. С. Т.

**26383. Механизация глазурирования.** Верба (Mechanization in glazing. Verba R. J.), Ceramic Ind., 1955, 64, № 6, 83—85 (англ.)

Обзорная статья о преимуществах и недостатках следующих способов глазурирования: окунания в глазузрю суспензию, поливания глазузрю на конвейере (плитки), напояния изделий с последующим выливанием, распыливания и, наконец, электростатич. распыления. Последний способ дает наиболее ровное покрытие, но он требует применения поля высокого напряжения (80—120 кВ), что создает опасность для работающих. С. Т.

**26384. Земляные глазури.** Шпет (Lehmglasuren. Speth Karl), Keram. Z., 1955, 7, № 6, 289 (нем.)

Земляные глазури на основе легкоплавких гли могут быть прозрачными и кроющими с желтоватыми, красно- и темнокоричневыми окрасками. Преимуществами их являются — низкая стоимость, большой интервал обжига, стойкость ко всем к-там (исключая плавиковую), малая склонность к образованию трещин. Приводятся различные составы земляных глазузей на т-ру обжига в пределах 1000—1280°. С. Т.

**26385. Глазури и краски. Новые исследования и опыты за границей.** — (Glaser und Farbe. Neuere Untersuchungen und Versuche im Auslanb —), Keram. Z., 1955, 7, № 8, 385—386 (нем.)

Обзор американских работ в области глазузей и красок за период 1950—1954 гг.

**26386. Материалы к изучению естественных «земляных» ангобов.** Альвизе (Contribution à l'étude intrinsèque des engobes naturels, du type sigille. Alviset L.), Bull. Soc. franc. céram., 1955, № 27, 29—39 (франц.; рез. англ., нем.)

Опробованы 25 красно-жгутихих гли из различных районов Франции, 13 из них в качестве ангобов дали удовлетворительные результаты; они имеют в своем составе высокое содержание глинозема, щел. плавней, окисл Fe и отсутствие или очень малое кол-во извести или магнезии. Белые глины не давали блестящих с люстровым оттенком ангобов, которые являются характерными на древних изделиях. Ангобы изготовлялись седиментацией или центрифугированием, пос-



ледний способ давал лучшее качество, особенно в отношении блеска. Для центрифугирования применялась суперцентрифуга Шарпия. На фотоснимках видно, что центрифугированный ангоб не показывает видимых включений кварца. Блеск ангоба видимо обязан главным образом тонине частиц и т-ре обжига. Он наиболее хорошо развивается в пределах т-р 900—1050°. Более высокие т-ры обжига разрушают этот блеск. Слой наносимого «земляного» ангоба по сравнению с обычным керамич. ангобом является очень тонким в пределах всего 5 м.

С. Т. 26387. Проктирование керамической декалькомании. Ч ай к о в с к и й (Projektowanie kalki ceramicznej. S z a j k o w s k i W.), Szkło i ceram., 1953, 4, № 5, 5—6 (польск.)

Рисунок печатается на бумаге, покрытой слоем спел. эмульсии, литографическим путем керамич. красками. Тематика рисунка должна оправдываться масовостью выпуска продукции, в основном ограничиваясь растительным орнаментом (цветы), комбинируемым с другими декоративными элементами (цветными или золотыми). Рисунок должен быть увязан с размерами и назначением изделий и с изучением спроса потребителя. При выборе сюжетов и цветов надлежит руководствоваться возможностью их воспроизведения керамич. красками при данных условиях и т-рах обжига. Следует избегать больших площадей одной краски, дающих при пережоге темные пятна, и тонких длинных линий, часто остающихся не перенесенными с бумаги.

Е. С. 26388. Исследование шпинельных пигментов. Я м а г у т и, Т а н а б э, Т о м и у р а (スピネル顔料に関する研究. 山口悟郎, 田邊漢, 富浦雄詞), 窯業協会誌, Ege kékaiji, J. Ceram. Assoc. Japan, 1954, 62, № 693, 191—196 (япон.)

Были приготовлены пигменты следующих групп и составов: синие  $\text{CoO} - \text{MgO} - \text{Al}_2\text{O}_3$ ,  $\text{CoO} - \text{NiO} - \text{MgO} - \text{Al}_2\text{O}_3$ ,  $\text{NiO} - \text{Al}_2\text{O}_3$ ; коричневые  $\text{CuO} - \text{Al}_2\text{O}_3$ ; зеленые  $\text{CoO} - \text{MgO} - 2\text{Cr}_2\text{O}_3$ ,  $\text{CoO} - \text{ZnO} - 2\text{Cr}_2\text{O}_3$ ,  $\text{CoO} - 3\text{MgO} - 2\text{Cr}_2\text{O}_3 - 2\text{Al}_2\text{O}_3$ ; синие  $\text{NiO} - \text{MgO} - \text{CoO} - \text{SnO}_2$ ; зеленые  $\text{NiO} - \text{CoO} - \text{ZnO} - \text{SnO}_2$ ; розовые  $\text{ZnO} - \text{Cr}_2\text{O}_3 - \text{Al}_2\text{O}_3$ ; коричневые  $\text{MgO} - \text{Cr}_2\text{O}_3 - \text{Al}_2\text{O}_3$ . В последних четырех группах содержание  $\text{MgO}$  непостоянное. Коричневый  $\text{CuO} - \text{Al}_2\text{O}_3$  при 1750° становится синим при 1100° вследствие потери структуры шпинели.

И. 3. 26389. Металлизация стекла, фарфора и тому подобных материалов в высоком вакууме. К а л ь п е р с (Das Metallisieren von Glas, Porzellan u. dgl. im Hochvakuum. Kalpers H.), Sprechsaal Keramik-Glass-Email, 1955, 88, № 6, 112—113 (нем.)

Путем испарения в высоком вакууме можно металлизировать непроводящие ток материалы: стекло, фарфор, пластмассы и др., наравне с металлами. Основными преимуществами этого процесса являются полное покрытие поверхности и полное ее воспроизведение, точно регулируемая толщина покрытия и очень малый расход металла. Испарять в вакууме можно различные металлы: Cu, Al, Ag, Au и др. Путем металлизации можно получать металлич. проводящие пленки на непроводниках. Имеются установки различных размеров для металлизации: с диаметром и длиной вакуумного пространства 300—2000 мм; размеры установок от 650×1600×1350 до 7000×3800×2600 мм, площади покрытия 0,12—19 м<sup>2</sup>, мощность 3—40 квт. Важнейшие операции при металлизации в высоком вакууме: очистка изделия, форвакуумная откачка, прогрев изделия электрич. газовым разрядом и испарение металла в высоком вакууме. Кратко описана работа установки для металлизации.

С. И. 26390. Стекловидное эмалирование в Швеции, Дании и Финляндии. Г р е й (Vitreous enamelling in

Sweden, Denmark and Finland. Gray J. H.), Foundry Trade J., 1953, 95, № 1945, 725—729 (англ.)

Предыдущее сообщение см. РЖХим, 1954, 31238.

26391. Эмалированные стеклянные плитки. Ц а р и ц ы н М. А., П р о ш к и н а А. И., Тр. Всес. н.-п. ин-та стекла, 1955, № 35, 118—123

Из отходов, получаемых при резке стекла, можно изготавливать декоративные плитки для облицовки стен. Наибольшей степенью глущения обладают Тi-эмали. Приведены коэфф. преломления глущителей, разность в показателях преломления глущителя и стекла для отдельных видов глущителей ( $\text{SnO}_2$ ,  $\text{Sb}_2\text{O}_3$ ,  $\text{ZrO}_2$ ,  $\text{NaF}$ ,  $\text{CaF}_2$ ,  $\text{TiO}_2$ ), а также показана зависимость коэфф. отражения от толщины слоя эмалей: у Тi-эмали он составляет 80% при толщине слоя 0,15—0,20 мм. Проведены опытные варки Тi-эмалей, подбор которых по их составу производился для облицовочных стеклянных плиток. Лучшей степенью глущения обладают Тi-эмали, содержащие  $\text{ZnO}$  и борный ангидрид.

С. И. 26392. Влияние содержания кислорода в процессе обжига на сцепление стекловидных покрытий с железом. Ю б а н к с, М у р (Effect of oxygen content of furnace atmosphere on adherence of vitreous coatings to iron. E u b a n k s A. G., M o o r e D. G.), J. Amer. Ceram. Soc., 1955, 38, № 7, 226—230 (англ.)

Серия грунтовых эмалей одного и того же состава, но с различным содержанием окиси  $\text{Co}$  (I) обжигалась в газовой среде, содержащей различные кол-ва  $\text{O}_2$ . Изучалось влияние содержания  $\text{O}_2$  в печи на сцепление эмалей с железом. При уменьшении содержания  $\text{O}_2$  для получения оптимального сцепления требовалось увеличение содержания в эмали I. Грунтовые эмали с содержанием 3,2% или более I показывали слабое сцепление при конц-ях  $\text{O}_2$  меньших, чем 0,02 мол. %. Найдено соотношение между сцеплением и шероховатостью поверхности металла.

С. Т. 26393. Об испытании на термостойкость покрытых эмалей на эмалированных изделиях. Ф р а н к е (Ein Beitrag zum Ermitteln der Temperaturwechselbeständigkeit des Deckemails emailierter Gegenstände. Franke Ernst A.), Sprechsaal, Keramik, Glas, Email, 1955, 88, № 17, 371—373 (нем.)

Переменные термич. воздействия на покрывную эмаль вызывают в ней напряжения, которые приводят к образованию трещин и отколов эмали. Обычное испытание на термостойкость попеременным нагреванием изделий в течение 10 мин. при 50, 60, 70, 80, 90 и 100° и быстрое окунание в воду (20°) продолжается ~ 2 час. Для ускорения процесса испытания предлагается ходить из пробных эмалированных пластинок, нагрев которых производится или на электроплитках или в электропечах с последующим обливанием их водой (т-ра 20 или 0°).

С. Т. 26394. Последние достижения в технологии нанесения фарфоровидных эмалей на сталь в США. Х о м м е л (Recent developments in the technology of porcelain enamelling on steel in the United States of America. Hommel Ernest M.), Sheet Metal Ind., 1955, 32, № 339, 531—536 (англ.)

Обзорная статья о достижениях в эмалировочной промышленности за последние 20 лет.

С. Г. 26395. Высокотемпературные покрытия отражают тепло. — (High temperature coatings beat the heat. —), Ceramic Ind., 1955, 64, № 6, 98—99 (англ.)

Обзорная статья о различных областях применения высокотемпературных покрытий, в частности металлокерамич. покрытий, которые можно одинаково наносить как на толстые, так и на тонкие изделия при значительном упрощении подготовки поверхности, ограничиваясь лишь простым ее обезжириванием.

26396. Фарфоровидные эмали для алюминия. Мюллер (Porcelain enamels for aluminum. Mueller James I., Trend Engng Univ. Wash., 1955, 7, № 2, 21—24 (англ.))

Показана возможность получения бессвинцовых покрытий для промышленного алюминия. Приводятся 16 составов эмалей и результаты их испытаний. В. Р.

26397. Металлокерамика — новые высокотемпературные материалы. Стейниц (Cermets — new high-temperature materials. Steinitz Robert), Jet Propuls., 1955, 25, № 7, 326—330 (англ.)

Обзор современных металлокерамич. материалов, их свойств и методов изготовления. Библ. 15 назв. С. Т.

26398. Оптический метод измерения напряжений в сплавах стекла с металлом при высоких температурах. Херман (Optische Spannungsmessungen an Glas-Metall-Verbindungen bei höheren Temperaturen. Herrman Horst), Z. angew. Phys., 1955, 7, № 4, 174—176 (нем.)

Разработана аппаратура для измерения напряжений в стекле при  $t$ -рах до  $600^\circ$ , состоящая из небольшой электропечи и нормального поляризационного микроскопа, преимуществами которого по сравнению с оптич. скамьей являются короткий ход лучей, большее увеличение и большее удобство обслуживания. Выравнивание  $t$ -ры в печи осуществляется при помощи толстостенной никелевой трубы. Для спайки стекла с металлом очень важно выдерживать правильную  $t$ -ру деформации напряжений, т. е.  $t$ -ру, при которой напряжения в стекле исчезают в течение  $\sim 15$  мин. Приведены результаты, полученные при работе указанной аппаратуры. С. И.

26399. Новый герметически плотный спай алюминия с керамикой. Хьюм (New aluminum-ceramic bond produces hermetic seal. Hume George W.), Mater. and Methods, 1955, 41, № 4, 110—111 (англ.)

Некоторые керамич. материалы характеризуются свойством диэлектриков и для эффективного использования их в электрич. пром-сти должны быть обеспечены герметически плотный спай с металлом. Лабор. исследования показали, что методом сплавления при высоких  $t$ -рах может быть достигнут герметически плотный спай керамич. материала с Al и его сплавами. Для этого процесса используются водородные соединения Ti или Zr. Описывается техника процесса образования спая Al с керамикой. Испытания показали удовлетворительные результаты. П. З.

26400. Улучшенный способ наложения металлокерамики. — (Improved method for applying cermets. —), Air Condit., Heat. and Ventil., 1955, 52, № 8, 8—11 (англ.)

Порошкообразная смесь Cr-B-Ni соединяется с керамич. фриттой и наносится вместо горячего распыливания обычным способом. Установлено, что в процессе обжига керамич. фаза мигрирует к поверхности, давая ровное стекловидное покрытие независимо от ее колич. содержания в смеси. Обжиг в воздушной среде дает удовлетворительный результат. Для защиты Mo- и легированных сталей необходима среда с низким содержанием кислорода. Для нанесения не требуется особой подготовки поверхности металла; достаточно лишь ее обезжирить. Удовлетворительные покрытия получаются и на гладкой поверхности. Покрытие с хорошим слоем Cr-B-Ni получено из смеси M-60, состоящей (в вес. ч.) из: фритты 10, металлокерамич. порошка 90 и глины 5. Смесь M-60 при однократном нанесении дает слой 100—200  $\mu$ . Для большей толщины слоя рекомендуется многократное нанесение. Для тонких слоев необходим тонкий помол смеси. С. Т.

26401. Расчет состава керамических масс. Вендлер (Výpočet keramických hmot. Wendler L.), Skláf a keramik, 1954, 4, № 4, 90—91 (чеш.)

Расчет производится путем составления системы ур-ний для заданного состава массы, исходя из рационального состава исходного сырья. Е. С.

26402. Электрофарфор. Новые методы, улучшающие качество продукции, получение спекнувшего черепка. Додж (Electrical porcelain. Dodge R. W.), Ceramic Ind., 1955, 65, № 2, 96—97 (англ.)

26403. Электрокерамика, стекло и органические пластические материалы. Богородицкий Н. М., Муляр П. А., Электричество, 1955, № 10, 35—39

Обзор различных органич. и неорганич. изоляционных материалов. С. Т.

26404. Влияние отклонений от стехиометрического отношения на диэлектрические свойства титаната бария. Новосильцев Н. С., Ходаков А. Л., Шульман М. С., Тр. н.-и. физ.-матем. ин-та Ростовск.-и/Д ун-та, 1955, 27, № 6, 9—24

Исследованы диэлектрич. параметры керамики BaTiO<sub>3</sub> в зависимости от отклонений от стехиометрич. отношения BaO к TiO<sub>2</sub> в пределах 1,024—0,940. Обнаружено, что большинство параметров существенно зависит от состава (за исключением  $t$ -ры Кюри, частотного хода  $\epsilon$ ), чем и объясняются расхождения в результатах исследования титаната Ba различными авторами. Применение х.ч. материалов для приготовления BaTiO<sub>3</sub> затрудняется плохой спекаемостью образцов. Наличие примесей улучшает спекаемость, но нарушает стехиометрич. отношение. Установлено, что в полях высокой частоты до напряженностей порядка 0,5 кВ/см диэлектрич. проницаемость и ее температурный ход практически не зависят от напряженности поля. На частоте 50 Гц  $\epsilon$  и ее температурный ход в сегнетоэлектрич. области значительно зависят от градиента поля, причем эта зависимость наиболее резко выражена в полях до 5,0 кВ/см. В полях до 6 кВ/см для всех составов искажения формы кривой, вызванные нелинейностью, не наблюдаются. При напряженности поля порядка 20 кВ/см клирфактор достигает 20%. После наложения сильного поля промышленной частоты  $\epsilon$  и  $\lg \delta$ , измеренные на высокой частоте, возрастают на 4—8%. Этот эффект последствием и время его релаксации зависят от состава. А. Ф.

26405. Применение титанатов. Часть III. Раффнер (Titanates in use. Part III. Ruffner Laggy J.), Ceramic Ind., 1955, 64, № 2, 70, 72 (англ.)

Указывается на широкое применение титанатов для изготовления конденсаторов разнообразной конструкции и для пьезоэлектрич. устройств. Часть II см. РЖХим, 1955, 37868. Г. М.

26406. Титанат бария и другие керамические сегнетоэлектрики. I. Введение. Мак-Куорри (Barium titanate and other ceramic ferroelectrics: I. Introduction. McQuarrie Malcolm), Amer. Ceram. Soc. Bull., 1955, 34, № 6, 169—172 (англ.)

Обзорная статья. Библ. 25 назв. В. Р.

26407. Использование в высокочастотной технике материалов, обладающих магнитными свойствами. Ферриты. Иида (高周波用磁性材料フェライト飯田修一), 金屬, Киндзоку, Metals, 1955, 25, № 1, 42—46 (япон.)

Сообщаются данные о получении, свойствах и применении в широком диапазоне частот (от 1 кГц до 10000 МГц) ферритов (Ф) с хим. ф-лой  $MFe_2O_4$  (где  $M$  — 2-, 3- или 4-валентный металл) и куб. структурной кристаллич. решетки. Одним из важных свойств Ф является их высокое уд. сопротивление, доходящее до  $10^8$  ом·см, вследствие чего им присущи чрезвычайно низкие потери на вихревые токи. Приведены основ-

ные этапы технологич. процесса произ-ва Ф. Рассматриваются процессы спекания керамич. порошков при высоких давлениях и т-ре выше 1000°. К магнитно-мягким материалам относятся Ф, содержащие группы Cu-Zn, Mn-Zn и Ni-Zn. Приведены свойства магнитно-мягких Ф типа «феррохскуб». Рассмотрены формы ферритовых сердечников с зазорами, имеющих повышенную добротность  $Q$ . Для уменьшения ТК  $\mu$  (температурный коэф. магнитной проницаемости) ферритовый сердечник изготовлен из двух половин с зазором, уменьшающимся при нагреве и увеличивающимся при охлаждении, вследствие чего ТК  $\mu$  Ф остается примерно постоянным. Рассмотрены условия получения лент гистерезиса прямоугольной формы у Ф с добавкой Ni. Указывается на возможность применения Ф в счетно-решающих машинах. В качестве магнитно-твердых Ф рассмотрено соединение с хим. ф-лой  $\text{Fe}(\text{Co}_{0,75} \cdot \text{Fe}_{2,25})\text{O}_4$ , имеющее величину коэрцитивной силы  $H_c = 1000$  э и остаточной индукции  $B_r = 3000$  гс, а также Ф типа «феррохскудр» с ф-лами  $\text{BaFe}_{18}\text{O}_{27}$  и  $\text{BaFe}_{12}\text{O}_{19}$ . Ф с добавками Co и Cr имеют  $H_c = 3000$  э и  $B_r = 1500$  гс. Магнитно-твердые Ф с размерами частиц порядка  $1 \mu$  применяются в звукозаписи, телевидении и т. д.

**26408. Ферромагнитные ферриты. Лекроэль** (Ferrites ferromagnétiques. Lescroël Y.), Cables et transm., 1953, 7, № 4, 237—292 (франц.)

Обзор методов приготовления, свойств и применения некоторых ферритов. Библи. 24 назв. Н. Л.

**26409. Обжиг керамики для газовых нагревателей. Смит** (How ceramics are fired for gas heat. Smith Arthur G.), Industr. Gas (USA), 1955, 33, № 11, 10—11 (англ.)

Описывается обжиг керамики в газовой туннельной печи Харроуа длиной 76 м с подразделением на 5 нагревательных зон. С. Т.

**26410. Керамика для реактивных двигателей. Дакворт, Крошмал** (Ceramics for rockets. Duckworth W. H., Krochmal J. J.), Ordnance, 1955, 39, № 210, 999—1001 (англ.)

Обзор. С. Т.

**26411. Современная практика приготовления тонких керамических масс.**— (Modern slip-house practice.—), Ceramics, 1955, 7, № 79, 304—306 (англ.)

Описываются модернизированные массозаготовительные пеха фарфорового з-да в Англии (Worcester Royal Porcelain Co.), в которых суспензии тонкомолотых исходных материалов поступают в мешалки-контейнеры и оттуда точно дозируются объемными весами в спец. мешалки для смешения. Обезвоживание массы производится в подвешенных рамных фильтрпрессах, откуда отжатые корки массы сбрасываются на устанавливаемые под ними вагонетки. С. Т.

**26412. О процессе изготовления литых керамических изделий. Фелпе** (Technical phases and calculations for casting control. Phelps Girard W.), Ceramic Age, 1954, 63, № 2, 28—29 (англ.)

Дается понятие о процессе дефлокуляции литых изделий, указываются способы регулирования этим процессом и меры получения качеств. литых керамич. изделий. Я. П.

**26413. Как можно избежать вредных структур в жгутах массы. Кёлер** (Wie können schädliche Strukturen in Massesträngen vermieden werden? Köhler Hermann), Keram. Z., 1955, 7, № 9, 469—470 (нем.)

Известно, что жгуты массы, выходящие из ленточных прессов или горизонтальных глиномялок, имеют S-или M-образные структуры, в то время как промятая ручным способом масса этой структуры не имеет. Фирмой Laeis в Триере осуществлена оригинальная

конструкция мялки, у которой масса после винтового промина попадает в круглую камеру, где подвергается промину вырезанными лопастями, и оттуда направляется в мульдтук, расположенный в перпендикулярной плоскости к движению массы в мялке. Кропотливый труд ручного промина массы в новой мялке осуществляется лопастями в круглой камере. С. Т.

**26414. Технико-экономическая характеристика производительности в фарфоровой промышленности. Глейхман** (Technisch-wirtschaftliche Kennziffer für die Produktionsleistung in der Porzellanindustrie. Gleichmann Alfred), Silikattechnik, 1955, 6, № 2, 73 (нем.)

Приводится новая характеристика производительности обжигательных печей, учитывающая не только кол-во изготавливаемой продукции, но и ее качество. Ковло продукции, полученное с каждого  $\text{м}^3$  горна, зависит от числа огней  $Z$ , проведенных на каждую печь в течение года, коэфф. использования печи  $a$  ( $a$  — отношение объема камерелей к общему объему печи в процентах), характеристики качества продукции  $g$  ( $g$  — отношение достигнутого сортамента к теоретически возможному). Учитывая это можно выразить общую характеристику производительности  $L = Z \cdot a \cdot g$ . Для контроля производительности нет необходимости рассчитывать  $Z$  и  $a$ , для этого надо знать объем камерелей в  $\text{м}^3$ . Для получения характеристики производительности последнюю величину умножают на  $g$  и относят к общему объему печей в  $\text{м}^3$ . Приводятся примеры расчетов. Г. М.

**26415. Модернизированный посудный завод.**— (Old in history. Young in spirit. Harker Pottery...), Ceramic Ind., 1955, 64, № 6, 88—89 (англ.)

На посудном з-де Харкера (Ливерпуль, Огайо, США) формирование изделий производится на полуавтоматах, сушка — в оригинальных полочных вращающихся цилиндрич. сушилках, глазурирование — с помощью глазурировочных автоматич. машин Швейцера, полноты обжиг — в туннельных печах Харропа. Декорирование товара производится деколью с конвейеризацией процесса. Особое внимание обращено на вращающиеся цилиндрич. сушилки, сушка в которых в гипсовых формах как плоского, так и полого товара осуществляется обдуванием теплым воздухом из отверстий с нижней стороны верхних полок. Благодаря такой сушке сокращается брак, так как изделие находится под сжатием вместо натяжения. Длительность сушки составляет всего 40 мин. С. Т.

**26416. О некоторых дефектах фаянсовых облицовочных плиток. Бычваров** (За някои дефекти на фаянсовите облицовачни плочки. Бычваров В. л.), Лека промишленост, 1955, 4, № 8, 20—23 (болг.)

Рассмотрены причины возникновения основных видов брака фаянсовых облицовочных плиток и способы его предупреждения. В. Р.

**26417. Туннельная печь для бескапельного обжига санитарно-строительных полуфарфоровых изделий. Ольшанский Б. Н., Лейбман И. М., Стекло и керамика**, 1955, № 8, 30—31

На Ленинградском з-де «Стройфаянс» освоен бескапельный обжиг крупных полуфарфоровых санитарно-строительных изделий в туннельной печи с малым поперечным сечением печного канала. Общая длина печи 87,2 м, высота рабочего канала 1,4 м, ширина 1,1 м. В качестве топлива используется холодный генераторный газ. Приводятся температурный режим печи, оптимальные показатели гидравлики в печной полости и в подпечном коридоре, давление газа и воздуха в отдельных горелках. Указывается, что горелки размещаются ниже подовых плит вагонеток, что исключает удары острого пламени о глазурированную поверх-



ность обжигаемых изделий; низкая однородная садка изделий обеспечивает отсутствие дефектов «слипши», «потертость глазур»; применение шамотобетона для изготовления огнеупорных плит вагонеточной футеровки повышает их оборачиваемость. Г. М.

26418. Задачи промышленности строительной керамики в свете решений третьего пленума ЦК ПОРП. Грохульский (Zadania przemysłu ceramicznego ceramiki budowlanej w świetle uchwał III Plenum KC PZPR. Grochulski Janusz, Mater. budowl., 1955, 10, № 7, 170—176 (польск.).

Сделан анализ состояния польской промышленности строительной керамики в 1955 г. Отмечены достигнутые успехи, напр. внедрение передовых советских методов на некоторых предприятиях, зарождение широкого рационализаторского движения, уже давшего ценные результаты. З. Б.

26419. О некоторых наблюдениях в процессе замачивания горшечных масс. Шелинский (Über einige Beobachtungen während des Sumpfprozesses von Hafennmassen. Schelinski Siegfried, Silikattechnik, 1955, 6, № 6, 251—254 (нем.; рез. рус., англ.).

В процессе замачивания пластичность горшечных масс увеличивается незначительно. Добавкой небольшого кол-ва  $MgCl_2$  можно резко повысить пластичность. Значения pH в массах в процессе замачивания не меняются. Следовательно, процессы адсорбции, обмен оснований и гидратация заканчиваются уже в самом начале замачивания. Объем пор высушенных масс увеличивается в процессе замачивания. Пластичность является функцией гидратации. Д. Ш.

26420. Испытание на морозостойкость по DIN 52103 С. Томас (Frostbeständigkeitsprüfung nach DIN 52103 C. Thomas Albert, Ziegelindustrie, 1955, 8, № 11, 436 (нем.).

Дается критич. анализ методики определения морозостойкости (М) кирпича, черепицы и прочей строительной керамики по DIN 52103 С, согласно которому М характеризуется отношением нормального водопоглощения к водопоглощению в условиях вакуумной обработки материала, причем удельноэффективная М соответствует отношению  $< 0,8$ . Проверка, проведенная автором в идентичных условиях методик по DIN 52103 С и DIN 105, показала недостаточность первой, поскольку наряду с влиянием объема запасных пор необходимо учитывать влияние конфигурации и прочности материала, его минералогич. и зерновой структуры. Г. М.

26421. Борьба с выцветами на черепице и кирпиче.

Бижон (La lutte contre les efflorescences en tuilerie et briqueterie. Bignon M., Bull. Soc. franc. céram., 1955, № 27, 25—28 (франц.; рез. англ., нем.).

Пока нет радикального средства борьбы с выцветами пригодного для всех случаев. Рассматриваются выцветы, образующиеся в результате отложения сернокислых солей Са и Mg, или от присутствия последних в сырых материалах, в воде затворения, или от сернистых газов в процессе обжига. Оправдавшим себя методом борьбы в этих случаях является перевод растворимых сернокислых солей Са и Mg в нерастворимые сульфаты Ва путем ввода в шихту  $BaCO_3$  в кол-ве 0,2—0,4%. С. Т.

26422. Использование и повышение производительной мощности печей для обжига глазурованных облицовочных плиток. Рузичка (Využívání a zvyšování kapacity pecí pro pálení glazovaných obkládaček. Ružíčka J., Stavivo, 1955, 33, № 8, 269—271 (чеш.; рез. рус., нем.).

Использование полезного объема печей повышается по мере совершенствования способов укладки плиток

в печь и уменьшения веса применяемых шамотных приспособлений. Е. С.

26423. «Кольцевая печь» Кларка в Австралии, отапливаемая генераторным газом, производительностью 65 000 шт. кирпича в сутки.— (Clark «circle kiln» plant in Australia Producer-gas fired: Making 65,000 a day.—), Brit. Clayworker, 1953, 62, № 739, 238—241 (англ.).

Приводится описание установки кольцевой печи с передвижными сводами для обжига кирпича. Г. Ф.

26424. Искусственное охлаждение в зоне выгрузки изделий кольцевых печей. Малых А. А., Спирина А. М., Огнеупоры, 1955, № 5, 204—210

Приводится описание вентиляционного агрегата СИОТ-8, применяемого для искусств. охлаждения внутренних объемов кольцевых печей при выгрузке изделий после обжига, а также результаты испытания его на Богдановичском шамотном и Ново-Тагильском огнеупорном заводах. Г. М.

26425. Влияние способа получения и степени дисперсности глинозема на его спексаемость в присутствии различных добавок. Куколев Г. В., Лебе Е. Н., Ж. прикл. химии, 1955, 28, № 9, 909—915

Большая тонкость помола и введение некоторых добавок ускоряют процесс спекания глинозема. Измельчение вызывает деформацию кристаллов глинозема и увеличивает поверхность соприкосновения зерен между собой, введение добавок приводит к образованию твердых р-ров или к возникновению жидкой фазы. Регулированием свойств жидкой и твердой фаз можно улучшить и ускорить процесс спекания глинозема. Лучшие результаты спекания глинозема получены с добавкой  $TiO_2$ ,  $Fe_2O_3$ ,  $Mn_2O_3$  и  $Cr_2O_3$ . Природа исходного глиноземистого материала и условия его получения также оказывают большое влияние на спекание глинозема. Наилучшее спекание оказалось у окиси Al, полученной прокаливанием уксуснокислого Al, наихудшее — из солей хлористого и азотнокислого Al. Микроскопич. исследование показало, что наименьшую величину зерен имеет глинозем из уксуснокислого Al, наибольшую — из хлористого Al. Применение глинозема, полученного из гидрата окиси Al с ускорителями спекания, позволит снизить т-ру спекания и избежать предварительного тонкого помола и обжига. Это значительно упростит процесс изготовления спекшегося глинозема и уменьшит производственные расходы. В. З.

26426. Приготовление и свойства цирконата кальция. Надлер, Фицсиммонс (Preparation and properties of calcium zirconate. Nadler M. R., Fitzsimmons E. S.), J. Amer. Ceram. Soc., 1955, 38, № 6, 214—217 (англ.).

Цирконат Са получен в результате р-ции в твердой фазе при т-рах от 1450 до 2000°; спеченные образцы были получены при 1700—1800°, плотность образцов 4,5 г/см<sup>3</sup>, коэфф. термич. расширения от 9,0 до 14·10<sup>-6</sup> в интервале 25—1300°. Несмотря на большую коэфф. термич. расширения образцы были достаточно термостойки. Рентгенографич. и микроскопич. исследования показали неизбежное наличие свободной окиси Са; образцы обладали хорошей стабильностью, кипение в воде не дало заметных следов гидратации, в то же время образцы, состав которых на 1% отличался от стехиометрич., гидратировались очень легко. Цирконат Са устойчив против воздействия  $ZrO_2$ ,  $MgO$ ,  $Al_2O_3$  и  $BeO$ , но карборунд и муллит разрушают его. При контакте с углеродом быстрое образование карбидов начинается выше 1750°. Отмечается, что цирконат Са, обожженный при 1850°, обладает хорошими огнеупорными свойствами. В. Я.

**26427. Специальный кирпич для арок нагревательных колодцев.** Пожидаев Ф. Л., Сб. рац. предлож., внедр. в произ-во. М-во черной металлургии СССР, 1955, № 52, 10

Для увеличения прочности кладки арок в нагревательных колодцах для слитков предложено применять фасонный кирпич, размеры которого соответствуют ширине и толщине арки. Применение такого кирпича увеличивает прочность арки, повышает ее стойкость и устраняет необходимость тески нормального кирпича на клиновидный.

**26428. О взаимодействии хромита и магнезита при нагревании.** Ключаров Я. В., Зубаков С. М., Тр. Ленингр. технол. ин-та им. Ленсовета, 1955, № 34, 32—37

При взаимодействии аккаргинской хромовой руды (величина зерен 2—3 мм) и магнезита (зерна мельче 1 мм) происходит взаимная диффузия окислов, в результате чего зерна хромита разрыхляются с поверхности. В грубозернистых хромомагнезитовых массах вокруг хромитовых зерен наблюдаются темные реакционные магнезитовые оболочки и далее — светложелтый периклаз. Реакционные оболочки состоят из зерен периклаза с большим количеством тонких включений магнезитоферита. Изменение фазового состава в сочетании с резкой неоднородностью пространственного размещения отдельных фаз обуславливает спекание и разрыхление различных участков хромомагнезитовых композиций при обжиге.

**26429. Модернизация завода огнеупорных изделий.** Холл (Modernization of a refractory specialty company. Hall Robert S.), Amer. Ceram. Soc. Bull., 1955, 34, № 8, 248—252 (англ.)

Приводится описание проведенной комплексной модернизации з-да огнеупорных изделий, на котором 50% продукции составляют фуры для бессемеровских конверторов диам. 150—200 мм, высотой 690—930 мм. На з-де установлено новое оборудование и применен новый метод формирования фуры. В результате модернизации выработка огнеупорных изделий на одного рабочего увеличилась на 83% в день.

**26430. Электропроводность корундовых огнеупоров при повышенных температурах.** Будников П. П., Тресвятский С. Г., Огнеупоры, 1955, № 2, 70—71

Рассмотрена зависимость уд. электросопротивления корундовых огнеупоров от т-ры (до 700°) и содержания связующей глины (до 50%) при частоте 50 гц. Показано, что сопротивление резко падает при добавлении глины в корунд (добавка 2,5% глины снижает уд. сопротивление в ~12 раз).

**26431. Влияние небольших добавок стеатита на основные, нейтральные и кислые капсельные массы.** Ципп, Метцель, Голлер, Керли, Зейферт (Über die Wirkung von geringen Specksteinzusätzen in basischen, neutralen und sauren Kapselmassen. Zapp Fridrich, Metzel Herwart, Goller Sigfried, Kerli Hermann, Seifert Richard), Sprechsaal Keramik-Glas-Email, 1954, 87, № 6, 121—125 (нем.)

Из промышленного шамота в соединении с глинистыми материалами различной степени кислотности были приготовлены три капсельные массы (основная, нейтр. и кислая), к которым добавлялся тальк в кол-ве от 3 до 9%. Отмечается благоприятное действие малых добавок на свойства капсельных масс, что объясняется образованием легкоплавких эвтектик талька с различными загрязнениями в сырых материалах и связыванием ими свободного кварца. Основные и нейтр. капсельные массы наиболее пригодны для добавок талька. Массы с содержанием талька более чувствительны, чем обыкновенные капсельные

массы к действию нагрузок при высоких т-рах и применение их более целесообразно в туннельных печах. Для обжига при 1380° содержание талька не должно быть выше 3—4%, незначительная при этом добавка в массу тонкомолотого корунда благоприятна. Предыдущее сообщение см. РЖХим, 1955, 9998, С. Т.

**26432. Транспортер для горячих материалов.** Гороховский П. К., Огнеупоры, 1955, № 6, 276—278

Описана конструкция транспортера для выгрузки из шахтных печей з-да «Магнезит» горячего магнезита (с т-рой 200—300°, доходящей местами до 800°), в котором прозрачная лента стандартного транспортера «бронирована» металлич. лотками. Лотки штампованные, механически не обработанные. Характеристика транспортеров: расстояние между центрами барабанов 50 м, угол наклона 18°, скорость 0,5 м/сек, производительность до 80 м³/час, ширина лотков 500 мм, восьмипрокладочная лента шириной 500 мм. Двухгодичная эксплуатация транспортеров описанной конструкции показала их преимущества по сравнению с металлическими.

**26433. Вибрирующая решетка для устранения «структур» в бруссе массе.** (Das Schwinggitter zur Beseitigung der Strukturen im Massestrang.), Euro-Ceramic, 1955, 5, № 4, 89—91 (нем.; рез. англ.)

До самого последнего времени вопрос устранения «структур» керамич. массы при пропуске ее через мялки не получал удовлетворительного решения. Установка в мялке перед мундштуком вибрационной решетки полностью устранила структурирование массы и повысила производительность мялок. Открывается возможность получения бесструктурных заготовок большого диаметра, необходимых в произ-ве высоковольтного электрофарфора.

**26434. Струевой способ сушки плиток и других керамических изделий.** Ханкок (The drying of tableware and other ceramic goods. Hancock W.), Ceramics, 1954, 6, № 69, 403—404, 406—407 (англ.)

Струевой способ сушки фильтр-прессных брикетов, влажность которых снижается при этом с 30 до 10%, заключается в пропускании через них с большой скоростью горячего воздуха. Преимущества струевого способа: снижение капитальных затрат, расхода топлива и эксплуатационных расходов, высокий коэфф. использования топлива; ускорение сушки и ее равномерность; уменьшение брака и снижение себестоимости продукции. Исходные полусухие брикеты (838×838×32 мм) весом 43 кг разрезаются на 2 половины, которые затем прокатываются в листы толщиной 3,2 мм. После прокатки поверхность каждой половины брикета увеличивается в 3,3 раза и составляет 1,21 м². Аппарат для струевого сушки имеет полную длину 6,4 м при длине струевых панелей 4,25 м, ширине 1,2 м; скорость ленты, по которой движется материал, 0,305 м/мин; скорость воздуха 458 м/мин; т-ра сушки выше 60°; производительность 370 кг/час или 9 м/сушки. Повышение производительности достигается увеличением длины струевой панели и скорости движения конвейерной ленты, увеличением ширины панели, пропусканием двух конвейерных лент, одна над другой. Два струевых аппарата обслуживаются одним рабочим. Приводятся опытные данные по струевой сушке облицовочных плиток 150×150×9,5. За 30—40 мин. при скорости воздуха 458 м/мин влажность снижается с 10 до 1—2%. Струевая сушка порошка и плит уменьшает колебания остаточной влажности в плитках, что снижает склонность к образованию трещин.

**26435. Сушка во взвешенном состоянии.** (Zerstäubungstrocknung.), Keram. Z., 1955, 7, № 8, 382—383 (нем.)

при-  
едах,  
для  
авка  
Пре-  
С. Т.  
Го-  
№ 6,  
ки из  
езита  
в ко-  
ртера  
ова-  
стика  
банов  
изво-  
вось-  
модич-  
трук-  
метал-  
А. П.  
нения  
ег zur  
Евро-  
англ.)  
нения  
через  
Уста-  
й ре-  
массы  
мается  
товок  
иско-  
С. Ш.  
коэф-  
tab-  
W.),  
англ.)  
кегов,  
10%,  
й ско-  
евого  
а топ-  
коэф-  
равно-  
гоймо-  
(838×  
овины,  
2 мм.  
бри-  
21 м²,  
длину  
прине  
сушки  
увели-  
и дви-  
пы па-  
на над  
одним  
руевой  
а 30-  
ность  
рошка  
кости  
ю тре-  
Г. Ф.  
(Zer-  
№ 8,

Описываются способы сушки центрифугированием и распылением под давлением, применяемые для керамич. масс. Приводится описание устройства и способа работы сушильной установки «Атомизёр» Водерана, испытанной французской фирмой в произ-ве плиток сухим прессованием. «Атомизёр» высушивает распылением шликерную массу влажностью 42% до порошка с размером частиц 0,2 мм, влажностью 8—9%. Суточная производительность установки по сухой массе 20 т, к. п. д. 70%. М. С.

26436. Влияние зернового состава на свойства нефелинового шенита. Кенниг (Influence of particle-size distribution on the properties of nepheline syenite. Koenig C. J.), J. Amer. Ceram. Soc., 1955, 38, № 7, 231—241 (англ.)

Описана мельница для измельчения материалов движущимся потоком нагретого воздуха или перегретого пара, которые подаются под большим давлением через многочисленные малые сопла, расположенные внизу камеры; встречая материал, поступающий через боковые отверстия камеры, воздух или пар увлекают его и измельчают динамич. ударом и абразивным действием частиц материала друг о друга. Мельница одновременно служит и классификатором. Проведено сравнение свойств порошка нефелинового шенита, полученного помолом в лабор. шаровых мельницах и новым методом. Новый метод помола дает однородный по размерам частиц материал. Исследовано влияние нефелинового шенита, молотого разными методами, на свойства масс состава (в %): нефелинового шенита 55 и 25, песка 5 и 25, каолина 25, глины 15 и 25. Найдено, что помол новым методом плавия (нефелинового шенита) улучшает литевые свойства, понижает т-ру и увеличивает интервал спекания масс, повышает прочность на изгиб спеченных образцов. Улучшение свойств масс с плавием молотым новым методом объясняется равномерным распределением стекловидной фазы в материале. И. З.

26437. Бегуны с циклоном. Пфейффер (Eine neue Luftstrom-Kollermühle. Pfeiffer H.), Silikattechnik, 1955, 6, № 4, 179—180 (нем.)

Описана конструкция мельницы, состоящая из системы труб с циклоном. Мелющая часть состоит из вращающейся чаши и двух катящихся по ней роликов (бегунов) с различными скоростями вращения. Молотый материал транспортируется воздухом по трубам к циклому. Крупность помола регулируется скоростью воздушного потока. Д. Ш.

26438. Теплотехнический коэффициент полезного действия  $\eta_f$  в промышленных печах. Ли и (Feuerungstechnischer Wirkungsgrad  $\eta_f$  bei Industrieöfen. Liehn W.), Silikattechnik, 1954, 5, № 9, 415—416 (нем.)

Приводятся определение и расчет теплотехнич. коэфф. полезного действия  $\eta_f$  пламенных промышленных печей. Указывается на важность правильного определения  $\eta_f$  при холостом ходе печи и при качественной характеристике работающей установки. Дается пример расчета с использованием таблиц, составленных автором. М. С.

26439. Новые вспомогательные материалы для постройки производственных и лабораторных электропечей. Егер (Ein neues Hilfsmittel zum Bau elektrischer Öfen für Laboratorium und Betrieb. Jaeger G.), Ber. Dtsch. keram. Ges., 1954, 31, № 11, 366—369 (нем.)

Рассматривается новый метод конструирования электр. печей и нагревательных приборов, заключающийся в применении относительно малых конструктивных элементов («изолетт») из глинозема и окиси Zr. Первые служат в качестве теплопроводного материала, вторые — в качестве термич. изоляции. Ука-

занные термически устойчивые элементы соединяются металлич. прутками, которые могут служить нагревательными элементами, что позволяет легко и быстро осуществлять сборку и монтаж печей, разнообразных по форме и величине. М. С.

26440. Испытание базальтового туфа, найденного в селе Лукарец (область Тимишоара), в целях использования его в качестве строительного материала и обесцвечивающего вещества. Лациу, Метеш (Incercări asupra tufului bazaltic de Lucareţ pentru a fi întrebuinţat ca material de construcţie şi pământ decolorant. Laţiu Emil, Metiş, Lucia), Studii şi cercetări ştiinţ. Acad. RPR. Baza Timişoara, 1955, 1, № 1—4, 213—221 (рум.; рез. русс., франц.)

Рекомендуются следующие способы использования базальтового туфа: 1) в смеси с известью для получения гидравлич. вяжущего с пределом прочности при сжатии  $R_c \sim 70 \text{ кг/см}^2$  и при разрыве  $R_p$  до  $10,8 \text{ кг/см}^2$ ; 2) в качестве наполнителя битумных р-ров и бетонов; 3) в качестве обесцвечивающего в-ва в индустриальных процессах, основанных на адсорбции. Значения постоянных изотерм адсорбции базальтового туфа:  $\alpha = 0,2852$  и  $1/n = 0,12$ . И. К.

26441. О цементирующих свойствах соли  $\text{MgCl}_2 \cdot 2\text{MgCO}_3 \cdot \text{Mg(OH)}_2 \cdot 6\text{H}_2\text{O}$ . Вальтер-Левин, Вольф, Солейаву (Sur la prise en masse du sel  $\text{Cl}_2\text{Mg} \cdot 2\text{CO}_3\text{Mg} \cdot \text{Mg(OH)}_2 \cdot 6\text{H}_2\text{O}$ . Walter-Lévy, Léone, Wolff Pieter Maarten, Soleilhavou Iréne), C. r. Acad. sci., 1953, 237, № 21, 2069—2071 (франц.)

Взаимодействие р-ра  $\text{MgCl}_2$  с р-рами КОН и  $\text{K}_2\text{CO}_3$  или со смесью  $\text{MgCO}_3 \cdot 3\text{H}_2\text{O}$  с  $\text{MgO}$  или  $\text{Mg(OH)}_2$  приводит к образованию  $\text{MgCl}_2 \cdot 2\text{MgCO}_3 \cdot \text{Mg(OH)}_2 \cdot 6\text{H}_2\text{O(I)}$ , сопровождающемуся цементированием всей массы. Рентгенографически изучена зависимость скорости образования I от конц-ии исходного р-ра  $\text{MgCl}_2$ . Появление I отмечается спустя 10 мин., если исходить из твердых  $\text{MgCl}_2 \cdot 6\text{H}_2\text{O}$ ,  $\text{MgCO}_3 \cdot 3\text{H}_2\text{O}$  и  $\text{Mg(OH)}_2$ ; через 30 мин., 6 час., 24 час. и 4 дня, если исходить из р-ров  $\text{MgCl}_2$  конц-ии 4,5 моль/л, 4 моль/л, 3 моль/л и 2,25 моль/л соответственно. Цементация заканчивается через 15 мин., если в качестве исходных взяты твердые соли и через 30 мин., если исходить из 4,5 М р-ра  $\text{MgCl}_2$ . По мере образования I содержание  $\text{Cl}^-$  в маточном р-ре падает, и при конц-ии  $\text{Cl}^-$  ниже 2,25 моль/л цементация прекращается. Гидролиз I приводит к образованию 5  $\text{MgCO}_3 \cdot \text{Mg(OH)}_2 \cdot 8—9 \text{ H}_2\text{O}$ . Твердость по Бринеллю цемента состава I, выдержанного в течение 3 месяцев, составляет 9,6 кг/мм². Кажущаяся плотность, определенная по измерению объема и веса, составляет 1,33 г/см³, реальная (определена после дегазификации) — 1,77—1,88 г/см³. Общая пористость I уд. в. 1,33 г/см³ составляет 29,2%, а 1,77 г/см³ 1,5%. Прочность на растяжение 20 кг/см², прочность на вдавливание 300 кг/см². I обладает хорошей спайностью со стеклом, песком, железом. Включение 10% стеклянной ваты увеличивает прочность на растяжение до 50 кг/см². Цемент легко отливается в форму. Н. К.

26442. О производстве цемента в Европе и Африке. I. Ёсн (歐阿セメントの旅. 1. 吉井豊彦), セメントコンクリート, Сэмэнт конкрито, Cement and Concrete, 1955, № 100, 26—33 (япон.)

26443. 80-летие цементной промышленности Японии (Краткая история Японской цементной технической ассоциации). Фудзиси (我國セメント創業80年の回顧. (日本セメント技術協會略史). 藤井光彦), セメントコンクリート, Сэмэнт конкрито, Cement and Concrete, 1955, № 100, 2—7 (япон.)

26444. Изменение системы обогрева известковой печи метаном на цементном заводе. Гросс (Transform-



marea sistemului de ardere al cuptorului de var cu gaz metan de la fabrica de ciment «Ile pintilie». Gross G. h.), Ind. constructiilor și mater. constr., 1955, 6, № 6, 318 (рум.)

Описано усовершенствование системы газового отопления известковой печи, работающей на смеси воздуха и метана. Были увеличены размеры внутренних формовок, расположенных по 4 в продольных стенках и по 2 — в поперечных. Центральная горелка из шамота была заменена металлич. высотой в 2 м. Новая система горения обеспечивает лучшее распределение газов в печи. Эксплуатация печи показала возможность сжигания  $450 \text{ м}^3/\text{час}$  метана при естественной тяге и  $650 \text{ м}^3/\text{час}$  и больше при искусств. тяге. Образованная зона горения длиной 9 м обладает постоянной т-рой в поперечном сечении. Выходящие газы имеют т-ру  $150^\circ$ ; выгружаемая при этом из печи известь холодная. Я. М.

26445. Различия в технологии производства цемента в Европе и США. Клаусен (Men or fuel? Why European cement practices are different. Clause n C. F.), Rock Prod., 1955, 58, № 2, 78—82, 84 (англ.) Различия в технологии произ-ва цемента заключаются в применяемом оборудовании и методах обжига, которые вызваны экономич. причинами и в первую очередь стоимостью топлива и рабочей силы. Описываются типы печных установок, применяемых в Европе. Приводятся сравнительные данные по производительности печей и расходу топлива. П. 3.

26446. Опыты, проведенные с мокрыми циклонными классификаторами. Хаскине, Мак-Колл (Experiments with wet cyclone classifiers at Bamberth Works of B. C. Cement Company. Haskins R. E., McColl J.), Canad. Mining and Metallurg. Bull., 1955, 48, № 520, 508—513 (англ.)

При мокром размоле материалов на цементных з-дах необходимо получать шлам с влажностью  $\leq 33-36\%$  и с содержанием миним. остатка материала на сите 200 меш. Описаны конструкция циклона и испытания его, проведенные на цементном з-де, работающем по мокрому способу. Этот циклон позволяет производить классификацию при мокром размоле сырья обычной влажности. Производительность его  $20-25 \text{ т}$  в 1 час, причем поступающий материал с содержанием  $30-40\%$  фракций  $> 200$  меш по выходе из циклона характеризуется наличием таких фракций в кол-ве  $10-14\%$ . П. 3.

26447. Получение местных вяжущих путем вибропомола. Ершов Л., Кашиперовская О., Строит. материалы, изделия и конструкции, 1955, № 9, 11—13

Изучена зависимость тонкости помола некоторых материалов от продолжительности измельчения в периодич. вибромельницах. Были получены следующие виды вяжущих: известково-песчаное (марка 25—50), на основе недопала, кирпичного боя и зольных остатков (марка 50—100), на основе глиниста (марка 100—200), известково-шлаковое (марка 50—150) и известково-трепельное (марка 50—150). Б. В.

26448. Строительство грунто-цементных водостоков. Мехра, Чадда (Construction of soil-cement drains. Mehra S. R., Chadda L. R.), Indian Concrete J., 1955, 29, № 5, 161—162 (англ.)

Опыты проведены с применением нескольких типов грунта — супеси и различных глин. Образцы изготовлялись из грунто-цементных смесей с содержанием в них портландцемента в кол-вах 2,5; 5,0; 7,5 и 10,0% и погружались на 7 суток в р-ры к-т, щелочей и солей ( $\text{H}_2\text{SO}_4$ ,  $\text{Na}_2\text{SO}_4$ ,  $\text{NaCl}$ ,  $\text{NaOH}$ ). Результат воздействия агрессивных р-ров оценивался потерей веса образцов. Установлено, что добавка к грунту цемента в кол-ве 5 и более процентов предохраняет его от разрушения. В течение 2—2,5 лет велись наблюдения над двумя про-

ложенными опытными водостоками, выполненными из смеси жирной глины и цемента (5 и 10%). Один водосток был построен типа лотка, другой выполнен из блоков с заполнением швов между ними цементно-песчаным р-ром при соотношении состава 1:5. На обоих водостоках некоторая часть участка была оштукатурена р-ром при соотношении цемента к песку 1:2. После двухлетней эксплуатации оба водостока были в хорошем состоянии. Оштукатуренные участки водостока были в несколько лучшем состоянии. П. 3.

26449. Кремнефториды и их применение. Колон (Les fluosilicates et leur emploi. Colom b P i e r r e), Chem. Rundschau, 1954, 7, № 8, 132—133 (франц.)

Прозвонные кремнефтористый к-ты, взаимодействуя в бетоне или штукатурке с  $\text{CaO}$  или  $\text{CaCO}_3$ , образуют  $\text{CaF}_2$  и кремнекислоту, что ведет к повышению прочности и непроницаемости. Обработка бетона кремнефторидами повышает его стойкость против действия агрессивных вод, нейтрализует свободную известь, упрочняет поверхность дорожного покрытия, а также препятствует образованию пыли. Для обработки применяют водн. р-ры кремнефторидов  $\text{Al}$ ,  $\text{Zn}$ ,  $\text{Mg}$  и  $\text{Pb}$ , которые наносятся кистью, шпатель или распыливанием. Защитное действие кремнефторидов распространяется также на известняк, мрамор и т. п. Другой областью применения кремнефторидов является дерево. Так, напр.,  $\text{ZnSiF}_6$  фиксируется на ткани дерева и предохраняет его от разрушения. Добавляя к кремнефторидам р-ры солей, которые дают окрашенные нерастворимые соединения, или суспензируя в них нерастворимые пигменты, можно придавать покрытиям различные окраски. С. Т.

26450. Применение метода меченых атомов.

Либертсон (An application of radioactive tracer techniques (LR51—19). Libberthson Leo), Amer. Concrete Inst., 1955, 26, № 8, 818—820 (англ.) Реакция между фтористыми силикатами и гидроксидом и карбонатом  $\text{Ca}$  1)  $\text{MSiF}_6 + 2\text{Ca}(\text{OH})_2 \rightarrow \text{MF}_2 + 2\text{CaF}_2 + \text{SiO}_2 + 2\text{H}_2\text{O}$ ; 2)  $\text{MSiF}_6 + 2\text{CaCO}_3 \rightarrow \text{MF}_2 + 2\text{CaF}_2 + \text{SiO}_2 + 2\text{CO}_2$  (где  $\text{M}$  — катион металла, связанный с группой  $\text{SiF}_6$ ) приводит к образованию нерастворимых фтористых и кремнеземистых соединений. Эти нерастворимые соединения, заполняющие поры бетонных плит, повышают их сопротивление истиранию. Обработка бетонной поверхности кремнефтористым составом приводит также к повышению стойкости бетона против воздействия к-т и солей. Эффективность обработки поверхности бетонных плит зависит от глубины проникания нерастворимых соединений. Р-ция между фтористосиликатными р-рами и бетонами протекает очень быстро, непосредственно на поверхности, в момент контакта. Поверхностные поры заполняются фтористыми и кремнеземистыми соединениями и препятствуют их дальнейшему прониканию в бетон. В лучшем случае продукты р-ции возникают на глубине 1—2 мм. Для облегчения проникания кремнефтористых р-ров в бетон, автор предложил вводить их совместно со смачивающими добавками. Оценить влияние эффекта применения смачивающих добавок по структуре бетона или данным испытаний на истирание не удалось. В этих целях был применен метод меченых атомов. Приготавливался определенной консистенции р-р  $\text{ZnSiF}_6 \cdot 6\text{H}_2\text{O}$ . Этим р-ром (с введением в него и без введения смачивающих а-в) производилась обработка бетонных образцов. Определялась уд. активность на различной глубине образца, которая оказалась пропорциональной радиоактивности продуктов р-ции, обнаруженных в этом месте. Опыты показали, что присутствие смачивающих добавок в р-ре циклофтористого силиката увеличивает глубину проникания и кол-во образующихся продуктов р-ции.

Эффективность введения смачивающих добавок особенно заметна в более глубоких слоях бетона. П. З. 26451. Пластификаторы-пептизаторы. Гаври- тов (Пластификаторы-пептизаторы. Гаври- тов Атила Н.), Строительство, 1955, 2, № 7—8, 24—33 (болг.)

Для уменьшения В/Ц с сохранением подвижности и удобообрабатываемости бетонной смеси к ней добавляются поверхностноактивные в-ва (ПВ) — пластификаторы. Кол-во ПВ должно быть оптимальным, так как их избыточное кол-во ухудшает свойства бетона и увеличивает В/Ц за счет образования пептизационно-коагуляционной структуры. ПВ, с одной стороны, увеличивают активную поверхность цемента, что способствует увеличению прочности цемента, а с другой — затрудняют процесс гидратации цемента вследствие образования гидратных оболочек и затруднения диффузии. Второй эффект преобладает, т. е. получается замедление схватывания и твердения. Исследования показали, что меласса (М) может с успехом применяться в качестве ПВ, и действие ее подобно действию сульфитно-спиртовой барды. Оптимальное кол-во М зависит от минералогич. состава цемента и колеблется в пределах от 0,5 до 1,0% (от веса цемента). Бетонная смесь с добавкой М имеет несколько меньший об. вес. При прочих равных условиях введение М позволяет уменьшить расход цемента на 5—10% при сохранении прочности бетона. В. Р.

26452. Использование пуццоланов в цементном бетоне и растворе. Уппал, Сингх (Studies in the use of pozzolana in cement concrete and mortar. Uppal H. L., N. Singh Mohinder), Indian Concrete J., 1955, 29, № 7, 246—248 (англ.)

Проверялась возможность введения пуццолановых добавок (ПД) в бетонную смесь путем непосредственной загрузки их в бетономешалку без предварительного смешивания с цементом. В качестве ПД в опытах использовался обожженный кирпич, просеянный через сито 100 меш. ПД вводились в бетонную смесь в кол-вах 5, 10, 15, 25 и 30%. Смешивание ПД с остальными материалами, составляющими бетон, производилось двумя способами — загрузкой сухих материалов в бетономешалку с сухими и влажными стенками. Длительность смешивания продолжалась в пределах 1—12 мин. Проверялась однородность смеси и прочность образцов в возрастах 28 и 90 суток. Однородное смешение всех материалов и отсутствие большого разброса в прочностях достигалось при длительности перемешивания 1—4 мин. Для практич. целей возможно непосредственное введение ПД в бетонную смесь совместно с цементом без предварительного размола или предварительного смешивания ПД с цементом в каких-либо машинах. П. З.

26453. Бетон с заполнителем из руды магнитного железняка. Генри (Magnetite iron ore concrete. Henrie J. O.), U. S. Atomic Energy Comm. Repts., 1954, NAA — SR — 880, 21 (англ.)

Бетон с применением крупного и мелкого заполнителя (З) из руды магнитного железняка использовался для устройства защитных экранов, предохраняющих персонал и оборудование от вредного воздействия рентгеновских п-лучей и нейтронов. В опытах использовались два образца руды, характеризующиеся плотностью 4,95 г/см<sup>3</sup> и содержание 68% Fe. Руда дробилась и рассевалась на мелкий и крупный З. В зависимости от размеров блоков был принят максим. размер крупного З 19, а в отдельных опытах 50 мм. Опытные образцы изготовлялись в формах цилиндров с  $d = 10,5—14,7$  см и  $h = 15,75—29,85$  см. Готовилось несколько бетонных смесей, в которых расход материалов на 1 м<sup>3</sup> бетона составлял: цемента 260—370 кг, крупного З 1600—2437 кг, мелкого З 1067—1509 кг,

воды 170—238 л. Уплотнение смеси производилось вибрацией, штыкованием и заливкой без принудительного уплотнения. Бетон, удовлетворяющий требованиям, предъявляемым к защитным экранам, характеризуется плотностью 3,7—4,0 г/см<sup>3</sup> или об. в. 3680—4000 кг/м<sup>3</sup>. Предел прочности бетона при сжатии в возрасте 10 суток 280 кг/см<sup>2</sup>. Прочность бетона при прочих равных условиях повышалась с увеличением величины максим. размера З.

При изготовлении блоков в производственных условиях было выявлено, что уплотнение очень жестких смесей пневмолотом не обеспечивает получения бетона нужной плотности, хотя в этом случае возможно производить последнюю распалубку блоков. Требуемая плотность бетона 3,7—3,8 г/см<sup>3</sup> была достигнута внутренней вибрацией при уплотнении смеси в формах. Для ускорения схватывания бетонной смеси, в целях увеличения оборота форм, рекомендуется вводить в нее CaCl<sub>2</sub>. Отформованные блоки должны быть защищены от воздействия солнечных лучей и в течение первых 7 суток храниться во влажной среде. П. З.

26454 К. Минеральное сырье для стекловарения. Шлаин И. Б. М., Промстройиздат, 1955, 276 стр., илл., 10 р. 35 к.

26455 К. Работа на стеклоформирующих полуавтоматах ВШМ. Орлов А. Н. М., Гизлегпром, 1955, 204 стр., илл. 8 р. 10 к.

26456 К. Современные структурные керамические материалы. Дери (Korszerű oxidkerámiai szerkezetű anyagok. Déri Márta. Budapest, 1954 (1955), 711.—, 13, 50 Ft) (венг.)

26457 К. Теоретические основы скоростного обжига кирпича по методу П. А. Дуванова. Похратян К. А. М., Промстройиздат, 1955, 116 стр., илл. 3 р. 95 к.

26458 К. Производство кирпича на предприятиях местной промышленности. Жестовский А., Бочаров Н. Алма-Ата, Казгосиздат, 1955, 64 стр., илл. 1 р. 10 к.

26459 К. Исследования пенокарбоната. Розенфельд Л. М., Науч. сообщ. Центр. н.-н. ин-та пром. сооружений, 1955, № 23, 52

26460 Д. Поляризационно-оптическое исследование внутренних напряжений в стеклоизделиях. Инденбом В. Л. Автореф. дисс. канд. техн. н., Моск. хим.-технол. ин-т, М., 1955

26461 Д. Исследование свойств керамических пресспорошков и процесса прессования электроизоляционных изделий в вакууме. Струенская Н. Я. Автореф. дисс. канд. техн. н., Моск. хим.-технол. ин-т, М., 1955

26462 Д. Исследование влияния добавок ZrO<sub>2</sub>, SiO<sub>2</sub>, TiO<sub>2</sub> и MgO на некоторые важнейшие свойства корундовой керамики. Силина Н. Н. Автореф. дисс. канд. техн. н., Моск. хим.-технол. ин-т, М., 1955

26463 Д. Взаимодействие расплавов свинцовых силикатов с огнеупорными материалами. Сохадзе Е. П. Автореф. дисс. канд. техн. н., Ленингр. технол. ин-т им. Ленсовета, Л., 1955

26464 Д. Исследование влияния некоторых свойств равновесных расплавов на превращение кварца в тридимит и на керамические свойства дианаса. Орлова Н. Г. Автореф. дисс. канд. техн. н., Харьковский политехн. ин-т, Харьков, 1955

26465 Д. Исследование твердых растворов алюмоферритов кальция. Бойкова А. И. Автореф. дисс. канд. хим. н., Ин-т химии силикатов АН СССР, Л., 1955

**26466 Д.** Разработка способов производства и изучение свойств литых строительных материалов из топлывных шлаков Каунаской электростанции. Ницкус И. И. Автореф. дисс. канд. техн. н., Уральский политехн. ин-т, Свердловск, 1955

**26467 П.** Фтороборатные стекла. Сунь Гуан-хань (Fluoborate glasses. Sun Guan-Han) [Canadian Kodak Co.]. Канад. пат. 507140, 9.11.54

Патентуется: 1) фтороборатное оптич. стекло с показателем преломления  $> 1,9$  и со значением  $v < 25$ , состоящее в основном из соединений F, B, O и двух металлов из группы Ba, La, Ti, Th и 2-валентного Pb. Мол. %  $B_2O_3$  лежит в пределах 30 и 50 и F 3—15; 2) фтороборатное стекло состава (в мол. %):  $B_2O_3$  35—50, PbO 30—42,  $TiO_2$  10—20 и F 3—15; 3) фтороборатное стекло (в вес. %):  $B_2O_3$  10,  $TiO_2$  10, PbO 50—70 и 5—30 смеси фторидов из группы Ba, La, Th и Pb. Отношение F к B лежит в пределах 0,3—1,35. Показатель преломления стекла  $> 1,9$  и значение  $v < 25$ ; 4) фтороборатное стекло состава (в вес. %):  $B_2O_3$  10,  $TiO_2$  10, PbO 50—70 и  $ThF_4$  5—30. С. Т.

**26468 П.** Химически устойчивые стекла (Chemically resistant glass) [Rilkington Bros., Ltd]. Англ. пат. 702059, 6.01.54 [Glass, 1954, 31, № 3, 128 (англ.)]

Составы стекол (в вес. %):  $SiO_2$  65,0, CaO 0,65, MgO 0,35, ZnO 1,0,  $Al_2O_3$  3,0,  $B_2O_3$  6,0,  $Na_2O$  13,0; MnO<sub>2</sub> 10,0,  $Cr_2O_3$  1,0;  $SiO_2$  55,  $Cr_2O_3$  3, MgO 2,  $Al_2O_3$  2,  $B_2O_3$  6,  $Na_2O$  12, MnO<sub>2</sub> 18,  $As_2O_3$  2. С. И.

**26469 П.** Фторофосфатное стекло. Сунь Гуан-хань, Хаггинс (Fluorophosphate glass. Sun Guan-Han, Huggins Maurice L.) [Canadian Kodak Co., Ltd]. Канад. пат. 507136, 9.11.54

Фторофосфатные стекла получают из шихты (в вес. %): фтористых Li (Na, K) 8—30, Ca(Mg, Sr, Ba) 30—50, фосфата Al 40—62. Показатель преломления указанных стекол 1,50—1,55, а число Аббе  $> 70,0$ . Н. П.

**26470 П.** Глушное стекло цвета слоновой кости. Данкан, Симор (Opalescent ivory-colored glass. Duncan James Earle, Seymour Samuel L.) [Pittsburgh Plate Glass Co.]. Пат. США 2683666, 13.07.54

Стекло содержит (вес. %):  $SiO_2$  60—70, ( $Na_2O$  +  $K_2O$ ) 15—20, CaO 0,1—5,0,  $Al_2O_3$  0—10,0,  $TiO_2$  4—10,0,  $SeO_2$  0,75—2,25 и F<sub>2</sub> 4—7. С. И.

**26471 П.** Оптический флинтглас. Вейсенберг, Мейнерт (Optisches Flintglas. Weissenberg Gustav, Meinert Norbert) [Ernst Leitz G. m. b. H.]. Пат. ФРГ 919366, 21.10.54 [Glastechn. Ber., 1954, 27, № 11, B47 (нем.)]

Флинтглас с аномальным значением относительной частной дисперсии имеет состав (в вес. %):  $Pb_3(PO_4)_2$  80—90,  $WO_3$  или  $Ta_2O_5$  2—15 и метафосфата второй группы периодической системы  $\geq 5$ —15 или  $P_2O_5$  2—10. С. И.

**26472 П.** Стекло, прозрачное для ультрафиолетовых лучей. Камокава, Акияма (Glass transparent to ultraviolet light. Kamokawa Hiroshi, Akiyama Yasuo) [Tokyo Shibaura Electric Co.]. Япон. пат. 1587, 26.03.54 [Chem. Abstrs, 1955, 49, № 2, 1301 (англ.)]

Путем сплавления при 1500° шихты, содержащей (в кг): кварцита 71,5, буры 24,61, углекислого лития 4,95, борной к-ты 11,97, глинозема 6,0, окиси цинка 1,50, хлористого натрия 0,7, фтористого натрия 0,59, крахмала 0,83, получают стекло состава (в %):  $SiO_2$  71,5,  $B_2O_3$  15,0,  $Na_2O$  4,0,  $Li_2O$  2,0,  $Al_2O_3$  6,0, ZnO 1,5. Листовое стекло такого состава толщиной 0,6 мм пропускает 75% УФ-лучей с длиной волны 2537 А. С. И.

**26473 П.** Способ производства безосколочного стекла. Котте, Шазаль (Verfahren zur Herstel-

lung von Sicherheitsglas. Cottet Emile Clément, Chazal René Louis Fernand) [Soc. des Usines Chimiques Rhône-Poulenc]. Пат. ФРГ 907826, 29.03.54 [Glastechn. Ber., 1954, 27, № 4, P19 (нем.)]

В качестве связующего слоя между листами стекла применяется поливиниловый спирт или какая-нибудь из его водорастворимых или набухающих в воде производных с добавкой пластификатора. Адгезия связующего слоя к стеклу повышается путем применения растворимых в воде силикатов или кремнийорганич. эфиров. [С. И.]

**26474 П.** Способ окрашивания стекла. Питерсон (Method of coloring glass. Peterson Milton M.) [Corning Glass Works]. Канад. пат. 493840, 23.06.53

Способ получения рубинового известково-натриевого стекла состоит в нагревании последнего сначала в восстановительной атмосфере, в нанесении на стекло красящего состава, содержащего соединения меди, и в последующем нагревании стекла до появления требуемой степени окраски. М. Ц.

**26475 П.** Шлифование листового стекла (Grinding of plate glass). [Pilkington Bros., Ltd]. Англ. пат. 704269, 17.02.54 [J. Soc. Glass Technol., 1955, 39, № 186, A22 (англ.)]

Для улучшения шлифовки и уменьшения времени полировки применяется свинцовая бронза для шайб. Указывается, что это уменьшает размеры выколок. Лучшие результаты получены с материалом состава (в %): Cu 74, Sn 5, Pb 20, Ni 1, а также Cu 80, Sn 2,5, Zn 2,5, Pb 15. Н. П.

**26476 П.** Стекло с низким коэффициентом расширения. Ямадзакэ (Glass with a low coefficient of expansion. Yamazaki Tsuneo) [Narumi Ceramic Co.]. Япон. пат. 1992, 14.04.54. [Chem. Abstrs, 1955, 49, № 1, 582 (англ.)]

Состав стекла (в %): ZnO 9—18, PbO 25—42,  $Al_2O_3$  6—12,  $SiO_2$  30—45,  $B_2O_3$  6—18. Оно может содержать также и красители, напр. Co и CuO  $< 3\%$  каждой или Au, Ag, Cu и CdS  $< 1\%$  каждого. С. И.

**26477 П.** Стекланная ткань, натягиваемая на криволинейную поверхность при изготовлении стеклопластиков (Tissu de verre déformable en une surface non développable, notamment pour le renforcement de matières plastiques) [Soc. Pierre Génin et Cie]. Франц. пат. 1067606, 17.06.54 [Verres et réfract., 1954, 8, № 6, 321—322 (франц.)]

Переплетение стеклоткани характеризуется просветом по основе  $< 4$  мм, а по утку  $< 2$  мм, с кол-вом узлов  $< 80$  на см<sup>2</sup>, с равномерной раздвижкой на узлах. Благодаря такому переплетению создается возможность натягивать ткань, не вызывая удлинения нитей. С. И.

**26478 П.** Способ получения стекловолокна (Method and apparatus for making fibres from glass) [Owens-Corning Fiberglass Corp.]. Англ. пат. 704180, 17.02.54 [Glass, 1954, 31, № 5, 237 (англ.)]

Горячую смесь газов сжигают в камере, продукты сгорания выпускают через узкое отверстие в форме горячей струи с большой скоростью. Стекланные нити подаются крестообразно в струю через смежные загрузочные отверстия. Выдвинутый конец нити размягчается теплом струи газов. Расплавленное стекло растягивается силой дутья. Нити нагреваются перед поступлением в струю до т-ры, приближающейся, но не достигающей т-ры размягчения. Н. П.

**26479 П.** Электропечь для получения стекляного войлока (Elektrischer Schmelzofen mit Elektrodenheizung, insbesondere zur Erzeugung von Glaswolle) [Società per Azioni Vetreria Italiana Balzaretto]



Modigliani]. Пат. ФРГ 908184, 1.04.54 [Glas-Email-Keramo-Technik, 1954, 5, № 5, 193 (нем.)]

Электроплавильная печь отличается тем, что в различных ее частях можно получить заданную высокую т-ру; электроды располагаются в печном пространстве таким образом, что в требуемых местах создаются узкие, регулируемые в поперечном сечении потоки стекла; электрич. ток, проходя через стекломассу, нагревает ее до требуемой высокой т-ры.

С. И.  
26480 П. Армированные стеклопластики на неорганических связующих. Слейтер (Reinforced inorganic molded products. Slayter Games) [Owens-Corning Fiberglass Corp.]. Пат. США 2703762, 8.03.55  
Стеклопластики с неорганич. связующими получают путем загрузки в форму смеси, содержащей до 12 вес. % стеклянного волокна и Mg-соединений в виде окиси Mg, гидрата окиси Mg и сернистого Mg. При нагревании выше 71° выделяемая из последнего кристаллизационная вода делает смесь достаточно пластичной. Прессование происходит при 71—93° и давл. 70—420 кг/см<sup>2</sup>.

С. И.  
26481 П. Спай стекла с металлом. Бреднер, Симс (Glass-to-metal seals. Breadner R. L., Simms C. H.) [General Electric Co., Ltd]. Англ. пат. 716927, 20.10.54 [J. Appl. Chem., 1955, 5, № 4, i574 (англ.)]

Обработанный на конус (3—5°) по толщине конец Al-трубки вставляется в соответствующее конич. отверстие детали из неокисляющегося (напр., Fe-Cr-Ni) металла, который нагревается примерно до 625°. Конец стеклянной трубки размягчается на суженном конце Al-трубки и затем раздувается в месте контакта с жароупорным металлом для образования спая. Для этой цели применяется стекло, обладающее при 625° вязкостью  $10^8$  пуа, имеющее состав (вес. %): SiO<sub>2</sub> 55,5, PbO 30,0, Al<sub>2</sub>O<sub>3</sub> 1,0, Na<sub>2</sub>O 5,2, K<sub>2</sub>O 7,5, CaO 0,5, MgO 0,3.

С. И.  
26482 П. Спай стекла с металлом. Коке (Glass to metal seal and parts thereof and method of making same. Cox Irvin W.) [Cutler-Hammer, Inc.]. Пат. США 2677877, 11.05.54

Металлическая деталь, предназначенная для спайки с тугоплавким стеклом, состоит из совместно отформованных двух слоев. Первый представляет собой сплав Fe (в %): с Ni 29, Co 17, Mn 0,3 и имеет коэфф. расширения, близкий к коэфф. расширения стекла. Второй, более тонкий слой, представляющий собой сплав Fe (в %): с Ni 42 и Cr 6, прочно сплавляется со стеклом.

С. И.  
26483 П. Металлизация поверхности керамических материалов. Барнард, Бакли (Metallising the surfaces of ceramic bodies. Barnard Roy Mayne, Buckley Sidney Ernest) [International Standard electric Corp.]. Пат. США, 2706682, 19.04.55

Способ получения керамич. материала, покрытого в части поверхности прочно закрепленным слоем металла из группы Ag, Cu, Fe и Ni, состоит в том, что порошкообразная смесь каолина, талька и двуокиси Ti спекается совместно с порошкообразными окислами указанных металлов в твердый материал, который затем нагревается выше т-ры плавления указанных окислов, которые в восстановительной среде восстанавливаются до металла.

С. Т.  
26484 П. Усовершенствования, относящиеся к электрическим лампам накаливания или разрядным трубкам (Improvements in or relating to electric incandescent lamps or discharge tubes) [N. V. Philips' Gloeilampenfabrieken]. Инд. пат. 49212, 29.10.53

Для соединения двух отдельных стеклянных частей рекомендуется стекло, содержащее 65% SiO<sub>2</sub> и почти 12% 2-валентных окислов, таких как PbO, BaO, SrO,

CaO, ZnO и MgO, из которых 50% составляют BaO и 15—20% щел. окислы, третья часть которых состоит из K<sub>2</sub>O, 0—3% B<sub>2</sub>O<sub>3</sub>, ~ 5% PbO и 0,5% F.

В. Д.  
26485 П. Метод улучшения поляризации пьезоэлектрических материалов. Ден (Method of improving the polarization of piezoelectric materials. Dehn F. B.) [Globe-Union, Inc.]. Англ. пат. 706993, 07.04.54 [J. Appl. Chem., 1954, 4, part 8, ii 217 (англ.)]  
На керамику из BaTiO<sub>3</sub> прикладывается оптимальное напряжение (определенное эмпирически) в процессе охлаждения ее от т-ры выше точки Кюри до т-ры ниже точки Кюри.

В. Р.  
26486 П. Изоляционный материал и способ его производства (Matière isolante et son procédé de fabrication) [Soc. d'Etudes pour Revêtements Chimiques et Imprégnations]. Франц. пат. 1037539, 17.09.53 [Chem. Zbl., 1954, 125, № 34, 7755 (нем.)]

Изоляционный материал из асбеста (~70%) и твердеющей при нагреве смолы (~30%). Бакелит смешивают с ускорителем отверждения (к-та, кислая соль), а затем с указанным кол-вом асбестового волокна, особенно имеющего высокое содержание MgO, а также в некоторых случаях с другими наполнителями — слюдой или SiO<sub>2</sub> (~25% от веса всей смеси), избегая при этом нагрева, и прессуют при 150° и 300 атм.

Е. III.  
26487 П. Керамические композиции. Греммер, Силвернейл (Ceramic compositions. Greminger George K., Jr, Silvernail Lloyd H.) [The Dow Chemical Co.]. Канад. пат. 506439, 12.10.54

Композиции керамич. глазури, включающие композиции остеклованных эмалей, суспендируются в р-рителе, содержащем ≥ 0,1 вес. % метилцеллюлозы и самое меньшее 1 вес. ч. одного из соединений: полиэтиленового гликоля с мол. весом выше 2000 и полипропиленового гликоля с мол. весом выше 700 на каждую весовую часть метилцеллюлозы. Композиции также могут суспендироваться в р-рителе, содержащем примерно 1—3 вес. ч. одного из следующих соединений: полиэтиленового гликоля с мол. весом выше 2000 и полипропиленового гликоля с мол. весом выше 700 на каждую весовую часть метилцеллюлозы.

Г. М.  
26488 П. Способ обжига керамических деталей для преобразователей. Вильямс (Procédé de cuisson de pièces en matières céramiques pour la constitution de transducteurs. Williams Alfred L. W.) [The Brush Development Co.]. Франц. пат. 1058989, 22.03.54 [Ind. céram., 1954, № 454, 14d (франц.)]

Способ, позволяющий обжигать изделия больших размеров без деформации, трещин и осечек. Деталь отформованная почти исключительно из титаната бария нагревается до т-ры обжига, будучи погруженной в жидкое Sn или Pb, имеющих более высокий уд. вес, чем детали после обжига.

С. Т.  
26489 П. Изделия из карбида кремния и методы их получения. Николсон (Bonded silicon carbide articles and method of making same. Nicholson Kenneth C.) [Carborundum Co.]. Канад. пат. 508526, 28.12.54

Метод получения огнеупорных изделий из SiC состоит в формовке зерен SiC с небольшим кол-вом временной связки, просушивании полученного отформованного изделия в нагревательной камере вместе со смесью ZrC, BC и SiC, с последующим нагреванием изделия и смеси карбидов в инертной газовой среде до т-ры (~2000°), при которой смесь карбидов расплавляется и заполняет поры вышеуказанных отформованных изделий из SiC.

В. К.  
26490 П. Способ получения огнеупоров типа муллитита. Даплин, Нортон (Sätt att tillverka eldfasta föremål av mullittypen. Duplin V. J.,

Jr, Norton C. L., Jr) [The Babcock and Wilcox Co.]. Швед. пат. 148977, 22.02.55

Способ получения огнеупора смешением молотого отощающего огнеупорного материала со связкой, формированием смеси, сушкой ее и обжигом отличается тем, что отощающий материал представляет собой муллит с хорошо образованными кристаллами, который получают сплавлением сырья, содержащего  $Al_2O_3$  и  $SiO_2$  в отношении, соответствующем теоретич. составу муллита, и  $> 1$  вес. % соединений Fe и Ti; а связка состоит из тонкоразмолотого чистого  $Al_2O_3$  и глины, содержащей  $\geq 50\%$  всей  $Al_2O_3$  связки с величиной зерна 0,043 мм. К. Г.

26491 П. Огнеупорный материал и метод его изготовления. Тизел (Refractory material and method of making. Teasel Chester C.) [National Foundry Sand Co.]. Канад. пат. 504006, 29.06.54

Пластичная огнеупорная футеровка для печи составляется из следующих материалов (в вес. %): 1) цирконового песка 10, молотого циркона 66,67, дробевой кварцевой породы 20, составного связующего из пластичной огнеупорной глины, комковой глины и каолина 1,67, бентонита 1,67 совместно с силикатом Na и водой, в кол-ве, необходимом для получения требуемой текучести; 2) цирконового песка 76,67, кварцевой породы 20, бентонита 1,67% и 1,67% составного связующего из пластичной огнеупорной глины, комковой глины и каолина, совместно с силикатом Na и водой в кол-ве, необходимом для получения требуемой текучести. Метод изготовления огнеупорного кирпича заключается в смешивании (в. %): цирконового песка 76,67, кварцевой породы 20, бентонита 1,67, пластичной огнеупорной глины 1,67, а также силиката Na и воды, прессовании смеси под давлением в отдельные формы, нагреве до  $100^\circ$  и выдержке до тех пор, пока формы станут практически сухими, и обжиге при т-ре в пределах  $1566 - 1704^\circ$ . Огнеупорный состав, образующийся из (в вес. %): цирконового песка 20—60, молотого циркона 40—80, кварцевой породы 2—20, пластичной огнеупорной глины 0,5—15, бентонита 0,5—10, силиката Na 0,5—15, воды в кол-ве, необходимом для получения требуемой текучести. Г. Ф.

26492 П. Способ производства высокоогнеупорного диноса. Трёмель (Verfahren zum Herstellen hochfeuerfester Silikaerzeugnisse. Trömel Gerhard) [Max-Planck-Institut für Eisenforschung]. Пат. ФРГ 881477, 29.06.53 [Glas-Fmail-Keramo-Technik, 1953, № 8, 305 (нем.)]

Для получения диноса высокой огнеупорности рекомендуется применять в качестве сырья кварциты с большим содержанием глинозема. При подготовке массы, к кварцитам добавляют фосфорную к-ту, играющую роль связки, а также переводящую глинозем в ортофосфат алюминия. Фосфорную к-ту следует прибавлять в кол-ве, обеспечивающем переход всего глинозема, присутствующего в массе, в ортофосфат. А. П.

26493 П. Кристобалитовый раствор. Икенуэ (Kristobalite mortar. Ikenoue Tsune) [Kurosaki Ceramic Co.]. Япон. пат. 836, 27.02.53 [Chem. Abstrs, 1954, 48, № 4, 2341 (англ.)]

Раствор состоит (в %): из кристобалита 88, «земли Кибуши» 9, бентонита 1, обожженного гипса 1 и растворимого стекла 1. Гранулометрич. состав продукта: 80% фракций  $< 70 \mu$  и 20%  $70 - 100 \mu$  в диаметре. И. З.-Я.

26494 П. Кислотостойкая уплотняющая обмазка. Тейфель (Säurefeste Dichtungspaste. Teufel Karl). Пат. ФРГ 885293, 3.08.53 [Chem. Zbl., 1954, 125, № 8, 1797 (нем.)]

Обмазка для уплотнения болтов и винтов состоит из вазелина, жидкого стекла, Mg и незначительного кол-ва окиси Pb. П. З.

26495 П. Способ увеличения теплоизоляции строительных деталей. Хофбауэр (Verfahren zur Steigerung des Wärmeschutzes von Bauteilen. Hofbauer Georg). Австр. пат. 181409, 15.03.55 [Chem. Abstrs, 1955, 49, № 10, 7216 (англ.)]

Теплоизоляционные свойства строительных деталей, напр. кирпича, дерева, плит и т. д., могут быть улучшены без уменьшения водонепроницаемости посредством нанесения сильно отражающего лака с металлич. пигментом, напр. алюминиевого лака. Лак наносится или непосредственно на строительную деталь распылением, или на тесьму (ленту), которой покрывают деталь. И. К.

См. также: Силикаты 25302—25307, 28054. Вяжущие материалы 27927. Др. вопр. 27953, 27955

## ПОЛУЧЕНИЕ И РАЗДЕЛЕНИЕ ГАЗОВ

26496. К вопросу о сжижении газов. Кадержавек (Přispěvek ke zkapalňování plynů. Káďáček F.). Chem. průmysl, 1955, 5, № 8, 326—330 (чеш.)

Рассмотрен процесс сжижения газов и выявлены условия миним. затраты энергии. Е. С.

26497. Промышленные процессы, применяемые на заводах фирмы SCGP. — (Processos industriais de la «Société Chimique de la Grande Paroisse»). Rev. industr. y fabril, 1953, 8, № 79, 228—237 (исп.)

Описаны способы получения  $H_2$  электролизом воды, методом глубокого охлаждения из коксового газа, конверсией углеводородов водяным паром, частичным окислением углеводородов, конверсией CO. Кратко изложены процессы синтеза  $NH_3$ , произ-ва  $HNO_3$ ,  $NH_4NO_3$ ,  $NH_4Cl$ , соды, светильного газа и процессы перегонки битуминозных сланцев. Г. Р.

26498. Поведение карбида кальция в сухих генераторах. Хаузер (Über das Verhalten von Kalziumkarbid in Trockenentwicklern. Hauser Oskar), Mitt. Chem. Forsch. inst. Wirtsch. Österr., 1954, 8, № 4, 94—96 (нем.)

Рассматривается зависимость свойств  $CaC_2$  от его структуры и состава в условиях работы сухих генераторов  $C_2H_2$ . Оптимальная т-ра выходящего  $C_2H_2 \sim 92^\circ$ . Повышение т-ры приводит к полимеризации  $C_2H_2$ , а понижение — к увлажнению  $Ca(OH)_2$ . Пористость  $CaC_2$ , обусловленная повышенным содержанием C, почти не влияет на выход  $C_2H_2$ . Выход  $C_2H_2$  зависит от степени измельчения  $CaC_2$ . Лучшее всего генератор работает при величине кусочков  $CaC_2$  25—50 мм или 50—80 мм. При более крупных кусках наблюдаются перегрев и заниженный выход  $C_2H_2$  из-за образования корок из  $Ca(OH)_2$ . Удаление корок производится механически (во вращающихся барабанах). С. Я.

26499 П. Способ разделения газовых смесей сжижением и ректификацией. Этьенн (Verfahren zur Trennung von Gemischen in der Kälte durch Verflüssigung und Rektifikation. Etienne Alfred) [L'Air Liquide, Soc. An. pour l'Etude et l'Exploitation des Procédés Georges Claude]. Пат. ФРГ 915456, 22.07.54 [Chem. Zbl., 1955, 126, № 9, 2038—2039 (нем.)]

Способ разделения газообразной или паро-жидкостной смеси на две фракции в двух ректификационных колоннах, работающих под различными давлениями. Смесь поступает в колонну низкого давления (НД); дистиллят этой колонны поступает для дальнейшей ректификации в колонну высокого давления (ВД), а нижний продукт используется как хладагент в конденсаторе колонны ВД. В колонне ВД подучают в качестве дистиллата наиболее летучую фракцию, а нижний продукт этой колонны поступает для орошения колонны НД. Г. Р.

26500 П. Процесс разделения газовых смесей. Вильямс (Process for separation of gases. Williams Virgil C.) [Mississippi River Fuel Corp.]. Пат. США 2713780, 26.07.55

В установке для разделения газовой смеси, содержащей углеводороды, процесс ректификации осуществляется при повышенном давлении и низкой т-ре, причем смесь поступает в колонну частично сконденсированной в результате охлаждения ее в системе теплообменников. Необходимое для ректификации тепло получают за счет охлаждения части смеси в теплообменном устройстве, после чего использованная для этой цели смесь вводится в колонну вместе с основным потоком.

Ю. П. 26501 П. Способ отогревания установок для разделения газовых смесей. Шиллинг (Method for defrosting gas separation systems. Schilling Clarence J.) [Air Products, Inc.]. Пат. США 2663168, 22.12.53

Для очистки циркулирующего в системе газа от загрязнений, удаляемых из отогреваемой установки глубокого охлаждения, рекомендуется охлаждать газ до т-ры, лежащей ниже точки замерзания примесей, но выше нормальной рабочей т-ры в установке. Для этой цели используется теплообменник, в котором осуществляется теплообмен между циркуляционным газом, выходящим из отогреваемой установки, и направляющимся в нее газовым потоком.

Ю. П. 26502 П. Очистка аргона. Ито (Purification of argon. Ito Tadao) [Nippon Electrical Metallurgy Co.]. Япон. пат. 2071, 19.04.54 [Chem. Abstrs, 1955, 49, № 4, 2689 (англ.)]

Смесь  $KCl$ ,  $MgCl_2$  и  $BaCl_2$ , взятых в соотношении, необходимом для образования  $2KCl \cdot BaCl_2$  и  $KCl \cdot MgCl_2$ , расплавляют при  $500^\circ$  и подвергают электролизу при 12 в и 30 а; в катодном пространстве получается  $Ba$ , а в анодном —  $Cl_2$ . Аргон, содержащий 8%  $O_2$  и 12%  $N_2$ , вводится в катодное пространство; образуются  $BaO$  и  $Ba_3N_2$  и получ. аргон чистотой 99,8%. Г. Р. 26503 П. Приготовление растворов  $C_2H_2$  и  $SO_2$ , их хранение и транспортировка. Смеделунд (Verfahren zum Herstellen von Lösungen von Azetylen und Schwefeldioxyd für Aufbewahrungs-, Lagerungs- und Transportzwecke. Smedlund Tor Halfdan) [Aktiebolaget Centrallaboratorium-Keskulaboratorio Osakeyhtiö]. Пат. ФРГ 876397, 11.05.53 [Chem. Zbl., 1953, 124, № 46, 7888 (нем.)]

Предлагается применить диметилсульфоксид или пропитанный им пористый материал в качестве р-рителя  $C_2H_2$ ,  $SO_2$  при их хранении и транспортировке.

Н. А.

См. также: 25047, 25065, 26124, 26125

## ПОДГОТОВКА ВОДЫ. СТОЧНЫЕ ВОДЫ

26504. Вода — основной природный ресурс. Кирстед (Water, a basic natural resource. Keirstead Ralph E.). J. Chem. Educ., 1955, 32, № 2, 99—102 (англ.)

Некоторые данные о потреблении воды в США.

26505. Вода и химическая промышленность. Курогава (水と化学工業學. 黒澤俊一). 化学工業. Karaku kogaaku, Chem. Engng (Tokyo), 1955, 19, № 3, 122—125 (япон.)

26506. Образование придирующей пленки на поверхности железосодержащих вод. Курцвейль, Экелер (Irisierende farbige Oberflächenhäute auf eisenhaltigen Wässern. Kurzweil H., Exner H.). Gesundh.-Ingr, 1954, 75, № 11/12, 196—198 (нем.)

На поверхности водоемов при конц-ии  $Fe$  в воде порядка 1—2 мг/л и малоподвижном состоянии поверхности иногда наблюдается образование придирующей пленки (III);  $Fe$  в такой воде присутствует в основном в коллоиднодисперсном состоянии. Образованию III на поверхности способствуют некоторые бактерии и их продукты обмена, а также грубодисперсные, всплывающие примеси воды как органич., так и неорганич. происхождения.

О. М. 26507. Практические методы борьбы с водорослями и гидробионатами. Барч (Practical methods for control of algae and water weeds. Bartsch A. F.). Public Works, 1955, 86, № 2, 86—87, 144—146, 148 (англ.)

Увеличение спуска сточных вод в открытые водоемы и широкое применение в быту фосфорсодержащих детергентов повышает конц-ию в воде водоемов биогенных элементов, что способствует бурному развитию в них диатомовых и синезеленых водорослей и различных гидробионтов. Удаление  $P$  из сточных вод является эффективной мерой борьбы с развитием водорослей. Рекомендуется обработка водоемов  $CuSO_4$  перед их «цветением». Во избежание быстрого осаждения  $Cu$  рекомендуется вводить его в воду вместе с цитратом натрия. Доза  $CuSO_4 \cdot 5H_2O$  0,3 мг на 1 л воды верхнего 30 см слоя при щелочности  $< 1$  мг-экв/л и 2 мг/л при щелочности  $> 1$  мг-экв/л. В настоящее время испытывается новый альгицид (2,3 дихлорнафтохинон), селективно действующий на синезеленые водоросли. В качестве средств борьбы с гидробионтами испытываются ортодихлорбензол, трихлорбензол и мышьяковистые препараты.

В. К.

26508. К вопросу фторидирования питьевой воды. Крузе (Zur Frage der Fluorierung des Trinkwassers. Kruse Heiner). Gesundh.-Ingr, 1954, 75, № 19/20, 323—329 (нем.)

Для предотвращения заболеваний зубов (как кариоза, так и флюороза) конц-ия  $F$  в питьевых водах должна быть в пределах 0,7—1,5 мг/л. Такое содержание является также эффективным против заболевания рахитом. При фторидировании воды общая конц-ия  $F$  в обработанной воде должна быть 1,2—1,3 мг/л зимой и 0,6 мг/л летом. Фторидирование производится в основном при помощи реагентов:  $NaF$  и  $Na_2SiF_6$  (в сухом виде), а также  $HF$  и  $H_2SiF_6$  (в виде жидкости). Приводятся характеристика и технич. условия на перечисленные реагенты.

О. М.

26509. Концентрация фтора в питьевой воде в Финляндии. Касанен (Juomaveden fluoripitoisuudesta Suomessa. Kasanen Antero). Duodecim, 1955, 71, № 6, 777—783 (фин.; рез. англ.)

26510. Фторидирование питьевой воды в Англии. Лонгуэлл (Fluoridation of domestic water supplies assessment and maintenance of the dose to be applied. Longwell J.). Water and Water Engng, 1955, 59, № 710, 152—154 (англ.)

Приводятся данные о мероприятиях по массовому внедрению фторидирования (Ф) питьевых вод в Англии; освещается опыт применения  $F$  в США, на основе которого даются рекомендации для проведения технолог. процесса Ф (возможности совмещения с хлорированием, эффективное перемешивание воды с реагентом, используемые реагенты и др.).

О. М.

26511. Очистка воды в Кембридже, Массачусетс. Теркотт (Water purification in Cambridge, Massachusetts. Turcotte David H.). J. New England Water Works Assoc., 1955, 69, № 2, 191—196 (англ.)

О развитии водоснабжения в г. Кембридже с 1856 г. до настоящего времени.

Н. В.

26512. Борьба с запахом воды путем обработки двуокисью хлора. Круз (More about «quick chlorine



dioxide». Kruse Cornelius W.), Water and Sewage Works, 1954, 101, № 10, 458—459 (англ.)  
Описывается опыт борьбы с запахом воды одного водоема путем обработки ее  $\text{NaOCl}_2$ . См. также РЖХим, 1954, 15191. О. М.

26513. Содержание фтора в водах и распространение кариоза в провинции Беневенто. Матера, Ораццо (Sul contenuto in fluoro nelle acque e sulla diffusione della carie dentale in provincia di Benevento. Matera A., Orizzo C.), Ann. sanita pubblica, 1954, 15, № 4, 773—778 (итал.; рез. англ., франц., нем., исп.)

Установлена корреляция между недостаточной конц-ей F в питьевых водах и заболеваемостью кариозом в провинции Беневенто. Сравнение двух методов определения F показало, что объемный метод (по Феллембергу) более точен, однако менее удобен чем колориметрический. О. М.

26514. О нормах минерализации питьевых вод Западной Туркмении. Глазнев А. Р., Гигиена и санитария, 1955, № 3, 52—53

Воды Западной Туркмении содержат микроэлементы, влияние которых на человеческий организм не изучено. Конц-ия солей в источниках сильно меняется по сезонам. Автор считает недопустимым использование для централизованного водоснабжения вод, не удовлетворяющих требованиям ГОСТ 2874-55. В. К.

26515. Обработка воды реки Темзы, принятая на новой станции Мидлсексе.— (New chemical treatment of Thames water.—), Surveyor, 1955, 114, № 3289, 257—258 (англ.)

По новой схеме в воду вводится 30 мг/л  $\text{Al}_2(\text{SO}_4)_3$  и 2 мг/л активированной кремнекислоты. Вода последовательно проходит через осветлители со взвешенным осадком, затем через префильтры и медленные фильтры. Фильтрат хлорируется дозой хлора, превышающей необходимую для связывания и дихлорамины всего содержащегося в воде  $\text{NH}_4^+$ . Избыток хлора связывается сернистым газом. В. К.

26516. Улучшение качества воды г. Роттердама путем коагуляции. Молт (Coagulation process gives Rotterdam better water. Molt E. L.), Municip. J., 1955, 63, № 3248, 1364—1365, 1367 (англ.)

До конца 1953 г. очистные сооружения водопроводной станции г. Роттердама состояли из префильтров и медленных фильтров, часто работавших неудовлетворительно. С начала 1954 г. прежняя система успешно заменена коагуляцией  $\text{FeCl}_3$  с предварительным ступенчатым хлорированием. Примененный коагулятор является побочным продуктом электрохим. произ-ва. По основным показателям (вкус, запах, цветность, окисляемость) качество очн. воды повысилось, за исключением аммиака, конц-ия которого в летний период, хотя и  $< 0,1$  мг/л, все же несколько выше, чем при прежней очистке. О. М.

26517. Отложение солей в паровых турбинах и котлах. Гейслер (Salzablagerungen in Dampfturbinen und Kesselanlagen. Geissler Th.), Energie (München), 1955, 7, № 4, 105—111 (нем.)

Солевые отложения в теплосиловых установках в основном подразделяются на: а) отложения в пароперегревателе (ПП); б) отложения в проточной части турбин. В ПП (т-ра 450—600°) отлагаются преимущественно в-ва, которые выносятся потоком пара вместе с мельчайшими капельками воды и имеют малую растворимость в паре. Зависимость состава отложений в ПП от давления характеризуется следующими ориентировочными данными: при повышении давления от 20 до 140 атм содержание  $\text{Na}_2\text{SO}_4$  в отложениях повышается от ~40 до 90%, содержание окислов Fe ( $\text{Fe}_2\text{O}_3 + \text{Fe}_3\text{O}_4$ ) уменьшается с ~40 до ~5%, содержание NaOH уменьшается с ~10 до ~5%. Механизм отложения

солей на лопатках турбин и различных ее ступенях в настоящее время полностью не выяснен; повидимому, он сводится к выпадению в-в из парового р-ра, становящегося пересыщ. по отношению к ним по мере понижения давления пара и появления жидкой фазы (влажности). Приводятся данные по качеству пара, при котором практически солеотложения в турбинах не имеют места (в мг/кг пара):  $\text{NaCl}$  300,  $\text{Na}_2\text{SO}_4$  200,  $\text{SiO}_2$  10, Cu 2. Хим. и структурный анализы отложений из турбин показали, что в ступенях высокого давления (т-ра ~ 500—300°) отлагаются преимущественно (в %):  $\text{Na}_2\text{SO}_4$  7,4, частично  $\text{Na}_2\text{SiO}_3$  ~1,6, беркит  $\text{Na}_2\text{CO}_3 \cdot 2\text{Na}_2\text{SO}_4$  2,3, акмит  $\text{Na}_2\text{O} \cdot \text{Fe}_2\text{O}_3 \cdot 4\text{SiO}_2$  5,2, β-натрийбисиликат  $\text{Na}_2\text{Si}_2\text{O}_5$  18,4 и NaCl 22,6; в ступенях низкого давления (т-ра ~300—50°) частично откладываются 4 последних перечисленных в-ва, но в основном α-кварц 29,8, аморфная  $\text{SiO}_2$  21,6 и кристаллит —  $\text{SiO}_2$  3,6%. См. также РЖХим, 1955, 30800, 52720. О. М.

26518. Применение Н-катионита при определении чистоты пара. Лейн, Ларсон, Панки (Hydrogen exchange resin for steam purity testing. Lane R. W., Larson T. E., Pankey J. W.), Industr. and Engng Chem., 1955, 47, № 1, 47—50 (англ.)

Контроль за чистотой пара котлов по электропроводности затруднен присутствием в нем  $\text{NH}_3$ , аминов (при аминировании питательной воды) и  $\text{CO}_2$ . Рекомендуется проводить измерение электропроводности конденсата пара после пропускания его через Н-катионит (полистирольная смола) и кипячения для удаления  $\text{CO}_2$ . В. К.

26519. Внутрикотловая обработка воды. Олчакковский (Zmiekczanie wody wewnątrz kotła. Olczakowski Władysław), Gospod. węglem, 1955, 4, № 10, 214—217 (польск.)

Общие сведения по внутрикотловой обработке воды щел. реагентами с описанием схем ввода реагентов и термосифонного шламоудаления из котла. Г. К.

26520. Внутрикотловая обработка воды. Мартынов М. М. В сб.: Подготовка воды для питания котлов паровозов. М., Трансжелдориздат, 1955, 111—137

Даны рекомендации по проведению внутрикотловой обработки воды щел. реагентами на паровозных котлах. Приводятся ф-лы для подсчетов расхода реагентов и размера продувки. Освещаются мероприятия, направленные на улучшение водн. режима котлов. Г. К.

26521. О дозировке осадителей при внутрикотловой обработке воды в вертикально-цилиндрических котлах низкого давления. Герцык И. Р., Вернидуб Ф. И., Вартбаров О. Р., Тр. Ростовск. ин-та. инж. ж.-д. трансп., 1955, № 19, 51—59

В результате проведенного теплохим. испытания котла Шухова установлены дозировки щел. реагентов и режим продувок котла. Г. К.

26522. Автоматический дозатор антинакипина. Ильячев А. Г. В сб.: Подготовка воды для питания котлов паровозов. М., Трансжелдориздат, 1955, 42—49

Описаны устройство и принцип действия дозатора для подачи р-ра антинакипина в тендер паровоза. Испытания, проводившиеся в производственных условиях в течение 2 лет, показали, что дозатор работает хорошо. Г. К.

26523. Образование и гашение пены в паровозных котлах. Активаторы пеногасителей. Радвинский М. Б. В сб.: Подготовка воды для питания котлов паровозов. М., Трансжелдориздат, 1955, 52—62

В лабор. автоклаве (8 *ата*) исследовалось влияние примесей, содержащихся в испаряемой воде ( $\text{NaOH}$ ,  $\text{Na}_2\text{SO}_4$ ,  $\text{CaCO}_3$ ,  $\text{Mg}(\text{OH})_2$ ), на унос воды с паром. Выяснено, что взвешенные в-ва усиливают унос только в воде с высокой конц-ей электролитов. Повышение интенсивности обогрева резко увеличивает унос. Применяемые для разрушения пены пеногасители быстро теряют свою активность в присутствии шлама. Установлена возможность увеличения продолжительности действия пеногасителей путем добавок спец. активаторов, из которых наиболее действенными оказались сульфитцеллюлозный щелок и танин. Рекомендуется вводить в котел 1—1,5 вес. ч. активатора на 1 вес. ч. добавляемого пеногасителя. Г. К.

**26524. Ионный обмен. Хистер, Филлипс** (Ion exchange. Hiester Neven K., Phillips Russell C.), Chem. Engng, 1954, 61, № 10, 161—180 (англ.)

Обзор литературных данных по ионному обмену, материалам, оборудованию, технологии и области применения ионного обмена. Библ. 56 назв. О. М.

**26525. Кривые вымывания для частично насыщенного слоя ионита. Баддор, Голдштейн, Эпштейн** (Elution from partly saturated ion exchange columns. Baddour R. F., Goldstein D. J., Epstein P.), Industr. and Engng Chem., 1954, 46, № 10, 2192—2195 (англ.)

Описаны точный и приближенный методы расчета кривых вымывания для слоя ионита, частично насыщ.  $\text{H}^+$  и  $\text{Na}^+$ , экспериментально проверенные на смоле «Dowex 50». Л. П.

**26526. Эксплуатация водоочистителей ВНИИСП. Колосков С. П.**, Спирт. пром-сть, 1955, № 2, 15—19

Освещается опыт эксплуатации водоочистителей системы ВНИИСП на спиртовых з-дах. И. В.

**26527. Интенсификация процесса осаждения карбоната кальция при умягчении воды. Мак-Коли, Элайасен** (Accelerating calcium carbonate precipitation in softening plants. McCauley Robert F., Eliassen Rolf), J. Amer. Water Works Assoc., 1955, 47, № 5, 487—493 (англ.)

При осаждении карбоната кальция в процессе содо-известкового умягчения воды процесс выпадения  $\text{CaCO}_3$  может быть значительно интенсифицирован путем рециркуляции шлама, перемешивания и поддержания pH в пределах 9,8—10,2. При этих условиях равновесие практически достигается через 20 мин. (остаточная конц-я  $\text{Ca}^{2+}$  порядка 0,3—0,5 *мг-экв/л*). О. М.

**26528. Обработка воды в оборотных системах водоснабжения нефтеперерабатывающих заводов. Довжук Г. Т.**, Энерг. бюл., 1955, № 8, 8—10

Отмечается неэффективность борьбы с накипеобразованием в системах оборотного водоснабжения нефтеперерабатывающих з-дов путем продувок системы. Рекомендуется сочетать продувку с хим. обработкой воды (фосфатирование, хлорирование, подкисление). Г. К.

**26529. Использование выхлопных газов для очистки охлаждающей воды на газомоторных компрессорных станциях. Говардовский Б. М.**, Нефть. х-во, 1955, № 7, 81—82

Освещается положительный опыт применения выхлопных газов компрессорных станций для карбонизации охлаждающей воды. Г. К.

**26530. Дeterгенты и наполнители, осложняющие очистку сточных вод. Глойна** (Types of detergents and builders contributing to waste treatment problems. Gloyna Earnest F.), Public Works, 1954, 85, № 12, 85—86, 118—119 (англ.)

Отмечаются затруднения при очистке сточных вод и водоподготовке, обусловленные широким приме-

нием детергентов в пром-сти и комму. хоз-ве. Используются все типы детергентов (анионоактивные, катионоактивные и неионогенные) и особенно широко анионоактивные (различные ароматич. сульфокислоты и сульфаты многоатомных спиртов, получаемые гидрированием жиров с 10—14 атомами углерода). Моющие средства и эмульгаторы, выпускаемые в продажу, содержат значительный процент наполнителей и активных добавок (поли- и пирофосфаты, щелочи, бура, крезол и ряд других в-в). В. К.

**26531. Инфильтрация в канализационные сети. Велзи, Спрейг** (Infiltration specifications and tests. Velzy Charles R., Sprague Joshua M.), Sewage and Industr. Wastes, 1955, 27, № 3, 245—256 (англ.)

Значение снижения инфильтрации грунтовых вод в канализационные сети возрастает по мере расширения очистки сточных вод. Обследованием установлено, что инфильтрационные расходы воды в некоторых сетях достигают 25 и даже 50% всего расхода сточных вод, поступающих на очистные сооружения. Авторы считают, что средние инфильтрационные расходы колеблются от 8,3 до 11,8 *м³/сутки* на 1 км сети диам. 200 мм, от 10,7 до 14 *м³/сутки* на 1 км сети диам. 300 мм и от 23 до 28 *м³/сутки* на 1 км сети диам. 600 мм. В. К.

**26532. Удаление радиоактивного стронция в процессе содо-известкового умягчения воды. Мак-Коли, Элайасен** (Radioactive-strontium removal by lime-soda softening. McCauley Robert F., Eliassen Rolf), J. Amer. Water Works Assoc., 1955, 47, № 5, 494—502 (англ.)

Радиоактивный  $\text{Sr}^{90}$  является долгоживущим изотопом (период полураспада 25 лет) и поэтому его допустимая конц-я установлена (в равновесии с  $\text{Y}^{90}$ ) в  $8 \cdot 10^{-4}$  *мкюри* на 1 л воды, что соответствует  $5 \cdot 10^{-6}$  *мг/л*.  $\text{Sr}^{90}$  может быть удален из загрязненных или природных вод путем соосаждения с Ca в виде карбонатов; при этом образуются различные смешанные кристаллы. В условиях горячего содо-известкования ( $t_{\text{ра}} > 90^\circ$ , pH ~ 9,8—10,0) образуются смешанные кристаллы арагонита — стронцианита орторомбич. системы; в условиях холодного содо-известкования смешанные кристаллы кальцита — стронцианита гексагональной системы. При обработке воды обычно применяемыми дозами  $\text{Ca}(\text{OH})_2$  и  $\text{Na}_2\text{CO}_3$  радиоактивность, вызванная присутствием  $\text{Sr}^{90}$ , снижается на 50%. Повторная обработка умягченной воды, содержащей избыток  $\text{Na}_2\text{CO}_3$  (1 *мг-экв/л*), небольшими кол-вами  $\text{CaCl}_2$  приводит к дальнейшему снижению радиоактивности, напр. при 10-ступенчатом введении  $\text{CaCl}_2$  радиоактивность снижается на 99,9%. Присутствие нерадиоактивного Sr ( $\leq 10$  *мг/л*) не оказывает влияния на удаление  $\text{Sr}^{90}$ , ранее выпавший шлам оказывает благоприятное действие. О. М.

**26533. Обезвреживание радиоактивных сточных вод путем испарения с использованием теплового насоса. Мановиц, Ричардс, Хорриган** (Vapor compression evaporation handles radioactive waste disposal. Manowitz Bernard, Richards Powell, Horriggan Robert), Chem. Engng, 1955, 62, № 3, 194—196 (англ.)

Для обезвреживания радиоактивных сточных вод в июне 1953 г. в Вругавене была сооружена испарительная установка производительностью 1,115 *т/час*, работающая с использованием теплового насоса. Пар (давл. 1,1 *ата*), получаемый в испарителе из радиоактивной сточной воды, проходит через спец. сепаратор, заполненный стеклянкой ватой. Тепловым насосом пар из сепаратора подается в испаритель, а затем в теплообменник, где конденсируется и при  $t_{\text{ре}} \sim 25^\circ$  сбрасывается в сток. На 1 *т* конденсата затрачивается 30 *квт-ч* электроэнергии и 25 *кг* пара низкого давле-

ния ( $\sim 2$  атм). Вода в испарителе концентрируется примерно в 80 раз. Исследования показали, что испаритель без сепаратора не обеспечивает необходимой степени очистки (допустимая суммарная радиоактивность составляет  $3 \cdot 10^{-12}$  кюри/мл). Перед поступлением в испаритель во избежание вспенивания воду необходимо нейтрализовать до  $\text{pH} \sim 7$ . Концентрат из испарителя перекачивается в барабаны из углеродистой стали (емк.  $\sim 200$  л), смешивается 30 мин. с цементом (95 л концентрата на 172 кг цемента), выдерживается 24 часа до полного схватывания и после удаления возможной избыточной жидкости обратно в испаритель погружается на дно моря. Экономичность описанной установки весьма высока. О. М.

**26534. Конференция по фенольным водам.** Ланда (Konference o fenolových vodach. Landa Stanislav), Věst. Českosl. akad. věd, 1955, 64, № 3—4, 167 (чеш.).

**26535. Межобластное совещание по вопросу эффективности методов очистки фенольных сточных вод коксохимических заводов УССР.** Костовецкий Я. П. (Consfatuirea interregionala in problema eficientei metodelor de epurare a apelor reziduale fenolice de la uzinele cocschimice din R. S. S. Ucraineana, Kostovertki I. I.), An. Rom.-Sov. Ser. igienă și organiz. sanit., 1955, Ser. 3-a, 9, № 4, 120—121 (рум.). Перевод. См. РИХим, 1955, 55911.

**26536. Извлечение фенолов из промышленных сточных вод.** Эдмондс, Дженкинс (Recovery of phenolics from waste effluents. Edmonds Radcliffe G., Jenkins George F.), Chem. Engng Progr., 1954, 50, № 3, 111—115 (англ.).

Авторы рекомендуют следующую схему очистки сточных вод (СВ) гидрогенизации угля, содержащих фенол (I): в декантере от СВ отделяются масла, затем СВ подогревается и поступает в дегазационную колонну, где при  $150^\circ$  происходит удаление растворенных газов ( $\text{NH}_3$ ,  $\text{H}_2\text{S}$  и  $\text{CO}_2$ ). После охлаждения СВ направляется в сборник оборотной воды, откуда часть СВ поступает в экстракционную колонну, где из нее экстрагируется I изопропиловым эфиром. Очист. СВ сбрасывается в сток. Экстракт, содержащий растворенный I, в отдельной колонне регенерируется и поступает вновь в экстракционную колонну. Извлеченный I собирается в виде фенольного масла. В качестве метода контроля за содержанием I в очист. СВ авторы рекомендуют метод, основанный на абсорбции УФ-лучей р-ром I позволяющий определять I в конц-ии  $\leq 0,0001\%$ . Содержание небольшого кол-ва изопропилового эфира на результатах анализа не сказывается. Л. М.

**26537. Бактериологическое исследование организмов, развивающихся при окислении фенольных сточных вод.** Линн, Пауэре (Bacterial studies in oxidation of phenolic wastes. Lynn G. E., Powers T. J.), Sewage and Industr. Wastes, 1955, 27, № 1, 61—69 (англ.).

На полупроизводственной установке, состоящей из отстойника для бытовых вод, смесителя бытовых и фенольных сточных вод, аэротенков со взвешенной загрузкой и вторичного отстойника, изучалась микрофлора, преобладающая в каждом сооружении. Работа отдельных сооружений установки характеризуется следующими показателями: смеситель  $\text{pH}$  7,51, фенол 7,0 мг/л, растворенный кислород 0,6 мг/л, БПК 193 мг/л; аэротенки (соответственно) 7,53; 0,16; 3,2; 112; вторичный отстойник 7,92; 0,28; 2,4; 52. Преобладающими семействами бактерий были: в смесителе — *Bacillaceae*, *Achromobacteriaceae* и *Micrococcaceae*; в аэротенках и вторичном отстойнике — *Achromobacteriaceae* и *Pseudomonadaceae*. Наблюдалось следующее распределение бактерий по физиологич. признакам: бактерии, разжижающие желатину (в % от общего числа): сме-

ситель 13,5, 1-й аэротенк 17,5, 2-й аэротенк 0,0, вторичный отстойник 12,9; бактерии, восстанавливающие  $\text{NO}_3^-$  до  $\text{NO}_2^-$  (соответственно), 17,5; 9,4; 12,9; бактерии, ферментирующие углеводы, 20,7; 12,5; 12,5; 19,3; бактерии, разрушающие фенол, 10,8; 39,0; 38,5; 32,0; общее кол-во бактерий ( $10^6$ /мл) 14; 1,6; 2,5; 1,1. Ц. Р.

**26538. Вторая общегосударственная конференция по сточным водам целлюлозно-бумажной промышленности.** Зеленка (II. Celostátní konference o odpadních vodách celulóso-papírenského průmyslu. Zelenka J.), Papír a celulósa, 1955, 10, № 1, 11—15 (чеш.).

На конференции обсуждались вопросы очистки и обезвреживания сточных вод целлюлозно-бумажной пром-сти и использования сульфитных щелоков. С. Я.

**26539. Промышленные сточные воды.** Соображения об очистке и извлечении ценных веществ. Майндлер, Полсон (Industrial wastes — suggestions for their treatment, recovery. Mindler A. B., Paulson C. F.), Plant Engng, 1955, 9, № 2, 108—111 (англ.).

Для извлечения хроматов из сточных вод цехов гальванич. покрытий автозавода Форда и авиазавода Грумана применены иониты. Извлекаемые хроматы, они одновременно обессоливают р-р, который затем используется для приготовления производственных р-ров. Расходы на эксплуатацию ионитной установки, включая расходы на амортизацию оборудования и периодич. смену ионитов, составляют по 3-ду Грумана 17 долларов в сутки. Расходы по удалению и обезвреживанию хромосодержащих стоков на том же за-де составляли ранее 63 долларов в сутки. Ионитная установка возвращает в произ-во ежесуточно 45,3 кг хромовой к-ты. Аналогичная установка на автозаводе Форда оснащена одним катионитным и анионитным фильтром диам. 0,75 м каждый. Высота слоя катионита в фильтре 1,8 м, анионита (сильноосновного) 3,3 м. В. К.

**26540. Обработка сточных вод химических производств.** — (Treatment of chemical wastes. The Monsanto plant described to the Institute of Sewage purification. —), Surveyor, 1954, 113, № 3241, 315—318 (англ.).

Сточные воды (СВ), получаемые при произ-ве синтетич. фенола, салициловой к-ты, аспирина, фенацетина, ангидрида и эфиров, фталевой к-ты, бензойной к-ты, дезинфекционных средств и пр., очищаются на станции очистки в Монсанто после предварительной обработки на за-де сульфитом Na ( $150 \text{ г Na}_2\text{SO}_3$  на 1 л воды при перемешивании воздухом). На станции очистки конц. и разб. СВ смешиваются, обрабатываются известью до получения  $\text{pH}$ , равного 6—8, и разбавляются речной водой для уменьшения конц-ии содержащихся в СВ фенолов. После отстаивания в первичных отстойниках (1,2 часа) вода поступает на биофильтры производительностью 729,6 м<sup>3</sup>/сутки, затем отстаивается во вторичном отстойнике в течение 1,5 часа и направляется через прибрежные пруды в реку или частично пускается в оборот. Осадок из первичных отстойников коагулируется техническим хлорным железом и известью и поступает для обезвоживания на иловые площадки. Через неделю он может использоваться для с.-х. нужд. Осадок, поступающий на станцию из вторичных отстойников, используется для получения активного ила. Вода с дренажных площадок присоединяется к СВ. Л. М.

**26541. Сточные воды нефтеперерабатывающей промышленности.** Вильяр (El control de la contaminación de las aguas por los residuos de refinaria. Villar G. E.), Riv. combust., 1955, 9, № 5, 462—486 (исп.; рез. итал., англ., франц., нем.).

Обзор способов очистки сточных вод нефтеперерабатывающей пром-сти. Библ. 30 назв. С. С.



**26542. Очистка газообразных отходов и сточных вод нефтеперерабатывающих заводов.** Хаслер (Current developments in refinery waste disposal. Hassler William W.), World Petrol., 1954, 25, № 8, 80—81, 107—108, 138, 168 (англ.)

Описываются методы контроля загрязнения воздуха газами нефтеперерабатывающих заводов. Контролю подлежат испарения хранилищ нефти и бензина, отходящие газы котельных, отходы крекинга и т. п. В соответствии с объектом хим. контроля следует проверять содержание бензина,  $\text{SO}_2$ ,  $\text{H}_2\text{S}$ , грубодисперсных в-в и др. Очистку газов от  $\text{SO}_2$  рекомендуется проводить в скрубберах, орошаемых водой или р-ром щелочи,  $\text{H}_2\text{S}$  может быть извлечен щел. р-ром на скрубберах или окислен р-ром тiorасената до элементарной S; газовые отходы каталитич. окисления могут сжигаться в присутствии Pt-Al-катализатора. Очистку сточных вод нефтеперерабатывающих заводов в зависимости от состава примесей можно осуществлять различными способами. 1. Воды, содержащие нефтепродукты, рекомендуется предварительно отстаивать, а затем проводить разрушение нефтяной эмульсии нагреванием со спец. деэмульгаторами. Осадок из отстойника может быть применен в с. х., как содержащий  $\text{Ca}_3(\text{PO}_4)_2$  и  $\text{CaCO}_3$ . Кислые осадки следует сжигать, гидролизовать горячей водой с целью получения 30—50%  $\text{H}_2\text{SO}_4$  или разрушать при 250—650°, получая  $\text{SO}_2$ . 2. Разб. р-ры, содержащие сульфиды и меркаптаны, рекомендуется очищать продувкой паром или газом на колонне или обрабатывать химически, окисляя  $\text{H}_2\text{S}$  и меркаптаны в  $\text{S}_2\text{O}_3^{2-}$  S, или осаждают их солями цинка и меди. 3. Отработанные р-ры NaOH при невозможности достаточного разбавления следует закачивать под землю. 4. Сточные воды, содержащие фенол, могут быть обработаны различными методами (экстракция р-рителями, окисление озоном, биологич. окисление активным илом и др.).

Л. М.

**26543. Сточные воды сахарных заводов.** Кубелка, Коржан (Odpadní vody z cukrovaru. Kubelka V., Kořán V.), Chem. zvesti, 1954, 8, № 7, 410—437 (чеш.; рез. русс., нем.)

Рассмотрена проблема очистки сточных вод (СВ) сахарных заводов. Отмечается необходимость раздельной очистки СВ трех видов: промывных, диффузионных и конденсационных. Промывные могут быть очищены седиментацией, диффузионные — биохимич. методом Ионаша, основанным на переводе растворенных органич. в-в (сахаров) в нерастворимые в-ва, которые могут использоваться в качестве кормов. После биохимич. очистки СВ обрабатывают известью (до pH 9,5—11), осадок декантируют и высушивают. Через очист. воду пропускают  $\text{CO}_2$  для снижения pH до 7. СВ после очистки снова поступают в произ-во.

С. Я.

**26544. Сообщение о работе станции очистки сточных вод в Кливленде (Огайо) в период 1952—1953 гг.** Джердел (Report on the operation and maintenance of the southerly sewage treatment plant, Cleveland Ohio, for the years 1952 and 1953 Gerdel Walter E.), Sewage and Industr. Wastes, 1955, 27, № 8, 982—985 (англ.)

**26545 К. Вода и сточные воды.** Поддержание чистоты водоемов. Штрелль (Wasser und Abwasser, Reinhaltung der Gewässer. Strell Martin. München, Oldenbourg, 1955, XVI, 352S., ill., 42. DM) (нем.)

**26546 Д. Исследование возможности непрерывного фторидирования питьевой воды с помощью фторборакса.** Шюле (Untersuchung über die Möglichkeit der kontinuierlichen Fluorierung des Trinkwassers mittels einer Fluorbückse. Schüle Klaus

Gustav. — Diss. Med. F., Tübingen, 1953, Maschenschr.), Dtsch. Nationalbibliogr., 1955, B, № 15, 1069 (нем.)

**26547 П. Способ обессоливания водных растворов** (Procédé pour dessalement partiel ou total de solutions aqueuses) [Metallgesellschaft A.-G.]. Франц. пат. 1069745, 12.07.54 [Chimie et industrie, 1955, 73, № 1, 106 (франц.)].

Для обессоливания воды. р-ров предлагается способ совместного  $\text{NH}_4$  — OH-ионирования (анионит-силикоосновной).

Г. Р.

**26548 П. Испытание воды на хлор.** Мерсер, Эйткен (Testing of water for chlorine. Mercer D., Aitken R. W.) [Candy Filter Co. Ltd.]. Англ. пат. 698502, 14.10.53 [Chem. Zbl., 1954, 125, № 49, 11269 (нем.)]

Для определения свободного или связанного активного хлора в хлорированной воде добавляют бензидин или его производное и стабилизатор. Последний состоит из полифосфата и алкил- или арилсульфата, или сульфата, или их соединений с пиро- или ортофосфатом. Примером служит смесь хлоргидрат бензидина + гексаметафосфат натрия.

М. П.

**26549 П. Очистка отходов газовых заводов.** Тауненд (Purification of the effluents from gas producing plants. Townsend F. S.) [Permutit Co., Ltd, Stewarts and Lloyds, Ltd, and Woodall-Duckham Construction Co., Ltd]. Англ. пат. 713911, 18.08.54 [Fuel Abstrs, 1955, 17, № 1, 39 (англ.)]

Способ концентрирования вредных неорганич. в-в, содержащихся в газе сухой перегонки угля, при котором отделяемая из газа аммиачная вода дистиллируется в первичной аммиачной колонне, а затем фильтруется через анионит для удаления тиоцианата и других вредных неорганич. в-в, отличается тем, что часть непрерывно циркулирующей промывной жидкости отводится во вторичную аммиачную колонну, куда поступает р-р, использованный для регенерации анионита. Сточная вода из вторичной аммиачной колонны содержит вредные неорганич. в-ва в конц. виде.

Г. Р.

**26550 П. Очистка сточных вод** (Decontamination of aqueous liquors) [Monsanto Chemical Co.]. Англ. пат. 715369, 15.09.54 [J. Appl. Chem., 1955, 5, № 3, 1338 (англ.)]

Бытовые и промышленные сточные воды освобождают от содержащихся в них сбрасываемых в-в фильтрованием через тонкоизмельченный гранулированный водостойкий материал, который получают смешиванием глины или ила с 0,005—5 вес % линейного полимера (или сополимера) с мол. в. 30 000—100 000, содержащего гидрофильные группы. Может использоваться полиакриламид, соль  $\text{NH}_4$  полиакриловой к-ты, гидролизированный поливинилпирролидон, соли Na,  $\text{NH}_4$  или Ca-сополимера винилацетатмалеиновой к-ты.

М. Г.

См. также: Анализ 25494, 25495, 25972, 25976, 25999, 26052. Св-ва примесей 25122, 25489. Физ.-хим. основы технологии 25077, 25382, 27895. Внутрикотловые процессы 25117, 25134. Иониты 25308, 25323—25325, 25328, 26353, 22217. Коррозия 27760, 27769, 27776—27785, 27811. Аппаратура, и к.-и. приборы 27894, 28008, 28014, 28022. Реагенты 25156

## ПЕРЕРАБОТКА ТВЕРДЫХ ГОРЮЧИХ ИСКОПАЕМЫХ

**26551. Научно-техническое совещание по вопросам саморазогревания и самовозгорания фрезерного торфа и других органических веществ.** — Торф. пром-сть, 1955, № 5, 25—27

26552. Исследование продуктов гидрогенизации каменных углей методами хроматографии и люминесценции. Блонская А. И., Ж. прикл. химии, 1955, 28, № 9, 950—956

Методом гидрогенизации (ГГ) углей над  $\text{Cu-Cr}$ -катализатором в мягких условиях ( $t$ -ра  $330^\circ$ , начальное давление  $\text{H}_2$  100 атм, время 14 час.) с последующим исследованием состава и свойств растворимых в органич. р-рителях в-в углей и продуктов их ГГ изучались хим. природа и свойства 2 типов каменных углей (донецкие угли марок ПЖ и Г), различной степени «восстановленности», но с одинаковым выходом летучих продуктов (33,2 и 32,6%) и близким элементарным составом. В результате ГГ получено в-в, растворимых в спиртобензольной смеси, для Г 81,0% и ПЖ 75,2%. Экстракты продуктов ГГ обоих углей имели характер в-в, подобный битумам каменных углей; они омылились щелочью, но числа омыления для этих экстрактов сильно различались. Экстракты имели также различные кислотные числа и мол. веса (для ПЖ более высокие, чем для Г). Методом адсорбции на силикагеле углеводороды были отделены от S-, O- и N-соединений, содержащихся в продуктах ГГ, растворимых в петр. эфире и полученных в кол-ве 50,14% для Г и 46,6% для ПЖ. Наибольшую часть этих продуктов составляют ароматич. углеводороды, более конденсированные и содержащиеся в большем кол-ве для ПЖ, чем для угля Г. В составе спиртового и ацетонного экстрактов установлено наличие N-, S- и O-соединений, более высокомолекулярных в продуктах ГГ угля марки ПЖ. Применение люминесцентного анализа к продуктам ГГ углей показало, что даже при малых конц-ях р-ров можно отметить разницу в цвете люминесценции изучаемых продуктов. Б. Э.

26553. Превращение угля в простые соединения. Действие водного раствора щелочи на суббитуминозный уголь при повышенных температурах. Паркер, Фугасси, Говард (Conversion of coal to simple compounds. Action of aqueous alkali on a subbituminous coal at elevated temperatures. Parker Franklin G., Fugassi James P., Howard H. C.), Industr. and Engng Chem., 1955, 47, № 8, 1586—1592 (англ.)

Суббитуминозный уголь (зольность 2,8%, летучие 36,1%, влажность 16,8%) обрабатывался при  $350^\circ$  в автоклаве р-ром  $\text{NaOH}$  в течение 24 час. в атмосфере N. Исследование полученных газообразных, жидких (масляный и водн. слои) и твердых продуктов после тщательного их разделения показало наличие в вес.% к органич. массе исходного угля: газов 2,8; жидких фенолов (мол. в. 90—180) 3,0; твердых фенолов (мол. вес выше 300) 5; жирных к-т (средний мол. в. 100) 13; азотистых оснований 0,7; аммиака 0,5; углеводородов (мол. в. 100—400) 15,6; карбонатов (как  $\text{CO}_2$ ) 22; нерастворимого остатка 23,8. Помимо фенола, идентифицированы уксусная, пропионовая и масляная к-ты. Образование  $\text{CO}_2$  произошло за счет карбоксильных групп или в процессе окислительно-восстановительных р-ций, углеводородов — при пиролизе алифатич. цепей или декарбоксилировании, фенолов — при разрыве эфирных связей (гидролиз, гидрирование, пиролиз), жирных к-т — при высокотемпературном распаде фенолов в присутствии щелочи. С. Г.

26554. К вопросу о снижении влаги в продуктах обогащения коксующихся углей. Мозговой В. И., Изв. Днепропетр. горн. ин-та, 1955, 23, 201—209

Удаление влаги из угля мелких классов с вакуум-фильтров флотационных ф-к путем механич. обезвоживания является невозможным. Предварительное смачивание угля в-вами с высоким поверхностным натяжением и большой величиной краевого угла смачивания (керосин, соляровое масло, антраценовое масло),

взятыми в кол-ве 0,02—0,1%, привело к изменению физ.-хим. свойств поверхности угольных зерен и увеличило эффективность обезвоживания примерно на 30%. Замена вакуум-фильтров на центрифуги с большим кол-вом оборотов (2000 об/мин) может дополнительно повысить эффективность обезвоживания до 70%.

С. Г.  
26555. Пенoгашение в солевых растворах при обогащении угля. Шмук Е. И., Ларин, А. Я., Шнейерсон В. Б., Изв. АН СССР, Отд. техн. н., 1955, № 1, 135—140

Исследовались различные в-ва в качестве пеногасителей для устойчивой трехфазной пены, образующейся при обогащении мелких классов углей. Наиболее эффективными пеногасителями оказались Na- и  $\text{NH}_4$ -соли ароматич. сульфокислот (ДС — Дeterгент Советский). Показано, что при больших конц-ях в р-ре ( $> 0,1\%$ ) ДС становится, наоборот, хорошим вспенивателем, поэтому в каждом случае необходимо точно устанавливать конц-ию пеногасителя; предложена методика определения конц-ии пеноразрушителя в солевых суспензиях углей по поверхностному натяжению. По значениям краевых углов смачивания исследованы поверхностные свойства углей и влияние на них реагентов ДС. Дано объяснение механизма пеногашения в угольных суспензиях: добавка ДС изменяет смачиваемость угля, превращая его из гидрофобного в гидрофильный, частички угля смачиваются р-ром и не прилипают к пузырькам воздуха, чем обеспечивается разрушение стойкой трехфазной пены и переход ее в малостойчивую двухфазную пену. В. К.

26556. Распирение производства химических продуктов коксования. Ревякин А. А., Кокс и химия, 1955, № 1, 42—44

Состояние коксохим. пром-сти и перспективы ее развития. Б. Э.

26557. Опытное коксование шихт из брикетов бурого угля и битуминозных коксующихся углей для производства городского газа. Кеннеди (Experimental carbonization of blends of yallourn brown coal briquette and bituminous coking coal for town gas manufacture. Kennedy G. L.), Fuel, 1955, 34, № 3, 321—339 (англ.)

Описаны результаты исследования процессов коксования при  $900^\circ$  шихт, составленных из битуминозных коксующихся каменных углей (КУ) и бурых углей (БУ) на эксперим. установке, в реторте диам. 25 см. Перед смешиванием КУ и брикеты БУ измельчались до размера 6 мм. Установлено, что прочность кокса быстро снижается с увеличением кол-ва БУ в шихте. Из шихты плохо спекающихся КУ с 25% БУ получается слабый и рыхлый кокс, хотя по преимуществу кусковой, а хорошо спекающиеся КУ с такой же добавкой БУ дают более прочный кокс, удовлетворяющий стандарту; на смесях с 50% БУ в случае плохо спекающихся КУ получается только штыб, а в случае хорошо спекающихся углей — кусковой, но непрочный кокс. Хим. свойства кокса при прибавлении БУ, наоборот, улучшаются вследствие небольшой зольности последнего, при этом уменьшается зольность и соответственно повышается calorificity кокса. При увеличении содержания БУ в шихте выход газа возрастает, но calorificity его снижается; высокое содержание в БУ водорода и кислорода вызывает увеличение выхода окислов C и снижение выхода из шихт газообразных углеводородов. Н. К.

26558. Кокс из мелочи канадских углей. Кол (Coke from Canada coal fines. Cole E. J.), Canad. Mining J., 1954, 75, № 11, 71—73 (англ.)

Описаны опыты по получению полукочка в виде шаровидных агрегатов различного размера из неаходящей сбыта мелочи ( $< 9$  мм) канадских углей во

вращающейся реторте, обогреваемой 4 нефтяными форсунками. При загрузке 450 кг процесс продолжается 45—60 мин., максим. т-ра внутри реторты составляет 490°. Регистрируются т-ры дымовых газов, реакционной смеси в реторте наружного кожуха реторты и газа на выходе; давление на выходе поддерживается автоматически. Процесс регулируется на основании показаний термопар и регистрируемой нагрузки мотора (максимум в момент перехода углей в пластич. состояние). Легко воспламеняющийся, ломкий, бессмолистый полукокс по характеру горения сходен с антрацитом.

А. Г.

26559. Производство металлургического кокса из низкокачественных сортов угля. Решетняк (Otázka využití méněhodnotných druhů uhlí pro výrobu hutnického koksu. Rešetňák J.), Paliva, 1955, 35, № 4, 104—109 (чеш.; рез. русс., нем.)

Приводятся результаты коксования низкосортного кладенского каменного угля на лабор. установке и в промышленном масштабе с целью получения металлургич. кокса. Показано, что путем предварительного удаления из сырья всей или части пылевидной фракции можно улучшить результаты коксования.

Н. К.

26560. Способ отделения конденсата и обезвреживания каменноугольной смолы. Брюкнер (Verfahren zur Kondensat-Scheidung und Entwässerung von Steinkohlenteer. Brückner Horst), Gas- und Wasserfach, 1955, 96, № 19, 634 (нем.)

Описывается установка по отделению конденсата и обезвреживанию каменноугольной смолы системы Still. Приводятся данные по содержанию воды в товарной смоле различных з-дов.

Б. Э.

26561. Процессы, протекающие при коксовании каменного угля. Розендаль (Děje probíhající při vysokotepelné karbonisaci černého uhlí. Rosen Dahl F.), Paliva, 1955, 35, № 9, 268—269 (чеш.)

Рассмотрен процесс образования первичной смолы из в-ва каменного угля и преобразования ее в высокотемпературную смолу в условиях коксования угля в камерах коксовых печей.

К. З.

26562. Смолы низкотемпературного коксования (полукоксования). III. Состав парафинового масла. Кикава, Кирок, Фусидзаки (低温ターールの研究, 第3報. 煤下油の組成について. 吉川彰一, 黄慶雲, 伏崎三郎), 工業化学雑誌, Kōgō Kagaku Zasshi, J. Chem. Soc. Japan. Industr. Chem. Sec., 1953, 56, № 6, 464—466 (япон.)

Описываются опыты по исследованию смол полукоксования. Приводится состав парафинового масла, содержащего наряду с насыщ. углеводородами соединения ароматич. ряда и олефины. Путем комплексобразования с мочевиной выделены парафины нормального строения  $C_{13}$ — $C_{28}$ .

М. Х.

26563. Обессеривание кокса в процессе коксования (полупромышленные испытания). Като, Такэсита (石炭の乾燥時におけるコークスの脱硫に関する研究. (その半工業試験結果について). 加藤常太郎, 下竹健次郎), 燃料協会誌, Nenzō kōkaishi, J. Fuel Soc. Japan, 1954, 33, № 330, 531—536 (япон.; рез. англ.)

Испытано обессеривающее действие добавок  $NH_4Cl$  и смеси шел. цианидов и карбонатов к углю в процессе коксования. Первый удаляет S лишь в очень небольшой степени, с помощью второй смеси удаляется большая часть минер. и органич. связанной S, однако при этом снижается прочность кокса и обнаруживается коррозия огнеупоров коксовой печи. Обсуждая механизм удаления S с помощью названных добавок, авторы констатируют трудность промышленного использования этого метода по изложенным выше причинам.

С. Г.

26564. Рациональный метод абсорбционного улавливания нафталина из газа. Гыблер (Účelný způsob vypírání naftalenu minerálním olejem a získání zkoušenosti s práním naftalenu v naftalénových pračkách a benzolkách pracími oleji. Hyblier Th.), Paliva, 1955, 35, № 9, 249—255 (чеш.; рез. русс., нем.)

Описаны физ. свойства нафталина, его кон-ин в различных пунктах технологич. схемы газового з-да, методика определения нафталина в газе, а также технология его улавливания поглотительными маслами. На основании теоретич. анализа процесса улавливания и эксперим. наблюдений сделаны практич. выводы и рекомендации о ведении этого процесса в производственных условиях.

К. З.

26565. Гидрогенизация Ассамского угля (Намдунг). Часть 1. Бассак, Бос, Гхош, Лахири (Hydrogenation of Assam coal (Namdung). Part I. Basak N. G., Bose S. K., Ghosh S., Lahiri A.), Scient. and Industr. Res., 1955 (B—C) 14, № 6, B 284—291 (англ.)

Ассамские угли, имеющие значительное кол-во S, высокое содержание витрена, спор и смолистых в-в и характеризующиеся большим выходом первичных смол (20%), были подвергнуты гидрогенизации в присутствии 0,5; 1,2 и 5% смеси сернистого газа и хлористого аммония (4 : 1), под давл. 100 кг/см<sup>2</sup> и при 400°, при длительности процесса 1,5, 10 и 24 часа. Максим. степень ожигения в 87%, считая на органич. массу исходного угля, достигалась при двух процентах катализаторной смеси и длительности гидрирования 24 часа. Показано, что выход легких масел повышается с увеличением кол-ва катализатора и длительности р-ции. Суммарный выход жидких продуктов после первых 5 час. р-ции начинает падать в связи с крекингом, но после 10 час. гидрирования это снижение общего выхода прекращается; образовавшиеся асфальтены крекируются также в первые часы процесса. Выход газа растет с увеличением кол-ва катализатора и длительности процесса.

С. Г.

26566. К вопросу об очистке горючих газов от сероводорода растворами аминоспиртов. Дабкин А. Е., Тр. Всес. н.-и. ин-та по переработке сланцев, 1954, № 2, 207—215

Приведены результаты испытания промышленной установки по очистке сланцевого газа от  $H_2S$  25%-ным водн. р-ром технич. триэтанолamina. Очищаемый газ содержал (в %): 0,5  $H_2S$ , 13,7  $CO_2$ , 0,7—1,1  $O_2$ . Абсорбер был заполнен деревянной хордовой насадкой, а десорбционная колонна была оборудована 32 колпачковыми тарелками. Установлено, что при интенсивности орошения 1,5 л р-ра на 1 м<sup>3</sup> газа степень очистки от  $H_2S$  составила только 29%. При повышении уд. расхода абсорбента до 6,4 л/м<sup>3</sup> степень очистки повышается до 78,5% по  $H_2S$  и 24% по  $CO_2$ . Увеличение кон-ин активного амина в р-ре с 11—12% до 20—23% улучшает степень очистки газа от  $H_2S$  на 9—12%. При очистке газа, содержащего  $O_2$ , идет интенсивное образование тиосульфата амина, снижающего активность поглотительного р-ра; за 40 суток эксплуатации установки в связанное состояние перешло ~40% аминов, что составляет в среднем 0,625 кг амина на 1000 м<sup>3</sup> газа, а потери триэтанолamina, не связанные с образованием тиосульфата, составили всего 0,03 кг на 1000 м<sup>3</sup> газа. Констатируется, что промышленная реализация процесса без регенерации амина из его тиосульфата является нецелесообразной.

Я. З.

26567. Определение содержания битумов в каменноугольных брикетах. Винцен (Die Bestimmung des Pechgehaltes von Steinkohlenbriketts. Winzen Walter), Brennstoff-Chemie, 1955, 36, № 5—6, 85—87 (нем.)



Описан видоизмененный прибор по типу аппарата Сокслета для определения содержания битумов в каменноугольных брикетах. Метод основан на экстракции испытуемой пробы органич. растворителями. И. К. 26568.

**Количественное определение фенола в каменноугольной смоле.** Маркс, Раппен (Quantitative Bestimmung des Phenols im Steinkohlenteer. Marx A., Rappen L.), Brennstoff-Chemie, 1955, 36, № 15—16, 225—228 (нем.)

Описан метод колич. определения фенола (Ф) в каменноугольной смоле, заключающийся в выделении из смолы, после обезвоживания, фракция до 240° (сырое карболовое масло), разбавлении ее толуолом и получении путем последовательной обработки 20%-ным р-ром NaOH и H<sub>2</sub>SO<sub>4</sub> (d — 1,71) сырого Ф. Последний перегоняется, обрабатывается NaCl, после чего выделенный Ф подвергается перегонке до 204°; кристаллы, выпавшие затем в отгоне, отделяются и смешиваются в точно определенном соотношении с чистым Ф, после чего по т-ре застывания полученной смеси определяется содержание Ф в исходном продукте. Приводятся ф-лы и таблица для упрощения расчетов. Метод рекомендуется также для определения Ф в других фенолосодержащих продуктах; он обеспечивает получение более точных результатов по сравнению с методом определения Ф по Рашигу, дающим завышенные цифры, но применим только для лабор. целей. И. К. 26569.

**Определение фенолов в смолах.** Дирке, Хейничен (Phenolbestimmung in Teeren. Dierichs Alfred, Heinichen Gerhard), Freiburger Forschungsh., 1955, A, № 36, 82—94 (нем.)

Смола полукokesовая разбавляется кислотом и обрабатывается вначале 20%-ным, а затем 10%-ным р-рами NaOH. Образующаяся стойкая эмульсия смола-кислот-вода-воздух может быть частично разрушена нагреванием до 80° или более длительным выдерживанием под вакуумом. Оставшуюся в воде. слое эмульсию подвергают перегонке, а часть смоляного слоя с эмульсией центрифугируют. Полученный щел. экстракт перегоняют с водяным паром, дистиллят экстрагируют эфиром и нейтр. соединения освобождают от эфира обычным путем. Остаточный дистиллят подкисляют конц. соляной к-той и экстрагируют смесь фенолов и жирных к-т, которую затем разделяют с помощью р-ра кальцированной соды. С. Г. 26570.

**Работа углеиспытательных установок.** Брук (Functions of a coal test works. Brooke G. E.), Gas J., 1955, 281, № 4785, 435, 436, 441 (англ.)

Все испытания, проводимые на спец. установках делятся на 3 группы: 1. Отбор проб углей и определение в них влажности, зольности летучих и теплотворности. Для получения надежных статистич. данных необходим отбор проб не менее, чем от 3000 вагонов угля в год. 2. Полное изучение поведения углей в вертикальных ретортах непрерывного действия. Испытание каждого нового сорта угля производится в стандартных условиях — при производительности 6,2 м<sup>3</sup>/сутки, кол-ве пара 10% от угля, т-ре в наиболее горячей секции 1360—1370°, а на выходе отходящих газов 1060—1070°. При этом непрерывно ведутся анализы кокса и газов, а кроме того, анализ газа, отобранного в кол-ве 2,8 м<sup>3</sup> после суточной работы реторты. 3. Спец. опыты и анализы по подбору угольных смесей и их перегонке, испытания различных газов в качестве теплоносителя в процессе их получения при продувке реакционной массы газом или паром. Отдельные исследования проводятся для решения частных вопросов использования газов. Г. Ш.

**Исследование анизотропии и тонкой структуры каменных углей методами электронной микро-**

**скопии и рентгенографии.** Непомнящий Л. Б. Автореф. дисс. канд. хим. н., Ин-т горючих ископаемых, М., 1954

**26572 Д. Факторы, обуславливающие самонагревание и самовозгорание ископаемых углей.** Перцев А. В. Автореф. дисс. канд. техн. н., Ин-т горючих ископаемых АН СССР, М., 1954

**26573 Д. Исследование смоляных телец рабдописита Верхне-Суйфунского бассейна.** Рыбалко З. М. Автореф. дисс. канд. хим. н., Ин-т горючих ископаемых, М., 1955

**26574 Д. Исследование процессов улавливания бензольных углеводородов и очистки газа на коксохимических заводах под давлением.** Белов К. А. Автореф. дисс. докт. техн. н., Харьковск. политех. ин-т, Харьков, 1955

**26575 П. Очистка угля или других минералов от загрязнений.** Сансам (Separation of impurities from coal or other minerals. Sansam W.) [Copper Co., Great Britain Ltd.], Англ. пат. 710948, 23.06.54 [Engineer, 1954, 198, № 5139, 143 (англ.)]

Флотационный способ очистки от загрязнений угля, руды и т. п. заключается в следующих операциях: отделение сравнительно крупного угля в ванне, где жидкой средой может служить вода, суспензия отходов; отделение мелкого угля в промывном баке, из которого он вместе с водой поступает в желоб; смешение очищ. мелкого и крупного угля в упомянутом желобе, куда крупный уголь поступает из ванны по каналу; отделение очищ. угля от жидкости на двух ситах, причем благодаря избытку подаваемой воды загрязнения, приставшие к кускам крупного угля, достаточно отмываются; отстой промывных вод от загрязнений в отстойном бассейне, откуда чистая вода через слив поступает в резервуар и с помощью насоса возвращается в промывной бак; откачка насосом густой воды, суспензии загрязнений из отстойного бассейна на отстойную установку. После упомянутых сит очищ. уголь поступает на спец. сита для классификации по размерам. Приведена схема установки. В. К. 26576 П.

**Обработка и предварительный подогрев богатого углеводородами (метан, этилен, высшие углеводороды) газа без графитизации.** Рише (Procédé de traitement et de préchauffage de gaz riche contenant des carbures d'hydrogène (méthane, éthylène et carbures supérieurs) sans graphitisation. Richez Adrien) [Houillères du Bassin du Nord et du Pas-de-Calais], Франц. пат. 1060412, 1.04.54 [Chaleur et ind., 1955, 36, № 358, d64 (франц.)]

Предварительный подогрев в рекуператоре коксовой печи богатого углеводородами газа неосуществим, так как крекинг ведет к образованию графита, который либо закупоривает рекуператор, либо, сгорая с избытком воздуха, приводит к местным перегревам, вызывающим разрушение рекуператора. Изобретение состоит во впрыскивании водяного пара в горячий газ в точке близки его поступления в реакционную часть печи. При контактировании материалов в этой части печи, нагретой до высокой т-ры, смесь метана, этилена с водяным паром крекируется, при этом образуется смесь CO и H<sub>2</sub>, в которой отсутствует свободный С. При правильно рассчитанном кол-ве пара происходит полное превращение углеводородов, и газ при его поступлении к форсунам горит синим пламенем. Реализация предложения очень проста и сводится к впрыскиванию сильно перегретого и точно рассчитанного кол-ва пара под прямым углом в трубу, подающую газ к форсунам. Преимущества процесса: отсутствие образования графита и, следовательно, устранение операций, связанных с деграфитизацией; применение печей «Компунд», для которых необходима одна реку-

перация на богатом газе, позволяет работать по желанию либо на богатом, либо на бедном газе без двойной рекуперации. Предусматривается также возможность получения водяного пара «в момент выделения» введением очищ. воды в рекуператор. Топка заканчивается внизу воронкой, снабженной подобно камере сгорания, трубами, сообщающимися с системой испарителя. На передней поверхности воронки труба разделяется на две, и эти трубы пересекают воронку сверху донизу под углом в  $45^\circ$ . Совокупность труб, идущих не сплошь, а с промежутками между двумя указанными трубами, образует решетку с наклоном в  $45^\circ$ , в которой задерживается зола; нагар не может пройти сквозь эту решетку и падает вниз, в то время как зола поступает между перекладинами и собирается под решеткой. Трубы, образующие перекладины этой решетки и снабженные поперечными задвижками, расположены в виде сита; нагары с одной стороны и зола с другой удаляются через задвижки. Нагар поступает в гидравлич. транспортер, а зола отсасывается пневматически. Г. М.

**26577 П. Способ обезвоживания каменноугольной смолы.** Карл (Verfahren zum Entwässern von Steinkohlenteer. Karl Alfred) [Heinrich Koppers G. m. b. H.]. Пат. ФРГ 923916, 24.02.55

Предлагается способ обезвоживания каменноугольной смолы с повышенным содержанием  $H_2O$  посредством нагрева под давлением, отличающийся тем, что образовавшийся в разделителе промежуточный слой, представляющий собой богатую водой смоляную эмульсию (составляющую до 25% от всей смолы), выделяют, вторично подвергают нагреву под давлением до более высокой т-ры, чем при первой обработке (максимум до  $140^\circ$ , предпочтительно до  $110-135^\circ$ ), после чего давление снижается, образовавшиеся пары отводятся в сырой газ, а остающаяся эмульсия смолы с водой возвращается в первый разделитель. Снижение давления производится с таким расчетом, чтобы испарившаяся часть воды составляла максимум 15% (предпочтительно 5—10%) от общего кол-ва воды, содержащейся в эмульсии. Б. Э.

**26578 П. Обработка каменноугольного дегтя** (Traitement du goudron de houille) [National Research Development Corp.]. Франц. пат. 1073018, 17.09.54 [Chimie et industrie, 1955, 73, № 3, 551 (франц.)]

Для повышения стабильности каменноугольного дегтя при длительной эксплуатации производят продувку воздухом или  $O_2$  в присутствии 0,5—5 вес. ч. на 100 вес. ч. дегтя конц. р-ра щелочи. Продувку ведут при  $70-80^\circ$  с небольшой скоростью для уменьшения потерь от испарения до завершения р-ции. Е. П.

**26579 П. Газогенераторные установки на твердом топливе.** Хатчисон (Solid gas generating units. Hutchison Alexander Cantlay) [Imperial Chemical Industries Ltd.]. Пат. США 2710793, 14.06.55

Газогенераторная установка, способная производить неогорючий газ, работает на материале, в котором имеются по крайней мере одно N-содержащее соединение — нитрогуанидин или гуанидиннитрат, не менее одного неорганич. невязывающего реагента, представляющего собой молибденовую к-ту, окись церия или пентаокись ванадия, и огнеупорные асбестовые волокна. Весовое отношение N-содержащего компонента к неорганич. реагенту составляет от 98,8:0,2 до 89:10. Г. М.

**26580 П. Газификация пылевидного угля.** Яги (Gasification of pulverized coal. Yagi Sakai) [Sumitomo Chemical Industries Co.]. Япон. пат. 2084, 19.04.54 [Chem. Abstr., 1955, 49, № 3, 2053 (англ.)]

Для газификации пылевидного угля предложена конструкция генератора diam. 3,5 м и высотой 6 м,

заполненного зернами магнетита размером 0,6 мм и разогреваемого коксовым газом. Угольная пыль вдувается снизу генератора в потоке с  $0,4 \text{ м}^3 O_2$  и  $0,5 \text{ кг}$  паров  $H_2O$  на 1 кг угля; при нагревании до  $1000^\circ$  получают  $1,9-2,5 \text{ м}^3$  газа на 1 кг угля. Газ содержит (в %):  $CO_2$  12;  $CO$  31,2;  $H_2$  30,8;  $CH_4$  1 и  $N_2$  25,0. Н. К.

**26581 П. Устройство, применяемое при газификации твердых пылевидных горючих** (Installation pour la gazéification de combustibles solides finement divisés) [Heinrich Koppers G. m. b. H.]. Франц. пат. 1076505, 27.10.54 [Chaleur et ind., 1955, 36, № 358, d65 (франц.)]

При обычном процессе газификации пылевидного горючего, увлекаемого в реакционную камеру потоком  $O_2$ , реакционная камера находится под давлением, причем во избежание обратного хода р-ции смесительное устройство для газа и горючего также должно находиться под давлением. Сущностью изобретения является система предохранительных устройств, препятствующих обратному течению по трубам смеси  $O_2$  с горючим и предотвращающих возможность взрыва при попадании  $O_2$  в линию, подводящую горючее к смесительному устройству. И. Р.

**26582 П. Газогенератор или реторта для перегонки сланцев.** Галуша (Gas or shale oil producer-retort and method of operating same. Galusha A. L.). Англ. пат. 694823, 29.07.53

Предлагается газогенератор, который можно использовать как для газификации угля, так и для перегонки сланцев. Воздух или другой газ, вводимый в зону горения, проходит предварительно над поверхностью горячей воды в рубашке, окружающей горячую зону генератора, что обеспечивает регулировку т-ры и влажности поступающего воздуха. Бункер для остатков золы, расположенный в нижней части генератора, никогда полностью не освобождают, а слой золы и воды, вводимой в бункер, служит затвором, препятствующим падению давления в горячей зоне генератора. При перегонке сланцев пылеотделитель заменяется скруббером для конденсации и улавливания сланцевой смолы, заполненным пористым материалом и орошаемым каменноугольным маслом (при газификации угля орошение производится водой, и газ проходит только через верхнюю часть скруббера); в реакционной зоне поддерживается т-ра  $\sim 430^\circ$ , исключающая окисление, а бункер для зольных остатков увеличивается в размерах. Приводится схема газогенератора. Б. К.

**26583 П. Химическое превращение угля в углеводородные продукты и кокс.** Блумнер (Chemical modification of coal into hydrocarbon oils and coke. Blumner Erwin). Пат. США 2714086, 26.07.55

Непрерывный процесс получения легких и средних углеводородных фракций и твердого кокса из битуминозного угля состоит в приготовлении пасты тонкоизмельченного угля с тяжелым маслом, прокачивании пасты через закрытую систему из нескольких зон под давлением в них  $\geq 20 \text{ кг/см}^2$ , нагреве первой зоны до нижней т-ры конверсии, чтобы при непрерывном прохождении смеси после первой зоны через вторую зону большего, чем первая, объема, т-ра р-ции в ней, также поддерживаемая на низшем уровне, обеспечивала полную конверсию (при данной т-ре). Полученную смесь нагревают далее до такой т-ры, чтобы при прохождении третьей зоны, меньшего объема чем вторая, т-ра поднялась выше, но оставалась ниже т-ры крекинга, после чего дальнейший нагрев смеси осуществляют таким образом, чтобы в четвертой зоне большего объема, чем третья, была достигнута более высокая т-ра конверсии, чтобы в пятой зоне была обеспечена т-ра, близкая к т-ре крекинга, чтобы в шестой зоне, большего

о бѣма, чем пятая, смесь находилась при т-ре крекинга, причем объем шестой зоны должен быть таким, чтобы обеспечить полный крекинг. Затем следует выгрузка крекированной смеси и спуск давления через одну из реторт, отделение летучих продуктов от нелетучего остатка; по заполнении каждой реторты до необходимой степени, ее нагревают до т-ры крекинга нелетучего остатка, улавливают дополнительное кол-во летучих и извлекают образовавшийся кокс. Приведена схема установки.

С. Г.  
26584 П. Способ гидрогенизации углей, смол и нефтяных остатков. Урбан (Verfahren zur Hydrierung von Kohlen, Teeren oder Mineralölen. Urban Wilhelm) [Scholven-Chemie A.-G.]. Пат. ГФР 932123, 25.08.55

Способ регулирования заданных пределов т-ры при р-ции в процессе жидкофазной гидрогенизации под давлением угольной пыли, смол или нефтяных остатков в двух или более, соединенных друг с другом реакционных аппаратах, имеющих воронкообразную нижнюю часть, в которую подается исходное сырье, отличается тем, что жидкое сырье, холодное или нагретое значительно ниже т-ры р-ции, вводят в соединительный трубопровод между двумя аппаратами или в нижнюю воронкообразную часть первого из соединенных между собой реакционных аппаратов.

С. Г.  
26585 П. Воспламенитель угля. Крэйцберг (Kohlenanzünder. Kreutzberg Wolf). Пат. ГФР 875190, 20.04.53 [Chem. Zbl., 1954, 125, № 14, 3140 (нем.)]

Церезин, озокерит и твердый парафин нагревают в котле и в полученный расплав при перемешивании вводят дизельное топливо и измельченную смесь торфа, стружек или опилок с гашеной известью; теплый материал прессуют. Вместо церезина можно применять сырой вазелин или другие легко воспламеняемые жиры или воски. Для устранения запаха добавляется сода.

Б. Э.  
26586 П. Улучшение сжигания топлив (Verfahren zur Verbesserung der Verbrennung von Brennstoffen) [Torit Chemie G. m. b. H.]. Пат. ГФР 904768, 22.02.54 [Chem. Zbl., 1954, 125, № 35, 8021 (нем.)]

К топливной шихте прибавляют смесь, содержащую материал, способный впитывать, напр. торф в измельченном виде, воскообразное в-во, соединение, отдающее при нагревании  $O_2$ , а также катализатор. Смесь может, напр., состоять (в вес. ч.) из 30—40 торфяной муки, 40—50 горного воска, 5—10 смолы, 3—5  $NaNO_3$  и 3—5 бурого угля.

Н. К.  
26587 П. Прибор для производства расчетов процесса горения. Верон, Дюме (Device for making calculations relating to combustion processes. Veron M., Dumez A.) [Soc. Francaise des Constructions Babcock and Wilcox]. Англ. пат. 718654, 17.11.54 [Monthly Bull. Brit. Coal Utilis. Res. Assoc., 1955, 19, № 3, 115—116 (англ.)]

Описана круговая диаграмма с вращающимся указателем, которая позволяет: 1) произвести расчет избытка или недостатка воздуха, необходимого для горения; 2) произвести расчет явных и скрытых потерь тепла и 3) уточнить анализ газов сгорания в зависимости от природы топлива.

Н. К.  
См. также: 24682, 25465

## ПЕРЕРАБОТКА ПРИРОДНЫХ ГАЗОВ И НЕФТИ. МОТОРНОЕ ТОПЛИВО. СМАЗКИ

26588. Четвертый Международный нефтяной конгресс в Риме. Химия и переработка нефти. Качество и исследование нефтей и нефтяных продуктов. Тран-

спорт и хранение нефтепродуктов. Переработка нефти. Суханов В. П., Нефт. хоз-во, 1955, № 9, 88—92

Краткое изложение докладов на IV Международном нефтяном конгрессе по основным направлениям в технологии нефти.

Г. М.  
26589. Нефть и ее использование. Сергиенко С. Р., Природа, 1955, № 4, 41—50

Краткие сведения по хим. составу нефти, ее переработке и по применению продуктов переработки нефти в различных отраслях пром-сти.

Е. П.  
26590. Термическая стабильность высокосернистых сырых нефтей. Колман, Томпсон, Ролл, Смит (Thermal stability of high sulfur crude oils. Coleman H. J., Thompson C. J., Roll H. T., Smith H. M.), Industr. and Engng Chem., 1953, 45, № 12, 2706—2710 (англ.)

При перегонке сернистых нефтей обычно выделяется сероводород (I) и образуются меркаптаны (II). Для изучения этого процесса исследовалась термич. стабильность S-соединений, присутствующих в некоторых нефтях и дистиллятных продуктах. Исследуемый образец нефти в кол-ве 1000 г нагревался при непрерывном продувании азотом, причем определялись кол-ва I и II, образующихся при различных т-рах нагрева. Некоторые сырые нефти содержат элементарную S (III), которая при т-рах 95—150° начинает реагировать с компонентами сырой нефти с выделением I. В интервале до 200° ~ 50% III может прореагировать с образованием I. Остаточная III образует термически неустойчивые S-соединения, которые при т-ре выше 200° разлагаются, также образуя I. Установлено, что III реагирует с n-тетрадеканом и тетралином при 80° и с твердыми парафинами при 110°; при этом начинает выделяться I. Имеются данные о р-циях III и с другими углеводородами, но большая часть этих данных относится к р-циям при т-рах > 200° и повышенном давлении. Три- и полисульфиды реагируют с углеводородами нефти также с образованием I, кроме того, в этом случае образуются II в кол-ве значительно большем, чем в случае наличия в нефтях III. S-соединения, содержащиеся в асфальтовых компонентах нефти, начинают разлагаться с выделением I при т-рах 260° и выше.

И. Р.  
26591. О естественном изменении нефтей. Биеннер, Луи (Note sur l'évolution naturelle des pétroles. Bienner F., Louis M.), Rev. Inst. franc. petrole, 1955, 10, № 5, 337—339 (франц.; рез. англ.)

В нефтях смешанного и парафинового оснований при доступе воздуха на свету увеличивается содержание асфальтовых в-в с более выраженным нафтеновым характером. Было также изучено изменение нафтеновой нефти месторождения Мирандо (Техас); нефть, налитая в чашки Петри слоем в 2—3 мм, выдерживалась на свету в летнее время в течение 1—5 месяцев. Продукт становился все более вязким, а за счет уменьшения содержания углеводородов увеличивалось содержание смолистых в-в. В углеводородной части отношение C:H уменьшалось, что свидетельствовало об ослаблении нафтенового характера нефти.

Е. П.  
26592. Взаимоотношения количественных содержания смол, асфальтенов, ванадия и никеля в некоторых нефтях и твердых битумах нефтяного ряда. Деменкова П. Я., Курбатская А. П., Тр. Вес. нефт. н.-и. геол.-развед. ин-та, 1955, № 83, 355—364

Исследовались нефть и твердые битумы нефтяного ряда различных месторождений, отличающихся по геологич. возрасту и условиям залегания, Волго-Уральской (ВУО), Грозненской (ГО) и Эмбенской (ЭО) областей. Установлено, что практически весь V



и Ni связаны с асфальтово-смолистыми в-вами нефти, при этом конц-ия V и Ni в сернистых нефтях (содержание  $S > 0,5\%$ ) значительно выше, чем в малосернистых. S распределяется таким образом, что только 30—50% от общего ее содержания в нефти находится в асфальтово-смолистых в-вах, остальная S связана с масляной частью нефти. В нефтях Жигулевского вала ВУО (девон и карбон) содержится: S 1,4 и 2,07—2,46% соответственно; смол 8,2 и 8,4—9,8%; асфальтенов 2,9 и 3,1—4,0%; V 0,35 мг (на 1 г асфальтово-смолистых в-в) и 0,33—0,36 мг; Ni 0,10 мг и 0,10—0,13 мг. В твердом битуме (карбон) S 5,32; смол 27,2; асфальтенов 60,7%; V 0,52 мг; Ni 0,13 мг. В нефти и твердом битуме ГО (третичные отложения) содержится: S 0,17 и 0,57% соответственно; смол 4,71 и 1,6%; асфальтенов 0,40 и 96,1%; V 0,0057 и 0,0003 мг; Ni 0,03 и 0,07 мг. Величина отношения V: Ni не меняется в процессе превращения нефтей в твердый битум; постоянство этого отношения в различных условиях нефтяной залежи (девон, карбон) и в условиях существования твердых битумов подтверждают правильность гипотезы А. П. Виноградова о первичности V и Ni в нефтях.

**26593. Продукты окисления крекин-г-керосина.** Черток Я. Б., Зрелов В. Н., Ж. прикл. химии, 1955, 28, № 8, 899—905

Изучался состав кислородных соединений двух образцов крекин-г-керосинов, полученных при переработке нефтей I-го и II-го Баку, выделявшихся из керосинов хроматографич. путем на силикагеле. Показано, что физ.-хим. характеристики кислородных соединений, полученных в условиях т-ры окружающего воздуха и при 70°, весьма близки между собой; основное различие заключается в кол-ве образовавшихся кислородных соединений, так при 70° кол-во их возрастает на 43—46% по сравнению с кол-вом кислородных соединений, накопившихся при т-ре окружающего воздуха. Низкотемпературные процессы окисления крекин-г-керосинов сопровождаются образованием, в основном первичных, вторичных и третичных спиртов, по своему строению представляющих собой бензольное кольцо с ненасыщ. алифатич. боковой цепью. В продуктах окисления вместе со спиртами присутствуют S- и N-содержащие соединения, имеющие строение, близкое к строению спиртов. В условиях низкой т-ры окислению подвергаются, в первую очередь, углеводороды, состоящие из бензольного кольца с боковой ненасыщ. алифатич. цепью, характеризующейся нормальным или слабо разветвленным строением. Г. М.

**26594. Обессоливание сырой нефти.** Булиан (Die Entsalzung von Rohöl. Bulian W.), Erdöl und Kohle, 1955, 8, № 8, 542—545 (нем.)

Обзор методов обессоливания нефтей. Библ. 4 назв. Б. Э.

**26595. Новый метод применения экстракционной кристаллизации.** Киселев (Nowa metoda zastosowania ekstrakcyjnej krystalizacji. Kisielow Włodzimierz), Roczn. chem., 1955, 29, № 2—3, 888—901 (польск.; рез. рус., англ.)

На основе экстракционной кристаллизации разработана лабор. метод депарафинизации (Д) нефтяных фракций с помощью мочевины, как комплексобразующего в-ва, с применением в качестве р-рителей петрофира и других нефтяных фракций с т-рой конца кипения до 220°. Показано, что n-парафины образуют комплексы с мочевиной не только при их перемешивании, но и при фильтровании смеси подвергаемой Д фракции с активатором через неподвижный слой мочевины, что упрощает осуществление процесса. Регенерация мо-

чевины осуществляют путем экстракции комплекса горячим р-рителем. Показано, что таким путем можно достичь фракционного выделения углеводородов, образующих комплекс с мочевиной. Метод применен для Д нефтяных фракций в широком диапазоне (от лигроина до остатков). Сообщается о сооружении укрупненной установки для Д нефтяных продуктов и других углеводородных смесей, и о проведении на ней предварительных опытов.

**26596. Кинетика регенерации пылевидных катализаторов.** Лавровский К. П., Розентай А. А., Изв. АН СССР, Отд. техн. н., 1955, № 6, 140—148

Кинетика регенерации пылевидных катализаторов (К) изучалась на различных образцах алюмосиликатных К с крупностями 0,1—0,25 мм (два образца) и 0,2—0,5 мм (один образец), закоксированных при крекинге нефтяных газойлевых фракций, и на алюмохромовом К крупности 0,1—0,25 мм, закоксированном при ароматизации лигроина. Опытами, проведенными при атмосферном и повышенных давлениях и различных т-рах показано, что при невысоком содержании кокса на К во всех случаях зависимость  $\lg \text{Co/C}$  (Co — конц-ия кислорода на входе в слой, C — то же на выходе из слоя) от кол-ва углерода в аппарате оказывается линейной; поэтому изменения величины реакционной поверхности во времени пропорциональны изменениям конц-ии углерода и вся масса кокса является равнодоступной, что указывает на протекание р-ции во внутренней кинетич. области. При высоких содержаниях кокса его масса перестает быть равнодоступной, а скорость регенерации не зависит от содержания кокса на К. Скорость регенерации алюмохромового К (энергия активации 26000 ккал/моль) намного превышает скорость регенерации алюмосиликатных К. Р-ция окисления кокса по кислороду имеет первый порядок; скорость регенерации возрастает пропорционально давлению, поскольку конц-ия кислорода также растет пропорционально давлению. Б. Э.

**26597. Выделение ароматических углеводородов.** Шервуд (Separation of aromatics. Sherwood P. W.), Chem. Age, 1955, 73, № 1881, 225—228, 230 (англ.)

За последние годы кол-во бензола, толуола и ксилолов, получаемых из нефтяного сырья, значительно увеличилось; по США процент ароматич. углеводородов нефтяного происхождения от общего кол-ва товарной ароматики в 1954 г. составил (в %): бензола 35, толуола 74, ксилолов 91. Автор дает краткое описание способов выделения ароматич. углеводородов: экстракцией водн. р-ром диэтиленгликоля, экстрактивной и азеотропной дистилляцией (фенолом, метилэтилкетом, метанолом), экстракцией жидким  $\text{SO}_2$  и адсорбцией силикагелем. Приводятся показатели, характеризующие высокую степень извлечения низших ароматич. углеводородов и чистоту продуктов, получаемых экстракцией водн. р-ром диэтиленгликоля. При разделении ксилолов выделяется ортоксилол, применяемый в произ-ве фталевого ангидрида; мета- и параксилолы разделяются фракционной кристаллизацией. И. К.

**26598. Природный газ — источник энергии и химического сырья.** Кренцель Б. А., Локтев С. М., Природа, 1955, № 11, 28—35

В популярной статье дается оценка природному газу, как энергетич. и бытовому топливу, рассматриваются процессы отбензинивания попутных газов и вопросы хим. переработки природных газов, этана, пропана и бутана. С. Г.

**26599. Получение промышленных газов посредством расщепления углеводородов.** Лейте (Erzeugung von Industriegasen durch Spaltung von Kohlenwas-

serstoffen I. Leithe Fritz), Erdöl und Kohle, 1955, 8, № 8, 546—549 (нем.)

Обзор термич. методов получения промышленных газов из различного углеводородного сырья и краткая характеристика получаемых газов в зависимости от качества сырья и условий процесса. Б. Э.

26600. О некоторых взглядах на механизм окисления парафиновых углеводородов. Цысковский В. К., Ж. прикл. химии, 1955, 28, № 7, 772—775

Доказывается несостоятельность гипотезы Лангебека и Притцкова, касающейся механизма каталитич. окисления парафиновых углеводородов и предполагающей распад образующейся гидроперекиси с переходом в кетоны и вторичный спирт. Считая, что не может быть единого механизма распада гидроперекиси, так как направление этого процесса определяется условиями окисления (т-ра, время, катализатор,) автор статьи, кроме того, опровергает концепцию Лангебека и Притцкова об участии катализаторов в разложении промежуточных продуктов р-ции и считает весьма грубой ошибкой перенос результатов окисления тетралина на сложную смесь парафиновых углеводородов. Е. С.

26601. Исследование синтетического церезина. Родзавская В., Новости нефт. техники, 1955, № 5, 14—21

При исследовании синтетич. церезина (товарный продукт, полученный при синтезе углеводородов из СО и Н<sub>2</sub>) с применением избирательной экстракции этиловым эфиром (с последующим осаждением спиртом), дихлорэтаном и хлороформом церезин разделялся на 5 фракций (Ф), различающихся по т-ре плавления (от 26 до 120°) и микроструктуре. Ф не растворима на холоду в спирто-эфире (66%), разложена путем нагревания в спирто-эфире и экстрагирования дихлорэтаном на парафин и церезин. Показано, что по микроструктуре все Ф отличаются от нефтяных парафинов и церезинов. Исследуемый синтетич. продукт содержит 59% углеводородов, подобных нефтяным, из них 17% церезинов и 42% парафинов, а также углеводороды с т. пл. 105° и сферолитовой микроструктурой; в нефтяных церезинах (Борислав) содержится минимум 57,8% церезиновой и максимум 29% парафиновой Ф. Установленный состав синтетич. церезина отчасти объясняет пониженные качества его по сравнению с нефтяным. Смазки, изготовленные на смеси церезиновой и парафиновой Ф, выделенных из синтетич. церезина в соотношении 2:1, обладали худшими качествами, чем смазка на бориславском церезине: имели рыхлую зернистую структуру, слабую консистенцию и низкую термич. стабильность. Е. П.

26602. Колориметрическое определение содержания железа в нефтяном коксе из сернистого сырья. Себрякова А., Шеншелевич М., Никулина Л., Новости нефт. техники, 1955, № 5, 31—33

Описание разработанной методики определения содержания Fe в нефтяном коксе из сернистого сырья колориметрич. путем. Точность метода проверялась на искусств. смесях графита с чистым металлич. Fe. Метод позволяет анализировать образцы, содержащие до 0,0009% Fe. Сравнение данных, полученных предлагаемым методом и обычно применяемым методом Рейгардта, показывает, что последний дает заниженные результаты, обусловленные потерями при анализе. Колориметрич. метод позволяет выполнять анализ с большой точностью в короткий срок, без применения сулемы, и определять Fe одновременно с определением зольности кокса. Б. Э.

26603. Спектроскопия в нефтяной промышленности. Прайс (Spectroscopy in the oil industry — I. Price W. C.), Petroleum, 1955, 18, № 5, 161—164 (англ.)

Изложены основы ИК-спектроскопии, а также описаны конструкции новейшей спектральной аппаратуры, прочно вошедшей как стандартное оборудование в крупные нефтяные лаборатории. Н. К.

26604. Уточненный метод определения содержания серы в газах. Колесникова Т., Новости нефт. техники, 1955, № 5, 21—25

Для определения содержания S в газах (в виде Н<sub>2</sub>S или органич. S-соединения) применен вариант лампового метода с подачей сжатого воздуха. Поглощение SO<sub>2</sub> производилось Na<sub>2</sub>CO<sub>3</sub>, титрование 0,1 н. HCl с метилоранжем. Сжигаемый газ подается из газометра со скоростью 0,5—1,5 л/час, а сжигаемые газы поступают через спец. испаритель. Расхождение между двумя параллельными определениями не должно превышать ±2% от среднего результативного значения. Е. П.

26605. Сжиженный газ как топливо для двигателей в сельском хозяйстве. Зейферт (Flüssiggas als Motorenkraftstoff in der Landwirtschaft. Seifert A.), Landtechnik, 1955, 10, № 3, 50—54 (нем.)

Приводятся данные о свойствах сжиженных газов (СГ) и их применении на двигателях различных типов. Сравнивается экономичность работы двигателей на СГ, бензине, керосине и дизельном топливе. Применение СГ на тракторах дает 30%-ную экономию в стоимости горючего по сравнению с жидким нефтяным топливом. Б. Э.

26606. Свойства и применение специальных и эталонных бензинов. Эдер (Spezial- und Testbenzine. Eigenschaften und Anwendung. Eder Franz), Erdöl und Kohle, 1955, 8, № 8, 589—591 (нем.)

Обзор по получению, составу, свойствам, хранению и применению различных спец. и эталонных бензинов, употребляющихся при испытаниях. Б. Э.

26607. Повышение мощности двигателя за счет улучшения качества топлив. Кнэйле (Höhere Motorleistung durch verbesserte Kraftstoffe. Kneule F.), Umschau, 1955, 55, № 19, 580—582 (нем.)

Общая характеристика каталитич. процессов, применяемых для получения бензинов с высокой детонационной стойкостью. Данные по максим., миним. и среднему значениям степени сжатия и литровой мощности автодвигателей США, Англии, Франции и ГФР за 1955 год. Б. Э.

26608. Пропитка фильтров, применяемых для фильтрации дизельных топлив. Рихтер (Imprägnierung von Dieselmotorkraftstoff-Filtern. Richter Kurt), Kraftfahrzeugtechnik, 1955, 5, № 8, 260—262 (нем.)

Исследовалось влияние пропитки бумажных фильтров (Ф), применяемых для фильтрации дизельных топлив, на их сопротивляемость размоканию и загрязнению. Ф пропитывались парафиновой эмульсией («адсорбин»), силиконовым маслом и искусств. смолы («мелакот»). Размокание Ф определялось: 1) после 120 час. выдержки в дистилл. воде; 2) после 200 час. выдержки в нефтяном дизельном топливе и 120 час. в воде; 3) то же, но вместо нефтяного дизельного топлива взята смесь дизтоплива из каменноугольной смолы и синтетич. Во всех случаях пропитка значительно повышала сопротивляемость размоканию Ф, при этом для исходных Ф по варианту 2 получены более низкие, а по варианту 3 более высокие значения, чем по варианту 1; для Ф, пропитанного силиконовым маслом, и по 2 и по 3 вариантам получены более низкие значения, чем по 1-му варианту, а для Ф, пропитанных адсорбином и мелакотом, — более высокие. Опыты по загрязняемости Ф проводились на фильтрующей установке, на указанном выше смешанном дизтопливе; исследовались исходные бумажные Ф без пропитки и пропитанные адсорбином, причем для сравнения был взят также фетровый Ф. Пропитанный бумажный Ф позволял

пропускать больше топлива, чем фетровый, и обеспечивал значительное увеличение пропускной способности по сравнению с исходным бумажным Ф. Б. Э. 26609. Основы получения смазочных масел из нефти.

Цепке (Grundzüge der Gewinnung von Schmiermitteln aus Erdöl. Zierke Oscar), Glückauf, 1955, 91, № 23—24, 618—621 (нем.)

Краткая характеристика методов получения смазочных масел. Приводится диаграмма роста добычи нефти в различных странах за период 1948 по 1954 гг.

П. Э.

26610. О твердых ароматических углеводородах масляных фракций нефти. Сообщение I. Черножуков, Н. И., Казакова, Л. П., Нефт. хоз-во, 1955, № 8, 75—79

Исследовались петролатумы из трех масляных фракций (Ф): дистиллатной (390—500°) туймазинской девонской нефти (ТД), деасфальтированного гудрона татарской нефти (ТГ) и концентрата сураханской нефти (СК). Во всех петролатумах показано присутствие твердых ароматич. углеводородов (I). Из петролатума ТД выделены две Ф I с т. заст. +30° и +29°;  $n_D$  1,5416 и 1,5716 соответственно; они представляют собой смесь ди- и трициклич. I с 17—21 атомами С в боковых цепях. Из парафина, полученного обработкой петролатума ТД мочевиной, выделены I с т. заст. +38 и +35° и  $n_D$  1,4850 и 1,4860, являющиеся, в основном, гомологами  $C_{26}H_{54}$  с 17—21 и 14—18 атомами С в боковых цепях соответственно. Из петролатума ТГ выделены две ароматич. Ф, одна с т. заст. +62°, состоящая, в основном, из гомологов  $C_{26}H_{54}$  с числом атомов С в боковых цепях 30—33,  $n_D$  1,4892 другая — с т. заст. +68°, содержащая ди- и трициклич. I, с числом С в боковых цепях 32—36,  $n_D$  1,5254. Из парафина, полученного обработкой петролатума ТГ мочевиной, выделены ароматич. Ф с т. заст. +68°,  $n_D$  1,4886, содержащая, главным образом, гомологи  $C_{26}H_{54}$  с 26—29 атомами С в боковых цепях, и вторая ароматич. Ф с т. заст. +80°,  $n_D$  1,5099, состоящая из 80% ди- и 20% трициклич. углеводородов с 27—30 атомами С в боковых цепях. Из СК выделены две ароматич. Ф, одна с т. заст. +26°, представляющая собой смесь ди- (80%) и трициклич. (20%) углеводородов с боковыми цепями, содержащими 25—28 атомов С, другая ароматич. Ф с т. заст. +42°, являющаяся смесью 70% трициклич. и 30% дициклич. углеводородов с 24—28 атомами С в боковых цепях. Г. М.

26611. Окисление в тонком слое нафтеновых и ароматических углеводородов, выделенных из масел. Кичкин Г. И., Великовский А. С., Нефт. хоз-во, 1955, № 7, 71—74

Приводятся физ.-хим. свойства и результаты окисления в тонком слое по методу Папок фракций нафтеновых (I) и ароматич. углеводородов (II), выделенных из остаточного масла адсорбцией на силикагеле. Установлено, что I образуют продукты окислительной конденсации (ПОК) в кол-ве в 1,5—2 раза больше, чем исходное масло, причем заметно повышено также кол-во летучих продуктов. Склонность II к окислению зависит от цикличности: трициклич. II не образуют ПОК и характеризуются в 5 раз большей рабочей фракцией, чем моноциклич., бициклич. II по склонности к окислению занимают промежуточное положение; по кол-ву образующихся летучих продуктов и ПОК они равнены с исходным маслом. Моноциклич. II имеют, примерно, одинаковые с I показатели (высокая испаряемость 60—63%, большое лакообразование — 27% и малая рабочая фракция 10—14%). Моноциклич. II не способны к торможению р-ции окисления I, в то время как би- и особенно трициклич. II, добавленные

в кол-ве 20% к I, увеличивают рабочую фракцию в 2,6—2,8 раза и снижают кол-во ПОК на 20—30%. Сравнением действия би- и трициклич. II с многофункциональной присадкой типа барийалкилфенолсульфидов показано, что 20% II снижают выход продуктов окисления I так же, как и 5% присадки, при этом действие II и присадки проявляется, главным образом, по линии торможения р-ции окислительной конденсации. Б. Э.

26612. Смазка силовой передачи и шасси автомобиля. Трансмиссионные масла и смазки. Фальбуш (Schmierung der Kraftübertragung und der Kraftfahrzeug-Fahrgestells Getriebeöle und Schmierfette. Fahlbusch Fritz), Erdöl und Kohle, 1954, 7, № 1, 45—48 (нем.)

Обзор конструкций узлов силовой передачи автомобиля, смазочных систем шасси и применяемых масел и смазок. В. Р.

26613. Контактный эффект как фактор окисления масла в двигателях внутреннего сгорания. Венцель С. В., Изв. АН СССР, Отд. техн. н., 1955, № 7, 139—144

Испытаниями на специально сконструированном многодисковом приборе показано, что для старения масла, даже при кратковременном опыте, не обязательно наличие высоких т-р и других факторов, характерных для условий работы в двигателе, как прорыв газов, барботаж и т. д. При средней т-ре 32—36° в приборе наблюдалось сравнительно глубокое окисление масла, обусловленное контактным эффектом при трении и изнашивании металлич. поверхностей. При контактах шероховатостей и неровностей, вследствие развивающихся при этом высоких т-р порядка 600—900°, в прилагаемых объемах масла происходят глубокие изменения и старение масла прогрессирует в микрообъемах, т. е. носит местный характер, связанный с диспергированием и деформацией трущихся поверхностей в процессе трения. Опыты, проведенные на двигателе Л-3, показали относительно большую роль контактного эффекта в окислении масла, причем наиболее сильно это сказывается на образовании асфальтовосмолистых продуктов и повышении общей органич. кислотности. Контактный эффект проявляется в первую очередь в подшипниках, зубчатых колесах и нижней части гильзы цилиндра, где средние т-ры невелики и куда попадает небольшое кол-во масла. Б. Э.

26614. Влияние примесей, содержащихся в остаточных минеральных маслах, на работу установок. Мильвио (Influenza delle impurità contenute negli olii minerali residui sull'economia degli impianti. Milvio Daniele), Termotecnica, 1955, 9, № 4, 151—152 (итал.)

Повышенное содержание в остаточных маслах S и соединений N и Na вызывает ряд нежелательных явлений (коррозия металлич. частей, осадки на лопастях турбин, понижение устойчивости огнеупорных конструкций и т. п.), которые снижают экономичность использования этих продуктов. Желательно применение добавок, улучшающих качество масла, а также дифференцирование его стоимости в зависимости от содержания указанных вредных примесей. Е. П.

26615. Самовоспламенение синтетических масел. Дитрих (Selbstentzündung von synthetischen Ölen. Dittich W.), Technik, 1955, 10, № 8, 465—467 (нем.)

Приводятся сравнительные данные по т-рам самовоспламенения (ТС) при различных скоростях подачи  $O_2$  для минер. смазочного масла с вязкостью  $^{\circ}E_{20} = 8$ ,  $C_{26}H_{54}$  и следующих синтетич. масел силиконового характера; полимерный метилсилоксан (I) с  $^{\circ}E_{20} = 6,8$ ; дибензоксииметоксисилан (II) с  $^{\circ}E_{20} = 4,6$ ; тетракрезоксисилан (III) с  $^{\circ}E_{20} = 6,8$ ; дибензоксииметоксисилан



силан (IV) с  $^{\circ}E_{20} - 2$ ; тетрабутоксисилан (V) с  $^{\circ}E_{20} - 0,38$ ; тетраизобутоксисилан (VI) с  $^{\circ}E_{20} - 0,45$ . Установлено, что ТС силиконовых масел зависит от строения углеводородных радикалов, присоединенных к группе  $SiO_4$ . Наиболее высокие ТС имеют  $C_6H_5$  и III, содержащий четыре толуольных радикала. При замене ароматич. радикала алифатич., а также с увеличением числа атомов C в последнем ТС понижается; поэтому ТС у II ниже, чем у III, а у IV ниже, чем у II. Наиболее низкое значение ТС (ниже, чем у минер. масла) имеют V и VI. По ТС масло I занимает промежуточное положение между маслами II и IV. Силиконовые масла характеризуются, в общем, более высокими ТС, чем применяемые минер. масла. Б. Э. 26616. Использование отходов синтетического алюмосиликатного катализатора для контактной очистки смазочных масел. Гольдберг Д., Абрамович С., Новости нефт. техники, 1955, № 5, 8—10

Поставлен ряд опытов по контактной очистке дистиллатного депарафинированного рафината (ДДР) и остаточного депарафинированного рафината (ОДР) отходами произв-ва шарикового алюмосиликатного катализатора (ОК) и отходами алюмосиликатного катализатора из регенераторов установки каталитич. крекинга (ОРК). Контактное очищение производилось при перемешивании перегретым паром, оптимальная т-ра очистки 270—275°. При расходе 10% ОК для остаточного масла получен фактор обесцвечивания (ФО) — отношение столба масла после очистки в мм колориметра КОЛ-1 к столбу исходного масла (1,50, а при расходе 15% — 2,10; для ОРК получен ФО 1,35 и 2,20, соответственно. После обжига ОРК при 600°, для выжигания остатков кокса, при расходе адсорбента в 10% был достигнут ФО 1,70. С крошкой широкопористого ОРК (радиус пор ~ 40 А) получены результаты, не уступающие эффекту зикеевской опок: при 100° и 5%-ном расходе крошки ФО для ДДР составило 1,8, а для ОДР при 275° и 10% крошки получен ФО 1,70. С зикеевской опок в первом случае при 150° получен ФО 1,8, а во втором при 270° — 1,65. Е. П. 26617. Определение кислотного числа трансформаторного масла. Шихер А. Г., Захарова Т. П., Сб. науч. тр. Ивановск. энерг. ин-та, 1955, № 6, 25—29

Разработан способ определения кислотного числа темных трансформаторных масел. Проба масла в кол-ве 10 г энергично перемешивается на лабор. приборе для встряхивания с 25 мл 0,01 н. р-ра NaOH в течение 20—30 мин. Прибавление 10 мл 20%-ного р-ра KCl облегчает расслаивание образовавшейся эмульсии. Обратное титрование производится 0,01 н. р-ром HCl с фенолфталеином. Получены хорошие результаты. Е. П.

26618. Проект стандарта DIN 1955 51804 на испытание смазочных веществ. Определение пенетрации консистентных смазок. — (Prüfung von Schmierstoffen. Bestimmung der Penetration von Schmierfetten. Norm. Entwurf, 1955, DIN 51804. —), Erdöl und Kohle, 1955, 8, № 8, 571—573 (нем.)

26619 Д. Исследование состава и свойств смол деонских нефтей Второго Баку. Делоне Н. О. Автореф. дисс. канд. хим. н., Ин-т нефти АН СССР, М., 1955

26620 Д. Изучение высокомолекулярной части битумной и сагайдакской нефтей. Скляр В. Т. Автореф. дисс. канд. хим. н., Ин-т нефти АН СССР, М., 1955

26621 П. Полимеризация продукта рециркуляции из высокотемпературного крекинга с паром. Джонс

(Polymerization of cycle oil from high-temperature steam cracking process. Jones Minor C. K.) [Standard Oil Development Co.]. Канад. пат. 499233, 12.01.54

Предлагается комбинированный способ крекинга и полимеризации олефинов, фенолов и дающих осадки компонентов крекинг-продуктов для получения стабилизированного котельного топлива и смол. Газоиль подвергают крекингу при т-ре 565—815° в присутствии пара под давлением от одной до несколько атм, после чего из продуктов р-ции выделяют промежуточную фракцию с т. кип. 175—370° и перекондируют ее в жидкой фазе через активный полимеризующий адсорбент-глину с объемной скоростью 0,5—2, поддерживая т-ру адсорбента 175—230°. Обработанный продукт отмыают щелочью, затем отгоняют от него требуемую фракцию котельного топлива; остаток представляет собой полимеры смолистого характера. В другом варианте патента адсорбент промывают незаполимеризовавшимся компонентами обработанного продукта, после чего стабилизированное топливо отгоняют. Е. П. 26622 П. Удаление металлов из нефтяного сырья для крекинга в псевдоожиженном слое. Мак-Кинли

(Removal of metals from petroleum hydrocarbons followed by fluidized cracking. McKinley Joseph B.) [Gulf. Research and Development Co.]. Пат. США 2689825, 21.09.54

Нефтяные углеводороды предварительно обрабатывают путем смешения с небольшой порцией катализатора (К), состоящего в значительной степени из пыли, не загрязненной названными примесями, размеры частиц которой настолько малы, что они удаляются из цикла после однократного пропуска через крекинг-установку. Сырье и катализаторная пыль контактируются при т-ре  $\geq 150^\circ$ , но не выше т-ры начала крекинга для указанных нефтяных фракций; время контактирования 10—60 мин., пока большая часть примесей не адсорбируется катализаторной пылью. После адсорбции примесей, но прежде, чем какая-либо доля углеводородов крекируется, смесь очнщ. сырья с катализаторной пылью, поглотившей примеси, контактируется в зоне крекинга с основным кол-вом К, представляющим частицы большего размера, которые практически не содержат примесей. Крекинг осуществляется в псевдоожиженном слое К, после чего из зоны крекинга выводятся крекинг-продукт, К и пылевидная его часть с примесями; К регенерируется и возвращается в зону крекинга. Частицы К меньшего размера (включая загрязненную пыль), чем частицы основной массы К, отделяются и разделяются на более тонкодисперсную часть, состоящую в основном из пыли, практически целиком загрязненной примесями, и более крупнодисперсную часть почти не загрязненного К; пыль удаляют. Большая доля незагрязненного К измельчается до размеров пыли и удаляется при последующем пропуске через крекинг-установку. Свежее углеводородное сырье, содержащее примеси, контактируется с измельченным К для их удаления, как описано выше. Дается схема установки. Н. К.

26623 П. Процесс гидроформинга в псевдоожиженном слое. Горновский (Fluid hydroforming process. Gornowski Edward J.) [Esso Research and Engineering Co.]. Пат. США 2710827, 14.06.55

В первую реакционную зону, в которой поддерживаются необходимые для процесса реформинга т-ра и давление, непрерывно подаются углеводородное сырье, мелкоаэрозольный катализатор (К) и газ, богатый  $H_2$ . Поток реагирующих паров вместе с К подает через верх первой зоны во вторую реакционную зону, в которой скорость прохождения паров регулируется так, что образуется псевдоожиженный слой частичек К,



небольшое кол-во, достаточное для стабилизации против образования осадка и нежелательных красящих в-в, продукта, полученного путем конденсации в водн. среде 1 моля  $(\text{NH}_4)_2\text{S}$  и 2—5 молей формальдегида, при  $t$ -ре  $\leq 95^\circ$ , с 2—4 молями моноалкилфенола с 4—12 атомами С в боковой цепи.

**Е. П. 26632 П. Печи с впрыском горючего** (Fours à combustible injecté) [Soc. des Fours Industriels et Métallurgiques S. O. F. I. M.]. Франц. пат. 1032856, 30.06.53 [Chaleur et ind., 1954, 35, № 345, 39d (франц.)]

При выходе из горелки струя горючего газа смешивается с инертным газом, выходящим в виде дыма из самой печи. Это вызывает понижение  $t$ -ры, в результате чего совершенно не образуется кокса и внутри печи создается восстановительная атмосфера без взвешенных твердых частиц. Способ может быть применен для газификации мазута.

**Е. П. 26633 П. Смеси котельных топлив** (Heating oil blends) [Standard Oil Development Co.]. Англ. пат. 711259, 30.06.54 [J. Appl. Chem., 1955, 5, № 2, i180 (англ.)]

Перегонойкой сырой нефти получают исходное котельное топливо (ИКТ) и газолевую фракцию, которую подвергают крекингу, получая более низкокипящие углеводороды и фракцию с пределами кипения котельного топлива (КТ). Путем обработки этой фракции  $\text{H}_2$  ( $\geq 0,011 \text{ м}^3$  на 1 л фракции, предпочтительнее  $\geq 0,007 \text{ м}^3$  на 1 л) при  $260\text{—}345^\circ$  в присутствии катализатора гидроочистки, напр. окиси Мо на  $\text{Al}_2\text{O}_3$ , получают продукт, который при смешении с ИКТ дает улучшенное КТ, пригодное для использования в топках различных систем (в качестве бытового или промышленного КТ, а также в качестве дизельного топлива. Напр. КТ пропускается над катализатором со скоростью 8 объемов на 1 объем катализатора с  $\text{H}_2$  ( $< 0,009 \text{ м}^3$  на 1 л топлива) при  $315^\circ$  и давл.  $14 \text{ кг/см}^2$ ; получающийся продукт с содержанием S равным 1,48% (1,54% у КТ), коксовым числом по Конрадсону (KK) 0,02% (0,13% у КТ) смешивается с 1 объемом ИКТ с KK 0,05% и дает смесь с KK 0,02%, тогда как смесь с КТ, не подвергавшимся гидроочистке, имеет KK 0,25%. М. Ш.

**26634 П. Нефтяной сульфат** (Petroleum sulphate) [N. V. De Bataafsche Petroleum Maatschappij]. Австрал. пат. 161590, 17.03.55

Для получения основного растворимого в нефтепродуктах щел.-зем. нефтяного сульфата р-р нефтяного сульфата щел. металла или  $\text{NH}_4$  в нефтяной фракции смешивают с низкомолекулярной, растворимой в воде и в нефтепродуктах О-содержащей органич. жидкостью. Смесь контактируют с водорастворимой щел.-зем. солью неорганич. к-ты, добавляя воду в кол-ве, достаточном для образования 2 слоев: слоя р-ра нейтр. нефтяного сульфата щел.-зем. металла в органич. жидкости и водн. слоя. Слои разделяют, к органич. жидкости прибавляют основное соединение щел.-зем. металла и значительное кол-во воды, после чего удаляют из смеси органич. жидкость и обезвоживают ее (смесь).

**Е. П. 26635 П. Способ и аппаратура для получения из природного газа смеси жидких углеводородов, содержащей жидкий метан** (Muck Verfahren und Vorrichtung zur Gewinnung eines insbesondere flüssiges Methan enthaltendes Gemisches flüssiger Kohlenwasserstoffe aus Erdgas. Muck Otto H.). Пат. ФРГ 930749, 25.07.55

Способ получения из природного газа (ПГ) смеси жидких углеводородов, содержащей, в частности, жидкий  $\text{CH}_4$ , заключается в том, что давление ПГ, после предварительного охлаждения его, снижают от исходного значения до требуемого в трубопроводе дальнейшего газоснабжения, т. е. со 130—170 до 40—50 атм и за счет происходящего при этом охлаждения

газ частично сжижается. Предварительное охлаждение ПГ осуществляется с помощью холодильной машины, работающей за счет энергии, получаемой от расширительной машины, в свою очередь, работающей за счет расширения ПГ. Расширительная машина спарена с генератором тока и заключена вместе с ним в газонепроницаемую оболочку.

**Б. Э. 26636 П. Получение горючих газов из жидких или газообразных топлив** (Process for the production of combustible gases from liquid or gaseous fuels). Англ. пат. 716710, 13.10.54 [Chem. Abstrs, 1955, 49, № 5, 3512 (англ.)]

Газ, содержащий  $\text{H}_2$  и CO, получают конверсией углеводородного топлива с  $\text{O}_2$  и водяным паром в установке, состоящей из реактора и двух попеременно работающих регенераторов; из них один служит для подогрева  $\text{O}_2$  и пара перед смешением, другой — для охлаждения полученных горючих газов. Предварительно подогревая в регенераторе смесь  $\text{O}_2$  и пара вводится в реактор, куда через форсунку одновременно вводится жидкое топливо; в этом реакторе разбивается  $t$ -ра  $\sim 1250^\circ$ , и жидкое топливо почти целиком превращается в горючие газы, которые проходят затем через регенератор предварительного подогрева, охлажденный в предшествующий рабочий период. Здесь может быть сожжено некоторое кол-во топлива и образующиеся горячие продукты сгорания смешиваются с подогретым паром и остаточным  $\text{O}_2$ .

**М. Ш. 26637 П. Антифриз. Невелинг** (Antifreeze. N. v. v. Fred J.). Пат. США 2700653, 25.01.55

Предложен некоррозивирующий р-р антифриза для двигателей внутреннего сгорания, состоящий (в вес.%) из 22—36  $\text{CaCl}_2$ ; 58—72  $\text{H}_2\text{O}$  (причем сумма  $\text{CaCl}_2$  и  $\text{H}_2\text{O}$  составляет  $\sim 94$  от всего р-ра); 4—5 сахара, представляющего собой моно-, ди- или трисахарид либо сахарозу; 0,1—0,2 нитрата Na, K или Li; 0,05  $\text{BaOH}_2$ ; 0,4—0,6 N-соединения типа моно-, ди- или триэтанолamina либо морфолина; 0,2—0,4 растворимого крахмала (крахмал и вода образуют в р-ре обратимый коллоид) и  $\sim 0,05$  мочевины. Р-р должен иметь pH порядка 7—9. Н. К.

**26638 П. Способ гидрирования под давлением углей, смол, нефтей, их продуктов перегонки или превращения** (Хуне, Сесич, Брендлейн (Verfahren zur Druckhydrierung von Kohlen, Teeren, Mineralölen oder ihren Destillations- oder Umwandlungsprodukten. Hupe Richard, Szeszich Lajos von, Brendlein Heinrich) [Deutsche Gold- und Silber-Scheideanstalt vormals Roessler]. Пат. ФРГ 926664, 21.04.55

Предлагается способ гидрирования (Г) под давлением углей, смол, нефтей, их продуктов перегонки или превращения в присутствии катализаторов (К) и  $\text{H}_2\text{S}$ , конц-ия которого в аппарате для гидрирования устанавливается в пределах 1—12% от гидрируемого продукта с тем, чтобы повысить активность К по сравнению с Г в отсутствие  $\text{H}_2\text{S}$  или в присутствии  $\text{H}_2\text{S}$ , образующегося за счет S, содержащейся в сырье. Способ отличается тем, что в качестве К применяются природные материалы, в частности, богатые Fe, как боксит, глина или цеолит, которые состоят, в основном, из гидратированных Al-соединений. К могут также подвергаться обработке  $\text{H}_2\text{S}$  в реакторе перед гидрированием. Примеры: 1. Буроугольное масло из Средней Германии, содержащее 12,6% фенолов и 1,22% S, подвергается Г в присутствии бокситного К, осерненного следующим образом: красный сырой боксит, богатый Fe, размалывается до кусочков величиной с горошину, загружается в аппарат для гидрирования и в течение нескольких часов при  $450^\circ$  и нормальном давлении обрабатывается струей пара, содержащего  $\text{H}_2\text{S}$ . Затем при  $500^\circ$  вводится сырье и под давл. 200 атм подается  $\text{H}_2$ , к которому добавляется 3%  $\text{H}_2\text{S}$ . Выход



бензина, не содержащего фенолов, составляет 56,8%, что соответствует аналогичным результатам, получаемым при Г над дорогостоящим  $\text{MoO}_3$ . При Г без добавления  $\text{H}_2\text{S}$  получается всего 20,5% бензина худшего качества. В реакционный аппарат загружается К, приготовленный из глины, содержащей наряду с большим кол-вом кремневой к-ты, 22,3%  $\text{Al}_2\text{O}_3$  и 5,8%  $\text{Fe}_2\text{O}_3$ . После нагрева до  $450^\circ$  через К при нормальном давлении пропускается  $\text{H}_2$ , к которому примешано 10%  $\text{H}_2\text{S}$ . После 2-часовой обработки К давление поднимается до 200 ат и в реакционный сосуд пропускается с  $\text{H}_2$  каменноугольное масло (пределы кипения  $250-380^\circ$ ), смешанное с 4%  $\text{CS}_2$ . В результате получается 99% жидкого продукта, содержащего 47,3% бензина, бесцветного, свободного от фенолов, с высокой детонационной стойкостью. В процессе Г одновременно образуется среднее масло, которое направляют на повторное Г, и получают доплнит. кол-во бензина. В. Э.

26639 П. Термическая переработка твердых углеродсодержащих материалов. Палмер, Александр (Heat treatment of solid carboncontaining materials. Palmer George H., Alexander Cruzan) [The M. W. Kellogg Co.]. Пат. США 2713590, 19.07.55

Процесс получения жидких органич. соединений из угля состоит в продувке мелкоизмельченного углеродсодержащего материала чистым  $\text{O}_2$  со скоростью, достаточной для образования псевдоожженного слоя, при которой в первой реакционной зоне (РЗ) часть С реагирует с  $\text{O}_2$  при  $980-1090^\circ$ , образуя газ, содержащий, в основном,  $\text{CO}$  и  $<1\%$   $\text{CO}_2$ , причем экзотермич. характер р-ции достаточен для поддержания в первой зоне необходимой т-ры без подвода тепла извне. Далее следует продувка сырья паром во второй РЗ, также со скоростью, достаточной для образования псевдоожженного слоя, при этом С реагирует с паром при  $815-925^\circ$  с образованием  $\text{H}_2$  и  $\text{CO}$  в качестве основных продуктов р-ции, при циркуляции углеродсодержащего сырья через указанные РЗ для поддержания заданной т-ры; поток продуктов, содержащих мелкодисперсную золу и непрореагировавший С, выводится отдельно из первой и второй РЗ, затем разделяется на сепараторе для отделения золы и исходного материала, с использованием в теплообменниках тепла горячих реакционных газов нагрева  $\text{O}_2$  и пара перед подачей их в РЗ. Реакционные газы пропускаются в зону синтеза, где  $\text{H}_2$  и  $\text{CO}$ , превращаются в жидкие органич. соединения,  $\text{CH}_4$  и  $\text{CO}_2$ , после чего жидкие продукты отделяются, а из газообразных компонентов выделяется  $\text{CO}_2$ , которую подают в первую РЗ; газы, оставшиеся после извлечения  $\text{CO}_2$ , вводятся во вторую РЗ. С. Г.

26640 П. Синтез углеводородов с восстановленным пылевидного природного магнетита, содержащего небольшое кол-во окислов Al, Si и Ti в псевдоожженном слое для синтеза органич. соединений из  $\text{CO}$  и  $\text{H}_2$ . В. Ш.

26641 П. Способ обработки синтетического топлива—продукта конверсии водорода и окиси углерода. Арнольд, Хесс (Method for treating product of conversion of hydrogen and carbon monoxide into synthetic fuel. Arnold George B., Hess Howard V.) [The Texas Co.]. Пат. США 2707192, 26.04.55

Предложен процесс гидролиза в паровой фазе алифатич. сложных эфиров, содержащих до 4 атомов С, контактированием их с водяным паром при  $260-540^\circ$  с твердым основным неорганич. соединением щел.-

металлич. характера, щел.-зем. металлич. характера или смесью обоих соединений. В. К.

26642 П. Стабилизированные составы минеральных смазочных масел. Кантрелл, Смит (Stabilized mineral oil lubricant compositions. Cantrell Troy L., Smith Herschel G.) [Gulf Oil Corp.]. Пат. США 2707172, 26.04.55

Предложен смазочный состав, представляющий собой минер. смазочное масло, как основу и добавляемые к нему в кол-ве 0,01—1 вес. % следующие в-ва: 1) 2,6-дитретичный бутил-4-метилфенол; 2) несмолообразный продукт конденсации 1-го моля *n*-тетраметилбутилфенола, 4-х молей *N*-диметиламина и 4-х молей формальдегида. Совместная конденсация указанных в-в осуществляется в присутствии катализатора — активированной глины (5—10 вес. %, считая на реагирующие в-ва) при  $65-150^\circ$ . Соотношение вес. ч. добавляемых в-в продуктов 1 и 2 варьирует в пределах от 1:4 до 4:1. Е. К.

26643 П. Способ предварительной обработки синтетических смазочных масел. Клар, Гейзер (Verfahren zur Vorbehandlung synthetischer Schmieröle. Clar Carl, Geiser Nikolaus) [Ruhchemie A.-G.]. Пат. ФРГ 905190, 25.02.54 [Chem. Zbl., 1955, 126, № 3, 727 (нем.)]

Полученные полимеризацией ненасыщ. углеводородов смазочные масла, сопротивление старению которых должно быть улучшено с помощью добавок, напр. тионафтола или β-нафтиламина, перед внесением этих добавок обрабатывают при повышенной т-ре небольшими кол-вами  $\text{AlCl}_3$  и (или) в-в с развитой поверхностью. Так, смазочное масло, полученное полимеризацией в присутствии  $\text{AlCl}_3$  ненасыщ. углеводородов — продуктов гидрирования  $\text{CO}$ , нагревают после отделения  $\text{AlCl}_3$  в течение 3 час. при  $170^\circ$  с  $\sim 1\%$  свежего  $\text{AlCl}_3$  и 3% образовавшегося в процессе полимеризации двойного  $\text{AlCl}_3$ -соединения, после чего отделяют  $\text{AlCl}_3$ , фильтруют и перегоняют под вакуумом. Свободное от  $\text{Cl}$  масло, после обработки отбеленной землей и фильтрации, смешивают с 0,2% тионафтола. Я. К.

26644 П. Консистентная смазка для высоких температур (High temperature grease) [Standard Oil Development Co.]. Англ. пат. 704858, 3.03.54 [J. Appl. Chem., 1954, 4, № 8, ii187 (англ.)]

Патентуется получение консистентной смазки, механически и термически стабильной вплоть до точки каплепадения и пригодной к употреблению при высоких т-рах, в присутствии влаги. Минер. смазочное масло смешивают с непредельной алифатич. монокарбоновой к-той  $\text{C}_3-\text{C}_4$  (или соответствующим нитрилом), напр. акриловой, метакриловой или кротоновой к-той (2—4 ч.), либо предпочтительно с цианистым винилом. Нейтрализуют щелочью (1—3 ч.), напр.  $\text{LiOH}$ , либо окисью или гидратом окиси щел.-зем. металла (Ca), затем прибавляют насыщ. алифатич. к-ту  $\text{C}_{12}-\text{C}_{22}$  (10—20 ч.), напр. гидрированные к-ты рыбьего жира, нагревают до  $50-105^\circ$ , прибавляют еще 1—3% щелочи, нагревают далее до  $150-235^\circ$  и охлаждают. Е. П.

См. также: 24706, 25030, 25464, 25561, 26052, 26054, 27747, 27859, 27860, 28032, 28033

## ПРОМЫШЛЕННЫЙ ОРГАНИЧЕСКИЙ СИНТЕЗ

26645. Проблемы и новые пути использования сырья в промышленности органической химии. Виннакер (Probleme und neue Wege zur Rohstoffversorgung der organischen Chemie. Winnacker K.), Chem. Ingr.-Techn., 1955, 27, № 7, 397—403 (нем.; рез. англ., франц.)

Современной проблемой европейской хим. пром-сти и, в частности, пром-сти ФРГ, является определение правильных основ использования сырья в условиях меняющейся ситуации и повышенного спроса. Особое значение имеет использование угля, нефти и природных газов. Рассмотрены возможности получения и использования  $C_2H_2$ , олефинов и насыщ. углеводородов.

**26646. Сульфирование и сульфатирование.** Гилберт, Джонс (Sulfonation and sulfation. Gilbert Everett E., Jones Paul E.), Industr. and Engng Chem., 1954, 46, № 9, 1895—1912 (англ.)

Обзор работ по сульфированию и сульфатированию различных классов органич. в-в. Библ. 418 назв. Ф. Н. **26647. Металлический натрий и его применение в тонкой химической технологии.** Ситтинг (Sodium metal: its applications in fine chemical manufacture. Sittig Marshall), Chem. Prod., 1955, 18, № 9, 331—334 (англ.)

Описано получение и применение металлич. Na для произ-ва тетраэтилсвинца, жирных спиртов, синтетич. органич. в-в и металлоорганич. соединений. Приведены схемы произ-ва тетраэтилсвинца и восстановления сложных эфиров, а также данные анализ. технич. металлич. Na.

**26648. Виниловые мономеры из химических продуктов, выделяемых из нефти.** Шилдкнехт (Vinyl-type monomers from petrochemicals. Schildknecht C. E.), Oil and Gas J., 1953, 52, № 8, 84, 86 (англ.)

Среди углеводородов, извлекаемых из нефти, большое место занимают мономеры, источником которых являются  $C_2H_2$  и  $C_2H_4$ . Ряд виниловых мономеров: винилхлорид, винилиденхлорид, винилацетат, хлорпрен, акриловые мономеры и многие другие являются сырьем для получения волокон, пластич. масс, синтетич. каучука, защитных антикоррозионных покрытий, детергентов и пр. Приводится таблица р-ций получения этих мономеров.

**26649. Исследование в области определения высших спиртов.** Межан, Катти (Etude sur le dosage des alcools supérieurs. Méjane J., Cathy m-me), Inds agric. et aliment, 1955, 72, № 7—8, 475—480 (франц.)

Приведены данные о точности официально принятых во Франции промышленных методов определения высших спиртов (сивушных масел) в спирте — ректификате. В качестве серийного метода предложен усовершенствованный электрофотометрич. метод Комаровского, позволяющий определять высшие спирты в конц-ии до 0,03 г/л, вместо 0,06—0,07 г/л по принятым методам. Продолжительность анализа 1 час вместо 2 час. по неизмененному методу Комаровского.

**26650. Диметилформамид.** Тримборн (Dimethylformamid. Trimborn Werner), Chemiker-Ztg, 1954, 78, № 20, 682—683 (нем.)

Описаны свойства и способы получения диметилформамида (I), являющегося хорошим р-рителем для полиакрилонитрила. I получают с хорошим выходом из метилформата и диметиламина (см. герм. пат. 714311, и пат. США 2204371). I получают взаимодействием  $CH_3OH$ ,  $NH_3$  и CO при высоких т-ре и давлении, в присутствии соли слабой к-ты и щел. металла. Приводятся схемы протекающих р-ций. Свойства I: прозрачная, бесцветная, легко подвижная жидкость. Водя. р-рами не гидролизуются, омыляются с трудом. Т-ра кип. 153°/760 мм, т-ра заст. —61°,  $n_D^{20}$  1,42—1,43, уд. в. 0,9496. Смешивается с водой во всех отношениях, поглощает влагу из воздуха, хорошо смешивается со спиртами, простыми и сложными эфирами, кетонами, хлорированными и ароматич. углеводородами. Бен-

зиновые углеводороды при обычной т-ре практически с диметилформамидом не смешиваются. Являются хорошим р-рителем для нитроцеллюлозы, ацетилцеллюлозы и различных естественных и искусств. смол. Плохо или совсем не растворяет высыхающие масла, алкидные смолы и бензинорастворимые смолы. Диметилформамид применяют главным образом как р-ритель для полиакрилонитрила при изготовлении синтетич. волокон.

**26651. Окись стирола** (L'oxyde de styrène. C. N.), Rev. prod. chim., 1955, 58, № 1212, 136—137 (франц.)

Приведены области применения и способы получения окиси стирола.

**26652. Синтез пиридинов.** Леви, Отмер (Synthesis of pyridines. Levy Sherman L., Othmer Donald F.), Industr. and Engng Chem., 1955, 47, № 4, 789—796 (англ.)

Описан каталитич. способ получения пиридина и пиколина из  $CH_2O$ ,  $CH_3CHO$  и  $NH_3$  над катализатором из высокопористого  $SiO_2-Al_2O_3$ . Для снижения кол-ва смол альдегиды вводили со скоростью, соответствовавшей скорости их р-ции с  $NH_3$ . Перед вводом в зону р-ции исходные в-ва подогревали до т-ры р-ции.  $CH_2O$  и  $CH_3CHO$  вводили в стехиометрич. кол-вах,  $NH_3$  — в избытке (319%). Т-ра р-ции 360°. Общая скорость подачи реагентов 1,18 г/час на 1 г катализатора. Оптимальный выход пиридина и пиколина 48,6%. Приведена схема, а также указаны термодинамич. и кинетич. данные, нужные для проектирования.

**26653 Д. Разработка метода получения хлористого винила и дихлорэтиленов хлорированием этилена в среде расплавленных солей.** Антонов В. Н., Автореф. дисс. канд. техн. н., Моск. хим.-технол. ин-т, М., 1955

**26654 П. Способ фракционирования смесей органических соединений обработкой мочевиной.** Ньюн, Шокал, Брэдли (Verfahren zur Fraktionierung von Mischungen organischer Verbindungen durch Behandlung mit Harnstoff. Newey Herbert Alfred, Shokal Edward Charles, Bradley Theodore Franklin) [N. V. De Bataafsche Petroleum Maatschappij]. Пат. ГФР 883605, 20.07.53 [Chem. Zbl., 1954, 125, № 32, 7313—7314 (нем.)]

Смеси полярных органич. в-в с прямой цепью, обладающих различной степенью насыщенности, напр. жирные к-ты, получаемые при омылении растительных масел (льняного, соевого) и других жиров, их сложные эфиры, дегидратированные к-ты касторового масла, их метиловые эфиры, талловое масло или жирные спирты, обрабатывают мочевиной при 0—75° в метилизобутилкетоне (р-ритель). Кристаллич. аддукты мочевины с более насыщ. соединениями отделяют от менее насыщ. в-в.

**26655 П. Разделение органических соединений.** Дайнерштейн (Separating organic compounds. Dinerstein Robert A.), [Standard Oil Co.] Канад. пат. 507438, 16.11.54

Усовершенствованный способ выделения органич. в-в (углеводородов) с нормальной цепью (НУ), содержащей  $\geq 6$  атомов С, из их смесей с органич. в-вами (углеводородами), отличающимися конфигурацией и размерами молекул, заключается в обработке смеси тонкоизмельченной мочевиной (I) в присутствии воды (0,5 моля на 1 моль I) при т-ре, давлении и времени, необходимых для образования твердого комплекса НУ с I, отделения непрореагировавших в-в от комплекса, разложения последнего при т-ре  $>80^\circ$  (80—120°) водя. р-ром I насыщ. при 20° (степень его насыщения при 80—120° равна 60—25%) с последующим повышением конц-ии

И и выделением НУ в виде отдельной фазы. После этого р-р I охлаждают и выкристаллизовывают I, остающийся холодный насыщ. р-р I нагревают до  $t_{\text{пл}} > 80^\circ$  и направляют его для разложения новой порции комплекса, а выделенную мелкокристаллич. I направляют на первую стадию цикла. Приведена схема процесса.

**Н. П. 26656 П. Стабилизация органических соединений. Розенуолд** (Stabilization of organic compounds. Rosenwald Robert H.) [Universal Oil Products Co.]. Пат. США 2705240, 29.03.55

Патентуется смолообразный продукт окисления, получаемый р-цией 2,5-диалкилфенола, в котором оба алкила являются вторичными или третичными, с окислителями (хлораты щел. металлов, соли железосинеродистой к-ты,  $\text{PbO}_2$ ,  $\text{Ag}_2\text{O}$  или  $\text{H}_2\text{O}_2$ ) при  $0-100^\circ$ .

**М. Л. 26657 П. Синтез метана. Джонсон** (Synthesis of methane. Johnson William B.) [The M. W. Kellogg Co.]. Пат. США 2686819, 17.08.54

Циклический процесс синтеза  $\text{CH}_4$  из СО и паров воды состоит в р-ции пара со способным к образованию карбидов металлом (получаемым в предыдущей стадии) при  $t$ -ре достаточно высокой, чтобы образовались  $\text{H}_2$  и окись металла. При взаимодействии последней с СО при надлежащей  $t$ -ре образуются карбид металла и  $\text{H}_2$ . Обработкой карбида  $\text{H}_2$  при повышенной  $t$ -ре получают металл и газовую смесь, состоящую преимущественно из  $\text{CH}_4$ . Приведена технологич. схема.

**Н. П. 26658 П. Способ производства олефинов** (Process for the production of olefins by the dehydrochlorination of alkyl chlorides) [Ruhrchemie A.-G.]. Англ. пат. 694488, 22.07.53 [Petroleum, 1954, 17, № 7, 269 (англ.)]

Жидкие алкилхлориды (или их смеси) вводят в ректификационную колонну и нагревают в присутствии Al-силиката (катализатор) до  $220-240^\circ$ , причем образующиеся олефины и HCl-газ отбирают из верхней части колонны.

**Л. Г. 26659 П. Способ полимеризации и димеризации ненасыщенных углеводородов. Циглер, Геллерт** (Verfahren zur Polymerisation unter überwiegender Dimerisation von ungesättigten organischen Kohlenwasserstoffen. Ziegler Karl, Gellert Hans Georg). Пат. ГДР 8689, 22.11.54

Ненасыщенные, прямые или разветвленные олефины (I), содержащие двойную связь в середине или конце цепи и имеющие  $> 2$  атомов С, или их смеси димеризуют и полимеризуют при  $60-250^\circ$  в присутствии активаторов ф-лы  $\text{MeR}_n$ , где Me — атом Be, Al, Ga или In, R — H или 1-валентный насыщ. алифатич. или ароматич. радикал,  $n$  — валентность металла. I с концевой непредельной группой, содержащие  $\geq 3$  атомов С, димеризуют при нагревании ( $160-220^\circ$ ) под давлением. I с двойной связью в середине молекулы, содержащие 3—12 атомов С, димеризуют при  $120-250^\circ$ . Для получения продуктов смешанной димеризации, не загрязненных продуктами разложения активатора, один из сополимеризуемых I смешивают с активатором, органич. радикал которого имеет то же число атомов С, что и I. Затем смесь нагревают с другим I, образующиеся продукты р-ции удаляют и остаток используют в качестве активатора. В тщательно высушенную и не содержащую воздуха смесь 440 г пропилена и 720 г пентена-1 вводят 10 г твердого  $\text{AlH}_3$ , предварительно прогретого с соответствующими предосторожностями в высоком вакууме для удаления части эфира, кол-во которого составляет  $\sim 30\%$  в конечном продукте. Смесь нагревают в автоклаве 2 часа при  $70^\circ$  и затем 15 час. при  $210^\circ$ . Жидкое содержимое автоклава промывают разб. HCl и затем тщательно фракционируют. При фракционировании

выделяют пропилен (40 г), пентен-1 (90 г), 2-метилпентен (т. кип.  $63^\circ$ , 150 г), углеводороды, содержащие 8 атомов С (т. кип.  $118-119^\circ$ , 400 г), и 2-пропилпентен-1 (т. кип.  $167^\circ$ , 200 г). Фракция с т. кип.  $118-119^\circ$  состоит в основном из смеси примерно равных кол-в 2-метилгексена-1 и 2-пропилпентена-1.

**А. Ж. 26660 П. Конденсация 1-диазоалканов. Бакли, Рей** (Condensation of 1-diazoalkanes. Buckley Gerard D., Ray Neil H.) [Imperial Chemical Industries, Ltd]. Пат. США 2671767, 9.03.54

Производственный метод получения полиалкилидов состоит в контактировании эфирного р-ра по крайней мере одного 1-диазопроизводного алкана, содержащего 2—18 атомов С, с Cu-катализатором при  $0-20^\circ$  до тех пор, пока не исчезнет цвет диазосоединения и не перестанет выделяться  $\text{N}_2$ . Затем выделяют продукт из эфирного р-ра.

**И. Ш. 26661 П. Способ получения четыреххлористого углерода, а также перхлорэтлена. Хеннинг, Шёнбург** (Verfahren zur Herstellung von Tetrachlorkohlenstoff bzw. Perchloräthylen. Hennig Bruno, Schönburg Kurt) [VEB Elektrochemisches Kombinat Bitterfeld]. Пат. ГДР 4253, 20.10.54

$\text{CCl}_4$  и перхлорэтилен (I) получают сжиганием  $\text{CH}_4$  избытком  $\text{Cl}_2$  с образованием пламени, после чего образовавшиеся хлорированные углеводороды (ХлУв) выделяют, а остаток  $\text{Cl}_2$  в хвостовых газах, не выделяя содержащегося в них HCl-газа, применяют для повторного взаимодействия с  $\text{CH}_4$ . Для образования  $\text{CCl}_4$  требуется больший избыток  $\text{Cl}_2$  и применение непосредственного охлаждения реагирующих газов, а для образования I — меньший избыток  $\text{Cl}_2$  без быстрого охлаждения реакционных газов.  $6,5 \text{ м}^3/\text{час}$   $\text{Cl}_2$  смешивают в дюзе с  $1 \text{ м}^3/\text{час}$   $\text{CH}_4$  и сжигают с образованием пламени со скоростью  $30 \text{ м/сек}$  в цилиндр. металлич. трубе, снаружи охлаждаемой водой; выходящие газы охлаждают и получают смесь, состоящую из 82%  $\text{CCl}_4$ , 16% I и 2% смеси гексахлорэтана (II) и высококипящих ХлУв. Хвостовые газы содержат  $\sim 2,5 \text{ м}^3$   $\text{Cl}_2$  и  $4 \text{ м}^3$  HCl-газа. Для повторного сжигания их смешивают в дюзе с  $0,4 \text{ м}^3/\text{час}$   $\text{CH}_4$  и сжигают, как указано выше, со скоростью  $20 \text{ м/сек}$ , конденсацией газов получают смесь, состоящую из 88%  $\text{CCl}_4$ , 10% I и 2% II и высококипящих ХлУв; содержащийся в хвостовых газах HCl-газ выделяют известным способом.  $6 \text{ м}^3/\text{час}$   $\text{Cl}_2$  смешивают в дюзе с  $1 \text{ м}^3/\text{час}$   $\text{CH}_4$  и сжигают в цилиндр. металлич. трубе, внутренняя поверхность которой покрыта керамикой, а внутреннее пространство заполнено пемзой; охлаждением выходящих газов получают смесь, состоящую из 67% I, 30%  $\text{CCl}_4$  и 3% смеси II и высококипящих ХлУв. Хвостовые газы, содержащие  $\sim 2,5 \text{ м}^3$   $\text{Cl}_2$  и  $4 \text{ м}^3$  HCl-газа, сжигают повторно с  $0,5 \text{ м}^3/\text{час}$   $\text{CH}_4$  со скоростью  $\sim 20 \text{ м/сек}$ , конденсацией газов получают смесь, состоящую из 56% I, 41%  $\text{CCl}_4$  и 3% смеси II и высококипящих ХлУв.

**В. У. 26662 П. Производство галондуглеродов. Пассино, Титерс, Мантелл** (Manufacture of halocarbonyls. Passino Herbert J., Teeters Wilber O., Mantell Russell M.) [The M. W. Kellogg Co.]. Пат. США 2670389, 23.02.54

Галондуглероды получают р-цией смеси  $\text{F}_2$  и галонда, отличного от  $\text{F}_2$ , с углеродом в присутствии галогенида металла.

**Л. Г. 26663 П. Получение тетрафтордихлорэтана. Робертс** (Production of tetrafluorodichloroethane. Roberts R.) [Imperial Chemical Industries, Ltd]. Англ. пат. 698127, 7.10.53 [Chem. Abstrs, 1954, 48, № 11, 6459 (англ.)]

В  $\text{CCl}_4$ , помещенный в стеклянный сосуд, пропускают при перемешивании и  $t$ -ре  $30-34^\circ$   $337 \text{ ч}$ .  $\text{Cl}_2$  и  $520 \text{ ч}$ .  $\text{C}_2\text{F}_4$ , облучая реактор Hg-лампой и пропуская медленный ток  $\text{N}_2$  в свободное пространство над поверхностью



$\text{CCl}_4$ . Перегонкой смеси выделяют 773 ч. тетрахлордифторэтана. Выход 95%. Л. Г.

**26664. II. Получение галоидных соединений** (Manufacture of halogen compounds) [Ethyl Corp.]. Англ. пат. 705734, 17.03.54 [J. Appl. Chem., 1954, 4, № 8, ii 228 (англ.)]

Галонирование (хлорирование) органич. в-в (насыщ. углеводородов, напр.,  $\text{C}_2\text{H}_6$ ) проводят при нагревании ( $250-450^\circ$ ) с галогенидами металлов или  $\text{NH}_4$  (хлористыми соединениями, напр.,  $\text{NaCl}$ ) в присутствии  $\text{SO}_2$  (в кол-ве 0,5—8 молей на 1 моль органич. в-ва). Смесь 44 об. %  $\text{C}_2\text{H}_6$  и 56 об. %  $\text{SO}_2$  вводят в контакт с  $\text{NaCl}$  при  $350-400^\circ$ , при этом происходит 30%-ное превращение  $\text{C}_2\text{H}_6$  в смесь  $\text{C}_2\text{H}_5\text{Cl}$  (выход 94%), дихлорэтано и  $\text{CO}_2$ . В. У.

**26665. II. Дегидрохлорирование хлорэтано. Браун, Ларсон** (Dehydrochlorination of chloroethanes. Brown John H., Jr., Larson Winston E.) [The Dow Chemical Co.] Пат. США 2676997, 27.04.54

Полихлорированные этилены получают пропусканием паров монометилполихлорметанов и  $\text{Cl}_2$  (0,1—5 мол. %) над металлич. Fe при  $150-500^\circ$ . Л. Г.

**26666. II. Способ получения галоидфторэтиленов** (Verfahren zur Herstellung von Halogenfluoräthenen) [Wacker-Chemie G. m. b. H.]. Австр. пат. 179289, 10.08.54 [Chem. Zbl., 1955, 126, № 8, 1837 (нем.)]

Галоидфторэтилены получают из галоидфторэтано в отщеплении  $\text{HCl}$  путем пропускания паров исходных в-в при  $200-300^\circ$  над нагретыми поверхностями, покрытыми пористыми в-вами, напр. активированным углем или силикагелем, активированными добавкой солей, в особенности хлоридами Cu или щел.-зем. металлов. Из 1-фтор-1,1,2,2-тетрахлорэтана получают фтор-1,2,2-трихлорэтилен, из 1,1-дифтор-1,2,2-трихлорэтана — 1,1-дифтор-2,2-дихлорэтилен. Б. Д.

**26667. II. Получение хлорфторэтиленов. Фредерик** (Process for preparing chlorofluoroethylenes. Frederick Marvin R.) [The B. F. Goodrich Co.]. Пат. США 2709181 24.05.55

1,1-дифтор-2,2-дихлорэтилен получают р-цией 1,1-дифтор-1,2,2-трихлорэтана с избытком гидроокиси щел. металла в водн. р-ре в присутствии небольшого кол-ва растворимого в масле поверхностноактивного в-ва (аралкилсульфонат или лецитины из соевых бобов). Л. Г.

**26668. II. 1,2-Дибром-1,3,4,4-тетрахлор-1,2,3,4-тетрафторбутан.** Ру (1,2-Dibromo-1,3,4,4-tetrachloro-1,2,3,4-tetrafluorobutane. Ruh Robert P.) [The Dow Chemical Co.] Пат. США 2676193, 20.04.54

Указанное в-во получают р-цией 1,3,4,4-тетрахлор-1,2,3,4-тетрафторбутилена-1 с  $\text{Br}_2$ . Л. Г.

**26669. II. Гидратация олефинов в спирты. Хантер** (Hydration of olefins to alcohols. Hunter William) [Camille Dreyfus]. Канад. пат. 508254, 14.12.54

Способ получения низших алифатич. спиртов, содержащих  $<4$  атомов C, состоит в том, что в  $\text{H}_2\text{SO}_4$  (конц.  $\geq 85\%$ ) вводят  $\geq 0,8$  моля  $\text{C}_{2-3}$ -олефина на 1 моль к-ты, образовавшиеся алкилсульфаты гидролизуют нагреванием с 1—2-кратным кол-вом воды и после декапации маслянистых продуктов остаточную жидкость перегоняют, в результате чего получают головной погон в виде разб. водн. спирта. Продолжением перегонки до т-ры  $<115^\circ$  получают кубовый остаток—серную к-ту (конц-ия  $\text{H}_2\text{SO}_4 \geq 70^\circ$ ). Условия получения  $\text{C}_2\text{H}_5\text{OH}$  из  $\text{C}_2\text{H}_4$ : конц-ия  $\text{H}_2\text{SO}_4 \sim 95\%$ ; молярное отношение  $\text{H}_2\text{SO}_4 : \text{C}_2\text{H}_4 = 1 : 0,8-1$ ; вес. отношение этилсульфат: вода = 1:1,2—1,5; т-ра отгонки головного погона  $\sim 75^\circ$ ; т-ра отгонки второго погона (менее чистого и более разб. спирта) с кубовым остатком ( $\text{H}_2\text{SO}_4$  конц-ия  $>70\%$ ) — между  $75$  и  $115^\circ$ ; давл.  $<100$  мм. Второй погон возвращают (для замены части воды) на стадию

гидролиза этилсульфатов, который может протекать в две ступени: сначала смесь алкилсульфатов и воды (второй погон) нагревают при непрерывном перемешивании до исчезновения диэтилсульфата как отдельной фазы, потом смесь кипятят до полного гидролиза моноэтилсульфата. Условия получения  $\text{iso-C}_3\text{H}_7\text{OH}$  из  $\text{C}_3\text{H}_6$ : конц-ия  $\text{H}_2\text{SO}_4$  85—90%;  $\text{C}_3\text{H}_6 : \text{H}_2\text{SO}_4 = 1 : 1$ ; пропилсульфат: вода = 1,8—1,9. Условия перегонки те же, что при получении  $\text{C}_2\text{H}_5\text{OH}$ . Я. К.

**26670. II. Способ получения спиртов. Реппе** (Verfahren zur Herstellung von Alkoholen. Reppe Walter) [Badische Anilin- und Soda-Fabrik A.-G.]. Пат. ФРГ 922585, 20.01.55

Способ получения спиртов гидратацией олефинов заключается в том, что олефины вводят в р-цию с водой в жидкой фазе при повышенных т-ре и давлении в присутствии нитридов W, Mo или V, в частности, низших нитридов этих элементов. Применяемые катализаторы могут содержать небольшие кол-ва окисей металлов, напр.  $\text{Al}_2\text{O}_3$  или  $\text{ZnO}$ . Смесь 80 г пропилена, 540 г воды и 1 г  $\text{W}_2\text{N}_8$  нагревают 12 час. в автоклаве из стали V2A при  $250^\circ$ , давление достигает 120 атм. Жидкий продукт фильтруют и перегоняют, получают 54 г изопропилового спирта. Конверсия пропилена 47,3%. Процесс может быть оформлен в виде непрерывного способа. В. К.

**26671. II. Способ получения кислородсодержащих органических соединений** (Verfahren zur Herstellung sauerstoffhaltiger organischer Verbindungen) [Chemische Verwertungsgesellschaft Oberhausen m. b. H.]. Пат. ФРГ 889293, 10.09.53 [Chem. Zbl., 1954, 125, № 4, 881—882 (нем.)]

Кислородсодержащие органич. в-ва, в частности спирты, готовят гидрированием получаемого при синтезе углеводородов из CO и  $\text{H}_2$  неочищ. первичного продукта, проводя процесс при  $150-200^\circ$  под давл.  $\text{H}_2$  50—250 атм в присутствии высокоактивных катализаторов, как напр., скелетного Ni или тонкораздробленных металлов на носителях или Cu-катализатора, активированного Cr или Mn. Б. М.

**26672. II. Способ получения кислородсодержащих соединений. Венцель, Гемасмер** (Verfahren zur Herstellung sauerstoffhaltiger Verbindungen. Wenzel Wilhelm, Gemasmer Alois) [Chemische Verwertungsgesellschaft Oberhausen m. b. H.]. Пат. ФРГ 888388, 31.08.53 [Chem. Zbl., 1955, 126, № 9, 2073 (нем.)]

Способ состоит в том, что оксосинтез в присутствии катализаторов, содержащих металлы VIII группы, проводят в эмеевике, через который прямоточно пропускают олефины, смесь  $\text{CO} + \text{H}_2$  и катализаторы. Для лучшего смешения реагирующих в-в эмеевик может иметь расширения и состоять из секций различного внутреннего диаметра, причем секции одинакового или различного диаметра могут иметь различную т-ру. Предпочтительно, чтобы концевая секция, где теплота р-ции незначительна, имела больший диаметр, чем начальная секция. Газы могут быть подведены к нескольким точкам эмеевика в различных кол-вах. Так, можно подводить сначала одинаковые объемы CO и  $\text{H}_2$  и по завершении р-ции собрать избыточные газы в одно из расширений (откуда они выводятся наружу), после чего продукты р-ции подвергают в следующих секциях эмеевика прямому гидрированию введением  $\text{H}_2$ . Я. К.

**26673. II. Получение продуктов из окиси углерода и моноолефинов. Брубейкер** (Preparation of products derived from carbon monoxide and mono-olefins. Brubaker Merlin M.) [E. I. du Pont de Nemours and Co.]. Пат. США 2680763, 8.06.54

CO подвергают взаимодействию с моноолефином и с галоидом, галоидалканом, кетоалканом (содержащим

$\geq 1$  атома Н в  $\alpha$ -положении к кетогруппе), простым эфиром (содержащим  $\geq 1$  атома Н в  $\alpha$ -положении к эфирной группе), тиолом или эфиром алифатич. к-ты (содержащим один атом Н в  $\alpha$ -положении к карбоксилу) в присутствии в-в, образующих при условиях р-ции свободные радикалы, при т-ре выше  $25^\circ$  под давлением; продукты р-ции выделяют из полученной смеси. В. У.

266674 П. Производство кислородсодержащих органических соединений. Хейбшоу, Торнс (Production of oxygenated organic compounds. H a b e s h a w J., Thornes L. S.) [Anglo-Iranian Oil Co., Ltd]. Англ. пат. 702204, 13.01.54 [Fuel Abstrs, 1954, 15, № 5, 64 (англ.)]

Олефины вводят в р-цию с СО и Н<sub>2</sub> в присутствии Со-катализатора при условиях, благоприятствующих образованию кислородсодержащих органич. в-в. Для отделения этих в-в продукт р-ции подвергают обработке во второй зоне, остаток возвращают на первую стадию. Ю. Г.

266675 П. Карбинолы. Уорнер, Мо (Carbinol compounds. Warner Donald T., Moe Owen A.) [General Mills, Inc.]. Канад. пат. 508364, 21.12.54 Соединения общей ф-лы  $\text{ROOCC(R')COOR}(\text{CH}_2)_n\text{CH}_2\text{OH}$ , где R — низший алкил, а R' — N-ацил (в частности,  $\text{CH}_3\text{CONH—}$ ) получают каталитич. восстановлением соответствующих альдегидов при  $60\text{—}150^\circ$  и  $70\text{—}140$  атм. Я. К.

266676 П. Способ желатинирования или отверждения низших спиртов или их растворов. Кинтоф (Verfahren zur Gelierung bzw. zum Festmachen niederer Alkohole oder ihrer Lösungen. K i n t o f W a l t e r). Пат. ФРГ 885536, 6.08.53 [Chem. Zbl., 1954, 125, № 3, 622 (нем.)]

Желатинирование или отверждение низших спиртов, напр. этилового, или их р-ров осуществляют обработкой этих спиртов ацетальными высших спиртов ( $\text{C}_{12}$ ) или смесью этих ацеталей с более или менее значительным избытком высших спиртов. Н. П.

266677 П. Получение  $\gamma$ -ацетопропилового спирта. Копелин (Preparation of  $\gamma$ -acetopropanol. C o p e l i n H a g g y B.). [E. I. du Pont de Nemours and Co.]. Пат. США 2682546, 29.06.54

$\gamma$ -Ацетопропиловый спирт получают р-цией 2-метилфурана (I), растворенного в низшем насыщ. диалкилкетоне, имеющем 3—5 атомов С, с Н<sub>2</sub> и водой в присутствии металл. Pd (катализатор) и небольшого кол-ва сильной минер. к-ты при  $0^\circ\text{—}150^\circ$ . Р-р должен содержать  $\geq 0,5$  ч. кетона на 1 ч. I, реакционная смесь должна содержать  $\leq 5$  молей воды на 1 моль I. Н. П.

266678 П. Экстракция органических соединений солями карбоновых кислот. Уокер (Extraction of organic compounds with carboxylic acid salts. W a l k e r S c o t t W.). [Stanolind Oil and Gas Co.]. Пат. США 2691669, 12.10.54

Маслорастворимые кислородсодержащие соединения (спирты, альдегиды, кетоны) выделяют из их р-ров в углеводородах обработкой р-ра водн. р-ром, содержащим несколько более 30% не имеющей поверхностноактивных свойств соли маслорастворимой карбоновой к-ты, в последующем отделением углеводородного слоя от водн. экстракта, содержащего кислородные органич. соединения. Приведена технологич. схема. Н. П.

266679 П. Кристаллизация пентаэритрита. Кейк (Pentaerythritol crystallization process. C a k e W i l l i a m R.). [Heyden Chemical Corp.]. Пат. США 2696507, 7.12.54

Практически чистый кристаллич. пентаэритрит (I) с низким содержанием формиата получают, упаривая реакционную смесь, образующуюся при конденсации  $\text{CH}_2\text{O}$  и  $\text{CH}_3\text{CHO}$  в присутствии щел. катализатора, до уд. веса 1,30—1,40 при т-ре  $\sim 50^\circ$ . Полученную сус-

пензию нагревают для растворения I, охлаждают и выкристаллизовывают I. В. М.

266680 П. Способ получения полихлорированных эфиров (Verfahren zur Herstellung von polychlorierten Athern) [Badische Anilin- und Soda-Fabrik A.-G.]. Пат. ФРГ 898588, 3.12.53 [Chem. Zbl., 1955, 126, № 9, 2070 (нем.)]

Способ заключается в р-ции  $\alpha$ -хлорэфиров с ненасыщ. соединениями, содержащими  $\geq 1$  атома Cl при олефиновых атомах С, в присутствии галогенидов поливалентных металлов, катализирующих р-ции присоединения (галогенидов  $\text{Hg}^{2+}$ ,  $\text{Zn}$ ,  $\text{Sn}^{4+}$ ,  $\text{Fe}^{3+}$ ,  $\text{Sb}^{5+}$ ,  $\text{Al}$ ). Т-пу р-ции держат путем охлаждения на уровне  $\sim 20\text{—}35^\circ$ . Описано получение эфиров: 3,3-дихлорпропилметилового, т. кип.  $138^\circ$ , 2-(дихлорметил)-пропандиол-1,3-диметилового, т. кип.  $140\text{—}112^\circ/23$  мм, 3,3,3-трихлорпропилметилового, т. кип.  $42^\circ/4$  мм, 2-(трихлорметил)-пропандиол-1,3-диметилового, т. кип.  $120\text{—}125^\circ/2$  мм, 2,3,3-трихлорпропилметилового, т. кип.  $70^\circ/15$  мм, 2,3,3,3-тетрахлорпропилметилового, т. кип.  $79\text{—}82^\circ/15$  мм, 3,3,3',3'-тетрахлордипропилового, т. кип.  $135^\circ/17$  мм, 3,3,3,3',3'-гексахлордипропилового, т. кип.  $135\text{—}139^\circ/1$  мм, 2,3,3,2',3'-гексахлордипропилового, т. кип.  $150\text{—}153^\circ/2$  мм, 2,3,3,3-тетрахлорпропилхлорметилового, т. кип.  $89\text{—}91^\circ/2$  мм и октахлордипропилового, т. кип.  $181^\circ/1$  мм. В-ва являются р-рителями и полупродуктами. Я. К.

266681 П. Способ получения монопентаэритритдихлоргидринового эфира сернистой кислоты. Пиц (Verfahren zur Herstellung des Pentaerythrit-dichlorhydrinmonoschwefelsäureesters. P i e t s c h H e l m u t) [Henkel und Cie G.m.b.H.]. Пат. ФРГ 881039, 25.06.53 [Chem. Zbl., 1955, 126, № 10, 2298 (нем.)]

Указанное в-во, ф-лы  $(\text{C}_2\text{H}_5)_2\text{CCH}_2\text{OSO}_2\text{CH}_2$  (иглы с т. кип.  $113\text{—}115^\circ/4,5$  мм, т. пл.  $30^\circ$ ) получают конденсацией пентаэритрита при т-ре  $\leq 130^\circ$  с  $\text{SOCl}_2$  в присутствии  $\text{C}_5\text{H}_5\text{N}$  в мол. соотношении 1 : 2—1 : 0,2. В приведенных примерах на 3 или 9 молей пентаэритрита действуют 10 или 30 молями  $\text{SOCl}_2$  в присутствии 1 или 3 молей  $\text{C}_5\text{H}_5\text{N}$ . Я. К.

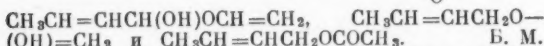
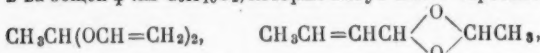
266682 П. Получение формальдегида. Теббот (Production of formaldehyde. T e b b o t h J. A.) [British Oxygen Co., Ltd.]. Англ. пат. 716180, 29.09.54 [J. Appl. Chem., 1955, 5, № 4, I 588 (англ.)]

Горячие газы (т-ра  $> 350^\circ$ ), содержащие  $\text{CH}_2\text{O}$  и получаемые при окислении углеводородов, имеющих  $\leq 4$  атомов С (напр., при окислении  $\text{CH}_4$  непрерывным способом), охлаждают до т-ры  $\leq 350^\circ$  ( $250\text{—}350^\circ$ ) с хорошей регенерацией тепла и без значительного разложения  $\text{CH}_2\text{O}$  контактированием газов с движущейся насадкой из неметаллич. огнеупорного материала (напр., из гальки), причем соотношение поверхность: объем насадки должно быть  $\geq 2$  см<sup>-1</sup>. Дальнейшее охлаждение производят в стандартном трубчатом теплообменнике из латуни или нержавеющей стали. М. М.

266683 П. Способ получения дивинилацетата ацетальдегида и его изомеров. Херман, Хенель, Вилклер (Verfahren zur Herstellung von Acetaldehyddivinylacetal und seinen Isomeren. H e r m a n n W i l l y O., H a e h n e l W o l f r a m, W i n k l e r H e i n z) [Consortium für elektrochemische Industrie G. m. b. H.]. Пат. ФРГ 875348, 30.04.53 [Chem. Zbl., 1954, 125, № 29, 6587 (нем.)]

Дивинилацеталь ацетальдегида и его изомеры получают из производного винилацетата (I), получаемого по пат. ФРГ 844441, или из его гомологов (см. пат. ФРГ 848952). Для этого I или его гомологи нагревают в вакууме в присутствии в-в с активной поверхностью, напр. силикагеля, активированного угля или немзы, добавляя в-ва, связывающие к-ту, напр. известь. Пропуская I через силикагель при  $200\text{—}300^\circ$  и  $40\text{—}60$  мм

и перегоняя полученный продукт над содой, получают в-ва общей ф-лы  $C_8H_{10}O_2$ , которые могут иметь строение:



Б. М. 26684 П. Способ получения кислородсодержащих производных пропилена. Холл, Стерн (Oxygen-containing propene derivatives. Hall R. H., Stern E. S.) [Distillers Co. Ltd]. Англ. пат. 695789, 19.08.53 [J. Appl. Chem., 1954, 4, № 4, 392—393 (англ.)]

Производные пропана общей ф-лы:  $ROCH_2CHR''-CH(OR')OR''$  (R, R' и R'' — алкил, арил, аларил или циклоалкил; R'' — H или алкил) подвергают пиролизу в присутствии катализатора крекинга (преимущественно кислого или основного, напр. хинолина) и стабилизирующего в-ва при 325—425°; получают диэфир общей ф-лы  $ROCH_2CR'''=CHOR'$  и (или) акролеинацеталь общей ф-лы  $CH_2=CR'''CH(OR')OR''$  и разделяют их. Можно подобрать условия, благоприятствующие образованию тех или иных продуктов, побочные продукты легко могут быть превращены в исходные в-ва. Получены следующие акролеинацетали (приведены алкил, т. кип. и  $n_D^{20}$ ): дибутыл, 86°/10 мм, 91°/14 мм, 93°/17 мм, 1,4204; ди-н-пропил, 54°/12 мм, 1,4120; диизопропил, 39°/12 мм, 1,4053; дибензил, 120°/5·10<sup>-4</sup> мм, 1,5467; следующие производные пропилена: 1,3-диметокси-, 63,8°/98 мм, 69°/125 мм, 1,4200; 1,3-дибутокси-, 110,5°/16 мм, 1,4348; 1,3-диэтокси-, 52°/12 мм, 88°/76 мм, 1,4240; 1,3-ди-н-пропокси-, 73°/12 мм, 1,4287; 1,3-диизопропокси-, 63°/12 мм, 1,4225; 1,3-диэтокси-2-метил-, 54°/14 мм, 1,4259; 1,3-дибензил-окси-, 90°/5·10<sup>-4</sup> мм, 1,5557; производные 1-пропилен: 1-этокси-3-буктокси-, 74°/10 мм, 1,4296; 1-буктокси-3-этокси-, 80,2—80,6°/10 мм, 1,4286. Описано получение исходных в-в.

Б. У. 26685 П. Способ получения производных глиоксальгидратов. Штейнбринк, Бройх (Verfahren zur Herstellung von Verbindungen aus Glyoxalhydraten. Steinbrink Hans, Broich Franz) [Chemische Werke Hüls G. m. b. H.]. Пат. ФРГ 885540, 6.08.53 [Chem. Zbl., 1955, 126, № 10, 2299—2300 (нем.)]

Водные р-ры глиоксали обрабатывают при обычной или слегка повышенной т-ре алифатич. альдегидами в присутствии к-т или кислых солей ( $H_2SO_4$ , HCl,  $H_3PO_4$ ,  $NaHSO_4$ ) с добавкой инертных органич. разбавителей (углеводороды и их хлорпроизводные). Получают глиоксальгидрат-бис-ацетали — бесцветные маслянистые жидкости. В качестве альдегидов применяют  $CH_3CHO$ ,  $C_2H_5CHO$ ,  $n$ - и *изо*- $C_3H_7CHO$ . Более высокомолекулярные альдегиды с разветвленной цепью дают низкие выходы, причем выход падает с повышением мол. веса альдегидов. К суспензии 400 ч. 35%-ного водн. глиоксали и 200 ч. конц.  $H_2SO_4$  в 100 ч.  $C_6H_6$  прибавляют при 20° и перемешивании 240 ч.  $CH_3CHO$ , перемешивают 20 час., отделяют маслянистый слой, промывают его NaOH и фракционируют. Получают 250 ч. глиоксальгидрат-бис-ацетальдегидацетали, т. кип. 74°/18 мм,  $n_D^{20}$  1,4260, и 60 ч. паральдегида. Получены ацетали *изо*- $C_3H_7CHO$  (т. кип. 103—110°/15 мм;  $n_D^{20}$  1,4371), *n*- $C_3H_7CHO$  (т. кип. 115—120°/15 мм;  $n_D^{20}$  1,4378) и 2-этил-бутаналь-1 (т. кип. 115°/2 мм;  $n_D^{20}$  1,4500). Продукты могут служить р-рителями, пластификаторами и исходными в-вами для синтезов.

Я. К. 26686 П. Способ окисления олефинов в ненасыщенные альдегиды или кетоны (Werkwijze voor de oxy-

datie van alkenen tot onverzadigde aldehyden of ketonen) [N. V. De Bataafsche Petroleum Maatschappij]. Голл. пат. 73021, 15.08.54 [Chem. Abstr., 1955, 49, № 3, 1780 (англ.)]

Олефины, напр.  $C_3H_4$ , окисляют в газовой фазе воздухом или  $O_2$  в ненасыщ. альдегиды или кетоны, напр. в акролеин. Процесс проводят в присутствии  $Cu_2O$  в качестве катализатора (K). Последний периодически активируют, для чего прерывают или значительно уменьшают подачу олефина на K и, не меняя т-ры и давления, пропускают через K газовую смесь, содержащую <35%  $O_2$ . Активирование повторяют через 10—100 час. в течение 10—30 мин. Во избежание взрыва содержание  $O_2$  в рабочей смеси и в смеси, употребляемой для активирования, поддерживают ниже критического. Смесь 30%  $C_3H_4$ , 37,5% воздуха и 32,5% водяного пара пропускают через  $Cu_2O$  на пористых Si-C-частицах при 375° и 3,1 ат и конденсируют образующийся акролеин. Через 28 час. расход  $O_2$  падает с 79 до 51%; подачу  $C_3H_4$  прекращают и через K, нагретый до 387°, 10 мин. пропускают воздух. После активирования K потребление  $O_2$  возрастает до 93%.

Б. М. 26687 П. Обесцвечивание альдегидов (Decolorizing aldehydes) [Ruhrchemie A.-G.]. Австрал. пат. 153142, 24.09.53

Окраску альдегидов, получаемых оксосинтезом из олефинов, CO и  $H_2$ , улучшают обработкой альдегидов при т-ре ниже их т-ры кипения твердыми органич. или минер. к-тами или их солями в отсутствие воды.

М. М. 26688 П. Способ получения безводного хлорала и побочных продуктов. Леконт (Procédé d'obtention du chloral anhydre et produits secondaires obtenus. Lecompte P.). Франц. пат. 1038461, 29.09.53 [Chem. Zbl., 1955, 126, № 9, 2073 (нем.)] 1 моль  $CH_3CHO$  в р-ре, содержащем 330 г  $CaCl_2$  и 15 мл HCl ( $d=1,19$ ) на 1000 мл  $H_2O$ , хлорируют в 3 стадии 5 час. при 15°; ~5 час. при 39° и 10 час. при 89°. Таким путем достигают того, что  $Cl_2$  расходуется только для хлорирования и воздействует только на радикал, находящийся в  $\alpha$ -положении к альдегидной группе.

Б. Д. 26689 П. Способ окисления. Морган, Робертсон (Oxidation process. Morgan Chester S., Jr, Robertson Nat C.) [Celanese Corp. of America]. Пат. США 2704294, 15.03.55

Окисление алифатич. углеводородов газом, содержащим  $O_2$ , в кислородные органич. соединения проводят в стойком к окислению р-рителе при повышенных т-ре и давлении в присутствии катализатора окисления и ингибитора, предотвращающего окисление сложных эфиров и кетонов, образующихся в качестве промежуточных продуктов. Ингибитором является соль сильного основания (напр., щел. или щел.-зем. металла или четвертичного аммониевого основания) и слабый к-ты, его применяют в кол-ве 2—20% от веса р-рителя.

Б. М. 26690 П. Производство алифатических дикетонов. Хокинс (Production of aliphatic di-ketones. Hawkins Edwin G. E.) [The Distillers Co., Ltd]. Канад. пат. 504280, 13.07.54

Алифатич. дикетоны получают из алкилированных насыщ. аликилич. углеводородов, напр., метилциклопентана или метилциклогексана. Способ состоит в окислении углеводородов  $O_2$  до соответствующей гидроперекиси, гидропероксидная группа которой находится при третичном атоме C, входящем в цикл и связанном с боковой цепью, и обработке р-ра гидроперекиси в исходном углеводороде водн. р-ром  $Fe^{2+}$ -соли. Образующийся дикетон содержит в 2 раза больше атомов C, чем исходный углеводород.

Н. П. 26691 П. Способ получения триоксосоединений. Фойгт, Штек, Штейн (Verfahren zur Herstel-



ketopipil].  
5, 49,  
в воз-  
напр.  
 $\text{Cu}_2\text{O}$   
одич.  
гмен-  
давле-  
иашую  
0 час.  
кание  
акти-  
Смесь  
а про-  
х при  
олеин.  
подачу  
0 мин.  
отреб-  
Б. М.  
orizing  
53142,  
ом из  
егидов  
я. или  
М. М.  
али и  
obten-  
obte-  
38461,  
(нем.).  
CaCl<sub>2</sub>  
3 ста-  
ни 89%.  
только  
цикл.  
рупне.  
Б. Д.  
ерт  
S.,  
rp. of  
ержа-  
оводят  
х т-ре  
ения и  
ожных  
жучот-  
льного  
и чет-  
к-ты,  
ителя.  
Б. М.  
тонов.  
etones.  
rs Co.,  
аннанх  
цикло-  
в оки-  
гидро-  
дотис-  
занном  
рекси  
и. Об-  
атомов  
Н. П.  
нений.  
erstel-

lung von Trioxoverbindungen. Voigt Hans, Stoeck Georg, Stein Helmut [C. F. Boehringer und Soehne G. m. b. H.]. Пат. ФРГ 906222, 11.03.54 [Chem. Zbl., 1955, 126, № 10, 2303—2304 (нем.)]

Соединения общей ф-лы  $\text{RCOC(R')}(COR'')(COR''')$ , где R, R' и R'' — замещ. алкильные, арилалкильные, арильные или гетероциклич. остатки (R'' — также алкоксигруппа), а R' — H, замещ. алкил или замещ. арилалкил, получают р-цией 1,3-диоксосоединения ф-лы  $\text{RCOCH(R')COR''}$  в инертном р-рителе (углеводороде или эфире) с Mg-алкоголятом с последующей обработкой полученного соединения ф-лы  $\text{RCOC(R')}(COR'')(COR''') \text{MgOA(A — алкил) галовдангидридом R''COX}$  и разложением Mg-соединения к-той. К суспензии 684 г Mg-этилата в 7 л абс.  $\text{C}_6\text{H}_6$  при перемешивании и т-ре  $\sim 20^\circ$  прибавляют 780 г ацетоуксусного эфира, дополнительно перемешивают 30—50 мин., кипятят 30 мин., отгоняют через колонку образовавшийся спирт, к охлажд. остатку добавляют по каплям в течение 30 мин. 576 г  $\text{C}_6\text{H}_5\text{COCl}$  в 600 мл  $\text{C}_6\text{H}_6$ , кипятят 30—40 мин., перемешивают 1 час при т-ре  $20^\circ$ , добавляют 1 л воды и 500 г льда, подкисляют 2 н.  $\text{H}_2\text{SO}_4$ , перемешивают 30 мин., промывают бензольный слой до нейтр. р-ции, высушивают, отгоняют  $\text{C}_6\text{H}_6$  через колонку (длина 40 см) и получают с выходом 70—78% ацетилбутирилуксусный эфир, т. кип.  $110-114^\circ/16$  мм. Отмечено получение диацетилбензоилметана, т. пл.  $34-35^\circ$ , и дибензоилацетилметана, т. пл.  $80-85^\circ$ . Соединения являются полупродуктами для синтеза лекарственных в-в.

26692 П. Способ выделения кетена. Попп, Островский, (Verfahren zur Gewinnung von Keten. Popp Bernhard, Ostrowski Walter) [Farbwerke Hoechst vormals Meister Lucius und Brüning]. Пат. ФРГ 876404, 11.05.53 [Chem. Zbl., 1954, 125, № 3, 648—649 (нем.)]

Кетен выделяют из содержащих его газов, находящихся под пониженным давлением, охлаждением с помощью вакуум-насоса до т-ры от  $0^\circ$  до  $-30^\circ$ , с применением смазочного масла, достаточно вязкого при этой т-ре (парафинового масла); при этом смазочное масло непрерывно обновляют.

26693 П. Способ получения кислородсодержащих органических соединений. Реппе, Фридрих (Verfahren zur Herstellung sauerstoffhaltiger organischer Verbindungen. Reppe Walter, Friederich Herbert) [Badische Anilin- und Soda-Fabrik A.-G.]. Пат. ФРГ 902945, 25.01.54 [Chem. Zbl., 1955, 126, № 11, 2533 (нем.)]

Кислородсодержащие органич. в-ва получают р-цией спиртов или эфиров с  $\text{CO}$ , также в присутствии  $\text{H}_2$ , при  $\sim 70-100^\circ$  и давл.  $\geq 50$  ат в присутствии комплексных соединений из галогенидов солей Co и органич.  $\text{NH}_4$ - или  $\text{RNH}_4$ -соединений, напр. триэтилбутиламмонийкобальтохлорида  $[(\text{C}_2\text{H}_5)_3(\text{C}_4\text{H}_9)\text{N}]_2 \cdot \text{CoCl}_4$ , бутилпиридинийкобальтобромид  $[(\text{C}_4\text{H}_9\text{N})\text{C}_4\text{H}_9]_2 \cdot \text{CoBr}_4$ , триэтиламонийкобальтобромид  $[(\text{C}_2\text{H}_5)_3\text{NH}]_2 \cdot \text{CoBr}_4$  или трифенилбутилфосфонийкобальтобромид  $[(\text{C}_6\text{H}_5)_3(\text{C}_6\text{H}_5)_2\text{P}]_2 \cdot \text{CoBr}_4 \cdot 1500$  ч.  $\text{C}_2\text{H}_5\text{OH}$  обрабатывают 48 час. при  $120^\circ$  и 200 ат в присутствии 30 ч.  $[(\text{C}_4\text{H}_9\text{N})\text{C}_4\text{H}_9]_2 \cdot \text{CoBr}_4$  смесью равных объемов  $\text{Co}$  и  $\text{H}_2$ ; отгоняют 65 ч.  $\text{CH}_3\text{COOCH}_3$  и 660 ч.  $\text{CH}_3\text{CH}(\text{OCH}_3)_2$ ; из остатка путем перекристаллизации из  $\text{CH}_3\text{OH}$  выделяют 27 ч. чисто-синего катализатора. n-Валериановую к-ту и ее бутиловый эфир или соответствующий лактон получают из  $\text{C}_4\text{H}_9\text{OH}$ , из  $\text{CH}_3\text{OCH}_2$  получают  $(\text{CH}_3\text{CO})_2\text{O}$ .

26694 П. Способ производства свинцовых солей жирных кислот. Кебрич (Lead compounds of fatty acids and methods for their manufacture. K e b r i c h

Leonard M.) [National Lead Co.]. Канад. пат. 503172, 25.05.54

Указанные в-ва получают смешением  $\text{PbO}$  и насыщ. жирной к-ты, содержащей  $\geq 6$  атомов C, взятых в таком соотношении, чтобы на каждые 2 моля к-ты приходилось 1—3 моля  $\text{PbO}$ , с 3—16 ч. воды (считая на  $\text{PbO}$ ) и 2—15 вес. % (от кол-ва воды) алифатич. спирта или простого эфира, содержащих 2—8 атомов C (напр., монобутилового эфира диэтиленгликоля). Перемешивание ведут до окончания р-ции. Патентуются в-ва общей ф-лы  $2 \text{ PbO} \cdot \text{Pb}(\text{C}_n\text{H}_{2n+1}\text{COO})_2$ , где  $n = 6-30$ , в частности, производное лауриновой к-ты ( $n=11$ ).

26695 П. Дегидратация малеиновой кислоты в малеиновый ангидрид (Dehydration of maleic acid to maleic anhydride) [Monsanto Chemical Co.]. Англ. пат. 695958, 19.08.53 [J. Appl. Chem., 1954, 4, № 4, 397 (англ.)]

Непрерывный процесс, в котором водн. р-р малеиновой к-ты (I), содержащий  $\geq 45$ , предпочтительно 60—80 вес. % безводн. I, вводят при т-ре  $\leq 105^\circ$  в кипящий под пониженным давлением при  $125-185^\circ$  (предпочтительно  $135-160^\circ$ ) малеиновый ангидрид (II), содержащий  $\leq 15$ , предпочтительно  $\leq 10$  вес. % воды (свободной или связанной в виде I или фумаровой к-ты). Кол-во воды поддерживают  $\leq 15\%$  дистилляцией, причем II отбирают в кол-вах, необходимых для поддержания объема смеси на желательном уровне. В паровой фазе общий вес I и II должен превышать вес воды не менее, чем в 2 раза (лучше в 6 раз). Приведены примеры, в которых выход II составляет 83,4—89,5%.

26696 П. Функциональные производные карбоновых кислот (Functional derivatives of carboxylic acids) [Badische Anilin- und Soda-Fabrik]. Англ. пат. 705791, 17.03.54 [J. Appl. Chem., 1954, 4, № 8, 231 (англ.)]

Указанные производные получают р-цией моноолефина,  $\text{CO}$  и основного азотистого соединения, содержащего  $\geq 1$  свободного атома N, и (или) спирта при повышенных т-ре и давлении и в присутствии катализатора — комплексной соли тяжелого металла и Co-карбонил-гидрида. 99%-ный  $\text{CH}_3\text{OH}$  и безводн. жидкий  $\text{NH}_3$  нагревают с  $\text{C}_2\text{H}_4$  и  $\text{CO}$  в течение 71 часа при  $180^\circ$  и 180—200 ат в присутствии  $[\text{Co}(\text{NH}_3)_6] \cdot [\text{Co}(\text{CO})_4]_2$ . Продуктами р-ции являются  $\text{C}_2\text{H}_5\text{COOC}_2\text{H}_5$ , ацетон и  $\text{C}_2\text{H}_5\text{CONH}_2$ , т. пл.  $77-78^\circ$ , т. кип.  $84-85^\circ/0,4$  мм. Даны указания по получению следующих катализаторов:  $[\text{Cd}(\text{N}(\text{CH}_3)_3)_2] \cdot [\text{Co}(\text{CO})_4]_2$ ,  $[\text{Fe}(\text{NH}_3)_6] \cdot [\text{Co}(\text{CO})_4]_2$ ,  $[\text{Fe}(\text{NH}_2(\text{CH}_3)_2\text{NH}_2)_3] \cdot [\text{Co}(\text{CO})_4]_2$ .

26697 П. Производство N-алкилакриламидов. Уайл (Poroduction of N-alkylacrylamides. Wiley Paul F.) [Allied Chemical and Dye Corp.]. Пат. США 2683741, 13.07.54

Метод произ-ва N-алкилакриламидов состоит в нагревании при  $100-150^\circ$  N-алкиламида N-алкил-β-аминопропионовой к-ты, каждая из N-алкильных групп которого содержит 1—2 атома C. Р-цию ведут при таком остаточном давлении, при котором образующийся алкиламин отгоняется, а исходное в-во и N-алкилакриламид остаются в виде жидкости.

26698 П. Способ получения диамидов алифатических дикарбоновых кислот. Оффе (Verfahren zur Herstellung von aliphatischen Dicarbonsäurediamiden. Offe Hans-Albert) [Badische Anilin- und Soda-Fabrik]. Пат. ФРГ 900813, 4.01.54 [Chem. Zbl., 1954, 125, № 18, 4037 (нем.)]

Диамины алифатич. дикарбоновых к-т получают электролизом полуамидов в смеси с их солями в неводн. р-рителях или р-рителях, главной составной частью которых не является вода, напр. низших спиртах, ацетоне,

пиридине, ацетонитриле и т. п. или в их смесях. Смп-ливают 30 вес. ч. полумида адипиновой к-ты и 70 об. ч. 1 н. р-ра  $\text{NaOCH}_3$  в  $\text{CH}_3\text{OH}$  с 800 об. ч.  $\text{CH}_3\text{OH}$ , подвергают электролизу при  $0,05 \text{ а/см}^2$  до тех пор, пока на нейтр-цию 1 мл жидкости, находящейся в электролизере, не будет расходоваться лишь 0,1 мл 0,1 н.  $\text{NaOH}$ , отгоняют  $\text{CH}_3\text{OH}$ , разлагают остаток водой и отфильтровывают диамид себаценовой к-ты, который после пересадки из водн.  $\text{CH}_3\text{COOH}$  имеет т. пл. 208—210°.

Б. Д.

**26699 П.** Способ получения винилацетата с применением «текущего» катализатора. Кавамити (Reaction of acetylene gas in a «flowing» catalyst. Kawamichi Keitaro) [Nippon Carbide Industries Co.]. Япон. пат. 1863, 30.04.53 [Chem. Abstrs, 1954, 48, № 8, 4731 (англ.)]

Смесь  $\text{C}_2\text{H}_2$  (12—15 кг/час) и  $\text{CH}_3\text{COOH}$  (13—16 кг/час) пропускают при 220° над молотым углем, активированным  $\text{ZnCl}_2$ , в башенном реакторе с перфорированными полками и получают винилацетат с выходом 95—97%.

Ю. Г.

**26700 П.** Органические перекиси и способ их применения. Харман (Organic peroxide compounds and process of making same. Harman Denham) [Shell Development Co.]. Канад. пат. 505854, 14.09.54

Замещенные перекиси общей ф-лы  $\text{ROOCH(R')CH}_2\text{R''}$ , где  $\text{R}$ —*tert*-алкил;  $\text{R'}$ —H или остаток углеводорода;  $\text{R''}$ —м-направленная группа [CO, CN, COOH или  $\text{COOR'''} (R'''$ —алкил)], получают р-цией третичных гидроперекисей с органич. в-вами, имеющими по крайней мере одну олефиновую связь, неконъюгированную с другой такой же связью, и содержащими м-ориентирующую группу у атома C, связанного олефиновой связью. Р-цию проводят в присутствии щел. катализатора. В частности, таким образом получают метиловый эфир 3-(*tert*-бутилперекись)-пропионового к-ты и перекись *tert*-бутил-2-цианэтилового эфира.

В. У.

**26701 П.** Способ выделения синильной кислоты и аммиака (Process for the recovery of hydrocyanic acid and ammonia) [Deutsche Gold- und Silber-Scheideanstalt vorm. Roessler]. Англ. пат. 706659, 31.03.54 [J. Appl. Chem., 1954, 4, № 8, 217 (англ.)]

Газообразную смесь, содержащую HCN,  $\text{NH}_3$ ,  $\text{H}_2\text{O}$ ,  $\text{CO}_2$  и (или)  $\text{H}_2\text{S}$ , напр. неочищ. газ при синтезе HCN из CO и  $\text{NH}_3$ , вводят в середину колонны, промывают противотоком при 60—95° водой и выделяют HCN, содержащую примесь  $\text{CO}_2$  и (или)  $\text{H}_2\text{S}$ , в газообразном состоянии из верхней части колонны и водн.  $\text{NH}_3$  из ее куба.

Б. М.

**26702 П.** Получение синильной кислоты из газообразных алканов. Сакаки (Hydrogen cyanide from gaseous alkanes. Sakaki Kazuo). Япон. пат. 4770, 24.09.53 [Chem. Abstrs, 1954, 48, № 19, 11739 (англ.)]

Пропуская 5 час. смесь 1 ч. природного газа (85%  $\text{CH}_4$ , 10% N, 2%  $\text{O}_2$ , 3%  $\text{CO}_2$ ) с 0,9 ч.  $\text{NH}_3$ , 7 ч. воздуха и 6%  $\text{N}_2$  над  $\text{Co}_3\text{O}_4$ -катализатором при 800°, достигают 60%-ной конверсии  $\text{NH}_3$  в HCN. В качестве катализатора можно применять смесь  $\text{Co}_3\text{O}_4$  с  $\text{Al}_2\text{O}_3$  или BeO.

Н. П.

**26703 П.** Способ получения синильной кислоты и соответствующая аппаратура (Process and apparatus for production of hydrogen cyanide) [Koppers Co., Inc.]. Англ. пат. 716673, 13.10.54 [Chem. Abstrs, 1955, 49, № 4, 2713 (англ.)]

В способе выделения из топливных газов HCN, практически свободной от  $\text{H}_2\text{S}$  (см. англ. пат. 612122), образование твердого в-ва (за счет полимеризации) в абсорбере, ректификаторе и перегонной системе предотвращают пропусканьем пара через эти зоны.

В. У.

**26704 П.** Усовершенствование процесса кристаллизации мочевины. Шампаян (Perfectionnements aux procédés de cristallisation extractive par l'urée. Chamagnat Alfred) [Société Générale des Huiles de Pétrôle B. P.]. Франц. пат. 1037205, 15.09.53 [Chimie et industrie, 1953, 70, № 6, 1097 (франц.)]

Для получения мочевины (I) в мелкокристаллич. виде к р-ру I прибавляют 0,2—5% биурета. При этом имеет место замедление кристаллизации, в результате чего уменьшается опасность засорения коммуникаций. Мелкие кристаллы I особенно легко реагируют с *n*-парафинами.

Е. П.

**26705 П.** Фторсодержащие производные мочевины. Линдгрэн, Кассадни (Fluorine containing urea derivatives. Lindgren Vincent V., Cassady Jack T.) [American Cyanamid Co.]. Канад. пат. 508091, 14.12.54

1,3-ди-(трифторалкил)-мочевину общей ф-лы  $\text{F}_3\text{C}(\text{CH}_2)_n \text{NHC(O)NH}(\text{CH}_2)_n \text{CF}_3$ , где  $n = 1-5$ , в частности, 1,3-ди-(2,2,2-трифторэтил)-мочевину получают р-цией  $\text{COCl}_2$  с трифторамином общей ф-лы  $\text{F}_3\text{C}(\text{CH}_2)_n \text{NH}_2$  в водн. р-ре в присутствии щелочи в кол-ве, достаточном для нейтр-ции выделяющегося при р-ции HCl. Молярное соотношение амин:  $\text{COCl}_2 = 2 : 1$ . Патентуется 1,3-бис-(2,2,2-трифторэтил)-мочевина.

И. Г.

**26706 П.** Получение производных фосгена. Бол (Production of compounds of phosgene. Bohle Lester E.) [Columbia-Southern Chemical Corp.]. Пат. США 2651658, 8.09.53

Усовершенствование способа получения эфиров карбаминной к-ты р-цией эфиров галогендуровой к-ты с амином состоит в том, что для удаления галогеноводородной к-ты продукт обрабатывают  $\text{NH}_3$  или соединениями аммония, способными выделять  $\text{NH}_3$ , с последующим отделением образовавшегося  $\text{NH}_4$ -галогенида.

К. М.

**26707 П.** Получение производных органических аминов. Хейвуд (Preparation of derivatives of organic amines. Heywood B. J.) [Parke, Davis and Co.]. Англ. пат. 712745, 28.07.54 [J. Appl. Chem., 1955, 5, № 3, 427—428 (англ.)]

Дихлорацетиловые производные общих ф-л  $\text{R}^1\text{R}^2\text{NCOCHCl}_2$  и  $\text{R}^3(\text{NHCOCCHCl}_2)_2$  получают р-цией циангидрида хлораля или образующих его в-в в присутствии в-в, связывающих к-ту, с аминами общих ф-л  $\text{NHR}^1\text{R}^2$  или  $\text{R}^3(\text{NH}_2)_2$  ( $\text{R}^1$  и  $\text{R}^2$ —одинаковые или различные алкилы, оксисалкилы, циклоалкилы или арилалкилы или  $\text{R}^1$  и  $\text{R}^2$  вместе, с N-атомом образуют гетероцикл, который может содержать и другие гетероатомы;  $\text{R}^3$ —алкил,  $\text{R}^3$  может быть атомом H или представлять собой группу  $n\text{-R}^3\text{C}_6\text{H}_4\text{CH(OR)CHCH}_2\text{OR}^1$ , у которой  $\text{R}^2$ —H или  $\text{NO}_2$ ;  $\text{R}^1$  и  $\text{R}^2$ —H или вместе составляют группу  $\text{CHR}^3$ , в которой  $\text{R}^3$ —H, арил или  $\text{C}_{1-4}$ -алкил). *m*-Бутиламины, осажденный мел, NaCN и хлоральгидрат в кипящей воде дают 1-дихлорацетиламино-*m*-бутан, выход 94%, т. кип. 75—77°/0,2 мм, т. пл. 38°. Получены также дихлорацетиламиноциклогексан, т. пл. 140°; 2-дихлорацетиламиноэтиловый спирт, т. пл. 82—84°; 1,6-бис-(дихлорацетиламино)-гексан, т. пл. 136°; 1-дихлорацетиламорфоллин, т. пл. 64°; 2-дихлорацетиламино-1-фенилпропан, т. пл. 92°.

В. У.

**26708 П.** Способ получения оксисалиламинов из оксисей олефинов и аммиака. Грисбах, Шпигс (Verfahren zur Gewinnung von Oxyalkylaminen aus Alkylenoxyden und Ammoniak. Grissbach Robert, Spies Leonhard). Пат. ГДР 7999, 15.09.54

Оксисалиламины, напр. моно-, ди- и триэтанолмины, получают из оксисей олефинов и  $\text{NH}_3$  путем растворения окиси олефина в жидком  $\text{NH}_3$  с последующей р-цией при повышенной т-ре в автоклаве. Напр., 6 кг окиси этилена и 10 кг жидкого  $\text{NH}_3$  нагревают 1 час

при 50—60° и 30—35 атм. После удаления  $\text{NH}_3$  перегоняют остаток, получая (в %) 30,9 моноэтаноламина, 37,4 диэтанолamina, 27,2 триэтанолamina. Ю. В.

**26709 П. Способ получения изоцианатов. Вагане, Вевер** (Procédé pour la préparation des isocyanates. Vaganay Jean, Wever Simon) [Etat Français, Défense Nationale et des Forces Armées]. Франц. пат. 1071629, 02.09.54 [Chimie et industrie, 1955, 73, № 6, 1201 (франц.)]

Моно- и полиизоцианаты получают действием  $\text{COCl}_2$  (I) на амины. Последние сначала обрабатывают р-ром I на холоду, затем при нагревании, после чего через горячую жидкость барботируют I. Во время нагревания к р-ру не добавляют I. Общий расход I должен быть не выше двукратного от теоретич.; избыток I может быть использован в следующей операции для фосгенирования на холоду. О. С.

**26710 П. Ксантогенатсульфонаты и способ получения меркаптоалкансульфонатов. Шрамм** (Xanthogenato-sulfonates and process for the preparation of mercaptoalkanesulfonates. Schramm Charles H.) [Lever Brothers Co.]. Пат. США 2694723, 16.11.54

Для получения меркаптоалкансульфонатов к водн. р-ру галоидалкансульфоната, содержащего 1—5 атомов С, добавляют алкилксантат, имеющий 1—5 атомов С. При обработке образующегося при этом алкилксантогенаталкансульфоната  $\text{NH}_4\text{OH}$  или органич. азотсодержащим основанием выделяют меркаптоалкансульфонат. Патентуются в-ва общей ф-лы  $(\text{R}'\text{OCSRSO}_2\text{M})$  (R — алкилен с 1—5 атомами С, R' — алкил с 1—5 атомами С, M — атом щел. металла). Е. Р.

**26711 П. Способ производства низших диалкилсульфоксидов. Веттерхольм, Фоссан** (Liquid-vapor phase method for producing lower dialkyl sulfioxides. Wetterholm Gustav Allan, Fossan Kåre Ragnvald) [Nitroglycerin Aktiebolaget]. Пат. США 2702824, 22.02.55

Низшие диалкилсульфоксиды получают р-цией низших диалкилсульфидов в жидкой фазе с газом, содержащим  $\text{O}_2$ , в присутствии небольшого кол-ва катализатора —  $\text{NO}$ ,  $\text{NO}_2$ ,  $\text{N}_2\text{O}_3$ ,  $\text{N}_2\text{O}_4$  или азотная к-та (конца  $\text{HNO}_3 > 99\%$ ). Р-цию проводят в жидкой фазе при т-ре ниже т-ры кипения жидкой реагирующей смеси, газ, содержащий  $\text{O}_2$ , подают в кол-ве меньше, чем необходимо для обесцвечивания паров над жидкой фазой. Приведена схема аппарата. Н. П.

**26712 П. Способ получения винилсульфонов. Крейнцлейн, Шумахер, Хейна** (Verfahren zur Herstellung von Vinylsulfonen. Kränzlein Georg, Schumacher Willy, Heyna Johannes) [Farbwerke Hoechst, vormals Meister Lucius und Brünig]. Пат. ФРГ 877607, 2.07.53 [Chem. Zbl., 1954, 125, № 3, 647 (нем.)]

Винилсульфоны, являющиеся полупродуктами для получения полимеров, красителей и вспомогательных в-в текстильного произ-ва, готовят обработкой водн. суспензии  $\beta$ -галоидэтилалкил- или -арилсульфонов ф-лы  $\text{XCH}_2\text{CH}_2\text{SO}_2\text{R}$  (X — галоид, R — арил или насыщ. алкил) разб. щелочами. Исходные  $\beta$ -галоидалкилы (или арилы) получают р-цией  $\text{SO}_2\text{Cl}_2$  или  $\text{HCl}$  с  $\beta$ -оксипентилсульфоном (под давлением).  $\beta$ -Хлорэтилсульфон, т. кип. 110—120°/1 мм дает с 2 н. NaOH при 0—5° вивчлэтилсульфон, т. кип. 84—85°/1 мм. Аналогично из  $\beta$ -хлорэтилфенилсульфона (т. пл. 56°) получают винилфенилсульфон, т. пл. 72°, из  $\beta$ -хлорэтилнитрофенилсульфона (т. пл. 87—88°) — винилнитрофенилсульфон, т. пл. 108—109°; из  $\alpha$ ,  $\beta$ -дибромэтилфенилсульфона (т. пл. 76—77°) —  $\omega$ -бромвинилфенилсульфон, т. кип. 136—137°/2 мм, т. пл. 46°; из  $\beta$ -хлорэтил-4-аминофенилсульфона получают винил-4-аминофенилсульфон, т. пл. 75°. Б. М.

**26713 П. Синтез меркаптанов. Белл** (Synthesis of mercaptans. Bell Richmond T.) [The Pure Oil Co.]. Пат. США 2685605, 3.08.54

Усовершенствование способа получения  $\text{CH}_3\text{SH}$  р-цией  $\text{CH}_3\text{OH}$  с  $\text{H}_2\text{S}$  в присутствии катализатора дегидратации состоит в том, что в реакционную зону одновременно с реагентами подают воду в кол-ве  $\leq 5$  мол. % от общего веса реагентов. Л. Г.

**26714 П. Способ получения монотиоглицерина. Шултхейс, Майер** (Verfahren zur Herstellung von Monothioglycerin. Schultheis Werner, Maier Susanna) [P. und H. Appel G. m. b. H.]. Пат. ФРГ 910296, 29.04.54 [Chem. Zbl., 1955, 126, № 9, 2072 (нем.)]

Монотиоглицерин получают конденсацией глицида с  $\text{H}_2\text{S}$  в присутствии каталитич. кол-в гидросульфидов щел. или щел. зем. металлов в водн. (предпочтительно водно-спиртовом р-ре), в частности непрерывным методом в циркуляционной аппаратуре. Выход  $\text{HOCH}_2\text{CH}(\text{OH})\text{CH}_2\text{SH}$  95%, т. кип. 118°/4—5 мм. В-во служит полупродуктом в произ-ве пластификаторов для керамики и для синтеза фармацевтич. препаратов. Я. К.

**26715 П. Способ получения солей алифатических сульфоксидов, в частности солей щелочных металлов. Бруш** (Verfahren zur Herstellung von Salzen, insbesondere Alkalisalzen, aliphatischer Sulfonsäuren. Brusz Boris) [Zschimmer und Schwarz vormals Chemnitz]. Пат. ФРГ 904409, 18.02.54 [Chem. Abstr., 1954, 48, № 13, 7463—7464 (англ.)]

Алифатические сульфохлориды омыляют путем суспендирования или эмульгирования их в водн., спиртовой или другой электропроводной среде, содержащей соединения, образующие неорганич. катодн. и обработкой полученной суспензии или эмульсии постоянным током в катодной части электролитич. ячейки, разделенной диафрагмой. При употреблении NaCl в качестве дающего катодн. в-ва, как побочные продукты получают  $\text{H}_2$  и  $\text{Cl}_2$  согласно ур-нию:  $\text{RSO}_2\text{Cl} + \text{NaCl} + \text{H}_2\text{O} \rightarrow \text{RSO}_2\text{Na} + \text{H}_2 + \text{Cl}_2$ . Катодную часть электролитич. ячейки, отделенную перегородкой из неглазурованного фарфора, наполняют водн. эмульсией, содержащей 5% NaCl, 10% алкансульфохлорида и Na-соля-алкансульфокислоты (эмульгатор); анодную часть наполняют 10%-ным р-ром NaCl. В качестве анода применяют графит, в качестве катода — Ni, плотность тока 0,2 а/дм<sup>2</sup>. 10 молей алкансульфохлорида постепенно вводят в катодную часть во время электролиза, а 10 молей NaCl — в анодную часть; выход сульфата почти количественный. В. У.

**26716 П. Способ получения хлорированных  $\beta$ -положении этансульфохлоридов или  $\beta$ -сульфофторидов. Шерер, Петри** (Verfahren zur Herstellung von in  $\beta$ -Stellung chlorierten Äthansulfochloriden oder  $\beta$ -sulfofluoriden. Scherer Otto, Petri Hermann) [Farbwerke Hoechst A.-G. vormals Meister Lucius und Brünig]. Пат. ФРГ 907775, 29.03.54 [Chem. Zbl., 1955, 126, № 10, 2298 (нем.)]

Этансульфохлорид или этансульфотрихлорид хлорируют при активном освещении. Этансульфотрихлорид (т. кип. 137°/760 мм) дает с  $\text{Cl}_2$  при 25° и освещении 80 вт Нг-лампой  $\beta$ -хлорэтансульфотрихлорид, выход 80—90% (т. кип. 66°/14 мм), кроме того  $\beta$ ,  $\beta$ -дихлор- (т. кип. 68°/14 мм) и трихлорэтансульфотрихлорид (т. кип. 77,5°/14 мм). Получены также  $\beta$ -монохлор- (т. кип. 96°/17 мм) и  $\beta$ ,  $\beta$ -дихлорэтансульфотрихлорид (т. кип. 104°/17 мм). В-ва являются полупродуктами для красителей, синтетич. смол и фармацевтич. препаратов. Я. К.

**26717 П. Способ получения хлорсульфоновых эфиров хлорированных спиртов. Вьяр** (Method of preparing chlorosulfuric esters of chlorinated alcohols.



Viard Marcel Jean) [Soc. An. des Manufactures des Glaces et Produits Chimiques de Saint-Gobain, Chauny et Cirey]. Пат. США 2684977, 27.07.54  
Указанные эфиры получают, пропускаая  $\text{Cl}_2$  при 15° при перемешивании в ~108 ч. полигликольсульфата до поглощения 71—75 ч.  $\text{Cl}_2$ . Продукт перегоняют при ~18 мм рт. ст. Б. М.

26718 П. L-Глутаминовая кислота. Акабори, Нарита, (L-Glutamic acid. Akabori Shiro, Narita Kozo) [Ajinomoto Co.]. Япон. пат. 1582, 15.04.53 [Chem. Abstrs, 1954, 48, № 21, 12796 (англ.)]

Сухой  $\text{HCl}$ -газ пропускают в 42 г растертой в порошок L-глутаминовой к-ты в 300 мл  $\text{CH}_3\text{OH}$ , продукт сушат в вакууме, затем оставляют в смеси  $\text{CH}_3\text{OH}$  с эфиром, получают 53 г  $\text{HOOCCH}(\text{NH}_2)\text{CH}_2\text{CH}_2\text{COOCH}_2\text{HCl}$  (I). 36 г I в  $\text{CH}_3\text{OH}$  нейтрализуют пиридином, продукт отфильтровывают, промывают  $\text{CH}_3\text{OH}$ , затем спиртом и эфиром, получают 26 г основания I, в виде пластинок. 14 г основания I в 40 мл спирта нагревают 15 мин. с 5 г  $\text{N}_2\text{H}_4$ , получают L- $\text{HOOCCH}(\text{NH}_2)\text{CH}_2\text{CH}_2\text{CONHNH}_2$  (II), т. пл. 163—164° (из 50%-ного сп.),  $[\alpha]_D^{25}$  11,4°. 10 г II в 300 мл 50%-ного спирта кипятят 3 часа с 40 г скелетного Ni, охлаждают, отфильтровывают Ni, промывают его 3 раза по 30 мл горячей воды, фильтрат и промывные воды обрабатывают 1 г диметилглиоксима, отфильтровывают Ni-комплекс диметилглиоксима, обрабатывают фильтрат активированным углем и прибавлением спирта осаждают L-глутаминовую к-ту. Выход 3,1 г, т. пл. 187° (разл.),  $[\alpha]_D^{25}$  7°. В. У.

26719 П. Способ получения замещенных амидов. Лиг (Verfahren zur Herstellung von substituierten Amiden. Young Richard William) [American Cyanamid Co.]. Пат. ФРГ 906223, 11.03.54 [Chem. Zbl., 1955, 126, № 10, 2302 (нем.)]

Замещенный амид общей ф-лы  $\text{RCON}(\text{R}^1)(\text{R}^2)$  (R и  $\text{R}^2$  — органич. остаток;  $\text{R}^1$  — H или органич. остаток) получают р-цией амина ф-лы  $\text{HN}(\text{R}^1)\text{R}^2$ , со смешанным ангидридом карбоновой к-ты и диэфира фосфористой к-ты общей ф-лы  $\text{RCOOP}(\text{OR}^3)\text{OR}^4$  ( $\text{R}^3$  и  $\text{R}^4$  — нефункциональные этерифицированные остатки) в инертном органич. р-рителе, в частности, при 40—115°. Суспенсию 6,5 г Ag-соли карбобензоксиглицина в 200 мл  $\text{CCl}_4$  обрабатывают 3,5 г диэтилхлорфосфита в течение 45 мин. при 20°, отфильтровывают  $\text{AgCl}$ , прибавляют к фильтрату 1,86 г анилина, кипятят 1 час. и упариванием р-ра выделяют 1,25 г карбобензоксиглицида, выход 22%, т. пл. 148—149°. Получены: этиловый эфир карбобензоксиглицид-dl-фенилаланина, т. пл. 91—92° (из уксусного эфира + петр. эфир); этиловый эфир карбобензоксид-dl-аланил-dl-фенилаланина, т. пл. 120—121°; этиловый эфир фталилглицид-dl-аланил-dl-фенилаланина, т. пл. 186—190°; гидразид 1-карбобензоксифенилаланина, т. пл. 167,5—168,5°; дикарбобензоксид-1-лизилгидразид, т. пл. 160—161°; этиловый эфир дикарбобензоксид-1-лизилглицина, т. пл. 89—90°; бутиранидид, т. пл. 90—92°; бензоил-фенилгидразин, т. пл. 166—167°; ацетанилид, т. пл. 113—114°; дианилид адипиновой к-ты, т. пл. 245—246°; моноанилид адипиновой к-ты, т. пл. 153—155°; этиловый эфир карбобензоксиглицидилглицидглицина, т. пл. 165—167°. В. У.

26720 П. Конденсация окиси этилена с аминозамещенными амидами. Келли, Леви (Condensation of ethylene oxide with amino substituted amides. Kelley Maurice J., Levy Jacob) [Nopco Chemical Co.]. Пат. США 2681354, 15.06.54

Способ конденсации окиси этилена с аминоамидами (I), в которых атом H аминогруппы способен к замещению, состоит в р-ции окиси этилена с I (молярное соот-

ношение реагентов по крайней мере 1:1) при т-ре, при которой I находится в жидком состоянии, в присутствии катализатора ( $\text{BF}_3$ ,  $\text{BF}_3$ -эфират или  $\text{BF}_3$ -гидрат). Л. Г.

26721 П. Очистка аминоканеульфокислот с помощью ионообмена. Секстон (Purification of amino alkane sulfonic acids by ion exchange. Sexton Arthur R.) [The Dow Chemical Co.]. Пат. США 2693488, 2.11.54

Способ получения чистого N-алкиламещенного таурина из водн. р-ра, содержащего соли щел. металлов с N-алкилтаурином и аналогичные соли 2-оксипансульфокислоты, отличается тем, что водн. р-р этих солей обрабатывают сначала водонерастворимым катионитом, заряженным ионами  $\text{H}^+$ , затем водонерастворимым анионитом, заряженным ионами  $\text{OH}^-$ , и выделяют очищ. N-алкилтаурин из р-ра. Л. П.

26722 П. Метилхлорсиланы (Methylchlorosilanes) [Dow Corning Corp.]. Австрал. пат. 154536, 7.01.53

Метилхлорсиланы получают нагреванием хлорсиланов общей ф-лы  $\text{RSiCl}_2$  или  $\text{R}(\text{CH}_2)_n\text{SiCl}_2$ , где R — алкил, содержащий  $\geq 2$  атомов C, при 350—800°. К. М.

26723 П. Способ получения органозамещенных силанов (Process for the manufacture of organosubstituted silanes) [Dow Corning Ltd.]. Англ. пат. 712081, 14.07.54 [J. Appl. Chem., 1955, 5, № 2, i239 (англ.)]

Органозамещенные силаны ф-лы  $\text{R}_n\text{SiF}_{4-n}$  получают р-цией силанов ф-лы  $\text{R}_n\text{Si}(\text{OR}')_{4-n}$ , где  $n=1,3$ , R — одновалентный углеводородный радикал, не содержащий алифатич. кратных связей, или галоидированный ароматич. радикал,  $\text{R}'$  — алкил, с водн. р-ром  $\text{HF}$  (конц-ия 1—60%).  $n-(\text{C}_2\text{H}_5)_2\text{Si}(\text{OC}_2\text{H}_5)_2$  перемешивают 3 часа при 0° с 48%-ной  $\text{HF}$ , после чего смесь при стоянии расслаивается на 2 слоя, из которых верхний (органич.) слой фракционируют. Выход  $n-(\text{C}_2\text{H}_5)_2\text{SiF}_2$  с т. кип. 111°/733 мм составляет 95,5%. Аналогично получают (в скобках указаны т. кип. в °/мм и выход в %)  $n-(\text{C}_2\text{H}_5)_2\text{SiF}$  (170°/733 мм, 91,3),  $n-(\text{C}_6\text{H}_5)_2\text{SiF}$  (222°/730 мм; 89,2);  $(\text{CH}_3)_2\text{SiF}$  (18°/730 мм; 70,3),  $\text{C}_6\text{H}_5\text{SiF}_3$  (171°/45 мм; 56),  $(\text{C}_6\text{H}_5)_2\text{SiF}_2$  (157°/50 мм, 71,5),  $(\text{C}_2\text{H}_5)_2\text{SiF}_2$  (38),  $(\text{C}_2\text{H}_5)_3\text{SiF}$  (38). а также хлорфенилметилдифторсилан. А. Ж.

26724 П. Метод выделения диорганодигалогеносиланов из смесей с органотригалогеносиланами (Methods of separating diorganodihalogenosilanes from mixtures of the latter and organotrihalogenosilanes) [British Thomson-Houston Co., Ltd.]. Англ. пат. 712059, 14.07.54 [J. Appl. Chem., 1955, 5, № 2, i239 (англ.)]

Диорганодигалогеносиланы  $[(\text{CH}_3)_2\text{SiCl}_2$  или  $(\text{CH}_3)_2\text{SiBrCl}_2]$  выделяют из смесей с трифункциональными соединениями  $(\text{CH}_3)_3\text{SiCl}_2$  или  $(\text{C}_6\text{H}_5)_3\text{SiCl}_2$  ректификацией смеси в присутствии  $\geq 1$  моля дициклодиорганосилана [напр.,  $(\text{CH}_3)_2\text{Si}(\text{OCOCH}_3)_2$ ]. R 100 ч. смеси  $\text{CH}_3\text{SiCl}_3$  и  $(\text{CH}_3)_2\text{SiCl}_2$ , взятой в молярном соотношении 9:1 и имеющей уд. в. 1,257, добавляют 187 ч. диметилди-ацетоксисилана и 3 ч. триацетата триэтанолamina (катализатор). Т-ра при этом поднимается до 39°. После 30 мин. кипячения из смеси отгоняют почти чистый диметилдихлорсилан с уд. в. 1,076. А. Ж.

26725 П. Асимметричные алкоксиды (три- и тетра)-силоксаны и способ их получения (Unsymmetrical alkoxy (tri- and tetra) siloxanes and processes for making same) [California Research Corp.]. Англ. пат. 709345, 19.05.54 [Chem. Zbl., 1954, 125, № 44, 10155 (нем.)]

Патентуются три- и тетрасилоксаны, содержащие алкоксильную группу, алкил которой является разветвленным. Р-цией 2 молей три-(1,2-диметилбутоксид)-силанолла с 1 молем ди-(1,3-диметилбутоксид)-дихлорсилана в присутствии 2 молей сухого пиридина при 10—15° получают окта-(1,3-диметилбутоксид)-трисилок-

т-ре-  
пр-  
BF<sub>3</sub>  
Г.  
полю  
alkane  
h u r  
33488,

о тау-  
аллов  
стан-  
этих  
катио-  
твор-  
преляют  
П. П.  
[Dow  
осила-  
алкил,  
К. М.  
х си-  
substi-  
12081,  
англ.)]  
учают  
[одно-  
каций  
арон-  
ция  
часа  
ояния  
анич.)  
к. кип.  
учены  
(%) и  
(222%)  
H<sub>2</sub> 33-  
71,5),  
фенил-  
А. Ж.  
иланов  
ethods  
mix-  
ilanes)  
пат.  
№ 2,

(CH<sub>3</sub>)<sub>2</sub>-  
льными  
кацией  
силана  
CH<sub>3</sub>Si-  
и 9:1  
тилди-  
аминна  
о 39°  
почти  
А. Ж.  
тетра-  
netrical  
ses for  
Англ.  
№ 44,

ожашие  
я раз-  
токси)  
ихлор-  
на при  
силкок-

сан, т. кип. 210°/0,1 мм. Аналогично получают окта-(2-этилгексокси)-трисилоксан, т. кип. 260—269°/0,05 мм. Тетрасилоксан ф-лы R[OSi(OR)<sub>2</sub>]<sub>4</sub>OR, где R — 1,3-диметилбутил, получают р-цией 1 моля (RO)<sub>3</sub>SiOSi(OR)<sub>2</sub>OH с 1 молем (RO)<sub>3</sub>SiOSi(OR)<sub>2</sub>Cl в присутствии пиридина, т. кип. 240—242°/0,05 мм. Продукты очень устойчивы к гидролизу и могут быть использованы как смазочные в-ва.

**Н. П. 26726 П.** Способ производства органических соединений фосфора (Process for the manufacture of organic phosphorus-containing compounds) [Pest Control, Ltd.]. Англ. пат. 690386, 22.04.53 [Chem. Abstrs, 1954, 48, № 8, 4582 (англ.)]

170 г (C<sub>2</sub>H<sub>5</sub>NH)<sub>2</sub>POCl в 200 мл CHCl<sub>3</sub> обрабатывают 157 г CH<sub>3</sub>N(C<sub>4</sub>H<sub>9</sub>)<sub>2</sub>, затем 9 мл воды, выдерживают 0,5 часа при 70°, охлаждают до 30°, пропускают сухой NH<sub>3</sub>, отфильтровывают NH<sub>4</sub>Cl и фильтрат перегоняют. Выделяют (C<sub>2</sub>H<sub>5</sub>NH)<sub>2</sub>P(O)OP(O)(NHCH<sub>2</sub>H<sub>5</sub>)<sub>2</sub>, т. кип. 160°/1—2 мм. Аналогично получают (изо-C<sub>4</sub>H<sub>9</sub>-NH)<sub>2</sub>F(O)<sub>2</sub>O, т. пл. 151° (из ацетона). К 57 г (CH<sub>3</sub>)<sub>2</sub>NF(O)(OC<sub>2</sub>H<sub>5</sub>)Cl в 150 мл CHCl<sub>3</sub> добавляют 71 г CH<sub>3</sub>(и-C<sub>4</sub>H<sub>9</sub>)<sub>2</sub>N и 3 г воды, смесь перемешивают 2 часа при 50° и 3 часа при 70° и затем промывают водой. NaOH. Из органич. слоя с непостоянным выходом выделяют [(CH<sub>3</sub>)<sub>2</sub>NF(O)(OC<sub>2</sub>H<sub>5</sub>)]<sub>2</sub>O, т. кип. 100—150°/1 мм. В указанных р-циях применяют преимущественно стехиометрич. кол-ва воды.

**Л. Г. 26727 П.** Способ получения галогидных фосфониевых соединений (Phosphonium halides and process for the production thereof) [Monsanto Chemical Co.]. Англ. пат. 716678, 13.10.54 [Chem. Abstrs, 1955, 49, № 7, 4932 (англ.)]

Вещества общей ф-лы RPX(NR')<sub>2</sub> I (R — алкил с 6—22 атомами C; R' — алкил с 1—4 атомами C, X — Cl или Br получают по р-ции RX + P(NR')<sub>2</sub> → I; они являются растворимыми в воде воскообразными или расплывающимися кристаллич. в-вами. Смесь 76,2 г бромистого гексадецила и 40,8 г P(N(CH<sub>3</sub>)<sub>2</sub>)<sub>3</sub> медленно нагревают при осторожном размешивании до 140°, выдерживают 5 мин. при 140—145° при охлаждении и затем нагревают еще 2 часа при 140—145°. Смесь охлаждают, твердую коричневую мылообразную массу растворяют в 100 мл горячего диоксана, затем охлаждают и прибавлением эфира осаждают совершенно белый, кристаллич. бромистый гексадецил-трис-(диметиламино)-фосфоний, т. пл. 72—76° (из диоксана и эфира). Аналогично получают следующие бромистые алкил-трис-(диметиламино)-фосфонии (приведен алкил): тетрадецил, т. пл. 105—113°; гексил, 3,5,5-триметилгексил, додецил, децил, октил и гентил, а также хлористый гексадецил-трис-(диметиламино)-фосфоний. I можно применять в качестве поверхностноактивных в-в, добавок к смазкам и разбрызгиваемых или распыляемых гербицидов. Приведены данные, показывающие гербицидную активность I, определенную на прорастании семян огурцов и пшеницы в течение 4 дней при 25° в водн. р-ре, содержащем 100 ч. I на 1 млн. ч. воды.

**В. У. 26728 П.** Сурьмяномеркаптоэфиры и стабилизация ими хлорированных органических соединений. Уайнберг, Джонсон, Банкс (Antimony mercaptoesters and chlorinated organic compounds stabilized therewith. Weinberg Elliott L., Johnson Ernest W., Banks Clarence Kenneth) [Metal and Thermit Corp.]. Пат. США 2680726, 8.06.54

Для стабилизации хлорированных органич. в-в, которые при действии нагревания и света отщепляют HCl, в них диспергируют эфиры сурьмяномеркаптокарбоновых к-т, общей ф-лы Sb(SRCOOR')<sub>2</sub>, где R — алкилен, арилен или аралкилен, R' — алкил, арил или аралкил.

**В. У.**

**26729 П.** Непосредственное алкилирование олова. Уайнберг (Direct alkylation of tin. Weinberg Elliott L.) [Metal and Thermit Corp.]. Пат. США 2679505, 25.05.54

(CH<sub>3</sub>)<sub>2</sub>SnCl<sub>2</sub> получают, пропускавая CH<sub>3</sub>Cl через слой частиц (размер > 20 меш) пористого Sn-Cu-сплава, содержащего ≥ 40% Sn, при 300° и конденсируя выделяющийся газ.

**Б. М.**

**26730 П.** Повышение устойчивости этилен-бис-дитиокарбамата цинка. Лугинбул (Process for improving the stability of zinc ethylenebisdithiocarbamate. Luginbuhl Christian B.) [E. I. du Pont de Nemours and Co.]. Пат. США 2690447, 28.09.54

Для повышения устойчивости Zn-этилен-бис-дитиокарбамата его погружают в виде крупинки в подкисленную воду (pH 1,5-6) по крайней мере на 30 мин.

**Е. Р.**

**26731 П.** Производство циклоалкадиенов. Линн (Production of cycloalkadiene hydrocarbons. Linn Carl B.) [Universal Oil Products Co.]. Пат. США 2678338, 11.05.54

Циклогексадиен получают при взаимодействии циклогексенола и циклогексенона при 100—200° в присутствии водн. р-ра кислого катализатора (H<sub>2</sub>SO<sub>4</sub>, MgCl<sub>2</sub>).

**Л. Г.**

**26732 П.** Способ проведения реакции между углеводородами. Кеннеди, Шнейдер (Method of conducting hydrocarbon reactions. Kennedy Robert M., Schneider Abraham) [Sun Oil Co.]. Пат. США 2683756, 13.07.54

Иницирование р-ции между замещ. цикlopentanом с 1—3 алкильными заместителями и одним третичным атомом C у одного из атомов C, входящих в цикл, и циклоолефином, содержащим ≤ 3 алкильных заместителей, достигается контактированием указанных в-в в гомог. жидкой фазе с BF<sub>3</sub> и фторциклопентаном или фторциклогексаном.

**Б. М.**

**26733 П.** Способ получения новых эфиров циклоалкилиденуксусной кислоты (Process for the manufacture of new esters of cycloalkylidene acetic acids) [Ciba Ltd.]. Илд. пат. 47740, 18.12.53

Арилциклоалкилиденуксусные к-ты или их производные превращают в соответствующие N-дизамещенные аминокислотные сложные эфиры либо известным путем, либо аминокислотный сложный эфир, содержащий удаляемый остаток, обрабатывают для отщепления остатка и образования циклоалкилиденновых сложных эфиров.

**Б. Ц.**

**26734 П.** Способ получения азометиновых соединений (Azomethines et leur procédé de production) [Farbenfabriken Bayer.]. Франц. пат. 1069476, 8.07.54 [Chimie et industrie, 1954, 72, № 6, 1218 (франц.)]

Циклические карбонильные соединения, имеющие оксигруппу в орто-положении, конденсируют с первичными алифатич. моноаминами, NH<sub>2</sub>-группа которых присоединена к атому C, расположенному приблизительно в середине цепи из 9—18 атомов C.

**О. С.**

**26735 П.** Диспропорционирование ксилола. МакКоли, Лин (Xylene disproportionation. McCaulay David A., Lien Arthur P.) [Standard Oil Co.]. Пат. США 2683761, 13.07.54

Способ диспропорционирования ксилола (I) состоит в обработке I в практически безводн. среде при t-ре > 85° TiF<sub>4</sub> и жидким HF, взятым в кол-ве, достаточном для образования фазы, богатой HF, в течение времени, необходимого для образования мезитилена. Смесь HF и TiF<sub>4</sub> отдувают от продуктов р-ции бутаном и возвращают в цикл, из смеси углеводородов фракционированием выделяют мезитилен, I и толуол. Приведена технологич. схема.

**Н. П.**

## 26736 П. Восстановление ароматических спиртов.

Уэндер, Орчин (Reduction of aromatic carbonyls. Wender Irving, Orchin Milton) [United States of America as represented by the Secretary of the Interior]. Пат. США 2682562, 29.06.54

Восстановление HO-групп ароматич. спиртов водородом по р-ции:  $(RR'R'')COH + H_2 \rightarrow (RR'R'')CH + H_2O$  (R — ароматич. радикал; R' и R'' — H, арил, алкил, арилалкил, алициклич. или гетероциклич. радикал) производят в присутствии карбониллов Co или Fe при 70—250° под давл.  $\geq 40$  ат. В зоне р-ции должна быть СО в конц-ии, достаточной для защиты карбонильного катализатора от разложения. Н. П.

26737 П. Экстракционный процесс отделения ароматических углеводородов от насыщенных (Extraction process for separating aromatic and saturated hydrocarbons) [Pittsburgh Consolidation Coal Co.]. Австрал. пат. 159408, 4.11.54

Ароматические и насыщ. углеводороды, содержащиеся в смоляных к-тах, свободных от масел, кипящих выше 350°, разделяют пропусканием через вертикальную противоточную экстракционную зону, в нижнюю часть которой вводят р-дитель (сольвент-нафта), кипящий при 60—130°, с уд. в.  $< 0,8$ , а в верхнюю часть 75—96%-ный водн.  $CH_3OH$ . Вводимые р-дители подвергаются в экстракционной зоне тесному взаимодействию, а затем выводятся из нее. В. У.

26738 П. Способ получения арилоксиметилгалогенидов. Барбер (Process for preparing aryloxymethyl halides. Barber Harry James) [May and Baker Ltd.]. Пат. США 2668860 9.02.54

Арилоксиметилгалогениды получают р-цией арилоксиметансульфокислот или их солей с  $PCl_5$ ,  $PBr_5$ ,  $POCl_3$ ,  $POBr_3$ ,  $SO_2Cl_2$  или  $SOBr_2$ . Я. Ш.

26739 П. Способ стабилизации ароматических соединений; галоидированных ядро. Раккер (Process for stabilization of nuclear halogenated aromatic hydrocarbons. Rucker John T.) [Hooker Electrochemical Co.]. Пат. США 2694738, 16.11.54

Хлорированные в ядро ароматич. соединения, используемые в качестве диэлектриков (полихлорбензолы, полихлордифенилы, хлорированный дифениловый эфир или дифенилметан, алкилхлорбензолы, содержащие  $\leq 7$  атомов С в боковой цепи, или хлорнафталины), нагревают с 0,1—5 вес. % щелочи в присутствии 0,01—5 вес. % алифатич. спирта, имеющего несколько замещаемых атомов Н, при t-ре выше 140°. М. М.

26740 П. Способ получения фенолов (Sposób otrzymania fenoli) [Československé chemické závody, národní podnik]. Польш. пат. 35342, 30.06.53

Предложен способ выделения фенолов из продуктов переработки бурого угля, включающий: а) получение р-ра фенолятов ( $d^{20}_4$  1,14—1,15), б) отгонку с паром легколетучих примесей, в) продувание горячего воздуха через р-р при 105° (75 м<sup>3</sup> на 1 м<sup>3</sup> р-ра) с отгонкой минимум 15% воды (плотность р-ра возрастает до  $d^{20}_4$  1,22) и до 1,25% нейтр. масла, г) выделение фенолов действием  $CO_2$ . С. В.

26741 П. Отделение фенолов от тиофенолов селективным алкилированием. Никкелс (Separation of thiophenols from phenols by selective alkylation. Nickels Joseph E.) [Koppers Co., Inc.]. Пат. США 2686815, 17.08.54

Способ отделения по крайней мере 1 компонента из смеси, содержащей тиофенол и не менее одного совместно с ним кипящего фенола, состоит в алкилировании смеси в присутствии кислого катализатора олефинами, образующими третичную алкильную группу. Олефин берут в кол-ве, достаточном для образования моно-*трет*-алкилизированного тиофенола и поли-*трет*-замещ. фенола (последний должен содержать  $\leq 3$  алкильных заместителей). Из полученной смеси дистилляцией

выделяют моно- и поли-*трет*-алкилфенолы, дезалкилированием выделенных в-в получают  $\geq 1$  очис. исходного в-ва. Приведена схема процесса. Н. П.

26742 П. Способ очистки щелочных растворов крезолатов. Дикки, Уиверлинг (Processing waste caustic cresolate solutions. Dickey Richard E., Weaverling William A.) [Standard Oil Co.]. Пат. США 2686105, 10.08.54

Для очистки водн. щел. р-ров меркаптанов и крезолатов, содержащих органич. примеси, горячие топочные газы, содержащие  $CO_2$  и  $O_2$ , пропускают в р-р, причем некоторое кол-во воды испаряется; добавляют в р-р воду до первоначального кол-ва и снова пропускают топочный газ. Эту операцию повторяют до тех пор, пока pH щел. р-ра вследствие образования углекислых солей не понизится до  $\sim 11$ , после чего отделивают органич. жидкую фазу, содержащую, в основном, органич. примеси, от водн. р-ра. Приведена технологич. схема. О. С.

26743 П. Применение углекислого натрия при окислении кумола. (Sodium carbonate in cumene oxidation) [Allied Chemical and Dye Corp.]. Англ. пат. 695717, 19.08.53

Кумол окисляют в жидкой фазе до гидроперекиси кумола  $O_2$  в присутствии твердого  $Na_2CO_3$  при 90—130°.  $Na_2CO_3$  применяют в кол-ве 0,5—25 г на 100 мл кумола; его отделивают от продукта декантацией и промывают и регенерируют промывкой ацетоном, а затем водой. Приведены примеры. В. У.

26744 П. Способ получения гидроперекиси трет-бутилпропилибензола. Уиклац (Process for preparing tertiary-butylisopropylbenzene hydroperoxide. Wicklatz John E.) [Phillips Petroleum Co.]. Пат. США 2680138, 1.06.54

*трет*-Бутилпропилибензол (I), в смеси с  $\sim 4,6$  а К-соли гидроперекиси диизопропилбензола на 1 л I, вводят в зону окисления; туда же вводят при  $\sim 125^\circ$   $O_2$ -содержащую среду и продукт р-ции выводят в зону для разделения. В последней к продуктам окисления прибавляют равный объем *n*-пентана, охлаждают смесь до  $\sim 40^\circ$  и отфильтровывают образовавшиеся кристаллы гидроперекиси I, промывают их *n*-пентаном, сушат и таким образом получают практически чистую гидроперекись I. Приведена схема процесса. В. У.

26745 П. Способ получения продуктов этерификации метилодифениловых эфиров (Verfahren zur Herstellung von neuen Verätherungsprodukten von Methylolphenoläthern) [General Electric Co. in Schenectady]. Австр. пат. 178092, 15.09.53

Метилодифениловые эфиры (I) общей ф-лы 2,4,6-( $HOH_2C$ )<sub>3</sub>C<sub>6</sub>H<sub>2</sub>OR (R — алкил, циклоалкил, арилалкил или их галоидпроизводное) или их содержащие смеси подвергают этерификации спиртами, в частности, алифатич. одноатомными спиртами [бутиловым спиртом (II)] или замещ. спиртами [этиленхлоргидрином (III), этаноламинам (IV)]. При этерификации I действием II получают органич. р-дители, смешивающиеся с толуолом и другими углеводородами, при этерификации действием III или IV получают пластификаторы для поливинилхлоридов. 15 ч. I (R — аллил), 60 ч. II и 0,3 ч. конц. HCl кипятят 2 часа, отгоняют воду и избыток II, получают продукт этерификации (ПЭ), содержащий один остаток II. 15 ч. I (R — 2-оксиптил), 90 ч. III, 22 ч. толуола и 0,12 ч. конц. HCl кипятят 3 часа, фильтруют, отгоняют в вакууме III и получают ПЭ, содержащий три остатка этиленхлоргидрина. Аналогичные ПЭ получают: а) кипячением смеси 125 ч. IV, 50 ч. толуола и 30 ч. смеси аллилоксимоно-, ди- и три-(оксиметил)-бензола (АБ); б) 125 ч. III, 50 ч. толуола, 30 ч. АБ и 0,5 ч. конц. HCl; в) 1000 ч. смеси АБ,  $\eta^{25}_D$  1,561,  $\eta^{25}_D$  1588 *спуаз*, 11,9 ч. конц. HCl и 4 000 ч. II



ликили-  
одного  
Н. П.  
g waste  
hard  
standard

крезо-  
топоч-  
в р-р,  
являют  
пропу-  
до тех  
и угле-  
деляют  
ловом,  
техноло-  
О. С.  
и окис-  
-ation)  
695717,

ерекиси  
и 90—  
100 мл  
и про-  
затем  
В. У.  
и трет-  
for pre-  
eroxide.  
m Co.).

~4,6 г  
1 л I,  
~125°

в зону  
исления  
от смеси  
кристаллы  
сумат  
гидро-  
В. У.

фикация  
Herstel-  
ethylol-  
ectadyl.

и 2,4,6-  
аракли-  
е смеси  
ти, али-  
спиртом  
(III),  
ействием  
с то-  
фикаци  
ры для  
к. II и  
и избы-  
с, содер-  
), 90 ч.  
3 часа,  
ают ПЭ,  
налогич-  
IV, 50  
и три-  
толуола,  
АБ,  $n_D^{20}$   
000 ч. II

(вязкость продукта  $\eta_{sp}^{25}$  329 спуз,  $n_D^{25}$  1,5318;  $\rho$  600 ч. смеси АБ, 6 ч. конц. HCl и 2200 ч. П. В. У.

26746 П. Трихлорацетаты хлорарилалканолов (Trichloroacetates of the chlorarylalkanoles) [Dow Chemical Co.]. Англ. пат. 710406, 9.06.54 [Chem. Zbl., 1955, 126, № 8, 1825 (нем.)]

Патентуется получение сложных эфиров трихлоруксусной к-ты и хлорарилалканолов, общей ф-лы  $CCl_3COOC_nH_{2n}OR$ , где  $n=2$  или 3, R — хлорарил. 490,5 г  $CCl_3COOH$  (I) и 620 г 2-(2',4'-дихлорфенокси)-этанол (II) в 300 мл  $ClCH_2CH_2Cl$  нагревают 5 час. при 122°, отгоняя азеотроп  $ClCH_2CH_2Cl$  с водой. Продукт, не содержащий  $ClCH_2CH_2Cl$ , экстрагируют  $CCl_4$ , нейтрализуют р-ром  $Na_2CO_3$  и получают сложный эфир I и II, т. пл. 55,5—56,5° (из петр. эф.). Приведено получение сложных эфиров из I и следующих спиртов: 1-(2',4'-дихлорфенокси)-2-пропанола (масло,  $n_D^{25}$  1,5361), 2-(4'-хлор-о-толокси)-этанол (т. пл. 44°), 2-(2',4',5'-трихлорфенокси)-этанол, т. пл. 50—51° (из  $CH_3OH$ ). Продукты являются промежуточными в-вами, регуляторами роста растений и средствами для стерилизации почвы.

26747 П. Получение 2,6-дигалондифениловых эфиров. Борроуз, Клейтон (Preparation of 2,6-dihalogenodiphenyl ethers. Borrowes Edward T., Clayton John C.) [Glaxo-Lab. Ltd]. Кан. пат. 506625, 19.10.54

2,6-Дигалондифениловые эфиры общей ф-лы (I), где R — группа  $CH_2CHNHNHCONHCO$  или  $CH_2CH(NHY)-$

$COOZ$  (Y — ацил, Z — алкил, содержащий  $\leq 4$  атомов C), R' — OH или алкоксил, X — Cl, Br или J, получают р-цией диаминодифенилового эфира ф-лы I, где X —  $NH_2$ , растворенного в ледяной  $CH_3COOH$ , с конц.  $H_2SO_4$

и нитритом щел. металла или алкилнитритом, содержащим  $\leq 6$  атомов C. Образующееся бис-диазо-соединение разлагает водой и соответствующим галогенидом, напр. йодидом щел. металла или  $Cu_2Cl_2$ ,  $Cu_2Br_2$  или  $Cu_2J_2$ . Патентуется соединения общей ф-лы I, где X — J, а R имеет одно из выше указанных значений, а также I-формы в-в ф-лы I, где X — Cl, Br или J, а R —  $CH_2CH(NHY)COOZ$ .

26748 П. Простые нитробензильные эфиры (Nitrobenzyl ethers) [General Aniline and Film Corp.]. Англ. пат. 692952, 17.06.53 [J. Appl. Chem., 1954, 4, № 4, 393 (англ.)]

Эфиры ф-лы  $O_2NC_6H_4XYCH_2R$ , где R — эфирный остаток, образованный из спирта или из простых эфиров многоатомных спиртов со спиртами; X — H или  $CH_3$ ; Y — H, Cl или  $CH_2R$ . Смесь 103 ч.  $m-O_2NC_6H_4CH_2Cl$  и 756 ч. этиленгликоля быстро перегоняют до тех пор, пока погон не будет свободен от HCl. Остаток перегоняют при 12 мм рт. ст. и затем под высоким вакуумом; получают  $m$ -нитробензил-2-оксипропиловый эфир,  $C_9H_{11}O_4N$ , т. кип. 150°/0,3 мм. Приведено получение 4-нитро-2,6-ди-2'-оксидиэтилметилола, выход 85% (не может быть перегнан),  $m$ -нитробензил-2',2''-метоксиэтоксиэтилового эфира, т. кип. 174—175°/1,5 мм,  $m$ -нитробензил-2,3-диоксипропилового эфира, т. кип. 170—172°/0,005 мм,  $m$ -нитробензил-2,2''-оксидиэтоксиэтилового эфира, т. кип. 152—154°/0,01 мм. Н. П.

26749 П. Дифенилкетоны (Diphenyl ketones) [Burgoughs Wellcome and Co., Ltd]. Австрал. пат. 155749, 1.04.54

Кетоны общей ф-лы  $(C_6H_5)_2C[CH(R')CH(R'')N(CH_3)_2]$  ( $C_6H_5$ ) $COCH_2N_3$ , где R' и R'' — H или  $CH_3$  и отличны друг от друга, получают гидролизом продуктов взаимодействия  $C_2H_5MgX$  (X — галогид) с соответствующими

в-вами, имеющими CN-группу у атома C, связанного с двумя  $C_6H_5$ -группами. И. Ш.

26750 П. Способ получения 3,3-диарил-5-замещенных пентанон-2 (Process for preparing 3,3-diaryl-5-substituted-2-pentanones and the compounds thus produced) [Merck and Co., Inc.]. Инд. пат. 50114, 9.11.53

Указанные в-ва получают цианэтилированием акрилонитрилом кетонов общей ф-лы  $CH_3COC(C_6H_4Y)_2H$ , где Y — H, галогид, низший алкил или низший алкоксил. М. М.

26751 П. Способ получения терефталевой и фталевой кислот. Циглер (Procédé d'obtention de l'acide téréphthalique et de l'acide phthalique. Ziegler K.). Франц. пат. 1076071, 22.10.54 [Ind. chim., 1955, 42, № 456, 216 (франц.)]

Димеризацией соответствующих олефинов в присутствии алкилатов алюминия получают 3-метилпентан, 2,5-диметилгексан или 2,3-диметилгексан. Смесь продуктов подвергают ароматизации в присутствии катализатора, а образующиеся о- и п-ксилолы окисляют до фталевой или терефталевой к-т. Л. Б.

26752 П. Выделение плавленого фталевого ангидрида. Смит (Recovery of molten phthalic anhydride. Smith Calvin S., Jr) [California Research Corp.]. Пат. США 2702091, 15.02.55

Смесь продуктов, получаемых при синтезе фталевого ангидрида (I), подают в низ колонны, в которой сверху вниз движется насадка из неорганич. тел размером  $>5$  меш. Т-ра тел в том же направлении меняется от т-ры ниже т-ры плавления I до 205° на выходе из колонны. Парогазовую смесь, охлажденную контактом с телами до точки росы I, отбирают из средней части колонны и подают в охлаждаемый водой поверхностный холодильник. Жидкий I выпускают из холодильника, а охлажденные несконденсировавшиеся газы подают в колонну над точкой отбора охлажденной парогазовой смеси и, после использования их для охлаждения спускающейся вниз насадки, отводят из верхней части колонны. Приведена схема аппарата. Н. П.

26753 П. Способ получения продуктов конденсации. Хаман, Кнейп, Тило (Verfahren zur Herstellung von Kondensationsprodukten. Hamann Karl Kneip Werner, Thilo Fritz) [Farbenfabriken Bayer A.-G.]. Пат. ФРГ 918777, 4.10.54 [Chem. Zbl., 1955, 126, № 12, 2809 (нем.)]

Продукты конденсации (ПК), имеющие свободные карбоксильные или оксигруппы и содержащие остаток 2-атомного спирта и 3-или многоосновной карбоновой к-ты или остаток 3-или многоатомного спирта и 2-или многоосновной карбоновой к-ты, а также остаток 1-основной карбоновой к-ты и (или) 1-атомного спирта, р-цией с моноизоцианатами превращают в продукты дальнейшей конденсации (ПДК). Приведено получение ПДК действием фенилизоцианата на ПК фталевого ангидрида с триметилолпропаном, р-цией ПК фталевого ангидрида и пентаэритрита с додецилизоцианатом или действием фенилизоцианата на ПК жирных к-т льняного масла, глицерина и фталевой к-ты. ПДК пригодны в качестве вспомогательных текстильных в-в. В. У.

26754 П. Способ получения твердых диазониевых солей. Стэнли, Баггенстосс (Method for preparing solid diazonium salts. Stanley Lester N., Baggenstoss Alois C.) [General Aniline and Film Corp.]. Пат. США 2707181, 26.04.55

Улучшение способа выделения солей арилдиазониев в форме солей с сильными к-тами или двойных солей с солями этих к-т из водн. реакционных смесей, получаемых при диазотировании соответствующих ароматич. аминов и осаждении соответствующих солей арилдиазониев, заключается в отделении основной части водн.

р-ра от осадка соли арилдиазония, получаемой в форме влажной пасты, смешения полученной пасты с летучим не смешивающимся с водой, инертным, не воспламеняющимся полигалогенированным алифатич. углеводородом, кипящим при 35—125°, и пропускании смеси противотоком с инертной, образующей гидрат, абсорбирующей воду, обезвоженной солью. Соль берут в кол-ве, не менее достаточного для связывания всей присутствующей в пасте воды и образования твердого гидрата. Органич. р-ритель берут в кол-ве, достаточном для образования жидкой суспензии с получаемой твердой солью диазония. По окончании обезвоживания твердую соль диазония отделяют от основной массы органич. р-рителя и сушат при  $t\text{-ре} \leq 50^\circ$ .

**26755 П. Арилалифатические амины и их соли** (Aryl aliphatic amines and their salts) [Soc. des Usines Chimiques Rhone Poulenc]. Англ. пат. 708771, 12.05.54 [J. Appl. Chem., 1954, 4, № 11, ii646 (англ.)]

Амины общей ф-лы  $(C_6H_5)_2CH(CH_2)_nNR'R''$  ( $R'$  и  $R''$  — нормальные или разветвленные  $C_{1-4}$ -алкилы, а  $n$  — 4, 5 или 6) получают взаимодействием  $CO(C_6H_5)_2$  с феноксиалкилмагнийгалогенидом, содержащим в алкиле 4—6 атомов С, и последующими дегидратацией образовавшегося спирта, гидрированием алкена, обработкой алкана конц. галогеноводородной к-той и образовавшегося галоидалкила — соответствующим диалкиламином.  $C_6H_5ONa$  и  $Br(CH_2)_4Br$  дают 1-бром-4-феноксипентан (т. кип. 154°/18 мм), который при последовательной обработке  $Mg$  в эфире и  $CO(C_6H_5)_2$  при  $t\text{-ре} \sim 0^\circ$  дает дифенил-4-феноксипентилкарбинол, дегидратируемый дымящей  $HCl$  при 100° в 5-феноксипентан-1 (т. пл. 49°, т. кип. 250°/17 мм), при гидрировании в  $C_6H_5ON$  со скелетным  $Ni$  переходящий в 5-феноксипентан-1,1-дифенилпентан (т. пл. 51—54°) и далее при кипячении последнего с  $CH_3COONa + 66\% HBr$  в 5-бром-1,1-дифенилпентан (т. кип. 210—215°/11 мм). Последний при нагревании 24 часа с  $NH(C_2H_5)_2$  при 130° дает 5-диэтиламино-1,1-дифенилпентан, т. кип. 214—215°/1 мм (хлоргидрат, т. пл. 105°). Получены 6-диэтиламино-1,1-дифенилпентан, т. кип. 227°/18 мм (хлоргидрат, т. пл. 112°) и 7-диэтиламино-1,1-дифенилпентан, т. кип. 245°/25 мм (хлоргидрат, т. пл. 72°).

**26756 П. Получение дифениламина. Уайдигер** (Manufacture of diphenylamine. Widiger Alexander H., Jr.) [The Dow Chemical Co.] Канад. пат. 498077, 1.12.53

Дифениламин получают нагреванием смеси  $C_6H_5Cl$ ,  $C_6H_5NH_2$  и  $NaOH$  в закрытом сосуде в присутствии катализатора. Процесс проводят при  $t\text{-ре} \geq 200^\circ C$  применением в качестве катализатора небольшого кол-ва неорганич. ионизирующей К-соли, напр.  $KCl$  или при 240—315° (в течение  $\geq 1$  часа), используя в качестве катализатора  $Cu$  и К-соль (0,001 г-атома  $Cu$  и 0,002—0,1 г-атома  $K$  на 1 моль  $NaOH$ ).  $C_6H_5Cl$  и  $C_6H_5NH_2$  рекомендуются брать в избытке по отношению к  $NaOH$ , который можно брать в виде водн. раствора, М. М.

**26757 П. Способ получения 3-замещенных 1-фенил-3-Н-циклогексиламинопропанов.** Скита, Штюрмер, Каупман (Verfahren zur Herstellung von C<sub>3</sub>-substituierten 1-Phenyl-3-N-cyclohexylaminopropane. Skita Aladar, Stühmer Werner, Kaupmann Wilhelm). Пат. ФРГ 881041, 14.09.53 [Chem. Zbl., 1955, 126, № 11, 2536 (нем.)] Указанные в-ва получают каталитич. гидрированием  $\alpha, \beta$ -ненасыщ. кетонов ф-лы  $C_6H_5CH=CHCOR$  ( $R$  — алкил) в присутствии ацетата циклогексилamina и избытка циклогексилamina. Гидрированием этилстирилкетона с  $Pt/BaSO_4$  при  $t\text{-ре} -20^\circ$  и 3,4 атм получен 1-фенил-3-этил-3-Н-циклогексиламинопропан, т. кип. 178—179°/12 мм; хлоргидрат, т. пл. 144,5—145°. Получен также 1-фенил-3-метил-3-циклогексиламинопропан, т.

кип. 162—164°/12 мм; хлоргидрат т. пл. 164—165°.

**26758 П. Карбонилирование ароматических галоидпроизводных.** Тейбет (Carbonylation of aromatic halides. Tabet Georges C.) [E. I. du Pont de Nemours and Co.]. Пат. США 2691670, 12.10.54 Амиды и нитрилы ароматич. к-т получают нагреванием соответствующего арилхлорида с  $CO$  в присутствии  $Ni(CO)_4$  при 200—450° и амида (формамид, мочевины, амид шавелевой к-ты) под давлением выше атмосферного и последующим выделением из смеси продуктов р-ции образовавшихся ароматич. амида и нитрила.

**26759 П. Получение органомеркаптозамещенного хинона.** Тьепкама (Manufacture of organomercaptosubstitute quinones. Tjepkema Jakobus J a n) [Shell Development Co.]. Пат. США 2691661, 12.10.54

Усовершенствование способа получения реакционных смесей, содержащих углеводородмеркаптозамещенный 1,4-хинон, р-дией галоидированного 1,4-хинона с меркаптаном ф-лы  $RSH$  ( $R$  — остаток углеводорода) состоит в том, что р-цию проводят в среде  $C_6H_6$  при  $t\text{-ре} < 25^\circ$ .

**26760 П. Способ выделения сульфокислот из реакционных смесей, получаемых при сульфохлорировании.** Хан, Богунек (Verfahren zur Gewinnung von Sulfosäuren aus Sulfochlorierungs-Reaktionsgemischen. Hahn Georg, Bohunek Johann) [VEB Faßberg-List]. Пат. ГДР 3333, 5.10.53

Из реакционных смесей, получаемых при сульфохлорировании, сульфокислоты (СК) выделяют разложением и разбавлением смесей водой или водн. р-рами  $HCl$  или  $H_2SO_4$ , взятыми в таком кол-ве, что отделяется сульфохлоридный слой и одновременно достигается миним. р-римость образовавшейся СК в разб.  $H_2SO_4$ . В частности указано: а) длительная выдержка отдельной  $H_2SO_4$  при 20—70°, после чего ее охлаждают; б) экстрагирование отдельного сульфохлоридного слоя водой и выделение СК из полученного водн. р-ра путем концентрирования р-ра или осаждения  $H_2SO_4$  или  $HCl$  при  $t\text{-ре}$  ниже  $t\text{-ры}$  разложения СК и в) применение для разложения полученных отбросных водн. р-ров  $HCl$  или  $H_2SO_4$ , содержащих СК. 92 г толуола при размешивании приливают при 4° к 350 г  $ClSO_3H$  и полученную смесь разлагают 102 г воды. После 2 час. отстаивания сернокислый слой (256 г 70%-ной  $H_2SO_4$ ) отделяют и оставляют стоять 15 час. при 30°, затем охлаждают до 0° в течение 24 час. и отфильтровывают 3 г неочищ. СК (т. е. 1,8 г чистой СК). Сульфохлоридный слой промывают 2 раза по 50 мл воды, водн. экстракт отделяют и насыщением  $HCl$ -газом выделяют 7,9 г неочищ. СК (7,34 г чистой СК + 1 моль воды).

**26761 П. Способ получения  $\beta$ -(арилсульфонил)-карбоновых кислот или их солей.** Грегори (Method for preparing beta-(arylsulfonyl) carboxylic acids and salts thereof. Gregory James T.) [The B. F. Goodrich Co.]. Пат. США 2659752, 17.11.53

Вещества общей ф-лы  $ASO_2CH_2CH_2COOH$  ( $A$  — арил или галоидзамещ. арил,  $X$  — Н или положительная солеобразующая группа, придающая продукту р-римость в воде,  $R$  — Н или низший алкил) получают р-дией соединений общей ф-лы  $ASO_2X$  с насыщ. алифатич.  $\beta$ -лактоном общей ф-лы  $R_2CCRCOO$ . Р-цию проводят

в общем для исходных в-в р-рителе при  $t\text{-ре}$  от —10 до +150°.

**26762 П. Способ получения нитроарилвинилсульфона** (Verfahren zur Darstellung eines Nitroarylvinylsulfoxons) [Farbwerke Hoechst A.-G. vormals Meister Lucius und Brünning]. Швейц. пат. 297403, 1.06.54 [Chem. Zbl., 1955, 126, № 11, 2534—2535 (нем.)]

Указанные в-ва получают нитрованием арилвинилсульфонов общей ф-лы  $\text{CHX}=\text{CXSO}_2\text{R}$  ( $\text{R}$ —арил,  $\text{X}$ — $\text{H}$  или галоид). Обработкой фенолвинилсульфона в 100%-ной  $\text{H}_2\text{SO}_4$  нитрующей смесью из 95 ч. 100%-ной  $\text{HNO}_3$  и 220 ч. конц.  $\text{H}_2\text{SO}_4$  получают растворимый в конц.  $\text{H}_2\text{SO}_4$  и нерастворимый в воде нитрофенолвинилсульфон, т. пл. 108—109°, восстанавливаемый в аминифенолвинилсульфон. Соединения являются полупродуктами для красителей полимеризатов и вспомогательных текстильных материалов.

**26763 П. Производство N-метиламинофенола.** Мейерс (Manufacture of methyl amino phenol. Meyers Gordon S.) [Dominion Rubber Co., Ltd]. Канад. пат. 498071, 1.12.53

N-Метиламинофенол получают одновременным прибавлением эквивалентных кол-в  $\text{CH}_2\text{O}$  и  $\text{H}_2$  к водн. р-ру n-аминофенола в присутствии 1—5 (лучше 1,5—2) молей щелочи (считая на n-аминофенол) и катализатора гидрирования. Выделение N-метиламинофенола производят прибавлением к реакционной массе к-ты, не имеющей окислительных свойств.

**26764 П. Получение (монокyclicеский аминарил)- (низший алкил)-карбинолов.** Ломартин (Preparation of monocyclic aminoaryl lower alkyl carbinols. Lomartine John) [Celanese Corp. of America]. Пат. США 2680136, 1.06.54

Указанные карбинолы получают р-цией 1 моля (моновцикл. нитроарил)- (низший алкил)-кетона с  $\text{H}_2$  под давлением в присутствии металла VIII группы периодической системы (катализатор гидрирования) при 20—100°; после чего удаляют катализатор из гидрированного продукта и подвергают последний дальнейшему гидрированию  $\text{H}_2$  при 50—250° и 70—700 ат в присутствии Цихромита в качестве катализатора.

**26765 П. Способ получения производного коричной кислоты** (Verfahren zur Herstellung eines neuen Zimtsäurederivates) [Cilag A.-G.]. Швейц. пат. 294942, 16.02.54 [Chem. Zbl., 1955, 126, № 7, 1564 (нем.)]. Доп. к швейц. пат. 287557

4-нитро-2-метиланилин диазотируют  $\text{NaNO}_2 + \text{HCl}$ , диазостровор вводят в р-цию с акриловой к-той в присутствии  $\text{CuCl}_2$  и безвод. N-ацетата (начальная т-ра р-ции 0°, конечная 20°). Образовавшуюся 4-нитро-2-метилкоричную к-ту (т. пл. 253°) гидрируют  $\text{H}_2$  в спирте при 20° в присутствии скелетного Ni. Получают 4-амино-2-метилкоричную к-ту с т. пл. 144° (разл.), ее хлоргидрат имеет т. пл. 230° (разл.). Полупродукт для синтеза лекарственных в-в. (см. РЖХим., 1955, 35695) Я. Ш.

**26766 П. Диарилалкилдиаминосоединения и способ их получения.** Дентон, Шедл (Diarylhydroxyalkyl-diamino compounds and preparation thereof. Denton John J., Schedl Harold P.) [American Cyanamid Co.]. Канад. пат. 505434, 31.08.54

Соединения общей ф-лы  $n\text{-RC}_6\text{H}_4\text{CH}(\text{OH})\text{CH}(\text{NR}'\text{R}'')\text{C}_6\text{H}_4\text{R}-n$  (I), где  $\text{R}$ — $\text{H}$  или галоид,  $\text{X}$ —алкилен,  $\text{NR}'\text{R}''$ —остаток третичного амина, получают р-цией 1,2-дифенил-2-аминозатанола, ф-лы  $n\text{-RC}_6\text{H}_4\text{CH}(\text{OH})\text{CH}(\text{NH}_2)\text{C}_6\text{H}_4\text{R}-n$ , с аминалалкилгалогенидом. Для получения солей этих соединений с к-тами, в-ва ф-лы I обрабатывают соответствующей к-той. Получены хлоргидраты, ацетаты и сульфаты соединений общей ф-лы I.

**26767 П. Получение амидов.** Ледру (Preparation of amides. Ledrut Jules H. T.) [Luxema, Société Anonyme]. Канад. пат. 495748, 1.09.53

Амиды общей ф-лы  $\text{C}_6\text{H}_5\text{CH}(\text{OH})\text{CH}(\text{CH}_3)\text{N}(\text{CH}_3)\text{R}$ , где  $\text{R}$ —сульфонил, получают р-цией 1-фенил-2-метиламинопропанола с ароматич. или терпеновыми сульфохлоридами в среде  $\text{C}_6\text{H}_6$ , толуола или ксилола. Полу-

ченный амид перекристаллизовывают из смеси хлф. со спиртом.

**26768 П. Способ получения n-ацилсульфамидных производных аниловой кислоты.** Дворников, Янг (Process for the preparation of p-(acylsulfamyl) derivatives of anilic acid. Dvornikoff Michael N., Young Evan J.) [Monsanto Chemical Co.]. Пат. США 2678322, 11.05.54

Для получения продукта, превращаемого в n-ацилсульфамидные производные аниловых к-т путем растворения этого продукта в водн. едкой щелочи и нейтрации р-ра, предлагается обрабатывать сульфаниламид в среде пиридина ангидридом или хлорангидридом насыщ. дикарбоновой к-ты, содержащей до 10 атомов C, а также малеиновой,  $\gamma$ -кетонимелиновой или фталевой к-т, и полученный n-сульфамид аниловой к-ты обрабатывать в реакционной смеси ангидридом или хлорангидридом насыщ. монокрбоновой к-ты с 2—5 атомами C (в том числе  $\text{CHCl}_2\text{COOH}$ ), а также  $\text{C}_6\text{H}_5\text{CH}_2\text{COOH}$  или  $\text{C}_6\text{H}_5\text{COOH}$ .

**26769 П. Тино-бис-(бензолсульфогидразид)** (Thio bis(hydrazide de benzène sulfonyle) [United States Rubber Co.]. Франц. пат. 1071081, 24.08.54 [Chimie et industrie, 1955, 73, № 1, 108 (франц.)]

Указанное в-во получают действием гидразина на n,n'-(тио-бис-(бензолсульфохлорид), который, в свою очередь, легко получают действием  $\text{HOS}_2\text{Cl}$  на дифенилсульфид. Тино-бис-(бензолсульфогидразид) может применяться в качестве порообразователя для смесей полихлорвинила и пластификатора: при нагревании смеси он умеренно быстро разлагается, выделяя  $\text{N}_2$ .

**26770 П. Способ получения имидов ариленсульфокарбонных кислот.** Хентрих, Ширм (Verfahren zur Herstellung cyclischer Arylensulfocarbonimide. Hentrich Winfried, Schirm Erik) [Dehydag Deutsche Hydrierwerke G. m. b. H.]. Пат. ФРГ 910780, 910889, 6.05.54 [Chem. Zbl., 1954, 125, № 29, 6613 (нем.)]

Сложные эфиры низших спиртов и ароматич. o-меркаптокарбонных к-т или диарилдисульфид-o,o'-дикарбонных к-т обрабатывают при охлаждении в присутствии воды и o-дихлорбензола галоидами, напр.  $\text{Cl}_2$ , затем на полученный сульфогалогенид действуют  $\text{NH}_3$ . Диметиловый эфир дифенилсульфид-o,o'-дикарбоновой к-ты превращают в сахарин. Можно исходить также из свободных к-т и продукты, полученные в результате действия галоида, обрабатывать при умеренной т-ре безвод.  $\text{NH}_3$ . Образующиеся имиды ариленсульфокарбонных к-т окисляют  $\text{H}_2\text{O}_2$  или гипогалогенитами. Из дитиосалициловой к-ты получают сахарин.

**26771 П. Получение сложных эфиров из фенола и хлорокисей кремния.** Моррил (Phenol esters of silicon oxychlorides and process. Morrill Vaughan, Jr) [American Stove Co.]. Канад. пат. 499136, 12.01.54

Смесь силикатов фенола, содержащую  $\text{Si}_2\text{O}(\text{C}_6\text{H}_5\text{O})_2$ ,  $\text{Si}_3\text{O}_2(\text{C}_6\text{H}_5\text{O})_3$ ,  $\text{Si}_4\text{O}_3(\text{C}_6\text{H}_5\text{O})_4$ ,  $\text{Si}_4\text{O}_4(\text{C}_6\text{H}_5\text{O})_5$ ,  $\text{Si}_5\text{O}_4(\text{C}_6\text{H}_5\text{O})_6$ ,  $\text{Si}_5\text{O}_5(\text{C}_6\text{H}_5\text{O})_7$  и  $\text{Si}_7\text{O}_6(\text{C}_6\text{H}_5\text{O})_8$  получают нагреванием фенола со смесью хлорокисей кремния, содержащей  $\text{Si}_2\text{OCl}_2$ ,  $\text{Si}_3\text{O}_2\text{Cl}_3$ ,  $\text{Si}_4\text{O}_3\text{Cl}_4$ ,  $\text{Si}_4\text{O}_2\text{Cl}_5$ ,  $\text{Si}_5\text{O}_4\text{Cl}_6$ ,  $\text{Si}_5\text{O}_5\text{Cl}_7$  и  $\text{Si}_7\text{O}_6\text{Cl}_8$ , до т-ры  $\sim 455^\circ$  при отгонке практически всего образующегося  $\text{HCl}$ . Отбор паров продукта начинают после того, как т-ра реакционной смеси достигнет  $\sim 205^\circ$ . Продукт характеризуется устойчивостью при т-ре от  $-18$  до  $427^\circ$  и высокой тройной кипения. Он не корродирует Fe, Cu, нержавеющую сталь и бронзу.

**26772 П. n-Уреидофениларсиновая кислота.** Уемацу, Накая (p-Ureidobenzenearsonic acid. Uematsu Kimio, Nakaya Iwataro) [Sankyl Co.].



Япон. пат. 1279, 26.03.53 [Chem. Abstrs, 1954, 48, № 21, 12802 (англ.)]

К 100 г  $n\text{-H}_2\text{NC}_6\text{H}_4\text{AsO}(\text{OH})_2$  в разб. HCl постепенно добавляют 75 г Zn, затем приливают 250 г конц. HCl. Осадок отфильтровывают, промывают водой и получают 75 г  $(n\text{-HCl}\cdot\text{H}_2\text{NC}_6\text{H}_4\text{As}=\text{I})$ . 75 г I и 125 г мочевины в 750 мл воды кипятят 7,5 час., продукт отфильтровывают, получают 60–70 г  $(n\text{-H}_2\text{NCONHC}_6\text{H}_4\text{As}=\text{II})$ , т. пл. 250° (разл.). 70 г II в 700 мл воды и 70 г  $\text{C}_6\text{H}_6$ , подкисляя NaOH, обрабатывают 75 г  $\text{H}_2\text{O}_2$ , смесь подкисляют HCl до pH 2. После перекристаллизации из  $\text{CH}_3\text{COOH}$  получают 45–50 г  $n\text{-H}_2\text{NCONHC}_6\text{H}_4\text{AsO}(\text{OH})_2$ , т. пл. 168–170° (разл.). И. Ш.

**26773 II. Способ хлорирования 1-фенил-1,3,3-триметиллиндана** (Process for chlorinating 1:3:3-trimethyl-1-phenylindane) [Standard Telephones and Cables, Ltd]. Англ. пат. 705322, 10.03.54 [J. Appl. Chem., 1954, 4, № 8, 232 (англ.)]

1-фенил-1,3,3-триметиллиндан расплавляют при ~55° и плав обрабатывают  $\text{Cl}_2$  при 50±5° и непрерывном перемешивании в присутствии катализатора, предпочтительнее промотирующего хлорирование в ядро, чем в боковую цепь (напр.,  $\text{FeCl}_3$ ), причем в течение всего периода перемешивания т-ру смеси поддерживают ~50°. Продукт содержит 1–10 атомов Cl в обоих ароматич. кольцах. Я. К.

**26774 II. Галоидпроизводные соединений нафтохинониминового ряда и способ их производства.** Карташев, Мернан (Halogenated derivatives of the napthoquinone-imine series and a process for their manufacture. Kartaschoff Valentin, Merian Ernst) [Sandoz Ltd]. Канад. пат. 501342, 6.04.54

Указанные в-ва получают гидролизом в кислой среде галоидпроизводного аминоксис-1,4-нафтохинонимина-1 (в частности, дигалоидпроизводного 5-амино-8-окси-1,4-нафтохинонимина-1 разб.  $\text{H}_2\text{SO}_4$ ). Получены 3,7-дибром-5,8-диокси-1,4-нафтохинонимин-1 и 3,6-дибром-5,8-диокси-1,4-нафтохинонимин-1. Н. П.

**26775 II. Способ получения светлоокрашенных двуядерных алкиларилсульфонатов и их полностью или частично гидрированных производных.** Май (Verfahren zur Herstellung von hellfarbigen, zweikernigen Alkylarylsulfonaten und deren ganz oder teilweise hydrierten Abkömmlingen. May Kurt) [Rudolf and Co., Chem. Fabrik G. m. b. H.]. Пат. ФРГ 911133, 10.05.54 [Chem. Zbl., 1955, 126, № 11, 2560 (нем.)]

Способ получения указанных в-в отличается тем, что низкомолекулярные алкилазамещенные нафталин-, тетрагидронафталин- или декалинсульфокислоты и (или) смеси, а также продукты конденсации, полученные по герм. пат. 722638, нейтрализуют и скисляют при низкой т-ре (~20°) в водн. р-ре. Декалин подвергают сульфированию и конденсации, действуя  $n$ -бутиловым спиртом и  $\text{ClSO}_3\text{H}$ , затем окисляют в воде Na-перкарбонатом до получения светложелтого, полностью растворимого продукта, который высаливают NaCl. Из  $\text{C}_{10}\text{H}_8$  и сернокислого эфира изопропилового спирта получают изопропилнафталинсульфокислоту, которую окисляют NaOCl в желтый зернистый сульфонат с увеличенной на 8% устойчивостью к извести. Из изопропилтетрагидронафталинсульфокислоты окислением  $\text{H}_2\text{O}_2$  получают темножелтый устойчивый к извести продукт. Получаемые сульфонаты могут применяться в качестве вспомогательных в-в в текстильных и кожевенных производствах. В. У.

**26776 II. Производные циклопентанполигидрофенантрена и способ их производства** (A new or improved cyclopentanopolyhydrophenanthrene derivative and methods for its production) [Organon Lab. Ltd]. Инд. пат. 49375, 18.12.53

Указанные в-ва получают р-цией β-фенилпропионо-

вой к-ты (или ее функциональных производных) с производными циклопентанполигидрофенантрена, имеющими свободную оксигруппу. И. Ш.

**26777 II. Способ получения дигалоидпроизводных окиси бутана.** Кшикалла (Verfahren zur Herstellung von Dihalogenbutanoxyden. Krzikalla Hans) [Badische Anilin- und Soda-Fabrik A.-G.]. Пат. ФРГ 906452, 15.03.54 [Chem. Zbl., 1954, 125, № 44, 10099 (нем.)]

Дигалоидпроизводные окиси бутана получают р-цией 1,4-дигалоидбутилена-2, или его гомологов с HOCl или HOBr (или их эфирами) и отщеплением галоидоводорода от образовавшегося тригалоидбутанола при помощи щелочи. Действием водн. р-ра  $\text{Cl}_2$  на 1,4-дихлорбутилен-2 при низкой т-ре получают 1,2,4-трихлорбутанол-3, т. кип. 103–104°/1 мм, который обработкой  $\text{Ca}(\text{OH})_2$  превращают в дихлорокись бутана, т. кип. ~50°/1,8 мм. Н. П.

**26778 II. Производные малоновой кислоты** (Malonic acid derivatives) [F. Hoffmann-La Roche and Co., A.-G.]. Австрал. пат. 161491, 10.03.55

Конденсация соединений общей ф-лы  $\text{MC}(\text{COOR}')_2\text{-CH}(\text{C}_6\text{H}_5)\text{R}$  (R — алкил с 1–3 атомами C, R' — низший алкил, M — щел. металл) с галоидангидридом ацетилсалициловой кислоты получают продукт общей ф-лы  $\text{o}-(\text{CH}_2\text{OCO})\text{C}_6\text{H}_4\text{COC}(\text{COOR}')_2\text{CH}(\text{C}_6\text{H}_5)\text{R}$ ; нагреванием последнего с циклизующими и гидролизующими средствами получают соединения общей ф-лы (I). Н. У.

**2779 II. Способ производства замещенных оснований хромонов** (Procédé pour fabriquer des chromones basiquement substitués [Dr. A. Wander A.-G.]. Франц. пат. 1072338, 10.09.54 [Chimie et industrie, 1955, 73, № 5, 956 (франц.)])

o-Оксиацетилфенолы конденсируют со сложными эфирами, обладающими основными свойствами, и полученные diketоны обрабатывают кислотой. Я. К.

**26780 II. Способ производства теноилтрифторацетона.** Дейвис (Process for the production of fluorinated diketones. Davis Milton W., Jr.) [United States of America as represented by the United States Atomic Energy Commission]. Пат. США 2670353, 23.02.54

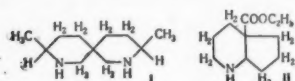
Теноилтрифторацетон (I) получают р-цией  $\text{CH}_3\text{OME}$  (Me — щел. металл) с этиловым эфиром трифторуксусной к-ты в присутствии жидкого насыщ. углеводорода в качестве реакционной среды и добавлением ацетонена на реакционной смеси, причем образующаяся соль I со щел. металлом выпадает в осадок. Л. Г.

**26781 II. 2-Тиенилазамещенные силаны** (2-Thienyl-substituted silanes) [British Thompson-Houston Co., Ltd]. Англ. пат. 695461, 12.08.53 [Abridg. Specific. Invent., group IVb, 370 (англ.)]

Тиенилсиланы общей ф-лы  $(\alpha\text{-C}_4\text{H}_5\text{S})_m\text{Si}(\text{R}')_n(\text{R})_{4-m-n}$  (I), где R — 1-валентный остаток углеводорода; R' — галоид или насыщ. алкоксил; m и n = 1 или 2, а m + n ≤ 3, получают р-цией реагента Гриньяра, содержащего 2-тиенил, с соединением общей ф-лы  $(\text{R})_q\text{Si}(\text{X})_{1-q}$ , где X — Cl, Br, F, этокси-, пропокси-, буюкси- или гексоксигруппа; q = 1 или 2, или с соединением общей ф-лы  $(\text{R})_r\text{Si}(\text{OR}')_{4-r}$ , где R' — насыщ. алкил; r = 1 или 2, или р-цией I, у которого R' — галоид, с насыщ. алифатич. одноатомным спиртом. По описанному способу получены следующие силаны ф-лы I: метил-(2-тиенил)-дихлор-, метил-ди-(2-тиенил)-хлор-, диметил-(2-тиенил)-хлор-, фенил-(2-тиенил)-дихлор-, метил-(2-тиенил)-диэтокси-, фенил-(2-тиенил)-диэтокси-, метил-ди-(2-тиенил)-этокси- и диметил-(2-тиенил)-этоксисилан. Упомянуты следующие силаны: 2-тиенилдихлор-, этил-(2-тиенил)-дибром-, дипропил-(2-тиенил)-хлор-, диамил-



перидин-3-карбоновой к-ты, т. кип. 150—152°/10,5 мм; этиловый эфир 2-метил-5-фенилпиперидин-5-карбоновой к-ты, т. кип. 145°/2,5 мм; пикрат, т. пл. 141—142 (после спекания); соединение ф-лы (I), т. кип.



95—99°/3 мм; дигипикрат, т. пл. 229—230° (после спекания, с разложением); этиловый эфир 2,6-диметилпиперидин-5-карбоновой к-ты, т. кип. 92—97°/2,5 мм; 2-этил-3-(п-метоксифенил)-пиперидин, т. кип. 140—142°/2 мм; 2-метил-3-этил-3-фенилпиперидин, т. кип. 145—148°/10 мм; 2-пропил-3-(п-метоксифенил)-пиперидин, т. кип. 152—156°/3,5 мм; этиловый эфир 2-метил-4-фенилпиперидин-5-карбоновой к-ты, т. кип. 121—123°/0,3 мм; этиловый эфир декагидрохинолин-9-карбоновой к-ты, т. кип. 120—122°/4,5 мм; соединение ф-лы (II), т. кип. 102—105°/2,5 мм.

**26789 П.** Способ получения бензгидриловых эфиров тропина. Вейлард (Benzhydryl ethers of tropine and processes of preparation. Weijlard John) [Merck and Co., Inc.]. Пат. США 2706198, 12.04.55. Бензгидриловый эфир тропина общей ф-лы  $RCH(C_6H_5)_2$  (I), где R — остаток тропина; R' — одинаковые или различные заместители: H, галоид, низший алкил или низший алкоксил, получают р-цией дифенилгалоидметана общей ф-лы I (R — галоид) с тропином в присутствии низших алифатич. карбоновых к-т. В. У.

**26790 П.** Способ получения аминопроизводных диоксациклопентана и их четвертичных солей. Фурно (Process for the preparation of amino-derivatives of dioxo-cyclopentane and quaternary salts derived therefrom. Fournau Ernest) [Soc. des Usines Chimiques Rhone-Poulenc]. Канад. пат. 504026, 29.06.54.

Четвертичные соли аминопроизводных диоксациклопентана, напр. соли 4-диметиламинометил-1,3-диоксациклопентана и 4-диметиламинометил-2-метил-1,3-диоксациклопентана получают р-цией галоидалкилов, алкилсульфонатов или других алкильных эфиров с в-вами общей ф-лы  $R_2NCH_2CHOC(R')(R'')OCH_2$ , где R — низший алкил, R' — H или низший алкил, R'' — H, алкил или арил.

**26791 П.** Получение N-замещенных пиперазинов. Говард (Preparation of N-substituted piperazines. Howard Kenneth L.) [American Cyanamid Co.]. Канад. пат. 499475, 26.01.54.

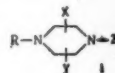
Моноалкилпиперазины, общей ф-лы  $HNCH_2RCH_2NR'CH_2CH_2NR''$ , где R — H или низший алкил, R' — алкил, получают нагреванием в-ва общей ф-лы  $HN[CH_2CH(R)CH_2]_2$ , напр. диэтанолamina, с первичным алкиламином (напр., метиламином) при 200—400° в присутствии катализатора дегидрирования (сплав Ni — Al, скелетный Ni, металлы или их оксиды). Л. Г.

**26792 П.** N-Замещенные пиперазины (N-Substituted piperazine compounds) [Abbott Lab.]. Австрал. пат. 155935, 15.04.54.

Вещества общей ф-лы  $R'R''R'''CNH_2CH_2NHCH_2C_6H_5$ , где R' — H или алкил, содержащий ≤ 4 атомов C, R'' — арил или замещ. арил, R''' — арил, замещ. арил или гетероцикл. радикал, получают р-цией N-карбалкоксипиперазина с в-вом общей ф-лы  $R'R''R'''CX$ , где X — галоид, и последующим гидролизом и декарбоксилированием образующегося N-замещ. N-карбалкоксипиперазина. Указанным методом получают N-бензгидрилпиперазин, N-хлорбензгидрилпиперазин и их соли с к-тами. И. Ш

**26793 П.** Способ получения N,N'-диэтанолпиперазина. Гюндель (Verfahren zur Herstellung von N,N'-Diäthanolpiperazin. Gündel Wolfgang) [Henkel und Cie G. m. b. H.]. Пат. ФРГ 917784, 13.09.54 [Chem. Zbl., 1955, 126, № 12, 2780 (нем.)]. Диэтанолamin нагревают в присутствии алифатич. моно- или дикарбоновых к-т, имеющих 1—3 атома C в алкиле, который может содержать также этерифицированные оксигруппы, причем органич. радикал при эфирном атоме O может быть алифатич. или ароматич. и содержать ≤ 9 атомов C. Напр., диэтанолamin нагревают с лед.  $CH_3COOH$ , янтарной, молочной, гликолевой или бутоксиуксусной к-той до ~ 200° в токе  $N_2$ . Я. К.

**26794 П.** Эфиры пиперазинкарбоновых кислот и способ их получения. Тернер (Piperazine carboxylic acid esters and methods of preparing the same. Turner Richard J.) [American Cyanamid Co.]. Канад. пат. 499477, 26.01.54. Вещества общей ф-лы (I), где R — H, алкил, арил или арил, X и Y — H или низший алкил, Z —  $COO-CH_2CH_2N(R')_2$ -группа (R — низший алкил), получают нагреванием в-ва ф-лы I, где Z —  $COOR''$ -группа (R'' — алкил или арил) с избытком диалкиламиноэтанола в присутствии алкоголя щел. металла. Продукт выделяют в виде основания или в виде соли (после обработки реакционной массы к-той). Л. Г.



**26795 П.** Способ получения сульфанилпиперазинов. Кушнер, Смит (Sulfanil piperazines and method of preparing same. Kushner Sauei, Smith Victor K., Jr) [American Cyanamid Co.]. Канад. пат. 506068, 28.09.54.

Сульфанилпиперазины общей ф-лы (I) (R — H или низший алкил; R' — низший алкил; R'' — O или S), а также их соли с  $n-H_2NC_6H_4SO_2-N$  (R' — алкил; R'' — O или S), а также их соли с к-тами, получают смешением соединений общей ф-лы  $n-R''NHC_6H_4SO_3X$  (R'' — алкил; X — галоид) с соединениями общей ф-лы  $CH_2CH_2NHCH_2CH_2NC(=R')NRR'$  при 0—30° в присутствии р-рителя и последующим гидролизом полученного продукта. В. У.

**26796 П.** Производные 5-бензилпиримидина. Хитчингс, Фалко (5-Benzylpyrimidine derivatives. Hitchings George H., Falco Elvira A.) [The Wellcome Foundation Ltd.]. Канад. пат. 498505, 15.12.53.

5-бензил-2,4-диаминопиримидин получают конденсацией α-формилгидрокориичного эфира с гуанидином с последующим хлорированием и аминированием (в частности, нагреванием продукта хлорирования со спиртом  $NH_3$ ). Л. Г.

**26797 П.** Способ получения пиридазонов (Process for the manufacture of new pyridazones) [Ciba Ltd.]. Инд. пат. 47575, 10.12.53.

В соединениях ряда 2-арилпиразолидона-3, содержащих при C(5)-атоме заместитель, способный к превращению в аминогруппу, указанный заместитель превращают в  $NH_2$ -группу. М. М.

**26798 П.** Получение тиаоммелина. Кайзер, Ромер (Preparation of thioammine. Kaiser Donald W., Roemer John J.) [American Cyanamid Co.]. Пат. США 2688017, 31.08.54.

Тиаоммелин получают р-цией дициангуанидина, существующего в виде двух таутомерных форм,  $NCNH-C(=NH)NHCN$  и  $NCN=C(NH_2)NHCN$ , с диалкилдитиофосфорной к-той в инертном р-рителе при  $t-p < 20^\circ$ . Н. П.



26799 П. Ксантин или его производные. Цуда, Такеда (Xanthine or its derivatives. Tsuda Tetsu, Takeda Chojiro). Япон. пат. 4625, 16.09.53 [Chem. Abstrs, 1955, 49, № 10, 6995 (англ.)]

4-Имино-2, 6-диоксо-5-оксиминогексагидропиримидин (1 моль) и 60—80 молей  $\text{HCONH}_2$  нагревают в течение 30 мин. при  $170^\circ$ , выход ксантина 55%. Б. Ц.

26800 П. Алкиламины, имеющие алкоксильную группу и обладающие основными свойствами. Сондерн, Брейвогел (Alkoxy basic alkyl amines. Sonderen Clarence W., Breiwoegel Philip J.). [White Lab., Inc.]. Канад. пат. 502149, 4.05.54

2-[N-(β-Диметиламиноэтил)-N-(4-метоксibenзил)-амино]-тиазол получают р-цией N-(3-диметиламиноэтил)-4-метоксibenзиламина с 2-галондтиазолом. И. Ш.

26801 П. Эфиры α-[2-(4-карбокситиазолидинил)-фенацетуровой кислоты и способ их получения. Куснер (Esters of α-[2-(4-carboxy) thiazolidinyl] phenaceturic acid and preparation of same. Kushner Samuel). [American Cyanamid Co.]. Канад. пат. 496771, 13.10.53

Алкильные эфиры указанной к-ты получают р-цией алкильного эфира α-формилфенацетуровой к-ты с цистеином (I) или с солью I и слабым р-ром соли щел. металла, кол-во которого должно быть достаточным для выделения свободного I. В частности, по этому способу получают этиловый эфир α-[2-(4-карбокситиазолидинил)-фенацетуровой к-ты. К. М.

26802 П. 2-Диметиламино-6-(2-диэтиламиноэтокси)-бензтиазол. Уцуми (2-Dimethylamino-6-(2-diethylaminoethoxy) benzothiazole. Utsunomiya). Япон. пат. 4777, 24.09.53 [Chem. Abstrs, 1955, 49, № 10, 7004 (англ.)]

90,5 г  $n\text{-O}_2\text{NC}_6\text{H}_4\text{OCH}_2\text{CH}_2\text{Cl}$  и 70 г диэтиламина в 100 мл спирта нагревают в автоклаве 5 час. при  $100^\circ$ , отгоняют спирт и остаток обрабатывают 20%-ным  $\text{NaOH}$  и извлекают р-рителем, перегонкой экстракта получают  $n\text{-O}_2\text{NC}_6\text{H}_4\text{OCH}_2\text{CH}_2\text{N}(\text{C}_2\text{H}_5)_2$  (I), выход 91,2%, т. кип.  $164^\circ/2$  мм. 95 г I приливают по каплям к 133 г Fe-порошка в 133 г воды и 47 мл конц.  $\text{HCl}$  при  $50^\circ$ , смесь размешивают 3 часа и фильтруют, фильтрат подщелачивают и экстрагируют  $\text{C}_6\text{H}_6$ ; выделяют 72 г  $n\text{-H}_2\text{NC}_6\text{H}_4\text{OCH}_2\text{CH}_2\text{N}(\text{C}_2\text{H}_5)_2$  (II), выход 82,8%, т. кип.  $151^\circ/1$  мм. 60 г II постепенно приливают к 27 г  $\text{CS}_2$  и 45 мл  $\text{NH}_4\text{OH}$  ( $d=0,9$ ) при  $5^\circ$ , продукт выливают в 600 мл воды, прибавляют р-р 100 г  $\text{Pb}(\text{NO}_3)_2$  в 200 мл воды, кипятят, охлаждают, продукт извлекают р-рителем и перегонкой выделяют  $n\text{-}[(\text{C}_2\text{H}_5)_2\text{NCH}_2\text{CH}_2\text{O}]\text{-C}_6\text{H}_4\text{NCS}$  (III), выход 55,5%, т. кип.  $175^\circ/2$  мм. 40 г III постепенно приливают к 16 г диэтиламина в  $\text{CH}_3\text{OH}$  при  $10^\circ$ , размешивают 30 мин. при  $10^\circ$  и 30 мин. при  $40\text{--}50^\circ$ , удаляют  $\text{CH}_3\text{OH}$ , остаток выливают в воду, подщелачивают и перегонкой выделяют  $n\text{-}[(\text{C}_2\text{H}_5)_2\text{NCH}_2\text{CH}_2\text{O}]\text{-C}_6\text{H}_4\text{NHCSN}(\text{CH}_3)_2$  (IV), выход 78,5%, т. кип.  $163\text{--}165^\circ/1$  мм. 29,5 г IV в 120 мл  $\text{CHCl}_3$  при  $0^\circ$  обрабатывают приливанием 24 г  $\text{Br}_2$  в 25 мл  $\text{CHCl}_3$ , нагревают 1 час при  $50^\circ$ , обрабатывают продукт  $\text{H}_2\text{SO}_4$ , выливают в воду, подщелачивают и перегонкой выделяют 2-диметиламино-6-(2-диэтиламиноэтокси)-бензтиазол, выход 73,1%, т. кип.  $190\text{--}200^\circ/1$  мм. В. У.

26803 П. 2-Алкил-5,5-диметил-Δ<sup>2</sup>-4-тиазолинкарбоновые кислоты и способ их получения. Шихан, Моаниго, Фолкерс, Тишлер (2-Alkyl-5,5-dimethyl-Δ<sup>2</sup>-4-thiazoline-carboxylic acids and process for preparing the same. Sheehan John C., Mazingo Ralph, Folkers Karl, Tishler Max). [Merck and Co., Inc.]. Канад. пат. 502099, 4.05.54

Для получения указанных к-т 2-алкил-4-изопропил-ден-5(4)-оксазолон (алкил — низший, в частности —  $\text{CH}_3$ ) обрабатывают р-ром  $\text{Na}$  в абс.  $\text{CH}_3\text{OH}$ , насыщенном  $\text{H}_2\text{S}$ , смесь нейтрализуют безводн. минер. к-той (напр.,  $\text{HCl}$ -газом), р-ритель удаляют под уменьшенным давлением, остаток растворяют в сухом эфире, фильтруют и из фильтрата кристаллизуют соответствующую к-ту, в частности 2,5,5-триметил-Δ<sup>2</sup>-4-тиазолинкарбоновую. Н. С.

26804 П. Производные бензтиазола. Стейгер, Келлер (Benzothiazole derivatives. Steiger Norbert, Keller Oscar). [Hoffmann-La Roche Inc.]. Пат. США 2676970, 27.04.54

Р-цией  $\text{Na}$ -соли-6-этоксibenзтиазол-2-сульфокислоты с пирролидином получают 2-(1-пирролидил)-6-этоксibenзтиазол, который гидролизуют до 2-(1-пирролидил)-6-оксibenзтиазола. Р-цией последнего в-ва (в виде соли со щел. металлом) с 1-диэтиламино-2-хлорэтаном получают 2-(1-пирролидил)-6-(β-диэтиламиноэтокси)-бензтиазол. Л. Г.

См. также: 24683, 24707, 25201, 25206—25208, 25212, 25215, 25542, 27747

## ПРОМЫШЛЕННЫЙ СИНТЕЗ КРАСИТЕЛЕЙ

26805. Обзор развития производства различных красителей в Японии за последние 40 лет. Ямагучи (染料工業 山口四郎), 化学と工業, Kagaku to kōgō, Chem. and Chem. Ind., 1953, 6, № 10, 513—516 (япон.)

26806. Металлизируемые и металлосодержащие красители для современной техники крашения. И. Фишер-Бобани (Metallisierbare und metallisierte Farbstoffe bereichern fortlaufend die moderne Färbereitechnik. Fischer-Bobsien C.-H.), Z. ges. Textilind., 1954, 56, № 23, 1442, 1445 (нем.)

Краткий историч. обзор развития химии обрабатываемых соединениями металлов и металлосодержащих красителей (естественных и синтетич.). И. Х.

26807. Нейтральные металлосодержащие красители. Уэйдман (Neutral premetalized dyestuffs. Weidmann Charles), Amer. Dyestuff Reporter, 1954, 43, № 6, P167—P171 (англ.)

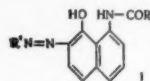
Описаны металлосодержащие красители, окрашивающие шерсть из нейтр. ванны — цибаланы. Они представляют собой комплексы, содержащие 1 атом  $\text{Cr}$  на 2 молекулы красителя, не содержат сульфогрупп, растворимость в воде им придают другие заместители. Цибаланы обладают прекрасными прочностями, за исключением прочности к поттингованию и к мокрой декатировке. Приводится ряд указаний по применению этих красителей, а также рецептура крашения. Цибаланы применяют для крашения и печати шерсти, найлона и натурального шелка, а также в комбинации с прямыми светопрочными красителями для крашения полушерстяных тканей и смесей найлона с хлопком и вискозой. Н. В.

26808 Д. К химии полиметинных красителей. Цохер (Beitrag zur Chemie der Polymethinfarbstoffe. Zocher A. Diss. Technische Hochschule, München, 1954), Z. Vereines dtsh. Ingr., 1954, 96, № 21, 732 (нем.)

26809 П. Моноазокрасители и их получение (Colorants monoazoiques et leur préparation) [Sandoz Soc. Anl. Франц. пат. 1076179, 25.10.54 [Teintex, 1955, 20, № 5, 393 (франц.)]

Металлосодержащие азокрасители получают обработкой металлотдающими в-вами моноазокрасителей об-

щей ф-лы (I) (R — алкил, R' — фенил или нафтил, содержащий оксигруппу в орто-положении к азогруппе и который может содержать другие заместители). Полученные красители окрашивают шерсть, шелк, анимализированный искусств. шелк, казенные волокна, полиамидные и полиуретановые изделия в синие, зеленые, коричневые и серые тона, прочные к свету и



мокрым обработкам.

Ю. В. 26810 П. Способ получения моноазокрасителей.

Редделин (Verfahren zur Herstellung von Monoazofarbstoffen. Reddellien Gustav) [VEB Farbenfabrik Wolfen]. Пат. ГДР 761377, 15.03.54

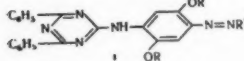
Моноазокрасители для окраски хромовой кожи в прочный коричневый цвет получают сочетанием диазотированного амина общей ф-лы (I) (R — отрицательный заместитель, напр., NO<sub>2</sub>, SO<sub>3</sub>H или Cl; R' — положительный заместитель, который может сообщать водорастворимость) с дифениламино, содержащим, кроме заместителей, в положениях 2 и (или) 2' сообщающих растворимость, еще другие заместители, напр. CH<sub>3</sub>, NO<sub>2</sub> или NHC(=O)CH<sub>3</sub>-группу. 186,5 ч. 2-метил-4-нитро-6-хлоранилина (II) диазотируют нитрозилсерной к-той. Водн. р-р



диазосоединения сочетают с р-ром 343 ч. Na-соли 3-амино-2-метил-4'-нитродифениламин-2'-сульфокислоты. По окончании р-ции краситель отфильтровывают, растворяют с прибавлением щелочи и высаливают. Аналогично получают красители из 186,5 ч. II и 328 ч. Na-соли 4-ацетиламинодифениламин-2-сульфокислоты (III) или из 333 ч. Na-соли 2-амино-3-бром-5-нитробензилсульфокислоты и 328 ч. III. В последнем из приведенных примеров после окончания сочетания р-р нейтрализуют NaOH, упаривают (вакуум, 40–50°). В. И. 26811 П. Способ получения нерастворимого в воде моноазокрасителя. Фишер (水に不溶性なるモノアゾ染料の製法. フイツシャー, [D. E., Naphtal, Chemie offenbach], Япон. пат. 82, 9.01.53)

Моноазокраситель, не растворимый в воде, получают диазотированием 4'-дифениламида 2-R-анилин-5-карбоновой к-ты общей ф-лы H<sub>2</sub>N — C<sub>6</sub>H<sub>3</sub>R — CONH — C<sub>6</sub>H<sub>4</sub> — C<sub>6</sub>H<sub>5</sub> (R — алкил, алкоксил или галоид) и сочетанием полученного диазосоединения с ариламидами 2-оксикарбазол-3-карбоновой, 3-оксидифениленоксид-2-карбоновой или 3-оксидифениленсульфид-2-карбоновой к-т. Ни диазо-, ни азосоставляющая не должны содержать SO<sub>3</sub>H- или COOH-групп, способствующих растворимости в воде.

В. У. 26812 П. Азокрасители из азоаминов (прочных оснований) триазинового ряда. Броди (Azoic coloring matters of fast bases of the triazine series. B. O. dy Frederick) [American Cyanamid Co.]. Пат. США 2690437, 28.09.54



26813 П. Азокрасители, содержащие кобальт, их получение и применение (Nouveaux colorants azoïques contenant du cobalt, leur préparation et leur emploi) [Ciba A.-G.]. Франц. пат. 1059385, 24.03.54 [Teintex, 1954, 19, № 12, 945 (франц.)]

Содержащие Co азокрасители (I) получают действием Co-отдающих соединений на азокрасители (II), не содержащие сульфо- и карбоксильных групп, общей ф-лы 1-(R — азо)-8-(R' — amino)-2-нафтол. (R — фенил, не содержащий сульфамидных групп и содержащий оксигруппу в орто-положении к азогруппе; R' —

C<sub>2</sub>-6-ацил, не содержащий других атомов, кроме C, H и O.) Р-цию проводят так, чтобы полученный I содержал менее 1 атома Co на молекулу II. I более растворимы в воде, чем соответствующие II и дают на шелке, коже, шерсти, полиамидных и полиуретановых волокнах равномерные окраски серого цвета, [прочные к мокрым обработкам, карбонизации и декатировке.

О. С. 26814 П. Моноазокрасители, их металоидосодержащие производные, получение и применение их (Nouveaux colorants monoazoïques et leurs composés métallifères, leur préparation et leur emploi) [Ciba A.-G.]. Франц. пат. 1078243, 16.11.54 [Teintex, 1955, 20, № 6, 491 (франц.)]

Моноазокрасители общей ф-лы (I) (R — арил, предпочтительно C<sub>6</sub>H<sub>5</sub>; R' — заместитель, не сообщающий растворимости, предпочтительно H) после обработки как таковых или на волокне Cг- или Co-отдающими в-вами, окрашивают самые разнообразные материалы, в частности, животные или синтетич. волокна, в зеленые тона, прочные к свету, сильно поглощающие ИК-лучи и не изменяющиеся при искусств. освещении.

Ю. В. 26815 П. Красители (Dyestuffs) [Ciba A.-G.]. Австрал. пат. 159469, 11.11.54

Предложены комплексные соединения моноазокрасителей, содержащих менее 1 атома Co или Cг на 1 моль красителя общей ф-лы R'' — N = N — R — SO<sub>2</sub>N — (R')R'' (R — арил бензольного ряда, содержащий оксигруппу в орто-положении к азогруппе; R' — H или алкил; R'' — H, алкил или циклоалкил, или R' и R'' вместе с N образуют гетероцикл; R'' — остаток 2-нафтола, присоединенный к азогруппе в положении 1. Если R' и R'' — H, то R и R'' содержат не менее одного заместителя, за исключением сульфо-, карбоксильной или ациламидной группы). Патентуется также способ получения этих комплексов и их применение в крашении и набивке.

Ю. В. 26816 П. Диазоаминопроизводные, способ их получения и применения. Птикола, Ришар, Ро (Nouveaux dérivés diazoaminés, procédé pour les fabriquer et leurs applications. Petitcolas Pierre, Richard André, Roe René) [Cie Française des Matières Colorantes]. Франц. пат. 1060993, 7.04.54 [Teintex, 1954, 19, № 12, 948 (франц.)]

Диазоаминопроизводные общей ф-лы: {o-(COOM) C<sub>6</sub>H<sub>4</sub> — N(R') — N = N — }<sub>n</sub> — R (R — остаток ароматич. амина или амина, ведущего себя при диазотировании как ароматич. амин, R' — алкил или циклоалкил, который может содержать заместители, не способствующие растворению в воде; n = 1 или 2; M — одновалентный металл или его эквивалент; бензольное ядро C<sub>6</sub>H<sub>4</sub> может содержать также атомы галоида, алкил или алкоксил) могут быть применены для получения нерастворимых красителей на волокне. Кроме того, некоторые из этих производных, особенно полученные из ароматич. моно- или диаминов с ясно выраженным основным характером, напр. хлоранилинов, толудинов, крезидинов, анизидинов, могущих содержать атомы галоида, моноацилированных n-диаминов, могущих содержать галоиды, алкил- или алкоксил, бензидаина и o-дианизидина, обладают важным преимуществом очень быстро расщепляться при запаривании в нейтр. среде. Эти соединения могут применяться для печатания и крашения хлопка в прочные красные, бордо и фиолетовые цвета.

О. С. 26817 П. Способ получения амидопроизводных азосоединений, их применение и материалы, окрашен-

**ные ими** (Procédé pour la préparation des dérivés amidés de composés azoïques, nouveaux dérivés amidés ainsi obtenus, leurs utilisations et matières teintes avec les dits dérivés) [Ciba Soc. An.]. Франц. пат. 1054935, 15.02.54 [Teintex, 1954, 19, № 9, 705 (франц.)]

Амидопроизводные азосоединений получают при нагревании в безводн. среде (лучше в инертном р-теле, напр. монохлорбензоле), неспособных переходить в куб аминов, содержащих одну или две аминогруппы с галоидангидридами карбоновых к-т (предпочтительно хлорангидридами моно- или дикарбоновых к-т), содержащими не менее одной азогруппы, отделенной от карбоксильной группы более чем одним атомом С, и одной оксигруппы в орто-положении к азогруппе. Компоненты, помимо указанных выше групп, не должны содержать способствующих растворению в воде групп и применяются в молекулярных соотношениях 2 : 1. Полученные соединения представляют собой пигменты, окрашивающие в массе синтетич. смолы, напр., мочевиноформальдегидные, меламиноформальдегидные, поливинилацетатные и поливинилхлоридные или водн. эмульсии этих смол, применяемые в качестве связующих в печатных красках в цвета оранжевый, красный, бордо, фиолетовый, зеленый, черный и коричневый.

**26818 П. Антидiazотаты ароматических аминов, содержащих основные заместители в ядре и способ их получения** (Antidiazotates d'amines aromatiques comportant des substituants juxta-nucléaires basiques et procédé de préparation de ces composés) [Naphthol-Chemie Offenbach]. Франц. пат. 1045437, 26.11.53 [Teintex, 1954, 19, № 6, 462 (франц.)]

Для получения антидiazотатов, содержащих основные заместители в ядре, общей ф-лы (I)  $R^1$  — алкил, алкоксил или галоид;  $R^2$  — Н или алкил;  $R^3$  и  $R^4$  — Н; М — щел. металл или где  $R$ ,  $R^3$  и М имеют вышеуказанное значение,  $R^4$  = R;  $R^1$  и  $R^2$  есть Н) diaзотируют соответствующие ароматич. амины ( $R^2$  — ацил) и полученные diaзосоединения обрабатывают сначала холодным р-ром NaOH, а затем расплавленным NaOH при 130—150°. I пригодны для получения рапид-прочных красителей.

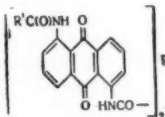
**26819 П. Азопигмент. Ханк** (Azo pigment. Hank Albert R.) [E. I. du Pont de Nemours and Co.]. Пат. США 2687410, 24.08.54

Азопигмент яркого желтовато-коричневого цвета получают сочетанием diaзотированного 4-хлор-2-нитроанилина с о-анилидом 3-окси-2-нафтольной к-ты и последующим превращением образовавшихся кристаллов α-формы обработкой органич. р-рителем и измельчением в β-форму. Приведены рентгенограммы α- и β-форм кристаллов. Линия максим. интенсивности отвечает межплоскостному расстоянию 3,28 Å, а следующие линии интенсивности — 6,14, 6,96 и 8,5 Å.

В. И.

**26820 П. Азоантрахиноновые кубовые красители.**

**Мёргели** (Azo anthraquinone vat dyestuffs. Moergeli Eduard) [Ciba A.-G.]. Пат. США 2705709, 5.04.55



Кубовые красители общей ф-лы (I) (R — остаток азобензола или азифенила; R' — о-фторфенил, 2-фтор-4-или 5-хлорфенил).

Ю. В.

**26821 П. Азотриазинные красители. Лонг, Броди** (Azo triazine coloring matters. Long Robert S., Brody Frederick) [American Cyanamid Co.]. Пат. США 2679499, 25.05.54 2,4,6-замещенный 1,3,5-триазин, в котором по

меньшей мере один атом С триазинового кольца связан с азогруппой арилазорадикала.

Ю. В.

**26822 П. Способ получения кубовых антрахиноновых красителей** (Production of vat dyestuffs of the anthraquinone series) [Badische Anilin- und Soda-Fabrik]. Англ. пат. 709596, 26.05.54 [J. Appl. Chem., 1954, 4, № 10, ii496 (англ.)]

Кубовые антрахиноновые красители получают нагреванием хлорангидридов 1-нитро- или 1-аминоантрахинон-3-карбоновых к-т (которые могут также содержать галоид в положении 4 и Н-атом аминогруппы которых может быть заменен на алкил, аларкил, арил, ацил или арилсульфонил) в р-рителе с различными аминоантрахинонами, замещением нитро- или арилсульфамидных групп, присутствующих в полученном продукте, на amino-, алкиламино-, аларкиламино- или ариламиногруппы и, если надо, ацилировании свободных аминогрупп галоидангидридом арилкарбоновой к-ты. Если применяемые для р-ции, способные переходить в куб аминоантрахиноны содержат в орто-положении к аминогруппе другую аминогруппу, оксигруппу, SH или галоид, то полученные соединения превращают нагреванием в конц.  $H_2SO_4$  в соответствующие глиоксалины, оксазолы или триазолы. 1-амино-4-бензамидоантрахинон и хлорангидрид 1-нитроантрахинон-3-карбоновой к-ты (т. пл. 179—180°) при кипячении в  $o-C_6H_4Cl_2$  дают 1-(1'-нитроантрахинон-3'-карбонил)-амино-4-бензамидоантрахинон, превращающийся при восстановлении  $Na_2S_2O_4$  в 1'-аминопроизводное, которое затем бензоилируют. Аналогично получают следующие красители: 1-(1'-бензамидоантрахинон-3'-карбонамидо)-4-бензамидоантрахинон, изофталил-бис-[1-(1'-аминоантрахинон-3'-карбонил)-аминоантрахинон], 2'-(1-аминоантрахинон-3-ил)-оксазол-4(4',5'-2,3) антрахинон и его м-хлорбензойное производное, 1,4-бис-(1-аминоантрахинон-3-карбонамидо) антрахинон и его ди-м-хлорбензойное производное, 2'-(1-аминоантрахинон-3-ил)-оксазол-4(4',5'-2,3) антрахинон и его 1-нитроантрахинон-2-карбонильное производное, 2'-(1-аминоантрахинон-3-ил)-глиоксалино-4(4',5'-1,2) антрахинон и его 1-нитроантрахинон-2-карбонильное производное, 2'-(1-аминоантрахинон-3-ил)-тиазоло-4(4',5'-1,2) антрахинон и его 2,5-дихлорбензойное производное.

В. У.

**26823 П. Антрахиноновые красители, содержащие 2,4-ди-(β-оксиэтилатио)-группы. Салвин, Ландау** (Anthraquinone dyestuffs containing 2,4-di-β-hydroxyethyl-thio groups. Salvin Victor S., Landau Edward F.) [Celanese Corp. of America]. Канад. пат. 504960, 10.08.54

Патентуются антрахиноновые красители (I), содержащие в положениях 2 и 4 антрахинонового ядра β-оксиэтилатиогруппы и в положении 1 — NHR-группу (R — Н или ацил алифатич. карбоновой к-ты). В частности, приведен I, где R — ацетил, и описано получение I (R — Н) р-цией 1-амино-4-бромантрахинон-2-сульфонилсоды с 2-меркаптоэтиловым спиртом при кипячении 3—8 час. в присутствии разб. водн. NaOH.

В. У.

**26824 П. Способ получения 2-(1',4'-диамино-2'-антрахинонил)-1,3,4-оксадиазолов. Швейхтен** (Verfahren zur Herstellung von 2-(1',4'-diamino-2'-anthrachinonyl)-1, 3, 4-oxadiazolen. Schweichert Heinz-Werner) [Farbenfabriken Bayer A.-G.]. Пат. ФРГ 914493, 17.05.54 [Chem. Zbl., 1954, 125, № 37, 8450 (нем.)]

Нитруют 2-(1'-амино-2-антрахинонил)-1,3,4-оксадиазол  $HN_2(45^\circ \text{ В})$  и восстанавливают нитропродукт обычным способом. Краситель строения  $O=C(A)=N=N=CA$ ,

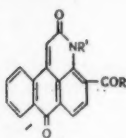
где А — остаток 1-аминоантрахинона, присоединенный положением 2 (пример 4, пат. ФРГ 825114) пре-



вращают таким образом в синее диаминосоединение, где А — 1,4-диаминоантрахинон, присоединенный положением 2, которое при ацилировании (напр., хлористым бензоилом) дает прочный к хлору синий кубовый краситель.

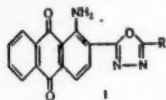
В. У.  
26825 П. Кубовые красители, полупродукты для них и способ получения. К и н ц л е (Nouveaux colorants de cuve, produits intermédiaires pour leur préparation et leurs procédés de fabrication. K i e n z l e P a u l) [Cie Française de Matières Colorantes]. Франц. пат. 1055425, 18.02.54 [Teintex, 1954, 19, № 9, 707 (франц.)]

Кубовые красители общей ф-лы (I) [R есть NHR' (R' — радикал, способствующий переходу в куб), R' — алкил или H] получают конденсацией антрапирондикарбоновых к-т общей ф-лы I (R — OH; R' — H или алкил) с аминопроизводными, R'NH<sub>2</sub>, способствующими переходу в куб. Красители дают на целлюлозном волокне и регенерированной целлюлозе очень прочные окрашенные желтого, коричневатокрасного, синевато-зеленого, оливкового и желтовато-коричневого цветов. О. С.



26826 П. Способ получения диаминоантрахинонилоксиадиазолов (Procédé de production de diaminoanthraquinonyloxidiazols) [Farbenfabriken Bayer A.-G.]. Франц. пат. 1076675, 28.10.54 [Teintex, 1955, 20, № 6, 487 (франц.)]

2-(1',4'-диамино-2'-антрахинонил)-1, 3, 4-оксадиазолы получают нитрованием в-в общей ф-лы (I) (R — какой-либо остаток, предпочтительно способный переходить в куб) конц. HNO<sub>3</sub> лучше 45° В с введением нитрогруппы в положение 4' антрахинонового кольца и частичным образованием нитраминогруппы в положении 1', а затем восстановлением нитрогруппы и нитраминогруппы обычным способом. Полученные соединения могут быть переведены ацилированием одной или обеих аминогрупп алифатич. или ароматич. кислотным остатками в кубовые красители синего или серого цвета, прочные к Cl<sub>2</sub>.



О. С.  
26827 П. Красители для ацетатного шелка, их получение и применение (Colorants pour rayonne acétate, leur préparation et leur emploi) [Ciba A.-G.]. Франц. пат. 1077295, 5.11.54 [Teintex, 1955, 20, № 6, 487 (франц.)]

Способ получения красителей для ацетатного шелка состоит в том, что в р-цию вводят, предпочтительно, при 60—120° под давлением: 1) NH<sub>3</sub> или смесь 1 моля алифатич. амина, который содержит 1—4 атома С и может содержать оксигруппы, с 2—3 молями NH<sub>3</sub>; 2) один моль смеси: а) 1,4-диоксидантрахинона и б) лейкопроизводного антрахинона, содержащего в положениях 1 и 4 окси- или аминогруппы, причем соотношения между а : б > 1 : 1, предпочтительно, 4 : 1; 3) в случае необходимости может присутствовать окислитель, напр., 3-нитробензолсульфокислота или ее щел. соль. Полученные красители окрашивают ацетатный шелк, полиамидные и полиуретановые изделия в прочный фиолетовый цвет.

О. С.  
26828 П. Порфиновые пигменты. Лукомский, Лейси (Porphine pigments. Loukomsky Serge Alexander, Lacey Harold T.) [American Cyanamid Co.]. Канад. пат. 504583, 27.07.54

Патентуются мягкие, легко размалываемые диспергирующиеся фталоцианиновые пигменты, проявляющие полную красящую силу уже после 200 ходов краскотерки и превосходящие по красящей силе не менее

чем на 40% кислотные пасты тех же красителей, не содержащие вспомогательных в-в. Эти пигменты получают путем разбавления сернокислого р-ра неочищ. пигмента, содержащего сульфированный и алкилированный монокликл. ароматич. углеводород, имеющий > 1 атома С в боковой цепи, в кол-ве по крайней мере 25% от веса пигмента, кипячения в присутствии щелочи, выделения осадка, промывания и сушки пигмента. В качестве примера приведен Си-фталоцианин.

М. Г.  
26829 П. Способ получения продуктов конденсации органических красителей, применяемых в качестве пигментов (Procédé pour la préparation de produits de condensation colorants organiques utilisables comme pigments) [Badische Anilin und Soda Fabrik (I. G. Farbenindustrie A.-G.)]. Франц. пат. 1078568, 19.11.54 [Teintex, 1955, 20, № 6, 493 (франц.)]

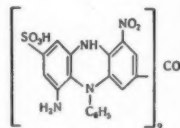
Пигментные красители или промежуточные продукты для них получают р-цией при т-рах ниже 100° ароматич. углеводородов, (напр., C<sub>6</sub>H<sub>6</sub>, толуола, ксилолов, нафталина, флуорена, аценафена, хризена, антрацена или их окси- или галоидных производных) с нитроароматич. соединениями (напр., нитробензолом, нитронафталином, нитроантрахинонами или нитрофталевыми к-тами) в плаве AlCl<sub>3</sub>. Таким образом получают желтые, оливково-зеленые и коричневые красители, состав которых неизвестен. Некоторые из них окрашивают хлопок как кубовые красители.

О. С.  
26830 П. Порошки красителей. Салвин, Харт (Dyestuff powders. Salvin Victor S., Hart William J.) [Celanese Corp. of America]. Канад. пат. 505940, 21.09.54

Дисперсные порошки красителей получают размолом пасты из 20—50 ч. красителя, 25—40 ч. лигнисульфоната (I), 25—40 ч. неорганич. соли (нейтр. или щел. соли, катионы которой не образуют нерастворимых мыл) и воды в таком кол-ве, чтобы содержание твердого в-ва в полученной смеси составляло 30—50% от веса смеси. Водн. смесь диспергируют до мелких частиц и высушивают при 99—149° горячим воздухом до остатка влаги не более 2—5%; диаметр частиц 25—100 м. Описан размол пасты, содержащей 20 ч. (2-хлор-4-нитро-6-бромбензолазо)-диоксизтил-м-хлоранилина, 10 ч. пиррофосфата калия и 10 ч. I в 60 ч. воды, и пасты из 13,3 ч. 1-окси-4-аминоантрахинона, 13,3 ч. I, 13,3 ч. пиррофосфата калия в 60 ч. воды.

Н. С.  
26831 П. Красители для шерсти и способ их получения (Colorants pour laine et procédé de préparation de ces colorants) [Farbwerke Hoechst vormals Meister Lucius und Brüning]. Франц. пат. 1039834, 9.10.53 [Teintex, 1954, 19, № 4, 305 (франц.)]

Красители общей ф-лы (I) (бензольное ядро C<sub>6</sub>H<sub>5</sub> может содержать заместители, напр. галоиды, алкил-, алкокси- или сульфогруппы) окрашивают шерсть в коричневый цвет.



О. С.  
26832 П. Получение высокодисперсных препаратов кубовых красителей. Бёнер, Любке (Verfahren zur Herstellung hochdisperser Küpenfarbstoffpräparate. Böhner Georg, Lübcke Enno) [Badische Anilin- und Soda-Fabrik A.-G.]. Пат. ФРГ 897541, 23.11.53 [Chem. Zbl., 1954, 125, № 16, 3574 (нем.)]

Высокодисперсные препараты кубовых красителей получают осаждением кубовых к-т из щел. р-ров восстановленных кубовых красителей к-тами в присутствии диспергаторов. Выделение кубовой к-ты ускоряется при проведении осаждения в звуковом поле. Полученные суспензии кубовой к-ты применяют как

таковые или перерабатывают путем добавления или отнятия воды на водн. пасты или порошки. О. С.

**26833 П.** Получение флуоресцирующих гетероциклических соединений (Composés fluorescents de la série hétérocyclique et leur préparation) [Cassella Farbwerke Mainkur A.-G.]. Франц. пат. 1078113, 16.11.54 [Teintex, 1955, 20, № 6, 497 (франц.).]

Бисазоловые соединения, обладающие синей флуоресценцией, общей ф-лы  $[R'-C(R)=CH=N=C-CH=]_2$

(R—остаток бензольного ряда, R'—O, S или N) применяются для оптич. отбелки текстильных материалов бумаги, мыла, моющих в-в и масел. О. С.

**26834 П.** Флуоресцирующие соединения, легко растворимые в воде, и способ их получения (Composés fluorescents facilement solubles dans l'eau et leur procédé de production) [Farbenfabriken Bayer A.-G.]. Франц. пат. 1078442, 18.11.54 [Teintex, 1955, 20, № 6, 497 (франц.).]

Вещства для оптич. отбелки, легко растворимые в воде, производные флуоресцирующих аминов, относительно мало растворимых в воде, N-атом аминогруппы которых связан не менее чем с 1 атомом H, получают действием указанных аминов на сульфоны. К аминам, пригодным для этой р-ции, относятся флуоресцирующие амины, не содержащие карбоксильных или сульфогрупп, производные бензотиазола, бензимидазола, бензотриазола, кумарина, хинолина или пирена. Получаемые соединения пригодны для оптич. белизны животных, растительных или синтетич. волокон и различных материалов и устойчивы к к-там и щелочам. О. С.

**26835 П.** Усовершенствования способа получения триангуленовых соединений (Perfectionnements apportés aux composés triangulènes et à leurs procédés de fabrication) [Petrochemicals Ltd.]. Франц. пат. 1077619, 10.11.54 [Teintex, 1955, 20, № 6, 491 (франц.).]

Триангуленовые соединения общей ф-лы (I) (R—H или карбоксигруппа, R'—H, когда R—карбоксигруппа и обратно) после сульфирования окрашивают шерсть, пропитанную глауберовой солью, в красный цвет, переходящий после хромирования в синий. Производные 9-фенил-9,10-дигидроантрацена или 9-фенил-9-гидро-10-оксоантрацена применимы в качестве промежуточных продуктов для получения этих красителей. О. С.

**26836 П.** Получение красителя (Dyestuff preparations) [The Geigy Co. Ltd.]. Австрал. пат. 152462, 6.08.53

Предложен красящий состав—сухая порошкообразная смесь основного красителя, гетерополиоксиды, способной к образованию с красителем лака и диспергатора. Патентуется также способ окраски целлюлозных материалов. М. М.

**26837 П.** Хлорсодержащие соединения (Chlorine containing compounds) [Farbenfabriken Bayer]. Англ. пат. 704595, 24.02.54 [J. Appl. Chem., 1954, 4, № 8, ii 234 (англ.).]

Производные изондоленина, содержащие хлор, получают взаимодействием фталмидов, о-цианбензойных к-т или хлорангидридов последних с  $PCl_5$  при 80—180°. Полученные соединения содержат подвижный хлор. Из 147 г фталмиды, 430 г  $PCl_5$  в о-дихлорбензоле при 95—100° получают 1,3,3-трихлоризондоленин, выход 95%, т. пл. 106—107°, т. кип. 157—158°/19 мм, который реагирует с первичными, вторичными аминами и пиридином, а с  $NH_3$  дает почти количественно 1-амино-3-иминоизондоленин. Получены следующие соединения: 1-хлор-3-кетонизондоленин,

$C_8H_4ONCl$ , т. пл. 77—78°, т. кип. 159—160°/15 мм; 1,1'-бис-(3,3'-дихлоризондолинный) эфир, т. пл. 206—207°, превращающийся при нагревании с  $HCO-NH_2$  в в-во ф-лы  $C_{16}H_{10}O_2N_2$ , т. пл. 354°; 1, 3, 3, 4, 5, 6, 7-гептахлоризондоленин, т. пл. 167—168°, т. кип. 208°/6 мм; 4, 5, 6, 7-тетрахлор-1-амино-3-иминоизондоленин. Смесь 1, 3, 3-трихлор-5- и -6-нитроизондоленина превращается под действием  $NH_3$  в 4-нитро-1-амино-3-иминоизондоленин, разлагается при ~245°; фенил-1, 3, 3-трихлоризондоленин (возможно смесь изомеров), т. кип. 208—210°/6 мм. Л. Е.

**26838 П.** Растворимые в воде производные 4,4'-диаминостильбена (Dérivés hydrosolubles des 4,4'-diamino-stilbene) [Farbenfabriken Bayer A.-G.]. Франц. пат. 1079861, 03.12.54 [Teintex, 1955, 20, № 7, 579 (франц.).]

В качестве оптически отбеливающих в-в предложены водорастворимые производные 4,4'-диаминостильбена, у которых одна из аминогрупп содержит остаток ar-тетрагидронафталинкарбоновой к-ты, содержащей не менее одной алкоксигруппы, а иногда еще и другие заместители; вторая аминогруппа содержит остаток к-ты одинаковой с предыдущей или отличной от нее, остаток карбаминной к-ты или ядро 1, 3, 5-триазина, или же замещена триазоловым ядром, содержащим ароматич. остаток. Эти соединения, устойчивые к щелочам и к отбелке хлором, пригодны для оптической отбелки текстильных материалов, бумаги, мыла и моющих веществ. О. С.

См. также: 24683, 25239, 25665, 25687—25690, 27141

## КРАШЕНИЕ И ХИМИЧЕСКАЯ ОБРАБОТКА ТЕКСТИЛЬНЫХ МАТЕРИАЛОВ

**25839.** Химия и структура текстильных волокон, III. Цан (Chemie und Feinbau der Textilfasern. III. Zahn Helmut), Chemiker-Ztg, 1953, 77, № 11, 352—356 (нем.)

Сообщение II см. РЖХим, 1954, 29728.

**26840.** Исследование волокон при помощи электронного микроскопа. Геллендин (Faserstudien mit dem Elektronenmikroskop. Gellendien Walter (nach Arbeiten von Kling, Mahl), SVF Fachorgan Textilveredlung, 1953, 8, № 10, 452—457 (нем.)

Начало см. РЖХим, 1954, 43969.

**26841.** Обработка хлопковой целлюлозы водными растворами этиламина. Лоб, Сигал (The treatment of cotton cellulose with aqueous solutions of ethylamine. Loe b Leopold, Segal Leon), Text. Res. J., 1955, 25, № 6, 516—519 (англ.)

Водные р-ры этиламина вызывают скачкообразное изменение степени упорядоченности целлюлозы при конц-ии более 70% и менее 75%. Аналогичный скачок наблюдается и при изменении степени полимеризации целлюлозы, определенной после кислотного гидролиза. Это явление объясняется образованием комплекса между целлюлозой и амином за счет водородных связей, которые могут образовываться только при наличии свободного амина, не связанного водородными связями с водой. Это наблюдается при конц-ии амина выше 71,4%, при которой молярное соотношение между водой и амином 1:1. Высказанное предположение подтверждается и для этилендиамина. Н. С.

**26842.** Механические свойства декристаллизованного хлопка. Брукс (Mechanical properties of decrystallized cotton. Brooks D. E.), Text. Manufacturer, 1954, 80, № 959, 582—586 (англ.)

Исследованы разрывное напряжение, удлинение при разрыве, работа разрыва, эластичность, упругость,

истираемость и другие механич. свойства в сухом и влажном состоянии пряжи из «декристаллизованного» хлопка (обработанного аминами типа этиламина или гентиламина в соответствии с пат. США 2580491). Сравнены свойства обычной пряжи и пряжи из «декристаллизованного» хлопка. Обработка аминами не уменьшает разрывное напряжение, увеличивает удлинение при разрыве (с 9,1 до 17,3%), повышает работу разрыва, увеличивает эластичность и упругость, приближая хлопок по свойствам к белковым волокнам, но уменьшает прочность к истиранию. Л. Б.

**26343. Хлопок и новые синтетические волокна.** Баг (Cotton and the newer synthetic fibres. Buck George S., Jr), Canad. Text. J., 1953, 70, № 25, 69—75 (англ.)

Область применения хлопка может быть значительно расширена благодаря спец. хим. обработкам, существенно изменяющим хим. и физ. свойства волокон. Так, широко применяемое в настоящее время частичное ацетилирование и дианетилирование хлопка повышает его теплоустойчивость и устойчивость к действию микроорганизмов; аминизированный хлопок красится кислотными красителями, тогда как необработанный хлопок этими красителями не окрашивается. А. Р.

**26844. Определение растворимости фибрина шелка в щелочах для оценки качества шелка.** Оку, Симидзу (Die Bestimmung der Alkalilöslichkeit des Seidenfibroins zur Qualifikation der Seidenfaser. Oku Masami, Shimizu Itau), Textil-Praxis, 1955, 10, № 6, 551 (нем.; рез. англ., франц., исп.)

Разработан способ определения растворимости фибрина шелка в щелочах для оценки качества шелка. Установлено, что фибрин из средних слоев кокона характеризуется наибольшей растворимостью. Наименьшей растворимостью обладает нить из внутренних слоев кокона. Обработка формальдегидом резко снижает растворимость фибрина, возможно, вследствие образования поперечных связей. А. Р.

**26845. Сравнение механического и химического способов обезрепывания шерсти.** Виолли В. Ф., Рожкова В. В., Бессудова Е. М., Науч.-исслед. тр. Центр. н.-п. ин-та шерсти, 1955, № 10, 92—113

Результатами проведенной работы подтвердилось целесообразность применения карбонизационной шерсти для выработки смешанных тонкосуконных тканей, а также для чистошерстяных тонкосуконных тканей. Для чистошерстяных камвольных тканей метод карбонизации в волокне имеет преимущества по сравнению с механич. обезрепыванием и последующей карбонизацией в полотне, хотя первый несколько ухудшает качество показатели пряжи и ткани. Чтобы обеспечить надежную очистку волокон шерсти от засорений, необходимо применять карбонизационные агрегаты непрерывного действия. М. С.

**26846. Карбонизованная шерсть, ее получение и использование.** Авиром С., Бляхер М., Пром. кооперация, 1955, № 3, 53—56

Описан сухой способ карбонизации полшерстяного лоскута, состоящий в обработке его газообразным HCl при высокой т-ре (80—100°). А. С.

**26847. Белење, крашение и отделка.** Холл (Bleaching, dyeing and finishing. A survey of recent developments. Hall A. J.), Text. Mercury and Argus, 1955, Suppl. March, 59—60 (англ.)

Краткий обзор последних достижений по указанным вопросам. Н. С.

**26848. Технология одностадийного процесса непрерывного отбеливания.** Белл, Терхьюн, Поттер, Роу (Technology of the single stage continuous bleaching process. Bell T. E., Terhune

H. D., Potter H. L., Rowe M. H.), Fibres, 1954, 15, № 11, 373—374 (англ.)

Предлагается экономически выгодный способ беле-ния тканей и трикотажа. Вместо применяемого много-стадийного процесса новый способ предусматривает проведение процесса беле-ния в один проход. Ткань после опальной машины пропитывается 4%-ным р-ром NaOH в ящике для гашения искр, затем выдерживается при 50—60° в бункере в течение 4 или менее часов в за-висимости от вида ткани и поступает в аппарат для беле-ния. Установлено, что полная распухлость ткани перед беле-нием не обязательна. З. П.

**26849. Установки для непрерывного способа отбеливания.** Лантер (Kontinue-Abkoch-und Bleichanlagen. Lanter J.), SVF Fachorgan Textilveredlung, 1955, 10, № 7, 344—348 (нем.)

Описываются преимущества и недостатки непрерыв-ных способов отбеливания, основные условия для до-стижения хороших результатов и конструктивное ре-шение этой задачи различными фирмами. Н. С.

**26850. Отбеливание ткани в расправленном состо-янии по методу Дунглера.** Дунглер (Beitrag zur Kenntnis des neuen «Dungler»-Breit-Entschlicht-, Abkoch-und Bleichprozesses. Dungler J.), SVF Fachorgan Textilveredlung, 1955, 10, № 7, 352—356 (нем.)

Описывается установка для отбеливания хлопчато-бумажных тканей. При скорости прохождения ткани среднего веса 100 м/мин длина установки < 20 м. Можно обрабатывать ткань любого веса и ширины из разнообразных волокнистых материалов. Вместо от-варивания применяют запаривание ткани, пропитан-ной спец. щел. р-ром, причем одновременно происходит распухловка и предварительное отбеливание. Отбели-вание ведут хлоритом, пропуская для этого ткань в такие же камеры, как и при щел. запаривании. Уста-новка состоит из: машины для пропитки щел. р-ром, 1-й термич. камеры, кислоточной машины, машины для пропитки хлоритом, 2-й термич. камеры, спец. промыв-ной машины. Установка снабжена автоматами, регу-лирующими скорости отдельных машин, т-ру, pH, уровень р-ров и т. д. Для работы установки требуется перегретый пар низкого давления. Помимо хорошего качества отбеливания и высокой производительности, получается низкая стоимость обработки. Н. С.

**26851. Очистка и отбеливание хлопчатобумажных тканей перекисью водорода. Часть 2.** Мерло, Вителли (Vigrezatura del cotone e candeggio con H<sub>2</sub>O<sub>2</sub>. Seconda parte. Merlo L., Vitelli G.), Tintoria, 1954, 51, № 9, 321—325 (итал.)

Показана возможность беле-ния хлопчатобумажной ткани (мадаполам, поплин, полотно) р-рами H<sub>2</sub>O<sub>2</sub> после обезжиривания р-рами соды и детергентов. Сравни-тельно с беле-нием гипохлоритом, степень белизны по-вышается, прочность по основе и утку не изменяется или увеличивается, расходы снижаются. Чаны и насосы для работы с H<sub>2</sub>O<sub>2</sub> рекомендуется делать из нержавеющей стали или алюминия. Часть 1 см. РЖХим, 1955, 32939. З. Б.

**26852. Отделка шерстяных тканей с капроном.** Бальтер А. Л., Науч.-исслед. тр. Центр. н.-п. ин-та шерсти, 1955, № 10, 86—91

Изучение отделки шерстяных тканей, содержащих от 10 до 30% капронового волокна, показало, что валку суконной ткани следует проводить на р-ре стearокса 6. Карбонизацию необходимо проводить при снижении обычной конц-и к-ты до 4% с добавлением в ванну препарата ОП-10 (1 г/л) при т-ре в карбонизационной камере до 105°. Прессование лучше проводить при т-ре пресса не выше 100°. В результате введения капрона в шерстяные ткани в небольшом кол-ве (10—20%) ряд качеств. показателей готовой ткани улучшается.



При увеличении кол-ва капрона свыше 10% (20—30%) внешний вид ткани, а также показатели прочности, удлинения, устойчивости к истиранию после действия свето-погоды и гигроскопичности ухудшаются. В связи с этим рекомендуется в шерстяные ткани и в ткани с большим содержанием вискозного штапельного волокна добавлять капроновое волокно в кол-ве ~ 10% и притом в мытом виде.

М. С. 26853. Крашение белковых, целлюлозных, полиамидных, полиакриловых и полиэфирных волокон. Фрелих (Zur Kenntnis der Vorgänge beim Färben von Protein-, Zellulose-, Polyamid-, Polyacrylnitril- und Polyesterfasern. Fröhlich H. G.), Z. ges. Textilind., 1955, 57, № 11, 592—594 (нем.).

Обзор по теории крашения указанных волокон. Библ. 28 назв. Н. С.

26854. Исследования по крашению гидрофобных волокон. Виккерстафф (Recherches sur la teinture des fibres hydrophobes. Vickerstaff T.), Rev. text., 1955, 54, № 3, 93—97 (франц.). См. РЖХим, 1955, 50264.

26855. Обзор по крашению новых волокон. Бакстер (Dyeing the newer fibers. Baxter George L.), Mod. Text. Mag., 1955, 36, № 5, 50, 52 (англ.).

26856. Крашение текстильных изделий при температурах выше 100°. Фаулер (Das Färben von Textilien bei Temperaturen über 100°. Fowler J. A.), Pract. Chem., 1955, 6, № 9, 253—256 (нем.).

Обзор. Библ. 12 назв. Н. А.

26857. Исследование процесса крашения ацетилцеллюлозного волокна. Х. Крашение частично ацетилированных целлюлозных волокон. И. Такака, Сэко (酢酸纖維素人造纖維の染色に関する研究. 第10報. 部分酢化を受けた纖維素纖維の染色性について. 1. 田中隆吉, 瀬古一光), 纖維學會誌, Санъи гаккайши, J. Soc. Text. and Cellulose Ind. Japan, 1954, 10, № 8, 360—363 (япон.; рез. англ.).

Для выяснения влияния характера распределения ацетильных групп в частично ацетилированном волокне (в кристаллич. или аморфных участках волокна) на его способность к окрашиванию были получены два образца частично ацетилированного хлопкового волокна: а) путем частичного ацетилирования целлюлозного волокна, б) путем получения триацетилцеллюлозы и последующего ее частичного омыления. З. Р.

26858. Изучение однотонного крашения смешанных тканей из ацетатного и вискозного волокон. II. Крашение вискозного шелка прямыми красителями. Мацуда, Адати (アセテート-ビスコース混紡織物同色染の研究. 第2報直接染料によるビスコース人絹の染色. 松田義朗, 足立毅), 纖維學會誌, Санъи гаккайши, J. Soc. Text. and Cellulose Ind. Japan, 1954, 10, № 10, 495—499 (япон.; рез. англ.).

Вискозное волокно окрашивалось различными прямыми красителями, причем изучалась зависимость между величиной сродства и т-рой крашения. Величина сродства измерялась с помощью спектрофотометра. На основании результатов исследования была проведена классификация красителей, причем она оказалась более сложной, чем в случае ацетатных красителей. Величина сродства большинства прямых красителей не зависит от т-ры крашения, вследствие чего смешанные ткани следует окрашивать при высокой т-ре (~90°) по однованному способу. Часть I см. РЖХим, 1956, 10858. О. С.

26859. Об окрашиваемости изделий из синтетических волокон. Муллер (Sulle proprietà tessili e tintoriali delle fibre interamente sintetiche. Muller Ludwig W.), Fabre e colori, 1954, 4, № 8, 299—303 (итал.).

Описываются свойства синтетич. волокон перлон и найлон. Для получения высококачественных трико-

тажных изделий из волокна перлон необходим тщательный контроль качества волокна, термофиксация изделий до окраски (обработка 2—5 мин. насыщ. паром при 122—140° и давл. 2—3 ат), тщательная отмырка и правильный подбор красителей. Все полиамидные волокна хорошо окрашиваются дисперсными красителями типа перлитон; однородность окрашивания зависит от т-ры крашения (для волокна перлон 70°, для волокна найлон — ниже). Красители типа виалон хорошо окрашивают волокно и пряжу, но при окраске ткани могут дать полосатость. Для окраски изделий, изготовленных из волокна перлон или из смеси его с хлопком и вискозным волокном, применимы индентровые красители (т-ра ванны 70—95°), устойчивые к действию света, и кипячению с содой и к морской воде. З. В.

26860. Крашение смешанных изделий, содержащих волокно орлон 42. Штерн (Beitrag zum Färben von Fasermischungen mit «Orlon 42». Stern H.), SVF Fachorgan Textilveredlung, 1955, 10, № 4, 168—172 (нем.).

Для крашения полиакриловых волокон рекомендуются красители (К) для ацетатного волокна, спец. основные К, напр. «деорлин» (ЦИБА), «астразон» (Байер), «севрон» (Дюпон) и кислотные для шерсти, окрашивающие эти волокна в присутствии Суф. Основные К «деорлин» имеют преимущества в отношении простоты крашения, хорошей светостойкости и очень хорошей прочности окрасок к мокрым обработкам. В определенных условиях они не закрашивают шерсть, хлопок и найлон. Для смешанных изделий эти волокна, а также полиакриловые красились ранее раздельно до смешения. Применяя К «деорлин», смесь орлона с шерстью можно окрасить в одной ванне: сначала шерсть окрашивают плохо равновесными кислотными К; а потом орлон окрашивают К «деорлин». Для крашения смеси орлона с найлоном применяют аналогичные способы крашения, но, кроме того, применяют К для ацетатного шелка, которые при 70—80° окрашивают найлон, оставляя незакрашенным орлон. Смесь орлона с целлюлозными волокнами можно красить смесью прямых К и К для ацетатного волокна; кроме того, можно сначала окрасить орлон основными К, а во второй ванне — целлюлозные волокна прямыми К. Н. С.

26861. Способ крашения вольтерилон. Хюнкен (Ein Beitrag zur Wollkrylonfärberei. Hünchen Ehrhart), Textil- und Faserstofftechnik, 1954, 4, № 1, 19 (нем.).

Очень низкая способность к набуханию и сплошная поверхность полиакрилонитрильных волокон создает значительные трудности при их крашении. Положительные результаты были получены в результате предварительной обработки этого волокна катионактивными в-вами для улучшения прочности к мокрым обработкам окрасок прямыми красителями. После удаления с материала избытка обрабатывающего в-ва достигается глубокое окрашивание ткани при нормальных условиях крашения. Так, напр., окрашиваемый материал предварительно промывается при 70° р-ром меланина В (1 г/л), затем обрабатывается 30 мин. препаратом вофафикс-ЛА (15 г/л) при 60° и окрашивается при добавлении обычных диспергаторов и при постепенном повышении т-ры от 30° до т-ры кипения. Хорошие результаты получены при использовании следующих красителей: колумбия коричневый М, колумбия прочно красный F, колумбия черный G. А. Р.

26862. Крашение терилена и дакрона. Эйзеле, Федеркиль (Das Färben von «Terylene» bzw. «Dacron». Eisele J., Federkiel W.), SVF Fachorgan Textilveredlung, 1954, 9, № 9, 448—454 (нем.).

Обзор методов крашения полиэфирных волокон (териллен, дакрон) целлюлозовыми, кубовыми, нерастворимыми азокрасителями, образующимися на волокне, и пигментами. Библ. 16 назв. Л. Б.

**26863.** Принципы непрерывного крашения. Маршалл, Спик (Les principes de la teinture à la continue. Marshall W. J., Speke R.W.) Teintex, 1954, 19, № 7, 521, 523—524, 527, 529—530, 533, 535 (франц.)

Непрерывное крашение кубовыми красителями плюсовочно-запарным способом или с применением расплавленного металла дает возможность более рационально использовать хим. материалы и получать стандартную окраску. Приведен перечень 3 групп красителей, распределенных по интенсивности «схождения» (потери) в провялительную ванну. Рекомендуется максимум отжим в суспензионной плюсовке и минимальный — в провялительной, а также промежуточная сушка. Щелочность р-ра гидросульфита и NaOH контролируется кондуктометрич. способом. Выведена зависимость между скоростью питания ванны  $v$ , ее рабочим объемом  $V$ , рабочей и начальной концентрациями  $C_1$  и  $C_0$  и субстантивностью красителя  $x$ :  $C_1/C_0 = x^{-1} [1 + (x-1) \exp(-v \cdot x \cdot t/V)]$ , где  $t$  — время. Оптимальная фиксация красителей в атмосфере насыщ. пара (не содержащего воздуха) при 102—104° происходит для кубовых красителей за 15—30 сек., серых за 45—60 сек., прямых 3—4 мин. В расплавленном металле не происходит достаточной фиксации за краткостью времени обработки. Скорость фиксации связана со скоростью восстановления красителей. Л. Б.

**26864.** Влияние повышенной температуры на процесс крашения кубовыми красителями Фокс (The influence of temperature on vat-dye application. Fox M. R.), Amer. Dyestuff Reporter, 1954, 43, № 24, 785—787, 796 (англ.)

Обзор работ по применению повышенных т-р в крашении и печатании текстильных материалов кубовыми красителями, в том числе работ по крашению пряжи в пачках и синтезу новых термоустойчивых красителей. Библ. 8 назв. Л. Б.

**26865.** Оборудование для крашения и мокрой отделки смешанных тканей, содержащих синтетические волокна. Часть II. Криган (Machinery for the dyeing and wet finishing of synthetic blends. Part II. Creegan Harry F.), Text. Age, 1954, 18, № 4, 62—65 (англ.)

Рассмотрены особенности конструкций современных машин для непрерывного крашения — плюсовки, машины Вильямса и сходной с нею машины Стимера. Часть I см. РИХим, 1955, 24831. В. Ш.

**26866.** Устойчивые анипеты. Прадон (Les apprêts permanents. Pradon A.), Rev. text., 1955, 54, № 6, 319—325 (франц.)

Обзор термoplastич. или термореактивных смол, придающих текстильным материалам несминаемость, безусадочность, огнестойкость и непромокаемость. Приведены рецептура и способы применения для этих целей продуктов различных фирм. Библ. 20 назв. О. С.

**26867.** Применение синтетических смол в текстильной промышленности. Эмульсии полимеров для отделки тканей. Сбролли (Le resine sintetiche nell'industria tessile. Emulsioni di polimeri per finiture. Sbrolli P. L.), Materie plastiche, 1954, 20, № 8, 607—611 (итал.)

Дан обзор различных типов смол (поливинилацетаты, полистиролы, сополимеры винилхлорида, винилиденхлорида, акрилатов, акрилонитрила, бутадиена и стирола), приведенные данные по их свойствам и применению в текстильной пром-сти. Рассмотрены требования, предъявляемые к эмульсиям и пленкам из син-

тетич. смол (стойкость, гибкость, прочность и т. д.). З. Б.

**26868.** Улучшение свойств текстильных волокон обработкой смолами I. Устойчивость раствора мочевиноформальдегидной смолы в присутствии различных катализаторов. Тонами (樹脂加工による纖維の改善に關する研究. 第1報. 種々の觸媒の存在における尿素ホルムアルデヒド樹脂液の安定性について. 磯波宏明), 纖維學會誌, Сэнъи гаккайси, J. Soc. Text. and Cellulose Ind., Japan, 1955, 11, № 3, 135—140 (япон.; реф. англ.)

Раствор диметилолмочевины (14%-ный) при стоянии в течение 8 час. при 33° изменяется в присутствии  $(\text{NH}_4)_2\text{HPO}_4$ ,  $\text{NH}_4\text{Cl}$  и  $\text{NH}_4\text{CNS}$ , применяемых в качестве катализаторов. Наблюдается понижение pH, ускорение образования метиленовых мостиков и выделение свободного  $\text{CH}_2\text{O}$ . При добавлении в качестве катализаторов солянокислых диметиланилина и пиридина и, особенно, катализатора АС р-р является устойчивым. Н. С.

**26869.** Несминаемая отделка целлюлозных тканей. Кук (Wrinkle-resistant finish for cellulosic fabrics. Cooke T. F.), Amer. Dyestuff Reporter, 1954, 43, № 26, P891—P896 (англ.)

Описан способ получения несминаемой отделки целлюлозных тканей меламиноформальдегидными смолами (I) с применением нового ускорителя азротекс МХ. Ускоритель улучшает несминаемость ткани, уменьшает потерю крепости на растяжение, а также пожелтение волокон при белении, увеличивает устойчивость плюсовочной ванны, устраняет неприятный запах, уменьшает переход красителя в плюсовочную ванну с тканей, окрашенных прямыми красителями. Спектрофотометрич. изучение в ИК-свете целлофановых пленок, обработанных I, показало, что I вступают в хим. р-цию с целлюлозой, благодаря чему и увеличивается эластичность волокон, а следовательно и ткани. О. С.

**26870.** Реакция между шерстью и хлористым сульфуром в присутствии спиртов. Фарнуэрт (The reaction between wool and sulphuryl chloride in the presence of alcohols. Farnworth A. J.), Austral. J. Appl. Sci., 1955, 6, № 2, 230—243 (англ.)

Для снижения усадки шерсти наиболее приемлемы методы, вызывающие хим. изменение волокон, т. е. разрыв дисульфидных связей. В одном из таких методов применения р-р хлористого сульфурала (I) в уайт-спирте или в  $\text{CCl}_4$ . Изучен механизм взаимодействия шерсти с I. Скорость и степень взаимодействия между шерстью и I сильно увеличивается с добавлением небольших кол-в алифатич. спиртов. Удовлетворительная степень снижения усадки получается при указанной обработке в течение 2—5 мин. при комнатной т-ре. Считается, что спирты реагируют с I, образуя  $\text{HCl}$ , который гидролизует пептидные цепи. Полагают, что I снижает усадку шерсти благодаря окислению пистина и гидролизу пептидных цепей. А. С.

**26871.** Устойчивость против моли смесок шерсти с синтетическими волокнами. Карр (Moth-proofing for wool-synthetic blends. Carr Norman), Mod. Text. Mag., 1955, 36, № 7, 49—50 (англ.)

Смеси шерсти и искусств. волокон сильно повреждаются личинками моли и музейного жука (*Anthrenus museorum*). Сильнее всего повреждение наблюдается в смесях с содержанием 10—40% штапельного волокна. Лабор. исследования показывают, что личинки привлекаются пятнами от пищи, кератином и витамином В, находящимся в местах, загрязненных потом. Обработка шерсти препаратом мипин (3%) во время крашения придает полную устойчивость против моли чистогерстанным и смешанным тканям. Препараты ДДТ дают такой же, но нестойкий эффект. А. С.

**26872.** Изучение устойчивости к погоде хлопчатобумажных тканей, содержащих неорганические со-

единения. Часть I. Окись хрома и медь в виде неорганических и органических соединений. Роз, Бейли (A study of the weathering characteristics of cotton fabrics containing inorganic compounds. Part I: Chromic oxide and copper in inorganic and organic forms. R. Rose G. R. F., Bayley C. H.), Text. Res. J., 1954, 24, № 9, 792—802 (англ.)

Исследована устойчивость к погоде отбеленных и не отбеленных тканей, обработанных окислами хрома и железа, карбонатом меди как в отдельности, так и в смесях; окислами хрома и железа с последующей обработкой нафтенатом меди, 8-оксифинолинолатом меди и медной солью дегидроабетиламина; окислами хрома и 8-оксифинолинолатом меди. Найдено, что эффективность солей хрома увеличивается, когда они применяются в смеси с солями Fe. Максим. защиту волокна (наименьшую потерю разрывной крепости и наибольшую вязкость медноаммиачных р-ров) дает смесь  $\sim 0,6\%$   $\text{Cr}_2\text{O}_3$  и  $\sim 1\%$   $\text{Fe}_2\text{O}_3$  (от веса волокна). Однако эта обработка не защищает ткани от гниения. Применение для одновременной защиты от действия света и микроорганизмов неорганич. солей Cu или даже сильно действующих органич. Cu-содержащих фунгицидов не дало желательного результата, так как первые вымываются атмосферными осадками, а вторые гидролизуются и переходят в растворимые неорганич. соединения Cu. Найдено, что хорошую защиту против действия погоды дает обработка смесью  $\text{CuCO}_3$  (0,6% и 1,2%) и  $\text{Cr}_2\text{O}_3$  в тех же конц-ях. Потеря Cu в присутствии  $\text{Cr}_2\text{O}_3$  уменьшается в 3 раза. Лучший эффект получается при соотношении  $\text{Cr}_2\text{O}_3$  и CuO 1:1, повидимому, за счет образования соединения, имеющего состав хромита Cu. Несколько меньшую защиту дает обработка  $\text{Cr}_2\text{O}_3$  с последующей обработкой Cu-содержащими органич. фунгицидами. О. С.

26873. Эфирцеллюлозные загустители печатных красок. Ширер М. Г., Рыбкина Л. Я., Горшков П. В., Текстильная пром-сть, 1954, № 12, 28—31

В качестве загустителей, заменяющих собой крахмал, были апробированы три водорастворимых эфира целлюлозы: метилцеллюлоза, оксидативный эфир целлюлозы и натриевая соль карбоксиметилцеллюлозы. Установлено, что эти загустки легко смываются с ткани и что краски, приготовленные из них, весьма устойчивы. Свойства р-ров эфиров целлюлозы указывают на возможность применения их почти для всех печатных красок, при этом они не только заменяют крахмал, но и являются более ценными для этой цели продуктами. Они должны применяться в наиболее ответственных случаях (сложные рисунки, бесчехловая печать, печатание тканей из штапельного волокна). А. Л.

26874. Изучение шлихты для текстильных изделий. I. Влияние некоторых фосфатов на крахмальную шлихту. Бэку (纖維糊糊に関する研究. 第1報. 澱粉糊液に対する磷酸鹽の影響について. 別宮不雄), 纖維學會誌, Санъи гаккайси, J. Soc. Text. and Cellulose Ind., Japan, 1955, 11, № 3, 148—154 (япон.; рез. англ.)

Добавление небольших кол-в  $\text{Na}_4\text{P}_2\text{O}_7$  и  $\text{Na}_6\text{P}_4\text{O}_{13}$  к шлихте из крахмала (I) улучшает эффект шлихтования. Это влияние является общим для всех полифосфатов. Вязкость шлихты из I резко падает и становится более устойчивой при добавлении указанных фосфатов. Это можно объяснить диспергированием мицелл I и получением однородной суспензии частиц I, обусловленным электрич. отталкиванием фосфатов, которые соединяются с этими частями побочными силами. Улучшение шлихтующего действия было также установлено изучением адгезии и некоторых физ. свойств пленок из крахмальной шлихты, а также увеличением предела прочности при растяжении и

сопротивления истиранию шлихтованной пряжи. При добавлении фосфатов шлихта из I легко образует прозрачную и гибкую пленку. Предполагают, что эта модификация I обладает однородной ориентацией молекул и образует сетчатую структуру, связанную молекулами из молекул фосфата. О. С.

26875. О графическом представлении цвета. Раутиан Г. Н., Сперанская Н. М., Текстильная пром-сть, 1955, № 5, 34—38

Краткий обзор принципов графич. изображения и измерения цвета. Л. Б.

26876. Определение прочности окрасок. Брэдли (Testing fastness properties. Bradley F. W.), Dyer, 1954, 111, № 3, 181—183 (англ.)

Лекция о подготовке Международного стандартного метода определения светопрочности окрасок. Л. Б.

26877 К. Приборы для определения качества лубинового сырья. Аверинцева В. И., Борцова Е. П., Иванова-Ченцова А. П., Суцевский Г. Б., М., Физлегпром, 1954, 112 стр. с илл., 2 л. черт., 2 р. 85 к.

26878 П. Процесс удаления минерального масла с растительных волокон. Оливер (Process of removing mineral oil from vegetable fibres. Oliver R. R.) [Lockport Cotton Batting Co.], Англ. пат. 704460, 24.02.54 [Dyer, 1954, 111, № 9, 659 (англ.)] Для освобождения хлопкового волокна от минер. масла, которым оно было загрязнено при прядении, предложен процесс, в котором масло улетучивается с волокна, а для предотвращения повреждения волокна от действия высокой т-ры применяется вода. Таким путем минер. масла могут быть удалены с растительных волокон в процессе придания им огнестойкости. Н. С.

26879 П. Состав для отделки искусственного шелка или штапельного волокна. Арита (Finishing bath for rayon or staple fiber. Arita Susumu, et al) [Kurashiki Rayon Co.], Япон. пат. 5617, 30.10.53 [Chem. Abstrs, 1954, 48, № 16, 9705 (англ.)]

Предложен состав, содержащий органич. к-ту или ее водорастворимую соль или их смесь, применение которого позволяет исключить одну или несколько из следующих операций: белеение, промывку после белеения, промывку к-той и последующую промывку водой. Н. С.

26880 П. Отбеливание растительных волокон (Bleaching vegetable fibres) [Soc. An. Geeraert Matthys Freres], Австрал. пат. 157395, 22.07.54

Процесс отбеливания нитей из растительных волокон состоит в том, что обычная операция отваривания или обесклеивания осуществляются погружением нитей в ванну с алкиларилсульфонатом. Н. С.

26881 П. Оптически отбеливающие вещества (Agents de blanchiment optique) [Cassella Farbwerke Mainkur], Франц. пат. 1073917, 30.09.54 [Teintex, 1955, 20, № 5, 394 (франц.)]

Способ оптич. отбеливания состоит в том, что отбеливаемые материалы, напр. текстильные, бумагу, мыла и т. д., обрабатывают обычными оптически отбеливающими в-вами в присутствии аминокарбоновых к-т, содержащих несколько карбоксильных групп на 1 атом N, напр. антраил-N-диуксусной или этилдиамин-N, N'-тетрауксусной к-ты, или их водорастворимых солей. О. С.

26882 П. Крашение текстильных материалов. Бест-Гордон (Dyeing of textile materials. Best-Gordon H. M.) [Courtaulds Ltd], Англ. пат. 724199, 16.02.55 [Summary Curr. Liter. Brit. Cotton. Ind. Res. Assoc., 1955, 35, № 12, 455 (англ.)] Гидрофобные текстильные материалы (напр., пряжа



из ацетатного волокна и терилена) легко окрашиваются прямыми и кислотными красителями при добавлении в красильную ванну кислого р-ра продукта взаимодействия цианамиды и формальдегида.

**26883 П.** Крашение винилона. Ивасаки, Арата (Dyeing of vinylon. Iwasaki Shinichiro, Agata Makoto). Япон. пат. 5398, 19.10.53 [Chem. Abstrs, 1954, 48, № 19, 11804 (англ.)]

Виниловое волокно сначала обрабатывают водн. р-ром ацетилизированного соединения (I) или эфира (II), I или II и спиртом или в-вами, имеющими аналогичное мол. преломление, затем окрашивают р-ром красителя в смеси спирта и эфира или спирта и ацетала.

**26884 П.** Способ крашения пряжи, тканей и других изделий из полимеров и сополимеров акрилонитрила. Соммар (Procédé de teinture de fils, tissus et autres structures comprenant des polymères et copolymères d'acrylonitrile. Sômmar Helen G.) [The Schemstrand Corp.]. Франц. пат. 1052981, 29.01.54 [Teintex, 1954, 19, № 10, 797 (франц.)]

Способ крашения волокна и изделий из сополимеров 80—98% акрилонитрила и 2—20% третичного гетероцикла. амина, содержащего группу винила, напр. винилпиридина или 1-винилимидазола. Способ состоит в том, что изделие красится в ванне, содержащей кислотный краситель и 1—10% (от веса изделия) азотной к-ты.

**26885 П.** Крашение основным красителем. Усамии (Dyeing with a basic dye. Usami Eizo). Япон. пат. 2184, 18.05.53 [Chem. Abstrs, 1954, 48, № 8, 4853 (англ.)]

Животные или растительные волокна нагревают 1 час в р-ре, содержащем 10 г/л метиленового голубого и 10 г/л лед.  $\text{CH}_3\text{COOH}$ , и затем погружают на 1 час в р-р, полученный смешением 23 г  $\text{Na}_2\text{WO}_4$  в 500 мл воды и 2,8 г  $\text{Na}_3\text{PO}_4$  в 100 мл воды, к которой добавлена  $\text{H}_2\text{SO}_4$  до pH 3.  $\text{Na}_3\text{PMo}_{12}\text{O}_{40}$  является протравой для основного красителя.

**26886 П.** Способ получения прочных окрасок и набивок (Procédé d'obtention de teintures et impressions solides) [Sandoz Soc. An.]. Франц. пат. 1074547, 6.10.54 [Teintex, 1955, 20, № 5, 394 (франц.)]

Улучшение прочности окрасок и набивок к свету и стирке достигается: 1) обработкой волокна во время или после крашения или печатания в щел. среде растворимым комплексом многовалентного металла с низким атомным весом (напр. Cu, Cr, Ni, Co и Mn) и аммиака, моноаминов или оксикислот, напр., гликолевой или винной; 2) обработкой волокон после крашения или печатания водорастворимыми продуктами конденсации, солями или металлсодержащими комплексами этих продуктов конденсации, получаемых нагреванием ди- или триалкиленполиаминов (алкиленовый остаток которых содержит 2 или 3 атома C) с цианамидом или одним из его полимеров.

**26887 П.** Способ кубового крашения металлсодержащими фталоцианинами или порфинами. Мюльбауэр, Пфизнер (Verfahren zur Erzeugung von Küpfenfarbungen mit metallhaltigen Phthalocyaninen oder Porphinen. Mühlbauer Fritz, Pfizner Helmut) [Badische Anilin- und Soda-Fabrik A.-G.]. Пат. ФРГ 903928, 11.02.54 [Chem. Zbl., 1954, 125, № 30, 6837—6838 (нем.)]

Патентуется способ кубового крашения не имеющими гидрофильных групп металлсодержащими фталоцианинами или порфинами, которые могут содержать металл различной валентности или присоединять амины или спирты. Перевод в куб проводят в присутствии водорастворимых органич. в-в (спирты, амины, кетоны, аминосспирты, карбоновые и сульфокислоты, их амиды и водорастворимые соли) и красят получен-

ным кубом растительные волокна. При этом исключено применение пат. ФРГ 898147 (см. РЖХим, 1955, 56521).

**26888 П.** Крашение смешанных текстильных материалов. Круг (Colouration of mixed textile materials. K r u g P.) [Hardman and Holden, Ltd]. Англ. пат. 711154, 23.06.54 [J. Soc. Dyers and Colourists, 1954, 70, № 9, 424 (англ.)]

Смесь кубовых красителей, лейкоэфиров кубовых красителей и двуокиси тимохевинина нагревается до  $100^\circ$ , а затем окисляется. Нагревание до  $100^\circ$  не влияет на лейкоэфир кубового красителя, но обуславливает восстановление не кубового красителя непосредственно в лейкокислоту, которая сорбируется эфиром целлюлозы. Если кубовый краситель и краситель, из которого получен лейкоэфир, одинакового цвета, то образуется однородная прочная окраска или набивка, если же они различных цветов, то получается двухцветный эффект.

**26889 П.** Крашение кубовыми красителями синтетических волокон из поливинилового спирта или их смесей с целлюлозными волокнами. Танабе (Dyeing of polyvinyl alcohol-type synthetic fiber or its mixture with cellulose fiber with vat dyes. Tanabe Kenichi) [Kurashiki Rayon Co.]. Япон. пат. 2188, 2189, 18.05.53 [Chem. Abstrs, 1954, 48, № 8, 4853 (англ.)]

По пат. 2188, волокна из поливинилового спирта или их смеси с целлюлозными волокнами погружают в суспензию кубового красителя, содержащую диспергирующие в-ва, напр. фенол, «моноген», клей или ализиновое масло, и затем проявляют добавлением щел. восстановителя. По пат. 2189, указанный выше способ применяют для крашения сернистыми красителями.

**26890 П.** Крашение с помощью индиго. Маэширо (Dyeing with indigo. Maeshiro Olimori). Япон. пат. 2192, 18.05.53 [Chem. Abstrs, 1954, 48, № 8, 3853 (англ.)]

Ткань погружают в восстановленный щел. р-р индиго и затем в р-р протравы, содержащей  $\text{Fe}_2(\text{SO}_4)_3$ . Процесс повторяют еще раз, затем ткань кипятят в ванне, содержащей индиго, щел. восстановитель и  $\text{FeSO}_4$ , промывают водой, кипятят в разб. уксусной к-те, промывают водой и сушат.

**26891 П.** Крашение синтетических волокон из поливинилового спирта нафтоловым красителем. Танабе (Dyeing of polyvinyl alcohol-type synthetic fiber with naphthol dye. Tanabe Kenichi) [Kurashiki Rayon Co.]. Япон. пат. 2185, 2186, 18.05.53 [Chem. Abstrs, 1954, 48, № 8, 4853 (англ.)]

По пат. 2185, волокно погружают в щел. р-р нафтолового и основного красителей, проявляют их погружением в водн. р-р  $\text{NaNO}_2$  или  $\text{Na}_2\text{SO}_3$ , содержащий более 4 экв свободной минер. к-ты. По пат. 2186, синтетич. поливиниловые волокна или их смеси с целлюлозными волокнами окрашивают вышеуказанными красителями, проявляют в ванне, содержащей  $\text{HNO}_2$  или в ванне, содержащей  $\text{CuSO}_4$ ,  $\text{K}_2\text{Cr}_2\text{O}_7$  или  $\text{CH}_2\text{O}$  и затем обрабатывают в щел. мыльной ванне.

**26892 П.** Способ получения прочных окрасок и набивок (Procédé d'obtention de teintes et d'impressions solides) [Naphtol-Chemie Offenbach]. Франц. пат. 1073738, 28.09.54 [Teintex, 1955, 20, № 5, 294 (франц.)]

Для получения прочных окрасок и набивок цвета бордо или алого на хлопчатобумажном волокне сочетают диазотированный 4-амино-3'-нитро-2,5-диметокси-1,1'-азобензол и (или) 4-амино-4'-нитро-2,5-диметокси-1,1'-азобензол с 1-ацетиламино-2,5-диметилбензолом.

О. С.

26893 П. Эмульсия для печатания или крашения тканей и способ ее получения. Кассель (Emulsion zum Bedrucken bzw. Färben von Geweben und Verfahren zu ihrer Herstellung. Cassel Norman Sydney) [Interchemical Corp.]. Пат. ФРГ 909205. 15.04.54 [Chem. Zbl., 1954, 125, № 41, 9397 (нем.)]

Эмульсия для крашения или печатания тканей состоит из воды, пигментированного р-ра смолы и летучего р-рителя, в котором растворен эмульгатор для получения устойчивой эмульсии. Напр., получают лак смешением (в вес. ч.) 20 алкидной смолы (50%-ного р-ра в толуоле), 8 эфирного масла сосновых игл и 28 гидрированного нефтяного бензина. В полученном лаке эмульгируют 20 вес. ч. 16,5%-ной водн. пасты литолол синего GL и 24 ч. воды. Смола представляет собой полилиперинфталат, модифицированный 33% жирных к-т масла соевых бобов. З. П.

26894 П. Способ непрерывного крашения и печатания материалов из целлюлозных волокон. Стрек (Verfahren zum kontinuierlichen Färben und Drucken von Cellulosefaserstoffen. Streck Clements) [General Aniline and Film Corp.]. Пат. ФРГ 909451. 22.04.54 [Chem. Zbl., 1954, 125, № 37, 8449 (нем.)]

Процесс заключается в пропитывании материала водн. р-ром азосоставляющей, представляющей собой комплексное соединение металла с ат. в. 58—64 (напр., меди) и о-карбокси- или о-оксарилазорезорцина (напр., 5-хлор-2-оксифенилазорезорцина), которая затем сочетается с солью ароматич. диазния. После образования азокрасителя материал обрабатывается р-ром к-ты с  $\text{pH} \leq 2$  (содержащим, однако,  $\leq 1\%$  минер. к-ты) для связывания катиона красителя, затем к-та удаляется с материала. З. П.

26895 П. Печатание совместно с крашением нерастворимыми азокрасителями. Сато (Dye printing in the process of dyeing with insoluble azo dyes. Sato Hiromu). Япон. пат. 2196, 18.05.53 [Chem. Abstrs, 1954, 48, № 8, 4853 (англ.)]

Ткань погружают в ванну, содержащую нерастворимый азокраситель, сушат, печатают пастой, содержащей проявитель и резерв, и затем ненапечатанные места окрашивают приливанием красителя. О. С.

26896 П. Совместное крашение и печатание печатными красками, устойчивыми к нагреванию и закрашиванию набивок. Аояма (Print dyeing with a heat- and dye-resistant paste. Aoyama Tametaro). Япон. пат. 2195, 18.05.53 [Chem. Abstrs, 1954, 48, № 8, 4853 (англ.)]

Набивку ткани производят печатной краской, состоящей из метилцеллюлозы,  $\text{o-HOC}_6\text{H}_4\text{CO}_2\text{H}$ , водорастворимой смолы, прямого желтого или кислотного желтого красителя; после сушки ткань нагревают в кипящей воде. Затем ее красят в ванне, содержащей темнокрасный краситель, вследствие чего отпадает необходимость в печатании последним. О. С.

26897 П. Способ и печатная краска для набивки тканей. Бенер (Verfahren und Druckpaste zum Bedrucken von Geweben. Bener Christian). Пат. ФРГ 887638, 24.08.53 [Textil-Praxis, 1954, 9, № 3, 298 (нем.)]

При набивке тканей пигментами в качестве фиксирующего в-ва применяют не растворимую и не набухающую в воде винилбутиральную смолу в виде водн. эмульсии. После набивки ткань обрабатывают в-ами, способствующими набуханию. О. С.

26898 П. Препараты для набивки текстильных материалов кубовыми красителями (Préparations à base de colorants de cuve pour l'impression textile.) [Cassella Farbwerke Mainkur A.-G.]. Франц. пат. 1078000, 15.11.54 [Teintex, 1955, 20, № 6, 495 (франц.)]

Для улучшения прочности набивок кубовыми красителями в печатные краски вводят продукты конденса-

сации альдегидов, напр. формальдегида, с соединениями, содержащими не менее одной группировки  $\text{—N}=\text{C}(\text{—N}=\text{C})_2$ , или легко в них превращающимися на волокне, напр. дициандиамином, гуанидином, ацетогуанаминном, бигуанидом или меламином. О. С.

26899 П. Применение сополимеров акрилатов в печатании текстильных изделий. Граулих, Беккер, Байер (Textile printing with acrylate copolymers. Graulich Wilhelm, Becker Wilhelm, Bayer Otto) [Farbenfabriken Bayer A.-G.]. Пат. США 2678924, 18.05.54

Водная паста для печати состоит из эмульсии сополимера по крайней мере одного из следующих соединений: алкилакрилатов, алкилметакрилатов, содержащих в алкиле не более 4 атомов С, винилхлорида или винилиденхлорида и в меньшем количестве по крайней мере одного из соединений группы бутадиена, метилбутадиена, хлорбутадиена, акрилонитрила, этиленгликольдиакрилата и триметилолпропанди- или триакрилата. Паста содержит также гексагидро-1, 3, 5-триакрилил-сим-триазин, 1,2-этиленгликольдиакрилат или этилендиакриламид. З. П.

26900 П. Способ многокрасочной печати сетчатыми шаблонами, в особенности на текстильных материалах. Кеспер (Verfahren zur Herstellung von mehrfarbigen Filmdrucken, insbesondere auf Textilien. Kesper Hans-Ulrich). Пат. ФРГ 896296, 12.11.53 [Chem. Zbl., 1954, 125, № 41, 9397 (нем.)]

Способ многокрасочной печати с помощью сетчатых шаблонов характеризуется тем, что печатаемый рисунок разделяется на ряд вспомогательных рисунков, соответствующих трем основным цветам (красному, синему и желтому) и их градациям (светлый, средний, темный тон). Из проволоочной или шелковой сетки с  $5\text{--}10\,000\text{ меш/см}^2$  готовят сетчатые шаблоны, причем для закрепления светочувствительного слоя наносят тонкий слой лака. Печатают красителями, соответствующими по чистоте красителям для фотографич. фильтров. Л. Б.

26901 П. Печатание текстильных материалов из белковых волокон и волокон из эфиров целлюлозы. Круг (Colouration of protein and cellulose ester-textile materials. Kруг P.) [Hardman and Holden, Ltd.]. Англ. пат. 719089, 24.11.54 [Brit. Rayon and Silk J., 1955, 31, № 369, 88 (англ.)]

Способ вытравного печатания изделий из ацетатного волокна, шерсти, шелка или регенерированных белковых волокон состоит в том, что предварительно окрашенную вытравляющимся красителем ткань печатают нещел. краской, содержащей кислый восстановитель (двуокись тиомочевины), загуститель и цинковую соль к-ты, не вытравляющей краситель. Ткань затем запаривают при  $100^\circ$ . Напр., при вытравном печатании изделия из ацетатного волокна, окрашенного сериолом рубиновым ЗВД, печатная краска содержит 50 г двуокиси тиомочевины, 100 г тиоцианата цинка, 150 г воды, 700 г декстрина. После печатания и сушки горячим воздухом ткань запаривают 5—8 мин. Эффективность двуокиси тиомочевины повышается в присутствии цинковой соли и при применении насыщ. пара. Вместо тиоцианата цинка можно применять сульфат или ацетат цинка. В качестве белого пигмента применяется двуокись титана, но не окись цинка. Е. Т.

26902 П. Улучшенная эмульсия для отделки. Хорн, Патт (Perfectionnements aux emulsions. Horn Robert S., Jr, Patt Roscoe F.) [Hans C. Bick Inc.]. Франц. пат. 1070592, 29.07.54 [Teintex, 1955, 20, № 4, 315 (франц.)]

Для отделки полиамидных тканей предлагается водн. эмульсия, содержащая N-алкоксилалкильные производные найлона, растворимое в спирте, неионогенный эмульгатор и эфир углевода, напр., октоацетат саха-

розы. Эти в-ва диспергированы в смеси спирта с водой. Кол-ва эмульгатора, производного полиамида и эфира сахарозы в эмульсии примерно равны. После отделки обработанные ткани поглощают больше влаги и более приятны на ощупь. А. П.

**26903 П.** Состав для обработки тканей и способ его изготовления. Хилл (Fabric-treating composition and method of preparation. Hill Joseph R.) [S. C. Johnson and Son, Inc.]. Канад. пат. 504994, 10.08.54

Состав для обработки тканей содержит 1—25 вес. % воска или парафина, 5—100% от веса воска водорастворимой соли многовалентного металла, напр. ацетата или формиата алюминия (при применении парафина), 0,5—25 вес. % защитного коллоида, напр. поливинилового спирта (при применении парафина), сырой крахмал (I) и воду. Кол-во I составляет 50—98% от веса сухих в-в смеси. Для приготовления состава защитный коллоид диспергируется в воде при  $t$ -ре не ниже 50°, после чего добавляется соль многовалентного металла и парафин. Смесь размешивается для диспергирования парафина. К I добавляется вода в кол-ве, достаточном для образования пасты, но не допускающем набухания I. Паста I смешив. с парафин-содерж. смесью и добавляется такое кол-во воды, чтобы I был равномерно распределен в водн. среде. З. П.

**26904 П.** Азотсодержащее соединение фосфора, придающее огнестойкость (Nitrogen-phosphorus fire-resisting composition) [Monsanto Chemical Co.]. Австрал. пат. 158328, 2.09.54

Патентуется водорастворимый продукт щел. конденсации хлороксида фосфора и аммиака, имеющий мол. вес в пределах 180—300, а также процесс получения этого продукта и текстильные материалы, обработанные им. Н. С.

**26905 П.** Обработка текстильных материалов с целью придания им несмываемой отделки и других улучшенных свойств. Хопли, Лейн (Treatment of textile materials to give a permanent «finish» and other improved properties. Hopley Melvyn, Lane Edward S.) [Imperial Chemical Industries Ltd.]. Канад. пат. 499017, 5.01.54

Процесс придания водоотталкивающих свойств текстильным материалам состоит в пропитке этих материалов водн. р-ром или суспензией соли четвертичного аммониевого основания с большим мол. весом, содержащей четвертичную группу, распадающуюся при нагревании (напр., хлористый стеарилдиметиламиний), и не более 5 вес. % спирта или фенола, содержащего более 6 атомов С (напр., 2-этилгексанола). Пропитанный материал нагревают до  $t$ -ры выше 100°, соответствующей  $t$ -ре разложения соли. Процесс можно проводить с промежуточной сушкой пропитанного материала при 25—40°. Для одновременного придания водоотталкивающих свойств и несминаемости ткань дополнительно к указанной обработке обрабатывают отдельно соединениями типа продуктов конденсации формальдегида с фенолами, мочевиной или ее производными. Н. С.

**26906 П.** Обработка волокон, придающая им водонепроницаемость. Цукада, Цудзидзи (Water-resistant treatment of fibers. Tsukada Tomichiro, Tsuji Yuzi) [Tkyo Shibaura Electric Co.]. Япон. пат. 1948, 6.05.53 [Chem. Abstrs, 1954, 48, № 8, 4856 (англ.)]

Текстильный материал погружают в 2,5%-ный р-р силиконовой смолы в  $C_6H_6$ , содержащий 0,2% этилата алюминия, и затем сушат. О. С.

**26907 П.** Образование поверхностных пленок на волокнах, применяемых для получения пряжи (Éléments d'étirage de fibres employés dans le filage de matières textiles) [Angus G. And Co. Ltd.]. Франц. пат. 1023842,

1.04.53 [Bull. Inst. text. France, 1953, № 41, 157 (франц.)]

Патентуется способ нанесения на волокна поверхностных пленок, предохраняющих их от склеивания и придающих устойчивость к действию масел. Волокна пропускают через смесь растительного клея (50 г) и СК (100г). Растительный клей должен растворяться или диспергироваться в воде. Сначала растворяют в воде растительный клей и получают пасту, в которую при перемешивании добавляют СК (неопределенный и др.). Соотношение между растительным клеем и каучуком можно изменять в зависимости от природы волокна. В смесь добавляют и другие ингредиенты, напр.  $ZnO$ , S, ускорители вулканизации, черную сажу и т. д. П. Ч.

**26908 П.** Процесс обработки текстильных изделий из синтетических волокон. Мартон (Process for treating synthetic textiles. Martone John Donald) [E. I. du Pont de Nemours and Co.]. Пат. США 2689195, 14.09.54

Текстильные изделия из полимеров или сополимеров акрилонитрила для обработки при повышенной  $t$ -ре обрабатывают в течение часа кипящим водным р-ром низшей алифатич. карбоновой к-ты, содержащим небольшое кол-во алкилсульфата с длинной алифатич. цепочкой, после чего промывают водой. З. П.

**26909 П.** Способ обработки тканей растворами крахмала. Якобсен (Method of starching fabrics. Jacobsen Ingvar Valdemar). Пат. США 2693042, 2.11.54

Текстильные изделия обрабатывают р-ром крахмала при одновременном барботировании газа в этом р-ре, что приводит к частичному пропитыванию изделий р-ром. Затем изделия помещают в камеру, где давление повышается до 4,2 кг/см<sup>2</sup> и где происходит пропитывание изделий р-ром. Ю. П.

**26910 П.** Мягчители для текстильных изделий. Бродерсен, Кведфлиг (Weichmachungsmittel für Textilien. Brodersen Karl, Quadflieg Matthias). Пат. ГДР 3435, 13.04.53

В качестве мягчителей предложены продукты, получаемые при нагревании эфиров алифатич. или ароматич. аминокарбоновых к-т и низкомолекулярных спиртов с синтетич. спиртами, получаемыми присоединением к олефиновым углеводородам окиси углерода и водорода. Напр., получают продукт присоединения окиси углерода и водорода к крекинг-бензину, содержащему олефиновые углеводороды с 11 атомами С и имеющему родановое число 86, который затем восстанавливают с помощью кобальтового катализатора до спирта, содержащего цепочки с 12 атомами С. 20 ч. полужидкого спирта нагревают в течение 7 час. с 14 ч. хлоргидрата этилового эфира аминокислотной к-ты при 150—160°. Полученный продукт смешивается с равным кол-вом эмульгатора. Обработка этим составом в кол-ве до 0,05 г/а придает текстильным изделиям высокую мягкость. А. П.

**26911 П.** Способ получения растворимых в холодной воде, солеустойчивых продуктов обработки муки из семян розгового дерева. Юлихер, Аппельт (Verfahren zur Herstellung von kaltwasserlöslichen, salzbeständigen Umsetzungsprodukten von Johannisbrotkernmehl. Jülicher Wolfgang, Appelt Otto). Пат. ФРГ 896795, 16.11.53 [Chem. Zbl., 1954, 125, № 9, 2084 (нем.)]

Муку из семян розгового дерева этерифицируют галоидозамещенной алифатич. к-той, напр.  $ClCH_2COOH$ , в присутствии водн. щелочи и водорастворимого органич. р-рителя, напр. спирта или ацетона. Получают вспомогательные в-ва для текстильной промышленности, напр., загуститель для печати, стабилизатор для эмульсий. З. П.



26912 П. Метод снятия электростатических зарядов с текстильных изделий. Райли, Файн (Method of rendering textile resistant to the accumulation of electrostatic charges. Riley A. V., Fine R. de Mott) [Atlas Powder Co.]. Англ. пат. 702089, 6.01.53 [Dyer, 1954, 111, № 3, 192 (англ.)]

Для снятия электростатич. заряда с пряжи применяют обработку ее производными морфолина. Напр., пайлоновую пряжу пропитывают в течение 5 мин. 5%-ным водн. р-ром сульфата цетилэтил-N-этилморфолина, центрифугируют и сушат. Ацетатную пряжу можно обработать сульфатом стеарилметил-N-метилморфолина, вискозную пряжу — хлористым олеил-этилморфолинем, хлопчатобумажную — хлористым цетилметилморфолинем и шерстяную — хлористым цетилэтилморфолинем.

26913 П. Установка для регулирования концентрации водородных ионов. Робисо (Hydrogen ion concentration adjustment. Robichaux R. P.). Англ. пат. 692568, 10.06.53 [J. Text. Inst., 1954, 45, № 4, A255 (англ.)]

Патентуется аппарат для непрерывного регулирования pH жидкости, текущей в вакууме. Добавки к-ты или щелочи производятся автоматически электрич. прибором, записывающим отклонения от заданной величины pH. Указаны применения этого аппарата в текстильном произ-ве.

Л. Б.

См. также: 27206, 28037

## ЛЕКАРСТВЕННЫЕ ВЕЩЕСТВА. ВИТАМИНЫ. АНТИБИОТИКИ

26914. Молекулярные соединения в содержащих серу препаратах. Найто, Сиран, Ода (サルファ剤の分子化合物に就いて. 内藤多喜夫, 白井秀明, 織田竜一), 薬學雜誌, Якугаку дзасси, J. Pharm. Soc. Japan, 1953, 73, № 7, 663—665 (япон.; рез. англ.)

Изучался механизм образования молекулярных соединений между л-аминометилсульфонамидом (гомо-сульфамином) и сульфопрепаратами, напр. сульфатиазол, сульфадiazиним и др. Молекулярные соединения получают в виде кристаллов из подходящих р-рителей, причем растворимость комплексов гораздо выше, чем входящих в их состав исходных сульфопрепаратов.

Л. М.

26915. О хранении наркотического эфира. Зигфрид, Ерслов, Шнейдер (Über die Konservierung von Narkoseäther. Siegfried B., Jerslev E., Schneider R.), Pharm. acta helv., 1953, 28, № 5, 149—158 (нем.)

Установлено, что если тщательно хранить наркотический эфир без доступа света, прибавление антиокислителей не дает никаких преимуществ.

Л. М.

26916. О некоторых ненасыщенных жирных кислотах, используемых в фармацевтической практике. Поджи, Серки (Di alcuni acidi grassi insaturi di impiego farmaceutico. Poggi Raoul, Serchi Giorgio), Chimica, 1953, 29, № 12, 345—351 (итал.)

Описано приготовление витагена F и опыты разделения компонентов; получения ундециленовой к-ты и широких фракций к-т, сопутствующих ей при образовании из карстового масла, а также этаноламиновых солей витагена F и ундециленовых к-т. Приведены данные о хим. и хроматографич. анализе полученных продуктов. См. РЖХим, 1955, 50317.

Л. М.

26917. Химическое исследование володушки золотистой и володушки козлецеволистной. Дьяконова Л. Н. В кн.: Новые лекарств. растения Си-

бири, их лечебные препараты и применение, Томск, 1953, 4, 116—123

Показано, что в листьях володушки золотистой находится больше каротина, сапонинов, витамина C и алкалоидов, чем в листьях володушки козлецеволистной. Сапонины и алкалоиды находятся только в листьях, в цветах они отсутствуют. Аскорбиновой к-ты и фитостерина в листьях меньше, чем в цветах, причем аскорбиновая к-та присутствует только в восстановленной форме. Получен хороший результат при очищении сапонинов от дубильных в-в при помощи уксусно-этилового эфира.

Л. Г.

26918. Об офтальмологических растворах. Кедвешши, Шимон (A szemészeti oldatokról. Kedvessy György, Simon Gyula), Gyógyszeres, 1955, 10, № 5, 90—94 (венг.)

Приведена подробная рецептура и способы приготовления глазных капель разного состава с соблюдением изотоничности р-ров по отношению к слезной жидкости.

Г. Ю.

26919. О смываемых мазях-эмульсиях «масло в воде».

Сообщение 3. Эмульгаторы в смываемых мазях. Мюнцель, Амман (Beiträge zur Kenntnis der abwaschbare Fett-in-Wasser-Salben. 3. Mitteilung. Die Emulgatoren in abwaschbaren Salben. Münzel K., Ammann R.), Pharm. acta helv., 1954, 29, № 1, 1—12 (нем.; рез. франц., англ.)

Обзор и классификация эмульгаторов, применяемых для изготовления смываемых мазей. Библ. 71 назв. Сообщение 2 см. РЖХим, 1955, 1219.

И. Г.

26920. Использование меламиноформальдегида в лубках. Спиттлер, Бренан, Пейн (The use of melamine formaldehyde in the application of casts. Spittler August W., Brennan John J., Payne John W.), U. S. Armed Forces Med. J., 1953, 4, № 3, 373—381 (англ.)

Гипсовые повязки, приготовленные с добавкой меламиноформальдегида, лучше противостоят влаге и грязи и значительно прочнее обычных гипсовых.

Л. М.

26921. Вакуум-микросублиматы некоторых местных анестетиков и их идентификация. Часть II. Бюхи, Перлиа, Штребель (Vakuummikrosublimat einiger Lokalanästhetica und ihre Identifizierung. II Teil. Büchi J., Perlia X., Strebel A.), Pharm. acta helv., 1953, 28, № 4, 109—119 (нем.)

Установлено, что для целого ряда в-в в одинаковых условиях процесса получают сублиматы очень близкой кристаллич. формы, благодаря чему об идентичности этих в-в нельзя судить только по внешнему виду и форме кристаллов сублимата. Для точной идентификации в-ва необходимо прибегать к определению ряда физ. констант и к микрохим. р-циям. Приведены рисунки кристаллов ряда местных анестетиков и результаты их микрохим. р-ций с KJ и KBr, с пикриновой к-той, тринитрорезорцином, хромовокислым K, двухромовокислым K, KMnO<sub>4</sub> и NaClO<sub>4</sub> и рядом других реагентов.

Л. М.

26922. Сравнительное исследование способов определения общего содержания алкалоидов в клубнях и настойках аконита. Аркел, Мейст (Vergelijkend onderzoek over de bepaling van het totale alkaloidgehalte in tubera en tinctura aconiti. Arkel van C. G., Meijst M.), Pharm. weekbl., 1953, 88, № 3/4, 46—54 (голл.)

Сравниваются различные фармакопейные методы определения общего содержания алкалоидов в клубнях и настойках аконита и приводятся новые методы.

Л. М.

26923. Анализ качества витаминов и исследовательская работа в лабораториях пищевых и лекарственных

ных веществ. 2. Кембелл (Vitamin control and research in the food and drug laboratories. 2. Campbell J. A.), Chem. in Canada, 1953, 5, № 10, 33—35 (англ.)

Сообщение 1 см. РЖХим, 1955, 41491.

26924. Реакция образования  $\text{Cu}_2\text{HgJ}_4$  и ее применение при исследовании фармакопейных препаратов и объектов судебнохимического исследования. Павловская Н. А., Аптечное дело, 1954, 3, № 5, 24—27

Разработана модификация методики Артманна для открытия иона ртути, основанная на образовании окрашенного комплексного соединения  $\text{Cu}_2\text{HgJ}_4$ . Предложены капельный и хроматографич. способы выполнения р-ции. Установлена чувствительность р-ции и выяснено влияние ионов  $\text{Zn}^{2+}$ ,  $\text{Cu}^{2+}$ ,  $\text{AsO}_4^{3-}$ ,  $\text{Sn}^{4+}$ ,  $\text{SbO}_4^{3-}$ ,  $\text{Ag}^+$ ,  $\text{Bi}^{3+}$ ,  $\text{Fe}^{3+}$ . Р-ция применима для открытия  $\text{Hg}^{2+}$  после разрушения биологич. материала, а также для открытия  $\text{Hg}$  в фармакопейных неорганич. препаратах. Я. Г.

26925. Номенклатура препаратов спирта в Скандинавских Фармакопеях. Яланнер (Sprit-nomenklaturen i de nordiske farmakopeer. J. Alander Y. W.), Arch. pharmaci og chemi, 1954, 61, № 6, 161—165 (дат.)

26926 П. Способ получения производных полиэтиленгликолей (Verfahren zur Herstellung von neuen Polyäthylenglykolderivaten [Haco-Ges. A.-G.]. Австр. пат. 173692, 10.01.53 [Chem. Zbl., 1954, 125, № 3, 611 (нем.)]

Применяемые для получения лечебных и дезинфицирующих средств производные полиэтиленгликолей общей ф-лы  $\text{RO}(\text{CH}_2\text{CH}_2\text{O})_n\text{CH}_2\text{CH}_2\text{X}$  ( $\text{R}$  — алкил, циклоалкил, арил или аралкил;  $\text{X}$  — галогид или остаток органич. сульфокислоты;  $n = 4—50$ ) получают обработкой в-в общей ф-лы  $\text{RO}(\text{CH}_2\text{CH}_2\text{O})_n\text{CH}_2\text{CH}_2\text{OH}$  ацилирующими средствами, могущими отдавать остаток галогеноводородной или органич. сульфокислоты. Ацилированием монометилового эфира полиэтиленгликоля (I) в хлороформном р-ре бензолсульфохлоридом получают бензолсульфокислый эфир I; аналогично получают бензолсульфокислый эфир моно- $\beta$ -нафтилового эфира полиэтиленгликоля. В. У.

26927 П. Способ получения терапевтически действующих эфиров из карбинолов и диалкиламиноспиртов (Menetelmä terapeuttisesti vaikuttavien eettereiden valmistamiseksi karbinoleista ja dialkyyliaminoalkoholeista) [N. V. Koninklijke Pharmaceutische Fabrieken v/h Brocades-Stheeman Ja Pharmacia]. Фин. пат. 26766, 11.01.54

Для получения терапевтически действующего эфира или соли этого эфира ф-лы:  $n\text{-CH}_3\text{C}_6\text{H}_4\text{CH}(\text{C}_6\text{H}_5)=\text{OCH}_2\text{CH}_2\text{N}(\text{CH}_3)_2$  дифенилкарбинол, имеющий ф-лу  $n\text{-RC}_6\text{H}_4\text{CH}(\text{C}_6\text{H}_5)\text{-OH}$  ( $\text{R}$  означает  $\text{CH}_3$  или легко превращаемую в  $\text{CH}_3$  группу) в виде сложного эфира галогеноводородной к-ты конденсируют с диметиламиноэтанолом свободным или с помощью алкоголята; можно применять также конденсирующее в-во щел. характера, или вместо вышеуказанного осуществляют взаимодействие между диметиламиноэтанолом в виде сложного эфира галогеноводородной к-ты и алкоголем  $n$ -метилдифенилкарбинола или со свободным  $n$ -метилдифенилкарбинолом, применяя конденсирующее в-во щел. характера. М. Т.

26928 П. Способ приготовления производных барбитуровой кислоты. Моррен (Procédé de préparation de nouveaux dérivés de l'acide barbiturique. Morren H.). Франц. пат. 1057861, 11.03.54 [Prod. pharmac., 1954, 9, № 8, 454 (франц.)]

В первой стадии получают диэфир малоновой к-ты, в котором атомы Н при среднем атоме С замещены на

аллильную и 2-бромаллильную группы и в дальнейшем ведут р-цию, обычную для получения производных барбитуровой к-ты. С. С.

26929 П. Способ получения производного бензотетроновой кислоты (Verfahren zur Herstellung eines Derivates der Benzotetronsäure) [Spofa, spojené farmaceutické závody, národní podnik]. Австр. пат. 175253, 25.06.53 [Chem. Abstrs, 1954, 48, № 7, 4006 (англ.)] Доп. к австр. пат. 172318

Соединения, пригодные для снижения уровня протромбина в крови, получают обработкой бензотетроновой к-ты этиловым эфиром диэтилалетала гликокалевой к-ты (I). К 7 г бензотетроновой к-ты в 750 мл кипящей  $\text{H}_2\text{O}$  прибавляют 10,5 г I, белый продукт с т. пл. 172—174° промывают несколько раз р-ром  $\text{NaHCO}_3$ . Р-р фильтруют через уголь, осаждают  $\text{HCl}$ -кислотой, перекристаллизовывают из  $\text{CH}_3\text{OH}$ , получают низкоплавкую форму этилового эфира бис-(4-оксикумарин-3-ил)-уксусной к-ты, т. пл. 153—154°; высокоплавкий таутомер с т. пл. 173—174° выкристаллизовывают из инертного р-рителя, кипящего ниже 70°, напр. ацетона. Оба таутомера легко растворимы в щелочах, не растворимы в к-тах и имеют горький вкус. О. М.

26930 П. Способ получения производных аминосалициловой кислоты. Охварт (Verfahren zur Herstellung therapeutisch wertvoller Aminosalicylsäurederivate. Ochwat Paul) [Cassella Farbwerke Mainkur A.-G.]. Пат. ФРГ 929426, 27.06.55

Терапевтически ценные, в частности обладающие туберкулостатич. действием, производные аминосалициловой к-ты получают р-цией обмена 2,3-дихлорнафтохинона или его производных с аминосалициловой к-той. 33 ч. 2,3-дихлор-1,4-нафтохинон-5-сульфоникислого Na размешивают несколько часов при 20° с 450 ч. дистилл. воды и 18 ч.  $n$ -аминосалициловокислого Na, нагревают до 90° и фильтруют; по охлаждению из фильтра выделяется продукт конденсации, который отфильтровывают и промывают дистилл. водой. Для очистки перекристаллизовывают из дистилл. воды. Из фильтратов можно дополнительно высолить продукт р-ции. Темнокоричневый порошок, легко растворимый в воде. Ю. В.

26931 П. Производные 4-аминосалициловой кислоты и их получение (Derivatives of 4-aminosalicylic acid and their production) [Herts Pharmaceuticals, Ltd.]. Англ. пат. 694300, 15.07.53 [Chem. Zbl., 1954, 125, № 19, 4213 (нем.)]

Предлагаются как туберкулостатич. препараты: 4-нитро-2,3-диоксibenзойная к-та (I), т. пл. 194°, получаемая из 4-нитросалициловой к-ты и  $\text{K}_2\text{SO}_5$  в  $\text{NaOH}$ , при этом образуется также 4-нитрогентиановая к-та. 2,3-диацетильное производное I, т. пл. 186°; 4-амино-2,3-диоксibenзойная к-та (II), из  $\text{I}$ ,  $\text{H}_2$  и  $\text{PtO}_2$  в уксусноэтиловом эфире, т. пл. 158°, хлоргидрат, т. пл. 180°; 2, 3, 4-триацетил-II, из 2,3-диацетил-I,  $\text{H}_2$  и  $\text{PtO}_2$  в  $\text{CH}_3\text{OH}$ . О. М.

26932 П. 2,2-дифенил-4- диалкиламиноалканальдегиды. Ларсен (2,2-diphenyl-4-di-lower-alkylaminoalkanal. Larsen Aubrey A.) [Sterling Drug Inc.]. Пат. США 2691678, 12.10.54

Патентуются соединения общей ф-лы:  $\text{RR}'\text{NCH(R}'')\text{CH(R}''')\text{C}(\text{C}_6\text{H}_5)_2\text{CHO}$ , где  $\text{R}$  и  $\text{R}'$  — низкомолекулярные алкильные группы; один из радикалов  $\text{R}''$ ,  $\text{R}'''$  является метилом, второй водородом. Патентуются также водорастворимые нетоксичные соли этих соединений. Я. Ш.

26933 П. Способ получения 2,2'- или 4,4'-диаминодинафтила-1,1'. Зейферт\* (Verfahren zur Herstellung von 2,2'-bzw. 4,4'-Diaminodinafthyl-(1,1'). Seifert Hans) [V. E. B. Fabenfabriken Wolfen]. Пат. ГДР 752695, 15.04.54

$\beta, \beta'$ -или  $\alpha, \alpha'$ -азонафталин, тонко распределенные в среде труднорастворимого в воде р-рителя, подвергают восстановительной перегруппировке с помощью  $\text{Fe} + \text{конц. HCl}$  при  $60-80^\circ\text{C}$  с последующим переводом хлоридов  $4,4'$ -и  $2,2'$ -диаминодинафтила-1,1' (соответственно) в свободные основания обычными методами. Р-ритель легко рекуперировать перегонкой с паром, в особенности при работе с сильными конц-иями исходных в-в. Выхода значительно выше и образование побочных продуктов (в частности, 3, 4; 5, 6-дибензокарбазола) значительно ниже, чем в случае применения в качестве восстановителей  $\text{Zn} + \text{лед. CH}_3\text{COOH}$  или  $\text{SnCl}_2$ . Так, в колбе, снабженной обратным холодильником, растворяют или суспендируют при энергичном перемешивании 35 вес. ч.  $\beta, \beta'$ -азонафталина в 175 ч. по объему  $\text{C}_6\text{H}_6$  и 75 ч. по объему воды, добавляют при  $70^\circ$  в течение 5 час. небольшими порциями 30 вес. ч.  $\text{Fe}$ -пиллос и 80 ч. по объему конц.  $\text{HCl}$ , дополнительно перемешивают 1 час при  $70^\circ$ , охлаждают, не прекращая перемешивания, и отделяют на нуче смесь выделившегося хлорида диаминна с избыточным  $\text{Fe}$ , которую, после промывки небольшим кол-вом  $\text{C}_6\text{H}_6$ , нагревают в воде при  $50^\circ$  с вычисленным кол-вом воды.  $\text{NaOH}$ , после чего отсасывают на нуче нерастворимый осадок, осторожно высушивают его и экстрагируют посредством  $\text{C}_6\text{H}_6$  с добавкой обесцвечивающего угля: выход 85% (теор.) чистого кристаллич. 2,2'-диаминодинафтила-1,1', т. пл.  $191^\circ$  (из сп.). Как средство для местной анестезии превосходит в 31 раз кокаин. Описано также получение 4,4'-диаминодинафтила-1,1' (нафтидина) с т. пл.  $200^\circ$  и выходом 63% (теор.). Я. К.

**26934 П. Получение фенилгидразонов, содержащих основные группы.** Енш (Verfahren zur Herstellung von basischen Phenylhydrazonen. Jensch Heinrich) [Farbwerke Hoechst A.-G. vormals Meister Lucius und Brünig]. Пат. ФРГ 894693, 26.10.53 [Chem. Zbl., 1954, 125, № 37, 8400 (нем.)]

Содержащие основные группировки фенилгидразоны, пригодные в качестве промежуточных продуктов для получения лечебных средств, получают действием ацетоуксусной к-ты или ее моноалкилпроизводных на диазотированные ароматич. амносоединения, содержащие в ядре гуанил-, гуанидино-, или гуанилгидразонотипные группы. Напр. (4-гуанилфенилгидразон)-ацетон (хлоридат, желтоватый порошок, т. пл.  $270^\circ$ ) получается диазотированием  $\alpha$ -аминобензамидинодигидрохлорида и обработкой ацетоуксусной к-той и  $\text{Na}$ -ацетатом. Таким же образом получают (3-гуанилфенилгидразон)-ацетонитрат, т. пл.  $209-210^\circ$ ; 2-(4-гуанилфенилгидразон)-бутанон-(3), т. пл.  $199-200^\circ$ , хлоридат, т. пл.  $272^\circ$ ; 2-(3-гуанилфенилгидразон)-бутанон-(3), хлоридат, т. пл.  $268-270^\circ$ ; 3-(4-гуанилфенилгидразон)-пентанон-(2), т. пл.  $113-114^\circ$ ; 3-(4-гуанилфенилгидразон)-4-оксоексен-(1), карбонат, т. пл.  $66-67^\circ$ ;  $\alpha$ -(4-гуанилидофенилгидразон)-ацетон, хлоридат, т. пл.  $278^\circ$ ;  $\alpha$ -[3-(гуанилгидразонметил)-фенилгидразон]-ацетон, хлоридат, т. пл.  $120^\circ$ ;  $\alpha$ -[3-(гуанилгидразонметил)-фенилгидразон]-ацетон, хлоридат, т. пл.  $222^\circ$ . А. Б.

**26935 П. Терапевтически активные тиосемикарбазоны** (Chemotherapeutic thiosemicarbazones) [Farbenfabriken Bayer]. Англ. пат. 694688, 22.07.53 [Chem. Zbl., 1954, 125, № 19, 4212-4213 (нем.)] Тиосемикарбазоны ф-лы  $\text{R-RC}_6\text{H}_4\text{N}_3\text{CH=CHCN=NNH-CSNH}_2$ , где R — ациламино-, нитро-, карбокси-, карбалкокси-, карбалкиленокси- или алкилсульфогруппы, получают р-цией соответствующих замещ. в ядре коричневых альдегидов с тиосемикарбазидом, а также восстановлением тиосемикарбазона 4-нитрокоричного альдегида (т. пл.  $228^\circ$ ) в 4-аминосоединение (т. пл.  $206^\circ$ ) с последующим переводом в 4-ацетиламинсоеди-

нение (т. пл.  $220^\circ$ ). Тиосемикарбазон 4-этилсульфонкоричного альдегида, т. пл.  $190^\circ$ . Средства против туберкулеза. О. М.

**26936 П. Способ получения N-алкил-N-аралкил-1-( $n$ -оксифенил)-2-аминобутанолов - 1.** Кюльц, Шёпф (Verfahren zur Herstellung von N-Alkyl- und N-Aralkyl-1-( $p$ -oxyphenyl)-2-aminobutanolen-1. Külz Fritz, Schöpf Clemens) [Tropenwerke Dinklage und Co.]. Пат. ФРГ 900699, 4.01.54 [Chem. Zbl., 1954, 125, № 26, 5810 (нем.)]

Для получения имеющих фармакологич. применение N-алкил- и N-аралкил-1-( $n$ -оксифенил)-2-аминобутанолов-(1) бромиды 1- $n$ -бензилдиоксипропиленов и вводят в р-цию с 1-фенил-3-аминобутаном; образовавшиеся 2 стереоизомерные формы 1- $n$ -бензилдиоксифенил)-2-( $\alpha$ -метил- $\gamma$ -фенилпропиламино) бутанола-1 разделяют в виде хлоридов. Стереизомеры восстанавливают  $\text{H}_2$  и  $\text{PtO}_2$  в  $\text{CH}_3\text{OH}$  в стереоизомерные 1-( $n$ -бензилдиоксифенил)-2-( $\alpha$ -метил- $\gamma$ -фенилпропиламино) бутанола-1, т. пл.  $202^\circ$  (I) и  $156^\circ$  (II). Из I или II и  $\text{H}_2$  и  $\text{Pd/BaSO}_4$  в  $\text{CH}_3\text{OH}$  получают 1-( $n$ -оксифенил)-2-( $\alpha$ -метил- $\gamma$ -фенилпропиламино) бутанол-1, т-ра плавления хлоридат (независимо от исходного I или II)  $200^\circ$ . Аналогично получают хлоридат 1-( $n$ -оксифенил)-2-( $\alpha$ -метил- $\beta$ -фенилэтиламино) бутанола-1, т. пл.  $230^\circ$ ; хлоридат 1-( $n$ -оксифенил)-2-( $\gamma$ -фенилпропиламино) бутанола-1, т. пл.  $208^\circ$ ; хлоридат 1-( $n$ -оксифенил)-2-( $\delta$ -фенилбутиламино) бутанола-1, т. пл.  $192^\circ$ ; хлоридат 1-( $n$ -оксифенил)-2-( $\alpha$ -фенилэтиламино) бутанола-1, т. пл.  $209-210^\circ$ ; хлоридат 1-( $n$ -бензилдиоксифенил)-2-( $\delta$ -фенилбутиламино) бутанола-1, т. пл.  $193^\circ$ ; хлоридат 1-( $n$ -бензилдиоксифенил)-2-( $\alpha$ -фенилэтиламино) бутанола-1, т. пл.  $240^\circ$ . О. М.

**26937 П. Способ получения 1-( $\alpha$ -оксифенил)-1-окси-2-аралкиламинопропанов. Шёпф** (Verfahren zur Herstellung von 1-( $\alpha$ -oxyphenyl)-1-oxy-2-aralkylaminopropanen. Schöpf Clemens) [Tropenwerke Dinklage und Co.]. Пат. ФРГ 900938, 4.01.54 [Chem. Zbl., 1954, 125, № 30, 6779-6780 (нем.)]

Патентуются следующие 1-( $\alpha$ -оксифенил)-1-окси-2-аралкиламинопропаны в качестве терапевтич. средств: 1-( $\alpha$ -бензилдиоксифенил)-2-( $\beta$ -фенилэтиламино)-пропанон-1 (I), получающийся из  $\alpha$ -бензилдиокси- $\alpha$ -бромпропиофенона и  $\beta$ -фенилэтиламина, гидробромид, т. пл.  $168-169^\circ$ ; 1-( $\alpha$ -оксифенил)-2-( $\beta$ -фенилэтиламино)-пропанон-1 (II), получающийся из I,  $\text{H}_2$  и  $\text{Pd(OH)}_2/\text{BaSO}_4$  в метиловом спирте, гидробромид, т. пл.  $210-211^\circ$ ; 1-( $\alpha$ -оксифенил)-2-( $\beta$ -фенилэтиламино)-пропанол-1 из II-гидробромид,  $\text{H}_2$  и окиси платины в метиловом спирте, т. пл.  $91-92^\circ$ , гидробромид, т. пл.  $216-218^\circ$ ; 1-( $\alpha$ -бензилдиоксифенил)-2-( $\gamma$ -фенилпропиламино)-пропанон-1, бромидат, т. пл.  $159-160^\circ$ ; 1-( $\alpha$ -оксифенил)-2-( $\gamma$ -фенилпропиламино)-пропанол-1, т. пл.  $105-106^\circ$ , бромидат, т. пл.  $192-194^\circ$ ; 1-( $\alpha$ -бензилдиоксифенил)-2-( $\alpha$ -метил- $\gamma$ -фенилпропиламино)-пропанон-1 существует в двух диастереоизомерных формах, образующих две диастереоизомерные формы 1-( $\alpha$ -оксифенил)-2-( $\alpha$ -метил- $\gamma$ -фенилпропиламино)-пропанола-1, бромидаты которых имеют соответственно т. пл.  $198-201^\circ$  и  $216-217^\circ$ , последний образует 1-( $\alpha$ -оксифенил)-2-( $\alpha$ -метил- $\gamma$ -фенилпропиламино)-пропанол-1, т. пл.  $98-99^\circ$ ; хлоридат, т. пл.  $222-223^\circ$ , бромидат, т. пл.  $216-218^\circ$ . М. П.

**26938 П. Изотиоцианаты** (Isothiocyanates) [Farbenfabriken Bayer]. Англ. пат. 707589, 21.04.54 [J. Appl. Chem., 1954, 4, № 11, i1646 (англ.)]

Изотиоцианаты, применяющиеся в химиотерапии туберкулеза, получают р-цией  $\text{CSCl}_2$  с  $4,2,1\text{-NH}_2\text{C}_6\text{H}_3(\text{OH})\text{COOH}$ , ее солями или эфирами. Напр., путем постепенного добавления  $\text{CSCl}_2$  при  $10-15^\circ$  к слабому р-ру  $4,2,1\text{-NH}_2\text{C}_6\text{H}_3(\text{OH})\text{COOH}$  и перемешивания смеси в течение 6 час. получают с практически колич. выходом 3-окси-4-карбоксибензилзотиоцианат



разл. при 195—197°). Аналогично получают 3-окси-4-карбометоксифенилизотиоцианат, т. пл. 43—74°. Я. К. 26939 П. Замещенные алкилпиридины и способ их получения. Спербер, Папа, Швенк (Pyridyl substituted alkanes and method of making same. Sperber Nathan, Papa Domenick, Schwenk Erwin) [Schering Corp.]. Канад. пат. 506333, 5.10.54

Обладающие антигистаминным действием в-ва строения  $\text{Py}-\text{CH}(\text{R}')(\text{CH}_2)_n\text{R}'$  получают конденсацией алкилпиридинов с диалкиламиноалкилгалогенидами или галоидалкилимидазолинами, пиперидинами или морфолинами в присутствии амидов, гидридов, алкогидридов или металлорганич. соединений щел. или щел.-зем. металлов. В вышеприведенной ф-ле  $\text{Py}$  — пиридиновое кольцо, замещенное или не замещенное галогеном, алкокси- или низшей алкильной группой;  $\text{R}'$  — насыщ. диалкиламино-, пиперидино-, морфолино- или имидазолиновая группы,  $\text{R}''$  — алкильные, арильные, арилалкильные, циклоалкильные или тиенильные группы или их низшие алкильные, алкокси-, диалкиламино-, хлор- или бромзамещ.,  $n$  — целое число от 1 до 5. Патентуются, в частности, полученные указанным методом арилпиридил- N, N-диалкиламины и 3-фенил-3-(2-пиридил)-N, N-диметилпропиламин и их соли. Б. М.

26940 П. Каталитическое окисление азотной кислотой 2,5-диалкилпиридинов. Ариес (Oxydation catalytique des 2,5-dialkylpyridines par l'acide nitrique. Aries Robert) [Ete Givaudan, Lavirotte et Cie]. Франц. пат. 1071972, 7.09.54 [Prod. pharm., 1955, 10, № 1, 35 (франц.)]

Для получения пиридинкарбоновых к-т диалкилпиридин окисляют  $\text{HNO}_3$  под давлением выше атмосферного, при 160—180°, в присутствии катализаторов — солей поливалентных металлов, таких как Cu, Mn, Hg, Co и Cr. Ю. В.

26941 П.  $\alpha$ -Фенил- $\alpha$ -аминоэтокси-2-пиколины. Шелтон, Тилфорд (Alpha-phenyl-alpha-aminoethoxy-2-picolines. Shelton Robert S., Telford Charles H.) [The Wm. S. Merrell Co.]. Канад. пат. 506313, 5.10.54

Обладающие антигистаминной активностью диалкиламиноалкильные эфиры арилпиридилкарбинолов ф-лы  $\text{N}=\text{CH}-\text{CH}=\text{CH}-\text{CH}=\text{C}-\text{C}(\text{C}_6\text{H}_5)-$

(R)(OC<sub>2</sub>H<sub>4</sub>NR'R'') готовят конденсацией арилпиридилкарбинола соответствующего строения с диалкиламиноэтилгалогенидом, в частности, состава  $\text{ClC}_2\text{H}_4\text{NR'R}''$  в присутствии щел. металла, напр. натрия. R, R' и R'' — Н или алкильные группы, содержащие не более трех атомов С. Б. М.

26942 П. Пиперидиновые соединения (Piperidine compounds) [Roche Products, Ltd.]. Англ. пат. 713517, 11.08.54 [J. Appl. Chem., 1955, 5, № 3, i 431 (англ.)]

Патентуется способ получения пригодных в качестве лечебных средств солей 1,х-бис-(1'-(низший алкил)-1'-фенилалкил-4'-пиперидиний)-алканов, у которых низший алкил содержит 1—4 атомов С, алкан имеет нормальную цепь с 2—8 атомами С (х обозначает конечный атом С; фенил содержит электроноакцепторный заместитель, а алкил при фениле содержит 1—3 атома С. 1,2-бис-(4'-пиридил)-этан и  $\text{CH}_2\text{Br}$  оставляют стоять в ацетоне 3 дня при 20° в темноте и получают дибромистую соль 1,2-бис-(1'-метил-4'-пиридиний)-этана, т. пл. 284—292° (разл.); ее превращают гидрированием в присутствии  $\text{PtO}_2$  в  $\text{CH}_3\text{OH}$  в 1-2-бис-(1'-метил-4'-пиперидил)-этан (I), т. пл. 50—52°. Обработкой I н-нитробензилбромидом получают дибромистую соль 1,2-бис-(1'-(н-нитробензил)-1'-метил-4'-пиперидиний)-этана, т. пл. 264° (разл.). Аналогично получены

из I и соответствующих галоидных алкилов следующие бис-четвертичные соли I: 1,2-бис-(1'-н-карботоксibenзил-1-метил-4'-пиперидиний)-этан-дихлорид, т. пл. 262—264° (разл., с 1 молем кристаллизационной  $\text{H}_2\text{O}$ ); 1,2-бис-(1'-н-ацетилбензил-1'-метил-4'-пиперидиний)-этан-дибромид, т. пл. 281—286°; 1,2-бис-(1'-н-нитрофенилпропил-1'-метил-4'-пиперидиний)-этан-дибромид, т. пл. 278—286° (разл.); 1,2-бис-(1'-н-метансульф-фенилбензил-1'-метилпиперидиний)-этан-дихлорид, т. пл. 276—286° (разл.). Описано также большое кол-во аналогичных производных пропана, бутана, пентана, гексана, гептана и октана. В. У.

26943 П. Способ получения солей щелочных металлов изоникотинилгидразинметансульфиновой кислоты (Fremgangsmåde til fremstilling af alkali metalsalte af isonikotinyldiazinometan-sulfinsyre) [F. Hoffmann-La Roche und Co. A.-G.]. Дат. пат. 77992, 23.08.54

Способ отличается тем, что изоникотинилгидразин (I) взаимодействует с формальдегидсульфоксидом щел. металла, причем I и сульфоксидат Na (II) вводят в р-цию в мольном отношении в наименьшем объеме органич. р-рителя и разбавляют реакционную смесь большим объемом органич. р-рителя, смешивающимся с первым, но в котором нерастворим изоникотинилгидразинметансульфиновокислый Na (III). Пример. 137 г I (1 моль) и 154 г II растворяют в 700 мл теплого  $\text{CH}_3\text{OH}$ , фильтруют и добавляют к фильтрату 3 л и затем еще 4 л ацетона; через 15 час. отделяют выпавший осадок III в виде желтоватых кристаллов, растворимых в воде и  $\text{CH}_3\text{OH}$ ; III применяют в терапии туберкулеза. К. Г.

26944 П. Способ получения бариевой соли 5'-аденозинтрифосфата (Procédé de préparation du sel baryum du 5'-triphosphate d'adénosine) [National Research Development Corp.]. Швейц. пат. 293564, 16.12.54 [Chimia, 1954, 8, № 7, 188 (нем.)]

Конденсируют дибензилхлорфосфат с солью аденозинмонофосфорной к-ты и отщепляют бензильную группу гидрогенолизом. С. В.

26945 П. Способ получения глутамилглицеринофосфорной кислоты и ее солей (Acide glutamyl glycérophosphorique, ses sels et leur procédé de préparation) [Lab. le Brun.]. Франц. пат. 1072327, 10.09.54 [Prod. pharm., 1955, 10, № 1, 35 (франц.)]

Действием монохлоргидрина глицерина на щел. соль глутаминовой к-ты получают глицериновый эфир глутаминовой к-ты, который взаимодействием с фосфорной к-той превращают в глутамилглицеринофосфорную к-ту, или в ее соли. Ю. В.

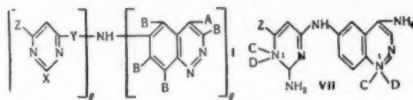
26946 П. Метод получения производного 4,7-фенантролина (Verfahren zur Herstellung eines neuen 4,7-Phenanthrolins) [Ciba A.-G.]. Швейц. пат. 290516, 1.08.53 [Chimia, 1954, 8, № 1, 23 (нем.)]

Патентуется 6-метокси-3-метилфенантролин-4,7 и способ его получения р-цией Дёбнера-Миллера из 6-амино-8-метоксхинолина и кротонового альдегида. Действует аналогично стрихнину, но менее токсичен. К. М.

26947 П. Производные циннолина. Херуэрт, Керд, Керд (Cinnoline derivatives. Herworth Walter, Curd Francis H. S., Curd Muriel Ruth) [Imperial Chemical Industries Ltd.]. Канад. пат. 494267, 07.07.53

Способ получения производных пиримидиламиноцинолина общей ф-лы (I) (где из заместителей X, Y и Z один представляет собой  $\text{NH}_2$  (II), или  $\text{C}_1 - \text{C}_6$  алкиламиногруппу (III), другой — H, II III или  $\text{C}_1 - \text{C}_6$  алкил (IV), а третий — NH-группу, образующую связь между циклами. A — II или III, B — H или IV, а символ  $\phi$  указывает, что пиримидиновое (V) и циннолиновое (VI) ядра находятся в виде соответствующих четвертичных солей) состоит в том, что I (без четвер-

тичной солевой группы) или I, в которых либо V, либо VI находятся в виде их четвертичной соли обрабатывают агентом, образующим четвертичную соль. В частности, патентуется получение в-в общей ф-лы (VII)



(где Z — H или  $\text{CH}_3$ , C — алкил, а D — анион) действием в-в общей ф-лы CD на соединения общей ф-лы VII без групп CD либо на содержащие их в положении 1 пиримидинового или диннолинового цикла. Я. К.

26948 П. Способ получения производных тиаксантона (Thiaxanthone derivative and a process for its preparation) [Soc. des Usines Chimiques Rhone-Poulenc]. Англ. пат. 698003, 7.10.53 [Abridged Specific of Invent., группа IVb, 419 (англ.)]

1-(2'-диэтиламинопропиламино)-4-метилтиаксантон получают р-цией 1-диэтиламино-2-хлорпропана с 1-амино-4-метилтиаксантоном в присутствии связывающих к-ту в-в; при этом наблюдается перегруппировка в пропиловом остатке. Продукт как таковой или в форме хлоргидрата или других солей применяется в медицине совместно с инертными носителями или разбавителями. В. У.

26949 П. Производные фентиазина и способ их получения (Phenthiazine derivatives and process for their preparation) [Soc. des Usines Chimiques Rhone-Poulenc]. Англ. пат. 686069, 14.07.53 [Chem. Zbl., 1954, 125, № 16, 3524 (нем.)]

Производные фентиазина, имеющие у N боковую цепь —  $\text{CH}_2\text{CHONCH}_2\text{N}(\text{R})_2$ , где R — алкил с 1—4 атомами C, получают конденсацией вторичного амина  $(\text{R})_2\text{NH}$  с N-(2,3-эпоксипропил)фентиазином в спирте или метаноле при повышенном давлении и т-ре  $\sim 120^\circ$  N-(3-диэтиламино-2-оксипропил)фентиазин, т. пл. 142—143°; хлоргидрат, т. пл.  $\sim 134^\circ$ . N-(3-диметиламино-2-оксипропил)фентиазин, т. пл. 84—85°; хлоргидрат, т. пл.  $\sim 131^\circ$ . Эти соединения являются спазмолитиками, антигистаминными в-вами, ваготониками и местными анестетиками. О. М.

26950 П. Получение N<sub>1</sub>-замещенных гетероциклических бензолсульфамидов (Verfahren zur Herstellung von N<sub>1</sub>-heterocyclisch substituierten Benzolsulfonamiden) [Österreichische Stickstoffwerke A.-G.]. Австр. пат. 175895, 25.08.53 [Chem. Zbl., 1954, 125, № 5, 1074 (нем.)]

Вышеуказанные соединения общей ф-лы  $\text{YRSO}_2\text{N}-\text{NR}'$  (R — фенильное кольцо, Y — H или нейтр. группа, стоящая в пара-положении, напр., алкил-, алкокси-или карбалкоксигруппы либо основные заместители, напр., амино-, алкиламино-или аминотильная группа; R' — замещ. основной или нейтр. группой остаток пиримидинового ряда) получают, исходя из солей сульфамида (в которых упомянутые группы составляют анион) общей ф-лы  $[\text{YRSO}_2\text{NH}]\text{X}^+$  или  $(\text{YRSO}_2\text{NH})_2\text{X}^{2+}$ , где X<sup>+</sup> и X<sup>2+</sup> — одно- или 2-валентный катион (напр., Na<sup>+</sup>, K<sup>+</sup> или Ca<sup>2+</sup>), а Y и R имеют упомянутые значения. Эти соли вводят в р-цию с четвертичными аммониевыми солями общей ф-лы  $(\text{R}_3'\text{N}^+)\text{R}''\text{X}_1^-$ , где X<sub>1</sub><sup>-</sup> — анион, R'' — алкильный остаток, R' — гетероциклич. остаток. При этом отщепляется триалкиламин R<sub>3</sub>'N и галогенид. n-Аминогруппа образуется в результате восстановления или гидролиза. В качестве р-рителя или гомогенизирующего в-ва применяют низкомолекулярные алифатич. амиды карбоновых к-т (напр., ацетамид). Т-ра р-ции 50—150°. В качестве соли бензолсульфамида применяют, напр. соль 4-амино-бензолсульфамида (I).

Пример: Na-соль I вводят в р-цию с 2,6-диметокси-4-триметиламоний-пиримидинхлоридом, при этом образуется 4-сульфанилил-2,6-диметоксипиримидин, т. пл. 201—203°. Аналогичным образом получены: 2-сульфанилил-4,6-диметилпиримидин, т. пл. 198°; 4-сульфанилил-2,6-диметилпиримидин, т. пл. 245°, 2-(N<sub>4</sub>-ацетаминосульфанилил)-4,6-диметилпиримидин, т. пл. 246°. Е. Д.

26951 П. Производные 2-н-(аминобензолсульфонамид)-пиримидина. Мацукава, Ота [2-(p-Aminobenzenesulfonamido) pyrimidine derivatives. Matsukawa Taizo, Ohta Buhachiro] [Takeda Pharmaceutical Industries Co.]. Япон. пат. 1590, 15.04.53 [Chem. Abstrs, 1954, 48, № 21, 12805 (англ.)]

21 г сульфатунидина (I) и 19 г  $\text{CH}_3\text{CR} = \text{CHCOCH}_3$  (II), где R — пиперидин, нагревают 3 часа при 140°, охлаждают, продукт вводят в 300 г 5%-ного NaOH, отгоняют с паром пиперидина, остаток фильтруют и получают 5 г I, фильтрат нейтрализуют разб. HCl, осадок отфильтровывают, перекристаллизовывают из  $\text{CH}_3\text{OH}$  и получают 21 г 2-(n-аминобензолсульфонамидо)-4,6-диметилпиримидина (III), пластинки, т. пл. 194—196°. Аналогично 5 г I, 3 г  $(\text{CH}_3\text{CO})_2\text{CH}_2$  и 1 г пиперидина нагревают 4 часа при 130°, полученный продукт обрабатывают как указано выше и получают 4,5 г III. Получены другие производные: 2-(n-аминобензолсульфонамидо)-4-метилпиримидин, палочки, т. пл. 230—232°; 6-ОН аналог III, палочки, т. пл. 255—257°. Ю. В.

26952 П. Получение очищенного сульфамеразина. Эванс, Миллс (Production of purified sulfamerazine. Evans Taylor H., Mills Ralph W.) [United States Rubber Co.]. Пат. США 2693466, 2.11.54

Патентуется метод выделения сульфамеразина из спирт. р-ра, содержащего сульфатунидин, хлорвинилметилкетон и алкогولات Na, а также трудно удаляемые, интенсивно окрашенные примеси, загрязняющие конечный продукт. Спирт. р-р реакционной смеси охлаждают, отфильтровывают сравнительно чистую Na-соль сульфамеразина (основная часть окрашенных примесей остается в р-ре), растворяют ее в воде и нагревают с активированным углем и гидросульфитом. Отфильтрованный обесцвеченный р-р охлаждают до комнатной т-ры и подкисляют  $\text{CH}_3\text{COOH}$  до осаждения сульфамеразина (pH < 6). М. К.

26953 П. Способ получения производных сульфамидов тиадиазольного ряда. Роде, Хюц, Чеше, Фокс (Verfahren zur Herstellung von Abkömmlingen von Sulfonamiden der Thiadiazolreihe. Rohde Karl, Hütz Walter, Tschesche Rudolf, Fox Hermann) [VEB Schering Adlershof]. Пат. ГДР 6789, 12.03.54

Сульфамиды, замещенные алифатич. остатками, имеющие общую ф-лу  $\text{RS}(\text{O})_n\text{NHC}_2\text{NHNHCOR}'$ , где R — ароматич. радикал, содержащий в пара-положении к  $\text{S}(\text{O})_n$  аминогруппу или группу, переводимую в аминогруппу; R' — H или углеводородный радикал, а n = 0—2, нагревают с ангидридами или хлорангидридами к-т, органич. или минер. к-тами, напр.  $\text{CH}_3\text{COOH}$  или  $\text{H}_2\text{SO}_4$ , в результате чего происходит отщепление воды с замыканием тиадиазольного кольца и образованием тиадиазольного производного, общей ф-лы  $\text{RS}(\text{O})_n\text{NH} - \text{C} = \text{NN} = \text{C}(\text{R}')\text{S}$ . Исходные сульфамиды целесообразно получать взаимодействием соответствующих галоидангидридов сульфоновых, сульфеновых или сульфиновых к-т с тиосемикарбазидом с замещ. гидразоаминогруппой в присутствии агента, отщепляющего галоидоводородные к-ты, но не вступающего в р-цию с галоидангидридом, в частности, в присутствии пиридина, хинолина или другого пири-

динового основания. Сульфен-или сульфинамино-группы окисляют (после замыкания кольца) в сульфониамидогруппу. Так, суспензию 11,9 г формилтиосемикарбазида в 20 мл пиридина или хинolina обрабатывают 23,3 г *n*-ацетиламинобензолсульфохлорида, смесь нагревают 15 мин. на водяной бане, после охлаждения выливают в лёд и 2 н. HCl и отсасывают осадок; перекристаллизацией из  $C_2H_5OH$  или  $CH_3COOH$  получают чистый *n*-ацетиламинобензолсульфонил-(N-формил)-тиосемикарбазид, 31,6 г последнего нагревают с избытком  $CH_3COCl$ ; образовавшуюся при охлаждении кристаллич. кашицу растворяют в воде, из р-ра с помощью  $CH_3COONa$  осаждают 2-(*n*-ацетиламинобензолсульфамидо)-1, 3, 4-тиодиазол, который омывают в 2-(*n*-аминобензолсульфамидо)-1, 3, 4-тиодиазол, т. пл. 220° (из сл.). Описано также получение: 2-(*n*-ацетиламинобензолсульфамидо)-5-этил-1, 3, 4-тиодиазола, т. пл. 203—204°; 2-(*n*-аминобензолсульфамидо)-5-метил-1, 3, 4-тиодиазола, т. пл. 202°; 2-(*n*-аминобензолсульфамидо)-5-этил-1, 3, 4-тиодиазола, т. пл. 184° и 2-(*n*-карботоксинаминобензолсульфамидо)-5-этил-1, 3, 4-тиодиазола, т. пл. 205°.

**26954 П. Способ получения 2-амино- $\Delta^2$ -тиазолинов или тиазолидон-(2)-имидов и их солей. Шёберль** (Verfahren zur Herstellung von 2-Amino- $\Delta^2$ -thiazolinen bzw. Thiazolidon-(2)-imiden und deren Salzen. Schöberl Alfons) [Knoll A.-G. Chemische Fabriken]. Пат. ФРГ 910650, 3.05.54 [Chem. Zbl., 1955, 126, № 10, 2256 (нем.)]

$\beta, \beta'$ -Диаминодитилдисульфиды (которые могут иметь заместители при С или N) обрабатывают цианидами, предпочтительно в присутствии  $H_2O_2$ . В качестве исходных в-в применяются цистин, хлоридраты цистаминна и эфедриндисульфида. Получены: 2-амино- $\Delta^2$ -тиазолинкарбоновая-4-к-та или 4-карбокситиазолидон-(2)-имид; 2-имино- $\Delta^2$ -тиазолин, цианат, т. пл. 97°, перегрупуировавшийся в N-тиазолинилмочевину, т. пл. 166—167°; 2-имино-3,4-диметил-5-фенилтиазолидинроданид, т. пл. 171°,  $[\alpha]_D^{20} + 124^\circ$  (с 5%,  $CH_3OH$ ).

Соединения являются терапевтич. препаратами. Я. К. **26955 П. Азотуберкулин. Окамото, Ито** (Azotuberculin. Okamoto Hajime, Ito Makoto). Япон. пат. 4249, 28.08.53 [Chem. Abstrs, 1954, 48, № 15, 9024 (англ.)]

Диазотируют 4, 6, 2-Br<sub>2</sub>(H<sub>2</sub>N)<sub>2</sub>C<sub>6</sub>H<sub>2</sub>OH и сочетают с туберкулином — активным действующим в-вом, содержащимся в культуральной среде Сортона *Mycobacterium tuberculosis*. Получают 3,5-дибром-2-оксифенилазотуберкулин. С. Б.

**26956 П. Способ получения (+)-3-метокси-N-метилморфина** (Verfahren zur Herstellung von (+)-3-methoxy-N-methyl-morphinan) [F. Hoffmann-La Roche und Co. A.-G.]. Швейц. пат. 297994, 16.06.54 [Chem. Zbl., 1954, 125, № 46, 10541 (нем.)]

(+)-3-Метокси-N-метилморфинан, т. пл. 108—109°,  $[\alpha]_D^{20} = +49,6^\circ$  (с-1,5 в сл.), получают обработкой DL-3-окси-N-метилморфина метилирующим в-вом  $[C_6H_5(CH_3)_2NOH]$ , переводят образовавшийся DL-3-метокси-N-метилморфинан с помощью оптически активной к-ты (D-винной к-ты) в соответствующую соль, выделяют из смеси дробной кристаллизацией право-вращающее соединение и получают из него свободное основание. Лечебное средство. Ю. В.

**26957 П. Разделение и очистка дигитоксина и гитоксина. Сато, Нейи** (Separation and purification of digitoxin and gitoxin. Sato Daisuke, Ishii Hiroshi) [Shionogi Drug Manufg. Co.]. Япон. пат. 4941, 30.09.53 [Chem. Abstrs, 1954, 48, № 18, 11010 (англ.)]

Метаноловый экстракт, содержащий дигитоксин (I) и гитоксин (II) (из 1000 ч. сухой *Digitalis purpurea*)

в 200 ч.  $CHCl_3$ , хроматографируют на  $Al_2O_3$ , причем сверху поглощается II, внизу I. Затем I вымывают смесью  $CHCl_3-CH_3OH$  (60:1), выход 0,5 ч., т. разл. 261—263° (из этилацетата, затем из  $CH_3OH$ ), II вымывают смесью  $CHCl_3-CH_3OH$  (1:1), выход 0,4 ч., т. пл. 277—278° (из этилацетата).

**26958 П. Алкилтокоферолы. Уэйслер** (Alkyl tocopherols. Wiesler Leonard) [Eastman Kodak Co.]. Пат. США 2673858, 30.03.54

Способ повышения Е-витаминной активности  $\beta$ -,  $\gamma$ - и  $\delta$ -токоферольных соединений, имеющих не менее одного свободного ароматич. атома Н в бензольном ядре, заключается в том, что на указанные соединения действуют низшим алифатич. альдегидом в присутствии щел. катализатора, подающего в водн. среду ОН-ионы и способствующего замещению указанного водорода ароматич. ядра оксикалькильной группой. Последнюю затем восстанавливают в соответствующую алкильную группу. О. М.

**26959 П. Устойчивый раствор витамина В<sub>1</sub>. Харада** (Stable solution containing vitamin B<sub>1</sub>. Harada Kiyoshi) [Tanabe Drug Manufg. Co.]. Япон. пат. 298, 20.01.54 [Chem. Abstrs, 1954, 48, № 21, 13174 (англ.)]

Смешивают 1 г витамина В<sub>1</sub>, 0,85 г NaCl, 50 мл воды и 20 мл 0,01%-го р-ра  $(CH_3NH_2)_2 \cdot 4CH_3COOH$ , дополняют водой до 100 мл и разливают в ампулы. Р-р стоек к нагреванию в течение 1 часа при 115° или к действию солнечного света в течение 10—15 час. Ю. В.

**26960 П. Витамин В<sub>12</sub> (Vitamin B<sub>12</sub>)** [American Cyanamid Co.]. Австрал. пат. 159147, 14.10.54

Для очистки водн. р-ров витамина В<sub>12</sub>, содержащих примеси, р-ры обрабатывают практически нерастворимым в воде соединением циркония, адсорбирующим загрязнения, и отделяют очис. р-р. Термин витамин В<sub>12</sub> применяется как родовое понятие для многочисленных, описанных в литературе форм, обладающих физиологич. активностью витамина В<sub>12</sub>. Ю. В.

**26961 П. Способ обогащения витамином В<sub>12</sub>. Линднер, Кюн** (Verfahren zur Anreicherung von vitamin B<sub>12</sub>. Lindner Fritz, Kühn Karl) [Farbwerke Hoechst A.-G. vormals Meister Lucius und Brüning]. Пат. ФРГ 920933, 4.12.54 [Pharmaz. Ind., 1955, 17, № 2, 68 (нем.)]

Главное затруднение при получении витамина В<sub>12</sub> (I) из природных исходных в-в, напр. экстрактов печени, фильтратов культур микроорганизмов связано с крайне низким содержанием I в исходных р-рах. При повышении конц-ии I исходных р-ров упариванием и последующим экстрагированием органич. р-рителями, или (во избежание выпаривания больших кол-в жидкости) адсорбированием I непосредственно из исходных р-ров с помощью  $Al_2O_3$ , бентонита, кремневой к-ты и т. п. с последующим вымыванием большими кол-вами водн. органич. р-рителей достигалась небольшая конц-ия элюатов, напр. (для угольного адсорбата) 0,16  $\mu g$  I в мг. Способом избирательной адсорбции I из экстрактов органов или фильтратов культур микроорганизмов получают сырой продукт, содержащий ~1% I, с помощью окиссоединений ароматич. углеводородов с конденсированными бензольными ядрами, напр. нафтолов или оксинафтрацена и т. п., предпочтительно  $\alpha$ -нафтола, в кислой среде. Дальнейшая очистка и переработка осуществляется относительно просто известными методами. Ю. В.

**26962 П. Кобаламины (Cobalamins)** [American Cyanamid Co.]. Англ. пат. 708037, 708038, 28.04.54 [J. Appl. Chem., 1954, 4, № 12, ii780 (англ.)]

Кобаламины (Со-содержащие комплексные соединения витамина В<sub>12</sub>) выделяют из содержащих их жидкостей — экстракта печени, культуральной жидкости *Str. aureofaciens* и т. п. (после удаления бутанолом



ауреомиина) галоидфенолом, нерастворимым в воде (напр., *n*-хлорфенолом), и извлекают из р-рителя водой после прибавления вторичного или третичного амина (напр., 2,4-диметилпиридина). Воды. р-ры перерабатывают для выделения витамина B<sub>12</sub>. Ю. В.

**26963 П.** Препарат инсулина для инъекций пролонгированного действия и метод его получения (Injectable insulin preparation with protracted effect and process for its production) [Novo Therapeutisk Laboratorium A/S]. Инд. пат. 47472, 10.53 [J. Scient. and Industr. Res., 1953, 12, № 12, 576 (англ.)]

Патентуется препарат инсулина (I) для инъекций пролонгированного действия и способ его получения, основанный на том, что аморфный I в присутствии цинка, кобальта, кадмия, меди, марганца и железа готовится в такой концентрации, что готовая суспензия содержит 2·10<sup>-5</sup> м.к. металлов в 1 мл суспензии; A — кол-во м. е. I в 1 мл суспензии. Л. М.

**26964 П.** Получение эргостерина и сопутствующих веществ. Хуммель (Verfahren zur Gewinnung von Ergosterin und Begleitstoffen. Hummel Otto) [Zellstoffabrik Waldhof]. Пат. ФРГ 916847, 21.08.54 [Pharmaz. Ind., 1954, 16, № 11, 472 (нем.)]

Эргостерин и его спутники, как церебрин дрожжей и жирные к-ты, получают из липоидсодержащего сырья, предпочтительно дрожжей. Измельченные дрожжи экстрагируют горячим CH<sub>3</sub>OH, экстракт упаривают до определенного объема. Твердый остаток промывают CH<sub>3</sub>OH и полученный фильтрат употребляют для следующей экстракции. Экстракт кипятят 0,5 часа с водн. щелочью, отделяют выпадающий при 20° технич. эргостерин, содержащий дрожжевой церебрин. Технич. эргостерин экстрагируют ацетоном, эфиром или хлф., экстракт доводят до объема, при котором эргостерин остается в р-ре, а церебрин выпадает при 20—30°. В. В.

**26965 П.** Кетостероидные соединения и способ их выделения и очистки. Веллуз (Method of isolating and purifying keto steroids and new keto steroid compounds. Velluz Leon) [Les Lab. Français de Chimiotherapie]. Канад. пат. 504314, 13.07.54

Смесь кетостероидов, содержащая другие компоненты, обрабатывают в р-ре гидразидом бензиловой к-ты (I). Отделяют осадок гидразона I кетостероидов от растворенных гидразонов I и других инертных компонентов, содержащихся в р-ре и разлагают осадок для выделения очищ. кетостероидов. В частности, таким образом очищают эстрон в р-ре CH<sub>3</sub>OH, содержащем CH<sub>3</sub>COOH, путем кипячения реакционной смеси для конденсации смеси кетостероидов с гидразидом I и применения для разложения гидразона I эстронон HCl-газ в органич. р-рителе при нагревании. Смесь 21-эфира 3, 11, 20-трикет-17 α, 21-диоксипрегнана и 21-эфира 11, 20-дикет-3 α, 17 α, 21-триоксипрегнана растворяют в CH<sub>3</sub>OH, содержащем CH<sub>3</sub>COOH, прибавляют I, кипятят р-р и отделяют выделившийся при охлаждении гидразон I 21-эфира 3, 11, 20-трикет-17 α, 21-диоксипрегнана. Последний растворяют в CH<sub>3</sub>COOH и разлагают, прибавляя р-р к р-ру пировиноградной к-ты и выделяют очисти. 21-эфир 3, 11, 20-трикет-17 α, 21-диоксипрегнана. Патентуется ацетат дезоксикортикостерон-1-гидразона. В. В.

**26966 П.** 14 α, 17 α, 21-триокс-4-прегнен-3, 20-дион и его эфиры. Меррей, Питерсон (14 α, 17 α, 21-trihydroxy-4-pregnene-3,20-dione and esters thereof. Murray Herbert C., Peterson Durey H.) [The Upjohn Co.]. Пат. США 2673866, 30.03.54

Патентуется указанный прегнендион и его эфиры с карбоновыми к-тами, содержащими 1—8 атомов С. О. М.

**26967 П.** Способ получения продуктов присоединения к 3-ацилокс-5,7,9 (11)-андростатриен-17-онам. Левин, Мак-Интош, Сперо (Verfahren zur Herstellung von 3-Acyloxy-5, 7, 9 (11)-androstatrien-17-on-addukten. Levin Harold, McIntosh A. Vern, Jr, Spero George Basil) [Upjohn Co.]. Пат. ФРГ 892452, 8.10.53 [Chem. Zbl., 1954, 125, № 24, 5354 (нем.)]

Продукты присоединения (III) к 3-ацилокс-5, 7, 9 (11)-андростатриен-17-онам общей ф-лы (I), (Y = O, R — ацил C<sub>1-8</sub>-монокарбоновой к-ты; R'-остаток малеинового ангидрида или ди-C<sub>1-8</sub>-алкильного эфира малеиновой к-ты) получают озонированием 17, 20-двойной связи соответствующего III из 3,20-ди-ацилокс-5, 7, 9 (11), 17 (20)-прегнатетраена общей ф-лы I, где Y есть [C(OR)(CH<sub>3</sub>)] при t-ре от — 80 до +30° с применением 1—1,25 моля O<sub>3</sub> в органич. р-рителе и разложением полученного озонида, лучше при помощи Zn и CH<sub>3</sub>COOH.

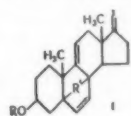
Так, из III малеинового ангидрида к 3β-20-диацетокс-5, 7, 9 (11), 17 (20)-прегнатетраену озонированием O<sub>3</sub> в CH<sub>2</sub>Cl<sub>2</sub> и восстановительным расщеплением озонида Zn в CH<sub>3</sub>COOH получают соответствующий III к 3β-ацетокс-5, 7, 9 (11)-андростатриен-17-ону, C<sub>25</sub>H<sub>38</sub>O<sub>6</sub>, т. пл. 218,5—221° (из CH<sub>3</sub>OH); III диметилового эфира малеиновой к-ты к 3β-ацетокс-5, 7, 9 (11)-андростатриен-17-ону, т. пл. 120—130°. Ацетилированием III малеинового ангидрида к 3β-бензоилокс-5, 7, 9 (11)-прегнатриен-20-ону (т. пл. 219—224°) при помощи (CH<sub>3</sub>CO)<sub>2</sub>O получают соответствующий III к 3β-бензоилокс-20-ацетокс-5, 7, 9 (11), 17 (20)-прегнатетраену, т. пл. 165—215°; из последнего соответствующий III к 3β-бензоилокс-5, 7, 9 (11)-андростатриен-17-ону, т. пл. 250—260°. Окислением I органич. надкислотами или H<sub>2</sub>O<sub>2</sub> получают III к 3-ацилокс-9, 11-оксидо-5,7-андростатриен-17-ону. В. У.

**26968 П.** Метод получения препарата гепарина, свободного от пирогенов (Verfahren zur Herstellung pyrogeufreier Heparinpräparate) [N. V. Organon]. Швейц. пат. 292249, 16.10.53 [Chimia, 1954, 8, № 1, 24 (нем.)]

Указанный препарат получают обработкой сильными основаниями (pH 12—14) гепарина, содержащего пирогены. Е. М.

**26969 П.** Получение аминокислот и продуктов из них (Preparation of amino acids and products therefrom) [Merck and Co., Inc.]. Англ. пат. 692922, 17.06.53 [Chem. Abstrs, 1954, 48, № 17, 10061—10062 (англ.)]

Свободную от гистаминоподобных в-в и имеющую постоянную чистоту фракцию аминокислот основного характера получают экстракцией моноаминомонокарбоновых к-т (I) из водн. р-ра кислого белкового гидролизата с помощью спиртов, содержащих 3—5 атомов С. I выделяют из спиртового экстракта, который обрабатывают катионообменной смолой, абсорбирующей аминокислоты основного характера. Последние вымываются из смолы р-ром NH<sub>4</sub>OH. Основные аминокислоты смешивают с I, трифенолом, глицином и другими важными аминокислотами и разбавляют р-р водой до такого объема, чтобы он содержал 8—12% важнейших природных аминокислот. 1 кг казеина, не содержащего золь и влаги, кипятят 20 час. с 3,3 л 25%-ной HCl. Смесь концентрируют до сиропообразного состояния (после того, как первоначальный объем уменьшится втрое, т-ру смеси поддерживают ниже 70°), растворяют в ~ 5 л дистилл. воды, фильтруют через тонкий слой угля для отделения нерастворимых гуминовых в-в. Фильтрат, имеющий pH 0,5—1, для уда-



ления избытка  $K$ -ты пропускают со скоростью  $\sim 200$  мл/мин через колонну длиной 90 см, в которую загружен 1 кг амберлита IR-4B, обработанного 5%-ной  $HCl$  и 10%-ным  $NaOH$  и промыванием до  $pH$  7—8. Затем колонну промывают 2—3 л воды, которую пропускают с указанной скоростью, до  $pH$  5. Собранную жидкость вместе с промывными водами обрабатывают 10—15 мин. 100 г угля; уголь отфильтровывают, фильтрат концентрируют до объема  $\sim 5$  л (содержание  $N$  составляет 2,8 г на 100 мл, т. е. менее 3%), охлаждают  $\sim 8$  час. при 0—5°. Выпавший осадок тирозина отфильтровывают. Гидролизат экстрагируют 36 час. 20 объемами  $C_4H_9OH$  в полунепрерывном жидкостном экстракторе при 65° и 60 мм рт. ст. Бутанольный экстракт, содержащий  $I$ , охлаждают  $\sim 8$  час., фильтруют, осадок промывают двумя порциями сухого  $C_4H_9OH$  по 250 мл и затем двумя порциями эфира по 250 мл и сушат до постоянного веса при 55°. Полученная фракция содержит (в %)  $\sim 15$  изолейцина, 31 лейцина, 8 метионина, 11 фенилаланина, 3,5 треонина и 13 валина. Бутанольный экстракт концентрируют до объема 4 л и пропускают через колонну длиной 183 см, содержащую 2 кг амберлита IR-100, со скоростью  $\sim 300$  мл/мин. (Колонну подготавливают введением амберлита в трубку длиной 244 см и diam. 6 мм, наполненную водой, промывают дистилл. водой до тех пор, пока промывная жидкость не станет бесцветной, пропускают сначала 6 л 20%-ного  $NH_4OH$  со скоростью 300 мл/мин, затем 20 л дистилл. воды). Затем из колонны вымывают адсорбированные аминокислоты с помощью 6 л 20%-ного  $NH_4OH$ . В собранной жидкости, сконцентрированной до объема  $\sim 1,75$  л, находится 90% аминокислот основного характера, содержащихся в казеине: 25 г аргинина, 25 г гистидина и 70 г лизина. Соответствующую фракцию основных аминокислот разбавляют до 4 л, из  $p$ -ра удаляют  $O_2$  и добавляют 250 г фракции  $I$ , 118 г глицина, 9 г DL-триптофана и 23 г DL-метионина. Прибавлением  $\sim 28$  мл конц.  $HCl$  доводят  $pH$   $p$ -ра до 6,5—7, затем  $p$ -р обрабатывают 50 г угля, фильтруют, разбавляют до 5 л, удаляют пирогенные в-ва и стерилизуют. Получают  $p$ -р, содержащий (в %) 5 аргинина, 3 гистидина, 7,4 изолейцина, 17,2 лейцина, 9 лизина, 8,5 метионина, 6 фенилаланина, 1,5 треонина, 0,9 триптофана, 5,3 валина и 22,6 глицина. И. Ш.

**26970 П.** Способ приготовления чистых кристаллических солей пенициллина. Сенкус (Process of preparing pure crystalline salts of penicillin. Senkus Murray) [Commercial Solvents Corp.]. Канад. пат. 506272, 5.10.54

Для получения чистых кристаллич. солей пенициллина ( $I$ ) к  $p$ -рам сырых солей  $K$ ,  $Rb$ ,  $NH_4$   $I$  или относительно чистому  $p$ -ру  $Na$ -соли  $I$  прибавляют для высаливания растворимые в воде соли  $Na$ ,  $K$ ,  $Rb$  и  $NH_4$ , соответствующие соли  $I$  в  $p$ -ре, в конц-ях более высоких, чем конц-я соли  $I$ , и извлекают алкогелем, не смешивающимся с водой, установив  $pH$  смеси 6—7; отделяют алкогольный слой, устанавливают  $pH$  в нем 4—8,5 с помощью гидроксида, карбоната или бикарбоната металла, содержащегося в соли  $I$ , отгоняют алкоголь при  $t$ -ре не выше 40°, пока конц-я соли  $I$  в остатке не будет соответствовать насыщ.  $p$ -ру при 20°, кристаллизуют и отделяют чистую кристаллич. соль  $I$ . Ю. В.

**26971 П.** Бигуанидные соли пенициллина. Вейденгеймер, Риттер (Biguanide salts of penicillin. Weidenheimer Joseph F., Ritter Lawrence) [American Cyanamid Co.]. Пат. США 2631146, 10.03.53

Патентуются соли пенициллина и соединений общей ф-лы:  $R'HNC(NH)NHC(NH)NR''R'''$ , где  $R'$  — алкил, моноциклич. арил, моноциклич. галогенарил, дициклич. арил;  $R''$  —  $H$ , алкил, моноциклич. арил, моноциклич.

хлорарил и дициклич. арил;  $R'''$  —  $H$  или алкил. О. М.

**26972 П.** Соли пенициллина и замещенного циклогексанамина и способы их получения. Купер (Substituted cyclohexylamine salts of penicillin and methods of preparing same. Cooper Douglas E.) [Bristol Lab., Inc.]. Канад. пат. 506258, 5.10.54

Патентуются соли пенициллина ( $I$ ) и амина общей ф-лы  $R' - R - NH_2$ , в которой  $R$  — циклогексильное кольцо, а  $R'$  — один из радикалов: низший алкокси-, 4-циклоалкил-, 4-амино-, 4-арил-, 4-(4'-аминоциклогексил)- или 2-метил-, 2-5-изопропилиден радикал и способ получения этих солей, состоящий в  $p$ -ции указанного амина (или его соли) с  $I$  (или его солью) и выделении образовавшейся соли  $I$ . Ю. В.

**26973 П.** Способ очистки пенициллина X. Ходж (Process for refining penicillin X. Hodge Edward B.) [Commercial Solvents Corp.]. Канад. пат. 506099, 28.09.54

Способ получения чистого кристаллич.  $K$ -пенициллина- $X$  ( $I$ ) из смеси пенициллинов, образовавшейся в культуральной жидкости и содержащей преобладающее кол-во  $I$ , состоит в приготовлении конц.  $p$ -ра  $K$ -солей из указанной смеси, а также в обработке смеси  $p$ -рителем типа вторичного алифатич. спирта с 3—6 атомами  $C$ , охлаждении и кристаллизации термостойкого  $I$ . В частности, конц.  $p$ -р, в котором пенициллиновая смесь содержится в кислотной форме, обрабатывают водорастворимыми щел.  $K$ -соединениями до нейтр-ции. К водн.  $p$ -ру  $K$ -солей прибавляют указанный спирт и в качестве высаливающего агента  $K$ -соль, имеющую нерастворимый анион; спиртовый слой далее отделяют и концентрируют. При наличии в смеси  $I$  и  $K$ -пенициллина  $G$  с преобладающим кол-вом  $I$  указанный спирт.  $p$ -р подвергают дистилляции до тех пор, пока конц-я  $I$  не превысит насыщения  $p$ -ра, и прерывают дистилляцию прежде, чем конц-я  $K$ -пенициллина  $G$  достигнет насыщения  $p$ -ра, и отделяют совершенно чистый кристаллич.  $I$  из полученного конц.  $p$ -ра. Ю. В.

**26974 П.** Извлечение стрептомицина. Уик, Вандербрук (Streptomycin extraction. Wick Arne N., Vander Brook Milton J.) [The Upjohn Co.]. Пат. США 2701795, 8.02.55

Стрептомицин после адсорбции на угле вымывают кислотн. водн.  $p$ -ром кетона и осаждают из элюата повышением конц-и взятого кетона. Ю. В.

**26975 П.** Способ очистки стрептомицина. Уинстен (Method of purifying streptomycin. Winsten Walter A.) [Schenley Industries, Inc.]. Канад. пат. 505505, 31.08.54

Для уменьшения гистаминальной активности, зависящей от наличия гистамина и гистаминоподобных примесей в водн.  $p$ -ре стрептомицина, последний обрабатывают не в щел. условиях  $p$ -ром  $Br_2$  ( $I$ ) при  $\sim 20^\circ$  и атмосферном давлении в течение  $\sim 15$  мин., поддерживая  $pH \sim 7$ , и удаляют избыток  $I$ ; в частности, применяют водн.  $p$ -р, содержащий 2 мл  $I$  в 100 мл воды, или  $p$ -р  $I$  в хлф. Содержащийся в конечном нейтрализованном  $p$ -ре стрептомицин адсорбируют из  $p$ -ра активированным углем и извлекают подкисленным водн. ацетоном. Ю. В.

**26976 П.** Фильтрация раствора стрептомицина, содержащего культуральную жидкость. Хара (Filtration of a solution of streptomycin containing fermented liquor. Hara Tsuyoshi.) Япон. пат. 149, 11.01.54 [Chem. Abstrs, 1954, 48, № 21, 13175 (англ.)]

Раствор стрептомицина обрабатывают 1%  $CaCl_2$  и 2%  $Na_2HPO_4$ , прибавляют  $NaOH$  до  $pH > 7$  и отфильтровывают осадок. Ю. В.

26977 П. Лекарственные средства (содержащие стрептомицин) для борьбы с патогенными организмами. Татчер, Мак-Лейн (Therapeutic agents used in the treatment of pathogenic organisms. Thatcher Frederick S., McLean John T.) [Ayerst, McKenna and Harrison Ltd]. Канад. пат. 506413, 12.10.54

Патентуются терапевтич. составы, содержащие стрептомицин (I) и сульфаниламиды, причем в некоторые составы входит также краситель (II) с бактериостатич. свойствами; упомянуты комбинации составов, содержащие: I, сульфаниламид и II; I и сульфатазол; I, сульфадиазин и II. Ю. В.

26978 П. Способ получения растворов, содержащих тиротрицин, стрептомицин или дигидрострептомицин. Вейсенбургер (Verfahren zur Herstellung von Tyrothricin and Streptomycin bzw. Dihydrostreptomycin enthaltenden Lösungen. Weissenburger Helmut) [Byk-Gulden Lomberg, Chemische Fabrik G. m. b. H.]. Пат. ФРГ 915851, 21.08.54 [Pharmaz. Ind., 1954, 16, № 11, 473 (нем.)]

Установлено, что для получения прозрачных р-ров тиротрицина, стрептомицина или дигидрострептомицина, наряду с поверхностноактивной четвертичной аммониевой солью, необходимо применять многовалентный алифатич. алкоголь и особенно спирты, имеющие гидроксил у каждого углеродного атома, при этом наиболее пригодными являються этиленгликоль и глицерин. Такие р-ры снижают свою активность медленно даже в термостате, особенно же на холоду. Так, активность стрептомицина и дигидрострептомицина в течение 2,5 месяцев в термостате снизилась не более чем на 20%. С. В.

26979 П. Способ получения соли дигидрострептомицина и изоникотинилгидразона пировиноградной кислоты. Карраа (Method for preparing dihydrostreptomycin salt of pyruvic acid isonicotinyl hydrazide. Carraa Gino). Канад. пат. 505807, 14.09.54

Соль дигидрострептомицина (I) и изоникотинилгидразона пировиноградной к-ты (II) формулы (III):  $[n-(C_5H_4N) - CONHN = C(CH_3)COOH]_n \equiv$  дигидрострептомицин получают взаимодействием водн. р-ра щел. или щел.-зем. соли II (напр., Na-соли II) с водн. р-ром эквивалентного кол-ва соли минер. к-ты I (напр., сульфата I), фильтрованием, упариванием полученного р-ра досуха при 20°, растворением остатка в безводн.  $CH_3OH$  и осаждением III эфиром. Р-р соли II получают взаимодействием эквимолекулярных кол-в пировиноградной к-ты и изоникотинилгидразина в воде или  $CH_3COOH$  и действием на полученный II эквивалентным кол-вом водн. р-ра гидроокиси щел. или щел.-зем. металла. III может быть получена другим равнозначным хим. путем. Ю. В.

26980 П. Способ получения незамещенного или замещенного в фенильной группе 1-фенил-2-аминопропандиола-1,3. Кересть, Вольф (Process for the production of unsubstituted or in the phenyl-group substituted 1-phenyl-2-amino-1:3-propandiols. Kereszty, Wolf) [Chinoin Gyogyszer es Vegyeszeti Termekek Gyara Rt.]. Англ. пат. 699820, 18.11.53 [J. Appl. Chem., 1954, 4, № 4, 441 (англ.)]

Способ состоит в восстановлении альдегидов общей ф-лы  $XC_6H_4CH(OR')CH(N=R')CHO$  ( $R'$  — алкил, арилалкил, или циклоалкил,  $R''$  — остаток дикарбоновой к-ты, а  $X$  — H или  $NO_2$ ) в соответствующие спирты и последующем отщеплении  $R'$  и  $R''$  с образованием групп OH и  $NH_2$  соответственно. Восстановлением DL-трео-2-фталимидо-1-метокси-1-фенилпропанола посредством  $(iso-C_3H_7O)_3Al$  в кипящем  $iso-C_3H_7OH$  получают DL-трео-2-фталимидо-1-метокси-1-фенилпропанол-3 (т. пл. 108—110°), который с  $N_2H_4$  в кипящем

абс. сп. дает фталгидразид и DL-трео-2-амино-1-метокси-1-фенилпропанол-3. Аналогично получают соответствующие п-нитрофенилпроизводные. Получены также DL-трео-2-амино-1-фенилпропандиол-1,3 и его п-нитробензилпроизводное, т. пл. 193—194°, DL-трео-2-амино-1-п-нитрофенилпропандиол-1,3 и его п-нитробензильное производное и соответствующие L-трео-соединения. Я. К.

26981 П. Выделение хлортетрациклина. Пайдаке, Старберд (Isolation of active compound. Piddacks Charles, Starbird Edward E.) [American Cyanamid Co.]. Канад. пат. 497485, 3.11.53

Способ выделения хлортетрациклина (I) из ферментативных жидкостей путем хроматографич. адсорбции I (адсорбенты: активированный уголь,  $MgO$ ), отмывки сорбированного I подкисленным органич. р-рителем избирательного действия, конц-ии фракций, содержащих I, извлечения из них I н-бутанолом, концентрирования экстракта и осаждения I абс. эфиром, промывки осадка, подкислении HCl-кислотой (pH 2—3) и отделения воды сублимацией. В результате получают хлоридрат II. Н. П.

26982 П. Составы из антибиотика окситетрациклина с тиолутином. Инглиш (Oxytetracycline thiolatin antibiotic compositions. English Arthur R.) [Chas. Pfizer and Co., Inc.]. Канад. пат. 503591, 8.06.54

Патентуются составы из антибиотика окситетрациклина (I) и тиолутина (II) в отношениях 90—10 вес. % HCl-соли I и 10—90 вес. % II; 90—50 вес. % HCl-соли I и 10—50 вес. % II; 10—90 вес. % I, остальное II. Ю. В.

26983 П. Лечебные составы из окситетрациклина и карбомицина. Инглиш (Oxytetracycline-carbomycin compositions. English Arthur R.) [Chas. Pfizer and Co., Inc.]. Канад. пат. 503592, 8.06.54

Бактериологически активные составы из антибиотиков окситетрациклина (I), карбомицина (II) и их солей, содержат от 5 до 95 вес. ч. HCl-соли I и от 95 до 5 вес. ч. HCl-соли II. Ю. В.

26984 П. Способ получения карбонатов эритромицина. Мерфи (Method of preparing erythromycin carbonates and the erythromycin carbonates resulting from said method. Murphy Hubert W.) [Eli Lilly and Co.]. Канад. пат. 506308, 5.10.54

Патентуется способ получения карбонатов эритромицина, в частности эритромицинометилкарбоната и эритромицинпропартилкарбоната, взаимодействием эритромицина с эфирами хлоруглеродной к-ты ф-лы  $CCl_3OR$ , где R — алифатич. или ариалифатич. радикал. Ю. В.

26985 П. Способ выделения компонентов боярышника. Хагедорн (Verfahren zur Isolierung von Inhaltsstoffen des Weißdorns. Hagedorn Paul) [Willmar Schwabe G. m. b. H.]. Пат. ФРГ 908908, 12.04.54 [Chem. Zbl., 1954, 125, № 37, 8400 (нем.)]

Компоненты боярышника выделяют экстракцией ягод водн. метанолом, удалением сахара ферментацией, упариванием очич. экстракта и обработкой сухого остатка ацетилирующими реактивами, напр., уксусным ангидридом. Продукт р-ции после перекристаллизации из спирта имеет т. пл. 97—99°. Л. М.

26986 П. Метод устранения горечи крупинки (Cascara Sagrada). Дейви (Method of debitterization of cascara sagrada. Davy Edward D.). Пат. США 2682533, 29.06.54

Готовят водн. экстракт коры Rhamnus Purshiana, упаривают до консистенции густого сиропа в горячем виде и для удаления горьких в-в растворяют его в ацетоне с добавкой такого кол-ва воды, чтобы получен-



ная смесь была подвижной и чтобы кол-во воды соответствовало действию указанного р-рителя. С. Б.

**26987 П. Получение инсулина (из поджелудочной железы). Максуэлл, Хинкел** (Preparation of insulin. Maxwell Loyal C., Hinkel William P.) [Armour and Co.]. Пат. США 2695861, 30.11.54

При извлечении инсулина из поджелудочной железы смесью органич. р-рителя с водой применяют такие конц-ии органич. р-рителя, которые благоприятствуют растворению инсулина сравнительно с панкреатич. ферментами, подкисляют смесь  $H_3PO_4$  до pH 2,5—4,0, к экстракту инсулина прибавляют  $NH_3$  до pH 5,5—8,5 для осаждения фосфатов аммония и отделяют осажденные соли. Ю. В.

**26988 П. Холодильное устройство и способ для замораживания жидкостей (плазмы). Лазар** (Shell freezer and method of freezing liquids. Lazar Joseph H.) [Refrigeration Systems, Inc.]. Пат. США 2655007, 13.10.53

Патентуется аппарат для замораживания плазмы, в котором сосуды с жидкостью закрепляются на пластинах, вращающихся вместе с валом в ванне хладагента с т-рой —40°. Спец. устройство вне холодильника служит для нагревания горлышек сосудов до т-ры, лежащей выше точки заморозки плазмы. Ю. П.

**26989 П. Способ гидрофиллизации сульфамидов** (Verfahren zur Hydrophilisierung der Sulfonamide) [C. F. Boehringer und Söhne G. m. b. H.]. Австр. пат. 174151, 10.03.53 [Chem. Zbl., 1954, 125, № 5, 1074 (нем.)]

Обрабатывают сульфамиды, напр. сульфаниламид (I) или сульфацилпирин в любой последовательности сахарами, альдегидами и  $SO_2$  или сульфитами. Напр., при смешении горячего р-ра (90°) I (86 г) и глюкозы (90 г) в 300 мл воды с 52 г  $NaHSO_3$ , нагревании смеси в течение 15 мин. до кипения, прибавлении 45 мл 30%-ного  $CH_3O$  и непродолжительного кипячения образуется прозрачный р-р со слабосидлой р-цией; после отгона воды в вакууме получают прозрачную гомог. сиропообразную массу. Гидрофиллизованные сульфамиды дают устойчивые водн. р-ры, обладающие нейтр. или слабосидлой р-цией. Новые продукты обладают повышенной способностью к всасыванию без побочного действия; они пригодны для принятия в больших дозах (ударная терапия). Е. Д.

**26990 П. Устойчивые растворы физостигмина. Миллер** (Stable solution of physostigmine. Miller Clemm O.) [Kremers-Urban Co.]. Канад. пат. 503585, 8. 06. 54

Описаны лечебные составы, приготовленные на воде, свободной от растворенного воздуха и содержащие 0,6—1,2 г/л салицилата физостигмина (I), действующего на мускульные спазмы, и 0,2—10 г/л растворимого в воде стабилизатора для предотвращения разложения I остатком содержащегося в воде воздуха; pH р-ра ~3,5. В частности, приведен состав, содержащий 0,2—5 г/л I, 0,1—0,6 г/л  $NaHSO_3$  для предотвращения разложения I, 0,1—0,6 г/л сульфата атропин. для устранения нежелательных побочных р-ций I в воду в кол-ве, достаточном для парентерального введения. Для получения указанных водн. р-ров I из воды удаляют в автоклаве воздух, растворяют в воде восстановитель, прибавляют соль I, выдерживают р-р на прямом солнечном свете при pH 3,4—6,5 и вытесняют воздух над р-ром в автоклаве инертным газом; приведен вариант с прибавлением к р-ру NaCl для получения изотонич. р-ра. В. У.

**26991 П. Способ получения негемолизирующих растворов сапонина для вливаний. Меркель** (Verfahren zur Herstellung nicht haemolysierender

Injektionslösungen von Saponinen. Merkel Johannes). Пат. ГДР 6488, 29.01.54

Способствующие всасыванию лекарственных средств негемолизирующие р-ры щел. или щел.-зем. солей эсцина (из *Aesculus hippocastanum*) получают смешением спирт. р-ра эсцина со спирт. р-ром едкой щелочи, полученный осадок щел. соли эсцина после промывки и сушки растворяют в рассчитанном кол-ве воды. К этому р-ру прибавляют суспензию рутина или другого в-ва со свойствами витамина Р (напр., кверцетина) в рассчитанном кол-ве и после прибавления щел. или щел.-зем. гидроокиси переводят в р-р и устанавливают на pH 7 прибавлением органич. (лимонной) или минер. ( $H_2BO_3$ ) к-ты. Действующее начало может быть известным способом (напр., конц-ией и сушкой в вакууме) выделено в твердой форме; при повторном растворении твердого в-ва в воде получают р-ры для вливания желаемой конц-ии. К профильтрованному р-ру 5 г эсцина в 100 г  $CH_3OH$  при хорошем размешивании тонкой струей приливают 25 г 2 н. метилвоспиритового р-ра KOH или NaOH, охлаждают и оставляют стоять при —10°. Прозрачный р-р декантируют, а лимонно-желтый осадок суспендируют в 10-кратном кол-ве смеси ацетона с эфиром (1:1) при 0°; вновь декантируют, еще раз повторяют эту обработку и сушат. 3 ч. высушенной при 60° порошкообразной Na- или K-соли эсцина, полученной таким образом, растворяют в 50 ч. дистилл. воды, прибавляют 1,5 ч. тонкозернистого рутина или другого в-ва с характером витамина Р, а затем 30 ч. 0,1 н. NaOH или KOH. Суспендированный рутин растворяют нагреванием, охлаждают и прибавлением тонкоизмельченного порошка лимонной к-ты или  $H_2BO_3$  устанавливают pH 7 и доводят дистилл. водой до 100 ч. В. У.

**26992 П. Стероидные составы и способ их получения. Ленс, Полдерман** (Steroidal composition and method of preparing same. Lens Jan, Polderman Jacobus) [Organon, Inc.]. Пат. США 2687981, 31.08.54

Препараты, выдерживающие стерилизацию и пригодные для вливания, содержат в качестве активной компоненты стероидные гормоны и обладают длительным терапевтич. действием вследствие применения гормонов в тонкоизмельченном состоянии. Указанные препараты применяют для вливания в виде эмульсии в водн. среде в присутствии нейтр. смачивающего средства, причем гормоны в состав эмульсии входят в форме р-ра в органич. р-рителе; в качестве р-рителя применяют бензиловый спирт и его смесь с фенилсалицилатом или тимолом, остающиеся в жидком состоянии при 20°. Эти р-рители в воде растворимы значительно больше гормонов, нетоксичны и нелетучи в условиях стерилизации. Смачивающее средство способствует образованию стойкой эмульсии р-ра гормона в органич. р-рителе в водн. среде. Водн. среда, смачивающее средство, органич. р-ритель и гормон берутся в кол-вах, достаточных для поддержания эмульсированного состояния. При инъекции указанной эмульсии активная компонента ее превращается в суспензию твердого гормона в жидкости организма. В. У.

**26993 П. Лечебные составы. Термон, Кунин** (Therapeutic compositions. Thurmon Francis M., Kunin Robert) [Rohm and Haas Co.]. Канад. пат. 503874, 22. 06. 54

Лечебные составы содержат тесную смесь из следующих тонкоизмельченных в-в: состав I — нерастворимой катионообменной сульфированной стирольной смолы сетчатой структуры в ее кислотной форме (I) и эквивалентного кол-ва нерастворимой анионообменной смолы в форме основания, четверичные аммониевые группы которого связаны метиленовыми группами со стирольным ядром смолы (II) сетчатой структуры нераствори-

ного сополимера метакриловой к-ты — дивинилбензола в кислотной форме (III), нерастворимого анионообменного продукта конденсации дифенилолалкана- $\text{C}_6\text{H}_5\text{O}$ -полиэтиленполиамин в форме его основания (IV), причем кол-ва III и IV стехиометрически эквивалентны; весовые отношения I + II к III + IV в пределах от 2:1 до 1:5; состав 2 — нерастворимой катионообменной сульфированной фенолформальдегидной смолы в ее кислотной форме (V) и в-в, отвечающих II, III и IV состава I в тех же стехиометрич. отношениях; вес. отношения V + II к III + IV в пределах от 2:1 до 1:5. Патентуются также смеси, в которых указанный состав 2, в кол-ве 10—60% от веса смеси, диспергирован в гидрофильном основании.

Ю. В. 26994 П. Анестетические ветеринарные препараты (Veterinary anaesthetic preparations) [Imperial Chemical Industries of Aust. and N. Z. Ltd]. Австрал. пат. 149613, 22.01.53

Предлагаются композиции, состоящие из водн. взвесь 2-( $\beta$ -нафтокси)-этанол (I), к которым прибавлено 5—75% от веса I производного барбитуровой к-ты в форме свободной к-ты общей ф-лы:  $\text{RR}'\text{CCONHC(X)}$ —

$\text{NHCO}$ , где R — алкил, алкенил, циклогексенил, R' — алкил, алкенил, а X означает O или S. О. М.

См. также: Синтетич. соед. 25502, 25585, 25593, 25602—25605, 25616, 25626, 25627, 25630, 25634, 25636, 25640, 25648, 25650, 25653, 25656, 25671, 25672, 25684, 25694—25697, 25702, 25704, 25707, 25712—25715, 26018, 26059; 9224Bx, 9236Bx, 9308Bx, 9310Bx. Природные в-ва 25772, 25780, 25783, 25786, 25787, 25789, 25805—25807, 25812, 25813, 25817, 25818, 26022, 26038, 26042; 8441Bx, 8451Bx, 8758Bx, 9120Bx, 9121Bx, 9277Bx, 9297Bx

## ФОТОГРАФИЧЕСКИЕ МАТЕРИАЛЫ

26995. Усадка основы киноплёнок. Фордайс, Калхун, Мойер (Shrinkage behavior of motion-picture film. Fordyce C. R., Calhoun J. M., Moyrer E. E.), J. Soc. Motion Picture and Telev. Engrs, 1955, 64, № 2, 62—66 (англ.)

Приводятся данные, характеризующие величины усадки современных киноплёнок на триацетатной основе, вырабатываемых фирмой Eastman [Kodak Co. Триацетатная основа применяется как для 35-мм, так и для 16-мм позитивных и негативных, цветных и черно-белых плёнок. Позитивные и негативные 35-мм плёнки дают усадку через 3 года после изготовления на 0,3% (в продольном направлении). Примерно те же величины усадки имеют 16-мм позитивные киноплёнки. Исходя из допущения, что величина усадки пропорциональна кол-ву испарившегося из плёнки остаточного р-рителя, и зная его начальное содержание в плёнке, методом экстраполяции рассчитали максим. величину усадки для плёнок Кодак, которая оказалась равной 0,6% в продольном и 0,7% в поперечном направлениях. Наиболее низкие величины усадки имеют ацетонпропионатные плёнки типа кодахром. После очень длительного времени хранения усадка этих плёнок достигает 0,3% в продольном и 0,4% в поперечном направлениях. Даны 14 графиков, характеризующих усадку различных типов плёнки Кодак после выдерживания как в мягких, так и в жестких условиях хранения и после эксплуатации.

Б. К. 26996. Применение синтетических смол для изготовления фотоплёнок. Аоки (高橋工業とプラスチック. 特にフィルムベースについて. 青木康一),プラスチック, Пурасутинкусу, Japan Plastics, 1954, 5, № 3, 11—14 (япон.)

В последнее время нитроцеллюлоза, ацетилцеллю-

лоза и диацетилцеллюлоза вытесняются в фото- и кинопромышленности триацетатом целлюлозы, обладающим лучшими механич., термич., водостойкими и другими свойствами. Даются сравнительные данные физ. свойств плёнок, изготовленных из эфиров целлюлозы, поливинилхлорида или полиэфирных смол, и краткая характеристика фотоплёнок, выпускаемых фирмами Кодак и Дюпон.

В. И. 26997. Проявление малочувствительных плёнок в проявителе фабофин. Кёппе (Entwicklung geringempfindlicher Filme in Fabofin. Кёппе Н. Н.), Photo-Techn. und-Wirtsch., 1955, 6, № 7, XXIV (нем.)

Даны сведения о применении малочувствительных плёнок и их обработке. Приведены графики зависимости коэфф. контрастности от продолжительности проявления для плёнок изозан FF (13/10° DIN), адокс KB 14 (14/10° DIN) и перграно (12/10° DIN) в проявителе фабофин.

К. М. 26998. О важности правильного фиксирования и промывки для сохранения фотоотпечатков. Эйхлер, Хэвкер (Wichtig für die Haltbarkeit von Photos ist das richtige Fixieren und Wässern. Eichler W., Hövker G.), Photo-Techn. und-Wirtsch., 1955, 6, № 7, XXI—XXIII (нем.)

Подробное описание рационального процесса обработки фотоотпечатков. После проявления — останавливающий 2%-ный р-р уксусной к-ты в т. фиксирование 5 мин. (состав фиксажа — тисульфата натрия 200 г, метабисульфата калия 20 г, воды до 1 л); промежуточная обработка в 1%-ном р-ре соды, 1 мин. (для сокращения времени промывки); промывка 30 мин. При фиксировании и промывке отпечатки находятся во вращательном движении, для чего применяется спец. прибор. В результате такой обработки достигается практически неограниченная сохранность фотографич. изображений.

К. М.

26999 П. Поверхность для отлива основы плёнки (Film casting surfaces) [Celanese Corp. of America]. Англ. пат. 693717, 8.07.53 [J. Appl. Chem., 1954, 4, № 3, 259 (англ.)]

Поверхность барабана отливочной машины для производства основы без поверхностных дефектов покрывается зеркальной подложкой путем нанесения на поверхность барабана кроющего слоя из производных целлюлозы (нерастворимого в воде, но растворимого в ацетоне, способного к омылению сложного эфира (ацетата) целлюлозы) и хим. изменения поверхности нанесенного слоя проведением р-ции с щел. омыляющим в-вом. Этот реагент наносится на поверхность в виде пасты в смеси с пленкообразующим в-вом (водорастворимый простой эфир целлюлозы, напр. метили или этилцеллюлоза в щел. р-ре  $\text{C}_2\text{H}_5\text{OH}$ ), не подверженному действию реагента. Нанесенная паста образует на поверхности временный слой, который может быть удален после достижения желаемой степени обработки поверхности.

Л. К. 27000 П. Идентификация фотографических материалов. Толбот (Identification of photographic materials. Talbot R. H.) [Kodak Ltd]. Англ. пат. 701281, 23.12.53 [J. Appl. Chem., 1954, 4, № 5, 577 (англ.)]

Патентуется фотографич. материал, включающий подложку из эфира целлюлозы (ацетат, пропионат, бутират и т. п., смешанные эфиры целлюлозы, нитроцеллюлоза) и один или несколько галовдосеребряных эмульсионных слоев, отличающийся тем, что подложка содержит флуоресцирующий в УФ-лучах антрацен в кол-ве 0,01—0,20 вес.%. С. Б.

27001 П. Способ нанесения слоя на материал в виде ленты. Бегни (Method of coating strip material.

Beguín A. E.) [Kodak Ltd]. Англ. пат. 716080, 29.09.54 [J. Appl. Chem., 1955, 5, № 4, 597 (англ.)]  
Материал, имеющий форму ленты, движется перед приспособлением, при помощи которого на материал наносится полоска вытекающего состава для получения слоя. Эта полоска, находящаяся между приспособлением для нанесения слоя и лентой материала с двух сторон, подвергается давлению газа 0,25—12,5 см вод. ст. Применение этого способа к изготовлению фотографич. пленки не приводится. К. М.

27002 П. Клей для фотопленок. Мори, Иидзима (Adhesive. Mori Tomiharu, Iijima Kenzo) [Konishi Photographic Industries Co.]. Япон. пат. 2093, 19.04.54 [Chem. Abstrs, 1955, 49, № 3, 2122 (англ.)]

Льняное масло (300 г) и  $(\text{CHCO})_2\text{O}$  (250 г) нагревают в течение нескольких часов при 200° до получения конденсированного продукта. Смесь 7 ч. продукта конденсации и 3 ч. поливинилацетата разбавляют ацетоном до получения 50%-ной пасты, к которой прибавляют 10 ч.  $m\text{-C}_6\text{H}_4(\text{NH}_2)_2$ . В результате получают адгезив, затвердевающий при 20°. К. М.

27003 П. Производные желатин. Юцц, Фрейм (Gelatin derivatives. Jutzzy Henry C., Frame Gordon F.) [Canadian Kodak Co., Ltd]. Канад. пат. 507142, 9.11.54

Патентуется производное желатин, которое получают взаимодействием желатин с ангидридом двухосновной к-ты — фталевой, янтарной, малеиновой или хлор-, бром- и сульфопроизводными этих ангидридов в воде. среде при pH 7—12 и t-ре 30—70°, напр. в водн. р-р желатин прибавляют в течение 15 мин. малеиновый ангидрид при pH 10 и t-ре 40° при перемешивании. И. Э.

27004 П. Фотографические эмульсии для прямого получения позитивов. Филлипс, Уэлфорд (Direct positive photographic emulsions. Phillips H., Welford S. F. V.), [Ilford, Ltd]. Англ. пат. 707704, 21.04.54 [J. Appl. Chem., 1954, 4, № 9, II 384 (англ.)]

Эмульсию, содержащую AgCl, AgJ и комплексное соединение галогидной соли щел. металла или аммония с Rh (0,01—0,2 вес. % от AgCl), подвергают хим. или физ. вуализированию, напр. 20,4 кг желатиновой эмульсии, содержащей 446 г AgCl и 1,06 г AgJ, нагревают с 315 мл 1%-ного водн.  $\text{CH}_3\text{O}$  в течение 45 мин. при 50° и pH 7,8 и после доведения до pH 6,25 добавляют р-р 0,108 г  $\text{RhCl}_3$  в 4,2 н. р-ре NaCl. С. Б.

27005 П. Способ изготовления светочувствительных эмульсий (Verfahren zur Herstellung lichtempfindlicher Emulsionen) [C. Schleussner Fotowerke G. m. b. H.]. Пат. ФРГ 889260, 10.09.53 [Chem. Zbl., 1954, 125, № 38, 8730 (нем.)]

Патентуется способ изготовления фотографич. эмульсий, отличающийся тем, что во время образования галогидного серебра и его последующего созревания эмульсию подвергают действию высокочастотных колебаний (более высокой частоты, чем частота звуковых колебаний) и одновременно охлаждают до более низкой t-ры, чем обычно принято при изготовлении эмульсий. Действие высокочастотных колебаний может быть усилено наличием в эмульсии стеклянного порошка или стеклянных перлов. С. Б.

27006 П. Способ сенсibilизации галогосеребряных желатиновых эмульсий смесями красителей. Мисс (Verfahren zum Sensibilisieren von Halogensilber-Gelatineemulsionen mit Farbstoffgemischen. Mees Charles Kenneth) [Kodak A.-G.]. Пат. ФРГ 887907, 27.08.53 [Chem. Zbl., 1954, 125, № 42, 9673 (нем.)]

В качестве основного сенсibilизатора при сверхсенсibilизации применяют, карбоцианин, производный бензотиазола или бензоселеназола, замещ. в мезо-

положении, в частности,  $\text{CN}$ - или  $\text{C}_2\text{H}_5$ -группой, напр., 1,1-диметил-мезо-этилтиакарбоцианиниодид; в качестве сверхсенсibilизатора применяют замещ. в мезо-положении 6,7,6',7'-дибензотиакарбоцианин, напр. 1,1'-диэтил-мезо-метил-6,7,6',7'-дибензотиакарбоцианинхлорид. С. Б.

27007 П. Стабильная галогосеребряная фотографическая эмульсия и способ ее изготовления (Emulsion photographique stable aux halogénures d'argent, et procédé de préparation de cette émulsion) [Kodak Soc. An.]. Швейц. пат. 285168, 5.01.53 [Chem. Zbl., 1954, 125, № 38, 8730 (нем.)]

В качестве стабилизаторов галогосеребряных фотографич. эмульсий предложены комплексные соединения Pd (I) общей ф-лы  $\text{Rm PdXn}$  ( $\text{R} = \text{H}, \text{NH}_4$  или щел. металл;  $\text{X} = \text{галогид}$ ;  $m = 2-3$ ;  $n = 4$  или 6), напр.,  $(\text{NH}_4)_2\text{PdCl}_6$ ,  $(\text{NH}_4)_2\text{PdBr}_6$  и  $(\text{NH}_4)_2\text{PdCl}_4$ . I вводят в эмульсию в кол-ве 0,2—0,5 мг на 1 л. С. Б.

27008 П. Фотографические антивуализирующие вещества и стабилизаторы эмульсий. Паджет (Photographic anti-fogging agents and emulsion stabilizers. Paget H. P. D.) [Imperial Chemical Industries, Ltd]. Англ. пат. 701055, 16.12.53 [J. Appl. Chem., 1954, 4, № 5, 576 (англ.)]

Патентуется способ улучшения свойств галогосеребряной эмульсии, включающий обработку эмульсии небольшим кол-вом 2-тиолптеридина. К диодобромосеребряной эмульсии добавляют р-р 4-N-метилоктадециламино-3-н-анизотиолацетаминобензойной к-ты и 4-оксид-2-тиолптеридина, после чего эмульсию наносят на стеклянные пластинки. С. Б.

27009 П. Способ изготовления светочувствительных слоев, в которых скрытое изображение проявляется при нагревании. Вейде (Verfahren zur Herstellung lichtempfindlicher Schichten, deren latentes Bild durch Einwirkung von Wärme entwickelbar ist. Weyde Edit h) [Agfa A.-G. für Photofabrikation]. Пат. ФРГ 888045, 27.08.53 [Chem. Zbl., 1954, 125, № 45, 10395 (нем.)]

Патентуются светочувствительные слои, содержащие соль Ag и такие в-ва, которые сами по себе или в присутствии щелочи восстанавливают экспонированные соединения серебра до Ag, напр., обычные проявляющие в-ва, гидразин и его производные, в частности фенилгидразинкарбоновая к-та, семикарбазид, кислый гидразид и т. п. После экспонирования, даже со стороны подложки, проявление протекает в несколько секунд. Часто возникающее при этом окрашивание неосвещенных участков настолько мало, что сохраняется достаточный контраст между экспонированными и неэкспонированными участками. Продолжительность проявления может быть сокращена добавлением в-в, которые при нагревании отщепляют воду и образуют соединения со щел. свойствами, напр. мочевины. Предлагаемые слои применимы, главным образом, в процессах фоторегистрации. С. Б.

27010 П. Фотографические материалы, содержащие диалкиламинобензильденые красители (Photographic materials containing dialkylaminobenzylidene dyes) [Kodak Ltd]. Англ. пат. 706084, 24.03.54 [J. Soc. Dyers and Colourists, 1954, 70, № 6, 252 (англ.)]

Красители общего строения  $\text{R}''' - \text{COCN} = \text{CH} - (\text{CH} = \text{CH})_n - \text{D} - \text{NR}'\text{R}''$  ( $\text{D} = n$ -арилево-вая группа безольного ряда;  $\text{R}'$  и  $\text{R}''$  — алкил;  $\text{R}'''$  — замещ. или незамещ. бензольное ядро;  $n = 0$  или 1) обесцвечивают водн. р-рами сульфата. С. Б.

27011 П. Фотографические галогосеребряные эмульсии с синтетическими полимерами. Слон (Photographic silver halide emulsions of synthetic polymers. Sloan Clifford K.) [E. I. du Pont de Nemours and Co.]. Пат. США 2678884, 18.05.54



Патентуется способ повышения светочувствительности галоидосеребряных эмульсий, заключающийся в том, что водн. суспензию галоидного серебра в синтетич. гидрофильном ОН-содержащем полимере, включающем множество повторяющихся звеньев  $-\text{CH}_2-$  —  $-\text{СНОН}-$ , нагревают до  $80-200^\circ$  в присутствии N-содержащего основания (I), которое образует комплекс с  $\text{Ag}^+$  и действует как р-тель галоидного серебра. I выбирают из группы, включающей  $\text{NH}_3$ , первичные, вторичные или третичные алифатич. амины, циклоалифатич. амины, пиридин, пиперидин и морфолин, в конц-ии  $0,1-2,5 \text{ Н}$ . Процесс проводят при неактивном свете. С. Б.

**27012 П.** Фотографическая бумага, способ ее изготовления и отпечатки на ней. Джеймс (Papier photographique sensible, procédé pour sa préparation et épreuves photographiques obtenues sur ce papier. James John M.) [Kodak-Pathé, Kodak Ltd]. Франц. пат. 1026863, 5.05.53 [Chem. Zbl., 1954, 125, № 25, 5673 (нем.)]

Патентуется введение в подложку, светочувствительный или баритовый слой фотобумаги с целью устранения желтой окраски отпечатка в-в, обладающих синефиолетовой флуоресценцией под действием УФ-лучей, напр., дибензоиламиностильбенсульфонилсоединений или её водорастворимой соли, а также  $\alpha, \beta$ -ди-[бензимидазол(2)-2]-этилена. С. Б.

**27013 П.** Защитные покрытия для желатиновых галоидосеребряных эмульсионных слоев (Antibrasion coatings for gelatino silver halide emulsion layers) [General Aniline and Film Corp.]. Англ. пат. 690143, 15.04.53 [Monthly Abstrs. Bull., 1953, 39, № 12, 591 (англ.)]

В качестве защитных покрытий для галоидосеребряных эмульсионных слоев патентуются смолистые продукты взаимодействия формальдегида и замещ. в положении 5 гидантоинов (I) общего строения  $\text{CONHCONHC}$ —

$(\text{R}')(\text{R}'') \text{ и } \text{CONHCONHCCH}_2 \dots \text{Z} \dots \text{CH}_2$ , где  $\text{R}'$  —

алкил, содержащий не более 5 атомов С;  $\text{R}''$  — Н, алкил, циклоалкил или алкоксиалкил, содержащий не более 6 атомов С; Z — метиленовые радикалы, необходимые для замыкания 5- или 6-членного циклоалифатич. кольца. Примеры I: 5,5-диметил-, 5-метил-5-этил-, 5-метил-5-этоксизтилгидантоин. С. Б.

**27014 П.** Способ улучшения белых участков в цветных фотографических изображениях (Procédé pour améliorer les blancs dans les images photographiques en couleurs) [Farbenfabriken Bayer, Agfa A.-G. für Photofabrikation]. Франц. пат. 1070887, 18.08.54 [Chimie et industrie, 1955, 73, № 5, 959 (франц.)]

Фотоотпечатки купают во время или после их обычной обработки в р-ре в-в, которое образует сложные комплексы, обладающие большей способностью соединяться с ионами железа по сравнению с красителями или компонентами, содержащими одну гидроксильную группу. К. М.

**27015 П.** Способ модификации кривой почернения фотографического материала и приспособление для осуществления этого способа. Клаузер (Verfahren zur Modifikation der Schwärzungskurve beim photographischen Material sowie Einrichtung zum Ausüben des Verfahrens. Klausner Hans Peter). Швейц. пат. 297874, 16.06.54 [Chem. Zbl., 1955, 126, № 14, 3295 (нем.)]

С помощью соответствующих приспособлений, применяемых для получения нескольких изображений, на двух светочувствительных слоях, один из которых находится на лицевой, а другой — на обратной стороне водонепроницаемой подложки, с одного и того же оригинала получают два изображения, одно с нормальным,

другое с специально подбираемым тоновоспроизведением. Это достигается регулированием экспозиции и проявления, а также градиации одного из слоев. Оба изображения копируют вместе на один слой посредством аналогичных приспособлений, но с применением обратного хода лучей. К. М.

**27016 П.** Светочувствительные слои с диазосоединениями. Вернер (Lichtempfindliche Schichten mit Diazoverbindungen. Werner Georg) [Kalle und Co. A.-G.]. Пат. ФРГ 881446, 29.06.53 [Chem. Zbl., 1954, 125, № 22, 4996 (нем.)]

В качестве диазосоединения патентуются аминогидрохинондиалкильные эфиры, которые в пара-положении к  $\text{NH}_2$ -группе содержат этерифицированную меркаптогруппу, в частности, тиоалкильную группу. Ни одна из алкильных групп не должна содержать > 4 атомов С; они так же, как и бензольное ядро, могут иметь в качестве заместителей ОН- или  $\text{COOH}$ -группы. Особо пригодны диазосоединения из 4-этилмеркапто-, 4-н-пропилмеркапто- и 4-оксизтилмеркапто-1-амино-2,5-дизетоксибензола. С. Б.

**27017 П.** Светочувствительные слои. Позер, Шмидт, Вернер, Зюс (Lichtempfindliche Schichten. Poser Gottlieb von., Schmidt Maximilian Paul, Werner Georg, Süss Oskar) [Kalle & Co. A.-G.]. Пат. ФРГ 881754, 2.07.53 [Chem. Zbl., 1954, 125, № 25, 5676 (нем.)]

Патентуются диазотипные светочувствительные слои, содержащие в качестве диазосоединения 6-аминодиазосоединения, которые содержат в мета-положении к  $\text{N}_2$  и пара-положении к  $\text{NH}_2$  алкил-, арил-, алкил-, алкокси-, арилокси-, алкокси-, алкилмеркапто-, арилмеркапто-, алкилмеркапто- или ариламиногруппы или галоид; кроме того, эти заместители также могут находиться в пара-положении к  $\text{N}_2$ . Пригодны, напр., следующие бензодиазонийхлориды (I): 4-диметиламино-1-бензоиламино-3-И; 3-метил-6-диметиламино-1-И; 4,5-диметил-1-диметиламино-2-И; 1-метил-4-диметиламино-6-бензоиламино-3-И, а также 5,6,7,8-тетрагидро-3-диметиламино-2-нафталиндиазонийхлорид. Эти в-ва весьма чувствительны к свету ламп накалывания. С. Б.

**27018 П.** Способ повышения светочувствительности диазотипных светокопировальных слоев. Позер (Verfahren zur Empfindlichkeitssteigerung von Diazolichtpausschichten. Poser Gottlieb von.) [Kalle and Co. Akt.-Ges.]. Пат. ФРГ 903061, 1.02.54 [Chem. Zbl., 1954, 125, № 42, 9674 (нем.)]

Патентуется способ сенсibilизации диазотипных слоев, отличающийся тем, что в светокопировальные слои добавляют кетосоединения (I), в частности такие, которые содержат одну или несколько кетогрупп в одном кольце, напр. антрахинон, бензантрон и их производные, в частности сульфокислоты. I особенно хорошо сенсibilизируют бесцветные бензолдiazосоединения, не содержащие незамещ. и алкилированных  $\text{NH}_2$ -групп. Для сенсibilизации достаточно несколько вес. процентов I по отношению к кол-ву диазосоединения. С. Б.

**27019 П.** Диазотипный процесс. Педлоу, Ньюман (Diazotypverfahren. Pedlow G. Wesley jun., Neumann Fed W.) [General Aniline Film Corp.]. Пат. ФРГ 905452, 1.03.54 [Chem. Zbl., 1954, 125, № 25, 5676 (нем.)]

Патентуется применение 2,2',4,4'-тетраоксидифенила в качестве азосоединения в однослойном или двухслойном фотоматериале для получения промежуточных копий. С-фенилендиаминами в качестве диазосоставляющей получают изображения глубокого коричневого тона. С. Б.

**27020 П. Проявление диазотипных изображений. Грейг (Developing of diazotype images. Greig Harold (Grey) [Radio Corp. of America]. Пат. США 2691587, 12.10.54**

Патентуется способ введения щелочи в слой в процессе проявления изображения, образующегося при р-ции между светочувствительным диазотипным соединением и азокомпонентой в щел. среде. Щелочь включена в твердую пленку из гидрофильного воскообразного материала с т-рой плавления между 20 и 150°. Пленку приводят в контакт со слоем и нагревают ее до плавления воскообразного материала. При этом, по крайней мере, часть щелочи переходит в слой, обеспечивая проявление изображения. С. Б.

**27021 П. Проявитель. Гринтен, Гринтен, Гринтен (Developer. Grinten L. P. F. van der, Grinten P. A. W. van der, Grinten K. J. J. van der). Австрал. пат. 158182, 26.08.54**

Патентуется диазотипный проявитель, включающий небольшое кол-во дающей синюю флуоресценцию соли *л*, *п*-диаминотилбен-о, о'-дисульфокислоты, содержащей одно или более 1,3,5-триазиновых колец, связанных с аминогруппами. С. Б.

**27022 П. Проявление коллоидов, сенситизированных диазосоединениями и азидами. Малли (Developing of diazo and azide sensitized colloids. Malley John P.) [Powers Chemico, Inc.]. Пат. США 2695846, 30.11.54**

При проявлении водой экспонированной пленки из колл. в-ва, способного задубливаться дубильным составом, содержащим азогруппу и разлагающимся под действием света с выделением  $N_2$ , поверхность пленки перед смачиванием водой обрабатывается чистым  $CH_3OH$  или  $C_2H_5OH$ . Н. С.

**27023 П. Аппарат для печати и проявления диазотипных бумаг (Apparatus for photographically printing and developing diazo type paper) [General Aniline and Film Corp.]. Англ. пат. 715723, 22.09.54 [J. Appl. Chem., 1955, 5, № 4, 1599 (англ.)]**

Фотографическая печать и проявление светочувствительной бумаги проводится в аппарате, в котором листы фотоматериала движутся у перфорированной стенки проявительной камеры с парами проявляющего в-ва, после чего листы поступают в приемники. Указанная стенка камеры имеет в направлении движения листов наставку, изолированную от проявляющих паров. Предусмотрены средства для поддержания в этой наставке повышенной т-ры и средства для давления на листы, что предотвращает склонность их к скручиванию после обработки. К. М.

**27024 П. Способ получения отпечатков, в частности, с печатных форм, посредством диазосоединений (Procédé pour l'obtention de copies, en particulier de formes d'impression, au moyen de composés diazoïques) [Kalle und Co. A.-G.]. Франц. пат. 1056917, 3.03.54 [Procédé, 1954, № 9—10, 79 (франц.)]**

Раствор 2-диазо-1-нафтол-5-сульфокислоты и 4'-оксидифенил-4-азо-β-нафтола в диоксане наносят на алюминиевый лист, высушивают в горячем воздухе, экспонируют солнечным светом под диапозитивом, обрабатывают в 5%-ном р-ре  $Na_2CO_3$  и промывают водой. Полученное яркочерное изображение дает хорошие отклики с жирной типографской краской. Описаны получение исходных в-в и различные варианты способа. Я. К.

**27025 П. Пористые материалы для печати и процесса их изготовления. Херрик, Бок (Vesicular prints and process of making same. Herrick Clifford E., Jr, Balk Ann K.) [General Aniline and Film Corp.]. Пат. США 2699392, 11.01.55**

Патентуется способ приготовления светочувствительного пористого материала для печати, состоящий из следующих стадий: 1) получение р-ра смол в р-ителе (1—5 вес. ч. термопластичной гидрофобной смолы, в качестве которой пригодны ацетат целлюлозы, нитроцеллюлоза, поливинилацетат и полиметилметакрилат, и 1—6 вес. ч. смолобразного сополимера ~ 1 моля винилового эфира с ~ 1 молеком производного малеинового к-ты; гидрофобная смола и сополимер совместимы; указанные кол-ва их выбраны так, чтобы при высушивании р-ра получился прозрачный слой); 2) покрытие полученным р-ром подложки и сушка для образования достаточно прозрачного слоя; 3) обработка полученного слоя влажным водорастворимым азотсодержащим основанием для придания слою гидрофильных свойств; 4) сенситизация слоя путем нанесения на него воды, р-ра стабилизированного светочувствительного диазосоединения; 5) сушка. М. Г.

**27026 П. Цветная фотография на эмульсионных слоях со смешанными зернами. Карролл, Хансон (Mixed grain colour photography. Carroll W. H., Hanson W. T.) [Kodak Ltd]. Англ. пат. 702200, 13.01.53 [J. Appl. Chem., 1954, 4, № 6, 737 (англ.)]**

Патентуется способ получения цветных изображений с помощью процесса обращения на фотографич. слое со смешанными зернами, содержащем по крайней мере 2 группы галоидосеребряных зерен, сенситизированных к лучам различных зон спектра. 1-я из этих групп зерен содержит краситель, который в применяемой конц-ии дает требуемый максимум сенситизации галоидного серебра, а при меньшей конц-ии — иной максимум. Вследствие этого диффузия сенситизирующего красителя с зерен 1-й группы на зерна 2-й группы приводит к их очувствлению с иным максимумом сенситизации. На светочувствительном слое фотографируют цветной объект (или ведут печать с цветоделенных изображений), и слой подвергают черно-белому проявлению с образованием серебряного негативного изображения. Затем слой равномерно освещают лучами, соответствующими максимуму сенситизации 1-й группы зерен, но не входящими в зону максимума сенситизации других групп зерен, а также зоны сенситизации красителя, диффундировавшего с 1-й группы зерен. Экспонированные зерна 1-й группы подвергают цветному проявлению. Затем слой снова равномерно освещают лучами, соответствующими максимуму сенситизации 2-й группы зерен. После цветного проявления и удаления  $Ag$  из слоя получают позитивные частичные изображения из красителей, образующие цветное изображение. В качестве сенситизирующих красителей применяют 3,3'-диметила-этил-4,5,4',5'-дибензотиакарбонияния (красная зона) с 6'-метокси-5-фенил-3,1'-диэтилтиа-2'-цианином (зеленая зона) и 9-фенил-3,3'-диметил-4,5,4',5'-дибензотиакарбонияния (красная зона) с 3,9,3'-триэтил-5,5'-ди-л-толилосакарбониянием (зеленая зона). С. Б.

**27027 П. Способ получения объемных цветных диапозитивов. Хейльперн (Verfahren zur Herstellung plastischer Farbfilme, Diapositive u. dgl. Heilpern Moses Joseph). Австр. пат. 179200, 26.07.54 [Chem. Zbl., 1955, 126, № 6, 1427 (нем.)]**

Цветные пленки и диапозитивы, в которых наложены друг на друга два частичных стереоснимка в дополнительных цветах и объемное рассматривание которых осуществляется с помощью очков для анаглифов, получают путем съёмки объекта на цветную пленку или другой цветной фотографич. материал обычным фотоаппаратом, снабженным стереоскопич. насадкой с синезеленым и оранжевым светофильтрами. Цвета снимаемых объектов должны быть такими, чтобы при

каждом из двух светофильтров они давали окрашенный частичный снимок на фотографич. материале. Это может быть достигнуто путем соответствующей цветной отделки снимаемых костюмов, декорации и т. д. М. А.

См. также: 25227, 25230

## ДУШИСТЫЕ ВЕЩЕСТВА. ЭФИРНЫЕ МАСЛА. ПАРФЮМЕРИЯ И КОСМЕТИКА

**27028. Промышленность эфирных масел в Испании.** Босе-Кихада (L'industrie des huiles essentielles en Espagne. Beauss Quijada Miguel), Inds parfum., 1955, 10, № 9, 320—321 (франц.)

Обзор состояния пром-сти эфирных масел в Испании, их экспорт. Указано на возможность увеличения ассортимента эфирных масел за счет введения новых культур, напр.: *Narcissus jonquilla*, *Hyacinthus orientalis* и др. Е. С.

**27029. Исследования в области эфирных масел, бальзамов, смол и синтетических душистых веществ, проведенные в Испании.** Рибас-Маркес (Recherches effectuées en Espagne sur les huiles essentielles, les baumes, les résines et les parfums synthétiques. Ribas-Marqués Ignacio), Inds parfum., 1955, 10, № 9, 315—319 (франц.)

Обзор проведенных в Испании исследовательских работ по эфирным маслам, синтетич. душистым в-вам и по методам их анализа. Библ. 33 назв. Е. С.

**27030. Масло *Limnophila erecta*, Benth. E. Ливье** (Oil of *Limnophila erecta*, Benth. Yeh Ping-Hsien, Lin Chih), Amer. Perfumer and Essent. Oil Rev., 1955, 65, № 6, 38, 40 (англ.)

Исследовано эфирное масло *Limnophila erecta*, Benth., которое получают перегонкой с паром свежей зелени, выход 0,05%;  $n_D^{20}$  1,4805—1,4814;  $d_4^{20}$  0,8610—0,8646;  $[\alpha]_D^{25}$  от  $-6,00^\circ$  до  $-10,48^\circ$ ; кислотное число 0,0; эфирное число 4,48—9,41; число омыления после ацетилирования 63,32—90,35. При анализе фракций, полученных при ректификации этого масла, выделены и идентифицированы  $\alpha$ -пинен (содержание в масле 37%),  $d$ -лимонен (15%),  $\alpha$ -кариофиллен (26%),  $\beta$ -кариофиллен (15%), кадинен (4%), сесквитерпеновые спирты (2%) и следы терпеновых спиртов. Указано, что данное масло отличается по составу от масла *Limnophila aromatica*, содержащего 55%  $d$ -лимонена и 45%  $d$ -периллового альдегида. Н. Л.

**27031. Влияние терпенов на выход цитраля при окислении линалоола.** Поляков А. Ф., Тр. Краснодарск. ин-та пищ. пром-сти, 1955, № 11, 83—86

Установлено, что добавление пиненовой фракции скипидара (т. кип. 155—158°) при окислении линалоола или кориандрового масла, содержащего ~50% линалоола описанным ранее методом (Садогурская Р. Я., Бюлл. ин-та синтетич. и парфюм. пром., 1946, № 2, 35) повышает выход цитраля. Предположено, что причиной этого является образование перекисей терпенов (увеличение перекисного числа в 40—50 раз), обладающих окислительными и каталитич. свойствами. Эксперим. данные сведены в таблицы. С. К.

**27032. О дегидратации линалоола.** Поляков А. Ф., Тр. Краснодарск. ин-та пищ. пром-сти, 1955, № 11, 101—106

Установлено, что определение линалоола в кориандровом масле методом дегидратации с  $H_2SO_4$  дает неточные результаты вследствие побочных р-ций  $H_2SO_4$  с терпенами. Рекомендуется определять линалоол методом дегидратации с 50%-ной  $H_2SO_4$  в запаянной ампуле. Описан прибор и в виде таблиц приведены эксперим. данные. С. К.

**27033. О связывающей способности амулина для эфирных масел.** Гримме (Über das Bindungsvermögen von AMULIN für ätherische Öle. Grimmer C. I.), Z. Lebensmittel-Untersuch. und Forsch. 1954, 98, № 6, 440—442 (нем.)

Измерена летучесть эфирных масел (анисового, кассия, укропного, фенхелевого, тминного, мускатного, гвоздичного, ямайского перца, гвоздичного аниса, богородской травы) в присутствии носителей — амулина (носителя, богатого углеводом), сахарной пудры и овсяной муки из скорлупки. 100 г носителя смешивают с точным кол-вом эфирного масла (2 мл). Смесь оставляют на 3 дня в закрытой колбе при частом встряхивании. Для определения летучести отбирают ~10 г смеси в большую, точно взвешенную чашку Петри и определяют точно общий вес. Чашку оставляют на воздухе на определенное время и потом на короткий срок в эксикаторе. Измерения проводят в течение 2 час. при 20°, 4 час. при 30° и еще 4 час. при 40°. Установлено, что амулин, несмотря на его грубую дисперсию, снижает летучесть эфирных масел больше, чем сахарная пудра и овсяная мука. Т. Р.

**27034. Запах амбры.** Корнон (Les odeurs ambrées. Cornon René), Inds parfum., 1955, 10, № 8, 291—295; № 9, 351—354 (франц.)

Обзор происхождения, образования, нахождения серой амбры (А); различные сорта А; анализ А и методы ее старения. Применение А в парфюмерии. Характеристика запаха А. Перечислены натуральные и синтетич. в-ва с запахом А и указаны фирменные наименования композиций, обладающих этим запахом. Е. С.

**27035. Обладает ли 2-фенилбензтиазол запахом розы?** Девейн (2-Phenylbenzthiazol — ein Rosenriechstoff? Dewein H.), Seifen-Öle-Fette-Wachse, 1955, 81, № 16, 461—462 (нем.; рез. англ., франц., исп.)

Обсуждаются методы получения 2-фенилбензтиазола. По мнению автора, продукт обладает слабым запахом чайной розы, герани, но не может иметь самостоятельного значения в пром-сти душистых веществ. Е. Ш.

**27036. Некоторые производственные вопросы синтеза пронов.** Нав (Some industrial aspects concerning the synthesis of irones. Naves Yves-René), Chem. Age India, 1954, 5, № 3, 17—28 (англ.)

История открытия и изомерия пронов. Состав природной смеси последних и получение из присового масла. Синтез пронов и строение побочных продуктов циклизации псевдопронов. Запах отдельных изомеров, метод определения состава смеси пронов, полученной после циклизации и возможный механизм последней. Библ. 70 назв. С. К.

**27037. Успехи парфюмерной промышленности.** Секели, Желев, Баджов (Постижения на парфюмерийната промишленост. Секели Ю., Желев Зах., Баджов К.), Лека промишленост, 1955, 4, № 1, 36—37 (болг.)

**27038. Испытание маленьких флаконов на прочность.** Минна, Уэскотт (Forty little bottles and how they fell. Mina Francis A., Wescott Mason E.), Drug and Cosm. Ind., 1954, 75, № 6, 773, 775, 792, 794, 850—852 (англ.)

Проведено испытание прочности маленьких флаконов для аэрозольных препаратов с помощью стандартного метода (испытание на ударную вязкость при падении с высоты). Выяснялось влияние на стойкость: формы, окружающей т-ры, степени заполнения жидкостью. Для сравнения испытывались флаконы круглой и овальной формы при т-рах 21—54° при высоте падения ~1,22 м. Найдено, что т-ра и форма не оказывают заметного влияния на сопротивление удару. Основным фактором является степень заполнения; лучше прове-



рять при заполнении на 1/3 объема. Приведены данные опыта, кривые и ф-ла для расчета. Э. С.

**27039. Дельтил экстра. Донован, Омарт, Стоклоа (Deltyl extra. Donovan R. J., Osmart L. M., Stoklosa M. J.), J. Amer. Pharm. Assoc. Pract. Pharmacy Ed., 1954, 15, № 3, 166—168, 173 (англ.)**

Дельтил экстра, бесцветная подвижная жидкость, состоящая в основном из изопропилового эфира миристиновой к-ты и небольших кол-в изопропиловых эфиров пальмитиновой и лауриновой к-т, обладает высокой растворяющей способностью и малой токсичностью. Она может быть успешно использована в косметич. рецептуре как полный или частичный заменитель растительных масел при изготовлении масляных р-ров и масел. Приведен ряд рецептов. Р. М.

**27040. Ферменты в косметике. Нейман (Fermente in der Kosmetik. Neumann Hans), Seifen-Öle-Fette-Wachse, 1955, 81, № 15, 437—438 (нем.; резюме англ., франц., исп.)**

Описаны некоторые ферменты (Ф) и их функции в организме человека. Указана возможность применения в косметике растительных Ф, полученных из грибов *Aspergillus oryzae*. На основе концентрата этого Ф получен новый вид маски для лица, хорошо очищающей кожу от пота и загрязнений, усиливающей кровообращение. Маска рекомендуется для пережиренной дряблой, крупнопористой кожи лица и представляет собой сухой порошок, наносимый на лицо в виде кашицы, которую смывают через 5—15 мин. водой и смазывают кожу жирным кремом или спец. маслом. Сухую кожу смазывают дополнительно жирным кремом перед нанесением маски. А. В.

**27041. Дезодорирующие вещества и вещества против пота. Моррель (Désodorisants et antisudoraux. Morelle Jean), Inds Parfum., 1955, 10, № 9, 340—345 (франц.)**

Причины появления запаха кожи и методы его уничтожения. Деятельность потовых желез, их характеристика, распределение на кожном покрове, состав пота и разложение его под действием микрофлоры. Критика существующих средств, маскирующих запах кожи, дезинфицирующих и уменьшающих деятельность потовых желез. Е. С.

**27042. Отдушивание пудр по сравнению с другими косметическими продуктами. Шмидт (Parfümierung von Pudern im Vergleich zu anderen kosmetischen Erzeugnissen. Schmidt H.), Fette, Seifen, Anstrichmittel, 1955, 57, № 1, 42—44 (нем.; рез. англ., франц., исп.)**

Указано, что пудра проявляет селективную адсорбционную способность к ряду душистых в-в и эфирных масел. Трудно отдушиваются магнийстеарат, магнийпальмитат, тальк, окись титана, углекислый кальций. Ряд душистых в-в при смешении с пудровой массой разлагается. Рекомендуются отдельные смеси для отдушивания пудры. Т. В.

**27043. Комнатные аэрозольные дезодоранты. Чеккович (Aerosol room deodorants. Cherkovich Paul), Soap and Chem. Specialties, 1955, 31, № 7, 141—143, 147 (англ.)**

Комнатные аэрозольные дезодоранты (АД) должны быстро удалять нежелательные и не маскировать благоприятные запахи. При выборе ингредиентов (дезодорирующего состава, р-рителя и фреона) необходимо учесть их совместимость и растворимость в фреоне. Р-ритель должен быть без запаха и цвета и являться общим р-рителем для всех дезодорирующих в-в и фреона. Указано, что при составлении АД необходимо испытать раздражающее действие каждого в-ва в отдельности и дезодоранта в целом, так как часто наблюдается, что каждое в-во отдельно не действует,

а вместе вызывает раздражение и наоборот. Для определения качества АД немаловажное значение имеет и конечный запах, причем указано, что на последний влияет вязкость концентрата и размеры выходного отверстия клапана. Стабильность АД проверяется в нормальных условиях складского хранения при 20° через 6 мес., а для ускоренного определения — через 2 мес. при 45°, при этом потеря в весе не должна превышать 1%. Э. С.

**27044 П. Способ получения изомерных 6-метил- $\alpha$ -иононов ( $\alpha$ -проионов) циклизацией 3-метилпсевдоиононов. Нав (Verfahren zur Herstellung von isomeren 6-Methyl- $\alpha$ -iononen ( $\alpha$ -Ionen) durch Ringschluss von 3-Methylpseudoiononen. Naves Yves - René) [L. Givaudan and Cie Soc. An.]. Пат. ФРГ 931351, 8.08.55**

Патентуется способ циклизации псевдоиона (I) ( $n_D^{20}$  1,53420,  $d_4^{20}$  0,9008,  $n_F - n_C = 0,0263$ ), полученного конденсацией 3-метилцитраля с ацетоном, в *dl*- $\alpha$ -проион (II), идентичный  $\alpha$ -проиону, выделенному из ирисового масла. Через р-р 103 г I в 330 мл сухого бензола при 0—5° (в начале) и не более 10° (в конце) 45 мин. пропускают  $BF_3$  (38 г). При 10° приливают 560 мл 8%-ного NaOH. Р-р в бензоле промывают и, отогнав р-ритель, получают II, выход 82,7%,  $n_D^{20}$  1,50142,  $d_4^{20}$  0,9362,  $n_F - n_C = 0,0135$ ; 4-фенилсемикарбазон (III), т. пл. 164,5—165° (выход 8 г из 10 г II), и т. пл. 174,5—175,5° (выход 3,4 г из 10 г II). Кипячением 8 г III с р-ром фталевой к-ты получают II, выход 4,4 г. Гидрированием при 20° над пиррофорным Ni р-ра 2 г II в 30 мл абс. спир. получают дигидро- $\alpha$ -ион; семикарбазон, т. пл. 172,5—173°; 2,4-динитрофенилгидразон, т. пл. 130—131°. С. К.

**27045 П. Синтез терпеновых соединений. Коли (Procédé de synthèse de dérivés terpéniques. Cawley John D.) [Soc. Eastman Kodak Co.]. Франц. пат. 1058800, 18.03.54 [Inds parfum., 1955, 10, № 6, 249 (франц.)]**

Для получения терпеновых соединений действуют карбоильными соединениями ф-лы  $RR_1C = O$  (R — углеводородный радикал,  $R_1$  — водород или углеводородный радикал) на металлоорганич. соединения активного металла (Mg, Li, Zn, Cd или Hg) и ацетали 5-галоидпентанона-2 с образованием  $\delta$ -карбинола следующей ф-лы:  $RR_1C(OH) - CH_2 - CH_2 - CH_2 - C(CH_3)_3 = (OR)_2$ . Е. К.

**27046 П. Препарат для чистки зубов. Фокс (Produits dentifrices. Fox Arthur L.) [Colgate Palmolive-Peet Co.]. Франц. пат. 1080906, 12.12.54 [Inds. parfum., 1955, 10, № 7, 278 (франц.)]**

Препараты в виде кремов, паст, порошков и жидкостей для чистки зубов и ухода за полостью рта содержат небольшое кол-во продукта с мол. в. 7000—8000, обычно твердого и растворимого в воде, получаемого при конденсации окиси этилена и полипропиленгликоля. В. К.

**27047 П. Зубные пасты. Моризе (Tooth pastes. Morize H. V.). Англ. пат. 723414, 9.02.55 [Soap, Perfum. and Cosmetics, 1955, 28, № 6, 674 (англ.)]**

Для получения требующейся консистенции пасты в усиления положительного влияния ее на зубы рекомендуется смешивать продажную желатинообразную гидроокись алюминия с одним (или более) ингредиентом в порошкообразной форме (трисиликат магния, тринатрийфосфат, перекись натрия) и прибавлять, если желательно, один или несколько душистых продуктов. Свойства гидроокиси алюминия и ее пропорции обеспечивают требуемую консистенцию зубной пасты. В. Е.

**27048 П. Новая композиция для окраски волос.** (Composition nouvelle destinée à la teinture des cheveux.) [Union Française Commerciale et Industrielle]. Франц. пат. 1083574, 11.01.55 [Theintex, 1955, 20, № 7, 581 (франц.)]

Патентуется безвредный состав для окраски живых волос, содержащей в основном: 1) в-во общей ф-лы  $2,4,5-(OH)_3C_6H_2X$ , где X — H, алкил, алкоксил, оксипил, но не группа, придающая в-ву растворимость в воде (напр.,  $-SO_3H$  или  $-COOH$ ); 2) щел. в-во, напр. гидроокись щел. или щел.-зем. металла, средние соли щел. металлов с минер. поликислотами, производными 3- или 4-валентных металлоидов, или средние соли щел. металлов с одно- или многоосновными карбоновыми к-тами; 3) в случае необходимости — восстановитель, подходящий для волос, и связывающее в-во, позволяющее получать состав в виде крема или порошка.

В. К.

**27049 П. Новый способ нагревания при перманентной завивке.** Дево (Nouveau procédé thermique destiné à l'ondulation permanente. Devaux E. C.). Франц. пат. 1080368, 8.12.54 [Inds. parfum., 1955, 10, № 5, 218 (франц.)]

Предлагается использование для перманентной завивки экзотермич. тепла, выделяющегося при взаимодействии фильтровальной бумаги, пропитанной р-рами солей сурьмы и олова с алюминием.

Е. К.

**27050 П. Перманентная завивка без нагревания.** Скандел (Ondulation permanente à température réduite. Scandel J. E. A.). Франц. пат. 1076766, 29.10.54 [Inds. parfum., 1955, 10, № 5, 218 (франц.)]

Раствор для произ-ва перманентной завивки при комнатной т-ре получают прибавлением эфира гликоля, растворимого в воде (или смеси растворимых эфиров гликолей), к почти нейтр. р-ру сернистого соединения.

Е. К.

**27051 П. Получение продуктов, используемых в кислых косметических и пенообразующих средствах** (Procédés de fabrication de produits utilisables dans les produits de beauté, les cosmétiques et les pains moussants à pH acide) [Lab. d'Expansion Scientifique Moderne]. Франц. пат. 1082224, 28.12.54 [Inds. Parfum., 1955, 10, № 6, 250 (франц.)]

Продукты, используемые в кислых косметич. и пенообразующих средствах, получают взаимодействием формальдегида или одного из его гомологов с жирной к-той или триглицеридом при перемешивании под давлением в присутствии катализатора деполимеризации и конденсации.

Е. К.

**27052 П. Новое туалетное мыло Мери** (Nouveau savon de beauté. Mérie A.). Франц. пат. 1069447, 7.05.54 [Inds. parfum., 1955, 10, № 7, 277 (франц.)]

В мыло, приготовленное из жира и кокосового масла, прибавляют на холоду путем растирания по 1% яичного порошка, молочного порошка и масла сладкого миндаля.

В. К.

См. также: 26048

## КАУЧУК НАТУРАЛЬНЫЙ И СИНТЕТИЧЕСКИЙ. РЕЗИНА

**27053. Эластомеры.** Фишер (Elastomers. Fisher Harry L., Industr. and Engng Chem., 1954, 46, № 10, 2067—2075 (англ.)

Обзор литературы по каучуку и резине за 1953—1954 годы. Библ. 156 назв.

М. Л.

**27054. Латексы и дисперсии регенерата.** Дороги (Latexes et dispersés de latexes régénérés. Dorogi István A.), Élet és tudomány, 1954, 9, № 40, 1276—1278 (венг.)

Популярная статья.

Г. Ю.

**27055. Каучук. Определение щелочности латекса.**

Проект стандарта. — (Kautschuk. Bestimmung der Alkalinität von Latex. FK 20 — Kautschuk SVMT TK 21 — UK Kautschuk VSM. 2. Entwurf.—), Schweiz. Arch. angew. Wiss. and Techn., 1954, 20, № 9, 312 (нем.)

Стандарт на определение щелочности конц. или консервированного натурального латекса. Навеска латекса титруется 0,1 н.  $H_2SO_4$  или  $HCl$  в присутствии бромтимолсинего до появления желтой окраски или потенциометрически до pH 6,8.

Л. М.

**27056. Свойства натурального каучука при 120° и при более высоких температурах.** Рамедонк (Eigenschaften von Naturkautschuk bei 120°C und höheren Temperaturen. Raamsdonk G. W. van), Kautschuk und Gummi, 1955, 8, № 6, WT 153—WT 157 (нем.)

Обзор работ по исследованию поведения резин из НК при повышенных т-рах. Отмечается падение сопротивления разрыву (а) выше 120°, связанное с исчезновением эффекта кристаллизации при растяжении (б) при 150°, связанное с окислительным разрушением НК, и (в) выше 150° вследствие термич. распада молекул и серных связей. Термич. распад в отсутствие  $O_2$  идет, хотя и медленно, уже при 150°. Применение тиурама вместо S и комбинаций антиоксидантов уменьшает действие  $O_2$ . Лучшие результаты дает смесь без S, содержащая 3% тетраметилтиурамдисульфида, 1% ди-2-бензотиазолдисульфида и комбинация 2% цинкмеркаптобензимидазола с 2% аджерайта или аналогичных противостарителей.

А. Л.

**27057. Свойства лактопрена BN-12,5 (сополимер бутилакрилата и акрилонитрила) и его вулканизатов.** Хансен, Пам (Properties of lactoprene BN-12,5, a copolymer of butyl acrylate and acrylonitrile, and its vulcanizates. Hansen John E., Palm William E.), Rubber Age, 1954, 75, № 5, 677—687 (англ.)

Лактопрен BN-12,5 (I) получен сополимеризацией бутилакрилата (87,5%) и акрилонитрила (12,5%). Описаны рабочие свойства I, рецептура смесей и технология изготовления изделий. Вулканизаты I превосходят резины из бутадиенакрилонитрильных каучуков по теплостойкости. По сравнению с вулканизатами лактопрена EV (сополимер этилакрилата и хлорэтиленвинилового эфира) I обладают значительно лучшей морозостойкостью и меньшим набуханием в воде. Кроме того, они имеют высокую теплостойкость, удовлетворительную маслостойкость и низкое остаточное сжатие. I может быть использован для изготовления прокладок, уплотнит. колец, сальников и т. п. В. Е.

**27058. Влияние вулканизации на окисление резины.**

Кузьминский А. С. В сб.: Вулканизация резин, Л., Госхимиздат, 1954, 158—172, дискусс. 230—234

Изучалось влияние S и ускорителей вулканизации на окисление вулканизатов. Свободная S ингибирует процесс окисления, расходуется, вызывая эффект довулканизации резин при старении. Связанная S также ингибирует окисление. Свободные радикалы, образующиеся при термич. распаде полисульфидных связей, участвуют в развитии кислородного процесса. Свободная S, тиурам и дифенилгуанидин уменьшают скорость расхода озона D, а связанная S и каптак, ускоривают.

И. Т.

**27059. Библиография по бутилкаучуку.** Мак-Свини, Мюллер (Bibliography of butyl rubber. McSweeney E. E., Mueller W. J.), Rubber Age, 1954, 76, № 2, 247—252 (англ.)

378 статей и патентов по получению, свойствам и применению бутилкаучука. Имеется предметный указатель.

М. Л.

**27060.** Исследование влияния рецептурно-технологических факторов на динамические свойства резины и теплообразование при различных режимах многократных деформаций. Резниковский М. М., Догадкин Б. А. В сб. Вулканизация резины, Л., Госхимиздат, 1954, 208—227, дискус., 234—240

Динамические свойства резины, преимущественно из бутадиенового каучука, оценивались с помощью маятникового прибора методом поперечного удара по закрепленной между двумя зажимами полоске. По измеряемому значению ударной деформации и упругому отскоку маятника определялись динамич. модуль ( $E$ ) и модуль внутреннего трения ( $K$ ), представляющий механич. потери в единице объема образца за цикл нагружения, отнесенные к квадрату динамич. деформации. Для ненаполненных и наполненных резины  $K$  практически не зависит от содержания связанной  $S$ , если оно не превышает некоторого критич. значения ( $\sim 10\%$  для резины из бутадиенстирольного каучука при  $\sim 20^\circ$ ). Дальнейшее повышение содержания связанной  $S$  приводит к резкому возрастанию  $K$ . С повышением степени вулканизации  $E$  растет монотонно. С увеличением содержания наполнителя  $K$  растет тем резче, чем активнее применяемый наполнитель. Неравновесная часть динамич. модуля резины ( $E_1$ ) изменяется в зависимости от содержания наполнителя так, что отношение  $K/E_1$  не зависит от него. Равновесный модуль ( $E_\infty$ ) практически не зависит от природы и содержания наполнителя. С увеличением содержания мягчителей (вазелиновое масло)  $K$  уменьшается, относительные изменения  $K$  практически не зависят от природы и содержания наполнителя. С увеличением содержания мягчителя  $E$  уменьшается, но  $K/E_1$  постоянно. Малые добавки поверхностноактивных в-в не влияют существенно на  $K$  ненаполненных и наполненных резины, содержащих 2% стеариновой к-ты. Проведен анализ влияния основных рецептурно-технологич. факторов на механич. потери в резине, работающей в динамич. режимах, различающихся выбором задаваемых (независимо от свойств материала) и переменных (определяемых свойствами материала) параметров. При режиме заданной динамич. деформации механич. потери цикла не зависят от вулканизации, резко растут с содержанием наполнителя и снижаются при введении мягчителей. При режиме заданного динамич. усилия механич. потери цикла уменьшаются с увеличением степени вулканизации и с содержанием наполнителя и возрастают при введении мягчителей. При режиме заданной работы динамич. нагружения вулканизация и введение мягчителей несколько снижают механич. потери цикла, повышение содержания наполнителя их несколько увеличивает не только в области малых наполнений. Приведены примеры практического приложения найденных закономерностей. М. Р.

**27061.** О пластикации каучука на вальцах. Сталинский (Sur la plastification du caoutchouc par les mélangeurs à cylindres. Stalinsky Eugène), Rev. gén. caoutchouc, 1954, 31, № 3, 216, 223 (франц.; рез. англ.) См. РЖХим 1955, 38770

**27062.** Применение сочетания сажи и кремнеземных наполнителей в протекторных резинах. Вулф (Carbon black-silica mixtures in tire treads. Wolf Ralph F.), Rubber World, 1955, 132, № 1, 64—70 (англ.)

Дорожные испытания шин, содержащих сочетание сажи и Хай-Сил 202 и Хай-Сил 233 в рецептуре протекторов, показали, что сопротивление шин износу выше, чем у бессажевых резины с Хай-Силом. Износ шин не является линейной функцией содержания

Хай-Сила. Указанные резины обладают более высоким сопротивлением раздиру, чем содержащие только сажу. Поверхность раздира последних гладкая, при добавлении Хай-Сила становится узловой. Маточные смеси из НК или GR-S с сажей при добавлении Хай-Сила набухают в органич. р-рителях более ограниченно, что указывает на изменение структуры смесей. Для катков рекомендуются смеси из GR-S низкотемпературной полимеризации с сочетанием Хай-Сил 202 и печной сажи HAF (придающей высокое сопротивление истиранию). Для пассажирских шин, особенно работающих в тяжелых условиях, рекомендуется НК. Приведены сравнительные данные по физ.-мех. свойствам резины с сочетаниями различных саж и Хай-Сила. Хай-Сил 233 дает сопротивление износу на 10—17% выше, чем Хай-Сил 202. Результаты дорожных испытаний шин с печной сажей HAF (50 ч.) и шин с сочетаниями HAF и Хай-Сил (35 и 16,2 ч. или 30 и 21,6 ч.) показывают возможность частичной замены саж в рецептуре шин, предназначенных для бездорожья. А. Л.

**27063.** Влияние тепловой обработки на усиливающие свойства сажи. Шеффер, Смит (Effect of heat treatment on reinforcing properties of carbon black. Schaeffer W. D., Smith W. R.), Industr. and Engng Chem., 1955, 47, № 6, 1286—1290 (англ.)

Исследовано влияние графитизации саж, происходящее при их нагревании. Термич. обработка канальной сажи Сферон 6 и печной Вулкан 3 при 1000—1500° приводит к резкому снижению модулей резины, дальнейшее нагревание до 2700° не оказывает влияния; термич. сажа дает снижение модулей после нагревания при 1500—2000°. Сопротивление разрыву, твердость по Шору, сопротивление истиранию, эластичность по отскоку изменяются мало. Вязкость по Муни лишь слегка повышается. Уменьшаются склонность к подвулканизации и электрич. сопротивление смесей. Не меняются свойства, определяемые размерами частиц, поскольку последние не изменяются при тепловой обработке саж. Уменьшение модулей, электрич. сопротивления и сопротивления истиранию (резины с канальной сажей) показывает, что хим. природа поверхности является существенным фактором в случае усиливающих саж. А. Л.

**27064.** Сажевые маточные смеси из натурального латекса. Предварительное исследование. Билю (Rußhaltige Masterbatches aus Hevea-Latex. Eine orientierende Untersuchung. Billiau J. L. Ph.), Kautschuk und Gummi, 1954, 7, № 9, WT199—WT202 (нем.)

Дисперсия канальной сажи MPC (20 ч.) в  $H_2O$  (79 ч.), полученная при обработке с 1 ч. диспергатора Дарван I на шаровой мельнице (24 часа), смешивается с латексом (2,5 кг дисперсии на 1 кг сухого каучука). Латекс коагулирует и получается маточная смесь с высокой пластичностью по Муни (130). Несмотря на необходимость дальнейшей обработки с целью получения резиновой смеси, время смешения и потребления энергии уменьшаются вдвое по сравнению с обычными. Физ.-мех. свойства полученных вулканизатов не отличаются от свойств резины, полученных обычным путем. Введение в дисперсию сажи перед ее введением в латекс эмульсии мягчителя и стабилизатора (Дутрекс R 100 ч., олеиновая к-та 10 ч., 20% аммиак — 8 мл,  $H_2O$  85 мл) приводит к лучшей гомогенизации смеси. После коагуляции к-той, промывки на вальцах и сушки при 70° получается более пластичная маточная смесь, содержащая 90 ч. каучука, 50 ч. сажи и 10 ч. мягчителя (пластичность по Муни 84). При этом возрастает экономия времени смешения и энергии. Полученные вулканизаты дают более высокое сопротивление раздиру и истиранию. А. Л.



# 27065. Кристаллогидраты как порообразователи. Солдатенко Б. Т., Легкая пром-сть, 1954, № 9, 28—30

В качестве порообразователей при произ-ве пористой резины исследовались кристаллогидраты:  $\text{Na}_2\text{SO}_4 \cdot 10\text{H}_2\text{O}$ ,  $\text{Al}_2(\text{SO}_4)_3 \cdot 18\text{H}_2\text{O}$ ,  $\text{KAl}(\text{SO}_4)_2 \cdot 12\text{H}_2\text{O}$ ,  $\text{MgSO}_4 \cdot 7\text{H}_2\text{O}$ . Образование пор происходит в результате выделения паров гигроскопич. воды во время вулканизации резины. Динамика разложения кристаллогидратов при их нагревании почти не отличается от динамики разложения бикарбоната натрия. Это позволяет использовать кристаллогидраты, не меняя существующих технологич. режимов. При изготовлении черной пористой подошвенной резины они вводились (1,2—1,5%) в резиновую смесь обычной рецептуры. Вулканизация 16—18 мин. при 160° и 10 атм. Полученная пористая подошвенная резина имела уд. в. 0,80—0,85; твердость 45; сопротивление разрыву 22—23 кг/см<sup>2</sup>, относительное удлинение 280—285%, остаточное удлинение 1—2% и выдерживала ~1400 изгибов. В. Е.

27066. Общая дискуссия [по вулканизации резины на конференции ВНИТО резинщиков]. В сб.: Вулканизация резины, Л., Госхимиздат, 1954, 240—247

27067. Решения конференции по вулканизации [ВНИТО резинщиков, июнь 1953]. В сб.: Вулканизация резины, Л., Госхимиздат, 1954, 248—251

27068. Влияние структурирующих агентов на свойства резины из бутадиенстирольных каучуков. Новиков А. С., Галил-Оглы Ф. А. В сб.: Вулканизация резины, Л., Госхимиздат, 1954, 20—32, дисс. 228—230  
См. РЖХим, 1955, 20028

27069. Роль окислительно-восстановительных систем в процессе серной вулканизации. Тинякова Е. И., Долгопосек Б. А., Рейх В. Н., Тихомолова М. П., Журавлева Т. Г. В сб.: Вулканизация резины, Л., Госхимиздат, 1954, 33—50

Представлены данные о протекании при вулканизации окислительно-восстановительных р-ций с участием ускорителей, S и O<sub>2</sub>. Альтакс и тиурам способны инициировать полимеризацию изопрена при 100°. Р-ция S с тициными восстановителями (фенилгидразин, вулкаит TR) при 143° в р-ре ксилола приводит к образованию H<sub>2</sub>S. Р-ция ускорителей с S рассматривается как окислительно-восстановительный процесс, в котором окислителем является S, а восстановителем ускоритель. Под влиянием H<sub>2</sub>S и источников свободных радикалов (перекись бензоила, динитрил азизомаляной к-ты, метилфенилтриазен, диазоминобензол) происходит быстрое структурирование полибутадиена СКВ в р-ре. Предложен механизм образования моносульфидной связи, заключающийся в присоединении H<sub>2</sub>S под влиянием источников свободных радикалов к каучуку с последующим присоединением образующегося полимерного меркаптана к другой молекуле каучука. Р-ция метильного и аллильного радикалов, образующихся, соответственно, при распаде метилфенилтриазена и аллилфенилтриазена, с S при 109° в изопропилбензоле приводит к образованию соответствующих полисульфидов. В случае метильного радикала выход последних составляет 60%, в то время как выход SN<sub>4</sub> снижается с 58% без S до 2,7% в присутствии S. Полисульфидные связи при вулканизации образуются при р-ции полимерных свободных радикалов с S. Процесс вулканизации по Пичи идет с промежуточным образованием свободных радикалов, инициирующих вулканизацию. И. Т.

27070. Окислительно-восстановительная вулканизация и деструкция каучуков. Долгопосек Б. А., Тинякова Е. И., Рейх В. Н. В сб.: Вулканизация резины, Л., Госхимиздат, 1954 51—100

Изучалось влияние окислительно-восстановительных систем (ОВС) на структурные изменения каучуков в р-ре и в смесях. В отсутствие O<sub>2</sub> ОВС (а) перекись бензоила (I), диэтиловый эфир диоксималеиновой к-ты (II) и нафтенат железа (III); б) I, бензон (IV) и III; в) I, триэтилтетрамин и III; г) гидроперекись кумола (V) и SO<sub>2</sub>; д) V и H<sub>2</sub>S; е) каптакс и V; ж) ДФГ, альтакс и V вызывают при 20° структурирование р-ров СКВ и СКВ и эффект вулканизации в смесях, содержащих 60% газовой сажи. Эффективность обратимых ОВС, содержащих металл, определяется природой восстановителя. O<sub>2</sub> оказывает ингибирующее действие на вулканизацию, ускоряя процесс деструкции. ОВС из H<sub>2</sub>O<sub>2</sub> и III в присутствии O<sub>2</sub> инициирует процесс деструкции каучука при 20°. Гидразобензол, фенилгидразин, IV, трихлортиофенол и ди-*т-мет*-бутилгидроксион в присутствии III, а II в отсутствие III в углеводородной среде окисляются при 50° с образованием H<sub>2</sub>O<sub>2</sub>, распад которой инициирует деструкцию в присутствии O<sub>2</sub>. ОВС из III и IV вызывает деструкцию полиизобутилена в р-ре при 50°. Скорость деструкции СКС-30 и СКС-30А в присутствии этой системы при 80° в смесителе, на вальцах и в котле в 4—5 раз выше скорости термопластикации при 130°. Деструктирующее действие ОВС проявляется и по отношению к другим типам каучуков (СКС-10, тиокол). И. Т.

27071. К вопросу вулканизации синтетических каучуков при высоких температурах. Писаренко А. П. В сб.: Вулканизация резины, Л., Госхимиздат, 1954, 134—137, дискус. 230—234

Повышение т-ры вулканизации резины из СК (СКВ, СКН, СКС) способствует процессу взаимодействия каучука с S и его структурированию как с наполнителями, так и в чистом виде. При повышении т-ры вулканизации до 160—180° увеличивается растворимость S в каучуке, содержание ее активной модификации, не растворимой в ацетоне, и уменьшается склонность S к выцветанию. Степень структурирования каучука наполнителями резко увеличивается с повышением т-ры: возрастают электропроводность, прочность, эластичность, уменьшаются необратимые деформации, набухание и растворимость. O<sub>2</sub>, вводимый в р-р с сажей, не принимает участия в процессах структурирования или деструкции. При повышении т-ры от 150 до 200° процесс структурирования СКВ без добавок резко усиливается. Введение противостарителя замедляет структурирование, но не прекращает его. В р-рах соотношение скоростей структурирования и деструкции зависит от концентрации: ниже 10% деструкция преобладает над структурированием, с повышением концентрации наблюдается обратная картина. Предложено расширить температурный интервал вулканизации до 140—220°, что позволит уменьшить ее длительность, повысить производительность оборудования, сократить расход ингредиентов и автоматизировать процесс. Предложена конструкция полуавтомата «МПС», построенного и введенного в произ-во на Калининском комбинате «Искож». И. Т.

27072. Обмен серы в полисульфидах и некоторых серо-содержащих соединениях, являющихся ускорителями вулканизации. Гурьянова Е. Н. В сб.: Вулканизация резины, Л., Госхимиздат, 1954, 101—112, дискус. 228—230

Изучалась подвижность S в полисульфидах и ускорителях вулканизации при помощи S<sup>35</sup>. Наблюдался обмен между элементарной S<sup>35</sup> и S диэтилтрисульфида (I) при 100°, дитиолитри- (II) и тетрасульфидов (III)—при 80° в C<sub>6</sub>H<sub>6</sub>, каптакса (IV) и альтакса — при 137 и 160° в ксилоле и в плаве, диэтилдитиокарбамата Na — при 60—80° в изомилловом спирте. В I, II и III обмениваются лишь средние атомы S. Диэтилдитиокарбамат Na, диэтил (V), дитиол- и дибензидисульфиды,

дибензилтрисульфид и дитиолисульфонилид не обмениваются с элементарной  $S^{35}$  при 130—140°. Методом измерения дипольных моментов и ИК-спектров показано, что IV в твердом состоянии существует в тионовой форме. При растворении и повышении т-ры равновесие сдвигается в сторону тиольной формы. Между I и диэтилтетрасульфидом и между I и II наблюдался обмен средними атомами S при 100° в присутствии бутамина. На основании распределения активностей при обмене I и V при 100°, IV, меченного в обоих атомах S и альтакса при 20° показано, что в обмене участвуют не атомы S, а группы RS—. При УФ-освещении происходит быстрый обмен в системах I и V, IV и V, что подтверждает радикальный механизм обмена. И. Т.

27073. Действие молекулярного кислорода в процессе вулканизации натурального и натрийбутадиенового каучука. Догадкин Б. А., Фельдштейн М. С. В сб.: Вулканизация резин, Л., Госхимиздат, 1954, 173—187. дискус. 234—240

Исследовалась вулканизация ненаполненных смесей из НК и СКБ в условиях тщательной изоляции от  $O_2$  при 125°. В смесях из НК кривые изменения сопротивления разрыву с временем вулканизации идут монотонно, при вулканизации на воздухе на кривых имеется максимум. В смесях из СКБ это различие отсутствует. При вулканизации на воздухе модуль 100% вулканизатов из СКБ продолжает расти после полного присоединения S, т. е.  $O_2$  играет роль структурирующего агента. Действие  $O_2$  обусловлено возрастанием межмолекулярных сил в результате образования полярных групп, образованием мостичных кислородных связей и идущими при окислении полимеризационными процессами. Это подтверждается резким падением сопротивления разрыву окисленных пленок СКБ при 60—70° и кинетикой образования  $H_2O$  в процессе окисления. Противостарители влияют на параметры кинетич. кривой вулканизации, изменяя как константы присоединения  $O_2$ , так и константы присоединения S. И. Т.

27074. К исследованию вулканизации высокоэластических полимеров. Сообщение 4. Исследование на модельных соединениях (I). Шеле, Лоренц (Zur Kenntnis der Vulkanisation hochelastischer Polymerisate. 4. Mitteilung. Untersuchungen an Modellverbindungen (I). Scheele Walter, Lorenz Otto), Kautschuk und Gummi, 1955, 8, № 4, WT85—WT90 (нем.)

Моделью НК являлось гераниевое масло (I). Кинетика р-ции взаимодействия I с тетраэтилтиурамдисульфидом (II) в присутствии  $ZnO$  в среде чистого  $N_2$  и на воздухе при 100—137° изучалась по нарастанию конц-ии диэтилдитиокарбамата  $Zn$  (III) и расходу II. Р-ция между I и II протекает качественно и количественно аналогично р-ции взаимодействия II с НК. Максимум конц-ии III при проведении р-ции в  $N_2$  составило 66% от взятого II независимо от т-ры и конц-ии II. Кинетика изменения конц-ии III в  $N_2$  описывается ур-нием 1-го порядка, энергия активации, рассчитанная по образованию III (26 ккал/моль) оказалась несколько больше, чем при р-ции с НК. Энергия активации, рассчитанная по расходу II хорошо совпала с величиной, ранее рассчитанной для р-ции II с НК (25 ккал/моль). Присутствие  $O_2$  существенно ускоряет р-цию между II и I. Образование III на воздухе не достигает 66%, причем, чем ниже т-ра р-ции, тем кол-во образовавшегося III меньше. Сообщение 3 см. РЖХим, 1955, 50409.

27075. Применение радиоактивной серы в химии резины. Икэда (放射性硫黄のゴム化学への應用. 池田朗次). 日本ゴム協会誌, Нихон гому кёкайси, J. Soc. Rubber Ind., 1955, 28, № 2, 103—111 (япон.)

Обзор. Библ. 15 назв.

Д. С.

27076. Некоторые особенности действия ускорителей при вулканизации бутадиенстирольных каучуков. Семенов Н. И., Степанов П. И., Холодковский Б. Н., Поляк М. А., Эпштейн В. Г. В сб.: Вулканизация резин, Л., Госхимиздат, 1954, 188—195, дискус. 234—240

Триэтаноламин (I) (и его соли) и  $H_2O$  значительно повышают скорость вулканизации смесей из СКБ-30. Время достижения оптимума с добавкой 0,5% I сокращается в присутствии тиурама в 20 раз, в присутствии каптакса в 2,5 раза, в присутствии дифенилгуанидина в 2 раза, по сравнению со смесями без I. Комбинация  $ZnO$  и  $MgO$  увеличивает скорость вулканизации и улучшает физ.-мех. свойства. В смесях из СКБ эти активаторы не активны, что объясняется присутствием в СКБ значительного кол-ва щелочи. Активирующее действие I и  $H_2O$  объясняется ускорением диссоциации солей ускорителей на ионы, которые присоединяя S, переходят в полисульфиды. Последние распадаются с выделением активной S. И. Т.

27077. Эбонит. Питере (Hard rubber. Peters Henry), Industr. and Engng Chem., 1954, 46, № 10, 2112—2113 (англ.)

Обзор литературы по эбониту за 1952 и 1953 годы. Библ. 67 назв. Ф. К.

27078. Высокоэластичные усилители эбонита. Селл, Мак-Катчен (High styrene reinforcement of hard rubber. Sell Harold S., McCutcheon R. J.), Rubber Age, 1954, 75, № 6, 841—851 (англ.)

Введение в резиную смесь на основе GR-S 1502 усиливающей стиролбутадиеновой смолы с высоким содержанием стирола, напр. плайолита S 6 (т. размягч. 65,5°, уд. в. 1,05, абсорбция воды 55 мг/см²), позволяет уменьшить дозировку S. При этом уменьшается хрупкость эбонита, без ухудшения других его физ.-мех. свойств, делается возможным контроль экзотермич. р-ции вулканизации и, соответственно, вулканизации массивных изделий, облегчается смешение, предварительная обработка смесей и улучшается внешний вид поверхности готового изделия. А. Л.

27079. О защите резин от озонного растрескивания.

Зуев (La protection des caoutchoucs contre l'action craquelante de l'ozone. Zuev Y. S.), Rev. gén. caoutchouc, 1954, 31, № 11, 898—900, 919 (франц.; рез. англ.)

Перевод. См. РЖХим, 1955, 35967

Д. С.

27080. Противокислители: влияние на результаты истирания на машине Акрон-Кройдон. Хамфрис (Antioxidants: effects on Akron-Croydon abrasion. Humphreys N. C. H.), Trans. and Proc. Instn Rubber Ind., 1955, 31, № 3, 103—104 (англ.)

В присутствии некоторых противокислителей характеристики резин из НК, содержащих печную сажу HAF, придающую высокое сопротивление истиранию, при испытании на машине Акрон-Кройдон могут значительно искажаться. Испытание проводится по британскому стандарту B.S 903—1950. Давление к основному рецепту 1 ч. фенил-β-нафтиламина (I) изменяет показатель истирания на 23—25%, комбинация 0,5 ч. I и 0,5 ч. меркаптобензимидазола (II) — на 18%. Наименьшее влияние оказывает применение только II (1 ч.) или цинковой соли II (1 ч.). А. Л.

27081. Пресса для производства резиновой обуви. Телен (Matériel pour la fabrication des chaussures vulcanisées. Thépin G.), Rev. gén. caoutchouc, 1954, 31, № 8, 631—635 (франц.)

Описываются материал и устройство различных прессов, главным образом, для привулканизации подошвы. М. Л.

27082. Резина, как защитный материал для химической аппаратуры. Симоли, Бойцеску

(Cuaciucul ca material de protecție în aparatura chimică. Simonoi Fr., Boicescu N. D.). Rev. chim., 1955, 6, № 1, 34—35 (рум.)

Обзор способов крепления резины к металлам. З. Б. 27083. Применение эластических материалов для изоляции кабелей Деэ (Les élastomères dans l'isolation des câbles. Dehez A.). Bull. scient. A. I. M., 1954, 67, № 6, 383—401 (франц.)

Обзор свойств неопрена, GR-S, бутылкаучука, полихлорсульфоната этилена (Хайпалон S-2), сополимера этилакрилата с хлорэтилвиниловым эфиром (лактопреп EV) и силиконовых каучуков в связи с их применением для изоляции кабелей. М. Л.

27084. Классификация вулканизатов каучука (методы испытания и их результаты). Херцог [Klassifikation der Kautschukvulkanisate (Prüfmethoden und ihre Ergebnisse). Herzog R.], Schweiz. Arch. angew. Wiss. und Techn., 1954, 20, № 8, 241—250 (нем.)

Рассмотрены и сопоставлены следующие стандартные испытания: определение «международной твердости» IKN°, согласно ISO-TC 45 (технический комитет по резине Международной организации по стандартизации); испытание на растяжение для определения сопротивления разрыву, модулей, удлинения при разрыве и остаточного удлинения на кольцевых образцах наружным diam. 52,6 мм, толщиной 6 мм и шириной 4 мм и на образцах в виде двусторонних лопаток различных размеров; ускоренное старение — тепловое и в O<sub>2</sub>. Приведены методы классификации вулканизатов, согласно американским и голландским стандартам. Классификация ведется по типу каучука, физико-механическим свойствам и требуемым особым испытаниям. А. Л.

27085. Лабораторные методы динамических испытаний смесей, содержащих регенерат. Болл, Рандалл (Laboratory methods of dynamic testing of compounds containing reclaimed rubber. Ball J. M., Randall R. L.), Rubber World, 1954, 130, № 6, 795—800 (англ.)

Приводятся данные лабор. испытаний динамич. свойств резин из НК, GR-S, не содержащих регенерата (НК-1 и GR-S-1), и резин, в которых 25% (НК-25 и GR-S-25) и 50% (НК-50 и GR-S-50) каучука заменены соответствующими кол-вами шинного регенерата так, что общее содержание каучукового углеводорода сохраняется постоянным. Динамич. свойства определялись пятью различными методами: 1) с помощью маятникового прибора Дэвлонга определялись механич. потери при ударе бойка по резиновой шайбе, отнесенные к постоянной силе; 2) по логарифмич. декременту затухания крутильных колебаний, определяемому на приборе Мунн — Герке. 3) по механич. потерям, отнесенным к единице объема и постоянной амплитуде сдвига, определяемым при вынужденных крутильных колебаниях; 4) по работоспособности при многократных деформациях сдвига, на флексометре Сент-Джон; 5) по условному показателю, представляющему отношение напряжения при 50%-ном удлинении, определяемому при растяжении с постоянной скоростью до 200%, к напряжению при том же удлинении, определяемому при сокращении, с той же постоянной скоростью, от 200% до 0. По всем методикам НК-1 обладает меньшим гистерезисом, чем GR-S-1. НК-25 обнаруживает меньший гистерезис, чем GR-S-25 по методикам 1, 2, 3, 4. НК-50 обладает меньшим гистерезисом, чем GR-S-50 по методикам 3 и 4. НК-25 обладает гистерезисом, равным гистерезису GR-S-1 по методике 1 и меньшим, чем у GR-S-1 по методике 3. Испытания по методике 5 не обнаружили существенного различия между резинами из НК и GR-S. М. Р.

27086. Об истирании резины. Урабэ (ゴムの磨耗について. 占部誠亮), 日本ゴム協会誌, Нихон гому кёкайси, J. Soc. Rubber Ind., 1955, 28, № 1, 41—47 (япон.)

Обзор. Библ. 39 назв. Д. С.

27087. Определение каучука в асфальте. Саломон, Песарро-ван-Брюссел, Схе (Estimation of rubber in asphalt. Salomon Geert, Pezarro-Van-Brussel Elizabeth, Schee Abraham C., van den), Analyt. Chem., 1954, 26, № 8, 1325—1328 (англ.)

Каучук извлекается из смеси экстракцией ксилолом или более высококипящим р-рителем и взаимодействует с избытком S до образования эбонита. Кол-во каучука определяется по содержанию S в последнем. Метод применим при содержании в смеси 2—40% НК или СК. Результаты превышены на 10—20%, но воспроизводимы при строгом соблюдении условий, что указывает на неточно стехиометрич. присоединение S. Метод неприменим для окисленного каучука и для смесей, предварительно нагревавшихся до  $t_{\text{пр}} > 265^\circ$ .

Н. Л.

27088 Д. Физико-химическое исследование гутты эвкоммии, произрастающей в Узбекистане. Ганиев Б. З. Автореф. дисс. канд. хим. н., Ин-т химии АН УзССР, Ташкент, 1955

27089 Д. Исследование процесса нагревания инфракрасными лучами и его применения в производстве резиновых изделий. Масленников И. М. Автореф. дисс. канд. техн. н., Моск. ин-т хим. машиностр., М., 1955

27090 П. Изготовление вулканизованных резиновых изделий. Фишбейн, Нил (Manufacture of vulcanized rubber articles. Fishbein J., Neale A. E. T.) [Dunlop Rubber Co. Ltd]. Англ. пат. 728596, 20.04.55 [Rubber J., 1955, 129, № 1, 26 (англ.)]

Введением тиосоединений и окислительного агента можно зажелатинировать такие натуральные и синтетич. латексы, которые не дают хорошего геля под действием кремнефтористых солей. Н. П.

27091 П. Латексные смеси и полученные из них резиновые изделия (Compositions à base de latex pour la fabrication de produits en caoutchouc et produits obtenus) [Dunlop Rubber Co. Ltd]. Франц. пат. 1043500, 9.11.53 [Chem. Zbl., 1954, 125, № 42, 9641 (нем.)]

К каучуковому латексу, натуральному, консервированному или вулканизованному, прибавляют 0,01—0,1 вес. % (считая на каучук): органич. катиоактивного соединения с длинной молекулярной цепочкой. Можно применять натуральный или синтетич. латекс, консервированный NH<sub>3</sub>, невулканизованный или вулканизованный (последний целесообразно предварительно смешать с 10% невулканизованного, обработанного, как указано выше). При макинии получают более толстые и прочные пленки. Пример. К 60%-ному латексу прибавляют (в % на каучук) S 1, ZnO 0,2 и пиперидилпентаметилентидиокарбамат 0,6, вулканизуют ~1 часа при 80°, сенсibilизуют 0,025% 5%-ного водн. р-ра пентилтриметиламмоний-бромид (I) и смешивают с 60%-ным латексом, содержащим 0,1 I в соотношении 7 ч. вулканизованного на 1 ч. невулканизованного латекса. Макают формы, покрытые р-ром циклогексиламинацетата в метаноле. М. Л.

27092 П. Производство губчатой резины. Джонс, Ньюнем, МакКенд (Production of sponge rubber. Jones F. A., Newnam J. L. M., McKend D. I.) [Dunlop Rubber Co. Ltd].



Англ. пат. 723338, 9.02.55 [Rubber J., 1955, 128, № 17, 543 (англ.)]

Введение полиалкиленполиаминов в натуральный латекс повышает прочность и твердость гелей и равномерность пор в пенах.

М. М. 27093 П. Способ и установка для приготовления изделий из губчатой резины. Олдерфер (Verfahren und Vorrichtung zur Herstellung eines Schwammkautschukzeugnisses. Alderfer Sterling William). Пат. ФРГ 905062, 25.02.54 [Chem. Zbl., 1954, 125, № 39, 8918 (нем.)]

Слой латекса с желатинирующим в-вом помещают на гладкую поверхность, заполняют им пространство между поверхностью и тканью и желатинируют. Для вулканизации горячий воздух продавливают через каучуковую массу.

М. Л. 27094 П. Способ изготовления губчатой резины из натурального или синтетического латекса. Баскерк, Бач (Verfahren zur Herstellung von Schwammkautschuk aus natürlicher oder synthetischer Kautschukmilch. Buskirk Edward Carl van, Butsch Paul Victor) [United States Rubber Co.]. Пат. ФРГ 898676, 3.12.53 [Chem. Zbl., 1954, 125, № 38, 8684 (нем.)]

В латекс, содержащий  $< 0,5\% \text{ NH}_3$ , с  $\text{pH} \geq 10$  и конц-ей  $\geq 50\%$ , в частности с добавкой мыла кастрового масла, вводят  $\text{ZnO}$  и в-во, обменивающееся с  $\text{Zn}$ -ионами, напр., щел. карбонат, фосфат, сульфит, оксалат, ферроцианид или хромат. Смесь вспенивается и в пену вводят желатинирующее в-во, напр. малорастворимую соль, в частности кремнефтористый  $\text{Na}$  или  $\text{K}$ . Перед желатинированием пену придает требуемая форма и полученный гель вулканизуется.

Ю. Д. 27095 П. Способ экономичного получения изделий из отходов губчатой резины с замкнутыми или открытыми порами. Алфен (Procédé de fabrication économique d'objets à base de déchets de caoutchouc multicellulaire étanche ou non. Alphen A. von). Франц. пат. 1044278, 16.11.53 [Chem. Zbl., 1954, 125, № 42, 9642 (нем.)]

Отходы губчатой резины вводят во взбитый в пену каучуковый латекс, формируют, коагулируют нагреванием и вулканизуют. Предварительно латекс обрабатывают по крайней мере двое суток трипсином и смешивают с диспергирующим в-вом, напр. олеатом калия.

М. Л. 27096 П. Смесь для пропитки листового материала из стеклянных волокон. Кабберли, Хартман (Saturating composition for impregnated glass fiber sheet material. Cumberley Richard H., Hartmann William R.). Канад. пат. 506647, 19.10.54

Смесь для пропитки листового материала из стеклянных волокон, применяемого для заполнения температурных швов, состоит из воды, дисперсии каучукоподобного связующего, напр., полихлоропрена, летучего, совместимого с водой смачивающего агента и небольшого кол-ва загустителя — растительной смолы, альгина, метилцеллюлозы (не менее  $0,16\%$  по весу влажной смеси) или бентонитовой глины. Кол-во загустителя недостаточно для существенного повышения вязкости смеси, разб. до 2–10% и достаточно, чтобы воспрепятствовать миграции каучука на поверхность материала во время сушки.

М. Л. 27097 П. Процесс получения из латекса растворимого хлорированного каучука (Process for the preparation of soluble chlorinated rubber from latex) [Rubber-Stichting]. Англ. пат. 721512, 5.01.55 [Rubber Abstrs, 1955, 33, № 4, 142 (англ.)]

Для получения хлорированного каучука, полностью растворимого в р-рителях, применяемых в лакокрасоч-

ной пром-сти, латекс стабилизируют, хлорируют полученную подкисленную воду, дисперсию каучука, доводят ее конц-ию до  $30\%$ , кислотность до 0–8 н. или щелочность до 0–6 н., хлорируют, пока образец после осаждения и сушки не окажется вполне растворимым в указанных р-рителях и, если требуется, осаждают хлорированный каучук и отделяют его от жидкости.

М. Л. 27098 П. Способ приготовления продуктов хлорирования высокополимерных веществ, содержащих полибутadiен. Дельфе, Дезамари, Блэмер (Verfahren zur Herstellung von Chlorierungsprodukten hochmolekularer Stoffe, welche 1,3-Butadien polymerisiert enthalten. Delfs Detlef, Desamari Kurt, Blömer Alfred) [Farbenfabriken Bayer A.-G.]. Пат. ФРГ 899411, 18.01.54 [Chem. Zbl., 1954, 125, № 26, 5868 (нем.)]

Полибутadiен хлорируют в р-рителях, растворяющих исходный и конечный продукты, в присутствии в-в, связывающих к-ту, напр. карбонатов и бикарбонатов щел. металлов, оксидов, гидроокисей и карбонатов  $\text{Mg}$  или щел.-зем. металлов или солей слабых к-т, напр. фосфорной, борной или уксусной.

М. Л. 27099 П. Арсенистый активатор катализатора. Вильямс (Arsenite catalyst activator. Williams Harry Leverne) [Polymer Corp. Ltd.]. Пат. США 2655495, 13.10.53

Усовершенствование способа низкотемпературной эмульсионной полимеризации бутadiена-1,3 и его смесей с сополимеризуемыми соединениями в присутствии перекисных катализаторов и активаторов ( $\text{FeSO}_4$ , пирофосфат щел. металла или растворимое органич. клещневидное соединение с общей ф-лой  $\text{R}_2\text{N}(\text{CH}_2)_2\text{NR}_2$ , или его водорастворимые соли, где  $\text{R}$  — карбоксиалкильная группа) заключается в том, что к смеси в качестве активатора добавляют немного растворимого арсенита.

Б. М. 27100 П. Полимеризация ненасыщенных соединений. Кендалл (Polymerization of unsaturated compounds. Kendall C. E.) [Dunlop Rubber Co., Ltd.]. Англ. пат. 715382, 15.09.54 [India — Rubber J., 1954, 127, № 26, 32 (англ.)]

Для инициирования полимеризации соединений, содержащих группу  $\text{CH}_2 = \text{C} <$ , в массе, р-ре или эмульсии, в полимеризационную систему вводят перекисное соединение и органич. в-во, имеющее тиокарбонильную группу, атом  $\text{S}$  которой связан непосредственно с атомом  $\text{N}$  и либо с другим атомом  $\text{N}$ , либо с атомом  $\text{C}$ .

И. Т. 27101 П. Смешение бутылкаучука. Казине (Compounding of butyl rubber. Cousins Edward) [The Goodyear Tire and Rubber Co.]. Пат. США 2690780, 5.10.54

В камерные смеси из СК, полученного полимеризацией изоолефинов с небольшой добавкой полиенов, вводят  $0,01$ – $1,0$  вес. ч. органич. азотсодержащего соединения, напр. аридинитрозосоединения или аридиноксима и  $0,1$ – $20$  вес. ч. по крайней мере одного органич. изоцианата, содержащего не менее одной изоциановой группы, и затем вулканизуют.

И. Т. 27102 П. Способ смешения каучука. Те-Гротенхейс (Process of compounding rubber. Te Grotenhuis Theodore A.) [The General Tire and Rubber Co.]. Канад. пат. 504633, 27.07.54

В водн. дисперсию полимера (напр., сополимера бутadiена со стиролом), имеющего пластичность по Муни  $< 40$ , вводят дисперсию сажи (25–70% сажи на полимер) и совместно коагулируют. Коагулюм шприцуют через отверстие размером  $< 6,5$ – $19,5$  мм. Шприцевание производят до полной просушки для того, чтобы разрушить еще не затвердевшие агломераты сажевых частиц.

Ю. Д.

**27103 П.** Получение пористых пластических материалов и резин. **Стандер, Шлессингер** (Preparation of gas expanded plastic materials. **Stander Ruth L., Schlessinger Ruth L.**) (Dominion Rubber Co. Ltd). Канад. пат. 506611, 19.10.54

В качестве порообразователей при получении пористых пластмасс и резин применяют бифенилазон-толилулсульфон или арилизосульфид или фениларизосульфид, в которых ароматич. кольца связаны с N, галогеном или алкилом. **П. Т.**

**27104 П.** Жесткие каучуковые композиции для железнодорожного оборудования. **Ямамото** (Hard-rubber composition for use in railway equipment. **Yamamoto Masamichi**) [Nagahama Rubber Industries Co.]. Япон. пат. 5035, 2.10.53 [Chem. Abstrs, 1954, 48, № 19, 11832 (англ.)]

Композиция из 100 ч. хлористого винила, 15 ч. полибутадиена и 5 ч. стеарата кальция вальцуется и подвергается формованию. Продукт обладает водостойкостью, теплоизоляционными и амортизирующими свойствами. **Ю. Д.**

**27105 П.** Способ приготовления формовых изделий из эластомеров (Verfahren zur Herstellung von Formkörpern aus Elastomeren) [Deutsche Gold- und Silber-Scheideanstalt vormals Roessler]. Швейц. пат. 299373, 16.08.54 [Chimia, 1954, 8, № 10, 243 (франц.)]

В качестве наполнителя применяют продукты, полученные осаждением р-ра растворимого стекла солью одного из элементов II—IV групп периодической системы. **Л. П.**

**27106 П.** Способ вулканизации резиновых формовых изделий. **Краммер** (Verfahren zum Vulkanisieren von Kautschukformstücken. **Krammer Karl**) [Siemens-Schuckertwerke A.-G.]. Пат. ФРГ 901470, 11.01.54 [Chem. Zbl., 1954, 125, № 40, 9173 (нем.)]

Невулканизованная резиновая смесь перед внесением в пресс-форму подвергается без давления действию электрич. поля ВЧ до достижения т-ры вулканизации или близкой к ней, затем переносится в пресс-форму и вулканизуется. **А. Л.**

**27107 П.** Связка для форм при изготовлении формовых изделий из натурального или синтетического каучука. **Хемпель, Шнейдер, Кведфлиг, Фроманди** (Formeneinstreichmittel für die Herstellung geformter Artikel aus künstlichem oder natürlichem Kautschuk. **Hempel Herbert, Schneider Paul, Quaedvlieg Mathieu, Fromandi Guido**) [Farbenfabriken Bayer A.-G.]. Пат. ФРГ 898810, 3.12.53 [Chem. Zbl., 1954, 125, № 38, 8683—8684 (нем.)]

Смазкой для вулканизационных форм является продукт р-ции органич. соединений (I), содержащих активный Н с окисями алкиленов (II) (напр., окисью этилена или пропилена), цепь конечного продукта содержит 45—75 молекул II. К I относятся в-ва, присоединяющие II с образованием одной или нескольких цепей, напр., такие содержащие группы OH, SH или COOH в-ва как спирты, фенолы, меркаптаны, амины, амиды к-т или карбоновые к-ты, а именно — 9,10-октадеканол, додециловый спирт, гексанол, крезол, изододecilфенол, полиоксibenзол, меркаптобензотриазол, стеариламин, олеиновая к-та, ее амид, амид-N-(n-оксibenзил) олеиновой к-ты. Также можно прибавлять поверхностно-активные в-ва. **С. Б.**

**27108 П.** Способ изготовления вымываемого сердечника при производстве резиновых изделий в прессе-формах. **Самнер** (Verfahren zur Herstellung eines auswaschbaren Formkerns für die Herstellung formgepreßter Gegenstände. **Sumner James Douglas**) [Dunlop Rubber Co. Ltd]. Пат. ФРГ

883494, 16.07.53 [Chem. Zbl., 1954, 125, № 35, 7998 (нем.)]

Вымываемый сердечник получают из твердой массы сплавленных водорастворимых металл. солей с т. пл. 200—300°, напр.  $\text{Na}_2\text{CO}_3$ ,  $\text{NaNO}_3$  и  $\text{KNO}_3$ ;  $\text{KCl}$ ,  $\text{NaCl}$ , безводн.  $\text{ZnCl}_2$  и  $\text{MnCl}_2$ ;  $\text{MgCl}_2$  и  $\text{FeCl}_3$ ;  $\text{NaNO}_3$ . **М. Л.**

**27109 П.** Изоляция для высоковольтных кабелей и проводов. **Повак, Шмиц** (Elektrische Kabel und Leitungen für höhere Spannungen. **Nowak Paul, Schmitz O.**). Пат. ФРГ 894865, 29.10.53 [Chem. Zbl., 1954, 125, № 26, 5827 (нем.)]

Изоляция состоит из нескольких слоев. Внутренний

слой состоит из смеси полиизоолефина (I) и полиарил-олефина (напр., 80% полиизобутилена (II) и 20% полистирола), следующий слой из вулканизованной смеси вулканизующегося в-ва с I (напр., сополимер бутадиена и стирола 25 ч. и 10 ч., остальное мягчитель, противостаритель, неорганич. наполнители,  $\text{ZnO}$  и ускоритель). **Ю. Д.**

**27110 П.** Липкая лента для упаковки и подобных

целей. **Кёниг** (Sealing strips for packages or the like. **Koenig C.**). Англ. пат. 722518, 26.01.55 [Rubber Abstrs, 1955, 33, № 5, 194 (англ.)]

Лента на основе резинового клея состоит из клеящей ленты и проходящей по ее середине более узкой отрывающей ленты, наружная поверхность которой не покрыта клеем. Лента имеет поперечное или перекрещивающееся рифление, препятствующее сцеплению всей поверхности соседних слоев ленты, при сматывании в рулон. Рифление наносится при пропускании ленты между резиновым и металл. валиком, с соответствующим рисунком по краям. **Б. К.**

**27111 П.** Усовершенствование липких лент (Perfectionnements aux bandes adhesives) [La Cellophane Soc. An.]. Франц. пат. 1043828, 12.11.53 [Chem. Zbl., 1954, 125, № 43, 9916 (нем.)]

Липкая лента состоит из пленки регенерированной целлюлозы и клеящего слоя, напр. из 250 ч. крепа, 300 ч. капинолы, 30 ч. модифицированной мочевиноформальдегидной смолы с мягчителем, 30 ч. ланолина и 10 ч. дифенилхлорида. Для повышения клейкости внутренней поверхности клеящего слоя покрывают олифой, а наружную поверхность во избежание склеивания покрывают слоем стеарата  $\text{NH}_4$ , рицинолеата Na и хром-стеаратохлорида (Quilon). **М. Л.**

**27112 П.** Улучшение клеящих составов (Perfectionnements aux compositions adhesives) [Minnesota Mining and Manufacturing Co.]. Франц. пат. 1051468, 15.01.54 [Bull. Inst. text. France, 1954, № 48, 186 (франц.)]

Клеящие составы представляют собой смесь неопрена и фенолальдегидной смолы, растворенную в подходящем летучем р-рителе. Смола является продуктом конденсации фенола, замещенного в пара-положении радикалом сбоковой цепью  $\geq 3$  атомами C (напр., *n*-трет-бутилфенол, *n*-фенилфенол или *n*-октилфенол), с альдегидом, соответствующим насыщ. алифатич. спирту (напр., формальдегид или ацетальдегид). Отношение альдегид:фенол равно 1,2:1 — 1,6:1. Смола составляет 65—85% от веса неопрена. Клеящие составы применяют в виде пленки, получающейся при испарении р-рителя и короткой вулканизации при  $\sim 20^\circ$ . **М. Л.**

**27113 П.** Крепление губчатой резины к металлам. **Грегори** (Bonding of sponge rubber to metals. **Gregory C. H.**) [Silent Channel Co. Ltd]. Англ. пат. 720549, 22.12.54 [Rubber Abstrs, 1955, 33, № 4, 167 (англ.)]

Пленку из невулканизованной резиновой смеси крепят к металл. предмету с помощью изопропанатного склеивающего агента и нагревают до  $100^\circ$ . При последующем формовании губчатой резиновой смеси,

эта пленка вулканизуется и, таким образом, склеивает губчатую резину с металлич. вкладышем или основанием. М. Л.

**27114 П.** Способ изготовления растяжимых эластичных пластин из волокнистого материала и дисперсии эластомера. Энслин, Грун (Verfahren zum Herstellen von dehnbaren, elastischen Platten aus Faserstoffen und der Dispersion eines Elastomers. Enslin Oskar, Gruhn Wilhelm) [Metallgesellschaft A.-G.]. Пат. ФРГ 882002, 6.07.53 [Gummi und Asbest, 1954, 7, № 5, 246 (нем.)]

Редкая ткань, напр. тюль, в расправленном состоянии погружается один или несколько раз в суспензию или р-р эластомера. В отверстиях ткани после ее вынимания остаются пленки жидкости, которые после высыхания или затвердевания образуют сплошную пластину. Для создания отдельных воздухопроницаемых участков на вынутую из жидкости ткань направляют одну или несколько резко ограниченных, периодически прерываемых струй сжатого воздуха. О. С.

**27115 П.** Поясные ленты для одежды. Лейтч (Waistbands for garments. Leitch W.) Broadstone Synthetics, Ltd]. Англ. пат. 707055, 14.04.54 [Rubber Abstrs, 1954, 32, № 7, 322 (англ.)]

Доп. к РЖХим, 1956, 5160. Лицевая сторона ленты снабжена продольно расположенными узкими резиновыми ребрами, изготовленными из СК, в частности из р-ра вулкапрена. Ленты могут быть изготовлены бесконечными с последующей нарезкой. В. Л.

**27116 П.** Привулканизация резиновых смесей. Клейнер, Байер, Эккер, Таубе (Aufvulkanisieren von Kautschuk auf Unterlagen. Kleiner Helmut, Bayer Otto, Ecker Ruprecht, Taube Karl) [Farbenfabriken Bayer A.-G.]. Пат. ФРГ 900270, 20.12.53 [Chem. Zbl., 1954, 125, № 18, 4051 (нем.)]

Доп. к РЖХим, 1956, 8135. Диззоцианат вводится не в резиновую смесь, а наносится между склеиваемыми слоями. М. Л.

**27117 П.** Сжимающий пластометр. Мор (Compression plastometer. More A. R.) [Wallace H. W. and Co. Ltd]. Англ. пат. 712701, 28.07.54 [Rubber Abstrs, 1954, 32, № 11, 488 (англ.)]

Образец каучука помещается в пластометр и формируется до достижения необходимой для испытания толщины движением первой плиты относительно второй, неподвижной. При испытании движется вторая плита, в то время как первая остается неподвижной. Плиты нагревают до стандартизованной т-ры паром или электричеством. Игла самоарретирующегося микрометра с циферблатом опирается на выступ нижней плиты. Пластичность измеряется степенью сжатия образца диам. 10 мм и толщиной 1 мм под грузом 10 кг в течение 15 сек. Давление прикладывается с помощью пружины, отпускаемой электрич. путем, после 10-минутного нахождения плит в фиксированном начальном положении. М. Р.

См. также: 25594, 25879—25881, 25893, 27847

## СИНТЕТИЧЕСКИЕ ПОЛИМЕРЫ. ПЛАСТМАССЫ

**27118.** Синтетические смолы для изготовления штампов и другого инструмента. Баркли (Synthetic resin tooling. Barclay T. M.), Tooling, 1955, 9, № 6, 46—53 (англ.)

Элементарные сведения о смолах (полиэтиленовых, фенолформальдегидных, полиэфирных, эпоксидных), наполнителях (в частности, стекловолна), а также о возможности использования пластич. масс для изготовления вырубных и вытяжных штампов и другого инструмента (кондукторов и т. д.). Е. Х.

**27119.** Применение пластмасс в электрических измерительных приборах. Хаяси (電氣計器測定器. 林俊孝), Пластаттукс, Пурасуттиккусу, Japan Plastics, 1955, 6, № 1, 70—74 (япон.)

**27120.** Применение пластмасс в строительстве лифтов. Мацуй (エレベーター. 松井功), Пластаттукс, Пурасуттиккусу, Japan Plastics, 1955, 6, № 1, 75—80 (япон.)

**27121.** Экспрессное открытие хлора в различных материалах. Хорошая Е. С., Ковригина Г. И., Завод. лаборатория, 1954, 20, № 2, 165

Качественное открытие хлора в смолах, пленках, тканях, пропитанных или покрытых пластмассами, основано на разложении исследуемых материалов (поджигают спичкой) с выделением хлористого водорода, который определяют по реактивной бумажке конго. Н. Л.

**27122.** Исследование дегазостойкости поливинилбутирила масс-спектрометрическим методом. Ерофеев Б. В., Каюкова М. В., Трофимов А. В., Завод. лаборатория, 1953, № 4, 452—453

**27123.** Метод испытания качества клеевых швов. Марра, Вильсон (Preliminary report on test method for evaluating glueability of hardboard. Marra G. G., Wilson J. W.), J. Forest Prod. Res. Soc., 1953, 3, № 4, 24—28 (англ.)

Описан метод испытания качества клевого шва досок, склеенных казеиновым и мочевиноформальдегидным клеями. При испытаниях принималось во внимание время выдержки, давление, т-ра, кол-во наносимого клея и влажность древесины. Приводятся графики и таблицы испытаний. А. Ф.

**27124.** Полиэтилен. Хантер (Polythene twenty-one years after its discovery. Hunter E.), Chemistry and Industry, 1955, № 15, 396—403 (англ.)

Обзор методов получения, строения, свойств и применения. Библи. 24 назв. Л. П.

**27125.** Полимеризация действием  $\gamma$ -лучей. Андерсон, Мартен (Polimerizzazione per opera di «raggi gamma». Anderson L. C., Martin J. J.), Mater. plastiche, 1955, 21, № 8, 673—678 (итал.)

Описано в популярной форме действие  $\gamma$ -лучей на хим. связи и эффекты, вызываемые облучением ими мономеров и полимеров. Рассмотрены техно-экономич. соображения о целесообразности полимеризации этилена и других мономеров действием  $\gamma$ -лучей. Л. П.

**27126.** Поля с высокой интенсивностью излучения и их влияние на синтез и свойства высокополимерных соединений. Баллантайн (Highly intense radiation fields and their effects on synthesis and properties of high polymers. Ballantine David S.), Mod. Plast., 1954, 32, № 3, 131—132, 134, 136, 138—139, 142, 228—232 (англ.)

Обзор работ по изучению влияния  $\alpha$ -,  $\beta$ -,  $\gamma$ -излучений и нейтронов на процесс полимеризации и свойства высокополимеров. Описано оборудование Brookhaven National Laboratory для интенсивного облучения испытуемых образцов  $\gamma$ -лучами, получаемыми от кобальтового цилиндра (длиной 330 мм и внутренним диам. 19 мм), активированного облучением нейтронами. Обсуждаются экономич. преимущества применения для полимеризации и улучшения свойств полимеров  $\gamma$ -облучения и других видов облучения. Библи. 44 назв. С. III.

**27127.** Непрерывный метод получения полиэтилена на установках полужаводецкого типа. Кодама, Таиугити, Юаса, Ота, Тэрада (ポリエチレンの半工業的連続製造試験. 甲玉信次郎, 谷口五十二, 湯浅幸雄, 太田忠尚, 寺田裕), 工業化学雑誌, Koré karaku dzasshi, J. Chem. Soc. Japan Industr. Chem. Sec., 1954, 57, № 6, 439—441 (япон.)



Дана схема эксперим. установки для получения полиэтилена непрерывным методом. Полимеризация этилена проводилась под давл. 800—1450 атм и 150—240° в присутствии кислорода до 0,05%. Получен полиэтилен с мол. весом от 20500 до 83000. Выход (е/час) от 1,8 до 16%. Общий выход от 6,12 до 73%. Подробно показано влияние т-ры, давления и кол-ва кислорода на полимеризацию этилена и физ. свойства полиэтилена.

**В. И. Аценафтилен — новый мономер, его полимеры и сополимеры.** Вильямс, Кауфман (Acenaphthylene: a new monomer, its polymers and copolymers. Williams A. F., Kaufman M.), Trans. and J. Plast. Inst., 1954, 22, № 50, 253—282 (англ.)

Обзор методов получения аценафтилена, его свойств, полимеров, сополимеров и методов полимеризации аценафтилена. Библ. 30 назв.

**27129. Производство и применение жестких поливинилхлоридных пластмасс.** Хашер (Fabrication and use of rigid polyvinyl chloride plastics. Hüscher J. L.), Mater and Methods., 1954, 39, № 6, 119—134 (англ.)

Обзор физ.-хим. свойств жесткого поливинилхлорида, методов механич. обработки и формования его, способов соединения и данных для проектирования конструкций из поливинилхлоридного материала. Библ. 11 назв.

**27130. Применение поливинилхлоридного материала для конструирования машин и аппаратов в химической промышленности.** Леви (Uпотреба polivinil-klorida za gradnju strojeva i aparata u kemiskoj industriji. Levi Benjamin), Tehnika, 1955, 10, № 2, 241—244 (серб.; рец. франц.)

Приведены данные о хим. стойкости, теплостойкости и механич. прочности жесткого поливинилхлоридного материала и описаны некоторые аппараты и установки, сконструированные из него и примененные на югославском целлюлозно-3-де в Приедоре. **Л. П. 27131. Сварочный прутки для сварки винилпласта нового профиля.** Карпов А. А., Хим. пром-сть, 1953, № 10, 43

**27132. Свойства и применения фторуглеродов.** — (Properties and uses of fluorocarbons.—), Prod. Engng Annual Handb. Prod. Design, 1954, C3—C9 (англ.)

Обзор промышленных типов фторуглеродных пластиков (политетрафторэтилена, Kel-F, политрифторхлорэтилена, сополимера винилиденфторида и трифторхлорэтилена). Приведены также механич. свойства политетрафторэтилена с наполнителями (33—67% угля, 33—75% графита, 52% асбеста, 33% талька, 80% меди, 80% циркония).

**П. Р. 27133. Об использовании фталевого ангидрида, содержащегося в погонах производства полиэфирных смол.** Бененсон М. В., Горловский С. Н., Хим. пром-сть, 1953, № 4, 21

Извлечение фталевого ангидрида (I) из погонных производных полиэфирных смол (содержание I до 25%) сводится к экстракции I горячей водой с последующей его кристаллизацией на холоду из водн. вытяжки в форме фталевой к-ты. Приводится технологич. схема действующей установки, для извлечения I, и режим процесса. Рекомендуются метод пожаробезопасен, отличается простотой аппаратного оформления и возможностью использования других продуктов, входящих в состав отходов.

**Н. Ф. 27134. Литые смолы.** Обургер (Gießharze. Oburger Wilhelm), Osterr. Maschinenmarkt, 1953, 8, № 11/12, 161—163 (нем.)

Описаны ненасыщ. полиэфирные и эпоксидные смолы, а также беранит М 130 (полимеризованный

хлорнафталин) в качестве литых смол. Приведены кратко области их применения и даны таблицы физ.-мех. свойств отлитых из них изделий.

**Е. Х. 27135. Синтез и изучение фенолфурфурольных смол.**

Исаэску, Урсу, Гольденберг (Produits obtenus à partir du furfural et de ses dérivés. Études sur la résine furfural-phénolique. Synthèse de la résine furfural-phénolique. Isăcescu Dimitrie A., Ursu Victoria, Goldenberg N.), Rev. chim. (Bucuresti), 1954, 2, № 97—105 (франц.)

Показаны техно-экономич. преимущества фенолфурфурольных смол, полученных при эквимолекулярных соотношениях фенола к фурфуролу в присутствии щелочи (метод авторов), по сравнению с фенолформальдегидными смолами. По приведенным показателям, прессматериалы и древесластмассы на основе фенолфурфурольных смол не уступают соответствующим пластикам на основе фенолформальдегидных смол.

**Л. П. 27136. Фенолфурфурольные термореактивные смолы.**

Микеш (Furfurolos bakelitok szerkezete. Mikes János), Vegyipari kut. int. közl., 1954, 4, 222—227 (венг.; рец. русс., англ.)

В результате определения длительности отверждения (ДО) при 160° фенолформальдегидных смол резольного и новолачного типа (с отвердителем), фенолфурфурольных продуктов конденсации и их смесей в соотношении 1:1 (всего 50 смесей) установлено, что ряд смесей дает «эвтектику» ДО. Так, если ДО ксиленолфурфурольной смолы (I) 45 мин. и новолачной (с отвердителем) *n*-крезолформальдегидной смолы 18 мин., то ДО смеси этих смол 6 мин., т. е. меньше, чем у наиболее реакционноспособной смолы — фенолформальдегидной новолачного типа с отвердителем (II); у резольной *n*-крезолформальдегидной смолы ДО 23 мин., у I — 45 мин., смеси — 15 мин., у ксиленолформальдегидной новолачной (с отвердителем) смолы ДО 35 мин., у I — 45 мин., у смеси — 25 мин.; у *n*-крезолфурфурольной смолы (III) ДО — 11 мин., у II — 7 мин., у смеси ~5 мин.; у *o*-крезолформальдегидной резольной смолы ДО ~14 мин., у III — 11 мин., у смеси — 7 мин.; у *n*-крезолформальдегидной новолачной (с отвердителем) смолы ДО ~17 мин., у III — 11 мин., у смеси — 7 мин.; у *o*-крезолфурфурольной смолы (IV) ДО — 18 мин., у II — 7 мин., у смеси ~4 мин.; у ксиленолформальдегидной резольной смолы ДО 35 мин., у IV — 18 мин., у смеси ~11 мин.; у *m*-*n*-крезолфурфурольной смолы (V) ДО — 17 мин., у *n*-крезолформальдегидной новолачной (с отвердителем) ДО — 17 мин., у смеси ~5 мин.; у *n*-крезолформальдегидной резольной смолы ДО ~22 мин., у V — 17 мин., у их смеси — 10 мин.; у фенолфурфурольной смолы (VI) ДО — 9 мин., у *n*-крезолформальдегидной новолачной (с отвердителем) смолы — 17 мин., у их смеси — 8 мин. В одном случае ДО смеси оказалась выше, чем ДО каждого из компонентов: при ДО VI — 9 мин. и *o*-крезолформальдегидной резольной смолы — 15 мин., ДО смеси — 25 мин.

**Л. П. 27137. Мочевинформальдегидная смола, совмещенная с диэтиленгликолем.** Петров Г. С., Дерковская И. Л., Хим. пром-сть, 1953, № 8, 23—25

При конденсации мочевины (I) с формальдегидом (II) в 2 стадии (при pH 4,5—5,2, затем при pH 7,5—8,0) получена смола, которая после частичного обезвоживания конденсировалась с диэтиленгликолем (III). Соотношение компонентов: I — 1 моль, II — 2 моля, III — 50% от веса I, аммиачной воды — 10% от веса I. В работе было установлено, что введение в мочевиноформальдегидную смолу III значительно повышает ее стабильность при хранении, морозостойкость и эла-

стичность. III химически связывается, вступая, подобно одноатомным спиртам, в смоляной комплекс через образование эфирной связи. При отверждении совмещенной с III смолы шавелевой к-той при  $\sim 20^\circ$  выделяется 1,4—1,5% летучих в-в, в том числе 0,05% II. Летучие в-ва выделяются длительное время, но наиболее интенсивно за первые 2 часа после введения катализатора отверждения. С. III.

27138. Использование отходов производства изделий из пластмасс. Каган Д. Ф., Пик И. Ш., Зайцева А. М., Хим. пром-сть, 1953, № 10, 40—42

27139. Конструирование деталей из найлона. Циммерли (Designing fabricated nylon parts. Zimmerli R. B.), Mach. Design, 1954, 26, № 3, 153—159 (англ.)

Описаны свойства найлона (I) и его применение для изготовления деталей машин методами литья под давлением. Для спец. целей применяется «найлатрон G» (II) (I с графитовым наполнителем) и «найлатрон GS» (III) (I с дисульфидом молибдена), которые обладают гораздо большей прочностью на растяжение, изгиб и сжатие, износоустойчивостью и низкими коэфф. сухого трения, чем обычный I, уступаая ему по удельной ударной вязкости. II и III применяются для изготовления трущихся деталей, работающих без смазки или с затрудненной смазкой. И. Р.

27140. Пластмассы, растворители и пластификаторы для них. Строение, характеристика и применение. Маттис (Les matières plastiques, leurs solvants et plastifiants. Constitution, caractéristiques et usages. Matthijs A. R.), Ind. chim. belge, 1953, 18, № 10, 1057—1073; № 11, 1179—1188 (франц.)

Приведены таблицы физ., физ.-хим. (включая данные по светостойкости и хим. стойкости) свойств, показателей механич. прочности, термич. показателей (включая теплопроводность, теплоемкость, коэфф. термич. расширения) и диэлектрич. свойств фенол-формальдегидных пластиков (20 различных видов, отличающихся наполнителем, а также резолов, модифицированных канифолью), фенолфурфурольных пластиков (3 вида), мочевиноформальдегидных, анилино-формальдегидных, меламиноформальдегидных (8 видов) пластмасс, алкидных смол, виниловых пластиков (23 типа), аллиловых пластиков, полиэтилена, политетрафторэтилена, кумаронинденовых смол, силиконовых пластиков и каучуков (3 типа), целлюлозных пластмасс (10 типов). Приведены константы наиболее распространенных р-рителей для высокополимеров и показатели 120 видов пластификаторов, включая данные по их совместимости с различными видами эфиров целлюлозы, поливиниловыми соединениями и полиэтиленом. Предыдущее сообщение см. РЖХим, 1956, 8144. Л. П.

27141. Применение органических красителей для окраски пластмасс. Олке (Proceedings of the society. The use of organic colouring matters in plastics. Oehlcke C. R. M.), J. Soc. Dyers and Colourists, 1954, 70, № 4, 137—145 (англ.)

Приводятся характеристика органич. красителей, тонов, пигментов; методы окраски пластич. масс (ацетицеллюлозы, поливинилхлорида и полистирола), а также обоснование выбора органич. красителей. Дается характеристика ряда органич. красителей в отношении их светостойкости. Т. Ф.

27142. Литье под давлением. Морс (The injection molderscope. Morse A. R.), SPE Journal, 1954, 10, № 1, 24, 35 (англ.)

Касаясь опубликованной статьи об устройствах для предварительной пластикации материалов при литье под давлением (см. РЖХим, 1954, 28071), автор указывает, что в ней дано одностороннее освещение таких устройств и что современные устройства работают

ненадежно и могут быть оправданы лишь при производстве крупных изделий. Далее, касаясь произ-ва литьем под давлением коробок для упаковки различных товаров, автор указывает, что метод формирования под вакуумом этих изделий имеет лишь в некоторых случаях ряд преимуществ перед литьем под давлением. Е. Х.

27143. Как избежать впадин, пустот и напряжений у толстостенных или с различной толщиной стенок изделий из термопластичных пластмасс. Вolland (Vermeidung von Einfallstellen, Lunkerbildung und Spannungen bei dickwandigen thermoplastischen Kunststoffen oder solchen mit großen unterschiedlichen Wandstärken. Volland Hans), Kunststoffe, 1954, 44, № 11, 525—528 (нем.)

Описаны существующие методы литья под давлением толстостенных или с различной толщиной стенок изделий из термопластичных пластмасс. Указаны причины затруднений в работе и способы их устранения. Н. А.

27144. Условия формирования жестких термопластичных листовых материалов и влияние их на физические свойства. Платцер (Rigid thermoplastic sheeting. An examination of the effect forming on their physical properties. Platzer Norbert), Mod. Plast., 1954, 32, № 3, 144, 146, 148, 233 (англ.)

Проведен ряд испытаний для выявления оптимальной т-ры формирования термопластичных листовых материалов. Установлено, что у полистирола и сополимеров (I) стирола и акрилонитрила с повышением т-ры формирования уменьшается уд. ударная вязкость, которая взята как критерий прочности; вместе с этим уменьшается и усадка. Оптимальной т-рой формирования для полистирола является  $160-180^\circ$ , для I  $165-175^\circ$ . У поливинилхлорида с повышением т-ры формирования усадка уменьшается, но увеличивается опасность появления неровностей на материале у прижимного кольца. Оптимальной т-рой формирования поливинилхлорида является  $140-180^\circ$ , сополимеров винилхлорида и винилацетата  $140-160^\circ$ . Е. Х.

27145. Предварительный высокочастотный подогрев термоактивных пресспорошков. Джакометти (Preriscaldamento a radiofrequenza delle polveri da stampaggio termoidurenti. Giacometti Giancarlo), Materie plastiche, 1954, 20, № 2, 87—95 (итал.)

Описаны технич. параметры подогрева термоактивных пресспорошков перед прессованием посредством ВЧ-токов, характеристика промышленных генераторов мощностью 300 Вт и 2 кВт и режимы прогрева для разных загрузок. И. Р.

27146. Подшипники из пластмасс. Лю Го-лянь (塑料轴承. 劉國良), 化學世界, 1954, № 6, 288—289 (кит.)

27147. Инструмент из пластических масс. Вуд (Plastics tooling. The use of glass-fibre polyester resin laminates for the manufacture of drill- and trim-jigs. Wood Richard), Aircraft Prod., 1954, 16, № 4, 149—154 (англ.)

Описаны применение стеклопластиков на основе полиэфирных смол для изготовления при низком давлении кондукторов для сверления и шаблонов для зачистки и отделки краев деталей самолетов и различные методы изготовления инструмента (формование с резиновым мешком, контактное формование, формование с применением мешков с песком для спрессования между собой отдельных слоев ткани). Приведены частные случаи использования, изготовленных таким образом, инструментов. Е. Х.

27148. Стеклотекстолит на основе полиэфирных смол. Нагиси, Хаяси (根ボリエステル補強用硝

子纖維, 根岸只吉, 林佑吉), プラスチックス, Пурасутиккусу, Japan Plastics, 1954, 5, № 5, 14—21 (япон.)

Приведены физ. свойства стеклотекстолита, его применение и действие на него хим. реагентов. Для увеличения прочности и улучшения физ. свойств стеклотекстолита поверхность стекловолокна обрабатывается воланом (хромтетраакрилатхлорид), винилтрихлорсиланом или смолой GS-I (поливинилсилоксан).

В. И.

27149. Стеклопластики в химической промышленности. I, II. Яран (Glass fibre reinforced plastics in the chemical industry. I, II. J a r a y F r a n c i s F.), Engineer, 1954, 198, № 5160, 839—842; № 5161, 870—873 (англ.)

Сообщение I. Описаны свойства смол (полиэфирных, эпоксидных, фенольных, фурановых, кремнийорганических и фторуглеродных), применяемых в качестве связующих для стеклопластиков (I) и приведена таблица, характеризующая их хим. устойчивость к большому числу хим. в-в при  $\sim 20^\circ$ .

Сообщение II. Описано практич. применение I в изготовлении трубопроводов для нефти, содержащей большое кол-во соленой воды, а также для парафинистой нефти, для гальванич. р-ров при т-рах не выше  $40^\circ$ ; I на кремнийорганич. связующих применяются для транспортировки сильно окисляющих жидкостей при  $\sim 20^\circ$ . Из I построены цистерны емк. 4500 л каждая для перевозки воды и жидкого топлива; такие цистерны отличаются легкостью, устойчивостью к коррозии и возможностью быстрого ремонта при повреждениях. Каждая цистерна изготовлена из 4 частей путем выкладки стекломатов с полиэфирной смолой. Описаны случаи изготовления цилиндрич. цистерн диам.  $\sim 4,5$  м, креплений к ним, болтов и фитингов, а также труб и абсорбционных колонн.

С. И.

27150. Применение асбофенольного материала для формирования авиаконструкций. Майлс (Moulded structures. Use of phenolic-impregnated asbestos. Miles F. G.), Rubber Age and Synth., 1953, 34, № 9, 397 (англ.)

Автор сообщает об изготовлении в формах крыльев самолетов, полуразмах которых равен 9,15 м, и радиолокационных отражателей диам. 4270 мм из асбестового войлока, пропитанного фенольными смолами. Изготовление в формах обеспечивает прочность и точную повторяемость размеров изделий, экономии времени и средств и высокие прочностные свойства изделий. Очень схематично и кратко изложен процесс приготовления форм и самого формирования.

Е. X.

27151. Получение сильноосновных анионитов. III. Производные поливинилового спирта. Сэнда, Ода (強堿基性イオン交換樹脂に関する研究. 第3報. ポリビニルアルコール誘導体. 千田整, 小田良平) 工業化学, 雑誌, Kōgō Kagaku Zasshi, J. Chem. Soc. Japan Industr. Chem. Soc., 1953, 56, № 7, 534—536 (япон.)

Рассмотрено получение анионитов действием на поливиниловый спирт  $\text{COCl}_2$  с образованием хлорформата. При обработке хлорформата аммиаком образывается амид, который с  $\text{CH}_3\text{O}$  и  $\text{HCl}$  дает  $\text{ROCONHCH}_2\text{Cl}$ . При взаимодействии последнего с пиридином или триэтиламинол получены аниониты с небольшой обменной емкостью, но с сильно основными свойствами.

Л. И.

27152. Практические указания по склеивающим материалам и вопросам склеивания. — (Design manual on adhesives. —), Mach. Design, 1954, 26, № 4, 143—174 (англ.)

Рассмотрены типы склеиваемых материалов, их выбор, методы склеивания и типовые скрепления частей.

М. Л.

27153. Склеивание металлов. Фришбир, Шефер (Das Kleben von Metallen. Frischbier

E., Schäfer W.), Plaste und Kautschuk, 1955, 2, № 2, 28—33 (нем.)

Дан обзор основных типов синтетич. смол, применяемых для склеивания металлов, при этом отмечено, что эпоксидные смолы дают наиболее прочный клеевой шов. Библ. 44 назв.

Л. И.

27154. Исследование склеивания стыков пожевого шпона. Штумпф (Untersuchungen über die Furnierfugenverleimung. Stumpf Georg), Holz Roh- und Werkstoff, 1955, 13, № 1, 23—25 (нем.)

Изучено влияние добавок к клею «прессаль К-29» стеарата цинка и подобран оптимальный режим склейки.

И. Р.

27155. Литые и заливочные смолы. Кларк (Casting and potting resins: some chemical aspects. Clarke W. J.), Bell Labs. Rec., 1954, 32, № 12, 447—451 (англ.)

Рассмотрены строение, свойства, химизм и экзотермич. эффект отверждения стирольнополиэфирных и эпоксидных смол. Приведено описание процесса заливки электросхемы стирольнополиэфирными смолами.

Л. И.

27156. Изоляционная обмотка из нейлона. Судзуки (絶縁テープ. ナイロンテープ. 鈴木要), プラスチックス, Пурасутиккусу, Japan Plastics, 1955, 6, № 1, 88—91 (япон.)

27157. Изоляционная обмотка из политетрафторэтилена. — (絶縁テープ. テフロンテープ), プラスチックス, Пурасутиккусу, Japan Plastics, 1955, 6, № 1, 92—97 (япон.)

27158. Изоляционная обмотка из поливинилхлоридного материала. Минакава, Сасаки (絶縁テープ. 塩化ビニルテープ. 皆川利男, 佐々木貞光), プラスチックス, Пурасутиккусу, Japan Plastics, 1955, 6, № 1, 98—104 (япон.)

27159. Современные инструменты, используемые при соединении пластмассовых труб. Такакубо (最近のプラスチック配管加工器具. 高窪量平), プラスチックス, Пурасутиккусу, Japan Plastics, 1955, 6, № 4, 28—32 (япон.)

27160. Нормализация прессформ. Дьо (La normalisation des moules à compression. Diot A.), Ind. plast. mod., 1954, 6, № 3, 8—9 (франц.)

Перечислены элементы прессформ, которые можно нормализовать (обоймы, заготовки для формующих деталей, системы толкания, детали крепления, системы нагрева), и преимущества, связанные с нормализацией (уменьшение стоимости и повышение качества прессформ и изделий, уменьшение задержек производства и повышение его темпов).

Е. X.

27161 Д. Полимеризация терпенов скипидара и циклопентадиена «бензольной головки» фтористым водородом. Черткова С. И. Автореф. дисс. канд. техн. н., Уральск. политехн. ин-т, Свердловск, 1955

27162 П. Применение антистатических материалов для диэлектриков. Хармон (Application of anti-static materials to dielectrics. Harmon Caryllye [Chicopee Manufacturing Corp.], Пат. США 2676115, 20.04.54)

Патентуется способ получения обладающих антистатич. свойствами пластифицированных полимерных диэлектриков путем обработки их менее чем 1 вес.% антистатич. в-ва. Способ отличается тем, что до окончания нанесения этого в-ва с поверхности полимера удаляется выделяющийся пластификатор повторным и равномерным протиранием поверхности приспособлениями из упругого материала.

С. Ш.

27163 П. Способ получения катализаторов полимеризации, содержащих фосфорную и кремнефосфор-



ную кислоты, и применение этих катализаторов при полимеризации алкенов (Process for preparing polymerization catalysts containing phosphoric acid and silico-phosphoric acid and the application of these catalysts in the polymerization of alkenes) [Naamloose Vennootschap de Bataafsche Petroleum Maatschappij]. Англ. пат. 696568, 2.09.53 [Chem. Abstrs, 1954, 48, № 8, 4730—4731 (англ.)]

Пористые частицы кизельгура пропитывают при 100—200°  $H_4P_2O_7$  до содержания 60—80 вес.% фосфорной к-ты в пересчете на  $P_2O_5$ , после чего их обезживают при 300—400° без значительного изменения характера частиц; в полученном катализаторе содержание свободной к-ты эквивалентно 10—20 вес.%  $P_2O_5$ . Пористость кизельгура такова, что 100 г его в виде частиц размером 2—15 мм поглощают при 100—200° ~ 100 г  $P_2O_5$  в виде  $H_4P_2O_7$ ; по крепости шарик кизельгура диам. 7 мм должен выдержать нагрузку  $\geq 0,5$  кг. Катализаторы пригодны для получения полугидроуглеродов с 12—18 атомами С в молекуле, напр. тетра-, пента- и гексамеров  $C_3H_8$ . Полимеризацию  $C_3H_8$  целесообразно осуществлять в присутствии продуктов его полимеризации, в частности, ди- и тримера, что повышает выход высокомолекулярных продуктов. Я. К.

**27164 П.** Способ полимеризации ненасыщенных органических соединений в водной эмульсии (Verfahren zur Polymerisation ungesättigter organischer Verbindungen in wässriger Emulsion) [Röhm und Hass G. m. b. H. chemische Fabrik]. Швейц. пат. 295076, 16.02.54 [Chimia, 1954, 8, № 4, 102 (франц.)]

Полимеризация проводится в присутствии стабилизатора, не растворимого в воде, но растворимого в мономере. Я. К.

**27165 П.** Непрерывное получение гранулированных виниловых полимеров. Окамура (Continuous preparation of granular vinyl polymers. Okamura Seizo) [High Molecular Chemical Assoc.]. Япон. пат. 2445, 4.05.54 [Chem. Abstrs, 1955, 49, № 3, 2414—2415 (англ.)]

Мономер (стирол, винилацетат, метилметакрилат) полимеризуют в водн. среде с инициатором (перекись бензонла) нерастворимым в воде и растворимым в мономере и в присутствии диспергирующего в-ва (напр., желатин, поливиниловый спирт,  $CaCO_3$ ,  $BaCO_3$ ). Полимер удаляют со дна реактора. В. П.

**27166 П.** Уменьшение термопластичности высокополимеров (Decreasing of the thermoplasticity of high polymers) [Farbenfabriken Bayer A.-G.]. Англ. пат. 722839, 2.02.55 [J. Soc. Dyers and Colourists, 1955, 71, № 4, 204 (англ.)]

Большое понижение термопластичности высокополимеров без сообщения им хрупкости достигается введением в них мономерного или полимерного ненасыщ. эфира или амида и нагреванием смеси с соединением, содержащим  $\geq 2$  SH-группы. Этот процесс применим по отношению к виниловым полимерам, сложным эфирам целлюлозы, полиамидам и т. д. С. Ш.

**27167 П.** Способ получения полиэтиленового порошка, пригодного для покрытий. Линке (Verfahren zur Herstellung eines für Überzugszwecke geeigneten Polyäthylenpulvers. Linke Roland) [Badische Anilin- und Soda-Fabrik]. Пат. ФРГ 883646, 20.07.53 [Chem. Zbl., 1954, 125, № 24, 5406 (нем.)]

Полиэтилен, содержащий полиизобутилен, измельчают, предварительно охладив его при нормальном давлении до  $t$ -ры ниже  $-80^\circ$  при помощи жидкого  $N_2$ . Я. К.

**27168 П.** Полиакрилены и их получение. Бакли, Рей (Polyalkylidenes and their manufacture. Buckley Gerard Dunstan, Ray Neil Hunter) [Imperial Chemical Industries Ltd]. Канад. пат. 502082, 4.05.54

Патентуются полиакрилены ф-лы  $[(R)CH]_n$ , где R — алкил и n — целое число  $> 10$ , находящиеся обычно в пределах 50—10 000. В частности, патентуется полимер ф-лы  $[(CH_3)CH]_n$ , где  $n = 200$ —1000, представляющий собой твердое, прозрачное, плавкое инертное стеклоподобное в-во. Полимеры этого типа получают полимеризацией 1-дизаоалкана с выделением  $N_2$  в присутствии катализатора — безводн.  $CuSO_4$ , Cu-бронзы или Cu-порошка. А. Ж.

**27169 П.** Улучшение свойств полистирола. Клигг (Verfahren zum Verbessern der Eigenschaften von Polystyrol. Kling August) [Badische Anilin- und Soda-Fabrik]. Пат. ФРГ 883645, 20.07.53 [Chem. Zbl., 1954, 125, № 24, 5409 (нем.)]

Кроме пластификаторов обычного типа, в качестве добавок к полистиролу рекомендуются совмещающиеся с ним мягкие эластичные вязкие полимеры, напр. сополимеры бутадиена и диметилвинилэтилкарбинола, этилового эфира акриловой к-ты или диэтилового эфира фумаровой к-ты. Полученные материалы обладают повышенной прочностью на удар и пригодны для изготовления прессовочных изделий и лаков. С. Ш.

**27170 П.** Полимеризация в газовой фазе при действии электрического разряда. Вейс, Гудунн (Gaseous polymerization by electrical discharge. Weiss Paul B., Goodwin Robert D.) [Socony-Vacuum Oil Co., Inc.]. Пат. США 2676145, 20.04.54

Перфторэтилен превращается в перфторуглеродные соединения с большим содержанием углерода при действии электрич. разряда при  $t$ -ре  $< 1000^\circ$ . С. Ш.

**27171 П.** Полимеризация хлортрифторэтилена (Polymerising chlorotrifluoroethylene) [International General Electric Co. Inc.]. Австрал. пат. 156071, 29.04.54

Для получения полихлортрифторэтилена с  $t$ -рой размягчения  $> 220^\circ$  дисперсию хлортрифторэтилена (I) в воде полимеризуют при pH 2,3—4,0. Дисперсия содержит I, воду в кол-ве  $> 1$  вес. ч. на 1 вес. ч. I, органич. перекись для иницирования процесса, соединение тяжелого металла, способного существовать по крайней мере в двух валентных состояниях; это соединение растворимо в I или приобретает растворимость при введении соответствующего в-ва. В дисперсии находится также водорастворимый восстановитель для ионов тяжелого металла. А. Ж.

**27172 П.** Сополимеры перфторпропилена и тетрафторэтилена и способ их получения. Миллер (Copolymers of perfluoropropene and tetrafluoroethylene and method of making same. Miller William T.) [Government of the United States, as represented by the United States Atomic Energy Commission]. Канад. пат. 502765, 18.05.54

Способ получения высокомолекулярного твердого продукта состоит в том, что перфторпропилен (9 ч.) сополимеризуется с тетрафторэтиленом (1 ч.) при  $t$ -ре  $< 0^\circ$  (напр., при  $-16^\circ$ ) в присутствии перекиси трихлорацетила. Получаемый сополимер деформируется менее чем на 50%, при давл.  $\sim 70$  кг/см<sup>2</sup> при  $125^\circ$ . А. Ж.

**27173 П.** Способ получения винилхлорида (Verfahren zur Herstellung von Vinylchloridpolymerisaten) [Badische Anilin- und Soda-Fabrik A.-G.]. Швейц. пат. 295067, 16.02.54 [Chimia, 1954, 8, № 4, 103 (франц.)]

Однородный по степени полимеризации поливинилхлорид получается при непрерывной водно-эмульсионной полимеризации и постоянной конц-ии мономера,

равномерном перемешивании и непрерывном выделении готового полимера.

**27174 П.** Композиции поливинилхлорида со сложными линейными полиэфирами. **Рихтер** (Compositions comprising blends of vinyl chloride polymer with linear polyesters. Richter Henry J.) [E. I. du Pont de Nemours and Co.]. Канад. пат. 506962, 2.11.54

Способ получения композиций поливинилхлорида с линейными полиэфирами отличается тем, что к смеси, состоящей из поливинилхлорида (или сополимера винилхлорида с небольшим кол-вом в-ва, содержащего по крайней мере одну двойную связь, напр., сополимера с диметилловым эфиром фумаровой к-ты) и 10—200 вес. % линейного полиэфира добавляют 1—20 вес. % органич. перекиси и нагревают смесь до тех пор, пока она не потеряет растворимость в р-рителях для полиэфира. Линейный полиэфир представляет собой продукт р-ции алифатич. двухатомного спирта и насыщ. или ненасыщ. дикарбоновых к-т, содержащих  $\geq 4$  атомов С, причем ненасыщ. полиэфир готовится из смеси насыщ. и ненасыщ. к-т, взятых в соотношении, соответственно, от 0,96 к 0,04 до 0,90 к 0,10. Патентуется также композиция, получаемая по этому способу.

**27175 П.** Композиции из синтетических смол. **Самуэл** (Synthetic resin compositions. Samuel A. A.). Англ. пат. 721706, 12.01.55 [Rubber Abstrs, 1955, 33, № 4, 154 (англ.)]

Модифицированные композиции получают при введении в смолу до 15 вес. % гексахлорэтана. Напр., смесь (в ч.) 55 поливинилхлорида, 33 пластификатора, 10 гексахлорэтана, 1 стеарата Pb и 1 дибутиллаурата олова образует негорючую пленку. Другие композиции содержат поливинилхлорид, гексахлорэтан и фенольные или метакриловые смолы.

**27176 П.** Паста из винилхлоридной смолы. **Ямасуге, Такано** (Vinyl chloride resin paste. Yamasuge Kaoru, Takano Sachimitsu) [Oriental Chemical Co.]. Япон. пат. 6645, 23.12.53 [Chem. Abstrs, 1954, 48, № 19, 11841 (англ.)]

Смесь (в ч.) из 100 частей, 1 эмульгатора и 20—25 порошкообразной винилхлоридной смолы обрабатывают  $\text{HNO}_3$  (или  $\text{H}_2\text{SO}_4$ ,  $\text{HCl}$ ,  $\text{H}_2\text{O}_2$ ,  $\text{K}_2\text{Cr}_2\text{O}_7$ ,  $\text{Na}_2\text{O}_2$  или  $\text{O}_2$ ) и оставляют на 30 мин.; в результате получают продукт с мол. в.  $> 1500$ .

**27177 П.** Изделия из поливинилхлорида или его сополимеров. **Хейзенберг, Клейне** (Verfahren zur Herstellung von künstlichen Gebilden aus Polyvinylchlorid oder Mischpolymerisaten des Vinylchlorids. Heisenberg Erwin, Kleine Johannes). Пат. ФРГ 894894, 26.10.53 [Textil-Praxis, 1954, 9, № 3, 293 (нем.)]

Полимер растворяется в смеси 1 ч. тетрагидрофурана и 3 ч. по крайней мере одного амида к-ты, напр. диметилформамида. Полученный р-р перерабатывается обычным способом.

**27178 П.** Производство металлических элементов, имеющих покрытие из политетрафторэтилена. **Лав** (Manufacture of metal elements provided with bonded coatings or coverings of poly-tetra-fluoro-ethylene. Love P. P.). [Glacier Metal Co., Ltd.]. Англ. пат. 714498, 1.09.54 [Rubber Abstrs, 1954, 32, № 12, 554 (англ.)]

Мелкодисперсный политетрафторэтилен опрессовывается при давл.  $\geq 70 \text{ кг/см}^2$  и прижимается к элементу, на который он должен быть нанесен. Элемент затем вращается и выделяющаяся теплота трения на поверхности раздела полимер — металл достаточна для подьема т-ры до 300—450°; для ускорения процесса нанесения элемент может подвергаться дополнительному нагреванию. Прочность соединения может быть улучшена

введением на поверхность раздела фтора или фтористоводородной к-ты.

**27179 П.** Способ крепления политетрафторэтилена к металлу. **Леннокс, Гаррисон** (Method of bonding of polytetrafluoroethylene to metal. Lennox J. W., Harrison L.). Англ. пат. 705005, 3.03.54 [Rubber Abstrs, 1954, 32, № 6, 255 (англ.)]

Политетрафторэтилен прикрепляется к металлу путем образования на поверхности металла спекшейся массы полимера, на которую наносят распыленный полимер и нагревают под давлением для размягчения или плавления полимера при 330—380°.

**27180 П.** Способ нанесения покрытия на изделия из политетрафторэтилена. **Кроз, Хедрик** (Method of coating polytetrafluoroethylene articles and resulting articles. Croze Martin W., Hedrick Paul L.) [Minnesota Mining and Manufacturing Co.]. Пат. США 2689805, 21.09.54

Метод нанесения тонкого, гибкого, непрерывного, прочно связанного металлич. покрытия на поверхность пленки из политетрафторэтилена (I), полученной спеканием, заключается в том, что на пленку из I, не подвергнутую спеканию, наносится под вакуумом из газовой фазы тонкое непрерывное металлич. покрытие, неплавкое при т-ре спекания I, и пленка с покрытием затем спекается без плавления последнего.

**27181 П.** Способ обработки виниловых соединений, в частности, поливинилхлорида (Procédé de traitement de combinaisons vinyliques et notamment du chlorure de vinyle) [Soc. d'Exploitation des Procédés F. Soulagel]. Франц. пат. 1036175, 4.09.53 [Chem. Zbl., 1954, 125, № 27, 6114 (нем.)]

Колпачки, ленты, кольца и другие уплотнительные изделия из поливинилхлорида перед установкой на место уплотнения (напр., закупориваемый сосуд) расширяют нагреванием до 70—120° и (или) обработкой соответствующей жидкостью, газом или паром, напр., погружением в ацетон или трихлорэтилен.

**27182 П.** Ленты для кардочесальных и других текстильных машин. **Клементс** (Condenser tapes for carding and like textile machinery. Clements H.) [Andre Rubber Co., Ltd.]. Англ. пат. 698969, 28.10.53 [Rubber Abstrs, 1954, 32, № 2, 62 (англ.)]

Бесконечная лента состоит из гибкого полимера, инертного к олину, напр., из поливинилхлорида или сополимеров винилхлорида. Лента может быть усилена по длине хлопковыми, шелковыми, нейлоновыми или стеклянными волокнами. Для изготовления ленты поливинилхлорид пластифицируют 30% трикрезилфосфата или бутилацетилацетиленола и стабилизируют 0,5—5% стеарата Li, силиката или карбоната Pb. Ю. В.

**27183 П.** Перчатки, рукавицы и подобные предметы одежды. **Хейуэрт** (Glover, mittens and similar articles of clothing. Haworth A. K.). Англ. пат. 716640, 13.10.54 [Rubber Abstrs, 1955, 33, № 1, 25 (англ.)]

Рукавицы для промышленных целей изготавливаются из трикотажных или обычных тканей, на которые наносится покрытие из поливинилхлорида. Для получения покрытия различной толщины в разных местах рукавицы, последние, в местах, где требуется более толстое покрытие, имеет ворсистую поверхность. Способ нанесения покрытия описан в англ. пат. 681558.

**27184 П.** Гибкие материалы и метод их изготовления. **Хогг, Эванс** (Flexible materials and method making same. Hogg W. H., Ewans T. R.) [Dunlop Rubber Co. Ltd.]. Англ. пат. 708055, 28.04.54 [Plastics, 1954, 19, № 204, 246 (англ.)]

Композицию из текстильной ткани и пластифицированного поливинилхлорида в виде листов для облицовки

ракеток для настольного тенниса, перчаток для гольфа и т. п. получают путем продавливания дисперсии поливинилхлорида через перфорированный лист на подкладочный материал. Затем перфорированный лист снимают и полимер сплавляют на листе.

**27185 П. Гранульная полимеризация метилметакрилата. Линн** (Bead polymerization of methyl methacrylate. Lynn William) [Eastman Kodak Co.]. Пат. США 2701245, 1.02.55

Способ получения в процессе полимеризации метилметакрилата отдельных сферич. гранул диам. 1—20  $\mu$  состоит в энергичном перемешивании мономера с водой в присутствии Na-соли диоктилового эфира сульфогтарной к-ты и катализатора полимеризации. Перемешивание прекращается до перехода в полимер значительных кол-в мономера и полимеризация протекает в основном в период, пока смесь остается неподвижной.

Б. К.

**27186 П. Эмульсия для виниловых смол. Охаси и др.** (Emulsion for vinyl-type resins. Ohashi Kuma, et al) [East Asia Synthetic Chemical Industries Co.]. Япон. пат. 5039, 2.10.53 [Chem. Abstrs, 1954, 48, № 18, 11112 (англ.)]

Смесь (в ч.) 9,5  $\text{CH}_2 = \text{CHCOOCH}_3$ , 0,6 этилполиоксистиленаурата, 0,2 60%-ного додецилсульфата Na, 14,2 воды и 0,005  $(\text{NH}_4)_2\text{S}_2\text{O}_8$  нагревают 4 часа в автоклаве при 60°; в результате получают эмульсию с 91%-ным выходом полимера.

Я. К.

**27187 П. Способ получения поливинилового спирта. Биш** (Process for the preparation of polyvinyl alcohol. Bisch Jean) [Produits Chimiques et Electrometallurgiques Alais, Froges et Camargue]. Канад. пат. 501622, 20.04.54

Способ получения поливинилового спирта отличается тем, что тонкодисперсный поливиниловый эфир карбоновой к-ты (поливинилацетат) смешивают с водой в отсутствие органич. р-рителя, и смесь обрабатывают небольшими порциями водн. р-ра сильной минер. к-ты (HCl) с конц-ией 20—25%. Кол-во к-ты (считая на безводн.) составляет 10—30 вес.% от взятого эфира. Смесь перемешивают до образования однородного вязкого р-ра и в несколько приемов добавляют небольшое кол-во воды, тщательно перемешивая до образования гомогенной смеси и завершения гидролиза. В конце процесса смесь разбавляют водой до конц-ии продуктов гидролиза 5—10% (при этом конц-ия к-ты ~3—10%) и очищают поливиниловый спирт от следов минер. и органич. к-ты. Для выделения и очистки полимера можно добавить смешивающийся с водой органич. р-ритель в кол-ве, достаточном для осаждения полимера, или же очистить полученный р-р путем диализа.

А. Я.

**27188 П. Поливинилформалевая эмульсия. Кимура** (Polyvinylformal emulsion. Kimura Koichi) [Kanegabuchi Textile Co.]. Япон. пат. 4344, 2.09.53 [Chem. Abstrs, 1954, 48, № 16, 9750 (англ.)]

Смесь 10 ч. поливинилформала и 8 ч.  $(\text{C}_6\text{H}_5)_2\text{PO}_4$  вальцуется 15 мин. при 130°, охлаждается, вальцуется при ~20° и затем вновь вальцуется с 0,3 ч. в-ва ф-лы  $\text{RO}(\text{CH}_2\text{CH}_2\text{O})_n\text{R}'$  (R — алкил, а R' — арил) до получения 50 ч. стабильной эмульсии. С. Ш.

**27189 П. Клейкая, теплоизоляционная пластическая композиция. Берже, Мэр, Морис** (Composition-adhésive calorifuge, isolante et plastique. Berger Jean, Maire Georges, Maurice Pierre) [Etat Français]. Франц. пат. 1040557, 16.10.53 [Chem. Zbl., 1954, 125, № 47, 10860—10861 (нем.)]

Для уменьшения теплопередачи содержащими реактивный заряд (ракетный состав) телами к их металлическим стенкам внутреннюю сторону последних покрывают массой из р-ра или эмульсии поливинилового соедине-

ния, пластификатора и огнестойкого теплоизоляционного в-ва. Масса может, напр., состоять (в %) из 25 эмульсии поливинилацетата, 5 бутылфталата (также с добавкой этиллактата), 20 талька, 30 литопона и 20 воды. Массу можно наносить и на заряд с целью предотвращения распространения пламени по поверхности.

Я. К.

**27190 П. Полимеры и сополимеры амида N-пиридилитакановой кислоты. Д'Алельо** (Polymers and copolymers of N-pyridyl itaconic amide. D'Alenio Gaetano F.) [Koppers Co. Inc.]. Пат. США 2687400, 24.08.54

Патентуется продукт блочной полимеризации моноамида N-пиридилитакановой к-ты.

М. Л.

**27191 П. Полимеры и сополимеры N-пиридилитакановой и цитраконовой кислот. Д'Алельо** (Polymers and copolymers of the N-pyridyl imide of maleic and citraconic acids. D'Alenio Gaetano F.) [Koppers Co., Inc.]. Пат. США 2686773, 17.08.54

Патентуется продукты блочной полимеризации смесей N-пиридилитакановой и цитраконовой к-ты с полимеризуемым мономером, содержащим группу  $\text{CH}_2 = \text{C} <$ .

Я. К.

**27192 П. Иницированная полимеризация акрилонитрила** (Process for the catalytic polymerization of acrylonitrile) [N. V. Kunstzijdespinnerij Nymal]. Англ. пат. 717488, 27.10.54 [J. Text. Inst., 1955, 46, № 4, A219 (англ.)]

Полимеризация акрилонитрила проводится в водн. р-ре, не содержащем эмульгатора с водорастворимым инициатором. Конц-ия мономера (или мономеров) поддерживается во время полимеризации постоянной путем энергичного перемешивания реакционной смеси с одним или более органич. р-рителем мономеров. Этот р-ритель не должен растворять инициатор и смешиваться с водой. Полиакрилонитрил, полученный этим методом, характеризуется однородностью по мол. весу и не содержит плохо растворяющихся высокомолекулярных фракций, затрудняющих переработку р-ров полимера.

Ю. В.

**27193 П. Растворитель для сополимеров акрилонитрила** (Solutions of acrylonitrile polymers) [British Celanese, Ltd.]. Англ. пат. 720199, 15.02.54 [J. Soc. Dyers and Colourists, 1955, 71, № 2, 109 (англ.)]

Сополимеры, содержащие 85—94 вес.% акрилонитрила и 15—6% низших алкилакриловых к-т или низших эфиров акриловой к-ты, легко растворимы в нитрометане, содержащем <3% воды.

Ю. В.

**27194 П. Получение растворов полиакрилонитрила** (Formation of solutions of acrylonitrile polymerization products) [American Cyanamid Co.]. Англ. пат. 717972, 3.11.54 [J. Soc. Dyers and Colourists, 1955, 71, № 1, 55 (англ.)]

Полиакрилонитрил растворим в водн. р-рах солей, содержащих высокогидратированные ионы, напр. в тиоцианатах. Сначала полиакрилонитрил смешивают с р-ром соли такой конц-ии, при которой еще не происходит растворения смолы, а затем добавляют необходимое кол-во соли; при этом время растворения уменьшается вдвое.

Ю. В.

**27195 П. Производство и применение растворов полимеров акрилонитрила** (Production and use of solutions of acrylonitrile polymers) [British Celanese, Ltd.]. Англ. пат. 721947, 19.01.55 [J. Soc. Dyers and Colourists, 1955, 71, № 4, 204 (англ.)]

Полимеры акрилонитрила легко растворяются в смеси  $\text{HNO}_3$ , воды и органич. жидкости, которая в горячем виде является р-рителем для полиакрилонитрила, причем на 1—9 вес. ч. к-ты приходится 1 вес. ч. воды.

С. Ш.



**27196 П.** Способ растворения или желатинирования полиакрилонитрила. Биндер (Verfahren zum Lösen oder Gelatinieren von Polyacrylnitril. Binder Hans) [Rottweiler Kunstseidefabrik A.-G.]. Пат. ФРГ 885159, 3.08.53 [Chem. Zbl., 1954, 125, № 13, 2926 (нем.)]

Для растворения или желатинирования полиакрилонитрила применяются расплавленные соли одно- или многоосновных органич. или неорганич. к-т и алифатич., ариалифатич., циклоалифатич. или гетероциклич. аминов или смешанных аминов, которые могут быть также одно- и многоосновными. Для этой цели используются, напр., соли диметиланилина и соляной, фосфорной или маленовой к-т, пиридинфосфат или диэтил-анилиноксалат. Н. А.

**27197 П.** Раствор полиакрилонитрила. Хальбиг (Polyacrylnitrillösung. Halbig Paul). Швейц. пат. 293440, 16.12.53 [Chimia, 1954, 8, № 4, 103 (франц.)]

Растворитель представляет собой смесь хлоралегидрата и нитрометана. Я. К.

**27198 П.** Способ производства формованных изделий из термопластического полимера, соответствующее приспособление и получаемое этим способом формованное изделие (Procédé de fabrication de produits formés à partir d'un produit de polymérisation thermoplastique dispositif pour la mise en oeuvre de ce procédé et produit formé obtenu par ce procédé) [American Cyanamid Co.]. Швейц. пат. 292747, 16.11.53 [Chimia, 1954, 8, № 6, 164 (нем.)]

Изделия из полиакрилонитрила формируют коагулированием р-ра полимера в среде, содержащей воду при  $t_{\text{ре}} \leq 10^\circ$ . Я. К.

**27199 П.** Полимеризующиеся и полимерные композиции, содержащие аллилмеламин или аллилизомеламин. Томас (Polymerizable and polymerized compositions comprising an allyl melamine or allyl isomelamine. Thomas Walter M.). [American Cyanamid Co.]. Пат. США 2712004, 28.06.55

Композиция содержит 1—75 вес.% (от смеси) меламина (или изомеламина), все атомы N которого замещены органич. радикалами, из которых по крайней мере один, но не более трех, имеют ф-лу —  $\text{CH}_2\text{CH}=\text{CH}_2$ , а остальные могут представлять собой алкил, циклоалкил, арил или ариалкил. В составе композиции находится также другое в-во, сополимеризующееся с первым, которое содержит группу  $\text{CH}_2=\text{C}<$ , или же представляет собой ненасыщ. алкидную смолу, полученную из многоатомного спирта и олефиновых, ненасыщ. многоосновных к-т, содержащих в качестве реакционноспособных групп только этерифицирующиеся карбоксильные группы. В композиции может также находиться смесь двух последних в-в. А. Ж.

**27200 П.** Обработка продукта гидролиза сополимера винилхлорида. Саято (Aftertreatment of hydrolytic product of vinyl chloride copolymer. Saito Sato) [Mitsui Chemical Industries Co.]. Япон. пат. 3138, 3.07.53 [Chem. Abstrs, 1954, 48, № 14, 8586 (англ.)]

Продукт гидролиза сополимера винилхлорида с винилацетатом диспергируют в спирте и пропускают газообразный галоген при УФ-облучении или без него. Для повышения т-ры плавления, теплостойкости и улучшения цвета продукта его промывают водой и сушат. В. П.

**27201 П.** Винильные сополимеры (Vinyl copolymers) [Canadian Industries Ltd.]. Австрал. пат. 155965, 15.04.54

Линейный термопластичный полимер представляет собой продукт сополимеризации глицидидакрилата, акриловой к-ты и винильного соединения (или их смеси), не содержащего активных атомов Н. Кол-во акриловой к-ты и глицидидакрилата составляет

$\leq 20$  вес.% от смеси. Соплимер способен образовывать пространственные структуры при нагревании. А. Ж.

**27202 П.** Полимеры, содержащие стирол и полиамид маленовой кислоты, композиции и слоистые материалы на их основе. Снайдер (Polymeric styrene-maleamic acid and maleamate compositions and laminates. Snyder Harold H.). [E. I. du Pont de Nemours and Co.]. Пат. США 2691609, 12.10.54

Композиция содержит поливинилловый спирт и сополимер стирола с полиамидом маленовой к-ты или аммонийную соль этого сополимера. Вязкость дисперсии сополимера в воде (концентрация 15% твердых в-в) при pH 7,8 (устанавливается введением  $\text{NH}_3$ ) составляет 4700—10 000 сантипуа при 25°. А. Ж.

**27203 П.** Соплимеры ненасыщенных нитрилов с аллиловыми эфирами ароматических дикарбоновых кислот. Шокал, Шрёдер (Copolymers of unsaturated nitriles and allylic esters of aromatic dicarboxylic acids. Shokal Edward C., Schroeder Carl W.). [Shell Development Co.]. Канад. пат. 503598, 8.06.54

Патентуется сополимер 3—75% сложного эфира ароматич. поликарбоновой к-ты и спирта типа аллилового (напр., диаллилфталата) и 25—97% ненасыщ. нитрила, который может содержать в качестве заместителей в  $\alpha$ ,  $\beta$ -положении углеродородные радикалы с 1—10 атомами С, как, напр., нитрилы метакриловой или кротоновой к-ты. В. И.

**27204 П.** Соплимеры акрилонитрила с амидами и имидами бицикло-(2,2,1)-5-гептенкарбоновых кислот. Колдуэлл (Interpolymers of acrylonitrile with amides and imides of bicyclo-(2,2,1)-5-heptene carboxylic acids. Caldwell John R.). [Eastman Kodak Co.]. Пат. США 2706720 19.04.55

Патентуется р-р полимера, содержащего 65—95 вес.% соединений ф-лы (I), где X имеет ф-лу  $-\text{C}(=\text{O})\text{N}(\text{R})(\text{R}')-$  и Y = X или атомом Н. X и Y могут также представлять группировку  $-\text{C}(=\text{O})\text{N}(\text{R}')\text{C}(=\text{O})-$  которая одновременно насыщает обе валентности, связанные с X и Y. В ф-лах R — H,  $\text{CH}_3$ ,  $\text{C}_2\text{H}_5$  или  $\beta\text{-C}_2\text{H}_4\text{OH}$  и R' — то же что и R или  $\text{C}_6\text{H}_5$ . Р-рителем для полимера являются: диметилформамид, диметилацетамид,  $\gamma$ -бутиролактон, этиленкарбонат, этилендиангидрид, нитрил янтарной к-ты, диэтилформамид, диэтилацетамид, валеролактон или смесь ацетонитрила и диметилформамида в отношении 2:1. С. Б.

**27205 П.** Смешанный полимер 3-метилфталата с акрилонитрилом. Кувер, Дикки, Ширер (3-methylenephthalide-acrylonitrile interpolymers. Coover Harry W., Jr, Dickey Joseph B.). [Eastman Kodak Co.]. Пат. США 2697092, 14.12.54

Смолообразный сополимер содержит в связанном виде 5—95 вес.% 3-метилфталата и, соответственно, 5—95 вес.% акрилонитрила. А. Ф.

**27206 П.** Способ получения полвалкиленполиаминов. Бестан (Verfahren zur Herstellung von Polyalkylenpolyaminen. Bestian Herbert) [Farbwerke Hoechst, vormals Meister Lucius and Brüning]. Пат. ФРГ 881659, 2.07.53 [Chem. Zbl., 1954, 125, № 14, 3107 (нем.)]

Полвалкиленполиамины образуются из первичных или вторичных аминов при р-ции с избытком  $\alpha, \beta$ -алкиленимина в присутствии к-т или в-в, отщепляющих к-ты. Напр., октадециламин нагревают с  $\beta$ -хлорэтиламинхлоридом и этиленимином до 170—180°. Продукты при меняются в текстильной и бумажной промышленности и для получения пластмасс. Н. А.

**27207 П.** Соли полиаминов и перфторкарбоновых кислот. Литл (Salts of polymeric amines with perfluor-



rocarboxylic acids. Little Ernest Lewis, Jr) [E. I. du Pont de Nemours and Co.]. Пат. США 2680717, 8.06.54

Патентуется соль маслорастворимого полиамина и перфторкарбоновой к-ты ф-лы  $X(CF_3)_mCOOH$ , где  $X$  — Н или F и  $m$  — целое число от 3 до 20. Полиамин содержит  $\geq 0,1$  вес. % N, имеет отношение C/N  $\geq 7$  и характеристическую вязкость  $\geq 0,1$  (для 0,1%-ного р-ра в бэл. при 25°). Патентуется также композиция, содержащая углеводородное масло и 0,1—20 вес. % (от масла) указанной соли. А. Ж.

27208 П. Способ получения азотсодержащих продуктов полимеризации. Бестанн (Verfahren zur Herstellung von stickstoffhaltigen Polymerisationsprodukten. Bestian Herbert) [Farbwerke Hoechst vormals Meister Lucius und Brünig]. Пат. ФРГ 888170, 31.08.53 [Chem. Zbl., 1954, 125, № 20, 4500 (нем.)]

Доп. к герм. пат. 836353 и 849407. Азотсодержащие полимеры образуются при полимеризации соединений, содержащих одну или несколько групп формулы  $-C(R')(R'')N-C(R)_2C(R)_2$ . В ф-ле R — Н и (или) алкил, R' — Н или низший алкил, R'' — Н, углеводородный радикал или остаток сложного эфира, амида, нитрила или соли карбоновой к-ты. В качестве катализаторов полимеризации используются нейтр. эфиры  $H_2SO_4$  или сульфоновых к-т. А. Ж.

27209 П. Полиоксаликеновые соединения. Лундстед (Polyoxyalkylene compounds. Lundsted Lester G.) [Wyandotte Chemicals Corp.]. Пат. США 2674619, 6.04.54

Смесь содержит полиоксипропиленовые (I) и полиоксэтиленовые (II) соединения и связанный с ними органич. радикал — остаток многоосновной карбоновой к-ты с мол. в.  $< 200$ . Соединения характеризуются тем, что I цепи связаны с органич. радикалом со стороны реакционноспособного атома Н и образуют оксипропиленовый полимер (III), а оксэтиленовые группы, которые составляют 20—90 вес. % от смеси, связаны с III в виде II цепей; средний мол. вес III  $\geq 900$  (по определению OH-групп). А. Ж.

27210 П. Эпоксидные композиции, содержащие галоген. Зек (Epoxyde compositions containing halogen. Zech John D.) [Devco and Reynolds Co., Inc.]. Пат. США 2712000, 28.06.55

Патентуются твердые смолоподобные композиции, представляющие смесь полиэфиров двухатомных фенолов, у которых значительная часть оксигрупп замещена частично группой  $-CH_2CHNCH_2O$  и частично — группой  $-OCH_2CH(CH_2X)OCH_2CHNCH_2O$ , где X — галоген. А. Ж.

27211 П. Полимеры из двухатомных фенолов и дисульфозфиров гликолей. Ридер, Уолсгров (Polymers from dihydric phenols and disulfonic esters of diols. Reeder Frank, Wallsgrave Eric Richard) [Courtaulds Ltd.]. Пат. США 2680728, 8.06.54

Для получения полимера смешивают в эквивалентных соотношениях двухатомный фенол, содержащий незамещ. OH-группы, и ароматич. дисульфозфир гликоля ф-лы  $HO(CH_2)_mOH$ , где  $m$  — целое число  $\geq 2$ . В смесь вводят водн. разбавитель, не менее чем двукратное (по отношению к дисульфозфиру) молекулярное кол-во щелочи и нагревают до кипения. В результате р-ции осаждается простой линейный полиэфир, который отделяют от раствора. А. Ж.

27212 П. Получение высокомолекулярных полиэфиров оксуксусной кислоты. Лоу (Preparation of

high molecular weight polyhydroxyacetic ester. Lowe Charles E.). Пат. США 2668162, 2.02.54

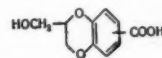
Патентуется способ получения полиэфиров оксуксусной к-ты путем полимеризации гликолида, не содержащего воды и кислых загрязнений, при 150—245° в присутствии катализатора — тригалогенида или трехокиси Sb. А. Ж.

27213 П. Получение и полимеризация производных  $\alpha$ -оксикислот и эстолидов. Полли, Каннингем (Preparation and polymerization of derivatives of  $\alpha$ -hydroxy acids and estolides. Polly Orville L., Cunningham Orin D.) [Union Oil Co.]. Пат. США 2681921, 22.06.54

Полимеризующаяся композиция получается при нагревании смеси, содержащей по крайней мере одну нерастворимую в воде  $\alpha$ -оксикислоту (имеющую 5—30 атомов C), 1—2 экв в-ва ф-лы  $R_nX(H)_m$  и 0,05—5 молей (на 1 моль к-ты) непредельного соединения. Вместо  $\alpha$ -оксикислот можно использовать нерастворимые в воде эстолиды или дегидратированные эстолиды  $\alpha$ -оксикислот, содержащие 10—60 атомов C. В качестве непредельных соединений используются органич. к-ты, содержащие сопряженную диеновую группировку, эфиры этих к-т или ненасыщ. углеводороды — стирол,  $\alpha$ -метилстирол, изопрен, бутадиев, пентадиен или циклопентадиен. В ф-ле R — ненасыщ. углеводородный радикал, содержащий 3—20 атомов C, X — атом O, S или N,  $n$  и  $m$  — целые числа, причем  $0 < n$  и  $m < 3$  и сумма  $n + m$  равна валентности X. Смесь нагревается при 150—200° с удалением воды, выделяющейся в результате р-ции этерификации и дегидратирования. А. Ж.

27214 П. Линейные полиэфиры из карбокси-2-оксиметилбензодиксана. Бок, Андерсон (Linear polyesters of carboxy-2-hydroxymethyl benzodioxane. Bock Louis H., Anderson James K.) [Rayonier Inc.]. Пат. США 2699438, 11.01.55

Патентуется линейный полиэфир, образующийся при конденсации соединения приводимой ф-лы в инертной атмосфере при температуре 200—300°.



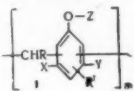
А. Ж.

27215 П. Способ получения смолоподобного продукта конденсации. Эйдженс (Verfahren zur Herstellung eines harzartigen Kondensationsproduktes. Agens Maynard C.) [Allgemeine Elektrizitäts-Ges.]. Пат. ФРГ 916120, 5.08.54 [Chem. Zbl., 1955, 126, № 7, 1623 (нем.)]

Один или несколько многоатомных спиртов обрабатывают одной или несколькими  $\alpha$ -ненасыщ.  $\alpha,\beta$ -поликарбоновыми к-тами или их ангидридами и одним или несколькими простыми спиртоэфирами, содержащими одну спиртовую OH-группу. Так, 294 ч. малеинового ангидрида обрабатывают в токе  $N_2$  193,6 ч. 95%-ного глицерина до образования продукта с кислотным числом 262, после чего добавляют 250 ч. тетрагидрофуфурового спирта и 0,4 ч. d-камфорсульфоновой к-ты, нагревают 30 мин. при 200° и 1,5 часа при 200—250°. Полученная мягкая красновато-желтая смола с кислотным числом 35 растворяется в ацетоне, этилацетате и смеси из 85% ацетона и 15% толуола, совместима с ацетилцеллюлозой, отверждается при 100—120° и пригодна для произ-ва слоистых и литых изделий, а также в качестве покрытий и клеев. А. Ж.

27216 П. Полимерные композиции, содержащие фенолальдегидоксидные смолы и другие, реагирующие с ними полимеры. Д'Алельо (Polymeric compositions from phenolaldehyde-epoxy resins and resins reactive therewith. D'Alorio G et al. no F.) [Koppers Co., Inc.]. Пат. США 2683130, 6.07.54

Композиция для изготовления формованных изделий представляет собой продукт р-ции полимера (способного образовывать волокна и полученного при полимеризации олефинового мономера, содержащего активный водород) и эпоксиалкоксиароматич. смолы, которая по крайней мере частично имеет элементарное звено ф-лы (I), где R — H, алкил, алкенил, арил, аларкил, алкаркил, циклоалкил или фурил; X и Y — H, Cl, OH или алкил; R' — H, Cl, алкил, арил, аларкил, алкаркил или циклоалкил;  $m$  — целое число  $\geq 3$ ;



Z — H или эпоксиалкильная группа ф-лы  $-(C)_n-C-$

$C-O$ , где  $n$  — целое число  $\leq 8$ . Свободные валентности атомов C (за исключением одной концевой связи) насыщены H или алкильными группами, содержащими  $\leq 7$  атомов C, а общее число атомов C в эпоксиалкильной группе  $\leq 10$ . В полимерной молекуле имеется по крайней мере одна эпоксиалкильная группа. А. Ж.

27217 П. Способ получения катионоактивных мочевиноформальдегидных продуктов конденсации и их применение (Procédé pour la préparation de produits de condensation urée-formaldéhyde à cation actif, produits obtenus et leurs utilisations) [Ciba Soc. An.]. Франц. пат. 1065338, 24.05.54 [Chimie et Industrie, 1954, 72, № 4, 724 (франц.)]

Нагревают при т-ре, близкой к кипению, 1 моль мочевины с 1,5—2,5 молями  $CH_2O$  в присутствии 0,02—0,2 моль модификатора ф-лы:  $H_2NC(=NH)NHR$ , где R

имеет ф-лу  $-C(=X)NHR'$  или  $-C=NC(NHR'')=NC(NHR'')=N$ . В этих группах X — атом O или NH-группа, R' — H или ароматич. остаток (напр., фенил), который может быть замещен, и R'' — H или группа  $-C(=NH)NH_2$ . Модификатор вводят в р-цию позже, когда мочевина и  $CH_2O$  прореагировали с образованием гидрофобного продукта р-ции. О. С.

27218 П. Способ получения термопластичных смол из белковых веществ и аминокластов. Бернинг, Мюллер (Verfahren zur Herstellung von thermoplastischen Kunststoffen aus Eiweißstoffen und Amino-plasten bzw. deren Komponenten. Berning Wilhelm, Müller Wilhelm) [Otto Berning und Co.] Пат. ФРГ 896108, 9.11.53 [Chem. Zbl., 1954, 125, № 20, 4504 (нем.)]

Волокнистые белковые в-ва животного происхождения (напр., отходы кожи) последовательно обрабатываются щелочами и к-тами и в набухшем, при необходимости измельченном состоянии взаимодействуют с альдегидом и мочевиной или продуктами их конденсации, после чего конечный продукт р-ции обезвоживается. Обработка белковых в-в альдегидом и мочевиной проводится в первой стадии в щел. среде под давлением, с постепенным повышением т-ры до 120° и заканчивается в кислой среде, или же в реакционной смеси поддерживается кислая среда в течение всего процесса. Для подкисления используются щавелевая, адипиновая или салициловая к-ты. К перерабатываемым белковым в-вам можно добавлять казеин, целлюлозу и крахмал. Получаемые продукты используются в качестве прозрачных водостойких материалов. А. Ж.

27219 П. Связующее (Sidosaine) [Stockholms Superfosfat Fabriks Aktiebolag]. Фин. пат. 26947, 10.04.54 Связующее состоит в основном из аминокформальдегидных смол, напр., из мочевино- или меламиноформальдегидной смолы или их смеси. В смолу прибавляется полимеризованный фурфуроловый спирт в таком

кол-ве, что весовое соотношение между аминокформальдегидной и фурановой смолами было в пределах от 1:0,3 до 1:0,05 (лучше  $\sim 1:0,15$ ). М. Т.

27220 П. Способ получения смол для литья. Келлер (Verfahren zur Herstellung von Gießharzen. Keller Karl) [Cassella Farbwerke Mainkur A.-G.]. Пат. ФРГ 891449, 28.09.53 [Chem. Zbl., 1954, 125, № 20, 4501 (нем.)]

Для получения литьевых смол органич. соединения, содержащие аминогруппы, напр. мочевины, или гетероцикл. аминосоединения, конденсируются с альдегидами, замещенными метилольными группами. Отверждение смол происходит во времени, при нагревании, или в присутствии кислого катализатора при нормальном или повышенном давлении. Напр., конденсируют при нагревании меламином и триметилолацетальдегид. Полученная смола отверждается при 80° в присутствии  $HCOOH$  и  $HCl$ , образуя прозрачные или молочнотелые изделия. Т. Ч.

27221 П. Способ получения светлых или бесцветных стабильных и светопрозрачных сульфамидных смол конденсацией ароматических сульфамидов с формальдегидом (Fremgasmade til fremstilling af lyse eller farveløse stabile og lysægte sulfamidharpikser ved kondensasjon af aromatiske sulfamider og formaldehyd) [Aktiebolaget Bofors]. Дат. пат. 78667, 27.12.54

Способ получения светлых и светопрозрачных сульфамидных смол конденсацией ароматич. сульфамидов с формальдегидом (I) отличается тем, что конденсацию ведут при т-ре кипения реакционной смеси, имеющей  $pH \sim 3-6$  (преимущественно 4—5), с таким избытком I, чтобы в водн. фазе после конденсации оставалось бы  $>15$  вес. % I и полученный продукт конденсации нагревают до 130°. Конденсацию можно также вести в присутствии гексаметафосфатов, фенола или мочевины, или же обработать продукт р-ции спиртом при нагревании до 130°. После нагревания до 130° смолу можно дополнительно обработать I и снова нагреть до 130°. Можно также обработать полимерами I расплавленный продукт конденсации. Напр., 700 кг о-толуолсульфамида, 430 кг 35—36%-ного водн. р-ра I и 12 кг гексаметафосфата Na нагревают до 50°, устанавливают  $pH \sim 4-5$ , кипятят 3 часа, отделяют водн. слой, промывают продукт конденсации мягкой водой или разб. р-ром I, отгоняют воду, медленно нагревают до 130° и выдерживают при этой т-ре до т-ры каплепадения смолы 70—80°, затем добавляют 270 кг 35—36%-ного водн. р-ра I, кипятят 3 часа, отделяют водн. слой и вновь нагревают при 130° до достижения т-ры каплепадения смолы 80—90°. В случае применения смеси изомерных толуолсульфамидов, кол-во р-ра I увеличивают до 520 кг и не производят второго нагревания с р-ром I. Бесцветный продукт конденсации получают из чистых толуолсульфамида и I; в случае применения неочищ. продуктов, рекомендуется добавка гексаметафосфатов и кипячение со спиртами, извлекающими примеси. Полученные смолы можно модифицировать спиртами (этиловым или бутиловым). Конденсация в присутствии фенола или мочевины дает более твердые продукты. К. Г.

27222. П. Способ получения синтетических полиамидов. Хуберт, Людеви (Verfahren zur Herstellung von synthetischen Polyamiden. Hubert Emil, Ludewig Hermann), Пат. ГДР 2322, 28.09.53

Описан способ получения высокомолекулярных полиамидов путем нагревания в эквимолекулярных соотношениях дикарбоновых к-т нафталинового ряда или их амидообразующих производных с  $\alpha$ ,  $\omega$ -диамины, у которых атомы N отделены не менее чем двумя атомами C и содержат у N хотя бы один свободный атом H. Могут применяться также диаминны, у которых —  $CH_2$ —



группы в углеродной цепи заменены атомами О или S. Для поликонденсации можно использовать соли нафталиндикарбоновых к-т с соответствующими  $\alpha$ ,  $\omega$ -диаминами. Поликонденсация осуществляется при 120—290° в присутствии или в отсутствие р-рителя или разбавителя, в атмосфере инертного газа. Полученные полиамиды могут применяться для получения волокон, пленок, пластин, клеев, пластмасс и др. Патентуется также способ получения смешанных полиамидов из солей нафталиндикарбоновых к-т и диаминов и других амидообразующих компонентов. Смешанные полиамиды прозрачны, эластичны, окрашены в желтый, зеленый или коричневый цвет. В качестве примеров описано получение полимера поликонденсацией соли нафталиндикарбоновой к-ты и гексаметилендиамина. Полученный полимер плавится выше 200°, обладает относительной вязкостью в 1%-ной  $H_2SO_4$ , равной 1,8. Сополучением полиамидов в различных соотношениях гексаметилендиаммониевой соли нафталин-1,4-дикарбоновой к-ты и гексаметилендиаммониевой соли себаценовой или адипиновой к-т получены различно окрашенные эластичные полиамиды с высокой т-рой плавления. В зависимости от соотношения компонентов изменяется внешний вид полиамидов от мутного до стекловидного или прозрачного. Т. Ш.

**27223 П.** Получение окрашенных полиамидов для формирования. Хагедорн, Шмиц-Хиллбрехт, Вильманс (Verfahren zur Herstellung von verformbaren farbigen Polyamiden. Hagedorn Max, Schmitz-Hillebrecht Ernst, Wilmanns Gustav) [VEB Filmfabrik Agfa Wolfen]. Пат. ГДР 8312, 20.10.54

Окрашенные полиамиды для формирования получают конденсацией двух (или более) образующих полиамиды мономеров, из которых по крайней мере один является красителем или способен образовывать краситель. Образование красителя может проводиться до или после формирования. В качестве исходных продуктов применяют  $\omega$ -аминокарбоновые к-ты с 5 и более атомами С между  $NH_2$ - и  $COOH$ -группами и их производные. В качестве красителей или компонентов красителя добавляют по крайней мере одно, образующее полиамид, в-во, напр. аминокарбоновые к-ты, имеющие ароматич. ядро, в которых атом N отделен от  $COOH$ -группы не более, чем 4 атомами С (напр., фенилаланин, нафтилаланин, антралиновая к-та, а также ароматич. полиаминокарбоновые к-ты: 2,5-диаминобензойная к-та, 1,2-диаминобензойная к-та, 1,2-фенилендиамин-4-карбоновая к-та и др.). Напр. 133 ч.  $\epsilon$ -капролактама и 7 ч. 4,4'-диаминодифенил-3,3'-дикарбоновой к-ты нагревают 24 часа без доступа воздуха при 200°. Из полученного полиамида отливают пленку, погружают ее на 10 мин. в 15%-ный водн. р-р сульфаниловой к-ты, ополаскивают водой и обрабатывают на холоду подкисленным  $HCl$  р-ром  $NaNO_2$ . Лимонно-желтое окрашивание. Ю. В.

**27224 П.** Способ и аппарат для регенерации мономерных фракций из полиамидов (Procédé et appareil pour la récupération de fractions monomères à partir de polyamides) [Perfogit Societa p. Azioni]. Франц. пат. 1073887, 29.09.54 [Chimie et industrie, 1955, 73, № 5, 968 (франц.)]

Мономер перегоняют в дистилляционной камере и конденсируют в приспособлении, имеющем т-ру выше т-ры плавления мономера. Я. К.

**27225 П.** Получение гидрофильных полиуретанов с основными свойствами. Шлак (Verfahren zur Herstellung von hydrophilen basischen Polyurethanen. Schlack Paul) [VEB Filmfabrik Agfa Wolfen]. Пат. ГДР 5381, 20.11.54

Гидрофильные полиуретаны с основными свойствами получают совместной полимеризацией первичных алифатич. гликолей, содержащих в цепи один или не-

сколько основных третичных атомов N (напр., N-метилдиэтаноламин, N-метилдипентаноламин, N-этилдипентаноламин) и первичных гликолей, не содержащих основного атома N (напр., этандиол-1,3, пропандиол-1,3, бутандиол-1,4, оксалил-бис-5-аминоэтанол) с диизоцианатами (напр., бутан-1,4-диизоцианат, гексан-1,6-диизоцианат, бензол-1,4-диизоцианат) или образующими их в-вами (напр., азидами), взятыми в эквивалентном соотношении к сумме гликолей. Р-ция ведется в присутствии р-рителей (напр.,  $C_6H_5Cl$ , диэтилформамид, анизол). Кол-во компонента с основным N берется таким, чтобы конечный продукт еще сохранял растворимость в кипящей 4 н.  $CH_3COOH$  и  $HCOOH$ . Р-ция может проводиться в две фазы, сначала с одним из гликолей, взятым в избытке по отношению к диизоцианату, и затем с другим гликолем и остальным кол-вом диизоцианата. Можно также проводить форполимеризацию гликолей, взятых в избытке, и затем вводить в р-цию диизоцианаты. Образующиеся полиуретаны могут задубливаться и применяются для получения пленок, покрытий, волокон. Напр., 2 моля метилдиэтанолamina, 3 моля оксалил-бис-аминоэтанолa и 5 молей гексаметилендиизоцианата нагревают в трехкратном объеме анизолa до 130°. Через 2 часа начинается выделение полиуретана. После охлаждения смесь разбавляют ацетоном и растирают. Полученный полиуретан плавится при 175—180°, легко образует нити из расплава и растворим при нагревании в 4 н.  $HCOOH$ . Ю. В.

**27226 П.** Полимеры, полученные из сложных полиэфи́ров, модифицированных диизоцианатами (Polymeric materials obtained from di-isocyanate-modified polyesters) [Farbenfabriken Bayer]. Англ. пат. 700609, 9.12.53 [Rubber Abstrs, 1954, 32, № 3, 114 (англ.)]

Безводные сложные полиэфиры, содержащие свободные  $OH$ -группы, обрабатывают диизоцианатом (20—100%-ный избыток против кол-ва, эквивалентного свободным  $OH$ -группам), после чего добавляют диамин или аминоспирт в меньшем кол-ве, чем требуется для р-ции со свободными изоцианатными группами в модифицированном полиэфоре. В случае применения диизоцианата и аминосоединения, которые реагируют между собой настолько медленно, что не образуют мути в р-ре кипящего хлористого метилена в течение 25 сек., получают жидкий конечный продукт, который можно вулканизовать путем нагревания после формирования. Регулирование скорости р-ции достигают путем применения менее реакционноспособных ароматич. диизоцианатов — нафтилен- или толуиленидиизоцианатов и ароматич. диаминов типа дианнзилина или дихлорбензида, которые менее реакционноспособны, чем алифатич. диамины. Я. К.

**27227 П.** Способ получения высокомолекулярных продуктов. Байер, Бунге, Хаман (Verfahren zur Herstellung von hochmolekularen Produkten. Bayer Otto, Bunge Wilhelm, Hamann Karl) [Farbenfabriken Bayer A.-G.]. Пат. FRG 895648, 5.11.53 [Chem. Zbl., 1954, 125, № 22, 4962 (нем.)]

Моно- или полифункциональные изоцианаты с ненасыщ. углеродными связями подвергают обработке, в результате которой одновременно или последовательно происходит увеличение молекулы, с одной стороны, за счет взаимодействия двойных связей, с другой стороны, за счет взаимодействия изоцианатных групп. Способ допускает одновременное соучастие в р-циях соединений, содержащих или изоцианатные группы, или ненасыщ. углеродные связи. Так, к фенолформальдегидной смоле, полученной конденсацией в присутствии к-ты с последующим гидрированием, добавляют этилацетат и продукт конденсации диглицерида линолевой к-ты и толуиленидиизоцианата. Продукты

образуют быстровысыхающие запекаемые эластичные пленки.

**27228 П.** Получение эластичного материала (Verfahren zur Herstellung eines gummielastischen Stoffes). Швейц. пат. 299377, 16.08.54 [Chimia, 1954, 8, № 10, 244 (франц.)]

Эластичный пластичный материал получают р-цией между нафтилен-1,5-дициананом и воскообразным полиэфиром адипиновой к-ты и этиленгликоля. Ю. В.

**27229 П.** Способ получения конденсационных смол (Verfahren zur Herstellung von harzartigen Kondensationsprodukten) [DENYDAG Deutsche Hydrierwerke G. m. b. H.]. Пат. ФРГ 912148, 24.05.54 [Chem. Zbl., 1955, 126, № 2, 471 (нем.)]

Конденсационные смолы получают при взаимодействии ди- или полиаминов с галогидцианами (напр., BrCN) при низкой или повышенной т-ре. Вместо галогидцианов можно применять цианиды, в частности цианиды щел. металлов, действуя галогидами на смесь цианидов с аминами. Напр., при р-ции BrCN (в эф. р-ре) с 1,6-гексаметилендиамин в р-ре диоксана получают каучукоподобную массу, которая становится рогоподобной при высушивании и твердеет после нагревания при 200°. Продукты применяются для изготовления волокон, плит и герметиков. Л. П.

**27230 П.** Смолы из эфиров циануксусной кислоты. Бойд (Cyanoacetic acid ester resins. Boyd Thomas) [Monsanto Chemical Co.]. Пат. США 2710850, 14.06.55

Термоактивные смолы получают нагреванием смеси 0,5—6 молей  $\text{CH}_2\text{O}$  или  $\text{CH}_3\text{COC}_2\text{H}_5$  с 1 молем соединения, полученного нагреванием спирт. р-ра 1 моля эфира циануксусной к-ты  $\text{NCCSH}_2\text{COOR}$  (R — алкил, арил, аракил или алкенил) с 1,25—2 молями гидразина. Я. К.

**27231 П.** Способ получения высокомолекулярных полиорганосилоксанов. Колль, Зимоне (Herstellung von hohermolekularen Organosiloxanverbindungen. Noll Walter, Simons Peter) [Farbenfabriken Bayer A.-G.]. Пат. ФРГ 873142, 9.04.53 [Chem. Zbl., 1953, 124, № 41, 6778 (нем.)]

Способ получения высокомолекулярных полиорганосилоксанов отличается тем, что низкомолекулярные алкил- или арилсилоксаны нагреваются под давлением их собственных паров при 300—450°, но ниже т-ры, при которой происходит разложение связи Si — C и отщепление органич. радикала. В указанных условиях происходит перегруппировка низкомолекулярных циклич. соединений с образованием высокомолекулярных продуктов. А. Ж.

**27232 П.** Кремнийорганические смолы, содержащие связанные с атомом кремния метильные и фенильные группы. Кларк (Silicone resins having phenyl and methyl groups attached to silicon. Clark Harold A.) [Dow Corning Corp.]. Пат. США 2706190, 12.04.55

Патентуется смола, имеющая ф-лу  $\text{R}_n\text{SiO}((4-n)/2)$ , где R —  $\text{CH}_3$  или  $\text{C}_6\text{H}_5$  и  $n = 1,25-1,40$ . В составе смолы находятся (в мол.%) следующие элементарные звенья: 15—37,5  $\text{CH}_3\text{SiO}_{1,5}$ , 20—38  $(\text{CH}_3)_2\text{SiO}$  или  $\text{C}_6\text{H}_5(\text{CH}_3)\text{SiO}_{1,5}$ , 25—45  $\text{C}_6\text{H}_5\text{SiO}_{1,5}$  и 2—15  $(\text{C}_6\text{H}_5)_2\text{SiO}$ . А. Ж.

**27233 П.** Отверждение полиорганосилоксановых смол, замещенных углеводородными радикалами. Матес (Curing of hydrocarbon-substituted polysiloxane resins. Mathes Kenneth N.) [Canadian General Electric Co., Ltd.]. Канад. пат. 500486, 9.03.54

Способ отверждения кремнийорганич. смол отличается тем, что смола, содержащая в среднем 1,3—1,8 органич. радикалов (напр.,  $\text{CH}_3$  или  $\text{C}_6\text{H}_5$ ), связанных с атомом Si, смешивается с 0,05—5 вес.% бензилтри-

метиламмонийбутоксидом и нагревается до перехода смолы в неплавкое нерастворимое состояние. А. Ж.

**27234 П.** Кремнийорганические композиции и способ их получения. Мак-Грегори, Уоррик (Organo-silicon compositions and methods of making them. McGregor Rob R., Warrick Earl L.) [Corning Glass Works]. Канад. пат. 501847, 27.04.54

Способ стабилизации полиорганосилоксанов, содержащих 1—2 углеводородных радикала у атома Si, состоит во введении в полимер (напр.  $[(\text{CH}_3)_2\text{SiO}]_n$ ) небольшого кол-ва моноэтаноламина. А. Ж.

**27235 П.** Удаление галогеноводородов из полиорганосилоксанов. Дойл (Removal of hydrogen halide from organo-substituted polysiloxanes. Doyle Charles D.) [Canadian General Electric Co., Ltd.]. Канад. пат. 500485, 9.03.54

Для удаления галогеноводородов конденсированный полиорганосилоксан, имеющий в качестве заместителя углеводородные радикалы у атома кремния, смешивается с третичным алифатич. спиртом, содержащим 4—6 атомов C, и смесь нагревается с последующим удалением образовавшегося третичного алкилгалогенида. Метод предлагается для обработки продуктов гидролиза метилхлорсиланов или смеси диметилдихлорсилана и фенилтрихлорсилана. В последнем случае полимер, содержащий 1—1,7 органич. радикала ( $\text{CH}_3$  и  $\text{C}_6\text{H}_5$ ) на каждый атом Si, обрабатывается по описанной методике 1—10 вес.% третичного бутилового спирта. Подобная же обработка применяется для повышения стабильности полимеров. Напр., конденсированный продукт гидролиза смеси (в мол.%) 20—50  $(\text{CH}_3)_2\text{SiCl}_2$ , 20—60  $\text{CH}_3\text{SiCl}_3$  и 10—40  $\text{C}_6\text{H}_5\text{SiCl}_3$  обрабатывается 2—7 вес.% третичного бутилового спирта и смесь нагревается до 180° в течение времени, достаточного для удаления образовавшегося *tert*- $\text{C}_4\text{H}_9\text{Cl}$ . А. Ж.

**27236 П.** Способ получения полисульфонамидов. Шлак (Verfahren zur Herstellung von Polysulfonamiden. Schlack Paul) [VEB Filmfabrik Agfa Wolfen]. Пат. ГДР 5378, 11.01.54

Патентуется способ получения полисульфонамидов путем поликонденсации эфиров метилendisulфокислоты (I) с первичными диаминами. Могут применяться также эфиры I и высокомолекулярных фенолов, напр. *n*-изододецилфенола. Напр., сначала проводят поликонденсацию диэтилового эфира шавелевой к-ты и тетраметилэтиленгликоль-бис-γ-аминопропилового эфира при нагревании в автоклаве, а затем к полученному полиамиду добавляют дифениловый эфир I и проводят дополнительную поликонденсацию под давлением при т-ре 165—175°. П. Ч.

**27237 П.** Способ получения линейных полимерных вторичных тиоамидов. Кофман, Гилман (Verfahren zur Herstellung von linearen, polymeren, sekundären Thioamiden. Coffman Donald Drake, Gilman Lucius). Пат. ГДР 5013, 13.09.54

Линейные полимерные вторичные тиоамиды получают р-цией  $\text{H}_2\text{S}$  с аминонитрилами, имеющими  $\text{NH}_2$ - и CN-группы, разделенные цепью, содержащей 5—6 атомов C. Р-ция проводится при 75—300° (или 100—200°) и давл.  $>17,5 \text{ кг/см}^2$  в течение 4—20 час. Напр., 28 ч. ω-аминокапринитрила  $\text{H}_2\text{N}(\text{CH}_2)_6\text{CN}$  смешивают с избытком жидкого  $\text{H}_2\text{S}$  в 22 ч. сухого толуола при т-ре от —70 до —80°. После введения всего аминонитрила и выделения белого, соеобразного в-ва, смесь помещают при комнатной т-ре в стальной автоклав и нагревают 12 час. при 150°. По охлаждению выпадает желтый продукт, который отделяется от толуола фильтрацией. Продукт размягчается при 65°, плавится при 110° и имеет эквивалентный вес 1900, определяемый титрованием *m*-крезолсульфокислотой в р-ре кре-

зола в присутствии м-крезолпурпура. Последующее нагревание в атмосфере  $H_2S$  в течение 1,5 часа при  $100-120^\circ$  и 1 час до  $180^\circ$  не изменяет свойств продукта. Полимер растворяется в горячем  $C_6H_5OH$ , этиленхлоргидрине, частично растворим в горячем диэтиленгликоле и циклогексаноне и нерастворим в гликоле, бутаноле, диоксане, циклогексаноле и  $\beta$ -этоксизетаноле. Полимер способен образовывать волокна. Ю. В.

**27238 П.** Полимерные четвертичные вольфраматы аммония. Форши, Керби (Polymeric quaternary ammonium polytungstates. Forshey William O., Jr, Kirby James E.), Пат. США 2680112, 1.06.54

Полимер, содержащий  $\geq 0,015\%$  вольфрама, представляет собой углеродную цепь, в которой имеются в качестве боковых заместителей группировки, содержащие четвертичные атомы N, связанные с анионами поливольфрамовых к-т. Валентности атома N, не связанные с основной углеродной цепью или с анионом к-ты, насыщены углеводородными радикалами, не содержащими алифатич. кратных связей. А. Ж.

**27239 П.** Способ формирования изделий из листов ацетата целлюлозы с высоким содержанием ацетильных групп. Фордайс, Симонсен (Method for forming high acetyl content cellulose acetate sheets into shaped articles. Fordyce Charles R., Simonsen David R.) [Eastman Kodak Co.]. Пат. США 2694227, 16.11.54

Метод формирования термопластичных листов из ацетата целлюлозы с содержанием 42,5—43,7% ацетильных групп и 15—30 ч. пластификатора на 100 ч. ацетата целлюлозы состоит в том, что лист нагревается без провисания на плоской поверхности до пластического состояния, после чего к листу прижимают сверху матрицу и под действием вакуума лист заполняет пустоты матрицы. Т. Ч.

**27240 П.** Изоляционный материал. Даксбёк, Хоузер (Isolierstoff. Daxböck Karl, Houser Karl) [Simens-Schuckert-Werke A.-G.]. Пат. ФРГ 876111, 11.05.53 [Chem. Zbl., 1954, 125, № 20, 4455 (нем.)]

Патентуется синтетич. пленка, эластичность которой может быть значительно повышена добавкой пластификатора, напр. пленка ацетобутирата целлюлозы, которая склеивается с креповой бумагой клеем на холоду медленно отверждающимся связующим. С. Ш.

**27241 П.** Растворители, желатинирующие вещества и пластификаторы (Lösungs, Gelatinierungs- und Weichmachungsmittel) [Deutsche Hydrierwerke A.-G.]. Пат. ФРГ 897013, 16.11.53 [Chem. Zbl., 1954, 125, № 17, 3811 (нем.)]

Патентуются р-рители и пластификаторы для поливиниловых соединений, эфиров целлюлозы и полиамидов, представляющие собой продукты этерификации карбоновых к-т или сульфокислот ароматич. оксисоединениями, замещенными двумя и более полностью гидрированными 5- или 6-членными циклич. углеводородными остатками, связанными между собой как в декагидронафталине. Для этой цели используются, напр., продукты этерификации лауриновой, алкоксисуксусной или гексагидротодулиновой к-т (или смесей жирных к-т — продуктов окисления парафинов, жирных к-т коксового масла, бензойной и нафтяновых к-т или бутансульфокислот), декагидронафтилфенолом, -хлорфенолом, -крезолем, -резорцином, -нафтолом и т. п. Я. К.

**27242 П.** Пластические композиции, содержащие дифениловые эфиры алифатических кислот. Хейвене (Plastic compositions comprising biphenyl esters of aliphatic acids. Havens C. B.) [Dow Chemical

Co.]. Англ. пат. 700847, 9.12.53 [Rubber Abstrs, 1954, 32, № 3, 410 (англ.)]

В качестве пластификаторов для поливинилхлорида и его сополимеров патентуются дифениловые эфиры нормальных алифатич. к-т с 10—18 атомами C, в частности 2-дифениловые эфиры лауриновой, каприновой, пальмитиновой и олеиновой к-т; они сообщают виниловым полимерам также и светостойкость. Я. К.

**27243 П.** Полимеры винилхлорида, пластифицированные 4-(алкилсульфонил)-морфолинами. Даззи (Vinyl chloride polymers plasticized with 4-(alkylsulfonyl)-morpholines. Dazzi Joachim.) [Montanto Chemical Co.]. Пат. США 2687389, 24.08.54

Композиция содержит поливинилхлорид, пластифицированный 4-(алкилсульфонил)-морфолином, содержащим 8—25 атомов C в алкильном радикале. М. Л.

**27244 П.** Пластическая композиция, содержащая поливинилгалогенид и фосфорсодержащий пластификатор. Джонстон (Plastic composition comprising a vinyl halide polymer and a phosphorus containing compound as a plasticizer therefor. Johnston Franklin) [Union Carbide and Carbon Corp.]. Пат. США 2668800, 9.02.54

Поливинилгалогенид содержит пластификатор ф-лы  $(RO)_2P(=O)C(Y)_2CH(Y)-L$ , где R — алкил, арил, аларкил, циклоалкил, алкенил, алкоксилалкил, арилоксилалкил, тетрагидрофурил или  $\beta$ -галондэтил. L имеет ф-лу —COOR', —CONH<sub>2</sub>, —CONHR, —CONR<sub>2</sub> или —CN, R' означает те же радикалы, что R, но не арил; Y — H, арил, алкил, или имеет те же значения, что и L, или означает группу —(CH<sub>2</sub>)<sub>n</sub>L, где n — целое число от 1 до 5. По крайней мере один Y является одной из двух последних групп. М. Л.

**27245 П.** Способ получения полимерных продуктов присоединения. Ильцман (Verfahren zur Herstellung von Polyadditionsprodukten. Uelzmann Heinz) [Badische Anilin- und Soda-Fabrik A.-G.]. Пат. ФРГ 903863, 11.02.54 [Chem. Zbl., 1954, 125, № 21, 4735 (нем.)]

Полимерные продукты присоединения получают преимущественно в присутствии основных катализаторов нагреванием диацетилпроизводных диаминов или гликолей, которые одновременно содержат в молекуле не менее одной активированной двойной связи и не менее одной активированной метильной группы. Исходные материалы могут быть непосредственно превращены в полимерные продукты присоединения без выделения промежуточных компонентов. Напр., N-(2,4-дихлорфеноксиацетил)-N'-кротонилгексаметилендиамин нагревается при  $\sim 160^\circ$  в присутствии метилата Na. Получаемые продукты применяются как пластификаторы. С. Ш.

**27246 П.** Прессматериалы с малым содержанием смолы. Нейхаус (Harzarme Kunstharzpreßmasse. Neuhäus Anton) [Allgemeine Elektrizitäts-Ges.]. Пат. ФРГ 906996, 18.03.54 [Chem. Zbl., 1954, 125, № 31, 7066 (нем.)]

Для получения прессуемых материалов с малым содержанием смолы (20—25%) в композицию добавляется нефтяной пек (5%) при органич. наполнителе и 4% при неорганич. наполнителе. Напр., композиция состоит (в %) из 25 фенолальдегидной смолы, 70 древесной муки и 5 пека. Б. К.

**27247 П.** Способ получения масс для прессования и литья под давлением. Братринг (Verfahren und Vorrichtung zur Herstellung von Preß- und Spritzgußmassen. Bratring Kurt.) Пат. ФРГ 883639, 20.07.53, 898680, 3.12.53 [Chem. Zbl., 1954, 125, № 24, 5412 (нем.)]



Нерастворимые в воде простые и сложные эфиры целлюлозы, хлоркаучук, полиакрилаты, поливинилхлорид, полистирол или аммоноласты в тонкоизмельченном состоянии перемешиваются в горячем водн. р-ре или эмульсии малолетучего пластификатора в отсутствие легколетучего р-рителя до самопроизвольного охлаждения смеси. При необходимости, в смесь может быть введен парафин. По пат. 898680 описанный способ применяется для переработки отходов пленок ацетилцеллюлозы или целлулоида, или пластифицированных отходов полистирола, поливинилхлорида, полиметакрилатов или хлоркаучука. Нагревание может проводиться при т-ре кипения, в отсутствие диспергаторов.

**27248 П.** Получение пластических масс. **Кристанман, Бер** (Verfahren zur Herstellung plastischer Massen. *Christmann Fritz, Bähr Hans*) [Badische Anilin- und Soda-Fabrik A.-G.]. Пат. ФРГ 911912, 20.05.54 [Chem. Zbl., 1954, 126, № 2, 469 (нем.).]

Нагревают до высокой т-ры галлоидопродовольные парафиновых углеводородов (имеющие 6 или более атомов С и способные растворять или вызывать набухание полигаллоидоуглеводородов) или их смеси с циклич. углеводородами с таким же или меньшим кол-вом одного или нескольких продуктов полимеризации ненасыщ. алифатич. галогенированных углеводородов. Напр., фракция легкого масла из германской нефти, кипящая между 200—280°, хлорируется до содержания Cl 50% и нагревается в тонком слое 1 час при 130° с 25% поливинилхлорида с характеристич. вязкостью 77. В композицию могут добавляться душистые в-ва, смолы, наполнители, пластификаторы, антиоксиданты, катализаторы полимеризации, напр., S, галонидные соединения металлов, BF<sub>3</sub>, полимеризующиеся соединения, напр., бутадиев, стирол, эфиры и нитрил акриловой к-ты, их смеси и р-рители.

**27249 П.** Термопластичная композиция с высокой ударной прочностью, содержащая поливинилацетальную смолу и бутадиевый эластомер. **Фиск** (High impact strength thermoplastic composition containing polyvinyl acetal resin and butadiene elastomer. *Fisk Charles F.*) [United States Rubber Co.]. Пат. США 2684352, 20.07.54

Твердая, жесткая, прочная, термопластичная смола, имеющая сопротивление удару  $\geq 0,552$  кГм и модуль упругости  $\geq 7000$  кГ/см<sup>2</sup>, состоит из неластифицированной смеси 95—70 ч. поливинилацетальной смолы, содержащей  $\leq 25$  мол.% остаточного поливинилацетата и поливинилового спирта и 5—30 ч. каучукоподобного сополимера, полученного не менее, чем из 25 вес.% бутадиев и другого ненасыщ. мономера, напр., акрилонитрила, низших алкилакрилатов, или алкилметакрилатов, стирола или 2-метил-5-винилпиридина.

**27250 П.** Процесс получения пластических веществ и формовочных композиций и получаемые при этом продукты. **Фуллер, Уолтон** (Process of preparing plastic substances and mold compositions and products thereof. *Fuller James M., Walton Thomas H.*) [Masonite Corp.]. Пат. США 2676108, 20.04.54

Процесс получения литейных сердечников состоит в том, что песок смешивается со связующим и водой, смесь прессуется в форме, имеющей конфигурацию требуемого готового изделия, и модель нагревается при т-ре и в течение времени, достаточных для сообщения связующему механич. прочности и нерастворимости в воде. Связующее состоит из: поликарбоневой к-ты (или ее ангидрида), содержащей С, Н и О, и водорастворимого продукта р-ции, содержащего 60—80% пентозанов и гексозанов, полученного при гидролизе лигноцеллюлозного материала при повышенной т-ре и дав-

лении в присутствии влаги. Приводятся кривые прочности на сжатие влажной композиции в зависимости от времени прогрева и содержания в ней малеинового ангидрида.

**27251 П.** Способ изготовления пластины из пластмассы. **Бер** (Verfahren zur Herstellung von Kunststoffplatten. *Bähr Johann*). Пат. ФРГ 897009, 16.11.53 [Chem. Zbl., 1954, 125, № 17, 3818 (нем.).]

Доп. к пат. ФРГ 829059. Способ изготовления пластины отличается тем, что соотношение между винильными смолами и волокнистыми материалами или другими наполнителями в отдельных слоях различно, причем смесь, в особенности для нижнего слоя, изготавливается таким путем, что вначале пластик, волокнистый наполнитель и клеящее в-во смешиваются на вальцах или в мешателе, причем получаемая смесь содержит большее кол-во пластика. Полученный продукт, желательно после его измельчения, смешивается при нагревании или на холоду со следующими порциями наполнителей, прессуется при повышенной т-ре и накладывается на слой, богатый пластиком.

**27252 П.** Изготовление строительных деталей. **Гриффит, Робин** (Verfahren zur Herstellung von Bauteilen. *Griffiths Leslie Herbert, Robin Peter Hutchinson*) [Semtex Ltd.]. Пат. ФРГ 883345, 16.07.53 [Chem. Zbl., 1954, 125, № 39, 8915—8916 (нем.).]

Фенолформальдегидную смолу, отверждающуюся при нагревании, растворяют в высыхающем или полувсыхающем масле, добавляют 5—6-кратное вес. кол-во измельченного волокнистого материала (сосновые опилки, пробка) и сиккатива (резинат, олеинат или нафтенат металла, перекись бензоила, щавелевую или борную к-ту) и формуют смесь при 200° под давлением. Применяют, напр., смесь из 80% волокнистого материала, 10% масла и около 5% смолы. При этом получают гибкие строительные детали, преимущественно плитки для полов.

**27253 П.** Способ получения композиций для покрытий слоистых и прессованных изделий (Fremgangsmade til fremstilling af en harpikksagtig blandning egnet til fremstilling af overtræk, laminater og formede produkter) [American Cyanamid Co.]. Пат. дат. 77531, 10.05.54

Для получения композиции смешивают 75—95 вес. ч. продукта конденсации аминов с формальдегидом с 5—25 вес. ч. модифицированной алкидной смолы и к смеси добавляют 25—60 вес.% пигмента. В качестве аммоноформальдегидных смол применяют продукты конденсации мочевины, мелама, гуанидина, дициандиамина, гуанилмочевины или гуанилмеламина с формальдегидом. Алкидные смолы модифицированы жирными маслами или жирными к-тами с ненасыщ. углеродной цепью или с насыщ. цепью, содержащей не более 14 атомов С, и имеют жирность 75—150, преимущественно 80—125. Под жирностью алкидной смолы понимается кол-во весовых частей масла или жирной к-ты, приходящееся на 1 моль многоосновных кислотных компонентов смолы. Напр., готовят в шаровой мельнице однородную смесь (в вес. ч.) 140 70%-ного р-ра алкидной смолы в изопропанол, 300 TiO<sub>2</sub>, 280 меланиформальдегидной смолы, 242 20%-ного этанола и 38 2 н. NaOH. Смесь покрывают бумагу, сушат при 90° и прессуют в течение 20 мин. при 140° под давл. 75 кГ/см<sup>2</sup>. Полученный слоистый материал устойчив к действию пара и выдерживает нагревание при 100° в течение месяца; поверхность материала не изменяется после 16 час. действия этанола, олеиновой к-ты, 5%-ного р-ра NaOH, 50%-ной CH<sub>3</sub>COOH или 50%-ной молочной к-ты. Алкидная смола для указанной композиции была получена (в ч.) из 120 касторового масла, 145 фталевого ангидрида, 85 глицерина и 3 фумаровой к-ты.

Для модификации можно применять и другие масла (напр., льняное, кокосовое) или жирные к-ты (каприновую, каприловую, миристиновую, линолевую, олеиновую). Алкидные смолы имеют кислотное число 30—70.

**27254 П.** Композиция для слоистых листовых материалов (Compositions for use in laminated sheet materials) [Standard Oil Development Co.]. Англ. пат. 715740, 22.09.54 [Paint, Oil and Colour J., 1954, 126, № 2930, 1371 (англ.)]

При добавлении 1—3 вес.% смазочного мазута из нафтовой нефти к отходам асфальта, битума, пека, дегтя или воска и при смешивании с подобными же кол-вами сополимера изобутилена и стирола получают улучшенные связующие. Эти связующие с замедленной диффузией внутрь листа пригодны для изготовления слоистого материала путем приклейки бумаги или картона к пластикам, бумаге, металлу, фольге или ткани. Б. К.

**27255 П.** Конвейерные ленты из слоев ткани, имеющих покрытие из поливинилхлорида (Polyvinyl chloride-coated laminated fabric conveyor belting) [Barrow Hepburn and Gale, Ltd.]. Англ. пат. 721485, 5.01.55 [Rubber Abstrs, 1955, 33, № 4, 155 (англ.)]

Слоистый прочный материал из ткани, слою которого предварительно соединены лентой поливинилхлорида, пропускается через насту, состоящую из полимера и пластификатора. Покрывая ткань затем пропускается через оправку, имеющую поперечное сечение несколько больших размеров, чем упрочняющая ткань, и снабженную ребрами или штифтами для центрирования ткани в оправке. При нагревании пластик желатинизируется, материал становится монолитным и приобретает необходимые физ. свойства. Б. К.

**27256 П.** Пленки для букв. Дуглас, Палмкунет, Гров (Lettering film. Douglas Donald J., Palmquist Philip V., Grove Jerome D.) [Minnesota Mining and Manufacturing Co.]. Пат. США 2647848, 2647849, 4.08.53

Сложная структура, применяемая в произ-ве букв, состоит из тонкой, эластичной пленки, образующей букву, временно находящейся на подложке — листе. Эта пленка состоит из декоративного атмосферостойкого материала толщиной  $\geq 0,025$  мм на основе неокрашиваемого полимера (полиметакрилата, поливинилхлорида, термоотвержденных смесей из алкидных и аминокальдегидных смол) или (в соответствии с пат. 2647849) из окрашиваемого полимера (лаков на основе высыхающих масел, целлюлозы или алкидных смол воздушной сушки). На декоративный слой с одной стороны нанесен по всей поверхности нелипкий, в нормальных условиях водостойкий, активируемый при нагревании и действии р-рителя клеевой слой на основе смеси каучукоподобных полимеров, фенолформальдегидных смол и придающих липкость термопластичных смол. К другой поверхности декоративной пленки временно приклеена подложка, которая снимается с нее в сухом состоянии и изготовлена из отвержденной пластифицированной аминокальдегидной смолы, полиэтилена, полимеров на основе производных целлюлозы или полиметакрилата. Элементы структуры подобраны таким образом, чтобы адгезия декоративной пленки к соседней поверхности подложки при  $\sim 20^\circ$  была больше, чем адгезия клеевого слоя к противоположной поверхности подложки. Отдельные элементы структуры собираются в пакеты для хранения и обработки с целью получения нужной формы. Б. К.

**27257 П.** Способ формирования пористого тела из термопластичных масс. Штейнер (Procédé de fabrication d'un corps moulé poreux à partir de matières thermoplastiques, Steiner M.), Франц. пат. 1073633, 28.09.54 [Chimie et industrie, 1955, 73, № 5, 966 (франц.)]

Частицы или зерна смолы обволакивают пленкой соответствующего пластификатора путем смешения на холоду, и массу нагревают в герметически закрытой форме при надлежащей т-ре, предпочтительно близкой к т-ре желатинизации массы. Я. К.

**27258 П.** Способ получения катализаторов. Лаут (Verfahren zur Herstellung von Katalysatoren. Lauth Helmuth) [Farbenfabriken Bayer A.-G.]. Пат. ФРГ 895647, 5.11.53 [Chem. Zbl., 1954, 125, № 6, 1369 (нем.)]

Твердые органич. нерастворимые к-ты или основания, особенно на основе искусств. смол, применяемые в крупногранулированном виде в качестве катализаторов, получают в виде гранул диам.  $\sim 0,05$ — $0,5$  мм при проведении конденсации в присутствии соответствующих готовых монообменных смол. Процесс может проводиться непосредственно с получением частиц заданной формы или же с получением геля и последующим его измельчением до желаемой величины частиц. Напр., к р-ру солянокислых солей м-фенилендиамина и полиэтилendiамина прибавляются измельченные продукты конденсации м-фенилендиамина, полиэтилendiамина, анилина,  $\text{CH}_2\text{O}$  и  $\text{HCl}$ , и полученная смесь обрабатывается  $\text{CH}_2\text{O}$ . М. А.

**27259 П.** Термоактивный цемент для оптических устройств, оптическая конструкция и метод ее изготовления. Лугерт (Thermosetting optical cement, optical element, and method of making optical elements. Lugert John J.) [Eastman Kodak Co.]. Пат. США 2678586, 18.05.54

Способ изготовления оптических конструкций отличается тем, что соединение, по крайней мере, двух оптических элементов осуществляется с помощью цемента, содержащего диаллилловый эфир фенилфосфиновой к-ты, хлорированный дифенил и катализатор полимеризации. Собранная конструкция нагревается для полимеризации цемента сначала при  $\sim 70^\circ$  в течение 1,5—3 час., а затем до  $40$  час. при  $71$ — $93^\circ$ . А. Ж.

**27260 П.** Заготовка для печатания ярлычков, приобретающих клейкость при нагревании. Кенневей (Heat-sealable label stock. Kennaway Harold J., Jr) [McLaurin-Jones Co.]. Пат. США 2633432, 31.03.53

Заготовка представляет собой лист, на оборотной стороне которого нанесены отдельные слои (в обычном состоянии твердые и нелипкие) термопластичной смолы и пластификатора. При нагревании смола и пластификатор размягчаются и смешиваются, образуя липкое покрытие, которое сохраняет клейкость на некоторое время после остывания, но потом вновь становится твердым и нелипким. Ж. К.

**27261 П.** Процесс изготовления конденсаторов. Фостер (Process for making capacitor. Foster Levin W.) [United States of America as represented by the Secretary of the Navy]. Пат. США 2676124, 20.04.54

Для произ-ва сухих конденсаторов заготовка, состоящая из проводящих пластин и расположенного между ними способного протыпываться диэлектрика, нагревается, сушится, и основная часть содержащихся в конденсаторе газов вакуумируется. Конденсатор погружается в пропитывающую дегазированную жидкость, состоящую из 5%-ного р-ра поливинилкарбазола в трихлорэтилене, и сушится для испарения трихлорэтилена. С. Ш.

**27262 П.** Конденсатор с поливиниловым диэлектриком. Шнидерман (Kondensator mit Polyvinyl-Dielektrikum. Schniedermann Josef) [Siemens und Halske A.-G.]. Пат. ФРГ 894137, 22.10.53 [Chem. Zbl., 1954, 125, № 31, 7027 (нем.)]

Конденсаторы с поливиниловым диэлектриком отличаются тем, что для обеспечения их влагонепроницае-

мости торцевые края диэлектрика обрабатываются р-рителем (напр., ацетоном, ксилолом, толуолом, бензолом, хлорированными углеводородами), р-рами винильных соединений, р-ром полистирола в стироле или простым поливиниловым эфиром. После испарения р-рителя или после полимеризации пластика торцевые края диэлектрика соединяются между собой и с корпусом конденсатора в единую монолитную массу. С. Ш.

См. также: 25320, 25850, 25852, 25866, 25874, 25875, 25884, 25891, 25892, 25897, 27264, 27268, 27269, 27809—27311, 27314, 27849

## ЛАКИ. КРАСКИ. ЭМАЛИ. ОЛИФЫ. СИККАТИВЫ

27263. Успехи мировой и югославской лакокрасочной промышленности. Смольчич-Зердик (Razvoj i napredak industrije lakova i boja u svijetu i kod nas. Smolčić-Zervik Zora), Kemija u industriji, 1954, 3, № 12, С-30—С-34 (хорв.)

Приведен обзор основных направлений развития мировой лакокрасочной пром-сти за последние 40 лет. Отмечены успехи ФНРЮ в области лаков и красок: построено 8 новых лакокрасочных заводов; на заде «Хромос» широко развернуты исследовательские работы по искусст. смолам и организовано произ-во фенольных смол для пластмасс и модифицированных фенольных смол для лаков, а также лаковых алкидных смол. Лакокрасочные проблемы разрабатываются также на заводах «Дуга» в Белграде, «Колор» и «Геллос» в Словении. Л. П.

27264. Синтетические смолы. — (Synthetic resins. —), Paint Manufact., 1955, 25, № 1, 30—31, 35 (англ.). Обзор. Библ. 40 назв. М. В.

27265. Органические покрытия. Хебермелль (Organische Verfahren der Oberflächenbehandlung. Hebermehl Reinhard), Techn. Mitt., 1955, 48, № 1, 16—22 (нем.)

Описаны пленкообразующие в-ва, высыхающие при тем. взаимодействии компонентов в период формирования пленки: полиуретаны, образующиеся при взаимодействии полиизоцианатов с полигидроксилсодержащими соединениями и отличающиеся высокой водостойкостью, стойкостью к жирам, ароматич. и алифатич. жирным к-там, керосину и целому ряду других химикатов (отмечается физиологич. действие полиизоцианатов на кожу и бронхи); эпоксидные смолы (продукты конденсации эпихлоргидрина и диоксидифенилпропана), применяющиеся в покрытиях, часто в комбинациях с фенольными и мочевиными смолами, в виде эфиров с жирными к-тами, или в смеси с диаминными (покрытия отличаются хорошими механич. свойствами и стойкостью к к-там); силиконовые (кремнийорганические) смолы применяются в лаках горячей сушки (при 200—300°) для термостойких покрытий. Добавлением катализаторов Pb-, Zn- или Со-нафтенатов можно понизить т-ру сушки до 160—180°, силиконовые покрытия выдерживают длительное воздействие т-ры 180—200° без изменения; хлоркаучуковые лаки применяются в комбинации с неомыляемыми пластификаторами и смолами, в качестве антикоррозийных, щелоче-, кислото- и водостойких покрытий. Комбинации хлоркаучука с высыхающими маслами и алкидными смолами применяются в качестве газонепроницаемых покрытий. Н. А.

27266. Алкидные лаки без запаха. Янг (The development story of an odourless alkyd product. Young T. J.), Canad. Chem. Process., 1955, 39, № 1, 88—90 (англ.)

Разработаны матовые, полублестящие и блестящие

краски для внутренних покрытий на основе новых алкидных продуктов с нефтяным р-рителем без запаха. Составы не указаны. Б. Б.

27267. Электроизоляционные покрытия из синтетических смол. Мацусима (絶縁ワニス 松島喜), プラスチックス, Пурасутяккусу, Japan Plastics, 1955, 6, № 1, 17—23 (япон.)

Рассматриваются электроизоляционные покрытия, приготовленные из фенолформальдегидных, алкидных, аминных, эпоксидных и кремнийорганич. смол. Приведены таблицы, характеризующие физ. и другие свойства изоляционных покрытий, изготовл. из этих смол. В. И.

27268. Циклогексанон-формальдегидные лаковые смолы. Благоправова А. А., Левкович Г. А., Смылга Х. В., Хим. пром-сть, 1953, № 5, 23—24

Процесс поликонденсации циклогексанона с формальдегидом проводится в щел. среде. При избытке формальдегида образуются водорастворимые, а при избытке циклогексанона — водонерастворимые смолы. Приводятся результаты эксперим. исследования 2-го варианта, ведущего к получению наиболее приемлемых для лаков водонерастворимых смол. Конденсация циклогексанона (с содержанием 98,5% кетона) и 15%-ного водн. р-ра формальдегида велась в водн. среде при 90°—95°, с катализатором NaOH. Изучено влияние на ход процесса и характер образующихся продуктов кол-ва катализатора, продолжительность процесса и соотношения реагирующих компонентов. Синтезированные смолы характеризовались по трем плавениям, гидроксильному числу, водостойкости и растворимости в смеси спирта с бутилацетатом. Водостойкость продуктов конденсации с увеличением кол-ва щелочи резко повышается. Полученные при миним. кол-ве щелочи (2,5%) смолы дают легко растрескивающиеся со временем пленки. Смолы извлекаются из продукта конденсации экстракцией его смесью ксилола с бутиловым спиртом, промывкой и отгонкой р-рителей. Циклогексанон-формальдегидные смолы — прозрачные золотистые продукты с т. пл. 90—100°, растворимые в дихлорэтаноле, кетолах, скипидаре, сложных эфирах и т. п., хорошо совместимые с эфирами целлюлозы, полиэфирными, мочевино-формальдегидными смолами. Введение этих смол в лаки ускоряет высыхание и придает покрытиям высокую твердость, блеск, способность к полировке. И. Ф.

27269. Фенольные смолы. Каппелмейер (Some details of oilreactive phenolic resins. Kappeleimeier C. P. A.), Paint. Oil and Colour J., 1955, 127, № 2937, 260—262 (англ.)

Краткий обзор различных типов фенолформальдегидных смол. Б. Б.

27270. Промышленное применение покрытий на основе фенольных смол. Уэллс (Industrial maintenance coatings based on phenolic resins. Wells George A.), Amer. Paint. J., 1955, 39, № 39, 70, 72, 74—75, 78, 80, 82, 84, 86 (англ.)

Приведены краткие сведения о фенольных смолах разных типов и свойствах покрытий из них. М. В.

27271. Эпоксидные смолы. Хоппер (Epoxy resins. Hopper T. R.), Paint and Varnish Prod., 1954, 44, № 11, 52—53, 118 (англ.)

Общие сведения об эпоксидных смолах, применении их в комбинации с мочевиными или фенольными смолами в виде эфиров жирных к-т и с добавкой полиаминов в качестве отвердителей. Т. Ф.

27272. Высокоглянцевые и полирующие нитролаки. Мютлейн (Hochglänzende und polierbare Nitrolacke. Muthlein Erich), Farbe und Lack, 1955, 61, № 2, 67—68 (нем.)

Указаны недостатки обычных методов повышения глянца и способности нитролаков полироваться путем



добавок смол и пластификаторов. Рекомендуется более радикальный способ улучшения этих свойств путем блокирования ОН-групп нитроцеллюлозы. Блокировку производит добавкой в-в (растворимых в органич. р-рителях и в воде), молекулы которых содержат, наряду с гидрофобными цепочками главной валентности, некоторое кол-во гидрофильных групп. Эти добавки в лаке ориентируются таким образом, что гидрофильные группы направлены к ненитрованным ОН-группам нитроцеллюлозы. Тем самым эти группы, обычно снижающие глянec, блокируются, и пленки приобретают повышенные свойства по глянцу и полируемости. В качестве добавок (до 40% от нитроцеллюлозы) рекомендуются главным образом поливиниловые эфиры высших спиртов или капролактамы. Рассматриваются также комбинации указанных в-в со смолами и пластификаторами. Н. А.

**27273.** Синтетические пропиточные лаки и лак для эмалированной проволоки. Мадьяр (Szentelisk itató- és zománchuzallakkok. Magyar L a u r a H.), Elektrotechnika, 1955, 48, № 3, 99—100 (венг.)

**27274.** Влияние соли, пигментов и консервирующих средств на стойкость казеиновых клеев и кроющих красок. Лисс (Vliv soli, pigmentů a konservovadel na stálost pojidel a kaseinových krycích barev. Liss Zdeněk), Kožářství, 1955, 5, № 4, 65—66 (чеш.)

Установлено, что тенденция к коагуляции казеиновых клеев и красок повышается с их разбавлением, а в казеиновых красках—с увеличением содержания растворимых солей, являющихся примесями к пигментам. Для обеспечения достаточной стабильности казеиновых клеев с конц-ией в 20% необходимо добавлять 2% (к весу р-ра) антикоагулянта [л-хлорметакрезол (I)], при их конц-ии в 10—3,5% I. Для казеиновых красок дозировка I должна быть 2,5% для цветов красного, черного, синего, 1,5% для цветов желтого и оранжевого—хромовых и 1% для цветов белого, коричневого. Содержание водорастворимых в-в в пигментах, применяемых для казеиновых кроющих красок, не должно превышать 0,5%. Л. П.

**27275.** Современные краски. Обзор патентов.— (Modern colour. A review of recent discoveries and improvements in colours for coatings.—), Paint Technol., 1955, 19, № 212, 173—176 (англ.)

**27276.** Классификация пигментов по Оствальду в соответствии с трехкомпонентной теорией Юнга-Гельмгольца. Хёль (Die Ostwaldsche Systematik der Pigmentfarben in ihrem Verhältnis zur Young-Helmholtz'schen Dreikomponenten-Theorie (Schluß). H ö n l H e l m u t), Naturwissenschaften, 1954, 41, № 22, 520—524 (нем.)

Начало см. РЖХим, 1956, 11266.

**27277.** Вопросы производства типографских красок. Пермут (Color forum. Permut Aaron), Amer. Ink Maker, 1954, 32, № 12, 39, 69 (англ.)

Кратко обсуждаются вопросы влияния производственных условий на качество получаемых пигментов. Б. Ш.

**27278.** Титановые пигменты. Робсон (Titanium pigments. Robson L. W.), Paint Manufact., 1955, 25, № 1, 25, 36 (англ.)

Краткий обзор вопросов применения пигментной TiO<sub>2</sub>. Б. Ш.

**27279.** Титанат свинца. Ваххольц (Titanate de plomb. Wachholtz F.-H.-W.), Chim. peintures, 1953, 16, № 4, 146—148 (франц.)

Обзор способов получения титаната свинца, его хим. и физ. свойства и характеристика его в качестве пигмента для красок и эмалей. Библ. 20 назв. Б. А.

**27280.** О производстве некоторых минеральных пигментов. Вальтер (Über die Herstellung einiger

anorganischer Pigmente. Walter R.), Dtsch. Farben-Z., 1955, 9, № 4, 131—134 (нем.)

Краткая историческая справка о развитии произ-ва искусств. красителей и минер. пигментов: милори синей (железная лазурь), желтого и зеленого кронов, цинкового крона (цинковая желтая). Произ-во милори разных сортов, применение железистосинеродистого натрия вместо К-соли; получение небрызгающей милори путем произ-ва масляной краски непосредственно из водн. пасты (при этом нужно избегать высокой т-ры и сильно кислой среды). Описаны красочные свойства и условия получения Рb-кронов различных оттенков. При получении Zn-крона большое влияние на качество пигмента оказывает процесс диспергирования ZnO в воде, который следует проводить в шаровой мельнице. Приведены рекомендуемые рецелтуры получения пигментов и методы анализа. Б. Ш.

**27281.** Глауконит — зеленый пигмент, заменитель окиси хрома. Ландра Э. К., Пардане О. Ю., Поликарпов Н. К., Ритео А. Э., Хим. пром-сть, 1953, № 3, 19—21

В качестве заменителя дорогой окиси хрома и нестойких зеленых пигментов — цинковой и свинцовой зелени — предлагается глауконит, который получают из глауколитовых песков, распространенных по северному побережью Эст. ССР. Технологич. процесс получения глауколитового пигмента состоит в грубом измельчении минерала и последующем обогащении на магнитном сепараторе индукционно-роликового типа. Затем обогащенный минерал подвергается тонкому помолу в конической шаровой мельнице с воздушным сепаратором. Полученный пигмент можно применять в клеевых и известковых красках и частично в масляных матовых зелено-голубоватых красках. Пигмент устойчив к свету и может употребляться при окраске фасадов и внутренней отделке помещений. Н. П.

**27282.** Модификации пигментов. Прайт (Pigment modifications. Pratt Lyde S.), Amer. Ink Maker, 1954, 32, № 12, 30—32, 67, 69 (англ.)

Описано применение спец. пигментов для набивки ткани и крашения, новых типов типографских красок, пигментов для окраски пластмасс, флуоресцирующих составов, модифицированных фталоцианиновых пигментов, азо-металлодержащих пигментов. Б. Ш.

**27283.** Достижение в области защитных красок. Аббен (Progress in protective paints. U b b e n R. T.), Safety Maintain. and Prod., 1955, 109, № 1, 16, 17—19, 20 (англ.)

**27284.** Защита цинксодержащими красками. Гребинар (Zinc-rich compounds give cathodic protection. Grebinar H. L.), Steel, 1954, 134, № 13, 113—114 (англ.)

Описание краски на основе виниловой смолы, в качестве связующего, и порошкообразного Zn в кол-ве 96% от веса сухой краски. Такая краска может быть нанесена кистью, распылением или окунанием. Краска выдержала ряд коррозионных испытаний. Zn должен быть чистым и полностью свободным от следов Рb. Нанесенное покрытие применяется для защиты от действия разб. к-т, их паров, р-ров, неорганич. солей, морской и пресной воды, морской и влажной атмосферы. Цвет покрытия тусклый, матово-серый. Оно выдерживает т-ру до 177° и имеет хорошую адгезию, улучшающуюся со временем. Б. Ш.

**27285.** Пленкообразователи на основе полувискозных масел. Иванова А. А., Ж. прикл. химии, 1955, 28, № 7, 718—728

Превращение хлопкового масла из полувискозного в высыхающее путем гидроксидирования и последующей дегидратации основано на теоретич. предположении об образовании гидроксильных групп в радикалах олеиновой и пальмитиновой к-т при окисле-

нии триглицеридов и отщеплении элементов воды при их дегидратации с образованием неопределенных связей. Рекомендовано проводить гидроксильное окисление хлопкового масла кислородом воздуха при 120°, в присутствии окислов Pb, Mn и Ca, с последующим отщеплением гидроксильных групп при 275—280° в присутствии окислов  $Al_2O_3$  и ZnO. Изучалось окисление хлопкового масла без катализаторов при 100—110°, 140—150°, 150—160° в течение 5 час., а также в присутствии катализаторов. Катализаторами окисления служили уксуснокислые и сернокислые соли различных металлов, а также их окислы. Было найдено, что оптимальными условиями для хлопкового масла является окислитель в присутствии 7,5% пентаэритрита вместе со свинцовомарганцевым резинатом (5%) и эфиром гарпнуса (2,5%) с последующей дегидратацией в присутствии  $NaHSO_4$  в течение 4—5 час. до вязкости 4—5 мпн. по воронке Ниплика. Пленка олифы на основе препаративного хлопкового масла близка по основным показателям к пленке льняного масла. Краски, изготовленные на этой олифе, не уступают по атмосферостойкости краскам на льняной олифе. Проверка метода гидроксильного окисления и дегидратации в применении к подсолнечному маслу также дала положительные результаты. Олифы, изготовленные на препаративном подсолнечном масле, обнаружили высокую скорость высыхания, твердость и низкую водопоглощаемость пленок.

**М. В. 27286. Повышение иодных чисел полувывесывающих и высыхающих масел путем их перестерификации. Ригамонти, Карилло** (Aumento del numero di iodio di oli semiseccativie siccative mediante interesterificazione. *Rigamonti Rolando, Carillo Lidia*), *Olearia*, 1955, 9, № 1—2, 5—12 (итал.; резюме франц., англ., нем.). Для повышения иодного числа (ИЧ) и, следовательно, высыхающей способности масла виноградных косточек и льняного масла применялся метод перестерификации при низких температурах с одновременной кристаллизацией насыщенных триглицеридов. Показано, что в качестве катализатора можно применять не только метилат натрия, но и спирт. или водн. р-р NaOH. Спустя примерно 10 час., р-ция перестерификации замедляется вследствие равновесного распределения жирных к-т в молекулах триглицеридов. Наилучшие результаты получены после трехдневного хранения масла при прогрессивно снижающейся температуре и при ежедневном добавлении небольшого кол-ва катализатора. Этим путем достигнуто повышение ИЧ масла виноградных косточек от 138 до 150 и ИЧ льняного масла от 168 до 184, а продолжительность высыхания снизилась на 15—18%.

**Г. Ф. 27287. Современные методы облагораживания высыхающих масел. Микусш** (Moderne Verfahren zur Veredlung trocknender Öle. *Mikusch J. D. von*), *Seifen-Öle-Fette-Wachse*, 1953, 79, № 24, 617—619 (нем.).

Описывается фракционирование жирных к-т методом комплексообразования с мочевиной. Выделенные менаасы. к-ты этерифицируют глицерином. Полученный продукт высыхает быстрее, чем льняное масло, и отличается большей водостойкостью. Возможен еще путь так называемой «направленной перестерификации». Этот процесс проходит с участием натрийметилата в качестве катализатора при нормальной и низких температурах, при которых триглицериды жирных к-т выпадают из смеси в осадок, что является причиной сдвига равновесия в сторону образования тристеарила и других высокоплавких триглицеридов. Процесс идет до полного удаления твердых жирных к-т. Ускорение высыхания достигается также удалением из высыхающих масел естественных антиоксидантов методом хроматографии или путем варки масел с уксусным ан-

гидридом. Приводится пример изомеризации льняного масла и его характеристика. Кол-во жирных к-т с сопряженными связями достигает 60% от общего кол-ва жирных к-т. При высыхании изомеризованного масла максимум увеличения веса достигается раньше и лежит ниже, чем у обычного масла. После достижения максимума кривая не идет вниз, а принимает характер горизонтальной.

**И. Э. 27288. Дискуссия о механизме действия катализаторов высыхания. Лундберг, Гринауолд, Скофилд, Фитцджералд** (Panel discussion on mechanism of drier action. *Lundberg W. O., Greenawald F. M., Scofield Francis, Fitzgerald E. B.*), *Industr. and Engng Chem.*, 1954, 46, № 3, 570—572 (англ.).

Краткое содержание дискуссии по механизму действия сиккативов (РЖХим, 1956, 14490). В результате дискуссии сделан вывод, что для объяснения механизма действия катализаторов нужна гипотеза, учитывающая всю совокупность протекающих процессов, а также различное действие отдельных металлов.

**М. В. 27289. Пластификаторы для эфирноцеллюлозных лаков. Гейленкирхен** (Weichmacher und Weichharze für Celluloseesterlacke. *Geilenkirsch W.*), *Dtsch. Farben-Z.*, 1953, 7, № 10, 383—386 (нем.).

Водо- и атмосферостойкость нитролаков значительно улучшаются введением алкидных смол на высыхающих маслах, но при этом ухудшается розлив. Наилучшие результаты были получены при применении смесей алкидных смол на высыхающих и невысыхающих, и полувывесывающих маслах, в соотношении 2:1, 3:1 и 4:1, в зависимости от природы модифицирующего масла. Интрамолекулярная пластификация эфиром целлюлозы может быть достигнута путем варьирования этерифицирующих к-т. Приведены данные по прочности на разрыв и по удлинению для пленок различных эфиром целлюлоз: ацетата, пропионата, бутирата, валерата, капроната, педаргоната, лаурата, стеарата и нафтената и их смесей. Наибольшее распространение получили ацетат и ацетобутират целлюлозы, превосходящие нитроцеллюлозу по светопрозрачности, глянцу, термостойкости и стойкости к жирам, маслам и жирным углеводородам и отличающиеся от нее меньшей горючестью. Их применение для лаков ограничено высокой вязкостью и плохой совместимостью с пластификаторами, мягкими смолами и р-рителями. В качестве мягких пластифицирующих добавок рекомендуются гликольфаты и кислые эфиры капролактама, этерифицированные низкомолекулярным одноатомным спиртом. При введении их в кол-ве 200—300% (в пересчете на ацетат) удается повысить светостойкость и снизить водопоглощаемость пленок. Предыдущее сообщение см. РЖХим, 1955, 38966.

**К. Б. 27290. Нанесение красок на основе виниловых смол методом распыления с подогревом. Райт** (Hot-spray application of vinylbase paints. *Wright B. C.*), *Oil and Gas J.*, 1954, 53, № 32, 145—146 (англ.).

Нагрев краски вызывает при ее распылении мгновенное испарение большей части р-рителя, что снижает температуру краски, достигающей поверхности, до значения, близкого к температуре окружающей среды. Основными преимуществами окраски с подогревом, по сравнению с обычной окраской распылением, являются: повышенная толщина наносимого слоя (~75—100 мк) и сокращение, в связи с этим, кол-ва слоев с 5 до 2—3; снижение туманообразования; уменьшение затрат труда на 20—30%; устранение надобности добавочно разводить краску р-рителем; более легкое нанесение; увеличение площади окрашиваемой 1 л краски до 2,2 м<sup>2</sup>, за счет уменьшения потерь на распыл; повышение качества

пленки (большая плотность и лучший розлив), уменьшение осаждения пигмента при окраске и наращивание достаточно толстой пленки на кромках окрашиваемого изделия.

М. Г. 27291. Горячее напыление пластических масс. Полякова К. К., Августов Ю. А., Сб. статей Всес. н.-и. и констр. ин-та хим. машиностр., М., 1954, № 17, 69—78

Горячее напыление пластич. масс исключает применение р-рителей, сушку и длительный нагрев покрытия, позволяет получать покрытия из труднорастворимых смол на различных материалах — металле, бетоне, керамике и огнеупорном стекле и т. д. Этот способ можно применять для нанесения полиэтилена (П), полистирола, полиметилметакрилата, бутвара, янтара, битума. Степень измельчения порошка 60—100 меш, что соответствует размерам отверстий в сите 0,14—0,25 мм и номерам сит 014—025. Измельчение вязких смол проводят с охлаждением водой или хладагентом. Во избежание комкования к порошкам добавляют маршалит, кварцевый песок, полистирол и др. Работа проведена с I и битумом, которые напылялись с помощью установки УПН-1 ВНИИ Автогена. Перед нанесением поверхность подвергалась пескоструйной очистке и подогревалась до 100—150°. Т-ра пламени при подогреве 300°, при напылении I 600—700°, при напылении битума — 500°. Контроль т-ры осуществлялся термометром. По окончании напыления производилось оплавление покрытия. Можно нанести слой любой толщины от 0,1 мм и более. Для работы в агрессивных средах мин. толщина покрытия 0,8—1,0 мм. Пленки напыленного I толщиной 0,2—0,3 мм и 0,3—1 мм имели прочность на удар 50 кг. см, твердость по маятниковому прибору 0,4—0,45 и не отслаивались от поверхности. Гибкость по шкале НИЛК у первых была равна 1 мм, у вторых — 5 мм. Эластичность на прессе Эриксона у первых — 15 мм, у вторых — 1 мм. При прохождении через пламя порошок I может подвергаться окислению и менять прочностные свойства, напр., обнаружено незначительное снижение прочности на разрыв и сильное снижение удлинения. Удлинение напыленного I снижается при охлаждении до 0°, а при дальнейшем охлаждении до —30° остается постоянным, равным 6,5—3,3%. Перечислены требования к аппаратуре и частям трубопроводов, подвергаемых напылению. Покрытия из I могут применяться для защиты подвесок трамвайных ванн и вентиляторов, работающих в агрессивных условиях. Покрытие битумом рекомендуется для бензохранилищ. Нанесение битума горячим напылением устраняет неравномерное застывание, пористость, вследствие включений воздуха, хрупкость от длительного нагрева и другие недостатки, свойственные методу обычного нанесения, расплавленного битума. Для повышения теплоустойчивости на 30—40% битум смешивают с минер. наполнителями. Пористости покрытий полистирола можно избежать, смешивая его с I.

М. Г. 27292. Нанесение красок напылением без потерь. Электростатический способ окраски с распылителем и без него. Готтберг (Farbspritzten ohne Lackverluste. Elektrostatisches Verfahren mit und ohne Pistole. Gottberg Horst v.), Umschau, 1954, 54, № 5, 135—136 (нем.)

Кратко описан электростатич. способ окраски напылением. По первому способу краска подается из воздушного распылителя в поле постоянного тока напряжением 40 000 — 140 000 в и силой тока в несколько мА; поле создается между деталями, продвигающимися на заземленном конвейере со скоростью 1—4 м/мин, и медной решеткой, заряженной отрицательно и состоящей из натянутых на раму проволок или острий. Питание током — от сети через повышающий трансформатор и

выпрямитель. Второй вариант позволяет работать без применения сжатого воздуха. Краска, приобретая электрич. заряд под влиянием электростатич. поля, распыляется из спец. головок, снабженных вращающимися чашами, находящимися под напряжением 90 000 в. Подача краски к центру чаши производится спец. насосами в точно дозированном кол-ве. Распыленные частицы краски срываются с острых кромок чаш и направляются по силовым линиям электрич. поля к продвигающимся мимо изделиям, осаждаются на их поверхности не только спереди, но и на удаленных участках, куда распространяются силовые линии (напр., можно окрашивать поверхность труб). При таком способе отпадает необходимость в установке для сжатого воздуха, медной решетке, установке для отсоса воздуха, загрязняющего красочным туманом. Необходимо лишь обеспечить удаление испаряющегося р-рителя. При этом уменьшаются кол-ва отсасываемого воздуха, расходы на подогрев воздуха в зимний период и на всю очистку. Распылительные устройства снабжены индивидуальными маленькими насосами, управляемыми из одного общего двигателя с бесступенчатой регулировкой. Каждое устройство может быть включено или выключено, что позволяет производить окраску разнообразных деталей; часовой расход тока 1—2 кВт. В сеть включен однофазный трансформатор переменного тока на 220 в. Потребная сила тока на стороне высокого напряжения 2—5 мА. При открывании защитной двери ток автоматически включается. Поверхность углублений, куда краска плохо проникает, подкрашивают вручную или автоматически, до или после распыления. Экономия красок, вследствие уменьшения потерь на туманообразование, позволяет быстро окупить затраты на установку. Краска наносится этим способом лучше и более равномерно, чем при обычном распылении, независимо от навыка обслуживающего персонала. Электростатич. поле используется также для стягивания на сетку высокого напряжения капель избыточной краски после окраски окунаемым.

М. Г. 27293. Аэрозольное распыление и его применение для нанесения красок и нитролаков. Бедюно (Le conditionnement aerosol. Ses applications à l'industrie des peintures et des vernis nitrocellulosiques. Beduneau H.), Rev. prod. chim., 1954, 57, № 1198, 45—51 (франц.)

Описаны история развития аэрозольного распыления и области его применения, принцип распыления с помощью сжиженных и находящихся под давлением распыляющих в-в, представляющих собой негорючие, почти безвредные хлорфторпроизводные углеводородов; организация произ-ва аэрозолей. Краткое описание конструкции одного из аэрозольных баллончиков, снабженных устройством для самозакрывания. Рассмотрены специфические особенности применения аэрозольного распыления для окраски. Рекомендуемый состав нитролака для аэрозольного распыления (в вес. %): нитроцеллюлоза — 5,2, алкидная смола — 5,2, дибутилфталат — 1,8, метилизобутилкетон — 30,2, бутилцеллозоль — 3,9, изопропиловый спирт — 1,9, этиловый спирт — 1,8, фреон-12 (дихлордифторметан) — распыляющее в-во — 50. Содержание нелетучих в лаке — 12,2%. Вязкость аэрозоля ~18 сек. по воронке Ф № 4. Применение в качестве распыляющего в-ва продуктов с более низкой упругостью пара, чем у I, требует для получения качественного распыла введения повышенного кол-ва их, что соответственно снижает содержание нелетучих в аэрозоле. Разбрызгивающие в-ва с упругостью пара более высокой, чем у I, хуже совместимы с лаком. Приведены составы нитроэмалей для аэрозольного распыления. Пигменты вводят в виде дисперсии, добавляя к краске равное по весу кол-во I. Содержание нелетучих в красках — 17%.



Баллончик для краски должен выдерживать давл.  $9,5-4 \text{ кг/см}^2$ ; эластичные соединения клапана должны быть изготовлены из полиэтилена или нейлона, емк.  $\leq 0,5 \text{ л}$ . Введение аэрозольной смеси в баллончик производится под давлением или при низкой т-ре (для I при  $-35^\circ$ ). Заполненные баллончики испытывают при т-ре  $+55^\circ$  на отсутствие течи, деформаций и других дефектов. Оптимальное расстояние от окрашиваемой поверхности, на котором следует держать баллончик во время распыления,  $25-30 \text{ см}$ . Диаметр распыляемых частиц краски  $\sim 100-200 \text{ м}$ , в то время как при распылении сжатым воздухом он не превосходит  $100 \text{ м}$ . Хотя при аэрозольном распылении покрытие получается менее гладким и равномерным, чем при распылении сжатым воздухом, этот способ удобен для восстановления внешнего вида различных покрытий, в пром-сти он может иметь значение подсобного, при осуществлении местной подкраски.

М. Г. 27294. Нанесение покрытий из термопластиков по способу пламенного распыления. А н т о н и н Е. В., Хим. пром-сть, 1953, № 8, 51-53

Разработана аппаратура и способ нанесения на различные поверхности покрытий из термопластов горячим распылением. Установлено, что термопласт для распыления должен применяться в порошкообразном состоянии с размером частиц  $0,14-0,24 \text{ мм}$  и т. размягч. до  $450^\circ$ . Установка для распыления состоит, в основном, из питательного бака для загрузки материала, шланга с пусковыми и контрольными приборами и ручного пистолета-распылителя, в корпусе которого расположен газовый инжектор, подающий воздушно-ацетиленовую смесь в головку пистолета. Вес установки около  $40 \text{ кг}$ . При сгорании смеси пламя образует 2 плоских веерообразных факела, между которыми из щелевидного отверстия выходит струя, несущая частицы материала, засасываемого из сосуда питателя и поступающего в пистолет по резиновому шлангу. Питатель состоит из сосуда с крышкой и фигурным дном с вибратором, обеспечивающим равномерное распределение порошкообразного материала. Порошок увлекается током воздуха и поступает в головку пистолета. Для работы установки требуется сжатый воздух с давл. в сети от  $3 \text{ кг/см}^2$  при расходе  $15-18 \text{ м}^3/\text{час}$  и ацетилен с давл. не ниже  $50 \text{ мм вод. ст.}$  в кол-ве  $0,25-0,50 \text{ м}^3/\text{час}$ . Покрываемая поверхность должна быть предварительно подготовлена (пескоструйная обработка или зашкуривание, подогрев до т-ры, близкой к т-ре размягчения пластика). Скорость перемещения распылителя вдоль поверхности  $0,7-1,0 \text{ м/мин}$ , толщина слоя за один проход  $0,3-0,4 \text{ мм}$ , производительность при этом составляет  $1-2 \text{ м}^2/\text{час}$  при расходе материала (уд. вес  $\sim 1$ )  $200-250 \text{ г/м}^2$ . При покрытии поверхность нагревается до  $200-250^\circ$ . Хорошие результаты при пламенном распылении получаются с поливинилбутиралем, дающим непроницаемые и эластичные пленки, перспективным материалом является полиэтилен, который при пламенном распылении хорошо сцепляется с покрываемой поверхностью.

С. Ш. 27295. Нанесение синтетических красок распылением на мокрую краску. Роджерс (Wet-on-wet synthetic spraying. A cost-cutting method for quick repaint work. Rodgers C., Motor Body, 1955, 115, № 2, 21, 23 (англ.))

Для дешевых работ и срочных перекрасок, не требующих высокого качества покрытия, рекомендуется нанесение распылением следующего слоя синтетич. краски на еще невысохший предыдущий слой. Необходимым условием является удаление жира и пыли с поверхности, грунтовка, ускоряющая сушку благодаря своей пористости и углубляющая цвет, тщательное перемешивание и фильтрование всех материалов. Для нового металла и дерева обязательным является грунто-

вочное покрытие, которое можно наносить также кистью разб. материалом (15% разбавителя) с полной сушкой в течение  $6-12 \text{ час.}$  при  $1-8^\circ$ . Следующие затем грунтовка, эмаль и лак (на 75% лака 25% разбавителя) наносятся с интервалом от 30 мин. до  $3-4 \text{ час.}$  в разных вариантах, но не более 3 покрытий в день. Б. В. 27296. Модельные лаки. Райнус Р. Н. В сб.: Новое в модельном произ-ве, М., Машгиз, 1955, 208-222

Для приготовления модельных лаков применялись смолы: идитоловая, шеллачная и канифоль, а также различные композиции из них. Все композиции смол, кроме сплавов идитола и канифоли, имеющих низкую т-ру плавления (высокое содержание канифоли), хорошо растворяются в этиловом спирте с образованием прозрачных р-ров. Лаки, изготовленные на растворимых смолах, образуют глянцевую пленку, на неполовную же растворимых смолах — матовую пленку. Испытывались также нитролаки. Рекомендуется иметь в модельных цехах два лака. Стержневые ящики сложной конфигурации для тонких стержней, требующие применения смесей с незначительной прочностью в сыром состоянии, а также модели для работы с быстро сохнущими смесями на растворимом стекле, следует покрывать нитролаками и нитроэмалями. Все же модели и стержневые ящики, предназначенные для работы на песчано-глинистых смесях и смесях на органич. крепителях, имеющих достаточную прочность в сыром состоянии, можно покрывать спиртовым лаком на основе 90% идитола и 10% канифоли. В результате исследования также установлено, что избыточная влажность формовочных смесей, вызывающая падение прочности их, недостаточное уплотнение смеси, нагрев выше  $30^\circ$ , а также длительная выдержка модели в смеси влияют на прилипаемость смесей к модели.

М. В. 27297. Анализ и испытание. — (Analysis and testing.) Paint Manufact., 1955, 25, № 1, 28-30 (англ.)

Обзор. Библ. 32 назв. М. В. 27298. Определение времени истечения по воронке. Проект стандарта DIN 53211. Вильборн (Bestimmung der Auslaufzeit mit dem Auslaufbecher. Normen-Entwurf DIN 53211 (mit Erläuterungen von Wilborn F.), Dtsch. Farben-Z., 1954, 8, № 11, 429-431 (нем.))

Приведен проект стандарта на способ определения вязкости малярных красок по времени истечения  $100 \text{ мл}$  краски из воронки со сменным выпускным отверстием diam. 2,4 и 6 мм. Даны правила отбора проб и их подготовки, произ-ва испытаний, сведения о применяемых приборах: воронке, термометре, секундомере и т. д.

Е. Х. 27299. Определение металлов в сиккативах. Покорный, Прибыль (Stanovení sušících kovů v sikativěch. Pokorný J., Příbyl J.), Chem. zvesti, 1955, 9, № 1, 20-26 (чеш.; рез. русс., нем.)

Описан быстрый объемный метод определения содержания металлов в сиккативах, основанный на извлечении металлов (Co, Zn, Pb, Mn, Cu, Ca) минер. к-тами и дальнейшим определении их с помощью рабочего р-ра комплекса III (динатриевая соль этилендиаминтетрауксусной к-ты) и индикатора-мурекида с NaCl (1:100) и 0,4% спирт. р-ра эриохромчерного Т. Л. П. 27300. Определение размера пигментных частиц. 2.

Коркоран (The determination of particle size-2. Corcoran N.), Paint Manufact., 1954, 24, № 1, 19-21 (англ.)

Методы определения размеров частиц, напр., дифракционный, позволяющий определять однородные размеры частиц, метод проницаемости, которым определяются только средние размеры частиц, или метод газовой абсорбции, измеряющий общую площадь поверхности, с последующим расчетом размера частиц,

не представляют большого интереса для лакокрасочной промышленности, так как не дают исчерпывающих результатов, продолжительны и затруднительны для определения тех размеров частиц, которые применяются в лаках и красках. Для практич. целей применим быстрый способ отмучивания при помощи спец. аппарата для отмучивания и ситового анализа, с разделением частиц соответственно их размерам; применение аппарата ограничено определением размеров частиц порядка 200 мш, но он позволяет выделять фракции с размером частиц 10 м (1200 мш.). Улучшен метод седиментации путем сочетания его с оптическими средствами; при прохождении световых лучей через пигментную суспензию влияние нагрева на результаты определения незначительно, так как теплота поглощается стеклянными стенками сосуда. Для точной работы с частицами тех размеров, которые применяются в красках, ценным хотя и длительным методом является фотографич. метод; можно анализировать очень разб. суспензию и в особых случаях исследовать конц-ию порядка 0,0005%. Можно применять фотоэлектрич. метод: увеличение конц-ии твердого в-ва уменьшает прохождение света, размер частиц определяется по плотности, подобно седиментационному методу. Для точности определения необходимо вводить поправки на поглощение света жидкостью и степень прозрачности суспензии; для устранения теплового влияния применяют термостатирование в пределах 0,01°. Дисперсность частиц пигмента можно также определять при помощи стальных пластин, имеющих наклонные каналы глубиной 0—100 м, заполняемые по каплям испытуемым образцом (можно применять готовую краску); размер частиц оценивают по степени их проникновения вглубь каналов, для облегчения оценки путем сравнения со стандартным образцом пластины снабжают двумя параллельными каналами. Выбор метода для определения степени дисперсности пигментных частиц зависит от условий и требований испытания. В большинстве случаев метод отмучивания дает достаточно хорошие результаты для производственного контроля, так же, как и фотоседиментационный метод. См. РЖХим, 1956, 8292. Б. Ш.

#### 27301. Отражение света от окрашенной поверхности.

Часть II. Блеск. Бек (Appearance measurements, Part II — Gloss. Beck Edward S.), Organ. Finish, 1954, 15, № 4, 16—23 (англ.).

Блеск поверхности является довольно трудно определяемой величиной. За показатель блеска принимается отношение интенсивности света, отраженного от идеального зеркала при определенном угле падения лучей. Обычно этот угол равен 60°, но могут приниматься и другие углы: 20° — для очень блестящих поверхностей, 85° — для поверхностей со слабым блеском. Приведена классификация поверхностей по блеску. Если принять блеск идеального зеркала за 1000, то блеск лакокрасочных покрытий будет  $\leq 75$ —85. Измерение блеска производится гониофотометром, состоящим из источника света, отражателя и фотоземлемого, измеряющего интенсивность света. Результаты определения блеска белых эмалей представлены в виде диаграммы. Часть I см. РЖХим, 1955, 36141. М. В.

#### 27302. Отражение света от окрашенной поверхности. Бек (Appearance measurements. Color. Beck Edward S.), Organ. Finish., 1954, 15, № 5, 19—25 (англ.).

Определение цвета покрытия может быть произведено не только сравнением его с образцом, но и путем непосредственного измерения. В лабор. условиях точное определение цвета производится спектрофотометром, который измеряет отражение от поверхности света волн различной длины: от 400 м (фиолетовый цвет) до 700 м (красный цвет) через каждые 10 м. Результат измерения представлен в виде кривой, из которой

путем вычислений можно найти три основные характеристики цвета (цветовой тон, яркость и насыщенность). В практике более распространены рефлектометр и дифференциальный колориметр Хантера. Этими приборами измеряется отражение желтых, зеленых и синих цветов, причем измерения являются лишь относительными; дифференциальный колориметр нуждается в эталонах, которые должны быть калиброваны спектрофотометром. Применение рефлектометров и дифференциальных колориметров повышает точность определения цвета, исключает субъективность и особенно полезно при калибровке образцов, которые затем будут использоваться для сравнения с исследуемыми покрытиями. М. В.

27303. Окраска оштукатуренных поверхностей. Способ ускоренного испытания красок, предназначенных для этой цели. Жене (La peinture des surfaces de plâtre. Procédé d'essai accéléré des peintures destinées à cet usage. Génin G.). Peintures, pigments, vernis, 1953, 29, № 9, 729—732 (франц.). Ускоренный метод испытания красок по оштукатуренным поверхностям заключается в том, что на дно стеклянной чашки Петри diam. 100 мм и глубиной 15 мм, на которое положена прокладка из бумажной ткани, смоченная 2%-ным р-ром NaOH, помещают диск diam. 85 мм, толщиной 6 мм, отформованный из штукатурки и окрашенный двумя слоями испытуемой краски. Диск укладывают окрашенной стороной вверх, и чашку накрывают покровным стеклом. В течение первых 4 час. ежедневно, а затем 2 раза в день, отмечают изменение цвета окрашенной поверхности, конденсацию на ней влаги, образование пузырей и т. д. По истечении 48 час. стекло снимают и диск высушивают. Для изготовления диска применяют смесь: 100 г гидратированной извести, 100 г дистилл. воды, с последующим добавлением 50 г штукатурки. Первый слой краски наносят через 3 дня после формирования диска, второй слой — на следующий день после первого слоя. Расход краски на каждый слой 1 см<sup>3</sup>/dm<sup>2</sup>. М. Г.

#### 27304. Проектирование оборудования для производства лаков. Йокелл (Factors in designing equipment for vehicle manufacture. Yokell Stanley), Paint. Ind. Mag., 1954, 69, № 3, 23—25 (англ.).

27305. Успехи в области производства полиграфических красок. Грушицкий (Postępi nowości w przemyśle farb graficznych. Gruszczyński Czesław), Poligrafika, 1955, № 1, 7—12 (польск.). Обзор усовершенствований в методах нанесения и свойствах полиграфич. красок. Л. П.

#### 27306. Процесс высыхания литографской краски. Датта (Ink drying in litho work. Datta Bimal C.), Indian Print and Paper, 1954, 20, № 2, 17 (англ.).

Высыхание литографской краски, нанесенной на бумагу, происходит в две стадии: сначала происходит застывание (схватывание) связующего и затем отверждение его в процессе окисления и полимеризации. В 1-й стадии имеет значение соответствующая зависимость между впитывающей способностью (абсорбцией) бумаги и непроницающей связующего. В случае слишком жидкого связующего или большой абсорбционной способности бумаги пигмент не сплывается с поверхностью бумаги, не имеет достаточной адгезии к ней; с другой стороны, при слишком вязком связующем или недостаточной абсорбции бумаги поверхность последней получается липкой. Полное высыхание нанесенной краски зависит от правильного выбора и применения сиккатива. На процесс высыхания влияет целочность или кислотность среды; печатная бумага в условиях pH > 8,0 наиболее пригодна для быстрого процесса высыхания при всех значениях влажности. Некоторые пигменты, как, напр., Рb-краски и железная лазурь, ускоряют высыхание и требуют очень незначительное кол-во сик-

катива; газовая сажа оказывает противоположное влияние. Б. Ш.

**27307 Д.** Электрохимическое исследование стойкости лакокрасочных покрытий в морских условиях. Мамедов И. А. Автореф. дисс. канд. хим. н., АН Азерб ССР, Ин-т химии, 1955

**27308 П.** Основа для покровных материалов. Цубои, Кубота (Base for coating materials. Tsuboi Eitaro, Kubota Hideo) [Tsuboku Electric Power Co.]. Япон. пат. 1294, 11.03.54 [Chem. Abstrs, 1955, 49, № 1, 643 (англ.)]  
420 ч. смолы из основного масла экстрагируют 200 ч. р-рителя, состоящего из 43%  $C_6H_6$ , 46% толуола и 11% ксилола. Из полученного продукта, после 5 дней отстаивания, удаляют 20 ч. шлама, а светлый слой р-ра смешивают с желаемым покровным материалом. Б. Б.

**27309 П.** Синтетические смолы (Synthetic resins) [Soc. Nobel Française]. Англ. пат. 716696, 13.10.54 [Paint, Oil and Colour J., 1954, 126, № 2930, 1372 (англ.)]

Контактные смолы, содержащие ненасыщ. алкиды, отличающиеся липкостью, растворяются в органич. р-рителях и превращаются в смолы, пригодные для применения в красках и лаках добавлением диаллилового эфира диметилмочевин или гексагидротрикрезил-1,3,5-триазина. Я. К.

**27310 П.** Алкидные смолы и олифы на их основе (Alkyd resins and varnishes comprising same) [Dow Chemical Co.]. Англ. пат. 696585, 2.09.53 [Paint Manufact., 1953, 23, № 10, 348 (англ.)]

Алкидную смолу получают при взаимодействии одного или нескольких алкилиден-бис-арилкетоспиртов или их сложных эфиров (производные фенолпропана) с пентаэритритом, фталевым ангидридом и растительным маслом, с содержанием не более 35% конъюгированных двойных связей (напр., с соевым маслом или жирными к-тами соевого или льняного масел). Олифу получают растворением смолы в органич. растворителе. К. Б.

**27311 П.** Способ получения искусственных смол из альдоля. Заурвейн (Verfahren zur Herstellung von Kunstharzen aus Aldol. Saurwein Karl) [Badische Anilin- und Soda-Fabrik A.-G.]. Пат. ФРГ 899554, 14.12.53 [Chem. Zbl., 1954, 125, № 22, 4956 (нем.)]

Альдольные смолы получают конденсацией или полимеризацией альдоля при нагревании в присутствии вторичных алифатич. аминов с последующим нагреванием полученных продуктов при 160—190°. Напр., смесь из 1160 ч. альдоля и 15 ч. диэтиламина кипятят в течение 4 час. Образующуюся воду отгоняют при постепенном повышаемой т-ре, причем отгоняемые легкокипящие масла возвращают в реакционную смесь. По достижении т-ры 180° смесь нагревают при этой т-ре ~ 7 час. и затем короткое время при 190°. Последние остатки воды удаляют под вакуумом. По охлаждению получают 876 ч. хрупкой смолы, р-римой в спирте и хорошо совместимой с нитроцеллюлозой. Продукт применяется в электротехнике вместо шеллака, а также для изготовления полиурт. М. А.

**27312 П.** Рецелтуры покровных материалов (Coating compositions) [Imperial Chemical Industries Ltd]. Австрал. пат. 161746, 17.03.55

Патентуется лак, представляющий собой 17—23%-ный р-р сополимера винилхлорида с винилацетатом. Лак переводится из гелеобразного состояния в жидкое путем нагревания и наносится холодным распылением. К. Б.

**27313 П.** Пленки и составы для покрытий (Films and coating compositions) [British Cellophane Ltd]. Австрал. пат. 160058, 16.12.54

Патентуется водостойкая, свариваемая при нагреве пленка, состоящая из основной пленки регенерированной целлюлозы и водостойкого поверхностного покрытия, содержащего пленкообразующий сополимер винилиденхлорида и в-во, придающее скольжение; такое в-во содержит воск типа сложного эфира, входящий в покрытие в относительно небольшом кол-ве, и небольшую долю тонкодисперсного полимера, винилхлорида или тонкодисперсного сополимера, полученного путем полимеризации смеси, содержащей 90% или более мономера винилхлорида. Патентуется также метод изготовления пленки и состав для поверхностного покрытия. М. Г.

**27314 П.** Сополимеры простых виниловых эфиров гидроароматических спиртов и олефинов и способ их получения (Interpolymers from vinyl ethers of hydroaromatic alcohols and olefines and a process of producing them) [Badische Anilin- und Soda-Fabrik]. Англ. пат. 698455, 14.10.53 [Rubber Abstrs, 1954, 32, № 1, 15 (англ.)]

Простые виниловые эфиры гидроароматич. спиртов подвергаются совместной полимеризации с олефинами, в молекуле которых содержится  $>4$  атомов С и одна изопропилиденовая группа. Полимеризация проводится в присутствии катализатора Фриделя — Крафта или его комплексных соединений (напр.,  $AlCl_3$  и  $BF_3$ ). Полученные сополимеры применяются в лакокрасочных покрытиях. Напр., 80 ч. винилициклогексилового эфира и 20 ч. смеси олефинов, содержащей ~70% 2,4-диметилпентена-(3), подвергаются полимеризации при указанных выше условиях. В результате полимеризации образуется соединение, которое деформируется при 60°, а при 70° тянется, как резина. Простые виниловые эфиры, полимеризованные без олефинов, образуют соединения, не обладающие достаточной пластичностью и тягучестью. М. В.

**27315 П.** Высокоплавкие покрывные материалы. Хорбак (Hot-melt coating composition. Horback William) [Camille Dreyfus]. Канад. пат. 500821, 16.03.54

Высокоплавкий покрывной материал, образующий сплошное, теплоизолирующее, водонепроницаемое и без отделим. покрытие, содержит: 100 вес. ч. пропionato целлюлозы с вязкостью 10—100 *спуаз*, имеющего 0,1—0,5 свободных ОН-групп на глюкозидный остаток, и 40—100 вес. ч. смеси пластификаторов (25 вес. % бутоксиэтилстеарата и 75 вес. % дибутилсебацината). К. Б.

**27316 П.** «Активная» краска. Мербель (Peinture «active». Meriel P.). (Франц. пат. 1066591, 8.06.54 [Peintures, pigments, vernis, 1954, 30, № 11, 931 (франц.)])

Краска состоит из «активной» части и пигментов. «Активная» часть состоит из четвертичного аммониевого основания и смеси, состоящей из погона сосновой смолы, перегоняющегося между 150 и 180°, разб.  $C_2H_5OH$  и обработанного  $H_2SO_4$ , и погона сосновой смолы, перегоняющегося между 180 и 280° и обработанного избытком  $HCl$ . Я. К.

**27317 П.** Метод покрытия изделий из металлов защитной композицией с целью повышения их сопротивления высокой температуре. Мартенс. Беллами (Resinous composition method of coating metals therewith to increase high temperature resistance thereof and article produced thereby. Martens Charles R., Bellamy John G. Jr) [The Sherwin-Williams Co.]. Пат. США 2699407, 11.01.55



Метод повышения сопротивления металла т-ре, достаточной для его размягчения, состоит в нанесении на этот металл жидкой покровной композиции, содержащей в качестве основных составляющих: 10—30 вес. ч. водн. эмульсии смолы, в качестве которой можно взять винилиденгалоидные полимеры или сополимеры, или винилгалоидные полимеры или сополимеры (конц-ия твердого в-ва в эмульсии 40—60%); 15—45 ч. порошкообразного Si, содержащего материала с размером частиц 100—400 меш; 50—75 ч. 20—45%-ного водн. р-ра силиката щел. металла, имеющего отношение кремний: окись металла 2,6—3,4. Нанесенное покрытие подвергают сушке. Б. В.

**27318 П.** Эмульсионные материалы для покрытий и метод их получения. Шулте, Херцог (Emulsion coating compositions and process for preparing same. Schulte Edward, Herzog Philip C.) [The Glidden Co.]. Канад. пат. 506123, 28.09.54

Эмульсионные материалы для покрытий, разбавляемые водой и наносимые кистью, получают путем диспергирования в воде (до размера частиц  $< 0,5\mu$ ) инертных пленкообразующих, напр. смоляно-масляных, способных при высыхании давать глянцевые пленки. В качестве эмульгаторов рекомендуются продукты взаимодействия жирной к-ты, содержащей 12—20 атомов C, с органич. амином, напр., 2-амино-2-метилпропилолеат. Кол-во свободных аминов, т. е. 2-амино-2-метил-1-пропанола определяется глинем высушенной пленки. Эмульгатор вводится в кол-ве 1 вес. ч. на 12 вес. ч. пленкообразующего. В эмульсии диспергируются до размера частиц  $< 1\mu$  щелочерастворимые белковые коллоиды, напр., гидролизированный соевый белок в кол-ве, обеспечивающем нанесение кистью, но не более 1 вес. ч. на 6 вес. ч. пленкообразующего. К. В.

**27319 П.** Водоземulsionные краски, содержащие соединения Ва для предотвращения выцветания. Брок (Water dispersion paint containing barium compound to prevent blooming. Brock Marilyn J.) [The Firestone Tire and Rubber Co.]. Пат. США 2702284, 15.02.55

Способ произ-ва улучшенной водоземulsionной краски состоит в ступенчатом введении водн. дисперсии Ва-соли в краску, содержащую некаучукоподобный, смолобразный дневной полимер с сопряженными связями. Ва-соль природной к-ты, встречающейся в жирах, применяют при 25°, при содержании  $\leq 0,0003$  г Ва<sup>2+</sup> на 100 г воды, находящейся в краске при введении этой соли в кол-ве 0,01 — 2 г Ва<sup>2+</sup> на 100 г полимера, содержащегося в краске, коагуляция последней не происходит, и предотвращается выцветание высушенной пленки, подверженной воздействию атмосферы с высокой относительной влажностью. Б. Ш.

**27320 П.** Метод производства железосиних пигментов. Смит (Method of producing iron oxide pigments. Smith George B.) [Minnesota Mining and Manufacturing Co.]. Канад. пат. 501678, 20.06.54

Получение красного железосинего пигмента с регулируемым оттенком и тоном и хорошей интенсивностью состоит в смешении железосинего материала (имеющего определенную характеристику и содержащего Fe от 80 до 90%, считая на Fe<sub>2</sub>O<sub>3</sub>) с конц. H<sub>2</sub>SO<sub>4</sub> крепостью ~66° Bé (кол-во к-ты должно быть достаточным для перевода не менее ~80% Fe в сульфат железа) и разбавлении получающейся в реакторе смеси водой в кол-ве меньшем, чем кол-во к-ты, но достаточно значительным, чтобы т-ра смеси повысилась и началась р-ция между Fe<sub>2</sub>O<sub>3</sub> и H<sub>2</sub>SO<sub>4</sub>. Экзотермич. теплоту разбавления и р-цию сохраняют для поддержания т-ры смеси ~116°C (но не выше т-ры ее кипения) в течение периода, достаточного для перевода не менее 80% Fe в сульфат железа и получения жид-

кой массы почти однородного состава. Массу затем выгружают из реактора, охлаждают до отверждения, и обжигают получившуюся твердую массу с целью превращения сульфата железа в Fe<sub>2</sub>O<sub>3</sub> и получения пигмента желаемого оттенка и свойств. При изготовлении аналогичного пигмента с повышенной интенсивностью и определенным оттенком берут H<sub>2</sub>SO<sub>4</sub> в такой конц-ии, чтобы обеспечить ее преобладание и в стехиометрич. кол-ве, достаточном для превращения в сульфат железа более 70% Fe, содержащегося в исходном железосинем материале, и проводят р-цию между железосиним материалом и H<sub>2</sub>SO<sub>4</sub> при 115—132° C. Остальные операции производятся, как указано выше. Для получения пигмента регулируемого оттенка и тона можно смешивать различные железные руды, получая желаемый исходный материал с содержанием Fe не менее 80%, считая на Fe<sub>2</sub>O<sub>3</sub>. М. Г.

**27321 П.** Способ производства щелочестойкого пигмента парижской синей. Каяр (Verfahren zur Herstellung von Pariserblau mit hoher Alkalibeständigkeit. Cajar Hermann) [Kast und Ehinger G. m. b. H.]. Австр. пат. 179370, 25.08.54 [Chem. Abstr., 1954, 48, № 22, 14139 (англ.)]

Способ получения пигмента парижской синей состава Fe<sub>4</sub>[Fe(CN)<sub>6</sub>]<sub>3</sub> (I), очень стойкого против воздействия щелочей, заключается в добавлении комплексного Ni-соединения, особенно Ni-аминов, к суспензии I в нейтр. или слабощел. среде. 140 кг FeSO<sub>4</sub>, растворенные в 1400 л кипящей воды, осаждают с помощью 140 кг K<sub>3</sub>Fe(CN)<sub>6</sub> также растворенных в 1400 л воды. Осадок кипятят 30 мин. после добавления 70 кг конц. H<sub>2</sub>SO<sub>4</sub> и окисляют 15 кг KClO<sub>3</sub> при 50—60°. Реакционную смесь промывают до нейтр. среды, разбавляют до 10 000 л и слегка подщелачивают (20 кг 25%-ного р-ра NH<sub>4</sub>OH). Ni-амин, полученный при растворении 10 кг NiSO<sub>4</sub> в 30 кг 25%-ного р-ра NH<sub>4</sub>OH, добавляют к получаемой 105 кг парижской синей, которая не изменяется в 2%-ном р-ре NaOH или 10%-ном р-ре NaHCO<sub>3</sub>. Б. Ш.

**27322 П.** Способ получения фталоцианинового пигмента. Исте, Кук (Preparation of phthalocyanine pigments. Estes John W., Cooke Theodore F.) [American Cyanamid Co.]. Пат. США 2699444, 11.01.55

Способ произ-ва тонкораздробленного пигмента — фталоцианина металла — с большой красящей силой, некристаллизующегося, красного оттенка, β-формы состоит в том, что пигмент получают в автоклаве в присутствии насыщ. р-ра алифатич. углеводорода, кислоту пастообразную массу обрабатывают высшималкилиридинийхлоридом при 90—145°. Б. Ш.

**27323 П.** Новые пигменты. Вендинг, Арутуния (Nouveaux pigments colorés et leur procédé de préparation. Wendling René, Haroutounian Edouard) [Cie Française des Matières Colorantes]. Франц. пат. 1064955, 19.05.54 [Dtsch. Farben-Z., 1955, 9, № 1, 22 (нем.)]

Способ получения органич. пигментов состоит в том, что при введении водн. р-ра соли многовалентного металла (Ca, Mg, Sr, Zn, Al, Ti, Zr или Sn), напр. Al<sub>2</sub>(SO<sub>4</sub>)<sub>3</sub>, окрашенного основных красителями (напр., роданином Б эктра), в водн. р-р соли одновалентного металла, напр., Na<sub>2</sub>CO<sub>3</sub> и глифталевой смолы, содержащей СООН-группы, осаждаются Al-глифтаlevый красочный лак. Осадок отделяют, высушивают и размалывают; получают красный органич. пигмент, сильно флуоресцирующий при дневном свете. Б. Ш.

**27324 П.** Краска в порошке. Штаубиц (Pulverförmige Anstrichfarbe. Staubitz Carl) [Anne-Rose Dorette Maria Staubitz, Else Luise Magdalena Staubitz, Charlotte Margarete Herpich, Rosemarie Dorette Staubitz, Anne-Rose Katharina

Staubitz]. Пат. ФРГ 917267, 30.08.54 [Dtsch. Farben-Z., 1955, 9, № 2, 48 (нем.)]

Порошкообразная краска, на основе цемента и неорганич. добавок, содержит тонкоразмолотую обожженную керамич. массу,  $\text{CaCl}_2$ , F-содержащий Na-силикат и гидратированную  $\text{SiO}_2$ . Б. Ш.

27325 П. Металлосодержащий лак. Хельмгольц (Metalholdigt påstrykningsmiddel. Helmholtz K. Kurt). Дат. пат. 76096, 13.07.53

Металлосодержащий лак, с тонкодиспергированными Pb, Zn, Cu, Cr или Sn, кроме связующего и пластификатора содержит катализатор (соединение металла Pt-группы), ускоряющий окисление перечисленных металлов, но тормозящий окисление Fe. В качестве катализатора применяют хлорид Os, или осмат K, или соединение Ru, Rh, Ir, или Pd. Связующим служит низковязкий хлоркаучук, а пластификатором высококипящее хлорированное ароматич. соединение, напр. хлорированный дифенил. При изготовлении лака сначала смешивают катализатор, р-ритель и связующее, потом добавляют диспергированные металлы. Примерный состав лака (в вес. %): связующего 8, р-рителя и пластификатора 12, Pb в порошке 80. Ос-катализатора добавляется 0,1—10 г на 1 м. К. Г.

27326 П. Пластифицирование пленок синтетического высыхающего масла (Plasticization of synthetic drying oil films) [Standard Oil Development Co.]. Англ. пат. 718577, 17.11.54 [Paint Manufact., 1955, № 1, 36 (англ.)]

Способ пластифицирования синтетич. высыхающего масла состоит в том, что 50—90 ч. масла, полученного, напр., из бутадена или его производного, нагревают с 50—10 ч. природного высыхающего масла, не содержащего в своей структуре сопряженных связей и имеющего iodное число 130—180 (по Вайсу). Нагрев производят при 204,5—315,6° от 15 мин. до 2,5 час. В результате получают продукт с улучшенными свойствами и скоростью высыхания, гибкостью и адгезией пленки. М. Г.

27327 П. Метод обработки вулканизированных растительных масел. Поснанский (Method of treating vulcanized oils. Posnansky Karl W.). Канад. пат. 493987, 30.06.53

Вулканизированные растительные масла, после первого смешения их с серой и нагрева до желаемой степени вулканизации, обрабатывают при 20° хим. в-вами основного характера (напр., основными азотистыми соединениями, аммиаком, органич. аминами) до заметного отверждения. М. М.

27328 П. Вещества, добавляемые к краскам. Ротвелл (Addition material for paints. Rothwell R. J.) [Rothwell Bros., Ltd.]. Англ. пат. 715192, 8.09.54 [Paint. Oil and Colour J., 1954, 126, № 2928, 1237 (англ.)]

Предлагаются добавки к краскам, являющиеся одновременно разбавителями и сиккативами. Типовой образец сиккатива, содержащий 5% нафтената, линолеата или резината Co, Pb-, Mn- или Zn-олеата смешивают с 95%-ным уайт-спиритом, сольвентафтой, скипидаром или ксилолом. Б. Ш.

27329 П. Метод получения безводных полировочных и матирующих составов для ускоренной отделки. Виинербергер (Verfahren zur Erzeugung von schnell arbeitenden, wasserfreien Polituren und Mattierungsmitteln. Wienerberger Alexander). Австр. пат. 180345, 25.11.54 [Chem. Abstr., 1955, 49, № 3, 2096 (англ.)]

Безводная политура, позволяющая ускорить отделку мебели, содержит (в %): 16 шеллака, 50 спирта, 14 бутанола, 12—15%-ного р-ра нитроцеллюлозы в бутилацетате и 8 спирта, насыщенного газообразным  $\text{NH}_3$ . К. Б.

27330 П. Средство для удаления красок, лаков и эмалей. Камлет (Paint, varnish and enamel remover. Kamlet Jonas) [The Kamlet Lab]. Канад. пат. 508164, 14.12.54

Состав, растворяющей краску композиции (в объем. %): дихлорэтилен 12—35,  $\beta, \beta'$ -дихлордиэтиловый эфир 12—35 (оба эти компонента составляют 40—50% композиции), вода 2,5—7,5, метанол в кол-ве, необходимом для доведения до 100. Б. Б.

27331 П. Типографские олифы (Vehicle of printing inks) [Sun Chemical Corp.]. Англ. пат. 693785, 8.07.53 [J. Soc. Dyers and Colourists, 1953, 69, № 9, 351 (англ.)]

Типографская олифа, высыхающая при 20° и при нагревании, с образованием высокоглянцевых отпечатков, представляет собой полигликолевый р-р N-алкоксиметилполиметиленаполиамидной смолы типа, описанного в англ. пат. 573482, в котором 10% амидных групп замещено метоксильными. К. Б.

27332 П. Состав для типографской краски, содержащий соли диазония. Кинл, Адамс (Stabilized coloring compositions containing diazonium salts. Kienle Roy Herman, Adams Frederic Henry) [American Cyanamid Co.]. Канад. пат. 502231, 11.05.54

Состав, пригодный для произ-ва типографской пасты, содержит углеводные сгустители, водорастворимую соль диазония, напр. двойную соль хлористого диазония, получаемую из диазокомпонентов ледяного крашения. Компоненты цветообразования объединены с амидом олефиновой карбоновой (напр., пропеновой) к-ты  $\text{RCOONR}^1\text{R}^2$ , применяемым в кол-ве, достаточном для предотвращения разжижения углеводного сгустителя; R — алкенильный радикал, содержащий  $\leq 4$  атомов C,  $\text{R}^1$  и  $\text{R}^2$  — радикалы из группы в-в, состоящих из H, алкила,  $\omega$ -оксисилкила и алкенилрадикалов, содержащих  $\leq 4$  атомов C. Б. Ш.

См. также: 27215, 27848, 27850, 27852, 27885

## ЛЕСОХИМИЧЕСКИЕ ПРОДУКТЫ. ЦЕЛЛЮЛОЗА И ЕЕ ПРОИЗВОДНЫЕ. БУМАГА

27333. О содержании метоксидов в древесине ели. Вацек, Цейслер, Ригельмайер (Über den Methoxylgehalt des Fichtenholzes. Wacek A., Zeisler F., Reigelmayer P.). Monatsh. Chem., 1954, 85, № 3, 499—525 (нем.)

Приблизительно 85% метоксидов (I), определяемых по Фибеку — Шваппаху, приходится в древесине на долю лигнина; характер недостающих 15% точно не установлен. Исследованы изменения недостающего кол-ва I при различных обработках древесины. Определена та часть I, которая при различных операциях отщепляется в виде метанола. Путем сравнения с модельными в-вами установлена устойчивость различных видов I по отношению к кислоте и щел. воздействию. Из недостающих 15% I ~ 75% (0,6% от древесины) определено в гидролизате в виде метанола и 25% I (0,2% от веса древесины) могут, согласно исследованиям Г. Грана, удерживаться углеводами. Таким образом охватывается общее содержание I в древесине. Из I, определяемых в виде метанола, ~ 2/3 (0,35% от древесины) отщепляются в условиях, в которых обычно расщепляются алифатич. метиловые эфиры, 1/3 (0,2% от древесины) — только при очень энергичных воздействиях, как наблюдается обычно у ароматич. метиловых эфиров. М. Ч.

27334. Энергохимическое использование лесосечных отходов методом газификации. Виродов

В. А., Техн. информ. по результатам научн.-исслед. работ Ленингр. лесотехн. акад., 1955, № 27, 7—8

При сухой перегонке неокоренной древесины понижаются выходы основных лесохим. продуктов, особенно при переработке ветвей, имеющих относительно более высокое содержание смолы. Выход и свойства смолы из лесосечных отходов те же, что из щепы при ее газификации в промышленных газогенераторах.

Л. Г.

**27335. Снижение кислотности бутилацетата-сырца и эфир-воды. Ушанова Е. В.,** Гидролизная и лесохим. пром-сть, 1955, № 4, 21—22

Усовершенствована технология периодич. процесса этерификации уксусной к-ты бутиловым спиртом, в связи с чем снижены кислотность эфир-воды в первый час до 0,5—0,9% и расход уксусной к-ты на 1 т бутилацетата на 17 кг.

**27336. Смоляные масла. Закшевский, Ониско** (Oleje żywiczne. Zakrzewski Bohdan, Onisko Włodzimierz), Przem. drzewny, 1955, 6, № 3, 17—18 (польск.)

Приведено описание технологии получения смоляных масел из отходов канифольно-скипидарного произ-ва и их применение.

Л. П.

**27337. 10-летие промышленности древесно-волоконистых плит в Польше. Вежбицкий** (10 lat przemysłu. płyt pilśniowych w Polsce. Wierzbicki Antoni), Przegl. papiern., 1955, 11, № 8, 225—226 (польск.)

Отмечается качество древесно-волоконистых плит, как продукции новой отрасли пром-сти, созданной в Польше, и области их применения.

Л. П.

**27338. Изменения лигноцеллюлозы при термической обработке и контроль pH, особенно в условиях получения из нее волоконистых плит. Новак** (Die Veränderungen von Lignocellulose bei Wärmebehandlung unter pH-Kontrolle mit besonderer Berücksichtigung der Herstellung von Faserplatten. Nowak Alfred), Holz Roh-und Werkstoff, 1954, 12, № 11, 427—434 (нем.)

В результате предварительной щел. термич. обработки лигноцеллюлозных материалов при оптимальных т-ре, давлении, продолжительности р-ции получается мягкое, пластичное, коричневое волокно, обладающее повышенными связующими свойствами. Образование его связано с изменением лигнина, который при подкислении до pH 4,5, нагревании и прессовании конденсируется, аналогично фенолам, и отвердевает в горячем потоке воздуха. Роль трудно растворимых целлюлоз в данном процессе также значительна.

Т. И.

**27339. Лаборатория бумажных полуфабрикатов Государственного агрономического института в Жамблу. Мотте** (Le laboratoire des pâtes à papier de l'institut agronomique de l'état à Gembloux. Mottet A.), Ind. chim. belge, 1955, 20, № 5, 519—521 (франц.; рез. флам., англ., нем.)

Описано оборудование лаборатории, ее работа, перспективы сырьевых ресурсов Бельгии, применение лиственной древесины.

М. Н.

**27340. Влияние органических и неорганических веществ на процесс сульфитной варки целлюлозы. Войтех** (Vplyv organických a anorganických látok na priebeh sulfitového varenia. Vojtech Staník), Papir a celulóza, 1954, 9, № 3, 66—72 (словац.)

Рассмотрено влияние на процесс аммонийносульфитной варки целлюлозы отдельных составных частей варочной к-ты, а также муравьиной и уксусной к-т, лигносульфоновых к-т, сахаров и продуктов их разложения. Лабор. опыты показали, что сервокислый

аммоний при варке может играть роль буферного основания.

И. Р.

**27341. Исследования свойств шведской беленой целлюлозы из березы, а также ее смесей с еловой сульфитной целлюлозой для бумаг. Юханссон, Ольсон** (Investigations into properties of Swedish bleached birch paper pulps. Blends with bleached spruce sulphites. Johansson Stig, Olsson Gunnar), World's Paper Trade Rev., 1955, 144, № 10, 793—794, 796, 798, 800, 809—810, 812, 814 (англ.)

В Швеции для получения целлюлозы (Ц) используют два вида березы и осину. Условия варки древесины этих пород и отбелка должны обеспечить максим. прочность волокна. Сульфатная Ц из березы получается более прочной, чем из хвойных, и легко размалывается. Сульфитная березовая Ц обладает меньшей прочностью, но зато она дает более мягкую, пухлую и непрозрачную бумагу (Б). Обе Ц отбеливаются  $\text{Cl}_2\text{O}$ , отличаются высокой чистотой и малым содержанием экстрактивных в-в. Исследование Б из этих Ц, взятых в отдельности или в смеси в различном процентном отношении с двумя характерными образцами еловых длиноволокнистых Ц, показало, что добавка сульфитной березовой беленой Ц к еловой жесткой Ц почти не ухудшает прочности готовой Б, добавка же к мягкой еловой сульфитной Ц даже повышает прочность Б; добавка сульфитной березовой Ц к еловой Ц снижает прочность Б, но делает ее более пухлой, непрозрачной и впитывающей; добавка к еловой Ц немолотой березовой Ц значительно снижает степень помола и ускоряет обезвоживание массы на сетке машины, прочность же Б снижается.

С. И.

**27342. Смола в сульфитной беленой целлюлозе. Иванов М. А.,** Техн. информ. по результатам науч.-исслед. работ Ленингр. лесотехн. акад., 1955, № 27, 13—14.

Состав смолы в небеленой и в беленой целлюлозе имеет значительные различия. Наряду с неизменившимися смоляными и жирными к-тами, смола из беленой целлюлозы содержит хлороксикилоты, образующиеся в результате присоединения элементов хлорноватистой к-ты по двойным связям смоляных и жирных к-т.

Л. Г.

**27343. Варки осинового древесины: сульфатные, натронные и с применением сульфидов. Энквист, Альфредссон** (Einige Sulfat-, Soda-und Hydrosulfidkochen von Espenholz. Enkvist Terje, Alfredsson B.), Svensk papperstidn., 1954, 57, № 5, 159—161 (нем.; рез. швед., англ.)

Сравнение сульфатных, натронных варок осины и варок с применением гидросульфидов (pH7) с аналогичными варками ели (РЖХим, 1955, 22617 и Тарпи, 1949, 32, 241) показало, что растворимость лигнина осины больше, чем лигнина ели. Осиновая древесина почти полностью делигнифицировалась при сульфатных варках при 140° и 5 час. Сернистые соединения варочной жидкости одинаково благоприятно действуют на листовую и хвойную древесину. В варках осины и ели с применением гидросульфида содержание S в полученных тиолигнинах одинаково, содержание метоксидов в тиолигнине осины несколько выше.

М. Н.

**27344. Варка сульфатной целлюлозы из лиственницы. Пльин Н. А.,** Бум. пром-сть 1955, № 11, 24.

Варки производились по режимам: заварка 3 часа и 2 часа 30 мин.; варка 1 час и 45 мин. Состав щелока в ела изменялся:  $\text{NaOH}$  91,2—88,0,  $\text{Na}_2\text{S}$  24,9—17,9;  $\text{Na}_2\text{CO}_3$  16,9—11,6. Расход активной щелочи  $\text{Na}_2\text{O}$  на 1 т целлюлозы 288. Механич. показатели целлюлозы из лиственницы во всех варках оказались ниже,



чем из еловой древесины. Применение возможно в качестве добавки к еловой целлюлозе.

А. Х. 27345. Высокий выход массы, получаемый при холодном щелочном способе из некоторых пород древесины. Браун, Мак-Говерн (High-yield cold soda pulps and products from several woods. Brown K. J., McGovern J. N.), Paper Industry, 1953, 35, № 1, 66—69 (англ.)

27346. Гидротронные способствующие растворению вещества. I. Варна древесины с водным раствором натриевой соли ксилолсульфокислоты. Кунуги, Утида (溶化作用の研究。第1報。キシレンスルホン酸ソーダ水溶液による木材の蒸解。功刀泰碩, 内田和子), 工業学雑誌, Koré karaku dзасси, Chem. Soc. Japan. Industr. Chem. Sec., 1953, 56, № 8, 634—636 (япон). Опилки буковой древесины обрабатывают в автоклаве 10-кратным кол-вом (к весу опилок) 5—4%-ных р-ров Na-соли ксилолсульфокислоты (I) при 150—180° в течение 4—10 час.; в полученном продукте определяют содержание холоцеллюлозы,  $\alpha$ -целлюлозы, лигнина (II) и пентозанов (III). Растворимость II в этих р-рах заметно возрастает с увеличением конц-ии I выше 20%. При обработке опилок 35%-ным р-ром I и 150—160°, в течение 5—6 час. выход сырой целлюлозы 48—50%. Разделение II и III легко осуществляется посредством разбавления варочного р-ра до 5%-ной конц-ии; растворимость II и III в 5%-ном р-ре I равняется 0 и 1,2%, соответственно.

Л. М. 27347. Является ли соломенная целлюлоза наполнителем? Шёнберг (Is straw pulp a filler? Schönberg E.), World's Paper Trade Rev., 1955, 143, № 4, 297—298, 300, 302, 304, 309—310, 312, 314, 316 (англ.)

Проводится точка зрения, что соломенная целлюлоза (СЦ), приготовленная по способу Целдекор — Помилно, является полноценным материалом для производства определенных сортов бумаги, а не наполнителем. Данные обоснования такой точки зрения (определены размеры волокна СЦ, исследованы их распределение, структура бумаг из СЦ и сульфитной целлюлозы и их прочность).

Е. К. 27348. Производственные отбелки целлюлозы с забуфериванием отбелных растворов. Флине Н. Е., Перльштейн Е. Я., Тр. Ленингр. технол. ин-та им. В. М. Молотова, 1955, № 3, 30—38

Доказана возможность замены известной дефицитного и более дорогого едкого натра, применявшегося в качестве буфера при отбелке вискозной целлюлозы солями хлорноватистой к-ты. Режим отбелки при этом практически не меняется, так же как механич. и хим. показатели получаемой целлюлозы (содержание  $\alpha$ -целлюлозы и золь, сорность, вязкость медноаммиачных р-ров, белизна).

Н. С. 27349. Вискозная целлюлоза из древесины твердых пород. II. Пентозаны в буковой целлюлозе. Асаока, Кудо (濃液樹人絹パルプに関する研究。第2報。作パルプのベントザンについて。浅岡宏, 工業学雑誌, Koré karaku dзасси, J. Chem. Soc. Japan. Industr. Chem. Sec., 1953, 56, № 6, 455—457 (япон.)

Буковая целлюлоза (БЦ), содержащая приблизительно до 6,56% пентозанов (I), очищалась путем многоступенчатого процесса действием  $\text{Cl}_2$ , щелочи, а затем  $\text{Cl}_2$  при т-ре ~20° и щелочи при 85—90°, NaOCl при 35°. Содержание I в очн. БЦ уменьшалось до 3,84%. При изучении свойств вискозы, приготовленной из БЦ, установлено, что наличие I оказывает влияние на вязкость вискозы. Описанный выше способ очистки дает БЦ, пригодную для получения вискозы.

Л. М. 27350. Целлюлоза с высоким содержанием  $\alpha$ -целлюлозы. Арисава (高 $\alpha$ パルプについて。有澤幸夫), 化学と工業, Karaku to koré, Chem. and Chem.

Ind., 1953, 6, № 12, 637—646 (япон.)

Обзор. Библ. 45 назв.

Л. М.

27351. О щелочном расщеплении полисахаридов. Сообщение I. Расщепление хлопковой гидроцеллюлозы. Рихценхайн, Линдгрэн, Абрахамссон, Хольмберг (Über den alkalischen Abbau von Polysacchariden. I. Mittel: Abbau von Baumwollhydrocellulose. Richtzenhain Hermann, Lindgren Bengt O., Abrahamsson Birgitta, Holmberg Kerstin), Svensk papperstidn., 1954, 57, № 10, 363—366 (нем.; рез. англ., швед.)

Изучалось расщепление хлопковых гидроцеллюлоз, имеющих степень полимеризации 130—3000 под действием 0,5 н. NaOH при 100°. Предполагается, что неполнота расщепления гидроцеллюлозы связана с построением молекул из упорядоченных и менее упорядоченных цепей.

В. В.

27352. О щелочном расщеплении полисахаридов. Сообщение II. Расщепление гемицеллюлозы. Рихценхайн, Абрахамссон (Über den alkalischen Abbau von Polysacchariden. II. Mittel: Abbau von Hemicellulose. Richtzenhain Hermann, Abrahamsson Birgitta), Svensk papperstidn., 1954, 57, № 15, 538—541 (нем.; рез. англ., швед.)

Приведены результаты опытов по щел. расщеплению под действием 1,0 н. NaOH при 100°  $\beta$ -и  $\gamma$ -целлюлоз из жесткой сульфитной еловой целлюлозы, гемицеллюлоз, выделенных из хлоритной еловой холоцеллюлозы и ксилана из древесины бука.

В. В.

27353. Фракционированное осаждение как метод определения полидисперсности целлюлоз с высоким молекулярным весом. Таймелл (Fractional precipitation as a method for estimating the chain-length distribution of high-molecular weight celluloses. Timell T. E.), Svensk papperstidn., 1955, 58, № 1, 1—9 (англ.; рез. нем., швед.)

Изучена возможность определения полидисперсности целлюлоз с высоким молекулярным весом (необработанное волокно рами) путем фракционного осаждения азотнокислых эфиров целлюлозы (I) в войды из ацетоновых р-ров. Степень полимеризации определена по вязкости, экстраполированной к нулевой конц-ии. Два опыта проведены путем однократного фракционирования I на 12 фракций, в третьем опыте фракционирование было повторено 3—4 раза и всего получено 168 фракций; в 4 опыте после двукратного осаждения получено 35 фракций. Условия фракционирования: к р-ру 1,5 г I в 1500 мл ацетона добавлялся 50%-ный водн. ацетон при 25° при сильном размешивании до появления опалесценции, затем р-р нагревался до 35° и вновь охлаждался до 25°. После отделения осадка снова добавляли водн. р-р ацетона и осаждали следующие фракции. Несмотря на тщательную стабилизацию I постепенно окисляются в р-ре ацетона; поэтому фракционирование следует проводить возможно быстро. Колебания в содержании азота в отдельных фракциях высокоэтерифицированного препарата I ( $N = 13,64—13,79\%$ ) были незначительны. Даже после четырех повторных фракционирований фракции обладали очень значительной полидисперсностью. Неустойчивость I в ацетоновых р-рах и необходимость повторного фракционирования затрудняет исследование высокомолекулярных препаратов целлюлоз при помощи описанного метода.

Е. К.

27354. Исследование состава муты в растворах ацетатов целлюлозы, изготовленных из древесной целлюлозы. Брайдуэй (An investigation of haze in cellulose acetates made from wood pulps. Bradley K. E.), Tappi, 1954, 37, № 10, 440—446 (англ.)

Вещества, обуславливающие мутность ацетоновых р-ров ацетилцеллюлозы (I), были выделены из трех препаратов I из древесной целлюлозы и одного из хлопкового пуха центрифугированием и ультрацентрифугированием из 4%-ных ацетоновых р-ров I с последующим фракционированием переосаждением из ацетонового р-ра бензолом. Физ. исследования различных фракций этих веществ в электронном микроскопе показали, что грубая муть состоит из волокон, а тонкая из аморфных частичек. Вещества, выделенные из I, используемых в производственных условиях, имели низкое содержание ацетильных групп, в муте, выделенной из лабор. образца, степень этерификации была не ниже, чем в исходном продукте. Эти вещества растворились только в  $\text{HCOOH}$ . Грубая муть, выделенная из лабор. образца ацетата целлюлозы, содержала 94% глюкозы, 6% маннозы и 1% ксилозы. Предполагается, что сильно диспергированная муть могла состоять из маннана и ксилана. Обнаружено присутствие в фракциях этого препарата небольшого кол-ва уроновых к-т, соли и связанных сульфатов. Путем повторного ацелирования не удалось получить прозрачный р-р этих препаратов. Прозрачный р-р был получен после предварительного удаления маннана и ксилана и повторного ацелирования. Продукты ацелизации тонкой муты, выделенной из лабор. образца, были проэкстрагированы  $\text{CHCl}_3$  с добавлением  $\text{C}_2\text{H}_5\text{OH}$ . Получены две фракции. После омыления нерастворимой фракции  $\text{CH}_3\text{ONa}$ , методом хроматографии на бумаге установлено наличие в ней целлобиозы. В результате повторного ацелирования нерастворимой фракции и омыления  $\text{CH}_3\text{ONa}$  наряду с целлобиозой найдена глюкозидо-манноза, что указывает, что ангидрид маннозы образует смешанную молекулу с ангидридом глюкозы.

**27355.** Растворимость и степень полимеризации ацетата целлюлозы в процессе ацелирования и гидролиза. Часть II. Целлюлоза из индийского хлопка со средней длиной волокна. Часть III. Целлюлоза из длиноволокнистого египетского хлопка. Чоудхури, Палит (Solubility and degree of polymerization of cellulose acetate during acetylation and hydrolysis. Part II. Cellulose from medium staple Indian cotton. Part III. Cellulose from long staple Egyptian cotton. Choudhury Pijush Kanti, Palit Santi R., J. Sci. and Industr. Res., 1953, 12, № 4, 134—137, 138—141 (англ.))

Исследован процесс ацелирования и гидролиза  $\alpha$ -целлюлозы, полученной из индийского хлопка (длина волокна 23 мм и 35 мм), и приведены результаты этого исследования. Часть I см. J. Sci. industr. Res., 1951, 10B, 110—117.

**27356.** Влияние лигнина, углеводов и смол на окраску ацетилцеллюлозы. Николайсен, Боргин (The importance of lignin, carbohydrates and resins for the discoloration of cellulose acetate. Nicolaysen V. B., Borgin Karl), Norsk skogind., 1953, 7, № 5, 134—142 (англ.; рез. норв.)

С помощью УФ-спектроскопии показано, что желтоватая окраска ацетилцеллюлозы (I) зависит в основном от наличия лигнина, продуктов деструкции целлюлозы, гемцеллюлозы и других углеводов, смол и смолоподобных продуктов. Окраска I возрастает почти пропорционально содержанию лигнина в I и содержанию смол в исходной целлюлозе, так как смолы не удаляются из целлюлозы при ацелировании. Строение продуктов деструкции целлюлозы неизвестно, но в их состав входят фуфурол и 5-гидроксиметилфурул.

**27357.** Фракционирование нитратов целлюлозы по степени этерификации. Смит (Fractionation of nitrocelluloses according to the degree of substitution,

Smith Tore H.), Norsk skogind., 1954, 8, № 11, 402—407 (англ.; рез. норв., франц.)

Разработан метод фракционирования нитратов целлюлозы (I) по степени этерификации (СЭ) путем экстракции их смесью этанола с ацетоном. 10 г I встряхивают с 200 мл 95%-ного  $\text{C}_2\text{H}_5\text{OH}$  в течение 4 час. Нерастворившийся остаток отделяют центрифугированием и промывают небольшим кол-вом  $\text{C}_2\text{H}_5\text{OH}$ . После частичной отгонки р-рителя в вакууме к р-ру добавляют воду и остаток выпаривают при действии ИК-лучей в токе воздуха. Следующую обработку нерастворившегося препарата проводят смесью из 198 мл  $\text{C}_2\text{H}_5\text{OH}$  и 2 мл  $\text{CH}_3\text{COCH}_3$ . Дальнейшее фракционирование продолжают при увеличении содержания  $\text{CH}_3\text{COCH}_3$  в смеси р-рителя для каждой обработки на 1% по объему. Методом фракционированного растворения из нитратов хлопковой и древесной целлюлозы с содержанием 11,5—12,5% N были выделены фракции с возрастающим содержанием N. При фракционировании смеси высокомолекулярного I низкой СЭ и низкомолекулярного I более высокой СЭ, фракционирование происходит по СЭ независимо от степени полимеризации. Технич. нитраты целлюлозы, полученные из древесной целлюлозы, более гетерогенны по СЭ, чем нитраты из хлопкового пуха.

**27358.** К вопросу получения непредельных эфиров целлюлозы. Симонова Н. И., Тр. Ленингр. ин-та киноинж., 1955, № 3, 244—247

При взаимодействии алкалцидцеллюлозы с 1,3-дихлорбутеном-2 получены эфиры со степенью замещения 1,3—3 на элементарное звено целлюлозы, хорошо растворимые в органич. р-рителях. Триэфир целлюлозы после испарения р-рителя образует на стекле прочную пленку.

**27359.** Карбоксиметилцеллюлоза в текстильной промышленности. Маури (La carboxymethylcellulosa en la química textil. Mauri Luis), JON, 1954, 14, № 156, 406—413 (исп.)

Обзор. Библ. 25 назв. **27360.** Изучение карбоксиметилцеллюлоз. III. Действие холодных, концентрированных растворов серной кислоты на карбоксиметилцеллюлозы. IV. Фракционирование как метод изучения однородности карбоксиметилцеллюлоз. Таймелл (Studies on carboxymethylcelluloses. III. The action of cold, concentrated sulfuric acid solutions on carboxymethylcelluloses. IV. Fractionation as a method for studying the uniformity of carboxymethylcelluloses. Timell T. E.), Svensk papperstidn., 1953, 56, № 7, 245—250; № 9, 311—323 (англ.)

Начало см. Svensk papperstidn., 1952, 55, 649, 700

**27361.** Изучение физико-химических свойств высокомолекулярных электролитов. I. Некоторые свойства карбоксиметилцеллюлозы. Собуэ, Табата (高分子電解質に関する物理化学的研究. 第1報. 纖維素グリオール酸の二, 三の性質について. 植父江寛, 田畑米藏), 工業化学雑誌, Koré kagaku daasshi, J. Chem. Soc. Japan. Industr. Chem. Sec., 1953, 56, № 8, 638—640 (япон.)

Изучалась связь между вязкостью и величиной pH, степенью диссоциации и константой диссоциации карбоксиметилцеллюлозы и альгиновой к-ты. На основании зависимости степени диссоциации от pH среды предполагается существование внутримолекулярных водородных связей, что подтверждается ИК-спектрами поглощения.

**27362.** Исследования этилцеллюлозы. VI. Улучшение однородности этилирования в водном р-ре органического основания. Ногуты, Какураи (エチル纖維素の研究. 第6報. 有機塩基を用いた場合のエチル化の均一性の向上. 野口達朗, 加倉井敏夫), 工業化

學雜誌, Korō kagaku dzasshi, J. Chem. Soc. Japan. Industr. Chem. Sec., 1953, 56, № 9, 692—694 (япон.)

Вискозный искусств. шелк (степень полимеризации 344) обрабатывался  $C_2H_5Br$  или  $(C_2H_5)_2SO_4$  в 2,73 н. водн. р-ре  $C_6H_5CH_2NCH_2OH$  при 20° в течение 65—480 мин. В обработанном таким образом материале определялось содержание  $C_2H_5O$ , растворимость его в воде, этиловом спирте, бензоле. Л. М.

27363. К вопросу об использовании отработанных сульфитных щелоков целлюлозного производства. Клейнерт (Beitrag zur stofflichen Verwertung der Sulfitaablagen der Zellstoff-Fabrikation. Klei- nert Theodor), Das Papier, 1953, 7, № 5/6, 82—87 (нем.)

Разработан способ получения удобрений из отрабо- танных сульфитных щелоков. А. Х.

27364. Номограмма для вязкости натронного отрабо- танного щелока. Дейвис (Nomograph for viscosity of soda waste liquor. Davis D. S.), Paper Ind., 1955, 37, № 2, 157 (англ.)

Предложена номограмма, связывающая вязкость, процентное содержание сухого в-ва и т-ру щелока. М. Н.

27365. Использование побочных продуктов в цел- лuloзной промышленности. I. Гидроперекись *n*-ци- мола. Собуэ, Фукухара (パルプ副産物利 用に關する研究. 第1報 シジモンハイドロパーオキシドにつ いて. 藤父江寛, 藤原隆雄), 工業化學雜誌, Korō kagaku dzasshi J. Chem. Soc. Japan. Industr. Chem. Sec., 1954, 57, № 9, 693—694 (япон.)

Очищенный *n*-цимол, полученный из щелоков при варке целлюлозы из древесины красной сосны, окис- лялся воздухом при 85° и pH 8,8—9,2 в различные промежутки времени (до 110 час.) на рассеянном свете в присутствии равных кол-в  $H_2O$ , 0,05% стеарата на- трия, 0,3% перекиси бензола и 2%  $NaHCO_3$ . Из ма- сляного слоя действием 25%-ного р-ра  $NaOH$  выделя- лось белое кристаллич. в-во, которое промывалось петр. эфиром, сушилось в вакууме и обрабатывалось в воде  $CO_2$ . Извлеченная гидроперекись цимолы про- мывалась водой и перегонялась в вакууме. Получен- ный продукт (степень чистоты 98,5%) имел т. кип. 61—65°/0,001—0,0001 мм,  $d_4^{25}$  1,0298,  $n_D^{25}$  1,5239. Л. М.

27366. Использование тонкомера и лесопильных от- ходов в целлюлозном производстве. Арве (Använd- ning av klenvirke och sågverksavfall inom cellulosain- dustrien. Arve N.), Svenska skogsvårdsforen. tidskr., 1955, 53, № 2, 147—154 (швед.)

Опыты по использованию тонкомера и отходов лесоп- иления показали, что из тонкомера основного дре- востоя получается бумага, не отличающаяся по проч- ности от бумаги из нормального баланса, а бумага из елового древостоя — более прочная. Содержание чи- стой древесины в тонкомере меньше, чем в обычном балансе, а подготовка его к варке значительно дороже. Щепу из тонкомера примешивают к щепе, полученной из нормального баланса, в кол-ве 20%. Лесные отходы при использовании в целлюлознобумажном произ- ве должны тщательно освобожаться от коры. Они приме- шиваются к нормальной щепе в кол-ве 1/3. М. Н.

27367. Применение насадочных скрубберов для очист- ки газов от известково-обжигательных печей. Мок- ридж (The use of peabody scrubbers on lime kiln stack gases. Mockridge P. G.), Tappi, 1955, 38, № 4, 255—256 (англ.)

Для мокрой очистки газов известково-обжигатель- ных печей наиболее пригодны скрубберы (С). Для уста- новки производительностью 10 т/час известки С имеет диам. 3 м и высоту 6,7 м. Горячий газ из печи посту- пает в нагнетательную камеру, а оттуда через отверстие в С, где орошается спрысковой водой, при этом круп-

ные частицы пыли отделяются от газа. Далее газ сме- шивается с водой при проходе через диафрагму, ча- стички пыли увлажняются и агглюмерируются. Для окончательной очистки газ разбивается на мелкие струйки и с большой скоростью проходит через перфо- рированную плиту с большим числом мелких отвер- стий ~6500 на 1 м<sup>2</sup>. Выходя из отверстий, газ ударяется об отражательные насадки, частицы пыли прилипают к ним и смываются водой; очищ. от пыли газ проходит через слой воды, сепаратор и направляется венти- лятором в атмосферу. Вода под давл. ~1 ат поступает в С сверху и удаляется из его нижней части. С задер- живает ~97% всей пыли, содержащейся в газах. С. И.

27368. Уровнемер и его применение. Бонда- ренко С. С., Бум. пром-сть, 1955, № 11, 23

Описана конструкция уровнемера, изготовленного из винилпласта. Помимо основного назначения (изме- рение кол-ва к-ты, закачиваемой в варочный котел), он может быть приспособлен для измерения массы в массовых бассейнах и для герметически закрытых баков с крепкой к-той. А. Х.

27369. Сравнительное исследование методов опре- деления степени полимеризации деструктурированных препаратов регенерированной целлюлозы. Шмидт, Манегольд (Vergleichende Untersuchung von Methoden der DP-Zahl-Bestimmung an geschädigten Regeneratzellulosen. Schmidt Wolfgang, Manegold Erich), Textil- und Faserstofftech- nik, 1953, 3, № 2, 85—86 (нем.)

Степень полимеризации (СП) препаратов деструкти- рованной регенерированной целлюлозы определена тремя методами: 1) по вязкости ацетоновых р-ров нитра- тов целлюлозы, 2) по вязкости  $Cu-NH_3$ -р-ров целлюлозы и 3) по серебряному числу. Первые два метода дают относительно совпадающие результаты, по третьему методу получаются повышенные результаты. Приме- нение второго метода ограничено, так как раствори- мость регенерированной целлюлозы с  $СП > 800$  в медно- аммиачном р-ре уменьшается. В качестве стандартного метода определения СП авторы рекомендуют разра- ботанный ими первый метод. Предыдущее сообщение см. РЖХим, 1953, 5750. П. Ч.

27370. Определение небольших количеств карбо- ксильных групп в целлюлозных материалах посред- ством реактива Шварценбаха. Собуэ, Окубо, Каннами (Schwarzenbach の試薬による纖維素試 料中の微量のカルボキシル基定量法. 藤父江寛, 大久保正道, 清南晴一), 工業化學雜誌, Korō kagaku dzasshi, J. Chem. Soc. Japan. Industr. Chem. Sec., 1954, 57, № 3, 247—249 (япон.)

1 г целлюлозы промывают 10—15 мин. 0,1 н.  $HCl$ , затем дистилл. водой и обрабатывают стандартным р-ром (приблизительно 0,35 миллинормального)  $Ca(CH_3COO)_2$ . Конц-ия  $Ca^{2+}$  определялась титрова- нием 0,1%-ным р-ром  $Na$ -этилендиаминтетраацетата. Результаты определения  $CO_2H$  данным методом сов- падают с результатами, полученными при обычном методе определения карбоксильных групп. Л. М.

27371. Значение гемилцеллюлоз в бумажном произ- водстве. Юречич (The role of hemicelluloses in papermaking. Jurecic Anton), South. Pulp and Paper Manufacturer, 1955, 18, № 7, 80, 82, 89 (англ.)

Рассматривается вопрос о роли гемилцеллюлоз при подготовке волокнистого материала и получении бумаги. М. Н.

27372. Применение проклейки монта-воском в бу- мажной промышленности и способы проклейки. Хеккер (Die Montanwachsléimung in der Papier industrie Anwendungsmöglichkeiten und Verfahrens-



weise. Haescker G.), Wochenbl. Papierfabr., 1954, 82, № 17, 693—695 (нем.)

Отмечено широкое применение проклейки бумаги и картона монта-воском и описан способ проклейки. Готовый клей (концентрация 1%) добавляется в rolls, при нейтр. или лучше при pH массы 7—7,5, что достигается небольшой добавкой кальцинированной соды. Осаждение монта-воска на волокно осуществляется добавлением  $Al_2(SO_4)_3$  до pH массы 4,0—4,5. Бумага, проклеенная монта-воском, устойчива против старения, улучшаются ее печатные свойства. Фирменное название монта-воска, изготавливаемого фирмой F. Schacht K. G., «Montacolli».

**27373. Сушка бумаги при помощи излучения от газовых горелок.** Куснерус, Молман (Drying converted paper products with radiant gas burners. Kusnerus James L., Moehlman Richard E.), Paper Ind., 1954, 35, № 12, 1314—1317 (англ.)

Приведены условия и результаты опытов по сушке крафтбумаги, однослойной и двухслойной с асфальтовым покрытием, излучением от газовых горелок. Перечислены факторы, влияющие на интенсивность процесса сушки.

**27374. Обрывы бумаги на бумагоделательной машине и их предупреждение.** Иванов С. И., Бум. пром-сть, 1955, № 9, 21—22

Рассмотрены причины обрывов на бумагоделательной машине (скопление сгустков массы, слиз, попадание на сетку и в мокрое полотно бумаги посторонних предметов; неисправное состояние одежды машины, нарушение режима обезвоживания в сеточной и прессовой части машины; неправильное натяжение бумажной ленты и неисправное состояние привода бумагоделательной машины; неисправное состояние сушильных сушек; плохой залив на сетке) и возможные меры их предупреждения.

**27375. Новая схема подачи каолиновой суспензии.** Солодин Э. М., Бунин Г. Я., Бум. пром-сть, 1955, № 9, 23

По новой схеме каолиновая суспензия (КС) последовательно из 2-х бассейнов самотеком периодически поступает в промежуточный мерник, снабженный сетчатым фильтром; отсюда она направляется в мерник, находящийся над машинным бассейном. В мерник подается обратная вода от бумагоделательной машины для поддержания требуемой концентрации КС. Подача КС в поток бумажной массы, направляемой на бумагоделательную машину, производится с помощью черпального колеса и достаточно точно регулируется передвижной перегородкой в приемном ящике. При новом методе подачи КС в массу устраняются колебания в зольности бумаги.

**27376. Усовершенствование процесса сушки целлюлозы и бумаги.** Соломко В. С., Бум. пром-сть, 1955, № 9, 18—21

Открытая сушильная часть целлюлозного пресс-пата заключена в закрытый шкаф, под сушильные цилиндры подведен воздух, подогреваемый до 80—85°, тепло отходящего воздуха после теплообменников использовано для подогрева воды. Дополнительно установлен сушильный шкаф с самостоятельной вентиляцией. Повышена также сухость целлюлозы перед сушкой до 44—46% путем подогрева бумажного полотна до 60° в зоне отсасывающих лычков горячей водой от теплоуловительной установки. Успешна работа обезвоживающего оборудования пресспатов. На пресспате № 2 т-ра воздуха, поступающего в нижние зоны шкафа, увеличена с 65 до 85—90°. Осуществляется новая схема отвода и использования конденсата.

**27377. Размол отходов целлюлозно-бумажного производства для газетной бумаги.** Уэтмор (Refi-

ning of mill wastes for newsprint. Wetmore R. T.), Pulp and Paper Mag. Canada, 1954, 55, № 3, 175—178 (англ.)

Центральная установка (ЦУ) для размола отходов состоит из двух дисковых рафинеров Бауера № 407 мощностью по 300 л. с. каждый и одной мельницы Нобль-Вуда мощностью 600 л. с., работающих параллельно при низкой концентрации 1—2,2%. Отходы целлюлозного а-да, предварительно подмолотые там на рафинере Бауера, подаются на ЦУ, где они окончательно размалываются, разбавляются оборотной водой и пропускаются через сортировку Ватерус. Отсортированное волокно присоединяется к потоку древесной массы, идущей для произ-ва газетной бумаги, а отходы возвращаются для домолы на ЦУ. На размол 1 т отходов расходуется 50 л. с. Полученная масса отличается длинным волокном и содержит мало мелочи. По своим свойствам, прочности она даже превосходит древесную массу первого сорта, отличаясь большей садкостью по сравнению с последней, но хуже по цвету.

**27378. Прозрачные и жиронепроницаемые бумаги.** Куаттроски (Glassine and greaseproof papers. Quattrocchi S. J.), Canad. Pulp and Paper Ind., 1955, 8, № 8, 48—49, 53 (англ.)

В настоящее время при произ-ве прозрачной и жиронепроницаемой бумаги, сульфитную, сульфатную целлюлозу и полцеллюлозу не подвергают высокому размолу, но применяют различные добавки, сообщающие бумаге необходимые свойства. Многие виды прозрачных бумаг готовят путем проклейки готовой бумаги на клеевых прессах или в массе крахмалом. Однако эти бумаги, прочные на разрыв, не пригодны для печати и термоизоляционных покрытий. Для улучшения жиронепроницаемости применяют альгинаты. Заданные в кол-ве в 10 раз меньше, чем крахмал, они дают такие же результаты по жиронепроницаемости. Для сообщения бумаге мягкости, гибкости, прозрачности и других свойств применяют различные пластификаторы: смесь мочевины и комплексного соединения мочевины с азотнокислым натром, гликоли и их производные, глицерин, инвертированный сахар, кукурузная патока и некоторые другие. В качестве наполнителей при произ-ве матовых бумаг этого типа применяют титановые пигменты. Такие бумаги обладают прекрасными печатными свойствами. Для увеличения сопротивления бумаге проникновению масел, жиров и паров воды они покрываются восковой и парафиновой эмульсией (из воска с высокой т.пл., полиэтиленов). Предотвращение роста плесени в бумагах этого типа, применяющихся для упаковки, в особенности пищевых продуктов, достигается введением спец. добавок. Некоторые марки прозрачных и жиронепроницаемых бумаг обрабатываются смолами для придания им прочности во влажном состоянии. Применяются также эмульсии квилона и силикона для придания этим бумагам спец. свойств. В частности, бумаги, применяющиеся в кондитерской пром-сти (обкладки противней), делаются с добавкой квилона, который делает бумагу менее ломкой при высоких т-рах. Применение жиронепроницаемых и прозрачных бумаг чрезвычайно разнообразно (пищевая пром-сть, торговля, электропромышленность и другие отрасли). Очень часто эти бумаги комбинируют с фольгой и прозрачными пленками, изготавливая двух- и трехслойные бумаги.

**27379. Об светостойкости обоевых красок.** Баудер Н. Р., Конторова С. А., Бум. пром-сть, 1955, № 11, 24—25.

Рекомендуются для произ-ва обоев красочные лаки основных красителей на субстрате зеленой глины, полученные с помощью адсорбции из водн. р-ров и обладающие довольно хорошей светостойкостью.

**27380. Испытание окорочной установки Карлстрёма.** Брехт, Ботт, Венц (Untersuchung einer Karlström Entrindungsanlage. Brecht Walter, Bott Rudolf, Wenz Martin), Papier, 1954, 8, № 7/8, 120—128 (нем.; рез. англ., франц.)

В установке Карлстрёма неокоренный баланс загружается в пропарочную камеру емк. на 130 м³ древесины, подвергается в течение 1,5 часов предварительному подогреву spryskami теплої воды; затем баланс нагревается паром в 3 атм до 95°, выдерживается при этой т-ре 9—10 час.; охлаждается в течение 1,5 час. через spryski холодной водой и поступает на цепной транспортер, где кора смывается струей воды, выходящей из ствола под давл. в 17 атм. Потеря древесины составляет <0,1% при хорошей чистоте окоренной древесины. Содержание смолы в целлюлозе из окоренной по описываемому способу древесины вдвое меньше, чем в целлюлозе, полученной из древесины ножевой окорки, но белизна несколько ниже. М. Н.

**27381. Из опыта эксплуатации дефибрерных камней.** Финк М. М., Пенягин Ю. И., Бум. пром-сть, 1955, № 9, 23—24

Устранение эксцентрисичности нового дефибрерного камня выполняется на специально сконструированном для этой цели станке. Камень вращается от электродвигателя мощностью 9 кет через редуктор со скоростью 26 об/мин. Обточка камня производится с помощью шарошки, установленной на подвижном суппорте. Передвижение шарошки производится от электродвигателя мощностью 1,5 кет. Прижим ручной. Для устранения вредных термич. напряжений на дефибрерах установлен спец. привод, для вращения камней на холостом ходу со скоростью 15 об/мин.; при этом камень орошается теплої оборотной водой 55—65°. С. И.

**27382. Технологическая характеристика гидроклона.** Волков, Голубев (Prispěvek k technologické charakteristice hudekronu. Volkov L. E., Golubev A. J.), Papír a celuloza, 1955, 10, № 7, 127—129 (чех.)

См. РЖХим, 1956, 14571.

**27383. О гидроклонах и вихревых очистителях.** Фридман Г. А., Андриевская Т. М., Бум. пром-сть, 1955, № 11, 25

**27384. Удаление воздуха из бумажной массы, поступающей на машину.** Хьюсон (Air removal from paper machine stock. Hughson Geoffrey D.), Tappi, 1954, 37, № 5, 162 A—164 A (англ.)

Описываются аппараты для удаления воздуха из бумажной массы, поступающей на бумагоделательные машины, и их использование при выработке различных сортов бумаги. Оборудование такого типа (деаэраторы, декудаторы) устанавливается обычно между сортировкой Берда и напорным ящиком машины. Перечислены преимущества, достигаемые удалением воздуха из массы. М. Б.

**27385. Контрольно-измерительная аппаратура в целлюлозно-бумажной промышленности.** Крайвене (Instrumentation in the pulp and paper industry. Scrivens Donald B.), Paper Mill News, 1953, 76, № 42, 49—50, 52—54, 142 (англ.)

Рассматривается организация контроля произ-ва древесной массы, целлюлозы (сульфитной, сульфатной, натронной) и полуцеллюлозы, отбелки, концентратов массы и работы бумагоделательной машины. Т. Ф.

**27386. Установка микрометров на форматных валах лапчатых машин.** Раздогов М. Н., Бум. пром-сть, 1955, № 11, 23—24

Для облегчения контроля за толщиной листов картона предлагается установить на форматном валу лапчатой машины обычные микрометры с циферблатом диам.

300 мм и точною измеренны до 0,1 мм. Приведена схема установки. А. Х.

**27387. Сравнительные определения времени обезвоживания на приборе TAPPI-SFMC и по другим методам.** Хейг (A comparison of the TAPPI-SFMC drainage time test procedure with other methods. Haig David R. P.), Tappi, 1955, 38, № 1, 35—38 (англ.)

Прибор TAPPI-SFMC для определения скорости обезвоживания садкой массы испытывался одновременно с Британской листоотливной машиной, описанной в T221m-50, и модифицированным прибором Грина. Сравнительные испытания показали преимущества нового прибора; он требует меньше массы для анализа, массная суспензия хорошо видима при испытании, сам прибор более чувствителен и конец испытания хорошо контролируется. Установлено, что на показания прибора оказывают влияние рН среды и т-ра массы. Скорость обезвоживания повышается с увеличением т-ры и с понижением рН массы. Прибор применим для контроля в произ-ве изоляционных картонов. С. И.

**27388. Проникновение жидкостей в бумагу.** Толленар (Penetration von Flüssigkeiten in Papier. Tollenaar A.), Schweiz. Arch. angew. Wiss. und Techn., 1955, 21, № 3, 82—84 (нем.)

**27389. Маслостойкость бумаги.** Арнольд (The oil resistance characteristic of paper. Arnold D. A.), Paper and Print., 1955, 28, № 2, 224, 227 (англ.)

Описан метод и прибор для определения относительной маслостойкости любой бумаги. Сущность метода заключается в том, что капля масла из капельной воронки падает на поверхность латунного шарика, скатывающегося по наклонной пластине, на которой помещен образец бумаги. Отмечается время от момента появления отпечатка масла на бумаге до исчезновения блеска (на 75%) масляной пленки. Для маслостойкой бумаги это время составляет 60 сек. Б. Б.

**27390 Д. Применение свежего осмола в лесохимической промышленности.** Медников Ф. А. Автореф. дисс. докт. техн. н., Ленингр. лесотехн., акад., Л., 1955

**27391 Д. Сравнительное изучение окислительных превращений пектиновых веществ, целлюлозы и их структурных единиц.** Маят Н. С. Автореф. дисс. канд. хим. н., Ин-т орган. химии АН СССР, М., 1955

**27392 П. Обработка пека.** Кемпбелл (Treatment of pitch. Campbell Oliver F.) [Sinclair Refining Co.]. Пат. США 2652594, 22.09.53

Способ обработки пека заключается в одновременном охлаждении и затвердевании горячего жидкого пека в контакте с охлаждающей водой и его раздроблении. Вода должна иметь т-ру выше т-ры затвердевания пека, но ниже т-ры, при которой ее уд. вес становится одинаков с уд. весом пека. Скорость потока охлаждающей воды должна поддерживать турбулентное движение в месте ввода пека и обеспечить перемещение отвержденных кусков пека к сборнику. Дана аппаратурная схема установки. Л. М.

**27393 П. Способ консервирования древесины и предлагаемые для этой цели средства.** Хейзель, Леман, Хюттель (Sätt att konservera trä samt härför avsett medel. Heisel P., Lehmann R., Hüttel R.). Швед. пат. 140021, 21.04.53

Для указанной цели применяют хлорированные алфатич. или гидроароматич. углеводороды, содержащие >5, предпочтительно 10—20 атомов С, и хлора >30, предпочтительно 40%, или же смеси этих в-в, или смеси их с другими в-вами. Э. И.

**27394 П. Способ производства волокна для волоконистых плит** (Procédé de fabrication de fibres naturelle,

pour panneaux fibreux) [A. B. I. Azienda Brevetti Industriali]. Франц. пат. 1025041, 9.04.53 [Chem. Zbl., 1954, 125, № 25, 5658 (нем.)]

Сучья, листья, стебли, стволы палым или других пород древесины и (или) однолетних растений разрезают на куски длиной  $\leq 100$  мм и размалывают при набухании в воде при  $t\text{-ре} \geq 95^\circ$ . Полученную массу прессуют, напр., в волокнистые плиты.

**27395 П.** Получение целлюлозы из сырья, содержащего целлюлозу. Кроуна, Скарк (Sätt vid utvinning av cellulosa ur cellulosahaltiga utgångsmaterial. Krouna R., Skark L.) [Phrix-Werke A.-G.]. Швед. пат. 148368, 4.01.55

Способ, осуществляемый с помощью кислотного гидролиза и щел. варки характеризуется тем, что как кислотный предгидролиз, так и щел. варка измельченного сырья, пропитанного соответствующими жидкостями при  $t\text{-ре} \sim 100^\circ$  (1 ч. сухого материала на 3,3—4 ч. жидкости) производится в течение 5—15 мин. при  $t\text{-ре} > 155^\circ$  и соответствующем давлении.

**27396 П.** Способы разложения отработанного сульфитного щелока (Framgångsmåter av uppslutning av sulfitalvut) [Inventa A.-G. für Forschung und Patentverwertung]. Норв. пат. 83465, 12.04.54

Сульфитный отработанный щелок обрабатывается в токе водорода при 250° давл. 300 атм и в присутствии водорастворимого тиомолибдата аммония в качестве катализатора. При применении в качестве катализатора тиомольфрамата аммония  $t\text{-ра}$  и давление соответственно 280° и 400 атм. Полученный продукт после разгонки дает маслянистые в-ва, состоящие из фенолов, основным компонентом водн. фракции является пирокатехин. Газы, выделяющиеся в процессе обработки щелока, могут вновь использоваться для регенерации катализаторов.

**27397 П.** Способ извлечения диметилсульфида и метилмеркаптана при варке сульфитной целлюлозы. Бергстрем (Sätt att utvinna dimetylsulfid och metylmerkaptan vid sulfatcellulosakokning. Bergström H. O. V.). Швед. пат. 148729, 8.02.55 (швед.)

Сдучочные газы из варочных котлов конденсируют, а неконденсируемые газы промывают щел. р-ром, меркаптан при этом растворяется в щелочи, давая меркаптид, а диметилсульфид остается в газах, которые охлаждают до низкой  $t\text{-ры}$ , промывают диметилсульфоксидом, задерживающим диметилсульфид.

**27398 П.** Получение ацетата целлюлозы. Дейвуд (Production of cellulose acetate. Davoud J. G.) [Courtaulds, Ltd]. Англ. пат. 696903, 9.09.93 [Chem. Abstrs., 1954, 48, № 8, 4835 (англ.)]

20 кг 25%-ного водн. р-ра уксусной к-ты (I) добавляют при перемешивании к 30 кг р-ра вторичного ацетата целлюлозы, содержащего (в %) ацетата целлюлозы 20, I 75,  $\text{H}_2\text{SO}_4$  2 и воды 3. Р-р выдерживается при 25° до тех пор, пока проба не будет давать осадка при выливании в воду (на это требуется  $\sim 10$  дней). Добавляют затем избыток  $\text{CH}_3\text{COONa}$  для нейтр-ции  $\text{H}_2\text{SO}_4$  и р-р диализуют через мембрану из регенерированной целлюлозы до тех пор, пока содержание I будет  $< 2\%$ . Полученный р-р содержит, приблизительно, 10% ацетата целлюлозы и употребляется непосредственно (без разбавления или добавления) в качестве связующего для целлюлозноацетатных основ.

**27399 П.** Средства для растворения, набухания, желатинирования и размягчения ацетилцеллюлозы.

Хентрих, Хёллерер (Lösungs-, Quellungs-, Gelatinierungs- und Weichmachungsmittel. Hentrich Winfried, Höllner Hanns) [Deutsche Hydrierwerke A.-G.]. Пат. ФРГ 881403, 29.06.53 [Chem. Zbl., 1954, 125, № 29, 6619 (нем.)]

Для указанной цели применяются сложные эфиры

ацетоуксусной к-ты с эфирспиртами, получаемые путем перэтерификации этилового эфира ацетоуксусной к-ты, напр., метил-, этил-, бутил-, крезил-, метил-, пропилен-, этилпропилен-, этилбутилен- или этилгексилглицерола, этил- или этилтиоглицерола, тетрагидрофуриловым спиртом, триметилпропандиэтиловым эфиром, глицериндиметиловым эфиром или триэтаноламинмоноэтиловым эфиром. Напр. (в вес. ч.), 100 ацетилцеллюлозы, 100 спирта, 750 ацетона, 100 метилэтилкетона, 50 этиллактата и 100 гексилглицеролацетата.

**27400 П.** Нанесение поверхностного воскового или другого непроницаемого покрытия на бумагу или картон. Вуд (Coating of paper or like cartons with wax or like proofing material. Wood D.) [Rose Containers Ltd]. Англ. пат. 716491, 6.10.54 [J. Appl. Chem., 1955, 5, № 4, i655 (англ.)]

Картон (К) погружают (полностью или пачками) в чаш с расплавленным воском (или другим материалом), затем его подают в спец. установку, в которой каждый лист К непрерывно вращается в течение установленного времени вокруг оси, перпендикулярной к продольной оси листа, со скоростью, достаточной для удаления избытка воска с поверхности К. Затем К проходит через установку, завершающую его отделку. Описывается и патентуется аппаратура, обеспечивающая выполнение процесса.

**27401 П.** Способ придания непроницаемости пористым материалам, особенно бумаге, картону. Дюшанж (Procédé d'imperméabilisation de matières poreuses, notamment du papier et du carton. Duchange Guillaume-Paul-Jacques). Швейц. пат. 289383, 1.07.53 [Chem. Zbl., 1954, 125, № 29, 6619 (нем.)]

Материал пропитывают водн. эмульсией (Э) насыщ. жирной к-ты, содержащей  $> 4$  атомов С (напр., стеариновой, пальмитиновой). Э готовят при  $t\text{-ре}$  ниже  $100^\circ$  (напр.,  $70^\circ$ ) с применением в качестве эмульгатора, напр.,  $\text{Na}_2\text{B}_4\text{O}_7$  или  $\text{NH}_3$ . После пропитки бумагу каландрируют и лошат, причем жирная к-та образует с волокнами поверхностный связанный слой. Э также может содержать (в %) силикат натрия (20—30), альбумин (15—20) или казеин (15—20), обработанный формальдегидом. Примерный состав эмульсии (в г/л): стеариновой к-ты (20—30), сульфорицината натрия (в качестве эмульгатора) (50—80), триэтаноламирицинолат (30—50),  $\text{NaHCO}_3$  (120—150), водн.  $\text{NH}_3$  40%-ного (250—300) или  $\text{Na}_2\text{B}_4\text{O}_7$  (90—120).

**27402 П.** Способ сушки полотен волокнистого материала, по преимуществу бумаги. Бак, Стенберг, Вальберг (Förfaringsätt vid torkning av materialbanor av fibröst material, företrädesvis papper. Back E. L., Steenberg K. B., Wahlberg T. K.). Швед. пат. 148884, 15.02.55

Способ сушки на многоцилиндровых или комбинированных сушильных машинах, или на машинах для последующей обработки бумаги, характеризуется тем, что полотно бумаги проходит по сушильным цилиндрам, поверхность которых покрывают контактной массой, частично или полностью состоящей из высокополимерных фторпроизводных углеводородов.

**27403 П.** Способ изготовления клея для бумаги. Фридель, Геэ (Procédé de fabrication de colle à papier. Friedel G., Gehe F. von). Франц. пат. 1073000, 17.09.54 [Chimie et industrie, 1955, 73, № 6, 1199 (франц.)]

Органич. к-ты, главным образом смоляные (напр., канифоль), и высшие жирные (монтажная к-та) смешивают с оксипароматич. соединениями (фенолами, крезолами), альдегидами (формальдегид) и едкой щелочью.



**27404 П. Метод изготовления бумажной тары.**

**Норман** (Method of making coated paper receptacles. Norman Daniel P.) [Globe Envelopes Ltd.]. Пат. США 2708645, 17.05.55

Способ изготовления жесткой, водоустойчивой, бумажной тары состоит в придании бумаге желаемой формы, покрытия ее поверхности водн. дисперсией отверждающейся аминальдегидной смолы и термопластич. смолы, имеющей боковые реакционно-способные группы, и в последующей обработке, обеспечивающей конденсацию амино- и термопластич. смол. М. Б.

См. также: 25213, 26051, 27161, 27206, 27858; 8818Бх, 8836Бх

**ИСКУССТВЕННОЕ И СИНТЕТИЧЕСКОЕ ВОЛОКНО**

**27405. Задачи специалистов промышленности искусственного волокна. Нагано** (纖維工業技術者の使命-長野正満), 纖維學會誌, Сэнъи гакайши, J. Soc. Text. and Cellulose Ind., Japan, 1953, 9, № 4, 155—156 (япон.)

**27406. Получение синтетических волокон. Габлер** (Die Herstellung der vollsynthetischen Fasern. Gable R.), Chem. Rundschau, 1955, 8, № 8, 151—153 (нем.)  
Обзор. Приводятся сравнительные данные по мировому произ-ву природных, искусств. и синтетич. волокон. П. Ч.

**27407. Искусственные текстильные волокна. Дёле** (Künstliche Textilfasern. Döhle Wolfgang), Chem. Labor- und Betrieb, 1953, 4, № 1, 15—20 (нем.)

Краткий обзор свойств полимеров, пригодных для получения хим. волокон. Влияние расположения заместителей в цепи мономера на изменение свойств полиамидов и полиэфиров. Влияние симметрии в строении ароматич. двусосновых к-т на волокнообразующие свойства полиэфиров, т. п., способность к кристаллизации. Т. Ш.

**27408. Работа по получению полиэфирных волокон. Крамер** (Neuere Entwicklungen auf dem Gebiet der Polyesterfaern. Kramer Bernhard), Textil-Praxis, 1955, 10, № 5, 482—484 (нем.; рез. англ., франц., исп.)

Описаны результаты новых исследований по получению полиэфиров, в частности, по получению блокполимеров поликонденсацией терефталевой к-ты не только с этиленгликолем, но и с полиэтиленгликолем и свойства этих блокполимеров. Чем больше кол-во полиэтиленгликоля в молекуле полиэфира, тем лучше окрашиваемость полимера. Введение в молекулу полиэфира остатков полиэтиленгликоля снижает светостойкость полиэфира, в результате чего этот метод модификации свойств полиэфира не получил практич. применения. З. Р.

**27409. К вопросу о некоторых путях получения и свойствах нитрилона (волокна из полиакрилонитрила). Роскин** Е. С., Тр. Ленингр. текстильного ин-та, 1955, № 6, 77—90

Изучались различные пути синтеза полиакрилонитрила, пригодного для текстильной переработки методом полимеризации, а также разнообразные способы формирования волокна. Полимеризация в блоке давала трудно растворимые в диметилформамиде окрашенные продукты. Был разработан метод статич. низкотемпературной полимеризации водн. эмульсии акрилонитрила, т. е. осуществляемой без перемешивания. Процесс полимеризации начинается при 20° и ниже и заканчивается при 42—45°. Полученные полимеры обеспечивают получение высококачественного волокна — нит-

рилона. Весь процесс в среднем продолжается 30—60 мин., выход полимера составляет до 97—98%. Мол. вес полимера 40000 — 50000. Придильные р-ры полиакрилонитрила в диметилформамиде характеризуются хорошей придаемостью и высокой устойчивостью. Формование волокна в опытный масштаб осуществлялось с использованием в качестве коагулянта воды, бутилового спирта, касторового масла и других. Приведены сравнительные данные по физ.-мех. свойствам нитрилона в зависимости от степени его вытягивания. При вытягивании до 1500% нитрилон обладает прочностью до 50 км разрывной длины при удлинении до 20%. Показано, что для формирования нитрилона может быть приспособлено оборудование вискозных фабрик. Е. Р.

**27410. Новые исследования в области производства вискозного питательного волокна. Бранденбургер** (Neuere Untersuchungen an Viskose-Zellwollen. Brandenburger Herbert), Melland Textilber., 1953, 34, № 7, 617—618 (нем.)

Приготовление вискозных р-ров из смеси щел. целлюлоз с периодом предсозревания в 2 и 12 дней (соответственно, степень полимеризации (СП) 360 и 210) показало, что добавление щел. целлюлозы с низкой СП значительно снижает вязкость вискозного р-ра. Напр., добавление щел. целлюлозы с периодом предсозревания в 12 дней в кол-ве 33% снижает вязкость вискозного р-ра, полученного из щел. целлюлозы с периодом предсозревания в 2 дня почти в 2 раза. Исследовано влияние т-ры созревания вискозного р-ра на вязкость. Испытанию подвергались три вискозных р-ра, полученных из щел. целлюлозы с различным периодом предсозревания, т. е. 3 дня предсозревания (СП-312), 7 дней (СП-250) и 14 дней (СП-200). Вискозные р-ры в закрытых склянках выдерживались в термостате при 15; 17,5; 20; 22,5; 25° (+0,1°). Вязкость вискозных р-ров определялась при 20°. Изменение т-ры вискозного р-ра до 20° осуществлялась за 10 мин. Предыдущее сообщение см. РИХим, 1954, 26360. А. Я.

**27411. Мерсеризация листовой целлюлозы в производственных условиях. Рингстрём** (The behaviour of rayon pulp sheets in commercial press steeping. Ringström Erik), Svensk papperstidn., 1955, 58, № 5, 145—153 (англ.; рез. нем., швед.)

При мерсеризации листовой целлюлозы в прессах решающее значение имеет скорость подъема целлюлозы (I) в ванне. Скорость подъема I по поверхности свободного листа зависит от набухания и смачиваемости листа. Для равномерной пропитки целлюлозных листов требуется свободное движение I по поверхности листа. Для этого необходимо наличие каналов между листами. Чрезмерно быстрое поступление I или сильное набухание листов ухудшает равномерность мерсеризации, так как из-за набухания каналы между листами сужаются или закрываются. Большое значение имеет свободный доступ I от краев листов к центру, также зависящий от скорости подъема I и от наличия каналов. При слишком медленном подъеме I получается неравномерная щел. целлюлоза. В этом случае необходимо увеличить время мерсеризации для выравнивания состава щел. целлюлозы. При заполнении пресса с оптимальной скоростью уже через 5 мин. получается равномерно мерсеризованная целлюлоза, тогда как при слишком медленном заполнении пресса I щел. целлюлоза неравномерна даже после 1 часа мерсеризации. Кроме того, из-за связывания I целлюлозой концы I вблизи листов целлюлозы снижаются. Рекомендуется заполнять пресс с оптимальной скоростью, определяемой эмпирически, и поддерживать концы I несколько выше заданной. Гомогенность полученной щел. целлюлозы проверяется по фильтруемости вискозы. А. П.

27412. К вопросу о выделении гемицеллюлозы. Пиклер, Ямбрих, Байзова (K otázke izolácie hemiceľulózy. Píklér A., Jambrič M., Bajzová A.), Chem. zvesti, 1955, 9, № 1, 58—63 (словац.; рез. русс., нем.)

Исследована возможность выделения гемицеллюлозы (I) из отжимной щелочи после мерсеризации двумя способами: 1) хим. (осаждение различными реагентами), 2) физ.-хим. (адсорбцией). Для выделения I хим. способом применялись:  $Al(OH)_3$ ,  $Ba(OH)_2$ ,  $Ca(OH)_2$ ,  $CuSO_4$ ,  $Pb(CH_3COO)_2$ ,  $Ca(CH_3COO)_2$ ,  $Cd(CH_3COO)_2$ , соли  $Cr^{3+}$ ,  $ZnCl_2$ ,  $SO_2$ ,  $C_2H_5OH$  и некоторые сочетания указанных реагентов. Эффективность действия этих реактивов при выделении I из отжимных щелочей выражается следующей зависимостью  $Cu > Pb > Ca > Al > Ba$ ; при применении  $Al(OH)_3$  благоприятно влияет повышение концентрации  $NaOH$ , при добавлении  $Ba(OH)_2$  — снижение концентрации его в р-ре, при применении  $CuSO_4$  — повышение pH (оптимальная величина pH 13). При физ.-хим. методе выделения I адсорбентами служили порошок  $Ca(OH)_2$  и активированный уголь в порошке и гранулах. На угле сорбируется до 79,2% I; на порошке  $Ca(OH)_2$  — до 70%, гранулированный активированный уголь — до 46,4%. Наиболее простым и удобным методом является адсорбция I на  $Ca(OH)_2$ .

З. Б.

27413. Теория ксантогенирования целлюлозных волокон. Хессе (Über neue Erkenntnisse bei der Xanthogenierung von Cellulosefasern. Hess Kurt), Reyon, Zellwolle und and. Chemiefasern, 1953, 31, № 4, 191—201 (нем.)

В противоположность ранее полученным данным более точные рентгенографич. исследования показали, что первоначальная рентгенограмма цел. целлюлозы при ксантогенировании изменяется даже при незначительной степени этерификации. При ксантогенировании постепенно увеличивается расстояние между плоскостями макромолекул с 12,6 Å до 13,2 Å при  $\gamma = 25$  и до 18,3 Å при  $\gamma > 80$ . Кинетич. исследования, проведенные при этерификации в вакууме, показали, что р-ция между целлюлозой (I) и  $CS_2$  (II) описывается ур-нием бимолекулярных р-ций. Показано, что скорость процесса ксантогенирования I определяется самой медленной стадией процесса взаимодействия  $NaOH$  с II, с об-

разованием промежуточного соединения  $NaSC \begin{smallmatrix} S \\ \diagup \\ OH \end{smallmatrix}$

(эта р-ция является бимолекулярной). Диффузия II к макромолекулам, также как испарение II и ксантогенирование цел. I, происходит быстрее и не лимитируют процесса в целом. Энергия активации р-ции ксантогенирования I равна 10,7 ккал/моль. Р-ция цел. I с  $COS$  происходит также по ур-нию бимолекулярной р-ции, но в этом случае константа скорости р-ции в 200 раз больше и энергия активации равна 20 ккал/моль. Р-ция, проводимая при 0°, также заканчивается присоединением I моля  $COS$  на элементарное звено  $(C_6H_{10}O_5)_n$ , но лимитирующей стадией является процесс взаимодействия  $COS$  и I. Р-ция образования промежуточного соединения из  $COS$  происходит значительно скорее. Диффузия  $COS$  и II не лимитирует процесса их присоединения к I. Образующийся  $NaHCS_2O$  в зависимости от избытка I и  $NaOH$  или  $NaSH$  расходуется на ксантогенирование I или на образование побочных продуктов.

А. П.

27414. Контроль качества в текстильных процессах. Уэбстер (Quality control in textile processing. Webster A.), Text. Manufacturer., 1953, 79, № 948, 629—631 (англ.)

Обзор методов произ-ва ацетатного шелка и питания в США, Англии, Японии и других странах, значение

качества сырья и контроля процессов. См. также РЖХим, 1955, 6683. Л. Б.

27415. Казеиновые волокна: фибролан, меринова. Кох (Kaseinfasern: Fibrolane, Merinova. Koch Paul August), Textil-Rundschau, 1954, 9, № 1, 25—28 (нем.)

Справочная таблица (фирменные марки и их характеристика, изобретение и развитие, исходные материалы, химический состав, свойства, методы распознавания и испытания, применение, основные патенты, список литературы—72 назв.)

27416. Влияние условий получения полистирольных нитей на их свойства. Корч (Die Beeinflussbarkeit der Eigenschaften von Polystyrol-Fäden durch Änderung der Herstellungsbedingungen. Kortsch W.), Kunststoffe, 1954, 44, № 1, 16—17 (нем.)

Изучались полистирольные нити, получавшиеся путем продавливания размягченного полимера через фильеру. Сформованные нити подвергались вытягиванию в нагретом состоянии с помощью двух пар роликов, вращавшихся с разными скоростями. Автором было установлено, что вытягивание вызывает ориентацию молекул, которая количественно может быть определена по величине двойного лучепреломления. При этом ориентация является линейной функцией степени вытягивания. Сделана попытка определения степени релаксации молекул в зависимости от условий получения нитей. С повышением т-ры вытягивания в большей степени ориентируются молекулы с большими периодами релаксации, а молекулы с малыми периодами релаксации, наоборот, снова дезориентируются. Было найдено, что на ориентацию молекул влияют степень и скорость вытягивания, т-ра и степень охлаждения вытянутого волокна («закалка»). Ориентация волокна тем выше, чем больше степень и скорость вытягивания, а также «закалка» и чем ниже т-ра вытягивания. Было показано, что разрывная прочность нитей повышается с увеличением ориентации, причем она тем ниже, чем выше т-ра вытягивания. Прочность и удлинение нитей тем выше, чем больше скорость вытягивания. В результате вытягивания и ориентации прочность нитей может увеличиваться в 4 раза. Удлинение и гибкость нитей с увеличением ориентации сначала растут, достигая 40—90%, а затем падают. Устойчивость к тепловым воздействиям падает с увеличением «закалки» и скорости вытягивания. Автор рекомендует соблюдение следующих условий при получении нитей: максимально возможное вытягивание при 120—132°, высокую скорость вытягивания, не очень низкую т-ру «закалки» и прогрев волокна после его получения для повышения его термостойкости.

Е. Р.

27417. Объем, эластичность и внешний вид пряжи «Бан-лон». — (Bulk, elasticity and unique handle with Ban-Lon yarns.—), Skinner's Silk and Rayon Rec., 1955, 29, № 6, 634—636 (англ.)

«Бан-лон» — торговая марка пряжи, обработанной способом, запатентованным фирмой Bancroft and Co. и реализованной в Англии. При указанном способе нити проходят горячую обработку, при которой происходит их усадка и устойчивая гофрировка элементарных волокон. По внешнему виду обработанные этим способом нити напоминают раскрученную пряжу с сильно извитыми волокнами. Объем и кроющая способность нитей резко увеличиваются, благодаря чему вес изготовленных из них тканей уменьшается на 30—70%. Наличие воздушных промежутков повышает теплопроводность тканей и увеличивает их способность к поглощению влаги. Наилучшие результаты получаются при обработке нитей, дающих усадку при нагреве, как, напр., терилон, орлон, нейлон; но при соответствующей модификации способ может быть применен

для всех волокон, как природных, так и искусственных.

**27418. Замасливание полиамидных волокон при формировании из расплава.** К ю м м е л ь (Spinnpräparationen beim Schmelzflußspinnen von Superpolyamiden. K ü m m e l P a u l), Melland Textilber., 1954, 35, № 7, 725—727 (нем.; рез. англ., франц., исп.).

При формировании полиамидных волокон на прядильной машине применяется одна или две обработки свежеформованного волокна: первая — водой, к которой добавлены смачивающие в-ва (0,25 г/л некаля), вторая — обработка эмульсией замасливающего в-ва, состоящей, напр., из 15 ч. веретенного масла вязкостью 2,9° Е, 5 ч. маслорастворимого Эмульфора А, 5 ч. 100%-ного соромина SG, 75 ч. сангайлола или скипидара. Вместо веретенного масла можно взять вазелиновое, парафиновое и др., вместо сангайлола — тетралин, гексалин, ксилол и др. Число оборотов роликов регулируется так, чтобы на волокне высокого номера (Nm-450/7, 300/12) оставалось 0,3—0,5% препарирующего реагента, а на волокне более низкого номера (Nm-34/80) — 0,5—0,8%. Обработка волокна водой необходима при приеме волокна на большие пакетки, так как без воды обработки уже через 15 мин. витки на бobbине начинают удлиняться и сползает из-за поглощения воды волокнами, сформованными из расплава. При хранении шпуль с сухим шелком намотка сползает со шпули. Слишком большое содержание воды в нити дает мягкую намотку. Применение масла для второй обработки снижает трение, повышает мягкость и частичное склеивание волокон, что улучшает процесс их последующего вытягивания. Снижение трения особенно важно при увеличении скорости прядения до 900 м/мин и выше. Среднее содержание влаги в шелке после хранения равно 4,5%, содержание влаги во внешних слоях после препарирования — 6,5—7,0%. Небольшие колебания в содержании влаги в нити при получении текстильного шелка не влияют, но при получении кордного шелка (кратность вытяжки — 4,9—5,1) сильно влияют на вытягивание. Для обеспечения возможности высокой вытяжки надо нанести на нить большой процент жировых в-в. Время хранения шелка после формирования до вытяжки должно составлять 30—100 час. При формировании шелка, содержащего много лактама, необходимо изменить содержание влаги в пеху во избежание выделения лактама на нити. Для получения правильного состава препарации необходимо так подобрать соотношение масел, разбавителей и воды, чтобы после высыхания всегда сохранялось их первоначальное соотношение. Приведены рецептуры препарирующих реагентов.

**27419. Новое синтетическое волокно лилон. Мартель** (Le Lilion une nouvelle fibre synthétique. Martel Jacques), Ind. textile, 1953, № 805, 867—868 (франц.).

Описание свойств полиамидного волокна лилон. А. П. **27420. Синтетические волокна фрилон и редон.** В р и т (Die vollsynthetischen Fasern Phylon und Redon. Wrieth Jürgen) Textil-Rundschau, 1954, 9, № 2, 83—84 (нем.).

Приведена характеристика основных свойств полиамидного волокна фрилон типа найлон и полиакрилатного волокна редон, выпускаемых фирмой Phrig A.-G. Основные преимущества фрилона: высокая устойчивость к стирке, высокая прочность в сухом и мокром состоянии, высокая эластичность, низкий уд. вес. В чистом виде фрилон используется для технич. изделий (фильтровальные ткани, рыболовные сети, транспортные ленты и пр.), в смеси с другими волокнами — для изделий широкого потребления. Сравнительно незначительная добавка фриллона существенно повышает качество изделий. Волокно редон характеризуется

по сравнению с шерстью более высокой прочностью, упругостью и меньшим уд. весом. Применяется в чистом виде и в смеси с другими волокнами в основном для изделий широкого потребления.

**27421. Полиэфирное волокно терилен. Применение в текстильной промышленности штапельного и непрерывного волокна.** К а р л и н («Terylene» polyester fibre some textile applications of yarns and staple. Carlene P. W.), Text. Mercury and Argus, 1953, 129, № 3375, 1178—1181 (англ.).

Терилен выпускается в виде штапельного и непрерывного волокна. Штапельное волокно проходит горячую обработку, в результате которой образуется 6—8 завитков на 1 см. Непрерывное волокно выпускается с прочностью 4,5—5,5 г/дене для плательных тканей и 6—7 г/дене для технич. изделий. Терилен весьма устойчив к нагреву на воздухе. Устойчивость к свету выше, чем у лучшего из натуральных волокон; волокно не гниет, устойчиво к действию бактерий.

**27422. Исследование структуры синтетических полиамидных волокон. Сообщение 2. Интегральные теплоты смачивания капронового волокна водой.** С к у р а т о в С. М., Михайлов Н. В., Файнберг Э. З., Колл. ж., 1954, 16, № 1, 58—64.

Измерены интегральные теплоты смачивания водой неориентированного и ориентированного капронового волокна. В процессе «старения» волокна интегральная теплота смачивания водой неориентированного капронового волокна уменьшается на ~15%, ориентированного — увеличивается. Постоянство значений теплотового эффекта достигается для неориентированного волокна через 120 дней, для ориентированного через 190 дней. Высказано предположение, что изменение теплоты смачивания в зависимости от «возраста» волокна указывает на наличие неравновесного состояния структуры поликапролактама. Для неориентированного волокна достижение равновесия «с возрастом» идет в сторону дальнейшей упорядоченности структуры, в ориентированном волокне, по видимому, протекают релаксационные процессы. Сообщение 1 см. РЖХИМ, 1954, 17447.

**27423. Исследование структуры синтетических полиамидных волокон. Сообщение 3. Дифференциальные теплоты сорбции воды капроновым волокном.** Михайлов Н. В., Файнберг Э. З., Колл. ж., 1954, 16, № 2, 120—125.

Измерены интегральные теплоты смачивания водой неориентированного и ориентированного капронового волокна в зависимости от содержания в нем влаги. Вычислены дифференциальные теплоты сорбции (ДТС) воды поликапролактамом и показано, что имеется два постоянных значения этих теплот, соответствующих разным областям изотермы сорбции. Характер ДТС объясняется авторами наличием в поликапролактаме двух типов водородных связей: внутри- и межмолекулярных. Соотношение между точками перегиба на кривых ДТС ориентированного и неориентированного капронового волокна может являться характеристикой дефектности кристаллич. структуры поликапролактама. Общая ДТС оказалась в обоих случаях одинаковой, что согласуется с имеющимися данными об отсутствии различий в параметрах кристаллич. решетки ориентированного и неориентированного капронового волокна. А. Р.

**27424. Изменение физических свойств перлона под действием вытяжки, температуры, влажности и натяжения.** Б ё р н г е р (Die Veränderungen der physikalischen Eigenschaften von Perlon unter dem Einfluß der Verstreckung, Temperatur, Feuchtigkeit und Spannung. Böhringer Hans), Textil-Praxis, 1953, 8, № 9, 745—751 (нем.).

Вытягивание волокна перлона сопровождается по-



вышением его уд. веса, номера, разрывной длины и уменьшением удлинения и работы разрыва. Величина разрывной нагрузки при вытяжке в процессе формирования резко уменьшается, в процессе крутки — практически остается без изменения. С уменьшением общего удлинения уменьшается абсолютная величина эластического удлинения, но относительная его величина, а следовательно и эластичность нити, увеличивается. Повышается модуль эластичности, что особенно важно для шинного корда, а также нагрузка и удлинение, соответствующие пределу эластичности. Кривая, изображающая изменение эластической работоспособности волокон в зависимости от степени вытягивания, характеризуется наличием максимума, который соответствует оптимуму вытяжки, обеспечивающей наибольшую выносливость волокна. С повышением т-ры прочности и удлинения перлона уменьшаются и в точке плавления снижаются до нуля. Усадка нити с повышением т-ры увеличивается и это является доказательством кристаллич. структуры полиамидных нитей, так как нити из аморфных термопластичных полимеров при нагревании удлиняются. Набухание перлона в воде увеличивается со временем, через несколько часов достигает максимума, а затем начинает уменьшаться. При повторном увлажнении и нагреве усадка перлона определяется соотношением величины натяжения, т-ры, влажности и длительности предыдущих и последующих обработок. Во избежание усадок, процесс фиксации следует проводить при более высокой т-ре, чем последующие обработки.

**27425.** О связи между микроструктурой волокна и его сорбционными свойствами. **П.** Поглощение паров воды. **Фуруя** (纖維の構造と収着現象の關係に就て. 第2報. 水蒸気の収着速度に就て. 古矢宏), 纖維學會誌, 桑名 گانかい, J. Soc. Text. and Cellulose Ind. Japan, 1953, 9, № 10, 509—513 (япон.; рез. англ.)

С целью изучения механизма набухания волокна измерялась сорбция паров воды. При 70% относительной влажности равновесие достигается через 30 мин., но при более высокой влажности необходимо более длительное время. Обнаружено явление гистерезиса, обусловленное изменением структуры нити, которое наступает в тех случаях, когда кол-во сорбированной воды достигает сравнительно значительной величины. Часть I см. РЖХим, 1955, 25143.

**27426.** Теоретическое исследование физических свойств текстильных материалов (III). **Ч. I.** Некоторые замечания по вопросу определения диэлектрической постоянной волокнистых материалов. **Хорикоси** (纖維物性論. III. 纖維材料の物理的性質の測定法 (誘電率の測定) 第1報. 纖維の方向分布の影響についての注意. 堀越源一), 纖維學會誌, 桑名 گانかい, J. Soc. Text. and Cellulose Ind., Japan, 1955, 11, № 5, 255—258 (япон.; рез. англ.)

При определении диэлектрич. постоянной различных материалов обычно определяют приращение емкости конденсатора, между пластинами которого помещен исследуемый материал. В случае волокон увеличение емкости в значительной степени зависит от их расположения. Выведены ур-ния, определяющие приращение емкости при различном расположении волокон по отношению к пластинам конденсатора: а) каждое волокно перпендикулярно пластинам конденсатора, б) волокна расположены параллельно друг другу и пластинам конденсатора, в) волокна расположены под некоторым углом к плоскости пластин. Полученные эксперимент. данные показали хорошее совпадение с теорией.

**27427.** Микроскопическое различие между нейлоном и перлоном. **Пекар** (Mikroskopische Unterscheidung von Nylen und Perlen. **Peкар Willibald**), Melland Textilber., 1954, 35, № 5, 532—533 (нем.)

Описана методика, позволяющая быстро отличить перлон от нейлона. Волокна обрабатываются р-ром хлоральгидрата или смесью фенола и молочной к-ты и просматриваются под микроскопом. В конц. хлоральгидрате (3,8 г на 2 см<sup>3</sup> воды) нейлон растворяется быстро, перлон — медленно; в разб. р-ре (2,5 г на 2 см<sup>3</sup> воды) нейлон набухает, перлон медленно растворяется. В смеси фенола с молочной к-той, содержащей краситель, нейлон слегка окрашивается, но практически не изменяется; перлон окрашивается интенсивно, сильно набухает с местным частичным растворением, поверхность волокна становится неровной, обрезанные концы окрашиваются сильнее.

**27428.** Набухание ацетатного шелка в хлороформе. **Кейтс, Уайт** (Blistering of cellulose acetate in chloroform. **Cates David M., White Howard J., Jr.**, Text. Res. J., 1954, 24, № 7, 675—676 (англ.)

При изучении под микроскопом ацетатного шелка, обработанного хлороформом, видны сильные вздутия, указывающие на наличие неоднородной структуры или же на присутствие во вторичной ацетилцеллюлозе небольших кол-в триацетилцеллюлозы.

**27429 Д.** Увеличение гидрофильности капронового волокна. **Петухов Б. В.** Автореф. дисс. канд. техн. н., Ивановск. хим.-технол. ин-т, Иваново, 1955

**27430 Д.** Взаимодействие кислот и оснований с полиамидным волокном. **Мягков В. А.** Автореф. дисс. канд. техн. н., Ивановск. хим.-технол. ин-т, Иваново, 1954

**27431 П.** Полимерные материалы, содержащие химические связи между макромолекулами. **Милн, Крик** (Polymerized materials. **Milne J. N., Crick R. G. D.**) [Distillers Co., Ltd]. Англ. пат. 717511, 27.10.54 [J. Text. Inst., 1955, 46, № 4, A220 (англ.)]

Патентуется способ получения полимеров, содержащих хим. связи между макромолекулами. Полимеры, содержащие свободные карбоксильные и нитрильные группы, нагревают до т-ры 100° под давлением или без давления до образования хим. связей между молекулами типа диацетиламинных группировок. Соотношение между свободными карбоксильными и нитрильными группами находится в пределах от 1:10 до 10:1. Взаимодействие происходит между  $\alpha,\beta$ -ненасыщ. карбоновыми к-тами\* и  $\alpha,\beta$ -ненасыщ. нитрилами, причем полимер должен содержать свыше 10 мол.% обеих групп. Приведены 12 примеров получения волокон и пленок из этих полимеров.

**27432 П.** Волокнообразующие композиции полимеров (Fibreforming compositions) [Chemstrand Corp.]. Англ. пат. 717893, 3.11.54 [J. Soc. Dyers and Colourists, 1955, 71, № 1, 63 (англ.)]

Для повышения устойчивости сополимера винилхлорида (35—70%) и акрилонитрила (65—30%) к действию тепла и р-рителей его смешивают с 2—35% полимером, содержащего  $\geq 85\%$  акрилонитрила.

**27433 П.** Способ получения полиамидов. **Людевиц, Шпенкер, Освальд** (Verfahren zur Herstellung von Polyamiden. **Ludewig Hermann, Spencker Kurt, Osswald Hors**) [VEB Filmfabrik Agfa Wollen]. Пат. ГДР 5356, 8.10.54

Патентуется способ уменьшения доступа воздуха при непрерывной полимеризации лактама (с числом атомов в кольце  $>6$ ) в трубе, отличающийся тем, что на поверхности расплава лактама поступает по каплям вода, которая тотчас испаряется и уменьшает таким образом доступ воздуха к поверхности расплава. Напр., прямая труба диам. 25 см с рубашкой, обеспечивающей на-

грев трубы до 270°, снабжена насадкой такого же диаметра и высотой 30 см. В насадку, нагреваемую до 110—120°, непрерывно поступает со скоростью 300 г/мин предельно нагретый до 100°  $\epsilon$ -капролактан. В расплавленный лактам добавляют ~3% соли АГ (от веса лактама). С помощью поплавка, регулирующего поступление лактама, поддерживается постоянный уровень расплава (на 15 см ниже верхнего борта). Через верхний затвор трубы на поверхность расплава непрерывно поступает по каплям дистилл. вода со скоростью 7 мл/мин. Капли воды тотчас же испаряются и уменьшают доступ  $O_2$  к поверхности расплава.

**27434 П. Способ получения полиэфиров. Батцер, Хольтсмиidt** (Verfahren zur Herstellung von Polyestern. Batzer H., Holschmidt H.) [Vereinte Glanzstoff-Fabriken A.-G.]. Пат. ФРГ 900495, 28.12.53 [Chem. Zbl., 1954, 125, № 37, 8484 (нем.)]

Для поликонденсации применяют 2,5-диокситерефталевую к-ту или ее производные, а также другие дикарбоновые к-ты, напр. терефталевую к-ту. 1 моль диметилового эфира 2,5-диокситерефталевой к-ты нагревают 4 часа с 2-бутандиолом и 2%  $n$ -толуолсульфокислоты в качестве катализатора. Избыток бутандиола и выделившийся спирт отгоняют под вакуумом. Затем поликонденсацию заканчивают в течение 6 час. в высоком вакууме при 275°. Получается волокнообразующий полимер.

**27435 П. Производство полиэтилентерефталата с ацетатом кобальта в качестве катализатора. Хофрихтер** (Production of polyethylene terephthalate with cobaltous acetate as catalyst. Hofrichter Charles H., Jr) [E. I. du Pont de Nemours and Co.]. Пат. США 2641592, 9.06.53

Процесс произ-ва полиэтилентерефталата для получения нитей и пленок, отличающийся тем, что гликоль взаимодействует с терефталатом одноатомного спирта, содержащего 1—4 атома С. Образующийся терефталат гликоля полимеризуется в присутствии катализатора. кол-в  $Co(OOCCH_3)_2$ .

**27436 П. Формование полимеров из расплава (Melt spinning of high polymers)** [Perfogit Societa per Azioni]. Австрал. пат. 161307, 10.03.55

Патентуется способ формования полимеров, способных плавиться, который состоит из двух стадий — предварительного подогрева и плавления; т-ра предварительного подогрева повышается соответственно диаграмме. Описан аппарат для формования волокон по данному способу, причем полимер загружается в виде порошка.

**27437 П. Формование волокна из расплава (Melt spinning)** [Imperial Chemical Industries of Aust. and N. Z. Ltd]. Австрал. пат. 155166, 25.02.54

Полимеры в виде крошки подаются в шнек, расположенный горизонтально в кожухе с двойными стенками, обогреваемыми таким образом, что полимер плавится во время прохождения через шнек. Расплава подается шнеком к дозирующему насосу с таким расчетом, что скорость подачи расплава насосом не превышает скорости его подачи шнеком, но и не снижается значительно ниже этой величины (во избежание перегрева и разложения полимера).

**27438 П. Способ формования синтетических волокон из расплава (Methods of melt spinning artificial filaments)** [Inventa A.-G. für Forschung und Patentverwertung]. Англ. пат. 697459, 23.09.53 [J. Appl. Chem., 1954, 4, № 1, 55 (англ.)]

Способ формования волокон из расплава синтетич. линейных полимеров, позволяющий изготавливать волокна различных титров без изменения подачи насоса, состоит в подаче расплава к фильере насосом посто-

янной производительности и намотке отдельных волокон, выходящих из отверстия или ряда отверстий фильеры. Регулирование титра волокна осуществляется применением фильер с различным диаметром отверстия при постоянной подаче насоса и скорости намотки.

**27439 П. Способ получения искусственного волокна приделением смешанного раствора казеина и вискозы. Ферретти** (Verfahren zur Herstellung künstlicher Fäden oder Fasern durch Verspinnen eines Lösungsgemisches von Casein und Viskose. Ferretti Antonio). Пат. ФРГ 898792, 3.12.53 [Textil-Praxis, 1954, 9, № 5, 481 (нем.)]

Патентуемый способ отличается тем, что для получения волокна казеиновый прядильный р-р, полученный по пат. 886950, вместе с вискозным р-ром прядут в осадительную ванну, содержащую  $CH_2O$ , NaCl и соль Al.

**27440 П. Способ формования полиакрилонитрильного волокна. Хейзенберг** (Process for spinning polyacrylonitrile. Heisenberg Erwin) [FA. Vereinigte Glanzstoff-Fabriken A.-G.]. Пат. США 2696422, 7.12.54

Способ формования полиакрилонитрильного волокна из р-ров заключается в нагревании полиакрилонитрила в р-рителе до  $t_{р-ры} > 20^\circ$ , достаточной для того, чтобы растворить полиакрилонитрил и образовать прядильный р-р. Непосредственно после растворения р-р охлаждается до миним. т-ры, при которой еще происходит продавливание через фильеру, после чего процесс формования производится в атмосферу нагретого инертного газа при т-ре, значительно превышающей т-ру у фильеры.

**27441 П. Способ получения высокопрочных волокон из полиэтиленгалогенидов. Рейн, Дух** (Verfahren zur Erzielung von höchsten Festigkeitswerten bei der Herstellung von fadenförmigen Gebilden aus Polyäthylenhalogeniden. Rein Herbert, Duch Max). Пат. ГДР 2704, 3.01.53

Патентуется способ получения высокопрочного волокна из полиэтиленгалогенидов путем дополнительного вытягивания более чем на 500% свежесформованного волокна в горячей ванне индифферентного разбавителя при 100—140°. В качестве разбавителя применяются р-р глицерина,  $CaCl_2$ ,  $CH_3COONa$ . При дополнительном вытягивании в указанных условиях прочность волокна повышается с 1,8—2 г/дене до 5 г/дене и дает возможность получить гибкие, прочные нити. Напр., 28%-ный р-р хлорированного поливинилхлорида в ацетоне прядется со скоростью 13,3 см/мин из фильеры 40 отверстий с диам. 0,08 мм в воду при 20°. Длина пути нити в ванне 160 см. Волокна принимаются на галету со скоростью 25 м/мин и вытягиваются путем прохождения через вторую галету с окружной скоростью 60 см. Получают волокна с титром 115 дене с прочностью на разрыв 1,7 г/дене при удлинении 14%. Нити, высушенные от р-рителя, вытягиваются в глицериновой ванне при 130—135° в 12 раз. Скорость первого вальца 5 м/мин — приемного 60 м/мин. Нити, с лужной рентгенограммой, имеют элементарный титр 0,28, разрывную прочность 4,8 г/дене и устойчивы при кипячении.

**27442 П. Метод изготовления пленок и волокон из сополимеров асимметрического дихлорэтилена. Рейн, Хофф, Раутенштраух** (Verfahren zur Herstellung von Filmen und Fasern aus Mischpolymerisaten des asymmetrischen Dichloräthylens. Rein Herbert, Hoff, Rautenstrauch Curt). Пат. ГДР 3384, 29.06.53

Метод получения пленок и волокон из сополимеров асимметич. дихлорэтилена с содержанием последнего  $\geq 75\%$  и т. размят.  $> 120^\circ$  при обычном способе изго-

товления пленки и волокна и обычном аппаратурном оформлении процесса формования отличается тем, что применяются р-ры сополимера в тетрагидрофуране. Р-ры готовились и перерабатывались в отсутствие  $O_2$ . Формование проводилось по сухому или мокрому способу. Напр., из 25%-ного р-ра сополимера (83 ч. дихлорэтилена, 15 ч. винилхлорида и 2 ч. акрилонитрила) в тетрагидрофуране, приготовленного в среде  $N_2$ , формовалось волокно по сухому способу в шахту при 70°. Свежесформованное волокно может быть упрочнено посредством вытягивания. Прочность полученного волокна ~ 2 г/дене. При придании по мокрому способу в воду и последующем вытягивании на 300% и более получено волокно с прочностью 2,5 г/дене и т. размягч. > 130°.

З. 3.  
27443 П. Метод получения формованных изделий, особенно волокон, из плавких кристаллических линейных полимеров (Verfahren zur Herstellung von geformten Gebilden, insbesondere Fäden, aus schmelzbaren, kristallinen linearen Hochpolymeren). Пат. ГДР 2582, 1.10.53

Патентуется метод получения формованных изделий, особенно волокон, из плавких, кристаллич. линейных полимеров, в частности полиамидов, отличающийся тем, что пресуется одна или несколько лент из полимера, вытекающего в одно или несколько суженных отверстий плавильной камеры, причем расплавлены только концы лент, направленные внутрь отверстий, и поэтому расплавленная масса выпрессовывается через фильеру под давлением.

З. 3.  
27444 П. Способ формования линейных высокополимеров. Рейн (Verfahren zum Verformen von linearen Hochpolymeren. Rein Herbert). Пат. ГДР, 3726, 17.09.53

Патентуется способ формования линейных высокополимеров из р-ров формованных первичных или вторичных аминов ф-лы  $HCO - N(R_1R_2)$ , где  $R_1$  — Н или любой алкил-, арил- или аралкиловый остаток;  $R_2$  — любой органич. остаток. К соединениям этого типа относятся N-формилдетиламин, N-формилдиметиламин, N-формилдиэтиламин, N-формилметилбензиламин, N-формилпиридин, N-формилпирролидон, N-формилморфолин, N-формилэтанолламин, N-формилдиэтанолламин. При применении указанных соединений в качестве р-рителей и пластификаторов можно получать конц. р-ры высокополимеров. По этому способу можно получить 20—25%-ные р-ры полиакрилонитрила, а также сополимеров, содержащих акрилонитрил, в формилдиметиламин, из которых могут быть сформованы волокна и пленки по сухому или мокрому способу прядения.

Г. С.  
27445 П. Способ и аппарат для плавления линейных полимеров, особенно полиамидов. Шибер (Verfahren und Vorrichtung zum Abschmelzen von spinnfähigen Linearpolymeren, insbesondere Superpolyamiden. Schieber Walther). Пат. ФРГ 881721, 2.07.53 [Textil-Praxis, 1953, 8, № 12, 1085 (нем.)]

Плавление линейных полимеров, в частности полиамидов, производится в расплавителе, внутри которого установлен нагревательный прибор. Расплав находится в токе инертного газа, исключающего доступ воздуха. Стекающий с нагревательного прибора расплав служит затвором между пространством, в котором происходит плавление, и нижней частью расплавителя.

П. Ч.  
27446 П. Способ получения волокон и нитей, окрашенных при прядении, из регенерированной целлюлозы. Кеслинг, Ленерт (Verfahren zur Herstellung spinngefärbter geformter Gebilde, insbesondere Fäden aus regenerierter Cellulose. Kesslinger Karl, Lehnert Helmut). Пат. ГДР 7644, 31.07.54

Предложенные ранее способы окрашивания вискозного волокна в массе имеют ряд недостатков, в частности, ограничен выбор групп красителей, наблюдаются значительные потери красителей. Способ окрашивания, предложенный в этом патенте, устраняет ограничения в выборе групп красителей, если применяют красители, растворимые в органич. р-рителях, выпадающие из р-ра при добавлении воды. Р-р красителя вводится при помощи поршневого насоса в прядильный р-р и хорошо перемешивается турбинной мешалкой. Для лучшего распределения красителя в прядильном р-ре добавляется эмульгатор. Напр., 20 ч. суданоранжевой RR растворяются при добавлении 80 ч. эмульгатора под названием «сапал» в 120 ч. циклогексана. Р-р красителя добавляется к вискозному р-ру из расчета 2% красителя от веса целлюлозы, содержащейся в вискозном р-ре. Способ формования окрашенной вискозы обычный.

Г. С.  
27447 П. Непрерывное ксантогенирование щелочной целлюлозы. Симан (Continuous xanthation of alkali cellulose. Seaman S. E.). Англ. пат. 691756, 20.05.53 [Brit. Cotton Ind. Res. Assoc. Summary Curr. Liter, 1954, 34, № 1, 14 (англ.)]

Патентуется метод и аппарат для непрерывного ксантогенирования измельченной щел. целлюлозы. Щел. целлюлоза передвигается шином через трубу, в которой поддерживается пониженное давление, в реакционную камеру, куда автоматически поступает  $CS_2$ . Камера имеет рубашку; т-ра и давление в камере подбираются таким образом, чтобы  $CS_2$  находился в газообразном состоянии. На входе и выходе в камере имеются паровые затворы, которые исключают потери паров  $CS_2$  при выходе ксантогената целлюлозы.

П. Ч.  
27448 П. Способ и аппаратура для растворения ксантогената целлюлозы в центрифугах (Process and apparatus for dissolving substances which swell on wetting, especially cellulose xanthate, in screen centrifuges) [Vereinigte Glanzstoff — Fabriken Akt.-Ges.]. Англ. пат. 710476, 16.06.54 [J. Text. Inst., 1955, 46, № 1, A14 (англ.)]

Быстрое растворение ксантогената целлюлозы производится в центрифугах с перфорированными барабанами, расположенными один внутри другого. Барабаны снабжены рядом выступов, расположенных под острым углом к стенке барабана. Растворяемые частицы многократно продавливаются к вершине острого угла и прижимаются к стенке барабана. Затем частицы продавливаются через отверстия барабана. При правильном подборе конструкции и размеров отверстия достигают более высокой степени диспергирования ксантогената в р-рителе.

П. Ч.  
27449 П. Способ формования искусственных волокон (Process for spinning artificial fibres) [American Viscose Corp.]. Англ. пат. 703613, 10.02.54 [J. Text. Inst., 1954, 45, № 10, A621—A622 (англ.)]

Описано приспособление, которое дает возможность увеличить скорость формования вискозных волокон до 350 м/мин. Вискозный р-р при 25—67° подается в коагулирующую ванну (40—75°), при этом лицевая поверхность фильеры соприкасается с коагулирующей ванной. Фильерная вытяжка составляет 0,2—1,25. После выхода из фильеры нити движутся по направляющей к приемному механизму. На расстоянии ≤ 5 см от фильеры коагулирующая ванна движется струей со скоростью, равной скорости движения нити, и затем проходит расстояние 15 см вместе с нитью вдоль прямой направляющей нити. Необходимо, чтобы достаточное количество подавалось и соприкасалось с нитью. В конце направляющей установлен барабан для удаления части жидкости.

П. Ч.  
27450 П. Прядение вискозного волокна. Дриш, Хербх (Spinning of viscose. Drisch N.



Heimbach P.) [Comptoir des Textiles Artificiels]. Англ. пат. 685631, 7.01.53 [J. Text. Inst., 1954, 45, № 1, A18 (англ.)]

Вискозный р-р выпрядается в ванне, содержащей 10—15 г/л  $H_2SO_4$ , при 15—30°. Вязкость р-ра 400 пуаз и γ-ксантогената целлюлозы 60. После формирования волокно для фиксации пропускается через горячую воду. Диаметр отверстия фильеры 0,10—0,15 мм. Скорость прядения при выходе из фильеры равна 50—100 м/мин и в результате последующей вытяжки в трубке в конце аппарата на 100—200% увеличивается до 200—300 м/мин. Элементарный титр волокон 5 денье, волокна получаются без склеек.

**А. П. 27451 П. Производство искусственных волокон из ксантогенатов целлюлозы.** Дриш (Production of artificial filaments and similar products from cellulose xanthogenates. Drisch N.) [Textile and Chemical Research Co., Ltd]. Англ. пат. 709629, 2.06.54 [Brit. Rayon and Silk J., 1954, 31, № 362, 78 (англ.)]

Формование очень высоковязких вискоз, называемых ксантогелями, проводится по сухому методу прядения в воздух при комнатной т-ре через фильеру с диаметром отверстия 0,3 мм и более. Скорость прядения 500 м/мин. Нити тотчас же принимаются на наматывающее приспособление и подвергаются вытяжке на 500—1000%. Затем ксантогенатная нить регенерируется обработкой горячей водой, которая может содержать к-ту или электролит. Получаемый вискозный шелк имеет прочность в сухом состоянии 1,7 г/дене и в мокром 1,2 г/дене; удлинение в сухом и мокром состоянии соответственно равно 28 и 43%. Благодаря высокой вытяжке титр волокна равен 0,3 денье.

**П. Ч. 27452 П. Удаление черных пятен из вискозных волокон.** Кларк (Elimination of black specks from textile yarn. Clark Robert Ellis) [E. I. du Pont de Nemours and Co.]. Пат. США 2686104, 10.08.54

Для предотвращения образования пятен на вискозных волокнах при их формировании в кислотной ванне к последней добавляется 0,01—0,1 % салицилового производного, напр., салицилальдегида, салицилэтилоламина, салициловой к-ты и др. Эти производные предотвращают образование черных осадков солей Pb на волокне, не изменяя свойств самого волокна.

**А. П. 27453 П. Производство волокон из сложных эфиров целлюлозы и других термопластичных веществ.** Соутер, Хилл (Manufacture of filamentary materials of a cellulose ester or other thermoplastic substance. Sowter P. F. C., Hill F. B.) [British Celanese Ltd]. Англ. пат. 720187, 15.12.54 [Summary Curr. Liter. Brit. Cotton. Ind. Res. Assoc., 1955, 35, № 9, 322 (англ.)]

Волокна из ацетилцеллюлозы и других термопластичных в-в с разрывной прочностью  $>2$  г/дене и удлинением  $>14\%$  получают по мокрому способу прядения без дополнительной стадии релаксации. Волокна подвергают вытягиванию в коагуляционной ванне в основном в момент, когда еще сохраняется высокая пластичность полимера. Во время вытягивания необходимо тщательно регулировать натяжение нити в коагуляционной ванне, особенно вблизи выхода струек из фильеры. Скорость течения ванны в желобе должна лежать между скоростью истечения струек из отверстий фильер и скоростью вытягивания нити из желоба.

**А. П. 27454 П. Производство пряжи из ацетилцеллюлозы.** Саутер, Хилл (Production of cellulose ester yarns. Sowter P. F. C., Hill F. B.) [British Celanese, Ltd]. Англ. пат. 706693, 7.04.54 [Brit. Rayon and Silk J., 1954, 31, № 362, 77 (англ.)]

Для переработки ацетатного штапельного волокна необходимо, чтобы волокна имели прочность 2,0—2,5 г/дене и удлинение не ниже 15%. В англ. пат.

654900 описан способ формирования таких волокон, полученных по мокрому способу прядения при применении в качестве прядильной ванны диэтиленгликольдиацетата. Было установлено, что гидролиз диэтиленгликольдиацетата как в коагулирующей ванне, так и во второй ванне, в которой происходит усадка волокна, протекает с образованием диэтиленгликольмоноацетата и свободной уксусной к-ты. Это вызывает изменение свойств волокон и затрудняет процесс формирования. По данному патенту гидролиз можно замедлить, применяя коагулирующую ванну и ванну для последующей обработки волокна, содержащие определенные кол-ва ди- и моноацетата диэтиленгликоля. В патенте описаны также методы для поддержания требуемого состава прядильных ванн.

**П. Ч. 27455 П. Способ получения казеинового волокна.** Ферретти (Verfahren zur Herstellung von Fäden oder Fasern aus Kasein. Ferretti Antonio). Пат. ФРГ 903737, 8.02.54 [Textil-Praxis, 1954, 9, № 7, 673 (нем.)]

При прядении шел. р-ра казеина в кислую осадительную ванну, содержащую соль, сформованные волокна, задубленные при 25°, подвергаются дополнительной обработке в ванне для дубления при более высоких т-рах, преимущественно 70°.

**Г. С. 27456 П. Способ получения волокна из казеина.** Ферретти (Verfahren zur Herstellung von Kaseinfäden oder -fasern. Ferretti Antonio). Пат. ГДР 905418, 1.03.54 [Textil-Praxis, 1954, 9, № 7, 673 (нем.)]

Волокна получают при прядении р-ра казеина в ванне, содержащей к-ту и соль, или в прядильных ваннах, применяемых для формирования вискозных волокон. Сформованные волокна подвергаются дополнительной обработке в одной или нескольких солевых ваннах, содержащих одну или несколько нейтр. солей, или соответственно кислых солей, при добавке  $CH_2O$  в первую ванну или в одну из последующих ванн. К одной или нескольким ваннам, применяемым для дубления, добавляются соли Al. Уд. вес. ванны выше 1,180, содержание  $H_2SO_4$  25 г/л.

**Г. С. 27457 П. Способ и аппаратура для вытягивания синтетических волокон в две стадии** (Procédé et appareil d'étirage en deux stades de structures filamenteuses artificielles) [Du Pont de Nemours E. I. and Co. (USA)]. Франц. пат. 1022841, 11.03.53 [Bull. Inst. text. France, 1953, № 41, 137 (франц.)]

Патентуется способ вытягивания синтетич. линейных полимеров, главным образом полиэфиров, отличающийся тем, что вытягивание проводится в 2 стадии, причем волокно между обеими стадиями предохраняют от охлаждения. Аппарат для вытяжки состоит из пальца, пластины и 2 цилиндров. Волокно с питающей бобины наматывается на поверхность обогреваемого ролика, причем т-ра и скорость подбираются, так, чтобы обеспечить 1-ю стадию процесса вытягивания. Затем волокно поступает на горячую пластину, т-ра которой значительно выше т-ры пальца, и наматывается на 1-й холодный цилиндр; при этом осуществляется 2-я стадия вытяжки. Чтобы предохранить волокно от скопления в процессе вытяжки, нить после 1-го цилиндра наматывается несколько раз на 2-й холодный цилиндр.

**П. Ч. 27458 П. Способ обработки полиамидов** (Process for the treatment of polyamides) [Inventa A.-G. für Forschung und Patentverwertung]. Англ. пат. 698337, 14.10.53 [Rubber Abstrs, 1954, 32, № 1, 32 (англ.)]

Для повышения т-ры плавления пряжи и волокон из синтетич. линейных полиамидов пряжа или нить после вытяжки обрабатывается при 120—180° парами альдегида, напр.  $CH_2O$  или  $CH_3CHO$ , в отсутствие воды, в-в, вызывающих набухание нити, р-рителей или ката-

лизаторов. Процесс проводится в атмосфере инертного газа, напр.  $N_2$ , причем  $O_2$  должен отсутствовать. Ткани, изготовленные из обработанной пряжи, а также кордная нить более устойчивы к действию повышенных т-ры, следовательно, более долговечны при эксплуатации.

П. Ч.

**27459 П.** Авиваж вискозного шелка при непрерывной отделке (Perfectionnements à la fabrication de fils artificiels) [Svenska Rayon A. B.]. Франц. пат. 1064048, 10.05.54 [Bull. Inst. Text. France, 1954, № 50, 128 (франц.)]

Во время непрерывной отделки нить замасливается маслом, эмульгированным в воде с помощью катионо-активного или неионогенного эмульгатора. Эти эмульгаторы не реагируют с металлами и на поверхности деталей не откладываются осадки, способные загрязнять шелк.

А. П.

**27460 П.** Дубление пленок, волокон и тканей из нецеллюлозных гидрофильных полимеров. Эванс, Лич, Милс (Hardening of films, fibres, filaments and fabrics made from non-cellulosic hydrophilic polymers. Evans J. G., Jeach J. H., Meals W. S.) [Bradford Dyers Association, Ltd]. Англ. пат. 716542, 6.10.54 [J. Soc. Dyers and Colourists, 1955, 71, № 1, 67 (англ.)]

Пленки или волокна из нецеллюлозных гидрофильных полимеров, напр. белков, поливинилового спирта, альгинатов или полиакрилатов, переводят в нерастворимое состояние обработкой их продуктами взаимодействия бисульфита щел. металла с моно- или полифункциональными органич. изоцианатами или изотиоцианатами, после чего обработанные волокна нагревают до т-ры разложения бисульфитцианата.

П. Ч.

**27461 П.** Придильная головка для формирования волокон из расплава. Бонте (Spinnkopf zum Spinnen von künstlichen Fäden nach dem Stabschmelzverfahren aus hochpolymeren Stoffen. Bonte Friedrich). Пат. ГФР 894745, 26.10.53 [Textil-Praxis, 1954, 9, № 3, 293 (нем.)]

Для формирования волокон из расплава при загрузке смолы в форме палочек предлагается применить придильную головку, входной канал которой соответствует размерам палочки, предназначенной для плавления. Этот канал книзу расширяется прямоугольно или эллиптически и вблизи фильеры вновь сужается до небольшой доли первоначального сечения.

А. П.

**27462 П.** Способ изготовления фильер для формирования синтетических волокон. Виттель (Verfahren zur Herstellung einer Spinndüse, insbesondere zur Erzeugung vollsynthetischer Fäden. Wittel Karl). Пат. ФРГ 896145, 9.11.53 [Metalloberfläche, 1954, 8, № 1, B13 (нем.)]

Поверхность отверстий фильеры изнутри покрывается слоем хрома с помощью проволочного анода, проложенного через центр отверстий. Анод изготавливается из никелевой проволоки, вытянутой до 15  $\mu$  толщины. При электролитич. хромировании поверхностей отверстий получается гладкая поверхность и можно уменьшить диаметр отверстий до любого размера. Кроме того, хромирование защищает отверстия фильеры от действия жидкого расплава. Поэтому условия придания значительно улучшаются.

А. П.

**27463 П.** Ткани, изготовленные без процесса ткачества. Осборн (Web-like material and method of making same. Osborne Fay H.) [C. H. Dexter and Sons, Inc.]. Канад. пат. 508539, 28.12.54

Тонкие, мягкие, очень пористые и легкие ткани без процесса ткачества получают следующим образом: в сильно разб. водн. суспензию, содержащую синтетич. искусств. волокна длиной 6 мм и более, добавляют 5—25% водонерастворимой Na-соли карбоксиметилцеллюлозы (КМЦ) со степенью замещения  $\gamma = 30-75$

и содержащей 2—25% (от веса соли) водонерастворимых гелеобразующих частиц. Полученную массу выливают на движущуюся тонкую сетку, на которой волокна вместе с прилипшими к ним гелеобразными частицами натриевой соли КМЦ равномерно осаждаются, в результате чего на сетке образуются листы, которые затем сушат. При сушке водонерастворимая натриевая соль КМЦ связывает волокна в форме ткани. При всех операциях натриевая соль КМЦ не должна претерпевать хим. превращений или деструкции. Можно также применить смесь вискозных и синтетич. волокон, напр., сополимер винилацетата и винилхлорида.

П. Ч.

См. также: 27237.

## ЖИРЫ И МАСЛА. ВОСКИ.

## МЫЛА. МОЮЩИЕ СРЕДСТВА. ФЛОТОРЕАГЕНТЫ

**27464.** Состав и использование индийского чайного масла. Чакрабартти, Чакрабартти (The composition and utilisation of indian tea seed oils. Chakrabarty S. R., Chakrabarty M. M.). Indian Soap J., 1954, 20, № 1, 16—19 (англ.); Sci. and Culture, 1954, 20, № 4, 186—187 (англ.)

Изучен состав масла семян *Thea Sasanqua* (N. O. Theaceae), полученных из Darjeeling (M-1) и Assam (M-2). Экстракции ядер (68% от веса семян) петр. эфиром (40—60°) получают прозрачное желтое масло, выход 33,5 и 23,4% от веса ядер,  $n_D^{40}$  1,4640 и 1,4636;  $n_D^{20}$  1,488, 1,481 (по Вийсу 0,5 часа); сапонификационный эквивалент 298,9 и 296,4; неомыляемых 1,8 и 2,2%, свободных жирных к-т (считая на олеиновую) 1,7 и 4,1% для M-1 и M-2, соответственно. Состав масла исследовался: спектроскопически, низкотемпературной кристаллизацией и фракционированием в высоком вакууме. Найдено, что M-1 и M-2 содержат, соответственно (в %) к-ты: линолевую 22,3 и 22,0; олеиновую 59,0 и 58,7; насыщ. к-ты 18,7 и 19,3 (в том числе, миристиновую 11,60, пальмитиновую 86,63, стеариновую 1,77). Таким образом, установлено, что образцы имеют почти одинаковый состав. Результаты сильно отличаются от имеющихся в литературе данных для других разновидностей. Индийское чайное масло подобно арахидному маслу и может быть использовано для произ-ва гидрированного масла (Vanaspatti), мыловарения и др.

Н. Л.

**27465.** Тунговое масло. Баго (L'huile dite «de bois de chine». Bagot Y.), Peintures, pigments, vernis, 1955, 31, № 1, 27—35 (франц.)

Обзор работ по изучению районов произрастания, экономики и произ-ва тунгового масла в Китае, США, Аргентине, Африке и Азии. Технология получения и обработки масла, оборудование.

Б. Ш.

**27466.** Характеристики местных сортов тунговых масел. Холмс, Пак, Майнор, МакКинни (The characteristics of domestic tung oils. Holmes Raiford L., Pack Frank C., Minor Jacob C., McKinney R. S.). J. Amer. Oil Chemists Soc., 1954, 31, № 10, 417—418 (англ.)

Определены наиболее важные физ. и хим. характеристики тунговых масел. Приведены средние данные (для 74 образцов масел): содержание элестеариновой к-ты (I) 78,7% ( $\alpha$ —I 77,6% и  $\beta$ —I 1,0%),  $n_D^{25}$  1,5173,  $n_D^{20}$  1,5452, оптическая дисперсия 0,02775, кислотное число 1,03, тепловая проба (время, требуемое для желатинирования при 282°) 11,8 мин., водородное число 230,2, ИЧ по Вийсу 162,2 (для 50 образцов масел);  $d_{25}^{25}$  0,9364, вязкость при 25° 2,20 ст,

неомыляемых 0,38%, летучих 0,06%, число омыления 192,0, цвет (по стандарту Гарднера) 3—8. Так как присутствие I и высокие значения показателя преломления, оптической дисперсии и тепловой пробы отличают тунговое масло от других растительных масел, были найдены коэфф. соотношения между содержанием I и этими показателями, любой из которых может применяться для приблизительной оценки содержания I в тунговом масле. М. К.

27467. Компоненты жирных кислот и глицеридов кокосового масла. Дейл, Мира (The component fatty acids and glycerides of coconut oils. Dale Amy Pauline, Meera M. L.), J. Sci. Food and Agric., 1955, 6, № 3, 162—166 (англ.)

Изучен состав жирных к-т и глицеридов трех образцов кокосового масла: индонезийского (ИМ), с Соломоновых о-вов (СМ) и цейлонского (ЦМ). Исследованные образцы масла имели (ИМ, СМ и ЦМ, соответственно): сапонификационный эквивалент 214,7; 214,8; 223,6; и. ч. 9,0; 8,1; 8,2; свободных к-т (считая на лауриновую, в %) 4,1; 4,6; 0,6; неомыляемых (в %) 1,2; 1,4; 0,7. Состав смеси жирных к-т был определен фракционированной перегонкой полученных из них метиловых эфиров, состав глицеридов — кристаллизацией из ацетона. Найдено, что смесь жирных к-т содержит (ИМ, СМ и ЦМ соответственно): насыщ. к-ты (в %)  $C_6$ —0,2; 0,3; —;  $C_8$ —7,7; 8,1; 7,3;  $C_{10}$ —9,7; 8,1; 7,5;  $C_{12}$ —45,0; 46,3; 47,8;  $C_{14}$ —18,0; 17,4; 18,9;  $C_{16}$ —8,4; 8,6; 7,6;  $C_{18}$ —3,7; 2,0; 2,5;  $C_{20}$ —; 1,5; 0,4; олеиновую к-ту — 5,8; 5,5; 6,3 и линолевую к-ту — 1,5; 2,2; 1,7. При изучении состава глицеридов ИМ найдено, что смесь глицеридов содержит 21 смешанный триглицерид, из которых только 4 присутствуют в кол-ве ~ 10% и более (9,6% каприлолаурина, 15,2% миристилопальмитина, 9,8% капролаурамиристина и 12,7% лаурамиристопальмитина(стеарина)). Смесь глицеридов содержит также 5,0% каприлодилаурина, 7,4% пальмитодилаурина, 6,0% каприлокапролаурина, 7,6% каприлолаурамиристина, 3,5% каприлолаурипальмитина(стеарина), 4,8% капролаурипальмитина(стеарина), 5,5% олео(линолео)каприлолаурина, 3,9% олео(линолео)капролаурина, 4,0 олео(линолео)лаурамиристина, 2,0% олео(линолео)лаурипальмитина(стеарина) и др. тринасыщ. и динасыщ.-мононенасыщ. триглицериды в кол-вах менее 1%. Н. Л.

27468. Быстрый способ определения масличности в масличных семенах. Франсуа, Блейхер (Méthode rapide de dosage de l'huile dans les graines oléagineuses. François M.-Th., Bleicher G.), Compt. rend. Acad. agric. France, 1954, 40, № 8, 314—316 (франц.)

Описываемый способ основан на практически полном вскрытии клеток и извлечении масла р-рителем, что осуществляется в спец. лабор. дробилке, снабженной мешалкой из нержавеющей стали (15 000—18 000 об./мин.). Сюда же добавляется и р-ритель (петр. эфир). Для семян типа льняных, рапсовых, арахисных и подсолнечных достаточна 3-кратная обработка по 3 мин. р-рителем в указанной дробилке-мешалке, а для жестких и высокомаслянистых семян рекомендуется предварительное измельчение в сухом виде. Общая продолжительность процесса, включая центрифугирование и удаление р-рителя, 25 мин. Указано, что предлагаемый способ точнее метода с применением прибора Сокслета. А. Я.

27469. Опыты извлечения масла авокадо. Мартиненги (Prove di estrazione dell'olio di avocado. Martinenghi G. B.), Oli miner, grassi e saponi, colori e vernici, 1954, 31, № 9, 170—174 (итал.)

Предложен способ извлечения масла из мякоти плодов *Persea gratissima* (авокадо) по схеме прессова-

ние — экстракция технич. гексаном с дополнительными операциями по нагреву мякоти плодов и выжимок и их обезвоживанию (влажность мякоти — 78,2%, масличность 8,4%). Масло в целом при т-ре окружающей среды имело мажоранную консистенцию и содержало 11,5% неомыляемых, масло первого прессования — жидкое (5% неомыляемых), экстрагированное гексаном — твердое (34,9% неомыляемых). Прессовое, экстракционное (после форпрессования) и экстракционное (без форпрессования) масла имеют соответственно: кислотное число 1,31; 2,0 и 5,0; коэфф. омыления 191,5; 153,5 и 173,0; ИЧ (по Вийсу) — 83,9; 90,5 и 83,5. А. Я.

27470. О способах переработки влажных выжимок оливок. Монтефредине (La lavorazione delle sanse umide ed il processo Cinquina—I. T. T. S. A. Montefredine Antonio), Olivicoltura, 1953, 8, № 10, 5—16 (итал.)

Описаны результаты опытов, выполненных с целью создания экстракционного метода переработки оливоковых выжимок. Представлены схема установки и описание разработанного процесса. Экстракция велась при пониженном давл.—0,02 ат. Лучшим р-рителем оказался бzl. При среднем исходном содержании масла в выжимках 6,36% удалось получить среднюю масличность остатка 0,63%. На основе этих опытов был разработан проект заводской установки мощностью в 5 т/сутки с двумя экстракторами. Анализируется другой процесс переработки влажных выжимок с использованием хлорированного р-рителя, где экстракции предшествует дегидратация, необходимость которой автор опирает на основе эксперим. данных и теоретич. соображений. Полученное по этому способу масло обладает большой влажностью и высоким содержанием нежировых в-в. А. Я.

27471. Рафинация масла семян *Mesua ferrea* L. Кастири, Мурти, Ийер (Refining of nahor seed oil. Kasturi T. R., Murty N. L. Narayana, Iyer B. N.), J. Scient. and Industr. Res., 1954, B13, № 6, 453—454 (англ.)

Изучался состав масла (М) семян *Mesua ferrea* L. и предложен хроматографич. метод его рафинации. М было получено экстракцией  $CCl_4$  из обрубленных семян с выходом 77%. М вязкое, красного цвета, с плохим запахом;  $d_{27}^{20}$  0,9598;  $n_D^{27}$  1,4780; кислотное число (КЧ) 6,08; число омыления (ЧО) 208,6; ИЧ 88,4; число Рейхерта-Мейселя 4,8; число Поленске 0,5; неомыляемых 2,9;  $\alpha^{27}$  +2,47 (в  $CHCl_3$ ); число Геннера 90,4. Очистка М обработкой отбелными землями, серной к-той и обесцвечивание углем не эффективны. Для хроматографирования 10 г М растворяют в пятикратном по весу кол-ве  $CCl_4$  и пропускают через колонку со 100 г окиси алюминия. Получают 7,5—8 г М, не имеющего цвета, вкуса и запаха, пригодного для произ-ва мыла;  $d_{27}^{20}$  0,9381;  $n_D^{27}$  1,4705; КЧ нет, ЧО 199,8, ИЧ 80,0, неомыляемых нет, уд. вращение отсутствует. Те же результаты получаются при применении петр. эфира (т. кип. 45—65°) в качестве р-рителя. При исследовании смеси жирных к-т сырого М найдено, что она содержит (вес. %): 0,18 миристиновой, 12,49 пальмитиновой, 13,50 стеариновой, 59,84 олеиновой и 13,95 линолевой к-ты. Вероятный состав глицеридов (в %): тринасыщ. 6,39; пальмитостеаролеин 6,12; дипальмито-олеин 6,09; дистеаро-олеин 6,12; стеаро-диолеин 12,57; пальмито-диолеин 12,69; линолео-диолеин 28,53; триолеин 21,47. Н. Л.

27472. Жиры из рыбы *Hoplostethus islandicus*. Кауфман, Готтсхальк (Über die Körperöle des Fisches *Hoplostethus islandicus*. Kaufmann H. P., Gottschalk E.), Fette und Seifen, 1954, 56, № 7, 512—518 (нем.)



Содержание жира (в %): в черепномозговой полости 71,3, в пузыре 86,6, в мякоти 8,0, в печени 17,2, в икре 6,7. Все жиры — жидкие, желтого цвета. Жир из печени при отстаивании выделяет белые кристаллы, а жир из мякоти разделяется на 2 слоя: верхний желтый, а нижний — темнокоричневый, вязкий. Неомыляемых в жире из черепномозговой полости, мякоти и пузыри >45%, а жир из печени и икры состоял преимущественно из жирных к-т (76,8—82,4%). Физ. и хим. показатели жира из рыбы:  $n_D^{20}$  1,4640—1,4805; ИЧ 78,2—149,0; родановые числа 67,6—89,6; числа омыления 148,3—201,2; эфирные числа 145,9—188,5 (более высокие показатели относятся к жиру из печени и икры). Низкотемпературной кристаллизацией до  $-63^\circ$  выделены отдельные фракции жирных к-т. Фракция при т-ре кристаллизации  $-30^\circ$  состояла преимущественно из насыщ. к-т (пальмитиновой и стеариновой) и лишь из небольшого кол-ва олеиновой к-ты (ИЧ 50,4—76,7). Средняя фракция при т-ре кристаллизации от  $-50$  до  $-60^\circ$  состояла преимущественно из олеиновой к-ты и лишь из небольших кол-в миристиновой, лауриновой и каприновой к-т (ИЧ 82,6—89,5). Последняя фракция при т-ре кристаллизации ниже  $-60^\circ$  состояла главным образом из высоконасыщ. к-т (ИЧ 114,3—290). Такие же результаты получены при хроматографировании на бумаге. Показано отсутствие в неомыляемом углеводородов и сколько-нибудь значительных кол-в стеринов и высокоплавких алифатич. спиртов. Г. Ф.

**27473. Химический состав жира брызжейки рыбы *Leporinus affinis* (Boga). Бреннер, Куалья, Каттанео** (Composicion quimica de la grasa mesenterica del *Leporinus affinis* (Boga). Brenner Rodolfo R., Quaglia Salvador A., Cattaneo Pedro), An. Asoc. quim. argentina, 1954, 42, № 4, 192—212 (исп.; рез. англ.)

Определен хим. состав жира брызжейки пресноводной рыбы *Leporinus affinis* (Boga) (ИЧ 93,5, число омыления 196,1) с применением спиртосвиногового и ацетонитового методов с последующей дистилляцией метиловых эфиров жирных к-т. Состав жирных к-т (в %): миристиновая 2,46, пальмитиновая 23,57, стеариновая 7,76, арахидоновая 0,62, тетрадециленовая 0,58, гексадециленовая 10,49 и ненасыщ. к-ты  $C_{18}$  ( $-6H$ ) 0,23,  $C_{18}$  ( $-2,6H$ ) 34,13,  $C_{20}$  ( $-5,6H$ ) 14,32 и  $C_{22}$  ( $-8,1H$ ) 5,74. Совпадающие результаты получены при спектрофотометрич. исследовании жирных к-т, изомеризованных нагреванием до  $180^\circ$  их щел. солей в этиленгликоле. Г. Ф.

**27474. Высоконенасыщенные жирные кислоты. II. Фракционирование с помощью комплексных соединений с мочевиной. Абу-Наср, Потте, Холман** (Highly unsaturated fatty acids. II. Fractionation by urea inclusion compounds. Abu-Nasr Ahmed M., Potts William M., Holman Ralph T.), J. Amer. Oil Chemists' Soc., 1954, 31, № 1, 16—20 (англ.)

С помощью мочевины проведено выделение жирных к-т и эфиров рыбьего жира и свиной надпочечной железы и обогащение полиненасыщ. к-т. При увеличении ненасыщенности соединений понижается их способность связываться в комплексы с мочевиной, причем к-ты дают меньший выход комплекса, чем их эфиры. Низкая т-ра способствует р-ции образования комплексов. Часть I см. РЖХимБх, 1955, 6090. Г. М.

**27475. Высоконенасыщенные жирные кислоты. III. Выделение метилового эфира эйкозапентаеновой кислоты, этилового эфира докозапентаеновой кислоты и этилового эфира докозагексаеновой кислоты из эфиров масла тресковой печени с помощью хроматографии. Абу-Наср, Холман** (Highly unsaturated fatty acids. III. Isolation of methyl eicosapentaenoate, ethyl docosapentaenoate, and ethyl docosahexaenoate from cod liver oil esters by chromatography. Abu-Nasr Ahmed M., Holman Ralph T.), J. Amer. Oil Chemists' Soc., 1954, 31, № 2, 41—45 (англ.)

Из жира тресковой печени выделены докозагексаеновая к-та (I) и ее этиловый эфир (II), этиловый эфир докозапентаеновой к-ты (III) и метиловый эфир эйкозапентаеновой к-ты (IV). I и II выделены с помощью распределительной хроматографии с применением системы древесный уголь — изопропанол — метиловый эфир бегеновой к-ты, III — методом адсорбционной хроматографии на силикагеле с р-рителем петр. эфир — хлороформ. Для выделения IV применялся комбинированный метод распределительной и адсорбционной хроматографии. Г. М.

**27476. Окислительные изменения свиного жира в процессе его переработки. Кофман М. Ш., Левитская В. М., Сб. студ. работ Моск. технол. ин-та мясной и молочной пром-сти, 1955, № 3, 72—74** Изучались окислительные изменения, происходящие в свином жире при вытопке его в горизонтальных котлах и в центробежной машине системы Ануфриева, Вечканова и Земляникова. Установлено, что характер окислительных изменений является одинаковым для всех способов его переработки. Дана сравнительная характеристика окислительных изменений в процессе обработки жира обоими способами. Показаны глубина и интенсивность окислительного процесса на определенных этапах технологич. переработки жира. Л. Ш.

**27477. Влияние содержания перекисных соединений в свином смальце на результаты его хранения в холодильниках. Доманский** (Wływ zawartości połączeń nadlenowych na trwałość smalcu przy składowaniu w pomieszczeniach chłodzonych. Domanski A.), Przem. spożywczy, 1955, 9, № 1, 22—24 (польск.)

Пробы смальца с различным содержанием перекисных соединений, подвергнутые хранению в холодильниках, исследовались ежемесячно, в течение всего времени хранения, органолептически (на вкус и запах) и аналитически (р-ция Крейса, КЧ и перекисное число (ПЧ)). Вывод: на длительное хранение (>4 месяцев) можно направлять смалец с ПЧ >1,5; смалец с ПЧ >1,5, но >2,0 можно хранить максимум 2 месяца; при ПЧ >2,0, смалец следует направлять непосредственно на потребление. Л. Ш.

**27478. Стабилизация животных жиров антиокислителями. Дьюган, Маркс, Остби, Уайлдер** (The stabilization of animal fats with antioxidants during rendering. Dugan L. R., Jr., Marx Lotte, Ostby Paul, Wilder O. H. M.), J. Amer. Oil Chemists Soc., 1954, 31, № 2, 46—49 (англ.)

Изучена стабилизация жиров антиокислителями (ПО) при переработке сырья на опытной установке и в производственном масштабе, причем изменялись кол-ва сырья и ПО, время вытопки, давление внутри котла и в паровой рубашке; в двух сериях опытов к сырью добавлялся посторонний жир. В качестве ПО применяли бутилированный оксанизол (I) и 2,6-ди-*трет*-бутил-*п*-крезол (II) в кол-ве 0,005 и 0,01% в расчете на жир, порознь, в комбинации друг с другом, без добавки и с добавкой лимонной к-ты (III). Стойкость жира определялась по перекисным числам, стойкость мяса — ускоренным способом, основанным на образовании летучих карбонильных соединений (см. РЖХим, 1954, 33515). При вытопке жира из внутренних свиных с добавкой 10% нестабилизированного свиного жира от веса загрузки, при атмосферном давлении, ввод 0,01% I после вытопки жира повышал

его стойкость в 1,6—3 раза против контроля, а до вытопки жира — в 10—20 раз. Соответственно повышалась и стойкость мяса. При вытопке с добавкой меньшего кол-ва жира установлено, что чрезмерная продолжительность процесса снижает стойкость жира, а добавка 0,01% I до вытопки повышает стойкость примерно в 3 раза. Вытопка без добавки жира в присутствии смесей ПО (I и III, I и II, II и III) дала значительно худшие результаты, против прежних, за исключением случая, когда в котле случайно поднялось давление до 2,4 ат. При вводе смеси I и III (по 0,005%) до вытопки, стойкость жира повысилась в 400 раз против контроля. В других случаях наилучшие результаты получены были при комбинировании всех трех ПО. При опытах в производственных условиях со смешанным составом сырья контрольные образцы показали большую стойкость и без ввода ПО, ввод же 0,01% I до вытопки повышал стойкость жира в 4—6 раз. А. Я.

**27479. К переработке рапсовых семян. Лесюне**  
А. А. Маслоб.-жир. пром-сть, 1955, № 1, 29

Гидрогенизация рапсового масла затруднена тем, что в процессе переработки рапсовых семян в масло, помимо фосфатидов, переходит и кротониловое эфирное масло, образующееся в результате гидролиза глюкозида семян в присутствии фермента мирозина. Показано, что кол-во переходящих в рапсовое масло указанных нежировых в-в зависит от технологич. режима переработки семян и может быть уменьшено при понижении т-ры прессования мезги. Лучшее гидрируется форпрессовое рапсовое масло, дающее светлый саломас. Из масла окончательного прессования получается саломас серо-зеленого цвета. Г. Ф.

**27480. Получение жирных спиртов каталитическим гидрированием под высоким давлением. Хефели**  
(Préparation des alcools gras par hydrogénation catalytique sous haute pression. Haefeli R. J.), Chimia, 1953, 7, № 11, 255—258 (франц.)

Описано получение высших алифатич. спиртов каталитич. гидрированием кокосового, пальмоядерного масла и высших жирных к-т под разными давлениями при 280—320°. Установлено, что ниже 280° гидрирование заметно замедляется, а выше 320° идет глубокое гидрирование до парафинов, наличие которых >2% делает спирты непригодными для образования соответствующих сульфатов. Предлагается хроматографический метод (адсорбент — силикагель) быстрого колич. определения парафинов в спиртах. Для получения катализатора применяется: окись хрома, или хроматы, бихроматы,  $\text{Cu}(\text{NO}_3)_2$  или  $\text{CuSO}_4$  и водн.  $\text{NH}_4$ . Р-ция, протекающая в водн. среде, характеризуется следующим ур-нием:  $\text{Cu}(\text{NO}_3)_2 + \text{CrO}_3 + 3\text{NH}_3 + 2\text{H}_2\text{O} \rightarrow \text{Cu}(\text{OH}) \cdot \text{NH}_4 \cdot \text{CrO}_4 + 2\text{NH}_4\text{NO}_3$ . Осадок отделяют от р-ра, тщательно промывают, высушивают, сухое в-во измельчают и прокалывают при т-ре выше 550°, но ниже 800°, причем протекает р-ция:  $2\text{Cu}(\text{OH}) \cdot \text{NH}_4 \cdot \text{CrO}_4 \rightarrow \text{Cr}_2\text{O}_3 \cdot 2\text{CuO} + \text{N}_2 + 5\text{H}_2\text{O}$ . В отходящих газах наблюдаются заметные кол-ва  $\text{N}_2\text{O}$ ,  $\text{NO}_2$ ,  $\text{N}_2$ . Полученный катализатор содержит 39,9% Cu и 29,2% Cr. Активность его зависит от чистоты исходных материалов и тщательности соблюдения температурного режима при изготовлении и терется по мере восстановления окисей меди до металл. Cu. Н. П.

**27481. Новый метод расщепления жиров с применением перколяции. Мартиненги** (Un nuovo procedimento di scissione dei grassi per percolazione. Martinenghi G. B.), Olearia, 1955, 9, № 1—2, 13—20 (итал.; рез. франц., англ., нем.)

Жир в течение 2 час. нагревают в автоклаве острым паром под давлением не ниже 20 атм. За это время жир расщепляется примерно на 80%. Через 2 часа острый пар закрывают и подают подогретую воду, расплывая

ее через форсунку, в верхнюю часть автоклава. Вода проходит предварительно через теплообменник, в котором давление больше, чем в автоклаве. Распыленная вода проходит через весь слой жира, растворяя глицерин, и непрерывно отводится через низ автоклава. Непрерывный поток свежей воды создает условия для достижения наибольшей глубины расщепления. Полный оборот автоклава, считая загрузку и выгрузку его, составляет 6 час. Глубина расщепления при давл. 20 атм не менее 95%; при 25 атм — 96% и 30 атм — 97%. Конц-ия глицериновой воды 12—15%. Ф. Н.

**27482. Разделение жирных кислот совместной кристаллизацией с мочевиной. Сеплаки** (Zsírsvak szétválasztása karbamidos adduktképzés útján. Széplaky Miklós), Elelm. ipar, 1955, 9, № 2, 61—65 (венг.)

При разделении жирных к-т подсолнечного масла путем последовательных кристаллизаций с мочевиной при избытке к-т с последующим разрушением кристаллич. комплекса горячей водой уже в 1-й стадии рафинат (жидкая фаза) полностью освобождается от насыщ. соединений, частично — от олеиновой к-ты. Дальнейшие стадии ведут лишь к незначительному обогащению рафината линолевой к-той за счет удаления олеиновой к-ты. Аналогичные результаты получены при рафинации технич. олеина и искусств. смесей. Г. Ю.

**27483. Старые и новые заменители глицерина. Пеллен-Леаллер** (Succédanés anciens et nouveaux de la glycérine. Pépin Lehauteur Jean), An. Acad. brasileira cienc., 1954, 26, № 1, 75—82 (франц.)

Обзор некоторых заменителей глицерина: а) «глицероген», состоящий из 40% глицерина, 40% гликоля и 20% шестиатомных спиртов; б) смесь глицерина и пропиленгликоля; в) сорбит, получаемый гидрогенизацией глюкозы; г) диэтиленгликоль, пропиленгликоль, конц. р-ры хлористого кальция, лактаты натрия и калия. Библ. 34 назв. Ф. Н.

**27484. Новая конструкция понизителя давления. Бухарин В. В.**, Маслоб.-жир. пром-сть, 1953, № 9, 24—25

Описана новая конструкция понизителя давления при выпуске смеси жирных к-т и глицериновой воды из автоклавов безреактивного расщепления жиров в приемники. Д. Х.

**27485. К рефрактометрии жиров. I. Исследования гетерогенных систем. Тиме** (Zur Refraktometrie von Fetten I: Untersuchungen in gemischt-phasigen Systemen. Thiem J. G.), Fette und Seifen, 1954, 56, № 5, 286—291 (нем.; рез. англ., франц., исп.)

Описан метод исследования жиров и жирных к-т, заключающийся в измерении  $n_D$  жидкой фазы при различных т-рах — ниже т-ры плавления и без предварительного отделения твердой фазы. Наблюдаемые  $n_D$  были пересчитаны к 40°. Построены графики  $n_D^{40}$  жидкой фазы в зависимости от т-ры, при которой производилось определение  $n_D$  жира. Обсуждается вид этих кривых, зависимость его от различных факторов (предварительной термич. обработки жира, отверждения жира и др.) и возможность их применения для исследования жиров. Н. З.

**27486. К рефрактометрии жиров. II. Принципы рефрактометрии многофазных систем. Кауфман, Тиме** (Zur Refraktometrie der Fette II: Das Prinzip der Mehrphasen-Refraktometrie. Kaufmann H. P., Thiem J. G.), Fette, Seifen, Anstrichmittel, 1954, 56, № 12, 990—996 (нем.; рез. англ., франц., исп.)

По ранее описанному методу (см. предыдущий реф.), проведены рефрактометрич. исследования различных

натуральных жиров и восков, состоящих из твердой и жидкой фаз. Приведены кривые зависимости коэфф. преломления (КП), пересчитанного к одной т-ре, от т-ры жира, данные по сравнительному определению КП жидкой части жира, твердой его части и жира в целом и подсчету КП жира по КП его жидкой и твердой частей. Дан способ определения соотношения фаз в жире по КП, а также описан ряд других возможных применений указанного метода рефрактометрии для анализа жиров и восков. Н. З.

**27487. Новый раствор — эталон для открытия кукушного масла. Романи, Валентиние** (Nuova soluzione di confronto per la valutazione dell'olio di sesamo impiegato come rivelatore. Romani Bruno, Valentini Gastone), Olii miner., grassi e saponi colori e vernici, 1955, 32, № 1, 8 (итал.)

Предложен новый эталонный р-р для определения цветности кукушного масла, содержащий 10 мл 0,05 об. %-ного р-ра красителя бордо R, 0,10 мл 5 об. %-ного р-ра бихромата калия и 2 мл вазелинового масла, взамен установленного эталона цветности для выд-измененной пробы Бодуэна. А. Я.

**27488. Краткая история способов производства, применяемых в маргариновой промышленности. Коуэй** (A brief history of production methods used in the margarine industry. Conway L. F.), J. Amer. Oil Chemists' Soc., 1954, 31, № 6, 30—31 (англ.)

**27489. Современные методы производства маргарина. Бурке** (Moderne Margarine-Herstellungsvfahren. Burke H.), Fette und Seifen, 1954, 56, № 5, 309—316 (нем.)

Обзор. Библ. 14 назв.

Г. Ф.

**27490. Некоторые новые методы производства мыла. Вабич** (Neki novi uredaji za proizvodnju sapuna. Vabic Vladimir), Kemija u industriji, 1954, 3, № 2—3, 79—82 (хорв.)

Схема произ-ва и основные техно-экономич. показатели процесса получения мыла по Гоффману. Метод произ-ва мыла по Мациони.

Л. П.

**27491. Способ Мациони (производства мыла). Фок** (Das Mazzoni-Verfahren. Fock Miloš), Seifen-Öle-Fette-Wachse, 1955, 81, № 4, 79—82 (нем.; рез. англ., франц., исп.)

Описаны преимущества изготовления мыл по непрерывному методу Мациони. Качество мыла, приготовленного этим способом, выше, расход электроэнергии ниже на 50%, тепла — ниже на 70%. Установка с выработкой 2 т мыла в 1 час обслуживается только одним рабочим. З. М.

**27492. Применение ионного обмена при быстром определении содержания жирных кислот в мыле. Датта, Мукхерджи** (Use of ion-exchange in rapid estimation of fatty acids in soap. Dutta Digbijoy, Mukherji B. K.), Indian Soap J., 1955, 20, № 7, 187—188 (англ.)

Предложен легкий и быстрый метод определения жирных к-т в мыле, основанный на ионном обмене. Мыло растворяют в 95%-ном спирте и пропускают через слой предварительно подготовленного сульфогеля (высота слоя 15,2 см, диам. 1,27 см). Уголь размером —30, +60 меш 4 часа варят с  $H_2SO_4$  на паровой бане. Затем порошок отмывают от к-ты, сушат на воздухе, выщелачивают 0,1 н.  $HCl$  до тех пор, пока кон-ции к-ты во входящем и вытекающем р-рах не сравняются, и отмывают от  $Cl^-$ . Спирт. р-р мыла (1,5 г в 150 мл нейтр. спирта) пропускают через слой со скоростью 30 капель/мин. Собирают фракции по 25 мл и титруют 0,1 н.  $NaOH$ . Первую и последнюю фракции отбрасывают, так как в угле частично присутствует вода, вытесняемая р-ром, и ~15 мл абсорбируется

углем. Всего титруют 100 мл ( $\equiv 1$  г мыла). При сравнении со стандартным методом определения получено расхождение в 0,6%.

М. П.

**27493. История моющих средств. Часть II. Лафлин** (Cleaning through the ages. Part II. Laughlin Thos D.), Mod. Sanit., 1953, 5, № 11, 26—29 (англ.)

Обзор возникновения и развития моющих средств. Часть I см. РЖХим, 1955, 1373.

Н. С.

**27494. Роль фосфатов при стирке. Граупнер** (Die Bedeutung der Phosphate für die Wäscherei. Graupner Werner), Textil- und Faserstofftechnik, 1954, 4, № 12, 731—734 (нем.)

Добавка пирфосфата, гексаметафосфата и триполифосфатов к моющим средствам (алкил- или арилсульфаты и сульфаты) резко усиливают их действие при стирке. Фосфаты уменьшают жесткость воды, регулируют pH среды, а гексаметафосфат снижает зольность стираемых изделий. При добавке ~80% фосфатов к алкиларилсульфонатам моющая сила 100 условных единиц (при стирке без добавки фосфатов) увеличивается до 1000 единиц. Действие сульфатов значительно слабее.

А. П.

**27495. Синтетические детергенты. Мехта** (Synthetic detergents. Mehta T. N.), Indian Soap J., 1953, 19, № 2, 34—43 (англ.)

Очерк развития пром-сти синтетич. детергентов по их отдельным группам (сульфированные масла, амиды и сложные эфиры, алкиларилсульфонаты, сульфаты высших спиртов, алкилсульфонаты). Д. Х.

**27496. Химия вспомогательных неионогенных веществ. Применение их в текстильной промышленности. Ханпе** (La chimie des adjuvants non-ioniques. Leurs emplois dans l'industrie textile. Hanpre Wilil), Rayonne et fibres synthét., 1953, 9, № 9, 89, 91, 93, 95, 97, 99 (франц.)

Приводится классификация вспомогательных в-в, применяемых для отделки текстильных материалов. Рассматриваются методы синтеза и хим. свойства полигликолевых эфиров.

П. Ч.

**27497. Сравнительное моющее действие некоторых наноизмененных полиэтиленоксифатических эфиров. Карабинос, Бартеле, Капелла** (Comparative detergency of several built polyethenoxy aliphatic ethers. Karabinos J. V., Bartels G. E., Kapella G. E.), J. Amer. Oil Chemists' Soc., 1954, 31, № 10, 419—420 (англ.)

Испытанные моющие средства состояли (в %) из 20 полиэтиноксифиров, 20 пирфосфата, 20 триполифосфата, 39 углекислой соды и 1 карбоксиметилцеллюлозы. Наилучшее моющее действие оказалось у соединений, в которых на 1 вес. ч. жирных спиртов или жирных к-т приходится 2 вес. ч. окиси этилена. Ф. Н.

**27498. Свойства, действие и применение синтетических моющих средств. Чакерт** (Eigenschaften, Wirkung und Anwendung synthetischer Waschmittel. Tschakert Hans E.), Melliand Textilber., 1955, 36, № 1, 101—103 (нем.)

Обзор свойств синтетич. моющих средств, методов определения их моющей способности (смачивающая способность, эмульгирующее и диспергирующее действие, пенообразование и т. д.), а также основные данные о требованиях к хим. составу синтетич. моющих средств.

П. Ч.

**27499. Изучение моющего действия и других свойств солей алкилсульфонатов. Бене** (Alkilsulfonátok mosóhatásának és egyéb tulajdonságainak vizsgálata. Bene Ernő), Magyar kémiai folyóiratt, 1953, 59, № 1, 6—11 (венг.)

Сравнение смачивающей способности, диспергирующего и защитно-коллоидного действия, растворяющей способности, вспенивания сульфированных вен-



герских солярового (СМ) и керосинового (КМ) масел, а также сульфированных высокомолекулярных жирных спиртов с аналогичными свойствами моющих средств, изготовленных за границей (мерзолат Н, неалат ВХ, тилоза НВР), показывает полную применимость первых в качестве моющих средств. Алкилсульфокислоты образуют пену, устойчивую в жесткой воде (особенно КМ). Пробные стирки показывают, что моющее действие СМ и КМ проявляется при  $\text{pH} > 9$ . С ростом  $t$ -ры (до  $\sim 90^\circ$ ) моющее действие растет, для жирных спиртов оно всегда немного больше, чем для алкилсульфокислот. При прибавлении СМ к мылу максимум моющего действия достигается при содержании 10% СМ. При прибавлении СМ к моющим порошкам моющее действие последних увеличивается при замещении 50% мыла. Максимум моющего действия, изготовленного с СМ моющего порошка, достигается при концентрации 1—1,5 г/л. В жесткой воде СМ дает металлич. мыло, легко удаляемое с вымываемого изделия. Г. Ю.

**27500. Дегидратированные фосфаты натрия. Хаффорд** (Molecularly dehydrated sodium phosphates. Hafford B. C.), Industr. and Engng Chem., 1954, 46, № 9, 1938—1942 (англ.)

Указано, что в качестве составных частей моющих и очищающих средств находят применение тетрапирофосфат, триполифосфат и гексаметафосфат натрия. Наибольшее распространение получил триполифосфат натрия, произв. во которого в США в 1953 г. достигло более 400 000 т. Ф. Н.

**27501. Неионотенные моющие средства. Елинек, Мейхью** (Nonionic detergents. Jelinek Charles F., Mayhew Raymond L.), Industr. and Engng Chem., 1954, 46, № 9, 1930—1934 (англ.)

Производство неионотенных моющих средств, получаемых конденсацией окиси этилена с соединениями, имеющими активный водород, достигает в США 40 000 т в год. Для повышения пенообразующей способности к неионотенным моющим средствам прибавляют продукты конденсации жирных к-т с этанол-аминами и затем добавляют комплексные фосфаты и карбоксиметилцеллюлозу. Ф. Н.

**27502. Производство во Франции синтетических моющих средств из нефти. Инскип, Мюссар** (French synthetic detergents from petroleum. Inskipp Gordon C., Mussard Alex), Industr. and Engng Chem., 1955, 47, № 1, 2—10 (англ.)

**27503. Жирорасщепляющие и поверхностноактивные вещества из нафталина, дифенила, бутанола и серной кислоты. Фукудзума, Одаки, Ямада** (ナフタリン、ジフェニル、ブタノール、硫酸等より試製せる油脂分解剤及び界面活性剤。福住一雄、尾崎新平、山田裕), 工業化学雑誌, Kōgō kagaku zasshi, J. Chem. Soc. Japan Industr. Chem. Sec., 1953, 56, № 2, 114—115 (япон.)

Исследовались жирорасщепляющие и поверхностно-активные свойства продуктов, приготовленных из нафталина, дифенила, бутилового спирта и серной к-ты. Жирорасщепляющая способность испытанных продуктов выше, чем у «контакта» немецкого произв-ва, а поверхностноактивные свойства выше, чем у «неоля» (бутилнафталинсульфонат натрия). Ф. Н.

**7504 К. Производство мыл и моющих средств. Демченко П. А.** Киев, Гостехиздат УССР, 1954, 188 стр. с илл. 4 р. 55 к.

**17505. П. Процесс обработки растительного масляного сырья. Данкли** (Process for the treatment of oilbearing vegetable material. Dunkley M. E.).

Англ. пат. 715352, 15.09.54 [Paint, Oil and Colour J., 1954, 126, 2921, 814 (англ.)]

Для получения высоких выходов масла из семян растений (напр., кокосовых орехов) и предупреждения прогоркания семена сушат в сухой ( $< 2\%$  влаги) атмосфере, содержащей продукты неполного сгорания углеводородов, которые препятствуют вредному действию биохимич. катализаторов. Соевые бобы могут быть размолоты в этой атмосфере. С. П.

**27506 П. Процесс и аппарат для непрерывной гидрогенизации масел и жирных кислот. Брегман** (Procédé et appareil pour l'hydrogénation continue d'huiles et d'acides gras. Bregman Bernhard) [Bamag Ltd]. Франц. пат. 1069690, 12.07.54 [Chimie et industrie, 1954, 72, № 5, 974 (франц.)]

Процесс непрерывной гидрогенизации состоит в том, что в циркулирующую смесь жира с катализатором подают водород (в направлении, перпендикулярном движению потока) с такой скоростью, чтобы все время сохранялось равномерное распределение катализатора в жире для обеспечения максим. контакта между ними и водородом. Е. К.

**27507 П. Вискозиметр для растительных, животных и минеральных масел. Хёпплер, Хёпплер** (Viskosimeter für pflanzliche, tierische und mineralische Öle. Höppler Anita, Höppler Fritz). Пат. ГДР 6362, 22.01.54

Патентуется переносный вискозиметр для небольших образцов, с точностью измерений  $\pm 10\%$ . В вертикальном трубчатом корпусе вискозиметра в верхней части помещается направленная вниз, закрепленная конусообразная поверхность, а под ней по оси тарельчатая часть с параллельной поверхностью, приращенной относительно конусообразной поверхности с точностью в несколько угловых минут, служащей для приема нескольких капель образца. Нижнее удлинение тарельчатой части, которое можно захватить через отверстие в корпусе, снабжено грузом и свободно передвигается в корпусе. Приведена схема. А. Я.

**27508 П. Смягчающие и пенообразующие средства для мыл. Марцин** (Weichmachungs- und Schäumungsmittel für Seifen. Marzin Adlof). Пат. ГДР 7418, 1.07.54

Для увеличения мягкости и пенообразования мыл вместо олеиновой, линолевой, риднолевой и других ненасыщ. жирных к-т предлагается применение полихлорированных жидких жирных к-т, с кол-вом атомов  $\text{C} > 18$ , в частности, полученных окислением парафинов, а также этих к-т, переведенных частичным или полным удалением атомов  $\text{Cl}$  в ненасыщ., а также гидроксилированных. З. М.

**27509 П. Получение твердого смальца. Сасвари** (Verfahren zur Herstellung von schnittfestem Schmalz. Sasvari Imre). Пат. ГДР 3794, 9.03.53

Патентуется способ обработки смальца с целью получения продукта, сохраняющего твердую консистенцию при  $40^\circ$ . Некоторое кол-во расплавленного смальца быстро переохлаждают до  $5^\circ$  и подвергают длительному энергичному перемешиванию до образования кашицеобразной консистенции; выдерживают 12 час. в холодильной камере до полного затвердевания; вновь вымешивают и добавляют постепенно 10-кратное кол-во жидкого теплого смальца, энергично перемешивают и оставляют стоять спокойно в течение 24 час., не применяя дальнейшего охлаждения. Масса застывает с образованием твердого жира, не плавящегося при  $40^\circ$ . Часть образовавшегося твердого смальца служит для получения дальнейших порций такого же продукта. Т. С.

**27510 П. Способ и аппарат для дезодорации масел. Бейли** (Method and apparatus for deodorizing oils

Bailey Alton E.) [National Cylinder Gas Co.]. Пат. США 2691665, 12.10.54

Способ и аппарат для дезодорации масел и жиров, который отличается тем, что в корпусе аппарата, находящегося под вакуумом, имеется несколько тарелок, расположенных по вертикали одна над другой и связанных между собой соединениями с клапанами; между тарелками, открытыми сверху, имеются свободные пространства, куда поступают пары. Жиры, находящиеся на тарелках, подогреваются и продуваются острым паром; спускаются вниз с одной тарелки на другую. Пары отсасываются из аппарата, чем устраняется повторный контакт паров с жиром в каждой из тарелок.

А. Я. 27511 П. Метод обработки очищенного воска, являющегося отходом при переработке сахарного тростника и характеристика продукта, получаемого при этом. Уайлдер, Мак-Маллен (Method of treating refined sugar cane wax and product resulting therefrom. Wilder Edward A., McMullen Enos H.) [S. C. Johnson and Son, Inc.]. Пат. США 2703807, 8.03.55

Метод обработки очн. воска, не менее 97% которого растворяется в кипящем изопропанол, отличается тем, что через массу расплавленного воска при 80—150° барботируют окисляющий газ до тех пор, пока кислотное число не увеличивается до 20—35, а число омыления — до 45—75.

Г. В. 27512 П. Измененный воск сахарного тростника и способ его изготовления. Уайлдер, Спергат (Modified cane wax and method of production. Wilder Edward A., Spurgat Edward) [S. C. Johnson and Son, Inc.]. Пат. США 2682516, 29.06.54

Обезмасленный воск сахарного тростника окисляют до кислотного числа 22—38, после чего модифицируют добавлением 2—20 вес. % *n*-фенилфенолформальдегидной смолы и частичной этерификацией посредством ангидридов малеиновой, янтарной или глутаровой к-т.

А. Ф. 27513 П. Способ получения капиллярноактивных амино-арильных соединений. Хентрих, Энгельбрехт (Verfahren zur Herstellung von kapillaraktiven Aminoarylverbindungen. Hentrich Winfried, Engelbrecht Heinz-Joachim) [Dehydag Deutsche Hydrierwerke G. m. b. H.]. Пат. ФРГ 907893, 29.03.54 [Chem. Zbl., 1954, 125, № 39, 8933 (нем.)]

Капиллярноактивные амино-арильные соединения получают алкилированием ароматич. аминосоединений общей ф-лы  $H_2N-Ar-X-NH-Y-R$  ( $Ar$  — остаток ароматич. углеводорода; один из двух остатков  $X$  и  $Y$  —  $SO_2$ , а другой —  $CO$ ;  $R$  — алифатич. или ароматич. углеводородный радикал). Напр., нагревают в автоклаве *N*-(3-аминобензолсульфонил)-ацетамид с *n*-додецилбромидом и  $MgO$  в разб. спирте до 150° и подкисляют  $HCl$ -к-той. Воск легко раствор. в горячем *p-p* слабой соды, которая при этом пенится. З. М.

27514 П. Способ производства поверхностно-активных соединений (Procédé pour la production de composés à activité capillaire) [Badische Anilin- und Soda-Fabrik]. Франц. пат. 1027462, 21.05.53 [Teintex, 1953, 18, № 10, 659 (франц.)]

Способ получения водорастворимых, устойчивых к щелочам и стойких в жесткой воде соединений, обладающих высокой смачивающей способностью и состоящих из солей неароматич. сульфимидов состоит в том, что на продукты сульфогалогенирования, полученные действием  $SO_2$  и галоида на смеси неароматич. углеводородов с т. кип. 120—200°, действуют газообразным или жидким  $NH_3$ . В тех случаях, когда полученные сульфимиды содержат сульфамиды, то

первые вымывают водой или разб.  $H_2SO_4$ , а сульфамиды обрабатывают соответствующим кол-вом сульфогалогенида в присутствии едкой щелочи.

Я. К. 27515 П. Водоупорные моющие соединения на основе полиоксизтилена (Composés détergents hydrofuges à base de polyoxéthylène) [Wyandotte Chemicals Corp.]. Франц. пат. 1069615, 9.07.54 [Chimie et industrie, 1954, 72, № 6, 1233—1234 (франц.)]

Эпоксисоединения общей ф-лы  $R_2C-C(R_2)O$

(в которой по меньшей мере один заместитель — алкил, алкилен или ароматич. радикал, а другие —  $H$ -атомы, алкилы или ароматич. радикалы, и в которой любые два заместителя, представляющие собой алкилы или алкилены, могут образовать карбоциклич. кольцо) подвергают полимеризации и полимеры, обладающие средним мол. в. >900, конденсируют с окисью в кол-ве 20—90% от общего веса получ. соединения. Я. К.

27516 П. Жидкая детергентная смесь. Сандерс (Liquid detergent composition. Sanders Herbert L.) [General Aniline and Film Corp.]. Канад. пат. 506289, 5.10.54

Жидкая моющая смесь состоит из *N*-пальмитойл *N*-циклогексилтаурата (5—20 ч.), тетрапрофосфата калия (5—20 ч.) и 50—80 ч. воды. Можно к этой смеси добавить 2—10 ч. метасиликата натрия.

М. Л. 27517 П. Процесс нейтрализации сульфированных продуктов, пригодных в качестве детергентов.

Брейди (Process for the neutralization of sulfonated products suitable as detergents. Brady Robert Francis) [Colgate-Palmolive Co.]. Пат. США 2687420, 24.08.54

Процесс нейтр-ции кислых смесей, содержащих сульфированные органич. продукты (сульфонислоты, эфиры серной к-ты) и избыток сульфировющего агента для приготвления солей сульфированных органич. продуктов, не содержащих неорганич. соли, состоит в том, что кислая смесь и нейтрализующий агент разделяемыми потоками пропускают в *p-ритель* (вода и органич. *p-ритель*). Скорости потоков регулируются так, чтобы обеспечить получение нейтр. продукта *p-ции*. Кол-во воды и органич. *p-рителя* должно быть такое, чтобы образовались две несмешивающиеся жидкие фазы, одна из которых содержит нейтрализованный сульфированный органич. продукт, другая — нейтрализованный избыток сульфировющего агента. Н. Г.

27518 П. Усовершенствование метода получения алкиларилсульфонатов (Perfectionnements relatifs aux alkyl-aryl sulfonates) [The Atlantic Refining Co.]. Франц. пат. 1051493, 15.01.54 [Teintex, 1954, 19, № 10, 799 (франц.)]

Для получения моющих в-в на основе алкиларилсульфонатов (I) сульфруют жирноароматич. углеводороды (алкильный радикал 9—15 атомов C) (II), удаляют  $SO_2$  из сульфомассы и разбавляют эту смесь инертным углеводородом (III) с т. кип. ниже 204°, декантируют и отделяют отработанную к-ту. Полученный *p-p* сульфокислот в III смешивают с водн. спиртом и щел. реагентом для нейтр-ции сульфонов и отделяют водн. щел. *p-p* сульфонов от III. В случае надобности промывают новой порцией III для удаления следов несulfированного II. Спирт, воду и III удаляют нагреванием, а затем сушат полученный конц. водн. *p-p* I. О. С.

См. также: 24709, 25317, 25345, 25576, 25577, 25830, 26059.

## УГЛЕВОДЫ И ИХ ПЕРЕРАБОТКА

27519. Кукуруза — ценное промышленное сырье. Еремеев А., Кравченко С., Коздзовое произ-во, 1955, № 8, 44

Наравне с пищевыми и кормовыми достоинствами кукуруза представляет собой ценное промышленное сырье, из которого вырабатывают крупы, хлопья, спирт, крахмал, кукурузный сахар; в текстильной и целлюлозно-бумажной промышленности из нее можно получить целлюлозу и декстрин.

**В. З. 27520.** Спектрофотометрическое исследование пожелтения крахмальных паток при хранении. Линдемман (Spektralphotometrische Untersuchungen über die Vergilbung von Stärkesirupen bei der Lagerung. Lindemann Frich, Stärke, 1955, 7, № 4, 86—94 (нем.; реэ. англ.).

Приведены результаты исследования 50 образцов паток (некоторые из них хранились в течение 4—5 лет) в отношении влияния на их цветность различных примесей или условий хранения. Методом для установления кол-ва 4-оксиметилфурфурола (I) и степени пожелтения было избрано определение спектра поглощения УФ-лучей. Для паток этот спектр лежит в пределах 284 мμ и 245 мμ, что дает близкое совпадение с соответствующим спектром I. Степень пожелтения паток определялась в зависимости от содержания в них I, ионов меди, белковых в-в, SO<sub>2</sub> при нагревании, при освещении УФ-лучами и в темноте. При хранении паток на свету I быстро разрушается и отмечается их пожелтение. Аминокислоты процесс пожелтения не усиливают; ионы меди как катализаторы, ускоряют этот процесс, SO<sub>2</sub> не тормозит его. Повышение т-ры хранения вызывает разложение глюкозы и образование в большем кол-ве I. Большое его содержание ускоряет процесс пожелтения. Даются практич. указания, обеспечивающие более длительное хранение паток без сильного их пожелтения — возможно низкое содержание азотистых в-в в патоках; содержание SO<sub>2</sub> в них до 15 мг%; максим. снижение содержания меди и солей тяжелых металлов и I.

**Н. Б. 27521.** Слабокислые катионообменники улучшают карамельную пробу крахмальных паток. Ланге (Schwache saure Kationen-Austauscher verbessern die Bonbonprobe der Stärkesirupe. Lange Adriaan de, Stärke, 1955, 7, № 4, 94—96 (нем.; реэ. англ.).

Приведены результаты испытаний слабокислого катионообменника Имак С-19 на очистке паток из кукурузного крахмала и об изменении качества «кармальной» пробы этих паток. Исследования проводились на трехколонной установке, работающей по 8-часовому циклу. Каждая из колонн поочередно, через 8 час., выключалась для регенерации ее щелочью и к-той. Установлено, что ионообменник С-19, легко регенерируемый щелочью и к-той, при 8-часовом цикле работы поглощает из сиропа 50% азотистых в-в и целиком удаляет металлич. ионы. Содержание азота в сухом в-ве патоки нельзя снизить < 3 мг%. Годовые потери ионообменника были < 4% без изменения адсорбционной способности. Приведены результаты исследований по изменению окраски карамельной массы при варке патоки с описанием методики «кармальной» пробы (без сахара). Изменение окраски определялось на колориметре Штаммера и выражалось в сотых долях градусов. Установлено значительное улучшение качества (цветности) «кармальной» пробы у паток, очищенных при помощи ионообменника С-19. Высказаны некоторые теоретич. предположения о р-ции Майльерда.

**Н. Б. 27522.** Топинамбур и сахарная свекла. Возможности комбинированного использования. Кюппер-Зонненберг (Topinambur und Zuckerrübe. Möglichkeiten einer kombinierten Verwertung. Küppers-Sonnenberg G. A., Z. Zuckerind., 1955, 3, № 9, 442—444 (нем.).

При переработке топинамбура получается патока, содержащая 70—80% фруктозы, 15—25% глюкозы

и 3—7% ангидрида фруктозы; при обработке ее ионитами содержание сернистой золы в ней снижается до 1—0,1% к весу сухого в-ва. Она представляет собой диетический продукт, необходимый в качестве заменителя сахарозы больным-диабетикам. Топинамбур хорошо культивируется на легких почвах и может быть использован для переработки почти в течение целого года (лучшее время — с половины ноября до июня — июля), поэтому он не является конкурентом сахарной свеклы, а является сырьем для получения дополнительных кол-в сахаристых в-в. Ботва топинамбура может повысить содержание гумуса в почве, а также является полноценным кормовым продуктом.

**Л. Ш. 27523.** О применении гидразида малеиновой кислоты для обработки сахарной свеклы. Людекке, Ницше (Über die Anwendung des Maleinsäurehydrazids bei Zuckerrüben. Lüdecke H., Nitzsche M., Zucker, 1955, 8, № 8, 154—160 (нем.).

Проведены производственные опыты для выяснения влияния гидразида малеиновой к-ты как консервирующего средства на размеры потерь при хранении сахарной свеклы и как стимулятора роста корней и ботвы и влияния на поляризацию. Опыты не дали определенных результатов.

**Л. Ш. 27524.** О деятельности микроорганизмов при получении диффузионного сока. Лилленшкюльд, Беккер (Über die Tätigkeit von Mikroorganismen bei der Rohsaftgewinnung. Lillenskiöld M., Becker D., Zucker, 1955, 8, № 18, 411—414 (нем.).

Указаны мероприятия по борьбе с микроорганизмами при сокодобывании: тщательное обрызгивание свеклы по выходе ее из свекломойки; обработка возвращаемой транспортерно-моечной воды дезинфекционными средствами; обработка посредством SO<sub>2</sub> свекловодяной смеси в мойке; изоляция от моечного отделения остальных производственных станций з-да; тщательное соблюдение чистоты у свекловичного элеватора, трясучки, бункера и свеклорезок и техника применения дезинфекционных средств.

**Л. Ш. 27525.** Сравнительная оценка методов очистки диффузионного сока сахарных заводов. Чуренина А. Д., Гришина Г. В. Сб. н.-н. студ. работ Моск. технол. ин-та пищ. пром-сти, 1953—1954 (1955), № 1, 35—51

Заводские наблюдения еще раз подтвердили, что возврат нефильтрованного сока 1-й сатурации на предварительную дефекацию является эффективным способом для ускорения фильтрации и отстаивания сока 1-й сатурации; повышение щелочности возвращаемого сока 1-й сатурации может быть произведено добавлением известкового молока и дефекованного сока; отстаивание сока улучшается с уменьшением кол-ва извести, расходуемой на очистку сока — понижение конц-ии грязи в суспензии значительно ускоряет отстаивание и этот процесс не подчиняется закону Стокса.

**Г. Б. 27526.** Образование инвертного сахара в соке II сатурации при обработке его катионитом. Гирько И. П., Головин П. В. Укр. хим. ж., 1955, 21, № 4, 530—532

Лабораторные опыты показали, что при pH сока 2-й сатурации ≥ 4 в результате обработки его катионитом образования инвертного сахара в течение одного часа не наблюдается. В соках с доброкачественностью 96 ед. образование инвертного сахара начинается при pH 3,5.

**Г. Б. 27527.** Новые представления о второй сатурации. Бригель-Мюллер, Брунихе-Ольсен (Neure Gesichtspunkte zur zweiten Saturation. Bri-



eghet-Müllel A., Brüniche-Olsen H.), Zucker, 1953, 6, № 18, 443—446 (нем.)

Рассматривается вопрос об определении оптимальной щелочности сока 2-й сатурации. Указаны недостатки теории Шпенгера и Бренделя, в основе которой лежит понятие о теоретич. натуральной щелочности сока, определяемой как разность между щелочностью фильтрованного сока 1-й сатурации и содержанием в нем СаО. Предложена теория, учитывающая влияние содержащихся в соке буферных в-в (чего не учитывает теория Шпенгера), и дан более точный метод расчета оптимальной щелочности сока 2-й сатурации. Ввиду сложности этого метода для практики возможно модифицировать введенное Шпенглером понятие о натуральной щелочности, заменяя его эффективной щелочностью, определяемой как разность между щелочностью сока 1-й сатурации, титруемой до pH 9,25, и содержанием в нем СаО. Значение pH 9,25 принято как среднее оптимальное его значение для сока 2-й сатурации, лежащее в пределах 9,0—9,5. Л. Ш.

27528. Непрерывная фильтрация в производственной кампании 1954 г. Шлоссер (Die stetige Filtration in der Kampagne 1954. Schlosser Hans), Zucker, 1955, 8, № 10, 212—220 (нем.)

Обследована работа четырех з-дов (трех свеклосахарных и одного, обессахаривающего мелассу баритовым способом). Свеклосахарные з-ды, оборудованные котлами для прогрессивной предварительной дефекации (ПД), отстойниками и барабанными безъячейковыми вакуум-фильтрами фирмы «БМА», работали с различными кол-вами извести: № 1—1,5—1,7% к весу свеклы; № 2—0,8—1,0% и № 3—0,3—0,4%, т. е. в примерном отношении 4 : 2 : 1. На ПД вместо больших кол-в сока 1-й сатурации возвращался осадок с отстойников с добавлением сока основной дефекации; частично применялась, кроме того, сатурация сока ПД, давшая весьма положительные результаты. При обследовании, кроме определения фильтрационного коэфф. (ФК) и скорости осаждения, производилось микрофотографич. изучение структуры грязи с отстойников. Установлено, что хорошей фильтрации всегда сопутствовала структура осадка, отличающаяся наличием большого кол-ва хорошо сформированных, а главное — равномерных по величине кристаллов СаСО<sub>3</sub>, аналогично тому, как необходимым условием для хорошей футовки является равномерность кристаллов сахара (без мелочи и муки). Этим, повидому, объясняются также положительные результаты сатурации сока ПД, а также хорошее отстаивание и фильтрация сока при исключительно неблагоприятных ФК порядка 20—40—60 на з-де № 3 с расходом извести всего 0,3—0,4% (на з-де № 1 ФК составлял 2,0—4,5). Удовлетворительные результаты работы приписываются также конструктивным достоинствам фильтров «БМА». Л. Ш.

27529. Очистка сахарного сиропа центрифугированием. Кивенко С., Бойко Н., Молоч. пром-сть, 1955, № 5, 37—38

Наилучших результатов очистки 70—72%-ного сахарного сиропа центрифугированием достигают при 85°. Сравнительное изучение в производственных условиях очистки сахарного сиропа методами фильтрации и центрифугирования показало, что центрифугирование является более эффективным методом очистки. Н. Б.

27530. Влияние кальциевых солей в воде для диффузии на способность жома к отжатию. Беккер (Über den Einfluß des Kalkgehaltes im Auslaugewasser auf die Abpreßbarkeit der ausgelaugten Schnitzel. Becker D.), Zucker, 1955, 8, № 17, 381—383 (нем.)

Проведен в заводском масштабе опыт добавления к воде для диффузии СаСл<sub>2</sub> в кол-ве, необходимом для повышения способности жома к отжатию и в связи с этим увеличения в отпрессованном жоме содержания сухих в-в. При сушке жома это должно было дать экономии в расходе топлива, но экономич. подсчеты не подтвердили рентабельность способа. Л. Ш.

27531. Некоторые данные об известкообжиговых печах и их эксплуатации. Блок (Einiges über Kalköfen und ihren Betrieb. Block Berthold), Z. Zuckerind., 1955, 5, № 9, 429—436 (нем.; рез. англ., франц.)

Критически рассмотрены достоинства и недостатки известкообжиговых печей различных систем и деталей их устройства. Даны указания по их эксплуатации, а также относительно всей установки для снабжения з-да известью и газом. Описаны цилиндрич. печи новейшей системы полностью механизированные и требующие только одного человека для обслуживания. Описан также горизонтальный газовый лавер новой системы. Л. Ш.

27532. Новый счетный диск для вычисления доброкачественности сахарных соков. Эммерих (Eine neue Rechenscheibe zur Berechnung des Quotienten von Zuckersäften. Emmerich A.), Zucker, 1955, 8, № 17, 380 (нем.)

Новый счетный диск, сконструированный Шибелем, точнее обычной счетной линейки и дает возможность вычислять доброкачественность в любом диапазоне с точностью до 0,1 и даже 0,01%. Диск имеет диам. ~20 см. На нем помещается вращающийся диск меньшего диаметра, снабженный размещенной на 10-ходовой спирали логарифмич. шкалой того же типа, что и у счетной линейки. Над дисками помещена вращающаяся стрелка. Вращение всех дисков и стрелки совершается вокруг общего центра. Все три части прибора могут быть установлены в любом положении по отношению друг к другу. Повышенная точность прибора объясняется тем, что длина спиральной логарифмич. шкалы составляет 3,5 м против 25 см у счетной линейки. Прибор применим также для всех вычислений, выполняемых счетной линейкой, для чего к нему прилагается спец. дополнительный диск. Л. Ш.

27533. Хроматография на бумаге и ее применение к продуктам сахарного производства. Рейнефельд (Die Papierchromatographie und ihre Anwendung auf Zuckerfabrikprodukte. Reinefeld E.), Zucker, 1955, 8, № 15, 331—339 (нем.)

Сведения о хроматографич. методе и хроматографии на бумаге. Описаны применяемые р-ры, бумага и приборы. Приведено описание определения ряда соединений, содержащихся в сахарозаводских продуктах: сахаров (сахарозы, глюкозы, фруктозы, пиктозы, рафинозы, кестозы и др.), органич. к-т и азотистых в-в (аминокислот, протенинов и пуринов). Описан скоростной метод хроматографии на бумаге с применением электрофореза для серийных определений содержания аминокислот (главным образом, глутаминовой к-ты). Л. Ш.

27534 К. Расчет технической мощности оборудования свеклосахарных заводов. Востоков А. И., Лешешкин И. П., Будный А. В., М., Пищепромиздат, 1955, 408 стр., 14 р. 20 к.

27535 П. Способ и оборудование для гидролиза или гидролиза-гидрирования углеводов к кислой среде. Вестен, Кол (Verfahren und Vorrichtung zum Hydrolysieren bzw. zur hydrolysierenden Hydrierung von Kohlhydraten in saurem Medium. Westen Hendrik Adriaan van, Kool Corne-

lius Martinus Hendrik) [Naamlooze Chemische Fabrieken]. Пат. ФРГ 879980, 18.06.53 [Chem. Zbl., 1953, 124, № 47, 8228—8229 (нем.)]

Для одновременного гидролиза-гидрирования углеводов в кислой среде прибавляют к-ты в виде такой смеси, которая при нормальной т-ре нейтральна, при т-ре гидролиза или гидролизующего гидрирования создает кислую среду. Такой продукт получается, если кизельгур, напр., насыщ.  $H_3PO_4$ , нагреть, примерно, до 450°, затем измельчить, промыть водой и высушить; он содержит ~25%  $H_3PO_4$ . Вместо указанного продукта можно брать Na-гексилсульфат. Н. Б.

27536 П. Способ получения кристаллической глюкозы посредством гидролиза веществ, содержащих целлюлозу (Procédé de préparation de sucre de raisin cristallisé par hydrolyse de substances celluloseuses) [Deutsche Bergin A.-G.]. Франц. пат. 1039819, 9.10.53 [Chem. Zbl., 1955, 126, № 5, 1158 (нем.)]

Удалив прежде всего гемипеллюлозу предварительным гидролизом с ~4,5%-ной HCl при 120°, подвергают затем в-во обычному гидролизу конц. HCl на холоду. Полученный р-р доводят до содержания 10—25% (лучше всего 15%) сахара и вторично подвергают гидролизу с помощью HCl, разб. до 0,5—2,5% при 110—140°. Фильтрацией через уголь очищают р-р от красящих в-в и удаляют к-ты ионитными смолами. Выпаривают и кристаллизуют. Выход глюкозы составляет ~90%. Предварительный гидролизат может быть использован для получения дрожжей. Л. Ш.

27537 П. Процесс производства глюкозы. Нью-Йорк (Process for the production of dextrose. Newkirk William B.) [Corn Products Refining Co.]. Пат. США 2680082, 1.06.54

Процесс получения кристаллич. глюкозы из кислотных гидролизатов крахмала состоит в том, что эти гидролизаты очищаются и осветляются бентонитом, после чего несколько раз освобождаются от минер. примесей на последовательно работающих анионо- и катионообменниках. После очистки активированным углем и окончательного сгущения плотный р-р глюкозы кристаллизуется и центрифугируется с промывкой водой. Получающаяся при центрифугировании зеленая патока очищается на анионообменнике, где отделяются анионы большей валентности, чем на первых основных колоннах. Очищ. зеленая патока прибавляется к свежему крахмалу, поступающему на гидролиз и совместно с ним дополнительно осаживается. Дана схема технологич. процесса. Н. Б.

27538 П. Улучшение осаживания крахмала. Накаха (An improvement in the saccharification of starch. Nakahara Shozo). Япон. пат. 1727, 22.04.53 [Chem. Abstrs, 1954, 48, № 8, 4872 (англ.)]

Сырой крахмал или батат обрабатывается в течение 5 мин. 0,3%-ной HCl или эквивалентным кол-вом  $H_2SO_4$  с добавкой активированного угля в кол-ве 1% по весу крахмала. Под воздействием ВЧ-тока в 1,7 Мв и 1000 с, а затем 61,6 Мв и 1500 с в течение 15 мин. при 20—30° крахмал осаживается на 100%. Активированный уголь действует как ингибитор при распаде протеинов и адсорбирует красящие в-ва, получившиеся при распаде примесей. Н. Б.

27539 П. Приготовление β-глюкозы сплавлением и кристаллизацией. Кайт (Preparation of beta-dextrose by melting and crystallizing. Kite Francis E.) [Corn Products Refining Co.]. Пат. США 2669530, 16.02.54

Процесс приготовления β-глюкозы состоит в том, что кристаллич. ангидридная α-глюкоза быстро нагревается до полного расплавления. Затем расплав охлаждается до т-ры 130—140°, не допуская кристаллизации и образования в нем кристаллич. затравки

глюкозы. После этого т-ра расплава снижается до 70—100° и поддерживается на этом уровне до тех пор, пока целиком не закончится кристаллизация β-глюкозы. Н. В.

27540 П. Способ и устройство для извлечения сока из свеколовичной стружки. Гатнер (Verfahren und Vorrichtung zum Entsaften von Zuckerrübenschnitzeln. Gattner Gregor). Пат. ФРГ 919820, 8.11.54 [Z. Zuckerind., 1954, 4, № 12, 533 (нем.)]

Способ извлечения сока из свеколовичной стружки в колонных аппаратах для высочаживания (диффузорах) отличается тем, что включается один за другим любое число таких аппаратов, причем в них находятся в непрерывном противотоке стружка, и сок, а в головном диффузоре свежая стружка доводится горячим соком до нормальной т-ры высочаживания. Между каждыми двумя диффузорами включен нагреватель с насосом, которым снова доводят сок до желаемой т-ры ~72—78°. Воду с жомовых прессов нагревают до 75—80° и подают в середину хвостового диффузора. Каждый диффузор может быть оборудован шнеком или другим транспортным устройством, а в верхнюю часть диффузоров встроены сита со скребками, или же места для входа сока равномерно распределены по всей окружности диффузора. Л. Ш.

27541 П. Усовершенствование процесса производства сахара. Гийоме (Perfectionnements aux procédés de fabrication du sucre. Guillaumet L., m-m e). Франц. пат. 1041421, 23.10.53 [Chem. Zbl., 1955, 126, № 10, 2322 (нем.)]

Для более скорой и совершенной очистки извлеченных сахарных соков к известковому молоку добавляют некоторое кол-во  $AlK(SO_4)_2$ ; в большинстве случаев достаточно 3 г на 40 мл известкового молока плотностью 10° Вё. Л. Ш.

27542 П. Метод и оборудование для получения крахмального молока из измельченных крахмалосодержащих продуктов. Шмидель (Verfahren und Vorrichtung zum Gewinnen von Stärkemilch aus zerkleinerten stärkehaltigen Stoffen. Schmiedel Ludwig) [Starcosa Maschinen- und Apparatebau G. m. b. H.]. Пат. ФРГ 895730, 14.12.53 [Chem. Zbl., 1954, 125, № 17, 3824 (нем.)]

Получение крахмального молока, напр. из картофельной кашки, производится на центрифуге с прибавлением промывной воды. Операция производится так, что промываемая кашка при своем движении через вымывной барабан многократно отделяется от дырчатой стенки барабана и промывается водой, после чего вновь центрифугируется. Время прохождения кашки через барабан подбирается так, чтобы на стенке его слой кашки был очень тонок. В оригинале патента даны чертежи центрифуги. Н. В.

27543 П. Очистка крахмала. Винсент (Refining starch. Vincent George P.) [The Mathieson Alkali Works]. Канад. пат. 501495, 13.04.54

Процесс состоит в обработке крахмала при pH ~8,5—11 в водн. среде, содержащей 0,01—2,5% (по весу крахмала) хлорита Na и в присутствии гипохлорита Na при т-ре и продолжительности, требующихся для отбелки крахмала, но без существенной его окислительности и без растворения. Н. В.

27544 П. Процесс восстановления инозита и получаемый из него продукт (Process of recovering inositol and the product resulting therefrom) [Corn Products Refining Co.]. Англ. пат. 686396, 21.01.53 [Chem. Zbl., 1953, 124, № 47, 8229 (нем.)]

Способ очистки р-ра инозита, получаемого из гидролизата фитата, который, в свою очередь, получается в виде экстракта при кислотном замочке кукурузы. Для этого кислый гидролизат нейтрализуется известью до pH 6—7 и выпавший осадок отделяется. Осадок

состоит из комплекса известь — инозит. Фильтрат вновь подщелачивается до pH 8—10 и выпавший осадок также отделяется. Инозит выкристалливается из второго фильтрата. Комплекс известь — инозит можно использовать для нейтр-ции экстракта кукурузы или переработать в инозит при помощи  $H_2SO_4$ . Н. Б.

**27545 П.** Крахмалопроduct повышенного качества и способ его получения. Колдуэлл (Starch product of improved properties and method of making the same. Caldwell C. G.) [National Starch Products Inc.]. Англ. пат. 688291, 4.03.53 [J. Text. Inst., 1954, 45, № 2, A119 (англ.)]

Получение неклеистеризованного деривата крахмала, содержащего сульфогруппы и обладающего высокой вязкостью и большой водопоглощательной способностью. Его заваренный клейстер прозрачен и не образует геля при охлаждении. Т-ра клейстеризации продукта ниже таковой для исходного крахмала. Продукт получается либо обработкой сырого крахмала соответствующим реагентом, либо обработкой его не-насыщ. неклеистеризованных дериватов реагентами, содержащими группу сульфокислоты, напр. бисульфитом. Н. Б.

**27546 П.** Способ производства ненабухающих зерен крахмала при помощи диизоцианатов. Вулф, Уотсон (Method of making nonswelling starch granules with diisocyanates. Wolff Ivan A., Watson Paul R.). Пат. США 2668169, 2.02.54. Метод превращения зерен крахмала в ненабухающую форму состоит в обработке водн. суспензии крахмала основным органич. диизоцианатом. Последнего берется от 0,1% до 1,0% по весу крахмала. Смесь выдерживается минимум 5 мин., после чего крахмал отделяется от жидкости и высушивается. Н. Б.

**27547 П.** Способ и аппаратура для разделения крахмала и глютен. Эдсэлл, Киландер (Method and apparatus for separating starch from gluten. Edsall Lou B., Kilander Acton K.) [Chemical Co.]. Канад. пат. 499073, 5.01.54

Отделение крахмала от глютен совершается на установке, состоящей из двух одинаковых приемников и сосуда с конич. дном. Каждый из приемников снабжен большим кол-вом трубок с отверстиями для бар-батирования воздуха в водн. суспензию крахмала и глютен. Воздух подается ниже уровня жидкости и в направлении к периферии приемников. В сосуд с конич. дном также подается воздух через гладкое конич. дно. Приемники и круглый сосуд снабжены боковыми отводящими патрубками для вывода отделенного крахмала. Крахмально-глютеиновая суспензия в первом приемнике при продувании воздуха разделяется на крахмал и глютен. Отделенный здесь глютен поступает во второй приемник, где из него при бар-батировании воздуха выделяется дополнительная часть крахмала, которая возвращается в первый приемник. Глютен окончательно промывается в сосуде с конич. дном. Дана схема устройства приемника. Н. Б.

**27548 П.** Способ сгущения и очистки суспензий крахмала (Procédé pour concentrer et purifier des suspensions d'amidon non destinées à l'alimentation) [Maatschappij voor Kolonbewerking Stamicarbon N. V.]. Швейц. пат. 288712, 1.06.53 [Chem. Zbl., 1953, 124, № 47, 8228 (нем.)]

Сгущение и очистка крахмальных суспензий, подогретых до 40—60°, производится путем пропуска их через систему гидроциклонов, работающих непрерывно. При начальной конц-ции суспензии, напр. в 5,4° Вб и при подогреве до 47°, удается сгустить ее до 18° Вб, в то время как плотность сточной воды составляет 0° Вб. Н. Б.

**27549 П.** Арап. Фунаки (Agar-agar. Funaki Koemon). Япон. пат. 3180, 7.07.53 [Chem. Abstrs, 1954, 48, № 13, 7822 (англ.)]

Водоросли *Gelidium amansii* (10 кг) экстрагируют 2 часа при 100° водой (45 кг) с добавлением 20 г пепти-пириндидибромид. Смесь охлаждают до 20°, получая 36 кг агарового студия, который механически прессуют для удаления 50% воды, а затем прессуют при давл. 20 кг/см<sup>2</sup> для удаления 98% воды. Остаток сушат горячим воздухом при 60° и получают 3,5 кг сухого агара. Н. А.

**27550 П.** Метод переработки картофеля в сухой продукт. Этлинг (Verfahren zur Verarbeitung von Kartoffeln auf Trockenerzeugnisse. Oetling Carl) [Klara Oetling, geb. Kirston]. Пат. ФРГ 913732, 19.06.54 [Starke, 1955, 7, № 2, 37 (нем.)]

Метод состоит в предварительном отделении из картофеля бескрахмальных экстрактивных в-в. Запаренный или измельченный незапаренный картофель экстрагируется жидкостью, не растворяющей крахмал, но хорошо смешивающейся с водой. Для этой цели особенно пригоден этиловый спирт. Экстракцию можно вести непрерывно на диффузионной батарее. В этом случае получающаяся в отдельных диффузорах смесь сока картофеля и спирта используется для обработки еще не экстрагированного картофеля. Крепкий же спирт направляется на обработку уже экстрагированного картофеля. Если методом экстракции работать не непрерывно, в 2 ступени, то при второй обработке картофеля можно брать не так много спирта крепостью в 92%, что будет способствовать лучшему удалению воды из картофеля. На первый экстракции следует брать много спирта, что помогает хорошо отфильтровать полуфабрикат. Получены хорошие результаты, когда очищ. и запаренный картофель смешивается с 74%-ным спиртом и освобождается затем от жидкости прессованием или центрифугированием. Затем остаток еще раз промывается в центрифуге 98—100%-ным спиртом, после чего высушивается. Для этого продукт измельчается в шнеке и освобождается в сушилке, обогреваемой теплым воздухом, от остатков воды и спирта. Н. Б.

См. также: 24708, 25237, 25239, 25364, 25757, 25758, 26023, 26027, 28034

## БРОДИЛЬНАЯ ПРОМЫШЛЕННОСТЬ

**27551.** Опыты улучшения качества и увеличения выхода хлебопекарных дрожжей. Триб (Pokús o zlepšenie kvality a zvýšenie výtaznosti pekárského droždía. Trieb Miloslav), Průmysl potravin, 1954, 5, № 9, 388—391 (словац.)

Проведены опыты выращивания дрожжей на мелассе с добавлением в затор: а) микроэлементов в виде концентрата Stopynal (содержащего: Li, Cu, Bs, Sn, Mn, Ni, Co, I, Br, V, F, Mo, As, Cr, Zn) в кол-ве 1 : 2500 или МЕВ — 49 (содержащего Na, B, Mn, Cu, Zn, K, I, Br, Ti, Sn, Li, Ni, Co) (1 : 5 000), б) конц. замочных вод (0,5% к весу сахара), в) бутаноловой барды (5% по весу сахара). При выходе дрожжей в пределах 50—60% на мелассу указанные в-ва увеличивают выход и улучшают качество дрожжей; при работе с большими выходами (70%) они, не влияя на выход дрожжей, значительно улучшают качество. При добавлении микроэлементов дрожжи приобретают бледный и более приятный цвет. Полуфабрикатные опыты подтвердили значение указанных в-в для улучшения качества дрожжей. Е. Ш.

**27552.** О производстве дрожжей способом возврата и сепарирования. Томишек (O výrobě droždí vrat-



пои separaci. Tomišek J.), Kvasný průmysl, 1955, 1, № 1, 14—15 (чеш.)

Проведены заводские опыты произ-ва дрожжей способом возврата и сепарирования. Через 5 ч. выращивания дрожжей часть содержимого бродильного чана поступает на сепараторы. Отсепарированные дрожжи (в виде молока) возвращаются обратно в бродильный чан, а жидкость сбрасывается, что увеличивает конц-ию дрожжей в чане (70 г/л) и повышается производительность бродильного чана (можно переработать на 50% мелассы больше в каждом заторе). Установлено, что чем выше производительность з-да, тем меньше выход дрожжей. Снижение выхода дрожжей обусловливается потерями сахара в удаляемой из сепараторов жидкости и более высоким содержанием спирта в конц. заторе. Этот способ целесообразно применять в период повышенного спроса на дрожжи; он увеличивает потери сахара в бражке, но благодаря повышению производительности з-да дает некоторую экономию расхода топлива, электроэнергии.

Е. Ш.  
27553. Удаление акролеина из спирта и спиртных напитков перегонкой и ректификацией. Вегацци (Reinigung acroleinhaltiger Brantweine durch Destillation und Rektifikation. Vegetti G.), Mitt. Gebiete Lebensmitteluntersuch. und Hyg., 1955, 46, № 1, 41—57 (нем.)

Содержащий акролеин спирт получается в напитках из косточковых плодов; содержание акролеина в изделиях (по постановлению монополии ФРГ) не может превышать 0,00025% объемных; при надлежащей технологии произ-ва содержание акролеина в сброженном соке может быть значительно снижено. Рекомендуемыми изменениями конструкции периодич. перегонных аппаратов и при измененной и дополненной схеме непрерывно действующего аппарата (приведен чертеж и описание) может быть получен ректификат высшей очистки, отвечающий существующим требованиям. И. Б.  
27554. Исследования и анализы водочных изделий и вин. Хезелер (Fragen zur Untersuchung von Brennwein und Weinbrand Haeseler Georg), Brantweinwirtschaft, 1954, 76, № 12, 245—248 (нем.)

Общедоступно излагаются наиболее часто встречающиеся методы хим. анализов водочных изделий и вин с целью выяснения возможной фальсификации, а также основы органолептич. испытания. И. Б.  
27555. Основные линии проектирования и строительство ректификаций для выработки спирта высшей очистки. Альтвиллиш, Шмиддинг (Technische Gesichtspunkte bei dem Entwurf und dem Bau von Primasprit-Rektifizieranlagen. Altwilisch H., Schmidding Wilhelm), Brantweinwirtschaft, 1954, 76, № 22, 437—441 (нем.)

Приводится схема и описание непрерывнодействующего брагоректификационного аппарата новейшей конструкции, вырабатывающего 300 л/час спирта высшей очистки, удовлетворяющего требованиям Управления спиртовой монополии ФРГ. Аппарат состоит из пяти колонн: бражной, концентрационной, сырьевой, аэрационной, ректификационной и сивушной и имеет газоотделитель для заторной массы. Тарелки колпачные. Управление механизированное и сосредоточено на одной панели. Приводятся соображения по устройству помещения ректификации. И. Б.

27556. Коллоиды в пиве. Обелковской стойкости пива. Зильберайзен (Die Kolloide im Bier. Ein Beitrag zur Eiweißstabilität des Bieres. Silberstein K.), Brauerei, 1955, 9, № 39/40, 272—276 (нем.)

Коллоидное равновесие пива легко нарушается, происходит укрупнение частиц и пиво мутнеет. Пиво высокой белковой стойкости — это пиво с медленно стареющими коллоидами. Чем выше темп хранения

пива, тем интенсивнее Броуновское движение частиц и тем скорее стареет пиво как колл. р-р. Пиво, не дающее помутнения при выдержке 48 час. при 0°, помещают в термостат при 30° для ускорения старения, после чего оно становится гораздо чувствительнее к охлаждению. Кислород воздуха резко снижает стойкость пива. Н. Л.

27557. Протеины пива. Бизерт, Скрибан (Beer proteins. Biserte Gerard, Scriban René), Wallerstein Labs Commun., 1953, 16, № 55, 339—362 (англ.; реф. франц., нем.)

Рассматриваются белки пива и их изменения в процессе произ-ва. Изучались диализуемые белки, состоящие из аминокислот и полипептидов с низким мол. весом, и недиазируемые с большим мол. весом. Анализа первых производилась с помощью ионного обмена (пермунит 50 и деацидил 200) или средствами хроматографии на бумаге как до, так и после гидролиза. В пиве найдены все аминокислоты ячменя. Недиазируемые белки обрабатывались 5%-ной трихлоруксусной к-той, абс. спиртом при 0° и ацетоном при 0°, гидроокисью кадмия, сернокислым аммонием при pH 7. Анализа пены показал, что она богата азотистыми соединениями, не поддающимися диализу. Наличие недиазируемого азота объясняет коллоидальную стабильность пива. Коллоидальное помутнение пива зависит от полипептидов с мол. в. 5000—30 000. Описываются методы определения колл. стабильности пива и рекомендуется простой и скорый способ контроля. И. Б.

27558. О стойкости пива. Ник (Haltbarkeit des Bieres einst und jetzt in der Praxis. Nick Peter), Brauwelt, 1953, 93, № 15, В, 159—161 (нем.)

Ранее естественным консервантом пива была молочная к-та, в настоящее время для повышения биологич. стойкости пива применяется пастеризация. Установлено, что коллоиды являются основным носителем вкуса. Наступающее при нагревании пива ухудшение вкуса является следствием лабильности коллоидов. Главным фактором, изменяющим строение коллоидов пива, является кислород, попадающий из воздушного пространства бутылки. В бочках, где воздушное пространство значительно меньше, отрицательное действие кислорода менее заметно. Пиво должно иметь высокий восстановительный потенциал и содержать достаточно защитных коллоидов. Стойкое пиво можно получать только из хорошо разрыхленного солода. И. Л.  
27559. О стабилизации пива. Шамбергер (Über die Bierstabilisation. Schamberger Kaspar), Brauwelt, 1955, В95, № 39/40, 551—552 (нем.)

Для получения стойкого пива должно производиться глубокое расщепление белковых в-в ячменя при соложении путем длительного и холодного проращивания. При затиравании необходимо исправлять воду, подаваемую в затор, чтобы получить величину pH 5,0—5,2, оптимальную для коагуляции белков сусла. Кипячение сусла с хмелем должно быть интенсивным и возможно продолжительным, хмель задавать следует как можно раньше. Брожение должно быть длительным и холодным. Наиболее точным и простым способом стабилизации пива является добавление ферментных препаратов — пепсина, папаина, папаотина, кристалазы, мальтолизина и колдулина и кол-во 3—8 г на 1 гл. Кислород воздуха, попадающий в пиво, снижает его стойкость и тем сильнее, чем выше темп хранения пива и чем больше пиво встряхивается при транспортировке. Для предохранения пива от вредного действия кислорода добавляют восстанавливающие в-ва, чаще всего аскорбиновую к-ту в кол-ве 6 г на 1 гл. Н. Л.

27560. Изучение диацетила в пиве. Уэст, Лаутенбах, Беккер (Studies on diacetyl in beer.

West Dwight B., Lautenbach A. L., Becker Kurt), *Brewers Digest*, 1953, 28, № 7, 49—52 (англ.)

Образующийся при инфекции пива кокками диацетил вызывает привкус, называемый чаще всего сарцини-ным. Разработан метод колич. определения диацетила. Установлено, что имеется прямая зависимость между кол-вом содержащегося диацетила и интенсивностью привкуса. В пиве нормального вкуса содержание диацетила колебалось от 0,20 до 0,46%. В пиве с ясно выраженным привкусом диацетила было от 0,53 до 2,23%. В процессе хранения пива содержание диацетила понижается.

Н. Л. 27561. Современный процесс главного брожения пива. Шнейдер (Beer fermentation. Modern fermentation processes. Schneider Ruben), *J. Agric. and Food Chem.*, 1953, 1, № 3, 241—245 (англ.)

Устройство бродильного чана должно отвечать требованиям санитарии. Чаны изготавливаются из нержавеющей стали, эмалированной стали, алюминия и пластмассы. Вентиляционная установка должна равномерно охлаждать помещение бродильни, обеспечивая удаление CO<sub>2</sub> и подачу стерильного воздуха. Сусло должно содержать все необходимые в-ва для развития дрожжей. Недостаток фосфатов (0,04% и ниже) приводит к ненормальному брожению и получению пива с плохим вкусом. Начальная плотность сусла должна быть 11,8—12,3%. Сусло сбраживается до видимой плотности 2,8—3,6%, что обеспечивает содержание алкоголя в 3,1—3,9%. В холодном сусле содержится воздуха 0,84—1,68 л/г. Норма задачи дрожжей составляет 40—90 г сухих на 1 гл, что обеспечивает 6.000—14.000 дрожжевых клеток на 1 м<sup>3</sup> сусла. Съем дрожжей составляет 3—4-кратное кол-во от заданных. Т-ра задачи дрожжей 7—15,5°, брожения 13—21° (оптимум 14°), помещения бродильни 5—8°. Л. Ш.

27562. Ферментативное температурное приспособление, как причина ослабления дрожжей. Клебер, Гофман (Die enzymatische Temperaturadaptation als Ursache für das Nachlassen der Hefe. Kleber W., Hoffmann U.), *Brauwelt*, 1954, В, № 52, 739—743 (нем.)

Изучалось изменение бродильной энергии дрожжей, выращенных при 5,8 и 11°. Установлено, что у всех 7 взятых для опытов рас дрожжей энергия брожения при 8° и еще более при 11° была ниже, чем при 5°. Т-ра, поддерживаемая в бродильном чане в период размножения дрожжей, исключительно важна не столько для данного цикла брожения, сколько для последующего. При допущении повышенных т-р главного брожения дрожжи ослабевают, и нужная степень сбраживания не достигается. Сильное аэрирование сусла также приводит к ослаблению дрожжей.

Н. Л. 27563. Гликоген и спиртовое брожение. Блез-Напен (Glycogène et fermentation alcoolique (Extrait de la thèse). Blaise - Papin O., M-m e), *Brasserie*, 1954, 9, № 93, 124—129 (франц.)

Изучение молекулярного гликогена показывает тесную связь между образованием резервного гликогена и спиртовым брожением. Изучались дрожжи верхового и низового брожения и сбраживающие лактозу; указывается, что не сбраживаются определенными дрожжами те сахара, за счет которых они не могут образовать эти резервы. Приводятся данные по образованию гликогена при сбраживании различных сахаров; отмечается, что его образование происходит за счет сахара, а не спирта.

И. Б. 27564. Процессы окисления и пива. Урьон, Шанон (Les phénomènes d'oxydation et la bière. Uryon E., Chapon L.), *Brasserie*, 1953, 8, № 82, 117—126 (франц.)

Одной из основных причин появления муты в пиве

является действие O<sub>2</sub> во всех следующих после брожения стадиях. Для увеличения стойкости пива предпринимают защиту его от O<sub>2</sub>, путем добавления в пиво SO<sub>2</sub>, аскорбиновой к-ты или редукторов. Для правильной дозировки и заблаговременного определения стойкости пива необходимо знать его окислительно-восстановительный потенциал. Приводится описание метода и аппаратуры для определения этого потенциала и кривые изменения его в чистом пиве, с добавлением редукторов, аскорбиновой к-ты, цистеина, глутатиона, танина, сульфитов.

Н. Л. 27565. Специальные сорта пива. Розье (Les bières spéciales. Rosier M. S.), *Petit J. brasseur*, 1954, 62, № 2489, 237—239 (франц.)

Каждый пивоваренный з-д должен выпускать, кроме обычных сортов пива, особый спец. сорт, соответствующий условиям произ-ва. Спец. сорта пива с высокой начальной плотностью сусла должны изготавливаться из одного солода, без добавления сахара. Солодоращение должно проводиться при т-ре < 18°, а сушка солода < 85°. Для получения темных сортов пива должны вырабатываться спец. сорта солода.

В. Ж. 27566. Специальный сорт пива — Ламбик. Деклерк (Ein sehr spezialisiertes Bier: Das Lambic. De Clerck Jean), *Brauwelt*, 1954, В, № 52, 737—738 (нем.)

Описано произ-во ламбика — кислого пива с винным вкусом и ароматом, которое получается в результате спонтанного брожения. Начальная плотность сусла 12—14%. Пиво изготавливают при применении 40% несоложенной пшеницы, которую затирают с солодом без предварительного кипячения.

Н. Л. 27567. Некоторые наблюдения над пивом. Скрибан (Quelques observations sur la bière. Scriban René), *Petit J. brasseur*, 1954, 62, № 2501, 433—439, № 2502, 452—454 (франц.)

Ненормальный привкус пива (лекарственный и привкус хлора) часто возникает вследствие инфекции термобактериями. Того же рода привкус вызываются присутствием нитратов в воде, поступающей на затираание. Следует предохранять пиво от соприкосновения с воздухом, так как кислород действует на него крайне отрицательно. Чтобы избежать изменения вкуса пива при пастеризации, необходимо недопускать наличия в сусле и пиве высокомолекулярных белков. Солод следует применять с глубоким расщеплением белков, с низким содержанием β-глобулина. На всех последующих стадиях, процесса необходимо тщательное удаление сложных белковых в-в. Фильтровать пиво следует после охлаждения до 0°.

Н. Л. 27568. Значение чистых культур дрожжей для качества пива. Яненш (Reinzuchtheffen für Qualitätsbiere. Janensch I.), *Brauerei*, 1954, 8, № 77/78, 489 (нем.)

Рассматривается вопрос снабжения пивоваренных з-дов чистыми культурами дрожжей. Рекомендуются способ рассылки чистых культур в виде «осадка» в транспортных колбах и «сухих консервов» на фильтровальной бумаге.

А. Ж. 27569. Результаты пятилетних испытаний качества ячменя. Гаррис, Банасик (Results from five years of barley testing for quality. Harris R. H., Banasik O. J.), *Brewers Digest*, 1955, 28, № 8, 47—50 (англ.)

Пятилетними опытами с нитью сортами, выращенными на шести станциях Дакоты и с одним сортом с поливного участка, установлено, что сорт и место произрастания оказывают основное влияние на качество ячменя. Натурный вес, вес 1000 зерен, кол-во оболочек и другие свойства, зависели больше от места произрастания, прочность же оболочки — от сорта; общие условия данного года играют главную роль как для

дленчатости, так и экстрактивности. Иригация увеличивает вес зерна и кол-во экстракта и уменьшает содержание N и диастатич. силу. Существенным являются соотношения между весом зерна и содерж. N; весом зерна и кол-вом экстракта и диастатич. силой. И. Б. 27570. **Обратные соотношения между содержанием сахара и смолистых веществ в шишках хмеля. Аскью, Монк** (An inverse relationship between resins and sugar contents of hop cones. Askew H. O., Monk R. J.), J. Inst. Brew., 1955, 61, № 1, 32—39 (англ.)

Исследование 46 образцов сортов хмеля показало, что содержание в их шишках глюкозы, фруктозы и всех редуцирующих сахаров находится в обратном соотношении с  $\alpha$ -смолистыми в-вами, а также с полностью растворимыми в петр. эфире твердыми смолами: высокое содержание сахара соответствует низкому содержанию смолы. Подобные соотношения найдены у хмеля, собранного в разные сроки. И. Б.

27571. **Оборудование установок для обработки хмеля. Гзэнгер** (Technische Fortschritte bei Bau und Einrichtung von Hopfenaufbereitungsanstalten. Gsänger Hanns), Schweiz. Brauer.—Rundschau, 1954, 65, № 6, 92—93 (нем.)

Описывается устройство для обработки хмеля, поступающего на сборный пункт; окуривание серой при 50° и упаковка. Пол помещения для окуривания может быть повернут около горизонтальной оси и хмель сваливается в помещение для хранения в нижнем этаже. И. Б.

27572. **Потери сухого вещества ячменя при солодовении и учет производства. Леонovich Н. В., Колтунова М. И.** Тр. Всес. н.-и. ин-та пивоваренной пром-сти, 1953, № 3, 3—19

Изучались потери сухого в-ва ячменя при проращивании в зависимости от температурного режима и качеств. показателей зерна. Установлено, что ферментативная активность солода не зависит от размера зерна, а определяется биохим. свойствами ячменя. Чем выше температурный режим соложения, тем выше потери. При 20° на пятый день проращивания потери увеличиваются на 2,0—2,5% по сравнению с потерями при холодном режиме. Потери при проращивании ячменя, остающегося на сите с размером отверстий 2,5×20 мм, при условии получения высокоферментативных солодов с низким временем осахаривания, равны 11,9%, в том числе: на выщелачивание 0,6%, образование ростков 4,3%, дыхание 4,9%. По мере снижения размера зерна потери возрастают и составляют (по отношению к потерям фракции 2,8) 2,5—1,1; 2,2—1,3; 2,0—1,4; мельче 2,0—2,0. В качестве показателя, наиболее полно отражающего правильность работы солодовни и качество получаемого солода, предлагается процент использования экстракта ячменя. Этот показатель получают умножением выхода солода на его экстрактивность и делением на экстрактивность исходного ячменя (по сухому в-ву). Процент использования экстракта ячменя равен: для зерна фракции 2,8—90,8; 2,5—89,0; 2,2—81,4; 2,0—80,0. Л. Ч.

27573. **Определение экстрактивности ячменя путем расчета. Хейс** (Die Ermittlung des Gerstenextraktes auf rechnerischer Grundlage. Heuss Robert), Brauwissenschaft, 1953, № 10, 167—179 (нем.)

Наличие данных о содержании белков в ячмене и веса 1000 зерен дают возможность по ф-ле быстро вычислить экстрактивность ячменя и ожидаемый выход солода. Отмечено, что были уточнены и вновь обработаны 8 таких ф-л, пользуясь которыми было проделано много расчетов. Получены приемлемые данные, требующие уточнения. И. Б.

27574. **Правильный способ задачи дрожжей. Мутон-Дюбоск** (Le point de vue du chef de fabri-

cation. La mise en lavain. Mouton-Dubosc René), Petit j. brasseur, 1954, 62, № 2493, 303 (франц.)

Дрожжи должны задаваться в бродильные чаны после предварительного разбавивания в теплом сусле. При этом желательно добавлять в сусло фосфорную к-ту в кол-ве 40 мг/га дрожжей. Забродившие дрожжи направляются в бродильный чан. При таком способе задачи в чанах появляется забел максимум через 10 час. В. Ж.

27575. **Использование белкового отстоя. Бруннер** (The utilization of bitter dregs. Brunner Richard), Brewers J. (Chicago), 1953, 108, № 4, 15—16, 18, 23 (англ.)

Образующийся при охлаждении сусла отстой содержит 50—63% белковых в-в (по сухим в-вам). В состав белков входят ценные аминокислоты: цистин, аргинин, гистидин, лизин, тирозин, триптофан. Путем кислотного гидролиза отстоя можно получить продукт, свободный от горечи, содержащий 48% экстрактивных в-в и ~22% белка. 100 кг отпрессованного отстоя с 20 кг конц. HCl и 30 кг воды обрабатывают в автоклаве с непосредственным обогревом паром при 2—2,5 атм в течение 4 час. Затем проводят открытое кипячение с добавлением 5—10 кг HCl в течение 2 ч. Во время открытого кипячения удаляются летучие в-ва. Далее производят нейтр-цию в автоклаве, добавляя 60 кг соды и доводя pH до 5,90. В заключение удаляют нерастворимые в-ва фильтрованием и фильтрат концентрируют под вакуумом. Этот процесс позволяет получить 70—80% белков в растворимом виде и удалить горькие и дубильные в-ва отстоя. Вместе с другими продуктами, содержащими белки (дрожжи, казеин), гидролизат может быть применен для произ-ва ряда пищевых продуктов. Л. Ш.

27576. **Активная углекислота в воде и ее значение в пивоварении. Рупперт** (Über die aggressive Kohlensäure im Wasser und ihre Bedeutung für die Brauerei. Ruppert A.), Brauwelt, 1953, 93, № 39, 492—495 (нем.)

Натуральная вода содержит CO<sub>2</sub> в связанном и свободном состоянии; часть свободной CO<sub>2</sub> разрушает металлы, бетон и т. п. и является вредной как для оборудования, так и для произ-ва. Пиво, приготовленное на такой воде, имеет несвойственный горький вкус и напоминает пиво, сваренное на жесткой воде. Эту агрессивную CO<sub>2</sub> удаляют механич. или хим. путем, напр., распылением воды под вакуумом, фильтрацией через обожженный доломит и другими способами, смягчающими воду. И. Б.

27577. **Проблемы современного пивоварения и контроль производства. Ле-Корвезье** (Problèmes modernes dans la fabrication de la bière et son contrôle. Le Corvaisier H.), Inds. agric. et aliment., 1954, 71, № 5, 437—445 (франц.)

Описывается состав и изменения хим. состава ингредиентов пива от зерна ячменя до готового продукта. Подробно рассматриваются изменения соединений N и современные методы учета этих изменений. Разбираются также окислительно-восстановительные процессы; параллельно теоретич. рассмотрению описывается практика. интерпретация их в пивоварении. И. Б.

27578. **Методы определения цветности в пивоваренной промышленности. Стоун** (Color methods in the brewing industry. Stone Irwin), ASTM Bull., 1954, № 201, 40—42 (англ.)

Краткий обзор методов определения цветности. В настоящее время имеются: стандартный эталонный с использованием спектрофотометра Бэкмана — модель DU для точных измерений и калибровок и 2) упрощенный фотометрич. для заводских лабораторий. описы-



ваются способы произ-ва калибровок лабор. фотометров. И. Б.

**27579.** Некоторые соображения по производству систематических дегустаций пива. Байер, Грей (Some considerations in applying systematic taste testing to beer. Byer Albert J., Gray Philip P.), Wallerstein Labs Commun., 1953, 16, № 55, 303—314 (англ.; рез. франц., исп.)

Сообщения лаборатории Валлерштейна о рекомендуемых методах проведения систематич. дегустаций как для выявления качеств одного вырабатываемого сорта пива, так и сравнения разных сортов, в последнем случае с применением методов статистич. анализа. Рассматриваются: устройство помещения для проведения дегустаций, подготовка образцов и проведение самих дегустаций. И. Б.

**27580.** Дробление зеленого солода. Фрей, Маленке, Штрейт (Grünmalzzerkleinerung. Frey A., Malenke E., Streit A.), Brau- und Weinwirtschaft, 1953, 75, № 24, 478—481 (нем.)

Приводится описание конструкций и результаты сравнения работы двух новых мельниц для зеленого солода системы «Панаг-Универсал» (1400 об/мин) и «Цорн» (3000 об/мин) с работой дробилок старых конструкций. Наилучшие результаты дала конструкция «Панаг-Универсал» как по большому выходу (78,79%) тонкого помола (величина частиц  $< 0,1$  мм), так и по производительности, в 7—10 раз большей против старых конструкций. И. Б.

**27581.** Новая конструкция хмеледильника системы «Феникс». Цинкернагель (Über die PHÖNIX-Hopfenrührfiltration. Zinkernagel F.), Brauerei, 1954, 8, № 40/41, 234—235 (нем.; рез. франц., англ., итал.)

Принцип нового метода отделения дробины измельченного хмеля состоит в использовании мелких частиц его для образования на фильтрующей сетке слоя, обеспечивающего нормальную фильтрацию всего охмеленного сусла. Устройство состоит из набора вертикальных двусторонних фильтрующих поверхностей, присоединенных к отводящим трубам. Расход хмеля уменьшается на 10%, потери практически почти отпадают; спец. вспомогательное устройство облегчает очистку и мойку фильтрующих поверхностей. И. Б.

**27582.** Пастеризация пива воздухом. Вельхенер (Die Luftpasteurisation von Bier. Wellhoener H. J.), Brauwelt, 1954, № 93/94, B, 1385—1388 (нем.)

Пастеризация подогретым воздухом дает очень хорошие результаты как по уничтожению микроорганизмов, так и сохранению стабильности органолептических веществ. Бой посуды только 0,16% против 1% при обычной пастеризации; этикетки и кронкорковая упаковка не повреждаются; экономия времени достигает 50—80%; расход пара не превышает такового в существующих пастеризаторах. Описана конструкция шкафа — пастеризатора. И. Б.

**27583.** Новая арматура для подачи пива из бочек. Штевен (Neuartige Ansticharmatur für Bierfässer. Steven Edmund), Brauwelt, 1954, B, № 23/24, 340—341 (нем.)

Новая арматура для подачи пива из бочек отличается большим диаметром сверлений, подающих  $\text{CO}_2$ , причем сам подающий штуцер расположен под углом  $\sim 45^\circ$  к заборному патрубку; имеется регулятор для поддержания давления  $\text{CO}_2$  на определенном уровне. И. Б.

**27584.** Научные основы приготовления качественных вин. Герасимов (A minőségi borkészítés tudományos alapjai. Gerasimov M. A.), Magyar tud. akad. Agrártud. oszt. közl., 1955, 7, № 1—2, 229—240 (венг.)

**27585.** Оклейка вина новым обезжелезивающим средством аферрином. Майер-Оберплан (Die Afferrin-Schönung, ein neues Mittel zur Entfernung des Eisens aus dem Weine. Mayer-Oberplan M.), Schweiz. Weinzeitung, 1953, 61, № 51, 863—864, 866 (нем.); 1954, 62, № 2, 21—24 (франц.)

Биологические помутнения вин устраняются стерилизацией, хим. приемами подвального хозяйства — аэрацией, оклейкой, фильтрацией, термич. обработкой вина. Помутнения могут вызываться и в-вами, попадающими в вино при переработке и хранении. Так, избыток в вине железа вызывает явление касса. Для обезжелезивания вина предложены: 1) аэрация вина с удалением образующихся осадков, в том числе окисных соединений железа; 2) образование растворимых комплексов соединений железа (прибавлением лимонной к-ты); 3) аэрация кислородом с последующей оклейкой филтратом; 4) искусств. образование касса прибавлением хлорного железа и последующее удаление осадков (способ Монтонари); 5) осветление вина бентонитом (Флейшманн); 6) адсорбция активированным углем; 7) обработка желтой кровяной солью и отфильтровывание образующейся берлинской лазури; последний способ дает совершенную очистку, но при нем возможно образование ядовитых соединений цианистой к-ты, кроме того, способ сложен из-за необходимости точной дозировки соли. Автор высказывается против способа «синей склейки». Предложено новое обезжелезивающее средство «аферрин», применение которого описано. Аферрин в виде следов найден в молодых побегах и листьях винограда, в злаках, в отрубях, в мышцах животных, в мозгу человека. Он является Са-Mg-солью полного фосфорного эфира инозита (фитат) и абсолютно безвреден для человека. Дрожжевые и клеевые осадки могут без вреда дистиллироваться, что невозможно для осадков с берлинской лазурью. Достаточно аферрина 20 г на 1 г вина. Следует делать пробную оклейку в части вина и во избежание аггломерации прибавлять аферрин в вино, а не наоборот. Р-р вносят в бочку, тщательно перемешивают и через несколько дней осаждающийся аферрин удаляют фильтрацией. Аферрин действует только на железо. Обработку им вина можно комбинировать с любым методом оклейки. И. П.

**27586.** Снижение кислотности монообменниками. Конлекнер, Хаусхофер (Entsäuerung mittels Ionen-Austauscher. Vorbericht über die Versuchsergebnisse. Konlechner H., Hauschofer H.), Österr. Weinzeitung, 1955, 10, № 12, 79—80 (нем.)

Излагаются опыты снижения излишней кислотности вин обработкой их ОН-анионом («леватит М 1») в динамич. и статич. условиях. Обработанные вина совсем не содержали к-т и их органолептические свойства ухудшились; качество улучшалось купажированием с необработанными винами. Вина, обработанные для снижения кислотности  $\text{CaCO}_3$ , были по своим органолептическим свойствам лучше, чем вина, обработанные анионом. О. З.

**27587.** Применение холода для осветления вина. Люти (Die Anwendung von Kälte zur Klärung des Weines. Lüthi H. s.), Schweiz. Z. Obst- und Weinbau, 1955, № 16, 307—311 (нем.)

Для придания стабильности рекомендуется охлаждать вино до т-ры, близкой к точке замерзания. Дана схема и описание установки для осветления вина при помощи искусств. холода. О. З.

**27588.** Применение ультрафиолетовых ламп в виноделии. Люти, Веч (Über die Verwendbarkeit von UV-Lampen in Kelterei und Lagerräumen. Lüthi H. s., Vetsch U.), Flüssiges Obst, 1955, 22, № 5, 2—5 (нем.)

м сред-  
(Die  
ung des  
plan  
— 864,

стери-  
ства —

попа-  
а. Так,  
а. Для  
а вина  
е окис-  
римых  
не ли-  
ющей

касса  
удале-  
вина  
рова-  
лю и  
азури;  
по при  
й диа-  
еобхо-  
ается  
новое  
ежение

и в мо-  
отру-  
Он яв-  
а ино-

Дрож-  
лиро-  
лой ла-  
едует  
ежение  
наобо-  
ают и  
даляют  
железо,  
ым ме-  
Н. П.  
иками.  
uegung  
e Ver-  
aus-  
№ 12,

тности  
(1) в  
на со-  
ойства  
ванием  
ые для  
органе-  
танные

О. З.  
вина.  
ung des  
Wein-

охлаж-  
а. Дана  
на при  
О. З.

е вино-  
eit von  
üthi  
№ 5,

Описываются опыты по облучению УФ-лучами молодых дрожжей и спор плесневых грибов, а также уксусной мушки. Под действием УФ-лучей микроорганизмы погибали или их рост сильно замедлялся. На уксусную мушку эти лучи не действовали. По данным других исследователей, облучение УФ-лучами можно применять для дезинфекции бутылок и помещения.

О. З.

**27589. Об упрощенной технике определения свободного, связанного и общего железа в белых и красных винах с помощью роданида калия. Нобиле** (Su una tecnica semplificata per la determinazione del ferro libero combinato e totale nei vini bianchi e rossi a mezzo del solfocianato potassico. Nobile C. O.), Riv. viticolt. e enol., 1954, 7, № 11, 348—352 (итал.)

Для определения общего содержания Fe в белом или красном вине 1 мл его помещают в мерную колбу на 50 мл, прибавляют 1—2 капли  $H_2O_2$  (12-объемной), 5 мл HCl (1:1), 20 мл 5%-ного р-ра KSCN, доводят водой до метки и фотоколориметрируют. Аналогично, но не прибавляя  $H_2O_2$  и HCl, определяют  $Fe^{3+}$ ; не прибавляя HCl, определяют  $Fe^{3+} + Fe^{2+}$ , не прибавляя  $H_2O_2$ , определяют  $Fe^{3+} + 3$ -валентное Fe, связанное в комплексы с органич. к-тами. Калибровочную кривую строят по стандартному р-ру  $FeSO_4$ , содержащему 43,5  $\gamma$ /мл последнего.

Б. А.

**27590. Разделение и количественное определение кетокислот в вине методом распределительной хроматографии на бумаге. Егоров И. А., Борисова Н. Б., Докл. АН СССР, 1955, 104, № 3, 433—435**

К 10 мл вина добавляется 1—2 мл 0,4% р-ра 2,4-динитрофенилгидразина в 2 н. HCl. Через 45 мин. производят 5-кратную экстракцию эфиром. Экстракт упаривают и остаток растворяют в 3 мл водн. 2 н.  $HNO_3$ . Аммиачный р-р, очищ. эфиром, хроматографируют на бумаге с применением смеси р-рителей бутанол-этанол-вода (40:10:50). Полученные пятна по величине  $R_f$  соответствуют кетоглутаровой (I), пировиноградной (II) к-там и изомеру последней. Количественно I и II определяют колориметрически. Анализ 8 сортов вина показал наличие в них I и II, причем I во всех исследованных винах находится в преобладающем кол-ве.

Н. Р.

**27591. Антисептики и антибиотики в виноделии. Гарино-Каннина** (Antisettici ed antibiotici nella tecnica enologica. Garino-Canina Etto), Riv. viticolt. e enol., 1954, 7, № 8, 247—255 (итал.)

Исследовались ингибиторы — антисептики (в-ва безвредные и способные стерилизовать вино). Они разбиты на 3 группы: а) вызывающие абнотоз (ингибирующие активность микроорганизмов обеднением среды питательными в-вами и витаминами); б) вызывающие антибоз (антагонистич. селективное действие при сильных разбавлениях); в) блокирующие действие ферментов. Испытаны ряд ингибиторов антибиотиков, полученных из микроорганизмов — антидион, микосубтилин, антимизин А, ботритин и др. Для виноделия особенно интересен ботритин, получаемый из *Botrytis cinerea* и вызывающий «благородное гниение» винограда; обладает антиферментативным действием, мицелий гриба аккумулирует ростовые в-ва. Забраживание заквасных серой десертных сладких сотериных вин из пораженного благородной гнилью винограда быстрее незаквасных — объясняется ингибированием этого антибиотика  $SO_2$ . Из синтетич. антибиотиков испытывались: витамин  $K_2$  или 2-метил-4-амино-1-нафтолхлоргидрат, 2,6-дихлоронафтохинон и трихлорэтилтетрагидрофталиимид, а также анти-

витамины: пиридин-3-сульфоновая к-та (против никотиновой к-ты), пантоилтаурин (против пантотеновой к-ты), окситиамин (против витамина  $B_1$ ), атетрин (против рибофлавина или витамина  $B_2$ ), биотининовая к-та (против биотина или витамина Н). Антибиотики и антисептики оказывают действие в ничтожных дозах. При условии безвредности ими можно регулировать процессы размножения дрожжей и брожения, в частности, стабилизировать сладкие десертные вина.

Н. П.

**27592. Будущее антибиотиков в виноделии. Рибера-Гайон** (L'avenir des antibiotiques en oenologie (conférences organisées par l'institut technique du vin dans le cadre des journées d'étude du premier salon de l'Equipement des Industries et commerces de l'Alimentation. Ribereau-Gayon J.), Monit. vinic., 1954, 99, № 8, 3 (франц.)

Сообщаются результаты работ винодельческой станции в Бордо по отысканию антибиотика, способного заменить  $SO_2$  в виноделии. *Botrytis cinerea* выделяет антибиотик ботритин, препарат которого ингибирует сбраживание дрожжами виноградного сусла. На бактерии ботритин не действует, разрушается в присутствии  $SO_2$ . Он найден также в соке винограда, не зараженного *Botrytis*. В виноградном соке в разных кол-вах найдены и другие в-ва, активизирующие или ингибирующие брожение. Такое же ингибирующее действие на дрожжи *Aspergillus Niger* и *Penicillium glaucum* наблюдалось ранее. Антибиотики 1-й группы по классификации Ваксмана — тиротрицин, латулин и актиномицин лишь незначительно задерживают развитие эллиптич. дрожжей и процесс брожения. Антибиотики 2-й группы действуют лишь на некоторые бактерии, не оказывая влияния на спиртовое брожение. Из антибиотиков 3-й группы актидион ингибирует развитие грибов; получение препарата сложно; для консервирования соков не применим, но пригоден для предохранения сладких вин от забраживания. Не имеет ни вкуса, ни запаха, в применяемых дозах не токсичен; может употребляться вместе с  $SO_2$ . Микосубтилин в виноградном соке действует на многие виды дрожжей; в вине менее активен. Актимицин, наоборот, не действует на дрожжи в виноградном соке, но очень активен в винах, содержащих сахар; очень интересен для виноделия, но требует проверки в производственных условиях. Остальные антибиотики 3-й группы не применимы из-за их нестойкости в кислой среде.

Н. П.

**27593. Сладкие, спиртосодержащие освежающие напитки. Характеристика и оценка. Бенк** (Süße alkoholhaltige Erfrischungsgetränke. Kennzeichnung und Beurteilung. Benk E.), Alkohol — Ind., 1955, 68, № 12, 296—297 (нем.)

**27594. Повышение кислотности плодово-ягодных соков. Ренчлер, Таннер** (Wie können säurereiche Obstsaft entsäuert werden? Rentschler H., Tanner H.), Schweiz Z. Obst-und Weinbau, 1955, 64, № 5, 90—94 (нем.)

Для снижения излишней кислотности яблочного сусла предлагается бактериальное кислотопонижение, при котором часть яблочной к-ты разлагается на молочную к-ту и  $CO_2$ . Описаны технич. приемы по проведению бактериального кислотопонижения. Применять для снижения кислотности  $CaCO_3$  или новообменные смолы не рекомендуется.  $CaCO_3$  образует с яблочной к-той растворимую соль, придающую соку мыльный привкус, а при обработке новообменными смолами наряду с к-тами удаляются и другие экстрактивные в-ва, что ухудшает органолептич. свойства приготовленного из этого сусла вина.

О. З.

**27595. Классификация уксуснокислых бактерий.** — (New views on the acetic acid bacteria.—), Brewers' J. (London), 1954, 90, № 1062, 92—93 (англ.)

Согласно классификации, опубликованной Фратер в 1950 г., уксуснокислые бактерии разделяются на 4 группы в соответствии с их биохим. свойствами. Все уксуснокислые бактерии пива следует отнести либо к группе *Peroxydans*, либо к группе *Suboxydans*, все они каталазоположительные, обладают кетогенными свойствами, причем первые окисляют  $\text{CH}_3\text{COOH}$ , а вторые этим свойством не обладают. Е. П.

**27596 П.** Вещество, предупреждающее рост плесневых грибов и дрожжей. Хосоя (Mold- and yeast-growth-preventive substance. Hoso ya Shogo). Япон. пат. 646, 4.02.54 [Chem. Abstrs, 1954, 48, № 22, 14130 (англ.)]

Штамм *Streptomyces reticuli*, образующий ретикулин в поверхностной или в погруженной культуре, фильтруют; фильтрат высушивают и остаток экстрагируют р-рителем. Получают ротабенитин, желтый порошок, т. пл. 170—175°. Л. М.

**27597 П.** Метод производства кормовых дрожжей на спиртовом заводе, работающем на сахарной свекле и мелассе (Procédé de fabrication de la levure fourragère en distillerie de betterave et de mélasse) [Aktiebolaget Separator]. Франц. пат. 1058137, 15.03.54 [Chimie et industrie, 1954, 72, № 3, 492 (франц.)]

Продукт подвергают сначала двукратному центрифугированию для получения концентрата в 20% сухого в-ва без разбавления водой при обработке свеклы и с разбавлением при обработке мелассы. А. У.

**27598 П.** Способ получения нуклеиновой кислоты биохимическим путем из дрожжей или дрожжеподобных микроорганизмов (Verfahren zur Gewinnung von Nucleinsäure auf biochemischem Wege aus Hefe oder hefeähnlichen Mikroorganismen) [Zellstoffabrik Waldhoff]. Австр. пат. 178909, 25.06.54 [Chem. Zbl., 1954, 125, № 44, 10058 (нем.)]

Стерильные суспензии дрожжей расщепляют до нуклеиновых к-т культурами бактерий: стрептококков или стафилококков, или палочковидных, в нейтр. р-ре, при pH 7,0 и 30—40°. Применяют, напр., *Streptococcus inulinaceus*, *Micrococcus corintus*, *Bacterium aerogenes*, *Bacterium mycoides* (Gr.) и *Bacillus pumilus* G. Части дрожжей, остающиеся при обработке нерастворенными, отделяются и из р-ра осаждаются нуклеиновые к-ты. В качестве исходного материала, вместо живых дрожжей, может служить взвесь сухих дрожжей, соответственно измельченных на колл. мельнице. Вместо бактериальных культур применяются также полученные из них ферментные препараты. Л. Ш.

**27599 П.** Приготовление цианистых соединений из отработанных жидкостей бродильных производств. (Process for the preparation of cyanide compounds from the waste liquors of fermentation industries) [N. V. Zuid-Nederlandsche Spiritusfabriek]. Англ. пат. 710830, 16.06.54 [J. Appl. Chem., 1955, 5, № 1, 167 (англ.)]

Отработанная после сбраживания мелассы жидкость выпаривается и конц. р-р сжигается при ограниченном доступе воздуха так, что весь  $\text{K}_2\text{SO}_4$  переходит в  $\text{K}_2\text{S}$ , а азотистые в-ва образуют цианистые соединения. Полученная зола растворяется в воде, обрабатывается  $\text{CO}_2$ ; из смеси газов выделяется  $\text{HCN}$  или цианистые соединения. Процесс может производиться в комбинации с получением  $\text{K}_2\text{CO}_3$  (англ. пат. 647866). И. Б.

**27600 П.** Пиво. Капрал (Beer. Karpal A. M.). Австрал. пат. 159331, 28.10.54

Улучшенный способ произ-ва пива, при котором сбраживание сусла ведется в присутствии безвредных пористых в-в или тел, абсорбирующих пахучие побочные продукты, образующиеся в процессе брожения. В. Ж.

**27601 П.** Способ получения пива низового брожения. Кессельринг (Verfahren zur Herstellung eines untergärigen Bieres. Kesselring Bernhard). Пат. ФРГ 882387, 9.07.53 [Chem. Zbl., 1954, 125, № 1, 216 (нем.)]

Способ изготовления пива, отличающийся тем, что отбирается часть непрокипяченного первого сусла и спускается через холодильную тарелку или осадочный чан, фильтрованное или нефилтрованное, с обычной т-рой в бродильный чан и сбраживается дрожжами, а затем в него добавляется охмеленное и прокипяченное основное кол-во сусла и необходимое кол-во дрожжей и ведется совместное брожение. Л. Ш.

**27602 П.** Способ охмеления пивного сусла. Салач (Verfahren zur Hopfung von Bierwürze. Saláč Václav). Австр. пат. 178615, 25.05.54 [Chem. Abstrs, 1954, 48, № 14, 8478 (нем.)]

Хмель задается в сусло в виде водн. экстракта вместе с хмелевой дробиной. К водн. экстракту добавляется щелочь до pH 6,2—7,5, предпочтительнее 6,2—7,0. Затем смесь кипятится < 90 мин. при < 10 атм для изомеризации гумулона хмеля в изогумулон, обладающий большей горечью. Приготовленный этим способом экстракт дает экономии хмеля на 20—30% без снижения качества пива. Л. Ш.

**27603 П.** Способ производства пива. Бинц, Шультгейс (Procédé pour la fabrication de la bière. Bienz O., Schultheis W. C.). Франц. пат. 1036795, 10.09.53 [Chimie et industrie, 1954, 71, № 1, 125 (франц.)]

Применение обработки ультразвуком на многих стадиях пивоваренного произ-ва. В. Ж.

**27604 П.** Способ изготовления солодового сусла для диетического солодового экстракта, а также напитков, сходных с пивом и вином. Дюршнер (Verfahren zur Herstellung von Würze aus Malz für diätetische Malzextrakte sowie bier- und weinähnliche Getränke) [Dürschner Wilhelm]. Пат. ФРГ 882386, 9.07.53 [Chem. Zbl., 1954, 125, № 1, 216 (нем.)]

Способ отличается тем, что неизмельченный солод обрабатывается долгое время при добавлении воды при т-ре, благоприятной для ферментативного расщепления белков и углеводов, после отделения воды нагревается до 100—200°, и полученное из него путем обычного дробления и затирания сусло подвергается интенсивному кипячению при нормальном давлении. Л. Ш.

**27605 П.** Способ спиртового брожения и оборудования для его проведения. Фринге (Verfahren zur Vergärung von Alkoholen und Vorrichtung zur Durchführung dieses Verfahrens. Frings Heinrich K. G.). Швейц. пат. 290278, 1.08.53 [Chem. Zbl., 1954, 125, № 40, 9178 (нем.)]

Окислительное сбраживание спиртов с продуванием воздуха отличается тем, что воздух перед продуванием проводится над сбраживаемым субстратом. И. Б.

См. также: 26032, 26049, 26056; 8537Бх

## ПИЩЕВАЯ ПРОМЫШЛЕННОСТЬ

**27606.** Пути развития и задачи пищевой химии. Тейфель (Entwicklungslinien und Aufgabenstellung der Lebensmittelchemie. Täufel K.), Chemiker-Ztg., 1955, 79, № 5, 133—137 (нем.; рез. англ., франц., исп.)

Характеристику пищевых продуктов по исследованию общего хим. состава, «статический» анализ, предлагается дополнить данными о поведении продукта в процессе его хранения или переработки. Такой «динами-



броже-  
tellung  
se g n-  
1954,

м, что  
ула в  
очный  
ычной  
ожками,  
еченное  
ожкей  
Л. Ш.  
ала ч  
al á c  
(Chem.

а вмо-  
добав-  
е 6,2—  
10 атм  
он, об-  
этим  
—30%  
Л. Ш.  
и п, ч  
de la  
Франц.  
54, 71,

многих  
В. Ж.  
ла для  
напит-  
fahren  
etische  
(ranke)  
82386,  
216

солод  
ды при  
ления  
вается  
ычного  
генсив-  
Л. Ш.  
удова-  
en zur  
Durch-  
nric  
Zbl.,

ванием  
ванием  
И. В.

химии.  
enstel-  
, Che-  
англ.,

ованию  
предла-  
в про-  
нами-

ческий» анализ особенно применим к исследованию муки, меда, мальдэкстракта, жиров, масел и др. В качестве одного из средств «динамического» анализа рекомендуется адсорбционная или разделительная хроматография. Приводится пример применения динамич. метода к определению стойкости жира при хранении. Распределяют 0,025 мл 5%-ного р-ра исследуемого жира в ацетоне (~1,25 мг) на хроматографич. бумаге и с помощью ацетона доводят активную поверхность жира на бумаге приблизительно до 4,4 см<sup>2</sup> (или 8—9 см<sup>2</sup> с обеих сторон); затем подвергают полоски бумаги действию рассеянного дневного света и образующиеся пероксидные соединения проявляют ацетоновым р-ром, содержащим сульфат закиси железа и роданистый аммоний, после чего процесс аутоокислации жира может быть легко определен количественно визуальным способом. В. Г.

27607. Вкус, запах и молекулярный вес. Монкрифф (Taste, smell and molecular weight. Moncrieff R. W.), Chem. Prod., 1955, 18, № 4, 131—133 (англ.). Отмечается хорошо выраженная связь горького вкуса с увеличением мол. веса, независимо от того, является ли вкус низших членов гомологич. рядов кислым, соленым или сладким. Соединения с очень высоким мол. весом обычно нерастворимы в воде и поэтому безвкусны. Для запаха подобного соотношения с мол. весом не наблюдается. Производятся примеры исключений, а также величины порогов ощущения запаха для гомологов меркаптана. В. Г.

27608. Химические вещества в пищевых продуктах. Осер (Chemicals in foods. Where do they stand? Oser Bernard L.), Food Engng., 1954, 26, № 6, 70—72, 134 (англ.).

Токсикологические исследования, проведенные с кумарином и некоторыми каменноугольными красками, показали вредность их применения в произв. пищевых продуктов и требуют исключения этих в-в из списка допустимых химикатов. Подчеркивается необходимость детального и систематич. изучения различных хим. в-в, предполагаемых к использованию в произв. пищевых продуктов, на более крупных животных с применением доз, повышенных против возможных кол-в при практическом применении тех или иных химикатов. В. Г.

27609. Значение pH в производстве пищевых продуктов. Скотт (The significance of pH in the manufacture of food. Scott M. L.), Food Inds S. Africa, 1955, 8, № 1, 35, 37 (англ.).

Рассмотрено значение измерения pH для кондитерской, консервной, молочной и мясной пром-сти. Л. С. 27610. Ускоренный метод определения фосфора в пищевых продуктах. Десикачар (A shortened procedure for routine assay of phosphorus in foodstuffs. Desikachar H. S. R.), J. Scient. and Industr. Res., 1955, (B—C) 14, № 1, 32—33 (англ.).

Для определения общего кол-ва Р в пищевых продуктах и некоторых биологич. материалах предложен ускоренный метод: 0,5 г измельченного в порошок испытуемого в-ва сжигают при умеренном нагревании в колбе для сжигания (емк. 50—100 мл) с 2—4 мл конц. серной к-ты в течение 5 мин. Присутствие продуктов разложения сахара и белков не мешает определению. Частично сожженную массу переносят в 100-мл мерную колбу, жидкость фильтруют и определяют Р колориметрически по Фиске-Саббароу (Fiske C. H., Subbarow Y., J. Biol. Chem., 1925, 66, 375). Определяется 95% общего Р; метод рекомендуется для исследований, когда требуются лишь сравнительные данные. В. Г.

27611. Исследование пищевых продуктов в пищевых и санитарно-гигиенических лабораториях. Чапман (Food research in the food and drug laboratories.

Chapman R. A.), Chem. in Canada, 1954, 6, № 4, 23—27 (англ.).

Краткое описание работ, проводимых в пищевых и санитарно-гигиенических лабораториях Канады по разделам: противокислители в пищевых продуктах; определение крахмала в мясных продуктах; обнаружение эмульгаторов и стабилизаторов в пищевых продуктах; исследование продуктов на содержание Pb, Zn, Cu, As, F, обнаружение фальсификации молочных продуктов. В. Г.

27612. Проблемы пищевой промышленности в Словении. Нучич (Problemi živilske industrije LR. Slovenije. Nučič Albert), Tehnika, 1955, 10, № 1, 105—110 (серб.; рез. франц.).

Рассматриваются состояние и пути развития мукомольной, крахмальной, сахарной, кофейных суррогатов, пивоваренной, масляной, молочной, винокуренной, кондитерской отраслей пром-сти. А. С.

27613. Хлебопекарная оценка сортов ржи. Короуи Ф. Н., Базарнова В. М., Тр. Всес. н.-и. ин-та хлебопек. пром-сти, 1955, № 6, 58—69

Исследованы 666 образцов ржи 60 сортов урожая 1943—49 годов. Установлено, что большинство сортов ржи заметно отличается по весу 1000 зерен (от 7,8 до 30 г и от 13,5 до 29 г по средним величинам для сорта) и по зольности (1,48 до 2,52%) и зависимости от условий произрастания и крупности, по содержанию белка (от 8,82 до 21,02% при 14,26% в среднем по всем образцам), жира (от 1,66 до 1,95% при 1,78% в среднем), сахара (4,26 до 6,61%) и клетчатки (от 2,04 до 3,32% при 2,55% в среднем). Амилотич. активность обойной муки (95% выхода) колебалась от 147 до 467 мг мальтозы для проросшего и в пределах 375 мг для нормального зерна при средней по сортам от 231 до 342 мг. Хлеб с хорошей и вышесредней оценкой мякиша был получен из 9 сортов ржи; из 5 сортов ржи ни одному образцу хлеба не дано оценки хороший; объемный выход хлеба из 100 г муки колебался от 228 до 311 мл; связи между объемным выходом хлеба и содержанием в зерне белков не обнаружено. Установлено, что для получения хлеба, хорошего во всех отношениях, необходимо содержание белка не ниже 11—12%; наибольшее влияние на хлебопекарную способность имеет сорт ржи, а район и условия произрастания. Приведены многочисленные цифровые данные испытаний. Г. К.

27614. Сушка зерна во взвешенном состоянии. Любошиц И. Л., Изв. АН БССР, 1954, № 4, 97—118

Описаны опыты сушки с непрерывной и равномерной подачей зерна в поток нагретых газов. Дано сравнение основных технико-экономич. показателей опытной прерывистой пневмогазовой и шахтной зерносушилок. Установлено, что урожайность зерна, высушенного предложенным методом, выше на 10—12%, чем у зерна, не подвергавшегося искусств. сушке; происходит уничтожение вредителей; зерно очищается от пыли и других примесей; размеры сушилки данной конструкции при одинаковой производительности значительно меньше шахтной сушилки; расход энергии в данной сушилке, при сушке семенного зерна, меньше расхода энергии в шахтной сушилке; сушилка может быть использована для проведения в короткий срок массового предпосевного обогрева семян. Приведены кривые, характеризующие процесс сушки и схема пневмогазовой сушилки. А. У.

27615. Производственная проверка метода улучшения хлебопекарных свойств проросшего зерна ржи путем гидротермической обработки. Ауэрман Л. Я., Щербатенко В. В., Лурье Т. С., Фидельман Л. Б., Подсыпанниа Т. И., Тр. Всес. н.-и. ин-та хлебопек. пром-сти, 1955, № 6, 55—57

На четырех партиях ржи различной степени прораствания проведена в производственных условиях проверка разработанного Всес. н.-и. ин-том хлебопек. пром-сти способа улучшения хлебопекарных свойств зерна путем гидротермич. обработки на установке, состоящей из двух шнеков, заключенных в герметически закрываемые корыта и расположенных один над другим. Зерно поступает в верхний шнек, в который одновременно подается вода и пар, перемещается шнеком вдоль корыта, затем поступает в нижний шнек, где прогревается паром, выходя из шнека с т-рой 75—78° и влажностью 22—25%; затем зерно, проходя через аспирационную колонку, охлаждается до 50—55°, высушивается при т-ре теплоносителя 75—85° (до влажности 13—14% и выходит из сушилки с т-рой 35—40°). Производственным выпечками установлено, что тесто из муки из проросшего зерна без термич. обработки было липким, сильно разжижающимся в процессе брожения, хлеб имел плоскую, частично отслоенную корку, липкий мякиш с крупными порами, переходящими в пустоты, т. е. не отвечал требованиям ГОСТ. Тесто из муки, смолотой из зерна, прошедшего гидротермич. обработку, было после замеса и в конце брожения сухим; большого разжижения теста в процессе брожения не наблюдалось; хлеб по внешнему виду был нормальным с сухим, хорошо разрыхленным, равномерной пористости мякишем и удовлетворял требованиям ГОСТ. Рекомендован следующий режим обработки зерна и выпечки хлеба: т-ра в шнеках 75—80°, продолжительность обработки зерна 2 мин. давление пара 0,2—0,4 атм, конечная влажность зерна при выходе из шнеков 23—25% и т-ра 75—78°; начальная т-ра головки (при головочном способе) 28—29°, конечная кислотность головки 13—14°; начальная т-ра теста 30—31°, конечная кислотность теста 9,5—10,5°; продолжительность расстойки кусков 40—60 мин. Приведена схема шнеков установки и подвода к ним пара.

Г. К.

**27616.** Мука из проросшего зерна, ее оценка и использование. Вейланд, Лампрехт (Auszuchsmehle, ihre Beurteilung und ihre Verarbeitung. Weyland Paul, Lamprecht Frank), Brot und Gebäck, 1955, 9, № 2, 20—22 (нем.).

Хлебопекарную способность муки из проросшего зерна обычно определяют по ее диастатич. активности исследованием амиллограмм и пробной выпечкой. Работы Н. П. Козьминой (Das Problem der Backfähigkeit, Verl. M. Schäfer, Leipzig, 1939) показали, что при муке из проросшего зерна расщепление крахмала и белков, под действием повышенного содержания в ней ферментов, происходит в основном не в тесте, а в процессе выпечки. Проведенные исследования подтвердили это и установили, что при муке из проросшего зерна, при повышении кислотности, замесом теста на 0,1 н. HCl, кол-во водорастворимых в-в в хлебе по сравнению с тестом почти не увеличивается. Рекомендуется при использовании такой муки увеличивать кислотность теста применением молочной к-ты или увеличивать кол-во соли до 30 г на 1 л воды в замесе и уменьшать развес хлебных изделий для более быстрого прогревания мякиша до 70°, когда действие ферментов прекращается. Приведены фотографии разрезов хлебов из муки с разным кол-вом проросшего зерна и соответствующие амиллограммы такой муки, показывающие влияние различных добавок молочной к-ты и цифровые данные исследований.

Г. К.

**27617.** Распределение частиц муки по размерам при экспериментальных помолах сортов пшениц различного качества. Гаррис, Скотт (Particle size distribution in experimentally milled flours from wheat varieties of various quality. Harris R. H.,

Scott G. M., Milling Prod., 1955, 20, № 2, 1, 12—15 (англ.).

Описываются результаты оценки мукомольных качеств твердой краснопозерной яровой пшеницы по характеру распределения частиц муки при просеивании через сита с учетом влияния сорта пшеницы, района произрастания и года урожая. Установлено влияние сорта, района произрастания и, главным образом, года урожая на распределение частиц муки при помолах. Поражение пшеницы стеблевой ржавчиной, снижающей натуральный вес, содержание белка и выход муки, не оказывает влияния на распределение частиц муки. Авторы полагают, что знание распределения частиц муки по размерам поможет селекционерам в оценке основных мукомольных качеств выводимых новых сортов пшеницы.

**27618.** Распределение в зерне пшеницы бромоватокислого калия, прибавленного к воде для замочки зерна. Уолден, Гукис, Броккингтон (The distribution of potassium bromate added to wheat in the tempering water! Walden C. C., Gookins O. E., Brockington S. F.), Trans. Amer. Assoc. Cereal Chemists, 1955, 13, № 1, 59—62 (англ.).

Исследованиями установлено, что KBrO<sub>3</sub>, растворенный в воде для замочки зерна, в небольшом кол-ве проникает в эндосперм; содержание его наименьшее в муке и наибольшее в отрубях; хлебопекарная способность муки из такой пшеницы не улучшается по сравнению с мукой с одинаковым содержанием KBrO<sub>3</sub>, добавленного в нее непосредственно; целесообразнее KBrO<sub>3</sub> прибавлять к муке или к тесту. Приведены метод исследования, цифровые данные о содержании KBrO<sub>3</sub> в продуктах помола пшеницы и объемного выхода хлеба.

Г. К.

**27619.** Быстрый метод открытия ртути в хлебных зернах. Канингем, Андерсон (Rapid detection of mercury on cereal grains. Cunningham D. K., Anderson J. A.), Cereal Chem., 1954, 31, № 6, 513—516 (англ.).

15 зерен помещают в пробирку (10 мм × 55 мм) и приливают 1 мл реактива (равные объемы 5%-ного КОН и 25%-ного Na<sub>2</sub>S<sub>2</sub>O<sub>3</sub>, смешанные перед применением). Смесь нагревают до кипения и вкладывают пластинку в 2 мм<sup>2</sup> алюминиевой фольги толщиной ~ 0,12 мм. Кипятят 1 мин. Фольгу вынимают, промывают и сушат ацетоном. В присутствии Hg на поверхности заметна шероховатость или белые кристаллы Al<sub>2</sub>O<sub>3</sub>. Высушенную пластинку фольги смачивают 1 каплей 1%-ного р-ра ализаринсульфоната Na в 10%-ной CH<sub>3</sub>COOH. Al<sub>2</sub>O<sub>3</sub>, полученная в результате амальгирования Al и Hg, окрашивается в кирпично-красный цвет и, выделяющиеся от действия к-ты, пузырьки газа образуют красную пену. В некоторых случаях следует применять макрометод: 10 г зерна, 10 мл реактива, 9 мм<sup>2</sup> фольги кипятят 3 мин. и рассматривают, как указано выше.

М. Ш.

**27620.** Вакуумное окуривание. Томсон (Vacuum fumigation. Thomson A. G.), Food, 1954, 23, № 279, 444—446 (англ.).

Описаны опыты по окуриванию различных упакованных продуктов (пшеница, ореховое ядро) CH<sub>3</sub>Br в вакууме.

Р. К.

**27621.** Гречневый хлеб как заменитель пшеничного в диете желудочно-кишечных больных. Ботма, Вейерс, Камер (Boekweitbrood ter vervanging van tarwebrood in het dieet van coeliakiepatiënten. Bothma F., Weijers H. A., Kamer J. H. van de), Voeding, 1954, 15, № 5, 218—223 (голл.). Приводятся рецепты и указания по изготовлению гречневого хлеба для пекарен, больничных кухонь и для домашних хозяек.

А. Е.

27622. Сушка сублимацией молочнокислых микроорганизмов, применяемых в хлебопекарной промышленности. Голышева М. Г., Хохлов И. М., Тр. Всес. н.-и. витамин. ин-та, 1954, 5, 78—88.

Исследовалась возможность сублимационной сушки и влияние ее на жизнедеятельность и биологич. активность молочнокислых бактерий (МКБ). В опытах использовали МКБ «квасные», В<sub>4</sub>, В<sub>8</sub> и Селибер В<sub>27</sub>. Сушка производилась до постоянного веса в условиях глубокого вакуума, характеризуемого величиной остаточного давления в системе от 0,05 до 0,075 мм рт. ст. на лабор. и от 2,0 до 0,12 мм рт. ст. на полупроизводственной установках. В лабор. исследованиях применялось предварительное замораживание МКБ. Авторы полагают, что МКБ, высушенные сублимацией, сохраняют свою активность и могут быть применимы в пром-сти.

В. Б.

27623. К вопросу о производстве некоторых полноценных хлебных и кондитерских изделий. Рюквардт (Warum fehlen noch immer einige wertvolle Erzeugnisse auf dem Markt? Rückwardt Günter), Bäcker und Konditor, 1954, 8, № 2, 3—4 (нем.). Указывается на необходимость исследования дополнительных источников сырья для произ-ва полноценных хлебных и кондитерских изделий, отсутствующих в продаже. Предлагается при недостатке яиц заменять их в рецептуре изделий кровяным альбумином; применение его сообщает продуктам чуждый вкус, но, по мнению автора, он может быть устранен при дальнейших пробных выпечках.

Г. К.

27624. Значение температуры и влажности при перевозке и хранении хлеба. Мейснер (Importance of temperature and humidity in the transportation and storage of bread. Meisner Don F.), Baker's Digest, 1953, 27, № 6, 17—22, 34 (англ.).

Исследовалось влияние т-ры и влажности на скорость черствения хлеба. Испытания проводились в помещениях с кондиционированием воздуха, а также в автомобилях, оборудованных для перевозки хлеба в летнее и зимнее время. Степень черствения определялась по сжимаемости мякиша, измеряемой пенетрометром, при хранении хлеба до 100 час. при т-ре 15—43° и относительной влажности 20—100%. Установлено, что сжимаемость мякиша уменьшается с уменьшением т-ры хранения; при всех т-рах хранения в опытах она снизилась на 50% за первые 24 часа хранения; замораживание замедляет затвердевание хлеба, практически оно прекращается после 24 час. хранения; хранение при т-ре выше 43° ведет к изменению цвета и потере вкуса хлеба, при перевозках зимой снижение т-ры хлеба достигало 22°, следовательно, увеличивалась скорость его затвердевания; возможность восстановления мягкости хлеба при внесении его в нормальные температурные условия при проверке не подтвердилась. Предложены меры защиты хлеба от охлаждения при перевозках зимой. Испытания влияния относительной влажности воздуха на скорость черствения хлеба показали, что хлеб, упакованный во влагонепроницаемую бумагу, черствеет независимо от относительной влажности воздуха; относительная влажность помещения для хранения хлеба без упаковки должна быть не менее 80%.

С. С.

27625. Микроскопическая структура хлеба и теста. Сандстедт, Шаумберг, Флеминг (The microscopic structure of bread and dough. Sandstedt R. M., Schaumburg Lorene, Fleming J. J.), Cereal Chem., 1954, 31, № 1, 43—49 (англ.).

Предлагается фотомикрографич. метод. Хлеб или тесто погружают в жидкую пластмассу, после инфильтрации и затвердевания которой из них готовят толстые срезы бритвой. Эти срезы шлифуют и отполи-

рованную поверхность окрашивают и исследуют под микроскопом в отраженном свете. При применении этого метода исключается необходимость получения тонких срезов. Исследование структуры теста и хлеба показало, что в стенках пор зерна крахмала распределены равномерно по всей поверхности пленки и отделены одно от другого слоем белка.

Р. Т.

27626. Цвет отрубей и их обесцвечивание во время приготовления теста. Финци (Colore e scolorimento delle semole nella pastificazione. Finzi Ettore), Chimica, 1953, 29, № 6, 157—159 (итал.).

Коэффициент обесцвечивания отрубей вместе с золейностью, содержанием клейковины, кислотностью и гранулометрическим составом может служить для определения их пригодности в произ-ве мучных изделий. Во время приготовления теста для мучных изделий (макарон), под влиянием О<sub>2</sub> воздуха и каталитич. эффекта металла месильного оборудования, происходит разрушение пигментов отрубей.

К. Г.

27627. Из опыта работы поточных линий производства карамели на фабрике «Красный Октябрь». Сомляницкий М. Е., Рапов В. А., Тр. Всес. н.-и. ин-та кондитер. пром-сти, 1955, № 11, 13—19.

Приводятся основные данные по эксплуатации поточных линий произ-ва карамели и рассмотрены условия эффективной работы отдельных агрегатов и линии в целом. Отмечаются недостатки ряда новых машин, выявившиеся при длительной работе их в производственных условиях, а также технич. мероприятия по усовершенствованию оборудования. Приводятся параметры технологич. режимов уваривания, охлаждения и обработки карамельной массы, формирования и охлаждения карамели. В связи с работой поточных линий при рецептурах с пониженным содержанием патоки рассмотрены соответствующие изменения технологич. режима и работы основного оборудования.

М. С.

27628. Химические и биологические методы производства кофе. Ферментация. Стерн (Chemical and biological methods of curing coffee: fermentation step. Stern J. N.), Texas J. Sci., 1953, 5, № 4, 432—435 (англ.).

Обзор методов ферментации кофе. Библ. 14 назв.

Г. Н.

27629. Испытание сушеного горошка. I. Определение фитатного фосфора. Холт (Studies on dried peas. I.—The determination of phytate phosphorus. Holt R.), J. Sci. Food and Agric., 1955, 6, № 3, 136—142 (англ.).

Предлагаемый метод определения фитатного фосфора является улучшенной модификацией метода Харриса и Мошера (Ind. Eng. Chem. Anal. Ed., 1934, 6, 320), в основе которого лежит обратная и почти линейная зависимость конц-ии фитата от окраски, образующейся определенными кол-вами тиоцианата и окисного железа в р-ре. Метод применялся к определению кол-ва между 75 и 150 γ в вытяжках из сушеного горошка; точность ± 5%. Хлориды, сульфаты и соли лимонной, винной и яблочной к-ты в конц-иях того же порядка, как и определяемые фитаты, а также сахара, не мешали определению. Присутствие 0,1 мг ортофосфата фосфора оказывало незначительное влияние; 0,4 мг вызывает положительную ошибку менее, чем 5%, а в присутствии 2 мг ортофосфата фосфора метод неприменим.

В. Г.

27630. Органолептическое исследование овошных соков. Скрамлик (Sinnesphysiologische Untersuchung von Gemüsepreßsäften. Skramlik Emil von), Dtsch. Lebensmitt.—Rundschau, 1954, 50, № 12, 295—300 (нем.).

Описание методов органолептит. оценки соков из кольраби, брюквы, редьки, хрена, моркови, сельде-



рея, ревеня, свеклы, томатов, тыквы, огурцов, лука и чеснока. Методы основаны на определении порогов ощущения запаха и вкуса при применении последовательных разбавлений исходных испытуемых соков до миним. предела, при котором дегустатор в состоянии еще отличить исследуемый р-р от дистилл. воды. Численное значение порогов ощущения запаха и вкуса выражается конц-ией р-ров в процентах принимая за 100% первоначальный неразбавленный сок. Для характеристики органолептич. свойств овощных соков предлагается вычислять фактор  $f$  — отношение величины порога ощущения запаха к величине порога ощущения вкуса, определяющий относительное преобладание ароматич. или вкусовых ощущений в испытуемом соке. Описан также способ определения вкусовых свойств овощных соков с помощью органолептич. сравнения с р-рами, содержащими различные кол-ва одного, двух или трех компонентов, в качестве которых предлагаются хинин, NaCl, винная к-та и глюкоза.

**27631. О возможности применения томатина в пищевой промышленности.** Сообщение. I. Гампль, Шихо (Možnosti použití tomatinu v potravinářském průmyslu. I. Sdělení. Hamp l B., Sicho V.), Průmysl potravin, 1955, 6, № 3, 152—193 (чеш.; рез. русс., нем., англ.)

Описан способ выделения из томатов концентрата сырого томатина, исследование продукта, приготовление чистого томатина, биологич. испытание его. Установлено, что сырой томатин подавляет жизнедеятельность *B. subtilis* и *B. mesentericus*. По Ирвингу (G. W. Irwing, The D. Fontaine, S. P. Doolittle; Science, 1945, 102, 9) применение кристаллич. томатина в аналогичных кол-вах оказалось менее эффективным. Отмечается необходимость дальнейшего изучения действия томатина на бактерий, встречающихся в консервной пром-сти, с целью сокращения времени стерилизации консервов.

**27632. Вопросы хранения солевых консервированных томатов.** Ваш, Прост (Sós paradicsomszűrtmények eltarthatósága (Ozmofil élesztők okozta romlás). Vas Károly, Proszot Gizella), Élelm. ipar., 1955, 9, № 2, 41—45 (венг.)

Дрожжи типа *Zygosaccharomyces* способны расти на томат-пасте (38—40% сухого в-ва) с 8—10% NaCl; прибавка 0,15% бензойнокислого Na полностью прекращает брожение. При повышении конц-ии NaCl согласно ур-нию:  $[NaCl] \geq 25,82 - 0,273 [ \% \text{ сухих в-в}]$  брожение также прекращается. Вкусовые качества супа из томат-пасты (300 мл разб. пасты, 6 г заправки из муки, 4 г сахара-песка) определяются содержанием NaCl в супе, т. е. ~1%. Суп, содержащий ~2% NaCl, почти несъедобен, что определяет верхнюю границу содержания NaCl в пасте: 17% NaCl + 33% сухих в-в (для изготовления густого супа: 15% NaCl + 40% сухих в-в). Развитие дрожжей задерживается также хранением на холоду. В пораженных образцах обнаружены дрожжи *Saccharomyces rouxii* Bouteux (*Zygosaccharomyces japonicus*) типа *Hansenula* и др.

**27633. Непрерывно действующий сепаратор для осветления при производстве плодово-ягодных соков.** Прахль (Der kontinuierlich arbeitende Klär-Separator für die Kelterei. Prahl Gerh.), Flüssiges Obst, 1955, 22, № 4, 4—7 (нем.)

Описание двух типов непрерывно действующих машин для осветнения плодовых и ягодных соков. Меньшая из машин имеет производительность для яблочного, виноградного, вишневого, красно- и черносмородинового соков с высокой кислотностью, не подвергавшихся предварительной обработке, 1000—1250 л/час; для тех же соков с малой кислотностью — 600—750 л/час, а для соков ферментированных — до 1300—

1500 л/час. Машина второго типа имеет производительность вдвое больше. Приведены схематич. чертежи машин и схемы включения их в линию полностью автоматизированного произ-ва.

**27634. Изменения витаминизированных фруктовых соков при хранении.** Андерс (Das Verhalten vitaminisierter Obstsäfte bei der Lagerung. Anders), Alkohol-Ind., 1954, 67, № 14, 357—358 (нем.)

Яблочные, грушевые и виноградные соки не содержат витамина С. Добавление аскорбиновой к-ты повышает терапевтич. свойства соков и улучшает их качество. При шестимесячном хранении сока при 7° с добавкой 30 мг аскорбиновой к-ты на 100 см<sup>3</sup> сока, потеря к-ты равна 40%. Осветление сока влияет неблагоприятно на аскорбиновый к-ту.

**27635. Балловая оценка плодово-ягодных соков и достижения в производстве соков за 1954 год.** Кох (Die Süßmostbewertung nach Punkten und die DLG-Leistungsprüfung 1954. Koch Julius), Dtsch. Lebensmitt.—Rundschau, 1954, 50, № 12, 304—307 (нем.)

Описание схемы балловой оценки качества плодово-ягодных соков, по которой определяются хим. показатели, производится органолептич. оценка и затем дается общая оценка по 20-балловой шкале. Хим. показатели: способность к сбраживанию, содержание спирта, летучих к-т, молочной к-ты и общее кол-во сернистой к-ты. Распределение баллов: цвет — 2, прозрачность — 2, запах — 4, вкус — 10, хим. испытание — 2. Описан порядок проведения оценки качества соков и приводится анализ качеств. показателей произ-ва плодово-ягодных соков в ФРГ за 1953—1954 гг.

**27636. О пригодности разных сортов вишен для изготовления соков.** Хольфельдер (Über die Eignung der verschiedenen Sauerkirschen-Sorten für die Süßmostherstellung. Holfelder E.), Flüssiges Obst, 1955, 22, № 6, 2—4 (нем.)

Испытано более 30 сортов вишен урожая 1953—54 гг. Показателями служили: содержание сахара, кислотность и цвет. Из давших более высокие показатели были изготовлены соки, органолептич. испытание которых (по вкусу, аромату и цвету) послужило для окончательной оценки степени пригодности отдельных сортов.

**27637. Влияние различных способов термической обработки на выход, пищевую ценность белков и вкус тушеного мяса.** Кларк, Уилмет, Гаррисон, Вейл (The effect of braising and pressure saucerpan cookery on the cooking losses, palatability, and nutritive value of the proteins of round steaks. Clark Helen E., Wilmeth Marie C., Harrison Dorothy L., Vail Gladys E.), Food Res., 1955, 20, № 1, 35—41 (англ.)

Проведены опыты тушения мяса при различной т-ре и давлении. Определялись потери при кулинарной обработке, вкусовые качества и пищевая ценность белков тушеного мяса (на крысах). Установлено, что выход и вкус тушеного мяса зависят главным образом от величины т-ры, до которой мясо было нагрето внутри куска. Примененные способы тушения не оказали существенного влияния на усвояемость белковых в-в мяса.

**27638. Пригодность искусственных оболочек для колбасных изделий.** Оджинская (Przydatność osłonek sztucznych do produkcji wędlin. Ożdzinska Walentyna), Gospod. mięsna, 1955, 7, № 2, 27—30 (польск.)

Исследованы оболочки, изготовленные из специально обработанной бумаги, белковые (натуральные, кукурузные), томофанные (вискозные и целлофановые) и пластмассовые. Производились определения веса

1 м<sup>2</sup>, толщины, упругости и растяжимости, проницаемости для пара, воздуха и жира. Худшими почти во всех отношениях оказались оболочки, изготовленные из бумаги. Для колбас длительного хранения особенно пригодными оказались кутузиновые оболочки. Для вареных и других колбасных изделий, не выдерживающих длительного хранения, могут с успехом применяться вискозные и целлофановые оболочки. Для ряда колбасных изделий пригодны оболочки из термопластич. масс.

Л. Ш.

**27639. Расчет теоретических выходов вареных колбас.** Нелсон (Compute theoretical yields in cooked sausage. Nelson D. H.), Meat Mag., 1954, 40, № 3, 56, 58 (англ.)

Приводятся 4 примера зависимости выходов колбас от составных частей сырья. Дается хим. состав говяжьего и свиного мяса (влага, белок и жир, подсчитанный по разности без учета золы), из которых готовят колбасы с различным процентным содержанием мясных компонентов. При расчете условно считается, что производственные потери белка и жира отсутствуют, готовый продукт содержит 10% добавленной воды; на 100 кг мяса добавляют 5 кг специй, соли и т. д.; колбасу готовят не только из смеси мясных компонентов, но и из одного вида мяса; за основной вес принимается вес мясных компонентов. Рассчитывается хим. состав и себестоимость готовой продукции с учетом максим. теорет. выхода.

А. П.

**27640. О «тягучей болезни» колбасы.** Вальц (Beitrag zum «Fadenziehen» von Wurst. Walz E.), Lebensmitteltierarzt, 1954, 5, № 13/14, 157—159 (нем.)

На одном из примеров бактериологич. исследования показано, как возникает и в чем состоит «тягучая болезнь» фарша колбасы. Доказано, что причиной этой болезни является размножение *Bac. mesentericus viscosus*, описанной Шёнбергом. Выращенные на различных питательных средах ее колонии способны давать серо-белые слизистые нити различной толщины, длина которых зависит от степени вязкости и кол-ва слизи. Рекомендовано в целях профилактики строгое соблюдение санитарных условий при убое скота и переработке мяса; для уничтожения спор в цехах переработки и на стенках аппаратов и посуды — применение сильно дезинфицирующих средств (четвертичных аммониевых оснований, амфолитного мыла, гипохлоритов), облучение УФ-лучами, а также комбинация двух последних способов.

В. Г.

**27641. Изменение цвета ветчины под действием желатин.** Косевская (Zmiana barwy żelatyną. Kosewska L.), Przem. spożywczy, 1955, 9, № 2, 70—73 (польск.; рец. русс., англ.)

Исследовано изменение цвета ветчины под действием желатина из светлорозового в красный с оравкеваем и ржавым оттенком. Выяснено, что изменение цвета не вызывается наличием SO<sub>2</sub> в желатине, повышенным содержанием NO<sub>2</sub> в мясе, и не зависит от содержания воды в желатине. Изменение цвета обычно сопровождается чрезмерным высушиванием и шероховатостью поверхностного слоя ветчины, однако шероховатостью может отличаться так же и ветчина нормального цвета. Повидимому, как изменение цвета, так и чрезмерная сухость и шероховатость вызываются большей продолжительностью разбухания и растворения некоторых сортов желатин. Изменение цвета является лишь поверхностным и не вредно для здоровья.

Л. Ш.

**27642. О сущности посола мяса.** Коттер (Grundsätzliches über das Wesen des Pökels. Kötter L.), Vieh- und Fleischwirtschaft, 1954, № 7, 157—159 (нем.)

Охарактеризована физ.-хим. сущность процесса посола мяса. Рассмотрено действие поваренной соли, нитратов и нитритов, сахаров, микроорганизмов, как основных факторов, изменяющих структуру и хим. состав мяса при посоле, а также рекомендованных в последнее время вспомогательных средств (солей органич. к-т и фосфатов).

В. Г.

**27643. Особенности консервирования сырокопченой ветчины.** Бармаш А., Ээк К., Мясная индустрия СССР, 1954, № 6, 26—28

Изложена технология произ-ва консервов из сырокопченой ветчины, рулек и подбедерков.

Е. С.

**27644. Консервы корнд-биф и «немецкие консервированные мясные продукты корнд-биф».** Шаде (Corned beef und «Deutsches Corned beef». Schade Heinz), Dtsch. Lebensmitt.-Rundschau, 1954, 50, № 6, 141—142 (нем.)

Сравнительная характеристика хим. состава, пищевой ценности и технологии произ-ва американских консервов корнд-биф и консервированных мясных продуктов, выпускаемых в ФРГ под названием «немецкий корнд-биф», приводит к выводу о несоответствии последнего своему наименованию по качеству и пищевой ценности.

В. Г.

**27645. Теплообмен при охлаждении мяса.** Головкин Н. А., Шаган О. С., Алямовский И. Г., Тр. Ленингр. технол. ин-та холодильн. пром-сти, 1955, 9, 125—131

Изучены процессы теплообмена при охлаждении мяса. Установлено, что независимо от формы, размера объекта и скорости движения воздуха, охлаждение мяса протекает в стадии регулярного режима, т. е. соблюдается постоянство величины темпа охлаждения ( $m$ ) для различных точек объекта. Кривую, характеризующую процесс охлаждения, можно разбить на три участка, которые достаточно точно можно выразить одним общим ур-нием экспоненциальной зависимости. На основании анализа процесса охлаждения намечены положения более рациональной обработки мяса. Для охлаждения мяса при конвективном движении воздуха установлена гиперболич. зависимость величины темпа охлаждения от толщины бедра:  $m = 1,17/8 - 0,02526$ . Рекомендуется перед охлаждением производить расчленение туш на три части, что позволяет, не изменяя условий охлаждения, сократить продолжительность последнего на 20—25%.

А. П.

**27646. Бактериологическое исследование мяса на наличие облигатных анаэробов.** Келлер (Zur Prüfung auf obligate Anaerobier bei der bakteriologischen Fleischuntersuchung. Keller H.), Lebensmitteltierarzt, 1954, 5, № 3, 25—26 (нем.)

Изложены указания по упаковке проб мяса и методу бактериологич. исследования на присутствие облигатных анаэробов. Рекомендуется предварительно охлаждать отобранные пробы мяса и каждую пробу упаковывать в отдельный пакет из пергамента. При проведении бактериологич. исследования пробирки с засеянным анаэробным материалом следует нагревать в кипящей водяной бане не менее 3 мин. для уничтожения аэробов. В сомнительных случаях следует делать мазки анаэробного материала и окрашивать по Граму. Для правильной постановки диагноза на анаэробную септицемию необходимо делать посевы из всех проб.

А. П.

**27647. О возможности определения недопустимого излишка воды в колбасе.** Линднер (Kann ein unzulässiger Wassergehalt in Würsten mit Sicherheit erkannt werden? Lindner A. F.), Dtsch. Lebensmitt.-Rundschau, 1953, 49, № 7, 160—170 (нем.)

Рекомендуется узаконить предел допустимой влажности колбасных изделий. В производственных условиях кол-во воды в колбасном фарше должно быть до-

зировано в зависимости от рецептуры. В готовых колбасных изделиях недопустимый избыток воды может быть определен количественно по методу Федерера, однако, коэфф., рекомендованный Федерером, должен быть заменен на более точные: 3,4 — для говядины и баранины, 3,6 — для свинины, 3,5 — для смешанного мяса.

В. Г. 27648. Содержание азота в мясе и расчет по нему количества мяса в мясных продуктах. Рейт, Хофстиде, Лангбрук (The nitrogen content of meat and the calculation of the meat content of meat products. Reith J. F., Hofstede M. J. N., Langbroek W.), J. Sci. Food and Agric., 1955, 6, № 6, 317—323 (англ.)

Подвергается критич. рассмотрению правильность значения фактора Стёбба и Мора для определения кол-ва мяса в мясных продуктах по N, в частности, фактор равен 3,4 для говяжьего и 3,6 для свиного мяса. На основании определений кол-ва N в мясе (говядина и свинина), проведенных английскими, голландскими, американскими и немецкими авторами, сделан расчет указанного фактора по ф-ле:  $100/(100 - \% \text{ жира}) \times \%$  содержание N в свежем мясе. Найдено, что фактор, равный 3,6 для свинины, выше, чем показывает большинство этих анализов. Исследовано 38 образцов свежей и соленой голландской свинины на содержание N, жира, воды и установлено, что для свежей свинины фактор равен 3,4.

В. Г. 27649. Ускоренный метод определения влажности мяса и мясных продуктов измерением диэлектрической постоянной. Мёлер, Слево (Die Schnellwasserbestimmung in Fleisch und Fleischwaren durch Messung der Dielektrizitätskonstante. Möhler K. I., Slevogt K.), Fette und Seifen, 1954, 56, № 1, 46—49 (нем.; реэ. англ., итал., франц.)

Метод основан на измерении диэлектрич. постоянной (ε) экстрактов, получаемых после 3—7 мин. настаивания навесок мяса или мясных продуктов (1—2 г) в 25 мл «элуола 167» (смеси диоксана и этилгликоля). Измерение ε водно-элуольной смеси производится в декаметре (Д) типа ДК-03 с измерительной ячейкой типа MFL-1/Д. Приведены снимок Д, поперечный разрез ячейки, схема включения Д. Описана настройка и градуирование Д. Дана ф-ла для расчета процентного содержания влажности по ε. Показано, что метод дает удовлетворительные результаты, хорошо совпадающие с результатами определений влажности высушиванием навесок при 105° для мяса с небольшим содержанием жира. При более высоком содержании жира (7—27%) следует вводить поправку, величина которой зависит от кол-ва жира в исследуемом объекте, определяемого из той же элуольной вытяжки после отгона элуола и последующего высушивания остатка до постоянного веса при 105°. Метод рекомендован для контроля произ-ва и для массовых определений при научных исследованиях.

В. Г. 27650. Количественное определение мяса разных видов животных в мясных продуктах при помощи реакции преципитации. Кучера (Versuche mit der Präzipitationsprobe zur Bestimmung der prozentualen Fleischzusammensetzung in Fleischwaren. Kucsera G. y.), Acta veterin. Acad. sci. hung., 1955, 5, № 2, 149—155 (нем.; реэ. русс.)

Установлено экспериментально, что р-ция преципитации при соответствующем ее проведении и расчете применима для определения процента мяса разных видов животных в мясных продуктах, не подвергавшихся тепловой обработке. Описан метод и дан расчет результатов анализа. Ошибка метода ~ 5%.

А. П. 27651. Исследование бактериальной флоры во воздушных банках стерилизованных мясных и рыбных консервов. Артамонов (Badanie flory baktery-

jnej z białobazowanych sterylizowanych konserw mięsnych i rybnych. Artamonov Eugeniusz), Roczn. Państw. zakł. hig., 1954, 5, № 4, 394, 426, 452 (польск.)

Для исследования были взяты банки, проверенные на герметичность. Часть банок была уже получена вздутыми, часть вздувалась только после термостатной пробы. Из банок, не проявивших после термостата признаков бомбажа, 17% содержали бактерии, главным образом, гроздевидные, из которых энтерококковые являются главным источником отравления рыбным ядом. Из вздутых банок наибольшее кол-во (70—75%) как мясных, так и рыбных оказались зараженными *Bac. subtilis*; часто (35—42%) и в тех, и в других встречается *Bac. mesentericus vulgaris*, а в рыбных *Bac. cereus*, *streptococcus fecalis* и анаэробные палочки; в мясных консервах обнаружен, хоть и в весьма небольших кол-вах, *Clostridium botulinum*, наличие которого вообще недопустимо.

Л. Ш. 27652. О содержании витаминов в сельди. Клунгсбург, Боге (Research results given on herring oil and meal. Klungsburg M., Boge G.), Southern Fisherman, 1953, 13, № 7, 69, 71—72 (англ.)

Приводятся результаты исследования содержания витаминов B<sub>2</sub>, PP и B<sub>12</sub> в различных частях тела и органах сельди.

С. Д. 27653. Рациональное тепловое хозяйство при переработке рыб и рыбных отходов. Хаунтфогель (Rationelle Wärmewirtschaft bei der Fisch- und Fischabfall-Verwertung. Hauptvogel H.), Fette und Seifen, 1954, 56, № 7, 531—535 (нем.)

Рассматриваются различные виды сырья, их хим. состав и процессы переработки, требующие расхода тепла. Рекомендуются составление теплового баланса, рациональный выбор топлива и рациональное использование его, предлагается пользоваться паром с давл. 20 атм с тем, чтобы пар высокого давления шел для силовых установок, а отработанный с давл. 2 атм — для варочных котлов, стерилизаторов и сушильных аппаратов. Отмечается значение хорошей изоляции паропроводов для снижения потерь тепла, недостатки конструктивного оформления сушильных аппаратов: большой разрыв между теоретич. расчетом теплопередачи от стенок рубашек аппаратов и фактическим слабым использованием поверхностей нагрева, значение отвода и рециркуляции конденсата при хорошей изоляции трубопроводов.

А. Я. 27654. Новый способ консервирования икры без консервантов. Витфогель (Ein neues Verfahren der Haltbarmachung deutschen Kaviars ohne Zusatz von Konservierungsmitteln. Wittfogel H.), Arch. Lebensmittelhyg., 1955, 6, № 5/6, 54—55 (нем.)

На основании проведенных опытов дается схема пастеризации икры пинагора (*Cyclopterus lumpus*).

Р. К. 27655. Посол сельди. Кемнова (Solenie śledzi. Kemnowa J.), Pnzm. rolny i spożywczy, 1954, 8, № 9, 305—307 (польск.)

Проведены опыты посола сельди с различным кол-вом соли (22 и 33% к весу сельди). Посол меньшим кол-вом соли (~20%) дает более вкусную сельдь, в остальном же, как в отношении конц. соли в сельди, пригодности к хранению и т. п., никакой разницы не найдено.

Л. Ш. 27656. О посоле сельди. Якацкий (Z zagadnień produkcji śledzi solonych (artykuł dyskusyjny). Jakacki Wojciech), Gospod. rybna, 1955, 7, № 3, 14—15 (польск.)

Предлагается производить операцию зябления сельди на море сразу после улова, т. е. во время предварительного посола и вырабатывать три вида сельди: цельную, зябленную и обезглавленную. Учитывая



трудоемкость операции зябления, основным продуктом должна быть цельная сельдь, подвергаемая посолу на море, а укупорке в бочки — на суше. Второй вид продукции представлял бы зябленную малосоленную сельдь, подвергаемая как зяблению, так и засолу на море. Сырьем для нее должна служить только молодая сельдь, до нереста. Третьим видом будет сельдь соленая обезглавленная. Рекомендуется удалить голову у соленой сельди на суше.

Л. Ш.  
27657. Влияние температуры и дозы соли на продолжительность созревания каспийской кильки пряного засола. Черногогорцев А. П., Рыб. х-во, 1953, № 9, 54—58

Исследованы 5 партий баночной кильки пряного посола, приготовленной из дефростированной свежемороженой каспийской кильки при дозировках соли 10, 14,5 и 27% от веса рыбы; созревание происходило при 3—5° и 20—22°. В процессе созревания кильки периодически определялся общий N, небелковый N и органолептические показатели. Установлено, что повышение т-ры значительно ускоряет образование небелкового N и сокращает длительность созревания. Килька с содержанием 14,5% соли созрела при 3—5° на 45-е сутки и содержала 50% остаточного N; при 20—22° созрела через 15 суток, удовлетворяя требованиям высшего сорта, и содержала 44—45% остаточного N. В крепкосолёной кильке проявляются не все признаки, типичные для созревшего продукта. Увеличение остаточного N в мясе кильки идет параллельно с исчезновением вкуса сырой рыбы. Продолжительность созревания кильки с соленостью 12,5—13% при 20—22° по сравнению с созреванием при 3—5° сокращается примерно 2,5 раза. Соотношение остаточного и общего N в тузлуке созревающей кильки не характеризует степени созревания продукта. Рекомендуется двухступенчатый температурный режим созревания каспийской кильки пряного посола: 1) выдержка кильки с соленостью 8—14% при т-ре от +2 до -2° в течение 3 суток, 2) с соленостью 12—14% при 15—20° — 15 суток; с соленостью 10—12% при 10—15° — 20 суток, с соленостью 8—10% — до 25 суток. Дальнейшее хранение при +2, —2°. Показателем окончательного созревания и готовности кильки служит содержание в ее мясе остаточного N в кол-ве не менее 45% от общего N.

В. К.  
27658. Определение изменения качества мяса рыбы при хранении. Зелер (Der Ablauf des Qualitätsabfalles von eingeeistern Frischfleisch durch die Lagerung und sein Nachweis. Seeler Theodor), Dtsch. Lebensmitt.-Rundschau, 1954, 50, № 7, 172—173 (нем.)

Предлагается метод определения свежести мяса рыбы по количеству N летучих оснований. Этот показатель охватывает не только изменения микробиологического, но и ферментативного характера. Рекомендуется отбирать пробы от пригововка или филе рыбы. Определение производится путем отгонки летучих оснований из измельченной пробы мяса рыбы с водяным паром при добавлении MgO в приемник с H<sub>2</sub>SO<sub>4</sub>. Установлено, что с увеличением срока хранения рыбы кол-во N летучих оснований возрастает параллельно с ростом бактериальных поражений и с органолептическими изменениями качества рыбы.

А. П.  
27659. Применение раствора Нейзала для определения жира в подслащенных молочных продуктах, шоколаде и какао с использованием специальных бутерометров. Демон (Extension de l'emploi de la liqueur Neusal au dosage de la matière grasse de produits au lait sucrés, du chocolat et du cacao dans d'autres butyromètres que celui à lait. Démon Paul), Mitt. Gebiete Lebensmitteluntersuch. und Hyg., 1954, 45, № 2, 104—108 (франц.; рез. нем., англ.)

Для определения жира в подслащенных молочных продуктах с использованием реактива Нейзала пригоден только бутерометр Гербер ван Гулика и новый бутерометр Гербер. Первый обычно используют для определения жира в сырах, второй — в сливочном мороженом. Для анализа берут 9,7 мл молока или 2,65 г твердых продуктов. Бутерометр Гербер ван Гулика дает хорошие результаты, если содержание жира не превышает 40%. Точность определения 0,25%. С помощью нового бутерометра Гербер определяют до 20% жира с точностью до 0,20%. Реактив Нейзала готовят растворением при слабом нагревании 100 г трехзамещенного цитрата Na и 100 г салицилата Na в 480 мл воды. К р-ру добавляют 172 мл изобутилового спирта и 750 мл воды с добавкой 0,1—0,2 г метилблэу. Общий объем р-ра составляет 1500 мл. Приводится метод определения жира в порошкообразных и жидких продуктах с применением реактива Нейзала.

Н. П.  
27660. Контроль загрязненности молока в провинции Сиена. Де Гори, Фьоре (Il controllo sudciometrico del latte in provincia di Siena. De Gori R., Fiore L.), Boll. Lab. chim. provinc., 1954, 5, № 2—3, 61—63 (итал.)

27661. Промышленное использование молока. Пачи (Le utilizzazioni industriali del latte. Paci Corrado), Humus, 1954, 10, № 6, 15—18 (итал.)

Обзор развития и современного состояния молочной промышленности в Италии.

А. Я.  
27662. Пастеризация рыночного молока. Пайала (Kulutusmaidon pastöroinnista. Pajala Kauko K.), Karjantuote, 1954, 37, № 8, 233—236 (фин.)

27663. Молоко как пищевой продукт. Влияние приготовления на физиологическую ценность молока. Риттер (Die Milch als Nahrungsmittel. Der Einfluss der Zubereitung auf den physiologischen Wert der Milch. Ritter W.), Schweiz. Milchzeitung. Wiss. Beilage, 1954, 80, № 19, 145—151 (нем.)

Обзор исследований по вопросам влияния света, материала посуды, нагревания и гомогенизации на физиологическую ценность молока.

Е. Ж.  
27664. Новый молочный завод в Мордене. — (A new dairy at Morden.), Food, 1955, 24, № 285, 197—202 (англ.)

Кратко описывается одно из крупнейших современных предприятий по выпуску бутылочного молока, производительностью 454 т молока в сутки. Особенности за-да: приемка молока в железнодорожных и автомобильных цистернах, применение молокохранильных танков с воздушным перемешиванием, автоматизированных холодильных установок и оборудования для пастеризации, мойки бутылок и розлива в них молока, широкое использование трубопроводов из нержавеющей стали и стеклянных. На за-де имеется отдельная линия оборудования для произ-ва гарантированного молока.

В. С.  
27665. Опыты обогащения молока витамином D<sub>2</sub>. Канчук Ш. Ф., Тр. Всес. н.-и. витамин. ин-та, 1954, 5, 191—193

Рекомендуется следующий способ обогащения молока витамином D<sub>2</sub>: спиртовой концентрат витамина смешивают с водой в соотношении 1:100; водно-спиртовая эмульсия, содержащая в 1 мл 2000 м. е., затем смешивается с молоком. Новый способ витаминизации молока не требует сложного оборудования и может быть применен в любых детских учреждениях (молочных кухнях, яслях, детских садах, больницах и т. д.).

Н. Б.  
27666. Содержание бактерий и образование энтеротоксина в пищевом продукте, искусственно зараженном стафилококками. Гастальди (Carica batterica e produzione di enterotossina in un alimento

artificialmente inquinato con stafilococchi enterotossici. Gastaldi Gostanzo, Riv. ital. igiene, 1954, 14, № 11—12, 616—623 (итал.; рез. англ.)

Исследовалось образование энтеротоксина в связи с кол-вом стафилококков в искусственно зараженных сливках. В условиях опыта (термостатирование сливок при 22° в течение 60 дней) установлено, что энтеротоксин появляется в последнюю стадию роста культуры, когда кол-во стафилококков превысило 0,5 млрд. в 1 мл сливок. J. П.

27667. Новый способ мгновенной стерилизации молока. Пеннизи (Un nuovo metodo per il risanamento del latte l'uperizzazione. Pennisi Arturo), Tecn. agric., 1954, 6, № 11—12, 361—365 (итал.)

Технологическая схема и описание нового способа стерилизации молока, разработанного в Швейцарии. Способ основан на дегазификации и дезодорации молока, предварительном, сравнительно быстром его нагреве до 80—90° и стерилизации в течение 0,7 сек. при 150°. Исключены металлич. стенки аппаратов в качестве теплопередатчиков, нагрев ведется открытым очнщ. паром под давл. 10—13 ат, после чего через редукционный клапан молоко поступает в сосуд, где при давл. в 1 ат или менее происходит частичная дистилляция пара. Высокая т-ра ведет к полной стерилизации, в то же время кратковременная выдержка почти не действует на ценные компоненты молока, в частности на витамины, а дегазификация и полное отсутствие контакта с воздухом улучшают его запах и вкус и делают его более пригодным к длительному хранению, в особенности в условиях хранения в жаркое время года. А. Я.

27668. Свойства сухого молока в зависимости от условий сушки. Клаузен (Eigenschaften von Trockenmilch in Abhängigkeit von den Trocknungsbedingungen. Clausen P. D.), Fette und Seifen, 1955, 57, № 4, 253—256 (нем.)

Рассматриваются воздействия, которым подвергается сухое цельное и обезжиренное молоко в зависимости от способа сушки. Отмечается важность соблюдения степени подсуживания, толщины слоя молока при вальцевой сушке, размера капель молока при распылительной сушке, т-ры и продолжительности ее воздействия на молоко. Относительная влажность воздуха сушильного помещения и обработка молока после сушки вызывают более глубокие изменения, чем сам процесс сушки. При соблюдении установленных режимов сушки получается продукт, который при восстановлении сохраняет свойства сырого молока. Е. Ж.

27669. К вопросу об определении содержания влаги в сухом молоке. Куметат (Zur Frage der Wassergehalts-Bestimmung von Trockenmilch. Kumat K.), Milchwissenschaft, 1955, 10, № 8, 274 (нем.)

Обсуждается возможность применения метода К. Фипера для определения влаги в сухом молоке вообще, и, в частности, для быстрорастворимого сухого молока. Е. Ж.

27670. Использование сухого молока. Сейдман (Powdered milk goes modern. Seidman Lila), Amer. Milk. Rev., 1955, 17, № 2, 42—44 (англ.)

Приводятся рецепты применения сухого молока. Н. Б.

27671. Мороженое. Брошю (La crème glacée. Brochu Edouard), Agriculture (Québec), 1954, 11, № 6, 23—24 (франц.)

Приводятся экономич. данные с кратким историч. обзором произ-ва мороженого в Канаде, ассортимент мороженого, способ приготовления и данные о пищевой ценности. Б. З.

27672. Оборудование для пастеризации смеси для мороженого (Ice cream pasteurizing equipment. Krupots), Dairy Inds, 1954, 19, № 4, 332 (англ.)

Отмечается отставание развития в Англии оборудования для пастеризации смеси для мороженого от развития других видов машин и аппаратов для цехов и ф-к мороженого и для аппаратных цехов городских молочных з-дов. Рассматриваются особенности непрерывной кратковременной пастеризации, широко используемой для обеззараживания цельного молока и перспективы применения ее в процессе произ-ва мороженого. Н. Б.

27673. Рациональная схема пастеризации обезжиренного молока на маслодельных заводах. Лайонс, О'Шей, Лайонс (A suitable method of pasteurising separated milk at creameries. Lyons J., O'Shea M. J., Lyons S.), Irish Agric. and Creamery Rev., 1954, 18, № 247, 4—7 (англ.)

Приведены схемы установок с пластинчатыми аппаратами для пастеризации обезжиренного молока на маслодельных з-дах. Сливки и обезжиренное молоко пастеризуются раздельно. Имеется тенденция пастеризовать цельное молоко перед сепарированием. По такой схеме построены новые пастеризаторы «Альфа» (Alfa) с вакуум-паровым нагреванием. Н. Б.

27674. Хранение коровьего масла при низких температурах. Черутти (Sulla conservazione del burro alle basse temperature. Cerutti Giuseppe), Ann. sperim. agrar. 1954, 8, № 4, 1169—1171 (итал.; рез. англ.)

Описаны опыты длительного (60—270 дней) хранения различных сортов коровьего масла при т-рах —40° и —25° и результаты анализов до и после хранения. Установлено, что хранение при указанных т-рах не вызывает изменения органолептич. и физ.-хим. свойств (кислотность, число Рейхерта-Мейселя, Поленске и показатель преломления). Р-ция Тортелли-Иффе остается отрицательной. А. Я.

27675. Влияние хранения на константы коровьего масла. Черутти (Influenza della conservazione sulle costanti del burro. Cerutti Giuseppe), Ann. sperim. agrar., 1954, 8, № 3, 781—786 (итал.; рез. англ.)

Описаны опыты длительного хранения (90—480 дней) сливочного и подсырного масла, чистого и с примесями, при т-ре —2° и топленого масла при т-ре +15° и результаты анализов до и после хранения. Установлено, что хранение в течение ~1 года при т-ре ~0° сливочного масла вызывает незначительные колебания основных показателей: чисел Рейхерта-Мейселя, Поленске и преломления. Длительное хранение топленого профильтрованного масла при т-ре +15° вызывает небольшие изменения в сторону повышения этих показателей. А. Я.

27676. Определение изовалериановой кислоты в присутствии масляной и капроновой кислот. Антониани, Черутти (Sul riconoscimento dell'acido isovalerianico in presenza di acido butirrico e acido capronico. Antoniani Carlo, Cerutti Giuseppe), Ann. sperim. agrar., 1954, 8, № 3, 801—807 (итал.; рез. англ.)

Описан метод хроматографии на бумаге, определяющий изовалериановую к-ту в коровьем масле с целью установления фальсификации его дельфиним жиром, результаты проверки и подбора р-рителей. Лучшим р-рителем дистилл. аммиачных солей водорастворимых летучих к-т, позволяющим устанавливать примесь дельфиньего жира, начиная с 5%, оказалась смесь равных объемов 95% этилового и изобутилового спирта с добавкой 1% NH<sub>4</sub>OH, d 0,888. Проявителем служит лимонная к-та, растворен-

ная в водн. р-ре бромфенолблау. Приведены хроматограммы. А. Я.

27677. Циркуляционная оросительная мойка выпарных установок и вакуумаппаратов. Боневитц (Spray cleaning of evaporators and vacuum pans. Bonewitz E. L.), Milk Prod. J., 1954, 45, № 26, 64—65 (англ.)

Приведена схема оросительной мойки двухкорпусной выпарной установки без разборки аппаратов и коммуникаций путем циркуляции горячего моющего раствора в системе трубопроводов и его разбрызгивания в пароотделителях. Мощный р-р перекачивается центробежным насосом, проходит через трубчатый подогреватель, затем через выпарные аппараты и возвращается в насос. Мойка без разборки сокращает время, труд и расход моющих средств. Н. Б.

27678. Изменение усредненного коэффициента теплопередачи в зависимости от продолжительности работы вакуум-аппарата. Кристалл З. Б., Бакалдин Н. И., Сб. студ. работ Моск. технол. ин-та мясной и молочной пром-сти, 1955, № 3, 112—114

Проведены в производственных условиях две серии опытов по определению усредненного значения коэфф. теплопередачи (K) для калоризатора вакуум-аппарата системы «Экихиммаш» в зависимости от кол-ва варок молока. Установлено, что усредненное значение K изменяется от 260 до 600 ккал/м<sup>2</sup>час град, что в несколько раз меньше теоретич. значения (1000—1500 ккал/м<sup>2</sup>час град). Величина K зависит от числа варок. При увеличении числа варок от 1 до 8 K уменьшается с 600—640 до 260—370 ккал/м<sup>2</sup>час град. Н. Б.

27679. Чистка молокопроводов без разборки. Флора, Арнолд, Финнеган (Conventional lines cleaned-in-place. Flora C. C., Arnold C. J., Finnegan E. J.), Milk Plant Monthly, 1954, 43, № 1, 21—22, 25—26, 48 (англ.)

Трубопровод 10 мин. ополаскивается водой при 43—46°, затем промывается щел. моющим р-ром (1 ч. щелочи на 60 ч. воды), циркулирующим в течение 30 мин. Далее молокопровод промывается теплой водой. Перед началом работы вся линия 10 мин. промывается горячей водой (82,2°) или 5 мин. хлорным р-ром. Два раза в неделю молокопровод промывается р-ром к-ты, смешиваемой с водой в пропорции 1 : 120. Р-р циркулирует в линии 15 мин. при t-ре 65,6°. Способ может быть применен также для очистки молочных весов, пастеризаторов, молокохранильных танков. Приводятся опытные данные бактериологич. исследований, расхода моющих средств и затрат труда в сравнении с обычным способом мойки оборудования. В. С.

27680. Определение момента свертывания при сычужном свертывании молока. Хостетлер, Штейн, Имхоф (Die Bestimmung des Gerinnungspunktes bei der Labgerinnung der Milch. Hostettler Hermann, Stein Jehuda, Imhof Kurt), Milchwissenschaft, 1955, 10, № 6, 196—205 (нем.; рез. англ., франц., исп.)

Обсуждаются методы определения момента свертывания молока под действием сычужного фермента. На основании вискозиметрич. изучения сычужного свертывания, а также литературных данных и результатов, полученных с помощью электронного микроскопа, момент свертывания казеина рассматривается одновременно как начало фазы свертывания и как конец первичной р-ции. Под первичной р-цией понимается лишь вызванная сычужным ферментом агрегация частиц казеина, предшествующая хим. изменению его. Е. Ж.

27681. Открытие консервирующих средств в сыре плавленом сыре. Майр-Вальдбург,

Штурм (Zum Nachweis von Konservierungsmitteln in Käse und Schmelzkäse. Mair-Waldburg H., Sturm W.), Z. Lebensmittel-Untersuch. und Forsch., 1955, 100, № 1, 51—54 (нем.)

Разработаны методы определения консервирующих в-в в натуральном сыре и плавленом сыре. Присутствие окислительных в-в (броматов или бромидов, перекиси водорода и ее производных) определялось непосредственно в сыре. Гексаметилентетрамин устанавливался по наличию формальдегида в дистиллате при обработке сыра паром. Другие органич. консервирующие в-ва — салициловая, параоксибензойная и ее производные, бензойная и параклорбензойная к-ты определялись в экстракте сыра толуолом. Е. Ж.

27682. Загрязненность сыров. Пелтола, Сеппеля (Juuston likipitoisuus. Peltola Erkki, Seppälä Esko), Karjantuote, 1954, 37, № 10, 283—288 (фин.)

Дается характеристика отдельным методом определения загрязненности сыров. В качестве р-рителя сыров применяют 10—15%-ный р-р цитрата Na, 1%-ный р-р H<sub>2</sub>PO<sub>4</sub> и 1 н. HCl, а также смесь цитрата Na, HCl и NH<sub>4</sub>OH. Пытались также растворить сыр с помощью фосфата Na, бикарбоната Na, ферментов, панкреатина и пепсина. Классификация загрязнений: волокна тканей; шерсть домашних животных и волосы; шерсть грызунов; части растений; прочие загрязнения. Сыр по чистоте делат на 3 класса: чистый, относительно чистый, грязный. Из исследованных канадских чеддар-сыров в 1943 г. 1-го класса совершенно не было, 2-го класса — 35,7%, в 1947 г. 1-го — 3,9%, 2-го — 42,5%. Финляндские эмментальский и эдем сыры оказались первого класса. М. Т.

27683. Разделение трифенилметановых пищевых красителей хроматографическим путем на колонке. Мак-Кьюэн, Томсон (A separation of the triphenylmethane food colors by column chromatography. McKee o'w'n G. G., Thomson J. L.), J. Assoc. Offic., Agric. Chemists, 1954, 37, № 3, 917—920 (англ.)

В Канаде и США разрешено применять пять пищевых красителей типа трифенилметана: бриллиантовый синий FCF (I), светлозеленый SF Ж. (II), прочный зеленый FCF (III), гвинейский зеленый B (IV), фиолетовый бензиловый 4B (V). Авторы хроматографировали их на колонке с Al<sub>2</sub>O<sub>3</sub>. Водн. р-ры красителей подкисляли уксусной к-той (до 0,1 н.) и пропускали через колонку, промывали ее водой, а затем 1—3%-ным р-ром пиридина (2—3 мл/мин). При этом IV и II обесцвечивались, III становился темносиним, а I и V не менялись. После промывания водой (100 мл), через колонку пропустили ~ 100 мл р-ра уксусной к-ты (1+100) для восстановления цвета красителей. Изучено поведение отдельных красителей. При хроматографировании смеси, содержащей 0,5 мг каждого красителя (350 мл 1,5% р-ра пиридина), они располагались на колонке в следующем порядке: III (20—28 мм), II (22—34 мм), V (36—50 мм), IV (55—75 мм), I (56—72 мм). Бинарные смеси были исследованы с 1%-ным р-ром пиридина. Все пары, кроме II и III, IV и I, показали хорошее разделение. Описано количественное разделение смесей I и II, I и III с последующим спектрофотометрированием. Г. Н.

27684 Д. Особенности хранения яблок Молдавии. Фрайман И. А. Автореф. дисс. канд. техн. н., Тбилис. гос. ун-т, Тбилиси, 1954

27685 Д. Некоторые особенности электромеханической обработки плодов и овощей. Грудников Г. Л. Автореф. дисс. канд. техн. н., Моск. технол. ин-т пищевой пром-сти, Одесса, 1954

27686 Д. Оптимальные расстояния между тарелками в молочных сепараторах. Липатов Н. И.



Автореф. дисс. канд. техн. наук, Моск. технол. ин-т мясной и молочной пром-сти, М., 1954

27687 Д. Качество сыра в зависимости от скормливания коровам различных культур зеленого конвейера. Оганян В. И. Автореф. дисс. канд. с.-х. н., Моск. с.-х. акад. им. К. А. Тимирязева, М., 1955

27688 Н. Насосные установки для транспортировки жидких пищевых и других продуктов. Берделле-Хильге (Pumping units especially for conveying liquid foods and luxuries. Berdelle—Hilge P.h). Англ. пат. 710283, 9.06.54 [Food Manufacture, 1954, 29, № 9, 379 (англ.)]

Установка состоит из центробежного насоса и электромотора, установленного на общем валу с насосом. Посредством переключателя всасывающий и нагнетательный трубопроводы могут попеременно сообщаться с входным и выходным отверстиями в корпусе насоса без значительной остановки подачи жидкости. Между двумя насосными установками может быть помещен вращающийся клапан для контроля или регулировки переключения. Установки подобной конструкции позволяют осуществлять любые желательные сообщения в системе транспортирующих жидкость трубопроводов и производить попеременную подачу жидкости в том или другом направлении.

Н. К.  
27689 П. Метод производства кукурузной муки. Диес-де-Сольяно, Берриосабаль (Method of producing corn tortilla flour. Diez de Sollano Carlos S. F., Berriozabal Maria) [Process Millers, Inc.]. Пат. США 2704257, 15.03.55

Кукурузные зерна вымачивают в водн. р-ре  $\text{Ca}(\text{OH})_2$  с pH 11,5—14 при  $t$ -ре  $\sim 78^\circ \sim 1$  часа. Затем одновременно высушивают зерна горячими газами при  $t$ -ре  $> 180^\circ$  и измельчают кукурузные зерна в муку. Сушку производят до  $\sim 10\%$ -ого содержания воды в муке таким образом, чтобы  $t$ -ра муки была  $\leq 68^\circ$ . При обработке кукурузных зерен горячими газами уничтожаются бактерии и грибки и инактивируются ферменты, вызывающие прогоркание.

В. Н.  
27690 П. Состав и метод для улучшения качества муки. Пенн (Flour improving composition and method. Penn Frederic H.), Канад. пат. 496066, 15.09.53

Состав для отбелики муки состоит из порошкообразной смеси органич. перекиси, обладающей отбеливающими свойствами по отношению к муке, напр. перекиси бензоила, безводного углекислого магния и солей щел. металлов, содержащих от 2 до 10 молей кристаллизационной воды на 1 моль соли, напр., пирофосфата или сульфата натрия с 10 молекулами кристаллизационной воды. Кол-во отбеливающего агента должно быть достаточно для получения нужного эффекта, а кол-во солей (пирофосфата или сульфата) должно быть достаточно для предохранения отбеливающего агента от воспламенения.

Б. Г.  
27691 П. Устройство для вентилирования насыпных продуктов, в частности сахарной свеклы, картофеля и т. п. Грольмиш, Венер (Vorrichtung zum Belüften von Schüttgut, insbesondere landwirtschaftlichen Produkten, wie Zuckerrüben, Kartoffeln. Grollmisch Hermann, Wehner Hermann) [«Elfa» Apparate-Vertriebs-G. m. b. H.]. Пат. ФРГ 926540, 18.04.55 [Z. Zuckerind., 1955, 5, № 5, 252 (нем.)]

Устройство отличается тем, что вентиляция производится при помощи клапанов, которые под давлением насыпанного материала автоматически открываются, а при прекращении давления снова закрываются. Вентиляционные клапаны скреплены с покрывающим вентилятором, который смонтирован на нажимной

пружине и под действием определенного веса насыпанного материала преодолевает давление пружины и открывает клапан. Вышеуказанные клапаны передвигаются вместе с тарельчатым днищем, что предохраняет от попадания грязи внутрь вентиля. В тех случаях, когда имеющаяся оросительная коммуникация используется в качестве вентиляционной, за выпускным клапаном помещается поплавок, который при поступлении воды закрывает выпускной клапан для воздуха. Для тех случаев, когда оросительный штуцер служит также в качестве вентиляционного, у запирающего оросительного шибера проложена обходная коммуникация, в которой смонтированы один за другим клапаны для выпуска воздуха и поплавковый клапан.

Л. Ш.  
27692 П. Препарат для хлебопечения. Йергенсен (Procédé pour la fabrication de pain. Jørgensen Holger) [Aktieselskabet Dansk Galings-Industri]. Швед. пат. 290873, 17.08.53 [Chem. Zbl., 1954, 125, № 25, 5650 (нем.)]

Для улучшения процесса брожения замешенного на дрожжах теста, к нему, или в муку, добавляется особый мальтазный препарат в сухом или в растворенном виде.

А. У.  
27693 П. Продукт для сохранения картофеля. Готте, Ментцер (Produit pour la conservation des pommes de terre. Gautheret R. J., Mentzer C.). Франц. пат. 1050296, 6.01.54 [Chem. Zbl., 1955, 126, № 10, 2326 (нем.)]

Для предупреждения прорастания картофеля во время хранения его опудривают порошком, в котором носителем является мел, каолин, инфузорная земля и др., а в качестве действующего в-ва изопропилфенилтиокарбамат. Доза 2 г на 1 кг картофеля.

Б. З.  
27694 П. Колбаса. Лам (Sausage. Lam M. W.). Англ. пат. 700219, 25.11.52 [Food, 1954, 23, № 268, 37 (англ.)]

Полиэтиленовая оболочка для колбас изготавливается из тонкой пленки полиэтилена с мол. в. 7 000—19 000. При варке, жарении или тушении колбасы оболочка полностью разлагается без образования запаха; колбасный фарш остается в затвердевшем состоянии. Видимых остатков оболочки на фарше не сохраняется, а возможные следы ее безвредны. Шпиритовые оболочки фаршем производятся обычным образом.

А. П.  
27695 П. Оболочка для колбас и способ ее изготовления (Tekosoli ja sen valmistustapa) [Wolff und Co. Kommandit-Ges. auf Aktien]. Фин. пат. 27411, 10.12.54

Оболочка для колбас изготавливается из альгиновой к-ты или из нерастворимых в воде ее солей.

М. Т.  
27696 П. Аппарат для измельчения мяса в консервных банках. Элдред (Apparatus for cutting meat in tins. Eldred H. R.) [Norman and Eldred, Ltd]. Англ. пат. 717608, 27.10.54 [Food Manufacture, 1954, 29, № 12, 505 (англ.)]

Патентуется аппарат для измельчения мяса в консервных банках, состоящий из вращающегося стола, на котором имеется приспособление для закрепления консервной банки цилиндрич. формы, открытой с одного конца и наполненной колбасным мясом, и приспособления для измельчения мяса в банке по длине требуемого сечения. Возвратно-поступательное движение измельчающих ножей обеспечивается эксцентрич. установкой вращающегося вала. Имеется приспособление, которое в контакте с механизмом, закрепляющим банку, облегчает удаление ножей из банки без нарушения содержимого. После измельчения мяса банка автоматически подается на конвейер. Вращающийся стол обеспечивает подачу следующей банки для

измельчения мяса. Последовательность операций во времени контролируется автоматически. А. П.

См. также: 26014, 26020, 26055, 9165Бх, 9167—9169Бх, 9171Бх, 9195Бх, 9198—9200Бх

## КОЖА. МЕХ. ЖЕЛАТИНА. ДУБИТЕЛИ. ТЕХНИЧЕСКИЕ БЕЛКИ

27697. Обзор исследований в кожевенной промышленности. Тьюо (La recherche dans les industries du cuir. Thuau Urbain—J.), Rev. techn. inds. cuir, 1955, 47, № 4, 71—75 (франц.)

27698. Действие больших ионов на коллаген и желатину. Панкхерст (The action of large ions on collagen and gelatin. Pankhurst K. G. A.), J. Soc. Leather Trades Chemists, 1953, 37, № 10, 312—320 (англ.)

Приводятся соображения о возможности использования поверхностноактивных в-в в процессах кожевеного произ-ва. Е. Л.

27699. Белок лицевого слоя шкур крупного рогатого скота. Хувер, Вайолэ, Корн, Меллон (Protein of the grain membrane of cattle hide. Hoover Sam R., Viola Samuel J., Korn Alfred H., Mellon Edward F.), Science, 1955, 121, № 3149, 672—673 (англ.)

Обзор работ по вопросу о строении лицевого слоя (мембраны) шкур крупного рогатого скота. Делается вывод о том, что изолированная мембрана лицевого слоя по своему составу очень близка к эластину. Библ. 7 назв. Н. Э.

27700. Исследование солевых пятен. Кюнцель, Штирц (Untersuchungen an Salzflecken. Künzel A., Stirtz T.), Leder, 1954, 5, № 5, 97—109 (нем.; рез. франц., англ., исп.)

Химически и микроскопически были изучены солевые пятна на мокросолевых шкурах оленя и крупного рогатого скота. Установлено, что солевые пятна образуются не только на лицевой и бахтармянной сторонах, но и во внутренних слоях дермы. На основе изучения пятен, находящихся во внутренних слоях дермы, делается заключение о неправильности распространенного мнения, что солевые пятна образуются в результате жизнедеятельности бактерий. Высказывается предположение, что солевые пятна на мокросолевых шкурах являются следствием посмертного автолитич. распада остатков крови и других неколлагеновых белков шкуры, причем продукты распада образуют с соединениями Са и Mg, находящимися в соли, осадки, характерные для солевых пятен. Для предупреждения появления солевых пятен рекомендуется консервирование производить возможно скорее после снятия шкуры и вводить в соль для консервирования в-ва, образующие нерастворимые соединения со щел.-зем. металлами, напр. полифосфаты. Введение карбоната или бикарбоната натрия преследует ту же цель. Н. Э.

27701. Исследования по консервированию шкур мокросолением. Контио (Vuotien suolaustutkimuksia vuosina 1952... 1953. Kontio Pekka), Valtion tekn. tutkimuslaitos, 1955, 138, 23 (фин.; рез. англ.)

Исследования по консервированию и хранению шкур были проведены в государственном техн. исследовательском учреждении в Финляндии в 1952—1953 гг. Предварительная промывка шкур в течение 30 мин. в проточной воде и последующее тузлукование их в течение 3 суток дает шкуру и кожу лучшего качества, чем засыпка шкур чистой морской солью. При хранении во влажных условиях получен больший весовой

выход, чем в более сухом хранилище, но качество кожи в последнем случае было лучше. Промывка шкур и тузлукование их улучшило качество хромовой кожи. Обработка шкур грязной использованной солью вызывает после 3—5 месяцев хранения появление в золотом голые пороков в виде цветных пятен, которые в основном исчезают при хромовом дублении. В течение 3—5 месяцев шкуры высушили больше в подземном хранилище, чем в надземном. М. Т.

27702. Опыты по консервированию суданских овечьих и козых шкур. Ферлонг, Нью (Curing trials with sudan sheep and goat skins. Furlong J. R., Knew E.), Colon. Plant and Animal Prod., 1954, 4, № 1, 29—35 (англ.)

Изучалось влияние сорта соли, метода засолки и сушки в тени и на солнце овечьих и козых шкур при их консервировании в условиях Судана. Установлено, что сорт соли и метод засолки не имеют существенного значения. Во время сушки и хранения кожи, консервированные солью, портятся. Очень хорошие результаты получают, если кожи после засолки вместо сушки пикелируют. Удовлетворительные результаты получают при сушке шкур в тени в любое время года. Сушка на солнце в жаркое время года плохо отражается на качестве кожи. В холодное время года, если т-ра не слишком высока, можно сушить шкуры на солнце. И. Э.

27703. Новый способ дезинфекции ящурного кожевеного сырья. Лучин И. И., Кузьмина Н. И., Легкая пром-сть, 1955, № 5, 39—40

Описывается метод дезинфекции ящурного кожевеного сырья сухим посолом с применением смеси поваренной соли и кремнефтористого натрия. И. Э.

27704. Роль лантанина в процессе иммунизации при обезволаживании. Шоу, Лоллар (The role of lanthanine in the unhairing immunization phenomena. Shaw Wilfred G., Lollar Robert M.), J. Amer. Leather Chemists Assoc., 1954, 49, № 4, 291—299; Shoe and Leather Reporter, 1954, 274, № 7, 13—20 (англ.)

Предварительная обработка шкур известью ослабляет ускоряющее действие сульфидов при обезволаживании. Это явление названо «иммунизацией» (И). Предполагалось, что И объясняется образованием в процессе обезволаживания под действием разб. щелочей лантанина. При этом дисульфидная связь R—S—S—R переходит в тиоэфирную R—S—R, более стойкую по отношению к щелочам. Для объяснения механизма обезволаживания исследовалась возможность образования лантанина в этом процессе и связь его с И. Образцы подвергались действию одной известки, извести с последующей обработкой сульфидом и сульфида различных конц-ий (0,1—1%) вместе с известью. Лантанин выделялся обработкой щелочами и определялся количественно. Наличие лантанина как в образцах, обработанных одной известью, так и в образцах, обработанных известью с сульфидом, показывает, что это соединение не является причиной И. Последняя, возможно, объясняется образованием при проникновении извести со стороны бахтармы более стойкого по отношению к ускорителям протенината кальция. При одновременной обработке известью и сульфидом натрия растворимость извести понижается, что затрудняет образование протенината и облегчает проникновение обезволаживающей жидкости в ткань. При этом белковые молекулы, содержащие небольшое кол-во сульфидных мостиков, разрушаются и волос и эпидермис отделяются от дермы. Е. Л.

27705. Микрофотографическое исследование кожи. Дас, Митра (Photomicrographic study of leather. Das B. M., Mitra S. K.), J. Scient. and Industr. Res., 1954, 13, № 7, 517—520 (англ.)

Методом микрофотографирования изучено влияние отмок, зольения и мягчения на волокнистое строение голя. Исходным сырьем во всех опытах служила сухая козлиная. Показано значение подготовительных операций кожевенного произ-ва для получения желаемых свойств кожи.

**27706.** Изучение красителей, применяемых для крашения кожи. Касноча (Investigation of colors and dyes used in process of leather coloring. Casnocha Joseph A.), Leather and Shoes, 1954, 127, № 19, 17, 23 (англ.)

**27707.** Пигменты в покрывных красках для кожи. Метлицкая Р. А., Зайдес А. Л., Легкая пром-сть, 1955, № 1, 31—34

Были изучены железосодержащие пигменты различных видов, применяемые для покрывного крашения кож. В исследуемых образцах определяли хим. состав, кроющую способность, цвет и структуру. Последнюю изучали рентгеновским и электронно-микроскопич. методами. Содержание  $Fe_2O_3$  и рентгенографич. данные не определяют качества красок. Наибольшее значение для качества красок имеют размер и однородность частиц. При малых размерах частиц и их однородности пленка получается ровной, гладкой, блестящей и более прочной к трению. Размер частиц и их однородность хорошо определяются при помощи электронного микроскопа.

**27708.** Роль химии в отделке кожи. Шиндлер (Die Rolle der Chemie in der Lederzuzurichtung. Schindler K.), Chem. Rundschau, 1955, 8, № 4, 56—59 (нем.)

Дан обзор хим. процессов отделки кожи (жирования, крашения, ашпретирования, импрегнирования). Приведена характеристика применяемых материалов и практического проведения производственных процессов.

**27709.** Устойчивость белой кожи к разрушению под действием пота. Родди, Лоллар (Resistance of white leather to breakdown by perspiration. Roddy William T., Lollar Robert M.), J. Amer. Leather Chemists' Assoc., 1955, 50, № 4, 180—192 (англ.)

Под влиянием пота белая кожа в обуви изменяет окраску и приобретает ломкость. Показано, что в наиболее поврежденных потом местах кожи трипси извлекает 26—28% коллагена; в носочной обуви, не имеющей видимых признаков повреждения, ~10%, в исходной коже коллаген не извлекается. В поврежденных местах содержится больше молочной к-ты и растворимых хромовых солей. Изгибания кожи не влияют заметно на степень ее разрушения. Разрушение начинается в местах, подверженных давлению. Наибольшее разрушающее действие на хромовую кожу оказывают лактат и бутират натрия, меньшее действие оказывает NaCl. Мочевина мало активна. Установлено, что пот разрушающе действует на хромовую кожу благодаря присутствию в нем оксикислот. Поэтому рекомендуется испытывать кожу на устойчивость к действию пота обработкой ее искусств. потом с добавкой 5% лактата натрия и выдерживанием образцов в течение 2 дней при 100% относительной влажности и 70°. Разные кожи после такой обработки имеют различную прочность к излому, что может служить характеристикой их устойчивости к действию пота.

**27710.** Влагомеры для кожевенного производства. Галин А. И., Галин М. А., Легкая пром-сть, 1954, № 7, 21—24

Описана конструкция и применение в кожевенной пром-сти электровлагомера, основанного на применении ВЧ-тока и дающего точность определения до 1%. Датчик сконструирован таким образом, что влияние различной толщины кожи на показания влагомера компенсируется изменением площади контакта.

Описан также влагомер конструкции А. И. Галина, основанный на изменении омич. сопротивления кожи различной влажности (от 35 до 80%), с точностью измерения в пределах 1%.

**27711.** Определение адгезионной способности красочной пленки. Пилевский Г. Л., Легкая пром-сть, 1955, № 5, 37—39

Описывается метод испытания прочности нитроакрилового, акрилового и нитроцеллюлозного покрытий на хромовой коже. Испытуемый образец кожи склеивается с нитроцеллюлозной пленкой при помощи клея БФ-4. При помощи динамометра определяют усилие, необходимое для отрыва покрывной пленки. Фиксируют миним. и максим. значения адгезии пленки в сухом и мокром состоянии.

**27712.** Контроль рабочих растворов нитроэмали для кожи. Пилевский Г. Л., Легкая пром-сть, 1955, № 7, 49—50

Из предназначенных для контроля р-ров нитроэмали готовят пленки путем последовательного равномерного нанесения слоев на поверхность стекла с промежуточной их сушкой до образования пленки заданной толщины. Подсушенную пленку снимают со стекла, окончательно досушивают и подвергают механич. испытаниям.

**27713.** Объединение исследований в области кожевенного и обувного производства. Вудрофф (The integration of leather and shoe research. Woodroffe F. W.), Leather World, 1955, 47, № 35, 683—685 (англ.)

Обзор работ Ново-Зеландского кожевенно-обувного ин-та по изучению свойств кожи, связанных с поведением ее в технологич. процессе пошивки обуви и ее эксплуатации в носке.

**27714.** Приборы для определения эксплуатационных свойств кожи. Вагнер (Appareils de controle pour l'estimation de la valeur d'usage du cuir. Wagner Joseph), Rev. techn. inds cuir, 1955, 47, № 7, 143—147 (франц.)

Обзор по вопросу о требованиях, предъявляемых к приборам и аппаратам для физико-механич. испытаний кожи.

**27715.** Определение проницаемости кож. Стратта (Mesure de la perméabilité des cuirs. Stratta Reiner), Rev. techn. inds cuir, 1955, 47, № 2, 29—31 (франц.)

Описывается прибор и метод определения воздухо- и водонепроницаемости кож в динамич. условиях. Определение производится при остаточном давл. 0,1 атм и при изгибании образцов (при частоте 60 изгибов в 1 мин.). Приводятся сравнительные результаты определения проницаемости нежированной кожи растительного дубления с толщиной 4,5 мм и кожи хромового дубления с толщиной 3 мм (содержание жира 5%). В динамич. условиях у растительной кожи водо- и воздухопроницаемость выше, у хромовой кожи воздухопроницаемость выше, а водонепроницаемость ниже, чем при испытании в статич. условиях.

**27716.** Пористые резиновые материалы в качестве подошвы. V. Сообщение об основных свойствах кожи. Грасман, Цешиц, Штадлер (Porenhaltige Gummimaterialien als Sohlenwerkstoff. V. Mitteilung über grundsätzliche Werkstoffeigenschaften des Leders. Graßmann W., Zeschitz E., Stadler P.), Leder, 1954, 5, № 8, 183—186 (нем.; рез. англ., франц., исп.)

Описываются результаты сравнительного изучения свойств кожи и «пористых» видов резин, применяемых в качестве заменителей кожи. Поры в пористых резинах изолированы друг от друга, в то время как в коже они соединяются между собой. Поэтому пори-



стые резины не пропускают воду и воздух, а кожа при достаточной водонепроницаемости пропускает воздух и водяные пары. Кожа в отличие от каучукоподобных ее заменителей, включая и пористые резины, обладает способностью обратимо связывать водяные пары, что является важным положительным свойством кожи в санитарно-гигиенич. отношении. IV сообщение см РЖХим, 1955, 44958. И. Э.

27717. Культура тарана в северных условиях. Якимов П. А., Куршакова Г. В., Власова А. Г., Легкая пром-сть, 1954, № 12, 42—45. Описываются работы по культивированию тарана дубильного (*Polygonum coriaria* grig) в Ленинградской области. В первый год в корнях тарана накапливается в среднем 16—18% дубильных в-в. В стадии цветения в двухлетних корнях содержание дубильных в-в достигает 30% при доброкачественности (ДК) 65%, а в трехлетних, соответственно, 40 и 70%. Ко времени уборки урожая содержание дубильных в-в снижается в среднем до 20—22% при ДК 50—60%, что объясняется накоплением в корнях в-в нетанинного характера. Наиболее целесообразным временем уборки корней в условиях Ленинградской области следует считать вторую половину сентября. Испытание кожевенно-технологич. свойств экстракта из корней тарана показало, что танинды, выращенного на севере тарана, особенно пригодны для дубления тяжелых кож. При совместном применении таниндов тарана с еловыми дубящими свойствами последних значительно улучшаются. Работа показала целесообразность освоения промышленной культуры тарана в северо-западной полосе СССР. И. Э.

27718. Новый способ облагораживания растительных дубильных экстрактов. Зюссер, Александреску (O nouă cale de inobilare a tananților vegetali indigeni. Süsser A., Alexandrescu G.), Rev. chim., 1955, 6, № 5, 246—248 (рум.; рез. русс.)

Для облагораживания растительных дубильных экстрактов к ним добавляют полученный авторами синтан «солутан» (I). Приведены результаты сравнительного изучения действия I и синтана (II), получаемого конденсацией β-нафтолсульфокислоты с фенолом. Добавка 10% I обеспечивает полную растворимость дубильных в-в дубового экстракта (4° Бэ), что не достигается даже при добавлении 86% II. При плотности сока 8° Бэ дозировка I должна быть 15%. Колебания pH p-ров от 3 до 5,5 не изменяют действие I. В присутствии I p-р смеси дубового и елового экстрактов, который как правило дает осадок, остается прозрачным и после продолжительного дубления. Г. М.

27719. Причины красной окраски кожи. Предварительное исследование. Хиллис (The precursors of the red colour in leather. Preliminary survey. Hillis W. E.), J. Soc. Leather Trades Chemists, 1954, 38, № 3, 91—102 (англ.)

Некоторые породы эвкалиптовых очень богаты танидами, но использование их в кожевенной пром-сти ограничено их слишком большой вяжущей способностью и тем, что они окрашивают кожу в красный цвет. Последнее объясняется наличием лейкоантоцианов — класса в-в, дающих при нагревании с разб. HCl в спиртовой среде яркочерное окрашивание, объясняющееся образованием антоцианидина. При нагревании дубильных экстрактов с HCl-к-той и пропанолом было найдено следующее кол-во антоцианидинов (в % в пересчете на дельфинидин): кора малетто — 13,1 и 12,1; кора эвкалипта — внутренняя часть 4,0, середина — 10,0, наружная часть — 9,9. Экстракт «Миртан» содержит 5,8% пеларгонидина. Мироватановый экстракт, не окрашивающий кожу в красный цвет, не содержит лейкоантоцианов. Од-

нако еловый экстракт, не окрашивающий кожу в красный цвет, содержит лейкоантоцианины, влияние которых в этом экстракте сказывается на повышенной неустойчивости танида. Е. Л.

27720. Сульфитцеллюлозные экстракты. Петри (Sulphite-cellulose extracts. Petrie Walter), Australas. Leather Trades Rev., 1955, 51, № 612, 9, 11 (англ.)

Краткий обзор по вопросу о применении сульфитцеллюлозных экстрактов в кожевенном произ-ве. И. Э. 27721. Германский стандарт DIN, № 53388. Проект. Испытание искусственных пленок и искусственной кожи. Определение светостойкости. — (Prüfung von Kunststoff-Folien und Kunstleder. Bestimmung der Lichtechtheit. Norm-Entwurf, Juli 1955, DIN 53388.—), Kunststoffe, 1955, 45, № 9, 389—390 (нем.)

27722 К. Химико-аналитический контроль в кожевенном и дубильно-экстрактном производстве. Часть I. М., Гизлегпром, 1955, 320 стр. с илл., 11 р. 80 к.

27723 Д. Изучение процесса окучного крашения кожаной ткани шубной овчины. Сергеева Т. А. Автореф. дисс. канд. техн. н., Моск. технол. ин-т легкой пром-сти, М., 1954

27724 Д. Исследование процесса сушки желатины. Розенталь Е. О. Автореф. дисс. канд. техн. н., Моск. технол. ин-т пищ. пром-сти, М., 1955

27725 Д. Гидрофизация каучука для применения в производстве искусственной кожи. Акимова А. А. Автореф. дисс. канд. техн. н., Моск. технол. ин-т легкой пром-сти, М., 1955

27726 П. Способ дубления. Рекке (Gerbverfahren. Raescke Bernhard) [Henkel and Cie G. m. b. H.]. Пат. ФРГ 904098, 15.02.54 [Chem. Zbl., 1954, 125, № 31, 7103 (нем.)]

Способ дубления состоит в применении: 1) эфиров или амидов α-галоидзамещенных жирных к-т и высокомолекулярных окси- или аминсоединений (I); 2) хлоруксусных эфиров или амидов (II) продуктов типа I, содержащих высокомолекулярные алифатич. группы; 3) продуктов, полученных обработкой II посредством I, содержащих высокомолекулярные насыщ. алифатич. группы; 4) эфиров или амидов высокомолекулярных α-галоидзамещенных жирных к-т и низкомолекулярных II. П р и м е р: кроличье голые, продубленное 0,5% C<sub>2</sub>H<sub>5</sub>O<sub>2</sub>, додублюют в барабане 16% додецилового эфира хлоруксусной к-ты и 3,5% Na<sub>2</sub>CO<sub>3</sub> и продувают через 15 мин. горячим воздухом при 60°. После дубления кожи оставляют лежать 20 дней. Р-ция кожи нейтральная. Затем их обрабатывают 200 ч. воды и 0,5 ч. Na<sub>2</sub>CO<sub>3</sub> при 30° в течение 2 час. и тщательно промывают. После сушки кожу подвергают тяжке. Кожа получается прочная и мягкая. И. Э.

27727 П. Способ дубления с применением борметил-ных производных фенола. Надь (Process of tanning with borated methylol phenols. Nagy Daniel E.) [American Cyanamid Co.]. Пат. США 2701749, 8.02.55

Шкуры, освобожденные от соли, обрабатывают при pH не менее 6,5 водн. p-ром полимеризующегося продукта конденсации, полученного в щел. среде конденсацией фенола с формальдегидом (в молярном соотношении от 1 : 1 до 1 : 2) и с 25% (от веса фенола) буры, с последующим переводом продукта конденсации в нерастворимое состояние внутри шкуры. И. Э.

27728 П. Метод отделки кожевенных товаров. Террай (Procédé de finissage des peausseries et produit en résultant. Terrail E. C. R.). Франц.

пат. 1074434, 5.10.54 [Rev. techn. inds. cuir, 1955, 47, № 6, 141 (франц.)]

Метод отделки кожи состоит в нанесении на нее с лицевой или бахтармянной стороны или с обеих сторон пленки из синтетич. смолы при помощи клея или методом сплавления (сваривания).

И. Э.  
27729 П. Метод улучшения способности кожи к шлифованию (Procédé pour améliorer l'aptitude au ponçage des cuirs) [Farbenfabriken Bayer A.-G.]. Франц. пат. 1093365, 3.05.55 [Rev. techn. inds. cuir, 1955, 47, № 6, 141 (франц.)]

Хромовая кожа после нейтр-ции вносится в 1,5—2-кратный объем воды (все дозировки от строгого веса) при 40°. Во вращающийся барабан вводят 0,5—0,7% жировой эмульсии. Через 10 мин. вводят 0,5% яичного желтка, смешанного с водой (1:5). Вращают 40 мин. и через ось барабана вводят 1—4% колл. суспензии  $\text{SiO}_2$ , полученного пирогенетич. путем или путем осаждения в водн. среде с образованием суспензии (1:10). Дальнейшая отделка производится обычным способом. Кожа получается однородной бархатистости с более или менее коротким ворсом. Жилитость значительно уменьшается.

И. Э.  
27730 П. Получение водорастворимого продукта конденсации (Production of watersoluble condensation products) [Badische Anilin- und Soda-Fabrik]. Англ. пат. 701103, 16.12.53 [Chem. Abstrs, 1954, 48, № 11, 6742 (англ.)]

Продукты, осаждающие альбумин и обладающие дубящими свойствами, получают путем конденсации при повышенной т-ре продуктов присоединения бисульфита к насыщ. алифатич. кетонам или альдегидам с  $\text{CH}_2\text{O}$  и фенолами или их производными, исключая их сульфокислоты, или соответствующими метилольными производными или высоко конденсированными фенолформальдегидными смолами. Пример: 60 ч. ацетона приливают при помешивании и охлаждении в р-р 124,8 ч. порошкообразного бисульфита натрия в 100 ч. воды. Через 10—15 мин. приливают смесь 432 ч. высокоочищ. крезоло, 30 ч. едкого натрия и 50 ч. воды. Смесь нагревают до 60° и при помешивании вводят 420 ч. 30%-ного  $\text{CH}_2\text{O}$ . Нагревают смесь 25 мин. при 90—93°. Когда первоначально мутная смесь становится прозрачной, т-ру снижают до 80° и выдерживают при этой т-ре 2 часа. Добавляют 55 ч. резорцина и смесь нагревают до 96—98°. Эту т-ру поддерживают до тех пор, пока разбавленная водой и подкисленная муравьиной к-той проба будет оставаться прозрачной в течение 8—10 час.

И. Э.  
27731 П. Способ получения водорастворимых продуктов конденсации. Мейстер (Verfahren zur Herstellung von wasserlöslichen Kondensationsprodukten. Meister Martin) [Farbenfabriken Bayer A.-G.]. Пат. ФРГ 916224, 5.08.54 [Chem. Zbl., 1955, 126, № 7, 1657 (нем.)]

Нерастворимые в воде высокомолекулярные продукты конденсации, полученные взаимодействием 2 молей резорцина (или смесей его с другими, предпочтительно, многоатомными фенолами) с 1—1,5 молями  $\alpha$ ,  $\beta$ -ненасыщ. альдегида в присутствии воды, для превращения в водорастворимые полимеры нагревают с солями  $\text{H}_2\text{SO}_4$  с многоатомными фенолами или с солями ароматич. оснований, взятыми в кол-ве  $\leq 1$  моля на все кол-во взятого в р-цию  $\alpha$ ,  $\beta$ -ненасыщ. альдегида. Напр., конденсацией 110 ч. резорцина с 35 ч. акролена в водн. среде в присутствии  $\text{HCl}$  получают нерастворимый в воде продукт, который можно сульфитировать с помощью  $\text{NaHSO}_3$  в водн. среде или обработать резорцином, пирокатехином, пирогаллолом, солянокислым анилином или  $\alpha$ -нафтиламинхлоридом. Продукты применяются в качестве дубителей.

Я. К.

27732 П. Использование клеевой воды, получаемой при переработке китового сырья. Дейвис (Treatment of whale gluewater. Davis W. C.) [Sharples Corp.]. Англ. пат. 687513, 18.02.53 [Chem. Zbl., 1955, 126, № 6, 1406 (нем.)]

Доводят рН клеевой воды, получаемой при переработке кита, при помощи к-ты, напр.  $\text{H}_2\text{SO}_4$ , до 4—5, нагревают до т-ры выше 180°, оставляют в покое не менее чем на 15 мин. и отделяют, если нужно после упаривания под вакуумом, ворвань и нерастворившиеся части. Из водн. р-ра получают сухой продукт.

И. Э.  
27733 П. Клей. Глауберт (Colle. Glaubert S.). Франц. пат. 1072809, 16.09.54 [Chimie et industrie, 1955, 73, № 6, 1204 (франц.)]

В клей на основе казеина или другого белка добавляют смесь тонко измельченных цианамидов кальция и карбоната кальция.

И. Э.  
27734 П. Получение белка (Recovery of protein) [Aktiebolaget Separator]. Австрал. пат. 157607, 29.07.54

Патентуется метод получения искусственно коагулированного белка из белоксодержащей жидкости. По крайней мере часть белка растворяют добавлением растворяющего средства, напр. р-ра щелочи или к-ты; часть нерастворившегося в-ва удаляют, затем в жидкость добавляют осаждающее средство, напр. серную к-ту, для осаждения белка. После осаждения жидкость центрифугируют в сепараторе. Отделившуюся густую массу разбавляют жидкостью и снова центрифугируют один или несколько раз для удаления загрязнений; жидкость от первой промывки или часть ее возвращают в процесс, добавляя ее вместе с растворяющим средством или до его прибавления.

И. Э.  
27735 П. Метод выделения белка из сыворок.

Халл (Process for recovering protein from whey. Hull M. E.) [Armour and Co.]. Англ. пат. 704209, 17.01.54 [Dairy Inds, 1954, 19, № 9, 745 (англ.)]

Метод заключается в доведении рН сыворок до 7,0—8,3 путем нейтр-ции любой, пригодной для этой цели, щелочью, с последующим нагреванием до 82—100°. После перемешивания сыворок рН снижается до 4,1—4,5 добавлением к-ты, вступающей в р-цию с карбонатами, что сопровождается выделением  $\text{CO}_2$ , выносящей при этом свернувшийся белок в виде плотной массы на поверхность сыворок. Преимущество метода заключается в экономии времени за счет устранения медленного процесса осаждения белка.

В. Н.  
27736 П. Метод получения искусственной кожи из кожевенных отходов. Шуан (Procédé de reconstitution de cuir à partir de crâtes. Chouane M.). Франц. пат. 1043594, 10.11.53 [Leder, 1955, 6, № 8, 187 (нем.)]

Кожевенные отходы сортируют по толщине, происхождению и методу дубления, тщательно промывают, отжимают и покрывают связующим в-вом; затем раскладывают на железном листе в несколько слоев, перекладывая их войлоком, покрывают железным листом и прессуют в течение нескольких часов при 50—100 атм, сушат в мягких условиях, стргают до нужной толщины, снова прессуют, возможно с нанесением меры, и отделяют обычным образом.

И. Э.  
27737 П. Способ производства паронепроницаемой ткани, не пропускающей жидкость. Бифелд, Моррисон (Process of producing vapor permeable fluid repellent fabrics. Biefeld Lawrence P., Morrison Albert R.) [Owens-Corning Fiberglass Corp.]. Пат. США 2673824, 30.03.54

Для получения паронепроницаемой не пропускающей воду гибкой ткани и слоистого материала на ее основе, применяемого в качестве искусств. кожи, стеклянную ткань обрабатывают жидкой композицией, содержащей

40—50 вес% твердой смолы, способной течь под давлением при нагревании, пропитывая при этом ткань. Пропитанная ткань нагревается для удаления летучих, так что твердые частицы смолы равномерно распределяются по ткани, после чего ткань в один или несколько слоев пресуется при т-ре плавления смолы. При этом уменьшается кол-во и площадь непропитанных смолы микроскопич. участков, которые занимают 20—65% площади и являются паронепроницаемыми, но не пропускают воду. Содержание смолы в пропитанной ткани составляет (в объеме. ч.) 5—50 смолы на 10 волокон. Б. К.

См. также: 27455, 27456; 8436—8438Бх, 8476Бх, 8478Бх, 8488Бх, 8508Бх

## ПРОЧНЕ ПРОИЗВОДСТВА

**27738.** Возможные применения продуктов деления в химической промышленности. Райт (Potential uses for fission products in the chemical industry. Wright J.), Chemistry and Industry, 1955, № 13, 1026—1031 (англ.)

Обзор перспектив применения продуктов из атомных реакторов в хим. пром-сти для изменения свойств высокополимеров, индуцирования ценных р-ций и проведения различных синтезов неорганич. и органич. в-в с использованием радиоактивного излучения. Библи. 19 назв. В. Ш.

**27739.** Характеристика алюмогеля, полученного из отходов хроминикового производства. Магаршак Г. К., Тарасова В. Н., Волгин Б. П., Тр. Уральского н.-и. хим. ин-та, 1954, № 1, 55—63. Гелеобразный труднофильтрующийся осадок хромаля, полученный при очистке щелоков  $\text{Na}_2\text{CrO}_4$  от  $\text{NaAlO}_2$  действием  $\text{H}_2\text{SO}_4$ , содержит 15—20%  $\text{Al}(\text{OH})_3$  и 80—85% воды, загрязнен хроматом и сульфатом натрия и нерастворимыми компонентами хромитовой руды и доломита. Для получения алюмогеля хромаль обезвоживают двукратным отжимом на гидравлич. прессе, гранулируют двукратным продавливанием в цилиндрчик диам. 5 мм, сушат в тоннельной противоточной сушилке и активируют в течение 4—6 час. при 325° (оптимальная т-ра). Так как полученный продукт (I) загрязнен, то он не может заменить обычный алюмогель (II) в процессах катализа, но как адсорбент он не уступает II и силикагелю, превосходя их по статич. активности, особенно при сушке воздуха с высоким содержанием паров воды. Заводские опыты показали, что I дает степень осушки  $\text{O}_2$  (точка росы —54°) не ниже, чем II, а активность I в два раза выше. I можно применять вместо силикагеля для осушки отработанных трансформаторных масел, причем в данном случае т-ра активации I не влияет на его активность; по сравнению с другими адсорбентами I является самым активным: он снижает кислотное число с 0,4 до 0,04—0,03 мг КОН при перколяции и до 0,064 мг КОН при контактном методе; расход его составляет 50 кг на 1 т окисленного масла; загрязненный I можно реактивировать (три раза) путем отмывки от него масла кипящим дистиллатом с последующей сушкой при 110°; с учетом реактивации расход I составляет 17—20 кг на 1 т масла. Г. Р.

**27740.** Характеристики люминесцентных составов. Уэйц (Characteristics of phosphors. Weitz S. E.), Illum. Engng, 1954, 49, № 5, 227—235 (англ.)

Обзор промышленного произ-ва люминесцентных составов (галофосфата кальция) для люминесцентных ламп. Улучшение качества составов обеспечивается строгим контролем процессов. Эффективность получаемых составов достигает 80—90% от теоретических. Б. Г.

**27741.** Технология получения угольных электродов на одном из советских заводов. Елишкы (Despre tehnologia electrozilor de carbune într-o uzină sovietică. Elișcu I.), Rev. chim., 1955, 6, № 5, 222—228 (рум.; рез. русс.)

Описаны технологич. процесс изготовления угольных и графитизированных электродов на советском з-де и оборудование, применяемое для этой цели. Я. М.

**27742 П.** Способ улучшения обрабатываемости тонкодиспергированного кремнезема. Клаппер (Verfahren zur Verbesserung der Verarbeitungseigenschaften von feinverteilter Kieselsäure. Kleppfer Harry) [Deutsche Gold- & Silberscheideanstalt vormals Roessler]. Пат. ФРГ 893497, 15.10.53 [Chem. Zbl., 1954, 125, № 15, 3304 (нем.)]

Тонкодиспергированная высокоактивная  $\text{SiO}_2$  подвергается дополнительной обработке, увеличивающей насыпной вес, в частности с применением давления, напр., в прессах, дробильных машинах с бегунами или в смесителях. Н. С.

**27743 П.** Катализатор Pt на глиноземе (Platinum on alumina catalyst) [Universal Oil Products Co.]. Австрал. пат. 161052, 24.02.55

Пропитывают глинозем р-ром  $\text{PtS}_2$  в  $\text{HNO}_3$  или  $\text{H}_2\text{SO}_4$  и прокалывают при 260—650°. Ю. Г.

**27744 П.** Обработка катализаторов из фторида алюминия или фторида циркония трефтористым хлором. Банде, Миллер (Treatment of aluminum fluoride or zirconium fluoride catalysts with chlorine trifluoride. Bandes Selwyn, Miller Charles B.) [Allied Chemical & Dye Corp.]. Пат. США, 2709688, 31.05.55

Для улучшения каталитич. свойств свежего или отработанного катализатора (K) из  $\text{AlF}_3$  или  $\text{ZrF}_4$  над ним пропускают  $\text{ClF}_3$  при т-ре < 600° (лучше 100—400°) в течение достаточного времени. При этом происходит выгорание посторонних в-в и уменьшение размеров кристаллов K. Для регенерации отработанного или активации свежего K из  $\text{ZrF}_4$  над ним пропускают  $\text{ClF}_3$  при 275—325° в течение 15—45 мин., а затем выдувают K из реактора током инертного газа ( $\text{N}_2$ ,  $\text{CO}_2$  или He). Б. Ш.

**27745 П.** Способ получения для каталитических целей тел сферической или линзообразной формы, устойчивых к истиранию. Фишер, Сидов (Verfahren zur Herstellung von sphärischen oder linsenförmigen abriebfesten Körpern für katalytische Zwecke. Fischer Karl, Sydow Robert) [Deutsche Erdöl-A.-G.]. Пат. ФРГ 922530, 17.04.55

Тела сферич. или линзообразной формы получают прибавлением по каплям в среду, осаждающую аглинаты (A) суспензии, которая содержит желатинообразные в-ва, предварительно равномерно смешанные с водн. р-ром A. В качестве осаждающей среды могут использоваться разб. к-ты, соли щел.-зем. и тяжелых металлов ( $\text{CaCl}_2$ ) в водн. или спирт. р-рах, а также газы или пары. Выпавшие сферич. частички высушивают и прокалывают до спекания. Для ускорения процесса катализатор (напр., порошок NiO в кол-ве 0,5% от смеси) прибавляют или к суспензии A или в осаждающую среду. Сам осадитель может являться катализатором (напр., 5%-ный р-р  $\text{Co}(\text{NO}_3)_2$ ). Кроме этого, катализатором можно обрабатывать выпавшие частички до или после сушки или спекания. Активирование катализаторов производится путем их восстановления или окисления (обработка  $\text{K}_2\text{CrO}_4$ ). Для снижения тискотропии и (или) замедления осаждения A к суспензии могут прибавляться щелочи,  $\text{Na}_2\text{CO}_3$ , фосфаты или пирофосфаты. Пример, 100 г каолина смешивают с 100 г полевого шпата и взмучивают в 1000 г 5% ного A натрия. Затем в эту суспензию прибавляют по кап-



лям 25%-ный р-р  $\text{CaCl}_2$ . Затвердевшие сферич. тела через 5 мин. извлекают из осаждающей ванны, промывают водой до удаления избыточного осаждающего р-ра, сушат при т-ре выше 100° и спекают при ~1100°. Получают твердые пористые тела. Д. К.

27746 П. Пирофорный материал, стабильный на воздухе, и способ его изготовления. Аничетти (I luft varaktigt pyrofort material och sätt för dess framställning. Anicetti R. J.) [Metal Hydrides Inc.]. Швед. пат. 142627, 20.10.53

Пирофорный материал, стабильный на воздухе, состоит из 20—75 вес. % Pb и 80—25 вес. % Zr. К. Г.

27747 П. Катализатор для синтеза и изомеризации.

Облад, Мийейкен (Catalyseur et procédé pour le forming et l'isomérisation. Obblad Alex G., Muiiken Thomas H. Jr) [Cie Française des Procédés Houdry]. Франц. пат. 1061935, 16.04.54 [Chimie et industrie, 1954, 71, № 6, 1158 (франц.)]

Катализатор состоит из малого кол-ва благородного металла (напр. Pt), распределенного на основе из глинозема, предварительно обработанной к-той; катализатор не содержит галогидных солей. О. С.

27748 П. Флуоресцирующий пигмент (Fluorescent pigment) [Interchemical Corp.]. Австрал. пат. 161688, 18.03.53

Пигмент, флуоресцирующий при дневном свете, получают при взаимодействии водн. р-ра соли Al, Zn, Mg или щел.-зем. металла с водн. р-ром  $\text{NH}_4$ -соли алкидной смолы, приготовляемой действием  $\text{NH}_3$  (стехиометрич. кол-вом) на алкидную смолу с высоким кислотным числом. Р-цию проводят в присутствии флуоресцирующего красителя, взятого в кол-ве 1—4% от веса смолы. Б. Г.

27749 П. Светящиеся экраны для катодных трубок. Хиндерер (Leuchtschirm für Kathodenstrahlröhren. Hinderer Hermann) [Siemens und Halske A.-G.]. Пат. ФРГ 898042, 26.11.53 [Glas-techn. Ber., 1954, 27, № 1, P2 (нем.)]

Светящиеся экраны к катодным трубкам для получения очень ярких и коротких световых вспышек изготавливаются из окислов щел.-зем. металлов, предпочтительно из окислов редких земель. С. Т.

27750 П. Трубка, усиливающая изображение. Колтман, Лонджини (Bildverstärkerröhre. Coltman John W., Longini Richard

L.) [Westinghouse Electric Corp.]. Пат. ГФР 896396, 12.11.53 [Chem. Zbl., 1954, 125, № 30, 6798 (нем.)]

Между светящимся слоем и фотокатодом, состоящим из Cs-Sb, лежит электропроводящий прозрачный разделительный слой из  $\text{SnO}$  или  $\text{SiO}_2$ , который получают, осажда на нагретый светящийся слой пары солей Sn с летучим отрицательным радикалом (напр.  $\text{SnCl}_2$  или  $(\text{C}_4\text{H}_9)_2\text{SnCl}_2$ ) или пара  $\text{SiCl}_4$ . А. Р.

27751 П. Метод удаления и утилизации покрытий. Захариясон (Method of removing and salvaging adherent materials. Zachariason Richard H.) [Radio Corp. of America]. Пат. США 2710286, 7.06.55

Водонерастворимый флуоресцентный материал (I), закрепленный посредством водорастворимого связующего в-ва (CB) и покрытый проницаемым для электронов Al-слоем, удаляют с экрана катодной трубки с целью повторного использования. На экран направляют струю порошка карбоната щел. металла, при этом с экрана удаляются I, CB и Al. Образовавшуюся смесь обрабатывают водой и получают р-р карбоната щел. металла, CB и Al. Далее отделяют I от этого р-ра. При этом I не должен вступать в хим. р-цию с водн. р-ром карбоната щел. металла. В. Ш.

27752 П. Способ изготовления слюдяной изоляции.

Сенарклан (Förläringssätt för framställning av isolering av glimmer. Senarclens G. de) [Samica Soc. des Applications du Mica Soc. An.]. Швед. пат. 149298, 22.03.55

Предложен способ изготовления слюдяной изоляции, по которому слюду нагревают до 800—850°, а затем подвергают действию кислой или щел. водн. среды, после чего слюда легко поддается механич. обработке и формовке. К. Г.

27753 П. Переработка отбросных травильных растворов. Хейс, Джонсон (Disposal of waste pickle liquor. Heise Lorenz William, Johnson Milton) [A. O. Smith Corp.]. Пат. США 2692229, 19.10.54

Отработанные травильные р-ры, содержащие  $\text{H}_2\text{SO}_4$  и соли  $\text{Fe}^{2+}$ , смешивают с окисями щел.-зем. металлов до полной нейтр-ции жидкости и осадения солей железа. Далее подвергают окислению от 2 до 5%  $\text{Fe}^{2+}$  в  $\text{Fe}^{3+}$  для улучшения фильтруемости осадка, который отделяют от р-ра. С. К.

## КОРРОЗИЯ. ЗАЩИТА ОТ КОРРОЗИИ

27754. Коррозия металлов. Иваньи (Korrózió — a fémek általános ellensége. Iványi István), Papir és nyomdatechn., 1954, 6, № 11, 346—348 (венг.)

Обзор электрохим. и хим. коррозии металлов. И. К.

27755. Сообщение о конференции по вопросам коррозии стальных конструкций. Яреш (Zpráva z konference o korozi ocelových konstrukcí. Jareš Vojtěch), Věst. českosl. akad. věd., 1955, 64, № 9-10, 407—409 (чеш.)

Первая конференция по вопросам коррозии, созданная Чехословацкой академией наук в июне месяце 1955 г., с участием ученых других стран. М. М.

27756. Защита от коррозии. Лаутерс (Über Korrosionsschutz. Lauters K.), Feingerätetechnik, 1955, 4, № 5, 232—234 (нем.)

Общие сведения о защите металлов от коррозии. Рассматриваются анодные и катодные покрытия, защитные свойства Zn-покрытий, анодирование лития из Al-сплавов в  $\text{H}_2\text{SO}_4$ . Е. З.

27757. Изучение коррозии и защита от нее. Клас, Хогарц (Erkenntnisse über die Korrosion und den

Korrosionsschutz von Eisen und Stahl. Klas Heinrich, Hogartz Walter), Stahl und Eisen, 1953, 73, № 20, 1302—1308 (нем.)

Обзорная статья по вопросам защиты от коррозии Fe и стали горячими, гальванич., неметаллич. неорганич. и органич. покрытиями. Библиограф. 145 назв. Е. З.

27758. Коррозия и защита от нее. Аотани (鋼と防錆について. 青谷 巖), Машинери, Machinery, 1954, 17, № 7, 651—654 (япон.)

Статья общего характера по вопросам коррозии и методам защиты от нее главным образом стальных промышленных конструкций. И. Г.

27759. Коррозия и защита от коррозии энергетических установок. Часть I. Мюллер (Korrosion und Korrosionsschutz an Energieanlagen. Teil I. Müller B.), Energietechnik, 1955, 5, № 9, 406—412 (нем.)

Обзор. Основные предпосылки электрохим. теории коррозии металлов. Особо рассматриваются вопросы почвенной коррозии, методы защиты от нее, данные по блуждающим токам и т. п. Рекомендуются катодная

защита, а также применение протекторной защиты (Zn-, Al- и Mg-аноды). С. К.

27760. Механизм коррозии водопроводных труб. Элайссен, Лам III (Mechanism of water pipe corrosion. Eliassen Rolf, Lamb III James C.), Water and Sewage Works, 1955, 102, № 6, R107 — R112 (англ.).

Основы теории электрохим. коррозии металлов применительно к условиям эксплуатации водопроводных труб. А. М.

27761. Потери от коррозии в химической промышленности Венгрии. Ковач (A magyar vegyipar korróziós kárai. Kovács Klára, Magyar kémik. lapja, 1955, 10, № 10, 306—309 (венг.).

27762. К вопросу о влиянии формы катода на отношение величин электрической эрозии анода и катода. Афанасьев Н. В., Миткевич С. П., Изв. АН БССР, 1955, № 1, 119—121

Исследовалось влияние формы катода на отношение величин электр. эрозии анода и катода ( $\Delta m_a / \Delta m_k$ ) в процессе разряда между электродами из Pb, Cu и Al при числе разрядных импульсов 1000, напряжении на электродах 220 в, емкости разрядного контура 120 мкф. В зависимости от формы катода (кубик, полусфера  $R = 5$  мм) для всех исследованных металлов наблюдалась большая эрозия анода. Для стержней (катод) сечением  $4 \times 4$  и  $2 \times 2$  мм эрозия катода оказывается тем больше эрозии анода, чем меньше сечение первого. Форма анода для всех испытаний — кубик. Наблюдаемая зависимость связывается авторами с изменением условий распределения тепла в электродах в процессе разряда. Я. Л.

27763. Электрохимическая коррозия деревянных частей судов. Пакман (Electrochemical attack on boat timbers. Packman D. F.), Wood, 1954, 19, № 9, 358—359 (англ.).

Указывается, что главной причиной разрушения древесины судов в непосредственной близости к металлич. крепежным деталям является электрохим. коррозия (ЭК), обусловленная наличием контакта различных металлов с сырой древесиной. Показателем ЭК служит образование щелочей и к-т на отдельных участках деревянных деталей судов, а также местные разрушения красок и лаков, покрывающих дерево. Отмечено влияние породы древесины на скорость ЭК. Рекомендуется применение для крепежных изделий судов одинаковых или однородных металлов, а также электр. изоляция деревянных и металлич. деталей. Я. Л.

27764. Теоретический обзор свойств полярных антикоррозионных добавок. I. Сакураи, Баба, Косо (有極性防錆剤に関する研究 (第1報). 防錆剤評價に関する基礎的考察. 櫻井俊男, 馬場哲郎, 小曾繁), 油脂化学協会誌. Юси какаку кёкайси, J. Oil Chemists Soc. Japan, 1954, 3, № 5, 16—21 (япон.).

Действие антикоррозионных добавок рассматривается на основе адсорбционных явлений, растворимости смазки в р-рителе и строения пленок на металлах. Указывается на существование связи между указанными явлениями и свойствами и антикоррозионным эффектом смазки. Рекомендован эксперим. метод для предварительной оценки качества смазки. Г. Р.

27765. Атмосферная коррозия гальванических пар. Комптон, Мендизца, Брэдли (Atmospheric galvanic couple corrosion. Compton K. G., Mendizza A., Bradley W. W.), Corrosion, 1955, 11, № 9, 35—44 (англ.).

Экспериментальные данные по коррозии гальванич. пар различных металлов (Al, Mg, хромистая сталь с 18% Cr, сталь 18—8, монель-металл, латунь, Cu, Ag, Fe и образцы с гальванич. покрытиями из Ni, Cr, Sn,

Pb, Zn и Cd) в атмосферных условиях, полученные путем измерения потенциалов и сил тока таких пар в условиях тонкого слоя электролита между электродами и путем определения коррозионных потерь пар, испытывавшихся в морской, промышленной и тропич. атмосферах, показали, что в большинстве исследованных случаев соответствие между результатами коррозионных потерь и измеренными значениями силы тока хорошее. На основании полученных данных испытывавшиеся металлы можно сгруппировать таким образом, что становится возможным определить, какой из контактирующих двух металлов, находящихся в различных группах, будет подвергаться коррозии. Иногда получаются противоположные результаты, но в этих случаях, как правило, эффект от работы пары небольшой. Контакт между металлами, расположенными в одной группе, может иногда вызвать сильную коррозию одного из контактирующих металлов. Проводится различие между атмосферной коррозией гальванич. пар в условиях присутствия и отсутствия защиты от осадков. И. Л.

27766. Биокоррозия железа и стали. Апдеграфф (Microbiological corrosion of iron and steel. Updegraff David M.), Corrosion, 1955, 11, № 10, 44—48 (англ.).

Обзор литературы по вопросам биокоррозии Fe и стали. В. П.

27767. Теоретические основы почвенной коррозии металлов. Маркович, Дуги (Teoretske postavke korozije metala u tlu. Marković Tihomir, Dugi Zvonimir, Nafta (Zagreb), 1955, 6, № 6, 175—179 (хорв.; рез. нем.).

Рассмотрены вопросы почвенной коррозии Fe в зависимости от соотношения вода — воздух в грунте как часть общего вопроса о протекании коррозионного процесса в насыщ. и не насыщ. водой почве. Отмечено изменение порядка р-ции растворения Fe при изменении вышеуказанного соотношения вследствие ухудшения переноса кислорода в насыщ. грунте по сравнению с ненасыщенным. Я. Л.

27768. Селективная коррозия углеродистой стали. Чокан (Karbonacél szelektív korróziója. Pál Csokán), Kohász. lapok, 1954, 9, № 5, Öntöde, 114—116 (венг.).

Описан случай избирательной коррозии (К) зажимов, применяемых при хромировании, изготовленных из углеродистой стали с содержанием 4,7% С. Зажимы несколько месяцев соприкасались с электролитом, содержащим (в г/л):  $\text{Cr}_2\text{O}_3$  300,  $\text{H}_2\text{SO}_4$  3, и находились под действием катодного тока  $50 \text{ а/дм}^2$ . В результате К зажимы полностью потеряли свою форму и размеры, поверхность их размягчилась, стала губчатой, перлитные участки металла растворились и на их месте образовались пустоты, обнаруженные при металлографии. Исследования. К наружной и внутренней поверхности была одинаковой. В местах плотного контакта между деталями (резьба) К была значительно меньше. Предполагается, что механизм описанного вида К характеризуется следующим анодным процессом:  $\text{Fe} + n\text{H}_2\text{O} \rightarrow \text{Fe}^{2+} \cdot n\text{H}_2\text{O} + 2\text{H}^+$  и окислительным процессом по ур-нию:  $4\text{Fe}^{2+} \cdot n\text{H}_2\text{O} + \text{O}_2 + 2\text{H}_2\text{O} \rightarrow 4\text{Fe}^{3+} \cdot n\text{H}_2\text{O} + 4\text{OH}^-$ . Я. Л.

27769. Коррозия стали под действием газов, растворенных в воде. Уоткинс, Райт (Corrosive action on steel by gases dissolved in water. Watkins J. Wade, Wright Jack), Petrol. Engr, 1953, 25, № 12, B-50, B-51, B-53, B-55, B-57 (англ.).

Изучалась коррозия мягкой стали под действием газов ( $\text{O}_2$ ,  $\text{CO}_2$ , и  $\text{H}_2\text{S}$ ), растворенных в воде, в конц-ях, обычно встречающихся при эксплуатации нефтяных скважин ( $\text{O}_2$  2—8,  $\text{CO}_2$  20—750,  $\text{H}_2\text{S}$  2—2640

ме/л). Испытания проводились при 26,7° и атмосферном давлении. Результаты испытаний показали, что скорость коррозии образцов, подвергающихся воздействию  $O_2$ , почти пропорциональна кол-ву растворенного  $O_2$ . Коррозия имеет точечный характер, типичный для кислородной коррозии. При воздействии на образцы  $CO_2$  изъязвление поверхности меньше, чем при воздействии  $O_2$ , но более глубокое. При испытаниях в р-рах, содержащих  $H_2S$ , наблюдается резкое увеличение скорости коррозии в пределах конц-ии  $H_2S$  0—150 мг/л; в области 150—400 мг/л скорость коррозии остается на одном уровне, затем резко снижается, и, начиная с конц-ии  $H_2S$  1600 мг/л, скорость коррозии вновь приобретает постоянное значение. Образцы после испытаний имеют незначительное кол-во язв и большое кол-во вздутий и покрыты темной плотно пристающей пленкой. Продуктом коррозии в серии опытов с  $H_2S$  является  $FeS$ . Предполагают, что  $FeS$  играет роль замедлителя коррозии в ранних стадиях коррозионного процесса и активатором в поздних. Одним из объяснений пассивности образцов при воздействии конц. р-ров  $H_2S$  является предположение, что хим. состав покрытия различен при различных конц-иях  $H_2S$  (при высоких конц-иях  $H_2S$  возможно образование полисульфидов). В. Л.

**27770. Сравнение интенсивности коррозии чугунов и сталей в различных средах. Тиммербулатов М. Г.** В сб. исслед. интенсивности коррозии чугунов и сталей в различных средах. Машгиз, 1953, 93—113

**27771. О химических свойствах золота. Рауб, Энгель** (Über die chemischen Eigenschaften des Goldes. Raub Ernst, Engel Annemarie), Z. Metallkunde, 1953, 44, № 7, 298—301 (нем.).

Исследование скорости коррозии прокатанных и отожженных образцов бинарных сплавов Au с Ag, Cu и Ni сплавов Au—Ag—Cu и сплава Au—Cu—Ni—Mn (Cu : Ni : Mn—27 : 22 : 1) при 20° в газовой среде, содержащей 1 ч.  $H_2S$  и 5 ч. воздуха, в 0,2 М р-ре  $Na_2S_2$ , парах S в вакууме, р-ре 3%-ной  $NaCl + 0,1\%$   $H_2O_2$  и в воздухе 80%-ной относительной влажности при 60° показало, что коррозионная стойкость сплавов уменьшается с уменьшением содержания Au в сплаве. В. М.

**27772. Коррозия алюминиевых холодильников в ванне для электроосаждения цинка. Левин А. И., Помосов А. В., Рогаткина Т. Н.** Ж. прикл. химии, 1953, 26, № 12, 1245—1251

Приведены результаты изучения скорости коррозии (К) Al в процессе электролиза сернокислых р-ров Zn в зависимости от т-ры, конц-ии  $H_2SO_4$ , содержания примесей в электролите и методов обработки поверхности металла. Скорость К Al-холодильников непосредственно в цеховых условиях была исследована в зависимости от местоположения их в электролизной ванне. Установлено, что скорость К заметно растет в присутствии некоторых катионов (Cu, Sb, As, Bi, Co, Pb) и, особенно сильно, в присутствии анионов Cl и F в связи с изменением потенциала Al. Изменение конц-ии  $H_2SO_4$  от 100 до 140 г/л не влияло практически на скорость К. Наличие в р-ре кремниевых кислот (10—100 мг/л) уменьшает скорость К. Хим. оксидирование Al в смеси  $CaO + CaSO_4$  дает значительно худший эффект, чем анодное оксидирование в 20%-ной  $H_2SO_4$  при  $Da = 2,4a/\delta u^2$ . Скорость К заметно возрастает в случае соприкосновения холодильника с анодами. Холодильники, расположенные против катодов, разрушаются быстрее, чем расположенные против анодов. Для уменьшения К Al-амеэвиков рекомендуется, чтобы т-ра электролита была  $\leq 32—35^\circ$ , содержание  $H_2SO_4$  до 140 г/л, хоро-

шая очистка р-ров от примесей, особенно от Cl и F, и применение анодного оксидирования. Я. Л.

**27773. Коррозионная усталость. Смит (Corrosion fatigue. Smith E. A.), Aeronautics, 1955, 32, № 4, 40—42 (англ.)**

Обзор по коррозионной усталости (КУ) Al и дуралюмина. Показано влияние окисной пленки на КУ металла на воздухе и под вакуумом. Длительные испытания скорости окисления Al выяснили скачкообразное повышение скорости окисления как результат периодич. растрескивания пленки. Исследование влияния различных методов обработки (анодирование, покрытие алкидными смолами и т. д.) и различных коррозионных сред на предел выносливости Al и дуралюмина показало заметное снижение КУ в результате применения защитных покрытий. В. Л.

**27774. Литейные цинковые сплавы, содержащие хром. Обиката (クロムを含むダイカスト用亜鉛合金. 大日方一司), 金屬, Киндзоку, Metals, 1954, 24, № 6, 505—507 (япон.)**

Изучалось влияние Cr на склонность к межкристаллитной коррозии Zn-сплава «замак», содержащего ~4% Al, Cu и Mg. Для отливки сплавов применялся Zn чистоты (в %): 99,99; 99,9 и 99,95. Для получения сравнительных данных были отлиты два сплава, содержащие, помимо Zn, 4 Al и 4 Al-3 Cu. Для предотвращения склонности к межкристаллитной коррозии, вызываемой Pb, в сплавы вводился Mg в кол-ве, равном 10-кратному содержанию Pb. Cr, содержание которого было равно 0,1%, вводился в сплавы Zn-4Al и Zn-4Al-3Cu в виде лигатуры, содержащей соответственно (в %): Al—Cr 1,69 и Cr 41,3—Cu 1,37. После коррозионных испытаний, проводившихся в водяном паре в течение 10 дней при т-ре  $95 \pm 3^\circ$ , предел текучести сплава Zn-4Al, содержащего Zn чистоты 99,95, понизился (в %): на 29, а при наличии Cr — на 13. В случае сплавов Zn-4Al-3 Cu, содержащих и несодержащих Cr, предел текучести уменьшался соответственно 33—100 и 19—23,5. Е. З.

**27775. О применении коррозионностойких сталей в производстве вискозного шелка. Бабаков А. А., Тагаева Г. В.** Текстильная пром-сть, 1954, № 2, 51—53

Проведенные испытания в лабор. и производственных условиях заменителей Pb новыми марками сталей (ЭИ-530, ЭИ-533, ЭИ-629) хим. стойких в агрессивных р-рах осадительной и пластификационной ванн, содержащих  $H_2SO_4$ ,  $CS_2$  и  $H_2$ , показали, что сталь Ю типа ЭИ-629 является стойкой (I класс) как в осадительной, так и в пластификационной ванне и может быть рекомендована для пром-сти вискозного шелка. Стали марок ЭИ-530 и ЭИ-533 оказались стойкими в р-рах осадительной ванны (I класс) и нестойкими в р-ре пластификационной ванны (V класс). Я. Л.

**27776. Вода высокой степени чистоты и коррозия. Эдуарде (High purity water and corrosion. Edwards J. Anthony), Water and Water Engng, 1955, 59, № 714, 338—340 (англ.)**

Вода, применяемая для ядерных энергоустановок, должна обладать высокой степенью чистоты, а конструкционные материалы, соприкасающиеся с ней, — высокой коррозионной стойкостью, так как содержащиеся в воде в-ва становятся в реакторе радиоактивными и могут переноситься в энергетич. теплообменник или в питательную воду паровых котлов. Коррозионные свойства чистой воды имеют большое значение и для тепловых электростанций и ряда других отраслей пром-сти. Обычная дистилл. вода содержит до 20 мг/л растворенных в-в. Перегонкой можно получить дистиллат с солесодержанием 1—2 мг/л. Хим. обессоливание воды с применением низкоосновных анионитов дает фильтрат, содержащий, кроме  $SiO_2$



~ 5 мг/л солей. Применение высокоосновных анионитов снижает остаточное содержание воды  $< 2$  мг/л, включая 0,1 мг/л кремневой к-ты ( $\text{CO}_2 = 0$ ). Много-ступенчатое обессоливание позволяет получить воду с содержанием до 0,2 мг/л. При обессоливании воды с помощью смешанного слоя катионита и высокоосновного анионита можно получить фильтрат с содержанием  $< 0,05$  мг/л при содержании  $\text{SiO}_2 < 0,01$  мг/л. Чистая вода энергично растворяет металлы, газы и другие в-ва, в связи с чем для предотвращения ее загрязнения необходимы особые меры предосторожности, к которым относятся гуммирование трубопроводов для подачи обессоленной воды, гуммирование насосов и арматуры, покрытие баков полихлорвинилом (распыливание и наклеивание пластика), изготовление оборудования и трубопроводов из высоколегированных Cr-Ni-сталей, монель металла и никонеля. В ряде случаев для дистиллата успешно применяются алюминиевые аппараты и трубы, а также металлизация алюмином. В зависимости от т-ры и степени дегазации обессоленной воды последняя вызывает более или менее сильную коррозию стальных баков и трубопроводов.

**27777. Щелочная хрупкость металла в паровых котлах. Баксан (Gözkazánok lúgos elridegése. В а k s a y I v á n), Magyar energiagazd., 1955, 8, № 2, 59—66 (венг.)**

Рассмотрены вопросы межкристаллит. коррозии (МК) металла паровых котлов. Условия воздействия на сталь горячих конц. р-ров щелочи; водородная, преципитационная и механич. теории МК. Описаны лабор. и производственные методы исследования металла на МК (изгибание образцов, металлографич. исследование, измерение электросопротивления, применение ультразвука и др.) Описаны конструкция и техника применения известного индикатора для выявления агрессивных свойств котловой воды в отношении МК. Рассмотрены методы предотвращения МК с помощью  $\text{Na}_2\text{SO}_4$ ,  $\text{NaNO}_3$ , органич. замедлителей коррозии и режима чистого фосфатной щелочности котловой воды.

**27778. Коррозия паровых котлов. Сэбау (Fenomenele de corozioare la cazanele de abur și explicația lor. Săbău I.), Energ. și hidrotehn., 1955, 3, № 9, 395—402 (рум.; рез. русск.)**

Основные причины хим. и электрохим. коррозии паровых котлов. Описаны виды коррозионных разрушений и методы их предотвращения.

**27779. Исследование коррозии теплового оборудования ГРЭС. Каган Д. Я., Первые итоги н.-и. работ по освоению электростанции сверхвысоких параметров, М.—Л., Госэнергоиздат, 1955, 30—33**

Исследование выноса продуктов коррозии питательного тракта на ГРЭС сверхвысоких параметров показало, что содержание  $\text{CO}_2$  после декарбонизатора составляло 5,5 мг/л, а после испарителей 9—16 мг/л. Питательная вода содержала  $> 1$  мг/л Fe и 0,2 мг/л Cu. Основное кол-во продуктов коррозии задерживалось в котле. Снижение щелочности очис. воды с 0,7 до 0,4 мг-экв/л понизило содержание  $\text{CO}_2$  во вторичном паре испарителей в 2—3 раза. Очис. вода после декарбонизатора содержала 2,4 мг/л  $\text{CO}_2$ , а после деаэратора имела щел. р-цию. Конц-ия  $\text{CO}_2$  в питательной воде не превышала 1 мг/л; содержание и ней Fe снизилось до ~ 0,14 мг/л. Основным источником загрязнения питательной воды Fe являлась коррозия конденсатных баков, в которых содержание Fe возрастало с 0,12 до 2,5 мг/л. Cu откладывается в котле, так как содержание ее в паре в 2 раза ниже, чем в питательной воде. Для снижения коррозии трубопроводов очис. воды введено фосфатирование ее после декарбонизатора. pH очис. воды до деаэратора равно 8,5, после деаэратора

9,0; дистиллата испарителей второго корпуса 5,7—6,1, а первого корпуса — 6,2—6,5 и питательной воды 7,0—8,0. Для уменьшения кол-ва агрессивного дистиллата рекомендовано сократить внутростанционные потери пара и конденсата, а остальной пар испарителей конденсировать в спец. охладителях с отводом неконденсирующихся газов. Введен режим чистого фосфатной щелочности котловой воды.

**27780. Наружная коррозия экранных труб паровых котлов высокого давления. Волков В. М., Калужская Т. М., Клячко Б. И., Электр. станции, 1955, № 10, 7—9**

Указывается, что на двух котлах типа ТП-230 ( $p = 110$  атм,  $t_{\text{не}} = 510^\circ$ ) из трех, установленных на ТЭЦ, начиная с 1953 г. наблюдались разрывы экранных труб, вызванные коррозией наружной их поверхности в то время, когда установленные на той же ТЭЦ котлы типа КО III ( $p = 32—34$  атм,  $t_{\text{не}} = 425^\circ$ ) за все время работы (с 1939 г.) не имели подобных аварий. Оба котла, подвергшиеся коррозии, работали с ненормальным режимом горения, с коэфф. избытка воздуха за перегревателем 1,1; третий котел, не имевший повреждений, работал с коэфф. избытка воздуха 1,2. Повреждения труб происходили на уровне 2,0—5,5 м выше осей горелок, на лобовой образующей; толщина стенки трубы на поврежденных участках составляла 1 мм (при исходной толщине — 6 мм). Наружная поверхность труб на этих участках была покрыта слоем черно-бурых отложений толщиной до 5 мм. Скорость коррозии достигала 0,7—1,0 мм/год и более; повреждения располагались на участках топки, работающих при недостатке воздуха. Продукты коррозии на пораженных участках содержат много FeS. Авторы считают причиной коррозии действие на металл несгоревшей S топлива в условиях резко пониженного содержания, и иногда — полного отсутствия свободного кислорода. Отсутствие коррозии на 3 котле они объясняют наличием повышенного избытка воздуха, а на котлах КО III более низкой (на  $85^\circ$ ) т-рой стенки труб. Для устранения коррозии проводится перераспределение пыли и воздуха по отдельным горелкам, чтобы наряду с повышением общего избытка воздуха обеспечить достаточным кол-вом кислорода переднюю часть топочной камеры. Предотвращается возможность удара струи аэрозольной смеси от трубы фронтного экрана. Улучшается система подачи пыли к горелкам и условия горения пыли в топочной камере утеплением холодных воронок.

**27781. Коррозия труб испарителей. Кац (Die Korrosion von Verdampferrohren. Katz W.), Z. Zuckerind., 1955, 5, № 8, 367—373 (нем.; рез. англ., франц.)**

Рассматриваются вопросы коррозии (К) нагревательных труб выпарных аппаратов сахарных з-дов. Указывается, что К подвергаются преимущественно трубы аппаратов второй ступени, в связи с повышением конц-ии кислорода в сиропе, в особых условиях выпарки его под давлением. К труб со стороны сокового пара препятствует наличие в последнем аммиака — продукта разложения азотсодержащих примесей в сахарном сиропе. В первой ступени выпарки наряду с равномерной К Fe кислород расходуется на окисление гликоксикислоты с образованием  $\text{C}_2\text{O}_4\text{H}_2$ . Во второй ступени выпарки этот процесс не имеет места, что способствует усилению К металла. Сироп, содержащий продукты К Cu, выделяет последнюю на поверхности стальных труб, которая и вызывает местную К, роль катодов играют отложения Си. Повышение т-ры, связанное с выпаркой сиропа под давлением, усиливает К труб, по сравнению с вакуумными выпарными аппаратами. Латунные трубы в аппаратах для выпарки сахара применяются редко в связи с опасностью аммиачной К. Описана К трубы из двухфазной латуни,

содержащей 62,6% Cu и 0,1% Fe, в связи с анодностью  $\beta$ -фазы по отношению к  $\alpha$ -фазе. Для предотвращения К рекомендуется удалять кислород из сиропа по подаче его на выпарную установку, а также осуществлять продувку (вентиляцию) парового пространства аппаратов для удаления из них воздуха. А. М.

**27782. Коррозия конденсаторов и подогревателей.** Кац (Kondensator- und Vorwärmer-Korrosion. Katz W.), Brennstoff-Wärme-Kraft, 1955, 7, № 10, 439—445 (нем.)

Рассматривается влияние различных факторов на коррозию Cu и Cu-сплавов, в том числе влияние добавок Al к латуням, добавок As, Sb, P, допустимые скорости течения в конденсаторах, охлаждаемых морской водой, изготовленных из сплавов Cu-Ni 70/30, при применении добавок Fe (0,4—0,8%). Приведены кривые скорости коррозии чистой Cu в зависимости от растворимости продуктов коррозии, механизм деполяризации Cu растворенными  $O_2$  и  $Cu^{2+}$  и влияние перемешивания и отложений продуктов коррозии на потенциал деполяризации. Разобраны процессы коррозии под напряжением, по границам зерен, обесцинкования и образования язв. Даны примеры коррозии оборудования из латуни Л 63. Указывается, что частицы топлива, шлаков и масел необходимо удалять с поверхности металла. О. Б.

**27783. Коррозия труб, питающих теплоэлектростанции.** Маррас (Infragilimento per corrosione delle tubazioni di alimento di una centrale termoelettrica. Marras Paolo), Termotecnica, 1955, 9, № 10, 499—503 (итал.)

Изучение причин коррозии труб теплоэлектростанций показало, что коррозия вызывается напряжением металла и хим. факторами — действием воды на Fe с образованием  $Fe_3O_4$  и выделением  $H_2$ . Ю. М.

**27784. Некоторые способы борьбы с коррозией в системах горячего водоснабжения.** Артынова Е. Г., Водоснабжение и сан. техника, 1955, № 6, 20—24

Описаны затруднения в эксплуатации систем горячего водоснабжения, связанные с коррозией водоподогревателей и трубопроводов, а также с содержанием окислов Fe в воде. Изложен механизм коррозии на основе электрохим. теории; в качестве главного фактора коррозии рассматривается кислород. Рассмотрены возможные способы защиты от коррозии: термич. деаэрация, хим. обескислороживание воды сульфитом и гидразином, оцинкование поверхности металла, электрохим. защита (катодная поляризация и Al-, Zn- и Mg-аноды), пропускание воды через сталестружечные фильтры, дозировка тринатрийфосфата и гексаметафосфата Na. А. М.

**27785. О влиянии аммиачных соединений на режим эксплуатации и коррозию теплосилового оборудования.** Шевцов Д. С., Теплоэнергетика, 1955, № 9, 48—51

Изложены эксперим. и эксплуатационные данные о составе пара и конденсата (К) котельных и выпарных установок сахарных заводов. При использовании К сокового пара, содержащего аммиак, для питания паровых котлов содержание Fe в К пара снижается до 0,02—0,06 мг/кг. Бронзовая арматура деаэраторов при этом сильно корродирует, если в воде одновременно с аммиаком содержится кислород; усиливается незначительно коррозия бронзовых турбинок питательных насосов. Автор считает необходимой деаэрацию питательной воды, содержащей ~100 мг/кг аммиака. Описаны положительные результаты подпитки котлов вышеуказанным К сокового пара. А. М.

**27786. Коррозия и методы защиты труб буровых колодцев.** Папи (Fürt kutak korróziója és a védeke-

zés módja. Papp Szilárd), Hidrol. Kézl., 1954, 34, № 9—10, 445—453 (венг.)

Указывается, что вследствие коррозии стальных труб буровых колодцев наблюдается значительное содержание Fe в воде, затрудняющее ее применение в пром-сти. Особенно агрессивны мягкие мало минерализованные воды, содержащие свободную  $CO_2$ . Изложены общие положения теории электрохим. коррозии металлов, роль pH ( $CO_2$ ), кислорода и других факторов, а также явления поляризации и образования защитной окисно-меловой пленки. Перечислены методы защиты труб от коррозии и устранения загрязнения воды Fe (присадка фосфатов и силикатов, применение Al-вкладышей, оцинкованных и луженых труб, неметаллич. покрытий, деревянных, асбоцементных и эмалированных труб). А. М.

**27787. Анализ осадков, образующихся в газовых трубопроводах.** Павликовский, Навара, Петрович (Analiza osadów powstających w rurociągach gazowych. Pawlikowski Tadeusz, Nawara Leopold, Piotrowicz Maria), Gaz, woda, techn. sanit., 1955, 29, № 1, 2—9 (польск.)

Подробно рассмотрены причины образования осадков в газопроводах и их корродирующее влияние. Приведены результаты колич. и качеств. анализа 16 образцов осадков, полученных из разных мест. Наиболее часто встречается осадок, представляющий собой продукты коррозии Fe. С целью уменьшения коррозии рекомендуется тщательно очищать газ от  $H_2S$ ,  $NH_3$ , смолы и нафталина. Желательно также удаление водяных паров, окислов азота и органич. соединений S. Большое значение имеет также надлежащее охлаждение газа. В. Л.

**27788. Применение нержавеющей стали в химической промышленности.** Янсана (Los aceros inoxidables en les industrias quimicas. Jansana Luis), Afinidad, 1953, 30, № 125—126, 98—103 (исп.)

**27789. Очистка металлов. Удаление окалины с поковок.** Льюне (Metal cleaning with special reference to the removal of scale from forgings. Lewis K. G.), Metal Treatm. and Brog Forging, 1954, 21, № 106, 335—342, 347 (англ.)

Обзор по вопросу травления поковок. Рассматривается хим. и электрохим. травление и удаление окислов Fe, Cr и Cu при помощи гидрида Na. Дано описание оборудования применяемого для этого процесса и рассмотрены процессы травления Cu, Ni, Al и Mg-сплавов. Библ. 29 назв. Е. З.

**27790. Металлические покрытия.** Прайс (Metal coatings. Price Donald), Industr. and Engng Chem., 1955, 47, № 8, 1511—1513 (англ.)

Обзор патентной и технич. литературы по применению Mo-покрытий для защитных и декоративных целей. Указывается, что Mo применяется в качестве основного компонента покрытия или в качестве катализатора при фосфатировании. М. К.

**27791. Новое в области защиты от коррозии металлизацией в Австрии.** Рейнинггер, Ренгхаузен (Neuere Rostschutz-Spritzmetallisierungen in Österreich. Reininger H., Rengshausen R.), Metall, 1955, 9, № 11/12, 487—488 (нем.)

Общий обзор по вопросам металлизации. Отмечается применение в США, Швеции, Германии и Англии двойных металлизационных Zn-Al-покрытий, на которые наносят полистироловый лак. Строительные детали после обдувки песком металлизуют слоем Zn толщиной ~0,1 мм, а затем слоем Al. Общая толщина покрытия равна ~0,2 мм. При такой толщине покрытия обеспечивается защита стали от ржавления в течение 10 лет. Е. З.

27792. Влияние полирующих материалов на коррозионную стойкость металлических поверхностей. Вейнер, Клейн (Einfluss von Poliermitteln auf die Korrosionsempfindlichkeit metallischer Oberflächen. Weiner R., Klein G.), Metalloberfläche, 1955, 9, № 9, B132—B134 (нем.).

Исследовалась в зависимости от природы абразива (чистая окись Fe, чистая окись Cr, кремнистый мел, чистая окись Al № P 22 и американский трепел) коррозионная стойкость толстого беспористого слоя электролитич. Ag, осажденного на Cu; чистого Al; Cr, осажденного на Cu; стали; латуни; Ni, осажденного на Cu; чистого Zn и прокатанного Zn-сплава, содержащего небольшие кол-ва Al и Cu. Полировальная паста состояла из 90 ч. жира и 210 ч. порошка абразива. В состав связующего в-ва входили парафин, стеарин и жирная к-та. Коррозионные испытания проводились в чистой сельской атмосфере, слабо агрессивной атмосфере лаборатории и промышленной атмосфере, содержащей свободный Cl и хлориды. Результаты сравнительных испытаний в промышленной атмосфере, длившиеся 55 дней, показали, что различие в коррозионном поведении образцов наблюдается лишь в первый период испытаний. При полировании окисью Fe относительно снижается коррозионная стойкость Ag, Al, стали, Ni, Zn-сплава и Zn. Обработка окисью Al приводила к повышению коррозионной стойкости Al и стали по сравнению с действием других абразивных в-в. Применение окиси Cr отрицательно сказывалось на сопротивлении коррозии Ag, Al, стали, Ni, Zn-сплава и Zn. Полирование трепелом стали, Ni, Zn-сплава и Zn не влияло на их коррозионную стойкость. Кремнистый мел в наибольшей степени ускорял коррозию Cu. Е. З.

27793. Антикоррозионные свойства электролитических покрытий из сплавов олова (Propriétés de résistance à la corrosion des revêtements électrolytiques d'alliages d'étain. Usine nouvelle, 1945, 11, № 38, 67 (франц.).

Испытания стали, покрытой гальванич. путем сплавом Sn-Zn (75 : 25) в солевом тумане в продолжение 400 час., показали полное отсутствие ржавчины в порах покрытия; хорошую защиту обеспечивает слой толщиной 7,5 м. Покрытия из Sn-Zn во влажной атмосфере дают лучшую защиту, чем Zn- и Cd-покрытия, они хорошо сопротивляются механич. деформациям и свариваются. Покрытие из Sn-Ni с 65% Ni не защищает сталь, его защитная способность возрастает при применении подслоя Cu (5—10 м). Сплавы Sn-Cd обладают высокой коррозионной стойкостью в морской атмосфере. Покрытие из Sn-Pb, 10% Sn, осажденное из фтороборатной ванны, хорошо защищает подшипники из Sn-бронзы. Покрытия из Sn-Cu могут служить для замены Ni при хромировании. Получено также покрытие из Sn-Cu-Zn. Многие покрытия из сплавов Sn обладают хорошими декоративными свойствами. О. Б.

27794. Структура и термическая обработка цинковых покрытий. Катц (Aufbau und thermische Behandlung von Zinkschichten. Katz W.), Metall, 1955, 9, № 15/16, 652—655 (нем.).

Скорость коррозии Zn составляет 1,0—19,0 м/год в зависимости от характера атмосферы. Горячее Zn-покрытие состоит из слоев  $\Gamma$ ,  $\delta_1$ ,  $\zeta$ -и  $\eta$ -фаз, содержащих Fe соответственно (в %): 21—27, 7—11, 6—6,2 и 0,25. Потенциал структурных составляющих по мере увеличения содержания Fe сдвигается в положительную сторону. Коррозия Zn-покрытий распространяется вдоль границ кристаллитов  $\zeta$ -фазы. При цинковании труб и проволоки кристаллиты  $\zeta$ -фазы могут прорасти до слоя Zn, в результате чего коррозионная стойкость покрытия снизится.  $\delta_1$ -фаза обладает более высокой коррозионной стойкостью, чем чистый Zn и  $\zeta$ -фаза, но меньшей, чем  $\Gamma$ -фаза. В ванне, содержащей, помимо

Zn, Al, взаимодействие Zn с Fe протекает с меньшей скоростью, в результате чего образуется слой гартцинга меньшей толщины. При последующем нагревании Zn-покрытия происходит рост только преимущественно  $\delta$ -фазы. При т-ре нагрева  $\approx 700^\circ$  Zn диффундирует в Fe. В случае более низких т-р может иметь место обратное явление. Е. З.

27795. Холодное цинкование как способ защиты. Фриц (Kaltzink, ein neuer, bemerkenswerter Oberflächenschutz. Fritz I. C.), Werkstoffe und Korrosion, 1955, 6, № 11, 521—523 (нем.; пер. англ., франц.).

Сопоставляются различные способы нанесения Zn-покрытий (горячие покрытия, гальванич. шерардизация, металлизация) и холодного цинкования, заключающегося в покрытии деталей разжиженной Zn-пастой, наносимой при помощи резиновых роликов, напылением или погружением. На окраску 3—5 м<sup>2</sup> поверхности при толщине покрытия 30—40 м расходуется 1 кг пасты. Стоимость холодного цинкования по сравнению с металлизацией < 2,5 раза. Защитные свойства покрытий, полученных холодным цинкованием, выше, чем Zn-покрытий, нанесенных другими способами. Е. З.

27796. Образование пузырей на поверхности оцинкованной жести. Вистер, Хорстман (Pickelbildung an der Oberfläche verzinkter Bleche. Wiester Hans-Joachim, Horstmann Dietrich), Stahl und Eisen, 1953, 73, № 14, 902—906 (нем.).

С целью установления причины появления пузырей (П) на поверхности листов при горячем цинковании металла покрытие на дефектных участках страдалось 2%-ным р-ром HCl (к-та), содержащим трехокись сурьмы. При исследовании структуры микрошлифов установлено, что образование отдельных скоплений П обуславливается находящимися в расплавленном Zn частицами «гартцинга». Дефекты на поверхности жести приводят к возникновению П, вытянутых вдоль направления ее проката. По этой же причине образуются волнообразные П. Е. З.

27797. Химическое хромирование. Уэст (Electroless chromium. West Harry J.), Metal Finishing, 1955, 53, № 7, 62—63 (англ.).

Медь или латунь хромируются в ванне состава (в г): лимоннокислый натрий 32, гипофосфит натрия 32, CrF<sub>3</sub> 64, CrCl<sub>3</sub> 4, H<sub>2</sub>O 3,8. Для стали к р-ру добавляется 40 мл CH<sub>3</sub>COOH и 40 мл 20%-ного NaOH. Т-ра ванны 71—88°. Скорость осаждения Cr 0,0025 мм/час, но автор полагает, что дальнейшими исследованиями можно достигнуть больших скоростей. П. П.

27798. Химическая полировка латуни и нейзильбера. Шмид, Шпен (Über das chemische Glänzen von Messing und Neusilber. 1. Die Zusammensetzung des Glänzungsbades. Schmid Gerhard, Spahn Heinz), Z. Metallkunde, 1954, 45, № 6, 392—397 (нем.).

Приведены результаты опытов по выявлению оптимальных составов р-ров, состоящих из: HNO<sub>3</sub> + H<sub>2</sub>PO<sub>4</sub> + (CH<sub>3</sub>CO)<sub>2</sub>O, HNO<sub>3</sub> + H<sub>2</sub>SO<sub>4</sub> + CH<sub>3</sub>COOH, HNO<sub>3</sub> + H<sub>2</sub>PO<sub>4</sub> + H<sub>2</sub>O, для хим. полировки латуни (63% Cu, 37% Zn) и нейзильбера (60% Cu, 18% Ni и 22% Zn). Путем наблюдения за состоянием поверхности после 5-минутной выдержки в р-рах с различной концентрацией компонентов построены тройные диаграммы, на которых выявлены области полировки при т-рах 20, 40, 60°. В 1-м р-ре наилучшие результаты получены при небольших конц-ях HNO<sub>3</sub> (от 5 до 20%). Повышенное содержание (CH<sub>3</sub>CO)<sub>2</sub>O вызывает матовость поверхности, недостаток H<sub>2</sub>PO<sub>4</sub> — появление риска. Для латуни предпочтительнее работать при по-



вышенных т-рах, для нейзильбера — при более низких. 2-й р-р исследовался с целью выявления возможности замены  $H_2PO_4$  серной к-той, что не привело к положительным результатам. Опыты по определению влияния  $H_2O$  на степень полировки, проведенные с 3-м р-ром, показали, что зеркальный блеск получается только при наличии 20—40 об. %  $H_2O$ . При содержании  $H_2O < 20\%$  и невысокой конц-ии  $HNO_3$  полируемая поверхность имеет светлый оттенок без блеска; при высокой конц-ии  $HNO_3$  поверхность металла неоднородна. Высокие конц-ии  $HNO_3$  вызывают слабое травление поверхности. Оптимальные результаты для полировки Al дает р-р, содержащий (в об. %):  $HNO_3$  25,  $H_2PO_4$  65 и  $CH_3COOH$  10 при  $110^\circ$  и выдержке в течение 40—60 сек. Я. М.

**27799. Фосфатирование.** Курно, Бари (Le traitement chimique de phosphatation. Cournot Jean, Bary Jean), Bull. techn. Bur. «Veritas», 1954, 36, № 5, 128—131 (франц.)

Описаны методы фосфатирования и строение фосфатного слоя. А. С.

**27800. Использование вяжущих на основе серы.** Гаррити (Detroit experience with sulfur compound jointing material. Garrity Leo V.), J. Amer. Water Works Assoc., 1955, 47, № 5, 453—464 (англ.)

Приведены результаты поведения соединений (стыков) водопроводных чугунных труб в г. Детройте за длительный срок эксплуатации. Период максим. коррозии — декабрь — март. Наиболее характерное повреждение — трещины по окружности, перпендикулярные к продольной оси. Сравнительные испытания на прочность стыков заполненных Pb и вяжущим на основе S, за 24 года показали заметное преимущество этого способа и большую стабильность результатов независимо от срока эксплуатации образца. Н. О.

**27801. Борьба с коррозией бетона на целлюлозных заводах.** Флирски (Walka z korozją betonu w celulozowniach. Flirski Władysław), Przegł. papiern., 1955, 11, № 3, 85—91 (польск.)

Причиной коррозии (K) бетона в сульфатном производстве является образование  $CaSO_4$ ; в отбелочных цехах — действие хлора, хлорной воды и хлорной извести. Наиболее агрессивное действие на портландцемент оказывает 10%-ная NaOH при  $70^\circ$ . Для борьбы с K рекомендуются: применение малопористого бетона, цемента с низким содержанием Ca и гидравлич. добавками, карбонизация бетона, футеровка керамич. плитками с заделкой швов спец. замазками, напр. PbO на глицерине (5 кг PbO и 0,5 г глицерина), расплавленным битумом и др. Смачивание стен 3%-ным р-ром  $H_2SiF_6$  повышает прочность бетона в 2 раза. Бетонные покрытия должны иметь толщину  $\geq 4$  см. С. Я.

**27802. Детали из пластмасс для ректификационных колонн.** Нисенко Н. Т., Гидролизная и лесохим. пром-сть, 1955, № 4, 23—24

Предлагается замена Si-деталей колонн для ректификации  $CH_3COOH$  деталями из фалита, древесных пластмасс и асбовинила. Указывается, что детали из фалита и древесных пластмасс служат в уксуснокислотных колоннах столько же, сколько и Si, что экономически выгодно. Н. Б.

**27803. Достижения в области покрытия лаком легких металлов.** Лаутербах (Fortschritte auf dem Gebiet der Leichtmetall-Lackierung. Lauterbach Heinz), Ind.-Anz., 1954, 76, № 48, 21—22 (нем.)

С целью улучшения сцепления лаков (Л) с легкими металлами в последнее время разработаны Л на основе полимеров стирола, винила и метакрила. Применение пигментов, тщательно измельченных особенно микроталька, и травящих грунтов также способствовало повышению сцепления. Для обезжиривания легких ме-

таллов используют эмульсию, содержащую ~60% углеводов, эмульгатор и воду. Обезжиривающий водн. р-р содержит 2% концентрата указанного состава. Обезжиривание проводят путем набрызгивания р-ра, нагретого до т-ры 60—80° в течение 5—8 мин. под давл. 1,5 атм, или же путем погружения в р-р при т-ре 90—95°. Рассматриваются свойства травящих грунтов, применяемых для обработки Al-сплавов. Отмечается возможность обработки травящим грунтом Mg-сплавов. Описывается метод испытаний лаковых покрытий, приведенный в немецких индустриальных нормах. Е. З.

**27804. Основные мероприятия, необходимые для борьбы с атмосферной коррозией.** Радек (Basic essentials for the reduction of atmospheric corrosion. Radecke Frank), Corrosion, 1955, 11, № 10, 39—43 (англ.)

Описана технология нанесения защитных лакокрасочных покрытий с целью борьбы с атмосферной коррозией оборудования. При подготовке поверхности под покрытие рекомендуется пескоструивание. Грунтовый слой краски должен наноситься непосредственно после окончания подготовки поверхности. Покрытие наносится в 4 слоя, из которых 2 грунтовых. Основное внимание должно быть обращено на толщину каждого слоя. За последние 6 лет толщина покрытия с 0,05 мм увеличена до 0,15 мм. Грунтовый слой должен содержать достаточное кол-во пигмента — замедлителя коррозии. Срок службы покрытия за 6 лет увеличился с 2,5 до 7 лет, а стоимость покрытия при пересчете на один год службы снизилась более чем в 6 раз. Н. Л.

**27805. Подготовка металлов под окраску.** Шоу (Preparation of metals for painting. Shaw R. E.), Corros. Technol., 1955, 2, № 5, 136—142 (англ.)

Рассматриваются механизм электрохим. коррозии окрашенных металлов, обезжиривание и органич. р-рителях, шел. р-рах и эмульсионных обезжиривающих р-рах. Для очистки кузовов автомобилей применяют р-ры, содержащие  $H_2PO_4$ , органич. р-ритель, замедлитель коррозии и смачивающие добавки. Сгорячатайной стали окалину удаляют травлением в нагретом 10%-ном р-ре  $H_2SO_4$  с последующей обработкой в нагретом 2%-ном р-ре  $H_2PO_4$ . Испытания в промышленной атмосфере показали, что окрашенная сталь, покрытая окалиной, обладает меньшей коррозионной стойкостью, чем в случае отсутствия окалины. Рассматривается обработка Al в хроматно-фторидной ванне, фосфатирование Zn, обработка Cd травящим грунтом и окислирование Mg. Обсуждаются основные экономич. показатели процесса подготовки металлов под окраску. Е. З.

**27806. Краски для специальных заводских условий.** Йоу (Factory paints for special conditions. Ye W. L.), Corros. Technol., 1955, 2, № 6, 147—149 (англ.)

Общие требования, предъявляемые к краскам (K), применяемым для защиты изделий, эксплуатируемых в заводских условиях. Рассматривается механизм защитного действия K, влияние чистоты поверхности металлов на адгезию K, защитное действие металлических пигментов и пр. Разбираются защитные свойства лаков на основе фенольных, виниловых и силиконовых смол. Приводятся сведения о K на основе хлоркаучука и быстросохнущих эмалей на основе эпоксидных смол. Е. З.

**27807. Состав грунтовок для стальных конструкций.** Хадсон, Станнер (The formulation of priming paints for structural steel. Hudson J. C., Stanners J. F.), J. Appl. Chem., 1955, 5, № 4, 173—188 (англ.)

Исследование в атмосферно-коррозионных условиях грунтовок различного состава, предназначенных для покрытия стальных конструкций, при толщине покры-

тия в 50—100 м показало, что покрытия, в которых пленкообразующим в-вом служило льняное масло, дают лучшие результаты, чем покрытия, полученные с применением алкидов, кумароновых и фенольных смол; наилучшим пигментом оказалась смесь (в %):  $Pb_2O_4$  40, свинцовых белил 40 и асбестита 20, при пленкообразующем из льняного масла. Рекомендуются также покрытия состава: 3 ч. Al-пудры и 1 ч. основного сернокислого Pb или 3 ч. Al-пудры и 1 ч. ZnO при алкидном пленкообразующем. Аналогичное качество покрытий достигается применением пигментов со связующим из натурального битума (гильсонита) в смеси с высыхающими маслами. В качестве пигментов, пригодных в качестве грунтовок и окончательных покрытий, рекомендуются смеси состава: 2 ч. хромовокислого Ba, 4 ч. витерита (природного углекислого Ba) и 3 ч. талька (грунтовка) и наружное покрытие с пигментом из Al-пудры.

**27808. Улучшение качества покрытий, полученных электростатической обработкой поверхности. Обжугут** (Electrostatic detearing improves dip-coating quality. Obrzut J.J.), Iron Age, 1954, 173, № 5, 153—155 (англ.)

Описан способ получения гладких, равномерных покрытий путем электростатической обработки окрашенных изделий. Время обработки до 1,5 мин. Конвейерная установка, работающая по этому методу, уменьшает брак с 7 до 1% и менее, затраты труда вдвое, расход краски в 2,5 раза. Увеличивается производительность труда. Возможно применение вязких красок, дающих прочные пленки. Высокое качество получающихся покрытий делает этот метод особо ценным для обработки деталей, предназначенных для работы в полевых условиях (военного снаряжения, средств связи). Этот метод эффективнее, чем окраска вручную распылением, особенно для крупных изделий.

**27809. Коррозионностойкие краски, катодная защита, металлизация. Хёрнер** (Rostschutzanstriche, Kathodenschutz, Metallisierung. Hörner A.), Dtsch. Farben Z., 1955, 9, № 9, 349—353 (нем.)

Рассматриваются различные способы защиты Fe от ржавления. Наиболее обычный способ — применение окраски в несколько слоев: сначала производится грунтовка  $Pb_2O_4$  или цианамидом свинца, для второго слоя берут краску на основе льняного древесного масла и окислов Zn или на основе жирных алкидных смол. Все покрытия этого типа служат для изоляции Fe от действия влаги и кислорода. Срок службы непродолжителен. Другой вид защиты — электрохим., путем приложения тока извне или применения протекторов-анодов (Zn, Mg). Приводятся примеры успешного использования катодной защиты в наземных, подземных и подводных сооружениях. Из других видов защиты рассматривается металлизация — нанесение покрытия из металла с более отрицательным потенциалом.

**27810. Достижения в области защиты от коррозии строительных конструкций. Рик** (Neuere Entwicklungen im Bautenschutz im In- und Ausland. Rick Anton W.), Seifen-Öle-Fette-Wachse, 1954, 80, № 26, 719—720 (нем.)

Общие сведения о защите от коррозии. Рассматриваются битумные покрытия, покрытия на основе лакусов, смол и кремнийорганич. соединений, применение стеклянной ткани и Al. Отмечается использование в США травящих грунтов. Положительные результаты получены при горячем напылении на строительные детали пластмасс. В США разработан способ защиты от коррозии, заключающийся в покрытии деталей производными поливинила, имеющими нитевидное строение.

**27811. Таниновые смеси для водообработки.** — (Tannin blends in water treatment. Items to be seen at the engineering, marine and welding exhibition.—), Corros. Technol., 1955, 2, № 8, 259—260 (англ.)

Описан способ предотвращения коррозии паровых котлов, циркуляционных систем водяного охлаждения и т. д. путем обработки воды смесью 5 различных таниновых в-в, устойчивых при повышенных т-рах. Защитное действие танинов основано на поглощении растворенного кислорода; превращении окислов, имеющих на поверхности металла, в коррозионноустойчивые таннатно-окисные комплексы; предотвращение образования отложений, вызывающих аэрационную коррозию. Лабор. испытания этой смеси дали успешные результаты при давлении до 70 атм на действующих котлах танины применяются при давлении до 52 атм. Предварительно металл. поверхность подвергается хим. очистке с помощью к-ты, содержащей замедлители коррозии и моющие присадки (детергенты). Таниновые смеси применяются также для очистки стали от ржавчины и подготовки поверхности металла к нанесению защитных покрытий.

**27812. Новый антикоррозионный агент — бензоат Na** (Un nouvel agent anticorrosif. Le benzoate de sodium.), Rev. prod. chim., 1953, 56, № 23—24, 433, 435, 436 (франц.)

Бензоат Na (I), помимо использования в качестве консервирующего в-ва в пищевой пром-сти, может найти применение и как антикоррозионный агент. Слабые р-ры I предохраняют от коррозии как черные металлы, так и Zn, Sn, Cr. Механизм его действия еще недостаточно изучен, однако известно, что он является анодным замедлителем коррозии. Присутствие хлор- и сульфат-иона  $>0.1\%$  и  $0.25\%$  в пересчете на NaCl и  $Na_2SO_4$  соответственно, а также pH среды  $>5.5$ , парализуют его действие, что может быть частично возмещено увеличением конц-ии I. I может быть использован для пропитки упаковочной бумаги и как добавка в краски. При необходимости создать определенную конц-ию замедлителя коррозии в парах рекомендуется использовать для этих целей нормальный бутиловый эфир бензойной к-ты.

**27813. Способы защиты танкеров от внутренней коррозии. Диллон** (Countermeasures for control of internal corrosion of a tanker ship. Dillon Charles P.), Corrosion, 1955, 11, № 9, 45—57 (англ.)

Изучены условия коррозии на танкере «Вильсон» типа T-2 в зависимости от режима работы судна и влияния различных факторов: системы балластирования, применения загрязненного или чистого балласта, аэрации и смачивания стенок после выгрузки нефтепродукта. Приводятся средние данные скорости коррозии на танкере для различных условий, составляющие для влажной морской атмосферы, бензина и морской воды соответственно 0,254 мм, 0,203 мм и 0,127 мм в год. Более экономичным способом защиты от коррозии оказалось применение замедлителей коррозии (ЗК). Для груза в качестве ЗК применялось соединение карбоксильной к-ты с длинной цепью, содержащее группу фосфата. При этом была получена защита на 30—50%. Для балласта наиболее эффективным ЗК была  $H_3PO_4$ . Такие ЗК, как  $Na_2SiO_3$  и  $NaNO_2$ , не дали значительной защиты. Для разбрызгивания в пустом танке наиболее эффективным ЗК было признано сульфатное масло. Этот метод дал хорошие результаты. Экономич. подсчеты показали, что наиболее выгодным является применение на танкере «Вильсон» ЗК как для груза, так и для промывочной воды для танков.

**27814. Состояние вопроса борьбы с коррозией в нефтяных скважинах.** — (Current status of corrosion miti-

gation knowledge on sweet oil wells.—), Corrosion, 1955, 11, № 10, 61—63 (англ.)

Защита от коррозии труб в нефтяных скважинах, фонтанирующих при высоком давлении, осуществляется путем применения защитных покрытий, замедлителей коррозии или изготовления труб из легированных сталей. Наиболее широкое распространение имеют трубы с защитными покрытиями на основе фенольных смол. Испытываются трубы с эпоксидными покрытиями. Описано несколько способов введения в скважины замедлителей коррозии и приведены данные лабораторных исследований, целью которых являлось установление причин коррозии в нефтяных скважинах. М. К.

**27815. Защитные средства от коррозии с ограниченным сроком действия. Польт** (Korrosions-Schutzmittel mit zeitlich begrenzter Schutzwirkung. Pohl Wilfred), Erdöl und Kohle, 1955, 8, № 8, 552—556 (нем.)

Приводится разработанная классификация защитных средств с ограниченным сроком действия защиты от коррозии. Классификация предусматривает 8 различных групп защитных пленок, наносимых на разные виды металлич. изделий соответствующими способами. Рассматривается специфика, выбор, метод нанесения и экономичность отдельных видов обычных и спец. защитных средств и пленок в зависимости от вида, количества, условий работы и хранения металлич. изделий. П. Ф.

**27816. Катодная защита от коррозии. Лудекер** (Controlling corrosion with cathodic protection. Ludeker H. R.), Metal Progr., 1955, 68, № 2, 86—90 (англ.)

Рассмотрены общие вопросы катодной защиты. В. П. **27817. Катодная защита от коррозии. Риттер** (Kathodischer Korrosionsschutz. Ritter F.), Werkstoffe und Korrosion, 1955, 6, № 11, 523—527 (нем., рез. англ., франц.)

Рассматриваются вопросы катодной защиты главным образом трубопроводов. Указывается, что при сопротивлении почвы до 900 ом см она обладает очень высокой агрессивностью, 900—2300 ом см — высокой активностью, при 2300—5000 ом см — умеренной активностью, при 5000—10 000 ом см — слабой активностью и при сопротивлении >10 000 ом см почвы практически неагрессивны. Критерием защиты служит потенциал трубы — почва — 0,85 в по медносульфатному электроду сравнения. При наложенном токе применяются графитовые аноды диам. 60—150 мм и длиной 1,5 м. Гальванич. аноды применяются для защиты коротких участков трубопроводов, не имеющих вблизи источников тока. Старые или плохо изолированные трубопроводы защищаются анодами из Mg-сплава, а для новых трубопроводов или в мало агрессивных почвах может применяться Zn. Для лучшей работы гальванич. анодов их засыпают смесью из гипса и глины. Mg-аноды выпускаются весом от 2,5 до 16 кг различной формы. Существует также Mg-анод в виде ленты сечением 10 × 20 мм с внутренним стальным сердечником. Выход тока из такого анода равен 300 а-ч/м. Трубопроводы покрывают битумной или полиэтиленовой изоляцией. Опасность блуждающих токов также устраняется катодной защитой. В. П.

**27818. Влияние труб кондуктора на катодную защиту обсадных труб нефтяных скважин. Барретт** (Surface pipe effect — cathodic protection of oil well casing. Barrett Jack P.), Corrosion, 1955, 11, № 10, 17—18 (англ.)

Кривая потенциалов, снимаемая на скважинах, представляемых катодной защитой, показывает резкое уклонение значений в сторону потенциала анода у основания труб кондуктора. Это уклонение может быть или следствием электролитич. проводимости среды, или

проводимости обеих колонн, контактирующих вблизи этого места. В первом случае на внутренней колонне обсадных труб должна была бы обнаруживаться заметная коррозия. Спец. опыт с обсадной колонной, работавшей в условиях катодной защиты в продолжение 19 месяцев, показал, что на наружной поверхности внутренней колонны не были заметны коррозионные разрушения. Поэтому резкое изменение кривой потенциала катодной защиты говорит скорее о зависимости ее от проводимости обеих обсадных колонн, находящихся в контакте у низа кондуктора. В. П.

**27819. Изоляционные покрытия и катодная защита трубопроводов. Расселл** (Coatings and cathodic protection for steel pipelines. Russell G. I.), Corros. Prevent. and Control, 1955, 2, № 4, 21—26 (англ.)

Защита от коррозии подземных трубопроводов, по мнению автора, дает максим. экономич. эффект при комбинировании хорошо выполненного изоляционного покрытия с катодной защитой. В. К.

**27820. Применение катодной защиты в химической промышленности. Рауш** (Anwendung des kathodischen Schutzes in der chemischen Industrie. Rausch W.), Gas- und Wasserfach, 1955, 96, № 20, 680—681 (нем.)

См. РЖХим, 1955, 50953.

**27821. Замечания по коррозионным испытаниям металлов при температурах выше точки кипения при атмосферном давлении. Фонтана** (Responses to recent reports reveal a current interest in handling HNO<sub>3</sub> at temperatures above atmospheric boiling point. Fontana Mars G.), Industr. and Engng Chem., 1953, 45, № 6, 91A—92A, 94A (англ.)

Приведенные данные по коррозионной стойкости нержавеющей сталей типа X18H8 и типа X25H20 в HNO<sub>3</sub> конц-ии 50—70% при 110 и 170° показывают, что с повышением т-ры стойкость этих сталей резко падает. Скорость коррозии стали типа X18H8 в 35% HNO<sub>3</sub> при т-ре >110° увеличивается в 16—18 раз, достигая 20 мм/год. Показано, что стойкость литых и прокатанных металлов одинакова, стойкость Ti в HNO<sub>3</sub> при высоких т-рах высокая, железо-кремнистый сплав с большим содержанием Si имеет высокую коррозионную стойкость в конц. HNO<sub>3</sub> и заметно корродирует в разб. р-рах к-ты. И. М.

**27822. Тарелочное перо и его применение для изучения поверхностных явлений. Кёлер** (Die Tellerfeder, ein Hilfsmittel zur Klärung von Grenzflächenvorgängen. Köhler W.), Werkstoffe und Korrosion, 1955, 6, № 8/9, 389—397 (нем.; рез. англ., франц.)

Описан принцип действия тарелочного пера (ТП), предназначенного для записи весьма малых смещений  $\Delta$ , под действием давления  $P$  на тарелку порядка сотен кг. Между  $P$  и  $\Delta$  в известных границах  $P$  соблюдается пропорциональность и  $P$ — $\Delta$  диаграмма ( $\Delta$ ) имеет вид прямой. На основании коррозионных опытов ТП в 8%-ной H<sub>2</sub>SO<sub>4</sub> — чистой и с добавками разных кол-в замедлителей коррозии (ЗК) рассмотрено применение  $D$   $P$ — $\Delta$  для изучения действия ЗК в определении кол-ва ЗК, которое необходимо для прекращения коррозии. Дается сопоставление коэфф. защитного действия ЗК, найденных по потере веса с отношением  $c = P_B / P_A$  (давления, вызывающие одинаковый сдвиг  $\Delta$ :  $P_B$  — для ТП, подвергнутого коррозии в определенных условиях,  $P_A$  — для ТП, не подвергнутого коррозии), которым характеризуется и смещение  $D$   $P$ — $\Delta$ , при этом для анодных ЗК  $c < 1$ ; для катодных ЗК  $c > 1$ . О. Ш.

**27823. Анализ возможностей потенциометрически измерений для определения коррозионной стойкости**



металлов. Шолти (A potenciálmérés — mint korróziós vizsgálati módszer — kritikája. Solti Mihály), Magyar kém. lapja, 1954, 9, № 10, 310—314 (венг.)

Общие вопросы по определению стойкости металлов путем измерения их потенциалов. На электродный потенциал металлов и сплавов оказывают влияние состав и структура металла, характер механич. и термич. обработки, напряжения, поверхностные пленки, состав и т-ра коррозионной среды. В тех случаях, когда точно известны возможные р-ции для данной системы, измерения электродных потенциалов могут быть полезны для определения термодинамич. вероятности коррозии. Потенциометрич. измерения можно применить при изучении перехода металла в активное или пассивное состояние. В тех случаях, когда в процессе коррозии может меняться не только поляризуемость анода, но и катода, выводы из измерений потенциалов следует проверять и другими методами. Потенциометрич. измерения могут быть с успехом использованы при исследованиях сплавов, интерметаллич. соединений, окисных пленок, многоэлектродных систем и лакокрасочных покрытий. Эти измерения, по мнению автора, не дают надежных данных о действии замедлителей коррозии и деполяризаторов. И. Л.

27824. Ускоренные коррозионные испытания гальванических покрытий. Пиннер (Progress report on accelerated corrosion tests for the performance of plated coatings. Pinner W. L.), Plating, 1955, 42, № 8, 1039—1043 (англ.)

В настоящее время работы по ускоренным коррозионным испытаниям гальванич. покрытий ведутся в следующем направлении: 1) разбрызгивание р-ров, содержащих  $\text{CH}_3\text{COOH}$ ; 2) испытания в электролитич. ячейке, в которой испытуемое изделие служит анодом; 3) испытания в р-ре с грязью в спец. камере; 4) испытание в атмосфере, содержащей  $\text{SO}_2$ ,  $\text{CO}_2$  и пары  $\text{H}_2\text{O}$ . И. Л.

27825. Применение электрических приборов для исследования явлений диффузии при коррозии, вызванной дифференциальной аэрацией. Бьянки (Applicazione dei modelli elettrici allo studio dei fenomeni diffusivi nella corrosione per aereazione differenziale. Bianchi Giuseppe), Metallurgia ital., 1953, 45, № 4, 123—127 (итал.)

27826 К. Атмосферная коррозия металлов. Бачкаи (Fémek atmoszférikus korróziója. Bácskai Gyula, Budapest, 1954 (1955), 85, 16 Ft) (венг.)

27827 К. Применение замедлителей для борьбы с коррозией во время сушки и хранения металлов. Бачкаи (Inhibitorok alkalmazása fémek szállítása és tárolása alatti korrózió elleni védelemre. Bácskai Gyula, Budapest, 1954 (1955, 62L., 11.50 Ft.) (венг.)

27828 К. Коррозия трубопроводов и катодная защита; полевые методы. Паркер (Pipe line corrosion and cathode protection; a field manual. Parker Marshall E. Gulf, 1954, 104 pp., ill., 3) (англ.)

27829 П. Применение танталовой жести для химически стойкой аппаратуры. Винклер (Verwendung von Tantalech für chemisch beständige Gegenstände. Winkler Otto) [W. C. Heraeus G. m. b. H.]. Пат. ФРГ 888771, 3.09.53 [Chem. Zbl., 1954, 125, № 30, 6819 (нем.)]

Патентуется коррозионностойкий материал, представляющий собой Та-жест с незначительным содержанием газа. Жест упрочнена до 150—350 кг/мм<sup>2</sup> по  $H_b$ . Она противостоит хим. воздействиям, особенно действию щелочей и химически активного водорода, и применяется преимущественно для изготовления прядильных фильер. И. М.

27830 П. Метод травления железа с регенерацией травителя. Миллер (Method of pickling iron and recovering pickling agent. Miller Clark O.) [Cleveland Industrial Research, Inc.]. Пат. США 270004, 18.01.55

Патентуется процесс травления черных металлов, отличающийся регенерацией травителя ( $\text{NH}_4\text{HSO}_4$ ). Металл погружают в травильную ванну с водн. р-ром  $\text{NH}_4\text{HSO}_4$ . Получающийся при травлении водн. р-р  $(\text{NH}_4)_2\text{Fe}(\text{SO}_4)_2$  (I), содержащий также  $\text{NH}_4\text{HSO}_4$ , доводит до  $\text{pH} \geq 7$  добавкой  $\text{NH}_4\text{OH}$  и окисляют воздухом или  $\text{O}_2$  для перевода I в  $\text{Fe}_2\text{O}_3 \cdot \text{FeO}$  и  $(\text{NH}_4)_2\text{SO}_4$ . Осадок  $\text{Fe}_2\text{O}_3 \cdot \text{FeO}$  выделяют из р-ра фильтрованием или центрифугированием, а осветленный р-р упаривают до кристаллизации  $(\text{NH}_4)_2\text{SO}_4$ , который нагревают для перевода его в  $\text{NH}_4\text{HSO}_4$ , возвращаемый на приготовление р-ра для травления. Выделяющийся при нагреве  $\text{NH}_3$  направляют на нейтрализацию р-ра I и  $\text{NH}_4\text{HSO}_4$ . В. З.

27831 П. Способ нанесения металлического покрытия проволоки и ленты. Эспе (Verfahren zum Überziehen von draht- oder bandförmigem Metallgut mit Metall. Espe Werner) [Siemens-Schuckertwerke A.-G.]. Пат. ФРГ 895085, 29.10.53 [Chem. Zbl., 1954, 125, № 27, 6100—6101 (нем.)]

Патентуемый способ нанесения металлич. покрытия на проволоку и ленту отличается тем, что лента или проволока сначала проходит через предварительную ванну, наполненную расплавленным металлом покрытия, а затем через соединяющуюся с ней другую ванну, в которой и происходит основной процесс покрытия при воздействии звуковых или лучше ультразвуковых колебаний. Данный способ особенно подходит для покрытия Al. Н. И.

27832 П. Способ горячего цинкования железной и стальной проволоки и лент. Пюнгель (Verfahren zum Feuerverzinken von Eisen- und Stahlsträhnen und -Bändern. Püngel Wilhelm) [Westfälische Union A.-G. für Eisen- und Drahtindustrie]. Пат. ФРГ 888791, 3.09.53 [Metallüberfläche, 1953, 7, № 12, B192 (нем.)]

Проволоку отжигают, и, не охлаждая, погружают в расплавленный Zn при т-ре, превышающей т-ру ванны для горячего цинкования не менее чем на 50°. Вследствие высокой т-ры проволоки образуется очень тонкий слой покрытия из сплава Fe-Zn, находящийся под слоем покрытия из чистого Zn. Оцинкованная таким способом проволока сохраняет высокие пластич. свойства. Е. З.

27833 П. Способ и установка для получения горячего покрытия. Уитфилд, Шешунов (Method and apparatus for the formation of hot dip coating. Whitfield M. C., Sheshunoff V.) [Whitfield and Sheshunoff, Inc.]. Англ. пат. 709163, 19.05.54 [J. Appl. Chem., 1954, 4, part 12, ii727 (англ.)]

Деталь покрывают расплавленным металлом, после чего ее пропускают через ванну, содержащую инертное расплавленное в-во (расплавленные соли, расплавленную S) для охлаждения покрытия и предотвращения его расслаивания под действием гравитационных сил в процессе затвердевания. Е. З.

27834 П. Нанесение металлических покрытий на проволоку и ленту. Фогт (Verfahren zum Aufbringen von Metallüberzügen auf langgestrecktes Arbeitsgut sowie Einrichtung zur Durchführung des Verfahrens. Vogt Alois). Швейц. пат. 288437, 31.01.54 [Chem. Abstrs, 1954, 48, № 14, 8163—8164 (англ.)]

Аппарат состоит из камеры, на дне которой находится расплавленный металл покрытия, а верхняя часть нагревается выше т-ры кипения металла для предотвращения его каплеобразования на поверхности непрерывно пропускаемой проволоки или ленты. Камера,

где наносится покрытие, помещена в другую камеру, находящуюся под вакуумом. В. З.

**27835 П.** Способ нанесения металлических покрытий на клапаны. Кейп (Method of applying metal coatings to valves. Cape Arthur T.) [Coast Metals, Inc.]. Пат. США 2708641, 17.05.55

Патентуется способ нанесения защитных металлич. покрытий на трущиеся поверхности клапанов и аналогичных изделий, имеющих т. пл. 1425—1525°. Для нанесения покрытия опорный клапан поддерживается вдоль кольцевой зоны с края головки клапана, которая устанавливается под углом к горизонтальной плоскости. Покрываемая поверхность, вращающаяся с постоянной скоростью вокруг собственной оси, подвергается местному нагреву до достижения т-ры плавления, после чего на нее быстро и равномерно разливается из одной точки расплавленное кол-во расплавленного облицовочного металла, образующего покрытие. Я. Л.

**27836 П.** Метод изготовления кабелей со свинцовой оболочкой. Эккл (Method of manufacturing lead-sheathed cables. Eckel John F.) [General Electric Co.]. Пат. США 2709144, 24.05.55

Патентуется способ улучшения физ. свойств оболочки кабеля, изготовленной из сплава Pb с Te и As (Te 0,05—0,4%, As 0,05—0,5% по весу, остальное Pb), путем немедленного охлаждения оболочки, после горячего прессования, до комнатной т-ры, затем нагрева охлажденного Pb до т-ры 190—210° на 5—60 сек. и воздушного охлаждения до 140°. Г. Р.

**27837 П.** Коррозионностойкие покрытия. Хансгерг, Хансгерг (Corrosion resisting coatings. Hansgier Fritz J., Hansgier Josephine Maria) [American Electro Metal Corp.]. Пат. США 2709154, 24.05.55

Патентуется способ получения изделия, имеющего жесткую форму, изготовленного из металла, выбранного из группы Mo, W и сплавов на основе Mo и W. Изделие имеет защитное покрытие, стойкое при т-ре горения газов, выделяющихся в двигателе внутреннего сгорания. Покрытие осаждают из расплавленного электролита, содержащего соединение Al при 900—1100° при высокой плотности тока. Изделие является катодом. Под действием высокой т-ры происходит взаимодействие Al с изделием, в результате чего образуется защитное покрытие, содержащее по меньшей мере одно сплошное, плотное, непроницаемое для кислорода интерметаллич. соединение, слой которого находится между основным металлом и Al. При выгрузке изделия из расплава избыток Al удаляют. Е. З.

**27838 П.** Повышение блеска и коррозионной стойкости гальванического цинкового покрытия (Verfahren zur Glanzherzeugung auf Zinkoberflächen) [E. I. du Pont de Nemours and Co.]. Пат. ФРГ 900288, 21.12.53 [Metalloberfläche, 1954, 8, № 3, В 47(нем.)]

Продолжительно сохраняющийся блеск и стойкость против загрязнения достигаются обработкой цинковых покрытий в кислом р-ре H<sub>2</sub>O<sub>2</sub>. Содержание к-ты в р-ре должно быть так мало, а время обработки так коротко (15—30 сек.), чтобы происходило только осветление поверхности без травления. Хорошее действие оказывают р-р H<sub>2</sub>SO<sub>4</sub> с добавкой 2—8 вес. % H<sub>2</sub>O<sub>2</sub> и pH 1—2,5; р-р 0,4—1,5%-ной CH<sub>3</sub>COOH, содержащей ~4% H<sub>2</sub>O<sub>2</sub>; р-р 0,2—1%-ной HNO<sub>3</sub>. Н. О.

**27839 П.** Защита молибдена от окисления. Гаррисон, Ловетт (Protection of molybdenum against oxidation. Garrison John W., Lovett Albert B.) [Westinghouse Electric Co.]. Пат. США 2650903, 1. 09. 53

Патентуемый способ защиты от окисления деталей, изготовленных из Mo и Mo-сплавов, заключается в том, что детали покрывают слоем электролита. Со, осаждаемого из р-ра его соли. Затем на детали наносят обмазку,

содержащую тонкоизмельченный кремнезем и стекло. После сушки покрытие оплавляют в атмосфере водорода при т-ре > 1300°, обеспечивающей образование кремневодородистых соединений (сплавов) и их взаимодействие с поверхностью деталей. Е. З.

**27840 П.** Покрытие металлов на основе аминоксифатов. Расселл (Solutions de revêtement des métaux à base de phosphates d'amines et leur procédé d'application. Russell William S.) [Soc. Continentale Parker]. Франц. пат. 1059794, 29.03.54 [Chimie et industrie, 1954, 71, № 6, 1164 (франц.)]

Поверхность металла приводится в соприкосновение с р-ром аминоксифата при pH р-ра 3—6. Д. Т.

**27841 П.** Обезжиривание и защита от коррозии новых изделий из серебра. Луазлер (Verfahren und Bad zum Entfetten und Schützen neuer Gegenstände aus Silber. Leiseleur Jean) [Soc. An Orfèverie Christoffe]. Пат. ФРГ 910862, 6.05.54 [Metalloberfläche, 1954, 8, № 7, B110 (нем.)]

Предохранение серебряных изделий от действия кислорода воздуха и других агрессивных в-в при одновременном их обезжиривании осуществляется погружением на 5 мин. при 20—25° в р-р, содержащий 2—20% гидроокиси Li, K, Na, Sr или аналогичных гидроокисей (за исключением NH<sub>4</sub>OH) с добавкой 0,5—10% соли Sn<sup>2+</sup>. Примерный состав: 50 г/л SnSO<sub>4</sub>, 300, г/л КОН, 80 см<sup>3</sup> CH<sub>3</sub>ОН и 100 см<sup>3</sup> метилаля. Н. Б.

**27842 П.** Способ облагораживания поверхности железа и стали посредством химической обработки поверхности и покрытия лаком. Рёснер, Лей, Штенгер, Вернер (Verfahren zur Veredlung von Eisen und Stahl durch chemische Oberflächenbehandlung und Lackierung. Roesner Gerhard, Stenger Walter, Werner Willy, Ley Helmut) [Metallgesellschaft A.-G.]. Пат. ФРГ 896892, 16.11.53 [Metalloberfläche, 1954, 8, №2, В 30 (нем.)]

Детали обрабатывают в водн. р-ре, содержащем фосфорную к-ту, при pH 1—1,9. Это значение лежит за пределами соотношения между первичным, вторичным и третичным фосфатами металлов и свободной фосфорной к-той в равновесном состоянии, при котором не образуется видимое покрытие. К р-ру можно добавлять первичные фосфаты Zn, Fe, Mn и Co, а также моющие средства и растворяющий жиры спирт. Положительные результаты были получены при применении р-ра, нагретого до 50°, содержащего 15—25 г/л свободной P<sub>2</sub>O<sub>5</sub>. Продолжительность обработки деталей в пределах 20 сек.—3 мин. Пассивацию деталей проводят в р-ре нитритов, хромовой к-ты или хроматов, содержащих добавку, окрашивающую Fe в черный цвет и предотвращающую образование шлама, напр. пирофосфат Na, нитрилтриацетат. Ванна для пассивации содержит, напр., 0,5 г/л хромата Na и 0,5 г/л пирофосфата Na. После пассивации детали сушат при 120°, затем покрывают лаком. Е. З.

**27843 П.** Способ обработки поверхности изделий из тяжелых металлов набырживанием смеси, содержащей фосфорную кислоту, вещество, растворяющее масло, и коллоидные добавки. Паль (Verfahren zur Oberflächenbehandlung schwermetallischer Gegenstände durch Aufspritzen von Phosphorsäure, Öllösungsmittel und kolloidale Zuschläge enthaltenden Gemischen. Pahl August) [Gerhard Collardin C. m. b. H.]. Пат. ФРГ 880679, 5.10.53 [Metalloberfläche, 1954, 8, № 3, B45 (нем.)]

Для получения прочнопристающих спекшихся фосфатных слоев смесь фосфорной к-ты, в-в, растворяющих масло, напр. с Cl<sub>4</sub>, и в-в, уплотняющих покрытие, напр., колл. глины, направляют в виде струи непосредственно через трубку пламени на фосфатируемую поверхность металла. Образующийся фосфат тяжелого металла

нагревают в том же пламени до спекания. Допускается обрабатываемую поверхность не подвергать предварительной очистке, так как благодаря повышению т-ры р-ра быстро удаляются ржавчина и другие загрязнения. При этом образующееся прочное стеклоподобное фосфатное покрытие не разрушается. Е. З.

**27844 П. Способ увеличения коррозионной стойкости изделий из магниевых сплавов.** Микель, Хеннебергер (Verfahren zur Verbesserung der Korrosionsbeständigkeit von Werkstücken aus Magnesiumlegierungen. Michel Josef Martin, Henneberger Fritz). Пат. ФРГ 3446, 28.01.53

В дополнение к защитным пленкам (РЖХим, 1955, 42097), получающимся на Mg-сплавах в результате электрохим. обработки или погружением в р-р (в особенности к пленкам, содержащим фториды), рекомендуется их обработка в р-рах солей  $H_2SeO_3$  или их аналогов; значение pH р-ров не должно превышать 8. (Предпочтительны р-ры солей щел. металлов со значением pH 5—7). И. Л.

**27845 П. Футеровка реакционных башен** (Revêtements pour tours de réaction acide) [Chemische Industrie A.-G.]. Франц. пат. 1075724, 19.10.54 [Génie chim., 1955, 73, № 1, 23 (франц.)]

Патентуется способ футеровки реакционных башен главным образом в произв-ве  $H_2SO_4$  кольцами из кислотоупорного материала синтетич. поливинила. В. М.

**27846 П. Электрические кабели** (Electric cables) [N. V. Hollandsche Draad- en Kabelfabriek]. Англ. пат. 706231, 24.03.54 [Rubber Abstrs, 1954, 32, № 7, 314 (англ.)]

Пловучий силовой электр. кабель, применяемый в спец. устройствах для обнаружения магнитных мин с помощью миноискателей, представляет собой трубку с свободно находящимся внутри нее изолированным проводником. Трубка изготовлена из полиэтилена и многослойно покрыта ячеистым полихлорполивинилом ( $d = 0,1$ ) и оплеткой из износостойкого материала, напр. полихлорполивинилидена. Внутренний диаметр трубки ~30 мм, толщина стенки 3 мм, внешний диаметр изолированного проводника 20 мм, пространство между проводником и трубкой соприкасается с морской водой, циркуляция которой служит для охлаждения. Г. Р.

**27847 П. Защитные покрытия электрических кабелей** (Envelope protectrice pour armure de câble électrique) [Co. Generale d'Electricité]. Франц. пат. 1026588, 2.05.53 [Rubber Abstrs, 1954, 32, № 3, 131 (англ.)]

Для изоляционных целей проволоку или полосы, служащие для обвязки проводника, предварительно покрывают вулканизованным неопреном. При наличии оболочки из Pb употребляется невоспламеняющееся покрытие, напр. на основе хлорированного дифенила, токо- или нетокопроводящее, которое помещается между сердечником и оболочкой. Такое покрытие удерживается полосками из бумаги, текстиля или резины, покрытыми тем же материалом. Возможно заключение комплекта жил в оболочку из вулканизованного неопрена. Г. Р.

**27848 П. Коррозионностойкое покрытие.** Гласе (Corrosion-resistant coating. Glass Alfred L.) [United States of America as represented by the Secretary of the Navy]. Пат. США 2676942, 27.04.54

Патентуется антикоррозионное покрытие состава: 100—102 ч. сополимера винилхлорида, винилацетата и маленовой к-ты (86:13:1); 40—42 ч. полиметакрилата, *n*-бутилметакрилата, изобутилметакрилата или *n*-пропилметакрилата; 30—33 ч. пластификатора (полиэтилглицоль-ди-2-этилгексоата или три-2-этилгексил-фосфата) и 5—7 ч. основного хромата цинка и

калия; все вещества растворены в низкокипящих р-рителях. Т. Ф.

**27849 П. Приготовление уплотняющих и антикоррозионных пластических масс** (Masses plastiques permanentes destinées à la protection contre la corrosion et à la réalisation de l'étanchéité, à base d'hydrocarbures paraffiniques à point de goutte élevé) [Chemieprodukte G. m. b. H.]. Франц. пат. 1036223, 4.09.53 [Chem. Zbl., 1954, 125, № 49, 11313 (нем.)]

Пластич. массы состоят из парафиновых продуктов с высокой т-рой каплепадения, незначительных кол-в полиэтилена и преимущественно полиизобутилена и, кроме того, могут содержать также минер. или органич. антикоррозионные средства. Напр., одна из таких масс имеет следующий состав. (в вес. ч.): 120 Parafingatsch, 3—5 полиэтилена, 3—5 полиизобутилена, 35 каолина и 30 талька или другого инертного наполнителя. П. Ш.

**27850 П. Процесс покрытия проволоки и проволока с нанесенным покрытием** (Process of coating wire and wire so coated) [Standard Telephones and Cables, Ltd (Sumitomo Electric Industries Ltd)]. Англ. пат. 714092, 25.08.54 [Prod. Finishing, 1954, 7, № 10, 118 (англ.)]

С целью получения изоляционного покрытия на проволоку наносят р-р поливинилового ацетата или формальдегидной смолы, содержащий в виде суспension определенные кол-ва полимера фуфурола. В процессе полимеризации соединения на основе фуфурола подвергают воздействию УФ-лучей. Е. З.

**27851 П. Способ изготовления легких коррозионностойких труб.** Небесар (Method of making light-weight corrosion resistant tubes. Nebesar Robert J.) [Universal Moulded Products Corp.]. Пат. США 2690412, 28.09.54

Способ изготовления труб заключается в пропускании полосы стеклянной ткани через пропиточную ванну, содержащую синтетич. смолу, и в намотывании пропитанной полосы на сердечник, гладкая поверхность которого также покрыта синтетич. смолой. Намотывание производится со скоростью 125—380 мм/мин. Такая скорость позволяет удалить газ в промежутке от одного до другого поперечного сечения. Полоса ткани находится под действием растягивающего усилия. Сердечник нагревается изнутри с целью отверждения пропитанной трубы; одновременно создается давление на трубу во время процесса отверждения. При этом во избежание прогиба изделия сердечник приводят во вращение. Е. З.

**27852 П. Способ получения грунта под малярные краски для покрытий, защищающих от коррозии строительные детали из бетона и металла.** Браунс, Штоффельс (Verfahren zur Herstellung eines Grundstrichmittels für Korrosions-Schutzüberzüge auf Beton- oder Metallbauteilen. Brauns Erwin, Stoffels Hans) [Mannesmann A.-G.]. Пат. ФРГ 915844, 17.05.54 [Dtsch. Farben-Z., 1955, 9, № 1, 24 (нем.)]

На строительные детали, изготовленные из бетона или металла, напр. стальные трубы, наносят битумную массу, полученную согласно пат. 752577. Эту массу размягчают путем добавления бензина или бензола, после чего растирают в краскотерке. К. З.

**27853 П. Аппаратура для покрытия удлиненных полых изделий** (Apparatus for coating elongated hollow articles) [Buderruss'sche Eisenwerke]. Англ. пат. 711915, 14.07.54 [Prod. Finishing, 1954, 7, № 9, 116 (англ.)]

Патентуется способ защиты от коррозии удлиненных изделий или труб путем нанесения на их поверхности битумных покрытий. Предварительно нагретые изделия погружаются в ванну и после удаления избытка



в-ва покрытия сушатся, проходя через зону нагрева в горизонтальном или наклонном положении непрерывным потоком, для чего предусматриваются соответствующие конвейеры.

**27854 П.** Подготовка металлических поверхностей под окрасивание. Фрэйд, Фраш (Preparation of metallic surfaces which are to be painted. Freud Herbert M., Frasc Jean). Канад. пат. 494515, 21.07.53

Водный р-р для обработки металлич. поверхности перед окраской состоит не менее чем из одного органич. р-рителя, смешивающегося с водой в любых пропорциях и двойного кислого фосфата не менее чем одного этаноламина и (напр., триэтанолamina и металла (Cr или Zn). Конц-ия фосфата такова, чтобы рН р-ра находился в пределах 0,5—3,0 или 1—2,5.

Е. Д.

**27855 П.** Способ улучшения адгезии лаковых покрытий на металлах. Прир (Verfahren zur Verbesserung des Haftens von Lack- und Firnissschichten auf Metallen. Prier Pierre) [Metallgesellschaft A.-G.]. Пат. ФРГ 876939, 23.05.53 [Light Metals, 1954, 17, № 198, 285 (англ.)]

Для улучшения адгезии лаковых покрытий (особенно для сосудов, содержащих пищевые продукты) на поверхности металла получают каким-либо подходящим методом фосфатную пленку, которую затем травят с частичным ее растворением в кислом р-ре и потом осторожно отмывают от к-ты.

В. Ш.

**27856 П.** Способ защиты тонких металлических осадков на любых материалах. Рива-Лаусс (Verfahren zum Schutz dünner metallischer Niederschläge auf beliebigem Material. Rivat-Lahousse André) [Soc. An des Manufactures des Claces et Produits Chimiques de Saint Gobain, Chauny et Cirey]. Пат. ФРГ 889501, 10.09.53 [Chem. Zbl., 1954, 125, № 18, 4046 (нем.)]

Металлич. поверхность покрывается лаком, полученным на основе этоксилиновой смолы, которая, в свою очередь, получается конденсацией хлоргидрина или дихлоргидрина с 4,4'-диоксидифенилметаном, -диметилметаном или -метилметаном. Закрепителем служит пиперазин, л-фенилэтиламин или лучше триэтилентетрамин. Лак готовится на обычном р-рителе.

И. Б.

**27857 П.** Фосфатно-хроматная защита от коррозии в водных системах. Калер (Phosphate-chromate corrosion protection in water systems. Kahler Harry Lewis) [W. H. and L. D. Betz]. Пат. США 2711391, 21.06.55

Патентуемый процесс обработки воды в водных системах для предотвращения язвенной коррозии и образования бугорков продуктов коррозии заключается в регулировании рН воды в пределах 5,25—7,8 и поддержании в воде содержания водорастворимых хроматов 5—188 мг/л и водорастворимых фосфатов 11—194 мг/л (суммарная конц-ия этих в-в 16—199 мг/л).

А. М.

**27858 П.** Способ уменьшения коррозии на сульфатно-целлюлозных заводах. Бергстрём, Тробек (Tapa pienentää syöpymistä sulfaattitehtaissa. Bergström Hilding Olof Vidar, Trobeck Karl Gustaf). Фин. пат. 27142, 10.07.54

Способ уменьшения коррозии, вызываемой белым щелоком, на сульфатно-целлюлозных з-дах заключается в окислении белого (или зеленого) щелока до такой степени, чтобы оставшееся кол-во сульфида в белом щелоке было достаточным для варки целлюлозы, но не вызывало коррозии оборудования.

**27859 П.** Антикоррозионная смазка. Джейнс (Antikorrosionsölle. Japes Dudley Herbert) [N. V. de Bataafsche Petroleum Maatschap-

pij]. Пат. ФРГ 909132, 15.04.54 [Chem. Zbl., 1954, 125, № 45, 10312—10313 (нем.)]

Патентуется антикоррозионная смазка для защиты металлов от коррозии во влажной атмосфере, содержащая углеводородистые масляные, смачивающие и масляные или другие жирные в-ва, отличающиеся большим содержанием жидких углеводородов с начальной точкой кипения не  $< 50^\circ$  и конечной точкой кипения не  $> 370^\circ$ , и нецикл. алифатич. спирты с 4—8 атомами углерода, напр. ланолин, глицериды как моноолеат глицерида с диспергаторами, такими, как растворенный в бензине или керосине эфир сульфокислоты, полученный при переработке нефти и содержащий диацетон или бутеновый спирт.

В. Г.

**27860 П.** Антикоррозионная смазка для токоотводов свинцовых аккумуляторов. Смитт (Anti-corrosion compositions for lead-acid battery terminals. Smit H.). Англ. пат. 705914, 24.03.54 [J. Appl. Chem., 1954, 4, part 7, ii20 (англ.)]

Коррозия токоотводов свинцовых аккумуляторов предотвращается применением смазки, образующейся при омывании смеси (в ч.): венецианского терпентина 1400, полутвердого высококипящего углеводорода 1100, пчелиного воска 560, древесного дегтя 875, природной смолы 300, льняного масла 325, ланолина 300 и каучука 325 с 2700 КОН ( $40^\circ\text{B}_6$ ).

В. Л.

**27861 П.** Метод защиты от коррозии. Тиннус (Korrosionsschutzverfahren. Thinius Kurt). Пат. ГДР 8161, 8.09.54

Патентуемый способ состоит в нанесении на поверхность металла такого в-ва, которое под влиянием коррозионной среды превращается в коррозионнстойкий слой. Напр., поверхность Fe-листов обрабатывается р-ром целлюлозогликолевого Na (I), который при перенесении листа в разб. р-р неорганич. или органич. к-ты переходит в водонерастворимый защитный слой — в свободную целлюлозогликолевую к-ту (II). Защитное действие таких покрытий против кислых жидкостей определяется не только скоростью превращения внешних слоев в коррозионнстойкие пленки, но зависит также от коэфф. проницаемости образующихся слоев.

Примеры. 1. На поверхность металла, напр., трубки реактора, наносится горячим способом слой состава, состоящего из 5%-ного р-ра I в воде и 25% Ti-белид или  $\text{SiO}_2$  в качестве пигмента. Окрашенная таким образом металлич. поверхность приводится в соприкосновение с водн. или метанольным р-ром минер. либо уксусной к-ты, применяемых в качестве коррозионной среды. При этом I сразу превращается в свободную II, стойкую в водн. коррозионной среде. При длительной выдержке в коррозионной среде имеет место медленное проникновение и диффузия к-ты в защитный слой; новые зоны приобретают коррозионную стойкость. 2. В качестве защитного слоя применяется эмульсия эфира целлюлозы (этил- или бензилцеллюлоза) в смеси спирт-толуол и водн. р-ре I (на 5 ч. эфира целлюлозы потребляется 3—1 ч. I). На такой защитный слой действуют р-ром, содержащим свободную минер. или органич. к-ту. Входивший в состав защитного слоя I превращается при этом в II и дальнейшего попадания водн. р-ра и разбухания краски уже не происходит. 3. Используется совместная дисперсия I и казеина в 2%-ной щелочи при добавлении наполнителей и пигментов и 1—2% KF. Красочный слой такого состава обрабатывается в водн. р-ре 30%-ного формальдегида, содержащего HCl (к-ту). К-та превращает I в коррозионнстойкую II, а формальдегид переводит казеин в водонерастворимую форму.

Н. О.

**27862 П.** Способ получения адсорбентов для синильной кислоты, применяемых в газовых фильтрах и противогасах и получаемых осаждением карбонатов тяжелых металлов на пористых носителях (Verfahren

zur Herstellung von Blausäure adsorbierenden Massen aus auf porösem Trägermaterial ausgefüllten Carbonaten der Schwermetalle für Gas- und Atemfilter) [Drägerwerk, Heintr. & Bernh. Dräger]. Пат. ФРГ 897204, 19.11.53 [Chem. Zbl., 1954, 125, № 23, 5144 (нем.)]

Для предупреждения явлений коррозии аппаратуры пористый носитель пропитывают сульфатным р-ром тяжелого металла, осаждают щел. р-ром гидроокись металла и обрабатывают массу  $\text{CO}_2$ . Г. Р.

27863 П. Способ предотвращения коррозии в процессах получения под давлением сульфата аммония и серы из сульфита, тиосульфита, полигидросульфата аммония. Бер (Verfahren zur Vermeidung von Korrosionen bei der Druckumsetzung von Ammonsulfid, Ammonthiosulfat und Ammonpolythionat zu Ammonsulfat und Schwefel. Bähr Johannes.). Пат. ФРГ 931167, 1.08.55

Способ отличается аппаратным оформлением, состоящим из монтируемого вместе отстойника и автоклава, которые снабжены спускными штуцерами для раздельного выпуска жидкой  $\text{S}$ , р-ра  $(\text{NH}_4)_2\text{SO}_4$  и образовавшейся при р-ции  $\text{SO}_2$ . Дана схема. С. К.

27864 П. Кремнийорганические полимеры и смеси, содержащие их (Polymeric organosilicon compounds and compositions containing them) [Dow Corning, Ltd]. Англ. пат. 713233, 4.08.54 [Paint, Oil and Colour J., 1954, 126, № 2919, 696—698 (англ.)]

Описаны новые стабилизирующие гели замедлителей коррозии—несмолистые силиконы, которые могут употребляться в полировальных составах. Продукт может быть смесью, содержащей кремнийорганич. полимеры, описанные в англ. пат. 624550, 669178, 621009, 632563 или 671140. Полировальными составам могут быть эмульсии, р-ры, смеси или пасты. Полимер употребляется жидким, х-тя может содержать и воск. Как стабилизаторы и замедлители коррозии употребляются Sn-органич. соединения (тетра- и дибутил-Sn-дилаураты) конц-ии 0,01%. Жидкости могут употребляться как диэлектрики, смазочные в-ва или гидравлич. жидкости. Н. А.

27865 П. Антикоррозионный упаковочный материал (Antikorrosivt indpakkingsmateriale) [N. V. de Baatfysche Petroleum Maatschappij]. Дат. пат. 77304, 22.03.54

Предлагается антикоррозионная тара из бумаги, картона, ткани, целлюлозной фольги, металлич. фольги или фольги из высокомолекулярной искусств. смолы, содержащей в качестве антикоррозионного средства летучее соединение  $\text{N}$ . Особенно рекомендуется двух- или многослойная тара, внутренний слой которой является носителем летучего антикоррозионного в-ва, тогда как наружные слои являются непроницаемыми для этого в-ва. Рекомендуются антикоррозионные соединения, которые при 21° имеют давление паров  $\geq 0,00002$  мм рт. ст. предпочтительно же выше 0,0001 мм рт. ст. Следует применять антикоррозионное в-во, растворимое в воде, напр. в конденсационной воде, осаждающейся на упакованном изделии. Примеры летучих азотсодержащих соединений для пропитки тары: А. Производные  $\text{HNO}_3$ . Органич. соли  $\text{HNO}_3$ , напр. гидронитриты органич. азотных оснований или карбамида, замещаемого углеводородами, или гидразинон, гидроксиламинов, эфиров гидроксамовой к-ты и сложных эфиров этой же к-ты. Органич. сложные эфиры  $\text{HNO}_3$ , напр. азотистокислые алкилы, гетероциклич. нитриты, алициклич. нитриты или тионитриты. Органич. азотные основания, годные для пропитки тары: метиламины, изопропиламины, 2-аминобутан, третичный бутиламин и др. Б. Нитрофенольные соединения: о-нитрофенол, 2-нитро-4-метил-амилфенол, 3-нитро-4-оксибензол-1-метилол, 1-нитро-2-нафтол, 2,6-динитро-

фенол. В. Алифатич. нитросоединения: нитропентан, нитробутан, 1-нитропропан, 2-нитропропан, нитроэтан, нитрометан и др. А. Г.

27866 П. Вещества, замедляющие коррозию (Rust-inhibiting agents and compositions) [Standard Oil Development Co.]. Англ. пат. 701993, 6.01.53 [J. Appl. Chem., 1954, 4, part 6, 685 (англ.)]

Соединения  $\text{CO}_2\text{H} \cdot \text{CR}^1\text{R}^2 \cdot \text{S} \cdot \text{R}^1 \cdot \text{CO}_2\text{R}$ ,  $\text{CO}_2\text{H} \cdot \text{CR}^2(\text{S} \cdot \text{R}^1 \cdot \text{CO}_2\text{R})_2$ ,  $(\text{CO}_2\text{H} \cdot \text{CR}^2\text{R}^3 \cdot \text{S} \cdot \text{R}^1 \cdot \text{O} \cdot \text{OC})_2\text{R}$ ,  $\text{CO}_2\text{H} \cdot \text{CR}^2(\text{SR}^1 \cdot \text{CO}_2 \cdot \text{R} \cdot \text{CO}_2 \cdot \text{R}^1)_2$ , где  $\text{R}$  — алкил, алкенил или циклоалифатич. остаток,  $\text{R}^1$  — алкили,  $\text{R}^2$  и  $\text{R}^3$  или  $\text{H}$ , или алкил ( $\text{R}$  имеет 2—21 C,  $\text{R}^1$  2—6 C,  $\text{R}^2 + \text{R}^3$  21C) готовится этерификацией.  $\text{R} = \text{CO}_2\text{H}$  или  $\text{R}(\text{CO}_2\text{H})_2$  соответствующим кол-вом тиоспирта в присутствии катализатора и обработкой эфирного меркаптида щел. металла солью щел. металла и хлорированной жирной к-ты. Таким образом, 2-тиоспирт этерифицируется олеиновой к-той (292) в присутствии сульфасалициловой к-ты (3) и толуола 250 см<sup>3</sup> с удаленной азеотропной водой. Сложный эфир (171) обрабатывается  $\text{NaOH}$  (20 г в 50 см<sup>3</sup> воды) в присутствии  $\text{PrOH}$  при  $< 25^\circ$  и затем добавляется  $\text{CH}_2\text{Cl} \cdot \text{CO}_2\text{H}$  (47,5 г в 50 см<sup>3</sup> воды) и  $\text{NaOH}$  (20 г). По истечении одного часа при комнатной т-ре и 1 часа при 60°, а также после обработки  $\text{HCl}$  (к-та), получается продукт (145 г) с 6,62%  $\text{S}$ . Этот продукт при добавлении (0,05%) в турбинную нефть совместно с 0,4% окисляющего замедлителя уменьшает при 60° коррозию стального цилиндра при погружении его в эту нефть с 10 об.% морской воды. И. М.

27867 П. Составы замедлителей коррозии. Ризнар, Пейч (Corrosion inhibiting compositions and method. Ryznar John W., Peich Marjorie A.) [National Aluminate Corp.]. Канад. пат. 492859. 5.05.53

Замедлитель коррозии содержит в основном водорастворимый полифосфат и водорастворимый неорганич. комплекс цианида. Отношение цианида к фосфату 0,05—0,5. Рекомендуемый состав способен при растворении в воде давать конц-ию фосфата 1,72—86 мг/л и конц-ию цианида в пределах 0,86—8,6 мг/л. Состав замедлителя коррозии содержит в основном ~7% ферроцианида натрия, ~50% стекловидного семифосфата и ~27—28% безводн. полифосфата тетранатрия. Метод замедления коррозии черных металлов при т-ре воды выше 82° основан на одновременном присутствии в воде полифосфата и растворенного комплекса цианида. Конц-ия полифосфата в воде находится в пределах 1,72—8,6 мг/л, а кол-во неорганич. цианида 0,05—0,5 от веса названного полифосфата. И. М.

27868 П. Запасной бак — подогреватель для воды, снабженный катодной защитой. Андрус (Cathodically protected domestic water storage tank and heater. Andrus Orrin E.) [A. O. Smith Corp.]. Пат. США 2698291, 28.12.54

Предложенный аппарат состоит из кожуха и внутреннего металлич. корпуса (ВМК), пространство между которыми заполнено термоизоляцией. Внутренняя поверхность ВМК, в котором хранится горячая вода, эмалирована. Дополнительная защита от коррозии ВМК обеспечивается путем катодной поляризации с нерастворимым анодом. А. М.

27869 П. Электродиализ жидкостей (Process and apparatus or electrodialyzing liquids) [Nederlandse Centrale Organisatie voor Toegepast-Natuurwetenschappelijk Onderzoek]. Австрал. пат. 156805, 17.06.54

Для предупреждения коррозии анолита с хлорсодержащими в-вами сквозь анолит пропускают струю газа. В. Л.

27870 П. Составы, предохраняющие от коррозии. Дейман, Линдерт (Rust preventive compositions. Deiman Edgar A., Lindert A. I.)

bert W.) [Standard Oil Co.]. Пат. США 2677618, 4.05.54

Состав вещества (в %): 5—40 маслорастворимого щел., щел.-зем. сульфоната или их смеси; 1—10 мыла, приготовленного из алифатич. одноосновной к-ты по

крайней мере с 12 атомами С; 5—80 нормального жидкого углеводорода.

М. Г.

См. также: Теоретич. вопросы 25278, 25279. Защита от коррозии 27130, 27205, 27284, 28026

## ПРОЦЕССЫ И ОБОРУДОВАНИЕ ХИМИЧЕСКИХ ПРОИЗВОДСТВ

### ПРОЦЕССЫ И АППАРАТЫ ХИМИЧЕСКОЙ ТЕХНОЛОГИИ

**27871.** Возможные ошибки и устранение их при выборе и монтаже аппаратуры. Яус (Szerelvények kiválasztásánál és beépítésénél gyakrabban előforduló hibák és azok kiküszöbölése. Jausz Ernő), Magyar kémik. lapja, 1955, 10, № 2, 33—38 (венг.)

Рассмотрены условия эксплуатации аппаратуры с паровым обогревом; рекомендован выбор конденсаторов-водчиков различных систем; приведены методы наиболее целесообразного монтажа и эксплуатации сборников конденсата.

Н. К.

**27872.** Время растворения конгломерата в непрерывном производстве (прямоток, противоток и комбинация этих методов). Херман (Die Auflösungszeit eines Haufwerkes im kontinuierlichen Betrieb (Gleich- und Gegenstrom, Kombination beider Verfahren). Herrmann Erich), Chemiker-Ztg, 1953, 77, № 15, 507—511 (нем.; рез. англ., франц., итал.)

Приводятся упрощенные выражения для определения скорости и времени растворения твердого тела в жидкостях:  $d\varphi/d\tau = \sigma F_s (a + \varphi_0 - \varphi)^{2/3} (1 - \varphi) V_L^{-1} = Kf(a, \varphi_0, \varphi)$  для прямотока;  $d\varphi/d\tau = \sigma F_s (a + \varphi - \varphi_e)^{2/3} (1 - \varphi) V_L^{-1} = Kf(a, \varphi, \varphi_e)$  для противотока, где  $\varphi$  — степень насыщения в любой момент,  $\tau$  — длительность процесса растворения,  $\sigma$  — коэфф. массопередачи,  $a$  — колич. соотношение, зависящее от твердого материала,  $F_s$  — поверхность твердого тела, соответствующая насыщению р-ра,  $V_L$  — объем р-рителя,  $\varphi_0$  — степень насыщения в начале процесса,  $\varphi_e$  — степень насыщения в конце процесса. При выводе приведенных ур-ний принято, что изменение поверхности твердого тела в процессе растворения пропорционально изменению его веса в степени  $2/3$ . Интегрированием этих ур-ний получены выражения для времени растворения:  $T = \int_{\varphi_0}^{\varphi_e} d\varphi / [Kf(a, \varphi_0, \varphi)]$  для прямотока и  $T = \int_{\varphi_0}^{\varphi_e} d\varphi / [Kf(a, \varphi_e, \varphi)]$  для противотока. Полученные

в результате графич. интегрирования кривые зависимостей  $T = f(\varphi)$ ,  $T = F(a)$ ,  $T = \Phi(\varphi_0)$  позволяют проследить процесс растворения во времени. При высокой степени насыщения ( $\varphi > 0,9$ ) и весьма малой поверхности твердого тела приведенные ур-ния неприменимы.

В. Г.

**27873.** Институт Dechema для изучения химической аппаратуры и материалов. Дроша (Dechema-Institut für chemische Apparate- und Stoffkunde. Droscha Hellmut), Gummi und Asbest, 1954, 7, № 1, 6 (нем.)

**27874.** О моделировании сложных процессов. Кафаров В. В., Ж. прикл. химии, 1955, 28, № 11, 1234—1237

Установлено, что необходимым условием моделирования сложных процессов в двухфазных потоках является наличие режима свободной развитой турбулент-

ности или режима эмульгирования. Моделирование в режиме свободной развитой турбулентности становится возможным благодаря тому, что все частные факторы перестают оказывать влияние, так как потоки и граничные двухфазные слои настолько турбулизированы, что молекулярным переносом в обеих фазах потока можно пренебречь. Отношение коэфф. турбулентного обмена энергии и массы постоянно; оказывается возможным сопоставлять перенос энергии и массы. Это обстоятельство позволило найти условия моделирования насадочных колонн. Отмечается неприменимость пленочной теории Льюиса и Уитмана для современных высокоинтенсивных процессов; эта теория не учитывает турбулентного обмена, вызываемого относительным движением фаз двухфазного потока.

В. К.

**27875.** Течение жидкости через кубическую пространственную систему однообразных сферических частиц. Хэппел, Эрштейн (Cubical assemblages of uniform spheres. Happel John, Epstein Norman), Industr. and Engng Chem., 1954, 46, № 6, 1187—1194 (англ.)

Экспериментально исследована зависимость падения давления ( $\Delta P$ ) при протекании жидкости в трубе через слой взвешенных сферических твердых частиц (ТЧ) от кон-ни последних, скорости и других параметров процесса. В вертикальной части замкнутого циркуляционного контура вставлена стеклянная труба диам. 100 мм и высотой 300 мм, в которой параллельно оси и равномерно по сечению натянута латунные нити с фиксированными на них шариками диам. 5 мм из ацетилцеллюлозы так, что они размещаются в вершинах правильной пространственной куб. решетки. Проведено пять серий опытов, в которых число нитей изменялось от 76 до 225, число шариков на каждой нити от 24 до 10 и объем жидкости ( $\epsilon$ ) составлял от 0,9405 до 0,6885 от объема трубы. Рабочей жидкостью являлась смесь глицерина (91%) и воды, вязкость менялась при изменении т-ры от 27 до 43°. Опыты производились при скоростях, отвечающих значениям Re от 0,3 до 16. Установлено, что влияние стенки трубы на гидродинамику потока следует рассматривать только при  $\epsilon > 0,9$  и  $Re < 0,3$ . В области  $\epsilon = 0,5—0,8$  и  $Re < 16$  имеет место полное соответствие между скоростью, необходимой для поддержания ТЧ во взвешенном состоянии и подсчитанной по значению  $\Delta P$  из опытов с фиксированными частицами. См. РЖХим, 1955, 36450.

А. Р.

**27876.** Влияние эффекта Магнуса в ламинарных потоках. Часть 1. Подъемная сила при осаждении частиц. Толлерт (Die Wirkung der Magnus-Kraft in laminaren Strömungen. I. Teil. Der Quertrieb in sedimentierenden Teilchenschüttungen. Tollerert Hans), Chem.-Ingr.-Techn., 1954, 26, № 3, 141—150 (нем.)

Проведено эксперим. исследование подъемной силы и связанного с ней эффекта Магнуса (L. Prandtl, Naturwissenschaften, 1925, 13, 93) в случае осаждения большого числа шарообразных частиц, свободно падающих в среде различной вязкости (вода, глицерин и воздух). Опыты проводились в стеклянных трубках



диам. 3,74 см, различной высоты, с шарами различных диаметров, но в каждом опыте все шары были одинаковых размеров и одинаковой плотности (стеклянные  $\rho = 2,5$ ; стальные  $\rho = 7,8$ ; из кварцевого песка  $\rho = 2,65$  и сахара  $\rho = 1,41$ ). Действие эффекта Магнуса в этих условиях доказано увеличением числа частиц, выпавших в центральной области трубы по сравнению с окружающей ее кольцевой частью (около стенок трубы), которое достигало 25% для однородной суспензии и 40% для суспензии, состоящей из шарообразных частиц двух классов по размеру диаметра. В результате этих экспериментов получены величины коэфф. гидравлич. сопротивления при одновременном движении большого кол-ва твердых тел, свободно падающих в жидкой среде; учтено влияние близости стенок и выяснены условия обтекания жидкостью одновременно падающей группы шаров.

Ю. Р.  
27877. Газовые пузыри в жидкостях. Часть I. Образование пузырей в круглых соплах, направленных вертикально вверх. 3 и м е с (Gasblasen in Flüssigkeiten. Teil I: Entstehung von Gasblasen an nach oben gerichteten kreisförmigen Düsen. Siemens W.), Chem.-Ingr-Techn., 1954, 26, № 8—9, 479—496 (нем.)

Исследовалась зависимость размера образующихся пузырей от радиуса сопла, расхода газа и перепада давления в момент их образования. При малых скоростях газа регулярно образуются единичные пузыри, причем их объем зависит только от радиуса сопла. При больших скоростях частота образования пузырей устанавливалась стробоскопич. методом и регистрацией электр. сопротивления слоя жидкости над отверстием сопла. Показано, что по мере возрастания скорости газа равномерность образования пузырей нарушается, и они частично сливаются друг с другом, а их объем начинает зависеть от расхода газа через сопло. При еще больших скоростях струя газа, вытекающая из сопла, приобретает грибовидную форму и распадается при подъеме по краям купола на отдельные пузыри. Выводы, полученные для единичных сопел, распространяются на системы из нескольких параллельно расположенных сопел. Перфорированные плиты, работающие при значительных колебаниях расхода газа, рекомендуются для равномерного образования пузырей изгот. с несколькими размерами отверстий, равномерно распределенных по сечению.

С. К.  
27878. Механизм образования пузырей. Бауэрс (The mechanics of bubble formation. Bowers R. H.), J. Appl. Chem., 1955, 5, № 10, 542—548 (англ.)

Рассмотрен механизм образования пузырьков газа в барботажных устройствах применительно к процессам аэрации в бродильных чанах. Выведены ф-лы для определения диаметра пузырьков  $d$  в зависимости от скорости газа  $V_2$  и физ. свойств контактирующих фаз. При турбулентном течении газа  $d = [72 V_2^2 \rho / (\pi^2 g \Delta \rho)]^{1/3}$ , а при ламинарном  $d = [108 V_2 \mu / (\pi g \Delta \rho)]^{1/4}$ , где  $\rho$  и  $\mu$  — плотность и вязкость жидкости,  $\Delta \rho$  — разность плотностей жидкости и газа. При аэрации воды через диспергаторы с очень малыми отверстиями (пористые стеклянные или керамич. диски) образуются сравнительно большие пузыри, что объясняется соединением их в момент образования; при добавлении некоторых органич. в-в размеры пузырьков резко уменьшаются. Наличие в жидкости посторонних тел приводит к существенному увеличению  $d$ . Это явление исследовано экспериментально путем продувки кислородом сульфитного р-ра. Установлено, что после добавления в р-р 2% бумажной пыли скорость поглощения  $O_2$  уменьшается в 20 раз, что указывает на уменьшение поверхности пузырей. Перемешивание жидкости с не-

большой скоростью не дает большого эффекта, однако при перемешивании ее дисковыми мешалками с большой скоростью (до 980 об/мин) скорость поглощения  $O_2$  возросла сравнительно с неподвижной жидкостью: в чистом р-ре в 1,8 раза и в р-ре с бумажной пылью в 17 раз.

А. Р.  
27879. Звуковая энергия при псевдооживлении гранулированных твердых материалов. Морс (Sonic energy in granular solid fluidization. Morse R. D.), Industr. and Engng Chem., 1955, 47, № 6, 1170—1175 (англ.)

Изучалось влияние звуковой энергии на псевдооживление тонких порошков (напр., измельченных пигментов). Установлено, что в звуковом поле улучшается текучесть порошков, причем необходимая для этого интенсивность (давление) звука должно быть выше 110 дб при частоте 50—500 гц. Состояние псевдооживления грубо гранулированных свободно текущих материалов при наложении звукового поля не улучшается. При замене звука вибрацией колонны также отмечено улучшение текучести порошкообразного материала, однако применимость вибрации ограничена плохим сцеплением материала со стенками колонны, благодаря чему вибрация колонны не передается во все слои материала.

С. К.  
27880. Гидродинамические исследования. Поверхностное трение при изотермическом течении жидкостей через трубки кольцевого сечения. Ротфус, Монрад, Сикчи, Хейдегер (Fluid mechanics studies. Isothermal skin friction in flow through annular sections. Rothfus R. R., Monrad C. C., Sikchi K. G., Heideger W. J.), Industr. and Engng Chem., 1955, 47, № 5, 913—918 (англ.)

Приведены расчетные зависимости для определения поверхностного трения на наружной и внутренней поверхностях трубы кольцевого сечения в условиях ламинарного и развитого турбулентного движения жидкости и отмечены ограниченные возможности их применения (непригодность для области неразвитой турбулентности или при наличии заметных входных эффектов). Описаны результаты: непосредственных измерений сил трения, проведенных с целью проверки влияния на поверхностное трение профиля скоростей, путем непосредственного измерения сил трения в ядре потока при развитом турбулентном режиме течения жидкостей; исследования поверхностного трения при переходном режиме течения; установления влияния одного типа ввода жидкости в кольцевое сечение на распределение поверхностного трения вдоль оси ядра потока. Опыты проводились при Re от 5000 до 45 000, различной длине кольцевого канала и различных соотношениях диаметров граничных поверхностей. Результаты испытаний представлены в виде: графиков зависимости локального фактора трения  $f_f$  (Chilton T. H., Colburn A. P. Industr. and Engng Chem., 1934, 26, 1183) от расстояния до начала кольцевого канала; графиков зависимости факторов трения на граничных поверхностях от числа Re при весьма большой длине канала. Приводится метод подсчета поверхностного трения с использованием найденных значений факторов трения на граничных поверхностях. Рассмотрен вопрос о связи между поверхностным трением, теплопередачей и диффузией и о взаимном влиянии их друг на друга, причем указывается, что еще нет достаточных данных для решения этой проблемы.

Е. Х.  
27881. К расчету потерь напора в длинных трубопроводах с учетом расширения газа. Хидль (Zur Berechnung des Druckabfalles in langen Rohrleitungen bei expandierenden Medien. Hiedl H.), Maschinenbau und Wärmewirtschaft, 1955, 10, № 9, 275 (нем.)

В длинных трубопроводах в результате возрастания

скорости из-за расширения газа или пара фактич. потеря напора оказывается значительно больше ее расчетной величины, полученной по обычным ф-лам гидродинамики. Предлагается находить конечное давление по ф-ле  $p_2 = \sqrt{p_1^2 - 2p_1 \Delta p_1}$ , где  $p_1$  — начальное давление рабочей среды, а  $\Delta p_1$  — потеря напора, подсчитанная по исходной начальной плотности газа или пара. Показано, что при  $p_1 = 10$  и  $\Delta p_1 = 4 \text{ ат}$  величина необходимой поправки достигает 40% потери напора, рассчитанной без учета расширения.

С. К. 27882. Некоторые теоретические вопросы пылеуловительной техники. Беке (A portechnika néhany elméleti kérdéséről. Beke Béla), Magyar energiaszaki, 1953, 6, № 9, 259—267 (венг.)

Даны сведения об образовании пыли, ее характеристике с точки зрения структуры, размеров и скорости осаждения. Рассмотрены основные принципы методов измерения уд. поверхности пылевидных материалов и дан перечень основных способов расчета пылеуловителей. Библ. 16 назв.

М. П. 27883. Теоретическое и экспериментальное исследование распределения пыли в дымовом облаке. Траппенберг (Theoretische und experimentelle Untersuchungen zur Staubverteilung einer Rauchfahne. Trappen R.), Staub, 1955, № 39, 5—20 (нем.)

Излагается первая часть исследования, содержащая теорию расчета распределения пыли в движущемся дымовом облаке, основания этой теории и границы ее применения. Приведенная теория пользуется тремя путями решения задачи распределения пыли: 1) распространение пыли в окружающем воздухе рассматривается аналогично диффузии одного газа в другом, с заменой коэфф. молекулярной диффузии коэфф. турбулентной диффузии, значения которых определяются по величинам коэфф. обмена; 2) применяется статистич. метод; 3) поток пыли описывается системой дифференциальных ур-ний. Теория расчета представляет значительные математич. трудности и оперирует многочисленными параметрами и константами, в числе которых: скорость падения частиц пыли, уд. теплота воздуха при постоянном давлении, молекулярный коэфф. диффузии, высота источника пылеобразования над землей, масса частиц, ускорение силы тяжести, вязкость воздуха, скорость ветра, коэфф. турбулентной диффузии, давление воздуха, конц-ия пыли в воздухе, начальные размеры пылевого облака и др.

Ю. С. 27884. Эффективность циклонного пылеуловителя. Дофен (L'efficacité des dépoussiéreurs cyclone. Dauphin J.), Génie chim., 1955, 73, № 5, 121—129 (франц.)

Излагаются теории Розена, Раммлера, Интельмана, Мюльра и Дофена, математически описывающие механизм выделения и осаждения взвешенных в воздушном потоке частиц пыли в циклоне с тангенциальным вводом. В данном исследовании пыль характеризуется не диаметром частиц или предельной скоростью движения в воздухе, а особым параметром, имеющим размерность времени. Такое определение позволяет упростить ур-ния, описывающие движение частиц в циклоне.

Ю. С. 27885. Процесс очистки газов и воздуха. Часть I. Буше, Вер (Le procédé «Aérojét» — Venturi R. B.) pour l'épuration des gaz et atmosphères. Boucher R. M. G., Vert G.), Génie chim., 1955, 74, № 1, 1—18; № 2, 38—50 (франц.)

Разработана аппаратура для очистки газов от мельчайших частиц пыли (<20 м), основанная на взаимодействии загрязненного газа (первичный аэрозоль) с инжектируемым вторичным аэрозолем, в качестве которого выбирается соответствующая жидкость, распы-

ляемая пневматически в поток газа. В результате происходит увеличение и утяжеление микрочастиц твердого в-ва или жидкости, подлежащих удалению, после чего осуществляется сепарация их с помощью обычной аппаратуры — циклонов и пр. Метод расширяет область применения этой аппаратуры и делает ее пригодной для удаления микрочастиц размером <20 м. Рассмотрен механизм агломерации мелкодисперсных частиц. При сжатии и последующем расширении газового потока в насадке Вентури происходит конденсация паров, насыщающих газ; это явление также используется для агломерации и удаления частиц, загрязняющих газ. Рассмотрено электростатич. взаимодействие частиц и возможности его использования для очистки газа. Эффективность работы предложенной установки во многом зависит от условий распыления вторичного аэрозоля; для этого используются распылители, в которых жидкость подвергается воздействию струи воздуха, обладающей сверхзвуковой скоростью. Приведены ур-ния, определяющие диаметр образующихся при распылении капелек и закономерности их распределения. Аппарат для очистки газов от мелкодисперсных частиц выполнен в форме трубы Вентури с вертикальной осью и диффузором, обращенным вниз; распылитель вторичного аэрозоля помещается в вершине конуса, поверхность которого образует расходящийся диффузор. Скорость газа в горловине трубы порядка 100 м/сек. В результате взаимодействия частиц первичного и вторичного аэрозолей происходит агломерация первых, и они увеличиваются более чем в 10 раз на выходе из диффузора; при таком размере сепарация укрупненных частиц обычными методами не вызывает затруднений. Потери напора в аппарате обычно не превышают 100 мм вод. ст. Сообщены сведения о результатах применения аппарата в различных отраслях промышленности. Приведена номограмма для определения потерь напора в аппарате и рассмотрены методы их вычисления. Библ. 41 назв.

Ю. П. 27886. Обсуждение исследований по применению конденсационного метода улавливания рудничной пыли. Барон Л. И., Филиппова М. П., Изв. АН СССР, Отд. техн. н., 1955, № 8, 162—164

Улавливание рудничной пыли конденсационным фильтром (КФ) осуществляется путем пересыщения среды в КФ парами воды и просасывания запыленного воздуха через этот фильтр. При движении воздуха частицы пыли обволакиваются пленкой конденсирующейся воды, увеличиваются в размере и легче осаждаются из воздушного потока. Этот способ пылеулавливания не получил до сих пор промышленного применения из-за трудности создания пересыщ. водяными парами среды. Обсуждается предложенный Криворожским и-и горнорудным ин-том (НИГРИ) способ конденсации водяных паров на пыли в турбулентном потоке между влажными, неодинаково нагретыми поверхностями. Опытами установлено, что при длине канала КФ 250 см, расстоянии между влажными поверхностями 4 см, разности т-р 60° и скорости потока 5 м/сек на пылинках образуются капли diam. 7—10 м. Расход энергии составляет 60—70 кат-ч/1000 м³ воздуха. Уд. расход энергии можно, повидимому, значительно снизить при организации эффективного улавливания капель мелких размеров. В лабор. условиях с помощью КФ достигалась исключительно высокая степень улавливания пыли.

Ю. С. 27887. Стерилизация воздуха посредством волокнистого фильтра. Хамфри, Гейден (Air sterilization by fibrous media. Humphrey Arthur E., Gaden Elmer L., Jr., Industr. and Engng Chem., 1955, 47, № 5, 924—930 (англ.)

Отмечено, что при стерилизации значительных объемов воздуха, его фильтруют через большой слой воло-

нистого или гранулированного материала (стеклянного волокна, активированного угля, волокон из нержавеющей стали, хлопка) и что эффективность такой фильтрации даже для очень малых по размеру микроорганизмов близка к 100%. Приведены результаты эксперим. исследования механизма и параметров процесса фильтрации через волокнистый слой. Описаны схемы опытной установки, методика определения эффективности фильтрации, влияния линейной скорости фильтрации, размеров фильтрующих волокон и их размещения. Библ. 30 назв.

Ю. С. 27888. Характеристики работы центробежных скрубберов. Джонсон, Фридлендер, Деннис, Ферет, Силверман (Performance characteristics of centrifugal scrubbers. Johnson Glenn A., Friedlander Sheldon K., Dennis Richard, First Melvin W., Silverman Leslie, Chem. Engng, Progr., 1955, 51, № 4, 176—188 (англ.))

При инерционном способе улавливания пыли из газа добавление воды или других подходящих жидкостей значительно увеличивает степень улавливания, благодаря действию двух дополнительных факторов: а) кондиционирования частиц пыли, так как малые частицы становятся больше и тяжелее вследствие прибавления воды; б) улавливания частиц, которое состоит в захвате жидкой пленкой, увлажнении и смыве осаждающей пыли прежде, чем она может быть снова вовлечена в газовый поток. Приведены результаты обширных и тщательно поставленных опытов по исследованию эффективности двух типов мокрых центробежных пылеуловителей при различных параметрах процесса, а также сравнение сухого и мокрого инерционного пылеулавливания в равных условиях. Подробно описана методика экспериментов: схема опытной установки, способ генерации пыли, устройство фильтрующих патнов для пылевого анализа. В результате опытов установлен ряд зависимостей эффективности мокрого пылеулавливания от уд. расхода воды, производительности аппарата по газу, концентрации пыли на входе. Библ. 22 назв.

Ю. С. 27889. Анализ процесса пылеулавливания в пенном аппарате. Позин М. Е., Мухленов Н. П., Демшин В. Я., Ж. прикл. химии, 1955, 28, № 10, 1116—1120

Излагаются результаты лабор. опытов на модели пенного аппарата, имеющих целью выяснение механизма улавливания пыли пенным способом. Опыты производились с водой и воздухом, содержащим 10—20 г/м<sup>3</sup> пыли (кварцевой и др.). Приведена методика раздельного определения степени улавливания пыли в слое пены и за счет инерционного эффекта решетки. Опытами установлено, что процесс очистки газа в пенном аппарате является двухступенчатым, причем в первой ступени происходит осаждение 59—75% содержащейся в воздухе пыли за счет инерционного эффекта решетки, а во второй — 21—32% пыли улавливается в пенном слое. Для тонких фракций пыли степень улавливания в слое динамики пены выше, чем в подрешеточной части аппарата. Из общей массы воды, подаваемой в аппарат, меньшая ее часть (~25%), протекающая через отверстия решетки, обогащается твердой фазой за счет подрешеточного осаждения и покидает аппарат в виде более или менее конц. суспензии. Конц-ию этой суспензии можно регулировать выбором гидродинамич. режима аппарата и его конструктивных параметров (размера отверстий, свободного сечения решетки и др.).

Ю. С. 27890. Современные ультразвуковые пылеуловители. Иноуэ (最近の音波收塵. 井上一郎). 化学工業, Kagaku kogō, Chem. Ind., (Tokyo), 1955, 6, № 3, 235—238 (япон.)

Дан обзор работ по исследованию процессов очистки газов с помощью ультразвука и приведены данные об эффективности ультразвуковых пылеуловителей.

С. К.

27891. О процессе сгущения. Ояма, Ёсиро (連続沈澱濃縮について. 大山義年, 吉野善彌), 化学工学, Kagaku kogaku, Chem. Engng, 1954, 18, № 7, 314—322 (япон.; рез. англ.)

Проведено изучение процессов периодич. и непрерывного осаждения суспензий  $Mg(OH)_2$  и дициандиамиды в отстойниках diam. 1 и 0,5 м. Установлено, что подобие периодич. и непрерывного процессов сохраняется до тех пор, пока можно пренебречь восходящим потоком в отстойнике. Зависимость между радиусом отстойника и объемной скоростью слива осветленной жидкости в м<sup>3</sup>/час при крит. нагрузке:  $Q = \pi R_f (r_p^2 - r_0^2)$ , где  $r_p$  — радиус отстойника в м,  $r_0$  — радиус, на котором происходит вынос мельчайших частиц твердой фазы на поверхность осветленной жидкости восходящим потоком в м,  $R_f$  — скорость осаждения в м/час. В идеальном случае, когда восходящий поток отсутствует, т. е.  $r_0 = r_f$ , где  $r_f$  — радиус питающей трубы, указанная выше зависимость принимает вид:  $Q = \pi R_f (r_0^2 - r_f^2) = AR_f (A$  — поверхность отстойника), что совпадает с ф-лой Ко и Клевангера (Coe H. S. and Clevenger G. H., Trans. Am. Inst. Engs, 1916, № 56, 356—384). Принимая скорость сгущения для периодич. и непрерывного отстаивания равной  $d\omega/dt = K(\omega_\infty - \omega)^n$ , глубину сгущения можно определить из ур-ния:

$$H = V/A = [1/(24A)] \int_0^{t_u} \{\omega_\infty - [\omega_\infty - \omega_1]^{1-n} -$$

$-kt(1-n)^{1/(1-n)}\}$ . Здесь  $V$  — объем сгущаемой суспензии в м<sup>3</sup>,  $\omega_\infty$  — конц-ия суспензии при бесконечно большом времени осаждения в г твердого в-ва на 1 м<sup>3</sup> суспензии,  $\omega_1$  — начальная конц-ия суспензии в г твердого в-ва на 1 м<sup>3</sup> суспензии,  $t_u$  — время, необходимое для сгущения суспензии до  $\omega_n$  в 1 часах,  $k$  — коэфф. Из опытов с  $Mg(OH)_2$  было найдено  $n = 2$ . В этом случае интегрирование предыдущего ур-ния дает:  $H = V/A = [1/(24A)] \{t_u / \omega_u + (1/\omega_\infty^2 k) \ln [1 + (\omega_\infty / \omega_1) K t_u (\omega_\infty - \omega_1)]\}$ . Сравнение значений, полученных из опыта, с вычисленными подтверждает применимость этого ур-ния для практич. расчета глубины отстойника. При  $n = 1$  интегрирование того же ур-ния приводит к зависимости:  $H = V/A = [1/(24A\omega_\infty k)] \{ \lg [\omega_u / (\omega_\infty - \omega_1)] - \lg [\omega_1 / (\omega_\infty - \omega_1)] \}$ , которая соответствует ур-нию, полученному Робертсом (Roberts E. J., Mining Engng, 1949, 1, 61) на основании опытных данных Ко.

В. Р. 27892. Гидроциклон в качестве классификатора в замкнутом цикле размола концентратов. Льюис, Джонсон (The liquid-solid cyclone as a classifier in the closed-circuit grinding of concentrates. Lewis F. M., Johnson E. C., Mining Engng, 1954, 6, № 6, 620—621 (англ.))

При увеличении производительности размольного отделения ф-ки флотационного обогащения медной руды с 900 до 1200 м<sup>3</sup>/день установленный в замкнутом цикле вторичного размола гравитационный классификатор оказался недостаточной мощности. Вследствие недостатка площади взамен был установлен горизонтальный гидроциклон diam. 610 мм с регулируемым отверстием для выхода сгущенного продукта (diam. 90—150 мм). Сгущенный продукт подается непосредственно в шаровую мельницу. Работа гидроцик-



лона в качестве классификатора оказалась вполне удовлетворительной, расход энергии на вторичный размол снизился с 1,49 *квт-ч/т* до 0,74 *квт-ч/т*. Для защиты от эрозийного износа внутренняя поверхность гидроциклона полностью гуммирована. При этом срок службы центральной внутренней трубы (вихреприемника) равен 100—150 дней; ввод и конич. часть служат 3 года; нижний выходной клапан не имеет следов износа.

Ю. С.

**27893. Сообщения по циклонам. III. Сепарация эмульсий в циклоне. Рессеюм (Symposium «Cyclonen».** III. Separation of emulsions in a cyclone. Rossum J. J., van, Ingenieur (Utrecht), 1953, 65, № 40, Ch89—Ch93 (англ.)

Излагается опыт применения гидроциклонов (Г) для разделения эмульсий воды в масле, вязкость которого равна 3 *сст*. Опытная установка состояла из Г, резервуара для эмульсии, в котором она перемешивалась циркуляционным насосом, и насоса для перекачивания эмульсии из резервуара в Г. Качество сепарации оценивалось по степени удаления воды из масла. Эффективность сепарации выражалась величиной  $\alpha$ , которая представляет собой отношение кол-ва жидкости, вытекающей из нижней части Г, к кол-ву жидкости, поступающей в Г. Отмечено, что предельная эффективность сепарации эмульсии воды в масле при содержании воды  $n\%$  соответствует величине  $\alpha = n/100$ . Одновременно рассматривался коэфф. сепарации, равный абс. величине разности отношений кол-ва каждой фазы, вытекающей из верхней части Г, к кол-ву той же фазы, поступающей в Г. Отмечено, что предельной эффективности сепарации соответствует процесс, когда кол-во воды в жидкости, вытекающей из верхней части Г, равно нулю, а кол-во масла в той же жидкости равно кол-ву масла, поступающего в Г; при этом коэфф. сепарации равен 1. Проведенные опыты показали, что при любых условиях при сепарации масла, содержащего 4% воды, в масле остается не менее 0,5% воды. Указано, что недостаточное разделение воды и масла при сепарации объясняется значительной вязкостью масла. Это положение подтверждено сравнительными результатами сепарации эмульсий воды в трех маслах с вязкостью 3, 11 и 30 *сст*. Сообщение II см. РЖХим, 1955, 5010.

Ю. Р.

**27894. Некоторые вопросы фильтрации. Волкман** (Some aspects of filtration. Volckman O. B.), S. Afric. Industr. Chemist, 1955, 9, № 8, 149—155 (англ.)

Рассмотрены пористость, проницаемость и уд. сопротивление осадков, а также осложнения при фильтрации: забивание пор фильтрующей перегородки и прокинование сквозь них твердых частиц, влияющие «фильтрационного эффекта».

С. К.

**27895. Фильтры. Чалмерс, Элледж, Портер** (Filters. Chalmers J. M., Elledge L. R., Porter H. F.), Chem. Engng, 1955, 62, № 6, 191—216 (англ.)

Приведен обзор по теории фильтрации, методике лабор. исследований в области фильтрации, конструкциям фильтров (Ф) и выбору Ф для различных производственных целей. Подробно описано устройство современных непрерывно и периодически действующих Ф, дана их сравнительная характеристика и освещены вопросы техники фильтрации на Ф различных типов.

Ю. Р.

**27896. Фильтры, получаемые спеканием металлических порошков. Строение, свойства материалов и возможности применения. Френ, Хотоп, Штемпель** (Filter aus Sintermetallen. Aufbau, Werkstoffigenschaften und Einsatzmöglichkeiten. Frehn F., Hotop W., Stempel G.), Werk-

stoffe und Korrosion, 1955, 6, № 8/9, 385—389 (нем.; рез. англ., франц.)

Для изготовления фильтров применяются порошки с шаровидной формой зерен (для сплавов с относительно низкой т. пл.) или с произвольной формой зерен (для металлов и сплавов с относительно высокой т. пл.), в частности, используются порошки бронзы, хромоникелевой стали и нейзильбера. Величина пор фильтра обуславливается размером зерен. При использовании таких фильтров следует учитывать, что вследствие большой уд. поверхности они имеют повышенную хим. активность по сравнению с металлами и сплавами, из которых они сделаны. Эти фильтры могут быть установлены в аппаратах и трубопроводах путем их запрессовки. Кроме того, фильтры, получаемые спеканием металлич. порошков, могут быть использованы для разделения двух несмешивающихся жидкостей, одна из которых смачивает, а другая не смачивает материал фильтра; для ослабления колебаний давления в манометрах; для равномерного распределения воздуха или газов; для изготовления противопожарных перегородок.

В. Р.

**27897. Способ расчета мощности, потребляемой при центрифугировании. Гао Дэ-чжань (離心分離機所需功率的實用計算法. 高德占), 化學世界, Хуасюэ шицзе, 1954, 9, № 12, 532—537 (кит.)**

На основании материалов книги Знаменского Г. М. «Технологич. оборудование сахарных заводов», М., Пищепромиздат, 1952, предложен упрощенный способ расчета мощности, потребляемой периодически действующими центрифугами в различные периоды их работы, а также средней мощности, потребляемой этими центрифугами за весь цикл их работы. Приведены следующие ур-ния:  $N_p = p [q + sG + (1/Z_0)(G_1 + sG_2)]$ ;  $N_c = p [q + 2sG/3 + 0,25G_2/Z_1]$ ;  $N_k = p [q + 0,6 \cdot s \cdot G]$ ;  $N = a + bG + c \cdot G_1/Z_0 + d \cdot G_2/Z_1$ , где  $N_p$ ,  $N_c$ ,  $N_k$  — мощности соответственно для периодов пуска, работы при полном числе оборотов и остановки центрифуги, л. с.;  $N$  — средняя мощность для всего цикла центрифуги, л. с.;  $Z_0$  — время от начала пуска центрифуги до момента достижения полного числа оборотов ее барабана, сек.;  $Z_1$  — время от начала загрузки суспензии в центрифугу до момента достижения полного числа оборотов слоя жидкости в барабане, сек.;  $G_1$  — вес барабана центрифуги, кг;  $G_2$  — вес загруженной суспензии, кг;  $G = G_1 + G_2$ ;  $a, b, c, d, p, q, s, \epsilon$  — коэфф.

Л. Г.

**27898. Смешивание в смесителях-бегунах. Буллок** (Mixing in muller-type mixers. Bullock H. Leslie), Chem. Engng, Progr., 1955, 51, № 5, 243—248 (англ.)

Приводятся сведения о применении бегунов для смешения. Рассматриваются конструкции бегунов и приводится сравнение бегунов и других смесителей по технико-экономич. показателям. Отмечается, что смешение вязких и липких (влажных) в-в в бегунах нецелесообразно, так как в этом случае не достигается высокая эффективность смешения.

Н. К.

**27899. Конструирование центробежных насосов для химической промышленности. Еникке** (Konstruktive Entwicklung der Kreiselpumpe für die Chemische Industrie. Jänicke Hans), Chem.-Ingr-Techn., 1955, 27, № 5, 269—273 (нем.; рез. англ., франц.)

Анализируется влияние различных факторов (напора, физ. свойств перекачиваемых жидкостей, скорости жидкости, кавитация и т. п.) на работу центробежных насосов. Даются рекомендации по выбору конструкционных материалов для перекачивания агрессивных сред, а также по контролю и эксплуатации насосов.

В. Р.

27900. Центробежные насосы для кислот. Вейс-leder (Pompy odśrodkowe do kwasów. Weissleder H. a. s., Przegl. mech., 1954, 13, № 8, 246—249 (польск.).

Описана конструкция центробежных насосов для к-т, указаны применяемые для их изготовления материалы и способы уплотнения. Полностью устойчивыми считают материалы, теряющие в весе 0,1 г/м<sup>2</sup> час. Непригодны материалы с потерей веса >10 г/м<sup>2</sup> час. Рекомендуются применять стальные сплавы с добавкой Cr или Ni. Для H<sub>2</sub>SO<sub>4</sub> и HNO<sub>3</sub> применяют сплав с содержанием (в %): Cr 0,5—0,8 и Si 14,5—16. Металлы можно заменить керамич. и синтетич. материалами, из которых химически и термически стойким (до 200°) является «Gussigurit», состоящий из синтетич. смолы и мелкодисперсного графита.

С. Я. 27901. Новый тип бесальникового насоса, облегчающего подачу коррозионных жидкостей. — (Eine neuartige Pumpe ohne Stopfbüchse erleichtert die Förderung ätzender Flüssigkeiten. —, Das Papier, 1955, 9, № 9-10, 218—219 (нем.).

Принцип работы центробежного насоса с вертикальным расположением вала состоит в том, что на всасывающей линии имеется особое колесо, при вращении которого получается затвор, образуемый кольцеобразным слоем самой перекачиваемой жидкости; этот слой препятствует как проникновению воздуха в насос, так и просачиванию из него жидкости наружу. Насос создает разрежение во всасывающей линии до 9 м вод. ст. и напор до 35 м вод. ст.

П. Ф. 27902. Теплоотдача естественной конвекцией от воздуха к охлажденному цилиндру. Лемлик, Шарн (Natural convection to cold cylinders. Lemlich Robert, Sharn Charles), Industr. and Engng Chem., 1955, 47, № 8, 1547—1550 (англ.).

Исследовано влияние изменения направления теплового потока, профилей т-р и скоростей при стационарном теплообмене естественной конвекцией между одиночным длинным горизонтально расположенным цилиндром (Ц) и окружающим его воздухом. Опыты проводились с 4 различными медными полированными Ц диаметрами  $d$ , равными 25,4; 12,7; 6,3 и 3,2 мм, длина каждого Ц  $l = 60 d$ . Т-ра Ц определялась медно-константановыми термопарами потенциометрич. методом с точностью до  $\pm 0,05^\circ$ . Нагревание Ц производилось горячей дистилл. водой, охлаждение холодной водой. Разность т-р  $\Delta t$  между Ц и воздухом составляла 0,8—18°, Gr = 3,4—34 000, Nu = 1,3—6,4. Установлено, что при указанных значениях  $\Delta t$  изменение направления теплового потока не влияет на характер зависимости коэфф. теплоотдачи  $h$  от  $\Delta t$ ; с достаточной точностью можно пользоваться соотношением, которое приведено Мак-Адамсом (McAdams W. H., Heat Transmission. Ed. 3d. New York, McGraw-Hill, 1954, p. 176):  $h = K(\Delta t)^{1/4}$ , где  $K$  — константа, характеризующая данную систему. При больших значениях  $\Delta t$  следует ожидать заметных различий в соотношениях для случаев охлаждения и нагревания Ц, обусловленных существенным различием свойств среды при сильно различающихся т-рах.

Ю. П. 27903. Влияние вибрации на естественный конвективный теплообмен. Лемлик (Effect of vibration on natural convective heat transfer. Lemlich Robert), Industr. and Engng Chem., 1955, 47, № 6, 1175—1180 (англ.).

Проведено эксперим. исследование конвективного теплообмена между воздухом и вибрирующими проволоками из нихрома длиной 922 мм и diam. 0,64; 1 и 2 мм в зависимости от разности т-р между проволокой и воздухом ( $\Delta t = 3,9 \div 203^\circ$ ), амплитуды колебаний

( $H = 1,3 \div 5,87$  мм), частоты колебаний ( $F = 39 \div 122$  сек.<sup>-1</sup>) и направления вибрации — горизонтального или вертикального. Во всех опытах воздух имел комнатную т-ру. Полученные значения коэфф. теплоотдачи  $\alpha$  (кал/м<sup>2</sup> час град) отнесены к середине проволоки. Условия опытов воспроизводят условия процесса теплоотдачи от вибрирующего горизонтального цилиндра (малые значения  $H$ ); влияние лучистого теплообмена пренебрежимо мало. Установлено, что  $\alpha$  возрастает с увеличением  $H$  и  $F$ ; влияние этих факторов уменьшается с увеличением  $\Delta t$ , что объясняется уменьшением относительного влияния турбулизации пограничного слоя за счет вибрации по сравнению с турбулизацией, вызываемой естественной конвекцией. При больших  $H$  наблюдалось даже уменьшение  $\alpha$  с увеличением  $\Delta t$ . Влияние  $F$  на  $\alpha$  возрастает с увеличением  $H$ ; направление вибрации не оказывает влияния. Для  $\alpha/\alpha' - 1 > 0,1$  предложено ур-ние:  $\alpha/\alpha' = 0,75 + 0,0031 \times \text{Re}^{2,05} (\beta \Delta t)^{0,33} / \text{Gr}^{0,41}$ , где  $\alpha'$  — коэфф. теплоотдачи от неподвижной проволоки при одинаковом значении  $\text{Pr} \times \text{Gr}$ ,  $\text{Re} = Dv/\mu$  — вибрационный критерий Рейнольдса,  $\text{Gr}$  — критерий Грасгофа,  $\text{Pr}$  — критерий Прандтля,  $\beta$  — температурный коэфф. объемного расширения,  $D$  — диаметр проволоки (мм),  $v = 2HF$  — средняя скорость (м/сек),  $\rho$  — уд. вес (кг/м<sup>3</sup>),  $\mu$  — вязкость (кг/м сек). Среднее отклонение величины  $\alpha/\alpha' - 1$  составляет  $\pm 13\%$ . На основании обработки опытных данных предложено ур-ние для приближенного определения  $\alpha$  от вибрирующего горизонтального цилиндра:  $\text{Nu} = [0,75 + 0,0022 \text{Re}^{2,05} (\beta \Delta t)^{0,33} / (\text{Pr}^{-1,54} \text{Gr}^{-0,41})] \times [0,63 + 0,35 (\text{Gr} \times \text{Pr})^{0,17}]^2$ , где  $\text{Nu}$  — критерий Нуссельта. За счет вибрации  $\alpha$  может возрастать более, чем в 4 раза.

В. К. 27904. Теплоотдача от газа, заключенного между параллельными плоскими поверхностями, к этим поверхностям. Прайс, Смит (Heat transfer from a gas between parallel planes to its surroundings. Price P. H., Smith D.), Fuel, 1954, 33, № 3, 302—310 (англ.).

Рассмотрена теплоотдача излучением от несветящегося пламени к параллельным плоским поверхностям, одна из которых представляет стенку из огнеупорного материала, а другая — нагреваемый металл. Предполагается, что теплопотери в окружающую среду через стенку из огнеупорного материала практически отсутствуют. Сопоставлены два решения, выполненные: 1) в предположении, что несветящееся пламя может рассматриваться как серое тело, которое характеризуется непрерывными спектрами излучения и поглощения; 2) с учетом реальных свойств несветящегося пламени, излучающего и поглощающего в определенных диапазонах длин волн. Анализ результатов приводит к следующим выводам: 1) т-ра стенки из огнеупорного материала довольно близко совпадает при расчете по обоим методам, однако это различие может оказаться существенным при определении тепловой радиации с поверхности стенки; 2) кол-ва тепла, передаваемого к нагреваемому металлу, сильно разнятся при расчете по указанным методам; поэтому следует пользоваться ур-нием, которое получено авторами с учетом характера излучения реальных газов.

Ю. П. 27905. Поглощательная способность пылевоздушного потока. Блох А. Г., Носовицкий А. И., Теплоэнергетика, 1955, № 8, 23—26

Теплопоглощательная способность воздушного потока, несущего угольную пыль, изучалась в установке, состоящей из трубы diam. 180 мм и длиной 1500 мм при средней скорости потока 11,6 м/сек. Т-ра источников излучения  $t = 400 - 1200^\circ$ , конц-ция пыли  $\mu = 15 -$

—250 г/м<sup>3</sup>, средний диаметр частиц пыли  $d = 3,5$  — 30,6 м. Энергия излучения измерялась радиометром. Результаты опытов представлены в координатах  $a$  (коэфф. поглощения) —  $\mu l$  (где  $l$  — длина пути луча в мутной среде) для различных  $t$  и  $d$ . Установлено, что  $a = 1 - e^{-kF\mu l}$ , где  $k = A(d/\lambda_0)^p$  — коэфф. ослабления луча,  $\lambda_0$  — длина волны, при которой излучение абсолютно черного тела достигает своего максим. значения,  $A$  и  $p$  — постоянные,  $F$  — средняя уд. поверхность пыли. Показано, что  $kF = \ln(1 - a)/(\mu l)$  для всех фракционных составов пыли при заданных  $t$  черного излучателя. Зависимость эффективного ослабления от  $t$ -ры (при замене  $\lambda_0$  на  $T$ ) выражается ур-нием:  $kF = 0,42A\gamma^{-1}(T/d^2)^{1/3}(\gamma$  — уд. вес пыли), которое может быть рекомендовано для оценки поглощательной способности пылевоздушного потока.

Н. К.

**27906. Теплопередача в слое зернистого катализатора. Маэда, Кавадзоэ** (環状充填層等複雑な型式における傳熱について. 前田四郎, 川添健次郎), 化學工業, Karaku kōgaku, Chem. Engng (Tokyo), 1954, 18, № 6, 279—288 (япон.; рез. англ.)

Исследован теплообмен между газом, движущимся сквозь зернистый слой, и стенкой теплообменных аппаратов (ТА) различных типов: канального с подводом тепла через наружную и внутреннюю стенки; с наружной засыпкой катализатора и внутренним подогревом. Выведены ф-лы изменения  $t$ -ры по оси ТА. Сопоставлены максим. температурные градиенты в ТА канального типа с внутренним подогревом и ТА цилиндрич. формы; изучены факторы, влияющие на величину градиентов. Эксперим. исследование теплопередачи в ТА канального типа подтвердило теоретич. выводы. Даны ф-лы для вычисления эффективного коэфф. теплоотдачи, аналогичные ф-лам для ТА цилиндрич. формы. Э. Н.

**27907. Нестационарная теплопередача при периодическом адиабатическом сжатии турбулентного газа. Эльзер** (Instationäre Wärmeübertragung bei periodisch adiabater Verdichtung turbulenter Gase. Elser K.), Forsch. Geb. Ingenieurwesens, 1955, B21, № 3, 65—74 (нем.)

Приводится теоретич. вывод дифференциального ур-ния температурного поля адиабатически сжимаемого в цилиндре газа. Определен коэфф. теплоотдачи и интенсивность теплового потока у поверхности цилиндра. Данные теоретич. расчетов сопоставлены с экспериментальными, проведенными на цилиндре двигателя внутреннего сгорания. Э. Н.

**27908. Номограммы для расчета теплопередачи. Гранет** (Heat transfer performance curves. Granet Irving), Chem. Engng, 1955, 62, № 3, 187—190 (англ.)

Для случаев проточка и противотока построены номограммы, позволяющие определять требующуюся поверхность теплопередачи, влияние загрязнений,  $t$ -ру теплообменивающихся жидкостей на выходе из теплообменника и др. Сделаны следующие допущения: 1) общий коэфф. теплопередачи постоянен по всей длине канала; 2) весовой расход жидкостей неизменен; 3) уд. теплоемкость постоянна по длине канала; 4) не происходит фазовых превращений (напр., испарения или конденсации); 5) теплопотери не учитываются. Использовано понятие термич. к. п. д. теплообменника, который выражается ф-лой: термич. к. п. д. =  $(T_1 - T_2)/(T_1 - t_1)$ , где  $T_1$  и  $T_2$  —  $t$ -ры горячей жидкости на входе и выходе из теплообменника,  $t_1$  —  $t$ -ра холодной жидкости на входе. Термич. к. п. д. представляет собой отношение действительного перепада  $t$ -р в теплообменнике к теоретически максим. Номограмма для проточка охватывает значения: термич.

к. п. д. = 0—0,8;  $UA/WC = 0 \div 3,0$  ( $U$  — общий коэфф. теплопередачи, отнесенный к наружной поверхности  $A$ ,  $W$  — весовой поток горячей жидкости и  $C$  — уд. теплоемкость горячей жидкости);  $WC/wc = 0,1$ —10 ( $w$  — весовой поток и  $c$  — уд. теплоемкость холодной жидкости). Номограмма для противотока охватывает значения термич. к. п. д. = 0,1—0,95;  $UA/WC = 0$ —4,4 и  $WC/wc = 0$ —1,5. Ю. П.

**27909. Расчет теплообмена при применении рециркуляции. Руккенштейн** (Calculul schimbului de caldura în cazul recirculării. Ruckenstein E.), Rev. chim., 1955, 6, № 5, 242—245 (рум.; репр. рус.)

Выведены расчетные ф-лы теплообмена для случая, когда жидкость из реактора поступает в выносной теплообменник, где происходит обмен тепла с теплоносителем, обладающим постоянной  $t$ -рой. Из теплообменника жидкость вновь поступает в реактор; поверхность теплообмена в такой схеме не лимитируется размерами реактора, как это имеет место при установившемся в нем змеевика или рубашки. Я. М.

**27910. Распространение тепла в органических материалах при высокочастотном тепловом облучении. Хоттел, Вильямс** (Transient heat flow in organic materials exposed to high intensity thermal radiation. Hottel Hoyt C., Williams Curtis C., III), Industr. and Engng Chem., 1955, 47, № 6, 1136—1143 (англ.)

Исследовалось распространение тепла в слое органич. в-ва при большой интенсивности теплового излучения порядка 6 ккал/см<sup>2</sup> сек. Выведены ур-ния распределения  $t$ -ры в толще слоя; теоретич. данные удовлетворительно совпадают с опытными. Дано описание установки и методики эксперимента, выполненного с образцами из пластмассы и дерева. Результаты исследований позволяют определить степень разрушения материала и глубину обугливания при кратковременном высокочастотном тепловом облучении. Э. Н.

**27911. Высокочастотный нагрев изоляционных материалов в слоях большой толщины. Шиморда** (Vysokofrekvenční ohřev nevodivých materiálů ve vrstvách velké tloušťky. Šimorda J.), Chem. průmysl., 1955, 5, № 9, 384—386 (чеш.)

Рассмотрена эффективность применения ВЧ-нагрева при изготовлении многослойных изоляционных материалов значительной толщины. Е. С.

**27912. Номограммы и формулы для расчета теплообмена в шахтных печах. Китаев Б. И., Ярошенко Ю. Г.**, Тр. Уральского политехн. ин-та, 1955, сб. 53, 56—60

**27913. О теплопередаче в пенном аппарате. Сообщение П. Мухленов Н. П., Тумаркина Е. С.**, Ж. прикл. химии, 1955, 28, № 4, 345—352

Изучено влияние на процесс теплопередачи в пенном аппарате высоты исходного слоя жидкости на решетке ( $h_0$ , мм), интенсивности жидкостного потока ( $i$ , м<sup>3</sup>/м<sup>2</sup> час) и высоты пены ( $H$ , м). Установлено, что интенсивность и полнота передачи тепла в подвижной пене возрастают с увеличением  $h_0$ ; коэфф. теплопередачи  $K_T$  (ккал/м<sup>2</sup> час град) связан с  $h_0$  эмпирич. зависимостью:  $K_T = a + bh_0$ , где  $a$  и  $b$  — опытные коэфф., значения которых приводятся для  $h_0 = 15$ —40 мм и скорости газа  $w = 1,5$ —3 м/сек. Тепловой к. п. д. ( $\eta$ ) полки пенного аппарата определяется ф-лой:  $\eta = 59 + h_0$ . Величина  $K_T$  прямо пропорциональна  $H$  (при  $H = 80$ —400 мм); зависимость  $\eta$  от  $H$  определяется ф-лой:  $\eta = a'H^n + b'$ , где  $a'$ ,  $b'$  и  $n$  даны для  $w = 1,5$ —3,5 м/сек. Величина  $\eta$  зависит также от  $i$  по ур-нию  $\eta = 59 + 0,4h_n + 3\sqrt{i^2}$ , где  $h_n$  (мм) равно высоте сли-



ного порога. Сообщение I см. РЖХим, 1955, 33649.

**27914. Экранирующие теплообменники. Мазуров** (Schimbatori de caldura tip ecran. Măzurov D. I.), Bul. docum. Mater. de constr., 1954, № 12, 3—8 (рум.)

Перевод. См. РЖХим, 1955, 28090.

**27915. Расчет градирен для охлаждения газа. I. П. Брае** (Design gascooling towers. I. P. Bras H. P.), Chem. Engng, 1954, 61, № 12, 191—194; 62, № 1, 195—198 (англ.)

При расчете башенных холодильников, в которых горячие газы контактируют с охлаждающей жидкостью (обычно водой), определение движущей силы процессов тепло- и массообмена как среднегарифмич. из конечных ее значений приводит к грубым ошибкам в тех случаях, когда происходит значительное изменение влагосодержания газа в холодильнике. Излагается графо-аналитич. метод определения движущей силы в ряде промежуточных по высоте точек, основанный на соотношениях, полученных автором ранее (см. РЖХим, 1954, 14053; 1955, 10929). Внесены коррективы, учитывающие физич. тепло, переносимое диффундирующими парами. Предполагается, что поверхность тепло- и массообмена одинаковы (башни с разбрызгиванием жидкости или с полностью смоченной насадкой). Метод является общим для всех процессов, характеризующихся одновременным тепло- и массообменом (охлаждение газов при контакте с жидкостями, увлажнение и осушка газов, сушка и т. п.). Дан расчетный пример, иллюстрирующий метод.

Ю. П.

**27916. Расчет и экономичный выбор градирен. I. Кеннеди, Марджен** (Economic design and selection of cooling towers—I. Kennedy Geoffrey F., Margen P. H.), Combustion, 1955, 27, № 2, 34—38 (англ.)

При выборе или расчете градирен (Г) с естественной или принудительной циркуляцией воздуха необходимо обеспечить оптимальное соотношение между сопротивлением и теплоотдачей. В результате интегрирования дифференциального уравнения, характеризующего теплообмен при непосредственном контакте воздуха и воды, получены следующие соотношения: 1) для Г с принудительной циркуляцией:  $h_m - h_1 = C y_M q p^{-1/2}$  (1); 2) для Г с естественной циркуляцией  $h_m - h_1 = C y_N \times \times q^{1/2} H^{-1/2}$  (2). Здесь:  $h_m$  ккал/кг сухого воздуха — теплосодержание насыщ. воздуха при средней т-ре воды в Г;  $h_1$  ккал/кг сухого воздуха — теплосодержание влажного воздуха на входе в Г;  $q$  ккал/м<sup>2</sup> сек — уд. тепловая нагрузка, отнесенная к единице площади поперечного сечения насадочной части Г;  $p$  кг/м<sup>2</sup> сек — влажность, расходуемая на циркуляцию воздуха;  $H$  — высота Г в м;  $y_M$  или  $y_N$  — атмосферный коэфф., значение которого определяется по графикам;  $C$  — характеристика Г, определяемая выражением:  $C = (F + f s)^{1/2} \times \times (1/sk + 1/2)$  (3). Значение  $C$  определяется конструкцией Г; в у-рии (3):  $F$  — сопротивление Г воздушному потоку (потери напора в м, отнесенные к G<sup>2</sup>/2gρ<sup>2</sup>), где  $G$  кг/м<sup>2</sup> сек — удельный расход сухого воздуха;  $\rho$  кг сухого воздуха на 1 м<sup>3</sup> влажного воздуха — уд. вес воздуха и  $g = 9,81$  м/сек<sup>2</sup>;  $f$  — фактор трения для насадки (потери напора в м, отнесенные к sG<sup>2</sup>/2gρ<sup>2</sup>);  $s$  — поверхность насадки на единицу площади поперечного сечения Г;  $k$  — коэфф. теплоотдачи для насадки (коэфф. массоотдачи, отнесенный к G). Для Г с насадками, по которым вода стекает в виде пленки, справедливо соотношение  $250f = (250k)^3$  (4), полученное на основании обработки значительного эксперим. материала. По у-ниям (1)—(4) составлена номограмма, позволяющая

установить оптимальное соотношение между  $f$  и  $k$  для группы насадок (решетки с различным расположением элементов, вертикальные гофрированные листы и др.) по заданным  $s$  и  $F$ . Эта же номограмма позволяет определять оптимальную величину  $s$  при заданном  $F$  и известных расходных коэфф., характеризующих стоимость эксплуатации Г. Пользование номограммой показано на примерах.

Ю. П.

**27917. О степени термодинамического совершенства теплоэнергетических и холодильных установок. Мартыновский В., Мельцер Л.** Холодильн. техника, 1955, № 1, 42—44

Даны замечания в связи со статьей Д. П. Гохштейна (РЖХим, 1954, 50988), применившего разработанный им энтропийный метод учета энергетич. потерь к холодильным установкам. Показано, что так называемый «метод потоков» является более общим и позволяет анализировать процессы, в которых участвуют потоки в-ва, обладающего работоспособностью (а не только происходят энергетич. превращения). Намечены пути исследования связи между общей степенью термодинамич. совершенства установки и совершенством отдельных ее узлов.

Ю. П.

**27918. Насосные аммиачные схемы для крупных холодильников. Сысоев Л.** Холодильн. техника, 1955, № 1, 7—12

Высказан ряд замечаний по поводу предложенных схем непосредственного испарения аммиака для холодильников (РЖХим, 1955, 17936, 17937, 17938). Описана насосная аммиачная схема ленинградских портовых холодильников. Сделаны некоторые рекомендации для рационального построения насосной схемы.

Ю. П.

**27919. Интенсификация аммиачной теплообменной аппаратуры. Вейнберг Б.** Холодильн. техника, 1955, № 2, 39—41

Произведен анализ условий теплопередачи в конденсаторах и испарителях аммиачных холодильных машин. Показано, что уменьшение термич. сопротивления и резкое повышение коэфф. теплопередачи достигается применением оребренных труб на стороне NH<sub>3</sub> в испарителях и в конденсаторах. Для элементного 14-трубного конденсатора показано, что теплосъем при гладких трубах составляет 4500 ккал/м<sup>2</sup> час, а при оребренных накаткой трубах он повышается при отношениях поверхностей 2,5; 3,0 и 3,5 соответственно на 52,5%, 66,7% и 79%. При применении оребренных труб, помимо экономии труб, снижаются также размеры кожухов и трубных решеток.

Г. Р.

**27920. Пароэжекционные холодильные установки. Бете** (Steam jet refrigeration. Betts G. G.), Trans. Instn Chem. Engrs, 1955, 33, № 1, 27—44 (англ.)

Рассмотрены отличительные особенности пароэжекционных холодильных установок (ПЭУ). В США строятся ПЭУ с холодопроизводительностью (60—3600)·10<sup>3</sup> ккал/час; они широко используются для кондиционирования воздуха на кораблях и в некоторых отраслях пром-сти. Изложена теория работы эжектора, выведены у-ния для определения его производительности, приведены графич. характеристики. Рассмотрено влияние основных факторов на работу ПЭУ: давления и состояния пара, производительности эжекторов, условий работы конденсаторов, испарителя, насосов. Произведен техно-экономич. анализ работы ПЭУ.

Ю. П.

**27921. О причинах неустойчивой работы пароводяных эжекторных холодильных машин. Шумелинский М.** Холодильн. техника, 1955, № 3, 22—28

Переход эжектора пароводяных холодильных машин (ЭПХ) в зону неустойчивой работы с режимом умень-

шением производительности (срыв эжектора) происходит при превышении допустимой степени сжатия. Рассмотрены основные факторы, определяющие устойчивую работу ЭПХ: давление и расход рабочего пара (при сухости  $\geq 0,94$ ), давление конденсации. Указано, что повышение т-ры охлаждающей воды на  $1^\circ$  приводит к возрастанию степени сжатия на 7—10%. Кратность охлаждения в конденсаторах ЭПХ должна составлять 100—150, для их эффективной работы требуется тщательная откачка воздуха. А. Р.

**27922. Новые данные о термодинамических свойствах фреона-12.** Мак-Харнессе, Эйсман, Мартин (The new thermodynamic properties of «Freon — 12». McHarness R. C., Eiseman B. J., Jr, Martin J. J.), *Refrig. Engng*, 1955, 63, № 9, 31—44 (англ.)

Обзор новейших исследований термодинамич. свойств дифтордихлорметана (фреона-12) в области т-р от  $-100$  до  $+210^\circ$  и давл. 0,074—140 *ama*. Приведено ур-ние состояния, зависимости давления насыщ. паров, теплоемкости и плотностей жидкости и пара от т-ры, критич. константы фреона-12. Результаты вычисления этих параметров приведены в таблицах. Построены уточненные диаграммы состояния фреона-12 (давление — энтальпия, энтропия — энтальпия). А. Р.

**27923. Эвтектические рассолы и возможности их применения.** Вернер (Der Mechanismus eutektischer Solen und deren Anwendungsmöglichkeiten im Kühlgüterverkehr. Werner F.), *Kälte*, 1955, 8, № 7, 243—245 (нем.)

Краткий обзор методов охлаждения, применяемых на транспорте; описаны свойства эвтектич. рассолов, их составление, преимущества и недостатки. В. Р.

**27924. Центробежный компрессор.** Бруке (Le compresseur centrifuge. Broquet Paul), *Rev. prat. froid*, 1953, 8, № 8, 15—19 (франц.)

Применение центробежных компрессоров в холодильной технике. Э. К.

**27925. Аммиачные центробежные насосы.** Яковлев Н. В. В сб.: Холодильн. техника, М., Госторгиздат, 1955, 117—124

Даны результаты испытаний аммиачного центробежного насоса, предназначенного для установки, работающей по схеме непосредственного испарения с принудительной циркуляцией аммиака. Р. Т.

**27926. Коммуникация холодильных установок.** (Liquid and suction lines.—), *Refrig. Serv. and Contract.*, 1955, 23, № 10, 45—47, 50—52, 54, 56 (англ.)

Жидкий фреон-12, подводимый к дроссельному вентилю, должен быть переохлажден, так как в противном случае через вентиль проходит паро-жидкостная смесь, что уменьшает его пропускную способность и нарушает нормальный режим работы установки. Основной причиной частичного испарения жидкости на пути к дроссельному вентилю являются сопротивления трубопровода, которые приводят к снижению давления. Особенно опасно указанное явление в системах с несколькими испарителями, питаемыми от общей магистрали и расположенными на различных уровнях. Рассмотрены схемы питания таких испарителей. Во всасывающих линиях фреоновых компрессоров должна быть достаточно высокая скорость паров, исключающая возможность сепарации и отложения масла: в вертикальных трубах  $\sim 450$  м/мин, в горизонтальных  $\sim 225$  м/мин. Даны схемы отсоса паров хладагента из параллельно работающих испарителей, установленных на различных уровнях. Ю. П.

**27927. О расчетных коэффициентах теплопроводности материалов, применяемых для изоляции холодильников.** Пирог Н., *Мясная индустрия СССР*, 1955, № 5, 28—30

Увлажнение термозоляционных материалов в стенах холодильников приводит к увеличению коэфф. теплопроводности  $\lambda$  в 2—2,5 раза и быстрому разрушению их. Предлагается способ наклейки изоляции из пенобетонных блоков с помощью нефтебитума марки 4, имеющего т-ру размягчения  $\geq 70^\circ$  и обеспечивающего хорошую парозащиту ограждающих конструкций холодильных камер. Перед наклейкой пенобетонных блоков кирпичные стены прокрашиваются два раза горячим нефтебитумом (при т-ре  $\geq 160^\circ$ ). Блоки приклеиваемой стороной опускают в ванну с битумом и монтируют на стене; общая толщина слоя битума при этом составляет 5—6 см. Предлагаемый способ наклейки теплоизоляции позволяет принимать для пенобетона марки 400  $\lambda = 0,11$  ккал/м·час·град. А. Р.

**27928. Пленочное кипение в потоке переохлажденной жидкости.** Мотт (Film boiling of flowing subcooled liquids (Thesis). Motte Eugene Izard), *U. S. Atomic Energy Comm. Repts*, 1954, UCRL-2511, 1—139 (англ.)

**27929. Изучение фонтанирования капель при помощи киносъемки.** Глейм В. Г., *Тр. Новочеркас. политехн. ин-та*, 1955, 25, 173—177

Изучался с помощью киносъемки механизм разрыва пузырьков и проникновения капельной влаги из пузырьков в паровое пространство над кипящей жидкостью. Приведены снимки фонтанирования капель жидкости в момент разрыва пузырьков как при холодном кипении, т. е. работе воздуха через жидкость, так и при подлинном кипении. Результаты киносъемки подтверждают представление о генерации капель путем фонтанирования жидкости на месте разорвавшихся пузырьков и возможность, в связи с этим, организации на поверхности испарения ценной «защиты», снимающей капельный унос. А. М.

**27930. Слышимость кипения.** Уэстуотер, Лавуэри, Прамук (Sound of boiling. Westwater J. W., Lowery A. J., Jr, Pramuk F. S.), *Science*, 1955, 122, № 3164, 332—333 (англ.)

По слышимости процесса кипения жидкостей иногда судят о работе выпарных и кипяточных аппаратов, ошибочно считая, что чем громче звуки при кипении, тем интенсивнее протекает процесс. Специально поставленными лабор. опытами исследовались звуки при ядерном, переходном и пленочном режимах кипения. Опыты проводились с метанолом, кипевшим при атмосферном давлении в прозрачном сосуде емк. 4,5 л, снабженном горизонтальным нагревателем байонетного типа. Изучение велось с помощью фотосъемки (с экспозицией  $10^{-6}$  сек.) и киносъемки (4000 кадров в 1 секунду). Измерялись скорость передачи тепла от трубки к метанолу, общая разность т-р, интенсивность и частота звука. Опытами найдено, что при ядерном кипении увеличение разности т-р сопровождается повышением интенсивности звука. Ядерное кипение прекращалось при разности т-р  $\sim 47^\circ$ , и наступал переходный режим, продолжавшийся до разности т-р  $\sim 72^\circ$ . При переходном кипении пузырьки пара образуются пульсационно и беспорядочно в разных местах поверхности горячей трубки. По мере приближения к пленочному кипению звук усиливается, но поток тепла уменьшается. При пленочном кипении звук становится однотонным. При этом горячая трубка покрыта сплошной пленкой пара, и контакт между стенкой трубки и жидкостью полностью прекращается. Передача тепла происходит очень слабо. Тренированное ухо может отличить по звуку ядерное кипение от пленочного, но переходный режим кипения различить трудно. Ю. С.

**27931. Выделение растворителя методом вымораживания.** Карран (Is the freezing method the best?

Cuttrap Henry M.), *Refrig. Engng*, 1955, **63**, № 9, 45—56 (англ.)

Вывораживание (В) р-рителя преследует те же цели, что и выпарка, в частности оно применяется для опреснения морской воды. Преимуществами В являются: 1) меньшая коррозия и загрязнение аппаратуры, так как процесс протекает при низких  $t$ -рах; 2) теплота плавления в несколько раз меньше теплоты испарения, что позволяет осуществлять процесс с меньшими энергетич. затратами. Недостатком В является образование льда в непосредственном контакте с маточным р-ром, вследствие чего лед частично загрязняется р-ром и не может быть целиком использован для получения чистой жидкости. Процесс В состоит из двух операций: образования льда и удаления маточного р-ра. Практич. интерес представляет процесс быстрого замораживания, в результате которого р-р образует в слое льда межкристаллич. включения, связанные между собою капиллярными каналами. При центрифугировании массы льда основное кол-во р-ра легко удаляется, однако в мелких полостях р-р задерживается; для его удаления необходимо сообщить массе льда некоторое кол-во тепла: крошки кристаллов льда, соприкасающиеся с жидкостными включениями, расплавляются в первую очередь, освобождая каналы для удаления р-ра под действием центробежной силы. При таком методе получают три фракции: 1) конц. маточный р-р; 2) разб. р-р, который может быть направлен на повторное извлечение р-рителя; 3) лед, после плавления которого получают чистую жидкость. Описан аппарат, примененный для исследования процесса В, в котором совмещены охлаждающая камера и центрифуга. Лед образуется на наружной поверхности цилиндра диам. 200 мм в виде сплошного слоя толщиной 10 мм. Изучено образование льда в различных условиях: изменялись скорость вращения ротора, конц-ия исходного р-ра, время замораживания и центрифугирования. Целесообразно проводить процесс в одной ступени. Рассмотрены предшествующие работы в области В. Библ. 9 назв. Ю. П.

**27932. Тепло- и массообмен при реакции, скорость которой определяется скоростью диффузии. Часть II. Саттерфилд, Резник** (Simultaneous heat and mass transfer in a diffusion-controlled chemical reaction. Part II. Satterfield Charles N., Resnick H. J.), *Chem. Engng Progr.*, 1954, **50**, № 10, 504—510 (англ.)

Исследовано каталитич. разложение паров  $H_2O_2$  в стеклянных трубках диам. 4,7; 4,8 и 7,5 см и высотой 2,35 см. В качестве катализатора использовались полированные металлич. шарики диам. 5 мм. При исследовании изменялись конц-ия  $H_2O_2$  в пределах 5—24 вес. %, критерий Рейнольдса  $N_{Re} = 22 \div 161$  (в трубках диам. 4,7 и 4,8 см) и  $N_{Re} = 15 \div 60$  (в трубке диам. 7,5 см).  $T$ -ра на поверхности катализатора изменялась от 210 до 480°. На основании опытных данных были найдены безразмерные факторы тепло- и массопередачи  $i_H$  и  $i_D$ , при этом:  $i_H = 0,992 (N_{Re})^{-0,34}$ , а  $i_D = 0,667 (N_{Re})^{-0,34}$ , где  $N_{Re}$  — критерий Рейнольдса в слое катализатора для газа, содержащего  $H_2O_2$ . Отношение  $i_H : i_D$  для всех опытов практич. не изменялось и было равно 1,37. Указывается на связь местных перегревов с различной активностью катализатора. Часть I см. РЖХим, 1955, 22895. С. К.

**27933. Диффузия в пористых катализаторах и адсорбентах. Хогсхаген** (Diffusion in porous catalysts and adsorbents. Hoogschagen J. A.), *Industr. and Engng Chem.*, 1955, **47**, № 5, 906—913 (англ.)

Исследована скорость диффузии газа в порах катализаторов. Производились измерения кол-ва  $O_2$ , диф-

фундирующего из воздуха через таблетку исследуемого материала в замкнутый объем, где он поглощается восстановленной окисью Си при 400°. Определались: относительный коэфф. диффузии  $\delta = D_{эфф}/D_{газ}$ , где  $D_{эфф}$  и  $D_{газ}$  — коэфф. диффузии в пористом материале и в свободном объеме газа, а также лабиринтный фактор  $\chi = \delta/\epsilon$ , где  $\epsilon$  — пористость. Исследованию подвергнуты: катализатор процесса конверсии водяного газа ( $Fe_2O_3 + 7\% Cr_2O_3$ ) до и после восстановления, восстановленные катализаторы процесса синтеза  $NH_3$  ( $Fe_2O_3 + 4,3\% MgO + 0,55\% SiO_2$ ,  $Fe_2O_3 + 2,9\% Al_2O_3 + 1,44\% K_2O$ ), карбонил Fe и карбонильный порошок с диаметром частиц от 100 до 210  $\mu$ . На основе найденных значений  $\delta$ ,  $\epsilon$  и  $\chi$ , приведенных в таблице, рассчитаны и сопоставлены с действительными значениями эффективности исследованных пористых материалов; рассмотрены р-ции синтеза  $NH_3$  при атмосферном давлении и конверсия водяного газа. А. Р.

**27934. Проектирование ректификационных колонн.**

**3. Расчет исчерпывающей колонны для разделения четырехкомпонентной смеси. 4. Исчерпывание и ректификация многокомпонентных смесей. 5, 6. Ректификация трехкомпонентных смесей. 7, 8, 9. Ректификация четырехкомпонентных смесей. Уайт** (To help you design fractionators. No. 3. Stripping of quaternary mixtures. No. 4. Stripping and rectifying of multicomponent systems. No. 5, No. 6. Distillation of ternary mixtures. No. 7, No. 8, No. 9. Distillation of quaternary mixtures. White Robert R.), *Petrol. Process.*, 1953, **8**, № 5, 704—709; № 6, 892—896; № 7, 1026—1031; № 8, 1174—1179; № 9, 1336—1339; № 10, 1533—1536, № 11, 1705—1707 (англ.)

3. Дан графич. метод расчета исчерпывающей колонны для разделения четырехкомпонентной смеси. Приведен числовой пример расчета.

4. Рассматривается расчет ректификации четырехкомпонентной смеси, поступающей в колонну в виде насыщ. пара; для пяти различных содержаний наиболее летучего компонента в дистиллате определены расчетным методом значения миним. флегмового числа, состав дистиллата и состав в зоне постоянных конц-ий. Дано развитие метода применительно к ректификации смесей с любым числом компонентов, выполнено числовое решение для пятикомпонентной смеси. Отмечены изменения, обусловленные вводом питания в виде перегретого пара, паро-жидкостной смеси и некипящей жидкости.

5. Изложен графо-аналитич. метод расчета ректификации трехкомпонентных смесей в колонне, состоящей из исчерпывающей и укрепляющей секций. Рассматривается разделение, при котором дистиллат и нижний продукт содержат все три компонента; в начале расчета задаются содержанием наиболее летучего компонента в нижнем продукте и наименее летучего в дистиллате. Метод основывается на выводах и соотношениях, полученных автором ранее (*Petrol. Process.*, 1946, **1**, 151). Приведены числовые примеры.

6. Распространение графо-аналитического метода расчета ректификации трехкомпонентных смесей на случай разделения, в котором дистиллат или нижний продукт содержат лишь два компонента смеси, а второй продукт — все три компонента. Рассмотрены условия ректификации в полной колонне, включающей исчерпывающую и укрепляющую секции.

7. Рассматривается случай ректификации четырехкомпонентной смеси в колонне, имеющей исчерпывающую и укрепляющую секции, с получением дистиллата и кубового остатка, каждый из которых содержит все 4 компонента исходной смеси. В качестве примера



взята смесь с содержанием 0,25 мол. доли каждого из компонентов, характеризующихся относительной летучестью 3,375; 2,25; 1,50 и 1,0. Содержание наименее летучего компонента в дистиллате и наиболее летучего компонента в кубовом остатке составляет 0,01 мол. доли. Выявлено распределение компонентов между дистиллатом и кубовым остатком в условиях полного возврата флегмы; определено миним. значение флегмового числа. Результаты иллюстрированы в пространственной диаграмме.

8. Расчетный пример разделения четырехкомпонентной смеси, содержащей 25 мол.% каждого из компонентов с относительной летучестью 3,375; 2,25; 1,50 и 1,00. Жидкая смесь поступает в колонну при т-ре кипения. Содержание наименее летучего компонента в дистиллате 1 мол.%. Выполнен ряд расчетов, выявляющих влияние флегмового числа и задаваемого содержания наименее летучего компонента в кубовом продукте на состав дистиллата. Расчеты иллюстрируются пространственными диаграммами.

9. Приведен расчетный пример разделения четырехкомпонентной смеси такого же состава при другом способе определения составов продуктов разделения. Вычислялись состав дистиллата и требующееся для разделения число теоретич. тарелок в зависимости от флегмового числа и выбранного для нижнего продукта содержания наименее летучего компонента. Расчеты иллюстрируются пространственными диаграммами. Сообщение 2 см. РЖХим, 1955, 54162. Ю. П.

27935. О фракционировании многокомпонентных и сложных смесей в идеальном каскаде при стационарных условиях. Часть 2. Вычисление минимального флегмового числа. Акривос, Амундсон (On the steady state fractionation of multicomponent and complex mixtures in an ideal cascade. Part 2.— The calculation of the minimum reflux ratio. Acrivos Andreas, Amundson Neal R.), Chem. Engng Sci., 1955, 4, № 2, 68—74 (англ.)

Дано решение задачи расчетного определения миним. флегмового числа при ректификации многокомпонентных смесей в идеальном каскаде. Выведенные ур-ния дают возможность определить также составы продуктов разделения. Часть 1 см. РЖХим, 1955, 54160. Ю. П.

27936. О фракционировании многокомпонентных и сложных смесей в идеальном каскаде при стационарных условиях. Часть 3. Анализ метода расчета. Акривос, Амундсон (On the steady state fractionation of multicomponent and complex mixtures in an ideal cascade. Part 3. Discussion of the numerical method of calculation. Acrivos Andreas, Amundson Neal R.), Chem. Engng Sci., 1955, 4, № 3, 141—148 (англ.)

Обобщены и приведены к виду, удобному для практич. применения, ур-ния для расчета ректификации многокомпонентных смесей. Приведен пример расчета. Ю. П.

27937. Ректификация летучих составляющих спиртовых смесей и спирта-сырца. II. Физические свойства компонентов. Штаге, Фальдикс, Курт, Мюллер (Destillative Trennbarkeit der flüchtigen Inhaltsstoffe alkoholischer Maischen und Rohspirte. II. Die physikalischen Daten der flüchtigen Inhaltsstoffe alkoholischer Maischen und Rohspirte. Stage H., Faldix P., Kurth W., Müller E.), Chem. Technik, 1954, 6, № 3, 132—138 (нем.)

Приведены данные по уд. весу, коэфф. преломления, теплоемкости, теплоте испарения, вязкости и поверхностному натяжению при различных т-рах для  $H_2O$ ,  $NH_3$ ,  $H_2S$ ,  $CO_2$ , спиртов, альдегидов, кетонов, к-т, эфиров и меркаптанов. Сообщение 1 см. РЖХим, 1955, 57389. В. Ж.

27938. Регулирование работы дистилляционной колонны. Лефкович, Уолш (Optimizing control of a distillation column. Lefkowitz Irving, Walsh Thomas J.), ISA Journal, 1955, 2, № 1, 7—11 (англ.)

Сопоставлены системы автоматич. регулирования работы ректификационной колонны непрерывного действия. Показано, что применение счетной машины в качестве источника импульсов, сообщаемых исполнительным регулирующим органом, обеспечивает наиболее эффективные условия работы колонны. Рассмотрены условия и методы составления программы операций счетной машины. Ю. П.

27939. О механизме абсорбционных процессов. Кишиневский М. Х., Мочалова Л. А., Уч. зап. Кишиневск. ун-та, 1954, 14, 31—36

В противовес распространенной пленочной теории Льюиса и Уитмана авторы рассматривают абсорбцию как квазистационарный процесс, при котором происходит периодич. обновление поверхности. Вследствие этого вместо коэфф. молекулярной диффузии  $D$  в расчетах используется эффективный коэфф.  $D_m$ , определяемый турбулентной и молекулярной диффузией. Исследовалась кинетика поглощения  $CO_2$  водой при 20° и 760 мм рт. ст. в спец. сосуде с пропеллерной мешалкой (400 и 850 об/мин) при сравнительно малой уд. поверхности абсорбента. Опытные данные хорошо согласуются с теоретич. ур-нием  $\omega = Vc^*(1 - e^{-\tau/cV})$ , в котором  $1/\rho = \sigma \sqrt{4D_m/(\pi \Delta \tau)}$  ( $\omega$  — объем газа, поглощенного за время  $\tau$ ,  $V$  — объем жидкости, соответствующий поверхности контакта  $\sigma$ ,  $\Delta \tau$  — период обновления поверхности слоя. При неизменных условиях опыта  $\rho$  — константа,  $c^*$  — конц-ия молекул газа в поверхностном слое:  $c^* = H \cdot P$ , где  $H$  — коэфф. растворимости газа,  $P$  — его парц. давление). Б. Т.

27940. Использование жидких пленок при изучении абсорбции газов каплями. Диксон, Суоллоу (Use of liquid films in the study of the absorption of gases by drops. Dixon B. E., Swallow J. E. L.), J. Appl. Chem., 1954, 4, part 2, 86—93 (англ.)

Описаны три метода изучения абсорбции газов отдельными каплями жидкости. Методы сводятся к созданию перегородки, отделяющей пространство, заполненное абсорбируемым газом, где происходит образование и падение капли, от объема, в котором капли с абсорбируемым газом собираются для анализа. В качестве перегородок рассмотрены: 1) поток инертного газа, проходящий вдоль основания камеры с абсорбируемым газом; 2) пена, находящаяся над слоем жидкости, собираемой в нижней части аппарата; 3) жидкая инертная пленка, натянутая поперек камеры. Наилучшие результаты дал последний метод, примененный для исследования абсорбции  $CO_2$  каплями  $H_2O$ . Подробно описаны аппараты, применявшиеся при изучении абсорбции, и методика постановки экспериментов. О. А.

27941. Абсорбция и увлажнение. Лева, Вань Цзинь-юн (Absorption and humidification. Leva Max, Wen Chin-Yung), Industr. and Engng Chem., 1955, 47, part 2, № 3, 505—507 (англ.)

Приведен обзор работ по абсорбции газов и увлажнению воздуха. Рассмотрены: механизм работы насадочных и тарельчатых колонн и аппаратов со смоченными стенками, общие вопросы массопередачи, влияние на процесс массопередачи физ. свойств газа и жидкости и процессы водяного охлаждения воздуха. Библ. 46 назв. С. К.

27942. Изучение процесса абсорбции при барботаже. Гийе, Рихарц, Гийе (Studien über Absorptionvorgänge an Gasblasen. Guyer A., Richarz

W., Guyer A., Jr), *Helv. chim. acta*, 1955, 38, № 5, 1192—1202 (нем.)

Исследовался процесс абсорбции  $\text{SO}_2$  водой из воздуха в барботажной колонне. Газ распределялся в жидкости при помощи распределительного диска толщиной 0,8 мм, имевшего 29 отверстий диам. 0,5 мм. Расход воздуха изменялся в пределах 1,11—17,86 моль/час, а воды—в пределах 278—4440 моль/час. Фотографич. путем определялся размер пузырьков газа. Было найдено, что они имеют форму эллипсоидов вращения. По данным о размере пузырьков газа и их числе в единице объема жидкости определялась поверхность контакта фаз. Было найдено, что при небольших расходах газа поверхность контакта фаз возрастает пропорционально расходу. С дальнейшим его увеличением поверхность контакта фаз возрастает в меньшей степени. По данным опытов определены значения высоты барботажного слоя ( $H$ ), эквивалентной единице переноса массы. При ламинарном режиме  $H$  почти не зависит от расхода газа и не изменяется с изменением расхода жидкости. При турбулентном режиме  $H$  увеличивается с увеличением расхода газа, что объясняется увеличением размера пузырьков. С увеличением расхода жидкости переход к турбулентному режиму происходит при больших расходах газа. По данным опытов определены коэфф. массопередачи в жидкой и газовой фазах. Коэфф. массопередачи в газовой фазе почти не зависит от расхода газа, немного возрастают с его увеличением. Зависимость коэфф. массопередачи в газовой фазе ( $k_g$  моль/г. сек) от расхода газа ( $G_M$  моль/час) выражается ур-нием:  $\ln k_g = -0,035 G_M$ . Коэфф. массопередачи в жидкой фазе ( $k_l$  см/сек) возрастает с увеличением расхода жидкости ( $L_M$  моль/час) и с уменьшением расхода газа. Эта зависимость выражается ур-нием:  $k_l = 0,09 \cdot G_M^{-0,75} \cdot L_M^{0,95}$ .

В. К.

27943. Противоточные адсорбционные процессы разделения. IV. Периодический метод фракционирования. Минти, Мак-Нил, Росс, Свинтон, Уэйсс (Counter-current adsorption separation processes. IV. Batch method of fractionation. Minty D. W., McNeil R., Ross M., Swinton E. A., Weiss D. E.), *Austral. J. Appl. Sci.*, 1953, 4, № 4, 530—542 (англ.)

Рассматривается теория процесса разделения смесей сильных электролитов путем непрерывной экстракции. Показана возможность осуществления периодич. процесса благодаря простоте контроля. Периодич. процесс рассматривается на примере разделения смеси к-т. Растворенная в неполярном р-рителе эта смесь загружается в расходный бак, из которого подается в зону концентрирования, а затем возвращается в расходный бак. В зоне концентрирования из этого р-ра экстрагируются к-ты полярным р-рителем, содержащим щелочь, причем в течение всего времени, кроме конца фракционирования, поддерживается большой избыток к-т по сравнению с содержанием щелочи в полярном р-рителе. Содержание к-т в смеси с течением времени непрерывно убывает благодаря их нейтр-ции и экстракции водн. р-ром щелочи. Водн. экстракт, обогащенный в зоне концентрирования солью более крепкой к-ты, поступает во фракционирующую часть колонны, в которой движется противотоком с потоком неполярного р-рителя, содержащего свободную к-ту. Затем по выходе из нее подвергается истощению при помощи подаваемого в низ этой части колонны неполярного р-рителя, содержащего минер. к-ту более крепкую, чем к-ты, подлежащие разделению. Щел. соль минер. к-ты с водн. фазой удаляется из истощающей части. Поток неполярного р-ри-

теля, содержащего свободную к-ту, извлекает из водн. фазы более крепкую к-ту и поступает в расходный бак. При работе без отбора более сильная к-та скапливается внизу фракционирующей части колонны. При установившемся режиме часть потока неполярного р-рителя может непрерывно отбираться в качестве продукта, который содержит разделяемые к-ты в кол-вах, соответствующих их общим коэфф. распределения. Продукт может отбираться также из водн. фазы, которая, однако, сильно загрязнена солью минер. к-ты. Проводится аналогия между описанным процессом экстракции и процессом ректификации. Степень разделения в колонне с определенным числом теоретич. тарелок зависит от флегмового числа, которое определяется как отношение числа эквивалентов к-ты, проходящей через колонну, к числу эквивалентов к-ты, отбираемой в качестве продукта. Степень разделения может быть повышена путем периодич. отбора из емкости, устанавливаемой между фракционирующей и истощающей частями колонны. При работе с бесконечно большим флегмовым числом в емкости скапливается компонент, имеющий больший коэфф. разделения. После достижения равновесия производится отбор и процесс возобновляется. Для случая, когда конц-ия свободной к-ты в водн. фазе пренебрежимо мала по сравнению с конц-ией соли этой к-ты, коэфф. разделения  $\alpha = \frac{P_{AKV}}{P_{BKA}}$ , где  $P_A$  и  $P_B$ —коэфф. распределения разделяемых к-т между водной и неполярной р-рителем и  $K_A$  и  $K_B$ —константы диссоциации этих к-т. Дано описание процесса разделения пенициллина и примесей, содержащихся в неочищ. амилцетате, при помощи распределительной адсорбции. Сообщение III см. РЖХим, 1955, 51007. В. К.

27944. Противоточные адсорбционные процессы разделения. V. Пенно-флотационный метод в колоннах. Мойр, Росс, Уэйсс (Counter-current adsorption separation processes. V. Froth-flotation in columns. Moir G., Ross M., Weiss D. E.), *Austral. J. Appl. Sci.*, 1953, 4, № 4, 543—551 (англ.)

Описан метод фракционированной адсорбции в жидкой фазе с применением мелкодисперсных адсорбентов. В колонне используется техника пенной флотации: адсорбент покрывается флотационным агентом (напр. флотационным маслом) с образованием частиц, которые окружаются пузырьками воздуха и всплывают вверх по колонне противотоком опускающейся жидкости. Аппарат включает аэрационную секцию с мешалкой, фракционную и десорбционную колонны, а также секцию для отделения сорбента. Метод исследован на колонне диам. 37 мм и высотой 7,3 м, в которой циркулировало 200 г активированного угля и 100 см<sup>3</sup> флотационного масла. Установлено, что размеры пузырьков воздуха и скорость циркуляции сорбента можно регулировать, изменяя скорость вращения и положение мешалки в аэрационной зоне. Метод не может быть применен в присутствии смачивающих в-в. Наличие флотационного масла сильно снижает адсорбционную емкость таких сорбентов, как уголь или активированный алюминий, поэтому метод может иметь производственный интерес применительно к спец. сорбентам, емкость которых незначительно снижается флотационными агентами.

А. Р.

27945. Перенос вещества в отдельных каплях при экстракции в жидкой фазе. Лихт, Паненинг (Solute transfer from single drops in liquid-liquid extraction. Licht William, Pansing William F.), *Industr. and Engng Chem.*, 1953, 45, № 9, 1885—1896 (англ.)

При рассмотрении переноса в-ва в экстракторах с диспергированием одной из жидкостей различают три стадии: 1) образование капель (К) диспергируемой жидкости у выходного отверстия сопла; 2) движение К

через слой сплошной жидкой фазы; 3) слияние К дисперсной фазы в крайнем сечении колонны. Для каждой из указанных стадий рассмотрен механизм переноса в-ва и выведены теоретич. ур-ния, описывающие его. Выполнено исследование экстракции уксусной к-ты из: 1) водн. р-ра изобутилкетона (сплошная фаза); 2) смеси с перхлорэтиленом водой (сплошная фаза); 3) смеси с четыреххлористым углеродом и минер. маслом водой (сплошная фаза). Опыты проводились в стеклянных колоннах diam. 47 мм при рабочей высоте 13—2000 мм; т-ра во всех опытах составляла  $25 \pm 1^\circ$ . Описаны устройство колонн, методика работы, свойства компонентов исследованных систем, способы анализа проб и определения основных параметров (времени образования и диаметра К, рабочей высоты колонны и др.). Опытные данные сопоставлены с теоретич. выводами. Свойства компонентов исследованных систем определяют различное поведение и форму К дисперсной фазы: система с изобутилкетонам характеризуется плоскими К, которые сильно вибрируют при перемещении в сплошной фазе, что улучшает условия обмена внутри К и делает определяющим сопротивление переносу в-ва в сплошной фазе. Системы с перхлорэтиленом и четыреххлористым углеродом характеризуются К правильной формы, которые легко скользят в сплошной фазе и не имеют заметных вибраций: в этих условиях основное сопротивление переносу сосредоточено в дисперсной фазе. Ю. П.

27946. Влияние ультразвуковых колебаний на экстракцию твердых веществ жидкостями. Томпсон, Сатерленд (Ultrasonic insonation effect on liquid-solid extraction. Thompson Dudley, Sutherland D. G., Industr. and Engng Chem., 1955, 47, № 6, 1167—1169 (англ.))

Изучено влияние ультразвуковых колебаний различной интенсивности с частотой 400 кГц на экстракцию (Э) сырого масла из земляных орехов посредством н-гексана. При максим. интенсивности колебаний Э была эффективнее в 2,76 раза сравнительно с Э, проводимой при комнатной т-ре в экстракторе Сокслета. Полученные результаты сравниваются с данными, полученными при проведении Э с механич. перемешиванием. Авторы считают, что повышение эффективности Э твердых в-в жидкостями при использовании ультразвуковых колебаний связано: 1) с увеличением фазового контакта вследствие диспергирования твердых частиц и частичного разрушения клеток, содержащих масло; 2) более интенсивным перемешиванием р-рителя и взвешенного в-ва; 3) термич. эффектом. Обсуждается возможность применения ультразвуковых колебаний для интенсификации процессов Э жидкостей жидкостями. К. В.

27947. Новый тип экстрактора с насосом-смесителем для системы жидкость — жидкость. Коплан, Дейвидсон, Зеброский (The pump-mix mixer settler a new liquid-liquid extractor. Coplan B. V., Davidson J. K., Zebroski E. L., Chem. Engng Progr., 1954, 50, № 8, 403—408 (англ.))

Описана новая конструкция аппарата для экстракции в жидкой фазе с устройством для перемешивания взаимодействующих фаз, выполненным в виде колеса центробежного насоса (см. РЖХим, 1955, 22914). Работа экстрактора исследована на трехкомпонентной двухфазной системе уксусная к-та — гексан — вода; результаты нанесены на диаграмму Мак-Кеба и Тиле, с помощью которой к. п. д. каждой ступени восьмиступенчатого экстрактора установлен равным  $\sim 95\%$ . Описаны некоторые детали конструкции. Ю. П.

27948. Разделение органических смесей путем кристаллизации из расплавов. Форсайт, Вуд (The separation of organic mixtures by crystallisation from the melt. Forsyth J. S., Wood J. T.),

Trans. Instn Chem. Engrs, 1955, 33, № 2, 122—134 (англ.)

Применительно к условиям разделения расплавов путем кристаллизации в противоточном каскаде изучались условия образования твердой фазы внутри охлаждаемой трубы из расплава при турбулентном режиме. В опытах с системой нафталин (I) — в-нафтол (II) исследовалась скорость образования твердой фазы и степень достижения равновесия между твердой и жидкой фазами. Применялись технические чистые в-ва с интервалом т-р кристаллизации I  $1,7^\circ$  и II  $3,2^\circ$ . Для указанных в-в путем определения т-р появления жидкости при нагревании сплава и его полного расплавления получены данные по равновесию между жидкой и твердой фазами. Расплавы I и II перекачивались шестеренчатым насосом через охлаждаемую кристаллизационную трубку внутренним diam. 20 мм, длиной 250 мм в течение определенного времени, после чего образовавшаяся на стенках твердая фаза подвергалась исследованию. Путем измерений было найдено, что толщина слоя сплава на большей части длины трубки остается постоянной и возрастает с увеличением продолжительности кристаллизации. При помощи последовательного высверливания сплава из трубки сверлами, диаметр которых постепенно увеличивался от 0,05 до 0,5 мм, отбирались пробы по оси и радиусу трубки. Найдено, что по длине трубки состав сплава не изменялся. По мере удаления от стенки трубки происходит постепенное обогащение твердой фазы II, затем на некотором расстоянии — быстрое падение конц-ии II, которая вновь быстро возрастает. Получены эксперим. данные о зависимости толщины и состава твердой фазы от продолжительности и скорости кристаллизации. Найдено, что с увеличением скорости кристаллизации раздельное действие уменьшается. С целью изучения влияния режима движения расплава проведены опыты при его расходах 300—3800 л/час. Найдено, что степень обогащения твердой фазы II возрастает с увеличением скорости движения расплава и уменьшается с увеличением скорости кристаллизации. При одинаковой степени разделения скорость образования твердой фазы пропорциональна Re в степени 0,83. Рассчитанные по данным опытов коэфф. массопередачи пропорциональны  $Re^{0.8}$  и оказались примерно в 4 раза меньше вычисленных по ф-ле Кольбуна (Chilton T. H., Colburn A. P., Industr. Engng Chem., 1934, 26, 1183). С увеличением Re и уменьшением скорости кристаллизации степень достижения равновесия возрастает. К. п. д., превышающий 50%, может быть достигнут при скорости кристаллизации порядка 5 г/см<sup>2</sup>·час. В. К.

27949. Новые направления в сушильной технике. Габер (Nové směry v sušičství. Haber J., Srojiřrenství, 1955, 5, № 7, 489—495 (чеш.; рез. русс.))

Охарактеризованы основные параметры процесса сушки и рассмотрены его статика и динамика. Описаны некоторые виды сушки (вакуум-сушка, сушка расширением и ВЧ-токами) и перечислены требования, предъявляемые к сушке ряда продуктов (пищевых и пр.). Затронуты вопросы использования тепла отработанного теплоносителя сушильных установок при прямо- и противоточном прохождении теплоносителя и материала через сушильные системы. Н. К.

27950. Испарение воды. Пеллин (Veden haihtumista. Pellinen Heikki, Paperi ja puu, 1955, 37, № 8, 389—398 (фин.; рез. англ.))

Известная ф-ла Льюиса (Lewis Warren K., Mech. Engng, 1928, 44, 445—446) для расчета испарения воды в воздух мало пригодна в случае испарения воды, имеющей высокую т-ру, хотя такие процессы распространены в технич. практике (процессы сушки и др.). Опыты по испарению горячей воды показали,



что в этом случае точные результаты дает более простая ф-ла Гирша (Hirsch M., Die Trockentechnik, 1927, 57), основанная на теории встречной диффузии Стефана. Эта ф-ла применима для испарения влаги с поверхности жидкости или влажного материала в турбулентный поток воздуха, но не пригодна для сравнительно редких процессов испарения в неподвижный или ламинарно движущийся воздух. Испарение в очень сухой воздух не может стать очень большим, оно в соответствии с ф-лой Гирша ограничено при 100° максим. величиной  $\alpha/0,46 \text{ кг/м}^2\text{час}$ , где  $\alpha$  — коэфф. теплоотдачи. Попытка испарять воду за этим пределом приводит к кипению воды.

С. К.  
27951. Испарение жидкости в газе при высокой температуре. Питерских Г. П., Хим. пром-сть, 1955, № 2, 34—38

Рассматривается процесс испарения жидкости в газе при высокой т-ре и при отсутствии в газе конвекции. Такой процесс характерен для испарения капель малого диаметра, так как в этом случае конвекционный обмен мал по сравнению с молекулярным. На основании рассмотрения дифференциальных ур-ний теплового и материального потоков сделано заключение о том, что т-ра испарения жидкости не зависит от формы ее поверхности. Выведены ур-ния для определения т-ры и парц. давления паров жидкости при стационарном испарении и ур-ние для определения поправки на термодиффузию. Показано, что влияние термодиффузии и внешнего теплообмена капель со средой невелико. Так, при испарении бензола в воздухе при 1000° и атмосферном давлении термодиффузия повышает т-ру испарения всего на 2,5°. Влияние лучистого теплообмена уменьшается с уменьшением радиуса капли и почти не влияет на испарение капель радиусом  $< 0,1 \text{ мм}$ . Выведены ур-ния для определения скорости стационарного испарения в одномерном поле и кинетики квазистационарного испарения. Путем усреднения т-ры испаряющейся жидкости во времени выведено ур-ние для определения времени адиабатич. испарения капли. Применение выведенных ур-ний иллюстрируется примером.

В. К.  
27952. Определение упругости пара при испарении веществ в подвижном воздухе. Мацак В. Г., Водоснабжение и сан. техника, 1955, № 7, 13—19  
Для облегчения технич. расчетов предлагаются упрощенные способы определения упругости пара различных в-в и скорости их испарения в движущемся воздухе. Приводятся номограммы для определения упругостей пара ряда в-в, аналогичные номограмме Киреева В. А., для которых в качестве эталона приняты упругости пара нитробензола и Рб. Приводятся номограммы для определения упругостей пара органич. и неорганич. в-в, основанные на том, что все в-ва в зависимости от физ. свойств и строения могут быть разделены на 8 групп. Для определения скорости испарения  $S$  в движущемся воздухе рекомендуется ур-ние:  $S = (5,38 + 4,1v) P_n \sqrt{M}$ ,  $\text{г/м}^2\text{час}$ , где  $v$  — скорость воздуха,  $\text{м/сек}$ ,  $P_n$  — давление насыщ. пара при т-ре влажного термометра,  $\text{мм рт. ст.}$  и  $M$  — молекулярный вес. Результаты эксперим. проверки обнаруживают удовлетворительное согласие с расчетами по приведенному ур-нию. Наибольшее отклонение ( $\pm 10\%$ ) получается при малых скоростях воздуха  $0,25—0,5 \text{ м/сек}$ .

В. К.  
27953. Пневматическая сушка. Вейсе (Flash dryng. Weiss Alfredo G.), Ind. minera, 1954, 12, № 147, 45—50 (исп.)

Приведены схемы пневматич. сушилок для удаления влаги из мелкораздробленных материалов. Процесс сушки производится сушильным агентом (воздухом) с т-рой 600—700°, но благодаря малому времени на-

хождения материала в сушилке его т-ра не повышается  $> 80^\circ$ .

С. К.  
27954. Внутреннее давление и распределение температуры при сушке токами высокой частоты. Асаио (高周波乾燥に於ける内部壓力及び温度分布について. 淺野峻吉), 工業化學雜誌, Koré kaagaku zasshi, J. Chem. Soc. Japan. Industr. Chem. Sec., 1953, 56, № 3, 129—130 (япон.)

Одним из недостатков ВЧ-сушки является быстрый подъем т-ры внутри материала. Для того, чтобы уменьшить перепад т-р в слое материала, были проведены опыты по ВЧ-сушке под вакуумом и изучалось распределение т-р при сушке таким способом. По изменению т-ры внутри материала определялось внутреннее давление в нем. Установлено, что с увеличением разрежения снижается внутреннее давление. Это давление обусловлено парообразованием внутри материала и при повышении внутреннего давления возможен перегрев внутренних слоев материала и образование трещин. Проведением ВЧ-сушки при пониженном давлении удается понизить т-ру исп. влаги и добиться равномерного распределения т-р в материале. С. К.  
27955. Об ударном измельчении материалов. Мёллинг (Betrachtungen zur Prallzerkleinerung. Mölling H. A.), Chemiker-Ztg, 1955, 79, № 9, 295—299 (нем.)

Рассмотрены теоретич. основы ударного измельчения материалов. Приведены соображения об оптимальных конструкциях машин для ударного измельчения и о возможности их использования для некоторых видов материалов.

П. Ф.  
27956. Кривые времени пребывания внутри реакторов непрерывного действия. Ягги, Мияути (洗系反應器における残余濃度曲線について. 矢木榮, 宮内照勝), 化學工業, Karaku kogaku, Chem. Engng, 1953, 17, № 10, 382—386 (япон.; рез. англ.)

Предложена теоретич. модель реактора, для которой математически найдены кривые времени пребывания газа внутри зернистого слоя реактора. На основе выведенных ур-ний проведен анализ различных условий работы модели. Сравнение полученных выводов с опытными данными Гиллиленда, относящимися главным образом к псевдоожиженному слою (Indust. and Engng Chem., 1949, 41, 1191; 1952, 44, 218; РЖХим, 1954, 17586) показало, что предложенная модель может хорошо отражать опытные данные. С. К.

27957. Основы химической техники. Каталитические реакции в паровой фазе. I. Корриган (Chemical engineering fundamentals. Catalytic vapor phase reactions — I. Corrigan Thomas E.), Chem. Engng, 1955, 62, № 1, 199—202 (англ.)

Попытки применения ур-ний скорости гомогенных р-ций для определения скорости гетерогенных каталитич. р-ций в паровой фазе остаются неудовлетворительными, так как при этом не учитываются скорости адсорбции реагентов и десорбции продуктов р-ции с поверхности катализатора. Ур-ния для определения скорости каталитич. процессов составляются применительно к хим. стадиям процесса: адсорбции (хемосорбции) (I), р-ций в адсорбированной фазе на катализаторе (II) и десорбции (III) с использованием так называемой эффективной конц-ии активных центров. Скорость каталитич. процесса в паровой фазе равна скорости наиболее медленно идущей р-ции в стадии I, II или III (находящихся между собой в равновесии) при том условии, что физ. стадии процесса (внешняя и внутренняя диффузия паров из основного потока к поверхности и в порах катализатора) протекают достаточно быстро. Приведен механизм р-ций по стадиям.

Н. К.  
27958. Аппараты высокого давления, применяемые в химической технологии. Майер (La conception des appareils destinés à l'emploi des hautes pressions

dans diverses opérations de la technique chimique. Maier A. F.), Chimie et industrie, 1954, 72, № 4, 645—663 (франц.)

Обзор по конструкциям аппаратов высокого давления (до 1500 атм при т-ре стенок до ~350°), методам компрессии и измерения высоких давлений (до 50 000 атм). Приведены свойства спец. сталей, из которых рекомендуется изготавливать аппаратуру. Библ. 16 назв. Г. Р.

27959. Способы равномерного распределения газового потока в промышленных аппаратах. Идельчик И. Е., Хим. пром-сть, 1955, № 6, 351—357

Даны рекомендации по расчету и подбору различных газораспределительных устройств к контактным аппаратам, скрубберам, абсорберам, теплообменникам, электрофильтрам, батарейным циклонам и др. Рассматриваются методы газораспределения путем создания дополнительного сопротивления, рассредоточенного по сечению рабочей камеры аппарата, применения направляющих устройств в местах поворота потока, а также комбинированные газораспределительные устройства. А. Р.

27960. Применение алюминиевых труб. Уондерер (Aluminum pipings applications. Wanderer E. T.), Heat, Piping and Air Condit., 1953, 25, № 11, 116—119 (англ.)

Отмечаются достоинства алюминия как конструкционного материала, обусловившие всё большее распространение в пром-сти труб из алюминия и его сплавов. Для защиты от коррозии в щел. (pH>9) и кислых (pH<4) водн. р-рах или р-рах, содержащих соли тяжелых металлов (Cu, Ni, Pb и т. д.), трубы плакируются спец. алюминиевым сплавом с 1% Zn. Приведены примеры использования алюминиевых труб для снабжения холодной и горячей водой, отопления, вентиляции и кондиционирования воздуха. Указаны размеры выпускаемых труб, хим. состав алюминиевых сплавов и их механич. свойства. Э. Н.

27961. Определение потерь при испарении. Прейтер (How to calculate vapor losses. Prater N. H.), Petrol. Process., 1954, 9, № 4, 537—540 (англ.)

Приводятся ур-ние для определения потерь на испарение легколетучих жидкостей (типа бензина) при их хранении в резервуарах. Отмечается, что ур-ние выведено на основе совместного рассмотрения процессов испарения и диффузии.  $B = N \{V_1 [(T_2 - T_1) / T_1] \times \times [(P_2 + P_1) / 2P_0] + EA - V_1 [(G_2 - G_1) (P_0 - P_2 + G_2)] \times \times [(P_2 + P_1) / 2P_0]\} C^{-1}$ , где:  $B$  — кол-во испарившегося продукта в м<sup>3</sup>;  $N$  — время в днях;  $V_1$  — объем парового пространства резервуара в м<sup>3</sup>;  $T_1$  — миним. т-ра парового пространства в град.;  $T_2$  — максим. т-ра парового пространства в град.;  $P_1$  — давление паров при миним. т-ре поверхности жидкости в кг/м<sup>2</sup>;  $P_2$  — давление паров при максим. т-ре поверхности жидкости в той же размерности;  $P_0$  — атмосферное давление в той же размерности;  $G_1$  и  $G_2$  — постоянные ур-ния, связанные с неплотностью, равные соответственно — 21 и 21 в кг/м<sup>2</sup>;  $C$  — объем испарившейся жидкости в м<sup>3</sup> на 1 м<sup>3</sup> жидкости;  $E$  — скорость испарения в м<sup>3</sup>/м<sup>2</sup>;  $A$  — свободная поверхность жидкости в м<sup>2</sup>. Приводится пример расчета. С. К.

27962 К. Математические методы в химической технике. Изд. 2-е доп. Батунер Л. М., Позин М. Е. Л., Госхимиздат, 1955, 483 стр., илл. 15 р. 30 к.

27963 К. Физико-химические основы расчетов по химической технологии. Часть 2 (учебник для высших учебных заведений). Бенедек (A kémiai technológiai számítások fizikokémiai alapjai. 2. r. Hő és munka. Egyetemi tankönyv. Benedek Pál. Budapest, Tankönyvkiadó, 1954, 499 l., ill., 69 Ft.) (венг)

27964 К. Динамика вязкой несжимаемой жидкости (Учебник для гос. ун-тов). Слезкин Н. А. М., Гостехиздат, 1955, 520 стр., илл., 10 р. 90 к.

27965 К. Теплопередача. Изд. 3-е. Мак-Адамс (Heat transmission. 3rd ed. McAdams William Henry. New York, London, McGraw-Hill, 1954, xiv 532 pp., ill., 61 sh.) (англ.)

27966 К. Теплоизоляционная техника. Зейферт (Der Wärmeschutzingenieur. Seifert K. München, Carl Hanser. 1954, 334 S., ill. 18.50 DM) (нем.)

27967 К. Сушка вымораживанием. Изд. 2-е, перераб. Нейман (Grundriß der Gefrierdrying. 2. erw. Aufl. Neumann Karlheinz. Göttingen, Frankfurt, Berlin, Musterschmidt, 1955, 256 S., ill., 24 DM) (нем.)

27968 Д. Коэффициенты конвективного теплообмена и сопротивления в газодисперсных средах. Березанский В. Ю. Автореф. дисс. канд. техн. н., Куйбышевск. индустр. ин-т, Куйбышев, 1955

27969 П. Вертикальный аппарат для промывки (Laveur à gaz vertical) [Didier — Kogag — Hinselmann Koksofenbau und Gasverwertung A.-G.]. Франц. пат. 1082426, 29.12.54 [Génie chim., 1955, 73, № 6, 178 (франц.)]

Промыватель газа состоит из ряда расположенных друг над другом секций. В каждой секции имеется сосуд, предназначенный для промывной жидкости и расположенный несколько ниже уровня дна секции. Сосуд соединен с днищем секции и с насосом, установленным у основания аппарата. От насоса идет труба, имеющая в каждой секции выходное отверстие, расположенное выше заполняющей секцию насадки. Каждый сосуд снабжен трубкой для перелива избытка промывной жидкости непосредственно в нижерасположенный сосуд. Ю. С.

27970 П. Устройство для распределения промывной жидкости в вертикальном аппарате для промывки газа (Appareil répartissant le liquide de lavage dans les laveurs de gaz verticaux) [Didier — Kogag — Hinselmann Koksofenbau und Gasverwertung A.-G.]. Франц. пат. 1082425, 29.12.54 [Génie chim., 1955, 73, № 6, 178 (франц.)]

Над насадкой газового промывателя расположены в горизонтальной плоскости желоба для распределения промывной жидкости радиально относительно центральной оси промывателя, которые приводятся в круговое движение вокруг этой оси. Для истечения промывной жидкости служат отверстия, находящиеся в днище каждого желоба. Ю. С.

27971 П. Электрофильтр. Хедберг (Electrical precipitation apparatus. Hedberg C. W. J.) [Research Corp.]. Англ. пат. 704340, 17.01.54 [J. Appl. Chem., 1954, 4, part 7, ii16—ii17 (англ.)]

Электрофильтры большой мощности, очищающие от пыли газы агрегатов длительного, непрерывного действия (паровые котлы электростанций), состоят обычно не менее чем из 3—4 параллельных секций. При необходимости в осмотре или ремонте любая из этих секций может быть отключена от газопотока без остановки основного технологич. агрегата. Чтобы избежать резкого возрастания скорости газа в оставшихся включенными секциях, запатентовано такое устройство электрофильтра, при котором все секции фильтра снабжаются дополнительными газообработывающими устройствами в виде теплообменников или циклонных пылеуловителей, представляющих собой большое буферное гидравлич. сопротивление. Ю. С.

27972 П. Электрофильтры. Палмер (Electrostatic precipitators. Palmer Robert T.) [Westing-

house Electric Corp.]. Канад. пат. 500220, 23.02.54. Запатентован электростатич. воздухоочиститель с разделенными зонами ионизации и осаждения пыли. Он отличается тем, что, кроме обычной системы проволочных ионизирующих электродов, содержит чередующуюся с ней в шахматном порядке вторую систему больших ионизирующих электродов. Обе ионизирующие системы электрически разделены между собой, причем большие электроды имеют тот же потенциал, что и находящиеся под высоким напряжением пластины осадителя.

Ю. С.

27973 П. Сепарация материала посредством усеченного циклона (Separating material with truncated cyclone) [American Cyanamid Co.]. Австрал. пат. 153940, 19.11.53.

Аппарат для непрерывной сепарации дисперсного материала, состоящего из частиц разного уд. веса, представляет собою циклон (Ц), у которого верхний выход расположен в цилиндр, части Ц вблизи тангенциального патрубка для ввода в Ц суспензии под давлением, а нижнее отводное отверстие — в центре основания усеченного конуса. Соотношения размеров высоты  $H$  усеченного конуса, диаметров обоих его оснований  $A$  и  $B$  и диаметра  $C$  выходного отверстия Ц должны быть в пределах  $A/B = 1,5-3,0$ ,  $B/C = 1,65-3,0$ ;  $H/A = 0,5-3,0$ . При указанных соотношениях размеров обеспечивается выпуск через нижнее отверстие Ц материала с уд. весом большим, чем тот, который принят в качестве граничного для сепарации; материал с меньшим уд. весом удаляется через верхнее отводное отверстие Ц.

Ю. Р.

27974 П. Метод и аппарат для классификации материалов в жидкой и газовой среде. Румпф, Кайзер (Method of and apparatus for classifying materials in liquid and gaseous media. Rumpf Hans, Kaiser Fritz). Пат. США 2694492, 16.11.54.

Аппарат для непрерывной классификации смеси мелкого и крупного материала в плоском потоке жидкости-носителя, движущейся в камере по спирали от периферии к центру камеры, состоит из полой цилиндрич. сепарирующей камеры, образуемой двумя торцевыми основаниями, вращающимися вокруг общей оси, и неподвижным внешним кожухом; одно из торцевых оснований имеет вблизи оси вращения или на самой оси отверстие для вывода мелкого материала. Вне камеры расположены устройства для сообщения жидкости-носителю движения через камеру. На стенке неподвижного кожуха имеются направляющие для создания спирального движения жидкости-носителя внутри камеры. Материал, подлежащий классификации, непрерывно подается в спиральный поток жидкости в камере. Крупный материал непрерывно отводится из пространства, расположенного вне окружности вращающихся плоских торцевых оснований; мелкий материал выносится жидкостью-носителем через отверстие в торцевом основании.

Е. Х.

27975 П. Вакуум-фильтр (Filtre à vide) [Mines et Industries]. Франц. пат. 1072171, 9.09.54 [Génie chim., 1955, 73, № 1, 19 (франц.)]

Аппарат, предназначенный для извлечения из жидкости зернистых продуктов различного гранулометрич. состава, представляет собой ящик с наклонным дном, над которым перемещаются фильтрующие элементы, задерживающие твердые частицы под действием вакуума и подводящие их к выходному отверстию ящика.

Э. К.

27976 П. Разделение пены на газ и жидкость или суспензию. Вильямс (Separation from a froth of the gas and the liquid or suspension. Williams Norman H.). [Humphreys and Glasgow, Ltd.]. Канад. пат. 496843, 13.10.53.

Запатентованы метод и аппаратура для разделения пены, образующейся при барботировании газа через слой жидкости или суспензии. Сепарация производится без применения механич. устройств с приводом извне за счет давления потока газа и пены, поступающих в сепаратор. Аппарат для обработки жидкости газом и последующего разделения образовавшейся пены состоит из: 1) контактного сосуда с устройством для ввода в него жидкости; 2) устройства для подачи в сосуд газа и распределения его через слой воды таким образом, что образуется пена; 3) устройств для поддержания газа и пены под определенным давлением; 4) трубопровода для вывода пены из контактного сосуда; 5) сепаратора, присоединенного к трубопроводу. Входящая в сепаратор пена поступает на лопасти пропеллера, вращающегося под воздействием самого потока и направляющего разделенные им газ и жидкость в отдельные выходные каналы.

Ю. С.

27977 П. Центробежный смеситель (Centrifugal mixer) [Premier Mill Corp.]. Англ. пат. 705139, 10.03.54 [J. Appl. Chem., 1954, 4, part 8, ii 162 (англ.)]

На оси мешалки монтируются две соединенные между собой цилиндрич. камеры. Верхняя камера открыта в верхней своей части, а нижняя — в основании. В каждую камеру при вращении вала происходит засасывание жидкости. При расположении этого устройства на границе двух фаз смеситель обеспечивает хорошее перемешивание.

М. П.

27978 П. Смеситель для жидкостей и метод их смешения. Джестер, Сьюэлл (Liquid mixer and method of mixing. Gester George C., Jr, Sewell Donald B.). [California Research Corp.]. Пат. США 2669438, 16.02.54.

Запатентован метод смешения разнородных жидкостей, заключающийся в образовании раздельных плоских вращающихся пленок этих жидкостей, в плоском слиянии этих пленок и отводе жидкостей радиально по суженному каналу в зону смешения для получения полной дисперсии одной жидкости в другой.

Е. Х.

27979 П. Центробежный насос. Шаффер (Centrifugal pump. Schaffer George H.). Пат. США 2659311, 17.11.53.

Насос состоит из ротора конич. формы, внутри которого по винтовой линии расположены ребра. В начале и конце ротора установлены направляющие лопатки, вращающиеся вместе с ним и служащие для захвата жидкости из всасывающего патрубка, расположенного в начале ротора, и для выталкивания ее в нагнетательный патрубок в конце ротора. Насос может применяться для перекачивания суспензий и вязких жидкостей.

К. Г.

27980 П. Теплообменники (Heat exchangers) [Aktiebolaget Separator]. Англ. пат. 693476, 1.07.53. [Dairy Sci. Abstrs, 1953, 15, № 10, 781 (англ.)]

В теплообменниках пластинчатого типа турбулентность потоков увеличена применением рифленых пластин; движение потоков перпендикулярно к рифам. Рифы примыкающих пластин расположены так, что жидкости протекают через ряд камер треугольного поперечного сечения.

В. Р.

27981 П. Способ изготовления теплообменников. Сандберг (Method of making heat exchangers. Sandberg Ray A.). [Houdaille — Hershey Corp.]. Пат. США 2666981, 26.01.54.

Патентуется способ изготовления элементов теплообменника, заключающийся в том, что в металлич. листе делается канавка полукруглого сечения; затем в канавку закладывают круглую металлич. трубку, которая подвергается сверху сдавливанию. При этом трубка деформируется, принимая форму сечения канавки, в которую она уложена; благодаря такому приему достигается плотный контакт поверхностей



трубки и листа. См. также РЖХим, 1954, 33636. Ю. П. 27982 П. Теплообменник для жидкостей, собираемый из плит с волнистой поверхностью (Varmdevekslingsapparat af pladetypen til vaedsker og af den art, hvor pladerne er forsynet med belger) [The A. P. V. Company, Ltd.]. Дат. пат. 77040, 1.02.54. Теплообменник собирается из целого ряда рифленых тонкостенных плит, которые укладываются одна на другую. При этом между плитами образуются криволинейные каналы, по которым циркулируют потоки жидкостей, обменивающиеся теплом. В торцах плит, где последние плотно соприкасаются друг с другом, имеются отверстия, которые при сборке теплообменника образуют каналы для подвода и отвода жидкостей. К. Г.

27983 П. Способ использования тепла конденсата в многокорпусной выпарной установке (Lauhdelämön hyväksikäyttömenetelmä monivaihteytyypissä haihdutusjärjestelmässä) [A.-B. Rosenblads Patent]. Фин. пат. 27321, 10.11.54.

Патентуется способ использования тепла конденсата (К), получающегося при конденсации пара в отдельных корпусах выпарной установки; при этом К в распыленном состоянии вводится в обогревающий пар, который находится под более низким давлением, чем К. Кроме того, К отдельных выпарных аппаратов может использоваться для обогрева р-ра, поступающего в первый корпус выпарной установки. М. Т.

27984 П. Дистилляция органических жидкостей. Зондерман (Distillation of organic liquids. Sondermann Karl) [Metallgesellschaft A.-G.]. Пат. США 2695869, 30.11.54.

Аппарат для дистилляции органич. жидкостей имеет паровое пространство, разделенное на несколько последовательно соединенных секций, каждая из которых снабжена кипятильником. За счет подачи в жидкость диспергированного газа часть ее разбрызгивается в паровое пространство. В паровом пространстве поддерживается т-ра, при которой происходит испарение части жидкости. Не подвергшаяся испарению жидкость перетекает из каждой предыдущей секции в последующую. Исходный р-р непрерывно подается в первую секцию, а кубовый остаток выводится из последней секции. В. К.

27985 П. Контактная тарелка для дистилляционных и других колонн. Киттель (Plateau d'échange pour colonnes de distillation et analogues. Kittel W.). Франц. пат. 1075487, 18.10.54 [Génie chim., 1955, 73, № 2, 50 (франц.)]

Контактная тарелка для взаимодействия паров (газов) и жидкостей, отличающаяся тем, что колпачки имеют тангенциальные отверстия для выхода пара в жидкость; благодаря этому жидкость на тарелке приводится во вращательное движение. Ю. П.

27986 П. Метод и аппарат для удаления газообразных и легко испаряющихся веществ из жидкостей. Миллер (Method and apparatus for removing gaseous and readily vaporizable materials from liquids. Miller Bruce De Haven) [The Girdler Corp.]. Канад. пат. 490020, 27.01.53.

Аппарат состоит из вертикальной камеры, внутри которой проходит обечайка. Между ней и стеной камеры образуется кольцевое пространство, в котором находится направляющая спиральная перегородка. Жидкость непрерывно поступает на верхний конец спирали и стекает вниз, находясь под действием центробежных сил в виде мелких капель или тонкой пленки. Газообразная среда поступает снизу, движется вверх по спирали с большой скоростью противотоком к жидкости, находясь в тесном контакте с ней. В промежуточной контактной зоне (между концами спирали) имеется устройство в виде заслонки с отвер-

стиями для отвода жидкости во внутреннюю обечайку, после чего она снова распыляется в потоке газа и таким образом рециркулирует в системе. После нескольких повторных циклов жидкость полностью освобождается от газообразных и легко испаряющихся в-в и поступает в сборник, находящийся внизу аппарата. Газообразные и легко испаряющиеся в-ва удаляются с газом. Ю. Р.

27987 П. Метод и аппарат для выделения из газовых потоков способных к конденсации компонентов. Уокер, Глазгоу (Method and apparatus for removing condensable fluids from gaseous streams. Walker Jay P., Glasgow Clarence O.) [National Tank Co.]. Пат. США 2665769, 12.01.54.

Патентуемый метод выделения из газовых потоков конденсирующихся паров (П) отличается тем, что исходный газовый поток разделяется на две части — меньшую (I) и большую (II). Сорбцией под давлением П выделяются из II, а I нагревается до определенной т-ры и используется для десорбции адсорбента, насыщ. П. Далее поток I, содержащий десорбируемые П, охлаждается теплообменом с отработанной фракцией II, а затем направляется в поверхностный конденсатор, где выделяется конденсат П; поток I, очисти. от П, присоединяется к потоку II, поступающему на адсорбцию. Весь процесс протекает непрерывно. Н. П.

27988 П. Аппарат и процесс для противоточной экстракции в системе жидкость — жидкость. Грунвальд, Пирс (Apparatus and process for counter-current liquid-liquid extraction. Grunewald Glen R., Pierce Fred J.) [Universal Oil Products Co.]. Пат. США 2647856, 4.08.53.

Процесс непрерывного противоточного контактирования легкой и тяжелой жидкостей предлагается проводить в вертикальной колонне, поделенной горизонтальными перфорированными перегородками на несколько зон. Каждая перегородка имеет отверстия малого размера и переливную трубу, верхняя часть которой несколько выступает над поверхностью для создания слоя жидкости на перегородке. Легкая жидкость подается снизу колонны и раздробляется, проходя через отверстия перегородок, на мелкие капли. В дисперсном состоянии легкая жидкость соприкасается со слоем жидкости на перегородке и выводится сверху колонны. Тяжелая жидкость подается сверху колонны и стекает вниз по переливным трубам. Внизу колонны имеется автоматич. приспособление для регулирования поверхности раздела фаз путем изменения скорости выпуска тяжелой жидкости. К. С.

27989 П. Аппарат для непрерывной экстракции растворителем неорганических примесей из растворов органических солей. Андриус, Моник (Apparatus for the continuous liquid-liquid solvent extraction of inorganic salt impurities from organic salt solutions. Andrews Herbert W., Monick John A.) [Colgate-Palmolive Co.]. Пат. США 2710250, 7.06.55.

Жидкая смесь, содержащая органич. (сульфатные и сульфонатные) и неорганич. соли в общем р-рителе, подвергается действию избирательного р-рителя (ИР), который растворяет определенные соли смеси и образует фазу с другим уд. весом. Процесс смешения с ИР проводится непрерывно в горизонтальной камере смешения, снабженной рубашкой, в которой поддерживается определенная т-ра для создания оптимальных условий растворения и предотвращения осаждения некоторых солей. Для улучшения перемешивания по длине камеры смешения расположены отражательные перегородки (в некоторых конструкциях камер перемешивание осуществляется также с помощью механич. мешалок). Из камеры смесь поступает в вертикальную колонну, где происходит разделение смеси

за счет разности уд. весов образующихся фаз. Поверхность раздела поддерживается несколько выше или ниже входа в колонну регулированием скорости отвода фаз. Один слой содержит немного общего р-рителя, практически весь ИР и все соли, растворимые в нем. Другой слой содержит практически весь общий р-ритель, немного ИР и нерастворимые в нем соли. Эти два слоя непрерывно отводятся сверху и снизу колонны. После отделения слоев ИР может быть регенерирован выпариванием. В качестве ИР предлагаются спирты с короткой (до 6 атомов углерода) цепочкой, моноэфир жирной к-ты и многоатомных спиртов и др. К. С.

**27990 П. Метод и аппаратура для разделения материалов непрерывной термодиффузией в жидкости.** Джонс, Милбергер (Method and apparatus for separating materials by continuous liquid thermal diffusion. Jones Arthur Letcher, Milberger Ernest C.) [Standard Oil Co.]. Пат. США 2712386, 5.07.55

Аппарат для разделения жидкостей термодиффузией представляет собой продолговатую плоскую камеру шириной от 0,25 до 3,75 мм, образуемую стенками из теплопроводного материала. По ширине камера разделена на две части плоской мембраной, пропускаемой для молекул обрабатываемой жидкости. Для создания градиента т-р в жидкости одна из стенок камеры нагревается. Обрабатываемая жидкость поступает в обе части камеры и протекает вдоль мембраны. А. Р.

**27991 П. Метод и аппаратура для концентрирования или разделения компонентов, содержащихся в газовой или жидкой смеси, а также концентрирования или разделения изотопов.** Валь (Method and apparatus for concentrating or separating the components contained in a gas or liquid mixture and of concentrating or separating isotopes. Wahl Walter). Канад. пат. 504751, 3.08.54

Патентуется метод разделения смесей газов или жидкостей, содержащих несколько изотопов или других компонентов, методом термодиффузии и конвекции между нагретой (НП) и холодной поверхностями (ХП). Между этими поверхностями помещены одна или несколько проницаемых перегородок (П), диаметр отверстий которых больше среднего фактич. свободного пробега молекул компонентов. Т-ра камеры между НП и П такова, что смесь целиком или частично находится в газообразном состоянии, а т-ра камеры между ХП и П более низка, так что смесь находится в жидком состоянии. Охлаждение и конденсация пара, возникающего в горячей камере, осуществляется в холодильнике. Фракция, выходящая из 1-го разделительного аппарата, поступает во 2-й и т. д., до получения нужной степени разделения или чистоты. Дана схема процесса. В. Ш.

**27992 П. Способ проведения экзотермических реакций между газами (парами) и жидкостями.** Вальдман, Плаут, Симон (Verfahren zur Durchführung exothermer Reaktionen, an denen Gase oder Dämpfe und Flüssigkeiten beteiligt sind. Waldmann Hans Joachim, Plauth Ernst, Simon Walter) [Chemische Wertungsgesellschaft Oberhausen m. b. H.]. Пат. ФРГ 926846, 25.04.55

Патентуемый способ предусматривает создание интенсивной циркуляции и рекомендуется при проведении процессов с большими тепловыделениями и высокой чувствительностью к температурным колебаниям. Предложен реактор в виде вертикального цилиндрич. сосуда с концентрически расположенной открытой внутренней трубой, концы которой не доходят до дна и крышки реактора. Во внутреннюю трубу снизу че-

рез сопло подаются газообразные в-ва, которые движутся внутри трубы снизу вверх и в наружном кольцевом пространстве сверху вниз. В кольцевое пространство аппарата в наиболее удаленном от входа газов месте поступает жидкий продукт. Если по условию процесса необходимо иметь возрастающую конц-ию продукта по длине аппарата, то реакционное пространство разбивается на несколько реакционных зон; для этого внутри аппарата устанавливают несколько внутренних труб (одну над другой, по числу зон), которые отделяются друг от друга спец. перегородками, благодаря последним в каждой зоне создается самостоятельная циркуляционная система. Подвод газообразных и жидких продуктов осуществляется в каждую зону отдельно. Регулирование т-ры процесса производится изменением подачи жидкого продукта. Н. Б.

**27993 П. Метод и аппарат для независимого регулирования времени реакции и температуры при превращении углеводородов.** Хенп (Method and apparatus for independently controlling reaction time and temperature for hydrocarbon conversion. Herr Harold J.) [Phillips Petroleum Co.]. Пат. США 2694096, 9.11.54

Патентуется усовершенствованный теплообменный аппарат с сильно развитой поверхностью, образуемой зернистым материалом (ЗМ), который поступает из верхней камеры теплообменника в нижнюю по системе труб. По этим же трубам снизу вверх движется поток жидкости или газа. Выходящий из нижней камеры аппарата ЗМ подается газлифтом в верхнюю часть аппарата и циркулирует непрерывно в системе. Скорость движения ЗМ из верхней камеры в нижнюю регулируется спец. распределительным устройством. Данный аппарат находит применение в процессе конверсии углеводородов. Регулирование времени и т-ры конверсии достигается изменением объема твердых нагретых частиц, проходящих через верхнюю камеру реактора. Б. Г.

**27994 П. Обжигательная печь.** Бергстром (Kiln. Bergstrom Eric V.) [Socony-Vacuum Oil Co., Inc.]. Пат. США 2695220, 23.11.54

В обжигательной печи гранулированный материал перемещается компактной массой по кольцевому сечению, контактируя при этом с горячими газами. Теплообменник, размещенный непосредственно в печи, состоит из множества пластин, поставленных на ребро и укрепленных радиально в кольцевом сечении между наружным кожухом печи и внутренней трубой. Пластин имеют полки, на которых смонтированы трубки в виде узлов клиновидной формы так, что каждый узел представляет собой независимую теплообменную ячейку. Трубки монтируются так, что каждый трубный узел может удаляться через внешний кожух для ремонта и замены без демонтажа всей печи. А. Р.

**27995 П. Аппарат для транспортирования зернистых или пылеобразных материалов.** Силвест (Apparatus for use in conveying granular or powdered materials. Sylvest K. J.) [Smith and Co. Aktieselskabet, F. L.]. Англ. пат. 704981, 3.03.54 [J. Appl. Chem., 1954, 4, part 8 ii 155 (англ.)]

Воздух для создания псевдооживленной смеси подается насосом сквозь перегородки из войлока или из минер. или древесных волокон; эти перегородки достаточно прочны. Псевдооживленное состояние поддерживается при помощи силы тяжести или дополнительно подаваемого продольного потока воздуха. В. Р.

См. также: Общ. вопр. 25039. Процессы: гидрохимич. 27383; тепловые 25051; массопередачи 25097, 25311, 26126, 26151

## КОНТРОЛЬНО-ИЗМЕРИТЕЛЬНЫЕ ПРИБОРЫ. АВТОМАТИЧЕСКОЕ РЕГУЛИРОВАНИЕ

**27996.** Контрольно-измерительные приборы в химической промышленности. Друс (Instrumentation in the chemical industry. Druce H.), S. Afric. Industr. Chemist, 1955, 9, № 6, 106—109 (англ.) Особенности эксплуатации в хим. пром-сти приборов для измерения расхода, давления, т-ры, уровня жидкости, приборов для автоматич. анализа, автоматич. регуляторов, сигнализаторов и щитов управления. И. И.

**27997.** Контрольно-измерительные приборы в химической промышленности. Михалку (Aparatura de control din industria chimica si actiunea mediului intern si extern. Mihaleu M.), Rev. chim., 1955, 6, № 6, 291—299 (рум.; рез. русс.)

Рассматриваются конструкции и принципы действия приборов, предназначенных для агрессивных сред. Описаны три способа борьбы с коррозией приборов: применение коррозионноустойчивых материалов, стационарных и циркулирующих разделительных жидкостей, антикоррозионных покрытий. В качестве антикоррозионных материалов применяются поливинилхлориды, полиэтилен, тефлон, Pb, графит, асбест, керамика и др. Описаны методы защиты термометров, манометров, дифманометров и других приборов. Приведены монтажные схемы измерения расхода и уровня с применением разделительных жидкостей. А. Н.

**27998.** Радиоактивные изотопы в измерительной технике. Нейман-М. Б., Измерит. техника, 1955, № 1, 14—21

Описано промышленное применение радиоактивных изотопов для просвечивания металлов  $\gamma$ -лучами, изучения и контроля износа машин, измерения давления и расхода газа, уровня и вязкости жидкости, толщины ленточного материала и покрытий, различных линейных размеров и площади листовых материалов. Приборы для измерения давлений основаны на ионизации газа радиоактивным излучением (для низких давлений) или на поглощении этого излучения газами (для высоких давлений). В 1-м случае применяют  $\alpha$ -, а во втором случае  $\gamma$ -лучи. Радиоактивные изотопы также применяются для интерференционных измерений длины, так как интерференционная картина некоторых изотопов получается более четкой, чем у основных элементов. Толщина материалов определяется или по поглощению, или по отражению излучения, в зависимости от того, доступен ли материал для измерения с одной или с обеих сторон. При измерении толщины покрытий требуется, чтобы покрытие значительно отличалось от его подкладки по атомному весу и пробег  $\beta$ -лучей в измеряемом покрытии составлял  $\geq 30\%$  всего пробега, при этом точность измерения составляет сотые доли миллиметра. При помощи  $\gamma$ -лучей можно измерять толщину до 20 мм с точностью  $\pm 5\%$ . Библ. 19 назв. И. И.

**27999.** Об автоматизации в химической промышленности. Михайлов Ф. К., Хим. пром-сть, 1953, № 10, 56

Освещены вопросы приборостроения, усиления н.н. работы, подготовки кадров, информации и обмена опытом. См. также РЖХим, 1955, 55583. А. Л.

**28000.** Некоторые современные тенденции в автоматическом регулировании процессов. Хиндеруэлл (Some current trends in automatic process control. Hinderwell F. B.), Chem. and Process Engng, 1955, 36, № 10, 361—363 (англ.)

Обзор. И. И.

**28001.** Предпосылки организации автоматического химического завода. Янг (Prerequisites of the auto-

matic chemical factory. Young A. J.), Industr. Chemist, 1955, 31, № 366, 335—339 (англ.)

Доклад о принципах организации автоматич. хим. з-да. А. Н.

**28002.** Британская выставка приборостроения. — (The British instrument industries' Exhibition à l'Exposition internationale de Londres 28 juin — 9 juillet 1955. —), Chim. analyt., 1955, 37, № 9, 301—304 (франц.)

**28003.** Филадельфийская выставка. Каппелла (La mostra di Filadelfia. Cappella Giulio), Termotecnica, 1955, 9, № 5, 217—218 (итал.)

Обзор. А. Н.

**28004.** Совещание по поводу приборов, экспонированных на выставке в Филадельфии. — (Convegno su «La strumentazione con particolare riguardo alla mostra di Filadelfia». Milano 29—30 gennaio 1955. Organizzato dalla Sezione Lombarda dell'ATI. —), Termotecnica, 1955, 9, № 5, 194—198 (итал.)

Обзор экспонатов Филадельфийской выставки приборов. А. Н.

**28005.** Приборы с точки зрения конструктора. Гавazzi (La strumentazione vista dall'ingegnere. Gavazzi Riccardo), Termotecnica, 1955, 9, № 5, 215—216 (итал.)

О приборах, экспонированных на выставке в Филадельфии. А. Н.

**28006.** Анализаторы. Кьерего (Strumenti per analisi. Chierigo Bruno), Termotecnica, 1955, 9, № 5, 212—214 (итал.)

Описываются анализаторы, экспонировавшиеся на выставке в Филадельфии. А. Н.

**28007.** Автоматические регуляторы, представленные на выставке в Филадельфии. Майер (La regolazione automatica con particolare riguardo alla mostra di Filadelfia. Mayer Hans), Termotecnica, 1955, 9, № 5, 202—204 (итал.)

Обзор. А. Н.

**28008.** Применение радиоактивных изотопов для измерения уровня жидкостей. Таточенко Л. К., Медведев С. В., Завод. лаборатория, 1955, 21, № 10, 1188—1192

Институтом металлургии и физики металлов ЦНИИЧЕРМЕТ разработаны индикаторы и измерители уровня жидкостей, основанные на поглощении жидкостью  $\gamma$ -лучей. В качестве источника излучения применяется  $\text{Co}^{60}$  малой активности. Индикаторы уровня типа ИУ-2 являются указателями прохождения уровня через данную точку и могут применяться для двухпозиционного регулирования уровня расплавленного металла. Электрич. схема прибора чрезвычайно проста и состоит из стабилизированного выпрямителя, тиратрона и счетной трубки (СТ). В анодной цепи тиратрона находится реле, срабатывающее при повышении тока через тиратрон, которое получается за счет уменьшения частоты разрядов в СТ при повышении уровня металла настолько, что металл оказывается выше плоскости установки источника излучения и СТ. При понижении уровня тиратрон запирается. Для определения частоты импульсов СТ служит РС-контур. Для трехпозиционного регулирования или сигнализации применяют две СТ и два тиратрона. Измеритель уровня ИУ-3 служит для измерения уровня жидкого металла в интервале 150 мм. Для этой цели источником служит радиоактивная проволока длиной 150 мм и СТ такой же длины (СТС-8—150). Измерительная схема состоит из балансного катодного вольтметра на лампе 6Н8 и выпрямителя, стабилизированного тремя газоразрядными стабилизаторами (СГ-4 и СГ-2). В качестве вторичного прибора применен электронный потенциометр. Точность измерения уровня составляет 5—10 мм. Для измерения



industr.

хим.

Л. Б.

оенид.

hibition

juillet

1—304

е ла

(i o),

А. Н.

ониро-

vegno

do alla

1955.

TI.—),

и при-

А. Н.

Г. а-

tutto.

55, 9,

Фила-

А. Н.

ti per

ecnica,

еся на

А. Н.

тавлен-

а регу-

ла мо-

ecnica,

А. Н.

для

Л. К.

55, 21,

сталлов

изме-

оцени

учения

уров-

уров-

двух-

енного

проста

ти-

ти-

повы-

еся за

овыпе-

оказы-

излуче-

рается.

ит РС-

или

атрона.

мерения

м. для

ТС-8—

анского

мителя,

табли-

прибора

ь изме-

мерения

уровня жидкого хлора в баллоне служит ИУ-4, в котором применен принцип следящей системы. Так как уровень хлора по мере опорожнения баллона движется только вниз, удалось обойтись без сервомотора, используя для перемещения блока источника и СТ силу тяжести, под действием которой блок скользит вниз до тех пор, пока его лучи не пересекут уровень. При этом получается сигнал, затормаживающий ход системы. При дальнейшем понижении уровня тормоз вновь отпускается. Для дистанционной передачи показаний имеется реохорд. Если блок находится выше уровня хлора непрерывно более 15—20 сек., срабатывает реле времени, сигнализирующее об израсходовании баллона или неисправности измерителя. Погрешность измерения ИУ-4 не превосходит 10 мм.

И. И.

28009. Выбор основных параметров жидкостных де-примометров. Недвига П. Я., Тр. Запорожского ин-та с.-х. машиностр., 1955, № 2, 38—48

Принцип действия, расчет основных параметров, факторы повышения точности, конструктивные данные двухжидкостных микроанометров. Л. П.

28010. Автоматический регулятор перепада давлений. Крассов П. М. В сб.: Автоматизация хим. пром-сти, М., Изд-во АН СССР, 1955, 107—113

Регулятор, предназначенный для поддержания постоянных значений регулируемых параметров, измеряемых по перепаду давлений (расход, уровень, концентрация, плотность и т. д.), состоит из чувствительного элемента (дифманометр с эластичной мембраной), командно-усилительного устройства с двумя каскадами усиления (электропневматич. преобразователи и позиционер), исполнительного механизма и жесткой обратной связи. М. Л.

28011. О некоторых вопросах измерения расхода жидкостей, газов и паров (К утверждению Правил 27—54). Кивиле С. С., Измерит. техника, 1955, № 4, 40—46

28012. Отчет об испытании опытного электромагнитного расходомера. Фукава, Саката (試作電磁流量計について・府川弘, 阪田力), 計測, Кэйсоку, J. Soc. Instrum. Technol., Japan, 1955, 5, № 8, 393—395 (япон.; рез. англ.)

Испытывался опытный образец электромагнитного расходомера. Измерения производились методом отклонения, а впоследствии и методом автоматич. компенсации. Измерялся расход р-ра отбеливающего порошка, содержащего несколько процентов  $Cl_2$ . Рабочий расход составлял 15—20  $см^3/сек$ ; шкала прибора 65  $см^3/сек$  при чувствительности 0,2%; точность измерения 1%. Измерительная труба диам. 25 мм изготовлена из акриловой пластмассы. В этой трубе установлены два электрода сечением  $3 \times 0,3$  см. Помехами при измерениях являлись токи утечки и наводок, для чего пришлось тщательно изолировать измерительные цепи, произвести электромагнитную и электростатич. экранировку. Кроме того, потребовалось надежное заземление. Конструкция усилителя также должна быть выполнена с учетом защиты от наводок. Изменения электропроводности измеряемой жидкости, если они превосходят определенную величину, вызывают погрешность прибора. Работа над расходомером продолжается. И. И.

28013. Способ нанесения на диаграмму коэффициента истечения жидкости, определенного расходомером с диафрагмой. Инацуми (オッフイス流量計の流出係数表示法について・稻積彦二), 化学工学, Karaku когаку, Chem. Engng (Tokyo), 1954, 18, № 11, 566—567 (япон.)

28014. Автоматическое регулирование расхода жидкостей. Ле-Шевалье, Лелё (Régulation automatique des débits de liquides (dispositifs à thermi-

stances). Le Chevallier, Leleu), Electronique industr., 1955, № 4, 119—122 (франц.)

Описаны две мостовые схемы расходомеров с использованием пары термисторов в качестве датчика (один из термисторов располагается в потоке до, второй — после стандартного подогревателя). Напряжение небаланса 0,04—0,06 в. В 1-й схеме термисторы питаются постоянным током, нульприбором служит микрореле с  $R = 1500 \Omega$  и чувствительностью 2  $\mu a$ ; реле через тиратроны управляет электрич. исполнительным механизмом. Во 2-й схеме питание осуществляется переменным током 50  $гц$ ; напряжение небаланса усиливается двумя электронными лампами и поступает на тиратроны. Схемы применены для регулирования расхода органич. жидкостей (напр., трихлорэтилена). Л. Б.

28015. Автоматическое регулирование расхода пара в дистилляционной колонне с внутренним испарителем. Бальдассини (Regolazione automatica del vapore per colonne di distillazione a riscaldamento diretto. Baldassini Luciano), Misure e regolaz., 1955, 3, № 3, 110—111 (итал.)

Для автоматич. регулирования давления пара в дистилляционной колонне применен пневматич. регулятор расхода греющего пара с установкой заданного значения от давления пара в колонне. А. Н.

28016. Двухкомпонентный вычислитель для непрерывно измеряющего и записывающего психрометра. Берлидж (A two-variable computer for a continuous indicating and recording psychrometer. Burlage Henry, Jr), ISA Journal, 1955, 2, № 8, 298—300 (англ.)

Подробно описывается психрометр с датчиком в виде сухого и мокрого термометров сопровствления. Две следящих системы дают соответствующий т-ре угол поворота на двух моторах. Моторы задают две координаты положения пальца на пространственном кулачке. 3-ья координата пальца определяет измеряемую относительную влажность. Разобраны достоинства и недостатки возможных вариантов описанной конструкции. Точность прибора  $\pm 1\%$  относительной влажности. Пределы измерения 15—80°. Ю. П.

28017. Изготовление вискозиметра с падающим шариком. Кавата, Тогава (落球式粘度計の試作. 河田末吉, 戸川秀夫), 計測, Кэйсоку, J. Soc. Instrum. Technol., Japan, 1955, 5, № 8, 396—399 (япон.; рез. англ.)

Разработан вискозиметр с падающим шариком для непрозрачных жидкостей. Прохождение шарика через определенные пункты измерительной стеклянной трубки определяется по изменению индуктивности двух катушек, включенных в мостовую схему. Получающиеся при этом импульсы усиливаются усилителем и включают и останавливают секундомер. Удовлетворительная работа получается даже при диаметре стального шарика 1,6 мм и диаметре катушки 3,6 см. Устройство работает устойчиво и обладает высокой чувствительностью. И. И.

28018. Непрерывные анализаторы для химических процессов. Уилкс (A guide to continuous stream analysis in the chemical process plant. Wilks Paul A., Jr), Chem. Engng Progr., 1955, 51, № 8, 357—360 (англ.)

Приведены схемы и таблицы применения ИК-газоанализатора для анализа этилена в процессе его ректификации, а также образец опросного листа. Фирма Perkin-Elmer выпускает газоанализаторы на этилен в сложных смесях со шкалами 24—26%; 55—60%; 99,5—100% и другие с точностью 2% от диапазона измерения. В качестве методов, пригодных для непрерывного анализа, рекомендуются рефрактометрия,

паровая хроматография и ядерно-магнитный резонанс.

И. И.

**28019. Промышленные анализаторы.** Медзалира (Analizzatori industriali. Mezzaliga Giorlamo), Termotecnica, 1955, 9, № 5, 220—222 (итал.)

Обзор автоматич. газоанализаторов. Описание магнитного и ИК-анализаторов.

Е. Н.

**28020. Прибор для измерения концентрации растворов.** Красоткин Е. Н., Энергет. бюл., 1955, № 10, 20—22

Описано устройство электрокондуктометрич. концентратомера, примененного на химводоочистительной установке электростанции как кислотомер со шкалой 0—4,5%  $H_2SO_4$  и солемер со шкалой 0—12% NaCl.

А. Л.

**28021. Практические замечания об измерении pH.** Манасси (Nozioni pratiche sulla misura del pH. Manassi Virgilio), Termotecnica, 1955, 9, № 5, 205—211 (итал.)

Обзор методов измерения pH. Регистратор pH воды. Хиниш (pH-Schreiber für Wasseruntersuchung. Hientzsch Hans), Wasserwirtschaft-Wassertechnik, 1954, 4, № 9, 332—335 (нем.)

А. Н.

Для измерения pH воды применена проточная ячейка со стеклянным электродом и хлорсеребряным электродом сравнения, соединенными с усилителем постоянного тока. При одинаковых жидкостях внутри стеклянного электрода и в электроде сравнения температурный коэфф. составляет всего 0,2 мВ на 1° или <0,05 pH на 10°. Электрод годится для измерений при  $t$ -ре  $\leq 40^\circ$ .

А. Г.

**28023. Исследование устойчивости регулирования в новой советской литературе.** Хан (Stabilitätsuntersuchungen in der neueren sowjetischen Literatur. Han W.), Regelungstechnik, 1955, 3, № 9, 229—231 (нем.; рез. англ.)

Продолжение обзора работ советских авторов в области теории автоматич. регулирования. Рассматриваются вопросы определения параметров стабильного протекания процесса регулирования, критерии устойчивости и структурной устойчивости контуров регулирования. Предыдущее сообщение см. РИХим, 1955, 49341.

И. И.

**28024. Как применить частотные характеристики для расчета регулирования процессов химической промышленности.** Часть I. Джонсон (How to use frequency response in chemical process control. Part I. Johnson Ernest F.), Chem. Engng Progr., 1955, 51, № 8, 353—356 (англ.)

Указывая на трудности применения метода переходных функций для расчета динамики систем регулирования, автор рекомендует пользоваться логарифмич. амплитудно-частотными и фазо-частотными характеристиками. Приводится построение таких характеристик и пример их использования.

И. И.

**28025. О регулируемости промышленных установок.** Фернер (Über die Regelbarkeit industrieller Anlagen. Ferner V.), Feingerätetechnik, 1955, 4, № 8, 361—365 (нем.)

В качестве критерия регулируемости установок предлагается величина отношения времени запаздывания установившейся к ее времени перехода. На основании анализа переходных функций рассматривается зависимость критерия регулируемости от величины емкости и числа последовательно соединенных емкостей для многоемкостных объектов.

В. К.

**28026. Трубы из пластмасс как заменители металлических труб для систем воздухооборудования пневматических приборов.** Томас (Plastic vs. metal tubing for instrumen air service. Thomas E. I),

Instruments and Automat., 1954, 27, № 10, 1614—1619 (англ.)

Приводится сравнительный анализ технич. и экономич. данных по пластмассовым и металлич. трубам, применяемым для пневматич. приборов и автоматич. регуляторов. Автор рекомендует пластмассовые трубы из полиэтилена для указанной цели как полноценные заменители металлич. труб. Положительная особенность пластмассовых труб — высокая стойкость против коррозии и более низкая стоимость по сравнению с металлич. трубами. Они в 3 раза дешевле медных и в 2 раза — алюминиевых. Следует отметить монтажные преимущества пластмассовых труб — большую гибкость, дающую значительные удобства при трассировании больших кол-в линий и в малодоступных местах.

К. Ш.

**28027. Подвижный щит для контроля печей.** (Tableau mobile de contrôle des fours.), Ind. céram., 1955, № 463, 83—86 (франц.)

Описан перемещаемый на роликах щит с комплектом приборов, контролирующих работу печи для обжига керамич. изделий. В комплект входят: шестичисленный регистрирующий потенциометр, ИК-газоанализатор для определения  $CO_2$ ,  $CO$  и  $CH_4$  с регистрирующим гальванометром с падающей дужкой, три манометра и регистрирующий манометр с трехходовым краном, подключаемым к любому из трех питовых манометров. На щите установлен также мембранный насос для прососа газа через газоанализатор, фильтр с хлористым Са и стеклянной ватой, жидкостные манометры и т. п. Двухколесный регистрирующий манометр имеет шкалы: 5, 10, 20 и 30 мм вод. ст. А. Н.

**28028. Основные принципы регулирования отвода конденсата.** Зимон (Regelaufgaben und Grundprinzipien der Kondensatableiter. Simon Walter), Chem.-Ing.-Techn., 1954, 26, № 7, 383—386 (нем.; рез. англ., франц.)

Из конденсатоотводных устройств наибольшее распространение получили конденсационные горшки с поплавком, действие которых основано на разности уд. веса пара и жидкости. Преимущество этих устройств — возможность менять в широком диапазоне производительность, недостаток — необходимость периодич. деаэрации. В конденсатоотводных устройствах с термозлементом используется различие в  $t$ -ре пара и конденсата. Термочувствительный элемент, расширяясь при заполнении емкости паром, закрывает выпускное отверстие, открывающееся лишь после конденсации пара и соответствующего охлаждения конденсата. Простейшие устройства с термозлементом настраиваются на данную  $t$ -ру. В усовершенствованных устройствах степень открытия клапана корректируется по величине рабочего давления пара. К третьей и наиболее простой группе конденсатоотводных устройств относятся устройства, принцип действия которых основан на различии в условиях протекания пара и жидкости через дроссель, сопло, систему сопел и лабиринт. Приводятся характеристики описанных устройств (производительность, потери пара и т. д.).

А. Н.

**28029. Автоматическое регулирование концентрации серной кислоты.** Смирнов А. В., Хим. пром-сть, 1955, № 5, 40—41

Описан автоматич. регулятор конц-ии серной к-ты, орошаемой моногидратный абсорбер. Латич регулятора (кондуктометрич. ячейка) включен в неравновесный мост, в измерительную диагональ которого включен электронный потенциометр ЭИД-37. Мембранный клапан регулятора установлен на трубе, подающей воду в циркуляционный сборник моногидрата. Регулятор поддерживает конц-ию  $H_2SO_4$  в пределах  $98,1 \pm 0,12\%$  и работает в течение года.

И. И.

**28030. Оснащение приборами этиленового завода.** Брескнер (Instrumentation on an ethylene plant. Bрескнер D.), ISA Journal, 1955, 2, № 8, 295—297 (англ.)

Описывается применение приборов контроля и регулирования на канадском этиленовом з-де. Приведены данные по технике измерений сжиженных газов при низких т-рах (до  $-130^{\circ}$ ) и высоких давлениях (до 600 атм): этилена, этана, пропилена, пропана, метана.

А. Л.

**28031. Электронные контрольно-измерительные и регулирующие приборы на нефтеперегонном заводе.** Сомерс, Фус (Electronic instrumentation for atlantic calformer. Somers F. C., Fuhs R. C.), ISA Journal, 1955, 2, № 7, 241—244 (англ.)

На нефтеперегонном з-де установлено 20 электронных регистраторов расхода, давления и т-ры и 14 электронных регуляторов, а также 6 пневматич. регуляторов уровня. Стоимость установки электронных приборов на 12% дешевле установок соответствующих пневматич. приборов. Применение малогабаритных вторичных приборов позволило уменьшить площадь помещения пульта управления в 2,5 раза по сравнению с существующими на аналогичных з-дах. Приборы состоят из отдельных узлов: датчик, регистратор, указатель, регулятор, электропневматич. преобразователь и пневматич. клапан. Все одноименные узлы взаимозаменяемы и снабжены штепсельными разъемами для быстрой смены. На случай кратковременного перерыва в электропитании установлено устройство аварийного питания, обеспечивающее работу приборов при отключении сети, не превышающем 10 сек. Наличие отдельного от регулятора регистратора повышает надежность регулирования, так как исключает возможности нарушений режима при смене диаграмм и заливке чернил. Для регуляторов применены спец. промышленного типа долговечные лампы, а для регистраторов — обычные, которые в 5 раз дешевле. З-дом управляют два человека в смену.

И. И.

**28032. Автоматизация газовой промышленности.** Часть I. Линфорд, Фармер (Instrumentation and the gas industry. Part I. Linford A., Farmer G. C.), Gas J., 1955, 283, № 4805, 45—46, 49—54 (англ.)

Обзор развития техники измерения и регулирования в газовой про-сти.

А. Л.

**28033. Некоторые вопросы контроля и автоматического регулирования в газовой промышленности.** Линфорд (Some aspects of instrumentation and automatic control in the gas industry. Linford A.), Mach. Lloyd. Overseas Ed., 1955, 27, № 1, 69, 71—74 (англ.), 70, 72 (исп.)

Сравнение различных методов измерения расходов газа; методы дистанционного измерения кол-ва газа в газгольдерах; определение взрывоопасной концентрации кислорода в газе; системы автоматич. регулирования теплотворной способности газа.

Я. Н.

**28034. Автоматическое регулирование в сахароварении.** Боттони (Applications particulières de téléreglage aux diffusions continues. Bottoni Gian Franco), Génie chim., 1955, 73, № 3, 73—78 (франц.)

При автоматизации сахароварения основными регулируемыми и контролируемыми параметрами являются: весовая производительность свеклорезки, расход и т-ра воды, уровень сока в циркуляционном чане, т-ра сока и pH декантируемого сока. Контроль параметров процесса и задание регулируемых значений параметров производится с центрального пульт з-да. Производительность свеклорезки регулируется с помощью изменения числа ее оборотов. Измерительным органом регулятора служат весы, установленные

на выходе из свеклорезки. Т-ра питающей воды регулируется с помощью автоматич. потенциометра. Поддерживается также постоянство отношения расхода воды и числа оборотов диффузора. Описаны простой способ дозирования воды, система блокировки и сигнализации процесса. В основном применяется пневматич. система регулирования.

А. Н.

**28035. Автоматизация холодильных установок на холодильниках.** Якобсон В., Холодильн. техника, 1955, № 2, 13—22

Рассматривается автоматич. регулирование холодильных установок для хранения продуктов с помощью двухпозиционных регуляторов.

В. В.

**28036. Типовые схемы автоматизации холодильных установок с одним — тремя агрегатами.** Щербakov В., Холодильн. техника, 1955, № 3, 11—18

Описание принципиальных схем автоматич. включения, выключения и защиты холодильных агрегатов в зависимости от т-ры рециркуляционного агента.

Л. П.

**28037. Автоматическое регулирование физических переменных в крашении.** Кулон (La régulation automatique des variables physiques en teinture. Coulon René), Teintex, 1955, 20, № 6, 458, 461, 463 (франц.)

Описана автоматизация процесса крашения. Регулируются конц-ия красителя, время выдержки, т-ра ванны, уровень, подача реактивов, pH и пр. Применяются стандартные приборы автоматич. регулирования.

А. Н.

**28038 К. Приборы и методы регулирования в химической промышленности.** Ред. Моллой (Chemical engineering instruments and control methods. Molloy Edward (ed.) (Thomas Jamieson, H. S. Jones, Herbert B. S. Ward. pseud.). Newnes, British Book Service, 1954, 192 p., ill., 1.50 doll.) (англ.)

**28039 К. Теплотехнические приборы для химической промышленности.** Бецкой (Hőtechnikai és vegyipari műszerek. Beczkó József. Budapest, Felsőoktatási Jegyzetell. soksz., 1953, 160 l., 17 ft.) (венг.)

**28040 К. Автоматические плотномеры.** Скорбин С. Ф. М., Пищепромиздат, 1955, 52 стр. с илл., 1 р. 50 к.

**28041 К. Приборы для измерения температуры и их поверка** (Инструктивные материалы. Разработ. ВНИИМ им. Д. И. Менделеева). М., Машгиз, 1955, 472 стр. с илл., 18 р. 35 к.

**28042 П. Прибор для измерения относительной влажности жидкости.** Фултон, Александер (Apparatus for measuring the relative humidity within an aqueous liquid. Fulton George P., Alexander James C.) [National Institute of Cleaning & Dyeing]. Пат. США 2715833, 23.08.55. Прибор состоит из U-образной трубки с переливом, через которую протекает исследуемая жидкость. Измеряется относительная влажность воздуха, находящегося в тесном контакте с исследуемой жидкостью. Измерение производится гигрометром, чувствительный элемент которого находится при т-ре исследуемой жидкости.

И. И.

**28043 П. Газочувствительный контрольный прибор.** Мейли (Gas-responsive control apparatus. Meili Ernst) [Electro-Watt Electrical and Industrial Management Co., Ltd.]. Пат. США 2702898, 22.02.55. Патентуется прибор для определения наличия дыма с применением радиоактивных элементов. Используется изменение тока в ионизационной камере при наличии пыли. Для компенсации изменения плотности воздуха применена камера сравнения, соединенная с атмо-



сферой. Прибор предлагается использовать для обнаружения пожара на ранней его стадии.

Ю. П. 28044 П. Газоанализатор. Ричардсон (Gas analyzer. Richardson Robert D.) [Cambridge Instrument Co. Inc.]. Пат. США 2698223, 28.12.54

Термокондуктометрич. газоанализатор для определения отношения содержания в газе двух компонентов, из которых один обладает большей, а второй меньшей теплопроводностью, чем стандартный газ. Прибор

состоит из двух камер, в которых помещено по два плечевых нагревательных элемента, включенных в мостовую схему. Камеры отделены от трубки, по которой протекает газ, пористыми перегородками. Одна из этих перегородок поглощает анализируемый компонент с меньшей теплопроводностью.

И. И.

См. также: Контроль состава 26069, 26071, 26072, 26123, 26522, 27609, 27710. Контроль общетехнических параметров 27835, 27938.

## ТЕХНИКА БЕЗОПАСНОСТИ. САНИТАРНАЯ ТЕХНИКА

28045. Отравление гликолями, их соединениями и другими многоатомными спиртами. Срока (Gesundheitsgefährdung durch Glykole, ihre Verbindungen und andere mehrwertige Alkohole. Sroka Karl H.), Seifen-Öle-Fette-Wachse, 1954, 80, № 5, 117 (нем.)

Пары  $\text{CH}_2\text{ONCH}_2\text{OH}$  (I), оказывающие токсическое действие на центральную нервную систему при общем наркозе, в производственных условиях неопасны.  $(\text{CH}_2\text{CH}_2)\text{O}$  (II) в смеси с  $\text{CO}_2$  (1:9) — «Картокс» является токсическим в-вом благодаря своей легкой проникаемости. Чистый II обладает наркотическими свойствами.  $\text{CH}_2\text{ONCHO}$  — сильный восстановитель, вредно влияет на здоровье. При применении синтетич.  $\text{CH}_2\text{ONCHONCH}_2\text{OH}$  раздражающее действие оказывают содержащиеся в нем примеси: аллиловый спирт, хлористый аллил, глицеринхлоргидрин и др. Защищают кожу и не оказывают на нее вредного действия эфиры I и адипиновой к-ты, легко смываемые мылами и трудно растворяющиеся в органич. р-рителях. Прелюднее сообщение см. РЖХим, 1955, 1582. С. Я.

28046. Токсичность кремнезема. II. Характеристика белковых пленок, адсорбированных кварцем. Шил, Смит, Ван-Райпер, Флейшер (Toxicity of silica. II. Characteristics of protein films adsorbed by quartz. Scheel Lester D., Smith B., Van Riper J., Fleisher E.), Arch. Industr. Hyg. and Occupat. Med., 1954, 9, № 1, 29—36 (англ.)

Установлено, что белки из р-ров сорбируются частицами кварца diam. 1—3 м и образуют на их поверхности белковую оболочку. Кол-во сорбированных белков зависит от pH белкового р-ра и его конц-ии. На кроликах доказана способность белковых оболочек как связываться с некоторыми антителами, так и производить их. В сорбированных белковых пленках обнаружены явления агглютинации, указывающие на процесс старения белка, что может служить причиной токсического действия частиц кварца. Часть I см. РЖХим, 1955, 51059. С. Я.

28047. Щелочи. II. Штайдхуар-Джюрич, Джюрич (Lužine. II. Dio. Štajduhar Duric Zora, Duric Dušan), Kemija u industriji, 1954, 3, № 4, 123—124 (хорв.)

Дана гигиенич. характеристика  $\text{NaOH}$ ,  $\text{KOH}$  и  $\text{CaO}$ . Описаны их вредное действие на кожу и слизистые оболочки работающих, необходимая первая помощь и профилактич. мероприятия. Предложена предельно допустимая конц-ия  $\text{NaOH}$  в воздухе (не  $> 2 \text{ мг/м}^3$ ). Для нейтр-ции  $\text{NaOH}$  при его попадании в глаза и на кожу рекомендуется 2—5%  $\text{H}_2\text{BO}_3$ . Сообщение I см. РЖХим, 1955, 12034. С. Я.

28048. О профессиональных заболеваниях при изготовлении инсектицидного препарата и противопожарной смеси, содержащих четыреххлористый углерод (в частности о нарушениях функций печени).

Сасси, Паруччини (Pericoli per la salute nella preparazione di bombole insetticide ed antincendio al tetracoloro di carbonio (con particolare riguardo alla funzionalità epatica). Sassi Carlo, Paruccini Claudio), Med. lavoro, 1954, 45, № 2, 93—103 (итал.; рез. англ.)

Описано по одному случаю острого и хронического отравления работающих на произ-ве инсектицидного препарата и смеси для противопожарных баллонов, содержащих 10 и 97%  $\text{CCl}_4$  соответственно. Приведены результаты всестороннего функционального исследования печени у 13 рабочих. Отмечено нарушение анти-токсической функции печени как первый признак отравления  $\text{CCl}_4$ .

Е. Я. 28049. Радон в воздухе жилых помещений. Габриш, Дейвис (Radon released from concrete in radiant heating. Gabrysh A. F., Davis F. J.), Nucleonics, 1955, 13, № 1, 50 (англ.)

На основе опытов и расчетов содержания Rn в воздухе жилого помещения с полами и стенами, изготовленными из строительных материалов, содержащих U, сделан вывод, что материал с 0,004% U и выше не пригоден для постройки жилищ.

В. Ш. 28050. Применение токов высокой частоты и других агентов для деканцерогенизации высокотемпературной сланцевой камерной смолы. Данаека (Folosirea curenților de înaltă frecvență și a altor agenți pentru decanțerizarea gudronului de șisturi obținut în cuptoare cu cameră la temperaturi ridicate. Danețkaia O. L.), An. Rom.-Sov. Ser. igienă și organiz. sanit., 1955, Ser. 3a, 9, № 3, 63—68 (рум.)

Перев. См. РЖХим, 1956, 2990. 28051. Хлор. — (Chlorine.—), Nat. Safety News, 1953, 68, № 3, 36—37, 80, 82, 84, 86—90 (англ.)

Обзор по применению хлора в производственных условиях, хранению и обращению с хлором на складах и при транспортировке.

Ю. С. 28052. Гигиена труда и техника безопасности на фабрике химических реактивов в Гливицах. Новакowski, Палусинский (Bezpieczeństwo i higiena pracy w Fabryce Odczynników Chemicznych w Gliwicach. Nowakowski M., Palusiński A.), Chemik, 1955, 8, № 4, 116—118 (польск.)

На ф-ке хим. реактивов за последние 2 года было вдвое уменьшено травматизм. Основные направления санитарно-профилактич. работы следующие: герметизация оборудования, увеличение числа и мощности вентиляторов, нейтр-ция вредных в-в (напр. установлен аппарат для превращения окислов азота в азот), усовершенствование технологич. процесса (напр. замена  $\text{CuSO}_4$  триоксидом бора для обезвоживания муравьиной к-ты), систематич. медицинский контроль, обучение рабочих на курсах по технике безопасности и гигиене труда, разъяснение инструкций, профессиональное обучение рабочих, улучшение снабжения рабочих приспособлениями для индивидуальной за-

щиты. Большую роль в снижении заболеваемости играют недавно организованные заводские токсикологические лаборатории.

И. С. 28053. **Опасность работы со ртутью и ее обезвреживание.** Берка (Asanae a risiko práce se rtuťí. Berka Ivan), Bezpečn. a hyg. práce, 1955, 5, № 2, 54—55 (чеш.).

Все поверхности (полы, столы), на которых работают со ртутью, должны быть гладкими, покатыми для сбора ее в бортики, стены должны быть окрашены масляной краской на высоту  $\geq 2$  м. Приборы необходимо снабжать подносами. При разбрызгивании ртути ее собирают медной амальгированной пластиной или высасывают потоком воздуха. Пролитую ртуть засыпают цинковым или медным порошком, сухим льдом. Отравления ртутью лечат инъекциями димеркаптопропанола, сернистыми ваннами и серосодержащей минер. водой. Предельно допустимые концентрации ртути в Чехословакии 0,05  $\mu\text{g}/\text{л}$ , в СССР 0,01  $\mu\text{g}/\text{л}$ , в США 0,1  $\mu\text{g}/\text{л}$ .

И. С. 28054. **Количественное определение кварца на рентгеновской установке со счетчиком Гейгера.** Ивана, Удагава (X線屈折による石英の定量法. 岩井津一, 宇田川重和), 薬業協会誌, Eigō kōkaishi, J. Ceram. Assoc. Japan, 1954, 62, № 703, 753—757 (япон.; рез. англ.).

На основании анализа прокаленного легкого большого силикозом разработан метод определения содержания кварца. Содержание кварца  $x$  в глине определяется на установке со счетчиком Гейгера при помощи следующего уравнения:  $x = 100 \cdot a (I_Q/I_F)_1 [100 (I_Q/I_F)_2 - (I_Q/I_F)_1] + a (I_Q/I_F)_2$ , где:  $a$  — кол-во кварца, введенного в исходный материал;  $(I_Q/I_F)_1$  — отношение интенсивностей линий кварца и флюорита в материале, в который было введено известное кол-во флюорита;  $(I_Q/I_F)_2$  — отношение интенсивностей линий кварца и флюорита для материала, в который было введено известное кол-во флюорита и  $a$  % кварца.

В. Я. 28055. **Опасность заболевания силикозом при разработке залежей кизельгура.** Жерве (Le risque silicoteux dans les exploitations de kieselguhr. Gervais M. J.), Arch. malad. profess., 1954, 15, № 6, 555 (франц.).

Указывается на опасность заболевания силикозом, возможность смертельных случаев, необходимость раннего обнаружения заболевания у рабочих, интенсивное обеспыливание рабочих зон и применение защитных масок.

М. Ф. 28056. **Регулирование содержания урановой пыли.** Миллер (Controlling uranium dust. Miller H. I., Jr), Heat. Piping and Air Cond., 1954, 26, № 9, 109—113 (англ.).

Переработка урановой руды связана с выделением тяжелой металл. пыли, HF, окислов азота, а также с радиоактивным излучением Ra, U и его производных. Комплекс гигиенич. мероприятий, необходимых для сохранения допустимых норм (для U 50  $\text{g}/\text{м}^3$  и для Ra 10<sup>-6</sup>  $\text{кюри}/\text{м}^3$ ), состоит из герметизации процессов, местной и общеобменной вентиляции, возможно более полной очистки воздуха от пыли, нейтр-ции кислых паров, максим. рассеяния вентиляционных выбросов, подачи подогретого приточного воздуха и влажной обработки материалов. При взвешивании руды и вскрытии барабанов требуется отдельное помещение с цементными стенами и окнами из свинцового стекла. Вытяжная вентиляция должна обеспечивать 15-кратный обмен. Оттаивание замерзшей руды, связанное с выделением больших кол-в Ra, производится в спец. герметичных камерах с постоянно действующей вентиляцией. Сухая урановая пыль улавливается коллекторами из прорезиненных материалов кислото- и термостойких

(допустима  $t$ -ра  $\sim 150^\circ$ ). Влажная пыль задерживается жидкостными коллекторами, действие которых основано на обтекании загрязненным воздухом перегородки, орошаемой жидкостью. Загрязненный ураном масляный туман задерживается электрофильтрами. Воздух, выходящий из сушильных камер, с содержанием  $\sim 5\%$  пыли и с  $t$ -рой  $\sim 220^\circ$  охлаждается в теплообменниках и фильтруется через сухие фильтры.

С. Н. 28057. **Эффективность очистки воздуха и отбор проб фильтрами.** Фиджералд, Детуайер (Collection efficiency of air cleaning and air sampling filter media. [Fitzgerald J. J., Detwiler C. G.], Amer. Industr. Hyg. Assoc. Quart., 1955, 16, № 2, 123—130 (англ.).

Для определения эффективности фильтрации воздуха от пыли применялись фильтры из бумаги W-40, W-41, CC-6, H-70, AEC-1 и MSA-1106-B. Испытывались дуралюминиевые частицы с плотностью 2,7  $\text{г}/\text{см}^3$ . Для частиц размером 0,18—2,1  $\mu$  степень фильтрации, определяемая под микроскопом, 98,2—99,8%. Испытывалась также атмосферная пыль размером 0,005—0,2  $\mu$ . Эффективность сбора анализировалась электронным микроскопом. Приводятся графики, показывающие пропускную способность фильтров в зависимости от скорости и размера частиц, а также схема опытной установки.

А. С. 28058. **Причины взрыва при электролитическом получении кислорода и водорода.** Мауа (Příčiny výbuchu v elektrolytické výrobě kyslíku a vodíku. Máca Ferdinand), Bezpečn. a hyg. práce, 1955, 5, № 3, 89—91; № 4, 121—123; № 5, 152—154 (чеш.).

Описан взрыв баллона с кислородом в цехе наполнения. Причиной катастрофы была неисправность одного из электролизеров, диафрагмы которого сильно пропускали газ. Предыдущее сообщение см. РЯХХим, 1955, 42228.

З. Б. 28059. **Предупреждение взрывов электронизмерительными приборами.** Ольяне (Wissenswertes über den Explosionsschutz bei elektrischen Meßgeräten. Ohlhaas A.), Arch. techn. Messen., 1955, № 231 25—27 (нем.).

В производственных помещениях, где возможно накопление взрывоопасных паро-воздушных смесей,  $t$ -ра электр. приборов не должна превышать  $t$ -ру самовоспламенения смеси. Возникающие в установках искры не должны вызывать пожаров и взрывов окружающих паров и газов. Исходя из  $t$ -р воспламенений, горючие делятся на 4 группы. Приведено описание предохранительных способов и взрывозащитных электронизмерительных приборов.

Б. Т. 28060. **Рабочая разность температур в системах кондиционирования воздуха.** Баркалов Б. В., Водоснабжение и сан. техника, 1955, № 2, 7—12. Приводится приближенный расчет рабочей разности  $t$ -р (разность между  $t$ -рой в нижней зоне помещения и начальной  $t$ -рой подаваемого в него воздуха) в зависимости от скорости подачи воздуха в помещение. Обсужден вопрос влияния на рабочую разность  $t$ -р габаритных размеров помещения и высоты расположения в нем приточных жалюзийных решеток.

С. К. 28061 Д. **Производственные и экспериментальные исследования по гигиенической характеристике соединений бария.** Румянцев Г. М. Автореф. дисс. канд. мед. н., 1-й Моск. мед. ин-т, М., 1955

28062 П. **Светозащитные очки и способ их изготовления** (Schutzbrille gegen störende Lichtstrahlung und Verfahren zu ihrer Herstellung) [Physikalisches Untersuchungslaboratorium. G. m. b. H.]. Пат. ФРГ

288879, 1.06.53 [Chem. Zbl., 1954, 125, № 14, 3092 (нем.)]

Стекла светозащитных очков покрыты одним или двусторонним светопоглощающим слоем толщиной 0,1—10 м. Наряду с металлом порядкового номера 22—28, или металлом бечетного ряда 1 группы периодич. системы, или Al, или Si, слой содержит окись кремния с меньшим содержанием кислорода, чем SiO<sub>2</sub>.

28063 П. Аппарат под давлением для сухого огнетушения. Гайз, Аллен (Apparatus for pressurizing containers for fire-extinguishing dry chemicals.

Guise Arthur B., Allen Alden) [Ansl. Chemical Co.]. Пат. США 2651375, 8.09.53

Патентуется аппарат под давлением для сухого огнетушения, состоящий из сосуда для порошковых реагентов и присоединенной к нему гребенки, через которую в сосуд подается сжатый газ. Три параллельных патрубка гребенки соединены через независимые редукторы с тремя патрубками другой гребенки, приключенной к баллонам сжатого газа. К. Г.

См. также: Борьба с пылью 26157, 27882—27886, 27889, 27890

## АВТОРСКИЙ УКАЗАТЕЛЬ

### А

Абрамович С. 26617  
Августов Ю. А. 27291  
Аверинцева В. И.  
26877 К  
Авлов А. А. 26057  
Авпром С. 26846  
Адамович Л. П. 25936  
Адамчук Ю. В. 24774  
Адати 26858  
Анабане 24829  
Анаси 25744  
Анвеси 25607  
Анимов И. А. 24947,  
25239  
Анимова А. А. 27725 Д  
Александрова А. С.  
25982  
Алимов П. И. 25745  
Алимовский И. Г. 27645  
Амирханов Х. И. 25430  
Ананьевская М. П. 25960  
Андо 25714  
Андреевская Т. М. 27383  
Андреевский А. И. 24961  
Андронинашвили Э. Л.  
25045  
Аникина М. П. 24773  
Анисимов К. Н. 25747,  
25748  
Антонов А. В. 24778  
Антонов В. Н. 26653 Д  
Антонова Н. К. 24700  
Антошин Е. В. 27294  
Антропов Л. И. 25274  
Анфурьева Е. В. 25005 Д  
Аони 24908  
Аони 26996  
Аотани 27758  
Аома 25742, 25743  
Аран 26263  
Арефьева Т. В. 25921  
Арисава 27350  
Аронович П. М. 25724  
Арынова Е. Г. 27784  
Архаров В. И. 24921  
Асано 27954  
Аурман Л. Я. 27615  
Афанасьев В. А. 25209 Д  
Афанасьев Н. В. 27762

Африкия В. Г. 25642  
Ашминази М. С. 25216

### Б

Баба 27764  
Бабанов А. А. 27775  
Бабанова Н. П. 25795  
Бабаян В. О. 25588  
Бабиевский К. К. 25276  
Баднов К. 27037  
Бажарова В. М. 27613  
Баналдин И. И. 27678  
Балтер А. Л. 26852  
Балухтина З. Я. 25943  
Баркалов В. В. 28060  
Бармаш А. 27643  
Барон Л. И. 27886  
Барский Ю. П. 26320  
Батуер Л. М. 27962 К  
Баудер Н. Р. 27379  
Белобородова Т. И.  
26337  
Белов К. А. 26574 Д  
Беляев П. П. 26260  
Бенесон М. В. 27133  
Бенеславский С. И.  
25460  
Бергман А. Г. 25116  
Бережной А. С. 24693  
Березанский В. Ю.  
27968 Д  
Беренштейн П. И. 26324  
Берман Я. П. 26168  
Берсунер И. В. 24809  
Бессудова Е. М. 26845  
Беус А. С. 25441  
Бибишев В. 26152  
Бирюк Е. А. 25937  
Благопранова А. А.  
27268  
Блонская А. И. 26552  
Блох А. Г. 27905  
Блох Г. А. 25162  
Бляхер М. 26846  
Бобович Я. С. 26073  
Богданова Г. С. 26361  
Богданян Э. М. 25159  
Богородицкий Н. П.  
26403  
Богуславская Е. 2 366

Богуславский Р. Я.  
25119  
Бойко Н. 27529  
Бойкова А. И. 26465 Д  
Большухин А. И. 25614  
Бондар Ю. 26366  
Бондаренко С. С. 27368  
Борисова Н. Б. 27590  
Бороздина М. С. 26255  
Борцова Е. П. 26877 К  
Бочаров Н. 26458 К  
Боярская Ю. С. 24990  
Бром Ф. 24707  
Будников П. П. 24694,  
26430  
Будницкая Е. В. 26047  
Будный А. В. 27534 К  
Булгакова А. М. 25286 Д  
Бунин Г. Я. 27375  
Буркат С. Е. 25708  
Бухарин В. В. 27484  
Бьчваров В. 26416  
Быкова Е. В. 25511

### В

Валашко М. Г. 24687  
Варгафтин Н. В. 25022  
Варгин В. В. 26339  
Варианова Л. П. 25625  
Вартбаронов О. Р. 26521  
Варфоломеева Е. К.  
24700  
Васильев Д. В. 25340  
Васильев Ю. Н. 25110  
Ватоликина К. 26209  
Вейнберг Б. 27919  
Великовский А. С. 26611  
Веневцев Ю. Н. 24999 Д  
Венцель С. В. 26613  
Вернин В. И. 24983  
Вериндуб Ф. И. 26521  
Веселовский Н. В. 25479  
Виноградов А. П. 24692  
Виолли В. Ф. 26845  
Владимирская Е. В.  
25717  
Владимирский К. В.  
25063  
Власова А. Г. 27717  
Водатурский Г. А. 26050  
Воейкова Е. Д. 25233

Войнаральский Х. П.  
24693  
Воларович М. П. 24891  
Волгин Б. П. 27739  
Волков В. М. 27780  
Волощенко В. И. 24961  
Волькенштейн Ф. Ф.  
25226  
Вольнов Ю. Н. 25409  
Воробьев А. М. 24779  
Воскресенская Н. К.  
25077  
Востонов А. И. 27534 К  
Воюцкий С. С. 25884  
Выродов В. А. 27334  
Вэн Цзун-яо 25542

### Г

Гавритов А. Н. 26451  
Галаннина Р. С. 25561  
Галил-Оглы Ф. А. 27068  
Галин А. И. 27710  
Галин М. А. 27710  
Ганцев В. З. 27088  
Гао Дэ-чжань 27897  
Гао Сю-ся 25994  
Гебенава Г. В. 26206  
Герасимов В. Ф. 24774  
Герасимова В. А. 26315,  
26338  
Герасимова И. П. 25216  
Герцын И. Р. 26521  
Гинзбург А. И. 25461  
Гинзбург Л. Б. 25992  
Гирно И. П. 27526  
Гиршфельд С. В. 24776  
Глазнев А. Р. 25514  
Глейм В. Г. 27929  
Гловацкий М. Т. 24686  
Говардовский Е. М.  
26529  
Голик А. З. 25030—  
25033, 25247  
Голицын А. Г. 25250  
Головин А. А. 25958  
Головин П. В. 27526  
Головин Н. А. 27645  
Головинов М. П. 25479  
Гольшова М. Г. 27622  
Гольдберг Д. 26616  
Гольдин Л. Л. 24773

Горбань И. С. 26060  
Горбачева И. Н. 25625  
Горловский С. И. 27133  
Городиский О. В. 25263  
Гороховский П. К. 26432  
Гортер Е. В. 24984  
Горшков П. В. 26873  
Горюнова Н. А. 24954  
Грабешин А. А. 24709  
Грандинкина Н. П.  
24964  
Грандберг И. И. 25531  
Григорьев О. Н. 25328  
Гринберг А. П. 24758  
Гришина Г. В. 27525  
Громова В. В. 25973  
Гросс Е. Ф. 24944  
Грудиновкер Г. Л.  
27685 Д

### Д

Давыдов С. П. 25982  
Дани Б. Я. 25216  
Данилов В. И. 25038  
Данилова Н. А. 25205  
Дезидерьева И. П. 26240  
Делмарский Ю. К.  
25263  
Делоне И. О. 26619 Д  
Деменкова П. Я. 26592  
Демидов К. К. 24953  
Демченко П. А. 27504  
Демшин В. Я. 27889  
Дерновская И. Л. 27137  
Диелов Б. С. 24750  
Джумайло В. И. 25465  
Дмитриенко И. М. 24983  
Добровольский О. В.  
25423  
Довжук Г. Т. 26528  
Догадкин Б. А. 27060,  
27073  
Долгов Б. Н. 25199  
Долгополос Б. А. 27069,  
27070  
Домбровский А. В.  
25543  
Драбкин А. Е. 26566



Ансул

УХОГО

ОВИД-

ЕНКИ,

па-

неза-

гре-

К. Г.

27886,

26068

25623

27133

25263

26433

1984

26873

24954

24700

П.

25531

25328

24758

27525

25973

19444

Л.

25430

26073

27072

25982

216

25038

25205

П. 26206

Ю. К.

6619 Д

Н. 26592

24953

А. 27501

Г. 27888

Л. 27137

24750

25465

М. 24983

О. В.

26528

А. 27068

25199

А. 27068

А. В.

26566

Дыман И. М. 24943  
Дынонова Л. Н. 26917

## Е

Евстигн С. Н. 26367  
Егоров И. А. 27590  
Егоров О. Н. 24700  
Еленевская В. М. 25114  
Еремеев А. 27519  
Еременко В. Я. 25492  
Ерофеев Б. В. 27122  
Ершов Л. 26447  
Ефимов Б. В. 24774

## Ж

Жданова Н. В. 25557  
Женноватый А. И. 26170  
Желез З. 27037  
Жестовский А. 26458  
Жилинский Г. Б. 26454  
Жоржчук В. Л. 25614  
Жуковский Н. Н. 24750  
Жунина Л. А. 26350  
Журавлева Т. Г. 27069  
Жуковичский А. А. 25250,  
25251

## З

Задоронная С. М. 26369  
Зав Н. Е. 24783  
Задес А. Л. 27707  
Зайковичевский А. Д.  
25884  
Зайцева А. М. 27138  
Захаренко Г. А. 26050  
Захаров Е. Е. 25455  
Захарова А. И. 25560  
Захарова Т. П. 26617  
Захарченко В. П. 25006  
Зайцев О. Е. 24687  
Зелман А. Н. 25087  
Зембур З. 25278, 25279  
Зиневич С. А. 24774  
Зинилова З. Г. 24700  
Зелов В. Н. 26593  
Зубанов С. М. 26428  
Зубов-Фугаров З. Г. 25203

## И

Иван 28054  
Иванов М. А. 27342  
Иванов О. С. 25107  
Иванов С. Н. 27374  
Иванова А. А. 27285  
Иванова Л. А. 25152  
Иванова Н. 25480  
Иванова-Ченцова А. П.  
26877 К  
Иверопова В. И. 24917  
Иделькин И. Е. 27959  
Игарышев Н. А. 25276  
Исайлов Н. А. 25104  
Изда 26407  
Изда 27075  
Ильин Н. А. 27344  
Ильичев А. Г. 26522  
Исацуми 28013  
Иденбом В. Л. 26460  
Иванки 24829  
Иноуэ 25341, 25342

Иноуэ 25595  
Иноуэ 27890  
Иоффе Э. Ш. 25109  
Исаков А. И. 24778  
Исхикура 26207  
Иткина М. И. 25670

## И

Иноссуна 25964  
Иноута 26342  
Иосида 26263  
Иосин 26442  
Иосинава 25905, 25906,  
25907  
Иосино 27891

## К

Кавабата 26049  
Кавадзав 27906  
Кавано 26049  
Каварада 26263  
Кавата 28017  
Каган Д. Ф. 27138  
Каган Д. Я. 27779  
Казавацкий Я. З.  
25052 Д  
Казанова Л. П. 26610  
Казанский Н. А. 26213  
Казначей Б. Я. 26277  
Какадзима 25356  
Кановский И. А. 25958  
Кануран 27362  
Калужская Т. М. 27780  
Камай Г. 25746  
Каменоградская О. П.  
24710  
Камешный 25278, 25279  
Каннами 27370  
Канчух Ш. Ф. 27665  
Капица С. П. 26145  
Капустин А. 25039  
Каральны С. М. 24958  
Карасев К. А. 25958  
Карпов А. А. 27131  
Касаточник В. И. 24891  
Като 25021  
Като 25605  
Като 25908  
Като 26563  
Кафаров В. В. 27874  
Кац М. Я. 25063  
Кашперовская О. 26447  
Каюкова М. В. 27122  
Кедров Б. М. 24684  
Кивенно С. 27529  
Кивилис С. С. 28011  
Кикинава 26562  
Кироку 26562  
Киселева И. Г. 25292  
Киси 26219  
Кислова А. И. 25116  
Китаев Б. И. 27912  
Китайгородский И. И.  
26378  
Китано 25341, 25342  
Кичин Г. И. 26611  
Кишиневский М. Х.  
27939  
Класс Н. А. 25228  
Климовская Л. К. 24831  
Климаев В. М. 25365

Клюев Ю. П. 25213  
Ключаров Я. В. 26428  
Клячно Б. И. 27780  
Клиуняц И. Л. 25370  
Ковригина Г. И. 26057,  
27121  
Коган В. В. 26245  
Кодама 27127  
Кодама 24854  
Коменинова Л. Г. 25727  
Козлов Н. С. 24711  
Койдзуми 24887  
Колесникова Т. 26604  
Колобова К. К. 26315,  
26338  
Колобова Н. Е. 25747,  
25748  
Коломеев Б. Т. 24954  
Колосков С. П. 26526  
Колтунова М. И. 27572  
Комар А. П. 24978  
Конпельно И. А. 26349  
Конторов С. А. 27379  
Коренблат Л. Л. 24949  
Коренман И. М. 25902  
Коровин Ф. Н. 27613  
Королева З. А. 26057  
Короленко Н. К. 26260  
Косо 27764  
Кост А. Н. 25531  
Косилов В. Н. 25416  
Котлова А. Г. 25002  
Котман М. Ш. 27476  
Кочина Д. А. 25731  
Кома 25342  
Кравцов А. И. 25464  
Кравченко С. 27519  
Красинский С. Я. 25038  
Красовский А. И. 25287  
Красоткин Е. Н. 28020  
Красос И. М. 28010  
Крейнгауз Б. П. 25267  
Кренцель Б. А. 26598  
Кристалл З. В. 27678  
Кристиан Э. 24917  
Кричевский И. Р. 25099  
Кротков В. В. 24701  
Крупатин И. Л. 24703  
Крылов Е. И. 25383  
Крюков С. Н. 25250,  
25251  
Кудель Е. С. 25925  
Кузовов А. Д. 25806,  
25807  
Кузмина Н. И. 27703  
Кузьминский А. С.  
27058  
Кунавадзе Г. М. 24773  
Кунолев Г. В. 26425  
Куликова Р. М. 25256  
Кумада 25736  
Курбатская А. Н. 26592  
Курман И. М. 25462  
Курсова 26505  
Курсанов Д. Н. 25511  
Куршанова Г. В. 27717  
Кустов Б. И. 24682  
Кухтин В. А. 25746  
Куценко Н. И. 25670  
Кучеренко Н. И. 24702,  
24705  
Кушниц С. В. 26168

## Л

Лавровский К. П. 26596  
Лазарев А. И. 25402  
Лазурский А. В. 26192  
Ландра Э. К. 27281  
Ланинская В. М. 25224  
Лария А. Я. 26555  
Лашно А. С. 25016  
Лебедев Н. Ф. 25089  
Лебединский В. В. 25397  
Леве Е. Н. 26425  
Левин А. И. 27772  
Левина Р. С. 26352  
Левитская В. М. 27476  
Левкович Г. А. 27268  
Лейбман И. М. 26417  
Лемберг И. Х. 24758  
Леонович Н. В. 27572  
Лепендин Л. Ф. 25024  
Лепшин И. П. 27534  
Лесняк В. Ф. 25457  
Лесюнс А. А. 24749  
Лизунов Н. В. 25473  
Липшиц Л. Р. 25099  
Липатов Н. Н. 27686  
Липина Н. Г. 25496  
Лисицын А. П. 25473  
Лифшиц Е. М. 24875  
Лихтейм А. М. 25332  
Лозгачев В. И. 25089  
Лозовой А. В. 25534  
Лонгес С. М. 26598  
Лосев К. М. 25625  
Лощина Г. П. 25290  
Лунашова Л. С. 26255  
Лурье Т. С. 27615  
Лутнова В. И. 25670  
Лучин И. И. 27703  
Любощин И. Л. 27614  
Лю Го-лян 27146  
Ляликов К. С. 25234  
Лященко М. Н. 24909

## М

Магаршан Г. К. 27739  
Мадаева О. С. 25794,  
25795  
Макляев Ф. Л. 25523  
Мансимов А. 24884  
Мансимов Б. И. 25003  
Малева Е. Г. 26017  
Малых А. А. 26424  
Мамбетов И. М. 25495  
Мамедов И. А. 27307  
Мамедов Х. С. 24998  
Маменно А. У. 24699  
Манания Б. А. 25130  
Манион Л. Н. 25770  
Мардешев С. 24921  
Марков М. Н. 26072  
Мартыновский В. 27917  
Мартьянов М. М. 26520  
Масленин И. М. 27089  
Мацав В. Г. 27952  
Мацуда 25607  
Мацуда 26858  
Мацуи 27120  
Мацуи 25721  
Мацумото 26263  
Мацусима 27267  
Маэда 27906

Маедзав 26006  
Маят Н. С. 27391  
Медведев С. В. 28008  
Медведев С. С. 25893  
Медников Ф. А. 27390  
Мейялар П. В. 25227  
Мелешко Л. И. 24958  
Мельников Н. Н. 26204  
Мельцер Л. 27917  
Метлинич Р. А. 27707  
Мехтиев С. Д. 25529  
Миклухин Г. П. 25162  
Милаев С. М. 25998  
Милићевич Б. Т. 25361  
Минаева 27158  
Миракаримов А. М.  
25272  
Мирная А. П. 25936  
Мирская Г. Г. 25045  
Митичев С. П. 27762  
Михайлов Б. М. 25724  
Михайлов Н. В. 25332,  
27422, 27423  
Михайлов Ф. К. 27999  
Михайловская О. 26366  
Михлина Е. Е. 25699  
Мицуми 25882  
Миямото 25610  
Мияути 27956  
Мидноян А. Л. 25642  
Мозговой В. Н. 26554  
Московская И. Ф. 25204  
Мостовой В. И. 24774  
Мочалова Л. А. 27939  
Мочан И. В. 24956  
Муллер П. А. 26403  
Мурашов Г. М. 25560  
Мурин И. Д. 24778  
Мухомов И. П. 27889,  
27913  
Мюллер Р. Л. 25034  
Мягков В. А. 27430

## Н

Нагано 27405  
Нагибина И. М. 26066  
Назаренко В. А. 25937  
Найто 26914  
Накагава 24838  
Накамори 25714  
Накане 25918  
Нанацу 24887  
Наскидашвили И. А.  
24919  
Находкин М. Г. 24958  
Недвиг П. Я. 28009  
Недовесов В. Г. 24750  
Нейман М. Б. 27998  
Некрасов А. С. 25561  
Немировская А. Ф.  
25957  
Немировский П. Э.  
24775  
Непомятый Л. В.  
26571 Д  
Несмеянов А. Н. 25089,  
25747, 25748  
Неупомов Б. А. 24778  
Низовкина Т. В. 25199  
Никайдо 25537  
Никитин А. А. 24788  
Никитская Е. С. 25700

- Никulina Л. 26602  
Нидкус И. И. 26466 Д  
Новиков А. С. 27068  
Новикова О. А. 25107  
Новосильцев Н. С. 26404  
Ногуты 27362  
Нодзев 25724  
Номидзо 25908  
Номото 25012  
Номура 25636  
Носовичский А. И. 27905  
Нохратян К. А. 26457 К  
Нысенко Н. Т. 27802  
Нэгиси 27148
- О**  
Обината 27774  
Образцов Ю. Н. 24955  
Овсепян Р. Р. 26245  
Овчинников А. М. 25476, 25485  
Овчинников Т. М. 25109  
Оганесян А. 25642  
Оганесян А. С. 25274, 25275  
Оганян В. И. 27687 Д  
Ода 25744, 27151  
Ода 26914  
Одазак 26207  
Одазак 27503  
Озерянец Л. 26366  
Оиси 25612  
Окамура 25892  
Окубо 27370  
Ольшевский Б. Н. 26417  
Оморн 25444  
Оно 25020  
Оно 25595  
Ориченко А. В. 25032, 25247  
Орлов А. Н. 26455 К  
Орлова И. Г. 26464 Д  
Ортман Г. 24934, 24935  
Осипова Л. В. 25515  
Ота 27127  
Охотин М. В. 26352  
Оцука 26263  
Ояма 27891
- П**  
Павлюнова А. В. 25943  
Павлюнова Г. М. 25943  
Павловская Н. А. 26924  
Павлюченко М. М. 25174  
Палей П. Н. 26001  
Пардани О. Ю. 27281  
Пауткина Е. И. 26196  
Паушкин Я. М. 25515  
Певзнер М. И. 24774  
Певзнер Ц. В. 25191  
Пенягин Ю. И. 27381  
Пепеляева Е. А. 25415  
Перльштейн Е. Я. 27348  
Перова А. П. 25123  
Перцев А. В. 26572 Д  
Пестов Н. Е. 26195  
Петрашень В. И. 25957, 25960  
Петров А. Д. 25725  
Петров Г. С. 27137  
Петров К. Д. 25632
- Петрушкина З. Л. 25230  
Петухов Б. В. 27429  
Печковский В. В. 25178  
Пик И. Ш. 27138  
Пилевский Г. Л. 27711, 27712  
Пинус Г. В. 25452  
Пирог П. 27927  
Писаренко А. П. 27071  
Пискунова В. Н. 25234  
Питерский Г. П. 27951  
Повалишников А. С. 25042  
Подсыпанна Т. И. 27615  
Покидаев Ф. Л. 26427  
Позднякова А. А. 25921  
Позигун Е. А. 24953  
Позин М. Е. 27889, 27962 К  
Полик Б. М. 26372  
Поликарпов Н. К. 27281  
Полосин В. С. 24706  
Полоцкий И. Г. 26110  
Полуянов Н. С. 26000  
Полин М. А. 27076  
Поляков А. Ф. 27031, 27032  
Полякова К. К. 27291  
Помосов А. В. 27772  
Попков А. П. 26278 Д  
Попов Г. М. 24992 К  
Попова Е. Г. 26559  
Поповская Н. П. 25115  
Порай-Кошиц А. Е. 25496  
Порай-Кошиц Б. А. 25496  
Порай-Кошиц М. А. 24885  
Поспехов Д. А. 25013  
Посыпайко В. И. 25116  
Праведников К. Н. 25893  
Преображенский Н. А. 25625  
Привлежова Е. Н. 25591  
Пронючак А. Ю. 25156  
Пронюфьев А. Ю. 24777  
Проценко П. И. 25115  
Прошкина А. И. 26391  
Путухин Н. И. 25684  
Пудейко Е. К. 24947
- Р**  
Равнинский С. Д. 25030, 25032, 25247  
Радвинский М. Б. 26523  
Радченко И. В. 25035, 25036  
Раздогов М. Н. 27386  
Разина Н. Ф. 26279 П  
Разумова Л. Л. 24891  
Райнус Р. Н. 27296  
Рапов В. А. 27627  
Рапопорт Л. П. 24780  
Раутиан Г. Н. 26875  
Ревунец Ю. 26366  
Ревякин А. А. 26556  
Регель А. Р. 25015  
Резникова Р. А. 25884  
Резниковский М. М. 27060
- Резнищан В. Н. 26156 Д  
Рейнов Н. М. 24978  
Рейх В. Н. 27069, 27070  
Ренашева А. Ф. 25162  
Ремпель С. И. 25277  
Риль 24934, 24935  
Ритсо А. Э. 27281  
Рог В. М. 25731  
Рогаткина Т. Н. 27772  
Рогинский С. З. 25188  
Родзавская В. 26601  
Родинова В. И. 25289 Д  
Рожкова В. В. 26845  
Розенталь А. Л. 26596  
Розенталь Е. О. 27724 Д  
Розенфельд Л. М. 26459  
Розовский М. И. 25877  
Роскин Е. С. 27409  
Ростовцев В. Е. 25973  
Роткина А. Л. 25109  
Рошина Г. П. 25247  
Рубцов М. В. 25698, 25699  
Рубцова Н. Н. 26214  
Румянцев Г. М. 28061 Д  
Русов М. Т. 25191  
Рутковский М. Л. 25291 Д  
Рыбалко З. М. 26573 Д  
Рыбина Л. А. 26873  
Рябова Г. Г. 25107
- С**  
Садых-заде С. И. 25725  
Сажин Н. П. 25415  
Саката 28012  
Сакурада 25356  
Сакураи 27764  
Самсонов Г. В. 25414  
Санно 25714  
Сардаров С. С. 25430  
Сасаки 25566  
Сасаки 27158  
Сато 25610  
Сато 25721  
Сафуллин Н. Ш. 25953  
Сахаров В. И. 25124  
Северный А. Б. 25425  
Сельский Г. Д. 25465  
Секелл 27037  
Секо 26857  
Селиванова Н. М. 25119  
Семенов Н. И. 27076  
Семеченко В. К. 24917  
Семерюк В. И. 26252  
Сенякин М. М. 25365  
Сенякин С. А. 25534  
Сергеева Т. А. 27723 Д  
Сергеевская С. И. 25659  
Сергеев С. Р. 25557, 26589  
Сердюченко Д. П. 25445  
Серебрякова А. 26602  
Сеткина В. Н. 25511  
Сидякин Г. П. 25810  
Силина Н. Н. 26462 Д  
Симонова Н. И. 27358  
Симура 25905  
Синохара 25595  
Сира 25905—25908  
Сира 26914  
Скляр В. Т. 26620 Д  
Скобелев А. 26265
- Сморилин С. Ф. 28040 К  
Сморина Н. С. 26017  
Скуратов С. М. 27422  
Слезин Н. А. 27964 К  
Смилга Х. В. 27268  
Смирнова А. В. 28029  
Смирняков Н. В. 25458  
Смолянский М. Е. 27627  
Смяловский М. 25273  
Собуз 27361, 27370  
Соколов В. А. 25464  
Соколов В. С. 24777  
Соколов Н. Д. 25190  
Соколовская А. М. 25770  
Солдатенко Б. Т. 27065  
Солдцев Н. И. 25998  
Соловьев Ю. И. 24685  
Солодин Э. М. 27375  
Соломин Н. В. 26311  
Соломко В. С. 27376  
Соломко В. П. 25247  
Сосновский А. Н. 24777  
Сохадзе Е. П. 26463 Д  
Сперанская Н. И. 26875  
Спивак П. Е. 24777  
Спирин А. М. 26424  
Старинов К. З. 25001 Д  
Стасевич Б. М. 25063  
Степаненко И. П. 24751  
Степанов П. И. 27076  
Стрелков Н. И. 25067  
Стремоусов В. И. 25040  
Стройман И. М. 25199  
Струссинская Н. Я. 26461 Д  
Сугава 25714  
Судзуки 27156  
Судо 25962  
Суханов В. П. 26589  
Сущевский Г. Б. 26877 К  
Сыроматин Ф. В. 25988  
Сысоев Л. 27918  
Сэйяма 25323  
Сэния 25612  
Сэнда 27151  
Сюй Гуан-сянь 24730
- Т**  
Табата 27361  
Танакиси 25175  
Танакубо 27159  
Танакани 25732—25735  
Танахаси 25602—25605  
Танесита 26563  
Такида 25356  
Талаева Г. В. 27775  
Тальковский Г. Б. 25632  
Танабо 26388  
Танака 24829  
Танака 24908  
Танака 25714  
Танака 26857  
Танигута 27127  
Тарасов М. Н. 25479  
Тарасова В. Н. 27739  
Тараш И. Л. 26266  
Таточенко Л. К. 28008  
Терада 27127
- Тимебулатов М. Г. 27770  
Тинякова Е. И. 27069, 27070  
Титов А. И. 25523, 25524  
Тихомолова М. П. 27069  
Тогава 28017  
Толстой М. П. 25475  
Томиура 26388  
Тонам 26868  
Топчева К. В. 25202—25204  
Трапезников А. А. 25331  
Трау Е. 25278, 25279  
Тресвятский С. Г. 26430  
Третьяков И. И. 25188  
Тришин Ф. И. 26017  
Трофимов А. В. 27122  
Трошкина В. А. 25074  
Тугаринов А. И. 25433  
Тулунов В. А. 25200  
Тумарина Е. С. 27913  
Туркенич В. В. 24831  
Туров Е. А. 24977  
Туршнев П. К. 24698  
Терамото 25879
- У**  
Удагава 28054  
Уклонский А. С. 25443  
Уно 25892  
Урабе 27086  
Ушанова Е. В. 27335
- Ф**  
Фаерман Г. П. 25231, 25233  
Файнберг Э. З. 27422  
Факнов О. Г. 24964  
Федорова О. Н. 25743  
Федорчук С. Н. 25441  
Фельдштейн М. С. 27073  
Финалов Я. А. 25118, 26116  
Фигуровский Н. А. 24679, 24685  
Фидельман Л. Б. 27815  
Филимонова Г. В. 26260  
Филиппова М. П. 27886  
Филиппова Н. А. 25992  
Финк М. М. 27381  
Фиошин М. Я. 25276  
Фишер Д. Е. 26811 П  
Флис И. Е. 27348  
Фонин А. В. 25370  
Фрайман А. Л. 27684 Д  
Фрэнк И. М. 24778  
Франк-Каменецкий Д. А. 25422  
Фридман Г. А. 27383  
Фришберг А. А. 26078  
Фудзин 26443  
Фудзиса 25565  
Фунава 28012  
Фукудзэми 27503  
Фурман Е. П. 25463  
Фусидзэми 26562
- Х**  
Хазанова Н. Е. 25099  
Халилов А. Ю. 25004 Д  
Халилов Х. М. 25133 Д

Г.  
27069,  
25524  
27069  
475  
5202—  
25331  
279  
26430  
25188  
26017  
27122  
25074  
25433  
25206  
27913  
24831  
77  
24698  
  
25231,  
27422  
24964  
25745  
25441  
С. 27073  
25118,  
  
Н. А.  
Б. 27615  
В. 26260  
И. 27886  
А. 25992  
381  
25276  
26811  
348  
25370  
27684  
24778  
кн. Д. А.  
  
27383  
А. 26078  
  
503  
25463  
62  
  
Е. 25099  
А. 25004  
25133

Халифазаде Ч. М. 25450  
Ханабуса 25744  
Хара 26263  
Хархаров А. А. 24828  
Хасегава 25444  
Хаттори 25736  
Хаяси 27119, 27148  
Хенох М. А. 25224,  
25237  
Хинага 24854  
Хирао 25723  
Хлапова А. Н. 25114  
Ходан Л. П. 25277  
Ходанов А. Л. 26404  
Ходов З. Л. 26110  
Холодковский Б. Н.  
27076  
Хомиков К. Г. 25074  
Хори 25602—25605  
Хорошан Е. С. 26057,  
27121  
Хорошкова Е. Д. 26192  
Хохлов И. М. 27622  
Хухия В. Л. 25493

Ц

Царицын М. А. 26361,  
26391  
Цетков Е. Н. 25625  
Цетков Л. А. 24709  
Цинь Юнь-хуа 25643

Цимлис Д. С. 25110  
Цитович А. П. 24774  
Цубани 25968  
Цунада 24854  
Цунавани 25607  
Цыганов Г. А. 25272  
Цысновский В. К. 26600

Ч

Чалтыкин О. А. 25160  
Ченулава И. А. 25586,  
25587  
Чен Н. Г. 25134 Д  
Чендров А. Д. 24704  
Черногоренко В. Е.  
25118  
Черногорцев А. П. 27657  
Черножуков Н. И. 26610  
Чернуха Г. Н. 25996  
Чернышев Е. А. 25727  
Чернышов А. А. 24774  
Чертов Я. Б. 26593  
Чертова С. И. 27161 Д  
Чжан Цзинь 25666 —  
25668  
Чжао Хуа-мин 25606  
Чибисов К. В. 25229  
Чижиков Д. М. 25267  
Чистякова М. В. 25532  
Чуркина К. М. 25996  
Чурсина А. Д. 27525

Ш

Шавтвалов Л. Я. 24751  
Шаган О. С. 27645  
Шалыт С. С. 24978  
Шамшури А. А. 24708  
Шанин Л. Л. 25430  
Шапиро Ф. Л. 24778  
Шапиро Э. С. 25591  
Шарвин Ю. В. 26123  
Шарнин А. А. 25383  
Шафрановский И. И.  
24992 К  
Шварц Е. М. 25419 Д  
Шведов И. К. 24779  
Шеберстов В. И. 25232  
Шевцов Д. С. 27785  
Шендеревская Е. В. 25397  
Шепард Н. 24851  
Шептунов Н. А. 26155  
Шешелевич М. 26602  
Шестаковский Ф. К.  
25035, 25036  
Шехтер А. Б. 25188  
Шимаяский Ю. И. 25247  
Шихер А. Г. 26617  
Шихер М. Г. 26873  
Ши Цзя-чжун 25650  
Шишкина Н. Н. 25235  
Шиншловский А. А. 26068  
Шланн И. Б. 26454 К  
Шмук Е. И. 26555

Шнеерсон В. Б. 26555

Шостаковский М. Ф.  
25586, 25587, 25591,  
25731  
Шрайфельд Т. Я. 24949  
Штраух И. В. 24778  
Шубцова И. Г. 25364 Д  
Шуйкин Н. И. 25200  
Шульман М. С. 26404  
Шумелинский М. 27921  
Шумилин С. И. 26372

Щ

Щербанов В. 28036  
Щербатенко В. В. 27615

Э

Эвентова М. С. 25532  
Элинсон М. М. 25464  
Эпштейн В. Г. 27076  
Эпштейн Д. А. 24716 К  
Эршлер Б. В. 24773  
Ээк К. 27643

Ю

Юаса 27127  
Юй Моу-ши 25643  
Юнава 25538  
Юнусов С. Ю. 25810  
Юнь Вань 25994

Я

Яворский И. В. 24886  
Яги 25723  
Яги 27956  
Ягу 25341  
Ягвдин В. В. 25489  
Якимов П. А. 27717  
Янобсон В. 28035  
Янобсон М. А. 24944  
Яновлев В. И. 25684  
Яновлев Г. Н. 25416  
Яновлев Н. В. 27925  
Ямабе 25325  
Ямагути 26388  
Ямагути 26805  
Ямада 26219  
Ямада 27503  
Янатьева О. К. 25122  
Яниция М. Е. 25250,  
25251  
Яно 25882  
Янов Г. И. 24697  
Янь Синь-хэ 25650  
Ярмолович Г. 25273  
Ярошенко Г. 26366  
Ярошенко Ю. Г. 27912  
Ярцев В. Г. 26311  
Яхонтов Л. Н. 25698,  
25700

Allerton R. 25757  
Almássy G. 25940  
Alphen A. 27095 II  
Alston T. 26019  
Altwillisch H. 27555  
Alviset L. 26386  
Amell A. R. 25131  
Ames T. R. 25764  
Amiard G. 25673  
Amiel M. J. 25189  
Amiel Y. 25598  
Ammann R. 26919  
Amstutz G. C. 25451  
Amundson N. R. 27935,  
27936  
Anders 27634  
Anderson C. M. 26117  
Anderson H. H. 25737,  
25741  
Anderson J. A. 27619  
Anderson J. K. 27214 II  
Anderson J. R. 25196  
Anderson L. C. 25509,  
27125  
Anderson O. L. 26375  
Andrä W. 24979  
Andreasen S. V. 26286 II  
Andreotti C. 26022  
Andrews A. I. 26310  
Andrews H. W. 27989 II  
Andrews K. J. M. 25593  
Andrews K. W. 24883  
Andrews R. D. 25885  
Andriik K. 24719 K,  
24720  
Andrus O. E. 27868 II

Angelescu E. 25127  
Anicetti R. J. 27746 II  
Antikainen P. J. 25242  
Antill J. E. 25086  
Antoniani C. 27676  
Aoyama T. 26896 II  
Appel H. H. 25640  
Appelt O. 26911 II  
Arata M. 26883 II  
Aries R. 26940 II  
Arita S. 26879 II  
Arkel A. E. 25090  
Arkel C. G. 26922  
Armand M. 25097  
Armandola P. 25490  
Arnold C. J. 27679  
Arnold D. A. 27389  
Arnold G. B. 26641 II  
Arnold J. R. 24798  
Arnold R. 24890, 25863  
Arnoult R. 26105  
Arrott A. 24980  
Artamonow E. 27651  
Arve N. 27366  
Asami Y. 25817  
Asaoka H. 27349  
Askew H. O. 27570  
Aspinal M. L. 25947  
Astill B. D. 25800  
Aston J. G. 25070, 25254  
Atkins K. R. 25054  
Austin I. G. 24975  
Axelrod L. R. 26010  
Ayabe Y. 25280  
Ayad K. N. 25629  
Aymonino P. J. 25148

В

Bacchini G. 25488  
Bachmann R. 26176 II  
Bachtik S. 26341  
Back E. L. 27402 II  
Bacon G. E. 24976,  
24993 K  
Bacska J. 27826, 27827 K  
Baddar F. G. 25654  
Baddour R. F. 26525  
Badoche M. 25673  
Bagchi P. 25571  
Baggenstoss A. C. 26754 II  
Bagnall K. W. 25385  
Bagot Y. 27465  
Bähr G. 25396  
Bähr H. 27248 II  
Bähr J. 27251 II, 27863  
Bailey A. E. 27510 II  
Bajzova A. 27412  
Baker B. B. 25970  
Baker J. M. 24792  
Baker T. W. 26100  
Baksay I. 27777  
Baldassini L. 28015  
Balk A. K. 27025 II  
Ball J. M. 27085  
Ballantine D. S. 27126  
Ballinger R. A. 24801  
Balloffet G. 26067  
Balmas F. 26294 II  
Banasik O. J. 27569  
Bandes S. 27744 II  
Banerjee G. 25963, 25966,  
25967  
Banerji J. C. 25720

Bankier J. D. 25471  
Banks C. K. 26728 II  
Banks T. 26026  
Banthien H. 26304 II  
Barbaron M. 24835  
Barber H. J. 26738 II  
Barceló J. 26040  
Barclay T. M. 27118  
Barker S. A. 24847  
Barnard R. M. 26483 II  
Barnart S. 25062  
Barnett P. R. 26150 II  
Baroody E. M. 24923  
Barr S. E. 26303 II  
Barraud J. 24888  
Barret P. 25285 K  
Barrett J. P. 27818  
Barriol J. 24800  
Barrow G. M. 24830  
Bartels G. E. 27497  
Bartlett J. H. 26228 II  
Bartůnek B. 24725 K  
Bary J. 27799  
Basak N. G. 26565  
Basile R. 24765  
Bastick J. 25181  
Bastick M. 25181  
Basu R. K. 25780  
Basu S. 24830  
Bate G. L. 25432  
Battat M. E. 24742  
Battersby A. R. 25611,  
25804  
Batuecas T. 25050  
Batzer H. 27434 II  
Bauer E. 26304 II



- Baumann C. A. 25781  
Baumann R. 25081  
Bayer F. 26243  
Bayer L. 25092  
Bayer O. 26899 II,  
27116 II, 27227 II  
Baykut F. 25548  
Bayley C. H. 26872  
Beaus-Quilada M. 27028  
Beck E. S. 27301, 27302  
Becker D. 27524, 27530  
Becker K. 27560  
Becker W. 26899 II  
Beckmann S. 25809  
Beczko J. 28039 K  
Bednar J. 25374  
Beduneau H. 27293  
Becham A. F. 25649  
Bogula A. E. 27001 II  
Beke B. 27882  
Bekku F. 26874  
Bell P. R. 24766  
Bell R. 25652  
Bell R. T. 26713 II  
Bell T. E. 26848  
Bellamy J. G. 27317 II  
Bene E. 27499  
Béné G. 26089  
Benedek P. B. 27963 K  
Benjamin J. 25977  
Benk E. 27593  
Bennett W. R. 26179 II  
Beral H. 26021  
Berbalk H. 25756  
Berdelle-Hilge P. 27688 II  
Bergel F. 25593  
Berger J. 27189 II  
Bergmann E. D. 25751  
Bergstrom E. V. 27994 II  
Bergström H. O. V.  
27397 II, 27858 II  
Berka I. 28053  
Berlingozzi S. 25315  
Berman R. 24927  
Bernard A. 25467  
Bernard R. 26093  
Bernhart D. N. 25974  
Berning W. 27218 II  
Bernstein E. M. 24754  
Berriozabal J. M. 27689 II  
Bertoglio Rolo C. 25718  
Bertorelle E. 25948  
Best-Gordon H. M.  
26882 II  
Bestian H. 27206 II,  
27208 II  
Beton J. L. 25764  
Betts G. G. 27920  
Béviard P. 25740  
Bevington J. C. 25161  
Beyerman H. C. 26237 II  
Beyler R. E. 25793  
Bhattacharya A. K.  
25318  
Bhattacharyya S. C.  
25760  
Blanchi G. 27825  
Bliefeld L. P. 27737 II  
Blialowski Z. 26364  
Biennen F. 26591  
Blenz O. 27603 II  
Biermann W. J. 25082  
Bierstedt P. E. 25222  
Bigeon M. 26421  
Bilek J. 26244  
Billiau J. L. 27064  
Binder H. 27196 II  
Binks R. 25611, 25804  
Birchall C. E. 24922  
Birman A. 26174 II  
Bisch J. 27187 II  
Biserte G. 27557  
Bisset D. C. 26094  
Bištan E. 26362  
Biswas D. C. 24848  
Blackman L. C. F. 24880  
Blaise-Papin O. 27563  
Blake G. G. 25904  
Blankenburg G. 24971  
Bleaney B. 24792  
Bleicher C. 27468  
Block B. 27531  
Block B. P. 25412  
Blohm S. G. 25759  
Blömer A. 27098 II  
Bloom H. 25469, 26150 II  
Bluemner E. 26583 II  
Boato G. 25426  
Bock L. H. 27214 II  
Bockris J. O. M. 25037  
Bodmer A. R. 24739  
Bodor E. 25910  
Boeckelheide V. 25800  
Boge G. 27652  
Bogert V. V. 25818  
Bohl L. E. 26706 II  
Böhm E. O. 26197 II  
Böhme H. 25712  
Böhner G. 26832 II  
Böhrlinger H. 27424  
Bohunek J. 26760 II  
Botcescu N. D. 27082  
Bolvin J. L. 25530  
Bokadia M. M. 25526  
Bokranz A. 25841  
Bolsinger O. 24729  
Bolt G. H. 25334  
Bonewitz E. L. 27677  
Bonner O. D. 25326  
Bonner W. A. 25510  
Bonte F. 27461 II  
Boocock D. 26211  
Borecky J. 26030  
Borgin K. 27356  
Borkiewicz J. 26370  
Borkowski B. 25153  
Born M. 24997 K  
Borrows E. T. 26747 II  
Bose J. L. 25845  
Bose S. K. 26565  
Bot O. 25991  
Bothma F. 27621  
Bott R. 27380  
Bottoni G. F. 28034  
Bouchard J. 26306 II  
Boucher R. M. G. 27885  
Boulland A. 25283  
Bourdon J. 25497  
Bourdeaux 26346  
Bowen C. V. 26028  
Bowen H. J. M. 24855  
Bowers A. 25764  
Bowers R. H. 27878  
Boyd T. 27230 II  
Boyer R. F. 25870  
Boyle R. W. 25999  
Bradley F. W. 26876  
Bradley T. F. 26654 II  
Bradley W. 25658  
Bradley W. W. 27765  
Bradway K. E. 27354  
Brady R. F. 27517 II  
Brandenburger H. 27410  
Brandt W. W. 25399—  
25401  
Braner A. 24942  
Bras G. H. P. 27915  
Brasted R. C. 25417 K  
Brasure D. E. 25620  
Bratring K. 27247 II  
Brauer G. M. 25395  
Braun W. 25057  
Braunbrück W. B. 25687  
Brauns E. 27852 II  
Brčić B. S. 25111  
Breadner R. L. 26481 II  
Brecht W. 27380  
Breckner D. 28030  
Breederveld H. 25738  
Bregman B. 27506 II  
Brehmer T. E. 25269  
Breit H. 25985, 25986  
Breitenbach J. W. 25894  
Breivogel P. J. 26800 II  
Bremer T. 25218  
Brem-Rupp L. 25689  
Brendlein H. 26638 II,  
26783 II  
Brennan J. J. 26920  
Brenner R. 27473  
Bresciani L. 26246  
Breton C. 25768  
Bretón J. L. 25768  
Bréton Manjarrez R.  
25502  
Brewer L. 24812  
Brighel-Müller A. 27527  
Briese H. W. 26259  
Brindley G. W. 24900  
Briner E. 25165  
Brochu E. 27671  
Brock M. J. 27319 II  
Brockington S. F. 27618  
Brodersen K. 26910 II  
Brodil J. 24726 K  
Brody F. 26812 II,  
26821 II  
Broecker W. S. 25434  
Broich F. 26685 II  
Broodo A. 25197  
Brook A. G. 25729, 25730  
Brooke G. E. 26570  
Brooks D. E. 26842  
Brooks H. G. 25726  
Brot C. 24860, 24861  
Brouckere L. 25872  
Brouguet P. 27924  
Brown D. A. 24806  
Brown F. 25377  
Brown F. E. 25378  
Brown H. D. 26232 II  
Brown J. H. 26665 II  
Brown K. J. 27345  
Brown P. E. 25184  
Brown W. G. 25752  
Brownlee K. A. 24728  
Broz J. 25374  
Brubaker M. M. 26673 II  
Brüche E. 26345  
Brückner H. 26560  
Brückner K. 25815  
Bruckner K. A. 24737  
Brügel W. 24878 K  
Bruni R. J. 25579  
Brünche-Olsen H. 27527  
Brunner R. 27575  
Brusz B. 26715 II  
Bube R. H. 26134  
Buchar E. 24723 K  
Büchi J. 26921  
Buck G. S. 26843  
Buckingham A. D.  
25023, 25026  
Buckles R. E. 25572  
Buckley G. D. 26660 II,  
27168 II  
Buckley S. E. 26483 II  
Budewski E. 25265  
Bueche F. 25867  
Bugelisen J. 25139  
Bullian W. 26594  
Bullock H. L. 27898  
Bumiller F. 24769  
Bunge W. 27227 II  
Bunton C. A. 25142  
Burchfield H. P. 26216  
Burger R. M. 25305  
Burke H. 27489  
Burke H. J. 25498  
Burkhard D. G. 24866  
Burlacu G. 25991  
Burlage H. 28016  
Burns V. W. 26133  
Burroughs W. 25679  
Buskirk E. C. 27094 II  
Butenuth G. 25221  
Butsch P. V. 27094 II  
Buu-Hoi N. P. 25613,  
25615, 25626, 25653,  
25655  
Byer A. J. 27579
- C**
- Cabell M. J. 25955  
Cadiot P. 25547, 25567  
Cadrobbi B. 25481  
Caffyn J. E. 26147  
Cahn R. W. 26100  
Caillon P. 25888  
Cajar H. 27321 II  
Cake W. R. 26679 II  
Calderarro F. 25545  
Caldwell C. G. 27545 II  
Caldwell J. R. 27204 II  
Calhoun J. M. 26995  
Campbell I. E. 26185 II  
Campbell J. A. 26923  
Campbell O. F. 27392 II  
Canning J. 25080  
Cano-Ruiz J. 25307  
Cantow H. J. 26128  
Cantrell T. L. 26631 II,  
26642 II  
Cape A. T. 27835 II  
Capizzi Maltan P. 26007  
Caplan S. R. 25863  
Cappella G. 28003  
Carbone R. J. 24784  
Carillo L. 27286  
Carlene P. W. 27421  
Carleton L. T. 26140  
Carlton S. S. 26184 II,  
26275  
Carman J. N. 25295  
Carmouche L. N. 26179 II  
Carniglia S. C. 25093,  
25094  
Carobbi G. 25470  
Carrara G. 26979 II  
Carretta U. 25488  
Carrol B. H. 27026  
Casanova R. 25790  
Casares R. 25491  
Casnocha J. A. 27706  
Cason L. F. 25726  
Cassaday J. T. 26705 II  
Cassel N. S. 26893 II  
Cassis F. A. 25171  
Castiglioni A. 26020  
Castle B. J. 25010  
Castle R. N. 24914  
Caswell E. G. 25300  
Cates D. M. 27428  
Cathy 26649  
Cattaneo P. 27473  
Caule E. J. 25100  
Cawley J. D. 27045 II  
Celments H. 27182 II  
Cernătescu R. 25991  
Cernutti G. 27674 —  
27676  
Chadda L. R. 26448  
Chagas R. M. 26271  
Chakrabarti J. K. 25835  
Chakrabarty M. M. 27464  
Chakrabarty S. R. 27464  
Chalkley D. E. 25915  
Challoner A. R. 26118  
Chalmers J. M. 27895  
Champagnat A. 26704 II  
Chan W. R. 25834  
Chandrasekhar B. S.  
25043  
Chapman R. A. 27611  
Chapon L. 27564  
Charney W. 25791  
Charrin V. 26323  
Chastonay P. 25165  
Chatterjee A. K. 25406  
Chatterjee K. K. 24830  
Chazal R. L. F. 26473 II  
Checkovich P. 27043  
Cheesman G. H. 25080  
Cheng E. 25679  
Chessick J. J. 25302  
Chiarotti G. 24940  
Chierego B. 28006  
Chin J. H. 25343  
Chiorboli P. 24862  
Chodkiewicz W. 25547,  
25567  
Chouane M. 27736 II  
Choudhury P. K. 27355  
Chowdhury D. K. 25830  
Christensen W. G. A.  
26202 II  
Christian B. 26897 II  
Christiansen J. A. 25240  
Christmann F. 27248 II  
Chudd C. C. 25558

- Chupka W. A. 24813  
Cienciafala R. 25951  
Clancy E. F. 24764  
Clar C. 26643 II  
Claro-Bory M. 25691  
Clark G. L. 25222  
Clark H. A. 27232 II  
Clark H. E. 27637  
Clark R. E. 27452 II  
Clarke W. J. 27155  
Clausen C. F. 26445  
Clausen P. D. 27668  
Clayton G. D. 26136  
Clayton J. C. 26747 II  
Clenett G. 26291 II  
Clerc-Bory G. 25691  
Cline R. E. 25750  
Cocker W. 25623  
Coffman D. D. 27237 II  
Cohen B. L. 24760  
Cohen E. 26085  
Cohen M. 25100  
Cohn C. 25249  
Cole E. J. 26558  
Coleman G. H. 24770  
Coleman H. J. 26590  
Coles B. R. 24980  
Collamer D. O. 25556  
Collard R. 25585  
Colledge R. 25259  
Collier M. E. 25990  
Collins F. C. 25248  
Collins S. C. 26125  
Colom F. 25268  
Colomb P. 26449  
Coltman J. W. 27750 II  
Combrisson J. 25513  
Compagnon P. 25673  
Compton K. G. 27765  
Conant L. C. 25459  
Connally R. E. 26060  
Conversi M. 26061  
Conway L. F. 27488  
Conwell E. M. 24973  
Cook J. W. 25801, 26217  
Cook R. L. 26310  
Cooke T. F. 26869, 27322 II  
Coombe D. J. 24760  
Coombs D. S. 24898  
Cooper D. E. 26972 II  
Coover H. W. 27205 II  
Copeland H. I. 25395  
Copelin H. B. 26677 II  
Coplan B. V. 27947  
Corcoran N. 27300  
Cordier P. 25621  
Corey E. J. 25498, 25765, 25766  
Cormack D. V. 25058  
Cornon R. 27034  
Correll D. S. 25796  
Corrigan T. E. 27957  
Cortina B. R. 26056  
Coste J. 25866  
Cotecchia V. 26313  
Cottet E. C. 26473 II  
Couch F. J. 25075  
Coulon R. 28037  
Cournot J. 27709  
Courtois J. 25533  
Cousins E. 27101 II  
Cowen F. M. 25580  
Cox I. W. 26482 II  
Cox J. E. 25117  
Crabtree J. M. 25184  
Craig D. P. 25142  
Cramer F. 25069, 26299 II  
Crawford M. 25518  
Crawley R. H. A. 25946, 25947  
Creagan H. F. 26865  
Crichton J. 25640  
Crick R. G. D. 27431 II  
Crombie L. 25833  
Cross I. 26250  
Crow W. D. 25799  
Croze M. W. 27180 II  
Csokán P. 27768  
Cubberley R. H. 27096 II  
Cummings G. A. McD. 25048  
Cunningham B. B. 25093, 25094  
Cunningham D. K. 27619  
Cunningham J. R. 25887  
Cunningham O. D. 27213 II  
Curd F. H. S. 26947 II  
Curd M. R. 26947 II  
Curran H. M. 27931  
Cusi E. 26258  
Cuthbertson J. W. 26268  
Cutillas M. J. 25355  
Cyphers E. B. 26228 II  
Czajkowski W. 26387
- D**
- Dacey G. C. 24972  
Dalley B. P. 24852  
Dalbert R. 26103  
Dale A. P. 27467  
D'Alleio G. F. 27190 II, 27191 II, 27216 II  
Dalton J. L. 25934  
Damm K. 25392, 25393  
Damokos T. 25333  
Danetkaia O. L. 28050  
Danielson G. C. 24925  
Dansgaard W. 25477  
Darmois E. 25270, 25271  
Darmois G. 25270  
Darmois-Sutra G. 25271  
Das B. M. 27705  
Das S. M. 25935  
Datta B. C. 27306  
Datta K. 25967  
Dat-Xuong Ng. 25628  
Dauphin J. 27884  
Davey C. B. 26194  
Davidson J. K. 27947  
Davies C. W. 25101, 25102  
Davies R. R. 25710  
Davies T. H. 26363  
Davison M. 25120  
Davis D. S. 27364  
Davis F. J. 28049  
Davis P. L. 26028  
Davis R. C. 24766  
Davis W. C. 27732 II  
Davis M. W. 26780 II  
Davoud J. G. 27398 II  
Davy E. D. 26986 II  
Dawson J. M. 25010  
Dawson M. C. 25767  
Daxböck K. 27240 II  
Day R. I. 25641  
Dayton R. P. 25772  
Dazzi J. 27243 II  
De Anil K. 25950  
Deason W. R. 25330  
Debye P. J. W. 25858  
De Clerck J. 27566  
Defay N. 25660  
De Francesco F. 25484  
De'Gori R. 27660  
De Graaff W. 25049  
Dehez A. 27083  
Dehn P. B. 26485 II  
Delman E. A. 27870 II  
Delavault R. E. 25472  
Délépine M. 25673  
Delfs D. 27098 II  
Della Morte D. 25788  
DeLollis N. J. 25890  
Demetrescu C. 25127  
Demont P. 27659  
Denayer R. 25585  
Denis P. 26089  
Dennis P. 27888  
Denny V. E. 26120  
Denton J. J. 26766 II  
Déri M. 26456 K  
Derrick M. 25294  
Desamari K. 27098  
Deshapande S. S. 25526  
Deshmukh G. S. 25939  
Desikachar H. S. R. 27610  
Despic A. 25320  
Dessaigne G. 25590  
DeTar D. F. 25146  
Detoef J. F. 24748  
Detwiler C. G. 28057  
Dev S. 25597, 25609  
Devand C. 26300 II  
Devaux E. C. 27049 II  
Dever J. L. 25073  
Dewar M. J. S. 24806  
Dewein H. 27035  
Dexter F. D. 26130  
D'Eye B. W. M. 25385  
Dhar M. L. 25680, 25681  
Dhadeshwar B. V. 25313  
Dickey J. B. 27205 II  
Dickey R. E. 26742 II  
Diehl H. 25405, 25979  
Diehl H. W. 25757  
Dienes G. J. 24912  
Dierichs A. 26569  
Díez de Sollano C. S. F. 27689 II  
Di Fonzo M. 25703  
Dijkstra G. 25829  
Dillon C. P. 27813  
Dillon J. A. 25219  
Dinnerstein R. A. 26655 II  
Dinger H. 24793  
Dios Lopez Gonzalez J. 25307  
Diot A. 27160  
Dirr K. 25565  
Dittmer D. C. 25519  
Ditttrich W. 26615  
Divekar V. D. 25779  
Dixon B. E. 27940  
Djerassi C. 25760, 25785, 25786, 25797  
Dobrowsky A. 26149  
Dodge R. W. 26402  
Döhle W. 27407  
Dolecek R. L. 25098  
Doležal J. 25983  
Dollimore D. 26312  
Dománski A. 27477  
Domenach Z. 27847 II  
Donnay J. D. H. 24994 K  
Donovan R. J. 27039  
Dony G. 25585  
Dornow A. 25553—25555  
Dorogi I. 27054  
Dotson C. L. 25927  
Doucet Y. 25245  
Douglas D. J. 27256 II  
Douglas T. B. 25073  
Dounce A. L. 24688  
Doyle C. D. 27235 II  
Drachovska-Simanova M. 26223  
Drake L. R. 26230 II  
Dreyfuss M. 25474  
Drish N. 27450 II, 27451 II  
Droscha H. 27873  
Druce H. 27996  
Drummond A. Y. 25164  
Dubrisay R. 25354  
Duch M. 27441 II  
Duckworth W. H. 26410  
Duff P. J. 25917  
Dugan F. B. 26274  
Dugan L. R. 27478  
Dugi Z. 27767  
Duin H. J. 25829  
Duke J. B. 26175 II  
Dumez A. 26587 II  
Dunbar R. E. 25578  
Duncan J. E. 26470 II  
Duncan J. F. 25182, 25184  
Dungler J. 26850  
Dunkley M. E. 27505 II  
Dunn T. M. 24817  
Duplin V. J. 26490 II  
Durič D. 28047  
Durio E. 25483, 25490  
Dürschner W. 27604 II  
Dustin A. 26222  
Dutta D. 27492  
Dutta P. 25835  
Dutta P. C. 25835  
Dvornikoff M. N. 26768 II  
Dyba R. V. 25296  
Dzikowski I. J. 25941
- E**
- Eastes J. W. 27322 II  
Eastman R. H. 25510  
Eberhart D. R. 26782 II  
Eckel J. F. 27836 II  
Eckelmann W. R. 25434  
Ecker R. 27116 II  
Eddy C. R. 25796  
Eder F. 26606  
Edmonds R. G. 26536  
Edsall L. B. 27547 II  
Edward J. T. 25167  
Edwards H. D. 25219  
Edwards J. A. 27776  
Edwards R. R. 25439  
Effenberger M. 24717 K  
Eglite A. 26224  
Ehret L. 25284  
Ehrhart G. 26785 II  
Ehrlich P. 25890  
Eichler W. 26998  
Eifert R. L. 25705  
Eiseman B. J. 27922  
Eisenberg H. 25351  
Elderfield R. C. 25704  
Eldred H. R. 27696 II  
Ellassen R. 26527, 26532  
Ellason R. 27760  
Ellisçu I. 27741  
Elledge L. R. 27895  
Eisele J. 26862  
Elser K. 27907  
Ember G. 26115  
Emelús H. J. 25371  
Emeleus K. G. 24787  
Emmerich A. 27532  
Emmons W. D. 25624  
Emschwiller G. 25249  
Engel A. 27771  
Engelbrecht H. J. 27513 II  
English A. R. 26982 II, 26983 II  
Enkvist T. 27343  
Ennos A. E. 26113  
Enslin O. 27114 II  
En'yo M. 25261  
Epstein J. 26024  
Epstein N. 27875  
Epstein P. 26525  
Ercoli A. 25788, 25789  
Ercoli R. 25545  
Erdey L. 25910  
Ernsberger F. M. 26122  
Escard J. 25306  
Espe W. 27531 II  
Etherington L. D. 26625 II  
Etienne A. 25497, 25669, 26499 II  
Eubanks A. G. 26392  
Evans D. F. 24850  
Evans J. G. 27460 II  
Evans T. H. 26952 II  
Evans T. R. 27184 II  
Evans W. H. 25079  
Everett G. W. 25922  
Everhart E. 24784  
Exner H. 26506  
Extermann R. 26089  
Eyring L. 25083
- F**
- Fabini J. 24715 K  
Fahim H. A. 25654  
Fahibusch F. 26612  
Falco E. A. 26796 II  
Faldix P. 27937  
Fan H. Y. 24946  
Fanfani G. 25948  
Farenhorst E. 25512  
Farmer G. C. 28032  
Farnsworth H. E. 25305  
Farnworth A. J. 26870  
Farr J. G. P. 26053

- Parthouat J. M. 25663  
 Faucherre J. 25421 II  
 Federkiel W. 26862  
 Feigl F. 26002, 26013, 26037  
 Fenech G. 25671  
 Ferdet M. J. 26022  
 Fernández Alonso J. I. 24804  
 Fernellus W. C. 25412  
 Ferner V. 28025  
 Ferrell-Bryan B. L. 24760  
 Ferretti A. 27439 II,  
 27455 II, 27456 II  
 Feurer M. 25820, 25821  
 Phillon J. S. 24988  
 Fields E. K. 25686  
 Fierens P. J. C. 25136  
 Fieser L. F. 25778  
 Fill M. A. 26146  
 Fine R. 26912 II  
 Finnegan E. J. 27679  
 Fintz E. 27626  
 Fiore L. 27660  
 First M. W. 27888  
 Fischer H. 25737  
 Fischer J. 25108  
 Fischer J. 26298 II  
 Fischer K. 27745 II  
 Fischer W. H. A. 25634  
 Fischer-Bobsien C. H. 26806  
 Fishbein J. 27090 II  
 Fisher D. J. 26095  
 Fisher H. L. 27053  
 Fisk C. F. 27249 II  
 Fitzgerald E. B. 27288  
 Fitzgerald J. J. 28057  
 Fitzsimmons E. S. 26426  
 Fleck B. R. 25651  
 Fleeman J. 24912  
 Fleifel A. M. 25654  
 Fleisher E. 28046  
 Fleming J. 27625  
 Fletcher H. G. 25757  
 Fleury P. 25533  
 Flirski W. 27801  
 Flora C. C. 27679  
 Fock M. 27491  
 Folkers K. 25813, 26803 II  
 Fontana M. G. 27821  
 Fordyce C. R. 26995, 27239 II  
 Forist A. A. 26023  
 Förland T. 25112  
 Formo M. W. 25574  
 Forshey W. O. 27238 II  
 Forsyth J. S. 27948  
 Fortmiller L. J. 25236  
 Forziati A. F. 25395  
 Foss O. 24893  
 Fossan K. R. 26711 II  
 Foster L. W. 27261 II  
 Foulger F. 26203 II  
 Fournneau E. 26790 II  
 Fowler J. A. 26856  
 Fowler W. A. 25424  
 Fox A. L. 27046 II  
 Fox H. 26953  
 Fox M. R. 26864  
 Frame G. F. 27003 II  
 Franchetti S. 25019  
 Francisco J. J. 26300 II  
 Francois M.-T. 27468  
 Frank H. M. P. 25864  
 Frank H. P. 25859, 25861, 25865  
 Frank K. 26055  
 Franke E. A. 26393  
 Frankenburg W. G. 25206, 25207  
 Franklin A. J. 26148  
 Franks F. 25317  
 Franta W. A. 25852  
 Frasch J. 27854 II  
 Fraser M. H. 25014  
 Fratini N. 24896  
 Fray G. I. 25576  
 Frederick M. R. 26667 II  
 Fredericksen C. E. 26212  
 Frederickson A. F. 25117  
 Frederiksen E. 25774  
 Fredga A. 25503, 25685  
 Freeman J. H. 25385  
 Freeman J. P. 25527, 25624  
 Freeman S. K. 26029  
 Frehden O. 25989  
 Frehn P. 27896  
 Freitag E. 25420 II  
 French D. 24905  
 Freud H. M. 27854 II  
 Frevel L. K. 24892  
 Frey A. 27580  
 Freymann M. 24918  
 Freymann R. 24918  
 Fridrichsons J. 24906  
 Fried J. F. 25792, 25797  
 Friedel G. 27403 II  
 Friedel R. A. 24840, 24841  
 Friedrich H. 26693 II  
 Friedlander S. K. 27888  
 Friedman L. P. 25248  
 Friend J. P. 24852  
 Frischbler E. 27153  
 Frischer H. 26187 II  
 Fritz I. C. 27795  
 Fritzsche C. 24969  
 Fröhlich H. 25028  
 Fröhlich H. G. 26853  
 Fromandi G. 27107 II  
 Frost A. 24810  
 Fröhbusch H. 25388  
 Fugassi J. P. 26553  
 Fuhs R. C. 28031  
 Fujita J. 24877  
 Fujita Y. 25570  
 Fukuhara S. 27365  
 Fuller J. A. 25620  
 Fuller J. M. 27250 II  
 Fulton G. P. 28042 II  
 Fumi F. G. 24940  
 Funaki K. 27549 II  
 Furlong J. R. 27702  
 Furnica M. 25991  
 Fürstenu E. 25494  
 Furuya H. 27425  
 Furuya S. 25875  
 Fuson R. C. 25620  
 G  
 Gabillard R. 26090  
 Gabler R. 27406 II  
 Gabrysh A. F. 28049  
 Gad G. 25494  
 Gaden E. L. 27887  
 Gaensslen H. 25357  
 Gal D. 25144  
 Galucha A. L. 26582  
 Gálvez Laguarda E. M. 25903  
 Gamo I. 24836  
 Gansser C. 25672  
 Gaoni Y. 25569  
 Garcia F. 25640  
 Garino-Canina E. 27591  
 Garrett E. R. 25522  
 Garrison J. W. 27839 II  
 Garrity L. V. 27800  
 Gartenmann E. 25211 II  
 Garven F. C. 25578  
 Garwood R. F. 25629  
 Gary J. T. 24820, 24821  
 Gasparić J. 26030  
 Gastaldi C. 27666  
 Gastambide B. 25573  
 Gastambide-Odier M. 25573  
 Gastinger E. 25366  
 Gattner G. 27540 II  
 Gautheret R. J. 27693 II  
 Gautier J. A. 25581  
 Gavazzi R. 28005  
 Gayer K. H. 25121  
 Gazzi V. 25486  
 Gehe F. 27403 II  
 Geiger W. 25185  
 Gellenkirchen W. 27289  
 Geiser N. 26643 II  
 Geissler T. 26517  
 Geissman T. A. 25848, 25849  
 Gellert H. G. 26659 II  
 Gellrich M. 25553  
 Gemäßner A. 26672 II  
 Génin G. 27303  
 Gentry H. S. 25796  
 George L. 26855  
 George T. H. 25305  
 Geraszimov M. A. 27584  
 Gerdel W. E. 26544  
 Germagnoli E. 25220  
 Germain J. E. 25186  
 Gervais J. 28055  
 Gester G. C. 27978 II  
 Ghosh A. K. 25403  
 Ghosh B. D. 25780  
 Ghosh D. K. 24853  
 Ghosh J. C. 25194  
 Ghosh S. 26565  
 Ghosh S. N. 25219  
 Ghosh S. P. 25406  
 Giacometti G. 27145  
 Gibaud A. 25541  
 Gibbons D. 25125  
 Gibson J. A. 25652  
 Gierke G. V. 24743  
 Giever P. M. 26136  
 Giguere P. A. 26116  
 Gilbert E. E. 26646  
 Gilbert G. 25622  
 Gilbert H. N. 26282 II  
 Gilchrist A. 24855  
 Gilde W. 25929 K  
 Giletti B. J. 25432  
 Gilman H. 25728—25730  
 Gilman L. 27237 II  
 Gimmi F. 24749, 24753  
 Ginell R. 24241  
 Ginsburg D. 25598, 25599  
 Giovambattista N. 25782  
 Gittler F. L. 25070, 25254  
 Giulotto L. 24940  
 Gladrow E. W. 26183 II  
 Glasgow C. O. 27987 II  
 Glass A. L. 27848 II  
 Glättli H. 26062  
 Glaubert S. 27733 II  
 Glauert R. H. 25719  
 Gleason E. H. 25891  
 Gleichmann A. 26414  
 Glemser O. 25221  
 Gloyna E. F. 26530  
 Goayn F. M. 25246  
 Goddu R. F. 26016  
 Goldenberg N. 27135  
 Golding D. R. V. 26235 II  
 Goldman J. E. 24980  
 Goldschmidt S. 25753  
 Goldstein D. J. 26525  
 Goldstein L. 25018  
 Goldstein M. 26363  
 Goller S. 26431  
 Golubev A. J. 27382  
 Gomer R. 25303  
 Gömöry J. 26362  
 González A. G. 25768  
 Goodman J. J. 25728  
 Goodwin R. D. 27170 II  
 Gookins O. E. 27618  
 Gordon H. T. 25920  
 Gornowski E. J. 26623 II  
 Gottberg H. 27292  
 Götte H. 25969  
 Gottschalk E. 27472  
 Gozzini A. 26061  
 Grammaticakis P. 24822  
 Granet I. 27908  
 Grassmann W. 27716  
 Graulich W. 26899 II  
 Graupner W. 27494  
 Gravenor C. P. 25468  
 Graves E. R. 24742  
 Gray G. W. 25657  
 Gray J. H. 26390  
 Gray P. P. 27579  
 Grebinar H. L. 27284  
 Green C. V. 26326  
 Greenwald F. M. 27288  
 Greenwood F. L. 25544  
 Gregg S. J. 26312  
 Gregory C. H. 27113 II  
 Gregory J. T. 26761 II  
 Greig H. G. 27020 II  
 Greminger G. K. 26487 II  
 Grewe R. 25841  
 Griehl W. 25860  
 Griessbach R. 26708 II  
 Griffin J. 25215 II  
 Griffiths L. H. 27252 II  
 Grilly E. R. 25047  
 Grimme C. 27033  
 Grinten K. J. J. 27021 II  
 Grinten L. P. F. 27021 II  
 Grinten P. A. W. 27021 II  
 Grochulski J. 26418  
 Grollmisch H. 27691 II  
 Groskowski S. 25616  
 Gross B. 24732  
 Gross G. 26444  
 Grossman J. 25785  
 Grossmann-Doerth U. 25046  
 Grove J. D. 27256 II  
 Grubb W. T. 25170  
 Grubhofer N. 25319  
 Gruhn R. 27114 II  
 Grummitt O. 25558  
 Grunberg L. 24959  
 Grunewald G. R. 27988 II  
 Gruszczyński C. 27305  
 Gsänger H. 27571  
 Guedvileg M. 27107 II  
 Guagnini O. A. 26015  
 Guattrocchi S. J. 27378  
 Guérin H. 25181, 26441  
 Guha M. P. 25413  
 Guider J. M. 25761  
 Guillaumet L. 27541 II  
 Guillien R. 26106  
 Guise A. B. 28063 II  
 Gündel W. 26793 II  
 Gundry H. A. 26118  
 Gunstone E. D. 25828  
 Gunther E. P. 25584  
 Gupta D. R. 25318  
 Gupta J. 25367  
 Gupta M. P. 24901  
 Gut M. 25777  
 Gutiérrez L. C. 25050  
 Gutmann J. R. 25183  
 Guyer A. 27942  
 Guyer A. Jr 27942  
 H  
 Haber J. 27949  
 Habeshaw J. 26674  
 Habib Labib G. 25621  
 Hackerman N. 26111  
 Hadler H. I. 25773  
 Hadži D. 24845  
 Haecker G. 27372  
 Haefeli R. J. 27480  
 Haehnel W. 26683 II  
 Haeseler G. 27554  
 Häfliger F. 25706  
 Hagedorn M. 27223 II  
 Hagedorn P. 26985 II  
 Hahl R. G. 26218  
 Hahn G. 26760 II  
 Hahn R. B. 25931  
 Hahn W. 28023  
 Hahnemann H. W. 25284  
 Hahn-Weinheimer P. 26357  
 Haig D. R. P. 27387  
 Hainberger L. 26037  
 Haines A. L. 25844  
 Hájek B. 24713 K,  
 24724 K  
 Halbach K. 24790  
 Halbig P. 27197 II  
 Hale D. K. 25321  
 Halevi E. A. 25142  
 Hall A. J. 26847  
 Hall R. H. 25568, 26684 II  
 Hall R. S. 26429  
 Halleux A. 25136



- Halls E. E. 26272  
Halperin A. 24942  
Halsall T. G. 25761—  
25764, 25767  
Ham A. C. 25044  
Hamaguchi K. 25298  
Hammann K. 26753 II,  
27227 II  
Hamilton C. S. 25705  
Hammam W. C. 25533  
Hammer C. F. 25500  
Hampl B. 27631  
Hancock W. 26434  
Hanke A. R. 26819 II  
Hannaert H. 25136  
Hansen J. E. 27057  
Hansen K. 26229 II  
Hansgird F. J. 27837 II  
Hansgird J. M. 27837 II  
Hansley V. L. 26305 II  
Hanson W. J. 27026 II  
Happe W. 27496  
Happel J. 27875  
Hara T. 26976 II  
Harada K. 26959 II  
Harborne J. B. 25849,  
26036  
Hardy C. J. 25316  
Hardy E. M. 25647  
Harker P. 26415  
Harman D. 26700 II  
Harmon C. 27162 II  
Haroutounian E. 27323 II  
Harris G. M. 25410  
Harris R. H. 27569,  
27617  
Harrison D. L. 27637  
Harrison E. R. 26064  
Harrison L. 27179 II  
Harrord B. C. 27500  
Hart H. 25171  
Hart J. 25252  
Hart W. J. 26830 II  
Hartmann B. 24752  
Hartmann H. 24808  
Hartmann W. R. 27096  
Harukawa T. 25836  
Hasebe Y. 25570  
Hasenauer W. 25000 II  
Hashimoto C. 24827  
Haskins R. E. 26446  
Haslam E. 25838  
Hasler M. F. 26091  
Hassall C. H. 25834  
Hassler W. W. 26542  
Hatch L. F. 25563  
Hauffe J. 25180  
Haul R. A. W. 25311  
Hauptvogel H. 27653  
Hauser C. R. 25631  
Hauser O. 26498  
Haushofer H. 27586  
Havens C. B. 27242 II  
Havinga E. 24859  
Hawkes H. E. 25469  
Hawkins E. G. E. 26690 II  
Hawkins P. J. 25168  
Haworth A. K. 27183 II  
Haworth R. D. 25838  
Hayden R. J. 25428  
Hayes D. H. 25623  
Haynes S. K. 24755  
Heathcote J. G. 25917  
Hebermehl R. 27265  
Hedberg C. W. J. 27971 II  
Hedrik P. L. 27180 II  
Heer E. 24749, 24753  
Heer J. 25696  
Heideger W. J. 27880  
Heilmann G. 25976  
Helpern M. J. 27027 II  
Heinichen G. 26569  
Heinrich F. K. G. 27605 II  
Helsé L. W. 27753 II  
Heisel P. 27393 II  
Helsenberg E. 27177 II,  
27440 II  
Hejia A. 25938  
Helm G. 26360  
Helmholtz K. 27325 II  
Helson D. H. 27639  
Hempel H. 27107  
Henderson A. W. 26169  
Henecka H. 26788 II  
Henglein A. 25896  
Henkel J. H. 25066  
Henne H. 26189 II  
Henneberger F. 27844 II  
Hennig B. 26661 II  
Hennlon G. F. 25651  
Henrie J. O. 26453  
Hentrich W. 26770 II,  
27399 II, 27513 II  
Hentz R. R. 25223  
Hepp H. J. 27993 II  
Hepworth W. 26947 II  
Herak J. 25337  
Herglotz H. 26092  
Herrington E. F. G. 24842  
Herner A. 27809  
Herr W. 25438  
Herrbach P. 27450 II  
Herrick C. E. 27025 II  
Herrmann E. 27872  
Herrmann H. 26398  
Herrmann W. O. 26683 II  
Hers W. 25702  
Hershberg E. B. 25791  
Hertwig A. 26182  
Herzog H. L. 25791  
Herzog P. C. 27318 II  
Herzog R. 27084  
Hess G. P. 23823  
Hess H. V. 26641 II  
Hess K. 27413  
Heumann J. 26368  
Heuss R. 27573  
Hewel C. A. 25920  
Hey M. H. 25449  
Heyding R. D. 25090  
Heyn A. N. J. 25876  
Heyna J. 26712 II  
Heyns K. 26027  
Heywood B. J. 26707 II  
Hickinbottom W. J.  
25629  
Hidi P. 25177  
Hiedl H. 27881  
Hiet E. 26018  
Hientzsch H. 28022  
Hiester N. K. 26524  
High L. B. 25797  
Hill F. B. 27453 II,  
27454 II  
Hill J. B. 26903 II  
Hillis W. E. 27719  
Hillmann-Elles A. 25783  
Hills G. J. 25320  
Hinderer H. 27749 II  
Hinderwell F. B. 28000  
Hines R. A. 25500  
Hinkel W. P. 26987 II  
Hinshelwood C. 25163  
Hintenberger H. 25438  
Hintzmann K. 26229 II  
Hirschmann R. 25812  
Hirschmann R. F. 25793  
Hitchcock A. 24734  
Hitchings G. H. 26796 II  
Hlinka R. 26024  
Hlynka I. 25887  
Hobbs L. C. W. 26064  
Hochstein F. A. 25819  
Hodge E. B. 26973 II  
Hoefl F. 25898  
Hoerger P. D. 25749  
Hofbauer G. 26495 II  
Hoffman K. 25694—  
25697  
Hoffmann U. 27562  
Hofrichter C. H. 27435  
Hofsteede M. J. N. 27648  
Hogartz W. 27757  
Hogg W. H. 27184 II  
Holden J. S. 25410  
Holfelder E. 27636  
Holland D. O. 25701  
Holleman A. F. 25539  
Höllner H. 27399 II  
Holley C. E. 25078  
Holló J. 26115  
Holm J. M. 26231 II  
Holman R. F. 27474,  
27475  
Holmberg K. 27351  
Holmes A. 25429  
Holmes R. L. 27466  
Hölszky C. 25127  
Holt R. 27629  
Holtan H. 25257, 25258  
Holtschmidt H. 27434 II  
Holzmann H. 26162 II  
Hommel E. M. 26394  
Hönl H. 27276  
Hooge F. N. 24873  
Hoogenstraaten W. 24930  
Hoogschagen J. 27933  
Hoover S. R. 27699  
Hopff 27442 II  
Hopley M. 26905 II  
Hopper T. R. 27274  
Höppler A. 27507 II  
Höppler F. 27507 II  
Horback W. 27315 II  
Horeau A. 25673  
Hori F. 24881  
Horikoshi G. 27426  
Horn R. S. 26902 II  
Hornig D. F. 24843  
Horrigan R. 26533  
Horstmann D. 27796  
Horváth D. 25592  
Hosoya S. 27596 II  
Hostettler H. 27680  
Hotop W. 27896  
Hottel H. C. 27910  
Houser K. 27240 II  
Höcker G. 26998  
Howard H. C. 26553  
Howard K. L. 26791 II  
Huang K. 24997 K  
Huang R. L. 25664  
Huber E. J. 25078  
Hubert E. 27222 II  
Hubicki W. 25951  
Hudson J. C. 27807  
Hudy J. A. 26008  
Hugel E. 26045  
Huggins M. L. 26469 II  
Hughson G. D. 27384  
Hugon L. 24928  
Hull M. E. 27735 II  
Hulland H. L. 26291 II  
Hullings M. K. 24760  
Hulme A. C. 26012  
Hulme K. F. 24913  
Hulse R. E. 26305 II  
Humber L. G. 25798  
Hume G. W. 26399  
Hummel O. 26964 II  
Humphrey A. E. 27887  
Humphreys N. C. H.  
27080  
Hünchen E. 26861  
Hünlich H. W. 26314  
Hunt S. E. 25627  
Hunter E. 27124  
Hunter W. 26669 II  
Hupe R. 26638 II  
Huscher J. L. 27129  
Hutchison A. 26579 II  
Hutchison A. C. 26231 II  
Hutchison D. A. 25440  
Hutchison H. P. 25167  
Hüttel R. 27393 II  
Hütz W. 26953 II  
Hybler T. 26564  
Hynne P. H. 25085  
Ibail J. 26094  
Ibarz Aznares J. 25995,  
26043  
Ichikizaki I. 25570  
Idler D. R. 25781  
Idol J. D. 25601  
Iijima K. 27002  
Ikenoue T. 26493 II  
Ilver K. 26058  
Imai K. 25847  
Imamura M. 25217  
Imhof K. 27680  
Inghram M. G. 24813  
Ingold C. K. 24817  
Inhoffen H. H. 25815  
Inman J. K. 25682  
Inskeep G. C. 27502  
Ionescu C. N. 25616  
Irvin J. C. 24866  
Irving H. 25912-25914,  
25916  
Isačescu O. K. 27135  
Iselin B. 25820, 25821  
Isamura T. 25298  
Ishii H. 26957  
Ishikawa H. 25836  
Isken H. 26317  
Ito M. 26955  
Ito T. 26502 II  
Itterbeek A. 25065  
Ivanyl I. 27754  
Iwasaki S. 26883 II  
Iwayanagi S. 25886  
Iyer B. H. 27471  
Izatt R. M. 25412  
Izmailov N. A. 25104  
J  
Jackerott A. R. F. 26058  
Jackson H. L. 25620  
Jackson L. C. 25044  
Jacobs J. 24799  
Jacobsen I. V. 26909 II  
Jacobson R. 25079  
Jacques J. 25673  
Jacquinot P. 26070  
Jadot J. 25662  
Jaechel G. 26353  
Jaeger G. 26439  
Jaeschke A. 24681  
Jaffray J. 24928  
Jaforte A. 24862  
Jäger A. 26226 II  
Jakacki W. 27656  
Jalander Y. W. 26925  
Jambrich M. 27412  
James A. T. 25310  
James J. M. 27012  
James T. H. 25236  
Jamleson R. T. 25431  
Janacek P. 26253  
Jander J. 25381, 25382  
Janensch I. 27568  
Jänicke H. 27899  
Janik J. A. 24857  
Janoskova V. 25981  
Jansana L. 27788  
Jansch L. 24690  
Jansen L. 25010, 25029  
Japes D. H. 27859 II  
Jaray F. F. 27149  
Jareš V. 27755  
Jarmolowicz H. 25273  
Jaskolski S. 25456  
Jasper J. J. 25095  
Jausz E. 27871  
Jeffries T. O. 25294  
Jeger O. 25769  
Jelinek C. F. 27501  
Jelinek P. 25755  
Jenkins G. F. 26536  
Jenkins W. A. 25197  
Jenny E. F. 25517  
Jensch H. 26934 II  
Jensen W. 25831, 25832  
Jerrard H. G. 26084  
Jerslev E. 26915  
Jessup R. S. 25084  
Jevnik M. A. 25791  
Johansen H. A. 26169  
Johanson S. 27341  
Johns R. H. 25922  
Johnsen S. G. 26109  
Johnson A. W. 25516,  
25826  
Johnson E. A. 25952  
Johnson E. C. 27892  
Johnson E. F. 28024  
Johnson E. W. 26728 II

- Johnson G. A. 27888  
Johnson L. D. 26011  
Johnson M. 27753 II  
Johnson N. R. 24766  
Johnson W. 24883  
Johnson W. B. 26657 II  
Johnston F. 27244 II  
Joliet-Curie I. 24740  
Jones A. L. 25101,  
27990 II  
Jones B. 25657  
Jones E. P. 26646  
Jones E. R. H. 25761,  
25763, 25764, 23767  
Jones F. A. 27092  
Jones H. 24986  
Jones J. I. 25627  
Jones J. L. 26091  
Jones M. C. K. 26624 II  
Jones M. M. 24811  
Jonge A. P. 26041  
Jönsson Å. 25822  
Jorge M. P. 26040  
Jürgensen H. 27692 II  
Juday R. E. 25618  
Julg A. 24805  
Julia M. 25549  
Julia S. 25784  
Jüllcher W. 26911 II  
Junkes J. 26080  
Jurd L. 25848  
Jurečić A. 27371
- K**
- Kabčáček F. 26496  
Kadomtzeff I. 25327  
Kägl H. 25821  
Kahair 26102  
Kahler H. L. 27857 II  
Kaindl K. 25897  
Kainz G. 26003, 26009  
Kalschew R. 25264,  
25265  
Kaiser D. W. 26798  
Kaiser F. 27974 II  
Kaiser W. 24946  
Kalab D. 25923  
Kalojanoff A. 25689,  
25690  
Kalpers H. 26389  
Kaluszyner A. 25751  
Kamecki J. 25279  
Kamer J. H. 27621  
Kamlet J. 27330 II  
Kamokawa H. 26472 II  
Kaneke S. 25017  
Kantor S. W. 25170  
Kapella G. E. 27497  
Kappelmeyer C. P. A.  
27269  
Kapral A. M. 27600  
Kapuy E. 25177  
Karabinos J. V. 27497  
Karrantass S. 24863  
Karl A. 26577 II  
Karle I. L. 24870  
Karr N. 26871  
Kartaschoff V. 26774 II  
Kasanen A. 26509  
Kasturi T. R. 27471  
Katchalski E. 25827  
Katchalsky A. 25349,  
25351—25353  
Kath J. F. 25815  
Katona G. 26316  
Katritzky A. R. 25692  
Katz W. 27781, 27782,  
27794  
Käufer H. 25299  
Kaufman C. J. 25808  
Kaufman M. 27128  
Kaufmann H. P. 27472,  
27486  
Kaufmann W. 26158 II  
Kaupmann W. 26757 II  
Kautsky H. 25739  
Kawamichi K. 26699 II  
Kawasato H. 25298  
Keating H. P. 25128  
Keblich L. M. 26694  
Kedrov B. M. 24684  
Kedvessy G. 26918  
Keesom P. H. 25072  
Kell G. 25637  
Keirstead R. E. 26504  
Kelch C. 26027  
Keller H. 27646  
Keller K. 27220 II  
Keller O. 26804 II  
Keller W. D. 25466  
Kelley M. J. 26720 II  
Kemball C. 25196  
Kemp J. W. 26091  
Kempowa J. 27655  
Kendall C. E. 27100 II  
Kennedy G. F. 27916  
Kennedy G. L. 26557  
Kennedy R. M. 26732 II  
Kennewey H. J. 27260 II  
Kent P. W. 25225  
Kerber H. 25565  
Kereszty 26980 II  
Kerkhof F. 26348  
Kerli H. 26431  
Kern H. 25809  
Kern R. 26239 II  
Kesper H. U. 26900 II  
Kesseling B. 27601  
Ketelaar J. A. A. 24873  
Khanolkar V. R. 25779  
el-Kholy el Sayed 25675  
Klefer H. 26121  
Klenle R. H. 27332 II  
Klenzle P. 26825 II  
Klersch G. A. 25466  
Kihara T. 25017  
Kilander A. K. 27547 II  
Kimura K. 27188 II  
King E. G. 25071  
Kling J. A. 25711  
Kintof W. 26676 II  
Kirby J. E. 27238 II  
Kirchhof 25369  
Kirk J. E. 26109  
Kiser R. W. 25934  
Kisielow W. 26595  
Kite P. E. 27539 II  
Kittell W. 27985 II  
Kittleson A. R. 26784 II  
Kiyama R. 24871  
Kjellander B. 26205,  
26215  
Klas H. 27757  
Klasens H. A. 24933  
Klauser H. P. 27015 II  
Kleber W. 27562  
Klein G. 27792  
Kleine J. 27177  
Kleiner H. 27116 II  
Kleinerman Y. M. 25281  
Kleinert T. 27363  
Klett C. 26097  
Klier E. 24991  
Klimek J. W. 26220  
Kling 26840  
Kling A. 27169 II  
Kloepfer H. 27742 II  
Kloetzl M. C. 25772  
Klosa J. 25805  
Klungsbjörn M. 27652  
Kluwyer J. C. 25056  
Klyne W. 25771  
Knapp O. 26316  
Knecht C. I. 26303 II  
Knelp W. 26753 II  
Kneule F. 26607  
Knew E. 27702  
Knoblauch H. G. 24680  
Kobe K. A. 25075  
Koc S. 25304  
Koch J. 27635  
Koch P.-A. 27415  
Kochanovska A. 24889  
Koenig C. 27110  
Koenig C. J. 26436  
Koeppel H. H. 26997  
Kofstad P. 25180  
Köhler H. 26413  
Köhler W. 27822  
Kolzum M. 25217  
Kolb C. L. 26046  
Kolbe E. 26158 II  
Komarewsky V. I. 25206,  
25207  
Konlechner H. 27586  
Konozenko I. D. 24957  
Kontio P. 27701  
Kool J. 25132  
Kool C. M. H. 27535 II  
Kooymann E. C. 25512  
Kopp M. 25633  
Kofán V. 26543  
Korányi G. 26333  
Korn A. H. 27699  
Korte F. 25674  
Kortsch W. 27416  
Kosewska L. 27641  
Kössling K. 27446 II  
Kostovetki I. I. 26535  
Kotera Y. 24931  
Kotter L. 27642  
Koudela G. 26173  
Kovács K. 27761  
Kovárik M. 25945  
Kowal L. B. 26358  
Kramer B. 27408  
Kramer P. 24759  
Kramm D. E. 26046  
Krammer K. 27106 II  
Kränzlein G. 26712 II  
Krapacho J. 25630  
Krasner S. 24786  
Kratochvil J. 25338  
Kraus K. A. 25322  
Krause A. 25153  
Krc J. 24902  
Krebs H. 25368  
Kreig O. 26088 II  
Kreiss F. 25688  
Kreiter V. P. 25510  
Krems I. J. 25577  
Kreutzberg W. 26585 II  
Krishnamachari S. L.  
N. G. 24837  
Krishnamurti K. 25313  
Krochmal J. J. 26410  
Krogh-Moe J. 25258  
Kronman M. J. 25344  
Kroupa R. 27395 II  
Krug P. 26888 II,  
26901 II  
Kruse C. W. 26512  
Kruse H. 26508  
Kruse H. H. 24808  
Krzikalla H. 26777 II  
Kubelka V. 26543  
Kubik J. 25376  
Kubota H. 27308 II  
Kucsera G. 27650  
Kudo H. 26284 II  
Kudo K. 27349  
Kuhn H. 24807  
Kühn K. 26961 II  
Kuhn R. 25683  
Kulka M. 25617  
Kuloor N. R. 25096  
Kulp J. L. 25432, 25434  
Külz F. 26936 II  
Kumar S. 26340  
Kumberlin C. N. 26183 II  
Kumetka K. 27669  
Kummel P. 27418  
Kündig W. 24753  
Kunin R. 26993 II  
Küntzel A. 27700  
Kunugi T. 27346  
Kunzer W. 26188 II  
Kuraishi M. 25192  
Kuroda C. 25839, 25840  
Kuroda P. K. 25439,  
25478  
Kurth W. 27937  
Kurz P. F. 25173  
Kurzweil H. 26506  
Kushner S. 26795 II,  
26801 II  
Kusnerus J. L. 27373  
Küspert K. 26178 II  
Kutzelnigg A. 26299 II  
Kwestroo W. 24859  
Kynaston W. 24842
- L**
- Labat J. 26048  
Labeyrie J. 25362  
Lacey H. T. 26828 II  
Lachowicz S. K. 25105  
Laczowski M. 25347  
Lahlri A. 26565  
Lajner V. I. 26276 II  
Lalezari I. 27754  
Lamb J. C. 27760  
Lamb M. W. 27694 II  
Lamberton J. A. 25582  
Lamchen M. 25639  
Lamprecht F. 27616  
Landa S. 26534  
Landau E. F. 26823 II  
Landry A. S. 25281  
Lane A. M. 24735  
Lane C. T. 25296  
Lane E. S. 26905 II  
Lane R. W. 26518  
Langaas J. M. 26161 II  
Langbroek W. 27648  
Lange A. 27521  
Langford K. E. 26270  
Lanter J. 26849  
Lardon A. 25787  
La Rosa C. 25671  
Larramona H. 25552  
Larsen A. A. 26932 II  
Larson T. E. 26518  
Larson W. E. 26665 II  
Larsson K. E. 24771  
Latiu E. 26440  
Lauchner J. H. 26310  
Laughlin H. G. 26305 II  
Laughlin T. D. 27493  
Launer H. F. 26044  
Lauria F. 25707  
Lautenbach A. L. 27560  
Lauterbach H. 27803  
Lauters K. 27756  
Lauth H. 27258 II  
Lavigne J. B. 25813  
Lavit D. 25626, 25653,  
25655  
Lazar J. H. 26988 II  
Leach J. H. 27460 II  
Leachman R. B. 24762  
Leandri G. 24825, 25645,  
25646, 25648  
Le Berre A. 25669  
LeBlanc N. F. 26016  
Leboeuf M. B. 26060  
Lebrun A. 26105  
Lecher H. Z. 25647  
Lecompte P. 26688 II  
Le Cowalsier H. 27577  
Lederer M. 25919, 25954  
Le Dizet L. 25533  
Ledrut J. H. T. 27677 II  
Lechman G. F. 24939  
Le Fevre C. G. 24858  
Le Fevre R. J. W. 24858  
Lefkowitz I. 27938  
Leger E. E. 25300  
Le Goff P. 25195  
Legrand C. 25866  
Legros J. 25249  
Lehmann H. 26309  
Lehmann R. 27393 II  
Lehnert H. 27446 II  
Lehnert L. H. 26355,  
26356  
Lehnhäuser W. 26380  
Leider H. 25121  
Leininger R. K. 25990  
Leitch W. 27115 II  
Leithe F. 26599  
Leitner M. 25883  
Lejeune G. 25615  
Leleu 28014  
Lemlich R. 27902, 27903  
Lennox J. W. 27179 II  
Lens J. 26992 II  
Leppänen K. 26018  
Leroi E. 25581

- Le Roux M. 24714 K  
Lescroel Y. 26408  
Letort M. 25195  
Leva M. 27941  
Levi B. 27130  
Levi C. M. 24747  
Levi O. S. 26343  
Levin H. 26967 II  
Levinson C. A. 24737  
Levy G. B. 25861  
Levy J. 26720 II  
Levy R. 26005  
Levy S. L. 26652  
Lewis F. M. 27892  
Lewis H. W. 24754  
Lewis K. G. 27789  
Ley H. 27842 II  
Lhota M. 26359  
Libby W. F. 24768  
Liberhson L. 26450  
Licht W. 27945  
Lieben H. 24689  
Liebhafsky H. A. 25926  
Liebson S. H. 24936,  
24937  
Liehn W. 26438  
Lien A. P. 26735 II  
Lieshout R. 24745  
Lifermann S. 24721 K  
Lilberg S. 25774  
Li Kun 25504  
Lillenskiold M. 27524  
Lilly J. H. 26212  
Lin C. 27030  
Lindemann E. 27520  
Lindert A. W. 27870 II  
Lindgren B. O. 27351  
Lindgren V. V. 26705 II  
Lindner A. F. 27647  
Lindner F. 26961 II  
Lindsey A. S. 25627  
Lindstrom F. J. 25695  
Lindford A. 28032, 28033  
Linke R. 27167 II  
Linn C. B. 26731 II  
Lintner K. 24948  
Linz R. 25585  
Liquori A. M. 25856  
Liss Z. 27274  
Liteanu C. 25900  
Little E. A. 24967  
Little E. L. 27207 II  
Little K. 25225  
Litvan F. 26227 II  
Llopis J. 25268  
Locatell L. 25572  
Loeb L. 26841  
Loepfe E. 26062  
Löffler A. 25598  
Logemann W. 25707  
Lohman F. H. 25405  
Loiseleur J. 27841 II  
Lollar R. M. 27704, 27709  
Lomer T. R. 24903  
Lomartire J. 26764 II  
Long D. R. 26025  
Long L. H. 24814  
Long R. S. 26821 II  
Longini R. L. 27750 II  
Longo R. E. 25899  
Longwell J. 26510  
Lord R. C. 24874  
Lorenz O. 27074  
Lotze K. A. 26218  
Lotzenius 26254  
Loudon J. D. 25801  
Louis M. 26591  
Loukowsky S. A. 26828 II  
Lounamaa N. 25933  
Loury M. 25665  
Love P. P. 27178 II  
Love W. F. 24960  
Lovecy A. L. 25530  
Lovejoy D. R. 25054  
Lovett A. B. 27839 II  
Lowe C. E. 27212 II  
Lowe D. C. 25037  
Lowery A. J. 27930  
Lubbers D. 26074  
Lücke E. 26832 II  
Lucas H. J. 25682  
Lucas G. B. 25527  
Ludeker H. 27523  
Ludeker H. R. 27816  
Ludewig H. 27222 II,  
27433 II  
Lueg H. 26104  
Luft N. W. 24868, 24869  
Lugert J. J. 27259 II  
Luginbuhl C. B. 26730 II  
Lundberg W. O. 27288  
Lundsted L. G. 27209 II  
Lüpfer S. 25555  
Lüthi H. 27587, 27588  
Lynn G. E. 26537  
Lynn W. 27185 II  
Lyons J. 27673  
Lyons S. 27673
- M**
- Maca F. 28058  
McAdams W. H. 27965 K  
McBee E. T. 25600, 25601,  
25750  
McBride W. R. 25137  
McCaulay D. A. 26735 II  
McCauley R. F. 26527,  
26532  
McCloskey P. 25801  
McClymont D. R. 24975  
McColl J. 26446  
McCoskey R. E. 25084  
McCovern J. M. 27345  
McCrone W. C. 24902  
McCutcheon R. J. 27078  
McEwan W. S. 26117  
McGowan F. K. 24766  
McGrath H. G. 26640 II  
McGregor R. R. 27234 II  
McHarness R. C. 27922  
Machlan G. R. 25083  
Machliedt H. 25674  
McIntosh A. V. 26967 II  
McKay A. A. C. 25243,  
25244  
McKeand D. J. 27092 II  
McKeown G. G. 27683  
McKinley J. B. 26622 II  
McKinney R. S. 27466  
McLaughlin E. 25048  
McLean J. T. 26 977  
McMillan F. H. 25711  
McMullen E. H. 27511 II  
McNabb W. M. 26011  
McNeill R. 27943  
McQuarrie M. 26406  
McSweeney E. E. 27059  
Maeshiro O. 26890 II  
Magyar L. H. 27273  
Mahl 26840  
Mahmoud H. M. 24737  
Mahoney T. J. 26374  
Maier A. F. 27958  
Maier S. 26714 II  
Maloli L. 25648  
Mair B. J. 26126  
Mair R. D. 26008  
Maire G. 27189 II  
Mair-Waldburg H. 27681  
Maisey R. F. 25658  
Majumdar A. K. 25950  
Majumdar K. K. 26329  
Makita T. 25051  
Malenke E. 27580  
Malinowski J. 25265  
Malinowski S. 25656  
Mallett M. W. 24923  
Mally J. P. 27022 II  
Manassi V. 28021  
Mandel M. 25027  
Manegold E. 27369  
Manenc J. 24996 K  
Manfurt H. R. 25212 II  
Mann F. G. 25719  
Manning B. 25509  
Manoušek O. 25282  
Manowitz B. 26533  
Mantell R. M. 26662 II  
Manus C. 26089  
March N. H. 24801  
Marchand A. 24981  
Marcos de Lanuza J. 25253  
Marcu G. 25993  
Marcus R. A. 25141  
Marek J. 25088  
Margen P. H. 27916  
Mark H. F. 25859  
Markovic T. 27767  
Marks R. H. 25638  
Marra G. G. 27123  
Marras P. 27783  
Marsh N. H. 26163 II  
Marshall L. M. 26026  
Marshall W. J. 26863  
Marzak-Fleury A. 25583  
Martel J. 27419  
Martens C. R. 27317 II  
Martin A. J. P. 25310  
Martin F. 26004  
Martin J. J. 27125, 27922  
Martin R. H. 25660, 25661  
Martineghii G. B. 27469,  
27481  
Martone J. D. 26908 II  
Maruška J. 27427 K  
Marx A. 26568  
Marx L. 27478  
Marzin A. 27508 II  
Massey H. B. W. 24785  
Matell M. 25506  
Matera A. 26513  
Mathes K. N. 27233 II  
Mathieson A. M. L. 24906  
Matol H. J. 26139  
Matsuda H. 25280  
Matsuda N. 24965  
Matsukawa T. 26951 II  
Matt J. 25584  
Matthis A. R. 27140  
Mauri L. 27359  
Maurice P. 26221  
Maurice P. 27189 II  
Maxwell K. E. 26234 II  
Maxwell L. C. 26987 II  
Maxwell L. H. 26318  
May K. 26775 II  
May S. L. 26169  
Mayama S. 25847  
Mayer H. 28007  
Mayer-Oberplan M. 27585  
Mayhew R. L. 27501  
Mazur P. 25029  
Mazurov D. I. 27914  
Meacock S. C. R. 25167  
Meals W. S. 27460 II  
Meakins G. D. 25762,  
25767  
Meara M. L. 27467  
Mees C. K. 27006 II  
Meetham A. R. 26418  
Mehra S. R. 26448  
Mehta T. N. 27495  
Meijer F. A. 24859  
Meijst M. 26922  
Meili E. 28043 II  
Meinert N. 26471 II  
Meinhold W. 25387  
Meinzel J. 24916  
Meisner D. F. 27624  
Meissner C. R. 26142  
Meister M. 27731 II  
Mejac M. 25363 II  
Mejane J. 26649  
Mellon E. F. 27699  
Melvin H. 25728  
Mendelssohn 25043  
Mendizha A. 27765  
Mentzer C. 25691  
Mentzer C. 27693 II  
Menzies A. C. 26078  
Mercer D. 26548 II  
Mercler R. 26089  
Merian E. 26774 II  
Merle A. 27052 II  
Meriel P. 27316 II  
Merkel J. 26991 II  
Merlo L. 26851  
Mertel H. E. 25704  
Metayer M. 25628  
Metes L. 26440  
Metzel H. 26431  
Metzenberg R. L. 26031  
Mewada G. S. 25713  
Meyer J. A. 25874  
Meyer L. 25303  
Meyer R. J. 25386  
Meyers G. S. 26763 II  
Mezzalana G. 28019  
Michaeli I. 25352  
Miche R. 26193  
Michael F. 24844  
Michel A. 25390  
Michel J. M. 27844 II  
Michels A. 25049  
Michiels A. 26222  
Middelboe V. 24791  
Middleton F. M. 26052  
Mihalcu M. 27997  
Mikes J. 27136  
Mikhail R. S. 25301  
Miki T. 25836  
Mikusch J. D. 27287  
Milberger E. C. 27990 II  
Mileikowsky C. 26063  
Miles F. G. 27150  
Millard B. 25300  
Miller B. D. H. 27986 II  
Miller C. O. 26990 II,  
27830 II  
Miller C. B. 27744  
Miller G. B. 25095  
Miller H. I. 28056  
Miller I. R. 25349  
Miller R. 25812  
Miller R. 25793  
Miller R. D. 25334, 25335  
Miller R. R. 25399, 25401  
Miller W. T. 27172 II  
Mills D. R. 25300  
Mills R. L. 25047  
Mills R. W. 26952 II  
Millward W. H. 26257  
Milne J. N. 27431  
Milner I. 25955  
Milton C. 25459  
Milvio D. 26614  
Mina F. A. 27038  
Minacev H. M. 25176  
Mindler A. B. 26539  
Minomura S. 24871,  
24872, 24945  
Minor J. G. 27466  
Minty D. W. 27943  
Mitch R. T. 25704  
Mitchell H. K. 26031  
Mittra G. 25379  
Mittra S. K. 27705  
Miuken T. H. 27747 II  
Mizushima S. 25851  
Moch R. 24748  
Mock G. V. 25572  
Mockridge P. C. 27367  
Moe O. A. 26675 II  
Moehman R. E. 27373  
Moeller T. 25394  
Moergeli E. 26820 II  
Moffett R. B. 25522  
Möhler K. 27649  
Moisewitsch B. L. 24785  
Moir G. 27944  
Mölling H. A. 27955  
Molloy E. 28038 K  
Molt E. L. 26516  
Monerleff R. W. 27607  
Mongini L. 25220  
Monick J. A. 27989 II  
Monk R. J. 27570  
Monkman J. L. 26137  
Monrad C. C. 27880  
Montefredine A. 27470  
Montes A. L. 26056  
Mool J. 25193  
Moore D. G. 26392  
Morath R. J. 25641  
More A. R. 27117  
Morelle J. 27041  
Morello B. 26075  
Moreno Calvo J. 25312  
Moret-Bailly J. 24910  
Morgan C. S. 26689 II



- Mori T. 27002 II  
Morissette B. G. 26116  
Morize H. V. 27047 II  
Morren H. 25585, 26928 II  
Morrill A. W. 26218  
Morrill H. L. 26051  
Morrill V. 26771 II  
Morrison A. L. 25593  
Morrison A. R. 27737 II  
Morrison J. D. 25970  
Morse A. R. 27142  
Morse R. D. 27879  
Mościcki W. 25435  
Mosettig E. 25758  
Moss M. 26119  
Motte E. I. 27928  
Mottet A. 27339  
Motzfeldt K. 25091  
Mousseron M. 25501  
Moutach M. 25181  
Mouton-Dubosc R. 27574  
Moyer E. E. 26995  
Moyle C. L. 26230 II  
Mozingo R. 26803 II  
Muck O. H. 26635 II  
Mueller C. R. 24803  
Mueller J. I. 26396  
Mueller W. J. 27059  
Mühlbauer F. 26887 II  
Mukajama T. 25521  
Mukerjee S. K. 25677  
Mukherjee A. 25942  
Mukherji B. K. 25830, 27492  
Mulford R. N. R. 25106  
Müller A. 25555  
Müller B. 27759  
Müller E. 25384, 27937  
Müller E. W. 24951  
Müller F. H. 24695, 25297  
Müller G. E. 25396  
Müller L. W. 26859  
Müller W. 27218 II  
Müller-Brallitz E. 26296 II  
Munson T. R. 25079  
Münzel K. 26919  
Murdoch J. 25446  
Murphy H. W. 26984 II  
Murray H. C. 26966 II  
Murty N. L. 27471  
Musgrave B. 25294  
Mussard A. 27502  
Musulin B. 24810  
Mutafschiew B. 25264  
Muthana M. S. 25608  
Müthlein E. 27272  
Muxart R. 25060
- N**  
Nadler M. R. 26426  
Nagy D. E. 27727 II  
Nakahara A. 24877  
Nakahara S. 27538 II  
Nakaya I. 26772 II  
Naldrett S. N. 25372  
Nancollas G. H. 25102  
Narita K. 26718 II  
Nast R. 25398  
Natelson S. 26127  
Nath B. 24846  
Natta G. 25201  
Navarro-Beato J. 25253
- Naves Y. R. 27036, 27044  
Navidi M. H. 25248  
Nawara L. 27787  
Nayler J. H. C. 25701  
Neale A. E. T. 27090 II  
Nebesar R. J. 27851 II  
Nelson F. 25322  
Nelson H. R. 24923  
Nelson R. A. 25084  
Nes W. R. 25758  
Netherton L. E. 25974  
Neto C. C. 26013  
Neuyl L. 25562  
Neuwirth R. 25339  
Nevitt T. D. 25540  
Neuberger A. 25984  
Neugebauer H. E. J. 24974  
Neuhau A. 27246 II  
Neumann F. W. 27019 II  
Neumann H. 27040  
Neumann K. 27967 K  
Neuzil R. W. 26025  
Neveling F. J. 26637 II  
Neyew H. A. 26654 II  
Newkirk W. B. 27537 II  
Newman E. J. 25952  
Newnham J. L. M. 27092 II  
Nicholson K. C. 26489 II  
Nick P. 27558  
Nickels J. E. 26741 II  
Nickon A. 25802  
Niclaue M. 25149  
Nicolaysen V. B. 27356  
Nicolle J. 25535  
Niebergall W. 26160 II  
Nieke H. 24968  
Nieuwenhuis A. 25309  
Niewodniczański H. 24767  
Nihoil J. 25065  
Nijgh G. J. 24745  
Nithollon P. 24995 K  
Nitzsche M. 27523  
Nobile A. 25791  
Nobile C. O. 27589  
Noda T. 26328  
Noddack W. 25255  
Nolin B. 24874  
Noll W. 27231 II  
Nora V. 26288 II  
Norce V. 26289 II  
Nord A. A. 24849  
Nord H. 25157  
Norman D. P. 27404 II  
Notbey N. T. 25858  
Novak R. G. 25941  
Nowacki W. 24994 K  
Nowak A. 27338  
Nowakowski M. 28052  
Nowotny H. 24879  
Northcott R. P. 26626 II  
Norton C. L. 26490  
Nosdrew W. F. 25041  
Nowak P. 27109 II  
Nucic A. 27612  
Nussbaum R. H. 24745
- O**  
Oakley B. W. 25182
- Oblad A. G. 27747 II  
Oburger W. 27134  
Obrzut J. J. 27808  
Ochwat P. 26930 II  
Odzińska W. 27638  
Oehelcke C. R. M. 27141  
Oetting C. 27550 II  
Offe H. A. 26698 II  
Ohashi K. 27186 II  
Ohlhans A. 28059  
Ohmart L. M. 27039  
Ohta B. 26951 II  
Okajima M. 25839, 25840  
Okamoto F. 24962  
Okamoto H. 26955 II  
Okamura S. 27165 II  
Oku M. 26844  
Olczakowski W. 26519  
Oliver R. R. 26878 II  
Olmos A. W. 26116  
Olofsson B. 25308  
Olson A. R. 25169  
Olsson G. 27341  
Onisko W. 27336  
Ong Ping H. 24759  
Oosawa F. 25348  
Opechowski W. 24864  
Opfermann A. C. 26786 II  
Orazzo C. 26513  
Orchin M. 26736 II  
Osberg W. E. 24843  
Osborn R. K. 24741  
Osborne F. H. 27463 II  
Oser B. L. 27608  
O'Shea M. J. 27673  
Ost H. 26153  
Ostby P. 27478  
Osteryoung R. A. 25293 II  
Osthoff R. 25170  
Ostrow B. D. 26297 II  
Ostrowski W. 26692 II  
O'Sullivan D. G. 25140  
Oswald H. 27433 II  
Othmer D. F. 26652  
Ott H. 26785 II  
Ozawa K. 24871
- P**  
Pacheco H. 25691  
Paci 27661  
Pack P. C. 27466  
Packman D. F. 27763  
Paget H. P. D. 27008 II  
Pahl A. 27843 II  
Pajala K. K. 27662  
Palecek E. 25923  
Palit S. R. 25961, 27355  
Pallard H. 25165  
Pallotti M. 25646  
Palm W. E. 27057  
Palmer G. H. 26112, 26639 II  
Palmer R. T. 27972 II  
Palmquist P. V. 27256 II  
Palusinski A. 28052  
Pankey J. W. 26518  
Pankhurst K. G. A. 27698  
Panse T. B. 25779  
Pansing W. F. 27945  
Pant L. M. 24938
- Papa D. 26939 II  
Papasogli E. 24712 K  
Papineau L. 24747  
Papp C. A. 24923  
Papp S. 27786  
Paquette G. 24865  
Parker F. G. 26553  
Parker M. E. 27828 K  
Parker S. G. 25197  
Paruccini C. 28048  
Passaglia E. 24960  
Passerini R. 24818  
Passino H. J. 26662 II  
Patel S. R. 25713  
Patrick T. 26240 II  
Petrovsky V. 25983  
Patt R. F. 26902 II  
Pauk F. 24722 K  
Paulevé J. 26087  
Paulson C. F. 26539  
Pawlikowski T. 27787  
Paxton R. R. 26138  
Payne C. C. 25791  
Payne J. W. 26920  
Pearlman N. 25072  
Pease R. S. 24976  
Peaslee D. C. 24736  
Pechan Z. 25923  
Pedlow G. W. 27019 II  
Peebles G. H. 24772  
Pelch M. A. 27867 II  
Peixot Cabral J. M. 25969  
Pekar W. 27427  
Pellinen H. 27950  
Pellon J. J. 25891  
Peltola E. 27682  
Pénau H. 26022  
Penn F. H. 27690 II  
Pennisi A. 27667  
Penselin S. 26082  
Pepin Lehalleur J. 27483  
Peradejordi F. 24804  
Perakis N. 24863  
Percheron M. 24714 K  
Pereira Forjaz 24856  
Perez Roura N. E. 25975, 26044  
Perli W. 24789  
Perlia X. 26921  
Perlman P. L. 25791  
Permut A. 27277  
Peronne G. 26107  
Perrin F. 24761  
Perry J. W. 26083  
Perry R. H. 25563  
Perzyna J. O. 25949  
Pestell L. 24832, 24834  
Pestell P. 24832 — 24835  
Peters H. 27077  
Petersen Q. R. 25775  
Peterson D. H. 26966 II  
Peterson M. M. 26474 II  
Pettheo A. 25076  
Petitcolas P. 26816 II  
Petri H. 26716 II  
Petrie W. 27720  
Petri J. 24713 K, 24719 K, 24724 K  
Pezarro-Van Brussel E. 27087  
Pfeiffer H. 26437
- Pfeiffer H. G. 25926  
Pflitzner H. 26887 II  
Pflaum R. T. 25400  
Phelps G. W. 26412  
Phibbs M. K. 25871  
Philip J. R. 24920  
Phillips H. 27004 II  
Phillips P. C. 25767  
Phillips R. C. 26524  
Pickett L. W. 24820, 24821  
Pidacks C. 26981 II  
Pierce F. J. 27988 II  
Pierce O. R. 25750  
Pierini R. 25486  
Pietsch H. 26681 II  
Pignocco A. J. 26126  
Pikler A. 27412  
Pillon D. 25678  
Pinder A. R. 25619  
Pinner R. 26251  
Pinner W. L. 27824  
Pino P. 25545  
Pinter T. 25011  
Piontelli R. 25262  
Plotrowicz M. 27787  
Piscalnikow I. 25168  
Pitman H. W. 26122  
Pittl O. 24725 K  
Pitzer E. C. 26292 II  
Platt J. R. 24795  
Platzer N. 27144  
Plauth E. 27992 II  
Plein E. M. 25634  
Pietka J. 24727 K  
Plieninger H. 25693  
Poggi R. 26916  
Pohl W. 27815  
Pokorny J. 27299  
Polderman J. 26992 II  
Polgar N. 25576  
Pollister B. H. 26038  
Pollard F. H. 25316  
Polly O. L. 27213 II  
Pomezny J. 24727 K  
Pond R. L. 26138  
Pontier J. 26088  
Pople J. A. 25025, 25026  
Popli S. P. 25837  
Popp B. 26692 II  
Poppa H. 26345  
Popper C. 26280 II  
Porter F. W. B. 26626 II  
Porter H. F. 27895  
Porter J. T. 25288 II  
Porter R. F. 24812, 24813  
Poser G. 27017 II, 27018 II  
Posnansky K. W. 27327 II  
Potter H. L. 26848  
Potts W. M. 27474  
Poulet H. 24941  
Powers T. J. 26537  
Pradon A. 26866  
Prager S. 25023  
Prah G. 27633  
Pramuk F. S. 27930  
Prasad S. N. 26340  
Prater N. H. 27961  
Prati A. 26248  
Prati G. 25862  
Pratt L. S. 27282

Preckshot G. W. 26120  
 Prevost C. 25569  
 Prey V. 25755, 25756  
 Pribyl E. J. 25630  
 Pribyl J. 27299  
 Price D. 27790  
 Price P. H. 27904  
 Price W. C. 26603  
 Priester P. 27855 II  
 Prodinger W. 26039  
 Proszta G. 27632  
 Proszta J. 25333  
 Pugh W. 25638  
 Puke S. M. 25401  
 Pullman B. 24805  
 Pümmel W. 27832 II  
 Pundsack F. L. 25336  
 Putnam R. T. 26269

**Q**

Quaadvlieg M. 26910 II  
 Quaglia S. A. 27473  
 Quynn R. G. 25854

**R**

Raamsdonk G. W. 27056  
 Raciszewski Z. M. 25814  
 Radecke F. 27804  
 Radhakrishna M. C. 25971  
 Radhakrishnan K. L. 25594  
 Radicati L. A. 24735  
 Radu M. 25991  
 Radvanyi P. 24746  
 Radecke B. 27726 II  
 Rai C. 25597  
 Ralea R. 25991  
 Rall H. T. 26590  
 Ramamurthy S. 25375  
 Randall R. L. 27085  
 Rankama K. 25437  
 Rapi G. 25315  
 Rappen L. 26568  
 Rasche W. 26188 II  
 Rasmussen E. 24791  
 Rassow B. 26153 K  
 Rastogi R. P. 25064  
 Rath F. W. 25559  
 Ratsch K. 26189 II  
 Raub E. 27771  
 Rausch W. 27820  
 Rautenstrauch C. 27442 II  
 Ray B. R. 25330  
 Ray K. 25901  
 Ray N. 25403  
 Ray N. H. 26660 II, 27168 II  
 Razdan R. K. 25760  
 Razouk R. I. 25301  
 Reck D. 25246  
 Reddell G. 26810 II  
 Redden F. 27211 II  
 Regna P. P. 25819  
 Rognier J. 24800  
 Rehage G. 25103  
 Reich H. 25776  
 Reichstein T. 25787  
 Reid T. L. 25528  
 Reid V. W. 26019, 26032, 26035  
 Reilly C. N. 25922  
 Rein H. 27441 II, 27442 II, 27444 II  
 Reinefeld E. 27533  
 Reininger H. 27791  
 Reinwald O. 26300 II  
 Reith J. F. 27648  
 Reithmayr L. 25687  
 Rekker R. 24823  
 Remers W. A. 25498  
 Remmert L. M. F. 26208  
 Remy H. 25418 K  
 Renault J. 25581  
 Rengshausen R. 27791  
 Rentschler H. 27594 II  
 Reppe W. 26670 II, 26693 II  
 Rešetnjak J. 26559  
 Resnick H. 27932  
 Resnick J. D. 25934  
 Reuter S. 25751  
 Reynolds M. B. 25055  
 Ribas-Marqués I. 27029  
 Ribereau-Gayon J. 27592  
 Richard A. 26816 II  
 Richards B. L. 26235 II  
 Richards E. T. 26262  
 Richards P. 26533  
 Richardson P. D. 25086  
 Richardson R. D. 28044 II  
 Richardson W. S. 25853  
 Richarz W. 27942  
 Richez A. 26576 II  
 Richter F. 25539  
 Richter H. J. 27174 II  
 Richter K. 26608  
 Richtzenhain H. 27351, 27352  
 Rick A. W. 27810  
 Rideal E. K. 25206, 25207  
 Ried W. 25637  
 Riegelmayr P. 27333  
 Riemann W. 25928  
 Rigamonti R. 27286  
 Rigaudy J. 25663  
 Rigg M. W. 25158  
 Riggs N. V. 25799  
 Riley A. V. 26912 II  
 Ringström E. 27411  
 Rinn H. W. 24892  
 Rinne P. 25831, 25832  
 Ripan R. 25993  
 Ritter F. 27817  
 Ritter L. 26971 II  
 Ritter W. 27663  
 Riva-Lahousse A. 27856 II  
 Rivière R. 26093  
 Roberts C. W. 25601  
 Roberts E. A. H. 25843  
 Roberts J. D. 25517  
 Roberts J. J. 25644  
 Roberts R. 26663 II  
 Robertson N. C. 26689 II  
 Robichaux R. P. 26913 II  
 Robin P. H. 27252 II  
 Robinson P. L. 25377  
 Robinson R. 25692  
 Robson L. W. 27278  
 Röck H. 25097  
 Roddy W. T. 27709  
 Rodgers C. 27295

Rodier G. 25189  
 Rodier M. G. 25189  
 Roe R. 26816 II  
 Roemer J. J. 26798 II  
 Roesner G. 27842 II  
 Rogers E. F. 26232 II  
 Rohde K. 26953 II  
 Rohleder J. 24952  
 Rohmer R. 24918  
 Roman J. 26067  
 Romani B. 27487  
 Rooda R. W. 25508  
 Rose A. J. 24888  
 Rose G. R. F. 26872  
 Rose K. 26267  
 Rose M. E. 24741  
 Rosen A. A. 26052  
 Rosenblatt D. H. 26024  
 Rosendahl F. 26561  
 Rosenfelder W. J. 25599  
 Rosenkrantz H. 25777  
 Rosenkranz G. 25786  
 Rosenqvist T. 25085  
 Rosenwald R. H. 26656 II  
 Roser E. J. 26269  
 Rosier S. 27565  
 Ross I. G. 24818  
 Ross M. 27943, 27944  
 Ross S. 25355  
 Ross W. C. J. 24826, 25644  
 Rossini F. D. 25504, 26126  
 Rossotti F. J. C. 25912—25914, 25916  
 Rossom J. J. 27893  
 Rötger H. 26347  
 Rothe W. 26371  
 Rothfus R. R. 27880  
 Rothwell R. J. 27328 II  
 Rounds G. L. 26139  
 Roussel J. 25662  
 Rowe M. H. 26848  
 Rowland F. S. 24768  
 Royer R. 25613  
 Rubin L. C. 26640 II  
 Ruckenstein E. 27909  
 Rucker J. T. 26739 II  
 Rückwardt G. 27623  
 Rudel H. W. 26228 II  
 Ruebsamen W. C. 25169  
 Ruedenberg K. 24797  
 Rüetschli R. 24753  
 Ruff A. 25790  
 Ruffner L. J. 26405  
 Ruggieri P. 25788, 25789  
 Ruh R. P. 26668 II  
 Rulfs C. L. 25386  
 Rumpf H. 27974 II  
 Rumpf P. 25672  
 Runnels R. 25447  
 Ruppert A. 27576  
 Russell G. L. 27819  
 Russell R. D. 25427  
 Russell W. S. 27840 II  
 Rust F. F. 25556  
 Rutledge G. P. 25507  
 Ružička J. 26422  
 Ryznar J. W. 27867 II

**S**

Săbău I. 27778

Sabo E. F. 25792, 257  
 Sacklin J. A. 26208  
 Sackman J. F. 24814  
 Saez R. 25640  
 Saghelyi L. 26335  
 Sahasrabudhey R. H. 25594  
 Salas E. 26022  
 Saito S. 25350, 25873  
 Saito S. 27200 II  
 Sajo I. 25980  
 Sakai W. 25323  
 Sakaki K. 26702 II  
 Sakaki T. 25324  
 Sakornbut S. S. 26051  
 Saksena B. D. 24938  
 Salić V. 27602 II  
 Salmon D. G. 26032, 26035  
 Salomaa P. 25525  
 Salomon G. 27087  
 Salpeter E. W. 26080  
 Salvin V. S. 26823 II, 26830 II  
 Samuel A. A. 27175 II  
 Sandberg R. A. 27981 II  
 Sanders H. L. 27516 II  
 Sandri G. 25482  
 Sandstedt R. M. 27625  
 Sangster R. C. 25295  
 Sansam W. 26575 II  
 Saracini C. 25703  
 Saret L. H. 25793  
 Sarma B. 25367  
 Sassenberg W. 25554  
 Sassi C. 28048  
 Sastri M. N. 25971  
 Sastri M. V. C. 25194  
 Sasvari I. 27509 II  
 Sato D. 26957 II  
 Sato H. 26895 II  
 Satterfield C. N. 27932  
 Sauer C. W. 25579  
 Saxon D. S. 24738  
 Schrolli P. L. 26867  
 Scalera M. 26782 II  
 Scandela J. E. A. 27050 II  
 Schade H. 27644  
 Schaefermeyer W. C. 26054  
 Schaeffer W. D. 27063  
 Schäfer H. 25092  
 Schäfer W. 27153  
 Schafer W. D. 24762  
 Schaffer G. H. 27979 II  
 Schallamach A. 25880, 25881  
 Schamberger K. 27559  
 Schamp H. W. 25049  
 Scharfenberger A. 26188 II  
 Schauenstein E. 25855  
 Schaumburg L. 27625  
 Schay G. 25076  
 Schedl H. P. 26766 II  
 Schee A. C. 27087  
 Scheel L. D. 28046  
 Scheele W. 27074  
 Schelbe G. 25299  
 Schellinski S. 26419  
 Scherer O. 26716 II  
 Scherr C. W. 24794, 24796  
 Scherrer P. 24740  
 Scheurer H. 26239 II  
 Schieber W. 27445 II  
 Schiff B. 24986  
 Schildknecht C. E. 26648  
 Schillbeher H. A. 25429  
 Schilling C. J. 26501 II  
 Schilling H. 24950  
 Schindler A. 25894  
 Schindler K. 27708  
 Schindler W. 25706  
 Schippa G. 24896  
 Schirm E. 26770 II  
 Schlack P. 27225 II, 27236 II  
 Schleicher A. 25930 K  
 Schleith L. 25319  
 Schlenk W. 24876  
 Schleppinghoff B. 24844  
 Schlessinger R. L. 27103 II  
 Schlier R. E. 25305  
 Schlosser H. 27528  
 Schmeckenbecher A. D. 26171 II  
 Schmid E. 24948  
 Schmid G. 27798  
 Schmidling W. 27555  
 Schmidt F. 26322  
 Schmidt H. 27042  
 Schmidt M. P. 27017 II  
 Schmidt P. 24970  
 Schmidt W. 27369  
 Schmiedel L. 27542 II  
 Schmitz O. 27109 II  
 Schmitz-Hillebrecht E. 27223 II  
 Schneider A. 26732 II  
 Schneider P. 27107 II  
 Schneider R. 26915, 27561  
 Schneider R. F. 24852  
 Schneider W. C. 25505  
 Schneider W. G. 25009  
 Schniedermann J. 27262 II  
 Schöberl A. 26954  
 Schoepf C. 26936 II  
 Schöller F. 26903  
 Schönberg E. 27347  
 Schönborg C. 26661 II  
 Schönland B. F. J. 25431  
 Schöpf C. 26937 II  
 Schramke E. 26308  
 Schramm C. H. 26710 II  
 Schreiner G. D. L. 25431  
 Schroeder C. W. 27203 II  
 Schubert B. G. 25796  
 Schubert F. 26181 II  
 Schuhl C. 24765  
 Schülle K. G. 26546 II  
 Schulte E. 27318 II  
 Schulte K. E. 26033  
 Schultheis W. 26714 II  
 Schultheis W. E. 27603 II  
 Schulz G. V. 26128  
 Schulz K. 24963  
 Schulz W. 25803  
 Schumacher H. J. 25148  
 Schumacher W. 26712 II  
 Schurz J. 26131  
 Schütz L. 26788 II

- Schwabe K. 25266  
Schwechten H. W. 26824 II  
Schwenk E. 26939 II  
Schwiete H. E. 25360  
Schwyzer R. 25820, 25821  
Schofield P. 27288  
Scott G. M. 27617  
Scott M. L. 27609  
Scriban R. 27557, 27567  
Scrivens D. B. 27385  
Seaman S. E. 27447  
Sears G. W. 24915  
Sebaoun W. 24765  
Seel F. 25384  
Seeler T. 27658  
Seelliger R. 26348  
Segnit E. R. 25448  
Seidman L. 27670  
Seifert A. 26605  
Seifert H. 26933 II  
Seifert K. 27966  
Seifert R. 26431  
Seikel M. K. 25844  
Seitz F. 24926  
Seiyama T. 25323  
Sekine T. 24931  
Sela M. 25827  
Sell H. S. 27078  
Segal L. 26841  
Sen B. N. 25901  
Sen K. 25571  
Senarclens G. 27752 II  
Senders J. 25661  
Senkus M. 26970 II  
Seppälä E. 27682  
Serchi G. 26916  
Serlo C. 25487  
Serper H. 25616  
Servigne M. 25562  
Seshadri T. R. 25677, 25680, 25681  
Sethi M. L. 26321  
Sette D. 25126  
Sewell D. B. 27978 II  
Sexton A. R. 26721 II  
Seyhan M. 25404  
Seymour S. L. 26470 II  
Shah D. N. 25676  
Shah D. M. 25676, 25713  
Shaki M. 24991  
Sharma V. N. 25846  
Sharn C. 27902  
Sharp F. L. 26236 II  
Shavit N. 25351  
Shaw C. S. 25407  
Shaw D. M. 25471  
Shaw G. 25716  
Shaw R. E. 27805  
Shaw W. G. 27704  
Shearer N. H. 27205 II  
Sheehan J. C. 25823, 26803 II  
Sheline R. K. 24766  
Shell J. W. 24907  
Shelton R. S. 26941 II  
Sheridan W. F. 25219  
Sherwood P. W. 26597  
Sheusunoff V. 27833 II  
Shillibeer H. A. 25427  
Shimanouchi T. 25851  
Shimizu I. 26844  
Shinoda K. 25345, 25346  
Shionoya S. 24932  
Shlichta P. 25682  
Shoenberg D. 24988  
Shokal E. C. 26654 II, 27203 II  
Shopee C. W. 25790  
Shrader R. F. 26134  
Shriner R. L. 25559  
Shufler S. L. 24840, 24841  
Shull C. G. 26065  
Shunk C. H. 25813  
Shurgan J. 25241  
Sibert M. E. 26184 II, 26275  
Sicho V. 27631  
Sicre J. E. 25148  
Siddhanta S. K. 25413  
Sidman J. W. 24819  
Siebel H. P. 25739  
Sieg L. 25097  
Siegfried B. 26915  
Siegmond H. 26325  
Siemes W. 27877  
Sikchi K. G. 27880  
Silberelsen K. 27556  
Silsby C. C. 26287 II  
Silva E. 26013  
Silverman L. 27888  
Silvernail L. H. 26487 II  
Simmons D. A. 25252  
Simms C. H. 26481 II  
Simo B. 25978  
Simon F. E. 24927  
Simon G. 26918  
Simon W. 27992 II, 28028  
Simons P. 27231 II  
Simons W. H. 26273  
Simonsen D. R. 27239 II  
Simonyi F. 27082  
Simorda J. 27911  
Simpson N. H. 26111  
Singewald A. 26177 II  
Singh B. 25909  
Singh M. 26452  
Singh R. 25589  
Singh R. P. 25391  
Sipek L. 24727 K  
Sirtl E. 25398  
Sittig M. 26647  
Skark L. 27395 II  
Skinner J. 26078  
Skita A. 26757 II  
Skramlik E. 27630  
Slayter G. 26480 II  
Slevogt K. 27649  
Slipecevlch C. M. 25343  
Sloan C. K. 27011  
Sloane P. J. 26250  
Sluysman L. A. A. E. 25824  
Smallman R. E. 26098  
Smedslund T. H. 26503 II  
Smets G. 25895  
Smialowski M. 25273  
Smirous K. 25374  
Smith A. Q. 26409  
Smith B. 28046  
Smith C. C. 26144  
Smith C. S. 26752 II  
Smith D. 27904  
Smith D. K. 25600  
Smith E. A. 27773  
Smith E. S. 26054  
Smith G. B. 27320  
Smith G. F. 25911  
Smith H. 25619  
Smith H. G. 26631 II, 26642 II  
Smith H. M. 26590  
Smith J. F. 24925  
Smith J. M. 25715  
Smith M. L. 26281 II  
Smith N. H. 25752  
Smith R. N. 25193  
Smith T. H. 27357  
Smith V. K. 26795 II  
Smith V. N. 26071  
Smith W. R. 27063  
Smith W. T. 25507  
Smitt H. 27860  
Smolčić-Zerđik Z. 27263  
Smulkowski J. 26042  
Smyth H. T. 26376  
Smyth I. F. B. 25518  
Snow G. A. 25811  
Snyder H. H. 27202 II  
Sobolev I. 25874  
Sobue H. 27365  
Sohn E. G. 25638  
Soleilhavoup I. 26441  
Soliman G. 25675  
Solomons I. A. 25818  
Solti M. 27823  
Somasekar Rao A. 25608  
Somayajulu G. R. 25961  
Somers F. C. 28031  
Sommar H. G. 26884 II  
Sommer A. H. 26108  
Sommer F. 25756  
Sondermann K. 27984 K  
Sondern C. W. 26800 II  
Sondheimer F. 25816  
Sonntag N. O. V. 25577  
Sood K. C. 25909  
Šorm F. 24723 K  
Sosnovsky H. M. C. 25187  
Sotornik V. 24722 K  
Souček J. 24717 K  
Sowler P. F. C. 27453 II, 27454 II  
Spacek L. 25373  
Spähn H. 27798  
Spain R. W. 26365, 26373  
Speck J. C. 26023  
Speke R. W. 26863  
Spencer E. Y. 25814  
Spencer K. 27433 II  
Sper I. 25165  
Sperati C. A. 25852  
Sperber N. 26939 II  
Spero G. B. 26967 II  
Speth K. 26384  
Spies L. 26708 II  
Spilth F. 25169  
Spillmann M. 25694  
Spitsbergen U. 25090  
Spittler A. W. 26920  
Spoon W. 26210  
Sprague J. M. 26531  
Springer L. 26354  
Spurgat E. 27512 II  
Srivastava B. N. 25064  
Sroka K. H. 28045  
Stackelberg M. 25387—25389  
Stacy G. W. 25641  
Stadler P. 27716  
Stage H. 27937  
Štajduhar-Durič Z. 28047  
Stalinsky E. 27061  
Stander R. L. 27103 II  
Stanley L. 26754 II  
Stanners J. F. 27807  
Stannett V. 25874  
Starbird E. E. 26981 II  
Starkweather H. W. 25852  
Staub H. H. 24769  
Staubitz C. 27324 II  
Staudinger H. 25850  
Staudinger H. 25932  
Steele R. 25854  
Steenberg K. B. 27402 II  
Steiger N. 26804 II  
Stein G. 26334  
Stein H. 26691 II  
Stein J. 27680  
Stein R. S. 25878  
Steinberg M. A. 26275  
Steinbrink H. 26685 II  
Steiner A. 24897  
Steiner M. 27257 II  
Steinitz R. 26397  
Stempel G. 27896  
Stehn J. R. 24764  
Stenger W. 27842 II  
Stenius A. 26077  
Stephen A. M. 25639  
Stephen M. J. 25163  
Stephens R. 24847  
Stern E. S. 25568, 26684 II  
Stern H. 26860  
Stern J. N. 27628  
Stern M. D. 25344  
Sternberg H. W. 24840, 24841  
Steucl A. 26082  
Steven E. 27583  
Stewart A. T. 25631  
Stewart D. T. 24787  
Stewart W. D. 26233 II, 26242 II  
Stidham H. D. 24874  
Štimel J. 26362  
Stirtz T. 27700  
Stock J. T. 26146  
Stoeck G. 26691 II  
Stoffels H. 27852 II  
Stoklosa M. J. 27039  
Stoll P. 26062  
Stoll W. 26227 II  
Stone G. 24784  
Stone I. 27578  
Storegraven H. 25112  
Storp C. B. 26033  
Stranks D. R. 25150  
Stratta R. 27715  
Strauch K. 24744  
Streck C. 26894  
Strebel A. 26921  
Streeter D. J. 25870  
Streit A. 27580  
Strell M. 26545 K  
Strell M. 25687—25690  
Stremoussow 25041  
Strnad E. 25564  
Strubbe H. 25585  
Stuart A. V. 24802  
Stuart D. A. 26375  
Stubblefield C. T. 25083  
Stühmer W. 26757 II  
Stulla-Götz J. 24731  
Stumpff G. 27154  
Sturdy G. E. 25106  
Sturm W. 25380  
Sturm W. 27681  
Such T. E. 26261  
Sugimoto K. 26165  
Sugowdz G. 25716  
Suhmann R. 24663  
Sulkin N. I. 25176  
Sulta T. 24966  
Šulcek Z. 25983  
Sullivan W. J. 25618  
Sumi M. 25836  
Sumner J. D. 27108 II  
Sun K. H. 25062  
Sunderasan M. 25935  
Sun Kuan-Han 26467 II, 26469 II  
Sury E. 25695—25697  
Surzur J. M. 25549  
Sūs O. 27017 II  
Susano C. D. 26143  
Süster A. 27718  
Sutherland D. G. 27946  
Sutton L. E. 24855  
Švasta J. 25983  
Svejda H. 26079  
Svenska R. A. B. 27459 II  
Svoboda O. 26039  
Swain C. G. 25519  
Swallow J. E. L. 27940  
Swami P. D. 26321  
Swan J. M. 25825  
Swanson V. E. 25450  
Swayne R. E. H. 25762, 25763  
Sweeney W. T. 25395  
Swick D. A. 24870  
Swineford A. 25447  
Swinton E. A. 27943  
Sy M. 25615  
Sydow E. 25129  
Sydow R. 27745 II  
Sylvest K. J. 27995 II  
Sykut K. 25972  
Szabo J. 25722  
Szarvasi E. 25562  
Szekeřeslász 24718 K  
Széplaky M. 27482  
Szeslich L. 26638 II  
Szucki B. 25959  
Szwarc M. 25874, 25880  
  
T  
Tabet G. E. 26758 II  
Tachon 26102  
Tadros W. 25635  
Takamatsu T. 24904  
Takanaka J. 25179  
Takano S. 27176  
Takeda C. 26799 II



- Talbot R. H. 27000 II  
Tammilinen V. 26018  
Tampier H. 25640  
Tanabe K. 26889 II,  
26891 II  
Tanaka Y. G. 25817  
Tanlewski M. 25857  
Tanner H. 27594 II  
Taquet A. 25354  
Tarte P. 24824  
Taube H. 25408  
Taube K. 27116 II  
Täufel K. 27606  
Taylor E. H. 25061  
Taylor J. 26231 II  
Taylor W. I. 25798  
Teasel C. C. 26491 II  
Teates T. 25131  
Tebboth J. A. 26682 II  
Teczotzy M. 25394  
Teeters W. O. 26662 II  
Te-Grotenhuis T. A.  
27102 II  
Teltz H. P. 25712  
Terhune H. D. 26848  
Terrall E. C. R. 27728 II  
Terriere L. C. 26208  
Teufel K. 26494 II  
Tewes H. A. 24770  
Tezak B. 25337, 25338  
Thatcher F. S. 26977 II  
Thépin G. 27081  
Thews G. 26074  
Thieme J. G. 27485,  
27486  
Thilo F. 26753 II  
Thinius K. 27861  
Thomas A. 26420  
Thomas E. I. 28026  
Thomas G. H. 25769,  
25785  
Thomas W. M. 25891,  
27199 II  
Thompson C. J. 26590  
Thompson D. 27946  
Thompson H. D. 25844  
Thompson A. G. 27620  
Thomson J. L. 27683  
Thoor T. J. W. 25738  
Thornes L. S. 26674  
Thorsen V. 24782  
Thuau U. J. 27697  
Thurmon F. M. 26993 II  
Tiede R. L. 26336  
Tietz T. 24781  
Tilford C. H. 26941 II  
Timell T. E. 25868,  
25869, 27353, 27360  
Tishler M. 25793, 26803 II  
Titus W. F. 24744  
Tjepkema J. J. 26759 II  
Tocker S. 25702  
Toga T. 25836  
Tollenaar A. 27388  
Tollenaar D. 25358, 25359  
Tollert H. 27876  
Tomman R. J. 25208 II  
Tomimatsu Y. 26044  
Tomisek J. 27532  
Tomisek M. 24727 R  
Tomkeleff S. I. 24882  
Tommasini A. 25671  
Tommila E. 25166  
Townend F. S. 26549 II  
Trappenberg R. 27883  
Trau J. 25279  
Trautman R. 26133  
Traverson G. 25718  
Tredgold R. H. 24982,  
25138  
Trevoy L. W. 25814  
Tribus M. 25343  
Trieb M. 27551  
Triborn W. 26650  
Trobeck K. G. 27858 II  
Trollin S. 25585  
Trömel G. 26200 II,  
26492 II  
Trommsdorff E. 26201 II  
Trousil Z. 25374  
Trowbridge J. R. 25577  
Truce W. E. 25749  
Truter E. V. 25536  
Tschakert H. 27498  
Tschesche R. 26953 II  
Tsuboi E. 27308 II  
Tsuchida R. 24877  
Tsuda T. 26799 II  
Tsujii Y. 26906 II  
Tsukada T. 26906 II  
Tsuruta T. 25575  
Tu Chen-Chua 25314  
Tully M. E. 25791  
Tundo A. 24825, 25645  
Tuomikoski P. 26132  
Turcotte D. H. 26511  
Turk C. F. 25630  
Turner R. J. 26794 II  
Turriziani R. 24896  
Turska E. 25347  
Tyrrell H. J. V. 25259,  
25260
- U
- Ubal dini I. 26007  
Ubbelohde A. R. 25048  
Ubben R. T. 27283  
Uchida H. 25192  
Uchida K. 27346  
Udrea N. 25987  
Uebersiedl J. 25513,  
25514, 26086  
Uelzmann H. 27245 II  
Uematsu K. 26772 II  
Ullman R. 25865  
Updegraff D. 27766  
Uppal H. L. 26452  
Upton U. L. 26060  
Urban W. 26584 II  
Urion E. 27564  
Urnes S. 25112  
Ursprung J. J. 25765,  
25766  
Ursu V. 27135  
Usami E. 26885 II  
Utsumi I. 26802 II  
Utzinger G. E. 26151 II  
Uzzell P. S. 25804
- V
- Vabic V. 27490  
Vaganay J. 26709 II  
Vail G. E. 27637  
Vajna A. 25113  
Valentinis G. 27487  
Vanden Berg R. V. 26247  
Vander Brook M. J.  
26974 II  
Vándor J. 24733 R  
Vaněček M. 25983  
Van Kranendonk J. 24985  
Van Paesschen G. 25895  
Van Riper J. 28046  
Van Someren E. H. S.  
25924  
Van Stryk F. G. 25617  
Varsányi G. 26034  
Vas K. 27632  
Vassy 26102  
Vaughn C. 26026  
Večeřa M. 26030  
Veennendaal H. J. 25824  
Veer W. L. C. 26237 II  
Vegezzi G. 27553  
Velluz L., 26965 II  
Velzy C. R. 26531  
Venkataraman S. 25096  
Venugopalan M. 25939  
Vepřek-Siska J. 24867  
Verba R. J. 26383  
Vericad-Raga J. B.  
25995, 26043  
Verkade P. E. 25508  
Verma A. S. 25064  
Verma G. S. 24929  
Veron M. 26587 II  
Versagl F. J. 25944  
Vert G. 27885  
Vetsch U. 27588  
Viard M. J. 26717 II  
Vickerstaff T. 26854  
Vigneaud V. 25825  
Vilhelmi Z. 25059  
Villar G. E. 26541  
Villars D. S. 25137  
Vincent G. P. 27543 II  
Vinkler E. 25722  
Vinš V. 25945  
Viola S. J. 27699  
Viswanathan T. S. 25194  
Vitelli G. 26851  
Volckman O. B. 27894  
Vogel A. 26181 II  
Vogel E. 25596  
Vogel H. 26381  
Vogel R. C. 25108  
Vogel W. 25053 II  
Volgt H. 26691 II  
Vojtech S. 27340  
Volf M. B. 26377  
Völker T. 26201 II  
Volkoff G. M. 24987  
Volkov L. E. 27382  
Volland H. 27143  
Voltr S. E. 25158, 26148  
Volungis R. J. 25878  
Vonesch E. E. 26015  
Vos J. 26069  
Voshage H. 25438  
Vogt A. 27834 II  
Vurm V. 24722 R
- W
- Wacek A. 27333  
Wacha E. 25986  
Wachholtz F. H. W.  
27279  
Wachtman J. B. 26318  
Wagle D. S. 25709  
Wagman D. D. 25079  
Wagner E. 26158 II  
Wagner E. C. 26011  
Wagner J. 27714  
Wahl W. 27991 II  
Wahlberg T. K. 27402 II  
Walner E. 26275  
Waksmundzki A. 25959  
Walden C. C. 27618  
Waldmann E. 25755,  
25756  
Waldmann H. J. 27992 II  
Walker J. P. 27987 II  
Walker W. S. 26678 II  
Wall M. E. 25796  
Walling M. T. 25198  
Wallsgrove E. R. 27211 II  
Walsch C. L. 26203 II  
Walser R. 26059 II  
Walsh T. J. 27938  
Walter R. 27280  
Walter-Lévy L. 26441  
Walton T. H. 27250 II  
Walton W. H. 26135  
Walz E. 27640  
Wanderer E. T. 27960  
Wanek W. 25376  
Wänninen E. 25411  
Wapstra A. H. 24745  
Ward K. 25314  
Warner D. T. 26675 II  
Warren H. V. 25472  
Warrick E. L. 27234 II  
Warwick G. P. 24826  
Washington R. A. 25372  
Wasserburg G. J. 25428  
Waterman H. H. 24987  
Waterman H. I. 25738  
Waters W. A. 25164  
Watkins J. W. 27769  
Watson P. R. 27546 II  
Watt G. W. 25197,  
25198  
Watzel R. 26180 II  
Weaveling W. A. 26742 II  
Weaving A. S. 26036  
Weber N. 25082  
Webster A. 27414  
Wehner H. 27691 II  
Wehr R. 25753  
Weidenheimer J. F.  
26971 II  
Weidmann C. 26807  
Weidema J. 25359  
Weijers H. A. 27621  
Weijlard J. 26789 II  
Weinberg E. L. 26728 II,  
26729 II  
Weinberg F. J. 25172  
Weiner R. 27792  
Weireb S. 26101  
Weisbuch F. 25535  
Weiser D. 25683  
Weisler L. 26958 II  
Weiss A. 25392, 25393  
Weiss A. G. 27953  
Weiss D. E. 27943, 27944  
Weissenberg G. 26471 II  
Weissenburger H. 26978 II  
Weissleder H. 27900  
Weissmann R. C. 25979  
Weisz P. B. 25238  
27170 II  
Weltz C. E. 27740  
Weltz H. 25368  
Welcher F. J. 25931  
Welford S. F. W. 27004 II  
Wellhoener H. J. 27582  
Wells G. A. 27270  
Wempen I. M. 25704  
Wen Chin-Yung 27941  
Wender I. 24840, 24841  
Wender I. 26736 II  
Wendlandt W. W. 24815,  
24816  
Wendler L. 26401  
Wendler N. L. 25812  
Wendling R. 27323 II  
Wenkert E. 25528  
Wenz M. 27380  
Wenzel W. 26672 II  
Wepster B. M. 25508  
Werble E. 25704  
Werner F. 27923  
Werner G. 27016 II,  
27017 II  
Werner W. 25135 II  
Werner W. 27842 II  
Wertz W. 25984  
Wescott M. E. 27038  
Wesley C. 26218  
West D. B. 27560  
West E. J. 24937  
West H. J. 27797  
Westen H. A. 27535 II  
Westphal W. 26348  
Westwater J. W. 27930  
Wetherill G. W. 25436  
Wetmore R. T. 27377  
Wetterholm G. A.  
26711 II  
Wevert S. 26709 II  
Wexler A. 26124  
Weyde E. 27009  
Weyland P. 27616  
Whalley E. 25009  
Wheeler C. M. 25128  
Wheeler O. H. 25816  
White H. J. 27428  
White R. R. 27934  
Whitfield M. G. 27833 II  
Wibaut J. P. 25499  
Wilberg E. 25380  
Wilberg K. B. 25143  
Wick A. N. 26974 II  
Wicklitz J. E. 26744 II  
Widiger A. H. 26756 II  
Widmark G. 25759  
Wiedling T. 24752  
Wielowiejska M. 24767  
Wienerberger A. 27329  
Wierzbicki A. 27337  
Wiester H. J. 27796  
Wilborn F. 27298  
Wilcoxon F. 26216  
Wilder E. A. 27511 II,  
27512 II  
Wilder O. H. M. 27478  
Wildman W. C. 25808  
Wiley P. 26697 II

Wilks P. A. 26081, 28018  
Willaman J. J. 25796  
Wille F. 25565  
Willemart A. 25567,  
25673  
Willems J. 26200 II  
Williams A. P. 27128  
Williams A. L. W.  
26488 II  
Williams C. C. 27910  
Williams H. L. 27099 II  
Williams N. H. 27976 II  
Williams R. J. P. 25912,  
25915  
Williams V. C. 26500 II  
Williams W. E. 26319  
Williamson G. K. 26098  
Williamson W. R. H.  
25623  
Wilmanns G. 27223 II  
Wilmeth M. C. 27637  
Wilson H. D. 26280 II  
Wilson J. T. 25429  
Wilson J. W. 27123  
Wilson W. 25520  
Wilzbach K. E. 25752  
Winkeler H. 26683 II  
Winkler H. F. 24894,  
24895

Winkler O. 27829 II  
Winnacker K. 26645  
Winsten W. A. 26975 II  
Winter A. 26331  
Winter J. 25007  
Wintersberger K. 26173 II  
Winzen W. 26567  
Wise H. 25155  
Witman E. D. 26241 II  
Wittel K. 27462 II  
Wittenberger W. 25068  
Wittfogel H. 27654  
Wogrinz A. 26344  
Wöhler W. 25809  
Wolf 26980 II  
Wolf G. 24683  
Wolf H. 26327  
Wolf R. F. 27062  
Woelf I. A. 27546 II  
Wolff P. M. 26441  
Wolfsberg M. 25139  
Wood B. J. 25155  
Wood D. 27400 II  
Wood H. B. 25757  
Wood J. T. 27948  
Wood R. 27147  
Wood W. S. 26291 II  
Woodroffe F. W. 27713

Woods J. D. 25378  
Woods R. D. 24738  
Woodward L. A. 24849  
Worms K. H. 25368  
Worrall W. E. 26326  
Wrabetz K. 25255  
Wreath A. R. 25974  
Wrieth J. 27420  
Wright B. C. 27290  
Wright C. M. 26016  
Wright J. 27738, 27769  
Wright J. B. 25551  
Wright W. B. 25715  
Wunderley C. A. 25329 R

Yawataya T. 26165  
Yeh P.-H. 27030  
Yeo W. L. 27806  
Yoder L. 25679  
Yokell S. 27304  
Yokoyama Y. 25478  
Yoshida T. 26302 II  
Youell R. F. 24899  
Young A. J. 28001  
Young B. W. 26019  
Young E. J. 26768 II  
Young G. J. 25302  
Young R. W. 26719 II  
Young T. J. 27266  
Yutzy H. C. 27003 II

Zawaszki A. 26364  
Zebroski E. L. 27847  
Zech J. D. 27210 II  
Zeile K. 25803  
Zeisler F. 27333  
Zeitl L. 26091  
Zelenka J. 26538  
Zelley W. G. 26295 II  
Zemany P. D. 25926  
Zembura Z. 25279  
Zentner H. 26129  
Zeschitz E. 27716  
Zettlemoyer A. 25302  
Ziegler K. 26659 II,  
26751 II  
Ziegler R. 26121  
Zielke G. 26382  
Ziman J. M. 24927  
Zimmerli R. B. 27139  
Zinkernagel F. 27581  
Zmerli A. 24833, 24834  
Zmhorski E. 26264  
Zocher A. 26808 II  
Zuev Y. T. 27079  
Zuman P. 25282  
Zurbruggen A. 25210 II  
Zwick M. 25353  
Zymy E. 26191

X

Xuong N. D. 25613, 25626

Y

Yagi S. 26580 II  
Yajima S. 25179  
Yamaguchi S. 24911  
Yamamoto M. 27104  
Yamasuge K. 27176 II  
Yamazaki T. 26476 II  
Yao C. C. 25570  
Yates E. L. 26099

Z

Zachariasen R. H. 27751 II  
Zaepe O. 26609  
Zagar L. 25360  
Zahn H. 26839  
Zak T. 26249  
Zakrzewski B. 27336  
Zalay E. 25910  
Zamboni V. 25707  
Zapp F. 26431  
Zazrycki J. 26096  
Zato J. 25956

ნასყიდველი ო. 24919

三井志郎 25842  
中川一郎 24838  
中津和三 24887  
中島章夫 25396  
三階堂行徳 25357  
井上一郎 27890  
井上雄三 25595  
井上嘉雄 25341, 25342  
今井統雄 25847  
伏崎雄三郎 26562  
仲野尚一 25918  
佐々木眞一 25566  
佐々木眞光 27158  
佐藤菊正 25610  
兒玉信次郎 27127  
内田和子 27346  
内藤多喜夫 26914  
愈憲時 25643  
八木正三 25723  
別宮不二雄 26874  
前田四郎 27906  
前澤衛 26006  
劉國良 27146  
功刀泰領 27346  
加倉井敏夫 27362  
加藤旭 25605  
加藤武 25908  
加藤常太郎 25663  
北野康 25341, 25342  
千田整 27151  
占部誠亮 27086  
原熊三郎 26263  
古矢宏 27425  
吉川光一 25906, 25907  
吉川彰一 25652  
吉井豊藤丸 26442

古田忠 26263  
吉野善彌 27891  
巖築和 25650  
坂井渡 25323  
堀越源一 27426  
堀幹夫 25602, 25603,  
25604, 25605  
大久保正道 27370  
大山義年 2789  
大日方一司 2777  
大石喜美子 25612  
大野珍 25595  
大森啓一 25444  
大塚孔昭 26263  
太田忠尚 27127  
宇田川重和 28054  
宇野虹兒 25892  
宮内照勝 27956  
宮本統 25610  
富浦煥詞 26388  
寺本英 25879  
寺田裕 27127  
小山三良 25342  
小田良平 25744, 27151  
小泉正夫 24887  
小野周 25020  
小曾榮 27764  
尾崎幸三郎 26207  
尾崎新平 27503  
山口四郎 26805  
山口悟郎 26388  
山田裕 27503  
山田峻一 26219  
山邊武郎 25325  
岩井津一 28054  
岡村誠三 25892

岸國平 26219  
川添健次郎 27906  
川野義男 26049  
川端修一 26049  
工藤耕一 27349  
平尾子之吉 25723  
府川弘 28012  
延興三知夫 25261  
張錦 25666, 25667, 25668  
徐光憲 24730  
志村博 25905  
惲婉 25994  
戸川秀夫 28017  
新井照男 26263  
新良宏一郎 25903, 25906,  
25907, 25908  
施嘉鍾 25650  
明石博吉 25744  
有澤幸夫 27350  
服部弘 25736  
松井功 27120  
松本俊雄 26263  
松田島 25607  
松田義朗 26858  
松島喬 27267  
林佑吉 27148  
林俊孝 27119  
柳生榮次郎 25341  
櫻井俊男 27764  
櫻田一郎 25356  
格里戈爾夫 O. H. 25328  
根岸只吉 27148  
椿勇 25968  
横田良助 26342  
横須賀繁 25964  
池田朔次 27075

河田末吉 28017  
河東準 25021  
淺岡安 27349  
淺野駿吉 27954  
清山哲郎 25323  
湯川春秀 25538  
湯淺幸雄 27127  
瀧田博 25356  
瀧占一光 26857  
熊田誠 25736  
猪脇秀一 24829  
瓦田陽一 26263  
田中昭二 24908  
田中昭三 24829  
田中隆吉 26857  
田邊漢 26388  
田畑米穂 27361  
白井秀明 26914  
皆川利男 27158  
網脇重光 25607  
織田範一 26914  
翁尊堯 25542  
眞山節子 25847  
矢木榮 27956  
矢野素 25882  
石川光二 25905  
石倉秀次 26207  
磯波宏明 26868  
祖父江寛 27361, 27365,  
27370  
神南晴一 27370  
福住一雄 27503  
福原眞雄 27365  
秋吉三郎 25607  
稻積彦二 28013  
竹下健次郎 26563

篠原照己 25595  
能本乙彦 25012  
英哲 25744  
藤井光蔵 26443  
藤瀬新一郎 25566  
谷口五十二 27127  
赤羽信久 24829  
趙華明 25606  
足立毅 26858  
野口達彌 27362  
野村祐次郎 25636  
野溝靖璋 25908  
金蘊華 25643  
鈴木要 27156  
長谷川修三 25444  
長野正滿 27405  
關屋實 25612  
飯田力 28012  
阿保雅宏 25323  
青山幸造 25742, 25743  
青木昌治 24908  
青木康一 26996  
青谷隆 27758  
須藤惠美子 25962  
飯田修一 26407  
馬場哲郎 27764  
高小霞 25994  
高石雪男 25175  
高谷通 25732, 25733, 25734,  
25735  
高窪量平 27159  
高德占 27897  
高橋西藏 25602, 25603,  
25604, 25605  
高慶雲 2 6562  
高澤俊一 2 6505  
フイツミヤ 26811

## УКАЗАТЕЛЬ ДЕРЖАТЕЛЕЙ ПАТЕНТОВ

- Abbott Lab. 26792  
A. B. Rosenblads Patenters 27983  
Agfa Akt. Ges. für Photofabrikation 27009, 27014  
Air Products Inc. 26501  
Ajinomoto Co. 26718  
Aktiebolaget Bofors 27221  
Aktiebolaget Centrallaboratorium-Keskuslaboratorio Osakeyhtiö 26503  
Aktiebolaget Separator 27597, 27980  
Aktiebolaget Separator Recovery of Protein 27734  
Aktieselskabet Dansk Gaerings Industri 27692  
Allgemeine Elektrizitäts Ges. 27109, 27215, 27146  
Allied Chemical & Dye Corp. 26697, 26743, 27744  
America, Aluminium Co. 26295  
America, Celanese Corp. 26689, 26764, 26823, 26830, 26999  
America, Minerals and Chemicals Corp. 26175  
American Cyanamid Co. 26163, 26705, 26719, 26766, 26782, 26791, 26794, 26795, 26798, 26801, 26812, 26821, 26828, 26960, 26962, 26971, 26981, 27194, 27198, 27199, 27253, 27322, 27332, 27727, 27973  
American Electro Metal Corp. 27837  
American Radio Corp. 27020, 27751  
American Stove Co. 26771  
American Viscose Corp. 27449  
Andre Rubber Co., Ltd 27182  
Anglo-Iranian Oil Co., Ltd 26626, 26628, 26629, 26674  
Angus G. & Co. Ltd 26907  
Ansul Chemical Co. 28063  
Appell P. & H. G. m. b. H. 26714  
A. P. V. Co., Ltd 27982  
Armour & Co. 26987, 27735  
Asahi Glass Co. 26165  
Atlantic Refining Co. 27518  
Atlas Powder Co. 26912  
August Physen-Hütte Akt. Ges. 26200  
Ayerst, McKenna & Harrison, Ltd 26977  
Azienda Brevetti Industriali 27394  
Babcock & Wilcox Co. 26490  
Badische Anilin- & Soda-Fabrik Akt. Ges. 26173, 26188, 26670, 26680, 26693, 26696, 26698, 26777, 26822, 26829, 26832, 26887, 27167, 27169, 27173, 27245, 27248, 27311, 27314, 27514, 27730  
Bamag Ltd 27506  
Barrow Hepburn & Gale, Ltd 27255  
Battelle Development Corp. 26464  
Betz W. H. & L. D. 27857  
Blendax-Werke R. Schneider & Co. 26178  
Boehringer C. F. & Sohne G. m. b. H. 26691, 26989  
Borsig Akt. Ges. 26160  
Bradford Dyers Association, Ltd 27460  
Bristol Lab. Inc. 26972  
British Celanese, Ltd 27193, 27195, 27453, 27454  
British Cellophane Ltd 27313  
British Oxygen Co., Ltd 26682  
British Thomson-Houston Co., Ltd 26724, 26781  
Broadstone Synthetics, Ltd 27115  
Brush Development Co. 26488  
Buderus'sche Eisenwerke 27853  
Buffalo Electrochemical Co., Inc. 26172  
Burroughs Wellcome & Co., Ltd 26749  
Byk-Gulden Lomberg, Chemische Fabrik G. m. b. H. 26978  
California Research Corp. 26725, 26752, 27978  
Cambridge Instrument Co., Inc. 28044  
Canadian General Electric Co., Ltd 27233, 27235  
Canadian Industries Ltd 27201  
Canadian Kodak Co., Ltd 26467, 26469, 27003  
Candy Filter Co., Ltd 26548  
Carborundum Co. 26489  
Cassella Farbwerte Mainkur Akt. Ges. 26833, 26881, 26898, 26930, 27220  
General Aniline and Film Corp. 27013  
Československé chemické Závody, národní podnik 26740  
Československé pivovary, lihovary a konservárny 27602  
Chemical Co. 27547  
Chemieprodukte G. m. b. H. 27849  
Chemische Fabrik Joh. A. Benckiser G. m. b. H. 26180  
Chemische Industrie Akt. Ges. 27845  
Chemische Verwertungsgesellschaft Oberhausen m. b. H. 26671, 26672, 27992  
Chemische Werke Hüls G. m. b. H. 26685  
Chemstrand Corp. 27432  
Chicopee Manufacturing Corp. 27162  
Chinolin Gyogyszer es Vegyeszeti Termek Gyara Rt. 26980  
Ciba Ltd 26733, 26797, 26813—26815, 26817, 26820, 26827, 26946, 27217  
Cie Française des Matières Colorantes 26816, 26825, 27323  
Cie Française des Procédés Houdry 27747  
Cie Gle d'Electricité 27847  
Cilag Akt. Ges. 26765  
Cleveland Industrial Research, Inc. 27830  
Coast Metals, Inc. 27835  
Colgate-Palmolive Co. 27517, 27989  
Colgate-Palmolive-Peet Co. 27046  
Columbia-Southern Chemical Corp. 26241, 26706  
Commercial Solvents Corp. 26970, 26973  
Consortium für elektrochemische Industrie G. m. b. H. 26683  
Coppée Co., Great Britain, Ltd 26575  
Corning Glass Works 26474, 27234  
Corn Products Refining Co. 27537, 27539, 27544  
Courtaulds, Ltd 26882, 27211, 27398  
Cutler-Hamm, Inc. 26482  
De Directie van de Staatsmijnen, in Limburg 26186, 26196  
Dehydag Deutsche Hydrierwerke G. m. b. H. 26770, 27513  
Deutsche Bergin Akt. Ges. 27536  
Deutsche Erdöl Akt. Ges. 27745  
Deutsche Gold- und Silberscheideanstalt vormals Roessler 26162, 26298, 26638, 26701, 26783, 27105, 27742  
Deutsche Hydrierwerke Akt. Ges. 27229, 27241, 27399  
Devoe & Reynolds Co., Inc. 27210  
Dexter C. H. and Sons, Inc. 27463  
Diamalt Akt. Ges. 26911  
Diamond Alkali Co. 26287  
Didier-Kogag-Hinselmann Koksofenbau und Gasverwertung Akt. Ges. 27969, 27970  
Distillers Co., Ltd 26684, 26690, 27431  
Dominion Rubber Co., Ltd 26763, 27103  
Dow Chemical Co. 26179, 26230, 26487, 26665, 26668, 26721, 26746, 26756, 27242, 27310  
Dow Corning Corp. 26722, 26723, 27232, 27864  
Drägerwerk, Heinh. & Bernh. 27862  
Dr. A. Wander Akt. Ges. 26779  
Dreyfus C. 26669, 27315  
Dr. Hesse & Cie 26299  
Duchange Guillaume-Paul-Jacques 27401  
Dunlop Rubber Co., Ltd 27090—27092, 27100, 27108, 27184  
Du Pont de Nemours E. J. & Co. 26235, 26282, 26305, 26673, 26677, 26730, 26758, 27045, 26819, 26908, 27011, 27174, 27202, 27207, 27212, 27238, 27435, 27452, 27457, 27838  
Elektrochemischer Kombinat Bitterfeld 2661  
EastAsia Synthetica Chemical Industries Co. 27186  
Eastman Kodak Co. 26958, 27045, 27185, 27204, 27205, 27239, 27259  
Elektrochemisches Kombinat Bitterfeld 26661  
Elektrochemisch A/S. 26307  
Electro-Watt Electrical and Industrial Management Co., Ltd 28043  
«Elfa» Apparate-Vertriebs G. m. b. H. 27691  
Eli Lilly and Co. 26984  
Ernst Leitz G. m. b. H. 26471  
Esso Research and Engineering Co. 26183, 26228, 26623, 26625  
État Français, Defense Nationale et des Forces Armées 26709, 27189  
Ethyl Corp. 26664  
Farbenfabriken Bayer Akt. Ges. 26181, 26734, 26753, 26788, 26824, 26826, 26834, 26837, 26838, 26899, 26935, 26938, 27014, 27098, 27107, 27116, 27166, 27226—27228, 27231, 27258, 27729, 27731  
Farbwerte Hoechst Akt. Ges. vormals Meister Lucius & Brüning 26158, 26692, 26712, 26716, 26762, 26785, 26831, 26934, 26961, 27206, 27208  
Fa. Vereinigte Glanzstoff-Fabriken Akt. Ges. 27440  
Filmfabrik Agfa Wolfen 27223, 27225, 27236, 27433  
Firestone Tire & Rubber Co. 27319  
Geigy J. R. Akt. Ges. 26227, 26836  
General Aniline & Film Corp. 26748, 26754, 26894, 27019, 27023, 27025, 27516  
General Electric Co., Ltd 26481, 26745, 27836  
General Mills, Inc. 26675  
General Tire and Rubber Co. 27102  
Gerhard Collardin G. m. b. H. 27843  
Girdler Corp. 27986  
Givaudan L. & Cie Soc. Anon. 26940, 27044



- Glacier Metal Co., Ltd 27178  
 Glaxo-Lab., Ltd 26747  
 Glidden Co. 27318  
 Globe Envelopes Ltd 27404  
 Globe-Union, Inc. 26485  
 Goodrich B. F. Co. 26233,  
 26242, 26667, 26761  
 Goodyear Tire and Rubber Co.  
 27101  
 Gulf Oil Corp. 26631, 26642  
 Gulf Research & Development  
 Co. 26622  
 Haco-Ges. Akt. Ges. 26926  
 Hans C. Bick Inc. 26902  
 Hard Aluminium Surfaces Ltd  
 26293  
 Hardman & Holden, Ltd 26888,  
 26901  
 Hessel P. Augsburg och E.  
 Müller 27393  
 Henkel & Cie G. m. b. H.  
 26681, 26793  
 Heraeus W. C. G. m. b. H.  
 27829  
 Hermann Frischer G. m. b. H.  
 26187  
 Herts Pharmaceuticals, Ltd  
 26931  
 Heyden Chemical Corp.  
 26679  
 High Molecular Chemical As-  
 soc. 27165  
 Hoffmann-La Roche & Co.  
 Akt. Ges. 26778, 26943,  
 26958  
 Hoffmann-La Roche Inc. 26804  
 Hooker Electrochemical Co.  
 26739  
 Horizons Titanium Corp.  
 26184  
 Houdaille-Hershey Corp. 27981  
 Houllères du Bassin du Nord  
 et du Pas-de-Calais 26576  
 Humphreys & Glasgow Ltd  
 27976  
 I. G. Farbenindustrie Akt.  
 Ges. 26829  
 Ilford, Ltd 27004  
 Imperial Chemical Industries  
 of Aust. and N. Z. Ltd 26994,  
 27437  
 Imperial Chemical Industries  
 Ltd 26231, 26232, 26238,  
 26579, 26660, 26663, 26905,  
 26947, 27168, 27312  
 Industrial and Financial  
 Association, Inc. 26199  
 Interchemical Corp. 26893,  
 27748  
 International General Electric  
 Co., Inc. 27171  
 International Standard Elect-  
 ric Corp. 26483  
 Inventa Akt. Ges. für For-  
 schung und Patentverwertung  
 27396, 27438, 27458  
 Johnson S. C. & Son, Inc.  
 26903, 27511, 27512  
 Kalle and Co. Akt. Ges.  
 27016-27018, 27024  
 Kamlet Lab. 27330  
 Kanegabuchi Textile Co. 27188  
 Kast & Ehinger G. m. b. H.  
 27321  
 Kellogg M. W. Co. 26639,  
 26640, 26657, 26662  
 Klara Oetling, geb. Kirsten  
 27550  
 Knoll Akt. Ges. Chemische  
 Fabriken 26954  
 Kodak Akt. Ges. 27000, 27001,  
 27006, 27007, 27010, 27026  
 Kodak-Pathé, Kodak, Ltd  
 27012  
 Konishi Photographic Indus-  
 tries Co. 27002  
 Koppers Co., Inc. 26636,  
 26703, 26744, 27190, 27191,  
 27216  
 Koppers H. G. m. b. H.  
 26577, 26581  
 Krebs & Co. A./S. 26283  
 Krebs International Engineer-  
 ing Corp. 26285  
 Kremers-Urban Co. 26990  
 Küppers-Sonnenberg G. A.  
 27522  
 Kurashiki Rayon Co. 26879,  
 26889, 26891  
 Kurosaki Ceramic Co. 26493  
 Lab. D'Expansion Scientifique  
 Moderne 27051  
 Lab. le Brun 26945  
 La Cellophane Soc. Anon.  
 27111  
 L'Air Liquide, Soc. Anon.  
 pour l'Etude et l'Exploita-  
 tion des Procédés Georges  
 Claude 26499  
 Laporte Chemicals Ltd 26291  
 Les Lab. Français de Chimio-  
 therapie 26965  
 Lever Brothers Co. 26710  
 Lockport Cotton Batting Co.  
 26878  
 Luxema, Soc. Anon., Ixelles  
 26767  
 Maatschappij voor Kolenbe-  
 werking Stamcarbon N. V.  
 27548  
 McLaurin-Jones Co. 27260  
 Masonite Corp. 27250  
 Mathieson Alkali Works 27543  
 Max-Planck-Institut für  
 Eisenforschung Düsseldorf  
 26492  
 May & Baker Ltd 27153 26738  
 Menkel & Cie G. m. b. H.  
 27726  
 Merck & Co., Inc. 26232,  
 26750, 26789, 26803, 26969  
 Merrell W. S. Co. 26941  
 Metal Hydrides Inc. 27746  
 Metallgesellschaft Akt. Ges.  
 26157, 26547, 27114, 27842,  
 27855, 27984  
 Metal & Thermit Corp. 26728,  
 26729  
 Mines et Industries 27975  
 Minnesota Mining & Manu-  
 facturing Co. 27112, 27180,  
 27256, 27320  
 Mississippi River Fuel Corp.  
 26500  
 Mitsui Chemical Industries Co.  
 27200  
 Monnesmann Akt. Ges. 27852  
 Monsanto Chemical Co. 26240,  
 26550, 26695, 26727, 26768,  
 26904, 27230, 27243  
 Montecatini, Società Generale  
 Per l'Industria Mineraria  
 E Chimica 26290  
 Mullard Radio Valve Co.,  
 Ltd 26281  
 Nagahama Rubber Industries  
 Co. 27104  
 Naphtol-Chemie Offenbach  
 26818, 26892  
 Narumi Ceramic Co. 26476  
 National Aluminate Corp.  
 27867  
 National Cylinder Gas. Co.  
 27510  
 National Foundry Sand Co.  
 26491  
 National Institute of Cleaning  
 & Dyeing 28042  
 National Lead Co. 26694  
 National Research Develop-  
 ment Corp. 26578, 26944  
 National Starch Products Inc.  
 27545  
 National Tank Co. 27987  
 Nederlandse Centrale Orga-  
 nisatie voor Toegepast-Na-  
 tuurwetenschappelijk On-  
 derzoek 27869  
 Nippon Carbide Industries  
 Co. 26699  
 Nippon Electrical Metallurgy  
 Co. 26502  
 Nitroglycerin Aktiebolaget  
 26711  
 Noguchi Research Institute  
 Inc. 26284  
 Norco Chemical Co. 26720  
 Norman & Eldred, Ltd 27696  
 Norsk Hydro-Elektrisk Kvael-  
 stofaktieselskab 26161  
 Novo Therapeutisk Laborato-  
 rium A./S. 26963  
 N. V. de Bataafsche Petro-  
 leum Maatschappij 26234,  
 26624, 26634, 26654, 26686,  
 27163, 27859, 27865  
 N. V. Hollandsche Draaden  
 Kabelfabriek 27846  
 N. V. Koninklijke Pharma-  
 ceutische Fabrieken v/h  
 Brocades-Stheeman &  
 Pharmacia 26927  
 N. V. Kunstzijdespinnerij  
 Nyma 27192  
 N. V. Organon 26237, 26968  
 N. V. Philips' Gloeilampen-  
 fabrieken 26484  
 N. V. Schotlens W. A. Che-  
 mische Fabrieken 27535  
 N. V. Zuid-Nederlandsche  
 Spiritusfabriek 27599  
 Organon Inc. 26992  
 Organon Lab., Ltd 26776  
 Oriental Chemical Co. 27176  
 Österreichische Stickstoff-  
 werke Akt. Ges. 26950  
 Otto Berning & Co. 27218  
 Owens-Corning Fiberglass Corp.  
 26478, 26480, 27737  
 Parke, Davis & Co. 26707  
 Patent and Licensing Corp.  
 27096  
 Perfogit Soc. a per Azioni  
 27224, 27436  
 Permutit Co., Ltd 26549  
 Pest Control, Ltd 26726  
 Petrochemicals, Ltd 26835  
 Pfizer Chas. & Co., Inc.  
 26982, 26983  
 Phillips Petroleum Co. 26744,  
 27993  
 Phriv-Werke Akt. Ges. 27395  
 Physikalisches Untersuchungs-  
 laboratorium G. m. b. H.  
 28062  
 Pierke Genin et Cie 26477  
 Pilkington Bros., Ltd 26468,  
 26475  
 Pittsburgh Consolidation Coal  
 Co. 26737  
 Pittsburgh Plate Glass Co.  
 26470  
 Polymer Corp., Ltd 27099  
 Power-Gas Corp., Ltd 26286  
 Powers Chemco, Inc. 27022  
 Premier Mill Corp. 27977  
 Process Millers, Inc. 27689  
 Produits Chimiques et Electro-  
 métallurgiques Alais, Pro-  
 ges et Camargue 27187  
 Pure Oil Co. 26713  
 Rayonier Inc. 27214  
 Refrigeration Systems, Inc.  
 26988  
 Research Corp. 27971  
 Rhein-Chemie G. m. b. H.  
 26239  
 Riedel-de-Haën Akt. Ges.  
 26182  
 Roche Products, Ltd 26787,  
 26942  
 Röhm & Haas Co., G. m. b. H.  
 26201, 26993, 27164  
 Rose Containers, Ltd 27400  
 Rothwell Bros., Ltd 27328  
 Rottweiler Kunstseidefabrik  
 Akt. Ges. 27196  
 Rubber-Stichting 27097  
 Rudolf & Co., Chem. Fabrik  
 G. m. b. H. 26775  
 Ruhrchemie Akt. Ges. 26643,  
 26658, 26687  
 Samica Soc. des Applications  
 du Mica Soc. An. 27752  
 Sandoz, Ltd 26774, 26809,  
 26886  
 Sankyo Co. 26772  
 Schemstrand Co. 26884  
 Schenley Industries, Inc.  
 26975  
 Schering Corp. 26939  
 Schleussner C. Fotowerke  
 G. m. b. H. 27005  
 Scholven-Chemie Akt. Ges.  
 26584  
 Semtex, Ltd 27252  
 Sharples Corp. 27732

7218  
Corp.

Corp.

Azioni

35  
Inc.

26744,

27395  
abings-  
b. H.

7  
26468,

Coal

Co.

7099

26286

27022

7

27689

electro-

Fro-

187

Inc.

b. H.

Ges.

26787,

b. H.

27400

7328

abrik

Fabrik

26643,

cations

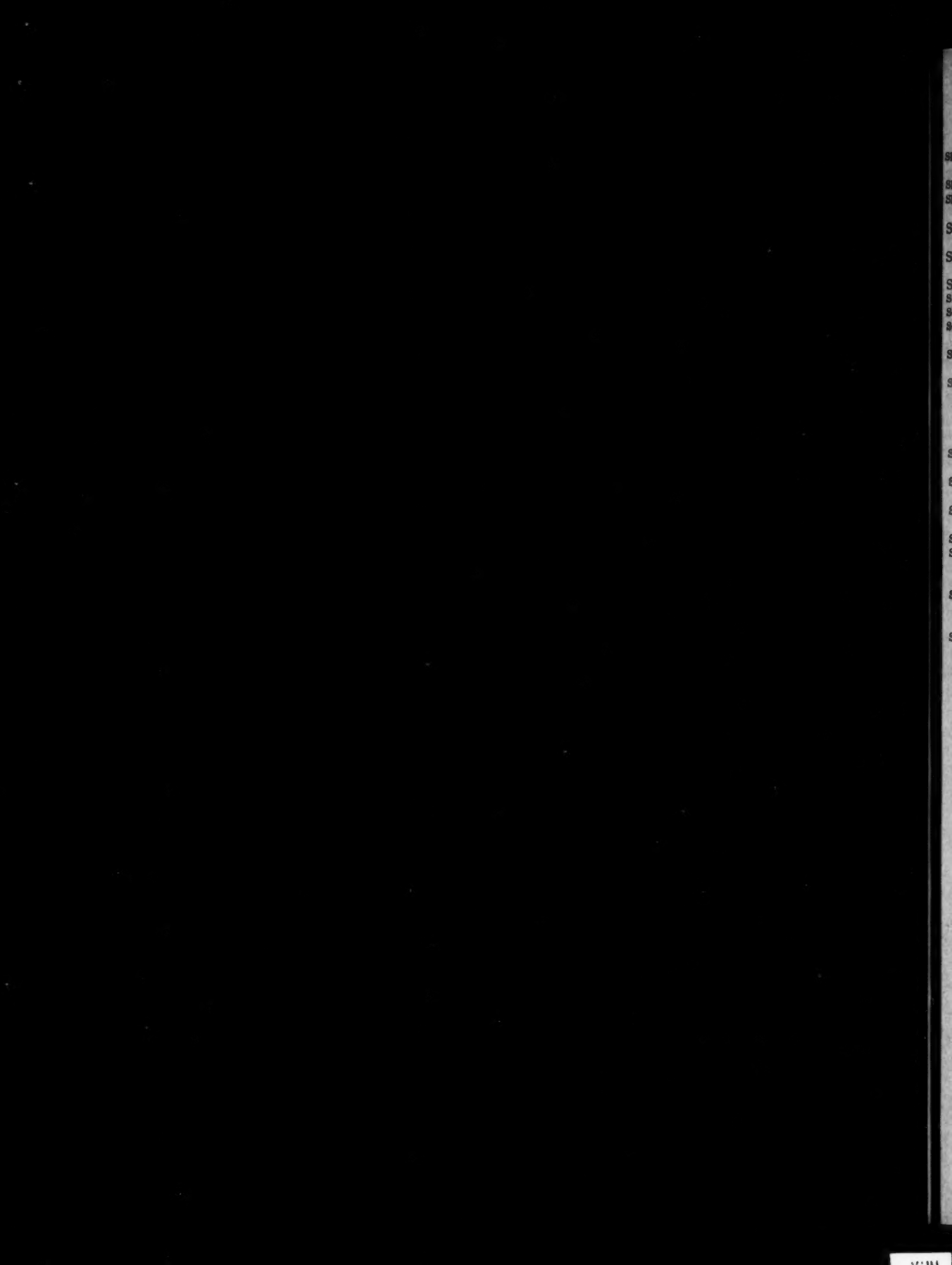
752

6809,

nc.

owerke

Ges.





Указатель держателей патентов

- Shell Development Co. 26700, 26750, 27203  
 Sherwin-Williams Co. 27317  
 Shionogi Drug Manufg Co. 26957  
 Siemens & Halske Akt. Ges. 27262, 27740  
 Siemens-Schuckertwerke Akt. Ges. 27106, 27240, 27831  
 Silent Channel Co., Ltd 27113  
 Sinclair Refining Co. 27392  
 Sintered Products, Ltd 27179  
 Smidth F. L. & Co. Aktieselskabet 27995  
 Smith A. O. Corp. 27753, 27868  
 Soc. Anon. des Manufactures des Glaces et Produits Chimiques de Saint-Gobain, Chauny & Crey 26717, 27856  
 Soc. Anon. Geeraert & Mathys. Freres. 26880  
 Soc. Anon. Orfèvrerie Christofle 27841  
 Soc. Anon. Potasse et Engrais Chimiques 26198  
 Soc. Continentale Parker 27840  
 Soc. des Four Industriels et Metallurgiques «S. O. F. I. M.» 26632  
 Soc. des Usines Chimiques Rhône-Poulenc 26473, 26755, 26790, 26948, 26949  
 Soc. d'Etudes Chimiques pour l'Industrie et l'Agriculture 26174  
 Soc. d'Etudes pour Revêtements Chimiques et Impregnations 26486  
 Soc. d'Exploitation des Procédés F. Soulage 27181  
 Soc. Française des Constructions Babcock & Wilcox 26587  
 Soc. Générale des Huiles de Pétrole B. P. 26704  
 Soc. Nobel Française 27309  
 Socony-Vacuum Oil Co., Inc. 27170, 27994  
 Soc. per Azioni Vetreria Italiana Balzaretti Modigliani 26479  
 Spofa, spojené farmaceutické závody, národní podnik, Prag. 26929  
 Stamcarbon N. V. 26196  
 Standard Oil Co. 26627, 26655, 26735, 26742, 27870  
 Standard Oil Development Co. 26621, 26633, 26644, 26784, 27254, 27326, 27866, 27990  
 Standard Telephones & Cables, Ltd 26773, 27850  
 Stanolind Oil and Gas Co. 26678  
 Starcosa Maschinen und Apparatebau G. m. b. H. 27542  
 Sterling Drug Inc. 26932  
 Stewarts & Lloyds, Ltd 26549  
 Stockholms Superfosfat Fabriks Aktiebolag 26197, 27219  
 Sumitomo Chemical Industries Co. 26580  
 Sun Chemical Corp. 27331  
 Sun Oil Co. 26630, 26732  
 Takeda Pharmaceutical Industries Co. 26951  
 Tanabe Drug Manufg Co. 26802, 26959  
 Texas Co. 26441  
 Textile and Chemical Research Co., Ltd 27451  
 Tokyo Shibaura Electric Co. 26472, 26906  
 Torit Chemie G. m. b. H. 26586  
 Tropenwerke Dinklage & Co. 26936, 26937  
 Tsugoku Electric Power Co., 27308  
 Union Carbide & Carbon Corp. 27244  
 Union Française Commerciale et Industrielle 27048  
 Union Oil Co. 27213  
 United Chromium Inc. 26301  
 United States Rubber Co. 26952  
 Universal Moulded Products Corp. 27851  
 Universal Oil Products Co. 26656, 26731, 27743, 27988  
 Upjohn Co. 26966, 26967, 26974  
 USA, Secretary of the Agriculture 27546  
 USA, Secretary of the Interior 26736  
 USA, Secretary of the Navy 27261, 27848  
 USA, U. S. Atomic Energy Commission 26185, 26292, 26780, 27172  
 U. S. Rubber Co. 26769, 27094, 27240  
 Vereinigte Glanzstoff-Fabriken Akt. Ges. 27177, 27434, 27448  
 Voithm Processes Ltd 26300  
 Wacker-Chemie G. m. b. H. 26866  
 Wallace and Co., Ltd. 27417  
 Wellcome Foundation Ltd 26796  
 Western Electric Co., Inc. 26303  
 Westfälische Union A. G. für Eisen- und Drahtindustrie 27832  
 Westinghouse Electric Corp. 27750, 27839, 27972  
 White Lab., Inc. 26800  
 Whitfield & Sheshunoff, Inc. 27833  
 Willmar Schwabe G. m. b. H. 26985  
 Winvershall Akt. Ges. 26180  
 Wolff & Co. Kommandit-Ges. auf Aktien 27695  
 Woodaliduckham Construction Co., Ltd 26549  
 Wyandotte Chemicals Corp. 27209, 27215  
 Zellstoffabrik Waldhof 26964, 27598  
 Zschimmer & Schwarz vormals Chemnitz 26715

Технический редактор Л. М. Хелемская

Подписано и печатно 14/VI 1956 г. Формат бумаги 84x109<sup>1</sup>/<sub>16</sub> Бум. л. 54<sup>1</sup>/<sub>2</sub> Печ. л. 54,12  
 Уч.-изд. 93,04 Тираж 4800. Зан. 191 Т-05313

2-я тип. Издательства АН СССР, Москва, Шубинский пер., д. 10

Цена 22 руб. 50 коп.

# ОТКРЫТА ПОДПИСКА

## на ЖУРНАЛЫ АКАДЕМИИ НАУК СССР

### на 2-е полугодие 1956 года

| НАЗВАНИЕ ЖУРНАЛОВ   | Количество номеров в полугодие | Полугодовая подписная цена | НАЗВАНИЕ ЖУРНАЛОВ   | Количество номеров в полугодие | Полугодовая подписная цена |
|---|--------------------------------|----------------------------|---|--------------------------------|----------------------------|
| Автоматика и телемеханика . . . . .   | 6                              | 54                         | Природа . . . . .   | 6                              | 42                         |
| Акустический журнал . . . . .   | 2                              | 18                         | Радиотехника и электроника . . . . .                            | 6                              | 72                         |
| Астрономический журнал . . . . .  | 3                              | 45                         | Советская этнография . . . . .                                  | 2                              | 36                         |
| Биофизика . . . . .   | 4                              | 36                         | Советское востоковедение . . . . .                              | 3                              | 36                         |
| Биохимия . . . . .  | 3                              | 45                         | Советское государство и право . . . . .                         | 4                              | 60                         |
| Ботанический журнал . . . . .   | 6                              | 90                         | Теория вероятностей и ее применение . . . . .                   | 2                              | 22.50                      |
| Вестник Академии наук СССР . . . . .  | 6                              | 48                         | Успехи современной биологии . . . . .                           | 3                              | 24                         |
| Вестник древней истории . . . . .   | 2                              | 48                         | Успехи химии . . . . .  | 6                              | 48                         |
| Вопросы языковедения . . . . .  | 3                              | 36                         | Физика металлов и металловедение . . . . .                      | 3                              | 45                         |
| Геохимия . . . . .  | 4                              | 36                         | Физиологический журнал СССР им. И. М. Сеченова . . . . .        | 6                              | 54                         |
| Доклады Академии наук СССР (без папок) . . . . .                              | 18                             | 180                        | Физиология растений . . . . .                                   | 3                              | 27                         |
| Доклады Академии наук СССР (с 3 папками коленчорковыми с тиснением) . . . . . | 18                             | 192                        | Энтомологическое обозрение . . . . .                            | 2                              | 36                         |
| Журнал аналитической химии . . . . .  | 3                              | 36                         | <b>ИЗВЕСТИЯ АКАДЕМИИ НАУК СССР:</b>                             |                                |                            |
| Журнал высшей нервной деятельности им. И. П. Павлова . . . . .                | 3                              | 45                         |   |                                |                            |
| Журнал научной и прикладной фотографии и кинематографии . . . . .             | 3                              | 22.50                      | Отделение литературы и языка . . . . .                          | 3                              | 27                         |
| Журнал неорганической химии . . . . .   | 6                              | 135                        | Отделение технических наук . . . . .                            | 6                              | 90                         |
| Журнал общей биологии . . . . .   | 3                              | 22.50                      | Отделение химических наук . . . . .                             | 6                              | 63                         |
| Журнал общей химии . . . . .  | 6                              | 135                        | Серия биологическая . . . . .                                   | 3                              | 36                         |
| Журнал прикладной химии . . . . .   | 6                              | 90                         | Серия географическая . . . . .                                  | 3                              | 45                         |
| Журнал технической физики . . . . .   | 6                              | 112.50                     | Серия геологическая . . . . .                                   | 6                              | 72                         |
| Журнал физической химии . . . . .   | 6                              | 135                        | Серия геофизическая . . . . .                                   | 6                              | 72                         |
| Журнал экспериментальной и теоретической физики . . . . .                     | 6                              | 108                        | Серия математическая . . . . .                                  | 3                              | 40.50                      |
| Записки Всесоюзного минералогического общества . . . . .                      | 2                              | 24                         | Серия физическая . . . . .                                      | 6                              | 72                         |
| Зоологический журнал . . . . .  | 6                              | 90                         | <b>РЕФЕРАТИВНЫЙ ЖУРНАЛ, серия:</b>                              |                                |                            |
| Известия Всесоюзного географического общества . . . . .                       | 3                              | 27                         |   |                                |                            |
| Исторический архив . . . . .  | 3                              | 45                         | Астрономия и геодезия . . . . .                                 | 6                              | 45.60                      |
| Коллоидный журнал . . . . .   | 3                              | 36                         | Биология . . . . .  | 12                             | 270                        |
| Кристаллография . . . . .   | 3                              | 36                         | География . . . . .   | 6                              | 120                        |
| Математический сборник . . . . .  | 6                              | 72                         | Математика . . . . .  | 6                              | 54                         |
| Микробиология . . . . .   | 3                              | 36                         | Механика . . . . .  | 6                              | 45.60                      |
| Оптика и спектроскопия . . . . .  | 6                              | 72                         | Физика . . . . .  | 6                              | 120                        |
| Почвоведение . . . . .  | 6                              | 72                         | Химия . . . . .   | 12                             | 270                        |
| Приборы и техника эксперимента . . . . .                                      | 3                              | 36                         | Биологическая химия . . . . .                                   | 12                             | 54                         |
| Прикладная математика и механика . . . . .                                    | 3                              | 36                         | Автоматика. Радиотехника. Электроника. Электротехника . . . . . | 6                              | 120                        |
|   |                                |                            | Геология . . . . .  | 6                              | 108                        |
|   |                                |                            | Машиностроение . . . . .  | 12                             | 192                        |
|   |                                |                            | Металлургия . . . . .   | 6                              | 102                        |

#### ПОДПИСКА ПРИНИМАЕТСЯ

ГОРОДСКИМИ И РАЙОННЫМИ ОТДЕЛАМИ «СОЮЗПЕЧАТ», ОТДЕЛЕНИЯМИ И АГЕНТСТВАМИ СВЯЗИ, ПОЧТАЛОНАМИ И ОБЩЕСТВЕННЫМИ УПОЛНОМОЧЕННЫМИ «СОЮЗПЕЧАТ» НА ФАБРИКАХ И ЗАВОДАХ, В НАУЧНО-ИССЛЕДОВАТЕЛЬСКИХ ИНСТИТУТАХ, УЧЕБНЫХ ЗАВЕДЕНИЯХ И УЧРЕЖДЕНИЯХ.

ПОДПИСКА ТАКЖЕ ПРИНИМАЕТСЯ МАГАЗИНАМИ «АКАДЕМКНИГА» И КОНТОРОЙ «АКАДЕМКНИГА»:

МОСКВА, ПУШКИНСКАЯ УЛ., Д. 23.

item

.50

.50

5.60

5.60

BH.  
AX.

(Ae:

2